

АКАДЕМИЯ НАУК СССР
ИНСТИТУТ НАУЧНОЙ ИНФОРМАЦИИ

РЕФЕРАТИВНЫЙ ЖУРНАЛ

ХИМИЯ

РЕФЕРАТЫ

64059—67472

*

№ 20

1956

ИЗДАТЕЛЬСТВО АКАДЕМИИ НАУК СССР
МОСКВА

ГЛАВНАЯ РЕДАКЦИОННАЯ КОЛЛЕГИЯ
РЕФЕРАТИВНОГО ЖУРНАЛА

Н. В. Агеев, В. В. Алатов, Г. Д. Афанасьев, В. Н. Дикушин, В. Ю. Домоногов,
С. М. Никольский, К. Ф. Огородников, Д. Ю. Панов (председатель редколлегии),
В. В. Покиншевский, Л. Н. Седов, В. В. Сертинский, Э. В. Шнольский

СОДЕРЖАНИЕ

ОБЩИЕ ВОПРОСЫ	1	Удобрения	253
Методология. История. Научные учреждения и конференция. Преподавание. Вопросы библиографии и научной документации	1	Пестициды	255
ФИЗИЧЕСКАЯ ХИМИЯ	6	Электрохимические производства. Электроосаждение. Химические источники тока	260
Общие вопросы	6	Силикаты. Стекло. Керамика. Вяжущие материалы	265
Атомное ядро	6	Получение и разделение газов	287
Атом	7	Подготовка воды. Сточные воды	288
Молекула. Химическая связь	9	Переработка твердых горючих ископаемых	295
Кристаллы	27	Переработка природных газов и нефти. Моторное топливо. Смазки.	304
Жидкости и аморфные тела. Газы	43	Промышленный органический синтез	320
Общие вопросы химии изотопов.	45	Промышленный синтез красителей	331
Термодинамика. Термохимия. Равновесия. Физико-химический анализ. Фазовые переходы	47	Крашение и химическая обработка текстильных материалов	334
Кинетика. Горение. Вязкость. Топохимия. Катализ	55	Взрывчатые вещества. Пиротехнические составы	345
Фотохимия. Радиационная химия. Теория фотографического процесса	64	Лекарственные вещества. Витамины. Антибиотики	345
Растворы. Теория кислот и оснований	67	Фотографические материалы	357
Электрохимия	70	Душистые вещества. Эфирные масла. Парфюмерия и косметика	361
Поверхностные явления. Адсорбция. Хроматография. Ионный обмен	75	Каучук натуральный и синтетический. Резина	363
Химия коллоидов. Дисперсные системы	78	Синтетические полимеры. Пластмассы	367
НЕОРГАНИЧЕСКАЯ ХИМИЯ. КОМПЛЕКСНЫЕ СОЕДИНЕНИЯ	81	Лакс. Краски. Эмали. Олифы. Сигнальные Лесохимические продукты. Целлюлоза и ее производные. Бумага	384
КОСМОХИМИЯ. ГЕОХИМИЯ. ГИДРОХИМИЯ	87	Искусственное и синтетическое волокно	400
ОРГАНИЧЕСКАЯ ХИМИЯ	95	Жиры и масла. Воски мыла. Моющие средства. Флоттореагенты	401
Теоретические и общие вопросы органической химии	95	Углеводы и их переработка	407
Синтетическая органическая химия	108	Бродильная промышленность	410
Природные вещества и их синтетические аналоги	160	Пищевая промышленность	419
ХИМИЯ ВЫСОКОМОЛЕКУЛЯРНЫХ ВЕЩЕСТВ	194	Кожа. Мех. Желатина. Дубители. Технические белки	430
АНАЛИТИЧЕСКАЯ ХИМИЯ	204	Прочие производства	442
Общие вопросы	204	КОРРОЗИЯ. ЗАЩИТА ОТ КОРРОЗИИ	445
Анализ неорганических веществ	212	ПРОЦЕССЫ И ОБОРУДОВАНИЕ ХИМИЧЕСКИХ ПРОИЗВОДСТВ	454
Анализ органических веществ	228	Процессы и аппараты химической технологии	454
ОБОРУДОВАНИЕ ЛАБОРАТОРИЙ. ПРИБОРЫ. ИХ ТЕОРИЯ, КОНСТРУКЦИЯ, ПРИМЕНЕНИЕ	235	Контрольно-измерительные приборы. Автоматическое регулирование	466
ХИМИЧЕСКАЯ ТЕХНОЛОГИЯ. ХИМИЧЕСКИЕ ПРОДУКТЫ И ИХ ПРИМЕНЕНИЕ	248	ТЕХНИКА БЕЗОПАСНОСТИ. САНИТАРНАЯ ТЕХНИКА	470
Общие вопросы	248	НОВЫЕ КНИГИ, ПОСТУПИВШИЕ В РЕДАКЦИЮ	473
Серная кислота, сера и ее соединения	248	АВТОРСКИЙ УКАЗАТЕЛЬ	474
Азотная промышленность	249	УКАЗАТЕЛЬ ДЕРЖАТЕЛЕЙ ПАТЕНТОВ	480
Содовая промышленность	249		
Минеральные соли. Окислы. Кислоты. Основания	250		

253
255
260
266
287
288
295
304
320
331
334
345
345
357
361
363
367
384
391
390
391
397
40
40
41
42
45
44
44
46
40
43
44
40

РЗ
М

Р

6

6
н
с
О
п
д
в
6

0

2
0

1
0
1

РЕФЕРАТИВНЫЙ ЖУРНАЛ ХИМИЯ

ГЛАВНЫЙ РЕДАКТОР В. В. Серпинский. УЧЕНЫЙ СЕКРЕТАРЬ И. А. Зайцев

РУКОВОДИТЕЛИ СЕКТОРОВ И ГРУПП: Х. С. Багдасарьян, Д. А. Бочвар, Л. М. Бродде, А. Н. Бусев, М. Е. Дяткина, В. В. Кафаров, В. Л. Кретович, Д. Н. Курсанов, Б. А. Сасс-Тисовский, В. А. Соколов, К. С. Тончиев, Н. А. Фукс

Рефераты 64059—67472

№ 20

25 октября 1956 г.

ОБЩИЕ ВОПРОСЫ

МЕТОДОЛОГИЯ. ИСТОРИЯ. НАУЧНЫЕ УЧРЕЖДЕНИЯ И КОНФЕРЕНЦИИ.
ПРЕПОДАВАНИЕ. ВОПРОСЫ БИБЛИОГРАФИИ И НАУЧНОЙ ДОКУМЕНТАЦИИ

64059. От Комиссии по номенклатуре химических соединений при ОХН АН СССР. Изв. АН СССР, Отд. хим. н., 1956, № 7, 882—883; Latv. PSR, Zinātn, Akad. Vestis, Изв. АН ЛатвССР, 1956, № 5, 125—127; ENSV teaduste Akad. toimetised. Tehn. ja füüs. matema. teaduste seer., Изв. АН ЭстССР. Сер. техн. и физ.-матем. н., 1956, 5, № 1, 82—84; Укр. хим. ж., 1956, 22, № 3, 411—413; Ж. физ. химии, 1956, 30, № 7, 1684—1686; Коллоид. ж., 1956, 18, № 3, 383—384; Хим. пром-сть, 1956, № 3, 188—189

Задача вновь организованной Комиссии — разработка и введение в практику на языках народов СССР научной номенклатуры хим. соединений (адрес: Москва, Б. Калужская, 14, Отделение хим. наук АН СССР). Публикуется список хим. элементов, содержащий официальные названия и символы, рекомендуемые для печати и педагогич. практики, а также ат. веса на 1956 г. Д. Т.

64060. Химия на сессии Академии наук УССР, посвященной вопросам использования атомной энергии в мирных целях. Шилов Е., Укр. хим. ж., 1956, 22, № 3

Сессия состоялась в Киеве 5—8 марта 1956 г.

64061. О химической науке. Челинцев Г. В. (A kémiai tudományról II. Gselincev G. V.), Magyar kém. folyóirat, 1954, 60, № 9, 283—288 (венг.)

Перевод. См. РЖХим, 1955, 8898; начало см. РЖХим, 1955, 54238. Д. Т.

64062. Периодический закон Д. И. Менделеева и геохимия. Кедров Б. М., В сб.: Очерки по истории геол. знаний, М., Изд-во АН СССР, 1955, вып. 4, 3—41

Доклад в Ин-те геологич. наук АН СССР 16 апреля 1953 г. Рассматриваются: роль геохим. исследований в открытии гафния и рения; периодич. система в связи с распределением в-ва в природе; диагональные ряды в таблице и их роль в геохимии; общая идея эволюции в-ва в геохимии. А. Ф.

64063. К истории открытия германия (экасилиция). Добротин Р. Б. Вести. Ленингр. ун-та, 1956, № 10, 55—59

В статье использованы материалы из Научного Архива Д. И. Менделеева при Ленингр. ун-те. Д. Т.

64064. Научные исследования и развитие химической промышленности в СССР. Николеску

(Cercetarea științifică originală și dezvoltarea industrie chimice în U.R.S.S. Nicolescu I. V.), Rev. chim., 1954, 5, № 10, 475—477 (рум.)

64065. Химия в археологии и живописи. Ямасак (美術史及び考古學と化學との境界. 山崎一雄), 化學の領域, Караку-но рейки. 1953, 7, № 3, 1—6 (япон.)

64066. Стекольное производство и история. Шульц (Glasindustrie und Geschichte. Schulz Hans), Glas-Email-Keramo-Technik, 1956, 7, № 5, 161—164 (нем.; рез. англ., франц.)

О значении историч. исследований в области произ-ва стекла в древности и в средние века для научного освещения неясных вопросов рецептуры и технологии.

64067. Древнерусские стекла и огнеупорные изделия. Безбородов М. А. Краткие сообщ. о докл. и полевых исслед. Ин-та истории матер. культуры АН СССР, 1956, вып. 62, 66—83

См. также РЖХим, 1955, 48127, 48128.

64068. История производства сахара в Китае. Юань Хань-цзи (我國製糖的歷史. 袁翰青), 化學通報, Хуасюэ тунбао, 1955, № 8, 505—511 (кит.)

Исторический очерк по 1930 г. Библ. 34 назв. Д. Т.

64069. История мыла. Фок (De Geschichte und Entwicklung der Seife. Fock Milos), Seifen-Öle-Fette-Wachse, 1954, 80, № 21, 550; № 22, 586—587 (нем.)

Сведения из истории моющих средств начиная с древности. Д. Т.

64070. Красильное дело в Польше в эпоху Вспарождения. Барткович (Kunst farbiarstwa w Polsce w dobie Odrodzenia. Bartkowicz Stanisław), Zesz. nauk. Politechn. łódzkiej, 1956, № 12, 3—33 (польск.; рез. русск., англ.)

Исторический очерк. Приведены описания красителей и способов крашения. Использованы архивные материалы. Д. Т.

64071. Физическая химия в Московском университете за 200 лет. Фигуровский Н. А. (Chimie fizică la Universitatea din Moscova în decurs de 200 de ani. Figurovski N. A.), An. Rom.-Sov. Ser. chim. 1956, 10, № 2, 149—156 (рум.)

Перевод. См. РЖХим, 1955, 42240

64072. Кристаллографические законы, открытые и сформулированные Е. С. Федоровым. Михеев В. И., Шафрановский И. И., В сб.: Кристаллография, 1955, вып. 3, Л., 97—112

64073. Оптик Гинан. Буркен (The «Guinand», «Guinandage» and their inventor Pierre-Louis Guinand the Optician. B o u r q u i n J u l i e n), Proc. Internat. Comm. Glass, 1954, 1, June, 56—67 (англ.)
Очерк жизни и деятельности Пьера-Луи Гинана (1748—1824), изобретателя способа механич. перемешивания стекломассы при получении оптич. стекол.

64074. Ученые и изобретатели. Из истории каучука. Фриц Гофман.—(Entdecker und Erfinder. Bildnisse aus der Geschichte des Kautschuks. Fritz Hofmann.—), Kautschuk und Gummi, 1956, 9, № 1, 10 (нем.)

64075. 100-летие синтетических красителей. Гленц, Фанке (100 Jahre synthetische Farbstoffe. Glentz Heinrich, Fanke Werner), Textil- und Faserstofftechnik, 1956, 6, № 6, 279—280 (нем.)

См. также РЖХим, 1956, 60613—60616. Д. Т.
64076. Перкины, семья химиков-органиков. Робинсон (The Perkin family of organic chemists. Robinson Robert), Endeavour, 1956, 15, № 58, 92—102 (англ.)

О жизни и деятельности В. Г. Перкина (1838—1907) и его сыновей Вильяма Генри Перкина мл., Артура Джорджа Перкина и Фредерика Моллоу Перкина.

64077. Йозеф Мария Эдер. Зомерер (József Maria Eder. Sommer Stanislaw), Fotografia, 1956, 4, № 3, 13 (польск.)

О работах в области фотографии и химии фотографии. процессов И. М. Эдера (1855—1944), профессора Венского политехнич. ин-та в связи с 100-летней годовщиной со дня рождения. W. Tuszkowski

64078. Проф. В. В. Вольферц. Мионов А. Мясная индустрия СССР, 1956, № 2, 59

В. Ю. Вольферц (1874—1946) — крупный специалист в области технологии и ветеринарно-санитарной экспертизы мяса и мясопродуктов. Д. Т.

64079. Академик Йозеф Гануш. Говорка (Akademik Josef Hanuš. Novotcka Václav), Věst. ČSAV, 1956, 65, № 3-4, 237—245 (чеш.)

Некролог. Приведен список публикаций, посвященных И. Ганушу, 18 назв. См. также РЖХим, 1956, 42177. Д. Т.

64080. Академик Йозеф Гануш. Говорка (Akademik Josef Hanuš. Novotcka V.), Chem. listy, 1956, 50, № 3, 333—336 (чеш.)

64081. Прен Жолио-Кюри. Баумгартен-Трамер (Irène Joliot-Curie. Baumgarten-Trauer Franziska), Chimia, 1956, 10, № 6, 136—140 (нем.)

64082. Абрам Михайлович Рубинштейн. Некролог. Звягинцев О. Е., Николаев А. В., Ж. неорган. химии, 1956, 1, № 4, 609—614

А. М. Рубинштейн — зав. лабораторией Ин-та общей и неорганич. химии АН СССР, проф. Моск. ин-та цветных металлов и золота, крупный специалист в области химии комплексных соединений и аффинажа благородных металлов. Приведен список трудов. Д. Т.

64083. Герман Штаудингер. Брусон, Марк (Hermann Staudinger. Bruson H. A., Mark H.), J. Polymer Sci., 1956, 19, № 93, 387—388 (англ.)
Вводная статья к номеру журнала, посвященному Г. Штаудингеру в связи с его 75-летием. Д. Т.

64084. Анатолий Кириллович Бабко.— Ж. аналит. химии, 1956, 11, № 3, 365—366
См. РЖХим, 1956, 53499.

64085. Николай Николаевич Семенов — создатель теории цепных реакций. Чирков Н. М., Воеводский В. В., Ж. физ. химии, 1956, 30, № 4, 722—728

К 60-летию со дня рождения. См. также РЖХим, 1956, 57122. Д. Т.

64086. Академик А. Н. Теренин. Вартанян А. Т., Ж. физ. химии, 1956, 30, № 5, 962—967

К 60-летию со дня рождения академика А. Н. Теренина, известного исследователя в области фотохимии.

64087. Объединение для содействия преподаванию математических и естественных наук в ГДР. Реннеберг, Вернер (Vereinigung zur Förderung des mathematisch-naturwissenschaftlichen Unterrichts in der DDR. Renneberg W., Werner K.), Chem. Schule, 1955, 2, № 3, 139—140 (нем.)

Сообщение о собрании инициативного комитета по организации Объединения (29 марта 1955 г., Берлин).

64088. 46-е общее собрание Германского общества содействия преподаванию математических и естественных наук. Реннеберг (Die 46. Hauptversammlung des Deutschen Vereins zur Förderung des mathematischen und naturwissenschaftlichen Unterrichts. Renneberg Werner), Chem. Schule, 1955, 2, № 3, 140—141 (нем.)

Краткое сообщение о докладах (12—16 апреля 1955 г., Марбург на Лане). М. С.

64089. О XXVIII Международном конгрессе промышленной химии в Мадриде. Лепешков И. Н., Ж. неорган. химии, 1956, 1, № 4, 874—877

Краткое сообщение члена делегации СССР. Д. Т.

64090. Основы химии для заводского механика. Кат, Кат (The fundamentals of chemistry for the plant engineer. Kut D., Kut S.), Industr. Heat. Engr., 1953, 15, № 93, 216—219; № 94, 243—245, 249; № 95, 275—278; № 96, 310—313; № 97, 331—333; № 98, 369—371; 1954, 16, № 99, 17—18, 20; № 100, 54—56; № 101, 70—73 (англ.)

Начало см. РЖХим, 1954, 36486.

64091. Новый учебный план по химии в советской десятилетней средней школе. Тикке (Der neue sowjetische Chemielehrplan für Zehnjahrschulen. Thieke Boris), Chem. Schule, 1955, 2, № 2, 73—82 (нем.)

Подробный разбор плана на 1954/55 уч. г. в сравнении с планом 1951 г. М. С.

64092. О воспитании материалистического мировоззрения при преподавании органической химии в средней школе. Чэнь Го-пинь (我怎樣加強有機化學教學的思想性·陳國欽), 化學通報, Хуасюэ тунбао, 1955, № 7, 421—423 (кит.)

64093. О систематичности в подготовке урока, его проведении и повторении пройденного. Хэ Цзянь (備課, 講課及複習與系統性的關係·賀健), 化學通報, Хуасюэ тунбао, 1955, № 7, 425—427 (кит.)

Методическая статья. Д. Т.

64094. Стимулирование внимательности и самостоятельного мышления учащихся в классе. Ван Цзяо-бо (我在課堂上是怎樣引起學生的注意力和啓發學生獨立思考的·汪爵伯), 化學通報, Хуасюэ тунбао, 1955, № 7, 429—431 (кит.)

Методическая статья. Д. Т.

64095. Развитие у учащихся способности формулировать определения химических понятий. И АЙ (盡量啓發學生自己來歸納名詞定義·龔艾), 化學通報, Хуасюэ тунбао, 1955, № 7, 437 (кит.)

Методическая статья. Д. Т.

64096. К вопросу о введении формул и уравнений в преподавание химии в начальной школе. Фриес (Zur Einführung von Formeln und Gleichungen im Chemieunterricht der Grundschule. Fries Eberhard), Chem. Schule, 1955, 2, № 5, 233—236 (нем.)

Методическая статья. М. С.

64097. О значении зарисовок в преподавании химии. Герман (Die Zeichnung im Chemieunterricht. Hermann Fritz), Chem. Schule, 1956, 3, № 3, 122—131 (нем.)

Рассмотрено дидактич. значение, даны методич. ука-

зания по выполнению схем простейших приборов, хим. процессов и структур молекул. М. С.

64098. Учебный практикум в школьном преподавании химии. Реннеберг (Schülerübungen im Chemieunterricht. Renneberg Wegner), Chem. Schule, 1955, 2, № 2, 49—56 (нем.)
Обзорная обшеметодическая статья. М. С.

64099. Указания к экзаменам по химии. Бойе (Hinweise zu den diesjährigen Prüfungen im Fach Chemie. Boje Lisa), Chem. Schule, 1955, 2, № 2, 57—62 (нем.)

Разбор требований на выпускных экзаменах в неполной и полной средней школе. М. С.

64100. Методические замечания по теме «Периодический закон Д. И. Менделеева» в средней школе.— (關於分析“門捷列夫週期律教學中的體會”，化學通報，Хуасюэ тунбао, 1955, № 7, 419—421 (кит.))

64101. О новом варианте периодической таблицы. Кирмзе, Шильбах (Eine neue Darstellung des Periodensystems. Kirmse H., Schilbach V.), Chem. Schule, 1955, 2, № 2, 93—95 (нем.)

Возражение против предложения Штойе (РЖХим, 1956, 60638). М. С.

64102. О месте водорода в периодической системе элементов Д. И. Менделеева. Мевес (Über die Stellung des Wasserstoffs im Periodensystem der Elemente von D. I. Mendelejew. Mewes Renate), Chem. Schule, 1956, 3, № 2, 66—71 (нем.)

Автор присоединяется к мнению Б. В. Некрасова о принадлежности водорода к VII группе и излагает его доказательства для использования при преподавании в X и XII классах. М. С.

64103. Осаждение поваренной соли концентрированной соляной кислотой. Биндзейль (Kochsalzfällung durch konzentrierte Salzsäure. Bindseil Wegner), Chem. Schule, 1955, 2, № 2, 87—89 (нем.)
Автор показывает, что явление выпадения NaCl из конц. р-ра при добавлении конц. HCl-к-ты не может быть объяснено на основе закона действия масс и поэтому считает неправильным включение соответствующего пункта в экзаменационные вопросы по теме «Закон действия масс». М. С.

64104. Непрерывные, периодические и круговые процессы. Остервальд (Kontinuierliche und diskontinuierliche Arbeitsweise, Kreisprozeß. Osterwald Rolf), Chem. Schule, 1956, 3, № 2, 60—66 (нем.)

Приведены примеры промышленных процессов применительно к курсу химии средней школы. М. С.

64105. Противоток в химической технике. Остервальд (Das Gegenstromverfahren in der chemischen Technik. Osterwald Rolf), Chem. Schule, 1956, 3, № 1, 2—11 (нем.)

Описаны производственные процессы с применением противотока и имитирующие их опыты. М. С.

64106. Ознакомление со стеклами производством на уроках химии. Хаукке (Zur Behandlung des Werkstoffes Glas im Chemieunterricht. Haucke Alois), Chem. Schule, 1956, 3, № 3, 105—111 (нем.)
Материал для преподавателей. Основы технологии и оборудование для изготовления посуды, листового стекла и трубок (с иллюстр.); народно-хозяйственное значение стекловыпуска произ-ва. М. С.

64107. Техника безопасности при обучении химии. Циман (Unfallverhütung im Chemieunterricht. Ziemann Joachim), Chem. Schule, 1956, 3, № 2, 49—60 (нем.)

Общие указания по выполнению опасных хим. работ; рассмотрены возможные несчастные случаи, меры их предупреждения и первая помощь. Упомянуты соответствующие законы ГДР. М. С.

64108. Новый предмет оборудования для учебного практикума в школе. Мейзель (Ein neues Gerät zur Durchführung von Schülerübungen. Meusel Heinz), Chem. Schule, 1955, 2, № 2, 91—93 (нем.)
Переносный ящик-штатив для использования в необорудованных классах; описание и чертежи. М. С.

64109. Простой аппарат для непрерывной перегонки воды. Юст (Ein einfacher Apparat zur kontinuierlichen Wasserdistillation. Just Manfred), Chem. Schule, 1955, 2, № 4, 188—190 (нем.)

Подробное описание прибора, рекомендуемого для школьных условий; нагрев электрический (переменный ток) посредством электродов, опущенных в воду. М. С.

64110. Об атомарном или молекулярном написании формул газов в VII классе. Фриес (Atomare oder molekulare Schreibweise der Gase im 7. Schuljahr. Fries Eberhard), Chem. Schule, 1955, 2, № 2, 89—91 (нем.)

Возражения к статье Фишера (РЖХим, 1956, 60642). М. С.

64111. О методике проведения практических занятий по химии в неполной средней школе. Ли Мин (對初中化學實驗教學的一些體會。黎明), 化學通報，Хуасюэ тунбао, 1955, № 10, 621—622 (кит.)

64112. Опыт ведения лабораторного практикума по химии в неполной средней школе. Отто (Erfahrungen mit Schülerübungen im Chemieunterricht der Grundschule. Otto H.), Chem. Schule, 1955, 2, № 3, 134—137 (нем.)

Отмечены практические возможности ведения занятий в необорудованных помещениях. Приведены правила работ, требования к занятиям учащихся и к подготовительной работе преподавателя. М. С.

64113. Демонстрационные опыты и практикум по первой теме химии в средней школе и указания по проведению опытов. Си Лу-ха (初中化學第一章的演示實驗和建議。鄧維和), 化學通報，Хуасюэ тунбао, 1955, № 8, 496—497 (кит.)

64114. Определение содержания кислорода в воздухе сжиганием железа или фосфора. Краузе, Людвиг (Bestimmung des Sauerstoffgehaltes der Luft durch Verbrennen von Eisen und Phosphor. Krause Konrad, Ludwig Gerhard), Chem. Schule, 1955, 2, № 2, 85—87 (нем.)

Уточнение условий опыта, описанного Гёттелем (РЖХим, 1956, 60647). Лучший результат получается при сжигании белого фосфора. М. С.

64115. К изучению темы «Перегонка» в VII классе. Фриес (Zur Behandlung der «Destillation» im Chemieunterricht der 7. Klasse. Fries Eberhard), Chem. Schule, 1955, 2, № 4, 186—187 (нем.)

Для показа способа разделения р-рителя и растворенного в-ва предлагается применять р-р CuSO₄. Указаны методич. приемы для пояснения стадий перегонки (испарение, конденсация) и действия частей прибора. М. С.

64116. О методике преподавания второй темы «Химические реакции. Атом» в средней школе. Тянь Гуань-шэнь, Ли Чжэнь-цзе, Вань Мин-шао, Хуан Чунь-яо (初中化學第二章“化學反應，原子”的教學研究。田冠生，李真傑，苑鳴韶，黃純葵)，化學通報，Хуасюэ тунбао, 1955, № 8, 489—491 (кит.)

64117. План проведения урока по теме «Атом» в средней школе. Чэнь Гуан-цзюнь (初中化學“原子”，一節的課時計劃。陳廣濬)，化學通報，Хуасюэ тунбао, 1955, № 9, 560 (кит.)

64118. О методике преподавания темы «Строение атома» в средней школе. Лю Жо-чжуан (關於高中化學“原子結構”的教學。劉若莊)，化學通報，Хуасюэ тунбао, 1955, № 11, 674—676 (кит.)

64119. О демонстрационных опытах и практикуме по второй теме химии в средней школе. Си Лу-хэ (初中化學第二章演示實驗的討論. 鄭祿和), 化學通報, Хуасюэ тунбао, 1955, № 9, 565 (кит.)
64120. О теме «Водород» в VII классе. Фриес (Einführung und Darstellung des Wasserstoffs im 7. Schuljahr. Fries Eberhard), Chem. Schule, 1955, 2, № 3, 137—138 (нем.)
Критические замечания к учебному плану по химии (1953 г.) М. С.
64121. О методике преподавания темы «Валентность» в неполной средней школе. Сай Цинь-вань (我對初中化學“化合價”的教法. 賽勤萬), 化學通報, Хуасюэ тунбао, 1955, № 10, 619—621 (кит.)
64122. Изложение понятия валентности в VII классе. Нейман (Zur Behandlung der Wertigkeit in der 7. Klasse. Neumann Gerhard), Chem. Schule, 1955, 2, № 4, 182—183 (нем.)
Описано изготовление из картонных дисков упрощенных моделей молекул. М. С.
64123. Преподавание темы «Концентрация растворов и ее расчет» в средней школе. Цэн Сяо-фэн (高中化學“溶液的濃度及其計算”的教學研究. 岑曉峯), 化學通報, Хуасюэ тунбао, 1955, № 11, 676—677 (кит.)
Методическая статья. Д. Т.
64124. Подготовка уроков по химии. Мейендорф (Die Vorbereitung des Unterrichts im Fach Chemie. Meyendorf Gerhard), Chem. Schule, 1955, 2, № 2, 62—72 (нем.)
Подробное изложение плана уроков по теме «Поваренная соль — соляная кислота — хлор». М. С.
64125. Реакция соединения водорода с хлором. Демонстрационный опыт получения соляной кислоты. Шань Пань-вань (氫和氯的化合反應. 製取鹽酸的演示. 申洋文), 化學通報, Хуасюэ тунбао, 1955, № 9, 566—567 (кит.)
На основе опыта хим. факультета Нанькайского ун-та рекомендуется установка для получения HCl по промышленному способу. Приведена схема и описание. Д. Т.
64126. Учебный опыт получения соляной кислоты по непрерывному способу. Фирих (Unterrichtsversuch zur Herstellung von Salzsäure im kontinuierlichen Verfahren. Vierich Horst), Chem. Schule, 1955, 2, № 5, 236—239 (нем.)
Схема установки и описание опыта. М. С.
64127. Учебный опыт получения соляной кислоты по непрерывному способу. Кейне (Unterrichtsversuch zur Herstellung von Salzsäure im kontinuierlichen Verfahren. Keune Hans), Chem. Schule, 1956, 3, № 2, 90—92 (нем.)
Замечания к статье Фириха (см. предыд. реф.).
64128. О развитии химического мышления у учащихся при прохождении темы «Щелочи» в неполной средней школе. Ли Мин (通過初中化學“鹼類”的教學來談如何培養學生的智力. 黎明), 化學通報, Хуасюэ тунбао, 1955, № 7, 427—429 (кит.)
Методическая статья. Д. Т.
64129. Изучение закономерностей образования химических соединений в VIII классе. Бракман (Die Behandlung der chemischen Verbindungsgesetze im 8. Schuljahr. Brackmann Ernst), Chem. Schule, 1955, 2, № 3, 123—134 (нем.)
Темы и методич. пояснения к 10 урокам и заключительной письменной работе. М. С.
64130. Понятие о химическом равновесии в курсе средней школы. Шустер (Zur Einführung des chemischen Gleichgewichts im Unterricht der Oberstufe. Schuster Wegner), Chem. Schule, 1954, 1, № 1, 23—26 (нем.)
Рекомендовано использовать систему $\text{CO} + \text{H}_2\text{O} \rightleftharpoons \text{CO}_2 + \text{H}_2 + 9,8 \text{ ккал}$, константа равновесия которой при 830° равна 1. Приведен цифровой и графический материал для 686° и 1205°. М. С.
64131. Платомерное сообщение политехнических знаний при преподавании химии в VIII классе. Родевальд, Ланге (Planmäßige Vermittlung polytechnischer Kenntnisse im Chemieunterricht der 8. Klasse. Rodewald G., Lange H.-J.), Chem. Schule, 1956, 3, № 1, 25—28 (нем.)
Перечислены процессы хим. технологии и металлургии, которые рекомендуется рассматривать при изучении отдельных тем из плана VIII класса. М. С.
64132. Рассмотрение основных принципов химического производства в теме «Железо — сталь» (VIII класс). Вольфграмм (Die Berücksichtigung der Grundprinzipien der chemischen Produktion im Stoffgebiet «Eisen — Stahl» des 8. Schuljahres. Wolffgramm Horst), Chem. Schule, 1956, 3, № 1, 11—22 (нем.)
Подробно изложены основные сведения о технологии, технике, организации и энергетике доменного процесса и проката стали; приведен план 11 уроков по теме. М. С.
64133. Изучение темы «Азот» в VIII классе. Герман (Die Behandlung der Stoffeinheit «Stickstoff» im 8. Schuljahr. Herrmann Fritz), Chem. Schule, 1955, 2, № 6, 263—270 (нем.)
Методическая статья. М. С.
64134. Некоторые замечания по методике преподавания химии в средней школе. Чжоу Цун-би (對高中化學教學法的一點意見. 周從弼), 化學通報, Хуасюэ тунбао, 1955, № 10, 616 (кит.)
Рассматривается тема «Углеводороды и другие органич. соединения». Д. Т.
64135. Учебные опыты с самодельной электрической трубчатой печью. Кюнел (Unterrichtsversuche mit einem selbstgebauten elektrischen «Röhrenofen». Kühnel Roland), Chem. Schule, 1955, 2, № 4, 187—188 (нем.)
Краткое описание устройства печи и указания к проведению 6 опытов (генераторный газ, водяной газ, окислительно-восстановительные р-ции доменного процесса, обжиг известняка, SO_3 из гипса, SO_2 из кизерита). М. С.
64136. Замечания к новому учебному плану по химии для IX класса средней школы. Мейендорф (Bemerkungen zum neuen Chemielehrplan für die 9. Klasse der Mittelschule. Meyendorf Gerhard), Chem. Schule, 1955, 2, № 5, 205—211 (нем.)
Об особенностях работы в связи с переходом на десятилетнее обучение. Общие методич. указания и примерные методики по темам «Серная к-та» и «Сода». Список литературы для преподавателей, 25 назв. М. С.
64137. О преподавании химии в средней школе. Виртген (Zum Chemieunterricht in der Mittelschule. Wirthgen Walter), Chem. Schule, 1955, 2, № 6, 276—280 (нем.)
Критические замечания и предложения по учебному плану для IX класса. М. С.
64138. О реакции между четыреххлористым углеродом и щелочным металлом. Янтур (Über eine Reaktion zwischen Tetrachlorkohlenstoff und Alkalimetall. Janthur Hans-Joachim), Chem. Schule, 1955, 2, № 3, 141—142 (нем.)
Описаны условия выполнения этой реакции как учебного опыта, сопровождающегося взрывом. М. С.
64139. Хроматография на бумаге. Лангхаммер (Papierchromatographie. Langhammer Günter), Chem. Schule, 1955, 2, № 3, 109—123 (нем.)
Основные сведения по технике и теории хроматографии на бумаге и описание 5 опытов для средней школы. М. С.

64140. Демонстрационные опыты по хемолуминесценции. Лангхаммер (Demonstrationsversuche zur Chemolumineszenz. Langhammer G.), Chem. Schule, 1956, 3, № 3, 112—122 (нем.)

Общие сведения о хемолуминесценции с примерами; данные о биолуминесценции. Описаны 5 опытов разной сложности. М. С.

64141. Опыты по коррозии и защите металлов. Реннеберг (Versuche zur Korrosion und zum Schutze der Metalle. Renneberg Werner), Chem. Schule, 1956, 3, № 3, 97—104 (нем.)

Изложение статьи Балежина и Ратинова (см. РЖХим, 1955, 36565). М. С.

64142. Водородный показатель в курсе химии XI класса. Гётце (Der pH-Wert im Unterricht der Klasse 11. Götze Otto), Chem. Schule, 1956, 3, № 1, 32—35 (нем.)

Теоретические основы, состав набора индикаторов, примеры опытов. М. С.

64143. Экскурсия на Лейпцигскую ярмарку. Мёле (Wir besuchten die Leipziger Messe. Möhle Horst), Chem. Schule, 1955, 2, № 3, 97—108 (нем.)

На опыте экскурсий студентов ун-та — будущих преподавателей химии — подробно рассматривается роль экскурсий в педагогич. процессе средней школы, подготовительная работа преподавателей и учащихся, организация экскурсий, обработка материалов. М. С.

64144. Помощь преподавателей химии работе пионерских и юношеских организаций. Мёле (Wie wir Chemielehrer die Pionier und FDJ-Arbeit unterstützen können. Möhle Horst), Chem. Schule, 1955, 2, № 5, 198—205 (нем.)

Обзор германских и советских сообщений о докладах и других видах работ по химии в пионерских отрядах и группах юношеской организации. М. С.

64145. Внешкольная работа по химии. Вай Юй-ун (我們是如何開展化學課外活動的. 王雨濤), 化學通報, Хуасюэ тунбао, 1955, № 11, 689—692 (кит.)

Из опыта организации и работы хим. кружков в средней школе. Д. Т.

64146. Документация по прикладной химии. — (Dokumentation der angewandten Chemie.—), Angew. Chem., 1956, 68, № 12, Nachr. Chem. und Technik, 173 (нем.)

Сообщение о 1-м Международном конгрессе по документации по прикладной химии (22—25 ноября 1955 г., Лондон). Д. Т.

64147. Реферативный журнал «Химия — Биологическая химия». Пронин С. И. Биохимия, 1956, 21, № 2, 309—311

Рецензия.

64148 К. Энциклопедия технической химии Ульмана. Т. 6. Изд. 3-е, перераб. и доп. Ред. Фёрст (Ullmanns Encyklopädie der technischen Chemie. Bd. 6. Dimethyläther bis Extraktion. 3. völlig neu gest. Aufl. Hrsg. Foerst Wilhelm. München — Berlin, Urban und Schwarzenberg, 1955, XI, 827 S., ill., 108 DM) (нем.)

64149 К. Химические расчеты. Изд. 6-е. Лонг, Андерсон (Chemical calculations. 6th ed. Long James Scott, Anderson H. V., McGraw-Hill, 1955, 305 pp., ill. 4.75 doll.) (англ.)

64150 К. Вопросы политехнического обучения в школе. Раздел химии. Сборник. Ред. Коласшиков. Перев. с русс. (Zagadnienia kształcenia politechnicznego w szkole. Rozdz. Chemia. Praca zbior. Red. Kolaszников. Tłum. z ros. Warszawa, Państw. Zakł. Wydawn. Szkolnych, 1954, 100 s., 2.15 zł.) (польск.)

64151 К. Уроки химии в VII классе. Пособие для учителей. Изд. 3-е. Егоркин В. Ф. М., Учпедгиз, 1956, 144 стр., илл., 1 р. 85 к.

64152 К. Химия. Учебник для промышленных школ. Изд. 2-е. Червин, Ласка. Перев. с чеш. (Chémia. Učeb. texty pre priem. školy. 2 vyd. Červín Alois, Láská Stanislav. Z. ces. Bratislava, SPN, 1955, 343, (2) s., ill., 12, 70 Kčs.) (словац.)

64153 К. Неорганическая химия. Учебник для профессиональных школ. Запан М., Бера (Chimie anorganică. Manual pentru școli profesionale. Zapana M., Beral E. 324 p., ill., București, Editura tehnică, 1954, 17, 50 lei.) (рум.)

64154 К. Общая химия. Для I класса нехимических техникумов. Изд. 3-е. Ротницкий (Chemia ogólna. Dla kl. I techników niechemicznych. Wyd. 3. Rotnicki Julian. Warszawa, Państw. Wydawn. Szkol. Zawod., 1956, 303, 4 nłb. s., ill., 11. 60 zł.) (польск.)

64155 К. Задачи и упражнения по химии. Для средней школы. Гольдфарб Я. Л., Сморгонский Л. М. (Химиядан меселелер ве фюнукмелер. Орта мектеп учин алтынжи нешири. Гольдфарб Я. Л., Сморгонский Л. М., Ашгабат, Туркменд⁴ветокувпедншир, 1956, 190 сах., 1 м. 85 к.) (туркм.)

64156 К. Физические приборы в химической лаборатории. Пособие для промышленных школ. Звоничек (Fyzikální přístroje v chemické laboratorii. Pomocná kniha pro priem. školy. Zvoníček Jaroslav. Praha, SPN, 1955, 458, (2) s., ill., 23 Kčs) (чеш.)

См. также: Классиф. и номенкл.: синтетич. красители 62229; лаки и краски 66682. История: химия металлоорг. соед. 65015; синтетич. красители 62228; стеклоделие 65704; каучук и резина 66475; полиорганосилоксаны 66562; мыловарение 66860; пищевая химия 6701. Персоналии: Мисцелеев 64567; Ридберг 64181. Институты: натуральный каучук 64676; пивоварение 66933. Конференции: спектроскопия 64252; фотоэмульсии 64554; комплексные соед. 64683; геология 64762; макромолек. химия 65129; серная к-та и удобрения 65578; газификация угля 65986; маслосб. пром-сть 66846; сахарная пром-сть 66890; целлюлоза 66782; биохимия 18719—18721Бх; фармакология 18719Бх, 181720Бх. Уч. лит-ра: физ. химия 64161, 64664; коллоидная химия 64664; органич. химия 65008, 65009; аналитич. химия 63238—63247, 65397; биохимия 18812Бх, 18813Бх, 19561Бх; мед. химия 19560Бх, 19561Бх; общ. хим. технология 65534; произ-во серной к-ты 65537

НОВЫЕ ЖУРНАЛЫ

64157. Химическая наука и промышленность. Всесоим. о-во им. Д. И. Менделеева. М., Госхимиздат. Выходит с 1956 г., 6 номеров (15 печ. л. каждый) в год, 90 руб. в год.

В журнале намечено помещать: статьи, освещающие состояние и перспективы развития всех отраслей хим. науки и техники; обзоры различных областей органич. и неорганич. химии и технологии (красители, хим. волокна, фармацевтич. препараты, продукты основного органич. синтеза, синтетич. каучук, минеральные к-ты, соли, удобрения, редкие элементы и др.); материалы по механизации и автоматизации хим. процессов, по экономич. проблемам и вопросам переработки хим. сырья; новости науки и техники; дискуссионные статьи по актуальным вопросам химии и хим. технологии; материалы по организации н.-и. работы, по вопросам передового опыта работы в пром-сти, высшего хим. образования; информация о научных конференциях; материалы о деятельности ВХО им. Д. И. Менделеева

и результаты важнейших экспериментальных работ членов О-ва. Журнал рассчитан на работников н.-и. ин-тов, вузов, лабораторий, руководящих и инж.-технич. работников хим. и смежных отраслей промышленности (Сокращ. название в РЖ — Хим. наука и пром-сть). Д. Т.

64158. Fruchtaft-Industrie (Промышленность фруктовых соков). Hrsg. Horn Wolf Sigurd. Frankfurt/M. (нем.)

Двухмесячный журнал по вопросам произ-ва и исследования фруктовых и овощных соков. Выходит с января 1956 г. Подписная цена на год 15 марок. Д. Т.

ФИЗИЧЕСКАЯ ХИМИЯ

ОБЩИЕ ВОПРОСЫ

64159. Масса, скорость и количество движения компонентов критического кохезиона бензола. Бруни (Massa, velocità e quantità di moto dei costituenti il coesile critico del benzolo. Bruni Giorgio), Idrocarburi, 1954, 3, № 9, 23—28 (итал.) Приложение введенного автором понятия «кохезиона» (см., напр., Rev. Ital. del Petrol. Roma, giugno, 1951; Dtsch. Chem. Zeitschr., Berlin, Apr. 1950) к бензолу. В. М.

64160. Свойства вещества при очень высоких температурах. Финкельбург (Verhalten der Materie bei extrem hohen Temperaturen. Finkelburg W.), Chem.-Ingr.-Techn., 1955, 27, № 3, 121—123 (нем.)

Популярная статья. А. А.

64161 К. Физическая химия. Изд. 2-е. Келлэ (Fyzikálna chémia. 2. vyd. Kellö Vojtech. Bratislava, SVTL, 1955, 235 (1) s., il., 11.40 Kčs.) (словац.)

АТОМНОЕ ЯДРО

64162. Вращательные возмущения в ядре — приложения к W^{183} . Керман (Rotational perturbations in nuclei — application to wolfram 183. Kerman A. K.), Kgl. danske vid. selskab. Mat.-fys. medd., 1956, 30, № 15, 25 (англ.)

Делается попытка объяснить отклонение от простого вращательного спектра в W^{183} . Отклонение объясняется наличием взаимодействия между вращательными и другими степенями свободы. Предсказано отношение E_2/M_1 -переходов в W^{183} . Г. С.

64163. Схема распада зеркального ядра P^{29} . Родерик, Лёнсё, Мейерхоф (Decay scheme of the mirror nucleus P^{29} and related results. Roderick H., Lönsjö O., Meyerhof W. E.), Phys. Rev., 1955, 97, № 1, 97—101 (англ.)

Исследовалось излучение P^{29} . β^+ -Спектр оказался сложным. Найдены γ -переходы с E 1,28 и 2,43 Мэв. Приведена схема распада. Л. Ш.

64164. К-захват при распаде Cl^{36} . Дривер, Молик (K-capture in the decay of chlorine 36. Driver R. W. P., Molik A.), Philos. Mag., 1955, 46, № 383, 1337—1342 (англ.)

При помощи пропорционального счетчика был обнаружен К-захват у Cl^{36} . Отношение вероятностей K/β^- оказалось равным $1,7 \pm 0,1\%$. Л. Ш.

64165. Энергии излучений Co^{57} и Co^{58} . Корк, Брайс, Шмид (Energies of the radiations from Co^{57} and Co^{58} . Cork J. M., Brice M. K., Schmid L. C.), Phys. Rev., 1955, 99, № 3, 703—705 (англ.)

При помощи магнитного и люминесцентного спектрометров исследовалось излучение Co^{57} и Co^{58} . Установлено, что Co^{57} претерпевает, в основном, К-захват и в небольшой степени позитронный распад с E 300 кэв, которые сопровождаются высвечиванием γ -лучей с E

14,6; 29; 99,8; 122,8; 137,4 и 700 кэв. Co^{58} претерпевает К-захват и позитронный распад с E 485 ± 10 кэв, которые сопровождаются высвечиванием γ -лучей с E 814; 500 и возможно 1300 кэв. Л. Ш.

64166. Уровни ядра Lu^{175} . Майз, Банкер, Старнер (Nuclear Levels of Lu^{175} . Mize J. P., Bunker M. E., Starnier J. W.), Phys. Rev., 1955, 100, № 5, 1390—1396 (англ.)

При помощи спектрометра с магнитной линзой, 180°-спектрографа, люминесцентного спектрометра, а также метода совпадений исследовался электронный распад Yb^{175} (4,2 дня) и электронный захват Hf^{175} (70 дней). В обоих случаях конечным ядром является Lu^{175} . γ -Переходы у Lu^{175} имеют E 89,3; 113,6; 137,6; 144; 229,3; 251; 282,4; 318,6; 342,9; 396,0 и 432,2 кэв. Приведены предполагаемые схемы распада Yb^{175} и Hf^{175} . Л. Ш.

64167. γ -Лучи с высокой энергией, сопровождающие распад Ba^{131} . Гупта, Джжа (A high energy gamma ray in the decay of barium 131. Gupta R. K., Jha S.), Proc. Phys. Soc., 1956, A69, № 1, 70—71 (англ.)

При помощи люминесцентного γ -спектрометра было установлено наличие малоинтенсивных γ -лучей с E 1050 ± 15 кэв у Ba^{131} . Показано, что $T_{1/2}$ этой γ -активности совпадает с $T_{1/2}$ другой активности Ba^{131} с E_{γ} 497 кэв. Л. Ш.

64168. γ -Лучи, сопровождающие распад Ba^{131} . Бергс, Робинсон, Финк (Gamma rays in the decay of barium-131. Beggs William C., Robinson Berol L., Fink Richard W.), Phys. Rev. 1956, 101, № 1, 149—152 (англ.)

При помощи люминесцентного γ -спектрометра исследовались γ -лучи, сопровождающие электронный захват Ba^{131} ($T_{1/2}$ 12 дней). γ -Лучи имеют значения E в кэв и относительные интенсивности 122 (198), 214 (148), 372 (100), 496 (360), 620 (33), 823 ± 20 (2,0), 917 ± 15 (7,2) и 1032 ± 15 (11,0). Л. Ш.

64169. Радиоактивность Cs^{134} . Бертолини, Беттони, Ладзарини (Radioactivity of ^{134}Cs . Bertolini G., Bettoni M., Lazzarini E.), Nuovo cimento, 1955, 2, № 2, 273—289 (англ.; рез. итал.)

При помощи магнитного β -спектрометра и люминесцентного γ -спектрометра, в сочетании с методом совпадений, исследовалось β - и γ -излучение Cs^{134} . Выделены напр. β -спектры, имеющие E 86 и 645 кэв. Возбужденные уровни ядра Ba^{134} имеют E 795, 1350, 1395, 1700 и 1949 кэв. Л. Ш.

64170. Радиоактивность Sc^{44} . Блу, Блэйлер (Radioactivity of Sc^{44} . Blue J. W., Bleuler E.), Phys. Rev., 1955, 100, № 5, 1324—1329 (англ.)

Излучение Sc^{44} исследовалось при помощи магнитного и люминесцентного спектрометров. Позитронный спектр имеет E_{\max} $1,471 \pm 0,005$ Мэв. Приведена схема распада Sc^{44} . Л. Ш.

64171. Новый короткоживущий изотоп Sn, найденный в продуктах распада U. Паппас, Уайлс (New short-lived isotopes of tin found in fission. Pappas

Alexis C., Wiles Donald R.), J. Inorg. and Nuclear Chem., 1956, 2, № 2, 69—78 (англ.)
Радиохимическим методом выделены изотопы Sn, богатые нейтронами: Sn^{130} , Sn^{131} и Sn^{132} с $T_{1/2}$ $2,6 \pm 0,3$; $3,4 \pm 0,5$ и $2,2 \pm 0,3$ мин. соответственно. Найлены уточненные значения для $T_{1/2}$ изотопов Sb^{130} и Sb^{132} , равные $10,0 \pm 0,5$ и $2,0 \pm 0,2$ мин. соответственно. Предполагалось, что Sn^{132} с N , превышающим на 8 N стабильного Sn, имеет измеримый $T_{1/2}$ благодаря сильной связи нейтронов в замкнутой оболочке. Авторы считают, что полученные результаты согласуются с этим предположением. Г. С.

64172. К вопросу о распаде Tl^{204} . Ю а с а, Л а б е р р и г - Ф р о л о в а (Remarque sur la désintégration du ^{204}Tl . Y u a s a T., m-lle, Laberrigue-Frolo w J., m-me), J. phys. et radium, 1955, 16, № 2, 165—166 (франц.)

Предполагалось, что первый возбужденный уровень Tl^{204} находится на 374 кэв выше основного. В связи с этим обсуждается схема распада Tl^{204} . Ему приписывается полный момент, равный двум, и отрицательная четность. Для Tl^{204} наряду с β -переходом в основное состояние Pb^{204} возможен, по крайней мере с той же вероятностью, переход на упомянутый уровень. Ранее (РЖФиз, 1955, 13424) авторы показали, что интенсивность такого перехода не превышает 5%, а число γ -квантов с энергией 374 кэв составляет $< 10^{-4}$ на распад. Приведена сводка эксперим. данных по измерению $T_{1/2}$ Tl^{204} . В. П.

64173. Распад Ir^{192} . Баггерли, Мармье, Бём, Дю-Мон (Decay of Ir^{192} . Baggerly L. L., Marmier P., Boehm F., Du Mond J. W. M.), Phys. Rev., 1955, 100, № 5, 1364—1367 (англ.)

При помощи γ -спектрометра с изогнутым кристаллом, β -спектрометра и люминесцентных счетчиков исследовалось γ -излучение, сопровождающее распад Ir^{192} . Установлено, что γ -лучи имеют E и относительные интенсивности: $136,33 \pm 0,22$ (0,19); $201,31 \pm 0,04$ (0,46); $205,75 \pm 0,04$ (3,9); $283,35 \pm 0,20$ (0,6); $295,94 \pm 0,09$ (36); $308,45 \pm 0,09$ (35); $316,46 \pm 0,09$ (100); $374,7 \pm 0,5$ (1,9); $416,6 \pm 0,7$ (1,6); $467,98 \pm 0,22$ (64); $484,75 \pm 0,23$ (3,9); $588,4 \pm 0,6$ (7,1); $604,5 \pm 0,9$ (14); $612,9 \pm 0,9$ (8,4); 785 ± 20 (0,1); 885 ± 2 (0,5) и 1060 ± 30 кэв (0,05). Л. Ш.

64174. Измерение интенсивности жестких γ -лучей RaC' . Баккенштокс, Воллебен (Intensitätsmessungen der energiereichen γ -Strahlung von RaC' . Backenstoss G., Wöhleben K.), Naturforsch., 1955, 10a, № 5, 384—386 (нем.)

С помощью сцинтилляционного γ -спектрографа исследованы γ -лучи RaC' в области больших энергий. Найдено, что интенсивности γ -линий 1,76; 2,20 и 2,42 Мэв относятся, как 3,22:1,00:0,48. Обсуждается схема распада. И. В.

64175. Вероятности быстрых $E2$ -переходов, вычисленные из данных по кулоновскому возбуждению. Теммер, Хейденберг (Fast $E2$ transition probabilities from coulomb excitation. Temmer G. M., Heydenburg N. P.), Phys. Rev., 1955, 99, № 5, 1609—1612 (англ.)

Сделана попытка систематизировать положения и различия уровней четно-четных ядер с помощью параметра деформации ядер β . Для ядер с сильной связью нуклонов с поверхностными колебаниями (редкие земли, U, Th) значения β^2_B оказываются в среднем в 4—5 раз меньше, чем β^2_E . Общий ход зависимости β_B и β_E от N и Z в этой области весьма близки. Для Th^{232} и U^{238} (β_E/β_B) ≈ 7 —8. Отношения τ (эксп.) ($E2$)

для вращательных E переходов к τ для одночастичных переходов (τ_0) равно 40—200. А. М.

См. также: Ядерная аппаратура 65402, 65427, 65455, 65475, 65486, 65519, 65521. Атом 64182.

АТОМ

64176. Решение уравнения Шредингера для приближенного атомного поля. Тиц (The solution of the Schrödinger equation for an approximate atomic field. Tietz T.), Nuovo cimento, 1956, 3, № 2, 486—490 (англ.)

Решается ур-ние Шредингера для атома, в котором потенциал определен по модели Томаса — Ферми. Чтобы получить аналитич. решение достаточной точности, автор использует замечание Бринкмана, что функция $V\varphi(x)$ слабо изменяется в широком интервале. Решение уравнения получается в предложенном ранее виде (Case K. M., Phys. Rev., 1950, 80, 797). Собственные значения $\eta_n = (Z/a) \exp\{(n-1)\pi[Z^{1/2} - 1/a - cl(l+1)]^{-1/2}\}$ зависят от параметров a и c , которые подбираются таким образом, чтобы при данном Z и l η_n лежали на прямой линии. Это дает $a = 1,26263$, $c = 0,45$. Результаты сравниваются с расчетами Хартри по методу самосогласованного поля. Для S -состояний необходимо задавать поведение решения вблизи $x = 0$. Автор выбирает его в виде $\varphi(x) = ax/[\exp(ax) - 1]$ и получает $\eta_1 = Z - 1,04561 \cdot Z^{1/2}$ (для $l = 0$). На основании рассмотренного решения автор вычисляет константы α и b в своем приближенном решении: $\varphi(x) = 1/(1 + bx)^{\alpha}$. Наилучшие результаты получаются при $\alpha = 2$, $b = 0,569272$. А. З.

64177. Релятивистские и магнитные спинные взаимодействия в гелиеподобных атомах. Сучер, Фоли (Relativistic and magnetic spin interaction in helium-like atoms. Sucher J., Foley H. M.), Phys. Rev., 1954, 93, № 4, 966—969 (англ.)

Дается квантовомеханич. вывод магнитных спинных взаимодействий в He и изoelektronных сериях He и находится магнитные и релятивистские поправки к энергии ионизации He и O^{6+} . Использовано ур-ние Дирака для двух электронов $H_D\Psi = E\Psi$; $H_D = -c(\alpha_1 P_1 + \alpha_2 P_2) - mc^2(\beta_1 + \beta_2) + U$. Спин-орбитальная энергия обращается в нуль в основном состоянии гелиеподобных атомов. Отсюда можно получить релятивистскую поправку к собственному значению нерелятивистского ур-ния Шредингера $H_0\psi = E_0\psi$; $E_1 = E'_1 + \epsilon$; $E'_1 = -(1/8)mc^2[(p_1^2\psi, p_1^2\psi) + (p_2^2\psi, p_2^2\psi)]$; $\epsilon = (\psi, H'_1\psi) + (\psi, H''_1\psi) = E''_1 + E''_2$; $H'_1 = 2\pi\mu_0^2 Z[\delta(r_1) + \delta(r_2)]$; $H''_1 = -4\pi\mu_0^2 \delta(r_{12})$. Проводится уточненное вычисление математич. ожидания оператора магнитного и запаздывающего электростатич. взаимодействий между электронами Брейта. Найденное выражение отличается от результата Брейта (Breit G., Phys. Rev., 1929, 34, 533) членом, совпадающим со спин-спин взаимодействием. Релятивистская поправка к энергии ионизации O^{6+} хорошо согласуется с экспериментом. Расходимость между экспери. и теоретич. результатами в случае He порядка 30 см⁻¹ объясняется, повидимому, неточностью в вычислении нерелятивистской энергии. Г. С.

64178. Волновые функции и вероятности переходов для легких атомов. Ильямаз (Wave functions and transition probabilities for light atoms. Yilmaz Huseyin), Phys. Rev., 1955, 100, № 4, 1148—1153 (англ.)

Предлагается новый метод учета взаимодействий

электронов атома. Он состоит в применении теории возмущения к волновой функции Морза, Хуана, Гурвица (Morse, Young, Haurwitz, Phys. Rev., 1935, 48, 948). Возмущенные волновые функции находятся по вариационной функции нулевого порядка, являющейся комбинацией водородоподобных функций электронов. Возмущенные волновые функции являются комбинациями нулевой функции и водородоподобных с некоторыми эффективными зарядами, зависящим от вариационных параметров нулевой функции. Вычисления в значительной степени упрощаются предварительным расчетом некоторой S -функции, являющейся преобразованием Лапласа функции Грина (в данном случае $1/r_{ik}$). Метод применен для расчета волновых функций состояний $'S_1^3, {}^3P_1, {}^1D$ конфигурации $1s^2 2s^2 2p^2$ Cl, NII, O III, F IV. При этом учтены волновые функции с квантовыми числами вплоть до $n = 5, l = 4$, хотя некоторые из них дают незначительный вклад. Результаты согласуются с эксперим. данными. Метод позволяет сравнительно просто рассчитать спин-спиновое и спин-орбитальное взаимодействие (даже с другой орбитой). При расчете спин-орбитальных членов необходимо знание функции вначале, что требует введения в волновые функции P -состояний некоторого эффективного заряда (экспоненциальный член). Расчет диффузных линий таким методом хорошо согласуется с эксперим. данными. В заключение автор отмечает, что некоторое расхождение с эксперим. данными в значительной степени обусловлено неучтенными непрерывными состояниями, отчасти оно обусловлено ограничением по квантовым числам, а также самой природой приближенных расчетов. А. З.

64179. Влияние отклонения от кулоновского поля вблизи ядра на тонкую структуру рентгеновских лучей. Шавлов, Таунс (Effect on X-ray fine structure of deviations from a Coulomb field near the nucleus. Schawlow A. L., Townes C. H.), Phys. Rev., 1955, 100, № 5, 1273—1280 (англ.)

Рассмотрено изменение энергии p -электронов тяжелых атомов, обусловленное отклонением поля ядра от кулоновского. При расчетах полагалось, что состояние $2P_{1/2}$ дает пренебрежимо малый вклад в рассматриваемое смещение термов, поскольку $|\psi_{1/2}|^2$ вблизи ядра мала. Состояние $2P_{1/2}$, благодаря взаимодействию с состоянием $2S_{1/2}$, дает основной вклад. Расчеты проведены по двухкомпонентному релятивистскому уравнению по методу Брока (Broch E. K., Arch. Math. Naturvidenskab, 1945, 48, 25). Решение с учетом конечных размеров ядра найдено путем сшивания на границе ядра решения внутри ядра, найденного в виде разложения по степеням $y = 2Zr/a$, и решения вне ядра. Нормировочная константа, входящая в величину расщепления, найдена по предельному значению (при $n \rightarrow \infty$) величины тонкой структуры. Последняя заимствована из работы (Christy R. F., Keller J. M., Phys. Rev., 1942, 61, 147). Большое расхождение с эксперим. данными при больших Z , как оказалось, обусловлено неучтенной в ф-ле Кристи — Келлера конечностью ядра. Авторы внесли поправку в виде множителя $1 + D \exp [0,0837 (Z - 60)]$, найденного по теории возмущений. Наилучшее согласие с экспериментом получается при $D = -1,42 \cdot 10^{-4}$. Величина D сильно зависит от радиуса ядра; указанная цифра дает сильно завышенный радиус ($r_0 = 2,1 \cdot 10^{-13}$ см); правильный радиус ($r_0 = 1,2 \cdot 10^{-13}$ см) соответствует величине D , примерно в 2 раза меньшей. Такое расхождение, по мнению автора, указывает на наличие некулоновских сил, влияющих на движение электронов причем радиус этих сил значительно больше обычного радиуса ядра. Существенную роль играют квантово-

электродинамич. эффекты, особенно при больших Z . Оценка показывает, что эти эффекты составляют $\sim 40\%$ эффекта конечного ядра. Это обстоятельство дает возможность изучать некулоновские силы по данным тонкой структуры рентгеновских лучей. В настоящее время измерения не дают возможности точного вычисления D . А. З.

64180. К теории электронного сродства атомов Na и K. Гашипар, Молнар (Zur Theorie der Elektronenaffinität der Na- und K-atome. Gáspár R., Molnár B.), Acta phys. Acad. sci. hung., 1955, 5, № 1, 75—81 (нем.; рез. русс.)

Вариационным путем рассчитывается энергия связи ионов Na^+ и K^+ . Функционал энергии $E = -(1/2) e^2 a_0 \times \int \Phi^* (\Delta_1 + \Delta_2) \Phi d\tau - e \int \Phi^* [V(r_1) + V(r_2)] \Phi d\tau + e^2 \times \int \Phi^* (1/r_{12}) \Phi d\tau$ минимизируется с пробными функциями типа: $h(r_i) = ar_i^2 e^{-\lambda r_i}$. Здесь $V(r_i) = \chi(r_i) + \varphi(r_i)$, где $\chi(r_i)$ — электростатич. потенциал ионов Na^+ и K^+ , а $\varphi(r_i)$ — эффективный потенциал, вводимый для учета принципа Паули; для s -электронов $\varphi(r_i) = -\kappa [\Delta \chi(r_i)]^{1/2}$, $\kappa = (1/2) (3\pi/4)^{1/2} e^{1/2} a_0$; a_0 — радиус Бора. В качестве первого приближения выбраны функции $\psi = \psi_1 \psi_2$, где $\psi_i = Ar_i^2 e^{-\lambda r_i}$, n и λ — вариационные параметры (одинаковые для обоих электронов). В этом приближении энергия связи ионов Na^+ и K^+ оказалась меньше энергии связи атомов. Корреляция движения электронов учитывается во втором приближении путем введения дополнительного вариационного параметра c : $\psi = \psi_1 \psi_2 (1 + cr_{12})$. Расчет величины электронного сродства во втором приближении привел к значениям: $+0,82$ эв для Na и $+0,72$ эв для K. Для уточнения вводится поправка на изменение ферми-энергии электронов остова, связанного с перекрытием функций внешних и внутренних электронов. После введения этой поправки для величины электронного сродства атомов Na и K найдены значения $+0,84$ и $+0,82$ эв соответственно. Д. Г.

64181. Доклады, сделанные на конференции по атомной спектроскопии, посвященной столетию со дня рождения Ридберга. Части I, II (Proceedings of the Rydberg centennial conference on atomic spectroscopy. Parts I, II.), Lunds univ. årsskr., 1954, Afd. 2, № 21, 15—76; 77—108 (англ.)

1. Доклады. Бор (Bohr Niels), Открытие Ридбергом спектральных законов; Паули (Pauli W.), Ридберг и периодическая система элементов; Шенстон (Shenstone A. G.), Спектральные серии; Рака (Racah Giulio), Современное состояние и проблемы теории атомных спектров; Копферман (Kopfermann H.), Свойства ядер, исследуемые при помощи высокоразрешающей атомной спектроскопии; Хамфрис (Humphreys C. J.), Инфракрасная атомная спектроскопия, основанная на использовании фотопроводящих детекторов.

II. Краткие сообщения об оригинальных работах по темам: 1. Серии и мультиплеты в атомных спектрах. 2. Теория атомных спектров. 3. Смещение Лемба в одно- и двухэлектронных спектрах. 4. Ядерные эффекты: сверхтонкая структура и изотопич. смещения. 5. Техника наблюдения и получения спектров. 6. Стандарты длин волн. 7. Интенсивности и вероятности переходов. 8. Особые эффекты: автоионизация, оптич. ориентация, эффекты Штарка и давления. 9. Астрономич. спектры. Н. Я.

64182. Об атомном весе. Фиш (Bemerkungen zum Atomgewicht. Fisch A.), Helv. phys. acta, 1954, 27, № 6, 495—497 (нем.)

Приводится таблица значений дефекта массы на один нуклон ядра D/P для ядер с массовыми числами P в интервале от 12 до 58. Отмечается, что максим. вели-

чина D/P достигается для Ni_{23}^{62} . Используя значение массы одного нуклона в ядре Ni_{23}^{62} , равной $61,94681/62 = 0,9914$ массовых ед., автор вводит величину A_2 , определяемую для любого ядра как разность $A_2 = A - 0,9914 P$, где A — масса ядра. Указывается, что сумма $(D + A_2)/P$ по всей периодической системе элементов почти постоянная величина (взimanaется в пределах $0,00942 - 0,00946$ массовых ед. при изменении от 12 до 238).

Д. Г.

64183. Получение атомного пучка водорода с одинаковым направлением ядерных спинов. Клауснитцер, Флейшман, Шопнер (Erzeugung eines Wasserstoffatomstrahles mit gleichgerichteten Kernspins. Clausnitzer G., Fleischmann R., Schorper H.), Z. Phys., 1956, 144, № 4, 336—342 (нем.)

Пучок атомарного водорода расщепляется в очень слабом магнитном поле на четыре компоненты соответственно четырем возможным ориентациям результирующего момента. Пространственное разделение всех компонент будет иметь место в этом случае, если пучок пропустить в магнитном поле, почти равном нулю, но обладающем значительным градиентом. Поле такой формы авторы получили с помощью четырех электромагнитов, расположенных под углом в 90° друг к другу и с полюсами вблизи осей, по которой пропускается атомный пучок. Предполагая, что первоначальный пучок параллелен, и используя максвелловское распределение по скоростям, находят распределение числа частиц с одинаковым направлением ядерных спинов в зависимости от расстояния до центра пучка. Расчеты показывают, что при градиенте ~ 4000 в/см и толщине пучка в $0,2$ мм имеет место вполне удовлетворительное разделение компонент. Для их выделения можно использовать диафрагму. Результаты опыта подтверждают справедливость расчетов. Таким образом можно получить пучок атомов с одинаковой ориентацией спинов интенсивностью до 10^{11} частиц в 1 сек. и незначительной примесью других ориентаций (порядка 3%). Путем последующей ионизации можно получить пучок протонов 10^8 протонов/сек. с одинаковым направлением ядерных спинов.

М. Б.

64184. Выстраивание молекул, атомов и ядер при столкновениях. Рамзи (Collision alignment of molecules atoms, and nuclei. Ramsey N. O. R. et al.), Phys. Rev., 1955, 98, № 6, 1853—1854 (англ.)

Наряду с обычно исследуемой поляризацией рассеянного пучка частиц, в проходящем пучке частиц со спином больше $1/2$ должна иметь место различная вероятность заполнения состояний с различными M_J относительно направления движения. Для пучка молекул, рассеивающих атомы газа, эффективное поперечное сечение зависит от M_J , причем вид этой зависимости, а следовательно, и группировка молекул по состояниям в проходящем пучке обусловлены формой молекул, их скоростью и скоростью рассеиваемых атомов. Аналогично происходит распределение в пучке атомов в электронном состоянии P и выше, а также в случае ядерных частиц со спином больше $1/2$. В последнем случае постановка эксперимента сложна из-за электрич. заряда. Группировка по состояниям влияет на ядерные р-ции.

Т. Б.

64185. Измерение f -величины резонансной линии PbI $\lambda = 2833A$. Энглер (Messung des f -Wertes der PbI -Resonanzlinie $\lambda = 2833A$. Engler Hans Dietrich), Z. Phys., 1956, 144, № 4, 343—353 (нем.)

Методика измерения силы осциллятора (f -величина) описана ранее (Kopfermann H., Wessel G., Z. Phys., 1951, 130, 100; Wessel G., Z. Phys., 1949, 126, 440).

В работе использовался двухпризмный кварцевый спектрограф с дисперсией в рабочей области $10A/mm$. В качестве газа-носителя применялся аргон под давл. 1 мм рт. ст. Интенсивность линии измерялась с помощью фотоумножителя, сопряженного с усилителем постоянного тока. В ф-лу для расчета относительного поглощения внесена поправка, учитывающая сверхтонкую структуру измеряемой линии. Коэфф. поглощения компонент линии представляется в виде дроби от коэфф. поглощения всей линии. Предложена новая методика определения формы первичной линии, учитывающая влияние самопоглощения. Для этой цели исследовалась зависимость относительного поглощения от силы тока катода при постоянной t -ре печи, создающей атомный луч-абсорбер. Обнаружено, что при токах менее 10 мА относительное поглощение не зависит от изменения условий возбуждения резонансной линии и весьма слабо зависит от изменения тока катода. Последнее позволяет экстраполировать относительное поглощение на значение нулевой силы тока катода. Найденное таким образом относительное поглощение сопоставляется с соответствующей доплеровской полушириной первичной линии при комнатной t -ре. Из данных 12 измерений и статистич. усреднения ошибок найдено, что $f = 0,60 \pm 0,10$.

М. Б.

64186. Гиромагнитное отношение в сверхтонкой структуре дублетных состояний. Кленденин (Gyromagnetic ratio in the hyperfine structure of doublet states. Clendenin W. W.), Phys. Rev., 1954, 94, № 6, 1590—1592 (англ.)

Возмущение сверхтонкой структуры электронного состояния $P_{1/2}$ состоянием $P_{3/2}$ исследуется при помощи релятивистских электронных функций. Гамильтониан электрона в электромагнитном поле A берется в форме Дирака. Возмущение имеет вид eaA . Для случая одного электрона вне замкнутых оболочек скалярный потенциал A_0 считается зависящим только от расстояния электрона от ядра r_e . Показано, что гамильтониан возмущения состоит из следующих членов: $X \equiv (e/2) \times H_z B_z$; $Y \equiv eg_i \mu_0 (1 \cdot B) / \hbar r_e^2$; $Z \equiv -g_i \mu_0 H_z I_z / \hbar$, причем первые два определяются соответственно внешним полем и ядерным моментом, а третий член равен энергии ядерного момента во внешнем поле (B — матричный вектор $\alpha \propto r_e$, μ_0 — магнетон Бора, I — ядерный угловой момент, J — угловой момент электрона). Решение векового ур-ния в приближении, эквивалентном второму порядку теории возмущения, позволяет найти поправку к уровням энергии для $P_{1/2}$. Полученный сдвиг уровней объясняется главным образом за счет замены ядерного множителя g_i на $g'_i = [1 - (\Delta\nu) N_X / (6(2i+1) g_i \delta)]$, где δ — ширина дублета, $a_X = e/F$ (e , F — релятивистские множители, зависящие от Z и постоянной тонкой структуры α). Приводятся поправки к g_i для In , Ga . Расхождения в значениях g подтверждаются эксперим. измерениями и может быть объяснено конфигурационным взаимодействием. Г. С.

См. также: 64202, 64207, 64714

МОЛЕКУЛА. ХИМИЧЕСКАЯ СВЯЗЬ

64187. Спиновая валентность и реальная молекула. Артан (Spinvalenz und reales Molekül. Artmann Kurt), Z. Phys., 1956, 144, № 5, 549—571 (нем.)

В приближении спиновой валентности учитывается только один терм центрального атома, а именно: терм с наивысшей валентностью. Это приближение обосновано

вано лишь в случае разрыхленной молекулы, в которой расстояния внешних атомов от центрального больше равновесных. На примерах H_2S , PH_3 и сходных молекул показано, что для вычисления равновесного угла приближение спиновой валентности применимо и к реальной молекуле. При этом должны учитываться 4-кратные обменные интегралы и интегралы неортогональности и их зависимость от углов, но для молекул H_2S и H_2Se можно пренебречь обменным интегралом между внешними атомами. Зависимость энергии молекулы от валентного угла оказывается такой же, что и в приближении локализованных валентностей. Метод расчета применен к определению отклонений углов от тетраэдрических в молекулах CH_3Cl , CH_2Cl_2 , $CHCl_3$ и в циклопарафинах. В результате расчета установлено, что в молекулах CH_3X угол HCH уменьшается или увеличивается по сравнению с тетраэдрическим, если энергия связи CX больше или меньше энергии связи CH . В молекулах CH_2X_2 угол HCH всегда увеличивается, а угол XCX уменьшается на $\sim 2^\circ$. В циклопропане, циклобутане и циклопентане вычисленный угол HCH в группах CH_2 равен $115,8$; $111,7$ и $109,9^\circ$. Основным выводом является то, что отклонение валентных углов от тетраэдрических в реальных молекулах обусловлено не взаимным отталкиванием внешних атомов, а свойствами направленных валентностей центрального атома.

M. K.

64188. Магнитные свойства молекул водорода. Иешигуро, Конде (Magnetic properties of the hydrogen molecules. Ishiguro Eiichi, Koide Shoichiro), Phys. Rev., 1954, 94, № 2, 350—357 (англ.)

Вариационный метод, использованный ранее для расчета поляризуемости молекулы H_2 (Ishiguro E., Arai, Mizushima, Kotani, Proc. Phys. Soc., 1952, A65, 178), применяется для расчета магнитных свойств молекулы H_2 и D_2 . Используется приближенный вид гамильтониана для молекулы, помещенной во внешнее магнитное поле; спины электронов не учитываются; в операторе кинетич. энергии ядер сохраняются только члены, линейные относительно напряженности внешнего магнитного поля H и ядерных магнитных моментов μ ; в операторе кинетич. энергии электронов учитываются члены не выше второй степени относительно H и не выше первой степени относительно μ . Волновая функция молекулы ищется в виде произведения электронной волновой функции на колебательно-вращательную волновую функцию ядер. Электронная волновая функция строится по вариационному методу в виде линейной комбинации семичленной волновой функции типа $1\Sigma_g^+$ (Ishiguro E., J. Phys. Soc. Japan, 1948, 3, 129) и двух следующих функций: $\psi_1 = (2\pi)^{-1} \exp\{-\delta(\lambda_1 + \lambda_2)\} \times [\mu_1(\lambda_1^2 - 1)^{1/2}(1 - \mu_1^2)^{1/2} \cos \varphi_1 + \mu_2(\lambda_2^2 - 1)^{1/2}(1 - \mu_2^2)^{1/2} \times \cos \varphi_2]$; $\psi_2 = (2\pi)^{-1} \exp\{-\delta(\lambda_1 + \lambda_2)\} [\mu_2(\lambda_1^2 - 1)^{1/2} \times (1 - \mu_1^2)^{1/2} \cos \varphi_1 + \mu_1(\lambda_2^2 - 1)^{1/2}(1 - \mu_2^2)^{1/2} \cos \varphi_2]$; λ , μ , φ — вытянутые сфероидальные координаты. Подробности расчета аналогичны описанным ранее (см. первую ссылку). Найденное с указанной электронной волновой функцией значение энергии усреднено по нижнему колебательному состоянию молекулы с помощью функции типа Морзе, а затем — по вращательным состояниям. С помощью усредненного выражения энергии вычислены: молекулярная диамагнитная восприимчивость χ (10^{-6} эрг es^{-2} $млн^{-1}$), вращательный магнитный момент μ_r (в единицах $eh/2mc$), константа спин-вращательного взаимодействия H_r (в es) и константа магнитной экранировки σ (10^{-5}) для молекул H_2 и D_2 . Вычисленные значения (первая цифра для H_2 , вторая для D_2):

χ — 4,0689; — 4,0306; μ_r 1—0,1727; 1—0,0857; H_r 26,472; 13,227; σ 2,756; 2,763 находятся в удовлетворительном согласии с опытом.

Т. Р.

64189. Влияние химической связи на электронную плотность. Случай молекулы Li_2 . Ру, Додель (Effet de la liaison chimique sur la densité électronique. Cas de la molécule Li_2 . Roux Monique, M-me, Daudel Raymond), C. r. Acad. sci., 1955, 240, № 1, 90—92 (франц.)

Влияние образования хим. связи на электронную плотность выражается функцией $\delta(M) = [\rho(M) - \rho'(M)]/\rho(M)$, где $\rho(M)$ — плотность в молекуле в точке M , $\rho'(M)$ — плотность в точке M , получающаяся простым сложением плотностей в данной точке у изолированных атомов на таком же расстоянии, как в молекуле. Для атомов Li приняты волновые функции $1s = Vc^{3/\pi} e^{-cr}$, $2s = N(r - \alpha) e^{-dr}$ с $c = 2,694$; $d = 0,767$ и $\alpha = 0,867$ и $\rho'(M) = 2(1s_a(M))^2 + 2(1s_b(M))^2 + (2s_a(M))^2 + (2s_b(M))^2$. Для $Li_2 \psi(1, 2, \dots, 6) = \text{Det } 1s_{a\alpha}^{(1)} 1s_{a\beta}^{(2)} 1s_{b\alpha}^{(3)} 1s_{b\beta}^{(4)} 2\sigma_a^{(5)} 2\sigma_b^{(6)}$, где $1s' = Vc^{3/\pi} e^{-c'r}$; $2\alpha = N_\alpha(2s'_a + 2s'_b)$; $2s'_a = N(r_a - \alpha') e^{-d'r_a}$; $2s'_b = N(r_b - \alpha') e^{-d'r_b}$ с $c' = 2,7$, $d' = 0,81$, $\alpha' = 1,008$, так что $\rho(M) = 2(1s'_a(M))^2 + 2(1s'_b(M))^2 + 2\sigma^2$. На графике представлены линии, соответствующие одинаковым значениям $\sigma(M)$. Величина $\delta(M) > 0$ в центральной области и < 0 на краях молекулы. Максимум $\delta(M)$ находится в плоскости, делящей пополам линию $Li-Li$, и в области до 1 ат. ед. от этой плоскости. В сфере радиуса 1,3 ат. ед. вокруг ядра Li $|\delta(M)| < 1\%$.

M. Д.

64190. Еще о влиянии химической связи на электронную плотность Бенену, Ру, Додель (Retour sur l'effet de la liaison chimique sur la densité électronique. Benainou Sylvette, m-me, Rauy Monique, m-me, Daudel Raymond), C. r. Acad. sci., 1955, 241, № 3, 311—313 (франц.)

Отмечается, что функция $\delta(M) = [\rho(M) - \rho'(M)]/\rho(M)$, введенная в предыдущей работе (см. пред. реф.), имеет примерно одинаковый ход и для сравнительно слабой хим. связи $Li-Li$ в молекуле Li_2 , и для прочной связи $C-C$ в нафталине. Предполагая, что $\delta(M)$ имеет примерно одинаковый ход для всех хим. связей, можно $\rho(M)$ выразить через сумму функций $\rho'(M)$ и $\delta(M)$. Отмечается, что в случае прочной хим. связи функция $\rho'(M)$ имеет в середине отрезка, соединяющего ядра, большую кривизну, а в случае слабой хим. связи малую кривизну. Прибавление к $\rho'(M)$ слагаемого $\delta(M)$ в первом случае не влияет на общий ход электронной плотности, а во втором случае может вызвать появление максимума электронной плотности в середине отрезка, соединяющего ядра. Исходя из приведенных соображений, дано следующее качеств. правило: электронная плотность имеет в середине отрезка, соединяющего соседние ядра, минимум — в случае прочной хим. связи, максимум — в случае очень слабой хим. связи. Т. Р.

64191. Молекулярно-орбитальная теория в органической химии. VII. Аддитивность энергий связей в несопряженных системах. Дьюар, Петтит (A molecular-orbital theory of organic chemistry. Part VII. The additivity of bond energies in unconjugated systems. Dewar M. J. S., Pettit R.), J. Chem. Soc., 1954, May, 1625—1634 (англ.)

Обсуждается проблема аддитивности энергий связей в несопряженных соединениях. Влияние взаимодействий между локализованными связями рассчитывается методом возмущений, в 1-ом приближении оно исче-

зает. Взаимодействия 2-го порядка могут быть в значительной мере включены в эмпирич. энергии связей (в гомологич. рядах компенсация может быть полной). Это объясняет аддитивность энергий связей без постулирования локализации электронов на отдельных связях. Отклонения от аддитивности также объясняются; находясь в соотношения для теплот образования напряженных и ненапряженных парафинов, теплоты гидрирования олефинов и теплоты сгорания спиртов и карбонильных соединений. Наибольшее значение имеют не 1,3-взаимодействия типа постулируемых при сверхсопряжении, а взаимодействия между смежными связями. Полученные выводы не зависят от большинства делаемых при рассмотрении в методе МО допущений. Сообщение VI, см. J. Amer. Chem. Soc., 1952, 74, 3357. Н. Г.

641.2. О пропорциональности термохимических отклонений от аддитивности и энергий сопряжения. Багдасарьян Х. С., Ж. физ. химии, 1956, 30, № 2, 470—473

В работе делается попытка объяснения найденной Паулингом (Pauling L., Wheland G., J. Chem. Phys., 1933, 1, 362; Pauling L., Sherman J., J. Chem. Phys., 1933, 1, 679) пропорциональности термохим. отклонений от аддитивности ΔQ и энергии сопряжения $\epsilon \Delta Q = k\epsilon$ (1), не согласующейся с соотношением $\Delta Q = \alpha\epsilon + \Delta E$, где ΔE — величина, характерная для каждой молекулы, к которому приводит анализ величин ΔQ и ϵ (Lennard-Jones J., Proc. Roy. Soc., 1937, A158, 280). На примере воображаемого кругового процесса для нафталина устанавливается, что ΔE с достаточной степенью точности пропорционально общему числу связей в молекуле I . С другой стороны, вычисленная методом МО энергия сопряжения для ароматич. углеводородов также оказывается пропорциональной I , откуда и следует пропорциональность ϵ и ΔE , приводящая к ф-ле (1). Н. Г.

64193. Связь между полярографическими константами и строением органических молекул. III. Некоторые соображения о карбонильных ароматических соединениях. Джакометти (Relazioni tra costanti polarografiche e costituzione delle molecole organiche. III. Alcune considerazioni sui composti carbonilici aromatici. Giacometti Giovanni), Atti Accad. naz. Lincei. Rend. Cl. sci., fis., mat. e natur., 1955, 18, № 2, 185—191 (итал.)

По предложенному ранее методу (Heilbronner E., Helv. Chim. Acta, 1950, 36, 170) рассчитаны энергии π -электронов E_{π} альдегидов (бенз-, кротонового, α -нафт-, β -нафт-, 9-антр-, 9-фенантр-) и радикалов, получающихся в первой стадии восстановления альдегидов. Принято: $\alpha_0 = \alpha_C$, $\beta_{C=O} = \beta_{C=C}$ и $S = 0.25$. Показано, что пропорциональность между потенциалом полувольты для $pH = 0$ ($E_{1/2}$) и изменением E_{π} при восстановлении альдегидов (ЖХХим, 1956, 46559) не зависит от выбора α_0 и $\beta_{C=O}$, так как при $\alpha_0 = \alpha_C + 2\beta_{C=C}$, $\beta_{C=O} = \sqrt{2}\beta_{C=C}$ E_{π} изменяются на одинаковую величину. Для C_6H_5COX (I) в 47,5%-ном спирте при t -ре 25° измерены $E_{1/2}$ (первая цифра) и λ (макс.) в УФ-области (в А, вторая цифра): Н — 1,057; 3125 ± 25 ; n - CH_3 — 1,094; 3195 ± 20 ; n - C_2H_5 — 1,105; 3175 ± 10 ; n - Cl — 1,003; 3115 ± 15 ; n - Br — 0,980; 3100 ± 20 . Показано, что вывод Н. А. Валяшко и И. С. Розум (Ж. общ. химии, 1948, 18, 710) об обратной пропорциональности между энергией возбуждения связи CO и $E_{1/2}$ для производных I является ошибочным. С. С.

64194. Теоретические исследования динафтиленов. Андраде-и-Силва, Пюльман (Recherches théoriques sur les binaphthylènes. Andrade e Silva Maria, m-me, Pullman Ber-

nard), C. r. Acad. sci., 1956, 242, № 15, 1888—1891 (франц.)

Произведен теоретич. расчет низших электронных состояний 2,3-динафтилена (I) и 1,2-динафтилена (II) в рамках простого метода ЛКАО. Принималось, что циклобутадиеновое ядро имеет форму квадрата. Приведены вычисленные значения энергий молекулярных орбит, а также порядки связей и индексы свободной валентности. На основании теоретич. исследования делаются следующие заключения: 1) Энергия сопряжения в I (7,919 β) выше, чем в II (7,820 β). Однако одного этого результата недостаточно, чтобы объяснить наблюдаемую на опыте гораздо большую стабильность изомера I по сравнению с II. По мнению авторов, имеется ряд дополнительных факторов, понижающих стабильность II, напр. асимметричная деформация циклобутадиенового ядра, стерич. отталкивание атомов 1 и 12. 2) Теоретич. энергия $N \rightarrow V_1$ перехода составляет в I 1,048 γ ; в II 0,458 γ . Этим можно объяснить различную окраску изомеров. Близость триплетного состояния в II к основному сгластному рассматривается как дополнительная причина термич. неустойчивости. 3) Используя полученные молекулярные диаграммы, авторы предсказывают, что наиболее реакционноспособными для замещения будут положения 12 в I и 5 в II; присоединение в II должно преимущественно происходить по местам связей 1—2 и 3—4. М. А.

64195. Теория ориентации в ароматических, гетероароматических и других сопряженных молекулах на основе метода молекулярных орбит. Фукуи, Йонедзава, Нагата, Сингу (Molecular orbital theory of orientation in aromatic, heteroaromatic, and other conjugated molecules. Fukui Kenichi, Yonezawa Teiijiro, Nagata Chikayoshi, Shingu Haruo), J. Chem. Phys., 1954, 22, № 8, 1433—1442 (англ.)

Развита предложенная ранее (Fukui, Yonezawa, Stringu, J. Chem. Phys., 1952, 20, 722) концепция «граничного» электрона и предложены фундаментальные постулаты, согласно которым в случае r -ции с электрофильным реагентом наиболее чувствительными к атаке положениями в сопряженной молекуле оказываются положения наибольшей плотности двух электронов, занимающих высшую МО основного состояния, в случае r -ции с нуклеофильным реагентом — положения наибольшей плотности двух электронов, которые займут нижнюю незанятую орбиту основного состояния, и в случае r -ции с радикальным реагентом — положения наибольшей плотности двух электронов: одного, занимающего высшую занятую, а другого — нижнюю незанятую орбиты основного состояния. Плотности «граничных» электронов рассчитываются методом МО ЛКАО при пренебрежении перекрыванием и обменными интегралами между несоседними атомами. Рассматривается электрофильное замещение в производных бензола, конденсированных ароматич. углеводородах и гетероциклич. соединениях. Для соединений типа пиридина и пиррола принимается $\alpha_N = \alpha + \beta$, $\alpha_C = \alpha_C = \alpha$, $\beta_{NC} = \beta_{Cl}$ (C_1 — смежный с N атом C). Вырождение верхней орбиты бензола снимается в его производных, но орбиты остаются близкими, поэтому при расчете плотности «граничных» электронов учитывается доля нижней орбиты. Обсуждается выбор параметров, учитывающих влияние заместителя, для различных типов производных бензола и приводятся графики плотности «граничных» электронов в различных положениях (o -, m -, p -) в зависимости от значения параметров. Производные конденсированных углеводородов рассматриваются упрощенно: электронный эффект заместителя отражается только одним параметром, причем в случае малых чисто индуктивного и чисто мезомер-

ного эффектов расчет ведется методом возмущений. Рассматривается также нуклеофильное и радикальное замещение. В случае альтернативных углеводородов положение электрофильного, нуклеофильного и радикального замещений совпадают, так как распределение электронов на верхней занятой и нижней незанятой орбитах в них одинаково. Рассматривая р-ции присоединения как последовательность р-ций замещения, авторы применяют к ним концепцию «граничного» электрона для всех трех типов реагентов. Согласно предсказанным положениям атаки с эксперим. данными для всех рассмотренных при всех типах р-ций очень хорошее. В работе приводится распределение «граничных» электронов различных типов для большого числа соединений.

Н. Г.

64196. Некоторые замечания к теории реакций сопряженных молекул, основанной на распространении «граничных» электронов. Гринвуд (Some comments on the frontier orbital theory of the reactions of conjugated molecules. Greenwood P. H.), J. Chem. Phys., 1955, 23, № 4, 756—757 (англ.)

Согласно выводимой в теории р-ций сопряженных молекул в методе МО (Coulson C. A., Longuet-Higgins H. C., Proc. Roy. Soc. (London), 1947, A192, 16) ф-ле $\delta\epsilon = q_r\delta\epsilon_r + (1/2)\pi_r\delta\epsilon_r^2 + \dots$ изменение электронной конфигурации при электрофильной атаке сводится к увеличению плотности π -электронов на низших занятых орбитах в месте атаки и к уменьшению в этом месте плотности всех других, в том числе и «граничных» электронов. При нуклеофильной атаке плотность «граничных» электронов в месте атаки также уменьшается. Этот результат не совместим с предположением о том, что легкость р-ции определяется наибольшей плотностью «граничных» электронов на самой высшей связывающей орбите (Fukui и др., J. Chem. Phys., 1952, 20, 722; см. пред. реф.) Непригодность концепции «граничного» электрона в случае электро- и нуклеофильной атаки не мешает тому, что «граничные» электроны могут иметь значение в случае радикальной атаки, когда амплитуды всех МО, кроме «граничных», в месте атаки уменьшаются. Граничные же орбиты образуют почти вырожденную пару, линейным преобразованием которой можно построить орбиту, локализованную в месте атаки, и орбиту, сосредоточенную вне места атаки. Согласно правилу Гунда, два «граничных» электрона распределяются по обеим орбитам, обеспечивая наличие свободного электрона в месте радикальной атаки.

Н. Г.

64197. Квантовохимический расчет окислительно-восстановительных потенциалов хинонов. Басу (Quantum-mechanical calculation on the oxidation-reduction potentials of quinones. Basu S. A. D. H. A.), Trans. Faraday Soc., 1956, 52, № 1, 6—9 (англ.)

Автор исходит из предположения, что окислительные свойства хинонов связаны с понижением энергии π -электронов при их восстановлении и рассчитывает разности π -электронных энергий для ряда хинонов и гидрохинонов. Энергия π -электронов хинонов приравнивается сумме энергий изолированных π -связей $2\alpha + h^2/8ml^2$, где α — π -электронная энергия группы $C=O$, l — длина двойной связи $C=C$, а энергия двойной связи рассчитывалась в приближении свободного электрона (длина ящика приравнивалась двойной длине связи). Энергия π -электронов гидрохинонов рассчитывается для ароматич. кольца в приближении свободного электрона при пренебрежении индуктивными эффектами; она равна $0,44 h^2/8ml^2$. Отсюда разность энергий π -электронов равна $2\alpha + 0,56h^2/8ml^2$ и составляет (в скобках окислительно-восстановительный потенциал E_0 в в) для *n*-бензохинона $2\alpha + 0,556K$ (0,71); 1,4-нафтохинона $2\alpha + 0,113K$ (0,48); 1,4-антрахи-

нона $2\alpha + 0,086K$ (0,40); 5,10-антрахинона $2\alpha - 0,414K$ (0,15); 1,4-фенантренхинона $2\alpha + 0,115K$ (0,53); 2,6-нафтохинона $2\alpha + 1,113K$ (0,76); *n*-дифенохинона $2\alpha + 1,515K$ (0,95); *n*-стильбенхинона $2\alpha + 1,850K$ (0,85), где $K = h^2/8ml^2$. Эти результаты показывают, что действительно E_0 симбатны разности энергий π -электронов. Такая же зависимость имеет место и для ортохинонов: *o*-бензохинона $2\alpha + 0,181K$ (0,81), *o*-нафтохинона $2\alpha - 0,119K$ (0,57); *o*-фенантренхинона $2\alpha - 0,227K$ (0,46), хотя соответствующая для них прямая и сдвинута относительно прямой для *n*-хинонов, что, возможно, объясняется наличием в первых водородной связи. Автор приходит к выводу, что при использовании теории свободного электрона предположение о полной локализации связей в хинонах является хорошим приближением и что поправка к энергии гидрохинонов, вводимая с целью учета всех электронов, рассматриваемых в хинонах, не изменяет выводов.

Н. Г.

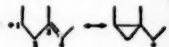
64198. Соседство атомов углерода и водорода. XVI. 1,3-взаимодействия и гомоаллильный резонанс. Симонетта, Уинштейн (Neighboring carbon and hydrogen. XVI. 1,3-interactions and homoallylic resonance. Simonetta M., Winstein S.), J. Amer. Chem. Soc., 1954, 76, № 1, 18—21 (англ.)

Повышенная скорость ионизации и двойственная реакционная способность в системах типа холестерина, дегидроворборнила и гомобензила наводит на мысль о взаимодействии между центром карбониевого иона и β -заместителем, содержащим π -электроны. В работе проводится полуэмпирич. расчет по методу ЛКАО стабилизации, обусловленной делокализацией π -электронов, для случаев винильной, диолефиновой и фенильной групп в β -положении к центру катиона. Взаимодействующие орбиты, $2p$ атома C_1 и $2p\pi$ атома C_2 , рассматриваются лежащими в плоскости атомов C_1 , C_2 , для атомов C_1 , C_2 , C_3 принята sp^2 -гибридизация, для атома C_2 — sp^3 -гибридизация. Расчет проводится для разных расстояний R_{13} между атомами C_1 и C_3 и энергия взаимодействия оценивается как разность энергий резонанса и энергий напряжения, вызванного деформацией валентного угла при C_2 . Расчет показывает наличие взаимодействия уже на нормальном расстоянии $R_{13} = 2,5$ А, растущая энергия резонанса при уменьшении этого расстояния компенсирует возникающее напряжение. Стабилизация равна 10, 6 и 4 ккал/моль для β -диенил-, β -винил-, и β -фенил-групп соответственно в согласии с влиянием этих заместителей на протекание сольволиза. Величина стабилизации указывает на незначительность препятствий, создаваемых метиленовой группой, взаимодействием ненасыщ. центров. Сообщение XV. РЖХим, 1955, 23:87.

Н. Г.

64199. Символические структурные формулы для бороводородов. Платт (Symbolic structural formulas for boron hydrides. Platt John R.), J. Chem. Phys., 1954, 22, № 6, 1033—1036 (англ.)

Предложен условный способ изображения строения бороводородов. При этом выдвигается вспомогательная концепция «валентного конуса», представляющего собой конус, описанный тремя тетраэдрич. орбитами, вращающимися вокруг четвертой, соответствующей нормальной связи ВН как оси. Атомы бора образуют сетку из почти правильных треугольников на выпуклой валентной поверхности, образованной перекрытием «валентных» конусов каждого атома. Простые связи В — Н направлены перпендикулярно к «валентной» поверхности. Добавочные атомы располагаются на «валентной» поверхности по периметру сетки из атомов бора. Число их определяется тем, что каждый атом бора должен иметь соседей во всех трех секторах своего «валентного» конуса. Сеть, не замкнутую в пол-



ный многогранник, можно изобразить на бумаге с сохранением топологии. Предложенное описание правильно и единственным образом дает структуры и ф-лы для известных гидридов B_2 , B_4 , B_5 , B_6 и B_{10} и предсказывает другие возможные соединения вплоть до B_{11} . Оно согласуется с существованием замкнутых инертных многогранных гидридов B_nH_n вплоть до $B_{12}H_{12}$ и с цепочками и решетками из таких многогранников.

Н. Г. 64200. Добавочные замечания к «электронному строению комплекса под-амилоза». Мураками (Supplementary comments on the «electronic structure of the amylose-iodine complex». Murakami Hideo), J. Chem. Phys., 1955, 23, № 10, 1979 (англ.)

В ранее опубликованной работе (РЖХим, 1956, 49819) автор, рассматривая электронное строение комплекса под-амилоза, предположил переход электрона от гидроксильного или мостикового атома кислорода к цепочке из атомов иода, допустив благоприятное для электронного взаимодействия между кислородом и иодом, пространственное строение кольца пиранозы. Согласно другой работе (Beevers, Cochran, Proc. Roy. Soc. (London), 1947, A190, 257), кольцо пиранозы имеет другую форму, при которой расстояние между первичной гидроксильной группой или мостиковым кислородом и иодом слишком велико для наличия электронного взаимодействия между ними. Однако электронное взаимодействие все же может иметь место между иодом и глюкозидным атомом кислорода, если допустить, что валентный угол последнего близок к тетраэдрическому. Изменяя валентные углы углерода в разумных пределах с тем, чтобы получить наблюдаемый внешний ван-дер-ваальсовский диам. 13А, можно добиться вывода атомов водорода из полости спирали амилозы и контакта атомов кислорода с иодом. Таким образом, если предложенная пространственная модель амилозы близка к действительности, то найденная во второй из цитированных работ форма кольца пиранозы не противоречит основному содержанию первой из цитированных работ.

Н. Г. 64201. Изучение химической связи. II. Недостовверное в гибридизации. Рокка (Etudes sur la liaison chimique. II. Les incertitudes de l'hybridation. Rocca Massimo), Chimica, 1954, 30, № 6, 183—187 (франц.)

Автор осуждает метод гибридизации (МГ), считая его логически неоправданным, противоречивым по существу и экспериментально необоснованным. В МГ за основу описания молекул берутся волновые функции изолированного атома водорода, ортогональная симметрия которых совершенно не соответствует симметрии реальных молекул. При расчете суперпозиций водородоподобных функций, которые вводятся, чтобы получить тетраэдр., плоское тригональное с углом 120° и линейное расположение валентностей, пользуются условием ортогональности, хотя цель расчета состоит в том, чтобы освободиться от ортогональности фундаментальных функций. Логически не обоснован выбор фундаментальных функций для составления линейных комбинаций. МГ не отличается общностью: он применим только в случаях, когда прочность кратной связи меньше соответствующего кратного значения для простой связи; дает неправильное значение прочности тройной связи; приводит к противоречию с фактами при попытке применения к аммонии и оксению. Рассчитанная по МГ прочность связей в метилацетилене и аллене одинакова, чему противоречит резкое несходство свойств этих соединений. Предсказываемая теорией ортогональность связей в воде и аммиаке совершенно не соответствует фактам, почему приходится

дополнять расчетный метод произвольной и качеств. гипотезой об отталкивании между атомами. Н. Г. 64202. Соотношение между отношением стабильности и электроотрицательностью по Паулингу. Сандерсон (Relation of stability ratios to Pauling electronegativities. Sanderson R. T.), J. Chem. Phys., 1955, 23, № 12, 2467—2468 (англ.)

Предложено эмпирич. ур-ние $X^s = 0,215R + 1,0,77(1)$, где X — электроотрицательность атома по Паулингу, SR — «отношение стабильности» атома (J. Chem. Educ., 1952, 29, 539). Значения X , рассчитанные по ф-ле (1), совпадают с данными Паулинга для H, Li, Be, B, C, N, O, F, Na, Mg, Al, Si, P, S, Cl, K, Ca, Sc, Ti, Br, Rb, Sr, V, Zr, Sn, Fe, J, Cs, Ba и расходятся для Ge, As, Sb, Se.

С. С. 64203. Структура тетраэдрических ионов $(MO_4)^{n-}$. Ганиц (Struktura tetraedrických ionov $(MO_4)^{n-}$. Hanic František), Chem. zvesti, 1956, 10, № 5, 268—281 (словац., рез. русс., нем.)

Кратность ковалентных связей $M-O'$ в тетраэдрич. ионах $(MO_4)^{n-}$ вычислена по ур-нию $N = 1 + (r_{M-O} - r_{M-O'}) / (r_{M-O} - r_{M=O})$, где r_{M-O} — эксперим. длина ковалентной связи в ионе $(MO_4)^{n-}$; r_{M-O} и $r_{M=O}$ — длины ординарной и двойной связей, рассчитанные для тетраэдрич. структуры MO_4 по ур-нию $r_{M-O} = 2\sqrt{r_{M'O} - \beta |x_M - x_O|}$ (r_M и r_O — ковалентные радиусы центрального атома и кислорода, x_M и x_O — соответствующие электроотрицательности, β для двойной связи равно 0,0,0, для ординарной 0,053). Вычисленные кратности связей равны: $(SiO_4)^{4-}$ 1,21; $(PO_4)^{3-}$ 1,41; $(VO_4)^{3-}$ 1,57; $(AsO_4)^{3-}$ 1,28; $(SO_4)^{2-}$ 1,53; $(CrO_4)^{2-}$ 1,59; $(SeO_4)^{2-}$ 1,4; $(ClO_4)^{-}$ 1,49.

М. П. 64204. Химическая связь. Додель (La liaison chimique. Daudel R.), Scientia, 1956, 91, № 3, 87—90 (франц.)

Популярная статья. М. Д. 64205. Метод расчета поперечных сечений при молекулярных столкновениях. Бауэр (Method of calculating cross sections for molecular collisions. Bauer Ernest), J. Chem. Phys., 1955, 23, № 6, 1087—1094 (англ.)

Излагается метод расчета сечений молекулярных столкновений, приводящих к возбуждению колебательных уровней. Используется метод искаженных волн. Невозмущенная волновая функция представляет собой произведения $\Phi(\rho)\chi(r)$ где χ — собственная функция поступательного движения, а Φ — колебательная собственная функция возбужденной молекулы, которая предполагается известной. Функция χ вычисляется методом ВКБ, так как оценка показывает, что относительно движению можно приписать классич. лишь слегка размытую траекторию. Однако взаимодействие может оказаться настолько слабым, что передаваемый импульс будет лежать в пределах принципа неопределенности. При этом фаза χ существенно изменится на траектории. Автор не ставит своей задачей получить особо точный потенциал взаимодействия. Использовалась простейшая форма одномерного потенциала Морзе, параметры которого определены из характеристик равновесных состояний. С помощью полученных функций вычислен матричный элемент перехода между двумя колебательными уровнями и соответствующее эффективное сечение. На этой стадии сделаны следующие допущения: 1. Частица движется по классич. траектории с определенным прицельным расстоянием. 2. Возмущающее взаимодействие имеет настолько малый радиус, что интеграл по возмущенной части траектории можно заменить разностным выражением. 3. Суммирование по парц. волнам заменяется интегрированием по при-

цельным расстояниям. Численные расчеты проведены для столкновения молекул водорода в двух приближениях: классич. (фаза I) и в квантовом (переменная фаза вычисляется в квазиклассич. приближении). Приведены графики матричного элемента перехода и сечения в функции от l и от E . В соответствии с эксперим. данными сечение невелико (не превышает $6 \cdot 10^{-19}$ см²). Классич. приближение приводит к большим величинам, чем квантовое. Разница особенно велика при малых энергиях.

64206. Поперечные сечения ионизации молекул электронами. Отвос, Стивенсон (Cross-sections of molecules for ionization by electrons. O'tvos J. W., Stevenson D. P.), J. Amer. Chem. Soc., 1956, 78, № 3, 546—551 (англ.)

Показано, что относительные поперечные сечения ионизации молекул электронами можно вычислять как сумму атомных сечений, а последние пропорциональны сумме средних квадратов радиусов валентных электронов. Для доказательства второго правила были вычислены суммы средних квадратов радиусов валентных электронов большого числа атомов с помощью водородоподобных функций с эффективным зарядом и эффективным главным квантовым числом. Полученные величины хорошо согласуются с имеющимися эксперим. данными для относительных сечений ионизации. Далее были измерены сечения ионизации ряда органич. и неорганич. молекул. Измерения производились в ионизационной камере масс-спектрометра при энергии электронов 50—100 эв. Во всех случаях измеренные сечения близки к вычисленным по указанным выше правилам. Кроме того, измерялись сечения ионизации тех же молекул электронами распада ^{14}C и Sr^{90} . Согласно с вычисленными значениями в этом случае несколько хуже, но все же остается удовлетворительным. Указываются возможные применения приведенного метода расчета сечений для масс-спектрометрического анализа. **Л. В. 64207. Ионизация и распад молекул при столкновениях с атомарными ионами. Л и н д х о л м** (Ionisierung und Zerfall von Molekülen durch Stöße mit Atomionen. Lindholm Einar), Z. Naturforsch. 1954, 9a, № 6, 535—546 (нем.)

Изучалась перезарядка при столкновениях между атомарными ионами и молекулами. Молекулы CO_2 , H_2O , H_2S , NH_3 , CH_4 и N_2O бомбардировались различными ионами (A^{2+} , Kr^{2+} , Ne^+ , F^+ , Ar^+ , N^+ , Kr^+ , O^+ , Cl^+ , Br^+ , S^+ , P^+ и др.). Сечение перезарядки максимально (того же порядка, что при ионизации медленными электронами в обычном ионном источнике) в том случае, когда энергия рекомбинации атомарного иона равна потенциалу появления рассматриваемого иона (РЖХим, 1956, 46014). Молекулярный ион, образовавшийся при перезарядке, может быть колебательно возбужден, но измерения показывают, что колебательная энергия мала. Это обстоятельство позволяет применить рассмотренный метод для исследования высших электронных состояний молекулярных ионов и определения высших потенциалов ионизации молекул.

Е. Ф.

64208. Масс-спектр иодида лития. Фридман (Mass spectrum of lithium iodide. Friedman L. W.), J. Chem. Phys., 1955, 23, № 3, 477—482 (англ.)

На масс-спектрометре изучалась масс-спектр газообразного иодида лития. Изучалась зависимость выхода различных ионов (I^+ , Li^+ , LiI^+ , Li_2I^+) от температуры печи, в которой нагревался безводный LiI . Найдено, что в газовой фазе присутствуют как мономер, так и димер LiI . Парц. теплоты сублимации мономера и димера при 0°K равны $44,9 \pm 7$ и $45,5 \pm 2$ ккал/моль соответственно. Энергия диссоциации $(\text{LiI})_2 \rightarrow 2(\text{LiI})$ (газ.) равна $44,4 \pm 2,2$ ккал/моль. Парц. теплота сублимации LiI в совокупности с другими термодимич. величинами дает

возможность вычислить энергию решетки кристалла LiI (174 ± 3 ккал/моль) и энергию диссоциации двухатомной молекулы LiI ($78,8 \pm 0,3$). Методом уменьшающегося ионного тока определены потенциалы появления ионов в масс-спектре LiI и найдена верхняя граница энергии диссоциации газообразного LiI ($88,0 \pm 3,5$ ккал/моль). **Е. Ф.**

64209. Процессы ионизации и диссоциации в парах LiCl , NaCl и KCl . Хобсон (Ionization and dissociation processes in the vapors of lithium chloride, sodium chloride, and potassium chloride. Hobson Robert M.), J. Chem. Phys., 1955, 23, № 12, 2463—2464 (англ.)

С помощью масс-спектрометра изучены продукты ионизации LiCl , NaCl и KCl под действием электронов 0—40 эв. В случае LiCl обнаружены пики Li^+ , Li^- , Cl^+ , Cl^- , LiCl^+ , LiCl^- , Li_2Cl^+ , Li_2Cl^- , Li_3Cl_2^+ , Cl_2^+ , LiCl_2^+ , Li_3Cl_3^+ . Ионы образуются без кинетич. энергии. Многоатомные ионы возникают, по мнению автора, за счет процессов роения $\text{Li}^-(\text{или } +) + \text{LiCl} \rightarrow \text{Li}_2\text{Cl}^-(\text{или } +)$, $\text{Cl}^- + \text{LiCl} \rightarrow \text{LiCl}_2^-$; $\text{Li}_2\text{Cl}^+ + \text{LiCl} \rightarrow \text{Li}_3\text{Cl}_2^+$. **С. С.**

64210. Энергия диссоциации связи C—H в фтороформе. Пritchard, Пritchard, Шифф, Тротман-Дикенсон (The C—H bond dissociation energy in fluoroform. Pritchard G. O., Pritchard H. O., Schiff H. I., Trotman-Dickenson A. F.), Chemistry and Industry, 1955, № 28, 896 (англ.)

Определена энергия диссоциации связи C—H в CHF_3 из разности значений энергии активации прямой (E_p) и обратной (E_0) р-ции $\text{CF}_3 + \text{CH}_4 \rightleftharpoons \text{CHF}_3 + \text{CH}_3$: $D(\text{CH}_3 - \text{H}) - D(\text{CF}_3 - \text{H}) = E_p - E_0$. Используя для E_p ранее найденное значение $10,3 + 1/2 E_2$ (ккал/моль), где E_2 — энергия активации р-ции $\text{CF}_3 + \text{CF}_3 \rightarrow \text{C}_2\text{F}_6$ (РЖХим, 1956, 61104), а для E_0 значение $9,8 + 1/2 E_4$ (ккал/моль) (E_4 — энергия активации р-ции $\text{CD}_3 + \text{CH}_3 \rightarrow \text{C}_2\text{D}_6$), найденное из исследования фотолитической смеси CD_3COCD_3 и CHF_3 , и полагая, что $E_2 = E_4$ и $D(\text{CH}_3 - \text{H}) = 102,5$ ккал/моль, авторы получили для $D(\text{CF}_3 - \text{H})$ значение $102,0 + 2$ ккал/моль. Из сравнения теплот образования CF_3Cl , CH_4 и CH_3Cl получено $\Delta H(\text{CF}_3\text{H}) = -169$ ккал/моль, $\Delta H(\text{CF}_2) = -119$ ккал/моль, откуда учитывая, что $\Delta H(\text{C}_2\text{F}_6) = -303$ ккал/моль, получено $D(\text{CF}_3 - \text{CF}_3) = 65$ ккал/моль. **В. А.**

64211. О взаимном влиянии амино- и карбоксильных групп в аминокислотах. Стренихеев А. А., Скуратов С. М., Штехер С. М., Муромов Р. С., Брыкина Е. П., Качинская О. Н., Докл. АН СССР, 1955, 102, № 3, 543—545

По ранее описанной методике (РЖХим, 1954, 37433) определены теплоты горения (ккал/моль): $\text{NH}_2(\text{CH}_2)_3\text{COOH}$ 545,7; $\text{NH}_2(\text{CH}_2)_4\text{COOH}$ 701,8; $\text{CH}_3(\text{CH}_2)_3\text{CHNH}_2\text{COOH}$ 855,9; $\text{CH}_3\text{CH}_2\text{CHNH}_2(\text{CH}_2)_2\text{COOH}$ 854,2; $\text{CH}_3\text{CHNH}_2(\text{CH}_2)_3\text{COOH}$ 854,9; $\text{NH}_2(\text{CH}_2)_5\text{COOH}$ 855,9; $\text{NH}_2(\text{CH}_2)_6\text{COOH}$ 1011,5; $\text{NH}_2(\text{CH}_2)_7\text{COOH}$ 1321,9; $\text{NH}_2(\text{CH}_2)_8\text{NH}_2\text{COOH}$ 1711,8; $\text{NH}_2(\text{CH}_2)_4\text{NH}_2\text{COOH}$ 1711,8; $\text{NH}_2(\text{CH}_2)_8\text{COOH}$ 2024,2. Полученные теплоты горения аминокислотных к-т с различным положением аминогруппы относительно карбоксильной (α -, γ -, δ и ϵ -кислоты) очень близки между собой, что указывает на отсутствие значительного энергетич. взаимодействия в молекуле, передаваемого по цепи. Сравнением полученных данных по теплотам горения аминокислот с литературными данными по теплотам горения соответствующих жирных к-т найден инкремент замещения водорода в жирной к-те на аминогруппу в ω -положении, равный $24,6 \pm 0,4$ ккал/моль. Сравнивая этот инкремент с инкрементом замещения водорода алканов на аминогруппу, который, по литературным данным, равен 27,6 ккал/моль,

можно оценить энергию взаимодействия amino- и карбоксильных групп в ω -аминокислотах (для твердого состояния) в $\sim 3,0$ ккал/моль.

64212. $C-X$ -полосы N_2^+ в далекой ультрафиолетовой области. Уилкинсон (The far ultraviolet ($C-X$) bands of N_2^+ . Wilkinson P. G.), Canad. J. Phys., 1956, 34, № 3, 250—255 (англ.)

Сфотографированы при высокой дисперсии полосы излучения системы $C-X N_2^+$ в вакуумной УФ-области. Проведенный вращательный анализ подтверждает их интерпретацию как $2\Sigma_u^+ - 2\Sigma_g^+$, а полученные молекулярные константы находятся в соответствии с известными. Необычное распределение интенсивностей линий в прогрессии $v' = 3$ и возмущение в уровнях $v' = 0, 1$ и 2 состояния «С» находятся в согласии с теорией инверсной преддиссоциации в уровне $v' = 3$. Приведены фотография спектра, таблица частот линий и их относительных интенсивностей.

64213. Послесвечение молекул азота при атмосферном давлении. Леман, Шульце, Винде (Nachleuchten von Stickstoffmolekülen bei Atmosphärendruck. Lehmann K., Schulze H., Winde B.), Z. phys. Chem. (D. R.), 1956, 205, № 3, 178 (нем.)

Авторы наблюдали интенсивное послесвечение азота, прошедшего через дугу переменного тока между W-электродами. При давлении азота 1 атм, скорости протока газа 1 л/сек, силе тока 40 а и расстоянии между электродами 20 мм азот светится слабофиолетовым светом; при добавлении к нему небольших кол-в H_2S свечение становится синим, а при добавлении больших кол-в H_2S послесвечение прекращается. Авторы считают, что свечение обусловлено наличием в газе возбужденных молекул азота.

64214. О спектре поглощения окиси азота в крайней ультрафиолетовой области. Гранье, Астуэн (Sur le spectre d'absorption de l'oxyde azotique dans l'ultraviolet extrême. Granier Janine, Astoin Nicole Mlle), C. r. Acad. sci., 1956, 242, № 11, 1431—1433 (франц.)

Методом, описанным ранее (ЖХХим, 1956, 46020), исследован спектр поглощения NO в области 150—1100 Å. Вследствие разложения некоторой части NO искры, являющийся источником света, в спектре присутствовали сильные линии азота и кислорода. Полученный спектр поглощения NO представляет собой континуум с 4 полными максимумами (~ 550 СС0, $k_v = 500$; ~ 585 СС0, $k_v \approx 520$; 200 СС0, $k_v = 600$; 110 СС0, $k_v \approx 500$ см $^{-1}$) (k_v — коэф. экстинкции, приведенный к нормальному давлению). Разрыв в спектре вблизи 170 СС0 см $^{-1}$ (21,2 эв) может быть обусловлен процессом ионизации: $NO(^2\Pi) \rightarrow N^+(^2P) + O(^1D)$ (21,7 эв) или $NO(^2\Pi) \rightarrow N^+(^2P) + O(^3P)$ (21,7 эв).

64215. Основная полоса окиси азота. Шоу (Nitric oxide fundamental. Shaw J. H.), J. Chem. Phys., 1956, 24, № 2, 399—402 (англ.)

Заново исследована при высоком разрешении основная колебательно-вращательная полоса NO при 5,3 м. Приведены таблицы частот линий и вычисленных молекулярных констант. Частоты линий могут быть отождествлены ф-лами: v_1 (см $^{-1}$) = $1876,112 + 3,2928m - 1,7158 \cdot 10^{-2}m^2 - 1,137 \cdot 10^{-4}m^3$; v_2 (см $^{-1}$) = $1875,875 + 3,42242m - 1,7876 \cdot 10^{-2}m^2 - 3,625 \cdot 10^{-4}m^3$.

64216. Спектр CN в вакуумной ультрафиолетовой области. Карролл (The spectrum of CN in the vacuum ultraviolet. Carroll P. K.), Canad. J. Phys., 1956, 34, № 1, 83—95 (англ.)

Исследован спектр радикала CN в шумановской области с разрешением 0,45 см $^{-1}$. Источником служил

разряд в трубке с полным катодом в потоке гелия со следами C_2N_2 . Найдены три новые системы полос в области 1650—2100 Å. Они отвечают двум ранее неизвестным состояниям: 1) 2Σ , участвующему в переходах $E^2\Sigma - X^2\Sigma$ и $E^2\Sigma - A^2\Pi$ и 2) обращенному состоянию 2Δ , приводящему к переходу $J^2\Delta - A^2\Pi$. Проведен вращательный анализ и найдены молекулярные константы. Результаты измерений предположительно подтверждают более высокое значение энергии диссоциации CN (8,2 эв). Приведены фотографии спектров, таблицы частот наблюдаемых линий, таблицы молекулярных констант во всех известных электронных состояниях CN, диаграмма уровней энергии CN.

64217. Новый колебательный анализ полос излучения Cl_2^+ в видимой области. Тирувенганна-Рао, Харанатх (New vibrational analysis of the visible emission bands of Cl_2^+ . Tiruvenganna Rao P., Haranath P. B. V.), Current Sci., 1956, 25, № 2, 47—48 (англ.)

С целью устранения имеющихся противоречий в трактовке полос излучения хлора в высокочастотном разряде (λ 6500—3400 Å) заново проведено исследование этого спектра на основе опубликованной ранее работы по спектру излучения Br_2^+ (ЖХХим, 1956, 15290). Почти все полосы (включая и впервые наблюдаемые длинноволновые) укладываются в 4 системы, для 3 из которых удалось найти колебательные константы:

Система	ω_e'	$X_e'\omega_e'$	D_e'	ω_e''	$X_e''\omega_e''$	D_e''	ν_e
I	30,0	2,0	1,9	656,0	4,6	2,8	2048,0
II	37,0	2,6	1,7	66,0	4,7	2,8	2073,0
III	347,5	2,0	1,0	655,0	5,5	2,4	2069,0

Результаты анализа подтверждаются наблюдаемым изотопич. эффектом. Для систем I и II нижний уровень является общим и, вероятно, представляет собой основное состояние молекулы. Энергия диссоциации Cl_2^+ , определенная путем экстраполяции по Гёрджу — Шпюнер, равна либо 2,8 эв, либо 2,4 эв.

64218. Вращательный анализ полос окиси ниобия. Сурьянараяна-Рао (Rotational analysis of the columbium oxide bands. Suryanarayana Rao K.), Proc. Nat. Inst. Sci. India, 1955, A21, № 4, 219—237 (англ.)

Более подробное изложение предыдущей работы (ЖХХим 1955, 15762).

64219. Некоторые замечания об излучении полос Свингса (группа 4050 Å) в лабораторных условиях. Отклер, Розен (Quelques remarques sur l'émission des bandes de Swings (groupe 4050 Å) au laboratoire. Hautecler S., Rosen B.), Actes Congr. Luxembourg 72 sess. Assoc. franç. avancem. sci., 1953, juill., 113 p. (франц.)

Исследованиями группы 4050 Å полос Свингса в графитовом разряднике с полным катодом показано, что образование «молекулы 4050» (предположительно Ca) происходит вследствие вторичных процессов в результате следующей цепи превращений: образование простых углеводородов \rightarrow пиролиз \rightarrow полимеризация \rightarrow дегидрогенизация. «Молекула 4050», повидимому, является одним из промежуточных продуктов в этой последовательности. Обнаружены новые полосы, предположительно совпадающие с полосами поглощения Свингса — Рао в спектрах «углеродных» звезд в области 3850—3300 Å. Повидимому, эти полосы также принадлежат «молекуле 4050».

64220. Спектр закиси азота в ближней инфракрасной области. Пайлер, Тидуэлл, Аллен (Near

infrared spectrum of nitrous oxide. Plyler Earle K., Tidwell Eugene D., Allen Harry C., Jr., J. Chem. Phys., 1956, 24, № 1, 95—97 (англ.)

Исследован спектр поглощения N_2O в ближней ИК-области с толщиной слоя до 6 м. Приведены таблицы частот наблюдаемых полос N_2O , в том числе 12 новых; проанализировано ~60 полос. Приведены значения основных колебательных частот и констант N_2O : $\nu_1 = 1284,83$; $\nu_2 = 588,78$; $\nu_3 = 2223,75$ cm^{-1} ; $X_{13} = -27,29$; $X_{23} = -14,23$; $\omega_0^3 = 2238,79$; $X_{33} = -15,04$. В. Д.-К.

64221. О возбуждении аномальных α -полос аммиака в отсутствие радикала NH , при стационарном разложении гидрата гидразина. Паннетье, Баррер, Гедие (Sur l'excitation anormale des bandes α de l'ammoniac en l'absence du radical NH , dans la décomposition stationnaire de l'hydrate d'hydrazine. Pannetier Guy, Barrère Marcel, Guedeney François, C. r. Acad. sci., 1954, 239, № 1, 37—39 (франц.))

Получен спектр испускания в видимой и УФ-области гидрата гидразина N_2H_4OH при стационарном разложении. В спектре отсутствовали полосы радикала NH . Полученный спектр соответствует α -полосе NH_3 . Полосы не укладываются в схему Деландра и приписываются трехатомной молекуле NH_3 , которая, очевидно, получается при предварительном разложении $N_2H_4 \rightarrow 2NH_3$, как и предсказывалось ранее (Murray, Hall, Trans. Faraday Soc., 1951, 47, 743). Е. П.

64222. Спектр бария в пламени. Полосы в красной и инфракрасной областях. Булевич (Flame spectrum of barium: red and infra-red bands. Bulewicz E. M.), Nature, 1956, 177, № 4510, 670—671 (англ.)

Исследован спектр излучения Ва в воздушно-водородном пламени. Аналогично случаям Са и Sr интенсивные полосы излучения принадлежат радикалу ВаОН. Наблюдаемые полосы (7200—9000 Å) являются широкими и диффузными, заметно отличающимися от отнесенных в длинноволновую сторону полос ВаО. Распределение интенсивностей в них сильно напоминает полосы ВаF и аналогично таковому для голубых и зеленых полос ВаОН. Весьма вероятно, что весь спектр Ва в пламени принадлежит ВаО, что подтверждается также результатами измерений зависимости интегральной интенсивности полос от т-ры. В. Д.-К.

64223. Электронный спектр кристаллического л-диметоксибензола и его применение к рассмотрению спектра бензола. Олбрехт, Симпсон (Low resolution electronic spectrum of crystalline para-dimethoxybenzene with application to benzene. Albrecht Andreas, Simpson William T.), J. Chem. Phys., 1955, 23, № 8, 1480—1485 (англ.)

Исследованы спектры поглощения тонких (0,37 μ) орторомбич. кристаллов л-диметоксибензола (I) с разв. плоскостью 001 в поляризованном свете, а также р-ров I в этиловом и метиловом спиртах. Воспользовавшись моделью ориентированного газа, авторы, из кривых поглощения для двух поляризаций падающего света вдоль осей кристалла а и b, рассчитали кривые для поглощения, поляризованного вдоль осей x и y, в плоскости бензольного кольца молекулы. При этом было предположено, что поглощение, поляризованное по оси z, перпендикулярной плоскости кольца молекулы, отсутствует. Анализируя полученные кривые, авторы приходят к заключению, что первый переход в спектре I при 2900 Å (аналог перехода 2600 Å в бензоле) поляризован вдоль оси y молекулы, перпендикулярной связям C—O, а второй при 2350 Å (аналог перехода 2600 Å в бензоле) поляризован вдоль оси x, параллельной связям C—O. Сравнение сим-

метрий молекул бензола и I показывает, что указанная поляризация первых двух электронных переходов возможна лишь тогда, когда симметрия соответствующих возбужденных состояний бензола будет B_{2u} и B_{1u} . Этим авторы подтверждают найденную ранее (Броуде и др. Ж. эксперим. и теор. физики, 1951, 21, 665) симметрию первого возбужденного состояния молекулы бензола.

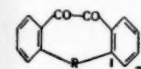
В. Б.
64224. Спектры поглощения и строение производных бензола. XIX. 2,5-диоксиацетофенон и его метиловые эфиры. Вальяшко Н. А., Вальяшко Н. Н., Ж. общ. химии, 1956, 26, № 2, 294—304

Электронные спектры поглощения различных оксидиооксипроизводных ацетофенона (I) состоят из 3-х полос: коротковолновой (α'), средней (α) и длинноволновой (α_2). Перемена р-рителя сказывается более или менее заметно лишь на положении α_2 . Приведены спектры в спирте 2,5-диокси-I (II), 2-окси-5-метокси-I (III), 2-метокси-5-окси-I (IV), 2,5-диметокси-I (V). Спектр II характеризуется bathochromным и hyperchromным сдвигом всех полос по сравнению с I. Заметное гипсохромное смещение при переходе от III к IV и V вызвано нарушением водородной связи 2-оксигруппы с карбонильным кислородом. При подплевании р-ров спектр V практически не изменяется, а в спектре III интенсивность α_1 уменьшается, α_2 смещается bathochromно и сильно расширяется; спектр IV не изменяется по форме, а λ (макс) α_2 смещается bathochromно. Спектр II изменяется значительно сильнее; происходит сильное расширение всех полос, λ (макс) α_2 смещается bathochromно и появляется новая полоса (ϕ), соответствующая полосе гидрохинона. На длинноволновой ветви α_2 имеется перегиб, повидимому, соответствующий полосе хинона. Сложный характер спектра щел. р-ра I и отсутствие глубоких минимумов говорит о наложении на полосу нескольких сопряженных систем: карбонильной группы с кольцом и оксигруппами, системы гидрохинона с выключенной из сопряжения карбоксильной группой и системы образующегося в щел. р-рах хинона. В водн. щел. р-ре выключение карбонильной группы проявляется еще более резко: α_1 пропадает, а ϕ и α_2 выявляются более четко. Аналогичное частичное выключение карбонильной группы из сопряжения с оксигруппами имеет место также в р-рах в конц. H_2SO_4 : полоса α_1 пропадает и появляется резкая полоса ϕ , положение которой отвечает полосам р-ров гидрохинона и I в H_2SO_4 . Одновременно происходит развитие и bathochromное смещение полос α_2 , свидетельствующее об усилении сопряжения в части молекул, где группа CO не выключена. В р-рах в H_2SO_4 имеет место заметное увеличение интенсивности всех полос, связанное с сильным поляризующим действием. Сообщение XVIII см. РЖХим, 1956, 53636. Н. С.

64225. Влияние пространственной конфигурации на поглощение «фиксированных» бензилов в ультрафиолетовой области. Леонард, Кресги, Оки (The influence of steric configuration on the ultraviolet absorption of «fixed» benziols. Leonard Nelson J., Kresge A. Jerry, Oki Michinori), J. Amer. Chem. Soc., 1955, 77, № 19, 5078—5083 (англ.)

С целью выяснения влияния взаимного пространственного расположения карбонильных групп в бензилах на положения $\lambda_{(макс)}$ УФ-спектров поглощения синтезированных «фиксированных» бензилов (I) с R— CH_3 (а), $CH_2CH(CH_3)$ (б), $CH_2=CH_2$ (в) и $CH_2CH_2CH_2$ (г). Спектры Iб и Iг сильно отличаются друг от друга и от спектра а-толила. В Iб угол между CO, вероятно, меньше 90° и нарушена копланарность CO и C_6H_5 . В Iг угол CO может быть $\sim 90^\circ$, что приводит к гипсохромному сдвигу по сравнению с Iа. Аналогичное отличие

отмечено в спектрах соответствующих хиноксалинов. I (или дикетоны) получались из соответствующих 2-(фенилалкил)-бензойных к-т этерификацией, восстановлением эфиров с помощью LiAlH_4 до 2-(фенилалкил)-бензойных спиртов, превращавшихся с помощью HBr в 2-(фенилалкил)-бензилбромиды. Действием на последние KCN получались нитрилы, омылявшиеся нагреванием в кислой среде до к-т, нагреванием последних со смесью P_2O_5 и H_3PO_4 получались циклич. монокетоны, превращавшиеся взаимодействием с бутилнитритом в шел. среде в изонитросоединения. Дикетоны получались омылением последних смесью формалина с конц. HCl . Из дикетонов были получены соответствующие хиноксалины. Получены 2-(γ -фенилпропил)-бензойная к-та, т. пл. 88—89; этиловый эфир 2-(α -фенилэтил)-бензойной к-ты, т. пл. 126—128°/1,2 мм, n_D^{20} 1,5550, d_4^{20} 1,070; этиловый эфир 2-(γ -фенилпропил)-бензойной к-ты, т. кип. 135—137°/0,3 мм, n_D^{30} 1,5463, d_4^{30} 1,051; 2-бензилбензилловый спирт, т. кип. 114°/0,1 мм, n_D^{30} 1,5950; 2-(α -фенилэтил)-бензилловый спирт, т. кип. 128—129°/0,5 мм, n_D^{31} 1,5853, d_4^{23} 1,080; 2-(β -фенилэтил)-бензилловый спирт, т. пл. 58—59°; 2-(γ -фенилпропил)-бензилловый спирт, т. кип. 137°/0,2 мм, n_D^{27} 1,5733, d_4^{30} 1,052; 2-(фенилметил)-бензилбромид, т. пл. 45—45,5°; 2-(α -фенилэтил)-бензилбромид, т. кип. 112°/0,1 мм, n_D^{21} 1,6069, d_4^{23} 1,292; 2-(фенилметил)-фенилуксусная к-та, т. пл. 95—95,5°; 2-(α -фенилэтил)-фенилуксусная к-та (пглы), т. пл. 93—94°; 2-(β -фенилэтил)-фенилуксусная к-та, т. пл. 92—93°; 1,2,4,5-дibenзоциклогептадиен-7-он, т. пл. 75—76°; 2,4-динитрофенилгидразон, т. пл. 231—232°; 3-метил-1,2,4,5-дibenзоциклогептадиен-7-он, т. пл. 90—91°; гидразон, т. пл. 219—220°; 1,2,5,6-дibenзоциклооктадиен-8-он, т. пл. 93—94°; гидразон, т. пл. 196—197°; 1,2,4,5-дibenзоциклогептадиен-6,7-дион, т. пл. 164—165°; оксим, т. пл. 194—195° (разл.); диоксим, т. пл. 212—213° (разл.); 3-метил-1,2,4,5-дibenзоциклогептадиен-6,7-дион, т. пл. 131—132°; оксим, т. пл. 232—233° (разл.); диоксим, т. пл. 224° (разл.); хиноксалин, т. пл. 205—206°; 1,2,5,6-дibenзоциклооктадиен-7,8-дион, т. пл. 131—132°; оксим, т. пл. 185—186°; диоксим, т. пл. 220° (разл.); хиноксалин, т. пл. 192—193°. Приведены λ (макс.) в УФ-спектрах монокетонов, дикетонов и хиноксалинов.



Н. С. 64226. К изучению спектров поглощения изомерных ариламинов и их N-замещенных производных в средней ультрафиолетовой и видимой областях. Сообщение 6. Грамматика (Contribution à l'étude de l'absorption dans l'ultra-violet moyen et dans le visible des arylamines isomères et de leurs dérivés N-substitués (6 mémoire). Grammaticakis P.), Bull. Soc. chim. France, 1954, № 1, 99—108 (Франц.)

Исследованы спектры поглощения в области 2100—5000 Å ариламинов и их производных типа $\text{C}_6\text{H}_4\text{N}(\text{X}'')$ $\text{C}_6\text{H}_4\text{X}''$ ($\text{X}'\text{X}'' = \text{H}, \text{OH}, \text{CH}_3\text{OCH}_3, \text{NH}_2, \text{COOH}, \text{NO}_2$; $\text{X}'' = \text{H}, \text{CH}_3, \text{C}_6\text{H}_5, \text{COCH}_3, \text{COC}_6\text{H}_5, \text{NH}_2, \text{OH}$). Установлено, что замещение у атома N в анилине и его производных на фенильную группу вызывает большое смещение в сторону длинных волн и усиление полос A $1050 \cdot 10^{12}$ и особенно B $1200 \cdot 10^{12}$ сек $^{-1}$ у N-алкиланилинов, но меньше в ацетианилиде и бензанилиде. Введенный новый хромофор, $\text{C}_6\text{H}_4\text{NHC}_6\text{H}_4$, спектрально мало чувствителен к S-алкилированию (кроме O-алкилирования). N-Фенилирование аминофенолов и анилинов вызывает сильное смещение полос B в видимую область и усиление полосы A ($955 \cdot 10^{12}$ сек $^{-1}$) при общем качественном подобии спектров. Нитрование дифенил-

аминов сопровождается значительным изменением кривых поглощения с увеличением интенсивности максимумов полос A и B. Сообщение 5 см. РЖХим, 1956, 145.

Ю. Е. 64227. Отделенные хромофорные системы. XXX. О явлениях цветности у ариламидов γ -(2,4-динитрофенил)-масляной кислоты. XXXI. Сравнительное изучение спектров поглощения у ариламидов 2,4-динитрофенилуксусной, 2,4-динитрогидрокориновой и γ -[2,4-динитрофенил]-масляной кислот. См. в Е. А., Ж. общ. химии, 1955, 25, № 13, 2532—2538

XXX. Получены ариламиды γ -(2,4-динитрофенил)-масляной к-ты (I) с различными электронодонорными группами ($\text{OCH}_3, \text{OH}, \text{N}(\text{CH}_3)_2$) в мета- и пара-положениях анилидного остатка и произведено сравнение цвета кристаллов и спектров отражения порошков. Во всех случаях окраска производных I глубже, чем соответствующих производных γ -нитрофенилмасляной к-ты (сообщение XXIX, РЖХим, 1956, 21692). Сравнение с соответствующими ариламидами γ -(2,4-динитрофенил)-гидрокориновой к-ты (II) и 2,4-динитрофенилуксусной к-ты (III) (Ж. общ. химии, 1947, 17, 309) показывает, что соединения с одинаковыми заместителями имеют сходную окраску; наиболее высоко окрашены метоксианилиды, оксианилиды и диметиламинопроизводные. При этом в ряду мета-замещенных анилидов глубина окраски убывает при переходе от I и III к II, а у пара-замещенных — в ряду III > I > II. У метоксианилидов этот порядок нарушается: мета-производные I и II не отличаются, а п-метоксианилид I окрашен выше производного II. Основной причиной возникновения окраски является непосредственное взаимодействие электронофильной и электронодонорной систем с помощью сил внешнего поля — «экзомолекулярных сил». Наличие между этими системами связывающей их насыщ. углеродной цепи создает дополнительную возможность взаимного влияния вследствие наведения альтернирующей поляризации, проявление которой более благоприятно в производных II. 8,2 г фенилмасляной к-ты растворяли в 55 г смеси 85% HNO_3 , 9% H_2SO_4 и 6% H_2O , к р-ру добавляли 28 г H_2SO_4 ($d = 1,84$) и нагревали 2 часа на водяной бане (т. пл. 97,5°). Взаимодействием с PCl_5 получали хлорангидрид γ -(2,4-динитрофенил)-масляной к-ты. Конденсацией его с ариламидами в водн.-бенз. среде в присутствии NaHCO_3 получали соответствующие производные III. III м- OCH_3 , т. пл. 87—88°; III п- OCH_3 , т. пл. 110,5° (сп.); III м- OH , т. пл. 177° (сп.); III п- OH , т. пл. 163—164° (сп.); III м- $\text{N}(\text{CH}_3)_2$, т. пл. 132,5° (сп.); III п- $\text{N}(\text{CH}_3)_2$, т. пл. 126° (сп.).

XXXI. Измерены УФ-спектры поглощения спирт. р-ров соединений общей ф-лы 2,4-(NO_2) $_2\text{C}_6\text{H}_3$ -(CH_2) $_n$ — CONH — C_6H_4 —A (I) с $n = 1, 2$ и 3 и A = м-п- OH , OCH_3 , $\text{N}(\text{CH}_3)_2$, и отдельного компонент, входящих в их состав, 2,4-(NO_2) $_2\text{C}_6\text{H}_3$ —(CH_2) $_n\text{CONH}_2$ (II) и CH_3CONH — C_6H_4 —A (III). В случае п-производных I кривая поглощения имеет 2 полосы (п- $(\text{CH}_3)_2$ λ (макс.) 270—272 мμ, λ (перегиб.) ~ 350 мμ, п- OH , п- OCH_3 λ (макс.) 250—252 мμ, λ (перегиб.) ~ 330 мμ). м-Производные имеют 3 полосы (м- $\text{N}(\text{CH}_3)_2$ λ (макс.) 237—238 мμ, λ (перегиб.) ~ 300 мμ и ~ 350 мμ; м- OH , м- OCH_3 λ (макс.) 245—248 мμ, λ (перегиб.) ~ 280 и 330 мμ. В м- OCH_3 промежуточная полоса практически отсутствует. Все эти соединения поглощают также в видимой области, причем в отличие от УФ-полос, это поглощение не подчиняется закону Бера, возрастающая с конц-цией. Сравнение поглощения I с суммой поглощения соответствующих II и III показывает полное совпадение в УФ-области, в видимой области II и III не поглощают. Поглощение I в видимой области объясняет-

ся проявляющимся даже в р-рах межмолекулярным взаимодействием электронодонорных и электроноакцепторных групп, входящих в состав I, обуславливающим их окраску в твердом состоянии.

Н. С. 64228. Спектры поглощения производных пиридина в средней ультрафиолетовой и видимой областях. Сообщение I. Грамматикаки (Contribution à l'étude de l'absorption dans l'ultraviolet moyen et le visible des dérivés de la pyridine. (Ier mémoire). Grammaticakis Panos), Bull. Soc. chim. France, 1955, № 11-12, 1471—1479 (франц.)

Получены поглощения α -, β -, γ -изомеров пиридинкарбоновых к-т, их эфиров, гидразидов и различных производных α -, β -, γ -пиридоилгидразонов в средней УФ- и видимой областях. Найдено, что карбоксилрование пиридина вызывает bathochrome смещение полосы A (330 м μ), возрастающее в порядке $\beta < \alpha < \gamma$, при этом в α -изомере полоса поглощения усиливается. Этерификация к-т не вызывает существенных изменений спектра, но образование гидразидов приводит к уширению полосы A и увеличению ее интенсивности, особенно в γ -изомере. Отмеченные изменения аналогичны наблюдаемым в производных бензола, но переход от фенила к пиридилу, в случае к-т и эфиров вызывает гиперхромный эффект. В случае пиридоилгидразонов наблюдается bathochrome сдвиг по сравнению с бензольными производными. Полосы поглощения α - и γ -производных ближе к видимой области, чем β -производных.

Ю. Е. 64229. Исследование органических соединений S и Se. Спектры поглощения дифенилсульфидов, дифенилселенидов и селеноксидов в концентрированной H_2SO_4 . Бартолотти, Пассерини (Ricerche sui composti solforati e seleniati organici. Spettri di assorbimento di difenil-solfuri, difenil-seleniuri e selenossidi in acido solforico concentrato. (Bar-tolotti Luisa, Passerini Riccardo), Ricerca scient., 1955, 25, № 5, 1095—1101 (итал.; рез. франц., англ., нем.)

Получены спектры поглощения в видимой области в конц. H_2SO_4 , $o\text{-NO}_2C_6H_4SC_6H_4X$ с $X = H$; $n\text{-N(CH}_3)_2$; $p\text{-NO}_2C_6H_4SC_6H_4X$ с $X = H$; $n\text{-Cl}$; $n\text{-NH}_2$; $n\text{-N(CH}_3)_2$; $n\text{-NO}_2$; $n\text{-NO}_2C_6H_4SeC_6H_4X$ с $X = H$; $o\text{-CH}_3$ (I); $m\text{-CH}_3$ (II); $n\text{-Cl}$ (III); $n\text{-Br}$ (IV); $n\text{-N(CH}_3)_2$; $p\text{-NO}_2C_6H_4SeC_6H_4X$ с $X = H$; $o\text{-CH}_3$ (V); $m\text{-CH}_3$ (VI); $n\text{-Cl}$ (VII); $n\text{-Br}$ (VIII); $n\text{-NH}_2$; $n\text{-N(CH}_3)_2$; $n\text{-NO}_2$; $2,4\text{-NO}_2C_6H_3SeC_6H_5$ (IX); $p\text{-NO}_2C_6H_4OC_6H_5$; соединения $m\text{-NO}_2C_6H_4SC_6H_5$; $m\text{-NO}_2C_6H_4SeC_6H_5$, $m\text{-NO}_2C_6H_4SeC_6H_4$ $n\text{-N(CH}_3)_2$ не поглощают в области 350—750 м μ . Галохромия диарилселенидов, как и в случае дисульфидов, имеет место при наличии o - или $p\text{-NO}_2$ -групп и не наблюдается у m -нитропроизводных. Авторы объясняют это появлением структуры типа А. Заместители в другом фенильном кольце смещают λ (макс.) в длинноволновую сторону в последовательности $Br > Cl > CH_3$, $H > N(CH_3)_2$, NH_2 . Галохромия зависит от гетероатома; она усиливается в ряду $O < S < Se$. Т. пл. I 108—109°; II 94°; III 106°; IV 122—123°; V 72°; VI 54°; VII 94°; VIII 102°; IX 126°.

С. М. 64230. Влияние остатков, содержащих карбонильную группу, в лигнине на его ультрафиолетовый спектр поглощения. Смит (Contribution of residues containing carbonyl to the ultra-violet absorption of lignins. Smith D. C. C.), Nature, 1955, 176, № 4489, 927—928 (англ.)

Ранее (РЖХим, 1954, 49740; Pew J. C., J. Amer. Chem. Soc., 1951, 73, № 1678; 1952, 74, 2850; Adler E., Elmer L., Acta chem. scand., 1948, 2, 839) было показано наличие в лигнине (I) 2 типов остаточных групп: 1) α -оксифенилкетонных и 2) 4-алкоксипроизводных

коричного альдегида, поглощающих в одной и той же области у 350 м μ . Для того, чтобы отличить эти группы, изучалось спектрофотометрически (по уменьшению ϵ) восстановление $NaBH_4$ 4 видов I в разб. р-рах NaOH. Приведены кривые поглощения и кривые изменения ϵ со временем. Восстановление проходило через 2 стадии: быструю (30 мин.) и медленную (несколько час.). Показано, что группы, восстанавливаемые в 1-й стадии, находятся в неионизированном состоянии и относятся ко 2-му типу остаточных групп; они близки к 3,4-диоксикоричному альдегиду. Во второй стадии восстанавливаются группы 1-го типа. Из изучения УФ-спектров I в кислой и щел. средах делается вывод, что группы 1-го типа поглощают у 350 м μ в том случае, если они ионизированы (в щел. среде), в то время как группы 2-го типа поглощают у 350 м μ при всех pH. Показано, что относительные кол-ва групп 1-го и 2-го типов можно устанавливать как по измерению спектров поглощения в разных средах, так и по скорости восстановления $NaBH_4$.

О. Г. 64231. Взаимодействие между твердыми слоями красителей и парами воды при температурах выше 100°. Вартаян А. Т., Ж. физ. химии, 1956, 30, № 2, 424—436

Исследовалось при t -рах $\geq 100^\circ$ взаимодействие между парами воды и твердыми слоями красителей (кристаллич. фиолетовый, метиленовый голубой и родамины В, 3В и 6G), нанесенными на кварцевую поверхность осаждением их спирт. р-ра. Показано, что кристаллич. фиолетовый и метиленовый голубой переходят в бесцветные соединения, обладающие свойствами лейкооснований. Исследованные родамин не взаимодействуют с парами воды. Получены спектры поглощения возогнанных слоев упомянутых красителей. Возгонка родаминов В и 3В в условиях вакуума может сопровождаться образованием бесцветного соединения, для которого характерно сильное поглощение в УФ-области с резко выраженными максимумами при 318, 277 и 235 м μ .

А. В. 64232. Исправление к статье: Джонс, Тейлор. «Спектры поглощения ненасыщенных и ароматических углеводородов в далекой ультрафиолетовой области» (Errata. Jones L. C., Jr., Taylor L. W.), Analyt. Chem., 1955, 27, № 12, 2015 (англ.) РЖХим, 1956, 38690.

64233. o -Нитрофенол и его комплексы с металлами. I. Спектры поглощения o -нитрофенола и его комплексных солей. II. Состав комплексных солей в водных растворах. Симура (O-ニトロフェノールとその金属錯体の研究. 第1報. 吸収スペクトルについて. 第2報. 水溶液中の錯体組成について. 志村博), 日本化学雑誌, Нихон Kagaku Zasshi, J. Chem. Soc. Japan. Pure Chem. Sec., 1955, 76, № 8, 867—870, 870—873 (япон.)

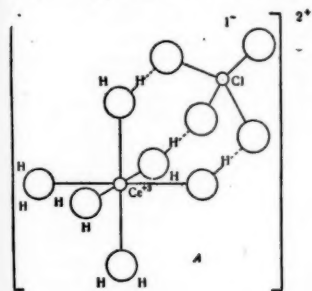
I. Исследованы спектры поглощения o -нитрофенола (I) в кислых, нейтр. и щел. водн. р-рах и в р-ре в петр. эфире, а также спектры поглощения комплексных солей I с Zn, Ni, Cu, Co и Fe. На основании полученных результатов обсуждены строение и стабильность солей.

II. Исследовано влияние pH на спектры поглощения комплексных солей I с Cu, Zn, Ni и Fe и обсуждены возможные типы координации в водн. р-рах этих солей.

Chem. Abstrs, 1956, 50, № 5, 3085. Т. Katsurai 64234. Оптические исследования черных растворов. Хейдт, Берестецкий (Optical studies of cerous solutions. Heidt Lawrence J., Beresteckii Jane), J. Amer. Chem. Soc., 1955, 77, № 8, 2049—2054 (англ.)

Изучен спектр поглощения бесцветных р-ров $Ce(ClO_4)_3$ в области 2000—3200 Å. Спектр состоит из трех групп пиков, главные из которых расположены при 2215,

2530 и 2960 Å и имеют сателлиты при 2390, 2110 и 2010 Å. Наличие изобесстич. точки при 2790 Å указывает на существование Cl в двух формах, поглощающих свет, из которых одна — комплекс CeClO_4^{2+} обладает поглощением при 2660 Å на $1/3$ большим, чем Ce^{3+} . Анализ влияния т-ры, концентрации и добавок HClO_4 и NaClO_4 на относительную высоту пика 2960 Å дает возможность вычислить константу равновесия $\text{Ce}^{3+} + \text{ClO}_4^- = \text{CeClO}_4^{2-}$, $\lg k_0 = -6,749 + 2583/T$, $\Delta F^\circ = -2,6$, $\Delta H^\circ = -11,8$ ккал, $\Delta S^\circ = -31$ ентр. ед.



Необычное для р-ции комплексобразования большое отрицательное значение ΔS° указывает на особый тип структуры, для которого следует предположить существование водородных связей между двумя или несколькими атомами O перхлората и молекулами

воды, координационно связанными с Ce^{3+} . Предлагается модель подобной структуры комплекса А. Аналогичным способом исследовано образование комплекса $\text{CeSO}_3\text{NH}_2^{2+}$ при добавке в р-р сульфаминовой к-ты. Константа его образования в ~ 5 раз меньше, чем CeClO_4^{2+} . В. А.

64235. Виртуальные осцилляторы в металлической модели люминесцентных молекул. Яблонский (Virtual oscillators in the metallic model of luminescent molecules. Jablonski A.), Nuovo cimento, 1955, 2, № 5, 995—1000 (англ.; рез. итал.)

Автор стремится показать целеустремленность понятия «пространственного виртуального осциллятора». Это понятие статистич., связанное с возможностью различных положений относительно оси молекулы момента какого-либо перехода. Пусть G_1 , G_2 и G_3 вероятности данного перехода для трех взаимно перпендикулярных направлений; выбирая эти направления так, чтобы G_1 совпадало с направлением максим. вероятности перехода и $G_1 \geq G_2 \geq G_3$, можно различать случаи «пространственного виртуального осциллятора» $G_1 \neq 0$, $G_2 \neq 0$, $G_3 = 0$, «плоского виртуального осциллятора» $G_1 \neq 0$, $G_2 \neq 0$, $G_3 = 0$ и «линейного виртуального осциллятора» $G_1 \neq 0$, $G_2 = G_3 = 0$. Используя моменты переходов, рассчитанные на основе «металлической» модели молекул в ранее опубликованной работе (РЖХим, 1956, 31678), автор определяет, с этой точки зрения, характеры виртуальных осцилляторов, связанных с электронными переходами некоторых люминесцентных молекул (флуоресцин, родамин В, эйхризин, триафлавин, акридин желтый). Виртуальные осцилляторы оказываются, в противоречии с общепринятым представлением, не линейными, а плоскими, сильно анизотропными. Отсюда следует, что теоретич. значения для «главной поляризации» флуоресценции P_p равны: 0,47 для флуоресцина, 0,49 для родамина В, 0,485 для эйхризина, триафлавина и акридина желтого. Эти значения превышают экспериментальные. Автор полагает, что разница, по крайней мере частично, обусловливается деполаризующим влиянием крутильных колебаний люминесцентных молекул. В предположении, что вся разница вызывается именно крутильными колебаниями, определяется верхняя граница температурной зависимости эффекта. Зависимость ока-

зывается очень слабой (в соответствии с незначительностью всего эффекта), но все же измеримой. Н. Г.

64236. Поляризация флуоресценции двухатомных газовых молекул. Лафитт (La polarisation de la fluorescence des molécules gazeuses diatomiques. Laffitte Elisabeth), J. phys. et radium, 1955, 16, № 1, 66—71 (франц.)

Обзор. Библ. 21 назв.

М. П.

64237. Вычисление трижды вырожденных колебаний в сферических координатах. Гамо (Sur le traitement des vibrations triplement dégénérées en coordonnées sphériques. Gamou Itaru), J. phys. et radium, 1956, 17, № 3, 312 (франц.)

Предполагается, что потенциальная функция обладает сферич. симметрией и имеет вид $U = (1/2)kr^2 + cr^3 + dr$. Решение ур-ния Шредингера с помощью подстановки $\Psi = R_V(r)\Theta_l^m(\theta)\Phi_m(\phi)$, где V , l , m — квантовые числа, позволяет найти колебательные уровни энергии. Последние образуют дублеты во втором и третьем возбужденных состояниях и триплет — в четвертом. М. К.

64238. Характер симметрии, правила отбора и расчет нормальных колебаний молекул с симметрией D_{3d} . Биллетер, Гюнтард (Symmetriecharaktere, Auswahlregeln und Abzählung der Normalschwingungen Molekeln mit der Symmetrie D_{3d} . Billeter A., Günthard H. S. H.), Helv., chim. acta, 1956, 39, № 2, 644—650 (нем.; рез. англ.)

Группа содержит 20 элементов, образующих 8 классов, и 8 неприводимых представлений A_{1g} , A_{1u} , A_{2g} , A_{2u} , E_{1g} , E_{1u} , E_{2g} , E_{2u} . Для всех представлений и классов даны матрицы и характеры. Выведены ф-лы разложения приводимых представлений на неприводимые и ф-лы, определяющие число колебаний, принадлежащих к каждому неприводимому представлению. Определены представления, по которым преобразуются компоненты вектора дипольного момента и тензора поляризуемости. Составлена таблица, связывающая представления группы D_{3d} с представлениями групп более низкой симметрии D_5 , C_{5v} , C_{5i} , C_5 , C_{2h} , C_2 , C_s , C_1 , к которым принадлежат молекулы с частичным изотопич. замещением. М. К.

64239. Влияние ангармоничности на вычисление потенциальной функции молекул C_2H_4 и H_2O . Маннебак, Рахман (Influence de l'anharmonicité sur le calcul de la fonction potentielle des molécules C_2H_4 et H_2O . Mannebach Ch., Rahman A.), Ann. Soc. scient. Bruxelles, 1953, 67, sér. I, № 3, 275—284 (франц.)

Для частот ν_{2u} , ν_{1g} , ν_{3u} молекул C_2H_4 и C_2D_4 матрица потенциальной энергии имеет вид А. Ее элементы вычисляются по опытным значениям частот различными способами. 1. $\begin{vmatrix} a & x \\ x & b \end{vmatrix}$ А. При $x = 0$ значения a и b оказываются несколько различными для C_2H_4 и C_2D_4 и берутся их средние значения. 2. Принимая средние значения для $ab - x^2$, определяемые из произведений частот обеих молекул, находят a , b и x . 3. При $x = 0$ колебания высокой и низкой частоты рассматриваются отдельно и определяются a и b . 4. В эксперим. значения частот вносятся поправки на ангармоничность, определяются гармонич. частоты и затем последние используются для вычисления a , b и x . Найденные различными способами a , b и x заметно отличаются. В случае H_2O и D_2O вычисление силовых постоянных по второму способу приводит к значениям, сильно отличающимся от гармонич. значений, найденных ранее (Darling B. T., Dennison D. M., Phys. Rev., 1940, 57, 128). Частоты H_2O и D_2O вычислены также с учетом куб. членов и членов четвертой степени в потенциальной функции,

роль которых оказывается больше, нежели постоянной в взаимодействия валентных и деформационных колебаний. Применяемый обычно критерий хорошего совпадения вычисленных и наблюдаемых частот недостаточен для однозначного и точного определения силовых постоянных.

М. К.

64240. Определение силовых постоянных четырехфтористого углерода и трехфтористого бора и сравнение их с силовыми постоянными фторидов первого восьмичленного периода. Губо, Бюс, Камман (Bestimmung der Kraftkonstanten im Tetrafluorkohlenstoff und Bortrifluorid und Vergleich mit den Kraftkonstanten der Fluoride der ersten Achterperiode. Goubeau J., Bues W., Kamman F. W.), Z. anorgan. und allgem. Chem., 1956, 283, № 1—6, 123—137 (нем.)

Изучены ИК-спектры C_2F_4 , C_3F_4 и BF_3 в области 600—3000 см^{-1} . Эффект изотопии сказывается только на частотах ν_3 и ν_4 класса F_2 , так как в колебаниях ν_1 (A_1) и ν_2 (E) атом C не участвует. Многие полосы обнаруживают вращательную структуру. Приняты основные частоты (исследовательно ν_1 , ν_2 , ν_3 и ν_4 C_2F_4 908, 435, 1281, 628; C_3F_4 908, 435, 1240 (626,8); B_2F_4 888, 718, (1508,7), 482, B_2F_3 888, 691, 1454, 480,2. В скобках указаны частоты, вычисленные по правилу произведений. Вычислены следующие значения силовых постоянных (10^5 дн/см) (первая цифра — CF_4 , вторая — BF_3): k_2 6,27, 7,18; k_{ss} 0,99; 0,82; $k_\alpha - k_{\alpha\alpha}$ 1,12; 0,53; $k_{\alpha\alpha} - k_{\alpha\alpha}$ 0,90; 0,25; $k_\alpha - 2k_{\alpha\alpha} + k_{\alpha\alpha}$ 0,70. Силовая постоянная деф. кол. плоскости FFF в BF_3 $k_\phi = 0,86$. Для фторидов первого периода от LiF до F_2 произведено сопоставление силовых постоянных k_{XF} и для связей r_{XF} . У BF_3 имеется максимум k_{XF} и минимум r_{XF} . Составлены также значения k_{XF} , вычисленные по частотам колебаний и по различным теоретич. флам. У O, N, F первые на ~50% меньше вторых. Это расхождение объясняется особенностями природы связей, образуемых атомами O, N, F. Наоборот, у BF_3 k_{XF} больше теоретич. значения, что объясняется образованием координационной кратной связи, стабилизируемой благодаря мезомерии.

М. К.

64241. Некоторые замечания об инфракрасных спектрах нормальных парафинов в кристаллическом состоянии. Браун, Шеппарт, Симпсон (Quelques observations sur les spectres infrarouges des paraffines normales a l'état de solide cristallin. Brown J. K., Sheppard N., Simpson D. M.), J. phys. et radium, 1954, 15, № 7-8-9, 593—595 (франц.)

Если предположить, что при каждом нормальном колебании группы CH_2 как целого, относительно углеродной цепочки в неразветвленных парафинах, распространяется стационарная волна, причем на длине цепочки укладывается целое число полуволн, то в алкане, содержащем X групп CH_2 , будет иметься X форм колебаний и от 0 до $X-1$ узлов. При колебании всех групп CH_2 в одной фазе происходит максим. изменение дипольного момента, а в противофазе миним., что, в соответствии с правилами отбора при рассмотрении симметрии, дает X активных в ИК-спектрах полос и $X-1$ неактивных. В изложенном аспекте рассмотрено число и местоположение деформационных «качательных» колебаний групп CH_2 в нормальных алканах состава $\text{C}_3 - \text{C}_{14}$. Данные сопоставлены со спектрами их в кристаллич. состоянии. Показано, что, в соответствии с предположениями, частоты располагаются в виде серий, из которых 1-я начинается с частоты 748 см^{-1} в пропане к 732 см^{-1} в бутане и далее имеет граничное значение 720 см^{-1} ; 2-я серия начинается с частоты 861 см^{-1} в пентане к 794 см^{-1} в гексане, 773 см^{-1} в гептане и т. д. Интенсивность полос возрастает с прибли-

жением к границе серии и уменьшается с увеличением номера серии. Эта закономерность справедлива даже для нонадекана. Предлагается использовать этот метод в анализе других форм колебаний групп CH_2 . Возможно, что граница крутильных колебаний находится у 1300 см^{-1} .

Ю. Е.

64242. Инфракрасный спектр кристаллического азида аммония. Отнесение колебательных частот. Дэйс, Уиттл, Пиментел (Infrared spectrum of solid ammonium azide: A vibrational assignment. Dows David A., Whittle Eric, Pimentel George C.), J. Chem. Phys., 1955, 23, № 8, 1475—1479 (англ.)

Получен ИК-спектр кристаллич. азида аммония в области 600—4000 см^{-1} . Спектр азиды, полученный при $t = 68-90^\circ \text{K}$ (фаза А), отличен от спектра, полученного после нагревания до $\sim 160^\circ \text{K}$ (фаза В). У А наблюдались специфич. частоты 2160, 1690, 1345, 1200, 858 см^{-1} , у В 1830, 1088, 808, 664, 652 см^{-1} . Последующее охлаждение В не изменяло спектра. Анализ наблюдаемых частот и сопоставление со спектрами NH_4Cl , NH_4Br и HN_3 позволило заключить, что фаза А является нестабильной формой азида аммония и содержит следы азотистоводородной к-ты и HN_3 (2150 см^{-1}). Напротив, В является чистой формой и подтверждает существование групп NH_4N_3 в элементарной кристаллич. ячейке азиды аммония. Дано отнесение основных частот: 1428 см^{-1} — трижды вырожденное колебание пона аммония (деф. ν_4 (NH)), дважды вырожденные колебания азидной группы (деф. $\text{N}-\text{N}-\text{N}$) 664 и 652 см^{-1} , симм. кол. N_3 1345 см^{-1} и несимметричное — 2030 см^{-1} . Наблюдаемая в В частота 1830 см^{-1} интерпретируется как составной тон ($\nu_4 + \nu_6$), где ν_6 крутильные колебания пона NH_4^+ $420 \pm 20 \text{ см}^{-1}$.

Ю. Е.

64243. Об изучении моносубstituted производных бензола с помощью инфракрасной спектроскопии. I. Экспериментальные результаты. II. Анализ спектрограмм в областях 2800—3200, 1400—1600 и 700—800 см^{-1} . Жозьен, Лебас III. Попытка объяснения изменения частот колебаний C—H действием молекулярного окружения. Леба, Жозьен (Contribution à l'étude des dérivés monosubstitués du benzène par spectroscopie infra-rouge. I. Résultats expérimentaux. II. Analyses des spectrogrammes dans les régions 2800—3200 см^{-1} , 1400—1600 см^{-1} et 700—800 см^{-1} . Josien Marie-Louise, Lebas Jeanne-Marie. III. Essai d'interprétation des variations de fréquences C—H avec l'environnement moléculaire. Lebas Jeanne-Marie, Josien Marie-Louise), Bull. Soc. chim. France, 1956, № 1, 53—56; 57—61; 62—64 (франц.)

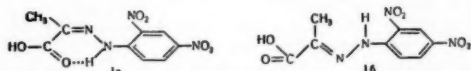
I. Исследования ИК-спектры поглощения $\text{C}_6\text{H}_5\text{X}$ с $\text{X} = \text{NO}_2$, SH , Cl , Br , CF_3 , COCl , CHO , CN , CCl_3 , COOC_2H_5 , SO_2Cl , COOC_2H_5 , COCH_3 , J , F , OH , NH_2 , CHCl_2 , OCH_3 , CH_2Cl , CH_2Br , CH_3 , $\text{CH}_2\text{Si}(\text{C}_2\text{H}_5)_3$, C_2H_5 в областях 667—800, 1400—1610 и 2830—3220 см^{-1} . Полученные частоты приведены в виде таблиц и сопоставлены с частотами бензола и пиридина.

II. Основываясь на эксперим. результатах, авторы подробно рассматривают частоты области 700—800, 1400—1600, 2800—3200 см^{-1} . Установлено, что в области 1400—1600 см^{-1} все монопроизводные $\text{C}_6\text{H}_5\text{X}$ имеют две частоты, относящиеся к деф. кол. CH ароматич. кольца ~ 1450 и 1485 см^{-1} . Кроме этих частот, имеются еще две: ~ 1585 и 1600 см^{-1} , из которых первая близка по форме к колебаниям 1450 и 1485 см^{-1} , а вторая связана с колебаниями углов $\text{C}=\text{C}-\text{C}$ и связи $\text{C}=\text{C}$. Авторы считают, что в области 2800—3200 см^{-1} бесспорно наблюдается только одна основная частота вал. кол. CH в виде интенсивной полосы, положение которой зависит от природы X. Среди других четырех возмож-

ных частот СН одна расположена очень близко к этой полосе и наблюдается в виде перегиба, другие частоты малоинтенсивны и сливаются с фоном. Большое число частот в рассматриваемой области объясняется наличием обертонов и составных тонов частот 1400—1600 см^{-1} . В области 600—800 см^{-1} наблюдалась совокупность двух частот неплоских кол. СН 680—700 и 720—790 см^{-1} , положение которых существенно изменяется с природой заместителя, но почти не зависит от перехода из жидкого состояния к р-ру в CS_2 . В этой области также наблюдаются частоты вал. кол. X— C_6H_5 (хлорбензол 703 см^{-1} , бромбензол 671 см^{-1} , тиофенол 699 см^{-1}) и частоты алифатич. групп (вал. кол. С—С и деф. кол. СН).

III. Сделана попытка объяснить положения частот А валентных колебаний С—Н в спектрах монопроизводных бензола C_6H_5 —X. Объяснить положение частот только одной электроотрицательностью X невозможно, в то же время наличие одинаково направленных индукционного и мезомерного эффектов, смещающих электронное облако к заместителю, сопровождается значительным повышением частот (в NO_2 , CN, CHO). Сопряжение и противоположный индукционный эффект смещают электронное облако к ароматич. ядру. Это приводит к понижению частот (в C_2H_5 , CH_3). Рассмотрение суммарного заряда на 5 незамещ. атомах С (S) по молекулярным диаграммам позволило установить линейную зависимость между увеличением величины частоты и уменьшением S (NO_2 4,77, $\nu = 3080$ см^{-1} , NH_2 5,07; $\nu = 3040$ см^{-1}), т. е. непосредственное влияние на силовую постоянную С—Н. Также найдена зависимость между увеличением ν и процентом мета-ориентации (при нитровании), симбатным уменьшению S . Исключение составляют галогенбензолы, для которых процент мета-нитропродукта равен нулю, но наблюдается рост ν от F (3049 см^{-1}) к Cl (3072 см^{-1}).

64244. Связь между строением и инфракрасными спектрами изомерных 2,4-динитрофенилгидразонов некоторых α -кетокислот. Ишервуд, Джоне (Structure of the isomeric 2:4-dinitrophenylhydrazones of some alpha-keto-acids in relation to their infrared spectra. Isherwood F. A., Jones R. L. Nature, 1955, 175, № 4453, 419—421 (англ.)) Для выяснения природы стереоизмерии 2,4-динитрофенилгидразонов α -кетокислот исследованы ИК-спектры поглощения разделенных методом бумажной хроматографии стереоизмеров 2,4-динитрофенилгидразона пирувиновой (I_a , т. пл. 208° с разл., λ (макс.) в 0,2 M Na_2SO_4) = 380 μ ; I_b , т. пл. 210° с разл.



λ (макс.) = 370 μ) и α -кетоглутаровой к-т (II_a , т. пл. 145° с разл., λ (макс.) = 387 μ ; II_b , т. пл. 215° с разл., λ (макс.) = 377 μ). Положение полос С=О в спектрах исследованных соединений показывают, что в изомерах I_a , II_a в отличие от I_b и II_b имеет место образование внутримолекулярной водородной связи между СО и иминиогруппой (появление полосы 1672 см^{-1}), на основании чего им приписывают строение I_a и I_b . Предложенные ф-лы строения хорошо согласуются с другими физ. хим. свойствами рассматриваемых стереоизмеров. По предварительным данным стереоизмер 2,4-динитрофенилгидразона шавелевой и уксусной к-т (III_a , λ (макс.) = 385 μ ; III_b , λ (макс.) = 370 μ), обладающий большей подвижностью (III_a), имеет в соответствии с I_a cis-строение.

64245. Инфракрасный спектр меллитовой кислоты. Колебания, связанные с группой COOH и с заместителями в бензольном ядре. Гонсалес-Сан-

чес (El espectro infrarrojo del ácido melítico. Vibraciones asociadas con el grupo COOH y con la sustitución bencénica. Gonzalez-Sanchez Felipe), Combustibles, 1955, 15, № 78—79, 121—125 (исп.; рез. франц., англ.)

Получен ИК-спектр меллитовой к-ты (I) в области 650—5000 см^{-1} . Автор считает, что I находится в состоянии димера. Полосы поглощения при 900, 1250, 1400, 1700, 2500—2700 см^{-1} обусловлены группой COOH, причем полосы 900 см^{-1} и 2500—2700 см^{-1} обусловлены группой OH. Автор считает, что отсутствие полос поглощения для I в области 650—1000 см^{-1} , характерных для замещенных бензола от моно- до пента-, является доказательством того, что эти полосы обусловлены группой СН бензольного кольца. Шесть групп COOH в I смещают валентные колебания С=О в сторону больших частот аналогично электроотрицательным заместителям типа NO_2 .

64246. Инфракрасные спектры гелей металлических мыл в жидких органических веществах. Роберт, Фавр (Spectres infra-rouge des gels de savons métalliques dans les liquides organiques. Robert L., Favre J.), Mikrochim. acta, 1955, № 2-3, 517—524 (франц.; рез. англ., нем.)

Исследованы ИК-спектры металлических мыл (в виде гелей в гексадекане). При увеличении массы атома металла частота колебаний групп С=О (в μ) уменьшается: в уксусной к-те 5,78; в олеиновой к-те 5,82; в стеарате и рицинолеате Li 6,30—6,40; в стеаратах Ca 6,32—6,48, Cd 6,48, Ba 6,40—6,60; в пальмитате Pb 6,62; дистеарате Al 6,30. Это смещение частоты С=О достигает 77 см^{-1} при переходе от Li к Pb. Одновременно наблюдается расщепление этой частоты на две компоненты с разностью частот: 25 см^{-1} для Li; 39 см^{-1} для Ca и 47 см^{-1} для Ba. Приведены кривые поглощения вышеуказанных мыл, а также некоторые масел. Положение частот колебаний групп С=О позволяет охарактеризовать металл в мылах.

64247. Строение комплексов металлов по данным инфракрасных спектров поглощения. Мидаусема, Накагава (赤外線吸収による金属錯体構造の研究. 水島三一郎, 中川一朗), 化学の領域, Кагаку-но рёнки, J. Japan. Chem., 1956, 10, № 3, 1—9 (япон.) Обзор. Библ. 29 назв.

64248. Инфракрасные спектры поглощения и определение строения природных веществ. Накаиси (赤外線吸収スペクトルと天然物の構造決定. 中西香爾), 化学の領域, Кагаку-но рёнки, J. Japan. Chem., 1954, 8, № 12, 1—11 (япон.) Обзор. Библ. 15 назв.

64249. Спектры комбинационного рассеяния перекиси водорода в конденсированных фазах. I. Спектры чистой перекиси водорода и ее водных растворов. Тейлор, Кросс (Raman spectra of hydrogen peroxide in condensed phases. I. The spectra of the pure liquid and its aqueous solutions. Taylor Robert C., Cross Paul C.), J. Chem. Phys., 1956, 24, № 1, 41—44 (англ.)

Получены спектры комб. расс. чистой H_2O_2 (99,5%) при 30 и —40° и D_2O_2 (90%) при —40° и спектры их водн. р-ров. В спектре чистых в-в при —40° наблюдались три линии: 200 ± 25 ; 525 ± 25 и 2815 ± 15 см^{-1} , которых нет в спектре при 30°. Дано следующее отнесение трех поляризованных линий в см^{-1} : $\nu_1(a)$ 2472 ± 7 (D_2O_2), 3364 ± 8 и 3410 ± 8 (H_2O_2 при —40° и +10°); $\nu_2(a)$ 1013 ± 5 (D_2O_2), 1400 — 1402 (H_2O_2); $\nu_3(a)$ $880 \pm 0,5$ (в H_2O_2 и D_2O_2). Линии 2008 (D_2O_2) и 2815 (H_2O_2) являются сбертонами $2\nu_2(A)$, а линии 200 ± 25 и 525 ± 25 см^{-1} частотами межмолекулярных колебаний. При смешивании H_2O_2 с H_2O появляются линии деф. кол. H_2O_2 и H_2O с частотами, увеличивающимися при изменении молярных соотношений от 9:2 до 1:9, от

1411 до 1445 см^{-1} (H_2O_2) и от 1625 до 1640 см^{-1} (H_2O) и вал. кол. с частотами от 3373 до 3417 см^{-1} . Авторы подтверждают данные измерений диэлектрич. постоянной, термодинамич. данные и т. п. об усилении водородной связи при добавлении перекиси водорода к воде и увеличении степени упорядоченности в р-рах. Е. П.

64250. Спектры комбинационного рассеяния алифатических соединений с атомом хлора. II. Хлорэтен и хлорпропены. Гердинг, Харинг (Raman spectra of aliphatic chlorine compounds. II. Chloroethenes and chloropropenes. Gerding H., Haring H. G.), Recueil trav. chim., 1955, 74, № 8—9, 957—975 (англ.)

Продолжая исследование характеристик. частот алкилхлоридов (сообщение I, РЖХим, 1956, 5:674), авторы получили спектры комб. расс. с поляризационными измерениями 2- и 3-хлорпропенов-1, 1,1-, *цис*- и *транс*-1,2-дихлорпропенов-1, *цис*- и *транс*-1,3-дихлорпропенов-1, 2,3-дихлорпропена-1, 1,1,2- и 1,1,3-трихлорпропенов-1, 1,1,2,3- и *цис*- и *транс*-1, 2, 3, 3-тетрахлорпропенов-1, 1,1,2,3, 3- и 1, 2, 3, 3,3-пентахлорпропенов-1 и гексахлорпропена. Сопоставление спектров и литературных данных показало, что группа CH_3 в хлорпропенах характеризуется частотами деф. кол. 1380 ($\delta_s(\text{CH}_3)$), 1430—1450 см^{-1} ($\delta_{as}(\text{CH}_3)$) и вал. кол. 2920—2925 (ν_s), 2960—2980 (ν_{as}) см^{-1} . Иногда наблюдается третья слабая частота 3010 см^{-1} , возможно, возникающая при нарушении симметрии C_{3v} группы CH_3 . Аналогичные частоты для группы CH_2Cl расположены у 1260—1280 см^{-1} , 1430—1450, 2960—2970 и 3000—3020 см^{-1} , а в группе CHCl_2 только при 2990—3006 см^{-1} и ~350 ($\delta(\text{HCCl}_2)$), т. е. сохраняются те же значения частот, как и в насыщ. соединениях. В группе $\text{CH}=\text{CH}_2$ наблюдались частоты 1297 ($\delta(\text{CH})$), 1415 ($\delta(\text{CH}_2)$), 3015 ($\nu_s(\text{CH})$) и 3090 ($\nu_{as}(\text{CH})$) см^{-1} . В $\text{C}=\text{CHCl}$ первая частота понижается до 1240—1260 см^{-1} , а последняя наблюдается у 3070—3090 см^{-1} . В расположении частот $\text{C}=\text{C}$ (1550—1650 см^{-1}) наблюдаются значительные смещения, вызванные влиянием Cl, в особенности если хлор присоединен к одному из атомов C в $\text{C}=\text{C}$. В области частот $\text{C}-\text{C}$ и $\text{C}-\text{Cl}$ можно отметить лишь частоту ~400 см^{-1} , характерную для типов CCl_2 и $\text{CCl}_2=\text{CClX}$, где $M_X > M_{\text{Cl}}$. Ю. Е.

64251. Спектры комбинационного рассеяния непредельных пятичленных циклических углеводородов. Акишин П. А., Татевский В. М., Рамбиди Н. Г., Мезенцова Н. Н., Левина Р. Я., Ж. физ. химии, 1956, 30, № 3, 660—664 (рез. англ.)

Исследованы спектры комб. расс. цикlopентена, 1-метилциклопентена-1, 1-этилциклопентена-1, 1-этилциклопентена-2, 1-пропилциклопентена-1, 1-бутилциклопентена-1, метиленициклопентена и аллилциклопентена. Приведены частоты и дифференциальные интенсивности в единой объективной шкале. Отмечено постоянство интенсивности линий ряда характеристик. колебаний в спектрах непредельных 5-членных циклич. углеводородов, снижение интенсивности полосы полносимметрич. колебания насыщ. и ненасыщ. циклов при введении боковой цепи (вне зависимости от длины и строения боковой цепи) и заметное снижение общей интегральной интенсивности полосы $\nu_{\text{C}=\text{C}}$ -диозамещ. 5-членного цикла при наличии в цикле связи $\text{C}=\text{C}$. Наблюдаемая в спектрах алкилциклопентенов полоса при 1460—1470 см^{-1} с постоянной интенсивностью отнесена к деф. кол. группы CH_3 . Полученные данные могут быть использованы для колич. молекулярного анализа смесей углеводородов. М. П.

64252. Конференция: инфракрасные спектры и спектры комбинационного рассеяния, структурная

химия и «π-электроны». Кодзима, Сакаэ-та, Цубокура (赤外. ラマンスペクトル, 構造化学, π電子. 3 討論會をかえりみて. 兒島邦夫, 坂下深, 坪村宏), 化学と工業, Karaky to koté, Chem. and Chem. Ind., 1956, 9, № 3, 119—122 (япон.)

Сообщение о конференции, состоявшейся в Токио 10 октября 1955 года. М. П.

64253. Разрешение линии ν_{11} (E) аллена при 28 μ . Рао, Палик (Resolution of ν_{11} (E) of allene at 28 μ . Rao K. Narahari, Palik E. D.), J. Chem. Phys., 1955, 23, № 11, 2412—2413 (англ.) Впервые разрешена колебательная полоса аллена при 28 μ . На спектрограмме полосы отчетливо видно ожидавшееся из теоретич. соображений чередование в линиях Q-ветви. Центр полосы находится при 351,3 см^{-1} . Приведены таблица частот и классификация наблюдаемых линий полосы. Среднее расстояние между линиями составляет $1,2 \pm 0,2 \text{ см}^{-1}$. При охлаждении поглощающего газа до -80° не обнаружено изменений в распределении относительных интенсивностей Q-ветвей. В. Д. К.

64254. Ядерный квадрупольный резонанс хлора в твердых растворах. Дин (Chlorine nuclear quadrupole resonances in solid solutions. Dean C.), J. Chem. Phys., 1955, 23, № 9, 1734—1735 (англ.) При комнатной т-ре исследован чисто квадрупольный резонанс ядра Cl^{35} в твердых р-рах двух типов: 1) $n\text{-ClC}_2\text{H}_4\text{Br}$ (I) и $n\text{-C}_6\text{H}_4\text{Br}_2$ (II), от 2 до 100% I; 2) II и $n\text{-C}_6\text{H}_4\text{Cl}_2$ (III), от 1 до 100% III. Ширина линии зависит от соотношения между числом атомов Br и Cl в р-ре. Наименьшая ширина получается тогда, когда один из галогенов содержится в большом избытке. Когда концы Br и Cl становятся близкими, линия настолько расширяется, что резонанс наблюдать нельзя (напр., в чистом I). Автор объясняет это явление тем, что в р-ре или в чистом I атом Cl имеет своим соседом Cl или Br, которые, как следует из рентгеноструктурных данных, распределены случайно. Узкая линия получается тогда, когда все атомы Cl имеют соседями или только атомы Cl, или только Br. Частоты резонанса в р-рах по сравнению с чистым III составляли: а) 3,4% III в II — на $12 \pm 3 \text{ кГц}$ выше; б) 7% I в II — на $44 \pm 6 \text{ кГц}$ выше; в) 10% II в III — на $6 \pm 3 \text{ кГц}$ выше. Сдвиг частоты вряд ли можно отнести за счет фазового перехода. Л. Ш.

64255. Новые эффекты в ядерном квадрупольном резонансе. Дюшен, Монфис (Nouveaux effets en résonance quadrupolaire nucléaire. Duchesne Jules, Monfils André), C. r. Acad. sci., 1954, 238, № 18, 1801—1803 (франц.)

Изучены смешанные кристаллы: $n\text{-C}_6\text{H}_5\text{Cl}_2$ (I) и $n\text{-C}_6\text{H}_4\text{Br}_2$ (II) с молярной конц-ей с II, изменявшейся в пределах 10^{-3} — $2 \cdot 10^{-2}$. При т-ре 21° наблюдался чисто квадрупольный резонанс ядра Cl^{35} . Интенсивность линии уменьшалась в несколько раз с возрастанием с; частота, с точностью до 1 кГц, оставалась постоянной. Ширина линии для чистого I равна 1,2 кГц, а для смеси с 1,2% II 3,6 кГц. Для I существуют 2 фазы. Точка перехода 32° . Частоты резонанса Cl^{35} для разных фаз различны: при 21° 34,282 МГц и 34,255 МГц. Это позволяет проследить за кинетикой фазового перехода. Образец I, охлажденный ниже т-ры перехода (до 21°), остается в нестабильном состоянии, пока внешний толчок не вызовет начала превращения. При этом появляется и возрастает по интенсивности линия, соответствующая возникающей фазе, а интенсивность первой линии убывает. Стабильное состояние достигается примерно через 20 мин. Сумма интенсивностей обеих линий не остается постоянной. Л. Ш.

64256. Об уширении линий квадрупольного резонанса за счет примесей. Дрейфус, Дотрени (Sur l'élargissement du aux impuretés en résonance quadru-

polaire. Dreyfus Bernard, Dautreppe Daniel, C. r. Acad. sci, 1955, 241, № 24, 1751—1753 (франц.)

Сделана попытка теоретически объяснить наблюдаемое на опыте уширение линии (УЛ) квадрупольного резонанса (ЛКР) в молекулярных кристаллах, содержащих малые кол-ва примесей (см. пред. реф.). Если в кристалле $n\text{-C}_6\text{H}_4\text{Cl}_2$ 1% молекул заменен молекулами $n\text{-C}_6\text{H}_4\text{Br}_2$, ЛКР, обусловленная ядром Cl^{35} , уширяется от 2,4 до 4,7 кГц. Одновременно с УЛ смещается частота резонанса (ЧР) (РЖХим, 1956, 175). Эффекты УЛ и ЧР возникают при изменении т-ры и давления, что было объяснено зависимостью от т-ры и давления амплитуды θ рамановских колебаний, усредняющих градиент электрич. поля на ядрах. Предлагается аналогичное объяснение эффектам УЛ и ЧР, когда их возникновение обусловлено примесями. Принята модель плоской квадратной решетки, учитываются взаимодействия только с ближайшими соседями. Общая энергия системы: $2E = \sum_{ij} I_{ij} \theta_{ij}^2 + \sum_{ij,kl} V_{ij,kl} \theta_{ij} \theta_{kl}$, где I — момент операции молекулы; ij — ее координаты на плоскости; (V) — матрица потенциальной энергии. С помощью матрицы (V) можно учесть влияние на рамановские колебания молекул примеси. Пока $kT \gg \hbar \nu$, $\theta_{ij}^2 = kT (V^{-1})_{ij,ij}$; с помощью этого соотношения вычислены первый момент Δ распределения θ^2 , при наличии примеси с конц-ней q , и второй момент σ^2 ; они характеризуют соответственно смещение и уширение ЛКР. Результаты расчетов показали правильное направление смещения резонансной частоты и наличие уширения за счет примесей; учитывая грубость модели, авторы считают результаты сравнения опыта и теории достаточно хорошими. К. В.

64257. Ядерный квадрупольный резонанс n -дихлорбензола, облученного γ -лучами. Дюшен, Монфис, Гарсу (Nuclear quadrupole resonance of γ -irradiated *para*-dichlorobenzene. Duchesne Jules, Monfils André, Garsou Julien, J. Chem. Phys., 1955, 23, № 10, 1969 (англ.))

После облучения $n\text{-C}_6\text{H}_4\text{Cl}_2$ при 20° γ -лучами Co^{60} наблюдалось уменьшение интенсивности линии чисто квадрупольного резонанса Cl^{35} на 25 и 37% для доз $1,4 \cdot 10^8$ и $2,7 \cdot 10^8$ рентген соответственно. Сдвига частоты не наблюдалось. В течение нескольких часов интенсивность линий восстанавливалась, что связано с распадом нестабильных образований. Облученные кристаллы имели зеленоватый цвет, который постепенно переходил в желтый при нагревании до 50° . Если считать, что продукты облучения влияют на квадрупольный резонанс так же, как примеси (РЖХим, 1956, 64255), то доля этих продуктов должна быть равна 0,001 и 0,0016 для вышеприведенных доз. Подобные опыты могут дать сведения о разрушениях, совершаемых излучением в в-ве. Л. Ш.

64258. Квадрупольный спектр BiCl_3 . Робинсон (Quadrupole spectrum of BiCl_3 . Robinson Hugh G., Phys. Rev., 1955, 100, № 6, 1731—1734 (англ.))

Исследован ядерный квадрупольный резонанс Bi^{209} , Cl^{35} и Cl^{37} в поликристаллич. BiCl_3 при 300 и 83°K . Обнаружены четыре линии при частотах 12—20 МГц, обусловленные квадрупольным резонансом Cl^{35} и Cl^{37} . Так как спины обоих изотопов Cl равны $3/2$, наличие двух резонансных линий для каждого изотопа свидетельствует о двух неэквивалентных положениях ядер Cl в решетке с отношением 1:1 или 1:2. Полагая параметр асимметрии поля у ядер Cl $\eta = 0$, автор находит $|eQq|_{\text{Cl}^{35}} = 38,310 \text{ МГц}$ и $|eQq|_{\text{Cl}^{37}} = 30,196 \text{ МГц}$, что соответствует $\sim 65\%$ ионного характера связи BiCl . В диапазоне 25—52 МГц лежат четыре резонансные линии Bi^{209} (спин $3/2$ с $|\Delta m| = 1$. Расчет

η вблизи ядра Bi производился по ранее предложенному методу (РЖХим, 1955, 25615) путем построения отношения резонансных частот, вычисленных из векового ур-ния 5-го порядка как функции η и сравнения с эксперим. значениями. Найдено $\eta = 0,555$ и $|eQq|_{\text{Bi}} = 318,76 \pm \pm 0,20 \text{ МГц}$ при 299°K и $\eta = 0,583$ и $|eQq|_{\text{Bi}} = 325,5 \pm 0,3 \text{ МГц}$ при 83°K . Вследствие большой асимметрии градиента электрич. поля наблюдались также «запрещенные» переходы с $|\Delta m'| = 2^{1/2} \leftrightarrow 5/2$ и $3/2 \leftrightarrow 7/2$; частота переходов с $|\Delta m'| = 2$ равна сумме частот соответствующих переходов с $|\Delta m| = 1$. Если учитывать лишь $s-p$ гибридизацию орбит и применить к кристаллу BiCl_3 расчеты, справедливые для молекул типа AB_3 , то полученное значение $|eQq|_{\text{Bi}}$ определяет 3% s -характера связывающих орбит Bi , что соответствует $\angle \text{ClBiCl} = 91,2^\circ$. При этом использовано значение квадрупольной связи на один p -электрон $|eQ\eta_0|_{\text{Bi}} = 1500 \text{ МГц}$ (РЖХим, 1954, 10108). При предположении, что в твердом теле существуют индивидуальные молекулы BiCl_3 , можно использовать ф-лы Горди (РЖХим, 1956, 38721), что дает ионный характер σ -компоненты связи $\beta_\sigma = 0,53$ и долю π -характера связи $\gamma_\pi = 0,29$. Значительная доля π -связи и большое значение η свидетельствуют о значительном пересечении связей различных молекул BiCl_3 в кристалле, что подтверждается также наблюдаемым изменением η и b с т-рой. Т. Б.

64259. Повторение опытов с двумя свободными радикалами Уэрц, Кёльш, Виво (Re examination of two free radicals. Wertz John E., Koelsch C. F., Vivo Juana L., J. Chem. Phys., 1955, 23, № 11, 2194 (англ.))

Измерены g -факторы и полуширины (ΔH) линий электронного парамагнитного резонанса свободных радикалов пентафенилдициклопентадиенила (I) и три-*tert*-бутилфеноксила (II). В I на частоте 9000 МГц $g = 2,0025$; для твердого состояния $\Delta H = 0,62 \text{ гс}$, для насыщ. р-ра в бензоле $\Delta H = 2,3 \text{ гс}$; для II $g = 2,0052$, $\Delta H = 7,7 \text{ гс}$. Отмечено, что, по-видимому, для всех известных органич. свободных радикалов g -фактор отличается от g -фактора свободного электрона $\leq 1\%$. Л. Ш.

64260. Электронный спиновый резонанс семихинонов. Уэрц, Виво (Electron spin resonance of semiquinones. Wertz John E., Vivo Juana L., J. Chem. Phys., 1955, 23, № 12, 2441—2442 (англ.))

Семихиноны получались как окислением гидрохинонов, так и восстановлением хинонов. Наблюдался резонанс от n -бензосемихинона и от его хлорзамещенных: моно-, 2,3-ди- (I), три- и тетра-. Во всех в-вах имеется $n+1$ линия сверхтонкой структуры, где n — число незащ. протонов в кольце. Этот факт, а также отношение интенсивностей компонент сверхтонкой структуры указывает на то, что неспаренный электрон одинаково взаимодействует со всеми протонами кольца. Наличие магнитного момента у ядра Cl^{35} не влияет на спектр, так как соответствующие расщепления должны быть примерно в 10 раз меньше протонных (ширина наблюдаемых компонент сверхтонкой структуры $\sim 0,4 \text{ гс}$, расстояние между соседними компонентами $\sim 2,4 \text{ гс}$; для I $g = 2,0054$, для остальных в-в 2,0058). Наблюдался электронный резонанс фенилбензосемихинона. Спектр таков, как будто вместо фенила стоит инертная (не вызывающая сверхтонких расщеплений) группа. Это указывает на то, что неспаренный электрон локализован в пределах основного кольца. Спектры некоторых семихинонов заметно меняются со временем, видимо, из-за образования других радикалов. Л. Ш.

64261. Парамагнитный резонанс в растворах окисленного пирогаллала. Хоскинс, Лой (Paramagnetic resonance in solutions of oxidized pyrogallol. Hoskins R. H., Loy B. R.), J. Chem. Phys., 1955, 23, № 12, 2461—2462 (англ.)

Наблюдается электронный парамагнитный резонанс (на частоте 9000 Мгц) в щел., водн. и спирт. р-рах пирогаллала, подвергнувшись окислению на воздухе от комнатной т-ры до -78° . Резонанс обусловлен свободными радикалами, возникающими на одной из стадий окисления. Время жизни — от нескольких минут при комнатной т-ре до нескольких дней при -78° ; $g = 2,005 \pm 0,001$. Спектр состоит из двух триплетов с расстоянием $5a$ и интерпретируется как сверхтонкая структура, возникающая от взаимодействия протонов кольца с неспаренным электроном. Свободный радикал, видимо, типа семихинона. В этом случае протон в положении 5 создает дублет, а эквивалентные протоны 4 и 6 расщепят каждую из линий в триплет. Соотношение интенсивностей должно быть (1, 2, 1) (1, 2, 1), что и наблюдается на опыте. Л. Ш.

64262. Парамагнитный резонанс в слабых полях. Беккер (Paramagnetic resonance at low fields. Becker Stewart), Phys. Rev., 1955, 99, № 6, 1681—1683 (англ.)

Изучен резонанс на частотах порядка 1 Мгц при напряженностях постоянного поля H от 0,24 до 35 гс в свободных радикалах дифенилпикрилгидразила (I) и вурстеровском синем при комнатной т-ре. При понижении частоты кривая поглощения становилась несимметричной (возрастало поглощение при $H=0$), и ниже 1,3 Мгц максимум исчезал. Этот результат согласуется с ранее опубликованными расчетами (РЖХим, 1955, 9043). В поле 35 гс исследовалась зависимость 2-го и 4-го моментов кривой поглощения от конц-ии C р-ра I в бензоле. С изменялась от 0,3 до 0,04 М. Второй момент M_2 не зависит от C и совпадает с M_2 в кристаллич. I. M_4 в р-ре больше, чем в кристалле, и возрастает с разбавлением. Л. Ш.

64263. Парамагнитный резонанс свободных радикалов. Пейк, Уэйсман, Таунсенд (Paramagnetic resonance of free radicals. Pake G. E., Weissmann S. I., Townsend J.), Disc. Faraday Soc., 1955, № 19, 147—158, Discuss. 173—186 (англ.)

Обзорный доклад. М. Д.

64264. Парамагнетизм группы актинидов. Блэни (Paramagnetism of the actinide group. Bleahey B.), Disc. Faraday Soc., 1955, № 19, 112—118; Discuss. 173—186 (англ.)

Результаты измерений магнитной восприимчивости солей ионов группы железа (I) и солей ионов редкоземельных элементов (II) показывают, что в I парамагнетизм чисто спиновой, во II парамагнетизм такой же, как в свободных атомах. В солях ионов элементов из группы актинидов (III) парамагнетизм близок к чисто спиновому, пока число магнитных электронов (МЭ) равно 1 или 2, и близок к вычисленному для свободных атомов, когда число МЭ больше двух. Так, квадрат эффективного момента p^2 иона $(\text{NpO}_2)^{2+}$ (1 МЭ) равен из опыта 3,4, а вычисленный по ф-ле для чисто спинового момента $p^2 = 4S(S+1) = 3$, вычисленный для свободного атома $p^2 = g^2 J(J+1) = 6,4$; эти же величины для иона U^{3+} (3 МЭ) в р-ре равны 9,9; 15; 13,1. Эти факты можно объяснить, допустив, что 1 или 2 МЭ находятся в d -состояниях и поэтому магнитные свойства ионов аналогичны магнитным свойствам I; МЭ сверх 2 находятся в f -состояниях, и их свойства аналогичны свойствам II (Dawson, Nucleonics, 1952, 10, 35). Однако можно дать хорошее объяснение магнитных свойств III с числом МЭ не более двух, считая, что все МЭ находятся в f -состояниях (Seaborg,

Nucleonics, 1949, 5, 16). Актиниды образуют весьма стойкие ионы типа $(\text{UO}_2)^{2+}$ с ковалентной связью. Атом U имеет электронную конфигурацию $5f\ 6d\ 7s^2$ и образует σ -связь с гибридной sp -орбитой атомов кислорода. Однако орбита, создающая σ -связь, может быть образована лишь состояниями $5f$ и $6d$ иона U^{2+} ; поэтому после образования σ -связи с сильным перекрыванием орбит в незаполненной оболочке не остается МЭ; поэтому ион $(\text{UO}_2)^{2+}$ не обладает парамагнетизмом. Аналогичное объяснение дается для ионов $(\text{NpO}_2)^{2+}$ и $(\text{PuO}_2)^{2+}$. Ион $(\text{NpO}_2)^{2+}$ после образования σ -связи имеет $5f$ -электрон, находящийся в состоянии с орбитальным числом ± 3 ; состояние $l_z = \pm 3$, $s = \pm 1/2$ (четырёхкратное вырождение) при учете спин-орбитальной связи расщепляется на 2 дублета; нижним оказывается дублет $j_z = l_z + s_z = \pm 7/2$; он расщепляется в магнитном поле с g -фактором $g_{\parallel} = 4$; $g_{\perp} = 0$. Следовательно, $p^2 = s(s+1)(g_{\parallel}^2 + 2g_{\perp}^2)/3 = 4$; из опыта найдено значение 3,4. Ион $(\text{PuO}_2)^{2+}$ после образования связей с атомами кислорода имеет два МЭ; они могут занять или состояние с $l_z = \pm(3; 2)$, тогда $p^2 = 9$, $g_{\parallel} = 6$, $g_{\perp} = 0$; или состояние с $l_z = 3, -3$, тогда $p^2 = 8$. Опыт дает значение 8. Измерения резонансного парамагнитного поглощения (РПП) на ионах $(\text{PuO}_2)^{2+}$ (РЖХим, 1955, 5184) близко подтверждают значение g -фактора, полученного из измерений восприимчивости; наблюдается также сверхтонкая структура этих линий (РЖХим, 1955, 45206). На ионах $(\text{NpO}_2)^{2+}$ наблюдается интенсивная сверхтонкая структура линий РПП (РЖХим, 1955, 18165). Оставшееся расхождение между измеренными и вычисленными значениями g -фактора объясняется перекрыванием волновых функций МЭ и электронов соседних атомов, что уменьшает величину орбитального момента (РЖХим, 1956, 49884). Благодаря этому g -фактор вычисляется по ф-ле $g_{\parallel} = 2(kL_z + 2S_z)$, где $k < 1$ и равно 0,90 для $(\text{NpO}_2)^{2+}$ и 0,93 для $(\text{PuO}_2)^{2+}$. Линия РПП наблюдается также в порошках UF_4 и UF_3 (РЖХим, 1955, 15770); наблюдаемые значения g -фактора можно, по-видимому, объяснить только исходя из конфигурации $5f^3$ (РЖХим, 1955, 54448). К. В.

64265. Магнитная восприимчивость комплексов Co^{II} . Камби (Susceptività magnetica dei complessi Co^{II} - Co^{III} . Cambi Livio), Atti Accad. naz. Lincei. Rend. Cl. sci. fis., mat. e natur., 1955, 18, № 6, 581—583 (итал.)

Показано, что в $\{(\text{R}_2\text{Co}^{III}(\text{OH})_2)_2 \text{Co}^{II} 2\text{H}_2\text{O}\} \cdot (\text{SO}_4)_2$, где R — этилендиамин, $[(\text{R}_2\text{Co}^{III}\text{Br}_2)_2 \text{Co}^{II}] \cdot 6\text{C}_2\text{H}_5\text{OH}$ и $(\text{R}_2\text{Co}^{III})_2 \text{Co}^{II}(\text{OH})_4$, где R — α -монофенилглиоксим, Co^{III} — диамагнитен, Co^{II} — парамагнитен и его эффективный момент в магнетонах Бора совпадает с Co^{II} в $(\text{NH}_4)_2\text{SO}_4 \cdot \text{CoSO}_4 \cdot 6\text{H}_2\text{O}$. Повышенный эффективный момент Co^{II} в $(\text{R}_2\text{Co}^{III})_2 \text{Co}^{II}$ и $(\text{R}_2\text{Co}^{II}) \cdot \text{H}_2\text{O}$, где R — бензотриазол и $(\text{R}_3\text{Co}^{II}) \text{Cl}_2$, где R — этилендиамин, объясняется полимеризацией. С. С.

64266. Магнитные свойства хлорида никеля. Вепрек-Шишка (Magnetické vlastnosti chloridu nikelnatého. Vepřek-Šiška J.), Chem. listy, 1955, 49, № 11, 1721—1723 (чеш.)

Ранее (РЖХим, 1955, 48313) было показано, что восприимчивость ϕ иона Ni^{2+} в р-ре $\text{Ni}(\text{ClO}_4)_2$ зависит от конц-ии р-ра и от его возраста. Исследовалось влияние этих же факторов на магнитные свойства Ni^{2+} в нейтр., кислых и щел. р-рах NiCl_2 . Установлено, что ϕ водн. р-ра NiCl_2 практически не зависит от конц-ии и возраста р-ра; эта же независимость имеет место и в кислых р-рах с невысокой конц-ией HCl . Автор считает, что нейтр. и слабокислые р-ры NiCl_2 могут быть использо-

ваны в качестве в-в для калибровки при исследовании парамагнитных в-в. При повышении конц-ии HCl величина χ уменьшается, что, по-видимому, связано с образованием комплексных ионов, содержащих Ni и Cl . В шел. р-рах NiCl_2 величина χ зависит от конц-ии и возраста р-ра; автор объясняет это образованием основных новов никеля.

Vlastimil Růžicka
64267. Отличие в инкрементах магнитной восприимчивости при замещении в кольце и в боковой цепи. Френч (Differences in magnetic susceptibility increment in closed-ring and side-chain substitution. French C. M., Trans. Faraday Soc., 1954, 50, № 12, 1320—1324; исправления см. 1955, 51, № 2 (англ.))

Измерены диамагнитные восприимчивости ($-\chi_M \cdot 10^6$) толуола 65,54; этилбензола 77,26; анилина 62,95; бензиламина 75,26; бензонитрила 65,19; фенилацетонитрила 76,87; хлорбензола 69,97; бензилхлорида 81,98; ацетофенона 72,65; бензилметилкетона 83,21; бензальдегида 60,78; фенилацетальдегида 72,54; бензойной к-ты 70,28; фенилуксусной к-ты 82,72; фенола 60,21; бензилового спирта 71,83. Из полученных данных вычислен диамагнитный инкремент группы CH_2 и установлено, что величина этого инкремента зависит от близости заместителя к кольцу. В ряде случаев взаимодействие между заместителем и кольцом приводит к аномальной величине инкремента CH_2 (амины, хлорпроизводные, к-ты). Предложен эмпирич. метод оценки χ_M , основанный на аддитивности восприимчивостей различных связей в молекуле и на учете членов, описывающих взаимодействие между отдельными группами.

Л. Б.

64268. Диамагнитная восприимчивость некоторых оксидов и эфиров оксидов. Френч, Гаррисон (The diamagnetic susceptibilities of some oximes and oxime ethers. French C. M., Harrison D., J. Chem. Soc., 1955, Oct., 3513—3517 (англ.))

Методом Гуи измерены молекулярные магнитные восприимчивости ($\chi_M \cdot 10^6$): ацетоксима 44,42; этилметилкетоксима 57,32; диэтилкетоксима 68,31; ацетофеноноксима 79,90; циклогексаноксима 71,52; О-метилового эфира ацетоксима 54,87; О-метилового эфира ацетофеноноксима 92,31; О-метилового эфира циклогексаноксима 82,96; О-бензилового эфира ацетоксима 104,89, и повторены измерения $-\chi_M$ для некоторых других кетонов и оксидов. Полученные данные не совпадают с рассчитанными по методу Паскаля с поправочными членами для оксидов. Расчет по предложенному ранее методу (РЖХим, 1956, 35041 также не дал удовлетворительных результатов. Константа β , характеризующая взаимодействие связей, меняется от 5,45 (оксим ацетофенона) до 9,75 (этилметилкетоксима). Указано, что аналогичные расхождения наблюдаются и у других в-в, у которых замещающие группы присоединены к атомам, находящимся с обоих концов двойной связи. Величина инкремента молярной восприимчивости при переходе $>\text{C}=\text{O} \rightarrow >\text{C}=\text{NOH}$ зависит от природы остатка молекулы.

М. Л.

64269. Измерения плотности при оценке дипольных моментов с помощью рефрактометрического метода. Казадвалль (Les mesures de densité dans l'évaluation des moments dipolaires par la méthode réfractométrique. Casadevall André, C. r. Acad. sci., 1955, 240, № 22, 2147—2149 (франц.))

Автор рассматривает молярную поляризацию растворенного в-ва в терминах парц. молярных величин: $(P_2)_0 = (dP'/d\sigma_2)_0$, где $P' = [(\epsilon - 1)/(\epsilon + 2)] v^1$ (для полной поляризации) или $P' = [(n^2 - 1)/(n^2 + 2)] v'$ (для электронной поляризации), $v' = (1 + \sigma_2)/d$, σ_2 — отношение масс растворенного в-ва и р-рителя. Для

ориентационной поляризации после дифференцирования P' по σ_2 и перехода к пределу $\sigma_2 = 0$ получается $(P_2)_{00} = M_2 [3(\epsilon_1 - n_1^2)^2 / (\epsilon_1 + 2)(n_1^2 + 2)(dv'/d\sigma_2)_0 + 3v_1' / (\epsilon_1 + 2)^2 \cdot (d\epsilon/d\sigma_2)_0 - 6n_1 v_1 / (n_1^2 + 2)^2 (dn/d\sigma_2)_0] = M_2 [b(v_2)_0 + a(d\epsilon/d\sigma_2)_0 - c(dn/d\sigma_2)_0]$, где $(v_2)_0$ — парц. уд. объем растворенного в-ва в бесконечно разб. р-ре. Значение v_1 , уд. объема р-рителя, может быть определено с ошибкой $< 1 \cdot 10^{-4}$, которая вносит в μ ошибку $\sim 1 \cdot 10^{-3} D$. Ошибка в μ составляет $d\mu = 2,5 \cdot 10^{-2} M_2 (\mu b d (v_2)_0)$. Для того, чтобы эта ошибка не превосходила $5 \cdot 10^{-3} D$, ошибка в $(v_2)_0$ не должна превосходить $43 \mu / M_2$ в бензоле и $6,25 \mu / M_2$ в диоксане. Для большего числа в-в $\Delta v' / \sigma_2$ не зависит от р-рителя, конц-ии р-ра (до $\sigma_2 = 0,1$) и совпадает с уд. объемом чистого в-ва, так что $(v_2)_0$, можно заменить на V_2 или $\Delta V' / \sigma_2$, что сильно облегчает измерения, а $d\mu$ не превышает $0,01 D$. Большой точности измерений v_1 также не требуется.

М. Д.

64270. Дипольные моменты полигалогенциклогексанов.

II. Вычисленные значения для тетрахлор-, гексахлор-, и гептахлорциклогексанов. Симодзава. III. Симодзава, Морино, Римшнейдер (The dipole moment of the polyhalocyclohexanes. II. The calculated values of tetrachloro, hexachloro-, and heptachlorocyclohexanes. Shimozawa Takashi. III. Shimozawa Takashi, Morino Vozno, Riemschneider Randolph, Bull. Chem. Soc. Japan, 1955, 28, № 6, 389—392; 393—396 (англ.))

II. Вычислены дипольные моменты возможных изомеров тетрахлор-(I), гексахлор-(II) и гептахлорциклогексана (III). При этом авторы исходят из установленного факта, что циклогексановое кольцо имеет при обычных условиях креслообразную конфигурацию. Атомы, присоединенные к каждому из атомов углерода в кольце, могут находиться в А-положении (параллельно молекулярной оси) и Э-положении (под тетраэдрич. углом к ней). Простое правило векторного сложения недостаточно для суждения о конфигурации молекулы (сообщение I, РЖХим, 1955, 28309). Расчет производился с помощью эмпирич. правила Морино и Миягава (РЖХим, 1956, 60814), при котором рассматриваются моменты, индуцируемые моментами связей. Вычислены значения μ для 31 устойчивых конфигураций I, 55 конфигураций II, и 38 конфигураций III и для такого же числа изомеров с инвертированными циклогексановыми кольцами, которые менее устойчивы вследствие стерич. отталкивания.

III. Из концентрационной зависимости диэлектрич. проницаемости и плотности найдены по ур-нию Хальверстада — Кумлера дипольные моменты (μ в D) при 25° гексахлорциклогексана (IV), т. пл. 109°, $\mu = 0,65$, 1,1,2,4,4,5-гексахлорциклогексана (V), т. пл. 146°, $\mu = 0,46$, гептахлорциклогексана (VI), т. пл. 119°, $\mu = 0,69$, тетрахлорциклогексана (VII), т. пл. 109°, $\mu = 3,19$, додекахлорциклогексана (VIII), т. пл. 285°, $\mu = 0,28$ и γ -тетрахлордибромциклогексана (IX), т. пл. 123°, $\mu = 2,66$. Сравнение с теоретически вычисленными значениями дипольных моментов различных изомерных полигалогенциклогексанов показывает, что IV (получен из α -1,2,4,5-тетрахлорциклогексана) имеет конфигурацию 1A2A94A359 V 1A2A94A459, VI (получен хлорированием IV и α -1,2,4,5-тетрахлорциклогексана, т. пл. 174°) 1A2A94A49A59, VII (получен частичным хлорированием циклогексана) однозначно не идентифицируется, может состоять из смеси изомеров, VIII должен иметь нулевой дипольный момент, IX должен иметь конфигурацию γ -типа 1A2A3A4A35969.

А. З.

64271. Определение диэлектрической проницаемости и потерь методом свободной волны. III. Измерение

алифатических спиртов при длине волны 1,38 см. Окабаяси (Determination of dielectric constant and loss factor by free wave method. III. Measurement on aliphatic alcohols at the wavelength of 1.38 cm. Oka bayashi Hideo), Bull. Chem. Soc., Japan, 1955, 28, № 5, 312—317 (англ.).

Определены действительная (ϵ') и мнимая (ϵ'') части комплексной диэлектрической проницаемости метилового (I), этилового (II), *n*-бутилового (III), изобутилового (IV) и *tert*-бутилового (V) спиртов с помощью метода свободной волны, разработанного ранее (Yasumi. M., Bull. Chem. Soc. Japan, 1951, 24, 53) при длине волны 1,38 см. Экспериментально найденная кривая зависимости R от d/λ , где R^2 — коэфф. отражения, λ — длина волны, d — толщина слоя жидкости, сравнивается с теоретически вычисленными кривыми при различных значениях n и k . Определив так параметры n и k , находят $\epsilon' = n^2 - k^2$ и $\epsilon'' = 2nk$. Найденные значения ϵ' и ϵ'' для I соответственно равны 6,79 и 4,24 при 9°; II 4,25 и 1,42 при 8°; III 2,93 и 0,57 при 18°; IV 2,86 и 0,54 при 23°; V 2,82 и 0,45 при 26°. А. З.

64272. О приближенном одночленном дисперсионном уравнении для видимой и ультрафиолетовой области. Кордес (Übereine eingliedrige Näherungsform der Dispersionsgleichung für den sichtbaren und ultravioletten Wellenbereich Kordes Ernst), Naturwissenschaften, 1956, 43, № 3, 52 (нем.).

В отличие от использованных ранее ур-ний с двумя членами, для оптически изотропных *v-v* предложено ур-ние $(n^2 - 1)^2 / (n_\infty^2 - 1)^2 = v_1^2 / (v_1^2 - v^2)$ (1), где n_∞ и v_1 — константы. Оно подтверждается для газов, жидкостей, стекол и кристаллов в видимой и УФ-области вплоть до первой полосы поглощения, которой обычно соответствует v_1 . Проведено сопоставление $(n^2 - 1)/(n^2 + 2)$, измеренного для KCl для λ 197—656 мμ и рассчитанного по (1) и по ур-нию, содержащему 4 константы (2). Показано, что расчет по (1) дает лучшее приближение, чем по (2). С. С.

64273. Структура мономера муравьиной кислоты. Карл, Карла (Structure of the monomer of formic acid. Karle I. L., Karle J.), J. Chem. Phys., 1954, 22, № 1, 43—45 (англ.).

Секторным методом проведено электронографич. исследование мономера HCOOH (I) в газообразном состоянии. На кривой радиального распределения обнаружены 2 сложных пика, удовлетворительно разрешенные на пики, относимые к связям C=O 1,23, C—O 1,36, O—H 0,97 и C—H 1,09 Å, и пик, относимый к связи O—O 2,27 Å. Теоретич. кривые интенсивности рассчитаны в предположении *trans*-положения атома H в группе OH. На основе сопоставления визуальных и теоретич. кривых интенсивностей получены следующие значения межатомных расстояний: C=O 1,23±0,01; C—O 1,36±0,01; O—O 2,27±0,005; O—H 0,97±0,05; C—H 1,09 Å (предположено), $\angle\text{OCO} = 122,4^\circ \pm 1^\circ$. На основе этих расстояний вычислены главные моменты инерции молекулы $I_A = 81,61 \cdot 10^{-40}$; $I_B = 70,11 \cdot 10^{-40}$; $I_C = 11,50 \cdot 10^{-40}$ е см² в хорошем согласии с данными микроволновых спектров. С. С.

64274. Гипотеза о ковалентной связи, подтвержденная рентгеновской спектроскопией. Пальма-Витторелли, Пальма, Палумбо, Сантанджело, Сгарлата (Una ipotesi di legame covalente confermata dalla spettroscopia a raggi X. Palma Vittorelli Maria Beatrice, Palma Massimo Ugo, Palumbo Donato, Santangelo Mariano, Sgarlata Francesco), Ricerca scient., 1955, 25, № 9, 2665—2666 (итал.).

Рентгеновски исследован сульфат ванадия.

Найдено, что ближайший атом кислорода отстоит от атома V на 1,75 Å. Так как сумма ионных радиусов O и V равна 2,03 Å, а сумма атомных радиусов 1,94 Å, следует предположить существование двойной ковалентной связи между O и V, постулированной ранее на основе парамагнитного резонанса для объяснения понижения энергии взаимодействия спин — орбита по сравнению с ординарной связью. Е. Н.

64275. Эмпирические межатомные потенциалы и внутреннее вращение. III. О галоидоприводных углеводородах. Миягава (分子内部回転と経験的原子間ポテンシャル. 第3報. 炭化水素ハロゲン誘導体について. 宮川一郎), 日本化学雑誌, Нихон какаку дзасси, J. Chem. Soc. Japan. Pure Chem. Sec., 1954, 75, № 11, 1177—1180 (япон.).

Методом, описанным ранее (РЖХим, 1956, 35062), рассчитаны углы ϕ , соответствующие поворотным изомерам и разности энергий ΔE между повернутыми и наиболее устойчивыми изомерами для ряда галоидо-замещенных углеводородов. Результаты (первая цифра — углы, соответствующие повернутым изомерам; вторая ΔE в ккал/моль; в скобках приведены эксперим. значения): $\text{H}_2\text{ClC} - \text{CClH}_2$ 112 (109), 1,10 (1,10); $\text{H}_2\text{ClC} - \text{CClCH}_3$ 115, 0,87 (1,0); 245, 1,35; $\text{H}_2\text{ClC} - \text{CCl}(\text{CH}_3)_2$ 120; 0,95 (0,90); $(\text{CH}_3)_2\text{ClC} - \text{CCl}(\text{CH}_3)_2$ 120, 1,32 (1,3); $\text{HCl}_2\text{C} - \text{CClH}_2$ 128 (130), 1,49 ($\geq 2,4$); $\text{CH}_3\text{Cl}_2\text{C} - \text{CClH}_2$ 120, 0,77 (2,0); $\text{HCl}_2\text{C} - \text{CCl}(\text{CH}_3)_2$ 120, 0,74 ($\geq 1,5$); $\text{HCl}_2\text{C} - \text{CCl}_2\text{H}$ 118, 0,29 (0); $\text{CH}_3\text{Cl}_2\text{C} - \text{CCl}_2\text{H}$ 120, 0,63 (0,4); $\text{CH}_3\text{Cl}_2\text{C} - \text{CCl}_2\text{CH}_3$ 120, 1,18; $\text{H}_2\text{BrC} - \text{CBrH}_2$ 108, 1,39 (1,54); $\text{H}_2\text{BrC} - \text{CBrCH}_3$ 110, 1,00 (1,25); 242, 1,75; $\text{H}_2\text{BrC} - \text{CBr}(\text{CH}_3)_2$ 118, 1,16 (1,1); $(\text{CH}_3)_2\text{BrC} - \text{CBr}(\text{CH}_3)_2$ 118, 1,63 (1,6); $\text{HBr}_2\text{C} - \text{CBrH}_2$ 135, 2,01 ($\geq 1,5$); $\text{HBr}_2\text{C} - \text{CBr}_2\text{H}$ 114, 0,11 (0— ∞); $\text{CH}_3\text{Br}_2\text{C} - \text{CBr}_2\text{CH}_3$ 120, 1,88; $\text{H}_2\text{ClC} - \text{CBrH}_2$ 110, 1,26 (1,4); $\text{H}_2\text{ClC} - \text{CCH}_3\text{H}_2$ 114, 0,50—0,45 (0); $\text{H}_2\text{ClC} - \text{CH}(\text{CH}_3)_2$ 124, 0,69; $\text{H}_2\text{CH}_3\text{C} - \text{CCH}_3\text{H}_2$ 114, 0,58 (0,77); $\text{H}(\text{CH}_3)_2\text{C} - \text{CCH}_3\text{H}_2$ 127, 0,70 (0— ∞); $\text{H}(\text{CH}_3)_2\text{C} - \text{C}(\text{CH}_3)_2\text{H}$ 120, 0,05 (0). Наиболее устойчивому поворотному изомеру соответствует угол $\phi = 0^\circ$ (отсчитываемый от *trans*-положения) во всех случаях, за исключением $\text{H}_2\text{ClC} - \text{CClCH}_3$ и $\text{H}_2\text{BrC} - \text{CBrCH}_3$, где $\phi = 10^\circ$. При вычислении ΔE учитывалось стерич. отталкивание атомов (методом, описанным в цитир. работе) и электростатич. диполь-дипольное взаимодействие связей C—Cl и C—Br, дипольные моменты которых принимались равными соответственно 1,86 и 1,79 D. При рассмотрении электростатич. взаимодействия учитывался индукционный эффект. Обсуждается сравнительная роль различных причин торможения и критикуется высказанная в работе (Lassette E. N., Deans L. B., J. Chem. Phys., 1947, 17, 317) точка зрения, согласно которой тормозящий потенциал обусловлен электростатич. квадруполь-квадрупольным взаимодействием. Сообщение II см. РЖХим, 1956, 60813. О. П.

64276. Исправление к статье: Баркхард, Эрвин «Решение волнового уравнения внутреннего вращения двух полностью асимметрических молекул» (Errata. Burkhard Donald G., Irvin John C.), J. Chem. Phys., 1955, № 12, 2469 (англ.).

РЖХим, 1956, 24866.

64277. Водородная связь. Анджелеску (Legătura de hidrogen. Angelescu E.), An. Rom.-Sov. Ser. chim., 1956, 10, № 1, 5—35 (рум.). Обзор. Библ. 58 назв. М. Д.

64278. Изменения свободных энергий и теплоты образования комплексов JCl с полиалкилбензолами. Огимаши, Андрюс, Кифер (The free energies and heats of formation of the polyalkylbenzene-iodine monochloride complexes. Ogimachi N.,

Andrews L. J., Keefer R. M.), J. Amer. Chem. Soc., 1955, 77, № 16, 4202—4206 (англ.)

Спектрофотометрическим методом, описанным ранее (Andrews L. J. and Keefer R. M., J. Amer. Chem. Soc., 1952, 74, 4500), определены в р-рах CCl_4 максимумы поглощения и коэфф. экстинкции и вычислены константы равновесия K_C при 25° для комплексов JCl (I) с *n*-ди-*т*-рет-бутилбензолом (II) 1,41; *m*-диэтилбензолом (III) 1,46; *n*-ксилолом (IV) 1,85, 1,3,5-три-*т*-рет-бутилбензолом (V) 0,88, 1,2,4-триэтилбензолом (VI) 2,36, 1,2,4-триметилбензолом (VII) 2,82, 1,2,3-триметилбензолом (VIII) 3,01, 1,3,5-триэтилбензолом (IX) 3,28, мезитилеом (X) 3,70, 1,2,4,5-тетраэтилбензолом (XI) 3,09, 1,2,3,5-тетраэтилбензолом (XII) 3,26, 1,2,3,4-тетраметилбензолом (XIII) 3,99, 1,2,3,5-тетраметилбензолом (XIV) 5,60, гексаэтилбензолом (XV) 1,55, гексаметилбензолом (XVI) 13,2; *n*-хлортолуолом (XVII) 0,32 *m*-хлортолуолом (XVIII) 0,24 и с *n*-метокситолуолом (XIX) 5,19. При обсуждении полученных данных авторами принято, что в отсутствие стерич. затруднений изменение свободной энергии при взаимодействии I с полиалкилбензолами может служить мерой электронного влияния алкильных заместителей на донорную способность алкилбензолов. В случае любого числа замещающих метильных групп и менее пяти этильных групп в бензоле стерич. затруднений не наблюдается. Но в случае *т*-рет-бутильных групп стерич. затруднения имеют место уже при трех и более заместителях. Вычислены теплоты образования $-(\Delta H)_N$ ккал в интервале *t*-р 1,6—25° (первая цифра) и 25—45,8° (вторая цифра), $-(\Delta F)_N$ при 25° и $-(\Delta S)_N$ при 25° (четвертая цифра) для комплексов I с XVII 1,67, 1,75, 0,75, 3,22; с IV 3,60, 3,82, 1,76, 6,55; с VI 4,22, 4,46, 1,91, 8,15; с X 4,75, 4,68, 2,16, 8,60; с XVI 5,25, 5,39, 2,91, 8,09; с XV 3,59, 3,55, 1,71, 5,91. Выяснено, что $-(\Delta H)_N$ для образующихся комплексов находится в линейной зависимости от $-(\Delta F)_N$ и $(\Delta S)_N$, так же как в случае взаимодействия иода с полиалкилбензолами. В. К. 64279. Клатратные соединения. Крамер (Einschlusverbindungen. Cramer Friedrich), Angew. Chem., 1956, 68, № 3, 115—120 (нем.)

Обзор. Библ. 63 назв. А. 3.

64280 Д. 1. Инфракрасные спектры газообразных и твердых галогенидов. 2. Получение, свойства и строение гексафторазометана. Фрейтаг (1. The infrared spectra of the gaseous and solid cyanogen halides. 2. Preparation, properties and structure of hexafluoroazomethane. Freitag Walter Otto. Doct. diss. Univ. Pennsylvania, 1955), Dissert. Abstrs, 1955, 15., № 5, 718—719 (англ.)

Колебат. уровни HalCN хорошо интерпретируются ф-лой для трехатомных линейных молекул. Исследованы ИК-спектры газообразных ClCN и BrCN при комнатной *t*-ре и твердых пленок ClCN , BrCN и JCN при *t*-ре жидкого воздуха в области 3200—320 cm^{-1} . Интегралы дипольных моментов в ClCN и, возможно, в BrCN имеют противоположные знаки в случае вал. колебаний (ν_1) или деф. колебаний ($2\nu_2$) связи $\text{Hal}-\text{C}$. В спектрах твердых в-в идентифицированы полосы, соответствующие изотопным образцам с C^{13} и N^{15} . Отмечена температурная зависимость для спектра JCN , которая может указывать на фазовые переходы в этом соединении. Гексафторазометан (I) получен р-цией ClCN с AgF_2 при 80°. Измерен ИК-спектр I в газообразном и твердом состояниях в области 3200—450 cm^{-1} при комнатной *t*-ре. Из изменений для давления пара найдена постоянная Трутона 18 энтр. ед. и скрытая теплота испарения 4540 кал. Данные спектра указывают на транс-форму I. М. П.

64281 Д. Получение и парамагнитное резонансное поглощение некоторых органических бирадикалов. Слон (The preparation and paramagnetic resonance absorption of certain organic biradicals. Sloan Gilbert Jacob. Doct. diss., Univ., Michigan, 1954), Dissert. Abstrs, 1955, 15, № 11, 2019—2020 (англ.)

Получены $\text{XC}_6\text{H}_4(\text{CH}_2)_n\text{C}_6\text{H}_4\text{X}$ с $\text{X} = \text{C} \equiv \text{N}$, COOCH_3 , COC_6H_5 , $n = 0, 1, 2, 3, 4$, и изучено их превращение в $(\text{Ar})_2\text{CXC}_6\text{H}_4\text{CXA}_2$, $\text{ArAr}'\text{CXC}_6\text{H}_4(\text{CH}_2)_n\text{C}_6\text{H}_4\text{CArAr}'$ и $\text{Ar}_2\text{CXC}_6\text{H}_4\text{OC}_6\text{H}_4\text{CXA}_2$, Ar , $\text{Ar}' = \text{C}_6\text{H}_5$, $\alpha = \text{C}_{10}\text{H}_7$, $\text{C}_6\text{H}_5 - \text{C}_6\text{H}_4$; $\text{X} = \text{OH}$, Cl . Исследовано парамагнитное поглощение $\text{Ar}_2\text{CC}_6\text{H}_4\text{CAr}_2$, $\text{ArAr}'\text{CC}_6\text{H}_4(\text{CH}_2)_n\text{C}_6\text{H}_4\text{CAr}$, $\text{Ar}'\text{Ar}_2\text{CC}_6\text{H}_4\text{OC}_6\text{H}_4\text{CAr}_2$ с $\text{Ar} = \text{C}_6\text{H}_5$, $\alpha = \text{C}_{10}\text{H}_7$, $\text{C}_6\text{H}_5\text{C}_6\text{H}_4$, $n = 0, 1, 2, 3, 4$ и $(\text{C}_6\text{H}_5)_3\text{C}$ (I). Изучение сверхтонкой структуры указывает на взаимодействие неспаренных электронов с атомами Н. В I число линий согласуется с взаимодействием с мета-атомами Н, т. е. с повышенной электронной плотностью у мета-атомов С и неплотской структурой I. М. Д.

64282 Д. Протонный магнитный резонанс в фенолах и замещенных бензолах. Батдорф (Proton magnetic resonance in phenols and substituted benzenes. Batdorf Robert Ludwig. Doct. diss. Univ. Minnesota, 1955), Dissert. Abstrs, 1955, 15, (№ 11, 2025—2026 (англ.)

Исследованы спектры протонного магнитного резонанса 180 органич. соединений, из которых 158 являются замещ. бензолами, а 69 содержат фенольные группы OH , и найдены хим. сдвиги Н в OH относительно воды. Наибольшее экранирование наблюдается у 2,6-дизопропилфенола ($\sigma = 0,2$) и наименьшее для *o*-оксиацетофенона ($\sigma = 7,1$). Исследована концентрационная зависимость наблюдаемых сдвигов для 19 бинарных систем в феноле. Полученные результаты, интерпретированные с точки зрения образования внутри- или межмолекулярных связей, показывают, что разбавление фенола бензолом или феноловыми эфирами смещает σ в положительном направлении, т. е. ведет к уменьшению образования межмолекулярных водородных связей. При разбавлении фенола циклогексаном изменения σ не наблюдаются. Р-ители, являющиеся хорошими акцепторами протонов (кетон, насыщ. эфиры), смещают σ в отрицательную сторону. Низкое значение $\sigma = 5,0$ для *o*-нитрофенола, салицилового альдегида, салицилатов и *o*-оксиацетофенона объясняется образованием внутримолекулярной водородной связи. М. П.

64283 Д. Исследование молекулярного полиморфизма *o*-метоксibenзальдегида. Томаш Н. В. Автореф. дисс. канд. хим. н., Харьковск. политех. ин-т, Харьков, 1956

См. также: Структура молекул: неорганич. 64670, 64673, 64677, 64683, 64684, 64686—64688, 64690—64692; органич. 64780, 64787, 64901; 19395Бх; по рентген. данным 64295, 64299, 64300, 64303, 64304, 64308, 64312, 64313. Энергия связей 64435, 64486, 64790. Спектры 64698, 64783, 64790, 64791, 64804, 64828, 64908, 64923, 64938, 64978, 65033, 65070, 65088, 65098, 65111, 65125, 65184. Магнитные св-ва 64451, 64674, 64675. Реакционная способность 64792, 64816. Приборы для исслед. строения молекул 65405—65413, 65415, 65420, 65426, 65428. Др. вопр. 64462, 64658; 18732Бх

КРИСТАЛЛЫ

64284. О некоторых основных вопросах кристаллохимии и их понимании в минералогии. Поваренных А. С., Зап. Всес. минералог. о-ва, 1955, 84, № 4, 469—492

Дана критика формально-геометрической концепции строения кристаллов и сделана попытка разработки новой энергетической теории хим. связи, понных радиусов и координации.

64285. Распределение вероятности интенсивности рентгеновских лучей. VI. Влияние ошибок на интенсивности на статистические исследования. Роджерс, Стэнли, Вильсон (The probability distribution of intensities. VI. The influence of intensity errors on the statistical tests. Rogers D., Stanley E., Wilson A. J. C.), Acta crystallogr., 1955, 8, № 7, 383—393 (англ.)

Исследованы три centrosymmetричных и одна с плоскостью симметрии статистические расчетные задачи для колич. определения чувствительности применяемого метода расчета к определению ошибок в данных по исходным интенсивностям. Рассмотрены следующие виды ошибок: 1) случайные ошибки, пропорциональные I ; 2) систематич. ошибки в I вида $I_0 = k\Sigma \{1 - \exp(-I/k\Sigma)\}$, где $\Sigma = \langle I \rangle$; 3) систематич. ошибки в $\sin \theta$ и 4) ошибки, связанные с не наблюдаемыми очень слабыми отражениями. Ошибки 1 и 2 обычного порядка и не вносят существенных искажений. Ошибки 3 могут влиять на расчеты только вследствие наличия ошибок в определении I как функции $\sin^2 \theta$; расчеты оказались весьма чувствительными к этим ошибкам. Ошибки 4 оказывают также заметное влияние, величина которых, однако, может быть учтена. Влияние каждой из этих ошибок на поставленные задачи не равноценно, но полученные результаты позволяют оценить верхний предел их для каждого расчета. Результаты, лежащие вне этого предела, указывают на наличие некоторой структурной особенности. Часть V см. РЖХим, 1955, 9074.

64286. Рентгеноструктурный анализ на больших расстояниях в широко расходящемся пучке. Жмудский А. З., Наук. зап. Київськ ун-т, 1955, 13, № 8, 65—82

Анализируя величины, влияющие на дисперсию и разрешающую способность рентгеновских аппаратов, автор приходит к выводу, что дальнейшее существенное повышение линейной дисперсии и разрешающей способности можно получить только за счет увеличения расстояний кристалл — фотопленка. При исследовании поликристаллич. образцов указанные расстояния были доведены до 2000 мм. Максим. величина линейной дисперсии составляла 0,06 X мм⁻¹, что на два порядка выше обычно применяемой. Постоянная решетки измерена с точностью 0,00003 кХ. Рентгенографирование производилось в широко расходящемся пучке. Отражающая поверхность достигала 30 дм² (30 × 100 см), благодаря чему экспозиция по сравнению со съемкой при помощи коллиматора уменьшена на два — три порядка. При расстоянии 500 мм слабые съемки получались за 30 сек. Установлено, что при асимметрии съемки максимум интенсивности линии смещается по сравнению с положением его при симметрич. съемке на величину, равную половине естественной ширины линии применяемого излучения. Это обстоятельство использовано для измерения естественной ширины линий Cu-K_α, которая оказалась равной 0,54 X.

64287. Диффракция рентгеновских лучей на изогнутых кристаллах. Боровский Н. Б., Безириганян П. А., Науч. тр. Ереванск. у-та, 1955, 48, 79—91 (рез. арм.)

Рассматривается случай, когда кривизна поверхности больш. кривизны атомных рядов. На основании развитой ранее кинематич. теории диффракции рентгеновских лучей на изогнутых кристаллах (РЖХим, 1955, 20625) получены выражения для волны, отраженной от кристалла, предварительно шлифованного

по цилиндрич. поверхности радиуса R, а затем изогнутого по радиусу R/2 (для случаев на отражение и прохождение). Полученные выражения аналогичны таковым для случая, когда кривизна поверхности кристалла и атомных плоскостей одинакова, если в рассматриваемом случае заменить средний радиус кривизны поверхности кристалла средним радиусом кривизны атомных плоскостей. Показано, что в сравниваемых случаях интенсивности отраженной волны также одинаковы, однако для расходящегося падающего пучка лучей область сходимости лучей, отраженных различными радиальными рядами, значительно меньше.

64288. Расширение пучка рентгеновских лучей при прохождении через гетерогенное вещество. Ламбер, Гинье (Elargissement d'un faisceau de rayons X par traversée d'une matière hétérogène. Lambert Marianne, Guinier André), C. r. Acad. sci., 1955, 241, № 16, 1057—1059 (франц.)

Установлено, что интенсивность рентгеновских лучей, рассеянных под малыми углами, увеличивается по мере увеличения размеров образца. Это увеличение интенсивности авторы объясняют многократным рассеянием под малыми углами. Волна, рассеянная первой частичкой, снова рассеивается второй и т. д. Это явление, мало заметное для незначительных образцов, становится преобладающим с увеличением размеров рассеивающего экрана.

64289. Тепловое диффузное рассеяние на порошках кубических кристаллов. Хербштейн, Авербах (Temperature-diffuse scattering for powder patterns from cubic crystals. Herstein F. H., Averbach B. L.), Acta crystallogr., 1955, 8, № 12, 843—844 (англ.)

Приводится выражение для интенсивности теплового диффузного рассеяния рентгеновских лучей идеальными кристаллами, справедливое в широком интервале T : от 0° К до T выше характеристических. Следуя Уоррену (РЖХим, 1954, 33812), авторы вычисляют интенсивность теплового рассеяния в предположении равенства между собой скоростей распространения всех упругих волн в решетке. Для порошков в случае грани- и объемноцентрированной куб. решеток, графически представлен ход отношения вычисленной авторами интенсивности теплового рассеяния к интенсивности этого рассеяния, найденной в предположении независимых колебаний атомов. Авторы указывают, что предположение о равенстве скоростей всех упругих волн не оправдывается для реальных кристаллов.

64290. Таблица дисперсионных поправок для функции атомного рассеяния рентгеновских лучей. Добен, Темплтон (A table of dispersion corrections for X-ray scattering of atoms. Dauben Carol H., Templeton David H.), Acta crystallogr., 1955, 8, № 12, 841—842 (англ.)

Приведена таблица значений поправок $\Delta f'$ и $\Delta f''$ для функции атомного рассеяния $f = f_0 + \Delta f' + i\Delta f''$ (f_0 — общеизвестная функция $\sin \theta/\lambda$), табулированная ранее (International tables for the determination of crystal structures. Berlin, Borntraeger, 1955) для всех атомов от Ca ($N = 20$) до Cm ($N = 96$) для излучений Cr-K_α, Cu-K_α и Mo-K_α. Величины $\Delta f'$ и $\Delta f''$ учитывают рассеяние внутренних электронов (K, L, M) и вычислены по ранее описанному методу (РЖХим, 1955, 39551).

64291. К вопросу о структуре зон Гинье — Престона. Томан (Poznámka ke struktuře Guinierových — Prestonových zon. Toman Karel), Českosl. časop. fys., 1955, 5, № 4, 477—478 (чеш.), Чехосл. физ. ж., 1955, 5, № 4, 556—557 (англ.)

Проведено уточнение структуры зон Гинье — Престона (Guinier A., C. r. Acad. sci., 1938, 208, 1011; Preston G. D., Proc. Roy. Soc., 1938, A167, 526), возникающих при естественном старении сплава Al-Cu. Эти зоны представляют собой двумерные упорядоченные структуры с повышенной концентрацией Cu. По методу Вейссенберга, с применением монокроматора, получены рентгенограммы образцов сплава Al-Cu, содержащего 5% Cu и подвергнутого естественному старению в течение одного месяца. Из анализа рентгенограмм следует, что модель структуры, в которой зона включает только одну атомную плоскость, неверна. Автор считает, что зона охватывает несколько соседних атомных плоскостей. В. С.

64292. Метод определения ориентации пластинчатых некубических монокристаллов. Н. и. в. н. х. й. с. (A method for determining the orientation of plate-shaped non-cubic single crystals. Nieuwenhuis W. H. M.), Proc. Koninkl. nederl. akad. wetensch., 1955, B58, № 5, 355—365 (англ.)

Пластинчатый монокристалл вращается в плоском расходящемся монохроматич. пучке рентгеновских лучей около оси, лежащей в плоскости пластинки, перпендикулярной к плоскости пучка. Луч, отраженный от некоторой плоскости решетки, в течение некоторого времени вращения скользит по цилиндрич. пленке, оставляя короткий след. Положение следа определяет общие индексы (*hkl*) отражающей плоскости, а его длина — ориентировку плоскости по отношению к поверхности пластинки. Из соответствующих положений кристалла выведены абс. индексы (*hkl*) каждой плоскости. На основании этого может быть определено положение кристаллографич. осей относительно плоской поверхности монокристалла и оси вращения. Ориентировка любого кристалла с плоской гранью, имеющей по меньшей мере 15 мм длины, может быть найдена таким путем при условии, что его дебаевские линии могут быть проинтегрированы. Г. Г.

64293. Преимущественная ориентировка пластинок в порошковом образце для рентгеновского дифрактометра. М. ан. с. и. (Preferred orientation of platelets in X-ray diffractometer powder samples. Manson J. A.), J. Appl. Phys., 1955, 26, № 10, 1254—1256 (англ.)

Описывается метод, предназначенный для исключения эффекта преимущественной ориентировки в случае измерения интегральной интенсивности дифракционных отражений от образца с частицами в форме пластинок. Автор предполагает, что преимущественная ориентировка является следствием давления на поверхность образца при его приготовлении и поэтому образец состоит из ориентированного поверхностного слоя и остальной массы, в которой частицы располагаются хаотично. Приняв такую модель, можно предположить, что при разбавлении образца аморфным в-вом, с небольшим коэф. поглощения, конц-ия исследуемого в-ва в поверхностном ориентированном слое уменьшится и относительная доля интенсивности отражений от хаотично расположенных кристалликов в общей измеряемой интенсивности увеличится. Экстраполяция до нулевой конц-ии исследуемого в-ва дает возможность получения правильного значения относительной интенсивности, в котором влияние преимущественной ориентировки исключено. Сравнение расчетных величин с опытными, полученными на образцах AgI, подтвердили правильность исходной модели и предлагаемого метода. Д. Х.

64294. О кристаллической структуре черного фосфора. Т. и. л. (Zur Kristallstruktur des schwarzen Phosphors. Thiel H.), Ann. Phys., 1956, 17, № 2-3, 122—125 (нем.)

В результате рентгенографич. исследования черного

фосфора, проведенного методом порошка, подтверждена установленная ранее (Hultgren R. и др., J. Chem. Phys., 1935, 3, 351—355) принадлежность его к ромбич. сингонии; параметры решетки: a 3,31, b 4,38, c 10,50 Å. Приводятся значения $\sin^2\theta$ для 42 отражений, их индексы и интенсивности. Ю. П.

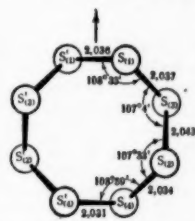
64295. Кристаллическая и молекулярная структура ромбической серы. Э. и. б. р. а. х. м. с. (The crystal and molecular structure of orthorhombic sulfur. A. b. r. a. h. a. m. s. S. C.), Acta crystallogr., 1955, 8, № 11, 661—671 (англ.)

Рентгенографически уточнена определенная ранее (Warren B. E., Burwell J. T., J. Chem. Phys., 1935, 3, 6; Ventriglia U., Period. mineral., 1951, 20, 237) кристаллич. структура ромбич. S. Для съемки использовались прецессионная камера и модифицированная эквинаклонная камера Вейссенберга (λ Mo-K α , Ni-филт.р). Параметры решетки: a 10, 437 \pm 0,010, b = 12,845 \pm 0,010, c 24,369 \pm 0,010 Å, ρ (изм.) 2,069, ρ (рент.) 2,085, n = 16, ф. гр. Fddd, симметрия молекулы C₂. По рентгенограммам были измерены 669 из 1046 возможных структурных факторов. На вейссенбергограммах, помимо поляризационного и кинематического фактора, учитывался фактор вращения (Tunell G., Amer. Mineralogist, 1939, 24, 448). Уточнение положения атомов

произведено построением двумерных синтезов Фурье, методом наименьших квадратов с использованием всех измеренных F и построением затем трехмерных синтезов Фурье с учетом обрыва ряда. Координаты атомов: S₍₁₎ 0,8554; 0,9526; 0,9516; S₍₂₎ 0,7844; 0,0301; 0,0763; S₍₃₎ 0,7069; 0,9795; 0,0040; S₍₄₎ 0,7862; 0,9073; 0,1290. Коэфф. достоверности R = 0,172. Среднее расстояние S—S в молекуле 2,037 \pm 0,005 Å, средний валентный угол S—S—S 107°48' \pm 25', средний двугранный угол 99°16' \pm 31'. Молекула S₈ образована двумя «квадратами» из атомов S₍₁₎ S₍₂₎ S₍₃₎ S₍₄₎ и S₍₁₎ S₍₂₎ S₍₃₎ S₍₄₎. Квадраты повернуты один относительно другого на 45°, их плоскости параллельны, расстояние между плоскостями 0,93 Å. Из межмолекулярных расстояний только четыре <4 Å, кратчайшее из них 3,692 Å между S₍₁₎ и S₍₂₎. В соответствии со схемой, в которой «чистой» ординарной связи соответствует расстояние 2,08 Å, а двукратной 1,88 Å (РЖХим, 1955, 11177), указано, что найденное в S₈ расстояние 2,037 Å соответствует порядку связи 1,3. Однако можно также предположить, что расстояние 2,037 Å означает ординарную связь, а большие значения связи S—S—валентность <1. Приведен ряд фактов, свидетельствующих в пользу первого предположения о наличии в молекуле некоторой «ароматичности» (энергия разрыва кольца, диэдр. угол в молекуле S₈ и полисульфидных цепочках). Сравнивая эту величину с полученной (Lu C. S., Donohue J., J. Amer. Chem. Soc., 1944, 66, 818) электронографически (2,07 \pm 0,02), автор находит, что расстояние между ними может быть уменьшено при учете колебания молекулы вокруг ее оси, аналогично предполагаемому в бензоле (РЖХим, 1955, 51323). В. Б.

64296. О фазовом составе цементированного слоя стали. П. а. т. и. к. Л. с., Л. ю. б. а. р. е. к. и. И. М., Л. ю. б. ч. е. н. к. А. П., Т. а. н. а. н. к. И. А., Физ. металлов и металловедение, 1955, 1, № 3, 500—505

64297. Фазовые превращения в системе медь — сурьма. Б. э. т. х. е. р., Т. у. н. (Phasenumwandlungen im System Kupfer — Antimon. Boettcher A.,



Thun R.), Z. anorgan. und allgem. Chem., 1956, 283, № 1-6, 26—48 (нем.)

При помощи описанного ранее авторами (Phys. Verhandl., 1952, 3, 115) кинематич. электронографа для непрерывной регистрации фазовых превращений на движущуюся фотопленку исследованы изменения в системе Cu—Sb (образцы получены путем одновременного испарения, Cu и Sb) в зависимости от концентрации компонентов и от т-ры. Среди обнаруженных фаз детально описаны тетрагональная Cu_2Sb , гексагональная $\eta\text{-Cu}_{15}\text{Sb}$, гранцентрированная куб. β -фаза и δ -фаза $\text{Cu}_{4,5}\text{Sb}$, являющаяся сверхструктурой η -фазы. Дополнена известная ранее диаграмма состояния. Н. Ш.

64298. Приготовление феррита бария, его структура и магнитные свойства. Козловский, Зёловский, Разумовский (Wytwarzanie ferrytu baru, jego struktura i własności magnetyczne. Kozłowski L., Ziółowski Z., Razumowski B.), Przegl. elektrotechn., 1955, 31, №10-11, 610—614 (польск.)

Разработан метод приготовления феррита бария $\text{BaO} \cdot 6\text{Fe}_2\text{O}_3$ (I), как материала для постоянных магнитов. Рентгенографически определены кристаллич. структура и фазовый состав образцов с разным содержанием BaO в зависимости от т-ры и продолжительности выдержки. Для получения I исходными материалами были: Fe_2O_3 , BaO, BaO_2 и BaCO_3 . Смесь спрессовывали в виде пластинок размером $49 \times 32 \times 15$ мм, и для синтеза феррита спекали в селитровых печах при 1030° . После раздробления и просеивания через сито 0,06 мм получившиеся плоские брикеты $19 \times 9,5 \times 7$ мм под давл. 5 и 10 т/см², которые спекали при разных т-рах. Установлена принадлежность I к гексагональной сингонии, лауэвскому классу D_{6h} с периодами ячейки: a 5,89, c 23,22 Å, $n = 2$. I состава 13,8 вес.%. BaO устойчив и легко образуется в области $800\text{—}1300^\circ$. При содержании BaO от 13,8 до 66 вес.% возникают новые фазы, отличные от I. Происходящий при 1250° рост зерна вызывает быстрый спад намагниченности по мере уменьшения магнитного поля. Магнитные характеристики, полученные при т-ре спекания 1130° , составляют: $B_r = 1900$ гс, $H_c = 1550$ э, $(BH)_{\text{макс.}} = 0,72 \cdot 10^6$ гс.э. Коэрцитивная сила возрастает от 2000 э при комнатной т-ре до 4450 э при 230° , вблизи точки Кюри она падает до нуля. Увеличение плотности положительно влияет на магнитные свойства, в особенности на остаточный магнетизм. I обладает константой магнитной анизотропии ~ 20 , превышающей константу Fe.

Г. Г.
64299. Кристаллическая структура H_3NBH_3 . Хьюз (The crystal structure of ammonia — borane, H_3NBH_3 . Hughes Edward W.), J. Amer. Chem. Soc., 1956, 78, № 2, 502—503 (англ.)

Приводятся результаты рентгенографич. исследования кристаллич. структуры H_3NBH_3 (I). При исследовании был использован уже имевшийся эксперим. материал — величины d и I , полученные при анализе дебаграммы I (РЖХим, 1956, 57766). Рентгенограмма порошка I проиндексирована на основе тетрагональной ячейки с a 5,255, c 5,048 Å; $n = 2$, ф. гр. 14 mm. Координаты атомов N и B определены методом проб: N в $2(a):00z$, $z = 0$; B в $2(a):00z$, $z = 0,31$. Наличие асимметричных молекул I находится в соответствии с тетрагональной симметрией структуры только в том случае, если принять, что молекулы вращаются вокруг связи B—N, т. е. вокруг z . Расстояние B—N в молекуле равно 1,56 Å. Каждый атом B имеет в качестве ближайших соседей в других молекулах один атом N на расстоянии 3,49 Å вдоль оси c и 4 атома N на расстояниях 3,84 Å. Каждый атом N имеет в качестве ближайших соседей аналогичное расположение атомов B. Этим

расположением компенсируется, по мнению автора, наличие противоположных зарядов у N и B. Ю. П.
64300. Структура H_3NBH_3 . Липперт, Липском (The structure of H_3NBH_3 . Lippert Ernest L., Lipscomb William N.), J. Amer. Chem. Soc., 1956, 78, № 2, 503—504 (англ.)

Краткое сообщение о результатах рентгенографич. изучения кристаллич. структуры H_3NBH_3 , физ.-хим. свойства которого были описаны ранее (РЖХим, 1956, 57766). Исследование проведено методом порошка; параметры решетки a 5,234, c 5,027 Å; ρ (рент.) 0,74, $n = 2$, ф. гр. 14 mm (пирозлектрич. эффект положительный). Атомы N и B находятся в положениях $2(a):00z$; полагая $z_B = z_N = 0,32$, получено расстояние B—N = 1,6 Å. Атомы N не локализованы, но были учтены при расчете структурных амплитуд в предположении их вращения около оси B—N. Авторы отмечают тесное сходство структур H_3NBH_3 и HCN (Dulmage W. J., Lipscomb W. N., Acta crystallogr., 1951, 4, 350). Ю. П.

64301. Кристаллографическое исследование фриделина. Роджерс, Томас (Etude cristallographique de la friedeline. Rogers D., Thomas D. V.), Bull. Soc. chim. France, 1956, № 2, 361 (франц.)

Приводятся результаты морфологии и рентгенографич. рич. исследований кристаллов фриделина $\text{C}_{30}\text{H}_{50}\text{O}$. Простые формы кристаллов: {001}, {110} и {011}. Параметры решетки: a 6,42, b 13,75 c 28,3 Å; $n = 4$, ф. гр. $P2_12_12_1$. У. А.

64302. Лауэ-класс и пространственная группа тимола, $\text{C}_{10}\text{H}_{14}\text{O}$. Йос (Laue-Klasse und Raumgruppe von Thymol, $\text{C}_{10}\text{H}_{14}\text{O}$. Joos Peter), Z. Kristallogr., 1956, 107, № 3, 238—239 (нем.)

Проведено рентгенографич. исследование кристаллов тимола, 1-изопропил-2-оксн-4-метилбензола, $\text{C}_{10}\text{H}_{14}\text{O}$ (CH_3)-CH(CH_3)-C(CH_3)₂ методами вращения и Вейсберга. Параметры решетки в гексагональной установке a 14,68, c 23,18 Å, c/a 1,579; в ромбоэдрич. установке a 11,45, α $79^\circ 44'$, ρ 1,02; $n = 6$; Лауэ-класс C_{3i} , возможные

ф. гр. $R\bar{3}$ или $R\bar{3}$. Полученные результаты опровергают данные о дитригональнооснащенной. виде симметрии кристаллов тимола (Groth P., Ann. phys., 1868, 135, 655; Chem. Kristallogr., 1917, 4, 686). Ю. П.

64303. Гармонический фотосумматор и его возможности. II. Структура солянокислого паратолуидина. Эллер (Le photosommateur harmonique et ses possibilités. III. Structure du chlorhydrate de paratoluidine. Eller G. von), Bull. Soc. franç. minéral. et cristallogr., 1955, 78, № 4-6, 275—300 (франц.)

С помощью машины Эллера определена кристаллич. структура средней сложности ($\text{CH}_3\text{C}_6\text{H}_4\text{NH}_2\text{HCl}$), оценены возможности и точность, даваемые машиной. $n\text{-CH}_3\text{C}_6\text{H}_4\text{NH}_2\text{HCl}$ образует моноклинные кристаллы: a 9,07, b 9,33, c 9,86 Å, β $108,7^\circ$, ρ (изм.) 1,193, $n = 4$, ф. гр. $P2_1/c$. Рентгенографич. исследование проводилось на излучении Cu-K_α , получено 1300 независимых отражений F_{hkl} (при расчетах использовались только) 500 значений). Решение структуры производилось путем определения положения тяжелого атома (Cl) по диаграммам Паттерсона с последующим определением знаков F_{hkl} . При уточнении структуры использовались равнозначные ряды. Оптич. суммирование рядов $\rho(x0z)$ $\rho(0yz)$ и $\rho(xy0)$ (структура решена по проекциям производилось несколько раз, так как знаки F_{hkl} для первых синтезов определялись только по атому Cl. Точность определения положения атомов рассчитывалось по ф-ле Крукшанка (Cruickshank D. W. J., Acta crystallogr., 1949, 2, № 2, 65) $\sigma_{(r)}\text{C} = 0,03$, $\sigma_{(r)}\text{N} = 0,02$, $\sigma_{(r)}\text{Cl} = 0,006$ Å. Координаты атомов: $\text{C}_{(0)} x$ 0,658, y 0,460, z 0,222; $\text{C}_{(1)} x$ 0,216, y 0,260, z 0,003;

$C_{(2)}$ 0,348, 0,202, 0,987; $C_{(3)}$ 0,493, 0,268, 0,057; $C_{(4)}$ 0,503, 0,389, 0,143; $C_{(5)}$ 0,367, 0,448, 0,155; $C_{(6)}$ 0,222, 0,384, 0,084; N 0,065, 0,198, 0,928; Cl 0,907, 0,124, 0,156. Методом наименьших квадратов было найдено ур-ние плоскости, в которой расположены 8 атомов плоской молекулы $NC_{(6)}C_{(1)}C_{(2)}C_{(3)}C_{(4)}C_{(5)}C_{(6)}$. Ср. квадрат. ошибка в определении положения атомов $V \Sigma \delta^2/8 = 0,013$ А. Ср. квадрат. ошибка в определении длин связей $V \Sigma \Delta^2/6 = 0,009$ А. В приложении даны принцип и описание номограммы для расчета тригонометрич. части $|\cos [2\pi (bx + ky + lz)]|$ (при определении знаков F_{hkl}). По мнению автора, машина с успехом может быть применена на всех стадиях структурного исследования, за исключением точного расчета F (выч.). Особенно значительны ее преимущества на первых стадиях поисков структуры (метод проб). Сообщение 1 см. РЖХим, 1956, 65454. Т. Х.

64304. Кристаллическая структура хлоргидрата глицил-L-аланина. Трантер (Crystal structure of glycyl-L-alanine hydrochloride. Tranter T. C.), Nature, 1956, 177, № 4497, 37—38 (англ.).

Приводятся результаты рентгенографии исследования структуры хлоргидрата глицил-L-аланина. Структура определена с учетом изоморфизма этого соединения со структурой бромидата глицин-L-аланина (РЖХим, 1954, 39207). При расшифровке структуры использовались двосвязные проекции Фурье (Bokhoven C. и др., Acta crystallogr., 1951, 4, 275), координаты атомов уточнены методом наименьших квадратов. Молекулы глицил-L-аланина соединены через молекулу H_2O двумя водородными связями (2,77 и 2,62 А) в бесконечные спирали, соединенные в поперечном направлении связями $N-H \cdots O$ и $N-H \cdots Cl$. Ионы Cl^- окружены почти по тетраэдру тремя группами NH_3^+ и одним атомом N амидной группы соседней молекулы; расстояния в тетраэдре 3,23—3,56 А; все атомы NH_3 -группы лежат в одной плоскости, за исключением атома O карбонил-группы, выходящего из плоскости на 0,5 А. Ю. П.

64305. Кристаллическая структура 2-метил-4-хлорметил-5-паранитрофенилоссазола. Сообщение 1. Пространственная группа и периоды решетки. Скатурини, Дзаннетти (Struttura cristallina del 2. metil-4 clorometil-5 parantirofenil ossazolo. Nota 1. Gruppo spaziale e costanti reticolari. Scaturini Vladimir, Zannetti Roberto), Ricerca scient., 1956, 26, № 2, 523—528 (итал.; рез. англ., нем., франц.).

Кристаллы 2-метил-4-хлорметил-5-(*n*-нитрофенил)-оссазола исследованы рентгенографич. методами Вейс-енберга и прецессионным. Параметры решетки: a 7,34, b 10,12, c 15,80 А, β $100^\circ 15'$; $n = 4$, ф. гр. $P2_1/c$. Приводятся эксперим. значения F_{0kl}^2 и F_{h0l}^2 ; указаны также соответствующие величины B температурных факторов и коэфф. перехода к абс. шкале. Ю. П.

64306. Структура витамина B_{12} . Структура кристаллов гексакрбонной кислоты, выделенной из витамина B_{12} , и строение молекул витамина. Ходжкин, Пиккуэрт, Робертсон, Трублад, Просен, Уайт (Structure of vitamin B_{12} . The crystal structure of the hexacarboxylic acid derived from B_{12} and the molecular structure of the vitamin. Hodgkin Dorothy, Growfoot, Pickworth Jenny, Robertson John H., Trueblood Kenneth N., Prosen Richard J., White John G.), Nature, 1955, 176, № 4477, 325—328 (англ.).

Сообщаются результаты дальнейших рентгенографич. исследований структуры витамина B_{12} (РЖХим,

1956, 3226). Исследована гексакрбонная к-та, выделенная из витамина B_{12} . Она содержит основную часть молекулы витамина — ядро, состоящее из четырех 5-членных циклов с атомом Co в центре. Для определения структуры гексакрбонной к-ты использован метод тяжелого атома с рядом последовательных уточнений атомных координат. С помощью спец. счетной техники строились трехмерные ряды Фурье. Определены положения 73 атомов (C , O и N). Остались неясными лишь некоторые детали строения. Полученные результаты для строения в сочетании с рентгенографич. данными, полученными для витамина B_{12} , приводят к эмпирич. ф-ле этого витамина: $C_{63}H_{90}N_{14}O_{14}PCo$, что укладывается внутри пределов хим. ф-лы $C_{61-64}H_{84-92}N_{14}O_{13-14}PCo$. Положение и число двойных связей этой структуры остаются неопределенными. Н. А.

64307. Рентгенографическое изучение фазовых превращений буры при термической обработке. Даегупта, Банерджи (X-ray crystallographic study of phase transformation of borax during thermal treatments. Dasgupta D. R., Banerjee B. K.), J. Chem. Phys., 1955, 23, № 11, 2189—2190 (англ.).

С помощью термич. и рентгенографич. анализов исследованы фазовые превращения $Na_2B_4O_7 \cdot 10H_2O$ при различных t -рах. На дифференциальной кривой нагревания наблюдаются пики при 50, 75, 162 и $202,5^\circ$. Съемки образцов, дегидратированных в печи при соответствующих t -рах, показали, что выше 50° декагидрат переходит в пентагидрат. При t -рах 150 и 200° число линий на рентгенограмме уменьшается и появляются диффузные полосы аморфной фазы. При стоянии в течение нескольких дней образцы снова дают рентгенограмму пентагидрата, так что это превращение является обратимым. Картина не изменяется до 320° . При дальнейшем нагревании образуется только аморфная фаза, внезапно переходящая в кристаллич. безводн. фазу $Na_2B_4O_7$ при 675° . Линии этой фазы проиндексированы в ромбич. ячейке с периодами: a 6,468, b 8,720, c 11,54 А; в ячейке содержится 4 молекулы, ф. гр. $P22_2$. Е. Ш.

64308. Кристаллическая структура $Na_{2-x}V_6O_{15}$. Уодсли (The crystal structure of $Na_{2-x}V_6O_{15}$. Wadsley A. D.), Acta crystallogr., 1955, 8, № 1, 695—701 (англ.).

Проведено рентгенографич. исследование (метод Вейс-енберга, λMo) β -фазы системы $V_2O_5 - NaVO_3$. Зеленовато-черные кристаллы примерного состава $Na_{0,33}V_6O_{15}$ (I) получались при медленном охлаждении расплава смеси соответствующих кол-в $NaVO_3$ и V_2O_5 . I относится к моноклинной сингонии, a 10,08, b 3,61, c 15,44 А. β $109,6^\circ$, ρ (изм.) 3,55, при содержании в элементарной ячейке $Na_2V_{12}O_{90}$ ρ (рент.) 3,57. При подсчете структурных амплитуд использовались атомные факторы, вычисленные в последнее время для Na и O (Viervoll H., Ögrim O., Acta crystallogr., 1949, 2, 277) для V (РЖХим, 1955, 48367)), и температурная поправка с $B = 0,4$ А². Центросимметричная ф. гр. $A2/m$ выбрана из трех возможных на основании нахождения распределения интенсивности рефлексов каждой зоны. Положение атомов V определено из проекции Паттерсона вдоль оси y с помощью метода сдвига. Точное положение атомов определялось по ряду проекций $\rho(x, z)$. Так как в проекции некоторые атомы кислорода перекрываются атомами V , положение атомов металла определено из проекции, построенной с использованием структурных амплитуд с $2 \sin \theta/\lambda > 0,8$, а положение этих атомов O — с помощью дифференциального синтеза ($R = 0,17$). Межатомные расстояния в (А) и координация: $V_{(1)} - 6 O$ 1,56—2,32; $V_{(2)} - 6 O$

1,58—2,34; $V_{(3)}$ — 5 О 1,56—2,00 и еще один атом на расстоянии 2,68; О — О 2,55—2,85; Na — 7 О 2,29—2,75; Na — Na 2,22 и 3,60. Структура состоит из двойных зигзагообразных цепей октаэдров, соединенных между собой так, что образуются слои, параллельные плоскости yz . Тригональные бипирамиды соединяются между собой ребрами и образуют зигзагообразные цепи, тянущиеся вдоль оси z . Последние соединяют между собой слои октаэдров. В структуре имеются каналы (вдоль оси z), в которых помещаются атомы Na. Так как на 4 положения в элементарной ячейке приходится $(2-x)$ атомов Na, более половины всех мест в структуре остаются пустыми. Обсуждены возможные размещения этих атомов в каналах. Показано, что I структурно сходен с голландитом $Ba_{2-x}Mn_2O_{10}$ и псепломеланом $(Ba, H_2O)_2Mn_2O_{10}$. Р. О.

64309. Тройные металлические соединения в системах Co — Mn — Sn и Ni — Mn — Sn. Крип'якевич, Гладышевский, Заречнюк (Потрійні металічні сполуки в системах Co — Mn — Sn і Ni — Mn — Sn. Крип'якевич П. І., Гладышевський Е. І., Заречнюк О. С.), Наук. зап. Львівськ. ун-ту, 1955, 34, 98—109 (укр.; реф. русс.)

Рентгеновским и микроструктурным методами исследованы системы Co — Mn — Sn (I) и Ni — Mn — Sn (II) вблизи составов M_2MnSn , $MMnSn$ и MM_2Sn ($M = Co, Ni$). В системах I и II найдены тройные интерметаллич. фазы переменного состава, область гомогенности которых содержит состав M_2MnSn со структурой типа Cu_2MnAl . Период решетки Co_2MnSn 5,991 кХ; Ni_2MnSn 6,045 кХ. Атомы Sn образуют куб. плотнейшую упаковку, атомы Mn находятся во всех октаэдрич. пустотах, атомы Co или Ni во всех тетраэдрич. пустотах. В. Г.

64310. Эффекты в твердом растворе, структурные превращения и сегнетоэлектричество в натрий-кадмий-ниобатах. Льюис, Уайт (Solid — solution effects, structural transitions and ferroelectricity in sodium-cadmium niobates. Lewis B., White E. A. D.), Acta crystallogr., 1955, 8, № 12, 849 (англ.)

Краткое сообщение о структурных и сегнетоэлектрич. свойствах (СЭС) образцов в системе $NaNbO_3 - CdNb_2O_7$. Установлено, что $NaNbO_3$ образует твердые р-ры с $CdNb_2O_7$, до состава $6NaNbO_3 \cdot CdNb_2O_6$. Образец этого состава имеет наивысшие значения диэлектрич. постоянной и пьезоэлектрич. активности, т-ра Кюри у него наиболее низкая. $CdNb_2O_6$ — ромбический, со структурой, подобной колумбиту, не обладает СЭС. Рентгенографически установлено, что уже при небольших содержаниях $CdNb_2O_6$ немного ниже т-ры Кюри, появляется новая тетрагональная фаза, которая с увеличением содержания $CdNb_2O_6$ переходит в ромбическую, обладающую СЭС. Образцы промежуточных составов между $NaNbO_3$ и $6NaNbO_3 \cdot CdNb_2O_6$ обнаруживают слабые СЭС. Для них наблюдается сосуществование 2 сверхструктур: одной — подобной сверхструктуре $NaNbO_3$, другой — подобной сверхструктуре богатых Cd образцов твердого р-ра. Авторы считают, что в пределах одного кристаллита при данной т-ре сегнетоили антисегнетоэлектрич. характер структуры зависит от локального содержания Cd. Образование же сегнетоили антисегнетоэлектрич. фаз в целом определяется не только содержанием Cd, но и температурными условиями. Г. Г.

64311. Рентгенографическое и нейтроннографическое изучение сегнетоэлектрика $PbTiO_3$. Сиране, Пепинский, Фрейзер (X-ray and neutron diffraction study of ferroelectric $PbTiO_3$. Shirane

Gen, Pepinsky Ray, Frazer B. C.), Acta crystallogr., 1956, 9, № 2, 131—140 (англ.) См. РЖХим, 1955, 42467.

64312. Диэлектрическое, рентгеновское и оптическое исследование сегнетоэлектрика $Cd_2Nb_2O_7$ и родственных соединений. Джона, Сиране, Пепинский (Dielectric, X-ray, and optical study of ferroelectric $Cd_2Nb_2O_7$ and related compounds. Jona F., Shirane G., Pepinsky R.), Phys. Rev., 1955, 98, № 4, 903—909 (англ.)

Проведено диэлектрич., рентгенографич. и оптич. изучение монокристаллов $Cd_2Nb_2O_7$ (т. пл. $1450^\circ C$) выше и ниже точки Кюри, кристаллизующихся в пластинках, вытянутых по оси [110], с наиболее развитыми гранями {111}. Монокристаллы вырабатывались двумя способами: 1) из расплава с добавлением CaO ; 2) при $<1200^\circ C$ с добавлением флюсов NaF или KF. При этом Cd частично замещается на Na (N-кристаллы) или на K (K-кристаллы), а О — на F. Параметры куб. решетки: N-кристаллы a $10,386 \pm 0,001$ А, K-кристаллы a $10,384 \pm 0,001$ А. Рентгеновское исследование структуры кристаллов чистого $Cd_2Nb_2O_7$ подтвердило принадлежность их к пирохлорному структурному типу (Bystroem A., Arkiv Kemi, Mineral. Geol., 1944, A18, № 21). Методом проб получено значение координаты x атома О, равное $0,305 \pm 0,003$. Фактор достоверности равен 0,06 для всех отражений и 0,11 для отражений, из которых определялась координата атома О. Проведено также рентгеновское исследование чистого $Cd_2Nb_2O_7$ и N-кристаллов при $-140^\circ C$ методом порошка и при -150° методом низкотемпературного рентгеногониометра, показавшее незначительное тетрагональное или ромбич. искажение куб. решетки. Предполагается смещение ионов Cd. Для диэлектрич. измерений использованы N-кристаллы, для которых найдены: т-ра Кюри $177^\circ K$; константа Кюри $1,1 \cdot 10^8$ °K. Спонтанная поляризация вдоль оси куба [111] равна 6 мк/см^2 при $-180^\circ C$. Частичное замещение Cd на Pb или Ca, Nb на Ta понижает т-ру Кюри для $Cd_2Nb_2O_7$. Приведены параметры решеток $Pb_2Ta_2O_7$, $V_2Ti_2O_7$ и $Cd_2Nb_2O_7$. Авторы отмечают, что пирохлорный тип структуры соединений вида $A_2B_2O_7$ имеет место для размеров ионов А от 0,95 до 1,15 А, ионов В от 0,60 до 0,70 А. Л. Ш.

64313. Кристаллическая структура хлорохромовокислого аммония. Ганиц, Мадяр (Kryštálová štruktúra chlorochrómanu amónneho Hanic F., Maďar J.). Chem. zvesti, 1956, 10, № 2, 81—90 (словац.; реф. русс., нем.)

Проведено рентгенографич. исследование кристаллич. структуры хлорохромовокислого аммония NH_4CrO_3Cl (I); при исследовании использовались методы вращения и Вейсберга (излучение $Cu-K_\alpha$). Параметры решетки a 7,77, b 7,72, c 7,96 А, β $90^\circ 27'$; $n = 4$, ф. гр. $P2_1/c$. Координаты атомов в структуре определены по синтезам $P(w)$, $P(uw)$, $\rho(xy)$, $\rho(xz)$ и уточнены методом наименьших квадратов. Для отражения hkl , $h0l$, и $h0l$ $R = 0,20$ (рефлексы с F (эксп.) = 0 учитывались). Найдены координаты атомов: Cr x 0,219, y 0,131, z 0,125; Cl 0,454, 0,278, 0,135; O₍₁₎ 0,227, 0,023, 0,965; O₍₂₎ 0,209, 0,023, 0,285; O₍₃₎ 0,070, 0,259, 0,106; NH₄ 0,792, 0,133, 0,375. Исследованием установлена изоструктурность I и $KCrO_3Cl$ (Helmholz L., Foster W. R., J. Amer. Chem. Soc., 1950, 72, 4971—4974). Расстояния Cr — О в тетраэдрах $[CrO_3Cl]$ — равны 1,52—1,53 А, что меньше соответствующих расстояний в структурах NH_4CrO_3F и $KCrO_3F$. Ю. П.

64314. Высокодисперсионное рентгенографирование и структурность спектральных линий. Жмудский О. З. (Високодисперсійне рентгенографування і структурність спектральних ліній. Жму-

дский О. З.) Наук. зап. Київськ ун-т, 1955, 14, № 7, 93—110 (укр.; рез. русс.)

Показано, что при высоких дисперсиях (0,5—0,1 мм^{-1}) ширина рентгеновских спектральных линий на снимке в основном определяется естественной шириной (ЕШ) их, поэтому при дефокусированной съемке проявляется внутренняя структура этих линий. При получении снимков от поверхности, значительно отклоняющейся от идеально фокусирующей, обнаружено смещение $K\alpha$ линий элементов Cr, Mn, Co, Ni, Cu, Zn, но величине равное половине ЕШ линий соответствующих излучений. Максим. величина смещения линий на снимке при больших дисперсиях доходила до 3 м.м. При смещении линий в длинноволновую область обнаружено влияние на величину смещения естественной асимметрии линий указанных элементов. Величина смещения на половину ЕШ свидетельствует о том, что каждая из $K\alpha_1$ и $K\alpha_2$ -линий состоит из двух основных компонентов, т. е. эти линии обладают структурностью.

З. Ж.

64315. Структурные типы и плотности упаковок кристаллических структур элементов и их отношение к периодической системе. Томкеев (Lattice types and packing densities of the crystalline elements and their relation to the periodic system. Tomkeieff S. I.), Sci. Progr., 1956, 44, № 173, 38—52 (англ.)

Рассматриваются тип кристаллич. структур элементов и плотность упаковки атомов в структурах как периодич. функции порядкового номера. Автор использует периодич. спираль и выделяет на ней области, соответствующие 4 типам, на которые условно разделены кристаллич. структуры элементов. Подобным же образом отмечаются элементы, структуры которых характеризуются близкими величинами плотности упаковки атомов. В работе суммируются имеющиеся статистич. данные о распределении кристаллич. структур элементов и минералов по сингониям.

Ю. П.

64316. Рентгеновские порошковые диаграммы для идентификации минералов. II. Окислы и гидроксиды. Нейман, Селлеволя (X-ray powder patterns for mineral identification. II. Oxides and hydroxides. Neumann Henrich, Sellevoll Markvard A.), Avhandl. utg. Norske vid. akad. Oslo I., Mat.-naturvid. Kl., 1955, № 3, 8 p. ill. (англ.) Часть I. см. РЖХим, 1956, 60870.

64317. Морфология и химический состав ателестита. Фишер (Über Morphologie und chemische Zusammensetzung von Atelestite. Fischer E.), Heidelberg. Beitr. Mineral. und Petrogr., 1956, 5, № 2, 113—117 (нем.)

Приведены результаты морфологич., рентгенографич. и хим. исследований музейных образцов минералов желтого и черного ателестита. На основании данных хим. анализа желтого ателестита автор приходит к ф-ле $\text{Bi}_2\text{O}(\text{OH})\text{AsO}_4$, где AsO_4 частично замещен на PO_4 ; полученная ф-ла отличается от ф-л, приводимых ранее (Buss K., Z. Kristallogr., 1889, 15, 625; Winkler Cl., J. prakt. Chemie, 1874, 10, 190). При морфологич. исследовании кристаллов обнаружены 2 формы {121} и {122}, ранее не отмечавшиеся (Buss K., Z. Kristallogr., 1889, 15, 625). Параметры решетки определены методом качания: a 7,01, b 7,46, c 11,03 Å, β 70°30', ρ (пикн.) 7,14; $n = 4$, ф. гр. $P2_1/m$.

Ю. П.

64318. Примитивная ячейка юганнита. Донней (The primitive cell of johannite. Donnay J. D. H.), Amer. Mineralogist, 1955, 40, № 11—12, 1131—1132 (англ.)

Предлагается новый способ перехода от F - к P -ячейке псевдомонаклинного минерала юганнита $\text{Cu}(\text{UO}_2)_2(\text{SO}_4)_2(\text{OH})_2 \cdot 6\text{H}_2\text{O}$ (Peacock M. A., Z. Kristallogr., 1935, 90, 112—119). В отличие от указанного в лите-

ратуре (Hurlbut C. S., Jr, Amer. Mineralogist, 1950, 35, 531—535) способа выбора осей примитивной ячейки, предложен выбор осей по Делоне (Delaunay B., Z. Kristallogr., 1933, 84, 109—149) с помощью преобразования: $1/2\text{O}^{1/2}_2 | \text{O}^{1/2}_2 | 001$. Параметры решетки в новой установке a 8,90, b 9,57, c 6,83 кÅ, α 110°15', β 111°59', γ 100°18'.

64319. Изучение радиоактивных соединений. VIII. Уранофан и β -уранофан. Горман, Наффилд (Studies of radioactive compounds: VIII — Uranophane and beta-uranophane. Gorman D. H., Nuffield E. W.), Amer. Mineralogist, 1955, 40, № 7—8, 634—645 (англ.)

На базе литературного материала и данных, полученных авторами, дана минералогич. характеристика уранофану (I) и β -уранофану (II). I встречается в форме кристаллов, массивных и порошковых разновидностей; цвет от лимонно-желтого до палево-желтого; спайность совершенная по пинакoidу {100}; твердость 2—3 (по Моосу); в порошковых разновидностях уд. вес. непостоянен (возможно за счет примесей), у чистых кристаллич. разновидностей (Велсендорф, Бавария) ρ 3,83. Установлено, что массивные разновидности I не флуоресцируют ни в длинн-, ни в коротковолновом УФ-излучении; кристаллич. дают зеленое свечение. Оптика: n_p 1,642, n_m 1,666, n_g 1,668, угол 2V мал. Гониометрич. изучение дает: симметрию $2/m$, удлинение по b -оси. Порошковые все разновидности идентичны; приведены значения d/n и I для I (λ Cu, камера диам. 57,3 мм). Рентгенограммы вращения и вейсбергограммы дали: a 15,87, b 7,05, c 6,66 Å, β 97°15', $n = 2$, ф. гр. $P2_1/a$ или $P2/a$. На основе хим. анализа 11 уранофанов различных провинций (литературные данные) определена ф-ла $2[\text{CaO} \cdot 2\text{UO}_3 \cdot 2\text{SiO}_2 \cdot 6\text{H}_2\text{O}]$ I является наиболее распространенным силикатом урана, ассоциирует с другими вторичными U-минералами. II встречается в форме мелких кристалликов в радиальных сростках в короткопризматич. одиночных кристаллах, массивные разновидности редки, цвет от зелено-желтого до оранжево-желтого; спайность по b -оси, твердость 2—3 (по Моосу). Все изученные образцы II дают слабое зеленое свечение в длинн- и коротковолновом УФ-излучении; оптика: n_p 1,661—1,668, n_m 1,682—1,695, n_g 1,689—1,702, угол 2V мал. Рентгенограммы вращения и вейсбергограммы вокруг оси c , нулевая и первая слоевые линии вокруг осей a и b дают: сингония моноклинная, a 6,64, b 15,55, c 14,01 Å, β 91°, ρ 3,90, ф. гр. $P2_1/c$; наблюдается псевдопериод $c' = c/2$, даны значения d/n и I . Игольчатые кристаллы II вытянуты по c -оси; $n = 4$; хим. ф-ла $4[\text{CaO} \cdot 2\text{UO}_3 \cdot 2\text{SiO}_2 \cdot 6\text{H}_2\text{O}]$. Подтвержден диморфизм I и II. Отмечается, что уранофан и уранотил — синонимы. Сообщение VII см. РЖХим, 1955, 20658.

Г. С.

64320. Измерения интенсивностей электронной дифракции счетчиками Гейгера — Мюллера. Экспериментальное определение относительных значений атомного фактора для золота, серебра и алюминия. Леннадер (Measurements of electron diffraction intensities by means of Geiger counters. Experimental determination of relative values of the atomic factor for gold, silver, and aluminium. Lennander S. v. en), Arkiv fys., 1954, 8, № 6, 551—613 (англ.)

Для измерения атомного фактора использовались Г.-М. счетчики. Один счетчик двигался вдоль радиус системы колец, регистрируя число импульсов в некоторой точке за время, которое необходимо, чтобы второй счетчик (фиксированный, регистрирующий первичную интенсивность) зарегистрировал фиксированное число импульсов. Продолжительность записи дифракционной картины ~ 4 час. Счетчики наполнялись смесью этилового спирта (15 мм) и аргона

(85 мкм). Дана схема высоковольтной установки и стабилизирующей контура. Пленки готовились испарением в спец. камере. Подложка—целлулоидная пленка на медной пластинке. После испарения металла целлулоид растворялся в ацетоне, пленка отделялась и вылавливалась на медную сетку. Толщина пленок определялась расчетным путем с точностью $\pm 3\%$ и проверялась с помощью микрофотометра измерением поглощения белого света. Ориентация в Au и Ag проверялась микрофотометрированием в направлении 0° , 45° и 90° снимков, сделанных под углами 35° , 45° и 55° . Измерялись как высоты пиков, так и площади под ними. Напряжение 30, 27 и 18 кВ. Au: толщина 90—225 Å; Ag: 75, 250, 29,5 Å; Al: 140, 290, 325, 410 Å. Эксперим. кривые для атомного фактора несколько менее круты, чем это следует из кинематич. теории; отличие сильнее всего для Au. Отклонение от динамич. теории много больше, чем от кинематической, за исключением самых высоких значений для Au. Измерение полуширины *показало, что она растет с увеличением угла рассеяния. Установлена зависимость фона от размера кристалликов.

Л. Т.

64321. Об ориентировке тонких конденсированных слоев металлов. Гёттше (Über die Orientierung dünner Aufdampfschichten von Metallen. Göttsche H.), Z. Naturforsch., 1956, 11a, № 1, 55—68 (нем.) Проведено систематич. электронографич. исследование ориентированного роста кристаллов Ag, Au, Al, Pd и Cu в тонких металлич. слоях, получающихся конденсацией на плоскость спайности кристаллов галогенидов щелочей при высоких т-рах. Показано, что т-ра подслоя, при которой имеет место ориентация, тем меньше, чем больше поляризуемость ионов плоскости спайности. В зависимости от металла, от толщины слоя и от характера подслоя эта т-ра лежит в области 80° — 165° для начала ориентации и в области 80° — 440° для совершенной ориентации. Закономерности, которая связывала бы эту температурную ориентацию и относительное различие констант решеток металла и подслоя, не установлено. Получающиеся на холодном подслое поликристаллы переходят при нагревании в монокристаллы, ориентировка которых может быть различной. В ряде случаев наблюдалось многократное рассеяние в слоях металлов.

Н. Ш.

64322. Исследование текстур в тонких слоях олова и германия. Зегмюллер (Texturuntersuchungen an dünnen Zinn- und Germaniumschichten. Segmüller A. R. Min.), Z. Kristallogr., 1956, 107, № 1-2, 18—34 (нем.)

Тонкие слои металлов получены путем конденсации паров на поверхности монокристаллов галогенидов щелочей и ZnS в самом электронографе при т-рах от 90° до 770° К. Возникновение монокристалльных слоев Ge на поверхностях галогенидов щелочей начинается только при т-рах выше 490° С, на ZnS выше 250° С. Монокристаллы Sn возникают на ZnS уже при комнатной т-ре, однако при более высоких т-рах получается некристаллич. фаза. Образование различных ориентировок автор объясняет влиянием гетерополярного подслоя.

Н. Ш.

64323. О температурах перехода сверхструктур AuCu и AuCu₃. Симодзи (On the transition temperatures of superlattices AuCu and AuCu₃. Shimodji M.), J. Phys. Soc. Japan, 1956, 11, № 1, 91—92 (англ.) Сплавы Au₂Cu и AuCu₃ имеют различные т-ры перехода (T_c) между неупорядоченной и упорядоченной структурами (T_c равна соответственно 516° и 664°), в то время как обычная статистич. теория предсказывает для них одинаковые T_c . Несоответствие между теорией и экспериментом вызвано тем, что теория не учитывает атомной структуры сплавов. Автор объяс-

няет различие T_c для Au₂Cu и AuCu₃ различными молекулярными объемами этих сплавов. Согласно предлагаемой теории, T_c Au₂Cu и AuCu₃ относятся друг к другу как обратные значения молекулярных объемов. Рассчитанное отношение T_c (0,83) близко к экспериментальному (0,78). Теория неприменима к сплаву AuCu, так как для него переход от порядка к беспорядку связан с изменением межатомных расстояний.

П. К.

64324. Генетическая связь между различными видами макрогомогенных кристаллических систем двух или нескольких веществ. Баларев (Генетична връзка между различните видове макрогомогенни кристаллни системи от две или повече вещества. Баларев Д.), Годишник физ.-матем. фак. Химия, 1952 (1953), 47, 53—67 (болг.; рез. нем.)

Рассмотрена генетич. связь между семью видами микрогомог. систем с нормальными смешанными кристаллами Митчерлиха, аномальными смешанными кристаллами Лемана, твердыми р-рами Вант-Гоффа, новым видом смешанных кристаллов Гримма, окклюзионными системами и топохим. соединениями и чисто кристаллич. системами. Автор считает, что все эти макрогомогенные системы имеют одинаковое внутреннее строение, представляя собой сросшиеся конгломераты. Различие между ними определяется различным распределением в-в, входящих в кристалл. Строение аномальных смешанных кристаллов в значительной степени определяется адсорбцией. Высказано предположение о том, что равновесие между кристаллич. фазой, р-ром и паром определяется составом и строением адсорбционных слоев.

К. К.

64325. Определение абсолютной конфигурации оптических антиподов. Бейвут (Determination of the absolute configuration of optical antipodes. Bijvoet J. M.), Endeavour, 1955, 14, № 54, 71—77 (англ.) Рассматривается вопрос определения абс. конфигурации оптич. антиподов в связи с использованием явления аномальной дифракции рентгеновских лучей в области собственного поглощения.

М. В.

64326. Связь между ИК-спектром и спектром комбинационного рассеяния кристаллов. Изменения частоты при изменении угла падения в ИК-спектре нитрата натрия. Кетелар, Хаас, Фаренфорт (Relation entre le spectre infrarouge et le spectre de Raman des cristaux. Variations de fréquence avec l'incidence dans le spectre infrarouge du nitrate de sodium. Ketelaar J. A. A., Haas C., Fahrenfort J.), Physica, 1954, 20, № 12, 1259—1265 (франц.)

На основе классич. теории куб. кристаллов показано, что полоса полного отражения (наблюдаемая в ИК-спектре остаточных лучей) должна лежать в области от ω_0 до ω_1 , где ω_0 —собственная частота осциллятора, $\omega_1^2 = \omega_0^2 + \rho/n_0^2$ —частота продольных волн, $\rho = 4\pi N_A e^2/m$, N_A —число Авогадро, e , m —заряд и масса электрона, n_0 —показатель преломления. В случае одноосных кристаллов положение полосы поглощения зависит от угла падения φ и резонансная частота необыкновенного луча $\omega_\varphi^2 = \omega_0^2 + (\rho/n_0^2) \sin^2 \varphi$. Частота комбинационного рассеяния совпадает с низкочастотным краем полосы отражения, другой край которого совпадает с продольной частотой ω_1 . Эти выводы подтверждаются исследованием кристалла NaNO_3 . Изучено отражение поляризованного ИК-света при падении под углами 0° , 27° , 45° , 64° и 90° к оптич. оси. Высокочастотный край полосы не изменяется с изменением φ , рядом с этим краем наблюдается второй максимум, подобный наблюдаемому у

кальцита. С помощью дисперсионной ф-лы найдено: $\omega_0 = 2,550 \cdot 10^{14}$ рад/сек ($v = 1353$ см⁻¹), $f = 1,3 \cdot 10^{12}$ рад/сек., $\rho = 2,15 \cdot 10^{26}$ (рад/сек)². М. В. 64327.

Вычисление собственных значений энергии электронов в металлическом литии методом ячеек. Шифф (A calculation of the eigenvalues of electronic states in metallic lithium by the cellular method. Schiff B.), Proc. Phys. Soc., 1954, A 67, Part 1, № 409, 2—8 (англ.)

Используя метод Прокофьева (Prokofiew W., Z. Phys., 1929, 58, 255), автор представил потенциальную функцию $1(r)$ для Li в виде четырех функций для четырех интервалов r . С помощью полученной потенциальной функции вычислена энергия связи металлич. Li в хорошем согласии с опытом. Для вычисления собственных значений использован метод Ховарса и Джонса (Howarth D. J., Jones H., Proc. Phys. Soc., 1952, A65, 355). Граничные условия применены к большому числу точек на поверхности атомного многогранника. Энергетич. разрыв в центре грани зоны Бриллюэна равен $2,57$ эв, а наименьшее состояние является p -состоянием, в то время как у Na, по Мотту, наименьшим является s -состояние. Это позволяет объяснить тот факт, что полоса мягкого рентгеновского излучения у Li (постепенный спад) отличается от таковой у Na (резкий обрыв вблизи границы ферми-распределения). Приведена схема энергетич. уровней Na и Li для точек в k -пространстве, находящихся в центре первой зоны Бриллюэна, в центре грани зоны и в угловой точке. Вычислена энергия связи для величин E_0 , E_I и E_F (Зейл, Современная теория твердого тела. М., 1949 г., стр. 385). Получены значения (в ридбергах): $-0,6148$, $+0,3661$, $+0,1188$. После добавления к их сумме энергии кулоновского и обменного взаимодействий и корреляционной энергии (для свободных электронов) энергия связи получается равной $34,5$ ккал/моль. С поправками Херринга (Herring C., Phys. Rev., 1951, 82, 282) получается число, близкое к $37,9$ ккал/моль (наиболее точное эксперим. значение). Г. З.

64328. Диффузия примесей в кристаллах (преимущественно полных со структурной типа каменной соли). Лидиард (Impurity diffusion in crystals (mainly ionic crystals with the sodium chloride structure. Lidiard A. B.), Philos. Mag., 1955, 46, № 382, 1218—1237 (англ.))

Элементарная кинетич. теория кристаллич. решетки применена к исследованию вакантного механизма диффузии примеси в кристалле, особенно для случая значительного притяжения между примесными ионами (атомами) и вакансиями (В). Иначе говоря, учтено образование комплексов, состоящих из иона (атома) примеси и В. Получены выражения для коэфф. диффузии: 1) примеси в металле с гранецентрированной куб. решеткой, 2) 2-валентной примеси в полиарном кристалле типа NaCl. В последнем случае зависимость коэфф. диффузии D от конц-н примеси c носит различный характер в зависимости от степени ассоциации ионов примеси и В. В отсутствие ассоциации $D \propto c$ при всех значениях c . При наличии заметной ассоциации $D \propto c$ лишь при малых c , при больших же c наступает «насыщение». Эксперим. проверка зависимости D от c в кристаллах типа NaCl позволила бы судить о механизме диффузии примесей в этих кристаллах. Ш. К.

64329. Оптический метод изучения диффузии металлов в металлах. Шонпер (Die optische Untersuchung der Diffusion von Metallen ineinander. Schopper H. W., Z. Phys., 1955, 143, № 1, 93—117 (нем.))

Описан оптич. метод определения малых коэфф. объемной диффузии $D \leq 10^{-13}$ см²/сек в металлах. Метод основан на непрерывном измерении происходящего в те-

чение диффузионного отжига изменения отражательной способности очень тонкого ($d < 10^{-4}$ см) двойного слоя, составленного из исследуемых металлов. Изучена диффузия Pb в Au в интервале t -р 18—100°; установлено, что $D = (0,016 \pm 0,005) \exp [-(17000 \pm 2000)/RT]$ см²/сек; диффузия осуществляется в основном путем взаимного замещения атомов Pb и Au с образованием интерметаллич. соединения AuPb₂. Новой границы раздела фаз не образуется, а имеет место непрерывное изменение конц-н. В. Б.

64330. Об электропроводности и коэффициентах самодиффузии катионов в нитриде серебра. Барановский В. И., Лурье Б. Г., Мури А. И. Докл. АН СССР, 1955, 105, № 6, 1188—1191

Измерена проводимость σ и коэфф. самодиффузии D ионов Ag⁺ в спрессованных под давл. 3000—4000 кг/см² образцах спектрально чистого AgI в интервале 0—144°. Вызванная прессованием пластич. деформация резко (≥ 500 раз) повышает σ и менее резко повышает D . После отжига при 120—300° σ и D падают до равновесных значений. Для «равновесных» образцов $\sigma = (A_1/T) \exp(-Q_1/RT) + (A_2/T) \exp(-Q_2/RT)$, где $Q_1 = 19700$ ккал/моль, $Q_2 = 8800$ ккал/моль, $A_1 = 24,5 \cdot 10^8$ ом⁻¹см⁻¹, $A_2 = (0,8-2,6) \cdot 10^8$ ом⁻¹см⁻¹ (A_2 зависит от условий отжига). На прямых $\lg \sigma = f(1/T)$ и $\lg D_{\text{выч}} = f(1/T)$ [$D_{\text{выч.}} = \sigma kT/Ne^2$] при $\sim 100^\circ$ имеется излом. В интервале 100—144° прямая $\lg D_{\text{изм.}} = f(1/T)$ параллельна прямой $\lg D = f(1/T)$, при этом $E_{\text{изм.}}/D_{\text{выч.}} \approx 3,7$. В интервале 15—83° наблюдается большой разброс $D_{\text{изм.}}$, так что $D_{\text{изм.}}/D_{\text{выч.}} = 1,1-2,6$. Причины избыточной самодиффузии катионов ($D_{\text{изм.}} > D_{\text{выч.}}$) неясны. Совпадение Q для диффузии и проводимости указывает на единство механизма этих явлений. А. Х.

64331. К теории метода определения коэффициента диффузии по границам зерен металлов. Борисов В. Т., Любов Б. Я. Физ. металлов и металловедение, 1955, 1, № 2, 298—302

Дано математич. обоснование и уточнение метода определения коэфф. диффузии по границам зерен металлов, основанного на модели Финера (Fisher I. C., J. Appl. Phys., 1951, 22, 74). В. Б.

64332. Новые данные в области диффузии металлов. Хейман (Neue Ergebnisse auf dem Gebiet der Metaldiffusion. Heumann Th. O., Techn. Mitt., 1956, 49, № 1, 8—14 (нем.))

Обзор. Библ. 16 назв. А. Х.

64333. Изучение диффузии хрома в титане радиоавтографическим методом. Мортлок, Томлин (The diffusion of chromium in titanium studied by an autoradiographic method. Mortlock A. J., Tomlin D. H.), Proc. Phys. Soc., 1956, B69, № 2, 248—250 (англ.)

Радиоавтографическим методом изучалась диффузия изотопа Cr⁵¹ в технически чистый Ti и сплав Ti + 18% Cr. Cr⁵¹ наносили на поверхность образцов в виде слоя толщиной 0,1 м. Образцы свинчивали попарно активными сторонами и отжигали в высоком вакууме. Для радиографии применяли рентгеновскую пленку. Коэфф. диффузии в сплаве Ti + 18% Cr при 1000 и 1047° равны соответственно 2,0 и $3,9 \cdot 10^{-9}$ см²/сек. При увеличении диаметра зерна от 0,07 до 0,2 мм коэфф. диффузии не изменяется. Ю. К.

64334. Природа теплового возбуждения в кристаллах. Раман (The nature of the thermal agitation in crystals. Raman C. V.), Proc. Indian Acad. Sci., 1955, A42, № 4, 163—174 (англ.)

Тепловая энергия кристалла рассматривается как энергия очень большого числа осцилляторов с одинаковыми частотами колебаний, которые находятся в раз-

личных состояниях возбуждения. Показано, что для кристалла, состоящего из p вставленных одна в другую атомных решеток Брава, имеется $24p-3$ частот колебаний, определяемых структурой кристалла. Эти частоты соответствуют таким волнам, распространяющимся в кристалле, согласно представлениям Борна, для которых групповая скорость обращается в нуль. В предельном случае малых частот справедливы результаты классич. теории упругости, а групповая скорость соответствующих волн совпадает с фазовой. По мнению автора, тепловая энергия решетки не может быть представлена как энергия волн, проходящих через кристалл во всех направлениях и обладающих различными частотами, как это получается по Дебаю и Борну. В подтверждение этой точки зрения приведены эксперим. данные. Р. К.

64335. О возможности двухступенчатого механизма возбуждения фосфоров типа сульфидов. Толстой Н. А., Ж. эксперим. и теор. физики, 1956, 30, № 1, 171—179

Опытные данные по кинетике свечения сильнопотупенных фосфоров показывают, что, в противоположность распространенному мнению, бимолекулярная теория к ним неприменима. Дается интерпретация опытов с точки зрения механизма двухступенчатого возбуждения фосфоресценции. Показано, что в основе фотопроводимости $\text{CdS}(\text{Cu})$ с большой конц-цией Cu лежит механизм двухступенчатого возбуждения. Вместе с тем свечение этого в-ва показывает закономерности, типичные для сильноного тушения. А. Х.

64336. Измерение проводимости, спектрографическое и рентгенографическое исследования кристаллов сульфида цинка. Крумбигель, Йост (Leitfähigkeitsmessungen, spektrographische und röntgenographische Untersuchungen an Zinksulfidkristallen. Krumbiegel J., Jost K.-H.), Z. Naturforsch., 1955, 10a, № 7, 526—529 (нем.)

Произведен спектральный анализ исходных в-в и готовых кристаллов ZnS . Обнаружены следы следующих элементов: 1) в исходных в-вах: FeS — Ca , Al , Cu , Si , Mg , Mn , Zn , Pb ; Zn — Ca , Cu , Ni , Co , Fe ; 2) в кристаллах ZnS с зеленым, синим и желтым свечением — Ca , Al , Cu , Si , Mg ; 3) в нелюминесцирующих кристаллах — Ca , Cu (?), Si , Mg . У всех образцов максимум фотопроводимости (исследована область 3000—43000 Å) лежит при 3520 Å. У многих кристаллов обнаружен второй максимум при 7000 Å. Рентгенографич. исследование образцов проводилось в камерах качания на Cu -излучении. Все исследованные образцы обнаружили в той или иной мере беспорядок в чередовании слоев куб. и гексагональной плотнейших упаковок. Все изученные рентгеновским методом в-ва распадаются на 4 типа. Тип I является хорошо образованной гексагональной призмой. Кристалл принадлежит к известной 2-слойной гексагональной форме. Тип II представляет собой толстые пластинки с выступающими гексагональными призмами с неправильным профилем, причем призмы принадлежат к обычной гексагональной модификации. Беспорядок выражен слабо. Тип III — плоские листочки с блестящими плоскостями, частично полосатыми. Кристаллы неоднородны. Имеются отражения 2-, 3- и 4-слойных форм при сильной беспорядочности. Тип IV — спираль. Но плоскости спирали расположены маленькие зерна. Рентгенограммы показывают, что спираль состоит из кристаллич. блоков с осью c , расположенной в плоскости спирали, и осью a — перпендикулярной к ней. Спираль также обнаруживает беспорядочность и дает отражение 2-, 3- и (слабо) 4-слойных форм. Таким образом, все образцы фосфоров состоят из 2-, 3- и 4-слойных форм. Г. Б.

64337. Разрушение люминофоров бомбардировкой положительными ионами. Янг (Deterioration of luminescent phosphors under positive ion bombardment. Young J. R.), J. Appl. Phys., 1955, 26, № 11, 1302—1306 (англ.)

Исследовано уменьшение выхода катодолюминесценции фосфоров ZnS-Ag , ZnCdS-Ag и Zn_2SiO_4 в результате бомбардировки ионами H^+ , H_2^+ , He^+ , Ne^+ , N_2^+ и Ar^+ с энергиями 1—25 кэв. В случае ZnS-Ag и ZnCdS-Ag заметное уменьшение выхода наблюдалось после падения $< 5 \cdot 10^{11}$ ионов на 1 см^2 . В случае Zn_2SiO_4 требуется в 10 раз большее кол-во ионов. Начальное значение выхода восстанавливается после отжига при 450—700°. Легкие ионы с энергией 25 кэв проникают в фосфор на глубину 0,1—0,2 м. А. Х.

64338. Усиливающее действие электрических полей на фосфоры, возбужденные рентгеновскими лучами. Детрио, Матлер, Детрио, Гумлих (The enhancement effect of electric fields on some X-ray excited phosphors. Destriau Georges, Mattler Joseph, Destriau Michel, Gumlich Hans Eckard), J. Electrochem. Soc., 1955, 102, № 12, 682—684 (англ.)

Яркость свечения B некоторых фосфоров ZnS-CdS-Mn и ZnS-Mn , возбуждаемых рентгеновскими лучами, увеличивается под действием переменного электрич. поля. Если же возбуждение производить УФ-лучами, то поле уменьшает B . Коэфф. усиления B_1/B_0 (B_0 и B_1 — стационарные B до и после наложения поля) может быть > 3 . Скачок B происходит мгновенно после наложения поля. Поля 200 в/см уже дают заметный эффект. B возрастает с напряженностью поля, достигая максимума при 15000—20000 в/см и далее слегка уменьшается. B не зависит от частоты поля в интервале 10—5000 гц, от интенсивности рентгеновских лучей и т-ры в интервале 18—54°. В случае двухактивных фосфоров, напр. $\text{ZnS-CdS}(\text{-Cu, Mn})$, на описанное выше постоянное усиление яркости накладывается эффект Гуддена-Поля — кратковременная вспышка яркости при наложении поля. А. Х.

64339. Связь поляризации люминесценции и других оптических свойств производных антрацена с их структурой. Жевандров Н. Д., Тр. физ. ин-та АН СССР, 1955, 6, 121—198

64340. Измерение абсолютного квантового выхода фотолуминесценции щелочногалогенидных кристаллов. Моргенштерн З. Л., Ж. эксперим. и теор. физики, 1955, 29, № 6, 903—904

В продолжение работ (РЖХим, 1956, 15409, 38814, 38822) измерен абс. квантовый выход η люминесценции кристаллов KCl-Tl , KJ-Tl и NaI-Tl при возбуждении в полосах поглощения активатора. Число квантов люминесценции и число поглощенных квантов измерялось с помощью люмогена, обладающего в измеряемой области (240—500 мμ) постоянным η . Получены η : KCl-Tl 246 мμ 0,80; KJ-Tl 245 мμ 0,70—0,93 (различные кристаллы); 285 мμ 0,74—0,77; NaI-Tl 260 мμ 0,40; 293 мμ 0,61. Большие колебания в η для разных кристаллов KJ-Tl при возбуждении λ 245 мμ приписаны различной степени перекрытия коротковолновой полосы поглощения Tl краем собственного (неактивного) поглощения решетки (РЖХим, 1956, 38822). Этим же методом найдено, что η при возбуждении λ 250 мμ равен: для толана 0,57; дибензила 0,44; стибена 0,43; нафталина 0,18. А. Х.

64341. Влияние тепловых колебаний решетки на возбужденные электроны металла и фотолуминесценция металлов. Сунек, Лёле (Der Einfluss der thermischen Gitterschwingungen auf die Elektronen in erregten Zuständen der Metalle und die Photolumineszenz der Metalle. Supek Ivan,

Ljolje Kruposlav), Bull. internat. Acad. yougosl. sci. et beaux-arts, 1954, № 12, 11—12 (нем.)

Интерпретируется низкочастотное смещение максимума флуоресценции металлов относительно максимума поглощаемого света и частичная независимость спектра фотолюминесценции от поглощаемого света. Для этого оценено время релаксации электрона при столкновении его с фонами решетки. Время релаксации оказывается очень малым, порядка 10^{-13} сек. Отсюда сделан вывод, что возбужденные электроны перед оптической излучательными переходами всегда находятся у нижнего края возбужденной энергетической полосы, что объясняет наблюдаемые закономерности фотолюминесценции.

Е. А.

64342. Термоэмиссия и термолюминесценция флюорита. Богун (Thermoemission a thermoluminescence u kazivce. Bohun Antonín), Ceskosl. časop. fys., 1955, 5, № 1, 75—85 (чеш.)

В продолжение работ (РЖХим, 1954, 26757; 1955, 15850, 45374) одновременно измерены термоэлектронная эмиссия (ТЭ) и термолюминесценция (ТЛ) природных кристаллов CaF_2 (I), окрашенных рентгенизацией после обесцвечивания при 900°C . Неокрашенный I не обнаруживает ни ТЛ, ни ТЭ. Кривые ТЭ и ТЛ, полученные при равномерном нагревании от 300 до 650°K , имеют близкий ход. Пики $A_{\text{ТЭ}}$ и $B_{\text{ТЭ}}$ на кривой ТЭ и пики $A_{\text{ТЛ}}$ и $B_{\text{ТЛ}}$ на кривой ТЛ лежат при тех же t -рах: 360 и 565°K соответственно. Пик $C_{\text{ТЛ}}$ часто лежит при более низкой t -ре, чем пик $C_{\text{ТЭ}}$ (пики C лежат между A и B). В области между пиками $A_{\text{ТЛ}}$ и $B_{\text{ТЛ}}$ цвет ТЛ изменяется дважды. Результаты для рентгенизованного I такие же, как для I с естественной окраской. При выдерживании рентгенизованного I при 20°C пики $A_{\text{ТЭ}}$ и $A_{\text{ТЛ}}$ уменьшаются, а $B_{\text{ТЭ}}$ и $B_{\text{ТЛ}}$ увеличиваются. Для I, рентгенизованного при -186°C , наблюдаются еще 2 пика ТЛ при ~ 100 и $\sim 200^\circ\text{K}$. Сделан вывод, что ТЭ и ТЛ обусловлены электронами, освобожденными с одних и тех же центров окраски, и что поэтому энергию диссоциации этих центров можно определять из кривых ТЭ методом, аналогичным анализу кривых термовысвечивания фосфоров. ТЛ имеет 2 компонента — би- и мономолекулярную. Работа выхода не влияет на ТЭ, что приписано большой скорости термоэлектронов из центров окраски. Пики A , B и C приписаны соответственно F_2^- , F^- и F_2^{+} -центрам. Предложена зональная схема процессов.

А. Х.

64343. Спектр поглощения MgO , полученный путем измерения коэффициента отражения. Нелсон (Optical absorption spectrum of MgO by reflectivity. Nelson James R.), Phys. Rev., 1955, 99, № 6, 1902—1903 (англ.)

Получены кривые относительной отражательной способности крупных монокристаллов MgO в области 900—1800 Å при 300 и 140°K . Пик при 1640 Å сужается при охлаждении; расщепления не наблюдается. По мнению автора, он является фундаментальной полосой поглощения с коэфф. поглощения $\sim 10^6 \text{ см}^{-1}$ и обусловлен экситонами. Пики при 1120 и 930 Å приписаны переходам с верхней заполненной зоны в нормально свободную зону проводимости. Начало полосы поглощения (1240 Å) соответствует ширине запрещенной зоны $\sim 10 \text{ эв}$, что противоречит данным других авторов (РЖХим, 1956, 24938).

А. Х.

64344. Спектры дымчатого кварца с красящими центрами разной термической устойчивости. Чен цо-ва Л. Г., Тр. Ин-та кристаллогр. АН СССР, 1955, вып. 11, 195—199

Исследованы спектры поглощения образцов естественного кварца в поляризованном свете. Дымчатый

кварц имеет две частично перекрывающиеся полосы: в видимой (между 380 и 480 мμ) и УФ-частях спектра. Центры окраски обладают различной термич. устойчивостью. При нагревании поглощение в УФ-полосе уменьшается значительно медленней, чем в видимой. Природные дымчатые кварцы относительно богаче устойчивыми УФ-центрами. Спектр поглощения кварца, окрашенного рентгенизацией после частичного термич. обесцвечивания, близок к спектру природных образцов. При рентгенизации оба вида центров окраски накапливаются в одинаковых относительных кол-вах. Рентгенизация при 150°C создает более интенсивную УФ-полосу поглощения, чем рентгенизация при 20°C . При длительном хранении (1,5 года, 20°C) окрашенных образцов превращения менее устойчивых центров окраски в более устойчивые не наблюдается. А. Х.

64345. Эффекты фототропии в окислах. I. Двухокись титана. Мак-Таггарт, Бир (Phototropic effects in oxides. I. Titanium dioxide. Mc Taggart F. K., Bear Joy J.), J. Appl. Chem., 1955, 5, № 12, 643—653 (англ.)

Исследована фототропия (Ф) мелкокристаллич. TiO_2 (I) с примесями Fe (в виде FeSO_4 и Fe_2O_3), Ni (NiSO_4), Cr (CrO_3 и Cr_2O_3) и Cu ($\text{Cu(NO}_3)_2$) при освещении УФ-лучами. В присутствии примесей Co, Mn, Nd, Pr и Sm Ф весьма слаба. Исходные 100%-ные анатаз (II) и рутил (III) не фототропны ни под действием различных лучей, ни после термич. обработки. Примеси (0,2%) вводились либо смачиванием порошка II или III р-ром примеси, либо смешиванием с порошком примеси с последующей термич. обработкой в обоих случаях. II с примесями Fe, Ni, Cr и Cu не фототропен. Нагреванием II с примесями при 800—1000° получают фототропную смесь II—III. В случае примеси Fe_2O_3 Ф для II—III уменьшается с увеличением кол-ва III. Авторы объясняют это тем, что при превращении II → III на поверхности кристаллитов II образуется III и поэтому с увеличением кол-ва III уменьшается поверхность раздела II/III, на которой адсорбирована примесь и локализована Ф. Основная роль поверхности подтверждается сильным влиянием влаги на Ф и тем, что макс. Ф у III с примесями окислов Fe, Cr и Ni наблюдается после нагревания до $\sim 300^\circ\text{C}$, когда диффузия примесей в объем затруднительна, а при более высоких t -рах падает. Нагревание III с примесями при 300°C в O_2 вызывает почернение, а нагревание в вакууме или на воздухе (в присутствии H_2O) восстанавливает окраску. Предложен механизм Ф. На поверхности III или границе раздела II/III адсорбирована восстановленная устойчивая форма ионов примеси. При освещении из I выделяется O_2 и окисляет примесь в окрашенную форму ($\text{Fe}^{2+} \rightarrow \text{Fe}^{3+}$). В темноте идет обратный процесс ($\text{Fe}^{3+} \rightarrow \text{Fe}^{2+}$), который сильно ускоряется при слабом нагревании (энергия активации). Магнитная восприимчивость при освещении не изменяется, так как число ионов, изменяющих валентность, мало.

А. Х.

64346. Эффект Зеемана в желтой серии экситона кристалла закиси меди. Гросс Е. Ф., Захарченко Б. П., Рейнов Н. М., Ж. техн. физики, 1956, 26, № 3, 700—701

Путем увеличения дисперсии спектрографа до 1,5 Å/мм и понижения t -ры кристалла Cu_2O до $1,3^\circ\text{K}$ (РЖХим, 1955, 51367), установлено, что 1-й член ($n=1$) желтой серии экситона расщепляется в магнитном поле H на триплет, состоящий из несмещенной линии в π -компоненте и дублета в σ -компоненте. При $H=27\,000 \text{ эДл}$ дублета равно 1,0 Å. При $H=27\,000 \text{ эДл}$ члены серии $n=3, 4, 5, 6$ превращаются в дублеты как в π -, так и в σ -компонентах, причем составляющие дублетов в обеих компонентах совпадают, а расстояние между компонентами дублетов постоянно и равно 1,0 Å. Одновре-

менно с расщеплением происходит коротковолновое смещение, увеличивающееся с n (для $n=5$ оно равно 0,5 Å при $H=27\,000$ э). А. Х.

64347. Влияние рентгенизации на структуру поверхности кристаллов хлорида натрия. Лейдер (Effect of x-irradiation on surface structure of sodium chloride crystals. Leider Herman R.), Phys. Rev., 1956, 101, № 1, 56—58 (англ.)

Электронографическим методом исследовано влияние рентгенизации на структуру поверхности образцов ($2 \cdot 4 \cdot 6$ мм) NaCl, отколотых от крупных монокристаллов. Поверхность таких образцов до и после полировки в струе воды или отжига (≥ 24 час. при 600°) с последующей полировкой дает электронограммы с четкими линиями Кикучи, указывающими на совершенство структуры поверхности. После 1-часового облучения неполированных кристаллов или многочасового (100—200 час.) облучения рентгеновскими лучами полированных кристаллов (50 кэ, 30 ма, интенсивность на кристалле 72 000 рентген/час) на электронограммах появляются группы пятен и дуг, указывающие на присутствие маленьких ориентированных кристаллитов с признаками преимущественной ориентировки. Последующий отжиг при 600° приводит к хаотическому распределению кристаллитов на поверхности. Выказано предположение, что рентгеновские лучи ускоряют снятие деформаций поверхности, создаваемых раскалыванием кристаллов. А. Х.

64348. Исследование поверхности рентгенизованных кристаллов хлорида калия. Смит, Левин, Смолюховский (Surface studies of X-ray irradiated potassium chloride crystals. Smith Walter J., Levin William J., Smoluchowski R.), Phys. Rev., 1956, 101, № 1, 37—40 (англ.)

Показано, что если бы уменьшение плотности $\Delta\rho$ кристаллов KCl в результате рентгенизации объяснялось диффузией вакантных узлов от поверхности кристалла в его объем (Seitz F., Revs. Modern Phys., 1946, 18, 384), то при облучении кристалла толщиной 0,05 см и $\Delta\rho = 1,4 \cdot 10^{-4}$ э/см³ (Estermann и др., Phys. Rev., 1949, 75, 627) его толщина должна возрасти на 200 Å. Для проверки этой гипотезы методом многолучевой интерферометрии (разрешающая способность ≤ 10 Å) исследовано изменение уровня рентгенизованного участка поверхности кристалла KCl относительно необлученного участка. Установлено, что никаких изменений на поверхности не происходит, т. е. вакансии не диффундируют в объем кристалла, а ионы не диффундируют к поверхности. В результате рентгенизации на поверхности образуются линии скольжения, приписанные объемным процессам с участием дислокаций на границах блоков или в их объеме. Эти процессы обуславливают уменьшение плотности. А. Х.

64349. Пьезодупреломление в алмазе. Поиндекс-тер (Piezobirefringence in diamond. Poindexter Edward), Amer. Mineralogist, 1955, 40, № 11-12, 1032—1054 (англ.)

Изложена история открытия оптич. анизотропии, обусловленной упругими деформациями (пьезодупреломление ПДП). Указана важность измерений ПДП для теории твердого тела, так как это явление нечувствительно к небольшим примесям. Описана новая эксперим. техника измерений ПДП. Измерены величины эффекта в алмазе в разных направлениях сжатия и наблюдения. Показано, что в отношении ПДП алмаз изотропен. Установлена параллельность упругих и пьезооптических свойств в куб. кристаллах. Утверждается, что анизотропия упругих свойств всегда сопутствует анизотропии ПДП. Измерена дисперсия ПДП алмаза в интервале 4400—7700 Å; она составляет $\pm 1\%$ от абс. величины эффекта. Алмаз ведет себя

как отрицательный одноосный кристалл, когда сжатие происходит по направлениям $[100]$ и $[111]$, причем короткая ось индикатриссы параллельна направлению сжатия. При сжатии в любом другом направлении кристалл становится отрицательным двусосным. С. Б.

64350. Фотоизлучательная рекомбинация в PbSe, PbTe и PbS. Макинтош (Photon-radiative recombination in PbSe, PbTe and PbS. Mackintosh I. M.), Proc. Phys. Soc., 1956, B69, № 1, 115—118 (англ.)

64351. Свойства пленок металлических окислов, полученных реактивным распылением. Холланд, Сиддалл (The properties of some reactively sputtered metal oxide films. Holland L., Siddall G.), Vacuum, 1953, 3, № 4, 375—391 (англ.; рез. франц.)

Исследовано влияние условий получения полупроводниковых окисных пленок методом реактивного распыления (катодное распыление металла в тлеющем разряде в присутствии O_2) на их физ. свойства с точки зрения их применения в качестве прозрачных проводящих покрытий на стекле. Получены пленки, по составу близкие к CdO , SnO_2 , In_2O_3 и Fe_2O_4 . Исследовано влияние электрич. характеристик разряда, т-ры подкладки во время и после распыления, состава газовой фазы на сопротивление R и прозрачность T пленок. R пленок CdO возрастает со степенью окисления пленки; термич. обработка при 400° на воздухе вызывает частичную диссоциацию CdO и сильно уменьшает R . Тот же результат достигается непосредственно правильно выбранным режимом распыления. Оптимальные составы газовой фазы и полученные при этом значения R (ом на 1 см^2 поверхности) и T (%) равны соответственно: Bi_2O_3 , (50% Ar + 50% O_2), со, 92; Au, 100% Ar, 50—100, 65; Au на Bi_2O_3 , 100% Ar, 6—10, 75; SnO_2 , 495% Ar + 5% O_2 , 3000, 78; CdO , 95% Ar + 5% O_2 , 100—75, 60—85; In_2O_3 , 50% Ar + 50% O_2 , 1500, 72; Fe_2O_3 , 30% H_2 + 70% Ar + P_2O_5 , 50 000, 75. Пленки Au на стекле при толщине < 40 Å не образуют связей, прочно сцепленных со стеклом пленок, а обладают зернистой структурой и высоким R . Пленки Au на пленках Bi_2O_3 обладают низким R уже при толщине 15—20 Å. По мнению автора, сильная связь между Bi_2O_3 и Au уменьшает подвижность атомов Au и возможность образования зернистой структуры. А. Х.

64352. К расчету основного состояния и массы полярона. Хеллер (Zur Berechnung des Grundzustandes und der Masse des Polarons. Höhler G.), Nuovo cimento, 1955, 2, № 4, 691—706 (нем.; рез. итал.)

Развитый ранее автором вариационный метод улучшен введением другого типа корреляции между фононами. В результате основное состояние полярона описывается не хуже, чем по методу Фейнмана. Рассмотрены полученные ранее результаты для энергии основного состояния и эффективной массы полярона. Мультипликативный метод Пекара дополнен теорией возмущений. М. Д.

64353. К теории фотоэлектрического метода определения времени жизни неосновных носителей тока в полупроводниках. Рашба Э. И., Толыго К. Б. (До теорії фотоелектричного методу визначення часу життя неосновних носіїв струму в напівпровідниках. Рашба Е. І., Толіго К. Б.), Укр. фіз. ж., 1956, 1, № 1, 29—43 (укр.; рез. русс.)

64354. К спектральному распределению фотоэффекта в сульфиде свинца. Пфейффер (Zur spektralen Verteilung des Photoeffektes im Bleisulfid. Pfeiffer Horst Ulrich), Z. Naturforsch., 1956, 11a, № 2, 164—165 (нем.)

Исследована зависимость спектрального распределения фотоэлектрич. чувствительности сублимированных

слоев PbS от т-ры отжига при сенсбилизации нагреванием на воздухе. А. Х.

64355. Фотопроводники на основе солей свинца. Моссе (Lead salt photoconductors. Moss T. S.), Proc. I.R.E., 1955, 43, № 12, 1869—1881, 1978 (англ.). Обзор. Библ. 130 назв. А. Х.

64356. Фотопроводимость сульфида, селенида и теллурида цинка или кадмия. Бьюб (Photoconductivity of the sulfide, selenide, and telluride of zinc or cadmium. Bube R. H.), Proc. IRE, 1955, 43, № 12, 1836—1850, 1976 (англ.). Обзор. Библ. 118 назв. А. Х.

64357. Влияние предварительного освещения на проводимость и фотопроводимость записи меди. Клиз, Кужел, Пастрняк (Klier Emanuel, Kuzel Radomir, Pastrňák Josef), Чехосл. физ. ж., 1955, 5, № 3, 421—424. См. РЖХим, 1956, 35170.

64358. Фотопроводимость германия и кремния. Шулц, Мортон (Photoconduction in germanium and silicon. Schultz M. L., Morton G. A.), Proc. IRE, 1955, 43, № 12, 1819—1828, 1978, 1979 (англ.). Обзор. Библ. 58 назв. А. Х.

64359. Диэлектрическая дисперсия сегнетовой соли в микроволновой области. Акао, Сасаки (Dielectric dispersion of rochelle salt in the microwave region. Akaio Humio, Sasaki Taizo), J. Chem. Phys., 1955, 23, № 12, 2210—2214 (англ.). Исследована область частот (3000—20 000 Mc), в которой, согласно теории (Mason W. P., Piezoelectric crystals and their application in ultrasonics, New York, D. Van Nostrand Co, Inc., 1950, p. 234), должна проявляться диэлектрич. дисперсия кристаллов сегнетовой соли. Приведены кривые зависимости ϵ' от т-ры в области от -30 до $+35^\circ$, кривые зависимости ϵ от длины волны для различных т-р, таблица частот релаксации, соответствующих различным т-рам, и график этой зависимости. Установлено: а) время релаксации τ в точке Кюри меньше, чем при других т-рах; б) нет заметного различия τ в ферроэлектрич. и параэлектрич. состояниях; следовательно, спонтанная поляризация не влияет на τ ; в) сегнетова соль ведет себя как полидисперсная система при т-рах $15-30^\circ$ и только при 35° ее свойства становятся близкими к свойствам монодисперсной системы. г) диэлектрич. потери максимальны в области длин волн ~ 10 см. Температурная зависимость частоты релаксации объясняется модифицированной теорией Мэсона. Обсуждена возможность описания явления с помощью дальнедействующих и короткодействующих сил. Ю. К.

64360. Диэлектрические свойства некоторых твердых растворов, содержащих титанат бария. Новосильцев Н. С., Ходаков А. Л., Ж. техн. физики, 1956, 26, № 2, 310—322.

В интервале от $+160^\circ$ до т-ры жидкого воздуха исследована температурная зависимость диэлектрич. проницаемости и потерь, а также электропроводность бинарных твердых р-ров BaTiO_3 с BaSnO_3 , BaZrO_3 , SrTiO_3 и PbTiO_3 . Показано, что температурный интервал существования тетрагональной фазы можно расширять и сужать введением соответствующих компонентов. А. Х.

64361. Зависимость свойств органических хлорированных диэлектриков от частоты электрического поля и температуры. Лаги (Comportamento di dielettrici organici clorurati in funzione della frequenza del campo elettrico applicato e della temperatura. Laghi Antonio), Ann. chimica, 1954, 44, № 12, 997—1017 (итал.).

Исследовались диэлектрич. свойства хлорированных дифенилов и хлорнафталинов, имеющих широкое при-

менение в электротехнике. Кривые зависимости $\text{tg } \delta$ ($^\circ$) на частоте 75 гц для загрязненных и профильтрованных образцов арохлора указывают на необходимость очистки арохлоров для уменьшения $\text{tg } \delta$ и устранения эффекта саморазогревания в конденсаторах. Из кривых $\text{tg } \delta$ ($^\circ$) на радиочастотах следует, что при $t < 60^\circ$ $\text{tg } \delta \approx 0,2$. С. С.

64362. Влияние холодной обработки на диэлектрические свойства кристаллических длинноцепочечных соединений. Арнольд, Микинс (Effect of cold working on dielectric properties of crystalline long-chain compounds. Arnold Joan W., Meakins R. J.), Trans. Faraday Soc., 1955, 51, № 12, 1667—1673 (англ.).

Исследовано влияние сжатия при 20° до 1265 кг/см^2 на коэфф. диэлектрич. потерь ϵ'' в интервале частот ν от 5 гц до 50 Mc при 20° для нормальных простых эфиров ($\text{C}_{12}\text{H}_{25}\text{O}$ (I), $\text{C}_{14}\text{H}_{29}\text{O}$ (II), $\text{C}_{16}\text{H}_{33}\text{O}$ (III) и $\text{C}_{18}\text{H}_{37}\text{O}$ (IV)), кетонов ($\text{C}_{11}\text{H}_{23}\text{O}_2$ (V) и $\text{C}_{13}\text{H}_{27}\text{O}_2$ (VI)), сложных нормальных эфиров $\text{C}_{12}\text{H}_{25}\text{O} \cdot \text{CO} \cdot \text{C}_{13}\text{H}_{27}$ (VII) и $\text{C}_{16}\text{H}_{33}\text{O} \cdot \text{CO} \cdot \text{C}_{15}\text{H}_{31}$ (VIII). Образцы получали прессованием порошков при различных давлениях. Все в-ва исследованы в виде β -фазы. Непрессованные простые эфиры и кетоны, а также сжатые до 1265 кг/см^2 , но содержащие < 30 атомов С, не обнаруживают потерь во всем интервале ν . При содержании > 30 атомов С величина ϵ'' возрастает с давлением и с увеличением числа атомов С. Наибольший эффект наблюдается для IV; кривая $\epsilon'' = f(\nu)$ имеет максимум в области $\sim 10^4 \text{ гц}$, а ϵ'' в максимуме при давл. 1265 кг/см^2 равен 0,14 против 0,015 для III. При выдерживании IV и III при 20° и выше ϵ'' уменьшается. Потери наблюдаются также для литых образцов без давления. Для VII и VIII ϵ'' не зависит от давления и имеет близкое значение для прессованных и литых образцов. Отжиг уменьшает ϵ'' . Из наклона прямых $\lg \epsilon''_{\text{макс.}} = f(1/T)$ найдено, что энергетич. барьер H , обуславливающий потери, для III, IV и VIII равен соответственно 20, 23 и 22 ккал/моль . Результаты интерпретируются, исходя из того, что диэлектрич. потери обусловлены вращательным переходом молекулы из одного положения равновесия в другое, разделенных барьером H и различающихся на энергию V . Сжатие смещает плоскости спайности кристалла и, следовательно, изменяет взаимное положение концов молекул, расположенных перпендикулярно этим плоскостям. Это уменьшает V и облегчает ориентацию диполей. А. Х.

64363. Термоэлектродвижущая сила пары алюминий—серебро. Арон (Force électromotrice et pouvoir thermoélectrique du couple aluminium—argent. Aron André), C. r. Acad. sci., 1955, 240, № 8, 852—854 (франц.). См. РЖФиз, 1955, 22220.

64364. Термомангнетоэлектрические эффекты в антимониде индия. Эгрен, Ригго, Тьюе (Effets thermomagnétoélectriques dans l'antimoniure d'indium. Aigrain Pierre, Rigaux Claudette, Thuillier Jean-Marie), C. r. Acad. sci., 1956, 242, № 9, 1145—1148 (франц.).

Измерены температурная зависимость электропроводности, постоянной Холла, термо-э. д. с. и эффекта Нернста. Результаты хорошо согласуются с теорией и позволяют легко определить отношение эффективных масс и подвижностей носителей. А. Х.

64365. Полупроводники, чувствительные в инфракрасной области спектра. Смит Р. А., Успехи физ. наук, 1956, 58, № 3, 433—486.

Обзор. Библ. 105 назв. А. Х.

64366. Определение эффективных масс носителей в InSb и InAs путем измерений дифференциальной термо-э. д. с. Вейсе (Bestimmung der effektiven Massen

in InSb und InAs aus Messungen der differentiellen Thermospannung. Weiss H), Z. Naturforsch., 1956, 11a, № 2, 131—138 (нем.)

Методом измерения дифференциальной термо-э.д.с. *p*- и *n*-InAs и *p*-InSb до 800° К найдено, что для InAs в интервале 500—800° К $m_n = 0,064 m_0$, $m_p = 0,33 m_0$, а для InSb при 333° К $m_n = 0,037 m_0$, $m_p = 0,18 m_0$. Для InSb m_n растет с *т*-рой, достигая 0,05 m_0 вблизи *т*-ры плавления. А. Х.

64367. Некоторые современные представления о проводимости кристаллов. Клодель (Quelques aspects modernes de la conductibilité cristalline. Claudel Bernard), Bull. Soc., chim., France, 1956, № 4, 708—731 (франц.)

Обзор. Рассмотрены теории электронной и ионной проводимости чистых и примесных кристаллов и эксперим. данные по электронной проводимости элементарных полупроводников и соединений (стехиометрич. и нестехиометрич., с примесной и собственной проводимостью, интерметаллич. соединений, твердых *p*-ров, полупроводников с разнородными катионами и органич. полупроводников). Библи. 150 назв. А. Х.

64368. Примесная проводимость германия. Канаи, Нии (On the impurity conduction in germanium. Kanai Yasuo, Nii Riro), J. Phys. Soc. Japan, 1956, 11, № 1, 83—84 (англ.)

Проводимость и постоянная Холла *R* *p*-Ge с примесью Ni измерены в интервалах от 20° до *т*-ры жидкого воздуха. *R* проходит через максимум и снова уменьшается при низких *т*-рах. Аномальный ход *R* интерпретируется на основе существующих представлений. А. Х.

64369. Ударная ионизация в кремнии и германии. Грошвиц (Zur Stöplonisierung in Silicium und Germanium. Groschwitz E.), Z. Phys., 1956, 143, № 5, 632—636 (нем.)

Теоретически вычислено число пар носителей тока, создаваемых электроном на единицу длины пути в Si и Ge как функция напряженности электрич. поля (в интервале 10^5 — $6 \cdot 10^6$ в/см). В результате сравнения теоретич. кривых с эксперим. сделан вывод, что ударная ионизация в электронных полупроводниках обусловлена взаимодействием электронов проводимости как с акустич., так и с оптич. колебаниями решетки. А. Х.

64370. Обзор поверхностных свойств германия. Кингстон (Review of germanium surface phenomena. Kingston R. H.), J. Appl. Phys., 1956, 27, № 2, 101—114 (англ.)

64371. Зоны Бриллюэна некоторых интерметаллических соединений. Блэк (Brillouin zones of some intermetallic compounds. Black P. J.), Philos. Mag., 1955, 46, № 375, 401—409 (англ.)

Анализ при помощи зон Бриллюэна применен для богатых Al интерметаллич. соединений Fe. Получены рентгенографич. данные для 9 соединений: FeAl₃, Fe₂Al₅, Fe—Al—Si (α_1 , α_2 , β , δ), FeCu₂Al₇, (FeCu)(CuAl)₆, Fe₂NiAl₁₀. Для каждого из этих соединений приведены значения электронной конц-ии и числа электронов, связанных с каждым атомом Fe. Для бинарных соединений и тройного соединения с Ni полученные данные по связыванию электронов согласуются с результатами для сплавов Co и Ni (Bradley A. J., Taylor A., J. Inst. Met., 1940, 66, 53). Для тройных соединений, содержащих Cu и Si, подобное согласование невозможно, так как для этого требуются слишком большие значения для числа связанных электронов. На основании этого авторы делают вывод, что эти соединения относятся к другому классу, чем FeAl₃, Fe₂Al₅ и Fe₂NiAl₁₀. П. К.

64372. Термические акцепторы в германии. Ходкинсон (Thermal acceptors in germanium. Hodgkinson R. J.), Philos. Mag., 1955, 46, № 375, 410—421 (англ.)

Полученные ранее эксперим. результаты (РЖМет, 1956, 2676) обсуждаются в предположении, что термич. акцепторами в Ge являются атомы Cu. Термодинамич. анализ растворимости Cu в твердом Ge основан на принципе минимума свободной энергии. Результаты объясняют экспоненциальную зависимость конц-ии термич. дефектов от $1/T$ (ниже 800°). Выведено ур-ние для зависимости конц-ии Cu в твердой и жидкой фазе от *т*-ры. Эксперим. результаты удовлетворяют этому ур-нию. Ф. П.

64373. Исследование температурной зависимости работы выхода электронов из металлов и полупроводников. Бётгер (Untersuchungen über die Temperaturabhängigkeit der Austrittsarbeit von Elektronen an Metallen und Halbleitern. Böttger Otto), Wiss. Z. Martin-Luther-Univ. Halle-Wittenberg Math. naturwiss. Reihe, 1954—1955, 4, № 4, 793—809 (нем.) См. РЖХим, 1956, 57409.

64374. Электропроводность твердых ионно-атомно-валентных веществ. VII. К вопросу о температурной зависимости электропроводности кристаллов. Мюллер Р. Л., Ж. техн. физики, 1955, 25, № 14, 2440—2446

В результате теоретич. анализа эксперим. данных по зависимости электропроводности σ кристаллов NaCl от *т*-ры сделаны следующие выводы. При всех *т*-рах σ обусловлена движением не примесных, а собственных ионов, а именно: перемещением вакантных узлов, конц-ия которых экспоненциально возрастает с *т*-рой. Вакантные узлы образуются посредством двух механизмов: 1) перехода катионов в междоузлия по Френкелю со значительным энтропийным эффектом, 2) перехода катионов и анионов из объема кристаллитов поликристаллич. структуры на их поверхность по Шоттки без энтропийного эффекта. Энергия 1-го процесса уменьшается с ростом *т*-ры. При низких *т*-рах она больше энергии 2-го процесса, которая не зависит от *т*-ры. При высоких *т*-рах имеет место обратное соотношение. Поэтому при высоких *т*-рах σ определяется числом вакантных узлов, образующихся по 1-му механизму, а при низких *т*-рах — по 2-му механизму. Плохая воспроизводимость низкотемпературной σ объясняется зависимостью энергии образования вакантных узлов по Шоттки от дисперсности поликристаллич. структуры данного образца. Часть VI. См. РЖХим, 1956, 57448. А. Х.

64375. Распыление молибдена в виде ионов при бомбардировке его положительными ионами ртути. Векслер В. И., Докл. АН УзССР, 1956, № 1, 9—11 (рез. узб.)

Среди положительно заряженных продуктов вторичной эмиссии Mo при его бомбардировке ионами Hg⁺ наблюдается пик, по массе соответствующий ионам Mo⁺ и достигающий достаточной устойчивости по величине лишь после предварительной прокатки мишени при *т*-ре $\geq 2300^\circ$ К. А. Х.

64376. Наблюдение квантовых эффектов при диамагнитном резонансе. Флетчер, Йегер, Мерритт (Observation of quantum effects in cyclotron resonance. Fletcher R. C., Yager W. A., Merritt F. R.), Phys. Rev., 1955, 100, № 2, 747—748 (англ.)

Диамагнитный резонанс измерялся на частоте 23,5 кМгц при 4,2 и 1,3° К на трех шлифах, срезанных с монокристалла Ge ($c \approx 8 \times 10^{12}$ см⁻³ избыток доноров) в трех главных кристаллографич. направлениях. Были разрешены резонансные линии, связанные с валентной зоной, которые, по-видимому, являются эксперим. под-

тверждением предложенной ранее теории (РЖФиз, 1955, 16741). Полученные данные для резонанса тяжелых дырок подтверждают появление новых линий при переходе от 4,2 к 1,3°К. Резонанс легких дырок имел место при m^*/m_0 0,0437; 0,0421 и 0,0425 в направлениях (100), (111) и (110). Ширина этих линий при 1,3°К соответствовала $\tau = 3 \times 10^{-10}$ сек. В направлении (100) найдена линия, соответствующая $m^*/m = 0,057 \pm 0,002$, с интенсивностью в 20 раз меньшей, чем у основной линии. Установлено, что отношение интенсивностей дырочного и электронного резонансов критически зависит от образца, т-ры, уровня микроволновой мощности и интенсивности возбуждающего света. Для электронного резонанса получены следующие данные $m^*/m = 0,1341$ для (100); 0,0814 и 0,206 для (111); 0,0983 и 0,361 для (110), откуда следует, что для данного образца $\omega\tau = 80$, и две константы эллипсоида энергии $m_1 = 0,0813 \pm 0,002$ и $m_2 = 1,600 \pm 0,008$. Л. С.

64377. Расположение магнитных моментов и магнитокристаллические деформации в антиферромагнитных сплавах. Ли Инь-Юань (Magnetic moment arrangements and magnetocrystalline deformations in antiferromagnetic compounds. Li Yin-Yuan), Phys. Rev., 1955, 100, № 2, 627—631 (англ.)

Автор обсуждает результаты опытов по дифракции нейтронов в порошках FeO, MnO, NiO, MnS, CoO и MnSe (Shull, и др., Phys. Rev., 1951, 83, 333). По мнению автора, эти данные не определяют однозначно расположения спинов. Они могут быть получены от целого ряда расположений магнитных моментов, имеющих одинаковую антипараллельную связь между моментами ионов, следующих за ближайшими соседями, но обладающих при этом различной корреляцией подрешеток, а также различными ориентациями магнитных моментов относительно кристаллографич. осей. На основе этого вывода и гипотезы о существовании спонтанной анизотропной магнитоstriction автор предсказывает для рассматриваемых соединений (за исключением FeO) иные антиферромагнитные расположения магнитных моментов, чем те, которые были приняты ранее. При этом удается интерпретировать, в согласии с опытными данными, изменения кристаллич. структуры, наблюдаемые в антиферромагнитной точке Нееля. С точки зрения гипотезы об анизотропной магнитоstriction обсуждаются также изменения параметров решеток при т-рах перехода и ориентации магнитных моментов относительно кристаллографич. осей у других антиферромагнитных сплавов, напр. Cr₂O₃, MnF₂, FeF₂, CoF₂, NiF₂, α -Fe₂O₃ и т. д. А. П.

64378. Эффекты спин-орбитального взаимодействия в структурах цинковой обманки. Дресслхаус (Spin-orbit coupling effects in zinc blende structures. Dresselhaus G.), Phys. Rev., 1955, 100, № 2, 580—586 (англ.)

Методами теории групп (Bouckaert и др., Phys. Rev., 1936, 50, 58; РЖХим, 1956, 9131) исследовано влияние спин-орбитального взаимодействия на структуру энергетич. зон кристаллов типа цинковой обманки. Вычислены таблицы характеров представлений группы волнового вектора для определенных центров симметрии зоны Бриллюэна. Найдена зависимость энергии от волнового вектора в этих центрах симметрии. А. П.

64379. Теории гомеоплярных кристаллов Бравэ и Коссель-Странского и их применение к элементам. Вранглен (Bravais's and Kossel-Stranski's theories of homopolar crystals and their application to elements. Wranglén Gösta), Acta chem. scand., 1955, 9, № 4, 661—676 (англ.)

Для установления связи между внешним ограничением и внутренней структурой кристаллов проведено срав-

нение теории «решеточной плотности» Бравэ и теории «ближайших соседей» Странского путем вычисления числа атомов, приходящихся на грань a^2 единичного куба, согласно теории Бравэ, и числа ближайших соседей молекулы, начинающей заполнение нового слоя, согласно теории Странского. Вычисления проведены для куб., гексагональной, тетрагональной и орторомбической структур, и полученные результаты сведены в таблицы. Обе теории дают хорошее совпадение с эксперим. данными для простых структур некоторых элементов, а именно: Cu, Ag, Au, Pb, Pt, Fe, W, V, C, Si, Be, Ti, Mg, Zn, Cd, Se, Te, Sn. Для гранцентрированной куб. решетки и вытянутой гексагональной плотноупакованной решетке (Zn, Cd) обе теории дают почти совпадающие результаты. В случае Se и Te найдены значительные отклонения от теории Странского, что связано с неадекватностью теоретич. предсказаний для этих структур. Показано, что корреляция между теорией и экспериментом зависит от условий процесса кристаллизации. Наилучшее согласие найдено для сублимирующих кристаллов, поскольку сублимация представляет собой медленный процесс, происходящий при высоких т-рах, благоприятствующих равновесию. В случае металлич. кристаллов, полученных путем электроосаждения из комплексных или расплавленных солей, найдены большие отклонения от теории. Однако само по себе электроосаждение, как предполагалось, не влияет значительно на процесс кристаллизации. К. Р.

64380. О совпадении точек плавления полиморфных форм дибензоилметана и его энольных эфиров. Урусибара, Иимура, Икеда (On the coincidence of fusion points in the polymorphs of dibenzoylmethane and of its enol-ethers. Urushibara Y., Iimura F., Ikeda K.), J. Chem. Phys., 1955, 23, № 9, 1724—1725 (англ.)

Проведено спектральное и рентгенографич. исследование полиморфных форм стереоизомеров этилового, изопропилового и *n*-пропилового, третичного бутилового, изобутилового и *n*-бутилового эфиров дибензоилметана (I). Найдено, что ИК-спектры и рентгенограммы образцов *цис*-формы этилового и изобутилового эфира I, плавящихся при 75 и 78°, полностью отличаются от таковых для образцов *транс*-формы метилового эфира I, плавящихся соответственно при 74 и 78°. Соответствующие образцы *транс*-форм выделить в твердом состоянии из равновесной смеси не удалось, что объясняется их неустойчивостью при обычных т-рах. Отмечаются трудности идентификации полиморфных форм эфиров I из-за близости спектров и рентгенограмм образцов, плавящихся при разных т-рах, но имеющих одну и ту же стереоформу. Получен новый образец I, плавящийся при 78°, путем длительного выдерживания в темноте образца, плавящегося при 71°. В. А.

64381. О возникновении игольчатых кристаллов калия. Фримель, Странский (Über die Entstehung nadelförmiger Kaliumkristalle. Frie-mel W., Stranski I. N.), Naturwissenschaften, 1956, 43, № 4, 79 (нем.)

Необходимым условием роста игольчатых кристаллов металлич. К по ранее описанной методике (РЖХим, 1956, 42517) авторы считают, предварительную обработку Сг-смесью стеклянной трубки со впаиванной в нее Ag-проволокой. Загрязнение конденсирующихся капель К-соединениями, образующимися при указанной обработке, и затем неравномерное распределение примесей у поверхности растущего кристалла стимулируют преимущественный его рост по определенным направлениям. Наблюдалось в процессе роста иголок изменение направления их роста: $[111] \rightarrow [1\bar{1}\bar{1}]$ и $[001] \rightarrow [111]$. Ю. П.

64382. Скелетные кристаллы сфалерита в халькопирите. Сугаки, Тасиро, Хаяси (黄銅礦中の閃亜鉛礦骸晶について. 菅木浅彦, 田代忠一, 林高朗), 岩石礦物礦床學會誌, Гансэки kobun kosei gakkai, J. Japan Assoc. Mineral., Petrof. and Econ. Geologists, 1956, 40, № 1, 12—21 (япон.; рез. англ.)

Микроскопическими исследованиями в халькопирите (Япония) обнаружены скелетные кристаллы сфалерита (СКС), образованные в результате выпадения из твердого р-ра. Проведенное термич. изучение СКС показало, что при нагреве до 400° в течение 24 час. изменений в кристаллах не происходит. В интервале 425—450° в течение 24 час. СКС частично поглощаются халькопиритом и полностью исчезают при 480—515° (в зависимости от месторождения). Нагреванием до т-р от 475 до 530° получены твердые р-ры халькопирита и сфалерита. В. Г.

64383. Новый метод получения монокристаллов сульфида кадмия. Грийо (Nouvelle méthode de préparation de monocristaux de sulfure de cadmium. Grillet Edmond), C. r. Acad. sci., 1956, 242, № 6, 779—781 (франц.)

Предложен упрощенный метод изотермич. выращивания кристаллов CdS. В трубчатой печи с т-рой $\leq 1000^\circ$ создается слабый градиент т-р между областью нахождения CdS и плоской поверхностью дна кварцевой трубки. За несколько часов на дне трубки образуются пластинки сублимированного CdS площадью в несколько см² и толщиной в несколько мм, состоящие из небольшого числа сросшихся монокристаллов, которые легко отделяются друг от друга. Гексагональная ось кристаллов перпендикулярна основанию пластинки (дну трубки). Сублимация производится в инертной атмосфере (H₂S, H₂, N₂). Полученные таким способом кристаллы сильно отличаются от полученных синтезом в газовой фазе: у них сильно развита грань (001), они легко раскалываются параллельно оси L₆ и легко полируются параллельно и перпендикулярно этой оси, дают четкие рентгенограммы даже при малых углах и обладают характерной люминесценцией. А. Х.

64384. Зонная плавка разлагающихся соединений. Бомгард, Крёгер, Винк (Zone melting of decomposing solids. Boomgaard J. van den, Kröger F. A., Vink H. J.), J. Electronics, 1955, 1, № 2, 212—217 (англ.)

Описывается видоизменение метода зонной плавки для соединений, один или оба компонента которых летучи. Если скорости испарения обоих компонентов одинаковы, то используют обычную методику, если же, как обычно, эти скорости сильно различаются, то плавка ведется в закрытом сосуде под давлением насыщ. пара более летучего компонента p_1 , соответствующего миним. т-ре системы T_p . Если требуемое для зонной плавки p_1 меньше 1 атм, то процесс ведут в открытом сосуде, вдувая инертный газ через конец сосуда, где $T = T_p$. При очищении зонной плавкой от посторонних примесей наличие пара летучего компонента играет незначительную роль. Удаление избытка одного из компонентов (отклонение от стехиометрич. состава) более сложно. Сегрегация стремится обогатить расплав избыточным компонентом, тогда как взаимодействие пара с расплавом стремится сохранить состав расплава неизменным и соответствующим данной т-ре T (пл.) и давлению. Равновесный состав расплава (отличный от стехиометрич. состава при т-ре T (пл.)) зависит от соотношения скоростей обоих процессов, которое определяется скоростью перемещения зоны. Кристаллы, выросшие из расплава при охлаждении до основной т-ры T_b уже не будут в равновесии с паром, что вызовет миграцию компонентов в кристалле, которая захватит

тем меньший поверхностный слой, чем меньше T_b . Поэтому T_b снижается насколько возможно, но должно оставаться $> T_p$. Меняя T_p и тем самым p_1 получают кристаллы различного состава. Н. Ю.

64385. Ориентированные выросты Ag₂S на монокристаллах CdS, активированных серебром. Вильке (Orientierte Ag₂S-Aufwachsungen in silberaktivierten CdS-Einkristallen. Wilke Klaus-Thoma), Naturwissenschaften, 1955, 42, № 22, 603—604 (нем.)

При сублимации CdS с примесью Ag₂S образуются монокристаллы CdS, в решетку которых входит до 5·10⁻⁵ вес. % Ag. Избыток Ag₂S выделяется в виде ориентированных выростов на поверхности монокристалла CdS. Форма этих выростов зависит от содержания Ag (в вес. %): 6·10⁻⁵ — единичные прямоугольники, 9·10⁻⁵ — многочисленные мелкие кубики, 1,5·10⁻⁴ — крупные деформированные треугольники, 2·10⁻⁴ — кубики с округленными вершинами, 5·10⁻⁴ — многочисленные треугольники, 7,5·10⁻⁴ — сильно деформированные треугольники, 1,5·10⁻³ — многочисленные крупные прямоугольники, 1·10⁻² — бесструктурные блестящие слои. При сублимации Ag₂S на кристалл CdS образуются не ориентированные кристаллы, а тонкий блестящий бесструктурный слой. Сделан вывод, что ориентированные кристаллы образуются в результате разделения на фазы при охлаждении твердого р-ра CdS — Ag₂S, который образуется при высокой т-ре. Ag₂S выделяется в виде ромбич. модификации. А. Х.

64386. К механизму роста кристаллов закиси меди при высокой температуре. Андриевский А. И., Мищенко М. Т., Докл. АН СССР, 1956, 107, № 1, 81—83

Произведены микрофотографич. наблюдения над изменением структуры слоя Cu₂O в процессе длительного выдерживания на воздухе при 1020°. Установлено, что рост кристаллов Cu₂O происходит в результате рекристаллизации, которая прежде всего протекает на наиболее мелкозернистых участках слоя. При этом положение межкристаллич. промежутков новой более крупнозернистой структуры не зависит от их положения в прежней структуре. При наличии материнской меди механизм роста зерен Cu₂O не отличается от описанного. Измерения показывают, что при таком механизме, т. е. когда в-во мелких зерен распределяется между несколькими соседними более крупными зернами, поверхность раздела зерен уменьшается сильнее, чем при простом присоединении мелких зерен к более крупным. А. Х.

64387. Монокристаллы окислов переходных элементов, полученные методом плавления в пламени. Скотт (Single crystals of the oxides of the transition elements by the flame fusion method. Scott E. J.), J. Chem. Phys., 1955, 23, № 12, 2459 (англ.)

Кристаллические були диам. 0,8 см и длиной 2—5 см простых окислов и двойных систем окислов двухвалентных металлов, а также були ферритов и алюминатов были получены несколькими измененным методом Вернейля. (Изменения сводились к уменьшению отверстия форсунки и повышению давления газа.) Ориентировка кристаллов проверялась съемкой методом Лауэ. Из рентгенограмм порошков установлено, что все полученные соединения, за исключением окиса алюминия, имеют состав, отклоняющийся от стехиометрич. (напр., Co₂O). Эти отклонения автор объясняет дефектами в сверхструктурной решетке из атомов металла. Всего исследовалось 16 соединений, из которых 8 имеют структуру шпинели, 5 — структуру каменной соли, 2 — структуру корунда и одно — структуру гаусманита. Л. И.

64388. О текстурах слоев, напыленных в вакууме на поверхность твердого тела. Румш М. А., Зим

кина Т. М., Вестн. Ленингр. ун-та, 1956, № 4, 33—49

Проведено электронографич. исследование слоев PbS, нанесенных на гладкие аморфные подкладки путем конденсации в вакууме и в различных газах при малых давлениях. Найдено несколько типов текстур, в том числе с наличием двух осей и с наличием ограниченности в расположении кристалликов. Детально обсуждаются причины их возникновения.

Н. Ш. 64389. Получение тонких пленок BaTiO_3 путем испарения. Фелдман (Formation of thin films of BaTiO_3 by evaporation. Feldman Charles), Rev. Scient. Instrum., 1955, 26, № 5, 463—466 (англ.)

Сегнетоэлектрические пленки BaTiO_3 (I) получают сублимацией в вакууме ($<5 \cdot 10^{-5}$ мм рт. ст.) на Pt-подложку с последующей термообработкой на воздухе. Смоченный спиртом порошок I наносится на W-нить, нагреваемую током. При испарении I разлагается на BaO и TiO_2 , которые оседают на Pt-пластинке и после термообработки на воздухе при т-ре $\sim 1000^\circ$ образуют пленки I толщиной 1—2 м. Рентгенографически установлено, что пленка состоит в основном из кристаллов типа перовскита тетрагональной модификации и содержит в небольшом кол-ве несегнетоэлектрич. кристаллы гексагональной модификации. Электронномикроскопически установлено, что размеры зерен пленки, полученной при 1300° , равны 1000—5000 Å. Диэлектрич. свойства пленок близки к свойствам керамики. I и зависят от условий термообработки.

Г. Г.

64390 Д. Определение кристаллической структуры BaZn_2 и SrZn_2 . Контант (Crystal structure determination of BaZn_2 and SrZn_2 . Conant John Wesley. Doct. diss. State Univ. Iowa, 1955), Dissert. Abstrs, 1955, 15, № 11, 2027—2028 (англ.)

64391 Д. Инфракрасный спектр гипса $\text{CaSO}_4 \cdot 2\text{H}_2\text{O}$. Хаас (The infrared spectrum of gypsum, $\text{CaSO}_4 \cdot 2\text{H}_2\text{O}$. Haas Marvin. Doct. diss. Univ. Michigan, 1955), Dissert. Abstrs, 1955, 15, № 11, 2245 (англ.)

64392 Д. Экспериментальное определение распределения электронной плотности в металлическом литии. Сплитстон (An experimental determination of the electron density distribution in metallic lithium. Splitstone Paul Leroy. Doct. diss. Ohio State Univ., 1955), Dissert. Abstrs, 1955, 15, № 11, 2033 (англ.)

См. также: Рентгеногр., электроногр. исслед. 64442, 64604, 64609, 64667, 64674—64678, 64686, 64687, 64691, 64740, 65131, 65142—65144, 65683, 65764; 18823 Бх. Магнитный резонанс 64254—64259. Термодинамика кристаллов 64430, 64440, 64448. Магнитные св-ва кристаллов 64451; 18817 Бх. Спектры и др. оптич. св-ва кристаллов 64223, 64242, 64272, 64274, 64280. Рост кристаллов 64441; 18733 Бх. Приборы и оборудование 65414, 65421, 65429—65437. Др. вопр. 65735.

ЖИДКОСТИ И АМОРФНЫЕ ТЕЛА. ГАЗЫ

64393. Основы применения методов статистической механики к необратимым процессам в газовой системе низкой плотности. Помоеа (低密度ガス體系における非可逆過程に対する統計運動學的方法の基礎. 右衛門佐重雄), 物性論研究, Буэсайрон кэнкю, 1954, № 76, 1—12 (япон.)

С квантовомеханич. точки зрения обсуждаются и обосновываются методы расчета необратимых процессов, предложенные в предыдущих работах автора (РЖХим, 1956, 31865, 31868).

Л. Л. 64394. Поведение жидкостей с квазисферическими молекулами. IV. О правилах Трутона и Хильдебрандта. Хаман (The behaviour of fluids of quasi-

spherical molecules. IV. Concerning Trouton's and Hildebrandt's rules. Hamann S. D.), Austral. J. Chem., 1955, 8, № 1, 21—25 (англ.)

На основе результатов предыдущей работы (часть VII, РЖХим, 1956, 3301) исследуются правила Трутона (Pictet R., Ann. Chem. (Phys.), 1876, (5), 9, 180; Trouton F., Philos. Mag., 1884, 51, 18, 54) и Хильдебрандта (Hildebrandt J. H., J. Amer. Chem. Soc., 1915, 37, 970) с использованием потенциала Леннард-Джонса 12—6 и 28—7. Показана большая общность правила Хильдебрандта.

Е. Б.

64395. Атомное распределение в жидком гелии. Бомонт, Рики (Atomic distribution in liquid helium. Beaumont C. F. A., Reekie J.), Proc. Roy. Soc., 1955, A228, № 1174, 363—376 (англ.)

Измерено угловое распределение интенсивности рентгеновского излучения, рассеянного образцом жидкого He при $4,20$ — $4,27^\circ$. При всех т-рах максимум дифракционного кольца найден в направлении $\sim 28,5^\circ$. Распределение интенсивности в зависимости от $s = (4\pi/\lambda)\sin\theta$ качественно сходно для всех т-р ниже 3° ; некоторое отклонение замечено лишь при $4,20^\circ$. Детальный анализ проведен для $2,06$ и $4,20^\circ$; для этих т-р рассчитаны структурный фактор и функция атомного распределения (приводятся графики). Описана аппаратура для измерения рентгеновского рассеяния при низких т-рах.

Е. Б.

64396. Уравнение политропы реальных газов. Малич (Jednačina politrote stvarnih gasova. Malic Dragomir), Tehnika, 1955, 10, № 12, 1762—1763 (хорв.)

Популярный вывод уравнения политропы идеальных и реальных газов с поправками на неидеальность с учетом сил притяжения. Показатель политропы выражен через некоторую определенную формально теплоемкость, c_p и c_v .

С. Ш.

64397. К обобщению теоремы соответственных состояний. Часть III. Критический коэффициент, плотность насыщенных паров и теплоты испарения. Ридель (Untersuchungen über eine Erweiterung des Theorems der übereinstimmenden Zustände. Teil III. Kritischer Koeffizient, Dichte des gesättigten Dampfes und Verdampfungswärme. Riedel L.), Chem. Ingr Techn., 1954, 26, № 12, 679—683 (нем.)

В рамках развиваемой автором теории (части I, II, РЖХим, 1956, 38963, 46251) зависимость крит. параметра $K = RT_{кр}/p_{кр}V_{кр}$ от крит. параметра α_k выражается соотношением $K = 3,72 + 0,26(\alpha_k - 7)$ с точностью для большинства в-в $\pm 2\%$. Для оценки молярной теплоты испарения предложено использовать уравнение Клапейрона—Клаузиуса в форме $W = T_{кр}R\theta\alpha(Z'' - Z')$, где $\alpha = (T/p)(\partial p/\partial T)$ — коэфф., определяемый по кривым давления, Z'' и Z' — величины pV/RT («факторы сжимаемости» по амер. терминологии) для насыщ. пара и жидкости соответственно. Табулированы значения Z'' , $W/T_{кр}$ и α для $\alpha_k = 6, 7$ и 8 и $\theta = 0,4; 0,5; 0,6; 0,7; 0,8; 0,9$. Согласно результатам I и II части $Z' = \pi\theta'/k\theta$. Предложена ф-ла для расчета энтропии испарения в нормальной точке кипения; рассмотрена связь теории с известным правилом для расчета энтропии испарения (Hildebrandt J. H., J. Amer. Chem. Soc., 1915, 37, 970). Рассмотрена связь параметра α_k с характером межмолекулярных сил.

Е. Б.

64398. Обобщение теоремы соответственных состояний. Ридель (Eine Erweiterung des Theorems der übereinstimmenden Zustände. Riedel L.), Allgem. Wärmetechnik, 1955, 6, № 11, 230—233 (нем.)

См. пред. реф.

64399. Перенос энергии при столкновениях в парах хлорированных метанов. Сетт, Бусала, Хаб-

бард (Energy transfer by collisions in vapors of chlorinated methanes. Sette D., Busala A., Hubbard J. C.), J. Chem. Phys., 1955, 23, № 5, 787—793 (англ.)

Измерены скорости ультразвука V частоты f 0,2—2,0 Мгц при 30° в CH_3Cl (2,7—100), CH_2Cl_2 (1,3—28), CHCl_3 (2,9—13,9) и CCl_4 (1,5—12,1); в скобках указаны интервалы давлений в см рт. ст., при которых производились измерения. «Идеализация скорости», т. е. учет неидеальности, производился по ф-ле $V/V_{\text{ид}} = 1 + p \times \{B/RT + [dB/dT + (RT/2C_p^0) d^2B/dT^2/C_p^0]\} = 1 - \alpha p$, где V — скорость, наблюдаемая экспериментально; C_p^0 и C_v^0 — «идеальные» теплоемкости, экстраполированные к низкой частоте; B — второй вириальный коэфф. «Факторы идеализации» α при низких давлениях удовлетворительно ложатся на прямую, если по оси ординат откладывать число атомов Cl, замещающих H в исследованных в-вах. Времена релаксации $\tau \cdot 10^8$ сек. равны: для CH_3Cl 18,5, для CH_2Cl_2 9,46 и 0,195, для CHCl_3 1,35, для CCl_4 2,08. Таким образом, во всех исследованных в-вах, за исключением CH_2Cl_2 при столкновениях возбуждается одно нормальное колебание, тогда как в CH_2Cl_2 могут возбуждаться два таких колебания. Е. Б.

64400. Взаимная диффузия в газообразных системах BF_3 — CCl_4 и BCl_3 — CCl_4 . Ро (Interdiffusion in the gaseous systems: BF_3 — CCl_4 and BCl_3 — CCl_4 . Row C. J. G.), J. Chem., Phys., 1955, 23, № 5, 973 (англ.)

Методом Стефана (Partington. An advanced Treatise on physical chemistry. Longmans, Green and Company, London, 1949, Vol. 1) найдены следующие коэфф. взаимной диффузии D при 30 ± 0,05° и 1 атм.: для BF_3 — CCl_4 0,045 см² сек⁻¹, для BCl_3 — CCl_4 0,034 см² сек⁻¹. По эмпирич. правилу $\epsilon_{ij} = \sqrt{\epsilon_{ii}\epsilon_{jj}}$ и $\sigma_{ij} = 1/2(\sigma_{ii} + \sigma_{jj})$, где ϵ , σ — параметры потенциала 12—6 Леннард-Джонса (E — максимум энергии притяжения между двумя молекулами газа, σ — диаметр столкновения), найдены значения, хорошо согласующиеся с опытом. Для определения E и σ BF_3 , BCl_3 и CCl_4 использованы литературные данные по вязкости этих газов. Е. Б.

64401. Энергия активации самодиффузии и вязкости расплавленных металлов. Грбек (Aktivační energie při vazkosti a samodifuzi roztavených kovů. Hrbek Antonín), Huthické listy, 1956, 11, № 3, 164—168 (чеш.; рез. русс., нем., англ., франц.)

Предложены ф-лы для расчета самодиффузии и вязкости расплавленных металлов при различных т-рах. Обзор. Библ. 44 назв. Е. Б.

64402. Протонная релаксация в чистых жидкостях и в жидкостях, содержащих в растворе парамагнитные газы. Кьяротти, Кристиани, Джулотто (Proton relaxation in pure liquids and in liquids containing paramagnetic gases in solution. Chiarotti G., Cristiani G., Giulotto L.), Nuovo cimento, 1955, 1, № 5, 863—873 (англ.; рез. итал.)

Методом, описанным ранее (РЖХим, 1956, 39929), найдены следующие значения времени протонной релаксации T_1 (в сек.) в жидкостях, не содержащих кислорода в р-ре: вода 3,6; этиловый спирт 3,5; метиловый спирт 8; этиловый эфир 14,5; ацетон 15; циклогексан 6,5; уксусная к-та 3,8; бензол 19; хлорбензол 15; нитробензол 6,5; анилин 2,4; толуол 12,5; глицерин 0,025; муравьиная к-та 8. Теория (Bloembergen N. и др., Phys. Rev., 1947, 71, 466; Bloembergen N. и др., Nature, 1947, 160, 475; Bloembergen N., Nuclear magnetic relaxation. The Hague, 1948) хорошо согласуется с опытом для воды, тогда как T_1 бензола, хлорбензола и нитробензола больше полученных теоретически. Обсуждены следующие возможные причины расхождений:

квазикристаллич. структура жидкости, влияние ассоциаций и микровязкости (отклонений от ф-лы Стокса, обусловленных микроскопичностью молекул). Исследовано также влияние растворенных в жидкостях парамагнитных газов O_2 и NO на время релаксации. Графики величин $1/T''_1 = 1/T_1 - 1/T'_1$, где T_1 — время релаксации жидкости, содержащей O_2 и NO , T'_1 — то же для чистой жидкости, в зависимости от конц-ий газов представляют собой прямые под углами к оси конц-ий, убывающими в следующей последовательности: для р-ра O_2 нитробензол, вода, этиловый спирт, бензол, хлорбензол; для р-ра NO нитробензол, бензол, хлорбензол. Эффективный магнитный момент O_2 в р-ре того же порядка, что и полученный из измерений восприимчивости газа и растет с уменьшением полярности р-рителя. Такое поведение эффективного магнитного момента NO связывается со взаимодействием орбитального магнитного момента с неоднородным локальным электрич. полем р-рителя. Е. Б.

64403. Зависимость вязкости от давления для 26 чистых веществ. Кусе (Das Viskosität-Druckverhalten von 26 Reinsubstanzen. Kuss Eduard), Kolloid-Z., 1956, 145, № 2, 112—113; Diskuss. 113—114 (нем.)

См. РЖХим, 1956, 46264.

64404. О структурной вязкости жидкокристаллического n , n' -азоксанизола. Петер, Петере (Über die Strukturviskosität des kristallin-flüssigen p-p'-Azoxyanisols. Peter S., Peters H.), Z. phys. Chem. (Frankfurt), 1955, 3, № 1—2, 103—125 (нем.)

На капиллярном вискозиметре исследованы свойства n , n' -азоксанизола в интервале 119—154° при течении со скоростями сдвига 60—18000 сек⁻¹. В жидкокристаллич. состояниях при 118—135,4° это в-во обнаруживает при скоростях сдвига, меньших 10 000 сек⁻¹ переменную вязкость (монотонное падение с ростом скорости сдвига, тем более крутое, чем ниже т-ра), а при больших скоростях сдвига ведет себя как ньютоновская изотропная жидкость. Энергия активации вязкого течения для жидкокристаллич. фазы равна 2,9 ккал/моль, а для изотропной 5,6 ккал/моль. Методом наблюдения проходящего светового луча при различных т-рах измерена скорость процесса упорядочения, связанного со сдвигом в жидкокристаллич. состоянии, а также скорость процесса разупорядочения, обусловленного сдвигом и магнитным полем. Найдено, что явление упорядочения в магнитном поле имеет характер, отличный от упорядочения при течении. Как процесс упорядочения, так и процесс разупорядочения, обусловленный сдвигом, протекают по схеме р-ции первого порядка. Найдены константы ур-ний, описывающих эти процессы, для нескольких т-р. Обсуждается связь процессов упорядочения и разупорядочения с наблюдаемой вязкостью (в предположении кинетич. равновесия при течении). Е. Б.

64405. Вязкое течение расплавов «жестких анизотропных» молекул. Аль-Махди, Убеллоде (Viscous flow in melts of 'rigid anisotropic' molecules. Al-Mahdi A. A. K., Ubbellohde A. R.), Trans. Faraday Soc., 1955, 51, № 3, 361—368 (англ.)

Исследовалась вязкость фенантрена, аценафтена, 2,3- и 2,6-диметилнафталинов. Вблизи точек плавления у последних трех в-в обнаруживается отклонение от линейности на графиках $\lg \eta$ — $1/T$, где η — вязкость, T — абс. т-ра. Аналогичные отклонения обнаружены

и для
судж
64406
Кл
var
да
100
Пр
ред
р пар
термо
~ 0,0
работ
онис
крит.
этом
0,66
мочав
что е
ним
дора
64407
и
не
flis
и е
96
В
сеян
охла
см. I
что
кул
C₂H₆
лооб
соот

64408
и л
Di
G
19
ров
220;
163,
мере
танко
95°
ров,
рим
6440
ж
d
10
П
сур
Н.,
6441
че
ф
В
нек
на
Обр
557
тыр
эти.

и для текучести $1/\eta$ в зависимости от уд. объема. Обсуждены возможные причины этих отклонений. Е. Б.

64406. Уравнение упругости пара жидкого гелия. Клемент, Логан, Гаффи (Liquid helium vapor pressure equation. Clement J. R., Logan J. K., Gaffney J.), Phys. Rev., 1955, 100, № 2, 743—744 (англ.)

Принятая в настоящее время «шкала 1948 года», определяющая T -ру T в области ниже $5,2^\circ$ по упругости p пара жидкого He, не является точной. Отклонения от термодинамич. шкалы составляют $\sim 0,01^\circ$ при $2,2^\circ\text{K}$ и $\sim 0,02^\circ$ при $4,9^\circ\text{K}$. Авторы, используя данные ряда работ, составили эмпирич. ур-ние (с 7 постоянными), описывающее зависимость $p(T)$ во всей области ниже крит. точки He. С помощью электронной машины по этому ур-нию рассчитаны таблицы $T-p$ (в области $0,66 \leq T \leq 5,20^\circ\text{K}$, с интервалом $0,01^\circ$). Однако в примечании, сделанном в корректуре, авторы указывают, что еще более новые данные расходятся с предложенным ур-нием (максим. отклонение $0,005^\circ$). Производится доработка таблиц $T-p$. Р. Ч.

64407. Структура этилового спирта в стеклообразном и жидком состояниях. Фойтглендер-Тетнер (Die Struktur des Äthylalkohols im glasigen und flüssigen Zustande. Voigtlaender-Tetzner G.), Naturwissenschaften, 1955, 42, № 4, 95—96 (нем.)

В результате анализа кривых рентгеновского рассеяния жидкого ($t = -75^\circ$) и стеклообразного (перехожденного, $t = -150^\circ$) этилового спирта (метод см. РЖХим, 1955, 33893) автор приходит к выводу, что в стеклообразном этиловом спирте цепи из молекул $\text{C}_2\text{H}_5\text{OH}$ расположены параллельно. В жидком $\text{C}_2\text{H}_5\text{OH}$ расположение цепочек такое же, как и в стеклообразном. В обоих случаях полученная структура соответствует образованию небольших кристаллов. Е. Б.

64408. Максимум отношения плотностей тяжелой и легкой воды. Гроссманн-Дёрт (Maximum des Dichteverhältnisse von schwerem zu leichtem Wasser. Grossmann-Doerth U.), Z. Naturforsch., 1956, 11a, № 3, 254—255 (нем.)

С целью сопоставления с результатами других авторов (Schradner R., Wirtz K., Z. Naturforsch., 1951, 6a, 220; Chang T. L., Tung L. H., Nature, (London), 1949, 163, 737) продолжены (РЖХим, 1956, 25046) до 70° измерения плотности ρ тяжелой воды. При $95^\circ (\pm 5^\circ)$ установлен максимум величины $\rho_{\text{D}_2\text{O}}(T)/\rho_{\text{H}_2\text{O}}(T)$. Ниже 95° результаты совпадают с данными названных авторов, а выше — расходятся за пределами ошибок эксперимента. Е. Б.

64409. Интерференционная картина линии $W-K_\alpha$ жидкой сурьмы. Хендус, Мюллер (Das $W-K_\alpha$ -Interferenzbild des flüssigen Antimons. Hendus H., Müller H.), Z. Naturforsch., 1955, 10a, № 3, 254—255 (нем.)

Приведены рентгеновские снимки жидкой (645°) сурьмы; наблюдения согласуются с прежними (Hendus H., Z. Naturforsch., 1948, 3a, 416). Описана методика. Е. Б.

64410. Изменение показателя преломления органических жидкостей в широком интервале температур. Никитина А. Н., Сафонова В. М., Ж. физ. химии, 1955, 29, № 2, 356—358

В результате измерения показателя преломления некоторых органич. жидкостей при различных T -рах на описанной ранее аппаратуре (Никитина А. Н., Обреимов И. В., Изв. АН СССР, сер. физ., 1950, 14, 557) установлено, что молекулярная рефракция четыреххлористого углерода, дихлорэтана, тетрахлорэтилена, дициклопентадиена, циклогексана и n -гептана

линейно зависит от T -ры; n -октана и n -гексана — более сложным образом. Е. Б.

64411. Ультразвуковая релаксация в нормальном пропиловом спирте. Лайон, Литовиц (Ultrasonic relaxation in normal propyl alcohol. Lyon T., Litovitz T. A.), J. Appl. Phys., 1956, 27, № 2, 179—187 (англ.)

Импульсным методом (РЖХим, 1955, 25727) измерены скорости и поглощение ультразвука в n -пропиловом спирте при T -рах от 0 до -155° и частотах от 1 до 82 Мгц . Результаты, согласующиеся с литературными данными, показывают, что при малой сдвиговой вязкости имеется и объемная вязкость, причем в пределах ошибок опыта первая равна второй. При низких T -рах (при больших сдвиговых вязкостях) отмечено наличие обеих вязкостей, при этом время сдвиговой релаксации больше времени релаксации, связанного с объемной вязкостью. Для объяснения поглощения, связанного с объемной вязкостью, необходимо ввести распределение времен релаксации. Полученных данных недостаточно для решения вопроса о том, какое из времен релаксации распределено, однако естественно предположить, что это распределение связано с распределением энергии активации элементарных молекулярных процессов. Простейшая функция распределения (функция равна нулю всюду, кроме некоторого конечного интервала, где она постоянна) дает плохое согласие с опытом при очень высоких вязкостях. Предложена теория релаксации; рассмотрены случаи одного времени релаксации и распределения времен релаксации (на основе идей теории диэлектрич. релаксации Фрелиха). Для конкретных оценок принята охарактеризованная выше простейшая функция распределения. Е. Б.

См. также: Термодинамика 64423—64426, 64434, 64436, 64437, 64439, 64440, 64469. Межмол. взаимодействие 64205—64207, 64210, 64265—64271, 64277, 64278. Др. вопр. 64159, 64160, 64213

ОБЩИЕ ВОПРОСЫ ХИМИИ ИЗОТОПОВ

64412. Измерение масс ионов при помощи электрических полей. Фикс В. Б., Докл. АН СССР, 1956, 106, № 4, 645—646

Описан принцип метода разделения ионов по массам в электрич. поле. В электрич. поле можно разделить по массам ионы, обладающие одинаковыми начальными импульсами. Схема масс-спектрометра, основанная на этом принципе, включает источник, создающий ионы с одинаковыми импульсами. Электронный пучок периодически создает ионный пакет между двумя сетками, на которые в периоды выключения электронного пучка подается ускоряющее напряжение. Для разделения ионов по массам можно применить различные электростатич. анализаторы. В. Л.

64413. Производство радионуклидов. Часть I. Рапи (Production of radioisotopes. Part I. Rupp A. F.), Chemistry, 1956, 29, № 5, 35—43 (англ.)

См. РЖХим, 1954, 37416.

64414. Анализ и получение стабильных изотопов. Рот (Analyse et préparation des isotopes stables. Roth M.), Chim. analyt., 1956, 38, № 1, 3—14 (франц.)

Обзор; описаны основные принципы масс-спектрометрического анализа и различные методы разделения стабильных изотопов. В. Л.

64415. Изотопный спектральный анализ. Стриганов А. Р., Успехи физ. наук, 1956, 58, № 3, 365—414

Обзор. Библ. 42 назв.

М. П.

64416. Соосаждение цезия с диникриламином тетраметиламмония. Коренман И. М., Лебедев О. Л., Сообщ. о науч. работах Всес. хим. о-ва им. Д. И. Менделеева, 1955, вып. 2, 42—45

Изучено соосаждение микрокомпонента Cs с тетраметиламмонием (I) при осаждении I диникриламином. Содержание Cs определялось радиометрически по изотопу Cs¹³⁴. Осаждение и соосаждение заканчивается в течение ≤ 5 мин.). При повышении т-ры соосаждение уменьшается (до нуля при 65°), что указывает на адсорбционный характер процесса. С ростом конц-ии диникриламина соосаждение увеличивается; увеличение конц-ии Cs уменьшает процент соосаждения. Исследовано влияние природы амина (I, триметиламин, диметиламин) на соосаждение. Найдено, что при увеличении мол. веса катиона (диметиламин, триметиламин, I) процент соосаждения увеличивается. В. Ф.

64417. Частичное разделение Na²² и Na²⁴ методом ионообменной хроматографии. Бете, Гарриес, Стивенсон (The partial separation of Na²² from Na²⁴ by ion exchange chromatography. Betts R. H., Harris W. E., Stevenson Margaret D.), Canad. J. Chem., 1956, 34, № 1, 65—74 (англ.)

Исследовалось хроматографич. разделение изотопов Na²² и Na²⁴ в форме хлоридов на катионите дауэкс-50 в колонке из стекла пирекс длиной 107 см, внутренним diam. 0,90 см, которая заполнялась 36 г воздушно-сухого катионита в водородной форме емкостью 3,54 мг-экв со средним diam. зерна 25 м. Для промывания применялась 0,7 М HCl. Головные фракции обогащались Na²⁴, хвостовые — Na²². Опыты проводились при т-рах 5,5; 24,8; 48,4 и 67,8°, которым соответствовало максим. разделение (в %): 10; 8; 2 и 3; уменьшение разделения с ростом т-ры объясняется конвекционным перемешиванием р-ра. В. Л.

64418. Концентрирование изотопов лития методом электромиграции в расплавленной фазе. Шемла (Concentration des isotopes du lithium par électromigration en phase fondue. Chemla Marius), C. r Acad. sci., 1956, 242, № 11, 1450—1452 (франц.)

В продолжение работ (РЖХим, 1956, 12333, 46288) исследовалось разделение изотопов Li⁷ и Li⁶ методом электромиграции в расплавленной фазе. Полоса асбестовой бумаги 40 × 1,5 см пропитывалась смесью 55% KNO₃ + 45% NaNO₃, с одного края полосы наносилось 15 мг LiNO₃ и при 300° расплав подвергался электролизу (620 в, 150 ма). За 2 часа пятно LiNO₃ переместилось вдоль асбестовой полосы на 20 см при градиенте напряжения 16 в/см², отношение Li⁷:Li⁶ на переднем крае пятна снизилось до 5,0 против 11,5 в естественной смеси изотопов Li. Расстояние между максимумами на кривых распределения Li⁷ и Li⁶ вдоль пятна около 6 мм, откуда относительное различие в подвижностях ионов этих изотопов равно 0,03, тогда как теоретич. расчеты (РЖХим, 1956, 46288) дают значение 0,06. В. Л.

64419. Концентрирование тяжелого углерода термодиффузией метана. Хирибэ, Ниедзава (メタンの熱拡散による重炭素の濃縮. 第2報. 堀部純男, 西澤澄). 日本化学雑誌. Нихон какаку засси, J. Chem. Soc. Japan. Pure Chem. Sec., 1955, 76, № 7, 25—28 (япон.)

Описана улучшенная установка для концентрирования C¹³. Сообщение I см. J. Chem. Soc. Japan. Pure Chem. Sec., 1952, 73, 76.

64420. Микросинтез диметилрадиобериллия 7. Мюксар, Мелле, Яворский (Sur une micro-synthèse de diméthylradiobéryllium 7. (Note de laboratoire). Muxart Roland, Mellet R-

bert, Jaworsky Richard), Bull. Soc. chim. France, 1956, № 3, 445—446 (франц.)

Описан метод микросинтеза (CH₃)₂Be⁷ (I) (в кол-ве ~5 мг) по описанной ранее р-ции (Лавров, Ж. Р. Ф. Х. О., 1884, 16, 93). Be⁷ в порошке смешивается с порошкообразным Au и дегазируется в вакууме (10⁻⁵ мм рт. ст.) при 400°. Затем вводится сухая дегазированная (CH₃)₂Hg и реактор нагревается до 125°. Р-ция продолжается ~72 часа. Избыток (CH₃)₂Hg удаляется отгонкой в вакууме, затем I сублимируется при 100° и переводится во второй сосуд, содержащий Au, где при 60° из I удаляется Hg. Для анализа I разлагают влажным N₂ и выделившийся CH₄ определяют сжиганием. Выход I (после первой сублимации) ~55%. Окончательный выход после ряда очисток ~35%. В. Л.

64421. Графический метод расчета ускоряет планирование производства изотопов. Россин, Биллербек, Деликейт, Уэндинг, Гофман, Рид (Graphical method speeds production scheduling of radioisotopes. Rossin A. D., Billerbeck C. J., Delicate W. S., Wendling A. W., Hoffman A. S., Reid R. C.), Nucleonics, 1955, 13, № 10, 80—82 (англ.)

Описан графич. метод определения активности радиоизотопов (РИ), накапливающихся в в-ве, облучаемом в реакторе на любом этапе производственного процесса. Контейнеры с облучаемым материалом периодически передвигаются в канале реактора от периферии к центру активной зоны, где заканчивается процесс. Число атомов РИ N, накопившихся к моменту времени t, выражается ф-лой $N = (Phi\sigma/\lambda) [1 - \exp(-\lambda t)] + N_0 \exp(-\lambda t)$, где Φ — интенсивность потока нейтронов в данной точке канала реактора, σ — конц-ия атомов мишени, λ — константа распада РИ, N_0 — число атомов РИ, имеющиеся к началу облучения в данной точке канала. Величина Φ определяется экспериментально, затем строится график накопления активности в каждой точке канала реактора в зависимости от начальной активности РИ, пропорциональной N, за время между двумя передвижками контейнеров в канале. С помощью этого графика определяется оптимальный режим работы. В. Л.

64422 П. Концентрирование тяжелой воды. Брун, Раннере (Fremgangsmåte for fremstilling eller oppkonsentrering av tungt vann. Brun Jomar, Randers Guhnar). Норв. пат. Kl. 12i—13 № 84254, 20.09.54 (норв.)

Приведена принципиальная схема многоступенчатой установки для обогащения воды фракцией D₂O. М. Н.

См. также: Получение 65667. Радиоактив. св-ва 64167, 64168, 64171, 64172. Введение в молекулу 64541, 64551, 64552, 64813, 64814. Изотопные эффекты 64408, 64815. Изотопный обмен 64499, 64534, 64547. Измерение активности 65402, 65427, 65475. Применения: в исслед. кинетики и механизма р-ций 64697; в физ. процессах 64333; в биохимии 18727Бх, 18735Бх, 18736Бх, 18893Бх, 18895Бх, 18929Бх, 18948Бх, 18980Бх, 18981Бх, 19021Бх, 19026Бх, 19039Бх, 19042Бх, 19049Бх, 19054Бх, 19055Бх, 19061Бх, 19065Бх, 19067Бх, 19087Бх, 19119Бх, 19158Бх, 19165Бх, 19173Бх, 19184Бх, 19228Бх, 19230Бх, 19235Бх, 19249Бх, 19255Бх, 19265Бх, 19266Бх, 19274—19278Бх, 19284Бх, 19290Бх, 19294—19298Бх, 19305Бх, 19307Бх, 19308Бх, 19314Бх, 19325Бх, 19330Бх, 19337Бх, 19342Бх, 19343Бх, 19345Бх, 19349Бх, 19363Бх, 19364Бх, 19368Бх, 19370Бх, 19407Бх, 19410Бх, 19422Бх, 19423Бх, 19425Бх, 19466Бх, 19480Бх, 19500Бх, 19523Бх, 19534Бх, 19535Бх; в пром-сти 65711, 65759, 65926, 66729, 66985, 67010—67014, 67017, 67127, 67228, 67415; в аналит. химии 65186, 65229—

65231,
64717,
64550,

РАВИ

64423.

проп
гоас
тег
1955

В к

опис

стем

нем,

Пред

сание

мощь

резер

выми

исча

венны

канон

ленны

ниями

возра

энерг

распр

что п

инте

прост

градь

ствие

ной с

ном.

ансам

распр

цион

личн

Дока

малы

опис

64424

неп

Н с

der

sch

Me

Ma

Kirk

зора

тиру

обще

один

ка

вани

счита

стем

рейн

звол

своб

ные

скор

64425

фи

to

Ap

(a)

65231, 65257, 65259. Изотопы в геохимии 64712, 64716, 64717, 64720, 64766, 64770. Др. вопр. 64319, 64538, 64550, 64610, 65180, 65450, 65451, 65453, 65484, 65512

ТЕРМОДИНАМИКА. ТЕРМОХИМИЯ. РАВНОВЕСИЯ. ФИЗИКО-ХИМИЧЕСКИЙ АНАЛИЗ. ФАЗОВЫЕ ПЕРЕХОДЫ

64423. Новый подход к описанию неравновесных процессов. Бергман, Лебовиц (New approach to nonequilibrium processes. Bergmann Peter G., Lebowitz Joel L.), Phys. Rev., 1955, 99, № 2, 578—587 (англ.)

В классич. приближении развивается новый способ описания необратимых процессов, происходящих в системе, которая так взаимодействует со своим окружением, что возможно построение гиббсовых ансамблей. Предполагается, что возможно достаточно точное описание взаимодействия системы с резервуарами с помощью импульсных взаимодействий системы с этими резервуарами, которые обладают бесконечными тепловыми емкостями, бесконечным числом степеней свободы, исчезающей теплопроводностью и состоят из тождественных не взаимодействующих частей, подчиняющихся канонич. распределением, характеризуемым определенными т-рами. Используя равенство между сечениями прямых и обратных процессов, автор доказывает возрастание общей энтропии, убывание свободной энергии до абс. минимума, соответствующего канонич. распределению при т-ре одного резервуара. Показано, что полученный ансамбль подчиняется обобщенному интегро-дифференциальному ур-нию Лувилля в Г-пространстве, содержащему дополнительный интегральный стохастич. член, описывающий взаимодействие с резервуарами. Внутренняя динамика введенной системы полностью описывается ее гамильтонианом. При произвольном начальном распределении ансамбль, как показано, приближается к канонич. распределению при наличии одного резервуара и к стационарному неравновесному распределению при наличии нескольких резервуаров с различными т-рами. Доказана выполнимость соотношений Онзагера при малых разностях т-р у резервуаров для системы, описывающейся стационарным распределением. Ю. Х.

64424. Вывод основных уравнений термомеханики непрерывных сред из статистической механики. Нолль (Die Herleitung der Grundgleichungen der Thermomechanik der Continua aus der statistischen Mechanik. Noll Walter), J. Rational Mech. and Analysis, 1955, 4, № 5, 627—646 (нем.)

Математически более строго, чем ранее (Irving Kirkwood, J. Chem. Phys., 1950, 18, 817—829) для тензора напряжений и плотности потока тепла, интерпретируемых в форме математич. ожиданий, получено общее интегральное выражение. Предположение об одинаковости частиц не используется, поэтому в рамках предлагаемой теории не обязательно истолкование частиц как молекул или даже атомов, а возможно считать их также и элементарными частицами, а систему в целом смесью таких частиц. Отсутствие внутренних степеней свободы у элементарных частиц позволяет рассматривать лишь поступательные степени свободы. В теории учитываются не только потенциальные внешние силы, но и внешние силы, зависящие от скоростей. В. Ц.

64425. Проблемы распределения в статистической физике. Помпея (Distribution problems related to statistical physics. Pompeia Paulus A.), An. Acad. brasileira cienc., 1955, 27, № 2, 123—136 (англ.)

Обычно применяемое в статистич. физике представление распределения N систем (частиц) по M дискретным и одинаково возможным состояниям существенно связано с предположением, что все состояния как-то заранее заданы. Цель работы — изучение такого распределения, в котором вероятностному определению подлежали бы не только числа систем (частиц) в каждом состоянии, но и сами состояния. Показано, что гипотеза неразличимости частиц имеет принципиальное значение только в тех случаях, когда $N \gg M$. В противном случае, если число частиц на данном энергетич. уровне достаточно велико, можно, независимо от принципа Паули, получить распределение Ферми—Дирака. Л. Г.

64426. О строгом выводе статистического закона распределения. Подзава (統計分布則の正確な導出について. 1. 野澤豊吉), 物性論研究, Бусэйрон кэнкю, 1954, № 77, 8—20 (япон.)

64427. Свободные энергии и энтропии единичных ионов в водных растворах. Латимер (Single ion free energies and entropies of aqueous ions. Latimer Wendell M.), J. Chem. Phys., 1955, 23, № 1, 90—92 (англ.)

При помощи ур-ния Борна $\Delta F = z^2/2r(1 - 1/D)$ (1) для некоторых одно-, двух- и трехзарядных ионов вычислены и сопоставлены с опытными данными значения ΔF гидратации. Радиусы r водн. ионов вычислялись в соответствии с опубликованным ранее предложением (Latimer и др. J. Chem. Phys., 1939, 7, 108) из радиусов кристаллич. ионов путем прибавления к ним 0,1 Å — для анионов и 0,85 Å — для катионов. Опытные значения ΔF рассчитаны из ΔH и ΔS гидратации ионов, которые найдены из теплот образования и энтропий газообразных и гидратированных ионов. Хорошее согласие опытных и вычисленных по (1) величин ΔF единичных ионов, а также сумм ΔF катиона и аниона, составляющих какой-либо электролит, наблюдается в том случае, если при вычислении опытных величин ΔS абс. значение энтропии иона H^+ при 25° принять равным — 2,1 энтр. ед., что соответствует предположению Истмена (Goodrich и др., J. Amer. Chem. Soc., 1950, 72, 4411). С возрастанием z/r для различных ионов величины ΔS гидратации линейно уменьшаются (точка разрыва имеется при переходе от одно- к двухзарядным ионам и отсутствует при переходе от двух- к трехзарядным ионам). Сделана попытка обоснования наблюдаемой зависимости ΔS гидратации от z/r путем дифференцирования ур-ния (1) по т-ре и введения предположения о наличии пропорциональности между dr/dT и r/z . Предлагается использовать эксперим. величины ΔF гидратации ионов для вычисления радиусов ионов в водн. р-рах путем применения ур-ния (1). Автор полагает, что в таком расчете учтено влияние координационных чисел и поляризации. Для некоторых ионов рассчитаны величины r для водн. р-ров и из них при помощи предложения Латимера и др. (см. 1-ую ссылку) вычислены радиусы кристаллич. ионов, которые сопоставлены с данными Паулинга, Захарякина и Гольшмидта. Хорошее согласие кристаллич. радиусов, полученных четырьмя способами, найдено для ионов слабо поляризуемых и не поляризуемых воду. Н. Х.

64428. Теплоемкости меди, серебра и золота от 1 до 5°K. Корак, Гарфункел, Саттервайт, Уэкселер (Atomic heats of copper, silver, and gold from 1°K to 5°K. Corak William S., Garfunkel M. P., Satterthwaite C. B., Wexler Aaron), Phys. Rev., 1955, 98, № 6, 1699—1707 (англ.)

Исследована теплоемкость Cu, Ag и Au в интервале 1—5°K. Описан калориметр с угольным термометром и автоматической регистрацией т-ры; термометр калибро-

вался по давлению паров гелия. Значение коэффициента γ линейного члена в выражении для теплоемкости ($\text{мджоуль моль}^{-1}\text{град}^{-2}$) для Ag (0,610) и для Cu (0,668) заметно ниже величин, определенных в предыдущих работах, для Au $\gamma = 0,743$. Значения θ -ры Дебая, $^\circ\text{K}$: Cu 343,8; Ag 225,3; Au 164,57. Для Ag не было отмечено аномалии, указанной ранее (Keesom P. H., Pearlman N., Phys. Rev., 1952, 88, 140). В. Г.

64429. Теплоемкость висмута при температурах жидкого гелия. Раманатхан, Сринивасан (Specific heat of bismuth at liquid helium temperatures. Ramanathan K. G. Srinivasan T. M.), Phys. Rev., 1955, 99, № 2, 442—443 (англ.)
Теплоемкость C_p висмута измерена в интервале θ -р 1,3—4,2 $^\circ\text{K}$ с помощью нового вакуумного калориметра (РЖХим, 1956, 22872). Характеристич. θ -ра θ увеличивается от 103,5 при 4,1 $^\circ\text{K}$ до 120 при 2 $^\circ\text{K}$, оставаясь постоянной при $\theta < 2^\circ\text{K}$. Зависимость атомной теплоемкости Bi от θ -ры в измеренном интервале дается уравнением $C_p = 10^{-4} (0,114 \pm 0,146) \theta + (2,71 \pm 0,05) T^3 \text{ кал/град}$. В. Ф.

64430. Теплоемкости фтористого лития, хлористого натрия и сульфида цинка при низких температурах. Мартин (The specific heats of lithium fluoride, sodium chloride and zinc sulphide at low temperatures. Martin Douglas L.), Philos. Mag., 1955, 46, № 378, 751—758 (англ.)

Описан калориметр для определения теплоемкости (C_p) монокристаллов в области водородных и гелиевых θ -р. Определены C_p LiF (см. также РЖХим, 1955, 11274), NaCl и ZnS (цинковая обманка) в интервале 2—30 $^\circ\text{K}$; точность определений $\pm 3\%$. В исследуемой области θ -р $C_p \sim C_v$; результаты выражены в величинах характеристич. θ -р Дебая θ . Приблизительно до 20 $^\circ\text{K}$ C_p LiF следует закону T^3 с $\theta = 737 \pm 9^\circ\text{K}$; выше 20 $^\circ\text{K}$ результаты хорошо согласуются с литературными данными (Clusius K. и др. Z. Naturforsch., 1949, 4a, 424). Для NaCl не обнаружена область применимости закона T^3 . Для ZnS ниже 20 $^\circ\text{K}$ θ возрастает при уменьшении θ -ры, достигая 315 $^\circ\text{K}$ при 8 $^\circ\text{K}$; при более низких θ -рах θ сохраняет практически постоянное значение. Все полученные результаты хорошо согласуются с предсказаниями теории теплоемкости простых кристаллич. структур. И. Л.

64431. Аномалия теплоемкостного ферроэлектрического ниобата кадмия при температуре точки Кюри. Дэннер, Пепинский (Specific heat anomaly of ferroelectric cadmium niobate at the curie temperature. Danner H. R., Pepinsky R.), Phys. Rev., 1955, 99, № 4, 1215—1217 (англ.)

Измерена теплоемкость C_p $\text{Cd}_2\text{Nb}_2\text{O}_7$ в интервале θ -р 170—220 $^\circ\text{K}$ с помощью вакуумного адиабатич. калориметра; основные детали конструкции и методика измерений описаны ранее (Southard J. C., Brickwedde F. G., J. Amer. Chem. Soc., 1933, 55, 4378). $\text{Cd}_2\text{Nb}_2\text{O}_7$ приготовлен спеканием при 1250 $^\circ\text{C}$ CdCO_3 и Nb_2O_5 . В области точки Кюри найдена аномалия хода C_p . Вершина пика лежит при 193,2 $^\circ\text{K}$, что хорошо согласуется с θ -рой точки Кюри $T_C = 193^\circ\text{K}$. Теплота ($\Delta H = \int \Delta C_p dT$) и энтропия перехода равны соответственно $18 \pm 2 \text{ кал/моль}$ и $0,09 \pm 0,01$ энтр. ед. Максим. значение спонтанной поляризации, вычисленное из констант Кюри и энтропии перехода, находится в удовлетворительном согласии с эксперим. данными. В. Ф.

64432. Калорические свойства полибутадиена 41 $^\circ\text{F}$ и полибутадиена 122 $^\circ\text{F}$. Фурукава, Мак-Коеки (Calorimetric properties of 41 $^\circ$ and 122 $^\circ\text{F}$ polybutadienes. Furukawa George T.,

McCoskey Robert E.), J. Res. Nat. Bur. Standards, 1953, 51, № 6, 321—326 (англ.)

В интервале θ -р 15—330 $^\circ\text{K}$ измерена теплоемкость двух образцов полибутадиена, полученных полимеризацией при $\sim 5^\circ\text{C}$ (первый образец) и при 50 $^\circ\text{C}$ (второй образец). Первый образец имеет более высокую θ -ру перехода в стекло (195 $^\circ\text{K}$), чем второй (187 $^\circ\text{K}$), и большую степень кристаллизруемости. Область θ -р кристаллизации первого полимера лежит между 200 и 295 $^\circ\text{K}$, а второго — между 200—270 $^\circ\text{K}$. Дана таблица сглаженных значений теплоемкости, энтальпии и энтропии для интервала θ -р 0—330 $^\circ\text{K}$. См. также РЖХим, 1954, 45618. В. С.

64433. Удельная теплоемкость синтетических высокополимеров. IV. Поликапролактан. Марке, Смит, Уэртингтон, Дол (Specific heat of synthetic high polymers: IV. Polycaprolactam. Marx Paul, Smith C. W., Worthington A. E., Dole Malcolm), J. Phys. Chem., 1955, 59, № 10, 1015—1019 (англ.)

Изучена теплоемкость поликапролактама (6-найлон) (I) в интервале от —20 до +280 $^\circ$; исследовались образцы I в виде чешуек, протянутых и непротянутых волокон и в «отожженном» состоянии. Полученные результаты сопоставлены с данными для 6-6 найллона. Авторы вычислили «теплоту плавления» в интервале 190—225 $^\circ$, равную $\sim 29 \text{ кал/г}$, что значительно больше ранее приводившегося значения 12,4 кал/г (РЖХим, 1955, 18506). Установлено, что при комнатной θ -ре кристаллизация протянутого волокна I меньше, чем непротянутого. Часть III см. РЖХим, 1955, 16102. Л. Р.

64434. Термодинамические функции двуокиси углерода. Энтальпия, энтропия и изобарная теплоемкость от 100 до 1000 $^\circ$ и от 50 до 1400 бар. Прайе (Thermodynamic functions of carbon dioxide. Enthalpy, entropy, and isobaric heat capacity at 100 $^\circ$ to 1000 $^\circ\text{C}$. and 50 to 1400 bars. Donna Price), Industr. and Engng. Chem., 1955, 47, № 8, 1649—1652 (англ.)

На основе опубликованных эксперим. данных зависимости P — V — T при высоких θ -рах и давлениях (РЖХим, 1955, 1790) вычислены энтальпия, энтропия и теплоемкость при постоянном давлении CO_2 в интервале 100—1000 $^\circ$ и 50—1400 бар. Вычисленные значения H , S и C_p приведены в таблицах. В. Р.

64435. Теплота образования тетрафторметана из калориметрических измерений теплоты сгорания политетрафторэтилена. Скотт, Гуд, Уоддингтон (Heat of formation of tetrafluoromethane from combustion calorimetry of polytetrafluoroethylene. Scott D. W., Good W. D., Waddington G. U.), J. Amer. Chem. Soc., 1955, 77, № 1, 245—246 (англ.)

Теплота сгорания твердого политетрафторэтилена («тефлон») (I) и смесей I с маслом определялась в калориметре с вращающейся бомбой (РЖХим, 1956, 25084). В присутствии воды протекает р-ция $I + \text{O}_2 + (2 - 2x + 4y - 4nx) \text{ H}_2\text{O} \rightarrow (2 - x) \text{CO}_2 + x \text{CF}_4 + (4 - 4x) \text{HF} \cdot n \text{H}_2\text{O}$ (I), где x — доля фтора, находящаяся в продуктах р-ции в виде CF_4 . С увеличением в навеске доли масла величина x меняется от 0,8 (чистый I) до нуля. Данные для смесей приводят к $\Delta H_{298,16}^\circ = -160,34 + 41,55 (\text{ккал/моль } \text{C}_2\text{F}_4)$, отсюда экстраполяция к $x = 0$ (весь фтор получается в виде $\text{HF} \cdot n \text{H}_2\text{O}$) дает для р-ции $I + \text{O}_2 (\text{газ.}) + 42 \text{H}_2\text{O} (\text{ж.}) \rightarrow 2 \text{CO}_2 (\text{газ.}) + 4 \text{HF} \cdot 10 \text{H}_2\text{O} (\text{ж.})$ (2) $\Delta H_{298,16}^\circ = -160,3 \pm 0,9 \text{ ккал/моль } \text{C}_2\text{F}_4$. Для р-ции $I + \text{O}_2 (\text{газ.}) = \text{CO}_2 (\text{газ.}) + \text{CF}_4 (\text{газ.})$ (3) экстраполяция к $x = 1$ получаем $\Delta H_{298,16}^\circ = -118,3 \pm 0,5 \text{ ккал/моль } \text{C}_2\text{F}_4$. Разность $\Delta H_{298,16}^\circ$ для (2) и (3) дает для гидролиза $\text{CF}_4 (\text{газ.}) + 42 \text{H}_2\text{O} (\text{ж.}) = \text{CO}_2 (\text{газ.}) +$

+ 4HF.
На осно
CO₂ (газ
получен
ΔH_{298,16}
да гра
работ
64436.
еного
probl
gaseo
у аг
(исп.
2. №
Раб
положе
сит
в смес
каждог
вает «
θ-р, а
одно и
и это
стемы
плотно
64437.
пан
К р
dyna
rium
C. v
(B—
Пред
ваннос
систем
= x₁ lg
(1) и
(∂Q/∂x
и у-р
Предл
для б
distr.
Natur
мног
64438.
ния
ск
Каз
93—
См.
64439.
сое
фто
то
und
orid
Su
№
Изм
Крит.
1·10⁻⁴
и пнт
вало
давле
= 4,3
ор об
з бр
+ 1/2
т са
ер

$+4\text{HF} \cdot 10\text{H}_2\text{O}$ (ж.) $\Delta H_{298,16}^0 = -41,5 \pm 1,0$ ккал/моль.

На основании этой величины и теплот образования CO_2 (газ.), H_2O (ж.) и р-ра HF соответствующей концентрации получено для C (графит) $+ 2\text{F}_2$ (газ.) $\rightarrow \text{CF}_4$ (газ.) $\Delta H_{298,16}^0 = -218,3$ ккал/моль. Эта величина для образования гранулированного I , не подвергнутого термич. обработке, оказалась равной $-193,5$ ккал/моль. Т. Р.

64436. Некоторые проблемы, касающиеся химического равновесия газовых фаз. Шеффер (Algunos problemas relativos al equilibrio químico de una fase gaseosa. Schäffer Juan J.), Bol. Fac. ingr. y agrimensura Montevideo, 1954, 5, № 5, 95—118 (исп.); Pubs. Inst. mat. y estadist. Fac. ingr., 1954, 2, № 8, 147—171 (исп.; рез. англ.)

Работа представляет дальнейшее развитие теоретич. положений, изложенных в диссертации автора (Университет Пенсильвании, 1951). Рассмотрено равновесие в смеси одноатомных идеальных газов, причем концы каждого конечна (такое состояние системы автор называет «нормальным»). При этом для каждой заданной т-ры, атомной плотности и состава системы существует одно и только одно состояние устойчивого равновесия и это состояние является «нормальным»; состав системы дается некоторой аналитич. функцией атомной плотности. Н. П.

64437. Термодинамическая согласованность данных равновесия пар—жидкость в тройных системах. Кришнамурти, Венката-Рао (Thermodynamic consistency of ternary vapour-liquid equilibrium data. Krishnamurty V. V. G., Rao C. Venkata, J., Scient. and Industr. Res., 1955, (В-С) 14, № 4, B188—B189 (англ.)

Предложен метод проверки термодинамич. согласованности данных равновесия пар—жидкость в тройных системах, заключающийся в сравнении значений $Q = x_1 \lg \gamma_1 + x_2 \lg \gamma_2 + x_3 \lg \gamma_3$ (1), вычисленного по ур-нию (1) и полученного графич. интегрированием ур-ния $(\partial Q / \partial x_1)_{x_2} = \lg \gamma_1 / \gamma_2$ (2). Ур-ние (2) получается из (1) и ур-ния Гиббса—Дюгема, если принять $x_3 = \text{const}$. Предложенный прием, в отличие от ранее указанных для бинарных систем (Ridlich O., Kister A. T., Industr. Engng Chem., 1948, 40, 345; Herington E. F. G., Nature, 1947, 160, 610), может быть распространен на многокомпонентные системы. Ю. Т.

64438. Термографический метод определения давления диссоциации. Берг Л. Г., Рассонская И. С. Тр. 1-го совещания по термографии. Казань, 1953. М.—Л., Изд-во АН СССР, 1955, 93—100

См. РЖХим, 1954, 10266

64439. Физические свойства некоторых фтористых соединений и их растворов. Часть 1. Шестифтористая сера. Клеэгг, Роулинсон, Саттон (The physical properties of some fluorine compounds and their solutions. Part 1. Sulphur hexafluoride. Clegg H. P., Rowlinson J. S., Sutton J. R.), Trans. Faraday Soc., 1955, 51, № 10, 1327—1333 (англ.)

Измерены давление пара, ортобарич. плотность и крит. постоянные SF_6 . Препарат содержал $< 4 \cdot 10^{-4}\%$ SF_4 , $1 \cdot 10^{-4}\%$ S_2F_{10} и $9 \cdot 10^{-4}\%$ H_2O . Давление пара измерено в интервале т-р от $-0,11$ до $+45,58^\circ$, что соответствовало интервалу давлений 12,48—37,10 атм. Зависимость давления пара от т-ры выражена ур-нием $\lg p(\text{атм}) = 4,38846 - 899,46/T$, где T —абс. т-ра. Зависимость ортобарич. плотностей сосуществующих жидкой и газ. фаз от т-ры описана ур-нием $\frac{1}{2} \{d(\text{грат}) + d(\text{ж})\} = (5,656 - 0,01365 t)$, где t —т-ра в $^\circ\text{C}$. Крит. т-ра соответствует $45,58^\circ$, 37,10 атм и 5,03 моли/л. Терен коэфф. сжимаемости ($Z = pV/RT$) до 100 атм в интервале $34-131^\circ$; вычислены второй и третий вириаль-

ные коэффициенты. С помощью принципа соответственных состояний полученные данные сравнены с данными для аргона; найденную при этом разницу авторы объясняют эффектом ориентированных межмолекулярных сил, влияющих на равновесные свойства в-в. В. Ф.

64440. Уравнение состояния для системы пар—жидкость—твердое тело. Симосэ (Equation of state for vapor—liquid—solid system. Shimoseki U.), J. Phys. Soc. Japan, 1955, 10, № 10, 860—864 (англ.)

Используя понятие порядка—беспорядка теории сил-вов и рассматривая газ как совокупность нескольких подрешеток, автор получает ур-ние состояния системы пар—жидкость—твердое тело для $n=9$ (n —число подрешеток). Отношение числа молекул в каждой подрешетке к их полному числу выражено в виде функции плотности. Использовано приближение, сходное с применявшимся ранее (Bragg W. L., Williams E. J., Proc. Roy. Soc., 1934, A145, 699). Потенциальная энергия $\varphi(r)$ взаимодействия молекул взята в виде $\varphi(r) = +\infty$ для $0 \leq r < a$, $\varphi(r) = -\varepsilon$ ($\varepsilon > 0$), для $a \leq r < \sqrt{2}a$, $\varphi(r) = 0$ для $r \geq \sqrt{2}a$, где a —постоянная решетки для каждой подрешетки. При $n=4; 9; 16$; величины $\varepsilon/kT_{\text{кр}}$ соответственно равны 1,979; 1,794; 2,013. Показано, что область плотности, в которой жидкая фаза устойчива, незначительна при $n=4$, но увеличивается при $n=9; 16$. В. Ц.

64441. Кинетика образования ядер в переохлажденных растворах. Растроги (Kinetics of nucleation in supercooled solutions. Rastogi R. P.), J. Chem. Soc., 1955, Sept., 3129—3131 (англ.)

Френкелева теория образования ядер кристаллизации в расплавах применена к пересыщ. р-рам твердых в-в в жидкостях. Из условия $dI/dT = 0$, где I —скорость образования ядер, получается ур-ние для т-ры $T_{(\text{макс.})}$, при которой I максимально: $(T_S - T_{(\text{макс.})})^3 / T_S^2 \times$

$\times (3T_{(\text{макс.})} - T_S) = 4\alpha^3 / 27L_S^2 \Delta u$, где T_S —т-ра равновесия, L_S —теплота растворения, α —поверхностное натяжение между р-ром и кристаллом, Δu —энергия активации диффузии; эксперим. определение $T_{(\text{макс.})}$ дает возможность вычислить α , но так как данных о $T_{(\text{макс.})}$ в литературе нет, использованы значения т-ры спонтанной кристаллизации, что позволяет найти только нижний предел α . Расчет произведен для р-ров нафталина в хлорбензоле, бензоле, толуоле, гексане и анилине. Полученные значения α автор считает несколько завышенными. В. У.

64442. Рентгенографическое исследование осаждения бария из растворов, содержащих хлорид, фторид и сульфат. Образование и свойства хлортрифторида бария. Фессенден, Левин (X-ray diffraction study of the precipitation of barium from solutions containing chloride, fluoride and sulfate. Formation and properties of barium chlorotrifluoride. Fessenden Emma, Lewin S. Z.), J. Amer. Chem. Soc., 1955, 77, № 16, 4221—4222; Discuss. 4222 (англ.)

Нагреванием эквимолекулярной смеси BaClF (I) и BaF_2 (II) при 900° получен Ba_2ClF_3 (III) и из предположения гексагональной решетки проиндифференцирована его порошковая диаграмма. Найденны параметры ромбоэдрич. ячейки: a 11,4 А, $\alpha = 107^\circ 20'$. Рентгенография. исследование осадков, выпадающих из р-ров солей бария в смеси с хлоридами и фторидами щел. металлов, установлено, что образование III происходит лишь в присутствии следов сульфата; III разлагается на I и II при 1100° ; не разлагается кипящей H_2O , но разлагается р-рами разб. к-т, NaCl , NaF , $\text{Ba}(\text{NO}_3)_2$ и щелочей. Авторы не дают объяснения влиянию сульфатов на процессы образования I и III. Н. А.

64443. Осаждение хлористого серебра из водных растворов. Часть 5. Замедленная кристаллизация. Дейвис, Джонс, Нанколлас (The precipitation of silver chloride from aqueous solutions. Part 5. Delayed crystallization. Davies C. W., Jones A. L., Nancollas G. H.), Trans. Faraday Soc., 1955, 51, № 9, 1232—1234 (англ.)

В продолжение исследований по осаждению AgCl (I) из водн. р-ров (Davies, Jones, Faraday Soc. Discussions, 1949, 5, 1903; РЖХим, 1956, 25101, 25102) изучена замедленная кристаллизация I, происходящая при прибавлении к пересыщ. р-рам I кристаллов I, загрязненных с поверхности. Предварительными опытами установлено, что в зависимости от характера стекла склянки, в которой хранится затравочная суспензия, последняя вызывает мгновенную или замедленную кристаллизацию устойчивых пересыщ. р-ров I, что связано, повидимому, с наличием следов растворенных примесей сульфидов в склянках из окрашенного стекла. В качестве «ядов» затравочной суспензии использованы золинат калия и додецилсульфат натрия и измерен индукционный период (ИП) в зависимости от кол-ва затравочной суспензии. Установлено, что ИП обратно пропорционален кол-ву прибавленной затравки. Авторы считают, что добавленные к затравочной суспензии «яды» адсорбируются на поверхности кристаллов, а происходящий вслед за этим процесс десорбции замедлен и требует значительный промежуток времени, чтобы «обнажить» поверхность затравочных кристаллов в такой мере, которая будет достаточна для индуцирования кристаллизации. При обратимой адсорбции золина на кристаллах I равновесие при 25° достигается через несколько дней. Часть 4 см. РЖХим, 1956, 25102.

Ю. Т.
64444. Метод осаждения из гомогенного раствора. Танака (均一溶液からの沈殿法. 田中元治), 化学の領域, Kaiga-no reiki, J. Japan, Chem., 1955, 9, № 7, 43—48 (япон.)

64445. Равновесие твердое тело-жидкость в двойной и многокомпонентной системах. Растиги (Solid-liquid equilibria in binary and multi-component mixtures. Rastogi R. P.), Proc. Nat. Inst. Sci., India, 1955, 121, № 2, 145—154 (англ.)

Используя методы предыдущей работы (РЖХим, 1955, 42580), автор рассматривает различные типы твердых р-ров неэлектролитов. Для идеальных смесей получено соотношение $\lambda_2^0 \ln(N_1/N_1') = \lambda_1^0 \ln(N_2/N_2') + \text{const}$, где λ_i^0 — теплота плавления i -го компонента, N_i и N_i' — его мол. доля в твердой и жидкой фазах; выполнение этой линейной зависимости служит признаком идеальности твердого р-ра. Выведены ур-ния для кривых ликвидуса компонентов идеальной бинарной эвтектич. системы: $\ln N_1' = -\lambda_1^0/RT + \text{const}$ и для состава и т-ры эвтектики. Расчет для системы нафталин — фенантрен удовлетворительно согласуется с экспериментом (мол. доля нафталина в эвтектич. точке 0,66 против 0,62 из опыта). Аналогичные соотношения получены для случаев, когда одна из фаз регулярна, а другая идеальна и когда обе фазы регулярны. Для атермич. смесей (теплота смешения равна нулю, но молекулы компонентов сильно различаются по размерам, напр. р-ры макромолекул или высокополимеров) получено выражение для хим. потенциала. Выводы настоящей работы применены к равновесию кристал — жидкость смеси хлора и брома. Согласно с опытом получается при предположении, что жидкая фаза регулярна, а твердая неидеальна и теплота смешения не равна нулю, а положительна для твердой и отрицательна для жидкой фазы. Диаграмма точек плавления не указывает на образование стабильных молекул хлорида бро-

ма в конденсированных фазах, хотя они и образуются в газовой фазе (Gray L. T. M., Style D. W. G., Proc. Roy. Soc., 1930, 126, 603).

В. У.
64446. О применении правила В. Ф. Алексеева к тройным системам. Крупаткин И. Л., Ж. общ. химии, 1955, 25, № 11, 2023—2028

Пользуясь примерами, взятыми из литературы, автор показывает применимость правила Алексеева (Горный журнал, 1885, 2, 385) к тройным системам с расщеплением в одной из бинарных систем. Утверждается, что это правило можно приложить и к более сложным случаям равновесий.

Ю. З.
64447. К вопросу о форме изотерм поверхностного натяжения двойных жидких систем. Тейтельбаум Б. Я., Изв. Казанск. фил. АН СССР, сер. хим. н., 1955, № 2, 99—109

На основе анализа теоретич. и эксперим. данных показано, что форма изотерм поверхностного натяжения двойных жидких систем определяется значительным числом разнообразных факторов и поэтому лишь в относительно редких случаях дает непосредственно возможность однозначно судить о взаимоотношении компонентов в системе. Из факторов, влияющих на форму изотерм, следует учитывать способ выражения концентрации, возможность распада ассоциированных молекул, величину площади на молекулу компонентов в поверхностном слое, поверхностную активность и адсорбцию, характер ориентации молекул в поверхностном слое, возможность поверхностного расслаивания, взаимодействие компонентов в поверхностном слое, взаимодействие компонентов в объеме р-ра. Важные указания на взаимоотношение компонентов в жидких системах дает изучение температурного коэфф. поверхностного натяжения.

В. У.
64448. Исследование равновесия в системе $\text{ZrO}_2\text{—C}$ при высоких температурах. Куцев В. С., Ормонт Б. Ф., Эпельбаум В. А., Докл. АН СССР, 1955, 104, № 4, 567—570

Критически рассмотрены результаты и методики ранее проведенных исследований равновесия в системе $\text{ZrO}_2\text{—C}$ (I). Равновесие в системе I исследовано авторами в сконструированной (РЖХим, 1956, 43657) и испытанной (РЖХим, 1956, 21920) аппаратуре в интервале 1800—2000° К и давл. 150—1000 мм рт. ст. Приведена схема печи. Рентгеновский фазовый анализ показал, что при указанных P и T в равновесии участвуют фазы: ZrO_2 , карбидная, графит и СО. Карбидная фаза представляет собой оксикарид $\text{ZrC}_{0,71}\text{O}_{0,08}$ (в общем случае ZrC_xO_y), а не ZrC , как это считали ранее. Табулированы данные по равновесным давлениям СО и ΔZ для р-ции $\text{ZrO}_2 + 2,63\text{C} \rightleftharpoons \text{ZrC}_{0,71}\text{O}_{0,08} + 1,92\text{CO}$, а также данные о периодах решеток оксикаридов, полученных при разных t -рах, свидетельствуют о моновариантности системы I в изученных границах. $\Delta H = 138\,000\text{—}69,0\text{Т}$ и для интервала 1800—2000° К $\Delta H = 138\,000\text{ кал}$ и $\Delta S = 69,0$ энтр. ед. На основании литературных данных по теплотам экstrapоляцией найдены: $\Delta Z_{298} = 129\,600\text{ кал}$, $\Delta H_{298} = 154\,000\text{ кал}$, $\Delta S_{298} = 82,0$ энтр. ед. Для $\text{ZrC}_{0,71}\text{O}_{0,08}$ рассчитаны также значения $\Delta H_{298} = -53,8\text{ ккал}$ и $S_{298} = 7,0$ энтр. ед.

Ю. З.
64449. Реакция при высоких температурах между воздухом и жидкими растворами металлов, содержащими натрий. Влияние состава раствора. Смит, Стейдлиц, Холл (Reaction at high temperatures between air and liquid metal solutions containing sodium. Effect of solution composition. Smith G. Pedro, Steidlitz Mark E., Hall

Lloyd L.), J. Amer. Chem. Soc., 1955, 77, № 17, 4533—4534 (англ.)

Исследовано взаимодействие сухого воздуха с жидким металлич. р-рами Bi — Na (I), Cd — I, In — I, Pb — I, Hg — I, Ad — I и Sn — I при т-рах 600—800°. Т-ра начала реагирования для р-ров Bi — I и Hg — I зависит от концентрации. Изменение давления от 1 до 0,25 атм не оказывает заметного влияния. Остальные, указанные выше р-ры исследованы при содержании 0,1 мол. доли I, давл. 1 атм и 700°.

В. Ф.

64450. Некоторые особенности температурной зависимости плотности и электропроводности жидких расплавов Te — Se. Мокровский Н. П., Регель А. Р., Ж. техн. физики, 1955, 25, № 12, 2093—2096

Излагаются результаты определения плотности жидкого Te и жидких сплавов: 90% Te + 10% Se и 70% Te + 30% Se при 350—900°, дополняющие проведенные ранее исследования характера связей и структур в системе Te — Se (РЖХим, 1956, 25015). Для измерения плотности расплавов использован метод, основанный на наблюдении уровня расплава. Схема прибора и техника измерений описаны ранее (Ж. техн. физики, 1952, 22, 8, 1251). Из результатов измерений следует, что по мере прибавления Se к Te область «аномального» отрицательного температурного коэфф. расширения сильно смещается в сторону высоких т-р. Это смещение хорошо коррелирует с температурной зависимостью электропроводности тех же расплавов (РЖХим, 1955, 8096), что объяснено на основе ранее развитых представлений о разрушении гомополярных связей и «металлизации» расплава. Указывается, что аналогичную картину для температурной зависимости плотности, электропроводности и вязкости следует ожидать для системы Te — S. См. также РЖХим, 1955, 42503. Ю. З.

64451. Изучение магнитной восприимчивости в двойной системе гидроксидов: NiO — Al₂O₃. Миллиган, Ричардсон (Magnetic susceptibility studies in the dual hydrous oxide system: NiO — Al₂O₃. Miligan W. O., Richardson James T.), J. Phys. Chem., 1955, 59, № 9, 831—833 (англ.) Магнитная восприимчивость (χ) системы NiO (I) — Al₂O₃ (II) измерена при комнатной т-ре. Аппаратура описана ранее (Melligan W. O., Whitehurst H. B., Rev. Sci. Instr., 1952, 23, 618). Для образцов, прокаленных при 300°, кривая χ как функция состава имеет 3 области. В первой (100—80 мол. % I) χ быстро уменьшается при увеличении содержания II в гелях. Высокое значение χ чистого I вызвано чрезвычайно малым размером кристаллитов и пластиноподобной морфологией агрегатов (вторичных частиц) кристаллитов; прибавление же малых кол-в II к I, как показали рентгенография, исследования, препятствует развитию обычных гексагональных зародышей и образцы, содержащие II, состоят из сферических частиц. Во второй области в интервале составов 60—80 мол. % I имеется плоский максимум χ ; эта область соответствует зоне взаимной защиты коллоидов от процесса кристаллизации, а максимум отражает увеличение дисперсии I в структуру геля II. В третьей области (0—60% I) χ возрастает при увеличении содержания II в связи с увеличением дисперсии I в структуру геля II. В образцах, термически обработанных при все более высоких т-рах (400—700°), зона взаимной защиты, как показывает рентгеновское исследование (Milligan W. O., Merten L., J. Phys. Chem., 1946, 50, 465), сужается и наконец исчезает; при этом исчезает и максимум χ . Магнитный момент иона Ni²⁺ при малых конц-ях I приближается к предельной величине 3,2 магнетона Бора, что почти точно согласуется с опубликованными ранее результатами (Selwood P. W., Hill F. N., J.

Amer. Chem. Soc., 1949, 71, 2522) для магнитного момента Ni²⁺.

Ю. Т.

64452. О структуре расплавов криолит-окись алюминия. Фёрланд, Стуренгравен, Урнес (Beitrag zur Kenntnis der Struktur von Kryolith-Aluminiumoxyd-Schmelzen. Förland T., Sturegraven H., Urnes S.), Z. anorgan. und allgem. Chem., 1955, 279, № 3—4, 205—211 (нем.)

Для выяснения структуры комплексов, образующихся при растворении Al₂O₃ (I) в расплавах NaF—AlF₃, исследована р-ция между расплавами I и CO₂-газом. При этом O²⁻ (в Al-комплексах) + CO₂ = CO₃²⁻. Определение поглощенных кол-в CO₂ основано на том, что при кристаллизации расплавы отщепляют его без остатка. В расплавах NaF, содержащих мало криолита (II), при добавлении небольших кол-в I образуются комплексы [AlO₂F₂]³⁻. При введении дополнительных кол-в II, вероятно, идет р-ция: [AlO₂F₂]³⁻ + 2 [AlF₆]³⁻ ⇌ [AlF₅ — (AlO₂F₄) — AlF₅]⁶⁻. Криоскопич. измерения показали, что при добавлении I к расплавам II наблюдается понижение точки замерзания, которое в 1,5 раза больше идеального. По мнению авторов, этот результат указывает на диссоциацию по ур-нию: Al₂O₃ = 1,5 (AlO₂)⁻ + 0,5 Al³⁺, причем ионы Al³⁺, ранее присутствовавшие в расплаве, не вызывают никакого понижения точки замерзания. Наличие в составе образующихся комплексов 2 ионов O²⁻ не может быть объяснено исключительно действием электростатич. сил между ионами. Ю. Т.

64453. О взаимодействии гидроксидов натрия с карбонатами, нитратами, молибдатами и вольфраматами натрия в расплавах. Хитров В. А., Изв. Воронежск. гос. пед. ин-та, 1955, 16, 13—18

Визуально-политермическим и термографич. методами изучены системы NaOH (I) — Na₂CO₃ (II), I — Na₂MoO₄ (III), I — NaNO₃ (IV) и I — Na₂WO₄ (V). Терморегулирование осуществлялось потенциал-регулятором с титратным реле (Каурковский В. И., Ж. прикл. хим., 1952, 25, 6, 668). В системе I—II имеется эвтектика (E) при 11,5 мол. % II и 288° и область твердых р-ров со стороны I. В системе I—IV установлено образование соединений NaOH·NaNO₃ и 3NaOH·NaNO₃ и 3 эвтектик: E₁ при 14 мол. % IV и 256°, E₂ при 36,5 мол. % IV и 262° и E при 65,5 мол. % IV и 240°. Т-ры дистектич. точек отвечают 308 и 304°. В системе I—III обнаружены соединения 6NaOH·Na₂MoO₄ (инконгруэнтно плавится при 325°) и NaOH·Na₂MoO₄ (т-ра пл. 516°), эвтектика E, при 12 мол. % III и 301°, E₂ при 69% III и 510° и переходная точка при 18,5% III и 309°. В системе I—V, изученной только визуально-политермическим методом, установлены соединения 6NaOH·Na₂WO₄, 4NaOH·Na₂WO₄, NaOH·Na₂WO₄. По мнению автора, полученные им соединения можно рассматривать как кислые соли высших форм ортокислот, напр. Na₈H₆MoO₁₆·Na₃HMoO₅. Ю. Т.

64454. Давление истечения, сжимаемость и релаксация напряжений системы NH₄NO₃ — (NH₄)₂SO₄. Лескович П. А., Докл. АН СССР, 1955, 104, № 2, 249—252

Измерено давление истечения, сжимаемость и релаксация напряжений в системе NH₄NO₃ — (NH₄)₂SO₄ при 4—12 мол. % (NH₄)₂SO₄. Образующиеся в системе устойчивые твердые р-ры не распадаются при повышении т-ры и давления. Как утверждает автор, при увеличении содержания (NH₄)₂SO₄ от 4% до 12 мол. % фазовый переход β-NH₄NO₃ (IV) → γ-NH₄NO₃ (III) смещается в область повышенных т-р и давлений: при 50° фазовый переход чистого NH₄NO₃ происходит под давлением ~800 кг/см², а сплавов с 4, 8 и 10 мол. % (NH₄)₂SO₄ — при 1100, 1300 и 6000 кг/см² (соответственно). Введение (NH₄)₂SO₄ замедляет переход γ NH₄NO₃ (III) → β-NH₄NO₃ (IV) под давлением. С. Р.

64455. О зависимости между концентрациями и активностями в расплавленных солевых смесях. II. Флод, Фуксе, Урнес (Über den Zusammenhang zwischen Konzentration und Aktivitäten in geschmolzenen Salzmischungen II. Flood H., Fyke O., Urnes S.), Z. Elektrochem., 1955, 59, № 5, 364—370 (нем.)

Активности солей в четырех бинарных системах $\text{NaF} - \text{KCl}$, $\text{NaCl} - \text{KF}$, $\text{LiF} - \text{KCl}$ и $\text{LiCl} - \text{KF}$ получены из кривых ликвидуса диаграммы состояния. Результаты сравнены со значениями, рассчитанными по общей ф-ле для активностей в солевых смесях (сообщение I, РЖХим, 1955, 31208). Во всех смесях отклонения от идеальности согласуются со структурной моделью расплава (Темкин М., Acta phys. 1945, 20, 411). Упрощенная теоретич. ф-ла дает заметно повышенные значения для коэфф. активности компонентов с более высоким значением энергии решетки (NaF , LiF). Для компонентов с меньшей энергией решетки совпадения вполне удовлетворительны, хотя поведение NaCl , KCl не может обсуждаться более точно из-за образования твердых р-ров. Ю. Т.

64456. Обменное разложение в отсутствие растворителя. Взаимная система из вольфраматов и метабора-тов калия и лития. Бергман А. Г., Киелова А. И., Поеппайко В. И., Ж. общ. химии, 1955, 25, № 11, 2044—2053

Визуально-политермическим методом исследована взаимная система $\text{Li}_2\text{K} \parallel \text{WO}_4, \text{BO}_3$. Даны также кривые плавления соответствующих двойных систем; обнаружено неконгруэнтно плавящееся соединение состава $3\text{Li}_2\text{WO}_4 \cdot 2\text{LiBO}_3$ (I), подтверждено наличие соединения состава $\text{Li}_2\text{WO}_4 \cdot \text{K}_2\text{WO}_4$ (II). Поверхность ликвидуса изученной системы состоит из шести полей кристаллизации, из которых два являются полями комплексных соединений I и II; несмотря на наличие комплексобразования система является необратимо-взаимной диагонального типа (стабильная диагональ $\text{K}_2\text{WO}_4 - \text{Li}_2(\text{BO}_3)_2$). О. К.

64457. Диаграммы плавления тройных систем: нитрат — хлорид — бромид калия и нитрат — хлорид — бромид серебра. Лифшиц Г. М., Ж. общ. химии, 1955, 25, № 13, 2414—2420

Визуально-политермич. методом исследованы линии ликвидуса систем $\text{K} \parallel \text{Cl}$, Br , NO_3 и $\text{Ag} \parallel \text{Cl}$, Br , NO_3 . Исследованные системы имеют диаграммы аналогичного характера. Поверхности ликвидуса делятся двумя линиями совместной кристаллизации без экстремумов на три поля кристаллизации: 1) непрерывных твердых р-ров $\text{KCl} - \text{KBr}$ и $\text{AgCl} - \text{AgBr}$; 2) твердых растворов, образованных неконгруэнтно плавящимися соединениями $\text{KCl} - \text{KNO}_3$, $\text{KBr} - \text{KNO}_3$ и $\text{AgCl} - \text{AgNO}_3$, $\text{AgBr} - \text{AgNO}_3$; 3) KNO_3 и соответственно AgNO_3 . Н. А.

64458. Криоскопические измерения водных растворов некоторых производных угольной кислоты. Кавалларо, Инделли (Misure crioscopiche su soluzioni acquose di alcuni derivati dell'acido carbonico. Cavallaro L., Indelli A. o.), Gazz. chim. ital., 1955, 85, № 7—8, 993—1006 (итал.)

Измерение депрессий водн. р-ров мочевины (I), тиомочевины (II) и дициандиамиды (III) при различных конц-ях показывает, что эти р-ры отклоняются от идеальных. Эти отклонения возрастают в порядке $\text{I} < \text{II} < \text{III}$, являющиеся линейной функцией конц-и и могут быть объяснены наличием ассоциации или взаимодействием молекул растворенных в-в в р-ре. Б. А.

64459. Исследование растворов солей в водных растворах аммиака. Хердеген, Надольская (Badania nad amoniakami. Herdegen E., Nadolska J.), Przem. chem., 1955, 11, № 8, 455—457 (польск.; рез. русс., англ.)

Исследовано давление пара в системах $\text{NH}_4\text{NO}_3 - \text{NH}_3 - \text{H}_2\text{O}$ и $\text{CO}(\text{NH}_2)_2 - \text{NH}_3 - \text{H}_2\text{O}$ при 10, 20 и 25° (в р-рах содержалось до 40 вес. % NH_3). Описаны метод измерения и способ приготовления р-ров. Результаты измерений сравниваются с литературными данными. Конц-ия NH_4NO_3 и $\text{CO}(\text{NH}_2)_2$ (II) в аммиачных р-рах, которые могли бы использоваться в качестве жидких удобрений, ограничивается их растворимостью, заметно снижающейся с понижением т-ры. Повышенное содержание аммиака благоприятно влияет на растворимость NH_4NO_3 и $\text{CO}(\text{NH}_2)_2$, причем такие р-ры обладают соответственно более высоким давлением пара. Е. Б.

64460. Растворимость гидрата окиси алюминия в разбавленных растворах едкого натра различных концентраций при 45—90°. Даксельт (Die Löslichkeit von Tonerdehydrat in verdünnter Natronlauge verschiedener Konzentrationen bei 45—90° C. Dachselt Ernst), J. prakt. Chem., 1955, 2, № 5—6, 324—328 (нем.)

Определена растворимость гидроокиси Al в р-рах NaOH , содержащих 45—100 г/л свободной Na_2O , при 45, 60, 75 и 90°, дополняющая ранее опубликованные данные (Brauermeister G., Fulda W., Aluminium, 1943, 25, 97—100) для более высоких т-р и конц-ий Na_2O . В. Ш.

64461. Растворимость бромата серебра в водных растворах нитратов калия и кадмия. Лельчук Ю. Л., Ж. общ. химии, 1955, 25, № 7, 1273—1277

В продолжение работы автора (Танаев Н. В., Лельчук Ю. Л., Петровицкая Б. Х., Ж. общ. химии, 1949, 19, 1207) изучена растворимость AgBrO_3 (I) в системах: I — $\text{Zn}(\text{NO}_3)_2$ (II) — H_2O и I — $\text{Cd}(\text{NO}_3)_2$ (III) — H_2O при конц-ии II и III от 0,001 до 1 M при 25°. Растворимость I и произведение растворимости закономерно увеличиваются с возрастанием конц-ии II и III. В воде растворимость $8,25 \cdot 10^{-3}$, в 1 M р-рах I $1,93 \cdot 10^{-2}$ и II $1,74 \cdot 10^{-2}$. Определены коэффициенты активности I в р-рах II и III. Э. Ч.

64462. Растворимость бромата серебра в водных растворах диоксана. Кондзуми, Миямото (ジオキサン水溶液における臭素酸銀の溶解度. 小泉英, 宮本弘), 日本化学雑誌, Нихон, кагаку дзаси, J. Chem. Soc. Japan. Pure Chem. Sec., 1954, 75, № 12, 1302—1305 (япон.)

Измерены при 20, 25 и 30° растворимости бромата серебра в водн. р-ре диоксана при конц-ях последнего 0,000; 2,494; 4,884; 10,243; 15,178; 20,105; 25,114; 30,219; 37,694 вес.%. Ф-ла, предложенная автором ранее (J. Chem. Soc. Japan. Pure Chem. Sec., 1947, 68, 19), не согласуется полностью с измерениями и требует уточнения. Расчет радиуса сольватирующей молекулы дает величину 2 Å, слабо зависящую от конц-и и совпадающую с полученной ранее (Monk C. B., J. Chem. Soc., 1951, 2733). Л. Л.

64463. Система $\text{UO}_2\text{CrO}_4 - \text{H}_2\text{O}$. Лопрест, Маршалл, Секой (The system $\text{UO}_2\text{CrO}_4 - \text{H}_2\text{O}$. Loprest Frank J., Marshall William L., Secoy C. H.), J. Amer. Chem. Soc., 1955, 77, № 18, 4705—4707 (англ.)

Методом растворимости изучена система UO_2CrO_4 (I) — H_2O в области конц-ий 0—71 вес. % I. На диаграмме состояния исследованной системы имеются 3 линии кристаллизации, отвечающие выделению льда (0—3,11 вес. % I), $\text{UO}_2\text{CrO}_4 \cdot 5\frac{1}{2}\text{H}_2\text{O}$ (II) (от 3,11 до 70,5 вес. % I) и гидрата с меньшим содержанием воды, предположительно состава $\text{UO}_2\text{CrO}_4 \cdot \text{H}_2\text{O}$ (III). Превращение II в III происходит при 66,3°. Растворимость II резко возрастает с увеличением т-ры (3,11 вес. % при 0°; 70,5 вес. % при 66°), что является необычным для солей урана; растворимость III практически не зависит от т-ры. При т-рах 100—130° в области составов, отвечающих неустойч. р-рам II, происходит

осаждение твердой фазы темного кирпично-красного цвета, которая, по видимому, является основным хроматом.

Ю. Т.
64464. Взаимная растворимость тройной системы CaCl_2 — MgCl_2 — H_2O при 55°. Перова А. П., Сообщ. о науч. работах Всес. хим. о-ва им. Менделеева, 1955, вып. 2, 46—48

Изотермическим методом изучена растворимость в тройной системе CaCl_2 — MgCl_2 — H_2O при 55°. В системе существуют три ветви кристаллизации, соответствующие выделению $\text{CaCl}_2 \cdot 2\text{H}_2\text{O}$, $\text{MgCl}_2 \cdot 2\text{CaCl}_2 \cdot 12\text{H}_2\text{O}$ (I) и $\text{MgCl}_2 \cdot 6\text{H}_2\text{O}$. Самую большую ветвь кристаллизации имеет неконгруэнтно растворимый I. Сопоставление ранее опубликованных данных (Курнаков Н. С., Николаев А. В., Изв. АН СССР, сер. хим., 1938, № 2, 403) с результатами настоящих исследований показало, что с повышением т-ры от 25 до 55° ветвь кристаллизации I увеличивается примерно в 5 раз.

Ю. С.
64465. Изучение фаз в системе $\text{Pb}(\text{NO}_3)_2$ — NaNO_2 — H_2O . Вартак, Кабади (Phase study in the system $\text{Pb}(\text{NO}_3)_2$ — NaNO_2 — H_2O . Vartak D. G. K a b a d i M. B.), J. Univ. Bombay, 1955, 23, № 5, A5—A8 (англ.)

Для получения в кристаллич. состоянии соединения $\text{Pb}(\text{NO}_3)_2 \cdot \text{NaNO}_2 \cdot \text{H}_2\text{O}$ (I), образование которого установлено авторами ранее (РЖХим, 1955, 13808), смеси 1 M p-ров $\text{Pb}(\text{NO}_3)_2$ (II) и NaNO_2 (III) в отношении от 1 : 3 до 3 : 1 выдерживались при комнатной т-ре в вакуум-экспозиторе над P_2O_5 . Выпадающие кристаллы отделялись от маточного p-ра, который подвергался дальнейшей кристаллизации. Отвечающее составу I желтое кристаллич. в-во получалось при третьей кристаллизации смеси с отношением II : III = 2 : 1; кристаллы устойчивы на воздухе и медленно адсорбируют влагу.

А. А.
64466. Растворимость тройной системы NH_4ClO_4 — $(\text{NH}_4)_2\text{SO}_4$ — H_2O при 25°. Карнаухов А. С., Каров З. Г., Уч. зап. Кабардинск. гос. пед. ин-та, 1955, вып. 8, 61—71

Исследованы изотермы растворимости, вязкости, уд. веса, поверхностного натяжения и показателя преломления насыщ. p-ров NH_4ClO_4 (I) — $(\text{NH}_4)_2\text{SO}_4$ (II) при 25°. Диаграмма растворимости имеет две ветви кристаллизации, соответствующие выделению в твердую фазу лишь исходных солей; эвтонич. точке соответствует состав I — 2,19 вес. %, II — 40,66 вес. %. Растворимость I падает в присутствии II, что позволяет применить II для высаливания I.

В. Ф.
64467. Изотерма растворимости системы из паравольфрамата и сульфата аммония при 25°. Зворыкин А. Я., Перельман Ф. М., Химия редких элементов, 1955, вып. 2, 64—67

Исследована изотерма растворимости системы из паравольфрамата и сульфата аммония при 25°. В водн. p-ре в нейтральной среде в присутствии сульфата аммония паравольфрамат аммония переходит в дивольфрамат. В системе $(\text{NH}_4)_2\text{SO}_4$ — $(\text{NH}_4)_2\text{W}_2\text{O}_7$ — H_2O при 25° не образуется ни двойных солей, ни твердых p-ров. Эвтоника расположена при крайне малых конц-ях дивольфрамата, не превышающих 0,356% при 42,9% сульфата аммония.

С. З.
64468. Система хлорит натрия — хлорат натрия — вода при различных температурах. Канингем, Ой (The system sodium chlorite — sodium chlorate — water at various temperatures. Cunningham George L., Oey Tong San), J. Amer. Chem. Soc., 1955, 77, № 17, 4498—4499 (англ.)
Изучена система NaClO_2 (I) — NaClO_3 (II) — H_2O при 15, 25, 35 и 45°. Установлено, что в системе не образуется двойных солей в исследованной области т-р. Состав кристаллизующихся твердых фаз соответствует I, II и $\text{NaClO}_2 \cdot 3\text{H}_2\text{O}$.

Ю. Т.

64469. Концентрационная зависимость скорости звука дипольно-неполярной смеси при различной длине цепи. Рефельд (Die Konzentrationsabhängigkeit der Schallgeschwindigkeit dipol-dipolloser Gemische bei verschiedener Kettenlänge. Rehfeld K.), Z. phys. Chem. (Leipzig), 1955, 205, № 1/2, 78—83 (нем.)

В продолжение ранее опубликованной работы (Sacher K., Physik. Z., 1940, 41, 360) исследована концентрационная зависимость скорости звука (CЗ) в системах: пропанол — CCl_4 (I), бутанол — I, гексанол — I, октанол — I и гексадеканол — I. Определение CЗ проводилось по методу вторичных интерференций (Bachem Ch., Z. Physik, 1934, 87, 734) при т-ре $18 \pm 0,01^\circ$. Точность выполненных измерений (в %): конц-ия $\pm 0,04$, плотность $\pm 0,0033$, CЗ $\pm 0,013$, сжимаемость $\pm 0,0076$. Результаты табулированы и представлены графически. Наличие минимума на кривых CЗ при малых (от 5 мол % и ниже) конц-ях дипольного компонента (спирта) сведено в свете ранее высказанных соображений (Wolf K. L. и др., Z. physik. Chem., 1940, B46, 287) к диссоциации ассоциированных молекул этого компонента. С возрастанием длины цепи молекул спирта минимум на кривой CЗ смещается в сторону нулевой конц-ии дипольного компонента. Дано качественное объяснение указанной закономерности.

Ю. З.
64470. Поглощение ультразвука в двойной жидкой смеси с димерно ассоциированной компонентой. Майер, Рудольф (Ultraschallabsorption in binären flüssigen Gemischen mit dimer assoziierender Komponente. Maier Wilhelm, Rudolph Heinz Dieter), Z. Naturforsch., 1955, 10a, № 7, 588—589 (нем.)

Экспериментально изучена температурная зависимость поглощения ультразвука (частота 20 Мгц) в p-рах димерно ассоциированной бензойной к-ты в CCl_4 . При постоянной частоте избыточное поглощение в p-ре сильно зависит от т-ры, проходя при определенной т-ре через максимум. Измерения поглощения в p-рах $\text{C}_6\text{H}_5\text{COOH}$ — CCl_4 в интервале т-р от $\sim 20^\circ$ до $\sim 60^\circ$ укладываются на левую (восходящую) часть кривой коэфф. поглощения звука — т-ра. На основании эксперимента приблизительно оценено избыточное поглощение, обусловленное протеканием p-ции диссоциации димерных и ассоциации мономерных молекул. На основании акустич. данных вычислена энтальпия p-ции ассоциации, обусловленной образованием водородных связей, равная $\Delta H \sim 5,5$ ккал/моль. Результаты исследования подтверждают предположение о том, что избыточное поглощение в p-рах ассоциированных в-в вызвано релаксационными явлениями, обусловленными нарушением равновесия между ассоциированными и неассоциированными молекулами. Указана возможность акустич. изучения кинетики быстрых p-ций на основании измерения поглощения звука при какой-либо одной фиксированной частоте.

Б. К.
64471. Фазовое равновесие в системе бутен-1 — вода и корректировка данных по растворимости углеводород — вода. Лиленд, Мак-Кетта, Коби (Phase equilibrium in 1-butene-water system and correlation of hydrocarbon — water solubility data. Leland Thomas W., Jr, McKetta John J., Kobe Kenneth A.), Industr. and Engng Chem., 1955, 47, № 6, 1265—1271 (англ.)

Исследована взаимная растворимость (Р) в системе бутен-1 (I) — вода при т-рах 37,78—154,44° и давл. (Р) 70—700 ага. Отмечается, что данные, полученные при анализе углеводородной фазы, воспроизводимы лучше данных для водн. фазы. Р I в воде возрастает с увеличением давления. При увеличении мол. веса углеводорода (как это следует из сопоставления с литературными данными) наблюдается резкое уменьшение

Р при одновременном уменьшении эффекта давления; наличие двойной связи в молекуле углеводорода значительно увеличивает Р (Р I в 3—4 раза выше Р n-бутана). Р воды в I уменьшается с увеличением давления, что согласуется с данными для других углеводородов. Наличие двойной связи и в этом случае резко увеличивает Р, причем этот эффект уменьшается с увеличением т-ры. Для оценки влияния давления на Р использовано предложенное ранее (Krichevsky I. R., Kasarnovsky J. S., J. Amer. Chem. Soc., 1935, 57, 2168) ур-ние; показано, что для $p > 140 \text{ атм}$ это ур-ние хорошо согласуется с эксперим. данными и может быть применено для экстраполяции. Р воды в углеводородном слое при разных т-рах хорошо описывается эмпирич. уравнением $\ln x_1 = a(1/T) + b$, где x_1 — мольная доля компонента. На основании теоретич. предположек (Scatchard G., Chem. Revs., 1931, 8, 321) полуэмпирич. методом вычислена взаимная Р в этой системе; более удовлетворительные совпадения между опытными и вычисленными данными наблюдаются для случая растворения воды в углеводородной фазе. С. Б.

64472. Термодинамика бинарных систем, содержащих амины. Сообщение 2. Копи (Thermodynamics of binary systems containing amines. Part 2. Copy J. L.), Trans. Faraday Soc., 1955, 51, № 8, 1056—1061 (англ.)

Изучено явление расслаивания в системе $\text{NCH}_3\text{—}(\text{C}_2\text{H}_5)_2$ (I) — H_2O вблизи нижней крит. точки растворения. Динамич. методом определено давление пара чистого I в интервале 15—70°: $\lg p(\text{мм}) = 6,91578 - 1184,8 \cdot (227,67 + t)$. Отсюда вычислены т-ра кипения I при нормальном давлении $69,95 \pm 0,05^\circ$ и теплота парообразования 7,2 ккал/моль. Определена кривая расслаивания р-ров; нижней крит. точке соответствует т-ра 49,42° и 9,8 мол. % I. Определено давление пара р-ров при 35 и 47° и составы находящихся в равновесии фаз. Полученные результаты согласуются с простой термодинамикой теорией расслаивания. Часть I см. РЖХим, 1955, 3470, 25847. И. Л.

64473. Данные по физической химии сахарозы. 1. Растворимость сахарозы в чистой воде при температуре от 0° до 100° С. Вавринец (Adalékok a szaharóz fizikai kémijához. I. A szaharóz oldhatósága tiszta vízben 0 és 100 °C között. Vavrinecz Gábor), Élelm. ipar, 1955, 9, № 9, 270—275 (венг.; рез. рус., англ., нем.)

На основании литературных данных предложено ур-ние для вычисления растворимости (р, в вес. %) сахарозы в чистой воде при нормальном давлении и т-ре 0—100°: $p = 64,347 + 0,10336t + 0,001424t^2 - 0,000006020t^3 (\pm 0,094)$, где р — растворимость, t — т-ра. Эта ф-ла предлагается взамен таблиц Герцфельда и Грута (Herzfeld, Z. Vereins deut. Zuckerind., 1892, 52, 174; Grut, Z. Zuckerind. Čechoslov., Rep., 1936 (1937), 61, 356—359). С. Р.

64474. Растворимость водорода и дейтерия в n-гептане и n-октане при высоких давлениях. Ляхович, Ньюитт, Уил (The solubility of hydrogen and deuterium in n-heptane and n-octane at high pressures. Lachowicz S. K., Newitt D. M., Weale K. E.), Trans Faraday Soc., 1955, 51, № 9, 1198—1205 (англ.)

Изучена растворимость водорода (I) и дейтерия (II) в n-гептане (III) и n-октане (IV) при 25,37,5 и 50° в интервале давл. 50—300 атм. Применен усовершенствованный вариант описанного ранее метода (Sattler, Z. techn. Phys., 1940, 21, 410). Описаны отдельные детали аппаратуры и методика насыщения жидкостя газом и отбора проб. Максимально т-ры в пределах $\pm 0,2^\circ$ поддерживалось воздушным термостатом. I содержал свыше 99,9% H_2 . II получался электролизом тяжелой

воды и после очистки (главным образом от O_2) содержал свыше 99% D_2 (1% составляли примеси H_2 и N_2). III и IV содержали 99,5 мол. % основного продукта; $n^{20^\circ\text{C}} \text{ D III} = 1,3877$; $n^{20^\circ\text{C}} \text{ D IV} = 1,3971$. Построены изотермы растворимости, выражающие зависимость объема растворенного в 1 г жидкости газа, от парц. давления газа; они носят прямолинейный характер и для I и II практически совпадают. Вычислены величины коэфф. растворимости и путем экстраполяции вычислены величины X (мольная доля растворенного газа при $P = 1 \text{ атм.}$). Установлено, что величины K во всем интервале давлений сохраняют для каждой т-ры постоянное значение, растворимости I и II линейно увеличиваются с ростом т-ры, показывая увеличение на 14% при переходе от 25° к 50°. Предложено полуэмпирич. ур-ние для вычисления парциальных мольных объемов газов в р-рах у изученных и аналогичных двухкомпонентных систем: $2,303 RT / (P - 1) \lg f / Kx = v_0 - C \times (P + 1)$, где v_0 — парциальный мольный объем газа при $P \rightarrow 0$; β — средняя сжимаемость газа в р-ре; $C = v_0 \beta / 2$; $\lg K$ — константа, эквивалентная $-\lg x$ при $P = 1$; f — летучесть газа. С. Б.

64475. Прямое определение диаграммы растворимости при температуре кипения. Риус, Альфонсо (Determinación directa de diagramas de solubilidad a temperatura de ebullición. Riús A., Alfonso C.), An. Real soc. española fís. y quim., 1955, B51, № 9—10, 571—580 (исп.; рез. англ.)

Описаны прибор и прямой метод определения кривых растворимости и коннод при т-ре кипения. Кривые растворимости получены синтетич. методом. Для определения коннод отбираются пробы каждой из фаз и анализируются. Метод прост и надежен для получения удовлетворительных данных по азеотропной ректификации. Изучена система уксусная к-та — вода — толуол при т-ре кипения. С. Р.

64476. Диаграмма смешиваемости и равновесия распределения в системе вода — бензол — уксусная кислота. Тальявини, Арик, Бьянкани (Diagramma di miscibilità ed equilibrio di ripartizione nel sistema acqua — benzene — acido acetico. Tagliavini Giuseppe, Arich Guido, Bianciani Manfredo), Ann. chimica, 1955, 45, № 4—5, 292—305 (итал.)

Приведен состав жидких фаз, находящихся в равновесии при т-рах 60, 70, 80, 90, 100, 110 и 120° и даны диаграммы равновесия распределения в тройной системе $\text{H}_2\text{O} - \text{CH}_3\text{COOH} - \text{C}_6\text{H}_6$ при 60, 90 и 120°. Б. А.

64477 Д. Физико-химическое исследование систем $\text{NaCl} - \text{BeCl}_2$ и $\text{KCl} - \text{BeCl}_2$. Бычков Н. В. Автореф. дисс. канд. хим. н., МГУ, М., 1955

64478 Д. О газообразном диохлориде кремния. Определение стандартных теплот образования и энтропии. Никль (Über die Existenz des gasförmigen Siliciumdichlorides. Bestimmung. s. Bildungswärme u. Normalentropie. Nickl Julius. Diss. Tech. H., Stuttgart, 1953, V, 143, Dtsch. Nationalbibliogr., 1955, B, № 15, 1082 (нем.)

64479 Д. Фазовые равновесия в системах с этиленом в сверхкритическом состоянии. Тодд (Phase equilibria in systems with supercritical ethylene. Todd David Burton. Doct. diss., Princeton Univ., 1952), Dissert. Abstrs, 1955, 15, № 3, 383 (англ.)

64480 Д. Термическая аккомодация гелия, неона и аргона на чистом вольфраме при 77—303° К. Силвернейл (The thermal accommodation of helium neon, and argon on clean tungsten from 77° to 303° K. Silvernail Walter Lawrence. Doct. diss., Univ. Missouri, 1954). Dissert. Abstrs, 1955, 15, № 1, 50—51 (англ.)

64481 Д. Коэффициенты аккомодации инертных газов на алюминии, вольфраме, платине и никеле и их зависимость от поверхностных условий. Фост (The accommodation coefficients of the inert gases on aluminum, tungsten, platinum, and nickel and their dependence on surface conditions. Faust John William, Jr, Doct. diss., Univ. Missouri, 1954). Dissert. Abstrs, 1955, 15, № 1, 49 (англ.)

64482 Д. Теплоты образования TiCl_3 и TiCl_2 . Клифтон (Heats of formation of titanium trichloride and titanium dichloride. Clifton David Geyer, Doct. diss., Ohio State Univ, 1955), Dissert. Abstrs, 1955, 15, № 6, 987 (англ.)

См. также: Фазовые переходы 64283, 64296—64298, 64307, 64323, 64380, 64386, 64670, 64693, 65681. Термохимия 64191, 64192, 64211, 64652. Термодинамика: кристаллов 64327, 64334, 64378, 65685; жидкостей и газов 64396—64398. Ур-ния состояния 64406, 67320. Равновесия 64485, 64575—64581, 64695. Физ.-хим. анализ систем: металл. 64291, 64309, 64310, 64530; неорганич. 64308, 64360, 64562, 64586, 64636, 65682, 65683, 65688, 65783; органич. 64400, 64498, 64560, 64625, 64642, 64643, 65162. Приборы и методы 65457, 65515. Др. вопр. 64210, 64278, 65133, 65134, 65147, 65153; 18724Бх, 18807Бх

КИНЕТИКА. ГОРЕНИЕ. ВЗРЫВЫ. ТОПОХИМИЯ. КАТАЛИЗ

64483. Химическая статика и кинетика. Гинье (Statique et cinétique chimiques. Guinier G.), Bull. Union physiciens, 1956, 50, № 427, 275—276 (франц.)

На примере р-ции $\text{CO} + \text{Cl}_2 \rightleftharpoons \text{COCl}_2$ показано, что дробные порядки прямой и обратной р-ций приводят к термодинамически правильному выражению для константы равновесия. Х. Б.

64484. О температурной зависимости скорости реакции. Хайн, Робертсон (On the temperature dependence of the reaction velocity. Hynes J. B., Robertson R. E.), Canad. J. Chem., 1955, 33, № 10, 1544—1551 (англ.)

Отмечая непригодность ур-ния Аррениуса для некоторых р-ций в р-рах, авторы использовали три типа приближенных ур-ний для изменения энергии активации с т-рой, имеющих вид степенного ряда. В. С.

64485. Дисперсия и поглощение звука в неидеальных газах при общем химическом равновесии и их приложение к химической кинетике. Табути (Dispersion and absorption of sound in imperfect gases in general chemical equilibrium and its application to chemical kinetics. Tabuchi Daisaku), J. Chem. Phys., 1955, 23, № 11, 2033—2037 (англ.)

Рассматривается дисперсия и поглощение звука в неидеальном газе со многими компонентами, которые реагируют между собой. При прохождении звука число молей каждого в-ва меняется периодически $n_Q = \bar{n}_Q + (\Delta n_Q) \exp(i\omega t)$ (\bar{n}_Q — число молей при хим. равновесии и при отсутствии звука, Δn_Q — амплитуда изменения числа молей, вычисленная вблизи положения равновесия из ур-ний кинетики (вынужденное колебание конц-ии)). В качестве примеров рассмотрена смесь идеальных газов, случай отсутствия р-ции в неидеальном газе, а также произведен расчет р-ции $A \rightleftharpoons B + V$ в неидеальном газе. Таким образом можно определить константу скорости хим. р-ции и теплоту р-ции путем измерения скорости и поглощения звука в реагирующей смеси. Е. Н.

64486. Отрыв атомов водорода трифторметильными радикалами. Додд, Смит (Abstraction of hydrogen by trifluoromethyl radicals. Dodd R. E., Smith J. W.), Reserach, 1955, 8, № 12, S63—S64 (англ.)

При фотолизе CF_3CHO в газовой фазе ($150-400^\circ$) продуктами р-ции являются CF_3H , C_2F_6 , CO и H_2 . Предполагая, что CF_3H и C_2F_6 образуются в результате р-ций $\text{CF}_3 + \text{CF}_3\text{CHO} \rightarrow \text{CF}_3\text{H} + \text{CF}_3\text{CO} \rightarrow \text{C}_2\text{F}_6$, авторы нашли $E_1 - 1/2E_2 = 8,2$ ккал/моль и $P_1/P_2^{1/2} = 5,3 \cdot 10^{-3}$. В присутствии молекул RH выход CF_3H увеличивается благодаря р-ции $\text{CF}_3 + \text{RH} \rightarrow \text{CF}_3\text{H} + \text{R}$. Для $(E_3 - 1/2E_2)$ и $10^3 P_3/P_2^{1/2}$ получены следующие значения CH_4 10,4; 5; $i\text{-C}_4\text{H}_{10}$ 4,5; 1,3; CH_3CHO 4,0; 0,8. В. А.

64487. Термическое разложение закиси азота. I. Вторичные каталитические и поверхностные эффекты. II. Влияние добавок газов и теории механизма кинетики. Линдаре, Хиншелвуд (The thermal decomposition of nitrous oxide. I. Secondary catalytic and surface effects II. Influence of added gases and a theory of the kinetic mechanism. Lindars F. J., Hinshelwood Sir Cyril), Proc. Roy. Soc., 1955, A231, № 1185, 162—178; 178—197 (англ.)

I. Исследовано влияние гетерог. и каталитич. процессов на вид кривой (k, n), где k — формальная константа скорости р-ции первого порядка, n — начальная конц-ия N_2O . В интервале $0-500$ мм рт. ст. $k = bn + a/(1 + a'n)$. Кривая состоит из трех линейных участков с разными углами наклона. Р-ция проводилась при 720° в сосудах, сильно отличающихся размерами и состоянием поверхностей. Влияние поверхности слабо сказывается на изменении кривой, т. е. разложение является гомог. р-цией. Исследование образования NO со временем и изменении k от добавок NO показало, что катализ не является определяющей ступенью распада, так как добавки NO увеличивают k только на $10-14\%$.

II. Исследовано влияние добавок газов X (Ar , N_2 , CO_2 , CF_4) на ход кривой (k, x), где k — константа скорости разложения, x — давление добавок газов. Опыты производились при давлениях: N_2O 50—200, X 0—2000 мм рт. ст. При этих конц-иях вид кривой (k, x) аналогичен кривой (k, n). Для обоснования зависимости вида $k = \Sigma an/(1 + an)$ постулируется существование двух возбужденных триплетных состояний N_2O^{3*} и N_2O^{3**} , через которые идет разложение N_2O (Herzberg G., Z. phys. Chem., 1932, B17, 68). Анализ механизма р-ции в отсутствие добавок газов показал определяющие стадии по мере повышения n : 1) образование N_2O^* (возбужденное состояние) при соударении; 2) спонтанный переход $\text{N}_2\text{O}^* \rightarrow \text{N}_2\text{O}^{3*}$ и $\text{N}_2\text{O}^* + \text{N}_2\text{O} \rightarrow \text{N}_2\text{O}^{3*} + \text{N}_2\text{O}$; 3) спонтанный распад $\text{N}_2\text{O}^{3*} \rightarrow \text{N}_2 + \text{O}$. При наличии добавок на вид кривой (k, x) влияют процессы образования N_2O^{3**} и N_2O^{3*} , N_2O^* и N_2O^{3*} за счет соударений с X . Вид кривой $k = \Sigma an/(1 + a'n)$ определяется образованием N_2O^{3*} за счет спонтанных переходов и соударений. С. С.

64488. Катализированное галоидами разложение закиси азота. Кауфман, Герри, Паскал (Halogen catalyzed decomposition of nitrous oxide. Kaufman Frederick, Gerri Norman J., Pascale Donald A.), J. Chem. Phys., 1956, 24, № 1, 32—34 (англ.)

Скорость разложения N_2O , катализированного добавками Cl_2 , Br_2 , I_2 , и $\text{C}_2\text{H}_5\text{I}$, при $876-1031^\circ \text{K}$ пропорциональна как конц-ии N_2O , так и конц-ии атомов галоида, рассчитанной для равновесной диссоциации. Бимолекулярные константы скорости ($\text{см}^3 \text{моль}^{-1} \text{сек}^{-1}$): равны: для Cl $1,3 \cdot 10^{14} \exp(-33500/RT)$; Br $2,0 \cdot 10^{14}$

exp ($-37\,000/RT$); $J\,2,8\cdot 10^{14}$ exp ($-38\,000/RT$). Иницирующей стадией в случае Cl авторы считают р-цию $N_2O + Cl \rightarrow N_2 + ClO$ с последующим диспропорционированием $2ClO \rightarrow Cl_2 + O_2$; атомы Cl образуются в результате объемной р-ции $Cl_2 + M \rightarrow 2Cl + M$, где M — любая частица. Сильное отличие от термич. распада связано с тем, что основной акт проходит без изменения мультиплетности.

Д. К. 64489. Разложение смесей ацетальдегида и формальдегида, инициированное радикалами. Лонгфилд, Уолтерс (The radical sensitized decomposition of mixtures of acetaldehyde and formaldehyde. Longfield James E., Walters W. D., J. Amer. Chem. Soc., 1955, 77, № 3, 810—812 (англ.))

При разложении смесей CH_3CHO и CH_2O в газовой фазе (пирексовый сосуд, $384-477^\circ$, глубина превращения 30%, дав. смеси ~ 180 мм рт. ст., отношение CH_3CHO/CH_2O равно 0,90—2,96) с добавками биациетила (1,22 мм рт. ст.) и окиси этилена (1,2 и 2,2 мм рт. ст.), найдены основные брутто-реакции процесса: $CH_3CHO \rightarrow CH_4 + CO$ и $CH_2O \rightarrow H_2 + CO$, кроме них в незначительной степени идет р-ция $2CH_2O \rightarrow CH_3OH + CO$. Сумма образовавшихся H_2 и CH_4 равна общему увеличению давления и несколько меньше давления CO. Равенство величин CH_3CHO/CH_2O в исходной смеси и CH_4/H_2 в продуктах указывает (так как длины цепей достаточно велики), что CH_3CHO и CH_2O в смеси распадаются с одинаковыми скоростями. Изменение т-ры и введение добавок не меняет состава продуктов. Приводятся два варианта объяснения результатов, выбор между которыми затруднен отсутствием точных данных об элементарных р-циях: 1) скорости и энергии активации отрыва атома H радикалом или атомом от CH_3CHO и CH_2O равны или, по крайней мере, различие в скоростях р-ции $CH_3 + CH_3CHO$ и $CH_3 + CH_2O$ балансируется в р-циях $H + CH_3CHO$ и $H + CH_2O$, 2) CH_2O быстрее, чем CH_3CHO реагирует с атомами и радикалами, однако в последующей стадии образующиеся радикалы могут реагировать с CH_3CHO и регенерировать исходный альдегид, напр. $HCO + CH_3CHO \rightarrow CH_2O + CH_3CHO$.

В. А. 64490. Разложение формальдегида, инициированное радикалами. Лонгфилд, Уолтерс (The radical-sensitized decomposition of formaldehyde. Longfield James E., Walters W. D., J. Amer. Chem. Soc., 1955, 77, № 23, 6098—6103 (англ.))

Иницированное разложение CH_2O при $415-512^\circ$ протекает почти без изменения давления (Δp). Насадка, увеличивающая отношение поверхности реакционного сосуда к объему почти в 35 раз, слегка увеличивает скорость разложения по Δp . Анализом продуктов р-ции установлено, что разложение следует ур-нию $2CH_2O \rightarrow CH_3OH + CO$ (I). Константа скорости (I) при 415° равна $\sim 0,4$ л/моль мин, энергия активации в интервале $393-458^\circ$ составляет ~ 31 ккал/моль и предэкспонент $0,9\cdot 10^8$ л/моль мин. Малые добавки ($\sim 1\%$) окиси этилена (II) при $384-437^\circ$ вызывают быстрое разложение CH_2O с образованием главным образом CO и H_2 и в значительно меньших кол-вах CH_3OH и CH_4 . Насадка заметно уменьшает скорость образования CO и H_2 , не влияя на скорость образования CH_3OH . Скорость р-ции по Δp постоянна до глубины превращения $\sim 30\%$. Насадка увеличивает порядок р-ции по I и по общему давлению и не влияет на порядок по CH_2O . Разбавление реакционной смеси инертными газами увеличивает скорость разложения, снижает порядок по CH_2O и не влияет на порядок по I, причем CO_2 действует сильнее, чем N_2 . Энергия активации разложения CH_2O , инициированного I, в интервале $384-437^\circ$ равна ~ 48 ккал/моль. Продукты реакции определялись масс-спектрометрич. и хим. анализом. Результаты дис-

иницированного разложения обсуждены в соответствии с цепным механизмом: $(CH_2)_2O \rightarrow CH_3 + HCO$; $CH_3 + CH_2O \rightarrow CH_4 + HCO$; $HCO \rightarrow H + CO$; $H + CH_2O \rightarrow H_2 + HCO$. Обнаружено, что диметилртуть при 381° и биациетил при $477-489^\circ$ также инициируют разложение CH_2O .

Г. К. 64491. Механизм реакции медленного окисления углеводородов при помощи тихого электрического разряда. Часть I. Основной процесс окисления циклогексана. Иноуэ (無聲放電による炭化水素の低温緩酸化反応機構について. 第1報. シクロヘキサンの主酸化過程. 井上英一, 電気化学, Дэнки какаку, J. Electrochem. Soc. Japan, 1954, 22, № 12, 668—671 (япон.; рез. англ.))

Как типичный пример медленного окисления углеводородов в тихом электрич. разряде изучалось окисление циклогексана. В качестве промежуточных продуктов окисления найдены гидроперекиси циклогексана и дигерекиси дициклогексилена. Механизм окисления хорошо объясняется перекисной теорией Уббеллоде (Ubbelohde A. R., Proc. Roy. Soc., 1936, A152, 354)

Chem. Abstrs, 1955, 49, № 14, 9367. M. Nagano.

64492. Абсорбция сернистого ангидрида в растворах основного сернокислого алюминия. III. Кинетика реакции окисления абсорбированной двуокиси серы кислородом. IV. Зависимость скорости реакции окисления абсорбированной двуокиси серы от температуры и наличия катализатора. Бретшнайдер, Аугустин. V. Определение области протекания реакции между абсорбированной двуокисью серы и кислородом. Бретшнайдер (Absorption dwutlenku siarki w rozciworacy zasadowego siarczanu glinowego. III. Kinetika reakcji utleniania zaabsorbowanego dwutlenku siarki tlenem. I. IV. Zależność szybkości reakcji utleniania zaabsorbowanego dwutlenku siarki od temperatury i obecności katalizatora. Bretszneider S., Augustyn W. V. Określenie obszaru reakcji utleniania zaabsorbowanego dwutlenku siarki tlenem. Bretszneider S.) Przem. chem., 1954, 10, № 5, 250—256; № 6, 295—299; 1955, 11, № 3, 115—117 (польск.; рез. русс. англ.)

III. Исследована абс. скорость v_1 (кол-во SO_2 , реагирующее в единицу времени) и относительная скорость v_2 (приращение степени превращения SO_2 в единицу времени) р-ции окисления в р-ре основного сульфата Al (I) с основностью $n_A = 2,5$ (отношение $[SO_3]/[Al_2O_3]$). Установлено, что v_1 и v_2 при 19 и 20° при конц-ии SO_2 $18,58$ мг/мл в атмосфере 98%-ного O_2 почти постоянны в пределах до $\sim 70\%$ превращения. В первой стадии процесс протекает как р-ция нулевого порядка, что подтверждают эксперименты, проведенные при различных т-рах с р-рами разных конц-ий Al_2O_3 , SO_3 и SO_2 . v_1 пропорциональна конц-ии O_2 в газообразной фазе. Увеличение давления O_2 с 3 на 15 атм увеличивает v р-ции в 4 раза; v_1 в начальном периоде р-ции не зависит от конц-ии SO_2 в р-ре и составляет $0,5-0,6$ мг SO_2 в 1 мин.; v_2 тем больше, чем меньше абсорбированного SO_2 содержит р-р и приблизительно обратно пропорциональна начальной конц-ии абсорбированного SO_2 в р-ре I. v_1 растет пропорционально квадрату разбавления р-ра I. Найдены ур-ния $v_1 = 0,11 \cdot R^2$, $v_2 = 0,56 \cdot C + 0,31$ (R — разбавление р-ра I, C — конц-ия I).

А. Wielopolski. IV. Исследована скорость реакции окисления SO_2 абсорбированного в р-ре основного $Al_2(SO_4)_3$. Окисление осуществлялось воздушном и 98%-ным O_2 . Кажущаяся энергия активации в первом случае 7160 ккал/моль, во втором 8750 ккал/моль. Скорость р-ции увеличивается в присутствии ионов Cu^{2+} , Fe^{3+} , Mn^{2+}

(переч...
вия) и...
V. С...
новног...
р-ции...
лан в...
высоки...
заянн...
соких...
 Al_2O_3 ...
PikX...
64493...
абс...
мин...
dwu...
dow...
St...
227...
Ha...
реф.)...
дом S...
Al, п...
Соед...
в р-...
образ...
ния...
ценно...
низм...
дейст...
 Fe^{3+} ...
Авто...
упом...
жудо...
ного...
р-ции...
р-ра...
рова...
меха...
по п...
6449...
на...
В...
М...
К...
R...
ре...
И...
вли...
10-1...
лож...
10-8...
тор...
Mn...
644...
т...
пол...
d...
g...
H...
либ...
Обр...
дае...
мо...
пол...
ния...
K...
обе...
ны...
K...

(перечислены в порядке возрастания каталитич. действия) и добавок H_2O_2 и NaNO_2 .

Т. К. В. Скорость диффузии O_2 из газовой фазы в р-р основного сульфата Al при 20° вдвое больше скорости р-ции между O_2 и абсорбированным в р-ре SO_2 . Сделан вывод, что при низких т-рах ($20-60^\circ$) или при высоких конц-ях соли Al (~ 100 г Al_2O_3 в 1 л) указанная р-ция протекает в кинетич. области, а при высоких т-рах ($> 70^\circ$) или в менее конц. р-рах (33,3 г Al_2O_3 в 1 л) в диффузионной области. Сообщение II см. РЖХим, 1955, 51453.

64493. Каталитическое окисление двуокиси серы, абсорбированной раствором основного сульфата алюминия. Бретснайдер (Katalityczne utlenianie dwutlenku siarki zaabsorbowanego w pozworze zasadowego siarczanu glinowego. B. Bretsneider Stanislaw, Roczn. chem., 1955, 29, № 2—3 227—242 (польск.; рез. англ., русс.))

На основании результатов работ автора (см. пред. реф.) по кинетике окисления растворенным кислородом SO_2 , абсорбированной р-ром основного сульфата Al , предлагается наиболее вероятный механизм р-ции. Соединения Fe , присутствующие в небольших кол-вах в р-ре, действуют как катализаторы. Сульфаты Fe образуют комплексное соединение с SO_2 . Р-ция окисления происходит одновременно по двум механизмам: цепному и каталитич. Ранее известный цепной механизм автор дополняет р-цией обрыва цепи при взаимодействии радикалов OH с комплексным соединением Fe^{3+} с CSO_2 , играющим роль ингибитора в этом процессе. Автор предлагает механизм каталитич. р-ции, в котором упомянутое комплексное соединение является промежуточным продуктом. Увеличение конц-ии комплексного соединения увеличивает скорость каталитич. р-ции, а вместе с тем ингибирует цепную р-цию. В конц. р-рах основного сульфата Al р-ция окисления абсорбированной SO_2 идет преимущественно по каталитич. механизму, а в разбавленных р-рах — преимущественно по цепному механизму.

64494. О каталитической двойственности ионов Mn^{2+} и активности микрорешеток этого элемента. Краузе, Вольский (O katalitycznej dwulicowości jonów Mn^{2+} i aktywności mikrośladów tego pierwiastka. Krause Alfons, Wolski Włodzimierz, Roczn. chem., 1954, 28, № 4, 539—548 (польск.; рез. нем.))

Ионы Mn^{2+} , осажденные на диамиде кальция (0,1 или 0,2 г носителя в 1 мл р-ра, содержащего 10^{-4} — 10^{-15} г Mn^{2+}) до конц-ии 10^{-7} г Mn^{2+} , ускоряют разложение H_2O_2 (150 мл 0,3%-ного р-ра), а при конц-ях 10^{-8} — 10^{-13} г оказывают тормозящее влияние. Ингибиторное действие не зависит от конц-ии. Влияние ионов Mn^{2+} наблюдается еще при разбавлении $1:4,5 \cdot 10^{15}$.

64495. Активирование перекиси водорода. I. Структура пероксимоллибденового соединения. Чаньйи (A hidrogénperoxid aktiválásáról. I. A peroxi-molibdenát-ionok szerkezete. Csányi László), Magyar kém. folyóirat, 1955, 61, № 1, 1—9 (венг.; рез. англ.)

H_2O_2 реагирует с ионами как моно-, так и полимоллибдата с образованием дигидропероксимоллибдата. Образование моногидропероксимоллибдата не наблюдается. H_2O_2 повышает pH р-ра, содержащего ионы мономоллибдата, и понижает pH р-ра, содержащего ионы полимоллибдата. Константа равновесия р-ции образования дигидропероксипроизводного из мономоллибдата $K_3 = 2,5 \cdot 10^{-4}$. В молекуле дигидропероксимоллибдата обе молекулы H_2O_2 присоединены в виде пергидроксильных групп, одна из которых сильно диссоциирована ($K_1 = 3 \cdot 10^{-8}$), другая имеет слабые кислотные свойства

($K_2 = 7 \cdot 10^{-10}$). Можно предположить, что при полимеризации ионов мономоллибдата под влиянием к-ты образуется не однородный продукт, а равновесная система различных агрегатов. Образование пероксимоллибдата мало вероятно.

Chem. Abstrs, 1955, 49, № 22, 15412. István Finály.

64496. Кинетика восстановления иона перхлората трехвалентным титаном в разбавленных растворах. Дьюк, Купини (The kinetics of the reduction of perchlorate ion by Ti (III) in dilute solution. Duke Frederick R., Quinney Paul R.), J. Amer. Chem. Soc., 1954, 76, № 14, 3800—3803 (англ.)

Кинетика р-ии $8\text{Ti}^{3+} + \text{ClO}_4^- + 8\text{H}^+ \rightarrow 8\text{Ti}^{4+} + \text{Cl}^- + 4\text{H}_2\text{O}$ (1) при $20-50^\circ$ изучалась в разб. р-рах путем определения конц-ии непрореагировавшего Ti^{3+} по ходу р-ции. Р-ция следует первому порядку по Ti^{3+} и ClO_4^- , при конц-ях ClO_4^- выше 1,0 моль/л порядок по ClO_4^- становится выше, что, повидимому, обусловлено увеличением коэф. активности иона ClO_4^- с повышением конц-ии. Зависимость кажущейся константы скорости (k') от конц-ии к-ты выражается соотношением $k' = k_0 + k_1[\text{H}^+]$, что указывает на протекание р-ции (1) двумя путями. Добавки хлоридов оказывают тормозящее действие, что, по мнению авторов, обусловлено образованием иона TiCl^{2+} в присутствии хлоридов. Предложен механизм восстановления и вычислены константы скорости, энергии и энтропии активации для элементарных стадий р-ции (1). Г. К.

64497. Реакции между тиосульфатом натрия и серной кислотой в растворах. Баркан А. С., Жукова Е. П., Уч. зап. Белорусс. ун-та, 1955, вып. 24, 123—137

Исследована концентрационная зависимость периода индукции (τ) (промежуток времени от начала р-ции до визуально наблюдаемого помутнения р-ра от выделяющейся серы) в р-ции между $\text{Na}_2\text{S}_2\text{O}_3$ и H_2SO_4 в р-ре H_2O при 0° и 20° . При постоянном соотношении конц-ий реагентов τ быстро растет с увеличением разбавления H_2O . При изменении соотношения реагентов τ проходит через минимум при избытке одного из них в 2—2,5 раза и затем очень мало зависит от соотношения их конц-ий. При увеличении конц-ии соли τ уменьшается в 2—2,5 раза сильнее, чем при таком же увеличении конц-ии к-ты, причем τ чувствительнее к изменению конц-ии реагентов в области больших разбавлений. Р. М.

64498. Скорость разложения BF_4^- в водно-этаноловой смеси; растворимость тетрафторбората натрия в воде и спиртах. Рысе Н. Г., Плит В. А., Ж. общ. химии, 1955, 25, № 1, 19—27

Константы скорости гидролитич. разложения BF_4^- , протекающего по ур-нию р-ции первого порядка, в р-рах NaBF_4 (I) в воде и в водно-спиртовой смеси (50,6 вес. % $\text{C}_2\text{H}_5\text{OH}$) соответственно равны: при $49,8^\circ$ $3,58 \cdot 10^{-5}$ и $3,44 \cdot 10^{-6}$, при 70° $1,85 \cdot 10^{-4}$ и $(1,76-1,79) \cdot 10^{-5}$ мин. $^{-1}$; введение спирта уменьшает энтропию активации р-ции, но не изменяет теплоты активации. Определенная в отсутствие помех, вызываемых гидролизом BF_4^- , растворимость I в воде при 0° , 11,0, 13,3, 20, 23,1, 25, 35 и 50° соответственно равна 41,95, 46,00, 46,99, 49,28, 50,17, 50,73, 53,76 и 57,42%; эвтектика содержит 37,12% I и плавится при $-10,69^\circ$. Донной фазой при всех т-рах является безводный I в отличие от NaClO_4 , образующего устойчивый моногидрат. Растворимость I в абс. спирте при 0° , 25, 40, 50 и 60° соответственно равна 0,28, 0,47, 0,64, 0,82 и 1,00%; в метаноле при 0° , 25 и 40° растворимость I равна 2,86, 4,17 и 5,15%. Изучена растворимость I в водно-спиртовых смесях при 0° и 50° ; перекристаллизацию I ведут из водно-спиртовой смеси с 40—50% спирта при

трах от 60° до -10°. Описана методика синтеза х. ч. I.

И. Р.

64499. Реакции изотопного обмена в пятихлористом фосфоре. Даунс, Джонсон (Isotopic exchange reactions of phosphorus pentachloride. Downs James J., Johnson Rowland E.), J. Amer. Chem. Soc., 1955, 77, № 8, 2098—2102 (англ.)

Изучен изотопный обмен Cl между PCl_5 и Cl_2^{36} в р-ре CCl_4 с целью обнаружить неэквивалентность атомов Cl в PCl_5 . Препарат содержал примеси необмениваемого POCl_3 . В ходе опытов конденсировалась влага, дававшая HCl. Этим объяснено ускорение обмена при переходе от 25° к 0°. После обмена Cl_2 отделялся для измерения активности продуванием N_2 , а в опытах разложения полученного PCl_5 — встряхиванием с Hg. Анализ кинетич. кривых обмена после поправок на необменявшийся Cl из примеси POCl_3 дает указания на 2 процесса: медленный мономолекулярный обмен двух атомов Cl и начальный обмен трех атомов Cl с периодом полураспада ≤ 5 сек. Обмен Cl_2 с PCl_5 в ходе р-ции $\text{PCl}_5 + \text{Cl}_2$ дает аналогичный результат. Авторы заключают, что в бипирамиде PCl_5 три экваториальных атома Cl_E реагируют легче, чем два меридиональных Cl_M, и приписывают это разной гибридизации связей P—Cl_E и P—Cl_M.

А. Б.

64500. Двухиокс азота как катализатор при автоокислении бромистоводородной кислоты. Мертон-Бингем, Поснер (Nitrogen peroxide as a catalyst for the autoxidation of hydrobromic acid. Merton-Bingham B. E., Posner A. M.), J. Amer. Chem. Soc., 1955, 77, № 9, 2634—2638 (англ.)

При 50° и давл. 1 ат изучена р-ция $\text{HBr} + \text{O}_2 \rightarrow \text{Br}_2$, катализированная NO_2 . Br_2 определялся иодометрически. Р-р HBr либо вводился в реакционный сосуд (PC), предварительно заполненный смесью $\text{O}_2 + \text{NO}$ (или $\text{O}_2 + \text{NO} + \text{N}_2$), и время опыта отсчитывалось с момента вхождения мешалки, либо непрерывно подавался с постоянной скоростью и с той же скоростью отбирался из PC, причем р-р разбрызгивался при помощи вращающегося стеклянного диска. Скорость р-ции (w) пропорциональна $[\text{NO}]$ и зависит от $[\text{O}_2]$ и $[\text{HBr}]$. Увеличение уд. поверхности (S/V) не влияет на w . При быстром перекупе р-ра во время р-ции в другой PC, заполненный лишь O_2 , р-ция сразу же прекращалась. При проведении р-ции в установке непрерывного тока w сильно падает во времени. Падения w не наблюдается при циркуляции одного и того же р-ра HBr. Энергия активации равна 10,7 ккал/моль. Из газовой фазы фракционной разгонкой выделено малорастворимое промежуточное в-во (NOBr). В жидкой фазе спектрофотометрически обнаружен хорошо растворимый продукт с полосой поглощения $\lambda = 620-660$ мμ.

Г. К.

64501. Термическое разложение ароматических соединений. II. Дихлорбензолы. Каллис, Прайди (The thermal decomposition of aromatic compounds. II. Dichlorobenzenes. Cullis C. F., Priddy K.), Proc. Roy. Soc., 1954, A224, № 59, 544—551 (англ.)

Изучалось термич. разложение о-, м- и п-дихлорбензолов при 700—800°. методом описанным ранее (сообщение I, РЖХим, 1956, 57523). Кинетич. характеристики всех трех изомеров весьма сходны. Добавки NO и NH_3 не оказывают ингибирующего действия на р-цию. Добавки N_2 приводят к незначительному увеличению скорости разложения. Увеличение отношения поверхности к объему в 3 раза увеличивает скорость р-ции на 5—10%. Авторы считают, что р-ция мономолекулярна и цепи почти полностью отсутствуют. Газовые продукты р-ции состоят в основном из HCl и

очень небольших кол-в H_2 . На каждую разложившуюся молекулу дихлорбензола выделяется примерно 2 молекулы HCl. Баланс по водороду не может быть сведен ввиду наличия органич. осадка на стенках сосуда. Сравнение термич. распада бензола, хлорбензола и дихлорбензолов показывает, что введение заместителя в ароматич. кольцо уменьшает стабильность в-ва, но относительное положение заместителей в кольце роли не играет.

З. М.

64502. Изучение пиролиза органических бромидов. Часть II. Пиролиз бромистого n-пропила. Эйджинус, Макколл (Studies in the pyrolysis of organic bromides. Part II. The pyrolysis of n-propyl bromide. Agius P. J., Maccoll Allan), J. Chem. Soc., 1955, March, 973—978 (англ.)

Кинетика распада бромистого пропила (I) на HBr и пропилен (II) изучалась при 300—380°. В интервале 40—500 мм рт. ст. р-ция следует порядку 3/2. Константа скорости р-ции $k = 7,24 \cdot 10^{10} \exp(-33800/RT)$ моль^{-1/2} мл^{1/2}сек⁻¹. Изменение в 17 раз отношения поверхности реакционного сосуда к объему слабо влияет на k . Пропилен сильно ингибирует р-цию. Авторы делают вывод, что распад I происходит гомогенно по цепному механизму: $I \rightarrow \text{C}_3\text{H}_7 + \text{Br}$; $\text{Br} + I \rightarrow \text{CH}_3\text{CH}_2\text{CH}_2\text{Br}$ (III); $III \rightarrow II + \text{Br}$. Предполагается, что обрыв цепи происходит при соединении атома Br с радикалом $\cdot\text{CH}_2\text{CH}_2\text{CH}_2\text{Br}$ (или $\text{CH}_3\text{CH}_2\text{CH}_2\text{Br}$) в отличие от III, неспособного к распаду на II и атом Br. Принимая, что р-ция зарождения цепи идет с константой скорости $k = 10^{13} \exp(-67900/RT)$ сек⁻¹, авторы приходят к величине 10^7 для длины цепи р-ции при 600° K и 300 мм рт. ст. Часть I см. РЖХим, 1956, 46386.

А. Ш.

64503. Термический распад перекисей бензола и α-кумила в кумоле. Бейли, Годдин (The thermal decomposition of dibenzoyl and di-α-cumyl peroxides in cumene. Bailey H. C., Godin G. W.), Trans. Faraday Soc., 1956, 52, № 1, 68—73 (англ.)

Константа скорости k распада перекиси бензола (I) и перекиси α-кумила (II) в кумоле (III) представлена как $k = k_1 + k_2 [I]^{1/2}$ (k_1 и k_2 — константы мономолекулярного и цепного распада). Получены следующие значения констант: для I $\lg k_1$ (сек.⁻¹) = 13,0796 — (28 830 ± 470)/2,303 RT; $\lg k_2$ (моль^{-1/2}сек.⁻¹) = 13,7391 — (28810 + 700)/2,303 RT; для II $\lg k_1$ = 14,6349 — (34 490 ± 520)/2,303 RT. Константа распада II в III не зависит от конц-ии II. В продуктах распада (0,185 моль/л, 136,5°) при помощи ИК-спектров найдены (в молях на моль распадающейся II): фенилдиметилкарбинол (IV) 0,95; ацетофенон (V) 1,11; C_6H_4 (газ, неконденсирующийся при -183°) 1,16; ди-α-кумил 0,91; α-метилстирол (при 145—160°) не обнаружен. Авторы принимают следующий механизм р-ции распада II в III: $\text{ROOR} \rightarrow 2\text{RO}\cdot$; $\text{RO}\cdot \rightarrow \text{C}_6\text{H}_5 + \text{ацетофенон}$ (1), $\text{RO}\cdot + \text{RH} \rightarrow \text{RON} + \text{R}\cdot$ (2), $2\text{R}\cdot \rightarrow \text{RR}$. Из температурной зависимости отношения V:IV определена разность энергий активации (7,3 ккал/моль) для р-ций (1) и (2).

Р. М.

64504. Кинетика реакций перекисей с аминами. IV. О порядке реакций алифатических вторичных аминов с перекисью бензоила. Чалтыкян О. А., Атанасян Е. Н., Гайбакин Д. М., Докл. АН АрмССР, 1956, 22, № 1, 13—16 (рез. арм.).

Р-ция взаимодействия перекиси бензоила (I) (0,125—0,025 M) с диэтиламино (II) (0,025—0,05 M) в р-ре диоксана протекает с самоторожением, усиливающимся при уменьшении конц-ии I и II. Р-ция п-дифенилового амина (III) с I в р-ре эфира при 0—20° и конц-иях I 0,125—0,025 M, II 0,025—0,05 M протекает по второму порядку. Энергия активации равна 14,6 ккал/моль. При конц-иях I 0,05 M и III 0,2 M р-ция уско-

ряется во времени. Авторы объясняют самоторможение влиянием бензойной к-ты, образующейся в результате р-ции, на эффективную конц-ию амина, а ускорение — ценным характером р-ции. Сообщение III см. Докл. АН АрмССР, 1952, 15, 241. Р. М. 64505.

Кинетика теплового и фотохимического обмена между подистым бензилем и иодом. Газит, Нойс (Kinetics of the thermal and photochemical exchange between benzyl iodide and iodine. Gazith Moshé, Noyes Richard M.), J. Amer. Chem. Soc., 1955, 77, № 23, 6091—6098 (англ.)

Исследованы тепловой и фотохим. обмена иодом между $C_6H_5CH_2J$ (BJ) и меченым J_2 в р-е гексахлорбутадиена-1,3. Скорость теплового обмена подчиняется ур-нию: $R = 10^{12.42} \exp [-26060/RT] [BJ][J_2]^{1/2}$ моль/л сек. Р-ция тормозится воздухом, в присутствии которого кинетика описывается ур-нием: $R = k[BJ]^{1/2}[J_2]$. При изменении соотношения $[J_2]/[BJ]$ от 0,000333 до 2,0 фактор замедления теплового обмена воздухом снижается от 250 до 3. При облучении рассматриваемых р-ров светом λ 5461 Å при т-рах 25—36° свет поглощается главным образом J_2 . Предлагается цепной механизм р-ции обмена BJ и J_2 с инициированием цепей путем диссоциации обеих молекул и распространением цепей попеременно атомами J и бензильными радикалами. Допускается возможность прямого замещения иода BJ атомами радиоиода. Рассчитаны константы всех 7 элементарных р-ций предложенного механизма. Обмен иода в системе BJ + J_2 сравнивается с ранее изученными обменами в системах J_2 + транс- $C_2H_2J_2$ (I) (Noyes R. M. и др., J. Amer. Chem. Soc., 1945, 67, 1319) и J_2 + CH_2CHCH_2J (II) (РЖХим, 1955, 15988). Обмены BJ + J_2 и J_2 + I характеризуются одинаковым механизмом и энергией активации, но различными энтропийными факторами. Присоединение атома J к двойной связи I в переходном состоянии менее вероятно, чем отщепление атома J от BJ. Обмен J_2 + II может протекать не только через атомный, но и через молекулярный механизм. Б. К.

64506. Фотоиницированное присоединение меркаптанов к олефинам. II. Кинетика присоединения *n*-бутилмеркаптана к 1-пентену. Онышук, Сивертц (The photoinitiated addition of mercaptans. II. The kinetics of the addition of *n*-butyl mercaptan to 1-pentene. Onyszchuk M., Sivertz C.), Canad. J. Chem., 1955, 33, № 5, 1034—1042 (англ.)

Исследована кинетика присоединения *n*-бутилмеркаптана (I) к 1-пентену (II) при 25°, инициированного радикалами, образующимися при фотолизе динитрила азодизомасляной к-ты, рассчитаны константы скоростей р-ции присоединения радикала, образующегося из I, к II ($7 \cdot 10^6$ л/моль сек) и р-ции передачи цепи при взаимодействии алкильного радикала с I ($1,4 \cdot 10^6$ л/моль сек). Отмечается, что р-ция роста цепи и р-ция отрыва водорода от α -метиленового атома углерода II протекает с незначительными скоростями. Часть I см. РЖХим, 1956, 12464. А. П.

64507. Кинетическое изучение окисления ароматических соединений перманганатом калия. Часть II. Замещенные толуолы. Часть III. Этилбензол. Каллис, Ладбери (Kinetic studies of the oxidation of aromatic compounds by potassium permanganate. Part II. Substituted toluenes. Part III. Ethylbenzene. Cullis C. F., Ladbury J. W.), J. Chem. Soc., 1955, May, 1407—1412; Aug., 2850—2854 (англ.)

II. Начальная скорость окисления W при 50° $KMnO_4$ в 54%-ной CH_3COOH замещенных толуолов $CH_3C_6H_4R$ в моль $l^{-1} \text{ мин}^{-1}$ и энергии активации E в ккал/моль равны для $R = H$ $w \cdot 10^5 = 45,7$, E 13,2; $o-CH_3$ 110, 10,3; $m-CH_3$ 96,6, 13,0; $n-CH_3$ 49,6, 13,2; $o-COOH$ 13,9, 14,9; $m-COOH$ 8,44, 13,9; $n-COOH$ 7,46, 13,9; $o-NO_2$ 0,72, 13,8;

$m-NO_2$ 1,15, 11,8; $n-NO_2$ 2,44, 14,7; $o-Cl$ 2,86, 13,8; $m-Cl$ 4,96, 15,7; $n-Cl$ 5,16, 14,6; для замещенных бензойных кислот RC_6H_4COOH при $R = H$ $w \cdot 10^5 = 0,6$, $E = 11,8$; для $R = o-NO_2$ (I) $w \cdot 10^5 = 0,6$, $R = o-Cl$ (II) 1,7; $R = o-COOH$ (III) 2,8. Р-ции первого порядка по $KMnO_4$. Порядок по органич. соединению в разных случаях лежит в пределах 0—1. В случае ксиолов, а также I, II и III кинетич. кривые имеют S-образный характер. При окислении ксиолов основными продуктами являются соответствующие толуальдегиды и толуиловые к-ты, а также CO_2 .

III. Окисление этилбензола (IV) и некоторых его производных $KMnO_4$ изучалось в 54%-ной водн. CH_3COOH . IV дает при окислении главным образом ацетофенон (V), а также приблизительно в одинаковых кол-вах бензойную к-ту и CO_2 . На начальных стадиях р-ция для всех реагентов — первого порядка по обеим компонентам, причем константы скорости (при 50°) k в (л/моль мин) и энергии активации (ккал/моль) для IV соответственно равны 1,89 и 14,8; для 1-фенилэтанола 8,08 и 14,8; для V 0,355 и 15,9; k для 2-фенилэтанола 1,65, для фенилацетальдегида (VI) 300; для фенилуксусной к-ты 0,675. На глубоких стадиях окисления кинетич. зависимости носят сложный характер. В случае V и VI скорость через некоторое время становится постоянной, причем в случае V установлено, что скорость равна скорости енолизации, измеренной независимым путем. Таким образом окислению подвергается преимущественно енольная форма, причем енолизация является лимитирующей стадией. Часть I см. РЖХим. 1956, 408. Д. К.

64508. Корреляция скоростей сольволиза с помощью уравнения с четырьмя параметрами. Суэйн, Моэли, Баун (Correlation of rates of solvolysis with a four — parameter equation. Swain C. Gardner, Mosely Robert B., Bown D. E.), J. Amer. Chem. Soc., 1955, 77, № 14, 3731—3737 (англ.)

Показано, что между константами скорости сольволиза (k) различных соединений, включая алкилгалогениды нормального и изостроения, галоидангидриды к-т, эфиры типа $(C_6H_5)_3COCOR$, в различных р-рителях (от спиртов до органич. к-т) существует связь, выражаемая ур-нием $\lg(k/k_0) = c_1 d_1 + c_2 d_2$ (I), k_0 относится к сольволизу в 80%-ном водн. р-ре C_2H_5OH , константы c_1 и c_2 , d_1 и d_2 зависят от применяемого в-ва и р-рителя. Ур-ние выведено на основе представлений, согласно которым р-ритель в р-ции участвует в качестве нуклеофильного и электрофильного агента, константы d_1 и d_2 отражают склонность р-рителя к выполнению этих функций. Приведены значения c_1 и c_2 для 25 соединений, константы d_1 и d_2 для 18 р-рителей, полученные с помощью ур-ния (I) из 146 значений $\lg k/k_0$. И. М.

64509. Корреляция скоростей сольволиза с помощью специального уравнения с двумя параметрами. Суэйн, Дитмер, Кайзер (Correlation of rates of solvolysis with a special two-parameter equation. Swain C. Gardner, Dittmer Donald C., Kaiser Laura E.), J. Amer. Chem. Soc., 1955, 77, № 14, 3737—3741 (англ.)

Предложено ур-ние, описывающее изменения констант скорости (k) сольволиза различных органич. бромидов и хлоридов RX при изменении р-рителя: $\lg(k/k_0)_A = -\lg(k/k_0)_B = ab$ (I), k относится к сольволизу $RX(A)$ или CH_3Br (A_0) в данном р-рителе, k_0 — то же для сольволиза в 80%-ном водн. р-ре C_2H_5OH ; a — константа, зависящая от природы RX , b — от характера р-рителя. Ур-ние охватывает данные по сольволизу различных RX , включая *трет*-бутилхлорид (I), *n*-бутилбромид, *n*-нитробензилхлорид, в таких р-рителях как CH_3OH , $n-C_4H_9NH_2$, $HCOOH$. Определены значения a для

15 соединений и b для 19 р-рителей при условии $b = 0,00$ для 80%-ного р-ра C_2H_5OH , $a = 0,00$ для CH_3Br , $a = 1,00$ для I . Предполагается, что a зависит в основном от электронной плотности центрального атома C , при котором происходит замещение, и является функцией обратной т-ры; константа b зависит от кислотности р-рителя и диэлектрич. постоянной среды и не зависит от т-ры.

И. М. 64510. О кинетике реакции 1-хлор-2-нитроэтана с водой. Сообщения **III. Симонетта, Фавини** (Sulla cinetica della reazione tra 1-cloro-2-nitroetano ed acqua. Nota III. Simonetta Massimo, Favini Giorgio, Atti Accad. naz. Lincei. Rend. Cl. Sci. fis., mat. e natur., 1955, 18, № 6, 636—641 (итал.).

Исследована кинетика р-ции 1-хлор-2-нитроэтана (I) с водой в смесях вода-диоксан (II), вода-ацетон (III) и вода-муравьиная к-та (IV) при различном соотношении компонентов и конц-ии I 0,1 н. Величины мономолекулярных констант скорости k_1 (мин.⁻¹) при равных т-ре и конц-ии H_2O одинаковы в р-рах II и III , так же как и значения бимолекулярных констант k_2 (а моль⁻¹ сек.⁻¹). Однако величины k_1 и k_2 зависят от содержания H_2O в смеси. На этом основании предполагается, что р-ция сольволиза в этих р-рителях является полимолекулярной с участием n молекул H_2O , из которых $n-1$ молекул поляризуют связь $C-Cl$ и одна молекула непосредственно участвует в акте замещения атома Cl . Добавки HCl и $NaCl$ не меняют скорости р-ции. В смесях H_2O с IV величина k_1 отличается от значений k_1 в смесях с II и III при равных т-рах и конц-иях H_2O и уменьшается со временем р-ции, что зависит от образования HCl , тормозящей р-цию. Добавка к-т стабилизирует значения k_1 во времени, а добавка солей (0,1 н. KBr , KCl) ускоряют сольволиз. Сообщение **II** см. РЖХим, 1955, 15969.

В. III. 64511. Гидролиз моно- и дибензилфосфатов. **Кумамото, Уэстгеймер** (The hydrolysis of mono- and dibenzyl phosphates. Kumamoto Junji, Westheimer F. H.), J. Amer. Chem. Soc., 1955, 77, № 9, 2515—2518 (англ.).

Кинетика гидролиза дибензилгидрофосфата (I) и монобензилдигидрофосфата (II) изучалась при 75,6° в интервале pH 0,05—7,00 при ионной силе р-ра 1 в запаянных ампулах в атмосфере N_2 . Определялось кол-во бензильного спирта и неорганич. фосфата. Индикаторным методом определены константы диссоциации (моль/л): для I $K = 9 \cdot 10^{-2}$, для II $K_1 = 2,65 \cdot 10^{-5}$, $K_2 = 7,66 \cdot 10^{-7}$. Скорость гидролиза v описывается ур-нием: $v = k_1(H^+) + k_2(E) + k_3(E^-)$, где (E) — конц-ия I или II . Гидролиз дианиона II не обнаружен. Найдены следующие величины k : для I $k_1 = 5,22 \cdot 10^{-3}$ л./моль·мин, $k_2 = (0,7 \cdot 10^{-4})$ мин.⁻¹, $k_3 = 5,78 \cdot 10^{-5}$ мин.⁻¹; для II соответственно $2,72 \cdot 10^{-2}$, $1,9 \cdot 10^{-3}$ и $2,50 \cdot 10^{-6}$. Предполагается, что гидролиз I и II в противоположность бензил- и этилфосфату происходит путем разрыва связи $C-O$. Полученные данные соответствуют механизму р-ции, предложенному авторами ранее (РЖХим, 1956, 19137).

А. Р. 64512. Скорости сольволиза трифенилметил-, *трет-бутил*- и *н-бутил*галогенидов. **Суэйн, Мозли** (Rates of solvolysis of triphenylmethyl, *t*-butyl and *n*-butyl halides. Swain C. Gardner, Moseley Robert B.), J. Amer. Chem. Soc., 1955, 77, № 14, 3727—3731 (англ.).

Значения параметра E (ккал/мол.) ур-ния Аррениуса для сольволиза трифенилметилфторида (I) в абс. C_2H_5OH в интервале 30—40° составляют 19,8, в 80%-ном водн. р-ре 15,3, в 40%-ном р-ре 10,2, в 70%-ном CH_3OH 14,1, в 70%-ном ацетоне 24,4. Изменения константы скорости р-ции (k) при изменении р-рителя не передаются ур-нием $lgk/k_0 = my(1)$ (Grunwald E.,

Winstein S., J. Amer. Chem. Soc., 1948, 70, 846). Показано, что *трет*-бутилхлорид (II) проявляет промежуточную между I и *н*-бутилбромидом (III) тенденцию к изменению k с природой р-рителя. Предполагается, что при сольволизе различных по характеру соединений как I , II , III , *н*-нитробензоилхлорид изменения в характере переходного состояния выражаются лишь в различной степени ковалентности рвущейся связи.

И. М. 64513. Кинетика реакции между *о*-хлорнитробензолом и этаноламином. **Гордон, Олфри, Беккер** (Kinetics of the reaction between *o*-chloronitrobenzene and ethanolamine. Gordon Philip L., Alfrey T. A., Becker Ernest I.), J. Phys. Chem., 1955, 59, № 7, 583—587 (англ.).

Скорость р-ции (57—82°) замещения хлора в *о*-хлорнитробензоле (I) при действии этаноламина (II), приводящая к образованиям *N*-(2'-нитрофенил)-этанолamina, подчиняется ур-нию первого порядка по отношению I ,

энтальпия активации (ΔH^\ddagger) 9,4 ккал/моль, энтропия активации (ΔS^\ddagger) —51,3 энтр. ед. При разбавлении II

2-бутоксисуванолом, метанолом, этанолом, изопропанолом, гексанолом, диоксаном, *н*-бутиловым эфиром, пиридином константа скорости уменьшается согласно ур-нию: $k = [I]/(2,42 \cdot 10^5 + b [p\text{-ритель}])$ (b — константа, характерная для р-рителя). При добавлении фенола к р-ру I и II в CH_3OH значения k вначале возрастают, а затем падают, проходят через максимум. Для р-ции

н-бутиламина с I в интервале 57—76° ΔH^\ddagger 18,0 ккал,

ΔS^\ddagger —27,5 энтр. ед. Авторы полагают, что р-ция I с II протекает через переходное состояние циклич. строения; NH_2 -группа II взаимодействует с атомом C , при котором происходит замещение, а OH -группа II связана с отделившимся ионом Cl^- . Влияние р-рителей объясняется сольватацией группы NH_2 и OH молекулы II , препятствующей образованию переходного состояния.

И. М. 64514. Диарилиодониевые соли. **III. Кинетика реакции дифенилиодония с феноксидным ионом. Берингер, Гиндлер** (Diaryliodonium salts. III. Kinetics of the reaction of diphenyliodonium and phenoxide ions. Beringer F. Marshall, Gindler E. Melvin), J. Amer. Chem. Soc., 1955, 77, № 12, 3203—3207 (англ.).

Реакция между $C_6H_5C_6H_5J^+$ (I) и $C_6H_5O^-$ (II) идет с образованием $C_6H_5OC_6H_5$ и C_6H_5J . В H_2O изучение кинетики р-ции осложняется образованием нерастворимых продуктов. В смеси диоксан- H_2O (1:1) система гомогенна и при 45—70° р-ция следует второму порядку. $lg PZ = 12,8$ сек.⁻¹, энергия активации $E = 25,9$ ккал/моль. В р-рителе состава диоксан-вода (5:1) р-ция следует порядку 3/2. Предполагается, что первой стадией р-ции между I и II является равновесное образование комплекса R_2J^+OR , распадающегося с образованием продуктов р-ции. Из зависимости $lg k_2$ (k_2 — константа скорости р-ции) от $1/D$ рассчитано расстояние между центрами зарядов в активированном комплексе: $r = 1,7A$. Наклон прямой зависимости $lg k_2$ от полной силы р-рителя, равный —2,7, меньше, чем вычисленный по теории Дебая — Гюккеля. Часть II см. РЖХим, 1955, 26275.

Ф. Д. 64515. Кинетика и продукты бимолекулярных реакций замещения с фенолятом натрия в метаноле. **Нигланд** (The kinetics and products of bimolecular substitution reactions of sodium phenoxide in methanol. England B. D.), Chemistry and Industry, 1954, № 37, 1145—1146 (англ.).

Изучались р-ции алкохолиза нуклеофильных реа-

гентов в $\text{C}_6\text{H}_5\text{OH}$ в присутствии фенолята Na при $70,2^\circ$. Дано приближенное значение константы равновесия $K = [\text{C}_6\text{H}_5\text{O}]/[\text{C}_6\text{H}_5\text{OH}] = 308$. Л. О.

64516. Циклодегидратация анилов. Часть II. Изотопный эффект водорода при циклодегидратации 2-анилинопент-2-ен-4-она. Боннер, Уилкинс (The cyclodehydration of anils. Part II. The hydrogen isotope effect in the cyclodehydration of 2-anilino-pent-2-en-4-one. Bonner T. G., Wilkins J. M.), J. Chem. Soc., 1955, July, 2358—2364 (англ.)

При измерении скоростей превращения 2(2,4,6-тридеутероанилин)-пент-2-ен-4-она и соответствующего соединения, содержащего против вместо деутерия, в хинолины дегидратацией в среде H_2SO_4 найдено, что отношение k_D/k_H равно 0,66 и 0,71 для 95,7% и 89,2%-ного р-ра H_2SO_4 . Предполагается, что малая величина изотопного эффекта обусловлена необходимостью лишь незначительного ослабления связи C—H для образования переходного состояния. Часть I см. РЖХим, 1956, 39057. В. А.

64517. Изучение кинетики винилизации спиртов. Цурута, Комацубара, Фурукава (A kinetic study on the vinylation of alcohol. Tsu-ruta Teiji, Komatsubara Hiroyuki, Furukawa Junji), Bull. Chem. Soc. Japan, 1955, 28, № 8, 552—555 (англ.)

При р-ции $\text{C}_6\text{H}_5\text{C}\equiv\text{CH}$ (I) с $\text{C}_6\text{H}_5\text{CH}_2\text{OH}$ (130°) в р-ре $\text{C}_6\text{H}_5\text{CH}_2\text{OH}$ (II) образуется $\text{C}_6\text{H}_5\text{CH}=\text{CHOC}_6\text{H}_5$. Кинетич. измерения показали, что $v = k_2 [\text{I}]^\alpha$, где k_2 — константа скорости р-ции, равная 87 ± 8 , α — относительная полная активность алколята в I, определенная потенциометрически (Harned, Cook, J. Amer. Chem. Soc., 1957, 59, 496). Исходя из предположения, что в реакционной смеси устанавливается равновесие $\text{C}_6\text{H}_5\text{CH}_2\text{O}^- + \text{I} \rightleftharpoons \text{II} + \text{C}_6\text{H}_5\text{C}\equiv\text{C}^-$ (1), автор предлагает для скорости р-ции ур-ние: $v = k_3 p \cdot [\text{Na}] [\text{III}]^2 / \{[\text{II}] + k_1 [\text{RO}^-] + [\text{II}] + k [\text{I}]\}$, где $p = [\text{I}] + [\text{C}_6\text{H}_5\text{C}\equiv\text{C}^-]$, $[\text{Na}] = [\text{C}_6\text{H}_5\text{CH}_2\text{O}^-] + [\text{II}]$, k — константа равновесия (1). Это ур-ние в случае низкой конц-н алколята Na принимает вид: $v = k_3 p [\text{Na}] [\text{III}] / \{[\text{II}] + k_1 [\text{I}]\}$. В. А.

64518. Распределение продуктов реакции при хлорировании толуола в боковой цепи. Борелло, Перори (La distribuzione dei prodotti clorurati nel corso della clorurazione del toluene nella catena laterale. Borello Enzo, Perori Dorando), Ann. chimica, 1955, 45, № 6—7—8, 449—466 (итал.)

Изучено распределение продуктов р-ции $\text{C}_6\text{H}_5\text{CH}_2\text{Cl}$ (I), $\text{C}_6\text{H}_5\text{CHCl}_2$ (II) и $\text{C}_6\text{H}_5\text{CCl}_3$ (III) при хлорировании толуола (IV) в боковой цепи хлором в присутствии PCl_5 при 110 — 125° . Из совпадения эксперим. и теоретич. кривых распределения продуктов хлорирования сделано заключение, что хлорирование протекает как необратимая р-ция 1-го порядка: $\text{IV} \rightarrow \text{I} \rightarrow \text{II} \rightarrow \text{III}$. Соотношение между выходами хлорированных продуктов (для данной степени хлорирования) не зависит от т-ры и скорости введения Cl_2 , а зависит только от кол-ва вступившего в р-цию Cl_2 . Анализ реакционной смеси проводился по ИК-спектрам и денсиметрически (по калибровочным кривым после предварительной разгонки реакционной смеси на бинарные смеси: $\text{IV} + \text{I}$, $\text{I} + \text{II}$ и $\text{II} + \text{III}$); последний метод наиболее точен. В. Ш.

64519. Энергия активации при распространении пламени. Ван-Вонтергем, Ван-Тиггелен (Energie d'activation dans la propagation de la flamme. Van Wouterghem J., Van Tiggele A.), Bull. Soc. chim. belges, 1955, 64, № 3-4, 99—121 (франц.)

Энергия активации E в пламенах углеводородов, NH_3 , H_2 и CO определялась по изменению нормальной

скорости пламени V_0 , измеряемой по шпирен-конусу (РЖХим, 1955, 54687) с разбавлением смеси инертными газами N_2 , Ar , He и соответствующему изменению т-ры пламени из соотношения: $V_0 = \text{const.} \{T - Y^i \exp \times \times (-E/RT)\}^{1/2}$, где Y — отношение парц. давлений горючего в разбавленной и исходной смесях, $i = 1$ или $i = 2$ (общий порядок р-ции), T — средняя т-ра в зоне горения. E , определенная по наклону прямых в координатах $\lg V_0 - 1/T$, составляет: для CH_4 40, C_2H_6 39, C_3H_8 39, C_2H_4 36, C_2H_2 31, C_6H_6 40, NH_3 59, H_2 18, CO 22 ккал/моль, что, по мнению авторов, близко к энергии активации р-ций разветвления в пламенах.

А. С.

64520. Влияние некоторых добавок на скорость восстановления окисел железа водородом. Сгибнев А. Т., Уч. зап. Томск. ун-та, 1955, № 26, 3—8

Показано, что скорость восстановления Fe_2O_3 (I) в струе водорода при 500 и 570° возрастает при добавке к I легковосстановимых окислов Ni_3O_4 , CuO и Co_3O_4 , а также металлов Ni , Pt , Cu , Mn , Co , и падает при добавках трудновосстановимых окислов MnO_2 , Al_2O_3 , SiO_2 , а также Pd , Cr , Na_2CO_3 . Константы скорости р-ции уменьшаются от $34,3 \cdot 10^{-2}$ до $4,7 \cdot 10^{-2}$ в следующем ряду: I + 2,4% Ni ; I + 3% K_2CO_3 ; I + 2,5% Pt ; I + 1% Cu ; I + 10% CuO ; I + 10% Ni_3O_4 ; I + 2,5% Mn ; I + 1% Co ; чистая I; I + 3% MnO_2 ; I + 1% Pd ; I + 10% Co_3O_4 ; I + 1% Cr ; I + 3% Na_2CO_3 ; I + 3% SiO_2 ; I + 3% Al_2O_3 . Для чистой I константа скорости $15,6 \cdot 10^{-2}$. Ускоряющие добавки сокращают время между стадиями восстановления I до Fe_3O_4 и Fe_2O_4 до Fe . Автор полагает, что ускоряющее действие окислов Cu , Co , Ni связано с образованием центров роста новой фазы, металлов Ni , Pt , Cu — с образованием неустойчивых гидридов, разлагающихся с выделением атомов H , а замедляющее действие Al_2O_3 и SiO_2 — с образованием слоя алюминатов или силикатов на поверхности I.

О. К.

64521. Кинетика гетерогенных реакций в присутствии жидкой фазы. Сообщение I. Реакция нитрата и цианида серебра с иодом в присутствии различной жидкой фазы. Катаев Г. А., Уч. зап. Томск. ун-та, 1955, № 26, 56—66

При 22° изучена кинетика взаимодействия мелко-дисперсных порошков AgCN и AgNO_3 с р-рами J_2 в различных р-рителях: CCl_4 (I); $\text{C}_2\text{H}_4\text{Cl}_2$ (II); 9% $\text{изо-C}_5\text{H}_{11}\text{OH} + 91\%$ CCl_4 (III); 33% $\text{изо-C}_5\text{H}_{11}\text{OH} + 67\%$ CCl_4 (IV), $\text{изо-C}_5\text{H}_{11}\text{OH}$ (V) и $\text{C}_2\text{H}_5\text{OH}$ (VI). Скорость р-ции AgNO_3 с J_2 возрастает в ряду р-рителей: $\text{I} < \text{II} < \text{III} < \text{IV} < \text{V}$, т. е. с ростом диэлектрич. постоянной среды, и р-ция, по мнению автора, протекает по ионному типу. Скорость р-ции AgCN с J_2 возрастает в ряду р-рителей: $\text{V} < \text{VI} < \text{I} < \text{II}$, т. е. с уменьшением вязкости среды. Автор считает, что эта р-ция протекает по атомному механизму. Р-ция $\text{AgCN} + \text{J}_2$ во всех р-рителях имеет топочим. характер, а р-ция $\text{AgNO}_3 + \text{J}_2$ — только в присутствии I.

О. К.

64522. Замечания о некоторых уравнениях кинетики реакции с участием твердых веществ, применяемых в настоящее время. Сакович Г. В., Уч. зап. Томск. ун-та, 1955, № 26, 103—110

Автор указывает, что в случае применимости для описания кинетики р-ций с участием твердых в-в кинетич. ур-ния: $\alpha = 1 - \exp(-kt^n)$, где α — доля прореагировавшего в-ва ко времени t , k и n — константы; значения k могут быть использованы для кинетич. анализа только тогда, когда n постоянно; между тем, значения n зависят от характера развития реакционной зоны. Выведено соотношение $K = nk^{1/n}$, которое, по мнению автора, позволяет рассчитывать константу скорости для р-ции 1-го порядка, протекающей в объеме

реагирующего в-ва. Пользуясь этим соотношением, автор по данным В. В. Ерофеева, П. И. Белькевича, А. А. Волковой (Ж. физ. химии, 1946, 20, 1103; Изв. АН БССР, 1948, № 6, 145) рассчитывает константы скорости разложения чистого $\text{Ag}_2\text{C}_2\text{O}_4$ и $\text{Ag}_2\text{C}_2\text{O}_4$, нанесенного на SiO_2 , и получает энергию активации термич. распада $\text{Ag}_2\text{C}_2\text{O}_4$ 33 ккал, в отличие от значения 132 ккал, полученного в работе вышеуказанных авторов. О. К.

64523. Об автокатализе в твердых телах на примере термического разложения перманганата калия. Смирнова И. И., Ж. физ. химии, 1955, 29, № 1, 135—141

Исследована «вероятность реагирования»: $\alpha = 1 - \exp(-\int_0^t w dt)$, где w — скорость р-ции, t — время, при термич. разложении KMnO_4 в интервале 211,5—227,6°. Возрастание α со временем свидетельствует о каталитич. действии твердого продукта. Этот вывод не подтверждает ур-ния для распада KMnO_4 , данного Проутом и Томкинсом (Prout E. G., Tompkins F. C., Trans. Faraday Soc., 1944, 40, 488). Спад скорости р-ции с уменьшением поверхности раздела фаз автор объясняет пересечением ядер р-ции вследствие прекращения их свободного роста. См. также Ж. физ. химии, 1952, 26, 1234. О. К.

64524. Получение активных твердых тел путем термического разложения. Часть V. Спекание активной окиси магния. Грегг, Паккер, Уитли (The production of active solids by thermal decomposition. Part V. The sintering of active magnesium oxide. Gregg S. J., Packer R. K., Wheatley K. H.), J. Chem. Soc., 1955, Jan., 46—50 (англ.)

Исследовано изменение уд. поверхности (S), плотности (ρ) и уменьшения веса при прокаливании гидроокиси магния (II), осажденной аммиаком из р-ра MgCl_2 и MgO (II), полученной из I прокаливанием в течение 6 час. при 534°. Про прокаливании I при 400° за первые 2 часа происходит резкое увеличение S и уменьшение веса образца, далее S начинает падать, а потери веса замедляются; при прокаливании I при 700 и 750° наблюдается очень незначительный рост S . При прокаливании II имеет место соотношение $1/S\rho = kt^{1/2}$, где k — константа, растущая с повышением т-ры от 534 до 592°, а t — длительность прокалывания. Показано, что «активация» MgO происходит после разложения гидроокиси, а не одновременно с этим процессом. Наличие температурного коэфф. скорости спекания авторы объясняют тем, что процесс этот лимитируется десорбцией CO_2 или хемisorбированных паров H_2O . Часть IV см. РЖХим, 1955, 51628. О. К.

64525. Химические реакции между вольфрамом и окисью алюминия в нагревателе электронной лампы. Сато, Ямамото (タングステンとアルミナの反応について. 佐藤亂次, 山本弘), 東芝レビュー Тосиба рэбю, Toshiba Rev., 1954, 9, № 1, 74—77 (япон.; рез. англ.)

64526. Химическая реакция двуокиси углерода с поверхностью тонкой вольфрамовой проволоки. Сато, Ямамото (タングステンと炭酸ガスの反応. 佐藤亂次, 山本弘), 東芝レビュー Тосиба рэбю, Toshiba Rev., 1954, 9, № 9, 873—877 (япон.; рез. англ.)

Рассчитаны константы равновесия р-ции между W и CO_2 и экспериментально исследована скорость р-ции. CO_2 с поверхностью W-нагревателя катода электронной лампы. С. Р.

64527. Проблемы и перспективы развития каталитической химии. Баладин А. А. (催化化學の若干問題及其發展遠景. 巴郎琴), 科學通報, Касюэ тунбао, 1956, № 3, 27—30 (кит.)

Перевод. См. РЖХим, 1956, 6441

64528. О моделях катализаторов и ферментов. Лауч, Брозер, Бандель, Бидерман, Герман, Шрёдер, Гнихтель, Цемш, Курт, Крюгер, Креге (Über Katalysatoren- und Fermentmodelle. Lautsch W., Broser W., Bandel W., Biedermann W., Gehrmann W., Schröder E., Gnichtel H., Zehmisch I., Kurth G., Krüger R., Kraege H.-J.), Kolloid-Z., 1954, 138, № 3, 129—142 (нем.)

Доклад на XXVII Интернациональном конгрессе по промышленной химии в Брюсселе в сентябре 1954. Обзор. Библ. 47 назв. А. Ш.

64529. Вопросы реологии в производстве алюмосиликатных катализаторов (в порядке постановки вопроса). Оборин В. И., Тр. Грозненск. нефт. ин-та, 1955, № 17, 3—26

Автор считает необходимым применить к процессам получения катализаторов, связанным с переходом в-ва от колл. состояния к твердому, методику исследования и математический аппарат, принятые в реологии. Приведен краткий обзор основных понятий реологии, описание определения основных реологич. параметров и предварительная оценка их пригодности для исследования процесса приготовления алюмосиликатных катализаторов. Рассмотрены вопросы гомогенизации состава геля, формирования катализатора, влияния добавок поверхностно-активных в-в и др. В. В.

64530. Сравнительное изучение обратимых равновесий окисления и химической адсорбции на поверхности железо-хромового сплава. Моро, Бенар (Etude comparée des équilibres réversibles d'oxydation et d'adsorption chimique à la surface des alliages fer-chrome. Moreau Jean, Bénard Jacques), C. r. Acad. sci., 1956, 242, № 13, 1724—1726 (франц.)

Изучено действие смесей H_2 и паров H_2O на сплав Fe—18% Cr при т-рах 1050—1300°. При высоких значениях $P_{\text{H}_2\text{O}}/P_{\text{H}_2}$ на поверхности сплава существует окисел Cr_2O_3 , обнаруживаемый электронографически (область А). При средних $P_{\text{H}_2\text{O}}/P_{\text{H}_2}$ поверхность сплава, как показывают электронные микрофотографии, сильно разрыхлена (область В). При низких $P_{\text{H}_2\text{O}}/P_{\text{H}_2}$ наблюдается чистая металлич. поверхность (область С). Между областями А и В, В и С существуют обратимые переходы. Граница между областями А и В, В и С с ростом т-ры смещается в сторону высоких $P_{\text{H}_2\text{O}}/P_{\text{H}_2}$. Авторы считают, что в области В происходит хим. адсорбция O_2 . О. К.

64531. Поверхность и каталитические свойства порошков серебра и меди. Ринеккер, Бремер, Унгер, Хансен (Oberfläche und katalytische Eigenschaften von Silber- und Kupferpulvern. Rinnacker G., Bremer H., Unger S., Hansen N.), Z. anorg. und allgem. Chem., 1955, 281, № 5—6, 225—240 (нем.)

Изучено влияние т-ры предварительного прокалывания (ТПП) в H_2 Ag- и Cu-порошков на их каталитич. активность по отношению к разложению HCOOH и на величину их уд. поверхности, измеренной по адсорбции n -бутана (см. также РЖХим, 1954, 19615; 1956, 61095). С ростом ТПП от 150° до 500—700° каталитич. активность Ag-порошков, а также логарифм предэкспоненциального множителя в ур-нии Аррениуса $\lg \alpha$ и уд. активность, (т. е. каталитич. активность, рассчитанная на единицу поверхности) возрастают. Энергия активации E также растет при этом (для образцов разного приготовления) от 17,9—21,5 до 23,5—24,4 ккал/моль. При дальнейшем росте ТПП до 800—950° E падает до 20,6—23,4 ккал/моль, $\lg \alpha$ падает пропорционально E , одновременно уменьшаются сум-

марная и уд. каталитич. активности. Множитель Z из фактора $\alpha = Z \cdot a(E)$, не зависящий от E , изменяется симбатно с уд. активностью. Авторы считают, что в случае Ag катализует только часть его поверхности, возрастающая с ростом ТПП за счет роста кристаллографич. стабильных граней. При высоких ТПП вследствие спекания остается малое кол-во активных центров с высокой активностью. В случае порошков Cu уд. и суммарная каталитич. активность, а также значения $\lg \alpha$ и E падают до минимума при возрастании ТПП до 300–500°, после чего с ростом ТПП до 1050° уд. активность непрерывно растет, а суммарная каталитич. активность, а также E и $\lg \alpha$ проходят через максимум, а затем падают. E на Cu изменяется в интервале 12,6–20,6 ккал/моль. Величины поверхностностей порошков Ag и Cu непрерывно падают с ростом ТПП. О. К.

64532. О действии добавок на окисные катализаторы. III. Окисление окиси углерода на смешанных катализаторах серебро — окись хрома. Рипеккер, Шнебергер (Über die Beeinflussung oxydischer Katalysatoren durch Zuschläge. III. Die Oxydation des Kohlenoxyds an Silber/Chrom-Oxydmischkatalysatoren. Rieckacker Günther, Schneberger Gudrun), Z. anorgan. und allgem. Chem., 1955, 282, № 1–6, 222–231 (нем.).

Изучено окисление CO на Ag, Cr_2O_3 и смесях окислов $\text{Ag}_2\text{O} + \text{Cr}_2\text{O}_3$ разного состава. Р-ция протекает по первому порядку. Энергия активации E окисления CO на чистом Ag 24,2; на Cr_2O_3 , полученной разложением гидроокиси при 580°, 11,2; на Cr_2O_3 , полученной разложением $\text{Cr}(\text{NO}_3)_3$ и прокаливанием при 580 или 800°, 23,1; на смешанных катализаторах 6,3–17,0 ккал/моль. E изменяется симбатно с $\lg k_0$ в ур-нии Аррениуса. Смешанные катализаторы значительно активнее чистых. Наиболее активны катализаторы, полученные прокаливанием смеси окислов при 800°; наименее активны катализаторы (при содержании Cr от 30 до 50%, полученные осаждением разл. окисей и прокаливанием при 580°) и катализаторы (при содержании Cr от 50 до 90%), полученные прокаливанием смеси окислов при 580°. Авторы считают, что существует некоторая оптимальная прочность связи кислорода; Cr_2O_3 увеличивает прочность связи кислорода в смешанном катализаторе со слишком слабой связью, затрудняя восстановление Ag_2O ; в других случаях добавки, напр. Cr_2O_3 к CuO или Al_2O_3 к CeO_2 , могут, наоборот, увеличить активность основного катализатора, ослабляя слишком прочную связь кислорода. (Часть II см. Rieckacker G., Birekenstaedt M., Z. anorgan. Chem., 1950, 262, 81). О. К.

64533. К изучению структуры поверхности катализаторов гидрирования в связи с их использованием в промышленности. Гребер (Beitrag zur Untersuchung der Oberflächenstruktur von Hydrierkatalysatoren im Hinblick auf ihre hydriertechnische Verwendung. Greber Wilhelm), J. prakt. Chem., 1954, 1, № 1–2, 98–109 (нем.).

Проведено сравнение поверхностей, а также радиусов, объемов и распределения макро- и микропор в двух промышленных катализаторах гидрирования, обладающих одинаковым хим. составом, но резко отличающихся по каталитич. активности. Автор считает, что каталитич. свойства этих контактов в основном определяются структурой и размерами макропор. А. Ш.

64534. Каталитическая активность гидридов бария и кальция. I. Ориентировочное исследование. II. Природа катализатора. Уэллер Райт, (The catalytic activity of barium and calcium hydrides. I. An exploratory study. II. The nature of the catalyst. Weller Sol, Wright Leon), J. Amer.

Chem. Soc., 1954, 76, № 21, 5302–5305; 5305–5308 (англ.).

I. Показано, что гидриды Ba и Ca (I) обладают небольшой каталитич. активностью при гидрогенизации этилена, дегидрогенизации циклогексана и изобутана, изомеризации двойной связи пентена, а также при р-циях обмена H_2 и этилена с D_2 . Эти катализаторы обладают устойчивой активностью при дегидрогенизации циклогексана, при повышенных давлениях H_2 и при гидрогенизации этилена при атмосферном давлении. Рассмотрение катализируемых р-ций показывает, что I являются типичными гидрогенизационными — дегидрогенизационными катализаторами, аналогичными переходным металл. катализаторам, как, напр., Ni и Pt.

II. Показано, что I приобретают оптимальную каталитич. активность по отношению к р-циям обмена H_2 — D_2 и гидрогенизации этилена после прогрева при 200–300° при постоянной откатке до 10^{-5} мм рт. ст. При нагревании в H_2 активность I не снижается по отношению к обмену H_2 — D_2 при -78° , но падает по отношению к гидрогенизации этилена при -78° ; при воздействии H_2 при -78° каталитич. активность не изменяется. Авторы считают, что каталитич. активность I нельзя объяснять наличием в них примесей окислов и что активные центры расположены на поверхностях раздела между металлом, выделившимся при нагревании в вакууме, и гидридом металла. А. Ш.

64535. Гидрогенизация бензола на порошкообразном никелевом катализаторе. Предварительное сообщение. Цабигар, Грубер, Кlier (Hydrogenace benzenu na práškovém niklovém katalysátoru. Předběžné sdělení. Cábicár J., Grubner O., Klier K.), Chem. listy, 1955, 49, № 121, 895–1896 (чеш.).

Для смесей SiO_2 с Ni, полученным разложением оксалата Ni в токе H_2 , изучена зависимость каталитич. активности при гидрогенизации C_6H_6 от т-ры р-ции, скорости струи H_2 , напр. давления C_6H_6 и от содержания Ni в катализаторе. А. Ш.

64536. О люминесценции люминола. VI. Гетерогенный катализ реакции люминола. Вебер, Шульц (Über die Luminescenz des Luminols. VI. Heterogene Katalyse der Luminolreaktion. Weber K., Schulz K. F.), Arhiv kemiju, 1954, 26, № 3, 173–181 (нем.; рез. сербо-хорв.).

Изучена интенсивность люминесценции при р-ции люминола с H_2O_2 в щел. водн. р-ре в присутствии нерастворимых в реакционной смеси катализаторов. Результаты, полученные в присутствии $\text{Fe}(2+)$ -фталонина-6-анилина, совпадают с данными, найденными ранее (сообщение V, Arhiv kemiju, 1951, 23, 173). По мнению авторов, в этом случае течение р-ции не изменяется при переходе от гомог. к гетерог. катализаторам. В присутствии другого катализатора, $\text{Cu}(2+)$ -салицилальдегид этилендиамина, авторы наблюдали весьма запутанную зависимость интенсивности люминесценции от времени р-ции. А. Ш.

64537 Д. Изучение механизма окисления монокристаллов железа при высоких температурах и при низких давлениях кислорода. Бардоль (Recherches sur le mécanisme d'oxydation de cristaux uniques de fer à haute température et sous basse pression d'oxygène. Bardolle J. Autorésumé thèse doct. méd. Univ. Paris, 1955), Ann. Univ. Paris, 1955, 25, № 4, 585–586 (франц.).

См. также С. г. Acad. Sci., 1951, 232, 231; РЖФиз, 1955, 21806. А. Ш.

64538 Д. Взаимодействие углеводородов с дейтерием на никелевых катализаторах. Таксуэрт (The interaction of hydrocarbons and deuterium on nickel catalysts. Tuxworth Richard Henry.

Doct. diss., Northwestern Univ., 1955), Dissert. Abstrs, 1955, 15, № 11, 2035—2036 (англ.)

См. также: Реакционная способность и строение 64192—64198, 64210, 64211, 64278, 64281—64283, 64542, 64781—64783, 64792, 64799—64801, 64807, 64812, 64816, 64928. Кинетика и механизмы р-ции 64263, 64540, 64541, 64543, 64547, 64549, 64551, 64793—64795, 64804, 64806, 64808—64811, 64813, 64815, 64832, 64851, 65157—65159, 65160—65165, 65167, 65168. Гетерогенный катализ: органич. синтез 66052, 66138, 66162. Топохимия 65550, 65687. Катализаторы 64890, 64926, 65016, 65576, 65967, 65970, 66032, 66041, 66065, 66084, 66085, 66109, 66137, 66143, 66227—67229, 64243. Др. вопр. 67394

ФОТОХИМИЯ. РАДИАЦИОННАЯ ХИМИЯ. ТЕОРИЯ ФОТОГРАФИЧЕСКОГО ПРОЦЕССА

64539. Первичный фотохимический процесс в простых кетонах. Нойс, Портер, Джоли (The primary photochemical process in simple ketones. Noyes W. Albert, Jr, Porter Gerald B., Jolley J. Eric), Chem. Revs, 1956, 56, № 1, 49—94 (англ.)
Обзор. Библ. 117 назв. Х. Б.

64540. Фотохлорирование хлористого бензила в газовой фазе. Судзуки, Миядзакэ (氣相におけるベンジルククロライドの光鹽素化反應に關する研究 第1報 鈴木桃太郎, 宮崎正蔵), 日本化學雜誌, Нихон какаку дзасси, J. Chem. Soc. Japan, Pure Chem. Sec., 1954, 75, № 3, 324—327 (япон.)

Изучено хлорирование хлористого бензила при облучении светом Hg-лампы (λ 366 мμ) при 60—115°. Действие света ускоряет р-цию значительно сильнее, чем повышение т-ры. Вычислена энергия активации при действии света (17,5 ккал/моль) и для темновой р-ции (20,5 ккал/моль).

Chem. Abstrs, 1954, 48, № 22, 13439. T. Katsurai 64541. Фотолит диметилртути в присутствии дейтерия. Ребберт, Стивен (The photolysis of mercury dimethyl with deuterium. Rebbert R. Charles E., Steacie E. W. R.), Canad. J. Chem., 1954, 32, № 2, 113—116 (англ.)

Реакция радикалов CH_3 , получающихся при фотолит диметилртути, с дейтерием, содержащим ~3% HD, изучена в интервале т-р 27—253°. В продуктах р-ции обнаружен CH_3D , образующийся главным образом по р-ции $\text{CH}_3 + \text{D}_2 \rightarrow \text{CH}_3\text{D} + \text{D}$ (1), а также CH_4 , образующийся в результате р-ции: $\text{CH}_3 + \text{Hg}(\text{CH}_3)_2 \rightarrow \text{CH}_4 + \text{CH}_3\text{HgCH}_3$ и $\text{CH}_3 + \text{HD} \rightarrow \text{CH}_4 + \text{D}$. При рекомбинации CH_3 получается некоторое кол-во C_2H_6 . Из результатов масс-спектрометрич. определений отношения скоростей образования CH_3D и CH_4 при различных т-рах найдена энергия активации р-ции (1), равная $12,7 \pm 0,5$ ккал/моль. Г. К.

64542. Фотолит гексафторацетона. Аско, Стивен (The photolysis of hexafluoroacetone. Ayscough P. B., Steacie E. W. R.), Proc. Roy. Soc., 1956, A234, № 1199, 476—488 (англ.)

Фотолит (λ 3130 и 2537 Å) CF_3COCF_3 в кварцевом сосуде, стенки которого покрыты CaF_2 , изучен в интервале т-р 25—350° и в интервале давлений от 5 до 200 мм рт. ст. Продукты р-ции (ПР) анализировались фракционированием, контролируемым масс-спектрометрич. или по ИК-спектрам поглощения. При 25—250° обнаружены лишь CO и C_2F_6 . Отношение $\text{C}_2\text{F}_6/\text{CO}$ равно 1 при 25° и с ростом т-ры до 250° уменьшается до 0,95. При 250° появляется продукт взаимодействия с материалом стенки — SiF_4 , а выше 300° — CO_2 . Выше 350° эти продукты становятся основными. При введении в зону р-ции различных углеводородов в ПР

появляется CHF_3 . При 133—220° скорость образования CO и C_2F_6 пропорциональна интенсивности облучения. При т-рах ниже 100° квантовый выход (по CO) резко падает с уменьшением т-ры и увеличением давления. Предложен механизм фотолита, включающий образование возбужденных молекул со сравнительно большим временем жизни, которые затем либо распадаются, давая ПР, либо дезактивируются. Влияние на квантовый выход разбавления реакционной смеси газами, не принимающими участия в р-ции, объясняется увеличением вероятности дезактивации возбужденной молекулы путем столкновений. Из полученных результатов вычислена дезактивирующая способность газов в относительных единицах: C_4F_{10} 0,77, C_3F_8 0,47, C_2F_6 0,35, CF_4 0,055, CO_2 0,26, $\text{H}_2 < 0,01$. Г. К.

64543. Фотохимическое разложение хромилхлорида. Шваб, Пракан (Der photochemische Zerfall von Chromylchlorid. Schwab G.-M., Prakash S.), Z. phys. Chem. (DFR), 1956, 6, № 5—6, 387—391; Diskuss. 391—393 (нем.)

Изучен фотохим. распад CrO_2Cl_2 на Cl_2 и CrO_2 при освещении W-лампой (λ 419 мμ) его р-ра в CCl_4 . Квантовый выход, равный 10^2 — 10^3 , не зависит от интенсивности освещения и возрастает пропорционально второй степени концентрации CrO_2Cl_2 . Предложен цепной механизм р-ции с участием атома Cl и радикала CrO_2Cl . С. П.

64544. Тушение фотолуминесценции растворов. Яблонский (Quenching of photoluminescence of solutions. Jablonski A.), Acta phys. polon., 1954, 13, № 3, 175—186 (англ.; рез. русс.)

Некоторые явления, связанные с тушением фотолуминесценции (ФЛ) в р-рах, рассмотрены при помощи оболочковой модели люминесцентного центра (ЛЦ), согласно которой люминесцирующая молекула окружена молекулами р-рителя, образующими оболочки толщиной порядка молекулярных размеров. Молекула тушителя, находящаяся в i-й оболочке, характеризуется вероятностью W_i тушения люминесценции. Для доли p_i ЛЦ i-той группы, т. е. ЛЦ с молекулой тушителя в i-й оболочке, получено ур-ние: $dp_i/dt = (\lambda_{ij}p_j - \lambda_{ji}p_i) - (\gamma + W_0 + W_i)p_i$ ($i, j = 1, 2, 3, \dots, n$) (λ_{ij} — вероятность перехода ЛЦ из i-той группы в j-тую, γ — вероятность электронного перехода, приводящего к люминесценции, W_0 — вероятность спонтанного тушения). Рассмотрены различные частные случаи. Тушение люминесценции не может происходить согласно простому экспоненциальному закону, как это принималось до сих пор, а только в некоторых частных случаях приближается к нему. R. Mierzecki

64545. Концентрационная деполаризация и затухание фотолуминесценции растворов. Яблонский (Self-depolarization and decay of photoluminescence of solutions. Jablonski A.), Acta phys. polon., 1955, 14, № 4, 295—307 (англ.; рез. русс.)

Концентрационная деполаризация свечения твердых р-ров при возбуждении линейно поляризованным светом рассчитана на основе теории миграции энергии аналогично концентрационному тушению (см. пред. реф.). Моделью для расчета послужило представление о существовании вокруг возбужденной светом молекулы «сферы действия», которая содержит одну или более невозбужденных молекул того же рода. Энергия возбуждения переходит от первично возбужденной молекулы к соседним, находящимся в «сфере действия». Вероятность переноса предполагается пропорциональной времени и одинаковой для перехода энергии к любой невозбужденной молекуле, входящей в сферу действия. Считается, что перенос энергии к молекулам, расположенным вне сферы действия, отсутствует. После ряда упрощений автором получено выражение для затухания компонент свечения и сте-

лени поляризации как функции времени и конц-ии флуоресцирующего в-ва. Для случая отсутствия конц-трационного тушения и не слишком высоких конц-ий полученное выражение для степени поляризации значительно упрощается: $1/P \approx (1+2/3\nu) P_0^{-1} - 2\nu/9$, где ν — величина, прямо пропорциональная конц-ии и увеличивающаяся с ростом времени затухания флуоресценции, P — степень поляризации, P_0 — то же при конц-ии, стремящейся к нулю. См. также Ж. эксперим. и теор. физики, 1943, 13, 13. В. Е.

64546. Электролюминесценция изолированных частиц. Бернас (Electroluminescence of insulated particles. Burns Laurence), J. Electrochem. Soc., 1953, 100, № 12, 572—578 (англ.)

Предложен механизм возникновения люминесценции вблизи поверхности частицы полупроводникового фосфора, погруженной в диэлектрик, при возбуждении переменным электрич. полем. Рассмотрена возможность возрастания напряжения электрич. поля в некоторых точках фосфора до такой величины, чтобы ускоренные в нем электроны обладали энергией, достаточной для люминесцентного возбуждения атомов. Обсуждено изменение цвета свечения с изменением частоты возбуждающего электрич. поля, а также энергетич. уровни и эффективность фосфоров. Г. К.

64547. Индуцированный γ -лучами обмен между газообразным дейтерием и водой. Гордон, Харт (γ -Ray-induced deuterium gaswater exchange. Gordon Sheffield, Hart Edwin J.), J. Amer. Chem. Soc., 1955, 77, № 15, 3981—3984 (англ.)

Исследован изотопный обмен между H_2O и D_2 при облучении воды. р-ров D_2 (рН 0,47—13,0) γ -лучами Co^{60} методом, описанным ранее (Hart E. J., J. Amer. Chem. Soc., 1952, 74, 4174). Доза определялась $FeSO_4$ -актинометром ($G_{Fe^{3+}} = 15,5$). Изотопный состав извлеченного из р-ра газа изучался масс-спектрометрически. Кривые зависимости H_2 и HD от дозы нелинейны, а последние из них характеризуются максимумом, который связан с вторичным процессом превращения HD в H_2 . Выход HD почти не зависит от начальной конц-ии D_2 . Выход H_2 не зависит от рН в изученных пределах. Выход HD (в атомах на 100 эв) $G_{HD} = 2,6 - 2,8$ при $5 < \text{рН} < 8$. При рН < 5 G_{HD} постепенно растет, достигая величины 4,1 при рН 2,5. При меньших рН G_{HD} падает до величины 2,8 при рН 0,5. При рН > 8 G_{HD} постепенно уменьшается до величины 0,2 при рН 13. Исходя из предположения, что кинетика обмена определяется скоростью образования атомарного Н при радиоллизе воды (Hart E., Radiation Research., 1954, 1, 53), авторы выводят ур-ние: $C_t = -\ln \{[(D_2) + k_2/C_1]/(i(D_2) + k_2/C_1)\}$, где $(D_2)_0$ и (D_2) — конц-ии D_2 в начале опыта и во время t , $C = k_1/(D_2)_0$, k_1 и k_2 — константы скоростей р-ции радиоллиза: $H_2O \rightarrow H + OH$ и $H_2O \rightarrow 1/2 H_2 + 1/2 H_2O_2$. Из опытных данных получены значения $k_2 = 0,375$ и $C = 0,00261$. Образование H_2 протекает в результате цепной р-ции рекомбинации D_2 и H_2O_2 (Allen A. O., J. Phys. Colloid Chem., 1948, 52, 479) по стехиометрич. ур-нию: $D_2 + 2H_2O_2 = H_2 + 2HDO$ и в результате р-ции: $H + HD \rightarrow H_2 + D$. Уменьшение G_{HD} при больших рН авторы связывают с ионизацией радикала OH . Образовавшиеся при этом ионы O^- блокируют атомы Н по р-ции $O^- + H \rightarrow OH^-$ с константой скорости $k_3 \approx 1,1 \cdot 10^{-8} k_3 k_4$, где k_3 — константа р-ции $H + D_2 \rightarrow HD + D$ и k_4 — константа р-ции $OH + D_2 \rightarrow HOD + D$. Увеличение G_{HD} при низких рН объясняется повышением стационарной конц-ии атомов Н в результате р-ции: $2H_2O \rightarrow 2H + H_2O_2$ (Allen A. O., Radiation Research, 1954, 1, 85). Понижение G_{HD} при рН < 2 может быть связано с образованием H_2^+ (Weiss J.,

Nature, 1950, 165, 728). При облучении р-ра $H_2 + D_2$ (1:1) при рН 6,8 $G_{HD} = 12$. Предполагается, что в этом случае играет роль короткая цепная р-ция, распространяющаяся через элементарные стадии: $D + H_2 \rightarrow HD + H$ и $H + D_2 \rightarrow HD + H$.

В. К.

64548. Влияние растворенных веществ на молекулярные выходы при радиоллизе водных растворов. Шварц (The effect of solutes on the molecular yields in the radiolysis of aqueous solutions. Schwarz Harold A.), J. Amer. Chem. Soc., 1955, 77, № 19, 4960—4964 (англ.)

Определялась величина выхода H_2 (G_{H_2}) в эвакуированных р-рах KNO_3 и $CuSO_4$ под действием γ -излучения. G_{H_2} уменьшается с ростом конц-ии солей. Для $CuSO_4$ увеличение конц-ии от $1,25 \cdot 10^{-3}$ до 1 М уменьшает G_{H_2} от 0,582 до 0,210. Добавление к р-рам $CuSO_4$ 10^{-4} М KBr не влияет на G_{H_2} . G_{H_2} в р-рах $CuSO_4$ падает с ростом диссоциации $CuSO_4$, что указывает на роль ионов Cu^{2+} . Проведено сравнение G_{H_2} в р-рах $CuSO_4$ с G_{H_2} в р-рах H_2O_2 и с $G_{H_2O_2}$ в р-рах KBr и KCl . Показано, что зависимость величин выходов от конц-ии для указанных р-ров можно изобразить одной кривой, если умножить конц-ию каждого из растворенных в-в на некоторую константу. Для G_{H_2} эта константа равна отношению констант скоростей р-ции атомов Н с растворенными в-вами. На основании радикально-диффузионной модели радиоллиза воды. р-ров проведен математич. расчет выходов молекулярных продуктов радиоллиза. С. Б.

64549. Выход радикалов в водных растворах, облученных рентгеновскими лучами. Баксендейл, Смитс (Radical yields in X-irradiated aqueous solutions. Baxendale J. H., Smithies D.), Experientia, 1955, 11, № 11, 436—437 (англ.; рез. франц.)

Авторы считают, что все радикалы, образующиеся при действии ионизирующих излучений в дегазированных водах. р-рах некоторых органич. в-в и солей Cu^{2+} и Fe^{3+} , полностью захватываются по р-циям: $RH + OH \rightarrow R + H_2O$; $R + Fe^{3+} + H_2O \rightarrow ROH + Fe^{2+} + H^+$ и $Fe^{3+} + H \rightarrow Fe^{2+} + H^+$. Таким образом, $G_{Fe^{2+}} = G_H + G_{OH}$. При действии рентгеновских лучей 190-кэ с мощностью дозы 700 рентген/мин ($G_{Fe^{2+}} = 15,6$ молекул на 100 эв) на водн. р-ры: 0,1 н. H_2SO_4 + $5 \cdot 10^{-4}$ М Fe^{3+} + $2 \cdot 10^{-3}$ М Cu^{2+} + органич. в-во (0,07 М C_2H_5OH , 0,1 М CH_3OH , 0,1 М $HCOOH$, 0,1 М $(C_2H_5)_2O$, 0,01 М C_6H_6 или 0,06 М этилацетат) для малых доз $G_{Fe^{2+}} = 5,5 = G_H + G_{OH}$. В случае 0,03—0,26 М CH_3CO_2H , ацетона, мочевины, триэтиламина, янтарной и метакриловой к-ты $G_{Fe^{2+}}$ зависит от условий и не превышает 4,0. Л. Б.

64550. Взаимодействие между α -частицами и протонами молекулы $Bi^{212}H_3$. Понанович, Понанович (L'interaction entre les particules α et les protons à l'intérieur de la molécule $Bi^{212}H_3$. Ponomovitch Dragoljub K., Yovanovitch Drachko D.), C. r. Acad. sci., 1953, 237, № 1, 43—45 (франц.)

64551. Реакции Br^{80} (18 мин.), полученного путем изомерного перехода Br^{80m} (4,58 часа), с бензолом и метилированными бензенами. Карлеон, Коски (Reactions of Br^{80} (18 min) produced by isomeric transition of Br^{80m} (4,58 hr) with benzene and methylated benzenes. Carlson T. A., Koski W. S.), J. Chem. Phys., 1955, 23, № 12, 2410—2414 (англ.)

Исследованы р-ции бензола и метилированных бензолов с Br^{80} (18 мин.) путем смещения соответствующих углеводородов с бромуксусной к-той, меченой Br^{80m} (4,58 часа). Органич. продукты р-ции отделялись, раз-

гонялись в присутствии носителей на низколетучую и на высоколетучую фракции и содержание Вг в боковой цепи определялось по способности к гидролизу спирт. р-ром КОН. 45—54% полученного Br^{80} обнаружено в виде органич. продуктов, от 38% (C_6H_6) до 76% ($\text{C}_6\text{H}_5(\text{CH}_2)_3$) которых способно к гидролизу. Повышение т-ры до 105° в случае $n\text{-C}_6\text{H}_{13}(\text{CH}_2)_2$ приводит к увеличению выхода гидролизующихся органич. продуктов. В фракцию, кипящую выше монобромпроизводных соответствующих углеводов, попадает 3—14% Br^{80} . Большая часть высоколетучих активных продуктов способна к гидролизу. Р-ции замещения сопровождаются р-циями конденсации. Опыты по гидролизу указывают на образование высококипящих первичных и вторичных бромидов. Полученные результаты указывают на радикальный механизм р-ции. Б. К.

64552. Использование радиоактивного изотопа для изучения выделения стронция из оксид стронция при электронной бомбардировке. Иосида, Сибата, Игараси, Арата (Utilisation de l'isotope radioactif pour l'étude de la libération du strontium à partir d'oxyde de strontium sous l'influence d'un bombardement électronique. Yoshida S., Shibata N., Igarashi Y., Arata H.), Vide, 1954, 9, № 52-53, 106—108 (франц., англ.).

Измерено кол-во Sr, выделяющегося при электронной бомбардировке SrO , содержащей Sr^{80} . Установка состояла из Ni-стержня, покрытого SrCO_3 (0,6 мкг $\text{Sr}^{80}/\text{г}$), первичного электронного источника и Ni-пластины ($2,5 \times 1,5$ см) для собирания выделяющегося Sr. Превращение SrCO_3 в SrO производили при давл. $< 2,5 \cdot 10^{-5}$ мм рт. ст. Кол-во Sr, отлагающегося на Ni-пластину, измерялось счетчиком со следящим оксидом ($1,4$ мкг/см). При 150 в и постоянной т-ре скорость выделения Sr растет линейно с изменением силы тока от 1 до 3,5 ма. Скорость выделения Sr растет экспоненциально с увеличением т-ры в пределах $250\text{--}500^\circ$. Энергия активации 0,8 эв. При постоянной мощности выделение Sr при бомбардировке 500 эв электронами менее эффективно, чем 150 эв. Число выделяющихся атомов Sr на один первичный электрон (150 эв и 3,5 ма) составляет $\sim 1,5 \cdot 10^{-6}$. А. В.

64553. Восстановление солей тетразола под действием ультразвука. Мёккель (Die Reduktion von Tetrazolumsalzen durch Ultraschall. Möckel Peter), Chem. Technik, 1956, 8, № 2, 81 (нем.).

1%-ный водн. р-р трифенилтетразолхлорида (I) с рН 7 озвучивался в течение 40 мин. ультразвуком частотой 800 кГц и интенсивностью 3 вт/см^2 . После начала озвучивания наблюдалось покраснение р-ра в результате р-ции восстановления. Сходные явления наблюдались в р-рах дифенилтетразолхлорида. При озвучивании рН р-ра изменялось от 7 до 5,5. Отмечено, что присутствие даже следов спирта в озвучиваемом р-ре I ингибирует р-цию восстановления, вызываемую ультразвуком (так же как и окислительные реакции). Окисление полученного при озвучивании окрашенного продукта с помощью H_2O_2 переводит его вновь в исходную бесцветную форму. Показано, что окисление не вызвано нагревом. Б. К.

64554. О совещании по химии фотографических эмульсий. К. В. Ч., Ж. науч. и прикл. фотографии и кинематограф., 1956, 1, № 2, 152

64555. Эффект Вийяра. Арене (Über den Villard-Effekt. Arens H.), Z. wiss. Photogr., 1955, 50, Teil 2, № 1—12, 392—405 (нем.).

Обнаружено не менее трех видов эффектов Вийяра (ЭВ). Эффект V_1 наблюдается при ступенчатом облучении рентгеновскими лучами (РЛ) и диффузной засветке видимым светом (ГС). Все почернения РЛ+ВС при эффекте V_1 больше, чем для РЛ. Увеличе-

ние экспозиции ВС приводит к уменьшению почернений РЛ+ВС по сравнению с РЛ (эффект V'). При равномерном облучении РЛ и ступенчатой засветке ВС наблюдаются еще два эффекта. Если представить почернения в виде характеристич. поверхностей, то можно обнаружить эффект, сходный с обычной солариацией для ВС, но отличающийся от нее большей величиной; это различие названо эффектом V_2 . В области малых интенсивностей ВС также наблюдается эффект типа солариации, отделенный от V_2 областью промежуточных интенсивностей и названный V_3 . А. Х.

64556. О действенном механизме реакции проявления. Ляликос К. С., Дреер Г. М., Докл. АН СССР, 1955, 105, № 3, 507—509

Электронномикроскопическим методом (РЖХим, 1956, 25234) установлено, что монокристаллы Ag растут неодинаково в течение процесса хим. проявления: вначале они быстро растут в длину и медленно в ширину и толщину, затем рост в длину прекращается и начинается более или менее быстрый рост в ширину и толщину. Это явление особенно резко наблюдается в гидрохиноновом проявителе и очень слабо в метоловом и *n*-фенилендиаминглициновом. Авторы считают, что на 1-й стадии кристалл Ag растет за счет непосредственного восстановления междуузельных и узловых ионов Ag^+ из решетки. В результате кристалл AgBr разрушается и основание растущего кристалла Ag отделяется от него. После этого, на 2-й стадии, рост в длину прекращается и начинается одинаковый по всем направлениям рост за счет восстановления ионов Ag^+ из р-ра. А. Х.

64557. Исследование каталитического действия золы на реакцию восстановления ионов серебра проявляющими веществами. Фаерман Г. П., Воейкова Е. Д., Успехи науч. фотографии, 1955, 4, 150—163

Р-ции восстановления ионов Ag^+ гидрохиноном, *n*-аминофенолом и *n*-фенилендиаминном в водн. р-ре желатинный протек и автокаталитически (катализатор — металл. Ag) со значительным индукционным периодом. Скорость восстановления подчиняется уравнению $d\text{Ag}/dt = K[\text{C}_6\text{H}_4(\text{NH}_2)(\text{OH})][\text{AgNO}_3]^\alpha$ ($\alpha = 0,36\text{--}0,74$ в зависимости от катализатора), которое согласуется с теоретическим (Багдасарян Х. С., Ж. физ. химии, 1943, 17, 336). Энергия активации р-ции не зависит от типа добавленного катализатора и не изменяется в его отсутствие. Последнее приписано неизбежному присутствию катализатора — продукта р-ции, т. е. металл. Ag. А. Х.

64558. Исследование скорости реакции восстановления ионов серебра проявляющими веществами. Фаерман Г. П., Шишкина Н. Н., Успехи науч. фотографии, 1955, 4, 164—176

Исследована скорость р-ции восстановления ионов Ag^+ из 0,0015—0,01 М водн. р-ров AgNO_3 гидрохиноном (I), *n*-аминофенолом (II) и *n*-фенилендиаминном (III) в отсутствие лифилльных коллоидов при рН 1,16—4,05. Кол-во восстановленного Ag оценивалось по пропорциональной ему оптич. плотности D. Скорость р-ции v характеризовалась максим. значением $\Delta D/\Delta t$. При одинаковых рН v зависит от состава буферного р-ра. При одинаковых рН и буферных р-рах v возрастает в ряду $\text{I} < \text{II} < \text{III}$. Степень увеличения v с ростом рН изменяется в том же порядке, так что рН слабо влияет на v для I. При изменении рН v изменяется по той же кривой, что и кон-ия активных частиц восстановителя (недиссоциированных молекул и анионов в случае II, недиссоциированных молекул в случае III и анионов в случае I). Золи Ag в конц-ии $1,2 \cdot 10^{-5}$ г-атом/л обладают заметной каталитич. активностью. Лифилльные коллоиды влияют на катали-

тич. активность золя Ag: белковые в-ва уменьшают, углеводы слабо увеличивают, а поливиниловый спирт очень сильно увеличивает ее. Защитное действие на золь Ag падает в ряду: белковые в-ва — углеводы — поливиниловый спирт. А. Х.

См. также: Фотохимия 64505, 64506, 64804, 65170. Радиц. химия 64916.

РАСТВОРЫ. ТЕОРИЯ КИСЛОТ И ОСНОВАНИЙ

64559. Диффузия солей и устойчивости протона в статистической ячейке. Дармуйа (Diffusion des sels et stabilité du proton en cage. Darmon G. et al. Acad. sci., 1956, 242, № 3, 365—368 (франц.))

Приведено теоретич. выражение для коэфф. диффузии (D_0) 1-го электролита на основании ур-ния Нернста. Показано, что в разб. р-рах $2/D_0 = 1/D_c + 1/D_a$, где D_c и D_a — коэфф. диффузии катиона и аниона. Из опытных данных D_0 для соответствующих хлоридов вычислены значения: $D_{H^+} = 10 \cdot 10^{-5}$; $D_{Li^+} = 1,05 \cdot 10^{-5}$ и $D_{Na^+} = 1,33 \cdot 10^{-5}$. На основании классич. теории диффузии Эйнштейна для протона в водн. р-ре рассчитаны: длина свободного пробега между двумя столкновениями с молекулой воды ($4 \cdot 10^{-9}$ см), продолжительность пробега ($4/2,74 \cdot 10^{-14}$ сек.) и число колебаний между двумя переходами из одной статистич. ячейки в другую (268). В. А.

64560. Диффузия в бинарных жидких смесях. Часть 2. Диффузия четыреххлористого углерода в некоторых органических растворителях при 25°. Хаммонд, Стокс (Diffusion in binary liquid mixtures. Part 2. The diffusion of carbon tetrachloride in some organic solvents at 25°. Hammond B. R., Stokes R. H., Trans. Faraday Soc., 1955, 51, № 12, 1641—1649 (англ.))

Определены коэфф. диффузии (D) CCl_4 (I) в 12 органич. р-рителях методом ячеек с пористыми диафрагмами (Stokes, J. Amer. Chem. Soc., 1950, 72, 763). Исследованы р-ры, содержащие вплоть до 30% I. Кроме того, измерена вязкость (η) р-рителей. Полученные значения D экстраполированы до бесконечного разведения. Исследована величина $D^0\eta$ в свете теорий Эйнштейна — Стокса и Эйнштейна. Показано, что теория не дает количественного согласия с опытом. Величина радиуса (r) молекулы I, рассчитанная из ур-ния Эйнштейна — Стокса, ближе к значению, полученному из рентгеновских данных, чем рассчитанная из ур-ния Эйнштейна. Найдена зависимость величины $D^0\eta$ от молярного объема (v) р-рителей, при этом р-рители разделены на три группы: 1) сферич. и неполярные молекулы, 2) неполярные с удлиненными молекулами и 3) высокополярные, ассоциирующие молекулы. Для первой группы зависимость $D^0\eta$ — v выражается прямой линией. Для других двух групп линейная зависимость между $D^0\eta$ и v соблюдается хуже. Проведено сравнение полученных результатов с данными предыдущего исследования (часть I, РЖХим, 1955, 15994). В. С.

64561. Коэффициенты диффузии жирных кислот и основных фосфорных кислот в *n*-декане. Уайт (Diffusion coefficients of fatty acids and monobasic phosphoric acids in *n*-decane. White J. R., J. Chem. Phys., 1955, 23, № 12, 2247—2251 (англ.))

Измерены коэфф. диффузии (D) при 30° разб. р-ров жирных к-т с четным числом углеродных атомов (от C_6 до C_{18}), трех диалкилфосфорных к-т, 2-этилгексановой и бензойной к-т в *n*-декане методом ячеек с диафрагмами. (Gordon A. R., Ann. N. Y. Acad. Sci., 1943, 46, 285). Показано, что ур-ние Стокса — Эйнштейна

хорошо описывает величину и изменение D для ряда жирных к-т, если введены поправки на ассоциацию растворенного в-ва и несферичность его молекул. Установлено, что величина D , рассчитанная по видоизмененному ур-нию Стокса — Эйнштейна, в ~ 2 раза меньше экспериментальной. В. С.

64562. Вязкое течение в кремнеземе и двойных жидких силикатах. Бокрис, Маккензи, Китченер (Viscous flow in silica and binary liquid silicates. Bockris J. O'M., Mackenzie J. D., Kitchenier J. A.), Trans. Faraday Soc., 1955, 51, № 12, 1734—1748 (англ.))

Изучена с помощью ротационного вискозиметра (РЖХим, 1955, 45375) температурная зависимость вязкости (η) до 1800° расплавленных силикатов типа SiO_2 + окисел Me (Me = Li, Na, K, Mg, Sr, Ba) и до 2050° чистого Si. На основании линейной зависимости $\lg \eta = f(1/T)$ рассчитана энергия активации вязкого течения (E_η) в функции молярной концентрации окисла M(C). Установлено, что с ростом C E_η уменьшается. Последние авторы объясняют уменьшением размера ионов типа $(Si_nO_{2n+3})^{6-}$, происходящим из-за внедрения атомов Me в решетку SiO_2 . При малых C деструктивное действие Me мало и отдельные ионы образуют трехмерную структуру, обуславливающую большую величину E_η . Для сплавов, содержащих окислы 2-валентных Me (SiO_2 + MeO) E_η выше, чем для сплавов типа SiO_2 + M_2O , и меньше зависит от C , что объясняется способностью 2-валентных Me присоединять ионы через атомы O. Рассмотрено также влияние на E_η сил притяжения между анионом и катионом Me и стeric. фактора (радиус катиона Me). Расчеты энтропии активации вязкого течения качественно подтверждают зависимость структуры расплава от его состава. В. III.

64563. Температурная зависимость коэффициента диффузии некоторых веществ в глицерине. Марини В. А., Ж. физ. химии, 1956, 30, № 1, 129—133

В развитие предыдущей работы (РЖХим, 1956, 28583) поляризационно-оптическим методом определена температурная зависимость коэфф. диффузии (D) воды, метилового спирта, ацетамида и сахара в глицерине в интервале т-р 21—60°. Измерена также вязкость (η) р-рителя. Показано, что с ростом т-ры для всех исследованных в-в наблюдается уменьшение величины $D\eta/T$, при этом зависимость $D\eta/T = f(\eta)$ выражается прямыми линиями, наклон которых уменьшается с увеличением размера диффундирующих молекул. При сравнении с результатами предыдущей работы показано, что величина $D\eta/T$ для сахара не зависит от способа измерения η . Из графиков определены величины энергий активации процесса диффузии (E_D) и вязкого течения (E_η). Получены близкие значения E_D и E_η , что указывает на определенную связь между явлениями вязкости и диффузии в жидкостях. Последнее обсуждено с точки зрения общих представлений теории Я. И. Френкеля. В. С.

64564. О принципе специфического взаимодействия Бренстеда. Гуггенхейм (On Brønsted's principle of specific interaction. Guggenheim A. E. Kgl. danske videnskab. selskab. Mat.-fys. medd., 1955, 30, № 14, 11 p.) (англ.)

В ответ на критику Скоттарда (РЖХим, 1956, 50334) приведен новый вариант теории (Philos. Mag., 1935, 19, 588), объединяющей принцип специфич. взаимодействия ионов одного знака Бренстеда (Br) с теорией сильных электролитов Дебая — Гюккеля. В выражение термодинамич. потенциала для иона в р-ре автор вводит поправочный член g' и члены, характеризующие электростатич. взаимодействие между ионами g (± 1) и специ-

фич. взаимодействие на малых расстояниях g^s . Распространяя вывод на систему, состоящую из катионов и анионов, для осмотич. коэфф. $1 - \varphi = 1 - \varphi$ (эл.) — $-\varphi$ (попр.) — φ^s и члена $\ln \gamma_i^s$, предложено ур-ние для коэфф. активности: $\ln \gamma_i = \ln \gamma_i^s + \ln \gamma_i$ (эл.) + $\ln \gamma_i^s$. Принцип Бренстера приводит к простой формулировке для $\ln \gamma_i^s$ в р-рах смешанных электролитов. В. А.

64565. Парциальные молярные величины при бесконечном разведении в диссоциирующих растворителях. Уайатт (Partial molar quantities at infinite dilution in dissociating solvents. Wyatt P. A. H.), J. Chem. Soc., 1955, october, 3438—3441 (англ.)

Показано, что вывод теоретич. исследований Дуннингов (Dunning, Dunning, J. Chem. Soc., 1952, 2990) о том, что в системах со сложным равновесием производная $(\partial \mu_1 / \partial m_2)_{T, p, m_1} = 0$ при молярности $m_2 = 0$ (индексы 1 и 2 относятся, соответственно, к р-рителю и к растворенному в-ву — продукту диссоциации р-рителя) непосредственно получается из теории хим. потенциала (μ) Гиббса. Этот же вывод применим и для равновесий диссоциации типа $iA + jB + kC + \dots \rightleftharpoons S$, где А, В, С и т. д. — продукты диссоциации S; при этом указано на ограниченность метода Дуннингов при рассмотрении подобных систем. В. А.

64566. К вопросу о температурах кипения регулярных растворов. Катти, Рустги (A note on the boiling points of regular solutions. Katti P. K., Rustgi O. P.), Current Sci., 1955, 24, № 12, 406—407 (англ.)

Экспериментально проверена ф-ла Гуггенгейма (1) (Guggenheim E. A. Mixtures. Oxford University Press., 1952), для упругости пара бинарных идеальных смесей. Для проверки рассчитаны т-ры кипения смесей $C_6H_6 + CCl_4$ по (1) и по ур-нию $P_i = P_A^0 X + P_B^0 (1 - X)$. Для этого использованы данные по обменной энергии Скэтчарда (Scatchard G. и др., J. Amer. Chem. Soc., 1940, 62, 712). Значения P_A^0 и P_B^0 в зависимости от т-ры определялись из соотношения $\lg p = -\alpha/T + \beta$ с использованием табличных данных констант α и β . Полученные результаты говорят о хорошем согласии т-р кипения, рассчитанных по (1), с определенными экспериментально. Б. Ш.

64567. Учение Д. П. Менделеева о «характерной температуре» растворов и пути его дальнейшего развития. Руцков А. А., Тр. Арханг. лесотехн. ин-та, 1955, 16, 30—55
См. РЖХим, 1954, 28582.

64568. Коэффициенты активности электролитов в смешанных водных растворах из данных по э.д.с. Арджерсингер (Activity coefficients of electrolytes in mixed aqueous solution from electromotive force data. Argersinger William J., Jr.), J. Phys. Chem., 1954, 58, № 9, 792—795 (англ.)

Предложен метод расчета индивидуальных коэфф. активности и осмотич. коэфф. р-рителя (воды) для смеси электролитов на основании опытных данных по э.д.с. элементов, когда оба электрода обратимы по отношению к ионам одного и того же знака (метод упругостей паров см. РЖХим, 1953, 6152). Предложенный метод основан на применении ур-ний, устанавливающих связь $\lg \gamma/\gamma_0$ с величиной э.д.с. элемента и эквивалентной доли данного электролита в смеси двух электролитов γ и γ_0 — коэфф. активности электролита соответственно в р-ре смеси двух электролитов и в чистом р-ре электролита (оба р-ра имеют одинаковые эквивалентные конц-ии электролита). Автором изложена попытка теоретич. обоснования предложенных ур-ний путем использования некоторых свойств частных производных хим. потенци-

алов. Пригодность метода проверена на опытных данных для водн. р-ров смеси. Н. Х.

64569. Активности хлоридов переходных металлов в водных растворах соляной кислоты. I. Хлориды никеля (2+) и кобальта (2+). Мур, Гутман, Пейте (Activities of transition metal chlorides in aqueous hydrochloric acid mixtures. I. Nickel (II) chloride and cobalt (II) chloride. Moore T. E., Gootman E. A., Yates P. C.), J. Amer. Chem. Soc., 1955, 77, № 2, 298—304 (англ.)

Найдено, что значения коэфф. активности $NiCl_2$ и $CoCl_2$ в водн. р-рах для умеренно высоких конц-ий близки, а в р-рах HCl заметно отличаются. Активности каждого компонента тройной системы $H_2O - HCl - NiCl_2$ или $CoCl_2$ определены при 30° в интервале конц-ий HCl 4,69—8,86 М и соли от 0,5 М — до насыщ. р-ра измерением парц. давлений HCl и H_2O и решением ур-ния Гиббса — Дюгема для трех компонентов. Отмечено, что вследствие более высокой степени ионной ассоциации $CoCl_2$, по сравнению с $NiCl_2$, активность HCl понижается и активность H_2O растет в р-рах $CoCl_2$ больше, чем в р-рах $NiCl_2$, по-видимому, благодаря большому числу высокогидратированных ионов. Спектрофотометрически, а также измерением парц. давлений паров определены константы ионной ассоциации Co и Cl^- в 4,84 М HCl при различных конц-иях соли (0,5—1,6 М). Данные Стокса и Робинсона (Stokes R. H., Robinson Trans. Faraday Soc., 1940, 36, 1137; J. Amer. Chem. Soc., 1948, 70, 1870; Ann. N. Y. Acad. Sci., 1949, 51, 593) по коэфф. активности для конц. бинарных р-ров электролитов распространены на тройные системы. Показано, что эксперим. данные авторов находятся в соответствии с данными Стокса — Робинсона, за исключением системы $CoCl_2 - HCl$. Н. Р.

64570. Активность соляной кислоты в смесях с хлоридами кобальта (2+) и никеля (2+). Дайер, Гилмор, Мур (Activity of hydrochloric acid in mixtures with cobalt (II) and nickel (II) chlorides. Dyer Frank, Gilmore E. H., Moore T. E.), J. Amer. Chem. Soc., 1955, 77, № 16, 4223—4224 (англ.)

Ввиду значительного расхождения результатов определения $a(HCl)$ в смесях с $CoCl_2$ и $NiCl_2$, полученных методами э.д.с. и упругостей паров (см. пред. реф.), произведено повторное определение $a(HCl)$ из э.д.с. цепи $H_2/H_2(HCl)$ (m_1), MCl_2 (m_2)/Ag/AgCl—Ag, и, кроме того, по распределению HCl между бензолом и водн. фазой, при конц-иях HCl 7 М и солей 0,5—2,0 М. Результаты всех трех методов показали полное согласие; ошибочным было первоначальное определение э.д.с. В. А.

64571. Ионное произведение жидкого аммиака. Шаррет-Мичел (Produit ionique de l'ammoniac liquide. Charret Michel), C. r. Acad. sci., 1956, 242, № 4, 521—523 (франц.)

Изучена э.д.с. цепей $Pt-Pt(H_2)/NH_4NO_3(C_1)/[KNO_3]/[NH_4NO_3(C_2)H_2]/Pt-Pt(1)$, $NH_4(Hg)/[NH_4J(C_3)KJ]/[NH_4J(C_2)]/NH_4(Hg)$ (2) и $NH_4(Hg)/NH_4J$ (0,1 н.) KJ/KNO_3 (0,1 н.) $NH_4(Hg)$ (3), где $NH_4(Hg)$ получена в том же аппарате действием р-ра NH_4J на амальгаму калия. Концентрированные р-ры KNO_3 (цепь 1) и KJ (цепи 2 и 3) служат соляными мостиками и соединены с электродным пространством трубками малого диаметра с тампонами из стеклянной ваты. Точно известный объем аммиака согласно методике (РЖХим, 1955, 9259) конденсируется в виде безводн. аммиака. На основании полученных из цепи 1 данных установлено, что при -50° не удается осуществить обратимый водородный электрод. Э.д.с. концентрационной цепи 2 подчиняется ур-нию Нернста. Для цепи 3 при -50° э.д.с. равна 1190 ± 40 мВ, что соответствует ионному произведению $(NH_4^+)(NH_2^-) = 10^{-29} \pm 1$. В отличие от автора Плесков и Монозон (Ж. физ. химии, 1935, 6, 513), применяя водородный электрод, получили для ионного произведе-

ния величину $-1,9 \cdot 10^{-33}$, а Фреденхаген (Z. anorgan. Chem., 1930, 186, 1) 10^{-22} . Л. К.

64572. Кислоты, щелочи и соли. Бай Мин-чжаи (酸, 鹼和鹽. 白明彰), 化學通報, Хуасюэ тунбао, 1955, № 9, 554—557 (кит.).

Популярная статья.

А. Н.
64573. О кислотно-основной теории Усановича. Гелен (Zur Kenntnis der Säuren-Basen-Theorie von Ussanowitsch. Gehlen Heinz), Z. phys. Chem., 1954, 203, № 1/2, 125—136 (нем.).

Подробно изложена точка зрения проф. М. Н. Усановича на кислотно-основное взаимодействие (РЖХим, 1954, 30356). М. С.

64574. Действие температуры на кислотно-основную диссоциацию гистидина. Кильпи, Виркола, Кайпайнен (Die Temperaturwirkung bei der Säure-Basendissoziation von Histidin. Kilpi S., Virkola Nils-Erik, Kaipainen P. K.), Suomen kem., 1955, 28, № 5—6, 132—134 (нем.).

Потенциометрическим методом определены три константы последовательной диссоциации гистидина при конц-ии $\sim 5 \cdot 10^{-3}$ м в 0,1 М р-ре KCl и т-рах 15—35°. Для измерения первой константы применялся стеклянный электрод, для измерения остальных — водородный. Первая и вторая константы также измерены при конц-ии гистидина 0,0262 М. На основании полученных данных вычислены теплоты 1, 2 и 3 ступеней диссоциации, равные соответственно 0,6, 6,34 и 10,5 ккал. Отмечена близость теплот 1 и 3 ступеней диссоциации гистидина и соответствующих теплот глицилглицлоридов, однако различия превышают ошибки опыта. Е. И.

64575. Термодинамическая константа диссоциации *n*-нитрофенола, определенная из спектрофотометрических измерений. Робинсон, Биге (The thermodynamic ionization constant of *p*-nitrophenol from spectrophotometric measurements. Robinson R. A., Biggs A. I.), Trans. Faraday Soc., 1955, 51, № 7, 901—903 (англ.).

Вычислены термодинамич. константа диссоциации *n*-нитрофенола (I) из данных по измерению спектров поглощения I, растворенного в фосфатных буферных р-рах. Найдено $K = 7,10 \cdot 10^{-8}$ при $25 \pm 1^\circ$. Конц-ия I была $\sim 0,0007$ М, состав буферных р-ров $\text{NaH}_2\text{PO}_4 : \text{Na}_2\text{HPO}_4 : \text{NaCl} = 1 : 0,9819 : 1; 1 : 0,6376 : 1; 1 : 1,529 : 1; 1 : 1$ (без NaCl); измерения производились при 4070 Å. Вычисления K проводилось по ф-ле $K = \gamma_{\text{H}} m_{\text{H}} [\alpha / (1 - \alpha)] / \gamma_{\text{N}}$, где γ_{H} и γ_{N} — коэфф. активности иона водорода и аниона I, m_{H} — молярная конц-ия иона водорода, α — молярная доля I в виде аниона, найденная из оптич. плотности. А. З.

64576. Изучение фенол-2 оксина и его внутрикомплексных производных. П. Константы диссоциации фенол-2-оксина. Бокке, Пари (Etude de la phényl-2 oxine et de ses chélates. P. Constantes de dissociation de la phényl-2 oxine. Bockuet Georges, Paris René A.), Analyt. Chim. Acta, 1956, 14, № 1, 1—3 (франц.; рез. нем., англ.).

Спектрофотометрическим и потенциометрич. методами определены 1-я и 2-я константы диссоциации фенол-2-оксина в водн. и в водно-спиртовом р-рах. На потенциометрическом графике обнаружены две площадки в водн. р-ре при pH 5,1 и 9,9, в водно-спиртовом р-ре при pH 4,55 и 10,75. В первом приближении pH равен pK. Спектрофотометрич. метод основан на определении коэфф. поглощения при различных pH. Для 0,1 М водн. и водно-спиртовых р-ров оксина и фенол-2-оксина определены коэфф. поглощения при длинах волн 270, 285 и 340 мμ. Рассчитанные на основании полученных данных pK_1 и pK_2 для водн. и водно-спиртового р-ра оксина и водн. и водно-спиртового

р-ра фенол-2-оксина соответственно равны $pK_1: 5,1; 4,55$ и $3,35; 3,70; pK_2: 9, 90; 10,75$ и $11,00; 10,40$. Сообщение 1 см. РЖХим, 1956, 65184. Г. К.

64577. Определение константы диссоциации бисульфата из потенциометрических измерений. Эйклер, Рабидо (The determination of the bisulfate dissociation quotient from potentiometric measurements. Eichler Eugene, Rabideau Sherman), J. Amer. Chem. Soc., 1955, 77, № 21, 5501—5502 (англ.).

Величины константы диссоциации бисульфат-иона $K = [H^+][\text{SO}_4^{2-}] / [\text{HSO}_4^-]$ в 0,01; 0,10 и 1,0 М р-рах HClO_4 найдены равными соответственно $0,095 \pm 0,002$; $0,084 \pm 0,012$ и $0,30 \pm 0,08$. С. Д.

64578. Электролиты в растворах аминокислот. Часть 6. Константы диссоциации некоторых триглицинов на основании измерений э. д. с. и pH. Эванс, Монк (Electrolytes in solutions of amino acids. Part 6. Dissociation constants of some triglycines by E. M. F. and pH measurements. Evans W. P., Monk C. B.), Trans. Faraday Soc., 1955, 51, № 9, 1244—1250 (англ.).

Показано, что измерения э. д. с. цепи: Pt, H_2/HCl , NaOH, М, А/AgCl, Ag для изучения взаимодействия ионов в р-рах слабых электролитов при различной конц-ии HCl или NaOH (М — катион, А — анион) имеют значительные преимущества по сравнению с определением pH стеклянным электродом. Данным методом измерены кислотная (K_A) и основная (K_B) константы диссоциации пептида глицил-глицил-глицина и первые (K_1) и вторые (K_2) константы диссоциации его Ni-, Co-, Pb-, Mn-, Zn-, Cu- и Cd- солей, Co- и Cd- солей глицил-глицина и Cd-соли глицина. $K_A = 5,96 \cdot 10^{-4}$; $K_B = 1,23 \cdot 10^{-6}$. Для всех изученных солей значения pK_1 и pK_2 близки друг к другу в интервале от 8,62 (Cu-глицинат) до 1,409 (Mn-триглицинат): $\text{Mn} < \text{Co} < \text{Ni} < \text{Zn} < \text{Cu}$. Малое различие между ди- и триглицинами свидетельствует о том, что длина цепи, образующей внутрикомплексное соединение, в обоих случаях одинакова, т. е., что COO^- и конечные NH_2 -группы не принимают участия в образовании связи катиона с анионом. Часть 5 см. РЖХим, 1956, 5177. В. А.

64579. Определение молекулярной ассоциации некоторых карбоновых кислот в водных растворах из электропроводности. Картрайт, Монк (The molecular association of some carboxylic acids in aqueous solutions from conductivity data. Cartwright D. R., Monk C. B.), J. Chem. Soc., 1955, July, 2500—2503 (англ.).

Рассчитаны при 25° константы димеризации K_d водн. р-ров муравьиной, уксусной, пропионовой и *n*-масляной к-т из данных по электропроводности. На основании измерений электропроводности р-ров HCl в водн. смесях диоксана и ацетона показано, что $A \cdot \eta / \eta_0$ является постоянной величиной до $\eta / \eta_0 = 1,1$ (где η и η_0 — вязкости р-рителя и воды). Полученные значения K_d для вышеуказанных к-т соответственно равны: 120 ± 12 ; 19 ± 2 ; 20 ± 3 ; $11 \pm 0,6$ и удовлетворительно согласуются с результатами других авторов. Ф. М.

64580. Константы ионизации ванилина и двух его изомеров. Робинсон, Цзян (The ionization constants of vanillin and two of its isomers. Robinson R. A., Kiang A. K.), Trans. Faraday Soc., 1955, 51, № 10, 1398—1402 (англ.).

Спектрофотометрическим методом при 25° определены термодинамич. константы ионизации 0,1 М р-ров ванилина, изованилина и *o*-ванилина. Измерены УФ-спектры поглощения для 352, 250, 360, 395, 265 и 235 мμ при различных pH среды, точно установленной с помощью буферных р-ров. Вычисленные средние зна-

чения pK для ванилина и его изомеров соответственно равны: 7,396; 8,889, 7,912. Г. К.

64581. Равновесие $Hg^{2+} + Hg(ж.) \rightleftharpoons Hg_2^{2+}$ в растворах нитрата и перхлората. Хьетанен, Силлен (The equilibrium $Hg^{2+} + Hg(l) \rightleftharpoons Hg_2^{2+}$ in nitrate and perchlorate solutions. Hietanen Sirkka, Sillén Lars Gunnar), Suomen kem., 1956, 29, № 2, B31—B35 (англ.)

Методом э.д.с. определены константы равновесия k для р-ции $Hg^{2+} + Hg(ж.) \rightleftharpoons Hg_2^{2+}$ в р-рах, содержащих ионы NO_3^- и ClO_4^- . При постоянной конц-ии $[H^+] = 0,01 M$ k слабо возрастает при увеличении конц-ии иона NO_3^- и значительно сильнее с увеличением конц-ии иона ClO_4^- . Последнее объясняется тем, что Hg_2^{2+} образует с ионом ClO_4^- более прочный комплекс, чем Hg^{2+} . Экстраполяцией кривых k — конц-ии аниона к нулевой конц-ии, с учетом поправки на гидролиз, определена термодинамич. константа равновесия $k^\circ = 88 \pm 3$. Полученные результаты объясняют кажущееся расхождение между величинами k , полученными при работе с р-рами нитратов (РЖХим, 1955, 34125) и перхлоратов (Jonsson A. и др., Acta chem. scand., 1947, 1, 462; Hietanen S., Sillén L. G., Acta chem. scand., 1952, 6, 750; 9.4). Данные обеих серий правильны. С. Д.

64582. Жидкий аммиак как растворитель. XI. Электропроводность растворов металла в аммиаке. Маршалл, Хант (Liquid ammonia as a solvent. XI. The conductivity of metal-ammonia solutions. Marshall Philip, Hunt Herschel), J. Phys. Chem., 1956, 60, № 1, 121—122 (англ.)

Принято считать, что работы Крауса (Kraus C. A., Lucase W. W., J. Amer. Chem. Soc., 1921, 43, 2529) указывают на одинаковую электропроводность конд. р-ров различных щел. металлов в жидком NH_3 . В приведенной работе показано, что учет уд. весов р-ров приводит к значительной разнице между эквивалентными электропроводностями конд. р-вов K и Na в жидком NH_3 . См. также РЖХим, 1956, 42780. С. Д.

См. также: Растворимость 64460—64464, 64467, 64471. Диффузия 64328, 64330, 64401, 64654. Структура р-ров 64233, 64234, 64249, 64427. Твердые р-ры 64254, 64310, 64445. Расплавы 64450, 64453. Др. вопр. 64402, 64471, 64470

ЭЛЕКТРОХИМИЯ

64583. Электропроводность концентрированных растворов дифенилгидантоинового натрия при температуре насыщения. Ненгуро, Кодзатани (ジフェニルヒダントインナトリウムの濃厚水溶液の飽和温度附近に於ける電気伝導度について. 石黒武雄 古座谷醇), 薬學雑誌, Якугаку дзасси, J. Pharm. Soc. Japan, 1955, 75, № 11, 1346—1349 (япон.; рез. англ.)

Измерена уд. электропроводность κ конц. р-ров дифенилгидантоинового натрия (I) при нагревании выше t_p (I) насыщения и охлаждении ниже этой t_p . Кривые $\kappa(t)$ имеют излом при t_p растворения или выпадения кристаллов. Между кривыми $\kappa(t)$, снятыми при нагревании и охлаждении, наблюдается гистерезис. Зависимость $[lg \kappa, (1/T)]$ (Т-абс. т-ра) выражается двумя прямыми, пересекающимися при t_p насыщения. Прямая, соответствующая пересыщ. р-ру, имеет обычно больший коэфф. наклона. Показано, что растворимость I может быть определена путем измерений κ его р-ров. А. Г.

64584. Свойства растворов серной кислоты. Часть I. Измерения чисел переноса в серной кислоте и в oleume. Вассиф (Properties of sulphuric acid solutions. Part I. Transport-number measurements in sulphuric acid and oleum solutions. Wasif Saad), J. Chem. Soc., 1955, Febr., 372—374 (англ.)

Методом Гитторфа измерены числа переноса $(NH_4)_2SO_4$, CH_3COOH и C_6H_5COOH в 100%-ной H_2SO_4 и 35%-ном oleume при 25°. В абсолютной H_2SO_4 97—99% тока переносится ионом HSO_4^- ; механизм этого явления предложен ранее (РЖХим, 1953, 1496—1499, 6225). В oleume перенос осуществляется главным образом ионами HSO_4^- и $H_2SO_4^+$; ионы NH_4^+ , $CH_3COOH_2^+$ и $HS_2O_7^{2-}$ переносят незначительную часть тока. Н. Л.

64585. Измерение чисел переноса катионов в расплаве $CaO \cdot Na_2O \cdot 4SiO_2$. Малкин В. П., Хохлов С. Ф., Шварцман Л. А., Докл. АН СССР, 1956, 106, № 3, 491—493

С целью сравнения подвижностей ионов Ca^{2+} и Na^+ в силикатном расплаве состава $CaO \cdot Na_2O \cdot 4SiO_2$ измерялись их числа переноса при помощи описанной ранее методики (РЖХим, 1956, 12512) с использованием радиоактивных изотопов Ca^{45} и Na^{24} . Опыты проводились при 1150°. Благодаря различиям в периодах полураспада и в энергиях излучения этих изотопов, удалось определить активности католита и анолита по Ca и Na. Найдено, что подвижность иона Na^+ примерно вдвое превышает подвижность иона Ca^{2+} , что объяснено более сильной связью последнего с анионной сеткой расплава. Б. Л.

64586. Физико-химические свойства расплавленных солей. 3. Электропроводность смесей солей. Сакаи, Хаяси (融解鹽の物理化學的性質. 第3報. 混合融解鹽の電気傳導度について. その2. 酒井馨, 林精一), 日本化學雜誌, Нихон катяку дзасси, J. Chem. Soc. Japan, Pure Chem. Sec., 1955, 76, № 1, 101—104 (япон.)

Определена электропроводность систем $KCl-MgCl_2$, $NaCl-MgCl_2$, $PbCl_2-CdCl_2$ и $NaNO_3-KNO_3$. Обсужден механизм образования хим. соединений в этих системах. Сообщение 2 см. РЖХим, 1955, 39811.

Chem. Abstrs, 1955, 49, № 20, 13752. Katsurai T. 64587. О потенциале ртутного электрода в растворах меркуроселей. Тара ян В. М., Науч. тр. Ереванск. ун-та, 1956, 53, 65—73 (рез. арм.)

Измерен потенциал амальгамированного Pt-электрода, погруженного в р-р $Hg(NO_3)_2$ или $Hg_2(NO_3)_2(0,0015 M)$ в зависимости от конц-ии добавок ионов CNS^- . При увеличении конц-ии CNS^- от 0,05 до 1,00 M потенциал электрода уменьшается в обоих случаях от 0,270 до 0,120 в (насыщ. к. э.). Все промежуточные значения потенциала электрода в обоих р-рах также практически равны между собой. Автор считает, что потенциал Hg-электрода в р-рах солей окиси и закиси Hg, в частности потенциал каломельного электрода, является функцией активности ионов Hg^{2+} . С. Ж.

64588. Исследование гальванических цепей с электродами второго рода, обратимыми по отношению к одному и тому же иону электролита. Маскаш (Studii asupra pilelor cu electrozi de speța II. reversibili în raport cu același ion al electrolitului de legătură. Mascas Aurel), Studii și cercetări fiz., 1955, 6, № 3, 535—540 (рум.)

Исследовались э.д.с. (E) гальванич. цепей $Ag | AgCl, \kappa | KCl, Hg_2Cl_2 | Hg$ в интервале κ от 1 до 0,0001 н. Показано, что равновесное значение E в соответствии с теорией электродов 2-го рода не зависит от конц-ии KCl и при 26° равно примерно 0,045 в, однако при малых κ установление равновесного E происходит очень медленно, растягиваясь на несколько месяцев. Начальные значения E подучаются завышенными, напр. в 0,002 и 0,0001 н. KCl начальная E равна соответственно 0,0499

и 0,0933 в. Процесс изменения E может быть связан только с замедленностью установления равновесий диссоциации комплексов, напр. равновесий $[AgCl_2]^{+} \rightleftharpoons [AgCl_3]^{2-} \rightleftharpoons [AgCl_4]^{3-}$ и т. д. И. З.

64589. Влияние растворителя на электродвижущую силу обратной цепи. 1. Соотношение между электродвижущей силой и растворимостью. Ои ва, Ма-ру я ма (可逆電池起電力に對する溶媒の影響. 第1報. 起電力と溶解度の關係. 大岩恒夫, 丸山修二), 日本化學雜誌, Нихон Kagaku Zasshi, J. Chem. Soc. Japan. Pure Chem. Sec., 1955, 76, № 3, 301—304 (япон.)

Определена э. д. с. цепи $Ag | AgBr, KBr (m) || KCl (m) | AgCl | Ag$ при $m=0,1M$ и растворимости KCl и KBr при 25° в вода. р-рах CH_3OH и C_2H_5OH . Chem. Abstrs, 1955, 49, № 22, 15567. Katsurai T.

64590. Использование золота в качестве водородного электрода. Бхаттачария (Use of gold as a hydrogen electrode. Bhattacharya Amal K.), Z. phys. Chem. (DDR), 1956, 205, № 3, 120—122 (англ.) Показано, что платинированное Au ведет себя в качестве водородного электрода так же, как платинированная Pt , и поэтому пригодно для измерения pH (РЖХим, 1956, 32104). Золоченные Au - и Pt -электроды дают невоспроизводимые результаты. С. Ж.

64591. Использование золотого электрода в хингидронной системе и сравнительное исследование золотого и платинового электродов при некоторых титрованиях. Бхаттачария, Джха (Use of gold electrode in quinhydrone system and its comparative study with platinum electrode in some titrations. Bhattacharya Amal K., Jha J. B.), Z. phys. Chem. (DDR), 1956, 205, № 3, 113—119 (англ.)

Для Au -электрода в хингидронной системе $E_0=0,694$ в (н. в. э.) при 20° . Сравнительное исследование Au - и Pt -электродов при потенциометрич. титровании K -т и оснований, а также окислительно-восстановительных систем и в р-циях осаждения показало, что конечные точки титрования для Au - и Pt -электродов идентичны. С. Ж.

64592. Об окислительном потенциале надсерных кислот. Чаньш (Über das Oxydationspotential der Peroxysäuren von Schwefel. Csányi L. J.), Naturwissenschaften, 1956, 43, № 2, 33—34 (нем.)

Показано, что добавка H_2O_2 (I) в конц-ии (P_I) больше, чем $10^{-6} M$, к р-ру H_2SO_5 (II) изменяет зависимость окислительного потенциала (E) в р-ре II от конц-ии II (P_{II}). В отсутствие II при $P_I < 10^{-6} M$ справедливо ур-ние $E = 1,603 - 0,059 pH - 0,054 P_{II}$. При $P_I > 10^{-6} M$ соблюдается ур-ние: $E = E_0 + 0,58 \lg \frac{(H_2SO_5)^{1/2} \cdot [H^+]}{[H_2O_2]^{1/2}}$, причем при перемешивании р-ра E сдвигается в отрицательную сторону. Предполагается, что как в отсутствие, так и в присутствии I величина E определяется радикалами H_2O_4 , образующимися из II. Найденные зависимости E от P_{II} , P_I и pH объясняются протеканием р-ции между H_2O_4 и I. Для нормального E получено значение 1,61 в. Г. Ф.

64593. О связи между потенциалом нулевого заряда и физико-химическими характеристиками металлов. Новаковский В. М., Укше Е. А., Левин А. И., Ж. физ. химии, 1955, 29, № 10, 1847—1853

При помощи современной теории электродных потенциалов выведено приближенное ур-ние $\varphi^0 = \psi - 4,78$, устанавливающее связь между потенциалом нулевого заряда φ^0 металлич. электрода и работой выхода электрона из металла ψ . Полученное ур-ние сопоставлено с аналогичным ур-нием, предложенным ранее (РЖХим, 1955, 13662, 16019, 23351). Установлена связь постоянных величин ур-ния с другими физ.-хим. свойствами металла. Н. Х.

64594. Свободные от зарядов электроды в электрохимии. Эль, Штрелов (Ladungsfreie Elektroden in der Elektrochemie. Oel H. J., Strehlow H.), Z. phys. Chem. (Frankfurt), 1955, 4, № 1/2, 89—115 (нем.)

Сопоставлен и обсужден полученный ранее эксперим. материал, устанавливающий для разных электродов (Э), находящихся в равновесии с потенциалопределяющими ионами в р-ре, существование такого значения потенциала ($+0,48$ в относительно н. в. э.), при котором на Э не возникают свободные заряды, названного авторами биллитер-потенциалом (БП). Рассмотрены методы, при помощи которых обнаруживается и определяется величина БП. Определенный для ряда металлов — Au , Pt , Ag , Cu , Bi — при помощи «метода погружения» (РЖХим, 1955, 42675) БП имеет значение, близкое к $+0,475$ в. В другом методе определяется нулевая точка катодетреч. подвижности в р-ре с различной активностью потенциалопределяющих ионов. Найдено, что изоэлектрич. точка металлов Pt , Au , Ag лежит в пределах от $+0,4$ до $+0,5$ в (Billiter J., Trans. Amer. Electrochem. Soc., 1930, 57, 351). Третий метод, основанный на определении зависимости граничного натяжения (σ) неполяризованного H_2 -электрода от потенциала, устанавливающегося в р-ре с потенциалопределяющими ионами, обнаруживает максимум σ при значениях потенциала, близких к $+0,45$ в (РЖХим, 1955, 42676). На основании приведенного эксперим. материала авторы считают доказанным существование двух видов потенциала нулевого заряда — лимитного потенциала (ЛП), который можно осуществить в случае поляризуемых Э, и БП — в случае неполяризуемых Э. Характерной особенностью БП, резко отличающей его от ЛП, является его независимость от рода металла, от присутствия в р-ре поверхностно-активных в-в, а также от способа установления равновесного потенциала. По мнению авторов, при установлении БП двойной слой адсорбированных на Э диполей воды и обусловленный последним противоположно ориентированный ионный двойной слой компенсируют друг друга, благодаря чему заряд поверхности делится равным нулю. М. Г.

64595. Электродные процессы при осаждении металлов из водных растворов. Маттесон (The electrode process in metal deposition from aqueous solutions. Mattsson Einar), Kgl. tekn. högskolans handl., 1955, № 96, 56; Asta polytechn. Ser. Chem., 1955, 6, № 12, 56 (англ.)

Обзор. Библ. 68 назв. В. Л. 64596. Распределение плотности тока на цилиндрических электродах. Муракава (The current density distribution over cylindrical electrodes. Murakawa Takao), J. Inst. Polytechn. Osaka City Univ., 1953, C4, № 2, 227—235 (англ.)

Аналитически рассматривается распределение плотности тока на параллельно расположенных электродах (Э), имеющих форму круговых цилиндров; влияние поляризации не учитывается. Применяя метод изображений, можно заменить цилиндрич. Э линейным Э. Приведены ур-ния для определения положения линейных изображений для двух и более цилиндрич. Э, оси которых лежат в одной плоскости и удалены друг от друга на заданные расстояния. Детально рассмотрена комбинация из одного анода и двух различно удаленных от него катодов. Показано, что путем последовательных приближений положение изображений может быть найдено с достаточной точностью. После этого, из условия эквипотенциальности поверхности Э (пренебрежение поляризацией), по предлагаемым ф-лам рассчитывается распределение плотности тока на поверхности анода и катодов. Приведены примеры расчета для нескольких частных случаев расположения Э. Для одного случая

произведена эксперим. проверка путем осаждения Cu из кислого электролита на цилиндрич. Pb-электродах с последующим определением веса осажденной Cu на разных участках катодов. Получено отличное совпадение рассчитанных и экспериментально найденных плотностей тока. Небольшие расхождения объяснены поляризацией, которая не учитывалась при расчетах.

В. М.

64597. Осциллографическое изучение необратимой поляризации при катодном осаждении никеля. I. Фишер, Зейт, Морлок. II. Рейзер, Фишер (Oszillographische Studien zur irreversiblen Polarisation der kathodischen Nickelabscheidung. I. Fischer H., Seipt M., Morlock G. II. Reiser H. J., Fischer H.), Z. Elektrochem., 1955, 59, № 5, 440—448; № 7—8, 768—772 (нем.)

I. Методами специально усовершенствованной импульсной осциллографии изучена кинетика спада электродной поляризации (II) Ni во времени (t), начиная с момента $5 \cdot 10^{-8}$ сек. после выключения поляризующего тока постоянной плотности i (для различных i от 0,1 до 30 мА/см^2) при катодном осаждении Ni из р-ра $2/0 \text{ г/л}$ $\text{NiSO}_4 + 45 \text{ г/л}$ $\text{NiCl}_2 + 20 \text{ г/л}$ H_3BO_3 (рН 1,6 или 5 за счет добавок H_2SO_4 или NH_4OH). Показано, что омич. составляющая Π (Δg) практически исчезает за $5 \cdot 10^{-8}$ сек. Δg линейно зависит от i ; при рН 5 Δg больше, чем при рН 1,6; при рН 5 и $i > 10 \text{ мА/см}^2$, возможно, имеют место очень малые положительные отклонения Δg от закона Ома. Введение в р-р небольших кол-в органич. в-в, напр. $3 \cdot 10^{-3} \text{ М}$ β -нафтохинолина, вызывает существенное увеличение Δg , связанное, возможно, с образованием прикатодного слоя келл. р-ра ингибитора. Электрохим. составляющая Π наглядным образом может быть разделена на две части: η_1 , связанную с зарядением двойного слоя, заканчивающуюся за 10^{-5} — 10^{-3} сек. и пропорциональную $i \cdot t$; η_2 , связанную с прохождением ионов через двойной слой, длящуюся 10^{-4} — 10^{-2} сек. и при $t > 6 \cdot 10^{-4}$ сек. удовлетворяющую зависимости: $\eta_2 = a^* (t) = b^* (t) \cdot \ln i$, где $a^* (t)$ и $b^* (t)$ — ф-ции только t . Таким образом, процесс разряда становится заметным не раньше, чем через 10^{-4} сек. (по крайней мере для не очень малых i). Анализ осциллограмм не обнаруживает наличия в данном случае так называемой кристаллизационной Π (РЖХим, 1954, 35679—35681).

II. Методом осциллографич. регистрации спада электродной поляризации за промежуток времени (τ) до $6 \cdot 10^{-3}$ сек. от момента выключения поляризующего тока измерены величины перенапряжения (η) при катодной поляризации Ni-электрода в кислых (рН 0; 4,4 и 5,3) р-рах 1 М NiCl_2 при 20° в интервале i 10^{-4} — 10^{-1} А/см^2 . В интервале $\tau < 6 \cdot 10^{-3}$ сек. η вполне различимо от «омической поляризации» (η_R), сводящейся главным образом к омич. потерям в электролите между электродом и кончиком электролитич. зонда. При больших i и рН 5,3 на Ni-электроде образуется черный осадок золя гидроксида никеля (I), увеличивающий η_R . Величины η очень сильно зависят от процесса выделения H_2 , а потому — от рН р-ра. По скорости спада перенапряжения ($\Delta \eta / \Delta \tau$) при рН 0 авторы различают три интервала i : при $i < 1 \text{ мА/см}^2$ спад η замедлен вследствие сравнительно замедленной десорбции водорода с катода; при средних i (1 — 10 мА/см^2) имеет место выделение H_2 и спад η ускорен; при больших i наряду с выделением H_2 идет осаждение Ni, и быстрый спад η в этой области связан, возможно, с перенапряжением р-ции десольватации Ni. Общая кривая зависимости η от i состоит из двух ветвей при $i < 4 \text{ мА/см}^2$ и $i > 4 \text{ мА/см}^2$ с явным изломом при $i = 4 \text{ мА/см}^2$, что сходно с поведением Ni в серно-кислых р-рах.

И. З.

64598. К изучению перенапряжения меди на ртути и амальгамах. II. Ффенеккер (Contribution à

l'étude de la surtension du cuivre sur le mercure et les amalgames. Iffenecker G. G. Acad. Sci., 1956, 242, № 10, 1303—1305 (франц.)

Поляризационные кривые выделения Cu из 0,13 и 1,3 н. CuSO_4 на капельных электродах из чистой Hg и насыщ. (1%) амальгамы Cu при 274 — 323°K использованы для определения коэфф. α и β теории замедленного разряда и относительных энергий активации W . Для амальгамы и 0,13 н. CuSO_4 $\alpha = 0,022$, β колеблется от 0,041 до 0,047; для 1,3 н. CuSO_4 $\alpha = 0,043$ — $0,055$, $\beta = 0,067$ — $0,115$. Значения W равны соответственно 4200 и 1000 кал. Для чистой Hg и 0,13 н. CuSO_4 $W = 9200$ кал.

Л. К.

64599. Действие ультразвука на катодное перенапряжение меди в растворе сульфата меди. Дельвиль (Action des ultrasons sur la surtension cathodique du cuivre en solution de sulfate de cuivre. Delville J. O. Acad. Sci., 1956, 242, № 11, 1462—1465

Изучено влияние ультразвука (УЗ) с частотой 960 кГц на катодную поляризацию при электроосаждении Cu из р-ра CuSO_4 в атмосфере N_2 . Показано, что катодная поляризация значительно снижается при электролизе с наложением УЗ , причем предельное перенапряжение уменьшается на 30%. Показано, что коэфф. теории замедленного разряда α не меняется при наложении УЗ .

З. С.

64600. Смещение потенциала выделения меди из кислых растворов медного купороса в присутствии ацетилен. Мамян А. Н., Науч. тр. Ереванск. ун-та, 1956, 53, 127—135 (рез. арм.)

Изучено влияние атмосферы ацетилена (I) на смещение катодного потенциала Cu-электрода в слабосиловом 1 н. CuSO_4 . Показано, что в присутствии I катодный потенциал смещается в положительную сторону на 0,155 в, что, по мнению автора, обусловлено связыванием первично образующихся ионов Cu^+ в комплексе с I и свидетельствует о протекании процесса восстановления иона Cu^{2+} до Cu через стадию диспропорционирования $2\text{Cu}^+ \rightarrow \text{Cu}^{2+} + \text{Cu}$ (Heyrovsky J. Disc. Faraday Soc., 1947, 1, 212).

З. С.

64601. Электролиз раствора CuSCN . V. Влияние ультразвука на поверхность электрода. Нисиoka, Нейгуро (コダニ第一銅錯鹽水溶液の電解に関する研究. 第5報. 電極界面に及ぼす超音波の影響. 西岡新太郎, 石黒孝義), 工業化学雑誌, Kore kagaku zasshi J. Chem. Soc. Japan, Industr. Chem. Sec., 1954, 57, № 10, 695—698 (япон.)

Исследован процесс электролиза р-ра CuSCN с Cu-электродами с наложением ультразвуковых колебаний (УК). Описано влияние УК на соотношения между плотностью тока, напряжением на ячейке, равновесным потенциалом и составом р-ра. Отмечены изменения напряжения на ячейке и электродного потенциала в процессе электролиза при наложении импульсных УК. Сообщение IV см. РЖХим, 1955, 16025.

Chem. Abstr., 1955, 49, № 14, 9411. Ratsuya Inoyue **64602. Совместное электроосаждение кобальта и никеля на вращающемся дисковом катоде. Адиллов Т. А., Цыганов Г. А., Докл. АН УССР, 1956, № 1, 17—20 (рез. узб.)**

В продолжение работ (РЖХим, 1955, 16878, 52539) изучено изменение коэфф. разделения (КР) при электроосаждении Co и Ni на вращающемся дисковом катоде. Показано, что постоянство КР сохраняется, причем величина КР на вращающемся электроде выше, чем на неподвижном. КР линейно увеличивается с ростом скорости вращения (от 11,5 при 100 об/мин до 16 при 1000 об/мин) и линейно уменьшается с логарифмом плотности тока и с t -рой.

З. С.

64603. Электролиз раствора CaCl_2 с амальгамирванным катодом. Екояма (表面をアマルガム化した陰極による塩化カルシウム水溶液の電解. 横山辰雄),

工業化学雑誌, Kōgō kagaku zasshi, J. Chem. Soc. Japan. Industr. Chem. Sec., 1955, 58, № 2, 154 (япон.)

Найдено, что образование $\text{Ca}(\text{OH})_2$ на Cu -катоде при электролизе р-ра CaCl_2 можно уменьшить путем амальгамирования Cu -катада. В качестве катада при электролизе р-ра, содержащего 15% CaCl_2 и 4% NaCl , использовалась также Fe -проволока, предварительно подвергнутая катодной поляризации в р-ре $\text{HgNO}_3 + \text{NaNO}_3$.

Chem. Abstrs, 1955, 49, № 21, 14517. Katsuya Inouye 64604. Исследование осадков никеля рентгенографическим и электрографическим методами.

II. Действие щелочного р-ра на никель. Сейяма, Кумабе, Сакаи. III. Образование на аноде гидратов окислов никеля. Сейяма, Або, Сакаи (ニッケル陽極の電子線及び2線解析による研究. 第X報. 金屈ニッケルに對するアルカリの作用について. 清山哲郎, 隈部博秀, 坂井渡. 第3報. 陽極生成物のX線廻折による研究. 清山哲郎, 阿保雅宏, 坂井渡), 工業化学雑誌, Kōgō kagaku zasshi, J. Chem. Soc. Japan. Industr. Chem. Sec., 1954, 57, № 4, 257—258; № 5, 343—346 (япон.)

II. Приведены данные рентгенографич. и электрографич. исследования пленок Ni , осажденных на мембранах из коллоиды или полистирола и погруженных затем в 1 или 6 н. KOH в течение 0,5—6,5 час. при 12 или 40°. Показано, что обработка р-ром KOH приводит к образованию на пленке никеля $\text{Ni}(\text{OH})_2$, которая предохраняет пленку Ni от дальнейшего действия щелочи.

III. Проведен электролиз р-ров KOH (0,006—3 н.) с Ni -анодами при 5—80° продолжительностью от нескольких часов до 10 дней. Исследованы порошковые пленки полученного темного анодного осадка. Подтверждено наличие $\text{Ni}_3\text{O}_2(\text{OH})_4$, $4\text{Ni}(\text{OH})_2$ и α - или β - NiOOH . В р-рах с низкой конц-ией KOH при высокой т-ре образуются гидраты окислов $\text{Ni}(2+)$. Предполагается также образование других гидратов окислов Ni неизвестной структуры. Сообщение I см. J. Chem. Soc. Japan. Industr. Chem. Sec., 1952, 55, 426.

Chem. Abstrs, 1955, 49, № 8, 5160. Katsuya Inouye. 64605. Осаждение металлического олова на медной пластинке при ее погружении в расторг оловянных солей. Хирата, Отани (單浸漬法による錫鹽溶液より銅板上への鉛の析出について. 平田文夫, 大谷彰郎), 日本化学雑誌, Nihon kagaku zasshi, J. Chem. Soc. Japan. Pure Chem. Sec., 1953, 74, № 10, 778—781 (япон.)

Металлическое Sn осаждается на поверхности полированной Cu -пластинки, погруженной в р-р станиата Na и $\text{Na}_2\text{S}_2\text{O}_3$. Выяснены условия осаждения для смеси, содержащей солянокислый р-р SnCl_2 и водн. р-ры NaOH и $\text{Na}_2\text{S}_2\text{O}_3$.

Chem. Abstrs, 1954, 48, № 12, 6977. T. Katsuragi

64606. К кинетике электрода $\text{Hg}/\text{Hg}_2^{2+}$. Гершер, Штаубах (Zur Kinetik der $\text{Hg}/\text{Hg}_2^{2+}$ -Elektrode. Gerischer Heinz, Staubaeh Karl-Eberhard), Z. phys. Chem. (DFR), 1956, 6, № 1—2, 118—124 (нем.)

Путем сочетания измерений различных компонент импеданса (метод 1) (РЖХим, 1956, 42817) с потенциостатич. измерениями (метод 2) (РЖХим, 1956, 42816) исследована скорость р-ции разряда — ионизации Hg на неподвижной Hg -капле и на капслюной Hg -электроде в р-ре $0,5 \cdot 10^{-3}$ — $20 \cdot 10^{-3}$ M $\text{Hg}_2(\text{ClO}_4)_2$ (I) + $1 M$ HClO_4 при 0°. Сопоставление результатов, полученных методами 1 и 2, показывает расхождение в 2—3 раза при определении абс. величины тока обмена j_0 (при конц-ии I $1 \cdot 10^{-3}$ M j_0 равен соответственно 120—230 и 70—80 $\text{ма}/\text{см}^2$). Путем определения зависимости j_0 от конц-ии I получено значение кинетич. коэфф. $\alpha = 0,6 \pm 0,1$. При этом при-

ято, что число электронов, участвующих в замедленной стадии разряда — ионизации, равно 2, т. е. происходит непосредственный разряд (ионизация) ионов Hg_2^{2+} без предварительной диссоциации. Из зависимости j_0 от т-ры вычислена энергия активации р-ции разряда (10 ± 1 $\text{ккал}/\text{моль}$).

И. З.

64607. Коррозия пассивного железа в кислом растворе. Феттер (Die Korrosion des passiven Eisens in saurer Lösung. Vetter Klaus J.), Z. Elektrochem., 1955, 59, № 1, 67—72 (нем.)

Скорость образования ионов Fe^{2+} при анодной поляризации пассивного Fe -электрода при постоянном потенциале определялась путем измерения предельного тока р-ции $\text{Fe}^{2+} \rightarrow \text{Fe}^{3+} + e$ на вспомогательном Pt -электроде в стационарном состоянии. Путем изучения влияния конц-ии ионов Fe^{2+} в кислом электролите (1 н. H_2SO_4 и 0,5 M $\text{K}_2\text{SO}_4 + 0,01$ н. H_2SO_4) на эквивалентную плотность коррозионного тока (i_k) пассивного Fe показано, что коррозионной р-цией (КР) не может быть р-ция $\text{Fe} \rightarrow \text{Fe}^{2+} + 2e$; $\text{Fe}^{2+} \rightarrow \text{Fe}^{3+} + e$ (1), так как ее скорость в изученных условиях по крайней мере на 5 порядков ниже, чем наблюдаемая i_k . Основной КР, обуславливающий 95—98,5% общей коррозии пассивного Fe в кислом р-ре, является р-ция $\text{Fe} \rightarrow \text{Fe}^{3+} + 3e$ (2). Так как $\lg i_k$ линейно зависит от pH р-ра (при pH 0,70—3,90), автор считает, что замедленной стадией КР является процесс перехода иона Fe^{3+} из слоя оксида в р-р: $\text{Fe}^{3+}(\text{окс.}) \rightarrow \text{Fe}^{3+}(\text{aq.})$, (3), а не какая-либо замедленная хим. р-ция внутри самого пассивного слоя. Оценка кинетич. коэфф. α для р-ции (3) приводит к $\alpha = 0,28$. Произведены расчеты времени, необходимого для установления стационарного i_k при заданной поляризации, точнее — времени τ , необходимого для установления тока $i = i_k / \ln 2$, так как процесс $i \rightarrow i_k$ асимптотичен. Полученные данные, представленные в виде графика ($\lg i_k$, $\lg \tau$), хорошо согласуются с эксперим. значениями. Отмечается, что при очень малых i_k ($< 0,01 \text{ ма}/\text{см}^2$) τ очень велико (> 14 дней), что очень затрудняет измерения вследствие недостаточной для таких сроков стабильности пассивного состояния Fe .

А. Ш.

64608. Неравномерное анодное растворение. Коррозия вдоль ватерлинии. Пирс (Non-uniform anodic dissolution: water-line attack. Peers A. M.), Trans. Faraday Soc., 1955, 51, № 12, 1748—1754 (англ.)

В продолжение работы (РЖХим, 1954, 26486) исследовалось распределение анодного процесса на электроде из малоуглеродистой стали, частично погруженном в р-р NaCl в атмосфере N_2 , в зависимости от толщины δ окисной пленки, полученной путем предварительного окисления образца кислородом (12 см рт. ст.) при 225°, от плотности анодного тока (i) и конц-ии NaCl (c). Показано, что при малых значениях δ имеет место равномерное анодное растворение металла (процесс 1), при больших δ наблюдается преимущественное анодное растворение вдоль ватерлинии (процесс 2). Значения δ , необходимые для перехода от процесса 1 к 2, растут с ростом c . Переходу от процесса 2 к 1 при данном δ способствует увеличение c . Указывается, что необходимым условием для случая 2 является высокое анодное перенапряжение (η) на большей части поверхности электрода, а также пониженное значение $d\eta/di$ вблизи мениска. Поэтому увеличение δ , приводящее к росту η на большей части поверхности анода, способствует процессу 2. С другой стороны, случаю 2 благоприятствуют концентрационные изменения относительно OH^- , Fe^{2+} и в особенности Cl^- вблизи поверхности электрода, связанные с прохождением тока и уменьшающие значение $d\eta/di$; эти изменения максимальны вблизи мениска

в связи с замедленной диффузией, что и определяет протекание процесса 2. По мнению автора, полученные данные не согласуются с представлениями о механизме влияния некоторых анионов на анодное растворение (Кабанов Б. Н., Бурштейн Р. Х., Фрумкин А. Н., *Disc. Faraday Soc.*, 1947, 1, 259; Hoar, *Trans. Faraday Soc.*, 1949; 45, 683). Г. Ф.

64639. Кинетика анодного окисления меди и электронографическое исследование структуры оксидных пленок. Файзуллин Ф. Ф., Уч. зап. Казанск. ун-та, 1955, 115, № 10, 52—54

Путем снятия анодных и катодных кривых заряджения исследована кинетика анодного окисления Cu в р-рах NaOH . Структура анодных пленок определялась электронографически. Показано, что на анодных кривых заряджения имеются 4 ясно выраженные зад-ржки потенциала. На основании этих данных и результатов электронографич. исследования сделан вывод, что процесс анодного окисления Cu имеет ступенчатый характер: в начале поляризации образуется пленка Cu_2O , на которой в дальнейшем формируется пленка CuO . Время формирования пленок зависит от условий окисления (конц-ия NaOH , т-ра, плотность тока). Ф. Ф.

64610. Теория электролитического метода получения тяжелой воды. Субраманьян (Theoretical aspects of the electrolytic method of preparing heavy water. Subramanian G. S.), *Bull. Centr. Electrochem. Res. Inst.*, 1955, 2, № 2, 65—68 (англ.)

Обзор. Библ. 19 назв.

Г. Ф.

64611. Влияние ультразвука на выделение водорода на ртутном электроде. Папоушек (Vplyv ultrazvuku na vydelenie vodika na ortatovej elektróde. Papoušek Dušan), *Chem. zvesti*, 1956, 10, № 1, 7—11 (словац.; рез. русс., нем.)

Предлагается новый способ исследования влияния ультразвука (УЗ) на электрохим. процессы на Hg -электродах. Hg -электроду придается форма акустич. линзы, чем достигается значительный перенос энергии УЗ на поверхность раздела Hg — р-р. УЗ оказывает сильное влияние на процесс выделения H_2 в подкисленных р-рах 1 н. H_2SO_4 по мере роста интенсивности УЗ потенциал (E) (при $i = 0,4 \text{ ма/см}^2$) вначале остается практически неизменным, затем быстро сдвигается в положительную сторону и достигает постоянного значения, так называемого «ультразвукового E ». После выключения УЗ E за несколько секунд принимает исходное значение. На величину скачка E влияет i . Так, при $i < 10^{-1} \text{ ма/см}^2$ скачок E практически не зависит от i , а при $i > 10^{-1} \text{ ма/см}^2$ влияние УЗ с ростом i ослабляется и при $i = 10 \text{ ма/см}^2$ прекращается. Отсюда следует, что происходящее под действием УЗ диспергирование H_2 до частичек размером $0,1\text{—}0,8 \mu$ не искажает влияния УЗ на процесс. Значительное влияние УЗ на процессы на Hg -электроде обнаружено только для случая выделения H_2 . E выделения Zn^{2+} сдвигается, напр., только на $20\text{—}30 \text{ мв}$, тогда как при выделении H_2 скачок E составляет $\sim 100 \text{ мв}$ при $\text{pH } 4$ и $\sim 10 \text{ мв}$ при $\text{pH } 1$. По мнению автора, это явление может быть объяснено при помощи десорбционной или рекомбинационной теорий перенапряжения H_2 . С. Ж.

64612. Об использовании «передачи» водородного потенциала для измерения коэффициента диффузии водорода в сталях. Бастьен, Амьё (Sur l'utilisation du transfert de potentiel dû à l'hydrogène pour la mesure du coefficient de diffusion de ce gaz dans les aciers. Bastien Paul, Amiot Pierre), *C. r. Acad. sci.*, 1956, 242, № 11, 1455—1458 (франц.)

Сняты кривые изменения во времени (t) потенциала (ϕ) диффузионной стороны железной или стальной «мембраны» — сплошной пластинки толщиной $0,5 \text{ мм}$, отделяющей 1 н. р-р HCl от дистилл. воды (диффузионная

сторона — в воде). За $t = 0$ принят момент контакта адсорбционной стороны мембраны с р-ром к-ты. Анализ кривых (ϕ, t) (в предположении, что ϕ лимитируется процессом диффузии атомов H сквозь мембрану, подчиняющимся 2-му ур-нию Фика) позволяет определить коэфф. диффузии (D) атомов H в железе или стали и вычислить уд. проницаемость (P_∞) этих материалов в стационарном режиме. Расчет для Fe -мембраны дает $D = 3,4 \cdot 10^{-7} \text{ см}^2 \text{ сек}^{-1}$ и $P_\infty = 4 \cdot 10^{-7} \text{ см}^3 \text{ см/см}^2 \text{ сек}$.

И. З.

64613. Зависимость перенапряжения выделения кислорода на гладкой платине от присутствия поверхностноактивных добавок. Хейфец В. Л., Ривлин Н. Я., *Ж. прикл. химии*, 1956, 29, № 1, 69—73

В продолжение работы авторов (ЖХИм, 1956, 35509) исследовалось влияние поверхностноактивных в-в — нониловой (I), каприловой (II) и гентиловой (III) к-т а также тиомочевны (IV) — на перенапряжение (η) выделения O_2 на Pt . Поляризационные кривые выделения O_2 на Pt из р-ров $0,52 \text{ M H}_2\text{SO}_4$ с добавками I—III в конц-иях, соответствующих насыщению р-ра (0,001; 0,0046 и $0,02 \text{ M}$), и с добавкой 0,005 н. IV сдвинуты в сторону положительных потенциалов по сравнению с кривой для H_2SO_4 без добавок. Показано, что η возрастает в ряду $\text{I} < \text{II} < \text{III} < \text{IV}$ (от 0,058 в для I до 0,408 в для IV) при $i = 10 \text{ ма/см}^2$. В том же ряду возрастает наклон линейных участков кривых: ($\eta, \lg i$): от 0,067 для I до 0,171 в для IV. Найдено, что в присутствии I—IV наряду с затруднением выделения O_2 наблюдается облегчение образования $\text{H}_2\text{S}_2\text{O}_8$. По своей способности смещать восходящие ветви кривых емкости Pt -электрода в $0,52 \text{ M H}_2\text{SO}_4$ исследованные добавки располагаются в ряд: $\text{I} < \text{II} < \text{III} < \text{IV}$. По мнению авторов, полученные результаты свидетельствуют о замедленном протекании электрохим. стадий процессов выделения O_2 и образования $\text{H}_2\text{S}_2\text{O}_8$. Г. Ф.

64614. Электролиз переменным током. Часть III. Электролиз раствора серной кислоты с применением платиновых электродов. Джоши (Alternating current electrolysis. Part III. Electrolysis of sulphuric acid solution with platinum electrodes. Joshi K. M.), *J. Indian Chem. Soc.*, 1954, 31, № 4, 278—284 (англ.)

В продолжение работы автора (часть II, *J. Indian Chem. Soc.*, 1952, 29, 69) исследован электролиз разб. р-ра H_2SO_4 переменным током прямоугольной формы на электродах из гладкой Pt . При частотах f ниже 40 гц газ выделяется на обоих электродах, объемное отношение $\text{H}_2 : \text{O}_2 > 2 : 1$. При электролизе образуется также H_2O_2 (как полагает автор, из радикалов HO_2). Выход по току газов падает с ростом f , продолжительности электролиза и конц-ии электролита и растет с увеличением плотности тока и т-ры. Полученные результаты истолкованы с точки зрения рекомбинационной теории. Г. Т.

64615. Изучение влияния среды на интенсивность флуоресценции и применение флуоресцирующих индикаторов для определения полюсов при прохождении тока. Шливиц, Тополац (Обреди о дејству средине на флуоресценцију раствора и употреба флуоресцентних индикатора за одређивање полова струје. Шливић Ђ. Сретен, Тополац Ж. и вотије), *Вест. Друштва матем. и физ. Нар. Реп. Србије*, 1955, 7, № 1—2, 99—102 (серб.; рез. франц.)

При прохождении тока через р-р Na_2SO_4 в присутствии β -нафтола р-р у катод начинает сильнее флуоресцировать, а р-р у анода темнеет. Этот эффект обратный и может служить для изучения влияния тока и среды на флуоресценцию, а также для определения полюсов при прохождении тока. А. Г.

pound formation in the sodium lauryl sulfate-lauryl alcohol-water system. Wilson A. Braham, J. Soc. Cosmetic Chemists, 1955, 6, № 5, 392—398 (англ.)

Для оценки пенообразующих свойств поверхностно-активных в-в разработана простая методика исследования жидких пленок, образующихся на проволоочной рамке при извлечении ее из р-ров. Измерения сводятся к определению t -ры (T), при которой внезапно и резко увеличивается скорость вытекания из пленки жидкости, что обнаруживается визуальными наблюдениями за возникновением в пленке по мере ее утоньшения интерференционных полос и «черного пятна», а затем ее разрушения. Исследованы свойства р-ра смеси На-лаурилсульфат (I) + лауриловый спирт (II), образующего медленно утоньшающиеся пленки, и показано, что T повышается с увеличением относительного содержания в смеси спирта. При этом установлено, что на кривых, характеризующих состав смесей, имеющих одну и ту же T , появляется резкий скачок при крит. конц-ии мицеллообразования I вследствие солубилизации II. Из исследованной системы выделены в виде кристаллич. осадков два молекулярных соединения с молярными соотношениями I : II, равными 1 : 1 и 2 : 1. Дано молекулярное истолкование наблюдаемых явлений. А. Т. 64626.

Об электрокапиллярном эффекте понижения твердости и внешнего трения металлов. Венетер Е. К., Лихтман В. И., Ребиндер П. А., Докл. АН СССР, 1956, 107, № 1, 105—107

Маятниковым методом сняты электрокапиллярные кривые понижения твердости свинца в условиях поверхностного деформирования (разрушения) металла (А) и в условиях граничного трения (Б), когда такое деформирование отсутствует. Показано, что обе кривые имеют аналогичный вид, но обращены по отношению одна к другой, так что максимум кривой А отвечает тому же значению потенциала нулевого заряда, что и минимум кривой Б. При этом оказалось, что ход кривой Б воспроизводит результаты Бокраса и Перри—Джонса (РЖХим, 1954, 5036), полученные ими при исследовании электрокапиллярного эффекта на Cu, Ni, Cd и Fe. Это позволило авторам истолковать эти результаты, рассматривая их в связи с влиянием поляризации на обычное смазочное действие при трении между металлич. поверхностями, не сопровождающемся поверхностным диспергированием. А. Т.

64627. Гигроскопичность поливинилового спирта при высокой влажности. Яно (ポリビニルアルコールの高湿度における吸湿性に関する研究. 矢野泰), 日本化学雑誌, Нихон какаку дзасси, J. Chem. Soc. Japan. Pure Chem. Sec., 1955, 76, № 6, 668—672 (япон.)

С помощью весов с кварцевой спиралью исследована гигроскопичность поливинилового спирта и его ацетата при 30° и относительной влажности 10—98%. Обсуждается зависимость между скоростью адсорбции и относительной влажностью.

Chem. Abstrs, 1956, 50, № 5, 3037. Т. Katsurai

64628. Свойства и природа адсорбирующих углей. Киплинг (The properties and nature of adsorbent carbons. Kipling J. J.), Quart. Revs. London, Chem. Soc., 1956, 10, № 1, 1—26 (англ.)

Обзор. Библ. 190 назв. В. А.

64629. Диэлектрические свойства адсорбированных веществ в монослое. 3. Диэлектрическая поляризация этанола, адсорбированного на алюмогеле. Симидзу (單分子層における吸着物質の透電的性質. 第3報. 酸化アルミニウムゲルに吸着したエタノールの透電分極について. 清水三千江), 日本化学雑誌, Нихон какаку дзасси, J. Chem. Soc. Japan. Pure Chem. Sec., 1955, 76, № 9, 1030—1034 (япон.)

Определены равновесные значения давления и диэлектрич. поляризации этанола, адсорбированного

на алюмогеле, при различных t -рах от комнатной до 110°. На основании полученных результатов обсуждается механизм адсорбции. Сообщение 2 см. РЖХим, 1956, 50409.

Chem. Abstrs, 1956, 50, № 5, 3034. Т. Katsurai

64630. О сорбции некоторых поверхностно-активных красителей сульфидами в процессе их старения. Руднев Н. А., Гусева Л. И., Ж. аналит. химии, 1956, 11, № 1, 44—54

Изучена кинетика сорбции красителя нейтрального красного (I) сульфидами. По зависимости сорбционной активности от времени старения сульфида делятся на 3 группы: 1) на HgS, Bi₂S₃, Sb₂S₃ и SnS₂ сорбция I возрастает; 2) на CuS и Ag₂S уменьшается; 3) на CdS, As₂S₃ и PbS — не изменяется при старении. Присутствие I не влияет на ход старения сульфида: кол-во I, адсорбированное на HgS, CuS и As₂S₃, не зависит от порядка прибавления красителя и сероводорода к р-ру. Изменение сорбции при старении, видимо, связано с агрегацией и дезагрегацией частиц осадка. Среднее кол-во адсорбированного I составляет 300 мг на 1 г сульфида. Принимая, что при адсорбции образуется мономолекулярный слой, а площадь, занимаемая молекулой I, равна 100 Å, авторы рассчитывают уд. поверхность сульфидов: 600 м²/г. Изотерма сорбции I на CdS в широком интервале конц-ий с выражается ур-нием $\Gamma = 2,3c$, что, по мнению авторов, указывает на процесс растворения коллоидно-диспергированного красителя в геле сульфида. Гели Ag₂S, SnS₂, CuS, As₂S₃ и Sb₂S₃ изучены электронным микроскопич. методом и показано, что они имеют пористое, ячеистое строение. Более плотной структурой обладает Ag₂S. PbS и CdS имеют кристаллич. строение. Большая сорбция I сульфидами объясняется взаимодействием положительного заряда I и отрицательного заряда сульфидов. И. С.

64631. Магнетохимия адсорбции ионов редкоземельных элементов на силикагеле. Френч, Говард (Magnetochemistry of adsorption of rare earth ions on silica gel. French C. M., Howard J. P.), Trans. Faraday Soc., 1956, 52, № 1, 102—106 (англ.)

Измерена магнитная восприимчивость (χ_m) образцов силикагеля, адсорбционно насыщенных катионами Ce³⁺, Pr³⁺, Nd³⁺, Sm³⁺, Gd³⁺, Tb³⁺, Dy³⁺, Ho³⁺, Er³⁺, Yb³⁺. Подтверждена аддитивность значений χ_m для адсорбированных ионов. Установлено близкое совпадение найденных значений магнитного момента с данными других авторов для твердых солей и водн. р-ров и с величинами, вычисленными теоретически. Делается вывод, что адсорбция катионов на силикагеле происходит по механизму ионного обмена с фиксированными H⁺-ионами сорбента. В. А.

64632. Определение удельной поверхности сгб по адсорбции мыла. Марон, Бобалек, Фок Сю-мин (Determination of surface areas of carbon blacks by soap adsorption. Maron Samuel H., Bobalek Edward G., Fok Shiu-Ming), J. Colloid Sci., 1956, 11, № 1, 21—33 (англ.)

Метод основан на кондуктометрич. титровании водн. дисперсий сажи (С) р-рами лаурата и миристиата Na (РЖХим, 1955, 20940, 28684). Сравнение вычисленной по адсорбции мыла уд. поверхности с 11 образцов С с s , вычисленной по адсорбции на них N₂, показало согласие обоих методов (50 м²/г), если площади на молекулу лаурата Na приписать значение 23,2, а миристиата Na 35,2 Å². Для самых тонкодисперсных образцов С метод адсорбции N₂ дает более высокие значения. Это различие приписывается влиянию поверхностной неупорядоченности и характеризуется величиной фактора f — отношения площадей, определенных по адсорбции N₂ и мыла. f варьирует, в зависимости от степени диспер-

ности C , от 1 до ~2. Для оценки C как усилителя резинных смесей более пригоден метод определения s по адсорбции мыла, нежели N_2 , так как молекулы последнего слишком малы, чтобы служить эталоном при исследовании процессов адсорбции макромолекул каучука, и результаты могут быть недостаточно достоверны.

В. А.

64633. Хроматографическое ионообменное разделение. Баддор, Хотори (Chromatographic separation by ion exchange. Baddour R. F., Hawthorn R. D.), Industr. and Engng Chem., 1955, 47, № 12, 2517—2520 (англ.)

Из теории ионообменной хроматографии (РЖХим, 1955, 39855) следует, что наилучшее разделение двух компонентов достигается в том случае, если их хроматографич. полосы обращены друг к другу своими острыми фронтами, т. е. если вытеснение обоих компонентов производится ионом, сорбционная избирательность которого средняя между избирательностями разделяемых ионов. Опытами на катионите дауэкс-50, на примере разделения H^+ и K^+ с использованием Na^+ в качестве вытеснителя, это положение полностью подтверждается. На основе опытных данных и упомянутой теории, произведен детальный анализ степени взаимного перекрытия полос при различных условиях ведения опыта: хотя уменьшение ширины полос способствует разделению, однако чем полнее разделение, тем ниже в указанных условиях максимумы полос, а следовательно, тем больше загрязнение компонентов вытесняющим ионом; такое же влияние оказывает увеличение длины хроматографич. колонки. В согласии с выводами предыдущей работы (РЖХим, 1956, 26525), увеличение отношения константы скорости процесса к скорости потока способствует разделению компонентов. При выборе эксперим. условий следует учитывать изменение коэфф. избирательности с изменением степени заполнения сорбционной емкости рассматриваемым ионом.

В. А.

64634. Противоточный электрофорез на бумаге. I. Методика. Грубнер, Дворжак (Protiproudová elektroforeza na papíre. I. Metodika. Grubner Otto, Dvořák Jiří), Chem. listy, 1955, 49, № 12, 1767—1772 (чеш.); Сб. чехосл. хим. работ, 1956, 21, № 3, 556—563 (нем.; рез. русск.)

Описана методика разделения смесей в-в, отличающихся своей подвижностью в электрич. поле, путем электрофореза на бумаге, причем заряженные частицы движутся навстречу потоку электролита по наклонно расположенной бумажной полоске. Бумага прилегает к нижней плоскости стеклянной парафинированной или силиконированной пластинки. Верхнюю кювету наполняют чистым электролитом и соединяют с анодом, нижнюю кювету с разделяемой смесью соединяют с катодом и подают постоянное напряжение 1000 в. С включением тока начинается процесс перехода в верхнюю кювету и накопления в ней более подвижного компонента. Изменяя высоту верхней кюветы, изменяют скорость встречного потока электролита, благодаря чему задерживают менее подвижные частицы на наклонном участке бумажной полоски в местах, где влияние потока электролита уравновешивается электрич. полем. Описано влияние на эффективность разделения способа расположения бумаги, разогрева и адсорбции разделяемых в-в на бумаге. Эффективность метода проверена на примерах разделения 6·10⁻⁴%-ного р-ра красителей: пундового кристаллич. (ПК) и патентного синего (ПС) и 0,1%-ного р-ра аланина и фенилаланина. В первом случае за 6 дней из 8 мг ПК перешло в верхнюю кювету 4 мг, причем ПС не перемещался. Во втором случае из смеси равных кол-в обоих в-в (50 мг) за 6 дней отделилось 31 мг более подвижного в-ва — аланина.

Jiří Vaněček

64635. О распределении ионов между растворами и твердой фазой. Полонский Т. М., Наук. зап. Львівськ. ун-ту, 1955, 34, 25—29 (укр.)

В статических условиях, на навесках NH_4^+ -формы бентонитовой глины, исследовано равновесное распределение ионов Ba^{2+} , Ca^{2+} и Mg^{2+} из смешанных р-ров с постоянной ионной силой 0,05. Показано, что обмен ионов подчиняется закону действия масс, осуществляется в эквивалентных кол-вах и удовлетворительно передается ур-нием Б. П. Никольского. В отличие от данных И. Н. Антипова-Каратаева и Г. М. Кадера (Коллоид ж., 1947, 9, № 2, 87) найдено, что по способности поглощения двухвалентные катионы располагаются в ряд: $Mg^{2+} < Ca^{2+} < Ba^{2+}$.

Б. А.

64636. Ионный обмен в концентрированных растворах NaCl—HCl и LiCl—HCl. Какихана, Маруичи, Ямасак (Ion exchange in concentrated solutions, NaCl—HCl and LiCl—HCl systems. Kaki-hana Hidetake, Maruichi Nobuo, Yamasaki Kazuo), J. Phys. Chem. 1956, 60, № 1, 36—40 (англ.)

Статическим методом на отдельных навесках H-формы амберлита IR-120 изучено ионообменное равновесие в системах NaCl (0,5—3,00 н.) — HCl (0,00—4,06 н.) и LiCl (0,10—6,00 н.) — HCl (0,00—11,6 н.) и, косвенно, из расчета баланса кол-ва H^+ в процессе, вычислено поглощение катионитом воды. В обоих изученных системах кол-во поглощенной воды уменьшается с ростом общей конц-ии Cl^- . При расчетах равновесного распределения конц-ий учитываются кол-во ионов, поглощенных смолрой «квазиобменно», т. е. при набухании полимерной сетки катионита. Для системы NaCl—HCl найдено хорошее подтверждение доппановской схемы, даже без введения коэфф. активности. Сняты кривые зависимости кажущейся константы обмена K_N^{Na} от молярной доли сорбированного Na^+ и найдено, что увеличение конц-ии соли влияет на изменение K_N^{Na} сильнее, чем увеличение конц-ии к-ты. В системе LiCl—HCl наблюдается большое квазиобменное поглощение Li^+ при высоких конц-иях, что объясняется частичной дегидратацией Li^+ в конц. р-рах. Предположение о сорбции из р-ров комплексов типа Li_2Cl^+ не подтверждается.

Б. А.

64637. Изучение анионного обмена. XIX. Анионообменные свойства водной окиси циркония. Краус, Филлипе (Anion exchange studies. XIX. Anion exchange properties of hydrous zirconium oxide. Kraus Kurt A., Phillips Harold O.), J. Amer. Chem. Soc., 1956, 78, № 1, 249 (англ.)

Осажденная из р-ров аммиаком гидроокись Zr (I) неопределенного состава, химически чрезвычайно инертная, обладает анионообменивающими свойствами в кислых р-рах: заметно поглощает анионы Cl^- , Br^- , NO_3^- , SO_4^{2-} и CrO_4^{2-} и, в меньшей степени, комплексные анионы. Высушенная при 32° I обладает емкостью поглощения 1,4 молн/кг; при прокаливании выше 300° емкость снижается. I является слабосновным анионитом и при малых степенях замещения Br^- на NO_3^- (опыты с радиоиндикаторными кол-вами) коэфф. распределения Br^- , как в идеальных системах, обратно пропорционален конц-ии NO_3^- . Скорость ионообменной сорбции достаточно велика чтобы рекомендовать I для практич. применения в качестве анионита. В щел. р-рах (0,01—1 M NaOH) I теряет анионообменные свойства, но поглощает катионы. Аналогичными свойствами обладают гидроокиси Sn (4+), Th (4+), Ti (4+), Cr (3+), Fe (3+) и Al (3+) и не обладают H_2MoO_4 и H_2WO_4 . Сообщение XVIII см. РЖХим, 1956, 25322.

Б. А.

64638 К. Хроматография. Сатаке (クロマトグラフイクロマトグラフ 改訂版 佐竹一夫 共立出版, 244, 頁 350 頁, «Керицу-сюнпан», 1955, 244 стр., 350 ил.) (япон.)

64639 Д. Факторы влияющие на величину краевого угла. Ван-Валкенберг (Factors that influence the magnitude of the contact angle. Van Valkenburg Jerpha Wade, Jr. Doct. diss., Univ., Michigan, 1955), Dissert. Abstrs, 1955, 15, № 5, 728 (англ.)

64640 Д. Новый метод измерения поверхностных потенциалов и его применение к сорбции на твердых поверхностях. Хиллер (A new method for the measurement of surface potentials and its application to sorption on solid surfaces. Hiller Karl Heinz. Doct. diss., Northwestern Univ., 1955), Dissert. Abstrs, 1955, 15, № 11, 2028—2029 (англ.)

64641 Д. Адсорбция газов на гомогенных и гетерогенных твердых поверхностях. Уинклер (The adsorption of gases on homogeneous and heterogeneous solid surfaces. Winkler Werner. Doct. diss., Rensselaer Polytechn. Inst., 1955), Dissert. Abstrs, 1955, 15, № 11, 2037 (англ.)

64642 Д. Жидкофазное адсорбционное равновесие в системе бензолциклогексан-силикагель. Стюарт (Liquid phase adsorption equilibria for the benzene-cyclohexane-silica gel system. Stuart Edward Bernard. Doct. diss., Univ. Pittsburgh, 1955), Dissert. Abstrs, 1955, № 5, 779 (англ.)

64643 Д. Исследование адсорбции в жидкой фазе в системе бензол-н-гептан-силикагель. Хаккер (Liquid phase adsorption studies for the system benzene-n-heptane-silica gel. Hacker David Solomon. Doct. diss., Northwestern Univ., 1955), Dissert. Abstrs, 1955, 15, № 11, 2140—2141 (англ.)

См. также: Адсорбция 64780, 64481; 18751Бх. Поверхн. натяжение, смачивание 65153, 65442; 18732Бх. Хроматография 65197—65206, 65286, 65297, 65371, 65378, 65379, 65382, 65473—65476; 18744—18747Бх. 18749Бх, 18750Бх, 18752—18758Бх. Ионный обмен 65272, 65274, 65301, 65374, 65524; 18748Бх. Электрофорез 65199; 18747Бх, 18759—18763Бх.

ХИМИЯ КОЛЛОИДОВ. ДИСПЕРСНЫЕ СИСТЕМЫ

64644. Физическая химия гуминовых кислот. Флаиг, Бейтельспачер (Physikalische Chemie der Huminsäuren. Flaig W., Beutelspacher H.). Landbouwkund. tijdschr., 1954, 66, № 5/6, 306—336 (нем.)

Физико-химическими методами изучены очип. пересаживанием и диализом природные гуминовые к-ты (I) из различных почв, а также модельные в-ва (II), полученные окислением гидрохинона в присутствии аммиака в щел. среде. Показано, что уд. вязкость $\eta_{(уд.)}$ р-ров I линейно растет с конц-ией, возрастает с увеличением содержания азота в I и с увеличением конц-ии HCl в р-ре. $\eta_{(уд.)}$ р-ров II, содержащих азот, сильно возрастает при переходе от 0,125 н. к 0,25 н. HCl. Приведенная вязкость $\eta_{(уд.)}/c$ I и II лежит в пределах 0,010—0,023, что указывает на шарообразную форму частиц. Признаков структурной вязкости не обнаружено. На электронных микрофотографиях препараты I и II имеют вид гроздьев шарообразных частиц диам. 60—80 Å; с ростом pH дисперсность увеличивается. Измерение коэфф. диффузии также приводит к среднему диаметру частиц порядка 50 Å. Методом диализа через полупроницаемые мембраны с порами 500 Å определен вес ча-

стиц I 5000—7000 при pH 10—12. Расчет по $\eta_{(уд.)}/c$ и весу частиц, а также электронномикроскопич. снимки показывают, что частицы I и II представляют собой не компактные шарики, а рыхлые пористые образования. Чем больше содержание азота в II, тем плотнее частицы. Методом диффракции электронов показано отсутствие какой-либо кристаллич. структуры в препаратах I. При тщательной очистке I в кислой среде наблюдается коацервация — образование агрегатов частиц с общей гидратной оболочкой. В сильнощел. среде I ведут себя как поливалентные к-ты, гидратная оболочка почти отсутствует. Определенный по скорости электрофореза ζ -потенциал I из чернозема в кислой среде лежит в пределах от —21,6 до —22,7 мв, а для II равен —33,3 мв. В щел. среде для I и II $\zeta=0$. Са соль I в присутствии избытка $CaCl_2$ имеет ζ от +3,1 до +4,9 мв. С помощью ячейки с Pt- и Hg_2Cl_2 -электродами определен окислительно-восстановительный потенциал суспензий I и II. Все I и II в кислой среде обладают восстановительными свойствами; $pH=17,3$ —23,0; в щел. среде $pH=19,2$ —29,5. И. С.

64645. О движении малых частиц в потенциальном поле потока. Робинсон (On the motion of small particles in a potential field of flow. Robinson Abraham), Commun. Pure and Appl. Math., 1956, 9, № 1, 69—84 (англ.)

Дан строгий математич. анализ движения малых частиц, взвешенных в движущейся жидкой или газообразной среде. Принимается, что ур-ние движения частицы дается законом Стокса или (в более общем плане) что жидкость увлекает частицу с силой, пропорциональной векторной разности скоростей частицы и жидкости. Вместо траектории некоторой индивидуальной частицы рассматривается виртуальное поле потока, которое было бы создано непрерывным распределением малых частиц заданного размера, движущихся в соответствии с законом Стокса. Выводится ряд общих свойств этого виртуального поля, включая дополнение к теореме Кельвина о циркуляции. Рассмотрено течение при наличии препятствий различных профилей и выведена ф-ла для расчета полной массы частиц, оседающих на этих препятствиях. Приведены примеры конкретных расчетов применительно к проблеме обледенения. В заключение учитывается поле земного тяготения; показано, что обусловленное им поле скоростей и рассматриваемое собственно гидродинамич. поле аддитивны. С. Ф.

64646. Об активности противоионов в коллоидных растворах. Добри (Über die Aktivität der Gegenionen in kolloiden Lösungen. Dobry A.), Kolloid-Z., 1956, 146, № 1-3, 59—65 (нем.)

Описано электрометрич. определение коэфф. активности f противоионов в золях гидроокиси железа, гидроокиси тория, р-рах Ag-солей карбометилцеллюлозы, полиакриловой к-ты, сополимеров акриловой к-ты и акриламида, малеиновой к-ты и акриламида. Показано, что f растет при разбавлении, стремясь к единице. Для всех р-ров соблюдается ур-ние $f = (1 + Kc^2)^{-1}$, где c — конц-ия противоиона, K — постоянная. Активность противоиона зависит от расстояния между соседними ионизированными группами в цепи. Для Ag-солей сополимеров акриловой к-ты и акриламида $K = 0,163 \text{ р}^2$, где ρ — содержание карбоксильных групп в сополимере. См. также РЖХим, 1956, 12580. И. С.

64647. Электрофоретическое исследование коллоидных частиц катионитов. Крамер, Фрейзе (Elektrophoretische Untersuchungen an kolloiden Kationenaustauscherteilchen. Kramer E., Freise V.), Z. phys. Chem. (BDR), 1956, 7, № 1-2, 40—57 (нем.)

Сист...
могут...
электр...
сближ...
троли...
детали...
сов на...
Исле...
волфо...
части...
ковов...
набух...
действ...
явств...
квотв...
подви...
дена...
повск...
опред...
loid В...
на ~6...
кости...
64648.

Ку...
ше...
проп...
На д...
проп...
W в б...
сон Э...
держа...
люпол...
стабил...
всех с...
е золь...
Моско...
сами л...
близк...

64649.
тин...
вие...
акти...
(Б...
ств...
Чел...
642...
Нау...
в-в (И...
мид д...
депил...
Fe(OH...
ляни...
Che...
64650.

с п...
(Se...
ctiv...
J. C...
(англ...
В ц...
аэроз...
функц...
го по...
Расче...
с 10⁻²...
от 0,2...
для у...
того, ...
по раз...

Суспензии измельченных до колл. размеров нонитов могут служить удобной моделью для исследования электрокинетич. поведения белков, с которыми их сближает ряд свойств (набухаемость, свойства полиэлектролитов и т. п.), и в то же время имеется возможность детального изучения механизма происходящих процессов на макроскопич. образцах, напр. на мембранах. Исследование производилось с суспензиями сульфогидроформальдегидного катионита, измельченного до частиц размера $\sim 0,1 \mu$, с конц-ей фиксированных ионов в разных образцах от 0,31 до 1,00 моль на 1 л набухшего полимера. Порог флоккуляции частиц под действием электролитов подчиняется правилу постоянства коэф. активности Оствальда. В капиллярной ячейке под микроскопом исследована электрофоретич. подвижность частиц в р-рах $AlCl_3$, $BaCl_2$ и $NaCl$. Найдена линейная зависимость между идеальным донаво-ским потенциалом и подвижностью. ζ -потенциал, определенный по Овербеку (Overbeek J. Th. G., Kolloid-Beih. 1943, 54, 287), отличается от донановского на ~ 60 мв. Толщина увеливаемого частицами слоя жидкости не превышает 100—200 Å. В. А.

64648. Диэлектрические постоянные солей металлов.

Курленко О. Д., Натансон Э. М., Баранников Г. Б., Тр. Киевск. технол. ин-та пищ. пром-сти, 1955, вып. 15, 240—242

На диэлектрик. мет. методом бисий измерена диэлектрич. проницаемость с органоэлей металлов. Изучены золи W в бензоле, полученные флотационным методом (Натансон Э. М., Докл. АН СССР, 1949, вып. 64, 831) и содержание 0,05% хирина и 0,3% каучука или этилцеллюлозы, а также органоэзоли Hg в вазелиновом масле, стабилизированные добавлением 5% ланолина. Во всех случаях экспериментально определенная величина ϵ золи выше, чем рассчитанная по ур-ниям Клаузиуса—Мосотти и Винера. Увеличение ϵ объясняется процессами на поверхности раздела, адсорбцией молекул стабилизатора-высокополимера на колл. частицах металла. И. С.

64649. Диспергирующее действие поверхностно-активных веществ. 1. Коагуляция и диспергирование положительно-активных коллоидов поверхностно-активными веществами. Мэгуро. Кондо (界面活性剤の分散作用について. 第1報. 陽性ゼルの界面活性剤による凝結ならびに分散について. 目黒謙次郎, 辻藤保). 日本化学雑誌. Нихон кагаку дзасси, J. Chem. Soc. Japan. Pure Chem. Sec., 1955, 76, № 6, 642—645 (япон.)

Изучено влияние добавок поверхностно-активных в-в (ПАВ) (октисульфат Na, додецилсульфат Na, бромид додецилпиридиния и полиоксэтиленовый эфир додецилового спирта) на положительно заряженный золь $Fe(OH)_3$. Добавки малых кол-в ПАВ вызывают коагуляцию, а солевых — диспергирование.

Chem. Abstrs, 1956, 50, № 5, 3035. Т. Katsurai

64650. Функции рассеяния для сферических частиц с показателем преломления 1,46—4,30 i. Керкер (Scattering functions for spherical particles of refractive index of 1,46—4,30 i. Kerker Milton), J. Opt. Soc. America, 1955, 45, № 12, 1031—1083 (англ.)

В целях интерпретации опытов по рассеянию света аэрозолями ртути были рассчитаны дополнительные функции рассеяния теории Ми, t_1 и t_2 , для комплексного показателя преломления $m = a + bi = 1,46 - 4,30 i$. Расчет произведен для углов рассеяния γ от 30 до 150° с 10°-ыми интервалами и для 23 значений $\alpha = (2\pi r)/\lambda$ от 0,2 до 5,0; часть результатов представлена таблицей для $\gamma = 30, 40$ и 50° и $\alpha = 0,2; 0,4$ и 0,50. Кроме того, приведена таблица доступных функций теории Ми по различным литературным источникам. С. Ф.

64651. Исследование взаимодействия молекул красителя и высокомолекулярных веществ. 3. Влияние добавки поливинилсульфата калия на спектр поглощения водного раствора пиронина. Матага, Кондзун (色素と高分子物質との相互作用の研究. 第3報. ピロニンC水溶液の吸収スペクトルに対するポリビニル硫酸カリの作用. 又賀昇, 小泉正夫), 日本化学雑誌, Нихон кагаку дзасси, J. Chem. Soc. Japan. Pure Chem. Sec., 1954, 75, № 3, 269—271 (япон.)

Исследован спектр поглощения системы поливинилсульфат калия — пиронин G. Найдено, что изменение состояния агрегации молекул красителя имеет важное значение для изменения спектра поглощения. Подтверждено, что метакромеазия является следствием адсорбции на поливинилсульфате.

Chem. Abstrs, 1954, 48, № 10, 5647. Masaji Kubo 64652. Теплоты образования мицелл. Хатчинсон, Уинслоу (Heats of micelle formation. Hutchinson Eric, Winslow Lorraine), J. Phys. Chem., 1956, 60, № 1, 122 (англ.)

Произведены калориметрич. определения теплот образования мицелл Q децилсульфата Na (I) в водн. 0,1 M р-ре NaCl и лаурата K (II) в чистой воде. Результаты представлены в виде кривой зависимости интегральной теплоты растворения от молярной конц-ии растворенного в-ва (I или II). В обоих случаях имеет место разрыв кривой: для I в области конц-ий 0,010—0,011 M, для II — в области 0,019—0,020 M. Полагая, что разрыв кривой обусловлен Q, авторы нашли ее значение равным для I — $0,288 \pm 0,047$ ккал/моль, а для II — $0,088 \pm 0,002$ ккал/моль. Найденная для I Q мало отличается от Q в чистой воде ($-0,21$ ккал/моль), что, по мнению авторов, подтверждает рыхлое строение мицелл I в изученном интервале конц-ий. Найденное для Q II значение авторы считают заниженным вследствие образования лауриновой к-ты при гидролизе II.

И. Г.

64653. Старение и «ретроградация» растворов крахмала. Сообщение I. Ульман (Das Altern und die «Retrogradation» von Stärkelösungen. I. Mitt. Ullmann M.), Kolloid-Z., 1955, 140, № 1, 32—41 (нем.)

Изучены процессы, происходящие при старении 1%-ного р-ра картофельного крахмала (I). После 5-минутной клейстеризации р-ры I, консервированные следами толуола, оставляли при комнатной т-ре в закрытых склянках на срок до 140 суток. Через 10 суток наблюдается помутнение р-ров, через 30—40 суток начинает выпадать осадок. Каждые 10 суток пробы р-ра осадка исследовали методом хроматографии на кислотн.-основной колонке Al_2O_3 . Показано, что при старении происходит колл.-хим. и хим. изменения I. В р-ре образуются агрегаты молекул амилозы, которые постепенно оседают и выпадают в осадок, состоящий из несколько измененной амилозы с небольшой примесью амилопектина. Амилопектин в р-ре постепенно дезагрегируется и, в отличие от нативного в-ва, начинает адсорбироваться не на кислотн., а на основном Al_2O_3 . В разбавленных, напр. 0,1%-ных, р-рах I старение идет быстрее: через 210 суток амилоза и амилопектин через декстрины превращаются в соединения, не дающие окраски с J. Густое старение 0,1—3,0%-ных р-ров I при их вымораживании идет другим путем, чем при комнатной т-ре: выпадающий осадок состоит в основном из амилопектина. Автор отмечает, что изучение старения I по цвету комплексов с J не позволяет проследить ход процесса. Термин «ретроградация» р-ров I, как не соответствующий природе происходящих при старении явлений, должен быть отвергнут. И. С.

64654. Влияние буфера и электролита на диффузию кислого красителя в желатине. Понтиус, Калан, Хасни (The effect of buffer and electrolyte

on the diffusion of an acid dye in gelatin. Pontius R. B., Kaplan M. L., Husney R. M., J. Phys. Chem., 1956, 60, № 1, 9—12 (англ.)

Описанным ранее (РЖХим, 1955, 30250) методом измерена диффузия кислого красителя ализаринового яркорозового В (1) в желатину при pH 4,0 из р-ра в воде, ацетатно-цитратном буфере, том же буфере + NaCl и фталатном буфере. Показано, что форма кривых диффузии зависит от состава р-ра. Концентрация I на поверхности желатины растет со временем, что затрудняет расчет коэффициента диффузии. Концентрация I в набухшей желатине в 22 раза выше, чем в р-ре, а в высушенной — в 180 раз выше. Обсуждается механизм крашения желатины с учетом доннановского равновесия на поверхности раздела желатина/р-р и адсорбции I белком.

Н. С. 64655. Влияние поверхностноактивных веществ на движение капель в жидкостях. Федосов А. П., Ж. физ. химии, 1956, 30, № 1, 223—227

Уточняя разработанную А. Н. Фрумкиным и В. Г. Левичем (Ж. физ. химии, 1947, 21, 1183) теорию торможения движущихся в жидкой среде капелек растворенными поверхностноактивными веществами, автор приходит к выводу, что выражение, полученное этими авторами для эффекта торможения, должно быть умножено на фактор $2,43 [(μ + μ')/πμ]^{1/2} > 1$, где $μ$ и $μ'$ — вязкости соответственно среды и капельки.

Н. Ф. 64656. Скорость испарения микроскопических капелек в присутствии нерастворимых монослоев. Брэдли (The rate of evaporation of micro-drops in the presence of insoluble monolayers. Bradley R. S.), J. Colloid Sci., 1955, 10, № 6, 571—575 (англ.)

Исходя из ранее выведенной автором (Proc. Roy. Soc. (London), 1949, A198, 226, 239) формулы для скорости испарения сферич. капель в атмосфере газа — $dM/dt = 4πDC_0m_2[D/avx + a/(a + Δ)]^{-1}$ (1) (M — масса капельки, a — ее радиус, C_0 — молярная концентрация насыщ. пара, m_2 — мол. вес жидкости, D — коэфф. диффузии пара, $Δ$ — средняя толщина слоя у поверхности капельки, в котором происходит кнудсеновский скачок концентрации пара, $v = (kT/2πm_2)^{1/2}$, $α$ — коэфф. испарения), показано, что нерастворимые монослои, весьма сильно снижающие $α$, могут значительно уменьшить скорость испарения мелких капелек. Для чистой поверхности воды $α = 0,034$ и при снижении $α$ благодаря монослою до значения $α = 10^{-5}$ скорость испарения капелек с $a = 1μ$ уменьшится согласно ф-ле (1) в $\sim 3 \cdot 10^4$ раз. В то же время для плоской поверхности воды, находящейся на расстоянии 10 см от поглощающей плоскости, скорость испарения уменьшится при нанесении монослоя лишь в $\sim 2,7$ раза.

Н. Ф. 64657. Конденсация водяного пара и электризация облачных капель. Гойер, Хандлер (Water-vapor condensation as a cloud-droplet charging mechanism. Goyer Guy G., Handler Georges S.), J. Meteorol., 1955, 12, № 6, 569—570 (англ.)

Измерены заряды капелек (K), образующихся при конденсации водяных паров на искусственно создаваемых незаряженных ядрах конденсации. Рост K происходил в стеклянном цилиндре с диам. 20 мм и высотой 1000 мм, заполненном смесью водяного пара, NH₃ и HCl. Влажный воздух вводился через основание цилиндра, NH₃ и HCl — через отверстия, расположенные друг против друга на высоте 76 мм. Из воздуха предварительно удалялись ионы (в поле 6000 в/см). Образующийся туман р-ра NH₄Cl достаточно изодисперсен для измерения величины K методом рассеяния света; отклонения от средней величины радиуса R не превышают $\pm 10\%$. R можно было изменять от 0,3 до 0,8 $μ$ в зависимости от скорости газовых потоков. Туман пропусклся через конденсатор с расстоянием между обкладками 1,2 см; на выходе из конденсатора измеря-

лась интенсивность рассеянного туманом света I в функции напряжения на конденсаторе. Установлено, что при росте K в атмосфере, свободной от ионов, I оставалась практически неизменной при изменении V от 0 до 10 кв, т. е. заряда на K не было. Заряды, обнаруживаемые на K, растущих в атмосфере с нормальной концентрацией ионов, являются следствием диффузии ионов, а не конденсации водяного пара.

В. Д. 64658. О взаимодействии между основными красителями и высокомолекулярными анионами. Матага (Note on the interaction between basic dyes and high molecular anions. Mataga Noboru), J. Inst. Polytechn. Osaka City Univ., 1953, C4, № 2, 189—201 (англ.)

Метахроматизм в общем случае может быть связан с изменением электронного состояния красителя (K) при его взаимодействии с ионом высокомолекулярного электролита и с изменением агрегации ионов K. Рассматривая, по литературным данным, изменение спектров K в видимой и УФ-области в присутствии высокомолекулярных анионов, автор делает вывод, что, хотя агрегация K играет основную роль, она не является единственным и достаточным условием появления метахроматизма. Намечаются пути дальнейших исследований в этой области и указывается на значение изучения метахроматизма для выяснения деталей электронной структуры молекул K.

Н. С. 64659. Равновесие при ассоциации щелочных солей кислот с неразветвленными цепями в растворах I. Соли монокарбоновых кислот. Даниэльсон, Эквалль. II. Соли дикарбоновых кислот. Даниэльсон (Association equilibria in solutions of alkali salts of straight chain acids. I. Salts of monocarboxylic acids. Danielsson Ingvar, Ekwall Per. II. Salts of dicarboxylic acids [в подлиннике ошибочно напечатано «monocarboxylic acids»]. Danielsson Ingvar), Acta chem. scand., 1955, 9, № 10, 1661—1670; 1671—1673 (англ.)

I. На основе эксперим. данных по солибилизации n -кислот и представления об обратимости процесса мицеллообразования в р-рах мыл определено число длинноцепочечных ионов и противоионов в мицеллах щел. солей гомологич. ряда монокарбоновых кислот, а также энергия процесса мицеллообразования (Q). Показано, что для ряда калиевых солей этих к-т $Q = -620,1 + 3680 \text{ кал/моль}$, где n — число метиленовых групп в углеводородной цепи молекулы. Выведенные авторами уравнения позволяют рассчитывать значения крит. концентрации мицеллообразования $c_{кр}$, которые для этих к-т оказались в удовлетворительном согласии с экспериментально найденными другими исследователями.

II. Для энергии мицеллообразования в р-рах α , ω -алкилдикарбоновых кислот выведено выражение $Q = -620,1 + 7360 \text{ кал/моль}$ и рассчитана $c_{кр}$ для случаев $n = 11, 14$ и 16. Согласно с эксперим. значениями $c_{кр}$ несколько хуже, чем для монокарбоновых к-т.

А. Т. 64660. Эффективная электризация капелек естественных облаков у земной поверхности. Уэбб, Ганн (The net electrification of natural cloud droplets at the earth's surface. Webb Willis L., Gunn Ross), J. Meteorol., 1955, 12, № 3, 211—214 (англ.) См. РЖФиз, 1956, 21352.

64661. Зарядка аэрозолей диффундирующими ионами. Фуке Н., Лисовский П. (The charging of aerosols by ionic diffusion. Fuchs N., Lisowski P.), J. Colloid Sci., 1956, 11, № 1, 107—108 (англ.)

Замечания к работе, опубликованной ранее (РЖХим, 1956, 3612).

Н. Ф.

64662. Ответ на письмо в редакцию Н. Фукса и П. Лисовского. Ганн (Reply to letter to the editor by N. Fuchs and P. Lissowski. Gunn Ross), J. Colloid Sci., 1956, 11, № 1, 108—109 (англ.). См. пред. реф.

64663. К вопросу об образовании ячеистой структуры в слое тумана или дыма. Ляпидевский В. К. Ж. эксперим. и теор. физики, 1956, 30, № 2, 399—400. В диффузионно-конденсационной камере исследовано образование ячеистой структуры (ЯС) в туманах из этилового спирта. Установлено, что ни конвекционные токи, ни градиент т-ры в камере не являются непосредственной причиной возникновения ЯС. При уменьшении общего давления p в камере размер ячеек возрастает, а время их образования уменьшается. При p порядка нескольких мм рт. ст. ЯС в тумане не образуется.

Н. Ф.

64664 К. Некоторые наиболее интересные главы коллоидной химии. Сёке (A kolloidkémia néhány fontosabb fejezete. Szöke Sándorné. Budapest, 1955, 80 л., 16 Fl.) (венг.)

64665 Д. К вопросу о природе дисперсных систем, образующихся при электролизе водных растворов солей некоторых металлов. Рождественская Л. А. Автореф. дисс. канд. хим. н. Казанск. хим.-технол. ин-т, Казань, 1956

См. также: Структурно-механич. св-ва 65443—65445, 65525, 65137—65141, 65152. Полиэлектrolиты 65154, 65155. Р-ры макромолекулярных в-в 65129, 65133, 65136. Оптич. св-ва 65137, 65477. Аэрозоли 65471, 65477, 65478

НЕОРГАНИЧЕСКАЯ ХИМИЯ. КОМПЛЕКСНЫЕ СОЕДИНЕНИЯ

64666. Химия германия. XXII. О получении металлического германия в трубке для закалывания. Шварц, Баронетский (Beiträge zur chemie des Germaniums. XXII. (Über die Herstellung metallischen Germaniums im Abschreckrohr. Schwarz Robert, Baronetzky Egon), Z. anorgan. und allgem. Chem., 1955, 282, № 1—6, 280—285 (нем.).

Дважды перегнанный над Na_2CO_3 и CaCl_2 и не содержащий мышьяка GeCl_4 переводят в монохлорид $(\text{GeCl})_x$, пропуская смесь паров GeCl_4 и H_2 через кварцевую трубку для закалывания, по оси которой проходит нагретый до 1050° силитовый стержень. Через 5 час. на охлаждаемых снаружи водой стенках трубки скапливается значительный осадок $(\text{GeCl})_x$. Затем прекращают охлаждение стенок и при т-ре стержня 650° производят в течение 8 мин. разложение и, частично, восстановление $(\text{GeCl})_x$ в токе H_2 . На стенках образуется рыхлый осадок металличес. Ge, легко отстающий при постукивании. Для удаления следов GeCl_4 и $(\text{GeCl})_x$ препарат выдерживают 30 мин. в вакууме при 520°. Полученный Ge весьма чист — аналитически примеси не обнаруживаются. Высокая степень очистки подтверждается также малой уд. электропроводностью ($10^{-0,4}$ — $10^{-0,8}$ ом⁻¹ см⁻¹ при комнатной т-ре). Часть XXI, РЖХим, 1955, 16132.

И. С.

64667. О мелкокристаллическом кремнии. Немецек (Über ein feinkristallines Silicium. Nemetsek T. h.), Z. Naturforsch., 1956, 11b № 3, 148—150 (нем.).

При нагревании SiO в лодочке из Al_2O_3 в токе N_2 до 1600—1700° образуется серо-зеленый остаток в виде пористой массы или сплавленных капель. Состав остатка: 19% Si и 81% SiO_2 . После удаления SiO_2 обработкой HF остается Si в виде круглых пластинок диам. 300—2000 Å и толщиной 100 Å и менее. Рентгенограммы и электронограммы остатка характерны для кристаллич. структуры Si типа алмаза. Полученный мелкокристаллич. Si не реагирует с водой и с чистым O_2 при комнатной т-ре; при нагревании в течение 20 мин. при 10^{-4} мм рт. ст. до 700° электронограмма не меняется; при 980° Si испаряется. Образование Si из SiO , повидимому, объясняется диспропорционированием по р-ции $2\text{SiO} \rightarrow \text{Si} + \text{SiO}_2$.

И. С.

64668. Чистый кремний. Вартенберг (Reines Silicium. Wartenberg H., von.), Z. anorgan. und allgem. Chem., 1956, 283, № 1—6, 372—376 (нем.).

Приближенные термодинамич. расчеты приводят к выводу, что пропускание пара SiCl_4 над расплавленным

кремнием должно очищать последний от примесей Al, Cu и Fe, улетучивающихся в виде хлоридов, но не от примесей В. Опытю подтверждено, что при пропускании Ar, содержащего Cl_2 , над расплавленным в кварцевой пробирке кремнием, содержащим Al (т-ра печи у дна пробирки 1470°), в течение 1—3 час. содержание примесей падает до 0,01%; потеря Si близка к 5%. Однако в кремнии остается 0,03—0,25% SiO_2 , возможно, являющегося продуктом диспропорционирования SiO , образующегося из Si и SiO_2 и растворяющегося в расплавленном Si. Т-ра плавления чистого Si 1423°.

И. Р.

64669. Получение кремния высокой чистоты. Каменский (Otrzymywanie krzemu o wysokiej czystości. Kamiński Aleksy), Elektronika, 1955, 1, № 1—2, 11—19 (польск.).

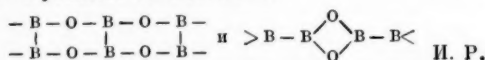
Усовершенствован метод хим. очистки технич. кремния (Tucker A., J. Iron. Steel Inst. (London), 1927, 115 s., 412). 300 г измельченного образца смачивают водой, кипятят 1 час с 300 мл HCl (1:10), промывают горячей водой до pH 7, кипятят 3 часа с 200 мл царской водки, оставляют на сутки, кипятят 1 час, разбавляют водой до 1 л, кипятят 2 часа, промывают, высушивают; 50 г полученного Si смачивают водой, добавляют 40 мл H_2SO_4 ($d=1,84$) и 30 мл 40%-ной HF, нагревают 4 часа, добавляют повторно те же кол-ва к-т, нагревают до появления SO_3 , промывают, выдерживают 12 час. со 100 мл HF, добавляют 50 мл H_2SO_4 ($d=1,84$), нагревают до появления SO_3 , промывают и обрабатывают царской водкой, как описано выше. Чистота полученного Si 99,5% (данные спектрального анализа). Очищенный Si переплавляют в электровакуумной печи (1410—1440°, время нагревания 3 часа, остывание 2 часа) без добавок либо с добавками 0,003% В или 0,003% В + 0,02% Ве, получая образцы с уд. сопротивлением соответственно 0,6; 0,06 и 0,06 ом. см. Приведены характеристики диодов, выполненных из очищенного Si.

Т. А.

64670. Новая модификация монооксида бора. Уортик, Апл (A new modification of boron monoxide. Wartik Thomas, Apple Eugene F.), J. Amer. Chem. Soc., 1955, 77, № 23, 6400—6401 (англ.).

При действии водяного пара на B_2Cl_4 количественно образуется белый мелкокристаллич. порошок к-ты $\text{B}_2(\text{OH})_4$, начинающий терять воду по ур-нию: $\text{B}_2(\text{OH})_4 \rightarrow 2\text{BO} + 2\text{H}_2\text{O}$ в вакууме при 90° и полностью обезвоживающийся в течение 4 час. при 220°. Полученный белый BO (I) растворим в воде и метаноле в отличие от коричне-

вой формы BO (II) (Ray R. C., Sinbe P. C., J. Chem. Soc., 1941, 742; Zintl E. и др., Z. anorgan. und allgem. Chem., 1940, 245, 8). I не изменяется до 500° ; в вакууме при 650° превращается в светлокорицеый II. Неполностью дегидратированный I ($\text{BO} \cdot 0,1 \text{H}_2\text{O}$), нагретый в вакууме до 400° , превращается в II, выделяя H_2 и следы H_3BO_3 . Длительное выдерживание на воздухе не меняет цвета и восстановительных свойств I и II. Предположено, что твердые II и I являются полимерами со строением соответственно



64671. Молярная рефракция двуокиси углерода и ее зависимость от плотности при хранении в стальных резервуарах. Коффин, Беннетт (Molar refraction of carbon dioxide and its dependence on density when stored in steel containers. Coffin Victor H., Bennett Clarence E.), J. Chem. Phys., 1956, 24, № 1, 98—103 (англ.)

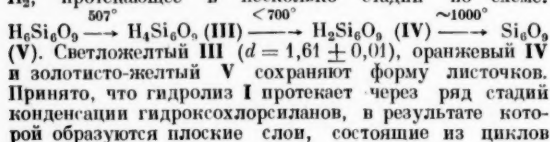
В результате многочисленных измерений $MR_D \text{CO}_2$ установлено, что для свежеприготовленного газа MR_D не зависит от плотности (до $0,06 \text{ г/см}^3$), как и должно быть для неполярного в-ва. При хранении в стальных баллонах в течение года и более наблюдались изменения MR_D в зависимости от плотности, связанные с р-цией образования небольших кол-в CO . Для свежеприготовленного CO_2 $MR_D = 6,45$, $n_D = 1,00048 \pm 0,000001$. Кол-во CO в CO_2 , определенное пропусканием газа, хранившегося в стальном баллоне 3 года, через горячую CuO , составило $1:8000$ по весу.

64672. Субгидрид кремния $(\text{SiH})_n$. Шотт, Герман, Хиршман (Siliciumsubhydrid $(\text{SiH})_n$. Schott G., Herrmann W., Hirschmann E.), Angew. Chemie, 1956, 68, № 6, 213 (нем.)

$(\text{SiH})_n$ (I) получен р-цией в эфирном р-ре: $n\text{SiHBr}_3 + 1,5 n \text{Mg} \rightarrow 1,5 n \text{MgBr}_2 + \text{I}$; растворимый в эфире MgBr_2 легко отделяется от I, но все же в продукте содержится вг. Соединение I является интенсивно желтым, твердым, но хрупким в-вом, медленно окисляющимся в сухом воздухе и быстро — во влажном. I относительно устойчив в воде, но бурно разлагается р-ром щелочи: $\text{I} + 2n \text{H}_2\text{O} \rightarrow n\text{SiO}_2 + 2,5 n \text{H}_2$. Вероятно, I является полимером, образующим пространственную сетку. **И. Р.**

64673. О напоминающей слюду форме оксигирида кремния. $[\text{HSiO}_{1,5}]_x$. Виберг, Зиммер (Über eine Glimmer-Form des Siliciumoxyhydrids $[\text{HSiO}_{1,5}]_x$. Wiberg Egon, Zimmer Walter), Z. anorgan. und allgem. Chem., 1956, 283, № 1-6, 401—413 (нем.)

При конденсации HSiCl_3 (I) в р-р H_2O в эфире (I: $\text{H}_2\text{O} = 1:1,5$; молярность I равна $0,36$) и нагревании смеси до комнатной т-ры образуется прозрачный р-р; в конце испарения р-ра в высоком вакууме при -40° выпадает блестящие, прозрачные, похожие на слюду, листочки $[\text{HSiO}_{1,5}]_x$ (II). Суммарное ур-ние р-ции: $\text{HSiCl}_3 + 1,5 \text{H}_2\text{O} \rightarrow \text{HSiO}_{1,5} + 3\text{HCl}$. Соединение II не растворимо в органич. р-рителях, неплавко, медленно истевает в пламени, уд. вес II равен $1,51 \pm 0,01$. При нагревании в высоком вакууме происходит отщепление H_2 , протекающее в несколько стадий по схеме:



Светложелтый III ($d = 1,61 \pm 0,01$), оранжевый IV и золотисто-желтый V сохраняют форму листочков. Принято, что гидролиз I протекает через ряд стадий конденсации гидроксодорсиланов, в результате которых образуются плоские слои, состоящие из циклов

$(\text{SiH})_6\text{O}_6$; при пиролизитич. отщеплении H_2 образуются связи Si—Si между разными слоями; конечным продуктом является $[\text{Si}_2\text{O}_3]_x$. На основании стереохимич. моделей обсуждено влияние размера алкила R на состав продуктов гидролиза алкилтрихлорсиланов RSiCl_3 .

И. Р.

64674. О трифториде ниобия. Эрлих, Плэгер, Пизка (Über Niobtrifluorid. Ehrlich Paul, Plöger Fritz, Pietzka Gerhard), Z. anorgan. und allgem. Chem., 1955, 282, № 1-6, 19—23 (нем.)

Для получения NbF_3 (I) гидрид $\text{NbH}_{0,7}$ нагревали при 200° в атмосфере H_2 , затем, при пропускании $\text{HF} + \text{H}_2$ (1:1), т-ру медленно повышали до $560\text{—}580^\circ$ (в течение 2—3 час.) и после действия смеси $\text{HF} + \text{H}_2$ в течение 5—6 час. продукт охлаждали в токе H_2 . Выход темносинего I $55\text{—}60\%$; остальной Nb улетучивался в виде NbF_5 . I устойчив на воздухе при комнатной т-ре; выше $300\text{—}400^\circ$ начинается быстрое разложение I; при прокаливании I превращается в Nb_2O_5 . I устойчив к действию конц. сильных к-т и к действию смеси KOH , NaOH и H_2O_2 ; разлагается при сплавлении с пиросульфатом или едкими щелочами. I начинает сублимироваться в вакууме (10^{-3} мм рт. ст.) при $\sim 570^\circ$, не диспропорционируясь на Nb и NbF_5 . I кристаллизуется по типу ReO_3 , a 3,895 кХ, ф. гр. $O_h^h\text{—}Pm3m$, $n=1$, $\rho_{\text{рент.}}$ 4,19, ρ 4,02; расстояние Nb—Nb = 3,895; Nb—F = 1,948 и F—F = 2,754 кХ. Молярные магнитные восприимчивости I при 90 и 293°K соответственно равны $250 \cdot 10^{-6}$ и $143 \cdot 10^{-6}$; отсюда $\theta = -180^\circ$ и $\mu_{\text{эф.}} = 0,7 \mu_B$. **И. Р.**

64675. О субсульфидах церия и иттрия. Флао, Гиттар (Sur les sous-sulfures de cérium et d'yttrium. Flahaut Jean, Guittard Michel), C. r. Acad. sci., 1956, 242, № 10, 1318—1321 (франц.)

Субсульфид церия CeS был получен по р-ции $\text{Ce}_2\text{O}_3 + 2\text{Ce}_2\text{S}_3 + 2\text{Al} = \text{Al}_2\text{O}_3 + 6\text{CeS}$. Практически, вместо неустойчивого Ce_2O_3 берут оксалат Ce, разлагающийся при нагревании в вакууме. Спрессованную под давл. 150 кг/см^2 смесь, содержащую 5-кратный избыток Al, нагревают 4 часа при 1350° в вакууме. Затем нагревают 2 часа при 1600° в графитовой лодочке для освобождения от избытка Al и от Al_2O_3 , удаляемых в виде летучей субокси Al. CeS образует золотисто-желтые кристаллы с металлич. блеском; решетка куб. типа NaCl, a 5,783 Å; d 5,88. Магнитная восприимчивость $\chi_M = 2110 \cdot 10^{-6}$. CeS весьма огнеупорен: т. пл. при мгновенном нагревании 2100° с диссоциацией на Ce и Ce_2S_4 . При соприкосновении с графитом при 1900° образует карбид. Впервые получен рубиновокрасный субсульфид иттрия YS нагреванием в вакууме смеси равных кол-в Y_2S_3 и Al в течение 4 час при 1350° , а затем, после прибавления Al, в течение 4 час. при 1400° . Структура YS аналогична CeS , для в-ва теоретич. состава a 5,466 Å, d 4,51; при избытке иттрия a достигает 5,495 Å. Для YS $\chi = 100 \cdot 10^{-6}$; т-ра плавления 2040° ; при этой т-ре образуется Y_2S_3 ; при 1850° начинает образовываться карбид. CeS и YS электропроводны; величина χ указывает на наличие в решетке 3-зарядных ионов металлов, ионов S^{2-} и свободных электронов. Оба субсульфида растворяются в разб. (1:100) уксусной к-те и др. к-тах, окисляются р-рами KMnO_4 и J_2 , медленно окисляются при нагревании на воздухе. **И. С.**

64676. Об оксесульфидах цериевых редких земель. Пикон, Патри (Sur les oxysulfures des terres rares cériques. Picon Marius, Patrie Madeleine), C. r. Acad. sci., 1956, 242, № 4, 516—518 (франц.)

Оксесульфиды La, Pr, Nd и Sm получались методом, описанным ранее (РЖХим, 1956, 61253). $\text{La}_2\text{O}_2\text{S}$ светло-

желтого цвета; параметры гексагональной решетки a 4,020; c 6,906 Å; d 5,77; слегка парамагнитен; т. пл. $1940 \pm 20^\circ$. $\text{Pr}_2\text{O}_3\text{S}$ черный; a 3,96; c 6,81 Å. $\text{Nd}_2\text{O}_3\text{S}$ светлосиний; a 3,934; c 6,759 Å; d 6,22; магнитная восприимчивость $\chi = 4846 \cdot 10^{-6}$; т. пл. $1990 \pm 20^\circ$. $\text{Sm}_2\text{O}_3\text{S}$ светлокоричневый; a 3,884; c 6,673 Å; d 6,90; $\chi = 953,9 \cdot 10^{-6}$; т. пл. $1880 \pm 20^\circ$. Все полученные окисульфиды растворяются в разб. минеральных к-тах, хотя и медленнее, чем соответствующие сульфиды; все, кроме $\text{Sm}_2\text{O}_3\text{S}$, медленно растворяются на холоду в разб. (1:10) уксусной к-те. Окисульфиды La, Nd и Sm устойчивы на воздухе при нагревании до 200° в течение 15 суток, не окисляются разб. KMnO_4 ; 0,1 н. р-р иода окисляет лишь $\text{La}_2\text{O}_3\text{S}$. При нагревании окисульфидов с Al в вакууме выше 1200° образуется Al_2O_3 , субсульфид MS и сплав металла с Al, имеющий куб. структуру типа NaCl.

И. С. 64677. О субсульфидах цериевых редких земель. Пикон, Патри (Sur les sous-sulfures des terres rares cériques. Picon Marius, Patrie Madeleine), C. r. Acad. sci., 1956, 242, № 10, 1321—1324 (франц.)

Получены субсульфиды MS (где $M = \text{La, Pr, Nd, Sm}$) цериевых редких земель. Эквимолекулярную смесь порошков окисульфида $\text{M}_2\text{O}_3\text{S}$ и сульфида M_2S_3 спрессовывают под давлением 150 кг/см^2 с 25% порошка Al и нагревают в Al-тигле в вакууме 4 часа при 1350° . Идет р-ция $3\text{M}_2\text{O}_3\text{S} + 3\text{M}_2\text{S}_3 + \frac{1}{2}\text{Al} = 12\text{MS} + 2\text{Al}_2\text{O}_3$. Затем нагревают 2 часа при 1600° в графитовом тигле для удаления (в виде летучей субокси Al) избытка Al и Al_2O_3 . При получении SmS нельзя повышать т-ру выше 1500° . LaS золотистого цвета; имеет, как и остальные субсульфиды, куб. решетку типа NaCl; a 5,788 Å; d 5,75; молекулярная магнитная восприимчивость $\chi = 281 \cdot 10^{-6}$; т. пл. 1970° . PrS темнозолотистого цвета, a 5,747 Å. NdS золотистого цвета; a 5,690 Å; d 6,24; $\chi = 4370 \cdot 10^{-6}$; т. пл. 2140° . SmS (являющийся производным Sm^{2+}) черный, a 5,863 Å; d 5,64; $\chi = 4970 \cdot 10^{-6}$; т. пл. 1940° . Субсульфиды La, Pr, Nd обладают структурой с металлич. связью и содержат ионы M^{3+} . Все субсульфиды реагируют с разб. к-тами: с HCl или CH_3COOH образуется 2 об. H_2S и 1 об. H_2 ; с HNO_3 и конц. H_2SO_4 выпадает S. На воздухе при 200° окисляются медленно. H_2O_2 окисляет все полученные субсульфиды, а разб. KMnO_4 только SmS.

И. С. 64678. Ортоферраты. Шольдер, Бунзен, Цейсс (Über Orthoferrate (IV). Scholder R., Bunsen H. V., Zeiss W.), Z. anorgan. und allgem. Chem., 1956, 283, № 1—6, 330—337 (нем.)

Описаны детали получения Sr_2FeO_4 (II), Ba_2FeO_4 (II) и Ba_2FeO_5 (III) окислением смесей $\text{M}_2[\text{Fe}(\text{OH})_6]$ и $\text{M}(\text{OH})_2$, где $M = \text{Sr}$ или Ba , и нагреванием их в токе O_2 (РЖХим, 1956, 42919). Дебааграммы указывают на сходство структур I с Sr_2MnO_4 и II с Ba_2TiO_4 . Частичное разложение I в атмосфере O_2 , сопровождающееся отщеплением O_2 , начинается выше 900° ; незначительное разложение II происходит выше 950° . Соединения I, II и III окрашены в черный цвет, быстро разлагаются водой и разб. сильными к-тами, отщепляя O_2 и восстанавливаясь до соединений $\text{Fe}(3+)$; III особо чувствителен к действию влаги. 83%-ная HNO_3 очень медленно действует на I; при разбавлении водой происходит мгновенная р-ция. Нагреванием смесей Fe_2O_3 и Na_2O с отношением $\text{Na} : \text{Fe} = 4,06—4,12$ в токе тщательно осушенного O_2 при 450° в течение 1 часа получен чистый черный Na_4FeO_4 (IV), устойчивый в токе сухого O_2 , по крайней мере, до 700° . IV очень гигроскопичен, в разб. мелочи он мгновенно диспропорционируется: $3\text{Na}_4\text{FeO}_4 + 5\text{H}_2\text{O} = \text{Na}_2\text{FeO}_4 + \text{Fe}_2\text{O}_3 + 10\text{NaOH}$.

И. Р. 64679. Метаферраты. Шольдер, Киндерфатер, Цейсс (Über Metaferrate (IV). Schol-

der R., Kindervater F., Zeiss W.), Z. anorgan. und allgem. Chem., 1956, 283, № 1—6, 338—345 (нем.)

Аморфный черный $\text{BaFeO}_3 \cdot \text{aq}$ образуется при нагревании влажного свежеприготовленного $\text{BaFeO}_4 \cdot \text{H}_2\text{O}$ с 50%-ным р-ром KOH до $90—100^\circ$. При нагревании высушенного $\text{BaFeO}_4 \cdot \text{aq}$ ($\sim 2\%$ H_2O) в токе O_2 при 200° происходит значительное разложение с образованием $\text{Fe}(3+)$, но выше 350° происходит вторичное окисление до $\text{Fe}(4+)$, заканчивающееся при $750—800^\circ$ образованием темносерого кристаллич. BaFeO_3 (I). При более высоких т-рах I частично разлагается. Окисление смесей BaO с Fe_2O_3 или $\text{Ba}(\text{FeO}_2)_2$, или смесей Fe_2O_3 и BaCO_3 не протекает полностью. $\text{SrFeO}_4 \cdot \text{aq}$ разлагается до $\text{Fe}_2\text{O}_3 \cdot \text{aq}$ при нагревании с 50%-ным р-ром KOH или обработке насыщ. р-ром $\text{Sr}(\text{OH})_2$ при 20° . SrFeO_3 (II) получен нагреванием $\text{SrFeO}_4 \cdot \text{aq}$ в токе сухого O_2 сперва при $150—200^\circ$, затем — при $700—1000^\circ$. I и II кристаллизуются по типу перовскита. I не разлагается холодной водой в течение суток, II менее индифферентен к действию воды. Нагреванием смеси $\text{K}_2\text{FeO}_4 + 8\text{LiOH}$ при $300—320^\circ$ и экстрагированием избытка LiOH метанолом при -30° (или водн. р-ром LiOH при -8°) получен черный Li_2FeO_3 , быстро разлагающийся холодной водой с выделением O_2 и $\text{Fe}_2\text{O}_3 \cdot \text{aq}$. Смешением охлажденных во льду р-ров K_2FeO_4 и AgNO_3 получен черный рентгеноаморфный Ag_2FeO_3 . Авторы предполагают, что первоначально осаждается Ag_2FeO_4 , быстро превращающийся в Ag_2FeO_3 . При смешении р-ров K_2FeO_4 с р-рами $\text{Pb}(\text{CH}_3\text{COO})_2$ или TiNO_3 происходит выделение $\text{Fe}_2\text{O}_3 \cdot \text{aq}$ и окисление $\text{Pb}(2+)$ и $\text{Ti}(1+)$.

И. Р. 64680. Некоторые вопросы химии позолоты. Багнал К. У. В кн.: Химия ядерного горючего. (Докл. ин. ученых на Междунар. конференции по мирному использованию атом. энергии, Женева, 1955), М., Госхимиздат, 1956, 505—510
Обзор. Библ. 29 назв. См. также, РЖХим, 1955, 54869, 1956, 46639.

64681. Окислы урана. Часть VII. Окисление двуокиси урана. Андерсон, Роберте, Харпер (The oxides of uranium. Part VII. The oxidation of uranium dioxide. Anderson J. S., Roberts L. E. J., Harper E. A.), J. Chem. Soc., 1955, Nov., 3946—3959 (англ.)

Окисление UO_2 (I) протекает по двум разным процессам: при т-рах от -130 до 50° и $130—180^\circ$; в обоих случаях кислород внедряется в решетку I. Последовательное окисление I при т-рах $< 30^\circ$ и восстановление образующегося продукта до I не изменяют заметно поверхности образца. Свежевосстановленные образцы I со средним диаметром частиц $d = 0,05 \mu$ самовосгорают в O_2 при 0° , образцы с $d = 0,4 \mu$ — при 150° . При т-рах от -130 до 50° скорость р-ции незначительно возрастает с ростом давления O_2 ; зависимость от продолжительности р-ции (t) выражается ур-нием: $c = (1/p) \ln(1 + Kpt)$, где c — кол-во поглощенного кислорода, а K и p — константы; p уменьшается с ростом т-ры; K , по мнению авторов, зависит от условий в момент контакта I и O_2 . Окисление твердого р-ра I и ThO_2 протекает по тому же кинетич. закону. Низкотемпературное окисление I при уд. поверхности $11 \text{ м}^2/\text{г}$ протекает до образования $\text{UO}_{2,16}—\text{UO}_{2,18}$. При нагревании до $130—180^\circ$ начинается вторая р-ция окисления, скорость которой определяется диффузией. Повышение давления O_2 незначительно увеличивает скорость этой р-ции и приводит к обогащению продукта р-ции кислородом до $\text{U}_{2,33}\text{NO}_2$ окисляет I значительно быстрее, чем O_2 . Часть VI, РЖХим, 1956, 57688.

И. Р. 64682. Химия рутения. Флетчер Дж. М., Мартин Ф. С. В кн.: Химия ядерного горючего.

(Докл. ин. ученых на Междунар. конференции по мировому использованию атом. энергии, Женева, 1955), М, Госхимиздат, 1956, 385—392

Обзор. Библ. 15 назв.

А. Н.

64683. Конференция по химии комплексных соединений.—(Symposium over de chemie van complexe verbindingen georganiseerd door de Sectie voor Physische Chemie en Kolloïdchemie, gehouden op 25 en 26 November 1954 te Leiden.—), Chem. weekbl., 1956, 52, № 13, 193—246 (голл.)

Сообщение о конференции, состоявшейся 25 и 26 ноября 1954 г. в Лейдене. Ван-Аркел (Arkel A. E., van), Неорганич. комплексы; Гердинг (Gerding H.), Определение строения некоторых неорганич. комплексных соединений с помощью спектроскопии комб. расщ.; Герритсен (Gerritsen H. J.), Изучение комплексов методом магнитного резонанса; Груневелд (Groeneveld W. L.), Хлоро-...ониевые и оксихлоридные комплексы; Кетелар (Ketelaar J. A. A.), Молекулярные соединения; Столпе (Stolpe C. van de), Образование комплексов с переносом заряда; Даллинг (Dallinga G.), Комплексы ароматич. нитросоединений. Устойчивость комплексов; Схейер (Schuyter J.), Комплексы в каменном угле; Маккор (Masker E. L.), Протонные комплексы пирена; Валс (Waals J. H. van der), Заключительное слово.

В. III.

64684. Комплекс трифторида бора с N_2O_4 . Его состав и химические свойства. Бакман, Фьюэр, Блуэстейн, Вогт (The boron trifluoride-nitrogen tetroxide complex. Its composition and chemical behavior. Bachman G. Bryant, Feuer Henry, Bluestein B. R., Vogt C. M.), J. Amer. Chem. Soc., 1955, 77, № 23, 6188—6190 (англ.)

При смешении газообразных, жидких или растворенных BF_3 и равновесной смеси $2NO_2 \rightleftharpoons N_2O_4$ (I) экзотермически образуется белый аморфный твердый $BF_3 \cdot N_2O_4$ (II), не плавящийся в запаянной трубке до 300° . II сублимируется с диссоциацией на компоненты при комнатной т-ре, быстро реагирует с влагой воздуха; II не растворим во всех р-телях, с которыми он не реагирует, в том числе и в CH_3NO_2 , $C_6H_5NO_2$, N_2O_4 , алифатич. углеводородах и их хлорпроизводных. II реагирует с в-вами, с которыми реагируют BF_3 или I, напр. с водой, эфирами, кетонами, органич. к-тами и их сложными эфирами, аминами и пиридином, циклогексеном, метилакрилатом и т. д. Для проведения р-дий присоединения I к ненасыщ. молекулам II не имеет преимуществ перед I. Бензол, растворенный в нитроэтаноле, нафталин и $C_6H_5NO_2$ нитруются II при низких т-рах; отношение между 1,5- и 1,8-динитронафталинами резко возрастает по сравнению с получаемым при нитровании кислотной смесью. II воспламеняет анилин и резорлин. Авторы приписывают II строение $(F_3B \leftarrow NO_2) \cdot (NO_2)^+$.

И. Р.

64685. О двойных солях лантана, церия, празеодима и неодама с нитратом трифенилбензилфосфония. Медоке Г. В., Ж. общ. химии, 1956, 26, № 2, 382—384

Полученные соли имели общий состав $[(C_6H_5)_3P(C_6H_5CH_2)_2]_2[M(NO_3)_3]$ (I), где $M = La, Ce, Pr, Nd$. I готовились нагреванием спиртовых р-ров $M(NO_3)_3 \cdot nH_2O$ с нитратом трифенилбензилфосфония. I для La представляет собой бесцветные кристаллы. После перекристаллизации из спирта имеют т. пл. $158,5^\circ$. I для Ce — бесцветные кристаллы в форме табл. Т. пл. $160,75^\circ$. I для Pr — светлозеленые кристаллы. После перекристаллизации из кипящего спирта т. пл. $162,5^\circ$. Растворимость в кипящем этаноле 2,23 вес. ч. на 1 ч. спирта. Растворим в этиловом эфире, хлороформе и углеводородах. I для Nd — кристаллы сиреневого цвета. После перекристаллизации из кипящего этанола т. пл.

$164,5^\circ$. Растворимость 0,57 вес. ч. на 1 вес. ч. кипящего этанола. Легко растворим в метаноле и ацетоне. Плохо растворим в холодном изопропановом спирте, лучше — в горячем. Практически нерастворим в этиловом эфире, хлороформе и углеводородах. При растворении в воде подвергается гидролизу.

Е. Т.

64686. Соединения графита с аммиакатами щелочных металлов. Рюдорф, Шульце, Рубиш (Alkaliammingraphitverbindungen. Rüdorff W., Schulze E., Rubisch O.), Z. anorgan. und allgem. Chem., 1955, 282, № 1—6, 232—240 (нем.)

При действии р-ров Li, Na, K, Rb или Cs в жидком NH_3 на графит при т-рах от -50 до -40° или при действии жидкого NH_3 на соединения K, Rb или Cs с графитом образуются весьма реакционноспособные соединения: синие, по составу близкие к $C_{12}M(NH_3)_2$ (I), и черные, по составу близкие к $C_{24}M(NH_3)_2$ (II), где M — щел. металл. Р-р Li в CH_3NH_2 образует с графитом соединения типа I, $C_{12}Li(CH_3NH_2)_2$ (III). Соединения, особенно типа I, быстро разлагаются на воздухе, отщепляя NH_3 , энергично реагируют с водой, образуя H_2 и MOH. При хранении в атмосфере N_2 соединения K, Rb и Cs устойчивы в течение нескольких месяцев; соединения Na и Li в течение 1—2 дней образуют амиды металлов, отщепляя H_2 . На основании дебаграмм соединений сделан вывод, что при образовании соединений типа II слой M и NH_3 вклиниваются через каждые 2 слоя атомов C графита, и расстояния между слоями атомов C равны 6,6 и 3,3 кХ. В соединениях типа I слой M и NH_3 чередуются со слоями атомов C; независимость расстояний между слоями атомов C (6,6 кХ) от M указывает, что это расстояние, определяется молекулами NH_3 , а M занимают пустоты между ними; действительно, замена NH_3 на CH_3NH_2 в III увеличивает расстояние между слоями C до 6,9 кХ.

И. Р.

64687. О новом комплексе окиси углерода, содержащем хлорид магния. Петер (Über einen neuen, Magnesiumchlorid enthaltenden Kohlenoxyd-Komplex. Peter M. x), Monatsbull. Schweiz. Verein Gas- und Wasserfachmännern, 1956, 36, № 3, 58—64 (нем.)

Изучен комплекс (I), образующийся в виде мелких кристаллов при пропускании CO в насыщ. р-р $MgCl_2$, содержащий $CuCl$ (Deringer H., Chimia, 1947 1, 125). I получается также из пластинок $[CuCl \cdot CO \cdot 2H_2O]$ (II) при прибавлении к р-ру твердого $MgCl_2$; при разбавлении р-ра I превращается в II.

Хим. анализ I весьма затруднен из-за невозможности полного отделения маточного р-ра. Наиболее вероятный, по мнению автора, состав I $[CuCl \cdot CO \cdot 2H_2O \cdot Mg \cdot Cl_2 \cdot 4H_2O]$, на основании чего I приписано строение 2-ядерного комплекса (A). Приведены дебаграммы I и II. Показано, что облучение ультразвуком с частотой 20 кГц—1,2 МГц не увеличивает давления CO над I.

И. С.

64688. Структурные аспекты гидролиза тетраэтитаната. Брэдли, Гейз, Уордло (Structural aspects of the hydrolysis of titanium tetraethoxide. Bradley D. C., Gaze R., Wardlaw W.), J. Chem. Soc., 1955, Nov., 3977—3982 (англ.)

Эбуллиометрически изучен гидролиз $Ti(OC_2H_5)_4$ (I) в кипящем разб. спирте. Зависимость числа атомов Ti на 1 «осмотич.» молекулу (n) от отношения H_2O : I не соответствует развитой ранее теории (Boyd, J. Polymer Sci., 1951, 7, 591). Исходя из предположения, что в I атом Ti координирует 6 атомов O. даны предположительные структуры тримера I, $[Ti_3(OC_2H_5)_6]_n$ в $[Ti_3(x+1)O_4x(OC_2H_5)_4(x+3)]_n$, где $x = 0, 1, 2, 3$ и $n = 3(x+1)$. Выделенное ранее (РЖХим, 1956, 9855) кристаллич.

в-во соответствует $x=1$, т. е. имеет состав $[Ti_4O_4(OC_2H_5)_6]_n$ (II); другой кристаллич. продукт $[Ti_{12}O_{12}(OC_2H_5)_{24}]_n$ (III) соответствует $x=3$. Конечный продукт полимеризации $[Ti_3O_4(OC_2H_5)_4]_n$ нерастворим и образуется при кипячении III со спиртом, содержащим достаточное кол-во воды, нагреванием II до 200° в вакууме или нагреванием III. И. Р.

64689. О комплексных соединениях тория. I. Комплексные соединения тория с 1,3-дикетонами. Вольф, Ян (Über Komplexverbindungen des Thoriums. I. Komplexverbindungen des Thoriums mit 1,3-Diketonen. Wolf Leopold, Jahn Hans-Joachim), J. prakt. Chem. 1955, 1, № 5—6, 257—276 (нем.)

С целью разработки непрерывного метода отделения Th от редкоземельных элементов получены внутрикомплексные соединения Th со следующими 1,3-дикетонами общей ф-лы $Th(1,3\text{-дикетон})_4$: дибензоилметаном (т. пл. комплекса 201—202°, бензоилацетоном (216—217°), фурилбензоилметаном (217°, разл.), анизоилбензоилметаном (242—244°, разл.), анизоилацетоном (208—210°), 2-бензоиллидаоном-1 (210—214°, разл.), 2-ацетилтетраоном-1 (207—210°), 2-ацетилциклопентаноном-1 (195—206°, разл.), 2-ацетилциклогексаноном-1 (193—194°), фенацетилбензоилметаном (110°), *d*-1,3-бензоилкамфорой (196—197°), *d*-1,3-оксиметиленкамфорой (192—198°), *m*-нитробензоилбензоилметаном (222—224°, разл.), *n*-нитробензоилбензоилметаном (280—295°, разл.), *m*-броманизоилбензоилметаном (214—215°), *m*-нитроанизоилбензоилметаном (135—145°, разл.) и изучена их растворимость в органич. р-рителях. Приведены структурные ф-лы комплексов. Все полученные комплексы являются типичными неэлектролитами. Они легко растворяются в неполярных и трудно — в полярных р-рителях. Комплексы тория с дикетонами, содержащими ароматич. радикалы, труднее растворимы, чем с дикетонами с алифатич. или алицикл. радикалами. Описано получение фталонитриана Th. Е. Г.

64690. О строении родано-соединений хрома. Зель, Хаузер, Веземан (Zur Konstitution der Chrom-Rhodan-Verbindungen. Seel F., Hauser A., Wesemann D.), Z. anorgan. und allgem. Chem., 1956, 283, № 1—6, 351—358 (нем.)

В р-ре в жидком SO_2 легко протекает р-ция $K[Cr(NCS)_4(NH_3)_2] + (I) + NOCl \rightarrow KCl + [Cr(NCS)_3(NCSNO)(NH_3)_2]_n$ (II). При нагревании в водн. или в несольватизирующих р-рителях (SO_2 , CH_3NO_2), а также в сухом состоянии, II легко отщепляет NO. Первичным продуктом осторожного разложения II при $t \leq 20^\circ$ является светлорозовый или оранжево-красный $[Cr(NCS)_3(NH_3)_2]_2(NCS)_2$ (III), который может быть перекристаллизован из жидкого SO_2 . Максимумы полос поглощения Cr (3+) в р-рах I и II в CH_3NO_2 лежат при одной частоте. Из кипящего р-ра III в CH_3NO_2 быстро отщепляется полиродан и образуются блестящие красно-фиолетовые кристаллы $[Cr(NCS)_3(NH_3)_2]_2$ (IV), растворяющиеся в холодной воде без разложения; IV при кипячении с р-ром KSCN превращается в I. Полосы поглощения Cr(3+) в р-рах IV в H_2O и CH_3NO_2 лежат при одинаковых частотах; значительное уширение полосы родана указывает на наличие двух NCS-ионов в мостике. Сопоставление УФ-спектров поглощения водн. р-ров $[Cr(NCS)_3]^{3-}$, I, $[Cr(NCS)_3(OH_2)(NH_3)_2]$, $[Cr(NCS)_2En_2]^+$, $[Cr(NCS)(NH_3)_5]^{2+}$ и IV приводит авторов к выводу, что роданогруппы во всех комплексах связаны одинаковым образом. Исходя из р-ций образования и свойств II и IV, авторы полагают, что роданогруппы связаны с атомами Cr через атомы N, т. е. что эти комплексы являются изороданидными. И. Р.

64691. Фторокомплексы четырехвалентного рения. Вейзе (Fluorokomplexe des vierwertigen Rheni-

ums. Weise Eberhard), Z. anorgan. und allgem. Chem., 1956, 283, № 1—6, 377—389 (нем.)

Описанный ранее (Ruff O., Kwasnick W., Z. anorgan. und allgem. Chem., 1934, 219, 78) метод получения K_2ReF_6 (I) не приводит к цели. Для получения I осторожно сплавляли K_2ReBr_6 в Pt-тигле с 10-кратным кол-вом KHF_2 и сплав выщелачивали холодной водой. Осадок растворяли в теплой воде; отделенный от хлопьев $Re(OH)_4$ розовый фильтрат выпаривали и кристаллизовали; выделялись прозрачные бледнорозовые треугольные листочки I; выход 85—90%. Из р-ра I могут быть осаждены менее растворимые Rb_2ReF_6 (II) и Cs_2ReF_6 (III). Другой метод получения I—III заключается в нагревании находящегося в корундовой лодочке в Cu-трубке M_2ReBr_6 в токе HF при 450° C, а для III, частично плавящегося при этой t -ре, — при 350° C. M_2ReF_6 бесцветны, но водн. р-ры их постепенно розовеют в связи с частичным замещением F^- на OH^- . Тем же замещением объясняется розовый цвет выделенных из р-ров M_2ReF_6 ; степень замещения меньше соответствующей ф-ле M_2ReOHF_5 . В отличие от прочих гексагалогенидных комплексов $Re(4+)$, M_2ReF_6 и M_2ReOHF_5 не гидролизуются в р-ре. Розовые M_2ReF_6 и бесцветный I при нагревании выше 200° C превращаются в $MReO_4$; из бесцветных II и III при нагревании на воздухе до 400° C улетучивается значительная часть Re и образуются бесцветные диамагнитные растворимые в воде в-ва, кристаллизующиеся в куб. системе (тип K_3FeF_6). Из измерений при 90—493° K магнитных восприимчивостей I—III по закону Кюри — Вейсса вычислены μ (эфф.), равные в среднем для бесцветных солей 3,2, для розовых 3,4 μ_B , что несколько ниже значения, соответствующего трем неспаренным электронам $Re(4+)$. Параметры решеток розовых и бесцветных солей одинаковы. Соли кристаллизуются в треугольной системе (тип K_2GeF_6). Для I, II и III молярные объемы соответственно равны 82,2, 90,4 и 103,3 cm^3/mol ; параметры решетки: a 5,85; 6,03 и 6,30; c 4,60; 4,77 и 4,99 Å; c/a 0,79 для всех солей. Если принять радиус иона $Re(4+)$ равным $r = 0,67$ Å, то межмолекулярные расстояния (в Å): $Re - F$ 2,00; $F - F$ 2,66; $K - F$ 2,66, $Rb - F$ 2,82 и $Cs - F$ 2,95; для $r = 0,72$ Å, $Re - F$ 2,05 Å. И. Р.

64692. Получение *цис*- и *транс*-дихлоробис-1-пропилендиаминкобальтихлорида. Мартинетт, Буш, Гулбинская (The preparation of *cis*- and of *trans*-dichloro-bis-1-propylenediaminecobalt (III) chloride. Martinette Sr Mary, Busch Joan, Gulbinskas Milda), J. Amer. Chem. Soc., 1955, 77, № 24, 6507 (англ.)

Описан полумикрометод, являющийся улучшением метода получения дихлоробис-1-пропилендиаминкобальтихлорида (I) (Bailar J. C. и др., J. Amer. Chem. Soc., 1939, 61, 2402). Для получения *транс*-I к 3,8 мл 1-пропилендиамина и 4,76 г $CoCl_2 \cdot 6H_2O$ при охлаждении и перемешивании добавляют 3 мл 30%-ной H_2O_2 , а затем 25 мл 34%-ной HCl. Упаривают втрое при 80°, пропуская над р-ром ток воздуха, отфильтровывают, промывают эфиром и сушат зеленые кристаллы *транс*-I. Для перевода в *цис*-форму растворяют *транс*-I в миним. кол-ве воды, нейтрализуют р-ром $NH_3(1:4)$ до pH 7 и выпаривают. Образуется стеклообразный *цис*-I; попытки кристаллизовать в-во не удалось. Выход I 45—55%. И. С.

64693. Дальнейшие сообщения о способности стилибендиамина и продуктов его замещения к образованию координационных соединений с никелем. Хейн, Мюллер (Weitere Beiträge zum Koordinationsverhalten des Stilbendiamins und seiner Substitutionsprodukte gegenüber Nickel. Hein Fr., Müller H.), Z. anorgan. und allgem. Chem., 1956, 283, № 1—6, 172—187 (нем.)

Исследованы изомерные превращения стильбендиаминовых (Sen) комплексов Ni(2+), существующих в желтой и синей формах (Lifschitz J., *Z. anorgan. und allgem. Chem.*, 1939, 242, 96; *Recueil trav. chim.*, 1940, 59, 407; 1941, 60, 581). Установлено, что существуют 2 желтые формы $[\text{Ni}(\text{Sen})_2](\text{ClCH}_2\text{COO})_2$ (I), одна из которых стабильна и не может быть превращена в синюю; предположено, что в ней группы C_6H_5 расположены попарно по обе стороны координационного квадрата. Введением спирта р-ров Sen в водн. р-ры солей Ni(2+) получены комплексы $[\text{Ni}(\text{Sen})_2]\text{X}_2$, где X = Br (II), BrCH_2COO (III), $\text{C}_6\text{H}_5\text{CH}=\text{CH}-\text{COO}$, $o\text{-C}_6\text{H}_4(\text{OH})\text{COO}$, $o\text{-C}_6\text{H}_4(\text{OCH}_3)\text{CO}$, $\text{OCH}_2\text{CH}_2\text{COO}$, $\text{C}_6\text{H}_5\text{CH}_2\text{COO}$. Соединения II и III получены только в желтых формах, несмотря на сходство строения I и III. Прочие получены в виде синих и желтых форм, в зависимости от отношения объемов спирта и воды. р-ров; большее кол-во воды способствует выделению синей формы. Введение воды в р-р синей формы в абс. спирте вызывает, как и в случае I, пожелтение р-ра; из этих р-ров выделяются желтые кристаллы. Желтые формы плохо растворимы в воде и обычных органич. р-рителях, синие формы растворимы в последних. В горячем формиде растворимы все комплексы; из разб. кипящим спиртом и водой р-ров синих форм Ni количественно осаждается реактивом Чугаева, но р-ры желтых форм лишь слабо реагируют с ним. Сходными методами получен не вполне чистый желтый комплекс диметоксистильбендиамина $[\text{Ni}\{(\text{CH}_2\text{OC}_6\text{H}_4)_2\text{C}_2\text{H}_2\text{NH}_2\}_2](\text{CHCl}_2\text{COO})_2$ и комплекс диметилстильбендиамина (Desen) $[\text{Ni}(\text{Desen})_2]\text{X}_2$, где X = CHCl_2COO (IV) и $\text{C}_6\text{H}_5\text{CH}_2\text{COO}$ (V). Соединение IV получено в неустойчивой синей и устойчивой желтой формах, сходных с комплексами Sen, но переход синей формы в желтую происходит значительно быстрее. Растворимая в органич. р-рителях синяя форма V не содержит кристаллизационного р-рителя и сходна с комплексами Sen; при сушке смоченной водой синей формы V она превращается в устойчивую кремовую форму. Ацилирование Sen и его производных, получаемых замещением в ядре, значительно понижает способность к координированию. Амарин (Amar) (VI) осаждает из водных растворов солей Ni(2+) осадок $\text{Ni}(\text{OH})_2$. Однако смешением бензольного раствора Amar и р-ра CoBr_2 в абс. спирте получен $[\text{Co}(\text{Amar})_3]\text{Br}_2$, растворимый в спирте и быстро разлагающийся водой. Авторы считают, что синие комплексы Ni являются комплексами ион-дипольного типа, в которых атомы N обеих групп NH_2 Sen связаны с ионом Ni^{2+} электростатич. силами.

64694. Комплексные соединения двухвалентной платины с тирозином. Волштейн Л. М., Великанова Н. С., *Ж. неорг. химии*, 1956, 1, № 1, 48—52

Получены соединения состава $[\text{Pt}(\text{TH})_2\text{Cl}_2]$ (I), $[\text{Pt}'_2(\text{NH}_3)_2]\text{Cl}_2$ (II), $[\text{Pt}'_2]$ (III), где TH и T' — координированные молекулы и соответственно радикалы тирозина (IV), связанные с Pt^{2+} через N-аминогруппы, а T — радикалы IV, образующие с Pt^{2+} пятичленные циклы. Для получения соединений р-р K_2PtCl_4 с IV и KOH (молярное отношение 1:4:4) нагревали на водяной бане. К образовавшемуся темнубурому р-ру приливали конц. HCl. Выделялась смолистая масса черного цвета, а р-р почти обесцветивался. Отфильтрованный р-р кипятили 2—3 мин., что вызывало пожелтение и выпадение желтого кристаллич. осадка I. Добавление 2 г-ов KOH на 1 моль I приводит к растворению I. Из р-ра медленно выпадает не растворимая в воде белая

внутрикомплексная соль III. При кипячении III с конц. HCl происходит размыкание циклов и вновь получается I. Молекулярная электропроводность μ $5 \cdot 10^{-4}$ М р-ра I при 25° составляет $\sim 690 \text{ ом}^{-1} \text{ см}^2$. Во времени μ растет, доходя до $\sim 800 \text{ ом}^{-1} \text{ см}^2$. В р-ре I происходит замыкание циклов, образуются III и HCl. Нагревание I с конц. р-ром NH_3 дает II. Соединение II белого цвета, не растворимо в воде, легко растворимо в разб. HCl.

64695. Константы образования комплексов 1,3-диамино-2-пропанола с различными ионами металлов. Гоник, Фернелиус, Дуглас (Equilibrium constants for the formation of complexes between 1,3-diamino-2-propanol and various metal ions. Gonic Ely, Fernelius W. Conard, Douglas Bodie E.), *J. Amer. Chem. Soc.*, 1955, 77, № 24, 6506—6507 (англ.)

Определены значения констант образования (K) комплексов 1,3-диамино-2-пропанола (I) с рядом катионов в присутствии 1М KNO_3 . Значения $\lg K_1$ и $\lg K_2$ комплексов с разными ионами приведены ниже (в скобках т-ры): H^+ 10,65 и 9,14 (0°); 9,68 и 8,23 (30°); 9,11 и 7,69 (50°); Cu^{2+} 5,80, — (30°); Co^{2+} 3,90 и 3,24 (30°); Ni^{2+} 6,19 и 4,88 (0°); 5,64 и 4,38 (30°); 5,37 и 4,01 (50°); Zn^{2+} 4,60 и 4,42 (30°). Комплексы Co^{2+} , Ni^{2+} и Zn^{2+} с I менее устойчивы, чем комплексы тех же ионов с 2,2-диметил-1,3-диаминопропаном или (данные имеются только для Ni^{2+}) с 1,3-диаминопропаном. OH-группа I не участвует в комплексобразовании.

64696. Об образовании берлинита из осажденного нейтрального фосфата алюминия термическим путем. Папайо (Sur la formation de berlinite par voie thermique à partir de phosphate neutre d'aluminium précipité. Papailha Jean), *C. r. Acad. sci.*, 1956, 242, № 9, 1191—1193 (франц.)

При нагревании осажденного AlPO_4 не ниже 550° образуется микрокристаллич. берлинит. Р-ция идет в присутствии LiF в качестве минерализатора. При различных конц-ях LiF и т-рах образуются также фосфотридимит и фосфокристаллит.

64697. Механизм гидратации окиси кальция. Берс, Торвалдсон (The mechanism of the hydration of calcium oxide. Birss Fraser W., Thorvaldson T.), *Canad. J. Chem.*, 1955, 33, № 5, 881—886 (англ.)

Изучался механизм гидратации CaO, полученной из CaCO_3 , меченого Ca^{45} , нагреванием до постоянного веса при 700° (образец А), дополнительным нагреванием А при 1400—1500° в течение 3 час. (образец В) и 6 час. (образец В) в пересыщенном р-ре. Радиометрич. и хим. анализы р-ров, находящихся в равновесии с осадками, установлено, что гидратация «через р-р» для А проходит на 32%, для В на 57%, для В на 94%. По мнению авторов, небольшая степень гидратации А и В «через р-р» объясняется большой пористостью этих образцов, вследствие чего большая часть $\text{Ca}(\text{OH})_2$ оседает в порах частиц и препятствует ионам Ca^{2+} проникать из твердой фазы в гидратирующую жидкость.

64698. Связывание воды в фазах, образующихся при термическом разложении гидроокисей алюминия. Глемзер, Рик (Die Bindung des Wassers in den durch thermische Zersetzung von Aluminiumhydroxyden entstandenen Phasen. Glemser O., Rieck G.), *Angew. Chem.*, 1956, 68, № 5, 182 (нем.)

ИК-спектры продуктов термич. дегидратации гидроокисей Al (РЖХим, 1956, 28749) не имеют полосы поглощения, соответствующей деформационным колебаниям H_2O . У всех продуктов имеется полоса при 3 μ , отвечающая OH-группе; полоса уширена до $\sim 4 \mu$, что указывает на образование прочных водородных связей $\text{O} \cdots \text{H} \cdots \text{O}$. Гигроскопичность продуктов объясняется,

в основном, связыванием H_2O в виде OH -групп, внедряющихся в решетку. Прогретый 2 часа при 600° гидраргиллит при 18-часовом выдерживании в атмосфере с давлением паров H_2O , равным 10 мм рт. ст., повышает содержание воды от 2 до 15,9%. При этом появляется лишь слабая полоса H_2O в ИК-спектре, но сильно возрастает интенсивность полосы OH . Фазы, получаемые при термич. разложении гидроокисей Al можно рассматривать как нестехиометрич. гидроокиси с переменным содержанием OH . Нагреванием в течение 180 час. при 700° можно полностью обезводить $\gamma\text{-Al}_2\text{O}_3$ с сохранением кристаллич. решетки. И. С.

64699. Гидролиз хлористого алюминия. Кенттъямаа (The hydrolysis of aluminium chloride. K e n t t ä m ä a J o u k o), Suomalais. tiedekat. toimittuks, 1955, Sar. A. II, № 67, 39 p. (англ.)

Образование основных хлоридов Al и их равновесие с нейтр. AlCl_3 в водн. р-рах изучено криоскопич. и потенциометрич. методами. Гидролиз AlCl_3 протекает по ур-ниям: $\text{Al}^{3+} + \text{H}_2\text{O} \rightleftharpoons \text{AlOH}^{2+} + \text{H}^+$ (1) и $2\text{Al}^{3+} + 2\text{H}_2\text{O} \rightleftharpoons \text{Al}_2(\text{OH})_2^{4+} + 2\text{H}^+$ (2). Ион $\text{Al}_2(\text{OH})_2^{4+}$ представляет собой промежуточный продукт, существующий только в малых конц-ях. 2/3-основный ион Al образуется по медленной р-ции: $2\text{Al}^{3+} + 4\text{H}_2\text{O} \rightleftharpoons \text{Al}_2(\text{OH})_4^{2+} + 4\text{H}^+$ (3), а его гидролиз описывается ур-нием $2\text{Al}_2(\text{OH})_4^{2+} + 2\text{H}_2\text{O} \rightleftharpoons \text{Al}_4(\text{OH})_{10}^{2+} + 2\text{H}^+$ (4). На равновесие этих р-ций в значительной степени влияет присутствующий анион. Зависимость констант равновесия р-ций (1) — (4) от конц-ий Cl^- описывается ур-ниями типа Дебая — Хьюкеля. В р-рах 5/6-основных солей присутствуют также более высокие ионные комплексы, имеющие структуру $[\text{Al}_2(\text{OH})_n]^{n+}$. А. Р.

64700. Сравнение хода реакции сульфида и селенида трехвалентного мышьяка с жидким аммиаком. Беренс, Глассер (Vergleich der Reaktionsweisen von Arsen (III)-sulfid und Arsen (III)-selenid mit flüssigem Ammoniak. Behrens Helmut, G l a s s e r L o t h a r), Z. anorgan. und allgem. Chem., 1955, 282, № 1-6, 12—18 (нем.)

В отличие от As_2S_3 , реагирующего с жидким NH_3 по ур-нию $\text{As}_2\text{S}_3 + 2\text{NH}_3 \rightarrow \text{As}_4\text{S}_5\text{NH} + \text{NH}_4\text{HS}$ (РЖХим, 1956, 61274), суммарная р-ция As_2Se_3 с жидким NH_3 описывается ур-нием $\text{As}_2\text{Se}_3 + 2\text{NH}_3 \rightarrow \text{AsSeNH}_2 + \text{NH}_4[\text{AsSe}_2]$ (I). При этом образуются желто-оранжевый р-р и объемистый светложелтый осадок. Первоначально осадок имеет состав $\text{NH}_4[\text{AsSe}(\text{NH}_2)_2]$ (II); выше -30° отдает NH_3 и переходит в желтый $\text{NH}_4[\text{AsSe}(\text{NH})]$; при комнатной т-ре, отдавая еще одну молекулу NH_3 , превращается в AsSeNH_2 . Оставшийся в р-ре I может быть очищен от примеси II последовательными испарением и конденсацией NH_3 . Темно-красный AsSeNH_2 не растворим в жидком NH_3 и в NH_4Cl , не реагирует с KNH_2 , даже при 60° с $(\text{NH}_4)_2\text{Se}$,

в жидком NH_3 дает ортоселеноарсенит аммония $(\text{AsSeNH}_2 + 2(\text{NH}_4)_2\text{Se} \rightarrow (\text{NH}_4)_3[\text{AsSe}_3] + 2\text{NH}_3)$, кристаллизующийся при -75° в виде желто-оранжевых игл. AsSeNH_2 устойчив по отношению к воде и к-там, не обладающим окислительными свойствами; в щелочах растворяется с отщеплением NH_3 . I несколько растворим в воде, разлагается HCl ; при $150\text{—}160^\circ$ разлагается с отщеплением $(\text{NH}_4)_2\text{Se}$; взаимодействует с $(\text{NH}_4)_2\text{Se}$ в жидком NH_3 по ур-нию $\text{NH}_4[\text{AsSe}_2] + (\text{NH}_4)_2\text{Se} \rightarrow (\text{NH}_4)_3[\text{AsSe}_3]$. При р-ции I с нитратами металлов в жидком NH_3 получают соли с анионом AsSe_2^- : лимонно-желтый $[\text{Mg}(\text{NH}_3)_6][\text{AsSe}_2]_2$, кирпично-красный $[\text{Cr}(\text{NH}_3)_6][\text{AsSe}_2]_3$ и, при низкой т-ре, Li -соль; соответствующие Na - и K -соли не выпадают из-за значительной растворимости. Приведены значения эквивалентной электропроводности р-ров I и $(\text{NH}_4)_2[\text{AsSe}_3] \cdot (\text{NH}_2)_4$ в жидком NH_3 . И. С.

64701 К. Химия неметаллов (非金属の化学・日本化学會編・大日本圖書・270頁, 360圓), Нихон какаку-кай Дайнихон-тошэ, 1954, 270 стр. 360 иен (япон.)

64702 К. Реакции и свойства комплексных соединений платины с олефинами. Восстановление комплекса PtCl_2 с этиленом. Флинн (Reactions and properties of platinum olefin complexes and the reduction of ethylene platinum chloride (thesis). F l y n n J o s e p h H e n r y), Catholic univ. Amer. press, 1954, 20 p., ill., 50 c.

64703 Д. I. Стабилизация валентности при образовании лаков. II. Стереохимия неорганических комплексных соединений. Мак-Колло (I. Valence stabilization through lake formation. II. Stereochemistry of complex inorganic compounds. M c C o l l o u g h F r e d), Doct. diss., Univ. Illinois, 1955) Dissert. Abstrs, 1955, 15, № 10, 1718 (англ.)

64704 Д. Взаимодействие между двуокисью титана и карбонатами щелочноземельных элементов. Вайткус П. П. Автореф. дисс. канд. техн. н., Ин-т хим. силикатов АН СССР, Л., 1956

64705 Д. Исследование образования внутрикислотных соединений $\text{Fe}(3+)$ с гидроксамовой кислотой. Хаусмон (A study of the formation of iron (III) — hydroxamic acid chelates. H o u s m o n W i l f r e d B r i t t o n, Jr. Doct. diss., Purdue Univ., 1955), Dissert. Abstrs, 1955, 15, № 11, 2006 (англ.)

См. также: Номенкл. 64059. Период. система 64062, 64102. Элементы и простые в-ва 64063, 64294, 64295, 65186. Строение и св-ва молекул и кристаллов 64221, 64258, 64266, 64274, 64280, 64299, 64300, 64307, 64313, 64390, 64442, 64495. Кинетика и механизмы неорг. р-ций 64487, 64488, 64496, 64499, 64500, 64521. Комплексные соед. 64233, 64234, 64247, 64265, 64279, 65067, 65184, 65185, 65191. Солевые системы 65586. Др. вопр. 64199, 64620, 64623, 65212

КОСМОХИМИЯ. ГЕОХИМИЯ. ГИДРОХИМИЯ

64706. Новые исследования железных метеоритов. IV. Происхождение гелия, содержащегося в метеоритах, и возраст метеоритов. Мартин (Recent studies on iron meteorites. IV. The origin of meteoritic helium and the age of meteorites. M a r t i n G. R.), Geochim. et cosmochim. acta, 1953, 3, № 6, 288—309 (англ.)
См. РЖГео, 1954, 476. Сообщение III см. РЖХим, 1954, 41074.

64707. Космические источники глубоководных осадков. Эппик (Cosmic sources of deep-sea deposits.

Ö p i k E. J.), Nature, 1955, 176, № 4489, 926—927 (англ.)

Предполагается, что обогащение глубоководных осадков происходит за счет микрометеоритов, падающих на Землю. Анализ метеоритных материалов Аризонской экспедиции показывает, что большинство видных невооруженным глазом метеоритов состоит из поздравной массы, разрушающейся при давл. 10^4 дин/см^2 и сходной по хим. строению с аморфным космич. материалом на дне морей. Внешняя оболочка Земли, как образованная в позднем космич. стадию, также состоит из

в-в, упавших на Землю из светящихся туманностей.

Л. Ф.

64708. Изучение натрия в сумеречном излучении.

II. Наблюдения над распределением. Хантен, Шеперд (A study of sodium in twilight. II. Observations on the distribution. Huntent D. M., Shepherd G. G.), J. Atmos. and Terr. Phys., 1954, 5, № 1, 57—62 (англ.)

Производились наблюдения D-линии Na I в сумеречном излучении. Высота слоя наибольшей плотности $Na I z_c = 85 \pm 3$ км. Плотность в этом слое $n_c = 10^4$ атомов на 1 см^3 . Выше плотность падает по экспоненте со шкалой высот $7,5 \pm 2$ км до 100—115 км. Ниже 85 км плотность падает быстро. Часть I см. РЖХим, 1955, 34283.

В. А.

64709. Определение частиц хлоридов в атмосфере и методы их измерения. Феделе, Виттори (Determinazione delle particelle di cloruro nell'atmosfera e metodi di misura. Fedele Diego, Vittori A. Ottavio), Riv. meteorol. aeronaut., 1953, 13, № 4, 9—13 (итал.; рез. англ., франц., нем.)

Излагаются методы исследования ядер конденсации, присутствующих в атмосфере, в частности метод физико-химич. реакции Лизеганга на основании которого обнаружены частицы хлоридов в атмосфере. На высоте 3000 м максим. конц-ия составляет 4600 частиц на 1 м^3 . Другая серия проб дала конц-ию 50 000 частиц на 1 м^3 . Описаны методика и аппарата, применявшиеся при наблюдениях в Монте-Чимоне. Обнаружена зависимость между типом воздушной массы и конц-ией ядер хлоридов.

В. А.

64710. Непрерывное определение озона в воздухе автоматическим фотоэлектрическим методом. Стэр, Багг, Джонстон (Continuous measurement of atmospheric ozone by an automatic photoelectric method. Stair Ralph, Bagg Thomas C., Johnston Russell G.), J. Res. Nat. Bur. Standards, 1954, 52, № 3, 133—139 (англ.)

Рекомендуется прибор для определения озона на небольших высотах в атмосфере, состоящий из ртутной дуги низкого давления, фотоувеличителя в качестве детектора, усилителя переменного тока и регистрирующего аппарата. Метод работы основан на том, что линии излучения ртутной дуги и линии поглощения озона обладают одинаковыми длинами волн (2537 Å для ртутной дуги и 2500—2600 Å для озона) и лежат в УФ-части спектра. По отношениям преломлений в различных частях спектра определяется конц-ия озона в раз- мере от десятых до целых частей на 100 млн. частей воздуха.

Л. Ф.

64711. Аэрономическая проблема диссоциации кислорода. Николе (The aeronomic problem of oxygen dissociation. Nicolet Marcel), J. Atmos. and Terr. Phys., 1954, 5, № 3, 132—140 (англ.)

Теоретическое рассмотрение вертикального распределения кислорода и вычисление его конц-ии приводят автора к выводу, что диссоциация кислорода на больших высотах (больше 100 км) не зависит от фотохим. процессов, а обусловлена диффузией и перемешиванием. В слоях, лежащих ниже 110 км, процент диссоциации кислорода меньше 70 или 80. При диффузионном равновесии в верхних слоях атмосферы процент диссоциации кислорода (первая цифра) на различных высотах (в км; вторая цифра) следующий: 85, 120; 86, 125; 87,5, 130; 89, 135; 89,5, 140; 90,5, 145; 91,5, 150; 92,0, 155; 92,5, 160; 93,5, 170. Эти результаты близки к полученным с помощью ракет для высот между 120 и 130 км.

В. А.

64712. Происхождение кислорода атмосферы и его изотопный состав. Доль (El origen del oxígeno de la

atmósfera y su composición isotópica. Dole Malcom), An. Soc. cient. argentina, 1953, 156, № 2, 3, 4, 53—68 (исп.)

Критически рассматриваются теории происхождения кислорода в результате: распада первичных нейтронов на протоны и электроны и синтеза, ядер фотосинтеза, термич. распада воды, фотохим. р-ции при очень высокой т-ре и др. Приводятся таблица содержания устойчивых изотопов в воздухе, массы всех изотопов, средняя продолжительность жизни и продукты распада неустойчивых изотопов (O^{14} , O^{15} , O^{16}). Путем сжигания водорода с атмосферным O_2 и замера плотности образовавшейся воды после ее тщательной дистилляции доказано, что в атмосфере O_2 больше, чем в обычной воде. Описан опыт и указаны возможные источники ошибок.

Б. З.

64713. Биогенез и атмогенез. Кайё (Biogénese et atmogénese. Caillieux André), Rev. gén. sci. pures et appl., 1953, 60, № 5-6, 157—164 (франц.)

64714. Происхождение атомов. Моген (L'origine des atomes. Mauguin Ch.), Bull. Soc. franç. minéral. et cristallogr., 1954, 77, № 1-3, 73—96 (франц.)

Популярная статья.

В. К.

64715. По поводу расчета Холмса возраста Земли. Гогель (A propos du calcul de Holmes sur l'âge de la Terre. Goguel J.), Compt. rend. Soc. géol. France, 1953, № 13-14, 248—250 (франц.)

При расчете возраста Земли изучение каждого свинцового минерала дает ур-ние с 3 неизвестными. Автор предлагает метод графич. решения ур-ний в пространстве.

В. К.

64716. Расхождение между результатами определения природных отношений изотопов лития по спектральному и масс-спектральному методам. Гиллисон, Торн (Discrepancy between the spectroisotopic and the mass-spectrometric results for the natural abundance ratio of the lithium isotopes. Gillieson A. H., Thorne R. P.), Nature, 1955, 176, № 4495, 1228—1229 (англ.)

Спектрально найдено $Li^7/Li^6 = 13,5 \pm 0,3$, масс-спектрально $12,2 \pm 0,1$. Расхождение значений связано с тем, что максим. интенсивность линий пропорциональна квадратному корню из величины массы изотопа. Спектральное значение Li^7/Li^6 , после введения поправок, $12,5 \pm 0,3$, т. е. расхождение уже не превышает ошибку опыта.

Л. Т.

64717. Распространение изотопов урана в природе. Лаунсбери (The natural abundances of the uranium isotopes. Lounsbury M.), Canad. J. Chem., 1956, 34, № 3, 259—264 (англ.)

Для исследования изотопов урана в образцах из Питчленда (Б. Медвежье оз., Северная Канада) применен масс-спектрометр с поверхностной ионизацией. Определено отношение $U^{238} : U^{235} = 137,80 \pm 0,14$. Отношение $U^{238} : U^{234} = 17\,325 \pm 550$ выведено на основании данных, ранее опубликованных другими авторами. Содержание U^{235} и U^{234} соответственно равно 0,7204 \pm 0,0007 и 0,00573 \pm 0,00018 ат.%. Л. Р.

64718. Определение возраста кристаллов циркония с острова Цейлона. Готфрид, Сенфилл, Уэринг (Age determination of zircon crystals from Ceylon. Gottfried David, Senfille F. E., Woring G. L.), Amer. Mineralogist, 1956, 41, № 1—2, 157—161 (англ.)

Возраст циркония определялся по модифицированному методу Ларсена и др. (Larsen E. S. и др., Bull. Geol. Soc. America, 1952, 63, 1—118). В 21 образце спектральным путем определено колич. содержание Pb. Чтобы исключить ошибку, связанную с вероятным присутствием Th в минерале, 12 образцов анализировались также флуориметрич. методом с определением U с точностью $\pm 5\%$. Средний возраст, определенный по Pb, равен

561 ± 26
 ± 32 млн
64719.

литов
Стре
waters
L o u w
and I
(англ.)
Провед

нита и т.
литов и т.
сранда (И
исследова
Th и Pb.
а также
возраста
что, по
всех ура
источник
ломков и
64720.

X o p
zation
vid s
№ 10.
Выпол
галенита
раст ур
расхожд
(1593—1
Наиболь
ния авт
ри само
можност
первичн
64721.

III. С
и ура
Пре
III. V
bel
1954,
Ранее
что зав
кристал
ые про
образца
от разм
тич.
рзключ
присх
время.
ые пр
D_{Ag} (40
·10⁻²⁰

ний ол
64722.
желе
и ви
на s
Sta
558—
Изу
в досту
конц-и
локах
разова
64723.
геол

561 ± 26 млн. лет, с учетом присутствия Th 574 ± 32 млн. лет. Р. Х.

64719. Определение геологического возраста уранинитов Витватерсранда свинцовым методом. Лау, Стрелов (Geological age determination on Witwatersrand uraninites using the lead isotope method. Louw J. D., Strelov F. W. E.), Trans. and Proc. Geol. Soc. S. Africa, 1954, 57, 209—230 (англ.)

Проведено определение возраста 15 образцов уранинита и тухолита и выполнен изотопич. анализ 4 галенитов из урано-золотоносных конгломератов Витватерсранда (Ю. Африка). Кратко описаны: геология района, исследованные образцы и методика хим. определения U, Th и Pb. При расчете введены поправки на потерю Rn, а также на загрязненность обычным свинцом. Пределы возраста уранинитов составляют 1850—1950 млн. лет, что, по мнению автора, свидетельствует о выделении всех уранинитов в результате эрозии из одного общего источника, с последующим перетолжением в виде обломков при накоплении конгломератов. Л. Т.

64720. Возраст минерализации Витватерсранда. Хорн, Дейвидсон (The age of the mineralization of the Witwatersrand. Horne J. E. T., Davidson C. F.), Bull. Geol. Survey Gr. Brit., 1955, № 10, 58—73 (англ.)

Выполнены изотопные анализы Pb из уранинита и галенита в золотоносных рудах. Вычисленный возраст уранинита по различным изотопам дает сильные расхождения: по Pb^{206}/U (1328—1352) $\cdot 10^6$ лет, Pb^{207}/U (1593—1652) $\cdot 10^6$ лет и Pb^{207}/Pb^{206} (1965—2070) $\cdot 10^6$ лет. Наиболее вероятной причиной такого расхождения авторы считают перетолжения уранинита внутри самой жилы. Результаты исследования не дают возможности окончательно решить вопрос о характере первичной минерализации. Л. А.

64721. Определение аргона в калиевых минералах. III. Сравнительные измерения по калий-аргоновому и уран-гелиевому методам. Гентнер, Гёбель, Прег (Argonbestimmungen an Kalium-Mineralen III. Vergleichende Messungen nach der Kalium-Argon- und Uran-Helium-Methode. Gentner W., Goebel K., Präg R.), Geochim. et cosmochim. acta, 1954, 5, №3, 124—133 (нем.)

Ранее сообщалось (часть II см. РЖХим, 1956, 57812), что зависимость содержания Ar в KCl от размеров кристалла обусловлена диффузией. В настоящей статье произведено определение U и He в тех же самых образцах. Установлено, что содержание He зависит от размера кристалла, так же как в случае Ar. Теоретич. рассмотрение полученных данных позволяет заключить, что пластование соли в прежние времена происходило при более высокой т-ре, чем настоящее время. Коэфф. диффузии Ar и He в KCl, рассчитанные при таком предположении, оказались равными $D_{Ar}(40^\circ C) = (8 \pm 7) \cdot 10^{-20} \text{ см}^2/\text{сек}$, $D_{He}(40^\circ C) = (20 \pm 16) \cdot 10^{-20} \text{ см}^2/\text{сек}$. Новое значение возраста образца (нижний олигоцен) равно $(25 \pm 5) \cdot 10^6$ лет. Л. К.

64722. Влияние строения атомов элементов группы железа на распространение их в природе. Холевинский (Wpływ budowy atomowej żelazowców na stanowisko ich w przyrodzie. Hołewiński Stanisław), Przegl. geol., 1955, № 12, 558—563 (польск.)

Изучено распространение элементов группы железа в доступной части земной коры, а также закономерности концентрации и рассеяния этих элементов в различных оболочках и ядре земного шара. Рассмотрены условия образования железных и других руд. Н. Л.

64723. Экспериментальные исследования диффузии гелия в каменной соли и сильвинитах. Гентнер,

Тренделенбург (Experimentelle Untersuchungen über die Diffusion von Helium in Steinsalzen und sylvinen. Gentner W., Trendelenburg E. A.), Geochim. et cosmochim. acta, 1954, 6, № 5—6, 261—267 (нем.; рез. англ.)

При определении возраста сильвинитов следует учитывать, что уменьшение содержания He в породе происходит не только вследствие объемной диффузии, но также и в результате других процессов дегазации, зависящих прежде всего от наличия микроскопич. и субмикроскопич. трещин в кристаллах. Приводятся значения (D) константы диффузии He, измеренной на чистом NaCl и природных сильвинитах состава (1) 45% KCl + 55% NaCl и 40% KCl + 60% NaCl. При определении возраста пород были вычислены величины $D_{He}(80^\circ) = 1,2 \cdot 10^{-17} \text{ см}^2/\text{сек}$, $D_{He}(40^\circ) = 1,2 \cdot 10^{-19} \text{ см}^2/\text{сек}$. Измерение с помощью масс-спектрографа при 500—600° и последующая экстраполяция до 40—80° дали значения $D_{He}(80^\circ) = 4,0 \cdot 10^{-17} \text{ см}^2/\text{сек}$, $D_{He}(40^\circ) = 3,2 \cdot 10^{-19} \text{ см}^2/\text{сек}$. При 200—250° и 420—450° у сильвинита состава (1) наблюдались дополнительные потери газа, которые по своему характеру не могли быть объяснены объемной диффузией. С. К.

64724. О включениях в драгоценных камнях. Губелин (Further notes on gemstone inclusions. Gubelin E.), Gemmologist, 1956, 25, № 295, 21—24 (англ.)

Различают первичные включения (ПВ), появившиеся во время формирования минерала, и вторичные (ВВ), возникшие после формирования. ПВ часто имеют зональную ориентировку, могут располагаться под углом друг к другу, но никогда не пересекаются. Трещины, возникшие в процессе роста кристалла, заполняются затем первичным р-ром, содержащим различные ингредиенты; увеличиваясь, они образуют ВВ, почти всегда пересекающие друг друга. Л. Ф.

64725. О жидкостях и газах, заключенных в кристаллах. Валер (Über die in Kristallen eingeschlossenen Flüssigkeiten und Gase. Wahler William), Geochim. et cosmochim. acta, 1956, 9, № 3, 105—135 (нем.; рез. англ.)

Обзор. Библ. 65 назв. А. Г.

64726. Парагонит в сланцах Рудных гор (южный Вермонт). Розенфельд (Paragonite in the schist of Glebe Mountain, southern Vermont. Rosenfeld John L.), Amer. Mineralogist, 1956, 41, № 1—2, 144—147 (англ.)

Серпидит, составляющий половину всех минералов в серпидит-хлоритовом сланце, оказался парагонитом следующего состава (в %): SiO_2 44,41; TiO_2 0,22; Al_2O_3 40,09; Fe_2O_3 1,72; FeO 0,28; MnO 0,02; MgO 0,16; CaO 0,67; Na_2O 5,80; K_2O 2,22; $H_2O+4,45$; F 0,08; сумма (за вычетом $O = F$) 100,09. Полученные результаты подтверждаются другими методами. Г. В.

64727. Новачекит в горах Уичито (штат Оклахома). Хуан (Novacekite from the Wichita Mountains, Oklahoma. Huang W. T.), Amer. Mineralogist, 1956, 41, № 1—2, 152—153 (англ.)

Новачекит $Mg(UO_2)_2(AsO_4) \cdot nH_2O$, описанный впервые Фронделем (Frondele C., Amer. Mineralogist, 1951, 36, 680—686), образует изоморфный ряд с его фосфатным аналогом — салентом (saleeite, saleite) $Mg(UO_2)_2(PO_4)_2 \cdot 10H_2O$. Новачекит из Оклахомы содержит более, чем 10% As_2O_5 , при полном отсутствии P_2O_5 . Приводится краткое внешнее описание, а также оптич. и структурные константы. Г. В.

64728. К вопросу о химическом составе берилла. Гинзбург А. И., Тр. Минералог. музея АН СССР, 1955, вып. 7, 56—69

По данным 40 наиболее достоверных хим. анализов бериллов из пегматитов выведена общая хим. ф-ла:

$R(4+)Be_{3-n/2}Al_2[Si_6O_{18}] \cdot pH_2O$, где $n = 0-1$, $p = 0,2-0,8$. Для пезиево-литиевых бериллов — воровьевитов ($n = 1$): $(Li, Na, Cs)Be_{2,5}Al_2[Si_6O_{18}] \cdot 0,5H_2O$ или $(Li, Na, Cs)_2Be_5Al_4[Si_6O_{18}]_2 \cdot H_2O$. Наблюдаются замещения: NaSi на CaAl, LiAl на 2 (Mg, Fe) и Al на Fe^{3+} . С увеличением содержания щелочей (Na, Li, K, Cs) закономерно уменьшается кол-во Be, при этом имеет место антагонизм между Li + Cs и Na + K. Вода в бериллах носит цеолитный характер и ее содержание колеблется от 0,2—0,4 молекулы в кристаллах из гидротермально-пневматолитовых месторождений до 0,6—0,8 молекулы в образцах из пегматитовых жил.

64729. Спектрографическое исследование микроэлементов в португальских сфалеритах. Бриту (Estudo espectrográfico de elementos mínimos em blends portuguesas. Brito Alberto Carlos de), Estud., notas e trab. serv. fomento mineiro, 1955, 10, № 1—2, 91—102 (порт.; раз. англ.)

Выполнен полуквалич. спектральный анализ 33 сфалеритов из различных районов Португалии. Ag, Al, As, Cd, Cu, Fe, In, Mg, Mn, Pb и Si открыты во всех образцах, Ca и Ga — в подавляющем большинстве, Ge, Sb и Sn — в большинстве, Ba в 15, Co в 12, Ti в 7, Bi в 6, Hg и Ni в 5, В и Be в 2, Mo и V в одном случае. Приводится методика анализа и обсуждаются полученные результаты.

64730. О некоторых недавно открытых минералах. Фаиз Ахмад Шамс (Some of the recently discovered mineral species. Faiz Ahmad Shams), Pakistan J. Sci., 1956, 8, № 1, 38—40 (англ.)

64731. Бейрихит — не существующий минеральный вид. Милтон, Аксельрод (Beyrichite, a discredited species. Milton Charles, Axelrod Joseph M.), Amer. Mineralogist, 1955, 40, № 7—8, 767—770 (англ.)

С помощью рентгеноспектрального и других подсобных методов были изучены 6 образцов «бейрихита» ($3NiS \cdot 2NiS_2$ или $2NiS \cdot NiS_2$) из Германии (Дилленбург, Вестервальд, Саксония, Вестфалия) и США (Калифорния), до настоящего времени хранящихся в четырех различных музеях. В каждом отдельном случае образцы оказались не бейрихитом, а миллеритом; виоларитом; карбидом железа с железом; смесью самородного висмута, висмутинита, никколита и др.; гётитом и эмлектитом. Таким образом, установлено, что бейрихит в природе не существует, а единственным подобным сульфидом никеля остается виоларит ($Ni, Fe)_3S_4$.

64732. Объемы, занимаемые различными элементами в горных породах. Лафитт (Volume occupé par les divers éléments dans les roches. L'affitte Pierre), Compt. rend. Soc. géol. France, 1954, № 3, 44—48 (франц.)

64733. Несмешивающиеся жидкости в силикатных расплавах. Кассиди, Сегнит (Liquid immiscibility in a silicate melt. Cassidy W. A., Segnit E. R.), Nature, 1955, 176, № 4476, 305 (англ.)

Для выяснения происхождения включений лешательерита (плавленого кварца) в тектитах были проделаны опыты со смесью в-в, приблизительно соответствующих составу безжелезного тектита. В охлажденном расплаве этой смеси найдены шарики стекла одного состава, вкрапленные в стекло другого состава, что указывает на наличие несмешивающихся жидкостей. Повторение опыта с естественным тектитом позволяет предполагать, что включения лешательерита образовались аналогичным образом.

64734. Циркон как индикатор происхождения пород. Уайатт (Zircons as provenance indicators. W y a t t

Michael), Amer. Mineralogist, 1954, 39, № 11—12, 983—990 (англ.)

Изучался акцессорный циркон в гранитах и в гранитизированных вмещающих породах. Интрузия сложена в центральной части нормальными гранитами, а в периферии частях гранодиоритами ассимиляционного происхождения. Вмещающие породы представлены гранулитами и гнейсами, образовавшимися из пелитовых и силлиманитовых сланцев под воздействием контактового и регионального метаморфизма. Проведено статистич. изучение габитуса и удлинения кристаллов циркона (отношение длинной оси к короткой). Получены следующие результаты: 1) циркон из вмещающих пород, не подверженных воздействию интрузии, представлен округленными зернами без граней («осадочный» тип), 2) циркон из нормальных гранитов имеет идиоморфные очертания и значительное удлинение (55% всего циркона имеет удлинение 1,6—2,2) («изверженный» тип), 3) циркон контаминированных гранитов относится к 3 типам: «заверженному», «осадочному» и «контаминированному»; цирконы последнего типа отличаются от «изверженного» типа лишь большим удлинением кристаллов, 4) циркон из гранитизированных вмещающих пород представлен в основном «рекристаллизованным» типом. Округленные ядра окружены зонами с идиоморфными очертаниями. Таким образом, циркон может служить дополнительным критерием для распознавания пород различного генезиса. И. Л.

64735. Минералогия доменного шлака. Крейнер (The mineralogy of blast furnace sinter. K r e i n e r H o b a r t M.), Mining Engng, 1953, 5, № 11, 1114—1117 (англ.)

Приводятся данные 8 петрографич. и хим. анализов шлаков, в которых обнаружены: магнетит, гематит, минералы оливинового ряда, кварц, сидерит, кальцит и ряд других минералов.

64736. Петрография и петрохимия гемеридных гранитов. Ончакова (Petrografia a petrochimie gemeridnych žul. Ončakova Petronella), Geol. práce, 1955, № 39, 3—54 (словац.; рез. русск., нем.)

Граниты выступают в виде небольших штоков в Спишско-Гемерских рудных горах (Словакия). Наблюдаются следующие типы: порфировидный турмалиновый, светлый турмалиновый, двуслюдной турмалиновый, мусковито-турмалиновый, динамометаморфизованный, мусковитовый грейзен и др. Турмалин — сингенетич. и энгенетич. Хим. состав гранитов приблизительно одинаковый. Незначительные колебания обнаруживают только SiO_2 , Fe_2O_3 , FeO. Как правило, много щелочей, причем $K_2O > Na_2O$, и только в одном случае $Na_2O > K_2O$ (натрон-энгадинский тип). По системе Ниггль исходная магма — лейкогранитовая, главным образом, аплито-гранитовая и реже энгадинско-йосемитская. По своему химизму гемеридные граниты значительно отличаются от остальных карпатских гранитов. Приводятся 4 хим. анализа названных пород и для сравнения с ними, по литературным данным, 28 анализов гранитов Высоких Татр и других центральных массивов Словакии.

64737. Естественные способы и условия образования шпировидного графита. Панто (A gömbrágit-képződés természetes módja és feltételei. P a n t o G a b o r), Kohasz. lapok, 1956, 11, № 1, Öntöde, 15—16 (венг.; рез. русск., нем., англ.)

Магматогенные графитовые залежи (пегматитовые и гидротермальные) образуются путем осаждения углерода из паров и р-ров или за счет углерода, вытесняемого из боковых пород. Шаровидный графит встречается только в пегматитовых жилах, обзанный своим происхождением спец. кристаллизационному режиму

На это шаровидный графит 64738.

чужак матит В сч

от нача берилл 0,5% б 64739.

по ми батол

К р а 81—8

Для Сусамы

вышла HCl ко

NaCl. Р

примеч находи

ралах (субмин

Pb). Zr

лах (би

вающей скопич

держан

64740.

тах. larvi

stall

Изуч

Осло.

ваний

вых ш

(присущ

пах). 2

родный

шнейс

вого п

Отгв. А

клиз со

в резу

клаза.

64741.

О х

球化

日本

гаку

1954

С пе

со дна

пенла,

лена ес

чение

радиоа

конц-и

образо

кой т-

вовала

особен

64742.

лит

Фит

cussi

tion

wes.

D.

110.

Зам

42972.

На это указывает радиально-волокнистая структура шаров и наличие обильных газовых включений. Г. В.

64738. Исправление к статье Бейс А. А., Федорчук С. Н. «О кларке бериллия в гранитных пегматитах», Докл. АН СССР, 1956, 106, № 5, 766

В статье и реферате (РЖХим, 1956, 25441, 9-ая строка от начала) вместо «пегматиты, содержащие 0,2—2,5% берилла» следует читать «пегматиты, содержащие 0,2—0,5% берилла». В. Ш.

64739. Особенности распределения свинца и цинка по минералам каледонских гранитоидов Сусамырского батолита (Центральный Тянь-Шань.). Таусон Л. В., Кравченко Л. А., Геохимия, 1956, № 4, 81—89

Для изучения распределения Pb и Zn в гранитоидах Сусамырского батолита авторами применена методика выщелачивания этих элементов из породы с помощью HCl конц-ии 1 : 50 (по объему) с добавлением 1 г/л NaCl. Pb в основном концентрируется в «несиликатной» форме (субмикроскопич. выделения галенита или самородного Pb). Zn концентрируется в железо-магниево-минералах (биотит, роговая обманка) в виде легко выщелачиваемой «несиликатной» формы, возможно, субмикроскопич. выделений сфералита. Приводятся таблицы содержания Pb и Zn в гранитоидах батолита. Т. Р.

64740. Кристаллизация полевых шпатов в лаурвитах. Мьюр, Смит (Crystallisation of feldspars in larvikites. Muir I. D., Smith J. V.), Z. Kristallogr., 1956, 107, № 3, 182—195 (англ.)

Изучены полевые шпаты в лаурвитах района Осло. На основании оптич., рентгенографич. исследований и данных хим. анализов выделяются 4 типа полевых шпатов. 1. Первичный плагиоклаз состава An_{26} (присутствует в небольших кол-вах и не во всех образцах). 2. Са-содержащий апортотоклаз, оптически однородный, но при рентгеновском исследовании оказавшийся смесью олигоклаза и моноклинного К-полевого шпата. Общий хим. состав этого апортотоклаза $Or_{28,5} Ab_{61,5} An_{10,0}$. 3. Плагиоклаз состава An_{18} . 4) Ортоклаз состава $Or_{85} Ab_{15}$. Последние 2 типа образовались в результате полного распада Са-содержащего апортотоклаза. Ю. П.

64741. Геохимическое изучение вулкана Асо (I). Охара, Ямамото, Танака (阿蘇火山の地球化学的研究. 第1報. 大原英一, 山本大生, 田中省三), Япон. хим. журн., 1954, 75, № 4, 349—352 (япон.)

С целью изучения механизма вулканич. деятельности со дна кратера вулкана Асо отобраны пробы вулканич. пепла, сублимата и газа. В первых двух была определена естественная радиоактивность, сохранявшаяся в течение 30 дней без всяких изменений. Источником радиоактивности явилась, повидимому, локальная конц-ия долгоживущих продуктов распада Rn, главным образом Po, который был обнаружен в пепле. При высокой т-ре пепла и сублимата радиоактивность отсутствовала. SO_2 был обнаружен на дне кратера, где т-ра особенно высока, а H_2S — только у стенок. Л. Л.

64742. Дискуссия по статье Боуза «Превращения филлитов посредством мигматизации в районе Маунт-Фиттон (Южная Австралия). Шоу, Боуз (Discussion. The transformation of tillite by migmatization at mount fitton, south Australia. by D. R. Bowes. Shaw Denis. Reply by Bowes D. R.), Quart. J. Geol. Soc. London, 1954 (1955), 110, № 4, 431—432 (англ.)

Замечания Шоу и ответ Боуза. См. РЖХим, 1956, 42972. В. Ш.

64743. О вулканических сокровищницах Тосканы. Мюллер (In den vulkanischen Schatzkammern der Toskana. Müller S.), Kosmos (Stuttgart), 1955, 51, № 6, 257—263 (нем.)

Геологическое описание Тосканы и о. Эльба (третичные обломочные породы Болоньи и Флоренции, серпентиниты и кристаллич. сланцы Горгоны, молодые красные трахитовые лавы Капрайи, граниты и осадочно-метаморфич. породы Эльбы). Полезные ископаемые: 1) железные руды (гематит, пирит, магнетит, лимонит) — по плоскостям нарушения в осадочно-метаморфич. толще; запасы в 1944 г. 1020 млн. т (50—60% Fe); 2) контактовые руды эльбского типа с пиритом, Zn и Cu; 3) борно-кислые паровые источники с т-рой 140—230°; 1 т пара имеет состав (в г): H_2O 955,52; CO_2 42,65; CH_4 , H_2O 0,19; H_2S 0,88; N_2 0,16; H_3BO_3 0,30; NH_3 0,30; He, Ar, Ne 1 см³. На о. Эльба насчитывается 150 различных минералов. Г. В.

64744. Новый метод поисков полиметаллических месторождений: геохимия (Une nouvelle technique de prospection des gîtes métallifères: la géochimie —), Echo mines et métallurgie, 1954, № 3468, 321—324; № 3469, 397—399 (франц.)

Обзор. М. Я.

64745. Опыт применения гидрохимического метода для поисков полиметаллов. Крайнов С. Р., Разведка и охрана недр, 1956, № 2, 49—55

Изучен хим. состав двух туфогенных толщ, из которых к верхней приурочено полиметаллич. оруденение. Cu и Pb определяли колориметрически, содержание их дано в % встречаемости и по баллам. Установлено, что вне оруденения подземные воды имеют малую минерализацию (200 мг/л); незначительное содержание Pb (0,01 мг/л) и Cu (0,02 мг/л) объясняется повышенной активностью водообмена. В водах верхней толщи преобладает Cu (33,0—100,0% встречаемости), в нижней — Pb (12,5% встречаемости). Неравномерное распределение рудных элементов объясняется различной интенсивностью рассеянной сульфидной минерализации в породах. Влияние оруденения на хим. состав вод выражается в увеличении их сульфатности. Л. М.

64746. Геохимия и минералогия ураносодержащих лигнитов. Брегер, Дьюл, Рубинштейн (Geochemistry and mineralogy of a uraniferous lignite. Breger Irving A., Deul Maurice, Rubinstein Samuel), Econ. Geol., 1955, 50, № 2, 206—226 (англ.)

Изучен минер. состав лигнитов (Л) района Хардинг в штате Южная Дакота. Чистые фракции Л содержат минимум 13,8% золы при 0,31% U в золе. До 93% U Л связано с органич. материалом и лишь 7% с минер. частью (гипс, ярозит, кварц, каолинит и др.). Показано, что U легко выщелачивается из Л разб. к-тами и что он не задержан в Л в процессе ионного обмена. Предполагается перенос U в форме щел. и щел.-зем. уранилкарбонатов, которые, распадаясь в условиях низких pH, в присутствии Л образуют органич. соединения (очевидно, нерастворимые при pH > 2,18). Этот процесс и обусловил накопление U в углях. Никаких собственно урановых минералов в Л не установлено. Выполнен полуколич. спектральный анализ трех образцов зол; при этом обнаружены: Al, Si, Fe, Ca, Mg, Na, Mo, Ba, B, Ti, Zr, Mn, Sr, As, Ni, Co, Cr, Cu, Pb, Zn, Ga, V, Y, Sn, Se, Ge, Be и Yb. Л. Т.

64747. К вопросу о генезисе «красковых» руд Криво-рожекского бассейна. Федорченко В. С., Минералог. сб. Львовск. геол. об-ва при ун-те, 1955, № 9, 216—220

Автор, отрицая гидротермальную и гипергенную гипотезы происхождения так называемых «красковых» руд (состоящих из тонкодисперсной смеси гематита, гидрeгита и глинистого в-ва), приводит доказательства об-

разования этих руд из сидеритовых разностей роговиков и сланцев путем локальной циркуляции вод. Г. В. 64748. О радиоактивности африканских фосфоритов.

Виссе (Constatations sur la radioactivité des phosphates africains Visse Léon), C. r. Acad. sci., 1954, 239, № 7, 545—547 (франц.)

Автор предполагает, что существует связь между отношением U к P и условиями осадкообразования фосфоритов. М. Я. 64749. Корреляция нефтяных горизонтов по методу

определения микроэлементов в нефтяных золах. Злотницкая (Korelacja horyzontów ropnych metodą pierwiastków śladowych w popiołach rop. Złotnicka Jadwiga), Nafta (Kraków), 1955, 11, № 12, 275—277 (польск.)

Из пробы нефти (0,2—0,8 л) отгоняют летучие составляющие при t -ре до 360°, остаток переносят при помощи $CHCl_3$ сначала в кварцевую чашку, где производят обугливание, а потом в Pt-чашку, где золу прокаливают при 550°. Спектрографическое исследование производят на спектрографе ИСП-22, экспозиция 60 сек., напряжение 220 в, сила тока 8 а, электроды из спектрально чистого угля. В золе 51 пробы из 4 скважин найдены Ni , V , Ti , Ca , Mg , Mn , Al , Sr , Cu , Cr , Ba , Zn , Sn , Co , Pb , Fe , Li , Si , U , Th , Be , Pd , Cs , Zr , Ag , B , Pt , Yb , Mo , Na , Cd , Au . Предложено разделять нефть на 3 типа в зависимости от наличия и кол-ва Zn и Sn : 1) одновременное наличие Zn и Sn , 2) наличие Zn при следах или отсутствии Sn , 3) отсутствие Zn и Sn . Н. Т. 64750. Роль микропроявлений нефтеносности в комплексном геохимическом картировании. Глогочевский (Rola mikroprzejawów naftowości w kompleksowym kartowaniu geochemicznym. Glogoczowski Jan J.), Nafta (Polska), 1956, 12, № 1, 4—8 (польск.)

Рассматриваются явления, связанные с миграцией углеводородов нефтяных или газовых месторождений, наблюдаемые на поверхности земли. Критерием присутствия нефти является радиоактивность почвы, отношение S (свобод.) к SO_4^{2-} . Наличие аномальной концентрации J , B , V , изменение содержания хлоридов и др., изменение растительного покрова, явление вторичной минерализации указывают на возможное присутствие нефти. Для точной оценки проводят комплексное геохим. картирование в следующих целях: открытие стратиграфич. месторождений, дополнение глубинных геофиз. данных, определение положения месторождений вблизи скважины, проведение контуров месторождения, распознавание нефтеносности вблизи соляных куполов и др. См. также РЖХим, 1956, 22261. Н. Л. 64751. Следы фукоидных в формации пика Суон, юго-восточный Айдахо, Коултер (Fucoidal markings in the Swan peak formation, southeastern Idaho. Coulter Henry W.), J. Sediment. Petrol., 1955, 25, № 4, 282—284 (англ.)

Наличие фукоидных свидетельствует о происхождении пород путем включения крупнозернистых песчаных частиц и твердых органич. остатков в студенистую органику и благодаря влиянию побочных продуктов разложения органики на процесс цементации при диагенезе. А. Г. 64752. Литология карбонатных и залегающих между ними песчано-глинистых пород нижнего карбона северо-западной окраины Подмосковного бассейна. Вишняков С. Г., Тр. Воронежск. ун-та, 1955, 39, 17—45

В составе карбонатных пород встречаются три типа: органогенный, хемогенный и обломочный; преобладают органогенно-обломочные породы. Цементом является кальцит; кол-во его достигает 50—80%. Состав пород (в%): органич. остатки 4—50, нерастворимый остаток очень мал: 1—3 в известняках CaO 30,9—

53,6; MgO 0,64—19,1; в доломитах CaO 33,82—37,5; MgO 15,1—19,0. Содержание Fe_2O_3 не превышает 0,5. Глинистые породы обогащены окислами железа, придающими им красноватую окраску; содержание Fe_2O_3 6—10; кальцит в глинах не встречается, что говорит об опреснении бассейна в период осадконакопления. В карбонатных породах наблюдается выщелоченность и сильная закарстованность, в известняках широко развита эпигенетич. доломитизация. Л. Ф. 64753. Редкие элементы в пелитовых породах. Часть I. Изменения в процессе метаморфизма. Часть II. Геохимические зависимости. Шоу (Trace elements in pelitic rocks. Part I. Variation during metamorphism. Part II. Geochemical relations. Shaw Dennis M.), Bull. Geol. Soc. America, 1954, 65, № 12, Part 1, 1151—1166; 1167—1182 (англ.)

И. Произведен спектральный анализ на содержание редких элементов 63 образцов пелитовых пород (П) девонского возраста из формации Литтлтон (Нью-Гемпшир). Образцы представляют все степени метаморфизма от глинистых сланцев до силлиманитовых сланцев и гнейсов. Описана методика спектрального анализа применительно к летучим и нелетучим в-вам. Установлены следующие средние содержания отдельных элементов (в $10^{-4}\%$): Ga 19, Cr 110, V 120, Li 110, Ni 64, Co 18, Sc 14, Zr 200, Y 45, Sr 710, Pb 24, Be 30, Mo 10, Sn 20, La 100, Ag 1. Ba всегда >1000 . Степень метаморфизма не оказывает влияния на большинство элементов. Только содержание Pb и Li резко возрастает с ходом процесса, а содержание Ni и Si уменьшается, что, повидимому, связано с К-метасоматозом. Проведено резкое различие по редким элементам между мафич. и фельзитовыми частями полосчатых гнейсов. Значительные изменения в составе материнских пород затрудняют вскрытие тенденций распределения редких элементов.

II. Сопоставление содержаний редких элементов в ПП формации Литтлтон с опубликованными данными для подобных пород других районов показывает, что почти для каждого элемента устанавливаются отклонения от среднего содержания в пределах от нуля до двухкратной величины. Li и Si дают большие отклонения, причем Si не проявляет закономерности в распределении. Ионные потенциалы говорят о том, что в глинистых (гидролизированных) осадках отложение должно происходить в следующем порядке: Ga , Cr , V , Ni , Co , Sc , Zr . Для Li , Cu , Sr , Pb возможен переход в r -р и осаждение благодаря сорбции. Устанавливается прямая зависимость между содержаниями Ni и Cr , Ni и Co , V и Cr . Содержания в глинистых породах Cr , V , Ni , Co , Sc , Cu , Zr характеризуются средней величиной между содержаниями в гранитах и диабазов. Li преобладает в сланцах. В тройных диаграммах V — Zr — Sr и Li — Zr — Ni поля гранитов, сланцев и диабазов обособляются, но перекрываются по краям. На основании этих данных сделано предположение о необходимости исправления кларков коры некоторых элементов, в частности Ga , Cr , V , Li , Pb , в сторону уменьшения. Сопоставление средних содержаний редких элементов в ПП с кларками коры говорит о том, что Li и Sr находятся в избытке в ПП, а Cu — наоборот. Большинство элементов имеет коэфф. обогащения 0,8—1,2. Л. Т. 64754. Результаты, полученные в ходе новых опытов по синтезу глинистых минералов. Энен, Робиче (Résultats obtenus au cours de nouveaux essais de synthèse de minéraux argileux. Hénin S., Robichet O.), Bull. Groupe franç. argiles, 1955, 6, № 1, 19—22 (франц.)

В процессе синтеза магниевых силикатов изучалось влияние отношения $Si : Mg$, pH и конц-ии посторонних примесей на состав полученных продуктов. Установ-

лено, что
лах (SiO_2
получении
инта обра
ние $CaCl_2$
ната Na_2C
образован
силикатов
интерес.
ленные мо
64755. с
накопли
сер. геол
Почвен
гипс в ш
является
грунтов
в глинист
столбчат
налеты и
64756. о
областе
Науч. с
78—87
Получе
шальные
Горбског
(V), Бер
рождения
Кечнари
цев, УСС
востает
в основн
байделли
6,15) в I
на криво
сталлич.
возможи
64757.
Часть
minera
thering
h i),
дзасси
268—2
Изуче
ных осад
Органич
NaOH д
ривания
цепла и
выветри
на, зате
ванием
Chem.
64758.
Часть
Магн
粘土分
科學雜
and M
B-ва,
1,0 м,
термич.
монтмор
калит и
пронско
галлуаз
ние галл
ий, н
Продук

лено, что состав основного р-ра в определенных пределах ($\text{SiO}_2 : \text{MgO} = 0,06-1,4$) мало влияет на состав полученных продуктов. Силикаты типа монтмориллонита образуются только при pH 8 и выше. Прибавление CaCl_2 задерживает образование магниевого силиката Na_2CO_3 , сдвигая pH в основную область, вызывает образование колл. осадка. Синтез алюмомagneзиевых силикатов затруднителен, хотя и представляет большой интерес. Авторам удалось получить продукты, родственные монтмориллониту, слюде и антигориту. Л. А.

64755. Формы и структуры почвенных глиногипсовых накоплений. Сагунов В. Г., Изв. АН КазССР, сер. геол., 1955, № 19, 101—108 (рез. казах.). Почвенный гипсовый горизонт может содержать гипс в широких пределах (3—90%); накопление гипса является следствием процесса засоления почв и грунтов в сухом и жарком климате. Отмечено, что в глиногипсовых почвах CaSO_4 встречается в виде столбчатых кристаллов, образующих друзы, щетки, валеты и корочки. Л. Ф.

64756. К исследованию бентонитовых глин западных областей Украины. Полуэктова Е. Ф., Науч. зап. Львовск. политехн. ин-та, 1955, вып. 29, 78—87

Получены кривые обезвоживания, термич. дифференциальные кривые и выполнены хим. анализы глин из Горбского (I, II, III), Листинского (IV), Пачаевского (V), Бережанского (VI), Мериновского (VII) месторождений и, для сравнения с ними, — гумбрина из Кечинары, ГрузССР, и отмученного каолина из Глуховцев, УССР. Все глины, за исключением каолина, относятся к монтмориллонитовой группе: I—IV и VI в основном состоят из монтмориллонита, V, VII — из байделлита (?). Постоянное содержание Fe_2O_3 (3,51—6,15) в I—VII, при отсутствии характерных эффектов на кривой нагревания, указывает на связь Fe^{2+} с кристаллич. решеткой глинистых минералов. Обсуждаются возможные области применения названных глин. Г. В.

64757. Глинистые минералы в почве на диоритах. Часть I. Выветривание минералов. Масуи (Clay minerals in soil derived from granodiorite. I. Weathering of constituent minerals. Masui Junichi), Япон. додзехирегаку дзасси, J. Sci. Soil and Manure, Japan, 1955, 25, 268—272 (япон.).

Изучены минералы в песчаных фракциях, полученных осаждением и центрифугированием 6 проб почв. Органич. в-во разрушали 6%-ной H_2O_2 с добавлением NaOH до pH 8,5. Состав почвы — продукты выветривания диорита с небольшим кол-вом вулканич. пепла из пироксенового андезита. На ранней стадии выветривания в щел. среде образуется роговая обманка, затем биотит, олигоклаз и ортоклаз. С выщелачиванием скорость процесса понижается.

Chem. Abstrs, 1955, 49, № 13, 9202. Yutaka Kamoshita

64758. Глинистые минералы в почве на диоритах. Часть II. Минеральный состав глинистой фракции. Масуи (花崗閃綠岩土壤中の粘土礦物に就いて. 第2報 粘土分の礦物組成に就いて. 増井淳一), Япон. додзехирегаку дзасси, J. Sci. Soil and Manure, Japan, 26, № 1, 15—19 (япон.; рез. англ.). В-ва, входящие в состав фракций $<0,2 \mu$ и от 0,5 до 1,0 μ , были изучены рентгеноструктурным, хим. и термич. методами. Обнаружены следующие минералы: монтмориллонит, галлаузит, каолинит, измененный иллит и др. На ранней стадии выветривания диорита происходило образование монтмориллонита, а затем галлаузита и каолинита. В тонкой фракции содержащиеся галлаузита много выше, чем каолинита. Последний, напротив, преобладает в грубых фракциях. Продуктом выветривания биотита был иллит. А. Ф.

64759. Исследование венгерских бокситов. Кишш (Recherches sur les bauxites de la Hongrie. Kiss J.), Acta geol. Acad. sci. hung., 1955, 3, № 1-3, 45—88 (франц.; рез. русс.).

Химические анализы бокситов (окрестности дер. Гант) показали, что они состоят из бёмита, каолинита и незначительного кол-ва гидрагиллита. Содержание (в %): SiO_2 2,55—31,40; Al_2O_3 48,7—62,57; Fe_2O_3 6,08—20,91; в пизолитовом боксите наблюдается уменьшение SiO_2 и Al_2O_3 и увеличение Fe_2O_3 до 49,54. Обнаружен в незначительном кол-ве Аи. Бокситы являются продуктом выветривания метаморфич. пород кислого и основного состава, отлагавшимся вдоль берегов, где он многократно перемывался, что привело к возникновению его разнообразных типов. Л. Ф.

64760. Химическое выветривание силикатов при формировании почвы. Филдс и Свиндэйл (Chemical weathering of silicates in soil formation. Fieldes M., Swindale L. D.), New Zealand J. Sci. and Technol., 1954, B36, № 2, 140—154 (англ.).

Использованы результаты изучения глинистых минералов в почвах Новой Зеландии для систематизации представлений о процессах выветривания. Первичные силикатные минералы расположены по степени их устойчивости к выветриванию. Показаны постепенные переходы формирования последовательных второстепенных минералов. В. К.

64761. Химическое изучение почв Морбихана. Жоливе (Examen chimique des sols du Morbihan. Jolivet E.) Bull. Assoc. franc. étude sol, 1955, № 68, 250—253 (франц.).

Приведены результаты 309 анализов почв Морбихана, образовавшихся на различных геологич. формациях: кембрийских сланцах, кристаллич. сланцах, гранулитах, третичных глинах, четвертичном аллювии. Для 70% изученных почв кол-во колл. фракции составляет $>80\%$, pH 5,6, органич. N 0,2%; усвояемого P_2O_5 (на 1 кг колл. фракции) $<0,2\%$; для 60% почв усвояемого K_2O $<0,2\%$. Характер геологич. формаций мало влияет на состав образующихся на них почв. Наибольшая кислотность и наибольшее содержание гумуса наблюдается в почвах, образовавшихся на гранулитах. Содержание P_2O_5 и усвояемого K_2O находится в зависимости от степени удобрения почвы. В. К.

64762. Сообщения о конференции по геологии Юго-Востока в октябре 1955 г. Петрасчек (Vorträge der Südostgeologischen Tagung. Leoben, 14. bis 16. Oktober 1955. Vorword. Petraschek W. E.), Berg- und Hüttenmänn. Monatsh., 1956, 101, № 2, 21 (нем.).

64763. Работа отдела геохимических исследований Геологического управления США. Лавринг (Work of the Geochemical Exploration Section of the U. S. Geological Survey. Lovering T. S.), Mining Engng, 1955, 7, № 10, 963—966 (англ.).

Обзор основных направлений в геохим. исследованиях, проводимых Геологическим управлением США. Разрабатываются следующие основные проблемы. 1. Быстрые и чувствительные аналитич. методы определения следов металлов и других редких элементов в породах, почвах, водах, особенно для U, Bi, Cr, Hg (для U и Bi разработка методов фактически закончена). Хорошие методы существуют также для Cu, Zn, Pb, Ni, Co, As, Sb, W, Mo, Ag, Nb, Ge, V, Ti, Fe, Mn, S, P. 2. Связь геохим. аномалий в растительных материалах с геохим. распределением элементов в почвах, окружающих данные растения. 3. Изучение механических аллювиальных и гляциальных ореолов рассеяния около известных рудных тел. 4. Поведение рудных металлов при выветривании. 5. Поведение рудных металлов в процессе магматич. дифференциации. 6. Рассеяние металлов в первичных ореолах во вмещающих породах

около рудных тел. 7. Региональное и местное распределение металлов в поверхностных и грунтовых водах на минерализованных и на безрудных площадях. Основная цель при поисковых работах — выявление положительных и отрицательных геохим. аномалий как первичных, так и вторичных, т. е. отклонений содержания данных элементов от средних значений (фона). Библ. 31 назв. Л. Т.

64764. Геохимические исследования вблизи Дюссельдорфа. Арнольд (Hydrochemische Studien im Düsseldorfer Raum. (Auszug) Arnold Hellmut), Geol. Jahrb., 1955, 69, 481—489 (нем.)

64765. Море как источник химического сырья, и использование этого сырья в Югославии. Сабьончелло (O kemizmu mora i njegovom iskorištavanju kod nas. Sabioncello Petar), Kemija u Industriji, 1955, 4, № 10, N-1—N 5 (серб.-хорват.)

64766. Круговорот фосфора в водоемах. Винберг Г. Г., Природа 1955, № 2, 86—88

Описаны и рассмотрены результаты изучения круговорота фосфора при помощи изотопов фосфора P^{32} , проведенного на небольших североамериканских и канадских озерах. Установлено, что P^{32} чрезвычайно быстро аккумулируется планктоном. Переход фосфора из поверхностных слоев ила в воду осуществляется в форме хорошо растворимых закисных соединений Fe, что возможно лишь при наличии анаэробных условий в придонном слое водоема. Б. С.

64767. Химия почвенных вод и осадочные породы. Бексман (Grundwasserchemismus und Speichergestein. Becksmann Ernst), Z. Dtsch. Geol. Ges., 1954 (1955), 106, № 1, 23—35 (нем.)

Между водой и водовмещающими породами, вследствие их длительного тесного контакта друг с другом, наступает хим. равновесие. Приводятся некоторые примеры из практики северных курортов, когда содержание CO_2 в водах зависит от состава почв и жизнедеятельности почвенных бактерий, содержание Fe, Mn и O_2 — от состава осадочных пород и условий водообмена и т. д. Высказывается мысль о том, что при классификации грунтовых вод следует учитывать как их хим. состав, так и состав вмещающих пород. С. К.

64768. Трещинные воды кристаллически-сланцевой толщи криворожской серии пород и возможная роль их в рудообразовании. Потапов В. Д. В сб.: Геология и генезис руд. Криворожск. железоруд. бассейна. Киев, 1955, 202—210

В докембрийских породах Криворожского бассейна выделяются 3 гидродинамич. зоны: 1) верхняя — активной циркуляции, с гидрокарбонатно-сульфатными водами, которые дренируются местной гидрографич. сетью, и наличием трещиноватости, созданной процессами выветривания; 2) средняя, находящаяся ниже местного базиса эрозии, — замедленной циркуляции, с хлоридно-сульфатными водами и трещиноватостью, вызванной тектонич. процессами; 3) нижняя, находящаяся ниже нулевого базиса эрозии, — пассивного водообмена, с хлоридно-натриевыми водами и наличием в основном трещин напластования. С глубиной содержание хлоридов возрастает, а сульфатов и гидрокарбонатов падает. В вертикальном разрезе трещинные воды в зависимости от минерализации дифференцируются в виде хим. зон, так как в силу повышенного уд. веса ионы Cl^- и SO_4^{2-} интенсивно мигрируют на глубину. Граница пресных и соленых вод имеет неровную поверхность, зависящую от тектонич. особенностей участков. Такого же рода увеличение минерализации с глубиной наблюдалось после 67—390 дней стояния в трубках, загруженных породой, куда наливалась пресная вода, затем шахтная вода типа рассолов и, наконец, искусственно приготовленный рассол. С. К.

64769. Исследование натечной воды. Хок (Sinterwasser-Untersuchung. Hock Rudolf), Höhlenkundl. Mitt., 1955, 11, № 1, 3 (нем.)

Описание физ. и хим. свойств и микрофлоры пробы рудничной воды, отобранной на глубине 80 м в боковой шахте «Через котел» в Марицелле (Австрия). Показатель преломления 1,3338, pH 5,5. Электропроводность в интервале 14—28° составляет 3,00—4,15 · 10⁻⁴ ом⁻¹ см⁻¹. Хим. состав (мг/л): CO_3^{2-} 61,2; HCO_3^- 124,0; Ca^{2+} 72,0; Mg^{2+} 7,3. Г. В.

64770. Анализы вод минерально-лечебного значения, Ланжарон (Гренада). Касарес (Análisis de las aguas minero-medicinales de Lanjarón (Granada). Casares R.), An. bromatol., 1954, 6, № 1, 55—72 (исп.)

Приводятся данные хим. анализов 5 источников. Т-ра 16,8—19,4°; радиоактивность 4,652 · 10⁻¹⁰ — 3,229 · 10⁻⁸ кюри/л; эманация радона 9,264 · 10⁻¹⁵ — 51,228 · 10⁻¹⁰ г/л. В 4 источниках хим. анализы показали присутствие Cl, Br, J, SO_4 , SiO_2 , B, HCO_3 , As, Mn, Al, Ca, Mg, K, Na, Li; в пятом — Mn, Al, Mg, Ca, Na, K, Li, Cl, SO_4 , SiO_2 , HCO_3 . Газовый состав: N_2 , CO_2 , небольшие кол-ва O_2 . Л. Ф.

64771. Химико-геологическая карта минеральных источников земли Северный Рейн-Вестфалия. Замечания к карте и номенклатуре и определение понятия минеральных вод. Фрикке (Eine chemisch-geologische Karte der Mineralquellen Nordrhein-Westfalens. Bemerkungen zur Karte und zur Nomenklatur und Begriffsbestimmung der Mineralwässer. Fricke Karl), Geol. Jahrb. 1955, 69, 491—499 (нем.)

64772. Физико-химическое изучение тбилисских термальных вод. Эривани Д. И., Китуашвили Н. А., Тр. Груз. политехн. ин-та, 1955, № 5 (40), 56—67 (рез. груз.)

Исследованные 6 скважин и два источника термальных (до 45°) вод Тбилиси (ВТ) делятся на две группы: 1) нейтр. (или слабощел.) воды буровой № 6 и источника Гоголо (минерализация 741, 4; 1096,9 мг/л, т-ра сравнительно пониженная 26,8; 28,0°); 2) щел. ВТ со слабой минерализацией (306,1 — 442,4 мг/л). Предполагается, что ВТ — смешанного происхождения. Содержание (в г/л): Cl 0,0532 — 0,2769; SO_4 0,0419 — 0,3081; HCO_3 0,0338 — 0,1191; Na+K 0,0740 — 0,1545; Mg 0,0026 — 0,0445; Ca 0,0060 — 0,1700. С увеличением общей минерализации возрастает уд. электропроводность. Определяли pH (со стеклянным электродом с точностью до 0,01) и окислительно-восстановительный потенциал. ВТ первой группы обладают восстановительными свойствами; pH 7,31—7,45. ВТ второй группы имеют окислительные свойства; pH 8,22—8,95. М. Г.

64773. Химические и физические явления в инфильтрующихся грунтовых водах. Нёринг (Chemische und physikalische Erscheinungen bei infiltriertem Grundwasser. Nörning Friedrich), Z. Dtsch. Geol. Ges., 1954 (1955), 106, № 1, 11—15 (нем.)

У берегов рек образуется зона смешения речных и почвенных вод, ширина которой зависит от соотношения уровней воды в реке и почве, от скоростей течения и проинфильтрации вод в почву и других факторов. При инфильтрации вод в породы, содержащие пирит, марказит и т. п., а также органич. в-ва, происходит их окисление растворенным в воде O_2 , что приводит к появлению в воде железа и других катионов и к возрастанию постоянной и временной жесткости, так как получающиеся при окислении H_2SO_4 и CO_2 образуют с Ca и Mg почв растворимые кислые соли. При рассмотрении процессов инфильтрации следует учитывать также пока малоизученное явление закупорки почвенных пор взвешенными в воде в-вами. С. К.

64774.

карьер.

22, N.

Отмеч.

ши суль.

ные пор.

ное кол.

творят

рушающ

ные суль.

на горн.

64775.

ла и с

(Grou

Valle

ver

1954,

Прив

вод, кл

и дана

фильтр

под вл

осадков

с глуб

64776.

матер

до в

777—

Для

лагает

масшта

(в г.л.

масшта

отдель

64780.

нов.

certa

Н.,

1955

На

данн

автор

ные ра

она-1

71, 12

дифеи

няется

тезиро

2-она-

хлор-3

64781.

неи

тил

ш и

хим.

Изу

собно

групп

гидри,

на ни

2,4,6-

динит

ден)-ф

64774. К вопросу о происхождении солевого состава карстовых вод. Дуров С. С., Укр. хим. ж., 1956, 22, № 1, 106—111

Отмечается большая роль возникающей при окислении сульфидов серной к-ты и действия ее на карбонатные породы, в результате чего выделяется эквивалентное кол-во углекислоты, которая, в свою очередь, растворяет карбонатные породы, усиливая при этом разрушающее действие H_2SO_4 . Указывается на образование сульфатов Ca, Mg и Na в результате действия H_2SO_4 на горные породы. Ч. К.

64775. О подземных водах в долинах Ринкон и Месила и смежных районах в Нью-Мексико. Коппер (Ground-water conditions in the Rincon and Mesilla Valleys and adjacent areas in New Mexico. Conover C. S.), Geol. Survey Water-Supply Paper, 1954, № 1230, V, 200 p. (англ.)

Приводятся сведения о запасах и режиме подземных вод, климате, топографии района. Описана геология и дана гидрогеол. характеристика района: коэфф. фильтрации пород, водообильность, уклоны зеркала под влиянием иригации, инфильтрации атмосферных осадков и транспирации, изменение хим. состава воды с глубиной и по площади района. Д. Ш.

64776. О методе обработки и графического обобщения материалов по химизму подземных вод. Давыдов И. Я., Докл. АН АзССР, 1955, 11, № 11, 777—782 (рез. азерб.)

Для изучения хим. состава подземных вод автор предлагает 3 типа графиков, где по оси ординат в линейном масштабе откладывается весовое содержание ионов (в г/л; мг-экв/л; экв. %), а по оси абсцисс в логарифмич. масштабе плотный остаток воды. Линии содержания отдельных ионов имеют характер ломаных кривых,

точка перелома отображает момент изменения в пропорциональности прироста иона. Отмечено, что для HCO_3 прирост прекращается при концентрации 1 г/л, Ca ~10 г/л, для остальных ионов — по-разному в отдельных гидрохим. районах. Л. Ф.

64777. К определению глинистых минералов с помощью электронного микроскопа. Нейвирт (Zur Bestimmung der Tonminerale mit dem Elektronenmikroskop. Neuwirth Erich). Tschermaks mineral. und petrogr. Mitt., 1956, 5, № 4, 347—361 (нем.)

64778 К. Метод исследования глинистых минералов при помощи красителей и его применение в литологии. Веденеева Н. Е., Викулова М. Е. Перев. с русс. (Metoda badania minerałów ilastych za pomocą barwników i jej zastosowanie w litologii. Wiedniejew N. E., Wykułowa M. E., Tłum s ros. Warszawa, Wydawn. Geol., 1954, 47 s. il., 4,50 zł.) (польск.)

64779 Д. Литолого-минералогическая характеристика и условия образования аргиллитов продуктивной толщ Донбасса. Ныркв А. А. Автореф. дисс. канд. геол.-минералог. н., Новочеркас. политех. ин-т, Новочеркасск, 1956

См. также: Структура и состав минералов 64284, 64317—64319, 64344, 64382, 64391. Методы анализа минералов, руд, почв и природных вод 65221, 65222, 65225, 65259, 65261, 65267, 65278, 65281, 65286, 65300, 65301, 65304, 65307, 65315, 65332—65334, 65338, 65342, 65352, 65881, 65997. Синтез минералов 64696. Др. вопр. 64052, 64316, 64631, 64635, 65324, 65690, 65697, 65699; 18846Бх, 19238Бх, 19409Бх, 19408Бх

ОРГАНИЧЕСКАЯ ХИМИЯ

ТЕОРЕТИЧЕСКИЕ И ОБЩИЕ ВОПРОСЫ ОРГАНИЧЕСКОЙ ХИМИИ

64780. Структура некоторых дифенилциклопентенонов. Аллен, Ван-Аллан (The structure of certain diphenylcyclopentenones. Allen C. F. N., Van Allan J. A.), J. Amer. Chem. Soc., 1955, 77, № 8, 2315—2317 (англ.)

На основании критич. рассмотрения литературных данных и УФ-спектров (приведены $\lambda_{\text{макс}}$ для 13 в-в) авторы пришли к заключению, что соединения, известные ранее как производные 3,4-дифенилциклопентен-3-она-1 (Jarr F. R., J. Chem. Soc., 1887, 51, 420; 1897, 71, 123), являются на самом деле производными 3,4-дифенилциклопентен-2-она-1. На основании этого уточняется также строение хлоркетонов этого ряда, синтезированных ранее: 4-хлор-3,4-дифенилциклопентен-2-она-1, 5-хлор-2,3-дифенилциклопентен-2-она-1, 2-хлор-3,4-дифенилциклопентен-2-она-1. Г. С.

64781. Исследования в области таутомерных соединений. XX. О подвижности водородных атомов метильных групп нитротолуолов. Порай-Кошиц А. Е., Чижевская И. И., Ж. общ. химии, 1956, 26, № 3, 842—847

Изученная ранее (Ж. общ. химии, 1937, 7, 120) способность соединений с подвижными Н-атомами CH_3 -группы вступать в р-цию конденсации с фталевым ангидридом (I) (фталовая р-ция) ныне распространена на нитропроизводные толуола. 2,4-динитро-(II) и 2,4,6-тринитротолуол реагируют с I, давая 3-(2',4'-динитробензильден)- и 3-(2',4',6'-тринитробензильден)-фталид (III и IV). Мононитротолуолы (орто и па-

ра) не конденсируются с I. Показана способность II к перегруппировке в изомерное производное фенилиндадиона-1,3. Восстановление III и IV дает о-бензоил-1,2-(6'-амино)-индол (V) и о-бензоил-1,2-(4',6'-диамино)-индол (VI); строение последнего подтверждено встречным синтезом из 4,6-динитротолуилфталимида. Полученные аминопроизводные о-бензоиленинда были использованы в качестве диазосоставляющих для синтеза азокрасителей. III получен нагреванием 9,1 г II и 7,4 г I в 50 мл диметиланилина (1,5—2 часа), выход 72%, т. пл. 252° (из ацетона). Аналогично синтезирован IV, выход 40,0%, т. пл. 247° (из ацетона). Нагревание III с водн. р-ром NaOH дает с выходом 90% 2',4'-динитродезоксисбензоникарбоновую-2 к-ту (VII), т. пл. 177—179° (из водн. сп.); оксим, т. пл. 212° (из сп.); метиловый эфир, т. пл. 193—194°. При нагревании VII до 185—190° получен исходный III. Из реакционной смеси 6,2 г III, 0,8 г Na и 50 мл абс. CH_3OH выделен 2',4'-динитрофенилиндадион-1,3, т. пл. 243° (из сп.); диоксим, т. пл. 221° (из сп.), который восстановлением Sn переведен с выходом 70% в хлоргидрат 2',4'-диаминифенилиндадиона-1,3 (т. пл. основания 144—149°). Последний при дезаминировании $NaNO_2$ дает фенилиндадион-1,3. 5 г III восстанавливали Sn в конц. HCl до обесцвечивания р-ра. Sn удаляли, пропуская H_2S , после чего р-р выпаривали на водяной бане и получали хлоргидрат-V, аморфное в-во, т. пл. 261—262°. Аналогично получен хлоргидрат-VI, т. пл. 287—289°. Сообщение XIX см. РЖХим, 1956, 25496. Г. Б.

64782. Исследования в области таутомерных соединений. XXI. Таутомерия производных дипиразолонил-фенилметана. Порай-Кошиц А. Е., Порай-

Кошиц Б. А., Липина Н. Г., Ж. общ. химии, 1956, 26, № 3, 872—877

Рассматривается влияние характера и положения заместителя в альдегидном остатке на кетонольную таутомерию белого и желтого дипиразоноил-*m*-нитрофенилметанов, причем белый продукт является енолом, желтый — кетоном (ср. РЖХим, 1956, 25496). Проведена конденсация 1-фенил-3-метилпиразолона-5 (I) с C_6H_5CHO (II), *o*-(III), *m*- и *p*- $O_2NC_6H_4CHO$, *o*-, *m*- и *p*- $NO_2C_6H_4CHO$ (IV, V, VI) и *o*-, *m*- и *p*- ClC_6H_4CHO (VII, VIII, IX). В большинстве случаев кетоны и енолы могут быть выделены в виде устойчивых соединений, переходящих друг в друга при определенных условиях. Заместители в мета-положении благоприятствуют устойчивости обоих таутомеров, заместители в орто- и пара-положениях благоприятствуют устойчивости одного из них; NO_2 -группа способствует устойчивости кетонного таутомера, OH- и Cl-группы — енольных таутомеров. Для *p*-ции конденсации во всех случаях было взято 0,01 моля I и 0,005 моля альдегида. При нагревании I с III в спирте получен желтый продукт, т. пл. 225° (выход колич.), который при растворении в 10% NaOH и подкислении CH_3COOH дает с выходом 95% белый продукт, т. пл. 203—205° (из абс. сп.). Взаимодействие I с V в 96%-ном спирте дает с выходом 85% белый продукт, т. пл. 181° (из сп.); желтый продукт: а) кипячение реагентов с 70% CH_3COOH , выход 94%, т. пл. 152° (из 70%-ной CH_3COOH), б) кипячение белого продукта в спирте, выход колич., т. пл. 152°. Аналогично получены продукты *p*-ции с VI: белый, выход 85%, т. пл. 162° (из абс. сп.), и желтый, выход 85%, а по методу б) ~100%, т. пл. 216° (из 70%-ной CH_3COOH). I с IV дает белый продукт (в *p*-ре сп.), выход 80%, т. пл. 226° (из абс. сп.), который при кипячении в 70%-ной CH_3COOH переходит в желтый, т. пл. 223°. Из I и VIII получены аналогично белый продукт (выход 98%, т. пл. 149° (из сп.)) и желтый (по методу а), выход 68%, т. пл. 216° (из 70%-ной CH_3COOH). С II, VII и IX удалось получить только белые продукты с т. пл. 174, 231 и 208° (все из сп.) соответственно. В последнем случае выход почти колич.

64783. Таутомерные формы камфохинона в растворе.

Модьяно (Les formes tautomères de la camphoquinone en solution. Modiano J., Ann. chimie, 1955, 10, juill.-août, 541—589 (франц.))

Различными методами (полярометрич., спектроскопич., полярографич. и др.) исследовано поведение камфохинона (I) в ряде *p*-рителей. Приведены кривые зависимости вращательной способности (BC) по времени. *p*-ры I в водн. и безводн. C_2H_5OH , в CH_3OH , C_3H_7OH и $C_6H_5CH_2OH$ обнаруживают явление мутаротации. Использование для определения BC волн различной длины (5893 и 5460 Å) позволило построить диаграмму Дармуа (Darmon, Ann. Chem. et Phys., 1911, 22, 247) и обнаружить присутствие в *p*-ре таутомерной формы (ТФ) I, также обладающей оптич. активностью. Присутствие второго компонента подтверждено криоскопией спирт. *p*-ров I. *p*-ция I—ТФ подчиняется ур-нию первого порядка. Мутаротация не наблюдается в *p*-рах I в ацетоне, этилацетате, бензальдегиде, циклогексане и в эфире. Однако BC этих *p*-ров зависит от конц-ии I. Кривые зависимости BC от конц-ии I (а также камфора) в эфире имеют максимум и минимум, причиной этого, возможно, является взаимодействие между I и *p*-рителем или же образование водородной связи. Незначительное изменение BC *p*-ра I в *m*-крезоле, по-видимому, объясняется образованием комплекса. Кол-во I, перешедшего в ТФ в равновесном спиртовом *p*-ре, по данным спектроскопии в видимой области равно 17%. Эта же величина получена (для *p*-ров в 100 раз более концентрированных) из полярометрич. данных. УФ-спектры исходного и равновесного *p*-ра I в спирте

сходны, но для равновесного *p*-ра отмечено уменьшение поглощения между 2660 и 2900 Å и увеличение между 2900 и 3500 Å. Наибольшая разница наблюдается в области 3100—3200 Å, где поглощение, по-видимому, обусловлено присутствием ТФ. Если к *p*-ру добавлять водн. *p*-р щелочи, эта полоса по мере возрастания pH становится более резкой. При достаточно большом кол-ве щелочи абсорбция становится постоянной; максимум поглощения лежит при 3240 Å. При добавлении концентрированной водн. щелочи к насыщ. *p*-ру I в спирте *p*-р полностью обезвреживается и выпадает белый кристаллич. осадок, который может быть отделен и из которого гидролизом при 199° можно получить исходный I. При этом I не подвергается рацемизации. Рентгеновское исследование осадка подтверждает, что он является индивидуальным хим. соединением, а не смесью I со щелочью. Сравнение ИК-спектров *p*-ров камфоры и I в вазелиновом масле показало, что введение $>CO$ -группы в α -положение к карбонильной группе камфоры не вызывает заметного смещения соответствующей полосы. Аналогичное явление обнаружено при сопоставлении ИК-спектров метилэтилкетона и диацетила. Появление полосы $C=OH$ невозможно заметить вследствие маскирующего поглощения *p*-рителя, поэтому ИК-спектры не могут быть использованы для наблюдения мутаротации в спирт. *p*-рах. ИК-спектры *p*-ров I в монобензиламин и в пиперидине весьма сходны. Полярографич. восстановление I в среде с pH от 4 до 11 требует затраты электронов и приводит к оксикамфору. В сильно щел. среде (pH > 12), где преобладает ТФ, расходуется один электрон и образуется пинакон. Подробно рассмотрен вопрос о возможной структуре ТФ и показано, что предположения об образовании ацетала, полуацетала или эпоксида не согласуются с совокупностью эксперим. данных. Таким образом, ТФ следует приписать енольное строение, обусловленное миграцией подвижного водорода, находящегося в положении 4. Однако появление двойной связи в молекуле I вызывает значительную деформацию валентных углов и, следовательно, большую «хрупкость» молекулы, что объясняет невозможность выделения енольной формы и неудачу попытки ее бромометрич. определения. Исследовано действие окислительной системы $Br-HgSO_4$ на α -дикетоны и показано, что при этом имеет место окисление путем внедрения атома кислорода между углеродами CO -групп с образованием ангидрида, дикарбоновой к-ты или двух молекул к-ты. *p*-ция протекает количественно и может быть использована для определения α -дикетонов. Г. Б. 64784.

Производные тианпирана. V. Моносουλфинильный и моносулфонильный аналоги флороглюцина. Фенел, Пол (Thiapyran derivatives. V. The monosulfinyl and monosulfonyl analogs of phloroglucinol. Fehnel Edward A., Paul Albert P., J. Amer. Chem. Soc., 1955, 77, № 16, 4241—4244 (англ.))

Синтезированы 1-окись (I) и 1,1-диокись (II) тетрагидротиапирандиона-3,5 для доказательства предположения о том, что они могут переходить в таутомерные формы (III и IV) по аналогии с почти необратимыми прототропным превращением циклогексантиона-1,3,5 в флороглюцин (V). I и II получены ступенчатым окислением тетрагидротиапирандиона (VI) надбензойной к-той (VII) по схеме: $CH_3COCH_2Cl + NaSCH_2COOCH_3 \rightarrow CH_3COCH_2SCH_2COOCH_3 \rightarrow OCCH_2SCH_2COCH_2$ (VI) \rightarrow

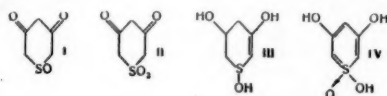
\rightarrow I \rightarrow II. Изучение кислотных констант и УФ-спектров поглощения (в сп.; приводятся кривые спектров) продуктов указывает на то, что в водн. и спирт. *p*-рах существуют лишь моноенолы и соответствующие анионы енолятов I и II. В отличие от V, слабо ионизованного, VI и обе его окиси являются довольно сильными основными к-тами, напоминающими в этом отношении

В-дикето (VIII). I > VI > V. притягивающим также с-ров, которые реагируют

p-рий с N_2 *p*-ру при 0° тем пос- вают 15 ходом 7 110—11 125,5° (ши в 5 и тонко 30 мин. водн. (0 вают в 80—81° 50%-но- периди тианпира (разл.; эфра в- чают мо- т. пл. 6 окислен- выход I Аналогич- получаю (128—12 2,19 ± 1 лагрева- под N_2 (разл.; яне IV 64785.

ных К и р общ. Для врац- арилеу: (OR)(O При о- ствотат и одног- наличи- вид из- тетраэдр- Тогда I мером I изомер- частич- будет з- яне эф- лорам в *p*-ре C +ArSO Синтез- крезил- сульфог- 7 Хим

3-дикетоны, напр., 5,5-диметилциклогександион-1,3 (VIII). Кислотные свойства их убывают в ряду $\text{II} > \text{I} > \text{VI} > \text{VIII}$, что соответствует уменьшению электроннопритягивающей силы групп $\text{SO}_2 > \text{SO} > \text{S} > \text{CR}$. Подтверждением существования II и VI в виде моноенолов служит также способность их к образованию с CH_2N_2 моноэфиров, которые кислотными свойствами не обладают, не реагируют с водн. р-ром NaHCO_3 и не дают цветных



р-ций с р-ром FeCl_3 . К перемешиваемому в атмосфере N_2 р-ру алкоголята из 23 г Na и 400 мл абс. CH_3OH при 0° быстро прибавляют 106 г метилтиогликолята, затем постепенно вводят 92,5 г хлорацетона, перемешивают 15 мин. при 20° и кипятят 15 мин., получают с выходом 71% метилацетонилмеркаптоацетат (IX), т. кип. 110–115°/5 мм (в токе N_2); семикарбазон, т. пл. 124,5–125,5° (из этилацетата). При интенсивном перемешивании в 500 мл сухого C_6H_6 вводят (6°, 30 мин.) 48,6 г IX и тонкоизмельченный CH_3ONa (из 13,8 г Na), через 30 мин. смесь выливают в р-р 60 мл конц. HCl в 400 мл воды (0°), экстрагируют CHCl_3 , сушат MgSO_4 и упаривают в вакууме (20°, N_2) досуха, выход VI 60%, т. пл. 80–81° (из бзл.). Обработка р-ра 1,3 г VI в 12 мл 50%-ного спирта 0,32 г бензальдегида с 3 каплями пиридина приводит к 4,4-бензилден-бис-(тетрагидротрианирандиону-3,5), выход 0,95 г, т. пл. 212–213° (разл.; из CH_3OH). Действуя 1,5 г CH_2N_2 в 50 мл сухого эфира на эфирную суспензию 3,9 г VI при 0–5° получают монометилловый эфир енола VI (X), выход 68%, т. пл. 64–65° (из лигр.). Р-р 18,2 г VI в 200 мл CHCl_3 окисляют при 0° р-ром VII (20,7 г в 288 мл CHCl_3), выход I 93%, т. пл. 118–118,5° (разл.; из сп.-петр. эф.). Аналогично X из 4,38 г I и эфирного р-ра ~2,8 г CH_2N_2 получают метиловый эфир енола I, выход 81%, т. пл. 128–129° (разл.; из бзл.). При дальнейшем окислении 2,19 г I в ацетоне 2,1 г VII в том же р-рителе (15 мин. нагревание до кипения, удаление ацетона в вакууме под N_2) образуется II, выход 80%, т. пл. 184–186° (разл.; из этилацетата, высаживание петр. эф.). Сообщение IV см. РЖХим, 1954, 35835.

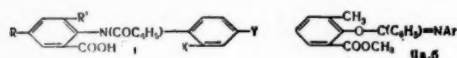
Ю. С. 64785. Смешанные эфиры арилсульфонимидофосфорных кислот и изомерия неврачающегося тетраэдра. Кирсанов А. В., Шевченко В. И., Ж. общ. химии, 1956, 26, № 1, 74–78

Для решения вопроса о существовании изомерии неврачающегося тетраэдра изучены смешанные эфиры арилсульфонимидофосфорных к-т типа $\text{ArSO}_2\text{N}=\text{P}(\text{OR})(\text{OR}')(\text{OR}'')$ (I) и $\text{ArSO}_2\text{N}=\text{P}(\text{OR})_2(\text{OR}')$ (II). При ординарной связи $-\text{N}-\text{P}^+ \equiv \text{I}$ должны существовать в виде двух оптически активных антиподов и одного рацемата, а II не должен иметь изомеров. При наличии двойной связи $-\text{N}=\text{P} \equiv$ возникает новый вид изомерии, обусловленной затрудненным вращением тетраэдра, образованного заместителями при атоме P. Тогда I должны иметь шесть оптически активных изомеров и три рацемата, а II — два оптически активных изомера, один рацемат и одно мезо-соединение. При частичной поляризации двойной связи число изомеров будет зависеть от степени этой поляризации. Смешанные эфиры типа I и II получены действием Na-солей хлорамидов сульфокислот на эфиры фосфористой к-ты в р-ре CCl_4 . $\text{ArSO}_2\text{NNaCl} + \text{P}(\text{OR})(\text{OR}')(\text{OR}'') \rightarrow \text{NaCl} + \text{ArSO}_2\text{N}=\text{P}(\text{OR})(\text{OR}')(\text{OR}'')$, выходы почти колич. Синтезированы (с выходом >92%) м-, м-, о-, п-, о-, м-ди-крезилфениловые эфиры фенил-, о-толил- и -нафтил-сульфонимидофосфорных к-т. Только один о-, м-дике-

зилфениловый эфир фенилсульфонимидофосфорной к-ты получен в виде двух изомеров — жидкого и кристаллич. (т. пл. 57–59°, выход 25–35%), что может быть объяснено изомерией неврачающегося тетраэдра. А. К. 64786. Дальнейшие исследования нестабильной оптической активности в ряду N-бензоилдифениламинкарбоновых кислот. Гаррис, Поттер, Тернер (Further studies on unstable optical activity in the N-benzoyldiphenylaminecarboxylic acid series. Harris (née Jamison) Margaret M., Potter W. G., Turner E. E.), J. Chem. Soc., 1955, Jan., 145–154 (англ.)

Продолжены исследования нестабильной оптической активности N-бензоилдифениламинкарбоновых к-т (Jamison, Turner, J. Chem. Soc., 1937, 1954; 1938, 1646; 1940, 264). Изучено дополнительно 6 к-т ф-лы I. Показано, что оптическая активность таких соединений вызывается не асимметрией атома N, а затрудненностью вращения арилов вокруг N—C-связей. Вращение для соединений, замещ. в орто-положениях обоих бензольных ядер, возможно лишь при синхронном повороте арилов. В случае замещения в пара-положениях или в орто-положении только одного бензольного кольца свободное вращение возможно и оптическая активность отсутствует. Так, N-бензоилдифениламинкарбоновая-4 и N-бензоил-4'-хлордифениламинкарбоновая-4 к-ты не проявляют оптич. активности и не могут быть разделены на антиподы с помощью оптически активных оснований. Не обнаружена оптич. активность и в случае N-бензоилдифениламинкарбоновой-2 к-ты (Ia). Замещ. в орто-положении дифениламинкарбоновых-2 к-ты могут проявлять оптич. активность, о чем свидетельствует мутаротация р-ров алкалоидов в присутствии этих к-т (р-ритель CHCl_3 или хлф. + 2,4% сп.). Мутаротация объясняется постепенным установлением равновесия между диастереомерными формами образующихся солей (так называемое «асимметрич. превращение первого порядка», АП-1). Равновесие может быть сдвинуто полностью в сторону одной из форм (асимметрич. превращение второго порядка, АП-2), при разложении таких солей можно выделить оптически чистые формы к-т. Константы скорости АП-1 и рацемизации значительно изменяются в зависимости от кол-ва молей к-ты, приходящихся на 1 моль основания, с изменением этого соотношения иногда меняется и знак вращения. Это явление объяснено образованием агрегатов из нескольких молекул к-ты с 1 молекулой алкалоида, подтвержденное криоскопич. данными (в CHBr_3), а также фактами значительного повышения растворимости к-т в CHCl_3 в присутствии небольших кол-в алкалоидов. На основе полученных кинетич. данных (константы рацемизации) сделаны обобщения о сравнительной устойчивости вращения в зависимости от строения к-т. Для 6'-X-N-бензоил-6-метилдифениламинкарбоновых-2 к-т устойчивость растет в ряду: $\text{X} = \text{H} < \text{CH}_3 < \text{F} < \text{Cl} < \text{Br}$ (Ib, Iв, Iг, Id). В ряду 6-хлор-4-Y-N-бензоил-6-метилдифениламинкарбоновых-2 к-т устойчивость растет в порядке $\text{Y} = \text{CH}_3 < \text{H} < \text{Cl} < \text{Br}$ (Iе, Iж, Ia, Iи). 4,6-дибром-N-бензоилдифениламинкарбоновая-2 к-та (Ik) менее устойчива, чем 4,6,4'-трибром-N-бензоилдифениламинкарбоновая к-та (Il). К-ты синтезированы путем перегруппировки Чепмана эфиров арилмидобензойных к-т (II) по схеме: $\text{C}_6\text{H}_5\text{C}(\text{OAr})=\text{NAr}' \rightarrow \text{C}_6\text{H}_5\text{CON}(\text{Ar})\text{Ar}'$. Из метилового эфира 3,5-дибром-2-(α-фенилмидобензилокси)-бензойной к-ты, т. пл. 102–103°, при перегруппировке (190–200°) получен с выходом 80% метиловый эфир Ik, гидролиз которого привел к Ik. Бензоил-о-фторанилид, т. пл. 113°, превращен в α-хлорбензаль-о-фторанил, т. кип. 196–200°/27 мм; последний с метиловым эфиром 2-окси-3-метилбензойной к-ты (III) дал иминоэфир (IIa, Ar=о-фторфенил), т. пл. 58–60°. IIa при 275° изомеризуется в метиловый эфир к-ты Ig, т. пл. 104–106°.

выход 81%. Гидролизом эфира с водно-спирт. NaOH получена **1g**, т. пл. 187—188°. Иминоэфир из **III** и α -хлорбензаль-(2-хлор-4-метил)-анила (**16** Ag = 2-хлор-4-метилфенил), т. пл. 113—114°. Перегруппировка **16** (285—290°) приводит к метиловому эфиру к-ты **1e**, т. пл. 187—188°, из которого получена свободная к-та



Ia R = R' = X = Y = H; **16** R = X = Y = H, R' = CH₃; **Ia** R' = Y = H, R' = X = CH₃; **Ig** R = Y = H, R' = CH₃, X = —, **Ia** R = Y = H, R' = CH₃, X = Br; **Ie** R = H, R' = Y = —, X = CH₃; **Ij** R = H = Y, R' = CH₃, X = Cl; **Iz** R = H, R' = CH₃, X = Y = Cl; **Im** R = H, R' = CH₃, X = Cl, Y = Br; **k** R' = R = Br, X = Y = H; **1a** R = R' = Y = Br, X = H; **1m** R = H, R' = CH₃, X = Cl, Y = OCH₃.

Ie, т. пл. 210—211°. Получены метиловые эфиры 2-(α -арилдиминобензилокси)-3-метилбензойных к-т, где арил = α -бромфенил, т. пл. 100—102°; 2,4-дихлорфенил, т. пл. 74—76°, 2-хлор-4-бромфенил, т. пл. 87—88°; 2-хлор-4-метоксифенил, т. пл. 94—95°; 2,4,6-триметилфенил (**16b**), т. пл. 83—85°. Метиловый эфир 3-бром-5-метокси-4-(α -(2,6-диметилфенилдимино)-бензилокси)-бензойной к-ты, т. пл. 162—164°, не перегруппировывается, как и **16b**. Перегруппировкой получены метиловые эфиры к-т: **Id**, выход 80%, т. пл. 191°; **Iz**, выход 70%, т. пл. 131—133°; **Iu**, выход 83%, т. пл. 138°; **Im**, т. пл. 124—125°. Гидролизом эфиров получены свободные к-ты: **Id**, т. пл. 198—199°; **Ia**, т. пл. 201—202°, **Iu**, т. пл. 186—187°; **1m**, т. пл. 214—215°. При смешении р-ров эквимольных кол-в к-т и алкалоидов (в ацетоне, ацетоне с петр. эф., ацетоне + эф., си. + эф.) идет кристаллизация лишь одной диастереоизомерной формы солей (АП-2). Из солей с бруцином получены свободные к-ты **16**, **Id**, **Ie**, **Iu**, **Iz**. Приведены константы скорости рацемизации, а также данные по АП-1 для ряда к-т, в том числе по зависимости АП-1 для **Ie** от состава р-рителя. К-та **Im** не получена в оптически-активном состоянии. **Л. Б.** 64787. Конфигурация и свойства ненасыщенных кислот и их производных. **V.** О свойствах ангеликовой и тиглиновой кислот и их эфиров. **Плисов А. К., Костюк А. П.**, *Ж. общ. химии*, 1956, 26, № 3, 715—719.

Продолжая изучение реакционной способности геометрич. изомеров непредельных к-т (см. сообщение **IV** РЖХим, 1956, 46847), авторы подвергли ангеликовую (**I**) и тиглиновую (**II**) к-ты окислению, а их этиловые эфиры — р-циям окисления и омыления. Установлено, что **I** и ее этиловый эфир (**III**) окисляются быстрее, чем **II** и ее этиловый эфир (**IV**), так как двойная связь **II** экранируется с одной стороны двумя метильными радикалами, а с другой — карбоксильной группой. Омыление **IV** протекает легче, чем **III**, так как доступ к сложноэфирной группе **III** элементов щелочи затруднен СН₃-группой у β -углерода двойной связи. На этом основании авторы приписывают **I** *цис*-конфигурацию, а **II** — *транс*. **В. Р.**

64788. Константы кислотной и основной диссоциации и структура. **Камлер** (Acidic and basic dissociation constants and structure. **Kumler W. D.**), *J. Organ. Chem.*, 1955, 20, № 6, 700—706 (англ.).

На основании выполненных ранее эксперим. работ (см. РЖХим, 1955, 5170) автор подробно обсуждает вопрос о характере сосуществования в одной и той же молекуле кислотных и основных групп и предлагает новые структурные ф-лы для ряда соединений: ф-лу типа (NH₂)₂C=N—R для нитро-, нитрозо-, диан- и сульфонилгуанидина, дианилмочевины (R = CONH₂),

дианилтиомочевины (R = CSNH₂), аминодиазогуанидина (R = N=NNH₂), ф-лу NH₂NHC(NH₂)=NNO₂ для нитроамингуанидина, ф-лы типа RNHC(NH₂)=NCN для ацил- и фенилдиангуанидина и ф-лу [NO₂N=C(NH₂)NH—]₂ для 1,6-динитробигуанидина. **Г. Б.**

64789. Химия дициандиаминов и бигуанидов и их металлокомплексов. **Рай** (Chemistry of dicyandiamidines and biguanides and their metallic complexes. **Ray Priyadarajan**), *J. Indian Chem. Soc.*, 1955, 32, № 3, 141—156 (англ.).

Рассмотрены свойства бигуанидов (**B**) и дициандиаминов (**D**) и их металлокомплексов. Незамещ. **D**, алкилазещ. **D** и **N'**-фенил-**N**⁴-диэтилдициандиамидин с СО-группой у соседней **N**⁴ образуют с Cu и Ni окрашенные комплексы, в то время, как **D** с СО-группой, смежной с арильным радикалом: фенил-, *n*-хлорфенил-, *n*-ацетилфенил-, *N'*-фенил-**N**⁴-фенил-, *N'*-фенил-**N**⁴-диэтил-, *N'*-*n*-сульфамидофенил- и *N'*-*n*-сульфамидофенил-**N**⁴-диэтилдициандиамидины не дают комплексов с этими металлами. Предполагается, что металлокомплексы **D** имеют строение (**I**) и при R = арил резко снижаются комплексообразующие свойства **N'**, в результате чего образование комплекса не происходит. Обнаружено, что гидролитич. деаминирование **B** в соответствующие **D** происходит с разной скоростью. Фенилбигуанид (**II**), *n*-хлорфенилбигуанид, *n*-сульфофенилбигуанид (**III**), *n*-оксифенилбигуанид и другие в присутствии 2,5 н. HCl аналогично палюдрину (*N'*-*n*-хлорфенил-**N**⁴-изопропилибигуаниду) не изменяются в течение месяцев. Наличие в пара-положении фенильного заместителя SO₂NH₂-группы способствует ускорению деаминирования **B**; напротив, наличие одного или двух алкильных или арильных радикалов у **N**⁴ подавляет эту р-цию. Для некоторых **B** определены первые константы диссоциации (K_{a1}) и константы нестойкости их Cu- и Ni-комплексов — K_{Cu} и K_{Ni} (перечисляются **B**, $K_{a1} \cdot 10^{12}$, $K_{Cu} \cdot 10^{19}$, $K_{Ni} \cdot 10^{14}$): *N'*-диэтилбигуанид (**IV**), 2,09, —; этилендигуанид, 2,82 ($\sqrt{K_{a1} \cdot K_{a2}}$) 0,002, 0,708; бигуанид, 3,02, 4,54, 3,31; диметилбигуанид, 3,02, —; этилбигуанид, 3,39, 101,9, 166,3; метилбигуанид, 3,63, 70,52, 166,0; **II**, 19, 1, 177,0, 424,8; *m*-фениленбигуанид, 23,40 ($\sqrt{K_{a1} \cdot K_{a2}}$) 36310,0, —; *N'*- α -нафтилбигуанид, 57,5, —. Приведены кривые ИК-спектров Cu-комплексов **III**, **IV** и Ni комплекса **II**, которые в кристаллич. состоянии образуют по два изомера, отличающихся цветом. Предполагается, что здесь имеет место *цис-транс*-изомерия, а в водн., спирт. и пиридиновом р-рах неустойчивый изомер (вероятно *цис*-) быстро превращается в стабильную форму. **В. Я.**

64790. Константы диссоциации 7-метил- и 1,7-диметилмочевой кислоты. **Дикштейн, Бергман** (The dissociation constants of 7-methyl- and 1,7-dimethyluric acid. **Dikstein Shabtay, Bergmann Felix**), *J. Amer. Chem. Soc.*, 1955, 77, № 17, 4671—4672 (англ.).

Спектрофотометрическим методом измерены константы ионизации групп NH в положениях 9 и 3 (pK_9 и pK_3) для 7-метил- и 1,7-диметилпроизводных мочевой к-ты (**I** и **II**) (первая цифра pK_9 , вторая — pK_3): **I** 5,6, 10,3; **II** 5,5, 10,6. Полученные данные подтверждают вывод о том, что ионизация у **N**₁ не происходит. **М. П.**

64791. Азосоединения. **XV.** Источники биарадикалов. Синтез и разложение многочленных циклических азосоединений. **Овербергер, Ланкин** (Azo compounds. XV. Biradical sources. The synthesis and decomposition of large membered ring azo compounds

О в
J. A
(англ.)

Син

CH(C₆H₅)₂
(C₆H₅)₂

при 1

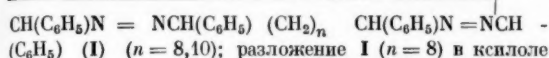
(C₆H₅)₂
показан
с оди
стро
об от
C₆H₅C
и р-р
до го
и доба
смесь

7 г

= NN
ацетон
УФ-сп
0,5 г
легко
I, *n* =
петр.
165,5°
декан
вают
которо
C₆H₅,
конц.
(CH₂)₂
K 0,02
IV при
спирта
(из ап
получ
тона и
добав
рана,
т. пл.
100 м
получ
40,0—
ровать
пиофер
0,13 м
граву
зина
Hарпер
атмосф
ляют
312°/C
в петр
с небо
XIV с
64792.
ност
лов
им
Met
fluor
form
of at
tic

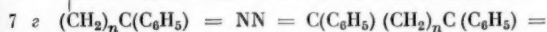
O verberger C. G., Lapkin Milton), J. Amer. Chem. Soc., 1955, 77, № 17, 4651—4657 (англ.)

Синтезированы циклич. бис-азосоединения $(CH_2)_n$ -



при 120° ведет к $(CH_2)_8CH(C_6H_5)CH(C_6H_5)(CH_2)_8CH$ -

$(C_6H_5)CH(C_6H_5)$ (II). Изучение кинетики разложения показывает, что обе азогруппы в I ($n=8$) отщепляются не с одинаковой скоростью. При разложении I ($n=8$) в стироле полистирол не образуется, что свидетельствует об отсутствии при этом бирадикалов. Р-р 0,1 моля $C_6H_5CO(CH_2)_8COC_6H_5$ (III) в 550 мл $HCON(CH_3)_2$ (IV) и р-р 0,01 моля $N_2H_4 \cdot HBr$ в 350 мл IV встряхивают до гомогенизации, через 3 дня разбавляют 2,4 л спирта и добавляют р-р к 300 мл C_5H_5N и 7,5 л спирта, смесь при размешивании нагревают 2 дня, получено



$= NN = C(C_6H_5)$ (V) ($n=8$) с т. пл. 146,5—147° (из ацетона и из эф.). Строение V подтверждено ИК- и УФ-спектрами; после гидрирования над 0,5 г PtO_2 и 0,5 г 10%-ного Pd (63°, 3 ат., 3 часа) получено вместо легко окисляющегося соответствующего дигидразина I, $n=8$, выход 5,6 г, т. пл. 130—131° (из эф. и из петр. эф.); дигидразин в виде пикрата, т. пл. 164,5—165,5°, выделен при гидрировании I ($n=8$). 0,18 моля декандикарбоновой-1,10 к-ты и 0,5 моля $SOCl_2$ нагревают 3 часа, получено 47 г хлорангидрида к-ты, 43 г которого добавляют к суспензии 0,45 моля $AlCl_3$ в 500 мл C_6H_6 , нагревают 2 часа, выливают в смесь 200 г льда и 60 мл конц. HCl и добавляют C_6H_6 , получают 39 г $C_6H_5CO(CH_2)_8COC_6H_5$ (VI), т. пл. 98—99° (из сп.). К 0,02 моля VI, р-ру 0,02 моля $N_2H_4 \cdot HBr$ в 400 мл IV прибавляют 1 л спирта и р-р 150 мл C_5H_5N в 2,5 л спирта, получают 1,85 г V, $n=10$, т. пл. 108—109,5° (из ацетона-эф.). Гидрированием 3,12 г азина V ($n=10$), получают 0,8 г I ($n=10$), т. пл. 129—131° (из ацетона и эф.). К 0,4 моля $LiAlH_4$ в 640 мл абс. эфира добавляют р-р 0,23 моля III в 350 мл тетрагидрофурана, получают 56 г 1,10-дифенилдекандиола-1,10 (VII), т. пл. 64—67°. Через суспензию 0,64 моля VII в 100 мл C_6H_6 пропускают 4 часа сухой HBr (15—20°), получают 19 г 1,10-дифенил-1,10-дибромдекана, т. пл. 40,0—43,5° (из эф.), из которого не удалось синтезировать азины. К кипящему р-ру 0,04 моля азина пропиофенона в 65 мл спирта добавляют за 75 мин. 0,13 моля 2%-ной амальгамы Na в атмосфере N_2 , нагревают еще 30 мин., выделено 1,5 г оксалата гидразина пропиофенона, т. пл. 129—130° (разл.; из сп.). Нагревают р-р 12 г I ($n=10$) в 100 мл кислоты в атмосфере N_2 20 час., после отгонки р-рителя выделяют 7,9 г тетрафенилциклоэкозана (VIII), т. кип. 312°/0,35 мм, очищен хроматографированием на Al_2O_3 в петр. эфире. При окислении VIII CrO_3 образуется с небольшим выходом III и C_6H_5COOH . Сообщение XIV см. РЖХим, 1956, 19275.

64792. Влияние заместителей на реакционную способность в кольце при образовании замещенных дифенилов в реакциях ароматических диазо- и родственных им соединений с ароматическими жидкостями. IV. Метильная группа. Симамура, Инукаи (Influence of substituent groups on nuclear reactivity in formation of substituted biphenyls through reactions of aromatic diazo and cognate compounds with aromatic liquids. IV. The methyl group. Simamura

Osamu, Inukai Takashi), Bull. Chem. Soc. Japan, 1955, 28, № 6, 444—445 (англ.)

Исследовано конкурирующее взаимодействие эквимолекулярной смеси C_6H_6 (I) и толуола (II) с фенольными радикалами, получающимися при разложении N-нитрозоацетанилида (III), в результате чего образуются дифенил (IV) и смесь *o*-, *m*- и *p*-метилдифенилов (V, VI и VII). 40,8 ммоль III растворяют в смеси I и II (по 2,55 ммоль) при t -ре 21°; р-ция заканчивается через несколько дней (прекращение выделения N_2). ИК-спектрофотометрич. найдено 1,053 г V; 0,255 г VI; 0,156 г VII и 0,782 г IV. Вычисленные значения относительной реакционной способности орто-, мета- и пара-положений II соответственно равны (степень замещения одного атома H в I принята за единицу) 3,7; 0,9 и 1,1. Сообщение III см. РЖХим, 1955, 51503.

Л. Л.

64793. О природе радикалов, образующихся при индуцированном хлорировании фенола N,N-дихлорбензолсульфонамидом в дихлорэтано. Корне в К. А., Докл. АН СССР, 1955, 105, № 4, 720—722

Изучено индуцирующее действие диазоаминобензола (I) в р-ции хлорирования фенола N,N-дихлорбензолсульфонамидом (II). Для доказательства предположения ранее (РЖХим, 1956, 43070) схемы р-ции $C_6H_5SO_2NCl_2 + C_6H_5N=N-NHC_6H_5 \rightarrow C_6H_5SO_2NCl \cdot C_6H_5OC_6H_5 \rightarrow C_6H_5SO_2 \cdot NHCl + C_6H_5OC_6H_5$ проведено полное исследование продуктов данной р-ции. Один из выделенных промежуточных продуктов — триазен $C_6H_5SO_2NCl-N=N-C_6H_5$ (III), образующийся при взаимодействии радикала $C_6H_5SO_2NCl \cdot$ с I или с $C_6H_5N=N-N:III$, синтезированный также из I и II (р-ры 3 г I и 3,6 г II в дихлорэтано сливались при t -ре —5°, —7°, выход 3,5 г; т. пл. 83—84°, разл.), также хорошо индуцирует р-цию хлорирования II. Образование III в качестве промежуточного продукта и близкая эффективность его и I в данной р-ции доказывает, что индуцирующими свойствами обладают радикалы (продукты распада III или диссоциации I в присутствии II) $C_6H_5N=N \cdot$ и $C_6H_5SO_2NCl$. Возникающий при диссоциации I анильный радикал $C_6H_5NH \cdot$ в р-ции хлорирования, повидному, участия не принимает.

В. Т.

64794. Применение N, N', N'-тетраэтил-*n*-фенилендиамина для доказательства наличия в растворе одновременно существующих органических радикалов. Францен (N, N', N'-Tetraäthyl-*p*-phenylen-diamin zum Nachweis kurzlebiger organischer Radikale in Lösung. Franzen Volker), Chem. Ber., 1955, 88, № 11, 1697—1703 (нем.)

Показано, что органич. радикалы окисляют N, N', N'-тетраэтил-*n*-фенилендиамин (I) с образованием катиона $(C_6H_5)_2NC_6H_4N^+(C_2H_5)_2$, дающего голубую окраску ($\lambda = 6200 \text{ Å}$). Эта р-ция была испытана на примерах образования радикалов при распаде нитрила азонизомасляной к-ты, фенилазотрифенилметана, нитроацетанилида, нитробензо-*o*-толуида, CBH_4 , тетрафенилгидразина. Спектрофотометрич. методом по изменению поглощения при $\lambda = 6200 \text{ Å}$ найдено, что константа скорости р-ции разложения нитрила азонизомасляной к-ты в анизоле составляет при 72° $1,26 \cdot 10^{-5} \text{ мол/сек}^{-1}$. Рассчитана энергия активации этой р-ции (29,5 ккал). Р-ция радикалов с I дает удовлетворительные результаты при конц-ии радикалов $\sim 10^{-5} \text{ мол/л}$ и выше. Трифенилметил не окисляет I.

С. В.

64795. Реакции атомов и свободных радикалов в растворе. XXXVII. Распад четвертичных аммониевых солей под действием реактива Гриньяра. Хараш, Вильямс, Ньюденберг (Reactions of atoms and free radicals in solution. XXXVII. The cleavage of quaternary ammonium salts with Grignard reagents. Kharasch M. S., Williams Gareth H.,

Nudenberg Walter), J. Organ. Chem., 1955, 20, № 7, 937—952 (англ.)

Исследованы р-ция четвертичных аммониевых солей (ЧС) с реактивом Гриньяра (РГ) в присутствии COBr_2 (I) и без него. Найдено 4 типа ЧС, реакционная способность которых зависит от природы заместителей, связанных с четвертичным атомом азота. Радикалы, входящие в РГ, оказывают слабое влияние. Тип. 1. Те ЧС, которые не реагируют с РГ даже в присутствии I; к ним относятся: $[\text{C}_6\text{H}_5\text{CH}_2\text{N}(\text{CH}_3)_3]^+\text{Br}^-$; $[\text{C}_6\text{H}_5\text{CH}_2\text{N}(\text{C}_2\text{H}_5)_3]^+\text{Cl}^-$; $[(\text{C}_6\text{H}_5\text{CH}_2)_2\text{N}(\text{CH}_3)_2]^+\text{Cl}^-$; $[(\text{CH}_3)_4\text{N}]^+\text{I}^-$; подостый N, N-диметил-1,2,3,4-тетрагидрохинолиний. Тип. 2. Включает ЧС, которые реагируют с РГ только в присутствии I. Отщепляемая группа соединяется с радикалом РГ. К ЧС этого типа относятся $[\text{CH}_2 = \text{SCHN}_2(\text{CH}_3)_3]^+\text{Br}^-$. Р-ция идет по ценному гомолитич. механизму. Возможно, что р-ция начинается с атаки на углеродный атом при двойной связи, тогда должна происходить аллильная перегруппировка. Тип. 3. Такие ЧС, которые при обычных т-рах не реагируют с РГ при отсутствии I; в присутствии I р-ция протекает по схеме: $[\text{C}_6\text{H}_5\text{N}(\text{CH}_3)_3]^+\text{Br}^- + 2\text{C}_6\text{H}_5\text{MgBr} \xrightarrow{\text{CoBr}_2} \text{C}_6\text{H}_5\text{N}(\text{CH}_3)_2 + \text{C}_6\text{H}_5\text{C}_6\text{H}_5 + \text{CH}_3\text{MgBr} + \text{MgBr}_2$ по свободнорадикальному ценному механизму. К этому типу относятся арилтриалкиламмониевые соли. Если заместители при четвертичном азоте различны, то легче всего отрывается метильная группа. Если заместители близки по составу, то они могут отрываться одновременно. Исключение составляет $[\text{C}_6\text{H}_5(\text{C}_6\text{H}_5\text{CH}_2)_2\text{N}(\text{CH}_3)_2]^+\text{Br}^-$; у него вначале отрывается бензильный радикал. Тип. 4. К нему относятся ЧС, распадающиеся под действием РГ при отсутствии солей металлов. Это гетеролитич. р-ция, возможно, нуклеофильные, в которых карбанион РГ действует как нуклеофильный реагент. К этому типу относятся: $[\text{C}_6\text{H}_5\text{N}(\text{CH}_2 = \text{SCHN}_2(\text{CH}_3)_2)^+\text{Br}^-$ и $[\text{m-CH}_3\text{C}_6\text{H}_4\text{N}(\text{CH}_2 = \text{SCHN}_2(\text{CH}_3)_2)^+\text{Br}^-$. Сообщение XXXVI см. РЖХим, 1955, 37138. В. В. 64796.

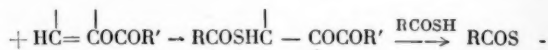
Механизм синтеза диариллово Ульману. Нерстен (The mechanism of the Ullmann diaryl synthesis. Nursten Harry E.), J. Chem. Soc., 1955, Sept., 3081—3084 (англ.)

Для того, чтобы выяснить проходит ли синтез Ульмана через карбанион или через радикалы, были поставлены опыты по превращению о-нитробензола (I), п-нитробензола (II) и о-бромнитробензола (III) в условиях синтеза Ульмана в присутствии резорцина (IV) и пирокатехина (V). В случае ионоидного механизма фенолы должны отдавать протон карбаниону, увеличивая выход продуктов дегалогенирования в порядке возрастания кислотности фенола. IV в этом случае, как более сильная к-та, должен в несколько большей степени увеличивать кол-во нитробензола, чем V. В случае гомолитич. механизма дегалогенирование должно облегчаться фенолом с более сильными свойствами антиоксиданта ($V > IV$). Р-ция проводилась при нагревании до 200—220° (в некоторых случаях до 287°) смеси I, II и III с Cu-бронзой и добавками IV и V или без них. Во всех случаях добавки V уменьшали выход динитродифенила и увеличивали выход нитробензола в большей степени, чем IV. Напр., выход нитробензола из о-бромнитробензола был: без добавки—0%, с резорцином—35%, с пирокатехином—66%. Бензойная к-та, добавленная к реакционной смеси, подвергается декарбоксилированию. Результаты опытов, по мнению авторов, свидетельствуют в пользу радикального механизма синтеза Ульмана. А. Я. 64797.

К изучению тиокислот. II. О стерической направленности реакции присоединения тиоловых кислот к виниловым эфирам. Берингер, Клей (Zur Kenntnis der Thiosäuren II. Über den sterischen

Verlauf der Thioisäure-Anlagerung an Vinylester. Behringers Hans, Kley Walter), Liebigs Ann. Chem., 1955, 595, № 2, 160—168 (нем.)

Установлено, что р-ция тиоуксусной (I) и тиопропионовой (II) к-т с енолацетатом циклогексанола (III) протекают по схеме *транс*-присоединения и приводят соответственно к диацетату (IV) и О-ацетату-5-пропionato (V) *цис*-2-меркаптоциклогексанола (VI). Свежеприготовленный III в р-цию присоединения не вступает; при длительном хранении III активируется. Перекись бензоила, гидрохинон, фенол и дифениламин не влияют на скорость р-ции присоединения. В присутствии $(\text{C}_2\text{H}_5)_3\text{N}$ р-ция полностью приостанавливается. Авторы считают, что р-ция III с тиокислотами протекает по радикальному цепному механизму: $\text{RCOS} \cdot +$



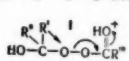
$\text{HC} = \overset{\text{I}}{\underset{\text{I}}{\text{CHOCOR}}} + \cdot \text{SCOR}$. Р-ция окиси циклогексана (VII) с I приводит не к ожидаемому *транс*-2-оксидициклогексантиолацетату, а к *транс*-2-ацетоксидициклогексантиолу (VIII) (новидному, за счет миграции CH_3CO -группы во время перегонки). Нагреванием (100°, 2 часа) 10 мл I и 10 г III, предварительно осветленного в течение нескольких недель ежедневно прямым солнечным светом, получают IV, выход 73,5% (максим. выход 97%), т. кип. 134—135°/12 мм, n_D^{20} 1,4960, омыление которого (кипятичение 2 часа с водно-метанольным р-ром NaOH) приводит к VI, выход 56%, т. кип. 90—91°/12 мм. В тех же условиях стирол и I дают β-стирилтиолацетат (IX), выход 70,5%, т. кип. 125—127°/12 мм, n_D^{20} 1,5475. В присутствии 100 мг гидрохинона или 500 мг дифениламина, выход IX составляет соответственно 90,5 и 70%. При нагревании с 2,4-динитрохлорбензолом (20 мин. в водно-спирт. р-ре) Na-соль VI дает *цис*-2-оксидициклогексил-(2,4-динитрофенил)-сульфид, т. пл. 143° (из сп.). Кипятичением (10 час.) 10 г III (хранившегося 2 недели на свету) и 10 мл II синтезируют V, выход 61%, т. кип. 115°/2 мм, n_D^{20} 1,4880. Хлорированием IV в водн. ацетоне (1:1) и последующим ацетилированием получают *цис*-2-ацетоксидициклогексансульфохлорид (X), выход >90%, т. пл. 69—70° (из бзл.). При попытке превратить X в сульфенилгидразид выделено не содержащее N в-во с т. пл. 158—159°. Попытка хлорирования VI не удалась. Кипятичением (2 часа) 7,5 г VII и 15 г I синтезируют VIII, т. кип. 106—108°/15 мм, n_D^{20} 1,4897. При проведении этой р-ции в среде $(\text{CH}_3\text{CO})_2\text{O}$ образуется диацетат *транс*-2-меркаптоциклогексанола (XI), т. кип. 128—134°/12 мм, n_D^{20} 1,4840. При нагревании в запаянной ампуле в атмосфере N_2 (3 часа при 80°) 4 мл VII и 3 г 2,4-динитрофенола дают *транс*-2-оксидициклогексил-(2,4-динитрофенил)-сульфид, т. кип. 134° (из бзл.). Хлорирование 5,6 г XI в водн. ацетоне (30 мин.) приводит к *транс*-2-ацетоксидициклогексансульфохлориду, выход (неочищ.) 96%, т. пл. 55° (из бзл.). Кипятичением (2 часа) 11,4 г 1-ацетосибутена-1 (хранившегося 2 дня) и 9,6 г I получают 1-ацетокси-2-ацетилмеркаптобутан, выход 72%, т. кип. 108—110°/12 мм, n_D^{20} 1,4698. Аналогично из 40 г енолацетата метилэтилкетона (хранившегося длительное время на свету) синтезируют 2-ацетокси-3-ацетилмеркаптобутан, выход 75%, т. кип. 105—106°/12 мм, n_D^{20} 1,4670, а 1-ацетоксипентен-1 дает 1-ацетоксиди-2-ацетилмеркаптогептан, т. кип. 122°/2 мм, n_D^{20} 1,4682. Р-ция 1-ацетоксидибутилена с I приводит к трудноразделимой смеси, содержащей, вероятно, диацетат бутенмоноэтилоксила и 1-ацетокси-*бис*-(ацетилмеркапто)-бутан. Сообщение I см. Liebigs Ann. Chem., 1949, 564, 219. Л. Б.

64798. Реакция гидратропилохлорида с перекисью натрия. Грин (Reaction of hydratropyl chloride with sodium peroxide. Greene Frederick D., J. Amer. Chem. Soc., 1955, 77, № 18, 4869—4873 (англ.))

Изучалось действие Na_2O_2 на метилфенилацетилхлорид (гидратропилохлорид) (I) с целью выяснения механизма распада диацетилперекисей. Р-ция проводилась с *l*-, *d*- и рацемич. I в водн. и безводн. эфирах при 0—15°. Перекись гидратропила (II) выделить в свободном состоянии не удалось вследствие ее быстрого распада. Получены: гидратропиловая к-та (III) (выход 13—26%), стирил (IV) (4,5—12%), ацетофенон (V) (4—8%), α -фенилэтанол (VI) (4,5—15%), *мезо*- и *dl*-2,3-дифенилбутан (VII) (5—8%), гидратропилгидратропиат (VIII) (17,5—37%). В опытах с оптически активным I получены: VIII, спиртовая часть которого на 91% имела исходную конфигурацию; VI и VII были частично оптически активны в исходной конфигурации. Авторы полагают, что р-ция идет через образование II, и что VIII образуется при распаде II на $\text{R}\cdot$, CO_2 , $\text{R}-\text{CO}_2\cdot$ ($\text{R} = \text{C}_6\text{H}_5(\text{H})(\text{CH}_3)\text{C}\cdot$), при этом благодаря эффекту «клетки» рекомбинация $\text{R}\cdot$ и $\text{R}-\text{CO}_2\cdot$ в VIII происходит в основном с осколками от одной и той же молекулы II. Частичная рацемизация показывает, что VIII получается из II не внутримолекулярной перегруппировкой, а через распад II. Преимущественное протекание р-ции в «клетке» р-тели подтверждается близким составом продуктов при значительном различии в исходной конц-ии реагентов. IV, V, VI вероятно образованы из $\text{C}_6\text{H}_5\text{C}_2\text{H}_4\cdot$ радикала. Так как VI сохраняет исходную конфигурацию, а контрольный опыт показал, что гидролиза VIII в условиях опыта не происходит, то надо полагать, что VI образуется или из $\text{C}_6\text{H}_5\text{CH}(\text{CH}_3)-\text{C}(\text{O})\text{OON}$ перегруппировкой с отщеплением CO_2 без изменения оптической активной структуры или при гидролизе ангидридоэфира $\text{R}-\text{CO}-\text{O}-\text{CO}-\text{O}-\text{R}$ в процессе выделения. III синтезирована окислением гидратропилоальдегида, и через стрихниновую соль выделена оптически активная III, т. кип. 121—123°/0,5 мм, n_D^{25} 1,5211, $[\alpha]_D + 98,72^\circ$. I синтезирован из III действием SOCl_2 (25°, 2 дня), т. кип. 93—96°/11 мм, n_D^{25} 1,5216. В. А.

64799. Пространственные влияния на способность к миграции. Реакция некоторых *o*-замещенных бензофенонов с надуксусной кислотой. Сондерс (Steric effects on migration aptitudes. Reaction of some *o*-substituted benzophenones with peroxyacetic acid. Saunders William H., J. Amer. Chem. Soc., 1955, 77, № 17, 4679—4681 (англ.))

Определено направление миграции радикала в р-ции $\text{R}'\text{R}''\text{C} = \text{O} + \text{CH}_3\text{CO}_2\text{OH} + \text{H}^+ \rightarrow \text{R}'\text{COOR}''$ (или $\text{R}'\text{COOR}'' + \text{CH}_3\text{COOH} + \text{H}^+$, 0,01 моля кетона смешивали с 4—6 мл 40%-ной надуксусной к-ты в 15—20 мл



лед. CH_3COOH и 3—4 мл конц. H_2SO_4 (4—6 дней, ~20°). Найдены выходы $\text{R}'\text{COOR}''$ (A) и $\text{R}'\text{COOR}''$ (B) при $\text{R}' = n\text{-ClC}_6\text{H}_4$, $\text{R}'' = o\text{-ClC}_6\text{H}_4$, B 71%, $\text{R}' = n\text{-ClC}_6\text{H}_4$, $\text{R}'' = o\text{-ClC}_6\text{H}_4$, B 80%, $\text{R}' = \text{C}_6\text{H}_5$, $\text{R}'' = o\text{-CH}_3\text{C}_6\text{H}_4$, A 12%, B 38%, $\text{R}' = \text{C}_6\text{H}_5$, $\text{R}'' = o\text{-CH}_3\text{OC}_6\text{H}_4$, A 82%. Р-ция, вероятно, проходит через промежуточный комплекс (I) (РЖХим, 1955, 40010). Автор заключает, что в случае близких электронных эффектов R' и R'' преобладает орто-эффект; он может даже преодолеть обратно направленный электронный эффект. В случае *o*-анилильной группы доминирует, в отличие от пивакодиновой перегруппировки, электронный эффект (частично из-за сильных нуклеофильных свойств группы NH_2 и частично из-за способности к вращению, устраняющей стерич. препятствия). На этом основании автор делает вывод, что нет существенной разницы между миграцией радикалов к углероду и

к кислороду. Большие группы препятствуют вращению *o*-замещенных арильных групп, способных к миграции. Нормально трудно мигрирующая группа большого объема может настолько препятствовать миграции другой группы, что первая становится более способной к миграции, чем вторая. Исправлено литературное значение *t*-ры плавления гваякол- α -нафтилуретана: 134—135° (из CHCl_3 -гексана). Г. П.

64800. Об относительной скорости окисления хромовой кислотой вторичных алициклических спиртов. Шрейбер, Эшенмозер (Über die relative Geschwindigkeit der Chromsäureoxydation sekundärer, alicyclischer Alkohole. Schreiber J., Eschenmoser A., Helv. chim. acta, 1955, 38, № 6, 1529—1536 (нем.))

Изучалось влияние строения вторичных стероидных спиртов на их реакционную способность при окислении хромовой к-той в 90,9%-ной водн. CH_3COOH . Р-ция проводилась при $20 \pm 0,1^\circ$, конц-ии спиртов составляли $(7,14 \pm 0,03) \cdot 10^{-4}$ M, $\text{CrO}_3 = (9,5 \pm 0,02) \cdot 10^{-4}$ M. В процессе окисления потребляется в среднем 1 экв. CrO_3 . При окислении в этих условиях холестеранол-3 α с выходом 91% образуется холестеранол-3. Определено соотношение констант скоростей, причем константа для холестеранол-3 β принята за единицу (даны *k* для β - и α -изомеров): холестеранол-1, 9,7, 13,0; холестеранол-2, 20, 1,3; холестеранол-3, 1,0, 3,0; холестеранол-4, 35, 2,0; холестеранол-6, 36, 2,0; холестеранол-7, 3,3, 12,3; аллопрегнанол-11-дион-3,20, >60, 7,0. Таким образом аксальные эпимеры спиртов окисляются быстрее, чем соответствующие экваториальные, хотя имеются некоторые исключения. Найденная последовательность не может быть объяснена из предположения о различной величине «стерич. препятствий», и напротив, вполне согласуется с предположением, что фактором, определяющим скорость р-ции, является уменьшение в молекуле неклассич. напряжения в результате р-ции (см. РЖХим, 1953, 6363). С. А.

64801. Влияние замещения в ядре на скорость окисления α -фенилэтанола трехоксью хрома. Куорт, Франсис (Effect of nuclear substitution on the rate of oxidation of α -phenylethanol by chromium trioxide. Kwart Harold, Francis Peter S., J. Amer. Chem. Soc., 1955, 77, № 18, 4907—4912 (англ.))

Для ряда замещ. α -фенилэтанола $\text{CH}_3\text{CH}(\text{XC}_6\text{H}_4)\text{OH}$, где $\text{X} = n\text{-OCH}_3$, *n*-трет.- C_4H_9 , *n*- CH_3 , *n*-H, *n*-Cl, *m*-Br, *n*- NO_2 определена скорость окисления их сшивающим хромом при 30° в кислой (30%-ной водн. pH CH_3COOH , HClO_4), основной (смесь 40% пиридина и 60% бэл.) и нейтр. (C_6H_6) средах. Cr^{+6} добавляли в виде или водн. р-ра H_2CrO_4 или CrO_3 , или 2-(*n*-нитрофенил)-2-пропанолового эфира хромовой к-ты. Константа скорости (*k*) в указанном ряду варьирует в кислой среде от 2,13 до 0,160, в основной — от 1,24 до 0,409 и в нейтр.—от 0,0738 до 0,0219; *p* при переходе от кислой среды к основной меняется от —1,01 до —0,37. Авторы предполагают, что *p* является суммой *p* окисления и *p* образования промежуточного эфира хромовой к-ты. Отрицательная величина *p* связана с перекрытием *p* распада хромового эфира отрицательной величиной *p* для р-ции образования эфира хромовой к-ты. Скорость разложения ди- α -(*n*-хлорфенил)-этилхромата в C_6H_6 при 30° быстро уменьшается при обработке его $\text{XC}_6\text{H}_4\text{CH}(\text{OH})(\text{CH}_3)_2$, где $\text{X} = n\text{-трет.-C}_4\text{H}_9$, *n*- CH_3 , *n*-H, *n*-Cl, *m*-Br, *n*- NO_2 , при этом для поддержания периода полураспада в пределах 19—80 мин. конц-ию трет-спирта в указанном ряду изменяют от 0,05 до 0,30 M. В р-ции перэтерификации, проводившейся при 30° в C_6H_6 $[(\text{CH}_3)_2\text{C}(\text{C}_6\text{H}_4\text{X})\text{O}]_2\text{CrO}_2 + \text{CH}_3\text{CH}(n\text{-ClC}_6\text{H}_4)\text{OH} \rightleftharpoons \text{CH}_3\text{CH}(n\text{-ClC}_6\text{H}_4) - \text{OCrO}_2\text{C}(\text{C}_6\text{H}_4\text{X})(\text{CH}_3)_2 + (\text{CH}_3)_2\text{C}(\text{C}_6\text{H}_4\text{X})\text{OH}$, где $\text{X} = n\text{-NO}_2$, *m*-Br, *n*-Cl, *n*-H, *n*- CH_3 ,

n -C₄H₉, трет-бутиловый спирт, κ меняется от 0,0325 до 0,00755, а κ , рассчитанная по κ' разложения (3,6 · 10⁻² и 1,8 · 10⁻²), варьирует от 5,33 до 0,151 и от 22,4 до 0,475 соответственно. Для р-ции с образованием и разложением эфиров хромовой к-ты в C₆H₆ авторы приводят метод расчета K и соотношения между κ' разложения и κ . При окислении α -(n -нитрофенил)-этанола в 88,2 и 50%-ных р-рах CH₃COOH и в смеси 40% пиридина-60% C₆H₆ трет-бутиловый спирт в первом случае препятствует скорости окисления (на 17%), а в остальных — не влияет на нее. Для получения 2-(n -нитрофенил)-пропанола-2, 92% n -нитрокумола смешивают с р-ром из 375 мл (CH₃CO)₂O и 300 мл CH₃COOH, затем обрабатывают 45г CrO₃ (3 часа, 23—30°), выход 48%, т. кип. 120,5—121°/2 мм., n_D^{20} 1,5552. В. Я.

64802. Доказательство образования карбониевого иона из кристаллвиолета в концентрированной серной кислоте. Томпсон, Смит (Evidence for carbonium ion formation from crystal violet in concentrated sulfuric acid. Thompson R. G., Smith H. A.), J. Amer. Chem. Soc., 1955, 77, № 16, 4432—4433 (англ.)

Показано, что в конц. H₂SO₄ кристаллвиолет (I) образует карбониевый ион с одновременной протонизацией двух диметиламиноновых групп: ((CH₃)₂NC₆H₄)₂ - CON + 4H₂SO₄ → ((CH₃)₂N⁺HC₆H₄)₂C⁺C₆H₄N(CH₃)₂ + + H₃O⁺ + 4HSO₄⁻, что подтверждается очень легким образованием метилового эфира I при приливании р-ра I в конц. H₂SO₄ к CH₃OH по схеме: (C₆H₅)₃C⁺ + + CH₃OH → (C₆H₅)₃CH + OCH₃⁺ и (C₆H₅)₃CH + OCH₃⁺ + + H₂O → (C₆H₅)₃COCH₃ + H₃O⁺. Спектр поглощения р-ра I в конц. H₂SO₄ аналогичен спектрам других трифенилкарбониевых ионов. Распределение электронов в образующемся карбониевом ионе определяется более точно не хинондной, а карбониевой структурой: C⁺(C₆H₄N(CH₃)₂)₃ + 2H⁺. Исходный карбиол I и его метиловый эфир были тщательно очищены пересаживанием из ацетона водн. р-ром NaOH. В. Т.

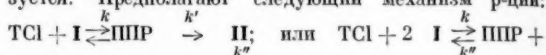
64803. Получение ионов карбония при действии солей металлов. Часть II. Коэффициенты экстинкции ионов карбония. Бейлс, Коттер, Эванс (The production of carbonium ions by the action of metal salts. Part II. The extinction coefficients of carbonium ions. Bayles J. W., Cotter J. L., Evans Alwyn G.), J. Chem. Soc., 1955, Sept., 3104—3105 (англ.)

Экспериментально доказывается выдвинутое ранее (см. часть I РЖХим, 1955, 51802) предположение, что коэфф. экстинкции иона карбония, полученного из трифенилметилхлорида действием HgCl₂ в р-ре CH₃NO₂ и в конц. H₂SO₄ равны. Для этого к р-ру трифенилметилбромид и три- n -толилметилбромид (I) в CH₃NO₂ добавляли HgBr₂ до тех пор, пока дальнейшее прибавление переставало вызывать увеличение конц-ии ионов карбония, что указывает на 100%-ную ионизацию. Спектры, полученные для такого р-ра и для р-ра трифенилкарбинола в 98%-ной H₂SO₄, оказались очень близкими. То же сходство найдено для спектров р-ра HgBr₂ и I в нитрометане при 16° и для р-ра три- n -толилкарбинола в 98%-ной H₂SO₄. З. П.

64804. Спектрофотометрическое определение промежуточных ионных пар в реакции триарилметилхлорида с пирролом в бензольном растворе. Суэйн, Кайзер, Ни (Spectral detection of a transient ion pair intermediate in the reaction of a triarylmethyl chloride with pyrrole in benzene solution. Swain C. Gardner, Kaiser Laura E., Knee Terence E. C.), J. Amer. Chem. Soc., 1955, 77, № 17, 4681—4683 (англ.)

При р-ции трианизилметилхлорида (TCl) (т. пл.

154,7—155,9°) с пирролом (I) в бензольном р-ре наблюдается появление преходящей зеленой окраски $\lambda_{\text{макс}}$ 498 мμ, очень близкой к $\lambda_{\text{макс}}$ 483 мμ р-ра TCl в H₂SO₄ и, следовательно, обязанной наличию в р-ре катиона трианизилметила (T⁺), являющегося промежуточным продуктом р-ции (ППР) (или его составной частью) при образовании 2-(трианизилметил)-пиррола (II), т. пл. 182,7—183,5° (из эф.-хлф.). В ИК-спектре II имеется характерная для связи N—H полоса 2,87 мμ, доказывающая, что замещение идет по атому углерода. Фотометрич. исследование содержания T⁺ в зависимости от конц-ии реагентов и продолжительности р-ции ($\epsilon_{\text{макс}}$ р-ра TCl в H₂SO₄ принято за 100%) показало (по данным 47 опытов), что макс. конц-ия T⁺ пропорциональна произведению [TCl] · [I]. Следовательно, стадии, приводящие к исчезновению ППР, имеют порядок р-ции на единицу меньший, чем те, в которых ППР образуется. Предполагают следующий механизм р-ции:



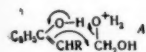
+ I → II. Принимая любой из них, можно найти ряд констант скорости (k , k' , k''), дающий зависимость $\epsilon_{\text{макс}}$ от времени р-ции, совпадающую по форме с эксперим. Однако, все вычисления дают значение $\epsilon_{\text{макс}}$ в 100 раз превосходящие эксперим., откуда следует, что большая часть ППР находится в виде бесцветной аммониевой соли, образующейся по ур-нию (CH₃OC₆H₄)₃C⁺ + + C₄H₅N... Cl⁻ ⇌ [(CH₃OC₆H₄)₃CN + C₄H₅]Cl⁻, где K — константа равновесия. Считают, что ионизация идет по р-ции третьего порядка (второго по отношению к I) и принимают величину K равной 150. Н. С.

64805. Действие некоторых сильных кислот на вторичные фенилпентаны. Бернард, Шилдс (The action of some strong acids on secondary phenylpentanes. Burwell Robert L., Jr., Shields Alfred D.), J. Amer. Chem. Soc., 1955, 77, № 10, 2766—2771 (англ.)

Исследовалось действие сильных к-т на 2-фенилпентан (I). Оптически активный I (Ia) под действием AlCl₃ полностью рацемизируется при 25°. Одновременно, но со значительно меньшей скоростью имеет место изомеризация I в 3-фенилпентан (II), а также диспропорционирование I и II в диамилбензол и бензол. При проведении р-ции в р-ре бензола с I или II достигается образование равновесной смеси, состоящей из I и 29 ± 4% II, 1,4-ди-3-амилбензол (III) и бензол под действием AlCl₃ образуются смесь I и II, содержащую при достижении равновесия 65 ± 15% III. Дезалкилирование проходит на 1,5—33% в зависимости от молярного отношения катализатора к углеводороду. Авторы объясняют эти р-ции тем, что амил отщепляется от I или II в виде иона карбония, способного изомеризоваться благодаря переходу H⁺: H₃C—CH₂—CH₂C⁺H—CH₃ ⇌ CH₃CH₂C⁺HCH₂—CH₃. Метилсерная к-та (IV) при 136—150° вызывает рацемизацию Ia и изомеризацию I и II в превращение III + бензол в I и II. Однако при этом имеют место побочные р-ции: сульфирование, разложение к-ты и образование 2-метил-3-фенилбутана. При взаимодействии Ia с толуолом под действием IV при 142° образуется амилтолуол, почти не сохранивший оптич. активности. Конц. H₂SO₄ (92—97%-ная) при 25° сульфировает I и II. Не сульфированные I и II очень мало изомеризованы и лишь немного теряют оптич. активность. З. П.

64806. О реакции фенилацетилена с формальдегидом. Бете, Херинга (On the reaction of phenylacetylene with formaldehyde. Beets M. G. J., Heringa L. G.), Recueil trav. chim., 1955, 74, № 8—9, 1085—1099 (англ.)

Изучена р-ция фенилацетилен (I) с формальдегидом (II), катализируемая к-тами. В результате р-ции образуются, главным образом, 1-фенилпропанол-3-он-1 (III) и 5-бензоил-м-диоксан (IV). В механизме образования III предполагается атака карбоний-иона II на I: $C_6H_5C \equiv CH + C^+H_2OH \rightarrow C_6H_5C^+ \equiv CH - CH_2OH \rightarrow HOHC_6H_5 - C(-O^+H_2) = CH - CH_2OH \rightarrow C_6H_5 - COCH_2CH_2OH$. Можно, однако, допустить образование переходного кольчатого комплекса (A) с участием енольной формы 3-фенилпропан-2-ол (V) не является промежуточным соединением в р-ции, поскольку он в этих условиях не дает III и IV, а превращается в неизвестное в-во состава $C_{20}H_{18}O_3$. Смесь



35%-ного II (7, 5 моля), параформальдегида (VI) (2,5 моля), H_2SO_4 (16 г) и I (2 моля) размешивается при 90° 7 час. Извлеченные C_6H_6 в-ва после отгонки р-рителя дистиллируются в вакууме. Собираются фракции: 1) 35 г, т. кип. 65–100°/0,2 мм, 2) 71,5 г, т. кип. 100,5°/0,25 мм, 3) 17 г, т. кип. 100,5–111°/0,3 мм, 4) остаток, 20 г. Из фракции 1 после вторичного фракционирования выделен ацетофенон (VII); семикарбазон, т. пл. 193,0–194,0° и метиловый эфир III; семикарбазон, т. пл. 155,9–156,4°. Из фракции 2 выделен III, выход 24%, т. кип. 98°/2 мм, n_D^{20} 1,5450, d_4^{20} 0,1170; оксим, т. пл. 115,8–116,2° (из воды); семикарбазон, т. пл. 160,0–160,6° (из воды); нафтилуретан, т. пл. 114,9–115,1° (птр. эф.); бензоат, т. пл. 60,6–60,9° (из птр. эф.). Из фракции 3 получен с малым выходом IV, т. пл. 49,3–49,7° (из сп.), который при действии HCl превращен в 1,3-дихлор-2-бензоилпропан, т. пл. 54,6–54,9°; динафтолметан, т. пл. 198,5–199,5° (из 65%-ного сп.). Гидрированием IV в абс. спирте на Pt получен 5-(оксифенилметил)-м-диоксан, его бензоат имеет т. пл. 82,4–82,9°. После перекристалл. фракции 4 выделено соединение $C_{20}H_{18}O_3$, т. пл. 91,4–91,7°; оксим, т. пл. 158–159° (из 80%-ного сп. и птр. эф.). Для получения IV с хорошим выходом обрабатывали, как указано выше, смесь 5 молей 37%-ного II, 5 молей VI, 80 г H_2SO_4 и 1 моля I. Продукт р-ции дистиллируют немедленно в вакууме, дистиллат фракционируют с колонкой 7 тарелок при 85–118°/4 мм, и после удаления низкокипящей фракции получают перекристаллизованной остаток из этанола 63 г чистого IV, выход 32,8%. При выдерживании 2 молей I с 150 г VI и 800 г 95%-ной $HCOOH$ при 104° получают 23 г IV. Из смеси 3 молей VI, 3 молей VII, 4 г K_2CO_3 и 600 мл CH_3OH после стояния 7 дней при ~20° получают 1,3-диметокси-2-бензоилпропан, выход 52 г, т. кип. 95–99°/0,12 мм, n_D^{20} 1,5203–1,5219 (средняя фракция для анализа, т. кип. 96°/0,4 мм, n_D^{20} 1,5218, d_4^{20} 1,0879); при размешивании его с HCl выделяется 1,3-дихлор-2-бензоилпропан, который при действии $NaOCH_3$ при 30° переходит в $C_{11}H_{12}O_2$, т. кип. 89°/0,4 мм, n_D^{20} 1,5349. Из смеси VII (3 моля), II (10 молей), VI (5 молей) и 40 г H_2SO_4 после выдерживания 7 час. при 90° получают III, выход 25%. Из V (1,5 моля), VI (2 моля), II (5,5 моля) и 15 г H_2SO_4 получено в-во $C_{20}H_{18}O_3$, выход 5%. Приведены УФ-спектры полученных соединений. А. Я.

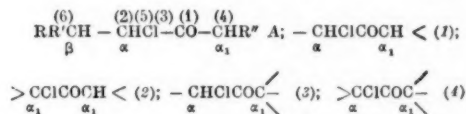
64807. Действие нуклеофильных реагентов на α-галогензамещенные кетоны. Чубар (Action des réactifs nucléophiles sur les cétones α halogénées. Tchoubar Bianca, m-lle), Bull. Soc. chim. France, 1955, № 10, 1363–1383 (франц.)

Систематизированы многочисленные материалы по изучению р-ции дегалогенирования α-хлоркетонов нуклеофильными реагентами B^- (OH^- , RO^- , CN^- , NH_2^- и др.) или ВН (напр. R_2NH). Все α-хлоркетоны (А) обладают

максимально шестью (1,2,3,4,5,6) и минимально тремя (1,2,3) электрофильными центрами. По этому признаку они разделены на четыре группы (I–4). Атом Н при C_β здесь не учитывается. При действии ВН или B^- в направлениях 2,3,6 образуются соответственно: продукты замещения — $SVNCOCH < (I)$, кетоны — $CH_2COCH < (II)$, ненасыщ. кетоны — $C = CHCOCH < (III)$. Атака

положений 1,4,5 сопровождается перегруппировкой Фаворского с образованием к-т или их производных $>C(COV)CH < (IV)$ или $>CHC(COV) < (V)$, причем V образуется только при атаке положения 4. Действие ВН в направлении 1 нормально приводит к образованию

окиси $OCHR - CHCN < (VI)$. Если стерич. препятствия в молекуле или ее неблагоприятная ориентация какой-либо поверхностью, напр. твердыми KOH и NaOH, мешают образованию VI, то происходит перегруппировка типа бензильной. Действие ВН в направлении 4 приводит к перегруппировке с промежуточным образованием диклопропанола, а в направлении 5 — через промежуточную стадию кетона $OC = CRCH < (VII)$. Все процессы

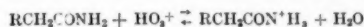


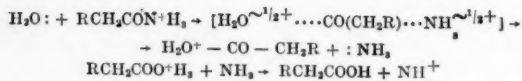
конкурируют и их относительные скорости обусловлены строением и свойствами α-хлоркетонов и реагентов, а также условиями опыта. Сильные основания способствуют перегруппировке, а слабые — р-ции замещения. Реактивы со стерически усложненными молекулами (C_4H_9ONa , некоторые амины) замедляют р-цию образования I и VI и дают преимущество другим процессам. Дана схематич. сводка, показывающая, что при действии твердых NaOH и KOH все четыре группы α-хлоркетонов дают IV или V и кетоны. При действии сильных оснований (OH^- , CH_3O^- , $C_2H_5O^-$) 1,2,3 группы образуют IV или V, VI или ацетали, а 4-я группа только VI или ацетали. Со слабыми основаниями в 1 и 3 группах получают I, а во 2 и 4 группах — I и III.

А. К.

64808. Гидролиз амидов двуосновных кислот. Часть III. Кислотный гидролиз метил-, нитро- и аминмалонамидов и метилмалонаминовой кислоты. Айвори, Пакер, Стюарт, Стоун, Вон (The hydrolysis of amides of dibasic acids. Part III. The acid hydrolysis of methyl-, nitro- and amino-malonamides and of methylmalonamic acid. Ivory H. G., Packer J., (Miss), Stewart B. Louise, Stone H. M., Vaughan J.), J. Chem. Soc., 1955, Aug., 2652–2655 (англ.)

Изучалась кинетика гидролиза (в присутствии 0,125–0,75 M HCl) метил-(I), нитро-(II) и амино-(III)малонамидов при 80 и 98° и метилмалонаминовой к-ты (IV) при 80°. В I вторая амидная группа гидролизруется чуть медленнее, чем первая, в II наоборот. В III вторая аминогруппа гидролизруется значительно быстрее, чем первая. Как электрофильные, так и электроотталкивающие группы, введенные в метиленовую группу малонамида, уменьшают скорость кислотного гидролиза. Авторы считают, что их данные находятся в соответствии с той точкой зрения, что при протекании гидролиза по механизму A_{AC} 2 полярные эффекты слабы и маскируются более сильными стерическими влияниями.





I получен действием насыщ. спирт. NH_3 при 130° на этилметилмалонат (V), т. пл. 208° . IV получена из V следующим образом: V превращен в кислый эфир путем контролируемого гидролиза спирт. щелочью при $\sim 20^\circ$, кислый эфир обрабатывался избытком жидкого NH_3 (2 дня), полученный метилмалонат аммония растворялся в спирте, пропускался сухой HCl до $\text{pH} \approx 2$, остаток NH_4Cl осаждался эфиром, р-р выпаривался, т. пл. IV $104-106^\circ$ (разл.; из диэтилкетона). Части I и II см. J. Chem. Soc., 1952, 4516, 3264. А. Р. 64809.

Щелочное расщепление иодидов 2-арил-оксизтилдиметилсульфония. Вычисление констант Хамметта для некоторых орто-заместителей. Мамалис, Райдон (The alkaline fission of 2-aryloxyethyl dimethylsulphonium iodides: The evaluation of Hammett's substituent constants for some ortho-substituents. Mamalis P., Rydon H. N.), J. Chem. Soc., 1955, Apr., 1049-1065 (англ.)

Щелочное расщепление сульфониевых производных общей ф-лы $\text{RC}_6\text{H}_4\text{COOCH}_2\text{CH}_2\text{S}^+(\text{CH}_3)_2\text{J}^-$ (I) протекает в 2 стадии: а) I + NaOH $\rightarrow \text{RC}_6\text{H}_4\text{COONa} + \text{CH}_2=\text{CHS}^+(\text{CH}_3)_2\text{J}^-$ (II) + H_2O ; б) II + NaOH $\rightarrow \text{CH} \equiv \text{CH} + \text{S}^+(\text{CH}_3)_2 + \text{NaJ} + \text{H}_2\text{O}$. Первая стадия идет при $\sim 20^\circ$, вторая требует нагревания до 95° . Изучена кинетика первой р-ции при 25° и различных pH для тринадцати I. На основании полученных данных, а также условий образования из I в-в II, $\text{HOCH}_2\text{CH}_2\text{S}^+(\text{CH}_3)_2\text{J}^-$ (III) и $\text{O}[\text{CH}_2\text{CH}_2\text{S}^+(\text{CH}_3)_2\text{J}^-]$ (IV) авторы обсуждают возможные механизмы р-ции и приходят к выводу об обратимости р-ции (а). Эта р-ция второго порядка и строго первого порядка относительно ионов сульфония и OH. Наличие в фенильной группе электроноакцепторного заместителя ускоряет р-цию, электроподонорного — замедляет; орто-эффект не наблюдается. Вычислены значения константы Хамметта σ для $o\text{-NO}_2$, $o\text{-Cl}$, $o\text{-CH}_3$ и $o\text{-CH}_3\text{O}$ -групп. $\text{RC}_6\text{H}_4\text{COCl}$ (1 моль) добавляли к 1 моль $\text{HOCH}_2\text{CH}_2\text{SCH}_3$ (V) и 1,5—2,5 моля $\text{C}_6\text{H}_5\text{N}$ при $t\text{-ре} < 30^\circ$, затем нагревали 2 часа, подкисляли 2 н. HCl , экстрагировали CHCl_3 и перегоняли. Этим методом были получены следующие $\text{RC}_6\text{H}_4\text{COOCH}_2\text{CH}_2\text{SCH}_3$ (перечисляются R, выход в %, т. кип. $^\circ\text{C}/\text{мм}$ или т. пл. и n_D^{20}): H (VI), 65, 132/2, —; $o\text{-NO}_2$ (VII), —, —, —; $m\text{-NO}_2$ (VIII), —, —, —; $p\text{-NO}_2$ (IX), 83, 70 (из водн. сп.), —; $o\text{-Cl}$ (X), 80, 110—111/0,2, 1,5580; $m\text{-Cl}$ (XI), 75, 110/0,15, 1,5550; $p\text{-Cl}$ (XII), 70, 108/0,1, 1,5594; $o\text{-CH}_3$ (XIII), 87, 100/0,1, 1,5433; $m\text{-CH}_3$ (XIV), 81, 108/0,2, 1,5419; $p\text{-CH}_3$ (XV), 79, 108/0,5, 1,5441; $o\text{-CH}_3\text{O}$ (XVI), 79, 132/0,2, 1,5518; $m\text{-CH}_3\text{O}$ (XVII), 81, 130/0,2, 1,5485; $p\text{-CH}_3\text{O}$ (XVIII), 88, 132/0,2, 1,5560. IX (20 г) и 30 г восстановленного Fe в 80%-ном спирте кипятили, добавляли конц. HCl (экзотермич. р-ция), снова нагревали 0,5 часа. Получен 2-аминобензоилоксизтилдиметилсульфид (XIX), выход 83%, т. пл. $89-90^\circ$ (из сп.); XIX дает N-ацетилпроизводное, т. пл. $119-120^\circ$ (из водн. сп.). Соответствующий сульфид (1 моль) оставляли на ночь при $\sim 20^\circ$ с 2 молями CH_3J большей частью в ацетоне, и получали I. Этим методом были получены следующие I (указываются исходное соединение, выход в %, т. пл. в $^\circ\text{C}$): VI, 85, 132—133 (разл., из сп.), пикрилсульфонат, т. пл. $193-194^\circ$ (разл., из CH_3OH); VII, 37, 118 (разл., из сп.); VIII, 69, 139,5 (разл., из водн. сп.); IX, 79, 138 (разл., из водн. сп.), пикрилсульфонат, т. пл. 181° (из CH_3OH); X, 54, 104 (разл., из сп.); XI, 55, 138 (разл., из сп.); XII, 51, 153 (разл., из воды); XIII, 74, 117—118 (разл., из сп.), пикрат, т. пл. $170-171^\circ$ (из воды), и пикрилсульфонат, т. пл. 167° (из CH_3OH); XIV, 64,

109—110 (разл., из сп.); XV, 89, 133,5 (разл., из CH_3OH), пикрилсульфонат, т. пл. 151° (из водн. сп.); XVI, 65, 110—111 (разл., из сп.); пикрилсульфонат, т. пл. $184-185^\circ$ (из CH_3OH); XVII, 74, 129 (разл., из сп.); XVIII, 66, 126—127,5 (разл., из сп.). Определена растворимость различных I в воде при 25° . Перемешивание или встряхивание I с избытком AgCl дает соответствующие хлориды (XX). Были получены следующие XX (перечисляются R, выход в %, т. пл. $^\circ\text{C}$): H, 69, 152 (разл., из абс. сп. и абс. эф.); $m\text{-NO}_2$, 81, 136—137 (разл., из абс. сп.); $p\text{-NO}_2$, 87, 109 (разл., из сп.); $n\text{-CH}_3$, 60, 148 (разл., из сп.-эф.); $n\text{-Cl}$, 68, 166 (разл., из сп.). VI и 5,8 мл 30%-ной H_2O_2 при стоянии в ацетоне дают 2-бензоилоксизтилметилсульфоксид (XXI), выход 93%, т. пл. $65-66^\circ$ (из эф.-петр. эф.). Окисление XXI в р-ре ацетона KMnO_4 дает соответствующий сульфон (XXII) с выходом 93%, т. пл. $62,5-63,5^\circ$ (из водн. сп.). XXII был получен также при обработке VI в CH_3COOH 30%-ной H_2O_2 , выход 74%, т. пл. $62,5-63,5^\circ$ (из водн. сп.). IX, окисленный подобным образом дал с выходом 74% метил-2- n -нитробензоилоксизтилсульфон, т. пл. $137-138^\circ$ (из сп.-этилцеллольва). Этил-2-оксизтилсульфид в $\text{C}_6\text{H}_5\text{N}$ с $\text{C}_6\text{H}_5\text{COCl}$ дает 2-бензоилоксизтилсульфид (XXIII), выход 79%, т. кип. $86-88^\circ/0,03$ мм. XXIII при стоянии с CH_3J дал иодистый (2-бензоилоксизтил)-этилметилсульфоний, выход 85%, т. пл. $110-111^\circ$ (разл., из сп.). Окисление XXIII H_2O_2 в CH_3COOH дает соответствующий сульфен, выход 65%, т. пл. 38° (из сп.-петр. эф.). Р-цией V в $\text{C}_6\text{H}_5\text{N}$ с бензоилхлоридом получен 2-бензоилоксизтилфенилсульфид (XXIV), выход 70%, т. кип. $134^\circ/0,04$ мм. XXIV дает соответствующий сульфен с выходом 89%, т. пл. 123° (из сп.). $\text{HOCH}_2\text{CH}_2\text{SCH}_3$ аналогично обработанный n -нитробензоилхлоридом дал 2- n -нитробензоилоксизтилфенилсульфид, выход 64%, т. пл. $52-54^\circ$ (из водн. сп.). Из 2-оксизтил- o -нитрофенилсульфида получен с выходом 97% 2-бензоилоксизтил- o -нитрофенилсульфид (XXV), т. пл. $111-112^\circ$ (из сп.). Окисление XXV 30%-ной H_2O_2 в CH_3COOH дает соответствующий сульфен, выход 87%, т. пл. $99-100^\circ$ (из водн. сп.). Аналогично XXV получен его пара-изомер, т. пл. $60-61^\circ$ (из сп.). Бензилирование 3-оксипропилметилсульфида (XXVI) приводит к 3-бензоилоксипропилметилсульфиду (XXVII), выход 94%, т. кип. $116-118^\circ/0,04$ мм. XXVII при стоянии с CH_3J образует иодид 3-бензоилоксипропилдиметилсульфония с выходом 78%, т. пл. 100° (разл., из сп.). Из XXXI получено 3- n -нитробензоилоксипроизводное, которое при стоянии с CH_3J дает иодид диметил-3- n -нитробензоилоксипропилсульфония (XXVIII), выход 56%, т. пл. 116° (разл., из сп.). Часовое нагревание 4-хлорбутилбензоата с CH_3SNa в CH_3OH приводит к образованию 4-бензоилоксибутилметилсульфида (XXIX), выход 40%, т. кип. $100-101^\circ/0,07$ мм. XXIX дает иодид 4-бензоилоксибутилсульфония (XXX), т. пл. $118-119^\circ$ (разл., из сп.). Ни 4-хлорбутил- n -нитробензоат (приготовленный из тетраметилхлоргидрина, выход 54° , т. пл. 39° ; из сп. с небольшим кол-вом ацетона), ни 5-хлорпентилбензоат не вступают в р-цию с CH_3SNa . $\text{C}_6\text{H}_5\text{COOK}$ (58 г) при нагревании 18 час. с р-ром 2-диметиламиноэтилхлорида в толуоле дает 2-диметиламиноэтилбензоат, т. кип. $99-105^\circ/1$ мм (выход 40 г), который при стоянии с CH_3J дает иодид триметил-2-бензоилоксизтиламмония (XXXI), выход 93%, т. пл. $246-247^\circ$ (разл., из CH_3OH). Аналогично из 2-диметиламиноэтил- n -нитробензоата получен иодид триметил-2- n -нитробензоилоксизтиламмония, выход 96%, т. пл. $255-256^\circ$ (разл., из сп.). 2-хлорэтилметилсульфид и CH_3J при стоянии дают иодид диметил-2-хлорэтилсульфония (XXXII) с выходом 38%, т. пл. $90-91^\circ$ (из сп.-эф.); пикрилсульфонат, т. пл. 218° (из CH_3OH). Смесь 3,78 г XXXII и 0,6 г NaOH в воде в присутствии

6,3 г NaHCO_3 стояла 2 дня, pH доводили до 5 добавлением 2 н. HCl и прибавляли 4 г пикрилсульфоната Na (XXXIII), получили пикрилсульфонат диметилтиозилсульфония (XXXIV) с выходом 90%, т. пл. 199—200° (разл., из CH_3OH). Р-ция V с CH_3J в ацетоне дает III, выход 51%, т. пл. 56—57° (разл., из сп.); пикрилсульфонат (XXXV), т. пл. 169—170° (из CH_3OH). 1,4-дитиан и CH_3J нагревали 12 час. в спирте. Полученный осадок переведен в дитианометопикрилсульфонат, т. пл. 240—242° (из воды). Аналогично получен пикрилсульфонат диметил-2-метилтиозилсульфония, т. пл. 160° (из воды; повторно затвердевает и разлагается при 200°). Бис-2-меркаптоэтиловый эфир в воде. NaOH при обработке $(\text{CH}_3)_2\text{SO}_4$ дает бис-2-метилтиозилсульфонат (XXXVI), т. кип. 110°/11 мм. XXXVI с CH_3J дает IV, т. пл. 142—143° (разл., из сп. с небольшим кол-вом воды); соответствующий пикрилсульфонат (XXXVII), т. пл. 215—216° (из воды). Встряхивание IV с AgCl дает соответствующий бис-хлорметилат (XXXVIII), т. пл. 196—197° (разл., из абс. сп.-эф.). Обработка XXXVI в CH_3COOH 30%-ной H_2O_2 дала бис-2-метилсульфонилэтиловый эфир (XXXIX), т. пл. 78° (из хлф.-петр. эф.). Аналогично XXXVII были получены следующие пикрилсульфонаты: аллилдиметилсульфония (XL), т. пл. 175—176° (из CH_3OH); 3-оксипропилдиметилсульфония (XLI), т. пл. 155° (из CH_3OH); 2-оксизетилтриметиламмония, т. пл. 245° (разл., из CH_3OH). При титровании I ($\text{R} = \text{H}$) в воде с NaOH и индикатором выход продуктов р-ции зависит от кол-ва NaOH ; так 0,01 M NaOH дает в конечном счете 68% XXXIV и 18% XXXV, а 0,005 M соответственно 72% и 18%. Были изучены следующие I (перечисляются R, выход в % XXXIV и XXXV соответственно при 0,01 M и 0,005 M): o-NO_2 , 77, 12, 75, 10; m-NO_2 , 8, 74, 15, 82; n-NO_2 , 6, 69, 8, 73; o-Cl , 66, 3, 62, 5; m-Cl , 38, 52, 41, 47; n-Cl , —, —, 60, 30; o-CH_3 , 93, 0, 97, 0; m-CH_3 , 73, 15, 74, 10; n-CH_3 , 70, 15, 87, 2; $\text{o-CH}_3\text{O}$, 82, 0, 82, 0; $\text{m-CH}_3\text{O}$, 80, 11, 82, 0; $\text{n-CH}_3\text{O}$, 83, 0, 84, 0. XXXVIII, обработанный подобным образом дал $\text{n-NO}_2\text{C}_6\text{H}_4\text{COOH}$ (выход 96%) и XLI (выход 59%), XL отсутствовал. Р-ция I ($\text{R} = \text{H}$) с CH_3ONa в CH_3OH привела к пикрилсульфонату 2-метоксизетилдиметилсульфония, выход 51%, т. пл. 177° (из CH_3OH). 0,01 моля I ($\text{R} = \text{H}$) обрабатывали 10 мл NaOH и оставляли на 6 час., прибавляли XXXIII и получали 70% XXXIV, 7% XXXV; XXXVII не получен. Если после 6 час. прибавить дополнительно 2,4 мл NaOH и снова оставить стоять, то выход продуктов соответственно равен 0, 9 и 73%. Получен бис-2-метилтиозилбисметопикрат, т. пл. 175—176° (из воды с небольшой добавкой спирта) и Ca-пикратное соединение бис-метопикрата, т. пл. 232° (из сп.-воды). Любый пикрат при встряхивании с 4 н. HCl (с нитробензолом) дает бис-хлорметилат, который нагреванием (3 часа) с NaJ в ацетоне переведен в IV. Проведены опыты по превращению различных сульфоновых соединений под действием щелочи.

Г. Б.

64810. Механизм расщепления арилсульфонилглицинов и их N-замещенных. Николенко Л. Н., Коптюг В. А., ЖК. общ. химии, 1956, 26, № 1, 156—159

Арилсульфонилглицины $\text{RSO}_2\text{N}(\text{R}')\text{CH}_2\text{COOH}$ (Ia $\text{R} = \text{C}_6\text{H}_5$, $\text{R}' = \text{H}$; $\text{bR} = \text{n-CH}_3\text{C}_6\text{H}_4$, $\text{R}' = \text{CH}_3$) расщепляются при нагревании до 240° с 0,5 н. NaOH с образованием сульфидиновой к-ты RSO_2H (II), амина (аммиака, если $\text{R}' = \text{H}$) и глиоксиловой к-ты (III), которая в этих условиях диспропорционируется в гликолевую и пивалевую (IV) к-ты. Полагают, что расщепление I при нагревании с р-ром NH_3 протекает по этой же схеме, но II в среде NH_3 восстанавливается при действии III или IV до RSH или диспропорционируется с образованием RSH, RSSR и RSO_2H . Реакционную массу, полученную нагреванием 4 г Ia и 120 мл 0,5 н. NaOH (6 час.,

240°), профильтровали. Из одной половины фильтрата выделены 86% NH_3 и 65% Fe^{3+} -соли IIa, которая с выходом 94% переведена в $(\text{C}_6\text{H}_5\text{SO}_2\text{H})_2 \cdot \text{NH}_2\text{NH}_2$ (V), т. пл. 127,5°. V получена также из IIa и $\text{NH}_2\text{NH}_2 \cdot \text{H}_2\text{O}$, т. пл. 128°. Из другой половины фильтрата обработкой р-ром $(\text{CH}_3\text{COO})_2\text{Ca}$ получено 92% Ca-соли IV, т. пл. IV 101—102°. В случае Ib (2 г) из первой половины фильтрата получено 66% $\text{CH}_3\text{NH}_2 \cdot \text{HCl}$, т. пл. 226—228° (из абс. сп.), а из второй половины выделено 0,55 г IIb, т. пл. 83—84°, IIb- $\text{C}_6\text{H}_5\text{NH}_2$, т. пл. 116—117°. 2 г IIa, 1,5 г IV и 20 мл 6%-ного р-ра NH_3 нагревали 6 час. при 240°; после продувания через реакционную массу воздуха получено 71,5% $\text{C}_6\text{H}_5\text{SSC}_6\text{H}_5$, т. пл. 55—57°.

В. К.

64811. Кинетика и механизм галогенирования ароматических соединений гипогалогидными кислотами. Часть II. Ориентирующие действия заместителей при бромировании ароматических эфиров бромоватистой кислотой. Бранч, Джонс (Kinetics and mechanism of aromatic halogenation by hypohalous acids. Part II. Directive effects of substituents in the bromination of aromatic ethers by hypobromous acid. Branch S. J., Jones Brynmor), J. Chem. Soc., 1955, August, 2921—2926 (англ.)

Изучена кинетика бромирования замещенных в ядре ароматических эфиров бромоватистой к-той в 75%-ной CH_3COOH при 20° (см. часть I РЖХим, 1955, 42625). Относительные ориентирующие действия (ОД) заместителей в 1, 2, 4- $\text{ROC}_6\text{H}_4\text{XY}$ определялись из отношений констант 2-го порядка скоростей бромирования эфиров с группой OR и OCN_3 -группой: $\text{OD} = 100 \frac{k_{\text{OR}}}{k_{\text{OCN}_3}}$. Значения ОД почти не зависят от X и Y и определяются природой R, составляя при R: C_2H_5 , 200, $\text{n-C}_3\text{H}_7$, 225, $\text{изо-C}_3\text{H}_7$, 300—396, $\text{n-C}_4\text{H}_9$, 230, $\text{изо-C}_4\text{H}_9$, 271, $\text{n-C}_5\text{H}_{11}$, 232, $\text{изо-C}_5\text{H}_{11}$, 262, $\text{n-C}_6\text{H}_{13}$, 218. Эти значения очень близки к ранее найденным значениям ОД для хлорирования (J. Chem. Soc., 1935, 1832), несмотря на участие реагентов различного типа (Br^+ , либо H_2OBr^+ в случае бромирования и Cl_2 в случае хлорирования). В обоих случаях скорость р-ции возрастает с разветвлением R. При R = $\text{изо-C}_3\text{H}_7$ ОД варьирует при переходе от одного эфира к другому и при переходе от хлорирования к бромированию. ОД для эфиров бензильной и замещенных бензильных групп совпадает со значениями ОД при хлорировании. Для $\text{n-монозамещ. эфиров}$ бромирование идет большей частью слишком быстро для прямых кинетич. измерений. Однако соответствующие константы скорости были вычислены и относительных значений ОД. Отсюда составился ряд скоростей бромирования при различных заместителях в ядре: $\text{NO}_2 < \text{COOCH}_3 < \text{COOC}_2\text{H}_5 < \text{Cl} < \text{Br} < \text{F} < \text{H}$. Расчет в случае галогенов подтвержден экспериментальными данными, причем порядок их расположения в ряд считается доказательством наличия мезомерного эффекта, возрастающего от Br к F . Алкилфенильные эфиры получались по большей части кипячением смеси 1 моля соответствующего фенола в циклогексаноле с 5—8 молями безводн. K_2CO_3 и 1,2 моля алкилоксида 1—3 часа. 2-бромэтил-2,4-дихлорфениловый эфир получен нагреванием 2,4-дихлорфенола в ацетоне с этилендибромидом и избытком K_2CO_3 ; выход 50%; образовался также 1,2-бис-(2,4-дихлорфенокси)этан, т. пл. 134°. 3-бромпропил-2,4-дихлорфениловый эфир синтезирован аналогичным путем. Действием Br_2 в CH_3COOH на n-оксibenзойную к-ту получена 3-бром-4-оксibenзойная к-та, а из нее соответствующие метиловый и этиловый эфиры. Действием хлорамина — Т на салициловую к-ту получена 5-хлор-2-оксibenзойная к-та и действием Br_2 в CH_3COOH — 5-бром-2-оксibenзойная к-та; а алкилированием — соответствующие 2-алкокси-5-галогенбензоаты 2-Бром-4-фторанизол синтезирован

из *n*-фторанизола (7 г) и Br_2 (8 г в 50 мл CH_3COOH) в смеси с 10 г $\text{CH}_3\text{CO}_2\text{Na}$ и миним. кол-ве CH_3COOH (1 час). Аналогично получен 2-бром-4-хлоранизол; 4-бром-2-хлоранизол получали действием (24 часа) дихлорамина - Т в CH_3COOH (7 г в 50 мл) на *n*-броманизол в CH_3COOH (9,3 г в 50 мл), добавлением воды и перекристаллизацией из CH_3OH . Ниже для эфиров 1, 2, 4 — $\text{ROC}_6\text{H}_4\text{XY}$ перечисляются X, Y, R, т. пл. °C, т. кип. °C/мм, *k* скорости бромирования при 20° в 75%-ной CH_3COOH л. моль⁻¹. сек⁻¹: Н, NO_2 , CH_3 , 52,5, —, 0,162; Н, NO_2 , C_2H_5 , 59, —, 0,330; Н, NO_2 , *n*- C_3H_7 , —, 126,2, 0,353; Н, NO_2 , *изо*- C_3H_7 , —, —, 0,642; Н, NO_2 , *n*- C_4H_9 , 32, 148,5, 0,360; Н, NO_2 , *n*- C_5H_{11} , —, 147,2, 0,359; Н, NO_2 , *n*- C_6H_{13} , —, 219,4, —; Н, NO_2 , $\text{CH}_2\text{C}_6\text{H}_5$, 106, —, 0,113; Cl, Cl, CH_3 , 29, 229/760, 0,283; Cl, Cl, C_2H_5 , 32, 237/760, 0,566; Cl, Cl, *n*- C_3H_7 , —, 109,4, 0,634; Cl, Cl, *изо*- C_3H_7 , —, 94,2, 1,034; Cl, Cl, *n*- C_4H_9 , —, 121,3, 0,645; Cl, Cl, *изо*- C_4H_9 , —, 148/12, —; Cl, Cl, *n*- C_5H_{11} , —, 228/760, 0,652; Cl, Cl, *изо*- C_5H_{11} , —, 157/10, —; Cl, Cl, $\text{CH}_2\text{C}_6\text{H}_5$, 61, —, 0,205; Cl, Cl, $\text{CH}_2\text{CH}_2\text{Br}$, —, 134/2, 0,0455; Cl, Cl, $(\text{CH}_2)_3\text{Br}$, —, 148/2, 0,160; Cl, Cl, CH_2COOH , —, —, 0,023; Cl, Cl, $(\text{CH}_2)_2\text{COOH}$, —, —, 0,0136; Cl, Cl, $\text{CH}(\text{CH}_3)\text{COOH}$, —, —, 0,0274; Br, Br, CH_3 , 61, —, 0,373; Br, Br, C_2H_5 , 53, —, 0,747; Br, Br, *n*- C_3H_7 , —, 140/7, 0,852; Br, Br, *изо*- C_3H_7 , —, 139/6, 1,36; Br, Br, *n*- C_4H_9 , —, 169/8, 0,860; Br, Br, *изо*- C_4H_9 , —, 158/5, 1,01; Br, Br, *n*- C_5H_{11} , —, 178/8, 0,880; Br, Br, *изо*- C_5H_{11} , —, 182/10, 0,974; Br, Br, $\text{CH}_2\text{C}_6\text{H}_5$, 68, —, 0,265; Cl, COOCH_3 , CH_3 , 93, —, 0,0626; Cl, COOCH_3 , C_2H_5 , 48, 168/12, 0,124; Cl, COOCH_3 , *n*- C_3H_7 , —, 182/12, 0,140; Cl, COOCH_3 , *изо*- C_3H_7 , —, —, 0,208; Cl, COOC_2H_5 , CH_3 , 76, —, 0,0648; Cl, COOC_2H_5 , C_2H_5 , 51, —, 0,130; Cl, COOC_2H_5 , *n*- C_3H_7 , —, 179/7, 0,145; Cl, COOC_2H_5 , *изо*- C_3H_7 , —, —, 0,224; Cl, COOC_2H_5 , *n*- C_4H_9 , —, 186/8, 0,153; Cl, COOC_2H_5 , *n*- C_5H_{11} , 24, 190/7, 0,153; Br, COOCH_3 , CH_3 , 94, —, 0,084; Br, COOCH_3 , C_2H_5 , 46, 177/15, 0,166; Br, COOCH_3 , *n*- C_3H_7 , —, 192/7, 0,192; Br, COOCH_3 , *изо*- C_3H_7 , —, —, 0,305; Br, COOC_2H_5 , CH_3 , 73, —, 0,0881; Br, COOC_2H_5 , C_2H_5 , 60, —, 0,177; Br, COOC_2H_5 , *n*- C_3H_7 , 35, 179/5, 0,200; Br, COOC_2H_5 , *изо*- C_3H_7 , —, —, 0,319; Br, COOC_2H_5 , *n*- C_4H_9 , —, 190/8, 0,205; Br, COOC_2H_5 , *n*- C_5H_{11} , 28, 224/7, 0,206; COOCH_3 , Cl, CH_3 , —, 148/9, 0,256; COOCH_3 , Cl, C_2H_5 , —, 156/9, —; COOCH_3 , Cl, *изо*- C_3H_7 , —, —, 0,84; COOCH_3 , Br, CH_3 , 38, 168/15, 0,345; COOCH_3 , Br, C_2H_5 , 48, 160/8, 0,686; COOCH_3 , Br, *изо*- C_3H_7 , —, —, 1,02; Н, F, *o*-нитробензил, 62, —, 15,6; Н, F, CH_2COOH , 106, —, 9,5; Н, Cl, *n*-нитробензил, 102, —, 11,7; Н, Cl, *o*-нитробензил, 69, —, 9,5; Н, Cl, CH_2COOH , 157, —, 4,1; Н, Cl, $(\text{CH}_2)_2\text{COOH}$, 138, —, 38 (в другом месте 35. *Ref.*); Н, Cl, $\text{CH}(\text{CH}_3)\text{COOH}$, 116, —, 5,0; Н, Br, CH_2COOH , 158, —, 5,6; Н, Br, $(\text{CH}_2)_2\text{COOH}$, 146, —, 51; Br, F, CH_3 , —, 87/3, 0,829; Br, Cl, CH_3 , —, 95/2, 0,349; Cl, Br, CH_3 , 69, —, 0,296; Н, *n*- $\text{C}_6\text{H}_4\text{NO}_2$, *n*- C_6H_{17} , 26, —, 0,349; кроме того получены следующие значения k_2 для некоторых ди- и полизамещ. фениловых эфиров в тех же условиях опыта: α -2,6-дихлорфеноксипропионовая к-та, 0,003; 2,6-диброманизол, 0,008; 2,4-дихлор-3,5-кислилоксуксусная к-та, 3,1; 4-хлор-2-нитро-3,5-кислиланисол, 0,742; 4-хлор-2-нитро-3,5-кислилфенетол, 1,42; 4-хлор-2-нитро-3,5-кислилфенетол, 1,42; 4-хлор-2-нитро-3,5-кислилбензиловый эфир, 0,493.

Г. П. 64812. Галогенирование фениловых эфиров и амидов. Часть XVII. Исследование в области аддитивного эффекта заместителей в бензилфениловых эфирах. Д. Жонс, Ричардсон (The halogenation of phenolic ethers and anilides. Part XVII. An investigation into the additive effects of substituents in benzyl phenyl ethers. Jones Brynmor, Richardson Eileen N.), J. Chem. Soc., 1955, Aug., 2772—2775 (англ.)

При изучении кинетики хлорирования бензиловых эфиров крезолов, ксиленолов, оксифенолов, диоксифенилсульфонов и оксифенилов с заместителями, обладающими аддитивным эффектом, было ранее установлено постоянство отношений констант скоростей хлорирования (КСХ) замест. эфира и соответствующего незамещ. (см. часть XVI РЖХим, 1956, 28884). В этом случае различия в КСХ могут быть связаны с энергиями активации, между тем как энтропийный эффект незначителен. Присутствие полярных орто-заместителей в бензильном или фенильном ядрах нарушает аддитивность и приводит к отклонениям от постоянства отношений КСХ. Измерены КСХ для ряда 2-нитро-, 2-хлор-, 2-метил-, 2,6-дихлор- и 2,4,6-триметилбензиловых эфиров. Из них только 2-хлорзамещ. сохраняют постоянство отношений КСХ. Для получения эфиров кипятят 3—6 час. спирт, р-р соответственно фенола $\text{C}_6\text{H}_5\text{ONa}$ и $\text{C}_6\text{H}_5\text{CH}_2\text{Cl}$ (1:1:1), отгоняют спирт, разбавляют водой. Синтезированы следующие новые бензилфениловые эфиры $\text{ArCH}_2\text{OAr'}$ (перечисляются заместители в фенильном ядре, затем в бензильном ядре, т. пл. в °C): 4 - Br, 2 - CH_3 , 62; 4 - Cl, 2,6 - Cl_2 , 55; 2,4 - Cl_2 , 2 - NO_2 , 126; 2,4 - Cl_2 , 2,6 - Cl_2 , 127; 4-Cl-2- CH_3 , 40; 4-Cl-2- CH_3 , 2- NO_2 , 110; 4-Br-2- CH_3 , 2- CH_3 , 28; 4-Cl-2- CH_3 , 2,6 - Cl_2 , 54; 2-Br-4- CH_3 , 2 - CH_3 , 48; *трит* 4- C_4H_9 -2-Br, 2,6 - Cl_2 , 107; 2,4 - Cl_2 - 3,5-(CH_3)₂, 2 - CH_3 , 86; 2,4- Cl_2 - 3,5-(CH_3)₂, 2 - NO_2 , 132.

Р. Ж. 64813. Молекулярные перегруппировки. III. Механизм перегруппировки Вагнера — Мервейна в 1,2,2-трифенилэтиленовых системах. Коллинс, Боннер (Molecular rearrangements. III. The mechanism of the Wagner-Meerwein rearrangement in the 1,2,2-triphenylethyl system. Collins Clair J., Bonner William A.), J. Amer. Chem. Soc., 1955, 77, № 1, 92—99 (англ.)

Изучены р-ции 1,2,2-трифенилэтанол (I), его ацетата (II) и тозилата (III) меченных в фениле (а) и этиле (б) C^{14} с муравьиной, уксусной и *n*-толуолсульфокислотами (IV). Распределение C^{14} в продуктах р-ции исследовалось превращением их в бензофенон (V) и бензойную к-ту (VI). При обработке IIа (радиоактивность (а) = 1000) HCOOH и IV образуется олефин, окислением которого получают V и VI, в которых а распределено поровну (0,500 и 0,492 соответственно). При той же обработке IIб распределение а 0,663 и 0,332. Статистич. распределение а имеется также в V и VI, полученных из олефинов, образованных при обработке Iб и IIб одной HCOOH. Во второй группе р-ции не имеет место статистич. распределение а. Так, при обработке IIIа $\text{CH}_3\text{COOH} + \text{CH}_3\text{COONa}$ а равны 0,395 и 0,593. Полученные V и VI из IIIб при той же обработке содержат а 0,471 и 0,517. При проведении р-ции в ацетон-води. среде из IIа а 0,222 и 0,744; из IIб — 0,236 и 0,738. При обработке Ia и Ib IV в ксилале а равно 0,479 и 0,524 (из Ia) и 0,602 для IV из Ib. В предположение, что р-ция идет через открытый (не циклич.) ион карбония, способный к изомеризации, авторы выводят на основании кинетич. рассуждений ф-лу. Данные расчета по этой ф-ле в пределах ошибки опыта соответствуют найденным значениям перегруппировки для р-ции, в которых нет статистич. распределения а. Авторы делают вывод, что р-ция проходит через промежуточное образование открытых ионов карбония. Никаких доказательств промежуточного образования ионов фенония не имеется. IIб, IIб и IIIб получены методом, аналогичным описанному в РЖХим, 1955, 11550. Сообщение II см. РЖХим, 1955, 11551.

З. П. 64814. Судьба карбонильного атома углерода в перегруппировке трополона — бензойная кислота. Деннинг, Денни (The structural fate of the carbonyl carbon atom in the tropolone — benzoic acid rearrangement. Doering W. von E., Denney

№ 2
D o
461
Пер
бром
C¹⁴, н
ответ
таким
средот

указы
низм
щей с
же, ч
CH₂N₂
же уг
чен р
тивнос
75 мл
моль
~12
ишем
ишем
20%.
совпад
групп
~100%
ля I
смесь
рован
ую до
(в ви
Анало
а 1,77
64815.

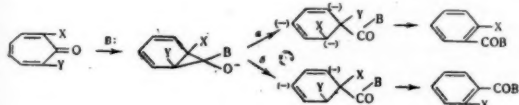
при
аffect
hyl
F r
№ 1
Для
двигат
новлен
менял
замещ
C этой
I-C¹⁴
Изотоп
-100, м
я той
ниями

+H₂O
H₂C
H₂COO

наблю
эффек
дят в
скольк
ния, я
вод, ч
протек

Donald B.), J. Amer. Chem. Soc., 1955, 77, № 17, 4619—4622 (англ.)

Перегруппировка 2,4,7-трибромтропона (I) и 2,7-дибромтропона (II), меченных в карбонильной группе C^{14} , в 2,4- и 2,5-дибромбензойные к-ты (III и IV) и соответственно в 2-бромбензойную к-ту (V), протекает таким образом, что вся радиоактивность оказывается сосредоточенной в карбоксильном атоме углерода. Это

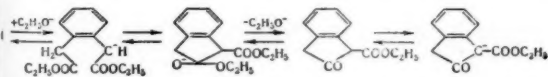


указывает, по мнению авторов, на приведенный механизм перегруппировки тропонов. Стадий, определяющей скорость, являются р-ции (а) и (б). Показано также, что при расширении циклич. кетонов действием CH_2N_2 карбоксильная группа остается у одного и того же углерода. Исходный циклогептанон-1- C^{14} (VI) получен р-цией 1,005 моля циклогексана-1- C^{14} с радиоактивностью (а), 1,30 (здесь и ниже в мд кюри/мг С) в 75 мл CH_3OH и 147,5 мл 30%-ного р-ра $NaOH$ с 0,825 моля N-метил-N-нитрозо мочевины (т-ра -10° , затем $\sim 12^\circ C$, $\sim 20^\circ$), выход VI 48%, а 1,11. Бромированием VI получен I, выход 33,6%, а 1,13; гидрированием III над Pd получен тропон-1- C^{14} (VII), выход 20%. VII обработкой Br_2 переведен в II, выход 10%, а совпадает с рассчитанной. 0,784 моля II (а 0,26) перегруппировываются в V (водн. р-р $NaOH$, $1/4$ часа при $\sim 100^\circ$, $3/4$ часа, $\sim 20^\circ$), выход 43%, а 0,256. 0,00583 моля I при обработке спиртовой щелочью ($\sim 100^\circ$) дают смесь III и IV, выход 89,6%, а 1,2. III и IV гидрированием превращают в бензойную к-ту (а 1,13), которую декарбоксилируют действием HN_3 ; получают CO_2 (в виде $BaCO_3$), а 8,08, и нерадиоактивный анилин. Аналогичным образом расщепляют V, получают $BaCO_3$, а 1,77, и неактивный о-броманилин. В. Я. 64815.

Изучение изотопного эффекта углерода C^{14} при дикмановской конденсации диэтилфенилди-ацетата. Каррик, Фрай (A carbon-14 isotope effect study of the Dieckmann condensation of diethyl phenylenediacetate. Carrick Wayne L., Fry Arthur, J. Amer. Chem. Soc., 1955, 77, № 16, 4381—4387 (англ.))

Для изучения механизма дикмановской конденсации дитиолового эфира фенилендиуксусной к-ты (I) и установления стадии, определяющей скорость р-ции, применялся принцип измерения изотопного эффекта при замещении различных положений в молекуле I- C^{14} . С этой целью синтезированы диэтилфенилди-ацетат-1- C^{14} (I-1- C^{14}) и диэтилфенилди-ацетат-2- C^{14} (I-2- C^{14}).

Изотопный эффект вычисляется по ф-ле $(k_c^{12}/k_c^{14} - 1) \cdot 100$, где k_c^{12}/k_c^{14} — отношение констант скоростей одной и той же р-ции с мечеными и немечеными соединениями. Внутримолекулярный изотопный эффект в 5,6%



наблюдается с I-1- C^{14} и межмолекулярный изотопный эффект в 8,5% с I-1- C^{14} и I-2- C^{14} , когда р-цию проводят в р-ре $C_2H_5OH + C_2H_5ONa$ (80° , 1,5—2 часа). Поскольку стадий, включающей о-а меченных положения, является образование связи C—C, делается вывод, что эта стадия определяет скорость р-ции. Р-ция протекает по указанному механизму. Найденные экс-

периментально величины изотопных эффектов значительно выше верхнего предела, рассчитанного теоретически и равного 3,8% (J. Bigeleisen, J. Chem. Phys., 1949, 17, 675). Увеличение изотопного эффекта связано с непрерывной поляризацией в переходном состоянии, выражающейся в локализации π -электронов вначале на метиленовом углероде, а затем на кислороде карбонильной группы. Если р-цию с I-1- C^{14} проводить в р-ре толуола с Na ($1/4$ —2 часа, 100°), наблюдается уменьшенное значение внутримолекулярного изотопного эффекта в 1,6%, связанное, видимо, с почти полной необратимостью стадии (1). Внутримолекулярный изотопный эффект получен при сравнении молярной активности (MA) CO_2 и MA 2-гидридоана, полученного при гидролизе и декарбоксилировании этилового эфира гидридоан-2-карбоновой-1 к-ты. Межмолекулярный изотопный эффект определен при сравнении MA II при 9% р-ции с ее MA при 100% р-ции или с MA I. Для получения I- C^{14} 1,2- $C_6H_4(CH_2Br)_2$ р-цией с $NaC^{14}N$ (получен из NaN_3 и $BaC^{14}O_3$) превращают в фениленди-ацетонитрил-1- C^{14} , который с конц. H_2SO_4 дает фенилендиуксусную-1- C^{14} к-ту, этерификацией которой получают I-1- C^{14} . о-Толуилмагнийбромид после обработки $C^{14}O_2$ дает о-толуиловую-1- C^{14} к-ту, выход 62%, восстановлением которой $LiAlH_4$ получают о-метилбензиловый спирт-1- C^{14} (выход 80%). Последний при обработке PBr_3 дает о-метилбензил-1- C^{14} бромид (выход 69%), затем бромированием получают о-ксилилен-1- C^{14} -бромид (выход 70%), который по описанному выше способу превращают в I-2- C^{14} . В. Я. 64816.

К вопросу о реакционной способности диалкиламинометилалкиловых эфиров и сходных по строению соединений. Мизуч К. Г., Ланина Р. А., Ж. общ. химии, 1956, 26, № 3, 839—842

Относительная реакционная способность (PC) диалкиламинометилирующих в-в типа R_2NCH_2X (I), где $X = OR', SR', NR_2$ или NR'_2 , сравнивалась по результатам их р-ции с C_6H_5MgBr (II). Соединения I ($X = OR'$ или SR') обладают большей PC и с высокими выходами дают с II третичные амины. Симметричные I ($X = NR_2$) реагируют с II вяло. Получить в-в типа $R_2NCH_2NR_2$ обменной р-цией аминов I, $X = OR'$ или I, $X = NR_2$ не удалось, и в качестве несимметричных I, $X = NR'_2$, исследовались N-(диэтиламинометил)-(III) и N-(ниперидинометил)-карбазолы (IV), которые также проявили высокую PC по отношению к II. Авторы считают, что PC в-в I определяется возможностью поляризации $CH_2 - X$ связи, которая должна быть больше у несимметричных соединений. К эфир. р-ру II (из 3,6 г Mg) прибавляют при 0° р-р 12,25 г диэтиламинометилонилсульфида в 40 мл эфира, кипятят 3 часа, разлагают при -10° 75 мл 10%-ной HCl , солинокислый р-р амина обрабатывают конц. р-ром NH_3 , экстрагируют эфиром N-бензилдиэтиламин (V), выход 90,8%, т. кипения $93^\circ/12$ мм. Из эфирного экстракта, отделенного от кислого слоя, выделен нонилмеркаптан, выход 97,5%, т. кип. 98 — $100^\circ/15$ мм. Аналогично получены при р-ции с II следующие третичные амины (перечисляются полученный амин, выход в %, т. кип. в $^\circ C/мм$, т. пл. никрата в $^\circ C$, исходный амин): V, 95, 210—212,5/747, 121—121,6 (из сп.), диэтиламинометилэтиловый эфир; N-бензилниперидин (VI), 6, —, 178—179,5, бис-ниперидинометил; V, 93,2, —, III; VI, 93,6, 119—121/13, 179—180,5, IV. Наряду с VI выделен также карбазол соответственно с выходами 98,2% и 99,3%. И. М. 64817.

Стереохимия реакции кетонизации энолов. Зиммерман (The stereochemistry of the ketonization reaction of enols. Zimmerman Howard E.), J. Organ. Chem., 1955, 20, № 5, 549—557 (англ.) Ранее (РЖХим, 1954, 30632) при р-ции C_6H_5MgBr (I) с метиловым эфиром ψ -2-оксидиклогексанкарбоновой

к-ты было получено соединение (II) с т. пл. 117°, которому авторы приписали структуру 1-фенил-2-бензоилциклогексана. Предполагалось, что II образовался в результате 1,4-присоединения I к 1-бензоилциклогексену (III), могущему возникнуть в условиях р-ции. С целью подтверждения этих предположений осуществлена р-ция III с I в присутствии каталитич. кол-в CuCl и при этом получен II и, в качестве побочного продукта, стереоизомер II (IV) с т. пл. 124°. Строение IV как *транс*-1-фенил-2-бензоилциклогексана было до-



казано синтезом путем конденсации *транс*-бензальдегида (V) с бутадие-ном с последующим гидрированием образующегося 1-фенил-2-бензоилциклогексена-4 (VI). Конфигурация II как *цис*-изомера IV доказана его изомеризацией в IV под влиянием C₂H₅ONa. Возникновение при взаимодействии I с III менее устойчивого II, вероятно, является следствием того, что образующийся вначале енол (VII) реагирует быстрее с образованием II, чем IV. Для подтверждения этого предположения изучено действие на II и IV Br₂ в CH₃COOH. При этом II уже в мягких условиях дал 1-фенил-2-бром-2-бензоилциклогексан (VIII), в то время как попытки bromировать IV оказались безуспешными. Поскольку весьма вероятно, что легкость bromирования зависит от скорости енолизации II и IV, то следовательно II енолизуется значительно быстрее, чем IV. При обработке VIII HJ при ~20° с почти колич. выходом получен II и, таким образом, вновь подтверждено направление кетонизации VI в менее устойчивый II. Исходя из этих результатов и из рассмотрения ряда литературных аналогий, автор предполагает, что направление р-ции кетонизации определяется предпочтительной протонной атакой с менее пространственно затрудненной стороны двойной связи енола. Рассмотрение моделей возможных переходных состояний р-ции производных циклогексана, содержащих семикликл. енольную двойную связь, показывает, что из двух переходных состояний одно является более предпочтительным. Для аналогичных производных циклопентана это различие заметно меньше. III получен либо р-цией 58 мл C₆H₅COCl, 53 мл циклогексена и 66,5 г безводн. AlCl₃ в 300 мл CS₂ (—5°, 1,5 часа), выход 22,1 г, т. кип. 154—157°/5,5 мм, *n*_D²⁰ 1,5620; либо р-цией циклогексенил-лята с 16,6 г C₆H₅COOLi, выход III 10,0 г. К р-ру 0,2 моля I в 75 мл эфира прибавляют 0,2 г CuCl, перемешивают 15 мин., затем за 35 мин. прибавляют р-р 18,6 г III в 30 мл эфира, кипятят 30 мин., выливают в смесь льда с NH₄Cl и в эфирном слое получают II, выход 12,4 г, т. пл. 116—117° (из бzl.-лигр.). Выделен хроматографированием на Al₂O₃ или при перегонке и последующей кристаллизации дистилята. Из масля-образного остатка хроматографированием на Al₂O₃ (вымывают лигр., а затем C₆H₆) или перегонкой (т. кип. 151—156°/0,01 мм) получают еще немного II и следы IV. В стальную бомбу помещают 20 г V, 0,05 г гидри-хипона и 16 мл бутадиена, смесь нагревают 10 час. при 140° и получают VI, выход 19 г, т. пл. 103,0—103,5° (из сп.). Р-р 7,0 г VI в смеси 50 мл спирта и 50 мл этилацетата гидрируют на 50 мг PtO₂ и получают IV, выход 6,5 г, т. пл. 124,0—124,5° (из сп.). К р-ру C₂H₅ONa (из 100 мг Na и 50 мл сп.) прибавляют 500 мг II, смесь оставляют при ~20° на 20 час., затем обра-батывают ее 100 мл воды и в осадке получают IV, выход 498 мг. 1,0 г II обрабатывают 0,80 г Br₂ в 60 мл CH₃COOH, смесь нагревают 10 мин. при 80°, выливают в лед и в осадке получают VIII, выход 1,3 г, т. пл. 98—99° (из лигр.). К р-ру 30 мг VIII и 1,0 мл ацетона прибав-ляют 0,1 мл 47%-ной HJ, через 3 мин. к смеси прибав-ляют 5 мл воды и в осадке получают II, выход 22,4 мг.

В. А.

64818. Синтез меламина из мочевины. III. Ки-но-сита (Synthesis of melamine from urea. III. Ki-noshita Hideo), Rev. Phys. Chem. Japan, 1954, 24, № 2, 67—73 (англ.)

Скорость образования амелида (I), амелина (II) и меламина (III) из мочевины (IV) изучалась при прове-дении р-ции в футерованном Ag автоклаве емк. 1 мл при начальном наполнении автоклава (НА) 0,5 и 0,3 г/см³ IV в интервале т-р 265—310°. Установлено, что в те-чение времени исследования р-ции (до 8 час.) процентное содержание твердого в-ва и содержание в нем IV оста-ется приблизительно постоянным, изменяясь в зависи-мости от НА и т-ры; конц-ия I монотонно убывает; конц-ия II проходит через максимум, сдвигающийся к на-чальному периоду р-ции с повышением т-ры (при 310° этот максимум остается вне поля наблюдений); про-центное содержание III монотонно возрастает. На ос-новании этих наблюдений вычислены наблюдаемые кон-станты скорости превращений I_K, II_K, III при пред-положении, что эти р-ции являются бимолекулярными гомогенными р-циями I и II с NH₃ в среде IV. Конц-ия NH₃ в жидкой фазе при этом полагалась постоянной и рассчитывалась с учетом стехиометрич. ур-ний образо-вания I, II и III из IV и допущения, что в газовой фазе поддерживается соотношение NH₃:CO₂ = 2:1. Зна-чения k₁ и k₂ уменьшаются в 2—3 раза с изменением НА от 0,5 до 0,3 г/см³ при постоянной т-ре. Это обстоя-тельство, а также то, что р-ция между II и NH₃ в отсут-ствие IV не идет, объясняются влиянием конц-ии IV на р-ции I и II с NH₃. В связи с этим значения k₁ и k₂ пересчитаны на бесконечное разбавление в среде IV при каждой т-ре по ур-нию k = k* Nⁿ; k* — соот-ветствующая константа при бесконечном разбавлении, N — мол. доля IV в р-ре, n-показатель, равный 1,2—1,5 р-ции I—II. Из изменений k₁* и k₂* с т-рой вычислены значения энергии активации для р-ции I—II 32,2 ккал и II—III 29,5 ккал. Сообщение II см. РЖХим, 1956, 39592.

64819. Последние успехи органической химии. Стей-с-и (Some recent advances in organic chemistry. Stei-s-e-y M a u r i c e), J. Roy. Inst. Chem., 1955, 79, Aug., 421—423 (англ.)

Краткий обзор.

М. В.

64820 К. Химия в теории и практике. Том 3. Орга-ническая химия. Шеффер (Chemie in Theorie und Praxis. Bd 3. Organische Chemie. Sch ä f f e r W a l-ter. Leipzig, Fachbuchverl., 1955, XVI, 351 S., ill., 3.80 DM) (нем.)

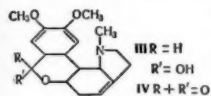
См. также: Строение органич. соед. 64191, 64194, 64273, 64275, 64281, 64304, 64306. Реакционная способность 64195—64198, 64211, 64278, 64928, 64961, 66025. Меха-низмы и кинетика р-ций 64486, 64489—64491, 64501—64507, 64510—64518, 64538, 64540—64542, 64688, 64830, 64848, 66540. Др. вопр. 65397

СИНТЕТИЧЕСКАЯ ОРГАНИЧЕСКАЯ ХИМИЯ

64821. Твердая двуокись марганца в качестве окисли-теля. Хайет, Уайлдман (Solid manganese dioxide as an oxidizing agent. Hight R. J., Wildman W. C.), J. Amer. Chem. Soc., 1955, 77, № 16, 4399—4401 (англ.)

Твердая MnO₂ окисляет бензиловые спирты до бенз-альдегидов, амины до соответствующих оснований Шиффа, альдегидаммиаки до лактамов и полуацетали до лактонов. Первичные и вторичные амины окисляются медленно и с низким выходом. Трет-амины не изме-няются. Р-р 1 ммоль C₆H₅CH₂OH в 40 мл CHCl₃ пере-

мешивают с 1 г MnO_2 (18°, 23 часа), фильтрат с 9 мл 2,4-динитрофенилгидразина дает 2,4-динитрофенилгидразон бензальдегида (I), выход 89%. Аналогичной р-цией (3 часа) из 1 ммоль вератрилового спирта получен 2,4-динитрофенилгидразон вератрилового спирта, выход 58%, т. пл. 265—266°. В тех же условиях адиопин, бензил, бензилметилэфиры и гидрогидрастинин не реагируют. При действии MnO_2 на бензиламин в 30 мл CHCl_3 (24 часа) получено 34% имина, который гидролизуют и превращают в I. Аналогично N-метилпиперониламин (40 час.) дает 2,4-динитрофенилгидразон пиперонала, выход 21%, т. пл. 271—272°. При окислении N-метилбензиламина (44 часа) получено 24% соответствующего имина. Р-р 1 ммольа



гидрастинина (II) в 40 мл CHCl_3 перемешивают с 1 г MnO_2 24 часа, фильтрат промывают трижды разб. HCl , выход оксигидрастинина 76%, т. пл. 96—98° (из циклогексанола). Из кислого р-ра выделено 37 мг II. При перемешивании р-ра 206 мг коденна в 25 мл CHCl_3 с 2 г MnO_2 (20 мин.) получено 96% коденнона, т. пл. 176—177°. Р-р 1 ммольа 2-окситетрагидропирана в 20 мл CHCl_3 перемешивают с 1 г MnO_2 (18°, 24 часа), получен 2-кетотетрагидропиран (сильно поглощает при 5,78 μ). 94 мг ликоренина (III), т. пл. 198—200° (из CH_3OH -аcetона), $[\alpha]_D^{25} + 144^\circ$ (с 1,03 в CH_3OH), $[\alpha]_D^{25} + 180^\circ$ (с 1,12 хлф.) окисляют в 31 мл CHCl_3 действием 0,5 г MnO_2 (1,75 часа), получают 30 мг лактона (IV), т. пл. 175—176° (из этилацетата; возгоняет), $[\alpha]_D^{25} + 93,6^\circ$ (с 0,84; хлф.); сильно поглощает при 5,84 μ в CHCl_3 . Т. Е.

64822. Обобщение аллильной перегруппировки. Прено, Видон (Généralisation de la transposition allylique. Prévost Charles, Bidon Françoise), Bull. Soc. chim. France, 1955, № 11—12, 1408—1410 (франц.)

Показано, что аллильная перегруппировка диенов с изолированными двойными связями и нуклеофильным заместителем приводит почти исключительно к соединениям с сопряженными двойными связями. Так, полученные при действии $\text{CH}_2=\text{CHMgBr}$ на акролеин и $\text{CH}_2\text{CH}=\text{CHCHO}$ пентадиен-1,4-ол-3 (т. кип. 115—116°/760 мм, $n_D^{17} 1,445$, $d_4^{20} 0,868$) и гексадиен-1,4-ол-3 (I) (т. кип. 50°/14 мм, $n_D^{18} 1,452$, $d_4^{18} 0,864$) при действии PBrg_2 с высоким выходом образуют соответственно 1-бромпентадиен-2,4 (II) (т. кип. 33—34°/16 мм, $n_D^{18} 1,543$, $d_4^{19} 1,328$) и 1-бромгексадиен-2,4 (III) (т. кип. 62—66°/19 мм, $n_D^{18} 1,541$, $d_4^{18} 1,226$). При действии CH_3COONa II дает почти исключительно ацетат пентадиен-2,4-ола-1 (т. кип. 57—58°/18 мм, $n_D^{18} 1,467$, $d_4^{19} 0,954$), а III — смесь ацетата гексадиен-1,3-ола-5 (выход 42%, т. кип. 61—63°/19 мм, $n_D^{18} 1,461$, $d_4^{15} 0,923$) и ацетата гексадиен-2,4-ола-1 (выход 28%, т. кип. 81—83°/17 мм, $n_D^{16} 1,474$, $d_4^{16} 0,934$). Гидролиз ацетатов приводит к соответствующим спиртам: пентадиен-2,4-олу-1 (т. кип. 63°/20 мм, $n_D^{17} 1,491$, $d_4^{17} 0,886$); гексадиен-1,3-олу-5 (т. кип. 58—59°/18 мм, $n_D^{18} 1,482$, $d_4^{18} 0,866$) и гексадиен-2,4-олу-1 (т. кип. 67—68°/26 мм, $n_D^{18} 1,501$, $d_4^{18} 0,884$). Дегидратация I (Al_2O_3 , 300°) приводит к циклогексадиену, который с Br_2 дает 1,4-дибромциклогексен-2, т. пл. 108°.

64823. Присоединение водорода к изолированной двойной связи при действии гексааммиака калция. Казанский Б. А., Гоестунская Н. В., Ж. общ. химии, 1955, 25, № 9, 1704—1711

Показано, что при многократном (2—3 раза) взаимодействии $\text{Ca}(\text{NH}_3)_6$ с олефинами (2-метилбутен-1 (I), 3-метилбутен-1 (II), 50%-ная смесь гексена-2 и гексена-3, циклогексена (III) и 2,5-диметилгексена-3 (IV) происходит частичное (12—20%) их восстановление в соответ-

ствующие парафины. С лучшим выходом восстанавливается α -олефин-II (20%). 2-метилбутен-2 (V) не восстанавливается. Под влиянием $\text{Ca}(\text{NH}_3)_6$ образующегося во время р-ции I и IV, частично изомеризуются V и 2,5-диметилгексен-2 (VI). Установлено, что Ca и CaH_2 , которые также могут присутствовать в реакционной среде, не влияют на процесс восстановления олефинов H_2 и $\text{Ca}(\text{NH}_3)_6$. Приводятся константы олефинов (олефин, т. кип. в °C/760 мм, n_D^{20} , d_4^{20}): I, 31,1, 1,3782, 0,6498; II, 20,1, 1,3645, 0,6285; III, 82,5/755 мм, 1,4470, 0,8109; IV, 101,5—102, 1,4045, 0,7017; V, 38,5, 1,3880, 0,6610; VI, 112,6, 1,4160, 0,7188; 2,5-диметилгексадиен-1,5, 113,1, 1,4302, 0,7412. К $\text{Ca}(\text{NH}_3)_6$ (получен из 3,5—4 г атом Ca и NH_3 -газа при —5°—(—10°) за 3—4 часа) прибавляют 1 моль олефина, через 2—4 часа отгоняют продукты восстановления, собирая их при —40°—(—50°). Содержание непредельных в дистиллате определяют по Кауфману. Обсужден механизм восстанавливающего действия $\text{Ca}(\text{NH}_3)_6$. Н. М.

64824. Синтез углеводородов. ЛIII. Гидробромид изопрена в синтезе углеводородов с четвертичным атомом углерода — трет-алкилалкенов. Левина Р. Я., Скварченко В. Р., Ушакова Т. М., Ж. общ. химии, 1956, 26, № 2, 398—403

Взаимодействие RMgBr (I) (здесь и далее а R = C_2H_5 , б R = C_3H_7 , в R = C_4H_9 , г R = $(\text{CH}_3)_2\text{CHCH}_2$) с гидробромидом изопрена (II) (смесь изомерных $(\text{CH}_3)_2\text{BrCCH}=\text{CH}_2$ (IIa) и $(\text{CH}_3)_2\text{C}=\text{CHCH}_2\text{Br}$ (IIб)) может служить препаративным методом синтеза соединений типа $(\text{CH}_3)_2\text{C}=\text{CHCH}_2\text{R}$ (III) и труднодоступных $(\text{CH}_3)_2\text{R}(\text{C})\text{CH}=\text{CH}_2$ (IV). III и IV легко разделяются перегонкой. При р-ции II с Id, R = $(\text{CH}_3)_2\text{CH}$, или Ie, R = циклогексил, выделены лишь III. Действие I на IIб приводит к образованию только III. При низких т-рах р-ции (—70°) подавляется аллильная перегруппировка IIa в IIб. Изопрен обрабатывают теоретич. кол-вом сухого HBr при —70°, разбавляют абс. эфиром (1:1), свежеполученный II без перегонки вводят в р-цию. К I (из 24 г Mg и 1 моля бромистого алкила в 300 мл эфира) прибавляют по каплям при —70° и перемешивании эфир. р-р II (из 0,5 моля изопрена), перемешивают (2 часа при —70° и после 12 час. выдержки 4—5 час. при —20°), разлагают 10%-ной CH_3COOH , эфирную вытяжку сушат над CaCl_2 , эфир отгоняют, остаток кипятят с Na, отгоняют димер изопрена и перегоняют; получены III и IV (приведены I, III, выход в %, т. кип. в °C/мм, n_D^{20} , d_4^{20} , IV, выход в %, т. кип. в °C/мм, n_D^{20} , d_4^{20}): Ia, IIIa, 20, 94—94,5/755, 1,4127, 0,7100, IVa, 30, 76,5—77/755, 1,4000, 0,6965; Ib, IIIb, 25, 121,5/750, 1,4180, 0,7205, IVb, 22, 103,5—104/750, 1,4080, 0,7127; Ic, IIIc, 24, 144—145/741, 1,4240, 0,7383, IVc, 23, 128/741, 1,4150, 0,7295; Id, IIId, 9, 138—139/747, 1,4215, 0,7322, IVd, 6, 121—121,5/747, 1,4120, 0,7221; Ie, IIIe, 12, 75/11, 1,4635, 0,8258. При перегонке II в вакууме выделяют IIб, т. кип. 60—65°/63 мм. Из IIб и Iв получен IIIв, выход 36%, т. кип. 144,5—145,2°/745 мм, $n_D^{20} 1,4252$, $d_4^{20} 0,7389$. Сообщение ЛII см. РЖХим, 1956, 46840.

64825. Исследование ацетиленовых эфиров, аминов и аминоэфиров. Гермон (Contribution à l'étude des éthers, des amines et des amino-éthers acétyléniques (Thèse pour le Doctorat d'Univ. soutenue devant la Faculté des Sci. le 26 mai 1954. Guermont Jean-Pierre), Ann. Univ. Paris, 1954, 24, № 4, 589—590 (франц.)

Получены в-ва: $\text{RC} \equiv \text{CCH}_2\text{N}(\text{CH}_3)_2$, $\text{R}'\text{NCH}_2\text{C} \equiv \text{C}(\text{CH}_2)_n\text{C} \equiv \text{CCH}_2\text{NR}'_2$ (R = H, CH_3 , C_2H_5 ; R' =

$+ \text{CH}_2\text{O} \xrightarrow{+\text{H}^+} (\text{R}_2\text{NC}=\text{H}_2) (\text{A}) + \text{H}_2\text{O}; \text{III} \xrightarrow{-\text{H}^+} (\text{CH}_3\text{OCH} = \text{CHC} \equiv \text{C}^-) (\text{B}); \text{A} + \text{B} \rightarrow \text{IV}$. Вероятность образования промежуточных алленовых структур доказана на основании ИК-спектров (наличие характерной полосы 1970 см^{-1}). Смесь 0,22 моля **I**, 7 г CH_2O и 10 г $(\text{CH}_3)_2\text{NH}$ в спирте кипятят 6 час. при перемешивании, выход **IIa** 54%, т. кип. $96^\circ/12 \text{ мм}$; подметилат, т. пл. $138,5^\circ$ (из сп.). Из 0,34 моля **I**, 10 г CH_2O и 25 г $(\text{C}_2\text{H}_5)_2\text{NH}$ в среде диоксана (6 час., 100°) получен **IIb**, выход 37%, т. кип. $112-113^\circ/12 \text{ мм}$. Аналогично получают **IVa**, выход 66%, т. кип. $92-93^\circ/12 \text{ мм}$; подметилат (**VI**), т. пл. 147° (из сп.); **IVb**, выход 51%, т. кип. $112^\circ/12 \text{ мм}$; **IVв**, выход 31%, т. кип. $110^\circ/3 \text{ мм}$; **IVг**, выход 23%, т. кип. $124^\circ/2 \text{ мм}$. **V** с CH_2O и $(\text{CH}_3)_2\text{NH}$ дает в-во состава $\text{C}_8\text{H}_{15}\text{ON}$, т. кип. $103-104^\circ/12 \text{ мм}$. **IIIe** NH_3 , NH_4Cl , $\text{CH}_3\text{COONH}_4$ или $(\text{COO})_2(\text{NH}_4)_2$ образует разлагающиеся со взрывом соединения. Восстановлением LiAlH_4 (кипячение, 5 час.) **IVa** превращен в 5-диметиламино-1-метоксипентадиен-1,3 (**VII**), выход 72%, т. кип. $79-80^\circ/13 \text{ мм}$; аналогично **IVb** дает 5-диэтиламино-1-метоксипентадиен-1,3, выход 76%, т. кип. $100-101^\circ$. Р-р 0,2 моля **IVa** в CH_3OH нейтрализуют H_2SO_4 и смешивают с 5 г воды и 0,3 г HgSO_4 в атмосфере N_2 , осторожно нагревают 4 часа, обрабатывают Na_2CO_3 , выход $(\text{CH}_3\text{O})_2\text{CHCH}_2\text{CO}(\text{CH}_2)_2\text{N}(\text{CH}_3)_2$ 2 г, т. кип. $71-73^\circ/1-1,5 \text{ мм}$. Смесь 0,25 моля **IVa** с р-ром CH_3ONa (из 25 г Na и 160 г сп.) нагревают (3 часа, 100°), охлаждают, разбавляют эфиром, промывают водой, выход $(\text{CH}_3\text{O})_2\text{CHCH}_2\text{C} \equiv \text{CCH}_2\text{N}(\text{CH}_3)_2$ (**VIII**) 58%, т. кип. $101-102^\circ/12 \text{ мм}$. Аналогично **VIII** из **IVb** и CH_3ONa синтезируют $(\text{CH}_3\text{O})_2\text{CHCH}_2\text{C} \equiv \text{CCH}_2\text{N}(\text{C}_2\text{H}_5)_2$, выход 60%, т. кип. $106^\circ/12 \text{ мм}$. **VI** обладает 0,01 физиологич. активности ацетилхолина. Приведены УФ-спектр **IVb** и ИК-спектры **IVг**, **VII**, **VIII**. Сообщение 1 см. РЖХим, 1956, 32481. Г. В.

64829. Синтезы с ацетиленовыми соединениями. Сообщение III. Получение некоторых производных γ -формилацетоксусового эфира. Дорнов, Ише (Über die Darstellung einiger Derivate des γ -Formylacetessigesters. Synthesen mit Acetylenverbindungen, III. Mitteilung. Dornow Alfred, Ische Friedrich), Chem. Ber., 1950, 89, № 4, 876-879 (нем.).

Конденсацией $\text{CH}_3\text{OCH} = \text{CHC} \equiv \text{CH} (\text{I})$ с $\text{C}_2\text{H}_5\text{MgBr}$ и $\text{CO}(\text{OC}_2\text{H}_5)_2$ получен $\text{CH}_3\text{OCH} = \text{CHC} \equiv \text{CCOO} \text{C}_2\text{H}_5$ (**II**). В присутствии RONa **I** реагирует с $\text{CO}(\text{OC}_2\text{H}_5)_2$ с образованием $\text{CH}_3\text{OCH} = \text{CHC}(\text{OC}_2\text{H}_5) = \text{CHCOOC}_2\text{H}_5$ (**III**). Взаимодействие **III** с RONH в присутствии RONa сопровождается одновременно р-цией присоединения RONH и перэтерификации и образованием $(\text{RO})_2\text{CHCH}_2\text{C}(\text{OR}) = \text{CHCOOR}$ (**IV**) (а $\text{R} = \text{CH}_3$, **IV** = C_2H_5); равновесие сдвинуто в сторону енольной формы. **III**, **IVa** и **IVb** с RNH_2 дают замещ. 4-аминопиридоны-2. Р-р 0,61 моля **I** в тетрагидрофуране (**V**) добавляют к р-ру 0,6 моля $\text{C}_2\text{H}_5\text{MgBr}$ в **V** при перемешивании, прибавляют по каплям 80 г $\text{CO}(\text{OC}_2\text{H}_5)_2$, нагревают 2 часа, смесь обрабатывают насыщ. водн. р-ром NH_4Cl , органич. слой отделяют, отгоняют **V**, эфиром извлекают **II**, выход 17%, т. кип. $140-150^\circ/15 \text{ мм}$. Остаток после отгонки **II** (т. кип. $131^\circ/12 \text{ мм}$) при сильном нагревании взрывает. К $\text{C}_2\text{H}_5\text{ONa}$ (из 12 г Na и 100 мл сп.), свободному от спирта, прибавляют 240 г $\text{CO}(\text{OC}_2\text{H}_5)_2$ и 0,73 моля **I**, нагревают ($70-80^\circ$, 3 часа), нейтрализуют 25%-ной CH_3COOH , выход **III** 66%, т. кип. $264^\circ/760 \text{ мм}$. К р-ру CH_3ONa (из 5 г Na и 150 мл сп.) прибавляют 0,09 моля **III**, нагревают 3 часа, после охлаждения разбавляют эфиром, промывают водой, выход **IVa** 71,5%, т. кип. $244^\circ/760 \text{ мм}$. Аналогично из **III** и $\text{C}_2\text{H}_5\text{ONa}$ в присутствии $\text{C}_2\text{H}_5\text{ONa}$ получают **IVb**, выход 58%, т. кип. $147^\circ/12 \text{ мм}$. К р-ру $\text{C}_2\text{H}_5\text{ONa}$ (из 7 г Na и 100 мл сп.) прибавляют 120 г $\text{CO}(\text{OC}_2\text{H}_5)_2$ и 30 г 1-этоксипутен-1-ина-3, нагре-

вают (2 часа, $70-80^\circ$), **IVb** выделяют аналогично **III** выход 70,5%, т. кип. $147^\circ/12 \text{ мм}$. 1 г **III** нагревают с 1 г $\text{C}_6\text{H}_5\text{CH}_2\text{NH}_2$ в присутствии NH_4Cl 1 час, смесь разбавляют 3 мл воды, выход 4-бензиламино-1-бензилпиридона-2 (**VI**) 66%, т. пл. 172° (из сп.). Аналогично **VI** при взаимодействии **IVb** с $\text{C}_6\text{H}_{11}\text{NH}_2$ получают 4-циклогексиламино-1-циклогексилпиридон-2, т. пл. 235° (из сп.). Г. В.

64830. Синтезы с ацетиленовыми соединениями. Сообщение IV. О перегруппировке 1-метоксипентен-1-ин-3-ола-5 в кислой среде. Дорнов, Ише (Über die Umlagerung von 1-Methoxy-penten-(1)-in-(3)-ol-(5) in saurem Medium. Synthesen mit Acetylenverbindungen. IV. Mitteilung. Dornow Alfred, Ische Friedrich), Chem. Ber., 1956, 89, № 4, 880-883 (нем.).

На примере $\text{CH}_3\text{OCH} = \text{CHC} \equiv \text{CCH}_2\text{OH} (\text{I})$ исследованы перегруппировки первичных ацетиленовых спиртов под каталитич. влиянием $\text{HgSO}_4 + \text{H}_2\text{SO}_4$ (К). Так, **I** с CH_3OH в присутствии К дает $(\text{CH}_3\text{O})_2\text{CHCH}_2\text{CO}(\text{CH}_2)_2\text{OCH}_3$ (**II**). Р-ция протекает с поляризацией ацетиленовой связи, перемещением HO -группы и последующей изомеризацией енола в ненасыщ. кетон: $\text{I} \xrightarrow{\text{H}^+} [\text{CH}_3\text{OCH} = \text{CHC}(\text{OH})\text{C}^+\text{H}_2]\text{CH}_2\text{OH}$ **II**; последний с 2,4-динитрофенилгидразином (**III**) дает 1-(2,4-динитрофенил)-3 (или 5)-(β-метоксэтил)-пиразол (**IV**). Р-р 25 г **I** в 250 мл CH_3OH смешивают с 0,1 г HgSO_4 и несколькими каплями конц. H_2SO_4 , нагревают 1 час, нейтрализуют Na_2CO_3 , при разгонке получают **II**, выход 61%, т. кип. $101-102^\circ/12 \text{ мм}$. Водн. р-р **I** с **II** смешивают с р-ром **III** в H_2SO_4 , получают **IV**, т. пл. $94,5^\circ$ (из сп.). Приведен ИК-спектр **II**. Г. В.

64831. Получение дихлорэтена из тетрахлорэтана. Магидсон О. Ю., Соколова В. Н., Федосова В. М., Мед. пром-сть СССР, 1956, № 2, 31-33

Описан новый простой способ получения $\text{CHCl} = \text{CHCl} (\text{I})$ из $\text{CHCl}_2\text{CHCl}_2 (\text{II})$ в паровой (метод А) и жидкой (метод Б) фазах над Fe -катализатором при нормальном давлении. Метод А. Пары кипящей смеси 100 г **II** и 400 мл воды пропускают через колонку (высота 61 см), наполненную стружками Fe . Из конденсата отгоняют воду и **I**, т. кип. $48-70^\circ$; высококипящую фракцию (непрореагировавший **II**) в виде пара в смеси с парами воды снова пропускают через колонку. Процесс повторяют 4 раза. Общий выход **I** 67,5%. Метод Б. Смесь 330 г Fe -опилок, 500 г **II** и 1 л воды нагревают при кипении и перемешивании 8-9 час., непрерывно удаляя пары образующегося **I** (смесь *цис*- и *транс*-изомеров), выход 88-90%, т. кип. 61° , $d_{15}^{15} 1,289-1,290$. Непрореагировавший **II** снова вводят в р-цию. И. Ц.

64832. Сопряженные реакции присоединения галогенов к олефинам. В. β-Галоидалькилирование к азоту. Титов А. И., Кузьмин В. Г., Ж. общ. химии, 1956, 26, № 1, 180-184

Показано, что взаимодействие этилена (**I**) с Cl_2 и Br_2 в среде N -метилбензолсульфамида (**II**) протекает по механизму «сопряженных р-ций» (см. (РЖХим, 1955, 16232) и приводит, наряду с дигалогидэтанами, к N -(β-хлорэтил)-(**III**) (и соответственно N -(β-бромэтил)-(**IV**)) N -метилбензолсульфамидам. Течение р-ции через промежуточное образование N -галогидного **II** исключается, так как последний с **I** не реагирует. Строение **III** и **IV** доказано встречным синтезом из K -производного **II** (**V**) и β, β'-дихлордиэтилсульфата (**VI**) (или β-хлорэтилбензолсульфоната (**VII**)) и соответственно из **V** и β-бромэтил-*n*-толуолсульфоната (**VIII**). Расплав 100 г **II** насыщают Cl_2 и **I** (небольшой избыток **I**) до привеса ~50 г (перемешивание, ~20 час.), отгоняют дихлорэтан (42 г) и фракцию с т. кип. $197-200^\circ/11 \text{ мм}$, кото-

рую промывают 4%-ным NaOH (250 мл); в остатке III, выход 10%, т. кип. 178°/7 мм, 167°/3 мм, т. пл. 65° (из сл.). 11 г V и 11,8 г VI нагревают 4 часа при 65°, разбавляют водой, III извлекают эфиром и промывают 5%-ным KOH, выход 4,6 г. Применение VII вместо VI дает меньший выход III. К расливу 70 г II добавляют по частям 90 г Br₂ и насыщают 15 л I; отгоняют при 23 мм дибромэтан (90 г) и из остатка выделяют IV, выход 9,2 г (неочищ.), т. пл. 76—77° (из сл.). IV получают также из 4,2 г V и 5,6 г VIII (IV выделяют из фракции с т. кип. 170—180°). Сообщение IV см. РЖХим, 1956, 43072. О. О.

64833. Фотохлорирование хлористого бутирила и хлористого валерила (предварительное сообщение). Хертог, Врие, Брагт (The photochlorination of butyryl and valeryl chloride. (Preliminary communication). Hertog H. J. den., Vries B. de, Bragt J. van), Recueil trav. chim., 1955, 74, № 11, 1561—1567 (англ.)

Фотохлорирование хлористого бутирила (I) в жидкой и паровой фазе и хлористого валерила (II) в жидкой фазе дает β- и γ-моноклорпроизводные; из II получено также некоторое кол-во δ-изомера и немного α-изомера. Эти результаты близки к данным Брауна и Аша (см. РЖХим, 1956, 57888) и не совпадают с данными работ (Bruylants и др. Bull., Soc. chim. Belg., 1949, 58, 310; 1952, 61, 366). Через пирексовую колбу, содержащую 0,95 моля I, при охлаждении и облучении Нг-лампой пропускают (50 мин., 20°) 7 л сухого Cl₂, смесь разгоняют в вакууме на колонке Бигре, получают 0,69 моля неизмененного I, 0,75 г α-хлорбутирилхлорида, т. кип. 47—52/40 мм, 14,1 г β-изомера, т. кип. 66—70°/40 мм, 13,7 г γ-изомера, т. кип. 83—87°/40 мм, и 1 г дихлорпроизводных, перегоняющихся при 95—125°. 0,5 моля I хлорируют 0,5 моля Cl₂ в паровой фазе при 101° (см. ссылку выше), получают 11 г неизмененного I, 1,2 г α-изомера, 28 г β-изомера, 21,7 г γ-изомера и 1 г дихлорбутирилхлорида. Хлорирование II в жидкой фазе при 20° и паровой фазе при 125° дает продукты почти одинакового состава, идентифицированные в виде анилидов и п-толуидидов. Весовое отношение суммы моноклорпроизводных β- и γ-изомеров к δ-изомеру 75 : 25. Б. М.

64834. О методе синтеза ацетиленовых спиртов. Конья (Sur un mode de préparation des alcools acétyléniques. Conia Jean-Marie), Bull. Soc. chim. France, 1955, № 11—12, 1449—1452 (франц.)

Продукт присоединения пропаргилового спирта (I) к дигидропирану (II) легко замещает ацетиленовый водород на Na в присутствии NaNH₂ и алкилируется затем первичными алкилгалогенидами, давая после кислотного омыления первичные замещ. ацетиленовые спирты R—C≡C—CH₂OH (III). Так же ведут себя вторичные и третичные ацетиленовые спирты с незамещ. ацетиленовым водородом. Смесь 0,25 моля I, 0,25 моля II и 0,2 мл конц. HCl перемешивают при периодич. охлаждении, через 1 час нейтрализуют поташом. Тетрагидропирановый эфир I (IV) используют для синтезов без выделения. В смесь 200 мл жидкого NH₃, 0,1—0,2 г Fe(NO₃)₃ и 0,5 г Na вносят постепенно 7 г Na, а через 30 мин. за 1 час 0,25 моля IV и затем 0,33 моля RBr, перемешивают 4—5 час., испаряют NH₃, остаток разбавляют водой, эфиром и тетрагидропирановый эфир гидролизуют 10 мл 25%-ной H₂SO₄ и ~50 мл CH₃OH, эфиром извлекают III, выход 60—80%. Получены следующие III (перечислены R, т. кип. в °C/мм, n_D (т-ра) d₄ (т-ра)): C₂H₅Br, 61—62/15, 1,4518 (17), 0,913 (17), 3,5-динитробензоат, т. пл. 79° (из петр. эф.); n-C₃H₇, 72—74/15, 1,4539 (17), 0,899 (17), 3,5-динитробензоат, т. пл. 65°; n-C₄H₉, 109—111/11, 1,4576 (16), 0,878 (16), 3,5-динитробензоат, т. пл. 50°. C CH₂=CHCH₂Cl получено небольшое кол-во в-ва с т. кип. 69—74°/12 мм,

n_D 1,4844, d₄ 0,956, λ_{max} 223 мμ (с 3000 в см.); по-видимому, смесь аллилпропаргилового и пропенилпропаргилового спиртов. Так же из пентин-4-ола-1 и n-C₄H₉Br (V) получают нонин-4-ол-1, выход 65%, т. кип. 117—119°/22 мм, n_D 1,4580; 3,5-динитробензоат, т. пл. 48° (из (изо-C₃H₇)₂O); из пентин-4-ола-2 и V получают нонин-4-ол-2, выход 60%, т. кип. 98—100°/18 мм, n_D 1,4520; 3,5-динитробензоат, т. пл. 45° (из петр. эф.); из 10 г 2-метилпентин-4-ола-2 и n-C₃H₇Br получено 6 г 2-метилоктин-4-ола-2 (VI), т. кип. 85/18 мм, n_D 1,4480; 3,5-динитробензоат, т. пл. 56° (из петр. эф.), причем омыление тетрагидропиранового эфира VI проводят встряхиванием в течение нескольких секунд с р-ром 1 мл конц. H₂SO₄ в 50 мл CH₃OH и немедленной нейтр-цией разб. щелочью. И. К.

64835. О реакциях хлорметилловых эфиров спиртов с галоидальколатами магния. Абдуллаев Г. К., Эли эсерлер Азерб. университети, Уч. зап. Азерб. ун-та, 1956, № 1, 23—30 (рез. азерб.)
Изучена р-ция ClCH₂OR (I) с магниегалоидальколатами по схеме: CH₂=CHCH₂C(R') (R') OMeX + I → ROCH₂OC(R') (R') CH₂CH=CH₂ (II); (CH₃)₂C=CHC(R') (R') (CH₃)OMeX + I → (CH₃)₂C=CHC(R') (R') OCH₂OR (III) (X—галойд). Строение полученных II и III подтверждено гидролизом 2%-ной H₂SO₄ до CH₃OH, C₂H₅OH и вторичного непредельного спирта. Магниегалоидальколат, полученный из 6 г Mg, 33 г CH₂=CHCH₂Br и 15 г ацетона в 50 мл эфира, разлагают 24 г I (R=C₂H₅), выход (IIa) (R=C₂H₅, R'=R=C₂H₅) 30,9%, т. кип. 51—53°/16 мм, n_D 1,4190, d₄ 0,8689. Аналогично получены другие II (R=C₂H₅) (приведены R', R'', выход в %, т. кип. в °C/мм, n_D, d₄): (IIb) H, C₂H₅, 26, 76—78/13 (10 мм), 1,4142, 0,8540; H, C₆H₅, 23,3, 89—91/2 (12 мм), 1,5042, 0,9472; H, CH₃, 40,6, 59—60/37 (18 мм), 1,4114 (1,4118), 0,8588. К реактиву Гриньяра, приготовленному из 6 г Mg-стружек, 27,5 г C₂H₅Br и 30 мл эфира, прибавляют по каплям при охлаждении 24,5 г оксиметила и 10 мл эфира, смесь разлагают 26 г I (R=C₂H₅), обрабатывают водой, из эфирного слоя получают III (R=C₂H₅, R'=CH₃, R''=C₂H₅), выход 40%, т. кип. 101—103 (109°)/10 мм, n_D 1,4350, d₄ 0,8743. Аналогично получены III (приведены R, R', выход в %, т. кип. в °C/мм, n_D, d₄): (IIIa) CH₃, C₂H₅, 35,2, 108—112/20, 1,4328, 0,8848; CH₃, C₄H₉, 28,2, 111 (113°)—114/2, 1,4412, 0,8850; (IIIb) CH₃, CH₃, 30,88, 100—102,5/13, 1,4380, 0,8810; C₂H₅, CH₃, 32,1, 97(98°)—99,5/26, 1,4430, 0,8832; C₄H₉, CH₃, 39,6, 108—109/9, 1,4440, 0,8828; C₄H₉, C₄H₉, 21,1, 123—126/5, 1,4810, 0,9190. II и III гидролизуют до соответствующих спиртов (приведены исходные II или III, спирт, т. кип. в °C/мм, n_D, d₄): IIa, (CH₃)₂C(OH)—CH₂CH=CH₂, 118—120, 1,4428, 0,8713; IIb, C₂H₅CH(OH)CH₂CH=CH₂, 59,5—62,5/12, 1,4366, 0,8444; IIIa, C₂H₅(CH₃)C(OH)CH₂CH=CH₂, 59—61/11, 1,4428, 0,8408; IIIb, (CH₃)₂CONCH=CH₂, 49—50,5/12, 1,4406, 0,8393. Е. П.

64836. Окисление бутадиеновых углеводородов несимметричного строения гидроперекисью ацетила. Пансевич-Коляда В. И., Стригалова Т. С., Идельчик З. Б., Сб. статей по общей химии, т. 2, М.—Л., Изд-во АН СССР, 1953, 1418—1427

При окислении гидроперекисью ацетила 2,4-диметилгексадиена-2,4 (I), 2,4-диметилгектадиена-2,4 (II) и 2,4,7-триметилгектадиена-2,4 (III) получены двуокиси (IV, V, VI соответственно) и моноацетаты гликолеиксис (VII—IX—C₁₀H₁₈O₄, VIII—C₁₂H₂₂O₄, IX—C₁₃H₂₄O₄). IV—VI—малоустойчивые в-ва, при перегонке разлагаются. Реагируют с H₂O, CH₃OH, C₆H₅OH, но продукты р-ции

неустойчивы. IV с CH_3COOH с небольшим выходом дает, повидимому, VII. Окисление VII—IX показало, что они могут иметь строение $\text{OC}(\text{CH}_3)_2 - \text{CHC} -$

$(\text{CH}_3)(\text{OSOCCH}_3)\text{CHONR}$ или $(\text{CH}_3)_2\text{C}(\text{OSOCCH}_3) - \text{CH} - \text{C}(\text{O})(\text{CH}_3)\text{CHONR}$. При кипячении VII—IX с

$(\text{CH}_3\text{CO})_2\text{O}$ образуются диацетаты $(\text{CH}_3)_2\text{C} - \text{C}(\text{O})(\text{OC} -$

$(\text{CH}_3)(\text{OSOCCH}_3)\text{CH}(\text{R})\text{OSOCCH}_3$ или $(\text{CH}_3)_2\text{C}(\text{OSOCCH}_3) - \text{CH} - \text{C}(\text{O})(\text{CH}_3)\text{CH}(\text{R})\text{OSOCCH}_3$ (X— $\text{C}_{12}\text{H}_{20}\text{O}_4$, XI—

$\text{C}_{14}\text{H}_{24}\text{O}_5$, XII— $\text{C}_{15}\text{H}_{26}\text{O}_5$). CH_3OH реагирует с VIII в присутствии H_2SO_4 с образованием метилового эфира кетоспирта $\text{C}_{11}\text{H}_{22}\text{O}_5$ (XIII). Проведено также окисление с помощью $\text{CH}_3\text{CO}_3\text{H}$ 2-фенилбутена-2 (XIV) в окись 2-фенилбутена-2 (XV) и 2-фенил-2-ацетоксибутанол-3 (XVI). XV с CH_3OH в присутствии H_2SO_4 разлагается, образуя 2-фенил-2-метоксибутанол-3 (XVII), а в присутствии $\text{C}_2\text{H}_5\text{OH}$ изомеризуется в 2-фенилбутанол-3 (XVIII). I—III получены дегидратацией соответствующих спиртов (Левина, Ж. общ. химии, 1948, 18, 1775). 6 час. кипятят 2,4-диметилгексен-2-ол-4; I отгоняют с паром, т. кип. 115—117°, n_D^{20} 1,4435, d_4^{20} 0,7629. Дегидратация безводн. $(\text{COOH})_2$ приводит к димеру I, т. кип. 113—116°, n_D^{20} 1,4860, d_4^{20} 0,8664. Кипячением 2,4-диметилгексен-2-ол-4 получают II, т. кип. 161—163°/746 мм., n_D^{20} 1,4495, d_4^{20} 0,7854. Дегидратируют 2,4,7-триметилгексен-2-ол-4 (т. кип. 65°/1 мм., n_D^{20} 1,4488, d_4^{20} 0,8427) нагреванием (100°, 6 час.) с MgSO_4 ; III, т. кип. 53—54°/10 мм., n_D^{20} 1,4480, d_4^{20} 0,7731.

К 56 г I в 150 мл эфира прибавляют при 20—25° $\text{CH}_3\text{CO}_3\text{H}$ (2 моля на 1 моль I), через 6 дней нейтрализуют Na_2CO_3 , извлекают эфиром смесь IV и VII. IV, т. кип. 50—52°/2 мм., n_D^{20} 1,4220, d_4^{20} 0,9629; VII, т. кип. 100—104°/2 мм., n_D^{20} 1,4460, d_4^{20} 1,0580. Кипятят 16 г VII с 30 г $(\text{CH}_3\text{CO})_2\text{O}$ 12 час. Выход X 10 г, т. кип. 104—106°/2,5 мм., n_D^{20} 1,4405, d_4^{20} 1,0690. Окисляют 130,5 г II как описано выше; через 10 дней выделяют V (34 г, т. кип. 88—94°/5 мм., n_D^{20} 1,4330, d_4^{20} 0,9330) и VIII (72 г, т. кип. 126—130°/3 мм., n_D^{20} 1,4500, d_4^{20} 1,0155). Кипятят 16 г VIII с 35 г $(\text{CH}_3\text{CO})_2\text{O}$ 11 час. Выход XI 10,5 г, т. кип. 121—123°/3 мм., n_D^{20} 1,4433, d_4^{20} 1,0351. 26,5 г VIII приливают при охлаждении к 35 г CH_3OH + 0,3 г, H_2SO_4 , через 6 час. нейтрализуют BaCO_3 , перегоняют, получают 3,4 г XIII, т. кип. 105—110°/2 мм., n_D^{20} 1,4551, d_4^{20} 1,0112. Окислением 26,6 г III (7 дней) получают VI (11,5 г, т. кип. 58—68°/2 мм., n_D^{20} 1,4327, d_4^{20} 0,8617) и IX, т. кип. 119—120°/3 мм., n_D^{20} 1,4460, d_4^{20} 0,9962. Кипятят IX с $(\text{CH}_3\text{CO})_2\text{O}$ 4 часа; XII, т. кип. 126—136°/3 мм., n_D^{20} 1,4447, d_4^{20} 1,0287.

Нагревают 2-фенилбутанол-2 с безводн. $(\text{COOH})_2$ 6 час. при 100°, отгоняют с паром XIV, т. кип. 74,5—77°/13 мм., n_D^{20} 1,5340, d_4^{20} 0,9140. Окислением 115 г XIV получают 30 г XV, т. кип. 77—80°/2 мм., n_D^{20} 1,5162, d_4^{20} 1,0096, и 42 г XVI, т. кип. 130—132°/2 мм., n_D^{20} 1,5184, d_4^{20} 1,0895. 19 г XV прибавляют к 20 г CH_3OH + 0,3 г H_2SO_4 при $t < 45^\circ$, через 4 часа нейтрализуют BaCO_3 и перегоняют, получают 4 г XVII, т. кип. 92—94°/2 мм., n_D^{20} 1,5160, d_4^{20} 1,0447. Аналогичная р-ция 17 г XV с $\text{C}_2\text{H}_5\text{OH}$ дала 4 г XVIII, т. кип.

74—78°/3 мм., n_D^{20} 1,5170, d_4^{20} 0,9864; семикарбазон, т. пл. 146—149° (из сп.). Из 11 г XVI, 30 г CH_3OH и 0,3 г H_2SO_4 получено 9,6 г 2-фенилбутандиола-2,3, т. кип. 124—125°/3 мм., n_D^{20} 1,5299, d_4^{20} 1,0908.

Э. М.

64837. Распад первичных перекисей. Мошер, Вурстер (Decomposition of primary hydroperoxides. Mosher Harry S., Wurster Charles F.), J. Amer. Chem. Soc., 1955, 77, № 20, 5451—5452 (англ.)

Гидроперекись *n*-бутила (I) при нагревании (85°) без катализаторов распадается с выделением H_2 . Водород — основной газообразный продукт распада и других первичных гидроперекисей (изобутила, *n*-амила, изоамила, *n*-гептила, *n*-октила, *n*-децила) при 100°. 0,605 г чистой I нагревают 47 час., 86°. В газообразных продуктах (83,9 мл) найдены: H_2 , 80%, CO_2 , 4,4%; CO , 0,1%; C_2H_6 , 6,8%; O_2 , 0,5%, остаток, 8,2%. В жидких продуктах (0,532 г) содержится: вода, 9,9%; $\text{C}_2\text{H}_5\text{COOH}$, 55,9%; $\text{C}_2\text{H}_5\text{COOC}_4\text{H}_9$, 27,5%; $n\text{-C}_4\text{H}_9\text{OH}$, 3,7%; $\text{C}_2\text{H}_5\text{CHO}$, 0,8%; $\text{C}_2\text{H}_5\text{COOH}$, 0,9%; $\text{C}_2\text{H}_5\text{COOC}_4\text{H}_9$, $\text{C}_2\text{H}_5\text{COOC}_3\text{H}_7$ (следы) и неизвестная оксикислота, 1,3%. А. Ф.

64838. Действие безводной щавелевой кислоты на глицерин. Евдокимов А. Г., Зап. Ленингр. заоч. индустр. ин-та, Л., ЛГУ, 1955, 123—135

При нагревании 1 моля глицерина (т. кип. 288—291°) с 3 молями безводн. $(\text{COOH})_2$ (т. пл. 185—190°) до 240° в качестве промежуточных продуктов (до 125°) образуются диоксалин, оксалат диоксалина глицерина и формиат диоксалина глицерина, которые при дальнейшем нагревании дают аллилформиат, $\text{CH}_2 = \text{CHCH}_2\text{OH}$, HCOOH (за счет р-ции обмена), CO_2 (в результате распада эфиров) и немного CO . Вопреки литературным данным (Tollens, Henninger, Liebigs Ann. Chem., 1870, 156, 134—149) образования акролеина не наблюдалось. И. Ц.

64839. Синтез и реакции углеводородов с разветвленной цепью. Часть III. α -Оксикетоны со вторичными и третичными алкильными группами. Хиккинботтом, Хайатт, Спарк (The synthesis and reactions of branched-chain hydrocarbons. Part III. α -Hydroxy-ketones with secondary and tertiary alkyl groups. Hickinbottom W. J., Hyatt A. A., Sparke M. B.), J. Chem. Soc., 1954, July, 2529—2533 (англ.)

Описан синтез α -оксикетонов вида $\text{RR}'\text{C}(\text{OH})\text{COCH}_3$ (I) взаимодействием алифатич. кетонов RCOR' (II) с Na_2C_2 в жидком NH_3 и последующей гидратацией полученных ацетиленовых спиртов $\text{RR}'\text{C}(\text{OH})\text{C} \equiv \text{CH}$ (III). Метилтринтилкетон не реагирует с Na_2C_2 и Li_2C_2 в жидком NH_3 , кипящем эфире или C_6H_6 . Гидратация III замедляется, если R и R' разветвлены; III, R = R' = $(\text{CH}_3)_2\text{C}$, не гидратируется вовсе; III, R = C(CH_3)₃, R' = CH(CH_3)₂, при кипячении с р-ром HgSO_4 в H_2SO_4 или CH_3OH лишь превращается с небольшим выходом в 4,4-диметил-3-изопропилпентен-2-аль (IV). К р-ру Na_2C_2 (из 85 г Na) в 2 л NH_3 прибавляют 340 г пинаколина, перемешивают 2,5 часа, добавляют 220 г NH_4Cl , по испарении NH_3 отгоняют с паром III, R = CH_3 , R' = $(\text{CH}_3)_2\text{C}$, выход 310 г, т. кип. 142—144°, n_D^{20} 1,4440, d_4^{20} 0,868. Аналогично получают другие I (указываются R, R', выход, т. кип. °C/мм., n_D (т-ра °C), d_4^{20} (л °C); CH_3 , $(\text{CH}_3)_2\text{CCH}_2\text{C}(\text{CH}_3)_2$, 72%, 159—161, 1,4418(20), 0,8556(20); CH_3 , $(\text{CH}_3)_2\text{CCH}_2\text{C}(\text{CH}_3)_2$, —, 90/10, 1,4613(20), 0,8842(20); $(\text{CH}_3)_2\text{CH}$, $(\text{CH}_3)_2\text{CH}$, 793 г из 684 г II 162—164/760, 1,4470(20), 0,8675(23); $(\text{CH}_3)_2\text{CH}$, CH(CH_3)₂, 265 г из 269 г II, 174,5—176, 1,4421—1,4423(20), 0,8758(20); $(\text{CH}_3)_2\text{C}$, $(\text{CH}_3)_2\text{C}$ (V); 36 г из 45 г II, 74—75/14, 1,4589(20), 0,8825(23) — побочно образуется

0,5 г 3,6-ди-*трет*-бутил-2,2,7,7-тетраметилоктин-4-диола-3,6, т. пл. 151°. 126 г III, R = CH₃, R' = (CH₃)₂C, прибавляют за 2 часа к кипящему р-ру 10 г HgO в 300 мл 20%-ной H₂SO₄. Через 2 часа кипячения отгоняют с паром I, R = CH₃, R' = (CH₃)₂C, выход 80%, т. кип. 174—176°/760 мм, 75—77°/19 мм, n_D^{20} 1,4410, d_4^{20} 0,9331; семикарбазон (СК), т. пл. 194°. С 2,4-динитрофенилгидразоном, получен, по-видимому, пиразолин C₁₄H₁₆O₄N₄, т. пл. 232°. Кроме I, R = CH₃, R' = (CH₃)₂C, выделены также в небольших кол-вах 3-*трет*-бутил-бутен-3-он-2, (т. кип. 142—143°, n_D^{20} 1,4340; СК, т. пл. 165°, 2,4-динитрофенилгидразон (ДНФ), т. пл. 116°), восстановленный LiAlH₄ в 3-*трет*-бутилбутен-3-ол-2, т. кип. 148, n_D^{20} 1,4418; 3,5-динитробензоат, т. пл. 104°; β-*трет*-бутилбутиролактон, т. пл. 98,5°, превращенный в 2,3,3-триметилбутен-1-карбоную-1 к-ту, т. пл. 85°. Аналогично гидратированы другие III и получены I (R, R', выход в %, т. кип. °C/мм, n_D (т-ра °C) d_4^n (n° C), т. пл. СК, т. пл. ДНФ): CH₃, (CH₃)₂CSH, 90, 75/16, 1,4354(20), 0,9152(18), 160, 114, в горячей H₂SO₄ ДНФ дает пиразолин C₁₅H₂₀O₄N₄, т. пл. 161°; CH₃, (CH₃)₂CCSH₂C(CH₃)₂, 270 г из 273 г III, 88/2, т. пл. 42—43; (CH₃)₂CSH, (CH₃)₂CSH, 246 г из 560 г III, 85/20, 1,4410(20), 0,9242(23), не дает СК и ДНФ. Кроме I, R = CH₃, R' = (CH₃)₂CCSH₂C(CH₃)₂ выделены 4-метил-3-изопропилпентен-3-он-2, т. кип. 67,5°/17,5 мм, n_D^{20} 1,4450, не дает СК и ДНФ, восстанавливается LiAlH₄ в 4-метил-3-изопропилпентен-3-ол-2 (т. кип. 77—78°/14 мм, n_D^{20} 1,4591; 3,5-динитробензоат, т. пл. 94°); 3-метил-2-изопропилпентен-1-карбонвая к-та, т. пл. 127,5°. Восстановлением I LiAlH₄ в эфире получены диолы: 3,4,4-триметилпентадиол-2,3, т. кип. 96°/18 мм, т. пл. 95—96°; 3,5,5-триметилгександиол-2,3, т. кип. 95—96°/12 мм, n_D^{20} 1,4531, d_4^{17} 0,9352; 4-метил-3-изопропилпентадиол-2,3, т. кип. 111°/18 мм, т. пл. 51—52°. IV, т. кип. 98°/18 мм, n_D^{20} 1,4689; СК, т. пл. 208°; ДНФ, т. пл. 200,5°, восстановлен LiAlH₄ в спирт C₁₀H₁₉OH, т. кип. 91°/13 мм n_D^{20} 1,4623. К NaNH₂ (из 0,5 г Na) в 10 мл NH₃ прибавляют 2 г V и через 2 часа 5 г II, R = R' = (CH₃)₂C, после обработки смеси продолжительно извлекают эфиром 3,6-ди-*трет*-бутил-2,2,7,7-тетраметилоктин-4-диола-3,6, т. пл. 152—154°. Часть II см. J. Chem. Soc., 1951, 3344. Д. К.

64840. Синтез и реакции углеводородов с разветвленной цепью. Часть IV. Синтез кетонов с четвертичными углеродными атомами. Хиккинботтом, Хайатт. Спарк (The synthesis and reactions of branched-chain hydrocarbons. Part IV. The synthesis of ketones with quaternary carbon atoms. Hickinbottom W. J., Hyatt A., A. Sparke M. B.), J. Chem. Soc., 1954, July, 2533—2536 (англ.)

Перегруппировка некоторых двутретичных гликолей в конц. H₂SO₄ приводит к образованию кетонов с двумя или большим числом четвертичных С-атомов. Р-ция сопровождается частичным расщеплением гликолей на низшие кетоны и олефины. Исходные гликоли получены р-цией α-оксикетонов с литийалкилами, которая приводит к лучшим выходам, чем р-ция с RMgX. Эфир. р-р 38 г 3,4,4-триметилпентанол-3-она-2 (I) прибавляют к р-ру CH₃Li (9 г Li, 115 г CH₃J) при 0°, перемешивают 2 часа при ~20° и 6 час. при кипении. Выливают в разб. CH₃COOH со льдом и экстрагируют эфиром 2,3,4,4-тетраметилпентадиол-2,3 (II), выход 58%, т. кип. 98—100°/17 мм, т. пл. 22°, n_D^{20} 1,4597. Из I и RLi получены также следующие гликоли (из реакционной смеси эфир отгонялся и остаток кипятился в C₆H₆, а затем разлагался как при получении II) (приводятся гликоль, выход в %, т. кип. в °C/мм, т. пл. в °C): 2,2,3,4-тетраметилгександиол-3,4, 25, 109/17, 29;

2,2,3,4,5-пентаметилгександиол-3,4, 31, 103—104/3, 50, 2,2,3,4-тетраметилоктандиол-3,4, 20, 94/2, 59; из 3,5,5-триметилгексанол-3-она-2 и CH₃Li получен 2,3,5,5-тетраметилгександиол-2,3 (III), 90, 100/13,5, 39, n_D^{20} 1,4538; из 4-метил-3-изопропилпентанол-3-она-2 и CH₃Li — 2,4-диметил-3-изопропилпентадиол-2,3 (IV), 80, 119/18, 68; из 3,4,4,6,6-пентаметилпентанол-3-она-2 и CH₃Li получен 2,3,4,4,6,6-гексаметилпентадиол-2,3 (V), —, 104—106/1,8, n_D^{20} 1,4672. Медленно прибавляют 190 г II к 2100 г конц. H₂SO₄ при —10°. Через 12 час. р-р выливают на лед и отгоняют с паром 3,3,4,4-тетраметилпентанол-2, т. кип. 168°, т. пл. 62° (из петр. эф.); семикарбазон (СК) т. пл. 207—208°; 2,4-динитрофенилгидразон (ДНФ), т. пл. 188,5°. Перегруппировка III в конц. H₂SO₄ дала главным образом 3,3,5,5-тетраметилгексанон-2 (VI), т. кип. 70—71°/13 мм, n_D^{20} 1,4326, d_4^{20} 0,8441; ДНФ, т. пл. 109,5—110°; СК, т. пл. 188°, и небольшое кол-во 2,2,5,5-тетраметилгексанона-3 (VII), т. кип. 160—161°, n_D^{20} 1,4200; не дает ДНФ и СК. Восстановление VI LiAlH₄ привело к 3,3,5,5-тетраметилгексанолу-2, т. кип. 87—87,5°/27 мм, n_D^{20} 1,4458; 3,5-динитробензоат (ДНБ), т. пл. 83,5—84°, а окисление разб. HNO₃ к 2,4,4-триметилпентан-2-карбоновой к-те, т. кип. 119—121°/13 мм, т. пл. 43—45°. VII восстановлен в 2,2,5,5-тетраметилгексанол-3, т. пл. 50—51°. Перегруппировкой IV получен 2,4,4,5-тетраметилгексанон-3 (VIII) (т. кип. 79°/22 мм, n_D^{20} 1,4275) и 3,4-диметил-3-изопропилпентанол-2 (IX), т. кип. 87—88°/22 мм, n_D^{20} 1,4415. Восстановление LiAlH₄ VIII и IX дало соответственно 2,4,4,5-тетраметилгексанол-3, т. кип. 85—86°/16 мм n_D^{20} 1,4492; ДНБ, т. кип. 76°, и 3,4-диметил-3-изопропилпентанол-2, т. кип. 100°/16 мм, n_D^{20} 1,4619; ДНБ, т. пл. 80—81°. Р-цией VIII и IX с разб. HNO₃ получены соответственно α,α,β-триметилмасляная (амид), т. пл. 129° и α,β-диметил-α-изопропилмасляная к-ты (п-толуидид, т. пл. 116°). V при действии конц. H₂SO₄ расщепляется с образованием метилизопропилкетона и смеси олефинов. Д. К.

64841. Синтез и реакции углеводородов с разветвленной цепью. Часть V. Окисление 2,2,4-триметилпентана и 2,2,4,6,6-пентаметилпентана окисью хрома. Арчер, Хиккинботтом (The synthesis and reactions of branched-chain hydrocarbons. Part V. Oxidation of 2 : 2 : 4-trimethylpentane and of 2 : 2 : 4 : 6 : 6-pentamethylheptane by chromic oxide. Archer D. P., Hickinbottom W. J.), J. Chem. Soc., 1954, Dec., 4197—4200 (англ.)

С целью изучения механизма р-ции проводили окисление действием CrO₃ в (CH₃CO)₂O (I) следующих в-в: 2,2,4-триметилпентана (II), 2,2,4,6,6-пентаметилпентана (III), изокамфана (IV), камфенидрата (V), метилкамфенилола (VI), циклогексана (VII) и втор-бутилбензола (VIII). Авторы предполагают, что окисление протекает через стадию отнятия водорода от двух смежных С-атомов и последующего образования комплекса: [R₂C+CH₂O]CrO₂, [H₂C+CR₂O]CrO₂ или R₂C—CH₂



При действии на последний комплекс воды происходит либо окислительное расщепление с образованием R₂CO, либо перегруппировка в CH₃R₂CHO с последующим окислением до CH₃R₂CO₂H. Р-р окисляемых в-в, взятых в избытке, в I добавляли к р-ру CrO₃ в I при ~0°, через 24 часа смесь разлагали водой и экстрагировали эфиром. Водя. часть перегоняли с паром для удаления летучих карбонильных соединений и карбоновых к-т, остаток экстрагировали этилацетатом. Эфирный экстракт промывали р-ром щелочи и перегоняли. При окислении получены из II ацетон, метилнеопентилкетон, триметилуксусная к-та и небольшое кол-во α-нео-

пентилпропионовой к-ты, *n*-толуидид, т. пл. 137—138°; из III — динептилуксусную к-ту, т. пл. 85—86°; амид, т. пл. 139—140°; из IV — камфенилановую к-ту, т. пл. 62—63°; амид, т. пл. 170—171°, и камфенилон (VIII), т. пл. 38°; семикарбазон, т. пл. 217—218°; 2,4-динитрофенилгидразон, т. пл. 159—160°; из V — небольшое кол-во камфена и VIII; из VI — камфен и VIII; из VII — циклогексанон, адипиновая к-та, циклогексанол и циклогексенон-3; из VIII — ацетофенон, пропиофенон и 1-метил-1-фенилпропилацетат. Д. К. 64842. Синтез и реакции углеводородов с разветвленной цепью. Часть VI. Свободно-радикальная димеризация некоторых сложных эфиров и кетонов.

Анселл, Хиккинботтом, Холтон (The synthesis and reactions of branched-chain hydrocarbons. Part VI. The free-radical dimerisation of some esters and ketones. Ansell M. F., Hickinbottom W. J., Holton P. G.), J. Chem. Soc., 1955, Febr., 349—351 (англ.).

Описана измененная методика приготовления перекиси ацетила (I) и ее применения для димеризации алифатич. сложных эфиров и кетонов. Методика устраняет опасность взрыва и приводит к образованию димеров и дикетонов, которые при восстановлении посредством LiAlH_4 дают соответствующие диолы. К оклажд. до 0° смеси 93 г этилового эфира изомасляной к-ты (II), 130,7 г $(\text{CH}_3\text{CO})_2\text{O}$ и 77,5 г H_2O_2 при перемешивании добавляли 23%-ный р-р Na_2CO_3 (т-ра не должна превышать 55°, рН 6); смесь охлаждали до 10°, отделяли органич. слой и отфильтровывали. Полученный таким образом р-р I прибавляли к 97 г кипящего II (2,5 часа), смесь нагревали еще 2,5 часа, охлаждали и после обычной обработки и разгонки получили II, $\text{CH}_3\text{COOCH}_2\text{CH}_3$ и этиловый эфир тетраметилэтарной к-ты (III — к-та), выход 37,9 г, т. кип. 125—127°/20 мм, n_D^{20} 1,4359, из которого гидролизом получен ангидрид III, т. пл. 145—145,5°, из него III, т. пл. 192°. Аналогично 3-метилбутанон-2 дал 3,3,4,4-тетраметилгександион-2,5 (IV), т. кип. 108—115°/22 мм, n_D^{20} 1,4539—1,4541; дисемикарбазон, т. пл. 222° (разл.); бис-2,4-динитрофенилгидразон, т. пл. 192° (из сп.); тетрабромпроизводное, т. пл. 116—117° (из сп.); 2,4-диметилпентанон-3 превращен в 2,4,4,5,5,7-триметилгександион-3,6 (V), т. кип. 108—111,5°/5,5 мм, n_D^{20} 1,4525; из 2,2,4-триметилпентанона-3 получен 2,2,4,4,5,5,7,7-октаметилгександион-3,6 (VI), т. кип. 118—122°/1,5 мм, n_D^{20} 1,4581; метиловый эфир α,β,β -триметилмасляной к-ты дал диэтиловый эфир 2,2,3,4,5,5-гексаметилгександикарбоновой-3,4 к-ты (VII), т. кип. 124—126°/5 мм, n_D^{20} 1,4602. Из эфиров III, IV, V, VI и VII восстановлением с помощью LiAlH_4 получены диолы: 2,2,3,3-тетраметилбутандиол-1,4, т. пл. 24° (из петр. эф.); бис-3,5-динитробензойный эфир (ДНБ), т. пл. 186°; диэтиол-*n*-сульфонный эфир, т. пл. 109°; 3,3,4,4-тетраметилгександиол-2,5, т. пл. 71—72° (из петр. эф.); ДНБ, т. пл. 171° (из бэл.-петр. эф.) (диол при перегонке разлагается с образованием 3,3,4,4,4-гексаметилтетрагидрофурана, т. кип. 99,5—100,5/17 мм, n_D^{20} 1,4424); 2,4,4,5,5,7-гексаметилгександиол-3,6, т. кип. 119—121°/3,5 мм, т. пл. 84°; 2,4,4,5,5,7,7-октаметилгександиол-3,6, т. кип. 126—128°/3,5 мм, n_D^{20} 1,4765; 3,4-диоксиметил-2,2,3,4,5,5-гексаметилгексан, т. кип. 123—124°/3,5 мм, n_D^{20} 1,4739. Д. К. 64843. Синтез и реакции углеводородов с разветвленной цепью. Часть VII. Приготовление и пинаколиновая перегруппировка некоторых α,β -ацетиленовых дитретичных гликолей. Анселл, Хиккинботтом, Хайатт (The synthesis and reactions of branched-chain hydrocarbons. Part VII. The preparation and pinacol rearrangement of some α,β -acetylenic ditertiary glycols. Ansell M. F., Hickin-

bottom W. J., Hyatt A. A.), J. Chem. Soc., 1955, May, 1592—1595 (англ.).

НОСР $\text{R}'\text{C}(\text{CH}_3)(\text{OH})\text{C}\equiv\text{CH}$ (I) могут быть синтезированы действием $\text{NaC}\equiv\text{CNa}$ в жидком NH_3 на α -оксикетоны $\text{RR}'\text{C}(\text{OH})\text{COCH}_3$ (II) (РЖХим, 1955, 18651). I ($\text{R}=\text{R}'=\text{CH}_3$) и I ($\text{R}=\text{CH}_3$, $\text{R}'=(\text{CH}_3)_2\text{CH}$) получены с хорошим выходом; выход I ($\text{R}=\text{CH}_3$, $\text{R}'=(\text{CH}_3)_2\text{C}$) меньше, причем он не улучшился при замене C_2Na_2 на Li_2C_2 или жидкого NH_3 на кипящие эфиры или C_6H_6 . II ($\text{R}=\text{R}'=(\text{CH}_3)_2\text{CH}$) и II ($\text{R}=\text{CH}_3$, $\text{R}'=(\text{CH}_3)_2\text{CCH}_2\text{C}(\text{CH}_3)_2$) не реагируют с C_2H_2 . Строение I установлено окислением HIO_4 до бутин-3-она-2 (III) и насыщ. кетона. Из 2,3-диметилпентин-4-диола-2,3 (IV) при пинаколиновой перегруппировке в конц. H_2SO_4 при -20° получены 3,3-диметилпентандион-2,4 (V), 3,3-диметилпентин-4-он-2 (VI) и 3-метилбутанон-2 (VII). Поскольку этильная группа в VI не гидратируется, предполагается, что V образуется гидратацией этильной группы I с последующей перегруппировкой получающегося диоксикетона. Основными продуктами перегруппировки 3,4,6,6-тетраметилпентин-1-диола-3,4 (VIII) в конц. H_2SO_4 при -20° являются 2,2,5,5-тетраметилпентин-6-он-4 (IX) (идентифицирован восстановлением в 2,2,5,5-тетраметилпентанол-4 (X), 3,5,5-триметилгексанон-2 (XI) и 3,4,6,6-тетраметилпентадиен-2,4-ал-1 (XII) (идентифицирован озонированием). Кроме того, образуется немного 4,4-диметилпентанона-2 (XIII) и III, который получается при расщеплении VIII. 3-Окси-3-метилбутанон-2 синтезирован с выходом 88% (по Froning, Hennon, J. Amer. Chem. Soc., 1940, 62, 653), т. кип. 140—142°, n_D^{20} 1,4150; 2,4-динитрофенилгидразон, т. пл. 149 (из бэл.-петр. эф.). 3-Окси-3,4,4-триметилпентанон-2; 3-окси-3,5,5-триметилгексанон-2, 3-окси-4-метил-3-изопропилпентанон-2 и 3-окси-3,4,4,6,6-пентаметилпентанон-2 приготовлены ранее описанным методом (см. часть III). Для приготовления I к суспензии C_2Na_2 (3,0 моля) в 2 л жидкого NH_3 при хорошем перемешивании и слабом токе C_2H_2 прибавляли (3 часа) 1,5 моля II. Через час перемешивания прекращали ток C_2H_2 , добавляли 200 г NH_4Cl и продолжали перемешивать 1 час, NH_3 испарялась за 12 час. К продуктам р-ции добавляли 2 л воды, экстрагировали эфиром (100 мл \times 10), экстракт сушили MgSO_4 и перегоняли. Получены (перечисляются I, вес в г, т. кип. в $^\circ\text{C}$ /мм, n_D^{20}): IV, 151, 82—84/13, 1,4626; VIII, 221, 76—78/14,5, 1,4650; 3,4,5,5-тетраметилгексин-1-диол-3,4, 13,6, 70—71/0,9, 1,4751, т. пл. 54—56°. При перегруппировке IV получен VII, т. кип. 94°, n_D^{20} 1,3875, семикарбазон (СК), т. пл. 112—113°, ДФГ, т. пл. 117°; VII, т. кип. 117—118°, n_D^{20} 1,4202; ДФГ, т. пл. 140° (из сп.); СК, т. пл. 130° (из сп.); гидрированием VII в спирте с Pt (из PtO_2) при 3,5 атм получен 3,3-диметилпентанон-2, т. кип. 128—130°, n_D^{20} 1,4101; ДФГ, т. пл. 112°; СК, т. пл. 136°; V, т. кип. 173°, n_D^{20} 1,4332, дисемикарбазон, т. пл. 220°, бис-2,4-динитрофенилгидразон, т. пл. 146°; XI, т. кип. 61°/19 мм, n_D^{20} 1,4172, СК, т. пл. 177° (из сп.), ДФГ, т. пл. 65° (из сп.); IX, т. кип. 90°/16 мм, n_D^{20} 1,4652, СК, т. пл. 206° (из сп.), ДФГ, т. пл. 124° (из сп.). Гидрированием IX (Pt из PtO_2 , спирт, 3,5 атм) и последующим восстановлением продукта LiAlH_4 получен X, т. кип. 84°/14 мм, n_D^{20} 1,4410, 3,5-динитробензоат, т. пл. 108° (из петр. эф.); XII, т. кип. 75°/2 мм, n_D^{20} 1,4861; СК, т. пл. 238°; ДФГ, т. пл. 178° (из бэл.-петр. эф.). XIII, ДФГ, т. пл. 100°.

М. Р. 64844. Синтез и реакции углеводородов с разветвленной цепью. Часть VIII. Пинаколиновая перегруппировка алифатического тетраола. Анселл, Хиккинботтом, Хайатт (The synthesis and reactions of branched — chain hydrocarbons. Part VIII. The pinacol rearrangement of an aliphatic tetraol. Ansell M. F., Hickinbottom W. J.,

Hyatt A. A.), J. Chem. Soc., 1955, June, 1781—1784 (англ.)

При попытке получить 2,3,6,7-тетраметилоктантетраол-2,3,6,7 (I) из 3,6-диметилоктадиин-1,7-диола-3,6 (II) по ранее описанному методу (см. часть III) найдено, что при гидратации II в присутствии HgSO_4 образуется не дикетол, а 2,5-диметил-2,5-диацетилтетрагидрофуран (III). Присоединение CH_3OH (IV) к II в присутствии BF_3 приводит к смеси 2,2,7,7-тетраметокси-3,6-диметилоктандиола-3,6 (V) и 2,5-диметил-2,5-ди-(1,1-диметоксизтил)-тетрагидрофурана (VI), который был также получен присоединением IV к 2,5-диметил-2,5-диэтинилтетрагидрофурану (VII). При гидролизе V и VI дают III. 2,3,6,7-Тетраметилоктан-4-тетраол-2,3,6,7 (VIII), гидрированием которого можно было бы получить I, не образуется ни при р-ции ацетилен с 3-метил-3-оксипропаном-2 (IX), ни при конденсации 2,3-диметилэтин-4-диола-2,3 (X) с IX в присутствии NaNH_2 в жидком NH_3 . Найдено, что X претерпевает окислительную димеризацию в Cu_2Cl_2 — NH_4Cl р-ре, образуя 2,3,8,9-тетраметилдекадиин-4,6-тетраол-2,3,8,9 (XI), который выделен в виде рацемата и мезоформы. При гидрировании XI получены рацемат и мезоформа 2,3,8,9-тетраметилдекантетраола-2,3,8,9 (XII), строение которого доказано окислением в октадион-2,6 (XIII) и ацетон. В конц. H_2SO_4 XII претерпевает пинаколиновую перегруппировку (III) в 3,3,8,8-тетраметилдекадион-2,9 (XIV), что по мнению авторов является первым примером двух одновременно протекающих ПП в молекуле тетраола. 83 г II прибавляют (1 час) при перемешивании к кипящему р-ру 4,5 г HgO в 300 мл 10%-ной H_2SO_4 , нагревают еще 1 час, после чего III отгоняют с паром, выход 22,5 г, т. кип. 87 — $88^\circ/2$ мм, n_D^{20} 1,4506; бис-2,4-динитрофенилгидразон, т. пл. 212° (из пиридина); дисемикарбазон, т. пл. 214° (очищается кипячением с эфиром и C_6H_6). 10 г II нагревают при 80° с 50 мл 10%-ной H_2SO_4 2 часа; VII извлекают эфиром; т. кип. 62 — $64^\circ/17$ мм, n_D^{20} 1,4559. Гидратацией VII в описанных выше условиях получают III, т. кип. $55^\circ/0,5$ мм, n_D^{20} 1,4490. Смесь 5 г HgO , 5 мл эфирного комплекса BF_3 , 5 мл сухого IV и 1 г Cl_3CCOOH нагревают 1 мин. и разбавляют 200 г IV. К р-ру при перемешивании добавляют 112 г II в 200 мл IV, поддерживают т-ру 45 — 55° , перемешивают 3 часа, прибавляют 10 г безводн. поташа и оставляют на 12 час. Жидкость декантируют и CH_3OH отгоняют, остаток перегоняют, получают VI, выход 87,0 г, т. кип. $62^\circ/1,2$ мм, т. пл. 42° (после возгонки в вакууме), и V, выход 88,3 г, т. кип. $92^\circ/0,7$ мм, n_D^{20} 1,4635. Встряхиванием V и VI с холодной 2%-ной H_2SO_4 получают III. Ацетилен пропускают при перемешивании в охлажд. льдом суспензию 84 г KOH в 800 мл абс. эфира; через 20 мин. добавляют (30 мин.) 51 г IX; после этого смесь оставляют на 18 час., добавляют воду и насыщают эфирный р-р CO_2 получают неизмененный IX (18 г), X (23 г), т. кип. 55 — $56^\circ/0,9$ мм, n_D^{20} 1,4620, и вязкий остаток, представляющий собой продукты конденсации кетала. X с IX в жидком NH_3 в присутствии NaNH_2 не реагирует. При использовании амидов Na или Li в кипящем эфире или C_6H_6 р-ция также не идет. Через р-р 64 г X, 48 г SnCl_2 и 144 г NH_4Cl в 600 мл воды пропускают (24 часа) медленный ток O_2 . Осадок сушат в вакууме и XI экстрагируют этилацетатом; выход 51 г, т. пл. 116 — 119° . При перекристаллизации выделены рацемат и мезоформа с т. пл. 114° (из этилацетата-птр. эф.) и $130,5^\circ$ (из этилацетата). 38,1 г XI гидрируют в 300 мл спирта над Pt (из PtO_2 , 0,5 г). Осадок—XII, т. пл. 185° (из сп.); выпариванием фильтрата получают—XII с т. пл. 139 — 140° (из сп.-птр. эф.). 3 г XII окисляют в смеси с 20 мл

воды, 5 мл IV и 3 г HIO_4 при встряхивании 4 часа и выделяют ацетон и XIII в виде 2,4-динитрофенилгидразона, т. пл. 218 — 219° (из сп.). 30 г XII прибавляют (1 час) к 600 г конц. H_2SO_4 при -10 — -5° . После перемешивания (3 часа) смесь выливают на лед. Остаток растворяют в птр. эфире и пропускают через колонку с Al_2O_3 , получают XIV (20,8 г), т. пл. 63° (из птр. эф.); дисемикарбазон, т. пл. 228° (из сп.); бис-2,4-динитрофенилгидразон, т. пл. 204° (из бзл.-птр. эф.). XIV идентифицируют окислением HNO_3 в 2,2,7,7-тетраметилсубериновую к-ту, т. пл. 185 — 186° (из этилацетата). О. О.

64845. Новый метод синтеза α,β -этиленовых спиртов и альдегидов. Хейльман, Глена (Nouvelle synthèse d'alcools et d'aldéhydes α,β -éthyléniques. Heilmann René, Glenat René), Bull. Soc. chim. France, 1955, № 11—12, 1586—1591 (франц.)

α,β -Этиленовые альдегиды (I) получают следующими р-циями: кетон конденсируют с этилбромацетатом (II) по Реформатскому, полученный эфир β -оксикислоты дегидратируют, α,β -непредельный эфир восстанавливают LiAlH_4 до α,β -непредельного спирта, который избытком MnO_2 окисляют в I. К суспензии 80 г Zn в 30 мл сухого C_6H_6 добавляют кристаллик J_2 и 1% HgCl_2 , затем при кипячении за 105 мин. смесь 100 г пинаколина, 160 г II и 120 мл C_6H_6 , кипятят еще 30 мин., разлагают 200 мл 20%-ной H_2SO_4 , выход этилового эфира 3,4,4-триметил-3-оксипентановой к-ты (III) 73%, т. кип. $96,5$ — $97^\circ/12$ мм, n_D^{20} 1,4368. 60 г III в 100 мл эфира за 2 часа добавляют к смеси 70 мл пиридина, 42 г SOCl_2 и 120 мл эфира, перемешивают 3 часа при 20° , разбавляют 400 мл воды и эфиром извлекают этиловый эфир 3,4,4-триметилпентановой к-ты (IV), выход 83%, т. кип. 80 — $83^\circ/12$ мм, n_D^{20} 1,4430. К р-ру 3,3 г LiAlH_4 в 100 мл эфира за 75 мин. при 0° добавляют р-р 27 г IV в 100 мл эфира, разлагают водой и затем 250 мл 10%-ной H_2SO_4 , выход 3,4,4-триметилпентен-2-ола-1 (V) 84%, т. кип. 78 — $80,5^\circ/12$ мм, n_D^{20} 1,4520. При перемешивании 2,5 часа 8,4 г V и 450 мл птр. эфира с 40 г MnO_2 получают 3,4,4-триметилпентен-2-аль, выход 73%, т. кип. 76 — $78^\circ/16$ мм, n_D^{20} 1,4556; семикарбазон (CK), т. пл. 192° (из разб. сп.; все т-ры плавления исправлены); динитрофенилгидразон (ДНФ), т. пл. $232,5^\circ$ (из хлф), $\lambda_{\text{макс}}$ 384 м μ (ϵ 31100; в сп.). Из 32 г метилизогексилкетона, 75 мл C_6H_6 , 50 г II и 20 г Zn за 1,5 часа кипячения получают этиловый эфир 3,7-диметил-3-оксопентановой к-ты (VI), выход 61%, т. кип. 124 — $127^\circ/10$ мм, n_D^{20} 1,4370. При дегидратации 7,5 г VI кипячением 2 часа с 675 мл толуола и 9 г n -толуолсульфонкислоты получают этиловый эфир 3,7-диметилпентановой к-ты (VII), выход 84%, т. кип. 109 — $112^\circ/12$ мм, n_D^{20} 1,4426, $\lambda_{\text{макс}}$ 217 м μ (ϵ 5500; в сп.). 52 г VII восстанавливают 6 г LiAlH_4 в 170 мл эфира (прибавление 105 мин., перемешивание 30 мин., 0°), получают 3,7-диметилпентен-2-ол-1 (VIII), выход 94%, т. кип. $101,5$ — $103^\circ/11$ мм, n_D^{20} 1,4538. 30 г VIII в 1,2 л птр. эфира перемешивают 3,5 часа при 20° с 150 г MnO_2 , получают 3,7-диметилпентен-2-аль, выход 80%, т. кип. 96 — $98^\circ/10$ мм, n_D^{20} 1,4643, $\lambda_{\text{макс}}$ 239 м μ (ϵ 14600; в сп.); CK, т. пл. 150° , $\lambda_{\text{макс}}$ 272 м μ (ϵ 33200); ДНФ, т. пл. 129° (из сп.), $\lambda_{\text{макс}}$ 384 м μ (ϵ 30000; в сп.). 60 г ацетофенона конденсируют по Реформатскому с 85 г II (35 г Zn, 100 мл C_6H_6 , 1,75 часа), бензольный р-р сырого продукта кипятят 1,5 часа с 3 мл POCl_3 , промывают р-ром NaHCO_3 , получают этиловый эфир β -метилкоричной к-ты (IX), выход 56%, т. кип. 128 — $131,5^\circ/8,5$ мм, n_D^{20} 1,5453. К р-ру 19 г IX в 50 мл эфира за 45 мин. добавляют эфир. р-р 1,9 г LiAlH_4 , получают β -метилкоричный спирт (X), выход 87%, т. кип. 128 — $131^\circ/8$ мм,

119—122°/5 мм, n_D^{20} 1,5678, d_4^{20} 1,065, $\lambda_{\text{макс}}$ 243 мк (ϵ 9500); *n*-нитробензоат, т. пл. 58°; гидрирование X под давлением на скелетном Ni дает 3-фенилбутанол-1, выход 80%, т. кип. 122—124°/12 мм, n_D^{20} 1,5190. 10 г X в 400 мл CCl_4 окисляют 50 г MnO_2 , получают β -метилкоричный альдегид, выход 76%, т. кип. 131—133,5°/13 мм, n_D^{20} 1,5980; СК, т. пл. 207,5°; ДНФ, т. пл. 210° (из пиридина и разб. сп.), $\lambda_{\text{макс}}$ 593 мк (ϵ 28600). 55 г бензофенона, 51 г II в 35 мл C_6H_6 добавляют за 45 мин. к 20 г Zn, кипятят 3 часа. Выход этилового эфира 3,3-дифенил-3-оксипропионовой к-ты (XI) 57%, т. пл. 86° (из сп.). При кипячении 1 час 44 г XI с 4 мл POCl_3 и 150 мл C_6H_6 получают этиловый эфир β -фенилкоричной к-ты (XII), выход 92%, т. кип. 157—158°/3 мм; n_D^{20} 1,5950. 2,751 г XII кипятят 1 час с 25 мл 20%-ного K_2CO_3 , получают β -фенилкоричную к-ту, выход 95%, т. пл. 163°. При восстановлении XII LiAlH_4 получают β -фенилкоричный спирт (XIII), выход 80%, т. кип. 152—155°/3 мм, n_D^{20} 1,6142; бензоат, т. пл. 89°. 5 г XIII перемешивают 2 часа с 25 мл CHCl_3 , 10 г MnO_2 и 150 мл петр. эфира, разбавляют 10 мл спирта и из 2 мл этого р-ра получают 1,553 г ДНФ β -фенилкоричного альдегида, выход 83%, т. пл. 207° (из хлф.), $\lambda_{\text{макс}}$ 597 мк (ϵ 28600). По той же общей схеме получен β -метилкросоновый альдегид; ДНФ, т. пл. 179°, $\lambda_{\text{макс}}$ 584 мк (ϵ 29100). И. К.

64846. О новом способе разделения стереоизомеров 3-этилпентен-3-ола-2. Хейльман, Годмари, Арно (Sur une nouvelle séparation des isomères stériques de l'éthyl-3-pentène-3-one-2. Heilmann René, Gaudemaris Gabrielle, Arnaud Paul). С. г. Acad. sci., 1955, 240, № 13, 1433—1435 (франц.)

3-Этилпентен-3-он-2, полученный гидратацией 3-этилпентен-1-ола-3 (см. РЖХим, 1956, 64839) с выходом 81%, т. кип. 67—72°/35 мм, n_D^{20} 1,4450, $\lambda_{\text{макс}}$ 230 мк, $\epsilon_{\text{макс}}$ 7900, разделен на стереоизомеры путем четкой ректификации. При этом выделен изомер с т. кип. 73,4°/50 мм, n_D^{20} 1,4478, d_4^{20} 0,864, семикарбазон, т. пл. 197°, 2,4-динитрофенилгидразон, т. пл. 157° и изомер с т. кип. 78,3°/50 мм, n_D^{20} 1,4519, d_4^{20} 0,873, семикарбазон, т. пл. 160°, 2,4-динитрофенилгидразон, т. пл. 171°. Исследованы УФ- и ИК-спектры обоих изомеров. Т. Н. 64847. Превращение маленовой кислоты при полиэтерификации. Акита, Оиси (ポリエステル化反應中におけるマレイン酸の轉移について. 秋田務, 大石新). 工業化学雑誌, Kōgō Kagaku Zasshi, J. Chem. Soc. Japan Industr. Chem. Sec., 1945, 58, № 4, 315—316 (япон.)

Реакция полиэтерификации маленовой к-ты (I) нагреванием в атмосфере CO_2 при 140—200° с этиленгликолем (II), пропиленгликолем-1,2 (III), бутленгликолем-1,4 (IV), бутленгликолем-1,3 (V), бутленгликолем-2,3 (VI), 2,2-диметилпропиленгликолем-1,3 (VII) или триэтиленгликолем (VIII) сопровождается превращением I в фумаровую к-ту (IX). Процент превращения I в IX увеличивается при повышении т-ры р-ции и зависит от природы гликоля, возрастая в ряду VI > III > II > VII > V > VIII > IV. Л. Я.

64848. Реакции активных метиленовых групп с формальдегидом. II. Приготовление диэтилового эфира монометилмалоновой кислоты. Такаги, Асахара (活性メチレン基とホルムアルデヒドとの反応に関する研究. 第2報. モノメチルマロン酸ジエチルエステルの合成. 高木行雄, 浅原昭三). 工業化学雑誌, Kōgō Kagaku Zasshi, J. Chem. Soc. Japan Industr. Chem. Sec., 1954, 57, № 2, 140—142 (япон.)

Конденсация диэтилового эфира маленовой к-ты (40 г) с формальдегидом (15 г параформа) при 100°

в течение 3,5 часа в присутствии $(\text{CH}_3\text{COO})_2\text{Zn}$ (2,5 г) или $(\text{CH}_3\text{COO})_2\text{Cu}$ (2,6 г) приводит к диэтилового эфиру монометилмалоновой к-ты (I), выход 59—61%, т. кип. 168—169°/12 мм, n_D^{20} 1,4418, d_4^{20} 1,153; одновременно образуется немного (5—6 г) диэтилового эфира метиленмалоновой к-ты за счет дегидратации I. Строение I подтверждено образованием при кипячении (4 часа) 30 г I с 60 г $(\text{CH}_3\text{CO})_2\text{O}$ в присутствии 1 г пиридина моноацетильного производного I, выход 82%, т. кип. 148—149°/3 мм, 177—178°/12 мм, n_D^{20} 1,4313, d_4^{20} 1,143, а также ИК-спектром. Сообщение I см. РЖХим, 1956, 32387. Л. Я.

64849. Синтез ω -циан- γ -капролактона. Таката (ω-シアノ-γ-カプロラク톤の合成. 高田利宏), 工業化学雑誌, Kōgō Kagaku Zasshi, J. Chem. Soc. Japan Industr. Chem. Sec., 1955, 58, № 1, 39—41 (япон.)

С целью синтеза диамидов γ -кето- и γ -оксипимелиновой к-т к γ -кето-(I) и γ -оксипимелиновой (II) к-там применен способ синтеза диамидов и ω -цианкарбонных к-т, описанный для адипиновой к-ты в зап.-герм. патентах 805758 (1951 г.) и 806454 (1951 г.) (см. Chem. Zbl., 1951, 3094; 1952, 447) и основанный на действии на дикарбоновую к-ту NH_3 с последующей конденсацией образующегося диамида с исходной дикарбоновой к-той в присутствии дегидратирующих катализаторов. Однако при проведении сухого NH_3 через расплавленную I при 180—250° из 5 г I образовалось 0,5 г имида γ -иминопимелиновой к-ты (III), т. пл. 292—293° (из воды), а не ожидаемый диамид. Аналогично при р-ции этилового эфира I с насыщ. водн. р-ром NH_3 (10 дней, ~20°) также образуется III. При действии на лактон II (IV) насыщ. спирт. р-ра NH_3 (~20°, ~12 час.) образуется не диамид II, а NH_4 -соль моноамида II (V), т. пл. 119—121°; Rf 0,527 (хроматография на бумаге, р-ритель—смесь 6 ч. $\text{C}_2\text{H}_5\text{OH}$, 3 ч. NH_4OH (d_4^{16} 0,932), 1 ч. воды, т-ра 28,5 ± 2,5°); обработкой V водн. р-ром AgNO_3 получена Ag -соль моноамида, т. пл. 158—159°. При нагревании (170—246°) V или смеси V с IV в присутствии трикрезилфосфата (VI); смеси VI с H_3PO_4 или BPO_4 образуется ω -цианокпролактон, т. кип. 166°/1,1 мм, n_D^{20} 1,4664; d_4^{20} 1,1460. Л. Я.

64850. Побочный продукт в синтезе адипонитрила — ω -оксивалеронитрил. Сайма, Таката, Такияма (アジポニトリルの合成における副生成物に関する検討—ω-オキシ-η-バレロニトリルについて. 讃山一則, 高田利宏, 谷山雅一), 工業化学雑誌, Kōgō Kagaku Zasshi, J. Chem. Soc. Japan Industr. Chem. Sec., 1955, 58, № 2, 112—113 (япон.)

Из продукта взаимодействия $(\text{CH}_3\text{CH}_2\text{Cl})_2$ и NaCN (условия р-ции не приведены) выделена фракция, т. кип. 83—145°/9 мм, повидимому ω -хлорвалеронитрил (II). При повторной обработке I NaCN получают $\text{HO}(\text{CH}_2)_4\text{CN}$, т. кип. 93°/24 мм, n_D^{20} 1,4165, d_{20} 0,9142, строение которого доказано гидролизом, обработкой $\text{C}_6\text{H}_5\text{COCl}$, гидрированием и др.

Chem. Abstrs, 1956, 50, № 6, 4012. Katsuya Inouye.

64851. Образование и расщепление алкоксильных радикалов при пиролизе алкилнитритов. Адлер, Прайт, Грей (The formation and fission of alkoxy radicals during the pyrolysis of the alkyl nitrites. Adler D. G., Pratt M. W. T., Gray Peter), Chemistry and Industry, 1955, № 47, 1517—1519 (англ.)

Изучался парофазный пиролиз алкилнитритов при 230—240° в струе CO_2 при общем давл. 1 ат. При пиролизе образуются алкоксильные радикалы ($\text{R}'\text{R}''\text{CHONO} \rightarrow \text{R}'\text{R}''\text{CHO} + \text{NO}(\text{A})$), которые далее подвергаются мономолекулярному расщеплению и бимолекулярному диспропорционированию: $\text{R}'\text{R}''\text{CHO} \rightarrow$

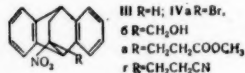
$\rightarrow R'' + R''CHO$ (Б); $2R'R''CHO \rightarrow R'R''CHON + R'R''CO$ (В). Соотношение между р-циями Б и В зависит от условий опыта. Низкое давление или разбавление инертным газом более ускоряют р-цию В, чем В. Расщепление происходит при атоме С, связанном с атомом О. Легкость расщепления уменьшается при переходе от больших алкильных групп к малым и затем к водороду. При пиролизе получается также смола, вероятно, вследствие разложения нитрозосоединений, образующихся при взаимодействии алкильных радикалов с NO. В продуктах пиролиза *n*-пропилнитрита, *n*-бутилнитрита и изобутилнитрита найден формальдегид, изопропилнитрита и втор-бутилнитрита — ацетальдегид. При пиролизе трет-бутилнитрита обнаружен ацетон.

К. П. 64852. Нитрование в присутствии полифосфорной кислоты. Кисперский, Клагер (Nitration in the presence of polyphosphoric acid. Kisper-sky J. P., Klagger K.), J. Amer. Chem. Soc., 1955, 77, № 20, 5433—5434 (англ.)

Нитрованием $RCH(COOC_2H_5)_2$ (I) смесью HNO_3 и полифосфорной к-ты (II) получены $RC(NO_2)(COOC_2H_5)_2$ (III). 0,14 моля I прибавляют по каплям 15—30 мин. к смеси 50 г 100%-ной HNO_3 и 80 г II при 60°, смесь перемешивают 1 час при 60° и выливают на лед (200 г), получают III. Приведены R, выход в %, т. кип. в °C, n_D^{20} : $(CH_3)_2CH$, 60, 83—84/0,3 мм, 1,4337; *изо*- C_4H_9 , 78, 88—89/0,5 мм, 1,4351; *n*- C_4H_9 , 75, 93—94/0,5 мм, 1,4340; C_6H_{11} (цикло), 15, 110—120/5 мм, 1,4597; *n*- $C_{12}H_{25}$, 97, 120—130/14 мм, 1,4450.

Е. П. 64853. Приготовление замещенных нитроолефинов. Клагер (The preparation of substituted nitroolefins. Klagger Karl), J. Organ. Chem., 1955, 20, № 5, 650—656 (англ.)

Предлагается метод приготовления замещ. нитроолефинов из нитроэтлена (I) следующим путем. При конденсации I с антраценом (II) по р-ции Дильса — Альдера образуется эндо-нитроэтиленантрацен (III), который в отличие от I содержит реакционноспособный атом водорода и способен к р-циям замещения с образованием соединений типа (IV). Так, при обработке III CH_3ONa получена Na-соль *аци*-формы III, бромирование которой привело к образованию эндо-(1-бром-1-нитроэтилен) — антрацена (IVa), который при р-ции с CH_2O (Henry, Compt. rend, 1895, 120, 1265) да-



III R=H; IVa R=Br.
 б R=CH₃
 в R=CH₂CH₂COOCH₃
 г R=CH₂CH₂CN

ет эндо-(1-нитро-1-метилолэтилен)-антрацен (IVб); ацетат последнего при 200° в вакууме дает 2-нитро-3-ацетокси-пропен (V). Термич. расщепление IVб не дает 2-нитро-пропен-1-ола-3, но в зависимости от условий р-ции образуются III и CH_2O , либо II, CH_2O и полимер нитроэтилена. Из Na-соли *аци*-формы III и метилакрлата, а также акрилонитрила получены продукты присоединения: эндо-(1-нитро-1-(2'-карбометоксиэтил)-этилен)-антрацен (IVв) и эндо-(1-нитро-1-(2'-цианэтил)-этилен)-антрацен (IVг) соответственно. Последние, при перегонке в вакууме распадаются на метиловый эфир 4-нитро-4-пентеновой к-ты (VI) и 4-нитро-4-пентенонитрил (VII) соответственно, а также исходный II. При р-ции 1,1-динитроэтана с VI образуется метиловый эфир 4,6,6-тринитрогептановой к-ты (VIII), строение которого подтверждено образованием метилового эфира 4,6,6-тринитро-4-бромгептановой к-ты (IX). При конденсации Na-соли метилового эфира 4,4-динитромасляной к-ты с VI образуется диметиловый эфир 3,5,5-тринитрогептандикарбоновой 1,7 к-ты, который выделен в виде диметилового эфира 3-бром-3,5,5-тринитрогептандикарбоновой 1,7 к-ты (X). Смесь 1,8 г II, 5 мл *о*-дихлорбензола, 2 мл нитроэтилена нагревают 45 мин. до 145—150°. По охлаждении р-тель выпаривают, остаток

обрабатывают эфиром. Получен III, выход 1,8 г, т. пл. 113—114°. Р-р 1,25 г III в 25 мл CH_3OH кипятят 30 мин. с р-ром 0,28 г CH_3ONa в 10 мл CH_3OH . Выпаривают досуха, полученный сырой продукт с т. пл. 156° (разл.) растворяют в 25 мл воды и охлаждают до 0°. Добавляют бром до прекращения обесцвечивания его. Получен IVa, выход 1,05 г, т. пл. 128—129° (из гексана). Смесь 15 г III, 3,5 г CH_3ONa , 75 мл CH_3OH кипятят 1 час CH_3OH отгоняют, полученную Na-соль растворяют в 50 мл воды и добавляют 5,4 г 37%-ного р-ра CH_2O . Смесь оставляют на 4 часа, получают IVб, выход 7,0 г, т. пл. 157—158° (из изопропилового эф.). Na-соль *аци*-формы III (из 5 г III, 1,14 г CH_3ONa , 40 мл CH_3OH) растворяют в 25 мл воды и обрабатывают 5,16 г метилакрлата, размешивают 6 час., получают IVв, выход 3,4 г, т. пл. 154—155° (из изопропилового эф.). Смесь 5 г III, 1,14 г CH_3ONa , 35 мл CH_3OH кипятят 1 час и выпаривают. Остаток растворяют в 35 мл воды, добавляют 7,5 мл акрилонитрила, размешивают 6 час., получают IVг, выход сырого продукта 2,9 г, т. пл. 121—122° (из CH_3COOH и CH_3OH). 1 г IVв нагревают при 21 мм до 195—200°, перегоняют при 230—240°; получают 0,62 г кристаллов, которые растворяют в тетрагидрофуране, разбавляют CH_3OH . Выделено 0,37 г VI, т. пл. 214—215°. 0,8 г IVг нагревают до 195—200° при 28 мм и перегоняют, дистиллат растворяют в эфире и фильтруют. Экстракт выпаривают и перегоняют, получают VII, т. кип. 120° (т-ра бани)/5 мм, n_D^{22} 1,4735. Смесь 4,5 г IVб и 15 мл $(CH_3CO)_2O$ кипятят 1 час, избыток $(CH_3CO)_2O$ удаляют, остаток растворяют в эфире, добавляют гексан, получают ацетат IVб, выход 4,2 г, т. пл. 103—105° (из CH_3OH). 1 г ацетата IVб нагревают при 28 мм до 200—220°, дистиллат перегоняют при 90—120° и 5 мм, получают V, выход 0,1 г. К р-ру 0,56 г CH_3ONa в 5 мл воды добавляют 1,2 г динитроэтана, охлаждают до 18°, добавляют (15 мин.) р-р 1,59 г VI в 5 мл CH_3OH , нагревают 2 часа при 40—45°, получают VIII, выход 1,7 г, т. пл. 56° (из абс. эф.). Р-р 0,3 г CH_3ONa в 10 мл CH_3OH добавляют к I и VIII и смесь кипятят 10 мин., р-р выпаривают, остаток растворяют в 25 мл воды, добавляют при 0° бром до прекращения обесцвечивания, получают IX, выход 1,0 г, т. пл. 78—79°. Р-р 2,14 г Na-соли метилового эфира 4,4-динитромасляной к-ты в 5 мл воды смешивают с р-ром 1,59 г VI в 5 мл CH_3OH , размешивают 2 часа при 20°, экстрагируют эфиром, промывают водой, сушат и отгоняют эфир. Остаток растворяют в 5 мл CH_3OH и добавляют р-р 0,6 г CH_3ONa в 5 мл CH_3OH . После кипячения 15 мин. CH_3OH отгоняют. Остаток растворяют в 25 мл воды и охлаждают до —5°. К р-ру добавляют бром. Получают X, т. пл. 105° (из CH_3OH).

Р. С. 64854. Действие азотной кислоты на ундециленовую кислоту. Васильев С. Б., Ж. общ. хим. мин, 1956, 26, № 3, 712—714

Ундециленовая к-та (I) присоединяет N_2O_4 , образуя малостойкий маслянистый эфир $O = NOCH_2CH(NO_2)(CH_2)_9COOH$ (II), который при гидролизе водой или щелочами, а также при стоянии превращается в нитрооксидундекановую к-ту (III), т. пл. 121,5—122°. При длительном нагревании с водой или окислении $KMnO_4$ II и III расщепляются с образованием себациновой к-ты (IV). Р-р 73 г I в 125 мл эфира насыщают N_2O_4 при 0°, фильтруют, р-ритель удаляют током CO_2 , выход II 103 г. Аналогичный результат получают при действии на I жидкой N_2O_4 . 5 г II нагревают с $(CH_3CO)_2O$, выделяют 0,4 г ацетата III, т. пл. 84,5—87°. К 200 г Sn прибавляют 33 г III и рассчитанное кол-во HCl (к-ты), нагревают при 100°, фильтруют, охлаждают и отделяют 23,2 г IV. Р-р после отделения IV обрабатывают H_2S , HgO , упаривают досуха и экстрагируют абс. спиртом смесь 3,6 г $NH_2OH \cdot HCl$ (выпадает из холодного р-ра)

и 0,7 г
193—194
64855.

ноади
препар
acid. K
J. Am
(англ.)
Синтез
пиновая
спирте
удаляют
пропуск
вого эфи
т. пл. 83
с 37%-н
ляют во
эфиром.
ляют I,
пропуск
 NH_4OH
ляют, о
экстрак
с ксилы
в 200 л
упарива
выделяя
64856.

Гре
with
V an
2789—
Устан
(I) с ам
ветству
(II). Пр
зование
квл-н
тодом п
3(1-ниг
0,4 мол
150° в
выход
пикрат
114—11
дина (I
выход
0,85 мо
(в авто
45%,
1,4370.
добавл
в 100 л
0,012 м
100 мл
стой;
 $C_6H_5)_2$
1,4447;
следую
 n_D^{25} D,
1,4425
1,4747
рат,
бензоз
1,5652
т. пл.
ля н-
0,4 мо
ля I
т. кип
64857
ВТО.

и 0,7 г HCl-соли оксиаминоуидекановой к-ты, т. пл. 193—194,5°.

64855. Приготовление β-аминоглутаровой и β-аминоадипиновой кислот. Фьюэр, Суорте (The preparation of β-aminoglutaric acid and β-aminoadipic acid. Feuer Henry, Swarts William A.), J. Amer. Chem. Soc., 1955, 77, № 20, 5427—5428 (англ.)

Синтезированы β-аминоглутаровая (I) и β-аминоадипиновая (II) к-ты. Р-р 15 г диэтилглютаконата в абс. спирте насыщают NH₃ (50—55°, 36 час.), NH₃ и спирт удаляют, остаток экстрагируют 200 мл эфира. При пропускании HCl (газа) выделяют хлоридат этилового эфира β-аминоглутаровой к-ты (III), выход 62%, т. пл. 83,5—84,5° (хлф.-эф.). III нагревают (100°, 2 часа) с 37%-ной HCl, р-р упаривают в вакууме, снова добавляют воду, выпаривают досуха и промывают горячим эфиром. Остаток растворяют в воде и при pH 3,5 выделяют I, выход 69%, т. пл. 295° (разл. из воды). NH₃ пропускают (75°, 24 часа) через смесь 210 мл 28%-ного NH₄OH и 21,2 г динатриогексена-3, NH₃ и воду удаляют, остаток кипятят с 200 мл 18%-ной HCl, осадок экстрагируют водой (2 × 100 мл); вытяжки соединяют с кислотным р-ром и упаривают в вакууме, р-р остатка в 200 мл воды пропускают через Амберлит IR-4-B, упаривают. При растирании (25°) остатка в CH₃OH выделяют II, выход 62%, т. пл. 185—187° (разл.). А. З.

64856. Реакция окиси триметилен с аминами. Серлс, Грегори (The reaction of trimethylene oxide with amines. Searles D. Scott, Gregory Vance P.), J. Amer. Chem. Soc., 1954, 76, № 10, 2789—2790 (англ.)

Установлено, что взаимодействие окиси триметилен (I) с аминами при повышенной т-ре приводит к соответствующим 3-алкиламинопропанол-1 RCH₂CH₂CH₂OH (II). При наличии пространственных препятствий образование II затруднено. Показано, что р-ция I с диалкил- и диарилброммагнийамидами является общим методом получения II. 1-Пиперидиллитий с I также дает 3-(1-пиперидил)-пропанол-1 (III). Р-р 0,2 моля I, 0,4 моля C₆H₅NH₂ и 5 мл воды нагревают 18 час. при 150° в запаянной трубке и получают II (R = C₆H₅NH), выход 67,6%, т. кип. 106—108°/16 мм, n_D²⁵ 1,4474; пикрат, т. пл. 66—67°; хлоридат (XG), т. пл. 114—115°. Аналогично из 0,1 моля I, 0,1 моля пиперидина (IV) и 2,5 мл воды (145°, 15 час.) получают III, выход 60%, т. кип. 96—98°/11 мм, n_D²⁵ 1,4738; из 0,85 моля I и 250 мл 25%-ного водн. р-ра CH₃NH₂ (в автоклаве, 150°, 12 час.) — II (R = CH₃NH), выход 45%, т. кип. 54—58°/3 мм, 155—158°/741 мм, n_D²⁵ 1,4370. Р-р 0,13 моля (изо-C₃H₇)₂NH в 50 мл эфира добавляют к n-C₄H₉MgBr (3,4 г Mg, 0,14 моля n-C₄H₉Br в 100 мл эфира), через 12 час. (~20°) добавляют р-р 0,012 моля I в 50 мл эфира, кипятят 1 час, добавляют 100 мл C₆H₆, отгоняют эфир, добавляют NH₄Cl, водн. слой экстрагируют эфиром и получают II [R = (изо-C₃H₇)₂N], выход 31%, т. кип. 85—87°/9 мм, n_D²⁵ 1,4447; XG, т. пл. 111,6—112°. Аналогично получены следующие II (указаны R, выход в %, т. кип. в °C/мм, n_D²⁵, производные, т. пл. °C): (C₂H₅)₂N, 38,2, 62—64/11, 1,4425, подметилат, 187; 4-морфоллин, 20,6, 107/9, 1,4747, XG, 128,5—129,5, подметилат, 135—135,5, пикрат, 135,5—136,5; C₆H₅NH, 57, 125—129/0,5, 1,5687, бензоатбензамид, 81,5—82; C₆H₅(CH₃)N, 52,9, 120—122/1, 1,5652, XG, 99,5—100,1, подметилат, 129; C₇H₁₅NH, 34, т. пл. 65—66°. К р-ру бутыллития (из 6,9 г Li, 0,4 моля n-C₄H₉Br в 200 мл безводн. эфира) добавляют 0,4 моля IV (0°), через 1 час (~20°) добавляют 0,29 моля I в 50 мл эфира и получают III, выход 57%, т. кип. 90—91°/6 мм, n_D²⁵ 1,4760. Р. Ж.

64857. Аминолиз дихлордиацетамида первичными и вторичными аминами. Баккес (L'aminolyse de

la dichlorodiacétamide par les amines primaires et secondaires. B a c k e s M i c h e l), Bull. Soc. chim. France, 1955, № 11—12, 1414—1418 (франц.)

Дихлордиацетамид (I) реагирует на холоду с первичными аминами с образованием хлорацетамида (II) и хлоралкилацетамида: (ClCH₂CO)₂NH + RNH₂ → → II + ClCH₂CONHR. Вторичные амины первоначально также вызывают аминолиз I с образованием II и ClCH₂CONR₂ (III), затем II быстро реагирует с избытком вторичного амина, образуя R₂NCH₂CONH₂ и, наконец, III медленно реагирует с избытком амина, образуя R₂NCH₂CONR₂. Этот механизм установлен по продуктам, выделяемым в результате р-ции I с 1—5 молями диэтиламина (IV). Эквимольную смесь хлорацетамида и (ClCH₂CO)₂O выдерживают 1 час при 120—135°, охлаждают, промывают эфиром, выход I 65%, т. пл. 199,5° (из этилацетата). При взаимодействии I с NH₃ при т-рах от т-ры плавления твердого NH₃ до +80° приводит только к II. Р-р 1,8 г C₂H₅NH₂ в 5 мл C₆H₆ постепенно при <30° вносят в суспензию 5,1 г I в 10 мл C₆H₆, оставляют на 12 час. при 20°, II отфильтровывают, р-р упаривают, отделяют II и остаток II высаживают циклогексаном (т. пл. II 118°), маточный р-р при перегонке дает N-этилхлорацетамид, т. кип. 96,5°/13 мм, 103°/18 мм. Так же из 1,7 г I и 0,6 г n-C₃H₇NH₂ в эфире получают 0,6 г II и 1,1 г N-пропилхлорацетамида, т. кип. 114°/18 мм, 116,5°/21 мм; из 3,4 г I и 1,5 г изо-C₄H₉NH₂ получают 1,45 г II и 1,6 г N-изобутилхлорацетамида, т. кип. 117—118°/18 мм. При смешении на холоду 1,7 г I и 1 г циклогексиламина получают смесь, из которой C₆H₆ вымывают 1,5 г N-циклогексилхлорацетамида, т. пл. 105—106°, в остатке — 0,8 г II. С анилином (15 мин., 80°) I не реагирует. К р-ру 50 г IV в 100 мл C₆H₆ прибавляют по каплям при 35—60° 20 г I, промывают эфиром, остается (C₂H₅)₂NH·HCl; от эфир. р-ра отгоняют при 110—130°/20 мм смесь N'-диэтилхлорацетамида (V) и N'-диэтиламида N-диэтиламиноуксусной к-ты (VI), остаток представляет N-диэтиламиноацетамид (VII), т. пл. 76° (из циклогексана), т. кип. 142—143°/14 мм; пикрат, т. пл. 160—161°. Из смеси V и VI разб. HCl вымывают VI, т. кип. 123°/17 мм (пикрат, т. пл. 122°), который выделяют, подщелачивая кислотный р-р и отделяя остаточный VII от VI циклогексаном. V после отмывания VI и VII к-той перегоняют, т. кип. 115°/17 мм. В р-р 27,5 г пиперидина (VIII) в 20 мл C₆H₆ вносят постепенно 8,5 г I, оставляют на несколько часов, отфильтровывают 9,9 г хлоридата VIII, перегонкой маточного р-ра получают пиперидил-2-ацетамид-1, т. пл. 105—106°, т. кип. 164—165°/19 мм; пикрат, т. пл. 140—141° (легко гидролизует при нагревании в водн. спирте с образованием пикрата VIII), и пиперидил пиперидил-2-уксусной к-ты, т. пл. 48—49°, т. кип. 172°/19 мм; пикрат, т. пл. 155,5°.

И. К.

64858. Разложение тетраалкиламмонийамидов и тетраэтиламмония в жидком аммиаке. Получение замещенного аммоний-амида. Джолли (The decomposition of tetraalkylammonium amides and tetraethylammonium in liquid ammonia. The preparation of substituted ammonium amide. Jolly William L.), J. Amer. Chem. Soc., 1955, 77, № 19, 4958—4960 (англ.)

Разложение (C₂H₅)₄N⁺ (I) в жидком NH₃ происходит по схеме: (C₂H₅)₄N⁺ + NH₃ → NH₃⁺ + (C₂H₅)₃N⁺ + C₂H₄. Показано, что часть C₂H₄ восстанавливается до C₂H₆ за счет H₂, который образуется по р-ции e⁻ + NH₃ = NH₂⁻ + 1/2 H₂. В присутствии иона N(C₆H₅)₂ (а также иона NHC₆H₅⁻ ион I достаточно устойчив не только в виде р-ра (C₂H₅)₄NN(C₆H₅)₂ (II) в жидком NH₃, но и в виде твердой соли при ~20°. Р-ция между KNH₂ и (C₂H₅)₄NBr (III) в жидком NH₃

приводит к образованию $(C_2H_5)_3N$ и C_2H_4 . Аналогично из KNH_2 , $(n-C_3H_7)_3N$ и $(n-C_4H_9)_3N$ образуются $(n-C_3H_7)_3N$ и $(n-C_4H_9)_3N$ соответственно. Для изучения разложения I к суспензии 11 г III в 100 мл жидкого NH_3 при -60° прибавляют 1,2 г Na, выдерживают 1 час при -36° , барботируя ток аргона, который проходит далее через H_2SO_4 и бромную воду. Р-ция начинается при -40° , ускоряется добавкой $Fe(NO_3)_3$, сопровождается обесцвечиванием бромной воды и образованием двух слоев (NH_4OH и $(C_2H_5)_3N$). Отходящие газы отмыают от NH_3 30%-ной H_2SO_4 ; оставшийся газ — C_2H_4 , C_2H_6 и H_2 в соотношении (мол. %) 42,1; 56,8 и 1 соответственно. Анализ газов после промывки 2,4 M HCl дает соотношение тех же газов 62,6; 8 и 29,4 мол. %. Соотношение H:C в газах, полученных в этих опытах, составляет 2,58 и 2,53 соответственно (теоретич. соотношение 2,50). Промывка отходящих газов к-тами катализирует гидрирование C_2H_4 . При разделении газов в вакууме (освобождение от H_2 и NH_3) и последующем анализе содержание в них C_2H_4 97,7% и C_2H_6 2,3%. Для приготовления II к 130 мл жидкого NH_3 прибавляют Na до появления не исчезающего синего окрашивания, затем прибавляют 0,19 г Na и 1,4 г $(C_6H_5)_2NH$. По окончании р-ции фильтруют в токе аргона через пористую пластинку, на которой находится 1,3 г III. Осадок на фильтре (II; 1 г) промывают NH_3 и хранят в атмосфере аргона. Для анализа гидролизуют навеску II 50 мл воды; кол-во $(C_2H_5)_4NOH$ определяют титрованием 0,1 н. HCl, а осадок $(C_6H_5)_2NH$ отфильтровывают и взвешивают. Разложение II в вакууме начинается при $75-80^\circ$ и при 100° идет очень энергично. Образующиеся газы состоят на 98% из C_2H_4 . С. С. 64859. Изучение местонахождения веществ.

Сложные эфиры замещенных карбаминных кислот. Секера А., Грubby И., Якубец Я., Крайль Я., Врба Ч., Лебдушка Я., Сб. чехосл. хим. работ, 1953, 18, № 6, 870—879 (рез. англ.).

Путем взаимодействия $(C_2H_5)_2NCH_2CH_2ONa$ (I) с R_2NCOCl (II) получают эфиры дизамещ. карбаминных к-т ф-лы $R_2NCOOCH_2CH_2N(C_2H_5)_2$ (III). Р-цией I с $RNCO$ (IV) синтезированы монозамещ. $RHNCOOCH_2CH_2N(C_2H_5)_2$ (V). Действием $COCl_2$ на ароматич. и вторичные амины получены соответственно IV и II. Показано, что эффективность обезболивающего действия III и V зависит от характера заместителей R и не зависит от степени замещения. III и V, где R=алкил, неактивны; III и V с ароматич. заместителями активны. При поверхностной анестезии они не достигают эффективности кокаина, при инфльтрационной и проводниковой — более эффективны, чем прокаин. Приведены результаты фармакологич. испытания III и V. 0,6 моля сухого вторичного амина растворяют в 200 мл толуола и по частям прибавляют к 400 мл 50%-ного р-ра $COCl_2$ в C_6H_6 , смесь кипятят 45—60 мин. до растворения осадка, получены II (приведены R, выход II в %, т. кип. в $^\circ C/мм$): CH_3 , 42, 46—48/5; C_2H_5 , 64, 81—85/20; $RR = -(CH_2)_2$, —, 86, 96—98/7; $RR = -(CH_2)_2O(CH_2)_2$, —, 92, 108—111/9; C_6H_5 , 83, т. пл. 84° . 0,3 моля ароматич. амина в 100 мл C_6H_6 смешивают с 300 мл 20%-ного р-ра $COCl_2$ в C_6H_6 — 300 мл 50%-ного $COCl_2$, кипятят до растворения осадка, при разгонке получены IV (приведены R, выход IV в %, т. кип. в $^\circ C/мм$): циклогексил, 79, 55—63/17; C_6H_5 , 73, 48—49/5; $2-CH_3C_6H_4$, 48, 63—64/5; $3-CH_3C_6H_4$, 69, 55—57/4; $4-CH_3C_6H_4$, 57, 49—51/2; $3,4-(CH_3)_2C_6H_3$, 71, 76—78/7; $2-CH_3OC_6H_4$, 83, 94—96/7; $3-CH_3OC_6H_4$, 92, 92—93/7; $4-CH_3OC_6H_4$, 83, 98—100/9; $2-C_2H_5OC_6H_4$, 83, 106—110/11; $3-C_2H_5OC_6H_4$, 82, 107—109/6; $4-C_2H_5OC_6H_4$, 84, 100—101/5; α -нафтил, 89, 130—131/4; β -нафтил, 61, т. пл. $56,5^\circ$. 0,2 моля II в 70 мл толуола в горячем состоянии вливают в I (из 0,46 г Na и 23,4 г

$(C_2H_5)_2NCH_2CH_2OH$ (VI) в 150 мл толуола), смесь кипятят 1 час, отделяют NaCl, при разгонке получают I (приведены R, выход хлоргидрата III в %, т. кип. основания в $^\circ C/мм$, т. пл. хлоргидрата в $^\circ C$, р-ритель кристаллизации): CH_3 , 62, 101—107/6, 113—114, толуол; C_2H_5 , 62, 140—144/31, 110, толуол; $RR = -(CH_2)_2$, —, 50, 150—152/7, 120—121, толуол; $RR = -(CH_2)_2O(CH_2)_2$, —, 63, 150—154/8, 141, ацетон-толуол; C_6H_5 , 70, —, 186, ацетон-бzl. К 0,2 моля VI в 150 мл сухого C_6H_6 прибавляют при нагревании 0,22 моля IV в 80 мл C_6H_6 , смесь нагревают 40 мин. до умеренного кипения, осадок отфильтровывают, р-ром HCl в C_6H_6 осаждают хлоргидрат V. Получены V (приведены R, выход хлоргидрата V в %, т. пл. в $^\circ C$, р-ритель кристаллизации): C_6H_{11} , 76, 171—172, ацетон-толуол; C_6H_5 , 85, 146,5, ацетон-этилацетат; $2-CH_3C_6H_4$, 84, 168,5, сп.-эф.; $3-CH_3C_6H_4$, 86, 134,5, этилацетат-бzl.; $4-CH_3C_6H_4$, 80, 186, сп.-этилацетат; $3,4-(CH_3)_2C_6H_3$, 80, 161, сп.-эф.; $2-CH_3OC_6H_4$, 74, 123—124, ацетон-бzl.; $3-CH_3OC_6H_4$, 83, 126—127, толуол; $4-CH_3OC_6H_4$, 75, 171,5, сп.-эф.; $2-C_2H_5OC_6H_4$, 84, 141, ацетон-бzl.; $3-C_2H_5OC_6H_4$, 91, 151, ацетон-толуол; $4-C_2H_5OC_6H_4$, 77, 173, сп.-эф.; α -нафтил, основание, 65, 60,5, петр. эф., пикрат, выход 75%, т. пл. 134° (из этилацетата); β -нафтил, 86, 160, сп.-ацетон; основание, выход 65%, т. пл. $191,5^\circ$ (из ацетона). 0,2 г Na обрабатывают р-ром 60 г VI в 150 мл толуола, затем добавляют 22,5 г этилуретана, нагревают 40 час. с одновременной отгонкой смеси спирт-толуол (15 мл/час), периодически добавляя толуол, выход III ($R = C_2H_5$) 24,7%, т. кип. $123-127^\circ/4$ мм; хлоргидрат, т. пл. 159° (из сп. + толуол). Б. Ч. 64860. Реакция соединений Гриньяра с α,β -ненасыщенными сульфонами. I. Поттер (The reaction of Grignard reagents with α,β -unsaturated sulfones. I. Potter Howard, J. Amer. Chem. Soc., 1954, 76, № 21, 5472—5474 (англ.))

α,β -Ненасыщенные сульфоны реагируют с $RMgX$ (4,5-кратный избыток) в зависимости от степени замещения при β -углеродном атоме, или по типу 1,4-присоединения, или восстанавливаясь по SO_2 -группе и превращаясь в смесь сульфидов. Стирил- n -толилсульфон (I) присоединяет C_6H_5MgBr по двойной связи и образует β,β -дифенилэтил- n -толилсульфон (II) (J. Amer. Chem. Soc. 1935, 57, 1316), но при действии C_6H_5MgBr на β,β -дифенилвинил- n -толилсульфон (III) выделены фенил- n -толилсульфид (IV) и β,β -дифенилвинил- n -толилсульфид (V), идентифицированные путем окисления в фенил- n -толилсульфон (VI), т. пл. $123-125^\circ$ (из CH_3OH), и в β,β -дифенилвинил- n -толилсульфоксид (VII), т. пл. 103° (из CH_3OH). Первичным продуктом расщепления III является, очевидно, VII, так как при действии на VII C_6H_5MgBr образуется такая же смесь IV и V, как при р-ции III. Другой предполагающийся промежуточный продукт — VI с C_6H_5MgBr не является. α,β -Ненасыщ. сульфоны, в отличие от аналогичных непредельных кетонов, реагируют с C_6H_5Li совершенно так же, как с C_6H_5MgBr (выход II из I с C_6H_5Li 85%). IV, т. кип. $131-132^\circ/5$ мм, и V, т. пл. 84° (из ацетона-петр. эф.), получены также из фенил- n -толилсульфида (т. кип. $182-184^\circ/5$ мм, т. пл. 46°) и C_6H_5MgBr (эфир, р-р, 0°). При р-ции 1 моля C_6H_5MgBr с 1 молем III (в кипящем C_6H_6) выделен только исходный III. К. Б. 64861. Расщепление 1-алкилциклобутилфенилкетон

амидом натрия. Хамлин, Бирмакер. (Sodium amide cleavage of 1-alkylcyclobutyl phenyl ketones. Hamlin K. E., Biermacher Ursula, J. Amer. Chem. Soc., 1955, 77, № 23, 6376 (англ.)) При взаимодействии 1-метилциклобутилфенилкетона (I) и 1-этилциклобутилфенилкетона (II) с $NaNH_2$ образуются соответственно 1-метилциклобутилкарбоксамид (III) и 1-этилциклобутилкарбоксамид (IV). I полу-

чен действием CH_3J на Na-производное циклобутилфенилкетона (V кетон). 0,3 моля V, 0,3 моля NaNH_2 в толуоле и 0,6 моля CH_3J доводят до кипения и затем размешивают 22 часа при 20°. Выход I 79%, т. кип. 103°/3 мм, n_D^{25} 1,5368. Аналогично (выдержка 7 час. при 75—80°) получен II, выход 34%, т. кип. 115—116°/3 мм, n_D^{25} 1,5304. К 0,4 моля NaNH_2 в 200 мл сухого толуола добавляют 0,2 моля I, кипятят 5 час., выход III 50%, т. пл. 165° (из бзл.). Аналогично получен IV, выход 60%, т. пл. 136,5—137,5° (из толуола).

В. А. 64862. Восстановительные превращения 3,4-дихлор-1,2,3,4-тетраметилциклобутена-1. Смирнов-Замков П. В., Костромин Н. А., Писковитина Г. А., Укр. хим. ж., 1956, 22, № 1, 67—69

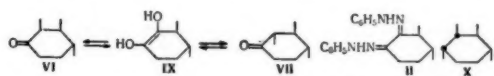
Взаимодействие 3,4-дихлор-1,2,3,4-тетраметилциклобутена-1 (I) с амальгамированными Zn-стружками в эфире приводит к димеру тетраметилциклобутанадиена, т. пл. 161°, вероятно, обладающему строением 1,2,3,4,5,6,7,8-октаметилцикло-[4,2,0]-октатрена-2,4,7. При взаимодействии I с LiAlH_4 получен 1,2,3,4-тетраметилциклобутен, выход 50%, т. кип. 105—106°, n_D^{20} 1,4195, d_4^{28} 0,7508, при гидрировании которого в присутствии Pt (из PtO_2) с расширением цикла образуется смесь стереоизомерных 1,2,3-триметилциклопентанов. I не изменяется при длительном взбалтывании с Cu и Ag в эфире.

Д. К. 64863. Исследования в ряду циклитолов. XXI. О конфигурации оптически активных циклогексантеролов и триолов. О биохимическом окислении циклогексантеролов-1,4,2,3 (дигидрокондурит). Постернак, Ремон (Recherches dans la série des cyclitols. XXI. Sur la configuration de cyclohexanetétrols et triols optiquement actifs. Sur l'oxydation biochimique du cyclohexane-tétrol-1, 4/2, 3 (dihydro-conduritol). Posternak Th., Reymond D.), Helv. chim. acta, 1955, 38, № 1, 195—205 (франц.) Изучено биохимич. окисление посредством *Acetobacter suboxydans* циклогексантеролов-1,4,2,3 (I) (дигидрокондурит, синтез см. сообщение XX, РЖХим, 1956, 50850). Обработка фенилгидразином в водн. CH_3COOH реакционной смеси после окисления I 0,5 моля O_2 на 1 моль субстрата приводит к единственному озаону (II), выход 47%, т. пл. 202—204° (разл., из сп., быстрое нагревание), $[\alpha]_D^{25} - 230 \pm 5^\circ$ (с 0,46, пиридин-сп., 1:1), УФ-спектр: $\lambda_{\text{макс}}$ (в сп.) в мμ (lg ε) 260; 307; 387 (4,33; 4,08; 4,28). Каталитич. гидрирование (PtO_2) при pH 6,7 реакционной смеси после окисления I приводит к смеси (—)-циклогексантеролов-1,2,3,4 (III), т. пл. 159—160°, $[\alpha]_D^{20} - 33,2 \pm 1,0^\circ$ (с 2,0, вода), тетрабензоат, т. пл. 139—140° (из сп.), $[\alpha]_D^{17} - 101,4 \pm 2,8^\circ$ (с 0,71, хлф.), (+)-циклогексантеролов-1,2,4,3 (IV), т. пл. 138—139° (из абс. сп.), $[\alpha]_D^{20} + 38,8 \pm 3,3^\circ$ (с 0,76, вода). IV не удалось выделить в чистом состо-

ятный буфер с pH 6,0) и затем гидрирован над PtO_2 (водн. р-р 1 н. H_2SO_4), получено немного неочищ. дезоксисциланта (?), т. пл. 194—200° (из сп.), и V, т. пл. 146—148° (из сп.), $[\alpha]_D^{17} - 28,8 \pm 1,8^\circ$ (с 1,11, вода).

Образование V из I указывает на изменение ориентации двух соседних OH-групп, т. е. на промежуточную перегруппировку образующегося при окислении монокетона. Образование III—V при восстановлении продукта окисления I указывает, что продукт окисления — смесь кетонов. Хроматографией на бумаге (ватман № 1) продукта окисления I выделено два 2,3,4-триоксациклогексанона: α-(VI) и β-(VII) R₁ для VI и VII: бутанол- CH_3COOH -вода, 4:1:5 (по объему) (исходный способ, 2 дня) 0,45; 0,31; 90—80%-ный водн. ацетон (восходящий способ, 4°, 8—12 час.) 0,57—0,74; 0,25—0,53; 80%-ный водн. спирт 0,74, 0,62; 80%-ный водн. диоксан 0,90; 0,78; 80%-ная CH_3COOH 0,85, 0,85; фенол, насыщ. водой 0,72; 0,72. Структура VI подтверждена каталитич. гидрированием (PtO_2) в нейтр. среде с образованием III и в кислой (на 25 мл р-ра VI 3 мл 10 н. H_2SO_4) с образованием (—)-циклогексантриолов-1,2/3 (VIII), т. пл. 133—134° (из этилацетата), $[\alpha]_D^{18} - 69,6 \pm 3,0^\circ$ (с 0,675, вода), трибензоильное производное, т. пл. 141—142° (из CH_3COOH), $[\alpha]_D^{21} - 189 \pm 3^\circ$ (с 0,80, хлф.). Структура VII подтверждена каталитич. гидрированием (PtO_2) в нейтр. среде с образованием IV и V и в кислой с образованием циклогексантриолов-1,3/2, т. пл. 104—106° (из этилацетата-гексана), трибензоильное производное, т. пл. 138—139° (из метанола). Поскольку VI и VII образуют один и тот же озаон II, конфигурация их C₍₃₎- и C₍₄₎-атомов одинакова. Эти результаты подтверждают также конфигурацию, принятую для III, IV, V и VIII. В присутствии *Acetobacter suboxydans* VI почти полностью превращается в VII; в тех же условиях VII переходит в VI лишь частично. Соотношение VI и VII (определено хроматографией на бумаге и по УФ-спектру) при окислении I изменяется в зависимости от длительности контакта с *Acetobacter suboxydans* в пользу VII. Таким образом, первичным продуктом биохимич. окисления I является VI; VII образуется в результате обратной энзиматич. р-ции изомеризации, сдвинутой в сторону VII. Изомеризация проходит, по видимому, через энол (IX). В отсутствие *Acetobacter suboxydans* VI не превращается в VII. Преимущественное образование VI при окислении I указывает, что микроорганизмы атакуют в первую очередь структуры типа (X).

Л. Я. 64864. Исследования в ряду циклитолов. XXII. Конфигурация и биохимическое окисление циклидиолов-1,2. Постернак, Ремон, Фридли (Recherches dans la série des cyclitols. XXII. Configuration et oxydation biochimique de cyclane-diols-1,2. Posternak Th., Reymond D., Friedli H.), Helv. chim. acta, 1955, 38, № 1, 205—212 (франц.) Изучено биохимич. окисление посредством *Acetobacter suboxydans* (см. пред. реф.) циклопентав-(I), циклогексан-(II) и циклогексантидиолов-1,2 (III) *цис*- и *транс*-конфигурации. Синтезич. путем установлена конфигурация (+)-*транс*-II (IIa) и по аналогии оптически активных форм *транс*-I и *транс*-III. Биохимич. окисление *транс*-циклогексен-3-диола-1,2 (IV) проходит с различной скоростью для обоих антиподов (РЖХим, 1953, 4549): после поглощения 0,25 моля O_2 на 1 моль субстрата отделяют в виде фенилгидразона образующийся (—)-оксикетон, маточный р-р обрабатывают H_2SO_4 и подвергают непрерывной экстракции эфиром (24 часа), выделяют (+)-*транс*-циклогексен-3-диол-1,2 (V) (не



янии, поэтому он был смешан с (—)-формой и превращен в рацемат, т. пл. 139—141° (из сп.), тетрабензоат, т. пл. 138—139° (из сп.), и (—)-циклогексантеролов-1,3,2,4 (V), выделен в виде тетрабензоата, т. пл. 249—250° (из CH_3COOH), $[\alpha]_D^{17} - 27,4 \pm 0,8^\circ$ (с 2,75, хлф.). При восстановлении амальгамой Na выход V значительно выше. Строение V подтверждено встречным синтезом: (—)-вибуриит окислен посредством *Acetobacter suboxydans* (0,5 моля O_2 на 1 моль субстрата, 35°, фос-



получен в кристаллич. виде), $[\alpha]_D^{20} + 76^\circ$ (вода). Катиолитич. гидрирование V над PtO_2 приводит к (+)-*транс*-II (содержит 21% рацемата), т. пл. 108–109° (из этилацетата), $[\alpha]_D^{18} + 36,7 \pm 4,4^\circ$ (с 0,45, вода). При окислении V ($\text{AgClO}_3 + \text{OsO}_4$, 3 дня, при $\sim 20^\circ$, водн. р-р, затем добавка OsO_4 и выдерживание еще 3 дня) образуется (—)-циклогексантетрол-1,2,4/3, пространственная конфигурация которого установлена ранее (см. пред. реф.), т. пл. 156–159° (из абс. сп.), $[\alpha]_D^{21} - 36,4 \pm 3,4^\circ$ (с 1,75, вода). Таким образом, для (+)-*транс*-II окончательно доказана структура IIa. Окисление IV 0,5 моля O_2 на 1 моль субстрата приводит, судя по УФ-спектру сырого продукта ($\lambda_{\text{макс}}$ 225 и 273 мμ ($\lg \epsilon$ 3,8 и 2,4)), к циклогексенолону (VI). При биохимич. окислении *цис*-II (30°, 23 дня) получается (+)-2-оксикиклогексанон (VII), выделенный в виде фенилгидразона, т. пл. 136–137° (из водн. метанола), $[\alpha]_D^{20} + 83,1 \pm 1,4^\circ$ (с 0,704, сп.). Восстановление VII (2,5%-ная амальгама Na, водн. р-р, добавка н. H_2SO_4) приводит к (+)-*транс*-II, т. пл. 111–112° (из этилацетата), $[\alpha]_D^{22} + 41,5 \pm 3,7^\circ$ (с 2,67, вода) и большому кол-ву *цис*-II, который выделен в виде продукта конденсации с ацетоном (HCl , 48 час., Na_2SO_4 , 48 час.), т. кип. 65–70°/15 мм. Биохимич. окисление оптич. антиподов *транс*-II проходит также с различной скоростью, после поглощения 0,25 моля O_2 на 1 моль субстрата из реакционной смеси (после отделения (—)-2-оксикиклогексанона, 31% рацемата) в виде фенилгидразона, т. пл. 130–131,5° (из водн. метанола), $[\alpha]_D^{20} - 56,7 \pm 3,0^\circ$ (с 0,66, сп.), выделен (+)-*транс*-II в форме 3,5-динитробензоата, т. пл. 160° (из хлф.-сп.), $[\alpha]_D^{22} + 83,6 \pm 3,3^\circ$ (с 0,61, хлф.). *Цис*-I и *транс*-I ведут себя при окислении посредством *Acetobacter suboxydans* аналогично *цис*- и *транс*-II. *Цис*-I дает (+)-циклопентанолон, выделенный в форме фенилгидразона, т. пл. 123–124° (из водн. метанола), $[\alpha]_D^{18} + 98,2 \pm 3,6^\circ$ (с 0,56, сп.). Окисление *транс*-I приводит к (—)-циклопентанолону (76% рацемата), фенилгидразон, т. пл. 128–131°, $[\alpha]_D^{20} - 22,9 \pm 1,2^\circ$ (с 1,66, сп.), кристаллизацией выделен рацемич. фенилгидразон, т. пл. 144–145° (из водн. метанола); после отделения (—)-фенилгидразона из маточного р-ра выделен в виде 3,5-динитробензоата (+)-*транс*-I, т. пл. 196–198° (из хлф.-сп.), $[\alpha]_D^{16} + 87,9 \pm 3,5^\circ$ (с 0,58, хлф.); по аналогии с (+)-*транс*-II (+)-*транс*-I приписана структура (Ia). При биохимич. окислении *цис*-III образуется (+)-циклогептанолон-1,2, выделенный в виде фенилгидразона, т. пл. 109–111° (из водн. метанола), $[\alpha]_D^{16} + 109,7 \pm 2,0^\circ$ (с 0,98, сп.). Из реакционной смеси после окисления *транс*-III (0,25 моля O_2 на 1 моль субстрата) выделены фенилгидразон (—)-циклогептанолон-1,2 (содержит 90–86% рацемата), т. пл. 115–121°, $[\alpha]_D^{17} - 7,6 \pm 3,0^\circ$ (с 0,66%, сп.), кристаллизацией получен чистый рацемат, т. пл. 121–123° (из водн. метанола), и (+)-*транс*-III (содержит 77–92% рацемич. формы), для которого по аналогии принята структура (IIIa). Таким образом при биохимич. окислении *транс*-I и *транс*-III (—)-формы имеют тенденцию к более быстрому окислению, чем (+)-формы, как и в случае *транс*-II.

Л. Я. 64865. Карбоциклические редуктоны. Дигидропирагалол и дигидрогалловая кислота. Майер, Бахманн, Краус (Über carbocyclische Reduktone. Dihydropyrogallol und Dihydrogallussäure. Mayer Walter, Bachmann Rudolf, Kraus

Friedrich), Chem. Ber., 1955, 88, № 3, 316–329 (нем.)

Катализич. гидрированием галловой к-ты (I) в щел. среде получена циклогексен-3-диол-3,4-он-5-карбоновая-1 к-та (дигидрогалловая к-та) (II), которая является типичным редуктоном, подобно дигидропирагаллолу (III). Гидрированием II получена циклогексантриол-3,4,5-карбоновая-1 к-та (гексагидрогалловая к-та) (IV). II и III дегидрируются под действием кислорода с образованием соответственно циклогексантрион-3,4,5-карбоновой-1 к-ты (V) и циклогексан-триона-3,4,5-(VI). V легко изомеризуется в I, а VI — в пирагаллол (VII). При действии разб. щелочей V и VI дают соответственно α-оксиг-γ-карбоксиадициновую к-ту (VIII) и α-оксиадициновую к-ту (IX). V превращается окислением в α-кето-γ-карбоксиадициновую к-ту (X), а VI — в α-кетoadициновую к-ту (XI). Предложен механизм катализич. гидрирования I и III. 100 г I + 350 мл воды + 48 г NaOH гидрировали с 20 г скелетного Ni (20 час., 80–85°, 120–150 атм), выливали в 130 мл конц. HCl, осадок, выпавший после охлаждения ниже 0°, растворяли в 300 мл горячей воды, отделяли кристаллич. I, выход II 20–30%; моногидрат, т. пл. 192–193° (разл. из воды). II восстанавливает на холоду J_2 , нейтр. и аммиачные р-ры AgNO_3 и реактив Тильмана, последний и в кислой среде при эквимолекулярном соотношении (отличие от I). Р-ция на ендий (с TiCl_3) дает положительный результат. 0,9 г II в 20 мл воды нагревают с 2,5 г $\text{C}_6\text{H}_5\text{NHNH}_2 \cdot \text{HCl}$ в 50 мл воды, получают с отщеплением двух атомов H *бис*-фенилгидразон (XII), выход 1,3 г, т. пл. 221–222° (из ацетона). 2 г XII нагревают (140–150°, 3 часа) с 8 г $\text{C}_6\text{H}_5\text{NHNH}_2$, выливают в 50%-ный спирт, осадок нагревают с 40 мл воды, 10 мл 0,1 н. HCl и 10 мл спирта, выход *трис*-фенилгидразона 67%, т. пл. 234–235° (из диоксана-воды; 5:1). Нагреванием 1,9 г II с 3 г $\text{C}_6\text{H}_5\text{NHNH}_2 \cdot \text{HCl}$ в 20 мл воды получают анил, выход 1,5 г, т. пл. 217–218° (из CH_3OH -воды). Из 1,9 г II и CH_2N_2 в CH_3OH -эфире (2 часа) получен метиловый эфир 3-метоксикиклогексен-3-ол-4-он-5-карбоновой-1 к-ты, т. пл. 110–111° (разл. из CH_3OH), устойчив лишь в атмосфере N_2 . Из 3,8 г II действием 6 мл $(\text{CH}_3)_2\text{SO}_4$ в присутствии 4 н. NaOH получают 4-метиловый эфир II, выход 3,1 г, т. пл. 214–215° (из воды). 1,9 г II гидрируют 12 час. с 0,5 г Pt (из PtO_2) в CH_3OH , выход IV 1,2 г, т. пл. 198° (из воды). Из IV получены действием CH_2N_2 метиловый эфир IV, т. пл. 132–133° (из хлф.), действием $(\text{CH}_3\text{CO})_2\text{O}$ — триацетильное производное IV, т. пл. 152–153° (из этилацетата-пептр. эф.). Через р-р 10 г II в 250 мл воды пропускают сильную струю воздуха (10–12 час.), упаривают в вакууме при 35–40°, получают 6,45 г дигидрата V(XIII), т. пл. 138–141° (из водн. ацетона). XIII с $\text{C}_6\text{H}_5\text{NHNH}_2 \cdot \text{HCl}$ дает XI, а при действии H_2S восстанавливается в II. XIII под действием водн. CH_3COONa или глицина превращается в I и VII. При нагревании XIII с CH_3COOK в присутствии $(\text{CH}_3\text{CO})_2\text{O}$ образуются триацетильное производное VII, т. пл. 162°. 5 г XIII выдерживают с 50 мл 2 н. NaOH (24 часа) без доступа воздуха, получают 4,2 г смеси двух рацемич. форм γ-лактона VIII. Перекристаллизацией из этилацетата выделяют 1,8 г рацемата с т. пл. 180–182°; к маточному р-ру добавляют C_6H_6 , выпадает 1,4 г второго рацемата, т. пл. 147–148,5° (из этилацетата-бэл.). Действием CH_2N_2 из обоих рацематов получены диметиловые эфиры, т. пл. 51° (из эф.-пептр. эф.) и соответственно т. кип. 175°/0,3 мм (т-ра бани), которые при кипячении со спиртовым NH_3 превращаются в триамиды, т. пл. 190° и т. пл. 163°. К 5 г V в воде добавляли водн. р-р 5,2 г NaJO_3 , через 3 часа выделяют 3,5 г X, т. пл. 122° (из этилацетата-бэл.); семикарбазон, т. пл. 170° (из воды). III дает с $(\text{CH}_3)_2\text{SO}_4$ и щелочью 2-метиловый эфир III, выход

60%
CH₂
т. пл.
NH₂
123-
чае
обра
CO₂
Na₂CH
зона
живн
IX, г
р-р
т. пл.
дово
скел
стве
резон
(из в
227°
6486
на
ль
Ia
et
s
t
56
П
лы
цикл
чана
метил
в сл
неиз
номе
Тном
прям
рат,
ловы
частн
PCl₅
смеси
цикл
при
2,4-д
цикл
т. пл
Диме
смеси
делен
крат
сен;
гомо
санов
(~1
этил
223-
зуют
6486
С.
хи
Иа
скор
песс
под
фаз
дени
от к
гидр
т. к

60%, т. пл. 111—112° (из бзд.), из которого действием CH_2N_2 в ацетоне получают 1,2-диметилловый эфир III, т. пл. 46—47° (из эф.-петр. эф.). Из 5 г III и 10 г $\text{C}_6\text{H}_5\text{NH}_2\cdot\text{HCl}$ в 50 мл воды получают 3,5 г анила, т. пл. 123—124° (из водн. сп.). Из III аналогично XIII получают дигидрат VI (XIV), т. пл. 106°. Из III и Ag_2CO_3 образуется также XIV, при дальнейшем действии Ag_2CO_3 образуется глутаровая к-та. Р-цией 1 г III с $\text{C}_6\text{H}_5\text{N}_2\text{Cl}$ (из 1 г $\text{C}_6\text{H}_5\text{NH}_2\cdot\text{HCl}$) получен 1,1-генилгидразона XI, т. пл. 142—144° (из водн. сп.). 2 г XIV выдерживают (24 часа) с 25 мл 1,5 н. NaOH, получают 1,6 г IX, т. пл. 151°. К 2 г XIV в 10 мл воды добавляют водн. р-р 2,65 г NaJO_3 , через 2 часа выделяют 1,38 г XI, т. пл. 126°. Гидрированием (40—60°, ~120 ат) 4-метилового эфира галловой к-ты и α -резорциновой к-ты над скелетным Ni в присутствии NaOH получены соответственно 4-метилловый эфир II, выход 66%, и дигидро- α -резорциновая к-та, выход 80—90%, т. пл. 183—184° (из воды), дает с $\text{C}_6\text{H}_5\text{NH}_2$ анид, выход 82%, т. пл. 226—227° (из CH_3OH), и 1,3-бис-фенилгидразон. А. Ф. 64866.

Изучение действия пятихлористого фосфора на 1-метил- и цис- и транс-1-этил-2-хлорциклогексанолы. Мусерон, Жакье, Фонтен (Étude de l'action du pentachlorure de phosphore sur les méthyl-1 et éthyl-1-chloro-2 cyclohexanols cis et trans. Mouseron Max, Jacquier Robert, Fontaine André, C. r. Acad. sci., 1955, 241, № 6, 562—564 (франц.))

При действии PCl_5 на 1-алкил-2-хлорциклогексанолы (I) образуются главным образом производные хлорциклогексана. Из цис-(Ia) и транс-(Iб)-1-метил-2-хлорциклогексанолов и избытка PCl_5 в эфире (~20°) получена смесь 2-хлор-1-метилциклогексана (II) и 2-хлор-метилциклогексана (III), 50 : 50 в случае Ia и 35 : 65 в случае Iб. Действием на смесь диметиламина выделен неизменный II, т. кип. 70°/20 мм, и 1-(N-диметиламинометил)-циклогексан-1 (аллильная перегруппировка). Тиомочевина не реагирует с II, с III образует продукт прямого замещения хлора без перегруппировки (пикрат, т. пл. 168—169°, стифнат, т. пл. 154—155°). Этиловые гомологи ведут себя отлично от метиловых, отчасти в связи с их стереоизомерией. При действии PCl_5 на цис-1-этил-2-хлорциклогексанол получена смесь трех компонентов (~1 : 1 : 1) : 2-хлорэтилциклогексана (пикрат тиурония, т. пл. 150—151°, при озоноллизе превращается в 2-хлорциклогексанон; 2,4-динитрофенилгидразон, т. пл. 154°), 6-хлор-1-этилциклогексана (V) (пикрат, т. пл. 169—170°, стифнат, т. пл. 136—137°) и 2-хлор-1-этилциклогексана (VI). Диметиламин, не реагирующий с VI, действует на смесь хлорпроизводных аналогично тиомочевине; выделены: 2-(N-диметиламино)-этилциклогексана (пикрат, т. пл. 140°) и 6-(N-диметиламино)-1-этилциклогексан; перегруппировки, наблюдавшейся для метиловых гомологов, не происходит. Транс-1-этил-2-хлорциклогексанол дает с PCl_5 при тех же условиях смесь V и VI (~1 : 1); кроме того, выделен с выходом 12—15% 1-этилциклогексан-1-он-6 (динитрофенилгидразон, т. пл. 223—224°). 1-метилциклогексан-1-он-6 (2—3%) образуется и в случае Iб. В. С. 64867.

О синтезе циклооктатетраена. Ушаков С. Н., Соломон О. Ф., Изв. АН СССР, Огд. хим. н., 1954, № 4, 694—706

Изучено влияние различных факторов на выход и скорость образования циклооктатетраена (I) в процессе каталитической полимеризации технич. ацетилена (II) под давлением. Р-цию проводили до достижения жидкой фазой значения $p^{20} D$ 1,475—1,480 и прекращения падения давления. Продукты р-ции отфильтровывались от купрена (III) и разгонялись в токе N_2 в присутствии гидрохинона. После удаления р-рителя получают I, т. кип. 60,9°/46,5 мм. Из кубового остатка выделяют

фракцию, т. кип. 96°/5 мм, и синюю жидкость, т. кип. 135°/5 мм. В качестве р-рителей применялись диоксан (IV), тетрагидрофуран (V), бензол (VI), тетралин (VII) и ацетон. Лучшие результаты как в отношении скорости р-ции, так и выхода I показал IV; V лучше, чем VI, VI лучше, чем VII. Исследованные в качестве катализаторов CoCl_2 и ацетилацетонат алюминия не проявили никакой каталитич. активности. Каталитич. активность ацетилацетона никеля (VIII), действующего гомогенно в среде IV, больше активности $\text{Ni}(\text{CN})_2$, действующего гетерогенно. Активность катализатора при гетерогенном процессе уменьшается за счет купреназации и выделения сажи. Процесс купреназации интенсифицируется с увеличением кол-ва катализатора, а также при повышении т-ры до 90—100°. Резкий перегрев приводит к почти полному превращению II в III. Оптимальная т-ра р-ции лежит в пределах 82—87°. Добавка N_2 в II в качестве разбавителя сильно снижает скорость р-ции. Безопасное течение р-ции можно обеспечить, используя в качестве разбавителя пары р-рителя при точном соблюдении режима р-ции. В качестве водоотнимающих средств были изучены окись этилена (IX), CaC_2 , силикагель и фталевый ангидрид. Последние два не оказали заметного влияния на течение процесса. Вопреки литературным данным введение IX или CaC_2 не только не необходимо, но приводит к снижению выхода I за счет купреназации. Без применения IX или CaC_2 удается получить более высокие выходы I при сравнительно небольшом уменьшении скорости р-ции. Присутствие воды полностью ингибирует р-цию. Применение не высушенных исходных материалов замедляет р-цию и приводит к уменьшению выхода I. Аналогично действующим примесям, загрязняющие катализатор, в случае, когда он не подвергался тщательной очистке. С увеличением давления, исследование велось при давлениях до 28 ат, выход I увеличивается. Увеличение давления втрое увеличивает скорость р-ции при гомогенном катализе в 3,5 раза, не вызывая уменьшения выхода I. В оптимальных условиях (85 ± 2°; постоянная подача II в автоклав при давлениях 25—28 ат; загрузка 3,2 г VIII + 100 г IV) длительность р-ции 20 час., выход I 70%, т. кип. 60°/46,5 мм, т. пл. 6,5°, n_D^{20} 1,5342, d_4^{20} 0,9200. Л. Н. 64868.

Три-*трет*-бутоксалиюмогидрид лития — новый реагент для превращения хлорангидридов кислот в альдегиды. Браун, Мак-Фарлин (Lithium tri-*t*-butoxyaluminumhydride — a new reagent for converting acid chlorides to aldehydes. Brown Herbert C., McFarlin Richard F., J. Amer. Chem. Soc., 1956, 78, № 1, 252 (англ.))

Трет- $\text{C}_4\text{H}_9\text{OH}$ или трет- $\text{C}_5\text{H}_{11}\text{OH}$ в отличие от CH_3OH , $\text{C}_2\text{H}_5\text{OH}$ или $(\text{CH}_3)_2\text{CHOH}$ с LiAlH_4 реагируют с выделением только 3 молей H_2 с образованием, в частности, $\text{Li}(\text{трет-}\text{C}_4\text{H}_9\text{O})_3\text{AlH}$ (II). Последний устойчив, сублимируется при 360° в вакууме, растворим в тетрагидрофуране (III) или диметиловом эфире диэтиленгликоля (III), образуя при 25° 1,2 М и 1,3 М р-ры соответственно. I более мягкий восстановитель, чем LiAlH_4 ; так при 0° I восстанавливает альдегиды (АЛ), кетоны и хлорангидриды к-т (ХА), но не реагирует со сложными эфирами и нитрилами. I при низкой т-ре является удобным реагентом для восстановления ХА в АЛ. 0,81 моля сухого трет- $\text{C}_4\text{H}_9\text{OH}$ прибавляют при перемешивании к 500 мл 0,5 М р-ра LiAlH_4 в эфире, декантируют, осадок I растворяют в 200 мл III и за 1 час приливают к 0,244 моля $n\text{-NO}_2\text{C}_6\text{H}_4\text{COCl}$ в 100 мл III при ~75°, поднимают т-ру до ~20° за 1 час, выливают на лед, из осадка извлекают спиртом $n\text{-NO}_2\text{C}_6\text{H}_4\text{CHO}$, выход 80%, т. пл. 104—105° (из водн. сп.). Можно также LiAlH_4 в II обработать 3 молями трет- $\text{C}_4\text{H}_9\text{OH}$ и полученный р-р прибавить к ХА в II при ~75°, выход АЛ

более низкий. Получены следующие АЛ (даны ацил ХА, выход АЛ в % в р-ре III): C_6H_5CO , 73 (выделен через бисульфитное производное (БП)); терефталонил, 85 (выделен осаждением водой); $n\text{-CH}_3C_6H_4CO$, 61 (определен по анализу (АН)); $m\text{-ClC}_6H_4CO$, 63 (по АН); $o\text{-ClC}_6H_4CO$, 20 (выделен через БП); пивалоил, 44 (по АН) Е. Ф.

64869. Проводные трифенилэтилена. II. Нагано (Triphenylethylene derivatives. II. Nagano T. O. у о у к i), J. Amer. Chem. Soc., 1955, 77, № 24, 6680—6681 (англ.)

С целью испытания эстрогенной активности синтезирован 1-хлор-1,2,2-трифенилэтан (I) восстановлением 1,2,2-трифенилэтанола (II) $NaBH_4$ в 1,2,2-трифенилэтанол (III) и р-дией III с $SOCl_2$. II получен конденсацией дибромидов с C_6H_6 в присутствии $AlCl_3$, выход 85%, т. пл. 136—138°. К 1 ммолью II в 30 мл CH_3OH при 30° прибавляют 1,3 ммоль $NaBH_4$ в 1 мл воды, через 30 мин. ($\sim 20^\circ$) упаривают до 15 мл, водой (50 мл) осаждают 0,27 г неочищ. III, т. пл. 88—89° (из 60%-ной CH_3COOH). К холодному р-ру 1 ммоль III в 0,15 мл пиридина прибавляют 1,3 ммоль $SOCl_2$, через ~ 16 час. ($\sim 20^\circ$) водой (10 мл) осаждают I, выход 72,4%, т. пл. 99—100° (из сп.). Если III кипятить 3 часа с PCl_5 в C_6H_6 , то образуется трифенилэтилен, т. пл. 69—71°, который получен также нагреванием (2 часа) I с 10%-ным спирт. КОН. Восстановлением 1-п-анизил-1,2-дифенилэтанола, т. пл. 128—130° (см. сообщение I, РЖХим, 1955, 55033), как в случае III, но с удвоенным кол-вом $NaBH_4$, получено 83,3% 1-п-анизил-2,2-дифенилэтанола (IV), т. пл. 160—161° (из бзл.); ацетат, т. пл. 121—123°. IV с 1 молем Br_2 в лед. CH_3COOH дает 1-п-анизил-2,2-дифенилбромэтилен, т. пл. 128—129° (из CH_3OH). Окислением 0,05 моля 4-метоксибензоилбензоина 0,067 моля SeO_2 в 15 мл пиридина (1 час, 100° и 2 часа, 120°) получают 96,7% 4-метоксисбензила, т. пл. 64—65° (из бзл. + петр. эф.). Перегруппировкой последнего синтезируют п-метоксисбензиловую к-ту (V), выход 90%. 0,02 моля V, 0,066 моля $SnCl_4 \cdot 2H_2O$ в 30 мл конц. HCl и 40 мл лед. CH_3COOH нагревают 2 часа при 30° и 10 мин. при 70°, выливают в 400 мл воды, охлаждением выделяют 94,7% п-анизилфенилуксусной к-ты (VI), т. пл. 104—105° (из бзл. + петр. эф.). Аналогично, из бензиловой к-ты получают $(C_6H_5)_2CHCOOH$, выход 90%. Из 6 ммоль VI и 3,6 ммоль PCl_5 в 3 мл C_6H_6 (кипячение 3 часа) с последующей медленной кристаллизацией (2 месяца в рефрижераторе) хлорангидрида VI (VII) из C_6H_6 + петр. эфир выделен ангидрид VI, поведением, в результате отщепления HCl от VII и присоединения следов воды к образующемуся замещ. кетену. Неочищ. VII с конц. NH_3 образует амид VI, т. пл. 136—137° (из бзл.). Е. Ф.

64870. Синтез п-дивинилбензола. Езриель И. М., Ларин Н. А., Неймарк О. М., Толстикова З. Д., Ж. общ. хим., 1956, 26, № 2, 589—591

Описан синтез п-дивинилбензола (I) измененным методом Беренда и Гермса (J. pr. Chem., 1906, 74, 123), исходя из хлорангидрида терефталевой к-ты (II), конденсированного с ацетокусным эфиром (III) в присутствии C_6H_5ONa в терефталидиатридиацетокусный эфир (IV), превращенный разб. H_2SO_4 в терефталидиатцетокусный эфир (V); V гидролизован спирт. р-ром NH_3 в терефталидиуксусный эфир (VI), превращенный нагреванием с 10%-ной H_2SO_4 в п-диацетилбензол (VII), который восстановлен изопропилатом Al в α , α -диоксид-1,4-диэтилбензол, дегидратированный над Al_2O_3 в I. К 52 г III постепенно, при охлаждении, добавляют 18,4 г Na в 320 мл спирта, затем р-р 46,6 г II в 0,8 л спирта, оставляют на 18 час. при 0°, полученный IV смешивают с ледяной водой, постепенно приливают 5%-ный р-р H_2SO_4 и отделяют V, выход 70%, т. пл.

101—102° (из сп.). 40 г V в 0,2 л 10%-ного спирт. р-ра NH_3 нагревают 1 час при 60°, оставляют на 18 час. в холодильнике и отделяют VI, выход 65%, т. пл. 69—70° (из сп.). 15 г VI и 150 мл 10%-ного р-ра H_2SO_4 нагревают 7—8 час. при 101—102°, приливают 100—200 мл 3%-ного р-ра $NaOH$ и получают VII, выход 74%, т. пл. 114—114,5°. 75 г VII восстанавливают изопропилатом Al (из 9 г Al и 0,3 л $iso\text{-}C_3H_7OH$), продукт (выход 70%) взвешивают эфиром, не очищая, пропускают над Al_2O_3 при т-ре печи 280—300° и получают I, выход 22%, т. пл. 30°. Д. В.

64871. Конденсация 1,3-дихлорбутена-2 с ароматическими углеводородами в присутствии хлористого цинка. Дургарян, Дангян (1,3-դիքլորբութեն-2-ի Կոնդենսացիան արոմատիկ ածխածնի շինիչի հետ՝ $ZnCl_2$ քլորիդի երկարորամբը Գաղղյան Ս. Տ., Գործարարի Ձ. 2.), Науч. тр. Ереванск. ун-та, 1956, 53, 33—44 (арм.)

Конденсацией 1,3-дихлорбутена-2 (I) в присутствии безводн. $ZnCl_2$ с ароматич. углеводородами (бензол, толуол, о-, м- и п-ксилол, мезитилен, этилбензол, 1,3,5-триэтилбензол и нафталин) получены соответствующие $ArCH_2CH=CClCH_3$ (II). Взаимодействием (4 дня) I ($d_4^{20} 1,2625$) с C_6H_6 (1,06 л) в присутствии 54,5 г $ZnCl_2$ получают IIa ($Ar = C_6H_5$), выход 55,77%, т. кип. 95—96°/7 мм, $n_D^{20} 1,5325$, и ди- γ -хлоркротилбензол, выход 8,6%, т. кип. 145—150°/6 мм, $n_D^{20} 1,5467$, $d_4^{20} 1,106$. Аналогично получены другие II приведены Ar , выход в %, т. кип. в °C/мм, n_D^{20} , d_4^{20} (в скобках условия р-ции): $CH_3C_6H_5$, 78,8, 110—115/11, 1,5515, —, (90—100°, около суток); 3,4- $(CH_3)_2C_6H_3$ (IIb), 64,1, 115—119/10, 1,5360, 1,03, (90—100°); 2,4- $(CH_3)_2C_6H_3$ (IIc), 67,6, 121—122/12, 1,5326, 1,0279; 2,5- $(CH_3)_2C_6H_3$ (IId), 57,2, 100—102/5, 1,5334, 1,0206; 2,4,6- $(CH_3)_3C_6H_2$ (IIe), 63,4, 137—139/8, 1,5345, 1,018; $C_6H_5C_6H_5$, 63,7, 104—110/4, 1,5271, 1,0145; 2,4,6- $(C_6H_5)_3C_6H_2$, 55, 130—135/3, 1,5269, 0,9822 (110—120°); $\alpha\text{-}C_{10}H_7$, 65,6, 128—140/3, 1,6109, —, (99—100°). Бромированием в эфире IIa—г получены соответствующие $ArCH_2CHBrCHCl(Br)CH_3$. Г. М.

64872. Синтез γ -фенилпропилового спирта. Миладзак, Теракава (γ -フェニルプロピルアルコールの合成. 宮崎道治, 寺川敏治), 薬学雑誌, Якутан даэси, J. Pharm. Soc. Japan, 1954, 74, № 3, 310—311 (япон., рез. англ.)

$C_6H_5CH_2MgCl$ (из 7 г Mg, 31,6 г $C_6H_5CH_2Cl$ в 50 мл эфира) обрабатывают при 4—5° 13 г $(CH_3)_2O$ в 50 мл эфира (12°), через ~ 12 час. разлагают 35%-ной H_2SO_4 при 0°, перегонкой эфирного слоя выделяют 13,5 г $C_6H_5(CH_2)_3OH$ (I), т. кип. 135—140°/27 мм. 14,8 г Na расплавляют в 60 мл толуола, добавляют по каплям смесь 140 мл толуола, 38 г $C_6H_{11}OH$ и 17,6 г $C_6H_5CH=CHCOOC_2H_5$, нагревают до 140°, добавляют 20 мл водн. $C_6H_{11}OH$, затем 39 мл воды, толуольный слой промывают 10%-ной H_2SO_4 и водой, получают 120 г I, т. кип. 125—135/20 мм. Chem. Abstr., 1955, 49, 3074. К. Kitsuta.

64873. Получение синтетических эстрогенов. VII. Новый синтез 1,1,2-три-п-анизил-2-хлорэтилена. Сиендо, Окано, Исидо, Нодзак (Preparation of the synthetic estrogens. VII. New syntheses of 1, 1, 2-tri-p-anisyl-2-chloroethylene. S. S. Keiiti, O. Okano, K. Keiiti, I. Isida, T. Taiiti, N. Nozaki H. Tosi), J. Amer. Chem. Soc., 1955, 77, № 24, 6580—6582 (англ.)

Осуществлен новый синтез 1,1,2-три-п-анизил-2-хлорэтилена (I) действием PCl_5 на метокси- α , α -ди-п-анилиацетофенон (II); при восстановлении II Na и спиртом получают 1,2,2-три-п-анизилэтанол (III), дегидратированный нагреванием с $n\text{-CH}_3C_2H_4SO_3H$ в 1,1,2-три-п-анизилэтилен (IV), синтезированный также р-дией α -хлор-п-метоксиацетофенона (V) с п-анизил-

магнийбромидом (VI) и дегидратацией образующегося 1,1,2-три-*n*-анизилэтанола (VII). II может быть получен окислением *n*-метоксиацетофенона (VIII) SeO_2 в *n*-анизилглиоксаль (IX) и конденсацией последнего с анизолом; получающийся таким образом II представляет собой некристаллизующееся масло и выходы I невелики. Если же конденсировать бромид *n*-метоксифенацетилпиридиния (X) с *n*-нитрозодиметиланилином (XI) в присутствии NaOH и образующийся *N,N*-диметиламинофенил- α -*n*-анизонитрон (XII) гидролизовать в избытке анизолом (XIII) 65%-ной H_2SO_4 , образуется IX, из которого получается кристаллич. II, при работе с которым выход I повышается до 43%. α,α -Ди-*n*-анизилэтанола (XIV) не реагирует с PCl_5 в описанных для II условиях. К 0,39 моля XIII, 90 мл CH_3COOH и 43 мл конц. H_2SO_4 постепенно приливают 0,15 моля IX (получен восстановлением VIII SeO_2) в 50 мл CH_3COOH , размешивают 5 час. при 20° и получают II, выход 84%, т. кип. 299—301°/11 мм.; или смесь 0,028 моля X в 14 мл воды и 0,031 моля XI в 140 мл спирта охлаждают до -4°, добавляют 28 мл 1 н. р-ра NaOH, разбавляют водой и получают XII, выход 74%, т. пл. 108—109° (из бзл.). К смеси 0,02 моля XII и 0,19 моля, XIII приливают по каплям при охлаждении 32 мл 65%-ной H_2SO_4 , размешивают 30 мин. при 20°, добавляют 15 г 98%-ной H_2SO_4 и через 4 часа отделяют II, выход 89%, т. пл. 82—83° (из лигр.). К р-ру 0,011 моля кристаллич. II в 50 мл толуола добавляют 0,012 моля PCl_5 , смесь кипятят 5 час., отгоняют р-ритель в PCl_5 , добавляют лед и извлекают бензолом I, выход 43%, т. пл. 113—114° (из лигр.). К кипящему р-ру 0,015 моля кристаллич. II в 80 мл спирта добавляют сразу 7 г Na, горячий р-р выливают на лед и извлекают бензолом III, выход 45%, т. пл. 107—108° (из сп.). Смесь 0,0047 моля III и 2 г *n*- $\text{CH}_3\text{C}_6\text{H}_4\text{SO}_3\text{H}$ в 80 мл толуола кипятят 2 часа и получают IV, выход 81%, т. пл. 97—98° (из CH_3COOH). К р-ру VI (из 0,2 моля *n*-броманизола, 0,2 моля Mg и 85 мл эф.) приливают по каплям по охлаждению р-р 0,051 моля V в 0,1 л C_6H_6 , смесь кипятят 2 часа, приливают р-р 50 г NH_4Cl в 150 мл воды и из органич. слоя получают VII, т. пл. 130—131° (из сп.), который кипятят 2 часа с 2 г *n*- $\text{CH}_3\text{C}_6\text{H}_4\text{SO}_3\text{H}$ в 0,1 л толуола и получают VI, выход 90%. Из 0,037 моля XIII, 15 мл CH_3COOH , 4,4 мл конц. H_2SO_4 и 0,014 моля моногидрата фенилглиоксала и 20 мл CH_3COOH (см. II) получают XIV, выход 74%, т. пл. 91—92° (из CH_3COOH). Сообщение VI см. РЖХим, 1956, 32584. Д. В.

64874. Хлорметилирование некоторых эфиров о-крезола Мнджоян, Аросян (*Օրմամբումի միջոցով օ-կրեզոլի և նրա ածանցյալների քլորմեթիլումի միջոցով*, *Մեջմոյնի Բ. Լ., 2 տր. և 2. Բ.*), Изв. АрмССР, сер. физ.-матем., естеств. и техн. н., 1955, 8, № 6, 29—35 (арм.; рез. русс.)

Изучена р-ция хлорметилирования *o*- $\text{ROC}_6\text{H}_4\text{CH}_3$ (I) действием CH_3O и HCl в C_6H_6 , получены соответствующие 4- $\text{RO}-3-\text{CH}_3\text{C}_6\text{H}_3-\text{CH}_2\text{Cl}$ (II). Показано, что в ряду I хлорметилирование затрудняется с увеличением алкильного радикала эфира. Действием конц. HCl (0—1°, 2 часа) на I ($\text{R} = \text{CH}_3$) в C_6H_6 с последующим насыщением смеси HCl (газом) и прибавлением CH_3O и конц. HCl (~20°, 4 часа) получен соответствующий II ($\text{R} = \text{CH}_3$), выход 75,5%, т. кип. 100—102°/11 мм., n_D^{20} 1,5483, d_4^{20} 1,1291. Аналогично получены другие II (приведены R, выход в %, т. кип. в °C/мм., n_D^{20} , d_4^{20}): C_2H_5 73,9, 110—111/11, 1,5346, 1,0859; C_3H_7 , 65,6, 120—121/11, 1,5259, 1,0652; *изо*- C_3H_7 , 68, 115—116/11, 1,5228, 1,0561; $\text{CH}_3-\text{CHCH}_3$, 66,1, 116—118/11, 1,5450, 1,1028; C_4H_9 , 65,8, 131—132/11, 1,5210, 1,0496; *изо*- C_5H_{11} , 67, 135—136/11, 1,5150, 1,0349. Все II, кроме II ($\text{R} = \text{CH}_3 = \text{CHCH}_3$ и *изо*- C_5H_{11}), окислены KMnO_4 в щел.

среде. Получены 4-метокси-, 4-этокси-, 4-пропокси-4-*изо*-пропокси- и 4-бутоксиназофталевые к-ты (приведены соответственно выход в % и т. пл. в °C): 55,58, 272—273; 50,5, 259—260; 50,53, 214—215; 48,50, 230—231; 45,48, 193—195. Г. М.

64875. Синтез производных диметилового эфира. I. Синтез бисфеноксиметилловых эфиров. Кохама (*ジメチルエーテル誘導体の合成. 第1報. Bisphenoxymethyl Ether 類の合成. 湖浜重實*), 藥學雜誌, Якутаку дзасси, J. Pharmac. Soc. Japan, 1953, 73, № 10, 1061—1063 (япон.; рез. англ.)

Реакцией ArOH с $(\text{ClCH}_2)_2\text{O}$ в присутствии пиридина или 2 н. NaOH синтезированы $(\text{ArOCH}_2)_2\text{O}$ (I) (приведены Ag, т. пл. в °C): C_6H_5 , 80—80,5; 2- $\text{NO}_2\text{C}_6\text{H}_4$, 128—129; 3- $\text{NO}_2\text{C}_6\text{H}_4$, 122—123; 4- $\text{NO}_2\text{C}_6\text{H}_4$, 186—186,5, 2- $\text{CH}_3\text{C}_6\text{H}_4$, 76—77; 4- $\text{CH}_3\text{C}_6\text{H}_4$, 83,5—84,5; 3,4-(CH_3) $_2\text{C}_6\text{H}_3$, 89,5—90,5; 3,5-(CH_3) $_2\text{C}_6\text{H}_3$, 85. I испытаны против мышей. Лишь нитросоединения *in vitro* показали слабое действие. Е. Ф.

64876. Окисление кумола под давлением. Такахаши (*キューメンの加壓酸化. 高橋敏郎*), 工業化學雜誌, Kōgō kagaku дзасси, J. Chem. Soc. Japan Industr. Chem. Sec., 1954, 57, № 3, 363—364 (япон.)

60 г кумола (I), т. кип. 151—152°, окисляют O_2 в стальном автоклаве при 60—120° и 20—60 ат в присутствии 180 г 1%-ного Na_2CO_3 и стеарата Na (эмульгатор, 0,1% от общего объема жидкости). Максим. выход гидроперекиси I 35—38% при 60—100° и 40—60 ат или 42—43% при 20 ат. Время, требующееся для получения максим. выхода при 100°, составляет ~3 и ~7 час. при 40—60 и 20 ат соответственно. Стенки сосуда ускоряют окисление. Установлено образование также $\text{C}_6\text{H}_5(\text{CH}_3)\text{C} = \text{CH}_2$ и $\text{C}_6\text{H}_5\text{COCH}_3$.

Chem. Abstr., 1955, 49, 15789. Katsuya Inouye. 64877. Синтез соединений типа α, β -диоксипропиофенона и превращение их в α -дикетоны. Крюгер (*Über die Synthese von Verbindungen vom Typ des α, β -Dihydroxy-propiophenons und deren Umwandlung in α -Diketone. Krüger Karl Heinz*), Chem. Ber., 1956, 89, № 4, 1016—1019 (нем.)

Конденсацией CH_2O с *n*- $\text{RC}_6\text{H}_4\text{COCH}_2\text{OH}$ (Ia—д), здесь и далее $\text{R} = \text{H}$ (а), CH_3O (б), Br (в), C_2H_5 (г), C_6H_5 (д), получены соответствующие *n*- $\text{RC}_6\text{H}_4\text{COCH}(\text{OH})\text{C}_6\text{H}_4\text{COCH}_2\text{OH}$ (IIa—д), которые легко дегидратируются в *n*- $\text{RC}_6\text{H}_4\text{COCOCCH}_3$ (IIIa—д). К смеси 0,025 моля I в 150 мл 66%-ного CH_3OH и 0,05 моля 40%-ного р-ра CH_2O в CH_3OH при 75° добавляют 0,25 г Pb (OH) $_2$, через 15—35 мин. добавляют 2 мл 2 н. H_2SO_4 , быстро охлаждают, избыток H_2SO_4 удаляют CaCO_3 , сгущают в вакууме, получают II (приведены II, выход в %, т. пл. в °C, т. пл. в °C бис-*n*-нитробензоата; IIa, 68, 80,5—81 (из метилата, затем бзл.+ циклогексан), 154; IIб, 47, 108 (из $\text{C}_6\text{H}_5\text{Cl}$), 169—170 (из сп.); IIв (выделяют разбавлением водой), выход 5,6 г, 155—157 (из бзл.+ петр. эф.), 155; IIг, 53, 103 (из $\text{C}_6\text{H}_5\text{Cl}$ +циклогексан), 155; IIд (конденсацию проводят с вдвое меньшими количествами I и CH_2O в 150 мл 90%-ного CH_3OH в присутствии 350 мг CaO , 75 мин., 55°) 62, 152 (из $\text{C}_6\text{H}_5\text{Cl}$), 171 (из $\text{C}_6\text{H}_5\text{Cl}$ +сп.). Для получения III, после проведения конденсации I с CH_2O , отгоняют CH_3OH , добавляют 100 мг 10%-ной H_2SO_4 , кипятят 1 час, II отгоняют с паром (приведены III, выход в %, т. кип. в °C/мм (или т. пл. в °C), т. пл. в °C бис-семикарбазоната; IIIa, 62, 115—117/II, 228; IIIб, 54, (46), 235; IIIв, 60, (46), 251; IIIг (IIIг дегидратируют нагреванием 2 часа в кислоте с безводн. $\text{C}_2\text{O}_4\text{H}_2$), 54,5, 131/11, 250; IIIд (получен аналогично IIIг), 82, (54), 131. Конденсируют 0,2 моля Ia с 0,17 моля CH_2O , реакционную смесь гидрируют (скелетный Ni, 110 ат, 20°), получают α -фенилглицерин, выход 52%, т. пл. 98,5°; трибензоат, т. пл. 152°. Е. Ф.

64878. Изучение реакции Фриделя—Крафта с производными дифенилового эфира. VI. Реакция моно-

хлордифенилового эфира с хлористым ацетилом. К. Имото, Асаки, Киси (Diphenyl Ether 誘導體に於ける Friedel-Crafts 反應. 第6報. Monochlorodiphenyl ether と鹽化アセチルの反應. 木本正七郎, 浅木邦博, 貴志修三), 藥學雜誌, (Якугаку дзасси, J. Pharmac. Soc. Japan, 1954, 74, № 4, 358—360 (япон.; рез. англ.))

Установлено, что при конденсации CH_3COCl с 2,3-или 4-хлордифениловыми эфирами (Ia, б, в) в присутствии AlCl_3 заместитель вступает в положение 4 с образованием 2-, 3-или 4- $\text{ClC}_6\text{H}_4\text{COC}_6\text{H}_4\text{COCH}_3$ (IIa, б, в). К 3 г Iв в 15 мл CS_2 прибавляют 1,26 г CH_3COCl в 3 мл CS_2 , вносят 2,3 г AlCl_3 при 0°, через ~12 час. нагревают 4 часа при 30—50°, извлекают эфиром, перегонкой выделяют IIв, выход колич., т. кип. 165—171°/4 мм, т. пл. 63—65° (из сп.); семикарбазон, т. пл. 193—194°. IIв получают также нагреванием (1 час, 180°, 1 час, 200°) 4 г $n\text{-ClC}_6\text{H}_4\text{Br}$, 3,4 г $n\text{-KOC}_6\text{H}_4\text{COCH}_3$ и 0,2 г Cu с последующим извлечением эфиром и перегонкой. Аналогично из 4 г Ia, 1,7 г CH_3COCl и 3 г AlCl_3 получают 3,5 г IIa, т. пл. 49—50°; семикарбазон, т. пл. 209° (из сп.). IIa синтезируют также следующим путем: 10 г 2- $\text{NO}_2\text{C}_6\text{H}_4\text{OC}_6\text{H}_4\text{COCH}_3$ в 150 мл спирта восстанавливают 11 г Fe, 37 г воды и 0,73 мл CH_3COOH (8 час., ~100°), выход 2- $\text{NH}_2\text{C}_6\text{H}_4\text{OC}_6\text{H}_4\text{COCH}_3$ (III) 8 г, т. пл. 96—97; 4 г III диазотируют 1,3 г NaNO_2 в 20 мл конц. HCl и 20 мл воды при 0—5°, прибавляют диазораствор к CuCl (7,5 г CuSO_4 , 2,5 г NaCl, 2,5 г NaHSO_3 и 1 г NaOH), извлекают эфиром IIa, промывают щелочью и водой, т. кип. 161—170°/3,5 мм. Аналогично из Iб получен IIб, т. кип. 170—172°/3,5 мм; семикарбазон, т. пл. 162—164°, а также диазометодом из 3- $\text{NH}_2\text{C}_6\text{H}_4\text{OC}_6\text{H}_4\text{COCH}_3$ (т. пл. 93—94°), семикарбазон, т. пл. 164—165°. IIб при окислении KMnO_4 дает 3- $\text{ClC}_6\text{H}_4\text{OC}_6\text{H}_4\text{COOH}$ -4, т. пл. 134—136°. Нагревают 3 г 2,4- $\text{ClBrC}_6\text{H}_3\text{CH}_3$, 2,3 г $\text{C}_6\text{H}_5\text{OH}$, 1,2 г KOH и 0,5 г Cu (2 часа 180—200°, 1 час 220°), извлекают эфиром 2 г 3,4- $\text{Cl}(\text{CH}_3)_2\text{C}_6\text{H}_3\text{OC}_6\text{H}_5$, т. кип. 164—169°/7 мм, который при окислении KMnO_4 дает 3,4- $\text{Cl}(\text{HOOC})\text{C}_6\text{H}_3\text{OC}_6\text{H}_5$, т. пл. 160°. Сообщение V см. РЖХим, 1956, 16000.

Chem. Abstrs, 1955, 39, 5373. K. Kitsuta 64879. Метилendioксисбензоины. Сообщение III. Действие брома на димер метилendioксисбензоина. Фицсельман, Мейзель (Über Methylenedioxybenzoin, III. Mitteilung: Über die Einwirkung von Brom auf das dimere Methylenedioxybenzoin. Fieselselmann Hans, Meisel Fritz), Chem. Ber., 1956, 89, № 3, 657—670 (нем.).

При бромировании 2,5,6-трифенил-2-бензоил-2,3-дигидропирана (I) в органич. р-рителях рассчитанным кол-вом Br_2 образуется 5-бром-6-окси-2,5,6-трифенил-2-бензоилтетрагидропиран (II), превращающийся при нагревании с CH_3COOH в описанное ранее в-во (III), т. пл. 212°; диоксим, т. пл. 237° (см. сообщение II, РЖХим, 1956, 54391). Строение II доказано образованием при его р-ции с р-ром AgNO_3 5,6-диокси-2,5,6-трифенил-2-бензоилтетрагидропирана (IV), дающего дицетат (IVa) и окисляющегося CrO_3 в CH_3COOH в 4-бензотлокси-1,4,5-трифенилпентадион-1,5 (V), получающийся также при окислении I. При восстановлении II Zn-пылью в CH_3COOH в результате дебромирования и гидролиза образуется 4-окси-1,4-дифенил-1,4-дигидропиран (VI), полученный также гидролизом I спирт. р-ром HCl. При нагревании II с горячим р-ром NaOH в CH_3OH или с K_2CO_3 в ацетоне образуется 5,6-оксидо-2,5,6-трифенил-2-бензоилтетрагидропиран (VII), изомеризующийся при нагревании с CH_3COOH или с сухим ацетоном в присутствии K_2CO_3 в в-во, т. пл. 235°, являющееся, повидимому, пространственным изомером VII. VII гидролизует горячий CH_3COOH , содержащий H_2SO_4 , в IV, а IV, в свою очередь, при действии Br_2 в CHCl_3 превращается в VII. При бромиро-

вании I в сухом CH_2Cl_2 при —15° получено легко разлагающееся промежуточное в-во, превращающееся при нагревании в метилпроизводное II (VIII), образующийся также при р-ции I с N-бромсукцинимидом (IX) в CH_3OH ; при взаимодействии I с IX в CH_3COOH получается II; в CCl_4 образуется 4-бром-2,5,6-трифенил-2-бензоил-2,3-дигидропиран (X). VIII и X, также как и II, при нагревании с CH_3COOH превращаются в III. При кратковременном нагревании IV в CH_3COOH в присутствии HBr получен 1,4-дифенил-1,4-дигидропиран-1,3 (XI), окисляющийся CrO_3 в р-ре $(\text{CH}_3\text{CO})_2\text{O}$ в бензил, а при действии Br_2 в CH_3COOH , превращающийся в III. Предположено, что III является 1-(фенилбензоилметил)-2-окси-3-бензоилпентеном. Очевидно, что XI является общим промежуточным продуктом при образовании III, также и из II, VIII и IX. Предположенное строение III подтверждается образованием $\text{C}_6\text{H}_5\text{COOH}$ и бензила при озонировании III и при его окислении CrO_3 в CH_3COOH . Предложен аналогичный механизм образования III из 1,4-дифенил-1,4-дигидропиран-1,3 и 1-(фенилбензоилметил)-2-бром-3-бензоилпентена. К р-ру 0,02 моля I в 0,45 л CH_3COOH приливают по каплям 0,02 моля Br_2 в 20 мл CH_3COOH , р-р концентрируют и получают II, т. пл. 133 (из $(\text{CH}_3\text{CO})_2\text{O}$ или ксилола); к охлаждаемому р-ру 0,03 моля I в 50 мл CCl_4 приливают по каплям 0,03 моля Br_2 в 10 мл CCl_4 и получают II, выход 42,5%; к р-ру 0,01 моля I в 50 мл CH_3COOH добавляют при 60° 0,01 моля IX и отделяют II, выход 90,3%. 1 г II кипятят с 20 мл CH_3COOH , отфильтровывают осадок, т. пл. 243° (из $(\text{CH}_3\text{CO})_2\text{O}$), фильтрат разбавляют водой и получают III, выход 37%, К 0,05 моля II в 0,1 л ацетона добавляют 0,05 моля AgNO_3 в 10 мл воды, р-р нагревают 30 мин. при 100°, осаждают избыток AgNO_3 р-ром KBr, фильтрат концентрируют и получают IV, т. пл. 219—220° (из ксилола); IVa, т. пл. 256° (из CH_3OH). К суспензии 0,005 моля IV в 0,1 л CH_3COOH постепенно приливают при 70° р-р 0,01 моля CrO_3 в 0,1 л CH_3COOH , размешивают 1 час, концентрируют до 50 мл, добавляют 0,2 л воды и отфильтровывают V, выход 40%, т. пл. 116° (из CH_3OH). 1 г II в 0,15 л CH_3COOH нагревают 1 час с 2 г Zn-пыли и получают VI, выход 28,3%, т. пл. 246° (из диоксана). К р-ру 0,01 моля II в 0,5 л кипящего CH_3OH приливают 20 мл 10%-ного р-ра NaOH в CH_3OH , кипятят 1 час и получают VII, выход 74%, т. пл. 168° (из CH_3OH); 2 г II в 50 мл ацетона и 2 г K_2CO_3 кипятят 1 час и получают VII, выход 92%; к р-ру 1 г IV в 0,2 л CHCl_3 приливают по каплям 0,5 г Br_2 в 5 мл CHCl_3 , смесь нагревают 0,5 часа, оставляют на несколько часов, отгоняют CHCl_3 и получают изомер VII, выход 88,5%, т. пл. 235°. К 0,01 моля I в 40 мл CH_2Cl_2 постепенно приливают при т-ре от —10° до —15° р-р 0,01 моля Br_2 в 10 мл CH_2Cl_2 , отгоняют р-ритель при 20° и получают VIII, выход 60%, т. пл. 171° (из CH_3OH); к 0,01 моля I в 150 мл CH_3OH добавляют 0,01 моля IX и отфильтровывают VIII, выход 96%. Смесь 0,01 моля I, 0,01 моля IX и 0,1 г $(\text{C}_6\text{H}_5\text{CO})_2\text{O}$ в 30 мл CCl_4 кипятят, охлаждают до 50°, отфильтровывают осадок, р-р концентрируют и получают X, выход 54%, т. пл. 170° (из CH_3COOH); 1 г IV в 60 мл CH_3COOH и 10 мл 48%-ной HBr кипятят 0,5 часа, отгоняют ~40 мл CH_3COOH и отфильтровывают XI, выход 59%, т. пл. 124—125° (из CH_3COOH); оксим, т. пл. 178° (из CH_3OH). К 0,0033 моля XI в 0,1 л $(\text{CH}_3\text{CO})_2\text{O}$ добавляют (10 мин., 65°) 1,3 г CrO_3 , смесь нагревают 1 час при 70°, 0,5 часа при 100°, разбавляют водой, продукт растворяют в C_6H_6 , хроматографируют на Al_2O_3 и выделяют бензил, выход 64%, т. пл. 94°. Д. В. 64880. Сопряжение двойной связи с ароматическим ядром. XXX. Реакции конденсации с хлоримидами (ис

пользование оксимов в качестве исходных продуктов). Мадроньеро, Альварес, Лора-Тамayo (Conjugación de un doble enlace con un nucleó aromático. XXX. Reacciones de condensación con iminocloruros (empleo de oximas como compuestos precursores). M. adroñero R., Alvarez E. F., Lora-Tamayo M.) An. Real. soc. española fis. y quim., 1955, B51, № 7—8, 465—468 (исп.; рез. англ.)

В продолжение прошлой работы (см. сообщение XXIX. РЖХим, 1956, 29021) показана возможность использования альдоксимов: ацетальдоксима (I), бензальдоксима (II), вератральдоксима (III), пиперональдоксима (IV) и динамальдоксима (V) как источников хлориминов, используемых в качестве диенофилов в конденсации с диенами: изосафвролом (VI) и метилизоэвгенолом (VII). Во всех случаях получены в соответствии с синтезом Дильса — Альдера аддукты — производные 3,4-дигидроизохинолина. К смеси 0,02 моля диена и 0,025 моля альдоксима прибавляют 20 мл толуола и 10 мл POCl_3 , кипятят 1—2 часа, избыток POCl_3 разлагают ледяной водой, промывают эфиром, водн. слой подщелачивают и экстрагируют эфиром, из эфирной вытяжки током сухого HCl осаждают хлоргидрат аддукта, кристаллизуют из смеси абс. спирт + абс. эфир. Даны: диен, филодиен, конечный продукт, т. пл. в °C: VI, I, 1,3-диметил-6,7-метилendioкси-3,4-дигидроизохинолин, 220—221; VI, II, 1-фенил-3-метил-6,7-метилendioкси-3,4-дигидроизохинолин, 206—208 (разл.) (см. ссылку выше); VI, III, 1-(3',4'-диметоксифенил)-3-метил-6,7-метилendioкси-3,4-дигидроизохинолин (VIII), 195—197; VI, IV, 1-(3',4'-метилendioксифенил)-3-метил-6,7-метилendioкси-3,4-дигидроизохинолин (IX), 187—188; VII, V, 1-стирил-3-метил-6,7-метилendioкси-3,4-дигидроизохинолин, 197—198; VII, I, 1,3-3-диметил-6,7-диметокси-3,4-дигидроизохинолин 216—217; VII, III, 1-фенил-3-метил-6,7-диметокси-3,4-дигидроизохинолин, 203—205; VII, III, 1-(3',4'-диметоксифенил)-3-метил-6,7-диметокси-3,4-дигидроизохинолин, 184—186; VII, IV, 3-метил-1-(3',4'-метилendioксифенил)-6,7-диметокси-3,4-дигидроизохинолин (X) 190—191; VII, V, 3-метил-1-стирил-6,7-диметокси-3,4-дигидроизохинолин, V, 194—195. Строение VIII, IX и X подтверждено ароматизацией до соответствующих известных изохинолинов.

Э. Г. 64881. Арилеульфозиферы хиноноксимов. Бурмистров С. Н., Титов Е. А., Укр. хим. ж., 1956, 22, № 2, 223—228

Взаимодействием 1,4-бензохиноноксима (I) с AgSO_2Cl в присутствии пиридина (II) получены $\text{O}=\text{C}_6\text{H}_4=\text{NOSO}_2\text{Ag}$ (III). К смеси I и $n\text{-C}_3\text{H}_7\text{C}_6\text{H}_4\text{SO}_2\text{Cl}$ (по 0,06 моля) в 100 мл ацетона прибавляют постепенно 10 мл II, перемешивают еще 30 мин., прибавляют воду и отделяют III ($\text{Ag} = n\text{-C}_3\text{H}_7\text{C}_6\text{H}_4$), выход ~100%, т. пл. 134,5° (из водн. ацетона и сп.) (метод А). К р-ру 6,2 г I в 15 мл II прибавляют р-р 12,5 г $n\text{-ClC}_6\text{H}_4\text{SO}_2\text{Cl}$ в 25 мл II, после обычной обработки выделен III ($\text{Ag} = n\text{-ClC}_6\text{H}_4$), т. пл. 138—139° (из сп.) (метод Б). Аналогично получены (указаны в-во, метод синтеза, т. пл. в °C; в скобках р-ритель): III ($\text{Ag} = 2,5\text{-Cl}_2\text{C}_6\text{H}_3$), Б, 131 (дихлорэтан); III ($\text{Ag} = m\text{-NO}_2\text{C}_6\text{H}_4$), А, 152,5 (ацетон, сп.); 2,5-толухинон-5-оксимбензолсульфонат, Б, 158 (бzl.); 2,5-толухинон-5-оксим-*n*-хлорбензолсульфонат, Б, 128 (сп.); 2,5-тимохинон-2-оксимбензолсульфонат, 79—80 (сп.); 2,5-тимохинон-2-оксим-*n*-хлорбензолсульфонат, 100 (сп.). Все полученные в-ва дают положительную идиофенольную р-цию. Распределительной хроматографией на бумаге продуктов идиофенольной р-ции показано, что при этом образуются идиофенолы.

Я. К. 64882. Синтез 3,4-диметилбензонитрила. Тэракава, Оуги, Дзэнино, Наканиси, Умйо (3,4-ジメチルベンズニトリルの合成. 寺川敏治, 大内肇,

輝野久直, 中西和夫, 海尾澄則), 薬学雑誌, Якугакудзасси, J. Pharmas. Soc. Japan, 1954, 74, № 3, 312—315 (япон.; рез. англ.)

3,4-(CH_3)₂ $\text{C}_6\text{H}_3\text{CN}$ (I) получен bromированием *o*-ксилола с последующей р-цией 3,4-(CH_3)₂ $\text{C}_6\text{H}_3\text{Br}$ (II) с CuCN . Побочно образуется 2,3-(CH_3)₂ $\text{C}_6\text{H}_3\text{CN}$. 100 г смеси II и 2,3-(CH_3)₂ $\text{C}_6\text{H}_3\text{Br}$ (4:1), 61 г CuCN и 10—15 г I как катализатора кипятят 30 мин. при 120° и 2 часа при 240°, извлекают $\text{C}_6\text{H}_5\text{CH}_3$, перегоняют в вакууме, остаток перекристаллизуют из CH_3OH , получают I, выход 61,7%, т. кип. 123—128°/20 мм, т. пл. 65—66°. 1 г 3,4-(CH_3)₂ $\text{C}_6\text{H}_3\text{COOH}$ (III) кипятят 3 часа с 80 мл 5%-ного KMnO_4 и 3 мл 10%-ного NaOH , подкисляют H_2SO_4 , добавляют Na_2SO_4 , извлекают эфиром $\text{C}_6\text{H}_5(\text{COOH})_{2-1,3,4}$, т. пл. 238° (разл.). Аналогично 2,3-(CH_3)₂ $\text{C}_6\text{H}_3\text{COOH}$ (IV) дает $\text{C}_6\text{H}_5(\text{COOH})_{2-1,2,3}$, т. пл. 197°. Из маточного р-ра от I перегонкой выделяют 22 г масла (MC), т. кип. 104—110°/14 мм, которое кипятят 1 час с 110 мл 75%-ной H_2SO_4 , выливают в воду, получают 2,1 г III, т. пл. 162°, и 1,2 г IV, т. пл. 142°. При кипячении 10 г MC 50 мл 10%-ного NaOH 6—8 час. и охлаждении получают 2,3-(CH_3)₂ $\text{C}_6\text{H}_3\text{CONH}_2$, т. пл. 156°.

Chem. Abstrs, 1955, 49, 3078.

K. Kitsuta.

64883. Оптически активные антагонисты ауксина. Мателль (Optically active auxin antagonists. Matell Magnus), Arkiv. kemi, 1956, 9, № 2, 157—162 (англ.)

Рацемические α -(2,4,6-трихлорфенокси)-(I), т. пл. 113,5—115,5° (из бzl.) и α -(2-изопропил-4-хлор-5-метилфенокси)-(II), т. пл. 102—104,5° (из 85%-ной HCOOH)-пропионовые к-ты разделены на (+)-(а) и (—)-(б) формы, обладающие свойствами антиауксина, причем (—)-формы активнее (+)-форм. Соль (—)- β -фенилизопропиламина (III) и Ia образуют частичный рацемат, т. пл. 179°, с солью III и Ib. Определением изменения $[\alpha]_D^{25}$ в различных р-рителях показано, что Ia принадлежит к D-серии. Ia, т. пл. 125—126° (из бzl.) получена разложением ее стрихниновой соли, очищ. кристаллизацией из разб. спирта. Ib, т. пл. 125—126° (из бzl., $[\alpha]_D^{25} = -17,7^\circ$), выделена из маточного р-ра и очищена в виде соли с III кристаллизацией из водн. ацетона. IIa, т. пл. 83—84,7° (из 85%-ной HCOOH), выделена в виде соли с цинхонином из водн. ацетона; IIb, т. пл. 83—84,5° (из 85%-ной HCOOH), — перекристаллизацией морфолиновой соли из водн. спирта. К р-ру 3,45 г Na в 120 мл спирта добавляют 0,15 моля 4-хлортимола и 0,15 моля этилового эфира α -бромпропионовой к-ты, кипятят 2 часа, приливают 200 мл 2 н. р-ра NaOH , кипятят 1 час, отгоняют спирт, остаток подкисляют разб. HCl и получают II, выход 18 г. Приведены $[\alpha]_D^{25}$ D IIa и α -(2,4-дихлорфенокси)-пропионовой к-ты в ацетоне, спирте, CHCl_3 , воде и C_6H_6 .

Д. В.

64884. Количественное изучение реакции восстановления алюмогидридом лития. Восстановление бутенолидов. Рамирес, Рубин (Quantitative studies with lithium aluminum hydride. The Reduction of butenolides. Ramirez Fausto, Rubin Mordecai B.) J. Amer. Chem. Soc., 1955, 77, № 15, 3768—3774 (англ.)

Изучено действие LiAlH_4 на α -метил- γ -фенил- $\Delta^{\alpha\beta}$ -бутенолид (I) и α -метил- γ -фенил- $\Delta^{\beta\gamma}$ -бутенолид (II), синтезированные из β -бензоил- α -метилпропионовой к-ты (III). При действии LiAlH_4 на I получены: β -(оксиметил)-бутирофенон (IV), 2-метил-4-фенилбутандиол-1,4 (V) и *cis*-2-метил-4-фенилбутен-2-диол-1,4 (VI). Из продуктов восстановления II выделены IV и V. Авторы считают, что образование из I и II общих продуктов р-ции IV и V предполагает образование общего аниона А, через



который протекает взаимное превращение I и II. Восстановление I может проходить либо непосредственно, либо через A. Показано, что литийалюминиевый комплекс, при гидролизе которого образуется IV, восстанавливается избытком LiAlH_4 труднее других комплексов, что ведет к накоплению IV в продуктах р-ции. Изменение времени р-ции мало сказывается на кол-ве образовавшегося IV, которое съедает максим. при 0,5 моля LiAlH_4 на 1 моль бутенолида. Р-р 65 г KCN в 100 мл воды прибавлен к р-ру 64 г кротонофенона в 450 мл спирта и 29 мл CH_3COOH при 55°, спирт отогнан, остаток нагрет 3 часа с р-ром 90 г NaOH, через 12 час. подкислением 150 мл конц. HCl выделена III, выход 60 г, т. пл. 140—141° (из хлф. + CCl_4), 2,4-динитрофенилгидразон (ДНГ), т. пл. 130—131° (из CH_3OH + этилацетат). Смесь 10 г III, 40 мл $(\text{CH}_3\text{CO})_2\text{O}$, 40 мл CH_3COOH и 10 капель конц. H_2SO_4 оставлена при ~18° на 24 часа, выход I 34%, т. пл. 226—227° (из хлф. + CCl_4). Нагреванием 0,1 г I с 10%-ным KOH получено 0,07 г III. Нагреванием (3 часа, 100°) 10 г III и 40 мл $(\text{CH}_3\text{CO})_2\text{O}$ с последующим прибавлением к охлад. смеси р-ра Na_2CO_3 получен II, выход 77%, т. пл. 84—86° (из эф.). IV (с примесью изовалерифенона) получен при стоянии (5 часов, 18°) 4 г II с 1,5 г LiAlH_4 в 125 мл эфира, выход 43%, т. кип. 78° (т-ра бани)/0,0002 мм. IV, т. пл. 126—127° (из CH_3OH + этилацетат). 3,5-динитробензоат (ДНБ) IV, т. пл. 86—87° (из сл.). Кипячением 2,5 г IV с 3 г LiAlH_4 в 125 мл эфира получено 1,9 г V, т. пл. 75—76° (из CCl_4), бис-ДНБ, т. пл. 165,6—167,4° (из хлф. + CCl_4). При окислении 100 мг V CrO_3 в пиридине выделено 30 мг III. Действием 250 мл 0,134 M р-ра LiAlH_4 в эфире на 4,9 г I получено 3,1 г VI, т. пл. 148,8—149,9° (из этилацетата + гексан); моно-ДНБ VI, т. пл. 162,9—163,4° (из хлф. + CH_3OH). При стоянии (24 часа, 18°) 240 мг VI с 720 мг CrO_3 в 10,2 мл пиридина получено 95 мг I. Кипячением 2 часа 200 мл 0,11 M LiAlH_4 с 1,5 г *trans*- β -бензоил- α -метилакриловой к-ты получен с выходом 20% *trans*-2-метил-4-фенилбутен-2-диол-1,4, т. пл. 114—115,8° (из хлф. + CCl_4). Так же из 5 г β -бензоил- α -метилпропионовой к-ты и 3 г LiAlH_4 в 150 мл эфира получен 2-метил-4-фенилбутандиол-1,4, выход 9%, т. пл. 97,2—97,6° (из CCl_4). Действием 1,3 г LiAlH_4 на 1,7 г *cis*- β -бензоил- α -метакриловой к-ты в 200 мл эфира получено 0,07 г VI. Взаимодействием β -бензоилпропионовой к-ты со смесью $(\text{CH}_3\text{CO})_2\text{O}$ и CH_3COOH (1:1) с примесью конц. H_2SO_4 синтезирован γ -фенил- $\Delta^8\gamma$ -бутенолид (VII), т. пл. 89—90° (из лигр.). Во всех опытах по гидрированию I и II LiAlH_4 непрореагировавшее вещество возвращается в виде I, так как алюминат лития быстро изомеризует II в I. Приведены УФ- и ИК-спектры II, IV, ДНГ III и IV, VII, ИК-спектры I, V, ДНБ IV и VI.

А. 3.
64885. Синтез β -(4-окси-2-метилфенокси)-молочной кислоты — метаболита мепенезина. Людвиг, Луте, Уэст (Synthesis of β -(4-hydroxy-2-methylphenoxy)-lactic acid, a metabolite of mephensin. Ludwig B. J., Luts H., West W. A.), J. Amer. Chem. Soc. 1955, 77, №21, 5751—5753 (англ.)

Описан синтез β -(4-окси-2-метилфенокси)-молочной к-ты (I) хромогенн. метаболита мепенезина (3-о-толил-оксипропандиола-1,2). В 2,5-(HO) $_2\text{C}_6\text{H}_3\text{CH}_3$ (II) HO-группа в положении 5 защищена превращением II в (4-окси-3-метилфенил)-тетрагидропиранильный-2' эфир (III). Последний р-цией с $\text{ClCH}_2\text{CHONHCOOH}$ (IV) и последующим гидролизом переведен в I, идентичную выделенной из человеческой мочи (Riley, J. Amer. Chem. Soc., 1950, 72, 5712). Строение III, а следовательно и I, подтверждено бензилрованием III ($\text{C}_6\text{H}_5\text{CH}_2\text{Cl}$, водн. NaOH) и гидролизом продукта р-ции до известного 2-бен-

зилокси-5-окситолуола, т. пл. 69,5—70,5° (из лигр.). При попытке синтезировать I непосредственно р-цией II с IV в присутствии NaOH получена смесь I и β -(4-окси-3-метилфенокси)-молочной к-ты (V) с преобладанием V. I и V имеют одинаковые λ_{max} и λ_{min} в УФ-спектрах, одинаково ведут себя по отношению к хроматографич. разделению и цветной р-ции по Эрлиху. 0,2 моля дигидропирана (VI) прибавляют при перемешивании и охлаждении (25—30°) к 0,1 моля II в 100 мл диоксиана + 2 капли конц. HCl, оставляют на 3 часа (т-ра поднимается до 60°), добавляют эфир, извлекают 10%-ным NaOH, водн. р-р нейтрализуют CO_2 , разбавляют водой, извлекают CCl_4 , р-р в CCl_4 концентрируют в вакууме, получают III, выход неочищ. 26%, т. пл. 90—91,5° (из эф. + лигр. в присутствии VI). 0,02 моля III в 12 г 10%-ного NaOH и 0,01 моля IV кипятят 3 часа, насыщают CO_2 , извлекают эфиром, водн. р-р подкисляют HCl, насыщают Na_2SO_4 , извлекают эфиром I, выход 11%, т. пл. 168—169° (из бzl. + эф., затем нитропропана). 0,2 моля II в р-ре с NaOH в 100 мл воды, 0,1 моля IV кипятят 2 часа, насыщают CO_2 , эфиром извлекают 19,5 г II водн.-р-р упаривают в вакууме, подкисляют, извлекают эфиром смесь II и VII, удаляют возгонкой в вакууме выход неочищ. V 20%, т. пл. 121—122° (из нитропропана).

Е. Ч.
64886. Реакция этилового эфира ацетилбензолуксусной кислоты и его А-метилового эфира с анилином. Сerratosa (Reacción del éster de acetilbenzoyl-lactico ysu A-metileter con la anilina. Serratosa F. l. i. x), An. Real. soc. española fis. u quim., 1955, B51, № 11, 619—622 (исп.; рез. англ.)

Этиловый эфир ацетилбензолуксусной к-ты (I) реагирует с анилином (II) в присутствии хлоридрата PI (III) при 100° (1 час) или ~20° 24 часа) с образованием помимо бензанилида (IV) этилового эфира α -бензоил- β -анилинокротоновой к-ты (V), строение которого подтверждено: 1) синтезом из этилового эфира α -бензоил- β -метоксикротоновой кислоты (VI) и II при комнатной температуре; 2) образованием дифенилмочевины и $\text{C}_6\text{H}_5\text{COCH}=\text{C}(\text{NHC}_6\text{H}_5)_2\text{CH}_3$ при кипячении (5 час.) VI с II. В отсутствие III I реагирует с II при обычной т-ре (24 часа), образуя $\text{C}_6\text{H}_5\text{COCH}_2\text{COOC}_2\text{H}_5$, ацетанилид, немного IV и 1,3-дифенилпиразолона-5, аналогичные продукты образуются при ведении р-ции между I и II. V циклизуется в кипящем дифениловом эфире с образованием 4-окси-2-метил-3-бензоилхинолина (VII). Смесь 2,48 г VI, 0,92 г II оставляют на 24 часа при ~20°, получают V, выход колич., т. пл. 61,5° (из петр. эф.). 1,15 г V кипятят 30 мин. в 10 мл дифенилового эфира, получают 0,9 г VII, т. пл. 289° (из сл.); O-метилового эфира т. пл. 218° (из CH_3OH).

Э. Г.
64887. Получение натриевой соли фенилглицидной кислоты. Колонж, Ле-Сек, Маре (Préparation du phénylglycidate de sodium (note de laboratoire). Colong Jean, Le Sech Elie, Marey Robert), Bull. Soc. chim. France 1956, № 5, 813—814 (франц.)

Натриевая соль фенилглицидной к-ты (I) получена по схеме: $\text{C}_6\text{H}_5\text{CH}=\text{CHCHO}$ (II) + $2\text{NaOBr} + \text{NaOH} \rightarrow \text{I} + 2\text{NaBr} + \text{H}_2\text{O}$. Для р-ции берут р-р NaOH и точное кол-во NaBr; необходим небольшой избыток NaOBr; присутствие в шел. среде акцентора кислорода (напр., II) сдвигает равновесие $\text{NaOCl} + \text{NaBr} \rightleftharpoons \text{NaOBr} + \text{NaCl}$ в сторону образования NaOBr, отдающему кислород легче, чем NaOCl. К 15 г NaBr в 40 мл воды добавляют 490 мл 0,915 M NaOCl, 9,5 г NaOH, охлаждают до 17°, постепенно при размешивании вносят 24 г II (<50°), перемешивают еще до установления 17°, оставляют на 12 час., получают I, выход 74%. Добавляя смесь 825 мл 1,91 M NaOCl, 1107 мл воды, 235 г р-ра NaBr (76,5 г NaBr) и 90 г 33%-ного NaOH

к 100 е II (20—30 мин., $<40^\circ$), и дальше обрабатывая как в предыдущем опыте, получают I с выходом 80%.

А. К.

64888. Новый метод получения надбензойной кислоты. Кергомар, Бигу (Une nouvelle préparation de l'acide perbenzoïque. Kergomard A., Bigou J., m-lle), Bull. Soc. chim. France, 1956, № 3, 486—487 (франц.)

Разработан новый метод получения C_6H_5COOOH (I) взаимодействием H_2O_2 или Na_2O_2 с хлористым бензоилом (II). К охлажд. от -5 до -10° смеси конц. р-ра 1,6 моля $NaOH$, 135 мл воды и 0,3 мл спирта постепенно приливают 88 мл 30%-ного р-ра H_2O_2 , поддерживая $t-py <10^\circ$, или к холодному ($<10^\circ$) р-ру 0,77 моля Na_2O_2 в 350 мл воды приливают 0,3 л спирта, добавляют по каплям при $3-5^\circ$ 0,5 моля II, р-р нейтрализуют по метилоранжу 10%-ной H_2SO_4 , отделяют перекись бензоила и извлекают $CHCl_3$ I, выход 55,5—57 г. Д. В. 64889. Получение некоторых 4-пропоксифенилалкилкетонов. Ханниг (Zur Darstellung einiger 4-Propoxyphenyl-alkylketone. Hannig Egon), Arch. Pharmazie, 1955, 288/60, № 11—12, 560—563 (нем.)

Получены 4-пропоксифенилалкилкетоны $4-C_3H_7OC_6H_4COR$ (I), являющиеся исходными в-ми для синтеза α -алкилламещ. 4-пропокси- β -пиридилпропиофенона (фаликан). I ($R = C_2H_5$) и I ($R = n-C_3H_7$) р-цией Манниха превращены в 4-пропокси- α -метил- и 4-пропокси- α -этил- β -пиридилпропиофеноны (II, III). 1 моль $H-C_6H_4OC_6H_4$ (т. кип. $188-192^\circ$) кипятят 30 мин. с соответствующими $RCOCl$ (50%-ный избыток) в присутствии 0,05 моля безводн. $ZnCl_2$ до прекращения выделения HCl , разлагают ледяной водой, I перегоняют в вакууме (указаны R, выход в %, т. кип./мм в $^\circ C$, т. пл. в $^\circ C$, т. пл. в $^\circ C$ оксима): C_2H_5 , 57, 193/40, 28—29, 86; $n-C_3H_7$, 66, 213—215/60, 30—31, 61; $n-C_4H_9$, 44,5, 193—198/15, 20—21, 58; $n-C_6H_{13}$, 30,6, 217—221/15, 31—32, 53,5. Строение I подтверждено омылением (20%-ная HNO_3 , кипячение 10 час.) до $4-C_3H_7OC_6H_4COOH$, т. пл. $142-143^\circ$ (из водн. сп.) К горячему р-ру 24,3 г хлоргидрата (XG) пиридина добавляли за 30 мин. 10 г параформа и 38,5 г I ($R = C_2H_5$), кипятят 1 час, добавляют 6 г параформа и нагревают 2 часа, отгоняют спирт в вакууме, получают XG II, выход 10,8%, т. пл. $161-162^\circ$ (из сп. + эф.). Аналогично из I ($R = n-C_3H_7$) получен XG III, выход 13%, т. пл. $137-138^\circ$ (из эф.). Е. Ч.

64890. Синтезы n -аминоацилизовых кислот, ее производных и аналогичных соединений восстановлением никелем Ренея. I. Судзуки (Raney nickel を觸媒とするパラミノサリチル酸, 同誘導體並びにその類似體の合成. 第1報. 鈴木信), 藥學雜誌, Якугаку даасси, J. Pharm. Soc. Japan, 1954, 74, № 7, 703—706 (япон.; рез. англ.)

Гидрированием со скелетным Ni эфиров 2,4- $HO(NO_2)-C_6H_3COOR$ (I), где R = алкил, аралкил или металл (Na, Ca, Ba), с хорошими выходами получены соответствующие 2,4- $HO(NH_2)C_6H_3COOR$ (II). Смесь 1 моля I ($R = Na$) и $C_6H_5CH_2Cl$ обрабатывают (порциями) 1,3 моля $POCl_3$ при $100-130^\circ$, получают I ($R = C_6H_5CH_2$), выход 43%, т. пл. $71-72^\circ$. Гидрированием I в CH_3OH , спирте или C_6H_6 со скелетным Ni при $50-80^\circ$ и 20—60 ат получают следующие II (даны R, выход в % и т. пл. в $^\circ C$): C_6H_5 (IIa), 90, 147—148; $o-C_6H_4OC_6H_4$ (IIб), 90, 139—140,5; $m-C_6H_4OC_6H_4$ (IIв), 92, 138; 2- $(CH_3)_2CH-5-CH_3C_6H_3$ (IIг), 80, 139—139,5; 4- $(CH_3)_2CH-3-CH_3C_6H_3$ (IIд), 76, 153; $C_6H_5CH_2$, 48, 100—101. Антибактериальное действие IIa и IIв in vitro против туберкулезных палочек (H_3Rv) в 5 раз, а IIб — в 3,3 раза сильнее по сравнению с II ($R = Na$); в случае штамма $H_3RvR-SM$ IIa и IIв в 15 раз, а IIб в 7,5 раза сильнее II ($R = Na$). Действие примерно таково по отношению к штамму $H_3Rv-PAS$. Однако действие IIд — изомера IIг

больше в 250 раз по сравнению с II г против штамма H_3Rv и в 200 раз — против $H_3RvR-SM$. Антибактериальное действие 2,4- $HO(NH_2)C_6H_3CONHNH_2$ составляет 1/15 по сравнению с гидразидом изоникотиновой к-ты против штаммов H_3Rv и 1/13 против $H_3RvR-SM$.

Chem. Abstrs, 1955, 49, 11595.

K. Kitsuta.

64891. Ацетиленовые спирты и их производные. VI. Присоединение аминов к фенилэтинилкетонам. Хирао (アセチレンアルコールとその誘導體に関する研究. 第6報. フェニルエチニルケトンとアミン類の反應によるビニルアミン類の合成について. 平尾一郎), 工業化學雜誌, Korë kagaku daassi, J. Chem. Soc. Japan Industr. Chem. Sec., 1954, 57, № 1, 62—64 (япон.)

Различные амины $NHRR'$ легко присоединяются к $C_6H_5COC \equiv CH$ в CH_3OH с образованием соединений общей ф-лы $C_6H_5COCH = CHNRR'$. Используются следующие амины: NH_3 , CH_3NH_2 , $(CH_3)_2NH$, $(C_2H_5)_2NH$, пиперидин, $C_6H_5NH_2$, $n-NH_2C_6H_4SO_2-NH_2$, $(C_6H_5)_2NH$, $(NH_2)_2C = NH$. Выходы составляют 36—97%.

Chem. Abstrs, 1955, 49, 3185.

Katsuya Inouye.

64892. Синтез пластификаторов. I. Синтез сложных эфиров диэтаноланилина и триэтаноланилина. Араи, Ода (可塑劑の合成研究. 第1報. ジエタノールアミンおよびトリエタノールアミンエステル合成. 荒井佳則, 小田良平), 工業化學雜誌, Korë kagaku daassi, J. Chem. Soc. Japan. Industr. Chem. Sec., 1954, 57, № 5, 402—405 (япон.)

Получены сложные эфиры диэтаноланилина и триэтаноланилина следующих к-т: масляной, капроновой, каприловой или каприновой в присутствии избытка к-ты, без катализатора, а атмосфере N_2 при $110-180^\circ$ (4—8 час.), выход 80—90%. Приводят таблицы свойств (кислотные числа, числа омыления, вязкость, т-ра замерзания, n , d и т. д.) и предполагают, что в-ва могут быть применены как пластификаторы.

Chem. Abstrs, 1955, 49, 4323.

Katsuya Inouye.

64893. Конденсация замещенных бензолов с хлоралем. I. Ясуэ, Като (ベンゼン置換體とクロラルの縮合について. 第1報. 安江政一, 加藤義成), 藥學雜誌, 名古屋市立大學藥學部紀要, Якугаку даасси, J. Pharm. Soc. Japan, 1954, 74, № 12, 116—119 (япон.; рез. англ.); Нагоя — сиринцу дайгаку якугаку-бу киё, Bull. Nagoya Univ. Pharm. School, 1954, № 2, 49—52 (япон.)

5 г $n-C_3H_7CONHC_6H_4OCN_3$ (I) и 5 г $Cl_3CCN(OH)_2$ (II) в 15 мл конц. H_2SO_4 перемешивают 30 мин., выливают в ледяную воду, получают $RCH(CCl_3)OH$ (III), $R = 5,2-CH_3CONH(CH_3O)C_6H_3$ (IIIa), т. пл. $236,7^\circ$ (разл. из сп.); из маточного р-ра выделяют R_2CHCCl_3 (IV), т. пл. 240° . Смешивают 15 г I, 7,5 г II и 50 мл конц. H_2SO_4 при 0° , через ~ 12 час. ($<10^\circ$) выливают в ледяную воду, получают 17,5 г IV, 3,5 H_2O (из сп.). 40 г IV в 210 мл лед. CH_3COOH нагревают 3 часа на водяной бане с 170° Zn-пыли, из фильтра удаляют CH_3COOH в вакууме, остаток обрабатывают спиртом, отфильтровывают от в-ва $C_6H_5H_2O_4N_2$, т. пл. $299,5^\circ$ (из C_3H_7OH); из спирт. р-ра выделяют R_2CHCH_3 (V), т. пл. $226,8^\circ$ (из хлф.). 8 г V нагревают несколько часов на водяной бане с 25 мл CH_3COOH и 6,5 мл конц. H_2SO_4 , охлаждением выделяют 4 г (3,6 г дополнительно из маточного р-ра) $[5,2-NH_2(CH_3O)C_6H_3]_2CHCH_3$ (VI), т. пл. 217° (разл. из сп.), т. пл. 129° (после дальнейшей очистки хроматографией). Двазотированием и дезаминированием VI переводят в $(2-CH_3OC_6H_4)_2CHCH_3$ (VII), т. пл. $68,5^\circ$ (из петр. эф.); нагревают (1 час, 80°) 0,5 г VII в 8 мл CH_3COOH с 690 мг CrO_3 , разбавляют водой, извлекают C_6H_6 , пропускают р-р в C_6H_6 через Al_2O_3 из желтого элюата выделяют 0,23 г $[1-(o-метоксифенил)-этил]-n$ -бензохинона, т. пл. $92,3^\circ$ (из петр. эф.); извлечением CH_3OH бесцветного слоя Al_2O_3 выделяют 15 мг $(2-CH_3OC_6H_4)_2CO$, т. пл. $104,6^\circ$. 3 г VII, 45 мл HJ (d 1,7) и

2 мл CH_3COOH кипятят 6 час. с красным Р, нейтрализуют Na_2CO_3 , извлекают C_6H_6 , промывание экстракта р-ром NaOH дает $\text{C}_6\text{H}_5\text{OH}$. IV при термич. разложении, действием спирта. КОН и обработке конц. H_2SO_4 (40°) в результате отщепления 1 моля HCl дает $\text{R}_2\text{C} = \text{CCl}_2$, т. пл. $232-233^\circ$. IV кипятят с 15%-ной HCl , подщелачивают NaOH , получают $[5,2\text{-NH}_2(\text{CH}_3\text{O})\text{C}_6\text{H}_3]\text{C} = \text{CCl}_2$, т. пл. 174° (из бал.).

Chem. Abstrs, 1955, 49, 1665.

K. Kitsuta

64894. Синтез и испытание новых антигистаминных соединений. Пилар-Гарсия-де-Варела (Sintesis y ensayo de nuevos compuestos antihistaminicos. Pilar-Garcia de Varela Ana), Rev. Asoc. Bioquim. Argentina, 1955, 20, № 97, 7-15 (исп.).

С целью изучения антигистаминного действия синтезированы диалкиламиноалкиловые эфиры 4-оксифенилметана $\text{C}_6\text{H}_5\text{CH}_2\text{C}_6\text{H}_4\text{OR}$ -л (даны R, т. пл. хлоргидрата в $^\circ\text{C}$): $(\text{CH}_2)_2\text{N}(\text{C}_2\text{H}_5)_2$ (I), 102; $(\text{CH}_2)_2\text{N}(\text{CH}_3)_2$ (II), 172; и производные 2-алкоксифлуорена (III) (даны алкил (R), т. пл. основания в $^\circ\text{C}$, т. пл. хлоргидрата в $^\circ\text{C}$): $(\text{CH}_2)_2\text{N}(\text{C}_2\text{H}_5)_2$ (IV), —, 204; $(\text{CH}_2)_2\text{N}(\text{CH}_3)_2$ (V), —, 237; $(\text{CH}_2)_3\text{N}(\text{CH}_3)_2$ (VI), 85, 247 (дихлоргидрат); $(\text{CH}_2)_2\text{N}(\text{C}_6\text{H}_5)_2$ (VII), 107, 253; $(\text{CH}_2)_2\text{N}(\text{C}_6\text{H}_5)_2$ (VIII), 110, 238. Определено антигистаминное действие I, II, IV—VIII. Наиболее активный из них II — в 6 раз слабее бенадрила. 90 г безводн. AlCl_3 по порциям добавляют (~ 1 час) к смеси 180 г $\text{C}_6\text{H}_5\text{CH}_2\text{OH}$, 150 г фенола, 300 г петр. эфира (т-ра $< 30^\circ$), перемешивают 0,5 часа, оставляют на 12 час., выливают в смесь льда и HCl , из эфирного слоя выделяют 4-оксифенилметан, т. кип. $200^\circ/4$ мм, т. пл. 85° (из петр. эф. + бал.). Добавляют по каплям при -5° 1 моль SOCl_2 в 2 объемах сухого C_6H_6 или CHCl_3 к диалкиламиноэтанолу в 2 объемах тех же р-рителей, нагревают 3—5 час., получают хлоргидрат N-диалкиламино- β -хлорэтана (IX). 0,05 моля 2-оксифлуорена добавляют при перемешивании к охлажд. р-ру 0,1 моля Na в 50 мл абс. спирта, вводят 0,1 г NaI и 0,055 моля IX (алкил-этил) в 20 мл абс. спирта, кипятят 4 часа, прибавляют 250 мл воды, подкисляют HCl (конго), фильтруют, удаляют спирт, подщелачивают 10%-ным NaOH , экстрагируют эфиром, упаривают, остаток нагревают 0,5 часа при $80^\circ/20-30$ мм, получают IV, выход 70%, т. пл. 54° (из водн. сп. + ацетон), подметилат $(\text{CH}_3)_3\text{N}$ в CHCl_3 , выход 95%. VII и VIII получены действием пиперидина на III (R = $\text{CH}_2\text{CH}_2\text{Br}$), т. пл. $133-134^\circ$, и III (R = $\text{CH}_2\text{CH}_2\text{CH}_2\text{Br}$), т. пл. $97-98^\circ$.

64895. Синтез аммониевых соединений ряда дифенилового эфира. Томота, Такахаши (Diphenyl Ether を基核とする数種のアンモニウム化合物の合成. 富田眞雄, 高橋孝三), 薬学雑誌, Якугаку дзасси, J. Pharm. Soc. Japan, 1953, 73, № 7, 760-763 (япон.; рез. англ.).

С целью испытания курареподобного действия синтезированы динометилаты (ДИМ) 4,4'-бис-(диметиламино)-(I), 4,4'-бис-(диметиламинометил)-(II) и 2-метокс-5,4'-бис-(диметиламинометил)-(III)-дифениловых эфиров. Для сравнения получен ДИМ 4,4'-бис-(диметиламинометил)-дифенила (IV). К 2 г ($n\text{-NO}_2\text{C}_6\text{H}_4$) $_2\text{O}$ и 4 г губчатого Sn в 80 мл спирта добавляют при $\sim 100^\circ$ по каплям конц. HCl . Нагревают 1 час, разбавляют 4 объемами воды, Sn осаждают посредством H_2S , фильтрат концентрируют, фильтруют подщелачиванием NH_4OH , осаждают 1,2 г (C_6H_5) $_2\text{O}$, 3 г параформа, 2,5 г ZnCl_2 и 15 г лед. CH_3COOH при 20° обрабатывают 15 мин. сухим HCl , оставляют на 2 часа, выливают в ледяную воду, извлекают эфиром, вытяжки промывают 5%-ным

Na_2CO_3 и водой, сушат Na_2SO_4 и перегоняют, выход ($n\text{-ClCH}_2\text{C}_6\text{H}_4$) $_2\text{O}$ (VI) 34,4%, т. пл. $62-64^\circ$. 3 г VI порциями прибавляют к 10 мл $(\text{CH}_3)_2\text{NH}$ при 0° , оставляют при $\sim 20^\circ$ в запаянной трубке, удаляют избыток $(\text{CH}_3)_2\text{NH}$, остаток в 5%-ной HCl извлекают эфиром, водн. р-р подщелачивают NaOH , извлекают эфиром, экстракт сушат KOH и перегоняют, получают II, т. кип. $109-125^\circ/0,5$ мм; хлоргидрат, т. пл. 274° ; пикрат $\text{C}_{20}\text{H}_{30}\text{O}_{15}\text{N}_8$, т. пл. $177-178^\circ$. II и CH_3J в CH_3OH нагревают 1 час на водяной бане, удаляют избыток CH_3J , получают ДИМ II $\cdot \text{H}_2\text{O}$, т. пл. 242° , который с AgCl дает хлорметилат II, гигроскопичен, с пикратом Na образует пикрат $\text{C}_{22}\text{H}_{34}\text{O}_{15}\text{N}_8$, т. пл. $171-172^\circ$. В смесь 3 г $n\text{-CH}_2\text{OC}_6\text{H}_4\text{OC}_6\text{H}_4\text{H}_5$, 1,5 г параформа и 2 г ZnCl_2 в 20 мл лед. CH_3COOH пропускают HCl 100 мин. при 40° , обрабатывают, как в случае VI, получают 5 г 2,5-(CH_3O)(Cl- CH_2) $\text{C}_6\text{H}_4\text{OC}_6\text{H}_4\text{CH}_2\text{Cl}$ -л (VII), т. кип. $120-168^\circ/0,05$ мм, т. пл. $79-79,5^\circ$. VII с KMnO_4 дает 2,5- CH_3O -(HOOC) $\text{C}_6\text{H}_4\text{OC}_6\text{H}_4\text{COOH}$ -л, т. пл. 294° . Из 5 г VI и 10 мл $(\text{CH}_3)_2\text{NH}$, как в случае II, получают III, т. кип. $168-175^\circ/0,05$ мм; пикрат, т. пл. 100° . III и CH_3J в CH_3OH дает ДИМ III, т. пл. 215° (из этилацетата). Хлорметилированием дифенила и обработкой продукта $(\text{CH}_3)_2\text{NH}$ синтезируют с плохим выходом ($n\text{-CH}_3$) $_2\text{NCH}_2\text{C}_6\text{H}_4$, т. пл. $136-137^\circ$. 5 г дифенила, 7 г 35%-ного CH_2O и 21 г 45%-ной HBr обрабатывают HBr (газом) 20 час. при 50° , выливают в ледяную воду, масло обрабатывают эфиром и получают 1,5 г ($n\text{-BrCH}_2\text{C}_6\text{H}_4$) $_2$ (VIII), т. пл. $169-170^\circ$ (из ацетона). 2,1 г VIII прибавляют порциями к 9 г $(\text{CH}_3)_2\text{NH}$ и аналогично II получают 1,6 г IV, т. пл. $68-72^\circ$ и $73-75^\circ$ (из водн. CH_3OH); пикрат, т. пл. $224-224,5^\circ$ (разл., из воды). IV с CH_3J в CH_3OH дает 91% ДИМ IV, т. пл. 350° .

Chem. Abstrs, 1954, 48, 6984.

K. Kitsuta.

64896. Синтез основных алкиловых эфиров фенолов. XI. Производные алифатических альдегидов, замещенных в положении 3, и алкилфенилкетонов. Такахаши, Оеика (鹽基性フェノールアルキルエーテル類の合成. 第11報. 3-アルリサルチアルデヒド及びアルキルフェニルケトン誘導体について. 高橋西蔵, 大鹿隆男), 薬学雑誌, Якугаку дзасси, J. Pharm. Soc. Japan, 1954, 74, № 1, 48-51 (япон.; рез. англ.).

С целью изыскания в-в, стимулирующих сокращение матки, синтезированы 2-(C_2H_5) $_2\text{NCH}_2\text{CH}_2\text{O}-3$ -(C_6H_5) $\text{C}_6\text{H}_4\text{CH}=\text{NR}$ (I), где $\text{R} = \text{C}_6\text{H}_5$ (Ia), $\text{R} = 2\text{-CH}_3\text{OC}_6\text{H}_4$ (Ib), $\text{R} = 4\text{-CH}_3\text{OC}_6\text{H}_4$ (Ic), β -диэтил-аминозалифовые эфиры (DЭ) [2-(и 4)-окси-3-аллилфенил-алкилкетонов (II и III), где алкил = CH_3 (IIa, IIIa) и C_2H_5 (IIb, IIIb), а также ДЭ (2-окси-3-аллил-5-метилфенил)-метилкетона (IV). 7 г (2,3- $\text{HO}(\text{C}_6\text{H}_5)_2\text{C}_6\text{H}_4\text{CHO}$ (V) кипятят с 4,8 г $\text{C}_6\text{H}_5\text{NH}_2$ 6 час. в спирте, разгонкой выделяют 8,9 г 2,3- $\text{HO}(\text{C}_6\text{H}_5)_2\text{C}_6\text{H}_4\text{CH}=\text{NR}$ (VI), $\text{R} = \text{C}_6\text{H}_5$ (VIa), т. кип. $157-159^\circ/0,25$ мм. Аналогично 3 г V и 2,8 г 2- $\text{CH}_3\text{OC}_6\text{H}_4\text{NH}_2$ (7 час.) дают 2,8 г VI, $\text{R} = 2\text{-CH}_3\text{OC}_6\text{H}_4$ (VIb), т. кип. $184-185^\circ/0,26$ мм, т. пл. 58° , а 3 г V и 2,8 г 4- $\text{CH}_3\text{OC}_6\text{H}_4\text{NH}_2$ (10 час.) — 4 г VI, $\text{R} = 4\text{-CH}_3\text{OC}_6\text{H}_4$ (VIc), т. пл. $38-39^\circ$, т. кип. $192-193^\circ/0,3$ мм, 7,8 г VIa, 6,7 г (C_2H_5) $_2\text{NCH}_2\text{CH}_2\text{Cl}$ (VII), 0,75 г Na в 35 мл спирта кипятят 10 час., спирт удаляют, из остатка, смешанного с водой, извлекают эфиром 3,1 г Ia, т. кип. $198^\circ/0,09$ мм. Аналогично из 5 г VIb, 3,8 г VII, 0,45 г Na в 20 мл спирта получают 3,6 г Ib, т. кип. $205-207^\circ/0,25$ мм, из 5 г VIc — 3,5 г Ic, т. кип. $213-215^\circ/0,25$ мм. 5 г 2- $\text{HOC}_6\text{H}_4\text{COCH}_3$, 6,7 г $\text{CH}_2=\text{CHCH}_2\text{Br}$ (VIII), 9 г K_2CO_3 и немного KJ в 30 мл ацетона кипятят 12 час., р-ритель удаляют, сильно подщелачивают NaOH , эфиром извлекают 2,7 г 2- $\text{C}_6\text{H}_5\text{OC}_6\text{H}_4\text{COR}$ (IX), где $\text{R} = \text{CH}_3$ (IXa), т. кип. $145-146^\circ/20$ мм. Аналогично из 5 г 2- $\text{HOC}_6\text{H}_4\text{COC}_6\text{H}_5$ и 5 г VIII получают 3,9 г IX, $\text{R} = \text{C}_2\text{H}_5$ (IXb), т. кип. $112-113^\circ/5,5$ мм; из 5 г 2- $\text{HOC}_6\text{H}_4\text{COC}_6\text{H}_7$ и 4,8 г VIII — 2,7 г IX, $\text{R} = \text{C}_3\text{H}_7$ (IXc), т. кип. $123-124^\circ/4$ мм; из 5 г 4- $\text{HOC}_6\text{H}_4\text{COCH}_3$,

и 5,6 г VIII — 4-С₆H₅OC₆H₄COR (X), где R = CH₃ (Xa), т. кип. 119—120°/3 мм; из 5 г 4-НОС₆H₄COC₂H₅ и 5,6 г VIII — 3 г X, R = C₂H₅ (Xб), т. кип. 140—142°/4,5 мм; из 5 г 2,5-(НО)СН₃С₆H₄СОСН₃—4,1 г 2,5-(С₆H₅О)СН₃С₆H₄СОР (XI), R = CH₃, т. кип. 126—127°/5 мм, т. пл. 31°, а из 10 г 2,5-(НО)СН₃С₆H₄СОС₂H₅ — 8,4 г XI, R = C₂H₅, т. пл. 127°/5 мм, т. пл. 42°. Нагреванием (20 час., 110—120°, запаянная трубка) 5 г 2,5-(НО)СН₃С₆H₄СОС₂H₅ 7,4 г VIII, 0,7 г Na в 30 мл спирта, удалением р-рителя, перегонкой с паром из шел. р-ра получено 1,5 г XI, R = C₂H₅, т. пл. 49° (из С₆H₅ОН). 2,7 г IXa подвергают перегруппировке по Кляйзеу (30 мин., 260—270°), обрабатывают NaOH, из подкисленного Н₂SO₄ водн. р-ра эфиром извлекают 2,3 г 2,3-НО(С₆H₅)С₆H₄СОР (XII), где R = CH₃ (XIIa), т. кип. 135—138°/20 мм; п-нитробензоат, т. пл. 79—80°. Подобным образом, из 3,9 г IXб получают 3,1 г XII, R = C₂H₅ (XIIб), т. кип. 100—102°/5 мм; из 5 г Xa — 3,2 г 4,3-НО(С₆H₅)С₆H₄СОР (XIII), где R = CH₃ (XIIIa), т. кип. 164—165°/4 мм, из 5 г Xб — 4,2 г XIII, R = C₂H₅ (XIIIб), т. пл. 65°, а из 5 г XI, R = CH₃ — 4,2 г 2,3,5-(НО)(С₆H₅)СН₃С₆H₄СОСН₃ (XIV), т. кип. 103—105°/5 мм, п-нитробензоат, т. пл. 81°. 7,8 г XIIa, 7,8 г VII, 1, 2 г Na в 50 мл спирта нагревают 5 час. при 110—120° в запаянной трубке, спирт удаляют, остаток, смешанный с водой, извлекают эфиром, встряхивают с разб. HCl, из водн. р-ра подщелачиванием NaOH и извлечением эфиром выделяют 3 г Па, т. кип. 149—152°/5 мм; аналогично из 5 г XIIб получают 1,6 г Пб, т. кип. 150—151°/3 мм; из 5 г XIIIa — 2,8 г IIIa, т. кип. 170—171°/5 мм; пикрололат, т. пл. 142°; из 3,3 г XIIIб — 1,9 г IIIб, т. кип. 174°/5 мм, а из 5 г XIV (10 час., 110—112°) — 1,9 г IV, т. кип. 144°/4 мм. Сообщение X см. Якугаку дзасси, J. Pharm. Soc. Japan, 1950, 70, 561.

Chem. Abstrs, 1955, 49, 1623. K. Kitsuta.

64897. 1,2-дифениламинокетоны и спирты. Конденсация аминов с несимметрично замещенными бензолами и родственные реакции. Луц. Бейкер (1,2-diphenyl amino ketones and alcohols. Condensation of amines with unsymmetrically substituted benzoines and related reactions. Lutz Robert E., Baker Joseph W.), J. Organ. Chem., 1956, 21, № 1, 49—60 (англ.).

Получен ряд в-в общей ф-лы ArCOCH(NRR')Ar' (I) и после их восстановления — ArCHONCH(NRR')Ar' (II), видимому, в эритро-форме, с целью испытаний их антиопухольной активности. Ia — e (здесь и далее a Ar = Ar' = C₆H₅; б Ar = Ar' = n-CH₃OC₆H₄; в Ar = Ar' = 3,4-CH₃O₂C₆H₃; г Ar = n-(CH₃)₂NC₆H₄, Ar' = C₆H₅; д Ar = C₆H₅, Ar' = n-CH₃OC₆H₄; е Ar = n-CH₃OC₆H₄, Ar' = C₆H₅) синтезированы по нескольким вариантам: р-цией ArCOCHONAr' (III) с первичными (ПА) или вторичными аминами (ВА) в присутствии Р₂О₅ (метод А); р-цией ArCOCHXAr' (IV) (X = Cl или Br) с 2 молями ПА или ВА (метод Б); Ie (R = H, R' = C₆H₅) получен также по р-ции трансаминирования нагреванием хлоргидрата (XГ) Id (R = H, R' = C₆H₅CH₂, или же Ie (R = H, R' = C₆H₅CH₂) с C₆H₅NH₂ (V) и Р₂О₅. Синтез IV действием SOCl₂ на III или действием Br₂ на ArCOCH₂Ar' (VI) или ArCH₂COAr' можно осуществить без перегруппировки. В частности, при р-ции IIIe с Sn и HCl образуется с перегруппировкой VId. Строение полученных в-в при Ar = Ar' установлено по их УФ-спектрам. При р-ции RNH₂ (R = C₆H₅ или C₆H₅CH₂) с устойчивым IIIд и Р₂О₅ (80—100° или 100—150°) образуются соответствующие более стойкие Ie; из более стойкого IIIе и указанных ПА в более мягких условиях образуются Id, которые при 100—150° переходят в Ie. Подобно IIIе реагирует с ПА и IIIг (140°, без Р₂О₅) с образованием Iг. Р-ция III с ВА протекает более сложно и лишь при ~185—240°. При р-ции IIIе или IIIд с C₆H₅NHCH₂CH₂ОН

(VII) и Р₂О₅ образуется в результате перегруппировки N-этил-2-фенил-2-окси-3-(п-метоксифенил)-морфолин (VIII), полученный также из IVд (X = Br) и VII. Аналогично из IVе (X = Br) и VI синтезирован N-этил-2-окси-2-(п-метоксифенил)-3-фенилморфолин (IX). I выделены в виде оснований или превращены действием HCl (газа) в эфире в XГ. Получены следующие I (указаны R, R', метод синтеза, продолжительность р-ции в часах, т-ра р-ции в °C, выход в %, т. пл. в °C, р-ритель для перекристаллизации: C₆H₅ОН-CH₃ОН (БМС), изо-С₆H₅СОСН₃-CH₃ОН (БК), CH₃СОСН₃-спирт (АС)): Ia, CH₃, C₆H₅CH₂, А, 2, 185, 78, 99—100 (сп.); Ia, CH₃, C₆H₅CH₂, Б, 1, 100, 58, —, —; XГ, т. пл. 222—224° (из БМС); Ia, CH₃, C₆H₅, Б, —, —, 101—102 (сп.); XГ, А, 2, 185, 68, 207—209; БМС; XГ, Ia, H, CH₂CH₂ОН, Б, 3, 100, 78, 201—203 (изоктан-CH₃ОН); XГ Ia, C₆H₅, CH₂CH₂ОН, А, 1, 240, 37 (изоктан-CH₃ОН); XГ Ib, H, C₆H₅, А, 2, 100, 45, 203—204, БМС; XГ Ib, H, C₆H₅N(C₆H₅)₂-n, А, 2, 100, 30, 178—180, БК; XГ Ib, H, CH₂CH₂ОН, А, 5, 100, 98, 187—188, БМС; XГ Ib, H, CH₂CH₂ОН, Б, 4, 30, 61, —, —; XГ Ib, C₆H₅, CH₂CH₂ОН, Б, 4, 30, 89, 185—186, БМС; XГ Ib, H, C₆H₅N(C₆H₅)₂-n, А, 4, 100, 55, 203—204, БМС; XГ Ib, H, CH₂CH₂ОН, А, 4, 100, 54, 193—196, БМС; XГ Ib, H, C₆H₅, А, 5, 80, 59, 235—236,5, БМС; Ib, H, C₆H₅, А, 2, 100, 90, 136—137 (сп.); XГ, т. пл. 220—222° (из БМС); Ib, H, CH₂CH₂ОН, А, 0,5, 150, 55, 171—172, АС; XГ, т. пл. 214—216° (из C₆H₅ОН-сп.); Ir, H, C₆H₅, А, 2, 150, 54, 103—104 (сп.); дихлоргидрат, т. пл. 234—236° (из БМС); Id, H, C₆H₅CH₂, —, —, —, —, 86—88, БМС; XГ Id, H, C₆H₅CH₂, А, 2, 100, 66, 208—209 (сп.); XГ Id, H, C₆H₅, 2,80, 84, 220—222, БМС; Id, H, C₆H₅, А, 1,5, 100, 99, 136—137, БМС; XГ, т. пл. 202—204° (из БМС); XГ VIII, Б, 0,5, 30, 88, 192—194, БМС; Ie, H, C₆H₅, А, 2, 100, 76, 144—145, —; XГ, т. пл. 208—209° (из БМС); XГ Ie, H, C₆H₅, Б, 1, 30, 79, 222—224, БМС; XГ Ie, H, CH₂CH₂ОН, А, 2,75, 80, 50, 192—194, БМС; XГ Ie, H, CH₂CH₂ОН, 2, 140, 62, —, —; Ie, H, C₆H₅CH₂, Б, 1, 3, 56, 90—91 (сп.); XГ, т. пл. 218—220° (из БМС); Ie, C₆H₅, CH₂CH₂ОН, Б, 1, 30, 95, 113—113,5 (сп.); XГ IX, Б, 1, 30, 75, 163—164, БМС. Для восстановления I в II применялся (изо-С₆H₅О)₂Al (метод А) или LiAlH₄ (метод Б). Получены следующие II (указаны R, R', метод получения, продолжительность нагревания в час., выход в %, т. пл. в °C, р-ритель для перекристаллизации): IIa, CH₃, C₆H₅CH₂, Б, 1, 90, 72—73 (водн. сп.); XГ, т. пл. 230—232° (из БМС); IIб, H, CH₂CH₂ОН, —, —, —, 112—113 (водн. сп.); XГ IIб, H, CH₂CH₂ОН, А, 14, 82, 206—208 (сп.); IIб, H, C₆H₅, А, 6, 52, 124—125 (сп.); XГ, т. пл. 177—178° (из ацетона); IIв, H, CH₂CH₂ОН, —, —, —, 115—116 (изоктан); XГ IIв, H, CH₂CH₂ОН, А, 20, 92, 214—212, БМС; XГ IIв, H, C₆H₅, А, 20, 76, 234—235, БМС; IIг, H, CH₂CH₂ОН, Б, 2, 67, 147—148 (сп.); дихлоргидрат, т. пл. 196—197° (из БМС); IIд, H, C₆H₅, А, 9,91, 115—116 (изоктан); XГ, т. пл. 207—208° (БК); IIд, H, C₆H₅, Б, 1,95, 141,5—142,5 (АС); IIе, H, CH₂CH₂ОН, —, —, —, 126—128 (сп.); XГ, IIе, H, CH₂CH₂ОН, А, 15, 67, 229—230, БМС; IIе, H, C₆H₅, А, 8, 95, 115,5—116,5 (водн. сп.); XГ, т. пл. 207—208, БМС; IIе, H, C₆H₅CH₂, Б, 1, 96, 112—113 (сп.); XГ, т. пл. 199—200° (из БМС); XГ IIе, C₆H₅, CH₂CH₂ОН, Б, 1, 97, 173—175 (из БМС). К смеси 36,6 г диметиланилина, 7 г POCl₃ и 300 мл C₆H₆ прибавляют за 30 мин. р-р 13,5 г C₆H₅СОСНО, перемешивают еще 1 час и через ~12 час. выделяют C₆H₅СОСН(C₆H₅N(CH₃)₂)₂, выход 54%, дихлоргидрат, т. пл. 234—235° (из БМС), который восстановлением LiAlH₄ превращен в C₆H₅СНОНСН(C₆H₅N(CH₃)₂)₂, выход 64%, т. пл. 183—184° (из ацетона). Кроме того, получены 2,3-дифенил-4-алкилморфолины (X) дегидратацией трео- или эритро-С₆H₅СНОНСН(C₆H₅)N(R)CH₂CH₂ОН (XI) 70%-ной Н₂SO₄ при 100°. Строение X (алкил = C₂H₅) подтверждено его получением путем гид-

приведения 2,3-дифенил-5,6-дигидро-4-этилкасаина-1,4 при помощи Na и *изо*-C₅H₁₁OH. *трео*-XI (R = H) получен нагреванием 9,8 г *цис*-окси стиблена и 4,6 г NH₂CH₂CH₂OH (100°, 12 час.), выход 96%, т. пл. 120—121° (из бзл.); ХГ, т. пл. 192—193°. Дегидратацией *трео*-или *эритро*-XI (R = H) синтезирован 2,3-дифенилморфолин, выход 54—64%, т. пл. 82—84° (из петр. эф.); ХГ, т. пл. 271—273° (из бутанола-CH₃OH (БОНМ)). Подобно XI получен *трео*-1,2-дифенил-2-этилэтаноламиноэтанол, выход 52%, т. пл. 101—102° (из циклогексанола), ХГ, т. пл. 192—193°, превращенный в X (алкил = C₆H₅), т. пл. 71—72° (из изоктана); ХГ, т. пл. 275—276° (из БОНМ). Аналогично из *эритро*-XI (R = C₆H₅CH₂) (выход 54%, т. пл. 132—133°) получен X (алкил = C₆H₅CH₂), выход 65%, т. пл. 228—230° (из БОНМ). Приведены $\lambda_{\text{макс}}$, $\lambda_{\text{мин}}$ и ϵ следующих в-в (указаны значения R, R'); IIв, д, е, хлориды Iб (H, CH₂CH₂OH), Iв (H, CH₂CH₂OH), Iв (H, C₄H₉), Iд (H, C₆H₅CH₂), Iд (H, C₄H₉), Iе (H, C₆H₅), Iе (H, CH₂CH₂OH), Iе (H, C₄H₉), Iе (H, C₆H₅CH₂), Iе (H, C₄H₉), Iе (H, C₆H₅), Iе (H, C₆H₅CH₂); ХГ IX, Iб (H, CH₂CH₂OH), Iд (H, C₆H₅CH₂), хлориды Iб (H, CH₂CH₂OH), Iе (H, CH₂CH₂OH), а также ряда дезоксибензоинов. Все т-ры плавления исправлены. Я. К.

64898. Исследование в области производных *n*-алкоксибензойных кислот. Сообщение XII. β -Диалкиламиноэтиловые эфиры *n*-(β -алкоксиэтилокси)-бензойных кислот и их четвертичные соли. Миджоян А. Л., Дохиян А. А., Докл. АН АрмССР, 1956, 22, № 2, 71—76 (рез. арм.).

С целью выяснения зависимости анестетич. свойств от характера алкоксирадикала в соединениях типа интракаина (*n*-C₂H₅OOC₆H₄COOCH₂CH₂N(C₂H₅)₂·HCl) синтезированы аминоэфиры общей ф-лы *n*-ROCH₂CH₂OC₆H₄COOCH₂CH₂NR₂⁺ (I), где R' = CH₃ (Iа), R' = C₂H₅ (Iб), и четвертичные соли *n*-ROCH₂CH₂OC₆H₄COOCH₂CH₂N⁺R'' (R'')⁻ (II), R' = CH₃ (IIа), R' = C₂H₅ (IIб), образованные соответственно из Iа и R''J и Iб и R''J (приведены поочередно для Iа и Iб R, выход в %, т. кип. в °C/мм., n_D^{20} , d_4^{20} , т. пл. в °C хлоридата (ХГ) и пикрата (П)): C₂H₅, 95,5, 97,0, 175—176/12, 197—198/12, 1,5100, 1,5056, 1,0638, 1,0406, ХГ, 115—116, 100—101, П, 138—139, 103—104; C₃H₇, 86,2, 80,0, 205—206/12, 216—217/12, 1,5034, 1,5034, 1,0444, 1,0256, ХГ, 97—98, 109—110, П, 104—105, 92—93; *изо*-C₃H₇, 80,3, 75,7, 161—162/13, 170—171/13, 1,5063, 1,5036, 1,0362, 1,0177, ХГ, 132—134, 120—121, П, 122,5—123, 108—108,5; C₄H₉, 80,0, 72,7, 195—196/10, 210—211/10, 1,5018, 1,4998, 1,0239, 1,0041, ХГ, —, 96—98, П, 108—109, 92—93; *изо*-C₄H₉, 90,5, 77,3, 193—194/12, 209—210/12, 1,5000, 1,4962, 1,0178, 0,9999, ХГ, 85—86, —, П, 109—110, 94—95; C₅H₁₁, 78,6, 71,3, 188—189/12, 189—190/12, 1,5046, 1,5022, 1,0193, 1,0034, ХГ, 93—94, 123—124, П, 132—133, 123—124; *изо*-C₅H₁₁, 89,0, 71,0, 194—195/10, 213—214/10, 1,5028, 1,4995, 1,0079, 0,9915, ХГ, —, —, П, 85—86, 114—115. Приведены поочередно для соответствующих Iа и Iб R, R'', выход в %, т. пл. в °C: C₂H₅, CH₃, 98,2, 98,1, 142—143, 99—100; C₂H₅, C₂H₅, 97,4, 98,3, 117—118, 88—89; C₃H₇, CH₃, 95,8, 94,9, 113—114, 60—61; C₃H₇, C₂H₅, 96,1, 93,7, 82—83, 49—50; *изо*-C₃H₇, CH₃, 92,7, 91,3, 206—207, 107—108; *изо*-C₃H₇, C₂H₅, 93,4, 91,6, 135—136, 132—133; C₄H₉, CH₃, 91,5, 90,7, 100—101, 79—80; C₄H₉, C₂H₅, 90,2, 90,1, 103—104, 77—78; *изо*-C₄H₉, CH₃, 90,8, 90,2, 99—100, 67—68; *изо*-C₄H₉, C₂H₅, 90,3, 89,5, 79—80, 76—77; C₅H₁₁, CH₃, 89,2, 88,0, 154—155, 102—103; C₅H₁₁, C₂H₅, 86,7, 86,9, 101—102, 93—94; *изо*-C₅H₁₁, CH₃, 88,6, 87,8, 118—119, 65—66; *изо*-C₅H₁₁, C₂H₅, 88,0, 87,2, 59—60, 59—60. Сообщение XI см. РЖХим, 1956, 25642. Е. Ф.

64899. Бензоилирование бензойнофениловым эфиром. III. Внутримолекулярное замещение производных

бензойнофенилового эфира. IV. Бензоилирование замещенными бензойнофениловыми эфирами. Такатори (安息香酸フェニルに依るベンゾイル化. 第3報. 安息香酸フェニル誘導体の分子内置換反応に就て. 第4報. 置換基を有する安息香酸フェニルに依るベンゾイル化. 高取吉太郎), 藥學雜誌, Якугаку дзасси, J. Pharmac. Soc. Japan, 1953, 73, № 6, 548—551; № 8, 810—817 (япон.; рез. англ.).

Сообщение III. *n*-NH₂C₆H₄OCOC₆H₅ (I) при сплавлении перегруппировывается в C₆H₅CONHC₆H₄OH-*n* (II) через промежуточно образующийся *n*-C₆H₅CONHC₆H₄OCOC₆H₅ (III). Аналогично *n*-C₆H₅COOC₆H₄SO₂NH₂ (IV) при нагревании с K₂CO₃ превращается в *n*-HOC₆H₄SO₂NHCOC₆H₅ (V) через стадию *n*-C₆H₅COOC₆H₄SO₂NHCOC₆H₅ (VI). 4,3 г I и 10 г 1-CH₃C₁₀H₇ нагревают при 189—200° 60, 120 или 180 мин. соответственно, охлаждают, промывают 30 мл петр. эфира, смолоподобную массу (т. пл. ~160°) смешивают с 25 мл 5%-ного NaOH, фильтруют, остаток (OC) промывают 10 мл 5%-ного NaOH и 10 мл воды, фильтрат и промывные р-ры обрабатывают 20 мл 30%-ной CH₃COOH, осадок отфильтровывают и промывают к-той и небольшим кол-вом спирта, получают II, т. пл. 213—214°. OC промывают 100 мл воды, сумат и 1 г его обрабатывают 10 мл 80%-ной CH₃COOH, получают III, т. пл. 231°; фильтрат и промывные р-ры нейтрализуют NH₄OH, в осадке — неизменившийся I, т. пл. 154°; выход в % неизменившегося I, II и III после нагревания 60 мин. составляет соответственно 38, 11 и 50; после 120 мин. — 26, 38 и 37; после 180 мин. — 19, 49 и 27. 7 г IV и 0,9, 1,8, 3,6 или 5,4 г K₂CO₃ сплавляют 15 мин., обрабатывают 80 мл 5%-ного Na₂CO₃·10 H₂O, фильтруют, промывают 20 мл того же р-ра соды, фильтрат и промывные р-ры подкисляют CH₃COOH, через ~12 час. отфильтровывают V, т. пл. 202°. Нерастворимый остаток извлекают 100 мл холодной воды, отфильтровывают, промывают 20 мл холодной воды, фильтрат подкисляют CH₃COOH, отфильтровывают VI, т. пл. 179°. При увеличении кол-ва K₂CO₃ выход V повышается, а VI уменьшается. 1,4 г V в 20 мл 10%-ного Na₂CO₃·10H₂O обрабатывают при 0° 1,5 г C₆H₅COCl, получают 2,2 г VI.

Сообщение IV. Изучено бензоилирование (БН) замещ. фенилбензоатами (ФБ). При БН ароматич. аминов влияние оказывают заместители как в бензойной, так и в фенильной группах ФБ; в случае БН сульфамидов влияют заместители только в фенильной группе ФБ. Обсужден механизм ацилирования. Эквимольные кол-ва RNH₂ (VII) и C₆H₅COOC₆H₄ (VIII) нагревают 2 часа при 180—200°, спиртом извлекают RNHCO-C₆H₅ (IX) (даны R, выход в %, т. пл. в °C IX): C₆H₅, 54, 161; *о*-CH₃C₆H₄, 42, 143; *м*-CH₃C₆H₄, 55, 125; *п*-CH₃C₆H₄, 57, 158; *м*-HOC₆H₄, 62, 171; *п*-HOC₆H₄, 54, 213; *п*-Cl-C₆H₄, 52, 192°. Следующие IX получены нагреванием эквимольных кол-в VII и VIII 2 часа при 180—200° (метод А) или 5 час. при 220—230° (метод Б) (даны R, выход в % по методу А и Б соответственно, т. пл. в °C IX): 1-C₁₀H₇, 21, 60, 160 (из 80%-ного сп.), 2-C₁₀H₇, 23, 65, 162 (из 80%-ного сп.); *п*-C₂H₅OCOC₆H₄, 13, 58, 148; *п*-NH₂SO₂C₆H₄, 4, —, 382; *о*-NO₂C₆H₄, 0, следы, —; *м*-NO₂C₆H₄, 0, 11, 157; *п*-NO₂C₆H₄, 0,9, 196. Следующие IX получены сплавлением 0,06 моля VII, 0,0375 моля K₂CO₃ и 0,05 моля VIII 20 мин. с последующим извлечением 5%-ным Na₂CO₃ (даны R, выход в %, т. пл. в °C): C₆H₅SO₂, 73, 148; *п*-CH₃C₆H₄SO₂, 74, —; *п*-Cl C₆H₄SO₂, 73, 183; *п*-BrC₆H₄SO₂, 85, 177; *п*-NH₂C₆H₄SO₂, 79, 181; *п*-HOC₆H₄SO₂, 74, 202; *п*-NO₂C₆H₄SO₂, 77, 201°. Смесь 0,05 моля VIII или его производного нагревают (90 мин., 180—200°) с 2-аминотиазолом, эфиром

извлекают SC(NHR)=NCH=CH (X) (даны R, выход в %, т. пл. в °C): C₆H₅CO, 65, 153; 4-CH₃C₆H₄CO,

84, 206; 3,4-(CH₃)₂C₆H₃CO, 66, 190; 4-ClC₆H₄CO, 76, 212, 2-НОС₆H₄CO, 86, 252; 4-NO₂C₆H₄CO, 90, 280. Аналогично VIII или его производные с C₆H₅NH₂ дают R'NHC₆H₅ (даны R, выход в %, т. пл. в °C): C₆H₅CO, 54, 161; 4-CH₃C₆H₄CO, 45, 143, 3,4-(CH₃)₂C₆H₃CO, 25, 104, 4-ClC₆H₄CO, 77, 197; 2-НОС₆H₄CO, 70, 136; а с м-NO₂C₆H₄NH₂ образуют м-R'NHC₆H₄NO₂ (даны R', выход в %, т. пл. в °C): C₆H₅CO, 11, 157; 4-CH₃-C₆H₄, 6, 172; 3,4-(CH₃)₂C₆H₃CO, 24, 181; 4-ClC₆H₄CO, 22, 187; 2-НОС₆H₄CO, 63, 218; 4-NO₂C₆H₄CO, 55, 227. 0,05 моля VIII или его производного, 0,035 моля K₂CO₃ и 0,06 моля n-NH₂C₆H₄SO₂NH₂ или n-NO₂C₆H₄-SO₂NH₂ сплавляют 20 мин., 5%-ным Na₂CO₃ извлекают n-RNHSO₂C₆H₄NH₂ (XI) или n-RNHSO₂C₆H₄-NO₂ (XII) (даны R, выход в % и т. пл. в °C XI и XII): C₆H₅CO, XI, 79, 181, XII, 77, 201; 3,4-(CH₃)₂C₆H₃CO, XI, 83, 214—338, XII, 87, 188; 4-ClC₆H₄CO, XI, 89, 201—333; XII, —, —; 2-НОС₆H₄CO, XI, 91, 206—256, XII, 88, 208; 4-NO₂C₆H₄CO, XI, 89, 235—240, XII, 88, 226. Сообщение 11 см. Якугаку дзасси, J. Pharm. Soc. Japan, 1951, 71, 1377.

Chem. Abstrs, 1954, 48, 5137, 8749. К. Kitsuta. 64900. Оптическое расщепление некоторых α-фенилзамещенных жирных кислот. Петтерссон, Вильдек (Optical resolution of some α-phenyl fatty acids. Pettersson Kurt, Willdeck Gudrun), Arkiv kemi, 1956, 9, № 4, 333—341 (англ.)

Рацемич. C₆H₅CHRCOOH (Ia—v) (a, R = C₂H₅, б, R = C₃H₇, в, R = C₄H₉) расщеплены при помощи (+)-и (-)-C₆H₅CH(CH₃)NH₂ (II) на оптич. антиподы. Рацемич. Ib — в получении р-цией C₆H₅CH₂CN + ОС(OC₂H₅)₂ + Na + C₆H₅J(C₆H₅Br) с последующим кислотным гидролизом. Из Ia получены амид, т. пл. 82—84° (далее цифры означают т. пл. в °C (из разб. сп.): анид (A) (106,5—108,5, из разб. сп.), S-бензилтиурофевая соль (BTS) (142—144, из разб. сп.). Ib, выход 91% (на C₆H₅J), т. кип. 117—120°/0,1 мм, амид, 95—97, A, 90,5—92, BTS, 121,5—122. Iv, выход 54%, т. кип. 119—126°/0,1 мм, т. пл. 36—38° (из петр. эф.); амид, 100—102; A, 115—117; BTS, 114,5—115,5. 0,2 моля рацемич. Ia и 0,2 моля (+)-II в спирте при охлаждении дали соль, из которой после подкисления разб. H₂SO₄, прибавления (+)-II, перекристаллизации соли из спирта выделен (-)-Ia. Из маточного р-ра нагреванием досуха, прибавлением разб. H₂SO₄, экстрагированием эфиром и прибавлением (-)-II в спирте получена соль и из нее (+)-Ia. Получены жидкие (+)-Ia ([α]_D²⁵ + 63,4°, амид, 106—108; BTS, 148—149) и (-)-Ia. [α]_D²⁰ - 76,2°, амид, 106—108, A, 116,5—117,5, BTS, 148—150. Аналогично выделены: (+)-Ib, [α]_D²⁵ + 62,4°, амид, 92—93; A, 98—100; BTS, 117—117,5, (-)-Ib, [α]_D²⁰ - 72,9°; (+)-Iv, [α]_D²⁵ + 60,2°, амид, 95,5—96,5, A, 98—100, BTS, 116,5—117,5; (-)-Iv, [α]_D²⁰ - 65,8°, амид, 106—108. Я. К.

64901. Конфигурация оптически активных 1,2-фенилэтилендиаминов. Арпезелла, Ла-Манна, Грасси (Configurazione delle 1,2-feniletilendiamine otticamente attive. Arpesella Luigi, La Manna Aldo, Grassi Marilena), Gazz. chim. ital., 1955, 85, № 11, 1354—1364 (итал.)

Установлена конфигурация (-) и (+)-1,2-фенилэтилендиамина (I, II). Этерификацией (Margel, Nouyes, J. Amer. Chem. Soc., 1920, 42, 2267) D-(-)-α-аминофенилуксусной к-ты приготовлен эфир с выходом 69,1%, т. кип. 122°/5—6 мм, [α]_D²⁰ - 141° ± 1 (с 2,08; бал.), последний превращен в D-(-)-α-аминофенилацетамид (III) (CH₃OH, сухой NH₃, 2 часа, охлаждение), выход 85%, т. пл. 131—132° (из сп.-бал.; 1:5). [α]_D²⁵ - 71,8° ± 0,5 (с 2,16; абс. сп.). Восстановление III посредством LiAlH₄ в смеси эфира-C₆H₆ (3:2) в аппарате Сокслета (18 час.) приводит к I, выход 45%, т. кип.

108—109°/2—3 мм, [α]_D²⁴ - 27,5° ± 0,5 (с 2,07; безводн. бал.); дихлоргидрат, т. пл. 285° (разл.), [α]_D²⁵ + 17,9° ± 1 (с 2,8; вода). Аналогичным путем из L-(+)-α-аминофенилуксусной к-ты через метиловый эфир (выход 63,6%, т. кип. 122°/5—6 мм, [α]_D²⁰ + 127° ± 1 (с 2,06; бал.)) и L-(+)-α-аминофенилацетамид (выход 85,4%, т. пл. 131—132° (из сп.-бал.; 1:5), [α]_D²⁵ + 64,7° ± 0,5 (с 2,26; абс. сп.) приготовлен II, выход 44%, т. кип. 97—98°/0,6 мм, d 1,034, [α]_D²⁷ + 26,5° ± 0,5 (с 1,98; безводн. бал.); дихлоргидрат, т. пл. 285—286° (разл.), [α]_D¹⁹ - 17,6° ± 1 (с 2,25; вода); диацетильное производное т. пл. 174°, [α]_D¹⁹ + 61,9° ± 1 (с 0,61; хлф). Аналогичный путь использован также для определения конфигурации (-) (IV) и (+)-1,2-фенилэтиленгликоля (V). Этерификацией (Fischer E., Spejer A., Ber., 1895, 28, 3252) D-(-) и L-(+)-миндальной к-т приготовлены метиловые эфиры D-(-)-миндальной к-ты (VI), т. пл. 58°, [α]_D²⁰ - 177° ± 2 (с 1,3; хлф.), и L-(+)-миндальной к-ты (VII), т. пл. 58°, [α]_D²⁰ + 175° ± 2 (с 1,3; хлф.). Восстановление VI и VII посредством LiAlH₄ в эфире (1 час, умеренное кипячение) с последующей кристаллизацией полученных в-в из C₆H₆-лигроида и сублимацией при 1—2 мм привело с выходом 84—89% соответственно к IV, т. пл. 65—66°, [α]_D²⁴ - 40,5° ± 0,5 (с 2,84; вода), и V, т. пл. 65—66°, [α]_D²⁴ + 40,7° ± 0,5 (с 3,26; вода). Таким образом, IV принадлежит к D-, а V к L-ряду, что согласуется с ранее выведенными заключениями (РЖХим, 1955, 388). Установление конфигурации I и II завершило ряд конфигуративных связей соединений, образующихся из миндальной и α-аминофенилуксусной к-т путем превращения COOH-группы в CH₂OH, CH₃ или CH₂NH₂-группы (см. РЖХим, 1954, 4490, 18019). Через р-р 14,3 г метилового эфира DL-α-аминофенилуксусной к-ты в 100 мл безводн. CH₃OH пропускают 2 часа ток сухого NH₃, на другой день удаляют CH₃OH в вакууме в токе N₂, остаток растворяют при нагревании в 100 мл смеси спирт-C₆H₆ (1:3), получают DL-α-аминофенилацетамид (VIII), выход 84,6%, т. пл. 130—132°. 5 г VIII экстрагируют 20 час. смесью эфира-C₆H₆ (150 мл + 100 мл), содержащей 3 г LiAlH₄, разлагают водн. эфиром, выпаривают, получают DL-1,2-фенилэтилендиамин, выход 43%, т. кип. 114°/5 мм. K₂ в KBr в 70 мл CH₃OH прибавляют по каплям 3 г метилового эфира DL-миндальной к-ты в 100 мл CH₃OH, нагревают 1 час, разлагают разб. HCl, упаривают в вакууме, добавляют 20 мл 10%-ного NaOH, получают DL-1,2-фенилэтиленгликоль, выход 76%.

Л. Я. 64902. О синтезе ω,ω'-диамино-л-ксилола и его производных. Лосев И. П., Федотова О. Я., Кербер М. Л., Ж. общ. химии, 1956, 26, № 2, 548—550

Получен ω,ω'-диамино-л-ксилол (I) через комплексное соединение (II) ω,ω'-дихлор-л-ксилола (III) и уротропина (IV). I сорбирует CO₂ из воздуха и при пропускании CO₂ в спирт. р-р дает углекислую соль (V). При действии HCl (к-ты) V переходит в хлоргидрат (VI). Р-р 6 г III (т. пл. 100° (из сп.)) и 9 г IV в 100 мл CHCl₃ или 200 мл CH₂Cl₂ оставляют на 40 час. (20°) и получают II, выход 95—96%. II кипятят 3 часа с HCl (к-той) и спиртом (мол. отношения 1:6:24, отгоняют при 70—80° этилал, затем повторяют операцию дважды, нагревая смесь 1 час с уменьшенным вдвое-второе кол-вом HCl (к-ты) и спирта. Промывают от к-ты спиртом или ацетоном и получают VI. При обработке VI 40%-ным р-ром щелочи получают I, выход 56%, т. кип. 230°/10 мм (в токе N₂ или NH₃), т. пл. 37°. При обработке I избытком (CH₃CO)₂O получают диацетильное производное, т. пл. 225°. При смешении 10%-ных спирт. р-ров I и малоновой к-ты получают соль (VII), т. пл. 181—182° (разл.), с янтарной — соль (VIII), т. пл. 228—230° (с адиновой — соль (IX) 235—238° с себаиновой — соль (X), т. пл. 215—218°. При нагревании VII—X с кре-

золом при 220—240° с последующей отгонкой воды и р-рителя (при 10⁻⁴ мм) получены полиамиды с уд. вязкостью 0,5% р-ра в крезоле 0,19—0,27 и т. пл. для VII 108—110°, VIII 189—192°, IX 280—285°, X 290—295°.

А. К.

64903. К вопросу о взаимодействии конденсированных фенолов, нафтолов и их производных с различными диазосоставляющими. Гринберг И. В., Кушко Г. М., Науч. зап. Львовск. политехн. ин-та, 1955, вып. 29, 121—130

Получены азокрасители сочетанием диазосоставляющих с продуктами конденсации β-нафтола (I) или фенола с 35%-ным р-ром формальдегида (II). 2,2'-диоксидинафтилметан (III) получен из 36 г I в 200 мл воды, 10 г NaOH и 9,2 мл II, выход 87—90%. 24 г I, 600 мл CH₃COOH, 5 г II и 15 мл конц. HCl нагревают (2 часа, 50°), через 24 часа отделили III, выход 78—82%, т. пл. 182°. К 36 г I прибавляют 62,5 г моногидрата H₂SO₄ при 80°, и затем 10,5 мл II, смесь перемешана 1 час, получен 2,2'-диокси-6,6'-дисульфодинафтилметан (IV). Из 2 молей фенола и 1 моля II получен продукт конденсации (V) вишневого цвета. Сочетание проведено добавлением р-ра 0,01 моля азосоставляющей в 30—200 мл воды, содержащей 0,2—2 г NaOH к р-ру 0,02 моля соли диазона. Получены красители (приведены азосоставляющая, диазосоставляющая, внешний вид красителя): II, C₆H₅N₂Cl (VI), оранжево-красный; III, 4-NO₂C₆H₄N₂Cl (VII), яркооранжевый; III, диазотированная сульфаниловая к-та (VIII), коричнево-красный; III, диазотированная нафтиновая к-та, вишнево-коричневый; IV, VI, коричневый; IV, VII, красновато-коричневый; IV, VIII, светлокоричневый; V, VI, оранжевый; V, VII, светлокоричневый; V, VIII, светлокоричневый. В таблицах сопоставлены качеств. р-ции полученных азокрасителей.

С. И.

64904. Получение о,о'-диоксидазосоединений. Фриман, Уайт (Preparation of o, o'-dihydroxyazo-compounds. Freeman Donald C. Jr, White Charles E.), J. Organ. Chem., 1956, 21, № 3, 379 (англ.) По методу Богословского (ЖК. общ. химии, 1946, 16, 193) с промежуточным образованием стойких внутримолекулярных Cu-соединений синтезированы 2,2'-диокси-(I), 2,2'-диокси-5,5'-диметил-(II) и 2,2'-диокси-4,4'-диметилазобензол (III). К р-ру 28,5 г CuSO₄·5H₂O в 100 мл горячей воды прибавляют конц. р-р NH₃ и 7 г NH₂OH·HCl в 20 мл воды. Р-р o-HOC₆H₄N₂Cl (из 11 г o-HOC₆H₄NH₂) прибавляют к р-ру Cu-катализатора (<10°), через 1 час отделили осадок, который нагревают с 500 мл конц. HCl, разбавляют холодной водой и отделили I, выход 78%₀, т. пл. 172—172,7°. Аналогично получен Cu-комплекс II, в р-р которого в эфире пропускают 15 мин. H₂S, из фильтрата после отгонки эфира выделен II, выход 28%, т. пл. 219—220° (из петр. эф.). Подобно I получен III, выход 40%, т. пл. 223—224° (из лигр.)

Я. К.

64905. Восстановление нитробензола и его производных. III. Синтез гидразобензола восстановлением ферросилицием. Иида, Кониси (ニトロベンゼンおよびその誘導体の還元に関する研究. 第3報. ケイ素鉄還元によるヒドラゾベンゼンの合成. 飯田弘忠, 小西 功三), 工業化学雑誌, Koré karaku dзассе, J. Chem. Soc. Japan. Industr. Chem., Sec., 1954, 57, № 1, 47—50 (япон.)

10 г C₆H₅NO₂ восстанавливают (~100°, 2—7,5 часа) в 10—30 г 15—30%-ного NaOH в присутствии 9—15 г ферросилиция (I) (измельчение 150 меш), содержащего 10, 15 или 20% Si, лучший выход 92% гидразобензола получен при восстановлении 5—5,5 часа с 10 г 20%-ного NaOH и 10—11 г I, содержащего 15% Si. При использовании 7,5—8 г I (250 меш) с 15% Si образуется в качестве побочного продукта 1,2—1,3-дихлорбензол. Сообщение II см. РЖХим, 1956, 32441.

Chem. Abstrs, 1955, 49, 10873. Katsuya Inouye.

64906. Некоторые ацильные производные гидразобензола. Бауэр, Маслер, Шефчович, Тамхина (Některé acylderiváty hydrazobenzénu. Bauer S., Masler L., Šefčovič P., Tamchyna J.), Chem. zvesti, 1956, 10, № 1, 19—22 (словац.; рез. русс., нем.)

Синтезированы соединения C₆H₅NHN(C₆H₅)COR (I) и C₆H₅N(COR)N(COR)C₆H₅ (II). К 0,1 моля (C₆H₅NH)₂ в 300 мл эфира и 50 мл пиридина добавляют при 5° 0,11 моля хлорангидрида к-ты, кипятят 20 мин., получают I (перечисляются R, выход в % и т. пл. (из сп.) в °C): CH₃, 87, 6, 160; C₂H₅, 87, 5, 145; C₃H₇, 77, 120—121; CH₂Cl, 69, 2, 158 (разл.). 0,1 моля I (R = CH₂Cl) кипятят 6 час. с 1 молем (C₂H₅)₂NH, оставляют на ночь, получают I (R = CH₂N(C₂H₅)₂), выход 70,7%, т. пл. 103° (из сп.). К 0,1 моля (C₆H₅NH)₂ в 300 мл C₄H₉OC₂H₅ и 50 мл пиридина добавляют 0,15 моля хлорангидрида к-ты (<10°), нагревают до 50—60°, добавляют еще 0,15 моля хлорангидрида, перемешивают 3 часа при 100—110°, после охлаждения упаривают в вакууме, из остатка получают II (приводятся R, выход в % и т. пл. (из C₄H₉OC₂H₅) в °C): CH₃, 31, 105; C₂H₅, 47, 288—89; C₆H₅, 38, 3, 64—65. I и II лишены заметного аналитич. действия.

Т. А.

64907. Синтез некоторых ароматических изонитрилов. Самюэль, Уэйпрауб, Гинзбург (Synthesis of several aromatic isocyanides. Samuel David, Weinraub B., Ginsburg David), J. Organ. Chem., 1956, 21, № 3, 376—377 (англ.)

Описан синтез n-CNC₆H₄COOH (I) и n-CNC₆H₄SO₂NH₂ (II). К нагретой смеси 27,4 г n-H₂NC₆H₄COOH, 13 мл CHCl₃ и 100 мл CH₃OH прибавляют при охлаждении 20 раз попеременно 3 г NaOH и 5 мл смеси CH₃OH—CHCl₃ (60 : 40), нагревают 5 мин., отгоняют р-рителя в вакууме, остаток растворяют в 1100 мл воды и 500 мл эфира, подкисляют водн. слой 3%-ной HCl, из эфирного слоя выделяют I, выход 34%, не плавится до ~300°. Аналогично из сульфаниламида синтезирован II, выход 5%, т. пл. 235—237° (из бзл.). Строение I—II подтверждено ИК-спектрами.

Я. К.

64908. Получение и спектры поглощения некоторых β-арил-α-меркаптоакриловых кислот и соответствующих дисульфидов. Кампейн, Клайн (Preparation and absorption spectra of some β-aryl-α-mercaptoacrylic acids and related disulfides. Campaigne E., Cline Richard E.), J. Organ. Chem., 1956, 21, № 1, 32—38 (англ.)

Щелочным гидролизом 5-(арилметил)-роданиина (I) получен ряд ArCH=C(SH)COOH (II) (Cr. Julian, Sturgis, J. Amer. Chem. Soc., 1935, 57, 1126). Ввиду вероятности для II тикетонной структуры подтверждено строение II УФ-спектрами, указывающими на наличие сопряжения. II гладко окисляются (C₆H₅COO)₂ в C₆H₆ в темноте (7—10 дней, ~20°) в (ArCH=C(COOH)S)₂ (III). В типовом опыте к р-ру 0,03 моля роданиина и 7,5 г CH₃COONa в 20 мл лед. CH₃COOH постепенно прибавляют 0,032 моля 1-нафталальдегида, нагревают 10 мин., выливают в 1 л холодной воды и отделили I (Ar = 1-нафтил). 15 г последнего прибавляют к охлажд. р-ру 26 мл 10%-ного NaOH в 300 мл воды, через 10 мин. отделили осадок Na-соли, которую нагревают 20 мин. со смесью 90 мл 10%-ного NaOH и 1,2 л воды при 60—65°, из подкисленного фильтрата выделяют II (Ar = 1-нафтил). Получены следующие в-ва (указаны Ar, выход I в % и его т. пл. в °C, выход II в % и его т. пл. в °C, выход III в % и его т. пл. в °C): C₆H₅, 90, 204—205, 83, 133—134, 87, 186—187; C₆H₅CH=CH, 91, 223—224, 90, 148—151, 58, 184—185; 3,4-(CH₃O)₂C₆H₃, 93, 231—232, 61, 171—172, 75, 206—207 (при окисле-

нии J_2 в спирте выход 84%); 1-нафтил, 90, 224—225, 76, 177—178, 66, 223—224; 2-нафтил, 37, 269—270, 81, 168—169, 71, 214—215; 3-фурил, 97, 232—233, 89, 115—117, 75, 195—196; 3-тиенил, 93, 213—214, 70, 157—158, 49, 206—207. Приведены УФ-спектры полученных в-в и в случае $Ar = 2$ -нафтил, 3, 4-(CH_3O) $_2C_6H_3$ и $C_6H_5CH=CH$ по сравнению с $ArCH=CH(C(SiC_2H_5)_3)COOH$. Обсуждается вопрос о зависимости УФ-спектров I—III от их строения. Я. К.

64909. Замещенные бензилфенилсульфоны и бензилсульфамиды и продукты их цианэтилирования как инсектициды. Мисра, Астхана (Substituted Benzylphenylsulfone and Benzylsulfonamide and deren Cyanäthylierungsprodukte als Insekticide. Misra G. S., Asthana R. S.), J. prakt. Chem., 1956, 3, № 1—2, 4—12 (нем.)

Синтезирован ряд замещ. бензилсульфамидов и продуктов их цианэтилирования, испытанных в качестве в-в инсектицидного действия. Испытаны также замещ. бензилфенилсульфоны и продукты их цианэтилирования, синтезированные ранее (см. РЖХим, 1955, 16332). Наиболее сильным инсектицидным действием обладает п-хлорбензилфенилсульфон; несколько слабее о-хлорбензилфенилсульфон, бензилфенилсульфон и м-хлорбензилфенилсульфон. Из замещ. бензилбромидов, 10%-ного р-ра NaOH и Na_2SO_3 (6 час., кипячение) получены с кол-ч. выходами $ArCH_2SO_2Na$ (Ia—д); здесь и далее а $Ar = n$ - ClC_6H_4 ; б $Ar = o$ - ClC_6H_4 ; в $Ar = m$ - ClC_6H_4 ; г $Ar = 3,4$ - $Cl_2C_6H_3$; д $Ar = m$ - $CH_3C_6H_4$. При нагревании смеси Ia—д в равного кол-ва PCl_5 , смоченной $POCl_3$ (5 час., 70—90°) с последующей обработкой льдом выделены $ArCH_2SO_2Cl$ (II) (приведены в-во, выход %, т. пл. в °C (из эф.)): IIa, 75, 86; IIб, 48, 54; IIв, 60, 60—61; IIг, —, —; IIд, —, —. Из IIa—д и избытка конц. водн. р-ра NH_3 образуются $ArCH_2SO_2NH_2$ (III) (приведены в-во, выход %, т. пл. в °C (из воды)): IIIa, 70, 157; IIIб, 66, 90—91; IIIв, 83, 128—129; IIIг, —, 150—151; IIIд, —, 142—143. К смеси IIIa—д, диоксана и нескольких капель 40%-ного р-ра $(CH_3)_3N(CH_2C_6H_5)OH$ прибавлен акрилонитрил (48 час., 20°), получен $ArCH_2SO_2N(CH_2CH_2CN)_2$ (IV) (приведены в-во, выход %, т. пл. в °C (из сп.)): IVa, 90, 121—122; IVб, 77, 92—93; IVв, 82,5, 85—86; IVг, 75, 150; IVд, 80, 94—95. Кипячением (15—20 час.) с водн. р-ром NaOH IVa—д превращены в $ArCH_2SO_2NHCN_2CH_2COOH$ (V) (приведены в-во, выход %, т. пл. в °C (из воды)): Va, 78, 181—182 (разл.); Vб, 65, 151—152; Vв, 58,5, 85—86; Vг, —, 98—99; Vд, 63, 205 (разл.). А. Б.

64910. Вещества с возможной фармакологической активностью. Часть II. Некоторые гетероциклические и карбоциклические системы, родственные 1-фенилиндану. Ачесон, Мак-Фи, Филпотт, Барлтроп (Compounds of potential pharmacological interest. Part II. Some heterocyclic and carbocyclic systems related to 1-phenylindane. Acheson R. M., MacPhee K. E., Philpott P. G., Barltrop J. A.), J. Chem. Soc., 1956, March, 698—705 (англ.)

В поисках новых фармакологически активных в-в синтезированы 3'-диметиламино-5'-фенилциклопентено-(1', 2'—2,3)-тиофен (I) (два изомера, исходя из этилового эфира (ЭЭ) β-окси-β-фенил-β-(2-тиенил)-пропионовой к-ты (II) через β-фенил-β-(2-тиенил)-акриловую к-ту (III), β-фенил-β-(2-тиенил)-пропионовую к-ту (IV), 3'-оксо-5'-фенилциклопентено-(1', 2'—2,3)-тиофен (V) и 3'-окси-5'-фенилциклопентено-(1', 2'—2,3)-тиофен (VI). Циклизацию полученной аналогичным образом из ди-2-тиенилкетона (VII) β,β-ди-2-тиенилпропионовой к-ты (VIII), а также стирил-2-тиенилкетона (IX) не удалось осуществить. Из 3-бензоил-2,5-дихлортиофена (X) получена β-(2,5-дихлор-3-тиенил)-β-окси-

β-фенилпропионовая к-та (XI) и β-3-тиенил-β-окси-β-фенилпропионовая к-та (XII). Описано превращение 2-метиллиденона-1 (XIII) в 1-окси-1-(2'-тиенил)-2-метилиден (XIV) и далее в 1-ацетокси-2-метил-3-(2'-тиенил)-лиден (XV) и 2-метил-3-(2'-тиенил)-лиденон-1 (XVI). Конденсацией ЭЭ 9,10-дигидроантраценкарбонной-9 к-ты (XVII) с диэтиламиноэтилхлоридом (XVIII) получен ЭЭ 9-(2'-диэтиламиноэтил)-9,10-дигидроантраценкарбонной-9 к-ты (XX), но с диметиламиноэтилхлоридом (XX) образовался хлоргидрат (XI) хлористого N-2-диметиламиноэтил-N-(9-карботокси-9,10-дигидроантрил-9)-этилдиметиламмония (XXI). Из ЭЭ ксантенкарбонной-9 к-ты (XXII; XXIII — к-та) конденсацией с XVIII и XX получены ЭЭ 9-(2'-диэтиламиноэтил)-ксантенкарбонной-9 к-ты (XXIV) и его диметиламиноэтиловый аналог (XXV). Однако при р-ции XII с 2-хлорпропилдиметиламиноном (XXVI) образовался 2-диметиламино-1-метилэтиловый эфир XXIII (XXVII). Из диметиламида XXIII (XXVIII) получен 9-диметиламинометилксантен (XXIX). XXVII обладает спазмолитич. активностью, XXIX — антигистаминным и седативным действием. По р-ции Реформатского из 38,8 г фенил-2-тиенилкетона, 14 г $BrCH_2COOC_2H_5$ и 17 г Zn-стружек в 200 мл C_6H_6 (4 часа, кипячение) получен II, выход 86%, т. пл. 65—66° (из петр. эф.). Кипячением 3 часа с 6%-ным водн. р-ром $(COOH)_2$ II превращен в ЭЭ III, выход 83%, т. кип. 135—140°/0,2 мм, при гидролизе которого образовалась III, т. пл. 136—137° (из петр. эф.). Смесь 40 г ЭЭ III, 960 г 3%-ной $HgNa$ и 500 мл спирта кипятили 7 час. и после разбавления водой еще 2 часа; выделена IV, выход 78%, т. пл. 147—148° (из петр. эф.); амид, т. пл. 115—116° (из воды). К смеси 10 г P_2O_5 и 9 мл 85%-ной H_3PO_4 при 145—150° прибавлено 1,5 г IV и через 5 мин. масса обработана льдом; получен V, выход 35%, т. кип. 130—135°/0,1 мм, т. пл. 93—94° (из петр. эф.); 2,4-динитрофенилгидразон (ДНФГ), т. пл. 250° (из CH_3COOH); оксим, т. пл. 214° (из водн. сп.). Строение V доказано образованием C_6H_5COOH при его обработке скелетным Ni с последующим окислением $KMnO_4$. При кипячении 1 час смеси 0,45 г $LiAlH_4$ в 200 мл эфира и 7,8 г V в 200 мл эфира образовался VI, выход 85%, т. пл. 133—134° (из лигр.) Р-р 7,2 г VI в 300 мл C_6H_6 насыщен при 0° HBr (газом); остаток после удаления C_6H_6 растворен в 30 мл диоксана и обработан 7 г $(CH_3)_2NH$ (12 час., ~20°); выделены: XI, выход 2,5 г, т. пл. 196—197° (из этилацетата-сп.); пикрат (II), т. пл. 150—151° (из сп.); XI изомера I, выход 2 г, т. пл. 150—151° (из этилацетата-сп.); II, т. пл. 129—130° (из сп.). Аналогично из VII (т. пл. 88—89°) последовательно получены: ЭЭ β-окси-β,β-ди-2-тиенилпропионовой к-ты, т. пл. 55—56° (из лигр.); ЭЭ β,β-ди-2-тиенилакриловой к-ты, т. кип. 140—145°/0,2 мм; свободная к-та, т. пл. 137° (из лигр.); VIII, т. пл. 118° (из лигр.); амид, т. пл. 126° (из воды). К р-ру 5 г 2-ацетилтиофена и 4,2 г C_6H_5CHO в 50 мл спирта прибавлен C_2H_5ONa (из 0,5 г Na и 10 мл сп.); через 24 часа (0°) выделено 7,1 г IX, т. пл. 85—86° (из лигр.). Из 38,3 г 2,5-дихлортиофена, 38 г C_6H_5COCl и 37,5 г $AlCl_3$ в 200 мл CS_2 при 15° получено 16,8 г X, т. кип. 125—130°/0,2 мм; ДНФГ, т. пл. 208° (из CH_3COOH). X превращен аналогично VII в ЭЭ XI, т. кип. 150—155°/0,2 мм, из которого получена XI, т. пл. 115° (из лигр.). Кипячением с 3%-ной $HgNa$ в водн. спирте неочищ. эфир XI превращен в неочищ. XII, т. пл. 114° (из лигр.). К 1,3 г Mg добавлен р-р 10,5 г 2-нодтиофена и 7 г CH_3J в 50 мл эфира; смесь кипятили 4 часа, по охлаждении прибавлен р-р 6 г XIII в 30 мл эфира и через 3 часа после обычной обработки выделены 0,9 г 1-окси-1,2-диметилидена, т. кип. 110°/1 мм, т. пл. 84—85° (из лигр.), и 4,5 г XIV, т. кип. 153—155°/1 мм. Кипячением 7 час. с $(CH_3CO)_2O$ XIV превращен в XV, т. кип. 125°/0,6 мм, т. пл. 100° (из лигр.). Р-р 0,5 г XV в 20 мл 5%-

ного спирт. р-ра КОН кипятили 2 часа; получено ~0,3 г XVI; ДНФГ, т. пл. 198° (из CH_3COOH). К р-ру I моли XVII в толуоле прибавлен 1 моль К, через 2 часа смесь нагрета за 0,5 часа до кипения; после добавления 1 моли XVIII и кипячения (3 часа) образовался XIX, выделенный в виде П, т. пл. 104° (из сп.). В тех же условиях из XVII и XX образовался XXI, т. пл. 226° (из этилацетата-сп.); дипикрат, т. пл. 212° (из сп.). Аналогично, из 10 г XXII (т. пл. 58°) и 5,35 г XVIII получен XXIV в виде ХГ полуhydrата, выход 41%, т. пл. 106° (из этилацетата); П, т. пл. 151° (из сп.), а из 7,45 г XXII и 4,5 г XX — ХГ полуhydrата XXV, выход 34%, т. пл. 194° (из этилацетата-сп.); П, т. пл. 154° (из сп.). При алкилировании 7 г XXII 3,5 г XXVI выделен ХГ XXVII, т. пл. 190° (из этилацетата-сп.); П, т. пл. 161° (из сп.). Из XXII получен XXVIII, выход 71,5%, т. пл. 140° (из водн. сп.), который действием LiAlH_4 в эфире (20 час., кипячение) превращен в XXIX, выход 88%, т. пл. 94° (из водн. $\text{C}_2\text{H}_5\text{OH}$); ХГ, т. пл. 229—230° (из этилацетата-сп.); П, т. пл. 187° (разл.; из сп.). Часть I см. РЖХим, 1956, 61511. А. Б.

64911. Вещества с возможной фармакологической активностью. Часть III. 2-замещенные 1-фенилинданы. Барлтроп, Додсуэрт (Compounds of potential pharmacological interest. Part III. 2-substituted 1-phenylindanes. Barltrop J. A., Dodsworth R. F.), J. Chem. Soc., March, 706—708 (англ.).

Восстановлением 1-оксо-3-фенил-2-инденилуксусной к-ты (I) получены *цис*- и *транс*-формы 1-фенил-2-инденилуксусной к-ты (II). Амид *транс*-II (III) через *транс*-2-(N-карбометокси)-аминометил-1-фенилиндан (IV) превращен в *транс*-2-аминометил-1-фенилиндан (V). Из III получен *транс*-1-фенил-2-инданилацетонитрил (VI), восстановленный затем в *транс*-2-(2'-аминоэтил)-1-фенилиндан (VII). Так же синтезирован 2-диэтиламиноэтиловый эфир II (VIII). К смеси 55 г I, 900 мл CH_3COOH и 130 г амальгамированного Zn при кипячении прибавлен за 1,5 часа 1 л конц. HCl; получен II, выход 95%, т. пл. 105—140°, из которой кристаллизацией из спирта выделены 22,9 г *транс*-II, т. пл. 157—158° (из сп.), и 18 г *цис*-II, т. пл. 111—115° (из толуола); III, т. пл. 173—174° (из сп.). К CH_3ONa (из 1 г Na и 30 мл CH_3OH) прибавлен р-р 4,7 г III в 500 мл CH_3OH , затем 3,2 г Br_2 , смесь нагревали (15 мин., 60—70°) и выделили 3,9 г IV, т. пл. 103—104,5° (из сп.). При сухой перегонке смеси 2,9 г IV и 11 г Ca(OH)_2 образуется V, т. кип. 90—120°/0,15 мм; хлоргидрат, т. пл. 312—313° (из сп.-этилацетата). Перегонкой смеси 13 г III и 4 г P_2O_5 получено 5 г VI, т. кип. 210—212°/10 мм, 200—200,5°/7 мм. К 5 г VI в 75 мл кипящего спирта прибавляют 11 г Na; выделен VII; хлоргидрат, т. пл. 154—157° (из этилацетата); *n*-толуолсульфонат, т. пл. 135,5—136,5° (из водн. сп.). При кипячении (3 часа) 3,2 г 2-диэтиламиноэтилхлорида и 6 г *транс*-II в 40 мл *изо*- $\text{C}_8\text{H}_{17}\text{OH}$ образуется хлоргидрат VIII, выход 70%, т. пл. 127—130° (из этилацетата). А. Б.

64912. Синтез и исследование 2-фенилиндандиона-1,3. Халецкий А. М., Колесова М. Б., Метрикина Р. М., Ж. общ. химии, 1956, 26, № 3, 760—762

Получен 2-фенилиндандион-1,3 (I), обладающий при отсутствии токсичности способностью быстро препятствовать свертыванию крови. При конденсации фталевого ангидрида с $\text{C}_6\text{H}_5\text{CH}_2\text{COOH}$ в присутствии CH_3COONa образуется бензальфталид (выход 78%), который при действии р-ра $\text{C}_2\text{H}_5\text{ONa}$ в спирте превращается в I, выход 100%, т. пл. 145°.

Я. К. 64913. Алкилирование литийалкенилами. Часть XII. Производные дигидронафталина и индена. Брауде, Эванс (Alkenylation with lithium alkenyls. Part XII. Dihydronaphthyl and indenyl derivatives.

Braude E. A., Evans E. A.), J. Chem. Soc., 1955, Oct. 3337—3341 (англ.).

4-хлор-1,2-дигидронафталин (I), полученный из α -тетралона (II) и PCl_5 , действием Li превращен в 1-литий-3,4-дигидронафталин (III), из которого карбоксилированием получена 3,4-дигидронафталиная-1 к-та (IV). Аналогично 3-хлор-1,2-дигидронафталин (V), полученный из β -тетралона (VI), при действии Li и CO_2 дает 3,4-дигидронафталиную-2 к-ту (VII). 3-хлоринден (VIII) не взаимодействует с Li, в 2-хлориндене (IX) реагирует CH_2 -группа, последующей р-цией с CO_2 получают 2-хлор-3-карбоксиинден (X). 450 г $\text{C}_6\text{H}_5\text{O}_3$ в 230 мл воды и 1,2 г CH_3COOH за 3 часа добавляют к 240 г тетралина в 1,3 л лед. CH_3COOH при 12°, оставляют при 12° на 6 час. затем при ~18° на 10 дней, разбавляют 8 л воды, экстрагируют эфиром II, выход 28%, т. кип. 129—135°/12 мм, n_D^{21} 1,5675. 50 г II добавляют при охлаждении к 84 г PCl_5 , перемешивают 12 час. при 20°, выливают в 1 л льда и эфиром извлекают I, выход 36%, т. кип. 59°/10⁻³ мм, 50—51°/10⁻⁴ мм, n_D^{20} 1,5978, n_D^{23} 1,5952, и 16 г 1,1-дихлортетрагидронафталина, т. кип. 76—82°/10⁻⁵ мм, 10 г I в 25 мл эфира добавляют медленно к 1 г Li в 450 мл эфира, кипятят 66 час., выливают в 600 г твердого CO_2 , получают IV, выход после возгонки при 10⁻⁵ мм 12%, т. пл. 120—122° (из петр. эф.); соль с бензиламином (XI), т. пл. 145—146° (из этилацетата + +сп.). 0,2 г IV с 0,05 г 10%-ного Pd/C при 290—300° за 5—6 час. в токе N_2 дают нафталин, выход 68%. 3,8 г $\text{CHON}(\text{CH}_3)_2$ в 25 мл эфира медленно прибавляют к III (0,8 г Li и 7,5 г I) в 300 мл эфира при 0°, перемешивают при 18—20° 2 часа, обрабатывают 300 мл насыщ. NH_4Cl , получают 2,4 г продукта, т. кип. 135—145° (т-ра бани)/10⁻⁵ мм, из которого получен 2,4-динитрофенилидразон 3,4-дигидро-1-нафталдегида (хроматографирование на Al_2O_3), т. пл. 203—204° (из $\text{CH}_3\text{COOC}_2\text{H}_5$ + CH_3OH). 56 г VI (Birch, J. Chem. Soc., 1944, 430) добавляют за 15 мин. к 100 г PCl_5 , после 3 час. перемешивания при 18—20° выливают в 1 л льда, получают V, выход 34%, т. кип. 60°/0,1 мм, n_D^{21} 1,5870. При кипячении 24 часа 10 г V, 1 г Li и 400 мл эфира и последующем карбоксилировании получают VII, выход 8%, т. пл. 118° (возгонка при 10⁻⁴ мм, из петр. эф.); соль с XI, т. пл. 154—155° (из $\text{CH}_3\text{COOC}_2\text{H}_5$). 95 г сухого Cl_2 пропускают 1,5 часа в хорошо охлажд. р-р 156 г индена в 400 мл CCl_4 , получают 185 г 1,2-дихлориндена (XII), т. кип. 86—90°/2 мм, n_D^{28} 1,5715. 75 г XII нагревают 5 час. при 225—235°, получают 35 г IX, т. кип. 100—104°/11 мм, n_D^{23} 1,5823. 12 г IX кипятят 112 час. с 1,4 г Li и 450 мл эфира, выливают на 600 г CO_2 , получают 3,1 г X, т. пл. 184—185° (из бzl.); метиловый эфир (из X и CH_2N_2), т. пл. 47° (из пентана при -60°). 60 г инданона-1 в 30 мл C_6H_6 прибавляют за 1 час при охлаждении к 100 г PCl_5 в 50 мл C_6H_6 , через 3 часа выливают в 500 г льда, экстракцией эфиром и разгонкой получают 35 г VIII, т. кип. 109—110°/16 мм, n_D^{23} 1,5808. Строение полученных соединений подтверждено УФ-спектрами. Приведены ИК-спектры III, IV, VIII—X. Часть XI см. РЖХим, 1956, 46827. Е. Д.

64914. Конденсация фталевого ангидрида с различными ароматическими соединениями путем реакции Фриделя — Крафта. VII. *o*-(Монохлор-1-нафтоил)-бензойные-2 кислоты и 4-хлор-1,8-фталонифталенин. VIII. 4-бром-1,8-фталонифталенин и 4-амино-1,8-фталонифталенин. Цунода (無水フタル酸と芳香族化合物のフリーデル・クラフト反應による縮合生成物に関する研究. 第7報. 1-ナフトイル-2-ベンゾエ酸のモノクロル化物及び 4-クロール-1,8-フタロイルナフタリンについて. 第8報. 4-ブロム-1,8-フタロイルナフタリン及び 4-アミノ-1,8-フタロイルナフタリンについて. 角田隆弘), 有機合成化学協会誌, Юки госей катяку кёкаиси, J. Soc. Organ. Synth. Chem. Japan, 1953, 11, № 3, 108—110, 111—113 (япон.).

Сооб-
зотиро-
с CuCl_2
т. пл.
ния см-
ния по
а такж-
с AlCl_3
талин,
 H_2SO_4
Сооб-
при сп-
4-бром-
рий на-
пальни-
 CuSO_4
231—
прониз-
 NaNO_2
нафта-
Cher-
64915.
с ге-
Р е-
meth-
W.
S h-
805—
С це-
салин-
(2-наф-
Gazz.
ние I
дионн-
чают I
бzl.-
 CH_3O
си-1-н-
194—
тилитр-
смесь
3 мл
Строе-
ацетил-
142°
паетс-
При с-
нафто-
ствую-
221°
ацетон-
1934,
гидри-
гидрат-
вание
бzl.).
превр-
лиров-
143—
(из Pt-
При
р-ра
 CH_3CO
фтил-
 $\text{C}_2\text{H}_5\text{CO}$
вывае-
II и II
образ-
64916
тив-
дио-
with

Сообщение VII. o -(5,1- $H_2NC_{10}H_6CO$) C_6H_4COOH диазотирована $NaNO_2$ в разб. HCl и затем хлорированием с $CuCl$ превращена в o -(5,1- $ClC_{10}H_6CO$) C_6H_4COOH (I), т. пл. 178—179°, идентифицированную по т-ре плавления смешанной пробы с продуктом прямого хлорирования по методу Джонсона o -(1- $C_{10}H_7CO$) C_6H_4COOH . I, а также o -(4,1- $ClC_{10}H_6CO$) C_6H_4COOH , при сплавлении с $AlCl_3$ (5—20 мин., 190°) дают 4-хлор-1,8-фталонифталлин, т. пл. 193—194°, превращенный действием конц. H_2SO_4 в 4'-хлор-1,2-бензантрахион, т. пл. 226—226,5°.

Сообщение VIII. Из o -(5,1- $BrC_{10}H_6CO$) C_6H_4COOH при сплавлении с $AlCl_3$ 20 мин. при 180—190° получен 4-бром-1,8-фталонифталлин, т. пл. 209—210°, который нагреванием в течение 10 час. при 210—220° в запаянной трубке с 28%-ным NH_4OH и кристаллич. $SuSO_4$, превращен в 4-амино-1,8-фталонифталлин, т. пл. 231—232°, ацетилированный $(CH_3CO)_2O$ в 4-ацетильное производное, т. пл. 245—246°, и после диазотирования $NaNO_2$ в 95%-ной H_2SO_4 переведенный в 1,8-фталонифталлин, т. пл. 173—174°.

Chem. Abstrs, 1954, 48, 3328e. Joshioka J. G. 64915. Изучение продуктов конденсации 2-нафтола с гексаметилентетрамин. Берк, Колбезен, Рейнольдс, Шорт (Study of 2-naphthol-hexamethylenetetramine condensation products. Burke W. J., Kolbezen M. J., Reynolds R. J., Short G. A.), J. Amer. Chem. Soc., 1956, 78, № 4, 805—808 (англ.)

С целью подтверждения структуры продукта конденсации $(CH_2)_6N_4$ с 2-нафтолом в кипящем спирте — бис-(2-нафтоксиметил)-амин (I) (см. Galimberti P., Erba C., Gazz. chim. ital., 1947, 77, 375) проведено ацетилирование I $(CH_3CO)_2O$ в пиридине. В случае обработки реакционной смеси (через 4 дня, ~20°) петр. эфиром получают N-ацетил-I (II), выход 75%, т. пл. 150—151° (из бэл.-петр. эф.; 3:1); при добавлении (через 2 дня, ~20°) CH_3OH и через 30 мин. воды, получают N,N-бис-(2-окс-1-нафтилметил)-ацетамид (III), выход 99%, т. пл. 194—196° (из CH_3OH). Ранее описанный продукт ацетилирования I (см. ссылку выше) является, вероятно, смесью II и III. При кипячении 2 г II с 275 мл спирта и 3 мл CH_3COOH 25 мин. образуется III, выход 90%. Строение III подтверждается его ацетилированием в ди-ацетильное производное (IV), выход 67%, т. пл. 140—142° (из CH_3OH -воды), которое в щел. среде превращается в III, полученное также встречным синтезом. При смешении 2-оксинафтадегид-1 с 1-аминометил-нафтолом-2 (по 0,0174 моля) в эфире получают соответствующее шиффово основание (V), выход 47%, т. пл. 221° (разл.); хлоргидрат, т. пл. 208—210° (разл., из ацетона- CH_3OH), (ср. Duff J. C., Bills E. J., J. Chem. Soc., 1934, 1305); 5 г V в 200 мл CH_3OH и 7,5 мл конц. HCl гидрируют (2,7 ат H_2) над 250 мг Pt (из PtO_2) до хлоргидрата бис-(2-оксинафтилметил-1)-амина (VI-основание), выход 83%, т. пл. 207—209° (разл., из CH_3OH -бэл.). Ацетилированием VI получают IV, выход 99%, превращенный действием КОН в CH_3OH в III. Ацетилирование V ведет к дицетату V, выход 73%, т. пл. 143—145° (из бэл.), из которого гидрированием над Pt (из PtO_2) в этилацетате также получают III, выход 98%. При попытке синтезировать III кипячением (6 час.) р-ра 0,1 моля 2-нафтола, 0,1 моля CH_2O и 0,05 моля CH_3CONH_2 в 120 мл CH_3OH получен бис-(2-оксинафтил-1)-метан, выход 84%. I (2 г) при кипячении с 40 мл $C_6H_5OCH_2CH_2OH$ и 4 г H_2BO_3 (2 часа) перегруппировывается в VI, выход 83% (аналогично перегруппировке II и III); при кипячении I с C_6H_5OH и конц. HCl также образуется VI, выход 68%.

Т. А. 64916. Соединения с потенциальной активностью против облучения летальными дозами. VI. Гомологи 2,3-диоксинафталина. Бу-Хой, Лави (Compounds with potential activity against lethal radiations.

VI. Homologs of 2,3-dihydroxynaphthalene. Бу-Хой, Лави (Ng. Ph., Lavit Denise), J. Organ. Chem., 1956, 21, № 1, 21—23 (англ.)

С целью изыскания средств защиты от лучевой болезни синтезированы 1-метил-(I), 6-этил-(II), 6-н-пропил-2,3-диоксинафталин (III), 1-аллил-2-окс-3-метоксинафталин (IV), 2-(2,3-диоксинафтил-6)-хинолин (V), 3-метил-2-(2,3-диоксинафтил-6)-хинолин (VI) и 6-оксидинафт-(2,1—2',3')-фурандион-8,13 (VII). Смесью 45 г 2,3-диметоксинафталина (VIII) (т. кип. 182°/17 мм), 25 г $HCON(CH_3)_2$ и 42 г $POCl_3$ нагревали 6 час. при 100°, прибавили конц. водн. р-р CH_3COONa и кипятили 30 мин.; получили 12 г 1-формил-2,3-диметоксинафталина (IX), т. кип. 214—215°/15 мм, т. пл. 79° (из сп.); тиосемикарбазон т. пл. 221° (из CH_3COOH). Нагреванием 7,7 г IX, 3 г 95%-ного $NH_2NH_2 \cdot H_2O$, 100 мл $HOCH_2CH_2OH$ и 3 г КОН получили 6,5 г 1-метил-2,3-диметоксинафталина (X), т. кип. 177°/16 мм, т. пл. 66° (из петр. эф.); пикрат, т. пл. 82° (из сп.). При нагревании X с $C_6H_5N \cdot HCl$ 10 мин. образуется I, выход 90%, т. пл. 106° (из C_6H_{12}). Строение IX подтверждено его р-цией с $C_6H_5CH_2CN$ в теплом спирте с 20%-ным $NaOH$ с образованием 1-фенил-2-(2,3-диметоксинафтил-1)-акрилонитрила, т. пл. 149° (из сп.), из которого при нагревании с $C_6H_5N \cdot HCl$ образовался 3-фенил-8-окс-5,6-бензкумарин, т. пл. 231° (из водн. CH_3COOH). Реакционная способность орто-положения доказана также тем, что при нагревании смеси 7,8 г 2-окс-3-метоксинафталина (XI) (т. пл. 108°), р-ра 3 г КОН в 30 мл спирта и 7 г $CH_2=CHCH_2Br$ (30 мин., кипячение) образовался не аллиловый эфир XI, а IV, выход 5 г, т. кип. 197—198°/15 мм, т. пл. 80° (из петр. эф.). Из 20 г VIII, 9,5 г CH_3COCl в 125 мл $C_6H_5NO_2$ и 16 г $AlCl_3$ получено 16 г 6-ацетил-2,3-диметоксинафталина (XII), т. кип. 237—238°/16 мм, т. пл. 109° (из сп.). Кетон XII восстановлен действием $NH_2NH_2 \cdot H_2O$ в 6-этил-2,3-диметоксинафталин, т. кип. 200°/20 мм, т. пл. 113° (из сп.). Деметилированием последнего получен II, т. пл. 145° (из бэл.). Аналогично получены: 6-пропилил-2,3-диметоксинафталин (XIII), т. кип. 243—244°/17 мм, т. пл. 102° (из сп.); 6-н-пропил-2,3-диметоксинафталин, т. кип. 206—207°/18 мм, т. пл. 79° (из сп.); III, т. пл. 136° (из бэл.). Кипячением 25 час. р-ра 4 г XII, 2,8 г изатина и 3 г КОН в 30 мл спирта получено 5,8 г 2-(2,3-диметоксинафтил-6)-цинхониновой к-ты, т. пл. 244° (из сп.), которая при нагревании выше т-ры плавления превращается в 2-(2,3-диметоксинафтил-6)-хинолин (XIV), выход 90%, т. пл. 164° (из сп.); монопикрат, т. п. 203° (из сп.). Деметилированием XIV превращен в V, т. пл. 281° (из сп.). Аналогично из XIII получены: 3-метил-2-(2,3-диметоксинафтил-6)-цинхониновая к-та, т. пл. 286° (из сп.); пикрат 3-метил-2-(2,3-диметоксинафтил-6)-хинолина, т. пл. 155° (из сп.); VI, т. пл. 220° (из бэл.); сольват, т. пл. 126°. Р-р 1 г XI и 1,3 г 2,3-дихлорнафтохинона-1,4 в 10 мл пиридина кипятили 15 мин.; выделено 1,2 г 6-метоксидинафт-(2,1—2',3')-фурандиона-8,13, т. пл. 283° (из $C_6H_5NO_2$), который деметилирован в VII, т. пл. 345° (из $C_6H_5NO_2$).

Сообщение V см. РЖХим, 1956, 46924. А. Б. 64917. О некоторых продуктах превращения гидроперекиси тетралина. Камнева А. И., Салминь Л. А., Ж. общ. химии, 1956, 26, № 2, 449—451

Перегонкой окисл.-яного тетралина (114—116°/1,5 мм) выделен 3,4-дигидро-1,2-нафтохинон (I), n_D^{20} 1,5460, d_4^{20} 1,1515. При добавлении к р-ру I в спирте 2,4-динитрофенилгидразина выпадает моно-2,4-динитрофенилгидразон, т. пл. 137—138°, через 2 дня выделен дигидразон, т. пл. 260°, т. пл. монофенилгидразона 132°. Взаимодействием I с α -фенилендиаминном образуется хиноксалиновое производное, т. пл. 152,5°. Из I после хранения на воздухе в течение 3 месяцев перегонкой в вакууме выделена β -о-карбоксифенилпропионовая к-та,

образовавшаяся в результате окислительно-гидролитич. расщепления I.

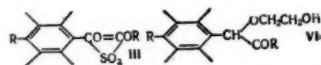
С. И. 64918. Гидрирование пурпурогаллина и его производных. Уокер (Hydrogenation of purpurogallin and its derivatives. Walker Gordon N.), J. Amer. Chem. Soc., 1955, 77, № 24, 6699—6702 (англ.).

При гидрировании пурпурогаллина (I) получен 6,7,8,9-тетрагидропурпурогаллин (II), который действием CH_2N_2 превращен в 2,3,4-триметоксибензосуберанол-6-он-5 (III). Строение III доказано окислением его в 2,3,4-триметоксибензосуберандион-5,6 (IV). Из III в разных условиях гидрирования получены 2,3,4-триметоксибензосуберандиол-5,6 (V) и 2,3,4-триметоксибензосуберанол-6 (VI). При дегидратации V превращается в 2,3,4-триметоксибензосуберанон-6 (VII). Действием CH_2N_2 на I получен 2,3,6-триметилпурпурогаллин (VIII), при гидрировании которого в различных условиях выделены 2,3,6-триметокси-4-оксисбензосуберан-5 (IX), 2,3,6-триметокси-4,5-диоксисбензосуберан (X) и 2,3,6-триметокси-4-оксисбензосуберан (XI). При действии на I или VIII $(\text{CH}_3)_2\text{SO}_4$ образуется с плохим выходом тетраметилпурпурогаллин (XII). В процессе гидрирования тетраацетата I (XIII) отщепляется одна ацетильная группа и образуется 2,3,6-триацетокси-4-оксисбензосуберан-5 (XIV), полученный также из II. Изучены УФ-спектры синтезированных в-в. Из 10 г I в 200 мл этилацетата и 200 мл спирта (5 г 10%-ного Pd/C, 2,5 атм H_2 , 80°, 3 часа) получен II, выход 75%, т. пл. 230—232° (разл.; из этилацетата). Из 8,8 г II в 300 мл CH_3OH и эфир. р-ра 5 г CH_2N_2 получен монометилэфир II, т. пл. 202—204° (из этилацетата), который при вторичном метилировании в тех же условиях превращен в III, выход 27%, т. пл. 109—111° (из C_6H_{12}). Из 0,2 г III в 5 мл CH_3COOH и 1 г Bi_2O_3 (10 мин., 100°) получено 0,1 г IV; 2,4-динитрофенилгидразон (ДНФГ), т. пл. 179—181° (из сп.-этилацетата). При гидрировании 1 г III в 200 мл этилацетата в указанных выше условиях образовалось 0,95 г V, т. пл. 178—181° (из этилацетата); при гидрировании в лед. HClO_4 выделен VI, т. пл. 98,5—99,5° (из C_6H_{12}). Смесь 0,8 г V и 20 мл 50%-ной H_2SO_4 нагревали 0,5 часа при 100°; получено 0,75 г VII; ДНФГ, т. пл. 176,5—177,5°. Из 22 г I и 15 г CH_2N_2 в 1,5 л эфира получен VIII, выход 69%, т. пл. 175,5—178° (из CH_3OH). Исчерпывающее метилирование I или VIII привело к XII, т. пл. 92—93° (из эф.- C_6H_{12}). При гидрировании 2,3 г VIII в этилацетате при 25° с Pd/C образовалось 2,3 г IX, т. пл. 86—88° (из C_6H_{12}); ДНФГ, т. пл. 156—158° (из сп.). В тех же условиях, но при 80° из VIII получен X, т. пл. 129—131° (из C_6H_{12}), а в лед. CH_3COOH при 80° из 2,7 г VIII выделено 1,4 г XI, т. кип. 150—165°/0,65 мм, т. пл. 91—93,5° (из C_6H_{12} -этилацетата). Из 1,7 г I и смеси 30 мл $(\text{CH}_3\text{CO})_2\text{O}$ и 2 мл CH_3OH (1 час, кипячение) получено 1,3 г триацетилпурпурогаллина, т. пл. 160—162° (из этилацетата); при кипячении же I с $(\text{CH}_3\text{CO})_2\text{O}$ 2,5 часа образуется XIII, т. пл. 188—190° (из этилацетата). Гидрированием 2,2 г XIII в 200 мл этилацетата при 80° с Pd/C получено 0,6 г XIV, т. пл. 169,5—171° (из CH_3OH). XIV получен также кипячением (1 час) II с $(\text{CH}_3\text{CO})_2\text{O}$. А. Б.

64919. Исследование моноацетиленового производного диоксидигидроантрацена. Рио, Корню (Étude d'un diquinol anthracénique monoacétylénique. Rio Guay, Cornu Pierre-Jean), C. r. Acad. sci., 1956, 242, № 4, 523—526 (франц.).

При действии HCl (к-ты) и смеси H_2SO_4 с $(\text{C}_4\text{H}_9)_2\text{O}$ на 9,10-диокси-9-фенилэтил-10-фенил-9,10-дигидроантрацен (I) образуется в результате анионотронных перегруппировок (см. РЖХим, 1956, 28997) 9-дихлорстирил-10-фенилантрацен (II), т. пл. 248—249° и 9-сульфодиоксистирил-10-фенилантрацен (III R = C_6H_5), т. пл. 211—212°. II отщепляет хлор под действием Zn в спирте с образованием 9-фенилэтил-10-фенилантра-

цена, III восстанавливается KJ и CH_3COOH в 9-фенил-10-фенилантрацен (IV), т. пл. 262—263°; оксим, т. пл. 236—237°. При действии на I CH_3OH и H_2SO_4 образуется 9-метоксифенил-10-фенилантрацен (V), т. пл. 175—176°, оксим, т. пл. 247—248°. I с этиленгли-



колем и H_2SO_4 образует в-во (VI R = C_6H_5), т. пл. 176—177°; при действии H_2SO_4 в диоксане на I образуется 9-оксифенил-10-фенилантрацен (VII), содержащий ~0,1 моля кристаллизационного диоксана. Строение VII подтверждается следующими р-циями: восстановление CH_3COOH и KJ ведет к IV, содержит 2 подвижных атома H (по Церевитинову), окисление воздухом приводит к 9-фенилдиоксалил-10-фенилантрацену, с SOCl_2 VII образует 9-хлорфенил-10-фенилантрацен (VIII). С CH_3COOH I перегруппировывается в 9-фенилдилен-10-фенил-9,10-дигидроантрацен-10 (IX), т. пл. 205—206°. Строение IX подтверждено его спектром, а также образованием VIII при действии HCl в CH_3COOH и получением V при р-ции с CH_3OH + H_2SO_4 ; при р-ции IX с CH_3COOH + KCl образуется 9-ацетофенил-10-фенилантрацен, т. пл. 228—229°. С. И.

64920. Мезо-дифенилированный β,β'-антрадиол. Фуксоны и их производные. Этьенн, Бурдон (β,β'-Anthradiol mesodiphénylé. Fuchsones et dérivés correspondants. Étienne André, Bourdon Jean), Bull. Soc. chim. France, 1955, № 3, 380—389 (франц.).

В продолжение прежних работ (С. г. Acad. Sci., 1952, 234, 338; 235, 70; РЖХим, 1955, 13975) исследованы р-ции превращения 9,10-дифенил-3,9-диокси-2-кето-2,9-дигидроантрацена (I) (полученного фенилированием 2,3-диокси-9,10-антрахинона (II)) в различные производные I, действие HCl (к-ты) на I, а также и на другие фуксоны того же ряда и действие галогенов на 9,10-дифенил-2,3-антрадиол (III). При пропускании HCl (газа) через суспензию 0,012 г I в CH_3OH получен 9,10-дифенил-9-метокси-3-окси-2-кето-2,9-дигидроантрацен (IV), выход 0,005 г, т. пл. 235° (из бзл.); последний получают также кипячением (30 мин.) 9,10-дифенил-9,10-диметокси-2,3-диокси-9,10-дигидроантрацена (V) с C_6H_6 , выход 78%. Действием на 1 г I 10 г KOH и 10 мл CH_3J (кипчение 2—3 часа, затем растворяют в сп. и упаривают) синтезирован 9,10-дифенил-3,9-диметокси-2-кето-2,9-дигидроантрацен (VI), выход 60%, т. пл. 254° (из сп.). Аналогично получают VI с выходом 65% из IV. 0,1 г I суспендируют в 1 мл CH_3OH , содержащего 0,25% конц. H_2SO_4 (30 мин.), затем осаждают диэтиламинным эфиром из эфира р-ра и получают V, выход 60%, т. пл. 260—270°, а с HJ в присутствии CH_3COOK получают III. Аналогично III, из VI получают 9,10-дифенил-3-метокси-2-оксидантрацен (VII), который при ацетилировании превращается в 9,10-дифенил-3-метокси-2-ацетоксидантрацен (VIII), т. пл. 226° (из $\text{C}_6\text{H}_7\text{OH}$). Метилированием 0,1 г III 0,4 г $(\text{CH}_3)_2\text{SO}_4$ (10 мин.) в 2 мл CH_3OK (5 г K в 150 мл CH_3OH) получают 9,10-дифенил-2,3-диметоксидантрацен (IX), выход 37%, т. пл. 265° (из толуола); ацетилированием III $(\text{CH}_3\text{CO})_2\text{O}$ синтезируют 9,10-дифенил-2,3-диацетоксидантрацен (X), выход 68%, т. пл. 223—224° (из CH_3COOH). С о-фенилендиаминном (XI) III дает 2,3-(1',4'-дифенил-2',3'-нафто)-9,10-дигидрофеназин (XII). При действии HCl + CH_3COOK на 9,10-дифенил-9-окси-2-кето-2,9-дигидроантрацен (XIII) и на I образуются соответственно 9,10-дифенил-1-хлор-2-кето-1,2-дигидроантрацен (XIV) и 9,10-дифенил-1-хлор-3-окси-2-кето-1,2-дигидроантрацен (XV). В ионизированных р-рителях XIV и XV самопроизвольно превращаются в соответственно 9,10-дифенил-

1-хлор-2-оксипантрацен (XVI) и 9,10-дифенил-1-хлор-2,3-диоксипантрацен (XVII). Строение XIV и XV подтверждено анализом УФ-спектров. Спектроскопически исследована скорость образования XIV и XV и превращения их в XVI и XVII. Предложен механизм р-ции образования XIV и XV из I и XIII, протекающий (р-ция идет быстро) через фуксониевые соли; затем гидроксил в мезо-положении отщепляется, давая соответствующие карбоновые ионы, которые после аллильной перегруппировки и фиксации атома хлора превращаются в XIV и XV. Последующая енолизация XIV и XV в XVI и XVII протекает гораздо медленнее. XVII с $(\text{CH}_3\text{CO})_2\text{O}$ дает 9,10-дифенил-1-хлор-2,3-диакетоксипантрацен (XVIII), выход 55%, т. пл. 190°, затем 208—210° (из CH_3COOH). Хлоркетон XV не обнаруживает р-ций карбонила: при действии $\text{C}_6\text{H}_5\text{NH}_2$ превращается в 9,10-дифенил-1-анилино-2,3-диоксипантрацен (XIX), а при действии $\text{C}_6\text{H}_5\text{NHNH}_2$ — в 9,10-дифенил-1-хлор-2-фенилгидразино-2,3-диокси-1-2-дигидроантрацен (XX). Последний при нагревании превращается в 9,10-дифенил-2-фенилазо-3-оксипантрацен (XXI), который ацетируют $(\text{CH}_3\text{CO})_2\text{O}$ (100°, следы конц. H_2SO_4) и получают 9,10-дифенил-2-фенилазо-3-ацетоксипантрацен (XXII), выход 73%, т. пл. 197° (из CH_3COOH). Хлоркетон XV с XI дает 1,2-(1',4'-дифенил-2',3'-нафто)-4-оксифеназин (XXIII). При пропускании Cl_2 через суспензию 0,5 г III в 5 мл CH_3COOH (10 мин.) и осаждении 1,7 мл 15%-ной HCl получают дигидрат 9,10-дифенил-1,4-дихлор-2,3-дикето-1,2,3,4-тетрагидроантрацена (XXIV), выход 0,15 г, т. пл. 162—164° (осаждают водой из р-ра в CH_3COOH), а при действии 1,21 мл р-ра Br_2 (42 г/л на 0,116 г III (2 часа) получают 9,10-дифенил-1-бром-3-окси-2-кето-1,2-дигидроантрацен (XXV), выход 25%, т. пл. 230° (из CH_3COOH). α -(3,4-диоксифенил)-бензойную к-ту получают по ранее описанному методу (Waldmann, J. prakt. chem., 1938, 150, 99), выход 46%, т. пл. 220—221°. Из этой к-ты аналогично синтезируют II, выход 96%, т. пл. 393—394° (сублимация). II ацетируют $(\text{CH}_3\text{CO})_2\text{O}$ с добавкой H_2SO_4 и получают 2,3-диакетил-9,10-антрахион (XXVI), выход 81%, т. пл. 213°. Из $\text{C}_6\text{H}_5\text{MgBr}$ (из 12 г Mg и 70 мл C_6H_6 в 240 мл эфира) и 10 г XXVI в 400 мл C_6H_6 получают I, выход 61%, т. пл. 295—296° (из хлф.). 1 г I, 20 мл CH_3COOH , 1 г KJ и 2 г гипофосфита Na кипятят 0,5 часа, затем прибавляют 25 мл воды, выход III колич., т. пл. 226°, затем 241° (из бэл.); с 1 молекулой C_6H_6 т. пл. ~220°. На воздухе III окисляется в 9,10-дифенил-3-оксипантрахион-1,2. Аналогично (кипячение 10 мин.) из VI получают VII, выход 97% (неочищ.), т. пл. 199° (из циклогексана). VII легко окисляется на воздухе в соответствующий антрахион, т. пл. 223—224° (из CH_3COOH). Смесь 0,1 г III и 0,045 г XI нагревают 5 мин. при 160—170°, экстрагируют эфиром, затем прибавляют 0,75 мл C_6H_6 и 0,25 мл циклогексана, эфир отгоняют, получают XII, выход (неочищ.) ~56%, т. пл. 300—315° (из бэл. + циклогексан); 260° (с 1 молекулой циклогексана). Десольватированный XII неустойчив. 0,1 г XIII обрабатывают 0,5 мл CH_3COOH , содержащей 3% HCl . Через 15 мин. отделяют XIV, выход 0,027 г, т. пл. 199—200° (из эф. + изопропиловый эфир). XIV уже в реакционной среде (вследствие наличия CH_3COOH) быстро превращается в XVI. К 1 г I за 15 мин. частями по 0,5 мл прибавляют 4,5 мл CH_3COOH , содержащей 3% HCl (охлаждение). Через 10 мин. промывают CH_3COOH , затем изопропиловым эфиром получают XV, выход 84% (неочищ.), т. пл. 227° (из бэл.). 0,01 г XV кипятят с CH_3COOH , содержащей 0,01 г KJ и 0,02 г гипофосфита Na. Водой осаждают III. Через суспензию 0,1 г I в 5 мл CH_3COOH при 10° 45 мин. пропускают сухой HCl . Водой осаждают XVII, выход 54% (неочищ.), т. пл. 234° (из бэл. + циклогексан). 0,011 г XV растворяют в 5 мл спирта (нагревание). Через 24 часа (~20°) осаж-

дают водой, затем извлекают эфиром XVII, выход 45%. 0,1 г XV растворяют в 0,5 мл $\text{C}_6\text{H}_5\text{NH}_2$. Через 0,5 часа экстрагируют эфиром, отгоняют, к остатку прибавляют 0,5 мл C_6H_6 , получают XIX, выход 61% (неочищ.), т. пл. 239° (из бэл.). К 0,038 г XV и 0,5 мл эфира прибавляют 0,03—0,05 г $\text{C}_6\text{H}_5\text{NHNH}_2$. Через 2 мин. отделяют XX, выход 80%, т. пл. 194—195° (неочищ.); весьма неустойчив. 0,055 г XX в 1 мл этиленгликоля нагревают 2 мин. при 130°. Выпадает XXI, выход 80% (неочищ.), т. пл. 277° (этиленгликоль). Смесь 0,15 г XV, 0,146 г XI и 0,16 г Na_2CO_3 нагревают 2 мин. при 125—130°, извлекают эфиром, к экстракту прибавляют 1,5 мл CH_3COOH , эфир отгоняют, получают XXIII, выход 23%, т. пл. 279—280° (из CH_3COOH). Е. К. 64921. Синтез полициклических соединений. I. Новый синтез алкилфенантронов. Бардхан, Насипури (Synthesis of polycyclic compounds. Part I. A new synthesis of alkylphenanthrenes. Bardhan J. C., Nasipuri D., J. Chem. Soc., 1956, Febr., 350—354 (англ.)).

Описан синтез фенантрена (I) и его алкилпроизводных. Конденсация этилового эфира (ЭЭ) β -оксиметиловой к-ты (II) (получен из $\text{ClCO}(\text{CH}_2)_3\text{COOC}_2\text{H}_5$ (III)) с $\text{C}_6\text{H}_5\text{CH}_2\text{CH}_2\text{Br}$ (IV) приводит к ЭЭ β -оксо- α -фенилэтил-мелиновой к-ты (V), циклизующемуся при обработке H_2SO_4 в γ -(2-карбокситетрагидро-1-нафтил)-масляную к-ту (VI). Циклизацией дитилового эфира VI (VII) с последующим гидролизом получают 1,2,3,4,9,10-гексагидро-1-оксофенантрен (VIII); при восстановлении VIII и последующем дегидрировании Se образуется I. Дегидрированием VII при помощи Se с последующим гидролизом получена γ -(2-карбокситетрагидро-1-нафтил)-масляная к-та (IX); при обработке IX $(\text{CH}_3\text{CO})_2\text{O}$ образуется 1,2,3,4-тетрагидро-1-оксофенантрен (X). При замене IV на 2-м- $\text{CH}_3\text{C}_6\text{H}_4\text{CH}_2\text{Br}$ (XI) получают 7-метил-X и 7-метил-VIII. При р-ции последнего с CH_3MgI , дегидратации полученного спирта и последующем дегидрировании синтезируют 1,7-диметил-I. Аналогично из 7-метил-X и $\text{C}_2\text{H}_5\text{MgBr}$ получают 1-этил-7-метил-I. Подобным образом 2-о- $\text{CH}_3\text{C}_6\text{H}_4\text{CH}_2\text{Br}$ (XII) через промежуточный 5-метил-VII дает 8-метил-VIII, превращенный затем в 1-этил-8-метил-I. При циклизации 5-метил-VII с последующим этилированием и гидролизом получен 2-этил-8-метил-VIII, превращенный в 2-этил-1,8-диметил-I. 5-метил-VII может быть превращен также в 8-метил-, 2,8-диметил- и 8-метил-2-изопропил-X. Последний аналогично VIII дает 1-метил-7-изопропил-I. 89 г III в 200 мл эфира добавляют при охлаждении к Na-ацетоуксусному эфиру (из 65 мл $\text{CH}_3\text{COCH}_2\text{COOC}_2\text{H}_5$), оставляют на ~12 час., кипятят 30 мин. и обрабатывают 3 н. H_2SO_4 , выход ЭЭ гептандион-4,6-дикарбоновой-1,5-к-ты (XIII) 90 г, т. кип. 152—153°/3 мм. При действии $\text{C}_2\text{H}_5\text{ONa}$ на XIII образуется чистый II с плохим выходом. К р-ру $\text{C}_2\text{H}_5\text{ONa}$ (из 2,3 г Na, 40 мл спирта) при 0° добавляют 27,2 г XIII, оставляют на ~12 час., добавляют 18,5 г IV, нагревают 20 час. при 90—92°, разбавляют водой, подкисляют и экстрагируют эфиром 15 г V, т. кип. 190—193°/4 мм. 5 г V постепенно добавляют при -10° к 30 мл конц. H_2SO_4 , перемешивают 3 часа, выливают на лед и экстрагируют эфиром; остаток после отгонки эфира гидролизуют KOH (3 г, 3 мл воды и 30 мл спирта) и выделяют VI, выход неочищ. 3 г, т. пл. 138° (из разб. CH_3COOH); VII, т. кип. 194—195°/3 мм. Р-р 3,1 г VII в C_6H_6 нагревают 2 часа с 0,23 г Na (100°, 2 часа), обрабатывают разб. HCl , остаток после отгонки C_6H_6 (3 г) нагревают 12 час. с 12 мл CH_3COOH и 6 мл конц. HCl и выделяют 1,2 г VIII, т. кип. 168°/3 мм, т. пл. 49° (из петр. эф.); семикарбазон (CK), т. пл. 254—255° (разл., из сп.). 2 г VIII восстанавливают по Клемменсену, продукт р-ции (1,2 г) нагревают с 2,5 г Se (300—320°, 20 час.) и выделяют I, т. пл. 100° (из сп.). 3,1 г VII нагревают

с 0,32 г S (240—250°, 2 часа) и отгоняют 3 г масла (т. кип. 200—205°/4 мм), которое гидролизуют спирт. р-ром КОН и выделяют IX, т. пл. 167° (из водн. сп.). 2 г IX нагревают 3 часа с 7 мл ($\text{CH}_3\text{CO}_2\text{O}$) и получают X, т. пл. 95° (из петр. эф.). Из 27,2 г XIII при действии 20 г XI и р-ра $\text{C}_2\text{H}_5\text{ONa}$ получено 19 г ЭЭ β-оксо-α-(2-метилэтил)-пимелиновой к-ты (XIV), т. кип. 190—193°/3 мм. 32 г XIV циклизуют аналогично V и получают 18 г 6-метил-VII, т. пл. 154—155° (из разб. CH_3COOH); 6-метил-VI, т. кип. 195°/3 мм. 6-метил-VII при циклизации по Дикману и гидролизе превращается в 7-метил-VIII, т. кип. 160—163°/3 мм; СК, т. пл. 254—255° (разл., из сп.). Эфир. р-р 2 г 7-метил-VIII добавляють при ~20° к эфир. р-ру CH_3MgI (из 1 г Mg), кипятят 4 часа, продукт р-ции (2 г) нагревают 0,5 часа с 4 мл HCOOH и отгоняют при 155°/3 мм 1,7 г масла; после обработки Se (3,5 г, 300—320°, 30 час.) выделен 1,7-диметил-I, т. пл. 86° (из сп.); пикрат (II), т. пл. 132° (из сп.). 6-метил-IX получен из 6-метил-VII при действии S, т. пл. 188—190° (из CH_3OH); ЭЭ, т. кип. 198—200°/3 мм. Циклизация этого эфира Na приводит к 7-метил-X, т. кип. 175—178°/3 мм, т. пл. 71° (из петр. эф.); СК, т. пл. 259° (разл., из сп.). 1-этил-7-метил-I получен из 7-метил-X и $\text{C}_2\text{H}_5\text{MgBr}$ с последующей обработкой аналогично 7-метил-VIII, т. пл. 82,5° (из сп.); II, т. пл. 117,5°. Аналогично из XIII и XII получен ЭЭ β-оксо-α-(2-о-толилэтил)-пимелиновой к-ты, т. кип. 195—198°/4 мм, превращенный в 5-метил-VI, т. пл. 168° (из разб. CH_3COOH); из 5-метил-VII (т. кип. 200°/4 мм) получен 8-метил-VIII, т. кип. 175—180°/4 мм, т. пл. 94° (из петр. эф.), СК, т. пл. 260—262° (разл., из сп.), превращенный р-цией с $\text{C}_2\text{H}_5\text{MgBr}$ с последующей дегидратацией и дегидрированием в 1-этил-8-метил-I, т. пл. 106—107° (из сп.); II, т. пл. 125° (из сп.). 6 г 5-метил-VII циклизуют Na, этилируют, продукт р-ции (6 г) гидролизуют и выделяют 2-этил-8-метил-VIII, выход 2,2 г, т. кип. 180°/3 мм, т. пл. 87—88° (из петр. эф.); СК, т. пл. 217—218° (из сп.). Из 2 г этого кетона и CH_3MgI (из 0,8 г Mg) при описанной выше обработке получено 1,9 г углеводорода, т. кип. 160—165°/3 мм, превращенный дегидрированием Se в 2-этил-1,8-диметил-I, выход 1,4 г, т. кип. 180—190°/3 мм, т. пл. 113° (из сп.); II, т. пл. 148—149°; тринитробензолат, т. пл. 167° (из сп.). 5-метил-VII после дегидрирования S и гидролиза дает 5-метил-IX, т. пл. 184—185° (из разб. сп.); ЭЭ (т. кип. 200—202°/3 мм) циклизуют по Дикману и гидролизуют до 8-метил-X, т. пл. 165° (из петр. эф.), превращенного затем аналогично 7-метил-VIII в 8-метил-1-изопропил-I, т. пл. 100° (из CH_3OH); II, т. пл. 141° (из сп.). Аналогичным методом 5-метил-IX превращают в 2,8-диметил-X, т. кип. 180°/4 мм, т. пл. 108—109° (из петр. эф.), и затем в 2,8-диметил-1-изопропил-I, т. пл. 79° (из сп.); II, т. пл. 130°. Из р-ра 4 г 5-метил-IX в C_6H_6 и 0,5 г K получено K-производное, которое нагревают 20 час. с 3 мл $\text{iso-C}_3\text{H}_7\text{I}$, гидролизуют и выделяют 8-метил-2-изопропил-X, выход 1,4 г, т. кип. 180°/3 мм, т. пл. 123—125° (из петр. эф.). Этот кетон восстанавливают по Клемменсену, дегидрируют и получают 8-метил-2-изопропил-I, т. пл. 99° (из п.); II, т. пл. 123—124°. 5 г V кипятят 10 мин. с 10 мл конц. HCl и 20 мл CH_3COOH , разбавляют водой, упаривают при 100°, экстрагируют эфиром 8-фенилоктанон-5-овую 1 к-ту, выход 3 г, т. кип. 205—210°/3 мм; СК, т. пл. 126° (из сп.); ЭЭ, т. кип. 165°/3 мм. Этот эфир (5 г) нагревают 20 час. с $\text{C}_2\text{H}_5\text{ONa}$ (0,5 г Na, 20 мл спирта), разбавляют водой, подкислением щел. р-ра выделяют 2-фенилэтилциклогександион-1,3, т. пл. 147° (из этилацетата-петр. эф.).

И. Л. 64922. Функциональные производные 1,2-бензантрацена. Пе к (Functional derivatives of 1,2-benzanthracene. Peck Richard M.), J. Amer. Chem. Soc., 1956, 78, № 5, 997—1001 (англ.)

С целью получения растворимых канцерогенных в-в типа 1,2-бензантрацена синтезированы его метилированные метоксипроизводные и соответствующие изоцианаты. При взаимодействии $n\text{-CH}_3\text{OC}_6\text{H}_4\text{MgBr}$ (I) с 1,2-нафталиновым ангидридом (Ia), а также из анизол и I в присутствии AlCl_3 получена смесь 2-(n -метоксibenзоил)-нафтойной-1 (II) и 1-(n -метоксibenзоил)-нафтойной-2 к-ты (III). Строение II и III доказано декабоксилированием в n -метоксифенил-β-нафтилкетон (IV) и n -метоксифенил-α-нафтилкетон (V) соответственно, полученные также другим путем. Из II через лактон 2-[α-окси-(4-метоксифенил)-этил]-нафтойной-1 кислоты (VI) и 2-[α-(4-метоксифенил)-этил]-нафтойную-1 к-ту (VII) получен 9,10-диметил-7-метокс-1,2-бензантрацен (VIII). Деметилированием с последующей р-цией Бухерера VIII превращен в 9,10-диметил-7-амино-1,2-бензантрацен (IX), который при действии SOCl_2 дал 9,10-диметил-1,2-бензантрацен-7-изоцианат (X). Из X и ε-аминокапроновой к-ты (XI) получена ε-(9,10-диметил-1,2-бензантрин-7-карбамидо)-капроновая к-та (XII). Так как получить аналог VI не удалось, то III была превращена через 1- n -метоксibenзилнафтойную-2 к-ту (XIII) и 6-метокси-10-метил-1,2-бензантрацен (XIV) в 10-метил-1,2-бензантрин-6-изоцианат (XV). Аналогично из 7-метокс-1,2-нафталинового ангидрида (XVI) получена 2-бензоил-7-метоксинафтойная-1 к-та (XVII) (в смеси с другим изомером), которая через лактон 2-(α-окси-α-фенилэтил)-7-метоксинафтойной-1 к-ты (XVIII) и 2-(α-фенилэтил)-7-метоксинафтойную кислоту (XIX) превращена в 2'-метокс-9,10-диметил-1,2-бензантрацен (XX). Р-р I (из 0,22 моля $n\text{-CH}_3\text{OC}_6\text{H}_4\text{Br}$) прибавлен за 1 час к р-ру 0,2 моля Ia в 600 мл C_6H_6 , получена смесь II и III, выход 58%, из р-ра которой в ацетоне прибавлением C_6H_6 и дробным осаждением к-той из щел. р-ра выделены II, выход 33%, т. пл. 179,5—181°, и III, выход 11,5%, т. пл. 217,4—218,4°. При нагревании II с небольшим кол-вом ед. Cu -соли (10 мин., 230—245°) образуется IV, т. пл. 90,5—91,5° (из бэл.-петр. эф.), который также синтезирован из I и β-нафтонитрила. Аналогично из III получен V, т. пл. 81—82°; строение его подтверждено встречным синтезом из α-нафтонитрила. Действием 0,192 моля CH_3MgBr на 0,065 моля II в 250 мл эфира и 450 мл C_6H_6 получен VI, выход 75%, т. пл. 130—131° (из сп.). Смесь 0,052 моля VI, 400 мл спирта и 43 мл 40%-ного NaOH кипятили 20 час. с отгонкой р-рителя, замененного равным кол-вом воды; после прибавления 50 г Zn-пыли, 86 мл 40%-ного NaOH и кипячения 24 часа выделена VII, выход 95%, т. пл. 168,5—169,2°. К 12,8 г VII прибавлено ~100 мл безводн. HF, через 20 мин. смесь вылита на лед, образовавшийся антрацн растворен в 200 мл C_6H_6 и обработан 134 мл 1,25 M эфира. р-ра CH_3MgBr (1,5 часа, 40—50°); после дегидратации (185°) и хроматографирования на Al_2O_3 -целите (5 : 1) выделен VIII, выход 54%, т. пл. 137—138,5°. Смесь 20 мл диоксана, 50 мл гидрохинона, 1 г VIII и 5 мл постоянно кипящей HBr нагревали в N_2 (2,5 часа, 100° и 150°) до отгонки 21 мл дистиллата; масляный слой в 14 мл диоксана обработан смесью 5 г NaHSO_4 , 8 мл воды и 20 мл конц. р-ра NH_3 (30 час., 180—190°); после хроматографирования на SiO_2 -целите (6 : 1) выделен IX, т. пл. 107,5—108,5° (из бэл.-петр. эф.), который кипятили с р-ром SOCl_2 в толуоле; выход X 17,2%, т. пл. 113,8—114,6° (возгонка при 115—120°/0,0001 мм). Из 2 ммоль XI и 2,1 ммоль NaOH в 15 мл воды и 15 мл диоксана и 70 мг X в 30 мл диоксана получена нестойкая XII, выход 69% (приведены данные УФ-спектра). Смесь Na-соли III (из 0,05 моля III), 300 мл воды, 40 г Zn-пыли и 120 мл 40%-ного NaOH кипятили 20 час., добавили еще 30 г Zn-пыли и кипятили 7 час., добавили 20 г Zn-пыли и кипятили еще 15 час.; выделено 15% XIII, т. пл. 171—172,5° (из CH_3OH -воды), и в-во $\text{C}_{18}\text{H}_{20}\text{O}_4$, т. пл. 152—153,5°

(из бэл.). Аналогично превращению VII, из XIII получен XIV, выход 18,4%, т. п. 174,1—175,1° (возгонка), а из XIV — XV, выход 12,5%, т. п. 134,5—135,5° (из бэл.-пепт. эф.). Р-цией C_6H_5MgBr и XVI, как описано для I, получено 68,2% смеси XVII, т. п. 203,5—204,5°, и ее изомера, из которой описанным выше способом получены: XVIII, выход 50,5%, т. п. 138—138,6° (из чистой XVII выход XVIII 92,5%); XIX, выход 97%, т. п. 155—155,5° (возгонка); XX, выход 45,7%, т. п. 131—132,5°. А. Б.

64923. Синтез шести изомерных 9-диметилфенил-1,2-бензантраценов. Винджелло, Боржак-век (The synthesis of the six isomeric 9-dimethylphenyl-1,2-benzanthracenes. Vingiello Frank A., Borjakov Alexej), J. Amer. Chem. Soc., 1956, 78, № 6, 1240—1242 (англ.)

В продолжение работы (РЖХим, 1956, 28994) р-цией $\beta-C_{10}H_7CH_2C_6H_4CN-O$ (I) с $(CH_3)_2C_6H_3MgX$ ($X = J$ или Br) получены $\beta-C_{10}H_7CH_2C_6H_4$ [$C(=NH \cdot HCl) \cdot C_6H_4(CH_3)_2$]-о (II), которые гидролизом 30—40%-ной H_2SO_4 в присутствии толуола превращены в соответствующие кетоны (III), нагревание которых со смесью CH_3COOH и 48%-ной HBr при $\sim 180^\circ$ ведет к циклизации с образованием 9-диметилфенил-1,2-бензантраценов (IV), очищ. хроматографированием на Al_2O_3 . В ряде опытов промежуточные II не были выделены. К р-ру 2,6-(CH_3) $_2C_6H_3MgJ$ (из 6,6 г Mg) в 300 мл эфира прибавляют р-р 36,5 г I в 300 мл толуола, отгоняют эфир, нагревают ~ 16 час., после обработки р-ром NH_4Cl осадок нагревают 2 часа с 20%-ной HCl и отделяют II (положение CH_3 -группы 2,6), который также выделяют прибавлением конц. HCl к толуольному р-ру, общий выход 85%, т. п. 192° (из сп.-ацетона, 1:10). Получены следующие III (указано положение CH_3 -групп, выход в %, т. кип. в $^\circ C/1$ мм): 2,3, 77, 240—243; 2,4, 53, 235; 2,5, 84, 236—238; 2,6, 73, —, т. п. 86,5—87° (из сп.); 3,4, 80, 238; 3,5, 82, —, т. п. 124,5—125° (из сп.). Получены следующие IV (указано положение CH_3 -групп, выход в %, т. п. в $^\circ C$): 2, 3, 34, 152—153; 2, 4, 75, 58—64; 2, 5, 34, 64—69; 2, 6, 6, 123,5; 3, 4, 65, 120—120,5 (другая форма т. п. 142—143°); 3, 5, 79, 230. Приведены УФ-спектры IV, из которых видно, что 9-(CH_3) $_2C_6H_3$ -группа не находится в одной плоскости с 1,2-бензантраценовой группировкой. Я. К.

64924. Инденофлуорены ортохиноидного строения. Этени, Ле-Берр (Hydrocarbure indenofluoréniques orthoquinoides. Étienne André, Le Berre André), C. r. Acad. sci., 1956, 242, № 11, 1493—1496 (франц.)

С целью изучения способности некоторых углеводов к фотоокислению синтезированы 11,12-дифенил-инден-(2,1-а)-флуорен (I) и 13,14-дифенилбенз-(с)-инден-(2,1-а)-флуорен (II). Из инден-(2,1-а)-флуорендиона-11,12 (III) и C_6H_5MgBr (IV) получены 2 стереоизомерных 11,12-дифенил-11,12-диоксид-11,12-дигидринден-(2,1-а)-флуорена (V) с т. п. 224° (разл.) и 276° (разл.; из сп.), с примесью 11-фенил-11-оксид-11-гидринден-(2,1-а)-флуоренона-12, т. п. 227° (разл.), отделенного от V хроматографированием на Al_2O_3 . Восстановление V KJ в $(CH_3CO)_2O$ вместо ожидаемого I привело к смеси стереоизомерных 11,12-дифенил-11,12-дигидринден-(2,1-а)-флуоренов (VIa—б), т. п. 266° (разл.) и 330° (разл.), разделенных по различной растворимости в CH_3COOH . Действием на оба изомера V HBr-(CH_3CO) $_2O$ получен лишь 11,12-дифенил-11,12-дигидром-11,12-дигидринден-(2,1-а)-флуорен (VII), т. п. 263—266° (из хлф.-эф.), гидролизующийся при кипячении в водн. диоксане в смесь VIa—б. Восстановлением VII Zn в CH_3COOH выделен VIб и диацетат, т. п. 310° (разл.; из CH_3COOH). I получен обработкой кипящего р-ра VII в C_6H_6 Cu, т. п. 249—251° (разл.; из бэл.); на основании отсутствия парамагнитных свойств I приписано не радикаль-

ное, а ортохиноидное строение, подтвержденное физ. и хим. свойствами I. Так I дает аддукт с маленновым ангидридом (VIII), т. п. 315° (разл.; из бэл.). II синтезирован аналогичным методом из бенз-(с)-инден-(2,1-а)-флуорендиона-13,14 и IV; полученные диолы (IXa—б) имели т. п. 300° (разл.; из бэл.) и 348° (разл.; из ксилола); монофенилированный продукт, т. п. 290° (разл.; из бэл.); дибромид (из IXa—б и HBr в CH_3COOH) (X), т. п. 254—256° (разл.; из хлф.-сп.). Гидролиз X приводит к IXб, восстановление Zn в CH_3COOH — к смеси стереоизомерных 13,14-дифенил-13,14-дигидробенз-(с)-инден(2,1-а)-флуоренов, т. п. 294° (разл.; из бэл.) и 282° (из этилацетата), разделенных хроматографированием. Последние могут быть получены также восстановлением IX KJ-(CH_3CO) $_2O$. Из-за крайней неустойчивости выделить чистый II после обработки X Cu не удалось, однако получен его аддукт с VIII, т. п. 370° (разл.; из ксилола). И. Л.

64925. О получении и некоторых свойствах 1-(2-фурил)-3-метилбутен-1-ола-3. Арсенок А. А., Ж. общ. химии, 1956, 26, № 3, 766—770

Синтезирован 1-(2-фурил)-3-метилбутен-1-ол-3 (I) конденсацией фурфурилоацетона (II) или этилового эфира β -(2-фурил)-акрилоид-к-ты (III) и магнийгалоид-метила. Дегидратация I приводит к образованию 1-(2-фурил)-3-метилбутадиена-1,3 (IV). Дневным синтезом из IV и маленнового ангидрида (V) получен аддукт (VI), образующий соответствующую двусосновную к-ту (VII). К эфирному р-ру 0,4 г-атома Mg и 0,4 моля CH_3J в 100 мл абс. эфира прибавляют при -5° р-р 0,2 г-моля II в 100 мл абс. эфира через 30 мин. при 20° и 3 часа при 100° охлаждают до 0° , выливают на лед и выделяют I, выход 19,02 г, т. кип. 115—116°/20 мм, n_D^{20} 1,5525, d_4^{20} 1,0267. Аналогично получают J, исходя из CH_3MgBr . Из 0,5 г-атома Mg в 125 мл абс. эфира, избытка CH_3Br и р-ра 0,2 моля III в 75 мл абс. эфира получают 12,8 г I. Перегоняют 11 г I при 130—140°/20—21 мм в присутствии J, дистиллат вторично перегоняют над Na и получают IV, выход 2,9 г, т. кип. 82—83°/20 мм, n_D^{20} 1,5781, d_4^{20} 0,9595. Смешивают 0,036 моля IV с 0,036 моля V, по охлаждению прибавляют равный объем C_6H_6 и после нагревания 30 мин. при 100° осаждают петр. эфиром VI, выход 71,7%, т. п. 73—75° (из эф.-петр. эф.). VI растворяют в 10%-ном р-ре NaOH и выделяют прибавлением 20%-ной H_2SO_4 VII, выход 78,9%, т. п. 165—167° (разл.). Т. К.

64926. Каталитическое гидрирование четвертичной соли фурфурилтриметиламмония. Поццо-Бальби (L'idrogenazione catalitica di un sale quaternario di furfuriltrimetilammonio. Pozzo-Balbi Teodoro), Ann. chimica, 1955, 45, № 12, 1178—1185 (итал.)

л-Толуолсульфонат фурфурилтриметиламмония (физостин) (I) при каталитич. гидрировании в абс. спирте над скелетным Ni (обычные т-ра и давление) и над Pt (из PtO_2) в абс. спирте или воде претерпевает наряду с гидрированием фуранового ядра полный гидрогенолиз, в результате образуется с колич. выходом л-толуолсульфонат триметиламина наряду с метилтетрагидрофураном. Как подтверждено кривыми гидрирования процессы гидрирования и гидрогенолиза проходят одновременно. При гидрировании I в присутствии Pt (из PtO_2) в лед. CH_3COOH гидрогенолиз проходит только на 20—25%, в дальнейшем I остается неизменным, что, вероятно, объясняется частичным восстановлением в этих условиях сульфогруппы и отравлением катализатора. Л. Я.

64927. Бензофуран из сахарной кислоты. Коп, Келлер (Benzofuran from saccharic acid. Cop Arthur C., Keller Richard T.), J. Organ. Chem., 1956, 21, № 1, 141 (англ.)

Изучена р-ция получения фурандикарбоновой-2,5 к-ты (I) из сахарной к-ты (II) и HBr (к-ты) с целью выяснения причины образования в качестве побочных продуктов бензофурана (III) и фурана (IV). Показано, что исходным продуктом для III и IV служит бутандиаль-1,4 (V), образующийся из II. Для доказательства III и IV получены из 2,5-диметокситетрагидрофурана (VI) и HBr (к-ты). Перегоняют в течение 8—27 час. смесь 353 г Na-соли II и 1 л 48%-ной HBr при 100—120° и получают: I, выход 40—50%; III, выход 11%, т. кип. 97—98°/73 мм, n_D^{25} 1,5641; пикрат, т. пл. 103—104,5°; IV, выход 2%, т. кип. 31,5—33°. Р-р 102 г VI в 300 мл воды прибавляют в течение 45 мин. к 1370 г 48%-ной HBr, смесь медленно перегоняют при 95—105°, выделяют III, выход 22%, V (бис-2,4-динитрофенилгидразон, т. пл. 267—268°), IV и $\text{C}_6\text{H}_5\text{Br}$. Т. К.

64928. Кислородсодержащие гетероциклы. III. Реакционная способность бензофурана и 2-алкилбензофуранов. Бизань, Бу-Хой, Ройер (Oxygen heterocycles. Part III. The reactivity of benzofuran and 2-alkylbenzofurans. Bisagni M., Buonofanti N. G., Royer R.), J. Chem. Soc., 1955, Nov., 3688—3693 (англ.).

Взаимодействие $\text{HCON}(\text{CH}_3)_2$ (I) с бензофураном (II) протекает значительно легче, чем с тионафеном, и приводит к 2-формилбензофурану (III). Р-ция I с 2-метил-(IIa) (получен при восстановлении 21,5 г III по Кижнеру, выход 5 г, т. кип. 189—191°) и 2-этилбензофураном (IIb) (получен азалогично IIa из 2-ацетилбензофурана (IV), выход 91%, т. кип. 211—212°, n_D^{25} 1,5522; побочно образуется азин (т. пл. 167°)) протекает еще легче, чем со II и приводит соответственно к 2-метил-(IIa) и 2-этил-3-формилбензофурану (IIb). 2,3-диметил-(IIa) и 2-этил-3-метилбензофуран (IIг) формилировать не удалось. Cl в положении 5 препятствует формилированию, а CH_3 -группа в положении 7 облегчает его. Возрастающая трудность восстановления по Кижнеру в ряду III, IIa, IIб говорит о пространственных препятствиях, вызываемых наличием 2-алкилзаместителя, что хорошо подтверждается следующими данными: оксим IIб (14 г) легко дегидрируется при кипячении с $(\text{CH}_3\text{CO})_2\text{O}$ до 3-циан-2-этилбензофурана (выход 8,5 г, т. кип. 149—150°/18 мм, n_D^{25} 1,5596), но получить из него соответствующий амид не удалось, взаимодействие III (но не IIб) с $\text{C}_6\text{H}_5\text{COCH}_3$ приводит к соответствующему халкону (т. пл. 92° (из CH_3OH)). Описанная реакционная способность производных II подтверждается ацилированием их по Фриделю-Крафту в присутствии SnCl_4 (сам II в этих условиях осмоляется). Взаимодействие IV (т. кип. 140—145°/15 мм, т. пл. 75—76° (из CH_3OH); гидразон, т. пл. 146° (из сп.); побочно образуется 2-(2'-оксидинамил)-бензофуран, т. пл. 193° (разл.; из бзл. или сп.) с CH_3MgI и изатном (V) (спирт. КОН, 8 час. кипячения) приводит соответственно к 2,2'-бензофурилпропанолу-2 (т. кип. 138°/15 мм, n_D^{25} 1,5783) и 2,2'-бензофурилцианхониновой к-те (выход 90%, т. пл. 285—286° (разл.; из CH_3COOH)), декарбоксилирование которой приводит к 2,2'-бензофурилхинолину, т. пл. 128° (из сп.); пикрат, т. пл. 227° (разл.; из сп.). Аналогично IV из его 5-хлор- и 7-метоксипроизводного через 2-(5-хлор-2-бензофурил) (т. пл. >310°) и 2-(7-метокси-2-бензофурил)-хинолиновую к-ту (т. пл. 282° (из CH_3COOH)) получены соответственно 2-(5-хлор-2-бензофурил) (т. пл. 189° (из водн. сп.); пикрат, т. пл. 218—219° (разл.; из сп.)) и 2-(7-метокси-2-бензофурил)-хинолин (т. пл. 148° (из лигр.); пикрат, т. пл. 220° (разл.; из сп.)). 3-ацетил-2-этилбензофуран (VI) и его 5-хлор-(VIa) и 7-метоксипроизводное (VIб) не реагируют с V вследствие пространственных препятствий; по этой же причине восстановить VI по Кижнеру не удалось. При взаимодей-

ствии VI с $\text{C}_6\text{H}_5\text{CHO}$ (сп., 2 капли 20%-ного р-ра NaOH, 50°, 15 мин.) и с водн. р-ром NaBrO (2 часа) получены соответственно 3-(3-фенилакрил)-2-этилбензофуран (т. пл. 93—140° (из водн. сп.)) и 2-этилбензофуранкарбоновая-3 к-та (выход 2,5 г (из 15 г VI), т. пл. 116° (из водн. сп.)). Взаимодействие IV с $\text{C}_6\text{H}_5\text{NHNH}_2$ и последующая обработка образовавшегося фенилгидразона действием ZnCl_2 (150—200°, 15 мин.) приводит к 2,2'-бензофурилдиолу (т. кип. 250—260°/15 мм, т. пл. 218° (из сп.)). Аналогично производным II 5-этилнафто-(2',1'-2,3)-фуран (VII) (т. кип. 180—185°/15 мм, n_D^{25} 1,6388, получен с выходом 81,4% при восстановлении по Кижнеру 5-ацетилнафто-(2',1'-2,3)-фурана (VIII), т. кип. 245°/15 мм, т. пл. 114° (из лигр.)), синтезированного аналогично IV) при формилировании и ацилировании образует соответственно 4-формил-(VIIa) и 4-ацетилпроизводное (VIIб), причем VIIб не реагирует с V, тогда как VIII легко образует 2-(4-карбокси-2-хинолил)-нафто-(2',1'-2,3)-фуран (т. пл. >330° (из CH_3COOH)), при декарбоксилировании которого получен 2,2'-хинолилнафто-(2',1'-2,3)-фуран (т. пл. 159° (из лигр.); пикрат, т. разл. >210° (из сп.)). II получен с выходом 29% при нагревании 3 часа о-формилфеноксикусковой к-ты с $(\text{CH}_3\text{CO})_2\text{O}$ и CH_3COONa (в отсутствие последнего выход II 15,2% и побочно образуется бензофуранкарбоновая к-та, т. пл. 191° (из воды)). К смеси 46 г II и 33 г I постепенно прибавляют 66 г POCl_3 , кипятят 6—7 час. и получают III, выход 37,7%, т. кип. 135°/18 мм, n_D^{25} 1,6337; семикарбазон (C), т. пл. 251°; фенилгидразон, т. пл. 136°. Аналогично III получены: IIIa (из 5 г IIa, 11 час.), выход 4,5 г, т. пл. 79°; C, т. пл. 243° (разл.; из сп.); IIб (из 30 г IIб, 11 час.), выход 23,5 г, т. кип. 148—150°/15 мм, n_D^{25} 1,5813; оксим, т. пл. 78° (из лигр.); гидразон, т. пл. 220—221°/14 мм, т. пл. 136° (из сп.); 5-хлор-2-этил-3-формилбензофуран, выход 6%, т. кип. 175°/15 мм; оксим, т. пл. 98° (из петр. эф.); 2-этил-3-формил-7-метоксибензофуран, выход 76%, т. пл. 62° (из петр. эф.); C, т. пл. 174° (из водн. сп.); VIIa (в толуоле), выход 49,5%, т. кип. 240—245°/20 мм, т. пл. 79° (из петр. эф.); C, т. пл. 258° (разл.). При взаимодействии IIIa по Кижнеру получен IIв (т. кип. 100—101°/15 мм, n_D^{25} 1,5591), из IIб (в $\text{OH}(\text{CH}_2)_2\text{OH}$) — IIг, выход 38%, т. кип. 108—110°/15 мм; n_D^{25} 1,5611, из 33 г 2-ацетил-5-хлорбензофурана (получен с выходом 60%, т. кип. 175°/12 мм, т. пл. 103°, аналогично IV из 110 г 5-хлорсалицилового альдегида, и 69 г $\text{ClCH}_2\text{COCH}_3$; побочно образуется 5-хлор-2-(3-(5-хлор-2-оксифенилакрил)-бензофуран, т. пл. 222° (разл.; из лигр.)) (аналогично IIб) — 5-хлор-2-этилбензофуран (IIд), выход 25 г, т. кип. 128—129°/15 мм, n_D^{25} 1,5709, а из 2-ацетил-7-метоксибензофурана (получен с выходом 58 г, т. кип. 176—180°/15 мм, из 100 г о-ванилина, 66,5 г $\text{ClCH}_2\text{COCH}_3$ и 38 г КОН в сп.) (аналогично IIб) — 2-этил-7-метоксибензофуран (IIе), выход 81%, т. кип. 136—137°/13 мм, n_D^{25} 1,5610. К р-ру 29 г IIб и 16 г CH_3COCl в 200 мл сухого CS_2 постепенно прибавляют (т-ра ~20°) 52 г SnCl_4 , оставляют на 3 часа (~20°), выливают в воду и получают VI, выход 80,6%, т. кип. 165—166°/20 мм, n_D^{25} 1,5679; оксим, т. кип. 194—195°/20 мм, т. пл. 81° (из лигр.); гидразон, т. кип. 225°/15 мм, т. пл. 121° (из лигр.-циклогексана); тио-семикарбазон, т. пл. 148° (из сп.). Аналогично VI получены: 2-этил-3-пропионилбензофуран (из 10 г IIб, 18 час.), выход 10,3 г, т. кип. 163—164°/10 мм, n_D^{25} 1,5650; оксим, т. пл. 93° (из лигр.); 3-н-бутирил-2-этилбензофуран, выход 70%, т. кип. 178°/20 мм, т. пл. 63° (из лигр.); VIa (из IIд, 3 часа), выход 27%, т. кип. 170°/13 мм, т. пл. 59° (из петр. эф.); VIб (из IIе, 15 мин.), выход 54%, т. пл. 57° (из петр. эф.); VIIб (из VII), выход 32,6%, т. кип. 245—250°/15 мм, т. пл. 70° (из петр. эф.). Сообщение II см. J. Chem. Soc., 1952, 4699. В. З.

64929. Кислородсодержащие гетероциклы. IV. 2-бензоилбензофураны и родственные соединения, представляющие биологический интерес. Бизань, Бу-Хой, Ройер (Oxygen heterocycles. Part IV. 2-benzoylbenzofurans and related compounds with biological interest. Bisagni M., Buu-Hoi N. G. Ph., Royer R.), J. Chem. Soc., 1955, Nov., 3693—3695 (англ.).

С целью получения соединений, обладающих эстрогенной активностью (ЭА), синтезирован 2-бензоилбензофуран (I) (выход 58%, т. кип. 214—216°/15 мм, т. пл. 90° (из сп.)) и его производные при взаимодействии o -ОНС₆H₄CHO (II) (или его производных) с BrCH₂COC₆H₅ (III) (или его производными), причем II может быть заменен o -окискетонами. При восстановлении I по Кижнеру в HO(CH₂)₂ОН получен 2-бензилбензофуран (выход 68%, т. кип. 184—185°/16 мм, n_D^{20} 1,6056), ацетилирование 30 г которого в присутствии SnCl₄ (1 час) (см. пред. реф.) приводит к 3-ацетилпроизводному III (IV) выход 13 г, т. кип. 228—230°/18 мм, n_D^{19} 1,6181; оксим, т. пл. 134° (из лигр.). Аналогично IV из 2-этилбензофурана (V) получены: 3-бензоил (IVa) (18 час., выход 3,5 г из 10 г V), т. кип. 240°/15 мм; оксим, т. пл. 118° (из лигр.); 3-*n*-анизоил (выход 4,5 г (из 6,5 г V), т. кип. 225—226°/15 мм, n_D^{23} 1,6249; оксим, т. пл. 161° (из лигр.)); 3-фенилацетил-2-этилбензофуран, выход 11 г (из 10 г V), т. кип. 232—233°/16 мм, n_D^{20} 1,6138; оксим, т. пл. 117° (из лигр.). К р-ру 30 г o -ОНС₆H₄COSCH₃ (VI) и 13 г КОН в 150 мл спирта прибавляют 40 г III, кипятят 2,5 часа, прибавляют воду и получают 2-бензоил-3-этилбензофуран (VII) (выход 28%, т. кип. 215—218°/15 мм, n_D^{25} 1,6270); при восстановлении 5 г VII аналогично I получен 2-бензил-3-этилбензофуран, выход 2,5 г, т. кип. 202—204°/16 мм, n_D^{25} 1,5940. Аналогично VII получают: 2-*n*-анизоилбензофуран (VIIa) [из 20,5 г II и 38 г BrCH₂COC₆H₄OCH₃-*n* (IIIa), выход 15 г, т. пл. 97° (из сп.)]; 2-*n*-анизоил-3-этилбензофуран (VIIb) (из 45 г VI и 65 г IIIa, выход 23 г, т. кип. 245—247°/17 мм, n_D^{21} 1,6447); 2-бензоил-6-метоксибензофуран (VIIc) (из 13,5 г 2,4-(ОН)₂(CH₃O)₂C₆H₃CHO и 18 г III, выход 11 г, т. пл. 105°); 2-бензоил-(из 6 г 5-ацетил-6-окси-4,7-диметоксибензофурана (VIII) (получен с выходом 44 г, т. пл. 100—101° (из водн. CH₃ОН), при кипячении 2 часа р-ра 50 г келлина в 500 мл 10%-ного р-ра КОН), 18 час., выход 4 г, т. пл. 127° (из лигр. или водн. сп.)); 2-*n*-толуил-(из 6 г VIII, выход 4,2 г, т. пл. 124° (из сп.)), 2-*n*-этилбензоил-(т. пл. 118° (из лигр.)) и 2-*n*-анизоил-4,7-диметокс-3-метилбензо-(1,2-в; 5,4-в)-дифуран, т. пл. 135° (из лигр.). При кипячении 40 мин. VIIa, б, в с C₆H₅N·HCl получены 2-*n*-оксбензоил-(IX) (выход 8 г (из 10 г VIIa), т. пл. 192—193° (из бзл.)), 3-этил-2-*n*-оксбензоил-(IXa) (выход 10 г (из 12 г VIIb), т. пл. 167—168° (из бзл.)) и 2-бензоил-6-оксбензофуран (IXб), т. пл. 215° (из водн. сп.) соответственно. 2,4-(ОН)₂C₆H₃CHO получают с выходом 125 г, т. пл. 135° (из воды), из 220 г резорцина, 146 г HCON(CH₃)₂ и 153 г POCl₃. При испытании на мышах найдено, что IX обладает ЭА при подкожной инъекции 1 мг, IXa — от 1 до 10 мг; IXб, IVa и 2-(β-оксифенилакрил)-бензофуран не активны при инъекции 1 мг, а VIIa — при инъекции 10 мг. В. З.

64930. Получение производных бензодифурана и бензофурана взаимодействием *n*-бензохинона и толукхинона с бензоиллукусным эфиром. Гринев А. Н., Панов В. Хвар, Терентьев А. П., Вестн. Моск. ун-та, 1956, № 2, 91—93

Получены диэтиловый эфир 2,6-дифенилбензо-[1,2-в; 4,5-в']-дифурандикарбоновой-3,7 к-ты (I) и этиловый эфир 2-фенил-5-оксбензофуранкарбоновой-3 к-ты (II) конденсацией C₆H₅COSCH₂COOC₆H₅ (III) с *n*-бензохиноном (IV) в абс. спирте в присутствии ZnCl₂. При

взаимодействии III с толукхиноном не получено производного бензодифурана, а выделено два в-ва состава C₁₇H₁₆O₄, строение которых не установлено. Из 10 г III, 5,5 г IV и 7 г ZnCl₂ в 7 г спирта получают 4,5 г I, т. пл. 191—192° (из дихлорэтана-ацетона; 1:1). Омылением I спирт. щелочью получена соответствующая к-та (V). При нагревании V в течение 1,5 часа при 150—160° образуется 2,6-дифенилбензо-[1,2-в; 4,5-в']-дифуран, т. пл. >300°. Из маточного р-ра после отделения I выделяют 4 г II, т. пл. 154—155° (из CH₃COOH). Н. Ш.

64931. Об усниновой кислоте. I. Синтезы в ряду 2,4,5,7-тетраоксидифениленоксида. Ридль (Synthesen in der Reihe des 2,4,5,7-Tetrahydroxy-diphenylenoxyds. Über Usninsäure I. Riedl Wolfgang), Liebigs Ann. Chem., 1955, 597, 2, 148—152 (нем.).

С целью исследования соединений, близких по строению к усниновой к-те, осуществлен синтез 2,4,5,7-тетраоксидифениленоксида (I). Модифицированием триметилового эфира флороглюцина (II) получен 2,4,6-триметоксинодбензол (III), который нагреванием с Cu переведен в 2,4,6,2',4',6'-гексаметоксидифенил (IV). Из IV действием Br₂ получен 3,5,3',5'-тетрабром-2,4,6,2',4',6'-гексаметоксидифенил (V). При нагревании с HJ IV деметилируется с одновременной циклизацией, образуя I. Получены также 2,4,5,7-тетраацетокси-(VI), 2,4,5,7-тетраметокс-(VII) и 1,3,6,8-тетрабром-2,4,5,7-тетраметоксидифениленоксид (VIII). К р-ру 3,0 г II в 70 мл спирта добавляют 2,5 г желтой HgO и по каплям приливают р-р 4,65 г J₂ в 50 мл спирта, нагревают до 40° и через 4 дня выделяют III, выход 66%, т. пл. 119—121°. III получают также, прибавляя к 13 г II при 70° 23 г J₂ и 10 г желтой HgO, выход 79%. Смесь 41 г III и 52,2 г Cu быстро нагревают до 230°, через 6 час. поднимают т-ру до 270°, охлаждают, извлекают 70 мл спирта и получают IV, выход 64%, т. пл. 156° (из сп.), с последующей сублимацией при 120°/0,01 мм. IV получен также из триметоксиромбензола. 0,5 г IV в 10 мл CHCl₃ бромруют р-ром 1,6 г Br₂ в 25 мл CHCl₃ (т-ра ≤10°) и через 12 час. получают V, выход 76%, т. пл. 189—190° (из CH₃ОН с сублимацией при 170°/0,01 мм). Смесь 5 г IV и 50 мл HJ (d 1,7) нагревают 70 мин. при 40—45°, охлаждают до ~20° и получают I, выход 95%, т. разл. 320° (из воды, содержащей SO₂). В кипящую смесь 3,3 г I (неочищ.), 33 мл (CH₃CO)₂O и 9,4 г пиридина вносят по частям 10 г Zn-пыли, кипятят 5—10 мин., выливают в 500 мл ледяной воды и получают VI, выход 86%, т. пл. 196—198° (из 50%-ного водн. CH₃ОН с последующей сублимацией при 160—170°/0,01 мм). Р-р 0,7 г VI в 10 мл CH₃ОН гидролизуют и метилируют действием 3,56 г (CH₃)₂SO₄ и 4,38 мл 50%-ной КОН при 60—70° в атмосфере N₂, удаляют CH₃ОН, остаток извлекают эфиром и получают VII, выход 29,5%, т. пл. 118—119° (после сублимации при 120—125°/0,01 мм). Взаимодействие 0,05 г VII с 0,166 г Br₂ в CHCl₃ дает VIII, выход 78%, т. пл. 167—168° (из CH₃ОН с последующей сублимацией при 160°/0,01 мм). В. В.

64932. Синтез производных 4-окси-6-хлоркумарина. Клоза (Synthese von 4-Oxy-6-chlor-cumarin-derivaten. Klossa Josef), Arch. Pharmazie, 1956, 289/61, № 3, 143—150 (нем.).

Ацетилированием метилового эфира 5-хлорсалициловой к-ты (I) последующей циклизацией получен 6-хлор-4-оксикумарин (II). Взаимодействие II с альдегидами приводит к образованию алкил-(арил)-ди-(4-окси-6-хлоркумаринил-3)-метана (III). Р-цией II с карбоновыми к-тами в присутствии POCl₃ получены 3-ацил-4-окси-6-хлоркумарины (IV). Синтезированные в-ва являются более или менее сильными антикоагулянтами. К охлажд. р-ру 10 г 5-хлорсалициловой к-ты в 50 мл абс. CH₃ОН добавляют 6—8 мл POCl₃, кипятят 3—5 час., отго-

CH_3COOH , приливают 4,5 мл 30%-ной H_2O_2 , оставляют на 24 часа при 20° и получают VIII, выход 51%. Д. В. 64940. Удобный метод получения индолальдегида-3.

Свамианатхан, Ранганатхан (A convenient method of preparation of indole-3-aldehyde. Swaminathan S., Ranganathan S., Chemistry and Industry, 1955, № 53, 1774 (англ.)) Р-р I, 1,17 г индола (I) в 3 мл лед. CH_3COOH , разб. до 5 мл водой, прибавляют в течение 1 часа к кипящему р-ру 1,4 г гексаметилентетрамина в 5 мл 66%-ной CH_3COOH , выливают в 150 мл воды, получают индолальдегид-3 (II), выход 50%, т. пл. $189-192^\circ$ (из воды). Такой же выход II получается при ведении р-ции в 66%-ной пропаноновой или масляной к-те. Аналогично из 2-фенилиндолола получается 2-фенилиндолальдегид-3 с выходом 99%. По методу Даффа (Duff, J. Chem. Soc., 1941, 547) из I не образуется II.

64941. Некоторые реакции 4,7,8,9-тетрагидроизоиндолина и пергидроизоиндола. Райс, Гроган (Some reactions of 4,7,8,9-tetrahydroisindoline and perhydroisindole. Rice Leonard M., Grogan Charles H., J. Organ. Chem., 1955, 20, № 12, 1687-1694 (англ.))

С целью синтеза фармакологически активных соединений 4,7,8,9-тетрагидроизоиндолин (I) различными путями превращен в N-β-оксиэтил-I (Ia), N-карбоксиметил-I (Ib), N-дианметил-I (Iv), и N-β-бензоилэтил-I (Iv). Восстановлением I, Ia или его сложного эфира получены пергидроизоиндол (II) и его N-замещ. соответственно. N-карбоксиметил-I (Id), полученный из IC не показал ауксиновой активности и не влиял на рост *B. aerogenes*. Для испытания гипотензивного действия синтезирован тринометилат N-[γ-(1-метилпиперазинил-4)-пропил-I (III)]. 150 г *цис*-Δ⁴-тетрагидрофталимида в аппарате Соклета восстанавливают 60 г LiAlH_4 в 1700 мл абс. эфира и выделяют 60 г I, т. кип. $76-80^\circ/15$ мм, 90-93/26 мм, n_D^{20} 1,5110; хлоргидрат, т. пл. 131,5-132,5. Фенилтиомочевинное (ФТ), нафтилмочевинное (НМ), фенилмочевинное (ФМ) и *n*-бромфенилсульфамидное производные I имеют т. пл. в $^\circ\text{C}$ (из сп.) 164-165, 216-217, 152,5-153,5, 102-103 соответственно. 32 г I в 300 мл CH_3OH гидрируют ($\sim 20^\circ$, 1 час) в присутствии 0,5 г PtO_2 , фильтрат упаривают, II выделяют в виде: хлоргидрата, т. пл. 123,5-125; пикрата, т. пл. 162-163 (из CH_3OH); ФТ, т. пл. 176-178; ФМ, т. пл. 133-135; и НМ, т. пл. 182-183,5. Смесь 0,143 моля I и 0,0715 моля хлорацетонитрила в 100 мл толуола кипятят 4 часа, отфильтровывают при $\sim 0^\circ$, хлоргидрат I и из фильтрата выделяют Iv, выход 69%, т. кип. 80/0,4 мм, 67/0,2 мм, n_D^{20} 1,5031. Из 2 г LiAlH_4 в эфире и 6 г Iv (прибавление по каплям и кипячение 2 часа) получают 6,1 г N-β-аминоэтил-I, т. кип. 97-101/3,5 мм, n_D^{20} 1,5067. Дихлоргидрат, т. пл. 180-180,5. После проведения р-ции Манниха (Blicke, Org. Reactions, 1947, 1, 329) с I и ацетофеноном смесь разбавляют ацетоном и хлоргидрат Ig осаждают эфиром, выход 60%, т. пл. 153-155 (из сп.-эф.). В р-р 25,5 г I в 500 мл CH_3OH при $\sim 0^\circ$ пропускают ток окиси этилена до привеса 8,4-8,8 г и оставляют в закрытом сосуде при $\sim 20^\circ$ на 12 час., получают Ia, выход 63%, т. кип. 85-90/1 мм, 7 г Ia в CH_3OH гидрируют в присутствии 5%-ного Pd/C, из фильтрата перегонкой выделяют 5,5 г N-β-оксиэтил-II (IIa), т. кип. 78-82/0,75 мм. Смесь Ia и *n*-нитробензоилхлорида (по 0,03 моля) в 90 мл C_6H_6 кипятят 2 часа, получают 10 г хлоргидрата *n*-нитробензойного эфира Ia (IV), т. пл. 157-158 (из сп.-эф.). Аналогично из IIa получают хлоргидрат *n*-нитробензойного эфира IIa, выход почти колич., т. пл. 171,5-172,5, из которого гидрированием аналогично IIa получают монохлоргидрат *n*-аминобензойного эфира IIa, т. пл. 229-231. Последний получен также при гидрировании IV.

0,26 моля I и 0,13 моля $\text{ClCH}_2\text{COOC}_2\text{H}_5$ в 150 мл толуола кипятят 4 часа, при $\sim 0^\circ$ отфильтровывают хлоргидрат I и из фильтрата получают 21 г Ib, т. кип. 73-75/0,2 мм. Из 10,5 г Ib в 40 мл абс. спирта и 1 экв 0,5 н. KOH в спирте через 3 дня выделяют Id, т. пл. 146-147 (моногидрат; из этилацетата). 10,5 г Ib в 50 мл 95-100%-ного этилендиамина кипятят 8 час. и перегоняют, фракцию т. кип. 173-179/0,5 мм обрабатывают спирт. HCl и эфиром осаждают дихлоргидрат N-(2-имидазолметил)-I, т. пл. 176,5-178,5 (моногидрат, из ацетона-эф.-сп.). Смесь IIa и дифенилацетилхлорида (по 0,05 моля) в 50 мл C_6H_6 оставляют на ~ 12 час., затем кипятят 2 часа, экстрагируют 10%-ной HCl, вытяжку подщелачивают и извлекают эфиром. Операцию выделения повторяют еще 2 раза. В-во обрабатывают спирт. HCl и эфиром, получают хлоргидрат дифенилуксусного эфира IIa (закристаллизовался через 2 месяца; т. пл. 129-130, из этилацетата). К р-ру 0,5 моля N-метилпиперазина в 150 мл C_6H_6 по каплям прибавляют р-р 0,5 моля акрилонитрила в ~ 25 мл C_6H_6 , кипятят несколько часов и получают 1-метил-4-пианэтилпиперазин, выход 79,5%, т. кип. 68-72/0,3 мм, n_D^{20} 1,7444, который (58 г) при восстановлении LiAlH_4 дает 23 г 1-метил-4-(γ-аминопропил)-пиперазина (V), т. кип. 52/0,3 мм. Смешивают 0,13 моля *цис*-Δ⁴-тетрагидрофталеевого ангидрида и 0,14 моля V, после экзотермич. р-ции осторожно нагревают до 170-190, выдерживают 2 часа и перегонкой получают 33 г 1-метил-4-(γ-тетрагидрофталимидопропил)-пиперазина, т. кип. 160-165/0,2 мм; дихлоргидрат, т. пл. 258-259 (разл.; из CH_3OH). 30 г основания прибавляют по каплям к 15 г LiAlH_4 в 1 л абс. эфира и выделяют N-[γ-(1-метилпиперазинил-4)-пропил]-I, т. кип. 136-142/0,1 мм; трихлоргидрат, т. пл. 270-271 (разл.; из *изо*- $\text{C}_2\text{H}_5\text{OH}$). III (действием избытка CH_3J в CH_3OH), т. пл. 217-218 (из CH_3OH). Б. Д. 64942.

Изоиндоленины в качестве промежуточных продуктов в синтезе фталоцианинов. Бауман, Бинерт, Рен, Фольман, Вольф (Isoindolenine als Zwischenprodukte der Phthalocyanin-Synthese. Baumann Fritz, Bienert Berthold, Rösch Georg, Vollmann Heinrich, Wolf Walther, Angew. Chem., 1956, 68, № 4, 133-150 (нем.; рез. англ., франц.))

Обзор химии изоиндоленинов (I), содержащих или не содержащих металлы, и продуктов их конденсации. Из высокомолекулярных Cu-, Ni- или Co-комплексов I в мягких условиях образуются фталоцианины, что позволяет проводить этот процесс непосредственно на волокне, причем можно исходить также из мономолекулярных соединений. Такие I под названием «фтало-гены» выпускаются Фарбенфабрик Байер (Лeverкузен).

64943. Синтез N-пропеноксид карбазола. Езрелев И. М., Ларин Н. А., Ж. общ. химии, 1956, 26, № 3, 791-793

Получен N-пропеноксид карбазола (I) конденсацией калийкарбазола (II) с энихлоргидрином (III). К р-ру 30 мл III в 100 мл C_6H_6 (или эфира) прибавляют 16-17 г II в течение 40-45 мин. при т-ре не выше 30-35, оставляют на 15-20 час., добавляют еще 30-50 мл C_6H_6 ; после удаления KCl в C_6H_6 получают I, выход 24%, т. пл. 108-109 (из сп.). II получен сплавлением 16,7 г карбазола и 5,6 г KOH при 220-250. Н. Ш. 64944.

2,4-диоксо-3,3-диалкил-6-алкил (арил и аларкил)-пиперидины. Луц, Шнидер (2,4-Dioxo-3,3-dialkyl-6-alkyl(aryl and aralkyl)-piperidine. Lutz A. H., Schnider O., Helv. chim. acta, 1956, 39, № 1, 81-86 (нем.; рез. англ.))

В р-ции 2,4-диоксо-3,3-диалкилтетрагидропиридинов (I) с металлограниями соединениями (II) участвуют 2 моля II; 1 моль II реагирует с подвижным Н, второй — при-

соединяется (1,4-присоединение) к системе $C=C-O$ с образованием после гидролиза 6-алкил-(арил и алкил)-I. Так же реагируют с II 5-алкил-I и N-алкил-I; в первом случае, вследствие пространственных затруднений, выход 6-алкилпроизводного ниже; во втором случае в р-цию вступает (по типу 1—4 присоединения) только 1 молекула II. К р-ру 1 моля CH_3MgBr в 500 мл сухого эфира прибавляют при размешивании теплый р-р 80 г 2,4-диоксо-3,3-ди-*n*-пропилтетрагидропиридина в 500 мл сухого C_6H_6 с такой скоростью, чтобы смесь слабо кипела, кипятят 1 час, охлаждают, обрабатывают при охлаждении 300 мл 2*n*. H_2SO_4 ; после обычной обработки получают 2,4-диоксо-3,3-ди-*n*-пропил-6-метилпиперидин, выход 92%, т. пл. 97—98° (из бзл.-петр. эф.); строение доказано его получением (выход 81,5%) при гидрировании 2,4-диоксо-3,3-ди-*n*-пропил-6-метилтетрагидропиридина над скелетным Ni в CH_3OH при 100° и 70 ат. Аналогично получают следующие замещ. 2,4-диоксо-3,3-диэтилпиперидины (указанные заместители, т. пл. в °C, неспр.): 6- CH_3 , 92—93; 6- C_2H_5 , 72; 5,6-диметил, 69—70; 6- n - C_4H_9 , 50—51; 6-*н*- C_3H_7 , 100; 6- n - C_4H_9 , 41; 6- C_6H_5 , 104; 6- $C_6H_5CH_2$, 129; 6- $C_6H_5CH_2CH_2$, 99—110; 6- $CH_2=CHCH_2$, 151—152; 1-6-диметил, —, т. кип. 143°/10 мм; 1- CH_3 -6-*н*- C_3H_7 , —, (выход 95%, т. кип. 91—92°/0,015 мм; 1- CH_3 -6- C_6H_5 , —, т. кип. 143°/0,04 мм, и другие замещ. 2,4-диоксопиперидины (указаны заместители, т. пл. в °C, неспр.): 3,3-диметил-6-*н*- C_3H_7 , 151—152; 3,3-диметил-6- C_6H_5 (III), 168 (из CH_3OH), выход 78%; 3- CH_3 -3- C_2H_5 -6- C_6H_5 , 123—124; 3,3-ди-*n*- C_3H_7 -5,6-диметил, 96. III получен также с C_6H_5Li вместо C_6H_5MgBr . Соединения обладают спотворным (6-алкил) или антиконвульсивным (6-арил) действием (см. также Festschrift Emil Barel, 1936, 195; РЖХим, 1955, 16361). А. Г.

64945. О некоторых амидах β -пиперидинопропеновой кислоты, обладающих анестетическим действием. Проф.т. Юмар (Über einige β -Piperidinopropionsäureamide mit anästhetischer Wirkung. Prof. t. Elmar, Jumar Alfred), Arch. Pharmazie, 1956, 289/61, № 2, 90—98 (нем.)

Для изучения фармакодинамики действия син. эфиропы N-замещ. амиды β -пиперидинопропеновой к-ты. К 75 г 4- $H_2NC_6H_4OC_2H_5$ и 50 г Na_2CO_3 в 500 мл ацетона при 10—20° прибавляют по каплям 63,5 г $ClCH_2CH_2COCl$ (I), кипятят 15 мин., выливают в 2500 мл разб. HCl, получают 4- $C_3H_7OC_6H_4NHCOSCH_2CH_2Cl$ (II), выход 97%, т. пл. 118° (из сп.). К 60,3 г II в 500 мл спирта прибавляют 43 г пиперидина (III), кипятят 5 час., отгоняют спирт до ~0,5 объема, прибавляют 400 мл воды и 120 мл конц. HCl извлекают эфиром, водн. слой подщелачивают, извлекают эфиром и HCl (газом) осаждают 4- $C_3H_7OC_6H_4NHCOSCH_2CH_2NC_5H_{10}$ ·HCl (IV), выход 98%, т. пл. 188—189° (из сп.-ацетона). К 13,5 г 4- $H_2NC_6H_4COCH_3$ в 120 мл C_5H_5N прибавляют по каплям 13 г I, через ~12 час. выливают в разб. H_2SO_4 , получают 4- $CH_3COC_6H_4NHCOSCH_2CH_2Cl$ (V), выход 51%, т. пл. 159° (из сп.). 6,75 г V и 5,1 г III в 15 мл спирта кипятят 5 час., разбавляют водой, подщелачивают, извлекают эфиром и HCl (газом) осаждают 4- $CH_3COC_6H_4NHCOSCH_2CH_2NC_5H_{10}$ ·HCl (VI), выход 43%, т. пл. 202°. Аналогично II и IV, из I и 4- $O_2NC_6H_4NH_2$ синтезируют 4- $O_2NC_6H_4NHCOSCH_2CH_2Cl$ (VII), выход 97%, т. пл. 171° (из сп.), а из VII и III синтезируют 4- $O_2NC_6H_4NHCOSCH_2CH_2NC_5H_{10}$ ·HCl (VIII), выход 57%, т. пл. 222—223,5° (из сп.). К р-ру 3,2 г VIII в 230 мл 5*n*. HCl в спирте прибавляют 20 г $SnCl_2 \cdot 2H_2O$, кипятят 5 час., охлаждают, осадок растворяют в воде, подщелачивают, выделившееся основание упаривают со спирт. HCl досуха, получают 4- $H_2NC_6H_4NHCOSCH_2CH_2NC_5H_{10}$ ·HCl (IX), выход 60%. К эфирному р-ру 4- $H_2NC_6H_4COOCH_2CH_2N(C_2H_5)_2$ (X) (из 6,85 г хлор-

гидрата X) прибавляют по каплям 3,5 г I, выдерживают 1 час при ~20°, кипятят 15 мин. и выделяют 7,6 г 4- $(C_2H_5)_2NCH_2CH_2OOCCH_2CH_2NHCOSCH_2CH_2Cl$ (XI). Из XI, аналогично синтезу IV, получают 4 г 4- $(C_2H_5)_2NCH_2CH_2OOCCH_2CH_2NC_5H_{10}$ ·HCl (XII), т. пл. 225° (из сп.). К 215 г конц. H_2SO_4 при ~10° прибавляют по каплям 71,2 г 4- $C_3H_7OC_6H_4COCH_3$ (см. Chem. Techn., 1952, 4, 243) и затем 162 г смеси (120 г H_2SO_4 (d 1,84) + 420 г HNO_3 (d 1,48), через 3 часа выливают в ледяную воду, получают 3- NO_2 -4- $C_3H_7OC_6H_4COCH_3$ (XIII), выход 70%, т. кип. 163—166°/0,7 мм, т. пл. 58,5° (из сп.). Р-р XIII в спирте гидрируют над скелетным Ni при 35—40° и 25 ат., фильтрат упаривают в вакууме, остаток растворяют в эфире и фракционно осаждают HCl (газом). Получают 3- H_2N -4- $C_3H_7OC_6H_4COCH_3$ ·HCl (XIV — основание), выход 83%, т. пл. 188—189° (разл.; из воды и сп.). XIV, т. кип. 202—206°/14 мм, т. пл. 58°. Аналогично V, из XIV и I синтезируют 2- C_3H_7O -5- $CH_3COC_6H_4NHCOSCH_2CH_2Cl$ (XV), т. пл. 106,5—107° (из CH_3OH), и из XV и III получают 2- C_3H_7O -5- $CH_3COC_6H_4NHCOSCH_2CH_2NC_5H_{10}$ ·HCl (XVI), выход 66%, т. пл. 155° (из сп.). Аналогично, из I и 2- C_3H_7O -5- NO_2 - $C_6H_4NH_2$ получают 2- C_3H_7O -5- NO_2 - $C_6H_4NHCOSCH_2CH_2Cl$ (XVII), т. пл. 111,5° (из сп.), а из XVII и III — 2- C_3H_7O -5- NO_2 - $C_6H_4NHCOSCH_2CH_2NC_5H_{10}$ ·HCl (XVIII), выход 77%, т. пл. 194—195° (из сп.-ацетона). К р-ру 110 г $C_6H_5CH_2NH_2$ в 400 мл воды при 0—5° одновременно прибавляют по каплям 127 г I и 40 г NaOH в 60 мл воды. Получают $C_6H_5CH_2NHCOSCH_2CH_2Cl$ (XIX), выход 95%, т. пл. 94°. Из XIX и III получают $C_6H_5CH_2NHCOSCH_2CH_2NC_5H_{10}$ ·HCl (XX), т. пл. 84° (из хлф. осажден эф.). Аналогично II, из 4- $C_3H_7OC_6H_4CH_2CH_2NH_2$ и I синтезируют 4- $C_3H_7OC_6H_4CH_2CH_2NHCOSCH_2CH_2Cl$ (XXI), выход 73%, т. пл. 119° (из сп.). Конденсацией XXI и III получают 4- $C_3H_7OC_6H_4CH_2CH_2NHCOSCH_2CH_2NC_5H_{10}$ ·HCl (XXII), выход 82%, т. пл. 92—93° (из ацетона). Подобно синтезу XIX и XX, из $C_6H_5CH_2CH_2NH_2$ и I получают $C_6H_5CH_2CH_2NHCOSCH_2CH_2NC_5H_{10}$ ·HCl (XXIII), выход 95%, а из XXIII и III — $C_6H_5CH_2CH_2CH_2NHCOSCH_2CH_2NC_5H_{10}$ ·HCl (XXIV), выход 60%, т. пл. 128° (из сп.). К р-ру 48 г параформальдегида в 200 мл конц. HCl прибавляют по каплям 136 г $C_3H_7OC_6H_4$ в 100 мл C_6H_6 , выдерживают 4 часа при 15—20°, непрерывно пропуская в смесь ток HCl (газа), бензольный слой промывают охлажд. насыщ. р-ром NaCl и получают 4- $C_3H_7OC_6H_4CH_2CH_2Cl$ (XXV), выход 68% т. кип. 140°/12 мм. К конц. р-ру 75 г NaCN и 12 г NaI в воде прибавляют по каплям р-р 100,1 г XXV в ацетоне, кипятят 15 час. и извлекают эфиром 4- $C_3H_7OC_6H_4CH_2CH_2CN$ (XXVI), выход 53%, т. кип. 166°/11 мм. XXVI в спирте гидрируют над скелетным Ni в присутствии NH_3 . После обычной обработки выделяют 4- $C_3H_7OC_6H_4CH_2CH_2NH_2$ ·HCl (XXVII), т. пл. 235—240°. Подобно синтезу XIX и XX из XXVII и I получают 4- $C_3H_7OC_6H_4CH_2CH_2NHCOSCH_2CH_2Cl$ (XXVIII), выход 98%, т. пл. 100° (неочлп.), а из XXVIII и III — 4- $C_3H_7OC_6H_4CH_2CH_2NHCOSCH_2CH_2NC_5H_{10}$ ·HCl (XXIX), выход 87%, т. пл. 83° (из сп.). Аналогично, из $C_6H_5(CH_3)CHNH_2$ и I синтезируют $C_6H_5(CH_3)CHNHCOSCH_2CH_2Cl$ (XXX), выход 98%, т. кип. 165—168°/0,8 мм (при перегонке частично отщепляется HCl), а из XXX и III синтезируют $C_6H_5(CH_3)CHNHCOSCH_2CH_2NC_5H_{10}$ ·HCl (XXXI), выход 70%, т. пл. 121° (из сп.-ацетона). 4- $C_3H_7OC_6H_4CH_2CH_2CH_2OH$ в спирте гидрируют над скелетным Ni при 40—50° и 40 ат., выделяют 4- $C_3H_7OC_6H_4CH_2CH_2CH_2OH$ ·HCl (XXXII), т. пл. 161° (из сп.). Аналогично XIX и XX, из XXXII и I синтезируют 4- $C_3H_7OC_6H_4CH_2CH_2CH_2NHCOSCH_2CH_2Cl$ (XXXIII), выход 92%, т. пл. 80,5° (из сп.), а из XXXIII и III — 4- $C_3H_7OC_6H_4CH_2CH_2CH_2NHCOSCH_2CH_2NC_5H_{10}$ ·HCl (XXXIV), выход 84%, т. пл. 162° (из сп.). 92 г XXV, 140 г уротропина и 425 мл 50%-ной CH_3COOH кипятят

3 часа, охлаждают, прибавляют 175 мл конц. HCl, кипятят 30 мин., извлекают эфиром и выделяют 4-С₃H₇-ОС₆H₄CHO (XXXV), выход 72,5%, т. кип. 129–130°/10 мм (в атмосфере N₂), n_D^{20} 1,5440. 32,8 г XXXV в 30 мл C₆H₅OH + 12,2 г H₂NCH₂CH₂OH кипятят 4 часа, получают (вероятно) 4-С₃H₇-ОС₆H₄CH=NCH₂CH₂OH (XXXVI), выход 88%, т. кип. 186–187°/10 мм, т. пл. ~48°. XXXVI в спирте гидрируют над скелетным Ni, выделяют 4-С₃H₇-ОС₆H₄CH₂NCH₂CH₂OH·HCl (XXXVII), т. пл. 130° (из ацетона). Действием 3 г I и 1,5 г NaOH на 2,5 г XXXVII получают 2,4-д-С₃H₇-ОС₆H₄CH₂N(CH₂CH₂OCOSCH₂CH₂Cl)COSH₂CH₂Cl, который последующим действием III превращают в 4-С₃H₇-ОС₆H₄CH₂N(CH₂CH₂OCOSCH₂CH₂NC₅H₁₀(COSH₂CH₂NC₅H₁₀·2HCl (XXXVIII), выход 53%, т. пл. 214° (из водн. ацетона). К 34 г III в 150 мл C₆H₆ прибавляют при ~0° по каплям 27,5 г I в 100 мл C₆H₆, через 3 часа фильтруют III·HCl, фракционируют, получают смесь, т. кип. 109–112°/0,4 мм, C₅H₁₀NCOSH₂CH₂Cl (90,6%) (XXXIX) и C₅H₁₀NCOSH₂CH₂NC₅H₁₀ (9,4%). Аналогично предыдущим синтезам, из XXXIX и III получают C₅H₁₀NCOSH₂CH₂NC₅H₁₀·HCl (XL), выход 89,5%, т. пл. 236° (из сп.). Анастетич. действие XVIII, XX, XXXIV превышает действие «фаликаина» (4-С₃H₇-ОС₆H₄COSH₂CH₂NC₅H₁₀·HCl), который примерно в 10 раз активнее «новокаина»; VI, XXIV, XXIX, XXXI и XL по анастетич. действию равны «фаликаину»; действие XX, как анальгетика, превышает действие «пирамидона» и действие IV, XII, XVI, XXII и XL примерно равно действию «пирамидона». Приведены данные о токсичности синтезированных препаратов для мышей.

А. Г. 64946. Конденсация α-никотилкарбинолов с некоторыми соединениями, имеющими активную метиленовую группу. Сёно, Ясумура, Ода (α-β-γ-корреляция β-нол и активная метиленовая группаとの縮合反応に関する研究. 庄野達哉, 安村友秀, 小田良平), 工業化学雑誌, Котэ катку дзаси, J. Chem. Soc. Japan. Industr. Chem. Sec., 1954, 57, № 12, 900–902 (япон.).

Ацетофенон (22,5 г), 2,16 г Na и α-никотилкарбинол (I) (кол-во не указано) бурно реагируют при 140°: смесь взрывается затем при 163–175° в течение 3 час., нейтрализуется HCl, экстрагируется C₆H₆. Получено 1,4-г-фенил-γ-(2-пиридил)-пропилкетона, т. кип. 181–184°/4 мм. Подобная р-ция между 28 г пропиофенона, 1,9 г Na и 10 г I (180°, 4 часа) приводит к образованию 4-г-фенил-α-метил-γ-(2-пиридил)-пропилкетона, т. кип. 165–169°/2 мм. Из 28 г n-метилацетофенона, 1,9 г Na и 10 г I (170°, 4 часа) получено 2,1 г n-толил-γ-(2-пиридил)-пропилкетона, т. кип. 188–199°/3 мм. Описанное выше пиридилэтирование оказалось непригодным для циклогексанона, метилизобутилкетона, малонового эфира и ацетамида.

Н. К. 64947. β-(Пиридил-4)-глутаровая кислота и продукты ее преобразования. Рубцов М. В., Михлина Е. Е., Фурштатова В. Я., Ж. общ. химии, 1956, 26, № 2, 445–449

Описаны превращения производных β-(пиридил-4)-глутаровой к-ты (I). Из диэтилового эфира I (II) получены ее диамид (III), дигидразид (IV), дибензиламид (V), ди-(диэтиламиноэтиламид) (VI), ди-(диэтиламинопропиламид) (VII). Восстановлением VI и II получены соответственно 1,5-ди-(диэтиламиноэтиламино)-3-(пиридил-4)-пентан (VIII) и 3-(пиридил-4)-1,5-диоксипентан (IX). Действие SOCl₂ на IX приводит к 3-(пиридил-4)-1,5-дихлорпентану (X), который с бензиламином (XI) превращен в N-бензил-4-(пиридил-4)-пиперидин (XII). Гидрированием II получен диэтиловый эфир β-(пиридил-4)-глутаровой к-ты (XIII) (к-та — XIV), из которого синтезированы производные XIV: диамид (XV), дибензиламид (XVI) и ди-(диэтиламиноэтиламид) (XVII). XVI восстановлен LiAlH₄ до 1,5-дибензиламино-3-(пиридил-4)-пентана (XVIII). 3 г II кипятят 8 час. с 23 мл

1 н. КОН, нейтрализуют 1 н. HCl, упаривают досуха, извлекают горячим спиртом; выход I 99%, т. пл. 183–185°. 3 г II, 3 мл гидразингидрата и 10 мл спирта кипятят 4 часа; выход IV 91,5%, т. пл. 189–190°. 7 г II, 70 мл 29%-ного NH₄OH и 70 мл спирта встряхивают 25 час., упаривают досуха, перетирают с эфиром; выход III 84,8%, т. пл. 192–194° (из сп.), аналогично из XIII получают XV, выход 51%, т. пл. 186° (из сп.-эф.). 5 г II кипятят 20 час. с 10,2 г бензиламина (XIX), разбавляют эфиром; выход V 92,3%, т. пл. 152–153°. Аналогично из 3 г II и 8 г диэтиламиноэтиламина (XX) получено 87% V, т. пл. 100–102°, из 2 г II и 1,96 г диэтиламинопропиламина — 1 г VII, т. кип. 220–250°/0,3 мм, из 3 г XIII и 10 г XX — 57% XVII, т. кип. 170–190°/0,4 мм. 3 г II в 5 мл диэтиламиноэтанол (XXI) нагревают с алкоголем XXI (из кусочка Na в 15 мл XXI) при 148–150° 3 часа с отгонкой спирта. Выход ди-(диэтиламиноэтилового) эфира I 64,3%, т. кип. 195–197°/0,2 мм. 6 г II восстанавливают 3,54 г LiAlH₄ в 60 мл C₆H₆ (кипение 2 часа); выход IX 86%, т. пл. 64–66°. К 1,9 г хлоргидрата IX в CHCl₃ прибавляют 12 мл SOCl₂, кипятят 1 час, р-ритель отгоняют, обрабатывают 50%-ным р-ром K₂CO₃ и извлекают CHCl₃, получают X, выход 42,7%, т. кип. 121–122°/0,35 мм. 3 г VI в 80 мл C₆H₆ восстанавливают 1,04 г LiAlH₄ в 30 мл эфира (кипение 20 час.); выход VIII 58%, т. кип. 193–197°/0,4 мм, n_D^{18} 1,5047; пикрат, т. пл. 103–105°. 0,85 г X и 10 мл XIX кипятят 7 час., получают XII, т. кип. 160–164°/0,3 мм, n_D^{23} 1,5733; пикрат, т. пл. 215–216°. 34 г II в 22,2 мл 21%-ного спирта, р-ра HCl и 300 мл абс. спирта гидрируют с 0,7 г PtO₂ 30 час.; выход XIII 93%, т. кип. 131–132°/0,1 мм, n_D^{18} 1,4688. 2 г XIII кипятят с 1 н. NaOH (8 час.), осаждают Ag-соль XIV (при 80°) и разлагают ее H₂S (при 50°); выход XIV 63,8%, т. пл. 213°; хлоргидрат, т. пл. 174–175°. 2 г XIII кипятят 40 час. с 10 г XIX; выход XVI 69%, т. пл. 163–167°. 2 г хлоргидрата XIV нагревают с 8 мл SOCl₂ (2 часа, 50–55°), удаляют SOCl₂, прибавляют 50 мл эфира и обрабатывают 5 г XIX; выход XVI 54%, т. пл. 167°. 2 г XVI, 0,9 г LiAlH₄, 40 мл эфира и 60 мл диоксана нагревают при 70° 20 час.; выход XVIII 38%, т. кип. 255–270°/0,5 мм. Л. Я. 64948. Действие азотной кислоты на метильные производные 4-этилпиридина. Рубцов М. В., Никитская Е. С., Усоевская В. С., Ж. общ. химии, 1955, 25, № 13, 2453–2457

При окислении смеси метильных производных 4-этилпиридина (I) HNO₃ получены изоникотиновая к-та (II) и 4-(α,α-динитроэтил)-пиридин (III). Катализ. восстановление III приводит к 4-(α-аминоэтил)-пиридину (IV); последний синтезирован также из 4-ацетилпиридина (V) через его оксим (VI). Выделены цис- и транс-изомеры VI. 5,35 г 4-этилпиридина (VII) и 18 г 33%-ного формалина кипятят 15 час., избыток HCHO отгоняют с паром, водн. р-р упаривают в вакууме до объема 12 мл, остаток обрабатывают абс. спиртом (с отгонкой) и высушивают в вакууме. После промывания эфиром получают кристаллич. диметильное производное VII, выход 65,5%, т. пл. 93–95° (из сп.); из эфирного р-ра выделяют монометильное производное VII, выход 26,6%, т. кип. 117°/0,35 мм. К упаренному до 12 мл водн. р-ру I (из 5,35 г VII) одновременно прибавляют за 20–25 мин. при 96–100° 66 г 25%-ной H₂O₂ и 56,8 г 92,8%-ного меланжа, нагревают (100–110°, 5 час.), охлаждают до 17–20° и прибавляют 40–42 г Na₂CO₃ (рН ~3,6). Сухой осадок (смесь II и III) обрабатывают эфиром, получают 3,3 г II, т. пл. 306–308° (из эфир. фильтрата) 0,65 г III, т. пл. 55–57°; хлоргидрат, т. пл. 148–150°; пикрат, т. пл. 137°. 19,7 г III восстанавливают над 20 г скелетного Ni в 200 мл спирта (40–60 мл вод. ст., 96 час.), выход IV 84,8%, т. кип. 78–80°/0,5 мм; дихлоргидрат,

т. пл. 235—237°. Из 9,84 г V, 5,01 г $\text{NH}_2\text{OH}\cdot\text{HCl}$ и 7,34 г K_2CO_3 в 60 мл воды получают VI, который извлекают эфиром, выход 92%. Многократной кристаллизацией из C_6H_6 выделяют VI с т. пл. 121—123° (растворимость в кипящем C_6H_6 1:10) и VI с т. пл. 157—159° (растворимость в кипящем C_6H_6 1:35). 5 г VI гидрируют над Pd (из 1 г $\text{PdCl}_2\cdot 2\text{H}_2\text{O}$) в 100 мл спирта (40—60 мм вод. ст., 8 час.); выход IV 80,3%. Л. Я. 64949.

О некоторых продуктах конденсации гидразида изоникотиновой кислоты с кетокислотами. Бельомонте (Su alcuni composti di condensazione dell'idrazide isonicotinica con chetoacidi Bello monte Guido), Rend. Ist. super. sanità, 1955, 18, № 4—8, 615—619 (итал.; рез. англ., нем., франц.). Конденсацией гидразида изоникотиновой к-ты (I) с о-бензоил-, о-(4-хлорбензоил)-, о-(2-бензаминобензоил)-бензойной к-той (IV) и изатинном (V) получены изоникотинилгидразоны II, III, IV и V. 4 г I и 4 г II нагревают до 200°, извлекают водой, в остатке изоникотинилгидразон изоникотинилгидразида II, т. пл. 218—220° (из сп., по Кофлеру); при щел. омылении дает 4-окси-1-фенилфталин. Аналогично получен (при 120°) изоникотинилгидразон III, т. пл. 269—271° (из CH_3COOH). 3 г о-(2-аминобензоил)-бензойной к-ты нагревают на водяной бане 3/4 часа с 4 г $\text{C}_6\text{H}_5\text{COCl}$, экстрагируют холодным спиртом, промывают эфиром, в остатке IV, т. пл. 235—237° (из сп.); IV нагревают 1/4 часа с I при 200°, получают изоникотинилгидразон о-(2-бензаминобензоил)-бензойной к-ты, т. пл. 270—275° (из сп.). 3 г V и 4,5 г I в 30 мл спирта кипятят 1 час, выделяют изоникотинилгидразон V, т. пл. 270—275° (из CH_3COOH), при действии р-ра щелочи превращается в соль изоникотинилгидразона о-аминофенилгликоксильной к-ты. Л. Я. 64950.

Метиловый эфир 1-метил-1,2,3,6-тетрагидроизоникотиновой кислоты. Лайл, Перловский, Тросянец, Лайл (Methyl 1-methyl-1,2,3,6-tetrahydroisonicotinate. Lyle Robert E., Perlovski Edward F., Troscianiec Henry J., Lyle Gloria G.), J. Organ. Chem., 1955, 20, № 12, 1761—1766 (англ.).

Показано, что при действии NaBH_4 на подметилат (I) и бромметилат (II) метилового эфира изоникотиновой к-ты (III) образуются метиловый эфир 1-метил-1,2,3,6-тетрагидроизоникотиновой к-ты (IV). Иодгидрат последнего (V) образуется также в смеси с подгидратом (VI) метилового эфира 1-метилизоникотиновой к-ты (VII), при гидрировании I над Pt (из PtO_2). Образование V в этом случае обусловлено, вопреки литературным данным (см. Chem. Abstrs, 1931, 33, 7301), не менее длительным контактом с H_2 , а отравлением катализатора. Так, при гидрировании II с нормальным катализатором получен исключительно VII в виде бромгидрата (VIII); при гидрировании же I с отравленным катализатором образуется только V. Положение двойной связи в IV установлено спектрографически. Смесь 0,17 моля III и 0,36 моля CH_3Br в 100 мл CH_3OH оставляют на 21 час; получают II, выход 95%, т. пл. 163—165° (разл.; из CHCl_3). К р-ру 10,8 г I или II в 200 мл абс. CH_3OH небольшими частями и при охлаждении прибавляют 6 г NaBH_4 , размешивают при ~20° 0,5 часа, отгоняют в вакууме 150 мл CH_3OH , остаток разбавляют водой, насыщают Na_2CO_3 и извлекают эфиром; при фракционировании получают IV, выход 70—75%, т. кип. 96—97°/7 мм, 106—110°/14 мм, n_D^{25} 1,4776, n_D^{25} 1,4788; пикрат, т. пл. 134—135° (из сп.), 134—135° (из CH_3OH); подметилат, т. пл. 210—212° (из сп.), 203—205° (из CH_3OH). Р-р 10 г I (или II) в 100 мл CH_3OH взбалтывают с 0,2 г PtO_2 до прекращения поглощения H_2 (начальное давл. 2—3 ат), фильтруют и отгоняют в вакууме р-ритель. В случае I дробной кристаллизацией из смеси CH_3OH -

эфир получают V, выход 15%, т. пл. 154,5—155,5°, и VI, выход 14%, т. пл. 127,5—128°; основание, т. кип. 83—86°/7 мм; пикрат, т. пл. 142—143° (из сп.); подметилат, т. пл. 150—151° (из сп.). В случае II получают только VII, выход 90%, т. пл. 137—138° (из смеси CH_3OH -эф.). Р-р 20 г I в 90 мл CH_3OH гидрируют с отравленным катализатором, получают V, выход 71%. При гидрировании 15 г III над Pt (из PtO_2) получен метиловый эфир изоникотиновой к-ты (IX), выход 11,08 г, т. кип. 107—110°/22 мм, n_D^{25} 1,4635; хлоргидрат, т. пл. 160—161°; пикрат, т. пл. 111—112°. При восстановительном метилировании IX получен VII, т. кип. 99—100°/20 мм; пикрат, т. пл. 147—148°; подметилат, т. пл. 148—149°. В целях получения сравнительных спектрографич. данных действием NaBH_4 на подметилат метилового эфира никотиновой к-ты, как описано выше для IV, синтезированы ареколины, выход 36%, т. кип. 95—100°/10 мм, n_D^{25} 1,4778; подметилат, т. пл. 167—170° (из сп.); пикрат, т. пл. 110—112° (из сп.). А. Т.

64951. Хинолизины и хинолизидины. Часть I. Восстановление 4-оксохинолизидинов литийалюминий гидридом. Льюис, Шоппи (Quinolizines and quinolizidines. Part I. Reduction of 4-oxoquinolizidines by lithium aluminium hydride. Lewis H. R., Shoppee C. W.), J. Chem. Soc., 1956, Febr., 313—318 (англ.).

При восстановлении LiAlH_4 4-оксохинолизидина (I), (\pm)-3-этоксикарбонил-I (II) и (\pm)-1а-метоксикарбонил-I (III) получают соответственно хинолизидин (IV), (\pm)-3-оксиметилхинолизидин (V) и (\pm)-лупинин (VI). При окислении V CrO_3 в H_2SO_4 получают (\pm)-хинолизидинкарбоную-3 к-ту (VII). К р-ру 1 г LiAlH_4 в 30 мл эфира прибавляют, перемешивая, 200 мл тетрагидрофурана (VIII), кипятят 10 мин., прибавляют 2,3 г I в 100 мл VIII, кипятят 2 часа и выделяют IV, выход 69%, т. кип. 162°/24 мм. Из 2,9 г I и 1,2 г LiAlH_4 в эфире (кипение 2 часа) выделяют IV, выход 76%. Р-р 4,6 г II в 280 мл VIII прибавляют к р-ру 2 г LiAlH_4 в 500 мл эфира, отгоняют до т-ры паров ~62°, кипятят 3 часа, выделяют V, выход 70%, т. кип. 97°/0,15 мм, т. пл. 57—58°; подметилат, т. пл. 249—250° (из сп.); пикрат, т. пл. 126—127° (из сп.). При проведении р-ции в эфире выход V 73%. 204 мг V и 180 мг хлористого 3,5-динитробензола в 20 мл C_6H_6 кипятят 2 часа, фильтрат промывают 10 мл 4 н. р-ра NaOH , выделяют (\pm)-3-хинолизидинметил-3,5-динитробензоат, т. пл. 108—109° (из сп.). Из 1,21 г V, 2,1 г H_2SO_4 , 1,2 г CrO_3 и 27,5 мл воды (~100°, 45 мин.) выделяют 50 мг VII, т. пл. 206° (после сублимации при 110°/0,01 мм), фильтрат упаривают в вакууме, сушат при 40°/0,02 мм, растворяют в CH_3OH , насыщают HCl (газ), кипятят 45 мин., упаривают в вакууме, подщелачивают K_2CO_3 и экстрагируют эфиром (\pm)-3-метоксикарбонилхинолизидин, выход 57%, т. кип. 85°/0,6 мм; подметилат, т. пл. 177—179°. Аналогично V получают VI из III, выход 50%; подметилат VI, т. пл. 288—289 (разл.; из абс. сп.). Ю. Р.

64952. Реакция в ряду диенов: конденсация изопрена с анилином и фенолом. Клемо, Гхатге (Reactions in the diene series: condensation of isoprene with aniline and phenol. Clemo G. R., Ghatge N. D.), J. Chem. Soc., 1955, Dec., 4347—4349 (англ.).

При конденсации изопрена (I) с анилином (II) в присутствии следов J_2 образуется смесь 2,2-(III) и 4,4-диметил-1,2,3,4-тетрагидрохинолина (IV) и третьего, еще неидентифицированного, основания (V), являющегося, возможно, производным дигидроиндола или же соединением с семичленным циклом. При аналогичной р-ции с фенолом (VI) (см. также Claisen, Ber., 1921, 54, 200) выделен только 2,2-диметилхроман (VII). I при конденсации с α -оксинафтафеноном (VIII) образует 6-ацетил-

2,2-диметилхроман (IX); при р-ции I с о-оксиацетофеноном выделены лишь следы продукта конденсации. При действии на VII ($\text{CH}_3\text{CO}_2\text{O}$) и ZnCl_2 выделены ацетил-2,2-диметилхроман (X) и 2,2-диметилхромануксусная к-та (XI), отличающиеся от IX и 2,2-диметилхроман-6-уксусной к-ты (XII), полученной из IX по р-ции Вильгердта. 5 г I, 7 г II и немного J_2 нагревают в трубке 8 час. при 150—160°, извлекают HCl (к-той), р-р подщелачивают, основания фракционируют и разделяют дробной кристаллизацией пикратов из эфира. Выделены: III, т. кип. 95—98°/2 мм; пикрат, т. пл. 152° (из сп.); нитронитропропановое, т. пл. 159°; при дегидрировании Se (300°) превращается в хиналин; с CH_3J (100°, 12 час.) образует подгидрат 1,2,2-триметил-1,2,3,4-тетрагидрохинолина, т. пл. 167° (из сп. + эф.); пикрат, т. пл. 178—179°; IV, т. кип. 98°/2 мм; пикрат, т. пл. 115°; при дегидрировании IV нагреванием с Se образуется леинид; IV превращен в 1,4,4-триметил-1,2,3,4-тетрагидрохинолин; пикрат, т. пл. 165°; подгидрат, т. пл. 243—244°. V, пикрат, т. пл. 165° (из CH_3OH , зеленые иглы). 1 моль I, 1 моль VI и немного J_2 нагревают в трубке при 150°, перегоняют с паром и отогнавшееся в-во фракционируют; получают VII, выход 3,6%, т. кип. 82—92°/2 мм, 3 г I, 3,2 г VIII и немного J_2 нагревают 6 час., при 150°, подщелачивают, перегоняют с паром, получают 1,2 г IX, т. пл. 90° (из бзн.); 2,4-динитрофенилгидразон, т. пл. 244°. 0,13 г IX, 0,18 г S, 0,4 мл пиридина, 0,3 мл NH_4OH (d 0,88), нагревают 5 час. при 120°, продукт р-ции кипятят 4 часа с 5 мл 10%-ного NaOH, фильтруют, подкисляют, получают 50 мг XII, т. пл. 165° (из бзн.). 0,6 г VII, 15 мл ($\text{CH}_3\text{CO}_2\text{O}$) и 1 г ZnCl_2 нагревают в трубке 12 час. при ~100°, обрабатывают водой, извлекают эфиром, остаток разгоняют и фракцию 180—190°/0,1 мм обрабатывают р-ром NaHCO_3 . Получают X, т. пл. 75° (из бзн.); 2,4-динитрофенилгидразон, т. пл. 255°, и XI, т. пл. 181—182° (из бзн.); метиловый эфир, т. пл. 87°.

64953. Замещенные фенилхинолины. Саммерс (Substituted phenylquinolines. Summers Robert Milton. Doct. diss. Univ. Indiana, 1955). Dissert. Abstrs. 1955, 15, № 9, 1499—1500 (англ.). Взаимодействием 3-аминобензила с щавелевоуксусным эфиром в CHCl_3 при кипении синтезируют этиловый эфир β-(3-фениланилино)-β-карбэтоксинакриловой к-ты (I), выход колич. Аналогично с колич. выходом получают этиловые эфиры β-(4-фениланилино)-, β-[3-(4'-хлорфенил)-анилино]-, β-[3-(2'-хлорфенил)-анилино]-, β-[3-(4'-бромфенил)-анилино]-β-карбэтоксинакриловой к-ты. I нагревают в дифениловом эфире (II) при 255°, получают 2-карбэтоксн-4-оксн-7-фенилхинолин (III), выход 58%, т. пл. 206,5—208°. III омыляют 2%-ным р-ром NaOH, получают соответствующую карбоновую к-ту, т. пл. 262—263° (разл.). Аналогично синтезируют следующие замещ. 2-карбэтоксн-4-окснхинолины (IV) и соответствующие карбоновые к-ты (V) (указаны заместители, выход в % IV, т. пл. в °C, выход в % V, т. пл. в °C): 6-фенил, 68, 228—230°, 99, 260°; 7-(4'-хлорфенил), 74, 263—264°, 99, 274,5—275,5°; 7-(2'-хлорфенил), 65,7, 230,5—231,5°, 95, 262—263°; 7-(4'-бромфенил), 83, 262—264°, 100, 279—280°. V декарбоксилируют нагреванием в II, получают следующие замещ. 4-окснхинолины (VI) (указаны заместители, выход в %, т. пл. в °C): 7-фенил, 66,4, 267—268°; 6-фенил, 95, 282,5—283,2°; 7-(4'-хлорфенил), 100, 293—295,5°; 7-(2'-хлорфенил), 100, 224—226°; 7-(4'-бромфенил), 97,7, 295—298°. VI кипятят с избытком POCl_3 , получают следующие замещ. 4-хлорхинолины (VII) (указаны заместители, выход в %, т. пл. в °C): 7-фенил, 94, 89,8—90,2°; 6-фенил (VIII), 84, 90—120,5°; 7-(4'-хлорфенил), 88,2, 130—131°; 7-(2'-хлорфенил), 83, 94,3—95° (α), 102,5—103° (β); 7-(4'-бромфенил), 82,3, 134,2—135,2°.

VII гидрируют в спирте над Pd/C в присутствии эквивалентного кол-ва CH_3COONa , получают следующие замещ. хинолины (указаны заместители, выход в %, т. пл. в °C): 6-фенил (IX), 72,5, 110—111°; 7-фенил (X), 23,57—58°; 7-(4'-хлорфенил), 62,5, 99—100°; 7-(2'-хлорфенил), 68,5, масло; 7-(4'-бромфенил) (XI), 41, 107—109°; из соответствующих аминобифенилов по р-ции Скраупа получены (указан выход в %): IX, 53; X, 23; XI, 14. Среди продуктов р-ции по той и другой схеме 5-фенилхинолин не обнаружен. VIII нагревают с 2-амино-5-диэтиламинопентаном 24 часа при 165—185° и 1 час при 195—200°; получают 6-фенил-4-(5'-диэтиламинопентил-2')-аминохинолин, выход 54%; т. пл. 115—116°. 2-хлор-3'-нитробифенил (т. пл. 64,5—65°) получают разложением хлористого 3-нитрофенилдиазония в хлорбензоле, выход 8,1%. Замещ. фенилхинолины синтезированы как возможные антималярийные средства.

64954. Декагидроизохинолины и родственные соединения. Часть I. Некоторые производные с кислородной функцией в положении 6 и пример ненормального ультрафиолетового поглощения. Марчант, Пинде (Decahydroisoquinolines and related compounds. Part I. Some 6-oxygenated derivatives and an example of abnormal ultraviolet absorption. Marchant Alan, Pinder A. R.), J. Chem. Soc., 1956, Febr., 327—331 (англ.).

Синтезированы некоторые октагидро- и декагидроизохинолиновые соединения с кислородной функцией в положении 6. Восстановлением 1,2,3,4-тетрагидро-6-метоксн-2-метилизохинолина (I) и гидролизом образовавшегося при этом (невыделенного) гексагидропроизводного получен 1,2,3,4,6,7,8,9-октагидро-2-метил-6-окснизохинолин (II) с $\lambda_{\text{макс}}$ 227,5 мμ (ε 1000), вместо $\lambda_{\text{макс}}$ 244 мμ, вычисленного для α, β-ненасыщ. карбоциклической системы данного строения. Строение II подтверждено синтезом. Ненормальное смещение $\lambda_{\text{макс}}$ в сторону более коротких волн объяснено влиянием атома азота. Действием LiAlH_4 на м-метоксн-ω-нитростирол (17 г, получен конденсацией м- $\text{CH}_3\text{OC}_6\text{H}_4\text{CH}_2\text{CHO}$ и CH_3NO_2) синтезирован м- $\text{CH}_3\text{OC}_6\text{H}_4\text{CH}_2\text{CH}_2\text{NH}_2$ (III), выход 11,5 г, т. кип. 140°/11 мм. Последний по р-ции Пикте — Шпенгlera превращен в 1,2,3,4-тетрагидро-6-метокснизохинолин (IV); метилированием IV получен I. Смесь 2 г I и 18 мл конц. HCl нагревают 3 часа при 180°, упаривают досуха, остаток растворяют в 15 мл воды и добавляют твердый K_2CO_3 до pH 10—10,5; получают 6-десметил-I (V), выход 1,7 г, т. пл. 182—183° (из воды); хлоргидрат, т. пл. 234—235° (разл.; из смеси эф.-сп.). 5 г V в 50 мл спирта гидрируют при 160°/150 ат со скелетным Ni (марка W7) в присутствии следов NaOH в течение 12 час., получают декагидро-6-оксн-2-метилизохинолин (VI), выход 4,5 г, т. кип. 150—160°/1 мм (т-ра бани); подметилат, т. пл. 273° (из сп.); α-нафтилуретан, т. пл. 74° (из сп.). Смесь 4 г VI в 12 мл CH_3COOH с 1,7 г CrO_3 в 5 мл воды нагревают 6 час. при 60—70°, разбавляют водой, подщелачивают KOH и извлекают эфиром, получают декагидро-6-оксн-2-метилизохинолин (VII), выход 3,2 г, т. кип. 120—130°/0,5 мм (т-ра бани); подметилат, т. пл. 243° (из сп.); пикрат, т. пл. 142° (из CH_3OH); через несколько дней превращается в модификацию с т. пл. 218°, но при кристаллизации из CH_3OH регенерируется форма с т. пл. 142°. В смесь 150 мл жидкого NH_3 , 10 г I и 50 мл CH_3OH за 30 мин. вносят частями 12 г Na, осторожно добавляют эфир и воду, отделяют органич. слой и объединяют с ним эфирный экстракт, полученный при повторном извлечении водн. слоя; эфир отгоняют, остаток кипятят 1 час с 50 мл 10%-ной H_2SO_4 (под N_2), подщелачивают KOH и экстрагируют эфиром, получают II, выход 5 г, т. кип. 150—160°/1

/12 мм (т-ра бани); подметилат, т. пл. 208° (из сп.); семикарбазон, т. пл. 198° (разл.; из CHCl_3). Р-р 0,5 г II в 10 мл спирта гидрируют над Pt (из PtO_2) при ~20° и обычном давлении до поглощения 2 моль H_2 (1,5 часа), получают 0,5 г VI. При гидрировании II с 5%-ным Pd/C за 3 часа поглощается 1 моль H_2 и получен VII. Смесь 1 г II, 0,5 г изопропилата Al и 25 мл сухого $\text{CH}_3\text{CHOHCH}_3$ (VIII) нагревают с прямым холодильником до прекращения отгонки ацетона (45 мин.), добавляют 10 мл VIII, кипятят 30 мин., упаривают, прибавляют 20 мл 20%-ного KOH и извлекают эфиром, получают 1,2,3,4,6,7,8,9-октагидро-6-оксид-2-метил-изохинолин, выход 0,9 г, т. кип. 120—130°/0,5 мм (т-ра бани); пикрат, т. пл. 163° (из CH_3OH). К смеси полученной из 7,15 г *трет*-аминна $(\text{C}_6\text{H}_5)_2(\text{CH}_3)\text{N}^+\text{CH}_2\text{CH}_2\text{COCH}_3$ J- и 8,55 г 3-метоксикарбонил-4-метил-4-пиперидона (IX) в 40 мл C_6H_6 за 5 мин. прибавляют под N_2 и при размешивании р-р $\text{C}_2\text{H}_5\text{OK}$ (из 3,25 г K и 50 мл абс. сп.), размешивают еще 30 мин., выдерживают 1 час при 0°, кипятят 30 мин., прибавляют избыток 2 н. H_2SO_4 и воду, отделяют органич. слой, воды, слой подщелачивают и повторно извлекают эфиром; остаток после отгонки эфира (5,5 г) кипятят 6 час. с 70 мл 6 н. HCl, подщелачивают KOH и извлекают эфиром, получают II. Смешивают при охлаждении р-р $\text{C}_2\text{H}_5\text{ONa}$ (из 1,8 г Na и 60 мл абс. сп.) и 6,6 г хлоргидрата 3-циан-1-метил-4-пиперидона в 300 мл абс. спирта, прибавляют каплями 5 г 1,3-дихлорбутена-2 (X) в 10 мл абс. спирта, кипятят 3 часа, разбавляют водой и извлекают CHCl_3 , получают 3-(3-хлорбутен-2-ил)-3-циан-1-метил-4-пиперидон (XI), выход 2,6 г, т. кип. 85—90°/0,5 мм (т-ра бани). Аналогично из 6 г IX и 4,4 г X получают 3 г 3-(3-хлорбутен-2-ил)-3-метоксикарбонил-4-метил-4-пиперидона (XII), т. кип. 120—125°/0,5 мм (т-ра бани). Опыты циклизации XI и XII в целях получения II успеха не имели.

А. Т. 64955. Производные изохинолина. Часть II. Гхош, Датта (Isoquinoline derivatives. Part II. G h o s h T. N., Dutta Saktipada), J. Indian Chem. Soc., 1955, 32, № 12, 755—758 (англ.)

По аналогии с циклизацией α -ацетамидо- β -(*п*-нитрофенил)-этилметилкетона (см. часть I, РЖХим, 1955, 55124) действием POCl_3 или конц. H_2SO_4 на α -ацетамидо- β -(*п*-хлорфенил)-этилметилкетон (I) и его *о*-хлораналог (II) синтезированы соответственно 1-метил-7-хлоризохинолин (III) и его 5-хлоризомер (IV). К смеси 0,2 г перекиси бензоила, 40 г *о*-хлортолуола и 40 мл CCl_4 прибавляют по каплям на рассеянном солнечном свете и при кипячении 64 г Br_2 в 64 мл CCl_4 , нагревают еще 7 час., охлаждают, выливают в холодную воду и прибавляют NaHSO_3 для связывания избытка Br_2 ; получают 50 г *о*-хлорбензилбромида (V), т. кип. 125—130°/12 мм. К охлажд. р-ру NaOC_2H_5 (из 4,5 г Na и 125 мл абс. спирта) прибавляют 50 г $\text{CH}_3\text{CONHCH}(\text{COOC}_2\text{H}_5)_2$, взбалтывают до растворения, прибавляют 45 г V, кипятят ~10 час., отгоняют в вакууме спирт, обрабатывают водой и нейтрализуют HCl (к-той); получают *о*- $\text{ClC}_6\text{H}_4\text{CH}_2\text{C}(\text{CH}_3)(\text{CONH})(\text{COOC}_2\text{H}_5)_2$ (VI), выход 42 г, т. пл. 93—94° (из сп.). Смесь 50 г VI и 300 мл 10%-ного р-ра NaOH нагревают 5 час. на водяной бане, извлекают эфиром и подкисляют; получают *о*- $\text{ClC}_6\text{H}_4\text{CH}_2\text{C}(\text{CH}_3)(\text{CONH})(\text{COOH})_2$ (VII), выход 30 г, т. пл. 147—148° (разл., из сп.). Смесь 38 г VII и 100 мл воды кипятят до прекращения выделения CO_2 (~3 час.); получают *о*- $\text{ClC}_6\text{H}_4\text{CH}_2\text{C}(\text{CH}_3)(\text{CONH})(\text{COOH})_2$ (VIII), выход 20 г, т. пл. 166° (из воды). Смесь 25 г VIII, 110 мл $(\text{CH}_3\text{CO}_2)_2\text{O}$ и 85 мл пиридина нагревают 6 час. на водяной бане, отгоняют с водяным паром и остаток охлаждают льдом; получают II, выход 18 г, т. пл. 105—106° (из воды, сп.; 1:1); 2,4-динитрофенилгидразон, т. пл. 221—222° (из сп.). Смесь 10 г I (получение см. ссылку выше), 20 г POCl_3 и 30 г $\text{C}_6\text{H}_5\text{NO}_2$

кипятят ~12 час. (в бане 175—185°), обрабатывают по охлаждению ледяной водой, подщелачивают 10%-ным р-ром NaOH, после подкисления конц. HCl 2 раза обрабатывают эфиром, воды, слой фильтруют, подщелачивают NaOH и извлекают эфиром; выход III 5 г, т. кип. 280—282°/762 мм; пикрат, т. пл. 146° (из CH_3OH); хлороплатинат, т. пл. 193—194° (разл.). Аналогично получают IV, т. кип. 280—282°/760 мм; пикрат, т. пл. 118—119° (из CH_3OH); хлороплатинат, т. пл. 197—198° (разл.). Попытка получить изохинолиновое производное циклизацией α -ацетамидо- β -*п*-хлорфенилпропионово к-ты не удалась.

А. Т. 64956. Образование дигидрокарбостирил-3-уксусной кислоты и ее эфиров при перегруппировке. Ллойд, Маттернас, Хорнинг (Formation of dihydrocarbostyryl-3-acetic acid and esters by rearrangement. Lloyd H. A., Matternas Louise U., Horning E. C.), J. Amer. Chem. Soc., 1955, 77, № 22, 5932—5933 (англ.)

Найдено, что при нагревании 4-карбэтоксид-(I) или 4-карбометоксид-2,3,4,5-тетрагидробензазепина (II) со спирт. р-ром HCl (к-ты) происходит перегруппировка 7-членного цикла в 6-членный и образуются соответственно этиловый (III) или метиловый эфир (IV) дигидрокарбостирил-3-уксусной к-ты (V); при нагревании с конц. HCl, наряду с перегруппировкой, происходит омыление эфирной группы и образуется свободная V. Смесь 27 г 3-карбокситетраолона-1 (VI) C_6H_6 и избыток спирта, содержащую несколько капель H_2SO_4 , нагревают 12 час., удаляют р-ритель, полученный неочищ. этиловый эфир VI прибавляют к смеси 125 мл абс. спирта, 125 мл безводн. пиридина, 25 г NH_4OH -HCl и кипятят 3 часа; получают 24 г оксима 3-карбэтокситетраолона-1 (VII), т. пл. 88—88,5° (из смеси C_6H_{14} - C_6H_6 и из C_6H_{12}). В сходных условиях из 5 г VI получают 3,6 г оксима метилового эфира VI, т. пл. 138—138,5° (из смеси C_6H_6 - C_6H_{12}). Смесь 5 г VII и 150 г полифосфорной к-ты нагревают 5 мин. при 110° и обрабатывают водой со льдом, получают I, выход 86%, т. пл. 141—142° (из этилацетата); аналогично получают II, выход 50%, т. пл. 120,5—121° (из смеси C_6H_{12} - C_6H_6). Р-р 2 г I в смеси спирт- C_6H_6 , содержащей несколько капель конц. HCl, кипятят 12 час., получают III, выход 1,95 г, т. пл. 100—100,5° (из C_6H_{14}); аналогично получен IV, синтезированный также действием CH_3N_2 на V, выход 93%, т. пл. 150,5—151°. При кипячении (2 часа) р-ра 2 г I в 25 мл конц. HCl получают V, выход 99%, т. пл. 206—208° (из воды). Строение V подтверждено превращением в III и IV. Доказательством строения III служит его превращение в этиловый эфир карбостирил-3-уксусной к-ты при дегидрировании над Pd/C.

А. Т. 64957. Аминоакрихин и его аналоги. Григорьевский А. М., Веселитская Т. А., Ж. общ. химии, 1956, 26, № 2, 466—473

Конденсацией 2-метоксид-7-нитро-6,5-дихлоракридина (I) с диалкиламиноалкиламины (II) и восстановлением нитрогруппы в полученных таким образом 2-метоксид-7-нитро-6-хлор-9-диалкиламиноалкиламиноакридинах (III) синтезированы 2-метоксид-7-амино-6-хлор-9-диалкиламиноалкиламиноакридины (IV). II синтезированы восстановлением диалкиламинонитрилов или оксимов диалкиламинокетонатов. Р-р $(\text{CH}_3)_2\text{NCH}_2\text{CH}_2\text{C}(\text{CH}_3)=\text{NOH}$ (т. кип. 136—137°/38—40 мм) в этилацетате гидрируют над скелетным Ni при 70—85° и 15 ат; получают $(\text{CH}_3)_2\text{NCH}_2\text{CH}_2\text{C}(\text{CH}_3)\text{NH}_2$, выход 49,2%, т. кип. 132—137°, n_D^{20} 1,4322, d_4^{20} 0,8122, $(\text{C}_6\text{H}_5)_2\text{NCH}_2\text{CH}_2\text{C}(\text{CH}_3)\text{CN}$ (т. кип. 93—94°/13 мм) в 12%-ном р-ре NH_3 гидрируют над скелетным Ni при 90—105° и 20 ат; получают $(\text{C}_6\text{H}_5)_2\text{NCH}_2\text{CH}_2\text{C}(\text{CH}_3)\text{CH}_2\text{CH}_2\text{NH}_2$, выход 80%, т. кип. 89—93°/27 мм. Смесь I (получение см. Ж. общ. химии, 1938, 8, 59) и небольшого избытка

катали-
зуют
гидри-

R⁺ CH₃

XIX,
(из сп.
XX, т.
сутст-
20°, п



2,3 г
при 1
экстр
90%,
подме
5,2 г
128°/
272—
100 м
ток С
Mg о
гирю
63%,
6,75 г
6 час
128°/
гично
заот
160—
C₆H₆
4,8 г
в 60
KOH
по ка
10 ка
11,6
лат,
эфир
эфир
3,65
полу
тилат
XXI
ката
т. ки
7,1 г
8,4 г
гидр
т. ки
гидр
т. ки
K 8,
14,1
XXX

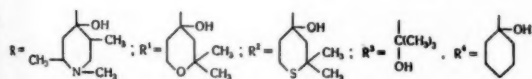
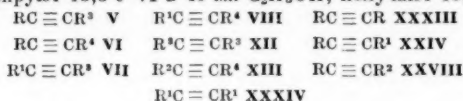
II нагревают в среде фенола 2 часа при 100° и обрабатывают 10%-ным NaOH. Этим способом синтезированы следующие III (указаны заместитель в положении 9, т. пл. в °C): NH₂, 298—300° (из C₆H₅NO₂); (C₂H₅)₂NCH₂CH₂NH, 187—188 (из ацетона); (C₂H₅)₂NCH₂CH₂CH₂NH, 150—151 (из ацетона); (C₂H₅)₂NCH₂CH(OH)CH₂NH, 145—146 (из ацетона); (CH₃)₂NCH₂CH₂CH(CH₃)NH, 135—136 (из ацетона, моногидрат); (C₂H₅)₂NCH₂CH₂CH₂CH₂NH, 133—134 (из ацетона, моногидрат). Конденсацией 2,4-дихлор-5-нитробензойной к-ты и 4-аминовератрола получена 3',4'-диметокси-4-нитро-5-хлордифениламинокарбовая-2-к-та (V), т. пл. 240—242° (из сп.). V обычным методом (с POCl₃) превращают в 2,3-диметокси-7-нитро-6,9-дихлоракридин (VI), т. пл. 240—241° (из дихлорэтана). Аналогично III, из (C₂H₅)₂NCH₂CH₂CH₂CH(CH₃)NH₂ (VII)¹ и VI, синтезирован 2,3-диметокси-6-хлор-7-нитро-9-(1'-диэтиламинопентил-4')-аминоакридин, т. пл. 94—95° (из ацетона), а из VII и 2-нитро-9-хлоракридина — 2-нитро-9-(1'-диэтиламинопентил-4')-аминоакридин, т. пл. 80—81° (из эф.). Восстанавливая III действием SnCl₂ (см. Ж. общ. химии, 1947, 17, 517), получают следующие IV (указаны заместитель в положении 9, т. пл. основания в °C, т. пл. дихлоргидрата в °C): NH₂, 250—252 (из водн. CH₃OH), 304—306 (разл.); (C₂H₅)₂NCH₂CH₂NH, 190—191 (из водн. ацетона), 240—242 (разл.); (C₂H₅)₂NCH₂CH₂CH₂NH, 145—146, 280—282 (разл., дигидрат); (C₂H₅)₂NCH₂CH₂CH(OH)CH₂NH, 136—137, 272—274 (разл., тригидрат); (CH₃)₂NCH₂CH₂CH(CH₃)NH, 160—162, 272—274 (разл., тригидрат); (C₂H₅)₂NCH₂CH₂CH₂CH₂NH, 118,5—119,5, 268—270 (разл., моногидрат). Аналогично получают дихлоргидрат 2,3-диметокси-6-хлор-7-амино-9-(1'-диэтиламинопентил-4')-аминоакридина, т. пл. 130—132°, и дихлоргидрат 2-амино-9-(1'-диэтиламинопентил-4')-аминоакридина, т. пл. 165—168°. Дихлоргидрат 2-метокси-6-хлор-7-амино-9-(1'-диэтиламинопентил-4')-аминоакридина («аминоакрихин») получают гидрированием 2-метокси-6-хлор-7-нитро-9-(1'-диэтиламинопентил-4')-аминоакридина в ацетоне над скелетным Ni, при 22—26° и 1 ат, выход 84%, т. пл. 259—260° (разл.). А. Г.

64958. Производные ацетилена. 170. Гетероциклические соединения. XXXI. Синтез и превращения гетероциклических ацетиленовых γ-гликолей. Назаров Н. Н., Иванова Л. Н., Ж. общ. химии, 1955, 26, 78—95

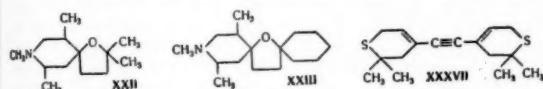
Конденсацией 1,2,5-триметил-4-пиперидона (I) или 2,2-диметилтетрагидропиран-4-она (II) с диметилэтилкарбинолом (III) и 1-этилциклогексано-1-ом (IV) получают несимметричные ацетиленовые γ-гликоли (V), (VI), (VII), (VIII); VII и VIII получены также (с более высокими выходами) конденсацией 2,2-диметил-4-этилтетрагидропиран-4-ола (IX) с ацетоном и циклогексаноном. Образование гликолей V—VIII сопровождается одновременно идущими р-циями диспропорционирования исходных ацетиленовых спиртов, приводящими к смеси продуктов. Так, при конденсации I с III наряду с V образуется высококипящий изомер 1,2,5-триметил-4-этил-4-пиперидола (X). Аналогично, при конденсации II с III наряду с VII образуется IX. При конденсации III или IV с 2,2-диметилтетрагидропиран-4-оном (XI) не удается выделить ожидаемых ацетиленовых гликолей (XII) и (XIII), а вместо них образуются тетраметилбундиол и диоксидициклогексанацетилен (XIV), получающийся также при конденсации II с IV и циклогексаноном с IX. Гликоли XII и XIII удалось получить при действии на XI магнийпроизводных III и IV. Каталитич. гидрирование V, VI, VII с Pd и Ni-катализаторами приводит к образованию соответствующих этиленовых (XV), (XVI), (XVII) и предельных (XVIII, XIX, XX) гликолей. Исчерпывающим гидрированием с Ni-катализатором

из VIII получен предельный гликоль (XXI). Предельные гликоли XVIII, XIX при нагревании с 10%-ной H₂SO₄ циклизуются с образованием соответствующих тетрагидрофурановых производных (XXII) и (XXIII). Ацетиленовые гликоли V и VI при этерификации хлорангидридами к-т образуют ряд моноэфиров. Конденсацией I с IX получен несимметричный ацетиленовый гликоль (XXIV), гидрирование которого с Pd- и Ni-катализаторами дает соответствующие этиленовый (XXV) и предельный (XXVI) гликоли. При конденсации II с X наряду с XXIV образуется IX (в результате диспропорционирования X), а при конденсации II с низкокипящим изомером 1,2,5-триметил-4-этил-4-пиперидола (XXVII) гликоль XXIV выделить не удалось. Несимметричный ацетиленовый γ-гликоль (XXVIII) синтезирован конденсацией I с 2,2-диметил-4-этилтетрагидропиран-4-олом (XXIX), гидрированием которого с Pd-катализатором получен этиленовый гликоль (XXX). При проведении конденсации I с 2,5-диметил-4-этилтетрагидропиран-4-олом (XXXI) вместо ожидаемого гликоля выделены лишь X и 2,5-диметилтетрагидропиран-4-он (XXXII); при проведении этой конденсации в жидком аммиаке вместо X выделен XXVII. Взаимодействием I с XXVII получен симметричный ацетиленовый γ-гликоль (XXXIII). Симметричный гликоль (XXXIV) получен конденсацией II с IX. Гидрирование этих гликолей с Pd-катализатором дает соответствующие этиленовые гликоли (XXXV) и (XXXVI). При попытке осуществить синтез симметричного ацетиленового гликоля конденсацией XI с магнийпроизводным XXIX был выделен тиопирановый диенин (XXXVII). К 50 г порошкообразного KOH в 500 мл безвод. эфира при —4° и перемешивании вносят смесь 42 г I и 25 г III в 300 мл безвод. эфира, перемешивают 14 час. при охлаждении, гидролизуют (при —4°) 50 мл воды, экстрагируют эфиром, нейтрализуют CO₂, выделяют 36 г V, выход 60%, т. кип. 148—149°/2 мм; подметилат, т. пл. 199—201° (из сп.); выделено также 2,4 г X, т. пл. 176—178°. Аналогично, из 70 г I и 62 г IV получают 60 г VI, выход 45%, т. кип. 170—171°/1 мм; подметилат, т. пл. 226—228° (из сп.). Аналогично из 38,5 г II и 25,2 г III получают 19,8 г VII, выход 30%, т. кип. 130—134°/3 мм, 6,3 г IX, т. кип. 77°/3 мм, т. пл. 87°. К 8,4 г KOH в 75 мл эфира прибавляют 7,7 г IX в 100 мл эфира, прибавляют по каплям, в течение 1 часа, 5,8 г ацетона в 25 мл эфира, перемешивают 11 час., гидролизуют, получают 7,7 г VII, выход 72,5%, т. кип. 128—132°/2,5 мм. К суспензии 140 г KOH в 500 мл эфира при охлаждении прибавляют (2 часа) по каплям смесь 64,2 г II и 93,1 г IV в 500 мл эфира; перемешивают 6 час. при 0° и 3 дня при ~20°. Обрабатывают, как описано выше для VII, получают 24,5 г VIII, т. кип. 165—167°/3 мм; 24 г XIV, 2,8 г IX. К 16,8 г KOH в 100 мл эфира за 10 мин. (при —4° и перемешивании) прибавляют 19,6 г циклогексанола в 30 мл эфира и 15,4 г IX в 100 мл эфира, перемешивают, через 2 дня гидролизуют, получают 10,4 г VIII и 12,6 г XIV. К C₂H₅MgBr, полученному из 2,4 г Mg и 11 г C₂H₅Br, в 70 мл безвод. эфира при охлаждении и перемешивании прибавляют по каплям 4,2 г III в 20 мл эфира, кипятят 3 часа, добавляют (20 мин.) 7,2 г XI в 25 мл эфира, кипятят 3 часа, гидролизуют 15 мл разб. HCl (1:2), получают 4,3 г XII, т. кип. 150—155°/2,5 мм. Аналогично, из 6,2 г IV получают 5,75 г XIII, т. кип. 164—168°/2,5 мм. 2,5 г V в 30 мл C₂H₅OH гидрируют с Pd/CaCO₃, получают 1,1 г XV, т. пл. 155—156°; хлоргидрат, т. пл. 171—173° (из сп.). 13,3 г VI в 60 мл безвод. C₂H₅OH гидрируют с Pd/CaCO₃, получают 7,5 г XVI, т. пл. 147—148° (из сп.); подметилат XVI, т. пл. 270,5 (из сп.). 10,6 г VII в 55 мл C₂H₅OH гидрируют с Pd/CaCO₃, получают 6,5 г XVII, т. кип. 117—117,5°/2 мм, 6,8 г V в 50 мл C₂H₅OH гидрируют с Ni-

катализатором при 8—10 ат давления и $\sim 20^\circ$, получают 6,4 г XVIII, т. кип. 141—142°/2 мм. Аналогично гидрируют 13,3 г VI в 40 мл C_2H_5OH , получают 10,7 г



XIX, т. кип. 172—173°/2 мм; подметилат, т. пл. 234° (из сп.). При гидрировании 10,6 г VII выделяют 5,4 г XX, т. пл. 118°/2 мм. 5 г VIII в 35 мл C_2H_5OH в присутствии 1 г Ni-катализатора гидрируют при 5 ат и 20° , получают 2,3 г XXI, т. кип. 150—151°/2,2 мм.

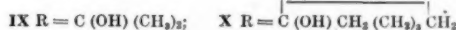
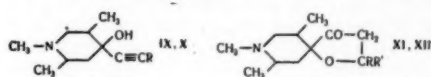


2,3 г XVIII в 30 мл 10%-ной H_2SO_4 нагревают 4 часа при 100° , упаривают в вакууме, насыщают поташом, экстрагируют эфиром, получают 1,9 г XXII, выход 90%, т. кип. 101—102°/6 мм, n_D^{20} 1,4665, d_4^{20} 0,9229, подметилат, т. пл. 294—295° (из сп.). Аналогично из 5,2 г XIX получают XXIII, выход $\sim 90\%$, т. кип. 127—128°/2 мм, n_D^{20} 1,4922, d_4^{20} 0,9754, подметилат, т. пл. 272—273° (из сп.). 8 г V, 5,6 мл CH_3COCl , 0,9 г Mg, 100 мл C_6H_6 нагревают 6 час. при кипении смеси. Избыток CH_3COCl и C_6H_6 отгоняют, прибавляют 50 мл воды, Mg отделяют, водн. р-р обрабатывают K_2CO_3 , экстрагируют эфиром, получают 6 г моноацетата, выход 63%, т. кип. 117—118°/3 мм, n_D^{20} 1,4710, d_4^{20} 1,001. 6,75 г V, 5,7 мл C_2H_5COCl , 0,72 г Mg, 80 мл C_6H_6 греют 6 час., получают 4 г монопропионата, т. кип. 127—128°/3 мм, n_D^{20} 1,4695, d_4^{20} 0,9933. Из 6,75 г V аналогично получают 4,2 г монобензоата, т. пл. 160—160,5° (из C_6H_6). Аналогично получают 1,35 г паранитробензоата V, т. пл. 188° (из абс. сп.); хлоридат, т. пл. 160—161°. 8,5 г VI, 8,9 мл C_6H_5COCl , 0,77 г Mg, 100 мл C_6H_6 нагревают 5 час. при кипении смеси, получают 4,8 г монобензоата, т. пл. 158° (из петр. эф.) 21 г I в 60 мл эфира прибавляют при -4° к суспензии 25,2 г КОН в 225 мл эфира, в течение 1,5 часа прибавляют по каплям 11,7 г IX в 75 мл эфира, перемешивают 10 час. при $\sim 20^\circ$, гидролизуют через сутки, получают 11,6 г XXIV, выход 71%, т. кип. 177°/2,5 мм; подметилат, т. пл. 293—295° (из сп.). К 16,8 г КОН в 150 мл эфира и 12,8 г II за 0,5 часа прибавляют 5,6 г X в 50 мл эфира, получают 3,7 г XXIV, т. кип. 175—180°/2,5 мм. 3,65 г XXIV в 30 мл C_2H_5OH гидрируют с Pd/ $CaCO_3$, получают 2,25 г XXV, т. кип. 166—167°/2 мм; подметилат, т. пл. 320—325° (из смеси сп.-вода, 5:1). 3 г XXIV в 50 мл C_2H_5OH гидрируют 1 час с 1,2 г Ni-катализатора при 5 ат и $\sim 20^\circ$, получают 2,5 г XXVI, т. кип. 174°/2,5 мм; подметилат, т. пл. 306—307° (разл.). 7,1 г I и 4,3 г XXIX прибавляют при -4° к суспензии 8,4 г КОН в 75 мл эфира, перемешивают, через 2 дня, гидролизуют, получают 3,6 г XXVIII, выход 46%, т. кип. 177—183°/3 мм, 2,7 г XXVIII в 30 мл C_2H_5OH гидрируют с Pd/ $CaCO_3$ 5 час., получают 1,9 г XXX, т. кип. 188°/4,5 мм; диодметилат, т. пл. 158—159°. К 8,4 г КОН в 75 мл эфира при -10° прибавляют 14,1 г I и 8,5 г XXXI в 25 мл эфира, получают 2,7 г XXXII и 2,5 г X. Аналогично XXIV, из 14,1 г I и 8,4 г

XXVII выделяют 2,4 г XXXIII, выход 22%, т. кип. 172—177°/3 мм; диодметилат, т. пл. 290—291° (из спт-воды, 5:1); дихлоргидрат, т. пл. 290—291° (из сп.). выделен при попытке синтезировать гликоль из I и ацетилен; аналогично получению VIII из 12,8 г II и 15,4 г IX получают 12,6 г XXXIV, т. кип. 172—175°/3 мм. 1,6 г XXXIII в 17 мл C_2H_5OH гидрируют с Pd/ $CaCO_3$, получают 1,2 г XXXV, т. кип. 177—180°/3,5 мм; диодметилат, т. пл. 313—317° (разл.); 4,2 г XXXIV, гидрируют аналогично предыдущему, получают 3 г XXXVI, т. кип. 152—154°/2 мм. Из 2,4 г Mg и 11 г C_2H_5Br получают C_2H_5MgBr , прибавляют (при охлаждении и перемешивании) 8,5 г XXXI в 50 мл эфира, кипятят 4 часа, при охлаждении прибавляют по каплям 7,5 г XI в 30 мл эфира, кипятят 20 час., получают 6,1 г XXXVII, т. кип. 170—173°/3 мм, т. пл. 127—128°. Суспензию 8,4 г КОН в 40 мл эфира при -15° и перемешивании насыщают ацетиленом в течение 30 мин., добавляют 14,4 г XI в 50 мл эфира, пропускают ацетилен еще 5 час., через сутки гидролизуют 40 мл воды, получают 6,2 г XXIX, т. кип. 82—83°/3 мм, n_D^{20} 1,5242, т. пл. 62—63° (из петр. эф., т. кип. 40—80°) и 5,1 г XXXVIII. Сообщение 169 см. РЖХим, 1956, 19166. Л. П. 64959. Производные ацетилена. 171. Гетероциклические соединения XXXII. Гидратация гетероциклических спиртов и гликолей ацетиленового ряда.

Назаров Н. Н., Иванова Л. Н., Ж. общ. химии, 1956, 26, 186—191

Впервые исследована гидратация низкоплавкого (I) и высокоплавкого (II) изомеров 1,2,5-триметил-4-этил-4-пиперидола, а также двух изомеров (III) и (IV) 1,2,5-триметил-4-винилэтил-4-пиперидола и при этом получены соответствующие кетоспирты: α -(V) и β -(VI) изомеры 1,2,5-триметил-4-ацетил-4-пиперидола, α -(VII) и γ -(VIII) изомеры 1,2,5-триметил-4-винилацетил-4-пиперидола. Этерификацией V и VI получены отвечающие им бензоаты и проведены испытания их физиологич. активности. Осуществлена гидратация несимметричных гетероциклических ацетиленовых γ -гликолей (IX) и (X), полученных ранее (см. пред. реф.), в соответствующие гетероциклич. гидрофурановые спиртовой структуры (XI) и (XII). К р-ру 4 г $HgSO_4$ в 80 мл



H_2O и 8 мл H_2SO_4 прибавляют при перемешивании 9,6 г I (т. пл. 110—111°) в 80 мл H_2O , нагревают при 100° 8 час., фильтруют, упаривают в вакууме, остаток насыщают поташом и всплывшее масло экстрагируют эфиром, получают 6,2 г V, выход 58%, т. пл. 129—130° (из петр. эф.). 2,2 г II (т. пл. 177—178°) в 20 мл H_2O прибавляют к р-ру 2 г $HgSO_4$, 20 мл H_2O и 2 мл H_2SO_4 , нагревают при 100° 6 час., получают 1,7 г VI, выход 70%, т. пл. 59—60° (из петр. эф. с т. кип. 40—60°). К суспензии 41,5 г порошкообразного КОН в 415 мл сухого эфира при -5° и перемешивании прибавляют (2 часа) 61,7 г 1,2,5-триметил-4-пиперидона и 41,5 г винилацетилена в 170 мл сухого эфира. Перемешивают 5 час. при охлаждении и на другой день разлагают 42 мл воды. Эфирный экстракт нейтрализуют углекислотой, после отгонки эфира дробной кристаллизацией выделившихся кристаллов из бензина (т. кип. 80—100°), получают 33,7 г β -изомера 1,2,5-триметил-4-винилэтил-4-пиперидола, т. пл. 96—97° 16,4 г III, т. пл. 82—83°. 2,5 г IV, т. пл. 112—112,5°, и 24,3 г неразделенной смеси изомеров. Общий выход 91%. IV выделен

впервые в дополнении к α - и β -изомерам, полученным ранее (Изв. АН СССР, Отд. хим. н., 1949, 504). 9,7 г III, 100 мл 10%-ной H_2SO_4 и 2 г $HgSO_4$ нагревают при 100° 10 час., получают 2,3 г VII, выход 22%, т. кип. 105—107°/3 мм; подметилат, т. пл. 233—235° (из сп.); 2,4-динитрофенилгидразон подметилата, т. пл. 339° (разл.). 2,25 г IV, 50 мл 10%-ной H_2SO_4 , 1 г $HgSO_4$ нагревают при 100° 3 часа, получают 0,9 VIII, выход 37%, т. кип. 105—107°/3 мм; подметилат, т. пл. 250—252° (из сп.). 3 г V и 7 мл C_6H_5COCl (XIII) нагревают 20 мин. при 140—145°, добавляют еще 7 мл XIII и греют 30 мин. при 160—165°, отгоняют избыток XIII, прибавляют 4 мл H_2O , водн. слой обрабатывают поташом и эфиром. Получают 3 г бензоата V, выход 64%, т. кип. 187—188°/2 мм; хлоргидрат, т. пл. 170—171° (из сп.). Из 0,5 г VI и 2,5 мл XIII аналогично получают 0,35 г бензоата VI, выход 44,8%, т. пл. 100—101° (из петр. эф.); хлоргидрат, т. пл. 155—156°. 2,3 г IX, 30 мл 10%-ной H_2SO_4 и 1 г $HgSO_4$ нагревают при 100° 6 час., получают 1,42 г XI, выход 62%, т. кип. 108—110°/2,5 мм, n_D^{20} 1,4774, d_4^{20} 0,9969; подметилат, т. пл. 286—287°; 2,4-динитрофенилгидразон хлоргидрата XI, т. пл. 278—280°. 13,3 г X, 100 мл 10%-ной H_2SO_4 , 2 г $HgSO_4$ нагревают 4 часа, получают 7,2 г XII, выход 54%, т. кип. 152—153°/2 мм; подметилат, т. пл. 251—253° (из сп.); 2,4-динитрофенилгидразон подметилата XII, т. пл. 218—220°. Л. И.

64960. Синтезы производных фенилпиразолона. V.

Сульфамидные производные фенилпиразолона. И т а н о (フェニルピラゾロン誘導体の合成研究. 第5報. フェニルピラゾロンのスルフォンアミド誘導体に就いて. 板野公平), 薬學雑誌, Ягугаку дзасси, J. Pharmac. Soc. Japan, 1955, 75, № 4, 411—444 (япон.; рез. англ.).

Синтезируются соединения общей ф-лы $n-H_2NSO_2-C_6H_4-N=N-C(R)-CH_2-C=O$ (I) путем

р-ции $n-H_2NSO_2-C_6H_4-NHNH_2$ (II) (из 41 г n -аминобензол-сульфамида, выход 40 г, т. пл. 158—159°) с $RCOCH_2-COO_2C_6H_5$ (III). Перечисляются R, кол-во II в г, кол-во III в г, выход I в г и т. пл. в °C: CH_3 , 18, 13, 22, 237 (разл.); C_6H_5 , 5,4, 5,7, 7, 236—238; NH_2 , 18, 16, 5, 258—260 (разл.). Из 5 г I ($R = NH_2$) получают I ($R = NHCOC_6H_5$), выход 4 г, т. пл. 194—195°, и I ($R = NHCOC_{13}H_{27}$), выход 3 г, т. пл. 199—201° (разл.). При обработке I $n-H_2NC_6H_4N(C_6H_5)_2$ получены $n-(C_2H_5)_2N-C_6H_4-N=N-C(R)-N=N-C_6H_4SO_2-$

$NH_2-C=O$ (IV) (пиразолоназаметинового краси-

тели) и сняты их спектры поглощения в CH_3OH . Для IV приводятся R, т. пл. в °C (из сп.), λ_{max} в мк и ϵ_{max} : 10^{-4} для двух полос поглощения: CH_3 , 215—216, 530, 435, 3,7, 1,3; C_6H_5 , 225—227, 545, 450, 3,8, 1,3; NH_2 , 220—222, 515, 430, 4,1, 0,7; $NHCOC_6H_5$, 227—229, 540, 440, 4,5, 0,6; $NHCOC_{13}H_{27}$, 126—128, 535, 440, 4,1, 0,6. Сообщение IV см. РЖХим, 1956, 58085. Т. А.

64961. Исследование производных 5-аминопиразола.

Сообщение II. О реакционной способности 3-фенил-5-аминопиразола и некоторых его производных. Кекки, Риди, Папини (Ricerche sopra derivati del 5-amino-pirazolo. Nota II. Sulla reattività del 3-fenil-5-aminopirazolo e di alcuni suoi derivati. Checchi Silvio, Ridi Mario, Papini Piero), Gazz. chim. ital., 1955, 85, № 12, 1558—1569 (итал.).

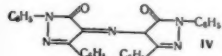
В продолжение прошлой работы (см. сообщение I РЖХим, 1956, 50765) изучена способность 3-фенил-5-аминопиразола (I) к р-ции с β -дикарбонильными соединениями. Конденсация I с бензоилуксусным эфиром (160°, 3 часа) приводит к (3-фенилпиразо)-

1,5:2',3'-(6'-фенил-4'-кето) -1',2',3',4'-тетрагидропири-
мидину, т. пл. 330—332° (из сп.), и 3-фенил-5-бензоил-
ацетаминопиразолу, т. пл. 205—208° (из сп.), выделен
из маточного р-ра. Из I и ацетилацетона (II) (при ~20°,
100 или 140°) получают (3-фенилпиразо)-1,5:2',3'-(
4',6'-диметил)-2',3'-дигидропириимидин (III), т. пл.
170—172° (из сп.). При р-ции между I и малоновым
эфиром (160—170°, 1 час) образуются малонил-бис-
5-(3-фениламинопиразол) (IV), т. пл. 310—312° (с разл.
после промывания кипящим сп.), и этиловый
эфир (3-фенилпиразолил-5)-аминомалоновой к-ты, т. пл.
160° (из сп.) (выделен из маточного р-ра). При конденса-
ции I с шавелевым эфиром (отношение 1:2, 160—
170°, 30 мин.) образуются оксалил-бис-5-(3-фениламино-
пиразол) (V), т. пл. выше 310° (после промывки кипящим
сп.), и этиловый эфир (3-фенилпиразолил-5)-аминошавеле-
вой к-ты (VI), т. пл. 164—165° (из сп.) (выделен
из спирт. р-ра после отделения V). При нагревании
(200°, 2 часа) VI превращается в V. Из I и формамида
(140—150°, 2 часа) получают 3-фенил-5-формамино-
пиразол, т. пл. 214—215° (из сп.). В аналогичных усло-
виях из I и N,N' -дифенилформамида образуется
3-фенил-5-анилинометиленаминопирозол, т. пл. 162—
163° (из 50%-ного сп.). При кипячении IV и VI с ук-
сусным ангидридом (1—2 часа) получают соответ-
ственно малонил-бис-5-(3-фенил-1-ацетиламинопира-
зол), т. пл. 243—245° (из CH_3COOH), и этиловый эфир
(3-фенил-1-ацетиламинопиразолил-5)-аминошавелевой к-ты
(VII), т. пл. 144—146° (из сп.), которые при обработке
разб. КОН вновь переходят в исходные продукты. При
действии на VI или VII эквивалентного кол-ва KNO_3
в лед. CH_3COOH + несколько капель конц. HCl обра-
зуется этиловый эфир (3-фенил-4-нитропиразолил-5)-
аминошавелевой к-ты (VIII), т. пл. 240—242° (разл.,
из сп.). Аналогично III дает (3-фенил-4-нитропира-
зо)-1,5:2',3'-(4',6'-диметил)-2',3'-дигидропири-
имидин, т. разл. 230° (из сп.). При кипячении VIII
с эквимольным кол-вом КОН в водно-спирт. р-ре
(20 мин.) образуется 3-фенил-4-изонитрозо-5-амино-
пиразол, т. пл. 270—273° (разл., из сп.). IV и V не дают
определенных продуктов при действии азотистой к-ты.
3-Фенил-4-метил-5-аминопиразол конденсируется с II
(100°) аналогично I, образуя (3-фенил-4-метилпиразо)-
1,5:2',3'-(4',6'-диметил)-2',3'-дигидропириимидин, т. пл.
129—132° (из сп.). Из 1,3-дифенил-5-аминопиразола и II
при ~20° получают 1,3-дифенил-5-ацетилацетона-
аминопирозол (IX), т. пл. 107—109° (из сп.), а при 140°
(1 час.) образуется 1,3-дифенил-4,6-диметил-1,2,7-
пиразолидин, т. пл. 112—115° (из сп.). Нитрозиро-
вание IX аналогично VI приводит к 1,3-дифенил-4-изо-
нитрозо-5-иминопирозолу, т. пл. 202—204° (из этил-
ацетата). Аминогруппа в положении 5 значительно
более реакционноспособна, чем таковая в положении 1,
что подтверждается неспособностью 3-фенил-5-бензоил-
аминопирозола (X), т. пл. 190—192° (из сп.), к р-ции
с β -кетозафирами. X получается при частичном омылении
(10%-ный КОН, 100°, 5 мин.). 3-Фенил-1-бензоил-5-
бензоиламинопиразола, т. пл. 174—176° (из сп.), кото-
рый образуется при бензоилировании I (10%-ный
КОН, C_6H_5COCl). X нитрозируется аналогично VI и
дает 3-фенил-4-нитрозо-5-бензоиламинопиразол, т. пл.
271—275° (из сп.); последний образуется также при
нитрозировании X. Бензоилирование 3-фенил-5-ацет-
аминопирозола (C_6H_5COCl , 10%-ный КОН) приводит к
3-фенил-1-бензоил-5-ацетаминопиразолу, т. пл.
159—160° (из сп.), при нитрозировании которого анало-
гично VI образуется 3-фенил-4-нитрозо-5-ацетаминопи-
разол, т. пл. 237—239° (из сп.). Л. Я.

64962. К образованию соединения типа рубазоновой
кислоты. Мурё, Шовен, Пти (Sur la formation
d'un composé du type acide rubazonique. M o u
reu Henri, Chovin Paul, Petit

Louis, C. r. Acad. sci., 1955, 241, № 25, 1954—1956 (франц.)

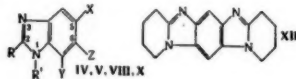
Гидразин реагирует с $C_6H_5CH=CBrcOOC_2H_5$ (I), образуя 3-фенилпиразолон-5 с выходом 75%. В отличие от этого р-ции I с $C_6H_5NHNH_2$ (II) протекает сложно, причем общий выход продуктов р-ции составляет ~20%. Путем хроматографирования выделены: 1,3-дифенил-4-фенилазопиразолон-5 (III), т. пл. 173°; (IV) (см.



Rothenburg, Ber., 1894, 27, 783), т. пл. 251°, и бис-(1,3-дифенил-2,3-дигидропиразолон-5-ил-4 (см. Böttcher, Bauer, Ann. 1950, 566, 227), т. пл. 336°. Найдено, что IV при нагревании с II образует III с выделением NH_3 и анилина. А. Г. 64963.

Синтезы в ряду пиридо- и пиперидо-(1',2',1,2)-бензимидазолов. Сондере (Synthesis in the pyrido- and piperido-(1': 2'—1: 2) benzimidazole series. Saunders K. H.), J. Chem. Soc., 1955, Sept., 3275—3287 (англ.)

При р-ции 2-хлор-1,3-динитробензола (I) с 2-аминопиридином (II), наряду с ожидаемым 2-(2,6-динитроанилино)-пиридином (III), получается производное пиридо-(1',2'-1,2)-бензимидазола (IV) — 4-нитро-IV, возникающий из таутомерной формы III по р-ции Моргана и Стюарта (J. Chem. Soc., 1938, 1292), что подтверждается образованием 4-нитро-IV и HNO_2 при нагревании III в $C_2H_5OCH_2CH_2OH$.



IV RR' = —CH=CHCH=CH—, X=Y=Z=H;

V RR' = —(CH₂)₄—, Z=H; VIII RR' = —(CH₂)₄—; Y=H;

X RR' = —CH₂N(COOC₂H₅)CH₂CH₂—, Y=Z=H;

Va X=Y=H; б X=NO₂, Y=H; в X=H, Y=NO₂;

г X=NHCOCH₃, Y=H; д X=Cl, Y=H; е X=NH₂;

Y=H; VIII а X=Z=H; б X=Cl, Z=H; в X=NO₂,

Z=H; г X=NH₂, Z=H; д X=NH₂, Z=NO₂; е X=H,

Z=NO₂; ж X=H, Z=NH₂; X а X=H; б X=Cl

Найден простой путь синтеза пиперидо-(1',2',1,2)-бензимидазолов (V) разложением соответствующих азидов. Так, напр., 1-о-азидофенилпиперидин (VI) разлагается при нагревании с образованием N_2 и нестойкого восстановителя — 2,3-дигидро-V, который, теряя H, в реакционной среде превращается в Va. Этот механизм подтверждается тем, что при проведении р-ции в $C_6H_5NO_2$ образуется 85% теоретич. кол-ва анилина. Аналогично из соответствующих азидов получены Vб (идентичен в-ву, полученному Spiegel, Kaufmann, Ber., 1908, 41, 682), Vв и Vг. Различными путями приготовлены 4-, 5-, 6- и 7-монозамещ. V. Из гексагидроазепина (гексаметиленмина) (VII) приготовлены 1-о-аминофенилпроизводные, которые через амиды превращены в 2',3',4',5',6',7'-гексагидроазепино-(1',2',1,2)-бензимидазолы (VIII). 1-карботоксипиперазин (IX) был переведен в его 4-о-аминофенил- и 4-(2-амино-4-хлорфенил)-производные, из которых с очень плохим выходом получены 4'-N-карботоксипиперазино-(1',2',1,2)-бензимидазол (Xа) и его 5-хлорпроизводное (Xб). Получен также замещ. морфолинобензимидазол. V и VIII легко образуют четвертичные аммониевые соединения и за исключением 4-амино- и 7-амино-V, не сочетаются в разб. к-те с солями диазона. Вследствие пространных затруднений выход VIII, больше чем соответствующих V. При разложении 7-азидо-V не

удалось получить конденсированную систему из 4 колец. С плохими выходами удалось провести двойное замыкание азидов с образованием конденсированной пятицикл. системы на примере 1,5-динитро-2,4-дипиридинобензола (XI), который после восстановления одной нитрогруппы через азид замыкался в V ($X=NO_2$, $Y=H$, $Z=NC_5H_{10}$). Подобная операция с нитрогруппой последнего привела к ди-[пиперидо-(1',2'-1,2)-глиноксалино-] (4',5',1,2) (5'',4'',4,5)-бензолу (XII). При р-ции 1,5-дихлор-2,4-динитробензола (XIII) с II с хорошим выходом получается 1,5-динитро-2,4-ди-(2-пиридиламино)-бензол (XIV). 26,4 г 1-о-аминофенилпиперидина в 45 мл HCl (d 1,16) и 200 мл воды диазотируют р-ром 10,8 г $NaNO_2$, разрушают избыток HNO_2 и р-р прибавляют (10 мин.) к 300 мл 20%-ного р-ра CH_3COONa , содержащего 9 г $NaNO_3$ и лед. На другой день жидкий VI растворяют в 100 мл $C_6H_5NO_2$ и р-р по каплям прибавляют к 300 мл $C_6H_5NO_2$ при 165—175°; после выделения N_2 упаривают в вакууме до ~50 мл, при охлаждении выделяют Va, выход 77% (неочищ.), т. пл. 101—102° (из этилацетата); мононитрат, т. пл. 229—230° (из $C_2H_5OCH_2CH_2OH$ (XV)); подметилат, т. пл. 220—221° (из CH_3OH -ацетона); продукт присоединения нота т. пл. 150°. 24 г 1-(4-хлор-2-нитрофенил)-пиперидина восстанавливают ($Fe+HCl$) в 1-(2-амино-4-хлорфенил)-пиперидин (XVI), выход 13,7 г, т. кип. 188—192°/18—20 мм, т. пл. 49,5—50° (из CH_3OH); хлоргидрат, т. пл. 230—231° (из воды); ацетильное производное, т. пл. 95—96° (из CH_3OH); бензонильное производное, т. пл. 105—105,5° (из $C_2H_5COCH_3$). Хлоргидрат XVI аналогично получению Va превращают в Vд, выход 82%, т. пл. 153—154° (из $C_2H_5Cl_2$); хлоргидрат, т. пл. 295—296°. 1-(2-амино-4-нитрофенил)-пиперидин, т. пл. 96°, аналогично VI превращают в 1-(2-азидо-4-нитрофенил)-пиперидин и далее в Vб (примеси в котором диазотируют, и удаляют в виде водорастворимого красителя при сочетании с 2-нафтолдисульфидом-3,6 к-той), выход Vб 79,8%, т. пл. 218,5—219,5° (из $C_2H_5COCH_3$), идентичен «основанию А», приготовленному ранее (см. ссылку выше). Vб гидрируют (скелетный Ni, CH_3OH , 50—60°) и получают Vе, выход >90%, т. пл. 218—220° (из CH_3OH); Vг, т. пл. 219,5—220° (из хлф. и этилацетата). Vг получают также следующим образом: 1-(4-амино-2-нитрофенил)-пиперидин при кипячении с $(CH_3CO)_2O$ и CH_3COOH дает 1-(4-ацетиамидо-2-нитрофенил)-пиперидин, т. пл. 136—137° (из CH_3OH), который гидрируют аналогично Vб (~20°) в 1-(4-ацетиамидо-2-аминофенил)-пиперидин, т. пл. 132—133° (из этилацетата), превращенный далее через диазосоединение и азид в Vг. 5,75 г Vг растворяют при —10°—(—5°) в 30 мл конц. H_2SO_4 и нитруют смесью 1,1 мл HNO_3 (d 1,48) и 5 мл H_2SO_4 . При pH 7—8 выделяют 6-нитро-Vг, выход 5,7 г, т. пл. 199—200° (из $C_2H_5COCH_3$). Омылением (кипение 2 н. HCl, 15 мин.) получают алого цвета 6-нитро-Vе, т. пл. 266—267° (из XV); хлоргидрат, т. пл. 304° (разл.). 6-нитро-Vе диазотируют в разб. HCl и р-р выливают в разб. H_3PO_2 , через 30 мин. (39°) кипятят, подщелачивают и получают 6-нитро-V, выход 85%, т. пл. 217—219° (из CH_3OH). Гидрированием (Ni , CH_3OH , 60°, 5 ат) получают 6-амино-V, т. пл. 198—200° (из этилацетата + CH_3OH). 1-(2,6-динитрофенил)-пиперидин частично восстанавливают в спирте водн. р-ром Na_2S_2 , пропускают через колонку с Al_2O_3 , упаривают досуха, обрабатывают спирт. HCl и ацетоном осаждают хлоргидрат 1-(2-амино-6-нитрофенил)-пиперидина, выход 80%, т. пл. 220—221° (разл.). Хлоргидрат превращают в азид, который разлагают в $C_6H_5NO_2$ и через хлоргидрат выделяют Vв, т. пл. 107—108° (из бн.). 9 г неочищ. хлоргидрата Vв, т. пл. 258—260° (разл.), восстанавливают (Fe и CH_3COOH) и полученный неочищ. амин (4,5 г) превращают в ацетильное производ-

ное, т. пл. 236—237° (из сп.), из которого гидролизом 2 н. HCl получают 7-амино-V, т. пл. 186—187° (из бзл.). 2 г Va дегидрируют над Pd/асбест при 306° в токе N₂ или CO₂ и выделяют IV, т. пл. 178—179°; подметилат (CH₃J, 100°, 16 час.), т. пл. 246—247° (из воды). 58 г I, 35 г II, 5 г CaCO₃ в 225 мл XV кипятят 24 часа, подкисляют HCl, отгоняют с паром избыток I и остаток подщелачивают Na₂CO₃. Осадок экстрагируют кипящим C₆H₆ и р-р хроматографируют, получают 14,2 г III, т. пл. 117—119° (из CH₃OH); хлоргидрат, смокает при 220—223°, т. разл. ~225°, гидролизуется водой; подметилат, т. пл. 207—208° (разл., из воды). Из остатка, не растворимого в C₆H₆, экстрагируют кипящим XV 4-нитро-IV, выход 6,1 г, т. пл. 272°. 7,1 г 4-нитро-IV восстанавливают (Fe, разб. CH₃COOH) и при pH 9—10 выделяют 5,7 г 4-амино-IV, т. пл. 133—134° (из бзл.); ацетильное производное, т. пл. 106—108° (гидрат, разл.), безводн., т. пл. 142—144°. Кристаллизацией из (CH₃CO)₂O получают ацетат 4-CH₃CONH-IV, т. пл. 147—149°. 4-амино-IV гидрируют над PtO₂ (95°, 60 ат, 3 часа) в 4-амино-V, т. пл. 176—177° (из этилацетата). При нитровании 2,3 г IV (HNO₃ + H₂SO₄, 10—15°, 15 мин, 50°) выделяют аммиаком 6-нитро-IV, т. пл. 271—272° (из CH₃OH), неидентичный 4-нитро-IV; при гидрировании над PtO₂ дает 6-амино-IV, т. пл. 195—197°. К кипящему р-ру 7 г о-хлорнитробензола в 100 мл C₂H₅OH прибавляют 70 мл VII, р-р 3 г Na₂CO₃ в 15 мл воды и 23,5 г Na₂CO₃, кипятят 24 часа, фильтрат упаривают в вакууме и получают 97 г 1-о-нитрофенильного производного, масло, n_D^{25} 1,601, которое восстанавливают аналогично получению XVI в 1-о-аминофенилгексагидроазепина, выход 64 г, т. кип. 160°/10 мм, n_D^{25} 1,564; монохлоргидрат, т. пл. 165—166°. Основание обычным методом через азид превращено в VIIIa, выход 40 г, т. пл. 125—126° (из бзл.); подметилат, т. пл. 232—234° (из воды). К р-ру 192 г 1,4-дихлор-2-нитробензола (XVII) в 300 мл кипящего спирта прибавляют по каплям 230 мл VII, кипятят 12 час. и выделяют 1-(4-хлор-2-нитрофенил)-производное, т. пл. 56°. Восстановление Fe приводит к 1-(4-хлор-2-аминофенил)-производному, т. кип. 198—200°/20 мм, n_D^{25} 1,5800 (хлоргидрат, т. пл. 200—202°), которое превращено в VIIIb, выход 72%, т. пл. 107—109° (из этилацетата); хлоргидрат, т. пл. 259—261° (смокает 255°), подметилат, т. пл. 273—274°. VIIIb с Cl₂ в CHCl₃ при 0° дает осадок дихлорида, т. пл. 314° (разл.), который разлагается горячей водой с образованием 5, (?) -дихлор-VIII, т. пл. 176—177° (из этилацетата). Из 1-хлор-2,4-динитробензола и VII аналогично XVII получают 2,4-динитрофенильное производное, т. пл. 108—109° (из CH₃OH и бзл.), которое восстанавливают в спирте р-ром Na₂S₂ в воде, выделяют через хлоргидрат 1-(4-амино-2-нитрофенил)-гексагидроазепина, т. пл. 76—77° (из бзл.) и (в CH₃OH + KOH) 1-(2-амино-4-нитрофенил)-гексагидроазепина, т. пл. 67—68,5° (пропускают в C₆H₆ через Al₂O₃ и перегоняют при 172,8—173,5°/0,15 мм), который через азид превращают в VIIIв, т. пл. 174—175° (из C₆H₅Cl), и VIIIв восстанавливают (Ni, CH₃OH, 50—55°, 30 ат) в VIIIг, т. пл. 180,5—181° (из CH₃OH), ацетильное производное, т. пл. 254—255° (из XV), карбэтоксипроизводное (действием ClCOOC₂H₅ при pH 10 в р-ре NaOH), выход 8,1 г из 6 г VIII г, т. пл. 238—240° (из CH₃OH), последнее с CH₃J (100°, 17 час.) дает идиостый 5-карбэтоксипроизводное 1-метилгексагидроазепино-(1',2' - 1,2)-бензимидазол, т. пл. 270—272° (разл.). VIIIг при конденсации с 2-оксинафтойной-3 к-той в кипящем толуоле с PCl₅ с последующей отгонкой с паром из р-ра NaOH и осаждением NaHCO₃ дает 5-(2-окси-3-нафтамидо)-VIII, т. пл. 310—311° (из этиленгликоля). К 4,0 г

VIIIг в 100 мл горячей воды и 10 мл 2 н. HCl прибавляют 5,7 г 1-подметилат-2-амино-4-хлор-6-метилпиримидина в 100 мл кипящей воды и по каплям р-р CH₃COONa, через 7 мин. фильтруют и осаждают NaJ 2-амино-4-(гексагидроазепино-(1',2' - 1,2)-бензимидазолил-5-амино)-1,6-диметилпиридиний-1-иодид, т. пл. ~220° (из CH₃OH), который с CH₃J дает триметильное соединение диодида, т. пл. 335° (из воды). Из 8 г VIIIг и 3 мл хлорангидрида адипиновой к-ты в кипящем C₆H₆ получают амид N,N'-ди-(гексагидроазепинобензимидазолил-5)-адипиновой к-ты, т. пл. 345° (разл., из гликоля), который превращают в 1,1'-диметильное соединение 1,1'-диодида, т. пл. 345° (разл., из воды). Пропускают COCl₂ в р-р VIIIг в теплой воде, получают осадок, р-р которого в горячей воде при выливании в воду. NH₃ образует соответствующую мочевины, т. пл. 335° (из гликоля), последняя с n-CH₃C₆H₄SO₃CH₃ (120—160°, 2 часа) и добавлением NaJ к р-ру осадка в горячей воде образует диодид ди-(гексагидро-1-метилазепинобензимидазолил-5)-мочевины, т. пл. 316—318° (разл., из воды). 8 г VIIIг диазотируют в 20 мл H₃PO₄ и 40 мл воды и диазораствор прибавляют (40 мин., 130—140°) к 60 мл H₃PO₄. Через 75 мин. выливают в воду и при pH 7—7,5 выделяют 1,6 г 5-окси-VIII, т. пл. 295—296° (из CH₃OH). 13,2 г 5-ацетида-VIII нитруют смесью 2,4 мл HNO₃(d 1,4) в H₂SO₄ при -10—(-5°) и получают 5-ацетида-6-нитро-VIII, т. пл. 190—191° (из C₂H₅COCH₃ и C₆H₅Cl), который гидролизуют к-той в VIIIд, т. пл. 295—296° (разл., из XV и возгонка при 185/0,003 мм). VIIIд дезаминируют диазотированием и обработкой H₃PO₄ с образованием VIIIе, выход 2,1 г из 4,9 г, т. пл. 196—197° (возгонка <170°/0,003 мм, хроматография в C₆H₆ на Al₂O₃ и из этилацетата). Гидрирование VIIIе (Ni, CH₃OH, 50 ат) приводит к VIIIж, т. пл. 198—199° (из бзл.). Из 50 г I в 250 мл спирта и 57 мл VII (кипячение 6 час.) выделяют 2,6-динитрофенильное производное, т. пл. 73—74°, которое восстановлено в кипящем спирте Na₂S₂ в 2-амино-6-нитрофенильное производное, т. пл. 56—57° (хроматография на Al₂O₃ в C₆H₆ и из бзл.). 4-(4-хлор-2-нитрофенил)-морфолин восстановлен Fe в спирте в 4-(2-амино-4-хлорфенил)-морфолин, выход 81%, т. пл. 135—137° (из CH₃OH), который превращен в азид, т. пл. 80—81° (разл.) и далее в хлоргидрат 5-хлорморфолино-(4',3'; 1,2)-бензимидазола (XVIII — основание), т. пл. 228—230° (из CH₃OH); XVIII, т. пл. 200—200,5° (из этилацетата); подметилат, т. пл. 242—244° (разл., из воды). При циклизации наряду с XVIII выделено небольшое кол-во неидентифицируемого далее основания, т. пл. 100—100,5°; пикрат, т. пл. 230—232°. После нитрования 9 г XVIII аналогично Vg (10—15° и 30 мин. при 40°) при pH 10—11 получают 7,2 г нитро-XVIII, т. пл. 219—220° (из C₆H₅Cl), которое при гидрировании в CH₃OH (Ni 60—65°, 100 ат) превращается в amino-XVIII, т. пл. 262—263°. Вероятно, неочищ. нитро-XVIII является эвтектик. смесью трех изомеров, так как при выпаривании метанольного маточного р-ра выделяют два неочищ. основания (218—235° и 218—240°). 4-(2,4-динитрофенил)-морфолин восстанавливают Na₂S₂ и выделяют (хроматография на Al₂O₃ в C₆H₆) желтого цвета в-во, вероятно, 4-(2-амино-4-нитрофенил)-морфолин, т. пл. 153—153,5° (из CH₃OH), и красного цвета изомер, вероятно, 4-(4-амино-2-нитрофенил)-морфолин, т. пл. 133—135° (из этилацетата). 12,1 г IX, 7,35 г XVII в 25 мл спирта кипятят 20 час. и выделяют масло, которое прямо восстанавливает Fe в разб. CH₃COOH с образованием 1-(2-амино-4-хлорфенил)-4-карбэтоксипиперидина, т. пл. 119—120°. Последний через азид переводят в Xб (очистка через пикрат и хроматографирование), т. пл. 129—131° (из этилацетата). Из 40 мл пиперидина в 150 мл кипящего спирта и 11,85 г 2,5-дихлор-1,5-ди-

нитробензола получают XI, выход 91%, т. пл. 117—118° (из лед. CH_3COOH), которое (87 г) при восстановлении Na_2S_2 в спирте дает 37 г 1-амино-5-нитро-2,4-дипиридинобензола (XIX), т. пл. 129—130° (из этилацетата). Кристаллич. форму азиды получают при прибавлении CH_3COONa к диазотвору из XIX и NaNa . Азид в $\text{C}_6\text{H}_5\text{NO}_2$ при 120—130° и затем 170—180° выделяет кроме N_2 еще и окислы азота. Выделенный продукт очищают экстракцией петр. эфиром (80—100°) и остаток хроматографируют, получают 8,5 г основания; хлоргидрат, т. разл. 240°, из которого выделяют (5,1 г) две формы V ($\text{X} = \text{NO}_2$, $\text{Y} = \text{H}$, $\text{Z} = \text{NC}_5\text{H}_{10}$), т. пл. 137—140° (красные кристаллы), застывают в оранжевые кристаллы с т. пл. 155—156°. V ($\text{X} = \text{NH}_2$, $\text{Y} = \text{H}$, $\text{Z} = \text{NC}_5\text{H}_{10}$) получено гидрированием (CH_3OH Ni, 50—55°, 50 ат), т. пл. 189—191° (хроматография, перекристаллизация из этилацетата). Из азидина получен через азид XII, т. пл. 279—280° (возгонка при 245°/0,003 мм). При кипячении 24 часа 9,6 г XIII с 16 г II в 60 мл XV получают при охлаждении 10,3 г XIV, т. пл. 236—238° (из $\text{C}_6\text{H}_5\text{Cl}$). Подобная р-ция XIII с VII не удалась.

Б. Д.
64964. Циннолины. II. 4-окси-3-нитроциннолин и его производные. Баумгартен (Cinnolines. II. 4-Hydroxy-3-nitrocinnoline and derivatives. Baumgarten Henry E., J. Amer. Chem. Soc., 1955, 77, № 19, 5109—5112 (англ.).

При р-ции 3-нитроциннолина (I) с NH_2OH получается 4-амино-3-нитроциннолин (II), который при нагревании с разб. КОН превращается в 4-окси-3-нитроциннолин (III), идентичный с в-вом, полученным ранее (Schofield, Simpson, J. Chem. Soc., 1945, 512) в качестве главного продукта при нитровании 4-оксциннолина. Строение II установлено восстановлением в 3,4-диаминциннолин (IV) и конденсацией IV с фенантренином (V) с образованием 9,10,11,16-тетраазатрибензо-[a, c, h]-антрацена (VI). Попытки превращения II в III с помощью HNO_2 были безуспешны. III с $(\text{CH}_3)_2\text{SO}_4$ дает, вероятно, 1-метил-3-нитроциннолин-4 (VII). В зависимости от условий III с POCl_3 дают 4-хлор-3-нитроциннолин (VIII) или $(\text{POCl}_3 + \text{PCl}_5)$ смесь VIII и 3,4-дихлорциннолина (IX), причем VIII при обработке $\text{POCl}_3 + \text{PCl}_5$ переходит в IX. Р-ция VIII с фенолом и $(\text{NH}_4)_2\text{CO}_3$ приводит к II, однако с K_2CO_3 вместо $(\text{NH}_4)_2\text{CO}_3$ получается с плохим выходом 4-феноксис-3-нитроциннолин (X). С ангидром VIII образует 4-ангидро-3-нитроциннолин (XI). К смеси 0,028 моля I, 0,18 моля $\text{NH}_2\text{OH} \cdot \text{HCl}$ и 300 мл спирта прибавляют (27—30°, 30 мин.) р-р 0,38 моля КОН в 100 мл CH_3OH , выдерживают 30 мин. при 50° и через 30 мин. выливают на лед, выход II 64%, т. пл. 308—308,5° (из сп.). Из II, $\text{SnCl}_4 \cdot 2\text{H}_2\text{O}$, конц. HCl (100°, 2 часа) получают IV, выход 76%, т. пл. 220—220,5° (разл.), монохлоргидрат, т. пл. 316—317° (разл.). Смесь 20 мл IV и 26 мг V в 1 мл лед. CH_3COOH нагревают (100°, 1 час) и получают VI, выход 72%, т. пл. 315—316° (из пиридина). Суспензию 0,2 г хлоргидрата IV, 0,6 г безводн. CH_3COOK и 0,2 г V в 10 мл лед. CH_3COOH нагревают ~100° 1 час, выход VI, 50%. Смесь 5 г II, 5 г NaOH и 75 мл воды нагревают ~100° 1 час, обрабатывают углем, фильтрат подкисляют CH_3COOH и получают III, выход 69%, т. пл. 284,5—285,5 (из сп.). Приведены данные ИК- и УФ-спектров. VII из III и $(\text{CH}_3)_2\text{SO}_4$ (разб. КОН, 50°), выход 59%, т. пл. 232,5—233,5° (из сп.). 0,3 г III, 3 мл неперегнанной POCl_3 (95°, 20 мин.) дают VIII, выход 67%, т. пл. 169—170° (возгонка при ~140°). Смесь 0,75 г VIII, 1 г PCl_5 и 5 мл неперегнанной POCl_3 нагревают (110°, 3 часа) и выделяют IX, выход 87%, т. пл. 128—129°. Смесь 0,3 г VIII, 1 г $(\text{NH}_4)_2\text{CO}_3$ и 2,5 г фенола нагревают до начала р-ции, затем еще 30 мин. при 90°, выливают в р-р 1,5 г NaOH в 30 мл воды и отфильтровывают II,

выход 74%. Аналогично из 0,3 г VIII, 0,22 г K_2CO_3 и 0,75 г фенола получают X, выход 21%, т. пл. 144,5—145°. 0,3 г VIII в 3 мл ангидина кипятят 0,5 часа, разбавляют эфиром, выход XI 99%, т. пл. 187—188° (из сп.). Сообщение 1 см. РЖХим, 1956, 61561. Б. Д.

64965. Некоторые производные тетра- и гексагидро-4,6-диоксопиримидина. Бун, Каррингтон, Гринхалш, Вейс (Some derivatives of tetra- and hexa-hydro-4,6-dioxypyrimidine. Boon W. R., Carrington H. C., Greenhalgh N., Vasey C. H.), J. Chem. Soc., 1954, Oct., 3263—3272 (англ.).

Описаны методы синтеза некоторых тетрагидро- и гексагидро-4,6-диоксопиримидинов. Гидрирование 5,5-дизамещ. 2-тиобарбитуровых к-т над скелетным Ni приводит к соответствующим гексагидро-4,6-диоксопиримидинам $\text{RR'CCON(R'')CH}_2\text{N(R''')CO}$ (I). Подобным путем восстанавливаются и 1,3,5,5-замещ. 2-тиобарбитуровые к-ты. При гидрировании 1,3-диметил-5-фенил-2-тиобарбитуровой к-ты (II) получается I ($\text{R} = \text{C}_6\text{H}_5$, $\text{R}' = \text{H}$, $\text{R}'' = \text{R}''' = \text{CH}_3$), в то время как 5-фенил-2-тиобарбитуровая к-та восстанавливается до 4,6-диоксо-5-фенилпиримидина (Hull, J. Chem. Soc., 1951, 2214). Гидрирование 5-этил-5-циклогексил-1-ил (III) и 5-этил-5-циклогексил-4-ил (IV) 2-тиобарбитуровых к-т приводит к I ($\text{R} = \text{этил}$, $\text{R}' = \text{циклогексил}$, $\text{R}'' = \text{R}''' = \text{H}$) (V). В этих же условиях 5-н-хлорфенил-5-этил-2-тиобарбитуровая к-та (VI) превращается в I ($\text{R} = \text{R}' = \text{C}_6\text{H}_5$, $\text{R}'' = \text{R}''' = \text{H}$) (примидон) (VII). Гидрирование в CH_3OH или $\text{C}_2\text{H}_5\text{OH}$ над скелетным Ni (W-1) и над скелетным Co приводит к соответствующим 2-алкокси-I, однако при гидрировании 5-этилтетрагидро-2-метокси (или метилтио)-4,6-диоксо-5-фенилпиримидинов (VIII) и IX в CH_3OH получают VII. При гидрировании в среде $n\text{-C}_4\text{H}_9\text{OH}$ или $изo\text{-C}_4\text{H}_9\text{OH}$ 2-алкоксипроизводные не образуются. 5-этил-2-метоксигексагидро-4,6-диоксо-5-фенилпиримидин (X) устойчив к действию спиртов; при 180° в высоком вакууме теряет CH_3OH , образуя 5-этилтетрагидро-4,6-диоксо-5-фенилпиримидин (XI), который при действии спиртов дает соответствующие 2-алкокси-I. При нагревании X выше 200° образуются полимеры. Действие на X р-ра HCl в эфире приводит к хлоргидрату XI (XII), который действием р-ра CH_3COONa превращается в гидрат XI (XIII). При действии на XII р-ра NaHCO_3 в воде образуется диамид С-фенил-С-этил-N-формилмалоновой к-ты (XIV). При взаимодействии XII и XIII со спиртами получается 2-алкокси-I. XIII при действии кипящей воды образует N,N'-ди-(α -карбамоил- α -фенилбутирил)-формамидин (XV), из которого при дальнейшем нагревании образуется диамид этилфенилмалоновой к-ты (XVI). Действие р-ра NaOH в воде на X, XII, XIII и XV приводит к XVI. Восстановление 2-тиобарбитуровых к-т действием амальгамы Na или Zn в присутствии HCOOH , а также электролитич. восстановление 5-этил-5-фенил-барбитуровой к-ты приводит к VII. Действие CH_3O на XVI вместо VII дает С-этил-N,N'-бисоксиметил-С-фенилмалондиамид (XVII), однако взаимодействие XVI с HCONH_2 или HCOOH при высокой т-ре приводит к VII. Подобным образом реагируют дизамещ. амиды малоновой к-ты и их производные; однако нагревание диамида С-фенилмалоновой к-ты (XVIII) с HCONH_2 дает фенилацетамид (XIX). Все другие методы синтеза I включают промежуточное выделение тетрагидро-4,6-диоксопиримидинов или 2-алкокси-I. Конденсация метилфенилмалонового эфира (XX) с пропионамидом (XXI) в присутствии CH_3ONa приводит к 2,5-дизтил-2-метоксис-5-фенил-4,6-диоксогексагидропиримидину (XXII). Взаимодействие малондиамидов с CH_3COCl приводит к хлоргидратам 1-алкилтетрагидро-2-метил-4,6-диоксопиримидинов. При р-ции

XVI с кетоном получается нитрил этилфенилмалоновой к-ты и амид *N*-ацетил- α -циано- α -фенилмасляной к-ты (**XXIII**). Хлоридраты тетрагидро-4,6-диоксопиримидинов и соответствующие 2-алкоксипроизводные способны восстанавливаться при кипячении со скелетным Ni(W-5) или нагреванием с HCOOH или HCONH_2 . VII не изменяется при кипячении с 5%-ной HCl (к-той) и 2 н. NaOH . Окисление VII шел. KMnO_4 приводит к XVI. При действии $(\text{CH}_3)_2\text{SO}_4$ на VII метилирование происходит, однако из I ($\text{R}=\text{C}_6\text{H}_5$, $\text{R}'=\text{H}$, $\text{R}''=\text{R}'''=\text{CH}_3$) образуется I ($\text{R}=\text{R}'=\text{R}''=\text{R}'''=\text{CH}_3$, $\text{R}'=\text{C}_6\text{H}_5$) (**XXIV**). Нитрование VII приводит к 5-этилгексагидро-5-м-нитрофенил-4,6-диоксопиримидину (**XXV**), а не к пара-изомеру, как это сообщалось ранее (Bourquet, Adams, J. Amer. Chem. Soc., 1930, 52, 224). Р-р 76 г *m*-хлорбензилхлорида в 210 мл абс. спирта насыщают HCl (газ) при 0°, через 15 час. выделяют этиловый эфир *m*-хлорфенилуксусной к-ты, выход 80 г, т. кип. 143°/6 мм. Аллилфенилмалоновый эфир восстановлением над Pt (из PtO_2) превращают в фенилпропилмалоновый эфир, выход 93%, т. кип. 174°/20 мм. Этил-*m*-хлорфенил- (т. кип. 184°/17 мм) и этил-*p*-хлорфенилмалоновый эфир (т. кип. 190—196°/18 мм) получены в основном по методу, описанному ранее (Wallingford и др., J. Amer. Chem. Soc., 1942, 64, 580). При применении эквивалентного кол-ва соответствующего бензилхлорида (Wallingford и др., см. ссылку выше) получены этиловые эфиры α -*m*-хлорфенил- (т. кип. 177°/21 мм) и α -*p*-хлорфенил- α -цианомасляной к-ты, т. кип. 175°/20 мм. Р-ция NH_3 (газа) с этиловым эфиром α -циан- α -фенилмасляной к-ты получают α -циан- α -фенилбутирамид, т. пл. 117°. Подобным путем проводят р-цию с аминами (при 80—100°) и синтезируют следующие дианацетамиды общей ф-лы $\text{RR}'\text{C}(\text{CN})\text{CONHR}''$ (приводятся R , R' , R'' и т. пл. в °C): C_6H_5 , CH_3 , H , 107; C_6H_5 , C_2H_5 , CH_3 , 73; C_6H_5 , C_2H_5 , C_2H_5 , 51; C_6H_5 , C_2H_5 , *изо*- C_3H_7 , 62 (**XXVI**); C_6H_5 , C_2H_5 , C_3H_7 , т. кип. 118°/0,4 мм; C_6H_5 , C_2H_5 , $\text{C}_6\text{H}_5\text{CH}_2$, 81; *m*- ClC_6H_4 , C_2H_5 , H , 108; *n*- ClC_6H_4 , C_2H_5 , H , 105. Гидролизом дианацетамидов (герм. пат. 310426), при ~20° получают диамиды малоновой к-ты общей ф-лы $\text{RR}'\text{C}(\text{CONH}_2)\text{CONHR}''$ (приводятся R , R' , R'' и т. пл. в °C): C_6H_5 , CH_3 , H , 151; C_6H_5 , C_2H_5 , CH_3 , 144 (**XXVII**); C_6H_5 , C_2H_5 , C_2H_5 , 127 (**XXVIII**); C_6H_5 , C_2H_5 , *изо*- C_3H_7 , 111 (**XXIX**); *m*- ClC_6H_4 , C_2H_5 , H , 137; *n*- ClC_6H_4 , C_2H_5 , H , 138 (**XXX**). При гидролизе **XXVI** наряду с **XXIX** выделяют также XVI и этилфенил-*N*,*N'*-диизопропилмалондиамид, т. пл. 105° (из CH_3OH). Из дихлорангирида фенил-*n*-пропилмалоновой к-ты действием водн. р-ра NH_3 при 0° получают диамид фенил-*n*-пропилмалоновой к-ты (**XXXI**); т. пл. 173°. Из 21 г XVI, 28 мл 37%-ного CH_3O и 1 г K_2CO_3 в 75 мл воды (30 мин., 70°) получают XVII, т. пл. 188—189° (из CH_3OH). Окисление XVII действием $\text{K}_2\text{Cr}_2\text{O}_7$ в присутствии H_2SO_4 при 35—37° приводит к *S*-этил-*N*-формил-*S*-фенилмалондиамиду, т. пл. 170° (из водно-ацетона). Конденсацией замещ. малоновых эфиров с тиомочевинной в присутствии CH_3ONa в CH_3OH (кипчение 6 час.) синтезируют 2-тиобарбитуровые к-ты общей ф-лы $\text{RR}'\text{C}(\text{CONR}'')\text{CSNR}''' \text{CO}$ (приводятся R ,

R' , R'' , R''' и т. пл. в °C): C_6H_5 , H , H , 246—267 (разл.); *m*- ClC_6H_4 , C_2H_5 , H , H , 167; *n*- ClC_6H_4 , C_2H_5 , H , H , 193; $-\text{CH}_2\text{CH}_2\text{CH}_2-$, H , H , 365 (разл.); конденсацией дихлорангидридов замещ. малоновой к-ты с замещ. тиомочевинной получают следующие к-ты: C_6H_5 , C_2H_5 , CH_3 , CH_3 , 112; C_6H_5 , H , CH_3 , CH_3 , 220; C_6H_5 , C_2H_5 , CH_3 , H , 125. При взаимодействии дихлорангидрида этилфенилмалоновой к-ты с *N*-изопропилмочевинной выделяют *N*-(α -метоксикарбонил- α -фенилбутирил)-*N'*-изопропилтиомочевину, т. пл. 107° (из CH_3OH). Смешивают 12,4 г 5-этил-5-фенил-2-тиобарбитуровой к-ты (**XXXII**), 10 г CH_3I , 150 мл CH_3OH , 2 мл воды и 2,2 г NaOH ,

через 15 час. выделяют 1 г IX, т. пл. 159—161° (из этилацетата). 10 г **XXXII** в 250 мл спирта нагревают 4 часа с 16 мл скелетного Ni (W-5) и получают 4,1 г VII, т. пл. 281° (из сп.). Подобным путем синтезируют следующие I (приводятся R , R' , R'' , R''' и т. пл. в °C): V, 301; C_6H_5 , C_2H_5 , CH_3 , CH_3 , 106; C_6H_5 , C_2H_5 , CH_3 , H , 186; C_6H_5 , H , CH_3 , CH_3 , 131; C_6H_5 , C_2H_5 , C_6H_5 , H , 190. Восстанавливают 2-тиобарбитуровые к-ты над скелетным Ni (W-1) или Co в CH_3OH (кипчение 4 часа) и получают соответствующие 2-метокси-I (приводятся R , R' , R'' , R''' и т. пл. в °C): X, 186 (разл.); C_6H_5 , C_2H_5 , CH_3 , H , 157 (разл.); C_6H_5 , C_2H_5 , CH_3 , CH_3 , 119. При восстановлении 13,8 г **XXII** над Pt (из PtO_2) в 250 мл лед. CH_3COOH получают 2,5-диэтилгексагидро-4,6-диоксо-5-фенилпиримидин: α -форма (3,3 г), т. пл. 281° (из CH_3OH), и β -форма (2,2 г), т. пл. 265—266° (из CH_3OH). Аналогично синтезируют 5-метилгексагидро-2-этил-4,6-диоксо-5-фенилпиримидин, т. пл. 249°. 2 г 5-(*n*-хлорфенил)-5-этилгексагидро-2-метокси-4,6-диоксопиримидин и 50 г формамида кипятят 1 час и получают I ($\text{R}=\text{n-ClC}_6\text{H}_4$, $\text{R}'=\text{C}_2\text{H}_5$, $\text{R}''=\text{R}'''=\text{H}$), т. пл. 303° (из сп.). 22,4 г гидрата XVI и 6 мл 98%-ной HCOOH нагревают 1 час при 190°, прибавляют 4×8 мл HCOOH (2 час.) и смесь снова нагревают 2 часа. После прибавления CH_3OH выделяют VII. Кипячение **XXVIII** в формамиде 3 часа приводит к I ($\text{R}=\text{R}'=\text{C}_2\text{H}_5$, $\text{R}''=\text{R}'''=\text{H}$), т. пл. 138—139° (из сп.-вода). Таким же путем синтезируют I ($\text{R}=\text{циклогексен-1-ил}$, $\text{R}'=\text{C}_6\text{H}_5$, $\text{R}''=\text{R}'''=\text{H}$), т. пл. 338°. 112 г гидрата XVI сушат отгонкой толуола и смешивают с 50 г этилацетата и CH_3ONa (из 11,5 г Na и 200 мл CH_3OH). После кипячения 4 часа и нейтр-ции р-ром HCl (газ) в CH_3OH получают 35 г 5-этилгексагидро-2-метокси-2-метил-4,6-диоксо-5-фенилпиримидин, т. пл. 160° (разл.; из CH_3OH). В этих же условиях *S*-этил-*N*-метил-*S*-фенилмалондиамид с HCOOC_2H_5 образует лишь небольшое кол-во ди-(α -метилкарбомил- α -фенилбутирил)-формамида, т. пл. 193—194° (из CH_3OH -воды). Р-ция XIV с CH_3ONa приводит к 5-этилгексагидро-2-метокси-4,6-диоксо-5-фенилпиримидину. К CH_3ONa (из 9,2 г Na и 200 мл CH_3OH) прибавляют 21,7 г хлоридрата XXI и 50 г XX, нагревают (20 час., 105—110°) и после нейтр-ции HCl в CH_3OH получают 24 г 2-этилгексагидро-2-метокси-5-метил-4,6-диоксо-5-фенилпиримидина, т. пл. 151—152° (из CH_3OH). Аналогично синтезируют 2-метилгексагидро-2-метокси-5-этил-4,6-диоксо-5-фенилпиримидин, т. пл. 160° (разл.), и 2-этилгексагидро-2-метокси-5-этил-4,6-диоксо-5-фенилпиримидин, т. пл. 196°. Нитруют VII (<3°) действием 98%-ной H_2SO_4 и HNO_3 (д 1,5) и получают XXV, т. пл. 248—249° (из 80%-ного сп.). Восстанавливают XXV над Pt (из PtO_2 , 30 мин., 48 ат., ~20°) и выделяют 5-этилгексагидро-5-аминофенил-4,6-диоксопиримидин (**XXXIII**), т. пл. 299—300° (разл.; из сп.-воды), а также соответствующее *m*-азоксисоединение, т. пл. >350°. **XXXIII** обычным путем превращают в следующие I (приводятся R , R' , R'' , R''' и т. пл. в °C): *m*- ClC_6H_4 , C_2H_5 , H , H , 280; *m*- HOC_6H_4 , C_2H_5 , H , H , 295 (**XXXIV**); *m*- $\text{N}(\text{CH}_3)_2\text{C}_6\text{H}_4$, C_2H_5 , H , H , 273 (**XXXV**). **XXXIV** и **XXXV** превращают, соответственно, в *m*-метоксифенилпроизводное, т. пл. 234°, и истинное триметилфенилмалониевое соединение, т. пл. 160° (разл.). Действием $(\text{CH}_3)_2\text{SO}_4$ на I ($\text{R}=\text{C}_6\text{H}_5$, $\text{R}'=\text{H}$, $\text{R}''=\text{R}'''=\text{CH}_3$) синтезируют XXIV, т. пл. 144—145° (из воды). Нагревают в запаянной трубке 4,7 г XXVIII, 9,6 г CH_3COCl и 1,2 мл лед. CH_3COOH 1 час при 100° и получают хлоридрат 1,5-диэтилтетрагидро-2-метил-4,6-диоксо-5-фенилпиримидина, т. пл. 211° (разл.). Из **XXXI** в этих условиях наряду с хлоридратом тетрагидро-2-метил-4,6-диоксо-5-фенил-5-*n*-пропилпиримидина, т. пл. 215° (разл.), получают также *N*,*N'*-диацетил-*S*-фенил-*S*-*n*-пропилмалондиамид, т. пл. 155—156° (из CH_3OH -воды). Нагревают XVI с кетоном в кси-

поле при 100—120° и выделяют XXIII, т. пл. 101° (из CH_3OH -воды), и нитрил этилфенилмалоновой к-ты. 12 г XXX, CH_3ONa (из 7 г Na в 150 мл CH_3OH) и 5,2 г диэтилкарбоната нагревают 1,5 часа, затем дважды через 1,5 часа прибавляют еще по 5,2 г карбоната, после прибавления воды и подкисления разб. HCl (к-той) получают 5-м-хлорфенил-5-этилбарбитуровую к-ту, т. пл. 244° (из CH_3OH). 10 г X в эфире насыщают HCl (газ) при 0°, через 2 часа выделяют XII, т. пл. 370° (из лед. CH_3COOH). К р-ру XII в воде прибавляют CH_3COOK до pH 6—7, через 3 часа выделяют XIII, т. пл. 122—123° (разл.; из воды). Кипятят XIII в воде 5 мин. и превращают его в XV, т. пл. 205° (разл.; из CH_3OH). Нагревают XIII при 120°/0,01 мм или 2-алкоксип-5-этилгексагидро-4,6-диоксо-5-фенилпиримидин при 180—185°/0,01 мм в течение 2 час. и выделяют XI, т. пл. 116° (разл.; неочищ.). При действии на XI, XII XIII *изо*- $\text{C}_3\text{H}_7\text{OH}$ получают 5-этилгексагидро-4,6-диоксо-5-фенил-2-*изо*-пропексипиримидин, т. пл. 155—156° (разл.). Нагревают 2,5 г X, 8 мл 37%-ного CH_2O и K_2CO_3 в 20 мл воды при 40° до растворения реагентов, после охлаждения выделяют 5-этилгексагидро-1,3-бисоксиметил-2-метокси-4,6-диоксо-5-фенилпиримидин, т. пл. 127—128° (разл. при 132°). Н. Г.

64966. Получение 4,5-диамино-6-оксипиримидинов. Костоланский, Мокрый (K priprave 4,5-diamino-6-oxypurimidinov. Kostolanský A., Mokry J.), Chem. zvesti, 1956, 10, № 3, 170—176 (словац.; рез. русс., нем.)

Сравнены различные методы восстановления соответствующих нитрозосоединений (НС) с целью установить оптимальные условия синтеза 1,3-диметил-4,5-диаминоурацила (I), 3-метил-4,5-диаминоурацила (II), 4,5-диаминоурацила (III) и 2,4,5-триамино-6-оксипиримидина (IV). Для получения I лучше всего использовать модификацию метода Траубе (Traube W., Ber., 1900, 33, 3094); 40 г 1,3-диметил-4-амино-5-нитрозурацила в 40 мл воды нагревают до кипения с 200 мл р-ра $(\text{NH}_4)_2\text{S}$ (д 0,945), добавляют 40 мл воды, кипятят, горячий р-р фильтруют, выход I 80—84%. II с выходом 76,5% получают при пропускании H_2S через суспензию НС в 30%-ном NH_4OH . III удобнее всего получать восстановлением НС посредством $\text{Zn} + \text{H}_2\text{SO}_4$; восстановление НС посредством $(\text{NH}_4)_2\text{S}$ дает III с выходом 53,5%; IV с выходом 71% получают при каталитич. восстановлении НС над скелетным Ni. Т. А.

64967. О нитровании N-оксифеназина. Маффеи, Беттинетти (Sulla nitratozione della N-ossifenazina. Maffei Silvio, Bettinetti Gian Franco), Ann. chimica, 1955, 45, № 11, 1031—1034 (итал.)

При нитровании 2,45 г N-оксифеназина (I) в 45 мл 100%-ной H_2SO_4 посредством 1,12 мл HNO_3 (д 1,48) при 0° (8 час.) образуется 1,7 г моновитро-N-оксифеназина, т. пл. 204,5° (из сп.), возгонка которого приводит к 2-нитрофеназину, т. пл. 226° (из CH_3COOH). Нитрование I в 100%-ной H_2SO_4 посредством HNO_3 (д 1,48) при 90—95° (1 час.) (Wohl, Ber., 1903, 36, 4142) приводит к динитро-N-оксифеназину (II), т. пл. 269,5° (из апетона), в маточном р-ре даже хроматография путем не обнаружено других изомерных соединений. На этом основании заключено, что динитро-N-оксифеназин Воля (см. ссылку выше) с т.пл. 240° является не изомером, а неочищ. II. Возгонка II приводит к 2,8-динитрофеназину, т. пл. 232° (из сп.). При восстановлении 0,6 г II (конц. HCl , SnCl_2 , 90°, 10 час.) образуются 0,15 г 2,8-диаминофеназина, т. пл. 293° (из водн. NH_3). Л. Я.

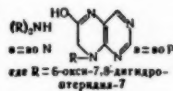
64968. Исследование птеридинов. Часть VII. Щелочной и кислотный распад 4-, 6- и 7-оксиптеридинов. Альберт (Pteridine studies. Part VII. The degradation of 4-, 6-, and 7-hydroxypteridine by acid and

alkali. Albert Adrien), J. Chem. Soc., 1955, Aug., 2690—2699 (англ.)

На основании сравнительных данных УФ- и ИК-спектров с помощью хроматографии на бумаге и электрофореза установлено, что при кислотном гидролизе (КГ) 4-оксиптеридина (I) получается смесь 2-аминопразинкарбоновой-3 к-ты (II), ее амида (III) и 2-аминопразина. Щел. гидролиз (ЩГ) I приводит лишь к II и III. 7-оксиптеридин (IV) при ЩГ дает 4,5-диаминопиримидин (V). При КГ IV изомеризуется в 6-оксиптеридин (VI), очевидно, за счет промежуточного образования V и гликоксимовой к-ты. VI при pH 6—10 дает V, при pH > 10 VI превращается в смесь 6,7-диоксиптеридина (VII) и 7,8-дигидро-6-оксиптеридина (VIII). В определенных условиях ЩГ VI приводит к динитридилу, названному автором в-вом Р, образовавшемуся, очевидно, при взаимодействии VI и промежуточного VIII. Из VI и NH_2OH образуется 7-амино-6-оксиптеридин (IX), который при ЩГ или КГ легко превращается в VI. При ЩГ VIII образуется 5-амино-4-карбоксиметиламинопиримидин (X), циклизующийся к-той в исходный VIII. При кипячении IV в 2 н. Na_2CO_3 помимо VII и в-ва Р образуется в-во О, также динитридил, так как оно может быть получено из VI и VIII. Вероятно, Н от $\text{C}_{(7)}$ VIII присоединяется к двойной связи ($\text{C}_{(7)} = \text{C}_{(8)}$) VI с образованием 7,8,7',8'-тетрагидро-

6,6'-диоксо-7,7'-динитридила, который теряет 2 атома Н, превращаясь в в-во О. При действии NH_3 на VI образуется в-во N, очевидно, динитридиламин. Гидролиз I проводят при кипячении его 2 часа с 3 молями 1 н. H_2SO_4 или 2 молями 1 н. NaOH . Аналогично проводят ЩГ IV. При КГ (67°, 5 дней) 1 г IV 15 мл 2 н.

H_2SO_4 при pH 5,5 выделяют 0,93 г VI. Аналогично при обработке 11 г V и 20 г $\text{HO}_2\text{CCN}(\text{OH})(\text{OC}_2\text{H}_5)$ 180 мл 2 н. H_2SO_4 получают моногидрат VI, выход 85%. 0,015 моля VI в 30 мл 1 н. NaOH оставляют на 5 дней, нагревают до 50° и при pH 2 после выдержки (20°, 1 час) получают 1,1 г VII; из филтраты при pH 8,5 (прибавление 0,5 г $(\text{HOH}_2\text{C})_2\text{CNH}_2$ и 12 мл 1 н. NaOH) выделяют 0,88 г VIII, кристаллизующегося из 1 н. NaOH в виде Na-соли; из щел. филтраты при pH 5 и 100° выделяют дигидрогидрат Р (дигидрат из 1 н. HCl). 0,9 г V и 1,9 г HOH_2CCOOH нагревают (100°, 6 час.) с 3 мл воды, прибавляют при 100° 2 мл фосфатного буфера и 2 н. Na_2CO_3 до pH 7,5, упаривают, остаток экстрагируют спиртом и после вымораживания исходного V из упаренного до 3 мг экстракта получают 0,1 г 4-амино-5-оксаацетамидопиримидина (разл. ~150°) с циклизацией в 8-оксиметилураин (XI). Из 13 г $\text{HOH}_2\text{CCO}_2\text{C}_2\text{H}_5$ и 3,3 г V при нагревании (140°, 2 часа) получают XI, выход 60%, т. пл. 262° (из воды). Смесь 0,84 г $\text{NH}_2\text{OH} \cdot \text{HCl}$, 1 г VI и 1,3 г Na_2CO_3 в 50 мл воды кипятят 30 мин., отсасывают при 100° в-во О из филтраты, аналогично, при pH 5,5 получают IX, выход 65%, после переосаждения из 1 н. NaOH делается коричневым при ~315°, без плавления. IX при кипячении с 2 молями 1 н. Na_2CO_3 (1 час.), 1 н. NaOH (10 мин.) либо с 1 н. HCl (5 мин.) дает VII. После кипячения (15 мин.) 0,01 моля VI с 20 мл 1 н. NaOH , pH 9, получают в-во Р; из филтраты при pH 4 выделяют 0,5 г VII. 0,9 г VII кипятят 90 мин. с 12 мл 1 н. NaOH , охлаждают, отсасывают Na-соль VIII, из филтраты при pH 5 получают X, выход 75%, не плавится до 300° (из воды). Гидролиз (20°, 6 час.) X 0,1 н. HCl приводит к VIII, выход 95%. Смесь 0,34 г VI, 0,3 г VIII и 80 мл 0,1 н. NaOH оставляют на 2 дня при 20°, кипятят, при pH 5 и при 100° отсасывают 0,15 г в-ва Р. 0,5 г VI кипятят (4 часа) с 15 мл 2 н. Na_2CO_3 (pH 10,5)



после отделения 0,06 г в-ва О, 11 г в-ва Р из фильтрата при pH 2 выделяют 0,08 г VII, затем при pH 5,5 0,16 г исходного VI. 0,82 г VI растворяют при 35° в 40 мл 2 н. NH_4OH , выдерживают (20°, ~1 день), кипятят 5 мин. и при т-ре кипения отсасывают 0,32 г в-ва N, делается коричневый при 270°, без плавления. 0,08 г VI, 4 мл 2 н. NH_4OH , 0,33 г $\text{K}_3[\text{Fe}(\text{CN})_6]$ выдерживают 2 дня при 20°, фильтруют, осадок растворяют в 1 н. NaOH и получают дигидрат Na-соли IX, выход 55%. После кипячения (10 мин.) 1 г VI в 60 мл 0,5 н. NH_4HS при т-ре кипения отсасывают 0,5 г в-ва O; из фильтрата выделяют еще 0,2 г IX и при pH 5 0,2 г в-ва, которое при обработке 1 н. КОН дает ди-К-соль (XII) (после сушки при 120° по анализу $\text{C}_{12}\text{H}_6\text{O}_2\text{N}_2\text{K}_2$); XII суспендируют в воде, после прибавления H_3PO_4 (pH 7) кипятят 5 мин. и при 100° отсасывают красновато-оранжевые кристаллы в-ва O. Сняты УФ-спектры в-в N, O, P, IX, X, XI в воде, к-те и щелочи. Часть VI см. РЖХим, 1956, 46029.

64969. Реакции конденсации и замещения в ядре анионами у некоторых гомологов хиноксалина с конденсированными кольцами. Брэдли, Пекстон (Self-union reactions and nuclear substitution by anions in some ring homologues of quinoxaline. Bradley William, Pexton Frank W.), J. Chem. Soc., 1954, Dec., 4436—4439 (англ.)

Исследование р-ции замещения N в ароматич. соединениях, содержащих СО-группы, на оксигруппу, алкил и замещ. аминогруппу (РЖХим, 1956, 58028), распространено авторами на $-\text{C}=\text{N}$ -соединения, содержащие хиноксалиновое ядро. Аленафто-[1,2-в]-хиноксалин (I) при нагревании с КОН и CH_3COOK (235—245°, ~100 мин.) образует 3-оксипроизводное (II) лишь в небольшом кол-ве, ацетантра-[1,2-в]-хиноксалин (III) совсем не образует оксипроизводного. В обоих случаях идет р-ция конденсации с образованием производных перилена: ди-(циклопента-(в)-хиноксалино)



оксалино) [1, 2, 3-сd, 1', 2', 3'-lm]-перилена (IV), строение которого доказано синтезом из 3-бромацетанфто-[1,2-в]-хиноксалина (V) (нагреванием 3 г V с 30 г КОН и 4 г CH_3COONa 1 час при 235—240°, IV кристаллизуют из трихлорбензола и сублимируют при 450°/0,4 мм), и его дибензопроизводного (VI), который получают также из 0,9 г 5-бромацетантра-[1,2-в]-хиноксалина (VII) нагреванием с 10 г КОН и 10 мл спирта 2 часа при 125°, выход VI 0,07 г (из трихлорбензола). 7,5 г III нагревают с 80 г КОН и 8 г безводн. CH_3COONa при 235—240° 1,5 часа, выливают в воду, продувают воздухом, осадок экстрагируют лед. CH_3COOH , получают 4,7 г VI, т. пл. >450° (из трихлорбензола), сублимируется при 450°/0,4 мм. V получен из 3-бромацетанфтохинона и о-фенилендиамина, т. пл. 276—277°. 2 г V, 10 г КОН и 75 мл $\text{C}_6\text{H}_{11}\text{OH}$ нагревают 14,5 часа при 150—160°, получают 0,95 г I, т. пл. 237—238°, и из маточного р-ра перегонкой с паром 0,05 г II, т. пл. 256—260° (разл.). Из 1 г V и 12 г пиперидина (кипячение 19 час.) получают 1,05 г 3-пиперидиноацетанфто-[1,2-в]-хиноксалина, т. пл. 159° (из сп.). 2,2 г N-бромсукцинимидом кипятят 4 часа с 2 г III в сухом CCl_4 , осадок экстрагируют кипящей лед. CH_3COOH , в остатке 1 г VII, т. пл. 283° (из $\text{C}_6\text{H}_5\text{Cl}$). VII получен также из I и Br_2 в $\text{C}_6\text{H}_5\text{NO}_2$ (кипячение ~90 мин.). Приведены данные УФ-спектров I, II, IV—VII.

64970. Получение этиленимина и триэтиленмеламин. Уистрак, Кайзер, Шефер (Preparation of ethylenimine and triethylenemelamine. Wystrach V. P., Kaiser Donald W.,

Schaefer Fred C.), J. Amer. Chem. Soc., 1955, 77, № 22, 5915—5918 (англ.)

Показано, что конденсация этиленимина (I) с хлористым циануром (II), приводящая к получению триэтиленмеламин (III), может быть осуществлена в водн. среде. Изучены условия образования I (очень токсичен!) из 2-аминоэтилсерной к-ты (IV), хлоргидрата 2-хлорэтиленамина (V) и бромгидрата 2-бромэтиленамина (VI) при действии NaOH и приведено описание способов получения V и VI. В р-р 1 кг $\text{NH}_2\text{CH}_2\text{CH}_2\text{OH}$ (VII) в 7,5 л абс. спирта пропускают при 25—30° HCl (газ) до кислой р-ции (метилоранж); выход хлоргидрата VII 85—90%. К смеси 12 молей последнего с 1900 мл толуола прибавляют за 1 час (при 20—35°) 13 молей SOCl_2 , нагревают за 45 мин. до 75—80°, выдерживают при этой т-ре 5 час. и отгоняют ~250 мл жидкости; выход V 97%, т. пл. 120—130 (неочищ.). Нагревают смесь 5 кг 40%-ной HBr и 500 г VII, отгоняют 1,1 л постоянно кипящей HBr и к остатку прибавляют 1650 мл ацетона; выход VI 69%, т. пл. 170—173°. Найдено, что при взаимодействии IV, V и VI с NaOH почти колич. превращение их в I происходит: для IV — через 2,5 часа (при 100°), для V — через 50 мин. (при 50°), для VI — через 50 мин. (при 33°). I может быть выделен из реакционной смеси перегонкой при уменьшении давления (т. кип. 30—35°); описан способ получения безводн. I, выход 73%, т. кип. 56—57°. Для синтеза III смесь 1,92 моля КОН, 0,96 моля K_2CO_3 , 600 мл воды и 0,96 моля V нагревают 1 час при 50°, охлаждают до ~20°; фильтруют, прибавляют за 30 мин. при 2° к суспензии 0,3 моля II в 500 мл холодной (0—5°) воды, размешивают 1 час при 5° и извлекают CHCl_3 ; выход III 86% в качестве побочного продукта образуется 2,4-бис-(1-азириндил)-6-хлор-с-триазин, т. пл. 139° (разл., из CCl_4). Описаны два других аналогичных способа, дающих высокий выход III (98 и 88%), основанных на применении безводн. I. Приведены данные об устойчивости III и об его растворимости в воде и органич. р-рителях.

64971. Реакции металлорганических соединений с азлактонами. Гомпер, Руф (Reaktionen metallorganischer Verbindungen mit Azlactonen. Gomper Rudolf, Ruf Josef), Angew. Chemie, 1955, 67, № 21, 653—654 (нем.)

При взаимодействии ненасыщ. азлактонов (I) с ArMgX в молярном соотношении 1 : 1 с хорошим выходом образуются ненасыщ. α -ациламинокетоны $\text{RCH}=\text{C}(\text{NHCOR}')\text{COAr}$. Ацифатич. магнийорганич. соединения присоединяются к I в положение 1,4, образуя с хорошим выходом насыщ. азлактоны. 2 экв $\text{R}'\text{MgX}$ при взаимодействии с I образуют соединения типа $\text{RR}'\text{CHCH}(\text{NHCOR}')\text{COR}$. Бутилитий присоединяется к I, образуя, повидимому, соединение типа $\text{C}_4\text{H}_9\text{CHRC}=\text{C}(\text{C}_4\text{H}_9)\text{OC(R')N}$.

64972. Образование, состав и свойства некоторых производных 2,4-дизамещенных 5-аминоксазолов. Сообщение I. Образование оксазолового цикла при взаимодействии бензальдегида, бензолсульфамида и цианистого калия. Лихтенбергер, Флери (Formation, constitution et propriétés de quelques dérivés d'aminos-5-oxazoles-2,4 disubstitués. I-er Mémoire: Formation d'un cycle oxazolique a partir de benzaldéhyde, benzenesulfonamide et cyanure de potassium. Lichtenberger Jean, Fleury Jean-Pierre), Bull. Soc. chim. France, 1955, № 10, 1320—1326 (франц.)

При нагревании смеси бензальдегида (I), бензолсульфамида (II) и KCN образуется 2,4-дифенил-5-бензилденаминоксазол (III). Строение III подтверждено его синтезом и изучением продуктов гидролиза и гидрирования III. Гидролиз протекает по схеме: $\text{III} \rightarrow 2,4$ -

дифенил-5-аминоксазол (IV) → амид α-фенилгиппуровой к-ты → α-фенилгиппуровая к-та (V). При частичном гидрировании III получают 2,4-дифенил-5-бензил-аминоксазол, гидролиз которого дает α-фенил-α-аминоуксусную к-ту (VI), бензойную к-ту (VII) и бензил-амин. При полном гидрировании III получают маслянистую жидкость (VIII). Полученный из VIII пикрат при обработке NaOH дает 2,4-дифенил-5-бензил-аминоксазолидин (IX). IX может быть получен и при действии NaOH на хлоргидрат основания $C_{22}H_{24}O_2N_2$, образующегося при обработке VIII конц. HCl. Ацетилизированием IX получают 3-ацетил-IX. Предполагается, что при синтезе III из I, II и KCN вначале образуется VII, бензосульфат калия и $NH_4CN \cdot NH_4CN$ дает с I нитрил VI, образующий с VII нитрил V; последний циклизуется в IV, который с I дает III. 1 моль I, $1/2$ моля II и $1/4$ моля KCN нагревают при 135° в токе N_2 8 час. (выделение HCN!), охлаждают до 60°, добавляют 100 мл CH_3OH , выдерживают в течение ночи при ~20°, фильтруют и осадок извлекают 150 мл CH_3OH ; получают III; выход 9%, т. пл. 157,5—158,5° (из сп.). Если соотношение I, II и KCN равно 1 : 0,25 : 0,5, выход III повышается до 22%. III не образуется совсем, если кол-во KCN в молях равно или превышает кол-во II; при уменьшении кол-ва KCN до 0,1 моля, выход III снижается до 1,8%.

64973. О синтезе и деградации некоторых производных тетрагидро-1,3-оксазиев. Гюрне, Урбанский (On the synthesis and degradation of some derivatives of tetrahydro-1,3-oxazine. Gü r n e D., U r b a n s k i T.), Bull. Acad. polon. Sci., Cl. III, 1955, 3, № 3, 175—178 (англ.)
См. РЖХим, 1956, 29037.

64974. О конденсации галоидоацетилбензинов с индоксолом. Каршин А. П., Куестол Д. М., Укр. хим. ж., 1956, 22, № 2, 229—231

Установлено, что при взаимодействии моно- и дигалоидоацетилбензинов с индоксолом в кипящей H_2SO_4 образуются красители, производные 2-индол-2'-ацетилбензидиго (I) с галоидом в 5' или в 6' положении. К кипящему р-ру 5 г 4-хлорацетилбензинона в 250 мл лед. CH_3COOH приливают 10%-ный р-р 30,8 г индоксолового плава (II) в 75 мл 50%-ной CH_3COOH , кипятят 2—3 мин. и получают 6,55 г кристаллов темнокрасного цвета, выход 86%, т. пл. 309—311°. Для разделения изомеров краситель обрабатывают 150 мл кипящего C_6H_5Cl и отфильтровывают нерастворим. изомер с т. пл. 359—360° (выход 48%), из фильтрата получают второй изомер с т. пл. 297—298° (выход 38%). Аналогично получены два изомера красителя из р-ра 5 г 4-бромацетилбензинона в 150 мл лед. CH_3COOH и р-ра 25,5 г II в 65 мл 50%-ной CH_3COOH , выход 85%, кристаллы темнокрасного цвета с т. пл. 328—331°, при разделении получают изомер с т. пл. 366—367° (из $C_6H_5NO_2$), выход 53%, и изомер с т. пл. 306—307° (выход 32%). Из р-ра 5 г 4,5-дихлорацетилбензинона в 1 л CH_3COOH и 26,5 г II в 50 мл CH_3COOH аналогично получают краситель с т. пл. 368—369°, выход 79,5%. Из р-ра 5 г 4,5-дибромацетилбензинона в 250 мл CH_3COOH и 19,6 г II в 50 мл CH_3COOH получают краситель с т. пл. 343—344°, выход 77%. Из р-ра 5 г 4-бром-5-хлорацетилбензинона в 1500 мл CH_3COOH и 22,5 г II в 60 мл 50%-ной CH_3COOH получают краситель с т. пл. 367—368°, выход 83%. Все красители красят шелк, шерсть и хлопчатобумажные ткани.

64975. Оптически активный 2-фенил-3,4-диметилморфолин. Отто (Optisch aktives 2-Phenyl-3,4-

dimethyl-morpholin. Otto Walter G.), Angew. Chem., 1956, 68, № 5, 181—182 (нем.)

Исходя из l-эфедрина (I), с хорошим выходом получают d-2-фенил-3,4-диметилморфолин (II). Обработкой окисью этилена ~20° или $Cl(CH_2)_2OH$ при 130—140° в толуоле I переводят в l-оксизтилэфедрин, из которого действием конц. H_2SO_4 при ~20° получают II, т. кип. 122—124°/8 мм; хлоргидрат, т. пл. 191°, $[\alpha]_D^{20}$ (хлоргидрата) + 35,7°. Причина перемены знака вращения в II неясна. Как фармакологич. препарат II менее токсичен по сравнению со своим норпроизводным (рацематом) и обладает лучшими терапевт. свойствами; не повышает кровяное давление (в тройной терапевт. дозе) и не влияет на пульс.

64976. Исследования синтетических веществ, блокирующих двигательные нервы. Часть IV. Синтез некоторых дигалоидных бис-алкил-ониевых, пиперидиновых и -морфолиновых солей. Кханна, Дхар (Studies in synthetic neuromuscular blocking agents: Part IV. Synthesis of some bis alkylonium, piperidinium and morpholinium dihalides. K h a n n a N. M., D h a r M. L.), J. Scient. and Industr. Res., 1955, (B—C) 14, № 5, B214—B219 (англ.)

В продолжение предыдущих работ по синтезу бис-ониевых соединений, обладающих курареподобной активностью (РЖХим, 1954, 46317), описано получение 1,2-бис-(β-ди-н-пропиламиноэтокси)-этана (I), 1,2-бис-(β-ди-н-бутиламиноэтокси)-этана (II), ω, ω'-диморфолдидитолила (III), ω, ω'-диниперидилдитолила (IV), ω, ω'-бис-(ди-н-пропиламино)-дитолила (V), ω, ω'-бис-(диметиламино)-дитолила (VI), ω, ω'-бис-(диметиламино-метил)-дидибензила (VII), ω, ω'-бис-(диэтиламинометил)-дидибензила (VIII), ω, ω'-ди-(пиперидил)-дим.-тилдидибензила (IX), ω, ω'-ди-(морфолл)-диметилдидибензила (X), 4,4'-ди-(пиперидил)-дидибутилового эфира (XI), 4,4'-бис-(диметиламино)-дидибутилового эфира (XII), 4,4'-бис-(диэтиламино)-дидибутилового эфира (XIII) и 4,4'-бис-(ди-н-пропиламино)-дидибутилового эфира (XIV). При взаимодействии соединений I—XIV с галоидальными в C_6H_6 или толуоле образуются соответствующие четвертичные аммониевые соли; фармаколог. испытания показали, что бис-пиперидиновые соли являются более активными чем соответствующие бис-морфолиновые производные. Сильный курареподобный активность обладают дидиод-пропилат VII, дидиодоутилат VII и дидиодметилат XII. Смесь 17 г ди-н-пропиламина, 17,5 г 1,2-бис-(β-бром-этокси)-этана (XV) и 60 мл C_6H_6 кипятят 14 час., осадок растворяют в 3%-ной HCl, подщелачивают 10%-ным р-ром NaOH и экстрагируют эфиром I, выход 13,2 г, т. кип. 165—170°/мм. Из 10 г ди-н-бутиламина и 10 г XV в 35 мл C_6H_6 , при нагревании (16 час.) получают II, выделенный в виде дихлоргидрата, т. пл. 2,4°; из дихлоргидрата получают II, т. кип. 180—188°/3 мм. При кипячении II с галоидальными в C_6H_6 и при нагревании в трубке (100°, 12—14 час.) четвертичной соли не получено. 5 г ω, ω'-дибромдитолила (XVI), 3,5 г морфолина и 20 мл C_6H_6 кипятят 16 час. и получают III, выход 4,1 г, т. пл. 121—122°, т. кип. 252—260°/4 мм. Из 4 г XVI и 3 г пиперидина в 15 мл C_6H_6 получен IV, т. кип. 195—198°/2 мм. Аналогично синтезируют V, т. кип. 190—198°/4 мм. Нагреванием 4 г XVI и 10 мл 33%-ного водн. р-ра $(CH_3)_2NH$ в трубке (100°, 16 час.) получают VI, выход 3,14 г, т. кип. 160—165°/4 мм. При нагревании ω, ω'-дихлордиметилдидибензила и $(CH_3)_2NH$ в C_6H_6 в трубке (24 часа) образуется VII, выход 90%, т. кип. 196—201°/4 мм. Аналогично синтезированы: VIII, выход 75%, т. кип. 222—223°/4,5 мм; IX, выход 65%, т. кип. 260—265°/4 мм, т. пл. 91°; X, выход 70%, т. пл. 113—114°. 12 г 4,4'-дихлордидибутилового эфира (XVII), 14 г пиперидина и 40 мл C_6H_6 кипятят 36 час.; выход XI 9 г, т. кип. 185—190°/5 мм.

25 г 4,4'-дииндидибутилового эфира и 25 г 33%-ного водн. р-ра $(\text{CH}_3)_2\text{NH}$ встряхивают 3 часа, экстрагируют C_6H_6 и выделяют XII, выход 88%, т. кип. 119—120°/5 мм. 8 г XVII, 7 г $(\text{C}_2\text{H}_5)_2\text{NH}$ и 25 мл C_6H_6 нагревают в трубке (100°, 48 час.), выход XIII 2 г, т. кип. 142—148°/4 мм, аналогично получают XIV, выход 70%, т. кип. 170—177°/3 мм. При обработке полученных третичных аминов соответствующей соли — дииндидиметилата, дииндидэтилата, дииндид-*n*-пропилата, дииндид-*n*-бутилата, дибромбензилата): I, 135—136°, 156—157°, 175—176°, —, масло; III, 235°, —, —, —, масло; IV, —, 193°, — (гигроскопич.), 160°, 191°, V, 168°, —, —, 239°, 121°; VI, 268°, 232°, —, 188°, 252°; VII, 259°, 234°, 224—225°, 220°, 203°; VIII, 221—222°, 212°, —, —, — (гигроскопич.); IX, 255°, >185° (разл.), —, 201°, 193°; X, 232°, —, —, —, 147°; XI, 183° (разл.), 262, 243—244°, 195°, 194°; XII, 144°, — (гигроскопич.), 167°, 171°, 180°; XIII, 219°, —, —, —, —; XIV, 196—197°, 210°, 221°, 224—225°, 159°. Получены также дибром-*n*-амилат VII, гигроскопич. и дибром-*n*-амилат XI, масло. Части II и III см. РЖХимБХ, 1956, 16925. М. Б.

64977. Синтез 3-арил- и 2,3-диарилтиазолидинов. Юрьев Ю. К., Герман Л. С., Ж. общ. химии, 1956, 26, № 2, 550—553

Синтезированы 3-арил- и 2,3-диарилтиазолидины р-цией $\text{RNHCH}_2\text{CH}_2\text{SH}$ (I) с CH_2O и $\text{C}_6\text{H}_5\text{CHO}$ соответственно. При взаимодействии I ($\text{R} = \text{C}_6\text{H}_5$) (Ia) с CH_2O , кроме 3-фенилтиазолидина (II), в качестве побочного продукта получают 4,4'-ди-(3-тиазолидил)-дифенилметан (III). Показано, что конденсация II с CH_2O приводит к III. Смесь 0,052 моля Ia, 25 мл 30%-ного формалина (IV) (0,25 моля) и 0,01 моля NaHCO_3 встряхивают до прекращения образования осадка, выход II 98%, т. пл. 31—31,5° (из 80%-ного сп.). При проведении р-ции без NaHCO_3 получают II, выход 51%, и III, выход 9%, т. пл. 134—137° (разл.). К р-ру 0,03 моля II в 50 мл спирта за 30 мин. прибавляют 20 мл IV, затем 1,5 мл конц. HCl, нагревают (~100°, 4 часа) и нейтрализуют NaHCO_3 , выход III 79%. Смесь 0,025 моля I ($\text{R} = p$ -толил) и 20 мл IV встряхивают 15 мин., выход 3-*p*-толилтиазолидина 97%, т. пл. 79—80° (из 80%-ного сп.). Аналогично получают 3-*n*-анизилтиазолидин, выход 95%, т. пл. 84—85° (из 80%-ного сп.). Смесь 0,039 моля Ia, 15 мл спирта и 0,25 моля $\text{C}_6\text{H}_5\text{CHO}$ оставляют стоять на 48 час. до исчезновения р-ции на SH-группу, добавляют 15 мл воды, охлаждают <0° и получают 2,3-дифенилтиазолидин, выход 69%, т. пл. 86°. В аналогичных условиях получают 2-фенил-3-(*n*-толил)-тиазолидин, выход 77%, т. пл. 86°, и 2-фенил-3-(*n*-анизил)-тиазолидин, выход 80%, т. пл. 87°. М. К.

64978. Перегруппировка 2-карбоксиметилмеркаптоимидазолидина. Ван Аллан (The rearrangement of 2-carboxymethylmercaptoimidazolidine. Van Allan James A.), J. Organ. Chem., 1956, 21, № 2, 193—196 (англ.)

В отличие от ранее опубликованных данных (Johnson, Edens, J. Amer. Chem. Soc., 1942, 64, 2708) показано, что 2-меркаптоимидазолин (I) реагирует в кислой среде с ClCH_2COOH с образованием хлоргидрата 3-(β-аминоэтил)-тиазолидиндиона 2,4 $\text{COSCH}_2\text{CONR}$ (IIa) ($\text{R} = \text{CH}_2\text{CH}_2\text{NH}_2 \cdot \text{HCl}$). Вероятно, получающаяся вначале $\text{NHCH}_2\text{CH}_2\text{N} = \text{CSCH}_2\text{COOH}$ (III) замыкается в бициклич. соединение, которое расщепляет свое имидазолидиновое кольцо, переходя в IIa. Строение IIa доказано хим. р-циями с сравнением УФ-спектра со спектрами известных соединений. В согласии с ф-лой IIa и его триметиламмониевая соль (IIб) ($\text{R} = \text{CH}_2\text{CH}_2\text{N}(\text{CH}_3)_3\text{J}$), в отличие от III, расходует при титровании

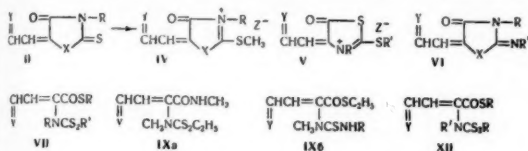
3 экв щелочи (приведены кривые). УФ-спектры IIa и тиазолидиндиона (IIв) ($\text{R} = \text{H}$) подобны и отличаются от спектров III и ее этилового эфира. Также близки друг к другу УФ-спектры бензальных производных o - $\text{CH}_3\text{OC}_6\text{H}_4\text{CH} = \text{CCON(R)COS}$ (IVa $\text{R} = \text{CH}_2\text{CH}_2\text{NH}_2$ ·

$\cdot \text{HCl}$; IVб $\text{R} = \text{H}$; IVв $\text{R} = \text{CH}_2\text{CH}_2\text{NHCOSCH}_3$) (приведены кривые). Поглощение (СО-группы) в ИК-спектре IIa, IVв и IIв наблюдается в области 5,8 и 6,0 μ . 100 г I и 100 г ClCH_2COOH в 100 мл воды нагревают до растворения (3 мин.) добавляют 20 мл конц. HCl, кипятят 3 часа, упаривают в вакууме, остаток кипятят 20 мин. с 350 мл спирта, получают 178 г IIa, т. пл. 227—228° (из сп.); бензоильное производное (IIr) ($\text{R} = \text{CH}_2\text{CH}_2\text{NHCOC}_6\text{H}_5$), т. пл. 135—136° (из сп.). 4 г I и 6 г ClCH_2COOH в 15 мл воды кипятят 5 мин. и получают 3,1 г III. ClCH_2COOH , т. пл. 134° (из воды). III с конц. HCl (~100°, 5 мин., отгонка в вакууме) дает хлоргидрат III, т. пл. 128—129° (из *iso*- $\text{C}_3\text{H}_7\text{OH}$). Смесь 9,8 г IIa, 10 мл CH_3J , 16,4 г CH_3COONa и 100 мл CH_3OH кипятят 5 час., упаривают с добавлением 100 мл воды, получают 11 г IIб, т. пл. 300° (разл.; из воды). 40 г IIa и 35 мл *o*-метоксibenзальдегида (V) в 250 мл CH_3COOH кипятят 4 часа, при охлаждении выпадает IVa, выход 59 г, т. пл. 285—286° (разл.; из воды). Аналогично из IIr получают IV ($\text{R} = \text{CH}_2\text{CH}_2\text{NHCOC}_6\text{H}_5$), т. пл. 174—175° (из $\text{C}_4\text{H}_9\text{OH}$), которое синтезировано также из IVa и $\text{C}_6\text{H}_5\text{COCl}$ в пиридине (100°, 1 час.) 40 г IIa, 35 мл V, 30 г CH_3COONa в 250 мл CH_3COOH кипятят 4 часа, отгоняют в вакууме, прибавляют воду, получают IVв, выход 59 г, т. пл. 178—179° (из *iso*- $\text{C}_3\text{H}_7\text{OH}$ или CH_3OH). Если р-цию проводить в пропионовой или валериановой к-тах, то получают соответственно IV ($\text{R} = \text{CH}_2\text{CH}_2\text{NHCOSCH}_2\text{CH}_3$), т. пл. 150°, и IV ($\text{R} = \text{CH}_2\text{CH}_2\text{NHCOSCH}_2\text{CH}_2\text{CH}_3$), т. пл. 139°. Смесь 23,4 г IIв, 27 г V, 12 мл пиперидина в 200 мл CH_3OH кипятят 4 часа, получают 8 г IV ($\text{R} = \text{H}$), т. пл. 235° (из *iso*- $\text{C}_3\text{H}_7\text{OH}$). Б. Д.

64979. Некоторые реакции четвертичных солей меропианиновых красителей, содержащих ядро 5-оксотиазолина. Джеффрис (Some reactions of 5-oxothiazolinium merocyanine dyes. Jeffreys R. A.), J. Chem. Soc., 1954, Jan., 389—395 (англ.)

Конденсацией четвертичных солей 2,2-ацетанилидовинильных производных азотистых гетероциклов с 1,3-замещ. 2-тиогидантоинами в присутствии $(\text{C}_2\text{H}_5)_3\text{N}$ (I) получены диаметинмеропианины (II) ($\text{X} = \text{NCH}_3$, R и Y см. таблицу, №№ 1—11), с производными роданина — диметинмеропианины II ($\text{X} = \text{S}$, R и Y см. таблицу №№ 12, 13). Сплавлением II с $(\text{CH}_3)_2\text{SO}_4$ или с метиловым эфиром *n*-толуолсульфокислоты (III) получены четвертичные соли меропианинов (IV). Аналогично приготовлены красители (V). Показано, что IV с первичными аминами образуют меропианины (VI) (Kendall, Англ. пат. 487051; Brooker, пат. США 2454629). V ($\text{R} = \text{C}_2\text{H}_5$, $\text{R}' = \text{CH}_3$, $\text{Z} = \text{CH}_3\text{SO}_4$) с этиламиноном дает красители с $\lambda_{\text{макс}}$ 463 и 515 м μ . Первый имеет строение (VII) ($\text{R} = \text{C}_2\text{H}_5$, $\text{R}' = \text{CH}_3$), что было подтверждено синтезом аналогичного препарата (VII) $\text{R} = \text{CH}_3$, $\text{R}' = \text{C}_2\text{H}_5$ из V, I и $\text{C}_2\text{H}_5\text{SH}$. Второй препарат идентичен с продуктом р-ции подэтилата 2,2'-ацетанилидовинилбензтиазола с 1,3-диэтил-2-тиогидантоином (VIII) и является меропианином II ($\text{Y} = 3$ -этилбензтиазолин, $\text{X} = \text{NC}_2\text{H}_5$, $\text{R}' = \text{C}_2\text{H}_5$ (IIa), т. пл. 197° (из C_6H_6 + петр. эф.). Из CH_3NH_2 и V ($\text{R} = \text{CH}_3$, $\text{R}' = \text{C}_2\text{H}_5$, $\text{Z} = \text{CH}_3\text{SO}_4$), также получается два продукта: меропианин II (см. табл., № 4), и препарат с $\lambda_{\text{макс}}$ 462 м μ , соответствующий по аналитич. данным (IXa) и (IXб) ($\text{R} = \text{CH}_3$). В спирт. р-ре в присутствии I он циклизуется в соответствующий тиагидантоин (X), из этого следует, что он имеет ф-лу IXa. Другие крас-

тели типа V дают с первичными аминами аналоги VII и X. С циклогексиламином (XI) V в присутствии I дает IXб (R = C₆H₁₁). В некоторых случаях продуктами



р-дии V с первичными аминами являются только мероцианины типа X. С анилином и этилендиамином V дают мероцианины, производные 2-иминотиазолидона-5. Последние в основной среде изомеризуются в мероцианины ряда 2-тиогидантоина. 5 г метиламиноацетонитрила в 10 мл эфира при охлаждении и размешивании (в атмосфере N₂) прибавлено к 10,1 г *n*-гептилтиогидантата в 10 мл эфира. Через 1 час выделившееся масло кипятили 1 час с 100 мл 2 н. HCl, выход 3-*n*-гептил-1-метил-2-тиогидантоина 10 г, т. кип. 190°/2 мм. Аналогично получены 3-этил-1-метил-2-тиогидантоин, т. пл. 67° (из лигр.), VIII, т. пл. 68° (из лигр.), 3-циклогексил-1-метил-2-тиогидантоин, т. пл. 156° (из *iso*-C₆H₅OH) этилен-бис-3-(1-метил-2-тиогидантоин), т. пл. 201° (из пиридина + сп.). Свойства мероцианинов II представлены в таблице λ_{макс} красителей от 490 мμ до 510 мμ (в CH₃OH, нитробензоле или пиридине).

№	Гетероцикл, соответствующий Y	R	Т. пл., °C
1	3-Этилбензоксазолин	C ₆ H ₅	252
2	3-Этилбензтиазолин	C ₆ H ₅	275
3	3-Этилбензоксазолин	CH ₃	256
4	3-Этилбензтиазолин	CH ₃	235
5	3-Метилтиазолин	<i>n</i> -C ₁₂ H ₂₅	173
6	3-Этилбензоксазолин	<i>n</i> -C ₁₂ H ₂₅	164
7	3-Этилбензтиазолин	<i>n</i> -C ₁₂ H ₂₅	165
8	3-Этилбензтиазолин	C ₂ H ₅	214
9	3-Этилбензтиазолин	цикло-С ₆ H ₁₁	208
10	Бис-(3-этилбензтиазолин)	CH ₂ CH ₂	305
11	Бис-(3-этилбензтиазолин)	CH ₂ CH ₂	>360
12	3-Этилбензоксазолин	C ₆ H ₅	259
13	3-Этил-4-5-дифенилсаксазолин	C ₆ H ₅	249

Р-итель для кристаллизации I — 4 пиридин + CH₃OH, для 5 — 7 спирт, для 8, 9, 13 C₂H₅ + петр. эфир, для 10, пиридин, для 11 нитробензол, для 12 пиридин + петр. эфир.

При обработке красителей № 12 и 13 (см. табл.) (CH₃)₂SO₄, а затем анилином и I в спирте получены VI (Y = 3-этилбензоксазолин, X = S, R = R' = C₆H₅), т. пл. 232° (из бзл. + петр. эф.), λ_{макс} 430 мμ, и VI (Y = 4,5-дифенилглиоксалин, X = S, R = R' = C₆H₅), т. пл. 268° (из бзл. + петр. эф.), λ_{макс} 470 мμ. Эти же мероцианины приготовлены из 2-анило-3-фенилтиазолидона-4. 1 моль 4-(3'-этилиден)-2'-этилмеркаптотиазолона-5 сплавляли (130°, 30 мин.) с 1,1 моля (CH₃)₂SO₄, выход V (R = CH₃, R' = C₂H₅, Z = CH₃SO₄) 1,9 г, т. разл. 174° (из CH₃OH + эф.). Аналогично сплавлением (120—140°, 2 часа) диметилмероцианинов (1 моль) с (CH₃)₂SO₄ или III (1—1,1 моля) получены IV и аналоги V. 0,94 г II (см. табл., № 1) и 0,47 г III нагреты 2 часа при 140°; после добавления 0,26 г анилина, 0,35 мл I и 6 мл спирта р-р кипятили 10 мин., выход VI (Y = 3-этилбензоксазолин, X = NCH₃, R = R' = C₆H₅), 0,7 г, т. пл. 191° (из бзл. + петр. эф.). Аналогично из 1,96 г II (см. табл., № 2), 0,93 г III, 0,46 мл 33%-ного спирта. р-ра CH₃NH₂, 0,7 мл I и 10 мл спирта по-

лучено 1,1 г VI (Y = 3-этилбензтиазолин, X = NCH₃, R = C₆H₅, R' = CH₃), т. пл. 190° (из пиридина + CH₃OH). Аналогично из 1,57 г II (см. табл., № 3) получено 1,8 г *n*-толуолсульфоната 5-(3'-этилбензоксазолиниден-2'-этилиден)-дигидро-1,3-диметил-2-метиламино-4-оксоглиоксалина, т. пл. 214° (из сп. + эф.). При обработке его водн. Na₂CO₃ образуется неустойчивое основание с λ_{макс} 433 мμ. Четвертичную соль из 3,3 г 4-(3-этилбензоксазолиниден-2-этилиден)-2-этилмеркаптотиазолона-5 и 1,9 г (CH₃)₂SO₄ кипятили 2 часа с 1,4 мл I и 30 мл C₂H₅SH, р-итель отогнали, добавили немного спирта и получили 2,7 г бензоксазольного аналога VII (R = CH₃, R' = C₂H₅), т. пл. 159° (из этилацетата + петр. эф.), 2,37 г V (R = CH₃, R' = C₂H₅, Z = CH₃SO₄), 0,7 мл I и 15 мл C₂H₅SH кипятили 2 часа, получили 0,8 г VII (R = CH₃, R' = C₂H₅), т. пл. 142° (из этилацетата + петр. эф.). Это же в-во выделено из маточного р-ра при получении трехядерного красителя, содержащего ядра бензтиазола, 3-метилтиазолидона-5 и тиазолидона-4. 1,85 г V (R = C₂H₅, R' = CH₃, Z = CH₃SO₄) кипятили 15 мин. с 0,45 мл 33%-ного спирта. р-ра C₂H₅NH₂, 0,5 мл I и 10 мл спирта; после охлаждения отфильтрован IIа. Из маточного р-ра выделен VII (R = C₂H₅, R' = CH₃), т. пл. 152° (из лигр.), 4,74 г V (R = CH₃, R' = C₂H₅, Z = CH₃SO₄) и 1 г XI кипятили 10 мин. с 1,4 мл I и 15 мл спирта; осадением водой и извлечением лигроном выделен IXб (R = C₆H₁₁), т. пл. 198° (из бзл. + петр. эф.). 4,74 г V (R = CH₃, R' = C₂H₅, Z = CH₃SO₄), 1 мл 33%-ного спирта. р-ра CH₃NH₂, 1,4 мл I и 15 мл спирта кипятили 10 мин.; после охлаждения отфильтрован II (см. табл., № 4). Из маточного р-ра получен IXа, т. разл. 184° (из этилацетата + петр. эф.). Р-р красителя в CH₃OH устойчив только в темноте или в присутствии CH₃COOH. На свету или в присутствии I препарат циклизуется в II (см. табл., № 4). Из соединений типа V и первичных аминов получены мероцианины № 5, 6, 7, 8 (см. табл.), а также II (Y = 3-этилбензоксазолин, X = NCH₃, R = *n*-C₁₂H₂₅), т. пл. 108° (из сп.), и II (Y = 3-этилбензоксазолин, X = NCH₃, R = *n*-C₁₂H₂₇), т. пл. 128° (из сп.). Кипячением (20 мин.) 2,37 г V (R = CH₃, R' = C₂H₅, Z = CH₃SO₄) с 0,47 г анилина, 0,7 мл I и 10 мл спирта получен 2-анило-4-(3'-этилбензтиазолиниден-2'-этилиден)-3-метилтиазолиден-5, т. пл. 244° (из бзл. + петр. эф.). При нагревании (100°, 1 час) 0,2 г этого препарата с 10 мл пиридина и 5 мл 2 н. Na₂CO₃ получено 0,15 г II (см. табл., № 2). Продукт, полученный при нагревании (130°, 30 мин.) 1,43 г 4-(3'-этилтиазолиниден-2'-этилиден)-3-метилтиазолидона-5 и 0,93 г III, растворили в 10 мл спирта и кипятили (20 мин.) с 0,15 г этилендиамина и 0,7 мл I, получен этилен-бис-2-имино-4-(3'-этилтиазолиниден-2'-этилиден)-3-метилтиазолидон-5, т. пл. 244° (из пиридина). Нагреванием (100°, 1 час) 0,2 г этого препарата с 20 мл пиридина и 10 мл 2 н. Na₂CO₃ получен II (см. табл., № 11). Кипячением (15 мин.) 2,37 г V (R = CH₃, R' = C₂H₅, Z = CH₃SO₄) с 0,7 мл в 15 мл спирта получен 4-(3'-этилбензтиазолиниден-2'-этилиден)-3-метилтиазолидин-2,5, призма, т. пл. 208° (из CH₃OH). Из мероцианинов и первичных аминов получены продукты, общей ф-лы (XII) (последовательно указаны значения Y, R, R', т. пл. в °C, р-итель): 3-этилтиазолин, CH₃, C₂H₅, 143, спирт; 3-метилтиазолин, CH₃, циклогексил, 198, спирт; 3-метилтиазолин, C₂H₅, C₂H₅, 202, спирт; 3-этилбензтиазолин, CH₃, CH₃, 160, спирт; 1-этил-1,4-дигидрохинолин, CH₃, CH₃, 195, C₆H₆-петр. эфир. Приведены значения λ_{макс} указанных красителей.

Ф. Б. 64980. Термическое и фотохимическое окисление воз- духом фентиазина. Браун, Кол, Кроуэлл

(The thermal and photochemical air oxidation of phenothiazine. Brown Gordon P., Cole James W., Jr., Crowell Thomas I., J. Organ. Chem., 1955, 20, № 12, 1772—1776 (англ.).)

При окислении фентиазина (I) и 10-метилфентиазина (II) в ди-2-этилгексиле эфире себаценовой к-ты (III) воздухом при 200° образуются фентиазон-3 (IV) и 10-метилфентиазин-5-оксид (V); фентиазин-5-оксид (IV) не выделен. VI в IV получены при фотохим. окислении; обнаружены спектры некоторых радикалов в р-ре CHCl_3 5 г I в 100 мл III нагревают при 200° 1 час, пропускают воздух со скоростью 5 л/час 12 час., фильтрат промывают изоктаном, отгоняют изоктан, экстрагируют водой 12 дней, водн. экстракты экстрагируют эфиром, получают 35 мг в-ва растворяют в C_6H_6 — петр. эфире (1:1), хроматографируют, выделяют IV, выход 15 мг, т. пл. 160—161°. Аналогично получают IV из IV в V из II, т. пл. 190,5—191,5°. Приведены кривые изменения спектров в зависимости от времени облучения I в CHCl_3 . Из образцов, содержащих 10 г/л I в CHCl_3 , получают зеленое в-во, т. пл. 250° (разл.). При освещении р-ров I в CCl_4 получают зеленое в-во, т. пл. 166—167°. 2 г I в 200 мл спирта освещают и пропускают воздух, получают VI, выход 0,3 г, т. пл. 255° (разл.). Ю. Р. 64981.

Реакция ртутьорганических оснований с непредельными соединениями. Луценко И. Ф., Юркова Е. И., Изв. АН СССР, Отд. хим. н., 1956, № 1, 27—31

Изучалась р-ция присоединения $\text{C}_6\text{H}_5\text{HgOH}$ (I) и $n\text{-CH}_3\text{C}_6\text{H}_4\text{HgOH}$ (II) по кратной связи непредельных соединений. I и II ни на холоду, ни при нагревании не присоединяются к гексену-1, гентену-1, циклогексену, стиролу, 1,1-дифенилэтилену. I на холоду в метаноле р-ре присоединяется по двойной связи к винил-этиловому (III), винилбутиловому (IV) и винилизопропиловому эфирам, образуя смешанный ацеталь арил-меркурацетальдегида; последний в результате легкого идущего диспропорционирования дает с почти колич. выходом дифенилртуть (V) и меркурисацетальдегид (VI) (выход 66—75%, т. пл. 92—93°), выделяемый после

гидролиза смешанных ацеталей $\text{Hg}(\text{CH}_2\text{CH} \begin{smallmatrix} \text{RO} \\ \text{OSCH}_3 \end{smallmatrix})_2$

(VII). При взаимодействии I с α -метилвинилловым эфиром получены V (с колич. выходом) и диацетонилртуть (выход 45%, т. пл. 67—68°). Из I и диэтилацетата кетена образуются V (выход 88%) и (после образования реакционной смеси спирт. р-ром HgCl_2) хлормеркурэтилацетат с т. пл. 64—66°. II в тех же условиях присоединяется к III и IV с образованием ди-*n*-толилртути (VIII) (выход 90%) и VI. Описанная р-ция предлагается в качестве нового метода симметризации ртутьорганич. солей в мягких условиях. Применимость ее для этой цели показана на примере симметризации $\text{C}_6\text{H}_5\text{HgCl}$ (IX) и $n\text{-CH}_3\text{C}_6\text{H}_4\text{HgCl}$ (X) в метанолю-щел. р-ре с помощью III. Из IX получена V с выходом 92%, а из X — VIII с выходом 95,5%. Т. Т. 64982.

Ртутьорганические соединения. XI. Меркурирование азобензола. Укан, Ито. XII. Меркурирование *N*-окиси пиридина и *N*-окиси хинолина. Укан, Ямамото, Хирано (有機水銀化合物の研究. 第11報. アゼキシベンゼンの水銀化. 鶴岡貞二, 伊藤安夫. 第12報. ピリジンNオキシド及びキノリンNオキシドの水銀化. 鶴岡貞二, 山本眞, 平野昌三), 薬学雑誌, Якугаку дзасси, J. Pharm. Soc. Japan, 1953, 73, № 8, 821—822; 823—825 (япон.; рез. англ.)

Сообщение XI. Смесь 15 г азобензола (I), 25 г $(\text{CH}_3\text{COO})_2\text{Hg}$ и 50 мл лед. CH_3COOH нагревали при 135—140° до полного растворения $(\text{CH}_3\text{COO})_2\text{Hg}$, выливали в насыщ. р-р NaCl и осадок экстрагировали C_6H_6 , получили $n\text{-ClHgC}_6\text{H}_4\text{N} = \text{N}(\text{O})\text{C}_6\text{H}_5$ (II), выход

2,3 г, т. пл. 230°, менее растворим в C_6H_6 и *o*-изомер II (III), выход 7 г, т. пл. 188°, более растворим в C_6H_6 . Аналогично из 40 г I и $\text{Hg}(\text{ClO}_4)_2$ получили 0,9 г II и 2 г III. Р-р 4,8 г II в 70 мл CHCl_3 и 1,6 г Br_2 нагревали 1 час при 60—70°, получили *o*- $\text{BrC}_6\text{H}_4\text{N} = \text{N}(\text{O})\text{C}_6\text{H}_5$ (IV), выход 2,3 г, т. пл. 53°. 2 г IV нагревали 16 час. при 70—75° с 8 мл 80%-ной H_2SO_4 , продукт растворяли в воде, осадок отфильтровывали и экстрагировали петр. эфиром, получили $n\text{-(o-BrC}_6\text{H}_4\text{N} = \text{N})\text{C}_6\text{H}_4\text{OH}$ (V), выход 1 г, т. пл. 97°. 0,9 г V в 13 мл воды и 2,3 г NaOH обрабатывали при 80—90° 2,7 г $\text{Na}_2\text{S}_2\text{O}_4$ и продукт экстрагировали $(\text{C}_2\text{H}_5)_2\text{O}$, получили $\text{BrC}_6\text{H}_4\text{NH}_2$; из остатка после экстракции получили $n\text{-H}_2\text{NC}_6\text{H}_4\text{NO}$. Бромированием II получили 4- $\text{BrC}_6\text{H}_4\text{N} = \text{N}(\text{O})\text{C}_6\text{H}_5$, т. пл. 72—73°, который с 80%-ной H_2SO_4 дал *n*-($n\text{-BrC}_6\text{H}_4\text{N} = \text{N})\text{C}_6\text{H}_4\text{OH}$, т. пл. 162°.

Сообщение XII. Смесь 19 г $\text{C}_5\text{H}_5\text{N}(\text{O})$, 1 мл лед. CH_3COOH и 6,3 г $(\text{CH}_3\text{COO})_2\text{Hg}$ нагревали в течение 2 час. при 130°, продукт очищали в смеси $\text{CH}_3\text{COOH} - \text{H}_2\text{O}$, осадок отфильтровывали, промывали водой и перекристаллизовывали из CH_3OH , получили 4- $\text{ClHgC}_6\text{H}_4\text{N}(\text{O})$ (I), выход 76%, т. пл. 259—260° (разл.). Бромированием I получили 4- $\text{BrC}_6\text{H}_4\text{N}(\text{O})$ (II), т. пл. 162—163° (разл.), 0,1 г II в 2 мл CH_3OH и 0,1 г Na нагревали 10 мин. при 35°, удаляли CH_3OH , остаток экстрагировали CHCl_3 и перекристаллизовывали из ацетона-лигроина, получили 4- $\text{CH}_3\text{OC}_6\text{H}_4\text{N}(\text{O})$ (пират, т. пл. 142—143°). Аналогично из 3,1 г $\text{C}_5\text{H}_5\text{N}(\text{O})$, 6,8 г $(\text{CH}_3\text{COO})_2\text{Hg}$ и 3 мл CH_3COOH получили 8- $\text{ClHgC}_6\text{H}_4\text{N}(\text{O})$ (III), выход 72%, т. пл. 235—236° (разл.). Бромированием III получили 8- $\text{BrC}_6\text{H}_4\text{N}(\text{O})$ (IV), т. пл. 102—104°. 0,2 г IV в CHCl_3 (а также в PCl_3) постепенно нагревали от 0° до 70—80°, CHCl_3 удаляли, остаток подщелачивали NaOH, экстрагировали эфиром, который затем отгоняли, остаток упаривали и перекристаллизовывали, получили 8- $\text{BrC}_6\text{H}_4\text{N}$, т. пл. 80° (из эф.); 8- $\text{BrC}_6\text{H}_4\text{N} \cdot \text{HCl}$, т. пл. 166°.

Chem. Abstr., 1954, 9945, 9946.

64983. Тетрафенилборатрий. 1949—1955. Полная библиография Барнард (Sodium tetraphenylboron, 1949—1955: A comprehensive bibliography. Barnard A. J. Jr.), Chemist-Analyst, 1955, 44, № 4, 104—107 (англ.). Библ. (по годам) 85 назв.

64984. К вопросу о взаимодействии фенилмагни-бромид с четырехфтористым кремнием. Медоке Г. В., Сомефтенская Е. М., Ж. общ. химии, 1956, 26, № 1, 116—118

На ход взаимодействия SiF_4 (I) с эфирным р-ром $\text{C}_6\text{H}_5\text{MgBr}$ (III) влияют темпы проведения р-ции. В II (из 70,6 г $\text{C}_6\text{H}_5\text{Br}$ (III), 11 г Mg, 210 мл абс. эф.) пропускают (50 мин., 0°) при встряхивании I (из 24 г Na_2SiF_6 (IV), 12 г стекла и 3 л конц. H_2SO_4). Получены $(\text{C}_6\text{H}_5)_2\text{SiF}$ (V), выход 59,5%, т. пл. 64°, и $(\text{C}_6\text{H}_5)_3\text{SiF}_2$, выход 5%. В половину II (из 33,18 г III, 5,14 г Mg и 98 мл абс. эф.) пропускают I (из 30 г IV, 15 г стекла и 40 мл конц. H_2SO_4). К продукту р-ции приливают вторую половину II, эфир отгоняют, остаток нагревают (1 час, 175—180°). Получен $(\text{C}_6\text{H}_5)_3\text{Si}$ (VI), выход 50%, т. пл. 230,5° (из бзл.). 4,7 г V растворяют в II (из 4,77 г III, 0,75 г Mg и 17 мл абс. эфира), эфир отгоняют, остаток нагревают (1 час, 180—182°), выход VI 93%. Н. С. 64985.

Диспропорционирование фенилсиланов в присутствии хлористого алюминия как катализатора. Спейер, Зиммерман (Disproportionation of phenylsilanes with aluminum chloride as the catalyst. Speier John J., Zimmerman Ruth E.), J. Amer. Chem. Soc., 1955, 77, № 23, 6395—6396 (англ.)

Показано, что $\text{C}_6\text{H}_5\text{SiH}_3$ (I), $\text{C}_6\text{H}_5\text{CH}_2\text{SiH}_2$ (II) и $\text{C}_6\text{H}_5\text{ClSiH}_2$ (III) диспропорционируются под действием AlCl_3 в C_6H_6 . Р-р 27 г I в 19,5 мл C_6H_6 обрабатывают

в токе N_2 0,5 г $AlCl_3$ при 29° , затем нагревают (5 час., 50°), выделяется SiH_4 , непрореагировавший $AlCl_3$ удаляют водой. Выход $(C_6H_5)_3Si$ (IV) 97,6%, т. пл. $234-235^\circ$; в эфире р-ция не идет. 0,524 моля II в тех же условиях дает IV с выходом 96%. Пропуская газообразный продукт р-ции через спирт, выделяют $(CH_3)_2(C_2H_5O)_2Si$ и $CH_3(C_2H_5O)_3Si$, доказывающие образование $(CH_3)_3SiH_2$ в CH_3SiH_3 . Из 0,5 моля III в аналогичных условиях получают 0,051 моля $(C_6H_5)_2SiCl_2$, т. кип. $183-184^\circ/25$ мм, и 0,054 моля $(C_6H_5)_3SiCl$ с т. пл. $90-92^\circ$ (из гексана), образуется также SiH_4 и SiH_3Cl .

Э. У.

64986. Кремнийорганические соединения. I. Взаимодействие α -хлоралкилкремневых производных с триэтилалюмином. Нодакура (有機珪素化合物の研究. 第1報. α -クロールアルキルシリル誘導体とトリメチルアルミニウムの反応について. 野樫俊一), 日本化学雑誌, Нихон какаку засси, J. Chem. Soc. Japan, Pure, Chem. Sec., 1954, 75, № 4, 427-431 (япон.)

Изучались р-ции $ClCH_2Si(CH_3)_3$ (I), $CH_3CHClSi(CH_3)_3$ (II), $C_6H_5CHClSi(CH_3)_3$ (III) и соответствующих полисилоксанов: $ClCH_2SiO_{1,5}$ (IV), $CH_3CHClSiO_{1,5}$ (V) и $C_6H_5CHClSiO_{1,5}$ (VI) с $(CH_3)_3N$ (VII). При хлорировании CH_3SiCl_3 (VIII) в реакционном сосуде, верх которого соединен с холодильником Вигро, а низ с сосудом, содержащим кипящий VII, образовалось 53% $ClCH_2SiCl_3$ (IX) и 28% $Cl_2CHSiCl_3$. $CH_3CHClSiCl_3$, $C_6H_5CHClSiCl_3$ и IX превращались в I, II и III метилированием метилмагнийбромидом и соответственно в IV, V и VI при прибавлении по каплям к 2 н. р-ру NH_4OH в спирте, подкислении и фильтровании. Р-ции I, II и III с VII проводились при нагревании в в в запаянных трубках с 1,5 экв VII в абс. спирте 11 час. при 100° или 8 час. при 210° . При 100° вступали в р-цию 46,4% I, давая $(CH_3)_3SiCH_2N(CH_3)_3Cl$, а при 210° реагировали 99,3% I, давая $N(CH_3)_4Cl$ (X). Только 3,7% II вступали в р-цию при 100° , а при 210° реагировало уже 52,7% II, давая $(CH_3)_3N \cdot HCl$ и X. При этом образуется $(CH_3)_3SiCH = CH_2$ (XI), что было показано косвенно по кол-ву поглощенного водорода при каталитич. гидрировании дистиллата, отогнанного из реакционной смеси на водяной бане. Р-цию можно представить следующим образом: $II + VII \rightarrow XI + (CH_3)_3N \cdot HCl$. III реагировал (74,1%) при 210° , давая XI и $(CH_3)_2NCH_2C_6H_5 \cdot HCl$. Если IV, V и VI обработать 1,5 экв 3,21 н. р-ра VII в абс. спирте 8 час. при 100° , то реагируют 73,5, 35,5 и 66,3% соответственно, давая нерастворимые полисилоксаны со следующим содержанием Si и Cl (в %): IV 35,6; 4,0; V 29,2; 20,2; VI 26,3; 10,0. Н. К.

64987. О взаимодействии тетраэтоксилана с глицератом кальция. Крешков А. П., Чивикова А. Н., Ж. прикл. химии, 1954, 27, № 10, 1128-1133

Изучена р-ция $Si(OC_2H_5)_4$ (I) с глицератом кальция; омыление продукта р-ции между ними дает кремневые соединения кальция состава $x CaO \cdot y SiO_2 \cdot z H_2O$. Осадки доводятся до постоянного веса прокаливанием при 900° . Показана необходимость предварительного нагревания при омылении. 5,85 г $(CH_3COO)_2Ca$ растворены в 100 г глицерина при $140-150^\circ$ в смеси с I. Смесь нагрета 10-12 час. на песчаной бане с т-рой $180-185^\circ$. Глицериновый слой омылялся большим кол-вом дистил. воды при 60° . Осадок промывался декантацией теплой водой или 80%-ным спиртом и высушивался при $35-40^\circ$ или под щелочью. И. Б.

64988. Получение, рефрактометрическое и спектрофотометрическое исследования некоторых феноксианолов. Смит (A preparative, refractometric and spectrophotometric investigation of some phenoxysilanes. Smith Bengt), Acta chem. scand., 1955, 9, № 8, 1337-1349 (англ.)

Описаны синтезы и проведены рефрактометрич. и спектрофотометрич. исследования феноксиалкоксиланов $C_6H_5OSi(OR)_3$ (I), $(C_6H_5O)_2Si(OR)_2$ (II) и $(C_6H_5O)_3SiOR$ (III). I, II и III получают из $(C_6H_5O)_2SiCl_2$ (IV) или $(C_6H_5O)_3SiCl$ (V) с CH_3OH (метод A), диспропорционированием по схеме: $II \rightarrow I + III$ (метод B), нагреванием $(RO)_4Si$ (VI) или I с фенолом (VII) (метод B). Приводятся состав продуктов в мол. % в пересчете на исходное в-во при проведении р-ции по методу A в последовательности I, II, III и VI (индексы а, б, в соответствуют $R = CH_3, C_2H_5, C_6H_5$). Из 0,14 моля IV и 0,31 моля CH_3OH без р-рителя, кипячение 20 мин.: 51,5, 2,33; из 0,31 моля IV, 0,31 моля CH_3OH и 0,31 моля C_6H_5N в CCl_4 при $50-60^\circ$: 12, 47, 4, 8; из 0,10 моля V, 0,12 моля CH_3OH и 0,12 моля C_6H_5N в CCl_4 при $50-60^\circ$: 5, 30, 12, 40; из 0,10 моля V, 0,12 моля CH_3OH и 0,12 моля C_6H_5N в CCl_4 при $0-4^\circ$: 2, 16, 54, 22. По методу B в последовательности VIa или VIb, I, II, III и VIв. Из 0,5 моля VIa и 0,5 моля VII в присутствии катализатора C_6H_5ONa (VIII): 61, 16, 4, 1, 18; из 0,5 моля VIb и 0,5 моля VII в присутствии VIII: 26, 56, 4, 0, 7. Из 0,2 моля Iб и 0,2 моля VII в присутствии VIII: 0, 34, 33, 1, 25. Из 0,3 моля VIб + 0,1 моля VII в присутствии VIII: 10, 71, 13, 0, 0; из 0,3 моля VIб и 0,1 моля VII без катализатора: 80, 13, 0, 0, 0. Р-р 0,25 моля VII в 60 мл толуола добавляют при перемешивании к 0,25 моля $SiCl_4$ и нагревают 1 час до 100° . Выход $C_6H_5OSiCl_3$ 44% (т. кип. $70^\circ/9$ мм), IV 15% (т. кип. $156-157^\circ/13$ мм), V 7% (т. кип. $210-212^\circ/9$ мм). К 0,1 моля IIa добавляют 1 каплю CH_3OH и кипятят один час в токе сухого HCl. Выход Ia 20, IIa 50 и IIIa 21%. Для получения I, II, III нагревают VIa или VIб с VII в присутствии небольшого кол-ва Na и перегоняют медленно в течение 8 час. Смесь 0,05 моля IV и 0,15 моля $HC(OC_2H_5)_3$ нагревают до 70° 1 час, выделяется C_2H_5Cl , перегоняют при атм. давлении, а затем в вакууме. Выходы Iб 17, IIб 62, IIIб 17% (т. кип. $196-197^\circ/5$ мм, n_D^{20} 1,535). Т. кип. $^\circ C/мм$, n_D^{20} , d_4^{20} для Ia: 102/12, 1,46101, 1,1056; Iб: 121/12, 102-104/5, 1,45252, 1,0283; IIa: 160/9, 1,51453, 1,1420; IIб: 170/9, 152-154/5, 1,50409, 1,1937; IIIa: 140/0,2, 1,54833, 1,1626. Измерены также n_D^{20} , n_F^{20} и n_g^{20} . Приведены молярные дисперсии $MR_F - MR_C$ и $MR_g - MR_C$, уд. рефракции r_d , уд. дисперсии $r_F - r_C$ и числа Аббе для Ia, Iб, IIa, IIб, IIIa и VIб. Рефракция связи $r_{Si-O-C_6H_5}$ (D -линия) для Ia 28,34; Iб 28,34; IIa 28,18; IIб 28,22; VIв 28,48. Определены также r_d

для линий C, F и g значения дисперсии $d_{\lambda_1 - \lambda_2}$ ($Si-OC_6H_5$) для F-C и g-C. Разницы между наблюдаемыми и вычисленными значениями молярных рефракций (Δ_D) и молярных дисперсий (Δ_{F-C}). Приведены кривые УФ-спектров Ia, Iб, IIa, IIб, IIIa и VIв в р-ре гептана. Обнаружен bathochromic сдвиг в направлении VIв \rightarrow III \rightarrow II \rightarrow I, сопровождающийся гиперхромным эффектом. Высказано предположение, что р-ция $\equiv Si-Cl$ с ROH аналогична р-ции хлорангидридов с ROH. При добавлении C_6H_5N , повидимому, образуется продукт присоединения, устойчивость которого зависит от структуры хлорилана и т-ры. Реакционная способность по отношению к пону C_6H_5O изменяется в ряду $I < II < III$, причем Ia, IIa и IIIa активнее, чем Iб, IIб и IIIб. Изменение положительного заряда на атоме Si происходит в том же направлении, что и проявляется также в УФ-спектрах и в значениях Δ_D , которые возрастают по мере замещения RO-групп на C_6H_5O . С. И.

64989. Исследования в области синтеза и превращения кислородсодержащих кремнеорганических соединений. Шостаковский М. Ф., Шихнев

И. А., Комаров Н. В., Докл. АН Аз.ССР, 1955, 11, № 11, 757—763 (рез. азерб.).

Описан синтез винилового эфира γ -гидроксипропилметилдиэтилсилана (I). Действием окиси этилена на $(C_2H_5)_2(CH_3)SiCH_2MgCl$ получают γ -гидроксипропилметилдиэтилсилан (II), выход 36%, т. кип. $98^\circ/10$ мм, n_D^{20} 1,4428, d_4^{20} 0,8429. Из II (в виде 7,5%-ного алкоголя калия) и C_2H_2 в дioxane под давл. 18 ат и при $170-180^\circ$ получен I, выход 65,5%, т. кип. $82-83^\circ/8$ мм; n_D^{20} 1,4415; d_4^{20} 0,8326. Строение I доказано получением его производных: при действии на него II образуется ди-(метилдиэтил-илипропил)-ацеталь, выход 62,2%, т. кип. $156-157^\circ/2$ мм, n_D^{20} 1,4492, d_4^{20} 0,8666. При действии на I γ -гидроксипропилтриметилсилана (т. кип. $62-63^\circ/10$ мм, n_D^{20} 1,4296; d_4^{20} 0,8408) образуется метилдиэтилтриметилсиландипропилацеталь (III), выход 61,1%, т. кип. $131-132^\circ/2$ мм, $140-141^\circ/5$ мм, n_D^{20} 1,4428, d_4^{20} 0,8582. III получен также с выходом 61,5% при взаимодействии винилового эфира γ -гидроксипропилтриметилсилана (т. кип. $61^\circ/18$ мм, n_D^{20} 1,4265, d_4^{20} 0,8171) со II. Т. Т.

64990. О новом классе силиконов уротропинового строения. Виберг, Зилмлер (Über eine neue Klasse von Siliconen mit Urotropin-Struktur. Wiberg Egon, Simmler Walter, Z. anorgan. und allgem. Chem., 1955, 282, № 1-6, 330-344 (нем.). Построенные по типу уротропина силиконы $(RSiO_{1,5})_4$ с Si вместо N и O вместо CH_2 образуются при гидролизе $RSiCl_3$ (I) в сильно разб. р-рах при молярном соотношении I: $H_2O = 1:1,5$, если R — достаточно объемистый радикал (*нр*- C_4H_9 , *из*- C_3H_7). Если R = CH_3 или C_2H_5 , получают кольчато-цепные полимеры $(RSiO_{1,5})_x$. В высоком вакууме (ВВ) к 6,32 моля *нр*- $C_4H_9SiCl_3$ в 40 мл эфира прибавляют 9,4 ммоль H_2O в виде 0,1-молярного эфи. р-ра, дожидаются размягчения смеси, затем нагревают ее до $\sim 20^\circ$, оставляют на день и удаляют эфир и HCl при -40° в ВВ. Остаток возгоняют в ВВ при 60° . Получают (*нр*- $C_4H_9Si_{1,5}$)₄ (II), выход 94,7%, т. пл. $\sim 225^\circ$ в запаянном капилляре, d $1,11 \pm 0,01$. Дана рентгенограмма II. Аналогично получают (*из*- $C_3H_7Si_{1,5}$)₄ (III), выход 55,5%, т. разл. $\sim 80^\circ$. Если вести гидролиз 0,7-молярным эфи. р-ром H_2O , выход III всего 6,6%, остальное — кольчато-цепной полимер (*из*- $C_3H_7Si_{1,5}$)_x. Ф. В.

64991. Изучение гидролиза и конденсации эфиров ортотитановой кислоты. Биштин, Гёмёри (Sledovanie hydrolyzy a kondenzácie esterov kyseliny ortotitanickej. Bištin E., Gémöry I.), Chem. zvesti, 1956, 10, № 2, 91—95 (словац.; рез. рус., нем.).

При гидролизе и конденсации *n*-бутилтитаната (I), *n*-гепилтитаната (II), цетилтитаната, бензилтитаната, фенилтитаната и *m*-крезилтитаната установлено, что глубина гидролиза и конденсации, определяемая кол-вом непрореагировавшей воды, подаваемой в отношении $H_2O: Ti = 0,5:1, 1:1$ и $2:1$ (в молях), тем меньше, чем длиннее алифатич. цепь, а у ароматич. эфиров меньше, чем у всех алифатич. R-р-ру 34 г I в 50 мл C_6H_6 добавляют р-р 0,9 г воды в 25 мл C_4H_9OH (II); C_6H_6 и III отгоняют, в отгоне определяют кол-во воды, а остаток после нагревания ($200^\circ/5$ мм, 15 мин.) анализируют на содержание TiO_2 . Так же ведут р-цию с 1 и 2 молями воды на 1 моль I. Смесь 37,5 г *n*-гептанола, 25 г I и 50 мл III кипятят 15 мин., после чего гидролиз полученного II ведут (как I) в р-ре III. Остальные эфиры получают и гидролизуют как II. И. К.

64992. Эфиры фосфиновых кислот с гетероциклическими радикалами. Арбузов Б. А., Зоро-

астрова В. М., Уч. зап. Казанск. гос. ун-та, 1955, 115, № 10, 37—40

Обзор работ авторов и других работ. В. Г. 64993. Магниево соли арилфосфиновых кислот. Получение *o*-нитрофенилфосфиновой кислоты. Фридман, Док (Magnesium salts of arylphosphonic acids. The preparation of *o*-nitrophenylphosphonic acid. Freedman Leon D., Doak G. O.), J. Amer. Chem. Soc., 1955, 77, № 23, 6221—6223 (англ.).

$RC_6H_4PO(OH)_2$ (I) дает нерастворимые Mg-соли, когда R занимает мета- и пара-положения (исключение R = *m*-COOH) и не образует нерастворимые Mg-соли при орто-заместителях большого размера (C_2H_5 , CH_3 , COOH, Cl, Br и J), что использовано для отделения I (R = *o*-NO₂) от *n*- и *m*-изомеров. Р-р 0,05 ммоль I в 1 мл 10%-ного р-ра NH_3 смешивают с 1,0 мл р-ра магnezальной смеси (MC), смесь оставляют стоять 5 мин, при $\sim 20^\circ$ и 1 мин. кипятят. Из 2,03 г I (R = *n*-NO₂) получают 1,91 г Mg-соли I-1,5 H_2O , т. пл. $>300^\circ$, теряет воду при 240° . I (R = *o*-NO₂) выделяют из смеси I (Kosolapoff G. M., J. Amer. Chem. Soc., 1949, 71, 4021), выход 7%, т. пл. $200-203^\circ$ (из эф.). 43 г I (R = NO₂) (получают нитрованием $C_6H_5PO(OH)_2$ дымящей HNO_3 (Kosolapoff G. M., J. Amer. Chem. Soc., 1948, 70, 3465)) кипятят 30 мин. в р-ре NH_4OH с 1 л MC, осадок Mg-соли I отделяют, выход 43 г, из которого выделяют I (R = *m*-NO₂), выход 57%. В фильтрат добавляют 20%-ный NaOH до pH >10 и удаляют NH_3 , добавляют 350 г дауэкс-50 (размешивание 30 мин.), смолу отделяют, р-р унаривают и остаток экстрагируют эфиром. Выход I (R = *o*-NO₂) 13%. Для I (R = *o*-NO₂) измерены и вычислены pK_1 и pK_2 (1,45 и 6,74) и сняты УФ-спектры. I (R = *o*-NO₂) не активна против бактерий. В. Г.

64994. Щелочной гидролиз эфиров трихлорметилфосфиновой кислоты. Бенгелсдорф (An alkaline hydrolysis of trichloromethylphosphonic esters. Bengelsdorf Irving S.), J. Amer. Chem. Soc., 1955, 77, № 24, 6611—6612 (англ.).

При щел. гидролизе $CCl_3P(O)(OR)_2$ (I) получают $(RO)_2POOH$, $HCOOH$ и Cl^- (последние два вследствие гидролиза промежуточно образующегося $CHCl_3$), но не H_3PO_4 (II) (Якубович А. Я., Гинсбург В. А., Докл. АН СССР, 1950, 71, 303). Предложен механизм р-ции. 2,5 г I (R = C_2H_5) с 2,8 г KOH в 50 мл спирта кипятят 2 часа. При дальнейшем кипячении с HCl (к-той) получают II (выделен в виде соли с $C_6H_5NH_2$). В. Г.

64995. Присоединение неполных эфиров кислот фосфора к непредельным соединениям. Пудовик А. Н., Уч. зап. Казанск. гос. ун-та, 1955, 115, № 10, 40—43

Обзор работ автора.

В. Г. 64996. Синтез смешанных эфиров фосфорной и тиофосфорной кислот, содержащих простейшие заместители в алифатическом радикале. Галашина М. Л., Владимирова И. Л., Мандельбаум Я. А., Мельников Н. Н. В сб.: Орган. инсектофунгициды, М., Госхимиздат, 1955, 44—47

См. РЖХим, 1953, 4614.

64997. Синтез смешанных эфиров фосфорной и тиофосфорной кислот. Мандельбаум Я. А., Владимирова И. Л., Мельников Н. Н. В сб.: Орган. инсектофунгициды, М., Госхимиздат, 1955, 48—52

См. РЖХим, 1953, 4613.

64998. Некоторые эфиры дитиофосфорной кислоты как инсектициды. Арбузов Б. А., Никоноров К. В., Винокурова Г. М., Изв. АН СССР, Отд. хим. н., 1955, № 4, 672—675

Описан синтез эфиров дитиофосфорной к-ты типа $(\text{RO})_2\text{P}(\text{S})\text{SCH}(\text{CH}_3)\text{SC}_6\text{H}_5$, где $\text{R} = \text{CH}_3$ (I), C_2H_5 (II), C_3H_7 (III), C_4H_9 (IV), *н-а*- C_6H_{13} (V) по р-ции: $(\text{RO})_2\text{R}(\text{S})\text{SH} + \text{CH}_3\text{CHO} + \text{HSC}_2\text{H}_5 \rightarrow (\text{RO})_2\text{P}(\text{S})\text{SCH}(\text{CH}_3)\text{SC}_2\text{H}_5 + \text{H}_2\text{O}$. Взаимодействием 20 г $(\text{CH}_3\text{O})_2\text{PSSH}$ и 8,1 г $\text{C}_2\text{H}_5\text{SH}$ с 5,5 г CH_3CHO при $t = -10-0^\circ$ получают I, выход 28,70% т. кип. $82-83^\circ/4$ мм, n_D^{20} 1,5320, d_4^{20} 1,1788. Остальные эфиры синтезированы аналогично. Приведены в-ва, выход в %, т. кип. $^\circ\text{C}/\text{мм}$, n_D^{20} , d_4^{20} : II, $-39,6$, $118-119/3$, $1,5240$, $1,1347$; III, 49 , $122-128/4$, $1,5150$, $1,0929$; IV, $73,5$, —, $1,5085$, $1,0600$; V, $67,6$, —, $1,5060$, $1,0522$. Синтезированные в-ва испытаны на амбарном долгоносики. I и II обладают большей инсектицидной активностью, чем III—V. Однако и I и II довольно слабые инсектициды. К. Б. 64999.

Об имидах алкилфосфорных кислот. Триакилфосфатазины. Кабачник М. И., Гиляров В. А., Докл. АН СССР, 1956, 106, № 3, 473—475. Триакилфосфаты $(\text{RO})_3\text{P}$ (I) с $\text{C}_6\text{H}_5\text{N}_3$ образуют триакил-N-фенилмидофосфаты $(\text{RO})_3\text{P} = \text{NC}_6\text{H}_5$. Высказано предположение об образовании триазина $(\text{RO})_3\text{P} = \text{N} = \text{N} = \text{NC}_6\text{H}_5$ в качестве промежуточного продукта. I с CH_2N_2 образует N-метилтриакилфосфатазины $(\text{RO})_3\text{P} = \text{N} = \text{N} = \text{CH}_3$ (II). Для II перечисляются R, выход в %, т. кип. $^\circ\text{C}/\text{мм}$, n_D^{20} , d_4^{20} : C_2H_5 , 48 , $55-57/1$, $1,4498$, $1,0661$; *n*- C_3H_7 , 53 , $74,5-76/1$, $1,4485$, $1,0045$; *н-а*- C_4H_9 , $34,6$, $55/1$, $1,4440$, $0,9807$; *n*- C_4H_9 , 42 , $101-102/1$, $1,4484$, $0,9743$; *н-а*- C_6H_{13} , 57 , $95,1/5$, $1,4420$, $0,9675$. Атомная рефракция 2N равна 8,54. Строение II ($\text{R} = \text{C}_2\text{H}_5$) доказано р-цией с CS_2 — выделен $(\text{C}_2\text{H}_5\text{O})_3\text{P} = \text{S}$ (III); комплекс III с HgI_2 , т. пл. $101-102^\circ$. Для получения II эфир. р-р CH_2N_2 добавляют к р-ру I в эфире. При стоянии несколько дней окраска CH_2N_2 исчезает. II с CS_2 реагирует очень бурно. К р-ру 0,016 моля II ($\text{R} = \text{C}_2\text{H}_5$) в C_6H_6 при охлаждении добавляют по каплям 0,1 моля CS_2 и нагревают (3 часа, $65-70^\circ$); выход III 1,0 г. В. Г. 65000.

Азотистые соединения фосфорной и фосфинной кислот. I. Гидразиды фенилфосфорной и дифенилфосфорной кислот. Аудрит, Гер. Смит (Nitrogen compounds of the phosphoric and phosphonic acids. I. Hydrazides of phenylphosphoric and diphenylphosphoric acids. Audrieth L. F., Gher Ralph, Jr., Smith William Chanpin g), J. Organ. Chem., 1955, 20, № 9, 1288—1291 (англ.)

Для изучения связи структуры с биологич. активностью получены $(\text{C}_6\text{H}_5\text{O})_2\text{P}(\text{O})\text{NHNH}_2$ (I) и $\text{C}_6\text{H}_5\text{OP}(\text{O})(\text{NHNH}_2)_2$ (II). Из I и карбонильных соединений (RC) получены $(\text{C}_6\text{H}_5\text{O})_2\text{P}(\text{O})\text{NHN} = \text{CRR}'$ (III), из I и $\text{ClCOOC}_2\text{H}_5$ (IV) — $(\text{C}_6\text{H}_5\text{O})_2\text{P}(\text{O})\text{NHNHCOOC}_2\text{H}_5$ (V), из I и $(\text{C}_6\text{H}_5\text{O})_2\text{POCl}$ (VI) — $[(\text{C}_6\text{H}_5\text{O})_2\text{P}(\text{O})\text{NHN} = \text{C}_6\text{H}_5]_2$ (VII). Из II и RC получен $\text{C}_6\text{H}_5\text{OP}(\text{O})(\text{NHN} = \text{CHC}_6\text{H}_5)_2$ (VIII), т. пл. 174° . I получают по известной методике (Ephraim, Seckeim, Chem. Ber., 1911, 44, 3416). Для III (получены в абс. спирте) перечисляются R, R' и т. пл. $^\circ\text{C}$: H, C_6H_5 , 114 ; H, $\text{C}_6\text{H}_4\text{OH-}n$, 162 ; H, $\text{C}_6\text{H}_4\text{OCH}_3-n$, 150 ; H, $\text{C}_6\text{H}_4\text{OH-}n$, 151 ; CH_3 , CH_3 , 142 , III из циклогексана 101 ; CH_3 , $\text{C}_6\text{H}_4\text{Cl-}n$, 127 ; CH_3 , CH_3COCH_2 . При кипячении 0,020 моля I и 0,010 моля IV в CHCl_3 2 часа получают V, выход 92,3%, т. пл. $121-122^\circ$ (из CCl_4). VII получают из 0,05 моля I и 0,05 моля VI при кипячении в CHCl_3 1,5 часа, т. пл. 142° . При медленном добавлении 0,188 моля $\text{C}_6\text{H}_5\text{OP}(\text{O})\text{Cl}_2$ к 0,89 моля N_2H_4 в эфире при кипячении эфира получают II, т. пл. 103° (из сп.). В. Г. 65001.

Двойные галогениды мышьяка и ароматических аминов. Попов П. П., Нестерова Н. Р., Шмидт В. А., Ячменева М. А., Уч. зап. Томск. ун-та, 1955, № 26, 115—118

Получен ряд новых двойных галогенидов мышьяка с солями анилина и *о*-толуидина при применении в качестве р-рителя соответствующих галогеноводородных к-т. К 10 г $\text{C}_6\text{H}_5\text{NH}_2 \cdot \text{HCl}$ в 100 мл HCl (d 1,18) медленно прилит р-р 2,5 г As_2O_3 в 25 мл HCl ($\text{AmHCl} : \text{AsCl}_3 = 3$, где Am = амин). Выделяется осадок 4 $\text{C}_6\text{H}_5\text{NH}_2\text{HCl} \cdot \text{AsCl}_3$ (I), т. пл. $185-186^\circ$. После отделения осадка I из маточного р-ра были выделены кристаллы состава 2 $\text{C}_6\text{H}_5\text{NH}_2\text{HCl} \cdot \text{AsCl}_3$, т. пл. $162-177^\circ$. При обратном порядке проведения р-ции и соотношения реагентов $\text{AsCl}_3 : \text{AmHCl} = 3$ образуется комплекс 3 $\text{C}_6\text{H}_5\text{NH}_2 \cdot \text{HCl} \cdot 2\text{AsCl}_3\text{H}_2\text{O}$, т. пл. $179-182^\circ$. Аналогично проведенная р-ция с *о*-толуидином ($\text{AmHCl} : \text{AsCl}_3 = 2,92$) приводит к образованию комплекса 2 *о*- $\text{CH}_3\text{C}_6\text{H}_4\text{NH}_2 \cdot \text{HCl} \cdot \text{AsCl}_3\text{H}_2\text{O}$, т. пл. $101-108^\circ$ (в запаянном капилляре). При медленном добавлении к р-ру 3,55 г *о*- $\text{CH}_3\text{C}_6\text{H}_4\text{NH}_2\text{HCl}$ в 51 мл HBr (d 1,36) р-ра 2 г AsBr_3 в 22 мл HBr ($\text{AmHBr} : \text{AsBr}_3 = 2,97$) получили кристаллы 2 *о*- $\text{CH}_3\text{C}_6\text{H}_4\text{NH}_2\text{HBr} \cdot \text{AsBr}_3$ (II), т. пл. $109-122^\circ$ (в запаянном капилляре). II был получен также и при соотношении $\text{AmHBr} : \text{AsBr}_3 = 2$. При обратном порядке проведения р-ции и соотношения $\text{AsBr}_3 : \text{AmHBr} = 1,5$ и перекристаллизации из HBr получают *о*- $\text{CH}_3\text{C}_6\text{H}_4\text{NH}_2\text{HBr} \cdot \text{AsBr}_3$, который начинает плавиться при 70° . При перекристаллизации первоначального осадка из маточного р-ра образуется II. Н. К. 65002.

Двойные бромиды пиперидина с мышьяком и сурьмой. Попов П. П., Сидоров В. А., Уч. зап. Томск. ун-та, 1955, № 26, 119—122

Получены новые двойные бромиды пиперидина состава $\text{C}_5\text{H}_{11}\text{N} \cdot \text{HBr} \cdot \text{AsBr}_3$ (I), 2 $\text{C}_5\text{H}_{11}\text{N} \cdot \text{HBr} \cdot \text{SbBr}_3 \cdot \text{CHCl}_3$ (II) и 3 $\text{C}_5\text{H}_{11}\text{N} \cdot \text{HBr} \cdot \text{SbBr}_3$ (III). Определением мол. веса по Раути установлено, что I в р-ре камфоры мономолекулярен. Замена As на Sb в двойных галогенидах пиперидина ведет к уменьшению кол-ва возможных форм. Кроме того, появляется комплекс состава 3 $\text{AmHX} \cdot \text{MX}_3$ (где Am = амин), что объясняется большей координационной емкостью сурьмы за счет ее большего ионного радиуса. Установлено, что состав и число образующихся комплексов зависит от характера применяемого р-рителя: замена CHCl_3 на HBr (к-та) ведет к уменьшению числа двойных бромидов, которые можно получить из $\text{C}_5\text{H}_{11}\text{N} \cdot \text{HBr}$ (IV) и AsBr_3 . I образуется при взаимодействии почти насыщ. р-ра 1,78 г AsBr_3 в CHCl_3 с р-ром 0,94 г IV в миним. кол-ве CHCl_3 ($\text{AmHBr} : \text{AsBr}_3 = 1$), т. пл. $113-115^\circ$. Аналогично получен 2 $\text{C}_5\text{H}_{11}\text{N} \cdot \text{HBr} \cdot \text{AsBr}_3 \cdot \text{CHCl}_3$, т. пл. $177-178^\circ$. I получается также при сливании р-ра I г As_2O_3 в 50 мл HBr (к-та), (d 1,4) и р-ра 5,04 г IV в 90 мл того же р-рителя ($\text{AmHBr} : \text{AsBr}_3 = 3$), его т. пл. $114-116^\circ$; он же образуется при обратном порядке сливания р-ров исходных в-в. В этом случае при перекристаллизации из маточного р-ра I переходит в 2 $\text{C}_5\text{H}_{11}\text{N} \cdot \text{HBr} \cdot \text{AsBr}_3$, т. пл. $185-187^\circ$. II получается при добавлении к р-ру 1,81 г IV в 30 мл CHCl_3 р-ра 2,21 г SbBr_3 в 25 мл CHCl_3 ($\text{AmHBr} : \text{SbBr}_3 = 1,78$), т. пл. $247-248^\circ$. III в р-ре HBr (к-та) образуется при соотношении реагентов $\text{Am} \cdot \text{HBr} : \text{SbBr}_3 = 1,5$ при приливании р-ра SbBr_3 к р-ру IV. При обратном порядке сливания исходных в-в, а также при соотношении реагентов, равном 3, осадка не выпадает. III темнеет при 250° , но не плавится, устойчив в воздухе, в воде гидролизует. Н. К. 65003.

Изучение органических дисульфидов. IV. Новый метод синтеза органических селенид-сульфидов, диселенидов и несимметричных дисульфидов. Накасаки (有機ジサルファイドの研究. 第4報. セレニド-ジサルファイド, ジセレニド及び非対稱ジサルファイドの新合成法. 中崎昌雄), 日本化学, 雑誌 Нихон Kagaku Zasshi, J. Chem. Soc. Japan, Pure Chem. Sec., 1954, 75, № 3, 339—341 (япон.)

Реакция между арилтиоцианатом или арилселеноцианатом и арилтиолом или арилселенолом происходит

с выделением HCN. Селенидсульфиды получены р-циями типа $R'SeCN + R'SH \rightarrow R'SeSR^2 + HCN$, где $R' = R^2 = C_6H_5$, $R' = R^2 = o\text{-NO}_2C_6H_4$ и $R' = C_6H_5$, $R^2 = o\text{-NO}_2C_6H_4$. Дисульфиды получены из $R'SeCN$ и $R'SH$ в присутствии пиридина, как катализатора, где $R^2 = R^3 = C_6H_5$; $R^2 = R^3 = C_6H_5$; $R^2 = R^3 = o\text{-NO}_2C_6H_4$; $R^2 = C_6H_5$, $R^3 = o\text{-NO}_2C_6H_4$ и $R^2 = n\text{-CH}_3C_6H_4$, $R^3 = o\text{-NO}_2C_6H_4$; $(C_6H_5Se)_2$ получен из C_6H_5SeCN и C_6H_5SeH при $\sim 20^\circ$. И. Б. Chem. Abstr., 1954, 21, 13653.

65004. Нитрование фенилтрифторметилсульфида. Ягупольский Л. М., Маренец М. С., Ж. общ. химии, 1956, 26, № 1, 101—107

С целью изучения направляющего действия SCF_3 -группы в бензольном ядре исследована р-ция нитрования $C_6H_5SCF_3$ (I) и показано, что на холоду из I образуется смесь о- и п- $NO_2C_6H_4SCF_3$ (мета-изомер не был обнаружен), а при 60° главным образом 2,4- $(NO_2)_2C_6H_3SCF_3$ (II), выход 41,7%, т. кип. $156\text{--}160^\circ/12\text{ мм}$; II восстановлен в соответствующий диамин с т. пл. $74\text{--}75^\circ$ (III); диацетильное производное III, т. пл. $229\text{--}230^\circ$. Полученные жидкие нитросоединения разделялись и идентифицировались в виде ацетильных производных соответствующих аминов. Неописанные ранее о- и м- $C_6H_4(SCF_3)NHCOSCH_3$ (IV, V) были синтезированы следующим образом. V получен двумя

путями: 1) $1,3,4\text{-}C_6H_3(SCF_3)(NO_2)NH_2 \xrightarrow{HNO_3} m\text{-}C_6H_4(SCF_3)NO_2$ (VI) $\rightarrow m\text{-}C_6H_4(SCF_3)NH_2$ (VII) \rightarrow V; VI, выход 71%, т. кип. $113\text{--}114^\circ/20\text{ мм}$; VII, выход 85%, т. кип. $108\text{--}110^\circ/5\text{ мм}$; HCl-соль VII, т. разл. $240\text{--}241^\circ$; 2) м-нитротолуол при кипячении с р-ром КОН в водн. CH_3ONa превращается в м-нитро-тиофенолят калия, из которого действием $(CH_3)_2SO_4$ получается м-нитротиазол (VIII), выход 91%. VIII хлорируется на свету до м- $C_6H_4(NO_2)SCCl_3$ (IX), выход 95%, т. пл. $73\text{--}74^\circ$. При нагревании IX с SbF_5 образуется VI (выход 76,6%), а из него V. IV синтезирован следующим путем. Из V нитрованием (с последующим отщеплением CH_3CO -группы) получена смесь 1,4,3- $C_6H_3(SCF_3)(NO_2)NH_2$ (X), 1,2,3- $C_6H_3(SCF_3)(NO_2)NH_2$ (XI) и 1,2,5- $C_6H_3(SCF_3)(NO_2)NH_2$ (XII). X и XI отгоняются с паром, а нелетучий с водяным паром XII деаминируется, восстанавливается и ацетируется. Смесь ацетиламиносоединений, полученных из I, разделена на основании способности IV (в отличие от пара-изомера (XIII) легко возгоняться при слабом нагревании. IV и XIII получены в соотношении: 30—35% IV и 60—65% XIII. Из IV окислением CrO_3 в H_2SO_4 получен м-нитрофенилтрифторметилсульфон (выход 90%, т. пл. $56\text{--}57^\circ$). Последний восстановлен в соответствующий амин (выход 72%, т. пл. $78\text{--}79^\circ$). Т. Т.

65005. Реакции получения металлоорганических соединений из ω -фторгалогалканов. Хауэлл, Паттисон (Organometallic reactions of ω -fluoroalkyl halides. Howell W. C., Pattison F. L. M.), Chemistry and Industry, 1955, № 30, 949—950) (англ.)

Разработаны новые методы синтеза фторпроизводных, полученных для исследования их токсич. свойств. Показана возможность получения Mg-органич. соединений из ω , ω' -фторгалогалканов (где галоген Cl, Br или J), содержащих не менее 6 C. При использовании фторгалогалканов (ФХА) получены с хорошими выходами $F(CH_2)_n$ MgCl ($n = 6, 7, 8, 9, 10$). Эти соединения реагируют с CO_2 , $ClCOOC_2H_5$, $(CH_3CO)_2O$, бензонитрилом, оксидом этилена и $HCl(OC_2H_5)_2$ с образованием соответствующих ω -фторкарбонных к-т, ω -фторкарбонных эфиров, ω -фторалкилметилкетонов, ω -фторалкилфенилкетонов, ω -фторспиртов и ω -фторальдегидов с выходом 48—73%. ФХА дают также и Li-производные, вступающие в те же р-ции. В одинаковых условиях

были проведены р-ции Mg с 6-фтор-1-хлоргексаном (I), 6-фтор-1-бромгексаном (II) и 6-фтор-1-иодгексаном (III); полученные Mg-производные были превращены действием твердого CO_2 в к-ты: $F(CH_2)_6COOH$ (IV), 7-галогидгептановую (V) и пробоковую (VI). Приведены выходы в %: из I — 64% IV, 0% V и 18% VI, из II — 31,5% IV, 22,5% V и 12% VI, из III — 0% IV, 23,4% V и 0% VI. В тех же условиях, при использовании 10-фтор-1-бромдекана, были получены 11-фторундекановая к-та (выход 42,2%), 11-бромундекановая к-та (выход 22,5%) и 1,12-декандикарбоновая к-та (выход 12%). Эти результаты неожиданы ввиду относительной инертности фторпроизводных и наличия литературных данных о неудачных попытках синтеза ω -фторалкил-Mg-галогидпроизводных. Г. К.

65006. Дифторметилфениловый эфир. Кларк, Саймоне (Difluoromethylphenyl ether. Clark Reginald F., Simons J. H.), J. Amer. Chem. Soc., 1955, 77, № 24, 6618 (англ.)

Описано получение $C_6H_5OCF_2H$. 0,56 моля CBF_3 пропускают при перемешивании через смесь 400 мл безводн. ацетона и 0,56 моля C_6H_5OK при $t\text{-ре} < 50^\circ$. После окончания р-ции отгоняют избыток CBF_3 и 300 мл ацетона, добавляют воду и перегоняют с паром. Слой $C_6H_5OCF_2H$ сушат $MgSO_4$, перегоняют на колонке, выход 28,3%, т. кип. $66\text{--}67^\circ/30\text{ мм}$, $139\text{--}140^\circ/763\text{ мм}$, $n_D^{25} 1,4460$, $d_4^{25} 1,171$. В-во стабильно, разлагается 50%-ной H_2SO_4 , выделяя фенол и HF. При действии металличес. Na получают C_6H_5ONa и NaF. Э. У.

65007. О синтезе 3-фтор-4-оксифенилуксусной кислоты. Лок (Über die Synthese von 3-Fluor-4-oxyphelessigsäure. L o c k G.), Monatsh. Chem., 1955, 86, № 3, 511—516 (нем.)

Автор описывает два новых метода синтеза фармакологически интересной 3-фтор-4-оксифенилуксусной к-ты (I). Первый состоит во взаимодействии с гидразином (II) и КОН 3-фтор-4-метоксифенилгликоксиловой к-ты (III), второй — в р-ции между 3-фтор-4-оксифеноном (IV), морфолином и S и последующим гидролизе образовавшегося тиоморфолида. К смеси 250 г $ClCOOC_2H_5$ и 250 г $AlCl_3$ в 600 мл $C_6H_5NO_2$ добавили постепенно 156 г о-фторанизола в 150 мл $C_6H_5NO_2$, через 4 часа смесь вылили на лед, получили этиловый эфир 3-фтор-4-метоксифенилгликоксиловой к-ты (V), выход 84%, т. кип. $125^\circ/0,01\text{ мм}$, т. пл. 20° ; семякарбазон, т. пл. 120° . При гидролизе V как щелочью, так и к-той получают III, т. пл. 114° (испр.; из бзд.). Из 6 г III и 3 г анилина (2 часа, 150°) образовался анид с т. пл. 77° и (из сп.), который нагревали с 25%-ной H_2SO_4 (30 мин., 100°); получили 3-фтор-4-метоксибензальдегид (VI) с т. пл. 31° ; оксим, т. пл. 130° . VI может быть получен также из 3-фтор-4-метоксибензилхлорида (VII). Смесь 17,4 г VII с р-ром 14 г $(CH_2)_6N_4$ в 400 мл 60%-ного спирта кипятити, выделили VI в виде соединения с $NaHSO_4$, выход VI 60%, т. кип. $129\text{--}132^\circ/11\text{ мм}$, т. пл. 31° (из сп.). 3-Фтор-4-метоксибензойную к-ту (VIII) получили: а) нагреванием 10 г III с 40 мл конц. H_2SO_4 (10 мин., 100°), выход 7 г, т. пл. $211\text{--}212^\circ$ (испр.; из разб. CH_3COOH); б) кипячением VI с водой и избытком Ag_2O . Насыщением р-ра I г VIII в 10 мл пиридина током сухого HCl и нагреванием смеси (2 часа, 200°) получили 3-фтор-4-оксифенилуксусную к-ту, выход 0,8 г, т. пл. $161\text{--}162^\circ$ (испр.). 14 г VII в 30 мл изопропанола нагревали с 13 г KCN в 20 мл воды (4 часа, 100°); выделили 3-фтор-4-метоксибензилцианид (IX). 3-Фтор-4-метоксифенилуксусную к-ту (X) синтезировали: а) нагреванием (12 час., 100°) смеси 10 г IX и 100 мл HCl (1 : 1), выход 100 г, т. пл. $115\text{--}116^\circ$; б) постепенным добавлением 17,4 г VI к 2,4 г Mg и 50 мл эфира, выливанием смеси в твердый CO_2 и действием

на нее разб. NaOH; выход 3 г; основной продукт р-ции 3,3'-дифтор-4,4'-диметоксидифенилэтан, выход 11 г, т. пл. 95—96° (из сп.); в) кипячением смеси 7,5 г V, 15 г амальгамы Zn и 30 мл 10%-ной HCl 5 час. (после 30 мин. добавили 5 мл конц. HCl), выход 1,5 г; г) нагреванием смеси 3,2 г V, 3 г KOH, 20 мл этиленгликоля и 2 мл II 2 часа, отгонкой при 220° летучих продуктов и дальнейшим нагреванием (2 часа, 220°), выход 1,6 г. I получали добавлением к 7,5 г V при охлаждении 5 мл II смесь грели 30 мин., затем охладили, внесли 20 г KOH и опять постепенно нагрели (180—200°), выход 0,5 г, т. пл. 132° (из воды с углем). 50 г III с 50 мл II грели несколько минут, охладили, добавили 100 г KOH, смесь опять нагрели (1,5 часа, 180—200°), получили I, выход 73,5%. 5 г X с 22 г хлоргидрата пиридина нагревали (3 часа, 200—220°), получили I, выход 3,1 г. 1 г X нагревали с KOH (180—190°), получили I, выход 0,6 г. Смесь 11,5 г IV, 10 г морфина и 3,5 г S нагревали (3 часа, 170—190°), затем кипятили 5 час. с спирт. р-ром KOH, получили I, выход 57%. Л. К.

65008 К. Практикум по органической химии. Вурм Бухар (Praktická cvičení z organické chemie. Vurm Vladimír, Buchar Eugen. Praha, SPN, 1955, 150 s., 11, 20 Kčs) (чеш.)

65009 К. Руководство к практикуму по органической препаративной химии. Черный, Палечек (Návodý ke cvičení z organické chemie preparativní. Černý Jiří, Paleček Miloš. Praha, SPN, 1955, 150 S., il., 12,50 Kčs.) (чеш.)

65010 К. Реакции и методы исследования органических соединений. Кн. 4. Реакция Иоцича. Бергельсон Л. Д. Молекулярные перегруппировки и внутримолекулярное окисление — восстановление. Данилов С. Н. Госхимиздат, М., 1956, 319 стр., 12 руб.

65011 К. Роль химии ацетилена в органическом синтезе. Мартин-Гусман, Рубьо-Альберола (Nuevas aportaciones de la química del acetileno a la síntesis orgánica. Martín Guzmán G., Rubio Alberola A., Madrid, C. S. I. C., 1955, 130 p., 45,00 pes.) (исп.)

65012 К. Ацетилен и его производные. Кунитика (アセチレンとその誘導体, 國訳三番), 共立出版, 182 頁, 300 圓, Кёрицу-сюппан, 1954, 182 стр., 300 иен (япон.)

65013 К. Оксенкарбонилирование (международный коллоквиум) (L'hydroxycarbonylation, Paris, 31 mai au 5 juin 1954 (Colloq. internat. Centre nat. rech. scient. 56). Paris, service publ. Centre nat. rech. scient., 1955, 103 p., 1000 fr.) (франц.)

65014 К. Линейный бензозатин, его получение и применение в синтезе производных α-азаантрацена и бензакридина. Штелин (La benzoisatine, linéaire, sa préparation et son emploi à la synthèse de dérivés α-azanthracéniques et de benzacridines.—Thèse. Staehlin Alexandre. Chartres, impr. de Durand, 1955, 22 p.) (франц.)

65015 К. Развитие химии металлоорганических соединений в СССР. Кузнецов В. И., М., АН СССР 1956, 222 стр., 9 р. 20 к.

65016 Д. Химизм восстановительного действия скелетного никеля. Здерич (Studies on the chemistry of Raney nickel action. Zderic John Anthony. Doct. diss., Stanford Univ., 1955), Dissert. Abstrs, 1955, 15, № 10, 1734 (англ.)
Изучено каталитич. действие скелетного Ni при гидроксигировании (+)-C₆H₅C(CH₃)(OH)COOC₂H₅ и деметоксилировании (+)-C₆H₅C(CH₃)(OCH₃)COOCH₃ с образованием оптич. активных эфиров 2-фенилпропионовой к-ты. Я. К.

65017 Д. Синтез и физико-химическое исследование некоторых производных алифатического ряда с длинной цепью. Брини-Фриц (Synthèse et étude physique de quelques composés aliphatiques à longue chaîne. Brini-Fritz Mathilde. Thèse. Sci. phys., Strasbourg, 1954), Bibliogr. France, 1955, 144, № 47, Suppl. thèses, 1954, № 10, 162 (франц.)

65018 Д. I. Превращение олефинов в оксibenзоаты под действием *цис*-присоединения. II. *Цис*-эффект в циклопентановой системе. Хендриксон (I. Conversion of olefins to hydroxy benzoates by perbenzoic acid with overall cis addition. II. The cis effect in the cyclopentane system. Hendrickson Yngve Gust. Doct. diss. Univ. Illinois, 1955), Dissert. Abstrs, 1955, 15, № 11, 2012 (англ.)

65019 Д. Синтез и реакции алленов и ацетиленов. Пфейфер (Syntheses and reactions of allenes and acetylenes. Pfeiffer Charles Richard. Doct. diss., Univ., Maryland, 1955), Dissert. Abstrs, 1955, 15, № 6, 979—980 (англ.)

65020 Д. Новый метод получения гексапентаенов. Кадью (Nouvelle méthode de préparation d'hexapentaènes. Cadiot Paul. Autorésumé thèse. doct. phys. Univ. Paris, 1955), Ann. Univ. Paris, 1955, 25, № 4, 588—591 (франц.)

65021 Д. Превращение двутретичных гликолей ацетиленового ряда под влиянием солей ртути. Фабрицы А. Автореф. дисс. канд. хим. н., Ленингр. технол. ин-т им. Ленсовета, Л., 1956

65022 Д. Изучение энантиола. Пигроль (Contribution à l'étude de l'œnanthol. Pigrol Charles. Thèse, Ing.-doct., Paris, 1954), Bibliogr. France, 1955, 144, № 47, Suppl. thèses, 1954, № 10, 161 (франц.)

65023 Д. I. Реакции присоединения к 1,4-хинонмоносulfимидам. II. Превращение хинонмоносulfимидов в бензофураны. Уитакер (I. Addition reactions of 1,4-quinonemonosulfonimides. II. The conversion of quinone monomides to benzofurans. Whitaker Leroy. Doct. diss., Univ. Illinois, 1955), Dissert. Abstrs, 1955, 15, № 11, 2023 (англ.)

65024 Д. К химии 9-оксн-, 9-аминоарилпроизводных акридина. Казаринова Н. Ф. Автореф. дисс. канд. хим. н., Уральский политехн. ин-т, Свердловск, 1956

65025 Д. Исследования в области производных тиазолидина. Владзимирская Е. В. Автореф. дисс. канд. фармацевт. н., Моск. фармацевт. ин-т, Львов, 1956

65026 Д. Характерные реакции производных тиазолидина. Макуха М. П. Автореф. дисс. канд. фармацевт. н., Моск. фармацевт. ин-т, Львов, 1956

См. также раздел Промышленный органический синтез и рефераты: Общие методы 64817, 65369, 65371. Соединения алифатич. 64280, 64692, 64797, 65182, 65200, 65201, 65206, 65624, 65630, 65634, 65948, 65949, 66038, 67005; алициклич. 65050; ароматич. 64225, 64281, 64689, 64693, 64781, 64782, 64786, 64791, 64809—64812, 65185, 65302, 65378, 65601, 65629, 65633, 65636, 66234, 66399, 66400, 66401; гетероциклич. 64553, 64784, 64807, 64818, 65081, 65084, 65184, 65364, 65628, 65639, 66232, 66245, 66405, 66406, 66445, 67005; 18905 Бх; элементоорганич. 64685, 64785, 64860, 65060, 65627, 65670; с мечеными атомами 64420, 64815, 64868.

ПРИРОДНЫЕ ВЕЩЕСТВА И ИХ СИНТЕТИЧЕСКИЕ АНАЛОГИ

65027. Действие пиридина на гексанитрат D-маннита. Браун, Хейуорд (The action of pyridine on D-mannitol hexanitrate. Brown J. R., Hay-

ward L. D.), Canad. J. Chem., 1955, 33, № 12, 1735—1745 (англ.)

При взаимодействии (3—24 часа, 30±5°) гексанитрата D-маннита (I) и избытка пиридина (II) образуется газ (NO 16,5—18,5%; N₂O 63,6—56,5%; N₂ 17,4—22%); после разбавления водой выделяют 69—77,8% 1,2,4,5-пентанитрата D-маннита (III) и нитрат пиридиния (0,41 моля на 1 моль I). Разработан колич. метод определения NO по ур-нию: NO + O₂ + Hg → HgNO₃, точность 1,5%. В других продуктах вероятно присутствие глутаконового альдегида. В 0,368 M p-ре I в II ~2 молей II расщепляются с раскрытием цикла при полной деитрации 0,25 моля I и образовании 0,75 моля III. Источником протонов, замещающих ион нитрония при O-атоме у C(3), являются следы активного H, остающиеся в II после перегонки над BaO. III, т. пл. 81—82° (из водн. сп.), [α] D + 47,7° (с 4,426; сп.). Ср. РЖХим, 1956, 50851. В. З.

65028. Образование муравьиной кислоты при окислении углеводов тетраацетатом свинца. Перлин (Production of formic acid during oxidation of carbohydrates with lead tetraacetate. Perlin A. S.), J. Amer. Chem. Soc., 1954, 76, № 21, 5505—5508 (англ.).

Муравьиная к-та (I), образующаяся при окислении тетраацетатом Pb (II) в лед. CH₃COOH углеводов с тремя смежными гидроксильными группами, в свою очередь окисляется II до CO₂. I в присутствии CH₃COOK (III) окисляется настолько быстро, что по выделению CO₂ можно проследить кинетику окисления углеводов. Найдено, что 2,3-цис-диол (метилманнозид) окисляется быстрее 3,4-цис-диола (метилгалактозид), а последний окисляется быстрее трансдиола (метилглюкозид). Обнаружено, что расход II при окислении гексозидов превышает кол-во выделяющегося CO₂ вследствие образования формильных эфиров углеводов за счет образующейся при окислении I. В 90%-ной CH₃COOH формилирование не происходит, однако имеет место дальнейший окислительный распад углеводов до CO₂. Так как при окислении метилираниозидов арабинозы, ликсозы и ксилозы, не имеющих свободного первичного гидроксильного, расход II соответствует кол-ву выделяющегося CO₂, т. е. не имеет места формилирование, то очевидно, что в случае гексозидов формилирование происходит по C₍₆₎. Окисление проводили в респиromетре Варбурга (Umbreit W. W., Burris R. H., Stauffer J. F., «Manometric Techniques and Tissue Metabolism», USA, Minneapolis, 1949), 1,0 мл лед. CH₃COOH, содержащей 0,045 ммоль II и 0,2 ммоль III, смешивали с p-ром 0,0078 ммоль метиларабинопиранозидов в 0,2 мл лед. CH₃COOH. Кол-во выделившегося за 20 час. CO₂ соответствовало 0,0075 ммоль I. Расход II определен пометрически и составил 3,06 моля на 1 моль углевода. И. Л.

65029. Окисление фосфатов гексоз периодатом. Моррисон, Раузер, Стоц (Periodate oxidation of hexose phosphates. Morrison Martin, Rouser George, Stotz Elmer), J. Amer. Chem. Soc., 1955, 77, № 19, 5256—5158 (англ.).

Изучено хроматографическое действие NaJO₄ (I) на 6-фосфат-D-глюкозы (II), 6-фосфат-D-фруктозы (III), 1,6-дифосфат-D-фруктозы (IV), 1-фосфат-D-глюкозы (V) и α-фосфат глицерина (VI). Продукт окисления (ПО) V имеет одинаковое значение R_f с ПО VI. Гидроксиметиновая проба на наличие сложного эфира положительно лишь с ПО II, III и IV. Фермент деидрогеназа триозофосфата реагирует с ПО V и фосфатом гликолевых альдегидов очень медленно, а с ПО II, III и IV — быстрее, чем с 3-фосфатом синтетич. DL-глицеринового альдегида. Повидимому, II, III, IV и V окисляются

в циклич. форме. Метод окисления I фосфатов углеводов позволяет установить хроматографически положение эфирной группы. Условия окисления см. РЖХим, 1955, 29233, хроматографирование на бумаге в нисходящем токе. Р-рител: трет-бутиловый спирт-пикриновая к-та-вода и изопропиловый эфир-HCOOH-вода (Hanes, Isherwood, Nature, 1949, 164, 1107) либо изомасляная к-та, насыщ. водой; проявление p-ром I г (NH₄)₂MoO₄, 5 мл 60%-ной HClO₄ и 10 мл 1 н. HCl в 100 мл воды. И. Л.

65030. Дегградация в ряду альдоз через посредство бис-(этилсульфонил)-производных. Хаф, Тейлор (Descent of the aldose series via bis-(ethylsulphonyl)-derivatives. Hough L., Taylor T. J.), Chemistry and Industry, 1954, № 20, 575—576 (англ.).

Исследовано применение метода дегградации бис-этилсульфонилпроизводных альдоз действием водн. NH₃ по способу Фишера (РЖХим, 1956, 6892). Окислением диэтилтиоацетата D-ксилозы надпропионовой к-той (НПК) получен кристаллич. дисульфид (I), т. пл. 109—111°, [α] D + 23,8° (в CH₃OH), R_f 0,72 (бутанол-пиридин-вода, 10:3:3), дегградация которого водн. NH₃ или амберлитом (IR-4B) в течение 48 час. (pH 9—10) приводит к образованию D-треозы и бис-(этилсульфонил)-метана, кристаллизующегося из реакционной смеси. Расщепление цепи между C₍₁₎ и C₍₂₎ можно объяснить катионидным характером C₍₂₎. I не дает характерных p-ций на двойную связь (не обесцвечивает p-р Br₂ в CHCl₃, не дает окраски с C(NO₂)₄), что, вероятно, можно объяснить отсутствием анионидного характера у C₍₁₎. Наличие двойной связи доказано гидрированием I со скелетным Ni в 95%-ном спирте, приводящим к дигидропроизводному, т. пл. 111—113°, [α] D + 28,6° (в CH₃OH), R_f 0,65. Окисление I требует 3 моля NaJO₄ и приводит к образованию: 1 моля CH₂O, 2 молей HCOOH и 1 моля к-ты, являющейся, повидимому, енольной формой бис-(этилсульфонил)-ацетальдегида (II). Окисление НПК диэтилацетата D-арабинозы и 3-дезоксид-D-глюкозы приводит к образованию двух дисульфидов соответственно: с т. пл. 118—120°, [α] D — 57,8°, R_f 0,72, и с т. пл. 172—174°, R_f 0,63, расщепляемых водн. NH₃ соответственно в D-эритрозу и 2-дезоксид-D-рибозу. Окислением диэтилтиоацетата D-маннозы получены в-ва, описанные Фишером и Мак-Дональдом, одно из которых не растворимо в воде и кристаллизуется из реакционной смеси (III), т. пл. 119—121°, в то время как другое выделяется из p-ра в виде бесцветного сиропа (IV), [α] D — 11,5° (CH₃OH), R_f 0,57. III не содержит двойной связи; его окисление требует 4 моля NaJO₄ и приводит к образованию 1 моля CH₂O, 3 молей HCOOH и 1 моля II. В присутствии следов щелочи III очень быстро расщепляется с образованием D-арабинозы (V). При нагревании с водой III превращается в IV, который при действии водн. NH₃ также дает V. Превращение IV в V при нагревании (95—100°) с водой не доходит до конца вследствие образования неизвестной к-ты. Г. К.

65031. Корхсуларин, новое горькое вещество из семян джута. Часть II. 2-Дезокси-D-рибоза из корхсуларозы. Халик, Ахмед (Corchularin, a new bitter from jute seeds. Part II. 2-Deoxy-D-ribose from corchularose. Khaliq M. A., Ahmed Mofiz u d-din, J. Indian Chem. Soc., 1955, 32, № 8, 510—512 (англ.).

Диацетат корхсуларозы C₁₀H₁₆O₆ (0,4 г, т. пл. 123—124°) деметилирован (130—140°, 3 часа) действием HJ в (CH₃CO)₂O (I), получено 0,2 г подкорхсуларозы (II), т. пл. 120—121°. II при окислении CrO₃ в I дала DL-нодитарную к-ту, что доказывает положение атома J в II при C₍₃₎. При

гидролизе II 10%-ным р-ром КОН получена 2-дезоксид-рибоза. Часть I см. РЖХим, 1955, 40289. Н. Л.

65032. Исследование о формах аллозы и ее фенилозазона. Вулфром, Шумаер, Небел, Хьюмоллер (Observations on the forms of allose and its phenylosazone, Wolfrom M. L., Schumacher J. N., Isbell H. S., Humoller F. L.), J. Amer. Chem. Soc., 1954, 76, № 22, 5816—5817 (англ.)

β -D-(I) и β -L-аллоза (II) существуют в 2 кристаллографически и рентгенографически различных модификациях. I, т. пл. 128—129°, при хранении превращается в форму с т. пл. 141°, без изменения направления мутаротации; II при хранении не меняет т-ры плавления, но в контакте со свежим препаратом II превращается в форму с т. пл. 141° и рентгенограммой (РТГ), идентичной с РТГ I, т. пл. 141°. Перекристаллизация II с т. пл. 141° из водн. спирта понижает т. пл. до 130—131°, РТГ идентична с РТГ II, т. пл. 128—129°. DL-Аллоза, полученная перекристаллизацией смеси равных кол-в I и II с т. пл. 141°, имеет т. пл. 180°; тонкие иголки; РТГ отличается от РТГ I и II. DL-аллоза, следовательно, является истинным рацемич. соединением. Фенилозозон DL-аллозы (рибоксозозон) с т. пл. 177—180° также является рацемич. соединением: его РТГ отличается от РТГ фенилозозонов I и II с т. пл. 162—163°. Хорошие РТГ могут быть получены только со свежими кристаллами озозонов. Приведена таблица (главные межплоскостные расстояния из порошковых РТГ диморфных форм I и II, DL и их фенилозозонов).

Л. М.

65033. Спектроскопические исследования сахаров в ультрафиолетовых лучах. Сообщение III. Влияние едкого натра на галактозу. Равновесие между кольцевой, цепной и гидратной формами глюкозы и галактозы. Петули, Мейкнер (UV-spektroskopische Untersuchungen an Zuckern. III. Mitteil.: Die Einwirkung von Natriumhydroxyd auf Galaktose. Über das Gleichgewicht zwischen Ring-, Ketten- und Hydratform von Glucose und Galaktose. Petuely Friedrich, Meixner Norbert), Chem. Ber., 1955, 88, № 7, 995—1006 (нем.)

При помощи УФ-спектров поглощения исследовалось влияние едкого натра на галактозу (I). Изменения спектра I аналогичны изменениям спектра глюкозы под действием NaOH. В водн. р-ре I от 2200 до 3000 Å не наблюдается никаких максимумов поглощения и отсутствует альдегидная форма. В спектре смеси равных объемов 0,5 M I и 0,5 н. NaOH через 3—5 сек. после смешения появляется максимум при 2730 Å. Более медленно появляется широкая полоса при 3125 Å. Полоса поглощения 2730 Å постепенно уменьшает свою интенсивность, начиная с момента смешения, и через 7 мин. полностью исчезает, а интенсивность полосы поглощения при 3125 Å постепенно увеличивается и достигает максимума через 7 мин. При нейтр-ции р-ра обе полосы исчезают через 2 мин. Полоса 2730 Å приписана хромофору карбонильной группы, который образуется при действии 0,5 н. NaOH чрезвычайно быстро и соответствует гидрату альдегидной формы I по аналогии с глюкозой. Используя значение $\epsilon = 32,5$ для пентаацетилальдегидгалактозы и $\epsilon = 32,5$ для пентаацетилальдегидглюкозы, авторы определили, что I содержит 0,36%, а глюкоза 0,24% альдегидной формы. При нейтр-ции через 2 мин. максимум 3125 Å смещается к 2600 Å. Полоса 3125 Å непосредственно связана с эндолиотом I, возникающим при эндолизации альдегидной формы I. Равновесие между кольцевой, гидратной и альдегидной формами наступает весьма медленно. При окислении реактивом Тильманса разрывается двойная связь C = C и образуется новый хромофор, дающий такое же поглощение, как и при р-ции эндо-

лизации. Приведена подробная схема предполагаемых при этом р-ций. При растворении глюкозы в 0,5 н. NaOH наблюдаются аналогичные изменения, проявляющиеся в УФ-спектрах поглощения таким же образом. Сообщение II см. РЖХим, 1955, 3638. Е. П.

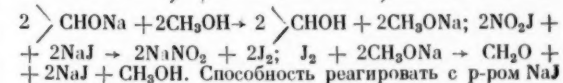
65034. Действие аммиака на ацетильные и бензоильные производные моносахаридов. Получение диамидов ликсозы. Деллоффе, Дефериари (Acción del amoniaco sobre derivados acetilados y benzoidados de los monosacáridos. Obtención de las lixosa diamidas. Deulofeu Venancio, Deferrari Jorge O.), Anais Acad. Brasileira cienc., 1954, 26, № 1, 69—74 (исп.)

Изучалось взаимодействие ацетильных и бензоильных производных D-ликсозы (I) с 16%-ным р-ром NH_3 в CH_3OH с образованием альдозодиамидов. Из 5 г тетраацетил- α -I и 150 мл р-ра NH_3 в CH_3OH (24 часа, $\sim 20^\circ$) получен диацетамид I, $\text{CH}_2\text{OH}(\text{CHON})_2\text{CH}(\text{NHCOCH}_3)_2$, выход 46%, т. пл. 232—233° (из 80%-ного сп.), $[\alpha]_D^{20} -10,3^\circ$ (с 0,626; вода). Аналогично, из 5 г нитрила пентабензоидгалактоновой к-ты и 125 мл р-ра NH_3 в CH_3OH образуется дибензамид I(II), выход 30,5%, т. пл. 244—245° (из воды), $[\alpha]_D^{20} +4,6^\circ$ (с 0,643; пиридин). II получен в тех же условиях из тетрабензоил- α -I (выход 30%) и из дибензамиды 5-бензоил-I; в последнем случае применение р-ра NH_3 в спирте (10,5% NH_3) не обеспечивало аммонолиза при C(5).

Э. Г.

65035. Нитраты углеводов. Часть II. Получение и реакции нитратов, сульфатов, сульфидов и других сложных эфиров 4, 6-бензилден- α -D-метилглюкозида. Ханиман, Морган (Sugar nitrates. Part II. The preparation and reactions of some nitrates, sulphonates, sulphides, and other esters of methyl 4:6-O-benzylidene- α -D-glucoside. Honeyman John, Morgan J. W. W.), J. Chem. Soc., 1955, Nov., 3660—3674 (англ.)

Синтезирован ряд сложных эфиров 4, 6-бензилден- α -D-метилглюкозида (I) и 4, 6-этилден- α -D-метилглюкозида (II). 2,3-Динитраты I и II при кипячении с NaJ в ацетоне образуют 3-нитраты-I и II. Прямая схема р-ции динитрата с NaJ (см. часть I, J. Chem. Soc., 1952, 2778) не подтверждается; предложена новая схема р-ции: $2 \text{CHONO}_2 + 2\text{NaJ} \rightarrow 2 \text{CHONa} + 2\text{NO}_2\text{J}$;



Способность реагировать с р-ром NaJ понижается в ряду 2,3-динитраты-I и II > 2-сульфо-

нат-3-нитрат-I > 2-ацетат-3-нитрат-I > 3-нитрат-I. 2,3-

Ди-(*n*-толуолсульфонаты)-I и II, 2,3-ди-(метансульфонат)-I и 2,3-диацетат-I не реагируют с NaJ. При действии р-ра CH_3ONa в CH_3OH на холоду на 2,3-динитрат-I, 3-нитрат-I и 2-(*n*-толуолсульфонат)-3-нитрат-I отщепляется эфирная группа у C(2), но не отмечено образование I и 2, 3-ангидро-4, 6-бензилден- α -D-метилаллозида (III). В случае 3-нитрата-I частично происходит миграция ONO_2 -группы с образованием 2-нитрата-I. Гидролиз кипячением с р-ром CH_3ONa приводит к образованию

I и III, выходы падают в ряду 3-нитрат-I > 2-(*n*-толуол-

сульфонат)-3-нитрат-I > 2,3-динитрат-I. 2-Нитрат-3-

(*n*-толуолсульфонат)-I при всех условиях образует только III. При гидролизе 2,3-дисульфатов-I сперва удаляется сульфогруппа у C(2), затем образуется III.

I с бензосульфидом Na в среде $(\text{CH}_3\text{CO})_2\text{O}$ (18 час., 100°) образует 2,3-ди-(бензолсульфинат)-I; с 2,3-диацетатом-I р-ция заканчивается за 30 мин. Гидролизом

2,3-ди-(*n*-бензолсульфината)-I получен I. Действием SOCl_2 на I в пиридине получен нестойкий 2, 3-сульфит-I, превращающийся в присутствии следов к-ты в α -метилгликозид. 2,3-Ди-(хлорацетата) I и II, полученные действием $(\text{CH}_3\text{COO})_2\text{O}$ и CH_3COONa , при гидролизе дали I и II. Взаимодействием II с $\text{CHCl}_3\text{COOCl}$ и CCl_3COOCl получены только моноэфиры с низким выходом. Из 10 г I образуется 8,8 г 2,3-динитрата-I, т. пл. 124–125°, $[\alpha]_D^{20} + 87,8^\circ$ (с 1,1); из 70 г I—103 г 2,3-ди-(метансульфоната)-I, т. пл. 188–189°, $[\alpha]_D^{20} + 49^\circ$ (с 1,4); из 10 г I—10,5 г 2,3-сульфата-I, т. пл. 192–193°, $[\alpha]_D^{20} + 148,4^\circ$ (с 0,9); из 5,6 г I—6,15 г 2,3-ди-(бензолсульфината)-I, т. пл. 115–116°, $[\alpha]_D^{20} + 44,1^\circ$ (с 1,3); из 5 г I—5,9 г 2,3-ди-(хлорацетата)-I, т. пл. 147°, $[\alpha]_D^{20} + 67,5^\circ$ (с 1,1). Из 14,8 г 2,3-ди-(метансульфоната)-I—4,3 г 3-метансульфоната-I, т. пл. 142–143°, $[\alpha]_D^{20} + 90^\circ$ (с 1,0); из 1,5 г 3-метансульфоната-I—1,34 г 2-нитрат-3-метансульфоната-I, т. пл. 185°, $[\alpha]_D^{20} + 75^\circ$ (с 1,0). Из 5 г II получили 5,95 г 2,3-диацетата-II, т. пл. 81°, $[\alpha]_D^{20} + 117^\circ$ (с 1,0); из 10 г II—12 г 2,3-ди-(хлорацетата)-II, т. пл. 75–76°, $[\alpha]_D^{20} + 104^\circ$ (с 1,1); из 5 г II—0,2 г моно-(дихлорацетата)-II, т. пл. 201°; из 4,4 г II—0,76 г моно-(трихлорацетата)-II, т. пл. 266–207°, $[\alpha]_D^{20} + 110^\circ$ (с 1,0). Из 10 г 2,3-ди-(*n*-толуолсульфоната)-I, 1,27 г 3-(*n*-толуолсульфоната)-I, т. пл. 164°, $[\alpha]_D^{20} + 32,5^\circ$ (с 0,9). Из 0,94 г 3-(*n*-толуолсульфоната)-I—0,73 г 2-нитрат-3-(*n*-толуолсульфоната)-I, т. пл. 155–156°, $[\alpha]_D^{20} + 45,4^\circ$ (с 1,0). Из 6,3 г 2,3-динитрата-I—0,86 г 3-нитрата-I, т. пл. 174°, $[\alpha]_D^{20} + 113,5^\circ$ (с 1,0) и 0,5 г 2-нитрата-I, т. пл. 136°, $[\alpha]_D^{20} + 109,6^\circ$ (с 0,57). Из 6,3 г 2,3-динитрата-I гидролизом в присутствии 2,8 г *o*-фенилендиамина получено 0,11 г хиноксалинового 2,3-бис-(дезоксид)-2,2-диоксо-I, $\text{C}_{20}\text{H}_{18}\text{O}_4\text{N}_2$, т. разл. 230–240°, $[\alpha]_D^{20} - 90^\circ$ (с 0,3). Из 3-нитрата-I получены: 2-ацетат-3-нитрат-I (1,83 г из 2 г), т. пл. 110°, $[\alpha]_D^{20} + 83,7^\circ$ (с 1,0); 2-*n*-толуолсульфонат-3-нитрат-I (1,15 г из 1 г), т. пл. 161–162°, $[\alpha]_D^{20} + 59^\circ$ (с 0,9); 2-метансульфонат-3-нитрат-I (5,82 г из 5 г), т. пл. 129–130°, $[\alpha]_D^{20} + 68,8^\circ$ (с 1,0); 2-метил-3-нитрат-I (3 г из 3 г), т. пл. 116–117°, $[\alpha]_D^{20} + 83,7^\circ$ (с 1,0). Из 2 г 2-метансульфонат-3-нитрата-I (с NaI в ацетоне, 100°) получено 1,31 г 2-метансульфоната-I, т. пл. 132–133°, $[\alpha]_D^{20} + 72^\circ$ (с 1,2). Из 2 г 2,3-динитрата-I с 2 г $\text{NH}_4\text{OH} \cdot \text{HCl}$ в пиридине (100°) получено 0,65 г 2,3-диоксима 2,3-бис-(дезоксид)-2,3-диоксо-I $\text{C}_{14}\text{H}_{16}\text{O}_6\text{N}_2$, возгоняется при 170–180°, разл. при 180°. [к] определяли в CHCl_3 ; кристаллизация—из петр. эфира. Часть I см. J. Chem. Soc., 1952, 2778.

И. Л.

65036. Синтез аминсахаров посредством частичного гидрирования аминнитрилов. Кун, Киршенлоор (Synthese von Amino-zuckern durch Halbhinderung von Amino-nitrilen. Kuhn, Richard, Kirschenlohr W.), Angew. Chemie, 1955, 67, № 24, 786 (нем.).

Предложен новый способ синтеза аминсахаров (АС) посредством каталитич. гидрирования аминнитрилов (АН): метод применим и к дисахидам. Образующаяся из АН пиклич. форма гликозиламина при действии разб. HCl (к-ты) отщепляет NH_4Cl с образованием хлоргидрата АС. При наличии бензиламиногруппы второй моль H_2 расходуется на образование толулата. Из *p*-ра 5 г *L*-арабинозы, 5 мл бензиламина и 2,5 мл безводн. HCN в 12 мл абс. спирта выпадает нитрил *N*-бензил-1-гликозаминового к-ты (I) выход 88%, т. пл. 130–132°. *p*-р I в 150 мл 0,5 н. HCl (к-ты) гидрируют с 0,8 г PdO 60 мин., выход *L*-гликозамина 60%. Аналогично из *D*-кетозы, *D*-ликозы, *D*-глюкозы, *D*-галактозы и 3- β -*D*-галактозидо-*D*-арабинозы получены 2-дезоксид-2-аминсахара с удлинением *C*-цепи.

И. Л.

65037. *N*-Замещенные гликозиламины. Часть V. Ацетаты и бензоаты. Дуглас, Ханниман

(*N*-Substituted glycosylamines. Part V. Acetates and benzoates. Douglas J. G., Honeyman J. H., J. Chem. Soc., 1955, Nov., 3674–3681 (англ.).

Синтезированы ацетаты (А) и бензоаты (Б) ряда *N*-арилзамещ. альдозиламинов (АА); пиранозная структура А и Б доказана их синтезом из ацетобромпиранозидов или превращением при гидролизе в соответствующие пиранозные формы ацетатов и бензоатов моносахаридов. *N*-Фенил- и *N*-*n*-толил-АА получали из равных весовых кол-в углевода и амина кипячением в спирте или воде, а также на холоду в *p*-ре 0,001 н. H_2SO_4 . *N*-*n*-Нитрофенил-АА синтезировали из *n*-нитроанилина и моноз (Weygand, Chem. Ber., 1951, 84, 594), в случае ксенозы выделен лишь один изомер, т. пл. 191°, $[\alpha]_D^{20} + 289^\circ$ (с 0,5; пиридин). *N*-Нитрофенил-рибозиламин, выход 70%, т. пл. 178°, $[\alpha]_D^{20} + 349^\circ$ (с 0,4; пиридин). Ацетилированием в пиридине получены: 2,3,4,6-тетраацетаты *N*-фенил-*D*-маннозиламина, т. пл. 127°, $[\alpha]_D^{20} - 103,1^\circ$ (с 0,5; хлф.); и *N*-*n*-толил-*D*-маннозиламина, т. пл. 118–140°, $[\alpha]_D^{20} - 12,4^\circ$ (с 1,0; хлф.); 2,3,4-триацетаты *N*-*n*-нитрофенил-*D*-ксилозиламина, выход 86%, т. пл. 209–211°, $[\alpha]_D^{20} - 11,5^\circ$ (с 1; хлф.). Тетраацетат *N*-*n*-толил- β -*D*-глюкозиламина (I) нитровали (–70°) смесью 95%-ной HNO_3 и $(\text{CH}_3\text{CO})_2\text{O}$ (1:4), 5 г полученного тетраацетата *N*-(2-нитро-*n*-толил)-*D*-глюкозиламина повторно обрабатывали в *p*-ре лед. CH_3COOH нитрующей смесью 1:5 сперва при 0°, затем на паровой бане. Получили 5,1 г тетраацетата нитро-*N*-(2-нитро-*n*-толил)-*D*-глюкозиламина, т. пл. 157–159°, $[\alpha]_D^{20} - 51,6^\circ$ (с 1; хлф.). Нитрованием I *p*-ром HNO_3 в CHCl_3 получили тетраацетат нитро-*N*-2,6-динитро-*n*-толил)-*D*-глюкозиламина, выход 90%, т. пл. 170–171°, $[\alpha]_D^{20} - 58,4^\circ$ (с 1; хлф.). Бензоилированием в пиридине получены 2,3,4,6-тетрабензоаты: *N*-*n*-нитрофенил- β -*D*-глюкозиламина, выход 76%, т. пл. 205–207°, $[\alpha]_D^{20} - 33,5^\circ$ (с 1; хлф.); –4,3° (с 0,7; пиридин), его α -аномера, т. пл. 246–248°, $[\alpha]_D^{20} + 166,4^\circ$ (с 0,7; пиридин). *N*-*n*-нитрофенил-*D*-маннозиламина, выход 92%, т. пл. 120°, $[\alpha]_D^{20} - 124^\circ$ (с 0,9; хлф.), и *N*-*n*-толил-*D*-галактозиламина, т. пл. 190°, $[\alpha]_D^{20} + 101,2^\circ$ (с 1; хлф.); 2,3,4-трибензоаты *N*-*n*-толил-*D*-рибозиламина, выход 64%, т. пл. 183–184°, $[\alpha]_D^{20} + 28,5^\circ$ (с 1; хлф.); *N*-*n*-нитрофенил-*L*-арабинозиламина, выход 43%, т. пл. 113–116°, $[\alpha]_D^{20} + 117^\circ$ (с 0,9; хлф.), и *N*-*n*-нитрофенил-*D*-ксилозиламина, выход 80%, т. пл. 152–156°, $[\alpha]_D^{20} + 100^\circ$ (с 1; хлф.). 1-Дезоксид-1-*n*-толиламино-*D*-фруктозу конденсировали с ацетоном в присутствии конц. H_2SO_4 и после нейтрации полученного бисульфата конц. NH_4OH выделили 1-дезоксимоно-изопропилиден-1-*n*-толиламино-*D*-фруктозу (II), выход 80%, т. пл. 120–124°, $[\alpha]_D^{20} - 89,3^\circ$ (с 1; хлф.); оксим II, т. пл. 132–134°, $[\alpha]_D^{20} - 26,6^\circ$ (с 1; сп.). Взаимодействием II с фенилгидразном получили изопропилиден-*D*-глюкозазон, т. пл. 186,5–188,5°, $[\alpha]_D^{20} + 6^\circ$ (с 0,4; сп.). Часть IV, см. J. Chem. Soc., 1952, 4147.

И. Л.

65038. Исследования в области синтеза дисахаридов с гликозидной связью 1–4. Роговин З. А., Новикова Л. И., Науч.-исслед. тр. Всес. н.-и. ин-та искусств. волокна, 1955, вып. 2, 12–16. С целью синтеза дисахаридов (ДС) с гликозидной связью 1–4 конденсировали в присутствии Ag_2O ацетобромглюкозу (I) с 2,3-диацетил-6-(трифенилметил)-глюкозой (II) в CHCl_3 и с 2,3-диацетилглюкозой (III) в диоксане. Конденсация I со II не происходила, реакционная смесь содержала II и тетраацетилглюкозу (в результате гидролиза I). Смесь продуктов взаимодействия I с III содержала не растворимые в горячей воде ДС, не реагирующие с $(\text{C}_6\text{H}_5)_3\text{CCl}$, т. е. не содержащие связей 1–4.

И. Л.

65039. Низкомолекулярные углеводы водорослей. IV. Исследование *Pelvetia canaliculata*. Линдберг, Пау (Low-molecular carbohydrates in

algae. IV. Investigation of *Pelvetia canaliculata*. Lindberg Bengt, Paju Julius, Acta chem. scand., 1954, 8, № 5, 817—820 (англ.)

При исследовании углеводов бурой водоросли *Pelvetia canaliculata* найдены: 1,3% D-маннита (I), 0,85% D-волемита (II), т. пл. 152—153° (из CH_3OH), 0,2% смеси моногликозидов: 1- β -глюкопиранозил-D-маннита (III) и 1 (или 7)- β -D-глюкопиранозил-D-волемита (IV). Выделены также 1,6-ди- β -глюкозил-D-маннит (V) и 1,7-ди- β -глюкопиранозил-D-волемит (VI); хроматографией обнаружено присутствие сахарозы (VII) (с помощью R_f и цветных р-ций), глюкозы (VIII) и фруктозы (см. сообщение III, РЖХим, 1954, 41232). 630 г измельченных водорослей извлечено эфиром (2 дня) и CH_3OH (16 дней). Метанольный экстракт упарен досуха в вакууме, р-р остатка в воде осажден $(\text{CH}_3\text{COO})_2\text{Pb}$, избыток Pb из фильтрата удален H_2S . Р-р пропущен через амберлит IR 120 и 4B и упарен досуха, выход сиропа 19,1 г. Р-р 9,55 г сиропа в 100 мл 1%-ного спирта влит на колонку с С-делитом ($35 \times 4,5$ см), колонка вымыта 3 л 1%-ного спирта, затем 4 л воды. Спирта от 1 до 25%, отдельные фракции исследованы хроматографией на бумаге (р-рител: бутанол-спирт-вода; 4:1:5 и этилацетат- CH_3COOH -вода; 3:1:1). Выход главных фракций, в порядке их вымывания: I 3,4 г; II и III 1,7 г (в равных долях); II 2,2 г; III 0,1 г; IV 0,5 г; IV 0,1 г; смесь нескольких в-в (в том числе VII); V 0,03 г; V и VI 0,05 г; VI 0,03 г. В р-ре буры I и II показали правое вращение. Т. пл. III 137—139° (из водн. CH_3OH); смешанная проба с III из *Fucus vesiculosus* не дала депрессии. Хроматографически чистые препараты III и IV получены при разделении на колонке с углем, или на плотной фильтровальной бумаге (ватман 3 MM, с тремя последовательными проявлениями по 24 часа смесью этилацетат- CH_3COOH -вода). IV получен также самопроизвольной кристаллизацией р-ра смеси III и IV в водн. спирте, т. пл. 182—184° (из водн. сп.), $[\alpha]_D^{20} - 17^\circ$ (с 2; вода). При гидролизе IV получены VIII и II (1:1,2), анализ IV соответствовал моногидрату. При окислении IV NaIO_4 (~20°, pH 3,9, 12 час) израсходовано 7,1 моля NaIO_4 и выделено 5,1 моля HCOOH . Фракция V после хроматографии на бумаге в различных р-рителях оказалась идентичной V из *Fucus vesiculosus* и дала после гидролиза I и VIII. После гидролиза аморфного VI получены VIII и II (2:1). При окислении VI аналогично IV израсходовано 5,87 моля NaIO_4 и выделено 3,76 моля HCOOH ; эти данные показывают, что в-во не чистое, $[\alpha]_D - 13^\circ$ (с 2; вода). А. Л.

65040. Исследование полифруктозанов. XXXVII. Об алопекурии Р. Шлубах, Хольцер, Гасман (Untersuchungen über Polyfructosane. XXXVII. Über das Alopecurin P. Schlubach Hans Heinrich, Holzer Klaus, Gassmann Luis), Liebig's Ann. Chem., 1954, 587, № 2, 107—110 (нем.)

Исследованы фруктозаны лугового растения *Alopecurus pratensis*. После отделения протеидов полисахариды осаждали спиртом, подвергали ацелированию с последующим многократным осаждением спиртом до $[\alpha]_D^{20} + 18,0^\circ$. После отщепления ацетильной группы уд. вращение полисахарида —37,5°; р-р Фелинга не восстанавливает. Степень полимеризации (исходя из вискозиметрич. определений мол. веса) равняется 18 ($K_M = 3,7 \cdot 10^{-4}$). Продолжительность расщепления инвертазой 720 мин. Продукт кислотного гидролиза метилированного соединения ($[\alpha]_D^{20} - 50,7^\circ$) разделен на колонке с силикагелем на фракции: I) 3,4-диметилфруктоза, II) 1,3,4-триметилфруктоза и III) 1,3,4,6-тетраметилфруктоза. Отношение I : II : III = 1 : 19 : 1, таким образом, молекула полисахарида состоит из 21 остатка фруктозы, соединенных в положении 2,6. Полимер

назван алопекурином Р. Сообщение XXXVI см. РЖХим, 1955, 29077. Р. Ш.

65041. Углеводы головок подсолнечника. Бишоп (Carbohydrates of sunflower heads. Bishop C. T.), Canad. J. Chem., 1955, 33, № 10, 1521—1529 (англ.)

Из корзинок подсолнечника (зола 11,95%) спиртом + C_6H_6 (1:2) удаляют 12,7% восков и пигментов, затем последовательно извлекают: пектин (I) — 22-кратным кол-вом водн. р-ра NH_4 -оксалата и щавелевой к-ты (содержание обоих по 0,25%, 75°, 1,5 часа) и полисахариды (ПС) — 20-кратным кол-вом 5%-ного р-ра NaOH (~20°, 24 часа, 4 раза); в остатке α -целлюлоза (II). Содержание в беззольном материале (после удаления восков) (в %): I 27,5; ПС 8,2; II 52,0; лигнина 12,3. I осаждают двойным объемом спирта, содержащего (5 мл/л) конц. HCl (к-ту), $[\alpha]_D^{20} + 249^\circ$ (с 0,49; вода), при гидролизе образует лишь галактуроновую к-ту; после истощения метилированием OCH_3 58,5%. ПС, после нейтр-ции (CH_3COOH) очищают диализом и осаждают спиртом, $[\alpha]_D^{20} + 110^\circ$ (с 2; 4%-ный р-р NaOH), при кислотном гидролизе образуются: 59,3% D-ксилозы (III), 23,5% D-глюкозы (IV), 16,2% D-галактозы (V), следы арабинозы и рамнозы и 1,5% 3- α -(D-глюкопиранозил)-D-ксилопиранозы; судя по данным ацелирования III, IV и V входят в состав трех различных ПС. В. З.

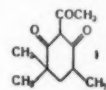
65042. Расщепление молекулы сквалена свободными радикалами перекиси бензола. Кирияма (ベンゼート自由基によるスクアレン分子の切断について・桐山茂), 工業化学雑誌, Koré kaagaku daasshi, J. Chem. Soc. Japan. Industr. Chem. Sec., 1955, 58, № 2, 126—127 (япон.)

Радикалы $\text{C}_6\text{H}_5\text{COO}^\cdot$, образующиеся при распаде $(\text{C}_6\text{H}_5\text{COO})_2$ (I), разрывают связь $\text{CH}_2 - \text{CH}_2$ в сквалене (II) и присоединяются по месту разрыва, причем главным продуктом р-ции является дибензоат 2-метилбутен-2-диола-1,4 (III, гликоль), который омыляют и этерифицируют с помощью 3,5-динитробензоилхлорида (IV). Нагревают 69 г II и 60 г I в вакууме (10^{-2} мм) до 60° 30 мин., 40 мин. пропускают ток N_2 , кипятят 4 часа с р-ром 15 г NaOH в 350 мл CH_3OH , отгоняют CH_3OH , экстрагируют эфиром, разгоняют в вакууме и фракцию с т. кип. $45^\circ/10^{-2}$ мм обрабат. IV, получают бис-3,5-динитробензоат III (гидрат с 0,5 моля H_2O), т. пл. 89,9—91° (из эф.). III, т. кип. 127—128°/7 мм, n_D^{20} 1,4840, d_4^{15} 1,050; бис-дифенилуретан, т. пл. 102—103°. Н. Ш.

65043. Полный синтез (+)-ангустеона. Энсор, Вильсон (Total synthesis of (+)-angustione. Ensor G. R., Wilson W.), Chemistry and Industry, 1955, № 32, 1010—1011 (англ.)

Осуществлен полный синтез (+)-ангустеона (I). Из диметилового эфира (\perp)- α, α, γ -триметилглутаровой к-ты получен полуэфир α, α, γ -триметилглутаровой к-ты, превращенный при действии SOCl_2 в соответствующий хлорангидрид, из которого при действии $(\text{CH}_3)_2\text{Cd}$ получен метиловый эфир α, α, γ -триметил-8-кетогексановой к-ты. Циклизация последнего с метилатом натрия приводит к (\pm)-4,4,6-триметилциклогексаниону-1,3, т. пл. 129—130°, превращающемуся при действии $(\text{CH}_3\text{CO})_2\text{O}$ и CH_3COONa в I, т. кип. 135°/15 мм; Cu-соль, т. пл. 201—202° (из бэл.); имин, т. пл. 138—139°; смешанная проба с имино, полученным из природного I, не дала депрессии т-ры плавления. С. К.

65044. О термической устойчивости сложных эфиров α - и β -норборнела. Тойвонен, Ойала (Über die thermische Beständigkeit der Ester von α - und β -Norborneol. Toivonen N. J., Ojala

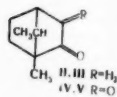


Kalevi), Makromolek. Chem., 1956, 18—19, 414—421 (нем.; рез. англ.)

Показано, что сложные эфиры β -норборнеола (I, спирт), расщепляются при более низкой t -ре, чем эфиры α -норборнеола (II, спирт), что подтверждает предположения Альдера (Alder K. и др., Liebigs Ann. Chem., 1936, 525, 183; 1940, 543, 1) об *экзо*-конфигурации I и *эндо*-конфигурации II. Обзор литературных данных показывает, что в общем случае *экзо*-спирты более реакционноспособны, чем их *эндо*-изомеры. Авторы предлагают назвать это явление «*экзо*-эффектом». Т-ра разложения эфиров I и II определялась при нагревании их в капиллярах со скоростью $\sim 2^\circ$ в 1 мин. Приведены следующие т-ры разложения (указаны название эфира, т. пл. эфира I, т-ра разложения эфира I, т. пл. эфира II, т-ра разложения эфира II в $^\circ\text{C}$): фенилуретан, 146—147, 268—271, 159—160, 246—252; нафтилуретан, 129,5—130,5, 270—275, 124—125, 240—243; кислотный фталат, 100—101, 235—238, 109—110, 205—206; *n*-нитробензоат, 84—85, 256—264, 80—81, 244—245; *n*-аминобензоат, 125—126, 309—313, 109—110, 245—250; ацетальное производное аминобензоата, 121—122, >300 , 133,5—134,5, 260—265; 3,5-динитробензоат, 104—105, 248—251, 123—123,5, 223—225; α -нафтиламинопроводное 3,5-динитробензоата, 127—128, 250—253, 140—141, 228—229; метилксантогенат, масло, 196—204; масло, 147—148.

Л. Б. 65045. Изучение производных камфоры. I. Сантенон из *D-trans*- π -оксокамфоры. Нисимицу (樟腦誘導體の研究 第1報 *d-trans*- π -オキシカンファールから生成するサンテンオンについて. 西光博), 薬学雑誌, Якугаку дзасси, J. Pharm. Soc. Japan, 1955, 75, № 3, 343—346 (япон.; рез. англ.)

Сантенон (I), образующийся при стоянии гидрата *D-trans*- π -оксокамфоры в течение нескольких месяцев, представляет собой смесь α -(II) и β -(III) форм. Это подтверждено: 1) разделением 5 г семикарбоната I на 3,2 г семикарбазона II, т. пл. 235—236° (из сп.), $[\alpha]_D^{25} - 33,8^\circ$ (с 0,62; хлф.), и 1 г семикарбазона III, т. пл. 223—224° (из сп.), $[\alpha]_D^{25} - 32,1^\circ$ (с 0,43; хлф.) (выделен из маточного р-ра). Гидролизом семикарбазонов II и III 10%-ной HCl выделены соответственно II, т. кип. 160—165°, т. пл. 47—48°, $[\alpha]_D^{25} + 6^\circ$ (с 1; сп.), и III, т. кип. 145—150°, т. пл. 45—46°, $[\alpha]_D^{25} + 7,3^\circ$ (с 1; сп.).

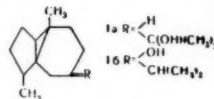


2) Разделением 3,2 г тиосемикарбазона I на тиосемикарбазон II, т. пл. 125—126° (из 50%-ного сп.), $[\alpha]_D^{25} 31^\circ$ (с 1; сп.) и 2 г тиосемикарбазона III, т. пл. 183°, $[\alpha]_D^{25} - 31,1^\circ$ (с 1; сп.), выделен из маточного р-ра. 3) Образованием из I 2,4-динитрофенилгидразона III, т. пл. 169—170°, и 2,4-динитрофенилгидразона II, т. пл. 159—160° (из сп.) в отношении 3:1. 4) Образованием при окислении I в лед. CH_3COOH посредством SeO_2 (нагревание 6 час.) α -сантенонхинона (IV), т. пл. 97—98° (из ацетона), и β -сантенонхинона (V), т. пл. 59—60° (из CH_3OH). Все производные II и III, полученные из I, идентифицированы сравнением с синтетич. образцами, полученными из чистых II и III. 0,45 г IV окисляют посредством 1,5 мл 30%-ной H_2O_2 в лед. CH_3COOH , удаляют р-ритель в вакууме, получают α -сантеноную к-ту, выход 0,2 г, т. пл. 151°, $[\alpha]_D^{25} + 31,5^\circ$ (с 1; сп.), последняя превращена в ангидрид действием CH_3COCl (нагревание 2 часа), т. пл. 126—127° (из эф.), $[\alpha]_D^{25} - 16,7^\circ$ (с 1; сп.). Окисление V аналогично IV приводит к ангидриду β -сантенонной к-ты, т. пл. 110°. $[\alpha]_D^{25} + 10,3^\circ$ (с 0,52; сп.), который кипятит со спиртом и CH_3COONa подкисляют HCl, извлекают эфиром, после удаления эфира остаток обрабатывают 30%-ной HCl и получают β -сантеноную к-ту, т. пл. 102—103°, $[\alpha]_D^{25} + 64,8^\circ$ (с 1; сп.).

Л. Я. 65046. Новый сесквитерпеновый спирт, выделенный из *Himantandra baccata* Bail. Берч, Мостин

(A new sesquiterpene alcohol from *Himantandra baccata* Bail. Birch A. J., Mostyn K. M. C.), Austral J. Chem., 1955, 8, № 4, 550—551 (англ.)

Из коры *Himantandra baccata* Bail. выделен новый сесквитерпеновый спирт гимбаккол $\text{C}_{15}\text{H}_{26}\text{O}$ (I), образующий при дегидрировании с Pd/C гваязулен (II). I не содержит двойных связей и, следовательно, представляет собой трициклич. соединение. ИК-спектр I ($2,95\mu$) указывает на наличие третичной OH-группы. I не реагирует со фталевым ангидридом в кипящем C_6H_6 , с 3,5-динитробензоилхлоридом в пиридине и не окисляется CrO_3 в пиридине, но легко дегидратируется в кислой среде. Окисление I CrO_3 в CH_3COOH приводит к ацетону и кетону $\text{C}_{12}\text{H}_{18}\text{O}$ (III), 2,4-динитрофенилгидразон которого не изменяется в кислой среде. На основании приведенных данных авторы предлагают для I ф-лы (Ia) или (Ib). Неочищ. I высушивают и хроматографируют (в петр. эф.) на Al_2O_3 . Петр. эфиром в смеси с небольшим кол-вом эфира вымывают I, т. пл. 76° (из водн. CH_3OH). При повышении содержания эфира наряду с I вымываются неидентифицированный жидкий спирт. I и II нагревают 2 часа при 225—235° с 10%-ным Pd/C, продукт хроматографируют (в петр. эф.) на Al_2O_3 . Азуленовую фракцию обрабатывают 2,4,6-тринитробензолом, полученный комплекс кипятят с гексаном и перекристаллизацией остатка из CH_3OH выделяют тринитробензолат II, т. пл. 149,5—150°. К р-ру 2 г I в 15 мл CH_3COOH добавляют тремя порциями (в течение 1 часа) 1,1 г CrO_3 , перемешивают смесь 1 час, добавляют воду и отгоняют от смеси ацетон (выделен в виде 2,4-динитрофенилгидразона). Уксуснокислый р-р экстрагируют эфиром; из экстракта через бисульфитное соединение выделяют III в виде масла; 2,4-динитрофенилгидразон, т. пл. 94—95° (из CH_3OH).



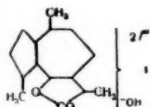
Л. Б. 65047. Природный кариазулен и синтетический кариазулен, полученный из карофиллена. Ботафогу-Гонсалвис, Рейс-Каваланти, Пайва (Cariazulene, natural and synthetic, derived from caryophyllene. Botafogo Goncalves N., Reis Cavalcanti M. A., Paiva Djalma), Nature, 1956, 177, № 4499, 145—146 (англ.)

При фракционировании углеводородов копейского балласта выделено в-во с т. кип. 130—136°/0,2 мм, назв. авторами кариазулен (I). Установлено, что I образуется при дегидрировании карофиллена (II) с Pd/C (4,7 г катализатора на 100 г II) или с S (1 г S на 10 г II) при 280—300° и 20—25 ат. При увеличении относительного кол-ва дегирирующего агента выход I уменьшается. Непрореагировавший II может быть вновь получен в р-цию. При дегидрировании II с Se на асбесте при 200° получен сильно загрязненный продукт. I очищают обработкой к-той, через тринитробензолат, т. пл. 145—147°, и хроматографированием на Al_2O_3 . Авторы считают, что в природных условиях I образуется из кловена.

Л. Б. 65048. Новый предшественник хамазулена—горькое вещество из *Artemisia absinthium* L. Шорм, Новотный, Героут (A further chamazulene precursor: the bitter principle of *Artemisia absinthium* L. Sorm F., Novotný L., Herout V.), Chemistry and Industry, 1955 № 20, 569 (англ.)

Выделенный ранее из *Artemisia absinthium* L. (AA) кристаллич. лактон $\text{C}_{15}\text{H}_{20}\text{O}_3$ является прохамазуленогеном (I). Алабинтин (II), т. пл. 260°, не имеет состава $\text{C}_{18}\text{H}_{24}\text{O}_4$, приписанного ему ранее (Adrian, Trillat, Bull. Soc. chim. France, 1899, 3, 21,234), а является

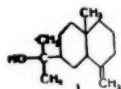
изомером I. ИК-спектр II характерен для γ -лактона (1774 см^{-1}). II не гидрируется с Pt в CH_3COOH . Показано, что II не присутствует как таковой в АА, но образуется из другого горького в-ва абсинтина (III) в процессе извлечения из растения. III имеет состав $\text{C}_{15}\text{H}_{20}\text{O}_9 \cdot 0,5 \text{ H}_2\text{O}$, т. пл. 182–183° (разл., из CH_3OH или сп.); из C_6H_6 кристаллизуется в виде сольвата с т. пл. 168°. При кристаллизации из высококипящих р-рителей III переходит в II; ИК-спектры II и III почти идентичны; III в отличие от II, при щел. гидролизе при доступе воздуха с последующей перегонкой кислого р-ра дает хамазулен. III представляет собой природный проазулен.



65049. Идентификация сагиттола как эйдемола. Гарднер, Хортон (The identification of sagittolas eudesmol. Gardner Pete D., Horton W. J.), J. Amer. Chem. Soc., 1955, 77, № 13, 3646–3647 (англ.)

Установлено, что сагиттол (I), выделенный из корней *Balsamorhiza sagittata*, идентичен с эйдемолом (II). Из I получены эйдалин (III), дигидропроизводное (IV) и ацетат I (V), идентичные с соответствующими производными II. С HCOOH I в отличие от II дает формат (VI), а не диолесфин (эйдемен). Из 24 кг измельченных сырых корней *Balsamorhiza sagittata* перегонкой с паром получают 70 г продукта, который после перекристаллизации из петр. эфира дает 51 г I, т. пл. 79–80°.

$[\alpha]_D^{20} + 37,2^\circ$ (2,31%). Дробной сублимацией при 40°/0,3 мм из I выделено небольшое кол-во масла, $[\alpha]_D^{20} + 5,2^\circ$, 2,0 г очн. I нагревают с Pd/C 4 часа при 300° в токе N_2 . Получают III; пикрат, т. пл. 92–95°, 5,0 г I гидрируют в $\text{CH}_3\text{OH}-\text{CH}_3\text{COOH}$ (7:1) с PtO_2 до IV, выход 3,9 г, т. пл. 85–86°

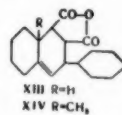


(водн. CH_3OH), $[\alpha]_D^{19} + 23,1^\circ$ (1,8%). Смесь 10,0 г I, 25 мл $(\text{CH}_3\text{CO})_2\text{O}$ и 1,0 г безводн. CH_3COONa кипятят 45 мин., продукт р-ции хроматографируют в петр. эфире на Al_2O_3 (вымывают 10%-ным р-ром эфира в петр. эф.) и разгоняют на колонке. Получают 7,5 г V, т. кип. 107,5–109,5°/0,75 мм, n_D^{20} 1,4915, $[\alpha]_D^{19} + 30,2^\circ$ (1,15%). 6 г I кипятят 45 мин. с 30 мл 90%-ной HCOOH , экстрагируют эфиром, получают 5,3 г VI, т. кип. 77–78°/1 мм, n_D^{20} 1,5149, $[\alpha]_D^{19} - 7,14^\circ$ (1,18%). $[\alpha]_D$ определены в спирте.

65050. Опыты по синтезу модельных соединений дигидровитаминов D. Хунцикер, Мюльнер, Шальтеггер (Versuche zur Synthese von Modellschubstanzen der Dihydro-D-vitamine. Hunziker F., Müllerner F. X., Schaltegger H.), Helv. chim. acta, 1955, 38, № 7, 1943–1953 (нем.)

Реакцией магнийброматоксидиэтилена с циклогексаном (I) или 2-метилциклогексаном (II) с последующим частичным гидрированием и кислым гидролизом синтезируют соответственно циклогексиденальдегид (III) и 2'-метилциклогексиденальдегид (IV). Конденсация I с III в присутствии NaOH (см. Dimroth K., Ber., 1938, 71, 1346) получают 1-циклогексиден-2-(2'-кетогексиден-2-ил)-этан (V), который при восстановлении LiAlH_4 дает 1-циклогексиден-2-(2'-оксигексиден-2-ил)-этан (VI). Взаимодействием III с циклогексиденмагнийбромидом (VII) получают циклогексиденметилциклогексиденкарбинол (VIII). Последний обработкой PBr_3 в диметиланилине переводят в 1-циклогексиден-2-(циклогексен-1'-ил)-этилен (IX). Аналогично из IV и VII синтезируют 2'-метилциклогексиденметилциклогексиденкарбинол (X), который превращают в 1-(2'-метилциклогексен-1'-ил)-2-циклогексиден

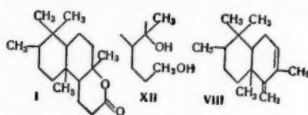
этилен (XI). Р-цией IX или XI с маленовым ангидридом (XII) получают соответствующие аддукты (XIII) или (XIV). Гидрированием монометоксипроизводного гидрохинона (XV) получают α -метоксидициклогексанол (XVI), дающий при окислении α -метоксидициклогексанон (XVII). Последний при взаимодействии с $(\text{COOC}_2\text{H}_5)_2$ и последующим декарбонилированием переходит в 4-метокси-2-карбоксидициклогексанон (XVIII). Конденсация XVIII с циклогексиденэтилбромидом (XIX) под влиянием NaNH₂ приводит к 4-метокси-2-карбэтоксиди-2-циклогексиденэтилдициклогексанону (XX). При щел. омылении XX в результате происходящего одновременно декарбоксилирования получают 2-циклогексиденэтил-4-метоксидициклогексанон (XXI). При этом происходит также раскрытие одного цикла с образованием 1-этилового эфира 2-циклогексиденэтил-4-метоксипимелиновой к-ты (XXII), который переводят в диэтиловый эфир (XXIII). Последний циклизуется в присутствии Na в смесь XX и небольшого кол-ва 6-карбэтоксидиэтил-XX. Р-ция XXI с CH_3MgJ приводит к 1-метил-2-циклогексиденэтил-4-метоксидициклогексанолу (XXIV), дегидратацией которого получают диен (XXV) с неопределенной системой двойных связей и неустановленной структурой. При обработке XXV конц. H_3PO_4 происходит, по видимому, циклизация в неидентифицированный трициклич. продукт (XXVI). 22,4 г II прибавляют по каплям к эфирному р-ру магнийброматоксидиэтилена. Получают 32,33 г 1-этоксидиэтил-2-метилциклогексанол, т. кип. 81–83°/1,5 мм, n_D^{20} 1,4792. Частичное гидрирование последнего над 1,5%-ным Pd/ CaCO_3 в лед. CH_3COOH с последующим гидролизом 5%-ной HCl приводит к IV, выход 18,36 г, т. кип. 99–101°/12 мм, λ_{max} (циклогексан) 232–233 мμ (E 956); семикарбазон IV, т. пл. 191–193° (из водн. CH_3OH). Аналогично из I синтезируют III, выход 75% (считая на I), т. кип. 88–91°/12 мм; семикарбазон, т. разл. 205° (из водн. CH_3OH). Восстановлением 1,57 г V LiAlH_4 в эфире получают 1,04 г VI, т. пл. 123° (из водн. CH_3OH). Р-ция 12,4 г III с VII приводит к 9,04 г VIII, т. кип. 150–152°/12 мм. К р-ру 9 г VIII в диметиланилине прибавляют 13 г PBr_3 . Через 12 час. смесь нагревают в вакууме при 140° (3 часа) и выделяют 2,5 г IX, т. кип. 142–144°/12 мм. Конденсация IX с XII получают XIII с т. пл. 112–114° (из ацетона-петр. эф.). Взаимодействием 20,77 г IV и VII синтезируют 17,16 г X, т. кип. 112–114°/0,01 мм, который при бромировании с PBr_3 и термич. дегидробромировании дает 9,09 г XI, т. кип. 148–150°/12 мм. Конденсация XI с XII приводит к XIV, т. пл. 150° (разл., из ацетона-петр. эф.). Гидрированием в автоклаве над скелетным Ni 78,4 г XV превращают в XVI, выход 58,5 г, т. кип. 93–98°/12 мм. XVI окисляют $\text{Na}_2\text{Cr}_2\text{O}_7$ в разб. H_2SO_4 до XVII, выход 62%, т. кип. 76,5–77,5°/12 мм. Конденсация XVII с $(\text{COOC}_2\text{H}_5)_2$ с последующим декарбонилированием над стеклянным порошком при 195–200° приводит к XVIII, выход 47%, т. кип. 127–128°/11 мм, n_D^{20} 1,4797. Р-р 17,84 г XVIII в 75 мл абс. диоксана кипятят (1 час) с 3,83 г порошкообразного NaNH₂. Затем прибавляют 21 г XIX и кипятят 4 часа, получают 20,41 г XX, т. кип. 162–164°/0,01 мм. Омылением NaOH в водн. диоксане XX переводят в смесь, из нейтр. части которой выделяют 12,59 г XXI, т. кип. 125–127°/0,01 мм, n_D^{20} 1,5001; 2,4-динитрофенилгидразон XXI, т. пл. 138–145° (из водн. сп.). Из кислых продуктов выделяют немного XXII, т. кип. ~230°/0,01 мм. Этерификация XXII (спирт, H_2SO_4 , кипячение 2 часа) приводит к XXIII, т. кип. 165–170°/0,01 мм. Циклизация XXIII по Дикману с последующим омылением NaOH получают XXI. Р-цией XXI с CH_3MgJ получают XXIV, т. кип. 130°/0,01 мм.



n_D^{20} 1,5036. 7,25 г XXIV дегидратируют над KHSO_4 (170—180°) до XXV, выход 6,38 г, т. кип. 163—165°/12 мм, n_D^{20} 1,5037. К 32 г 85%-ной H_3PO_4 прибавляют при —10—15° 9,07 г XXV. Получают 7,29 г XXVI, т. кип. 163—165°/12 мм, n_D^{20} 1,5062. Г. С. 65051. Синтез рацемического 2-метиламбреинолида.

Вольф, Ледерер (Synthèse du méthyl-2 ambreïnolide racémique. Wolff Robert E., Lederer Edgar), Bull. Soc. chim. France, 1956, № 5, 772—776 (франц.)

Описан синтез *rac*-2-метиламбреинолида (I) и его производных из дигидроизо- α -ирина (II). Конденсация II с $\text{CH}_2\text{BrCOOC}_2\text{H}_5$ по Реформатскому приводит к оксикислоте, ацетат которой при пиролизе дает смесь *cis*- и *trans*-метилдигидроинолиденуксусных к-т (III). При циклизации под влиянием $\text{HCOOH-H}_2\text{SO}_4$ III дает сложную смесь продуктов, из которой были выделены смеси α - и β -2-метилбициклофарнезиловых к-т (IV), 2-метилаллобициклофарнезиловой к-ты (V) и неидентифицированный лактон $\text{C}_{10}\text{H}_{16}\text{O}_2$ (VI). Восстановлением IV посредством LiAlH_4 синтезируют 2-метил- α -бициклофарнезол (VII), образующий при бромировании и последующей конденсации с Na-малоном эфиром смесь углеводорода (VIII) и диэтилового эфира 2-метил- α -бициклофарнезилмалоновой к-ты (IX). Омыление и декарбоксилирование IX приводит к 2-метил- α -бициклофарнезилуксусной к-те (X) наряду с нейтр. в-вом $\text{C}_{18}\text{H}_{30}\text{O}_2$

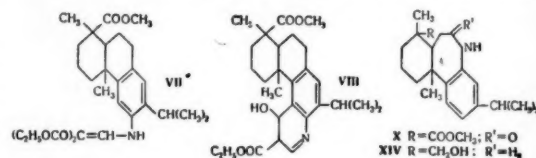


(XI), являющимся, судя по ИК-спектру (интенсивное поглощение при 1770 cm^{-1}), γ -лактоном. Лактонизацией X под влиянием HCOOH получают I. При восстановлении LiAlH_4 I превращается в гликоль (XII), образующий при дегидратации смесь стереоизомерных оксидов (XIII), обладающих сильным фруктовым запахом. 100 г II в 200 мл C_6H_6 обрабатывают 92 г $\text{CH}_2\text{BrCOOC}_2\text{H}_5$ и 40 г Zn. Продукт р-ции (110 г) ацетируют кипячением (4 часа) с $(\text{CH}_3\text{CO})_2\text{O}$. Пиролизом ацетата по ранее описанному методу (Caliezi, Schinz, Helv. chim. acta, 1952, 35, 1637) и последующим гидролизом (водно-спирт. р-р KOH, кипячение 5 час.) получают III, выход 70 г, т. кип. 132—140°/0,1 мм. 61 г III кипятят 45 мин. с 170 мл HCOOH в присутствии 5 мл конц. H_2SO_4 ; смесь упаривают в вакууме, разбавляют эфиром и разделяют экстракцией р-ром соды на нейтр. (19,3 г) и кислую фракцию (5,9 г). 1,3 г нейтр. фракции кипятят 5 час. с 20 мл водно-спирт. р-ра NaOH; релактонизацией продукта р-ции получают VI, выход 850 мг, т. кип. 110—120°/0,05 мм, n_D^{20} 1,5010. Кислую фракцию кипятят 3 часа с 350 мл абс. CH_3OH в присутствии 20 мл конц. H_2SO_4 ; после обычной обработки выделяют IV, выход 20 г, т. кип. 150°/0,05 мм, и метиловый эфир V, т. кип. 90—100°/0,05 мм, n_D^{22} 1,4853. 20 г IV восстанавливают LiAlH_4 в эфире до VII, т. кип. 100—110°/0,1 мм, n_D^{23} 1,5150; непрореагировавший остаток представляет собой 2-метил- β -бициклофарнезилую к-ту, т. пл. 168—170° (из петр. эф.). Из маточных р-ров выделяют неидентифицированное в-во, т. пл. 195—197°. 9 г VII обрабатывают 4 г PbBr_2 в 15 мл петр. эфира в присутствии 0,5 мл пиридина. Продукт р-ции (8,5 г) добавляют к р-ру Na-малонового эфира, полученного из 1 г Na, 6,4 г $\text{CH}_2(\text{COOC}_2\text{H}_5)_2$ и 30 мл $\text{C}_2\text{H}_5\text{OH}$. После обработки и фракционирования получают VIII, т. кип. 85°/0,1 мм, n_D^{22} 1,5110 (неочищ.), и IX, т. кип. 135°/0,06 мм, n_D^{24} 1,4870. 3 г IX кипятят 3 часа с 25 мл 10%-ного спирт. р-ра KOH и полученную к-ту декарбоксилируют нагреванием (30 мин.) при 135°/1 мм. Про-

дукт р-ции разделяют на X, т. кип. 135°/0,05 мм, и нейтр. фракцию, из которой перекристаллизацией из ацетона-гексана выделяют XI, т. пл. 142—144°. 510 мг X нагревают 30 мин. с 5 мл HCOOH , добавляют эфир, промывают водой и р-ром соды. Продукт р-ции омыляют и релактонизацией получают I, выход 236 мг (неочищ.), т. пл. 139—141° (из ацетона-гексана с последующей возгонкой). 84 мг I восстанавливают 250 мг LiAlH_4 в эфире (кипение 1,5 часа) до XII, выход 81 мг, т. пл. 140—141° (из эф.-петр. эф.). 50 мг XII нагревают в вакууме (100°, 30 мин.) в присутствии 1 мг β -нафталинсульфонокислоты и продукт р-ции хроматографируют на Al_2O_3 . Смесь петр. эфира с C_6H_6 (9:1, 3:1 и 1:1) вымывают XIII, выход 18,4 мг, т. пл. 64—66° и 92—94° (из водн. CH_3OH). Л. Б.

65052. Азадигтереноиды. I. Азотные производные дегидроабетиновой кислоты. Отан, Ота. П. Бекмановская перегруппировка метилового эфира 9-оксиминодегидроабетиновой кислоты (I). Ота. III. Бекмановская перегруппировка метилового эфира 9-оксиминодегидроабетиновой кислоты (2). Ота (アザジテルノイド 第1報. デヒドロアビエチン酸の窒素誘導体. 落合英二, 太田道敏. 第2報. 9-Oximinodehydroabietin-sauremethylester of the Beckmann 轉位その1. 太田道敏. 第3報. 9-Oximinodehydroabietinsäuremethylester of the Beckmann 轉位. その2. 太田道敏), 薬学雑誌, Якугаку даасси, J. Pharmac. Soc. Japan, 1954, 74, № 2, 203—206; 1955, 75, № 289—292; № 4, 445—449 (япон.; рез. англ.)

I Показано, что при нитровании (0°) метилового эфира дегидроабетиновой к-ты (I) (20,5 г) в 80 мл $(\text{CH}_3\text{CO})_2\text{O}$ смесью 25 мл HNO_3 (d 1,42) и 75 мл $(\text{CH}_3\text{CO})_2\text{O}$ получается 21,8 г продукта, из которого кристаллизацией выделено 5,2 г метилового эфира 8-нитродегидроабетиновой к-ты (II), т. пл. 193—194°, $[\alpha]_D^{20} +1,4^\circ$ (с 1,39, ацетон), и 10 г метилового эфира 6-нитродегидроабетиновой к-ты (III), т. пл. 155—157°, $[\alpha]_D^{20} +60^\circ$ (с 1,02; сл.). При нитровании 0,2 г II смесью 3 мл конц. H_2SO_4 и 1,5 мл HNO_3 (d 1,42) получено 0,17 г метилового эфира 6,8-динитродегидроабетиновой к-ты (IV), т. пл. 185°. Показано, что в отличие от 8-нитропроизводных, 6-нитроизомеры легко гидрируются с Pd/C в соответствующие 6-аминопроизводные. Р-р I г



IV в 25 мл CH_3OH и 0,2 мл CH_3COOH гидрируют в присутствии 0,1 г 20%-ного Pd/C и получают 0,43 г метилового эфира 8-нитро-6-аминодигидроабетиновой к-ты, т. пл. 219—242°. Смесью 1 г II, 2 г Sn, 8 мл конц. HCl, 10 мл CH_3OH и CH_3COOH нагревают в течение 5—6 час., получают 0,55 г метилового эфира 8-аминодигидроабетиновой к-ты, т. пл. 100,5—102°, $[\alpha]_D^{20} +37,6^\circ$ (с 1,28; сл.). Р-р 0,55 г III, 30 мл CH_3OH , 0,5 мл конц. HCl гидрируют в присутствии 0,1 г 25%-ного Pd/C и получают 0,45 г метилового эфира 6-аминодигидроабетиновой к-ты (V), т. пл. 137—157,5°, $[\alpha]_D^{20} +80^\circ$ (с 1,004; сл.), λ_{max} (в сл.) 290 мμ. Эквимолекулярные кол-ва V и этилового эфира этосиметилмалоновой к-ты (VI) нагревают (2 часа) при 100° и получают триэфир (VII), т. кип. 230—240°/0,003 мм, λ_{max} 324 мμ (lg ε 4,29). Смесью 300 мг V и 205 мг VI кипятят (при 260—270°) в 3 мл масла Dawtherm, из продуктов р-ции выделяют метиловый эфир 4'-окси-5'-карбоксыпиридо-2',3',6,5-

дегидроабетиновой к-ты (VIII), выход 5%, т. пл. 156–158°, $\lambda_{\text{макс}}$ 314 мк ($\lg \epsilon$ 4,09), и выделено 12 мг в-ва, т. пл. 278–280°, $\lambda_{\text{макс}}$ 317 мк.

II. Показано, что при действии PCl_5 метиловый эфир 9-оксиминодегидроабетиновой к-ты (IX) перегруппировывается в лактам (X). Р-р 12,5 г дегидроабетиновой к-ты в 250 мл 1%-ного KOH постепенно прибавляют к р-ру 17,5 г KMnO_4 в 375 мл воды, по окончании р-ция прибавляют 40 мл конц. HCl и 75 мл 20%-ного Na_2SO_3 . Полученный продукт этерифицируют (CH_3N_2) и получают 3,7 г метилового эфира 9-кетодегидроабетиновой к-ты (XI), т. пл. 68–70°; *n*-нитрофенилгидразон, т. пл. 200–202°; из маточных р-ров выделяют 0,1 г 1-метоксикарбонил-1,12-диметил-7-ацетил-9-кето-1,2,3,4,9,10,11,12-октагидрофенантрена (XII), т. пл. 143–145°, $[\alpha]_D^{25} + 24,8^\circ$ (с 0,1838; хлф.). Смесь 540 мг XII, 7 мл триэтилглицоля, 0,7 г KOH и 1 г NH_2NH_2 нагревают 1 час при 130°, 30 мин. при 210° и 2 часа при 210–220° и получают 1,12-диметил-7-этил-1,2,3,4,9,10,11,12-октагидрофенантрен-1-карбоновую к-ту, выход 410 мг, т. пл. 142–144°, $[\alpha]_D^{25} + 66,3^\circ$ (с 0,102). Смесь 3,1 г XI, 15 мл спирта, 1,5 NH_2OH и 7,5 мл пиридина оставляют на

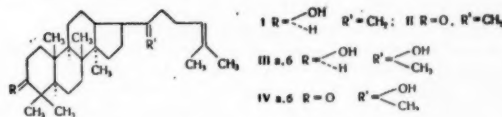
т. кип. 160–165°/3 мм; из анилида XIX получена XVII, т. пл. 111–113°, $[\alpha]_D^{25} + 16,7^\circ$, метиловый эфир (XVIIa), т. кип. 166–167°/5 мм. При действии р-ра KOH на XVI образуется изомерная к-та XXII, т. пл. 189,5–191°, $[\alpha]_D^{25} + 71,3^\circ$; метиловый эфир (XXIIa), т. пл. 92–93°. При нагревании (XXII) с разб. HCl вновь получается XVI. При восстановлении как XXIIa, так и XVI с LiAlH_4 получен триол (XXIII), т. пл. 157–159°, $[\alpha]_D^{25} + 45,5^\circ$; *бис*-*n*-нитробензоат, т. пл. 133–134°; из XVIIa получен триол (XXIV), т. пл. 102–103°, $[\alpha]_D^{25} - 0,6^\circ$; *бис*-*n*-нитробензоат, т. пл. 134–135°. Триолы XXIII и XXIV дают диацетаты. При дегидрировании XVII и XXII с Se выделен 1,2,3-триметилбнзол. На основании этих данных следует, что XVII является стереоизомером либо XVI, либо XXII.

C. A. 65053. Выделение новой смоляной кислоты — палустровой кислоты — из живичной канифоли. Лоблик, Болдуин, Лоренс (The isolation of a new resin acid from gum rosin — palustic acid, Loeblich Virginia M., Baldwin Doris E., Lawrence Way V.), J. Amer. Chem. Soc., 1955, 77, № 10, 2823–2825 (англ.)

Новая смоляная к-та типа абетиновой — палустровая к-та (I) найдена в живице *Pinus palustris* (10%) и *Pinus caribaea* (8%). I выделена из живичной канифоли с помощью распределительной хроматографии над кремневой к-той с вымыванием изооктаном. Кислотная изомеризация I приводит к *l*-абетиновой к-те (II). I образуется при термич. изомеризации левопимаровой к-ты (III). Авторы предполагают, что двойные связи в I находятся в положении 7–8 и 13–14. I очищена 6-кратной перекристаллизацией из CH_3OH , т. пл. 162–167°, $[\alpha]_D^{25} + 71,6^\circ$, $\lambda_{\text{макс}}$ 265–266 мк. При кипячении I в 0,58 н. спирт. HCl 1,5 часа образуется II, выход ~80%, $[\alpha]_D^{25} - 83,4^\circ$. Изомеризация III ($[\alpha]_D^{25} - 272^\circ$) действием 0,1115 н. спирт. HCl приводит к смеси, из которой после хроматографирования выделено 8% I. После нагревания III в стеклянной трубе в вакууме (5 час.) и хроматографирования продукт изомеризации содержит 29% I. Нагревание (150°, 2 часа) I с малеиновым ангидридом (IV) приводит к аддукту, т. пл. 223,5–228,5° (из смеси бдл.-изооктан). $[\alpha]_D^{25} - 27^\circ$, идентичен аддукту, образуемому из III и IV. При обработке очн. I CH_2N_2 образуется метиловый эфир I, т. пл. 25–27° (из CH_3OH), $[\alpha]_D^{25} + 67,7^\circ$.

G. M. 65054. Строение нейтральных тетрациклических три-терпенов даммаровой смолы. Миллс (The constitution of the neutral tetracyclic terpenes of dammar resin. Mills J. S.), Chemistry and Industry, 1956, № 12, 189–190 (англ.)

На основании ряда превращений предложено следующее строение для нейтр. три-терпенов даммаровой смолы: даммадиенола (I), даммадиенона (II), энимерных даммарендиолов (IIIa и IIIб) и энимерных даммаренолов (IVa и IVб). Дегидратация ацетатов IIIa и IIIб с POCl_3 в пиридине приводит к смеси двух изомеров



(V) с т. пл. 146–150° (из сп.), $[\alpha]_D^{25} + 48^\circ$, отличной от ацетата I (Ia). Окислением V CrO_3 в CH_3COOH получено немного Ia, т. пл. 150–152°, $[\alpha]_D^{25} + 62^\circ$ (с 0,6). При озонлизе V выделены: CH_2O , $(\text{CH}_3)_2\text{CH}(\text{CH}_2)_2\text{CHO}$, а также норкетон (VI), т. пл. 164–165°, $[\alpha]_D^{25} + 66^\circ$ (с 0,68), и гексанорметилкетон (VII), т. пл. 204–205°, $[\alpha]_D^{25} + 67^\circ$ (с 1,12). VI и VII были также получены при окислении IIIa C_2O_3 в CH_3COOH (12 час.) Гидрированием

4 часа и получают 3,2 г IX, т. пл. 72–73°. Смесь 13 мл абс. C_6H_6 , 26 мл петр. эфира и 2,6 г PCl_5 прибавляют к 1,3 г IX и нагревают 5 час., выделяют 0,51 г X, т. пл. 147–149°, $[\alpha]_D^{25} - 262,3^\circ$ (с 0,1788). К IX (из 15 г XI) прибавляют 30 мл пиридина, 10 г *n*-толуолсульфохлорида и нагревают смесь 3 часа при 40–50° после обычной обработки. Получают 20,8 г 9-тозилксимина XI, т. пл. 158–159°, $[\alpha]_D^{25} - 74,3^\circ$ (с 2,316; хлф.). Последний при кипячении (9 час.) со смесью 380 мл CH_3OH , 140 мл 40%-ной H_2SO_4 постепенно перегруппировывается в X. При нагревании (3 часа 190–200°) 25 г X с 250 мл конц. HCl происходит разрыв связи $\text{C}_{12}-\text{C}_{13}$ и образуется *m*-изопропиланилин (XIII), выход 84%, т. кип. 148–149°/84 мм; ацетат, т. пл. 78–79°, и выделено еще 7,4 г к-ты, т. кип. 193–195°/3 мм. Для сравнения XIII был получен нагреванием (220°, 8 час.) *m*-бром-изопропилбензола с 28%-ным р-ром NH_3 . При восстановлении 1 г X с LiAlH_4 получено 0,74 г алкамина (XIV), т. кип. 191–193°/0,04 мм, т. пл. 75–78°, $[\alpha]_D^{25} - 59,6^\circ$ (с 1,04). Приведены данные УФ-спектров для X, XII, XIV. Все $[\alpha]_D$, кроме указанных, измерены в спирте.

III. Исследовано строение к-ты (XV) т. кип. 193–195°/3 мм, выделенной (см. предыдущий реферат) при действии конц. HCl на лактам X, полученный из метилового эфира 9-оксиминодегидроабетиновой к-ты и показано, что XV представляет собой смесь двух к-т (XVI и XVII). Смесь 25 г X, 250 мл конц. HCl нагревают 3 часа при 190–200° и получают 8,3 г *m*-изопропиланилина и 7,3 г XV, которую растворяют в 20 мл абс. C_6H_6 и нагревают с 11 мл SOCl_2 . Полученный ангидрид подвергают дробной кристаллизации из смеси $\text{CHCl}_3-\text{CH}_3\text{OH}$. Получено 2,4 г анилида (XVIII), т. пл. 257–259°, $[\alpha]_D^{25} + 46,8^\circ$, и 3,5 г анилида (XIX), т. пл. 180,5–182°, $[\alpha]_D^{25} + 31,6^\circ$. При восстановлении 0,1 г XVIII с LiAlH_4 получено 0,08 г аминспирта (XX), т. пл. 130–130,5°. При аналогичном восстановлении 0,5 г XIX получено 0,35 г аминспирта (XXI), т. пл. 125–126°. При разложении XVIII получена XVI, т. пл. 120–122°, $[\alpha]_D^{25} + 30,7^\circ$; метиловый эфир (XVIa),

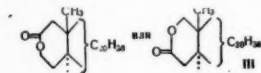
IIIa и IIIb на PtO_2 в спирте-этилацетате соответственно получают: даммарандиол, т. пл. 156—158°, $[\alpha]_D^{20} +30$ (с 0,99); ацетат, т. пл. 145—147°, $[\alpha]_D^{20} +40$ (с 0,77), и его изомер, т. пл. 133—135°, $[\alpha]_D^{20} +5$ (с 0,53); ацетат (VIII), т. пл. 106—108°, $[\alpha]_D^{20} +41$ (с 0,52). Аналогичное гидрирование IVa и б дает даммаранолон, т. пл. 154—156°, $[\alpha]_D^{20} +63$ (с 0,42), и его изомер, т. пл. 95—105°, $[\alpha]_D^{20} +66$ (с 0,59). Дегидратация 2,2 г VIII с H_2SO_4 в CH_3COOH приводит к смеси, из которой выделено 80 мг ацетата изотирукаллонола, т. пл. 95—96,5°, $[\alpha]_D^{20} \pm 0$ (с 0,75), и ацетата изойефенола, т. пл. 111—113°, $[\alpha]_D^{20} -8$ (с 0,94). А. К.

65055. О стеринах зеленой водоросли пресных вод *Elodea densa planchon*. Мацумото, Хиран (大カナダ藻のステリンについて. 松本太郎, 平井長一郎), Японская химическая литература, Нихон кагаку дзасси, J. Chem. Soc. Japan. Pure Chem. Sec., 1955, 76, № 7, 830—832 (япон.).

150 кг зеленых водорослей пресных вод *Elodea densa planchon* сушат при 105°, получают 8 кг сухого остатка, который экстрагируют C_6H_6 . Из бензольного экстракта выделяют 94,1 г (1,2% от веса сухих водорослей) маслянистого в-ва. В-во обрабатывают спирт. КОН, неомылившуюся часть извлекают эфиром и выделяют 39,5 г (42% от в-ва) порошкообразного в-ва, последнее растворяют в горячем CH_3OH , получают в остатке 8 г. Остаток растворяют в 1200 мл спирта, обрабатывают при 15° мочевиной, из части, не реагирующей с мочевиной (остается в р-ре), выход 6 г, выделяют и разделяют в виде ацетатов стигмастерин (I) и ситостерин (II). I (выделен из ацетата), т. пл. 168—169° (из сп.), $[\alpha]_D^{20} -47$, ацетат I (получен из тетрабромида восстановлением $\text{Zn}-\text{CH}_3\text{COOH}$), т. пл. 143—144° (из сп.-ацетона), $[\alpha]_D^{20} -54$; тетрабромид ацетата I, т. пл. 209—210° (из хлф.-эф.); дибромид ацетата I (получен из тетрабромида действием р-ра КJ в спирте), т. пл. 210—212° (из эф.- CH_3OH); бензоат, I, т. пл. 159° (I, $\text{C}_{27}\text{H}_{48}\text{O}_2$, пиридин (из сп.)); тетрагидростигмастерин, т. пл. 145°, бензоат, т. пл. 137°. II, т. пл. 135 (из сп.), $[\alpha]_D^{20} -38$ (выделен из ацетата), ацетат II, т. пл. 127—128° (из сп.), $[\alpha]_D^{20} -44$; бензоат, т. пл. 143—144° (из сп.); гидрированный ситостерин (гидрирование в CH_3COOH в присутствии PtO_2), т. пл. 143—144° (из сп.). Идентичность I и II подтверждена сравнением с литературными данными. Л. Я.

65056. О многоатомных четвертичных аммониевых соединениях. II. Стерины как исходные материалы. Нес, Летре (Über vielwertige quartäre Ammoniumverbindungen. II. Mitteilung. Sterine als Ausgangsmaterialien. Nes William R., Lettré H. a. n. s.), Liebigs Ann. Chem., 1956, 598, № 1, 65—69 (нем.).

Для изучения противоопухолевого действия синтезированы азотсодержащие 2,3-секостероиды. Восстановление 2,3-секохолестандикарбоновой-2,3 к-ты (I) LiAlH_4 приводит к 2,3-секохолестандиолу-2,3 (II). При окислении CrO_3 II дает I и ε-лактон (III). Восстановлением бис-диметиламида I (IV) LiAlH_4 синтезируют 2,3-бис-(диметиламино)-2,3-секохолестан (V). Показано, что V вызывает в фибробластах и опухолевых клетках исключительно сильное образование вакуолей, при этом клетки не теряют способности к митотич.



делению. В комбинации с колхицином V оказывает синергич. действие с ядами непрямого деления клеток. II, IV, диамид I (VI) и бис подметилат V (VII) не вызывают изменений в клетках тканей животных. I (см. Windaus и др., Ber. dtsh. chem. Ges., 1914, 47, 2387; 1919, 52, 162) переводят в ангидрид (VIII) с т. пл. 139—140° (из петр. эф.). Восстановлением диметилевого

эфира I или VIII LiAlH_4 в эфире получают II, выход соответственно 77 или 84%, т. пл. 156—157° (из водн. CH_3OH); бис-п-нитробензоат II, т. пл. 134—135°. I и II окисляют (20°, 15 час.) CrO_3 в лед. CH_3COOH . Выделяют 0,25 г I и нейтр. фракцию, которую хроматографируют на Al_2O_3 . Эфиром вымывают 50 мг III, т. пл. 179—180° (из водн. сп.). Восстановление III или IV LiAlH_4 в кипящем эфире приводит соответственно к II и V, выход 66%. Гидрат V, т. пл. 57—58°, дихлоргидрат, т. пл. 318—319° (из CH_3OH). Из I приготавливают VI, т. пл. 237—238° (из водн. CH_3OH), и IV, т. пл. 124—125° (из водн. ацетона). VII имеет т. пл. 310—312°. Сообщение I см. Liebigs Ann. Chem., 1951, 575, 18. Г. С.

65057. Исследование конденсированных циклических систем. I. Реакция 7-метоксип-1-кето-2-метил-1,2,3,4-тетрагидрофенантрена с метиловым эфиром γ-бромкровоной кислоты. Синтез dl-гомоэквиленина и превращение его метилового эфира в dl-эквиленин. Чжон Цзинь (Studies on fused ring systems. I. A. Reaction of 1-keto-2-methyl-7-methoxy-1,2,3,4-tetrahydro-phenanthrene with methyl γ-bromocrotonate. B. Synthesis of dl-homoequilenin and degradation of its methyl ether into dl-equilenin. Chang Chin), 中國科學, Чжунго кэсюэ, Acta sci. sinica, 1955, 4, № 4, 547—553 (англ.). См. РЖХим, 1956, 25666.

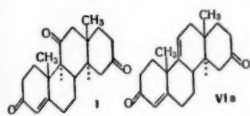
65058. Гидрирование эквиленина до изоэстрадиола. Добен, Арамджан (The hydrogenation of equilenin to an isoestradiol. Dauben William G., Ahrmajian Leo), J. Amer. Chem. Soc., 1956, 78, № 3, 633—635 (англ.).

При гидрировании эквиленина (I) над скелетным Ni W-5 (Adkins H., Billica H. R., J. Amer. Chem. Soc., 1948, 70, 695) в щел. среде получают смесь 8-изоэстрадиола (II) которому приписывается 17β-конфигурация, и Δ^{5,7}-эстратриендиол-3β,17β (IV). При гидрировании I в кислой среде получить индивидуальные фенольные продукты не удалось; из метилового эфира I в этих условиях получают 1,2,3,4-тетрагидро-3-метоксип-17-дигидроэквиленин (V), 1,0 г I (т. пл. 258—259°; в запаянном капилляре т. пл. 271—272°) в 135 мл 2,5%-ного р-ра КОН гидрируют в присутствии 4 мл II 2 часа при 85° и начальном давл. 197 ат (при 25°); полученную смесь разбавляют 2%-ным р-ром КОН, извлекают C_6H_6 и подкислением щел. р-ра получают III (выход 25%), который очищают хроматографией на Al_2O_3 из эфирного р-ра; выход 14%, т. пл. 180,5—181,5°, $[\alpha]_D^{20} +28$ (сп.), $[\alpha]_D^{20} +17$ (дискан); 3-бензоат III, т. пл. 183—186° (из разб. сп.), $[\alpha]_D^{20} +10$ (диоксан). $\lambda_{\text{макс}}$ 260 мμ (lg ε 3,5); диацетат III, т. пл. 79,0—80,6°.

Отмечено, что III не дает депрессии т-ры плавления с 17β-эстрадиолом. Из бензольной вытяжки выделяют IV, выход 50%, т. пл. 165—167,5° (из разб. CH_3OH), $[\alpha]_D^{20} +1$ (±2°) (сп.); диацетат IV, т. пл. 111—113° (из разб. сп.). При гидрировании 1,0 г I в 70 мл абс. спирта в присутствии 0,6 мл лед. CH_3COOH и II при 115° (2 часа) получено 740 мг IV и 130 мг фенольных продуктов, закристаллизовать которые не удалось. 757 мг метилового эфира I (т. пл. 196,0—196,5°) в 75 мл CH_3OH гидрируют при 100° (1 час) в присутствии 0,5 мл лед. CH_3COOH и II; остаток после удаления р-рителя очищают хроматографией на Al_2O_3 из смеси эфир- C_6H_6 (2:1) и получают V, выход 84%, т. пл. 150—154° (из разб. сп.), $[\alpha]_D^{20} 0$ (±3°) (CH_3OH), $\lambda_{\text{макс}}$ 269 мμ (lg ε 2,66).

65059. Полный синтез 11-кетостероидов. Сторк, Лоуэнтал, Муххарджи (A total synthesis of 11-oxygenated steroids. Stork Gilbert Loewenthal H. J. E., Mukharji P. C.), J. Amer. Chem. Soc., 1956, 78, № 2, 501—502 (англ.).

Кратко описан полный синтез Δ^4 -D-гомоандростентриона-3,11,16 (I). 2-метил-6-метокситетраон-1, полученный из 6-метокситетраона-1 через 2-оксиметиленовое производное, обрабатывают подметилатом 4-диэтиламинобутанола-2 в присутствии *tert*-C₄H₉OK и получают 11-метил-7-метокси-1,2,3,9,10,11-гексагидрофенантрон-3 (II), т. пл. 87—87,5° λ_{макс} (в сп.) 328 мμ (ε 22000). II восстанавливают NaBH₄ в 11-метил-7-метокси-1,2,3,9,10,11-гексагидрофенантрон-3 (т. пл. 105—106°), который гидрированием над Pd/SrCO₃ переводят в 11-метил-7-метокси-1,2,3,4,9,10,11,12-октагидрофенантрон-3 (III), т. пл. 117—119°.



Из III восстановлением Li в жидком NH₃ и омылением CH₃O-группы кипячением с конц. HCl получают 11-метил- Δ^8 -додекагидрофенантрон-3-он-7 (IV), т. пл. 137—138° (III), т. пл. 117—119°. Из III восстановлением Li в жидком NH₃ и омылением CH₃O-группы кипячением с конц. HCl получают 11-метил- Δ^8 -додекагидрофенантрон-3-он-7 (IV), т. пл. 137—138°; бензоат IV (т. пл. 143—144°) переводят в К-енолят, алкилируют 3-бензилоксибутилбромидом (Va) или-йодидом (Vb); полученный продукт аналогично алкилируют CH₃I, переводят действием n-C₄H₉SO₃H и CH₃OHCH₂OH в кеталь, удаляют C₆H₅CH₂-группу действием Na в жидком NH₃, окисляют 3-оксигруппу действием CrO₃ в пиридине, кислотным гидролизом разрушают кеталь, проводят циклизацию и фракционированной кристаллизацией полученного продукта из смеси этилацетат-циклогексан выделяют C₁₀-эпимерные Δ^4 , $\Delta^{9(11)}$ -D-гомоандростадиедионы-3,16 (VIa и VIb) с т. пл. 206 и 148°, соответственно, в отношении 1:1. Стереохимич. строение VIa подтверждено превращением в известный Δ^4 , $\Delta^{9(11)}$ -D-гомоандростатриенон-3 (VII). Продукт восстановления VIa действием NaBH₄ в C₂H₅OH окисляют MnO₂ в CHCl₃ и получают Δ^4 , $\Delta^{9(11)}$ -D-гомоандростадиедиол-16-он-3 (т. пл. 186—188°), *n*-толуолсульфонильное производное которого (т. пл. 173—174°) при кипячении с коллидином превращается в VII, т. пл. 150,8—151,8°. Превращение VIa в I осуществляют по схеме: VIa → 9,10-бромгидрин → 9-бром-11-кетон → I, т. пл. 206,5—208°. Для перехода от IV к I можно использовать также следующие превращения; ацетат IV (т. пл. 137—138°) подвергают озонолиту, образующийся енольный лактон кетокислоты обрабатывают при —30° реактивом Гриньяра из 5-хлор-2-метилпентена-1, полученный продукт циклизуют и получают 11-метил-8-[3'-метилбутен-3'-ил-(1')]- Δ^8 -додекагидрофенантрон-3-он-7 (VIII), выделенный в виде *n*-бромбензоата, т. пл. 105—107,5 и 129°. При метилировании VIII CH₃I образуются C₁₀-эпимерные 8,11-диметил-8-[3'-метилбутен-3'-ил-(1')]- $\Delta^{9(13)}$ -додекагидрофенантрон-3-оны-7 (IXa и IXb), выделенные в виде *n*-нитробензоатов с т. пл. 157—158 и 148°. При озонолите IXa и последующей циклизацией образуется VII, имеющий ту же конфигурацию, что и в случае получения из VIa. V получают присоединением C₆H₅CH₂OH к этиловому эфиру кротоновой к-ты, восстановлением полученного продукта до 3-бензилоксибутанола-1 (X) (т. кип. 98—107°/1 мм) и обработкой X PBr₃ (или Pj₃); т. кип. Va 83—86°/0,5 мм.

B. K.

65060. Синтез сильных оральных анаболических андрогенных стероидов. Герр, Хогг, Левин (Synthesis of potent oral anabolic-androgenic steroids. Herr M. E., Hogg J. A., Levin R. H.). J. Amer. Chem. Soc., 1956, 78, № 2, 500—501 (англ.)

Описано получение 17-метил- Δ^4 -андростендиол-11 β ,17 β -она-3 (I), 9 α -фтор-17-метил- Δ^4 -андростендиол-11 β ,17 β -она-3 (II) и 9 α -фтор-17-метил- Δ^4 -андростендиол-17 β -диола-3,11 (III) и показано, что I, II и III обладают след. активностью по отношению к 17-метилтестостерону (IV);

(в-во; анаболич. и андрогенная активность); IV, 4,0, 1,0; I, 2,9, 0,9; II, 20,0; 9,5; III, 22,0, 8,5. При действии пирролидина на Δ^4 -андростендиол-11 β -дион-3,17 образуется 3-(N-пирролидинил)- $\Delta^{3,5}$ -андростадиедиол-11 β -он-17 (V), т. пл. 190° (разл.), [α]_D —81°. При взаимодействии V с избытком CH₃MgBr с последующим щел. гидролизом образуется I, т. пл. 205—209°, [α]_D +125°. Из 17-метил- Δ^4 -андростендиол-17 β -диола-3,11 и пирролидина образуется 3-(N-пирролидинил)[17-метил- $\Delta^{3,5}$ -андростадиедиол-17 β -он-11, т. пл. 175—185° (разл.), [α]_D —90°, восстановление которого LiAlH₄ и последующий гидролиз дают I, 17-метил- Δ^4 , $\Delta^{9(11)}$ -андростадиедиол-17 β -он-3 (VI), т. пл. 170—172°, [α]_D +57°, получается из 17-метил- Δ^4 -андростендиол-11 α ,17 β -она-3 (VII) при действии щелочи на его 11-тозилат (т. пл. 141—144° (разл.), [α]_D +41°), а также при действии избытка CH₃MgBr на 3-(N-пирролидинил)- $\Delta^{3,5}$, $\Delta^{9(11)}$ -андростатриенон-17 с последующим щел. гидролизом. VI был превращен во II по известному методу (Рйхмн, 1954, 18117; 1956, 25792). При действии N-бромацетида на VI в водн. к-те и ацетоне при 15° образуется 9 α -бром-17-метил- Δ^4 -андростендиол-11 β ,17 β -он-3 (VIII), т. пл. 150—154° (разл.), [α]_D +112°. При титровании р-ра VIII в CH₃OH 1 экв 0,1 н. р-ра NaOH образуется 9 β ,11 β -оксис 17-метил- Δ^4 -андростендиол-17 β -она-3 (IX), т. пл. 183—185°, [α]_D —40°. При действии на IX 48%-ной HF получается II, т. пл. 270° (разл.), [α]_D +109° (сп.). При окислении II CrO₃ в CH₃COOH образуется III, т. пл. 213—220° (разл.), [α]_D +144°. Приведены данные УФ-спектра для I и II. Все [α]_D, кроме указанных, измерены в CHCl₃.

C. A.

65061. Синтез 9 α -замещенных- Δ^4 -андростендиол-11 β -дионов-3,17. Ленхард, Бернштейн (The synthesis of 9 α -substituted Δ^4 -androstene-11 β -ol-3, 17-diones. Lenhard Robert H., Bernstein Seymour, J. Amer. Chem., Soc., 1953, 77, № 24, 6665—6667 (англ.)

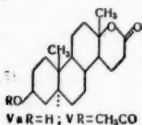
С целью испытания биологич. активности был проведен синтез андрогенных стероидов, α -замещ. при C₉, исходя из Δ^4 , $\Delta^{9(11)}$ -андростадиедиона-3,17 (I). Обработка 1 г I N-бромацетамидом и HClO₄ в водн. диоксане (25°, 1 час) привела к 1,07 г 9 α -бромо- Δ^4 -андростендиол-11 β -диола-3,17 (II), т. пл. 171,5—172° (разл.; из ацетона-птр. эф.), [α]_D²⁵ +190° (с 0,721), который (100 мг) при кипячении с безводн. CH₃COOK в абс. спирте (46 час.) дает 9 β ,11 β -оксис Δ^4 -андростендиона-3,17 (III), выход 51 мг, т. пл. 181—182° (из ацетона-птр. эф.), [α]_D²⁵ +38° (с 0,525). При действии сухого HCl (газа) на 300 мг III в CHCl₃ (0°, 4,5 часа) получено 161 мг 9 α -хлор- Δ^4 -андростендиол-11 β -диола-3,17 (IV), т. пл. 243,5—245,5° (разл.; из ацетона-птр. эф.), [α]_D²⁵ +194° (с 0,733). 300 мг III под действием безводн. HF в CHCl₃ (0°, 4,5 часа) дали 87 мг 9 α -фтор- Δ^4 -андростендиол-11 β -диола-3,17 (V), т. пл. 249,5—250° (разл.; из ацетона-птр. эф.), [α]_D²⁵ +184° (с 0,593). Наконец, обработка 300 мг III HClO₄ в тетрагидрофуране (20°, 5,5 часа) привела к 158 мг Δ^4 -андростендиол-9 α ,11 β -диола-3,17 (VI), т. пл. 249,5—250° (из ацетона-птр. эф.), [α]_D²⁵ +223° (с 0,242). II и III обнаруживают андрогенную активность. Все [α]_D определены в CHCl₃. Приводятся спектральные характеристики полученных соединений.

A. K.

65062. Окисление надбензойной кислотой ацетата вещества «L» Рейхштейна. Лиде, Фукусима, Галлагер (Perbenzoic acid oxidation of Reichstein's «L» acetate. Leeds Norma S., Fukushima David K., Gallagher

Т. F.), J. Amer. Chem. Soc., 1954, 76, № 8, 2265—2266 (англ.)

При окислении 3 β -ацетата аллопрегнандиол-3 β ,17 α -она-20 (в-во «L») (I) надбензойной к-той (II) получен изоандростерон (III). При более длительном окислении I в присутствии n -CH₃C₆H₄SO₃H (IV) получен 3 β -ацетат изоандрололактона (V). Таким образом III является промежуточным в-вом. К 5 мл р-ра 275 мг I в C₆H₆ (VI) добавлено 2,2 мл 0,65 М р-ра II, 19 мл IV в 0,025 М (CH₃CO)₂O и 0,3 мл CH₃COOH. Р-р оставлен на 7 дней в темноте при 20°. После хроматографии на силикагеле (VII) (эф.-птр. эф.) получено 43% V, т. пл. 159—160° (эф.-птр. эф.), $[\alpha]^{23}_D$ -42° (диоксан). Из первых фракций (50% птр. эф.) получено 36 мг 3 β -ацетата.



та II. Р-р 305 мг I в 2,8 мл 0,35 М II в VI обработан через 2 дня. После омыления 3,2 мл 1,25 н. NaOH в 8 мл CH₃OH при ~20° продукт извлечен эфиром и отмыт от щелочи. Из водно-щел. р-ра при подкисления выделено 48 мг (Va). После ацетилирования получен V. Из эфирного р-ра после хроматографии на VII из головных фракций получено 102 мг III, т. пл. 175—176°. И. Г. 65063.

Гидроксильрование Δ^{17} -20-цианпрегненона перманганатом калия. Талл. Джонс, Робинсон, Тишлер (Hydroxylation of Δ^{17} -20-cyanopregnenes by potassium permanganate. Tull Roger, Jones R. E., Robinson S. A., Tishler Max), J. Amer. Chem. Soc., 1955, 77, № 1, 196—198 (англ.)

С целью получения продуктов, необходимых для синтеза кортизона, исследована р-ция гидроксильрования некоторых цианпрегненов. Показано, что при действии KMnO₄ на ацетат Δ^{17} -20-цианпрегнен-21-ол-3,11-диона (I) образуется промежуточный 17 α -оксидиангидрин, который при обработке K₂CO₃ превращается в 21-ацетат прегнан-17 α ,21-диол-3,11,20-триона (II). Если эту р-цию проводить в присутствии органич. оснований, выход II может быть поднят с 45 до 70%, а при pH 9 доведен до 80—90%. К р-ру 0,226 моля I, т. пл. 195—199°, в 2,9 л ацетона при -5° прибавляют 180 мл пиперидина и 0,545 моля KMnO₄. Через 30 мин. прибавляют по каплям р-р 18 мл лед. CH₃COOH в 225 мл ацетона при 2°. После обработки разб. HCl (к-та) реакционную смесь извлекают CHCl₃. Отделенный хлороформный экстракт встряхивают с 5%-ным р-ром K₂CO₃. Продукт р-ции перемешивают после отгонки CHCl₃ и оброботки птр. эфиром со смесью изопропилового спирта-абс. эфира (1:1). Получают II, выход 80%, т. пл. 232,5—234,5°, $[\alpha]^{25}_D$ -82,3 (с 1, ацетон). II получают с выходом 69% аналогично из геометрич. изомера I с т. пл. 132—134°. Таким же образом диацетат Δ^{17} -20-цианпрегнен-3 α ,21-диол-11-она переводят в 3,21-диацетат прегнан-3 α ,17 α ,21-триол-11,20-диона (III), выход 74,6%, т. пл. 237—238°; 21-ацетат Δ^{17} -20-цианпрегнен-3 α ,21-диол-11-она дает 21-ацетат прегнан-3 α ,17 α ,21-триол-11,20-диона (IV), выход 75%, т. пл. 222—226,5°; 21-ацетат Δ^{17} -20-цианпрегнен-11 β ,21-диол-3-она дает 21-ацетат прегнан-11 β ,17 α ,21-триол-3,20-диона, выход 59%, т. пл. 218—220° (из ацетона-птр. эф.). Ацетилированием IV получают III, выход 93%, т. пл. 232—235°. Однако гидроксильровать таким путем Δ^{17} -20-цианпрегнен-3 α ,21-диол-11-он не удалось.

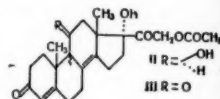
Г. С. 65064. **3,20-Дисемикарбазон ацетата кортизона.** Жолли, Поминье, Жолли (Disemicarbosone-3,20 de l'acétate de cortisol one. Joly Robert, Pominié Gérard, Jolly Jean), Bull. Soc. chim. France, 1956, № 5, 837 (франц.)

160 мл 98,5%-ной CH₃COOH нагревают до 50° в токе N₂ и добавляют 20 г 21-ацетата 4-бромпрегнандиол-17 α ,21-триона-3,11,20, 22,4 г NH₂NHCONH₂·HCl и 52 г Na₂HPO₄. Через 4 часа при 50° выливают в 1500 мл

теплой воды, вымораживают, кристаллы промывают, сушат, перекристаллизовывают из этоксиэтанола и получают 3,20-дисемикарбазон ацетата кортизона, выход 65—70%, т. разл. >240°, $[\alpha]_D$ +198 \pm 3° (с 1; пиридин), $\lambda_{\text{макс}}$ 269 м μ , $\epsilon_{\text{макс}}$ 32 400 (сп.). М. Б. 65065.

Противодонные кортикостероиды. Системы, возникающие при превращениях, катализируемых кислотами и щелочами. Грейбер, Снодди, Уэндлер (Cortical steroid derivatives. Graber R. P., Snoddy C. S., Wendler N. L.), Systems arising from acid-base-catalysed transformations. Chemistry and Industry, 1956, № 2, 57—58 (англ.)

Обработка 93,11 β -окиси ацетата Δ^4 -прегненидиол-17 α ,21-диона-3,20 (I) разб. HClO₄ в водн. диоксане приводит к 9 α -оксигидрокортизону, т. пл. 243—249° (разл.) $[\alpha]_D$ +152 (ацетон), в то время как I, обработанный 60%-ной HClO₄ в CHCl₃ (0°), дает 10—15% ацетата кортизона и главным образом соединение с т. пл. 255—260° (разл.), $[\alpha]_D$ +293° (CH₃COOH), являющееся, повидимому, ацетатом 17 α -окси- Δ^8 (14)-дегидрокортикостерона (II) или его эписмером по C₍₉₎. Окислением II



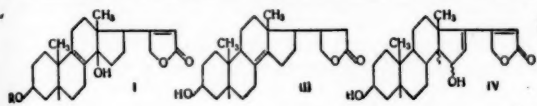
с помощью CrO₃ в пиридине получен ацетат Δ^4 , Δ^8 (14), 9 β -прегненидиол-17 α ,21-триона-3,11,20 (III), т. пл. 225—229°, $[\alpha]_D$ +449°, который гидрировался в ацетат Δ^8 (14)-5-прегненидиол-17 α ,21-триона-3,11,20, т. пл. 196—198,5°, $[\alpha]_D$ +308°. Изомеризацией III CH₃ONa и ацетилированием получен ацетат Δ^8 -дегидрокортизона (IV), т. пл. 249—250° (разл.), $[\alpha]_D$ +422°, идентичный с полученным при дегидробромировании ацетата 9 α -бромкортизона (V) с пиридином. Гидрирование IV привело к ацетату Δ^8 -прегненидиол-17 α ,21-триона-3,11,20, т. пл. 213—216°, $[\alpha]_D$ +157°. Строение IV подтверждается последовательным омылением, расщеплением HJO₄, восстановлением в жидком NH₃, метилированием CH₂N₂ и окислением CrO₃, причем получен метиловый эфир 17 α -окси-3,11-дикетотриолохолоановой к-ты (VI), т. пл. 207—211,5°. Дегидробромирование V LiCl в HCON(CH₃)₂ так же как обработка IV HCl в CHCl₃ привели к ацетату 14-изо- Δ^8 -дегидрокортизона (VII) т. пл. 190—193°, $[\alpha]_D$ +348°, диацетат VII, т. пл. 183—185°, $[\alpha]_D$ +275°.

Гидрированием II был получен ацетат Δ^8 (14)-прегненидиол-11 β ,17 α ,21-диона-3,20 (VIII), т. пл. 195—197°, $[\alpha]_D$ +165°, превращенный в 11-метилат VIII (VIIIa), т. пл. 142—144° (разл.), $[\alpha]_D$ +131,5°. Кипячение VIIIa с пиридином превратило его в Δ^8 (14), Δ^8 (11)-5 β -прегненидиол-17 α ,21-дион-3,20, т. пл. 180—185°, $[\alpha]_D$ +79°, изомеризованный с помощью HCl в CHCl₃ в Δ^8 , Δ^8 (14)-5 β -прегненидиол-17 α ,21-дион-3,20, т. пл. 212—214°, $[\alpha]_D$ -26,2°. В статье приводятся спектральные характеристики полученных соединений. $[\alpha]_D$, кроме отмеченных, определены в CHCl₃.

А. К. 65066. **О растительных сердечных ядах.** Сообщение XXVII. Об адинерине и нериантине. Чеш е. С и а ч к е (Über pflanzliche Herzgifte. XXVII. Mitteilung: Über Adynerin und Nerianthin. Tschesche Rudolf, S n a t z k e G ü n t h e r), Chem. Ber., 1955, 88, № 4, 511—520 (нем.)

Дан критич. обзор современных воззрений на строение кардиотонически неактивных соединений, выделенных из листьев *Nerium oleander* (Aprocyaceae) — адинерина (I, R = диангизина) и нериантина (II). Авторы подтверждают ранее предложенную (РЖХим, 1956, 3985) для I ф-лу с тем лишь изменением, что оксигруппа у C₃ имеет не α -, а β -конфигурацию, как в дигитоксине. Строение I подтверждается тем, что тетрагидро-

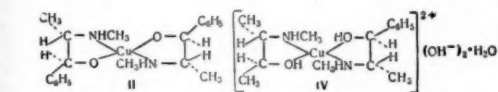
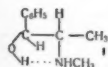
ангидроадинеригенин во всех отношениях (т-ры плавления смешанных проб, значения R_F в различных р-рителях, кривые ИК-спектров) оказался идентичным с известным дигидроангидродигитоксигенином (III).



Ис $(CH_3CO)_2O$ в пиридине (20° , 2 дня) дает моноацетат, т. пл. $206-208^\circ$ (из хлф.-петр. эф.). Местоположение двойной связи может быть только у C_8-C_9 , что подтверждается положительной р-цией Тортели — Яффе и тем, что она не гидрируется. Кардиотонич. неактивность I объясняется положением двойной связи и β -конфигурацией 3 OH-группы. Для нервантогенина предлагается возможная, но не окончательная ф-ла (IV). Положение оксигруппы у C_{14} сомнительно, так как при воздействии спирт. щелочи из IV не образуется изоосоединения; вероятнее, что OH расположен у C_{15} . Сходство УФ-спектров IV и ангидродигитоксигенина (V) говорит о том, что IV является производным V, а не β -ангидроолеандригенина (VI), как предполагали ранее (РЖХим, 1955, 14077) на основании сходства т-р плавления IV и VI их ацетатов. Установлено, что IV и VI резко различаются по значениям R_F (IV — 0,48, VI — на стартинии) и по УФ-спектрам. При обработке IV спирт. щелочью (кипячение, 2 часа) выделено соединение, с т. пл. $208-218^\circ$, λ_{max} 264 мк, не характерное для изоосоединения. Приведены УФ-спектры IV, ацетата IV, II и ИК-спектры III и ацетата I. Сообщение XXVI, см. РЖХим Бх, 1956, 14680. Л. Г. 65067.

Конформация ψ -эфедрина; медные внутренние комплексы 2-аминоспиртов. Фёльди, Фёльди, Фёльди (Conformation of ψ -ephedrine; copper chelates of 2-amino-alcohols. Földi Zoltán, Földi Tamás, Földi András), Chemistry and Industry, 1955, № 41, 1297-1299 (англ.)

Показано, что (\pm) - ψ -эфедрин (I) в водн. среде образует неонный внутренний медный комплекс (II), выход 98-99%, т. пл. $209-210^\circ$ (разл.). В тех же условиях (\pm) -эфедрин (III) дает катионный комплекс (IV), выход 85%, т. пл. 165° (разл.). IV при обработке холодным ацетоном теряет 3 молекулы H_2O и превращается во внутренний комплекс, подобный III, т. пл. $169-171^\circ$ (разл.), а холодным C_6H_6 — во внутренний комплекс, сольватированный 1 молекулой C_6H_6 , т. пл. $157-158^\circ$ (разл.). IV значительно менее устойчив, чем II; это является, по мнению авторов, одним из доказательств наличия в I водородной связи, образующей



внутрикомплексный цикл, и отсутствие этого цикла в III. При добавлении к эквимолекулярной смеси I и III кол-ва Cu^{++} , эквивалентного одному из них, образуется только II, выход 87%, что может служить новым методом разделения I и III. Получены также медные комплексы 1-*n*-нитрофенил-2-аминопропандиолов-1,3: (\pm) -*трео*-изомер, т. пл. $153-154^\circ$; (\pm) -*эритро*-изомер, т. пл. $123-123,5^\circ$; (+)-*трео*-изомер в 3 модификациях, т. пл. $133-134^\circ$, т. пл. $162-163^\circ$, т. пл. выше 270° . Медный комплекс (\pm) -N-метилэфедрина, т. пл. $176-177^\circ$ (разл.), сольват с C_6H_6 , т. пл. $175-176^\circ$. Медный комп-

лекс (\pm) - α -оксигомовератриламины, $(C_{10}H_{15}O_3N)_2Cu \cdot 3H_2O$, т. пл. $165-166,5^\circ$ (разл.). Кобальтовый (Co^{++}) комплекс I, т. пл. выше 270° . Бензалъетаноламин, этаноламин давали только окрашенные р-ры с Cu^{++} ; 2-фенил-5-(3,4'-диметоксифенил)-оксазолин, 1,3-аминоспирты, тропин и 2-метил-4-амино-5-оксиметил-пиримидин с $Cu(OH)_2$ не реагировали. Л. Н. 65068.

Выделение супинина из Tournefortia sarmentosa Lam. Кроули, Калвенор (Occurrence of supinine *Tournefortia sarmentosa* Lam. Crowley H. C., Culvenor C. C. J.), Austral. J. Chem., 1955, 8, № 3, 464-465 (англ.)

Tournefortia sarmentosa содержит на сухое растение соответственно свободных оснований и N-оксидов в листьях 0,017 и 0,048%; в стеблях 0,057 и 0,12%. Присутствуют, по крайней мере, 6 алкалоидов со значениями R_f 0,61, 0,57, 0,50, 0,37, 0,25, 0,09. Алкалоид с R_f 0,37 идентичен супинину; его содержание в листьях составляет 0,04% и в стеблях 0,15% (в обоих случаях в преобладающем кол-ве в форме N-оксида). Идентификация других составных частей из-за малых кол-в не проводилась. Л. А. 65069.

Алкалоиды Rauwolfia sellowii. Хокстейн (Alkaloids of *Rauwolfia sellowii*. Hoshstein F. A.), J. Amer. Chem. Soc., 1955, 77, № 21, 5744-5745 (англ.)

Из коры корней бразильского растения *Rauwolfia sellowii* выделены (перечисляются алкалоиды и их содержание в %): аридин, 1; аймалин, 1,35; аймалидин, 0,001; резерпин, 0,002; тетрагидроальстонин, 0,002 и неидентифицированные основания А и В. А. Б. 65070.

Изучение алкалоидов. IX. Алкалоиды Rauwolfia. IV. Выделение резерпина и других алкалоидов из Rauwolfia sellowii Muell. Аргов, Пакраши, Дьерасси, Вассицкий, Ньюс (Alkaloid studies. IX. *Rauwolfia* alkaloids. IV. Isolation of reserpine and other alkaloids from *Rauwolfia sellowii* Muell. Argov. Pakrashi S. C., Djerassi Carl, Wasicky Richard, Neuss N.), J. Amer. Chem. Soc., 1955, 77, № 24, 6687-6689 (англ.)

Из 1 кг сухой коры корней алкалоиды экстрагировали кипящим CH_3OH . Р-Р оснований в разб. CH_3COOH извлекали $CHCl_3$ (фракция а); далее р-р нейтрализовали до pH 7 и извлекали $CHCl_3$ (фракция б). Смеси оснований хроматографировали на Al_2O_3 из C_6H_6 ; вымывание производили C_6H_6 , C_6H_6 + эфир, $CHCl_3$, $CHCl_3$ + CH_3OH . Из а выделены: 56 мг ру-тетрагидроальстолина, 13,5 г аридина, 60 мг тетрафилицина (I), 15 мг резерпина и 1 г аймалина (II). Из б выделены: 0,1 г I, 1,23 г II, 9 мг аймалицина, 22 мг нового алкалоида аймалидина $C_{20}H_{21}O_3N_2$, т. пл. $241-242^\circ$ (из CH_3OH), R_K 6,3 [80%-ный $HCON(CH_3)_2$], цветные р-ции и УФ-спектр идентичны таковым для II, в ИК-спектре полоса $5,77\mu$ (СО-группа в 5-членном цикле). Сообщение VIII см. РЖХим, 1956, 39690. А. Д. 65071.

Радиальная хроматография на бумаге алкалоидов Rauwolfia. Дхар, Бхаттачарджи, Дхар (Circular paper chromatography of *Rauwolfia* alkaloids. Dhar M. M., Bhattacharji S., Dhar M. L.), J. Scient. and Industr. Res., 1955, (В-С) 14, № 12, B672-B673 (англ.)

Приведены результаты хроматографии на бумаге (ватман № 1) алкалоидов *Rauwolfia*. Перечисляются названия алкалоидов и величины R_f в системах 2 н. CH_3COOH — этилацетат (1:1), 1%-ный NH_4OH — диоксан — петр. эфир с т. кип. $60-80^\circ$ (1:1:1), 1%-ный NH_4OH — диоксан — петр. эфир. (2:1:2), 1 н. HCl — *n*-бутанол (1:1); резерпин, 0,98, 0,80, 0,50 (0,85), 0,98; метиловый эфир резерпиновой к-ты, 0,22 (0,37), 0,13, 0,04, 0,85; резерпиновая к-та, 0,100, 0,00, 0,00, 0,60; мохимбин, 0,136, 0,70, 0,62, 0,67;

коринантин, 0,210, 0,62; 0,56, 0,76; α -нохимбин (раувольсин), 0,110, 0,85, 0,82, 0,76; раунесцин, 0,120, 0,78, 0,56; 0,78; алкалоид С 0,600, 0,95, 0,92, 0,97; 8-нохимбин, 0,730, 0,98, 0,98, 1,00; изораухимбин 0,067, 0,10, —, 0,90; сарпагин 0,067 (0,18), 0,005, 0,005, 0,50 (0,88). Положение пятен устанавливали по их флюоресценции в УФ-свете после опрыскивания хроматограммы 1%-ным метанолным р-ром HCl и высушивания.

65072. Алкалоиды двух бразильских растений семейства *Apocynaceae*: *Rauwolfia grandiflora* Mart. и *Lochnera (Vinca) rosea* (L.) Reichb. var. *alba* (Sweet) Hubbd. Море, Залцман, Бирбум, Пакраси, Дьерасси (Alkaloids of two Brazilian *Apocynaceae*: *Rauwolfia grandiflora* Mart. and *Lochnera (Vinca) rosea* (L.) Reichb. var. *alba* (Sweet) Hubbd. Mors Walter B., Zaltzman Perola, Beereboom J. J., Pakraschi S. C., Djerassi Carl), Chemistry and Industry, 1956, № 11, 173—174 (англ.)

Из корней *R. grandiflora* Mart. выделен резерпин (0,08%). Из целого растения *Lochnera (Vinca) rosea* выделены аймазинин (0,036%), серпентин (0,02%) и новый алкалоид лохнерин (0,009%) $C_{20-21}H_{26-28}N_2O_2$, т. пл. 200—201 $[\alpha]_D^{25} + 50^\circ$ (сп.), содержащий одну NCH_3 - и одну $OSCH_3$ -группы. Разделение алкалоидов проводили методом хроматографии и противоточного распределения в системе $CHCl_3$ — цитратно-фосфатный буфер с pH 6 и 7,4 и кристаллизацией из CH_3OH .

65073. О кураре-алкалоидах из калебасс. Сообщение 18. Превращение С-дигидротоксиферина в С-калебассин (С-токсиферин II). Асмие, Шмид, Карпер (Umwandlung von C-Dihydro-toxiferin in C-Calbassin (-C-Toxiferin II). 18. Mitteilung über Curare-Alkaloide aus Calbassen. Asmis H., Schmid H., Karper P.), Helv. chim. acta, 1956, 39, № 2, 440—441 (нем.)

Осуществлено превращение С-дигидротоксиферина (I) (см. сообщение 17, РЖХим, 1956, 54579) в С-калебассин (II). Превращение I во II формально состоит в присоединении H — OH. Р-ция не идет без кислорода воздуха, а также в водн. или спирт. среде. Р-р 42 мг I в 1,26 мл CH_3COOH , 1,7 мл C_2H_5N и 0,3 мл воды нагревали 7 час. при 120—130° в запаянной трубке. Продукт р-ции превращали на ионообменнике в хлорид, идентичный хлориду II.

65074. Дихлорхлорметохлориды стрихнина и бруцина. Клемперер, Уоррен (The dichloromethoxchlorides of strychnine and brucine. Klemperer Marjorie E. von, Warren F. L.), Chemistry and Industry, 1955, № 48, 1553 (англ.)

Дихлорхлорметохлориды стрихнина (I) и бруцина (II) образуются при продолжительном стоянии хлороформных р-ров оснований и более быстро при кипячении этих р-ров. I, $C_{22}H_{23}O_2N_2Cl_2 \cdot 0,25 H_2O$, т. пл. 255—256°, $[\alpha]_D^{18} + 6^\circ$ (с 1; H_2O). II, $C_{24}H_{27}O_4N_2Cl_2 \cdot 1,5 H_2O$, т. пл. 200—220°. Из I и II в водн. р-ре с KJ получены дихлоридметилаты соответственно (III) и (IV), а солью Рейнке — дихлоррейнкометилаты (V) и (VI). Попытки получить подобные производные вомицина, морфина, наркотина и реторсина были безуспешны. III, $C_{22}H_{23}O_2N_2Cl_2 \cdot H_2O$ т. разл. 210°. IV, $C_{24}H_{27}O_4N_2Cl_2$ т. разл. 216°. V, $C_{22}H_{23}O_2N_2Cl_2 \cdot Cr(CNS)_4(NH_3)_2 \cdot 2CaH_6O$. VI, $C_{24}H_{27}O_4N_2Cl_2 \cdot Cr(CNS)_4(NH_3)_2$. Л. А.

65075. Исследование синтетических аналогов алкалоидов *Erythrina*. Кьяварелли, Роджерс, Марини-Беттоло (Ricerche su prodotti di sintesi sul modello degli alcaloidi delle eritrine. Chiavarelli S., Rogers E. F., Marini-Bettolo G. B.), Rend. Ist. super. sanita, 1954, 17, № 9, 823—834 (итал.)

См. РЖХим, 1954, 25218.

65076. Синтез 2-карбоксидеоксизеролина через β -метил- ψ -триптофан. Уиткоп, Хилл (The synthesis of 2-carboxydeoxyserolines via β -methyl- ψ -tryptophan. Wiktop Bernhard, Hill Richard K.), J. Amer. Chem. Soc., 1955, 77, № 24, 6592—6595 (англ.)

При нагревании в лед. CH_3COOH фенилгидразона 4-ацетамин-4,4-дикарбэтоксид-2-метилбутиральдегида (I) получают I-ацетил-2,2-дикарбэтоксидибиснордеоксизеролин (II). 2-карбоксидибиснордеоксизеролин (III) синтезирован через промежуточные в-ва (IV, V, VI, VII). I получают по известному методу (Warner D. T., Moe O. A., J. Amer. Chem. Soc., 1948, 70, 2763). В р-р 1,1 г диэтилформаминомалоната в 35 мл абс. спирта прибавляют р-р C_2H_5ONa (из 0,01 г Na и 15 мл спирта) и далее при охлаждении за 75 мин. — р-р 0,35 г α -метилакролеина в 7 мл спирта и оставляют на ночь при $\sim 20^\circ$. Из альдегида получают фенилгидразон, выход 174 мг фенилгидразона 4-формамино-4,4-дикарбэтоксид-2-метилбутиральдегида (VIII), т. пл. 92—94,5°. При кипячении VIII с 10-кратным кол-вом лед. CH_3COOH 3 часа образуется II, выход 40%, т. пл. 102° (из водн. CH_3ONa). 50 мг II кипятят 30 мин. с $(CH_3CO)_2O$, выделяют 35 мг IV, выход 60%, т. пл. 150—168° (из CH_3OH). 5 г II растворяют в 15 мл горячего спирта, в р-р при

II R = R' = $COOC_2H_5$, R'' = $COCH_3$, R''' = H

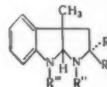
III R = $COOH$, R' = R'' = R''' = H

IV R = R' = $COOC_2H_5$, R'' = R''' = $COCH_3$

V R = $COOH$, R' = $COOC_2H_5$, R'' = $COCH_3$, R''' = H

VI R = R'' = H, R' = $COOC_2H_5$, R''' = $COCH_3$

VII R = R''' = H, R' = $COOH$, R'' = $COCH_3$



бавляют 50 мл 20%-ного KOH, оставляют при $\sim 20^\circ$ на 18 час., выделяют 4,2 г К-соли V, т. пл. 161—165°; V, т. пл. 110—111° (из сп.-эф.). К-соль V перегоняют в вакууме при 140—170°/0,1 мм, получают VI, т. пл. 67—69° (из пентана); пикрат, т. пл. 144—146° (из CH_3OH или эф.). 560 мг VI растворяют в CH_3OH и прибавляют 320 мг $Ba(OH)_2 \cdot 8H_2O$, оставляют при $\sim 20^\circ$ на 30 час.; выделяют 365 г VII, т. пл. 106—108°. В р-р 170 мг VII в 3 мл горячей воды добавляют 950 мг $Ba(OH)_2 \cdot 8H_2O$ и кипятят 17 час., выделяют III, т. пл. 216—219°.

65077. Синтез этилового эфира карпининовой кислоты. Говиндачари, Нарасимхан, Раджадурай (Synthesis of ethyl carpyrinate. Govindachari T. R., Narasimhan N. S., Rajadurai S.), Chemistry and Industry, 1956, № 2, 53 (англ.)

Синтезирован этиловый эфир 2- ω -карбоксигентил-5-оксид-6-метилпиридина (I), идентичный этиловому эфиру карпининовой к-ты; этим подтверждены предложенные ранее ф-лы алкалоида карпина и этилового эфира карпамовой к-ты (РЖХим, 1954, 41246). Конденсацией 5-метокси-2-метилпиридина с ω -хлорамил-ацетатом в присутствии KNH_2 в жидком NH_3 получают 2- ω -ацетоксигентил-5-метоксипиридин, т. кип. 162°/1 мм. После гидролиза и обработки $SOCl_2$ выделен 2- ω -хлоргентил-5-метоксипиридин, т. кип. 154°/2,5 мм, далее р-цией с $NaCH(COOC_2H_5)_2$, последующим гидролизом и деметилированием (HBr-к-той) синтезирован 2- ω -карбоксигентил-5-оксипиридин. Обработкой последнего в-ва CH_2O в щел. р-ре получен 2- ω -карбоксигентил-5-оксид-6-метилпиридин, пикрат этилового эфира, т. пл. 113—115°. Из этилового эфира после обработки $SOCl_2$ с последующим восстановлением в спирт. р-ре с Pt из PtO_2 , образуется смесь стереоизомеров, дегидрированных в I, т. пл. 78°.

65078. Строение никотеллина. Куфнер, Фадерль (Die Konstitution des Nicotellins. Kuff-

ner Friedrich, Faderl Norbert), Monatsch. Chem., 1956, 87, № 1, 71—81 (нем.)

Установлено, что никотеллин (I) является 2,4-ди(8-пиридил)-пиридином. В р-рах после окисления I KMnO_4 были идентифицированы при помощи хроматографии на бумаге к-ты: никотиновая, пиридин-2,4-дикарбоновая, α -карбоновая к-та 3,4-дипиридила (II). В-во из пятна, соответствующего II, было вымыто спиртом и декарбоксилировано (300° , 15 мин.), после чего хроматографией на бумаге было установлено наличие 3,4'-дипиридила. Т. П.

65079. Об алкалоидах из коры гранатового дерева. IV. Фогль, Бьянетти (Über die Alkaloide der Granatapfelbaumrinde. IV. Vogl O., Bianchetti G.), Monatsh. Chem., 1955, 86, № 6, 1024—1030 (нем.)

Приведены результаты исследования 5 образцов коры гранатового дерева по известному методу (Galimovsky, Vogl, Monatsh. Chem., 1952, 83, 1055). При этом подтверждено наличие изопельтерина в кол-ве 30—40% от суммы алкалоидов. Оптически активный метил-изопельтерин полностью рацемизируется в слабощел. р-рах при 20° , не претерпевая разложения. Предыдущее сообщение см. РЖХим, 1955, 29268. Т. П.

65080. Вещества из австралийских видов *Flindersia*. VIII. Строение макулина. Гелл, Хьюз, Ритчи (The chemical constituents of Australian *Flindersia* species. VIII. The structure of maculine. Gell R. J., Hughes G. K., Ritchie E.), Austral. J. Chem., 1955, 8, № 3, 422—423 (англ.)

Макулин (I), алкалоид *Flindersia maculosa* Lindl., гидрировали с Pt (из PtO_2) в спирт. р-ре. Продукт р-ции деметилировали кипячением с 5 н. HCl. Получено в-во, идентичное 3-этил-6,7-метилendioкси-2,4-диоксипинолину (II), синтезированному из 3,4-метилendioксипинолина (III) и диэтилового эфира этилмалоновой к-ты (IV). Таким образом, установлено, что I представляет собой 6,7-метилendioксидикетамин. 1,40 г III и 1,88 г IV в 20 мл дифенилового эфира кипятят 45 мин., охлаждают, прибавляют 59 мл гексана, выпавший осадок растворяют в воде. NaOH и добавлением CH_3COOH осаждают II, выход 30%, т. пл. $300\text{—}303^\circ$ (из сп.); ацетильное производное II, т. пл. $292\text{—}295^\circ$ (из сп.). Сообщение VII см. РЖХим, 1956, 35994. Л. Н.

65081. Превращение дигидрокодеина в дигидротейбани. Хомейер (Conversion of dihydrocodeinon to dihydrothebaine. Horney A. H.), J. Organ. Chem., 1956, 21, № 3, 370 (англ.)

Из дигидрокодеина (I) при действии метилсульфата в присутствии алкоголята Na был получен дигидротейбани (II). 15 г I добавлены к р-ру 1,25 г Na в смеси 180 мл трет-бутанола и 2 мл CH_3OH . После растворения I прибавлен р-р 6,3 г метилсульфата в 20 мл трет-бутанола. После часа стояния при $\sim 20^\circ$ смесь кипятили 1 час. После отгонки р-рителя к остатку прилили 500 мл воды с небольшим кол-вом NH_4OH . Получено 10 г II, т. пл. $162\text{—}163^\circ$ (из сп. и затем из этилацетата). А. Л.

65082. Превращение бульбокарпина в морфотебани. Эр, Тейлор (The conversion of bulbocarpine into morphothebaine. Ayer W. A., Taylor W. I.), J. Chem. Soc., 1956, Febr., 472 (англ.)

При расщеплении $\text{C}_8\text{H}_{12}\text{O}_2$ -группы в бульбокарпине (I) получен морфотебани (II). К р-ру 400 мг I в 50 мл эфира и 500 мл жидкого NH_3 добавлен Na до сохранения синего цвета в течение 1 часа, выделено 130 мг I и 165 мг II. Л. А.

65083. Алкалоиды. Часть VII. Ламбертин и берламбин. Чаттерджи, Майти (Plant alkaloids. Part VII. Lambertaine and berlambine. Chatterjee R., Maity P. C.), J. Indian Chem. Soc., 1955, 32, № 9, 609—610 (англ.)

Установлено, что ламбертин (I) идентичен с дигидроангидроберберинном. Берламбин (II) идентичен с оксидроберберинном. Авторы предполагают, что I и II образуются в растениях из берберина в процессе восстановления и окисления соответственно. Часть VI см. РЖХим, 1955, 14092. Л. А.

65084. Восстановление оснований карбиноламинов боргидридом натрия. Босе (Reduction of carbinolamine bases with sodium borohydride. Bose S.), J. Indian Chem. Soc., 1955, 32, № 7, 450—454 (англ.)

Гетероциклические карбиноламины — берберин (I), котаринин (II), гидрастинин (III) содержат группу

—N—CH(OH)—, которая при восстановлении NaBH_4

или LiAlH_4 превращается в —N—CH₂—. По мнению авторов NaBH_4 может служить в качестве реагента для обнаружения карбиноламинной группы. К р-ру 0,18 г I в 20 мл спирта добавляют 50 мг NaBH_4 , р-р оставляют на 48 час. в холодильнике, получают 70 мг дигидроангидроберберина (IV), т. пл. $166\text{—}167^\circ$. Восстанавливают аналогично 0,3 г II с помощью 0,2 г NaBH_4 , выделяют 0,18 г бромгидрата гидрокотаринина (V), т. пл. $227\text{—}228^\circ$ (из сп.). Из 0,5 г III получают 0,3 г бромгидрата гидрогидрастинина (VI), т. пл. $271\text{—}272^\circ$ (из сп.); пикрат, т. пл. $173\text{—}174^\circ$ (из сп.). К охлажд. р-ру 0,1 г I в 100 мл CHCl_3 прибавляют р-р 20 мг LiAlH_4 в 10 мл CHCl_3 , оставляют на 2 часа при 20° , далее кипятят 4 часа, получают 50 мг IV. Так же восстанавливают II и III до V и VI соответственно. Э. М.

65085. Алкалоиды маковых растений (*Papaveraceae*).

V. Выделение стилопина из чистотела (*Chelidonium majus* L.). Славик (Alkaloide der Mohngewächse (*Papaveraceae*) V. Die Isolierung des Stylopin aus dem Schöllkraut (*Chelidonium majus* L.). Slavik J.), Сб. чехосл. хим. работ, 1955, 20, № 1, 198—201 (нем.; рез. русс.); Chem. listy, 1954, 48, 1557 (чеш.)

См. РЖХим, 1955, 46033.

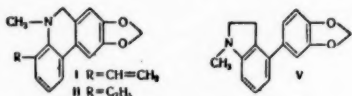
65086. Идентичность ликореммина и галантаммина. Уайлдман (The identity of lycoremine and galantamine. Wildman W. C.), Chemistry and Industry, 1954, № 47, 1453 (англ.)

Приводя сравнение свойств ликореммина, выделяемого из *Lycoris radiata*, и галантаммина, выделяемого из *Galanthus woronowii* и *Leucorum vernum*, автор доказывает идентичность этих алкалоидов. Ю. В.

65087. Ликоринангидрометин. Сингу, Уео, Ядзима (Lycorineanhydromethine. Shingu T., Ueyo S., Yajima H.), J. Chem. Soc., 1955, Oct., 3557—3558 (англ.)

Ликоринангидрометин (I) и дигидроликоринангидрометин (II) с CH_3J образуют не подметилаты, а иодиды фенантридиневых оснований (III) и (IV). При расщеплении III по Эмде не получен ликоринангидрометин (V). Авторы предполагают, что Кондо и Капура (Ber., 1940, 73, 1424) имели не 1-подметилат, а ангидроликориниодметилат (VI), расщепление которого по Эмде приводит к V (РЖХим, 1956, 956). III и IV при обработке щелочью дают димерные эфиры псевдооснований (VII) и (VIII). KMnO_4 и BrCN окисляют II в IV, дальнейшее окисление которого $\text{K}_4\text{Fe}(\text{CN})_6$ приводит к фенантридону (IX). LiAlH_4 восстанавливает IV и IX до II. Нодиграт I, т. пл. 186° (разл.; из сп.) и иодидат II, т. пл. 210° (из сп.) гидролизуются в воде. р-ре. Из 0,3 г I и 1 мл CH_3J (CH_3OH ; 10 час. нагревания) получили 0,12 г III, $\text{C}_{17}\text{H}_{14}\text{O}_2\text{NJ}$, т. пл. 226° (разл. из воды). VII (из III) ($\text{C}_{34}\text{H}_{26}\text{O}_5\text{N}_2$) т. пл. 196° (разл., из метилэтилкетона). 0,3 г II с 2 мл CH_3J и 6 мл спирта нагревали 5 час. при 100° , выход IV 0,22 г, $\text{C}_{17}\text{H}_{14}\text{O}_2\text{NJ}$, т. пл. 105° (из сп.). Р-р 0,5 г II, 1,5 г BrCN нагревали в C_6H_6 6 час., получен IV-бромид, т. пл. 217° (разл. из воды), который восстановили LiAlH_4 до II. Из воды.

р-ра бромиды щелочью осаждали VIII, $C_{34}H_{32}O_5N_2$, т. пл. 213° (разл., из бзл.). При окислении 0,2 г II в 8 мл ацетона 11 мл 1%-ного р-ра $KMnO_4$ (1 час) и последующей обработке IV щелочью получили 90 мг VIII. Р-р 85 мг бромиды IV в 10 мл 50%-ного спирта нагревали



с 70 мг KOH и 500 мг $K_4[Fe(CN)_6]$ 5 час., после охлаждения извлекали $CHCl_3$ IX, выход 53 мг, т. пл. 106° или 114° (из эф., в зависимости от скорости кристаллизации).

А. Б. 65088. Исследование ИК-спектров поглощения стафизина и нового алкалоида. Даггупта, Натх (A study of infra-red absorption spectra of staphisine and a new alkaloid. Dasgupta Sharda, Nath Bholia), J. Indian Chem. Soc., 1955, 32, № 12, 767—769 (англ.)

Получены ИК-спектры поглощения стафизина (I) и нового алкалоида (II), выделенных из *Delphinium staphisagria*. В спектре I отмечены интенсивные линии: $3,24 \mu$ группы OH, участвующей в водородной связи, $6,19 \mu$ — системы сопряженных двойных связей и $7,32 \mu$ группы $>N-CH_3$, а также $3,43$, $6,94$ и $7,32 \mu$, связанные с наличием групп $>CH_2$ и (или) $-CH_3$. Высказано предположение, что I существует в виде димера, объединенного водородными связями, находящимися в сопряжении с двойными связями. В спектре II отмечены линии $3,43$, $6,94$ и $7,32 \mu$ группы $>CH_2$ и (или) $-CH_3$, $7,32 \mu$ группы $>N-CH_3$, $10,22 \mu$, транс-двойной связи, а также $6,08$ и $7,85 \mu$, которые могут указывать на наличие групп $C=O$ или $-OCH_3$. При дегидрировании селеном I и II дают производные фенатрена, что указывает на их связь с дитерпеноидами.

Н. С. 65089. Изучение строения чаксина. Сен-Гунта, Махаджан (Experiments on the constitution of chaksine. Sen Gupta J., Mahajan J. R.), J. Scient. and Industr. Res., 1955, (B—C) 14, № 11, A602—A603 (англ.)

Продолжено изучение чаксина (I). Установлено, что в-во, полученное действием HNO_3 на хлоридат I, является нитратом чаксина (II), т. пл. 221° . Авторы установили состав I — $C_{31}H_{26}O_2N_3$ и II — $C_{31}H_{26}O_4N_3$. При гидролизе сульфата I (III) $Ba(OH)_2$ образуется NH_3 и азотсодержащая к-та (IV), охарактеризованная в виде анида с т. пл. $238—240^\circ$ и *п*-толуида с т. пл. 264° . При сивлении III с KOH образуются соли к-т: HCN, $(COOH)_2$ (V) и к-ты, образующей анид с т. пл. 161° , *п*-толуид с т. пл. 162° и *с*-бензилтиурониевую соль с т. пл. 151° . Окисление III 5%-ным щел. р-ром $KMnO_4$ при 30° дает IV и V. 50%-ная HNO_3 расщепляет II, выделены CH_3COOH , V и кристаллич. соединение $C_2H_4O_2N$, т. пл. $175—176^\circ$. При восстановлении сульфата нитрочаксина Zn-пылью с H_2SO_4 или CH_3COOH получен III. Бензоилированием I показана четвертичная природа алкалоида и присутствие двух NH-групп. Показано также отсутствие в I гидроксильных групп.

Л. А. 65090. Окислительное расщепление каротинсидов. Хольер, Уидон (Oxidative degradation of carotenoids. Holyer N. F., Weedon B. C. L.), Chemistry and Industry, 1955, № 39, 1219 (англ.)

Для разделения α -диметилглутаровой (I), α -диметилянтаровой (II) и диметилмалоновой (III) к-т, образующихся при окислении каротиноидов, предложено использовать хроматографию на бумаге в восходящем токе (12—18 час.), р-ритель ксилол + фенол + 85%-

ная HCOOH (7 : 3 : 1), проявление 0,05%-ным спирт. бромкрезоловым зеленым (рН 8) и затем 3%-ным водн. нейтр. р-ром $(CH_3COO)_2Pb$. Наблюдается линейная зависимость между площадью пятна и логарифмом числа молей двусосновой к-ты. Щавелевая, малоновая и янтарная (IV) к-ты не мешают определению. Героновая и изогероновая к-ты также отделяются от I—III, но не разделяются одна от другой. При использовании в качестве р-рителя смеси 17%-ного р-ра NH_3 , спирта и воды (5 : 80 : 15) I—III разделяются, но III не отделяется от IV.

Л. Я. 65091. Полевой синтез пергидрокроветина. О построении части с каротинсидной структурой. Бухта, Шлезингер (Eine Totalsynthese des Perhydrocrocetin und über den Aufbau von Teilstücken mit Carotinoidstruktur. Buchta Emil, Schlesinger Heinz), Liebigs Ann. Chem., 1956, 598, № 1, 1—24 (нем.)

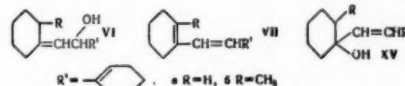
Осуществлен полный синтез пергидрокроветина (I) из 1,4-дибромбутана (II) через 1,6-диметил-1,1,6,6-тетракарбэтоксигексан (III), 1,6-диметил-1,1,6,6-тетракарбэтоксигексан (IV), 2,7-диметилглюбовую к-ту (V), 2,7-диметилдоктадиол-1,8 (VI), 1,8-дибром-2,7-диметилдоктан (VII), 1,1,10,10-тетракарбэтокс-3,8-диметилдекан (VIII), 1,1,10,10-тетракарбэтокс-3,8-диметилдекан (IX), 4,9-диметилдодекадиол-1,12 (XI), 1,12-дибром-4,9-диметилдодекан (XII), 2,2,15-15-тетракарбэтокс-6,11-диметилтекадескан (XIII) и 2,2,15-15-тетракарбэтокс-6,11-диметилтекадескан (XIV). Синтезирован ряд промежуточных продуктов, полезных при синтезе каротиноидов: 2-метилпентин-4-ол-1 (XV), 2,7-диметил-октин-4-диовая-1,8 к-та (XVI), диметилловый эфир (D), 2,7-диметил-3,6-дибромоктен-4-диовая-1,8 к-ты (XVII) полностью транс-2,7-диметилтетраоктриен-2,4,6-диал-1,8 (XVIII) и др. В суспензии $4,6 \text{ г Na}$ в 150 мл абс. толуола вводят 40 г $CH_3CH(COOC_2H_5)_2$ (XIX), нагревают 1 час при $140—150^\circ$ (в бане), добавляют после охлаждения 22 г II в 50 мл абс. толуола, кипятят 7 час., разгонкой выделяют III, выход 61—68%, т. кип. $169—171^\circ/0,2 \text{ мм}$. 20 г III кипятят 7 час. с р-ром 23 г KOH в 200 мл CH_3OH , отделяют K-соль IV, р-р ее в воде подкисляют разб. H_2SO_4 , насыщают NaCl, получают 14—15 г IV, т. пл. $183,5—184^\circ$ (разл., из эфира прибавлением петр. эфира. IV нагревают при $205—210^\circ \sim 10 \text{ мин.}$, получают V, выход 51%, т. пл. 130° (из воды), т. кип. $135—137,5^\circ/0,01 \text{ мм}$, кроме того получают другую форму V, т. кип. $186—188^\circ/0,05—0,1 \text{ мм}$, т. пл. $93,5—95,5^\circ$ (из воды). V восстанавливают $LiAlH_4$ в эфире (кипятиение 3 часа) и разлагают ледяной кислотой и 10%-ной H_2SO_4 , разгонкой выделяют VI, выход 82%, т. кип. $120—124^\circ/2 \text{ мм}$. K-р-р 20,8 г VI в 80 мл сухого $CHCl_3$ за 30 мин. добавляют р-р 21,6 г PBr_3 в 30 мл сухого $CHCl_3$, перемешивают 8 час., разгонкой выделяют VII, выход 25%, т. кип. $160—163^\circ/15 \text{ мм}$. Из VII и $CH_2(COOC_2H_5)_2$ (XX) аналогично III (кипятиение 9 час.) получают с выходом 27% 1-бром-2,7-диметил-9,9-дикарбэтоксинанон, т. кип. $158^\circ/3,2—0,3 \text{ мм}$; аналогично III при нагревании до $185—190^\circ$ (6 час.) из VII и XX получают VIII, выход 14,4%; при ведении р-ции в абс. спирте (3 часа, $175—180^\circ$) VIII образуется с выходом 61%, т. кип. $196—206^\circ/0,2—0,3 \text{ мм}$; $200,5—206,5^\circ/0,4—0,5 \text{ мм}$. Омыление VIII метанолным едким кали (MEK) (кипятиение 7 час.) дало IX, выход 85%, т. пл. $155,5—157^\circ$ (осаждение из эф. р-ра петр. эфиром). Декарбосилирование IX ($180—190^\circ$, 15 мин.) дало X, выход 67%, т. пл. $92—95^\circ$ (из 30%-ной CH_3COOH), и из маточного р-ра еще немного X, т. кип. $199—203^\circ/0,05—0,1 \text{ мм}$. X восстанавливают эфирным $LiAlH_4$, как описано выше для V, получают XI, выход 86%, т. кип. $162,5—163^\circ$, $0,4—0,6 \text{ мм}$. XI нагревают с 48%-ной HBr ($150—160^\circ$, 9 час.), полу-

чают XII, выход 56–70%, т. кип. 149–151°/0,4 мм. Из XII и XIX аналогично, как в случае III, но в абс. спирте (кипение 2 часа, нагревание при 175–180° 5 час.) получен XIII, выход 39%, т. кип. 222–232°/0,5–0,6 мм.; омыление XIII МЕК (кипение 6 час.) дало неочищ. XIV, желтое масло. Декарбоксилирование XIV (из 3,5 г XIII) 5 мин. при 135°, 5 мин. при 150°, 15 мин. при 150–155°, 30 мин. при 165° привело к 1,2 г I, т. кип. 174–185°/0,05 мм, диамид (I, SOCl₂ в CHCl₃, кипение 3 часа, выпаривание досуха, обработка остатка 27%-ным водн. NH₃ при –22°), т. пл. 132–134° (из этилацетата.) К р-ру CH₂N₂ в эфир (из 45 г NH₂CON(NO)CH₃ в 500 мл эфира) за 45 мин при 3–7° добавляют 14,8 г дихлорангидрида (из V и SOCl₂, 1,5 часа, 60–85°, выход 80%, т. кип. 149,5–152,5°/13 мм.), перемешивают 1,5 часа при 4–16°, удаляют р-рители при ~20°, остаток нагревают с 200 мл абс. CH₃OH при 55–65°, вводят порциями Ag₂O (из 40 мл 10%-ного AgNO₃ в 60 мл абс. CH₃OH, перемешивают 3 часа, кипятят 10 мин., получают ДЭ 3,8-диметилсебашиновой к-ты (XXI), выход 49%, т. кип. 122,5–127,5°/0,6–0,8 мм. Омыление XXI (МЕК, кипячение 6 час.) дало 3,8-диметилсебашиновую к-ту, выход 87%, т. пл. 82° (из воды). Аналогично III из XIX и пропарилбромида (кипение 7 час.) получают 18,9–20,6 г диэтилового эфира метилпропаргилмалоновой кислоты (XXII), C₁₁H₁₆O₄ т. кип. 112–114,5°/14 мм. Омыление XXII МЕК (кипение 6 час.) привело к метилпропаргилмалоновой к-те, выход 93%, т. пл. 137–139° (разл.) (осаждение из эф.-петр. эф.) декарбоксилирование полученной к-ты (165–180°, 15 мин.) дало 2-пропаргилпропионовую к-ту (XXIII), выход 69%, т. кип. 106,5–109,5°/14–15 мм. К взвеси 4,2 г LiAlH₄ в 200 мл абс. эфира за 1 час добавляют 11,2 г XXIII при т-ре не выше –10°, перемешивают 1,5 часа при –15 до –13°, добавляют по каплям при т-ре не выше –10° 10 мл этилацетата и 15 мл воды, получают XV, выход 68%, т. кип. 66,5–68°/12–13 мм, 64–64,5°/10 мм; восстановление этилового эфира XXIII эфир. р-ром LiAlH₄ при –60° также дает XV, выход 68%; 3,5-динитробензоат, т. пл. 52–53,5° (из CH₃OH). Аналогично III из XIX и 1,4-дибромбутина-2 (кипение 7 час.) получен 1,6-диметил-1,1,6,6-тетракарботоксигексен-3 (XXIV), выход 62%, т. кип. 150,5–153°/0,05–0,1 мм; при аналогичной р-ции с ди-п-толуолсульфонатом бутин-2-диола-1,4 (130–140°, 8 час.) образуется XXIV с выходом 34%, т. кип. 154–159°/0,1 мм; омыление XXIV МЕК (кипение 7 час.) привело к 1,6-диметил-1,1,6,6-тетракарботоксигексену-3 (XXV) выход 31%, т. пл. 191–192° (разл.) (осаждение из эф. р-ра-петр. эф.); декарбоксилирование XXV (210–215°, 10 мин.) дало XVI, выход 56%, т. пл. 146° (из воды). Из N-производного XIX и 1,4-дибромбутена-2 получен 1,6-диметил-1,1,6,6-тетракарботоксигексен-3, выход 65,71%, т. кип. 164,5–166°/0,1–0,2 мм, омыление его дало 1,6-диметил-1,1,6,6-тетракарботоксигексен-3 (XXVI), выход 95%, т. пл. 180–182° (разл.). (осаждение из эфир. р-ра-петр. эф.); гидрирование XXVI (80%-ный CH₃OH, 30%-ный Pd/C) дает IV. Декарбоксилирование XXVI (205–215°, 15 мин.) дало 2,7-диметилгексен-4-дионовую 1,8-к-ту (XXVII), выход 50%, т. пл. 99,5–101° (из воды); ДЭ XXVII (6%- CH₃OH, конц. H₂SO₄, кипение 6 час.), т. кип. 142,5–143,5°/11–12 мм, 145–148°/13–14 мм; 135,5–139,5°/7 мм. Бромирование XXVII в сухом CCl₄ 20%-ным и б.ятком N-бромсукцинимидом в присутствии перекиси бензоила (кипение 1 час) дало XVII (разлагается при перегонке в высоком вакууме). 21,5 г XVII нагревают 15 час. при 130–145° со 100 мл сухого пиридина, обычной обработкой выделяют 2,6 г ДЭ полностью транс-2,7-диметилгектатриен-2,4-диовой-1,8 к-ты (XXVIII), т. пл. 140–141° (из CH₃OH). Как ранее описано (Steele C. C., J. Amer.

Chem. Soc., 1931, 53, 28). получают ДЭ 2,7-дибром-**V** (XXIX), выход 88%, т. кип. 150—152°/0,4 мм; кипячением XXIX с МЕК получают 2,7-диметокси-**V**, т. пл. 134,5—135,5° (из воды). Аналогично XXIX получен также ДЭ 2-бром-**V**, выход 36%, т. кип. 124—128°/0,2 мм. Аналогично XXVIII получен ДЭ 2,7-диметилоткадиен-2,6-диовой-1,8 к-ты, выход 70%, т. кип. 124—131°/0,6 мм; подобно IV получена 2,7-диметилоткадиен-2,6-диовая-1,8 к-та, т. пл. 193° (из 50%-ной CH_3COOH); 2,7-диметилоткадиен-2,6-диол-1,8 (XXX), выход 60%, т. кип. 135—138°/0,4—0,6 мм; бис-3,5-динитробензоат, т. пл. 195—197° (из бэл.). 3,7-е XXX в 150 мл сухого CHCl_3 встраивают с 40 г активного MnO_2 8 час., фильтрат выпаривают остаток растворяют в эфире, р-тель удаляют, получают 0,5 г XVIII, т. пл. 162—163,5° (из CH_3OH). Л. Я. 65092. Строение витамина B_{12} . Савьотти (Struttura della vitamina B_{12} . Saviotti G., Farmaco. Ed. scient., 1956, 11, № 2, 181—184 (итал.). Краткий обзор работ главным образом за 1954—1955 гг.

65093. Исследования в области синтеза витамина D. Часть I. Синтез триенов, содержащих хромофорную систему тахистерина. Брауде, Уилер (Studies in the vitamin D field. Part I. Synthesis of triens containing the tachysterol chromophore. Braude E. A., Wheeler O. H.), J. Chem. Soc., 1955, Febr., 320—328 (англ.)

Исходя из циклогексанона (**Ia**) или 4-метилциклогексанона (**Ib**) и $\text{CH}_2 = \text{CHCH}_2\text{Cl}$ (**II**) или $\text{C}_2\text{H}_5\text{OC} \equiv \text{CH}$ (**III**) получены циклогексиденацетальдегид (**IVa**) и 2-метилциклогексиденацетальдегид (**IVb**), которые с циклогексениллитием (**V**) дали 1-циклогексен-1-ил-2-циклогексиденаэтанол (**VIa**) и 1-циклогексен-1-ил-2, (2-метилциклогексиден)-этанол (**VIb**). Последние,



после аллильной перегруппировки и дегидратации, дают триены, простейшие аналоги тахистерина — 1,2-дициклогексенил-1'-этилен (VIIa) и 1-циклогексенил-1'-2-(2-метилциклогексенил-1'-)этилен (VIIб). По попыткам получить IVa частичным восстановлением при -50° циклогексилденациетонитрила (VIII) привела к получению циклогексилденациетонитрила (IX). На основании спектрографических данных обсуждается *цис-транс*-изомерия тахистерина, прекальциферола и кальциферола. 160 г Ia и 80 г II в эфире (500 мл) прибавлялись к 24 г Mg и 0,1 г J₂ в эфире. Через 4 часа смесь разлагалась 2 н. H₂SO₄. Из эфира выделено 69,5 г 1-аллилциклогексанола (X), т. кип. 62—64°/3 мм, n_D^{20} 1,4730. 50 г X озонировались при 0° в 5 мл CH₃COOH 15 час. После обработки 5 г Zn-пыли смесь нагревалась на водяной бане 20 мин., разбавлялась водой, экстрагировалась эфиром. Выделены: 1) 14 г IVa, т. кип. 90°/10 мм, n_D^{20} 1,505; 2) семикарбазон (СК) т. пл. 207—208° (из сп.); 2,4-динитрофенилгидразон (ДНФГ), т. пл. 200° (из этилацетата, после хроматографии на Al₂O₃ в бэл.). 2) 5 г 1-оксидициклогексилденациетонитрида (XI), т. кип. 100°/0,5 мм, n_D^{20} 1,4828; СК, т. пл. 165° (из воды). 14 г X добавлялись к смеси 60 мл 8%-ной HCOOH и 12 мл 30%-ной H₂O₂ при 25—30°. Через 12 час. р-р упаривался в вакууме, остаток обрабатывался 15 мин. при 50° р-ром 8 г NaOH в 20 мл H₂O, экстрагировался эфиром. Получено 11,3 г 1-(2,3-диоксипропил)-циклогексанола (XII), т. кип. (в баке) 110°/10⁻³ мм, т. пл. 72° (из этилацетата), n_D^{20} 1,4980. Перегонка XII со следами KHSO₄ или при

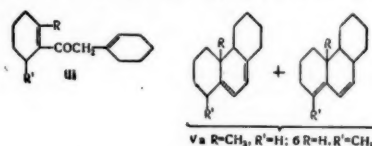
высокой т-ре дает 1-(2,3-диоксипропил)-циклогексен (XIII), т. кип. (в бане) $1:00/10^{-3}$ мм, n_D^{20} 1,4900. 10 г XII в 50%-ном водн. CH_3OH (40 мл) обрабатывался 10 мин. 10 г HIO_4 в воде (10 мл). Смесь разбавлялась водой, экстрагировалась CHCl_3 , получено 4,5 г 1-оксид-циклогексалацетальдегида, т. кип. $88-90^\circ/0,1$ мм, который при перегонке с J_2 дает 2,1 г IVa. Окисление 1,7 г XIII с 2,1 г HIO_4 в тех же условиях дает 1,1 г 1-циклогексенацетальдегида, т. кип. $100^\circ/24$ мм, n_D^{20} 1,4788. 48 г диэтилхлорацетата (получен из винилацетата с выходом 75%) добавлялись к р-ру 24 г Na в 1 л жидкого NH_3 . После испарения NH_3 к остатку добавлялся р-р 65 г NaCl в 200 мл H_2O . Выделившийся III (14,5 г) отгонялся при -10° . Р-р 8 г III в эфире добавлялся к $\text{C}_2\text{H}_5\text{MgBr}$ (из 2,8 г Mg и 12,7 г $\text{C}_2\text{H}_5\text{Br}$) в эфире (70 мл) и C_6H_6 (50 мл). Смесь размешивалась 30 мин. при 0° и 30 мин. при кипении. При 0° добавлялся р-р 12 г Ia в эфире (30 мл). Смесь размешивалась при $\sim 20^\circ$ 30 мин. и при кипении 1 час., разлагалась насыщ. р-ром NaCl при 0° . Выделено 13,4 г 1,2'-этоксизетилциклогексанола (XIV), т. кип. $63-64^\circ/0,1$ мм, n_D^{20} 1,4820. 10 г XIV в 100 мл диоксана гидрировался над Pd (Isler и др., *Helv. chim. acta*, 1947, 30, 1911). После подкисления H_2SO_4 смесь экстрагировалась эфиром, выделено 3 г IVa. При растворении XIV в CH_3OH получается метиловый эфир циклогексиденуксусной к-ты, т. кип. $50^\circ/0,2$ мм, n_D^{20} 1,4805. При встряхивании XIV с 5%-ной H_2SO_4 получается этиловый эфир этой же к-ты, т. кип. $104-106^\circ/10$ мм, n_D^{20} 1,4765, который при кипячении с 10%-ной H_2SO_4 гидролизует в соответствующую к-ту т. пл. 90° . 112 г свежеперегнанного Iб и 77 г II в 500 мл эфира и 200 мл C_6H_6 прибавлялись к 24 г Mg со следами J_2 в эфире (100 мл). После кипячения 30 мин. смесь разлагали 2 н. H_2SO_4 . Выделено 110 г 1-аллил-2-метилциклогексанола (AMЦ) т. кип. $70-75^\circ/10$ мм, n_D^{20} 1,469-1,478 (вероятно, смесь *цис*- и *транс*-форм). 10 г AMЦ озонировались в 50 мл CH_3COOH при 0° 12 час. Неочищ. альдегид после перегонки со следами KHSO_4 дает: 1) IVб т. кип. $99-100^\circ/10$ мм, n_D^{20} 1,4930; СК, т. пл. 204° (из разб. сп.); ДНФГ, т. пл. 174° (из сп. + этилацетат) после хроматографирования на Al_2O_3 в C_6H_6 ; 2) 2'-метилциклогексенацетальдегид, т. кип. $80-90^\circ/10$ мм, n_D^{20} 1,470-1,479; СК, т. пл. 204° (из сп.) дает депрессию с СК IVб; 3) 1'-оксид-2'-метилциклогексалацетальдегид, т. кип. $98-100^\circ/0,5$ мм, который при обработке реактивом Бреди дает ДНФГ IVб. 6 г IVa в 60 мл эфира прибавлялись в атмосфере N_2 в течение 30 мин. к р-ру V, полученному из 6,4 г 1-хлорциклогексена (XII) и 0,7 г Li в 100 мл эфира. Через 30 мин. смесь разлагали насыщ. р-ром NH_4Cl . При перегонке выделенного продукта со следами KHSO_4 получается 3,6 г VIa, т. кип. (в бане) $100^\circ/10^{-4}$ мм, n_D^{20} 1,5225. VIa дает аддукт с малеиновым ангидридом, т. пл. 158° (из бзл.) 3 г VIa растворялись в 200 мл 0,001 н. HCl в 75%-ном водн. ацетоне. Через 15 мин. добавлялся р-р K_2CO_3 , ацетон отгонялся вакууме. Получено 2,3 г 1-(2-циклогексен-ил-1'-винил)-циклогексанола (XVa), т. кип. (в бане) $80^\circ/10^{-4}$ мм. 1,8 г XVa при перегонке с 0,8 г KHSO_4 при 10^{-4} мм дают VIIa, т. кип. $100^\circ/10^{-4}$ мм, n_D^{20} 1,5670. 6,2 г IVб в 50 мл эфира добавлялись при 0° к V (из 5,8 г $\text{C}_6\text{H}_{11}\text{Cl}$ и 1,4 г Li) в 100 мл эфира. Через 30 мин. смесь разлагалась р-ром NH_4Cl . Получено 3,3 г VIб, т. кип. (в бане) $100^\circ/10^{-4}$ мм, n_D^{20} 1,5150. 1,7 г VIб при перегонке с 0,5 г KHSO_4 дают VIIб, т. кип. $105-107^\circ/10^{-4}$ мм, n_D^{20} 1,5415. 2 г Ia добавлялись (3 часа) при встряхивании к 5 г V в 200 мл 0,05 н. NaOH. Экстракцией эфиром выделено 2 г кетона $\text{C}_6\text{H}_{10} = \text{CHCH} = \text{C}(\text{CH}_2)_4\text{CO}$ (XVI), перегоняющегося при 10^{-4} мм, т. пл. 65° (из сп.); ДНФГ,

т. пл. 206° (из этилацетата, после хроматографии на Al_2O_3 в бзл.). XVI с 2 молями CH_3MgBr в эфире дает третичный спирт $\text{C}_6\text{H}_{10} = \text{CHCH} = \text{C}(\text{CH}_2)_4\text{C}(\text{CH}_3)\text{OH}$

(XVII), $\lambda_{\text{макс}}$ 2480 Å (ϵ 18000, в сп.). 0,4 г XVII в 4 мл пиридина с 200 мл $n\text{-CH}_3\text{C}_6\text{H}_4\text{SOCl}_2$ (или с POCl_3) при 80° дают 0,26 г триена 1-циклогексипден-2-(1-метилциклогексен-1'-илиден)-этана $\text{C}_6\text{H}_{10} = \text{CHCH} = \text{CC}(\text{CH}_3) = \text{CH}(\text{CH}_2)_2\text{CH}_2$, т. кип. $100^\circ/10^{-2}$ мм, А. В.

65094. Исследования в области синтеза витамина D. Часть II. Конденсация ацетилметилциклогексенов с циклогексаноном. Брауде, Уилер (Studies in the vitamin D field. Part II. The condensation of acetylmethylcyclohexenes with cyclohexanone. Braude E. A., Wheeler O. H.), J. Chem. Soc. Febr., 1955, 329-334 (англ.)

Конденсация 1-ацетил-2-метилциклогексена-1 (Ia) и 2-ацетил-3-метилциклогексена-1 (Iб) с циклогексаноном (II) дает кетоны (III), которые восстанавливаются LiAlH_4 в соответствующие спирты (IV). Под влиянием кислотных реагентов последние быстро перегруппировываются, что сопровождается дегидратацией и циклизацией с образованием трициклич. диенов (Va и б). Наряду



с III при конденсации I и II образуются 4а-метил-10-оксо-(VIa) и 1-метил-10-оксодекагидрофенантрон (VIб); положение двойной связи в последних не установлено. 10 г Ia, 7 г II и 25 мл пиридина добавлялись к смеси *трет*-бутила К (из 3-5 г К и 30 мл *трет*-буанола) и 50 мл эфира. Через 3 дня смесь разбавляют водой, подкисляют HCl. Из эфирного экстракта получены: 1) IIIa (8 г), т. кип. $105-106^\circ/5 \cdot 10^{-3}$ мм, n_D^{20} 1,5164, 2) VIa (3,5 г), т. кип. (в бане) $90^\circ/10^{-4}$ мм; последний при восстановлении алюмогидридом лития в эфире дает 2,9 г спирта, т. кип. (в бане) $100^\circ/10^{-4}$ мм, образующего маслообразный 3,5-динитробензоат. 8 г IIIa в 100 мл эфира смешивают с 1,6 г LiAlH_4 в 100 мл эфира при -25° , смесь гидролизуют р-ром NH_4Cl . Из эфир. р-ра выделено 7,3 г 2-циклогексен-(1')-ил 1-2-метилциклогексен (1)-ил-этанол (IVa) т. кип. $105-107^\circ/10^{-3}$ мм, n_D^{20} 1,5170. Приведены данные об изменении со временем ϵ 2400 и ϵ 2800 при действии 0,01 н. и 0,001 н. HCl в 60%-ном диоксане. 6 г IVa в 0,1 н. р-ре HCl в ацетоне через 12 час. нейтрализовали K_2CO_3 . Остаток после отгонки ацетона экстрагирован эфиром. Выделен диен (Va) (5,2 г), т. кип. $92-94^\circ/10^{-2}$ мм, n_D^{20} 1,5380. Смесь 1,2 г IVa и 0,1 г $\text{C}_{10}\text{H}_7\text{SO}_3\text{H}$ в 15 мл C_6H_6 кипятити 30 мин. в атмосфере N_2 ; получен Va, т. кип. $100^\circ/10^{-2}$ мм, n_D^{20} 1,5480. 1 г Va кипятити в ксилоле (2 мин.) с 0,4 г малеинового ангидрида 2 часа. Полученное масло дает с ангильном (90° , 1 час) N-фенилмалеинионое производное (70 мл), т. пл. 194° (из $\text{CH}_3\text{OH} + \text{H}_2\text{O}$). К 135 г 2-метилциклогексанола добавляли 100 мл жидкой HCN и несколько кристаллов KCN. Через 2 дня смесь подкисляли 2 мл H_3PO_4 . Перегонкой выделен ангидрид VI (128 г), т. кип. $70-72^\circ/0,5$ мм, n_D^{20} 1,4640, который получен с тем же выходом при добавлении конц. HCl к смеси кетона и KCN при т-ре $< 0^\circ$. 25 г VI, 30 мл POCl_3 и 30 мл пиридина смешивались при 0° , смесь выдерживали 20 мин. при 20° и 30 мин. при 90° , выливалась на лед. Экстракцией эфиром выделен 2-цис-3-метилциклогексен (VII) (17 г), т. кип. $78^\circ/10$ мм, n_D^{20} 1,4782. Гидролиз

его с 90%-ной H_3PO_4 при 130—140° (5 час.) дает 6-метилциклогексен- (1)-1-карбоновую к-ту, т. пл. 104°. К 10 г VII добавляют р-р CH_3MgI (из 3 г Mg, 20 г CH_3I 50 мл эф. и 50 мл бзл. с отгонкой части эф. до т-ры паров 70°). Смесь кипятят 6 час., разлагают р-ром NH_4Cl , эфирный экстракт промывают 5%-ной H_2SO_4 при 0° и немедленно вливают в избыток р-ра NH_3 . Масло экстрагируют эфиром. Получают неустойчивый 2-ацетил-5-метилциклогексенкетимин (VIII) (5,9 г), т. кип. 38°/0,2 мм, n_D^{20} 1,4975; некрат, т. пл. 112 и 122° (из бзл.). Гидролиз 4 г VIII, 100 мл 1 н. H_2SO_4 в смеси с 20 мл C_6H_6 при кипячении 15 мин. дает 3,1 г Iб, т. кип. 90°/15 мм, n_D^{20} 1,4875; семикарбазон, т. пл. 204° (из сп.), 2,4-динитрофенилгидразон (ДНФГ), т. пл. 120°. Iб получен также гидролизом смеси после р-ции Гриньяра с 5 мл конц. HCl при 80° в течение 20 мин. 8,1 г Iб и 6,4 г II в условиях описанных для Ia дают 6 г IIIб, т. кип. 97°/10⁻³ мм, n_D^{20} 1,5240 и 2,5 г VIб, т. кип. (в бане) 100°/5·10⁻⁴ мм. IIIб (4,4 г), LiAlH_4 (0,9 г) в эфире (60 мл) при -20° дают IVб (4,0 г), т. кип. 98°/10⁻² мм, n_D^{20} 1,5230. Приведены данные об изменении со временем с 2:30 и с 2:30 под действием 0,1 н. HCl в 60%-ном водн. диоксане при 20°. 3,5 г IVб и 0,1 н. HCl в 80%-ном водн. ацетоне через 18 час. дают масло $\text{C}_{15}\text{H}_{22}$ (2,9 г) т. кип. 88°/10⁻³ мм, n_D^{20} 1,5238. Перегонка его с KHSO_4 дает Vб (1,7 г), т. кип. 88°/10⁻³ мм, n_D^{20} 1,5235. Гидрированием ацетилциклогексена с PtO_2 в этилацетате получают ацетилциклогексен (IX), т. кип. 70°/12 мм, n_D^{20} 1,4525; ДНФГ, т. пл. 140°. 6 г IX, 5 г II и 20 мл пиридина добавлялись к р-ру *tert*- $\text{C}_4\text{H}_9\text{SCl}$ (из 22 г K) в 20 мл *tert*-бутанола и 50 мл эфира. Через 6 дней получают: 1) 2,8 г масла, дающего после перегонки (циклогексенил-1'-ацетил)-циклогексен, кип. 76°/10⁻³ мм, n_D^{20} 1,4502; семикарбазон т. пл. 174°; ДНФГ, т. пл. 102°, 2) ω -[циклогексен-1-ил]- ω -[α -(1-оксидициклогексил)-ацетил]-циклогексен т. пл. 192° (из этилацетата) 9,8 г окиси мезитила и 9,8 г II в условиях, описанных для Ia дают 6 г 2-[1,3-диметилбутен-2-илден]-циклогексана (?) ($\text{CH}_3)_2\text{C}=\text{CH}-\text{C}(\text{CH}_3)=\text{C}(\text{CH}_2)_5\text{CO}$, т. кип. 75°/0,1 мм, n_D^{20} 1,5220; ДНФГ, т. пл. 108° (из этилацетата).

65095. Химия высших грибов. Часть V. Строение немотиновой кислоты и немотины. Бу'Лок, Джонс, Линнинг (Chemistry of the higher fungi. Part V. The structures of nemotinic acid and nemotin. Bu'Lock J. D., Jones E. R. H., Leeming P. R.), J. Chem. Soc., 1955, Dec., 4270—4276 (англ.). Из 7 л культуральной среды базидиального гриба «B 841» (содержащих 1,2 г полиацетиленовых в-в) извлечением этилацетатом с последующим противоточным разделением (приведены кривые) выделены: в системе бензол—вода 660 мг немотиновой к-ты (I) и 180 мг одисовой к-ты (II), в системе циклогексан—30%-ный спирт 105 мг немотины (III) и 15 мг одисина (IV). Все в-ва легко полимеризуются, операции с ними проводят в р-рах (т-ра < 40° атмосфера N_2 , в темноте). Первоначальное соотношение между I, II, III и IV по данным УФ-спектров (в % соответственно) 67,5; 21; 8,5; 3. I является 4-оксундекадиен-5,6-дин-8,10-овой к-той, III—ее лактоном; соотношения между II и IV аналогичные. I, $[\alpha]_D^{20} + 320^\circ$ (с 0,2), pK_a 4,80 (вода). III, $[\alpha]_D^{20} + 380^\circ$ (с 0,3). Действием CH_3N_3 из I получен ее метиловый эфир (V) $[\alpha]_D^{20} + 300^\circ$ (с 0,35); при действии на I конц. H_2SO_4 в CH_3OH (20°, 3 дня) образуется смесь V и III. С конц. H_2SO_4 в диоксане (4 дня, $\approx 20^\circ$) I дает III. Гидрированием 55 мг I в CH_3COOH над Pt получено 45 мг (+)- γ -униканолактона (VI), $[\alpha]_D^{20} + 29^\circ$ (с 1,7), n_D^{20} 1,4540, превращенного (NH_3 в сп., 4 дня, с последующим окислением CrO_3 в ацетоне) в 4-оксундеканамид (VII),

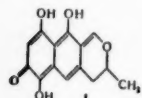
выход 18 мг, т. пл. 130—131° (из бзл.-петр. эф.). VI и VII получены аналогично также из V. При гидрировании III в CH_3COOH + следы HClO_4 образуется ундекановая к-та. Из синтетич. (+)-VI, т. кип. 164—166°/13 мм, n_D^{20} 1,4514, получен (+)-4-оксундеканамид, диморфен, т. пл. 80 и 98—99° (из этилацетата + петр. эф.), и далее VII. Повидимому, природная I—индивидуальный стереоизомер. Приведены данные ИК-спектров I и III и УФ-спектров I, III и V. Все $[\alpha]$ в спирте. Часть IV см. РЖХим Бх, 1956, 506. В. Н. 65096. Исследования в области химии грибов. Часть III. Некоторые окси- и метоксибензолполикарбоновые кислоты. Роберте (Studies in mycological chemistry. Part III. Some hydroxy and methoxy-benzene-polycarboxylic acids. Roberts John C.), J. Chem. Soc., 1955, sept., 2989—2991 (англ.).

В связи с изучением окислительного расщепления пурпурогенона, продукта метаболизма *Penicillium purpurogenum* Stoll, синтезированы 3-метокси- (I), 3-оксисбензолтрикарбоновая-1,2,5 к-та (II), 3-метокси- (III) и 3-оксисбензолтетракарбоновая-1,2,4,5 к-та (IV). I получена по методу Пастернака (Helv. chim. acta, 1940, 23, 1046), деметилирование которой во II достигается кипячением с HJ или при сплавлении с КОН. Дан улучшенный метод приготовления 2,6-бисоксиметил-3,5-диметиланизола (V), из 2,6-бисоксиметил-3,5-диметилфенола (VI) и 2-метокси-4,6-диметилбензолди-карбонной-1,3 к-ты (VII) окислением V KMnO_4 при $\approx 20^\circ$, ранее описанных Финном (J. Soc. chem. ind., 1950, 69, 129). Дальнейшее окисление VII при $\sim 100^\circ$ приводит к III, которая при деметилировании с HJ образует IV. Даны значения R_f (а) (р-ритель *n*-бутанол (40 мл), лед. CH_3COOH (10 мл) и вода (50 мл) и R_f (б) р-ритель *m*-крезол (50 мл), лед. CH_3COOH (2 мл) и вода (48 мл). Индикатор FeCl_3 . Для I R_f (а) 0,76, 0,72 г I, 15 мл CH_3COOH и 15 мл HJ (d 1,7) кипятят 5 час.; прибавляют 10 мл воды, упаривают в вакууме до 2 мл, прибавляют 3 мл 2 н. HCl. Получают II, выход 0,45 г, т. пл. 219—221° (разл., из 4 н. HCl). R_f (а) 0,61, R_f (б) 0,02, 7,7 г VI, 8,2 г безводн. K_2CO_3 , 4,9 мл ($\text{CH}_3)_2\text{SO}_4$ и 120 мл сухого ацетона кипятят 17 час. и выделяют V, выход 4,2 г, т. пл. 168° (из воды). К 3,92 г V в 20 мл 2 н. NaOH прибавляют 6,63 г KMnO_4 в 100 мл воды, встряхивают 3 часа, насыщают SO_2 , прибавляют 12 мл конц. HCl и оставляют на 12 час. при -2°, осадок растворяют в р-ре NaHCO_3 и подкислением выделяют VII, выход 2,0 г, т. пл. 232—234° (разл.). Из 0,34 г VII в 3 мл 2 н. Na_2CO_3 и 0,96 г KMnO_4 в 10 мл воды ($\sim 100^\circ$, 3 часа) получают (фильтрат упаривают, прибавляют избыток конц. HCl и охлаждают до -2°, 3 дня) III, выход 1,62 г из 1,94 г VII, т. пл. 249—251° (разл.). R_f (а) 0,61, 0,6 г III, 10 мл CH_3COOH и 10 мл HJ (d 1,7) кипятят 5 час. и выделяют IV, выход $\approx 10\%$, т. пл. 310° (из 4 н. HCl; с сублимацией). R_f (а) 0,29. Дуренилацетат (из дуренола и $(\text{CH}_3\text{CO})_2\text{O}$), т. пл. 78—79° (из разб. CH_3COOH). Часть II, см. РЖХим, 1956, 61687. М. Л.

65097. Исследования в области химии грибов. Часть IV. Пурпурогенон—продукт метаболизма *Penicillium purpurogenum* Stoll. Роберте, Уоррен (Studies in mycological chemistry. Part IV. Purpurogenone, a metabolic product of *Penicillium purpurogenum* Stoll. Roberts John C., Warren C. W. H.), J. Chem. Soc., 1955, Sept., 2992—2998 (англ.).

Описано выделение и исследование свойств пурпурогенона, для которого предложена вероятная ф-ла (I). Для получения пигмента плесень культивируют поверхностным способом в среде Raulin—Thom 3 недели при $28 \pm 1^\circ$. Измельченный мицелий экстрагируют последовательно петр. эфиром (II), эфиром и ацетоном. Из последнего выделяют I, который содержит одну

С-метильную группу и три активных атома Н. При гидрировании в р-ре CH_3COOH над Pd/C или PdO_2 I присоединяет 1 моль H_2 . При этом исчезающая интенсивно-красная окраска на воздухе вновь быстро появляется. $(\text{CH}_3\text{CO})_2\text{O}$ (III) в присутствии следов HClO_4 образует триацетат I (IV). Нагревание с 2 н. NaOH приводит к распаду I с образованием ряда в-в, из которых выделены HCOOH (0,5 моля) и 2-окси-1,4-нафтохинон (V), т. пл. $\sim 220^\circ$ (разл.). Подтверждением V являются качеств. р-ции и УФ-спектр ацетата V. Окисление IV ClO_3 в р-ре CH_3COOH -III приводит к 3-оксисабиолтрикарбоновой-1,2,5-к-те и оксикислоте, которая образуется также при окислении I щел. H_2O_2 .



250 г мицелля (высушенных в вакууме при 40°) измельчают и экстрагируют (в соклете) II (т. кип. $40-60^\circ$) 48 час., эфиром 48 час. и ацетоном 96 час. Из р-ра II и эфира выделен только пальмитат эргостерила. Р-р ацетона упаривают до 150 мл, подкисляют 4 н. HCl , разбавляют

в 4 раза водой, через 30 мин. осадок высушивают в вакууме, экстрагируют II (8 час.), остаток нагревают в 3 л эфира, фильтрат экстрагируют при энергичном встряхивании насыщ. р-ром NaHCO_3 (2×400 и 1×200 мл). Суспензию Na -соли I в холодной фазе промывают эфиром (2×250 мл), подкисляют 4 н. HCl , экстрагируют CHCl_3 (2×750 и 1×500 мл) CHCl_3 упаривают, остаток ($2-3$ г) экстрагируют кипящим C_6H_6 (750 мл) и хроматографируют на MgSO_4 , вымывают C_6H_6 , остаток после удаления C_6H_6 промывают II, получают I, выход $0,8-1,3$ г, т. пл. 310° (из ацетона), $0,1$ г I в 3 мл III с 2 каплями р-ра HClO_4 (1 капля 60%-ной HClO_4 в 1 мл III) встряхивают 10 мин. и выливают на 75 г льда, получают IV, выход 40 мг, т. пл. 226° (из сл.), $[\alpha]_D^{25} + 105^\circ$ (с 0,418; в щел.). Приведен УФ-спектр I и IV. М. Л.

65098. Катомичин. I. Выделение и характеристика.

Качка, Вулф, Рат, Фолкерс (Cathomycin. I. Isolation and characterisation. Kaczka Edward A., Wolf Frank J., Rathe Fern P., Folkers Karl), J. Amer. Chem. Soc., 1955, 77, № 23, 6404-6405 (англ.)

Катомичин (I) ($\text{C}_{30}\text{H}_{46}\text{N}_2\text{O}_{11}$) высокоэффективный антибиотик против стафилококков, устойчивых к другим антибиотикам, получен из культуральной жидкости нового актиномицета путем осаждения из воды. р-ра при pH 2; примеси удалены последовательным растворением I в ацетоне и CH_3OH , промыванием петр. эфиром, пересаживанием к той из щел. р-ра и растворением в эфире; кристаллизуется в двух формах с т. пл. $152-154^\circ$ и $170-172^\circ$ (из сл. или смеси петр. эф. ацетон или сл.), $[\alpha]_D^{25} - 27^\circ$ (с 1; в 1 н. NaOH) и $[\alpha]_D^{25} - 44^\circ$ (с 1; $\text{C}_5\text{H}_5\text{N}$). Имеет 2 кислотные группы с pH 4,7 и 10 (на основании УФ-спектра 3,8 и 9,2). Приведены данные УФ- и ИК-спектров I. Б. Т.

65099. Продукт взаимодействия усниновой кислоты с сульфатуанидином и N-метил-L-глюкозаминном.

Виртанен, Ниemi (A reaction product of usnic acid with sulfaguanidine and N-methyl-L-glucosamine). Virtanen O., Erik, Niemi Paavo O., Suomen kem., 1955, 28, № 1, 71 (англ.)

Нагреванием эквимольных кол-в усниновой к-ты, сульфатуанидина (I) и N-метил-L-глюкозамина в абс. спирте с последующим удалением избыточных кол-в этих в-в получено соединение $\text{C}_{12}\text{H}_{16}\text{N}_2\text{O}_8$ (II), т. пл. 162° (пересаживание к той из щел. р-ра; из ацетона). II обладает антибактериальной активностью, разрушающейся при кипячении (3 часа) в 10%-ном р-ре KOH , но не в 40%-ной H_2SO_4 . При кипячении (1 час) в 30%-ной H_2O_2 II разлагается с образованием светложелтого в-ва $\text{C}_{10}\text{H}_{12}\text{N}_2\text{SO}_4$, т. пл. 262° (нерастворимо в обычных

р-рителях), которое получено также аналогичной обработкой I, а также выделен из мочи кролика, получавшего II. Л. Х.

65100. Образование глутаминовой кислоты из леулиновой кислоты. Фудзисэ, Накамура, Нисидзава (レブリン酸よりグルタミン酸の生成, 藤瀬新一郎, 中村要三, 西澤吉彦), 日本化学雑誌, Нихон кагаку дзасси, J. Chem. Soc. Japan, Pure Chem. Sec., 1954, 75, № 3, 348 (япон.)

Глутаминовая к-та (I) синтезирована из леулиновой к-ты (II) через гидразид II, 6-метилпиридазин-3, моногидрат 6-метилпиридазона-3, моногидрат пиридазон-3-карбоновой к-ты (III), полученные ранее описанными методами (Overend W. G., J. Chem. Soc., 1947, 241; Poppenburg O., Ber., 1901, 34, 3233; Homer R. E., J. Chem. Soc., 1948, 2197). 2,8 г III в 100 мл лед. CH_3COOH восстанавливают в присутствии 0,5 г Pt-черни при $40-50^\circ$. Р-р концентрируют, продукт р-ции нагревают непродолжительное время с 5 мл конц. HCl и хроматографируют на бумаге, помимо I обнаружены и 1-2 других соединений. Аналогичный результат получен при восстановлении III в щел. р-ре ($90-170^\circ$, $50-80$ ат) в присутствии скелетного Ni. III превращен в этиловый эфир пиридазон-3-карбоновой-6 к-ты (IV) (см. Homer R. E., J. Chem. Soc., 1948, 2197). 1,6 г IV кипятят 1 час с 0,8 г 87%-ного $\text{N}_2\text{H}_4 \cdot \text{H}_2\text{O}$ и 2 мл спирта, получают гидразид пиридазон-3-карбоновой-6 к-ты, выход 89%, т. пл. $223-224^\circ$ (из воды). Р. С.

65101. Синтезы γ -метилглютаминной кислоты. Хельман, Лингенс (Synthesen der γ -Methylen-glutaminsäure. Hellman Heinrich, Lingen F. G. a. N., Chem. Ber., 1956, 89, № 1, 77-81 (нем.))

Описаны три метода синтеза γ -метилглютаминной к-ты (I): а) конденсация диэтилового эфира α -ацетиламино- α , γ -дикарбоксиглутаровой к-ты (3,89 г) с формальдегидом (II) (2 мл формалина) в водно-спирт. среде в присутствии 0,25 мл н. р-ра NaOH (выход метилового производного 52%, т. пл. 135° (из сл.)) и последующий гидролиз кипячением с конц. HCl (8 час.); б) р-цией Манниха из γ -ацетиламино- γ -карбокси- γ -цианмасляного альдегида (III) (2,26 г III, 1 мл II, 0,82 г хлоргидрата диметиламина, нагревание 6 час.) получают хлоргидрат α -диметиламинометил- γ -ацетиламино- γ -карбокси- γ -цианмасляного альдегида (IV), т. пл. $190-191^\circ$, выход 75%; нагреванием IV с NaOH в ксиле, окислением Ag_2O и гидролизом получают I; в) конденсация α -бромметилакрилового эфира (V) с диметиловым эфиром Na-ацетинамалоновой к-ты (VI) и гидролиз получающегося триэфира. Препаративное значение имеет только метод в. К р-ру 3,86 г V в 15 мл CH_3OH при размешивании приливают р-р 3,78 г VI и 0,46 г Na в 30 мл CH_3OH , кипятят 1 час, упаривают в вакууме; выход метилового эфира γ -метил- α -ацетиламино- α -карбоксиглутаровой к-ты (VII) 89,5%, т. пл. $88,5^\circ$ (из сл.). 2 г VII кипятят 2 часа с 10 мл конц. HCl и упаривают в вакууме. Получают хлоргидрат I, выход 85%, т. пл. $179-180^\circ$ (разл.). I (т. пл. $203-210^\circ$ (разл.; из воды.)) получают из хлоргидрата осаждением NH_4OH . I дает с пингидрином оранжевое окрашивание. Е. Ч.

65102. Синтез α , α' -диаминопимелиновой кислоты.

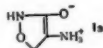
Акабори, Пдзуми, Фудзивара (α , α' -ジミノピメルン酸の合成. 赤堀四郎, 泉美治, 藤原輝子), 日本化学雑誌, Нихон кагаку дзасси, J. Chem. Soc. Japan. Pure Chem. Sec., 1954, 75, № 10, 993-995 (япон.)

Смесь 11 г сукцинимиды (I) и 2,3 г Na в 30 мл абс. спирта нагревают 10 мин. и добавляют крупицу KJ и 10 г этилового эфира α , α' -диформимелиновой к-ты (II), нагревают 4 часа, фильтруют, упаривают, остаток растворяют в 10 мл воды, кипятят 3 часа с 20 мл 38%-ной HCl , оставляют на 12 час. на льду, фильтруют,

упаривают, растворяют в 100 мл воды, подщелачивают NH_4OH по фенолфталеину, упаривают, остаток растворяют в 10 мл воды, постепенно добавляют 50 мл CH_3OH , получают сырую α, α' -диаминопимелиновую к-ту (III); для очистки III растворяют в 50 мл горячей воды, обесцвечивают, фильтруют, добавляют 200 мл CH_3OH , выход 4,1 г, т. разл. 307—310°. Фталимид с II дает только 8,9% III. При попытке синтезировать III из этилового эфира ацетамидомлоновой к-ты (IV) и триметилдиформида (V) получено 31,5% DL-пролина (VI) и следы III. К 1,9 г Na в 100 мл абс. спирта добавляют 18,5 г IV, крупиночку KJ, нагревают 5 час. с 7,2 г V, охлаждают, фильтрат обрабатывают 15 мл холодной воды, фильтруют, фильтрат гидролизуют 4 часа 15 мг 33%-ной HCl, удаляют HCl в вакууме, остаток нейтрализуют NaOH, по конго красному, добавляют 6 г NH_4 -роданилата в 50 мл CH_3OH , получают роданилат VI, при разложении которого пиридином получают VI, выход 1,22 г. При хроматографировании на бумаге р-ра, нейтрализованного NaOH, найдены пятна, отвечающие III.

Chem. Abstrs, 1955, 49, 11550. Koji Nakanishi, 65103. Является ли циклосерин оптически активным иминном? Наш (Cycloserine: an optically active imine? Nash T.), Chemistry and Industry, 1955, № 48, 1556—1557 (англ.)

Автор считает, что для циклосерина (I) лактимная структура мало вероятна и предлагает для него строение (Ia). Оптич. активность I объясняется присутствием в цикле асимметрич. атома N, основные свойства которого настолько подавлены соседними группами, что он не может рацемизоваться



путем промежуточного образования катиона $>\text{N}^+\text{H}_2$.

C. A. 65104. Применение реакции Яппа — Клингемана Новый синтез орнитина. Шапиро, Абрамович (Application of the Japp — Klingemann reaction. A new synthesis of ornithine. Shapiro D., Abramovitch R. A.), J. Amer. Chem. Soc., 1955, 77, № 24, 6690—6691 (англ.)

При р-ции 3-карбоксипиперидона-2 (I) с бензолдиазонийхлоридом (II) (рН 5—6, 5 час. при 5—10°) получен 3-фенилгидразон пиперидиндиона-2,3 (III), выход 8,8 г (из 8,5 г I), т. пл. 244—245° (разл.; из водн. сп.). Восстановление 1,92 г III в 30 мл лед. CH_3COOH действием 5 г Zn-пыли в 15 мл лед. CH_3COOH и 8 мл $(\text{CH}_3\text{CO})_2\text{O}$ приводит к образованию 3-ацетамидопиперидона-2 (IV), выход 0,55 г, т. пл. 184—185° (из хлф. эф.). Гидролиз IV дает орнитин (Bergmann M., Koster H., Z. physiol. Chem., 1926, 159, 179). При прозеждении р-ции между II и этиловым эфиром I образуется только смола.

C. A. 65105. Синтезы α -замещенных α -аминокислот и их производных. Шемякин М. М., Чаман Е. С., Денисова Л. И., Докл. АН СССР, 1956, 106, № 4, 675—678

Способность бромоксазолинов (I) (РЖХим, 1956, 39718, 39719) реагировать с аминами, меркаптанами и спиртами использована для введения к α -углеродному атому α -ациламинокислот различных заместителей. При избытке реагента обычно получают производные α -замещ. α -ациламинокислот по карбоксильной группе. Со спиртами р-ция протекает почти в одинаковых условиях в случае первичных, вторичных жирных, жирноароматич. и алициклич. спиртов. При р-ции 2-фенил-4-бромоксазолинона-5 с третичным бутиловым спиртом получены α -алкокси- α -бензоиламиноуксусная к-та, ее эфир и эфир α -оксисбензоиламиноуксусной к-ты. С фенолом образуется фениловый эфир α -оксис- α -бензоиламиноуксусной к-ты. Размыкание оксазолинового кольца в I

происходит быстрее, чем замещение атома Br. Это позволило проводить р-цию в две стадии и получать α -замещ. α -ациламинокислоты или производные α -оксис- α -ациламинокислот. Описаны соединения общей ф-лы $\text{R} - \text{CH}(\text{NHCOC}_6\text{H}_5)\text{COR}'$ (в скобках указаны шифры, выход в %, т. пл. в °C, р-ригель для кристаллизации): $\text{R} = \text{R}' = \text{OCH}_3$ (II, 56, 86—87, эф.); $\text{R} = \text{R}' = \text{OC}_6\text{H}_5$ (III, 58, 69—71, 70%-ный сп.); $\text{R} = \text{R}' = \text{OC}_6\text{H}_7$ (IV, 41, 54—55, 70%-ный сп.); $\text{R} = \text{R}' = \text{OC}_{12}\text{H}_{25}$ (V, 50, 52—53, CH_3OH); $\text{R} = \text{R}' = \text{OCH}(\text{CH}_3)_2$ (VI, 44, 80—81, 70%-ный CH_3OH); $\text{R} = \text{R}' = \text{OC}(\text{CH}_3)_3$ (VII, 23, 135—137, CH_3OH); $\text{R} = \text{R}' = \text{OCH}_2\text{C}_6\text{H}_5$ (VIII, 52, 95—106, сп.); $\text{R} = \text{R}' = \text{OC}_6\text{H}_{11}$ (IX, 53, 118—119, CH_3OH); $\text{R} = \text{OH}$, $\text{R}' = \text{OC}_6\text{H}_5$ (X, 29, 159—160, CH_3OH); $\text{R} = \text{OC}(\text{CH}_3)_3$, $\text{R}' = \text{OH}$ (XI, 48, 103—104, крист. с молекулой воды, 70%-ный сп.); $\text{R} = \text{OCH}_2\text{C}_6\text{H}_5$, $\text{R}' = \text{OH}$ (XII, 7, 123—125, 70%-ный сп.); $\text{R} = \text{OH}$, $\text{R}' = \text{OCH}_2\text{C}_6\text{H}_5$ (XIII, 31, 125—126, 70%-ный сп.); $\text{R} = \text{OH}$, $\text{R}' = \text{OC}(\text{CH}_3)_3$ (XIV, 39, 125—126, 70%-ный CH_3OH); $\text{R} = \text{NHC}_6\text{H}_5$, $\text{R}' = \text{OCH}_2\text{C}_6\text{H}_5$ (XV, 29, 156—157, CH_3OH); $\text{R} = \text{NC}_6\text{H}_{10}$, $\text{R}' = \text{OCH}_2\text{C}_6\text{H}_5$ (XVI, 3, 76—79, 70%-ный CH_3OH); $\text{R} = \text{NHC}_6\text{H}_5$, $\text{R}' = \text{OC}(\text{CH}_3)_3$ (XVII, 68, 155—156, CH_3OH); $\text{R} = \text{R}' = \text{NHC}_6\text{H}_5$ (XVIII, 76, 163—164, CH_3OH); $\text{R} = \text{R}' = \text{SCH}_2\text{C}_6\text{H}_5$ (XIX, 77, 103—104, CH_3OH), а также $\text{CH}_3\text{C}(\text{OCH}_3)\text{NHCOC}_6\text{H}_5\text{COOCH}_3$ (XX, 29, 114—115, смесь CH_3OH и эф.). Соединения II—IX: к р-ру 5 г 2-фенил-оксазолинона-5 в 33 мл дихлорэтана при —5° приливают р-р 2,5 г Br_2 в 7 мл дихлорэтана. Фильтрат (р-р 4-бром-2-фенилоксазолинона-5 (XXI)) размешивают с соответствующим спиртом (1,5—8 молей) 1 час, 25—28°, упаривают в вакууме и остаток растирают с эфиром. VII, XI, XIV получают из XXI и 6 г триметилкарбинола (XXII). После обработки р-ра как описано, и растирания с эфиром получают 1,1 г VII. Из эфирного р-ра экстракцией р-ром NaHCO_3 выделяют 0,35 г X, а из эфирного остатка — 1,55 г XIX. При использовании XXII, содержащего 3,5% воды, получают XI. При обработке анилином реакционного р-ра, полученного из XXI и XXII, выделяют XVII. К р-ру XXI при 0° приливают смесь 0,27 г воды и 6 мл диоксана, размешивают 0,5 часа, добавляют 3,4 г $\text{C}_6\text{H}_5\text{CH}_2\text{OH}$ и размешивают 1,5 часа при 20°. Р-р упаривают в вакууме, растиряют с р-ром NaHCO_3 и подкислением выделяют XII. XIII получают из XXI и $\text{C}_6\text{H}_5\text{CH}_2\text{OH}$ при 0°. К дихлорэтановому р-ру XXI при 0° приливают 1,7 г $\text{C}_6\text{H}_5\text{CH}_2\text{OH}$ и через 20 мин. 3 г $\text{C}_6\text{H}_5\text{NH}_2$, образуется XV. При использовании пиперидина получают XVI. Для получения XVIII к 2-ру XXI при —5—0° приливают 10 г анилина, поднимают т-ру до 25° и размешивают 1 час. Фильтрат, промытый 5%-ным р-ром HCl, упаривают в вакууме. Р-цию с бензилмеркаптаном проводят также, как со спиртами. Для получения X реакционный р-р после размешивания с фенолом оставляют на сутки с водой. XX получают размешиванием 4-метил-4-бром-2-фенилоксазолинона-5 с CH_3OH 5 час. при 18—20°.

E. C. 65106. Выделение, строение и синтез «латирусного» фактора из *Lathyrus odoratus*. Шиллинг, Стронг (Isolation, structure and synthesis of a lathyrus factor from *L. Odoratus*. Schilling E. D., Strong F. M.), J. Amer. Chem. Soc., 1955, 77, № 10, 2843—2845 (англ.)

Путем изучения продуктов гидролиза, выделенного из семян душистого горошка (*Lathyrus odoratus*), кристаллич. в-ва общей ф-лы $\text{C}_8\text{H}_{13}\text{O}_9\text{N}_3$ показано, что это соединение является β -(N-γ-L-глутамил)-аминопропиотрилом (I). Найденное строение подтверждено синтезом I. Последний выделен из семян по ранее описанному методу (РЖХим Бх, 1956, 15911) т. пл. 193—194°; $[\alpha]_D^{20} + 18^\circ$ (с 1; H_2O); на хроматограмме дает одно пятно с виагридином. После гидролиза (0,5 г I + 5 мл 11,7 н. HCl в запаянных трубках при 120°, 8 час.) вы-

делен хлоридат I-глютаминовой к-ты. Хроматограмма гидролизата I на бумаге дает два пятна, идентифицированных как глютаминовая к-та (II) и β -аланин (III). После удаления II из гидролизата и подщелачивания выделено летучее основание, оказавшееся аммиаком; ИК-спектры поглощения I указывали на присутствие тройной связи. На основании этих фактов было сделано заключение, что II соединено пептидной связью с β -аминопропионитрилом в I или же глютаминопропионитрил соединен с III. Из шести возможных комбинаций такой связи по некоторым соображениям был в первую очередь синтезирован I, оказавшийся идентичным природному соединению. Ангидрид фталонил-L-глютаминовой к-ты (IV) получен следующим способом: в р-р 148 г фталового ангидрида в 300 мл кипящей лед. CH_3COOH внесено 148 г I-II. Через 40 мин. кипения остаток II (42,4 г) отфильтрован и фильтрат оставлен при $+5^\circ$ на 12 час. Отделено 50,5 г фталонил-D, L-глютаминовой к-ты и еще через 12 час. ($+4^\circ$) выпало 43,6 г I-фталонилглютаминовой к-ты (V), т. пл. $156-159^\circ$ (вода), $[\alpha]^{25}_D = -44^\circ$ (с 3; диоксан), $[\alpha]^{20}_D = -27,7^\circ$ (с 1; 0,53 н. Na_2CO_3). Для перевода в IV 40 г V растворены в 110 мл теплого $(\text{CH}_3\text{CO})_2\text{O}$, упарены в вакууме до жидкого сиропа и осажжены эфиром; т. пл. IV $203-204^\circ$ (из этилацетата) $[\alpha]^{21}_D = -40^\circ$ (с 3; диоксан). В быстро охлад. до 0° р-р 34,5 г IV в 60 мл кипящего диоксана добавлены 15,2 г β -аминопропионитрила; через 30 мин. осаждено 50 мл эфира и осадок обработан в р-ре 100 мл 10%-ного Na_2CO_3 10 г 64%-ного водн. р-ра $\text{N}_2\text{H}_4 \cdot \text{H}_2\text{O}$. После осаждения фталогидрида 2 н. HCl, удаления Cl^- 64 г Ag_2O , доведения pH до 7,2 н. HCl и упарки в вакууме до 50 мл I осажден 3 объемами абс. спирта, выход I 32 г, т. пл. $193-194^\circ$ (разл., из 25% водн. сп. осажжено абс. сп.); $[\alpha]^{20}_D + 18^\circ$ (с 1; H_2O). Синтетич. D, L-I имеют т. пл. $191-192^\circ$. Синтетич. L- и DL-формы I вызывают, так же как природный I, ненормальные изменения в скелете крыс (латризм). Е.К. 65107.

Приготовление О-пептидов с помощью промежуточных N-бензил- и N-тритилпроизводных. Веллуз, Амьяр, Эмее (Sur la préparation des O-peptides à l'aide d'intermédiaires N-benzylés et N-tritylés. Velluz Léon, Amiard Gaston, Heumès René), Bull. Soc. chim. France, 1955, № 10, 1283-1285 (франц.)

Открытие О-диазоацетил-L-серина или азасерина, как ингибитора роста опухоли, повысило интерес к изучению О-пептидов (РЖХим, 1956, 22561, 22562). Для получения О-пептидов оксаминокислот применены дибензиловая и тритильная защита аминокруппы, использованные ранее для синтеза N-пептидов (РЖХим, 1955, 34141, 9166, 40060, 1956, 468). Синтезированы хлоридат О-глицил-DL-серина (I), О-(N,N-дибензилглицил)-DL-серина (II), О-глицил-N, N-дибензил-DL-серин (III), хлоридат О-глицил-DL-треонина (IV), хлоридат О-(N-бензилглицил)-N-бензил-DL-треонина (V), хлоридат О-(D(-)- α -аминобутирил)-L(-)-треонина (VI). Исходными в-вами для синтеза I служили: N, N-дибензил-DL-серин (VII) и N-тритилглицин (VIII). Исходя из VII синтез осуществлен двумя путями: а) к р-ру 2,85 г VII и 2,5 мл тритиламина (IX) в 30 мл CHCl_3 добавляют (0°) 1,6 г хлоридата N, N-дибензилглицилхлорида (X), встряхивают и снова вносят 2,5 мл IX и 1,6 г X; через 15 мин. (20°) промывают 5 н. HCl и упаривают досуха в вакууме, выход неочищ. хлоридата О-(N,N-дибензилглицил)-N, N-дибензил-DL-серина (XI) колич. 10 г XI гидрируют в 200 мл 75%-ного спирта над 3 г 10%-ной Pd-черни (поглощено 2 моля H_2 при $\sim 20^\circ$ за 20 мин. и 2 моля H_2 при 50° за 45 мин.), концентрируют в вакууме, осаждают I спиртом, выход I 70%, т. пл. $170-175^\circ$ (из воды $+ \text{сп.}$, 3:13); б) к р-ру 2,55 г N, N-дибензилглицина (XII) в 30 мл CHCl_3 и 2 мл IX прибавляют 1,1 мл

$\text{ClCOOC}_2\text{H}_5$ (XIII) (-10°). Через 30 мин. (0°) добавляют р-р 2,85 г VII и 1,5 мл IX в 30 мл CHCl_3 и оставляют на ~ 12 час. (30°); выделяют XI и гидрируют как описано выше, выход I 70%. В р-р 3,17 г VIII в 30 мл CHCl_3 и 2 мл IX вносят (-10°) 1 мл XIII. Через 45 мин. (0°) добавляют р-р 3,5 г N-тритил-DL-серина (XIV) и 1,5 мл IX в 30 мл CHCl_3 , оставляют на ~ 12 час. (30°), промывают н. HCl и насыщ. р-ром CH_3COONa и упаривают досуха в вакууме, выход неочищ. О-(N-тритилглицил)-N-тритил-DL-серина (XV) колич. Р-р 4 г XV в 10 мл ацетона и 3 мл 5 н. HCl оставляют на ~ 12 час. (20°), добавляют 3 мл воды, удаляют ацетон в вакууме и отжимают трифенилкарбиол (XVI). Добавлением IX водн. р-р доводят до pH 3, концентрируют в вакууме и осаждают спиртом I, выход 60%. 10 г XI в 200 мл 75%-ного спирта гидрируют над 3 г 10%-ной Pd-черни (20 мин., $\sim 20^\circ$). Фильтрат упаривают в вакууме досуха, растворяют остаток в небольшом кол-ве горячей воды и выделяют ацетоном хлоридат О-(N-бензилглицил)-N-бензил-DL-серина, выход почти колич., т. пл. $195-205^\circ$ (разл.; в блоке). В р-р 5,1 г XII в 60 мл CHCl_3 и 4 мл IX вносят (-5°) 2,1 мл XIII. Через 1 час. (0°) добавляют р-р 7 г XIV и 3 мл IX в 60 мл CHCl_3 , оставляют ~ 12 час. (20°). Промывают 1 н. HCl, водой, насыщ. р-ром CH_3COONa и упаривают досуха в вакууме, выход О-(N,N-дибензилглицил)-N-тритил-DL-серина (XVII) колич. К р-ру 12 г XVII в 30 мл ацетона добавляют 6 мл 5 н. HCl и 6 мл воды, встряхивают 1 час, разбавляют 20 мл воды, удаляют ацетоном в вакууме, отделяют кристаллич. XVI. Из фильтрата осаждают II насыщ. р-ром CH_3COONa , выход 80%, т. пл. $170-172^\circ$. Гидрирование II приводит к I, выход 80%. К 3,17 г VIII и 2 мл IX в 30 мл CHCl_3 прибавлен 1 мл XIII (-10°). Через 1 час (0°) добавляют р-р 2,85 г VII и 1,5 мл IX в 30 мл CHCl_3 и оставляют на 12 час. (30°); обрабатывают, как описано выше, и получают О-(N-тритилглицил)-N, N-дибензил-DL-серин, выход колич. Обрабатывают, как описано выше, и выделяют III, выход $\sim 40\%$, т. пл. $90-95^\circ$. Гидрирование III приводит к I. Синтез IV осуществлен двумя методами: 1) к р-ру 3 г N, N-дибензил-DL-треонина (XVIII) и 2,5 мл IX в 30 мл CHCl_3 добавляют (0°) 1,6 г X. Обрабатывают как указано при синтезе XI, выход неочищ. хлоридата О-(N, N-дибензилглицил)-N, N-дибензил-DL-треонина (XIX) колич. При действии р-ра CH_3COONa на р-р XIX в CHCl_3 и удалении р-рителя в вакууме получают аморфное основание. Гидрирование при 45° , в условиях аналогичных получению I, приводит к IV, выход 70%, т. пл. $170-175^\circ$; 2) к 5,1 г XII и 4 мл IX в 60 мл CHCl_3 (-10°) прибавлено 2,1 мл XIII. Через 45 мин. (0°) добавляют р-р 6 г XVIII и 3 мл IX в 60 мл CHCl_3 , оставляют на ~ 12 час. (30°), обрабатывают как описано выше и получают XIX, выход колич. Гидрирование ($\sim 20^\circ$) 10 г XIX в 125 мл 80%-ного спирта, над 3 г 10%-ной и Pd-черни и 3,6 мл 5 н. HCl приводит к V, выход 80%, т. пл. $195-200^\circ$. В р-р 2,83 г D(+)-N, N-дибензил- α -аминомасляной к-ты и 2 мл IX в 30 мл CHCl_3 вносят (-10°) 1 мл XIII. Через 1 час (0°) добавляют р-р 3 г L(-)-XVIII и 1,5 мл IX в 30 мл CHCl_3 , обрабатывают через ~ 12 час. (30°) и выделяют сырой О-(D(+)-N, N-дибензил- α -аминобутирил)-L(-)-N, N-дибензилтреонин (XX), выход колич. Гидрирование XX в 110 мл 80%-ного спирта, в присутствии HCl над 2 г 10%-ной Pd-черни, приводит к VI, выход 72%, т. пл. 200° (разл.), $[\alpha]^{20}_D + 3^\circ$ (с 10; 10 н. HCl).

А. Л. 65108. Об оптически чистом поли-L-тирозине. Ковач, Котан (Über optisch reines poly-L-tyrosin. Kovács K., Kötai A.), Acta chim. Acad. sci. hung., 1955, 5, № 3-4, 313-316 (нем.; рез. рус., англ.)

Предложен метод получения чистого поли-L-тиро-

зина (I), представляющий видоизменение метода, описанного ранее (см. РЖХим, 1954, 30665). О-ацетильное производное I омыляют 1 н. HCl в присутствии $\text{Cu}(\text{OH})_2$. В этих условиях, по данным авторов, не происходит рацемизации. О-ацетил-L-тирозин превращают в О-ацетил-L-тирозин-N-карбоксангидрид (II) действием SOCl_2 в дioxане 3 часа при 40°, выход 87%, т. пл. 119—120° (разл.). II полимеризуют в этилацетате в присутствии 1 н. NH_3 при 60° 12 час. Выпавший поли-О-ацетил-L-тирозин (III) отделяют, выход 91%. 5,1 г III взбалтывают 30 мин. с р-ром 2,1 г $\text{CuSO}_4 \cdot 5\text{H}_2\text{O}$ в 10 мл H_2O , и 70 мл 1 н. р-ра NaOH. Охлажд. фильтрат подкисляют 11 н. HCl. Через несколько часов выделяется гелеобразный I, выход 74%, $[\alpha]^{20}_D +21,5^\circ$ (с 1,915; 1 н. NaOH); степень полимеризации $n = 23$.

Б. Д. 65109. О микросинтезе подтирозинов, меченых J^{131} .

Рош, Мишель, Жуан, Вольф (Sur la microsynthèse de divers iodothyronines marquées par J^{131} . Roche Jean, Michel Raymond, Jouan Pierre, Wolf Walter), Bull. Soc. chim. biol., 1955, 37, № 7-8, 819—829 (франц.)

Подтированием 3,5-диодитирозина (I) посредством J^{131} синтезированы 3,5,3'-триодитирозин (II), меченый в положении 3', и тироксин, меченый в положении 3' и 5' (III). Аналогичным подтированием II получен III-5'- J^{131} . Подтирование 3-моноидитирозина (IV) приводит к 3,3'-диодитирозину (V), меченному в положении 3' и к 3,3',5'-триодитирозину (VI), меченному при C(3') и C(5'). Подтированием V получают VI, меченный в положении 5'. Продукты подтирования отделяют ионофорезом при pH 8,5 и отдельные подтирозины выделяют хроматографированием на бумаге в присутствии р-ра NH_3 в *tert*- $\text{C}_5\text{H}_5\text{OH}$. При этом получены следующие значения R_f : VI 0,20; II 0,40; I 0,50; V 0,35; III 0,25. В микропипетку (приведен чертеж) вводят каплю водн. р-ра, содержащую 15 мг J^{131} (радиоактивность 0,89 мкюри), 1 мг 0,01 н. р-ра H_2SO_4 и затем 10 мкл р-ра J^{127} , приготовленного из 52,2 мкл J_2 и 20 мл спирта. К 9 мкл р-ра IV (приготовленного из 1,81 мг IV и 1,80 мкл конц. NH_3) добавляют в микропипетку 9 мкл упомянутого р-ра меченого иода, смесь выдерживают 15 мин. и продукт р-ции хроматографируют на бумаге разделяя на V (выход 30%), VI и непрореагировавший IV. Аналогично синтезируют остальные подтирозины с выходом 20—50%. Л. Б.

65110. Изучение методов синтеза аналогов пептидов. I. Синтез полипептидов при помощи N-карбобензиламинокислот. Ногутти (蛋白質類似物質合成法に関する研究. 第1報. N-カルボチオフェニルアミノ酸法によるポリペプチドの合成, 野口順蔵), 日本化学雑誌, Нихон кагаку дзасси, J. Chem. Soc. Japan. Pure Chem. Sec., 1953, 74, № 12, 961—965 (япон.)

N-((фенилтио)-карбонил)-замещенные аминокислоты при нагревании полимеризуются с отщеплением $\text{C}_6\text{H}_5\text{SH}$ и CO_2 . При 120—200° реакционная масса загрязняется продуктами побочных р-ций и не пригодна для синтеза полипептидов. При длительном нагревании (50—80°) в подходящем р-рителе полимеризация не сопровождается побочными р-циями. Синтезированы: RCH_2COOH , т. пл. 155° ($\text{R} = \text{C}_6\text{H}_5\text{SQONH}$ здесь и всюду далее), $\text{DL-CH}_3\text{CH(R)COOH}$ (I), т. пл. 138°, $\text{RCH}_2\text{CH}_2\text{COOH}$, т. пл. 104°, $\text{L-(CH}_3)_2\text{CHCH}_2\text{CH(R)COOH}$ (II) (сироп), $\text{DL-C}_6\text{H}_5\text{CH}_2\text{CH(R)COOH}$, т. пл. 56°, $\text{DL-CH}_3(\text{CH}_2)_6\text{CH(R)COOH}$, т. пл. 23°, $\text{R(CH}_2)_6\text{COOH}$, т. пл. 95°, $\text{CH}_3\text{CH(R)CONHCH}_2\text{COOH}$ (III), т. пл. 137°, $\text{L-NOOC(CH}_2)_2\text{CH(R)COOH}$, т. пл. 141°, и ангидрид N-((фенилтио)-карбонил)-L-глутаминовой к-ты, т. пл. 167°. Изучалась р-ция полимеризации всех синтезированных в-в. Наиболее подходящим р-рителем оказался C_6H_6 , содержащий небольшое кол-во $\text{C}_6\text{H}_5\text{N}$.

Напр., I полимеризуется в гель при нагревании (несколько сотен часов) в C_6H_6 , содержащем 8% $\text{C}_3\text{H}_5\text{N}$ (80°). Гель растворяют в лед. $\text{CH}_3\text{COOH} + \text{ClCH}_2\text{COOH}$ (1:1). Определение вязкости и осмотич. давления при 30° дает предельную вязкость $\eta = 0,068$, средней мол. в. 59400, среднюю степень полимеризации 450. II полимеризуется аналогично I. Другие, из перечисленных выше соединений (за исключением III), полимеризуются в данных условиях плохо. Подбрав подходящие условия, можно полимеризовать такие динептиды, как III.

Chem. Abstrs, 1955, 49, 9565.

K. Yamasaki

65111. Спектры комбинационного рассеяния углеводорода циперина II. Харихаран, Сенич (Raman spectra of the hydrocarbon cyperene II. N. A. riharan T. A., Senich Radomir), Proc. Indian Acad. Sci., 1955, A42, № 6, 285—288 (англ.)

Получены спектры комб. расс. углеводородной части продукта, выделенного из клубней сорняка *Cyperus rotundus* — циперина II (I), а также дигидроциперина II (II) и тетрагидроциперина II (III). В спектре I наблюдается очень интенсивная линия кратной связи $\text{C}=\text{C}$ 1645 cm^{-1} и более слабая при 1599 cm^{-1} . В II вторая линия исчезает, а первая сдвигается до 1665 cm^{-1} и интенсивность ее понижается. Эти изменения авторы относят за счет наличия в I сопряженных связей $\text{C}=\text{C}$; при гидрировании сохраняется только одна двойная связь типа $\text{R}_1\text{R}_2\text{C}=\text{CHR}_3$. В III частот $\text{C}=\text{C}$ не найдено. В согласии с этими предположениями в I наблюдаются частоты CH 3076 и 3041 cm^{-1} , а в II только 3041 cm^{-1} . Частота 3076 cm^{-1} характерна для $\text{R}_1\text{R}_2\text{C}=\text{CH}_2$, а 3041 cm^{-1} для типа $\text{R}_1\text{R}_2\text{C}=\text{CHR}_3$ ($\nu = (\text{C}=\text{H})$). В I наблюдаются также частоты неплоских колебаний $\text{C}=\text{H}$: 796 cm^{-1} , характерная для типа $\text{R}_1\text{R}_2\text{C}=\text{CHR}_3$, и 879 cm^{-1} ($\text{R}_1\text{R}_2\text{C}=\text{CH}_2$). Интенсивность второй из них резко понижена в II. Это может объясняться наличием в I групп $=\text{CH}_2$. Эти данные указывают на присутствие в молекуле I двух сопряженных связей $\text{C}=\text{C}$, из которых одна типа $\text{R}_1\text{R}_2\text{C}=\text{CH}_2$, а другая близкого типа или $\text{R}_1\text{R}_2\text{C}=\text{CHR}_3$. Ю. Е.

65112. Шеретный воск. Часть VI. Синтез и стереохимия α -оксикислот с прямой цепью. Хорн, Преторнус (Wool wax. Part VI. The synthesis and stereochemistry of the straight-chain α -hydroxy-acids. Horn D. H. S., Pretorius Y. Y.), J. Chem. Soc., 1954, May, 1460—1464 (англ.)

Синтезированы из оптически активной формы моноэтилового эфира ацетиляблочной к-ты (I) сочетанием на аноде с соответствующими карбоновыми к-тами оптически активные α -оксикислоты с прямой цепью углеводных атомов: 2-оксимасляная к-та (II), 2-оксигексановая к-та (III), 2-оксиктановая к-та (IV), 2-оксидекаановая к-та (V) и 2-оксигексадекановая к-та (VI) по схеме: $\text{C}_2\text{H}_5\text{OOCCH}(\text{OOCCH}_3)\text{CH}_2\text{COOH} + \text{RCOOH} \rightarrow \text{HOOCCH}(\text{OH})\text{CH}_2\text{R}$. I получен из (–)-яблочной к-ты действием CH_3COCl (нагреванием 3 часа) с последующим добавлением спирта (0,5 час., 50°), выход 60%, т. пл. 50—51°, $[\alpha]^{22}_D -29,1^\circ$ (с 10,5; сп.), 10 г I в CH_3OH (80 мл + 0,1 г Na) и 10 мл CH_3COOH подвергают электролизу (Pt-электроды; 1а, 50а, 10—15 час., т-ра не выше 35°), образующийся эфир перегоняют и подкисляют HCl. После экстракции гексаном получают II, т. пл. 52—53,5° (из CCl_4 -гексана), $[\alpha]^{18}_D -3,0^\circ$ (с 6,19; вода), $[\alpha]^{18}_D +6,4^\circ$ (с 11,03; CHCl_3), $[\alpha]^{16}_D -4,4^\circ$ (с 8,53; сп.). Аналогично из I и n-масляной к-ты получают III, т. пл. 61,0—61,6° (из $\text{iso-C}_8\text{H}_7\text{O} + \text{C}_6\text{H}_{14}$), $[\alpha]^{18}_D +5,6^\circ$ (с 6,84; CHCl_3), $[\alpha]^{18}_D -1,5^\circ$ (с 6,76; сп.), $[\alpha]^{18}_D -1,6^\circ$ (с 4,4; вода). IV, т. пл. 70,2—70,6° ($\text{iso-C}_8\text{H}_7\text{O}$), т. зам. $-4,6^\circ$, n^{20}_D 1,4162, $[\alpha]^{19}_D +1,5^\circ$ (с 6,8; сп.). $[\alpha]^{19}_D +3,0^\circ$ (с 4,27; вода + 10—15% CH_3OH). V, т. пл.



VII

77,6—78,0° (из $\text{изо-C}_9\text{H}_{17}\text{O}$), т. зам. 16,1°, $n_D^{25,2} D$ 1,4256, $[\alpha]_D^{25} D + 5,3^\circ$ (с 8,6; CHCl_3), $[\alpha]_D^{25} D + 1,6^\circ$ (с 7,3; сп.). VI получена как в DL-форме, т. пл. 85,8—86,6° (из CH_3OH), так и в оптически активной форме, т. пл. 93,3—93,6° (CH_3OH , C_6H_{14}), $[\alpha]_D^{25} D + 2,7^\circ$ (с 1,98; CHCl_3), $[\alpha]_D^{25} D + 1^\circ$ (с 2,24; сп.). Стереохим. исследования полученных к-т показали, что они имеют конфигурацию (VII) и по аналогии с аминокислотами могут быть обозначены L (L.S) по правилам, опубликованным ранее (J. Chem. Soc., 1951, 3522). Установлено, что природные α -оксикислоты шерстного воска, диолы-1,2, полученные из последних восстановлением LiAlH_4 (см. часть IV, ГЖХим, 1956, 58197), дегидроновная к-та мозга и 2-оксипентадекановая к-та, полученная из устьевых к-т, имеют D-соотв. D₅ конфигурацию. Часть V см. РЖХим, 1956, 58198. С. П.

65113. Разветвленные жирные кислоты бычьего жира. 2. Выделение 15-метилгексадекановой кислоты. Хансен, Шорленд, Кук (The branched-chain fatty acids of ox fat. 2. The isolation of 15-methylhexadecanoic acid. Hansen R. P., Shorland F. B., Cooke N. June), Biochem. J., 1955, 61, № 1, 141—143 (англ.)

Из околопочечного жира была фракционированием метиловых эфиров к-т гидрированных глицеридов выделена 15-метилгексадекановая к-та (I) в кол-ве 0,06% от общего веса к-т, т. пл. 60,2—60,4° (из эф.) $n_D^{20} D$ 1,4315; метиловый эфир, т. пл. 18,3—18,9°, $n_D^{20} D$ 1,4419. Авторы считают, что I присутствует в природном жире, а не образуется при гидрировании. Сообщение 1 см. Biochem J., 1952, 50, 581. А. О.

65114. Химическое изучение веществ, экстрагированных из листьев Musa sapientum. Сообщение I. Карелли, Маркони, Туччи (Ricerche chimiche su sostanze estratte dalle foglie di «Musa sapientum». Nota I. Carrelli Vincenzo, Marchini Paolo, Tucci Aldo), Ann. chimica, 1955, 45, 12, 1126—1132 (итал.)

Хроматографированием из петр. эфира на Al_2O_3 немомляемой фракции эфирного экстракта сухих листьев банана Musa sapientum выделены: вымыванием петр. эфиром — $n\text{-C}_{20}\text{H}_{42}$, вымыванием эфиром — в-во с т. пл. 135°; ацетат, т. пл. 124°, по-видимому, фатостерин. Л. Я.

65115. Химия фумагиллина. Н. Шенк, Хардж, Исараэна (Chemistry of fumagillin. H. Schenck J. R., Hargie M. P., Isaraseena A.), J. Amer. Chem. Soc., 1955, 77, № 21, 5606—5610 (англ.)

Омылением фумагиллина $\text{C}_{20}\text{H}_{34}\text{O}_7$ (I) — моноэфира декатетраендиовой к-ты $\text{C}_{10}\text{H}_{16}\text{O}_4$ — получен спирт $\text{C}_{10}\text{H}_{20}\text{O}_4$ (II), содержащий OH , OSCH_3 , две $\text{C}=\text{CH}_3$ группы, двойную связь и три кольца, два из которых включают β -атомы. Озонированием II переводят в ацетон и α , β -ненасыщ. альдегид $\text{C}_{13}\text{H}_{20}\text{O}_5$ (III), который при дальнейшем озонировании дает глиоксаль. Гидрированием II (или омылением I после гидрирования) получены дигидро — (IV) — и гексагидро-(V)-продукты. С динитробензоилхлоридом (ДНБХ), V образует бис-динитробензоат $\text{C}_{30}\text{H}_{35}\text{O}_{14}\text{N}_4$ (VI), а IV — аддукт $\text{C}_{23}\text{H}_{21}\text{O}_2\text{N}_2\text{Cl}$ (VII). Дегидрированием V (Se, Pd / C) получены этилизамидолет и жидкие в-ва ароматич. характера $\text{C}_{13}\text{H}_{18-20}\text{O}$ и $\text{C}_{13}\text{H}_{17-20}\text{O}$, содержащие CO , но не содержащие OH и OSCH_3 -группы (ИК-спектры). Повидимому, V содержит разветвленную ненасыщ. боковую цепь и 6-членный карбоциклич. кольцо. Из смеси продуктов окисления 3,48 г IV KMnO_4 выделено 9 мг янтарной к-ты. IV не взаимодействует с H_2O_2 . I очищают растворением в CHCl_3 , фильтрацией через силикагель и кристаллизацией из амилалата и CH_3OH . 18 г I омыляют 800 мл 0,1 н. NaOH (90—70°, 45 мин.), извлекают эфиром II, выход 10,1 г, и масло. Из 10,1 г II в 100 мл CHCl_3 после озонирования (2,5 часа, 0,07 ат) и нагре-

вания с 15 г скелетного Ni получают 1,96 г III, т. пл. 150—153°, 18,3 г I в 250 мл спирта гидрируют с PtO_2 (1 час, 1,4 ат), продукт омыляют 800 мл 0,13 н. NaOH (45 мин., 70—75°), при pH 2—3 отделяют себациновую к-ту, при pH 11 (5 н. NaOH) извлекают эфиром IV, выход 8,4 г (масло), $[\alpha]_D - 42^\circ$ (сп.). При гидрировании р-ра 7,54 г II в 75 мл абс. спирта (1 час, 2,4—2,8 ат) выход IV 7,36 г. Из 7,2 г IV в 200 мл C_6H_6 , 2,5 мл пиридина и 6 г ДНБХ (2 часа, кипячение) получают 3,15 г VII, т. пл. 133—135° (из CH_3OH), $[\alpha]_D - 80,3^\circ$ (с 1%; CHCl_3). Р-р 9,2 г I в 200 мл лед. CH_3COOH гидрируют 16 час. с 4,6 г PtO_2 , продукт кипятят 80 мин. с 112 мл воды и 28 мл 5 н. NaOH , хроматографированием на Al_2O_3 с вымыванием 1%-ным CH_3OH в C_6H_6 выделяют V (масло выход 3 г из 4,58 г I) и кристаллич. тетрагидро-II, который вновь гидрируют до V. Из 3 г V, 30 мл пиридина и 5 г ДНБХ (20 мин. при кипении) выход VI 1,1 г, т. пл. 167—169° (после очистки на Al_2O_3). Предыдущее сообщение см. РЖХим, 1954, 10615. С. К.

65116. Химическое исследование индийских лишайников. Часть XIX. Leparia: Структура лепрапиновой кислоты. Миттал, Сешадри (Chemical investigation of indian lichens. Part XIX. Leparia: Constitution of leprapinic acid. Mittal O. P., Seshadri T. R.), J. Chem. Soc., 1955, Sept. 3053—3055 (англ.)

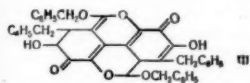
Из *Leparia flava* (Schreb) петр. эфиром извлечена пинастровая к-та (I), из *L. citrina* Schaer — лепрапиновая к-та $\text{C}_{15}\text{H}_{16}\text{O}_4$ (OSCH_3)₂ (II), являющаяся метиловым эфиром α -метоксибутириновой к-ты (III к-та). I, т. пл. 204—205° (из эф.-петр. эф.); ацетат, т. пл. 172—173° (из этилацетата). II, т. пл. 159—160° (из эф.-петр. эф.). Гидролизом II (р-ром Ba(OH)_2 , кипячение 15 мин.) получена III, т. пл. 213—214° (из бзл.); при кипячении с $(\text{CH}_3\text{CO})_2\text{O}$ образует дилактон $\text{C}_{15}\text{H}_{12}\text{O}_6$, т. пл. 172—173° (из бзл.). При кипячении II с шел. р-ром KMnO_4 образуются α - $\text{CH}_3\text{OCH}_2\text{CH}_2\text{COOH}$ и $\text{C}_6\text{H}_5\text{COOH}$; действие на 2 н. $\text{KMnO}_4 + \text{NaOH}$ на холоду получены $(\text{COOH})_2$, фенилглиоксальная и метоксифенилглиоксальная к-ты (идентифицированы хроматографически). При конденсации II с α -фенилдиаминном (IV) в NN-диметиламин (V) (4 часа, 200—210°) образуется в-во $\text{C}_{22}\text{H}_{18}\text{O}_4\text{N}_2$, т. пл. 271—272° (разл.; из этилацетата), при кипячении с 10%-ным спирт. р-ром КОН (5 час.) дает 2,2'-метоксибензилбензимидазол (VI), т. пл. 186—187° (из водн. сп.). VI получен также конденсацией α -метоксифенилуксусной к-ты с IV в присутствии V (4 часа, 200—210°). Часть XVII см. РЖХим, 1955, 40292. А. Л.

65117. Эфирное масло из Artemisia capillaris. I. Химическое строение капиллена. Харада (カワラヨモギの精油成分について. 第1報. カピレンの構造. 原田 藤郎), 日本化学雑誌, Нихон какаку дзасси, J. Chem. Soc. Japan Pure Chem. Sec., 1954, 75, № 7, 727—732 (япон.)

Для капиллена (I) (Arima, Okamoto, Chem. Abstrs, 26, 560) предложено строение $\text{C}_6\text{H}_5\text{CH}_2\text{CH}=\text{CHCN} \equiv \text{SCH}_3$ (II), т. кип. 124°/4 мм., $n_D^{20} D$ 1,5698, $d_{20} 0,9735$. При озонировании I в CH_3COOH образуются $\text{C}_6\text{H}_5\text{CH}_2\text{COOH}$ (III) и небольшое кол-во $\text{C}_6\text{H}_5\text{COOH}$ и $\text{C}_6\text{H}_5\text{CHO}$. Образование летучего альдегида не наблюдалось. Окисление I KMnO_4 в воде (20°, в конце 50°) дает $\text{C}_6\text{H}_5\text{COOH}$, III, CH_3COOH и $(\text{COOH})_2$. Восстановление I 5%-ным Pd/BaSO₄ в ацетоне дает гексагидропроизводное, идентичное с $n\text{-C}_6\text{H}_{13}\text{C}_6\text{H}_5$. Анализ I соответствует $\text{C}_{13}\text{H}_{14}$, следовательно можно было бы предположить также строение: $\text{C}_6\text{H}_5\text{CH}_2\text{CH}=\text{C}=\text{CHCN}=\text{SCH}_3$. Однако отсутствие оптич. активности I исключает такое строение. Поэтому для I предполагается строение II. Возможно I идентичен с агроириеном (Treibs, Chem. Abstrs, 42, 874). В ИК-спектре имеются сильные полосы поглощения при 2190—2260 см^{-1} . Chem. Abstrs, 1955, 49, 10235a. К. Н.

65118. О хиноидном продукте бензилирования эллаговой кислоты. Шмидт, Фойгт, Бернауэр (Über ein chinoides Benzylierungsprodukt der Ellagsäure. Schmidt Otto Th., Voigt Hans, Bernauer Karl), Chem. Ber., 1955, 88, № 1, 91—101 (нем.).

При действии $C_6H_5CH_2Cl$ и водн. щелочи (70°) на эллаговую к-ту (I) (см. РЖХим, 1955, 37430) или на 5,5'-ди-С-бензилэллаговую к-ту (II) образуется красное в-во $C_{42}H_{30}O_8$ — «эллагорубин» (III). При каталитич. гидрировании или омылении III переходит в II. Принимается хиноидное строение III, имеющего метиленацетальную группу на месте одного из О-атомов хинона. III, выход 24% (из I) и 31% (из II), т. пл. 214—215° (из этилацетата); синяя ди-К-соль (в пиридине + КОН в CH_3OH), выход 78%,



диметиловый эфир (IV) с CH_3N_2 (выход 46%), или с CH_3J + Ag_2O (выход 35%), т. пл. 234—237° (испр.; из хлф.); диацетат (V), выход 79%, т. пл. 192—193° (из $(CH_3CO)_2O$). 0,33 г III гидрируют с 5%-ным Pd/C в этилацетате (1 час), выход II 58%, из 0,43 г III в 150 мл CH_3COOH + 75 мл конц. HCl (к-ты) (60°, 2 часа) выход II 94%; из 0,33 г III в 10 мл диоксана + 1 мл 2 н. HCl (100°, 8,5 часа, затем ~20°, 40 час.) выход II 58%, бурет при 250° (из CH_3OH); тетраметильовый эфир II (с CH_3N_2), выход 70%, т. пл. 246° (из ацетона); тетраацетат II, выход 86%, т. пл. 333° (испр.; из диоксана). При омылении IV в диоксане конц. HCl (к-той) (100°, 4 часа) образуется 4,4'-ди-О-метил-НCl, выход 62%, т. пл. 312° (испр.; из водн. диоксана). Гидрированием V с 10%-ным Pd/C в диоксане получена 4,4'-ди-О-ацетил-НCl, выход 89%, т. пл. 303° (испр.; из диоксана). Приведены кривые УФ-спектров I, II, III, IV и V (спектры III и IV идентичны), и ИК-спектров III и V. Б. Д.

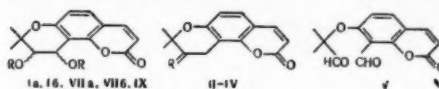
65119. Гидроксильрование флаванонов в положении 3. Махеш, Сешадри (Hydroxylation of Flavonones in the 3-position. Mahesh V. B., Seshadri T. R.), J. Chem. Soc., 1955, July, 2503—2505 (англ.).

Окисление ацетоксифлаванонов реактивом Фентона в кислой среде дает смесь соответствующих производных 3-оксифлаванона и 3,3'-дифлаванонила, деацетилированных в положении 5. Окисление $KMnO_4$ дает худший выход. Этим подтверждается свободнорадикальный механизм энзиматич. окисления в биогенезе флаванолонов (РЖХимБх, 1956, 13335). К 1 г триацетата нарингенина (I) в 100 мл 2 н. H_2SO_4 , одновременно прибавляют 50 мл H_2O_2 и 50 мл 2%-ного р-ра $FeSO_4$ (0°, за 45 мин.), через Pb-соль выделяют 7,4'-диацетокси-3,5-диоксифлаванон (II), выход 0,25 г, т. пл. 136—137° (из водн. сп.); в остатке — ди-(7,4'-диацетокси-5-оксифлаванонил-3) (III), выход 0,25 г, т. пл. 192—194° (из сп.). 0,15 г III кипятят 15 мин. с 50 мл спирт. р-ра HCl (1 : 1), получают ди-(5,7,4'-триоксифлаванонил-3), т. пл. 210—212° (из бзн.-этилацетата). Аналогично I обрабатывают 0,5 г диацетата нарингенина (т. пл. 140—141°), получают II (60 мг) и III. II гидролизуют спиртовой HCl, получают 3-оксинарингенин (IV), т. пл. 238—240° (разл.; из водн. сп.). 0,25 г IV деацетируют действием 2 мл $(CH_3CO)_2O$ (кипятят 2 часа), получают триацетат апигенина, выход 0,1 г, т. пл. 180—181° (из бзн.-этилацетата). Аналогично I обрабатывают 1 г 5,7-диацетоксифлаванона (V), получают 7-ацетокси-3,5-диоксифлаванон (VI), выход 0,1 г, т. пл. 90—92° (из водн. сп.). 1 г V в 100 мл ацетона обрабатывают 5 г $KMnO_4$ (4 часа, ~20°), выделяют VI 35 мг. VI гидролизуют спирт. р-ром HCl, получают

3,5,7-триоксифлаванон, т. пл. 172—173° (из водн. сп.). А. Г.

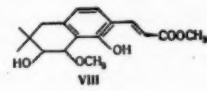
65120. О строении виснаганов и келлактонов, выделенных из *Ammi visnaga* L. Бенце, Хольперн, Шмид (Über die Konstitution der Visnagane und Kellactone aus *Ammi visnaga* L. Bencze W., Halpern O., Schmid H.), Experientia, 1956, 12, № 4, 137—138 (нем.; рез. англ.).

При действии КОН в диоксане на кристаллич. смесь виснаганов (I), выделенных из *Ammi visnaga* L. (Samaan K., Quart, J. Pharm. Pharmacol., 1931, 4, 14), образуются стереоизомерные келлактоны (Ia) (преобла-



Ia, Ib R=R'=H; II R=O; III R=(CH_3CH_2), IV R=H;
VII, VIIb R=CH₃, R'=H; IX R=OH, R'=COCH₃; X R=R'=COCH=CHCH₃

дает), т. пл. 186°, $[\alpha]_D -18^\circ$, и (Ib), т. пл. 174—175°, $[\alpha]_D +81^\circ$, отличающиеся друг от друга конфигурацией при $C_{(4)}$. Ia и Ib дают ацетон при окислении CrO_3 и α -оксизомасляную к-ту при окислении $KMnO_4$. Дегидратация Ia или Ib приводит к неопределенному кетону (II), т. пл. 156,6—157,5°; 2,4-динитрофенилгидразон, λ_{max} 346 мμ (в сп.) II превращен через диэтилтиокеталь (III) в известный дигидроселенин (IV). Окисление Ia посредством HIO_4 при pH ~4 приводит к диальдегиду (V), т. пл. 128—130°, превращенному при дальнейшем окислении с HIO_4 при pH ~7 в умбеллиферон-8-альдегид (7-оксис-8-формилкумарин) (VI). При действии NH_2OH V дает оксим VI, т. пл. 245—247°.



При действии на V щелочи в мягких условиях получают α -оксизомасляный альдегид, *n*-нитрофенилгидразон, т. пл. 147—148,5°. Р-ция I с CH_3ONa приводит к смеси стереоизомерных метилкеллактонов (VIIa), т. пл. 162,5° $[\alpha]_D -30^\circ$ (преобладает) и (VIIb), т. пл. 127°, $[\alpha]_D +78^\circ$, и производному кумаровой к-ты (VIII), т. пл. 117—118°. При действии на VIIb горячего метанольного р-ра HCl образуется смесь, состоящая из большого кол-ва VIIa и немного VIIb. Такая же смесь образуется в тех же условиях из Ia или Ib. При отщеплении CH_3OH под каталитич. влиянием к-т VIIa или VIIb переходит в II. Поскольку I и VII получены также из самидина, т. пл. 138—139°, $[\alpha]_D +49^\circ$, авторы приписывают последнему ф-лу (IX). Л. Б.

65121. Выделение персикарина из *Oenanthe stolonifera* DC. Тацута, Оти (セリ *Oenanthe stolonifera* DC) よりベルシカリンの抽出について. 立田晴雄, 落井靖子, 日本化学雑誌, Нихон кагаку заасси, J. Chem. Soc. Japan, Pure Chem. Sec., 1954, 75, № 9, 941—942 (япон.).

2 кг *Oenanthe stolonifera* DC экстрагируют 4 л CH_3OH . Экстракт упаривают до 200 мл и вновь экстрагируют эфиром. К остатку добавляют 2 л CH_3OH и фильтруют. Фильтрат упаривают до 50 мл, через неделю получают 0,63 г персикарина.

Chem. Abstrs, 1955, 49, 9634. Koji Nakanishi

65122. Развитие химии красящих веществ ряда порфина за последние годы. Цейле (Neuere Entwicklungen in der Chemie der Porphin-Farbstoffe. Zeile K.), Angew. Chem., 1956, 68, № 6, 193—201 (нем.; рез. англ., франц.).

Обзор. Библ. 42 назв.

В. Ш.

65123. Образование 6-фурфураминопурина из продуктов распада дезоксирибонуклеиновой кислоты. Холл, Ропи (Formation of 6-furfurylaminopurine

from DNA breakdown products. Hall Ross H., Ropp R. S. de), J. Amer. Chem. Soc., 1955, 77, № 23, 6400 (англ.)

С целью определения 6-фурфуриламинопурина (I) как такового в продажной дезоксирибонуклеиновой к-те (II) р-р 7,4 ммоль аденина (III) и 7,4 ммоль 2-дезоксид-Д-рибозы (IV) в 50 мл 0,148 М фосфатного буфера (рН 4,0) нагревают в автоклаве при 1,05 атм 30 мин. Добавляют 2,4 г $\text{Ba}(\text{C}_2\text{H}_3\text{O}_2)_2$ и фильтрат разделяют на колонке, содержащей 100 г целлюлозы со смесью воды и н-бутанол и 1% NH_3 . Биолитич. активную фракцию пропускают через колонку с формиадом. Удаляют III 0,01 М р-ром формата (рН 8,0), выделяют I 0,01 М р-ром HCOOH , выход 0,54%, т. пл. 266—267°. Р-ры дезоксиаденина или фурфурилового спирта и III после такой же обработки делают биологически активными, последний р-р содержит 2% I. Установлено, что I образуется взаимодействием III и IV, полученных при обработке II в автоклаве. Ю. Р.

65124. Новые синтезы пириимидиновых нуклеозидов. Ралф. Шоу (A new synthesis of some pyrimidine nucleosides. Ralph R. K., Shaw G.), Chemistry and Industry, 1955, № 38, 1185 (англ.)

При взаимодействии α -циан- β -этоксид-N-этоксикарбонил-акриламида $\text{C}_2\text{H}_5\text{OCH}=\text{C}(\text{CN})-\text{CO}-\text{NH}-\text{COOC}_2\text{H}_5$ с 1-аминопроизводными моноз в воде или спирте легко образуются 5-циан-1-гликозил-урацилы $\text{R}-\text{N}-\text{CH}=\text{C}(\text{CN})-\text{CO}-\text{NH}-\text{CO}$ (R = D-рибозипиранозил, D-

ксилопиранозил, D-глюкопиранозил и D-галактопиранозил). Промежуточным продуктом р-ции является в-во $\text{R}-\text{NH}-\text{CH}=\text{C}(\text{CN})-\text{CO}-\text{NH}-\text{COOC}_2\text{H}_5$, легко циклизующееся при действии щелочи. 5-циан-1-D-рибозипиранозилурацил, выход 40%, т. пл. 231°, $[\alpha]_D^{20}$ -22,85° (с 7,26; вода); λ_{max} (в воде) 274, < 215 мк (с 6270, 5500). При окислении (20°, 24 часа) расходуетс 2,1 моля NaIO_4 , образуется 1 моль HCOOH . Ср. РЖХим, 1956, 35905. И. Л.

65125. Исследование глютинона. Сообщение 3. Исследование некоторых производных глютинона с помощью ультрафиолетовой и инфракрасной спектроскопии. Шапон (Contribution à l'étude de la glutinone (3e mémoire). Etude en spectrographie ultraviolette et infrarouge de certains dérivés de la glutinone. Chapon Marie-Sylvette), Bull. Soc. chim. France, 1955, № 11-12, 1630—1632 (франц.)

ХИМИЯ ВЫСОКОМОЛЕКУЛЯРНЫХ ВЕЩЕСТВ

65129. Конференция по макромолекулярной химии. Урбанский (Symposium Chemii Makromolekularnej. Urbanski T.), Przem. chem., 1956, 12, № 3, 136—138 (польск.)

65130. Цилиндрически симметричные функции распределения и их применение к исследованию строения целлюлозы. Норман (Cylindrically symmetrical distribution functions and their application in the structure investigation of cellulose. Norman N.), Acta crystallogr., 1954, 7, Part 5, 462—463 (англ.)

65131. О спиральной форме цепей изотактических кристаллических полимеров. Коррадини, Паскуон (Sulla forma geometrica delle catene spiraliizzate dei polimeri isotattici cristallini. Corradini Paolo, Pasquon Italo), Atti Accad. naz. Lincei. Rend. Cl. sci. fis., mat. e natura 1955, (1956), 19, № 6, 453—459 (итал.)

В УФ-спектрах глютинола, ацетата глютинола и глютинена не обнаружено селективного поглощения в области >211 мк, тогда как ацетат диенола имеет полосу поглощения 239 мк (с 22200) и 232 мк, что может характеризовать сопряженную систему типа I. Получены также ИК-спектры этих соединений и тараксерола. Установлено, что синтетич. тараксерол идентичен натуральному, его спектр отличается от спектра глютинола. ИК-спектры глютинола и глютинена характеризуются интенсивной полосой 825 cm^{-1} и менее резко выраженной при 722 cm^{-1} . В спектре ацетата диенола наблюдается слабая полоса 1600 cm^{-1} , которая может относиться к сопряженной системе кратных связей. Последнее согласуется с УФ-спектром и предположенным строением. Предыдущее сообщение см. РЖХим, 1956, 39677. Ю. Е.



65126 Д. Исследование производных сахаров с жирными кислотами и родственных соединений. Калбаг (A study of the fatty acid derivatives of sugars and related compounds. Kalbag, Shrinath Sheshgiri. Doct. diss., Univ. Illinois, 1955), Dissert. Abstrs, 1955, 15, № 11, 2157—2158 (англ.)

65127 Д. I. Получение производных бицикло-(4,1,0)-гептана из эукарвона. II. Синтез некоторых хлорированных циклогексанонов. Берк (I. Formation of bicyclo (4.1.0) heptane derivatives from eucarvone. II. Synthesis of some chlorinated cyclohexanones. Burke Howard Joseph, Doct. diss., Univ. Illinois, 1955), Dissert. Abstrs, 1955, 15, № 5, 697 (англ.)

65128 Д. Синтез некоторых циклических ацеталей и кеталей генинов сердечных гликозидов и других соединений. Питерсен (The synthesis of some cyclic acetals and ketals of cardiac glycosidal genins and other compounds. Petersen Robert Virgil. Doct. diss., Univ. Minnesota, 1955), Dissert. Abstrs, 1955, 15, № 10, 1734—1735 (англ.)

См. также: Углеводы 66349, 66788. Терпены 64863, 64864; 18745Бх. Стероиды 64800, 66412; 19012Бх. Алкалоиды 66341, 66402; 19028Бх, 19029Бх. Витамины 64306; 18764Бх. Антибиотики 64931, 19113Бх, 19114Бх. Аминокислоты и белки 64304, 64694, 67046, 67227; 18794Бх, 18823Бх. Др. природн. в-ва 65594, 66753, 66754; 19135Бх, 19218Бх

Приведены результаты рентгенографич. исследования структуры кристаллич. изотактических полимеров. Подробно изложен метод анализа. Показано, что все молекулярные цепочки в кристалле имеют спиральную конфигурацию. Произведен расчет внутренних координат и углов такой спирали и выяснена зависимость ее периода от валентных углов. Рассчитаны деформации, посредством которых идеальная пространственная модель может быть преобразована в реальную конфигурацию, отвечающую экспериментальному распределению интенсивности рентгеновского рассеяния. Этот процесс преобразования и последующее сравнение с опытом иллюстрируются на примере поли-4-метилпентена. С. Ф.

65132. Определение ненасыщенности в полистироле при помощи ИК-спектроскопии. Формигони (Determinazione della insaturazione del polietilene medi-

ante spettroscopia I. R. Formigoni Napoleone, *Ricerca scient.*, 1955, 25, Suppl., 854—861 (итал.; рез. англ., нем., франц.)

Описан колич. метод раздельного определения различных типов двойной связи в полиэтилене при помощи ИК-спектроскопии. Р. М.

65133. Теплоты разбавления растворов полистирола. Амая, Фудзисиро (Heats of dilution of polystyrene solutions. I. Aмая Kazuo, Fujishiro Ryoichi), *Bull. Chem. Soc. Japan*, 1956, 29, № 2, 270—275 (англ.)

Описан калориметр с термистором сопротивлением 400 ком. Определены теплоты разбавления 3 р-ров полистирола в толуоле, этилбензоле и хлороформе. Приближенные ур-ние ван-Лаара для теплоты смешения $H_m = \alpha v_0 v_r / (v_0 + v_r)$ (α — параметр, v_0 и v_r — объемы р-рителя и полимера) к процессу разбавления, автор получил ур-ние для теплоты разбавления вида: $\Delta H_0 = \alpha v_r (V_r - V'_r)$, где V_r и V'_r — объемные доли полимера в р-ре до и после разбавления. Зависимость ΔH_0 от V_r в области конц-ий 0,2—0,05 объемных долей дается прямой линией, из которой вычислено значение α . Термодинамич. параметр μ найден по ур-нию $\mu = \bar{v} \alpha / RT$, где \bar{v} — парц. мол. объем р-рителя. Для р-ров в толуоле и хлороформе μ имеет большое отрицательное значение; для р-ра в этилбензоле $\mu = 0$. Значение α , определенные из опытов по теплотам разбавления этилбензола (как мономерной единицы полистирола) толуолом, больше соответствующих значений для системы полистирол — толуол, что противоречит ожидаемому, исходя из наличия контактов между сегментами полимерной цепи в р-ре. Полученные значения авторы объясняют аномалиями изменения объема и других свойств при смешении. Ю. Л.

65134. Теплоты смешения и энергия кохезии полистирола и поливинилацетата. Оя (ポリスチロール、及びポリ酢酸ビニルの溶解熱と凝集エネルギー、相宅省吾), *京都工芸繊維大学繊維学部学術報告*, Kёto kogyо sёnъi дайгаку. Сэнъи гакубу гакудзюу хококу, *Bull. Fac. Text. Fibers. Kyoto Univ. Industr. Arts and Text. Fibers.*, 1955, 1, № 2, 83—89 (япон.; рез. англ.)

Определены теплоты смешения полистирола с 4 различными р-рителями и поливинилацетата с 15 р-рителями. На основе полученных данных вычислена плотность энергии кохезии полистирола и поливинилацетата, равная соответственно 74,4 и 77,6 кал/мл. Теплота смешения поливинилацетата зависит от мол. веса и условий полимеризации, но эти различия не одинаковы для различных р-рителей. Ю. Л.

65135. Сополимеры N-винилпирролидона и их активность на поверхности раздела. Брейтенбах, Эдельхаузер (Copolymere des N-Vinylpyrrolidons und ihre Grenzflächenaktivität. Breitenbach Johann Wolfgang, Edelhauser Helmut), *Ricerca scient.*, 1955, 25, Suppl., 242—249 (нем.; рез. англ., итал., франц.)

Из сополимеров стирола и N-винилпирролидона (I) наибольшей поверхностной активностью (на границе $H_2O - C_6H_6$) обладает сополимер, имеющий молярное отношение 1 : 3. Он обуславливает эмульгацию H_2O и C_6H_6 . Сополимеры I и хлористого винила характеризуются зависимостью поверхностного натяжения на границе с C_6H_6 от времени. Р. М.

65136. О гистерезисных явлениях в растворах полимеров. Мистерон С. П., Гримм Е. Г., *Коллоид. ж.*, 1956, 18, № 2, 199—207

Исследованы случаи нарушения равновесия в р-рах полимеров, состоящих из 3 компонентов: полимер, р-ритель и нер-ритель. Р-ры готовились двумя способами: 1) растворением полимера в смеси р-рителя и

нер-рителя и 2) растворением полимера в р-рителе с последующим добавлением нер-рителя. Изучены р-ры диэтилцеллюлозы (I), динитроцеллюлозы (II), сополимер акрилонитрила с винилиденхлоридом (III), каучука и полистирола. Измерения вязкости (В) р-ров показали, что для полярных полимеров (р-ритель — ацетон, нер-ритель — бензол) В р-ров, полученных по способу 1, η_1 , больше В р-ра, полученного по способу 2, η_2 . При добавлении в качестве нер-рителя воды $\eta_1 < \eta_2$. С увеличением содержания бензола в р-рах I и III В возрастает и увеличивается различие в В р-ров, полученных разными способами, т. е. возрастает гистерезис В. Добавление воды, снижая В, также приводит к возрастанию гистерезиса. На В р-ров исследованных неполярных полимеров способ приготовления р-ра не влияет. Гистерезис В появляется, начиная с конц-ии р-ра порядка 1%, и далее заметно увеличивается с конц-ией. Различный характер изменения В связывается с различной агрегированностью молекул и различной структурой агрегатов. Все исследованные р-ры полярных полимеров имеют большой температурный коэфф. вязкости τ ; τ р-ров, полученных по способу 1, с ростом содержания нер-рителя возрастает значительно быстрее, чем для р-ров, полученных по способу 2. Возрастание гистерезиса пропорционально τ , что указывает на рост агрегированности в р-рах. Исследование фракций I, II и III, отличающихся по удельной В примерно в 2 раза, показало, что в эквивал. р-рах гистерезис наблюдается только для высокомолекулярных фракций. Отсутствие обратимости свойств указывает на то, что один из р-ров является менее устойчивым. Определение «порога коагуляции» по изменению мутности р-ра при добавлении нер-рителя показало, что для III р-ры, полученные по способу 2, являются более устойчивыми. Такой же вывод следует из измерений осмотич. давлений р-ров, полученных различными путями. Р-ры I, полученные способом 1, являются более устойчивыми, что следует из определенных теплот коагуляции. Большая устойчивость указывает на меньшую агрегированность молекул в р-ре. Исследован также гистерезис растворимости, заключающийся в том, что при прибавлении к р-ру полимера нер-рителя отсутствует разделение р-ра на две фазы, тогда как растворение полимера в смеси р-ритель — нер-ритель того же состава не имеет места. Авторы считают, что все факторы, способствующие росту агрегации, будут приводить к появлению гистерезисных явлений. Ю. Л.

65137. Влияние метанола на вязкость и светорассеяние растворов декстрана. Грехэм, Патри, Джэксман (Influence of methanol on viscosity and light scattering properties of dextran solutions. Graham W. Donald, Patry Odette, Jackman E. Helen), *Canad. J. Chem.*, 1956, 34, № 4, 445—450 (англ.)

При определении вязкости фракций декстрана, полученных осаждением метанолом (I), всегда возможно присутствие небольших кол-в I в р-ре, что искажает результаты измерений. Исследовано влияние добавок I к водн. р-рам декстрана (мол. веса 265 000, 155 000 и 72 000) на мол. вес, определяемый из светорассеяния и вязкость в предположении, что р-рителем является только вода. Присутствие в исходном р-ре до 16% I по объему не влияет на найденный таким образом кажущийся мол. вес, определенный по светорассеянию. Однако при 44 об. % значение мол. веса снижается с 72 000, измеренных в воде, до 64 000. Значения кажущейся характеристич. вязкости заметно повышаются с увеличением содержания метанола. Авторы делают вывод, что присутствие даже небольших кол-в I (порядка 2%) может привести к большим ошибкам в значениях мол. весов, определенных по вязкости. Ю. Л.

65138. Вискозиметрические постоянные поливинилхлорида в циклогексаноне. Менчик (Viskosimetrické konstanty pro polyvinylchlorid v cyklohexanonu. Menčík Zdeněk), Chem. listy, 1955, 49, № 11, 1598—1605 (чеш.); Сб. чехосл. хим. работ, 1956, 21, № 3, 517—525

Определен мол. вес узких фракций поливинилхлорида осмометрич. методом в р-рах тетрагидрофурана и вискозиметрич. методом в циклогексаноне. Установлено соотношение между мол. весом и характеристич. вязкостью $[\eta] = 2,04 \cdot 10^{-3} M^{0,56}$. На основании осмометрич. измерений в тетрагидрофуране при 25° найдена величина 0,23—0,27 для константы Хаггинса, которая существенно отличается от величин, данных в литературе. При употреблении не вполне полупроницаемых мембран найдены более высокие значения для мол. весов, что в свою очередь ведет к высшим значениям степени в ур-нии для характеристич. вязкости. Значения для этой степени, приведенные в литературе, равны в большинстве случаев $> 0,7$, что, вероятно, связано с несовершенством мембран, употребляемых для осмометрич. измерений. Д. Т.

65139. Вискозиметрия полиамидов. Рыбник (Viskosimetrie polyamidů. Rybník František), Chem. listy, 1955, 49, № 10, 1442—1447 (чеш.)

Описан метод фракционирования полиамидов, растворенных в смеси бензол-крезол, путем осаждения бензином. Этим методом достигается хорошее разделение образцов между обеими жидкими фазами в течение 4—8 час. и хорошее разделение на узкие фракции. На различных образцах фракционированных и нефракционированных полиамидов проверена пригодность ур-ния Хаггинса (Huggins M. L., Industr. Eng. Chem., 1943, 35, 980) и определена константа $k = 0,335$ для трикрезола при 30° вплоть до $[\eta] = 10$. Для характеристики отдельных фракций полиамидов автор предлагает пользоваться только характеристической вязкостью, определенной для полиамида в трикрезоле при помощи уравнения $[\eta] = (\sqrt{1+1,34\eta_{уд}} - 1)/0,67$ с, вместо применяемой до сих пор обычно степени полимеризации. Степень полимеризации является только кратным характеристич. вязкости и различается в зависимости от того, какое ур-ние использовать для его определения, вплоть до нескольких десятков процентов. Д. Т.

65140. Ньютоновская вязкость разбавленных растворов высокополимеров. I. Аппаратура для определения зависимости вязкости от скорости сдвига в широком интервале значений скоростей сдвига и измерения на растворах полистирола в толуоле. Куроива (Non-newtonian viscosity of dilute high polymer solutions. I. Apparatus for determining shear dependence of viscosity over a wide range of shear rates and measurements on polystyrene solution in toluene. Kuroiwa Toshiaki), Bull. Chem. Soc. Japan, 1956, 29, № 1, 164—169 (англ.)

Сконструирована аппаратура, позволяющая проводить определения сдвиговой зависимости вязкости до скоростей сдвига порядка 30 см^{-1} ; для этой цели применен горизонтальный вискозиметр; постоянство давления поддерживалось маностатной системой в пределах 0,005 см водяного столба. Поскольку скорость сдвига выражается ур-нием $q = 4Q/\pi R^3 t (1 - 1/4 t \times d(Pt)/dP)$ (Hotta T., Reports of Laboratory of high Polymer, Research, Nagoya Univ., 1951, 22, № 3), где R — радиус капилляра, P — давление, Q — объем, относительная вязкость выражается как $\eta_r = t/t_0 \times (1 - 1/4 t \times d(Pt)/dP)^{-1}$ (t и t_0 — времена истечения р-ра и р-рителя). Времена истечения определялись для различных направлений течения р-ра в вискозиметре. Зависимость η_r от q может быть вычислена, если экспериментально установ-

лена зависимость Pt от P . Проведены измерения вязкости разб. р-ров полистирола в толуоле (конц-ия 0,2—0,02 г на 100 мл). Зависимость Pt от P для р-ров различной конц-ии характеризуется наличием горизонтального участка при низких значениях P , указывая, что сдвиговая зависимость вязкости исчезает при малых скоростях сдвига. На основании полученных данных вычислены для разных P величины q и η_r . Зависимость $\eta_{уд}/c$ от c при постоянных q описывается ур-нием Хаггинса $\eta_{уд}/c = [\eta] + k'[\eta]^2$ с. Величина характеристич. вязкости при данной скорости сдвига хорошо описывается теоретич. ур-нием $[\eta]_q = [\eta_0] (1 - aq^2 + bq^4 - cq^6 + \dots)$ (Kuhn W., Kuhn H., J. Polymer Sci., 1950, 5, 519). Зависимость константы k' от q мала. Наблюдаемая обычно сильная зависимость k' от q при определениях вязкости в вискозиметре Оствальда объясняется автором тем, что в указанном вискозиметре измерения проводятся не при постоянной скорости сдвига, а при постоянном напряжении сдвига. Ю. Л.

65141. Элементы тонкой структуры природных целлюлозных волокон в сильно разбавленных растворах. Дольмеч (Elemente der Feinstruktur natürlicher Zellulosefasern in hochverdünnten Lösungen. Dölmetsch H.), Kolloid-Z., 1956, 145, № 3, 141—151 (нем.)

При растворении природных целлюлозных волокон они распадаются на фибриллы толщиной 0,2—0,3 м. На фибриллах обнаруживаются периодически расположенные зоны, менее устойчивые к действию р-рителя. В ходе растворения в этих местах структура изменяется настолько, что уже не видна в микроскоп, хотя механич. связь отдельных частей фибриллы сохраняется. По месту рыхлых зон идут р-ции деградации, разрушающие фибриллы на фрагменты, длина которых определяет вязкость р-ров. При фракционированном осаждении нитроцеллюлозы эти отрезки фибрилл сортируются по длине. Отдельные отрезки не меняются при переходе в сильно разб. р-р и распадаются лишь под действием агрессивных агентов. Электрономикроскопич. снимки подтверждают и дополняют результаты микроскопич. исследования. И. С.

65142. Некоторые особенности электронографического исследования высокомолекулярных соединений. Зайдес А. Л., Стоянова И. Г., Докл. АН СССР, 1956, 107, № 5, 711—714

При малом числе упорядоченных областей в полимере соответствующие им кристаллич. интерференционные максимумы часто маскируются диффузным фоном за счет рассеяния от неупорядоченных областей. Повышение ускоряющего напряжения при электронографии исследования способствует снижению диффузного фона и позволяет исследовать более толстые пленки, имеющие достаточно большое число рассеивающих центров. Изучение углового распределения электронов, прошедших через пленки кварца различной толщины, показало уменьшение диффузного фона в 3—4 раза при повышении ускоряющего напряжения от 45 до 80 кэ; снижение величин диффузного фона сопровождается изменением в соотношении интенсивностей диффузного фона и интерференционных максимумов, что показано на примере коллагена. Полученные данные указывают, что аморфную картину можно легко получить даже при наличии в объекте микрокристаллич. областей; поэтому необходимо подбирать величины ускоряющего напряжения, ширины пучка, толщины пленки и интенсивности облучения. Проверка этих положений на пленках гидратцеллюлозы показала возможность в зависимости от условий съемки получить кристаллические или аморфные картины на электронограммах. Совпадение результатов, полученных

методами электронографии и рентгеновского исследования, показало, что кристаллич. интерференции относятся к самой гидратцеллюлозе, а не к примесям, как утверждалось ранее (РЖХим, 1956, 4028). Поэтому получение аморфной картины не всегда может служить доказательством аморфного строения в-ва. Ю. Л.

65143. Спиральное закручивание в сферолитах полиэтилена. Пуан (Enroulement hélicoïdal dans les sphérolithes de polyéthylène. Point J. J.), Bull. cl. sci. Acad. roy. Belgique, 1955, 41, № 9, 982—990 (франц.)

Обсуждаются результаты оптич. и рентгенографич. исследований полиэтилена, указывающие на спиральный характер структуры сферолитов полиэтилена. Рентгенограмма периферич. участков сферолита полиэтилена, полученного кристаллизацией расплава в тонком слое, при нормальном падении пучка на плоскость препарата, показывает, что дифракционная дуга (200) является экваториальной и что, следовательно, плоскость кристаллов (100) параллельна оси волокна. Если ось волокна образует угол в 72° с первичным пучком, то наблюдается одна полюсная дуга; поэтому плоскость (010) всех кристаллов направлена вдоль оси волокна. Оптич. исследование между скрещенными никелями показало, что в узких полосах погасания параметр с периодически расположен нормально по отношению к плоскости препарата, тогда как в широких отрицательных полосах параметр с нормален к оси волокна и является наклонным к плоскости препарата. Все возможные наклонные позиции осуществляются с одинаковой частотой. Вращение плоскости препарата вокруг горизонтальной оси, расположенной под углом 45° к плоскости колебания никелей, приводит к трансляции совокупности точек погасания вдоль диаметра сферолита параллельно оси вращения, причем направление трансляции обуславливается направлением спирального закручивания (правого или левого) данного сферолита. О. Н.

65144. Определение кристалличности в полиэтилене с помощью рентгеновского диффрактометра. Аггвал, Тилли (Determination of crystallinity in polyethylene by X-ray diffractometer. Aggarwal S. L., Tilley G. P.), J. Polymer Sci., 1955, 18, № 87, 17—26 (англ.; рез. нем., франц.)

Для определения процента кристалличности полиэтилена использовался Г.—М.-счетчик, регистрировавший интенсивность рентгеновских лучей, рассеянных под различными углами. Были применены 4 метода регистрации: 1) запись при помощи потенциометра; 2) время накопления 3200 импульсов при скорости регистрации 150 имп/сек в интервале $2\theta = 14,36^\circ$ и $2\theta = 27,0^\circ$; 3) метод непрерывного подсчета по областям углов $2\theta = 14,36^\circ$ — $19,50^\circ$, $19,5^\circ$ — $23,65^\circ$ и $23,65^\circ$ — $26,0^\circ$ при скорости изменения угла $2\theta = 1/4^\circ$ в мин.; 4) интенсивность рассеяния аморфными областями спектра (Krimm S., Tobolsky A. V., J. Polymer Sci., 1951, 7, 57, Textile Research J., 1951, 21, 805; РЖХим, 1954, 14355). Рассеяние аморфных областей от плоскости (110) имеет максимум $2\theta = 19,5^\circ$, а для плоскости (200) кристаллич. областей максимум $2\theta = 23,65^\circ$. Наилучшее совпадение дают результаты, полученные 2 и 3 способами. Точность определения степени кристалличности $\pm 1\%$. Для ряда исследованных образцов полиэтилена степень кристалличности составляет 65—71% и не меняется, если образец был предварительно нагрет выше 20° (вплоть до 102°) и вновь охлажден. Е. П.

65145. Электрономикроскопическое наблюдение ороговения структур из целлюлозных волокон. Ййме, Хунгер (Verhornungserscheinungen an Cellulosefaserstrukturen in elektronenoptischer Sicht. J. a y m e

Georg, Hunger Günther), Monatsh. Chem., 1956, 87, № 1, 8—23 (нем.)

При высушивании целлюлозы необратимо уменьшается ее влагоемкость — этот процесс назван ранее «ороговением» (Jayme G., Svensk Papperstidn., 1947, 50, 117). Электрономикроскопич. методом с применением полистирольных реплик показано, что при ороговении мельчайшие структурные элементы целлюлозы — микрофибриллы — объединяются в более крупные образования. Первоначально имеющиеся в клетке микрофибриллы покрыты слоем гемицеллюлоз, который препятствует ороговению. При сульфитной или сульфатной обработке или при белинии целлюлозы инкристирующие в-ва удаляются и возможно образование водородных мостиков между микрофибриллами. Большая устойчивость сульфатной целлюлозы сравнительно с сульфитной при размоле объясняется более высокой т-рой обработки, более полным удалением лигнина и гемицеллюлоз, что способствует ороговению. На микрофотографиях видна значительно большая степень ороговения размолотой сульфитной целлюлозы, чем сульфатной. И. С.

65146. Температуры плавления сополиамидов 66/6. Сёйнерекуг (The melting temperatures of 66/6 copolyamides. Sönnerskog Sven), Acta chem. scand., 1956, 10, № 1, 113—117 (англ.)

Синтезирован ряд сополиамидов 66/6 методом гидrolитич. поликонденсации и описан метод очистки полученных сополимеров. Т-ры плавления изотропных образцов сополиамидов определены путем непосредственного наблюдения процесса плавления. Показано, что с увеличением в полиамиде 6 структурных единиц 66 т-ра плавления понижается, достигая минимума 159° при мол. доле единиц 6—0,77. Понижение т-ры плавления автор связывает с различиями в структуре цепей полиамидов 66 и 6, найденных Банном (РЖХим, 1956, 13090), которые приводят к невозможности образования изоморфной структуры. При дальнейшем повышении содержания структурных единиц 66 наблюдается возрастание т-р плавления до предела 264° , отвечающего чистому полиамиду 66. Обсуждены факторы, влияющие на различия т-р плавления, определяемых разными методами. Приведены данные по вязкости 1%-ных р-ров сополиамидов в муравьиной к-те. Ю. Л.

65147. Изучение холодной вытяжки высокополимеров. (Часть I). Квазистатическая вытяжка поликапримида. I. Температурные зависимости, температуры размягчения и точки перехода второго рода. Юмото (Studies on the cold-drawing of high polymers. (Part I.) The quasi-static drawing of polycapramide. I. The temperature dependencies, the softening temperature and the second-order transition point. Yumoto Hirotsuke), Bull. Chem. Soc., Japan, 1956, 29, № 1, 45—51 (англ.)

Исследована холодная вытяжка волокон поликапримида при квазистатич. деформации, т. е. при малой скорости вытяжки и постоянной влажности. Описана аппаратура, позволяющая определять зависимость удлинения от напряжения в среде с различной влажностью и приведены соответствующие кривые для нулевой влажности при т-рах от комнатных до 200° . Кривая растяжения состоит из трех участков: до значения удлинения α_1 напряжение возрастает до значения $W + \Delta W$; далее, до удлинения α_2 напряжение падает до W и затем снова возрастает. За стационарное напряжение принято напряжение W ; напряжение ΔW идет, по мнению автора, на образование шейки в интервале деформаций от α_1 до α_2 . Температурные зависимости W , α_1 — α_2 , ΔW и разрывных напряжений и удлинений показывают наличие сингулярных точек — резко выраженной точки при 70 — 80° и более слабой при 170 — 180° . Т-ра 170 — 180° рассматривается как т-ра

по ходу конденсации в зависимости от кол-ва примененного в качестве р-рителя спирта выражается семейством прямых; наклон их изменяется также по прямой в зависимости от времени р-ции.

Л. П. 65153. Теплоты смачивания вискозного шелка. Па к Я. В., Усманов Х. У., Коллоид. ж., 1956, 18, № 2, 233—236

Определены интегральные и дифференциальные теплоты смачивания различно обработанных образцов вискозного шелка. На основании уменьшения теплот смачивания образцов, обработанных в глицерине при 250°, и вискозного шелка, полученного осаждением в шел. ванну, сделан вывод об их большей плотности упаковки по сравнению с необработанным исходным шелком.

Ю. Л. 65154. Совместные полимеры винилтолуолсульфоновой и стиролсульфоновой кислот. I. Вязкостные свойства и ионный характер в растворах соляной кислоты. Мок, Маршалл (Vinyltoluene-styrene copolymer sulfonic acid. I. Viscous properties and ionic character in hydrochloric acid solutions. Mock Richard A., Marshall Charles A.), J. Polymer Sci., 1954, 13, № 69, 263—277 (англ.)

Изучена зависимость вязкости и степени диссоциации полисульфокислоты, полученной путем сульфирования (1:1) винилтолуолстиролового сополимера (I) от конц-ии в воде. р-рах при добавлении HCl. Показано, что степень диссоциации I, вычисленная на основании измерений pH р-ра в предположении полной диссоциации HCl, не зависит от содержания HCl вплоть до ее конц-ии $3 \cdot 10^{-3}$ н. Приведенная вязкость η_{sp}/c р-ра I в воде резко возрастает при уменьшении конц-ии с, хорошо удовлетворяя предложенной Фуоссом ф-ле $\eta_{sp}/c = A/(1 + BVc)$, где A и B — эмпирич. константы. При добавлении HCl в указанной зависимости наблюдается максимум при конц-ии I_{cm} , зависящей от конц-ии HCl. При $c < I_{cm}$ η_{sp}/c начинает падать с уменьшением с, так как противоположно нейтрализуют заряды полииона. В этой области I ведет себя как обычный незаряженный полимер: зависимость η_{sp}/c от с линейна (но «характеристич. вязкость» зависит от содержания HCl). Высота максимума пропорциональна pH р-рителя. При содержании HCl $> 3 \cdot 10^{-3}$ н. максимум исчезает.

Е. С. 65155. Совместные полимеры винилтолуолсульфоновой и стиролсульфоновой кислот. II. Диссоциация на ионы в метанол-водных и HCl-водных растворах. Мок, Маршалл, Сликхаус (Vinyltoluene-styrene copolymer sulfonic acids. II. Ionic dissociation in methanol-water and HCl-water solutions. Mock Richard A., Marshall Charles A., Slykhouse Thomas E.), J. Phys. Chem., 1954, 58, № 6, 498—503 (англ.)

Определена эквивалентная электропроводность Λ р-ров поливинилтолуолсульфоновой (I), полистиролсульфоновой (II) к-т и совместного полимера винилтолуолсульфоновой и стиролсульфоновой к-т (III) при 25°; растворители $CH_3OH - H_2O$ и $HCl - H_2O$. I и II были получены сульфированием соответствующих полимеров, а III — полимеризацией стиролсульфоновой к-ты. Найдено, что Λ исследованных поликислот не зависит ни от конц-ии полимера, ни от его мол. веса, ни от ионной силы р-ра; в интервале частот 20—10 000 μ величина Λ не зависит также и от частоты. При увеличении конц-ии CH_3OH в системе (уменьшение диэлектрич. постоянной) величина Λ монотонно уменьшается, но при очень высоких конц-иях CH_3OH (выше $\sim 95\%$) снова несколько возрастает. Λ водн. р-ров Na-соли II изменяется при изменении конц-ии полимера, причем это изменение аналогично наблю-

даемому в случае полиметакрилата Na и бромистого поли-4-винил-N-н-бутилпиридиния (Fuoss R. M., Strauss H. P., J. Polymer Sci., 1948, 3, 246; Oth A., Daty P., J. Phys. Chem., 1952, 56, 43). Принимая, что электропроводность поликислот определяется главным образом протонной электропроводностью, авторы рассчитали величину степени диссоциации α и показали, что α удовлетворительно согласуется со значениями, найденными из измерения pH р-ра. В водно-спиртовых р-рах величина α поликислот пропорциональна диэлектрич. постоянной растворителя при конц-иях CH_3OH 0—60% и 90—100%; при конц-иях CH_3OH 60—90% α практически не зависит от конц-ии CH_3OH . А. П. 65156. Скорость и эффективность иницирования в радикальной полимеризации. Бевингтон (The rates and efficiencies of initiation in radical polymerizations. Bevington John Cuthbert), Ricerca scient., 1955, 25, Suppl. 3—10 (англ.; рез. нем., франц., итал.)

См. также РЖХим, 1955, 9345, 28707. 65157. Природа иницирования при виниловой полимеризации. Вайдхьянатхан, Чайтаньян, Сантхатпа (Nature of initiation in vinyl polymerisations. Vaidhyathan V. S., Chaitanya C., Santhappa M.), Current Sci., 1955, 24, № 8, 256—257 (англ.)

Исследована полимеризация стирола (I) и винилацетата (II) в р-е толуола при 75—100°; инициаторы — перекись бензоила (III), перекись метилэтилкетона (IV), ди-*т*-мет-бутилперекись (V) и *т*-мет-бутилгидроперекись (VI). Исходя из данных о влиянии конц-ии инициатора и мономера на мол. веса образующихся полимеров, высказано предположение о том, что в системах I—III и I—IV $k_i M \gg k_a$, в системе II—III $k_i M \ll k_a$, в системе I—V k_i и k_a — величины одного порядка (k_i и k_a — константы скоростей р-дий иницирования и первичной рекомбинации, M — конц-ия мономера). При полимеризации I в присутствии V и VI скорость полимеризации пропорциональна $B^{1/2}M$ (B — конц-ия инициатора). Отношение константы скорости р-дий передачи цепи через толуол к константе скорости роста цепи для II равно $2,7 \cdot 10^{-3}$ при 75°.

А. П. 65158. Перекись водорода как инициатор полимеризации виниловых соединений в гомогенной системе. Часть II. Изучение передачи цепи. Нанди, Палит (Hydrogen peroxide as initiator in vinyl polymerization in homogeneous system. Part II. Chain transfer studies. Nandi Uma Sankar, Palit Santi R.), Ricerca scient., 1955, 25, Suppl. 18—33 (англ.; рез. итал., франц., нем.)

Исследована передача цепи при полимеризации метилметакрилата, иницированной H_2O_2 в толуоле, этилацетате, CCl_4 , метилэтилкетоне и в массе. Константа передачи цепи через р-ритель C_p при иницированной полимеризации может определяться из графика зависимости $1/P$ от S/M только, когда скорость полимеризации пропорциональна $M^{1/2}$. В остальных случаях необходимо пользоваться зависимостью $(1/P - 8^2/MV)$ от S/M (P — степень полимеризации, M и S — конц-ии мономера и р-рителя, V — скорость полимеризации, $\delta = K_0^{1/2}/K_p$, где K_0 и K_p — константы скорости обрыва и роста цепи. Из температурной зависимости C_M и C_I найдены для $E_M - E_P$ и $E_I - E_P$ значения 7,68 и 8,35 ккал/мол (E_M , E_I и E_P — энергии активации соответственно р-дий передачи цепи через мономер, через инициатор и р-дий роста цепи. Часть 1 см. РЖХим, 1956, 22619).

Р. М. 65159. О полимеризации винилхлорида. I. Кинетические характеристики блочной полимеризации. Да

нуcco, Перуджини (Sulla polimerizzazione del cloruro di vinile. I. Caratteristiche cinetiche della polimerizzazione in blocco. Danusso F., Perugini G.), *Chimica e industria*, 1953, 35, № 12, 881—887 (итал.)

Полимеризация проводилась в запаянных ампулах, выход определялся гравиметрически после отгонки мономера, кинетика — dilatометрически. Исследовано влияние конц-ии инициатора и т-ры полимеризации на выход полимера, кинетика процесса с различными инициаторами (перекись бензоила и лаурила, азодизобутиронитрил) при различных конц-иях и т-рах; выявлена зависимость мол. веса полимеров от конц-ии инициаторов и т-ры. И. Р.

65160. Высокотемпературная полимеризация метакриловых мономеров. Дануссо (Polimerizzazione di monomeri metacrilici ad alta temperatura. Danusso Ferdinando), *Ricerca scient.*, 1955, 25, Suppl., 134—139 (итал.; рез. англ., нем., франц.)

При термич. полимеризации метилметакрилата выше 200° обычный механизм полимеризации заменяется бимолекулярной ступенчатой р-цией $M_m + M_n \rightarrow M_{m+n}$, приводящей к равновесному распределению низкомолекулярных полимеров. Энергия активации суммарной р-ции 25 ккал/моль. Выше 300° метилметакрилат подвергается пиролизу. Р. М.

65161. Кинетические исследования сеткообразования. II. Распределение по молекулярным весам и гелеобразование при «перекрестном» сеткообразовании. Оива (架橋反應の動力学的研究 第2報 «串刺し」反應による重合物の分子量分布およびゲル化機構について. 大岩正芳), *日本化学雑誌*, Нихон какаку дзасси, *J. Chem. Soc. Japan, Pure Chem. Sec.*, 1955, 76, № 5, 508—512 (япон.)

Математическое рассмотрение структуры продуктов цепной полимеризации для случая, когда высокополимерные цепи соединяются путем перекрещивания. Часть I см. РЖХим, 1956, 51002.

Chem. Abstrs., 1955, 49, № 22, 15367. Т. Katsurai 65162. Полимеризация изобутена в системе галогенид-алкил — этан, катализируемая хлористым алюмином. Зламал, Амброж, Амброж (Polymerace isobutenu v soustavě alkylhalogenid-ethan katalysovaná chloridem hlinitým. Zlamal Zdeněk, Ambrož Jaroslav, Ambrož Ludvík), *Chem. listy*, 1955, 49, № 11, 1606—1611 (чеш.); Сб. чехосл. хим. работ, 1956, 21, № 3, 586—592 (нем.; рез. русс.)

Исследована полимеризация изобутена в смеси жидкого этана и метил- или этилхлорида, катализируемая $AlCl_3$ при —88°. Р-ция проходит очень быстро. Мол. вес продукта полимеризации определялся вискозиметрически для различных конц-ий катализатора и алкилгалогенида. Зависимость скорости р-ции от конц-ии катализатора проходит через очень острый максимум и становится постоянной для конц-ий > 1%. При постоянной конц-ии катализатора мол. вес продукта зависит от конц-ии алкилгалогенида. Если алкилгалогенид отсутствует, то р-ция начинается только после 14—16 час. Авторы предполагают, что $AlCl_3$ образует комплекс с алкилгалогенидом. V. Кафена.

65163. Кинетика полимеризации нитроэтилена. Вофси, Качальский (Kinetics of polymerization of nitro ethylene. Vofsi M. Sc. David, Katchalsky Aharon), *Ricerca scient.*, 1955, 25, Suppl., 165—177 (англ.; рез. итал., нем., франц.)

Исследована кинетика полимеризации нитроэтилена в р-ре метилэтилкетона, катализируемая пиридином (I) и его производными, при 20—70°. Скорость р-ции (V) увеличивается с усилением основности катализа-

тора. В присутствии 2,6-диметилпиридина скорости ниже, чем в присутствии I, очевидно, благодаря стерич. препятствиям. Авторы считают, что инициирование осуществляется через образование комплекса $C_6H_5N^+ - CH_2 - CHNO_2$, рост цепи идет по карбониевому механизму. Общая скорость р-ции $V = k[M]$ (с и M — конц-ии катализатора и мономера). В случае катализаторов, свободных от стерич. препятствий, lg k линейно растет с рK — отрицательным логарифмом константы диссоциации катализатора. При 20—70° V растет с уменьшением т-ры, что авторы связывают с механизмом обрыва, имеющим высокую энергию активации. Р. М.

65164. Теплоэнергетические процессы при отверждении мочевиновых смол. Пец, Фишер (Wärmeenergetische Vorgänge beim Abbinden von Harnstoffharzen. Petz Albert, Fischer Friedrich), *Holz Roh- und Werkstoff*, 1954, 12, № 3, 96—98 (нем.)

Исследован тепловой эффект конденсации мочевиновых смол при комнатной т-ре в жидкостном калориметре. Исследованию подвергался 70%-ный водн. р-р мочевиноформальдегидного форконденсата с различной величиной рН, которая регулировалась добавкой к-ты (HCl , H_3PO_4 , $HCOOH$) различной конц-ии или солей NH_4 тех же к-т. Установлено, что тепловой эффект зависит от величины рН, род же применяемой к-ты на него не оказывает влияния. При применении солей NH_4 , в качестве побочного продукта образуется тексаметилентетраамин. С. Ш.

65165. Кинетика образования полимера по ступенчатой реакции. Случай, когда только мономеры реагируют с полимерами. Оива (逐次反應による高分子生成反應の動力学的研究. 多量體に單量體のみが反應する場合. 大岩正芳), *日本化学雑誌*, Нихон какаку дзасси, *J. Chem. Soc. Japan, Pure Chem. Sec.*, 1954, 75, № 1, 239—242 (япон.)

Исследована кинетика полимеризации ε-капролактама и ангидридов N-карбокси-α-аминовой к-ты, инициированной H_2O . Определены средняя длина цепи и функции распределения мол. веса.

Chem. Abstrs., 1954, 48, № 22, 13371. Т. Katsurai 65166. Полиэтерификация многоосновной полиоксикислоты. Часть III. Характеристики растворения: способность к осаждению и растворимость. Бхаттачарья (Polyesterification of polyhydroxy polybasic acid: Part III — solution characteristics: precipitability and solubility. Bhattacharya Promode Ranjan), *J. Scient. and Industr. Res.*, 1955, (B — C) 14, № 9, B432 — B436 (англ.)

Способность полиэфиров к осаждению в бинарном р-рителе ацетон-вода и диоксан-вода, характеризуемая кол-вом нерастворителя, добавляемого до начала осаждения, находится в линейной зависимости от lg конц-ии или от степени полимеризации (при постоянной конц-ии). Наклон прямых увеличивается с увеличением степени полимеризации. Часть II см. РЖХим, 1956, 47211.

И. Т. 65167. Полимеризация ε-капролактама действием щелочных карбонатов. II. Кинетика и механизм щелочной полимеризации ε-капролактама. Вихтерле, Шебенда (Polymerisace ε-kaprolaktamu alkalkickými uhličitany. II. Kinetika a mechanismus alkalické polymerisace ε-kaprolaktamu. Wichterle Oto, Šebenda Jan), *Chem. listy*, 1955, 49, № 9, 1298—1310 (чеш.)

Авторы изучали влияние Na_2CO_3 при полимеризации ε-капролактама (I) на скорость полимеризации и величину мол. веса полиамида. Рост цепи в основном наступает на любом месте присоединения I к цепи полиамида (на концах цепи в незначительной степени). Для измерения скорости полимеризации сконструирована

аппаратура, дающая возможность отбирать пробы в любой момент, не нарушая условий полимеризации. Даны ур-ния скорости и степени полимеризации. Предлагаемый вид полимеризации характеризуется на порядок более высокой скоростью полимеризации, что позволяет вести ее при относительно низкой т-ре. Степень полимеризации, получающаяся при низких т-рах, превышает в несколько раз наивысшую до сих пор достигнутую степень полимеризации. Сообщение I см. РЖХим, 1956, 54678.

Д. Т.
65168. Кинетика гидратации сополимера винилацетата с малеиновым ангидридом. Сиркар, Палит (Kinetics of hydration of vinyl acetate-maleic anhydride copolymer. Sircar Anil K., Palit Santi R., J. Scient. and Industr. Res., 1954, 13, № 7, 470—473 (англ.))

Исследована кинетика гидратации сополимера винилацетата с малеиновым ангидридом (I) в водн. ацетоне по изменению уд. электропроводности. Полученные значения k для гидратации I, при тех же условиях, ниже, чем для ангидрида янтарной к-ты, который по структуре близок к гидратируемому звену I. От изменения мол. веса I скорость гидратации фактически не меняется. Добавление солей уменьшает, а добавление оснований увеличивает скорость этой р-ции. Показано, что энергия активации гидратации янтарного ангидрида и I почти одинаковы, что указывает на общность механизма гидратации мономерного и полимерного ангидрида.

И. А.
65169. Термическая деструкция нейлона 66. Гудман (The thermal degradation of 66 nylon. Goodman Isaac, J. Polymer Sci., 1954, 13, № 68, 175—178 (англ.))

Исследована термич. деструкция N, N'-дибутиладипамида, в-ва, моделирующего нейлон 66 (полигексаметиленадипамид), в атмосфере N_2 при 290 и 350°. Летучие продукты р-ции состоят (1 моль на 1 моль амида) из n-бутиламина 0,963, CO_2 0,466, CO 0,008, C_4H_{10} 0,03, C_4H_8 0,01, H_2 0,003, NH_3 0,000005 (т-ра 350°). УФ-спектроскопическое исследование нелетучих остатков пиролиза указывает на присутствие в них замещ. индолов (поглощение в области 270—280 мμ). Приведены также данные о пиролизе мономерных амидов $RCONHR'$ и диамидов, полученных из гексаметилендиамина $RCONH(CH_2)_6NHCOR$.

А. П.
65170. Фотохимическое хлорирование полистирола. Тессье, Сметс (Chloruration photochimique du polystyrène. Teyssié Philippe, Smets Georges, Ricerca scient., 1955, 25, Suppl., 187—199 (франц.; рез. англ., нем., итал.))

При фотохлорировании (УФ-облучение) полистирола в р-ре CCl_4 хлором одновременно идут р-ции 1) замещения атомов H на Cl в главной цепи и 2) присоеди-

нения Cl к ядру с образованием производных гексахлорциклогексана. При высоких т-рах и низких конц-ях Cl р-ция 1 преобладает над реакцией 2, при низких т-рах и высоких конц-ях Cl р-ция 2 преобладает над р-цией 1. Заметного замещения H на Cl в ароматическом ядре не наблюдается. Хлорирование под действием SO_2Cl_2 при УФ-облучении или в присутствии перекиси бензола приводит к подобным продуктам, не содержащим сульфурных групп.

Р. М.
65171. Синтез и полимеризация 3,3-дизамещенных оксациклубутанов. Фарthing (Preparation and polymerisation of some 3,3-disubstituted oxacyclobutanes. Farthing A. C., J. Chem. Soc., 1955, Nov., 3648—3654 (англ.))

Описано получение 3,3-дизамещ. оксациклубутанов из хлорпроизводных пентаэритрита с замещением атомов хлора другими радикалами по схеме: $CH_2ClC \cdot (CH_2Cl)_2CH_2OH \rightarrow (CH_2Cl)_2CCH_2CH_2O \rightarrow (RCH_2)(R'CH_2) \cdot CCH_2CH_2O$. Синтезированы: 3,3-бис-(хлорметил)-окса-

циклубутан, выход 90%, т. пл. 18,7°, n_D^{20} 1,4858; d_4^{25} 1,2951, 3,3-бис-(ацетоксиметил)-и 3-ацетоксиметил-3-хлорметил-оксациклубутаны, выход 60%, т. кип. 152°/21 мм и выход 30%, т. кип. 120—121°/13 мм соответственно; 3-хлорметил-3-оксиметил-оксациклубутан, выход 86%, т. кип. 64°/0,09 мм; 3,3-бис-(феноксиметил)-оксациклубутан, выход 40%, т. кип. 143°/0,05 мм, т. пл. 68°; 3,3-бис-(этоксиметил)-оксациклубутан, выход 68%, т. кип. 81,5—82°/19 мм; 3,3-диметил-оксациклубутан, выход 19%, т. кип. 79,5—80°, 5-хлорметил-5-оксиметил-2,2-диметил-1,3-диоксан, выход 80%, т. кип. 80°/0,1 мм; 7,7-диметил-2,6,8-триоксапиро-[3,5]-нонан, выход 66%, т. кип. 40°/0,15 мм, 91°/13 мм; 3-хлор-2,2-диметилпропанол-1, выход 54%, т. кип. 78—80°/10 мм, и по улучшенной методике получен монохлорид пентаэритрита, выход 81%, т. кип. 160°/0,09 мм. Оксациклубутаны полимеризуются в присутствии сильных электрофильных катализаторов (BF_3) и в блоке и в р-ре и образуют линейные простые полиэферы. Полимеризация в р-ре при т-ре ниже 20° приводит к образованию полимеров с высоким мол. весом. Полимеризация 3,3-дихлорметил-оксациклубутана под влиянием BF_3 идет только в присутствии следов воды. Описаны свойства 3,3-дизамещ. оксациклубутанов.

Т. М.
См. также разделы *Каучук натуральный и синтетический. Резина и Синтетические полимеры. Пластмассы — и рефераты: Кинетика и механизм полимеризации* 66687. Синтезы высокомолекулярных в-в 65634, 65637, 65949, 66689, 66690, 66703. Природн. высокомолекулярных в-в 66692, 66752—66783, 66786, 66787.

АНАЛИТИЧЕСКАЯ ХИМИЯ

ОБЩИЕ ВОПРОСЫ

65172. Химик-аналитик и его методы. Пресс (The analyst and his methods. Press E. W. S.), Research, 1956, 9, № 1, 16—20 (англ.)

Обсуждаются вопросы выбора аналитич. методов и организации аналитич. работы.

А. Б.
65173. К вопросу о стандартизации нормальных растворов кислот. II. Применение бикарбоната натрия в качестве первичного стандарта. Дежобер, Петек (Contribution à l'étude de la standardisation des solutions acides normales. II. Utilisation de

l'hydrogencarbonate de sodium comme substance de référence. Desjober André, Petek Fahrettin, Analyt. chim. acta, 1956, 14, № 1, 19—23 (франц.; рез. нем., англ.)

Навески $NaHCO_3$ 2,2 г и Na_2CO_3 1,4 г нагревали в Pt-чашках диам. ~40 мм при различных т-рах, охлаждали над H_2SO_4 и взвешивали. Для оценки применимости полученных продуктов в качестве первичных стандартов употребляли 1 н. H_2SO_4 , титр которой устанавливали по $(NH_4)_2SO_4$. В качестве индикатора употребляли р-р 0,025 г метилового оранжевого, 0,125 г бромкрезолового зеленого в 100 мл 50%-ного C_2H_5OH .

Титр к-ты вычисляли по ф-ле $x = 1000 p/53 n$, где x — нормальность, p (в г) — вес продукта после прокаливания, n (в мл) — общее кол-во р-ра к-ты, необходимое для перехода окраски индикатора в желтую. Установлено, что x в значительной степени уменьшается с повышением т-ры прокаливания и, в меньшей степени, с увеличением продолжительности прокаливания. Потери в весе соответствуют теории лишь для узкого интервала т-р. Кривая зависимости x — т-ра для NaHCO_3 в интервале времени 2 часа резко отличается от кривой для KHCO_3 ; последняя имеет плато при 250—350°. Кривая для Na_2CO_3 параллельна оси абсцисс и представляет собой прямую. Продолжительность нагрева (в интервале 2—20 час.) не влияет на ее ход. Сделан вывод, что продукты прокаливания NaHCO_3 и Na_2CO_3 не идентичны; применение NaHCO_3 (так же как и Na_2CO_3) в качестве первичного стандарта нецелесообразно. Сообщение I см. РЖХим, 1954, 46781.

Т. Л.

65174. Осаждение сульфидов из гомогенных растворов тиаоацетамидом. Свифт, Батлер (Precipitation of sulfides from homogeneous solutions by thioacetamide. Swift Ernest H., Butler Eliot A.), *Analyt. Chem.*, 1956, 28, № 2, 146—153 (англ.)

Измерение скорости р-ции показало, что гидролиз тиаоацетамида (I) в разб. кислых р-рах до ацетамида и H_2S является р-цией 1-го порядка по отношению к конц-ям I и H^+ ; только небольшая часть образовавшегося ацетамида гидролизует до CH_3COOH и NH_4OH . Константа скорости второго порядка для р-ции гидролиза $0,21 \pm 0,023 \text{ л/моль/мин}$ при 90°; энергия активации $19,1 \text{ ккал/моль}$ при 60—90°. Предположение о том, что I гидролизует в горячих кислых р-рах быстро и количественно и может заменить H_2S без изменения методики, не подтверждено. При $\text{pH} < 3$ осаждение PbS при помощи I происходит вследствие гидролиза I; скорость осаждения соответствует скорости гидролиза. В р-рах с $\text{pH} 5,1$ — $3,5$ осаждение является р-цией 1-го порядка по отношению к конц-ям I и Pb^{2+} и $1/2$ -го порядка по отношению к H^+ . Константа скорости для выражения $-d[\text{Pb}^{2+}]/dt = k[\text{Pb}^{2+}] \cdot [\text{CH}_3\text{CSNH}_2] / [\text{H}^+]^{1/2}$ равна $1,15 \cdot 10^{-3} \text{ л}^{1/2} \text{ моль}^{-1/2} \text{ мин}^{-1}$ при 90° в среде $0,081 \text{ M HCOONa}$; энергия активации $15,5 \text{ ккал/моль}$. При $\text{pH} 5$ скорость осаждения PbS может быть в 100 раз больше, чем скорость образования H_2S за счет гидролиза I.

М. П.

65175. Поведение следов тория при соосаждении и экстракции. Коста (The behaviour of trace quantities of thorium in coprecipitation and extraction. Costa L.), *Bull. scient. Conseil acad. RPFY*, 1955, 2, № 2, 45 (англ.)

Следы Th соосажаются с основным фосфатом $\text{Ti}_2(\text{C}_2\text{O}_4)_3$ и LaF_3 . Наиболее удобен фосфат Ti, так как осадок выделяется из весьма кислых р-ров, легко растворяется в H_3PO_4 и HF и из полученного р-ра Th легко извлекается экстрагированием. При использовании H_3PO_4 применяют трибутилфосфат в качестве р-рителя и $\text{Al}(\text{NO}_3)_3$ как высаливающий агент; добавление метилацетата к трибутилфосфату устраняет образование эмульсии; промывание экстракта H_2O не снижает активности. Для извлечения Th достаточно двух экстрагирований. Окись мезитила пригодна для извлечения Th из р-ров LaF_3 в $\text{Al}(\text{NO}_3)_3$. Смесь бутилфосфат-метилацетат количественно извлекает ультрамикроколичества Th. Изученные р-рители извлекают Th количественно при содержании 10^{-3} — 500 г . А. З.

65176. Промывание декантацией: аналогия с процессом экстракции из жидкости в жидкость. Ригамонти, Панетти (Il lavaggio per decantazione: analogia con i processi di estrazione liquido-

liquido. Rigamonti Rolando, Panetti Maurizio), *Ann. chimica*, 1955, 45, № 4—5, 364—379 (итал.)

Промывание декантацией осадков рассматривается как аналогичное экстракции «из жидкости в жидкость». На основе этой аналогии выведены ф-лы для определения чистоты осадков в зависимости от числа промываний и объема промывной жидкости. Ввиду сложности этих ф-л даны соответствующие графики. Б. А.

65177. Некоторые применения гальванометра в аналитической химии. Джеймс (Some uses of a galvanometer in analytical chemistry. James G. S.), *S. Afric. Industr. Chemist*, 1954, 8, № 8, 152—156 (англ.)

Описано развитие применения физ.-хим. методов в аналитич. химии и обсуждены способы, в которых измерения осуществляются при помощи гальванометра, в частности потенциометрич. титрование, полярография, кулометрич. титрование, дифференциальный термич. анализ и нефелометрия. Приведен ряд электр. схем.

Т. Л.

65178. Применение микроаналитических методов для анализа фармацевтических препаратов. Симон (L'utilisation des méthodes microanalytiques dans l'analyse des spécialités pharmaceutiques. Simon Serge), *Mikrochim. acta*, 1956, № 1-3, 118—124 (франц.; рез. нем., англ.)

Сформулированы задачи Службы контроля медикаментов Бельгийской фармацевт. ассоциации, автор делает обзор методов элементарного анализа и определения функциональных групп, используемых для колич. исследования лекарственных в-в. Число случаев применения микрометодов для элементарного и функционального анализа фармацевт. продуктов в 1954 г. увеличилось более чем в 7 раз по сравнению с 1952 г.

Н. П.

65179. О скорости реакции между платинохлористоводородной кислотой и иодистым натрием. Бартоли (Sulla velocità di reazione dell'acido cloroplatinico con ioduro di sodio. Bartoli Mario), *Boll. chim. farmac.*, 1956, 95, № 1, 3—5 (итал.; рез. англ.)

Для колориметрич. определения Pt исследовано влияние Cu^{2+} (в форме CuSO_4) на р-цию $\text{H}_2\text{PtCl}_6 + 6 \text{ NaI} \rightarrow \text{H}_2\text{PtI}_6 + 6 \text{ NaCl}$ в водн. р-ре. Добавление Cu^{2+} в кол-ве 0,8—20 мг на 100 мл реакционной смеси, содержащей 4—22 мг Pt в форме H_2PtCl_6 , сильно ускоряет р-цию, продолжающуюся 30—35 мин.; в отсутствие Cu^{2+} р-ция продолжается более длительное время.

В. Ц.

65180. Вклад радиохимии в теорию химического анализа. Шёнфельд (Beiträge der Radiochemie zur Theorie der chemischen Analyse. Schönfeld T.), *Mikrochim. acta*, 1956, № 4-6, 1050—1067 (нем.; рез. англ., франц.)

Обзор. Библ. 55 назв.

Н. П.

65181. Комплексометрическое титрование (хелатометрия). III. К определению алюминия с этилендиаминтетрауксусной кислотой. Нохансен, Бобовский, Вебер (Chelatometrie. III. Zur Massanalyse des Aluminiums mit Äthylendiamintetraessigsäure (EDTA). Johannsen W., Bobowski E., Wehber P.), *Metall*, 1956, 10, № 5—6, 211—212 (нем.)

Al в р-рах простых солей и ферротитане, содержащем 4—9% Al, определяют с погрешностью 0,05% оттитровыванием избытка этилендиаминтетрауксусной к-ты 0,1 M р-ром ZnCl_2 , содержащим небольшое кол-во CuCl_2 . Титруют в присутствии NH_4SCN , при $\text{pH} 5,5$ до фиолетовой окраски индикатора вариянами синего В. Сообщение II см. РЖХим, 1956, 54739.

Н. Ч.

менес
висом
Пол
трим
мет
ける
エニ
いて
フの
明,
Iust,
англ
V. A
трифе
ный и
трифе
осажд
10 эк
бавлен
поляро
ность
VI.
тримет
нонам.
-(CH₃)₂
новите
спином
добна
В водн
При п
I при
Hg (2-
Fe (3+
англон
WO₂-
дован
Bi³⁺
61838.
65183.
ферр
Very
Fe
1955
Р-ци
пани
пирид
божда
ваемы
помощ
катион
ферро
ченно
1%-по
стого
Ионы
+ 3H₂
+ 3 Cl
пани
откры
Р-цию
тия Н
к смеси
I и 1
красн
от кол
быстро
Р-ция
прису
ная к
соотве
скипро

65182. Исследования в области аналитического применения окисных соединений. 5. Электротитрование висмута с помощью хлорида трифенил-селенония. 6. Полярографическое поведение хлорида додецилтриметил-аммония по отношению к ионам некоторых металлов. Синагава, Мацуо (分析化学におけるオニウム化合物の適用に関する研究. 第5報. トリフェニルセレンオニウムクロライドによる貴金属の電流滴定について. 第6報. ドデシルトリメチルアンモニウムクロライドの數種金属イオンに対するポラログラフ的挙動. 品川陸明, 松尾博), 分析化学, Бунсэки кагаку, Japan Analyst, 1955, 4, № 4, 211—213; 213—217 (япон.; рез. англ.)

V. Амперометрическое титрование висмута хлоридом трифенилселенония. Подвисмутатный и хлорвисмутатный ионы определяют амперометрически с хлоридом трифенилселенония в качестве осадителя. Обычно р-ция осаждения протекает очень медленно, но в присутствии 10 экв J- или 0,2—0,3 н. HCl через 10 мин.; после прибавления каждой порции титрованного р-ра происходит полярографически полное осаждение. Средняя погрешность амперометрич. титрования $\pm 1\%$.

VI. Полярографическое поведение хлорида додецилтриметил-аммония по отношению к некоторым металлы. ионам. Р-р хлорида додецилтриметил-аммония $C_{12}H_{25} \cdot (CH_3)_3NCl$ (I) при конц-ии 10^{-2} — 10^{-4} M имеет восстановительный потенциал $\sim 2,2$ в (по отношению к массивному Hg-электроду); при конц-ии 0,1 M волна I подобна волне водорода, с максимумом при $-1,5$ в. В водн. р-ре I диссоциирует на $[C_{12}H_{25}(CH_3)_3N]^+$ и Cl^- . При подборе соответствующего комплексобразователя I применим для осаждения ионов металлов, напр.: Hg (2+), Bi (3+), Cd (2+), Sb (3+), Sn (2+), Sn (4+), Fe (3+), Mn (2+), Co (2+), Ni (2+) и Zn (2+). Такие анионы, как ClO_4^- , JO_4^- , VO_4^{3-} , CrO_4^{2-} , $Cr_2O_7^{2-}$, MnO_4^{2-} , WO_4^{2-} и MnO_4^- реагируют с I, образуя осадок. Исследованы условия амперометрич. титрования Co^{2+} , Zn^{2+} , Bi^{3+} , Sb^{3+} и Hg^{2+} . Сообщение IV см. РЖХим, 1956, 61838. J. X.

65183. Аналитическое использование демаскировки ферроцианида. Фейгль, Калдас (Analytische Verwertungen der Demaskierung von Ferrocyanid. Feigl F., Caldas A.), Analyt. chim. acta, 1955, 13, № 6, 526—530 (нем.; рез. англ., франц.) Р-ция открытия ряда ионов, дающих устойчивые цианиды, основаны на образовании комплексов α , α' -дирипида (I) или α , α' -фенантролина (II) с Fe^{2+} , освобождающимися при демаскировке $K_4Fe(CN)_6$ (III) открываемыми ионами. Одновременное связывание Fe^{2+} с помощью I или II и CN^- -ионов с помощью открываемых катионов облегчает демаскировку III. Для открытия ферроцианидов к капле кислого, нейтр. или подщелоченного содой анализируемого р-ра добавляют каплю 1%-ного спирт. р-ра I, несколько мг твердого хлористого меркурида и нагревают смесь на водяной бане. Ионы Fe^{2+} освобождаются по р-ции: $[Fe(CN)_6]^{4-} + 3H_2NH_2Cl + 3H_2O \rightarrow Fe^{2+} + 3NH_3 + 3OH^- + 3Cl^-$, а $Hg(CN)_2$ связывается затем в комплексный цианид $Hg(CN)_4^{2-}$. Р-ция специфична и позволяет открыть до 0,2 γ III при предельной конц-ии 1:250 000. Р-цию демаскировки III используют также для открытия Hg, Pd и Ag, добавляя каплю испытуемого р-ра к смеси 1 капли 1%-ного р-ра III, 1 капли спирт. р-ра I и 1 капли 2 н. аммиака. При нагревании появляется красное окрашивание, интенсивность которого зависит от кол-ва открываемого металла. Р-ция пригодна для быстрого открытия руты в фармацевтич. препаратах. Р-ция избирательна, но не может быть выполнена в присутствии катионов, осаждаемых аммиаком. Предельная конц-ия при открытии Hg, Ag и Pd составляет соответственно 1:100 000, 1:25 000 и 1:25 000. Демаскировкой III пользуются для открытия галогенидов Ag,

а также AgCN, AgSCN, $Ag_4[Fe(CN)_6]$, $Ag_3[Fe(CN)_6]$ и $Ag_3[Co(CN)_6]$ в аммиачной среде. В соответствующих р-циях освобождается Fe^{2+} , а CN^- связывается в $Ag(CN)_2^-$. Н. П.

65184. Изучение 2-фенил-8-оксихинолина и его внутрикомплексных производных I. Получение и свойства 2-фенил-8-оксихинолина. Бокке, Пари (Étude de la phényl-2 oxine et de ses chélates. I. Préparation et propriétés de la phényl-2 oxine. Bocquet Georges, Paris René A.), Analyt. chim. acta, 1955, 13, № 6, 508—512 (франц.; рез. нем., англ.) Самый быстрый способ получения 2-фенил-8-оксихинолина (I) основан на взаимодействии 8-оксихинолина (II) с C_6H_5Li в абс. эфире и в инертной атмосфере с последующим гидролизом полученного продукта присоединения, экстракцией I эфиром, перегонкой в вакууме и кристаллизацией I из метанольного р-ра. I — белое твердое в-во, имеющее 3 полиморфные модификации с t-рами плавления соответственно 59, 72 и 85,5°. В 1 л воды растворяется всего 3,75 мг I при 22±1°. С увеличением добавок спирта растворимость I возрастает сначала медленно, а затем быстро. I лучше растворяется в сильнокислых или щел. водн. р-рах и в обычных органич. р-рителях. Подобно II, I образует с рядом катионов клешневидные или внутрикомплексные соединения. Спектр поглощения р-ров I в циклогексановом р-ре имеет максимумы при 271—272 мμ и 322—324 мμ с молярными коэфф. экстинкции соответственно $46,6 \cdot 10^3$ и $5,0 \cdot 10^3$. Следовательно, полоса поглощения р-ра II при 242 мμ испытывает у I значительное bathochromное смещение. Спектры поглощения циклогексановых и водно-спиртовых р-ров I почти не отличаются между собой. Величина pH сильно влияет на спектры поглощения водно-спиртовых р-ров I, что авторы связывают с последовательным взаимным переходом различных форм I: ионной кислой, молекулярной нейтр. и ионной основной. В интервале pH 1,1—13,7 установлено наличие 9 изобестич. точек. Н. П.

65185. Салициламидоксим как аналитический реактив. Часть I. Реакции салициламидоксима с ионами металлов. Бандьонадхайд, Рай (Salicylamidoxime as an analytical reagent. Part I. Reactions of salicylamidoxime with metallic ions. Bandopadhyay Debabrata, Ray Priyadarajan), J. Indian Chem. Soc., 1956, 33, № 1, 21—28 (англ.)

Салициламидоксим (I) образует осадки со следующими катионами (в скобках указаны значения pH начала осаждения из 0,001 M р-ров или интервал pH осаждения, а также величины предельных конц-ий при открытии некоторых ионов с помощью I): Ag^+ , Pb^{2+} (6,6), Hg^{2+} (6,4), Cu^{2+} (3,2 до $\geq 3,9$, но не $> 6,5$; 1:10⁶), Cd^{2+} (8,2), Bi^{3+} (~ 9 ; 1:1,50·10⁶), Zn^{2+} (7,2), Mn^{2+} (8,7), Co^{2+} (6,9), Ni (5,6 до 6,7, но не > 8 ; 1:1,66·10⁶), Pd^{2+} ($\sim 1,0$), Fe^{2+} (5,5), UO_2^{2+} (4,6), Ti^{4+} (3,1—3,2; 1:1, 89·10⁵), VO_3^- (2,3). Хотя аналитич. р-ция I с салициламидоксимом (II) сходна между собой, pH начала осаждения комплексов металлов с I несколько выше, чем с II. Следовательно, комплексы с I менее устойчивы, чем с II. По убывающей устойчивости комплексы с I располагаются в следующий ряд: $Pd^{2+} > Cu^{2+} > UO_2^{2+} > Ni^{2+} > Fe^{2+} > Co^{2+} > Zn^{2+} > Cd^{2+}$. По избирательности I превосходит II. Нескольким более, чем двукратный молярный избыток р-ра I в 0,1 н. HCl, количественно осаждает Cu^{2+} при pH 4,0—4,5; Ni^{2+} при pH 7,0—7,5 и Pd^{2+} при pH 2,5—3,0. Образующиеся осадки после промывания и высушивания при 110° имеют состав $(C_7H_7O_2N_2)_2$ M и характеризуются растворимостью в к-тах, р-рах аммиака и щелочах. Соединения I с Ni и Pd диамагнитны, с Cu — парамагнитны. С Fe^{3+} и

MoO_4^{2-} I образует растворимые окрашенные комплексы. С помощью этой р-ции при pH 8,3—10,0 можно открыть 2,8 γ Fe. Для открытия Ti^{4+} , его комплекс с I экстрагируют изомамилловым спиртом из р-ра с pH 4—5. Аналогичным способом открывают V (5+), экстрагируя комплекс из сернокислых р-ров с pH 3—4. Н. П.

65186. Химические исследования с применением радиоактивных индикаторов. XVIII. Электролитическое разделение меди, висмута и свинца при контролируемом потенциале и его изучение с применением ThB и ThC в качестве радиоактивных индикаторов. Исибаси, Фудзинага, Кусака (放射指示作用による化学的研究. 第18報. Th=B及びを用いる銅, ビスマス, 鉛の定電位電解分離の検討. 石橋雅義, 藤永太一郎, 日下謙), 日本化学雑誌, Нихон какаку дзасси, J. Chem. Soc. Japan. Pure Chem. Sec., 1954, 75, № 1, 13—14 (япон.)

С помощью ThB и ThC как радиоактивных индикаторов подтверждена правильность ниже описанного метода определения Cu, Bi и Pb. Растворяют 0,5 г образца в 10 мл 5 н. HNO_3 и добавляют 25 мл 2 М $\text{Na}_2\text{C}_4\text{H}_4\text{O}_6$, 4 г янтарной к-ты, 2 г $\text{N}_2\text{H}_4 \cdot 2\text{HCl}$, 1 г мочевины и в присутствии Sn, Sb и Ag — HCl. После разбавления примерно до 190 мл и установления pH 5,8 с помощью 2 н. р-ра NaOH производят электролиз с Pt-электродом при контролируемом потенциале анода — 0,30 ± 0,01 в. Осадившуюся медь высушивают и взвешивают. Если электролиз проводить при —0,40 в, вместе с Cu осаждаются Bi, Pb, Sb, As, Sn, Cd и Zn не осаждаются. Так как следы металлов не сосаждаются с Cu при электролизе с контролируемым потенциалом, в оставшемся р-ре можно полярографически определять следы элементов. Можно определить менее 0,1% Bi, Pb и Cd. См. также РЖХим, 1955, 39814. Т. М.

65187. Метод окисления перманганатом в щелочной среде с использованием одновалентного таллия для обратного титрования II. Определение иодата, иодида и ферроцианида. Исса, Абдул Азим (Oxidations with alkaline permanganate using monovalent thallium for the back-titration. II. Determination of iodate, iodide and ferrocyanide. Issa I. M., Abdul Azim A. A.), Analyst chim. acta, 1956, 14, № 3, 217—224 (англ.; рез. франц.; нем.)

Ферроцианид и JO_3^- , J^- , J_2 определяют окислением KMnO_4 в щел. среде, оттитровывая избыток KMnO_4 р-ром TI (1+). В присутствии Ba^{2+} J^- и J_2 окисляются до JO_3^- , в отсутствие Ba^{2+} — до JO_3^- . $[\text{Fe}(\text{CN})_6]^{4-}$ окисляется KMnO_4 в щел. среде с образованием MnO_2 . Удовлетворительные результаты получают в присутствии теллуровой к-ты, в среде 0,025—0,1 н. NaOH. При восстановлении MnO_4^- р-ром $[\text{Fe}(\text{CN})_6]^{4-}$ наблюдается образование MnO_4^{2-} в кол-ве, зависящем от скорости добавления $[\text{Fe}(\text{CN})_6]^{4-}$. Сообщение I, РЖХим, 1956, 22708. М. П.

65188. Применение бензидина и его замещенных в аналитической химии. Мацуо (ベンジジンとその置換體の分析化学への應用. 松尾力), 化学の領域, Какаку-но рёйки, J. Japan Chem., 1954, 8, № 9, 38—42 (япон.)

Обзор.

А. Б.

65189. Определение тяжелых металлов при помощи дитизона. Гёке (Die Bestimmung von Schwermetallen mit Dithizon. G ö k e Gerhard), Lab.-Praxis, 1956, 8, № 2, 13—15 (нем.)

Обзор.

16 назв.

Д. К.

65190. Первые применения тиокарбонгидразида в неорганической химии. Дюваль, Чжан Ба Люк (Premières applications duthiocarbonylhydrazide en chimie

minérale. Duval Clément, Tran Ba Loc), Mikrochim. acta, 1956, № 1-3, 458-461 (франц.; рез. нем.; англ.)

При выполнении р-ции на капельной пластинке или в пробирке для центрифугирования с 0,5%-ным водн. или водно-спирт. р-ром тиокарбонгидразида (I) не реагируют катионы щел. и щел.-зем. металлов, Be, Mg, Au, Sn^{2+} , W, Al, Cr^{2+} , Cr^{3+} , Nb, Ta, Sc, Y, Ce^{3+} и редкие земли цериевой группы, Ga, In, Zr, Hf, Os, U^{4+} и Se (6+). Ru дает с I красное окрашивание. Окрашенные осадки с I дают следующие ионы: Pt (4+), Mo (6+), Ni^{2+} , Co^{2+} , Fe^{2+} , Fe^{3+} , Cu^{2+} , Pb^{2+} , Pd^{2+} , Bi (3+), Ag^+ , Ti^+ , U (6+), V (4+), Cr (6+), Ce (4+), Th (4+), Zn^{2+} , Cd^{2+} , Hg^{2+} и Hg_2^{2+} образуют при действии I белые осадки, а Se (4+), Te (4+) и Te (6+) восстанавливаются до элементов. При pH 2 1%-ный водн. р-р I с pH 2 количественно осаждает Mo (6+) в присутствии W (6+) и U (6+); U (6+) в этих условиях не осаждается. С целью последующего весового определения осадок промывают 1%-ной HCl и прокалывают при 500° до MoO_3 . Осадок Mo (6+) с I очень хорошо растворяется в смеси ацетона с *n*-бутанолом (1:2) с образованием коричневого р-ра, который можно колориметрировать при 400 мμ; закон Бера в этих условиях выполняется. Р-ция Mo (6+) с I довольно чувствительна: рD 4,6. Производные I, полученные замещением водородного атома NH_2 -группы I на какой-либо радикал, напр. на C_6H_5 -группу, в р-цию с Mo (6+) не вступают. По предположению авторов, при образовании нерастворимых осадков катионы металлов вступают в р-цию замещения с одной из NH_2 -групп I.

Н. П.

65191. 5,7-дибромоксехинолилаты тория. Спектрофотометрическое исследование. Рао, Рао (5,7-dibromo oxalates of thorium. A spectrophotometric study. Rao K. V. Subba Rama, Rao B. S. V. Raghava), Z. analyt. Chem., 1956, 150, № 1, 21—24 (англ.)

На основании исследования внутрикомплексных соединений 5,7-дибромоксинолина с 4 и 5 атомами Th установлено, что лучшим р-рителем, применимым при фотометрировании этих комплексов, является ацетон (I); предложен способ фотоколориметрич. определения Th K p-ry Th (NO_3)₄ добавляют р-р 2,8 мг перекристаллизованного 5,7-дибромоксинолина в 95%-ном I, разбавляют р-р до 25 мл I и фотометрируют при 390 мμ. Закон Бера выполняется при конц-ии комплекса Th 2,8—5,8·10⁻⁵ М. На основании хода кривых светопоглощения в различных р-рителях показано, что характер связи во внутрикомплексных соединениях, содержащих 4 и 5 атомов Th, различен. Б. З.

65192. Комплексометрия в органическом анализе. I. Осаждение подвисмутатом. Будешинский (Komplexometrie v organické analýze. I. Srážení jodovizmutitanem. Buděšinský Vřetislav), Chem. listy, 1955, 49, № 10, 1524—1531 (чеш.); Сб. чехосл. хим. работ, 1956, 21, № 1, 146—154 (нем.; рез. русс.)

Соли слабых оснований реагируют с подвисмутатом калия (I) с образованием осадков $(\text{X}^{n+})_n [(\text{BiJ}_4)_n]_n$, соли четвертичных оснований образуют осадки $(\text{X}^{n+})_n [(\text{BiJ}_4)_n]^{2n} (\text{J}^-)_n$, а состав осадков образуемых солями оснований средней силы (рK ~ 9) является промежуточным. Соли NH_4 , первичных и многих вторичных аминных алифатич. и ароматич. ряда, а также пиррола, пиперидина и в-в кислого характера (*n*-диметиламино-бензойная, никотиновая, изоникотиновая, барбитуровая к-ты, 6-оксипуриин, 6-меркантопуриин, веронал) не осаждаются. I готовят растворением 500 г KJ в ~ 500 мл воды, прибавлением небольшими порциями

78,6 г BiCl_3 , фильтрованием и дополнением р-ра водой до 1 л. Разработан метод колич. определения кофеина (II), 8-метилкофеина (III), уротропина, пирамидона, кофенина, антипирина (IV) и некоторых симпатолитич., спазмолитич. и антигистаминных средств: сукцинилхолинотида (иодида дихолинного эфира янтарной к-ты), флаксидина (триодотилата три- β -диэтиламиноэтилового эфира пирогаллола), пентапирролидинийбитартрата (тартрата пентаметил-1,5-бис-метилпирролидиния), тиоспасмина (V) (иодида 2-) фенилциклогексалацетокси (этилдиметилсульфония), II-тиоспасмина (VI) (иодида 2-) фенилциклогексалацетокс (этилтриметилфосфония) и хлорида бензгидрилоксиэтилтриметиларсония (VII). При определении оснований, образующего растворимый иодид, растворяют 1—1,5 мг-экв пробы (основания или соли) в 20 мл воды, прибавляют 5 мл 20%-ного р-ра KJ , 2 мл конц. соляной к-ты, 10 мл 0,25 M I , воды до 50 мл и фильтруют. 25 мл фильтрата смешивают с 10 мл ацетатного буферного р-ра (150 г кристаллич. CH_3COONa , 150 мл CH_3COOH и воды до 500 мл), 1 мл 0,1 н. $\text{Na}_2\text{S}_2\text{O}_3$ и титруют 0,05 M р-ром комплексона III (VIII) до исчезновения желто-оранжевого окрашивания. При определении IV , V , VI , VII и других оснований, образующих нерастворимые иодиды, растворяют 1—1,5 мг-экв пробы в 20%-ной CH_3COOH (IX), прибавляют 10 мл 0,25 M р-ра подоксидомуровой к-ты (X), IX до 50 мл и фильтруют. К 25 мл фильтрата прибавляют 10 мл 20%-ного CH_3COONa , 1 мл 0,1 н. $\text{Na}_2\text{S}_2\text{O}_3$ и титруют при помощи VIII. X азготовляют растворением 58,25 г Bi_2O_3 в 300 мл бесцветной 58,7%-ной HJ и дополнением водой до 1 л. Подоксидомурат калия реагирует аналогично I, однако не осаждает II и III, что дает возможность определять последние в лекарственных смесях с IV , хлористоводородным хинином и др.

J. H.

65193. Изучение реактива Несселера и осадка, образующегося при взаимодействии реактива Несселера с аммиаком. Часть II. Саркар, Гхош (Studies on Nessler's reagent and Nessler's precipitate. Part II. Sarkar Pulin Bihari, Ghosh Nripendra Nath), *Anal. chim. acta*, 1956, 14, № 3, 209—212 (англ.; ев. франц., нем.)

При действии NH_4OH на реактив Несселера образуется осадок состава $\text{NH}_{n-1}\text{Hg}_2\text{J}_n \cdot \text{H}_2\text{O}$. Потенциометрич. исследование осадка с помощью системы иодид-гипоидит показало, что величина n зависит от конц-ии ионов $(\text{HgJ}_4)^{2-}$ и OH^- , а также и от кол-ва добавляемого NH_4OH . n может изменяться в интервале 1—3. С увеличением числа n окраска осадка становится более интенсивной и переходит из коричневой в шоколадно-коричневую. Сообщение I см. РЖХим, 1956, 19472.

M. II.

65194. Новые адсорбционные индикаторы в меркурометрии. Соединения сульфоталейна и бензидина и смесей производных бензидина с солями трехвалентного железа. Мацуо (第一水銀鹽沈デン滴定の新しい吸着指示薬—スルホタレイン系化合物およびベンジジンとその置換體—第二鉄鹽混合溶液 松尾力), *工業化學雜誌*, *Chem. Sec.*, 1954, 57, № 11, 808—811 (япон.)

Определение Cl^- или Br^- титрованием р-ром $\text{Hg}_2(\text{NO}_3)_2$ проводили в присутствии тетрабромфенолтетрабромсульфоталейна (I), тетраподфенолсульфоталейна (II), бензидина (III), о-толидина (IV), о-дианилидина (V), К-соли этилового эфира тетрабромфталейна (VI) или тропеолина-0 (VII) — непосредственно в случае I, II, VI и VII или с добавкой 0,05 M р-ра $\text{Fe}(\text{NO}_3)_3$, подкисленного HNO_3 при молярном соотношении индикатор: $\text{Fe}^{3+} = 2:1$ — $1:1$ в случае III, IV или V. Для предотвращения коагуляции осадка добавляли гуммиарабик. Рекомендуемое кол-во индикатора:

1) I или II, 0,1%-ные р-ры в $\text{C}_2\text{H}_5\text{OH}$ 3—5 капель, 2) смесь 0,2 мл 1%-ного р-ра V в $\text{C}_2\text{H}_5\text{OH}$ с 0,1 мл р-ра Fe^{3+} , 3) VI, 0,2%-ный р-р в $\text{C}_2\text{H}_5\text{OH}$, 3—5 капель и 4) VII, 0,1%-ный р-р в воде, 3—5 капель. VI — наиболее подходящий индикатор для определения Br^- .

Chem. Abstr., 1955, 49, № 16, 10798. Katsua Inouye. 65195. Фенилфлуорон как кислотно-основной индикатор. Састри (Phenylfluorone as an acid-base indicator. Sastri M. N.), *Naturwissenschaften*, 1956, 43, № 8, 179 (англ.)

Фенилфлуорон можно применять как индикатор при титровании сильных кислот и оснований. 50 мг индикатора растворяют в 5,0 мл 0,1 н. NaOH и разбавляют водой до 100 мл. Для каждого титрования прибавляют 2—3 капли этого р-ра. При титровании NaOH соляной к-той цвет индикатора изменяется от розовой до желтой в конечной точке. При обратном титровании также наблюдается резкий переход желтой окраски в розовую. Результаты титрования 0,1—1,0 н. р-ров хорошо согласуются с результатами титрования с метиловым красным. Однако фенилфлуорон не пригоден при титровании разб. р-ров сильных к-т и оснований. При $\text{pH} \sim 3,0$ — $9,0$ р-р индикатора обнаруживает оранжево-зеленую флуоресценцию на дневном свете. В. С.

65196. Ионный обмен в фармацевтическом анализе. Пиндра (Výměna iontů ve farmaceutické analýze. Jindra Antonín), *Farmácia (českosl.)*, 1956, 25, № 2, 51—54 (чеш.)

Популярный доклад, прочитанный на конференции по контролю лекарств в сентябре 1955 г. в Праге. Н. Т.

65197. Об условиях получения хроматограмм катионов на окиси алюминия для их количественной оценки по размерам зоны. Минакшисундарам, Сриконтан (A note on the conditions for obtaining chromatograms of cations on alumina for estimation from the dimensions of zone. Meenakshisundaram T. K., Srikantan B. S.), *J. Indian Chem. Soc.*, 1955, 32, № 12, 801—802 (англ.)

Для колич. определения Cu^{2+} по высоте хроматографич. зоны колонку заполняют фракцией хроматографич. Al_2O_3 (I), прошедшей через сито 200 меш. Эту фракцию I вводят в 5-кратный объем воды, кипятят 15 мин., взвесь отсасывают для удаления окисленного I воздуха. I снова перемешивают с водой и декантацией отделяют от наиболее мелких частиц. Колонку заполняют обычным способом сначала водой, а потом густой взвесью I и, отсасывая, доводят высоту слоя I до 10 см. Слой сорбента промывают 15 мин. водой, не прекращая отсасывания, а затем пропускают через колонку без отсоса 10 мл 0,05 M р-ра буры. При пропускании через такую колонку р-ров солей Cu^{2+} с $\text{pH} 5$ с последующим промыванием р-ром буры и проявлением хроматограммы 5%-ным $\text{K}_4\text{Fe}(\text{CN})_6$ получают четкие зоны, пригодные для колич. определения Cu^{2+} . Из трех исследованных солей меди (нитрат, хлорид, сульфат) зону наибольшей высоты дает нитрат.

H. II.

65198. К вопросу о хроматографии на бумаге с последующим вымыванием хроматограмм. Горбах, Деммель (Beiträge zur quantitativen Test-Tube-Papierchromatographie. Gorbach G., Demmel H.), *Mikrochim. acta*, 1956, № 7—8, 1264—1276 (нем.; рез. англ., франц.)

После разделения методом хроматографии на бумаге аминокислоты (I) определяют с погрешностью ± 2 — 3% колориметрированием окраски соединений I с нингидрином (II) в р-ре в пиридине (III). Хроматограмму погружают в 0,1%-ный р-р II в III, высушивают, вырезают участки окрашенных пятен и вымывают их дважды по 1 мл III в течение 10 мин. при 70° .

Р-р разбавляют III до 2 мл и колориметрируют в капиллярном фотометре (РЖХим 1956, 16494). Хроматограммы можно вымывать также 0,025%-ным р-ром II в III. Окраска подчиняется закону Бера при конц-ии I до 0,03 μ моля. NH_4^+ не мешает. Н. Ч.

65199. Применение хроматографии и ионофореза на бумаге для разделения анионов. Разделение селенитов, селенатов, теллуридов и теллуридов. Веселый, Шмироус, Вепрек-Шиска (Použití chromatografie a iontoforesy na papíře k dělení aniontů. Dělení seleničitanu, selenanu, telluričitanu a telluranu. Veselý František, Šmírouš František, Vepřek-Siška Josef), Chem. listy, 1955, 49, № 11, 1661—1663 (чеш.).

Для разделения селенита (I), селената (II), теллурида (III) и теллурида (IV) калия применена восходящая хроматография на бумаге (ВХБ) при помощи водн. смесей $n\text{-C}_4\text{H}_9\text{OH}$, CH_3OH (IV), $\text{C}_2\text{H}_5\text{OH}$ (V), метилацетата (VI) и этилацетата (VII), а также ионофореза на бумаге (ИБ) между стеклянными пластинками по Ледереру и Варду (Anal. chim. acta, 1952, 6, 355) при разнице потенциала 7,5 в/см. В-ва, разделенные на бумаге ватман № 1, выявлялись образыванием 10%-ным р-ром KJ , подкисленным соляной к-той. Иод, появившийся на бумаге вследствие окисляющего действия воздуха, удалялся щел. 10%-ным р-ром $\text{Na}_2\text{S}_2\text{O}_3$. Лучшие результаты при ВХБ получены при применении смеси V-IV-1,95 н. HNO_3 (VIII) (30 : 70 : 100), причем получены R_F : I 0,79, II 0,92, III 0,67, IV 0,0. Наименьшие определяемые кол-ва I и IV 0,5 γ , II и III 2—2,5 γ . Для разделения можно также применить смесь 25 мл VI, 75 мл IV и 100 мл VIII или 25 мл VII, 75 мл V, 100 мл VIII. При ИБ разделение указанных анионов происходит через 1 час при применении 0,4 н. Na_2SO_4 как электролита. В 0,1 н. H_2SO_4 разделение наблюдается уже через 20 мин., за исключением I и IV, подвижность которых почти нулевая (стандартные неэлектролиты — $\text{Hg}(\text{CN})_2$ и глюкоза); Те (6+) продвигается в данном случае к катоду. J. V.

65200. Хроматографическое разделение и определение насыщенных монокарбоновых кислот C_1 — C_{10} и дикарбоновых кислот C_{11} — C_{16} с прямой цепью. Коркоран (Chromatographic separation and determination of straight-chain saturated monocarboxylic acids C_1 through C_{10} and dicarboxylic acids C_{11} through C_{16} Corcoran Geraldine B.), Analyt. Chem., 1956, 28, № 2, 168—171 (англ.).

При анализе смесей монокарбоновых к-т C_1 — C_{10} и дикарбоновых к-т C_{11} — C_{16} применяют распределительную хроматографию. Для приготовления колонки смешивают 22 мл 2М р-ра глицина с соответствующим рН (буферный р-р с рН 2 получают добавлением 0,5 н. HCl к части р-ра глицина, для рН > 6,5 добавляют конц. NaOH ; на каждые 150 мл глицина добавляют каплю 50%-ного р-ра хлорида триметилпентадециламина) с 25 г кремневой к-ты, обработанной 24—36 час. 10 н. HCl (во избежание адсорбции органич. к-т), промытой и высушенной в вакууме над P_2O_5 . После 5 мин. перемешивания вводят смесь $\text{C}_4\text{H}_9\text{OH}-\text{CHCl}_3$ (1 : 99); полученный влажный плам уплотняют стеклянной палочкой. Вводят ≤ 25 мг смеси к-т и собирают фракции по 400 капель (или 10 мл); колонку промывают, наполняют тем же р-рителем и прилагают давление (N_2) 0,14 кг/см²; скорость истечения 6 капель в 1 мин. Для вымывания применяют по 200 мл р-ров, содержащих 1, 10 и 25% $\text{C}_4\text{H}_9\text{OH}$ в CHCl_3 . Собирают 60 фракций и титруют каждую в токе $\text{N}_2 \sim 0,03$ н. р-ром NaOH в абс. CH_3OH (индикатор 1%-ный р-р м-крезолового пурпурного в 95%-ном CH_3OH). Для разделения монокарбоновых к-т употребляют 3 колонки с рН 2; 8,4 и 10, для разделения дикарбоновых — 2 колонки с рН

8,5 и 9. Средняя погрешность при титровании фракции 0,0016 мл. М. П.

65201. Определение жирных и галогенированных органических кислот методом хроматографии на бумаге. Хашми, Куллис (Paper chromatography of fatty acids and halogenated organic acids. Hashmi M. H., Cullis C. F.), Analyt. chim. acta, 1956, 14, № 4, 336—338 (англ.; рез. нем., франц.).

При разделении и анализе летучих жирных и галогенированных органич. к-т методом хроматографии на бумаге ватман № 4 в качестве р-рителя применяют смесь $\text{C}_2\text{H}_5\text{OH}$ -конц. NH_4OH (70 : 30). Проявленные хроматограммы опрыскивают слабо щел. р-ром универсального индикатора В. Д. Н. (рН 9,5). Жирные к-ты обнаруживаются в виде красных пятен на синем фоне. Для открытия подоседающих к-т проявленные хроматограммы выдерживают 5—10 сек. в камере с разб. газообразным Cl_2 . К-ты обнаруживаются в виде желтых пятен на белом фоне. Для открытия бромоседающих к-т хроматограммы опрыскивают 0,1%-ным р-ром флуоресцеина в 75%-ном $\text{C}_2\text{H}_5\text{OH}$ и выдерживают 5 сек. в камере с Cl_2 . К-ты обнаруживаются в виде красных пятен на почти белом фоне. Приведены значения R_f для ряда к-т. Во избежание образования растущих пятен, затрудняющих определение R_f , кол-во к-ты, наносимой на бумагу, не должно превышать 50—100 γ . Для проявления достаточно ~ 18 час. Б. Т.

65202. Применение хроматографического метода анализа в решении некоторых вопросов судебной химии. Провоторова Л. М. В сб.: Вопр. судебномед. экспертизы. Вып. 2. М., Госюриздат, 1955, 121—130.

Разработана методика качеств. хроматографич. анализа алюминиевой бронзы BrAl5 и мельхиора Mn19 в виде сплошных и послойных хроматограмм, описано разделение и определение Ni и Cu при совместном присутствии; показаны перспективы применения метода в практике судебной химии. А. 3.

65203. Применение фильтровальной бумаги в аналитической химии. VII. Определение анионов методом хроматографии на бумаге. 2. Накано (クロマトグラフ法による無機陰イオンの分析. その 2. 濾紙による分析化学の研究. 第 7 報. 仲野尚一), 日本化学雑誌, Нихон кагаку засси, J. Chem. Soc. Japan. Pure Chem. Sec., 1954, 75, № 1, 71—73 (япон.).

Изучено поведение Na -, K - и NH_4 -солей различных анионов хроматографией на фильтровальной бумаге с 80%-ным $\text{C}_2\text{H}_5\text{OH}$ в качестве р-рителя. Для разбавления $\text{C}_2\text{H}_5\text{OH}$ применяли также 1 н. р-ры KOH , NaOH , CH_3COOH и 28%-ный р-р NH_4OH . Приведены полученные хроматограммы. Предыдущее сообщение см. РЖХим, 1956, 25918.

Chem. Abstrs, 1954, 48, № 14. K. Yamasaki.

65204. Применение хроматографии на бумаге в органической химии. Эйме (Application of paper chromatography to organic chemistry. Ames Stanley R.), Organ. Chem. Bull., 1955, 27, № 3, 1—6 (англ.).

Приведена классификация хроматографич. методов анализа; описана методика хроматографирования на бумаге; указаны некоторые типичные подвижные р-рители и отмечено влияние полярности р-рителей и их способности к образованию водородной связи на эффективность разделения смесей. Описано разделение смесей неполярных органич. в-в хроматографией на бумаге с обращением фаз. При этом способе хроматографирования бумагу пропитывают парафином, силиконами или каучуковым латексом, повышая ее сродство к менее полярному р-рителю, который служит в качестве неподвижного р-рителя; подвижным р-рите-

лем является вода (полярный р-ритель). Кратко рассматриваются способы идентификации и колич. оценки хроматографированных компонентов смеси. Н. П.

65205. Хроматографический метод анализа газов и паров. Руи (La méthode chromatographique d'analyse des gaz et vapeurs. Rouit Ch.), Rev. Inst. franç. pétrole, 1956, 11, № 2, 213—230 (франц.; рез. англ.)

Обзор. Библ. 35 назв. А. Б.

65206. Хроматографический полумикроанализ газов. XI. Прямое определение отдельных олефинов в газах. Янак, Русек (Chromatografická semimikroanalýza plynů. XI. Přímé stanovení jednotlivých olefinů v plynech. Janák Jaroslav, Rusek Miroslav), Chem. listy, 1955, 49, № 2, 191—199 (чеш.); Сб. чехосл. хим. работ, 1955, 20, № 4, 925—932 (нем.; рез. русс.)

Для определения небольших кол-в олефинов (I) в газах предложено поглощать I 0,25 M р-ром $\text{Hg}(\text{ClO}_4)_2$ (II) в 2 M HClO_4 . Анализируемый газ проходит со скоростью 250—300 мл/мин через абсорберы с т-рой от -1 до -5° , содержащие поглотительный р-р (20 мл 0,25 M р-ра II в 2 M HClO_4 и 1—2 мл $n\text{-C}_4\text{H}_9\text{OH}$). I переводят в азотометр добавлением 15 мл 2 M MgCl_2 и пропусканием CO_2 при т-ре 60—80°. Погрешность определения этилена и его гомологов составляет 10^{-5} об.%. При конц-ии I 0,1% определение производят в спец. циркуляционном приборе; при употреблении 10—200 мл газа погрешность составляет 10^{-2} об. % (абсолютных). После отсчета кол-ва I в азотометре производят их хроматографич. разделение на колонках (диам. 7, длина 220 мм) силикагеля В при скорости 0,7 мл/сек. Вымывание этилена производят при 20°, а пропилена и бутилена при 60°. При хроматографировании смесей, содержащих большое кол-во изобутилена, наблюдалась его частичная полимеризация на поверхности адсорбента, а также восстановление Hg^{2+} до Hg^+ . Приведены хроматографич. спектры для I при 20, 60 и 80°, а также результаты анализа коксовых газов, газов крекинга, медицинского циклопропана и других газов. Сообщение X РЖХим 1956, 61801.

Н. Т.

65207. Электролиз при контролируемом потенциале. Фудзинага, Мута (定電位電解法・藤永太一郎, 武義義一), 分析化学, Бунсэки какаку, Japan Analyst, 1955, 4, № 5, 321—332 (япон.)

А. Б.

65208. Определение точки перегиба при потенциометрическом титровании методом концентрических дуг. Табс (Determination of potentiometric titration inflection point by the concentric arcs method. T u b s Charles F.), Analyt. Chem., 1954, 26, № 10, 1670—1671 (англ.)

Для определения точки перегиба кривой потенциометрич. титрования при использовании приборов, регистрирующих зависимость между потенциалом и кол-вом титрованного р-ра, предложен способ, основанный на использовании прозрачного шаблона, на который нанесены концентрич. дуги. Шаблон накладывают на участок кривой с обращенной книзу выпуклостью, выбирая дугу, совпадающую с кривой в большинстве точек, наносят в центре (отверстие в шаблоне) точку и повторяют описанную процедуру для участка кривой с обращенной книзу вогнутостью. Между двумя полученными точками проводят прямую, пересекающую указанную кривую в искомой точке перегиба. Описанный способ дает хорошую точность; приведены результаты титрования Br^- и Cl^- . Визуальный метод дает значительно менее точные результаты. Т. Л.

65209. Применение нового способа электрометрического титрования. Енцш, Менде (Anwendung eines neuen elektrometrischen Titrationsverfahrens.

Jentzsch D., Mende R.), Chem. Technik, 1954, 6, № 5, 255—260 (нем.)

Конденсаторным методом электрометрич. титрования (Delahay P., Analyt. chim. acta, 1947, 1, 19; Bull. Soc. chim. Belgique, 1947, 56, 7; Analyt. Chem., 1948, 20, 1221) определен Cl^- в р-рах, содержащих тяжелые металлы. Титрованию описанным способом мешают лишь Pb и Mn (7+) в форме KMnO_4 . Погрешность составляет 0,4—0,7%. Осуществлено титрование Zn и Fe . Подтверждено, что при повышении емкости конденсатора погрешность титрования возрастает, при емкости конденсатора 250 μf погрешность определения Fe составляет $\pm 0,6\%$, при 100 μf $\pm 0,5\%$. Линейная зависимость между силой тока и емкостью конденсатора имеет место в узком интервале емкости (при определении Fe емкость конденсатора не должна существенно превышать 250 μf). Конденсаторный метод применим во всех случаях потенциометрич. титрования при достаточно большом скачке потенциала в конечной точке. Метод применим для анализа технич. р-ров. Т. Л.

65210. Оптимальные условия работы автоматической системы для непрерывного кулометрического титрования. 2. Ямамото, Такахаси, Ямасита (連続電量分析装置の研究. 第2報. 山本啓太, 高橋昭, 山下照), 計測. Кэйсоку, J. Soc. Instrum. Technol., Japan, 1955, 5, № 7, 347—351 (япон.; рез. англ.)

Автоматическая контрольная система для таких р-ций, как электролиз, окисление — восстановление или нейтр-ция, сведена к эквивалентной электрич. цепи. Контроль осуществляется с помощью отрицательной обратной связи. Усилители постоянного тока связаны с системой сервомоторов. Оптимальные условия обсуждены с учетом сопротивления, емкости, индуктивности в зависимости от скорости течения раствора, объема и выдержки (времени). Сообщение I см. РЖХим 1956, 32939

В. К.

65211. Общий метод электрохимического титрования с помощью двух изометаллических поляризованных микроэлектродов. Аналитические применения. Дюбуа, Ашурт, Валиш (Sur une méthode générale de titration électrochimique à l'aide de deux microélectrodes isométalliques et polarisées. Applications analytiques. Dubois Jacques Emile, Ashworth Michel, Walisch Walter), C. r. Acad. sci., 1956, 242, № 11, 1452—1455 (франц.)

Метод поляризованных электродов, заменяя потенциометрич., кондуктометрич., амперометрич. и другие методы электрохим. анализа, позволяет выполнять различные определения с помощью одного прибора и одной и той же пары микроэлектродов. Прибор рассчитан на 5 различных чувствительностей, причем каждой соответствуют следующие изменения потенциала электродов: 5; 1; 0,5; 0,25 и 0,125 в. В неорганич. анализе метод использован для определения коэфф. активности NaOH , HCl и AgNO_3 , для титрования $\text{CaCl}_2 + \text{MgCl}_2$ комплексом оном III, для титрования ацетата свинца шавелевой к-той или бихроматом калия, для доказательства образования основных солей Ni и Zn , для argentометрич. определения $\text{KJ} + \text{KBr}$ при их одновременном присутствии, для определения воды по Фишеру. В органич. анализе метод дает очень хорошие результаты при бромометрич. определениях двойных этиленовых связей. Он использован также для титрования аминов диазотированием, для титрования фенилгидр. зина в метанольном р-ре, для титрования карбонильных групп по образованию оксимов. Метод может быть использован для изучения кинетики медленно протекающих р-ций, напр., взаимодействия между резорцином и Br_2 . Метод дает хорошие результаты при титровании разб. и мутных р-ров. Н. П.

65212. Потенциометрическое титрование в жидком аммиаке. IX. Восстановление иодидов цинка, кадмия и ртути. Уотт, Джентилл (Potentiometric titrations in liquid ammonia. IX. Reduction of iodides of zinc, cadmium and mercury. Watt George W., Gentile Philip S.), J. Amer. Chem. Soc., 1955, 77, № 21, 5462—5465 (англ.).

Пользуясь ранее описанным методом (Часть VIII, РЯХИМ, 1956, 57640), установлено, что при потенциометрич. титровании р-ром К в жидком NH_3 иодиды Zn, Cd и Hg (2+) восстанавливаются до свободных металлов. В продуктах восстановления ZnJ_2 и CdJ_2 рентгенографич. методом обнаружены, кроме того, ZnO и Cd(OH)_2 , образующиеся, повидимому, в результате вторичных р-ций. Промежуточное 1-валентное состояние для перечисленных металлов не обнаружено. При наличии благоприятных условий для образования интерметаллич. соединений (высокое отношение восстановитель: соль) идентифицированы KCd_3 , KHg и KHg_2 . При взаимодействии KHg_2 с HgJ_2 образуется ярко-желтый осадок, устойчивый на воздухе и в воде при 18—20°. KZnI_4 выделить не удалось, что объясняется малой скоростью р-ции между Zn и К благодаря низкой конц-ии р-ров К.

Н. П.

65213. Теоретическое изучение высокочастотного титрования. Накано (抵抗型高周波滴定装置による滴定例・濃度による滴定曲線の變化の例 中塾邦夫), 日本化学雑誌, Нихон катэку дзасси, J. Chem. Soc. Japan. Pure Chem. Sec., 1954, 75, № 5, 494—498 (япон.).

Обсуждена зависимость между формой кривых ВЧ-титрования и конц-ией. Опыты вели с титриметром, работающим по принципу изменения сопротивления. Chem. Abstrs. 1954, 48, № 22, 13520. К. Yamasaki.

65214. Амперометрическое определение тяжелых металлов меркаптобензотиазолом. Чигалик, Кудрявская-Павликова (Polarometrické stanovení těžkých kovů merkaptobenzothiazolem. Číhalík Jaroslav, Kudrnovská-Pavliková Eva), Chem. listy, 1955, 49, № 11, 1640—1645 (чеш.).

Свинец (2—10 мг в 20 мл) может быть определен амперометрически титрованием $\sim 0,05$ М спирт. р-ром меркаптобензотиазола (I) в присутствии ацетатного буферного р-ра (рН 3—7). Средняя догрешность $\pm 0,52\%$. Рb можно также титровать в щел. р-ре в присутствии 0,5 М KNO_3 с погрешностью $\pm 0,66\%$; не мешают Ag, Hg, Bi, Cu, Cd, As, Sb, Fe, Al, Cr, Ni, Co, Mn, Ca, Sr, Ba. Аналогичное титрование Co (4—16 мг/20 мл) в ацетатных буферных р-рах (рН 3—6) может быть произведено с погрешностью $\pm 0,51\%$. Ag следует осадить в виде AgCl , а при наличии меди проводить титрование Cd в присутствии KCN. 1 мл 0,05 М I соответствует 5,18275 мг Рb или 2,81025 мг Cd.

Н. Т.

65215. Методы спектрального анализа растворов. Писарев В. Д., Завод. лаборатория, 1956, 22, № 4, 462—465

Обзор советских и некоторых иностранных работ. Библ. 51 назв. К. Д.

65216. О точности спектрального анализа по методу прикатодного слоя. Хольдт (Zur Genauigkeit der Glimmschichtmethode (cathode arc layer). Holdt Gottfried), Mikrochim. acta, 1956, № 1-3, 311—318 (нем.; рез. англ., франц.).

Использованию обогащающего действия прикатодного слоя при колич. опзделении следов примесей мешает неравномерность выгорания катода. Для устранения этого предложеноращение катода вокруг его оси. Проведено сравнение точности определений Sn в Nb и Ti, Mo, V, Cr, Mg, Sb и Mn в Al_2O_3 при неподвижном и вращающемся катоде. Во всех случаях при враща-

щемся катоде получено уменьшение колебаний интенсивности исследованных линий и в большинстве случаев достигнуто повышение точности анализа в 1,5—2 раза. Спектры фотографировались на спектрографе Q-24. Увеличенное изображение прикатодного слоя диафрагмировалось прямоугольной промежуточной диафрагмой высотой 5 мм. 1 вес. ч. пробы перемешивалась с 5 вес. ч. угля. Смесь наливалась в отверстие нижнего электрода дуги. Диамет. отверстия 1,4 мм, глубина 6 мм. Сила тока дуги 10а. Скорость вращения нижнего электрода 100 об/мин; экспозиция продолжается до полного выгорания пробы.

В. Б.

65217. О чувствительности спектрального анализа. Лаффоли (Über die Nachweisgrenze in der Spektralanalyse. Laffolie Herbert de), Mikrochim. acta, 1956, № 1-3, 304—310 (нем.; рез. англ., франц.).

Ограничение чувствительности обнаружения в спектральном анализе наступает из-за наложения непрерывного излучения (фона) на спектр исследуемого в-ва. При фотографич. регистрации спектра предел обнаружения зависит от свойств фотоэмульсии. Из-за зернистости в структуре эмульсии наблюдаются колебания почернений на отдельных участках равномерно освещенных фотопластинок. Показано наличие оптимального времени проявления, при котором эти колебания будут минимальны для данного сорта эмульсии, проявителя и режима проявления. Колебания величин почернений возрастают с ростом почернений, особенно быстро для величин $S > 1,0$. Зависимость множителя, характеризующего величину колебаний логарифма интенсивности двух линий, от разности логарифмов интенсивностей линии и фона представлена графически. Когда интенсивность линии велика по сравнению с фоном, множитель приближается к $\sqrt{2}$, по мере уменьшения интенсивности линии множитель увеличивается сначала медленно, но затем очень резко вблизи поглощения линии фоном. Приводятся данные отношения интенсивности линии к фону, характеризующие пределы чувствительности анализа для разных эмульсий и длин волн. При увеличении длины волны это отношение становится более благоприятным. Оно меняется также для разных эмульсий более чем в 10 раз. Автор считает, что с точки зрения повышения чувствительности спектрального анализа, наиболее благоприятными являются мелкозернистые малочувствительные эмульсии.

В. Б.

65218. Спектральный анализ по стандартным градуировочным графикам. Фишман И. С., Уч. зап. Казанск. гос. ун-та, 1955, 115, № 12, 41—56

При отсутствии комплекта эталонов колич. анализ сплавов возможен по одному эталону при известном угловом коэфф. ($\text{tg } \alpha$) стандартного градуировочного графика (СГ). $\text{tg } \alpha$ находится по СГ, полученному по нескольким эталонам с учетом фона, при разработке методики в какой-либо лаборатории. Величина $\text{tg } \alpha$ точно воспроизводится при анализе в не очень широкой области конц-ий и при правильном составе эталонов, контролируемом совпадением $\text{tg } \alpha$ для твердых эталонов и для их р-ров. Экспозиция должна быть в пределах горизонтального участка кривой обесквивания. Предполагается, что самопоглощение линии зависит только от ее интенсивности. Величина $\text{tg } \alpha$ не зависит от особенностей генератора. При анализах по одному эталону интенсивности аналитич. линий должны быть близкими к интенсивностям при построении СГ. Для этого устанавливается «стандартная дуга» переменного тока между медными электродами при строго определенных условиях. Равенство интенсивностей какой-либо линии Си и аналитич. линии при какой-то конц-ии, установленное при получении СГ, позволяет в любой

лаборатории устранить влияние самопоглощения на $\lg \alpha$.

Г. Р.
65219. Расчет ошибок спектрального анализа по текущим измерениям. П. Фишман И. С., Столов А. Л., Уч. зап. Казанск. ун-та, 1955, 115, № 12, 57—71

Сделан математич. анализ погрешностей определения по методу 3 эталонов (Сообщение I, РЖФиз, 1955, 15618). Получено выражение: $m_c/c = m \lg 10/y$.

$\sqrt{1 + [\Sigma(t_x - t_i)^2] / [n\Sigma t_i^2 - (\Sigma t_i)^2]}$, где m_c/c — среднеквадратичная относительная погрешность определения, m — среднеквадратичная погрешность в оценке ΔS для данного анализируемого образца, $t_i = \lg c_i$ — логарифм конц-ий i -го эталона, t_x — то же для анализируемого образца, n — число эталонов, $y = a - \lg c$ — угловой коэфф. ур-ния градуировочного графика, $\Delta S = a \lg c + b$. Помимо непосредственного применения для расчета ошибок, приведенная ф-ла позволяет сделать общие выводы, имеющие значение для практики спектрального анализа. Миним. ошибка анализа имеет место при расположении эталонов по краям интервала конц-ий, симметрично относительно середины. Ошибка определений увеличивается от середины к краям рабочего интервала конц-ий. При двукратной съемке спектров увеличение числа эталонов свыше 6—7 мало снижает погрешность анализа. Рациональнее снимать меньшее число эталонов, но увеличивать кратность их съемки. Повышение кратности съемки пробы более эффективно в снижении погрешности, чем повышение кратности съемки эталонов. На основании математич. анализа погрешностей метода 3 эталонов и метода контрольного эталона делается заключение о большей точности последнего. Е. Г.

65220. Спектральный анализ с вращающимся электродом. Пальяссоти (Spectrochemical analysis with the rotating electrode. Pagliassotti J. P.), Appl. Spectroscopy, 1955, 9, № 4, 153—154, 156—158 (англ.)

Для определения металлов в водн. р-рах, маслах, суспензиях различных в-в пробу вводят в искровой разряд с помощью вращающегося электрода. Графитовый диск диам. 12 мм и толщиной 3 мм вращают со скоростью 5 об/мин. Вал электрода изготовляют из графита или из нержавеющей стали. Искровой промежуток обдувают газом (10 л/мин) со стороны щели спектрографа. Это уменьшает самообращение линий, при соответствующем выборе газа увеличивает чувствительность и уничтожает циановые полосы. Спектры возбуждают в высоковольтной искре или, если нужна высокая чувствительность, в низковольтной искре (35 мкф, 410 мкн, 50 ом, 940 в). Применен спектрограф с решеткой типа ARL с дисперсией 5.2 А/мм в первом порядке. В масле определяют Al, Ba, B, Cr, Cu, Fe, Pb, Mo, P, Si, Ag, Sn. Внутренний стандарт — никель. Эталоны готовят добавлением металлоорганич. соединений к свободному от примесей маслу. Ошибка анализа 2—3%. Чувствительность определения металлич. примесей в масле при использовании низковольтной искры $1 \cdot 10^{-5}$ — $5 \cdot 10^{-5}\%$. Для увеличения чувствительности с высоковольтной искрой вращающийся электрод пропитывают Li_2CO_3 , а образец разбавляют CCl_4 . Б. Л.

65221. Разработка методов количественного спектрального анализа горных пород и минералов. Клер М. М., Тимонина З. Г., Сб. науч.-техн. информ. М-во геол. и охраны недр, 1955, № 1, 135—137

Пробу (20 г) помещают слоем 5—6 мм толщиной на алюминиевую пластинку, двигающуюся со скоростью

1,5 см/мин вдоль оптич. оси спектрографа. Угловые электроды располагаются над пластинкой горизонтально и слегка касаются пробы. Под пластинкой помещают магнит. Спектр возбуждают дугой переменного тока при дуговом промежутке 8 мм и силе тока 15 а. При экспозиции в 7 мин. на большом кварцевом спектрографе возможно колич. определение молибдена, начиная с 0,0001%, и Pb с 0,0005% по линиям: Mo 3170,35 и Pb 2833,07 А. Внутренний стандарт — Cd. Г. Р.

65222. Спектральноаналитическое определение малых включений в минералах посредством высокочастотного возбуждения. Маухер, Ауэрхаммер (Spektralanalytische Bestimmung kleiner Einschlüsse in Gesteinen mittels Hochfrequenzanregung. Maucher A., Auerhammer S.), Mikrochim. acta, 1956, № 1-3, 401—405 (нем.; рез. англ., франц.)

Для возбуждения спектра предложен генератор, представляющий комбинацию высокочастотного искрового генератора с источником напряжения постоянного тока и стабилизатором. Генератор позволяет работать с дугой постоянного тока при силе тока до 30 а, со смешанным разрядом дуги постоянного тока и искровыми импульсами, с высокочастотной искровой мощностью от 20 до 150 ватт. Спектры включений возбуждают непосредственно со шлифа. Противоэлектродом служит Pt-проволока диам. 0,5 мм. Применен спектрограф с дифракционной решеткой с дисперсией 5,5 А/мм. Высокая интенсивность спектра обеспечивалась резким изображением искры на щели спектрографа. Лучшие результаты получены при использовании высокочастотной искры мощностью 30—50 вт и силе тока 10—30 ма. Экспозиция 30—50 сек., диам. пятна поражения до 1 мм, глубина кратера менее диаметра. Для уменьшения диам. поражения рекомендуют покрывать пробу слюдой с точечным отверстием. В. Б.

65223. Спектральное определение следов элементов с предварительным обогащением электролизом. Зейт, Грем (Spektralanalytischer Spurennachweis nach Anreicherung durch innere Elektrolyse. Seith W., Gremm W.), Mikrochim. acta, 1956, № 1-3, 339—342 (нем.; рез. англ., франц.)

Определяют Bi, Pb, Pd, Sn и Ti в чистом Zn и Zn-сплавах в интервале конц-ий 0,01—0,0001% и Pb в Fe в области 0,1—0,0001%. При анализе Zn и Zn-сплавов 0,5—2 г образца растворяют в разб. HCl и в течение 7 сек. осаждают примеси на стержне из чистого Zn диам. 6 мм. Спектры возбуждают в дуге переменного тока при винтообразном передвижении нижнего электрода, верхний электрод из Al. Внутренним стандартом при анализе сплавов служит Cu, для Zn — Ni. Ошибка анализа 5—10%. Для определения Pb в Fe 1 г Fe растворяют в 10 мл HNO_3 (1 : 1). Для получения равномерного осадка к 20 мл исследуемого р-ра добавляют 15 мл р-ра, состоящего из 135 г NH_4Cl , 250 г CH_3COONa , 7 г $\text{NH}_2\text{OH} \cdot \text{HCl}$, 3 г желатин в 500 мл воды. 0,5 мг Sn добавляют к р-ру в качестве элемента сравнения. Электролитич. осаждение Pb производят в течение 3 час. на Cd-стержни диам. 5 мм, содержащие не более 0,05% Pb. Спектры возбуждают в искре от генератора Фейснера при винтообразном вращении Cd-электрода со скоростью 30 об/мин; противоэлектрод — уголь. Применен спектрограф Fuess 110 М, экспозиция — 20 сек. Аналитич. пары линий: Pb 2823,19—Sn 2873,58 и Pb 2833,07 — Sn 2813,58 А. Ошибка для конц-ий Pb 0,001% составляет ~9%. Продолжительность анализа — 5 час. Б. Л.

65224. Анализ удобрений и растительной золы с применением внутреннего стандарта при дуговом возбуждении спектров. Ортел (Internal standards in arc excitation of soil and plant ash. Oertel

A. C.), Austral. J. Appl. Sci., 1955, 6, № 4, 467—475 (англ.)

Обсуждаются теоретич. факторы, обуславливающие точность спектрального анализа с использованием внутреннего стандарта. Обозначая через I_a и I_c интенсивности аналитич. пары линий и используя $\lg I_a/I_c = \lg I_a - \lg I_c$ по аналогии с алгебраич. выражением для квадрата разности, выражают квадратичную ошибку определения $\lg I_a/I_c$ ($\Delta \lg I_a/I_c$) следующим ур-нием: $(\Delta \lg I_a/I_c)^2 = (\Delta \lg I_a)^2 + (\Delta \lg I_c)^2 - 2r(\Delta \lg I_a)(\Delta \lg I_c)$, где r — коэфф. корреляции, являющийся мерой однозначности в распределении ошибок для $\lg I_a$ и $\lg I_c$. Напр., для случая $\Delta \lg I_a = \Delta \lg I_c$ вытекает, что $\Delta \lg I_a/I_c = V 2(1-r) \Delta \lg I_a$ и, очевидно, что $\Delta \lg I_a/I_c = 0$ при $r = 1$, когда ошибки в определении $\lg I_a$ и $\lg I_c$ взаимно уравниваются, и $\Delta \lg I_a/I_c = 2\Delta \lg I_a$ при $r = -1$ (ошибки складываются). В общем случае для различных $\Delta \lg I_a$ и $\Delta \lg I_c$ существенно соотношение этих ошибок ($\Delta \lg I_a/\Delta \lg I_c = R$). Приведена таблица теоретич. значений $\Delta \lg I_a/I_c$ для различных r и R . Результаты сравниваются со средней квадратичной ошибкой для $\lg I_a$ при многократном определении. Применение внутреннего стандарта целесообразно в случае, когда $r > 0,8$ и R близко к 1. Эксперим. проверка проводилась на 24 образцах золы и 68 образцах удобрений с возбуждением спектров в дуге постоянного тока с графитовыми электродами. Спектрограф E-492. Показано, что коэфф. корреляции r определяется сходством сравниваемых элементов по летучести и потенциалам возбуждения линий и мало зависит от расстояния в спектре между соответствующими линиями. Для многих аналитич. пар, использованных ранее в спектральных работах, применение внутреннего стандарта уменьшает точность анализа по сравнению с анализом без внутреннего стандарта при соответственно равном числе определений.

65225. Спектральное определение следов элементов в почвах. Шюллер (Über die Bestimmung der Spurenelemente in der Agrikulturchemie. Schüller H.), Mikrochim. acta, 1956, № 1-3, 393—400 (нем.; рез. англ., франц.)

При определении следов элементов в удобрениях, фураже, растениях озоляют образцы с последующим растворением в HCl. При определении следов элементов в почвах применяют экстрагирование хлороформом для извлечения Mn, Cu, Zn, Co, Ni, Mo, V, Cr, Pb, Sn, Ti. К 100 г почвы добавляют 500 мл $\text{CH}_3\text{COONH}_4$ и при контроле pH определяемые элементы экстрагируют встряхиванием со 100 мл хлороформа. Хлороформ отгоняют, осадок озоляют и растворяют в 1 мл HCl. Обогащенный концентрат анализируют с применением вращающегося дискового электрода из чистого угля, диам. 10 мм. Спектр возбуждают в конденсированной искре генератором Фейсснера (12 500 пф; 0,8 мж). Спектрограф фирмы Хильер E-492, аналитич. промежуток 3 мм. В качестве элемента сравнения взято Fe, добавляемое к концентрату для почв, богатых Fe, Cd. Определяемые кон-ции в % и аналитич. пары линий: 0,1—1,0 Mn 2933, 2939, 2949 — Fe 2948; 0,005—0,05 Cu 3247 — Fe 3226; 0,01—0,1 Zn 3345 — Fe 3407; 0,001—0,01 Ni 3415 — Fe 3407; 0,0001—0,001 Co 3405, 3453 — Fe 3407, 3444; 0,0001—0,001 V 3102, 3185 — Fe 3226 A. Обнаружена зависимость результатов анализа от присутствия побочных элементов. Градуировочные графики в координатах $\Delta S - \lg C$ прямолинейны. Результаты анализа не дают точного представления о содер-

жании следов элементов в почве ввиду неопределенности степени экстрагирования.

65226. К вопросу о влиянии состава пробы при пламенной спектрометрии. Фишер, Дойва (Zum Problem der Partner bei der Flammenspektrometrie. Fischer J., Doiwa A.), Mikrochim. acta, 1956, № 1-3, 353—361 (нем.; рез. англ., франц.)

Изменение состава пробы может привести к ошибкам до 100% и более. Поэтому при анализе должны учитываться помехи, возникающие в результате изменения процессов в пламени, и помехи от вторичных факторов: изменение величины паразитного света, вязкости, коэ-в-ра, поступающего в пламя, и т.д. Экспериментально установлено, что фосфаты понижают эмиссию почти всех элементов. Не возбуждающиеся в пламени катионы также всегда уменьшают излучение. Влияние H^+ не пропорционально его кон-ции. Эмиссия сохраняется постоянной в широком интервале кон-ций H^+ . Этот ион устраняет мешающее влияние других компонентов. Излучающие катионы почти всегда повышают эмиссию. С возрастанием т-ры эмиссия Li возрастает, Na остается постоянной, у тяжелых щел. металлов излучение понижается с возрастанием т-ры и тем сильнее, чем больше ат. вес. Для Rb и Cs с понижением т-ры влияние других щел. металлов уменьшается. Повышение кон-ции Rb и Cs действует так же, как понижение т-ры. Ошибки определения Rb и Cs в области кон-ций от 10 до 100 мг/л меньше, чем в области 1—10 мг/л. Наоборот, при определении Li ошибки за счет влияния примесей в области кон-ций 1—10 мг/л меньше, чем в области 10—100 мг/л.

65227. О физических основах точного рентгеноспектрального анализа. Кастен, Декап (Sur les bases physiques de l'analyse ponctuelle par spectrographie X. Castaing Raymond, Desamps Jacques), J. phys. et radium, 1955, 16, № 4, 304—317 (франц.)

Обсуждены физ. обоснования различных операций при точном рентгеноспектральном анализе и произведены измерения для эксперим. оценки распределения глубины характеристич. эмиссии антикатада и относительной значимости вторичной эмиссии флуоресценции, возбуждаемой сплошным спектром. Установлено, что вторичная эмиссия флуоресценции может быть определена в большинстве случаев с достаточной точностью и составляет $(1 - c_A)kP_A$. При $c_A < 1$ погрешность становится значительной (c_A — кон-ция элемента A, k — отношение атомных номеров осадка и элемента A, P_A — доля вторичного излучения в характеристич. эмиссии элемента A).

65228. Инфракрасный анализ. Райт (Infrared analysis — a progress report on an advancing method. Wright N.), Appl. Spectroscopy, 1955, 9, № 3, 105—111, 113—118 (англ.)

Обзор и полемич. статья. **65229.** Использование радиоактивности в аналитической химии. Гётте (Anwendung der Radioaktivität in der analytischen Chemie. Götte Hans), Mikrochim. acta, 1956, № 1-3, 27—42 (нем.; рез. англ., франц.)

Обзор некоторых аналитич. применений и теоретич. основ методов: радиоактивных индикаторов, изотопного разбавления и радиоактивационного анализа.

65230. Радиоактивационный анализ. Сайто (放射化分析・齋藤信房), 分析化学, Бунсэки какагу, Japan Analyst, 1955, 4, № 4, 252—262 (япон.)

Обзор. **65231.** Применение масс-спектрокопии в аналитической химии. Хинтенбергер (Anwendung der Massenspektroskopie in der analytischen Chemie.

Hintenberger H.), *Mikrochim. acta*, 1956, № 1-3, 71—90 (нем.; рез. англ., франц.)

В обзоре приведены основные сведения о приборах, применяемых в масс-спектропии (МС). Наиболее тщательно разработано применение МС для анализа газов, напр. смесей углеводородов (CH_4 , C_2H_6 , C_3H_8), для колич. определения благородных газов, напр. криптона и ксенона, образующихся при расщеплении уранового ядра. Метод МС значительно превосходит по быстроте другие методы анализа и позволяет обогатиться 10^{-4} — 10^{-5} м.г. анализируемого газа. С помощью спец. мер удается определить 10^{-13} м.г. благородного газа в 10^{-8} м.г. газовой смеси. С применением высокочастотной искры и масс-спектрографа с двойной фокусировкой определяют ничтожные кол-ва примесей или добавок в твердых в-вах. МС применяют для определения Cr и Ni в спец. сталях для определения 10^{-3} — $10^{-5}\%$ легких элементов (от Li до Mg включительно) в уране. Открываемый минимум для этих элементов варьирует от $0,4 \cdot 10^{-10}$ (для Li) до $8 \cdot 10^{-10}$ г (для Cr). Применением термич. ионного источника и вторично-электронного усиления достигается понижение открываемого минимума для Rb до 10^{-16} г. Точные результаты анализа малых кол-в в-ва дает метод изотопного разбавления. Метод с успехом использован для колич. определения аминокислот в сложных органич. смесях, для выполнения элементарного анализа и для определения ничтожных кол-в в-в, образующихся при радиоактивных превращениях. Этот метод применен для определения $5 \cdot 10^{-9}$ г урана в метеоритах.

Н. П. 65232. Применение масс-спектрометра для идентификации органических соединений. Бейнон (The use of the mass spectrometer for the identification of organic compounds. Beynon J. H.), *Mikrochim. acta*, 1956, № 1-3, 437—453 (англ.; рез. нем., франц.)

Обзор состояния методов масс-спектрального анализа. Н. П. 65233. Анализ дымовых газов при помощи модифицированного прибора Гальдана. Симпсон (The analysis of flue gases with a modified Haldane apparatus. Simpson R. M.), *Chemistry and Industry*, 1954, № 46, 1415—1416 (англ.)

Прибор Гальдана, предназначенный для анализа рудничного воздуха, слегка модифицирован для анализа дымовых газов, содержащих $\sim 8\%$ CO_2 , 7% CO , 10% H_2 и $\sim 1\%$ O_2 (остальная часть приходится на долю N_2). Пипетка модифицирована путем присоединения к ней двухходового крана и боковой трубки, заполненной 1% -ной H_2SO_4 . Все объемы измеряют, пользуясь уравнительной склянкой с разб. к-той; р-р КОН употребляют только для поглощения CO_2 . Резервуар с р-ром КОН снабжен предохранительной трубкой для предотвращения разложения р-ра КОН за счет поглощения CO_2 из воздуха. При общем содержании горючих газов $< 20\%$ точность определения может быть повышена при замене воздуха кислородом (сжигают смесь из 16 м.г. анализируемого газа и 5 м.г. O_2); в присутствии CH_4 необходимо измерение остаточного кол-ва O_2 . SO_2 присутствует в дымовых газах в низком кол-ве и поэтому не мешает. Воспроизводимость результатов при употреблении модифицированного прибора составляет $\pm 0,02\%$ (из расчета на объем пробы). Т. Л. 65234. О расширении области применения прибора Орса в анализе газов. Хунесман (Über eine Erweiterung der Gasanalyse im Orsat-Apparat. Hunsmann W.), *Chem.-Ingr.-Techn.*, 1954, 26, № 8-9, 437—439 (нем.)

Прибор Орса видоизменен путем присоединения двух ловушек емк. по 2 м.г. охлаждаемых соответственно до -90 и -145° . Это дает возможность разделить анализируемую газовую смесь на 3 фракции и определить с достаточной точностью олефины и парафины с

2—4 атомами С. Кол-во анализируемого газа составляет 100 м.г.; для сокращения продолжительности анализа применяют поглотительные пипетки с цилиндрич. пористой перегородкой. Описано определение бутилена и пропилена в смеси, этана в метане; при определении малых кол-в этана или пропана в метане т-ру второй ловушки устанавливают на уровне $-161,5^\circ$. Видоизмененный прибор Орса применим также для определения паров или газов с низкой летучестью в воздухе или в газах с высокой летучестью. Т. Л. 65235. Усовершенствованный метод анализа газовых смесей в микромасштабе. Буш, Лонраган (An improved method for the analysis of gaseous mixtures on the micro scale. Bush G. H., Lonergan R. J.), *Analyst*, 1954, 79, № 939, 371—379 (англ.)

Описанные ранее метод и прибор для анализа газовых смесей (Sutton T. C., *J. Scient. Instrum.*, 1938, 15, 133) модифицированы путем замены влажных реагентов, абсорбированных на пористых перлах, сухими реагентами. Приведены способы приготовления сухих перлов ангидрона, асбеста, пропитанного NaOH, желтого Р и Рт-держателей. Для анализа достаточно $\sim 0,1$ м.г. газовой смеси.

Т. Л. 65236. Анализ газов при низких давлениях. Кейлесс (The analysis of gases at low pressures. Cayless M. A.), *Brit. J. Appl. Phys.*, 1956, 7, № 1, 13—16 (англ.)

Описан прибор, изготовленный из боросиликатного стекла, для анализа небольших кол-в газа и их смесей при низких давлениях. Пробы газов (~ 1 м.г.) поддают под давлением 10^{-6} мм рт. ст. Выделяющиеся газы определяют при давлении 10^{-3} — 1 мм рт. ст. по физ. характеристикам (упругость паров, диффузия и поглощение). Все испытания производят над Нг. Конденсирующиеся газы и смеси разделяют, пользуясь различием в упругости их паров. При анализе неконденсирующихся газов погрешность $\sim 2\%$ (анализ смесей H_2 , CO , O_2 и N_2).

Т. Л.

65237 К. Новые методы в аналитической химии. Белчер, Вильсон (New methods in analytical chemistry. Belcher Ronald, Wilson Cecil Leeburn. London, Chapman & Hall, 1955, xii, 287 p., ill., 30 sh.) (англ.)

65238 К. Аналитическая химия. Часть 2. Количественный анализ. Для II курса химико-технологических техникумов. Изд. 3-е. Кожухаров (Аналитична химия. Ч. 2. Количествен анализ. За II курс на техникумите по индустр. химии. 3 изд. Кожухаров Митко. София, Нар. просв., 1955, 272 стр., ил., 9,35 лв.) (болг.)

65239 К. Курс аналитической химии. Изд. 2-е, перераб. и доп. Пенчев, Загорчев (Курс по аналитична химия. 2 переработ. и доп. изд. Пенчев Н. П., Загорчев Б. Н., София, Наука и изкуство, 1955, XVI, 524 стр., ил., 15,80 лв.) (болг.)

65240 К. Лекции по количественному химическому анализу (весовой анализ). Говорка (Přednášky z analytické chemie kvantitativní (gravimetrie). Novoroka Václav, za souč. Sykory V., Zatky V. Praha, SNTL, 1955, 369 s., il., 17,80 Kčs. (чеш.)

Издание 1953 г. см. РЖХим, 1955, 43210. 65241 К. Количественный анализ. Алексеевский Е. В., Гольц К. К., Мусакин А. П. Перев. с русс. (Analiza cantitativă. Alexeievski E. V., Goltz R. K., Musakin A. P. Trad. din limba rusă. București, En. tehn., 1955, 563, p., il., 29, 90 lei) (рум.)

65242 К. Основы аналитической химии. Павлович-Филипович (Osnovi analitičke hemije.

Равковић-Филаровић. Zagorka. Beograd, «Naučna knjiga», 1955, 184 str.) (серб.)

65243 К. Курс аналитической химии. Алексеев В. Н. Перев. с русс. (Chemia analityczna. Alekseev V. N. Tlum. z ros. Warszawa, Państw. Wydawn. Nauk, 1955, 448 s., il., 36 zl) (польск.)

65244 К. Основы качественного химического анализа. Кортус (Základy analytickej chémie kvalitatívnej. Kortus Jozef. Bratislava, SPN, 1955, 134 s., 19 Kčs.) (словац.)

65245 К. Основы количественного химического анализа. Руководство к практическим занятиям. Кортус, Салфалви (Základy analytickej chémie kvantitatívnej s navodmi do cvičenia. Kortus J., Salfalvi J. Bratislava, SPN, 1955, 179 s., il., 25,30 Kčs.) (словац.)

65246 К. Основы количественного химического анализа. Кортус, Салфалви (A mennyiségi kémiai elemzés alapjai. Kortus Jozef, Salfalvi S., Bratislava, SPN, 1955, 200 s., 27,90 Kčs.) (венг.)

65247 К. Качественный неорганический анализ. Венгер, Моннье, Рускони (Analyse qualitative minérale. Wenger Paul-E., Monnier Denys, Rusconi Yvonne. Genève, Georg, 1955, XVIII, 317 p. 25 Fr.) (франц.)

65248 К. Химический анализ. Том 43. Спектрохимический производственный анализ. Мориц (Die chemische Analyse. Sammlung von Einzeldarst. auf d. Gebiete d. chem., techn.-chem. u. physikal.-chem. Analyse. Bd 43. Spektrochemische Betriebsanalyse. Moritz Heinrich. Stuttgart, Enke, 1956) (нем.)

65249 К. Испытание лабораторных реактивов. Ленц (Laboratóriumi vegyszerek ellenőrző vizsgálata. Lenz Nándor. Budapest, Műszaki Kiadó, 1955, 251 l., 23,50 ft) (венг.)

65250 К. Анализ готовых лекарственных форм. Перельман Л. М., Бродский Б. А. Перев. с русс. (Gyógyszerkészítmények analízise. Perelman Ja. M., Brodskij B. A. Ford. oroszról. Budapest, Művel. Nép, 1955, 478 l., ill., 100 ft.) (венг.)

65251 Д. Оценка некоторых родственных гетероциклических соединений в качестве аналитических реактивов на металлы. Уолтер (The evaluation of some related heterocyclic compounds as analytical reagents for metals. Walter Joseph Lawrence. Doct. diss., Univ. Pittsburg, 1955), Dissert. Abstrs, 1955, 15, № 10, 1720 (англ.)

65252 Д. К вопросу о применении замещенных дитиокарбаматов в микроанализе. Шёффман (Beiträge zur Verwendung substituierter Dithiocarbamate in der Mikroanalyse. Schöffmann Ernst. Philos. Diss., Graz, 1954 Maschinenschr.), Oesterr. Bibliogr., 1956, № 1,8 (нем.)

65253 Д. Факторы, влияющие на определение следов некоторых ионов металлов методом пламенной фотометрии. Беркинг (Factors influencing the determination of trace amounts of certain metallic ions by the flame photometric process. Berneking Armour Dale. Doct. diss., Kansas State College, 1955), Dissert. Abstrs, 1955, 15, № 10, 1735 (англ.)

65254 Д. К анализу жидкостей физическими микрометодами. Кольмайр (Beiträge zur Analyse von Flüssigkeiten mit physikalischen Mikromethoden. Kolmayr Fritz. Diss. phil., Graz, 1953, Maschinenschr.), Oesterr. Bibliogr., 1955, № 19, 14 (нем.)

См. также: Измерение pH 18800Бх. Др. вопр. 64416, 64443, 64444

АНАЛИЗ НЕОРГАНИЧЕСКИХ ВЕЩЕСТВ

65255. Применение пламенной фотометрии для определения щелочных и щелочноземельных элементов. Бурриель-Мартин, Рамирес-Муньос, Асунсьон-Омаррентерия (Applications de la photométrie de flamme à l'analyse des éléments différents aux alcalins et alcalino-terreux. Burriel-Martí F., Ramírez-Muñoz J., Asunción-Omarrentería M. C.), Mikrochim. acta, 1956, № 1-3, 362-381 (франц.; рез. нем., англ.)

Разработан метод определения Co, Ni, Cr и Mn в сталях и других сплавах на основе Fe. 1 г образца растворяют в 60 мл конц. HCl, нагревают, добавляют 30 мл конц. HNO₃, удаляют пары NO₂, упаривают и разбавляют водой до 100 мл. Р-р фильтруют, промывают, выпаривают до 8 мл, добавляют 15 мл 12 н. HCl, разбавляют водой до 25 мл и встряхивают 15 мин. в делительной воронке с 25 мл изопропилового эфира. После декантации, выпаривания и подкисления повторяют экстракцию. Удаляют остаток эфира из водного слоя и разбавляют водой до 100 мл. Для отделения Ni 50 мл р-ра выпаривают до 10 мл, добавляют 0,5 г лимонной к-ты, подщелачивают конц. NH₄OH и осаждают Ni диметилглиоксимом. Экстрагируют в течение 2 мин. с 30 мл хлороформа, промывают слой хлороформа равным объемом NH₄OH (1:50) и три раза встряхивают с 50 мл 5 н. HCl. Кислый р-р встряхивают с 20 мл эфира, удаляют эфир, минерализуют р-р, добавляя 3 мл конц. H₂SO₄ и HNO₃. Упаривают р-р и удаляют NO₂ до появления белых паров, разбавляют до 50 мл и определяют фотометром Ni. Для определения остальных элементов соединяют водные слои от экстрагирования хлороформом с промывным аммиачным р-ром, забалтывают с 20 мл эфира, удаляют эфир, минерализуют, как описано, удаляют NO₂, упаривают, разбавляют до 50 мл и определяют Co, Cr и Mn на спектрофотометре Бекмана DU, л² 9200 с кюветами без фотоумножителей. Спектры возбуждают в кислородно-ацетиленовом пламени. Эталонные р-ры готовят в интервалах конц-ий: для Co и Mn 0,1—0,01; Ni 0,3—0,03 и Cr 0,4—0,04% при содержании на 100 мл каждого р-ра 6 мл конц. H₂SO₄ и 0,003 г Fe. Аналитич. линии: Co — 3529,8; Ni 3255; Cr 4254,3; Mn 4033 Å при соответствующей ширине щелей: 0,7; 0,6; 0,4 и 0,3 мм. При расчете конц-ий компонентов учитывают их взаимное влияние внесением поправок. Среднее отклонение от хим. анализов в абс. % при конц-ии Ni в стали — 2,46% составляет — 0,07; Co (4,90%)—0,65; Mn (0,42%) — 0,15 и для Cr (4,75%) — 0,39%. Т. Г.

65256. Химическое определение щелочных металлов в огнеупорах и исходных материалах. Като (耐火物およびその原料のアルカリ成分の析について. 加藤孝五), 工業化学雑誌, Kōgō Kagaku daasshi, J. Chem. Soc. Japan, Industr. Chem. Sec., 1954, 57, № 7, 486—488 (япон.)

Пробу порошка 0,2—1,0 г обрабатывают 4 мл H₂SO₄ (1:1) и 20 мл 40%-ной HF; выпаривают и нагревают до красного каления, обрабатывают водой и нейтрализуют NH₄OH. Осадок промывают 2%-ным р-ром NH₄Cl, фильтрат и промывные воды обрабатывают при помешивании 25 мл р-ра 1 г (NH₄)₂C₂O₄ и 15 мл лед. CH₃COOH, а затем 70 мл лед. CH₃COOH. Р-р нагревают 1 час при 100°, фильтруют, фильтрат упаривают, обрабатывают 10 мл HNO₃ (уд. в. 1,42) и 30 мл HCl (уд. в. 1,18) или нагревают с 1 каплей H₂SO₄ (1:1) и с (NH₄)₂CO₃. Содержание щелочи вычисляют по весу сульфата. Описано определение KCl, добавленного в кол-ве ~10% к шлаку, кирпичу и алебастру. Максим. погрешность ~1,5%.

Chem. Abstrs, 1955, 49, № 8, 5799.

A. W. W.

65257. Определение субмикрограммовых количеств натрия в металлическом литии радиоактивным методом. С мей л е, Л а в р и д ж (The determination of sub-microgram quantities of sodium in lithium metal by radioactivation. S m a l e s A. A., L o v e r i d g e B. A.), *Analyt. chim. acta*, 1955, 13, № 6, 566—573 (англ.; рез. нем., франц.)

Метод основан на измерении β -активности Na^{24} , образующегося в результате облучения анализируемого образца медленными нейтронами. Пленку окиси, содержащую повышенные кол-ва Na за счет загрязнения из атмосферы, предварительно очищают с поверхности Li, а затем помещают прямоугольные кусочки металла размером $3 \times 3 \times 15$ мм и весом 50—100 мг в кварцевые ампулы и облучают их нейтронным потоком $2 \cdot 10^{12}$ нейтронов на 1 см^2 в течение 12—15 час., если содержание Na не превышает $10 \text{ } \gamma$ на 1 г Li. При больших содержаниях Na на продолжительность облучения уменьшают. Одновременно облучают $0,1 \text{ г}$ стандартного р-ра NaCl ($100 \text{ } \gamma/\text{мл}$ Na^+), который подвергается затем той же аналитич. обработке, что и образец Li. После облучения и «охлаждения» образцов в течение 2—3 час. ампулы открывают, промывают кусочки Li подкисленным HCl абс. спиртом (I) и растворяют их в 10 мл $\text{I} + 2 \text{ мл}$ р-ра носителя ($25 \text{ мг}/\text{мл}$ NaCl) + 2 мл конц. HCl, добавляя последнюю по каплям. Предварительное отделение Na от Li осуществляют осаждением NaCl насыщ. р-ром сухого хлористого водорода (II) в I. После охлаждения на ледяной бане в течение 15 мин., осадок отделяют центрифугированием, растворяют в воде и осаждают натрий-пикнуранилацетат. К отделенному центрифугированием и промытому метанолом осадку добавляют 15 мл р-ра II в I, растворяют NaCl в воде и для отделения Na от примесей многовалентных ионов вводят р-р в колочку с зеокарбом 225 и элюируют Na $1,1 \text{ н.}$ HCl. Из элюата снова осаждают NaCl р-ром II в I, взвешиванием осадка определяют хим. выход, а затем сравнивают его активность со стандартом. Результаты исправляют на хим. выход, распад Na^{24} и самопоглощение нейтронов при активации Li. Метод превосходит по чувствительности плазменнотометрич. и позволяет определить $0,02$ — $300\,000 \text{ } \gamma$ Na в 1 г Li.

65258. Микроопределение калия при помощи дипикриламина. Льюис (The micro-determination of potassium with dipicrylamine. Lewis P. R.), *Analyst*, 1955, 80, № 955, 768—773 (англ.)

Для определения K^+ (20 — $100 \text{ } \gamma$) в биологич. материалах высушенную навеску озолотят при 550° . Золу растворяют в 2—3 каплях воды и добавляют 1 каплю реактива (Р) (р-р $0,3 \text{ г}$ Li_2CO_3 в 100 мл воды нагревают с 1 г дипикриламина, перекристаллизованного из лед. CH_3COOH , и нагревают до растворения смеси; 1 мл р-ра эквивалентен $\sim 1 \text{ } \gamma$ K^+). При объеме капли $\sim 30 \text{ } \mu\text{л}$ и 20 — 40 ; 40 — 60 ; 60 — $100 \text{ } \gamma$ K^+ употребляют соответственно воды 2; 3; 3 и реактива 3; 4; 6 капель. через 10 мин. прибавляют два раза по 1 капле Р. Охлаждают смесь ≥ 2 час. при 1 — 5° и осадок отфильтровывают с помощью сифонирующего аппарата. Жидкость отсасывают. Промытый 4 каплями охлажд. воды и растворенный в горячей воде осадок переводят в мерную колбу с помощью другого сифонирующего аппарата. Р-р разбавляют до содержания K^+ 30 — $70 \text{ } \gamma$ в 100 мл и колориметрируют в 1-см кювете с синим фильтром. Для микроопределения K^+ без фильтрования к порции р-ра $120 \text{ } \mu\text{л}$ ($\sim 10 \text{ мМ}$ в 1 л) добавляют $50 \text{ } \mu\text{л}$ Р, через 10 мин. еще $50 \text{ } \mu\text{л}$ Р, охлаждают ≥ 3 час. при 0 — 4° . $50 \text{ } \mu\text{л}$ прозрачной жидкости отсасывают. Разб. до 25 мл р-р, а также стандартный р-р (10 мМ KCl) и пробу воды, приготовленные в аналогичных условиях, колориметрируют.

Если E_{γ} , E_{β} и E_{α} представляют соответственно экстинкцию трех указанных р-ров, то конц-ия анализируемого р-ра K^+ (в мМ) $x = 10(2E_{\alpha} - E_{\beta}) / (2E_{\alpha} - E_{\beta})$. Помехи от Na^+ , HPO_4^{2-} , Mg^{2+} , Ca^{2+} , Fe^{3+} и $\text{Zn}^{2+} < \pm 2\%$. Опытами с K^{42} установлено, что потери К при различных операциях составляют: $< 0,5\%$ при прокаливании; 1 — $0,5\%$ при осаждении дипикриламина К в интервале 20 — $100 \text{ } \gamma$ К; 2 — $2,5\%$ для $20 \text{ } \gamma$ и $< 1\%$ для $100 \text{ } \gamma$ К при промывании осадка 4 каплями воды. Общие потери для всех стадий анализа $1,5$ — 3% . Установлена нецелесообразность промывания осадка насыщ. р-ром реактива. Среднеквадратичная погрешность при работе с обычными фильтровальными трубочками $\pm 1,5\%$, с микротрубочками $< \pm 1\%$.

65259. Изучение поведения следов цезия методом меченых атомов с применением Cs^{137} . Предварительное изучение методов определения цезия в морской воде. Ямагата, Ямагата (微量セシウムの行動の Cs^{137} による追跡. 海水中のセシウム定量的前提として. 山縣登, 山縣頼子), *分析化学*, Бунсэки кагаку, Japan Analyst, 1956, 5, № 1, 37—40 (япон.; рез. англ.)

Исследовано поведение Cs в процессе выделения из морской воды и обогащения. Небольшие кол-ва Cs (атомное соотношение К: Cs > 2000) осаждаются вместе с К при хлороплатиновом методе выделения и остаются в р-ре при применении спирт. р-ра HCl. В перхлоратном методе 80% Cs переходит в фракцию NaClO_4 ; при кобальтинитритном методе теряется 30 — 40% Cs. Удовлетворительные результаты дает метод выделения и обогащения $0,1$ — $1 \text{ } \gamma$ Cs в 1 л морской воды путем удаления шел.-зем. элементов в форме 8-оксихинолинов, осаждения SO_4^{2-} в форме BaSO_4 и отделения избытка Ba^{2+} в форме BaCO_3 , а также метод обогащения Cs удалением KCl из карналита с HCl и последующим осаждением силикомолибдата Cs. Н. Ч.

65260. Применение нового комплекса для микрохимического открытия Cu^{2+} . Баро-Граф (Sobre un nuevo complejo microquímico y su aplicación a la investigación del Cu^{2+} . Baró Gra f Juan Carlos), *Mikrochim. acta*, 1956, № 1-3, 263—267 (исп.; рез. нем., англ., франц.)

Топохимическими р-циями установлено, что образующееся при взаимодействии Cu^{2+} с насыщ. р-ром салициловой к-ты в пиридине кристаллич. соединение представляет собой пиридинсалицилат Cu. Чувствительность р-ции $0,5 \text{ } \gamma$, предельное разбавление $1 : 100\,000$. Кристаллы были изучены в поляризованном свете; приведены полученные микрофотографии. М. П.

65261. Новый селективный реактив на медь и селениты. Зыка (Nové selektivní činidlo na měď a selenicity. Z ý k a J a r o s l a v), *Pražská univ. Moskevské univ. Sb. výročí*, 1755—1955, Praha, 1955, 326—332 (чеш.; рез. русс.)

Тетраэтилурамдисульфид (I) образует с Си комплекс желто-бурого цвета. Р-ция специфична и очень чувствительна. Ее применяют для фотометрич. определения незначительных кол-в Си в рудах, сталях, х. ч. в-вах, питьевых, сточных и минер. водах, в молоке, крови, лекарствах и т. д. I реагирует также с соединениями Se, восстанавливая их до металлич. Se, определяемого в дальнейшем весовым методом. Предложено назвать I «дикупралом».

65262. Отделение и определение меди меркаптоуксусной кислотой. Курода, Симидзу, Кавасима (メルカプト酢酸による銅の定量および分離. 黒田六郎, 清水恒雄, 川島敏), *分析化学*, Бунсэки кагаку, Japan Analyst, 1956, 5, № 1, 33—37 (япон.; рез. англ.)

Выяснены оптимальные условия осаждения и определения Си меркаптоуксусной к-той. В р-рах; подкис-

ленных H_2SO_4 , небольшим кол-вом HNO_3 или CH_3COOH , меркаптоуксусная к-та количественно осаждает Cu в виде светложелтого осадка. В присутствии Hg и Pb для предупреждения их осаждения добавляют большой избыток NH_4NO_3 . Ag мешает. Cl^- может присутствовать лишь в весьма малых кол-вах. Б. З. 65263.

Новый фотометрический метод определения меди нитрилтриуксусной кислотой. Нильш, Бёльц (Eine neue photometrische Bestimmungs methode für Kupfer mit Nitrilotriessigsäure. Nilsch Walter, Böltz Gerhard), Z. analyt. Chem., 1954, 142, № 6, 406—412 (нем.)

Максимум кривой поглощения р-ров комплексных соединений с нитрилтриуксусной к-той (I) в слабокислом р-ре находится при 690 и 710 мμ, в щел. области между 640—680 мμ. При pH 3,2—6,0 поглощение медного комплекса не зависит от pH. В щел. среде поглощение при pH 8,65—9,50 также постоянно. Избыток I не оказывает заметного влияния на поглощение. Не имеет значения, в какой к-те растворена проба и какой буферный р-р применен для создания определенной величины pH. Поглощение комплекса становится постоянным тотчас после добавления реактива и не изменяется в течение недели. В пределах 16—29° не удалось заметить влияния т-ры на поглощение. Р-ры строго подчиняются закону Бера при pH 4—5 при конц-ии 0,04—7,00 мг/мл Cu . Возможно фотометрич. определение Cu при помощи I в щел. р-ре. В. С.

65264. Колориметрическое определение меди в свинце посредством диэтилдитиокарбамата диэтиламмония. Лоунамаа (Die colorimetrische Bestimmung des Kupfers im Blei mittels Diäthylammoniumdiäthylthiocarbaminat. Lounamaa Kaarina), Z. analyt. Chem., 1956, 150, № 1, 7—13 (нем.)

Навеску свинца, содержащего 100—800 γ Cu , растворяют в HClO_4 и р-р разбавляют до конц-ии HClO_4 3 н. Полученный р-р встряхивают 1 мин. с 10 мл 1%-ного р-ра диэтилдитиокарбамата диэтиламмония (I) в CHCl_3 . Органич. слой фильтруют, фильтрат переводят в кювету и немедленно фотометрируют при 600 мμ. В присутствии Bi органич. слой встряхивают с 10 мл р-ра цитрата аммония (50 г лимонной к-ты растворяют, добавляют NH_4OH до pH 9, разбавляют до 1 л и встряхивают с дигизоном), а затем с 10 мл 5%-ного р-ра KCN . Водн. экстракт сменяют с 3 мл 40%-ного р-ра CH_2O , добавляют 5 мл HCl , охлаждают и экстрагируют 10 мл 0,2%-ного р-ра I. В экстракте определяют Cu фотометрированием при 440 мμ. Б. Т.

65265. Объемное определение меди в подшипниковых металлах. Фрейтаг (Maßanalytische Bestimmung von Kupfer in Lagermetallen. Freitag Christa), Chem. Technik, 1956, 8, № 2, 81—82 (нем.)

К 1 г стружек анализируемого металла добавляют 10 мл воды, 10 мл ~ 40%-ной HF и 10 мл HNO_3 , уд. в. 1,4. После окончания растворения на холоду добавляют 5 мл H_3PO_4 , уд. в. 1,7, непродолжительно кипятят, добавляют 100 мл воды и вводят мочевины до прекращения выделения газа, т. е. до полного разрушения нитридов. К охлажд. смеси приливают 10 мл р-ра 1 г мочевины + 0,015 г нитрата свинца и 10 мл ~ 10%-ного р-ра KSCN или NH_4SCN с добавкой KJ и титруют под 0,1 н. р-ром $\text{Na}_2\text{S}_2\text{O}_8$, в конце титрования добавляя ~ 1%-ный р-р крахмала. Определение длится 15 мин. Н. П.

65266. Объемное определение серебра в смесях меди с серебром, содержащих свыше 50% меди, методом Фольгарда. Шукла, Бхатнагар (Volumetric estimation of silver in copper-silver mixtures containing more than 50% copper by Volhard's method. Shukla R. P., Bhatnagar R. P.), J. Indian Chem. Soc., 1956, 33, № 1, 43—44 (англ.)

Основную массу Cu^{2+} выделяют методом ионного

обмена и определяют Ag^+ в вытекающем р-ре методом Фольгарда. Опыты вели с колонкой сульфогеля (Bafna, Pai, Shah, Current Sci., 1951, 20, 233) в Н-форме высотой 15 см, поперечным сечением 1 см². Через колонку пропускали испытуемый р-р в кол-ве, близком к вызывающему «проскок», со скоростью 5 мл/мин. Ввиду предпочтительного обмена Ag^+ на указанной колонке, кол-во удержанных ионов Cu^{2+} было незначительным и они вымывались деминерализованной водой. Затем колонку промывали 6%-ным р-ром HNO_3 ; в вытекающем р-ре присутствовали все ионы Ag^+ и незначительное кол-во Cu^{2+} . Погрешность определения Ag^+ не более ± 0,5%. Т. Л.

65267. Методика количественного спектрального анализа серебра в маломинерализованных карбонатных водах. Логинова Л. Г., Сб. науч.-техн. информ. М-во геол. и охраны недр, 1955, № 1, 138

Использование угольной дуги переменного тока в качестве источника возбуждения спектра и измерение интенсивности линий Ag 3280,7 Å дает возможность производить определение небольших количеств Ag с вероятной ошибкой ± 12%. Введение в анализируемую пробу Li_2CO_3 обеспечивает независимость результатов анализа от состава проб. Разработанная методика нашла применение при изучении состава природных вод. В. С.

65268. Ускоренное определение щелочноземельных металлов в баритовых стеклах. Пантелеева Л. И., Занько А. А., Науч. зап. Львовск. политехн. ин-та, 1955, вып. 29, 101—108

Стекло сплавляют с 2 ч. Na_2CO_3 и 7 ч. NaOH в железном тигле. Плав выщелачивают водой при кипении и нерастворимый остаток, содержащий щел.-зем. металлы (частично в виде силикатов) и полутвердые окислы, после отстаивания в теплом месте отфильтровывают, промывают горячей водой, вместе с фильтром обрабатывают 10 мл конц. HCl , к смеси добавляют 10 мл 1%-ной желатин, нагревают ее 10 мин. на водяной бане, а затем отфильтровывают осадок SiO_2 и промывают его горячей водой. В фильтрате от отделения осадка SiO_2 аммиаком осаждают гидроксиды 3-валентных металлов, которые пересаживают после растворения осадка в HCl 1:1. Фильтраты от обоих осадков объединяют, разбавляют до определенного объема водой и в различных аликвотных пробах определяют Ca , Ba и Mg . Ca осаждают обычным способом в виде оксалата после связывания содержащегося в р-ре Ba и Sr рассчитанным кол-вом 0,1 н. H_2SO_4 (20%-ный избыток H_2SO_4 не мешает), упаривания смеси досуха и ее обработки р-ром HCl 1:1 с последующим разбавлением водой. После промывания отфильтрованного осадка водой, его обрабатывают горячей H_2SO_4 1:8, а затем водой и определяют павелевую к-ту в полученном р-ре титрованием р-ром KMnO_4 . Ba осаждают из уксуснокислого р-ра с добавками ацетата аммония действием 3%-ного $(\text{NH}_4)_2\text{CrO}_4$; осадок отфильтровывают, промывают 0,6%-ным $\text{CH}_3\text{COONH}_4$, растворяют в HCl 1:1 и определяют хромат иодометрически. Mg осаждают из нагретого до кипения р-ра, содержащего аммонийные соли, действием 2%-ного спирт. р-ра 8-оксихинолина. Осадок отстаивают при помешивании на кипящей водяной бане, отмывая избыток реактива и титруют броматометрически с иодометрич. окончанием. Результаты определения щел.-зем. металлов ускоренным и классич. методом совпадают в пределах 0,4—2%. Н. П.

65269. Быстрое гетерометрическое определение кальция в форме сульфата при избытке магния или других добавок. Бобельский, Эйзенштадтер (A quick heterometric microdetermination of calcium as sulfate in excesses of magnesium or other

supplements. Bobtelsky M., Eisenstadter J.), *Analyt. chim. acta*, 1956, 14, № 1, 89—95 (англ.; рез. нем., франц.)

С помощью гетерометрич. метода определяют Ca в присутствии 2- и 3-валентных металлов, фосфат- и цитрат-ионов, по конц-ии близких к конц-ии Ca. $MgCl_2$ до известного предела повышает максимум оптич. плотности р-ра Ca, ускоряя, очевидно, образование частиц $CaSO_4$. Оптимальное молярное отношение $Ca:Mg=1:30$. 10 мл 90%-ного спирт. р-ра, содержащего 2,4 мг Ca, 1 мл 1 н. CH_3COOH , 2 мл 1—2 М $MgCl_2$, титруют (в течение 15 мин.) 0,04 М р-ром H_2SO_4 . Конечную точку устанавливают по пересечению кривой максим. оптич. плотности с последней частью кривой титрования. Погрешность титрования $\leq 2\%$. Д. К. 65270.

Об определении кальция, магния, цинка и железа в тканях животных. Хамм (Über die Bestimmung von Calcium, Magnesium, Zink und Eisen in tierischem Gewebe. Hamann Reiner), *Mikrochim. acta*, 1956, № 1-3, 268—272 (нем.; рез. англ., франц.)

Пробу (1—5 г) сжигают в Pt-чашке, остаток растворяют в 0,1 н. HCl и р-р пропускают через 1—1,5 г катионита леватит S 100 в H-форме; Ca^{2+} , Mg^{2+} и Zn^{2+} количественно задерживаются, а PO_4^{3-} и 90—95% Fe проходит через колонку. Катионы количественно вымывают 2 порциями 5 н. HCl с промывкой водой. Ca^{2+} определяют титрованием комплексом III по мурексиду. Определению суммы $Ca^{2+} + Mg^{2+} + Zn^{2+}$ с эриохром черным Т мешает большая конц-ия Cl^- ; аликвотную пробу вытекающего р-ра выпаривают до суха на водяной бане, остаток растворяют в 0,1 н. HCl и титруют. Zn маскируют KCN и после титрования Ca^{2+} и Mg^{2+} добавлением хлоралгидрата разрушают цианидный комплекс и определяют Zn^{2+} . Общее содержание Fe находят фотометрич. методом с помощью о-фенантролина, соединения аликвотные части вытекающего р-ра и р-ра, прошедшего через колонку. Средняя погрешность определения Ca, Mg и Fe $\pm 1,5\%$, $Zn \pm 2,6\%$. М. И.

65271. Прямое комплексометрическое определение кальция и магния в мартеновских и доменных шлаках. Базилевская И. Н., Завод. лаборатория, 1956, 22, № 2, 166—167

Для определения Ca и Mg берут 0,5 г тонкоизмельченного доменного шлака, растворяют в 20 мл конц. HCl, отфильтровывают SiO_2 и добавляют к фильтрату 3—5 мл конц. HNO_3 . К полученному р-ру добавляют $(NH_4)_2SO_4$, производят аммиачное осаждение, отфильтровывают и промывают осадок и из разбавленного до определенного объема фильтрата берут 2 аликвотные пробы по 100 мл. К одной из них добавляют 30 мл буферного р-ра и титруют Ca + Mg комплексом III по хромогену черному ET-00, пользуясь ранее описанным методом (РЖХим, 1956, 58422). К второй пробе добавляют 50 мл воды, 15 мл 20%-ного KOH и титруют комплексом III по мурексиду один только Ca. Метод дает хорошо воспроизводимые результаты и пригоден для массовых и единичных анализов. Н. П.

65272. Отделение цинка от некоторых других элементов посредством анионного обмена, извлечения растворителем и объемное определение при помощи комплексона III. Хантер, Миллер (The separation of zinc from some other elements by means of anion exchange and solvent extraction, and its titrimetric determination with disodium ethylenediaminetetraacetate. Hunter John A., Miller Christina C.), *Analyst*, 1956, 81, № 959, 79—93 (англ.)

Ранее описанный метод (РЖХим, 1955, 26440) отделения Zn от других элементов применен для его от-

деления от Cd, Ga и In. Zn адсорбируется из р-ра 2 н. по HCl на анионите Амберлит IRA-400 в Cl-форме; Cd фиксируется на смоле при помощи HJ и Zn вымывается водой и 0,25 н. HNO_3 . Для снижения кол-ва примесей (Sn и др.) смолу предварительно обрабатывают $CH_3AsO(OH)_2$ и добавляют в небольшом кол-ве к испытываемому р-ру перед внесением его в колонку. 0,1—5 мг Zn определяют титрованием р-ром комплексона III спектрофотометрич. методом в присутствии индикатора солохром черного. Небольшие кол-ва примесей, за исключением Ga, In, Ti и U, не мешают. Для отделения указанных элементов Zn экстрагируют $CHCl_3$ в форме комплексного соединения с пиридинроданидом из вытекающего р-ра. В хлороформный экстракт вместе с Zn переходят Cu, Mn и Fe ($2+$); Zn определяют титрованием аммиачной вытяжки. При определении 0,5—5 мг Zn в смеси, содержащей 100 мг всех катионов, среднеквадратичная погрешность 8—15 γ. Т. Л. 65273.

Определение цинка в присутствии железа и никеля. Лоуэн, Карни (Determination of zinc in presence of iron and nickel. Lowen Jack, Carney Alice L.), *Analyt. Chem.*, 1955, 27, № 12, 1965 (англ.)

Метод основан на хроматографич. отделении Zn от Fe и Ni и последующем осаждении Zn хинальдиновой к-той. В качестве колонки используют стеклянную трубку длиной ~ 30 и диам. 1—2 см; в нижнюю часть трубки помещают тампон из стеклянной ваты и закрывают колонку снизу резиновой пробкой с выходящей стеклянной трубкой; смолу амберлит IRA-400 или дауэкс-1 (60 меш) взмучивают в воде и заливают в колонку; после осаждения суспензии сливают мутную воду, органич. загрязнители удаляют пропусканием CH_3OH , а последний вымывают дистилл. H_2O . Колонку с H_2O можно хранить долгое время, перед употреблением ее приводят в равновесие с 12 н. HCl. Для разделения металлов хлориды Fe^{3+} , Ni^{2+} и Zn^{2+} в конц. HCl упаривают до 1—2 мл, охлаждают, переносят в ионообменную колонку, добавляя 12 н. р-р HCl; пропускают 25—50 мл 12 н. HCl до полного отделения Ni^{2+} , затем пропускают ~ 100 мл 0,5 н. р-ра HCl для элюирования Fe^{2+} и вымывают Zn^{2+} 150—200 мл 0,005 н. р-ра HCl (скорость потока 0,5—1,0 мл/мин). Определяют Fe^{3+} и Zn^{2+} в элюатах; к р-ру Zn^{2+} (~ 200 мл, не более 0,1 г Zn) прибавляют 3—4 г NH_4Cl , 7—8 г $KNaC_4H_4O_6$ для связывания следов Fe^{3+} , нейтрализуют р-р NH_3 до pH 7, нагревают до кипения, приливают при размешивании 15 мл 3%-ного водн. р-ра хинальдиновой к-ты (готовят растворением реактива в горячей H_2O), подогревают до полного осаждения, охлаждают, фильтруют, промывают осадок холодной H_2O и взвешивают в виде $Zn(C_{10}H_6O_2N)_2 \cdot H_2O$; фактор пересчета 0,1529. А. З.

65274. Определение цинка в алюминиевых сплавах. Разделение путем ионного обмена. Кодама, Каниэ (アルミニウム合金中の亜鉛の定量・イオン交換分離法. 小玉数信, 鹽江照行), *分析化学*, Бунсэки кагаку, Japan Analyst, 1955, 4, № 10, 627—629 (япон.; рез. англ.)

Метод отделения Zn от Al при помощи анионита (РЖХим, 1955, 18984, 26440) использован для определения Zn в Al-сплавах. В среде ~ 2 н. HCl Zn адсорбируется на амберлите IRA-410 в Cl-форме и вымывается 0,1 н. HNO_3 . В вытекающем р-ре Zn^{2+} определяют методом с комплексом III. В присутствии в сплаве больших кол-в Pb и Si последние удаляют путем выпаривания с H_2SO_4 ; р-р разбавляют, фильтруют и SO_4^{2-} удаляют пропусканием фильтрата через амберлит IR-120 в NH_4 -форме; после вымывания 2 н. HCl вытекающий р-р используют для определения Zn^{2+} описанным методом. Добавление к анализируемому

или вымываемому р-ру небольшого кол-ва неионного поверхностноактивного в-ва облегчает работу. Т. Л. 65275. Объемное определение кадмия при помощи ферроцианида калия. Сегар (The titrimetric determination of cadmium with potassium ferrocyanide. Segar G. A.), Analyst, 1956, 81, № 958, 65—66 (англ.).

Метод определения Cd^{2+} титрованием $K_4[Fe(CN)_6]$ (Frost H., Analyst, 1943, 68, 51) видоизменен путем замены хлоридного буферного р-ра на буферный р-р $(NH_4)_2SO_4-H_2SO_4$ или $CH_3COONH_4-CH_3COOH$ и добавления индикатора о-данизидина (I) перед концом титрования. К пробе, содержащей Cd предпочтительно в форме $CdSO_4$, добавляют 10 г CH_3COONH_4 и 10 г лед. CH_3COOH и титруют 0,05 н. р-ром $K_4[Fe(CN)_6]$. После прибавления 0,5 мл титрованного р-ра добавляют 2 капли 2%-ного р-ра $K_3[Fe(CN)_6]$ и 10 капель р-ра I (0,1 г I растворяют в 25 мл 2,5%-ного р-ра H_2SO_4 и разбавляют до 100 мл) и титруют до перехода оранжево-красной окраски р-ра в бледнозеленую. Затем производят повторное титрование, при котором $K_3[Fe(CN)_6]$ и I добавляют не доходя 0,5 мл до конечной точки, установленной при предварительном титровании. При 10—40 мг Cd максим. относительная погрешность 1,6%. Мешают в-ва, образующие ферроцианидные комплексы, восстановители, окислители, NO_2^- и PO_4^{3-} . Определение продолжается несколько минут; сложной аппаратуры не требуется. Е. Р.

65276. Объемное определение больших количеств алюминия в сплавах железа. Тума, Тиц (Titrační stanovení vyšších obsahů hliníku ve slitinách železa, Tuma Hanuš, Tietz Narcis), Hutnické listy, 1956, 11, № 2, 98—99 (чеш.).

Метод основан на осаждении Al из р-ра алюмината в виде $NaAlF_4$ при помощи NaF и оттитровывания освобожденного при этом NaOH. 0,35 г пробы (пирроферала, содержащего ~30% Al или Al-бронзы, содержащей ~10% Al) растворяют в 10 мл конц. соляной к-ты (I), прибавляют каплями конц. HNO_3 для окисления Fe^{2+} в Fe^{3+} и кипятят до удаления окислов азота. Р-р разбавляют до ~50 мл, нейтрализуют NaOH, нагревают до ~70° и вливают при постоянном перемешивании в р-р 15 г NaOH в небольшом кол-ве воды. Кипятят 5 мин., после охлаждения разбавляют до 500 мл и фильтруют. 100 мл фильтрата подкисляют винной к-той (по фенолфталеину), прибавляют к нему 3%-ный р-р NaOH до розового окрашивания, нейтрализуют 0,1 н. HCl, прибавляют 25 мл насыщ. р-ра NaF и титруют при помощи 0,1 н. HCl, титр которой устанавливают по стандартному р-ру Al (0,2500 г Al растворяют в 15 мл I, р-р дополняют водой до 1000 мл). Точность определения $\pm 0,2\%$. Мешают большие кол-ва SiO_2 . Н. Т.

65277. К вопросу об аналитической химии галлия. Долежал, Патровский, Шульцек, Шваста (Příspěvek k analytické chemii gallia. Doležal Jan, Patrovský Věnceslav, Šulcsek Zdeněk, Švasta Josef), Chem. listy, 1955, 49, № 10, 1517—1523 (чеш.); Сб. чехосл. хим. работ, 1956, 21, № 4, 979—986 (рус.; чеш. нем.).

Для определения Ga сначала сплавляют 1—5 г исследуемой пробы ($<0,8\%$ Ga) с Na_2CO_3 , отделяют от SiO_2 , Ge, Sn, восстанавливают Fe^{3+} в Fe^{2+} и экстрагируют из солянокислого р-ра диэтиловым эфиром. Экстракты выпаривают досуха, остаток обрабатывают HNO_3 и выпаривают в соляной к-те (I) (1:1). После осаждения солей Fe^{3+} 10%-ным р-ром NaOH осаждают Ga из кислого р-ра (10—15% H_2SO_4) 6%-ным р-ром купферона. Осадок отфильтровывают, промывают 5%-ной H_2SO_4 и прокалывают сначала при 400°, после при 1000°. Полученный сырой Ga_2O_3 сплавляют с 2—3 г

$KHSO_4$ в Pt-тигле, причем сплав растворяют в 1%-ной I и р-р дополняют водой до 50 мл. К части р-ра прибавляют достаточное кол-во ацетатного буферного р-ра (pH 3,8), 1,5 мл р-ра фторбората (3,4 г NaF и 2 г $Na_2B_4O_7$ в 100 мл воды, подкисленной CH_3COOH), несколько капель 0,2%-ного р-ра морина (II) (0,2 г II в 50 мл спирта, дополненных водой до 100 мл). Титруют в фиолетовом свете (электролампочка 12 в/36 ст, фильтр из Cr-Ni-стекла) при помощи 0,01 М комплекса III до исчезновения зеленой флуоресценции. 1 мл комплекса III соответствует 0,697 мг Ga. Для полярографии. определения Ga исследуемый р-р выпаривают досуха, остаток растворяют в 1—3 мл горячей воды и дополняют конц. NH_4OH , содержащим 2г-моль NH_4Cl , в мерной колбе на 25 или 50 мл до метки. После удаления кислорода пропусканием азота полярографируют от —1,2 в. При высоких конц-ях Ga прибавляют каплю 0,1%-ного р-ра желатин. V. K.

65278. Спектральное определение индия в касситерите. Моррис, Бруар (The spectrochemical determination of indium in cassiterite. Morris D. F. C., Brewer F. M.), Analyst. chim. acta, 1956, 14, № 2, 183—185 (англ.; рец. нем., франц.)

Анализ производят по линиям In 3039,4 и Sn 3032,8А. Спектры возбуждают в дуге постоянного тока (110 в) 6 а) при включении пробы катодом. Экспозиция 90 сек. Electroды — графитовые стержни диам. 6,5 мм, глубина канала в нижнем электроде 4 мм и диаметр отверстия 1,5 мм. 3-линзовой системой выделяют прикатодный слой дуги. Применен спектрограф Б-492 с кварцевой оптикой. Фотопластинки панхроматические. Эталоны, содержащие 0,009—1% In, готовят перемешиванием чистых In_2O_3 и SnO_2 в агатовой ступке. Градуировочный график в логарифмич. координатах, построенный с учетом фона, представляет прямую с наклоном 0,5. Ошибка воспроизводимости 5%. Чувствительность обнаружения In 0,0001%. Б. Л.

65279. Применение акридина в анализе гетерополикислот. Часть I. Весовое определение германия в виде германомолибдата акридина. Суббараман (The use of acridine in the analysis of heteropoly acids. Part I. Gravimetric estimation of germanium as acridine germanomolybdate. Subbaraman P. R.), J. Scient. and Industr. Res., 1955, (B—C)14, № 12, B640—B643 (англ.).

Преимуществом германомолибдата акридина (I) по сравнению с аналогичным производным 8-оксигинолина является строгое соответствие его состава определенной стехиометрич. ф-ле — $(C_{12}H_9N)_4Ge(Mo_8O_{26})_4$ — и благоприятное значение фактора пересчета для Ge (0,0281). I количественно осаждается из азотно-или солянокислого р-ра и при 30, и при 90°. При конц-ях $HNO_3 > 1,5$ н. или конц-ях $HCl > 1,2$ н. I заметно растворяется. Осаждение I из серно-или хлорнокислых р-ров приводит к соосаждению молибдата акридина. В присутствии значительных кол-в NH_4Cl I осаждается полностью, а тартраты, цитраты, а тем более оксалаты могут вообще препятствовать осаждению I. Для определения Ge анализируемый р-р германата подкисляют 2 каплями конц. HNO_3 , разбавляют до 50 мл, добавляют 10 мл ~10%-ного $(NH_4)_2MoO_4$, снова разбавляют до 80 мл и смесь выдерживают 10 мин. на водяной бане, а затем добавляют 9 мл конц. HNO_3 и 10 мл 1%-ного уксуснокислого р-ра акридина. Через час осадок отфильтровывают, промывают разб. азотнокислым р-ром акридина, отсасывают, сушат при 105° и взвешивают. Метод наиболее пригоден для определения 1—5 мг GeO_2 . Мешают определение P, Si, As, W и V. Катионы Cu^{2+} , Ni^{2+} , Fe^{3+} , Sn^{4+} не мешают. В присутствии Sn^{4+} , во избежание осаждения H_2SnO_3 , в анализируемый р-р вводят 1—2 мл конц. HCl, соответственно уменьшая кол-во HNO_3 . Н. П.

65280. Амперометрическое определение германия. На ир, Ибрахим (Amperometric estimation of germanium. Na ir A. P. Madhavan, Ibrahim S. N. Hamsath), Current Sci., 1956, 25, № 1, 10—11 (англ.)

Метод амперометрич. определения Ge (2+) основан на его осаждении в форме комплекса с галловой к-той в кислой среде в присутствии $(\text{NH}_4)_2\text{SO}_4$. Титруют при $-0,6 \text{ в}$ (насыщ. к. э.); для подавления максимума прибавляют небольшое кол-во крезолового красного. К 1—5 мл 6%-ного р-ра галловой к-ты добавляют несколько капель крезолового красного, разбавляют до 25 мл р-ром, состоящим из равных объемов 0,5 н. HCl и 2 М $(\text{NH}_4)_2\text{SO}_4$, и титруют р-ром Ge (2+) порциями по 0,5 мл. Диффузионный ток определяют автоматич. полярографом через 2 мин. после каждого добавления р-ра Ge. При кислотности 0,25—0,35 н. по HCl в присутствии $(\text{NH}_4)_2\text{SO}_4$ (0,8—1 М) и конц-ии Ge 4 ммоль/л Et_2 составляет — 0,49 в (насыщ. к. э.). As не мешает, колебания т-ры не влияют на осаждение комплексного соединения Ge. Макс. погрешность $\sim 0,3\%$. Б. Т. 65281. Влияние кремневой кислоты на определение малых количеств германия. Ниседа (微量のゲルマニウム分析における珪酸の影響について・西田宏), 分析化学・ブンスキカカク, Japan Analyst, 1956, 5, № 1, 17—20 (япон.; реф. англ.)

Определение $\sim 10 \mu\text{г}$ Ge в сульфидных рудах путем разложения руды к-той дает сильно заниженные результаты. Установлено, что кипячение кислого р-ра с Na_2SiO_3 позволяет выделить практически весь Ge (в кол-ве 20 $\mu\text{г}$ на 0,1 г SiO_2) на осадке SiO_2 с последующей отгонкой Si в форме H_2SiF_6 . Чем выше т-ра кипячения, тем полнее адсорбируется Ge. Метод пригоден и для разделения Ge^{4+} и Fe^{3+} . Для колич. определения Ge предложен фотоколориметрич. метод с добавлением на 50 мл р-ра 5 мл 0,04%-ного р-ра фенолфталеона и 9 мл HCl. Фотометрируют через 4—16 час. с фильтром S 50. Закон Бера выполняется при 1—40 $\mu\text{г}$ Ge в 50 мл. Б. Т. 65282. Определение циркония методом спектрофотометрии в ультрафиолетовой области. Ха н, У и бер (Ultraviolet spectrophotometric determination of zirconium. Ha n R. Richard B., Weber Leon), Analyst. Chem., 1956, 28, № 3, 414—415 (англ.)

Максимум поглощения р-ра тетрамаделата Zr в воде. NH_4OH наблюдается при 258 м μ . Для спектрофотометрич. определения незначительных кол-в Zr в присутствии Al, Fe и Ti р-р, содержащий 0,5—50 мг Zr, разбавляют до $\sim 20 \text{ мл}$, добавляют 20 мл 12 М HCl, нагревают до $\sim 85^\circ$ и после добавления по каплям 25 мл 1 М р-ра миндальной к-ты, нагревают 30 мин. при $\sim 85^\circ$. Через 24 часа осадок отфильтровывают с отсасыванием, промывают 5 порциями р-ра, содержащего 5% миндальной к-ты и 2% HCl, 3 порциями 95%-ного $\text{C}_2\text{H}_5\text{OH}$ и 2 порциями этилового эфира. Затем осадок обрабатывают 5-мл порциями 6 М NH_3 до растворения. Р-р вместе с промывными водами разбавляют до 50 мл и спектрофотометрируют, употребляя то же кол-во 6 М NH_3 , разб. до 50 мл, в качестве р-ра сравнения. 100 мг Al, 10 мг Fe и 20 мг Ti не мешают. Б. Т. 65283. Объемный способ определения циркония в его бинарных сплавах с ураном. М и л н е р, Ф е н и а (A volumetric procedure for the determination of zirconium in its binary alloys with uranium. Milner G. W. C., Phenah P. J.), Analyst, 1954, 79, № 941, 475—482 (англ.)

Описан объемный метод определения Zr в сплавах с U, основанный на добавлении к подкисленному р-ру Zr избытка р-ра комплексона III (I) и оттитровывании избытка I стандартным р-ром FeCl_3 в присутствии салициловой к-ты в качестве индикатора. Навеску сплава

(2 г при 0—5% Zr, 2,5 г при 5—10% Zr, с последующим разбавлением и использованием аликвотной порции р-ра) обрабатывают в Pt-чашке 25 мл HNO_3 (уд. в. 1,42), добавляют миним. кол-во 40%-ной HF, 25 мл 72%-ной HClO_4 , выпаривают до паров HClO_4 и еще 10 мин. Р-р охлаждают, разбавляют, прибавляют 72%-ную HClO_4 до конечной кислотности $\sim 3 \text{ н.}$ по HClO_4 . Р-р выпаривают до паров HClO_4 и еще 20 мин. Охлаждают, добавляют 25 мл воды, нагревают почти до кипения и медленно вводят 50 мл горячего 16%-ного р-ра миндальной к-ты для осаждения Zr и отделения его от U и других мешающих элементов. Р-р нагревают при перемешивании, выдерживают $\sim 90 \text{ мин.}$ при 80° и фильтруют; осадок промывают 5 порциями 5%-ного р-ра миндальной к-ты в 2%-ном р-ре HCl, растворяют при нагревании в 25%-ной H_2SO_4 , охлаждают, добавляют избыток I, несколько капель р-ра крезолового красного и NH_4OH (уд. в. 0,88) до перехода окраски р-ра в желтую. Добавляют 3 г $\text{CH}_3\text{COONH}_4$, охлаждают, устанавливают pH р-ра на уровне 5—6 добавлением NH_4OH или CH_3COOH , разбавляют до $\sim 200 \text{ мл}$, кипятят 2 мин., охлаждают, добавляют 0,2 г салициловой к-ты и оттитровывают избыток I. При содержании $< 30 \text{ мг}$ Zr употребляют 0,02 М р-ры I и FeCl_3 , при $> 30 \text{ мг}$ Zr 0,1 М р-ры. Погрешность $< 1\%$. Результаты описанного и весового методов определения Zr практически совпадают. Т. Л. 65284. Определение свинца во взрывчатых веществах хелатометрическим методом. Врешетил, Пилек, Гавирж (Chelatometrické stanovení olova v traskavinách. Vřeštil Jan, Jilek Antonín, Havíř Josef), Chem. průmysl, 1956, 6, № 2, 50—52 (чеш.; реф. русс., англ.)

Для определения Pb в технич. взрывчатых в-вах, содержащих Pb-соли, пробу (0,1—0,3 г) растворяют в горячей воде, подкисленной HNO_3 , и р-р разбавляют до 100 мл. При анализе азидов, пикратов или стифнат, полученных из стифната Na, добавляют 7—10 мл 1 н. NH_4OH . В случае пикрамната или стифната неизвестного происхождения р-р нейтрализуют NH_4OH и обрабатывают 20 мл холодного насыщ. р-ра $(\text{NH}_4)_2\text{CO}_3$, нагревают 30 мин., осадок PbCO_3 растворяют в 5 мл 1 н. HNO_3 и воде и нагревают; р-р разбавляют до 100 мл, добавляют 7—10 мл 1 н. NH_4OH , 10 капель 0,4%-ного р-ра эриохром черного Т в CH_3OH и 0,05 н. р-р комплексона III до синей окраски (в случае пикрата или стифната окраска переходит в зеленую); избыток комплексона оттитровывают 0,05 н. р-ром MgSO_4 или $\text{Mg}(\text{NO}_3)_2$ до красной или оранжевой окраски. Т. А.

65285. К вопросу о количественном определении микрограммовых количеств свинца. Майер, Швед (Studien zur quantitativen Bestimmung von Mikrogrammen Blei. Mayer F. X., Schweda P.), Mikrochim. acta, 1956, № 1-3, 485—511 (нем.; реф. англ., франц.)

Для последующего колич. определения Pb экстрагируют в виде дитизоната (I) р-ром дитизона (II) в CCl_4 . В анализируемый р-р вводят 10 мл 10%-ного дитрата Na для предупреждения выпадения гидрооксидов, 5 мл 5%-ного KCN для маскировки Zn и 5 мл 10%-ного $\text{NH}_4\text{OH} \cdot \text{HCl}$ для защиты II от окисления. I начинает экстрагироваться только при pH 5,7, а при pH 7—10 5 мл 0,5%-ного р-ра II в CCl_4 уже количественно извлекают I за 2 мин. встряхивания жидкостями. При pH ~ 10 начинается некоторое разложение I. Поскольку интервал pH 7—10 является наиболее благоприятным для экстракции I, анализируемый р-р нейтрализуют по тимоловому синему. Zn при pH > 7 в присутствии добавок KCN полностью остается в водн. слое. Bi наряду с Pb переходит в органич. слой. Для удаления экстрагированного Bi и избытка CCl_4 орга-

нич. слой промывают разб. р-рами NH_3 или KCN . В последнем случае применяют не 1%-ный, а 0,5%-ный р-р KCN (рН 11,2), так как при рН $> 10,3$ уже наблюдаются заметные потери Pb вследствие разрушения I. Однако более надежные результаты дает предварительное отделение Bi экстракцией из р-ра с рН 2. Для последующего полирографич. определения Pb концентрируют соосаждением с CaC_2O_4 в уксуснокислом р-ре или же экстракцией р-ром II в CCl_4 . Bi не мешает полирографич. определению Pb на фоне 0,1 н. HCl + 0,01% желатин. Мешающее влияние до 100 мг Fe^{3+} элиминируют, восстанавливая его до Fe^{2+} путем обработки выпаренной анализируемой пробы 20%-ным р-ром $\text{NH}_2\text{OH} \cdot \text{HCl}$ в 0,1 н. HCl . Полученный р-р нагревают на кипящей водяной бане 10 мин. После восстановления р-р полирографируют в атмосфере N_2 и в открытых сосудах. Полирографич. методом можно определить 0,05 γ Pb. Н. П.

65286. Определение тория в рудах с применением хроматографического метода. Гест (The determination of thorium in ores by the column method. G. u. e. s. t. R. J.), Techn. Paper. Canada Dept Mines and Techn. Surveys Mines Branch, 1953, № 1, 24 (англ.)

Для отделения Th от других элементов использован с некоторыми изменениями ранее описанный метод (Williams A. F., Analyst, 1952, 77, 297—306), основанный на селективном вымывании Th из колонки (K) со слоями активированных целлюлозы (I) и Al_2O_3 (II). Образец сплавляют с KOH; плав растворяют в 25%-ной HNO_3 (III), добавляют 3—4 капли HF (1:40) и кипятят. Для удаления основной массы солей смесь обрабатывают NH_4OH и растворяют осадок в III. Р-р выпаривают почти досуха, растворяют в 20 мл 25%-ной III, добавляют H_2O_2 (для восстановления Ce^{4+} до Ce^{3+}), нагревают и добавляют 8 г $\text{Fe}(\text{NO}_3)_3$ и 1,4 г Na_2HPO_4 . Добавлением фосфата натрия Zr переводят в стабильный комплекс; Fe^{3+} связывает избыток фосфата. Охлажд. р-р смешивают с 50 г активированной II. Затем в K вводят смесь эфира (IV) с 12,5 об.% III, слой I, слой II и анализируемую пробу. Через K пропускают ~500 мл смеси III+IV, добавляют к вытекающему р-ру 20 мл воды и 50 мл NH_4OH и выпаривают IV. При $< 1\%$ Th или в случае определения U, сорбцию и десорбцию производят на второй K, используя для вымывания U смесь IV с 1 об. % III; Th вымывают смесью IV с 12,5 об. % III. После удаления IV вытекающий р-р освобождают от аммонийных солей выпариванием со смесью III-HCl (1:1), а затем осаждают Th (C_2O_4)₂. Последний прокалывают до ThO_2 и взвешивают. Малые кол-ва (≤ 1 мг) соосаждают с $\text{La}_2(\text{C}_2\text{O}_4)_3$, прокалывают оксалаты до оксидов и определяют содержание ThO_2 спектрографич. или колориметрич. способом. Для колориметрич. определения Th в присутствии La используют р-цию с 0,1%-ным р-ром торона и колориметрируют при 545 мμ, вводя поправку на La. 20-кратное по сравнению с Th кол-во U не мешает. Мешающие анионы (PO_4^{3-} , $\text{C}_2\text{O}_4^{2-}$, F^-) предварительно удаляют. При очистке Th последовательным хроматографированием на двух K, оксалатное осаждение не необходимо. Н. П.

65287. Сравнительная оценка трех методов количественного определения мышьяка по мышьяковистому водороду. Крылова А. Н., Аптеч. дело, 1956, 5, № 2, 29—30

Для определения 0,5—10 мг As видоизменен метод Фрерихса и Роденберга. 15 г Zn, купированного 0,05%-ным р-ром CuSO_4 , помещают в конич. колбу с притертой пробкой, в которую вставлена воронка и отводная трубка, дважды согнутая под прямым углом и опущенная в 0,01 н. р-р AgNO_3 , подщелоченный 1 мл 25%-ного р-ра NH_4OH . Из воронки за 1,5—2 часа

вводят смесь 40 мл 20%-ной H_2SO_4 , 2 мл 10%-ного р-ра SnCl_2 в H_2SO_4 (1:3) и исследуемого р-ра. По окончании р-ции содержимое приемника фильтруют, осадок дважды промывают 1%-ным р-ром NH_4OH , нейтрализуют конц. HNO_3 по лакмусу, добавляют еще 2—3 мл конц. HNO_3 и оттитровывают избыток AgNO_3 р-ром NH_4SCN в присутствии $\text{NH}_4\text{Fe}(\text{SO}_4)_2$. Точность определения As 94—100% при продолжительности р-ции 6 час. Метод Новиковой и Быстрова (образование AsH_3 и фиксация его сулемовой ватой) применим для определения 1—2 мг As. Метод Зайковского (фиксация AsH_3 сухим иодом) применим для определения 0,5—10 мг As с точностью 90—91%, но его недостаток — длительное удаление иода. М. П.

65288. О колориметрическом определении мышьяка в сере. Аранович Б. С. В сб.: Искусств. волокно. Вып. 10. М., 1955, 85—90

Метод состоит в извлечении As из серы разб. NH_4OH , окислении до AsO_3^{3-} и определении $\text{As}(5+)$ в виде молибденовой сини. Методика: 1—2 г тонкоизмельченной серы обрабатывают 50 мл 0,5%-ного р-ра NH_4OH при нагревании до 70—80° в течение 20 мин., сливают р-р на фильтр; оставшуюся S еще дважды обрабатывают р-ром NH_4OH , промывают горячей H_2O ; к соединенным фильтрам и промывным водам прибавляют 0,5 г Na_2CO_3 и 2 мл 30%-ного р-ра H_2O_2 ; кипятят р-р 10 мин., охлаждают, добавляют 2 мл H_2O_2 , кипятят 20 мин. до полного разложения H_2O_2 и подкисляют 40—50%-ным р-ром H_2SO_4 до прекращения выделения CO_2 (при выпадении осадка анализ повторяют); р-р переносят в колбу емк. 100 мл; разбавляют до метки; берут 5, 10 или 25 мл полученного р-ра, прибавляют к ним 0,5 мл молибденового реактива (10%-ный водн. $(\text{NH}_4)_2\text{MoO}_4$ разбавляют равным объемом конц. H_2SO_4), приливают несколько капель H_2SO_4 (общая кислотность 0,05—0,1 н.), доводят р-р до кипения, прибавляют кусочек Zn, нагревают ~30 мин. (100°), разбавляют до 100 мл и колориметрируют. Стандартный р-р готовят: 1) 0,1817 г KH_2PO_4 или 0,2325 г K_2HPO_4 растворяют в 100 мл 10%-ной H_2SO_4 , 5 мл р-ра разбавляют до 100 мл, к 10 мл полученного р-ра (содержат кол-во PO_4^{3-} , эквивалентное 0,5 мг As) приливают 0,5 мл молибденового реактива + 30—40 мл H_2O , вносят кусочек Zn, нагревают 30 мин., разбавляют до 100 мл и используют в качестве стандарта; 2) 0,1 г As_2S_3 растворяют в 0,5%-ном р-ре NH_4OH , прибавляют 2 г Na_2CO_3 , окисляют 30%-ной H_2O_2 , подкисляют р-р H_2SO_4 , доводят до 100 мл; 10 мл полученного р-ра разбавляют до 100 мл (1 мл р-ра эквивалентен 0,1 мг As_2S_3), получают синь и сравнивают окраски. А. З.

65289. Фотометрическое определение следов сурьмы при помощи роданина В после осаждения ее в форме сульфида. Ониси, Санделл (Photometric determination of traces of antimony with rhodamine B after sulfide precipitation. Onishi Hiroshi, Sandell E. B.), Analyst. chim. acta, 1954, 11, № 5, 444—450 (англ.; рез. франц., нем.) Sb выделяют осаждением в форме Sb_2S_3 из кислой среды после восстановления Fe^{3+} при помощи $\text{NH}_2\text{OH} \cdot \text{HCl}$ и экстрагируют C_6H_6 в форме хлорантимоната роданина В. К ~50 мл р-ра, 0,5 н. по H_2SO_4 или HCl , содержащего 0,5—25 γ Sb, прибавляют 2 г винной к-ты и 3 мл р-ра $\text{NH}_2\text{OH} \cdot \text{HCl}$ (10 г в 100 мл воды) и кипятят 5—10 мин. Охлаждают, добавляют 1 мл р-ра CuSO_4 (0,4 г $\text{CuSO}_4 \cdot 5\text{H}_2\text{O}$ в 100 мл воды), служащей коллектором при осаждении Sb_2S_3 , и пропускают 10 мин. струю H_2S ; нагревают до кипения, пропускают H_2S еще 5 мин., прекращают нагрев и пропускают H_2S еще 10 мин. Через 3—18 час. р-р фильтруют; осадок промывают 0,5 н. H_2SO_4 , насыщ. H_2S и растворяют в 3 мл конц. HCl и 1 мл конц. HNO_3 ; р-р выпаривают, добавляют 0,5 мл H_2SO_4 (1:1) и нагревают до паров

SO_2 . После охлаждения прибавляют 5 мл насыщ. р-ра SO_2 , кипятят, добавляют конц. HCl до кислотности смеси 7 н. по HCl и встряхивают с 5 мл изопропилового эфира. Экстракцию повторяют, к водн. фазе прибавляют ~ 2 мл 0,1 н. $(\text{NH}_4)_6\text{Ce}(\text{SO}_4)_3$ в 1 н. H_2SO_4 и через 1 мин. пропускают воздух для удаления Cl_2 . Добавляют 5 мл р-ра $\text{NH}_4\text{OH} \cdot \text{HCl}$ (1 г в 100 мл воды) и встряхивают (желтая окраска исчезает); продувают воздух 15–20 сек., добавляют 3 мл 85%-ной H_3PO_4 , 1 мл р-ра роданина В (0,2 г в 100 мл воды) и 5 мл C_6H_6 ; органич. слой фильтруют в 1-см кювету и фотометрируют при 565 мμ. Для построения калибровочной кривой смешивают р-р 0,5–3,0 γ Sb^{3+} с 10 мл 6 н. HCl и 0,5 мл р-ра $(\text{NH}_4)_6\text{Ce}(\text{SO}_4)_3$ и далее ведут обработку, как указано выше. Метод применим для анализа силикатных пород. Присутствие Fe, Al, Ga, Tl (3+), W, Au (3+) не мешает. При навеске 1 г определяемый минимум соответствует 0,1–0,2 γ/мл Sb . Т. Л.

65290. О применении пирокатехинсульфоталена в колориметрическом анализе. I. Фотометрическое определение висмута. С в а х (Über die Anwendung des Brenzcatechinsulfophthaleins in der colorimetrischen Analyse. I. Photometrische Wismutbestimmung. S v a c h M i l o s), Z. analyt. Chem., 1956, 149, № 5, 325–328 (нем.).

При pH 2–4 пирокатехинсульфотален образует с Bi^{3+} комплекс синего цвета с максимумом поглощения при 610 мμ. Интенсивность окраски этого комплекса сначала возрастает во времени, через 20 мин. достигает предельного значения, а затем остается неизменной. Поэтому колориметрирование р-ра производят через 20 мин. после добавления индикатора, применяя при этом желтый фильтр GG-11. К анализируемому р-ру на каждые 100 γ Bi добавляют каплю реактива — 0,1%-ного р-ра пирокатехинфиолетового — и 1 мл ацетатного буферного р-ра с pH 3,8; смесь разбавляют водой до 25 мл. В этих условиях закон Бера выполняется при содержании Bi от 100 до 600 γ в 25 мл р-ра. На результаты измерений сильно влияет pH р-ра. При небольшом содержании Bi в низкокислом р-ре синий комплекс с реактивом не образуется. По предположению автора, при pH 3–4 определению Bi мешают только Fe^{3+} и Th (4+), образующие с реактивом красные комплексы. Pb , Cu , Cd , Ag , Co , Ni , Mn , Zn , Al , Ca , Mg , Be , Sn , Na , K и аммоний не мешают. Мешают значительные кол-ва хлоридов, фосфатов, фторидов, тартратов, оксалатов и цитратов. Н. П.

65291. Определение ниобия и молибдена в тройных сплавах урана. Милнер, Барнетт. Бейкон (The determination of niobium and molybdenum in uranium ternary alloys. Milner G. W. C., Barnett G. A., Bacon A.), Repts. Atomic Energy Res. Establ., 1956, № C/R, 1805, 11 p., ill. (англ.).

Nb (при содержании 2–30%) извлекают из сплавов, содержащих $> 60\%$ U и 5–20% Mo , экстракцией метилизобутилдкетонном из р-ра, 10 М по HF , 6 М по H_2SO_4 , 2,2 М по NH_4F , с последующей рекстракцией разб. H_2O_2 . Объединенные водн. вытяжки выпаривают до паров SO_3 и отделяют Nb от большей части Mo осаждением NH_4OH . Осадок растворяют в HCl , осаждают Nb из среды 2 н. HCl галловый к-той, отфильтровывают и сжигают до Nb_2O_5 . Погрешность определения от $-0,3$ до $+0,1\%$. Mo определяют в отдельной пробе после растворения ее в $\text{HNO}_3 + \text{HF}$ и выпаривания до паров SO_3 фотометрич. методом в форме роданидного комплекса. Во избежание гидролиза Nb маскируют $\text{H}_2\text{C}_2\text{O}_4$. Погрешность определения $\sim 0,5\%$. М. П.

65292. Дифенилкарбазон как внутренний индикатор в объемном анализе. Определение молибдена при помощи нитрата свинца. Дешмукх (Diphenylcarbazone as an internal indicator in volumetric analysis;

determination of molybdenum by lead nitrate. Дешмукх G. S.), Bull. Chem. Soc. Japan, 1956, 29, № 1, 27–28 (англ.).

К р-ру $\text{Pb}(\text{NO}_3)_2$ добавляют 1–2 мл насыщ. спирт. р-ра дифенилкарбазона, равный объем спирта и р-р, окрашенный в розовый цвет, медленно титруют при постоянном перемешивании р-ром молибдата аммония. Окраска исчезает по мере образования молибдата свинца, снова возникает по добавлении нескольких капель молибдата и исчезает при перемешивании. Конечная точка характеризуется быстрой коагуляцией осадка и появлением отчетливой, не исчезающей розовой окраски (количественно образуется $\text{Pb}(\text{MoO}_4)$). Переход окраски обратим. Погрешность определения от $+0,15$ до $-0,59\%$. М. П.

65293. Колориметрическое определение молибдена при помощи фенилгидразина в нержавеющей и хромомолибденовых сталях. Пеннек, Мютт, Монье (Dosage colorimétrique du molybdène par le phénylhydrazine dans les aciers inoxydables et au chromomolybdène. Pennec L., Mutte A., Monnier M.), Chim. analyt., 1956, 38, № 3, 94–95 (франц.).

При взаимодействии между Mo (6+) и хлоргидратом фенилгидразина (I) в кислой среде образуется красное стабильное комплексное соединение. При содержании $\text{Mo} < 1\%$ употребляют навеску 100 мг, 1–4% 30 мг. Навеску растворяют в 10 мл конц. HCl , окисляют 1–2 мл H_2O_2 , выпаривают досуха и остаток обрабатывают водой. Fe^{3+} восстанавливают 10–12 мл насыщ. р-ра SO_2 , содержащего 1% HCl , кипятят, прибавляют 50 мл 50%-ной CH_3COOH , прибавляют 1,5 г I, кипятят 5 мин., охлаждают, прибавляют 25 мл конц. CH_3COOH и разбавляют до 10 мл, фотометрируют в 1-см кювете при 500 мμ, употребляя в качестве р-ра сравнения р-р контрольного опыта, не содержащий I и не подвергавшийся кипячению. Относительная погрешность $\leq 0,05\%$. Д. К.

65294. Аналитическая химия. Аналитическая химия урана. Исибаси, Сато (分析化学. ウラニウムの分析化学. 石橋雅義. 佐藤昌憲), 科学, Karaku, Chemistry (Japan), 1956, 11, № 1, 6–9 (япон). Обзор. А. Б.

65295. Определение никеля, хрома и молибдена при помощи спеккер-фотометра. Уиннинг, Миллер (Determination of nickel, chromium and molybdenum using the spekker absorptiometer. Winning J., Miller S.), Metallurgia, 1956, 53, № 315, 50–52 (англ.).

Для определения Cr растворяют 1 г анализируемой стали в 40 мл р-ра, содержащего в 1 л по 150 мл H_2SO_4 и H_3PO_4 , подкисляют несколькими каплями HNO_3 . При анализе высоколегированных сталей прибавляют небольшое кол-во HCl . После растворения р-р разбавляют до ~ 100 мл, доводят до кипения, добавляют по каплям насыщ. р-р KMnO_4 до исчезновения яркорозовой окраски, затем добавляют 2 таблетки по 0,75 г $(\text{NH}_4)_2\text{S}_2\text{O}_8$ и 3–4 капли конц. HCl . При наличии Cr р-р окрашивается в оранжево-желтый цвет. После ~ 1 -минутного кипячения и охлаждения р-р разбавляют до 200 мл и фотометрируют в спеккер-фотометре с 2-см кюветой и фиолетовым фильтром № 601. В качестве контрольного р-ра употребляют р-р чистого Fe, аналогично обработанный. При определении Ni 100 мл анализируемого и контрольного р-ров разбавляют до 250 мл и 10 мл каждого обрабатывают аммиачным р-ром глиоксима и J_2 до развития коричнево-красной окраски, затем разбавляют до 100 мл и измеряют разность показаний при использовании 1-см кюветы и зеленого фильтра № 604. Для определения Mo добавляют к 20 мл р-ра стали последовательно по 10 мл 50%-ной H_2SO_4 , 10%-ного KBr , 10%-ного KSCN и 10%-ного SnCl_2 ,

содержащего 5% HCl, и разбавляют до 100 мл. К контрольному р-ру добавляют перечисленные реактивы, кроме р-ра KSCN. Через 5 мин. измеряют разность показаний при использовании 4-см кюветы и зеленого фильтра № 604. Описанные методы быстры и требуют незначительных расходов.

65296. Потенциометрическое определение двухвалентного железа при помощи феррицианида калия. Витман (Die potentiometrische Bestimmung von Eisen (II) mit Kaliumhexacyanoferrat (III). Wittmann G.), Z. analyt. Chem., 1954, 141, № 4, 241—246 (нем.)

Потенциометрич. титрование Fe^{2+} р-ром $K_3Fe(CN)_6$ (I) осуществляли с Pt-электродом и насыщ. к. э. в атмосфере N_2 . 20 мл 0,1 н. р-ра соли Мора титровали 0,1 н. I; установлено, что при повышении содержания 12%-ной HCl в интервале от 10 до 100 мл конечная точка становится более отчетливой. При титровании 20 мл 0,1 н. р-ра соли Мора 0,1 н. I в 100 мл 12%-ной HCl в присутствии переменных кол-в Fe^{3+} (вводимого в форме р-ра $FeCl_3$ с содержанием Fe 10 г/л) установлено, что при добавлении ≥ 2 мл р-ра $FeCl_3$, введение первых капель р-ра I вызывает выпадение синих хлопьев в р-ре, что указывает на адсорбирование ионов Fe^{3+} на поверхности $Fe_3[Fe(CN)_6]_2$. Присутствие достаточно большого кол-ва Fe^{3+} препятствует адсорбции ионов Fe^{2+} ; необходимое кол-во $FeCl_3$ зависит от содержания $Fe(CN)_6^{4-}$ в титрованном р-ре. При титровании 0,1 н. р-ра соли Мора 0,1 н. I в присутствии 100 мл 12%-ной HCl и 5 мл р-ра $FeCl_3$ получены достаточно точные результаты. Присутствие As_2O_3 , Zn, Cu, Pb, Mn, Co, Ni, Cd и Sb не мешает. Метод применим для анализа пиритных огарков и для определения V (5+) (к р-ру соли $Fe(2+)$ добавляют р-р ванадата и титруют р-ром I) Для установления титра употребляют карбонил железа, растворимый в HCl, прокипяченной в атмосфере N_2 .

65297. Определение железа (2) методом хроматографического анализа. III. Хохлова О. И., Апатч. дело, 1956, 5, № 2, 53—56

Для определения Fe^{2+} строят калибровочную кривую. Через 5 трубок (диам. 5,8, длина 50 мм, высота слоя Al_2O_3 45 мм) пропускают H_2 , вводят по 0,1 мл р-ра $FeSO_4$ с конц-ей 10^{-3} ; $5 \cdot 10^{-3}$; 10^{-2} ; $2,5 \cdot 10^{-2}$; $5 \cdot 10^{-2}$ М при разности давлений в 20 мм рт. ст.; через 2 мин. вводят по 0,2 мл насыщ. р-ра диметилглиоксима в C_2H_5OH и пропускают смесь NH_3-H_2 . Высоту зоны диметилглиоксимата $Fe(2+)$ определяют с погрешностью 0,5—0,8%. Для построения кривой по оси абсцисс откладывают конц-ю р-ра (в молях), по оси ординат — высоту зоны (в мм). В присутствии Fe^{3+} измеряют суммарную высоту зон $Fe(2+)$ и $Fe(3+)$, обнаруживают $Fe(3+)$ при помощи $K_4[Fe(CN)_6]$, измеряют высоту зоны и вычитают ее из суммарной. pH исходного р-ра должен быть постоянным. Для учета влияния различных компонентов строят калибровочную кривую смеси чистой соли и изучаемого компонента. Аналогичную кривую можно получить для Ni^{2+} . Для чистых р-ров Fe^{2+} и Ni^{2+} общая закономерность выражается ур-нием $h = ac^n$, где h — высота зоны (в мм), c — конц-ия р-ра (в молях), a и n — константы. При анализе порошков или пылюшек навеску 0,03 г растворяют в 1 мл воды, подкисляют 1 каплей конц. H_2SO_4 и разбавляют до 10 мл. Определение продолжается 5 мин., построение калибровочной кривой 25—30 мин. Наилучшие результаты при pH 1,3 получены при конц-ии $Fe^{2+} 10^{-3}$ — $5 \cdot 10^{-2}$ М, Fe^{3+} до 10^{-3} М. Сообщение II см. РЖХим, 1955, 5769.

65298. Спектрофотометрическое определение железа в сплавах олова и свинца при помощи о-фенантролина. Ота (o-フェナンスロリンによる錫および鉛合金中

の鉄の光度定量法. 太田一男), 分析化学, Бунсэки кагаку, Japan Analyst, 1956, 5, № 1, 3—7 (япон.; рез. англ.)

Разработан фотоколориметрич. метод определения Fe в антифрикционных сплавах и припоях. Пробу сплава растворяют, добавляют H_2SO_4 , осаждают Pb в форме $PbSO_4$ и отгоняют из р-ра Sn, Sb и As кипячением при 200—220° с HBr. Для отделения Fe от Cu и Zn его осаждают на носителе $Al(OH)_3$ в форме гидроокиси, растворяют осадок в разб. H_2SO_4 , упаривают р-р до 5 мл, нейтрализуют NH_4OH , добавляют в указанной последовательности 2 мл H_2SO_4 (1:1), буферный р-р $CH_3COONa-CH_3COOH$, $NH_4OH \cdot HCl$, р-р о-фенантролина и через 20 мин. фотометрируют окраску оранжево-красного комплекса $Fe(2+)$ с о-фенантролином при 508—515 мμ и $t-p > 20^\circ$. Мешают Sn, Sb, As, Pb и Cu при содержании > 15 γ/мл и Zn при > 30 γ/мл. Закон Бера выполняется при 0,02—0,3 мг Fe.

65299. Фотометрическое определение никеля с помощью натрийдиметилглиоксима. Нильш, Гифер (Photometrische Nickelbestimmung mit Natriumdimethylglyoxim. Nielsch Walter, Giefer Lieselotte), Mikrochim. acta, 1956, № 1-3, 522—527 (нем.; рез. англ., франц.)

Преимуществом Na-диметилглиоксима (I) является его значительная растворимость в воде. Для определения Ni к пробе аммиачного анализируемого р-ра, содержащей 10—130 γ Ni, добавляют 2 мл 10%-ного р-ра тартрата Na и 10 мл 5%-ного р-ра I, перемешивают и приливают из бюретки точно 30 мл $CHCl_3$. Смесь интенсивно встряхивают 1 мин. и большую часть органич. слоя переносят в колбочку с притертой пробкой с 2 г Na_2SO_4 , а затем фотометрируют, используя свет лампы накаливания с фильтром S38E или ртутной лампы (366 мμ); в последнем случае коэфф. поглощения не зависит от толщины поглощающего слоя. Ошибка определения 1 γ/мл Ni составляет — 3% и повышается до — 5% при конц-ии Ni 0,7 γ/мл. При использовании метода для определения Ni в железе и его соединениях Fe переводят в трехвалентное состояние и маскируют винной к-той или тартратом Na. Точность определения Ni составляет в этом случае $\pm 1\%$.

65300. Быстрый метод определения кобальта в асболоановых рудах. Шэнь Бан-жу (砷土礦中鉄の快速測定法. 沈邦儒), 化學學報, Хуасяо сюэбао, 1954, 20, № 2, 95—101 (кит.)

Разработан колориметрич. метод, основанный на развитии синей окраски хлоркобальтовой к-ты в конц. серноокислых р-рах. Показано, что присутствующие в руде большие кол-ва SiO_2 , MnO , Al_2O_3 и Fe_2O_3 и заметные кол-ва CaO , ZnO и NiO мало влияют на точность определения Co в присутствии $SnCl_2$, что позволяет опустить отделение этих элементов и сократить продолжительность анализа пробы руды до 2 час. и пробы Co-содержащего р-ра — до 10 мин. Результаты метода сравнены с результатами электролитич. и колориметрич. (с нитрозо-R-солью) методов; отмечена хорошая сходимость.

65301. Метод количественного определения драгоценных металлов в промывных и сточных водах. Даванков А. Б., Лауфер В. М., Завод. лаборатория, 1956, 22, № 3, 294—295

Для извлечения и разделения большинства драгоценных и благородных металлов методом ионного обмена предложено 2 варианта: статический и динамический. 1. В исследуемую воду вносят при непрерывном перемешивании 5—15 г воздушно-сухого тонкоизмельченного анионита и устанавливают pH р-ра 6,5. Через 2—3 часа наступает полная коагуляция и выпадают твердые частицы. Р-р фильтруют, осадок промывают, озоляют и купелируют. Cu и Ag, если они содержатся в Au-

сплаве, определяют дополнительной обработкой развальцованного королька горячей HNO_3 . 2. Определение выполняют в стеклянной трубке высотой 70—80 мм, с внутренним diam. 5—8 мм. В трубку помещают 5—10 г анионита, который предварительно переводят в SO_4 , Cl^- или CO_3 -форму. Через колонку пропускают сверху вниз со скоростью 5—10 мл/мин производственные сточные воды, анионит промывают водой, переносят в тигель и сжигают. Извлечение драгоценных металлов из золы осуществляют обычным методом. Присутствие Cr_2O_3 мешает. Чувствительность метода 1—2 мг/л. Д. К.

65302. Аналитическое применение некоторых органических соединений. Сообщение II. Определение палладия при помощи α -аминосалициловой кислоты. Датта (Analytical aspects of some organic compounds. Part 2. Determination of palladium by α -aminosalicylic acid. Datta Sachindra Kumar), J. Indian Chem. Soc., 1955, 32, № 12, 785—790 (англ.)

При взаимодействии Pd^{2+} с α -аминосалициловой к-той (I) при pH 3,7—4,2 образуется нерастворимое желтое комплексное соединение $\text{Pd}(\text{C}_7\text{H}_5\text{O}_3\text{N})_2$ (II). Р-р PdCl_2 нейтрализуют по конго красному 0,1 н. NaOH , разбавляют до 40 мл, нагревают до 40° и при перемешивании вводят 2%-ный спирт. р-р I или 1%-ный вод. р-р I до плотности осаждения (1 г на 0,2 г Pd). Смесь выдерживают 15 мин. при 40 и 18 час. при 18—20°. Осадок промывают водой (40°), горячим спиртом и снова водой и сушат при 110° . Фактор пересчета на Pd 0,2224. Рекомендуется употреблять спирт. р-р I. Присутствие NH_4^+ препятствует осаждению II. Cu, Al, Ba, Sr, Ca, Mg, Zn, Co, Ni не мешают. При осаждении Pd при $< 45^\circ$ Pt, Au, U и V не мешают. Ti маскируют сульфосалициловой к-той, но избыток последней замедляет процесс осаждения II. Fe, Zr и Th мешают. При объемном определении II бромруют р-ром $\text{KBr} - \text{KBrO}_3$, получая дибромпроизводное. 1 атом Pd (2+) эквивалентен 4Br_2 ; отсюда 1 мл 1 н. KBrO_3 эквивалентен 0,01334 г Pd. II растворяют в миним. кол-ве 0,1 н. NaOH , добавляют 5 мл HCl (1:1); кипятят 2 мин., охлаждают, разбавляют до 50 мл и бромруют обычным способом; избыток Br_2 определяют иодометрически. Сообщение I см. РЖХим, 1956, 58399. Т. Л.

65303. Количественное определение борной кислоты, солей железа и алюминия при их совместном присутствии. Щиголь М. Б., Бурчинская Н. Б., Ж. аналит. химии, 1956, 11, № 1, 106—110

Использован ранее предложенный (Ж. аналит. химии, 1952, 5, 289) метод определения Fe^{3+} и Al^{3+} при совместном присутствии потенциометрич. титрованием р-ром тетрабората натрия (I). Борная к-та (II) определяют на мешает. При определении Fe^{3+} , Al^{3+} и BO_3^- в отсутствие минер. к-ты потенциометрически титровали 0,1 н. р-ром I с индикаторным электродом Pt/Pt-чернь; по первому скачку потенциала (СП) определяли содержание Fe^{3+} , по второму СП — сумму $\text{Fe}^{3+} + \text{Al}^{3+}$; кол-во Al^{3+} находили по разности. В аликвотной части р-ра II титровали 0,1 н. р-ром NaOH (А мл) по фенолфталеину после прибавления к пробе необходимого для связывания Fe^{3+} и Al^{3+} кол-ва 0,1 н. р-ра I (В мл) и глицерина в кол-ве, равном по объему исходному р-ру. Число мл 0,1 н. II (С мл) в пробе вычисляли по ф-ле $S = A - 2B$. В присутствии минер. к-ты к пробе прибавляли 10-кратный избыток 0,1 н. $\text{Na}_2\text{C}_2\text{O}_4$ и минер. к-ту титровали 0,1 н. р-ром I по метиловому красному. Аликвотную часть р-ра потенциометрически титровали 0,1 р-ром I; по первому СП определяли сумму минер. к-та + Fe^{3+} , по второму — сумму минер. к-та + $\text{Fe}^{3+} + \text{Al}^{3+}$. II определяли так же, как и в первом случае.

Метод проверен на искусств. смесях; получены точные результаты.

65304. Определение бора в природных водах методом прямого титрования. Коновалов Г. С., Гидрохим. материалы, 1955, 25, 224—236

Видоизменен метод и усовершенствован прибор Сумулану и Ботемату (Sumuleanu C., Botezatu M., Mikrochemie, 1936, 21, 75—81) для определения малых кол-в В; титруют 0,01 н. р-ром $\text{Ba}(\text{OH})_2$ в присутствии маннита (рН р-ра 7,6) в токе свободного от CO_2 воздуха. Погрешность определения $0,1 \text{ мг В} \pm 5\%$; чувствительность метода доведена до 0,4 мг/л. Присутствие P^{3-} и SiO_3^{2-} не мешает. Метод проверен на искусств. смесях и природных водах. В. М.

65305. К методике спектрального определения углерода в сталях. Попов Л. В., Соколова Р. В., Уч. зап. Казанск. ун-та, 1955, 115, № 12, 25—39

Описан оптимальный режим разряда низковольтной искры (НИ) для определения углерода. Сделано сравнение результатов применения НИ и высоковольтной искры (ВИ). Работа проведена на среднем спектрографе при ширине щели 0,02 мм, фотопластинки диапозитивные, особо контрастные, чувствительностью 0,6 по ГОСТ. НИ по схеме Абрамсона (Ж. техн. физики, 1949, 19, № 5, 611; Завод лаборатории, 1948, 14, № 9, 1135) при параметрах C 10 мкф, C_1 0,01 мкф, C_2 100 см, самондукция 9500 см, R 65 ом и R_1 10 000 ом. Аналитич. линии: C 2296,89 — Fe 2298,23 А. Верхний электрод медный, сила тока 4а, искровой промежуток 1 мм. Обыскивание 40 сек., экспозиция 80 сек. Градуировочные графики в координатах $\Delta S - \lg C$ имеют угловой коэфф., равный 0,5. Для получения ВИ применен генератор ИГ-2 без самондукции, при емкости 0,02 мкф, силе тока 3а. Искровой промежуток 1 мм, экспозиция 1 мин., обыскивание 20 сек. НИ наиболее пригодна для конц-ий 0,2—0,8%, ВИ для 0,2—1,2%. При применении ВИ хорошую точность дает метод контрольного эталона. Вероятная ошибка анализа в пределах 4—7%. Г. К.

65306. Титрование цианидов щелочных металлов раствором сульфата никеля. Мукояма (硫酸ニッケル標準溶液によるシアン化アルカリの容量分析方法, 向山朝之), 分析化学, Бунсэки кагаку, Japan Analyst, 1956, 5, № 1, 12—16 (япон.; рез. англ.)

К р-ру $\sim 0,3$ г цианида щел. металла добавляют 2—30 мл 6 н. NH_4OH , разбавляют до 100 мл, добавляют 0,03—0,05 г порошка мурексида (смесь с NaCl , 0,4 : 100) в качестве индикатора и титруют немедленно (CN) стандартным 0,1 н. р-ром NiSO_4 до перехода окраски р-ра из розовато-фиолетовой в желтую. Конечная точка отчетлива. Не мешают галогениды, карбонаты, ацетаты, роданиды, нитраты, сульфаты, фосфаты, оксалаты, ферроцианиды и хроматы. Мешают феррицианиды, Ni, Co, Ag, Cu и Ca; последний осаждают добавлением избытка $\text{Na}_2\text{C}_2\text{O}_4$ перед титрованием. Если исходный NiSO_4 загрязнен примесями, то для установки титра рекомендуется сравнение расхода р-ра при титровании KCN с расходом AgNO_3 при титровании по классич. методу Либиха—Дениже. Б. З.

65307. Весовое определение кремневой кислоты. Иверсен (Gravimetrisk bestemmelse af kisel-syre. Iversen A. F. E.), Kemisk, 1956, 37, № 1, 1—2 (дат.)

Метод весового определения SiO_2 осаждением в присутствии желатинны применен для анализа силикатного кирпича, полевого шпата, глины и цемента. 0,6—0,7 г силикатного кирпича сплавляют с 4 г NaKCO_3 ; плав растворяют в 6 н. HCl , выпаривают до консистенции студия, прибавляют 12,5 мл конц. HCl и 12,5 мл воды, в которой растворена $1/3$ листка желатинны. Быстро нагревают и выдерживают 45—75 сек. при 70° . После

охлаждения снова прибавляют 6 мл конц. HCl и 6 мл воды с $\frac{1}{4}$ листка желатин, нагревают и выдерживают 45—60 сек. при 70°. Через ~18 час. фильтруют и промывают кипящей водой до отрицательной р-ции на Cl⁻. Фильтр сжигают и остаток прокалывают 20 мин. на пламени паяльной горелки. Остаток обрабатывают смесью H₂F₂-H₂SO₄; остаток состоит главным образом из NaKSO₄, фактор пересчета на NaKCl₂ 0,84. При анализе полевого шпата, глины и цемента поступают таким же образом, но т-ру 70° поддерживают соответственно 6 и 3 мин. Можно также нагреть смесь HCl и р-ра желатин до 70°, выдержать при этой т-ре 15 сек., охладить в проточной воде (10 сек.) и влить в р-р плава. Смесью выдерживают 2 мин. при 70°. Метод очень точен. По мнению автора, осаждение SiO₂ обусловлено не желатиной, но его фракцией, гидролизуемой HCl. Присутствие Al и Fe в полевом шпате замедляет гидролиз желатин, и поэтому степень гидролиза, необходимая для колич. осаждения SiO₂, достигается позднее.

К. Ш.

65308. О кондуктометрическом титровании кремни-кислых солей. Пасовская Г. Б., Тр. Туркм. гос. мед. ин-та, 1955, 5—6, 384—387

Наиболее удобным реактивом для кондуктометрич. определения SiO₂²⁻ является Pb(CH₃COO)₂ (I). Во избежание больших погрешностей для каждой области конц-ий SO₃²⁻ употребляют р-р I определенной конц-ии I. При соответствующем подборе конц-ий I погрешность соответствует 0,43—1,13% SiO₂. K⁺, Na⁺, Ca²⁺, Mg²⁺, Al³⁺, NO₃⁻, Cl⁻ и SO₄²⁻ определению не мешают; ионы Fe, NH₄⁺, CO₃²⁻, HCO₃⁻ мешают.

М. П.

65309. Определение кремния в фторосиликатах без удаления фтора. Шелл (Determination of silica in fluosilicates without removal of fluorine. Shell H. R.), *Analyst. Chem.*, 1955, 27, № 12, 2006—2007 (англ.)

Добавление 0,5—1,0 г Al в виде AlCl₃·6H₂O к HCl перед выпариванием р-ра HCl по обычному методу определения Si позволяет количественно определить Si в фторосиликатах без предварительного отделения F. Метод применим к большинству встречающихся в природе фторосиликатов (слюды, амфиболы, турмалин, топаз, фосфатные руды, любые руды, содержащие <10% F). Ошибка определения ≤0,2% при навеске ~1 г. Методика не проверялась на образцах с высоким содержанием F или низким содержанием Si (напр. плавиковый шпат). Фтор определяют из отдельной навески обычным путем.

А. З.

65310. Об одном улучшенном методе фотометрического определения кремния в чугунах. Моштейн Р., Докл. Болгар. АН, 1955, 8, № 2, 25—28 (рез. англ.)
Навеску чугуна (0,5—5% Si) 0,1 г при нагревании на водяной бане обрабатывают 10 мл H₂SO₄ (1 : 8), нагретой до 80—90°. Добавляют 5 мл HNO₃ (1 : 3,5), нагревают еще 2—3 мин., охлаждают, перемешивают и разбавляют до 250 мл. К 5 мл полученного р-ра добавляют 8 мл 0,15 н. H₂SO₄ и 5 мл 5%-ного р-ра молибдата аммония, перемешивают и через 3—4 мин. добавляют 12 мл 8 н. H₂SO₄, 4 мл 0,3%-ного р-ра N₂H₄·2HCl, перемешивают и нагревают 5 мин. на кипящей водяной бане. Охлаждают, разбавляют до 50 мл и фотометрируют с красным фильтром S 72 в 1- или 2-см кювете фотометра Пульфриха. Окраска устойчива несколько часов. Одновременно проводят контрольный опыт (р-р соли Fe⁽³⁺⁾). Калибровочную кривую строят по р-рам чугуна с известным содержанием Si. Закон Бера выполняется при 0,2—2 γ/мл Si. При 2,51—4% Si и серийной работе погрешность ±0,05%. Метод применяют на практике; с незначительными изменениями он мо-

жет быть использован для определения Si в низколегированных сталях.

М. П.

65311. Определение аммиака в аммонийных солях в присутствии тиомочевины с помощью Sb(OH)₃. Применение метода для определения активности энзимов. Приставка, Крчмери (Stanovenie amoniaku v amonnych soliach za pritomnosti mocoviny pomocou Cd(OH)₂. Upravená metóda na stanovenie aktivity enzýmuv. Prístavka D., Krčmery V.), *Chem. zvesti*, 1956, 10, № 3, 183—187 (словац.; рез. русс., нем.)

Метод основан на колич. вытеснении аммиака из аммонийных солей, поглощении выделяющегося газа 0,02 н. р-ром H₂SO₄ и оттитровании непрореагировавшей к-ты 0,02 н. р-ром КОН по метиловому красному. В качестве реактива применяют 5%-ную суспензию Cd(OH)₂, стабилизированную альбумином. Тиомочевина во время отгонки NH₃ не разлагается; ее разложение наблюдается только после кипячения в течение 9 мин. Поправка на глухой опыт не превышает 0,35 мл 0,02 н. H₂SO₄.

Н. П.

65312. Спектрофотометрическое определение небольших концентраций гидразина в воде. Фрейер, Ремш (Spektralphotometrische Bestimmung kleiner Hydrazinkonzentrationen im Wasser. Freier R., Resch G.), *Z. analyt. Chem.*, 1956, 149, № 3, 177—181 (нем.)

Предлагаемый способ является видоизменением ранее описанного метода (Watt G. W., Chrisp J. D., *Analyt. Chem.*, 1952, 24, 2006), основанного на образовании хиноидного соединения при взаимодействии гидразина (I) с *n*-диметиламинобензальдегидом (II) в водно-спирт. р-ре. Максимум поглощения соединения находится при 458 мμ. Для определения I к 10 мл анализируемой воды добавляют 10 мл 2%-ного спирта. р-ра II, 1 мл конц. H₂SO₄, и после охлаждения р-ра до 20—25° разбавляют его не содержащей I водой до 50 мл, выжидают 10 мин. для достижения постоянной интенсивности окраски и фотометрируют при 458 мμ. Закон Бера при конц-ии I от 0 до 5000 γ/л выполняется. При 5-см кюветы, определяют до 2—5 γ/л I. В особых условиях можно определить до 50 мкг/л. Даже большой избыток аммиака и гидроксидов не мешает; мочевины и семикарбазид мешают.

Н. П.

65313. Полярографическое определение смешанной натриево-аммониевой соли гидроксиламиндисульфокислоты или гидроксиламинов. Гашипарик (Polarografické stanovenie hydroxylaminidisulfonanu sódoamónneho, respektive hydroxylamínov. Gašparík J. Josef), *Chem. průmysl*, 1956, 6, № 2, 78 (чеш.; рез. русс., англ.)

Для определения HON (SO₃Na) SO₃NH₄ (применяемой в произ-ве ε-капролактама) или NH₂OH к 50 мл водн. р-ра циклогексана (I) с конц-ией ~30 г/л (р-р А) добавляют 5 мл исследуемого р-ра, кипятят 30 мин. и разбавляют до 200 мл; 0,5 мл полученного р-ра смешивают с 5 мл 5 н. р-ра NH₄OH, насыщ. NH₄Cl и содержащего 0,5 г желатин на 1 л, и полярографируют от -0,8 в (высота волны h₁); параллельно полярографируют в тех же условиях 0,5 мл р-ра I известной конц-ии (с₁, в г на 200 мл; высота волны h₂). Искомую конц-ию (в г/л) находят по ф-ле $x = (c_2 - h_1 c / h_2) 473,2$, где c₂ — конц-ия I в р-ре А (в г на 200 мл). Погрешность ±0,2 г/л, продолжительность определения 65 мин.

Т. А.

65314. Реактив для колориметрического определения фосфата и арсената. Хан, Лукхаус (Ein vorzügliches Reagens zur colorimetrischen Bestimmung von Phosphat und Arsenat. Hahn F. L., Luckhaus Rosemarie), *Z. analyt. Chem.*, 1956, 149, № 3, 172—177 (нем.)

Для приготовления молибденового реактива используют хорошо растворимый ортомolibдат натрия (I), который восстанавливают сульфатом гидразина (II). 6,85 г дигидрата I и 400 мг II растворяют в 100 мл воды, приливают к р-ру 100 мл конц. H_2SO_4 и, охлаждая, разбавляют до 1 л водой. Важным преимуществом реактива является определенное соотношение между 5- и 6-валентным молибденом, соответствующее предполагаемой ф-ле $[(MoO)^{3+}]_2[(MoO_4)^{2-}]_3 \cdot 6H_2O$. Для колориметрич. определения фосфатов смешивают 4 объема анализируемого р-ра с 1 объемом реактива, чтобы конц-ия P_2O_5 в смеси составляла 0,15—7,5 $\gamma/мл$. Смесь нагревают 30 мин. на кипящей водяной бане, в случае необходимости после охлаждения разбавляют до определенного объема и измеряют интенсивность окраски при 640 мк. В случае анализа почвенных вытяжек пользуются сравнением анализируемого р-ра с рядом стандартов, прошедших ту же самую обработку. При конц-ии $P_2O_5 < 0,1 \gamma/мл$ и $> 6,2 \gamma/мл$ результаты определения ненадежны. Хранение реактива в течение 3 недель не ухудшает результаты анализа. Н. П.

65315. Новые результаты для микроопределения фосфорной кислоты и их использование для определения наиболее легко растворимых фосфатов в почвах. Феррари (Neue Ergebnisse zur Mikrobestimmung der Phosphorsäure und ihre Anwendung zur Bestimmung der leichtest löslichen Phosphate in Böden. Ferrari Carlo, Mikroschim. acta, 1956, № 1-3, 551—564 (нем.; рез. англ., франц.))

В результате ряда работ автора, выполненных в 1951—1955 гг., установлено, что фосфорномolibденовая к-та (I) и кремниймolibденовая к-та (II) содержатся в р-рах в желтой и бесцветной формах, находящихся в равновесии друг с другом. Равновесие между обеими формами I с повышением т-ры и понижением кислотности р-ра смещается в сторону желтой формы. В случае II т-ра и кислотность почти не влияют на состояние равновесия между обеими формами. Фосфорномolibденовая синь (III), полученная из различных форм I, имеет различные спектры поглощения. Для получения воспроизводимых результатов определения Р необходимо создавать условия, благоприятствующие смещению равновесия в сторону преимущественного образования желтой формы, и применять такие восстановители, как сульфат гидразина или аскорбиновая к-та, которые восстанавливают только эту форму. При действии таких восстановителей сначала быстро и на холоду восстанавливается часть $Mo(6+)$ в $Mo(5+)$, а затем начинается медленная стадия стабилизации структуры III. Повышение кислотности р-ра замедляет первую и ускоряет вторую стадии р-ции. Нестабилизовавшаяся III на холоду и при нагревании гораздо устойчивее по отношению к к-там, чем I. В отличие от I к-та II, образовавшаяся в слабокислом р-ре, гораздо более устойчива к к-там. Эти наблюдения положены в основу нового метода определения наиболее легко растворимого Р, усваиваемого корнями растений. В новом методе III образуется в забуференном р-ре с pH 4,8, который не отделяется от анализируемой почвы. Благодаря этой особенности метода предупреждается установление равновесия между ионами PO_4^{3-} почвенной вытяжки (которые необратимо связываются в I) и самой почвой. Общее содержание растворяющегося Р находят после разрушения органич. фосфатов почвы. Вычитая отсюда содержание минерального Р, находят кол-во органически связанного Р в почве. Присутствие растворимой кремневой к-ты не мешает определениям. Описание методики определений приводится. Н. П.

65316. Колориметрическое определение фосфора в сталях и медных сплавах Элуэлл, Вильсон (The colorimetric determination of phosphorus in

steel and copper-base alloys. Elwell W. T., Wilson H. N.), Analyst, 1956, 81, № 960, 136—143, Discuss. 143—144 (англ.)

Способ основан на образовании желто-оранжевой фосфорованадиевомolibденовой к-ты $H_3PO_4 \cdot VO_3 \cdot 11MoO_3$ (I), экстрагируемой *изо*- $C_5H_{11}OH$ (II). При определении Р в сталях 0,25 г стружки (0,025—0,045% Р) растворяют в смеси 5 мл HCl (уд. в. 1,18) и 5 мл HNO_3 (уд. в. 1,42). Добавляют 5 мл $HClO_4$ (уд. в. 1,54), упаривают до паров $HClO_4$, кипятят 10—15 мин., накрыв стакан стеклом, охлаждают, добавляют 25 мл воды (в присутствии W добавляют 10 мл теплой воды, фильтруют и промывают осадок 30 мл теплой воды; в присутствии Cr добавляют 10 мл H_2SO_4), кипятят 10 мин., к кипящему р-ру прибавляют 5 мл 20%-ной HNO_3 , кипятят 2—3 мин., добавляют 25 мл свежеприготовленного ванадата-мolibдата аммония (р-р А) (1 г NH_4VO_3 растворяют в ~300 мл воды, добавляют 140 мл HNO_3 уд. в. 1,42, р-р 40 г $(NH_4)_6Mo_{10}O_{24} \cdot 4H_2O$ в ~400 мл воды и разбавляют до 1 л), охлаждают до 20°, разбавляют до 80 мл и экстрагируют I 10 мл II в течение 2—3 мин. с 5-минутным отстаиванием. Спирт. слой фильтруют и фотометрируют в 1-см кювете при 20° и 426 мк. При определении Р в Cu-сплавах 0,25 г стружки растворяют в смеси 2,5 мл HCl, 2,5 мл HNO_3 и 5 мл воды, разбавляют до 25 мл, нагревают до 80°, добавляют 25 мл р-ра А и далее ведут определение, как указано выше. Продолжительность определения $\leq 1,5$ час. Закон Бера выполняется при содержании в пробе 0,02—0,15 мг Р, Fe, Cr (3+), Ni и Cu не мешают. Б. З.

65317. Непрерывное измерение количества растворенного в воде кислорода. Левин, Уоррен, Цивоглу, Уокер (Continuous measurement of dissolved oxygen in water. Levine H. S., Warren W. V., Tsivoglou E. C., Walker W. W.), Analyst. Chem., 1956, 28, № 3, 343—349 (англ.)

Разработан метод непрерывного измерения кол-ва O_2 , растворенного в воде, основанный на законе Генри. Описана конструкция и эксплуатация прибора и приведены эксперим. данные, подтверждающие его применимость. Дана схема прибора. Б. Т.

65318. Прибор для точного количественного определения кислорода в газах (Gerät zur quantitativen Feinbestimmung von Sauerstoff in Gasen), Brennstoff-Chemie, 1954, 35, № 15/16, 74 (нем.)

Метод определения O_2 в газах (коксовом и святильном) основан на удалении O_2 из анализируемого газа за счет поглощения р-ром $CrCl_2$. Создающаяся по сравнению с компенсационной емкостью разность давлений замеряется по изменению высоты водяного столба в капилляре. Шкала градуирована в % O_2 в интервале 0—5%. Исследуемый газ предварительно пропускают через поглотители для удаления CO_2 и H_2S . Прибор состоит, в основном, из измерительной системы и двух поглотительных сосудов, содержащих, соответственно, р-р KOH и $CrCl_2$. Кол-во анализируемого газа измеряют, пользуясь уравнительной скляной с Hg. Погрешность определения O_2 составляет $< 0,02\%$. Т. Л.

65319. Непрерывное определение следов кислорода в газах. Карасек, Лойд, Лапфер, Хэусер (Continuous analysis of trace amounts of oxygen in gases. Karasek F. W., Loyd R. J., Luper D. E., Houser E. A.), Analyst. Chem., 1956, 28, № 2, 233—236 (англ.)

Предложен автоматич. газоанализатор для непрерывного фотоколориметрич. определения следов O_2 в газах. При окислении цел. р-ра Na-соли антрахинон-2-сульфокислоты (I) кислородом, присутствующим в смеси газов, окрашенная в красный цвет диоксиформа I переходит в бесцветную дикетоформу (степень из-

менения окраски пропорциональна кол-ву O_2 , которая восстанавливается Zn -амальгамой (после фотометрирования) до красной диоксиформы I . Чувствительность прибора от 0—20 до 0—500 γ/ml O_2 в зависимости от калибровки. Р-р пригоден ~ 24 часа; этот срок может быть увеличен до 2—3 недель при условии промывки его моноэтиловым эфиром диэтиленгликоля для удаления постепенно образующегося CS_2 . Прибор пригоден для определения O_2 в газах, не разрушающих I (азот, этилен, бутадиев). Б. З.

65320. Определение кислорода в чугунах. Гото, Судзуки, Кимура, Онума (鑄鉄中の酸素定量法について、後藤秀弘、鈴木進、木村仁、大沼明)、鐵と鋼、Тоцу то хаганэ, J. Iron and Steel Inst. Japan, 1956, 42, № 1, 49—52 (япон.; рез. англ.)

Для определения кислорода, присутствующего в чугунах в форме оксидов, предложен метод фракционированной вакуум-плавки. При употреблении ванны из расплавленного Sn FeO извлекается при 1050° , MnO при 1150° , SiO_2 при 1450° и Al_2O_3 при 1750° . Установлено, что описанный способ дает лучшие результаты, чем методы с горячей HNO_3 , с Cl_2 и электролитический. М. П.

65321. Цериметрическое определение перекиси водорода, кислоты Каро и надсерной кислоты в их смесях. Чань, Шоймоши (Cerimetrische Bestimmung von Wasserstoffperoxyd, Peroxyschwefelsäure (Caroscher-Säure) und Peroxydischwefelsäure nebeneinander. Csányi L. J., Solymosi F.), Z. analyt. Chem., 1954, 142, № 6, 423—426 (нем.) См. РЖХим, 1955, 9709.

65322. Колориметрический способ определения серы. Сайто (硫黄の比色定量法、齋藤義治), 科學, Kagaku, 1954, 24, № 9, 476 (япон.)

65323. Спектрофотометрический метод определения субмикрочастиц серы при помощи 4-амино-4'-хлордифенила. Джонс, Летем (A spectrophotometric method for the determination of sub-micro quantities of sulphur with 4-amino-4'-chlorodiphenyl. Jones A. S., Letham D. S.), Analyst, 1956, 81, № 958, 15—18 (англ.)

Для определения S ($30-120 \gamma SO_4^{2-}$) к анализируемому р-ру добавляют следы цетавлона (бромид цетилтриметиламмония) и 0,5 мл 4-амино-4'-хлордифенила (I) (0,19%-ный р-р основания в 0,1 н. HCl), перемешивают и через 2 часа центрифугируют. 0,3 мл прозрачной жидкости разбавляют до 25 мл 0,1 н. р-ром HCl . Измеряют оптич. плотность при 254 мк в 1-см кювете. По разности оптич. плотности между контрольным (р-р SO_4^{2-} заменен водой) и испытуемым образцами и уд. коэфф. поглощения I вычисляют кол-во реактива, затраченного на осаждение SO_4^{2-} , и определяют содержание SO_4^{2-} . Описаны способы определения SO_4^{2-} в присутствии PO_4^{3-} (осаждаемого в форме $MgNH_4PO_4$) и определения 20—50 γS в органич. в-вах. Б. Т.

65324. Об аналитическом определении следов серы (сульфида) в металлургическом уране. Фернандес-Челлини, Гаско-Санчес (Consideraciones sobre el control analítico de trazas de azufre (sulfo) en uranio metal. Fernández Cellini R., Gascó Sánchez L.), An. Real sos. esp. fis. y quim., 1956, B52, № 2, 111—116 (исп.; рез. англ.)

Объемное и колориметрич. определение S (в форме сульфида) в металлиз. U основано на обработке последней к-той и установлении кол-ва H_2S . Сероводород окисляют разб. р-ром $Ca(ClO)_2$, избыток которого определяют иодометрически или поглощают р-ром $(CH_3COO)_2Zn$ и определяют по интенсивности окраски метиленового голубого. Чувствительность объемного

метода соответствует 1 γ/ml S^{2-} , колориметрич. 0,2 γS^{2-} или 0,015 γ/ml S^{2-} . М. П.

65325. Непрерывное потенциометрическое определение следов сероводорода в водородной среде поглощения раствором йода. Чуга, Бурiannec (Kontinueller potentiometrischer Bestimmung von Schwefelwasserstoffspuren in Wasserstoff durch Absorption in Jodlösung. Čůta F., Buriánek Z.), Čs. чехосл. хим. работ, 1956, 21, № 1, 41—48 (нем.; рез. русс.)

См. РЖХим, 1956, 19575.

65326. Определение сульфатов в сульфитных щелоках методом высокочастотного титрования. Нохихара, Танака, Коно (高周波滴定による亜硫酸塩分解液の硫酸根の定量、軒原榮三、田中龍三、河野哲郎、日本農藝化學會誌. Нихон ноэй какаку кайси, J. Agric. Chem. Soc. Japan, 1954, 28, № 5, 409—413 (япон.; рез. англ.)

Для определения SO_4^{2-} в сульфитных щелоках применен метод ВЧ-титрования р-ром $BaCl_2$. Титрование ведут при 3 или 20 Мгц, применяя ячейку типа пробирки или планшет. Частоту 3 Мгц и ячейку типа пробирки применяют только для сильно разб. р-ров; это обеспечивает большую чувствительность и простоту.

Chem. Abstr., 1955, 49, № 9, 6600. Т. Kobayashi.

65327. Определение серной и сульфоновой кислот в нейтрализованном масле. Кали, Лавленд (Determination of sulfuric and sulfonic acids in sour oil. Cali L. J., Loveland J. West), Analyst, 1956, 81, № 2, 224—227 (англ.)

К навеске нейтрализованного масла 10 г (20 г при содержании $H_2SO_4 < 0,1\%$) добавляют 15 мл $CHCl_3$ и 0,4 мл воды, перемешивают до homog. состояния и при перемешивании добавляют 50 мл 10%-ного р-ра $C_6H_5NH_2$ в $CHCl_3$, нагретого до кипения на паровой бане. После охлаждения до $18-20^\circ$ смесь фильтруют с отсасыванием через воронку Бюхнера с фильтром средней пористости. Промывают $CHCl_3$ порциями по 10—15 мл при измелении осадка (≥ 100 мл $CHCl_3$). Фильтрат сохраняют для определения сульфокислоты (I). Остаток промывают 2—3 мл ацетона и отсасывают р-р. Осадок растворяют в горячей воде (4×25 мл), р-р титруют по фенолфталеину 0,05 н. $NaOH$ и рассчитывают содержание H_2SO_4 . Фильтрат выпаривают на паровой бане до ~ 20 мл или до полного удаления $CHCl_3$, остаток переносят при помощи равных порций воды и $iso-C_3H_7OH$ в стакан (общий объем ~ 150 мл), титруют потенциометрически 0,2 н. спирт. р-ром KOH со стеклянным и Hg_2Cl_2 -электродами и рассчитывают содержание I . При 0,01—0,25% H_2SO_4 среднеквадратичная погрешность 0,007%; при 3—8% I 0,097%. SO_2 не мешает. Описанный метод применим для производственного контроля. М. П.

65328. Новые методы анализа бинарных или тройных смесей сернистого и сернистого ангидрида и сероводорода, разбавленных газами. Паннетье, Мельхейм, Сикар (Nouvelles méthodes de dosage de mélanges binaires ou ternaires d'anhydrides sulfureux et sulfurique et d'hydrogène sulfuré dilués dans un milieux gazeux. Pannetier Guy, Meltzheim Claude, Sicard Adrien), Bull. Soc. chim. France, 1956, № 3, 455—459 (франц.)

SO_2 в присутствии SO_3 определяют его окислением определенным кол-вом р-ра J_2 в KJ и оттитрованием непрореагировавшего окислителя р-ром $Na_2S_2O_3$. В оттитрованном р-ре алкалиметрически определяют K_2 , образующиеся по р-циям $SO_3 + H_2O = H_2SO_4$; $SO_2 + J_2 + 2H_2O = H_2SO_4 + 2HJ$, и по полученным результатам вычисляют содержание SO_3 . Совместное определение SO_2 и H_2S основано на изменении титра р-ра J_2 и повышении его кислотности вследствие протекания р-ции $SO_2 + J_2 + 2H_2O = H_2SO_4 + 2HJ$;

$H_2S + J_2 = S + 2HJ$. Решая 2-ур-ния первой степени, вычисляют содержание H_2S и SO_2 в газовой смеси. Во избежание окислительно-восстановительного взаимодействия между SO_2 и H_2S газовая смесь до поглощения p -ром J_2 не должна соприкасаться с влагой. Для определения SO_2 , SO_3 и H_2S при одновременном присутствии всех трех в-в выполняют 3 независимых измерения. Прежде всего, определенный объем анализируемого газа пропускают через титрованный p -р J_2 и определяют уменьшение конц-ии окислителя в результате его взаимодействия с SO_2 и H_2S . После оттитровывания непрореагировавшего J_2 p -ром $Na_2S_2O_3$ ту же пробу титруют $NaOH$ по метиловому красному и метиленовому синему, определяя при этом HJ и H_2SO_4 , образовавшиеся при растворении SO_3 и окислении HJ и H_2S . Вторую пробу анализируемого газа примерно такого же объема пропускают через определенный объем титрованного p -ра $NaOH$, который связывает SO_2 , SO_3 и H_2S в соответствующие соли. Сульфид и сульфит окисляют действием конц. перекиси водорода до сульфата и затем определяют избыток $NaOH$ в p -ре. По результатам указанных определений составляют 3-ур-ния, решением которых определяют содержание SO_2 , H_2S и SO_3 в исходной газовой смеси. Схема установки для определения приводится.

Н. П. 65329. Потенциометрическое титрование ионов галлоидов солями одновалентной ртути. Изменение окраски адсорбционных индикаторов. Мацуо (第一水銀電によるハロゲン溶液の電位差滴定. 示付: 吸着指針の變色について. 松尾力), 工業化學雜誌, Kōei kagaku zasshi, J. Chem. Soc. Japan. Industr. Chem. Sec., 1954, 57, № 11, 811—814 (япон.).

Приведены кривые потенциометрич. титрования Cl^- , Br^- и J^- p -ром $Hg_2(NO_3)_2$ в присутствии дифенилкарбазона (I), фенолового синего (II), подфенолового синего (III) и смеси бензидина (или его производных) с p -ром $Fe(NO_3)_3$. Меркурометрич. титрование J^- дает значительную погрешность. Обсужден механизм изменения окраски индикаторов; предположено, что в случае I образуется комплекс с Hg_2^{2+} ; для II и III происходит изменение степени адсорбции. Из изученных производных бензидина смесь α -дианизида (IV) с солями Fe^{3+} в молярном соотношении VI: $Fe^{3+} = 2:1$ дает лучшие результаты.

Chem. Abstrs 1955, 49, № 16, 10798. Katsuya Inouye.

65330. Разделение подвидов и хлоридов для аналитических целей в форме их солей с одновалентной медью. Фукамаэти, Такада (第一銅鹽による活化物と鹽化物の分析的分離について. 深田内久雄, 高田美恵子), 藥學雜誌, Yakugaku zasshi, J. Pharm. Soc. Japan, 1954, 74, № 10, 1014—1017 (япон.; рез. англ.).

Метод разделения J^- и Cl^- основан на различной растворимости их солей с $Cu(I+)$ и отличается большей простотой, чем разделение в форме солей с $Ag(I+)$. Способ пригоден для колич. разделения и определения J^- и Cl^- при их совместном присутствии, в частности в органич. соединениях.

65331. Кулометрическое определение микрограммовых количеств модата калия. Фодор, Николіч (Kulometrisko odredivanje mikrogramskih količina kalijumjodata. Fodor Danica, Nikolić Kosta), Acta. pharm. jugosl., 1955, 5, № 3, 133—136 (сербо-хорв.; рез. нем.).

Прибор для определения KJO_3 состоит из двух электролитич. сосудов (С), в которых анодные пространства отделены от катодных тиглями Гуча. Пористые донья тиглей покрыты агар-агаром. Катодное пространство содержит 2%-ный p -р KCl . В тигель первого С помещают исследуемый p -р, 1,5 г KJ , 5 мл 6%-ной CH_3COOH (I), 50 мл воды, 5 мл p -ра крахмала (II)

(2:1000) и избыток p -ра $Na_2S_2O_3$ (III). В тигель второго С вводят те же кол-ва KJ , I, II, III и воду до равного объема. Через оба сосуда пропускают ток постоянной силы. При появлении синего окрашивания в первом С, пропускают ток только через второй С до образования синего окрашивания одинаковой интенсивности, причем измеряют продолжительность электролиза. Результаты определения сравнены с данными колориметрич. метода с применением фотоколориметра Ланге.

Н. Т.

65332. Методика количественного спектрографического анализа оловянных руд. Русанов А. К., Тарасов Т. И., Сб. науч.-техн. информ. М-во геол. и охраны недр., 1955, № 1, 134—135.

Краткое сообщение о колич. определении Sn в рудах при конц-иях 0,01—0,1% при возбуждении спектра дугой переменного тока. Порошок пробы вдувается в зону разряда током воздуха. Способ вдувания порошка не описан.

Г. К.

65333. Быстрое определение кварца, минералов, содержащих калий, и плагиоклаза. Грехем (Rapid determination of quartz, potash minerals, and plagioclase feldspars. Graham E. K.), Chemist Analyst, 1955, 44, № 2, 37—38 (англ.).

Для удаления Fe к 2 г породы добавляют 40 мл 10%-ного p -ра $K_2C_2O_4$, нагревают до $\sim 80^\circ$, добавляют 10 мл $\sim 10\%$ -ного p -ра $H_2C_2O_4$, вносят полосу металла. Mg , выдерживают при перемешивании 3—5 мин. при 90 — 95° , добавляют 5 мл $\sim 10\%$ -ного p -ра $H_2C_2O_4$, нагревают до побеления частиц породы и центрифугируют. Осадок промывают 50 мл 5%-ного p -ра $NaCl$, CH_3OH и ацетоном и сушат при 100° . На предметное стекло наносят каплю суспензии замазки в амилацетате, сушат до отлипа, наносят поверх равномерный слой частиц породы, свободных от Fe и вдавливают их в замазку. Стекло помещают замазкой вниз над скляной с HF и выдерживают 0,5—5 мин. (в зависимости от конц-ии к-ты, т-ры и т. д.) для равномерного травления. Затем стекло погружают в насыщ. p -р $Na_3Co(NO_2)_6$; промывают водой, погружают на 5 мин. в p -р малахитового зеленого, промывают, сушат и изучают под микроскопом (освещение отраженным светом). Кварц остается бесцветным; минералы, содержащие K (напр., микроклин, отрокладз и слюда), окрашиваются $Na_3Co(NO_2)_6$ в желтый цвет, которому малахитовый зеленый придает зеленый оттенок; алюмосиликатные минералы приобретают синие-зеленую окраску. Кол-во каждого минерала определяют сравнением с эталонами.

Б. 3.

65334. Спектральный метод определения алюминия и кремния в железной руде. Комиссаренко В. С., Завод. лаборатория, 1956, 22, № 4, 453—454.

Химически обработанную для обогащения руду сушат, просеивают через сито 0,9 мм и смешивают в отношении 1:1 с угольным порошком. Пробу набивают в отверстие угольного электрода глубиной 5 мм с диаметром 3,5 мм. Спектр возбуждают в дуге переменного тока с угольным верхним электродом при 15а. Фотографирование спектра производят на среднем спектрографе при ширине щели 0,03 мм с 3-линзовым освещением щели. Пластины диапозитивные, экспозиция 30 сек., дуговой промежуток 2 мм, высота промежуточной диафрагмы 0,5 мм. Градуировочные графики строят в координатах $\Delta S - \lg C$. Эталоны готовят смешением химически анализированных образцов. Аналитич. линии Al 3082,6 — Fe 3055,26; Si 2506,9 — Fe 2507,9 А. Нижние границы определяемых конц-ий Al — 0,047%, Si — 0,09% (по отношению к Fe). Квадратичная ошибка в пределах 8—10%.

К. Г.

65335. Спектральный анализ карборунда. Рост (Zur Spektralanalyse von Siliciumcarbid. Rost

Frantz), Mikrochim., acta, 1956, № 1-3, 343—352 (нем.; рез. англ., франц.)

Описана методика определения Al, Fe, Ti, Mg и Ca на спектрографе Q-24 Цейсса при 3-линзовом освещении щели. На щели спектрографа помещают 3-ступенчатый ослабитель, ширина щели — 0,05 мм. Электроды — угольные, противозлектрод, диам. 5 мм, заточен на плоскость. Дуговой промежуток — 2,5 мм. Источник света — дуга переменного тока при 6а. Фотопластинки репродукционные. Аналитич. линии: Fe 3020,6; Al 3082,2; Ti 3234,5; Mg 2802,7; Ca 3933,7 Å. Линия сравнения — Si 2987,7 Å. Градуировочные графики построены по двум сериям синтетич. смесей на базе чистого карбунда и чистого кварца с добавками примесей в виде окислов. Графики параллельны, но для смесей на основе SiO₂ графики расположены выше, чем для смесей на основе SiC. Частично это объясняют более высоким содержанием внутреннего стандарта (Si) в SiC в сравнении с SiO₂. Однако имеет значение также различие в ходе испарения примесей из смесей на разной основе. Средняя ошибка анализа 7—15%. Многочисленные анализы показали, что карбунд светлого зеленого цвета и высокого качества содержит обычно менее 0,03% Al и Fe и менее 0,1 % Ti. Е. Г. 65336.

Микрометоды при исследовании полупроводников. Поль (Mikromethoden in der Halbleiterforschung. Pohl Franz (A.), Mikrochim. acta, 1956, № 1-3, 414—421 (нем.; рез. англ. франц.)

Описан микрометод определения Cl⁻ и Br⁻, присутствующих в качестве примесей в селене и влияющих на его электропроводность. Пробы металлич. Se (100—500 мг) растворяют в свободной от галогенов HNO₃ в присутствии большого избытка AgNO₃. Образовавшийся осадок галогенида Ag восстанавливают N₂H₄ в р-ре NaOH. Ag в р-ре HNO₃ потенциометрически титруют 0,02 н. р-ром SCN⁻ по Горбаху. Br⁻ определяют фотометрически в форме тетрабромфлуоресцеина, а содержание Cl⁻ вычисляют по разности. Описанным методом определяют ≤ 0,0001% галогенидов в полупроводнике. М. Г. 65337.

Спектральный анализ шлака, агломерата и шихты свинцовой плавки на стилометре. Юделевич И. Г., Левитина А. Л., Завод лаборатория, 1956, 22, № 4, 450—452

Для анализа пользовались стилометром СТ-7. Источник возбуждения — генератор ИГ-2. Пробу вводили в разрядный промежуток, набивая ее в один из электродов — Si-трубку. Второй электрод — Si-стержень, заточенный на конус (30°). После включения искры проба поступает в разрядный промежуток равномерно в течение 2—2,5 мин., что достаточно для 2—3 отсчетов. Оба электрода расположены горизонтально; острие постоянного электрода совпадает с осью Si-трубки. Режим искрового генератора: сила тока 2 а, напряжение на первичной обмотке трансформатора 220 в, задающий искровой промежуток 3 мм, рабочий 3,5 мм, емк. 0,01 мф, самовдукция 0; 0,01 и 15 мв. Ширина щели стилометра 0,1 мм. Калибровочную кривую строят по эталонам шлака или агломерата в координатах кония (в %) — показания фотометра. Линии сравнения были предварительно ослаблены и яркость их оставалась постоянной. Полный анализ пробы продолжается 35—50 мин. Погрешность определения (в %): CaO ± 5, MgO ± 10, ZnO ± 8, FeO (обм.) ± 4, Pb ± 10, SiO₂ ± 4, Pb (в агломерате) ± 5, S ± 10. М. П. 65338.

Спектральный анализ магнетита и наварки мартеновских подлин из растворов. Кандлер Н. В., Митрошина А. В., Шмуленсон И. Л., Завод, лаборатория, 1956, 22, № 4, 440—441

Описаны подготовка проб и определение MgO в наварке подлин мартеновских печей и магнетита методом спектрального анализа. 20—95% MgO определяют

с погрешностью 2—4% в течение 1—1,5 часа в наварке и 2—3 час. в магнетите. Перечислена применяемая аппаратура и даны ее характеристики. При построении калибровочных кривых применяют эталоны, близкие по хим. составу к исследуемым пробам. Б. Т. 65339.

Применение осциллографической полярграфии в количественном анализе. V. Определение свинца и кадмия в цинке и его солях. Дольжал, Гофман (Použití oscilografické polarografie v kvantitativní analýze. V. Stanovení olova a kadmia v zinku a jeho solích. Doležal Jan, Hofmann Pavel), Chem. listy, 1955, 49, № 7, 1026—1029 (чеш.)

При осциллополярграфич. определении Pb и Cd в цинке и его солях в качестве фона употребляют р-р 0,08 М по K₄P₂O₇ и 0,8 М по этилендиаминитартрату и измеряют высоту соответствующих волн на анодной ветви кривых зависимости $dV/dt = f(V)$. Даже при конц-ия Zn²⁺ 0,2 М волны для каждого из трех катионов не сливаются, но высота волн изменяется. Поэтому для определения Pb и Cd использован метод титрования по свидетелю. В одну ячейку помещают анализируемый р-р (конц-ия Zn²⁺ 0,1 М), в другую ячейку — р-р соли Zn, не содержащий Cd²⁺ и Pb²⁺. В оба р-ра погружают капилляры с одинаковым периодом капания, соединенные с общим резервуаром для Hg. Свидетель вначале титруют р-ром, содержащим тот ион, который преобладает в исследуемом р-ре, а вблизи точки эквивалентности р-ром, содержащим другой ион. После достижения конечной точки дотитровывают первым р-ром. Погрешность определения 0,2—2,5% Pb и 0,1—1,5% Cd составляет 2—7%. Cu и Fe не мешают определению, Ti и Mo мешают. Сообщение IV см. РЖХим, 1956, 54967. V. Кафена 65340.

Применение оксидинолина для анализа технического сульфата алюминия. Менделович (The use of oxine in the analysis of commercial aluminium sulphate — a statistical approach. Mendelovitch Z. A.), Analyt. chim. acta, 1956, 14, № 3, 235—242 (англ.)

Предложен усовершенствованный вариант оксидинолинового метода определения Al. К аликвотной части р-ра (~30 мл Al) прибавляют 5 мл 10%-ной HNO₃ и кипятят для окисления Fe, охлаждают до ~40°, добавляют 15,5 мг избытка 2%-ного р-ра 8-оксидинолина в 1 н. CH₃COOH и повышают т-ру р-ра до 63°. Включают предварительно взвешенную мешалку со стеклянной оболочкой и при 60° добавляют со скоростью 2 мл/мин 2 н. CH₃COONH₄ до начала образования осадка еще 50 мл с той же скоростью. Через ~1 час фильтруют через стеклянный фильтр № 4, помещают туда же мешалку и промывают 250 мл 1%-ного р-ра CH₃COONH₄. Осадок высушивают при 140°, охлаждают 30 мин. в эксикаторе и взвешивают после 10-минутной выдержки в весах. Повышение т-ры р-ра перед осаждением от 40 до 60° и увеличение объема промывного р-ра до 300 мл приводят к заниженным результатам. При увеличении избытка осадителя результаты завышены. Ввиду того, что осадок оксидинолината Al прилипает к поверхности мешалки, применяют съемную мешалку, которую взвешивают до и после осаждения. Т. У. 65341.

Анализ сплавов для реактивных двигателей. — (Analysis of jet-engine alloys. —), J. Franklin Inst., 1955, 260, № 5, 416—417 (англ.); Techn. News Bull. Nat. Bur. Standards, 1955, 39, № 10, 146 (англ.)

Предложен метод анализа Co-сплавов типа S-816, содержащего 40% Co, 20% Ni, 20% Cr, 4% Nb, 4% W, 4% Mo, а также Fe, Mg, C и Si, с помощью ионообменных смол. Сплав растворяют в царской водке, отделяют Ni, Ta, W и Si после перевода в нерастворимое состояние дегидратацией с HCl, фильтрат обрабатывают H₂S для осаждения Mo и Cu, фильтруют, выпаривают фильтрат

с HCl и H_2O_2 . Р-р хлоридов металлов вносят в колонку с анионитом. Вымывают 9 н. HCl и собирают в 1-й фракции вытекающего р-ра Ni , Mn , Cr и некоторые другие элементы; во 2-й фракции, вымываемой 4 н. HCl , присутствует Co , в 3-й фракции, вымываемой 1 н. HCl , присутствует Fe . Mn определяют персульфатно-арсенитным способом, Ni — весовым методом в форме диметилглиоксимата, Co — электролизом из р-ра NH_4Cl , содержащего $\text{NH}_2\text{OH} \cdot \text{HCl}$. Fe восстанавливают SnCl_2 и титруют $\text{K}_2\text{Cr}_2\text{O}_7$. В. К.

65342. Использование смеси хлорной и фосфорной кислот для растворения железных руд. Гейц, Уодсуэрт (Mixed perchloric-phosphoric acids as solvents for iron ores. Goetz Charles A., Wadsworth Earl P., Jr), *Analyt. Chem.*, 1956, 28, № 3, 375—376 (англ.)

Смесь равных объемов 72%-ной HClO_4 и 85%-ной H_3PO_4 растворяет почти все Fe -руды в течение 10 мин. Для определения Fe к 0,3—0,35 г руды добавляют ~20 мл смеси, вращают колбу для диспергирования ее содержимого, устанавливают обратный холодильник (Smith G. F., Goetz C. A., *Ind. Engng. Chem., Anal. Ed.*, 1937, 9, 378) и нагревают до спокойного кипения. После охлаждения добавляют ~70 мл воды и кипятят ~2 мин. для удаления Cl_2 . Затем охлаждают и добавляют ~30 мл разб. H_2SO_4 (1 : 1). Р-р пропускают через редуктор Диксона со скоростью ~50—60 мл/мин, предварительно добавив в приемник ~0,2 г Na_2CO_3 для выделения CO_2 , предотвращающего окисление Fe воздухом. Колонку трижды промывают 25-мл порциями разб. H_2SO_4 (1 : 20) и водой. Fe^{2+} титруют стандартным р-ром KMnO_4 или р-ром $\text{Ce}(\text{SO}_4)_2$ в присутствии ферриона. Б. Т.

65343. Химический анализ окиси алюминия. Бартушка, Главач, Прохазка (Chemický rozbor kuhlíčníku hlinitého. Bartuška M., Hlaváč J., J., Procházka S.), *Sklář a keramik*, 1956, 6, № 3, 59—60 (чеш.)

Разработанный метод анализа окиси алюминия Al_2O_3 (I). Пробу растирают и просеивают через сито 4900 *отв/см*². Для определения SiO_2 , Fe_2O_3 , TiO_2 , Na_2O и K_2O сплавляют 0,50 г I с 8 г смеси, состоящей из 1 ч. Li_2CO_3 и 1 ч. H_3BO_3 в Pt -тигле при t -ре $< 800^\circ$ на протяжении 10 мин. Плав растворяют в 150 мл разб. HCl (II) (1 : 2) и р-р дополняют водой до 250 мл. В 5—50 мл р-ра определяют SiO_2 по Бабсонсу (*Ind. Eng. Chem., Anal. Ed.*, 1944, 16, 705). Fe_2O_3 определяют колориметрически с SCN^- в 5—10 мл р-ра, TiO_2 при помощи H_2O_2 в 50—100 мл р-ра, а щел. металлы с помощью пламенного фотометра. Для определения CaO и MgO сплавляют 2 г I с 15 г смеси, состоящей из 5 ч. соды и 2 ч. буры в Pt -тигле. Плав растворяют в 150 мл II (1 : 5), смешивают с 150 мл эфира (III) и насыщают газообразным HCl на протяжении 5—10 час. Осадок хлоридов Al и щел. металлов отфильтровывают через стеклянный фильтр G 2 и промывают смесью III-II, охлажденной до 0° . Фильтрат, после отгонки III и большинства II, нейтрализуют NH_4OH . Отфильтровывают гидроокиси Fe , Ti и Al (следы), после чего определяют Ca оксалатным, а Mg фосфатным методами. Отделение CaCl_2 и MgCl_2 от других хлоридов основано на их большой растворимости в смеси $\text{H}_2\text{O} + \text{III}$ (насыщ. HCl). Н. Т.

65344. Последние достижения в аналитической химии чугуна и стали. Сомия (最近の鉄鋼分析法の進歩. 宗宮尚行). *鐵と鋼*, Тōцу то хаганэ, *J. Iron and Steel Inst. Japan*, 1955, 41, № 7, 823—830 (япон.; рез. англ.)

Обсуждены современные методы полного анализа и производственного экспресс-анализа чугуна и стали. Рассмотрены хим., электрохим., спектроскопич. и металлографич. методы, газовый анализ, применение меченых атомов, статистич. методы. Секция стали

Японского о-ва поощрения научных исследований, созданной в 1935 г., проведено большое кол-во работ по определению газов и неметаллич. включений в чугуне и стали, а также по разработке методов экспресс-анализа этих металлов. Б. З.

65345. Одновременное определение углерода и серы методом сжигания в плавках легированных и нелегированных сталей. Лапланш (Le dosage simultané du carbone et du soufre par combustion dans les fontes et aciers alliés ou non. La planche H.), *Mesures et contrôle industr.*, 1954, 19, № 206, 431—434 (франц.)

Описан прибор и метод для полуавтоматич. одновременного определения C и S в легированных и нелегированных сталях. Навеску 1 г сжигают в токе O_2 при 1210 — 1230° в присутствии небольшого кол-ва порошкообразного Bi , ускоряющего процесс сжигания и уменьшающего кол-во Fe_2O_3 , увлекаемого потоком газа. Образующиеся при сжигании газы пропускают через фильтр в абсорберы. В первом из абсорберов SO_2 превращается под действием 5%-ного р-ра H_2O_2 (~15 мл) в H_2SO_4 ; к р-ру прибавляют избыток 1/22 н. р-ра NaOH (1,818 г/л) в присутствии индикатора (50 мг бромкрезолового зеленого в 100 мл воды) и оттитровывают неперореагировавший NaOH 1/22 н. р-ром H_2SO_4 (2,23 г/л). Для определения S применим также объемный метод Жирара, основанный на титровании SO_2 , поглощенного водой (15 мл), р-ром J_2 . Образовавшийся при сжигании образец CO_2 поступает во второй абсорбер, в котором она поглощается р-ром KOH (300 г $\text{KOH} + 640$ мл воды), и кол-во CO_2 измеряется специально градуированным счетчиком. Т. А.

65346. Спектральный анализ быстрорежущих и нежелезистых сталей. Артамонова П. А., *Тр. Ленингр. метал. з-да*, 1955, № 2, 106—111

При определении W , Cr и V в быстрорежущих сталях пробы и эталонам придают форму цилиндров, диам. 30 мм. Спектры возбуждают в разряде конденсированной искры генератором ИГ-2 с медными электродами и фотографируют на среднем спектрографе с 2-ступенчатым ослабителем при следующих условиях: искровой промежуток 2,5 мм, промежуток в разряднике 3 мм, емкость 0,01 μf , самоиндукция 0,01 мгн, сила тока 1,7 а. Применены диапозитивные пластинки, ширина шели 0,02 мм, предварительное обесквшивание — 1 мин. Аналитич. линии W 2397,1— Fe 2396,7; Cr 2782,3— Fe 2793,8; V 3130,3— Fe 3083,15 А. Для анализа нежелезистых сталей эталонами служат производственные образцы сталей произвольной формы. Определение Cr производят по линиям Cr 3147,2— Fe 3154,5 А с генератором ИГ-2 при тех же условиях. Определение Mn , Si и Ni производят по линиям Si 2506,9— Fe 2507,9; Mn 2939,3— Fe 2944,4; Ni 3414,0— Fe 3399,3 А в разряде дуги переменного тока с обжимом 10 сек., силой тока 4 а и дуговым промежуток 2 мм. Показано хорошее совпадение результатов хим. и спектральных анализов. Г. М.

65347. Спектральный анализ никеля в низковольтовой искре с использованием литых электродов. Витускина Н. Н., Гинзбург В. Л., *Завод. лаборатория*, 1956, 22, № 4, 438—440

Пробы отливают в виде стержней диам. 8 мм, служащих в качестве верхних и нижних электродов. Определяют Cu и Fe в пределах 0,01—0,5% по линиям: Cu 3273,96— Ni 3286,95 и Fe 2599,40/57— Ni 2551,01 А. Анализ ведут по твердым градуировочным графикам в координатах ΔS — $\lg C$ при силе тока 2,5 а. Ошибки анализа в пределах 5—9%. Эталоны рекомендуют готовить сплавлением стандартных образцов № 91 и 172 Уральского института металлов. Характеристика разряда, служащего для возбуждения спектров, и спектральная аппаратура не описаны. Г. К.

65348. Определение следов металлов в маслах. Хоречи, Хилл, Уолтерс, Шулц, Боннер (Determination of trace metals in oils. Horecszy J. T., Hill B. N., Walters A. E., Schutze H. G., Bonner W. H.), *Analyst. Chem.*, 1955, 27, № 12, 1899—1903 (англ.)

При определении малых кол-в Ni, V, Fe и Cu в маслах, методика сухого озоления дает более низкие результаты, чем методика мокрого озоления, но не было выяснено, дает ли последние колич. результаты. На примере синтезированных комплексных соединений тетрафенилпорфирина с Ni, V, Fe, Cu показано, что при использовании методики мокрого озоления ошибка определения не более 4% Ni, 5% V, 2% Fe, 1% Cu. Описан синтез тетраметилпорфирина и его соединений с Ni, V, Fe, Cu. А. З.

65349. Из опыта анализа газов в стали на Верх-Исетском металлургическом заводе. Дворкинд Р. Н., Завод. лаборатория, 1954, 20, № 8, 1007

Для определения N в стали, содержащей 3,8—4,5% Si, видоизменен ранее описанный метод (Генерозов Б. А., Завод. лаборатория, 1947, 13, 3). Метод заключается в разложении стали H_2SO_4 с последующим сплавлением неразложившихся нитридов с солями калия и смесью $H_2SO_4-H_3PO_4$. Поправка на контрольный опыт значительно снижена в связи с очисткой реактивов. При отгонке NH_3 со щелочью объем дистиллата составляет не 200, а 100 мл, так как этого кол-ва достаточно для полного выделения NH_3 . В связи с этим снижается результат контрольного опыта и ускоряется проведение анализа. За смену на 2 аппаратах проводят 20—24 отгона. М. П.

65350. Определение малых количеств воды в пленках и в органических жидкостях. Гофман, Финшер (Bestimmung kleiner Wassermengen in Folien und organischen Flüssigkeiten. Hoffmann K. O., Fischer L. O.), *Chem.-Ingr-Techn.*, 1955, 27, № 10, 604—607 (нем.; рез. англ., франц.)

Описание метода определения, основанного на значительном поглощении водой ИК-лучей с длиной волны 1—2 м. Изложены принципы устройства и работы аппаратуры и указаны различные назначения метода (определение воды в слоях толщиной 1 м, напр. контроль влажности целлофана при его изготовлении, определение водяного пара в газах, определение паров некоторых органич. в-в, напр. винилацетата). Н. П.

65351. Влияние метилового спирта на определение воды раствором Карла-Фишера. Эбернус, Ковальский (Der Einfluss des Methanols auf die Wasserbestimmung mit Karl — Fischer-Lösung. Eberius E., Kowalski W.), *Z. analyt. Chem.*, 1956, 150, № 1, 13—20 (нем.)

Сделанный ранее вывод (РЖХим, 1955, 34665) о влиянии CH_3OH на результаты определения H_2O методом Фишера подтверждается новыми эксперим. данными, полученными при молярных соотношениях $H_2O : CH_3OH = 1,2 \cdot 10^{-3} - 184 \cdot 10^{-3}$. Чтобы избежать ошибки при установке титра р-ра Фишера и определении H_2O , для растворения навески применяют предварительно оттитрованный метиловый спирт. Н. Ч.

65352 К. Химический анализ минерального сырья. Тетрадь 7. Свинцово-цинковые руды. Шваста, Шульцек (Chemické rozborý nerostných surovin, Ses. 7. Olovnatozinkové rudy. Švasta Josef, Šulček Zdeněk. Praha, Nakl. CSAV, 1954, 41, 1 s., obr., 5. 50 Kčs) (чеш.)

65353 Д. Изучение трех новых колориметрических реактивов для определения следов бора. Гроб (A study of three new colorimetric reagents for trace quantities of boron. Grob Robert Lee. Doct. diss., Univ. Virginia, 1955), *Dissert. Abstr.*, 1955, 15, № 10, 1716 (англ.)

65354 Д. Определение чистоты воды с помощью ультрафиолетовой спектрофотометрии. Грудник Н. П. Автореф. дисс. канд. техн. н., Всес. ин-т метрологии, Л., 1956

65355 П. Методика и аппаратура для определения газов, содержащихся в металлах. (Method of and apparatus for determining gases contained in metals) [Vereinigte Österreichische Eisen- und Stahlwerke Akt.-Ges.]. Англ. пат. 706535, 31. 03.54 [Chem. Zbl., 1955, 126, № 17, 3933 (нем.)]

H_2 и CO определяются в стали при 1200° путем адсорбции их на активированном угле (CO) и цеолите (H_2), охлаждаемых жидким воздухом, и последующей десорбции при нагревании этих адсорбентов. А. Л.

См. также: 66993, 67025, 67071; 18740Бх, 18766Бх, 18769Бх, 18777Бх, 18784—18786Бх, 18801Бх, 18802Бх

АНАЛИЗ ОРГАНИЧЕСКИХ ВЕЩЕСТВ

65356. Аналитическое использование перманганата серебра. П. Определение углерода и водорода в органических веществах. Кёрбл (Analytische Verwendung manganistanu stříbrného. P. Stanovení uhlíku a vodíku v organických látkách. Korb J. J.), *Chem. listy*, 1955, 49, № 6, 862—868 (чеш.); Сб. чехосл. хим. работ, 1955, 20, № 4, 953—961 (нем.; рез. русс.)

При определении C и H в органич. в-вах в качестве катализатора (K) употребляют продукт термич. разложения перманганата серебра. Сожжение ведут по методу Прегля при $450 \pm 50^\circ$ в токе O_2 (15 мл/мин) с применением обычной тупоплавкой трубки, длиной 45 см, диам. 10 мм. K, полученный из 4 г $AgMnO_4$ и расположенный в трубке слоем в 15 см, пригоден для проведения 100 анализов. Галоиды и SO_2 поглощаются K. Продолжительность определения вместе с взвешиванием 1 час. Органич. в-ва взвешивают в Pt-лодочке в кол-ве 15 мг. H_2O и CO_2 поглощают в особых поглотителях (РЖХим, 1956, 43709). Произведен анализ 15 не содержащих N и 29 азотсодержащих в-в, в том числе в-в, с трудом поддающихся сожжению (стероиды), и взрывчатых (перекись бензола). Рассматриваются источники возможных погрешностей. Сообщение I см. РЖХим, 1956, 47244. Karel Kámen

65357. Газометрический метод определения водорода в угле. Гулднер, Бич (Gasometric method for determination of hydrogen in carbon. Guldner W. G., Beach A. L.), *Analyst. Chem.* 1954, 26, № 7, 1199—1202 (англ.)

Разработан газометрич. метод определения 0,0004—3,5% H в угле, основанный на сожжении пробы в атмосфере O_2 при низком давлении ($\sim 2,3 \cdot 10^{-5}$ мм рт. ст.). Образованная H_2O отделяют от CO_2 и избытка O_2 селективным замораживанием и измеряют кол-во водяных паров в газовой фазе (при 25°) при помощи калиброванного манометра. Прибор состоит из системы очистки кислорода, печи для сожжения с индукционным нагревом, ряда калиброванных манометров (для различных интервалов содержания H) и источника вакуума (ртутный диффузионный насос и масляный насос). Для замораживания воды пользуются ловушками с т-рой -78° со смесью твердого CO_2 -ацетат целозольва. Для сожжения (т-ра $\sim 1000^\circ$) употребляют пробу 0,1 г, пробу обезгаживают в вакууме 7 час. катализатором служит Pt-сетка. Результат контрольного опыта равен нулю. При 0,2—3,5% H относительная погрешность $\sim 1\%$, при 0,0004—0,01% H погрешность $\sim 7\%$. Т. З.

65358. Микроанализ фторсодержащих органических соединений. IV. Определение фтора в присутствии фосфора или мышьяка. Белчер, Макдоналд

(The microanalysis of fluorine-containing organic compounds. IV. Determination of fluorine in presence of phosphorus or arsenic. Belcher R., Macdonald A. M. G.), Mikrochim. acta, 1956, № 4-6, 899-905 (англ.; рез. нем., франц.)

Ранее описанный метод определения F после разложения органич. соединения сплавлением с Na в Ni-бомбе (РЖХим, 1955, 31945) с последующим титрованием р-ром $\text{Th}(\text{NO}_3)_4$ модифицирован для определения F в присутствии P или As после отделения последних в форме PO_4^{3-} или AsO_4^{3-} (Overman O. R., Garrett O. F., Industr. and Engng Chem., 1937, 9, 72). Чашку, вынутую из бомбы, помещают в стакан и заполняют твердой CO_2 ; через 1-2 мин. вводят воду (~1 капля каждые 15 сек.); по завершении р-ции чашку споласкивают водой (объем р-ра в стакане должен быть ≤ 35 мл.). К р-ру добавляют 0,5 мл H_2O_2 , кипятят (5-10 мин.), охлаждают, разбавляют до 100 мл и фильтруют. Аликвотную порцию 20 мл (или 10 мл, при высоком содержании F) нейтрализуют 0,05 н. HCl по индикатору Гоппнера: к двум другим алиquotным порциям прибавляют такое же кол-во HCl. Р-ры разбавляют до 35 мл и добавляют 100 мг ZnCO_3 . Через ~18 час. р-ры фильтруют в цилиндры Несслера через слой бумажной массы (~0,5 см) на пластинке Витта. Осадок промывают 3 порциями воды (по 4-5 мл); общий объем р-ра ~45 мл. Одну из алиquotных порций нейтрализуют 0,05 н. HCl по индикатору Гоппнера; аналогичное кол-во HCl прибавляют к второй алиquotной порции. Содержание F в этой алиquotной порции находят оттитрованием избытка прибавленного $\text{Th}(\text{NO}_3)_4$ стандартным р-ром NaF по индикатору ализину красному S. Описанный метод применим также для анализа неорганич. соединений, но в виду отсутствия C, катализирующего разложение перекиси, до сплавления прибавляют не содержащее F органич. в-во. Для определения C и H в органич. соединениях, содержащих F и P, сожжение образца ведут в присутствии WO_3 . Сообщение III, РЖХим, 1955, 31946.

65359. Применение аргентометрической потенциометрии в элементарном органическом микроанализе. II. Хлор, бром и иод в бинарных и тройных смесях. Леви (Applications de l'argentométrie potentiométrique par potentiels repérés à la microanalyse élémentaire organique. II. Chlore, brome et iode en associations binaires ou ternaire. Levy Roger), Bull. Soc. chim. France, 1956, № 3, 507-517 (франц.)

Описанный в предыдущем сообщении метод (РЖХим, 1956, 61887) применен для определения галогенов при их одновременном присутствии. Определение Cl^- и Br^- при их совместном присутствии затрудняется захватом AgCl осадком AgBr, осаждающимся при добавлении титрующего р-ра AgNO_3 к анализируемой смеси. Для получения правильных результатов при анализе смесей $\text{Cl}^- + \text{Br}^-$ вводят поправку, рассчитываемую с помощью эмпирич. ф-л по результатам приближенного титрования Br^- и суммы обоих галогенов. Эти определения выполняют на 2 различных навесках анализируемого в-ва. Если необходимо определить только 1 галоген в присутствии второго, то ограничиваются титрованием одной навески. Для определения Br^- сначала находят расход AgNO_3 на его титрование в присутствии Cl^- , а затем продолжают добавление титрующего реактива до достижения кажущейся э. д. с. цепи Ag-электрод-каломельный электрод для эквивалентной точки относительно Cl^- и снова вводят поправку на захват AgCl. Средняя абс. погрешность определения Br^- и Cl^- составляет соответственно $\pm 0,15$ и $\pm 0,20\%$. В случае анализа подоседающих двух- и трехкомпонентных смесей J- определяют или описанным в предыдущем сообщении способом титрования горячей пробы или же находят по разности двух титрований. Во втором слу-

чае сначала осаждают галогениды Ag из р-ра плава, содержащего J в виде JO_3^- , (см. ссылку), а затем в фильтрате сульфатом гидразина восстанавливают подат до иодида и титруют последний р-ром AgNO_3 . Присутствие J- не мешает определению Cl^- и Br^- . Н. П.

65360. Меркуриметрический метод определения хлора в ДДТ и его дустах. Угольников Н. А., Глуховская Р. Д., Уч. зап. Томский ун-т, 1955, № 26, 143-146.

К навеске 0,1-0,3 г ДДТ добавляют 2-3 г металлического Na, распыленного в 50 мл безводн. ксилола, кипятят 2-3 часа с обратным холодильником. После охлаждения вливают через холодильник $\text{C}_2\text{H}_5\text{OH}$ до растворения Na, ополаскивают холодильник водой и нейтрализуют р-р разб. HNO_3 по фенолфталеину. Органич. слой промывают водой до извлечения Cl^- . Водн. вытяжки разбавляют до 250 мл. К 10 мл полученного р-ра прибавляют 3 капли 1%-ного р-ра дифенилкарбазона и титруют 0,025 н. $\text{Hg}(\text{NO}_3)_2$ до появления фиолетовой окраски. При определении Cl в дустах навеску предварительно экстрагируют нагретым ксилолом. По точности метод не уступает аргентометрич. методу Фольгарда. Б. Т.

65361. Определение фтора в органических соединениях. Перегуд Е. А., Бойкина Б. С., Завод. лаборатория, 1956, 22, № 3, 287-288.

Разработан метод определения F в легколетучих и газообразных фторорганич. соединениях, основанный на термич. их разложении в кварцевой трубке в газовой фазе, улавливании образующегося SiF_4 водой и последующем колориметрич. определении Si в форме синего кремнемолибденового комплекса. Т. М.

65362. Определение бора в его органических соединениях. Тоберн (The determination of boron in organic boron compounds, Thoburn James Mills. Dissert. Abstrs, 1955, 15, № 10, 1732-1733 (англ.))

Навеску помещают в маленькую колбу с двумя Pt электродами, медленно добавляют 5 мл конц. HNO_3 и 4 часа ведут электролиз (постоянный ток 2-4а). После окончания р-ции р-р переносят в колбу для титрования, добавляют сульфаминовую к-ту для разрушения HNO_3 и титруют H_3BO_3 основанием в присутствии маннита. Конечную точку определяют по pH-метру. Присутствие большого кол-ва органич. к-т мешает. Метод проверен на 14 различных соединениях. Средняя погрешность $\pm 1,3\%$, средняя точность $\pm 0,6\%$. При анализе чистых соединений средняя погрешность менее $\pm 0,5\%$. М. П.

65363. Анализ органических соединений ртути. Чеймберс, Кроппер, Кросли (The analysis of organic mercurials. Chambers V. H., Cropper F. R., Crossley H.), J. Sci. Food and Agric., 1956, 7, № 1, 17-28 (англ.)

После критич. сопоставления существующих способов определения Hg в органич. соединениях приводится описание метода, основанного на восстановлении ртути до металла действием Zn, растворении образовавшейся амальгамы Zn и титрования Hg^{2+} р-ром роданида. К навеске анализируемого в-ва, содержащей 0,15-0,20 г Hg, приливают 50 мл лед. CH_3COOH и, помешивая, нагревают до кипения с обратным холодильником, добавляя 1 г цинковой нити, кипятят 15 мин.; прибавляют еще 2 раза по 1 г Zn, каждый раз кипятят смесь по 15 мин. Жидкость над осадком декантируют и отмывают его водой до отрицательной р-ции на галогениды. Амальгаму Zn растворяют в 20 мл конц. HNO_3 и по окончании бурной р-ции осторожно нагревают р-р с обратным холодильником до прекращения выделения окислов азота; добавляют 20 мл воды, кипятят ~5 мин. и смывают холодильник водой. Р-р фильтруют, трижды промывают фильтр водой, добавляют к фильтрату на-

сыщ. р-р KMnO_4 до появления устойчивой розовой окраски, восстанавливают избыток KMnO_4 небольшим кол-вом $\sim 0,2 \text{ M}$ FeSO_4 , приливают 5 мл 15%-ного азотнокислого р-ра железосамых квасцов и после охлаждения титруют р-ром KSCN или NH_4SCN . С небольшими изменениями метод применим для определения Hg в присутствии мела или гексахлорбензола. Метод неприменим в присутствии арсенита свинца. Н. П. 65364.

Получение пиридина, свободного от примесей, содержащих активный водород. Е р х е л ь, Бауэр (Bereitung von Pyridin, frei von aktiven Wasserstoff enthaltenden Beimengungen. J e r c h e l D., Бауер Е.), *Angew. Chem.*, 1956, 68, № 2, 61—62 (нем.; рез. англ., франц.)

Простой, быстрый и безопасный метод получения пиридина (I), пригодного в качестве р-рителя при определении активного Н по Церевитинову, основан на окислении примесей технич. I определенным кол-вом SeO_2 (II). Необходимое для окисления примесей кол-во II предварительно определяют по весу Se, выделившегося при кипячении 1 мл высушенного над KOH и перегнанного I (т. кип. 114—116°) с 0,5 г II. Для окисления примесей в I берут в полтора раза большее кол-во II, делают подложную очистку I на 4 равных порции и первую нагревают с II до кипения с обратным холодильником при энергичном помешивании в течение часа. Затем отгоняют первую порцию почти нацело и аналогично обрабатывают последующие порции I. Очищ. I освобождают перегонкой над гранулированным BaO от воды и других продуктов р-ции окисления. Основная фракция после дополнительного высушивания над BaO в течение не менее 48 час. пригодна для определений Н по Церевитинову. Дистилляцией над CaH_2 I обезжелезивается быстрее. Полученный продукт свободен от CNH_2 -содержащих гомологов, мешающих р-циям конденсации. Н. П.

65365. Определение метилольных групп в фенольных смолах. С т е н м а р к, Уэйсс. (Determination of methylol groups in phenolic resins. S t e n m a r k G e o r g e A., W e i s s F. T.), *Analyst Chem.*, 1956, 28, № 2, 260—262 (англ.)

Метод основан на образовании воды при р-ции конденсации метилольных групп с фенолом в присутствии кислого катализатора и титровании этой воды реактивом К. Фишера. К 25 мл смеси $\text{C}_6\text{H}_5\text{OH}-\text{BF}_3$ (100 мл кислоты и 10 мл 26%-ного р-ра комплекса $\text{BF}_3-\text{C}_6\text{H}_5\text{OH}$ добавляют к 200 г $\text{C}_6\text{H}_5\text{OH}$ и нагревают для растворения) добавляют пробу, содержащую 6—9 ммоль CH_2OH и воду. Колбу вращают для растворения пробы и выдерживают смесь 3 часа при 60°. По окончании р-ции смесь охлаждают до 18—20°, добавляют смесь безводн. этиленгликоля с безводн. пиридином (4:1) и титруют реактивом К. Фишера до перехода окраски в оранжево-красную; параллельно проводят контрольный опыт. При расчете учитывают содержание карбонильных групп и воды, присутствующей в исходных материалах. М. П.

65366. Роль галоидоалкоголятов алюминия при восстановлении по Меервейну—Пондорфу—Верлею. III. Определение оксогруппы при помощи видоизмененного метода Меервейна. Ш и м о н ь, Т о к а р, Г а л (Alumínium-halogénalkoholátok szerepe a Meerwein-Ponndorf-Verley-féle redukciónál. III. Oxo-csoport meghatározása módosított Meerwein-redukcióval. S i m o n y I s t v á n, T o k á r G é z a, G á l G y ö r g y), *Magyar kém. folyóirat*, 1955, 61, № 11, 367—372 (венг.; рез. нем.); *Acta chim Acad. Sci hung.*, 1956, 10, № 1—3, 217—226 (англ.; рез. русс., нем.)

Разработан быстрый метод определения оксогруппы, пригодный для определения оксальдегидов и оксикетон. Прибор (дан рисунок) обезжелезывает от влаги, перегоняя через него смесь 60—80 мл C_6H_6 и 10 мл

96%-ного $\text{C}_2\text{H}_5\text{OH}$. В реакционную колбу помещают р-р исследуемого соединения (кол-во, эквивалентное 10—15 мл 0,1 н. NaOH) в 5 мл *изо*- $\text{C}_3\text{H}_7\text{OH}$, добавляют 20 мл 8—10%-ного р-ра (*изо*- $\text{C}_3\text{H}_7\text{O}$) $_2\text{AlCl}$, содержащего 4—5% (*изо*- $\text{C}_3\text{H}_7\text{O}$) $_2\text{AlCl}$ (р-р А), кипятят 15—60 мин., добавляют смесь 20 мл воды и 5 мл 25%-ной H_2SO_4 и отгоняют образующийся ацетон в приемник с 20 мл 1%-ного р-ра $\text{NH}_4\text{OH}-\text{HCl}$, 5—6 капель 0,1%-ного спирт. р-ра бромфенолового синего и 0,1 мл 10%-ного NaOH. После отгонки $\frac{2}{3}$ объема смеси добавляют 20 мл воды (при наличии в-в, перегоняющихся с паром, — 20 мл спирта) и продолжают отгонку для промывания холодильников. К р-ру в приемнике добавляют 150—180 мл воды, доводят окраску до желтой (10%-ная HCl), затем голубовато-зеленой (0,1 н. NaOH) и оттитровывают избыток $\text{NH}_4\text{OH}-\text{HCl}$ 0,1 н. р-ром NaOH в присутствии фенолфталеина, учитывая кол-во р-ра, израсходованного на титрование контрольной пробы. 1 моль ацетона эквивалентен 1 оксигруппе. Для приготовления р-ра А к р-ру 0,1 г HgCl_2 в 500 мл абс. *изо*- $\text{C}_3\text{H}_7\text{OH}$ добавляют 12 г Al-фольги, нагревают до кипения, добавляют 10 мл безводн. CCl_4 , выдерживают (при необходимости охлаждая) до полного растворения Al. Погрешность 1—1,5%. Сообщение П. см. РЖХим, 1956, 61476.

65367. Применение криоскопии при аналитических исследованиях. Дыкий (Použití kryoskopie při analytických zkouškách. D y k ý J a r o s l a v), *Chem. průmysl*, 1956, 6, № 2, 52—54 (чеш.; рез. русс., англ.) Метод криоскопии применим для контроля бинарных и тройных смесей. Для р-ров винилацетата (I) (<80%) в уксусной к-те функция $\lg N_A = f(1/T)$ является линейной. N_A обозначает молярную конц-ию I, T — абс. т-ра замерзания р-ра. Определение воды (<3%) в смеси триэтиленгликоля (II) (<30%) и диэтиленгликоля (III) возможно вследствие небольшой разницы в молярных понижениях т-ры II (2,46°) и III (2,14°). Погрешность определения II составляет $\pm 5\%$. Н. М.

65368. К определению ацетилена. Шинглар, Смейкал (Prispevok k stanoveniu acetylénu. Singlar M., Smejkal V.), *Chem., zvesti*, 1956, 10, № 1, 70—73 (словац., рез. русс., нем.)

Определение ацетилена (I) основано на его поглощении ацетоном (II), осаждении в виде Ag-ацетилада, в присутствии CH_3COONa (III) при помощи 0,1 н. AgNO_3 (IV) и оттитровывании избытка последнего. К 25 мл IV прибавляют 5 мл р-ра I (0,2—0,5 г на 100 мл II) и 50 мл 0,3%-ного р-ра III и оттитровывают после 100 мин. стояния избыток IV потенциометрически при помощи 0,1 н. HCl. Наделение потенциала $\sim 300 \text{ мВ}$; продолжительность титрования 2—3 мин.; относительная средняя погрешность определения 0,7%. Н. Т.

65369. Выделение альдегидов и кетонов. Кергомар (Séparation des aldéhydes et des cétones. Kergomard A.), *Ind. parfum.*, 1955, 10, № 12, 498—501 (франц.)

Обзор методов выделения альдегидов и кетонов и их определения путем окисления, обработки NaHSO_3 , получения гидразонов, фенилгидразонов, 2,4-динитрофенилгидразонов, семикарбазонов, оксимов, хроматографированием, обработкой нафталином и др., а также конденсацией карбонильных соединений, имеющих в α -положении к карбонильной CH_2 -группе, с безальдегидом. Библ. 22 назв. Е. С.

65370. Анализ технических моноглицеридов при помощи периодата калия. Хартман (Analysis of technical monoglycerides with potassium periodate. H a r t m a n L.), *Analyst*, 1956, 81, № 958, 67—68 (англ.)

Исследованы моноглицериды (I), включая технич. моностеарины, моноглицериды льняного масла и об-заци моностеарины, приготовленного в лаборатории (Fi-

schger E. и др. Ber. dtsch. Chem. Ges. 1920, 53, 1589). Пробу растворяют в ~ 50 мл смеси CHCl_3 -пиридин- CH_3COOH (40 мл смеси пиридин- CH_3COOH , 1:1, добавляют к 160 мл CHCl_3) и разбавляют р-рителем до 100 мл. При определении I 25 мл полученного р-ра и 50 мл р-ра KJO_4 в смеси H_2SO_4 - CH_3COOH (2,8 г KJO_4 растворяют при нагревании в 50 мл 10 н. H_2SO_4 , охлаждают, добавляют 975 мл лед. CH_3COOH , хранят в коричневой склянке) выдерживают 30 мин. в темноте, добавляют 20 мг 1 н. KJ и 100 мл воды. Выделившийся J_2 титруют 0,1 н. р-ром $\text{Na}_2\text{S}_2\text{O}_3$. При определении глицерина (II) к 25 мл р-ра пробы прибавляют 100 мл воды и 25 мл р-ра KJO_4 (3,5 г в ~ 1 л воды) и выдерживают полученный р-р в темноте 30 мин. Затем добавляют 20 мл ~ 1 н. KJ и 25 мл 2 н. H_2SO_4 и титруют выделившийся J_2 0,1 н. р-ром $\text{Na}_2\text{S}_2\text{O}_3$. Даны ф-лы для расчета содержания I и II. Воспроизводимость результатов для I $\pm 0,5\%$, для II $\pm 0,2\%$. Т. М. 65371.

Хроматографическое разделение спиртов в форме их ксантогенатов. Спаньер, Филиппе (Chromatographic separation of alcohols as xanthates. Spanyer J. W., Phillips J. P.), *Analyt. Chem.*, 1956, 28, № 2, 253 (англ.)

Колонку (стеклянная трубка диам. 12 мм, высотой 0,6 м) поршкособразной целлюлозы ватман (30 см) промывают 30 мл $\text{C}_4\text{H}_9\text{OH}$, насыщенного водой, затем выносят 1 мл р-ра ксантогената калия, содержащего ~ 10 мг твердых ксантогенатов, прилагают давление (воздух) и доливают р-рителем. Давление регулируют для истечения 6—10 капель в 1 мин. После проявления (50—75 мл р-рителя) отмечают зоны и разрезают колонку на секции. Каждую секцию отдельно диспергируют в воде, фильтруют и промывают для удаления целлюлозы. Фильтрат нейтрализуют, добавляют избыток Ti_2SO_4 (8 г/л) и нагревают до кипения для коагуляции осадка. Отфильтрованный ксантогенат Ti сумат при 80° и определяют его точку плавления. Разделение нормальных спиртов C_1 — C_5 вполне удовлетворительно, расстояние между зонами соответственно 15, 7, 3 и 6 мм. При разделении смеси *изо*- $\text{C}_3\text{H}_7\text{OH}$, *изо*- $\text{C}_4\text{H}_9\text{OH}$ и *изо*- $\text{C}_5\text{H}_{11}\text{OH}$ расстояние между зонами 20 и 3 мм. При хроматографии, разделении выход каждого ксантогената > 95%. М. П.

65372. Новый газометрический метод определения сахаров путем сбраживания в присутствии 2,4-динитрофенола. Беран, Бургер (Nová gasometrická metoda stanovení cukrů vykvašováním za přítomnosti 2,4-dinitrofenolu. Beran Karel, Burger Mikuláš), *Chem. listy*, 1955, 49, № 11, 1693—1698 (чеш.)

Глюкоза (I), мальтоза (II) и мальтотриоза (III) могут быть определены измерением объема CO_2 , образующегося при сбраживании штаммом дрожжей *Saccharomyces cerevisiae* R XII в присутствии 2,4-динитрофенола (IV). Сбраживание производят в течение 12—24 час при $t = 30^\circ$ в 5 мл среды, находящейся в ферментаторе особой конструкции и содержащей фталатный буферный р-р (конечная конц-ия 0,05 M, pH 4,5), VI (конц-ия $7,5 \cdot 10^{-6}$ M), MnSO_4 (1 мг %), KH_2PO_4 (0,15%), а также сухие дрожжи (0,3%). При определении 100 мг I найдено в среднем (из 15 измерений) 96,2%; аналогично для II 98,2%. При сбраживании солодовой вытяжки обнаружено 93,5% сбраживаемых сахаров (I, II, III), причем полнота р-ции подтверждена хроматографией на бумаге. В. М.

65373. Колориметрическое определение сахаров при помощи 3,4-динитробензойной кислоты. Такамото, Дайго, Такаи (3,4-Dinitrobenzoic Acidによる糖の比色定量. 竹本常松, 醍醐晴二, 高井忠 男), *薬学雑誌*, Якугаку дзасси, *J. Pharmac. Soc. Japan*, 1955, 75, № 8, 1024 (япон.)

Смесь 1 мл реактива (2 г 3,4-динитробензойной к-ты

и 31,8 г Na_2CO_3 в 1 л воды) и р-ра сахара нагревают 10 мин. на водяной бане, охлаждают, добавляют 0,2 мл конц. H_2SO_4 и 6 мл *изо*- $\text{C}_5\text{H}_{11}\text{OH}$, сумат органич. слой над 0,05 г Na_2SO_4 и спектрофотометрируют при 395 мμ. При определении описанным методом глюкозы получены точные результаты. Закон Бера выполняется при 200—1000 γ/мл сахара.

Chem. Abstr., 1956, 50, № 1, 114.

K. Kitsuta

65374. Определение растительных кислот методом ионообменной хроматографии. I. Определение винной кислоты в присутствии щавелевой кислоты окислением куприперриодатом. Великоня (Determination of plant acids by ion exchange chromatography. I. Percuprimetric determination of tartaric acid in presence of oxalic acid. Velikonja N.), *Arhiv kemiju*, 1955, 27, № 4, 161—166 (англ.; рез. хорв.)

Винную к-ту (I) отделяют от сахаров, красящих в-в и других растительных к-т ионообменной хроматографии на колонке дауэкс 1-X 10 (100—200 меш) (РХХим 1954, 48580). В третьей фракции вытекающего р-ра (скорость течения 100 мл/мин), содержащей тартрат и оксалат, I определяют р-ром $\text{K}_7[\text{Cu}(\text{JO}_6)_2]$ (II) в щел. среде. К 20—40 мл реактива (смешивают за 24 часа до определения 0,01 н. $\text{K}_7[\text{Cu}(\text{JO}_6)_2]$ (Beck G., *Microchemie ver Microchim. acta*, 1950, 35, 169) с 40%-ным р-ром KOH в отношении 1:1) прибавляют 5—15 мл третьей фракции (≤ 3 мг I) и выдерживают 5—10 мин. при 18—20°. Непрореагировавший II оттитровывают 0,02 н. р-ром As_2O_3 (0,989 г As_2O_3 + 1,5 г KOH в 1 л р-ра) (D мл) до перехода окраски р-ра в синюю (в конце титрования после добавления каждой порции р-ра As_2O_3 выжидают 20—30 сек). Параллельно ведут контрольный опыт (C мл р-ра As_2O_3). Кол-во I (%) определяют по ф-ле $x = (C - D) / NF$, где N — нормальность р-ра As_2O_3 , $F = 23,5$. Компоненты р-ров для вымывания A и B (см. 1-ю ссылку) не мешают. Титрование II р-ром As_2O_3 может быть выполнено потенциометрически с индикаторным Pt-электродом. Конечные точки визуального и потенциометрич. титрования совпадают. Т. Л.

65375. Технический метод анализа органических соединений при помощи сульфата церия. Сообщение 7. Объемное определение одноатомных и трехатомных фенолов. Такахаси, Кимото, Минами. 8. Объемное определение ароматических аминов. Такахаси, Кимото, Такана (硫酸セリウムによる有機工業分析法. 第7報. 1 價及び 3 價フェノールの容量分析. 高橋武雄, 木本浩二, 南紫吉. 第8報. 芳香族アミンの容量分析. 高橋武雄, 木本浩二, 高野良男), *工業化學雑誌*, Корё какаку дзасси, *J. Chem. Soc. Japan. Industr. Chem. Sec.*, 1953, 56, № 7, 491—493; № 8, 591—593 (япон.)

7. В результате исследования р-ции окисления $\text{Ce}(\text{SO}_4)_2$ фенола (I), изомеров крезоло, флороглюцина и пирогаллола разработаны методы анализа некоторых из этих фенолов. Для определения I смесь 20 мл 0,1%-ного р-ра I и 80 мл 0,1 н. $\text{Ce}(\text{SO}_4)_2$ перемешивают и через 15 мин. оттитровывают избыток $\text{Ce}(\text{SO}_4)_2$ 0,1 н. FeSO_4 . Для полного окисления 10 мг I в этих условиях требуется 25 мл 0,1 н. $\text{Ce}(\text{SO}_4)_2$; погрешность определения $\leq 1,5\%$. Одно- и трехатомные фенолы определяют описанным методом при нагревании с обратным холодильником соответственно в течение 40 и 7—8 мин. После охлаждения производят титрование; погрешность меньше $\pm 2\%$. Колич. анализ гомологов крезоло описанным методом затруднен. *n*-Крезол можно определить при потенциометрич. титровании, для чего к 10 мл 0,1%-ного р-ра его добавляют 40 мл 1 н. H_2SO_4 и титруют 0,1%-ным р-ром $\text{Ce}(\text{SO}_4)_2$ с Hg_2Cl_2 -электродом. Аналогичным способом определяют флороглюцин и пирогаллол. И. М.

8. Р-ры анилина (0,1%-ный), *o*- и *p*-аминофенолов, α - и β -нафталина и Na-соли *p*-фенилендиаминсульфокислоты (I) смешивают с избытком 0,1 н. $\text{Ce}(\text{SO}_4)_2$. Через ~ 5 мин. выдержки при $\sim 20^\circ$ избыток Ce^{4+} оттитровывают 0,1 н. FeSO_4 . Максим. погрешность $\pm 2\%$. Определение I не дало удовлетворительных результатов; при кипячении смеси I с $\text{Ce}(\text{SO}_4)_2$ в течение ~ 60 мин. погрешность составила $\pm 1\%$. Обсужден механизм р-ции окисления указанных аминов ионами Ce^{4+} . Сообщение 6 см. РЖХим, 1956, 61905.

Chem. Abstrs, 1954, 48, № 20, 11979. Katsuya Inouye.

65376. Совместное определение следов бензола и толуола. Ханкок, Лое (The simultaneous determination of traces of benzene and toluene. Hancock W., Laws E. Q.), Analyst, 1956, 81, № 958, 37—41 (англ.)

К 10 мл смеси конц. HNO_3 и H_2SO_4 (1 : 20) добавляют анализируемое в-во и выдерживают 2 часа при 105° . Жидкость охлаждают, переводят в делительную воронку с водой и экстрагируют 2 порциями по 50 мл эфира. Водн. слой отбрасывают, органич. слой промывают порциями 2%-ного р-ра NaCl по 30 мл и водн. слоем промывают вторую эфирную вытяжку. Обе вытяжки экстрагируют по отдельности порциями насыщ. р-ра NaCl по 30 мл. К объединенному органич. слою добавляют 0,5 мл жидкого парафина и медленно отгоняют эфир. Нагрев прекращают и остаток эфира удаляют пропусканием струи воздуха, добавляют 10 мл бутанона (фракция 79— 81°) и 1 мл 40%-ного р-ра КОН и 15 мин. взбалтывают на трясучке. Определенное кол-во р-ра вводят в 10-мм кювету, на дно которой помещено несколько капель р-ра КОН, и через 5 мин. измеряют оптич. плотность при 462 и 565 м μ . Решением системы ур-ний определяют кол-ва *m*-динитробензола (I) и 2,4,6-тринитротолуола (II) (≤ 50 μ продуктов нитрования). Оптич. плотность, эквивалентная 1 μ I или II, составляет соответственно при 462 м μ 0,00080 и 0,00786; при 565 м μ 0,01320 и 0,00437. Для построения калибровочной кривой 0,2 г I и II растворяют в конц. HNO_3 , разбавляют HNO_3 до содержания 200 μ /мл и 5 мл полученного р-ра разбавляют до 100 мл конц. H_2SO_4 , получая р-р с конц-ией 10 μ /мл. Б. Т.

65377. Потенциометрическое определение слабых кислот. Беранова, Гудечек (Potenciometrické stanovení slabých kyselin. Beranová D., Hudeček S.). Chem. listy, 1955, 49, № 11, 1723—1725 (чеш.)

Фенолы могут быть определены ацидиметрич. путем по методу дифференциальной потенциометрии (Delahay P., Analyt. chim. acta, 1947, 1, 19; Analyt. Chem., 1948, 20, 1212) с применением титроскопа (чувствительность $9 \cdot 10^{-9}$ а). Исследования производились с простейшим фенолом (I), резорпином, пирокатехином и гидрохиноном. Точность определения по сравнению с бромид-броматным методом составляет $\pm 0,40\%$. Титруют в атмосфере азота при помощи 0,2 н. $\text{Ba}(\text{OH})_2$, лучше всего в присутствии 0,1 н. KNO_3 (для I) или 0,1 н. KCl (для полифенолов). Таким же образом можно определить I или угольную к-ту в присутствии органич. к-т с константой диссоциации от 10^{-3} до 10^{-5} (напр. уксусной или хлоруксусной). Ж. Н.

65378. Разделение некоторых летучих фенолов методом хроматографии на пластинках. Вагнер (Die Trennung einiger flüchtiger Phenole nach dem «Chromatoplate-Verfahren». Wagner G.), Pharmazie, 1955, 10, № 5, 302—304 (нем.)

Из-за значительной летучести одноосновных фенолов I метод хроматографии на бумаге не может быть использован для их разделения. В качестве основы для нанесения хроматографируемой смеси использованы стеклянные пластинки, покрытые смесью кизельгура, крем-

невой к-ты и картофельного крахмала, а затем высушенные в течение 5 час. при 80° . Хроматографируемую смесь I в виде метанольного р-ра наносят на расстоянии 1 см от нижнего конца и 3,5 см от сторон пластинки, которую помещают в чашку Петри с подвижным р-рителем (ИР), находящуюся в стеклянном цилиндре. Последний закрывают стеклянной пластинкой и ожидают, пока ИР (ксилол или его смесь с CHCl_3) поднимется на 20 см. После высушивания хроматограмму проявляют действием диазотированной сульфаниловой к-ты, а затем 1 н. КОН. Фенол, *n*-крезол и *m*-крезол, несмотря на близкие значения R_f , могут быть идентифицированы благодаря различному цвету их азокрасителей (соответственно: лимонно-желтый, красный и темнокоричневый). При использовании в качестве ИР смеси 75% ксилола + 25% CHCl_3 значения R_f для фенола, *n*-крезола, *m*-крезола, *o*-крезола, гваякола, эвгенола и тимолола соответственно равны 0,32; 0,34; 0,35; 0,41; 0,45; 0,48; 0,57. Однако эти значения могут меняться от опыта к опыту в зависимости от содержания воды в сорбционном слое на стеклянной пластинке. Н. П.

65379. Об открытии и идентификации одно- и многоатомных фенолов методом хроматографии на бумаге. Герман (Über den Nachweis und die Unterscheidung ein- und mehrwertiger Phenole auf dem Papierchromatogramm. Herrmann Karl), Pharmaz. Zentralhalle, 1956, 95, № 2, 56—61 (нем.)

Описаны цветные р-ции одно- и многоатомных фенолов при взаимодействии их с различными реактивами для опрыскивания хроматограмм. В качестве р-рителей применяли $\text{C}_4\text{H}_9\text{OH} \cdot \text{CH}_3\text{COOH} \cdot \text{H}_2\text{O}$ (4 : 1 : 5) или 15%-ный р-р CH_3COOH . Для идентификации производных 1, 2-диокси- и 1, 2, 3-триоксисбензола применен р-р NaNO_2 и последующая обработка 0,5 н. р-ром КОН в CH_3OH . Приведены величины R_f и окраски пятен изучаемых продуктов; показано что величины R_f для гомологов при употреблении обоих р-рителей снижаются с увеличением числа групп OH. Б. Т.

65380. Количественный метод определения нитропарафинов в воздухе. Перегуд Е. А., Бойкина Б. С., Завод. лаборатория, 1956, 22, № 3, 292—294

Метод определения нитропарафинов (I) в воздухе основан на разложении их конц. H_2SO_4 при нагревании с последующим колориметрич. определением нитрита (II) по р-ции Грисса. Метод применим как для первичных, так и для вторичных I. На основании эксперим. данных установлен коэфф. пересчета найденного кол-ва II на искомый I. Т. М.

65381. Полярграфическое определение гексахлорциклогексана в технических продуктах хлорирования бензола. Кемуля, Веронский (Polarograficzne oznaczenie gaseksanu w technicznym produkcie chlorowania benzenu. Kemula W., Wojski E.), Przem. chem., 1956, 12, № 1, 51—53 (польск.; рез. русс., англ.)

Усовершенствован полярграфич. метод определения γ -изомера ГХЦГ (I) в технич. продуктах различного происхождения путем сравнительных измерений для исследуемой пробы и образца с известным содержанием чистого I; при низких содержаниях I в пробе пользуются методом добавок. Высоту волны измеряют при потенциалах, при которых сила тока еще не достигла значения i_d I; отсчет ведут не от оси абсцисс, а от прямых, проведенных через участки кривых (волн) пробы и образца, приблизительно параллельные оси абсцисс. Эти участки получают соответствующим подбором компенсации остаточного тока. При анализе технич. продуктов замеры, как правило, ведут при потенциале, соответствующем 80—90% высоты волны I на кривой образца. Т. А.

65382.

анал.
(Die
qual
I v
174

Дл

дую

лекар

р-ры:

 $\text{Na}_2\text{B}_4\text{O}_7$

по Na

 Na_2CO_3

ые р-

р-ров

ни р

проти

листан

6—24

65383.

чеви

самс

дукт

обла

и н

線吸

デト

直喜

1956

Опр

начал

погло

катал

тракц

рофот

ной п

в разл

казан

остае

65384.

кисл

Лис

glut

Me

acta

При

к-ту

pH 3—

каюп

сиглу

образу

колор

в каз

гласу

(РЖХ

65385.

риа:

tile

Che

K 5—

ликат

малям

нагре

 HClO_4

ление

кость

 HNO_3 HClO_4

вой эк

дают,

37%-н

фильт

65382. Применение хроматографии на бумаге для анализа лекарственных веществ. Бюхи, Солива (Die Anwendung der Papierchromatographie in der qualitativen Arzneimittel-Analyse. Büchi J., Soliva M.), *Pharmac. acta helv.*, 1955, 30, № 4, 154—174 (нем.; реф. англ., франц., исп.).

Для приготовления буферной бумаги для последующего изучения хроматографич. разделения ряда лекарственных в-в применены следующие буферные р-ры: 1) рН 3—5,8; р-р, 0,05 М по янтарной к-те и $\text{Na}_2\text{B}_4\text{O}_7$; 2) рН 5,8—9,2; р-р, 0,1 М по KH_2PO_4 , 0,05 М по $\text{Na}_2\text{B}_4\text{O}_7$; 3) рН 9,2—11; р-р, 0,1 М по H_3BO_3 и по Na_2CO_3 ; 4) и 5) рН 2—8; фосфотно-цитратные буферные р-ры Мак-Ильвина. Сменением указанных пяти р-ров получена шкала рН 3,0—11,0 с интервалом 0,5 единиц рН. Листы бумаги ватман № 1 (25×50 см) медленно протягивали через 100 мл буферного р-ра, сушили между листами фильтровальной бумаги и утюжили через 6—24 часа. Н. П.

65383. Исследования по аналитической химии мочевинных смол. I. Количественное определение гексаметилентетрамина в начальном реакционном продукте методом измерения поглощения в инфракрасной области спектра. Такака, Миямото, Иосими (尿素樹脂に関する分析化学的研究. 第1報. 赤外線吸収スペクトルによる初期反応物中のヘキサメチレンテトラミンの定量について. 田中誠之, 宮本保夫, 吉見直喜), *分析化学*, Бунсёки какаку, *Japan Analyst*, 1956, 5, № 2, 87—90 (япон.; реф. англ.).

Определению моно- и бис (оксиметил) мочевины в начальном реакционном продукте на основе измерения поглощения в ИК-области спектра мешает присутствие катализатора гексаметилентетрамина (I). Удалять экстракцией HCl и количественно определять его спектрофотометрированием в ИК-области со среднеквадратичной погрешностью 2%. Осуществлено определение I в различных начальных реакционных продуктах и показано, что кол-во I в течение начального периода р-ции остается почти неизменным. М. П.

65384. Колориметрическое определение глутаминовой кислоты в белковых гидролизатах. Кук-Мейри, Лихтенштейн (Colorimetric determination of glutamic acid in protein hydrolysates. Kuk-Meiri S., Lichtenstein N.), *Analyt. chim. acta*, 1956, 14, № 3, 266—268 (англ.; реф. нем., франц.).

При анализе белковых гидролизатов глутаминовую к-ту (I) выделяют сорбцией на амберлите IR-4-B при рН 3—4 с последующим вымыванием 1 н. HCl . К вытекающему р-ру добавляют NaNO_2 ; I переходит в лактон оксиглутаровой к-ты, который при взаимодействии с NH_2OH образует гидроксамовую к-ту. Последнюю определяют колориметрически с FeCl_3 . Результаты определения I в казеине, эдестине, зенине и фибрине хорошо согласуются с полученными ранее описанным методом (РЖХимБх, 1956, 6297). Н. Ч.

65385. Определение силиконов в текстильных материалах. Петти (Determination of silicones in textile materials. Petty Gerald M.), *Analyt. Chem.*, 1956, 28, № 2, 250—251 (англ.).

К 5—10 г исследуемого образца в стакане из боросиликатного стекла добавляют 30 мл 95%-ной H_2SO_4 и малыми порциями ~ 35 мл 70%-ной HNO_3 . Умеренно нагревают 20—120 мин., добавляют 1—5 мл 60%-ной HClO_4 и энергично нагревают. Преждевременное добавление HClO_4 нежелательно. При наличии мутн. жидкости слегка охлаждают, добавляют 5—10 мл 70%-ной HNO_3 и при умеренном нагревании 1—5 мл 60%-ной HClO_4 , повторяя эту операцию до получения прозрачной жидкости. Затем выпаривают до 20—25 мл, охлаждают, разбавляют 100—150 мл воды, добавляют 1—2 мл 37%-ной HCl , кипятят и фильтруют горячий р-р через фильтр ватман № 40, промывая осадок несколько раз

водой, и прокалывают в Pt-тигле. Тигель с осадком взвешивают, добавляют несколько капель 95%-ной H_2SO_4 и 2—15 мл 48%-ной HF и после выпаривания и прокалывания снова взвешивают, определяя по разности в весе SiO_2 . Среднее расхождение между результатами параллельных определений 0,007%. М. П.

65386. Колориметрическое определение алифатических альфа-нитрооксисоединений. Джонс, Риддик (Colorimetric determination of aliphatic alpha-nitrohydroxy compounds. Jones Lawrence R., Riddick John A.), *Analyt. Chem.*, 1956, 28, № 2, 254—255 (англ.).

При взаимодействии в сернокислой среде хромотроповой к-ты и CH_2O , являющейся продуктом разложения нитроспиртов в избытке щелочи, образуется фиолетовое комплексное соединение. ~ 10 г α -аминоксисоединения растворяют в воде, р-р разбавляют до 100 мл и к аликвотной порции 10 мл добавляют 10 г кристаллич. NaHSO_3 , 10 мл 5 н. NaOH и 55—60 мл воды. Кипятят 30 мин. с обратным холодильником, охлаждают до 25° и разбавляют до 100 мл. Параллельно, проводят контрольный опыт, заменяя пробу водой. Аликвотную порцию 2 мл переносят в пробирку Льюис-Бенедикта, добавляют 1 мл 0,5 н. NaOH , смешивают и помещают на 5 мин. в охлаждающую баню (25°); добавляют 1 мл 2%-ного р-ра Na -соли 1,8-диоксиафталина-3,6-дисульфокислоты, разбавляют до 12,5 мл при помощи H_2SO_4 (уд. в. 1,84) и погружают пробирку на 10 мин. в паровую баню. Затем охлаждают до 25°, добавляют к-ту до 12,5 мл, переносят р-р в 1-см ячейку корекс (спектрофотометр Бекмана, модель DU) и спектрофотометрируют при 580 мμ. Калибровочную кривую строят по р-рам 2-нитро-2-метил-1-пропанола. Метод применим при содержании 1—100 γ нитроспиртов. Погрешность ±1%, воспроизводимость результатов ±2%. М. П.

65387. Колориметрическое открытие и определение триптофана. Антониадес (Colorimetric detection and estimation of triptophan. Antoniadis H. N.), *Chemist-Analyst*, 1955, 44, № 3, 78, 84 (англ.).

Для открытия триптофана (I) к 1—2 мл 0,1 н. $\text{Ce}(\text{SO}_4)_2$ в H_2SO_4 (34 г $\text{Ce}(\text{SO}_4)_2$ растворяют в смеси 28 мл конц. H_2SO_4 и 500 мл воды и добавляют 500 мл воды) добавляют 1 мл нейтр. анализируемого р-ра (0,2 мг/мл I). На поверхности раздела образуется красное кольцо. Колич. определение I осуществляют аналогично, пользуясь серией эталонов (0,1 г I растворяют в воде и разбавляют до 100 мл). Ряд других органич. соединений, отсутствующих в белках (РЖХим, 1956, 58408), дают такую же р-цию. Аланин, аргинин, аспарагин, аспарагиновая к-та, цистеин, цистин, глицин, глутаминовая к-та, глутамин, гистидин, изолейцин, лейцин, лизин, метионин, фенилаланин, пролин, серин, треонин, тирозин и валин не дают красной окраски со смесью $\text{Ce}(\text{SO}_4)_2$ - H_2SO_4 ; избыток цистеина мешает, т. к. он восстанавливает Ce^{4+} . Л. А.

65388. Исследование реинеката спартеина в качестве соединения, пригодного для колориметрического определения спартеина в полумикромасштабе. Вишневский, Дзедзянович (Badanie reinekacu sparteiny jako materialu do kolorymetrycznego oznaczania sparteiny w skali półmikro. Wiśniewski W., Dziedzianowicz W.), *Acta Polon. pharm.*, 1955, 11, Dodatek: Pam. 41 Ogólnopolskiego Zjazdu nauk. Polon. Towarz. Farmac. Zodzi, 124—125 (польск.; реф. русс. англ.).

Исследовано поглощение р-ров реинеката спартеина (I) в ацетоне и установлено, что окраска р-ров I стабильна, интенсивность ее пропорциональна конц-ии и не зависит от рН в пределах 2—6. Растворимость I в воде возрастает с т-рой; упаривание р-ров спартеина (II) не влияет на поглощение р-ров I. Абс. чувствитель-

ность метода соответствует 0,2—0,3 мг II в 25 мл р-ра II в ацетоне. Для измерений пользовались фотометром Пульфриха с зеленым фильтром S-53. А. Hulanicki 65389.

Фотометрическое определение адреналина с применением тетраданомеркуроата калия. Шалго, Киш, Морван (Photometrische Bestimmung des Adrenalins mit Dikaliumquecksilber (II)-tetradanodanid. Salgó Eva, Kis Julius, Borvay Josef, Z. analyt. Chem., 1956, 149, № 5, 355—358 (нем.); Magyar kém. folyóirat, 1956, 62, № 7, 235—236 (венг.; рез. нем.)

Метод основан на образовании окрашенного комплекса адреналина (I) с тетраданомеркуроатом калия (II) с максимумом поглощения при 500 мμ. Интенсивность окраски достигает максимума через 25 мин. после добавления II и не изменяется в течение 18 час. Для определения I берут навеску 2—3 мг, растворяют ее в прокипяченном бидистиллате при 40—45°, охлаждают р-р, разбавляют его до 100 мл и к аликвотной пробе, содержащей 100—150 мг I, добавляют 2 мл 0,1 н. р-ра II, приготовленного по Шалго (РЖХим, 1953, 2057), и недостающий до 10 мл объем бидистиллата. Р-р выдерживают 25 мин. при т-ре кипящей водяной бани, охлаждают и фотометрируют розовую или карминово-красную окраску с фильтром S 50. Закон Бера при конц-ии I 2—32 γ/мл выполняется. Р-ция специфична и дает возможность определить I с погрешностью не выше +3%. Состав комплекса I с II не установлен. Н. П. 65390.

Спектрофотометрический анализ смеси антигистаминов. Блауг, Зонф (The spectrophotometric assay of an antihistamine combination. Blaug Seymour M., Zopf Louis C., Drug Standards, 1955, 23, № 4, 147—148 (англ.)

Измерение поглощения р-ров антигистаминов в спирте производили на кварцевом спектрофотометре Бекмана (модель DU). Оптич. плотности р-ров индивидуальных дифосфата пиробутамина (I) и хлоргидрата метанпирелена (II) и р-ра смеси I и II измеряли при 225 и 241 мμ (полосы поглощения I и II соответственно). Конц-ии I и II рассчитывали по ур-ниям Бера для двух-компонентной системы. Г. Т. 65391.

Быстрый метод определения содержания этилового спирта в тинктурах, спиртовых препаратах, водке, вине, пиве и виноградном сусле. Фишер, Кольмайр (Eine Schnellmethode zur Bestimmung des Äthanolgehaltes von Tinkturen, Spirituspräparaten, Brantwein, Wein, Bier und Most. Fischer R., Kolmayr F., Pharmaz. Zentralhalle, 1954, 93, № 3, 87—92 (нем.)

См. РЖХим, 1954, 36449.

65392. Определение 5-(оксиметил)-фурфурола и родственных соединений. Тернер, Рибера, Баррик, Коттон (Determination of 5-(hydroxymethyl)-2-furaldehyde and related compounds. Turner James H., Rebers Paul A., Barrick Paul L., Cotton Robert H., Analyt. Chem., 1954, 26, № 5, 898—901 (англ.)

Для определения 5-(оксиметил)-фурфурола (I) и родственных ему соединений изучены спектры поглощения их в УФ-области и установлено, что кривая светопоглощения (КСП) I имеет не описанный ранее в литературе минимум при 2125 Å. КСП 5,5'-(оксиметил)-дифурфурола (II) имеет минимум при ~2150 Å. Небольшой максимум при 2240 Å на КСП тетрагидро-2,5-фурандигметанола (III), полученного гидрированием I на скелетном Ni-катализаторе при ~100 ат, указывает на присутствие в III ~1% 2,5-бис-(оксаметил)-фурана. Методом хроматографии на бумаге с применением в качестве провпитателя смеси $n\text{-C}_4\text{H}_9\text{OH}-\text{C}_2\text{H}_5\text{OH}-\text{H}_2\text{O}$ и аммиачного р-ра AgNO_3 в качестве агента опрыскивания показана возможность разделения I и 2,5-бис-(оксиметил)-тетрагидрофурана. Показано, что оптич. плот-

ность 10%-ных р-ров левулозы (IV) при 2780 Å (25°) после четырех кристаллизаций снижается с 0,430 до 0,218 и приближается к постоянной. Оптич. плотность р-ров IV подчиняется закону Бера при конц-ии ≤ 20%. Температурные коэфф. для оптич. плотности в интервале 15—30° для р-ров IV с конц-ией 10,39 и 20% составляют, соответственно, 0,000761 и 0,000760 на 1% IV. Ввиду того, что оптич. плотность р-ров I в УФ-области не зависит от т-ры, поглощение р-ров IV не может быть вызвано присутствием I. I и II в водн. р-рах подвержены самоокислению, что доказывается изменением хода соответствующих кривых светопоглощения. Метод определения I и других продуктов изучением спектров поглощения в УФ-области проще и точнее, чем полярография, и колориметрич. методы. Т. Л. 65393.

Микрокристаллоскопические реакции на дибазол и некоторые сульфаниламиды. Книжко П. О., Аптеч. дело, 1956, 5, № 2, 13—15

Палладиевохлористоводородная к-та (I) образует с дибазолом (II) и сульфаниламидами характерные кристаллы. Для открытия II каплю 1%-ного р-ра II наносят на каплю 2%-ного р-ра I. Предельное разбавление 1 : 800, открываемый минимум 4 γ. При определении сульфина каплю его р-ра (1 : 500) накладывают на каплю 0,5%-ного водно-уксусного р-ра I. Предельное разбавление 1 : 8000, открываемый минимум 0,4 γ. Для открытия белого стрептоцида (р-р 1 : 1000) употребляют 1—2%-ный р-р I; предельное разбавление 1 : 10 000, открываемый минимум 0,1 γ. При определении сульфадилы (р-р 1 : 1 000) употребляют 2%-ный р-р I; предельное разбавление 1 : 5 000, открываемый минимум 0,2 γ. При определении сульфантрола (р-р 1 : 500) пользуются 1%-ным водно-уксусным р-ром I. Предельное разбавление 1 : 4 000, открываемый минимум 0,25 γ. М. П. 65394.

Изучение реакции Цвиккера. Аве, Винклер (Zur Kenntnis der Zwickerschen Reaktion. Awe W., Winkler Wilhelm, Arzneimittel-Forsch., 1955, 5, № 10, 578—584 (нем.; рез. англ.)

Р-ция Цвиккера (PC) на барбитуровые и тиобарбитуровые к-ты не специфична. Аналогичную р-цию дают различные в-ва, содержащие группировки >N-C-N< или -N=C-N< . В частности, положительный исход PC установлен для гидантоинов, пуринов, тиобензимидазолов, тиоурацилов и тех сульфаниламидов, в состав молекулы которых входит тиомочевинная группировка. Окраска образующихся комплексов, в зависимости от природы в-ва, изменяется от чисто фиолетовой до почти чисто синей. Для спектрофотометрич. исследования комплексы получают смешением 0,1 мл 1%-ного $\text{Co}(\text{CH}_3\text{COO})_2$, 2,5 мл р-ра барбитала (I) в CHCl_3 и 0,6 мл 5%-ного изопропиламина. Для получения сопоставимых результатов измерения нужно производить через определенный промежуток времени после добавления реактивов. Максимумы поглощения (МП) различных I укладываются в узком интервале 560—570 мμ в потому по положению МП нельзя дифференцировать I между собой. В противоположность I, имеющему незначительное светопоглощение при 360—400 мμ, тиобарбиталы (II) и другие тиопроизводные очень интенсивно поглощают свет. Измерение светопоглощения в этой области может быть использовано для определения II, некоторых сульфаниламидов с серосодержащими пиками и тиосоединений ряда бензимидазола и урацила. Чистые I удается определить количественно в узком интервале конц-ий, для которого закон Бера выполняется: 0,1—0,8 мг/мл для 5,5-(диэтил)-барбитала (МП при 565 мμ), 0,06—0,4 и 0,4—0,8 мг/мл для 5,5-(диэтил)-тиобарбитала (МП при 560 мμ). Для сульфатиазола (МП при 565 мμ) закон Бера выполняется в интервале 0,1—0,6 мг/мл. По наклону прямых зависимости экстинк-

ции от конц-ии судят о строении комплексов, образующихся при РЦ. Авторы проводят параллель между строением продуктов РЦ и витамина В₁₂. Н. П.

65395. Компоненты каменноугольного дегтя и родственных веществ. XXVIII—XXX. Быстрое количественное определение антрацена. XXVIII. Фунакубо, Мацумото. XXIX. Фунакино, Мацумото, Фудзугура. XXX. Фунакубо, Мацумото (コールタールの成分ならびにその関係化合物に関する研究. 第28報. アントラセンの迅速定量法. IV 船久保英一, 松本祐太郎. 第29報. アントラセンの迅速定量法. V. 船久保英一, 松本祐太郎, 藤浦正巳. 第30報. アントラセンの迅速定量法. VI. 船久保英一, 松本祐太郎. 工業化学雑誌, Kōgō Kagaku Zasshi, J. Chem. Soc. Japan, Industr. Chem., Sect., 1954, 57, № 8, 556—558; 559—561; 562—564 (япон.).

XXVIII. Данные определения антрацена (I) по ранее предложенным методам проверены математически и экспериментально с применением неочищ. малеинового ангидрида (II).

XXIX. При титровании избытка II с помощью р-ра I в хлорбензоле р-ция присоединения между I и II протекает на 99,7% в течение 2 час. при 130—132°. При титровании избытка II разбавл. р-ром NaOH, 99,8% II удаляется из органич. в водн. слой. Практически щелочь не взаимодействует с продуктами присоединения I и II.

XXX. Указаны р-ритель (хлорбензол или ксилол), кол-во II, необходимое для определения I, способ нагрева, аппаратура и погрешность предлагаемого метода. Сообщение XXVII. P.K.Xim, 1956, 61916.

Chem. Abstrs, 1955, 49, № 9, 6578. Katsuya Inouye 65396. Аналитическая химия растворов вискозы. Филипп (Zur Analytik von Viskoselösungen. Philipp Burkart), Chem. Technik, 1956, 8, № 2, 77—80 (нем.).

Общепринятый аналитич. метод определения общего содержания S в р-рах вискозы (I), основанный на окислении сульфидной серы перекисью водорода в щел. среде, дает на 16—20% завышенные результаты. При использовании этого метода в целях производственного контроля (ПК) необходимо вводить эмпирич. поправочный фактор порядка 16% от общего содержания S. Надежные результаты дает весовое определение S после ее окисления Вг₂ и осаждения в виде BaSO₄. Результаты

определения серы весовым методом и методом газового анализа хорошо согласуются между собой. Для определения ксантогенатной S в присутствии сульфида (II) и тиокарбоната более подходит осаждение диэтилхлор-ацетамидов (Fink H., Stahn R., Matthes A., Angew. Chemie, 1934, 47, 602), чем хлорацетонитрилом. Однако для текущего ПК целесообразнее использовать более быстрый иодометрич. метод (Bredée H., L. Kolloid-Z., 1941, 94, 81). Для полного анализа р-ров I можно использовать потенциометрич. титрование с серебряным вращающимся индикаторным электродом (ИЭ). В этом случае р-ром AgNO₃ сначала осаждают II из щел. р-ра, после нейтр-ции по фенолфталеину осаждают в виде II тритиокарбонат (III), а затем ксантогенат. Несколько сложный для ПК, этот метод пригоден для исследования хода процесса созреваания I. Используя ИЭ из амальгамированного Ag, определяют II и III в щел. ацетатном р-ре I титрованием 0,1 M р-ром HgCl₂. Полярографич. метод представляет интерес для исследования таких неустойчивых продуктов как монотиокарбонат, имеющих значение для объяснения механизма ксантогенатной р-ции. Полярографич. методом можно определять II и III (при конц-ии <1 мМ (л) при их одновременном присутствии, а также полисульфид и тиосульфат. Для определения COS его связывают в аммиачном р-ре CuCl₂ в монотиокарбамат, который и полярографируют. Наиболее важными задачами аналитич. химии р-ров I автор считает доказательство существования дитиокарбоната и разработку коллоидных методов определения размеров, формы и распределения зарядов частиц ксантогената целлюлозы. Н. П.

65397 К. Органический анализ. I том. Пособие для высшей школы. Юречек (Organická analyza. 1. díl. Celost. vysokošk. příručka. Jureček Miloslav Praha, ČSAV, 1955, 543, [2] s., il., 48, 60 Kčs) (чеш.).

См. также: Элементарный органич. анализ 66930. Хроматография 18745Бх, 18750Бх, 18753—18755Бх, 18758Бх. Др. вопр. 66721, 66722, 66850, 66988, 67119; 18726Бх, 18730Бх, 18739Бх, 18742Бх, 18746Бх, 18763Бх, 18766Бх, 18767Бх, 18773Бх, 18780Бх, 18782Бх, 18792Бх, 18793Бх, 18798Бх

ОБОРУДОВАНИЕ ЛАБОРАТОРИЙ. ПРИБОРЫ, ИХ ТЕОРИЯ, КОНСТРУКЦИЯ, ПРИМЕНЕНИЕ

65398 Кварцевые пружинно-торзионные микровесы.

Бушук, Уинклер (A quartz spiral-torsion microbalance. Bushuk W., Winkler C. A.), Canad. J. Chem., 1955, 33, № 11, 1729—1730 (англ.)
Описана комбинация торзионных (Gulbransen E. A., Rev. Scient. Instrum., 1944, 15, 201) и пружинных весов (McBain J. W., Bakr A. M., J. Amer. Chem. Soc., 1926, 48, 690). Исследуемое в-во подвешивается к одному плечу коромысла, а ко второму — противовес и чувствительная кварцевая спираль. Нижний конец спирали с помощью шелковой нити соединен с валиком, закручивая который через стеклянный шпиль можно растягивать спираль. Весы уравниваются соответствующим растяжением спирали, удлинение которой является мерой изменения веса исследуемого в-ва. Чувствительность весов $0,163 \pm 0,002$ мг/мм. А. С.

65399. Микровесы Гарнера с кварцевой нитью, предназначенные для работы в жестких условиях. Кук, Альтери, Таун (The Garner heavy duty quartz fiber microbalance. Kuck J. A., Altieri

Patricia L., Towne Alma K.), Mikrochim. acta, 1953, № 3, 254—265 (англ.; рез. франц., нем.)
Микровесы с вертикально расположенной кварцевой нитью, предназначенные для взвешивания 0,6—5 г, с чувствительностью выше, чем у весов с опорной призмой. Описана система для предотвращения вибраций и установки весов в производственной лаборатории. Т. Л.

65400. Прибор для измерения чрезвычайно малых изменений веса, массы или плотности. Халлер, Калькамуджо (Apparatus for the measurement of extremely small weight, volume, and density changes. Haller Wolfgang K., Calcamuggio Glenn L.), Rev. Scient. Instrum., 1955, 26, № 11, 1064—1068 (англ.)

Прибор основан на равновесии тела, плавающего внутри жидкости. Образец подвешивается на поплавке из пирекса, выполненный в виде сферы с одним плоским участком, играющим роль мембраны. Меняя давление над поверхностью жидкости, достигают равновесия

плавающего тела. При изменении веса плавающего тела система выходит из равновесия. При этом колич. изменение веса вычисляется из значения нового давления, необходимого для восстановления равновесия. Приведена расчетная ф-ла. Прибор термостатирован с точностью 0,001°. Приведен пример изучения изменения веса силикатных стекол в результате коррозии в дистилл. воде. Л. В.

65401. Применение электроники в химии. Муро (化學におけるエレクトロニクスの應用. 武藤義一), 化學, Kōgaku, Chemistry (Kyoto), 1955, 25, № 10, 525—528 (япон.)

65402. Исследования при помощи сцинтилляционного спектрометра. Гупта, Джха (Studies with the scintillation spectrometer. Gupta R. K., Jha S.), Nuclear Phys., 1956, 1, № 1, 2—8 (англ.)
Описаны измерения спектра γ -лучей In^{129} при помощи сцинтилляционного спектрометра с кристаллом NaI, активированным Tl. Кроме хорошо известного излучения 440 кэв, были обнаружены γ -лучи энергии 960±6 кэв и слабые излучения с энергией 520 и 750 кэв интенсивностью соответственно 1,5 и 0,5% от излучения 440 кэв. Приведены γ -спектры Co^{60} и Cs^{134} . Л. В.

65403. NMR — новейший спектрометр. Роджерс (NMR—newest member of Spectroscopy Team. Rogers E. Mery), Industr. Labs, 1955, 6, № 9, 13—17 (англ.)

Описание и применение ядерно-магнитного спектрометра. Б. С.

65404. Спектрограф исследовательского отдела фабрики «Фотокемика». Вебер, Броз (Spektrograf istraživala. kog odjela tvornice «Fotokemika». Weber Karlo, Broz Ivo), Kemija u industriji, 1955, 4, № 10, F31—F35 (серб.-хорв.; рез. франц.)

Описано усовершенствование спектрографа фирмы A. Jovin and G. Yvon и применение его для определения спектральной чувствительности фотографич. слоев. Приводятся фотографии дополнительно изготовленных принадлежностей в всей установке в целом. А. С.

65405. Интегрирующая сфера для измерения отражательной способности на саморегистрирующем спектрофотометре Бекмана (модель DR). Джейкс, МакКихан, Хасс, Димитров, Куппенхейм (Integrating sphere of the measurement of reflectance with the Beckman model DR recording spectrophotometer. Jacques John A., McKeehan Wayne, Huss John, Dimitroff James M., Kuppenheim Haus F.), J. Opt. Soc., America, 1955, 45, № 11, 971—975 (англ.)

Приставная интегрирующая сфера, предназначенная для измерения отражательной способности образцов сравнительным методом в спектральной области от 1 000 до 235 мμ. Установка сферы на спектрофотометре не связана с какими-либо переделками прибора. Внутренность сферы диам. 110 мм покрыта MgO. Исследуемый образец и белый стандарт (MgCO_3) помещаются в в спец. отверстиях сферы и поочередно освещаются монохроматич. светом при помощи поворотного зеркала. По сравнению со спектрофотометром «Дженерал электрик» настоящая приставка дает несколько завышенные значения отражения, что, возможно, связано с геометрией приставки. Рассеянный свет при 700 мμ составляет 0,5% и 1,6% при 235 мμ. Разрешение, получаемое при измерении отражения, соответствует разрешению при измерении пропускания на спектрофотометре Бекман-DR. Приставка обеспечивает быстрое проведение измерений с общей ошибкой ~1%. В. М.

65406. Методы учета влияния разрешающей способности спектрального прибора на измеряемые величины. Йогансен А. В. В сб.: Методы исследо-

вания нефтей и нефтепродуктов. М., Гостонтехиздат, 1955, 235—252

Разработанный метод позволяет точно учитывать влияние разрешающей способности прибора и получать истинные величины, не зависящие от параметров спектрометра. Приводятся пересчитанные таким образом значения истинных коэфф. поглощения полос 909 см⁻¹, 992 см⁻¹, характерных для группы —CH=CH₂ α-олефинов: 1-пентена, 1-гексена, 1-гептена, 1-октена, 1-децена, 1-ундецена, 1-додецена, 1-тридецена, 1-бутена и 1-бутадиена. Использование рассчитанных величин коэфф. поглощения для целей колич. анализа делает излишним проведение калибровки прибора с помощью индивидуальных в-в. Из приведенных результатов по определению конц-н винильных групп 5 искусств. смесей нефтепродуктов с α-олефинами следует, что средняя относительная ошибка определения составляет ~5%, а ошибка в расчете «на продукт» ~0,07 вес. % группы —CH=CH₂. В. Л.

65407. Успехи исследований в дальней ультрафиолетовой области. Водар (Progrès récents dans l'étude de l'ultraviolet lointain. Vodar M. B.), J. phys. et radium., 1954, 15, № 12, 57S—58S (франц.)

Обзор методов получения спектров поглощения и испускания в области 100—2000 Å. См. также РЖХим, 1956, 6131. А. С.

65408. Измерение ближнего рассеянного света в ультрафиолетовых спектрофотометрах. Танинклифф (Measurement of nearby stray radiation in ultraviolet spectrophotometers. Tunninclair D. D.), J. Opt. Soc. America, 1955, № 11, 963—965 (англ.)

Описан метод определения величины ближнего рассеянного света в спектрофотометрах, предназначенных для исследования УФ-спектров поглощения очень узких полос и линий, заключающийся в том, что определяется кажущаяся прозрачность двух в-в в той спектральной области, где истинная прозрачность незначительна. Одно из в-в выбирается с широкой полосой поглощения, другое — с очень узкой. Разность этих величин дает значение для ближнего рассеянного света. Рекомендуется при определении ближнего рассеянного света в УФ-спектрофотометрах применять линию λ=2537 Å поглощения насыщ. паров ртути. А. С.

65409. Счетчик фотонов для исследования излучений слабой интенсивности в ультрафиолетовой части спектра. Кац М. Л., Уч. зап. Саратовск. ун-та, 1954, 40, 61—105

Описанные счетчики предназначены для исследования люминесценции окрашенных кристаллов щелочно-галогенных соединений. Подробно описаны конструкции и методы изготовления шести вариантов кварцевых счетчиков с Pt-фотокатодом, наполненных водородом. Для регистрации импульсов применялся спектрометр или усилитель с электромагнитным счетным реле на выходе. Приведены две схемы усилителя. Характеристика одного из счетчиков имела плато длиной 57 е, темновой фон составлял 1,4 разряда в 1 мин. Приведены сравнительные данные о предельной чувствительности основных способов фотометрирования — фотопластинок, фотоэлемента, фотоэлектронного умножителя и счетчика фотонов. Счетчик фотонов имеет порог чувствительности для УФ-лучей 23 кванта в 1 сек., что недоступно для других способов фотометрирования. Автор считает, что счетчик фотонов с сенсibilизированным Pt-фотокатодом является пригодным для исследования УФ-излучения слабой интенсивности. Г. С.

65410. Спектроскопия в близкой инфракрасной области. П. Техника и использование приборов. Кей (Near-infrared spectroscopy. II. Instrumentation and technique. Kaye Wilbur), Spectrochim. acta, 1955, 7, № 4, 181—204 (англ.)

Обзор. Библ. 242 назв. Часть I см. РЖХим, 1956, 9059. В. Л.

65411. Применение инфракрасного анализатора. Янач (Použití infračerveného analyzátoru. Janáč J.), Strojírnický, 1954, 4, № 5, 395—398 (чеш.)

Популярная статья. В. С.
65412. Инфракрасная кювета для специальных целей. Фридел, Пелипетц (Special-purpose infrared cells. Friedel R. A., Pelipetz M. G.), J. Opt. Soc. America, 1955, 45, № 10, 892 (англ.)

Обращается внимание на описанную ранее (РЖХим, 1956, 3686) разборную ИК-кювету с очень короткой, но воспроизводимой длиной оптич. пути, которая применялась для изучения ИК-спектра угля. В. Л.

65413. Низкотемпературная кювета для инфракрасной области спектра. Джанз, Фицджеральд (A low temperature infrared cell assembly. Janz George J., Fitzgerald Warren E.), Appl. Spectroscopy, 1955, 9, № 4, 178 (англ.)

Описана переделка обычной кюветы для изучения жидких образцов в ИК-области спектра в кювету для низкотемпературных съемок ИК-спектров, которая позволяет наблюдать изменения в спектре при изменении т-ры и при взаимных превращениях жидких и твердых тел. Охлаждение кюветы осуществляется жидким воздухом или жидким азотом. Для предотвращения конденсации влаги из атмосферы все части кюветы заключены в кожух из Al-фольги, в который подается осушенный азот. Т-ра кюветы измеряется термпарой, вставляемой в вырез окошка кюветы. Регулировка т-ры осуществляется изменением скорости подачи в кожух кюветы жидкого азота. Кювета использовалась для изучения ИК-спектров янтарного нитрила в области т-р от +25 до -115°. В. Л.

65414. Получение образцов кристаллов для спектроскопических исследований путем регулируемого выпаривания из паров. Зуэрдлинг, Халфорд (Direct production of spectroscopic specimens from single crystals by controlled growth from a vapor. Zwerdling Solomon, Halford Ralph S.), J. Chem. Phys., 1955, 23, № 12, 2215—2220 (англ.)

Описана аппаратура для получения тонких образцов отдельных кристаллов с определенным направлением кристаллографии. Осей для изучения анизотропии ИК-поглощения. Направление осей в выращиваемом кристаллич. образце задается расположением полюса нагревания и охлаждения в оптич. кювете. Кювета состоит из Ni-кольца толщиной 3 мм с внешним диам. 10 мм и внутренним диам. 25 мм. К кольцу с противоположных сторон припаяны Si-стержни, один из которых соединен с холодильником, а другой нагревается с помощью электр. печи. Толщина получаемых образцов задается металлич. прокладкой и стенками окошек из KBr. Вся кювета помещена в снеч. вакуумную камеру, в которую производится дозированное введение паров исследуемого в-ва. Камера приспособлена для съемки образца на ИК-спектрометре. Приводятся данные по выпариванию из паров бензола кристаллич. образца толщиной 0,1 мм. Описываемый метод особенно удобен для получения и исследования кристаллов, существующих только при низких т-рах. В. Л.

65415. Обогреваемая кювета для инфракрасной области спектра. Матро (A heated infrared cell. Matrow H. C.), Appl. Spectroscopy, 1955, 9, № 4, 177 (англ.)

Цилиндрич. корпус кюветы длиной 10 см изготовляют из меди или латуни. Окошки из AgCl или KRS-5 уплотняют тефлоновыми прокладками. Окошки из AgCl позволяют получать ИК-спектры в области применения призм из NaCl и KBr, а окошки из KRS-5 прозрачны до 40 м. Кювета нагревается до 125° с помощью

нагревающей ленты, которой обматывается корпус кюветы; т-ра ленты регулируется изменением напряжения, подаваемого с автотрансформатора. Описываемая кювета использована для изучения $TiCl_4$, UF_6 , J_2F_6 и карбониллов Cr, Mo, W. В. Л.

65416. К теории микрофонной камеры спектрофона Вейнгера и оптико-акустического газоанализатора. Салль А. О., Ж. техн. физики, 1956, 26, № 1, 157—174

Рассмотрен процесс поглощения ИК-радиации газом, находящимся в замкнутом объеме (микрофонной камере), возбуждение в нем акустич. колебаний и вопрос о выборе оптимальных соотношений в микрофонной камере. А. С.

65417. Уменьшение рассеяния в монохроматорах. Киохан, Меткаф (Reduction of scatter in monochromators. Keohane K. W., Metcalf W. K.), J. Scient. Instrum., 1955, 32, № 11, 449—450 (англ.)
Описано улучшение двойного кварцевого монохроматора типа Литтрова, сводящееся к уменьшению рассеяния света. Е. К.

65418. Искровой штатив с вращающимся электродом. Люшер (Ein Funkenstativ mit rotierender Elektrode. Lüscher E.), Experientia, 1955, 11, № 12, 500 (нем.; рез. англ.)

Штатив предназначен для спектроскопич. исследования стальных и чугунных образцов диам. 30—80 мм. Конструкция позволяет менять искровой промежуток и производить исследования как под вакуумом, так и в инертной атмосфере. Скорость вращения электрода 1—50 об/мин. А. Л.

65419. Ахроматическое сканирующее устройство. Ширер, Уиггинс (An achromatic scanning device. Shearer J. N., Wiggins T. A.), J. Opt. Soc. America, 1955, 45, № 2, 133—134 (англ.)

Описано новое, ахроматическое сканирующее приспособление для прецизионной работы в спектроскопии высокой разрешающей силы, с помощью которого можно сканировать небольшие участки спектра при неподвижной дифракционной решетке. Приспособление состоит из двух плоских зеркал, установленных почти параллельно друг другу и под углом 45° к лучу, идущему от решетки. Зеркала перемещаются вдоль этого луча; после отражения от зеркал свет попадает на выходную щель. Т. М.

65420. Простая абсорбционная кювета с малой длиной оптического пути. Хоккеймер, Мур (A simple short-path absorption cell. Hochheimer B. F., Moore G. E.), J. Opt. Soc. America, 1955, 45, № 10, 891 (англ.)

Описывается конструкция простой абсорбционной кюветы с длиной оптич. пути ~ 1 мм, стойкой против действия паров HCl и предназначенной для исследования абс. интенсивности вибрационно-ротационных полос в ИК-области спектра. Кювета состоит из стеклянной трубки диам. 35 мм, в которую вставляются окошки такого же диаметра, разделенные кольцеобразной прокладкой, изготовленной из пирексовой трубки. В стеклянный корпус кюветы впаивается трубка, сообщающая внутренний объем кюветы с запасным объемом для предотвращения флюктуаций давления исследуемого в-ва. Один из видов описываемой кюветы имеет плоскопараллельные окошки из CaF_2 , а в другом вместо окошек используются плосковыпуклые линзы из сапфира, фокусирующие световой пучок на щель спектрометра. Окошки и линзы кюветы крепятся к стеклянному корпусу с помощью замазки. В. Л.

65421. Измерение двойного лучепреломления. Дрейфус (Measurement of birefringence. Dreyfus Marc G.), J. Opt. Soc. America, 1956, 46, № 2, 142 (англ.)

Описан полярископ для упрощенных определений величины двойного лучепреломления ρ . Величина и направленность ρ образца определяются путем сравнения его максим. яркости в полярископе с яркостью третьего поляризатора, расположенного под углом θ . Интенсивность света, прошедшего через последний, определяется выражением $I_p = A_p^2 R_p^2 \sin^2 \theta \cos^2 \theta = A_p^2 R_p^2 (\sin^2 2\theta / 4)$. Интенсивность света, прошедшего через измеряемый образец, $I_s = R_s^2 \sin^2 \rho / 2$. При равенстве I_p и I_s $R_s \sin^2 \rho / 2 = A_p R_p (\sin 2\theta / 2)$ или $\rho = 2 \sin^{-1} [K \sin 2\theta]$, где $K = A_p R_p / 2 R_s$. Здесь потери интенсивности в результате отражения от плоскостей третьего поляризатора обозначены R_p^2 , от плоскостей образца — R_s^2 и от внутреннего поглощения третьего поляризатора — A_p^2 . A_p , R_p и R_s могут быть измерены фотометром или фотографич. экспозиметром Л. В.

65422. Применение метода объективного фотометрического интерполирования в области высоких концентраций при спектральном анализе сплавов. Грикит И. А., Завод. лаборатория, 1956, 22, № 2, 196—198

Метод фотометрич. интерполирования распространен на определение высоких конц-ий. Измеряется почернение одной из ступенек линии спектра примеси и двух ступенек линии спектра основы, между которыми лежит почернение измеренной ступеньки линии примеси. Интервал почернений между ступеньками линии основы делится на 100 частей. Затем определяется, на сколько сотых долей интервала отличается почернение ступеньки линии почернения от верхней или нижней ступеньки линии основы. По заранее рассчитанным таблицам находится величина $\lg I_x / I_0$ строится постоянный график, связывающий $\lg I_x / I_0$ и $\lg C$. Метод дает хорошую воспроизводимость и совпадение результатов с данными, полученными методом трех эталонов. При субъективном методе интерполирования за 20—30 мин. производится анализ 10—15 элементов с низкой конц-ией и методом объективного фотометрич. интерполирования 2—3 элемента с высокой конц-ией. Л. В.

65423. Опыты с фотокolorиметром Хирапа. Команда (Zkušnosti s fotokolorimetrem Chirapa. Komenda J.), Chem. průmysl., 1955, 5, № 7, 286—288 (чеш.)

Описано устройство фотокolorиметра (Ф), выпускаемого чешской пром-стью, аналогичного colorиметру Хирапа (Световой поток падает на полупрозрачное зеркало, которое делит поток на две части, проходящие соответственно сквозь кюветы с анализируемым и стандартным р-ром). Ф позволяет измерять значения пропускания с точностью до 0,1% при изменении напряжения в сети, питающей лампу, от 200 до 230 в. Проведено сравнение экстинкции, измеренной для р-ров черной туши в воде в интервале относительных конц-ий сравниваемых р-ров от 0,02 до 2 с помощью описанного Ф (E_1) и фотометра Пульфриха (E_2), показавшее нелинейную связь между E_1 и E_2 (при $c = 0,02$, $E_1 = 0,077$, а $E_2 = 0,043$; при $c = 0,803$, $E_1 = 1,451$, а $E_2 = 1,505$). Приведен калибровочный график и таблица, позволяющая получать значения E на основании известной пропускемости. В. С.

65424. Универсальность спектрофотометра с прямым отсчетом. Мак-Нил, Эрнстер (The versatility of the direct reading spectrometer. McNeil L. W., Ernster A. F.), Blast Furnace and Steel Plant, 1954, 42, № 10, 1184—1187 (англ.)

Приводятся большое кол-во данных по применению спектрофотометра с прямым отсчетом для колич. ана-

лиза ряда промышленных сплавов на железной основе. Во всех анализах исследуется возможность использования в качестве внутреннего стандарта другого элемента вместо Fe. Анализ низколегированных сплавов дает абс. ошибку (в %, в скобках конц-ия в %): 0,006 для Mn (0,34), 0,015 для Si (0,95), 0,004 для Cu (0,22); 0,021 для Ni (1,64); 0,008 для Cr (0,89), 0,009 для V (0,23); 0,002 для Mo (0,20), 0,006 для W (0,52), 0,014 для Al (1,08), 0,00054 для Sn (0,020). Приводятся данные по анализу нержавеющей сталей и высоколегированных сплавов. Отмечается возможность применения описываемого метода к анализу сплавов на основе Ni, Co, Ti. В. Л.

65425. Определение интенсивности света высокочувствительным уранило-оксалатным актинометром. Питтс, Марджерум, Тейлор, Брим (Determination of light intensities with a highly sensitive uranyl oxalate actinometer. Pitts James Jr., Margerum J. David, Taylor K. Perry, Brim Warren), J. Amer. Chem. Soc., 1955, 77, № 24, 5499—5501 (англ.)

Описаны принципы работы с уранило-оксалатным актинометром. Обычная аналитич. процедура включает титрование стандартным перманганатом или р-ром церия нерастворимого оксалата в облученном и необлученном образцах. Увеличение чувствительности достигается применением малых (до 5 мл) колб и многократным повторением экспериментов. С 5%-ной точностью при часовой экспозиции может быть измерена интенсивность света $1 \cdot 10^{13}$ квант/сек. Актинометр, основанный на употреблении оксалата уранила, в 20 раз чувствительнее актинометра с лейкоцианидом малахитовой зеленой (ЛМЗ) и в 2 раза чувствительнее актинометра с ферри-оксалатом калия (ФОК). Коэфф. молярного затухания при употреблении ЛМЗ— $9,49 \cdot 10^4$, у ФОК— $1,1 \cdot 10^4$, а у иона церия при 3200 Å может быть доведен до $5,4 \cdot 10^4$. Л. В.

65426. Развитие флуорометрического метода исследования длительности возбужденного состояния молекул. Бонч-Бруевич А. М., Успехи физ. наук, 1956, 58, № 1, 85—110

Обзор. Библ. 48 назв. А. С.

65427. Импульсный масс-спектроскоп. Агншен Е. И., Ионов Н. И., Ж. техн. физики, 1956, 26, № 1, 203—208

Излагаются результаты усовершенствования масс-спектроскопа, описанного ранее (РЖХим, 1955, 19137). В новой конструкции прибора развернутый масс-спектр ионов получается на экране катодного осциллографа. Усиление токов ионных импульсов электронным умножителем с электростатич. фокусировкой и обычным широкополосным усилителем позволяет получать на экране осциллографа отчетливые массовые спектры при давлении исследуемого газа в источнике $4 \cdot 10^{-6}$ мм рт. ст. и выше. Описывается конструкция источника, позволяющая осуществить точную пространственно-временную фокусировку для ионов, образованных во всем объеме источника. Из приводимых масс-спектрограмм следует, что разрешающая способность прибора в области масс 30—40 равна 80. При работе с малыми ионными токами разрешаются все изотопы Kr и Xe, что соответствует разрешающей силе >100 . В. Л.

65428. Объяснение расхождений при измерениях масс-спектрографических дублетов. Эверлинг, Маттаух (Aufklärung von Unstimmigkeiten bei massenspektrographischen Dublettmessungen. Everling F., Mattauch J.), Z. Naturforsch., 1956, 11a, № 1, 68—71 (нем.)

Обнаружена и изучена зависимость разности масс дублетов (CH_2-N), (NH_2-OH) и триплета ($\text{CH}_4-\text{NH}_2-\text{O}$) от напряженности магнитного поля в масс-спектрографе с двойной фокусировкой (Mattauch J., Naturwissen-

schaften, 1952, 39, 557). На основании полученных данных авторы приходят к заключению, что причиной неоднократно наблюдавшихся значительных расхождений в результатах измерений дублетов является неполное освещение апертуры в соединении с очень малой деюстировкой, обусловленной полем рассеяния магнита. Для исключения этой систематич. погрешности предложено расширить ионный пучок, входящий в радиальное поле, путем изменения хода силовых линий в ионной трубке.

А. Л. 65429. Оптически фокусирующая рентгеновская дифракционная камера. Франке (An optically focusing X-ray diffraction camera. Franks A.), Proc. Phys. Soc., 1955, B68, № 12, 1054—1064 (англ.)

Фокусировка рентгеновских лучей осуществлялась при полном внешнем отражении от шлифованной поверхности изогнутой стеклянной пластинки-рефлектора с углом скольжения $\sim 3 \cdot 10^{-3}$ радианов. Отмечено, что отражение сопровождается частичной монохроматизацией. Изгиб рефлектора производился при помощи микрометрич. винта и пружины путем приложения давления по двум противоположным ребрам пластинки, помещенной на двух цилиндрич. стерженьках. Разобраны принципы конструирования с учетом требуемой разрешающей способности и описаны конструкции двух камер для исследования дифракционных явлений под малыми углами с применением одного и двух, взаимно перпендикулярных, рефлекторов. Показана возможность последовательного получения дифракционных картин для двух взаимно перпендикулярных направлений в образце. Приведены оригинальные снимки, показывающие возможность наблюдения отражений от периодов ~ 600 Å.

А. Б.-З. 65430. Новая рентгеновская трубка с острым стриховым фокусом. Хоземан (Eine neue Strich-Feinfokus-Röntgenröhre. Hosemann R.), Z. angew. Phys., 1955, 7, № 11, 532—536 (нем.)

Приведены теоретич. основы получения острого фокуса у рентгеновской трубки. Новая трубка имеет внешний вид и размеры обычной технич. рентгеновской трубки и изготавливается в нескольких вариантах: а) стеклянная трубка без окошек и колпачка на спирали катода, б) такая же, но с колпачком, в) металлическая трубка с 4 окошками из тонкого прочного стекла (0,02 мм) с 3-полусым штенселем. Трубка является триодом с электростатич. регулированием потока электронов путем установки перед анодом линзы большой преломляющей силы. Анод изготовляется из Cu толщиной 2 мм и охлаждается проточной водой (10 л/мин). Форма кривой распределения интенсивности вдоль поверхности анода изменяется в зависимости от разности потенциалов сетки и катода. Наиболее острый фокус (0,13 \times 7 мм) получается при разности потенциалов 3,5 в. Напряжение на трубке 50 кв. М. Б.

65431. Отражательная рентгеновская радиография. Браун (Röntgen-Reflexions-Radiographie. Braun W.), Z. angew. Phys., 1955, 7, № 11, 527—532 (нем.)

Предложен метод отражательной рентгеновской радиографии для изучения структуры поверхности двухкомпонентных сплавов тяжелого и легкого компонента. Изучена зависимость контраста получающегося изображения от длины волны рентгеновского излучения λ и порядкового числа компонент сплава. Найдены условия максим. электронного контраста (ЭК), т. е. отношения числа электронов, выбитых с поверхности одной компоненты к числу электронов из другой компоненты, для Al и Cu, Sn, W, Pb. Максим. контраст при регистрации на фотопластинках получен для толщины чувствительного слоя менее 1 м и подложке из в-в с низкими атомными числами. Рекомендуют использовать для непосредственной регистрации ЭК тонкие сцинтилляционные кристаллы. Рассчитан возможный ЭК

Cu, Sn, W, Pb по отношению к Al в зависимости от λ . Максим. ЭК получен для $\lambda \sim 0,1$ Å. Предложена схема прибора для определения содержания Cu в Al. Прибор состоит из 25-м сцинтилляционного кристалла терфенгита диам. 1 мм, двух фотоумножителей, включенных по схеме совпадений, и сцинтилляционного счетчика γ -фона рентгеновского излучения. Приведены расчетные ф-лы. Метод позволяет определять $< 0,2\%$ Cu в Al и $< 0,3\%$ Al в Cu с точностью более $\pm 0,2$ вес. %.

А. Л. 65432. Точное определение постоянной решетки по методу отражения. Бехерер, Бруммер, Ифланд (Zur Präzisionsbestimmung von Gitterkonstanten nach dem Rückstrahlverfahren. Becherer G., Brümmer O., Ifland R.), Exptl. Techn. Phys., 1955, 3, № 4, 145—172 (нем.)

Описаны съемочная камера и термостат. Расстояние между препаратом и пленкой в камере изменяется от 40 до 90 мм. Радиус пленки составляет 45 мм. Для предотвращения расширения линий производится предварительное прокалывание мелкодисперсного порошка Ag в вакууме при 500°. Подробно обсуждаются возможные источники ошибок и способы их устранения. Обработка результатов производится по методу графич. экстраполяции, дифференциальному методу, способом исключения расстояния препарат — пленка и с использованием в-в сравнения (каменная соль, Al). Постоянная решетки Ag, определенная описанным методом при 20°, равна $4,07724 \pm 0,00004$ Å (0,001%) и совпадает с данными других методов.

В. Л. 65433. Автоматический диффрактометр с монокристаллом. I. Бонд (A single-crystal automatic diffractometer. I. Bond W. L.), Acta crystallogr., 1955, 8, № 12, 741—746 (англ.)

Описан диффрактометр, позволяющий автоматически записывать интенсивность рентгеновского дифракционного отражения от монокристалла, угол поворота кристалла (ω) и угол поворота счетчика (2 θ): счетчик сдвигается на 2° за время полного оборота кристалла, благодаря чему получаются всевозможные сочетания углов ω и 2θ . Для сокращения времени съемки используются две скорости вращения кристалла: ~ 1 об/мин и в 100 раз замедленное. Система реле автоматически включает замедленную скорость на время съемки брэгговского отражения. Описано механич. устройство, позволяющее вычертить обратную решетку исследуемого кристалла, исходя из угла ω . Описываемый диффрактометр дает возможность промерить на Cu-излучении отражения от кристаллов d (макс.) < 22 Å. Для предотвращения регистрации ложных импульсов от белого излучения в приборе установлен монохроматор. Д. Х.

65434. Гармонический фотосумматор и его возможности. Эллер (Le photosommateur harmonique et ses possibilités. Eller G. von), Bull. Soc. franc. minéral. et cristallogr., 1955, 78, № 1-3, 157—213 (франц.)

Предлагается конструкция фотоаппарата прибора для суммирования различных рядов Фурье, основанная на неоднородном освещении экрана — плоской поверхности — через решетку, состоящую из системы косинусоидальных непрозрачных и прозрачных фигур.

Л. Т. 65435. Вакуумный термостат для рентгенографических исследований тонкой структуры. Вейерер (Ein Vakuum-Thermostat für Röntgenfeinstruktorkammern. Weyeger Hermann), Z. angew. Phys., 1955, 7, № 11, 536—539 (нем.)

Термостат дает возможность производить съемку в вакууме и в защитной газовой атмосфере, причём т-ра поддерживается постоянной с точностью $\pm 0,02^\circ$ в течение многих часов. Внутри термостата с размерами 250 \times 290 \times 16 мм могут быть установлены различ-

ные рентгеновские камеры. Стенки термостата изготовлены из латуни и покрыты теплоизоляцией. Внутри стенок циркулирует подогретая вода. В качестве примера использования термостата, приведено определение постоянной решетки серебра с точностью $\pm 0,000016$ Å при 25 и $44,58 \pm 0,02^\circ$, откуда рассчитаны коэфф. линейного расширения Ag ($\alpha = 19,50 \cdot 10^{-6}$) и плотность ($\rho = 10,499 \text{ г/см}^3$), что хорошо согласуется с данными, полученными другими методами. М. Б.

65436. Простая универсальная подставка для рентгеновских камер. Каркханава (A simple universal X-ray camera stand. Karkhanava I. M. D.), J. Scient. Instrum., 1956, 33, № 2, 82 (англ.) Скоструирована подставка для установки стандартных и спец. рентгеновских камер. Подставка позволяет перемещать камеру в трех взаимно перпендикулярных направлениях и вращать ее в горизонтальной плоскости. А. Б.-З.

65437. Центрирование препаратов в камере Дебая — Шеррера. Пирсова (Centrování preparátů na Debye — Scherrerově komůrce. Jirsová Jiřina), Chem. přímýsl, 1955, 5, № 7, 302—303 (чеш.)

Предложен способ центрирования препаратов при съемках рентгенограмм, осуществляемый с помощью двух установочных винтов и пружины. Вместо флуоресцирующего экрана помещается лист обычной бумаги, на который падает пучок света, пропускаемый окном рентгеновского аппарата от лампочки, помещаемой между окном и рентгеновской трубкой. В. С.

65438. Изображение на экране электронного микроскопа-проектора при наличии органических паров в экспериментальной трубке. Хёрль, Штанглер (Feldelektronenmikroskopische Schirmbilder bei Anwesenheit organischer Dämpfe im Versuchrohr. Hörle E., Stangler F.), Acta phys. austriaca, 1956, 10, № 1-2, 1—7 (нем.)

Опыт осуществляется в обычной трубке микроскопа-проектора при давл. 10^{-6} мм рт. ст. Остаточное давление обусловлено присутствием паров вакуумной смазки, этилового спирта и бутилацетата. Изучались катоды из W, Ni, Mo. На экране микроскопа наблюдаются отдельные светящиеся пятна, число которых зависит от величины тока эмиссии. Большинство из этих пятен состоит из 2 или 4 симметрично расположенных частей. При увеличении времени наблюдения или накала острей катода происходит разрушение первоначальной картины и появление крупных светящихся пятен diam. 2—3 см. Увеличение напряжения ускоряет процесс изменения первоначальной картины. Наблюдаемые явления объясняются бомбардировкой поверхности катода положительными ионами, что приводит к перестройке кристаллич. структуры его поверхности. В. Л.

65439. Новый прибор для микрокристаллизации. Каппон (A new device for micro-recrystallizations. Cappon J. H.), J. Assoc. Offic. Agric. Chemists, 1955, 38, № 3, 844 (англ.)

Рекристаллизатор состоит из стеклянного сосуда (С) емкостью 4,5 мл. Сверху к С на шпиге крепится воздушный холодильник шарикового типа, который может быть использован как ручка при манипуляциях с прибором. Для удаления содержимого после рекристаллизации С снизу имеет отверстие diam. 3 мм, закрытое изнутри пришлифованной стеклянной пробкой с длинной ручкой. Указанная конструкция устраняет потерю р-рителя на испарение при нагреве. Ю. Т.

65440. Проблемы измерения вакуума. Каффка (A vákuum mérésének problémája. Káffka Károly), Mérés és automatika, 1955, 3, № 10, 311—318 (венг.)

Обзор. Библ. 6 назв.

65441. Микроманометр с лопаткой. Мерча (Un micromanometru cu paletă. Mercea Victor),

Bul. știint. Acad. R. P. Romîne. Sec. mat. și fiz., 1955, 7, № 4, 1115—1141 (рум.; рез. русс., франц.)

Описан микроманометр, основанный на динамич. действии струи газа на лопатку, которая может поворачиваться вокруг оси. Микроманометр позволяет измерять расход газа, начиная с 10^{-6} г/сек , перепад давлений порядка $2,8 \text{ дин/см}^2$, массы газов порядка 10^{-6} г , а также может быть использован в качестве нулевого прибора. Дан вывод ур-ния, устанавливающего связь между кол-вом проходящего газа и отклонением подвижной системы микроманометра. Установлено, что отклонение пропорционально квадрату измеряемой величины, а чувствительность манометра зависит от сопротивления нити подвеса закручиванию. Теоретич. выводы хорошо согласуются с результатами экспериментов. Приведен схематич. чертеж микроманометра. Л. А.

65442. «Нулевой» метод измерения поверхностного натяжения с помощью торсионных весов. Венкатараман (A «null» method of measuring surface tension, with a torsion balance. Venkataraman S.), Indian J. Phys., 1955, 29, № 11, 522—526 (англ.)

Разработан метод определения поверхностного натяжения жидкостей, основанный на принципе уравнивания силы, вызванной поверхностным натяжением, и архимедовой силы, действующей на стеклянную пластинку, частично погруженную в жидкость. Измерения производятся путем определения с помощью жидкостного манометра высоты уровня исследуемой жидкости, при которой полная действующая на пластинку сила равна нулю. Полученные результаты для ряда чистых жидкостей находятся в хорошем согласии с литературными данными. А. Т.

65443. Исправленный метод, IP 71 Т, для определения кинематической вязкости в единицах системы CGS. (Revised method, IP 71 T, for the determination of kinematic viscosity in CGS units.—), J. Inst. Petrol., 1955, 41, № 382, 326—327 (англ.)

Описана калибровка, определение коэфф. кинетич. энергии истечения и величины времени истечения при измерении вязкости стандартным методом IP 71 Т, предназначенным для измерения кинематич. вязкости светлых и темных нефтепродуктов при помощи стеклянных вискозиметров капиллярного типа в интервале t от -54 до $+100^\circ$. В. Л.

65444. Вискозиметрия при малых скоростях сдвига.

Вискозиметр «Сквибб». Майерс, Зеттлмoyer (Low shear viscometry ... The Squibb viscometer. Myers Raymond R., Zettlemoyer A. C.), SPE Journal, 1955, 11, № 7, 43—46 (англ.)

Вискозиметр для определения вязкости чистых жидкостей и дисперсных систем при малых скоростях сдвига состоит из цилиндрич. сосуда (С) с двойными стенками, между которыми помещается изучаемая жидкость и цилиндрич. кольцо из нержавеющей стали, подвешенное к калиброванной проволоке. Изменение радиального зазора между стенками С и кольцом в пределах $0,75$ — 5 мм осуществляется сменными С. С помещен в термостат. Вязкость определяется по углу закручивания калиброванной проволоки при вращении С с жидкостью. Погрешность $\sim 5\%$. Прибор испытан на системах с вязкостью $0,01$ — 200 пуаз при скоростях сдвига 1 — 100 сек^{-1} . Б. С.

65445. Замечание о работе электрического ротационного вискозиметра. Еллик (Přispěvek k funkci elektrického rotačního viskosimetru. Jelínek Z. K.), Chem. přímýsl, 1956, 6, № 1, 32—33 (чеш.) Отмечается необоснованность предположения, зарегистрированного патентом США 2485424, о линейной связи между вязкостью и силой тока и приводится способ учета этой нелинейности. В. С.

65446. Необходимость унификации градуировки ареометров, употребляемых в алкоголиметрии. Спассен (L'unification indispensable en matière de graduation des aréomètres utilisés en alcoométrie. Spassens J.), Rev. métrol. prat. et légale, 1955, 33, № 9, 411—421 (франц.)

Предлагается унифицировать алкоголиметрию на основании следующих принципов: 1) заключение международного соглашения о соотношении между объемной массой (определяемой с 5 значащими десятичными знаками) и содержанием спирта и о коэфф. расширения водно-спирт. смесей, насыщ. воздухом, 2) употребление спиртометров, градуированных в г/мл при 20°. В. М.

65447. Пикнометр с автоматической установкой уровня. Браун, Ланд (An automatic leveling pycnometer. Brown Shirley A., Land James E.), J. Chem. Educ., 1956, 33, № 2, 72 (англ.) При наполнении пикнометр закрывается спец. стеклянной пробкой, в которую впаян капилляр диам. ~1 мм и отрезок для создания разрежения. При давлении на ~30 мм рт. ст. ниже атмосферного жидкость высасывается через капилляр в пикнометр до тех пор, пока ее уровень не покроет отверстия капилляра. Точность наполнения составляет 0,01%. И. Л.

65448. К вопросу измерения влажности газов электролитическими гигрометрами. Никольский А. П., Завод. лаборатория, 1955, 21, № 12, 1485—1486

Описан способ устранения непостоянства во времени зависимости сопротивления влагочувствительного слоя (ВС) электролитич. гигрометра от влажности окружающей среды путем подбора материалов электродов, который должен быть обратимым по отношению к какому-либо виду ионов в ВС. При использовании в ВС в качестве электролита LiCl этому условию удовлетворяют электроды из AgCl, которые изготавливаются путем электролитич. покрытия Ag-проволоки хлористым серебром. Ю. Т.

65449. Прямое определение молекулярного веса газов и паров при давлениях в области 10^{-2} — 10^{-6} мм рт. ст. Кольманшпергер (Direktbestimmung von Molekular-gewichten von gasen und dämpfen im druckbereich von 10^{-2} bis 10^{-6} torr. Kollmansperger Heinz), Z. angew. Phys., 1953, 5, № 11, 416—421 (нем.)

Подробное описание теории метода и конструкции прибора, позволяющего измерять мол. вес в указанных пределах с точностью $\pm 3\%$ менее, чем за 30 сек. А. С.

65450. Защитные контейнеры для работы с радиоактивными веществами. Дьяченко М. Н., Варшавский Б. М., Вестн. рентгенол. и радиологии, 1955, № 6, 76—79

Описаны различные типы защитных контейнеров, предназначенных для хранения радиоактивных препаратов по их спецификации и активности излучения, а также дающие возможность очень быстро производится прием и выдачу радиоактивных препаратов из мест их основного хранения в перевязочные, манипуляционные и др. С. Д.

65451. Простой прибор для получения радиоактивного карбоната бария методом мокрого окисления. Дафф, Найт (A simple apparatus for handling radioactive barium carbonate obtained by wet combustion. Duff R. B., Knight A. H.), Chemistry and Industry, 1955, № 46, 1469 (англ.)

Навеску, содержащую ~5 мг C^{14} , обрабатывают по методу Ван Слайка—Фолча (Van Slyke—Folche), видоизмененному по Эвансу и Хастону (Evans E. A., Huston J. L., Analyt. Chem., 1952, 24, 1482) в атмосфере N_2 , свободной от CO_2 . Выделенная CO_2 поглощается р-ром $\text{Ba}(\text{OH})_2$, содержащим 2% BaCl_2 . Осажденный на фильтре из спеченного стекла $\text{BaC}^{14}\text{O}_3$ промывают водой,

свободной от CO_2 , затем спиртом и высушивают реакционный сосуд в вакуумной печи. Даны чертеж и описание прибора. В. М.

65452. Механизм газового разряда в самогасящихся счетчиках с галогенами. Зоонен (Gas discharge mechanism of halogen-quenched counters. Zoonen D. van), Appl. Scient. Res., 1955, B4, № 4, 237—248 (англ.)

65453. Воздействие радиоактивного излучения на фотоэлемент. Пасмыков В. В., Ж. техн. физики, 1955, 25, вып. 8, 1376—1385

Исследовано воздействие β -излучения на полупроводниковые фотоэлементы, вызывающее непосредственный переход ядерной энергии в электрическую. Показано, что селеновый фотоэлемент используется в 10,7 раза хуже по отношению к падающей энергии, чем в области максим. спектральной чувствительности. Комбинация фотоэлемента и радиоактивного в-ва с периодами полураспада в несколько лет позволяет изготовить маломощные источники электрич. тока, не боящиеся короткого замыкания и с большим сроком службы. Г. С.

65454. О применении сцинтилляторов в дозиметрии. Росман, Циммер (Über die Anwendung von Szintillatoren in der Dosimetrie. I. Rosman I. M., Zimmer K. G.), Z. Naturforsch., 1956, 11b, № 1, 46—52 (нем.)

Обзор. Библ. 59 назв. А. Л.

65455. Новые жидкие сцинтилляционные фосфоры. Арнолд (New liquid scintillation phosphors. Arnold James R.), Science, 1955, 122, № 3180, 1139—1140 (англ.)

Показано, что если принять сцинтилляционный эффект (СЭ) 0,4%-ного р-ра 2,5-дифинилдоксазола (I) и 0,002%-ного р-ра 1,6-дифинилгексатрена (II) в толуоле в атмосфере азота за 100, то СЭ р-ра из 0,4%-ного р-ра I и 0,01%-ного р-ра 1,4-ди-(5-фенил-2-оксазолил)-бензола (III) составляет 121; СЭ 0,4%-ного р-ра 7-диэтиламино-4-метилкумарина в толуоле составляет 86—100; СЭ 2-(*n*-диметиламинофенил)-бензотиазол составляет 90 и добавление в него р-ра II или III не влияет на СЭ. Помещение в атмосферу азота во всех случаях приводит к повышению СЭ на 30%. Водн. р-ры указанных в-в, а также при добавке в них других органич. и неорганич. ионов не обладают СЭ. А. Б.-З.

65456. Термогравиметрия. Барсия-Гоянес (Termogravimetria. Barcia Goyanes Carlos), Inform. quim. analit., 1955, 9, № 5, 159—174 (исп.)

Обзор. Библ. 25 назв. А. С.

65457. Адиабатический калориметр для измерения теплоты растворения. Конс, Балк, Толк (An adiabatic calorimeter for measuring heat of solution (Short communication). Coops J., Balk A. N., Tolk M. W.), Recueil trav. chim., 1956, 75, № 1, 75—81 (англ.)

Калориметр представляет собой сосуд Дьюара емк. 250 мл. Во время опыта герметически закрытый сосуд погружается в водяной термостат, т-ра которого поддерживается с точностью 0,01°. Температурные изменения в калориметре ~0,04° измеряются с помощью термистора с сопротивлением 1000 ом и температурным коэфф. 2,5% с точностью до $4 \cdot 10^{-3}$ град. Адиабатич. условия работы калориметра поддерживаются посредством сохранения постоянства температурного хода между калориметрами и термостатом с помощью электронного реле. Отклонения от постоянства температурного хода в начале главного периода могут быть фотографически записаны с помощью гальванометра, включенного в мостовую схему. Калибровка калориметра производится посредством пропускания через нагреватель электрич. тока известной мощности. Экспери-

ментально определенная на описываемом калориметре интегральная теплота растворения KCl в H_2O при 25° вплоть до концентрации $2 \cdot 10^{-4} M$ составляет $17,24 \pm 0,03$ кдж/моль. И. Л.

65458. Измерение высоких температур на основе изменения вязкости в зависимости от температуры. Мерча, Рожа (Măsurarea temperaturilor înalte folosind variația viscozității cu temperatura. Mercea Victor, Rozsa Maria), Comun. Acad. R. P. Române, 1955, 5, № 7, 1041—1046 (рум.; рез. русс., франц.)

Четыре капилляра при помощи соединительных трубок располагаются в плечах мостовой схемы, питаемой постоянным потоком воздуха через одну из вершин. Три стеклянных капилляра (внутренний диам. 0,4 мм) находятся при постоянной t -ре T_0 , четвертый кварцевый капилляр (внутренний диам. 0,4 мм, длина 5 см) помещается в ту среду, t -ру которой T надо измерить. Последовательно с одним из капилляров присоединен кран, который позволяет добиться равновесия моста. Градуировка в области $20-900^\circ$ производилась в электрич. трубчатой печи по термпаре Ni—CrNi при четырех различных расходах воздуха. При наибольшем расходе воздуха при 900° разность давлений в диагональ моста соответствует 230 мм столба парафинowego масла. В. П.

65459. Фоторегистрирующий пирометр ПР-52. Ярембаш Е. И. Тр. 1-го совещания по термографии, Казань, 1953, М.—Л., Изд-во АН СССР, 1955, 23—27

Описана конструкция пирометра Курнакова образца 1952 г. Пирометр не требует затемненного помещения и особых амортизационных креплений, так как используются гальванометры чувствительностью 10^{-7} с/мм/м, имеющие амортизационные пружины. Диапазон скоростей вращения барабана от 3 мин. до 20 час. Предусмотрена возможность визуального контроля t -ры исследуемого образца. В. Л.

65460. Лабораторная техника проведения контактных реакций. Дозирование газов. Ваврушка (Laboratorní technika kontaktních reakcí. Dávkování plynů. Vavruška Miroslav), Chem. průmysl, 1955, 5, № 12, 507—509 (чеш.)

Обзор. Библ. 10 назв.

В. С.

65461. Приготовление фотопроводящих пленок сульфида кадмия. Нелсон (Preparation of photoconductive films of cadmium sulfide. Nelson R. C.), J. Opt. Soc. America, 1955, 45, № 9, 774—775 (англ.)

Описано два способа очистки сульфида кадмия для приготовления из них фотопроводящих пленок. Пленки, приготовленные из очин. сульфида, имеют малое темновое сопротивление, которое удается значительно повысить путем нагрева пленки на воздухе при $300-350^\circ$. А. Ш.

65462. Ошибки в осмометрии. Менчик (Error in osmometry. Menčík Zdeněk), J. Polymer Sci., 1955, 18, № 89, 424—427 (англ.)

Исследованы надежность и ограничения осмометрич. метода (ОМ) для определения мол. весов полимеров. Показано, что ограниченность ОМ, в основном, обусловлена несовершенством полупроницаемой мембраны. Измерения проводились в осмометрах, описанных ранее (Menčík Z., Chem. listy, 1952, 46, 407), с мембранами диам. 3 см, объемом 8 мл и капилляром диам. 0,7 мм. Давление измерялось катетометром с точностью до 0,05 мм. Измерены мол. веса фракций поливинилхлорида в тетрагидрофуране при 25° с применением различных мембран (пленки из целлофана, коллодия и геля целлюлозы). Приводится методика приготовления перечисленных пленок. Мембраны из геля целлюлозы пригодны для определения мол. весов порядка 80 000. Н. М.

65463. Новый микрокулометр. Шварц-Бергампф, Рейхерт (Ein neues Mikrocoulometer. Schwarz-Bergkampff E., Reichert R.), Mikrochim. acta, 1955, № 5-6, 1031—1036 (нем.; рез. англ., франц.)

Небольшие кол-ва электричества определяют в микрокулометре с Pt-электродами по изменению давления (при постоянном объеме) вследствие выделения гремучего газа. В основу конструкции кулометра положен ранее описанный прибор (Jeller R., Z. angew. Chem., 1896, 9, 692). В качестве электролита использован $0,2 M$ р-р K_2SO_4 . Н. П.

65464. Простой компаратор для определения pH. Верониу (Comparator simplu pentru determinarea pH-ului. Veroniu Dănilă), Rev. ind. aliment. prod. animale, 1955, № 6, 30—31 (рум.)

Описан способ приготовления ряда буферных р-ров на основе лимонной к-ты и Na_2HPO_4 для получения эталонов для калориметрич. определения pH в пределах 6,2—8,0. В качестве индикатора использован метанитрофенол и бромфеноловый синий. Приведена схема компаратора и описана техника определения. Я. М.

65465. Простой электронный титровальный индикатор и производственный pH-метр. Секерка (Jednoduchý elektronkový titrační indikátor a provozní pH-metr. Sekerka Bedřich), Chem. průmysl, 1955, 5, № 7, 300—301 (чеш.)

Описанный прибор, служащий индикатором при потенциометрич. титровании и пригодный для измерения pH, питается от сети переменного тока через феррорезонансный стабилизатор и однополупериодный выпрямитель с селеновым столбиком. Прибор состоит из электронного потенциометра на лампе EL3. Входное сопротивление прибора 200 Мом. А. С.

65466. Восстановление и перекалибровка стеклянных электродов. Левин (The reconditioning and recalibration of glass electrodes. Lewin S.), Lab. Practice, 1955, 4, № 11, 441—443 (англ.)

Описаны хим. методы восстановления стеклянных электродов, начавших проявлять нестабильность. Описаны методы перекалибровки электродов, показавших линейное отклонение от функции водородного электрода. А. А.

65467. Стеклянный оловянно-натриевый электрод сравнения для растворов солей. Делимарский Ю. К., Колотий А. А., Завод. лаборатория, 1956, № 1, 25—28

Предложен новый высокотемпературный стеклянный оловянно-натриевый электрод (СОНЭ) сравнения и доказана его обратимость. СОНЭ можно применять, когда в расплаве присутствуют ионы Na (при содержании соли Na от 10^{-4} мол.% и выше). Этот электрод удовлетворяет требованиям, предъявляемым к нулевому электроду сравнения, так как Na^+ в расплаве не сольватируется, почти не поляризуется и не образует комплексных ионов. Техника изготовления СОНЭ: трубку из пирекса, раздутую на одном конце до толсто-стенного шарика и заполненную сухим очин. азотом, наполняют сплавом Sn и Na. Затем в трубку вставляют толстую Mo-проволоку и запаивают отверстие. Для каждого опыта необходим новый электрод, так как при застывании сплава Sn-Na стекло шарика растрескивается. С помощью СОНЭ были измерены электродные потенциалы серебра, установлен ряд напряжений металлов и изучены концентрационные цепи без переноса. Л. В.

65468. Три новых типа полярографов чехословацкого производства. Хань Цзун-кан (捷克的三種新型極譜儀. 韓祖康), 化學世界, Хуасюэ шицзе, 1956, № 1, 8—11 (кит.)

65469. Непрерывно действующие полярнографические анализаторы. III. Поверхность ртути, омываемая током газа, в качестве индикаторного электрода. Но-вак (Dlouhodobé polarografické analyzátoři. III. Stálá hladina rtuti omývána proudem, plynu jako indikační elektroda. Novák Jiří V. A.), Chem. listy, 1955, 49, № 10, 1476—1483 (чеш.).

Для непрерывного полярнографич. определения небольших количеств в-в в качестве индикаторного электрода (ИЭ) использована поверхность ртути, над которой электролит во время измерения перемешивается пропусканием газа. Ток, в 20—100 раз больший чем при измерениях с капельным электродом, пропорционален величине поверхности электрода ($0,2-3 \text{ см}^2$) и концентрации деполаризатора и зависит от скорости перемешивания электролита. Метод пригоден для определения как газовых компонент, напр. O_2 (если в р-р вводить исследуемый газ), так и восстанавливающихся в-в в р-ре (напр., ионы металлов). Температурный коэфф. тока ИЭ $\Delta I/\Delta t = 1,1 \pm 0,2\%$ град $^{-1}$. Кратко описаны приложения ИЭ для определения O_2 в технич. газах и для определения Hg в сточных водах. Часть II, РЖХим, 1956, 39197.

65470. Измерение диэлектрической постоянной порошков, обладающих адсорбционной способностью. Эме (Zur Messung der Dielektrizitätskonstanten von Pulvern mit Adsorptionsvermögen. Oehme F.), Z. Naturforsch., 1955, 10b, № 12, 725—727 (нем.).

Показано, что измерение диэлектрической постоянной (ДП) декстрина иммерсионным методом в иммерсионных смесях: C_6H_6 -нитробензол, C_6H_6 -ацетон, C_6H_6 -метанол, дает убывающие значения ДП с уменьшением полярности прибавляемого компонента. На примере всех исследованных в-в показано, что метод порошков дает правильные значения ДП для величин заполнения объема, не меньших 0,1. Сравнение результатов измерения ДП для декстрина, крахмала, целлюлозы, сахарозы и лактозы иммерсионным методом с использованием данных иммерсионных смесей со значениями ДП, полученными по методу порошков, показывает, что ДП, полученные при использовании иммерсионной смеси C_6H_6 -метанол и методом порошков, хорошо согласуются между собой, что указывает на малое влияние адсорбционных явлений в этом случае.

И. Л.
65471. Определение дисперсности жидких аэрозолей. Амелин А. Г., Беляков М. П., Завод. лаборатория, 1955, 21, № 12, 1463—1466

Приведено описание двух ловушек для отбора пробы аэрозоля в полевых условиях: одна — для скорости облака аэрозоля $\leq 1-2 \text{ м/сек}$, другая — для больших скоростей. Конструкции ловушек обеспечивают, по мнению авторов, сохранение структуры облака при отборе пробы. На дне ловушки находятся предметные стекла, покрытые спец. составом. Осевшие на этих стеклах капли подсчитываются и измеряются в микроскопе. Из приведенных примеров следует, что при определении среднего диаметра капель в двух параллельных опытах ошибка не превышает 2—5%.

И. Г.
65472. Усовершенствованный прибор для количественной абсорбции газов жидкостями. Голдинг, Эллис (An improved apparatus for the quantitative absorption of gases in liquids. Golding W. E., Ellis A. W.), Chemistry and Industry, 1955, № 44, 1401—1402 (англ.).

Описан прибор для проведения колич. абсорбции небольших количеств газов в динамич. условиях при скорости потока до 5 л/мин. Поток газа при входе в прибор увлекает некоторое кол-во жидкого абсорбента и разбрызгивает его по поверхности стеклянных шариков, находящихся в абсорбере, благодаря чему газ

приводится в тесный контакт с большой поверхностью абсорбента.

И. Л.
65473. Прибор для непрерывного хроматографического разделения. Свенссон, Аггелль, Делен, Хагдаль (An apparatus for continuous chromatographic separation. Svensson Harry, Agrell Carl-Emil, Dehlén Sven-Olov, Hagdahl Lennart), Science Tools, 1955, 2, № 2, 17—21 (англ.).

Принцип непрерывного разделения жидких смесей, применимый для адсорбционной, ионообменной и распределительной хроматографии, состоит в том, что адсорбент помещается в кольцеобразное пространство между двумя концентрич. цилиндрами; разделяемая смесь и проявитель по каплям подаются сверху на адсорбент. При медленном вращении адсорбционной колонны компоненты движутся в слое сорбента по различным спиральям. Жидкость выходит через отверстие в дне цилиндра поочередно в один из неподвижных приемных сосудов, расположенных по окружности. В другом варианте сорбент помещается в ряд одинаковых вертикальных трубок, расположенных по окружности; смесь через спец. распределительное устройство попадает поочередно в одну из трубок; вращаются все трубки вместе. Разработаны методы, обеспечивающие постоянство скорости подачи жидкости, равномерное заполнение колонн адсорбентом и контроль правильности работы колонны.

Б. А.
65474. Простая камера для хроматографии на бумаге. Уэрт (Simple chamber for paper chromatography. Wirth Carlos M. P.), Chemist-Analyst, 1955, 44, № 4, 111 (англ.).

В качестве камеры с насыщ. парами р-рителя рекомендуется использовать обычную 8-л реактивную банку. Бумажные полосы подвешиваются к крышке или непосредственно, или укрепляются к подвешенной чашке Петри (при использовании нисходящего потока).

Б. А.
65475. 4π-счетчик β-частиц для обработки хроматограмм на бумаге. Гаррисон, Уинтерингем (4π-beta counter for scanning paper chromatograms. Harrison A., Winteringham F. P. W.), Nucleonics, 1955, 13, № 3, 64, 66—68 (англ.).

Счетчик состоит из двух полужилиндрических. Си-катодов и двух W-анодов. Хроматограмма может продвигаться внутри счетчика между анодами. После заправки хроматограммы счетчик наполняется газом и вносится внутрь свинцового домика. Для самонагрева в счетный газ добавляют пары этанола. Импульсы каждого счетчика раздельно усиливаются, проходят амплитудные дискриминаторы и задерживающие устройства и подаются в каналесмесители, который отбирает совпадающие импульсы. Регистраторы дают счет верхнего и нижнего счетчика и счет совпадающих импульсов. Счетчик использовался для изучения смеси, меченой C^{14} , и для определения изотопных отношений. Определялось β-излучение смеси Cl^{36} и C^{14} , для чего верхняя сторона хроматограммы закрывалась слюдой толщиной 28 мг/см 2 , и при этом верхний счетчик считал только 60% β-частиц Cl^{36} , а нижний счетчик считал все β-частицы от Cl^{36} и C^{14} .

Л. М.
65476. Электромагнитное устройство для сокращения времени установления равновесия при хроматографии на бумаге. Хед, Канауэй (An electromagnetic device for shortening the equilibration period in paper chromatography. Head M. J., Canaway R. J.), Chemistry and Industry, 1955, № 46, 1472—1473 (англ.).

Путем перемешивания воздуха в замкнутом пространстве можно сократить срок достижения равновесия хроматографич. бумаги с атмосферой, насыщ. парами р-рителя, с 24 до 2 час. Для такого перемешивания

концам подвешенных бумажных полосок прикрепляют стальные крючки, благодаря которым полоски приводятся в маятникообразные колебания с помощью электромагнита. Описано устройство, обслуживающее одновременно 8 хроматографич. камер.

В. А.

65477. Сравнительный фотометр для измерения света, рассеянного аэрозолями и газами, с использованием последних в качестве светорассеивающих стандартов. Гаккер, Питерсон (A comparison photometer to measure light scattering of aerosols and gases, using the latter as light-scattering standards. Gucker Frank T., Jr, Peterson Axel H.), J. Colloid Sci., 1955, 10, № 1, 12—23 (англ.)

Часть света от источника при помощи двух конденсорных линз фокусируется на диафрагму, помещенную внутри аэрозольной камеры. Центр второй конденсорной линзы закрыт диском из черной бумаги, который закрывает от прямого света линзу, собирающую рассеянный аэрозолями свет и фокусирующую этот свет на фотоумножитель. Другая часть света от источника, ослабленная в пучном отношении фильтрами, падает в то же место на фотоумножитель. Спец. автоматич. затвор переключает попеременно оба пучка света. Описана электронная часть прибора, уменьшающая ошибки, связанные с нестабильностью фотоумножителя и источника света. Нижний предел измерений составляет 1,5% от рассеяния воздухом. Это соответствует рассеянию света диоктилфталатом с конц-ней $3 \cdot 10^{-11} \text{ г/л}$ при среднем диаметре частиц 0,3 м. Прибор чувствителен к рассеянию света газами, поэтому последние могут быть использованы в качестве рассеивающих стандартов. В качестве стандартов, относительно которых можно измерять рассеяние света другими в-вами, предложены He или воздух с CO_2 . Описанный способ может быть использован также для анализа газов. Н. К.

65478. Центробежный пылемер. Ту比亚ш (Pyłomierz wirówkowy. (Doniesienie tymczasowe). Tu b i a s Z S.), Med. pracy, 1955, 6, № 3, 201—204 (польск.)

Пылемер состоит из пологого цилиндра (Ц) радиусом 7 см с плотно закрывающейся крышкой. В боковых стенках сделаны два отверстия (диам. 15 мм), закрытых стеклами, смоченными глицерином. Проба воздуха набирается в Ц (стекла закрыты изнутри заслонками), крышка закрывается, заслонки открываются и Ц укрепляется на центрифуге. Частицы пыли, осевшие на стеклах после 5—15 мин. вращения, подсчитываются под микроскопом. При расчетах предполагается, что вся пыль из объема Ц оседает на его внутренней боковой поверхности. И. С.

65479. Прибор для определения растворимых сульфидов и железа в речной воде. Уитленд, Лоуден (Apparatus for determination of dissolved sulphide and iron in river waters. Wheatland A. B., Lowden G. F.), Chemistry and Industry, 1955, № 46, 1469—1470 (англ.)

Исследуемая вода заливается в 220-мл бутылку (Б), соединенную с 200-мл фильтровальной воронкой, установленной на колбе Бюхнера (К) с 50 мл 2 н. HCl , боковой отвод которой через адсорбер соединен с отсасывающим насосом. Для устранения потерь H_2S фильтрация H_2O , засасываемой в воронку из Б, производится в атмосфере чистого N_2 , который поступает в Б под давлением 50 мм вод. ст. Кол-во H_2S , образующейся в К при действии HCl на фильтрат и поглощаемого в адсорбере с помощью ацетата цинка, определяется калориметрич. или подинетрич. методами. Для полного выделения H_2S из фильтрата через него в течение часа барботирует N_2 , поступающий из Б через трубку, опущенную до дна К. Ю. Т.

65480. Простой прибор для объемного анализа без визуальных индикаторов. Газометрическое титрова-

ние. Х. Цериметрия, хлорометрия, определение нитратов, нитритов, гидроокисей и карбонатов. XI. Бихроматометрия. Готтлиб (Simple instrument for titrimetry without visual indicators. Gasometric titrations. X. Cerimetry, chlorometry, nitrate, nitrite, hydroxide and carbonate determination. XI. Dichromatometry. Gottlieb Otto Richard), Analyt. chim. acta, 1955, 13, № 6, 531—542; 1956, 14, № 1, 24—27 (англ.; рец. нем., франц.)

Х. В основу метода положен принцип наблюдения изменения давления в закрытой системе над титруемым р-ром. Конечную точку титрования находят графически. Прибор состоит из 50-мл колбы, герметично соединенной с бюреткой и манометром. При титровании строится график давления в системе как функции кол-ва израсходованного титра. График получается, как правило, в виде двух прямых (для его построения достаточно 6 точек), пересечение которых дает конечную точку титрования. Точность результатов сравнима с точностью обычных методов. Продолжительность одного газометрич. титрования ~10 мин.

XI. Применение вышеописанного метода и прибора возможно и в том случае, когда определяемые ионы не образуют газа с титрующим реактивом. Для этой цели прибавляется еще одно в-во, которое с титрующим реактивом освобождает газ. Конечную точку этой главной р-ции определяют по кривой титрования вещества-индикатора. Метод применим для титрования Fe^{3+} и Sn^{2+} посредством $\text{K}_2\text{Cr}_2\text{O}_7$ по 0,1 М р-ру сульфата гидразина. Часть IX см. РЖХим, 1956, 47226. В. М.

65481. Высокочастотная аппаратура для титрования. Клейтон, Хейзел, Мак-Набб, Шнейбел (A high-frequency titration apparatus. Clayton J. C., Hazel J. F., McNabb W. M., Schnable G. L.), Analyt. chim. acta, 1955, 13, № 5, 487—493 (англ.; рец. нем., франц.)

Описывается ВЧ-титрометр, основанный на изменении эффективной емкости или эффективной проводимости титруемого р-ра. Генератор с кварцевой стабилизацией собран на лампе 6V6. Индикатором сеточного смещения 6V6 служит лампа типа 6E5. Предложен новый метод термостатирования р-ров, основанный на применении самих измерительных электродов в качестве регуляторов т-ры (один из электродов полный и через него циркулирует термостатирующая вода). Л. У.

65482. Электронный полуавтоматический титрометр. Денисов С. С., Завод. лаборатория, 1956, № 1, 106—110

Описывается электронный полуавтоматич. титрометр типа ЭТ-1, основанный на принципе потенциометрич. титрования. Испытуемый р-р заливается в стакан с электродами, э. д. с. которых измеряется электронным милливольтметром. Стандартный р-р поступает в виде капель в стакан из автоматич. бюретки и перемешивается электро мешалкой. Скорость поступления стандартного р-ра может регулироваться и зависит от числа замыканий катушки электромагнитного клапана, производимых синхронным двигателем. Кол-во введенного стандартного р-ра регистрируется с помощью спец. следающего контакта и сельсинной передачи на дисковой диаграмме записывающего прибора. По окончании титрования бюретка автоматически наполняется из резервуара стандартным р-ром до определенного уровня. Процесс титрования длится в среднем несколько минут, подготовка к следующему титрованию — не более 1 мин. Воспроизводимость результатов $\pm 1\%$ при титровании водн. р-ров и $\pm 2\%$ при титровании спирт. вытяжек нефтей. Приведена принципиальная схема электронного полуавтоматич. титрометра. Л. А.

65483. Упрощенный индикатор конечной точки титрования с «магическим глазом». Мак-Колл,

Грешам (Simplified operating dead-stop magic-eye end-point indicator. McCauley C. A., Gresham W. J.), *Analyt. Chem.*, 1955, 27, № 11, 1847—1848 (англ.)

Индикатор для определения конечной точки титрования выполнен на основе электронной схемы, предложенной ранее (Kieselbach R., *Analyt. Chem.*, 1949, 21, 1578), но сопротивление плавной настройки заменено ступенчатым переключателем, а односекторный «магический глаз» (электроннолучевой индикатор) — двухсекторным с увеличенной яркостью. Эти усовершенствования сделали ненужной перестройку прибора при переходе на другой р-ритель и позволили производить работу при нормальном освещении. Прибор предназначен для титрования в р-рах спирта, спирта-бензола, спирта-толуола, спирта-укусной к-ты, но легко может быть приспособлен для других р-рителей. Л. А.

65484. Поплавковый метод определения содержания малых количеств тяжелой воды. Спанен (De meting van lage gehalten aan zwaar water volgens de methode van de vlotter. Spaeren J.), *Tech.-wet. tijdschr.*, 1956, 25, № 1, 2—14 (флам.; рез. англ., франц., нем.)

65485. Видоизмененный распылитель типа Бекмана в пламенном фотометре Перкина — Эльмера. Мюллер (Modified Beckman-type atomizer in the Perkin — Elmer flame photometer. Mueller Roland T.), *Analyt. Chem.*, 1955, 27, № 11, 1848 (англ.)

Предложены следующие изменения в распылителе Бекмана без уменьшения точности и чувствительности анализа: 1) длина вводного капилляра увеличена до 20 мм, 2) выводное отверстие сужено в два раза. Получена скорость распыления 2,5 мл/мин при давлении воздуха ~0,6 ат. Распылитель устанавливается на резиновых прокладках; исследуемая жидкость берется из мензурки объемом 5 мл. Распылитель использовался для определения Na, K и Ca в растительных в-вах, для исследования почвенных экстрактов и воды. Приведены размеры и рисунок распылителя. А. Б.-З.

65486. К вопросу о принципе действия альфа-ионизационных газоанализаторов. Штейнбок Н. И., *Ж. техн. физики*, 1956, 26, № 1, 175—180

На основании проведенных эксперим. и теоретич. исследований дается обоснование принципа действия α -ионизационных газоанализаторов. Автор делает вывод, что применение таких газоанализаторов целесообразно в лабор., промышленной и санитарно-технич. практике для измерения малых содержаний примесей паров и дымов в воздухе в конц-ях порядка десятых, сотых и даже тысячных процента. А. С.

65487. Поляризационный микроскоп в органической химии и биологии. Виккерс (The polarizing microscope in organic chemistry and biology. Vickers A. E. J.), *Research*, 1956, 9, № 2, 67—78 (англ.)

65488. Получение медленного равномерного потока сероводорода. Гаррис, Тейлор (The production of a slow and steady flow of hydrogen sulphide. Harris A. L., Taylor R. A. A. C. t. o. n.), *Chemistry and Industry*, 1955, № 46, 1471—1472 (англ.)

Описан несложный прибор для получения H_2S (р-ция между Na_2S и медленно поступающей HCl), в котором имеется спец. приспособление, прекращающее подачу HCl при повышении давления H_2S выше установленной нормы. Ю. Т.

65489. Лабораторная установка для получения обесеселенной воды. Лосев Н. П., Тевлина А. С. В сб.: Теория и практика применения радиообм. материалов. М., АН СССР, 1955, 156—159

Установка работает на принципе фильтрации через высокоактивные сорбенты. Вода последовательно проходит через две стеклянные колонки (диам. 45,

высота 600 мм), на перфорированное дно которых после засыпки битого стекла (7—10 см) и слоя стеклянной ваты (3—5 см) загружают: в первую — катионит (К), во вторую — аннионит (А). В качестве К рекомендуются употреблять сорбенты марок СБС, СБСР, МСФ или СДВ-3, в качестве А — сорбенты ММГ или Н-О. После полного насыщения сорбентов К восстанавливают обработкой р-ром к-ты, А — р-ром карбоната или бикарбоната натрия. Смоляные фильтры работают без смены в течение 5—6 лет. Скорость фильтрации 25 л/час, длительность одного цикла 6,5 часа, длительность регенерации сорбентов 50 мин., вес сухого остатка очищ. воды 0,1 мг/л, кол-во ионов железа 0,0%, электропроводность $9,8 \cdot 10^6$ ом⁻¹ см⁻¹. рН 6,7. Описанный прибор может быть выполнен из листового винипласта, что придает ему высокую прочность. Ю. З.

65490. Лабораторное стеклянное оборудование (Новые конструкции). Джукс (Laboratory glass apparatus. Recent developments in design. Jukes Roger N.), *Chem. Trade J. and Chem. Engr*, 1955, 136, № 3534, 466, 468 (англ.)

Кратко описано боросиликатное стеклянное оборудование, выпускаемое фирмой «Quickfit»: различные взаимозаменяемые шлифы (конич., сферич. и плоские), циклон-испарители, подогреваемые паром, экстракторы, стандартные части перегонных колонок Дифтона, Вигрекса, различные типы насадочных колонок, 25-мл колбы для полумикроработ и колбы емк. 10—20 л. М. В.

65491. Бюретки. Мартин (Büretten. Martin Dieter), *Chem. Labor. und Betrieb*, 1956, 7, № 1, 9—16 (нем.)

Обзор. Л. У.

65492. Делительная воронка, пригодная для нагревания и охлаждения. Кода (加熱冷却のできる分液漏斗. 甲田善生), *化学の領域*, Kagaku no reiki, J. Japan. Chem., 1956, 10, № 2, 150—151 (япон.)

Резервуар воронки имеет форму капли. Вводы в него (отросток с краном на узкой части сосуда и отверстие с пробкой для наполнения) расположены под углом ~120°, что позволяет большую часть резервуара погружать в жидкостную баню, оставляя входы выше уровня жидкости последней. А. С.

65493. О приборах и лабораторной посуде для микро- и полумикроанализа. Алмариин И. П., Тарасевич Н. И., Завод. лаборатория, 1956, 22, № 3, 368

Предложения об организации массового промышленного выпуска новой аппаратуры и приборов. И. Л.

65494. Кольцевая упругая подставка для полумикро- работ. Мак-Нивен (A flexible ring stand for semi-micro work. McNiven Neal L.), *Chemist. Analyst*, 1955, 44, № 3, 32 (англ.)

Концы стеклянного стержня диам. 6 мм оттянут до диам. 3 мм и изогнут в виде кольца с радиусом 10 мм. Стержень с помощью надетой на него резиновой трубки крепится на кронштейне. Кольцо используется в качестве держателя для микроворонки. Ю. Т.

65495. Подставка большой емкости для использованных пипеток. Болл, Стротер (Large capacity rest for used pipettes. Ball R. H., Strauther J. D.), *Chemist Analyst*, 1955, 44, № 3, 82 (англ.)

Подставка изготовлена из 4 металлич. прутков диам. ~5 мм, образующих прямоугольник; концы прутков отогнуты вверх и сварены там в 4 углах. Емкость подставки ~350 пипеток на 1 мл. Ю. Т.

65496. Горячая экстракция с применением адсорбента, охлажденного до низкой температуры. Хечко (Heißextraktion mit Hilfe tiefgekühlter Adsorptionssmittel. Heczko Th.), *Berg- und Hüttenmänn. Monatsh.*, 1955, 100, № 7-8, 245—247 (нем.)

Описанный прибор отличается от применявшихся ранее тем, что высокий вакуум создается путем подключения сосуда с активированным углем, охлажденным жидким кислородом, и выделенные из пробы газы адсорбируются в U-образной трубке также активированным углем, охлаждаемым жидким кислородом; затем газы выделяются из угля путем помещения трубки с углем в горячую воду, переводятся насосом Теплера в бюретку и далее в анализатор для определения CO , H_2 и других газов. Прибор не имеет шлифов. Время выделения газа из пробы металла — $1/2$ часа. Приведены примеры определения кислорода в жести и стали.

Б. А.

65497. Лабораторная техника контактных реакций. Дозирование жидкостей. Ваврушка (Laboratorní technika kontaktních reakcí. Dávkováni kapalin. Vavruška Miroslav), Chem. průmysl, 1955, 5, № 5, 201—204 (чеш.)

Обзор. Библ. 15 назв.

В. С.

65498. Дистанционное измерение небольших перемещений в среде, подвергающейся повышенному гидростатическому давлению. Гальперин, Сорель, Лекок, Водар (Repérage à distance de petits déplacements dans un milieu soumis à une pression hydrostatique élevée. Galperin B., Saurel J., Lecocq A., Vodar B.), J. phys. et radium, 1955, 16, № 6, 492—493 (франц.)

Описан метод измерения уровня ртути в неметаллических капиллярах, расположенном в сосуде, работающем под давлением. Между ртутью и металлич. оболочкой нижней части капилляра накладывается переменное напряжение (3 в, 455 кГц) от отдельного генератора. Рабочая часть капилляра окружена вторым электродом, образующим со столбом ртути конденсатор. Этот конденсатор соединен с электронным усилителем и микроамперметром. Изменение уровня ртути в капилляре изменяет емкость конденсатора, а следовательно и переменное напряжение, поступающее на вход усилителя.

В. М.

65499. Лабораторный сатуратор для получения паровых смесей. Рождественский В. П., Еньков Ю. В., Уч. зап. Саратовск. ун-та, 1955, 42, 113—119

Описана конструкция лабор. сатуратора, в котором насыщение газа водяным паром производится без барботирования. Подогретый в термостате газ пропускается над поверхностью воды в испарителе, нагретой до определенной т-ры, насыщается паром и отделяется от капель воды в сепараторе. Эксперим. результаты показывают, что изменение скорости газа от 5 до 40 л/час практически не влияет на полноту насыщения, а максим. отклонение кол-ва пара от теоретически рассчитанного колеблется от $-6,4$ до $+5,3\%$. Исследована зависимость соотношения пар — газ от т-ры в интервале $81,5—94,0^\circ$. Приводится калибровочная кривая для практич. использования сатуратора. И. Л.

65500. Микромешалка — сепаратор лабораторного типа для непрерывной экстракции растворителя по принципу противотока. Уолл (A micro — mixer — settler for laboratory continuous countercurrent solvent extraction. Wall G. P.), Repts Atomic Energy Res. Establ., 1955, № CE/R 1730, 8 p. ill. (англ.)

Описана аппаратура для экстракции жидкости жидкостью по принципу противотока. Достигнута 100%-ная эффективность каждой ступени. Имеются ступени двух типов объема в 12 и 30 мл. Отдельные ступени могут быть объединены в агрегаты, а последние — в серию.

В. М.

65501. Чувствительный маностат. Томпа (A sensitive manostat. Tompa H.), J. Scient. Instrum., 1956, 33, № 2, 82—83 (англ.)

Описан маностат, позволяющий регулировать давление с точностью 0,05 мм рт. ст. при давлении в пределах 0—760 мм рт. ст. Конструкция содержит ртутные затворы со стеклянными пористыми дисками. При применении маностата для поддержания постоянства давления пара над кипящей жидкостью удалось регулировать т-ру с точностью 0,01°.

В. В.

65502. Высоковакуумный микроэксикатор и нагревательный блок для высушивания гигроскопических веществ. Визенбергер (Ein Hochvakuum-Mikroexsikkator und ein Heizblock zur Trocknung hygroskopischer Substanzen. Wiesenberger E.), Mikrochim. acta, 1955, № 5-6, 962—968 (нем.; рез. англ., франц.)

Описан простой высоковакуумный микроэксикатор, имеющий форму пистолета и снабженный насадкой, в который помещается высушиваемый образец. Конструкция насадки позволяет устойчиво устанавливать образец и производить открывание и закрывание сосуда для взвешивания образца без соприкосновения его с воздухом. Приводится описание нагревательного блока, с помощью которого можно одновременно нагревать 10 микроэксикаторов и производить ряд микроаналитич. и препаративных работ. Т-ра блока регулируется с помощью контактного термометра и реле.

И. Л.

65503. Бакня постоянной температуры для реакций. Асдин, Асдин (Constant temperature bath for reactions. Usdin Earl, Usdin Vera), Chemist-Analyst, 1955, 44, № 4, 108—109 (англ.)

Лабораторный стакан закрывается резиновой пленкой, имеющей отверстия для реакционного сосуда и холодильника. Пленка плотно прижимается к стеклянным частям резиновыми кольцами. Кипячением в стакане соответствующей жидкости поддерживается постоянная т-ра. Авторы предлагают использовать ацетон, метилацетат, метанол, этанол, изопропанол, воду, изобутанол и *n*-бутанол, которые в течение достаточно длительного времени не действуют на резину.

И. Л.

65504. Аппарат для перегонки с паром и с азотом. Ивао (再び蒸溜装置について. 岩尾裕之), 栄養学雑誌, Эйёраку дзасси, Japan J. Nutrition, 1955, 13, № 1, 26 (япон.; рез. англ.)

65505. Новая колба Клайзеновского типа для фракционной перегонки. Вогель (A new flask of the claisen type for fractional distillation. Vogel A. I.), Research, 1956, 9, № 1, S3—S4 (англ.)

Описана простая модификация колбы Клайзена для фракционной перегонки при нормальном или пониженном давлении. Конструкция позволяет использовать колонку любого желаемого диаметра. Колонка может нагреваться ленточным электронагревателем. К достоинствам конструкции относится жесткость и малые потери органич. паров.

И. У.

65506. Простая аппаратура для лабораторного вымораживания. Вацке (Eine einfache Apparatur zur labormäßigen Gefriertrocknung. Watzke E.), Naturwissenschaften, 1956, 43, № 4, 83 (нем.)

Приспособлен вакуумный эксикатор для обезвоживания в-в при низких т-рах. Понижение т-ры до -15° достигается за счет теплоты испарения воды обезвоживаемого в-ва, поглощаемой непрерывно обновляющимся слоем H_2SO_4 . В эксикаторе диам. 25 см за 10 час. удаляется 100 мл воды. Эксикатор предварительно эвакуируется до 5 мм рт. ст.

А. Л.

65507. Шаровая мельница с двумя осями вращения. Клаус (Kreiselkugelmühle. Claus B.), Z. angew. Phys., 1955, 7, № 12, 557—559 (нем.)

Ось барабана мельницы укреплена горизонтально в вилке и снабжена на конце зубчатым колесом или фрикционом. При вращении вилки барабан получает

вращение перпендикулярно своей оси, а зубчатое колесо или фрикцион, обкатываясь по неподвижному зубчатому венцу или фрикциону, вращают барабан вокруг его оси. При таком вращении барабана движение шаров подобно движению молекул газа, и при 2000 шарах диам. 5 мм в барабане объемом 1 л и скорости вращения 6000 об/мин число ударов шаров составляет $\sim 6 \cdot 10^6$ ударов в 1 сек. Мельница обеспечивает высокую тонкость и равномерность помола и может быть применена как для сухого, так и для мокрого помола и диспергирования.

65508. Плавка и спекание металлов в вакууме. Малкольм (Melting and sintering of metals in vacuo. Malcolm E. D.), J. Scient. Instrum., 1953, suppl. № 1, 63—66 (англ.). Обзор. Библ. 15 назв.

65509. Простое приспособление, преобразующее самонисея в устройство, контролирующее заданную программу. Брандт, Браун (Simple device for converting an automatic recorder into a flexible program controller. Brandt F. A., Brown Floyd), Rev. Scient. Instrum., 1955, 26, № 11, 1077 (англ.). На ленту самонисея (СП) наносится в виде электропроводной линии график требуемого изменения т-ры печи. СП соединяется с печью обычным методом с помощью терморпары, а его перо заменяется парой следящих контактов. При отклонении т-ры печи от заданного графика контакты СП сдвигаются относительно заданного графика и между ними и кривой нарушается электрич. контакт. Это приводит в действие реле, изменяющее режим работы печи до тех пор, пока контакты снова не возвратятся на программную кривую. Отмечается возможность использования такого приспособления для регулирования освещенности или уровня жидкости по предвзятому задаваемому графику изменения.

65510. Тонкая трубка из пластика для работ с ртутью. Рейнер, Халибертон (Small-bore plastic tubing for handling mercury. Rayner A. C., Halliburton W.), Chemist Analyst, 1955, 44, № 3, 80 (англ.).

Трубка из полиэтилена внешним диам. 1,2 мм и внутр. диам. 0,56 мм, одетая на оттянутый конец заполненной Hg делительной воронки, используемая как зонд, позволяет заливать Hg в труднодоступные места аппаратуры.

65511. О применении гидрида титана в технике эксперимента. Троусил (O použití hydridu titanu v experimentální technice. Troušil Zdeněk), Českosl. časop. fys., 1955, 5, № 6, 699—704 (чеш.). Описаны методы применения обратимого процесса выделения и связывания водорода частично разложившим гидридом титана для регулирования мощности и теплопередачи.

65512 К. Радиометрия. Баранов В. И., М., АН СССР, 1953, 328 стр., илл. 20 р. 20 к.

65513 К. Исследование температурной зависимости индукционных счетчиков. Чаппу (Untersuchungen über die Temperaturabhängigkeit der Induktionszähler. Diss. Tschappu Fred. Zürich, Juris — Verl., 1954, 131 S., ill.) (нем.).

65514 К. Полярографическая техника. Мейте (Polarographic techniques. Meites Louis. New York — London, Interscience, 1955, XIII, 317 p., ill., 48 sh.) (англ.).

65515 К. Разработка аппаратуры для разделения смесей двух жидких фаз. Леман (Entwicklung einer Apparatur zur Gemischzerlegung mit zwei flüssigen Phasen. Gekürzte Fassung — Diss. Lehmann Walter. Fraubrunnen, Gläuser, 1954, 8 S.) (нем.).

65516 К. Элементы вакуумной техники. Кёниг (A kinetikus vákuumtechnika elemei. Kőnig Aladár. Budapest, 1955, 35 l.) (венг.).

65517 К. Производство стеклянных лабораторных приборов. Веселовский С. Ф. (Výroba sklenných laboratorních přístrojů. Veselovskij S. F. Ž ruš. Praha, SNTL, 1955, 250, [2] str., il., 19, 50 Kčs) (чеш.).

65518 К. Лабораторные приборы для измерения расхода жидкостей и газов. Изд. 2-е, испр. и доп. Лоскутов В. И. М., Машгиз, 1955, 256 стр., илл., 8 р. 75 к.

65519 Д. Бета-спектрометр с двойным отклонением. Ефимов Ю. Е. Автореф. дисс. канд. физ.-матем. н., Физ.-техн. ин-т АН СССР, Л., 1955

65520 Д. Некоторые физические свойства спая металла с вакуумно-плотной керамикой. Якубеня М. П. Автореф. дисс. канд. физ.-матем. н., Томский ун-т, Томск, 1955

65521 П. Метод дозиметрии γ - и рентгеновского излучений. Таплин, Дуглас (Gamma and X-ray dosimetric method. Taplin George V., Douglas Clayton H.) [United States of America as represented by the United States Atomic Energy Commission]. Пат. США 2682510, 29.06.54

Дозиметрическая система γ - и рентгеновского излучений состоит из двухфазной смеси жидкостей и расположена внутри герметично закрытого контейнера из материала, не реагирующего со смесью. Одна фаза образована хлороформом, а другая вода. р-ром индикатора. Индикатором служит одно из в-в: бромтимоловый синий, хлорфеноловый красный или бромкрезоловый пурпурный. Водн. р-р имеет рН 6,6—7,2 и содержит 0,9—12 мг/см³ индикатора. Отношение объемов хлороформной и водной фаз находится в диапазоне 5 : 1 — 15 : 1.

65522 П. Спектрохимический анализатор (Spectrochemical analyser) [Commonwealth Scientific and Industrial Research Organization]. Австрал. пат. 163586, 7.07.55

Прибор для спектрохим. определения конц-ий элементов или изотопов элементов. Пучок излучения, спектр которого содержит линию атомного спектра, характерную для определяемого компонента, пропускается через в-во, находящееся в состоянии атомного пара. Прошедшее излучение воспринимается чувствительным элементом, причем действие собственного излучения пара исключается либо учетом его при измерении, либо путем компенсации.

65523 П. Ультрафиолетовый светофильтр (Ultra-violet filter) [Physikalisches Untersuchungslaboratorium GmbH.]. Швейц. пат. 300976, 1.11.54 [Chem. Zbl., 1955, 126, № 28, 6669 (нем.)]

На подложке, напр., из стекла, находится слой толщиной 1 μ , свободный от связывающих в-в и р-рителей. Слой состоит из SiO₂, TiO₂ или TiO₂ или молибденовой сини, нанесенных вакуумным испарением, катодным или газовым распылением. Изменением толщины слоя можно получать светофильтры с различными спектральными характеристиками для фиолетовой и УФ-частей спектра.

65524 П. Аппарат для удаления электролитов из растворов. Розенберг (Apparatus for removing electrolytes from solutions. Rosenberg Norman W.) [Ionics Inc.]. Пат. США 2708658, 17.05.55

Аппарат для перевода растворенных электролитов из одного р-ра в другой состоит из плотного пакета плоских мембран (М) с избирательной ионной проницаемостью, перемежающихся с плоскими прокладками (П), на каждой из которых имеется извилистый вырез, образующий при сборке пакета канал для проте-

кания р-ров. Через пакет пропускается электрич. ток в направлении, перпендикулярном плоскостям М и П, а р-ры вводятся и выводятся через соответствующие отверстия каналов на каждой из П. И. З.

65525 П. Вискозиметр. Уббелодде (Viskosimeter. Ubbelohde L.) [VEB Jenser Glaswerk Schott und Gen.], Пат. ГДР 1858, 02.08.54

Конструктивное усовершенствование капиллярного вискозиметра, с помощью которого упрощается процесс наполнения измерительного сосуда перед опытом. В. Б.

65526 П. Аппарат для измерения малых осмотических давлений в растворах, состоящий из одной осмотической ячейки с одной поднимающейся вверх трубкой для раствора и с другой трубкой для растворимого вещества и из интерферометрического устройства для измерения разницы уровней между менисками в этих трубках. Свенссон (Apparat för mätning av små osmotiska tryck i lösningar, bestående av en osmotisk cell med ett stigrör för lösningen och ett för

lösningsmedlet samt av en interferometrisk anordning för mätning av nivåskillnaden mellan meniskerna i dessa stigrör. S v e n s s o n S. H.) [LKB-Produktfabriks AB], Швед. пат. 148087, 14, 12.54

Аппарат состоит из U-образной широкой трубки, колена которой разделены полупроницаемой перегородкой. Разница уровней р-ра и р-рителя в коленах определяется с помощью интерферометра. М. Т.

См. также: Обогащение радиоактивных в-в 64419, 64422. Микроколориметр 18806Бх. Газоанализаторы 65233—65236, 65318, 65319, 65328, 65355, 65357; 18801Бх, 18803Бх. Диаграммы р-рности 64475. Коэфф. трения масел 66082. Упругие св-ва пен 65804. Электрофорез 18761Бх, 18762Бх. Анализ неорганич. в-в 65304, 65317, 65331, 65345. Анализ органич. в-в 66346; 18804Бх. Дыхание клеток 18805Бх. Измельчение тканей 18799Бх. Коррозийные испытания 67308. Др. вопр. 66769, 66920.

ХИМИЧЕСКАЯ ТЕХНОЛОГИЯ. ХИМИЧЕСКИЕ ПРОДУКТЫ И ИХ ПРИМЕНЕНИЕ

ОБЩИЕ ВОПРОСЫ

65527. Задачи чехословацкой химической промышленности в связи с использованием атомной энергии. Челеда (Jaké úkoly stavi využití jaderné energie před š. chemický průmysl. Čeleda Jiri), Chem. průmysl., 1955, 5, № 2, 53—54 (чеш.)

65528. Химические проблемы атомной промышленности. Грубешова (Chemické problémy atomového průmyslu. Hruběšová M.), Vesmír, 1955, 34, № 10, 328—329 (чеш.)

Рассматриваются задачи в области получения атомного сырья, оборудования, хранения и использования продуктов распада, а также возросшие требования к чехословацкой хим. пром-сти. И. Л.

65529. Получение атомной энергии с точки зрения химика. Данкан (Atomic power production — a chemist's viewpoint. Duncan J. F.), Proc. Roy. Austral. Chem. Inst., 1954, 21, № 9, 198—208 (англ.)

65530. Развитие основной органической химической промышленности в Индии. Часть I. Фурфул. Тхампи, Кулур (Development of basic organic chemical industries in India. Part I. Furfural Thampur R. T., Kuloor N. R.), Chem. Age India, 1956, 7, № 1, 45—51 (англ.)

Обзор. Вибл. 24 назв. Н. Ш.

65531. Об экономии электроэнергии в химической промышленности. — (化學工業如何開展節約用電工作), 人民電業, Жэньминь даньэ, 1956, № 1, 17—21 (кит.)

65532 К. Общая химическая технология. Вольфович, Егоров, Эпштейн Т. I. Перев. с русс. (Tehnologie chimică generală. Vol. 1. Volfkovič S. I., Egorov A. P., Epstein E. Trad. din limba rusă. București, Ed. tehn., 1955, 656 p., il., 49, 70 lei) (рум.)

65533 К. Современные вопросы химической технологии. Крапухин Б. А., Розин Е. М., Восолзобе И. И. Перев. с русс. (Probleme moderne de tehnologie chimică. Krapuhin B. A., Rozin E. M., Vosolsobe I. I. Trad. din limba rusă. București, Acad. R. P. R., 1955, 163 p., il., 5 lei) (рум.)

65534 К. Общая химическая технология неорганических веществ (Учеб. пособие для хим. техникумов МХП). Изд. 3-е, переработ. Егоров А. П., Ше-

решевский А. И., Шманенков И. В., М., Госхимиздат, 1955, 552 стр., илл. 13 р. 70 к.

См. также: 64089, 64148

СЕРНАЯ КИСЛОТА, СЕРА И ЕЕ СОЕДИНЕНИЯ

65535. Вынос процесса испарения серы из реторт. Соловьев С. А., Волох Т. Ф., Гаврилов Ф. Я. В сб.: Искусств. волокно. Вып. 10, М., 1955, 27—29

Для более полного использования объема негазифицированных реторт для произ-ва CS_2 и повышения их производительности вместо жидкой S в реторту подают пары S (в виде S_2). Для этого между сероплавителем и ретортой в камере обогрева печного блока устанавливают испаритель емк. 50 л из стального литья, в который жидкая S поступает самотеком, а пары S_2 выходят по газоходу в патрубок реторты. В результате установки сероиспарителя производительность реторты увеличилась на 25—30%, уменьшились потери S и улучшились условия труда. Г. Р.

65536. Исследование процесса обжига флотационного колчедана. Шурьгин А. П., Тр. Моск. энерг. ин-та, 1956, вып. 24, 133—143

Приведен разбор процессов обжига колчедана в современных печах с теплотехнич. и технологич. точек зрения; более рациональным следует считать обжиг при высокой т-ре в циклонной печи с выпуском расплава огарка. Опыты по определению скорости выгорания S из флотационного колчедана (ФК) при т-рах 1100—1400°, различной толщине слоя расплава, различных скоростях воздуха над его поверхностью и различной конц-ии O_2 в дутье показали, что диссоциация FeS_2 практически заканчивается в течение 1 мин.; при 1400° за счет диссоциации можно отогнать >50% S, при 1000—1100° ≤45%; скорость горения FeS значительно меньше скорости диссоциации FeS_2 ; в целом процесс горения ФК определяется более медленной стадией горения FeS, суммарная скорость горения ФК больше скорости диссоциации FeS_2 и скорости горения FeS, так как обе стадии протекают одновременно; скорость выгорания S из расплава почти не зависит от т-ры (температурный коэфф. ≈1,01) и определяется диффузией газов в расплаве; для интенсификации про-

цесса следует иметь повышенные скорости дутья над поверхностью возможно более тонкой пленки расплава; при выдержке расплава в течение некоторого времени в камере с высокой т-рой S удаляется только за счет ее окисления и лишь незначительно за счет диссоциации FeS. Проведены предварительные опыты по обжигу ФК в горизонтальной циклонной печи с камерой (из термостойкого хромомagnesита) diam. 260 мм и длиной 460 мм. Смесь первичного воздуха, подогретого до 450—500° с ФК (40% S), а также подогретый вторичный воздух, подводились тангенциально. Печь работала наиболее эффективно при подаче 18—20 кг/час ФК, т. е. при тепловом напряжении ~800—900·10³ ккал/м²·час. Расплав огарка с содержанием 1,5—2% S вытекал при т-ре в камере 1400—1450°; при понижении т-ры до 1300° вытекание прекращалось. Г. Р.

65537 К. Технология серной кислоты (Учебник для хим.-технол. вузов и фак.). Кузьминых И. Н. М., Госхимиздат, 1955, 228 стр., илл., 6р. 60 к.

65538 П. Извлечение серы (Recovery of sulphur) [The British Petroleum Co. Ltd]. Австрал. пат. 166233, 22.12.55

Для очистки от H₂S углеводородные газы (УГ) смешивают с SO₂ или с газами, содержащими SO₂, в соотношении H₂S : SO₂ = 2 : 1 и пропускают полученную смесь газов через реактор с псевдооживленным слоем катализатора, поддерживая т-ру слоя ≤240°. Очищ. УГ выходит сверху реактора. Образующаяся при р-ции S отлагается на катализаторе, который отводится непрерывно снизу реактора и подается в потоке газа в регенератор, где поддерживается т-ра, необходимая для отгонки S из катализатора; выходящие из регенератора газы охлаждают для конденсации S. Регенерированный катализатор возвращается в реактор потоком УГ. Г. Р.

65539 П. Извлечение двуокиси серы (Recovery of sulphur dioxide.) [The Electrolytic Refining and Smelting. Co. of Aust. Pty. Ltd]. Австрал. пат. 164272, 4.08.55

Для извлечения SO₂ из смеси газов, с большим содержанием O₂, газы пропускают снизу вверх через пористый слой твердого в-ва, реагирующего с SO₂; слой орошается водой или р-ром, причем SO₂ и указанное в-во постепенно растворяются в жидкости. Г. Р.

65540 П. Способ уменьшения пенообразования при концентрировании разбавленных растворов отработанной серной кислоты. Фукуа (Sätt att vid koncentrerat av utspädd avfallssvavelsyra förhindra skumbildning. F u q u a M. C.) [Standard Oil Development Co.]. Швед. пат. 151520, 20.09.55

При концентрировании разб., отработанной H₂SO₄, получаемой при очистке углеводородов, ее вводят в концентратор вместе с несulfурирующим нефтепродуктом с т-рой воспламенения, лежащей выше т-ры кипения конц. H₂SO₄. Кол-во нефтепродукта должно быть достаточным для предупреждения вспенивания. Смесь нагревают в концентраторе для отгонки воды и других летучих из разб. H₂SO₄. К. Г.

65541 П. Способ очистки газа, содержащего сероводород, щелочными жидкостями. Паулиг (Procédé pour le traitement, à l'aide de liquides alcalins, des gaz contenant de l'hydrogène sulfuré. P a u l i n g H.). Франц. пат. 1073156, 20.09.54 [Chimie et industrie, 1955, 73, № 5, 936 (франц.)]

К щел. жидкости после промывки газа добавляют NH₃ (газ или жидкий) в кол-ве, необходимом для связывания поглощенных из газа кислых в-в в виде NH₄-солей; последние удаляют из жидкости продуктовой водяным паром. Способ позволяет легко удалять кислые

в-ва при т-ре кипения р-ра, расходуя небольшое кол-во водяного пара. Г. Р.

См. также: 65553, 65578, 65579, 66017

АЗОТНАЯ ПРОМЫШЛЕННОСТЬ

65542. Новый азотный завод (8 17, 000, 000 Sohio plant.—), Commmerc. Fertilizer, 1956, 92, № 1, 24—28 (англ.)

Описан пущенный в декабре 1955 г. аз. завод Sohio Chemical Co. в Лима (Огайо, США) производительностью 300 т/сутки NH₃. Природный газ (I) и отходящий газ (II) каталитич. реформинга нефти, очищ. от H₂S (I-боскитом и окисью Fe, II — р-ром моноэтаноламина), конвертируют водяным паром под давлением по способу Келлога (что дает 25—35% экономии энергии для компрессоров) над Ni-катализатором в 2 ступени, причем во 2-й ступени добавляется воздух. После охлаждения газа водой и насыщения водяным паром следует: конверсия CO, компрессия, очистка р-ром моноэтаноламина, компрессия, очистка р-рами медным и NaOH (147 ат), компрессия до 350 ат и синтез в 2 колоннах, отличающихся наличием 5 слоев катализатора; объем этих слоев увеличивается по ходу газа и между ними подается холодный газ. Газ после колонной синтеза охлаждается в воздушном, водяном и аммиачном холодильниках. 3-д производит также: HNO₃ 180 т/сутки (сжигание и абсорбция под давл. 7 атм); NH₄NO₃-NH₃-р-р, для чего используют хвостовой газ произ-ва мочевины и продуктовый газ произ-ва NH₃; мочевины 120 т/сутки (по швейцарскому способу Инвента А. Г.) в кристаллич. виде для произ-ва пластмасс и фармацевтич. в-в. Жидкий NH₃ и CO₂ (газ) подаются в автоклав, выложенный спец. сплавом. Полученная смесь мочевины, карбамата NH₄ и воды дросселируется и проходит последовательно 2 реактора, где карбамат разлагается на NH₃ и CO₂. Р-р мочевины выпаривается в вакууме и гранулируется в башне конструкции Уде. Хвостовые газы используются для произ-ва HNO₃, NH₄NO₃ или возвращаются в цикл. Г. Р.

65543. Производство безводного аммиака по способу Бельгийского общества азотной промышленности.— (Anhydrous ammonia by the Societe Belge de l'Azote process.—), Petrol. Process, 1956, 11, № 1, 87—89 (англ.)

В процессе применяется H₂, очищаемый промывкой жидким N₂. Колонна синтеза, работающая под давл. 250—300 ат, отличается тем, что в ней помимо теплообменника, катализаторной коробки и пускового электроподогревателя расположены паровой котел и экономайзер, причем предусмотрен байпас для обхода последних при пуске. На 1 т NH₃ получается 690 ккал пара 24,5 стм. Циркуляция газа производится многоступенчатым турбокомпрессором, работающим без маслоотделителя. Установку производительностью 300 т/сутки обслуживают 2 человека в смену. Приведено сравнение стоимости NH₃, получаемого на базе различных газов, нефти, угля и кокса. Г. Р.

См. также: 66017

СОДОВАЯ ПРОМЫШЛЕННОСТЬ

65544. Государственный содовый завод им. Карла Маркса. Деведжиев (Державен завод за сода «Карл Маркс». Деведжиев М а р и н.), География (София), 1955, 5, № 9, 1—3 (болг.)

См. также РЖХим, 1956, 1333.

Г. Р.

65545 П. Разделение двуокиси углерода и аммиака (Separation of carbon dioxide from ammonia) [Chemical Construction Corp.]. Австрал. пат. 164482, 18.08.55

Смесь газов, содержащую NH_3 и CO_2 , промывают в скруббере охлажденным водн. р-ром слабого основания, способного обратимо соединяться с CO_2 , причем поглощается CO_2 и значительное кол-во NH_3 . Из обогащенного р-ра нагреванием в 1-й ступени выделяют NH_3 , возвращаемый в скруббер, и нагреванием во 2-й ступени выделяют большую часть CO_2 . Регенерированный р-р возвращают в скруббер. Г. Р.

МИНЕРАЛЬНЫЕ СОЛИ. ОКСИДЫ. КИСЛОТЫ. ОСНОВАНИЯ

65546. Об усилении экспериментальной и исследовательской работы в соледобывающей промышленности Китая. Гуань И-цзянь (加強製鹽工業的試驗研究工作. 關一健), 中國輕工業. Чжунго цингун-е, 1955, № 24, 9—11 (кит.)

65547. Подготовка рассола перед его сгущением. Еништа (Úprava solanky před zahušťováním. Jeníšta Václav), Průmysl potravin, 1955, 6, № 3, 156—157 (чеш.)

Подготовка рассола при вакуумном способе произ-ва столовой соли производится путем пропускания через спец. устройство струи сырого рассола, струи рассола, содержащего свободную CaO , и р-ра соды. Такая обработка значительно снижает расход последней. Е. С.

65548. Калийная промышленность в США.—(The story of potash.—), Crops and Soils, 1956, 8, № 6, 13—15, 22 (англ.)

Краткие сведения о возникновении калийной промышленности в США, добыче К-руды на шахте Potash Co. of America около г. Карлсбада (Нью-Мексико) и о других К-месторождениях США. Г. Р.

65549. Использование отходов карбида для получения цианамида калия. Пятницкий Н. В., Николаев И. Е., Стронгин Г. М., Сб. докладов по экон. электр. и тепл. энергии, премир. на 9-м Всес. конкурсе, М.—Л., 1955, 27—28

При азотировании пыли CaC_2 (фракция 0—2 мм) в периодич. печи с зажиганием при помощи центрального угольного стержня процесс затухает ввиду нехватки тепла, имеющей место особенно в начале процесса при азотировании центральной части блока. Предложено загружать центральную часть реторты печи высоколитражным карбидом (260—270 л/кг), а остальную часть печи — мелочью, азотирование которой обеспечивается за счет избытка тепла, получаемого в начале процесса. Г. Р.

65550. Обжиг монодисперсной цинковой обманки в псевдооживленном состоянии. I. Аппаратура и полученные результаты. II. Сопоставление экспериментальных результатов с теоретическими уравнениями. Яги, Кунин, Нагано, Мишита (流動層による均一徑閃亜鉛礦の焙焼. 第1報). 實驗装置及び實驗結果. 第2報. 理論式による實驗結果の解析. 矢木榮, 國井大藏, 永野健, 峯田尚), 工業化學雜誌, Kōgō gakuza kasshi, J. Chem. Soc. Japan Industr. Chem. Sec., 1953, 56, № 4, 213—215; № 5, 301—302 (япон.)

I. Описана аппаратура для непрерывного обжига при 700—900° ситовых фракций 100—150, 100—200 и 150—200 меш руды цинковой обманки. Обжиг проводился при скоростях подачи руды 0,62—5,43 г/мин, воздуха 5,75—40,1 л/мин. Приведены результаты хим. анализа обожженной цинковой обманки и выделенного газа. Кол-во SO_2 в газе удовлетворительно соответствует предсказанному теоретически.

II. Сделана попытка теоретически истолковать полученные эксперим. результаты. Автор сопоставляет скорость окисления с кол-вом S, остающейся в руде, а также со средней продолжительностью обжига. На основании согласия эксперим. данных с теоретически выведенными предложен механизм р-ции обжига. Chem. Abstrs, 1954, 48, № 17, 9879. Katsuya Inouye.

65551. О режиме обжига каолина при получении сульфата алюминия. Виденов, Димитрова, Монева (Върху режима на изпичане на каолина при производството на алуминиев сулфат. Виденов Н., Димитрова Л., Монева Г.), Тежка промишленост, 1955, 4, № 6, 33—39 (болг.)

Исследованы влияние т-ры обжига каолина (К) на процент извлечения Al_2O_3 с помощью H_2SO_4 , степень обжига К в заводских условиях, зависимость между временем обжига и толщиной материала. В результате лабор. обжига К при 800° кол-во Al_2O_3 , растворимого в к-тах, составило 87%. Оптимальная т-ра обжига К в произ-ве (650—700°) позволяет получить 80% Al_2O_3 , растворимой в H_2SO_4 . З. Б.

65552. Номограммы для определения удельного веса растворов алюмината. Фогараш (Nomogrammok az alumínátlúgok fajsúlyának meghatározásához. Fogarasi Béla), Kohász. lapok, 1955, 10, № 9, 419—423 (венг.; рез. нем.)

65553. Очистка медносерой серы III сорта путем фильтрации. Аранович Б. С. В сб.: Искусств. волокно. Вып. 10, М., 1955, 60—64

Сера III сорта содержит ~0,6% $\text{As}_2\text{S}_3 + \text{As}_2\text{S}_5$, вызывающих затруднения при произ-ве из нее CS_2 . Установлено, что при т-ре плавления S растворяет 0,20—0,21% сульфидов As, а остальное кол-во сульфидов можно отделить фильтрованием при ~120°, через фильтры из кварца-гравия с дополнительной хлопчатобумажной прокладкой (2 слоя бязи). Производительность такого фильтра ~6 т/сутки S на 1 м². Очист. S содержит 0,2% сульфидов As и может быть применена для произ-ва CS_2 . Г. Р.

65554. Получение чистого металлического урана. Верте (Préparation de l'uranium métal pur. Vertès P.), Chimie et industrie, 1956, 75, № 2, Suppl. 29—33 (франц.)

Измельченную руду в виде порошка или водн. суспензии растворяют в HNO_3 или H_2SO_4 (или в смеси этих к-т). Жидкую фазу, содержащую $\text{UO}_2(\text{NO}_3)_2$ или UO_2SO_4 , отделиют от нерастворенной части руды. На з-де Буше С. Е. А. (Франция) из р-ра осаждают металлич. примеси в виде гидроокисей металлов при помощи Na_2CO_3 или NaHCO_3 , причем U переходит в р-р в виде карбонатного комплекса. Из р-ра осаждают $\text{Na}_2\text{U}_2\text{O}_7$, растворяют его в HNO_3 и полученный $\text{UO}_2(\text{NO}_3)_2$ экстрагируют органич. р-рителем. Из экстракта осаждают $(\text{NH}_4)_2\text{U}_2\text{O}_7$, который нагреванием переводят в UO_3 и U_3O_8 . На з-де в Сирингфильде (Англия) операция получения $\text{Na}_2\text{U}_2\text{O}_7$ исключена. В США прямо из руды получают р-р $\text{UO}_2(\text{NO}_3)_2$, из которого выпариванием и прокаливанием получают UO_3 . UO_3 и U_3O_8 нагреванием превращают в UO_2 , из которого фторированием получают UF_4 . Последний восстанавливают до металла при помощи Ca или Mg. Процесс проводят в закрытых металлич. бомбах с внутренней обкладкой из графита или чистого CaF_2 . Ю. М.

65555 Д. Физико-химические основания получения 32—40% (poF_2O_5) экстракционной фосфорной кислоты. Хамский Е. В. Автореф. дисс. канд. хим. н., Науч. ин-т по удобр. и инсектофунгицидам, М., 1955

65556 П. Приготовление гидратированных перборатов. Янг (Preparation of hydrated perborate pro-

ducts. Young James H.) [E. J. du Pont de Nemours and Co.]. Пат. США 2706178, 12.04.55

Гидратированный и гранулированный несслеживающийся перборат Na (I) получают при добавлении H_2O и негидратированного пербората (II) к непрерывно перемешиваемой массе гидратированного I («основе») при t -ре 20—45°. Исходным II материалом может служить $NaBO_3 \cdot H_2O$ или I, полученный по методу Юнга (пат. США 2491789), имеющий молярное соотношение $Na_2O : B_2O_3 = 0,53—0,97$, активного O: $B_2O_3 = 0,5—2,5$ (з-атом на моль) и H_2O : активному O ≤ 2 , а также I с молярным отношением $Na_2O : B_2O_3 = 0,8—1,0$; O: $B_2O_3 = 1,8—2,2$, имеющих $\sim 1,5$ моля H_2O . Поддачу реагентов производят (при непрерывном перемешивании в течение всего процесса) непрерывно или порциями (интервалы 1—5 мин.). II вводят в таком кол-ве, чтобы его содержание в конечной смеси не превышало 25% (оптимально 1—10%) от веса гидратированной массы. При введении I порциями каждая из них должна содержать II в кол-ве 1—10% (<25%) от веса «основы». Кол-во H_2O , вводимой в реакционную смесь, должно обеспечить полную гидратацию всего II. Особенно легко гидратация проходит при 10—50%-ном избытке H_2O . В этом случае, однако, необходима последующая сушка продукта горячим воздухом, так как избыток H_2O ускоряет слеживание и разложение. Желательно удаление как избыточной, так и части гидратной воды (0,5—5%). Т-ра сушки <45°. Повышение т-ры и увеличение кол-ва II в реакционной массе ведет к увеличению размеров образующихся гранул (>45—76 меш.). Полученный продукт по составу приближается к $NaBO_3 \cdot 4H_2O$. Для большей стабильности к нему добавляют при гидратации стабилизаторы в кол-ве 0,5—3% ($MgSiO_3$, ортофосфаты и др.). Также возможно к продукту добавлять разбавитель (бура, сода, фосфаты щел. металлов, Na_2SO_4 и др.) в кол-ве 10—90% от веса готового материала. Л. Х.

65557 П. Способ получения кремнекислого натрия из шлака, содержащего соду. Маппен, Йергенсен (Verfahren zur Herstellung von Natriumsilikat aus Sodaschlacke. Meppen Berndt, Jørgensen Ole Berg.) [Chemische Studien—Ges. Uniwapo G. m. b. H.]. Пат. ФРГ 753119, 17.03.55
Р-р, полученный при водн. выщелачивании окисленного шлака (образующегося при десульфации чугуна) выпариванием части воды, доводят до плотности $\sim 1,5—1,6$, затем смешивают с SiO_2 (песок). Смесь высушивают на горячих вальцах по 15% влажности и нагревают в плавильной печи. И. Л.

65558 П. Производство хлорита натрия. Доль (Sodium chlorite manufacture. Dole Frances H.) [Mathieson Chemical Corp.]. Канад. пат. 515258, 2.08.55

При получении водорастворимых хлоритов (напр. $NaClO_2$) восстановлением по угольному методу предлагается прибавлять водорастворимые соединения щел.-зем. металлов (Ba, Sr), которые осаждают загрязнения. Возможно прибавлять также избыток водорастворимых соединений Ba и Sr. Этот избыток удаляют, добавляя Na_2CO_3 . Введение соединений Ba и Sr рекомендуют производить в угольный шлак в хлорите до его фильтрации. В. М.

65559 П. Получение сульфата калия. Данси (Preparation of potassium sulphate. Dancy William B.) [International Minerals and Chemical Corp.]. Канад. пат. 509067, 11.01.55

Смешивают р-р, содержащий лангбейнит ($K_2SO_4 \cdot 2MgSO_4$) с примесью NaCl, и р-р KCl с примесью NaCl; при этом смешанные соли, полученные из маточного р-ра после удаления K_2SO_4 , выдерживают при перемешивании $\sim 1—4$ час., при 15—60°. Затем из реакционной смеси выкристаллизовывают и отделяют еще

K_2SO_4 . Смешанные соли получают при упаривании маточного р-ра до конц-ии, при которой из р-ра, имеющего комнатную т-ру, кристаллизуется NaCl (при последующем охлаждении этого р-ра). Измельченный лангбейнит можно прибавлять в водн. р-р KCl, а затем после 1-часовой выдержки при 30° добавляют смешанные соли; реакционную смесь более 2 час. перемешивают, поддерживая т-ру $\sim 45^\circ$, и затем выделяют кристаллы K_2SO_4 . Л. Х.

65560 П. Способ извлечения калия из разбавленных растворов. Кнеллан, Харанг (Method of extracting potassium from dilute solutions. Kiehl and Jacob, Harang Hakon). Канад. пат. 509857, 8.02.55

К разб. водн. р-ру соли K добавляют отдельно суспензию твердого вторичного высокочистотного ароматич. амина, напр. дипикриламина (I), и основание, дающее с I легко растворимую соль. Осаждающийся при этом нерастворимый диникриламид K (II) отделяют от р-ра в отстойнике. Продукт, содержащий основную массу K, подкисляют до pH ~ 3 , выделяя избыток свободного I в виде мелких кристаллов. Эти кристаллы вместе с мелкими кристаллами II отделяют от более крупных кристаллов II и возвращают в виде суспензии на стадию осаждения II. Фракцию крупных кристаллов II обрабатывают дополнительным кол-вом к-ты для выделения I, который возвращают на операцию осаждения. Р-р, освобожденный от кристаллов I, содержит соль K и соответствующей к-ты, взятой для обработки. Осветленный р-р, вытекающий из сгустителя и содержащий некоторое кол-во II, также обрабатывают к-той; осаждающийся при этом I возвращают в цикл. Л. Х.

65561 П. Способ получения несамовоспламеняющихся фосфидов щелочных, щелочноземельных металлов и подобных продуктов (Procédé de préparation de phosphures non autoinflammables de métaux alcalins, alcalino-terreux ou des terres alcalines et produits conformes à ceux obtenus) [Deutsche Gold- und Silber-Scheideanstalt vormals Roessler]. Франц. пат. 1080304, 8.12.54 [Chimie et industrie, 1956, 75, № 1, 93 (франц.)]

К фосфидам примешивают в-ва, которые легко разлагаются при нагревании, выделяя CO_2 , напр. $NaHCO_3$, NH_4COONH_2 , $(NH_4)_2CO_3$, $CO(NH_2)_2$ или продукты замещения $CO(NH_2)_2$. Ю. М.

65562 П. Плотный, спекшийся, хорошо кристаллизованный периклазовый материал и способ его производства. Остин, Рик, Хикс (Tätt, osmålt välkristalliserat periklasmaterial samt sätt att framställa detsamma. Austin L. W., Rick C. A., Hicks J. C.) [The Permanente Metals Corp.]. Швед. пат. 148637, 25.01.55

Материал состоит в основном из кристаллич. MgO в комбинации с Cr_2O_3 ($\leq 2\%$), равномерно распределенной в периклазе. М. Н.

65563 П. Процесс получения неколлоидального карбоната кальция. Шер, Левин (Process of producing non-colloidal calcium carbonate. Schur Milton O., Levy Robert M.) [Ecusta Paper Corp.]. Канад. пат. 515017, 26.07.55

В известковую суспензию, охлажд. после гашения до 15—25° (преимущественно до 20°), с конц-ией 220—280 г/л (в пересчете на $CaCO_3$) пропускают газ, содержащий 8—12% CO_2 . Карбонизация основной части гидроокиси Ca проходит при постепенном равномерном повышении т-ры до равновесной величины $\sim 50—60^\circ$, при которой завершается карбонизация остального материала. Таким образом, вся известка превращается в неколлоидальный $CaCO_3$, который применяется при изготовлении папиросной бумаги в качестве напол-

нителя, обеспечивающего пористость и непрозрачность.

Л. Х.
65564 П. Способ превращения аммонийных солей нефтяных сульфокислот в бариевые соли сульфокислот. Браун, Чюнос, Хак (Method of converting an ammonium petroleum sulfonate to barium sulfonate. Brown Lee V., Kjønaas Manley, Hæck Theodore A.) [Sinclair Refining Co]. Пат. США 2727861, 20.12.55

Р-р аммонийных солей нефтяных сульфокислот, полученный экстракцией изопропиловым спиртом и водой аммонизированных сульфокислот нефтяных масел, нагревают до т-ры 93°—121° и отгоняют почти весь спирт (в смеси остается <1% спирта). Полученный концентрат медленно добавляют (при тщательном перемешивании) к сухому или суспендированному в воде BaO или Ba(OH)₂ (такой порядок смешивания реагентов предотвращает образование вязкой массы, ухудшает условия перемешивания; р-ция идет до конца). Реакционную смесь выдерживают в течение часа при 80—121° и отделяют полученный концентрат сульфата Ba, не вызывающего помутнения в нефтяных маслах. Смесь после обработки при 80—121° возможно подвергать дегидратированию при 149° и фильтровать в горячем состоянии. Полученный таким путем концентрат сульфата Ba является хорошей антикоррозионной добавкой.

Л. Х.
65565 П. Получение диборана. Шектер, Уолтерс (Production of diborane. Schecter William H., Walters Shelby L.) [Callery Chemical Co.]. Пат. США 2711946, 28.06.55

Диборан получают при взаимодействии в закрытом объеме стехиометрич. кол-в BF₃ или его производных с B₂H₆·2NH₃ по р-ции: B₂H₆·2NH₃ + 2BF₃ → B₂H₆ + 2(BF₃·NH₃). Выделяющийся B₂H₆ сжижают в приемнике, охлаждаемом жидким N₂. Возможна конденсация под давлением с охлаждением твердой CO₂. Вместо агрессивного BF₃ могут применяться его органич. комплексы, напр. с (C₂H₅)₂O. Контакт осуществляется введением газообразного BF₃ или его жидкого аналога в сосуд с твердым B₂H₆·2NH₃ или его р-ром в инертном р-рителе. Р-ция идет легко при комнатной т-ре. Повышение т-ры ускоряет процесс. Выделяющийся при р-ции BF₃·NH₃ возвращают в цикл на операцию получения B₂H₆·2NH₃, куда подаются также свежие порции BF₃·NH₃. Эти реагенты совместно с NaBH₄ растворяют в жидком NH₃. При этом протекает р-ция: BF₃·NH₃ + 3NaBH₄ + 3NH₃ → 2(B₂H₆·2NH₃) + 3NaF. Нерастворимый (в жидком NH₃) NaF отфильтровывают и из р-ра выделяют B₂H₆·2NH₃ (путем испарения NH₃, который затем направляют на стадию получения BF₃·NH₃).

Л. Х.
65566 П. Способ производства окиси алюминия. Портер (Process for the production of alumina. Porter John L.) [Kaiser Aluminum & Chemical Corp.]. Пат. США 2701752, 8.02.55

В мокром способе получения Al₂O₃ из руд, содержащих Al₂O₃ в виде моногидрата (МГ) и тригидрата (ТГ), руду выщелачивают алюминатным р-ром с такой конц-цией NaOH и т-рой, которые обеспечивают полное растворение МГ, а затем, повышая содержание NaOH в р-ре и т-ру, выщелачивают из руды главным образом ТГ.

Г. Р.
65567 П. Процесс получения двуокиси титана с высоким содержанием рутила. Фрей (Process for obtaining titanium dioxide with a high rutile content. Frey Walter) [Saurefabrik Schweizerhall]. Канад. пат. 510545, 1.03.55

В реакционную камеру непрерывно двудуют в виде кольцевой струи однородную смесь O₂ и паров безвод. TiCl₄. O₂ берут в избытке или в кол-ве, достаточном для полного окисления и разложения TiCl₄. Эту смесь,

нагретую до т-ры, лежащей между точкой росы TiCl₄ и 500°, сжигают в тонком (толщиной 1—10 мм) ровном слое. Постоянное пламя поддерживают вспомогательным зажиганием, которое осуществляют введением у входа в камеру внутри и снаружи основного газового потока горючей смеси CO и O₂-содержащего газа. Вследствие интенсивного разложения и окисления TiCl₄ образуется тонкодисперсная TiO₂.

Л. Х.
65568 П. Способ получения хлоридов металлов. Фредмарк, Линдестрём (Sätt vid framställning av metallklorider. Fredemark G. L., Lindeström L. J.) [AB Nynäs-Petroleum]. Швед. пат. 151418, 13.09.55

Способ получения хлоридов, жидких при нормальной т-ре (при котором одновременно образуются твердые FeCl₃ и AlCl₃, конденсирующиеся при т-ре более высокой, чем SiCl₄ и TiCl₄), напр. SiCl₄ и TiCl₄, в металлических ретортах с керамич. футеровкой при 600—1000° отличающийся тем, что для уплотнения и предупреждения разделения футеровки охлаждают металлич. стенки реторты и понижают т-ру на поверхности раздела металлич. стенки и футеровки (а также и последнюю) до т-ры, при которой не конденсируются в порах и трещинах футеровки SiCl₄ и TiCl₄, а лишь хлориды металлов, имеющие более высокую т-ру кипения, чем SiCl₄ и TiCl₄.

К. Г.
65569 П. Способ получения кристаллического соединения (NO₂⁺)(HSO₄⁻) для производства кислот для нитрования (Werkwijze voor de bereiding van de kristallijne verbinding (NO₂⁺)(HSO₄⁻) en de bereiding van hoogwaardige nitreuzuren met behulp van de kristallijne verbinding) [De Directie van de Staatsmijnen in Limburg]. Голл. пат. 74128, 15.02.54 [Chem. Abstr., 1954, 48, № 21, 13180 (англ.)]

При получении (NO₂⁺)(HSO₄⁻) (пат. США 1047576) SO₃ поглощали жидкой смесью конц. HNO₃ и олеума с мол. соотношением SO₃:N₂O₅ равным 4:1 при т-ре >100°, причем N₂O₅ добавляли к жидкости в виде конц. HNO₃ для поддержания указанного соотношения. Жидкость непрерывно удаляли и при охлаждении р-ра отделяли кристаллы. Так как при добавлении конц. HNO₃ она частично разлагается и, таким образом, теряется азот, новые порции N₂O₅ надо добавлять в виде к-ты для нитрования, содержащей 35—50 вес. ч. SO₃, 65—50 ч. HNO₃ и 0—2 ч. воды. Эта к-та может быть получена растворением части кристаллов в конц. HNO₃. При р-ции выделяется мало тепла, так что разложение HNO₃ не происходит. К-та для нитрования при добавлении ее к поглощающей жидкости при 100—120° не разлагается. Напр., 1000 м³ в час газа после контактирования, содержащего 7 об.% SO₃, пропускали в жидкость, содержащую (в %): SO₃ 70, HNO₃ 29 и воды 1. Жидкость подвергали циркуляции в кол-ве 4000 кг/час, причем поглощалось 200 кг/час SO₃. Добавляли 240 кг N₂O₅ в виде к-ты для нитрования, содержащей (в %): SO₃ 45, HNO₃ 53 и воды 2 и отводили 400 кг/час расплавленной массы, которую охлаждали. Из 1000 м³ газа и 85 кг 97%-ной HNO₃ получали 285 кг кристаллов. К-та для нитрования может быть получена, напр., растворением 80 кг кристаллов в 25 кг 98%-ной HNO₃, причем получается к-та, содержащая (в %): SO₃ 54, HNO₃ 45 и воды 1, а т-ра повышается с 20 до 40°. Г. Р.

Г. Р.
65570 П. Способ выделения урана из его кислых растворов анионообменниками. Арифелт (Sätt att ur sura, uranhaltiga lösningar utvinna uran medelst anjonbytare. Arnfelt A.-L.) [Atomkommitten]. Швед. пат. 149726, 08.11.55

Соединения U в чистом и конц. виде выделяют из его кислых р-ров, содержащих Fe и Al, путем перевода U в р-ре в U⁴⁺, адсорбируемый анионообменником. После адсорбции анионообменник элюируют жидкостями, превращающими U в катион (напр., минер.

к-тами) или переводящими U в комплексы, не удерживаемые анионообменником (напр., р-ром $(\text{NH}_4)_2\text{CO}_3$).

К. Г.

65571 П. Производство хлора. Джонсон, Чернявский (Chlorine production. Johnson A. J., Cherniavsky Alexander J.) [Shell Development Co.]. Канад. пат. 510553, 1.03.55
В реакционной зоне (3) осуществляют контактирование O_2 и HCl (газа) (I) с хлоридом металла, имеющего атомный номер от 22 до 29 включительно и обладающего переменной валентностью (напр., CuCl_2). Р-ция протекает в условиях, обеспечивающих окисление I. Образующуюся смесь Cl_2 (II), I и паров H_2O охлаждают, конденсируя из нее практически всю H_2O . Охлажденные газы контактируют в абсорбционной 3 с холодной азетропной смесью I и H_2O , которая полностью абсорбирует I, образуя обогащенный I р-р. Выходящий из абсорбционной 3 II освобожден от I, но содержит небольшое кол-во H_2O , которая поглощается при контакте с дегидратирующим агентом, которым является 10—60 вес. % -ный водн. р-р CaCl_2 (при 20° упругость пара $\text{H}_2\text{O} \leq 8$ мм рт. ст.). Этот р-р поступает в качестве вытесняющего р-рителя (III) из 3 десорбции в 3 дистилляции. Обогащенную азетропную смесь освобождают от избытка I в десорбционной 3, а из оставшегося р-ра I выделяют в 3 дистилляции в присутствии III, обладающего большим, чем I, средством к H_2O . Выделяющийся в десорбционной и дистилляционной 3 безводный I вновь поступает в реакционную 3. Л. Х.

65572 П. Окислы металлов, подвергающиеся намагничиванию (Magnetizable metal oxides.) [Agfa A.-G. für photofabrikation]. Англ. пат. 717269, 27.10.54 [J. Appl. Chem., 1955, 5, № 4, 1569 (англ.)]

Водные р-ры Fe- и Co-соединений (содержащие <25 ат. % металла в 3-валентной форме и остальное в 2-валентной форме) смешивают с NaOH или NH_4OH . Влажный осадок гидроокиси обрабатывают окисляющими агентами (NaNO_3 , KNO_3) и затем высушивают. В. В.

65573 П. Способ производства карбонила железа. Шлегль (Verfahren zur Herstellung von Eisencarbonyl. Schlecht Leo) [Badische Anilin- und Soda-Fabrik A.-G.]. Пат. ФРГ 935007, 10.11.55

K Fe-содержащему сырью (преимущественно окислы Fe) прибавляют в виде водн. р-ра или суспензии 1—2% сульфата шел., шел.-зем. металлов или $(\text{NH}_4)_2\text{SO}_4$ или их смесь. Последующее восстановление H_2 производят при $\sim 700^\circ$, для получения неширокой железной губки. Обработку окисью углерода ведут при сравнительно низких т-рах и давлении. Выход карбонила при этом в 3 и более раза выше, чем без указанных добавок. Л. Х.

65574 П. Метод получения хлористого железа из смеси хлоридов железа и никеля. Грехэм, Бейдлер (Process of preparing ferrous chloride from mixed chlorides of iron and nickel. Graham M. A., Beidler Ernest, Beidler Edward A.) [Republic Steel Corp.]. Пат. США 2702738, 22.02.55
Для выделения FeCl_2 из смеси, содержащей FeCl_2 и NiCl_2 , в нее добавляют металл. Fe (в кол-ве, необходимом для взаимодействия со всем кол-вом NiCl_2) и вводят в реакционную зону с т-рой от 600° до т-ры кипения FeCl_2 (при данном давлении). Смесь выдерживается в этой зоне пока не закончится р-ция образования FeCl_2 с выделением металл. Ni, отлагающегося на металл. Fe, которое удаляют, получая чистый FeCl_2 . Б. Т.

65575 П. Процесс выделения никель- и (или) кобальт-аммоний-сульфата из растворов, содержащих никель или кобальт или одновременно оба металла. Форурд (Process for recovering nickel and/or cobalt ammonium sulphate from solutions containing nickel

and/or cobalt values. Forward Frank A.) [Sherritt Gordon Mines Ltd]. Канад. пат. 511442, 29.03.55

pH аммиачного р-ра, содержащего Ni или Co, доводят до 8—7,1, после чего подкисляют р-р H_2SO_4 до pH ~4, осаждавая соответственно $\text{Ni}(\text{NH}_4)_2(\text{SO}_4)_2$ или $\text{Co}(\text{NH}_4)_2(\text{SO}_4)_2$. При одновременном присутствии в р-ре Ni и Co pH с 8—7,1 снижают при помощи H_2SO_4 вначале до 6,2. При этом выделяется почти весь Ni (в виде $\text{Ni}(\text{NH}_4)_2(\text{SO}_4)_2$), практически свободный от Co. После отделения Ni к р-ру снова добавляют к-ту, доводя кислотность до pH 4, вследствие чего Co и оставшийся Ni осаждаются в виде $\text{Co}(\text{NH}_4)_2(\text{SO}_4)_2$ и $\text{Ni}(\text{NH}_4)_2(\text{SO}_4)_2$. При подкислении т-ру р-ров поддерживают ниже 57° . Л. Х.

65576 П. Низкотемпературное восстановление хлористого кобальта. Бейдлер (Low temperature reduction of cobalt chloride. Beidler Edward A.) [Republic Steel Corp.]. Канад. пат. 512103, 19.04.55
Твердый сухой CoCl_2 , восстанавливают до металла сухим H_2 или газом, основную часть которого составляет H_2 , при $265—365^\circ$. Восстановление начинается лишь при наличии катализатора — металл. Co, добавляемого в кол-ве $\geq 0,1\%$ от веса CoCl_2 . Предложен процесс, где в качестве катализатора добавляют ~16% металл. Co. Катализатор получают непосредственно восстановлением CoCl_2 при т-ре выше 365° . Л. Х.

См. также: Окислы 65827. Соли 65763, 66017

УДОБРЕНИЯ

65577. Производство и применение органических и минеральных удобрений (유기-광물질 비료의 효과와 그의 제조 및 사용 방법, 선진 농업), Сондуннон, 1956, № 1, 14—20 (кор.)

65578. Конференция по вопросам производства серной кислоты и фосфорных удобрений [Пара, февраль 1956 г.] (Konference o výrobě kyseliny sírové a fosforečných hnojiv. Kr.), Chem. průmysl, 1956, 6, № 4, 168—170 (чеш.)

65579. Сера и серная кислота в промышленности удобрений США. Саукелли (Sulfur-sulfuric acid in the American fertilizer industry. Sauchelli Vincent), Agric. Chemicals, 1956, 11, № 2, 38—40, 125, 127 (англ.)

Приведены данные о развитии произ-ва H_2SO_4 из природной серы, пиритов и т. д. камерным и контактным способами и о потреблении H_2SO_4 в пром-сти удобрений. Г. Р.

65580. Новые процессы, применяемые в США для производства удобрений. Грайндрод (New fertilizer processes in the U. S. Grindrod J.), Chem. and Process Engng, 1956, 37, № 3, 96—98 (англ.)

Приведен обзор процессов, разработанных Tennessee Valley Authority (TVA) — Управлением по индустриализации долины реки Теннесси (государственная организация) и в значительной части внедренных на з-де TVA в Мэскл Шоолс (Алабама) и на других з-дах США: произ-ва P , H_3PO_4 , N — P — K -удобрений и др. продуктов, извлечение урана при произ-ве H_3PO_4 и фосфорных удобрений и др. Е. Б.

65581. Применение безводного аммиака с водой для орошения. Олдрич (The use of anhydrous ammonia in irrigation water. Aldrich D. G., Jr), Agric. Ammonia News, 1956, 6, № 1, 31, 33, 36, 38 (англ.)
Обзор методов и эффективности применения безводного NH_3 в качестве удобрения с водой для орошения. Г. Р.

65582. Из опыта эксплуатации грануляционных башен. Кветков П. Г., Хим. пром-сть, 1956, № 1, 45—47

Описаны оборудование цеха гранулированной NH_4NO_3 Кемеровского азототукового з-да, применяемый технологич. режим, мероприятия для устранения неполадок и предупреждения коррозии, испытания защитных покрытий стенок башен. Г. Р.

65583. Грануляция и комкование известково-аммиачной селитры. Дембский (Granulacja i zbrylanie saletrzaku. Dębcki Stefan), Chemik, 1955, 8, № 10, 274—277 (польск.).

Изложены причины комкования известково-аммиачной селитры (ИАС). Склонность к комкованию зависит от температурных условий, содержания воды и пыли, размеров гранул, кинетики процесса кристаллизации и скорости охлаждения. Комкования можно избежать, применяя устойчивую кристаллич. форму NH_4NO_3 и уменьшая содержание H_2O в конечном продукте. Наибольшей способностью к комкованию обладает ИАС, получаемая башенным способом, вследствие неравномерного распределения NH_4NO_3 в зернах ИАС. Предыдущее сообщение см. РЖХим, 1956, 55056. С. Я.

65584. Характерные особенности суперфосфатного завода в Опеузасе. Бурдые (Opelousas plant features unique design. Bourdier James A.), Farm Chemicals, 1956, 119, № 2, 42—44 (англ.).

Описан з-д простого суперфосфата в Опеузасе (Джунзана, США) производительностью ~ 20 т/час. На з-де имеется конич. смеситель TVA, установленный над камерой Бродфильда, длина которой 10 м, ширина 1,8 м, высота 1,5 м. Флюоридский фосфорит, измельченный до размера частиц 0,15 мм (90%), подается в смеситель весовым ленточным дозатором; 77%-ная H_2SO_4 поступает в смеситель через ротаметр по 4 трубам, заканчивающимся шпигелями. По 2 другим трубам с шпигелями в смесь фосфорита с к-той вбрызгивается вода, в кол-ве соответствующем разбавлению к-ты до конц-ии 68,5%. Е. Б.

65585. Производство фосфора и фосфорных удобрений в Индии. Сетх, Тхампи (The manufacture of phosphorus and phosphatic fertilizers in India. Seth M. L., Thampi R. T.), Chem. Age India, 1956, 7, № 1, 29—40 (англ.).

Приведены соображения о целесообразности строительства в Индии одного или двух з-дов элементарного фосфора общей производительностью 15 000 т/год для переработки его в удобрения и другие продукты. Обсуждаются сырьевые и энергетич. ресурсы, потребности рынка, выбор метода, оборудования и площадки для строительства, капиталовложения и стоимость продукции. Е. Б.

65586. Из итогов опытной работы по изучению гранулированного суперфосфата. Найдин П. Г., Земледелие, 1954, № 7, 66—73

Приведены результаты полевых опытов с различными культурами на разных почвах с применением порошкового и гранулированного суперфосфатов. Опыты установили эффективность гранулированного суперфосфата при различных способах внесения его в почву. Г. Р.

65587. О новых формах калийных удобрений. Баранов П. А., Кореньков Д. А., Земледелие, 1954, № 7, 56—65

Приведены результаты полевых опытов с различными культурами на разных почвах с применением К-удобрений со следующим содержанием K_2O (в %): калинит 10,5; калимагнезия необогащенная 18,7; калимагнезия пенит 30; сульфат калия 45,4; канамаг (К, Na, Mg) 31,5. Г. Р.

65588. К вопросу получения комбинированных удобрений сухим способом. Какабадзе В. М., Какабадзе И. Л., Тр. Груз. политехн. ин-та, 1955, № 5 (40), 24—29 (рез. груз.).

Проведены лабор. опыты по поглощению окислов N без предварительной сушки при т-рах от 20 до 500° обожженными (4 часа при 950°) доломитом (Д), известняком (оба в виде гранул 4 мм) и дефекационной грязью сахарного з-да, содержащей N, P и K; из последней после обжига получалась мелкодисперсная масса (М). Опыты проводили как с М, так и с гранулами (Г), приготовленными из теста после гашения М с последующей сушкой воздухом с т-рой 600°. Содержание N в насыщ. поглотительных массах достигало при оптимальной т-ре 300° для М 14%, Г и Д 12% и при 400° для извест. 8,75%. Сообщаются также результаты опытов, проводившихся до проскакивания окислов N через поглотительные массы. Г. Р.

65589. Гранулирование удобрений с применением растворов мочевины и аммиака. Дженсен (Granulation with uramon ammonia liquors. Jensen Ove F.), Agric. Chemicals, 1956, 11, № 2, 45—46, 117—119, 121 (англ.).

Для выяснения возможности применения р-ров мочевины (М) при гранулировании смешанных удобрений проведены опыты на ползаводской установке производительностью 0,5 т/час и на заводской установке производительностью до 15 т/час, оборудованных аммонизатором-гранулятором, противоточной сушилкой и холодильником. N вводили в виде р-ров «урамон» фирмы Дюпон двух марок, содержащих соответственно (в %): М 32,5 и 43,3; карбамата NH_4 10,5 и 15,0; NH_3 32,2 и 24,1; воды 24,8 и 17,6. Для нейтр-ции свободного NH_3 (а при получении удобрения N — P — K 5—20—20 только для образования тепла) вводили 77%-ную H_2SO_4 . Результаты опытов показывают, что р-ры М можно применять аналогично р-рам NH_4NO_3 , изменяя лишь незначительно соотношения компонентов смеси. Даже при повышенных т-рах гранулирования М не гидролизуются и остаются стойкой при условии охлаждения удобрений перед отправкой на склад. При гранулировании с применением р-ром М получают хороший выход гранул желательных размеров, прочности и рассеиваемости; р-ции замещения, вызывающие при хранении слеживание продуктов, не протекают. Г. Р.

65590 К. Удобрения и их применение. Том 3. Органические удобрения. Бычковский, Стребейко, Максимов, Гурский, Терликовский (Nawozy i nawozenie. T. 3: Nawozy organiczne. Byczkowski Aleksy, Strebeyko Piotr, Maksimow Aleksander, Górski M., Terlikowski Feliks. Warszawa. Państw. Wydawn. Roln. i Leśne, 1956, 415, 1 нлб. s., il., 32.50 zł) (польск.).

65591 Д. Поглощение нитрозных газов сухим способом с одновременным получением комбинированных удобрений. Какабадзе И. Л. Автореф. дисс. канд. техн. н., Груз. политехн. ин-т, Тбилиси, 1956

65592 П. Производство кормового дикальцийфосфата. Миллер (Production of feed grade dicalcium phosphate. Miller Ralph) [The Chemical Foundation, Inc.]. Пат. США 2728635, 27.12.55

Простой, обогащенный или двойной суперфосфат обрабатывают небольшим избытком воды. Нерастворившуюся при этом часть материала (остаток I), в котором соотношение P_2O_5 : F меньше, чем в исходном природном фосфате и суперфосфате, отделяют от р-ра, обладающего большим соотношением P_2O_5 : F. К р-ру добавляют известь или известняк до pH 4—5 (4,5) для осаждения кормового CaHPO_4 . Остаток I репульвируют разб. H_2SO_4 или H_3PO_4 для извлечения ранее нерастворившейся P_2O_5 , снова отделяют остаток (оста-

ток II), а р-р используют для разбавления H_2SO_4 , поступающей на разложение природного фосфата и получение суперфосфата. Остаток II промывают водой, которую затем направляют на разбавление к-ты, поступающей на реульпацию остатка I. Е. Б.

ПЕСТИЦИДЫ

65593. Средства, отпугивающие дятлов. Джерард, Крукшанк (Woodpecker repellent. Gerard John, Cruickshank Allan), Chem. Week, 1955, 77, № 23, 53—54 (англ.)

Отпугивающие дятлов в-ва для защиты телеграфных и телефонных столбов должны быть безопасными, дешевыми, легко применимыми с помощью окрашивания или опрыскивания, совместимыми с консервантами древесины и обладать длительным действием. Без особого успеха испытано много в-в (креозот, пентахлорфенол, формальдегид, никотинсульфат и др.). К. Б.

65594. Механизм действия фосфорорганических инсектицидов. Спенсер (The mode of action of phosphorous insecticides. Spencer E. Y.), Chem. in Canada, 1955, 7, № 10, 33—36 (англ.)

Фосфорорганич. соединения (I) и некоторые карбаматы (II) обладают антихолинэстеразным действием, образуя с холинэстеразой (III) комплексы. Комплексы с III не стойки и разлагаются с выделением III. Комплексы III с I более стойки, причем р-ция не останавливается на образовании комплекса, а сопровождается фосфорилированием III и расщеплением I. Токсичность II находится в обратной зависимости от их способности к гидролизу. У I наблюдается прямая связь между скоростью гидролиза и антихолинэстеразной активностью. Скорость освобождения III из комплексов с I уменьшается с увеличением мол. веса алкильных радикалов, входящих в состав фосфорилирующей части молекулы. Между действием соединений, подавляющих III *in vivo* и *in vitro*, имеется разница, связанная с трудностью проникновения антихолинэстеразных в-в в живой организм и наличием в нем других ферментов. Предполагается, что новый фосфорорганич. инсектицид динтерекс в организме сначала дегидрохлорируется, а затем изомеризуется в 0,0-диметил-0-(2,2-дихлорвинил)-фосфат (ДДВФ), который, повидимому, и фосфорилирует III. К. Б.

65595. Новый завод по получению пиретрума с целью исследования инсектицида [в Кении]. — (New pyrethrum plant to aid insecticide research. —), Clean. and Maintain, 1956, 4, № 1, 51 (англ.)

65596. Инсектицидные препараты ДДТ и ГХЦГ для применения в виде водных суспензий. Покровский Е. А., Сб. работ. науч. ин-та по удобр. и инсектофунгисидам, 1955, № 156, 201—209

Испытаны препараты, содержащие 4,5% ДДТ или 6,8% ГХЦГ, 10% сульфитного шелока и соответственно 85,5 и 83,2% каолина, на капустной тле *Brevicoryne brassicae* L. и яблоневой зеленой тле *Aphis pomi* De Geer (ЯТ), а также на гусеницах 3-го возраста капустной белянки *Pieris brassicae* L. (КБ). 100%-ная гибель гусениц КБ 3-го и 4-го возрастов наступает от обработки 44%-ной суспензией ДДТ, при конц-ии суммы изомеров 0,2%. Обработка 10—44%-ными суспензиями ГХЦГ менее эффективна. Обработка 0,1—0,2%-ными водн. суспензиями вызывает полную или почти полную гибель ЯТ, бахчевой тли *Aphis gossypii* Glover, открытых форм листовых филлоксеры *Dactylophraera vitifoliae* Fitch., гусениц яблоневой плодовой тли *Laspeyresia pomonella* L. И. М.

65597. Инсектицидные минерально-масляные эмульсии с добавками ДДТ и ГХЦГ. Покровский

Е. А., Сб. работ. науч. ин-та по удобр. и инсектофунгисидам, 1955, № 156, 157—174

Дан обзор применения нефтяных масел в качестве средств борьбы с вредителями с.-х. растений. Испытаны эмульсии ДДТ и ГХЦГ на основе трансформаторного масла, веретенного масла (ВМ), дизельного топлива, скипидара и смеси ВМ и циклогексана. Токсичность эмульсий ГХЦГ пропорциональна содержанию в них γ -изомера; токсичность эмульсий ДДТ пропорциональна не только содержанию в них 4,4'-изомера ДДТ, но и содержанию ДДТ в целом. Фитотоксичность масляных эмульсий увеличивается при введении в них ДДТ и ГХЦГ. Против тлей разных видов эффективны 0,5—1%-ные эмульсии ГХЦГ и 0,5—2%-ные эмульсии ДДТ. В большинстве случаев эмульсии ГХЦГ более активны. Приведен список групп вредителей, по отношению к которым эффективны минерально-масляные эмульсии ДДТ и ГХЦГ. Эмульсия ДДТ не придает привкуса плодам после обработки плодоносящих растений; эмульсия ГХЦГ не пригодна для обработки плодоносящих растений и их частей, идущих в пищу. Библ. 56 назв. И. М.

65598. Потеря токсичности препаратами ДДТ и ГХЦГ при воздействии на них температуры и света. Покровский Е. А., Белькевич В. И., Сб. работ. науч. ин-та по удобр. и инсектофунгисидам, 1955, № 156, 214—224

Изучен ход потери токсичности препаратами ДДТ и ГХЦГ в тонком слое на стекле под влиянием различных т-р. В качестве биондикатора во всех опытах употреблялся рисовый долгоносик *Calandra oryzae* L. Испытаны дусты ДДТ с содержанием суммы изомеров 6,7% и дусты ГХЦГ с содержанием суммы изомеров 11,3%, минерально-масляные эмульсии (ММЭ) с содержанием суммы изомеров ДДТ или ГХЦГ 20% и водн. суспензии порошкообразных препаратов с содержанием суммы изомеров 30%. Потеря токсичности ДДТ в дусте и суспензии за 15 дней при комнатной т-ре без освещения и при рассеянном дневном свете незначительна. В ММЭ токсичность ДДТ резко изменяется как в темноте, так и при рассеянном дневном свете. Через 4 дня гибель жуков упала до 60%, на 15-й день до 40%. Различные препараты ГХЦГ при комнатной т-ре и в темноте и при рассеянном дневном свете быстро теряют свою токсичность. В дусте токсичность сохраняется без изменения первые 4 суток, через 15 дней токсичность дуста уменьшилась вдвое. Суспензия ГХЦГ полностью теряет токсичность через 10 суток, ММЭ через 4 суток вызывает гибель жуков на 50%. При действии т-ры $>25^\circ$ резко и быстро снижается токсичность препаратов ДДТ и ГХЦГ. Наиболее устойчив дуст ДДТ; изменение токсичности его выразилось в замедленном действии: полная гибель жука наступила через 10 суток, вместо 4—6. При 30° через 15 суток дуст ДДТ вызывает гибель 70% жуков, при 40° 60%; при 50° токсичность дуста теряется полностью. Суспензия ДДТ при 25° через 4 суток теряет токсичность на 20%, при 30° наполовину, при 40° полностью. ММЭ ДДТ теряют свою токсичность при 25° , 30° , 40° через сутки от 33 до 50%, через 7 суток полностью. Увеличение нормы расхода препаратов незначительно задерживает процесс потери токсичности ДДТ. При 25° — 30° дуст ГХЦГ без освещения сохранил свою токсичность только в течение суток, при 40° — 50° дуст становится нетоксичным через сутки. 30%-ная суспензия ГХЦГ, разб. до конц-ии 0,3% ГХЦГ при 25° и 30° , теряет токсичность в течение суток на 50%, при 40° через сутки почти полностью. Дуст ДДТ после 3-часового облучения ртутной лампой в течение 10 дней учета вызывает гибель 80% жуков, после 5-часового 50% и 10-часового 20%. Суспензия соответственно вызывает гибель 70, 30 и 10% жуков ММЭ ДДТ теряет токсичность через 3 часа. При облу-

чении ртутной лампой дуста и суспензии ГХЦГ в течение 3 час. токсичность теряется соответственно на 70 и 80%. ММЭ ГХЦГ полностью теряет токсичность при облучении в течение 3 час.

И. М. 65599. Уменьшение летучести линдановых препаратов для опрыскивания крупного рогатого скота путем добавления пленкообразующих веществ. Хорнштейн, Мак-Грегор, Салливан (Lowering the volatility of lindane cattle sprays by addition of film-forming material. Hornstein Irwin, McGregor W. S., Sullivan W. N.), J. Agric. and Food Chem., 1956, 4, № 2, 148—149 (англ.)

Безопасное кол-во линдана (I), примененного для опрыскивания крупного рогатого скота 0,05%-ной эмульсией, составляет 2 г на животное. Препарат, содержащий по 454 г I и смеси изомеров хлорированных терфенилов в 1 л метилэтилкетона, можно применять в кол-ве 20 г I на животное, так как летучесть I при этом значительно уменьшается. Эффективность препарата значительно выше, чем чистого I. Смертность мух была 100% через 4 недели после обработки препаратом, и только 20% — после обработки одним I. Концентрация ГХЦГ в молоке коров через день после обработки препаратом I с хлорированными терфенилами составляла 8,4%, через 42 дня 0,1%, тогда как начальная концентрация ГХЦГ в молоке после обработки чистым I была всего 0,85%, поэтому препаратом рекомендуется обрабатывать немолочный скот или скот, молоко которого идет для приготовления сыра.

З. Н. 65600. Детоксикация ДДТ в зависимости от цитохромоксидазной активности в устойчивых и чувствительных комнатных мухах. Перри, Сактор (Detoxification of DDT in relation to cytochrome oxidase activity in resistant and susceptible house flies. Perry Albert S., Sacktor Bertram), Ann. Entomol. Soc. America, 1955, 48, № 5, 329—333 (англ.)

Испытано 10 разновидностей устойчивых и неустойчивых к ДДТ мух (М). М анестезировали CO_2 и нанесли 6,8 мкг ДДТ в р-ре C_6H_6 на область грудной клетки, через 2 часа М споласкивали тремя порциями по 15 мл *n*-гексана для удаления непоглощенного ДДТ, растирали в ступке с безводной Na_2SO_4 , экстрагировали CCl_4 , отфильтровывали, фильтрат упаривали до 10 мл и р-р хроматографировали на колонке, наполненной целитом- H_2SO_4 . ДДТ и ДДЭ определяли колориметрич. методом Шехтера — Галлера (Schechter M. B., Haller H. L., J. Ind. Engng Chem., 1945, 17, 704—709). Для определения цитохромоксидазной активности каждой разновидности и пола М гомогенизировали в холодном 0,03 М фосфатном буфере с рН 7,4, отделяли от крупных частиц и фильтрат разбавляли перед опытом в 5 раз. Энзиматич. активность определяли спектрофотометрически по Сактору (Sacktor B. J., Econ. Entomol., 1950, 43, 832—838; Biol. Bull., 1951, 100, 229—243). Устойчивые М полностью превращают ДДТ в ДДЭ; чувствительные — частично. Не существует прямой зависимости между энзиматич. активностью и превращением ДДТ. Скорость абсорбции ДДТ различна для отдельных особей М.

К. Ш.-Ш. 65601. Замещенные сульфанилиды как синергисты ДДТ. Нейман, Модьяно, Мер, Цвиллих (Substituted benzenesulphonanilides as synergists for DDT. Neeman M., Modiano A., Mer G. G., Cwillich R.), Nature, 1956, 177, № 4513, 800—801 (англ.)

Синтезирована серия 4-хлоранилидов 4'-бромбензол-сульфокислоты общей ф-лы: $\text{BrC}_6\text{H}_4\text{SO}_2-\text{N}(\text{C}_6\text{H}_{2n+1})-\text{C}_6\text{H}_4\text{Cl}$ ($n=0-10$ и 12) (I), которые испытаны на синергич. активность с ДДТ против устойчивых к нему комнатных мух *Musca domestica vicina* Маск путем

местного нанесения на муху 0,175 мкг бензольного р-ра, содержащего 0,175 мкг ДДТ и 0,0175 г I. При применении одного ДДТ LD_{25} , LD_{50} и LD_{75} были соответственно 1,3, 5,7 и 20,1 г на 1 муху. Испытуемый р-р дал следующие результаты (приведены кол-во мух, парализованных через 3 часа после обработки, в %, и смертность мух в % через 6 час. после обработки для I, где $n=1-10$ и 12): 68 и 64, 62 и 81, 72 и 52, 31 и 57, 59 и 57, 57 и 62, 80 и 61, 60 и 52, 55 и 62, 30 и 22, 25 и 15, 12 и 15. Смесь I ($n=0$) с ДДТ при коротком контакте с мухами дает 56% паралича, тогда как 1,1-бис-(*n*-хлорфенил)этан, высоко активный как синергист при длительном контакте, при коротком не эффективен.

З. Н. 65602. Альдрин, дильдрин и эндрин. Главер (Aldrin, dieldrin and endrin. Glover P. M.), Assam Rev. and Tea News, 1955, 44, № 7, 460, 462—464 (англ.)

Альдрин (I), дильдрин (II) и эндрин (III) испытаны против вредителей чая *Albizzia procera* и *A. odoratissima*. Наиболее подходящей формой препарата для обработки чая являются концентраты суспензий или эмульсий, содержащие 40% I, 50% II или 19,5% III. Дусты применяются в смеси с удобрениями, причем в этих условиях (в почве) нет разницы между остаточным действием I и II.

Л. В. 65603. Испытания инсектицидов для борьбы с жуками на огурцах. Гаррис, Матсумори (Tests of insecticides for control of cucumber beetles in Ohio. Harries F. H., Matsumori Herbert), J. Econ. Entomol., 1956, 49, № 1, 131—133 (англ.)

Для борьбы с вредителями огурцов *Acalymma trivittata* Mann. и *Diabrotica undecimpunctata* Mann. в лаборатор. и полевых опытах испытаны различные препараты на основе хлор- и фосфорорганич. инсектицидов. В лаборатор. опытах наиболее активными были (приведены инсектицид и смертность в %) против *B. trivittata*: паратон 100, ЭПН 94, дильдрин 94, малатион 81, НПД 80, альдрин 69 и эндрин 59; против *D. undecimpunctata*: линдан 98, систокс 94, гентахлор 82, пертан 64. Хлордан, токсафен, дилан и изодрин мало эффективны. В полевых опытах наиболее активными были дусты паратона, метоксихлора, ДДТ и токсафена.

З. Н. 65604. Результаты применения фозидола против насекомых-вредителей редьки. Ифудзи, Нагасава (大根菜類の害虫に対するホリドールの効果. 伊藤佳信. 永澤實), 應用昆蟲, Оё контю, 1953, 9, № 1, 35—37 (япон.)

Опрыскивание редьки фозидолом (I) в концентрации 1/1000 и 1/2000 приводит к почти полной защите корней растения от личинок *Phyllotreta striolata* Fabr. и в значительной степени уменьшает вредное действие взрослых насекомых. I также стимулирует рост редьки. Кроме I, хорошо действует против личинок 1%-ный дуст ГХЦГ и ЭПН; менее активны и повреждают растения ДДТ и хлордан. Опрыскивание I в концентрации 1/1000 и 1/3000 позволяет успешно бороться с *Oebia undalip* Fabr. Вредное действие препарата на растение не наблюдалось.

Л. В. 65605. Влияние составных частей инсектицидов на японского жука. Фостер (The effect of ingredients in insecticides on the behavior of the Japanese beetle. Foster James R.), Econ. Entomol., 1955, 48, № 6, 703—706 (англ.)

Проведены опыты по оценке отпугивающего или привлекающего действия различных в-в для японского жука *Popillia japonica* Newman. Результаты опытов показывают, что р-рители инсектицидов (различные нефтяные продукты) отпугивают жука. Инсектициды Вапон Д-43, ГХЦГ, метоксихлор, паратон и ТДЭ,

новидимому, также отпугивают жука. Прибавление р-рителей к ДДТ почти не влияет на поведение жука. Гипотеза о привлекающем действии ДДТ или других ингредиентов инсектицидных составов на японского жука не подтвердилась. К. Б.

65606. Потеря воды насекомыми, обработанными пиретрумом. Инграм (Water loss from insects treated with pyrethrum. Ingram Robert L., Ann. Entomol. Soc. America, 1953, 48, № 6, 481—485 (англ.).

В качестве опытных насекомых использовались мухи *Musca domestica* L. и тараканы *Periplaneta americana* L. Обработка насекомых пиретрумом (I) вызывала потерю ими воды. Через 2 часа потеря для мух была в 2 раза, а для тараканов в 5 раз больше по сравнению с необработанными насекомыми. Различий в потере воды при контактно-применении и внутрибрюшинном введении I не обнаружено. Влияние атропин-сульфата или прокаин-гидрохлорида перед обработкой I не предотвращало потерю воды тараканами. Определено кол-во CO_2 , выделенного мухами. Различия в дыхании обработанных и необработанных мух не обнаружено. По мнению автора, потеря воды не может служить причиной смерти отравленных I насекомых. Е. А.

65607. О токсичности современных пестицидов. Уорд (How toxic are today's pesticides? Ward Justus C., Pest Control, 1956, 24, № 1, 9—10, 12 (англ.).

Приводятся литературные данные по токсичности инсектицидов и родентицидов для теплокровных и человека. К. Б.

65608. Токсичность семи инсектицидов для канадской форели *Salmo gairdnerii* (Richardson). Мейхью (Toxicity of seven different insecticides to rainbow trout *Salmo gairdnerii* (Richardson). Mayhew James), Proc. Iowa Acad. Sci., 1955, 62, 599—606 (англ.). На токсичность для канадской форели испытаны хлордан, гентахлор, альдрин, дильдрин (I), токсафен (II), метоксихлор и ДДТ в виде концентратов для эмульсий, смачивающихся порошков и дустов в конц-ях 0,05, 0,1, 0,25, 0,5 и 1 мг/л. Наиболее токсичными оказались эмульсии I и II. З. Н.

65609. Относительная токсичность фумигантных смесей при вдыхании. Мак-Коллистер, Холлингсуэрт, Ойен, Роу (Comparative inhalation toxicity of fumigant mixtures. McCollister D. D., Hollingsworth R. L., Oylen F., Rowe V. K.), Arch. Industr. Health, 1956, 13, № 1, 1—7 (англ.).

Изучена токсичность для теплокровных дихлорэтана (II), CCl_4 (III), дибромэтана (III) и фумигантных смесей (в скобках указано содержание I, II, III в смесях в %): дафум 75 (70,2, 29,8,—) (IV), дафум EB-5 (29,2, 63,6, 7,2) (V) и дафум EB-15 (19,6, 60, 20,4) (VI). При оральном введении острая токсичность LD_{50} (в г на 1 кг живого веса) фумигантов для крыс равна: I 0,68, II 2,92, III 0,14, IV 0,66, V 0,66, VI 0,29. Установлены безопасные для человека конц-ии (1·10⁻⁴ %) паров фумигантов, определенные соответственно при однократном воздействии в течение 7 час., 1 час. и 0,1 час., а также при ежедневном воздействии продолжительностью 7 час.: I 200, 1000, 3000, 100, II 50, 300, 3000, 25, III 50, 200, 800, 25, IV 50, 300, 3000, 25, V 100, 500, 3000, 50, VI 75, 300, 1500, 25. Ю. Б.

65610. Остаточная токсичность на продуктах сельского хозяйства после обработки пестицидами. Ла-Ротонда (Azione residua dei trattamenti antiparassitari nei prodotti agrari alimentari. La Rotonda Carlo), Chimica e industria, 1953, 35, № 1, 11—13 (итал.; реф. франц.).

Обсуждаются вопросы остаточной токсичности. С. П.

65611. Исследования на животных п-хлорфенилфенилсульфона (сульфенон). Хейзлтон, Кандзинс, Брус (Mammalian investigations on p-chlorophenyl phenyl sulfone (sulphenone). Hazleton L. W., Kundzins Walter, Bruce R. B.), J. Agric. and Food Chem., 1955, 3, № 10, 836—841 (англ.).

Исследована токсичность сульфенона (I) для животных с целью установления допустимых конц-ий его в пищевых продуктах. I — белый кристаллич. порошок, почти нерастворимый в воде, не обладает запахом и вкусом. Токсичность технич. и чистого препаратов различна. LD_{50} (орально) (в мг/кг): технич. I для мышей равна 2700, I 3650; для крыс технич. I 1400, I 2000; при введении в брюшину LD_{50} технич. I для крыс 500, для мышей 1000; при введении в пищу белых крыс I в кол-ве 10, 100 и 1000 мг/кг в течение двух лет вес животных уменьшался только в последнем случае. Для собак токсична доза 100 мг в день, вводимая с пищей в течение длительного времени. I (1 г/кг) не действует на кожу кроликов и морских свинок. Однократное применение I на кроликах вызвало временное раздражение глаз. В тканях подопытных животных I не обнаружен. Опытами доказана безопасность I. К. Ш.-Ш.

65612. Оценка допустимых остатков химикатов на фруктах и овощах. Фейи (Calculation of tolerances of mixed chemical residues on fruits and vegetables. Fahey Jack E.), Agric. Chemicals, 1955, 10, № 8, 37, 85 (англ.).

Предложены правила определения допустимых остатков хим. препаратов после обработки на фруктах и овощах. Допустимые конц-ии в частях на 1 млн. ДДТ 7; арсенат свинца 3,5; всех солей мышьяка 3,5; металлзамещенных дитиокарбаматов 7, токсафена 7, дильдрина 0,1. Е. А.

65613. Фунгициды и закон Миллера для пестицидов. Ранкин (Fungicides and the Miller pesticides chemicals law. Rankin W. B.), Agric. Chemicals, 1956, 11, № 2, 37, 101—102 (англ.).

Дополнение Миллера к закону о пестицидах делит все фунгициды на 4 группы: 1) слаботоксичные — S, известково-серный отвар; 2) более токсичные, но не оставляющие вредного для человека остатка на обработанных культурах — почти все соединения Cu; 3) токсичные, но маленький остаток которых достаточно безопасен для человека — каптан, динитро-о-циклогексилфенол, фербам, манеб, цинеб, пирам, глиозин и фигон; 4) токсичные — динитро-о-крезол, динитро-о-втор-бутилфенол и Hg-содержащие соединения. Применение соединений этой группы допустимо при условии отсутствия остатков на конечных продуктах. К этой же группе относятся антибиотики, применяемые на растениях, формальдегид, изотиоцианаты, четвертичные аммониевые основания, спергон, пентахлорфенолят натрия и тирам. К одной из первых групп должны быть отнесены дифенил и ортофенилфенол. Для каждого нового фунгицида, до его регистрации, должны быть определены его биол. активность и токсичность остатка на продуктах. Применение каждого фунгицида установлено в определенное время года и в определенных конц-ях. С. И.

65614. Изучение органических и медно-органических фунгицидов для борьбы с милдью винограда, проведенное в 1955 г. Бубаль, Вернь, Бобо (Essais de fongicides organiques et organo-cupriques dans la lutte contre le mildiou de la vigne effectués en 1955. Boubals D., Vergnes A., Bobo H.), Progr. agric. et vitic., 1956, 145, № 3—4, 29—37 (франц.).

Сравнивается фунгицидное действие на милдью винограда месульфана (N-метансульфонил-N-трихлорметансульфенил-4-хлоранилин), 2%-ной бордосской смеси, каптана, Cu- и Cu-органич. фунгицидов. К. Б.

65615. Исследования фунгицидов. I. Фунгицидная и системно-фунгицидная активность некоторых арилоксикалкарбоновых кислот. Фосетт, Спенсер, Уэйн (Investigations on fungicides. I. Fungicidal and systemic fungicidal activity in certain aryloxyalkanecarboxylic acids. Fawcett C. H., Spencer D. M., Wain R. L.), Ann. Appl. Biol., 1955, 43, № 4, 553—568 (англ.).

Изучена системно-фунгицидная активность (СА) следующих 54 арилоксикалкарбоновых к-т: феноксиксусной, 2-феноксипропионовой, 2-феноксимасяной (I), 4-феноксикалваляриновой, 5-феноксикапроиновой (II), 6-феноксизантоновой, 7-феноксикаприловой, 8-феноксипионовой, 9-феноксикаприновой, 10-феноксипиридинаковой, α -феноксипропионовой, α -феноксимасяной, α -феноксизантоновой (III), 2-, 3- и 4-хлорфеноксиксусных, 2 хлорфенокси- α -пропионовой, 2-3- и 4-хлорфенокси- α -изомасляных, 2,3-, 2,4-, 2,5-, 2,6-, 3,4- и 3,5-дихлорфеноксиксусных, 2,3-, 2,4-, 2,5-, 2,6-, 3,4- и 3,5-дихлорфенокси- α -изомасляных, 2М-4Х, 2-метил-4-хлорфенокси- α -пропионовой, 2-метил-4-хлорфенокси- α -изомасляной, 3-метил-4-хлорфеноксиксусной, 2,4,5- и 2,4,6- (IV) трихлорфеноксиксусных, 2,4,5- и 2,4,6-трихлорфенокси- α -изомасляных, 2,4,6-трихлорфенокси- α -пропионовой, 4-метил-2,6-дихлор- и 6-метил-2,4-дихлорфеноксиксусных, 2,4,6-трибром- и 2,4,6-трибромфеноксиксусных, 4-метил-2,6-дибромфеноксиксусной, 2-метил-4,6-динитрофеноксиксусной, 2,3,4,5,6-пентахлорфеноксиксусной, 2,3,4,5,6-пентахлорфеноксизомасляной, 1- и 2-нафтоксиксусных, 1- и 2-нафтокси- α -изомасляных и 2-нафтокси- α -пропионовой. Изучена также контактная фунгицидная активность 20 из этих к-т. Из этих соединений 4 к-ты, не повреждающие растения и обладающие СА против *Botrytis fabae* на фасоле и *Alternaria solani* на томатах, изучены детально. Соответствия между фунгицидной и СА не установлено. Рассматриваются возможные механизмы СА. СА III и IV в растениях фасоли и IV в растениях томатов зависит от сезонных факторов, тогда как действие I и II не связано с сезоном. К. Б.

65616. Испытание токсичности ртутьсодержащего фунгицида «гермизана» на домашних курах *Gallus gallus*. Лёлигер (Experimentelle Toxizitätsprüfung des quecksilberhaltigen Fungizides «Germisan» beim Haushuhn (*Gallus gallus*) Löliger Hans-Christoph), Z. Angew. Zool., 1955, 2, № 4, 453—455 (нем.).

Ежедневный прием 50—100 мг гермизана (I) в течение 31 дня безвреден для курицы. I применялся в водн. р-ре и с зерном, протравленным I. Однократная доза I в 1,0 г (30 мг Hg) вызывает тяжелое заболевание курицы без смертельного исхода. Н. М.

65617. Применение стимуляторов роста в агрономии. Лоншан (Les applications agronomiques des substances de croissance. Longchamp R.), Scientia (Asso), 1955, 90, № 12, 395—401 (франц.).

Описано применение 2,4-Д, 2М-4Х и 2,4,5-Т в качестве гербицидов, α -нафтилуксусной к-ты, гетероауксина и пидолилмасляной к-ты для стимуляции корнеобразования трудно укореняющихся растений. Стимуляторы роста применяют также для прорегивания цветения фруктовых деревьев, для предупреждения преждевременного опадения плодов, для получения бессемянных плодов томатов, огурцов, тыквы и арбузов. Изопропиловый эфир фенилкарбаминной к-ты и гидразид малеиновой к-ты (I) употребляют для предупреждения прорастания картофеля. Ведутся работы по применению I для уменьшения потерь сахара при хранении сахарной свеклы. К. Б.

65618. Сочетание агротехнических и химических мероприятий в борьбе с корнеотпрысковыми сорняками. Воеводин А. В., Земледелие 1956, № 2, 122—124

Обработка посевов яровой пшеницы суспензией 2,4-Д в дозе 1,5 кг/га с добавкой 0,2% ОП-7 в сочетании с агротехническими мероприятиями позволяет полностью очистить в течение 2—3 лет поля от таких корнеотпрысковых сорняков как осот полевой, осот голубой и клоповник крупнокорневидный. К. Б.

65619. Гербициды и инсектициды, примененные в 1954 г. на злаках, бобах, брюкве и капусте. Черч (Weed-killers and insecticides used on cereals, peas, sweeties and kale, 1954. Church B. M.), Plant Pathol., 1955, 4, № 4, 131—133 (англ.).

В борьбе с сорняками на пшеничных, овсяных и других полях злаковых использовались 4-хлор-2-метилфеноксиксусная, 2,4-дихлорфеноксиксусная к-ты и 2-метил-4,6-динитрофенол. На полях бобовых культур применялся 2-втор-бутил-4,6-динитрофенол. Для борьбы с земляной блохой на посевах капусты и брюквы рекомендован ДДТ. Применение гербицидов и инсектицидов основано к районам возделывания культур. Е. А.

65620. Обработка продовольственного картофеля веществами, задерживающими прорастание. Исследования в Швеции в 1948—1954 гг. Эмилссон (Treating ware potatoes with sproutinhibiting chemicals. Research in Sweden 1948—1954. Emilsson B. Ö. J.), Acta agric. scand., 1955, 5, № 4, 390—406 (англ.).

Проведены опыты по изучению влияния 2,3,5,6-тетрахлор-1-нитробензола (I), изопропилового эфира N-фенилкарбаминной к-ты (II), метилового эфира α -нафтилуксусной к-ты (III), α -метилнафтилметилового эфира (IV), фенилуретана (V) и гидразида малеиновой к-ты (VI) на прорастание картофеля, хранимого в разных условиях как в кучах, так и в хранилищах. Первые пять препаратов испытывались в виде дустов, VI в виде водн. р-ра диэтилоаминовой соли. I в дозах 3,3—4,5 г на 100 кг картофеля хорошо задерживает прорастание клубней, кроме того, I фунгистатически действует на *Fusarium*, вызывающий гниение картофеля. II, III, IV и V не влияют на грибок, тогда как VI вызывает некоторое усиление болезни. Весенняя обработка II (9—12 г на 100 кг клубней) дает лучшие результаты, чем осенняя. III в 2—3 раза менее активен, чем I. II в 10 раз активнее I. Равны по эффективности III и IV; V и I. Опыскивание картофеля на корню за две недели до гибели стебля VI в дозе 2,5 кг/га хорошо задерживает прорастание клубней. Активность I и VI одинакова. I—V уменьшают физиологич. потерю веса, VI несколько повышает вес клубней. Проведены опыты по изучению влияния препаратов на варочные качества картофеля, а также действия препаратов в различных условиях хранения. К. Б.

65621 К. Химические средства защиты растений. Станкович, Остойнич (Хемиска средства заштити растенија. Станковић Александар, Остојић Немања. Београд, «Задружна књига», 1955, 176 стр., ил.) (серб.).

65622 К. ГХЦГ и инсектициды. Кулеша, Целинская (HCH i insekticidy. Kulesza J., Celinska D., Warszawa, PWT, 1955, 58 s., ил., 4 зл. (польск.).

65623 Д. Инсектицид сикстокс и его действие на растительные ткани. Рюккер (Das Insektizid Sytox in seiner Wirkung auf verschiedenartige Pflanzenzellen. Rucker Waltraud. Diss. phil., Wien, 1955, Maschinenschr., Oesterr. Bibliogr., 1955, № 19, 15 (нем.).

65624 П. Инсектицидный препарат (Middel til bekæmpelse af skadedyr, især mider) J. R. Geigy A.-G.). Дат. пат. 79758, 22.08.55

Препарат содержит эфиры 4,4'-дихлорбензиловой к-ты общей ф-лы: $(C_6H_4Cl)_2C(OH)COOR$, где R — алкил с 1—3 С-атомами, преимущественно C_2H_5 , C_3H_7 и *изо*- C_3H_7 ; применяется в виде 1—5%-ных дустов, 0,1—1%-ных суспензий, 0,05—0,5%-ных эмульсий и 1—5%-ных р-ров в углеводородах. К. Г.

65625 П. Новый состав для уничтожения насекомых с помощью фумигации. Фландерс (Nueva composición fumigante para destruir insectos nocivos. Flanders John Stocks) Imperial Chemical Industries Ltd]. Мексик. пат. 55620, 21.07.55

Состав для фумигации содержит инсектицид, способный испаряться при нагревании, напр. ГХЦГ или ДДТ, а также NH_4NO_3 (I) и соль хромовой к-ты, sensibilizующую разложение I. При нагревании смеси, хотя бы и местном, происходит экзотермич. р-ция, вызывающая испарение инсектицида. К. Б.

65626 П. Приспособления для окуливания. Уолпол (Fumigating devices. Walpole J. L.) [Murphy Chemical Co., Ltd]. Англ. пат. 715812, 22.09.54

Приспособление состоит из оболочки, содержащей твердый самовозгорающийся состав (смесь горючего материала — сахара, лактоза, крахмал, манитол, сорбитол или тиомочевина с выделяющими О в-вами: $KClO_3$, $NaClO_3$, KNO_3 , $NaNO_3$), и герметично закрытого сосуда из нитроцеллюлозы, ацетилцеллюлозы, желатини и горючего или летучего стекла с жидким, способным испаряться пестицидом (II), адсорбированным на инертном адсорбенте. Сосуд находится вне этого состава на перфорированной плитке и полностью или частично разрушается от тепла при сжигании этого состава, освобождая II. В качестве II применяются ГЭПФ, ГЭТФ, паратон (I), смеси I и метилпаратона, β-бутоксиф-β-тиодиазодизтиловый эфир, хлордан, никотин, пиретрум и шрадан, а также азобензол, ГХЦГ или ДДТ. В горючий состав можно включить способное испаряться в-во, напр. нафталин. Можно также добавлять модификатор, напр. мочевины. В. Ш.

65627 П. Пирофосфаты (Pyrophosphates) [Monsanto Chemical Co.]. Австрал. пат. 166353, 12.01.56

Метод приготовления несимметричного алкилового эфира тетраалкилдиамида пирофосфорной к-ты состоит в р-ции алкилгалондифторфосфата с алкиловым эфиром (алкил имеет короткую цепь) тетраалкилдиамида ортофосфорной к-ты. З. Н.

65628 П. Инсектицид. Жизен, Марго (Förfarande och medel för bekämpning av skadedjur. Gysin H., Margot A.), [J. R. Geigy A.-G.]. Швед. пат. 150523, 28.06.55

Инсектицид, помимо разбавителя и других добавок, содержит соединение общей ф-лы $RXP(X^1R^1)(X^2R^2)X^3$, где RX — остаток энольной формы замещ., не конденсированного гетероциклич. соединения с эндоциклич. энolisируемой кето- или тиокето-группой, R^1 и R^2 — алкил, алкенил, алкоксиалкил, алкилмеркаптоалкил или галогеналкил, X^1 , X^2 и X^3 — О или S. К. Г.

65629 П. Пестицидные составы. Джеймсон, Саклинг (Pest control compositions. Jameson H. R., Suckling Ch. W.) [Imperial Chemical Industries, Ltd]. Англ. пат. 714845, 1.09.54 [Chem. Zbl., 1955, 126, № 26, 6417 (нем.)]

Препарат для борьбы с нематодами содержит азид общей ф-лы: $R-CO-N_3$, где R — фенильный, фенокси-, метил- или нафтилардикалы, которые могут содержать нитро-, алкил-, галонд-, алкокси-, арилокси- или циан-группы в качестве заместителей, а также наполнитель или разбавитель, напр. тальк или диатомит. Примеры: *л*- или *м*-нитро-, хлор- или метоксибензализид, β-нафтазид. З. Н.

65630 П. Пестицидные препараты (Pesticidal preparations) [N. V. de Bataafsche Petroleum Maatschappij]. Австрал. пат. 166383, 12.01.56

Состав для борьбы с болезнями растений содержит в качестве действующего начала одно или более соединений общих ф-л: $XRN-CS-NYR',RR'N-CS$ ($-SX$) = NY и $RYN-CS(-SX) = NR'$, где X — ацильная или галоидацильная группа, R и R' — H и углеводородный или галоидуглеводородный радикалы с общим числом атомов C в молекуле ≤ 9. Y — H, углеводородный или галоидуглеводородный радикалы, ацильная или галоидацильная группы. В-ва получают путем р-ции равномолекулярных кол-в трихлоруксусного ангидрида и тиомочевины в бензольном р-ре и перекристаллизуют вынавшее в-во из спирта. З. Н.

65631 П. Паразитицидный состав. Кенэга (Parasiticidal composition. Kenaga Eugene E.) [The Chemical Co.]. Канад. пат. 510499, 1.03. 55

Состав для борьбы с насекомыми и клещами содержит диэтил-4-нитрофенилтиофосфат и 4-хлорфениловый эфир 4-хлорбензолсульфокислоты, а также тонкоизмельченный твердый носитель, диспергатор и смачиватель. К. Б.

65632 П. Инсектицидный состав, содержащий в качестве наполнителя отходы от очистки пшеницы (Insecticidal composition with a wheat dust carrier) [Pillsbury Mills, Inc.]. Англ. пат. 697516, 23.09.53.

Предложен инсектицидный состав, содержащий небольшое кол-во органич. инсектицида (пиперомил-бутоксид, пиретрум и ротенон) и наполнителя в виде порошка, получающегося при очистке пшеницы до помолы. Порошок проходит через сито 100 меш и содержит наружных оболочек ≥ 25%, воскоподобных в-в ≥ 2% и эндоспермы ≥ 15%. К. Ш.-Ш.

65633 П. Соединения, содержащие серу. Гринвуд, Стивенсон, Гранем, Хиггоне (Sulphur containing compounds. Greenwood D., Stevenson H. A., Granham J. E., Higgins D. J.). Англ. пат. 713984, 18.08.54 [J. Appl. Chem., 1955, 5, № 3, 1411 (англ.)]

Патентуются соединения общей ф-лы $R'SCH_2R''$, где R' — фенил, незамещ. или содержащий один или более атомов Cl; R'' — фенил, содержащий один или более атомов Cl. Напр., *п*-хлортиофенол, *п*-хлорбензилхлорид и C_2H_5ONa в кипящем спирте дают *п*-хлорбензил-*п*-хлорфенилсульфид, $C_{13}H_{10}Cl_2S$, т. пл. 72°. Получены следующие сульфиды (I): фенил-*п*-хлорбензил-I, $C_{13}H_{11}ClS$, т. пл. 78°, *о*-хлорбензил-*п*-хлорфенил-I, $C_{13}H_{10}Cl_2S$, т. пл. 32°, *м*-хлорбензил-*п*-хлорфенил-I, т. кип. 172—175°/2 мм, 2,4-дихлорбензил-*п*-хлорфенил-I, $C_{13}H_9Cl_3S$, т. пл. 64—66°, *п*-хлорбензил-2,4,5-трихлорфенил-I, $C_{13}H_8Cl_4S$, т. пл. 76—77°. Названные продукты применяются в качестве акарицидов в садоводстве. Ю. В.

65634 П. Гермицидные продукты, содержащие иод, и способ их производства. Елинек (Produits germicides contenant de l'iode et procédé pour sa fabrication. Jelinek Charles F.) [General Aniline & Film Corp.]. Франц. пат. 1098785, 25.08.55 [Teintex, 1956, 24, № 2, 459, 161 (франц.)]

Гермицидные составы представляют собой р-ры небольшого кол-ва J_2 (1—30%) в большом кол-ве (99—70%) поверхностноактивного в-ва общей ф-лы: $HO(CH_2CH_2O)_a-(CH_2CHRO)_b-(CH_2CH_2O)_c$ (полиэтилен-полипропиленгликоли), где R — алкильная группа, содержащая < 10 С-атомов, *b* — целое число от 2 до 50, *a* и *c* — целые числа в сумме от 8 до 100. К. Б.

65635 П. Фунгицид и бактерицид (Fungicide and bactericide) [Drugg Houses of Aust. Ltd]. Австрал. пат. 166020, 1.12.55

Фунгицидный и бактерицидный состав содержит водн. р-р комплекса фенилмеркурацетата с NH_3 , солью аммония, водн. р-ром амина или их смеси. З. Н.

65636 П. Фунгицид (*Middel til bekæmpelse af mikroorganismer, især svampe.*). [N. V. Chemische Industrie Rids., Nederlandse Centrale Organisatie Voor Toegepastnatuurwetenschappelijk Onderzoek.]. Дат. пат. 79466, 27.06.55

Фунгициды, обладающие системным действием, содержат соединения роданина общей ф-лы: $\text{S}-\text{CS}-\text{NR}-$ — $\text{CO}-\text{S}=\text{Z}$, где R — ароматич. остаток, в котором не

менее чем один Н-атом замещен полярным атомом или полярной группой, содержащей двойную или тройную связь; Z—два одновалентных атома, или две одновалентных группы R' и R'', или 2-валентная группа R'CR'', причем R' и R''—H, алкил или арил (одинаковые или различные). Фунгицид может содержать N, N'-фенил-бис-роданин и состоять из смеси ≥ 2 роданинов, действующих на различные виды микроорганизмов. Пример. 0,5 моля n-нитрофенилизотиоцианата и 0,5 моля тиогликолевой к-ты в 1000 мл 50%-ного $\text{C}_2\text{H}_5\text{OH}$ кипятят 90 мин. и отделяют выпавший при охлаждении желтый осадок N-(n-нитрофенил)-роданина, т. пл. 213—214° из сл.; выход 85%. Описаны способы получения N-(n-хлорфенил)-роданина, т. пл. 137°, n-фенил-бис-роданина и N-(n-нитрофенил)-5-бензильденроданина, т. пл. 220°. Описанные препараты применяют в виде дустов или р-ров. К. Г.

65637 П. Защита волокна от микроорганизмов и грибов и способ его обработки (*Fibres protégées contre les microorganismes et les champignons et leur procédé de traitement.*). [Sandoz Soc. An.]. Франц. пат. 1088059, 2.03.55 [Bull. Inst. text. France, 1955, № 55, 176 (франц.)]

Способ, применимый к натуральному волокну из целлюлозы, регенерированному волокну, а также к волокну, состоящему из сложных азотсодержащих полимеров и обладающему аналогичными целлюлозному волокну свойствами, заключается в пропитке волокна солями или комплексом фенолов и азотсодержащих полимеров, родственных волокну. Эти последние могут быть продуктами конденсации соединений, содержащих, по крайней мере, одну группировку атомов $=\text{N}-\text{C}(=\text{N})\text{N}$ -или цианамидную группу с альдегидами, возможно в присутствии растворимых солей азотсодержащих соединений основного характера, или, исходя из цианамиды или его полимеров, путем нагревания и удаления аммиака. Пропитка осуществляется растворением или разбрызгиванием азотсодержащих полимеров и фенолов с фунгицидными и бактерицидными свойствами, связанных между собой в возможно более высокой степени. Л. В.

65638 П. Бактериостатические и фунгицидные растворы для задержки порчи и разложения пищевых продуктов. Франсен (Soluciones bacteriostáticas y fungicidas para retardar la deterioración y descomposición de materia orgánica. Frandsen Lawrence) [Washington Lab., Inc.]. Мексик. пат. 55647, 21.07.55

Бактериостатический и фунгицидный р-р содержит 7,5—9 ч. фумаровой к-ты, 6 ч. бензойнокислого Na, 2,5 ч. H_3BO_3 и $\leq 32\,000$ ч. воды. Указанный р-р защищает пищу от разложения. К. В.

65639 П. Тетрагидрофуриловый эфир 2М-4Х. Скотт (Tetrahydrofurfuryl ester of 4-chloro-2-methylphenoxyacetic acid. Scott Robert C.). [Pittsburgh Coke & Chemical Co.]. Пат. США 2728653, 27.12.55

Гербицидный состав содержит в качестве действующего начала тетрагидрофуриловый эфир 2-метил-4-хлорофеноксуксусной к-ты в фитотоксичной конц-ии. З. Н.

См. также: Инсектициды: синтез 64996—64998; анализ 65358, 65360, 65361, 65381; токсикология 19705Бх; действие электронного излучения 67018; привлекающее в-во 19262Бх. Бактерициды и фунгициды: получение 66189, 66215; анализ 65363; 18790Бх, 18791Бх; обеззараж. воды 65904; консервир. древесины 66824; стерилизация пищевых продуктов 67009—67017, 67094, 67177. Регуляторы роста: получение 66224; механизм действия 19178Бх; действие 19243Бх, 19246Бх; задержка прорастания клубней 67092Бх; инаktivация 19242Бх; антагонист ауксина 64883

ЭЛЕКТРОХИМИЧЕСКИЕ ПРОИЗВОДСТВА.

ЭЛЕКТРООСАЖДЕНИЕ.

ХИМИЧЕСКИЕ ИСТОЧНИКИ ТОКА

65640. Автоматический разрыв струн рассола для ртутных ванн. Капустин М. А., Сб. предложений по экономии электр. и тепл. энергии, премия на 8-м Всес. конкурсе. М.—Л., 1955, 260—262

Предлагается питательный рассол (Р) для хлорных электролизеров с Hg-катодом. Питательный состоит из двух камер (К), расположенных одна над другой, причем верхняя К разделена вертикальной перегородкой (не доходящей до крышки К) на два отделения, каждое из которых сообщается с нижней К посредством сифона. Р, подаваемый из питательной трубки, расположенной над перегородкой в верхней К, с помощью наклонного щитка направляется в одно из отделений К. По достижении определенного уровня Р через сифон быстро перетекает в нижнюю К, при этом струя Р сбивает вниз расположенную горизонтально в нижней К совкообразную коробку, рычажно соединенную с направляющим щитком в верхней К. Вследствие этого Р из питательной трубки направляется в другое отделение верхней К. Предложенное устройство позволяет снизить утечку тока до 6 ма. С. К.

65641. Некоторые важные вопросы, касающиеся электролиза цинка. Макуц (Unele probleme importante de l'electroliza zincului. Măcutz Alois), Metalurgia și constr. mas., 1956, 8, № 2, 64—66 (рум.)

Приведена диаграмма изменения выхода по току Zn в зависимости от роста кислотности электролита, полученная для $D = 330 \text{ а/м}^2$ при $t\text{-ре } 30-40^\circ$, показывающая, что оптимальная кислотность электролита составляет для указанных условий 80 г/л. Использование перфорированных анодов, обеспечивающих горизонтальную циркуляцию электролита, а также подвод электролитов в ванну через боковые желоба, расположенные перпендикулярно к анодам, позволило улучшить циркуляцию электролита. Я. М.

65642. Гальваностегия в Западной Германии. Часть II. Цеха гальванопокрытия, электрополирования, химического полирования, процессы и растворы. Пинер (Electroplating in Western Germany. Part II. Electroplating, electropolishing and chemical polishing plant, processes and solutions. Pinnet R.), Electroplating and Metal Finish, 1955, 8, № 8, 277—283, 286 (англ.)

Обзор современных методов нанесения гальванопокрытий. Часть I см. РЖХим, 1956, 33078. Е. 3.

65643. Профилографический метод исследования качества поверхностей электроосажденных металлов. Гиусени Н. П. В сб.: Методы и средства определения чистоты поверхности в машиностроении. М., Машиз, 1955, 177—180

С помощью профилографич. исследования гальванич. осадков Cu и Zn показано, что опорная кривая микропрофиля удовлетворяет ур-нию нормального распре-

деления Гаусса. В качестве основного критерия степени шероховатости гальванич. осадков предлагается средняя объемная высота шероховатого слоя h_0 , т. е. высота, которую получил бы материал, находящийся в шероховатом слое после идеального сглаживания. Приведен способ определения h_0 по профилограмме.

С. К.
65644. О механизме электролитического и химического полирования металлов, в частности никеля. Маху, Рагеб (Über den Mechanismus des elektrolitischen und chemischen Polierens von Metallen, insbesondere des Nickels. Machu Willi, R a g e b A d l y), Z. Metallkunde, 1956, 47, № 3, 176—183 (нем.; рез. англ.)

Исследовалось анодное поведение х. ч. Ni в электролитах, применяемых в производственной практике. Состав электролитов (%): (I) H_2SO_4 (уд. в. 1, 84) 33, глицирин 33, H_2O 34; (II) H_3PO_4 (уд. в. 1,7) 60, H_2SO_4 (уд. в. 1,84) 20, 20. Режим электрополировки в I электролите: т-ра 35° , D_a 11—22 а/дм², время 10 сек.; во II электролите: т-ра 60° , D_a 80 а/дм², время 5 мин. Изучалось влияние плотности тока, т-ры ванны, времени электрополировки на процесс анодного растворения Ni в указанных электролитах, а также снимались кривые потенциал — время без наложения тока и кривые потенциал — время при различных значениях плотности анодного тока. О процессе анодного окисления Ni в процессе электрополировки и о пористости образующейся окисной пленки судили по величине «времени пассивирования», которая определялась путем анодной поляризации исследуемых образцов в р-ре, содержащем 100 г/л $NiSO_4$ при определенной плотности тока (от 10 до 20 ма/см²). Пористость окисной пленки на никелевом образце, подвергнувшемся электрополировке при различных режимах, определялась по ф-ле Мюллера — Маха: $lg F_A = (lg t_p - lg B + n lg i_0) / n$, где F_A — пористость пленки, i_0 — начальная плотность тока (а/дм²), t_p — время пассивирования (сек.), B и n — константы, причем $B = 2,0$, $n = 2,15$. Показано, что в процессе электрополировки на поверхности Ni образуется окисная пленка, пористость которой зависит от режима (т-ра, плотность тока, время). Электрополировка имеет место лишь при миним. значении пористости окисной пленки, причем Ni вследствие наличия на нем пассивной пленки переходит в р-р в виде ионов более высокой валентности (максим. валентности 3,96). Более быстрое удаление пиков на шероховатой поверхности происходит потому, что пористость окисной пленки на пиках больше, чем в углублениях. Вследствие этого на пиках устанавливается более высокая эффективная плотность тока, что ведет к их преимущественному растворению. По мере уменьшения высоты неровностей пористость на них уменьшается и в конечном счете начинается равномерное снятие поверхностного слоя металла, ведущее к получению блестящей и ровной поверхности.

П. III.
65645. Электрохимическая и химическая полировка металлов. Силман (Metal brightening. Silman H.), Metal Ind., 1956, 88, № 6, 105—108, 111 (англ.)
Обзор методов электрополировки нержавеющей и хромистой стали, а также хим. полировки и электрополировки Al и его сплавов с Mg. Дана характеристика ряда электролитов, имеющих промышленное применение; приведены их состав и режим работы. Библ. 8 назв.

С. К.
65646. Исследование электрополировки углеродистых сталей. Тиранская С. М., Тр. Днепропетр. хим.-технол. ин-та, 1955, вып. 4, 125—138
Исследовалось влияние микроструктуры сталей (Ст. 10—10, Ст. 3, Ст. 45, Ст. 55, Ст. 65, ст. У7, Ст. У8, Ст. У10)

с содержанием 0,1—1,1% С, армо-железа и эвтектич. белого чугуна на процесс электрополировки в двух различных по составу сернофосфорнохромовокислых электролитах. Установлено, что наиболее легко полируется однородная структура (феррит, перлит, ледебурит), причем для нее потери веса, величины относительного сглаживания и предельного тока, при котором наступает анодная пассивность, получаются наименьшими, а анодная поляризация наибольшая. Наиболее трудно полируется максимально неоднородная структура (50% перлита и 50% феррита). Термообработка, способствующая получению однородной структуры, облегчает процесс электрополировки. П. III.
65647. Анодирование алюминиевых и дуралюминиевых деталей. — (Электрохимическая оксидация (аномирование) на алюминии и дуралюмини деталях. —), Рационализация (Булг.), 1956, 6, №3, 20—22 (болг.)

65648. Анодная обработка алюминия и его сплавов в промышленных условиях. Ванден-Берг (Commercial anodic surface treatments for aluminum and its alloys. Vanden-Berg R. V.), Plating, 1956, 43, № 2, 221—232 (англ.)
Обзор. Библ. 40 назв.

П. III.
65649. Обработка поверхности алюминия в кустарных мастерских и на промышленных предприятиях. Хегман (Oberflächenbehandlung von Aluminium im Handwerk und in industriellen Werkstätten. H e g m a n W.), Aluminium (B/JR), 1956, 32, № 5, 266—269 (нем.; рез. англ., франц.)

Рассматриваются вопросы очистки, травления, обезжиривания, хим. полировки, механич. обработки (шлифование, полирование, матирование, оескоструивание) и окраски Al и его сплавов.

П. III.
65650. Электроосаждение меди из щелочного нецианистого электролита. Полукарова Т. П., Уч. зап. Молотовск. ун-та, 1955, № 4, 143—146

Изучено влияние солей аммония на катодный процесс при электроосаждении Cu из щел. нецианистых электролитов. Показано, что они не изменяют общего характера катодного процесса и оказывают благоприятное влияние на работу щел. нецианистой ванны: устраняется осаждение из р-ра Cu_2O при сохранении положительных свойств этого электролита. Осадки Cu из электролита с добавкой NH_4NO_3 получают блестящие, плотные, мелкокристаллич. и хорошо спецаляющиеся. Снижение выходов по току, вызванное NH_4NO_3 , устраняется одновременным введением в электролит $(NH_4)_2SO_4$. В качестве электролита для осаждения Cu на Fe- и стальную поверхность рекомендуется электролит состава в (моль/л): $CuSO_4$ 0,2, $C_3H_8O_3$ 1,0, NaOH 2,0, NH_4NO_3 0,20, $(NH_4)_2SO_4$ 3, С.

65651. Исследование электродных процессов при электролизе щелочных нецианистых медных электролитов. Полукарова Т. П., Уч. зап. Молотовск. ун-та, 1955, 9, № 4, 146—154

Изучено влияние состава р-ра (конц-ии Cu, NaOH и глицирина, природы аниона) и D на катодную и анодную поляризацию, выход по току и качество осадков при электроосаждении Cu из щел. нецианистых электролитов. Показано, что катодная поляризация имеет значительную величину и увеличивается с конц-ией глицирина. Кривые потенциал — D имеют ряд перегибов и участков, соответствующих протеканию различных процессов. При низких плотностях тока Cu^{+2} восстанавливается до закиси Cu, которая включается в осадок, так как выхода по току значительно превышает 100%, и осадки Cu при этом получают окрашенными в различные цвета. При повышении D на катоде разряжаются купритные ионы. По мнению автора, катодная поляризация имеет хим. характер. Анодная поляризация невелика. При высокой D осадки Cu-

получаются темного цвета и со значительным кол-вом пор, выход по току < 100 . Для получения окрашенных в различные цвета Cu-покрытий (в зависимости от т-ры и времени электролиза) пригодны электролиты следующего состава (в *моль/л*): 1) $C_3H_5O_3$ 0,5, $CuSO_4$ 0,1 и $NaOH$ 2; 2) $C_3H_5O_3$ 1,0, $CuSO_4$ 0,1, $NaOH$ 2 + Na_2SO_4 0,2. $D = 0,3$ *м/см²*. При 30—35° получаются светлые тона окраски, при 20—25° — более темные. Осадки блестящие и не изменяются при хранении. З. С.

65652. Меднение стали в пирофосфатном электролите. Несмеянова К. А., Никонова Т. А., Тр. н.-и. ин-та хим. пром-сти, 1954, вып. 1, 40—71

Рассматриваются свойства пирофосфатного электролита и зависимость катодного и анодного процесса от различных факторов (состава р-ра и режима электролиза). Исследовано влияние состава электролита, D , перемешивания, т-ры, добавок к электролиту на качество и свойства Cu-осадков. Изучена также устойчивость электролита и его рассеивающая способность. Показано, что из пирофосфатного электролита можно получать плотные, мелкокристаллич., хорошо сцепляющиеся со стальной основой осадки Cu. Описан ряд технологич. особенностей процесса. Разбираются возможные неполадки при работе и способы их устранения. З. С.

65653. Общие замечания о никелировании. Часть II. Гюнтер (Allgemeine Betrachtungen über die Vernicklung — II. Teil. Günther H.), Fertigungstechnik, 1956, 6, № 3, 139—143 (нем.)

Обзор применяемых блескообразующих добавок. Библ. 79 назв. Часть I см. РЖХим, 1956, 47672. М. М.

65654. Анализ растворов для электроосаждения. 2. Определение борной кислоты в присутствии никелевых и аммонийных солей. Верма, Агравал (Analysis of electroplating solutions. 2. Estimation of boric acid in the presence of nickel and ammonium salts. Verma M. R., Agrawal K. C.), Electroplat. and Metal Finishing, 1954, 7, № 11, 403—404, № 12, 458—459 (англ.)

Описан метод определения кол-ва H_3BO_3 в никелевом электролите в присутствии солей Ni и NH_4 . К р-ру добавляется избыток формальдегида и щавелевокислый калий и производится титрование до определенного pH. При этом нейтрализуется вся свободная к-та и к-та, получающаяся из солей NH_3 по р-ции: $4NH_4Cl + 6HCHO \rightarrow C_6H_{12}N_4 + 4HCl + 6H_2O$. Титрование производится двумя порциями. В первой порции титрование ведется в присутствии красного индикатора бром-тимол-синий-фенол до голубого окрашивания. Ко второй порции добавляются маннит и фенолфталеин в качестве индикатора и титрование производится до фиолетового окрашивания. Разность между объемами щелочи, пошедшими на титрование в двух порциях, соответствует кол-ву H_3BO_3 . Отмечается, что точность анализа составляет $\pm 2\%$. Анализ производится очень быстро по сравнению с ранее применявшимся методом дистилляции H_3BO_3 или предварительного разрушения солей NH_3 и осаждения Ni-солей. Сообщение 1 см. РЖХим, 1956, 39856. З. С.

65655. Черное никелирование. Маринаро, Пакман (Black nickel plating. Marinaro A. T., Packman Louis), Metal Finish. Guidebook-Directory, 1956, 24. Westwood, N. J. Finisch. Pudl. Inc., 1955, 338—339 (англ.)

Осадок Ni черного цвета служит для декоративного покрытия и подслоем на железных изделиях под Zn, латунь, Cu, Cd или обычный Ni. Он улучшает коррозионно- и износостойкие свойства покрытия. Толстые осадки Ni черного цвета в практике не применяются, так как они хрупки, порошкообразны и отслаиваются. Черное никелирование проводится в ваннах состава

(в *г/л*): 1) $NiSO_4$ 80—96; тиоцианат Na 32—48, $ZnSO_4$ 32—40, Na_2SO_4 или $(NH_4)_2SO_4$ 16—32; 2) (для никелирования Al) $NiSO_4$ 102; тиоцианат Na 80, $ZnSO_4$ 48, $Pb(CH_3COO)_2 \cdot 12H_2O$ 3; 3) (для никелирования в автоматах) $NiCl_2$ 72; NH_4Cl 72, $NaCl$ 24, $ZnCl_2$ 12, сегнетова соль 12. Т-ра 25—50°, напряжение 0,75—1,5 в, D_k 0,1—0,2 *а/дм²*, аноды Ni и (или) уголь. Л. П.

65656. Железнение. Скитеро (Iron plating. Squitiero Almo D.), Metal Finish. Guidebook-Directory, 1956, 24. Westwood, N. J. Finish. Publ. Inc., 1955, 305—311 (англ.)

Описаны различные ванны для железнения, в том числе борфтористая состава (в *г/л*): Fe $(BF_4)_2$ 590, Fe 144, $HFlO$, H_3BO_3 43, $NaCl$ 10. Железнение ведется при 60—80°, pH 3—3,7, напряжении на ванне 2—6 в, D_k 2—9 *а/дм²*; отношение анодной и катодной поверхностей составляет 1:1. Катодный выход по току 93—97%, анодный 99—102%. При механич. перемешивании можно применять более высокие D . Аноды из чистого Fe должны быть защищены анодными чехлами. Ванна имеет высокую рассеивающую способность. Описан способ приготовления электролита. Обычно электролит в процессе работы фильтруется через слой активированного угля. Р-р может быть также очищен проработкой при низких D 0,3—0,5 *а/дм²*. От органич. примесей, являющихся причиной образования питтингов, освобождаются путем непрерывного фильтрования р-ра через слой активированного угля. pH корректируется периодич. добавками NH_4F . Значения pH выше рекомендуемых приводят к образованию темных хрупких осадков и к сильной коррозии, а значения pH ниже рекомендуемых приводят к уменьшению выхода по току на катоде. В электролите желательно присутствие небольших кол-в Fe^{3+} (1—3 *г/л*). Присутствие $NaCl$ (7,5—15 *г/л*) приводит к образованию более пластичных осадков без трещин и питтинга. Л. П.

65657. Электроосаждение на ржавую поверхность железа. Часть II. Осаждение хрома. Латиф, Кхундкар (Electro-deposition on rusted iron surface. Part II—deposition of chromium. Lattif Abdul, Khundkar M. H.), Pakistan J. Sci., 1954, 6, № 4, 107—111 (англ.)

Изучены условия электроосаждения Cr на электролитически травленную ржавую поверхность Fe, в частности, влияние конц-ий CrO_3 и т-ры на выход по току (ВТ) и качество Cr-осадка. Показано, что оптимальные условия электроосаждения Cr следующие: конц-ия CrO_3 200—250 *г/л* при т-ре 50°, $D_k = 20—25$ *а/дм²*. При этих условиях ВТ составляет 16%, а скорость наращивания Cr—0,020 *мм/час*. При уменьшении конц-ии CrO_3 и увеличении D или уменьшении т-ры ВТ можно повысить, но при этом ухудшается качество Cr-осадка. Часть I см. РЖХим, 1956, 10378. З. С.

65658. Новые тенденции в области хромирования. — (Neuere Entwicklungstendenzen auf dem Gebiete der Chromabscheidung. —), Metalloberfläche, 1953, 5, № 12, B189 (нем.)

Приводится состав саморегулирующихся ванн для хромирования, отличающийся добавкой в ванну $SrSO_4$ и K_2SiF_6 в качестве катализаторов, и даются некоторые указания по их составлению. См. также РЖХим, 1956, 43876. П. Ф.

65659. Хромирование цилиндров для глубокой печати. Шлитген (Verchromung von Tiefdruckzylindern. Schlittgen Winfried), Polygraph, 1955, 8, № 10, 326—327 (нем.)

65660. Современное гальванопокрытие массовых деталей. Часть III. Нейман (Moderne Massengalvanisierung. Teil III. Neumann A.), Metallwaren Ind. und Galvanotechn. 1955, 46, № 2, 54—58 (нем.)

Обсуждается связь D_k , времени выдержки, катодного

выхода по току, размера и веса деталей при нанесении на массовые детали покрытия определенной толщины в пределах узкого допуска в колоколах или барабанах. Часть II см. РЖХим, 1956, 33098. В. 3.

65661. Измерение твердости гальванических покрытий П. Кейль, Маркле (Härtemessungen an galvanisch erzeugten Schichten. II. Keil Albert, Merkle Elisabeth), Metalloberfläche, 1954, 8, № 9, A 129—A 131 (нем.).

Установлено, что при глубине отпечатка составляющей меньше $<10\%$ от толщины Rh-покрытия величина твердости по Виккерсу и фактич. твердость, измеренная на микротвердомере, совпадают. С целью установления зависимости между твердостью покрытия и рассеивающей способностью электролита проводилось осаждение Ag из цианистой ванны с добавками тартрата свинца и щелочи. Применялся изогнутый латунный катод. Сопоставление результатов спектрального анализа и определений твердости покрытия показало, что по мере удаления исследуемых участков катода от анода происходит уменьшение твердости покрытия, сопровождающееся соответствующим уменьшением содержания в покрытии Pb. Предыдущее сообщение см. РЖХим, 1954, 18856. Е. 3.

65662. Измерение перенапряжения электролиза при производстве алюминия. Пьонтелли, Монтанелли (Misura di sovratensione nella elettrolisi per la produzione di alluminio. Piontelli R., Montanelli G.), Alluminio, 1956, 25, № 2, 79—84 (итал.; рез. исп., англ., франц., русс.).

65663. Электролиз расплава треххлористого висмута. Грузенский (Fusion electrolysis of bismuth trichloride. Gruzensky Paul M.), J. Electrochem. Soc., 1956, 103, № 3, 171—173 (англ.).

Изучен процесс электролитич. получения Bi из расплавленных солей. Показано, что Bi осаждается на катоде при электролизе эвтектич. смеси $\text{LiCl} + \text{KCl}$, содержащей BiCl_3 . Т-ра $\sim 400^\circ$, $D \sim 26\text{--}30 \text{ а/дм}^2$. Выход по току 96%. Анод и катод — из графита. Металл получается в жидком состоянии. Потенциал разложения Bi для эвтектич. смеси $\text{LiCl} + \text{KCl}$, содержащей 33 вес. % BiCl_3 , при 420° составляет 0,89 в. Осадок содержит 0,05% Cl_2 . Анодного эффекта не наблюдалось. З. С.

65664 К. Гальванические элементы. Пешть (Galvanelemek. Pesty László. Budapest, Müszaki Kiadó, 1955. 278 л., 33, 50, Ft) (венг.).

65665 П. Диафрагма для гальванических элементов. Уиллингана (Electro chemical cell diaphragm. Willingham Eugene) [Gould-National Batteries, Inc.]. Канад. пат. 515523, 9.08.55

Пористая диафрагма для гальванич. элементов, состоящая из лигнино-целлюлозной основы с пленкой в виде слоя пластицированного винилиденхлорида и кислотостойкого порошкообразного материала. В качестве варианта предлагается диафрагма для аккумуляторных батарей, состоящая из основного слоя обработанного едким натром лигнино-целлюлозного материала и пленки из смеси пластицированного винилиденхлорида с порошкообразным кремнистым наполнителем; оба слоя вместе обладают пористостью. Вместо кремнистого наполнителя может быть применена инфузорная земля. З. Л.

65666 П. Способ и приспособление для одновременного проведения нескольких электрофоретических разделений. Свенссон, Пешсон (Sätt och anordning för samtidigt utförande av ett flertal elektroforetiska separationer. Svensson S. H., Persson K. G. A.) [LKB-Produkter Fabriks AB]. Швед. пат. 150466, 28.06.55

Патентуется метод одновременного разделения нескольких проб в одном общем электролите путем электрофореза, характеризующийся тем, что каждую из этих проб помещают в одно из изгибов колена вертикальных частей змеевидной трубки, а поверх нее наливают электролит таким образом, чтобы против каждого из испытуемых проб образовалась горизонтальная, граничащая с ним поверхность, а также тем, что через все секции змеевидной трубки одновременно пропускается постоянный ток. М. Г.

65667 П. Процесс разделения изотопов. Мадорский, Брюэр (Process for the separation of isotopes. Madorsky Samuel Leo, Brewer Aubrey K.) [Government of the United States, as represented by the United States Atomic Energy Commission]. Канад. пат. 512273, 26.04.55

Для получения продукта, обогащенного ионами K^{39} , через водн. р-р K_2SO_4 , содержащий ионы K^{39} и K^{41} , пропускают постоянный ток. Анодное пространство (АП) отделено от катодного пространства (КП) пористым материалом (напр., пористым стеклом или алундом). При этом ионы K^{39} и K^{41} движутся к катоду, SO_4^{2-} — к аноду, электролит вблизи катода становится слегка щел., а вблизи анода — слегка кислым. Для нейтрализации АП добавляют р-р KOH , а к КП — р-р H_2SO_4 , причем объем H_2SO_4 больше, чем объем KOH , так что возникает движение электролита в направлении, противоположном движению ионов K^{39} и K^{41} под действием электрич. тока, а скорость движения жидкости занимает промежуточное значение между скоростями, с которыми движутся ионы K^{39} и K^{41} . В результате ионы K^{39} концентрируются в КП, а ионы K^{41} выносятся обратно из КП. Электролит, обогащенный ионами K^{39} , отбирается из КП. В. Ш.

65668 П. Электролизер. Беннетт, Принс, Эдуарде (Electrolytic cells. Bennett Alfred, Prince Donald H., Edwards George E.). [Imperial Chemical Industries Ltd]. Канад. пат. 509961, 8.02.55

Патентуется хлорный электролизер (Э) с горизонтальным Hg-катодом. Аноды прикрепляются посредством вертикальных стержней к двум штангам, расположенным над крышкой Э параллельно его длинной стороне. Продольные штанги жестко соединены с поперечными брусками. Величина зазора между брусками и крышкой, а следовательно, и положение группы анодов в Э регулируются установочными гайками на распорных болтах, с помощью которых концы поперечных брусков укрепляются на крышке Э. Материалом для уплотнения анодных стержней в крышке служит хлорпреновый каучук. С. К.

65669 П. Получение неорганических соединений. Лоттхаус (Production of inorganic compounds. Lofthouse Eric) [Imperial Chemical Industries Ltd]. Канад. пат. 509708, 1.02.55

UF_4 получают электролизом водн. р-ра UO_2F_2 (II). Электролит подкисляют HF (к-той) в кол-ве 2—4 моль HF на 1 моль I. Р-р I приготавливают растворением в H_2O такого кол-ва UF_6 , которое обеспечивает конц-ию I $\sim 2,5\text{--}6,0 \text{ М}$ и HF 10—24 М. Электролиз, с Hg-катодом проводят при 30—35° и непрерывным перемешиванием до тех пор, пока не станет постоянной разность потенциалов между анодом и катодом. По окончании процесса электролит переводится в емкость, где осаждается образовавшийся UF_4 . Л. Х.

65670 П. Электрохимический метод получения фторангидридов перфторированных алкилсульфокислот. Брайс, Тротт (Elektrokemiskt förfarande för framställning av mättade fluorkolsulfonsyrafluorider. Brice T. J., Trott P. W.) [Minnesota Mining and Manufacturing Co.]. Швед. пат. 151002, 29.01.53

Патентуется способ получения фторида насыщ. фтором алкилсульфокислоты, отличающийся тем, что смесь безводн. летучего HF и галогенида алкилсульфокислоты подвергается электролизу в ячейке с Ni-анодом при напряжении от 4—6 в до получения фторированной к-ты.

М. Г. 65671 П. Способ травления в несколько приемов. Лей, Нани, Келлер (Förfarande för betning av metall i flera steg. Ley H., Nann H., Keller H.) [Metallgesellschaft A.-G.]. Швед. пат. 150420, 21.06.55

Патентуется метод травления металлов, в частности Fe и стали по стадиям: сначала в к-те (кроме H_2PO_4), предпочтительно в H_2SO_4 , а затем в H_3PO_4 , предпочтительно в H_2SO_4 , а затем в H_3PO_4 , отличающийся тем, что с помощью одного или нескольких ионитов концы ионов Fe при травлении в H_3PO_4 поддерживается ниже той, которая препятствовала бы травлению, а также тем, что эти ионообменники в свою очередь регенерируют в к-те, применяющейся для первой стадии травления.

М. Г. 65672 П. Метод электрополировки стали и алюминия. Дошкарж (Zpusob leštění kovu, zejména oceli a hliníku. Doškař Josef). Чехосл. пат. 83068, 1.09.54

Сталь, Al и его сплавы полируют электролитич. путем в р-ре состава: (в г): дистил. H_2O 1,5 л, $H_4P_2O_7$ 13, H_2SiW_4 (кристаллич.) 13, CrO_3 500, амидо-сульфовая к-та (кристаллич.) 65. напряжение 80 в, $D_a = 2 \text{ а/дм}^2$, время 3 мин.

М. М. 65673 П. Электрополировка твердых сплавов W и Co. Осима, Маэда, Сайто 炭化タングステン-コバルト系硬質合金の電解究研. 磨法. 尾島學二, 前田祐雄, 齊藤長男. [三菱電機株式会社, 三菱重工業株式会社]. Япон. пат. 5211, 21.08.54

Патентуется способ электрополировки твердого сплава W и Co, содержащего S. При электрополировании такого сплава в щел. электролите углеродистый W растворяется, а Co не растворяется. В кислом электролите их растворимость обратная. Особенностью способа является то, что в предлагаемом электролите равномерно растворяются как углеродистый W, так и Co. Примеры состава электролита и условий электролиза: 1. $NaCN$ 7 г, C_2H_5OH 30 мл, H_2O 70 мл, напряжение 50 в, $D = 2 \text{ а/дм}^2$, т-ра р-ра 35—45°. Состав сплава: WC 94%, Co 6%. 2. KCN 5 г, C_2H_5OH 30 мл, H_2O 70 мл, напряжение 40—50 в, $D = 2 \text{ а/дм}^2$; т-ра р-ра 30—50°. 3. KCN 10 г, C_2H_5OH 20 мл, H_2O 80 мл, напряжение 50—40 в, $D = 2 \text{ а/дм}^2$, т-ра р-ра 30—50°. Состав сплава: WC 89%, Co 11%. 4. $NaCN$ 5 г, C_2H_5OH 30 мл, H_2O 70 мл, Na_2WO_4 3 г, $CoCN$ 2 г. Режим электролиза, как в 1. Состав сплава: WC 85%, Co 15%. Кислород, выделяющийся на аноде в результате электролиза, окисляет WC по ур-нию: $WC + 5O \rightarrow WO_3 + CO_2$. Одновременно происходит окисление Co: $Co + O \rightarrow Co_2O_3$ (или же Co_3O_4). Образовавшаяся WO_3 вступает в р-ию с ионами щел. металла, находящимися в р-ре, по ур-нию: $WO_3 + 2NaCN \rightarrow Na_2WO_4 + \dots$, а Co_2O_3 вступает в р-ию с CN-ионами по ур-нию: $Co_2O_3 + NaCN \rightarrow CoCN + \dots$ Образующийся Na_2WO_4 растворим в воде и полностью переходит в р-р, не осаждаваясь на аноде. $CoCN$ растворяется в р-ре цианидов щел. металлов. Одновременно с этим происходит образование $Co(OH)_3$, которая может осаждаться на аноде и соответственно может явиться причиной образования неровностей на поверхности покрываемого изделия. В целях избежания этого в электролит добавляется эфир, являющийся р-рителем для $Co(OH)_3$.

Н. К. 65674 П. Гальваническое осаждение твердой меди. Мет (Galvanic plating of hardened copper. Met M A H). Пат. США 2720, 487, 11.10.55

Способ изготовления зеркал состоит в том, что на

прозрачную пластинку, укрепленную в раме, наносится слой Ag, который затем немедленно промывается в воде и сейчас же в мокром состоянии обрызгивается одновременно струей р-ра, содержащего 49—320 г $CuSO_4$ и 2,1—16,5 г H_2PO_4 на 1 л воды, и водн. суспензией (Zn, Fe, Cd, Ni, Co и Cr), содержащей указанные металлы в кол-ве 8,5—50 г/л.

В. М. 65675 П. Блестящее никелирование. Окицук (光澤ニツケル鍍金法. 塚島夫). 8658, 28.12.54

Метод блестящего никелирования отличается тем, что не требуется фильтрования, перемешивания электролита или движения катода. Блестящее покрытие может быть получено любой толщины. В качестве блескообразователя употребляется полиоксипиридиновые эфиры высших алифатич. спиртов. Предполагается, что высокомолекулярные соединения, имеющие —ОН, введенные в электролит, распределяются в нем как коллоиды и способствуют образованию мелкокристаллич. покрытия. Примеры состава р-ров (в г/л) и условия электролиза:

1) $NiSO_4 \cdot 7H_2O$ 150, NH_4Cl 15, H_3BO_3 18—20, полиоксипиридиновый эфир лаурилового спирта 0,03—0,05, pH 6,0—6,2, т-ра 25°, $D = 1 \text{ а/дм}^2$; 2) $NiSO_4 \cdot 7H_2O$ 150, NH_4Cl 15, H_3BO_3 18—20; полиоксипиридиновый эфир олеинового спирта 0,03—0,05; 3) $NiSO_4 \cdot 7H_2O$ 150, NH_4Cl 15, H_3BO_3 18—20; полиоксипиридиновый эфир цетилового спирта 0,03—0,05.

Н. К. 65676 П. Гальваническая ванна и способ получения блестящего металлического покрытия. Фишер (Galvaniskt bad för glänsande utfällning av metaller samt förfarande vid galvanisk utfällning av metaller med hjälp av badet. Fischer J.) [Deutsche Gold- und Silber-Scheideanstalt vormals Roessler]. Швед. пат. 151806, 4.10.55

Патентуется гальванич. ванна, в частности цианистая (щел. металла) для получения блестящего покрытия из Ni, Zn, Cd, Sn, Ag и их сплавов и, в особенности, из Cu и Cu-сплавов, отличающаяся тем, что в нее вводят предпочтительно такие ОН-содержащие соединения, которые получаются путем конденсации, с одной стороны, акролена и (или) его α -производных или смеси его с другими альдегидами и, с другой, карбамида и (или) его N и (или) C-производных, имеющих следующий ф-лу: $R_3R_2NC(=R_1)NH_2$, где R_1 обозначает O, S или имин; R_2 и (или) R_3 — H, алкил, алкенил, арил, аралкин или ацил насыщ. или ненасыщ. к-ты.

М. Г. 65677 П. Блестящее никелирование (Bright nickel plating) [Hanson-Van Winkle—Munning Co.]. Австрал. пат. 165954, 24.11.55

Электролит для блестящего никелирования в качестве добавок содержит 0,2—2 г/л ацетиленового соединения (2-бутан 1,4-диол, 4-метокси-2-бутан-1-ол; 3-гексин-2,5-диол; 4-диэтиламино-2-бутан-1-ол, 4-N-морфолин-2-бутан-1-ол, 3 (пентан-1-ол, 2,4-гексадиен-1,6-диол, и 1-диэтиламино-2-пропан).

М. М. 65678 П. Метод электроосаждения металлического покрытия. Бич (Method of electrodepositing a metallic coating. Beach John G.) [United States of America as represented by the Secretary of the Army]. Пат. США. 2727856, 20.12.55

Сплав Pb с 0,5—4 вес. % Zn осаждается на проволоку из водн. р-ра состава (в г/л): Zn (CN) $_2$ 100, NaOH 75—100, NaCN 35—40, PbO.Pb (CH_3COO) $_2$ 3, Na-K-соль винной к-ты 25—30, NaF 4—6, гуммиарабик ~3, бетаин ~10—20 см 3 /л; т-ра 50°, $D_k = 0,3 \text{ а/дм}^2$.

М. М. 65679 П. Аппарат для гальванического покрытия шеек коленчатого вала. Уэлс, Гилл (Apparatus for electro-plating crankshaft journals. Wells Harold R., Gill Frank P.). Пат. США 2706173, 12.04.55

Патентуется устройство для гальванич. покрытия коренных шеек коленчатого вала (В), включающее в себя электролитич. ванну, приспособление для зацепления В в вертикальном положении и вращения его вокруг главной оси и укрепленные на общей штанге аноды, расположенные у коренных шеек параллельно оси В.

С. К.
65680 П. Аппарат для гальванического покрытия шеек коленчатого вала. Уэллс (Apparatus of electro-plating crankshaft journals. Wells Harold R.). Пат. США 2706174, 12.04.55

Для одновременного покрытия коренных и шатунных шеек коленчатого вала аноды, расположенные у шатунных шеек, делаются подвижными. При вращении вала в ванне они совершают колебательные движения, оставаясь все время на одном и том же расстоянии от поверхности шатунных шеек.

С. К.
См. также: Электроосаждение металлов 64595, 64597, 64599—64602, 64617, 64619. Электрохим. произв. без выделения металлов 64603, 64604, 64609, 64610. Сточные воды 65927

СИЛИКАТЫ. СТЕКЛО. КЕРАМИКА. ВЯЗУЩИЕ МАТЕРИАЛЫ

65681. Кинетика превращения кварца. Гримшоу, Харгривс, Робертс (Kinetics of the quartz transformation. Grimshaw R. W., Hargreaves J., Roberts A. L.), Trans Brit. Ceram. Soc., 1956, 55, № 1, 36—55, discuss., 55—56 (англ.)

Изучена кинетика превращения зерен чистого кварца размером 0,053 и 0,138 мм. Обжиг кварца производился с выдержкой от 20 до 264 час. при 1270, 1320, 1370 и 1450° без минерализатора (М) и с М. Кол-во непрерывно превращенного кварца в пробах определяли термич. методом. Скорость превращения кварца определяется двумя процессами: образованием зародышей на поверхности зерна и проращиванием их вглубь. Опыты показали, что оба эти процесса первого порядка. В зависимости от условий обжига суммарная скорость превращения определяется 1-м или 2-м процессом. При обжиге крупных зерен без М кривая суммарной скорости имеет 2 ветви, в каждой из которых преобладает свой механизм превращения. В 1-й период обжига процесс превращения определяется образованием зародышей, во 2-й—скоростью распространения превращения из созданных центров вглубь зерна. В тех же условиях при обжиге мелких зерен кварца константы скоростей обоих процессов близки и р-ция кажется проходящей с одной скоростью. Изучено действие на превращение кварца М: СаО, MgO, TiO₂, Al₂O₃. Эвтектики этих окислов с SiO₂ выше т-ры обжига, вследствие чего взаимодействие происходит лишь в твердой фазе. Сравнение относительной эффективности М производили путем добавки одинакового числа их зерен (одинакового размера) к определенному кол-ву зерен кварца (обычное соотношение 1:200). Опыты показали, что зерна добавленного М оказывают сильное действие на превращение только тех зерен кварца, которые находятся в непосредственном соседстве с М (не далее двух зерен). По истечении сравнительно короткого времени активность М сильно падает и дальнейшее превращение кварца происходит медленнее. Чтобы ускорить превращение, М следует добавлять в виде р-ра. Наиболее эффективным М является СаО, наоборот, Al₂O₃ сильно задерживает превращение кварца, так напр., в присутствии 0,7% Al₂O₃ превращение идет медленнее, чем у чистого кварца. Ускоряющее действие СаО заметно снижается, если в массе присутствует Al₂O₃.

Н. С.

65682. Регулирование свойств глазурей с помощью эвтектик. Часть I. Системы BaO—Al₂O₃—SiO₂, CaO—Al₂O₃—SiO₂, MgO—Al₂O₃—SiO₂, SrO—Al₂O₃—SiO₂ и ZnO—Al₂O₃—SiO₂. Уотс (Control of the properties of glazes by the aid of eutectics. Part I. The systems—BaO—Al₂O₃—SiO₂, CaO—Al₂O₃—SiO₂, MgO—Al₂O₃—SiO₂, SrO—Al₂O₃—SiO₂ and ZnO—Al₂O₃—SiO₂. Watts Arthur S.), J. Amer. Ceram. Soc., 1955, 38, № 10, 343—352 (англ.)

Излагаются результаты изучения поведения при плавлении и начала деформации керамич. смесей в области эвтектик. За основу изучения взяты следующие тройные системы эвтектик из х. ч. материалов (в %): BAS (BaO 34,0—Al₂O₃ 11,0—SiO₂ 55); CAS (CaO 23,3—Al₂O₃ 14,7—SiO₂ 62); MAS (MgO 20,3—Al₂O₃ 18,3—SiO₂ 61,4); SRAS (SrO 27,5—Al₂O₃ 10,0—SiO₂ 62,5); ZAS (ZnO 40,7—Al₂O₃ 16,2—SiO₂ 43,2). Учитывая колебания в составе технич. материалов, исходные составы эвтектик изменялись в сторону превышения и уменьшения указанных окислов в размере $\pm 2,5, \pm 5\%$ и отмечались изменения т-р деформации образцов. То же самое производилось для смесей эвтектик BAS, CAS и SRAS с 10, 20, 30, 40, 50, 60, 70, 80 и 90% MAS и всех шел.-зем., эвтектик с такими же кол-вами ZAS. Результаты определений сведены в несколько таблиц и графиков.

С. Т.
65683. Системы ZrO₂—La₂O₃ и ZrO₂—Nd₂O₃. Браун, Дюве (The systems zirconia—lanthana and zirconia-neodymie. Brown Frank H., Jr, Duzewicz P. O.), J. Amer. Ceram. Soc., 1955, 38, № 3, 95—101 (англ.)

На основе эксперим. данных рентгенографич. и dilatометрич. анализов сделана попытка построения фазовых диаграмм ZrO₂—La₂O₃ и ZrO₂—Nd₂O₃. Добавление к ZrO₂ La₂O₃ или Nd₂O₃ понижает т-ру превращения ZrO₂ из тетрагональной в моноклинч. форму. Добавление к ZrO₂ 30—40 мол. % La₂O₃ ведет к образованию стабильного твердого р-ра куб. формы. ZrO₂ образует стабильный твердый р-р куб. формы при добавлении 20—40 мол. % Nd₂O₃.

С. Т.
65684. Исследование мулитообразования в керамике. Ханссон (Undersökning av multitbildning i keramiska produkter. Hansson R. P.), Chalmers tekn. högskol. högd., 1955, № 166, 1—30 s. (швед.; рез. нем.)

Проведена работа по изучению влияния разных производственных факторов на мулитообразование в алюмосиликатных материалах при обжиге. С этой целью была разработана методика определения муллита (М) путем обработки навески 1 г порошка материала с размером зерна 0,54 мм в 30%-ном р-ре HF при 0° в течение 18 час. При 4 параллельных определениях содержания М в каолине, обожженном на 1250° в течение 6 час., ошибка составила $\pm 1\%$ (при среднем содержании М 18,1%). Для анализа не растворимого в HF остатка был применен хим. метод, а для выделения М из осадка, измельченного до 5 м, метод центрифугирования в тетрабромметане (уд. в. 2,95) и метиленидиоме (уд. в. 3,35). Для опытов по синтезу М была сконструирована печь с газовым отоплением на воздухе (до 1450°) и на воздухе, обогащенном O₂ (до 2100°). Повышение т-ры обжига каолина с 1050 до 1400° увеличивает выход М с 5 до 90%. Добавка к каолину минерализаторов ZnO, LiF, BeO в кол-ве 1—2% с последующим обжигом на 1250—1450° повышает содержание М до некоторого предела (45—50%), а при увеличении кол-ва добавок содержание М падает. Повышение содержания М в санитарном фаянсе не повысило его термостойкости вследствие наличия в черенке большого кол-ва стеклофазы; повышение термостойкости было достигнуто путем задержки охлаждения фаянса при 600°.

К. Г.

65685. Определение удельной теплоемкости огнеупоров при высоких температурах. Часть I. П. Удельная теплоемкость огнеупоров в системе $Al_2O_3-SiO_2$. Кийура, Ито (高温度における耐火物の比熱の測定. 第2報. アルミナ-珪酸系耐火物の比熱について. 清浦雷作, 伊藤善高), 窯業協会誌, *Erg. Kōkaiji*, J. Ceram. Assoc., Japan, 1953, 61, 369—372; 1955, 63, № 704, 14—17 (япон.)

I. Описан калориметр, которым определялась уд. теплоемкость огнеупоров с точностью $\pm 0,5\%$ (Chem. Abstrs, 1954, 48, № 4, 2340d. К. У. П. Произведено определение средней уд. и истинной теплоемкости 5 марок огнеупоров системы $Al_2O_3-SiO_2$ в интервале содержания Al_2O_3 от 28,8 до 89,0%, в том числе так называемого "белого" и "черного" корхарта (плавленных). Определения производились в интервале t -р 222—990°. Уд. теплоемкость не зависит от хим. состава огнеупоров и равна (в $кал/г \cdot град$): при t -рах t° 200, 400, 600, 800 и 1000° средняя теплоемкость равнялась соответственно 0,215, 0,234, 0,248, 0,260 и 0,268. Определение истинной теплоемкости произведено расчетным путем и дало следующие средние результаты для 5 марок: при t -ре 30, 200, 400, 600, 800, 1000° среднее значение истинной теплоемкости (в $кал/г \cdot град$) равнялось соответственно 0,197, 0,232, 0,265, 0,287, 0,299, 0,300.

65686. Влияние натриевого полевого шпата на реакции, протекающие в керамических черепках. Сундигус, Нурдгрэн (The influence of soda felspar on the reactions occurring in ceramic bodies. Sundius N., Nordgren H.), Trans. Brit. Ceram. Soc., 1956, 55, № 3, 177—190 (англ.)

Изучалось влияние различного состава полевых шпатов на р-ции, протекающие в массе стандартного состава (в %): петллицкого каолина 50, кварца 25 и полевого шпата 25 при 1170, 1225, 1250 и 1390°. Отмечается, что интервал между плавлением и образованием муллита для альбита короче, чем для ортоклаза, и пглы муллита в этом случае более многочисленны и имеют большие размеры, очевидно, вследствие меньшей вязкости альбитового стекла. Пористость стекловидной фазы значительно понижается с увеличением в составе черепка альбита. Развитие стекловидной фазы наиболее обеспечивается смесью из 50% К- и 50% Na-полевых шпатов.

65687. Изучение реакций между окисью кальция и активными силикатами при температурах ниже 1000°. Бурриель-Мартин. Гаспар-Тебар (Contribucion al estudio de las reacciones entre el oxido calcico y compuestos silicicos activados a temperaturas inferiores a 1000°. Burriel Marti F., Gaspar Tebar D.), An. Real. soc. española fis. y quim., 1955, B51, № 1, 31—46 (исп.; рез. англ.)

При помощи дифференциально-термического, хим. и рентгенографич. анализов и по потерям веса были изучены в интервале t -р 100—1000° р-ции между CaO и минералами, входящими в состав полукокса, получаемого при дистилляции испанских битуминозных сланцев. На основании хим. и рентгенографич. анализов было найдено, что в битуминозном сланце и полукоксе содержится в основном глинистые минералы типа каолинита, а в качестве загрязнений — кварц, известь, MgO , Fe_2O_3 и S. Источником CaO являлся сырой известняк, который прокаливали совместно с полукоком, в соотношении $CaCO_3$: полукок = 2:3. Хим. состав полукокса (вес. %): SiO_2 49,8, Al_2O_3 19, Fe_2O_3 5; CaO —1,3, MgO —1,4, SO_3 —0,8, S 0,1, щелочи 1,5; п. п. 19,1. Была изучена зависимость реактивности смеси от t -ры, продолжительности выдержки смеси при заданной t -ре и от размеров зерен исходных материалов. Реактивность смеси изменяется с t -рой обжига, наибольшее кол-во растворимых в конц. HCl в-в (в виде α , γ $2CaO$ -

SiO_2) получается при 600—700° и при малых размерах зерен исходных материалов.

65688. Кондуктометрическое определение температуры раслаивания силикатных сплавов. Крёгер, Лик (Die konduktometrische Bestimmung der Entmischung von Silicatschmelzen. Kröger Carl, Liesch Klaus), Z. anorgan. und allgem. Chem., 1955, 279, № 5—6, 300—312 (нем.)

Раслаивание силикатных сплавов характеризуется фазовой проводимостью, которая измеряется 2 электродными парами, помещенными в сплав, либо в виде концентрически расположенных кольцевых Pt-электродов, либо в виде Pt/Rh электродов (20% Rh, высота 5 мм, расположены под углом 90° с держателями). Для сплавов, находящихся на диаграмме состояния в середине области раслаивания, при большой скорости седиментации, измеряемые сопротивления электродных пар R_0 и R_u отвечают обеим образующимся фазам; для расплавов, граничащих с областью раслаивания, в электродные пространства попадает одна и та же, более легкая фаза; некоторая разница в значениях R_0 и R_u получается за счет неполноты седиментации. Весовые смеси исходных компонентов подбирают таким образом, чтобы после сплавления образовалось ~16,3 мл однородного расплава; последний затем нагревают до t -ры, которая на 80—100° выше ожидаемой t -ры раслаивания. При постепенном снижении t -ры (на 10—30°) постоянное сопротивление устанавливается в течение ~1 часа, а изменение сопротивления представляется ступенчатой кривой. Начало раслаивания обнаруживается появлением второй ступенчатой кривой, а точная t -ра начала раслаивания определяется из соотношения R_0/R_u . В системе координат R_0/R_u —(1/T) начало раслаивания характеризуется резким перегибом прямой, которой соответствует однородность расплава. Исследования системы $PbO-B_2O_3$ и $PbO-B_2O_3-SiO_2$. Для двойных смесей t -ры раслаивания сопоставлялись с данными других методов (расхождения имели место на боковых границах кривых). Для тройных систем t -ры раслаивания сравнивались с данными оптич. метода, причем отмечено их хорошее соответствие. Прибавление 5—10% SiO_2 к системе B_2O_3-PbO понижает t -ру раслаивания. Система с 40% SiO_2 (20% B_2O_3 , 40% PbO) характеризуется резким повышением t -ры раслаивания (990°). Метод позволяет отличать раслаивание от первичной кристаллизации, для которой характерно изменение сопротивления во времени при постоянной температуре.

65689. Дополнение к дискуссии о применении термопары PtRh-18 при определении температуры деформации под нагрузкой. Швите, Хуммель (Beitrag zur Diskussion über die Verwendung des Thermopaars PtRh — 18 bei der Druck-Feuer — Beständigkeitsprüfung (DIN 1064). Schwiete Hans-Ernst, Hummel Christoph), Tonind.-Ztg., 1955, 79, № 11/12, 161—163 (нем.)

Существующий метод измерения t -ры при определении деформации под нагрузкой в криптоловой печи пирометром частичного излучения не дает фактич. t -ры образца. При применении более надежного термоэлектрич. метода измерения t -ры PtRh-18 термопарой, катод которой состоит из (в %): Pt 70 и Rh 30, а анод из Pt 94 и Rh 6, — следует учесть неоднородность поля в образце. Описана методика проведения испытаний. Приведены кривые калибровки PtRh-18 термопары в криптоловой печи при 1500° кривые t -ры при определении деформации под нагрузкой силиката и диваса Пиронто.

65690. Лабораторные методы изучения горных пород, используемых в керамике.—(Methodes d'étu-

des au laboratoire des roches utilisées en céramique.), Ind. céram., 1956, № 473, 47—53 (франц.)

Описываются петрографич. методы исследования, начиная с техники приготовления шлифов, описания призм николя и наблюдений в простом и поляризованном свете, а также лабор. отмучивание глины и рассмотрение примесей с помощью бинокулярной лупы. С. Т. 65691. Об организации контрольного химического поста на заводах силикатной промышленности. — (Sur l'organisation d'un poste de contrôle chimique dans l'industrie des silicates. —), Ind. céram., 1955, № 470, 287—293 (франц.)

Приведена схема «классич.» анализа силикатов с описанием материалов и спецификации оборудования, необходимых для проведения анализов в заводских условиях при отсутствии квалифицированных инженеров-химиков и невозможности организации заводской лаборатории. Создание такого контрольного хим. поста позволяет з-ду производить с миним. потерей времени анализы поступающих сырьевых материалов, контролировать все стадии приготовления шихты, производить полуфабрикаты и готовые изделия, организовывать всю аналитич. работу при наличии одного работника невысокой квалификации, который может работать в 48-часовую неделю 15 полных контрольных анализов и большое кол-во ускоренных определений (потери при прокаливании, влажности, растворимости в к-тах и др.). С. И.

65692. К вопросу о методике определения гранулометрического состава заполнителей строительных растворов. Счеснулевичус (Statybinių skiedinių užpildų granulometrinės sudėties nustatymo klausimu. Šešesnulevičius S.), Kauno politechnikos inst. Darbai, Tr. Kaunasck. politechn. in-ta, 1955, 4, 247—254 (лит.; рез. русс.)

Описание прибора для определения гранулометрич. состава песка методом отмучивания. Разделение песка на фракции (от 0,03 — до 0,3 мм) происходит в восходящем потоке воды в сосуде грушевидной формы.

Г. К. 65693. Простой универсальный dilatometr. Фишер, Мюллер (Ein einfaches Universaldilatometer. Fischer Albrecht, Müller Karl), Sprechsaal Keramik, Glas, Email, 1956, 89, № 8, 158 (нем.)

Описан простой и надежный dilatometr для определения абс. (АК) и относительного (ОК) коэфф. линейного расширения стекла, керамики и металла до 1200°. Образец в виде стерженька с заостренными концами длиной максим. 20 см, устанавливается в запаянную с одного конца кварцевую трубку, на дно которой положен компенсационный вкладыш. На открытом конце кварцевой трубки закреплен чувствительный индикатор часового типа с ценой деления шкалы 0,001 мм. Перед началом измерения индикатор устанавливается на нуль с помощью дифференциального винта из инвара. При определении АК линейного расширения стекла давление расширения образца при нагреве передается на индикатор через кварцевый стержень, находящийся между образцом и индикатором. При определении ОК стерженек исследуемого материала перед установкой в dilatometr вставляется в трубку той же длины из того же материала. В случае металлич. образцов во избежание окисления их при высокой т-ре в кварцевую трубку вводится инертный защитный газ. Замер т-ры производится до 620° стеклянным термометром с ценой деления 2°. До 800° применяется кварцевый термометр, а выше никель-хромовая термопара. При конструировании печи особое внимание должно быть уделено постоянству т-ры по длине образца. Печь потребляет 500 ат. Отмечается, что при надлежащих условиях в течение 2 час. можно получить 25 точек для кривой расширения, вклю-

чая время на установление температурного равновесия. А. Н.

65694. Прибор и методика для определения истираемости огнеупорных материалов. Блуштейн М. Н., Завод. лаборатория, 1956, № 1, 113—116

Предложен прибор и методика оценки огнеупоров по сопротивлению истираемости при комнатной и высоких т-рах. Прибор состоит из 3 основных частей: станка для вращения корундовых или карборундовых истирающих абразивных чашек (число оборотов шпинделя 285 в 1 мин.), приспособления для установки и закрепления испытуемых образцов и электропечи с карборундовыми нагревателями. Показателем истираемости служит отношение потери веса образца к площади истирания. Приведены детали установки и методика испытания. А. Ч.

65695. Об аддитивности некоторых свойств смесей каолина и бентонита. Ойе-де-Кастро, Родригес-Мартинес (Nota sobre la aditividad de algunas propiedades en mezclas de caolin y bentonita. Hoyos de Castro Angel, Rodriguez Martinez Julio), An. edafol. y fisiol. veget., 1954, 13, № 11, 729—735 (исп. рез. англ.)

Тонкие фракции каолина из Каратанау и бентонита из Тидинита были обработаны уксусной к-той с целью устранения возможного влияния катионов. Чистые каолин и бентонит, а также смеси их (через каждые 10%) с отношениями 9:1 до 1:9, были подвергнуты следующим испытаниям: получение кривых дегидратации, определение объемной емкости и показатель пластичности по Аттербергу. Испытания показали, что все перечисленные свойства смесей, включая характер кривых дегидратации, являются строго аддитивными. С. Г.

65696. Взаимосвязь между минеральным составом и технологическими свойствами глины. Штегмюллер (Beziehungen zwischen Mineralbestand und technologischen Eigenschaften der Lehme. Stegmler L.), Ziegelindustrie, 1956, 9, № 1, 2—7 (нем.)

Изучена зависимость пластичности одной из кирпичных глин от минер. состава. Приготавливались смеси из: глины с монтмориллонитом (М) (до 40%); глины + 30% тонкомолотого кварца с М; глины + 30% грубозернистого кварца с М; глины + 30% кальцита с М. Для всех смесей определялись: нижний предел текучести по Казагранде, граница раскатывания по Аттербергу и число пластичности. В результате было выяснено, что увеличение добавки М до 40% приводит к повышению нижнего предела текучести в 5 раз, границы раскатывания в 2 раза, а число пластичности увеличивается в 9 раз. Добавка тонкомолотого и грубозернистого кварца почти не отражается на указанных характеристиках, а добавка кальцита значительно их снижает. Наибольшая прочность высушенного глиняного теста достигается при добавке М, имеющего обменную емк. 100 мэкв на 100 г; за М следует слоноподобные глинистые минералы (20—50 мэкв) и, наконец, огнеупорные глины (~15 мэкв). Обсуждается влияние структуры решетки минералов и других факторов на спекание кирпичных глин. Библ. 134 назв. С. Г.

65697. Влияние отложения и деформации на микроструктуру глины. Вильямсон (Effects of deposition and deformation on the microstructure of clays. William W. O.), Research, 1955, 8, № 7, 276—281 (англ.)

Изучено влияние способа формирования и удаления избыточной воды (отливка, ленточный пресс, фильтр-пресс) на микроструктуру образцов из английской сильней комовой глины, состоящей из 70—80% каолинита и 30—20% иллита, и связь микроструктуры с усушкой. Частицы глинистых в-в ориентированы параллель-

но длинной оси кристаллов, чем объясняется особенность микроструктуры образцов. Глиняные диски, изготовленные литьем или путем осаждения частиц из шликера, имели усадку при сушке перпендикулярно плоскости осаждения в 3 раза большую, чем при сушке параллельно ей. При формовке изделий из глины наблюдается некоторая аналогия явлений с металлургич. процессами (напр., процессом прокатки труб). М. К. 65698. Явление ограниченной растворимости в бинарных силикатных расплавах. К о ж е у р о в В. А. В сб.: Строение стекла. М.—Л., АН СССР, 1955, 248—250.

См. РЖХим, 1955, 18317.

65699. Сверхполевые шпаты. Ш а р е н (Les superfeldspaths. C h a g g i n V.), Ind. céram., 1955, № 470, 304 (франц.)

Это название автором придается группе щел. алюмосиликатов лейцита, с повышенным против полевого шпата содержанием щелочей, затем нефелина, содалитина, гайюина, базальта и порфира с содержанием лейцита и сиенита с содержанием нефелина. В связи с большими запасами указанных пород и дефицитностью полевого шпата указывается на целесообразность их обогащения и применения в тонкой керамике. С. П.

65700. Добыча и подготовка стекловых песков. Ф е т т е р (Gewinnung und Aufbereitung von Glasanden. V e t t e r H a n s), Sprechsaal Keramik, Glas, Email, 1956, 89, № 5, 93—95 (нем.)

Приведена краткая характеристика германских стекловаренных песков различных месторождений. Схематически показаны способы их добычи и обогащения. С. П.

65701. Некоторые замечания по дальнейшей работе стекловаренной и керамической промышленности. З е м а н (Několik poznámek k další práci průmyslu skla a jemné keramiky. Z e m a n V l a s t i m i r), Sklár a keramik, 1956, 6, № 5, 98—99 (чеш.)

65702. О теплопередаче в стекле при высоких температурах. Часть III. Г е ф ф к е н (Zur Fortleitung der Wärme in Glass bei hohen Temperaturen. III. Teil. G e f f c k e n W a l t e r), Glastechn. Ber., 1956, 29, № 2, 42—49 (нем.; рез. англ., франц.)

Рассматривавшаяся ранее проблема теплопередачи в стационарных условиях в определенном направлении распространена на случай конечного расстояния между стенками. При расчете принято во внимание определенное эксперим. путем изменение коэфф. поглощения в зависимости от длины волны. Для соответствующей длины волны излучаемый поток достигает максимума, при этом спектральная эмиссия возрастает линейно, благодаря чему получается простой метод расчета хода температурной кривой. На границе между стеклом и стенками возникает температурный скачок, который поддается точному расчету, равно как суммарное тепловое излучение и определяемый им коэфф. теплоизлучения для конечного расстояния между стенками. В качестве примера приведен расчет для сортового стекла при т-рах между стенками 1250—1450°. Установлено, что действие волн различной длины, содержащихся в суммарном тепловом потоке, не зависит от расстояния между стенками. Только при очень малых расстояниях заметно возрастает роль излучения более длинных волн. Библ. 14 назв. С. П.

65703. Введение в основы строения стекла. Ф л ё р к е, Л е н е р т, Ш о л ь ц е (Einführung in die Grundlagen der Glasstruktur. F l ö r k e O t t o W., L e h n e r t L o t h a r H., S c h o l z e H o r s t), Glastechn. Ber., 1956, 29, № 5, 169—174 (нем.)

На основе современных представлений о строении стекла изображены модели кристаллич. решеток различных стеклообразующих соединений. При этом при-

няты во внимание строение атома, образование связей, размер ионов и координационное число, поляризации ионов, гетеро- и гомеополарные связи. Исходя из структурных соображений, рассматривается ряд явлений, происходящих в стеклах: изменение вязкости в зависимости от состава и т-ры, поверхностная твердость, выщелачиваемость, влияние теплового прошлого на свойства стекол. С. П.

65704. Определение понятия «стекло» и современные представления о нем. М а у р а х (Glass: its definition and concept. M a u r a c h H e i n r i c h), Proc. Internat. Comm. Glass., 1955, 2, Dec., 103—121 (англ.)

Излагается история, развитие понятия «стекло» и показано, как определение этого понятия изменяется по мере развития науки и техники в области стекла. Приведен ряд определений стекла, данных различными авторами. Делается попытка классификации различных видов стекол и стеклянных изделий. С. П.

65705. Химия поверхности стекла. Д о б а с и (ガラスの表面化学. 土橋正二), 窯業協会誌, E g e k e k a i s i, J. Ceram. Assoc. Japan, 1954, 62, № 619, 39—42 (япон.)

Исследуются хим. р-ции, происходящие на поверхности стекла, определяющие ее гидрофильность, и рассматриваются условия смачивания поверхности стекла водой в сухом состоянии и после обработки различными в-вами (HF, щелочи, мыла и др.). Описываются способы осаждения металлов и хим. соединений из жидкой и газовой фаз на поверхности стекла, а также явления восстановления из солей металлов на поверхности, равно как и обменные р-ции между поверхностью стекла с основаниями и щел. р-рами. М. Г.

65706. Химия поверхности стекла. III. Ц у т и х а с и (ガラスの表面化学. III 土橋正二), 化学の領域, Karakayno réiki, J. Japan. Chem., 1953, 7, № 12, 38—46 (япон.)

Обзор. Библ. 53 назв. И. М.

65707. Строение поверхностей излома стекла. К е р к х о ф (Linienstrukturen an Glasbruchflächen. K e r k h o f F.), Umschau, 1955, 55, № 21, 656—658 (нем.)

Стекло по своей природе является наиболее пригодным материалом для изучения хрупкого излома, имеющего большое значение не только для силикатных стекол, но также для керамич. материалов и металлов. Описывается метод исследования и строение поверхности излома в зависимости от способа разрушения полностью аморфного стекла (удар, действие ультразвука), а также поверхность излома глушеного стекла. С. П.

65708. Пузыри в стекле. Д е й (Bubbles in glass — the problem and some approaches to its solution. D e y R a l p h K.), Glass Ind., 1955, 36, № 7, 557—361, 386—387 (англ.)

Высказываются следующие соображения о механизме и причинах образования пузырей в стекле: пузыри могут образовываться только в местах расплава, где стекло является неомогенным; часть пузырей образуется в стекле после полного расплавления шихты; изменение атмосферы и т-ры печи, попадание в стекломассу посторонних примесей могут привести к образованию пузырей. Качество стекла могло бы быть значительно повышено, если бы можно было строго кондиционировать условия работы стекловаренной печи, аналогично кондиционированию воздуха в камере. С. П.

65709. Переходные слои на поверхности стекла и их зависимость от содержания щелочей. С а т т о н, И н д и к, К р и г е л (Transition layers on glass surfaces and their relation to alkali content. S u t t o n P a u l P o r t e r, I n d y k A. D.,

Kriegel W. W.), J. Chem. Phys., 1953, 21, № 7, 1313—1314 (англ.)

Путем измерения эллиптич. поляризации света приближенно определена толщина переходного слоя λ на поверхности стекол. Na-K-Ca-силикатные стекла получались из х. ч. реактивов в Pt-тиглях, полировались крокусом со спиртом или с водой, промывались водой с мылом, затем чистой водой и сушились. λ монотонно возрастает при увеличении содержания щелочей в стекле. В изученных пределах изменения молярной доли щел. окислов в стекле (0,26—0,34) в калийных стеклах λ изменяется на 200—300 Å, в натриевых на 180—240 Å. Н. Ф.

65710. Изучение промышленных боросиликатных стекол с точки зрения их состава. II, III. Ямамото (酸化物組成より見た硼硅酸硝子の實用を目的とした研究. 第 1, 2, 3 報. 山本準之助), 薬業協会誌, Eri gekaiji, J. Ceram. Assoc. Japan, 1954, 62, № 694, 271—273; 1955, 63, № 705, 51—55 (япон.)

II. Хим. состав японских боросиликатных стекол (в %): SiO₂ 74—80, B₂O₃ 10—18, щелочей 5,3—8,2 и Al₂O₃ 1,2—4,0. Коэфф. термич. расширения (42,5—56)·10⁻⁷, т-ра размягчения выше, чем у американских боросиликатных стекол. В. Я.

III. Обсуждаются составы боросиликатных стекол для электронных трубок и ламп. Описывается зависимость между хим. составом и коэфф. термич. расширения, т-рой размягчения, хим. стойкостью и т. д. Несовместимость, часто встречающаяся, между высокой хим. стойкостью и низкой т-рой размягчения в некоторых случаях можно устранить введением Al₂O₃ и PbO. Сообщение I см. РЖХим, 1956, 16795.

Chem. Abstr., 1955, 49, 15, 10593d. K. Jamasaki.

65711. Применение радиоактивных элементов в стеклотехнике. Мут (Anwendung der Radioaktivität in der Glastechnik. Muth Hermann), Glastechn. Ber., 1954, 27, № 7, 248—255 (нем.)

Дано краткое описание искусства радиоактивности, способов получения радиоактивных изотопов и методов измерения радиоактивности. Приведены примеры применения радиоактивных изотопов для исследования процесса расплавления шихты и для определения выщелачиваемости поверхности стекла. Высказываются соображения о возможности изучения при помощи радиоизотопов: загрязнений (напр., Fe) стекломассы составными частями огнеупоров в зависимости от т-ры, времени, состава стекла и огнеупора; улетучивания составных частей (напр., Se) шихты или расплава, а также движения стекломассы в печах и ряда других процессов. Библ. 14 назв. С. П.

65712. Об испытании полых изделий на внутреннее давление. Лейнерт (Zur Kenntnis der Innendruckprüfung. Gekürzte Wiedergabe eines Untersuchungsberichtes der Staatlichen Materialprüfungstalt, Darmstadt. Lehnert Lothar H.), Glastechn. Ber., 1955, 28, № 10, 380—383 (нем.)

Испытание на внутреннее давление (ИВД) носит чисто технологич. характер, поэтому его результаты зависят в большей степени от типа испытываемых изделий, напр. их геометрии, размеров, распределения стекла в сосуде, состояния напряжений и характера поверхности изделий. Наряду с этим результаты ИВД зависят от метода, аппаратуры и условий испытания. Исследуется влияние формы сосуда, состояния его поверхности, распределения и степени внутренних напряжений и т-ры испытания на результаты ИВД. С. П.

65713. Скорость устранения напряжений в отожженном стекле. Филлипс (Rate of stress release in tempered glass. Phillips C. J.), Ceramic Ind., 1955, 65, № 1, 62—64, 101 (англ.)

Для разработки ур-ний, на основании которых можно было бы предсказать устранение напряжений при по-

вышенных и низких т-рах в течение продолжительного и короткого периода времени, производился отжиг стеклянных пластинок размером 305×305×6, 3 мм при 218—521° в течение 3,23 и 119 час. На основе этих опытов получена эмпирич. ф-ла: $\lg F = \lg F_0 - K/A \lg(Bt + 1)$, где F — напряжения (кг/мм²) при времени t (час), F_0 — начальное напряжение отжига (5 кг/мм²), K/A и B — константы, зависящие от т-ры. Напр., при 480° $\lg F = 0,7 - 0,58 \lg(13t + 1)$, при 324° $\lg F = 0,7 - 0,043 \lg(1,5t + 1)$. Приведены ф-лы, выражающие зависимость между вязкостью стекла и величинами имеющихся в нем напряжений. Высказываются соображения в направлении дальнейшей теоретич. исследований в данной области. С. И.

65714. Пороки в автомобильном листовом стекле. Найтон (Evaluation of metal defects in plate glass manufacture. Knighton Heywood J.), Glass Ind., 1955, 36, № 9, 465—467, 494 (англ.)

На стекольном заде Ford Motor Co. наблюдались на протяжении кампании ванной печи основные виды брака листового стекла: свиля, пузыри и мошка, камни. Размеры этого брака (если принять все три вида брака за 100%) выражались следующими цифрами по свилям 40%, по пузырям и мошке 30%, по камням 30%. Это составляло фактич. потери в кол-ве 3 готовых ветровых автомобильных стекол на каждые 227 м² полированного стекла. Анализируются причины каждого из этих пороков и рекомендуются способы их устранения. С. И.

65715. Стекло в судостроении. Часть I, II. Вобисш (Glas im Schiffbau. 1, 2. Teil. Wobisch Karl), Schiffbautechnik, 1954, 4, № 10, 317—322; № 12, 383—387 (нем.)

I. Неорганич. стекла всех видов широко применяются в кораблестроении для застекления иллюминаторов и дверей, для перегородок, отделки санитарных помещений и бассейнов и др. Наиболее распространены глушное зеркальное и армированное стекла. Органич. стекла применяются в виде различных форм пластинок также для отделки поверхностей, но в меньшем масштабе. В. Т.

II. В последнее время применяется в судостроении большое кол-во спец. сортов листового стекла: увиолевое, кварцевое, армированное литое, рифленое светорассеивающее, орнаментное, глушное, оптич., легкое литое, теллурическое. В судостроении применяются безосколочные стекла (сталинит, двухслойные и многослойные стекла различного назначения), а также обогриваемые, незамерзающие и незапотевующие стекла. Полые стекла применяются главным образом в виде осветительной аппаратуры, лабор. и столовой посуды. В качестве тепло- и звукоизоляционных материалов широко внедряются в кораблестроение пеностекло и стекловолоконистые материалы. Приведены схемы и таблицы по технологии и свойствам этих материалов. С. И.

65716. Автоматическое производство флаконов для пенициллина. Мейер (Automatyczna produkcja fiolek penicylinowych. Mejer Leszek), Szkło i ceramika, 1955, 6, № 6, 114—118 (польск.)

Описан (с приложением схем) карусельный автомат из 6 секций для выработки аптечных флаконов. Весь цикл выработки продолжается 11 сек. Готовые флаконы выбрасываются на асбестовый ленточный конвейер и поступают в отжигательный лер при 700°.

3. Б. 65717. Стекла для фармации. Фриг (Das pharmazeutisch verwendete Glas. Betrachtungen über Struktur und Eigenschaften. Frig W.), Pharmaz. Ind., 1955, 17, № 11a, 494—505 (нем.)

Общий обзор составов, строения и свойств стекол. Особое внимание уделяется вопросам хим. устойчивости стекла к изменениям, происходящим в лекарст-

венных р-рах при выщелачивании стекол. Изложены требования, предъявляемые к методам испытания фармацевтич. стекол. Библ. 59 назв. О. И.

65718. Производство листового стекла. Пилкин-тон (The manufacture of plate glass. Pilkington Harry), Instn Prod. Engrs J., 1954, 33, № 1, 7—30 (англ.)

Обзор истории развития произ-ва зеркального, листового стекла в Англии. И. М.

65719. Смазка для стеклянного волокна, ее нанесение и определение качества. Мюллер, Штублей (Lubrikace pro skleněná vlákna, jejich nanášení a hodnocení. Müller Jaroslav, Stublej Zdeněk), Sklár a keramik, 1954, 4, № 9, 240—245 (чеш.)

Прочность стеклянной нити может быть повышена на 100—150% при применении надлежащей смазки, ее равномерном нанесении и достаточной вязкости. Установлено влияние отдельных компонентов смазки различными методами: по оценке равномерности нанесения, склеивающей способности и влиянию на величину трения. Наилучшими из изученных смесей являются смеси на восковой и смоляной основе. См. также РИХХим, 1956, 33187. Е. С.

65720. Определение т-лового потока в стенках стек-кольных форм. Шрек (Beitrag zur Ermittlung des Wärmeflusses in den Wänden von Glasformen. Schreck Carlwalter), Glastechn. Ber., 1955, 28, № 9, 359—368 (нем.)

На основе анализа технологич. условий теплообмена между стеклом и формой сделан теоретич. расчет для простой формы. Эксперим. часть исследования более сложной формы проведена при помощи электролитич. ванны, исходя из аналогии между уд. электропроводностью и теплопроводностью. Высказываются соображения о возможности применения этого метода для практич. целей. С. И.

65721. Измерение температур в стекольных формах. Трир (Temperaturmessungen in Glasformen. Trieger Wolfgang), Glastechn. Ber., 1955, 28, № 9, 336—351 (нем.)

Изучалось распределение т-р (РТ) в стекольных формах, применяемых в машинах Шиллера, Руарана и JS. Приведены составы трех видов стекол и трех сортов формовочного чугуна, а также данные о теплопроводности чугуна при т-рах 0—600°. Описана аппаратура и методика измерений т-р наружной и внутренней поверхностей и других частей форм. Как для черновых, так и для чистовых форм определялось РТ по длине и поперечному сечению форм, влияние швов на РТ, зависимость РТ в формах от состава и окраски стекла, времени формования, смазки и других факторов. Дан сравнительный анализ РТ в формах, применяемых в различных машинах. С. И.

65722. Новый способ электроплавки стекла. Бульман (Vorschlag eines neuen Verfahrens zur Elektro-Glasschmelze. Buhlmann), Sprechsaal Keramik-Glas-Email 1953, 86, № 22, 547—548 (нем.)

В Германии электроплавка стекла мало распространена вследствие высокой стоимости электроэнергии. Рассматривается способ электроплавки, при котором шихта подается в середину расплава стекла через специально сконструированные полые электроды. Т-ра в электропечи может достигать 2000°. Ввиду того, что процесс расплавления шихты происходит в центре печи, потери тепла вовне весьма малы. Высокая т-ра дает возможность получать homog., хорошо осветленную стекломассу. Хорошая тепловая изоляция в сочетании с особенностью конструкции печи обеспечивает высокую производительность и хорошее качество стекла. Стоимость этой конструкции печи ниже

стоимости других до сих пор известных стеклоплавильных печей. И. М.

65723. Серебрение зеркал непрерывным способом. Херд (Continuous mirror manufacturing. Results from Canadian discovery. Heard H. L.), Canad. Chem. Process., 1955, 39, № 7, 36—38 (англ.)

Наиболее распространенный способ серебрения зеркал (СЗ) заключается в хим. осаждении на поверхности стекла слоя Ag толщиной 0,125—0,250 м. С использованием гидразина и его соединений, являющихся сильными восстановителями для ионов Ag, создана возможность разработки высокопроизводительного непрерывного метода СЗ. Согласно этому методу СЗ производится путем одновременной пульверизации р-ров Ag и восстановителя на поверхность стекла, наложенного на быстро передвигающийся конвейер, при этом используется с максим. эффективностью р-р Ag и обеспечивается автоматизация процесса. Процесс СЗ осуществляется по следующим стадиям: очистка поверхности стекла, сенсibilизация поверхности стекла путем ее обработки SnCl₂ в качестве катализатора для иницирования процесса серебрения, пульверизация р-ра Ag и сушка, покрытие шеллаком и сушка, окраска и сушка. Очень большое внимание уделяется контролю всех стадий произ-ва. Процесс СЗ полностью автоматизирован. Конвейер обслуживается двумя рабочими, из них один загружает конвейер, а другой разгружает его. Автоматизация позволяет точно регулировать все стадии процесса СЗ и получать продукцию высокого качества. Производительность конвейера 139 м²/час посеребренного стекла размером 2,13 × 3,05 м. С. И.

65724. Печатание по стеклу жидким золотом через шелковую сетку. Миллер (Silk screen printing with bright gold on glass. Miller R. J.), Ceramic Ind., 1954, 63, № 4, 92 (англ.)

Для успешной печати золотом рекомендуется сетка ручного изготовления на 20—37% тоньше обычно применяемой. Для обеспечения 45—60 отпечатков золотом в 1 мин. необходимо применять достаточно вязкий препарат. Жидкий маловязкий препарат оставляет избыток золота, ведет к вспузыриванию пленки. Обжиг, в зависимости от состава стекла, должен производиться при 520—560°. Чем выше т-ра обжига, тем прочнее золотая пленка закрепляется на поверхности стекла. Важное значение имеет в процессе обжига чисто окислительная среда и удаление продуктов горения органич. в-в. В современных лерах для декоративных изделий воздух продувается с целью обеспечения лучшего блеска и закрепления золотой пленки. С. Т.

65725. Применение молибденовых электродов в стекольной промышленности. Фриман (Molybdenum electrodes for the glass industry. Freeman R. R.), Ceramic Ind., 1955, 65, № 3, 64, 66, 98—99 (англ.)

Около 85% всего Мо, потребляемого в США, применяется в металлургии. пром-сти. В 1953 г. в США было получено ~26 000 т Мо. Кратко описаны процессы получения Мо и его переработки, а также его важнейшие свойства. Мо изготавливается в виде порошка, спекшихся стержней (круглых и прямоугольных), проволоки, прокатанных плит и листов. Для стекольной пром-сти Мо применяется преимущественно в виде прокатанных стержней, спекшихся штабиков, прокатанных листов и полос различных размеров. Вследствие более высокой электропроводности диаметры Мо-электродов меньше, чем диаметры графитовых, благодаря чему уменьшается площадь контакта электродов со стекломассой, она меньше загрязняется, и облегчается установка электродов. Являясь прочным тугоплавким металлом, отличающимся высокими термич. и электрич.

свойствами, Мо обладает также хорошей стеклостойкостью и не окрашивает стекла.

С. И. 65726. О некоторых дефектах и явлениях в фарфоровых глазури. Гулевич (Některé chyby a jevy u porcelánových glazur. Culevič Oleg), Sklář a keramik, 1955, 5, № 9, 208—211 (чеш.).

Встречающиеся дефекты глазури разделяются на две группы. К одной относятся дефекты, приводящие изделия в негодность по внешним признакам, и к другой — по своим механич. свойствам. Приведены пороки глазури, относящиеся к первой группе, с подробным описанием причин их появления. Указывается, что раковинистая и пузырчатая поверхности глазури появляются главным образом за счет неправильного режима обжига и только частично за счет несоответствующего хим. состава глазури. Описываются в зависимости от режимов обжига процессы, протекающие в глазури при наличии в сырье или топливе S или других газообразующих элементов. Рекомендуются режимы обжига, обеспечивающие хорошее качество глазурованных фарфоровых изделий. Приведены ф-лы Зегера для глазури с незначительной склонностью к образованию раковин и пузырей. Подробно разбираются причины появления «сборки» и методы ее устранения и процессы, протекающие в глазури при высоких т-рах с использованием повторных процессов окисления и восстановления в начале периода остывания. Даются рекомендации для обеспечения белизны глазури: составлять глазури из доброкачественного сырья и весь период подъема т-ры обжига проводить в нейтр. или слабосредостановительной среде, какую необходимо поддерживать и в начальном периоде остывания до 1100°.

Д. Ш. 65727. Контроль качества. I. Симкок (Quality control — I. S i m c o c k J. H.), Ceramics, 1955, 72, № 6, 540—547 (англ.).

Методы математич. статистики должны быть использованы для контроля керамич. произ-ва. Возможные причины изменчивости показателей качества полуфабрикатов и изделий разобраны на примере разброса производственных факторов. Предложены классификация керамич. процессов по коэфф. вариации (отклонения) от средних показателей (процессы высокой точности <5%, средней 5—10%, низкой 10—25%, очень низкой >25%) и приведены примеры допустимых отклонений для нормального течения производственного цикла. Дана диаграмма, характеризующая эффективность применения статистич. методов контроля на одном из фарфорово-фаянсовых з-дов, где удалось в течение года добиться значительного улучшения коэфф. вариации по всем переделам (достигнута точность ~20%).

М. К. 65728. Об электрофарфоре. Часть I. Изделия. Гибс, Стаут (The story of electrical porcelain. Part I. The product. G i b b s A. M., S t o u t J o h n), Ceramic Ind., 1956, 66, № 3, 94 (англ.).

Элементарные сведения о свойствах электрофарфора.

С. Т. 65729. Высоковольтный фарфор с повышенными электромеханическими свойствами на основе боросодержащего сырья. Воронков Г. Н., Звягильский А. А., Кретьева Н. Ф., Тр. Гос. исслед. электрокерам. ин-та, 1956, № 1, 5—16. Приводятся результаты исследований ашаритового фарфора, основанного на применении боросодержащей руды (ашаритовой), технич. глинозема, глинистых материалов и небольших добавок щел.-зем. соединений при полном исключении обычных компонентов фарфора: полевого шпата и кварцевого песка. Исследование боросодержащего сырья показало, что наилучшими для произ-ва электротехнич. фарфора являются боратные руды с преобладанием в них борно-магнелиевых ми-

нералов: ашарита ($2 \text{ MgO} \cdot \text{B}_2\text{O}_3 \cdot \text{H}_2\text{O}$), цинновита ($\text{MgO} \cdot \text{B}_2\text{O}_3 \cdot 3\text{H}_2\text{O}$) и индерита ($2\text{MgO} \cdot 3\text{B}_2\text{O}_3 \cdot 15 \text{ H}_2\text{O}$). Сформулированы технич. требования к ашаритовой руде, поставляемой для произ-ва фарфора: содержание $\text{B}_2\text{O}_3 \geq 22\%$, $\text{MgO} \geq 23\%$, п.п.п. $\leq 18\%$, уд. вес $\geq 2,67$. Ашаритовый фарфор (АФ) характеризуется высокой механич. прочностью ($\sigma_{\text{взг}} 1400$ — 1500 кг/см^2 по сравнению с $\sigma_{\text{взг}}$ высоковольтного фарфора 700 — 900 кг/см^2 , $\sigma_{\text{разр}} 550$ — 650 кг/см^2 по сравнению с $\sigma_{\text{разр}}$ фарфора 250 — 350 кг/см^2), низким значением $\text{tg } \delta$. Так, АФ имеет при 20° и при 50° C $\text{tg } \delta = 18 \cdot 10^{-4}$ и при 100° C $\text{tg } \delta = 28 \cdot 10^{-4}$, а обычный полевошпатовый — соответственно $350 \cdot 10^{-4}$ и $4500 \cdot 10^{-4}$. Снижение величины $\text{tg } \delta$ объясняется образованием бесцел. борно-магнелиево-кальциевой стеклофазы. Оптимальная т-ра обжига 1310 — 1330° C интервал спекшегося состояния 30 — 40° C . АФ обладает однородной структурой, представленной муллитом, α -глиноземом и стеклом в виде тонких пленок вокруг кристаллов муллита. Производственное опробование АФ показало, что процессы приготовления массы (за исключением необходимости приготовления спека для ввода в массу), оформления изоляторов, их сушки и обжига могут осуществляться по режимам, принятым в произ-ве электротехнич. фарфора.

Г. М. 65730. Использование масс пониженной влажности в производстве высоковольтных фарфоровых изоляторов. Андреев А. В., Струсиенская Н. Я., Боголенов А. Д., Тр. Гос. исслед. электрокерам. ин-та, 1956, № 1, 17—25.

На большинстве электроизоляторных з-дов оформление высоковольтных изделий производится на токарных станках обточкой заготовок, полученных протяжкой в вакуум-прессах из фарфоровой массы с влажностью 21 — 22% и провлажными до влажности $17,5$ — $18,5\%$. В заводских условиях разработана и освоена технология оформления полуфабриката проходных и опорных изоляторов из масс пониженной влажности. Изучение процесса обезвоживания фарфорового шликера показало, что на производственных фильтр-прессах возможно получать коржи массы с влажностью порядка 18% при конечном давлении прессования 15 атм . Протяжка заготовок из фарфоровой массы пониженной влажности производилась с использованием колечкового вакуум-пресса (ЛВН-160). Внесение небольших изменений в его конструкцию позволило перерабатывать массу с пониженной влажностью. В результате вдвое сокращено время, необходимое для оформления полуфабриката, и высвобождены производственные площади, предназначавшиеся для подсушки заготовок.

Г. М. 65731. Природа электропроводности высоковольтного фарфора. Сканив Г. И., Манкович М. Д., Тр. Гос. исслед. электрокерам. ин-та, 1956, № 1, 63—78.

Приводятся результаты исследования природы электропроводности обычного полевошпатового изоляторного фарфора М-23 и фарфора Б-44, содержащего в качестве плавня ашаритовую руду и углекислый кальций. Исследования проводились путем определения вида носителей тока и чисел переноса в области повышенных т-р (200 — 900° C) при напряженности электрич. поля порядка 10^4 — 10^6 в/см . Электропроводность измерялась по обычной вольтамперной схеме на дисках диам. 50 — 60 мм и толщиной 1 — 2 мм . Ag- и Pt-электроды диам. 30 мм наносились вжиганием при 750 — 800° C . Электролиз проводился по способу, сочетающему элементы весового и титрационного методов. При определении чисел переноса качеств. анализ выделяющихся на катоде в-в осуществлялся при помощи капельных р-ций. Установлено, что фарфор М-23 обладает практически 100% -ной ионной проводимостью. До 650° C в переносе зарядов участвуют ионы Na и K.

числа переноса для которых при 300° равны соответственно 98 и 2%. Выше 650° в проводимости начинают принимать участие ионы Al и Fe. У фарфора Б-44 в интервале 300—900° существует чисто ионная проводимость. До 450° подвижны только ионы Na, затем в переносе тока начинают принимать участие ионы Fe, 2- и 3-валентные. При 800° подвижными становятся ионы Al и Ca. При измерении электропроводности на образцах М-23 и Б-44 получена зависимость $\lg \gamma = f(1/T)$, имеющая резко выраженный излом в области т-р, в которой у обоих материалов происходит изменение вида носителей тока.

Г. М. 65732. К вопросу о термической обработке фарфора. Фрадкин А. Е., Кузнецова М. С., Тр. Гос. исслед. электротехн. ин-та, 1956, № 1, 25—44.

Приводятся результаты исследования остаточных напряжений в фарфоре на образцах, изготовленных из элементов крупногабаритных изоляторов на 110, 220 и 400 кВ. Опробованы два метода определения остаточных напряжений: метод расточки колец, позволяющий определять объемное напряженное состояние полых цилиндров (при этом методе полый цилиндр подвергается последовательному снятию наружных или внутренних слоев с одновременным измерением изменений внутреннего или наружного диаметра, а также изменением длины) и метод брусков, при котором одна из поверхностей прямоугольного бруска подвергается постоянной шлифовке; измерение возникающих при этом деформаций (изменение стрелы прогиба) производилось на противоположной стороне бруска с помощью индикатора «Federal» с ценой деления 1 м. Исследовано влияние различных режимов термич. обработки на величину, знак и распределение остаточных напряжений. Установлено, что при охлаждении фарфора в нем могут возникать остаточные напряжения как следствие неравномерного охлаждения при затвердевании жидкой фазы в интервале 1100—800°. При скорости охлаждения 450 град/час на поверхности покрышки возникают упрочняющие напряжения сжатия порядка 80 кг/см², а в середине элемента—напряжения растяжения порядка 40 кг/см². При медленном охлаждении со скоростью 5—15 град/час остаточные напряжения не возникают. При охлаждении со скоростью 25 град/час (режим охлаждения, применяемый в заводских условиях) на поверхности частей покрышек возникают растягивающие остаточные напряжения порядка 20 кг/см². Оптимальный режим термич. обработки изделий может быть получен снятием напряжения за счет отжига или созданием на поверхности изделия упрочняющих сжимающих напряжений за счет закалки.

Г. М. 65733. Фриттовый кордиеритовый фарфор. Сильвестров С. И., Тр. Моск. хим.-технол. ин-та, 1956, № 21, 100—112.

Приводятся результаты исследования фриттового кордиеритового фарфора (КФ), полученного на основе одного из составов электротехнич. фарфора, в котором соотношение глинистых материалов и кварца оставалось постоянным, а полевой шпат последовательно заменялся возрастающими кол-вами кордиеритовой фритты (от 5 до 45 вес %), представляющей собой искуств. стекло состава $2\text{MgO} \cdot 2\text{Al}_2\text{O}_3 \cdot 5\text{SiO}_2$. Изготовление и испытание образцов производилось по общепринятым в керамике методам, обжиг — в лабор. пламенных печах сначала утильный до 900°, а затем окончательный до 1040, 1320 и 1380° (с 4-часовой выдержкой). Установлено, что структура КФ характеризуется по сравнению со структурой обычного полевошпатового лучшей ассимиляцией в черепе зерен кварца, уменьшенным кол-вом стекловидной фазы преобладанием кристаллич. фазы, образуемой за счет продуктов кристаллизации кордиеритовой фритты-пироксена и кордиерита,

КФ по сравнению с полевошпатовым спекается в области более высоких т-р и обладает более коротким интервалом спекания. Он отличается очень низким коэфф. линейного расширения (при 80° от 0,6 до 1,5 · 10⁻⁶), высокой термостойкостью и повышенными показателями механич. прочности.

Г. М. 65734. О влиянии свободного кварца на изменение модуля упругости фарфора при нагревании и охлаждении. Воронков Г. Н., Тр. Гос. исслед. электротехн. ин-та, 1956, № 1, 118—123.

Излагаются результаты наблюдений изменения нормального модуля упругости (МУ) фарфора при его нагревании в пределах до 150—200°. Изменение нормального МУ производилось резонансным методом, разработанным Ленингр. электротехн. ин-том им. В. И. Ульянова (Ленина). Этот метод позволяет с большой точностью отмечать характерные изменения МУ, оставшиеся незамеченными при ранее применявшихся статич. методах измерений. Наблюдения показали, что изменения МУ фарфора при нагревании и охлаждении объяснены полиморфным превращением модификаций кварца, вызывающим внутренние растягивающие напряжения в фарфоре, которые должны вести к снижению его механич. свойств. Дается описание установки для измерения МУ и образцов фарфора в зависимости от т-ры и приводятся кривые изменения МУ при нагревании и охлаждении.

С. Т. 65735. Титанат бария — керамика с большим будущим. Менде (Zukunftreiche Keramik: Bariumtitanat. Mende Herbert G.), Radio-Mag. mit Fernsch-Mag., 1954, 30, № 2, 41—42 (нем.).

Среди керамич. материалов, основанных на соединениях Ti, St, Ca и Ba, наибольший интерес представляет BaTiO₃. Благодаря высокой диэлектрич. проницаемости он используется для конденсаторной изоляции, причем введением добавок можно изменять величину угла потерь и степень влияния т-ры на диэлектрич. проницаемость. Зависимость последней от частоты приложенного напряжения позволяет применять BaTiO₃ для диэлектрич. (сегнетоэлектрич.) усилителей. Кроме того, BaTiO₃ обладает пьезоэлектрич. свойствами, особенно сильно выраженными у монокристаллов. Приведены кривые зависимости диэлектрич. проницаемости BaTiO₃ от т-ры, приложенного напряжения и от содержания добавок (соединения St). Дана схема сравнительного измерения и подсчета величины пьезоэффекта. В заключение показана аналогия между свойствами BaTiO₃ и ферромагнитными материалами.

Д. Ф. 65736. Керамические материалы для атомных реакторов. Нагаи (原子炉用窯業材料. 永井雅夫), 窯業協會誌, Fō kōkai shi, J. Ceram. Assoc., Japan, 1955, 63, № 711, 397—416 (япон.).

Обзор конструктивных материалов, применяемых в атомных реакторах, а именно: стержней (уран, карбид титана, карбид циркония и др.), замедлителей (графит, окись бериллия, карбид бериллия, тяжелая и легкая вода), отражающих материалов, регулирующих стержней и защитных материалов (цемент и бетоны). Библ. 427 назв.

М. Г. 65737. Глиноземистые изделия для металл-керамических уплотнений. Часть III. Хайне (Alumina bodies for ceramic-to-metal seals. Part III. Hynes F. J.) Ceramic Ind., 1956, 66, № 2, 87—91, 102 (англ.). Обзор. Рассмотрены требования, предъявляемые к изделиям из Al₂O₃, используемым в электровакуумной технике, а также описан технологич. процесс изготовления изделий и указаны методы контроля их качества. Часть II см. РЖХим, 1956, 15603.

С. Т. 65738. Применение оптического метода изучения напряжений при разработке формы образцов для испытания на растяжение металлокерамических ма-

терналов. Стифел (Application of photoelasticity to the design of tensile specimens for ceramic — metal materials. Stiefel M. B.), Amer. Ceram. Soc., Bull., 1955, 34, № 5, 133—137 (англ.)

Металлокерамические материалы (ММ) характеризуются большей прочностью на сжатие, чем на растяжение, поэтому их испытание на растяжение представляет особый интерес ввиду того, что такие испытания дают возможность определить модуль Юнга и другие упругие характеристики ММ. В целях разработки наиболее целесообразной формы образцов для испытания на растяжение применялся метод фотоупругости, при помощи которого определялось на прозрачных пластмассах распределение напряжений в местах зажима образцов: с просверленными отверстиями, с постоянно суживающимися концами и с заплечиками. Для каждого из этих трех типов напряжения оказывались одинаковыми в среднем сечении, но в суживающихся образцах наблюдалась значительная концентрация напряжений вдоль кондов, равно как и стремление выскальзывать из зажимов. На основе полученных данных намечено производить испытания на растяжение следующих видов образцов ММ: прямоугольного сечения с просверленными концами; прямоугольного или круглого сечения с заплечиками; видоизмененных автором образцов круглого сечения. С. И.

65739. Нитрид бора горячего прессования. Тейлор (Hot pressed boron nitride. (Abrasives and refractories). Taylor K. M.), Industr. and Engng Chem., 1955, 47, № 12, 2506—2509 (англ.)

Описаны свойства изделий из самосвязанного нитрида бора (НБ), изготовленных горячим прессованием в графитовых формах. Изделия имеют вид слоновой кости. Содержание НБ ~97%, об. в. ~2,1 г/см³, уд. в. 2,25, твердость по Моосу ~2, максимум. т-ра применения 1600°. При более высокой т-ре НБ заметно расширяется и растрескивается, при 3000° возгорается. Изделия менее хрупки, чем большинство керамич. материалов и могут обрабатываться механически. Предел прочности при сжатии параллельно направлению прессования 31,5, перпендикулярно 23,8 кг/мм²; при разрыве (соответственно): при 25° 11,1 и 5,1 кг/мм²; при 1000° 2,69 и 1,33 кг/мм². Теплопроводность ккал/м·град: при 300° 12,96 и 24,84, при 1000° 10,44 и 23,4; коэфф. линейного расширения от 25 до 1000° 7,5 и 0,77·10⁻⁶; уд. электрич. сопротивление при 25° 1,7·10¹² ом/см, при 1000° 3,1·10⁴, при 1500° 6·10² ом/см. Диэлектрич. постоянная от т-ры практически не зависит. Прессованный НБ имеет высокую устойчивость к кислороду воздуха до 1000°. С. И.

С. И. при 1000° действует довольно заметно. Расплавленный NaOH быстро разъедает НБ. В кипящем р-ре NaOH за 7 суток изделия из НБ теряют до 70% прочности. Рекомендуется применять НБ для следующих целей: ракетных сопел и футеровки камер сгорания; высокотемпературной прокладки и уплотнения; футеровки насосов по перекачке расплавленных металлов; как строительный материал для атомных реакторов; электроизоляторы и сепараторы вакуумных ламп. С. Г.

65740. Исторический обзор промышленного производства кирпича в г. Сомбатхей. Бреннер (A szombathelyi téglagyártás ipartörténeti áttekintése. Brenner Vilmos), Értéktanyag., 1955, 7, № 2, 70—74. (венг.)

65741. Загрузка и обжиг в кольцевых печах. Старк (Kiln setting and burning. The Hoffman kiln. Stark F.), Brit. Clayworker, 1955, 63, № 755, 353—356 (англ.)

Рассматриваются общие вопросы конструкции и эксплуатации кольцевых печей с целью инструктирования рабочих, обслуживающих печи. См. также РЖХим, 1956, 36702. Г. Ф.

65742. К вопросу о горении топлива, запрессованного в кирпич-сырец (Приближенный метод экспериментального определения коэффициента внутренней диффузии глины). Одельский Э. Х., Тр. Ин-та энергетiki, АН БССР, 1955, № 2, 108—113

Кубики из глины с размером ребра $a = 0,07$ м с равномерно распределенным по всей массе шихты измельченным антрацитом в кол-ве 2 вес. % обжигались в печи с выдержкой при 950° 1, 2, 3, 4 и 5 час. После охлаждения определялась глубина S выжигания запрессованного топлива. Результаты позволили рассчитать коэфф. внутренней диффузии глины D , по уравнению: $D = 4G_s \cdot S^2 / f \cdot Z \cdot a$, где G_s — кол-во введенного в образец топлива в переводе на углерод, кг, f — поверхность обжигаемого образца, м², Z — время выжигания топлива, час. По полученной величине $D_{t=950^\circ} = 115,4 \cdot 10^{-5}$ м²/час установлено, что при $S = 0,035$ м требуемое для выжигания 2% запрессованного топлива время должно составить ~26 час. Так как время пребывания кирпича на участке высоких т-р составляет ≤ 15 час., делается вывод, что применяемая технология исключает возможность выжигания всего введенного в шихту топлива. П. Б.

65743. Новый способ производства пустотелого кирпича. Янссен (Neues Prinzip zur Herstellung keramischer Hohlziegel. Janssen E.), Ziegelindustrie, 1956, 9, № 4, 119—120 (нем.)

Предлагается тип пустотелого кирпича размером 290×140×90 мм, внутренняя масса которого состоит из 13 малых независимых элементов с 4 эластичными рукавами, соединяющими элементы друг с другом и наружными краями. Отмечается, что принятая форма кирпича обеспечивает в процессе сушки и обжига эластичное изменение элементов в соответствии с их относительной усадкой, а также снижение сопротивления движению бруса в мундштуке, благодаря чему потребляемая прессом мощность уменьшается, а производительность возрастает на 20—30%. П. Б.

65744. Некоторые соображения о свойствах глиняного кирпича, полученного способом полусухого прессования. Часть I. Прочность сырая. Уэст (Some observations on the properties of dust-pressed earthenware tiles. Part I. Green strength. West H. W. H.), Trans. Brit. Ceram. Soc., 1955, 54, № 9, 543—569 (англ.)

См. РЖХим, 1956, 33224.

65745. Пароувлажнение в керамической промышленности. Функе (Die Heißaufbereitung in der Keramikindustrie. Funke Gustav), Ziegelindustrie, 1956, 9, № 7, 225—227 (нем.)

Рассматриваются преимущества применения пароувлажнения (ПУ) глиняной массы при произ-ве кирпича пластич. способом. К преимуществам ПУ относятся: ускорение процесса сушки, улучшение качества изделий, повышение производительности и снижение расхода электроэнергии. Возможные варианты применения ПУ: 1) перед измельчающей машиной, 2) перед прессом и 3) непосредственно в прессе; лучшими считаются 1-й и 2-й. По мнению автора, наиболее целесообразно осуществлять ПУ перед измельчающей машиной (в ящичном подавателе) путем устройства вдоль пластичного транспортера паровых труб с соплами в направлении движения глины, так как достигаемые при этом повышение производительности и снижение расхода электроэнергии на последующих машинах (бегунах, прессе) превосходят затраты на достижение более высокой степени нагрева глины из-за падения т-ры по тракту (от 70° в ящичном подавателе до 50° в прессе). П. Б.

65746. Туннельная печь с верхним отоплением. Фростерус (The top-fired tunnel kiln. Frosterus), 1956, 9, № 7, 225—227 (нем.)

rus E. G.), Brit. Clayworker, 1955, 64, № 759, 103—105 (англ.).

Для обжига кирпича и черепицы рекомендуются туннельные печи с верхним отоплением, которые лишены недостатков, присущих туннельным печам с боковым отоплением; резкие колебания t -ры по сечению печи, ограниченность ширины туннеля, что увеличивает брак продукции и снижает к. п. д. печи. Печи с верхним отоплением работают на разнообразном топливе при максим. использовании печного пространства ввиду отсутствия у этих печей муфель или ширм. Приводятся сравнительные таблицы капитальных затрат и себестоимости продукции на кирпичных з-дах при работе в одном случае на кольцевой и во втором — на туннельной печи, применительно к условиям Швеции, как при проектировании новых, так и при реконструкции старых з-дов, требующих замены кольцевых печей. Автор настойчиво указывает на превосходство туннельной печи с загрузкой топлива сверху перед всеми дугими типами обжигательных печей. Г. Ф.

65747. Определение морозостойкости изделий грубой керамики при помощи dilatометрических измерений. Леман (Die Beurteilung der Frostbeständigkeit grobkorniger Erzeugnisse mit Hilfe dilatometrischer Messungen. Lehmann Hans), Ziegelindustrie, 1955, 8, № 15, 569—574 (нем.).

В Горной академии (Клаусталь, ФРГ) разработана методика определения морозостойкости (М) грубокерамич. изделий по кривым расширения-сжатия черепка. Для этой цели разработан спец. dilatометр (Д) с холодильником; внутри холодильника имеются также нагреватели. Автоматич. терморегулятор позволяет осуществлять попеременно охлаждение образца до -15° , а затем нагревание до $+15^{\circ}$. В период испытания производится непрерывное определение длины образца ($40 \times 10 \times 10$ мм) при помощи мездозы с точностью до 0,2 м. Самописец вычерчивает кривую в координатах t -ра — сжатие (или рост). Испытанию на Д были подвергнуты 4 вида черепицы с заранее известной М, определенной по коэфф. расширения S , согласно принятых в Германии DIN 105 и 52104. Оказалось, что кривые t -ра — сжатие (рост) для 4 видов черепицы можно разделить на 4 группы, отвечающие М черепка. У неморозостойкого черепка кривые имеют вид восьмерки (с пересечением), причем по достижении t -ры -4° наблюдается расширение черепка на 7,5 м. Кривые t -ра — сжатие у морозостойкого черепка не пересекаются, и черепок не расширяется при t -рах до -15° . Существует лишь некоторое соответствие между М по кривым сжатия и между S . Это объясняется тем, что определение М по S не учитывает текстуры и упругости черепка, ввиду этого надо предпочесть использование метода Д. С. Г.

65748. Высокотемпературная печь с обогревом ИК-лучами. Белсер, Джонсон (A versatile high-temperature infrared oven. Belser Richard B., Johnson James W.), Ceramic Age, 1955, 66, № 6, 28—30 (англ.).

Экономичная высокотемпературная электропечь сконструирована из сосуда емк. 1 л, на внутреннюю поверхность которого нанесен слой отражающего материала (напр., золота), и ИК-лампы мощностью 250 Вт. Мощность печи может быть повышена применением лампы в 1500 Вт. Еще больше повышается эффективность печи, если приспособить ее к работе с вакуумом, при этом достигается t -ра до 750° . Печь применяется для исследования тонких металлич. пленок, наносимых на стекла или керамич. материалы, для работ с легкоплавкими эмалями и других целей. Отличительной особенностью печи является быстрота ее нагрева до требуемой t -ры. К недостаткам печи следует отнести

некоторые колебания t -ры нагреваемого предмета, небольшой объем печного пространства. С. И.

65749. Управление туннельной печью. Часть II. Робсон (Operating the tunnel kiln. Part II. Robson J. T.), Ceramic Ind., 1955, 65, № 3, 80, 108 (англ.).

Приведены хорошо известные данные о физ. и хим. изменениях керамич. черепка (преимущественно из глины), происходящих при обжиге сырья в туннельной печи в определенных температурных интервалах от 100 до 1360° . Часть 1 см. РЖХим, 1956, 58900. С. Г.

65750. Переделка муфельной туннельной печи в печь открытого пламени.—(Conversion of a muffle type tunnel kiln to open firing.—), Brit. Clayworker, 1955, 64, № 756, 12—14 (англ.).

На з-де Хартли в Каслфорде муфельная туннельная печь типа Дреслера переоборудована в печь открытого пламени. После переделки печи расход газа снизился на 30%. Качество продукции повысилось, что объясняется лучшим составом печной атмосферы. Увеличение объема избыточного воздуха приводило к выжиганию углеродсодержащих соединений еще в зоне предварительного подогрева. Улучшение атмосферы позволило применять новые сорта глазури и цвета. Более равномерное распределение тепла по всей печи привело к увеличению ее производительности, которое составило, напр. для чашек 20%.

Г. Ф.

65751. Развитие и современные возможности огнеупорной промышленности. Латор (Evolution et possibilités nouvelles des produits réfractaires. Lator Yves), Mém. Soc. Ings civils France, 1953, 106, № 10—12, 686—705 (франц.).

Обзор развития пром-сти огнеупоров за последние 15 лет. Е. А.

65752. Измерение угла контакта шлака с поверхностью твердого тела. Тауэрс (Contact angle measurements of slags on solid surfaces. Towers H.), Trans. Brit. Ceram. Soc., 1954, 53, № 3, 180—252 (англ.).

Рассмотрены факторы, определяющие поверхностную энергию (ПЭ) и влияющие на р-ции между жидким шлаком и твердым огнеупором. Оптимальным условием для уменьшения шлакоразъедания огнеупора является большой угол контакта θ , а также высокое значение свободной энергии на поверхности соприкосновения шлака и огнеупора. Эти условия возникают обычно при наличии низкого значения ПЭ огнеупора по отношению к ПЭ шлака. Разработана методика определения θ при высоких t -рах и приведены его значения для разных шлаков с Pt, Al_2O_3 и графитом. Изменение θ между шлаком и графитом зависит от газовой среды и t -ры. С. Г.

65753. Высокоогнеупорные и специальные материалы, их свойства и применение. Попов (Los materiales refractarios super y especiales. Sus características en cuanto a su aplicación. Popov K.), Ind. minera, 1954, 12, № 151, 22—30 (исп.).

Приведена классификация и главнейшие свойства высокоогнеупорных материалов, области их применения и распределение потребления по отраслям пром-сти в США. Подробно рассмотрены следующие свойства высокоогнеупоров из Al_2O_3 , силлиманита, MgO , форстерита, доломита, хромомagneзитовых, хромитовых, SiC, графитовых, коксовых и цирконовых: коэфф. линейного расширения, хим. стойкость против действия расплавленных металлов, теплопроводность, теплоемкость, уд. и об. вес, пористость. Приведены данные: 1) об огнеупорности и применении чистых оксидов, силикатов, нитридов, боридов, сульфидов, карбидов и комбинированных карбидонитридов; 2) об t -рах плавления тугоплавких металлов; 3) об огнеупорах для

произ-ва стали в мартеновских печах. Большинство данных сведено в 15 таблиц.

65754. Некоторые виды коррозии алюмосиликатных огнеупоров различными расплавленными стеклами. Поверхностное натяжение и механизм коррозии. Tress H. J., J. Soc. Glass Technol., 1954, 38, № 181, 89T—100T (англ.)

Описаны и приведены на фото характерные виды коррозии алюмосиликатных огнеупоров различными сортами стекол. Механизм коррозии огнеупоров объясняется путем гипотезы, основой которой является поверхностное натяжение расплавленных стекол.

65755. Огнеупоры (сборник). Часть I. Кварциты. Бьяджотти, Грунго (Antologia dei refrattari. Parte I. Le quarziti. Biagiotti E., Grungo G.), Ceramica, 1954, 9, № 9, 72—74, 79—83, № 10, 43—53 (итал.)

65756. Физические и механические свойства тепло-изоляционных шамотных огнеупоров в зависимости от характеристик шамота и глины, использованных в производстве. Фикай (Sulle proprietà fisiche e meccaniche dei refrattari isolanti termici silico-alluminosi in relazione alle caratteristiche della chamotte e dell'argilla legante impiegata nella loro fabbricazione. Ficaei Celestino), Ceramica, 1955, 10, № 7, 43—45 (итал.)

Изготовлены пластины, способом из трех видов огнеупорных глин и шамота (из них же), обожженного при 1450° с выдержкой 4 часа, цилиндрич. образцы легко-весных шамотных огнеупоров (ЛШО) из шихты следующего состава (вес.%): шамота с зерном <0,18 мм 62,5—70, глины 37,5—30; к сухой шихте добавляли от 18 до 14 вес.% пробковой крошки размером ~1 мм. Образцы были обожжены в электр. печи при 1400° с 2-часовой выдержкой. Обожженные образцы имели об. в. 0,78—0,82 г/см³, т-ру начала деформации под нагрузкой 1 кг/см² 1230—1330° и термостойкость (800°—воздух) 1—3 теплосмены. Автор приходит к заключению, что свойства ЛШО зависят лишь от связующей глины, но не от свойств шамота.

65757. Хромосодержащие огнеупоры. Рейнхарт (Chromoxydhaltige Steine. Reinhart F.), Glas-Email-Keramo-Technik, 1955, 6, № 8, 269—273 (нем.; рез. англ., франц.)

Обзор патентной литературы по улучшению свойств хромосодержащих огнеупоров.

65758. Огнеупоры для паровых котлов. Герман (Refractories for steam raising. German W. L.), Ceramics, 1955, 7, № 79, 296—303 (англ.)

Сделан обзор современного устройства футеровок паровых котлов в США. Для этой цели используются 8 видов шамотных огнеупоров по Т. У. ASTM C54-51 и C153—51, пластичные шамотные массы по C176-47, схватывающиеся мертели по C178-47 и огнеупорные бетоны по C213-51. Поды топок с жидким шлакоудалением выкладывают шамотным кирпичом (нижний ряд), затем хромитовым кирпичом (36—40% Cr₂O₃) и пластичным хромитовым бетоном марки KN. В топках котлов с отоплением битуминозными углями, сжигаемыми на движущихся решетках, с успехом применяют карбонидовые блоки с отверстиями (система Берниц); стойкость такой футеровки достигает 18 месяцев (~10800 час.).

65759. Исследование износа огнеупорной футеровки металлургических печей при помощи радиоактивных изотопов. Грузин П. Л., Земский С. В., Завод. лаборатория, 1956, 22, № 2, 169—177

Радиоизотопы (I, 2, 3) располагаются в футеровке печи и их излучение регистрируется счетчиком (4),

расположенным снаружи (см. рис.). Во время работы печи заложенный в нее радиоизотоп падает вместе с частями разрушенной футеровки в печь и суммарная интенсивность излучения уменьшается. Интенсивность излучения единичного источника определяется соотношением: $I = [I_0 SK \exp(-\sum \mu_i x_i)] / 4\pi R^2$, где I_0 — число испускаемых гамма-квантов за 1 сек., S — эффективная площадь счетчика, K — коэфф. эффективности счета, R — расстояние от источника (И) до оси счетчика, μ_i — коэфф. поглощения излучения в материале футеровки, x_i — толщина различных материалов футеровки. Наиболее длительное время пребывает в футеровке печи ближайший к кожуху И, наиболее короткое — ближайший к центру печи. Удобным считается соотношение



между величинами интенсивности излучения И: $I_1 \leq I_2 \leq I_3$ и $I_{\text{сч}} = I_1 + I_2 + I_3$. Износ лещади доменной печи определяется по появлению радиоактивности в продуктах плавки вследствие растворения заложенных в футеровку И. Средняя конц-ия И в каждом n -ном выпуске с момента начала растворения И в чугуна будет: $C_n = C_0 I_0 (1 - B/P)^n K$, где I_0 — активность заложенного изотопа, C_0 — равновесная конц-ия, B — кол-во чугуна в выпуске (среднее), P — объем чугуна в «яме», K — коэфф. связанный со скоростью перемешивания чугуна и скоростью растворения И. Определяя последовательно конц-ию C_n нескольких выпусков, зная кол-во выпускаемого чугуна B и эксперим. определив K , можно фиксировать время износа лещади на заданную глубину и определить объем «ям». Срок службы верхних рядов лещади от нескольких дней до месяца, нижних — несколько лет. В верхних рядах целесообразно применять короткоживущие И (^{32}P и др.), а в нижних — долгоживущие (^{60}Co).

65760. Выбор огнеупоров для сводов мартеновских печей. Ричардсон, Ригби (The choice of materials for open-hearth furnace roofs. Richardson H. M., Rigby G. R.), Silicates industr., 1954, 19, № 12, 401—405 (англ.)

В Англии для сводов мартеновских печей применяют улучшенные диносовые и хромо-магнетитовые огнеупоры. Увеличение срока службы диносовых сводов достигнуто благодаря снижению пористости и уменьшению содержания окиси Al. Сырьем для произ-ва диноса служат кварциты следующего состава (в %): SiO₂ 94,5—99,0, TiO₂ 0,17—0,57, Al₂O₃ 0,17—2,46, Fe₂O₃ 0,12—0,93, CaO 0,06—0,12, MgO 0,06—0,14, K₂O 0,4—0,22, Na₂O <0,01, п.п.п. 0,23—1,22. Хромомагнетитовые огнеупоры изготавливаются из хромо-магнетитовой руды состава (в %): SiO₂ 7,2—8,6, TiO₂ 0—0,35, Al₂O₃ 15,4—23,2, FeO 12,8—25,7, MgO 9,8—21,5, Cr₂O₃ 35,2—46,4, CaO следы до 0,88, с добавлением окиси магния. Процентное соотношение MgO и Cr₂O₃ в шихте составляет 50 : 50, часто содержание MgO увеличивают. Пористость хромомагнетитовых огнеупоров превосходит 20% (пористость улучшенного диноса ~17%). Уд. в. 3,1 по сравнению с 1,9 диноса. Этот фактор имеет большое значение для конструкции печи, так как хромомагнетитовый свод по весу значительно превосходит диносовый. Диносовый кирпич при т-рах <600° недостаточно термостоек. Термостойкость рабочей поверхности диноса в печи вполне удовлетворительна. Термич. расширение основных огнеупоров увеличивается с повыше-

нием т-ры, в также с увеличением содержания MgO . Присутствие FeO и Fe_2O_3 также повышает коэфф. термич. расширения. По мере повышения т-ры кол-во стекловидной фазы в динасе увеличивается с 14% (при комнатной т-ре) до 30% и более при 1650° . Однако до 1650° по механич. свойствам хромомagneзитовые огнеупоры уступают динасу. Только при дальнейшем повышении т-ры основные огнеупоры имеют неоспоримое преимущество. На шлакоустойчивость обоих видов огнеупоров особенно отрицательно влияют окислы Fe . В Англии лучшие результаты получены при арочных сводах в отличие от подвесных. Е. Г.

65761. Знание научных принципов шлифования — основа современного прогресса в области абразивов.

Кое (Knowledge of the scientific principles of grinding is basis of recent progress in abrasives (Abrasive and Refractories). Coes Loring, Jr, Industr. and Engng Chem., 1955, 47, 2493—2494 (англ.)

Изложены основные принципы современной науки по вопросам шлифования (Ш). Процесс Ш в основном определяется хим. р-циями, происходящими при резании металлов на контакте абразивного зерна с обрабатываемой металлич. поверхностью (напр., окисление металла O_2 воздуха и др.). Многие из этих хим. р-ций еще недостаточно изучены и значительный прогресс в области произ-ва абразивов достигнут лишь в тех случаях, когда ход р-ций хорошо известен. Необходимо дальнейшее изучение хим. р-ций, происходящих при процессах Ш. С. Г.

65762. Разрешение проблемы связывания твердого карбида с помощью резины. Шрейдер (Rubber-base adhesive. Overcomes tough carbide bonding problem. Schrader B. L., Iron. Ade, 1955, 175, № 6, 94—96 (англ.)

Сваривание карбида с металлом, а также припаивание требуют нагревания выше 260° , что ведет при остывании к искривлению изделий, так как металлы имеют коэфф. термич. расширения вдвое больший, чем карбиды. Компанией Minnesota Mining and Mfg. Co. получена связка, названная EC-1022. Эта связка изготовляется на резиновой основе, придающей ей некоторую эластичность. Связка выдерживает резкие удары, при которых чаще разрушается карбид, чем связка. Т-ра вулканизации связки 218° , время вулканизации 18 мин. Карбидный напильник должен быть закреплен предварительно в матрице. После вулканизации связки напильники в зажимах под давлением охлаждаются на воздухе до комнатной т-ры. После шлифовки напильники хромпируют. В. К.

65763. Способ производства карбида кремния. Часть 1.

Расчет и обоснование конструкций печи для производства карбида кремния. Томонари (カーボンダムの製法について. 第1報. 電気炉構造に関する検討友成忠雄), 電気化学, Дэнки кагаку, J. Electrochem. Soc. Japan, 1955, 23, № 8, 412—417 (япон.; рез. англ.)

С целью правильной организации нового способа произ-ва SiC были изучены существующие конструкции печей, процесс роста и распределение аллотропич. разновидностей кристаллов SiC и механизм р-ций. Намечены способ использования отходящих газов и конструкция непрерывно действующей печи. Приведен расчет термич. к. п. д. печей сопротивления и ф-лы, с помощью которых можно рассчитать тепловой баланс. На основе теории теплопередачи выведено ур-ние, из которого можно вычислить зависимость термич. к. п. д. и толщины реакционного слоя от термич. сопротивления печи и от мощности, отнесенной к единице длины зерна. Использование ур-ния позволило сделать выводы: 1. Термич. к. п. д. действующих печей сопротивления 40—50%. 2. Температурный градиент в реакционном слое действующих печей мал, а потому

хорошо развитые кристаллы SiC можно получить, когда тепловое сопротивление печи по возможности высоко, а радиус зерна также увеличен и к керну возможно подать необходимую мощность, чтобы сделать толщину реакционного слоя максим. 3. Максим. термич. к. п. д. можно получить, когда тепловое сопротивление печи велико, а теплоемкость наименьшая и в печи использована такая мощность, когда кол-во SiC на единицу длины зерна получается максимальным. С. Г.

65764. Гидротермальный процесс кристаллизации полуводного гипса. Будников П. П., Котов В. И., Тр. Моск. хим.-технол. ин-та, 1956, № 21, 113—136

Приведены данные о работах, проведенных различными исследователями по вопросам гидротермального процесса произ-ва высокопрочного гипса. Кристаллооптич., рентгенографич. и физ.-хим. методами исследования сульфата Ca и его гидратов установлено существование новых модификаций: обезвоженных α - и β -полугидратов. В связи с этим определено 8 модификаций сульфата Ca . Найдено, что т-ра дегидратации природного дигидрата гипса зависит от степени его чистоты. Отмечена т-ра инконгруэнтного плавления при 125° под давл. 1,3 атм вместо 107° при давл. 970 мм, определенных Вант-Гоффом. Отливки из обезвоженных α - и β -полугидратов по прочности почти не отличаются от отливок, сделанных из α - и β -полугидратов. Определена упругость диссоциации дигидрата с выделением газовой фазы для т-ры 70— 100° . Отмечено, что природа воды в α - и β -полугидратах различна. Полученные теоретич. данные о сульфате Ca и его гидратах помогли достигнуть успехов в гипсовой пром-сти. Характерной особенностью дифференцированного метода произ-ва гипса является полтора часовая запарка гипсового камня с увеличенными размерами кусков до 9 см и процесс кристаллизации—сушки при 102, 120 и 170° в зависимости от заданной марки 400, 300 и 200. П. 3.

65765. Ускоренное определение влажности гипсовых форм. Ольшеский Б. Н., Стекло и керамика, 1956, № 4, 27—28

Рекомендуется внедрить на всех фарфоро-фаянсовых 3-дах определение влажности гипсовых форм по их весу. Этот способ основан на том, что вес формы меняется в соответствии с изменением ее влажности. Лаборатория 3-д должна один раз замерить соотношение влажности и веса данного вида гипсовых форм и построить кривую вес (кг) — влажность (%), позволяющую определять в дальнейшем цеховым работникам влажность гипсовых форм по их весу. Г. М.

65766. Действие ионов SO_4 при гашении белой извести. Поль (Der Einfluß von SO_4 -Ionen beim Lösen von Weißkalk. Pohl G.), Zement-Kalk-Gips, 1955, 8, № 11, 393—397 (нем.; рез. англ., франц.)

Известь в процессе обжига связывает некоторое кол-во S , выделяющейся при сгорании топлива, и образует $CaSO_4$. Экспериментально и путем микроскопич. анализа установлено, что наличие в извести ионов SO_4 отрицательно влияет на качество извести, ухудшая ее способность к гашению, уменьшая выход и пластичность готового продукта и увеличивая содержание в тесте крупки (частиц крупнее 0,09 мм). Указывается, что вредное влияние ионов SO_4 может быть частично нейтрализовано добавлением ионов Na . Е. Ш.

65767. Применение метода быстрого карбонизации для получения строительных материалов из извести и доломита. Плонский (Metoda carbonatării rapide pentru obținerea materialelor de construcție din var și doломită. Plonski I.), Ind. construcțiilor și mater. constr., 1956, 7, № 1, 53—58 (рум.; рез. русс.)

Перечислены преимущества произ-ва известково-

кремнеземистых кирпичей и блоков. Изложен химизм процесса карбонизации, описано влияние хим., минералогич., и гранулометрич. составов песка, влияние степени измельчения извести, а также соотношения кажущегося уд. веса и влажности песка на механич. свойства получаемых материалов. Я. М.

65768. Актуальные проблемы промышленности нерудных строительных материалов. Голембёвский (Aktualne problemy przemysłu skalnych materiałów budowlanych. Golembowski Gabriel), Gospod. planowa, 1956, 11, № 4, 21—28 (польск.).

Проблемы добычи и применения в строительстве зданий и дорог строительного камня, щебня и песчаника в Польше. Е. С.

65769. Мелкие пески для производства автоклавных материалов и изделий. Волженский А. В., Шварцзайд М. С., Иванов В. И. В сб.: Автоклав. материалы и изделия. М., Гос. изд-во лит. по стр-ву и архитектуре, 1956, 70—79

На каракумских пылевидных песках могут быть получены пеносиликат с об. в. 980—1000 кг/м³ и $R_{ск}$ 40—50 кг/см²; пеносиликат с об. в. 1250 кг/м³ и $R_{ск}$ 60—80 кг/см²; прессованные силикатные изделия (силикатный кирпич) с $R_{ск}$ 100—125 кг/см²; центрифужные изделия с $R_{ск}$ 250—515 кг/см²; вибрированные изделия с $R_{ск}$ 85—350 кг/см². Приводятся основные данные по технологии изготовления силикатных изделий и деталей на каракумских песках. Г. К.

65770. О стойкости автоклавных силикатных материалов в агрессивных условиях. Чеченин М. Е. В сб.: Автоклав. материалы и изделия. М., Гос. изд-во лит. по стр-ву и архитектуре, 1956, 121—127

Рассматриваются вопросы стойкости автоклавных силикатных материалов при воздействии на них водопроводной или «мягкой» природной воды, которая является агрессивной вследствие выщелачивания извести. Г. К.

65771. Руководство по строительным штукатурным растворам.— (Merkblatt Putzmörtel nach DIN 18 550.—), Dtsch. Bauzeitschrift, 1955, 3, № 12, 1094—1095 (нем.).

Приводится классификация штукатурных р-ров и правила смешения их. Описано влияние вида р-ра на свойства штукатурки. В. Т.

65772. Струпопеносиликат и его основные свойства. Иванов В. И. В сб.: Автоклав. материалы и изделия. М., Гос. изд-во лит. по стр-ву и архитектуре, 1956, 39—69

Приводятся результаты испытания прочности, жесткости, огнестойкости и звукоизолирующей способности струпопеносиликатных плит. Г. К.

65773. Применение автоклавных силикатных материалов и изделий в конструкциях зданий. Шеренцис А. А. В сб.: Автоклав. материалы и изделия. М., Гос. изд-во лит. по стр-ву и архитектуре, 1956, 87—102

Указывается, что все разновидности автоклавных силикатных материалов — пеносиликат, вибрированные и центрифужные изделия могут быть использованы в ограждающих и несущих конструкциях зданий. Г. К.

65774. О применении центрифугирования в производстве силикатных изделий. Шварцзайд М. С. В сб.: Автоклав. материалы и изделия. М., Гос. изд-во лит. по стр-ву и архитектуре, 1956, 17—29

Обзор лабор. и полупроизводственных эксперим. работ, выполненных автором в период с 1934 г. по настоящее время. Описание лабор. установки для формования силикатных деталей центрифугированием. При-

водится номенклатура изделий, поддающихся формованию методом центрифугирования. Г. К.

65775. Силикатные плиты в наружной облицовке зданий. Шварцзайд М. С., Песельник В. В. В сб.: Автоклав. материалы и изделия. М., Гос. изд-во лит. по стр-ву и архитектуре, 1956, 103—120

Результаты натурных обследований фасадов зданий, облицованных силикатными плитами. Приводятся данные физ.-мех. испытаний плит, сваятых с фасадов зданий через 2—2,5 года службы. Г. К.

65776. Асбестоцементные трубы и возможности их применения. Савицкий (Rury azbestowo-cementowe i możliwości ich stosowania. Sawicki Władysław), Gospod. wodna, 1956, 16, № 3, 111—114 (польск.).

Основные сведения о современном произ-ве и применении асбестоцементных труб. Е. С.

65777. Производство и применение асбестовых тканей. Шоу (Asbestos textiles — what they are, what they can do. Shaw Myril C.), Mater. and Methods, 1954, 39, № 1, 89—93 (англ.).

Анализируются различные сорта асбеста с точки зрения пригодности их для произ-ва асбестового текстиля. В таблицах рассматриваются свойства асбестовых волокон типа хризотила, крокодолита, амозита, антофилита, тремолита и актинолита как сырья для произ-ва текстильных изделий. Параллельно для сопоставления приводятся свойства неасбестового текстильного сырья (шерсти, хлопка, шелка, ацетатного шелка, найлона и стегляной шерсти), а также показатели термостойкости, технич. условия и характеристика различных текстильных изделий, изготовляемых из волокон асбеста. Для фильтровальных тканей более пригоден термолит. Показан образец спецодежды из асбестовой ткани, применяемой в больницах при дезинфекции. З. Л.

65778. Исследование поглощения CO_2 строительными растворами. Хенкель (Untersuchungen über die Kohlensäureaufnahme von Mörteln. Henckel F.), Zement-Kalk-Gips, 1955, 8, № 11, 386—393 (нем.; рез. англ., франц.).

Исследование проводилось в спец. устройстве, позволяющем непрерывно измерять конц-ию CO_2 в рабочей камере. Принцип действия устройства основан на способности CO_2 адсорбировать тепловую энергию. Последняя поступает в камеры в виде ИК-лучей. Разность конц-ии CO_2 в стандартной и рабочей камерах вызывает разность теплот и давлений между ними, что и измеряется с помощью мембранного конденсатора. В результате исследования установлено, что характер поглощения CO_2 гидравлич. и воздушной известью различен. Если 1-я поглощает энергично CO_2 вначале и замедленно в дальнейшем, то 2-я ведет себя наоборот. Поглощение CO_2 связано с влажностью р-ра: для энергичной карбонизации нужна оптимальная влажность. Изменение состава р-ра (1:1; 1:3; 1:5) практически не влияет на скорость и характер карбонизации, а добавка солей ($CaCl_2$, $NaCl$) и воздухововлекающих добавок задерживают ее. Пористые наполнители, как и добавка MgO , ускоряют карбонизацию. В. Т.

65779. Оправдывается ли применение химических добавок к цементным растворам? Вольф (Bewähren sich chemische Zusätze für Injektionen? Wolf Rudolf), Brücke und Strasse, 1956, 8, № 3, 70—71 (нем.).

Чтобы улучшить качество цементного р-ра рекомендуется применять различные хим. добавки. Фирма Пластимент в Карлсруэ изготавливает такие добавки под названием интрапласт, который добавляется к цементному р-ру в кол-ве 3% от веса цемента. Я. Д.

65780. Прогресс в портландцементном производстве.

Хаттиангади (Progress in portland cement manufacture. Hattiangadi R. R.), Chem. Age India, 1955, 6, № 2, 33—38 (англ.)

Перечисляются современные способы практич. исследований и испытаний портландцемента, в том числе и применение приборов, использующих принципы атомной физики. Отмечается, что в последнее время значительно расширен круг добавок к портландцементу как пуццолановых, так и спец. (катализаторов, ускорителей твердения, пластифицирующих, повышающих хим. стойкость и т. д.). Отмечается широкое применение в Индии в качестве пуццолановых добавок обожженной глины, а также доменных шлаков. На 3-де в Бихаре действует современная флотационная установка для обогащения сырья. Указывается на развитие произ-в, в которых одновременно с цементом получается: чугун, алюминий, серная к-та (из гипса) и т. д. П. В.

65781. Исследование залежей песка, пригодных для испытания цемента. Пайонк (Badania złóż piasku z punktu widzenia potrzeb przemysłu cementowego. Pajank Franciszek), Cement. Wapno. Gips, 1956, 12, № 3, 61—63 (польск.)

Для испытания прочности цемента в исследованиях, выполняемых теперь в соответствии с германскими нормами, наиболее подходящим нормальным песком является песок из района Томашова Мазовецкого «Бяла Гура». Однако он дает смесь более низкой прочности, чем немецкий песок, что объясняется шарообразной формой и гладкой поверхностью зерен песка. Е. С.

65782. Некоторые вопросы развития цементной промышленности. Больковский (Z problemów rozwoju przemysłu cementowego. Bolkowski Jerzy), Gospod. planowa, 1956, 11, № 4, 14—21 (польск.)

65783. Определение свойств шлакопортландцемента при помощи тройной диаграммы «гранулированный шлак — клинкер — гипс». Крамер (Die Darstellung der Eigenschaften der Hüttenzemente im Dreistoffsystem «Schlackensand — Klinker — Gips». Kramer W.), Silicates industr., 1956, 21, № 1, 20—28 (нем.; рез. франц.)

Основные свойства шлакопортландцементов (равномерность изменения объема, сроки схватывания, прочностные характеристики) представлены тройными диаграммами: гранулированный шлак — клинкер — гипс. Эти диаграммы показывают, что в цементы с содержанием клинкера $> 50\%$ следует вводить до $8,6\%$ $\text{CaSO}_4 \cdot 2\text{H}_2\text{O}$ (4% SO_3). Положительными свойствами отличаются шлаковые цементы с содержанием клинкера до 15% и гипса до $20\text{—}25\%$. Е. Ш.

65784. О влиянии условий хранения портландцементов на их свойства. Бранденбергер, Эзенвейн, Прейс, Гейгер (Über den Einfluß der Lagerung auf die Eigenschaften von Portlandzementen. Brandenberger E., Esenwein P., Preis H., Geiger B.), Schweiz. Arch. angew. Wiss. und Techn., 1956, 22, № 2, 33—38 (нем.; рез. франц.)

Исследовалось влияние хранения цементов, отличающихся друг от друга содержанием CaS , CaS и свободной CaO на воздухе (при 18° и 70% относительной влажности) и без доступа воздуха. Установлено значительное изменение величины теплоты гидратации при хранении на воздухе. Потеря в весе при прокаливании значительная, что объясняется в некоторой степени гидратацией при хранении свободной CaO и имеющегося в цементе полуводного гипса. Наблюдает-

ся также и процесс карбонизации. Уд. вес уменьшается на $2\text{—}3\%$, причем при наличии в цементах большого кол-ва свободной CaO , изменение уд. веса происходит в первые 7 суток \sim в 2 раза интенсивнее, чем при небольшом содержании свободной CaO . Начало и интервал схватывания увеличиваются. Устраняется неравномерность изменения объема, однако лишь при доступе к цементу воздуха. Установлено понижение прочности цемента, особенно заметное в раннем возрасте. При хранении цемента происходит также взаимодействие атмосферной влаги с C_3A и C_3S . Интенсивность вышеописанных процессов зависит от минералогич. состава цемента, его дисперсности и кристаллизации составных частей цемента. Г. К.

65785. Некоторые проблемы исследования схватывания цемента. Барт, Офтедаль (Noen aktuelle problemer ved cements avbinding. Barth Tom F. W., Oftedal Chr.), Tekn. ukebl., 1956, 103, № 13, 269—272 (норв.)

Во время твердения инертные материалы вступают во взаимодействие с цементным тестом в щел. среде. Поверхность кальцита адсорбировала $2,5$ мкэ радиоактивного Ca на 100г , поверхность полевого шпата $0,2\text{—}0,5$, кварца $0,001$. Исследование шлифов показало, что зерно кальцита действует как центр кристаллизации. Схватывание цемента происходит сначала на поверхности зерна кальцита, и от ребер этого зерна исходит рост субмикроскопич. кристаллов, пока вся поверхность зерна не будет сжата кристаллизующимся цементным камнем. Кальцит обладает специфич. действием, которого лишены прочие, применяемые в Норвегии инертные материалы. К. Г.

65786. Требования к качеству цементов, применяемых для тампонажа буровых скважин. Виттекиндт, Штрибель (Qualitätsbedingungen für Tiefbohrzemente. Wittekindt W., Striebel W.), Erdoel-Z. Bohr- und Fördertechn., 1956, 72, № 3, 302—309 (нем.)

Цементы, применяемые для тампонажа глубоких скважин, должны обладать необходимыми сроками схватывания при повышенной т-ре и большом давлении, высокой стойкостью против воздействия агрессивных вод, главным образом сульфатных, а также иметь малую вязкость цементного теста, допускающую подачу цемента насосами. Е. Ш.

65787. Исследование физико-механических свойств гидравлических вяжущих веществ, полученных на базе местного сырья Татарской АССР. Геологическим институтом Казанского филиала Академии наук СССР. Хакимов Ф. М., Камышев С. Ф., Изв. Казанск. фил. АН СССР, Сер. геол. н., 1955, № 3, 40—43

При исследовании известняков, мергелей и глины Татарской АССР установлена возможность произ-ва из них портландцемента марок «300» — «500». Сырье Шугуровского месторождения по своему составу представляет собой «натурал». Е. Ш.

65788. Применение фосфатных дефлокантов при обработке цементного теста в США. Ван-Уэйзер, Каллис (Uso de los defloculantes fosfáticos en el tratamiento de las pastas crudas de cemento, en los Estados Unidos. Van Wazer John R., Callis Clayton F.), Cemento-hormigón, 1955, 21, № 253, 122—128 (исп.)

Для повышения текучести цементного теста и уменьшения содержания в нем воды рекомендуется применение фосфатных дефлокантов в виде $\text{Na}_2\text{P}_2\text{O}_7$ в кол-ве до $0,4\%$. Н. С.

65789. Автоклавные строительные изделия на базе золь и шлаков электростанций. Кисляков Л. А. В сб.: Автоклав. материалы и изделия. М., Гос.

изд-во лит. по стр-ву и архитектуре, 1956, 80—86

Излагаются результаты эксперим. работ по использованию золиношлаковых отходов ГЭС от сжигания подосковного угля в шалевидном состоянии с добавкой к ним извести и цемента с целью получения облегченных крупных блоков, камней, кирпича и плит для перегородок и перекрытий с пределом прочности при сжатии 20—200 кг/см^2 и об. в. 0,8—1,6 м/м^3 . Формование изделий осуществлялось вибрированием, пресованием и трамбованием. Твердение происходило в естественных условиях, в камерах пропаривания и в автоклавах. Отмечена недостаточная морозостойкость изделий (от 8 до 15 циклов попеременного замораживания и оттаивания) и падение прочности в возрасте 1 года. В последующем прочность стабилизировалась.

Г. К.

65790. К методике определения гидродобавок в пуццолановых портландцементе. Рагозина Т. А., Докл. АН УзССР, 1956, № 3, 23—25 (рез. узб.)

Предлагается новый весовой метод определения содержания в пуццолановых портландцементе гидравлич. добавок, в том числе глинежа и шлаков, заключающийся в обработке навески цемента сначала уксусной, а затем соляной к-тами.

Г. К.

65791. Ускоренный анализ сырья цементных заводов. Чапек (Rychloanalýza cementářských surovin. Čapek Z.), Stavivo, 1955, 33, № 11, 377—380 (чеш.)

Описаны рациональные ускоренные методы определения SiO_2 , CaO , MgO и Fe_2O_3 в отдельных навесках цементного сырья. Приведены таблицы результатов анализов силикатов скоростными методами в сравнении с классическими.

Д. Ш.

65792. Опыт производства форм из материала «печола». Новак (Zkušnosti s výrobou pecolových forem. Novák V.), Sklár a keramik, 1955, 5, № 10, 127 (чеш.)

Рекомендуется при изготовлении форм для стекла дефицитный бук заменить материалом под названием «печола», состоящим из 3 ч. печола и 4 ч. цемента. Описаны методы изготовления форм из печоловой массы в зависимости от степени сложности их конструкции. Обращается внимание на гладкость поверхности, постоянство и точность размеров изделий, изготовленных в этих формах.

Д. Ш.

65793. Вертикальный теплообменник с разделенным потоком. Штюлингер (Vertikal-Teilstrom-Wärmeaustauscher der Maschinenfabrik Beth, Lübeck. Stühlinger W.), Zement-Kalk-Gips, 1954, 7, № 9, 375—376 (нем.)

Описание технологич. особенностей вертикального теплообменника фирмы Бет (Любек), устанавливаемого у вращающейся цементнообжигательной печи при сухом способе произ-ва. Материал, поступающий в верхнюю газовую камеру теплообменника, распределяется по ряду вертикально установленных труб, имеющих расположенные по винтовой линии лопатки, по которым сыпучий материал скользит вниз. Отмечается, что время, потребное для теплообмена, зависит от крупности помола, влажности и теплопроводности материала и составляет в среднем для данной конструкции 0,5—6 мин. Для охлаждения цементного клинкера потребное время теплообмена составляет ~12 мин. Рассматривается также возможность уменьшения износа резиновых лент транспортера путем периодич. нанесения защитного слоя. Указывается, что в результате многократного нанесения защитного слоя достигается регенерация поверхностного слоя резиновой ленты. Данных о хим. составе и способе изготовления защитных покрытий не приводится.

Е. Ш.

65794. Изучение некоторых особенностей золы и шлака. Николь, Домин-Берж (Étude comparée de quelques propriétés relatives aux laitiers et aux cendres. Nicol Albert, Domine-Berges Marthe), Silicates industr., 1955, 20, № 11, 410—418 (франц.)

Производились хим., спектрографич. и рентгенографич. анализы зол и шлаков с определением т-ры плавления. При изготовлении изделий из этих компонентов с применением водотепловой обработки изучались объемные расширения, проводимость р-ров и их pH.

65795. Производство и использование доменных шлаков в США. Хаббард (The production and utilisation of iron blast furnace slag in the United States of America. Hubbard Fred), Silicates industr., 1955, 20, № 10, 359—367 (англ.)

Применение доменных шлаков в различных областях техники и строительства США достигло в 1953 г. 27 млн. т (74% от всего кол-ва полученных шлаков), в том числе шлаков воздушного охлаждения (ШВО) 22,2 млн. т, гранулированных шлаков 2,8 млн. т и шлаковой пемзы 2,0 млн. т. При дроблении и помоле ШВО в 1953 г. из них было извлечено ~354 тыс. т чугуна. Подробно описаны методы накопления шлаков в ямах и отвалах, методы грануляции, получения шлаковой пемзы и переработки шлаков. Хим. состав шлаков колеблется в пределах (вес. %): SiO_2 33—42, Al_2O_3 10—16, Fe_2O_3 0,3—2,0, MnO 0,2—1,5, CaO 36—45, MgO 3—12, S 1—3. Шлаковая пемза является прекрасным легковесным наполнителем для бетонов и по технич. условиям ASTM должна иметь об. вес в пределах 880—1120 кг/м^3 . Она делится на 2 класса по крупности: от 13 до 4,7 мм и от 4,7 до 0 мм. Об. вес молотых ШВО обычно >1120 кг/м^3 . Нормирована также истираемость шлаков барабанной пробой. Распределение потребления ШВО в США (в %): при строительстве шоссе и дорог и стартовых дорожек аэродромов 32, в сооружениях на битумной связке 25, ж.-д. балластах 22, наполнителях портландцементного бетона 10, произ-ве строительных бетонных блоков 2, как минер. шерсти 2, как утеплительный материал для крыш 2, прочее 5. Многие из крупных американских аэродромов построены с использованием шлаков. Гранулированный шлак используется (в %): на произ-ве гидравлич. цемента 42, в качестве основания или наполнителя для тротуаров, мостовых и шоссе дорог 39, в бетонных строительных блоках 9, в качестве удобрения в сельском хозяйстве 3, прочее 7. Шлаковая пемза используется главным образом для произ-ва легковесных строительных блоков (97%), а остальное для легковесного строительного бетона. В. В.

65796. Процесс грануляции тонкомолотого сырья для обжига на клинкер. Фогель (Der Granulationsprozeß von Ofenmehlen. Vogel Erich), Silicatechnik, 1954, 5, № 7, 318—319 (нем.)

Рассматриваются процессы образования и уплотнения зерен при грануляции клинкерной сырьевой смеси.

В. К.

65797. Отмучивающие установки фирмы Реакс для обогащения грунтов и мелких заполнителей. Эдер (Rheax-Schlammtechnik in der Steine- und Erdenaufbereitung. Eder Theodor), Montan-Rundschau, 1955, 3, Sonderheft, Dez., 305—312 (нем.)

Отмучивающие установки фирмы Реакс разделяют материал по величине зерен, об. весу и форме зерен. Зерна одинакового размера и формы могут быть разделены на сорта по об. весу, а зерна одинакового размера и об. веса на сорта по форме (напр., круглые и плоские, отделение слуды от песка и т. п.). Приводятся ряд принципиальных схем отмучивающих установок, выпускаемых фирмой Реакс, а также некоторые све-

дения по их применению. При вертикальном отмучивании сырье вводится в восходящий поток воды; мелкие частицы, скорость оседания которых ниже скорости движения воды, выносятся через верхний край сосуда; крупные частицы оседают на дно сосуда. Более тщательный рассев достигается в открытых многоступенчатых горизонтальных отмучивателях. Комбинированные отмучивающие установки, состоящие из вертикального и двух горизонтальных отмучивателей, позволяют разделять материал на 3 фракции, напр., 0—0,1 мм, 0,1—1 мм и 1—5 мм. Снижение расхода воды и более тщательный рассев материала достигается путем соединения 2, 3 или 4 горизонтальных отмучивателей в единую замкнутую кольцевую систему. Особо тщательный рассев материалов достигается применением противоточных замкнутых кольцевых систем. Спец. установки для отмучивания густых шламов (содержание твердого р-ра до 400 г на 1 л) представляют собою последовательно включенные батареи горизонтальных отмучивателей. Е. Ш.

65798. Основы проектирования состава бетонных смесей требуют пересмотра. Улятовский (Zasadę projektowania składu mieszanek betonowych wymagającą nowelizacji. Ulatowski Andrzej), Mater. budowl., 1956, 11, № 3, 74—77 (польск.)

65799. Заполнители с подобранными пустотами в вибрированном бетоне. Изучение соотношения частиц заполнителя. Вильямс (Gap-graded aggregates in vibrated concrete. Fundamental studies of relationships governing particle interference. Williams T. E. H.), Engineering, 1955, 179, № 4662, 693—698 (англ.)

Определялось влияние подбора заполнителей на прочность при сжатии образцов из вибрированного бетона. П. В.

65800. Жесткие бетонные смеси в промышленности железобетонных изделий. Балашев П. К., Сорокер В. Н., Кайсер Л. А., Довжик В. Г., Бетон и железобетон, 1955, № 6, 197—203

Изучены и рекомендуются колич. характеристика жестких бетонных смесей (ЖБС) и их классификация, а также условия, необходимые для формирования изделий из ЖБС различной степени жесткости, и оптимальное содержание песка в ЖБС. Показано, что прочность бетонов на базе ЖБС подчиняется закону В/Ц и при данном В/Ц и полном уплотнении зависит от степени жесткости, за исключением бетонов в раннем возрасте. Результаты исследования позволяют уже сейчас переводить на работу с ЖБС предприятия пром-сти железобетонных изделий. А. М.

65801. О деформативности бетона при сжатии. Таль К. Э. В сб.: Исследование прочности, пластичности и ползучести строит. материалов, М., 1955, 202—207

Испытывались на центральное сжатие 20 призм сечением 10 × 10 см, высотой 30 см, в том числе 10 призм без арматуры, 10 призм с продольной арматурой из 12 стержней холодной проволочки диаметром ~5 мм с условным пределом текучести арматуры при сжатии ~5000 кг/см². Прочность через месяц составляла ~105 кг/см². Выказано предположение, что при приложении нагрузки к армированному бетону, особенно при применении арматуры с высоким пределом текучести, происходит перераспределение усилий с ослабленных участков бетона на арматуру. Поэтому не наблюдается резкого нарастания напряжений в бетоне и его деформации могут еще значительно возрасти. Г. С.

65802. Оптимальный зерновой состав заполнителей для бетона. Шванда (Der Bestwert der Kornzusammensetzung von Betonzuschlagstoffen.

Schwanda Fritz), Bauingenieur, 1956, 31, № 2, 41—46 (нем.)

Бетон заданной прочности, при наличии цемента определенной марки, может быть получен при строго определенном В/Ц. Изменением кол-ва цементного теста (или, что то же самое, изменением расхода цемента) можно обеспечить для данного заполнителя требуемую удобоукладываемость бетонной смеси. В случае, если задана марка бетона и подвижность бетонной смеси, регулирование расхода цемента можно осуществить только путем изменения зернового состава заполнителей. Установлено, что наименьший расход цемента имеет место для смесей заполнителей, характеризующихся наименьшей межзерновой пустотностью. Приводятся ф-лы и диаграммы двух-, трех- и более компонентных систем для определения расхода цемента в зависимости от зернового состава заполнителей. Е. Ш.

65803. Дискуссия по статье Раструпа «Теплота гидратации бетона». Хандкок.— Ответ автора (Discussion on «Heat of hydration in concrete» by Erik Rastrup. Handcock M. G.— Authors reply), Mag. Concrete Res., 1955, 7, № 20, 103—105 (англ.). Beton og jernbeton, 1956, 8, № 1, 57—61 (англ., дат.)

Установлена связь между теплотой гидратации цементного теста и т-рой среды и временем. Опыты были

проведены с цементным тестом при В/Ц = 0,45 и при выдерживании образцов при 18,50 и 100°. См. РЖХим, 1956, 20048. П. З.

65804. Приборы для производственного контроля

свойств пены, применяемой для пенобетонов. Марканов Н. А., Докл. АН УССР, 1956, № 3, 31—34 (рез. уzb.)

Предложен прибор для определения степени вязкости и упругости пеномассы, а также ее структуры и прибор для определения несущей способности пены.

Приборы несложны в изготовлении и пригодны для лабор. и производственных испытаний пены. Г. К.

65805. Факторы, влияющие на физические свойства огнеупорных бетонов. Хансен, Ливович

(Factors influencing the physical properties of refractory concretes. Hansen W. C., Livovich A. F.), Amer. Ceram. Soc. Bull., 1955, 34, № 9, 298—304 (англ.) См. РЖХим, 1955, 35111.

65806. Новое о жестких бетонах. Сорокер В., Довжик В., Строит. материалы, изделия и конструкции, 1956, № 3, 22—23

Бетоны из жестких смесей при одинаковом В/Ц приобретают большую прочность, чем бетоны из малоподвижных смесей. Относительная величина этой разницы уменьшается с увеличением возраста бетона и уменьшением В/Ц. Повышение прочности объясняется увеличением относительного содержания крупного заполнителя в смеси заполнителей (увеличением прочности скелета). Е. Ш.

65807. Быстротвердеющие в зимних условиях бетоны для монолитных конструкций. Сизов В. Н., Коротков С. Н., Бюл. строит. техники, 1956, № 4, 4—6

Экспериментально установлено, что длительность выдерживания бетона до его замораживания, длительность выдерживания в опалубке и до его загрузки могут быть сокращены путем применения быстротвердеющих цементов. Особенно большой эффект дает сухой вибродомол быстротвердеющего цемента и введение в бетонную смесь 2% CaCl₂. Сухой домол цемента в сочетании с CaCl₂ эффективен также при применении обычных портландцементов. Так, напр., образцы, изготовленные на воскресенском цементе, подвергнутому вибродомолу с добавкой 2% CaCl₂, и замороженные в возрасте 1 суток, к 28-суточному возрасту твердения при положительной т-ре (+15°) имели прочность на 34% больше, чем образцы на исходном цементе в том же возрасте.

При замораживании в возрасте 3 суток прочность образцов оказалась выше на 44% по сравнению с контрольными. Г. К.

65808. Производство пористых заполнителей для легких бетонов. Гробоконатель С. Б., Осовик Б. А., Элинзон М. П., Попов Л. Н., Гор. х-во Москвы, 1956, № 4, 21—24. Описание опытной агломерационной установки карусельного типа и технология процесса получения пористого заполнителя (агломерированных шлаков и зол). Сущность процесса получения пористого заполнителя заключается в кратковременной термич. обработке при 1200—1500° кусковых шлаков, глинистых материалов и зол. Сырье должно содержать (или в него следует вводить) до 10—12% угля. Спеканию в пористые глыбы подвергаются гранулы, предварительно приготовленные на грануляторе при увлажнении сыпучей сырьевой смеси водой или глиняной суспензией. На пористом заполнителе может быть получен бетон с пределом прочности при сжатии 20—120 кг/м³ при об. в. 1000—1800 кг/м³. Г. К.

65809. Прочность бетона и методика испытания. Шульце (Druckfestigkeit und Prüfung von Beton. Schulze Walter), Bauzeitung (DDR), 1956, 10, № 1, 23—26 (нем.)

65810. Прогресс в области приготовления бетонов и растворов за 10 лет. Дрёгслер (Fortschritte der Mörtel- und Betontechnik im letzten Jahrzehnt. Drögsler O.), Österr. Bauzeitschrift, 1956, 11, № 1, 1—7 (нем.)

65811. Автоматизированный бетонный завод непрерывного действия. Огневич В. А., Механиз. трудоемких и тяж. работ, 1956, № 2, 8—12

З-д состоит из дозирочного и смесительного отделений. Дозирование материалов производится автоматически дозаторами непрерывного действия С-313 производительностью 100 т/час. Вода дозируется объемным дозатором непрерывного действия поплавкового типа. Сдозированные материалы поступают через сборный транспортер в бетономешалку непрерывного действия С-314 производительностью 120 м³/час, представляющую собой вращающийся цилиндрич. барабан, снабженный транспортирующими и смешивающими лопастями, которые укреплены на внутренней стенке барабана. Сравниваются показатели работы з-дов циклического и непрерывного действий. Приведены конструктивные недостатки опытного з-да, выявившиеся в процессе эксплуатации. Г. К.

65812. Добавка мелкозернистых песков в крупнопористый бетон. Константинов В., Строит. материалы, изделия и конструкции, 1956, № 2, 23. Для повышения прочности крупнопористых бетонов и уменьшения расхода цемента рекомендуется добавлять к смеси цемента и щебня еще 150—200% мелкозернистого песка, крупность зерна которого не превышает 0,5 мм. Прочность бетона при этом увеличивается в 1,5—2 раза, а об. вес на 8—10%. В. Т.

65813. Высокопористые легкие бетоны. Дубенский К. Н., Бюл. стрит. техники, 1956, № 3, 13—15

Разработан новый вид легкого бетона, отличающегося от легкого бетона обычной структуры отсутствием песка и, следовательно, меньшим (на 25—40%) об. весом, а от ячеистого — наличием жесткого скелета из крупного заполнителя, исключающего осадку бетонной массы. В. Т.

65814. Новые бетоносмесители. Ратсман (Neuartige Betonmischer. Rathsmann Erich), Strassen- und Tiefbau, 1955, 9, № 12, 783—784 (нем.)

Описаны конструкция и принцип работы бетономешалок типа FN-250 и FAE-500. Производительность 1-й 15 м³/час, а 2-й — 20 м³/час. В. Т.

65815. Новый дозатор для бетономешалки. Ридиг (Neuartige Zuteileinrichtung für Betonmischer. Rieding), Strassen- und Tiefbau, 1955, 9, № 12, 784 (нем.)

Дозатор работает автоматически. Компоненты содержатся в четырех отдельных отсеках и высыпаются через их нижние отверстия на короткий транспортер. Кол-во прошедшего материала регулируется шибером и фиксируется на шкале. Производительность дозатора при непрерывной работе 12—30 м³/час. Ошибка дозирования <2%. В. Т.

65816. Физическая структура и инженерные свойства бетона. Пауэрс (The physical structure and engineering properties of concrete. Powers T. C.), Cement, Lime and Gravel, 1956, 30, № 9, 483—490 (англ.)

Автор характеризует основные свойства свежего цементного теста и отвердевшего цементного камня. Различие физ. свойства цементного камня связано с различием уд. объема твердой фазы. На диаграмме показан процесс гидратации цемента для разных значений В/Ц от 0,19 до 0,95. Графически представлены объемы, занимаемые вначале частями цемента и воды, а затем продуктами гидратации, причем объем последних превосходит первоначальный объем, занимаемый цементном. После полной гидратации цемента в образцах, приготовленных с большим значением В/Ц, часть объема занята свободной водой и, наоборот, в образцах с небольшим значением В/Ц имеются пространства, не заполненные водой. Плотность цементного геля 2,15, пористость 26%, уд. поверхность 250 м²/г или 650 м²/см³, диаметр зерен 87А. Плотность самого теста зависит от кол-ва геля в нем. Гель — зернистый или волокнистый материал, в нем имеются поры. Пространство, которое ранее было заполнено водой, впоследствии частично заполняется пористым гелем. Оставшаяся незаполненная часть называется капиллярной пористостью. Таким образом, в тесте следует различать два класса пористости. Приведен график зависимости теплоты гидратации цемента от кол-ва связанной воды. Для 3CaO·SiO₂ и 2CaO·SiO₂ эта зависимость линейная. Уд. поверхность геля является функцией состава цемента. П. З.

65817. Сводное сообщение о цементном бетоне для защитных экранов. Галлахер, Кичес (Summary report on portland cement concretes for shielding. Gallaher R. B., Kitzes A. S.), U. S. Atomic Energy Comm. Repts, 1953, ORNL—1414, 1—30 (англ.)

Для защитных экранов (ЗЭ) желательно применять бетон высокой плотности в целях уменьшения толщины стенок экрана. Бетон для ЗЭ должен также удовлетворять требованиям прочности, удобоформируемости, устойчивости свойств под воздействием радиации и различных переменных условий окружающей среды (влажность, т-ра). ЗЭ делаются из обычного бетона на гравии или щебне или из бетона с тяжелыми заполнителями: барит, лимонит, колеманит и лом металла. Приведены физ.-мех. свойства заполнителей и изготовленного из них бетона. Для сопоставления приведены аналогичные данные для обычного бетона. Уд. вес бетона 4,0, об. в. 2544 кг/м³. Об. веса бетона на барите 3500 кг/м³, на барите и лимоните 3250 кг/м³, на лимоните и колеманите 3100 кг/м³, на ломе металла 5800—6000 кг/м³. Прочность бетона на обычных заполнителях ($\gamma = 2304$ кг/м³) и прочность бетона на барите ($\gamma = 3488$ кг/м³) в возрасте 28 суток была одинаковой, равной 245 кг/см²; коэфф. теплопроводности при 92° были также равными, уд. теплоемкость обычного бетона на 20% выше уд. теплоемкости бетона с заполнителем (баритом). Стоимость бетона на барите почти в 9 раз превышала стоимость обычного бетона. Если барит содержит 0,24% опала и 5% халцедона, то

рекомендуется применять его лишь с цементом, содержащим небольшое кол-во щелочей, чтобы избежать разрушений бетона вследствие р-ций между заполнителем и щелочами цемента.

П. 3.
65818. Пути применения механики упруго-вязко-пластичных сред к решению задач о формировании железобетонных элементов. Десов А. Е. В сб.: Исследование прочности, пластичности и ползучести строит. материалов, М., 1955, 138—169

Анализ основных способов формирования бетонной смеси (вибрирования, виброштампования, прокатки) с позиций теории упруго-вязко-пластичных сред. Основными факторами, влияющими на режим формирования, являются структурная вязкость, предельное напряжение сдвигу, мгновенный модуль упругости и время релаксации бетонных смесей. Приводится описание аппаратуры и результаты эксперим. и камеральных работ по изучению вышеуказанных факторов.

Г. К.

65819 К. Технология получения изделий из чистых бериллия и окиси бериллия для их применения в ядерных реакторах. Сост. Меерсон Г. А., (Докл., представл. СССР на Междунар. конференцию по мирному использованию атомной энергии). М., 1955, 9 стр.

65820 Д. Исследование влияния некоторых технологических факторов в производстве советита на свойства материала и условия его применения в конструкции. Каменецкий С. П. Автореф. дисс. канд. техн. н., Моск. инж.-строит. ин-т, М., 1956

65821 Д. Исследование свойств минерального волокна как заменителя органического в производстве гидроизоляционных и кровельных материалов. Сухова Л. А. Автореф. дисс. канд. техн. н. Всес. н.-и. ин-т стекла, М., 1956

65822 Д. Влияние интенсивности аспирации на основные показатели работы трубных цементных мельниц. Крышкин Г. С. Автореф. дисс. канд. техн. н. Всес. н.-и. ин-т стекла, М., 1956

65823 Д. Изучение зависимости объемных деформаций и механической прочности портландцемента от добавки к нему негашеной молотой извести. Алексеев Н. В. Автореф. дисс. канд. техн. н., Киевск. политехн. ин-т, Киев, 1956

65824 Д. Экспериментальное исследование ползучести легкого бетона на естественных пористых заполнителях. Каранетян К. С. Автореф. дисс. канд. техн. н., Ереванск. политехн. ин-т, Ереван, 1956

65825 Д. К вопросу использования в бетоне песка с повышенным содержанием лёссовидных примесей. Субботин С. В. Автореф. дисс. канд. техн. н., Ин-т сооруж. АН УзССР, Ташкент, 1956

65826 Д. Вакуумирование бетона на естественных пористых заполнителях. Матузов Т. Г. Автореф. дисс. канд. техн. н., Ин-т стройматериалов и сооруж. М-ва пром-сти строит. материалов АзербССР, Ереван, 1956

65827 П. Способ приготовления высокодисперсных смесей SiO_2 с оксидами металлов или силикатов. Подшусе (Verfahren zur Herstellung von hochdispersen Kieselsaure-Metalloxyd-Gemischen bzw. Silikaten. P o d s c h u s E r n s t) [Farbenfabriken Bayer A.-G.]. Пат. FRG 927442, 9.05.55

Способ состоит в следующем: р-ры щел. силикатов смешивают с р-рами солей, основания которых сравнительно трудно растворяются в воде и дают щел. р-цию. К смеси добавляют к-ты, и образовавшийся при помешивании осадок замещается р-рами солей металлов,

гидрат окиси которых труднее растворим, чем основание первоначального р-ра соли; в результате образующаяся смесь SiO_2 с гидратом окиси металла или силиката отфильтровывается, промывается и сушится. Пример: к 2 л 0,22 М р-ра CaCl_2 приливают при помешивании 2 л р-ра жидкого натриевого стекла с 0,2 моля Na_2O и 0,7 моля SiO_2 в 1 л. Сюда при помешивании добавляют 66 мл 6 н. HCl . После 10 мин. помешивания образуется осадок, который по отношению к SiO_2 содержит только половину кол-ва CaO . Осадок отсасывают на фильтре Нутча и снова взмучивают в 3 л воды. Затем к суспензии добавляют при помешивании 0,14 М р-ра AlCl_3 . Таким образом получают очень тонкий продукт, который содержит только половину Al по сравнению с продуктом, получаемым без применения HCl .

С. Т.
65828 П. Способ удаления железа из обогащенных железом бокситов и им подобных материалов, как алюмосиликатов и продуктов их разложения. Фогель (Verfahren zur Entfernung des Eisens aus eisenreichen Rohbauxiten und ähnlichen Ausgangsmaterialien wie Tonerdesilikaten und deren Zersetzungsprodukten. Vogel Friedrich). Пат. ГДР 10907, 7.12.55

Способ состоит в 1) примешивании к исходным материалам угля или других образующих уголь в-в, которые при соответствующих т-рах восстанавливают железистые соединения в губчатое Fe ; 2) извлечении этого Fe в виде карбонильного Fe или с помощью электромагнита; 3) растворении Fe в H_2SO_4 , когда хотят получить окись Fe , и в хлорном Fe , когда нужно получить электромагнитное Fe .

С. Т.
65829 П. Обработка волластонита. Кенпрез (Treatment of wollastonite. Karpal A. M.), Австрал. пат. 164606, 1.09.55

Способы расщипывания, осаждения и очистки волластонита состоят: в предварительном дроблении исходного материала на грубые куски, в обработке разб. H_2SO_4 до образования колл. р-ра, в обработке р-ра добавлением одного или нескольких осадителей, которые в присутствии H_2SO_4 и воды способны отдавать или получать электрич. заряды, а также нейтр-ции осадит. осажденного продукта щелочами, в фильтрации и сушке его при повышенной т-ре.

С. Т.
65830 П. Предохранение поверхности стекла от выщелачивания. Уно, Фуруути (硝子表面の焼けの防止法・宅野達路, 古内重正), [旭硝子株式会社, Asahi Garasu kabushiki kaisha] Япон. пат. 7733, 7734, 7735, 24.10.55

Содержание органич. в-в в щел. р-рах оказывает большое влияние на выщелачивание поверхности стекла. Установлено, что водорастворимый декстрин является хорошим замедлителем процесса выщелачивания. Приведены данные, характеризующие толщину слоя стекла, выщелачиваемого р-ром NaOH в зависимости от конц-ии декстрина в этом р-ре, т-ры и времени. Выщелачивание поверхности стекла может быть также замедлено путем покрытия ее бумагой или тканью, обработанными замедлителями; такого же эффекта можно достигнуть при промывке стекла жидкостью, содержащей замедлитель. Эффективность действия декстрина можно повысить добавлением к нему винной, яблочной и других окислителей. Замедлителями могут также являться в-ва, содержащие ионы Ca .

С. И.
65831 П. Выпуклое листовое стекло. Карсон, Уайт (Cintrage des feuilles de verre. Carson Frank J., White Gerald) [Libbey-Owens-Ford Glass Co.]. Франц. пат. 1097088, 29.06.55 [Verres et réfract., 1955, 9, № 6, 324 (франц.)]

Выпуклые передние или задние стекла автомобилей изготавливаются в особых составных формах методом гнутья. Лист стекла укрепляется не только с торцов,

но и на промежуточных точках составного суппорта для уменьшения их прогиба. Листы стекла у концов формы подвергаются повышенным давлениям; стекло лучше прилегает к тем частям формы, на которых имеются наибольшие изгибы.

Г. С. 65832 П. Оптическое свинцовое стекло (Verre flint d'optique) [Ernst Leitz G. m. b. H. Jenaer Glaswerk Schott & Gen.]. Франц. пат. 1096871, 27.06.55 [Verres et réfract., 1955, 9, № 6, 323 (франц.)]

Бесцветные стекла с показателем преломления выше $n_D = 1,8$ и постоянной Аббе $v = 27-30$ содержат 88-90 вес. % ортофосфата Pb, 2-15% окиси вольфрама, 5-15% метафосфата элементов II группы периодич. системы или от 2-10% фосфорной к-ты. Примерный состав (в %): $Mg(PO_3)_2$ 10,8; $Pb_2(PO_4)_2$ 87,0; WO_3 2,2; $n_D = 1,8226$, $v = 29,7$.

Г. С. 65833 П. Получение закаленного листового стекла, покрытого токопроводящей пленкой. Гейзер (Procédé de fabrication de feuilles de verre recouvertes d'une pellicule et trempées. G a i s e r R o m e y A.) [Libbey-Owens-Ford Glass Co.]. Франц. пат. 1091905, 15.04.55 [Verres et réfract., 1955, 9, № 5, 265 (франц.)]

Описаны процесс и аппаратура для произ-ва стеклянных листов или пластинок, покрытых с одной стороны прозрачным слоем проводящего ток соединения, напр. $SnCl_4$. Стекло нагревается в печи до т-ры, близкой к размягчению; затем одна сторона подвергается быстрому охлаждению, а на другую сторону пульверизацией наносится р-р $SnCl_4$, после этого производится резкое охлаждение листа одновременно с обеих сторон. Механич. прочность полученных таким способом листов меньше на 1/4 прочности закаленных листов того же стекла до нанесения на них проводящей пленки. Обработанные описанным способом стекла не обледеневают; из них изготавливаются передние стекла самолетов.

Г. С. 65834 П. Способ производства листового стекла. Лайбл, Гёрк, Лёбл (Způsob výroby tabulového skla. Laibl František, Goerk Herbert, Löbl Erich). Чехосл. пат. 82896, 1.09.54. Глинозем и щелочи вводятся в шихту в виде минер. флюидита.

Г. С. 65835 П. Производство прозрачного электропроводящего стекла. Джанг (Production of transparent electroconductive article. Junge Albert E.) [Pittsburgh Plate Glass Co.]. Канад. пат. 510787, 8.03.55

Описан метод изготовления стеклянных изделий с прозрачным электропроводящим покрытием. Натриево-кальциевое стекло состава (в вес. %): Na_2O и K_2O 10-35, CaO 5-25 (но ≥ 5 вес. % Na_2O и K_2O), SiO_2 50-75, Al_2O_3 0-20 нагревается при т-ре $>260^\circ$, но ниже т-ры размягчения стекла; нагретое стекло приводится в соприкосновение с кремнефтористоводородной к-той, а затем с разложившимся соединением Sn. При $260-660^\circ$ на поверхности стекла отлагается прозрачный электропроводящий слой SnO_2 . Для нанесения покрытия можно применять также $SnCl_4$. И. М.

Г. С. 65836 П. Способ получения прочной кислотоустойчивой окрашенной четкой надписи на стеклянных мерных сосудах. Фирн (Verfahren zum Herstellen von Meßgeräten aller Art aus Glas mit dauerhaft und insbesondere säurefest eingefärbter, gut kenntlicher Beschriftung. Firn Curt). Пат. ФРГ 930105, 11.07.55

Этот способ применим к любым видам стеклянных мерных сосудов (колки, бутылки, стаканы, пипетки, трубки и т. п.), на которые обычно наносится градуировка травлением или механич. путем. При заполнении этих сосудов жидкостью градуировка становится плохо видимой; что затрудняет правильность отсчетов. Втирание красок в штриховку не обеспечивает длительной

ее устойчивости. Преимущества предлагаемого способа выражаются в том, что штриховка и ее окрашивание производится на мерных сосудах при повышенной т-ре ($500-550^\circ$) путем обжига этих изделий.

С. И. 65837. П. Закалка стеклянных изделий путем их погружения в жидкость. Кантен, Розей (Procédé pour la trempe d'objets en verre, transparents ou colorés, par immersion dans des liquides. Quentin Alberto, Rosei Luciano) [Soc. An. des Manufactures des Glaces et Produits Chimiques de St-Gobain, Chauny et Cirey]. Франц. пат. 1095746, 6.06.55 [Verres et réfract., 1955, 9, № 5, 278 (франц.)]

Процесс, применяемый для закалки боросиликатных стекол, обладающих небольшим коэфф. расширения ($3,5 \times 10^{-6}$ при $0-300^\circ$), характеризуется тем, что изделия непосредственно после выхода из формы или из нагревательной печи при т-ре, близкой к т-ре размягчения стекла, погружаются в жидкость, имеющую комнатную т-ру или еще более низкую. Изделия неравномерной толщины подвергаются после закалки термич. обработке для выравнивания т-ры. В качестве закалочной жидкости можно применять масло с т. воспл. $>200^\circ$. Закаленные таким образом изделия можно подвергать непосредственному действию пламени; в результате сильного удара такие изделия распадутся на мелкие осколки.

С. И. 65838 П. Закалка стеклянных изделий. Кантен (Procédé pour tremper des articles en verre, dans le but de leur donner une résistance maximum aux heurts et aux brusques écarts de température, de même qu'au contact direct des flammes et des corps à haute température. Quentin Alberto) [Soc. An. des Manufactures des Glaces et Produits Chimiques de St-Gobain, Chauny et Cirey]. Франц. пат. 1095200, 27.05.55 [Verres et réfract., 1955, 9, № 5, 274 (франц.)]

Предложен способ закалки изделий, напр. тарелок или пластин из боросиликатного стекла, содержащего $\sim 80\%$ SiO_2 и обладающего коэфф. расширения при $50-450^\circ \geq 3 \cdot 10^{-6}$ и $< 4 \cdot 10^{-6}$. Закаливается изделие по наклонной плоскости на бесконечную конвейерную ленту, проходящую последовательно через нагревательную печь, закалочное устройство с охлаждающим воздухом и камеру для выравнивания т-ры изделия, после этого изделие сходит с конвейера по другой наклонной плоскости.

С. И. 65839 П. Улучшение полировки зеркал. Лагутт (Perfectionnement au polissage des glaces. Lagutte B.). Франц. пат. 1095538, 3.06.55 [Verres et réfract., 1955, 9, № 5, 275 (франц.)]

Шлифовка и полировка ленты зеркального стекла производилась одновременно с двух сторон следующим образом: движущаяся по горизонтальному конвейеру лента стекла полируется войлочными кругами с верхней стороны, затем эта лента системой роликов, расположенных по дуге радиусом 10 м в вертикальной плоскости, загибается вверх, снова выпрямляется и движется по конвейеру в обратном направлении.

С. Т. 65840 П. Способ отделки стеклянных тканей, пряжи или волокон. Крчма (Způsob úpravy sklených tkanin, přízí nebo vláken. Kréma Radko) Чехосл. пат. 83906, 1.05.55

Ткань, пряжа или волокна пропитывают хлорированными углеводородами, напр. хлорированным парафином или петр. эфиром, отдельно или в смеси с хлоркаучуком в их первоначальном виде или с определенными р-рителями и добавками (стеарин, аммиак, желатина) в жидком или эмульг. состоянии.

Е. С. 65841 П. Способ и аппарат для получения стеклянных волокон. Сталего (Förfaringssätt och apparat för framställning av glasfiber. Stalogo C. J.)

[Owens-Corning Fiberglas Corp.]. Швед. пат. 150508, 28.06.55

Описан способ получения стеклянных волокон путем введения стеклянной нити в поток горячих газов, выбрасываемых с большой скоростью из камеры горения; в этом потоке нить плавится, а расплавленное стекло уносится газами в виде очень тонких волокон. Способ отличается тем, что стеклянную нить непосредственно перед введением в поток горячих газов нагревают до т-ры, близкой к т-ре размягчения стекла. К. Г.

65842 П. Стеклянная бумага. Лабино (Glass paper, Labino Dominick) [L. O. F. Glass Fibers Co.]. Пат. США 2728699, 27.12.55

Стеклянная бумага изготавливается из стеклянного волокна различного, но строго определенного диаметра. Волокна по величине диаметра располагаются в соотношении 4:3:2:1 и ориентируются в заданном направлении. Диаметр волокон $\leq 1 \mu$. И. М.

65843 П. Способ производства пористых изделий из стекла, кварца и плавящего базальта. Ратай, Паул (Způsob výroby průlničných těles ze skla, křemene neb taveného čediče, Rataj Jiří, Paul Jaromír). Чехосл. пат. 82933, 1.09.54

Описан способ произ-ва пористых изделий, предназначенных для применения в качестве фильтрующих материалов или диафрагм, путем сплавления мелких стеклянных кварцевых или базальтовых частичек правильной шарообразной формы. Е. С.

65844 П. Метод нанесения связывающих веществ на минеральную шерсть; удаление излишков и высушивание шерсти. Моз, Викель (Method of applying a bonding agent to mineral wool; excess removal, and drying thereof, Meauze Francois, Wiquel Valentino) [Vetzeria Italiana Balzaretto Modigliani S. p. A.]. Пат. США 2698260, 28.12.54

Патентуется метод нанесения связывающего в-ва (СВ) на слой из минер. шерсти (МШ). Движущийся в одном направлении непрерывный слой МШ пропитывают жидким СВ. Струя горячего газа, свободного от O_2 , дует на поверхность слоя МШ, выдувает излишек СВ и высушивает СВ, приставший к МШ. После описанной обработки МШ покрывается тонкой пленкой СВ. И. З.

65845 П. Способ отделения корольков от минеральной ваты, особенно базальтовой ваты. Хейдлер, Юренкова, Ваверка (Způsob odstraňování nevláknitých povlů ze surové minerální vaty, zvláště vaty čedičové, Heidler Karel, Jurenková Eva, Vavěrka Jiří). Чехосл. пат. 84044, 1.03.55

Минеральная вата загружается в жидкость, напр. в воду, причем быстрое движение жидкости способствует отрыву корольков, более тяжелых, чем собственно волокна ваты, которые постепенно отделяются, всплывая. Вода циркулирует с помощью мешалки или другого приспособления, помещаемого в чан, разделенный перегородкой; спец. приспособление отбрасывает корольки к стенке или на сито. Е. С.

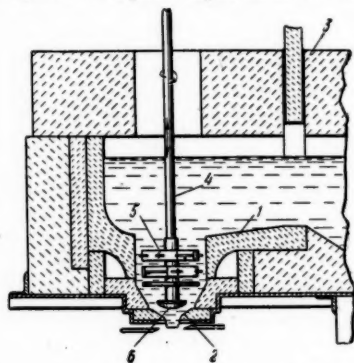
65846 П. Токонепроводящие слоистые стеклопластики (Filaments et tissus de fibres de verre, de silice ou analogues, présentant une résistance électrique, et matériaux plastiques stratifiés des utilisant) [Lab. Acrylux]. Франц. пат. 1091857, 15.04.55 [Verres et réf., 1955, 9, № 5, 265 (франц.)]

Нити и ткани из стеклянного волокна становятся проводниками тока благодаря нанесению на них пылевидного углерода в инертной атмосфере. Пропитывая эти нити или ткани синтетич. смолами, получают армированные материалы, обладающие определенной электропроводностью, из которых можно сформовать панели, трубы и нагревательные сосуды. Эти изделия

могут обладать небольшой тепловой инерцией, благодаря чему можно осуществлять быстрое повышение или понижение т-ры. С. И.

65847 П. Устройство для перемешивания стекломассы и для питания ею. Спремулли (Anordning för omröring och matning av smält glas, Spremulli P. F.) [Corning Glass Works]. Швед. пат. 142482, 13.10.53

Устройство для перемешивания стекломассы и питания ею состоит из вертикального цилиндрич. кармана 1 печи с отверстием 2 в дне кармана по оси его; стекломасса поступает в карман через канал 3. По оси кар-



мана установлен вал 4 с лопастями 5. Вал вращается и подвижен в осевом направлении. На нижний конец вала насажена пробка 6, закрывающая выпускное отверстие 2, положением которой регулируют питание стекломассой через отверстие 2. К. Г.

65848 П. Усовершенствование плавки стекла и других аналогичных материалов (Perfectionnement aux fours de fusion du verre ou matières analogues) [Soc. An. des Manufactures des Glaces et Produits Chimiques de St-Gobain, Chauny et Cirey]. Франц. пат. 1400911, 26.09.55 [Verres et réf., 1956, 10, № 1, 224-225 (франц.)]

Для регулирования обратного потока холодного стекла, поступающего из выработочного отделения в рафинажное, в протоке (II) помещают лопасть из огнеупорного материала (напр., из графита), длина которой равна ширине II; эта лопасть укреплена на валу и может вращаться в II вокруг горизонтальной оси. Высота лопасти меньше высоты II, а ее ось вращения располагается ниже середины высоты II.

Такая конструкция позволяет установить лопасть вплотную к наружной стенке II, прекратив таким образом обратный поток холодного стекла из выработочного отделения, оставляя в то же время между верхней частью лопасти и верхней стенкой II проход для стекломассы, поступающей из рафинажного отделения. Управление вращением вала с лопастью может осуществляться вне печи. С. И.

65849 П. Ванные печи (Furnaces operating with a liquid bath) [Soc. An. des Manufactures des Glaces et Produits Chimiques de St-Gobain, Chauny et Cirey]. Англ. пат. 693072, 24.06.53

В стекловаренной ванной печи с разделенным бассейном, имеются вертикально расположенные мешалки, проходящие через под, которые могут быть использо-

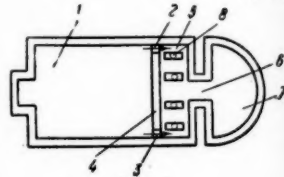


Рис. 1

ваны также и в качестве электродов. Упомянутые комбинированные мешалки-электроды 8 (рис. 1) могут быть расположены в рафинажной зоне 5, питаемой стекломассой из варочной зоны 1 через протоки 2 и 3 по краям моста 4. Мешалки-электроды снабжены головками прямоугольной формы, погружаемыми в стекломассу примерно на уровне протоков. Канал 6 ведет к выработочному отделению 7. В другом варианте (рис. 2) небольшой рафинажный бассейн 9, имеющий входные и выходные каналы соответственно 10 и 11, снабжен тремя вертикальными электродами 12, 13 и 14, присоединенными к трем фазам источника трехфазного переменного тока, причем первые два

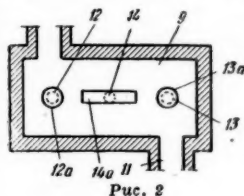


Рис. 2

из них имеют круглую головку 12а и 13а соответственно, а третий — прямоугольную головку 14а. Указанный выше электрод 14 может вращаться и высота его регулируется в соответствии с нагревом.

65850 П. Отражательная печь для эмалирования проволоки и полосового материала. Фиала (Sálací pec pro průchodzí materiál, obzvláště ke smaltování drátů a pásového materiálu. Fiala Josef) Чехосл. пат. 82883, 1.09.54

Печь характеризуется тем, что поверхностями отражения тепловых лучей являются цилиндрич. поверхности с эллиптич. сечением, причем источники тепла и эмалируемые изделия лежат на двух опорах, параллельных продольной оси цилиндра, образующих геометрич. место фокусов эллипсов поперечных сечений; каждые два соседние эллипса имеют общий фокус. Части отражающих поверхностей могут передвигаться.

Е. С.

65851 П. Средство и способ герметичной впайки металла в стекло. Грзек, Эспе (Prostředek a způsob pro těsný zátav kovů do skla. Hrzek Bohuslav, Espe Werner) Чехосл. пат. 83935, 1.05.55

Материал для впайки металла, в частности, хромистой стали, состоит из р-ра буры в спирт. р-ре $C_2H_5O_2Na$ или в воде, смешанной с окисью металла. Металл перед впайкой нагревается ВЧ-током в тесном соприкосновении с уплотняющим материалом, которым он покрывается после обработки песчаной струей до нужного размера. На той стороне, которая после впайки будет служить токоподводом, уплотняющий материал снимается. Металл может применяться в виде стержней или проволоки.

Е. С.

65852 П. Впайка пробок из твердого стекла в металлические кольца. Шварц фон Бергкамм (Verschmelzung von pfropfenförmigen Teilen aus Hartglas mit ringförmigen Metallteilen. Schwarz v. Bergkamp E. G.) [Siemens-Schuckertwerke A.-G.]. Пат. ФРГ 927096, 28.04.55

При впайке пробок из твердого стекла (коэфф. расширения $\sim 50 \cdot 10^{-7}$) в кольцеобразные металлич. детали внутренние стенки последних испытывают сильное напряжение после охлаждения стекла. Для спайки со стеклом предлагается применять сплавы (в %): Fe с Co 20, Ni 30, Mn 0,5—5,0. В целях лучшего сплавления металла со стеклом рекомендуется наносить предварительно на внутреннюю поверхность металлич. кольца тонкий слой стекла, либо применять в качестве клеящего слоя оксидную пленку NiO или CoO, либо наносить предварительно суспензию из окислов металлов и тонкодисперсного стекла.

С. И.

65853 П. Способ соединения керамических деталей между собой или с металлическими деталями

(Procédé d'assemblage d'objets céramiques entre eux ou à des objets métalliques.) [N. V. Philips' Gloeilampenfabrieken] Франц. пат. 1100497, 20.09.55 [Ind. céram., 1955, № 470, d16 (франц.)]

Способ состоит в приготовлении смеси окиси Ag или металлич. Ag с окисью Cu или с Cu, которую помещают между соединяемыми деталями и затем нагревают не в восстановительной атмосфере при 945° . С. Т.

65854 П. Покртия для керамики и каменных материалов. Рассел (Coating ceramic and masonry products. Russel Alexander H.). Канад. пат. 515643, 16.08.55

Процесс покрытия керамич. и каменных материалов с незначительной пористостью состоит в нанесении методом пульверизации на подогретую до $50-120^\circ$ поверхность растворимых и летучих р-рителей смол (меламинофурмальдегидной, мочевиноформальдегидной) и смеси меламиноформальдегидной и алкидной. По испарении р-рителя эти смолы образуют на поверхности прочный блестящий водонепроницаемый твердый слой.

С. Т.

65855 П. Трубки из плавленного кварца (Parois et parties de parois en quartz fondu et procédé pour leur fabrication) [Heraeus Quarzschmelze G. m. b. H.]. Франц. пат. 1092665, 14.04.55. [Verres et réfract., 1955, 9, № 5, 266—267 (франц.)]

Газосветные трубки, напр. для ртутных ламп, предназначенные для получения УФ-лучей, сплавляются из двух частей: внутренней — из очень чистого плавленного кварца, особенно устойчивого к парам Hg, и наружной — из плавленного кварца, содержащего смеси (0,003—0,2%) окислов металлов, поглощающих определенные линии в УФ-части спектра (для терапевтич. ламп). Коэфф. расширения внутренней части равен $0,5 \times 10^{-6}$, наружной $(0,8-0,9) \times 10^{-6}$. Описан процесс изготовления трубок из плавленного кварца.

65856 П. Метод глазурирования. Фальк (Glazing method. Falk Brog J.) [Upsala-Ekeby Aktiebolag]. Пат. США, 2723206, 8.11.55

Метод состоит в распыливании суспензии глазури на полое изделие, вращающееся на подставке, двумя шприц-аппаратами, направленными так, что один из них глазурирует внутреннюю поверхность изделия, а другой — внешнюю. Глазурь подается из резервуара с помощью насоса. Распыливание производится сжатым воздухом, подводимым спец. трубками к шприц-аппаратам. Излишки глазури при распыливании стекают обратно в резервуар и снова поступают в работу.

С. Т.

65857 П. Метод покрытия стеклянных изделий слоем глазури, эмали или подобного материала. Вейлен (Method of coating bodies with a layer of glazing, enamel or similar material. Wijlen Heimen B. van) [N. V. Philips' Gloeilampenfabrieken]. Канад. пат. 516982, 27.09.55

Метод плотного соединения разрозненных частей стеклянного изделия (электродной трубки, баллона лампы накаливания и пр.) состоит в том, что стеклянные части в местах соединения спаиваются стеклянным порошком при определенной т-ре. Для этой цели можно применять порошок фритты, глазури, смешав его со связкой, напр. парафином; порошок предварительно расплавляется, наносится на места соединения обрабатываемого изделия и нагревается до улетучивания парафина.

И. М.

65858 П. Формование керамических изделий (Manufacture of ceramic mouldings) [Philips Electrical Industries, Ltd]. Англ. пат. 719498, 1.12.54 [Brit. Clayworker, 1955, 63, № 755, 370—371 (англ.)]

Патентуется способ формования под вакуумом керамич. изделий в матрицах, устанавливаемых в фильтрепрессе, жидкость (вода, спирт, ацетон или эфир), при-

менявшаяся при приготовлении массы, отжимается, отводится в приемник и повторно используется. Процесс позволяет значительно снизить содержание воздуха в сформованном изделии и тем самым повысить сопротивляемость разрушению под действием тока высокого напряжения. Приведена схема пресса. Г. М. 65859 П.

Улучшение керамики с высокой диэлектрической постоянной на основе титаната бария и способ ее изготовления (Perfectionnements aux céramiques à haute constante diélectrique à base de titanate de baryum et à leurs procédés de fabrication.) [Cie Gle de Télégraphie Sans Fil.]. Франц. пат. 1102534, 24.10.55 [Ind. céram., 1955, № 470, d16 (франц.)]

Водонепроницаемый керамич. диэлектрик с диэлектрич. постоянной >2000 с колебаниями $\pm 10\%$ в пределах t -р от -20 до $+80^\circ$ с относительно малым углом диэлектрич. потерь и высокими изоляционными свойствами получается из смеси следующих материалов (в %): BaTiO_3 100, CeO_2 1—3, TiO_2 0,1—1, MgO электроплавания 0,1—1. С. Т. 65860 П.

Способ обжига тонкокерамического материала, особенно фарфора. Барцик (Verfahren zum Brennen von feinkeramischem Material, insbesondere von Porzellan. Barzik Heinrich). Пат. ГДР 9319, 19.03.55

На образование черепка фарфора при обжиге его в круглых периодич. печах из кол-ва тепла, развиваемого в топках, расходуется лишь 2%. Значительная доля в перерасходе топлива падает на неполноту его сгорания в восстановительном периоде. Для устранения перерасхода топлива по этой причине предлагается необходимую восстановительную среду для сбжига фарфора создавать в объеме камеры путем внесения в него тонкомолотого угля, опилок или кокса, которые могут быть применяемы и с пластичной глиной в виде пасты или отпрессовок. Процесс обжига горна при этом будет происходить при полном сгорании топлива, чем, помимо меньшего его расхода, достигается и ускорение процесса. С. Т. 65861 П.

Способ производства фильтрующего фарфора и получаемых этим способом фильтров. Гарбати-Очанаиз (Procédé de fabrication de porcelaine filtrante et filtres obtenus à l'aide de ce procédé. Garbati-Ochanaiz A.). Франц. пат. 1102381, 19.10.55 [Ind. céram., 1955, № 470, d15—d16 (франц.)]

Приготавливают смесь из кварца и сульфатов K и Na и придают ей желаемую форму. После сушки и обжига фильтр помещают в корпус, внутренняя поверхность которого эмалирована силикатами Na и K. С. Т. 65862 П.

Фасонные изделия из угля и керамических материалов и способ их изготовления. Ланге, Шрейбер, Дёринг (Formkörper aus Kohle und keramischen Stoffen und Verfahren zu ihrer Herstellung. Lange Fritz, Schreiber Walter, Döring Friedrich). [Steinkohlenbergwerk Hannover-Hannibal A.-G.]. Пат. ФРГ 922460, 17.01.55

При изготовлении художественных и бытовых изделий из порошковых графита, сажи, кальцинированного антрацита или кокса (I) путем спекания требуется высокое давление прессования. Предлагается применять смесь из 70—40 вес. % тонкомолотых I и 30—60% молотой глины или других глинистых материалов. В качестве связки вместо глины можно вводить смолу или пек. Крупность зерна I $< 90\mu$, преимущественно $< 60\mu$. К массе на глиняной связке добавляют воду для получения пластичного теста. Из хорошо смешанной массы путем формовки на гончарном круге, литьем, штамповкой и другими способами изготавливают изделия, которые сушат и спекают без доступа воздуха

при t -ре $\sim 1000^\circ$. Поверхность обожженных изделий можно полировать, расписывать, окрашивать, металлизировать. А. Л. 65863 П.

Способ производства строительного кирпича из летучей золы. Хенглейн, Зонтхеймер (Verfahren zur Herstellung von Bausteinen aus Flugasche. Henglein Friedrich August, Sonthheimer Heinrich). Пат. ФРГ 926179, 7.04.55

Прессуют и затем пропаривают в течение 1—2 час. при давлении пара 8 атм или ниже массу, состоящую из смеси гашеной извести (из расчета 4,5—6% CaO) и золы, к которой добавляют 0,5—1% щелочей (NaOH , Na_2CO_3 , NaHCO_3 , Na_2SO_4). Прочность кирпича при добавке NaOH повышается до 80%. П. Б. 65864 П.

Новая композиция песчанистой керамики на основе коксовой или угольной золы (Nouvelle composition céramique grésante à base de cendres de coke ou de charbon.) [Soc. Gle de la Céramique du Batiment (Soc. An.)]. Франц. пат. 1100652, 22.09.55 [Ind. céram., 1955, № 470, d15 (франц.)]

Зола кокса или угля со слабым содержанием негорючего остатка используется в качестве флюса для песчанистой керамики. С. Т. 65865 П.

Огнеупоры из карбида кремния. Николсон (Silicon carbide refractory. Nicholson Kenneth C.). [Carborundum Co.]. Канад. пат. 515690, 16.08.55

Патентуется изготовление огнеупоров из SiC на связке из нитрида кремния с добавкой 3—7% ZrO_2 или других цирконий содержащих в-в. А. Н. 65866 П.

Водоустойчивый огнеупор из спекшегося доломита. Мейер, Эйзенхут, Зигль (Gegen Zerfall geschützte feuerfeste steine aus Sinterdolomit. Meyer Karl, Eisenhut Franz, Siegl Adolf). [Rheinlbe Bergbau A.-G.]. Пат. ФРГ 930016, 7.07.55

Огнеупорные изделия из спекшегося доломита предохраняются от действия атмосферных агентов путем погружения в предохранительную массу или путем опрыскивания массой их поверхности. Масса состоит из безводн. каменноугольной смолы или пека с t -рой размягчения $>130^\circ$ и добавки свободного углерода $>45\%$. t -ра плавления массы на 0—30° выше t -ры ее размягчения. Защитная масса может служить также связкой в процессе произ-ва огнеупоров. С. Г. 65867 П.

Огнеупоры на основе золы рисовой шелухи. Джонс (Refractory products. Jones James Dennis) [Ontario Research Foundation]. Пат. США, 2720462, 11.10.55

Огнеупоры, способные сохранять свои размеры до t -ры 1650° , изготавливают из смеси, состоящей в основном из золы рисовой шелухи $>80\%$ и окисла щел.-зем. металла $<20\%$, являющегося после обжига связующим в-вом. Зола представляет собой смесь 2 разновидностей, «розовой» и «черной», и содержит SiO_2 преимущественно в виде кристаллита и тридимита. Для придания сырцу необходимой прочности перед формовкой в смесь вводят органич. связку. Обжиг изделий ведут при t -ре значительно $<1650^\circ$. В. З. 65868 П.

Утеплительная крышка для изложниц. Антони (Hot top cover. Anthony Benjamin F.). [The Ferro Engineering Co.]. Канад. пат. 513921, 21.06.55

Крышка представляет собой плиту из теплоизоляционного (легковесного) огнеупорного кирпича (t -ра применения до 1425°), верхняя и боковые части которой обтянуты металлич. сеткой. Сетка и огнеупор прочно связываются между собой с помощью высокотемпературного схватывающегося р-ра, заполняющего промежутки между ними. Сетка препятствует разрушению кирпича, который, в свою очередь, защищает металл

от деформации. Патентуется также метод заполнения армированной крышки зернистым теплоизоляционным материалом.

Л. Х.
65869 П. Способ производства материалов, применяемых при высоких температурах (Procédé de production de corps composites utilisables à haute température.) [The Plessey Co. Ltd.] Франц. пат. 1104419, 18.11.55 [Ind. céram., 1956, № 472, d3 (Франц.)] Способ состоит в приведении в контакт дисилицида молибдена с огнеупорным материалом, имеющим одинаковый коэфф. термич. расширения при т-ре и давлении, достаточных для образования связанного материала.

С. Т.
65870 П. Шлифовальная лента и метод ее изготовления. Сторс, Уэллс (Abrading belt and method of making it. Storrs William H., Wells Arthur J.) [The Hartford Special Machinery Co.]. Пат. США 2712987, 12.07.55

Поверхность несущего материала, состоящего из синтетич. линейнополимеризованного полиамида, размягчают обработкой р-ителем, который не должен проникать на глубину, превосходящую трехкратный размер абразивного зерна. В размягченную поверхность полиамида вводят абразивные зерна и затем удаляют р-читель.

Л. Х.
65871 П. Состав вещества из карбида кремния, связанного нитридом кремния (Composition de matière en carbure de silicium aggloméré par du nitrure de silicium.) [The Carborundum Co.]. Франц. пат. 1072540, 14. 09. 54 [Chimie et industrie, 1955, 73, № 3, 550 (Франц.)]

Составляется смесь из зерна SiC и тонкоизмельченного Si, который содержит 0,75 — 1 вес. % зерен Fe размером в основном 74 м, а также частицы 0 — 20 м. Формуют образец из этой смеси, сушат, кальцинируют в атмосфере N₂ или в неокислительной атмосфере, содержащей N₂. Эту операцию проводят при 1300° или при т-ре, достаточной для того, чтобы почти все кол-во Si превратить в SiN₂, который связывает частицы SiC.

В. К.
65872 П. Непрерывный процесс производства гипсового теста. Зиммерман, Хог (Process of continuously preparing a gypsum slurry. Zimmerman Robert F., Hoge John H.) [Hoge-Warren-Zimmermann Co.]. Канад. пат. 515039, 26.07.55

Непрерывный процесс приготовления гипсового теста заключается во взвешивании молотого сухого вяжущего материала, отмеривании воды и энергичного непрерывного перемешивания до сметанообразной консистенции. Для удаления включений воздуха массу помещают в закрытую систему и подвергают вакуумированию с одновременным перемешиванием, после чего ее выгружают из закрытой системы.

В. Г.
65873 П. Помол извести в шаровой мельнице. Хунтциккер, Дейли, Миннис (Ball milled high calcium lime and process of making the same. Huntzicker Harry N., Dailey Manuel C., Minnis Bradford R.) [Canadian Gypsum Co. Ltd.]. Канад. пат. 513098, 24.05.55

Процесс заключается в помоле гашеной извести с высоким содержанием Са в шаровой мельнице при влажности от 0,1 до 1,0% и т-ре ≤ 87°. Кремнийсодержащая добавка в кол-ве от 1 до 15% от веса извести может быть введена как до помола, так и после помола извести.

В. Г.
65874 П. Строительный материал и метод его приготовления. Ридделл (Construction material and method of making. Riddell Wallace C.) [Kaiser Gypsum Co., Inc.]. Пат. США 2711377, 21.06.55

Для улучшения сцепляемости поверхности из волоконистых материалов с наносимой на нее штукатуркой

указанную поверхность обрабатывают водн. р-ром, содержащим на каждые 93 м² поверхности 45—136 г Са (ОН)₂ и 136—272 г сульфатов щел. металлов или сульфатов аммония.

И. М.
65875 П. Питание известковой печи без доступа воздуха. Джималла (Kalkofenbeschickung unter Luftabschluß. Drzymalla Alfred) Пат. ГДР 10727, 22.11.55

Питание известковой печи без доступа воздуха посредством устройства двойного затвора загрузочного колокола и закрывающихся заслонок в загрузочном пространстве отличается тем, что рычажное управление заслонками и рычажно-шестереночное управление загрузочным колоколом автоматизировано и связано с работой скипового подъемника.

Е. Ш.
65876 П. Метод производства легкого неорганического изоляционного материала. Шуц, Норман (Method of producing lightweight inorganic insulating material. Schuetz Clyde C., Norman Charles R., Jr) [Canadian Gypsum Co. Ltd.]. Канад. пат. 510925, 15.03.55

Смесь асбестового волокна, мелкоизмельченного пуполана и в-ва, которое может дать гидроокись щел.-зем. металла, суспендируют при очень энергичном перемешивании в 5-кратном (по весу) кол-ве воды. Полученную устойчивую суспенсию нагревают (не перемешивая) до т-ры между 85 и 150°, следя, чтобы не происходило упаривание. В результате р-ции между компонентами суспензии превращается в губчатую массу, которую путем слабого размешивания (чтобы сохранилось ≤ 85% конституционной воды) разбивают на отдельные куски. Их переносят в перфорированную форму и быстро уплотняют, удаляя воду, со скоростью, обеспечивающей уменьшение толщины загрузки ~13 мм в 1 сек. Полученные формованные изделия упрочняют при избыточном давлении пара и затем сушат. Плотность готовых изделий составляет ~208—320 кг/м³.

Л. Х.
65877 П. Способ производства непроницаемого бетона. Серкин (Process for producing fluid-tight concrete. Serkin Wilhelm) [Roca Pipes Ltd.]. Пат. США 2720469, 11.10.55

В целях повышения газо- и водонепроницаемости поверхность бетона покрывается водн. р-ром алгината из группы, содержащей алгинаты Na и аммония, которые, реагируя с Са, присутствующим в поверхностных слоях бетона, образуют водонерастворимый слой алгината Са.

В. Г.

См. также: История 64066, 64067, 64073. Силикаты 64344, 64448, 64451, 64585, 64755, 65509, 65335, 67244, 67370, 67371. Стекло 66327, 67250. Фарфор, электрокерамика 64298, 64310, 64312, 64360, 64389, 64678, 64679. Огнеупоры 65256

ПОЛУЧЕНИЕ И РАЗДЕЛЕНИЕ ГАЗОВ

65878. Судовые кислородные установки. Кларк (Breath of the fleet. A story of naval gas equipment. Clarke Frank E.), J. Amer. Soc. Naval Engrs, 1956, 68, № 1, 105—121 (англ.)

Обзор конструкций и применения кислородных установок в военно-морском флоте. Описаны установки для получения O₂ хим. методами (разложением Na₂O₂, K₂O₄, KClO₃, NaClO₃), а также поглощением из воздуха с помощью челятов, которые не нашли широкого применения. Рассмотрены основные циклы сжижения воздуха. Описан ряд судовых малогабаритных кислородных установок. Из большого числа различных моделей практич. применение на военных кораблях получили установки, работающие по простому циклу Линде при давлении сжатого воздуха 210 кг/см². На

установках получают $\sim 14 \text{ м}^3/\text{час}$ O_2 , который может быть выведен в жидком виде. Воздух сжимается быстроходными (1100 об/мин) 4-ступенчатыми компрессорами с приводом от электродвигателя. Для хранения жидкого кислорода выпускаются спец. танки, которые комплектуются газификаторами для заполнения стальных баллонов газообразным O_2 . Описаны приборы для анализа кислорода, определения содержания ацетилена и влаги.

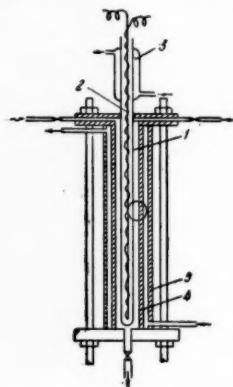
65879. Свойства карбида кальция при получении ацетилена. Хаузер (Das Verhalten von Kalziumkarbid bei extremen Bedingungen der Azetylen-Herstellung. Hauser O.), Mitt. chem. Forschungsinst. Wirtsch. Österr., 1955, 9, № 3, 59—61 (нем.)

Изучен температурный режим процесса взаимодвижения CaC_2 с водой при получении ацетилена. В термоизолированный аппарат, содержащий 350 г CaC_2 , приливается из капельной воронки вода в кол-ве 350 мл в течение 50 мин. Из кривой, характеризующей изменение т-ры во времени, следует, что наивысшая т-ра в 580° наблюдалась через ~ 34 мин., а для CaC_2 с большим содержанием Al_2O_3 и SiO_2 т-ра не превышала 310° , что объясняется образованием на CaC_2 непроницаемого для воды поверхностного слоя. Отмечено, что в эксплуатационных условиях часть CaC_2 остается непогашенной, что создает взрывоопасные условия при открывании аппарата.

65880 П. Способ непрерывного отделения аргона.

Накаяма, Ёсин, Хирота, Кобаяси (アルゴンの連続的分離法 中山義男, 吉井喜八郎, 廣田鋼蔵, 小林康司), 東洋高圧工業株式会社, Тоё коацу коё кабусики кайся. Яп. пат. 1064, 19.02.55

Способ основан на процессах термодиффузии и конвекции газов. Аппарат состоит из внутренней трубки 1, заполненной нитробензолом, который нагревается



до т-ры $\approx 210^\circ$ при помощи нихромовой ленты 2; обратного холодильника 3 для конденсации паров нитробензола; средней трубки 4; внешней трубки 5. В кольцевом пространстве между 4 и 5 протекает вода с такой скоростью, чтобы т-ра ее составляла $\sim 30^\circ$. По кольцевому пространству между 1 и 4 (шириной 0,5 мм) сверху вниз протекает смесь 90% Ar и 10% N_2 под дав. 70 ат. При этом Ar перемещается от 1 к 4, а N_2 — в обратном направлении. Вследствие разницы в уд. весах происходит конвекция газов таким образом, что $\sim 0,25$ ч. Ar с чистой

99,1% удаляется из нижней части аппарата, а $\sim 0,75$ ч. Ar в виде смеси с N_2 уходит из верхней части аппарата.

М. Г.

См. также: 64406, 67467

ПОДГОТОВКА ВОДЫ. СТОЧНЫЕ ВОДЫ

65881. Вода. Хазенберг (Water. Hazenbergh J. H.), Chem. courant 1956, 55, № 1765, 40—41, 43—44 (голл.)

Краткое описание методов анализа природных вод.

М. Л.

65882. Жесткость и щелочность воды. Мэн Най-ча ш (水中硬度和碱度的關係. 孟乃昌), 新科學, Синькэсюэ, 1955, № 4, 21—28 (кит.)

Методы вычисления различных видов жесткости и щелочности воды.

65883. Предложение о способе количественного выражения запаха воды. Миккула (Nährh eiselného vyjádření zápachu vody. Mikula R.), Vodní hospodářství, 1955, 5, № 10, 374 (чеш.)

За основу колич. выражения запаха (3) воды принято наличие или отсутствие 3 при 20° . Если 3 при этой т-ре отсутствует, то индексом служит т-ра, до которой воду нужно нагреть, чтобы он появился; если вода не имеет 3 даже при т-ре кипения, ее индекс равен 0. При наличии в воде 3 уже при 20° ее индексом является дробь, где знаменатель указывает разбавление, при котором 3 еще ощущается (напр., $20/4$, если образец при 20° нужно разбавить вчетверо, чтобы запах стал еле уловимым). Аппаратура состоит из колбы вместимостью 300 мл, снабженной пробкой с двумя отверстиями: в одно вставлен термометр, в другое — стеклянная трубка, расширенная на верхнем конце в виде шарика.

З. Б.

65884. Определение калия в виде тетрафенилборката в воде или сточных водах. Зимний (Die Bestimmung des Kaliums als Kaliumtetraphenylborat im Wasser bzw. Abwasser. Zymny E.), Prakt. Chem., 1955, 6, № 12, 327—329 (нем.)

1 л воды упаривают до 100 мл, подкисляют CH_3COOH и добавляют 10 мл 3%-ного р-ра тетрафенилборнатрия (сохраняется ≤ 2 недели), стабилизированного 10%-ным р-ром AlCl_3 . Через 5 мин. фильтруют, осадок сушат при 120° и взвешивают. Для объемного определения осадок растворяют в смеси 10 мл ацетона и 5 мл 2н. CH_3COOH , добавляют 1 мл 0,1н. KBr и несколько капель 1%-ного р-ра озонина и титруют 0,1 н. р-ром AgNO_3 . NH_4^+ мешает определению.

Т. А.

65885. Пригодность толидинового метода для определения малых концентраций кислорода в воде для питания паровых котлов. Шуман (Wie steht es mit der Sauerstoffbestimmung in sauerstoffarmen Speisewässern nach der Tolidin-Methode? Schumann E.), Brennstoff-Wärme-Kraft, 1954, 6, № 2, 37—43 (нем.)

При толидиновом методе определения O_2 в питательной воде рекомендуется употреблять в качестве осадителя р-р CeCl_3 (120 г $\text{CeCl}_3 \cdot 7\text{H}_2\text{O}$ растворяют в 100 мл воды, подкисляют 3 мл конц. H_2SO_4 , кипятят ≥ 2 час. и дополняют до первоначального объема). Окрашенный комплекс с о-толидином сохраняет при этом устойчивость даже в присутствии восстановителей; устойчивость комплекса снижается с уменьшением pH. Фотометризовать окраску окрашенного комплекса следует через 30—60 сек. после подкисления р-ра. Открываемый минимум $2-3 \text{ } \gamma/\text{л}$ O_2 ; при конц-ии $\text{O}_2 \leq 20 \text{ } \gamma/\text{л}$ погрешность $\pm 1 \text{ } \gamma/\text{л}$.

Т. М.

65886. Методы определения углеводородов и фенолов в воде (Отчет подкомитета по разработке методов анализа сточных вод нефтеперерабатывающих заводов комитета аналитических исследований отдела очистки Американского нефтяного института). — (Methods for determining hydrocarbons and phenols in water. Report of the Subcommittee on refinery effluent-water analytical methods, Committee on analytical research, Division of refining, American Petroleum Institute), Analyt. Chem., 1953, 25, № 11, 1681—1685 (англ.)

Разработаны или проверены 6 методов определения углеводородов (I) и фенолов (II) в сточных водах. Для I методы ИК-спектрофотометрии, экстракции C_6H_6 , дистилляции — экстракции, ликнометрии с предварительной экстракцией и масс-спектрометрии. Для II —

методы фосфат. Принят и не т. 65887.

натр. Лун лабо. Чувств.

метрич. водах органи. тикель. (для 90 м/л.)

5—10 м. CH_3CO NiSO_4

конц-и экстрап. руют (Zn^{2+} , O прешно

$\text{KCa}(\text{CN}$ Pb^{2+} у CaCO_3 . 65888.

Химии of sludg Enginr Частн. 65889.

ческо. палоч. suchu was-se

I o h riol., фран. На ос

исследо. показат. Escheric

шалочки. coli р-к. Яндо к

красны. ратам и экскрем. 82 и 88

65890. болес. Кол sewag Со I

1955, Предл. воды, б

с нельн. ных заб. culosis

сложени. прикреп. СВ. Чер

отжима. концент. (РЖБю) многих culosis

образна. 19 Хими

методы ИК-спектрофотометрии и экстракции трибутилфосфатом с последующей УФ-спектрофотометрией. Принятые методы характеризуются высокой точностью и не требуют большой затраты времени. Т. Л.

65887. **Определение малых концентраций ксантогенатов в промышленных сточных водах.** Лурье Ю. Ю., Николаева З. В., Завод. лаборатория, 1956, 22, № 1, 30—35

Чувствительный и достаточно точный фотоколориметрич. метод определения ксантогенатов (I) в сточных водах обогатительных фабрик основан на экстракции органич. р-рителем из водн. р-ра соединений I с солями тяжелых металлов. Пробу воды 200, 100 или 25 мл (для интервалов конц-ии I 0,025—1,1—10 и 10—90 мг/л соответственно) нейтрализуют, прибавляют 5—10 мл буферного р-ра (в 1 л содержится 42 мл 1 M CH_3COOH и 158 мл 1 M CH_3COONa), 5 мл 0,04 M NiSO_4 и экстрагируют толуолом или, при большой конц-ии I, CCl_4 порциями по 1—1,5 мл до бесцветного экстракта. Объединенный экстракт фотоколориметрируют (ФЭК-М) с синим светофильтром. Тиофосфаты, Zn^{2+} , CN^- и комплексные цианиды Zn не мешают. Погрешности, возникающие в присутствии Cu^{2+} и $\text{KCu}(\text{CN})_2$, учитывают введением поправок. Влияние Pb^{2+} устраняют обработкой пробы небольшим кол-вом CaCO_3 . В. М.

65888. **Регулирование качества шлама. Часть X. Химический анализ шлама.** Ван Клик (Control of sludge quality. Part X. Chemical analysis of sludge. Van Kleesck Le Roy W.), Wastes Engng. 1953, 24, № 3, 144—146, 168—169 (англ.). Часть IX см. РЖХим, 1953, 9461.

65889. **Значение техники анализа при бактериологическом исследовании питьевой воды на кишечную палочку.** Брауне (Über die Bedeutung der Untersuchungstechnik bei der bakteriologischen Trinkwasseruntersuchung auf *Escherichia coli*. Braune Johann-Friedrich), Arch. Hyg. und Bakteriол., 1956, 140, № 1-2, 28—37 (нем.; рез. англ., франц.)

На основании литературных данных и собственных исследований автор признает единственно правильным показателем фекального загрязнения воды наличие *Escherichia coli*; остальные разновидности кишечной палочки таковыми не являются. Для идентификации *E. coli* рекомендуется определение у выделенных на агаре Эндо колоний индолобразования, р-ции с метиловым красным и р-ции Фогес-Проскауера, отношения к цитратам и подвижности. При исследовании 100 образцов экскрементов человека и питьевой воды соответственно 92 и 88% выделенных культур являются *E. coli*. Е. Д.

65890. **Обнаружение возбудителей инфекционных заболеваний в сточных водах.** Келли, Кларк, Колман (Demonstration of infectious agents in sewage. Kelly Sally M., Clark Mary E., Coleman Marion B.), Amer. J. Public Health, 1955, 45, № 11, 1438—1446 (англ.)

Предлагается следующий метод отбора проб речной воды, бытовых и производственных сточных вод (СВ) с целью обнаружения в них возбудителей инфекционных заболеваний: *Virus Coxsackie*, *Mycobacterium tuberculosis* и *Salmonella typhosa*. Стерильную подушку, сложенную из газовой полоски размером 15 × 120 см, прикрепляют шнуром к горловине трубы, отводящей СВ. Через 24—48 час. экспозиции подушку вынимают, отжимают и подвергают обработке. *Virus Coxsackie* концентрируется в отжатой воде методом адсорбции (РЖБиол., 1955, 43410), испытывается на мышах и во многих случаях определяется серологически. *M. tuberculosis* определяется путем подогревания отжатого образца в термостате при 37° в течение 1 часа, в

контакте с NaOH , последующего центрифугирования, нейтр-ции осадка, добавления к нему 10% лактозы по весу и вторичного центрифугирования. Отделенная жидкость вводится морским свинкам. Для открытия *S. typhosa* из отжатого образца производится посев на элективные питательные среды с последующим фаготипированием выделенной культуры. Е. Д.

65891. **Классификация водорослей и простейших с санитарно-гигиенической точки зрения.** Палмер, Инграм (Suggested classification of algae and protozoa in sanitary science. Palmer C. Mervin, Ingram William Marcus), Sewage and Industr. Wastes, 1955, 27, № 10, 1183—1188 (англ.)

Автор предлагает классифицировать жгутиковых (Ж) по их отношению к O_2 , что для гигиены, целей имеет наиболее существенное значение. Предлагается считать водорослями тех представителей Ж, которые пигментированы и участвуют в процессе фотосинтеза, выделяя O_2 , и считать простейшими животными непигментированных Ж, потребляющих O_2 . Способность плавать как признак менее существенный не должен приниматься во внимание при классификации. Н. В.

65892. **Исследование причин запахов и привкусов инфильтрационных питьевых вод нижнего Рейна. Методика и результаты.** Холлута (Untersuchungen über die Ursachen der Geruchs- und Geschmacksbeeinträchtigung uferfiltrierter Trinkwässer am Niederrhein. Methodik und Ergebnisse. Holluta Josef), Gas- und Wasserfach, 1955, 96, № 13-14, 449—461 (нем.)

Органич. примеси воды адсорбировались на активном угле (Hydrarfin B), а затем вымывались с него эфиром, C_6H_{12} , C_6H_6 и CHCl_3 . При хроматографировании на бумаге обнаружены: ароматич. амины, алифатич. амины (следы), пролина, триптофан, индол, скатол, гидроксibenзамид, ароматич. аминокислоты, триптофан, окситриптофан, оксипролин, хлорароматич. продукты, альдегиды и кетоны, мочевина, соединения группы индола, производные холина, нафтол, резорцин, пирокатехин, фенол, флороглucin, гванкол, салигенин, а также к-ты: бензойная, гидроксibenзойная, аминобензойная, протокатеховая, галловая и, вероятно, скатолуксусная и скатолкарбонвая. Наличие указанных примесей в инфильтрационных водах обусловлено сбросом в реку промышленных и бытовых сточных вод, жизнедеятельностью водн. флоры и фауны, а также широко развитым судоходством. А. С.

65893. **Распределение кишечной палочки и других примесей воды в устьях рек в зоне прилива и отлива.** Кетчум (Distribution of coliform bacteria and other pollutants in tidal estuaries. Ketchum Bostwick H.), Sewage and Industr. Wastes, 1955, 27, № 11, 1288—1296 (англ.)

Предложен метод расчета площади распространения стойких и нестойких примесей в устьях рек, основанный на изменении в них солёности воды. Приведены ф-лы для определения конц-ии стойких примесей и колич. содержания кишечной палочки (с учетом коэфф. отмирания) на участках выше и ниже пункта сброса сточных вод (СВ), в зависимости от расхода СВ, скорости течения и солёности воды. Предложенные ф-лы позволяют выбрать наиболее удобный пункт для выпуска СВ в реку. Е. Д.

65894. **Современные поззрения на загрязнение рек.** Фернс (The modern view of river pollution. Ferns John F.), Municip. Engng., 1955, № 3432, 1313—1314 (англ.)

65895. **Загрязнение водоемов отработанными красильными ваннами.** Лингельбах (Die Verschmutzung der Vorfluter durch ausgefärbte Farbflotten. Lingelbach Helmuth), Textil- und Faserstofftechnik, 1955, 5, № 5, 379—380 (нем.)

Для сравнительной оценки загрязнения водоемов сбросом отработанных красильных ванн (и для определения допустимого их сброса) рекомендуется в качестве единицы измерения применять величину БПК₅ на голову населения в сутки, которая равна 54 г О₂.

Н. В.

65896. Гигиенические вопросы водоснабжения. Рейф (Zur Trinkwasserhygiene. Reif Kurt), Sanit. Technik, 1956, 21, № 1, 29—30 (нем.)

Удаление остаточного Cl₂ из питьевой воды целесообразно только непосредственно перед ее употреблением. Поэтому существует тенденция давать в водопроводную сеть воду с повышенной конц-ией Cl₂ и дехлорировать ее в домах. Для этой цели рекомендуется маленький домашний фильтр, прикрепляемый к водопроводному крану и наполненный активным углем. В фильтр добавлено небольшое кол-во силико-фосфата, препятствующего отложению накипи на посуде при кипячении воды. Конструкция фильтра дает возможность пользоваться также и недехлорированной водой.

Н. В.
65897. Актуальные вопросы водоснабжения и удаления сточных вод. Кар (Aktuelle Fragen der Wasser- und Abwasserwirtschaft. Kar Julius), Internat. Fachzeitschrift Brau-, Gärungs- und Kältetechn., 1955, 8, № 12, 237—241 (нем.)

Краткий обзор задач водоснабжения в Австрии. Устройство грунтовых колодцев, применение полиэтиленовых и поливинилхлоридных труб, обеззараживание воды Cl₂, О₃, Ag.

М. Г.
65898. Проблемы, вызываемые низкой температурой в Аляске. Олтер (Low-temperature problems in Alaska. Alter Amos J.), J. Amer. Water Works Assoc., 1955, 47, № 8, 763—767 (англ.)

Проблема подачи воды потребителям в Аляске, 66% территории которой находится в зоне вечной мерзлоты, создает ряд трудностей. Скважины, используемые для централизованного водоснабжения, предохраняют от замерзания введением горячей воды, циркуляцией нагретого антифриза или электрообогревом. В головных сооружениях водопроводов применяется подогрев воды. Водопроводные линии размещают в трубопроводах совместно с канализационными коллекторами и тепловыми магистралями или прокладывают в руслах незамерзающих рек, однако недостатком таких систем является опасность загрязнения воды.

М. Г.
65899. Бактериология воды сельскохозяйственных водоемов. Число колоний после 72 часовой инкубации при 22°. Томас, Томас (The bacteriology of farm water supplies: a study of the colony count in 72 hours at 22°. Thomas S. B., Thomas Blodwen F.), J. Appl. Bacteriol., 1955, 18, № 2, 312—321 (англ.)

В 37,2% обследованных родников и колодцев, расположенных на с.-х. участках, обнаружено <100 колоний в 1 мл, в 28,2% — 100—500, в 34,6% >500. Большая часть микронаселения представлена биохимически неактивными непигментированными грамотрицательными бактериями. Аэробные спорообразующие бактерии, стафилококки и грамположительные неспорообразующие организмы находятся в небольшом кол-ве. Стрептомицеты редки, стрептококки отсутствуют. Бактерии *Coli-aerogenes* и *Bact. coli* типа I обнаружено мало.

Н. В.
65900. Улучшение физических и химических свойств речной воды при добавлении извести. Илюевич, Янкович (Poboljšanje fizičkih i hemiskih osobina rečne vode dodavanjem kreča. Milojević Miloje, Janković Stevan), Tehnika, 1955, 10, № 10, 1365—1369 (серб.; рез. нем.)

Изложены результаты исследований по влиянию добавок извести на коагуляцию воды сульфатом алюминия, расход которого в этих условиях может быть значи-

тельно уменьшен. Величина остаточной мутности рассматривается как функция рН воды. В водах с большой мутностью снижение ее достигается при повышенных значениях рН (>10).

А. С.
65901. Физико-химические изменения свойств поверхностных вод при фильтровании на медленных фильтрах. Новак (Fyzikálně-chemické změny povrchových vod, upravovaných pomalou filtrací. Novák Z.), Vodní hospodářství, 1955, 5, № 10, 346—349 (чеш.)

При фильтровании на медленных фильтрах запах воды устраняется лучше, чем при коагуляции и хлорировании. Конц-ия грубодисперсных примесей снижается до пределов, допустимых для питьевой воды. Устраняются также NO₃⁻, NH₃, органич. Р (конц-ия

НРО₄²⁻ ≤ 0,1 мг/л), Fe²⁺ и Mn²⁺ (почти количественно). Конц-ия О₂ снижается, конц-ия СО₂ повышается. Органич. в-ва, сообщающие воде окраску, устраняются неполностью и для их удаления требуется хим. обработка.

З. В.
65902. Фильтрация озерной воды на скорых и медленных фильтрах. Гофман (Schnell- und Langsamfiltration von Bodenseewasser. Hofmann E.), Monatsbull. Schweiz. Verein Gas- und Wasserfachmännern, 1954, 34, № 4, 77—84; № 5, 124—131 (нем.)

См. РЖХим, 1955, 52707.
65903. Использование доменного шлака и окола гранитного камня для загрузки фильтров и контактных осветлителей. Лунет З., Ращук Н., Жил.-коммун. х-во, 1955, № 5, 19—21

Проведенные испытания дробленого шлака и гранитного щебня показали, что как по механич. и хим. стойкости, так и по эффекту осветления воды они могут заменять речной песок в фильтрах и осветлителях.

Г. К.
65904. Применение ультрафиолетового облучения для обеззараживания загрязненных природных вод. Рикс, Кортелью, Лабекки, Мак-Уинни, Андервуд, Семрад, Ривс (Practical application of ultraviolet radiation in purification of naturally contaminated water. Ricks Henry C., Cortelyou J. R., Labacki Thaddeus D., McWhinnie M. A., Underwood Felix J., Semrad J. E., Reeves Gordon R.), Amer. J. Public Health, 1955, 45, № 10, 1275—1281 (англ.)

Бактерицидное действие УФ-облучения наблюдается при интенсивности 7000 мвт/м². Интенсивность УФ-радиации зависит от срока работы лампы, напряжения, т-ры воды и кол-ва взвешенных в-в. Чтобы избежать снижения т-ры при прямом контакте с водой, лампу заключают в кварцевый контейнер. Вода, подвергаемая обеззараживанию, должна быть прозрачной. Наиболее устойчивыми к действию УФ-лучей, по сравнению с другими кишечными бактериями, являются *E. coli*.

А. Ф.
65905. Снижение расхода реагентов в результате улучшения контроля за привкусом и запахом воды. Джанини (Better taste and odor control results in chemical savings. Giannini A. G.), Public Works, 1955, 86, № 6, 140—142 (англ.)

С целью устранения хлорфенольного запаха воды была изменена схема ее обработки: к воде сперва добавляется активный уголь (АУ) и после 30-минутного контакта с АУ вода хлорируется. Это мероприятие основанное на том, что нехлорированные фенолы адсорбируются АУ лучше, чем хлорированные, позволяет снизить расход АУ на ~25%.

М. Д.
65906. Применение мела для снижения углекислотной агрессивности природных цветных вод. Кул

ский Л. А., Шевченко М. А., Укр. хим. ж., 1955, 21, № 6, 788—791

Для снижения агрессивных свойств воды, обусловленных наличием CO_2 , образующейся при коагуляции, в воду в конце отстойника или перед фильтром вводилась суспензия мела, что обеспечивало высокую степень стабильности воды без снижения ее прозрачности и без повышения цветности. Размер частиц мела $\leq 0,1$ мм, время контакта 5 мин. Ввод мела не нарушает работы очистных сооружений водопровода. Г. К.

65907. Применение цеолитов для обработки воды (Исторический очерк). Норделла (Zeolites their history and applicability to water treatment problems. Nordell Eskel), Nat. Engr., 1956, 60, № 1, 22, 23, 43 (англ.)

65908. Иониты. Шёстрём (Ioninvaihtajista. Sjöström Еего), Tekn. aikakauslehti, 1956, 46, № 2, 33—36 (фин.; рез. англ.)

Из трех методов обессоливания воды: 1) последовательное Н-катионирование — ОН-анионирование; 2) последовательное ОН-анионирование — Н-катионирование; 3) совместное Н-ОН-ионирование, последний дает наилучшие результаты. Уд. сопротивление (в ом·см) воды, полученной этим методом, равно 18 000 000, в то время как уд. сопротивление воды после 28-кратной перегонки в кварцевой посуде составляет 23 000 000 и при 3-кратной перегонке в кварцевой посуде — 2 000 000. М. Т.

65909. Опыты с высокопроизводительными ионитными фильтрами. Херман (Erfahrungen mit Hochleistungs-Ionenaustauschern. Hermann Erich), Chem.-Ingr.-Techn., 1955, 27, № 10, 573—578 (нем.; рез. англ., франц.)

Обзор схем установок для умягчения и обессоливания воды с помощью ионитов. Отмечены преимущества установок непрерывного действия перед периодич. Рассмотрены мероприятия, позволяющие сократить расход реагентов на регенерацию ионитов. Л. П.

65910. Декарбонизация воды методом ионирования. Ольчакowski (Dekarbonizowanie wody metoda jonitowa. Olczakowski Władysław), Góspod. węglem, 1955, 4, № 11, 238—242 (польск.)

Популярный обзор методов Н-Na-катионирования. Г. К.

65911. Фильтрация воды для нужд бумажного производства. Кол (La filtration de l'eau pour la fabrication du papier. Cole Edwin), Papeterie, 1955, 77, № 8, 359, 541—542 (франц.)

Описаны современные методы очистки воды. Для сильно загрязненной воды дозировка реагентов составляет на (1 л): активированной кремнекислоты 0,4 г; $\text{Al}_2(\text{SO}_4)_3$ 1 г; хлора 4—6 мг; рН воды в результате очистки снижается с 7,1—7,0 до 6,4—6,6. Дана схема установки водоподготовки. М. Н.

65912. Хлорирование воды, идущей для промывки и размягчения пшеницы. Гаррис (Chlorination of wheat wash and tempering waters. Harris Meade C.), Milling Prod., 1955, 20, № 11, 254; Northwestern Miller, 1955, 254, № 19, 3а—4а (англ.)

Хлорирование воды, идущей на промывку и размягчение пшеницы при ее размоле, улучшает качество муки, уничтожает в ней основную массу бактерий и спор и повышает обесцвечивающее состояние мельничного произв-ва. Конц-ия Cl_2 в промывной воде зависит от т-ры и кол-ва воды, подаваемой на размягчение, и колеблется в пределах 125—200 мг/л. Г. К.

65913. Роль фосфатов в технологии воды. Новак (Význam fosforečnanů ve vodárenské chemii. Novák Zdeněk), Voda, 1953, 33, № 7-8, 206—210 (чеш.)

Добавка к воде растворимых фосфатов (Ф) ведет

к образованию на металлич. поверхностях защитных пленок, являющихся комплексными соединениями Ф с Fe, Al, SiO_2 и др. Образование этих пленок может происходить в кислой и щел. среде. С. Я.

65914. Обработка сточных вод. Диве (Traitement des eaux résiduaires. Divet L.), Rev. text., 1956, 55, № 1, 25—29 (франц.)

65915. Предварительная обработка сточных вод. Де-Жев (Le pre-traitement des eaux résiduaires. De Geaive Fernand), Techn. eau, 1955, 9, № 108, 41—44 (франц.)

65916. Опыты по коагуляции сточной воды. Стонес (Salford experiments with sewage precipitation. Stones T.), Munic. J., 1955, № 3244, 1057, 1059, 1061 (англ.)

Исследовалась коагуляция бытовых и промышленных сточных вод (СВ) при помощи $\text{Al}_2(\text{SO}_4)_3 \cdot 18\text{H}_2\text{O}$ (I) с добавкой и без добавки $\text{Ca}(\text{OH})_2$ (II) и к-т. Для получения заметного эффекта очистки (ЭО) доза I должна составлять (в мг/л): для бытовых СВ 150, для промышленных СВ 200—250. Наилучший ЭО при помощи I достигается при рН ~5. В интервале значений рН 8,0—9,5 ЭО резко понижается, но при рН > 9,0 он снова возрастает. При действии одной II ЭО наблюдается лишь при рН > 9,5 (для промышленных СВ) и > 10 (для бытовых СВ). При действии одной к-т некоторый ЭО наблюдается при рН ~3. Л. М.

65917. Применение хлорирования при очистке сточных вод. Грун (Sewage chlorination in review. Grune Werner N.), Water and Sewage Works, 1955, 102, № 9, 350—357 (англ.)

При хлорировании сточных вод (СВ), содержащих аммонийный азот, наблюдается образование в различных соотношениях (в зависимости от рН) моно- и дихлорамин, обладающих различной токсичностью. Для надежного обеззараживания СВ доза Cl_2 должна составлять 140% от их хлоропотребления. При возникновении анаэробных процессов рекомендуется добавка определенных доз Cl_2 к СВ, подавляющая развитие редуцирующих бактерий. Для лучшего удаления жиров и устранения пенообразования в жиловки, отстойники или аэротенки вводят Cl_2 вместе с воздухом. Хлорирование применяется также для снижения нагрузки по БПК: 1 мг/л Cl_2 снижает БПК на 2 мг/л. В период плохой работы биофильтров, вызванной разрастанием водорослей и грибов, хлорирование дает хорошие результаты. Обработка должна быть кратковременной, чтобы Cl_2 не смог проникнуть на большую глубину загрузочного материала. В период развития психоды рекомендуется разбрызгивание хлорной воды на фильтр. При вспухании ила, вызванного ростом нитчатых микроорганизмов, применяется хлорирование возвратного ила. Для целей очистки фильтров предложено продувание через них воздуха с добавкой Cl_2 . А. Ф.

65918. Биохимическое потребление кислорода чистыми органическими соединениями. Эйкекеян, Ранд (Biochemical oxygen demand of pure organic compounds. A report of the research committee, FSIWA. Heukelekian H., Rand M. C.), Sewage and Industr. Wastes, 1955, 27, № 9, 1040—1053 (англ.)

Приведены табличные данные, составленные на основании литературных материалов, о величинах БПК₅ и БПК₁₀ ~200 органич. соединений. С. С.

65919. Опыты по очистке сточных вод в Ридинге. Бараклаф (Experimental work at Reading sewage works. Baraclough D. H.), Civil Engrg and Public Works Rev., 1955, 50, № 585, 302—304 (англ.)

Сточные воды (СВ), поступающие на очистную станцию в Ридинге, содержат значительные кол-ва органич.

примесей и при больших нагрузках очистка их на био-фильтрах (Б) практически невозможна. Б покрываются толстым слоем обрастаний, издающими сильный запах. Лучшие результаты достигнуты при перемежающемся двойном фильтровании при условии применения достаточно крупного загрузочного материала (размером >10 см). Основное затруднение при очистке СВ вызывается наличием в них подсмольных вод, максимально допустимое содержание которых установлено равным 0,35%. При этих условиях нагрузка СВ на Б не должна превышать 250 л/м³ в сутки, а при перемежающемся фильтровании — 500 л/м³ в сутки. Опыты по обезвоживанию на вакуум-фильтрах сброженного осадка показали, что удовлетворительные результаты (влажность осадка $<80\%$) могут быть получены при его предварительной коагуляции. Потребный для этого расход реагентов (в % по отношению к сухому в-ву осадка) следующий: FeSO₄Cl 18, AlCl₃ (в пересчете из Al₂O₃) 3,5—4,0, алюминий хлоргидрат (тоже) 2,5. С. С.

65920. Двойное аэрирование в процессе очистки сточных вод активным илом. Краус (Dual aeration as a rugged activated sludge process. Kraus L. S.), Sewage and Industr. Wastes, 1955, 27, № 12, 1347—1355 (англ.)

Способ состоит в диффузионной подаче воздуха в аэротенк (А) снизу с одновременной подачей его через дырятую трубу, опущенную в жидкость на глубину $\sim 1/3$ высоты А. Турбулентное движение жидкости, вызываемое пузырьками вдуваемого воздуха, усиливает поглощение атмосферного O₂ и увеличивает % использования диффузно подаваемого воздуха. Нагрузка А при этом может быть увеличена в 2—3 раза, или во столько же раз сокращена продолжительность аэрирования. Н. В.

65921. Устранение пенообразования при биохимической очистке сточных вод. Херш (How one sewage plant eliminated aeration frothing. Hirsch Phil.), Public Works, 1955, 86, № 9, 96—97 (англ.)

Для борьбы с образованием в аэротенках пены (кол-во которой возрастает с увеличением периода аэрации) на одной станции, обрабатывающей ~ 600 м³/час сточных вод, применен препарат Hodag S-88, представляющий собой производное глицерина, получаемое из нефти. Пеногаситель смешивался с очищ. сточной водой, выходящей из хлораторной, и разбрызгивался по поверхности жидкости в аэротенке. Пеногаситель применялся в течение 10 дней в месяц; месячный расход его 284 л. А. Ф.

65922. Лабораторный контроль на малых очистных установках, работающих с активным илом. Нилсен (Laboratory control of small activated-sludge plants. Nielsen Loreu H.), Municip. Utilities Mag., 1955, 93, № 12, 31—32, 50, 52—54, 56, 58—59 (англ.)

Дано описание необходимых определений по контролю работы очистных сооружений: растворенный O₂, общее кол-во и скорость оседания грубодисперсных примесей, объемный индекс ила, БПК. Рассмотрены мероприятия (интенсивность и продолжительность аэрирования, условия перекачки ила и др.) по поддержанию оптимальных значений этих показателей. Н. В.

65923. Замечания о работе станций очистки сточных вод. Сильвестр (A critical appraisal of sewage works operation and design. Sylvester Robert O.), Sewage and Industr. Wastes, 1955, 27, № 7, 759—772 (англ.)

Приведены данные о строительных и эксплуатационных расходах 121 обследованной станции по очистке сточных вод штата Вашингтон. Отмечены недостатки в их строительстве и рассмотрены вопросы, связанные с их эксплуатацией. А. Ф.

65924. Модернизация станции очистки воды в Орландо (шт. Флорида). Стантон (Orlando water plant modernization. Stanton C. H.), Water and Sewage Works, 1955, 102, № 8, 273—276 (англ.)

65925. Нейтрализация кусковым известняком сточных вод, содержащих кислоты. Лешеньей (Savas szennyvizek semlegesítése darabos mészkövel. Lésényei József), Hidrol. közl., 1955, 35, № 9-10, 331—334 (венг.; рез. русс., нем.)

Опыты показали, что серная к-та и смеси к-т с ее содержанием не поддаются нейтр-ции (очевидно из-за загипсования поверхности). Азотная и соляная к-ты в конц-ях 5—10% нейтрализуются в течение 1—2 час., в более низких конц-ях — за время >5 час. Уксусная к-та нейтрализуется в конц-ях $\leq 10\%$. Г. К.

65926. Удаление радиоактивных отходов. Уолман, Горман (Disposing of radioactive wastes. Wolman Abel, Gorman Arthur E.), Mech. Engng, 1955, 77, № 4, 321—324 (англ.)

Воздух, применяемый для охлаждения ядерных реакторов, и содержащий радиоактивные Ar, Xe, Kr, выбрасывается в атмосферу через трубы, высотой >90 м. Система охлаждающей воды подвергается продувке, удаляемая из цикла вода обессоливается и снова поступает в цикл. Иониты, применяемые для обессоливания, сжигаются, или закапываются. Летучие изотопы улавливают из газовой фазы в скрубберах. Из сточных вод радиоактивные изотопы адсорбируют специально обработанными монтмориллонитовыми глинами. О. М.

65927. Вода и сточные воды гальванических установок. Куйзель (Wasser und Abwasser in der Galvanotechnik. Kuisel Hans), Techn. Rundschau, 1955, 47, № 48, 1—3 (нем.)

65928. Биохимическая очистка сточных вод нефтеперерабатывающих заводов. Шервуд (Biological treatment of aqueous refinery wastes. Sherwood Peter W.), Water and Water Engng, 1955, 59, № 718, 550—553 (англ.)

Сточные воды (СВ) нефтеперерабатывающих заводов содержат фенолы, нефть и другие органич. примеси. Изучалась их биохим. очистка с активным илом (АИ) и на биофильтрах (БФ). АИ должен быть постепенно акклиматизирован, после чего он может работать на воде, имеющей состав (в мг/л): фенолы 100; БПК 1100; окисляемость 500. При времени аэрирования 8—12 час; дозе акклиматизированного АИ 4—5 г/л и pH 8 достигнуто снижение (в %): фенолов 90—95, БПК 90—95, окисляемости 73—75. Увеличение дозы АИ снижает продолжительность очистки: при дозе АИ 3,8 г/л время аэрирования 9 час., при 6,7 г/л — 4,5 часа. Введение рециркуляции позволяет снизить БПК на 99%. Очистка СВ на БФ проводилась при нагрузках СВ 331,5—1638 л/час на 1 м² площади БФ, при высоте слоя загрузки 15,2 см. При рециркуляции 2 : 1 снижение конц-ии фенолов соответственно составляло 88—81%; без рециркуляции эффект снижался до 55%. Удаление нефти при нагрузке 331,5 л/час на 1 м² без рециркуляции 58%; с рециркуляцией 69%. Н. В.

65929. Очистка фенольных сточных вод газогенераторных установок. Драбек (Čistění fenolových odpadních vod generátorových stanic. Drábek B.), Paliva, 1955, 35, № 11, 319—322 (чеш.; рез. русс., нем.)

Лабораторные опыты показали возможность очистки фенольных вод путем фильтрования их через шлак. Отработанный фильтрующий материал восстанавливает свою адсорбционную способность по истечении некоторого времени в результате окисления фенолов кислородом

воздуха. Конц-ия фенола в воде должна быть ≤ 2000 мг/л. Опыты на небольшом стекольном з-де показали применимость этого метода для з-дов средней производительности. Фенольную воду при подаче на фильтр нужно мелко разбрызгивать, отработанный фильтр — периодически промывать и хорошо продувать воздухом.

65930. Рекомендации по обезвреживанию сточных вод предприятий шерстяной промышленности. — (An industrial waste guide to the wool processing industry. —), Amer. Dyestuff Reporter, 1955, 44, № 19, P655—P661 (англ.)

Дан обзор проблемы очистки сточных вод (СВ) предприятий шерстяной пром-сти. Рекомендуется при обезвреживании СВ исходить из следующих положений: максимально сокращать кол-во и загрязненность СВ путем соответствующей организации технологич. процесса; извлекать из СВ ценные примеси (волокно, жир, удобриельные в-ва); при представляющей к тому возможности очищать СВ совместно с городскими. В случае самостоятельной очистки СВ возможно применение следующих методов: коагуляция, хлорирование, адсорбция, биохим. окисление. Для коагуляции СВ от мытья шерсти могут применяться H_2SO_4 , $CaOCl_2$, $CaCl_2 + CO_2$. Обесцвечивание красильных стоков может осуществляться: хлорированием, нейтр-цией известью, фильтрованием через активный уголь, фуллерову землю и активированный боксит. Для коагуляции общего стока рекомендуются: $Al_2(SO_4)_3$, $FeSO_4$ и $FeCl_3$. Очистка на биофильтрах может рассматриваться как метод доочистки.

65931. Научно-техническая конференция по водному хозяйству и обезвреживанию сточных вод сульфитцеллюлозной и бумажной промышленности. — (Gospodarka wodna i neutralizacja ścieków w przemyśle celulozowo-papierniczym. —), Przegl. papiern., 1955, 11, № 10, 310—314 (польск.)

Программа конференции и краткие рефераты докладов и выступлений.

65932. Модифицированная схема сбраживания сточных вод предприятий мясной промышленности. Стеффен (Full-scale modified digestion of meat parking wastes. Steffen Alfred J.), Sewage and Industr. Wastes, 1955, 27, № 12, 1364—1368 (англ.)

Описана схема установки для сбраживания сточных вод (СВ) предприятий мясной пром-сти, состоящая из сооружения для выравнивания расхода СВ, метантенков, дегазатора, устройства для отделения сброженного твердого в-ва от СВ, высоконагружаемых биофильтров и хлоратора. Установка запроектирована на основе лабор. опытов, позволивших установить, что анаэробное сбраживание СВ успешно протекает при 12-часовом периоде сбраживания с нагрузкой 3,56 кг БПК на 1 м³ объема метантенка и т-ре 35° и ведет к снижению БПК (1200—3000 мг/л) на 95% и грубодисперсных примесей на 97%.

65933. Очистка и использование сточных вод крахмального производства в рыбных прудах. Пытлик (Cistění a využití plodových odpadních vod škrobářských v akumulčních rybnících. Pytlík R.), VoJa, 1956, 35, № 1, 24 (чеш.)

65934. Очистка активным илом сточных вод от консервирования цитрусовых. Доэрти, Уолфорд, Мак-Нэри (Citrus waste water treatment of activated sludge. Dougherty Marshall H., Wolford Richard W., McNary Robert R.), Sewage and Industr. Wastes, 1955, 27, № 7, 821—826 (англ.)

Опыты проводились в лабор. условиях с искусственно приготовленной сточной водой (СВ) (БПК ≈ 2000 мг/л).

Установка состояла из трех проточных последовательно соединенных аэротенков и отстойника. Продолжительность аэрирования в каждом аэротенке 6 час. Конц-ия активного ила не должна превышать 16% по объему. Снижение БПК на 90% достигалось при нагрузке 2,6—4,1 кг БПК на 1 м³ аэротенка в сутки. Добавка N и P излишня. Перегрузка снижает качество очистки СВ и ухудшает ил. Микроскопич. анализ ила показал наличие в нем *Vorticellae*, что указывает на его хорошее состояние. При длительной непрерывной работе наблюдается снижение pH, вызывающее ухудшение качества ила и выходящей воды. Добавки щелочи для поддержания pH ~ 7 улучшают качество ила. Избыточный ил центрифугировался и подсушивался. При анализе сухого ила в 1 г его обнаружены следующие кол-ва витаминов группы B (мг): витамин B₁₂ 2,0; ниацин 35; рибофлавин 9,4; пантотеновая к-та 20,0; тиамин 5,0; пиридоксин 5,0. Поэтому подсушенный ил может служить источником витаминов в пищевом рационе животных.

65935. Очистка и использование сточных вод кожанного производства. Руада, Медем-Сан-хуан (Depuración y aprovechamiento de aguas residuales procedentes de tenerías. Rueda Javier Martin, Medem San Juan Jose), Rev. obras públicas, 1956, 104, № 2, 72—78 (исп.)

65936. Сброс мусора в канализацию. Хазелтайн (Addition of garbage to sewage. Hazeltine T.R.), Water and Sewage Works, 1955, 102, № 6, R308—R311 (англ.)

Сброс уличного мусора и хозяйственно-бытовых отходов повышает БПК сточных вод и усиливает их запахи. Процесс сбраживания осадка при наличии мусора замедляется и сопровождается повышением выхода к-т (резкое снижение pH).

65937. Фильтрация ила на очистных сооружениях в Ярдей. Джонс, Дженкинс (Sewage sludge filtration at Yardley Works. Jones B. R. S., Jenkins S. H.), Municip. Engng, 1955, № 3432, 1312; № 3433, 1347 (англ.)

Проведены работы по обезвоживанию сырого и сброженного (при 53—63°) ила на вакуум-фильтре. Для фильтрации ила при постоянном давлении получена следующая зависимость между объемом фильтрата V и временем t: $t/V = b \cdot V + a'$, где a и b — постоянные, характеризующие процесс фильтрации в данных условиях. Способность ила к обезвоживанию характеризуется его уд. сопротивлением r: $r = 2b \cdot p \cdot A^2 / \mu g \text{ см}^2 / g$, где p — общее давление, A — фильтрующая площадь, μ — вязкость фильтрата, v — весовое соотношение твердой и жидкой фазы в исходном иле. Производительность вакуум-фильтра — L (кг твердой фазы/м² час) может быть рассчитана по ф-ле: $L = 0,0357 \times \times [(100 - C_k) : (C_u - C_k)]^{1/2} \cdot 0,0703 mPC_u(100 - C_u) : MRn^{1/2} \times \times 4,88$, где: C_k — влажность кека в %; C_u — влажность исходного ила в %; m — время всасывания в % от времени оборота барабана; P — среднее всасывающее давление, кг/см²; M — время одного оборота барабана в мин; R = r · 10⁻⁷; n — вязкость фильтрата в сантипуазах. Во избежание засорения ткани M должно быть $\geq 2,5$ мин. Добавление к илу коагуляторов облегчает обезвоживание. Наиболее экономична известь. Увеличение времени контакта ила с известью повышает значение r. Рекомендуется применение CaO в кол-ве 10% на сухое в-во ила. Добавление коагуляторов к сброженному илу снижает r и поэтому не рекомендуется. Хорошие результаты со сброженным илом получают, повторно добавляя к 1-му объему его 3 объема очищ. сточной воды. После отстаивания ил хорошо обезвоживается на вакуум-фильтре с добавлением FeSO₄Cl.

А. Ф.

65938. Лабораторная оценка сбраживания осадка сточных вод с высокими дозами загрузки. Соьер, Рой (A laboratory evaluation of high-rate sludge digestion. Sawyer C. N., Roy H. K.), Sewage and Industr. Wastes, 1955, 27, № 12, 1356—1363 (англ.)

Лабораторные метавтенки (емк. 6 л) эксплуатировались со временем пребывания (ВП) осадка от 6 до 20 суток. Загрузка проводилась через 12 час. Осадок перемешивался за счет рециркуляции газа. Максимум загрузки при 6-суточном ВП 4,2—6,7 кг/м³ по органич. в-ву. Степень распада органич. в-ва 52,2% при 6-дневном ВП и 58,2% при 20-дневном ВП. Распад жиров соответственно 53,0% и 71,4%; распад протеинов (по аммонийному азоту) при 6-дневном ВП составил 86% по отношению к 20-дневному ВП. Выход газа повышался с увеличением ВП от 0,549 до 0,599 м³/кг загруженного органич. в-ва. Л. Г.

65939. Опыт эксплуатации автоматических дозаторов коагулянта. Новаковский Н. С., Водоснабжение и сан. техника, 1955, № 6, 9—12

Для автоматизации дозировки коагулянта на Сталинской водопроводной станции установлен дозатор системы Чейшвили и Крымского, действие которого основано на изменении электропроводности воды до и после ввода коагулянта. Годичная эксплуатация показала резкое уменьшение числа отклонений фактич. доз от заданных; точность дозировки выдерживалась в пределах $\pm 5\%$. Г. К.

65940. Пробоотборник для сточных вод. Гендерсон (Sewage and industrial waste sampler. Henderson W. B.), Sewage and Industr. Wastes, 1955, 27, № 9, 1036—1039 (англ.)

Дана схема портативного пробоотборника для сточных вод (СВ), состоящего из системы труб, насоса и соленоида. Непрерывно забираемая насосом вода совершает замкнутый кругооборот, и часть ее через клапан попадает в воронку, распределяющую ее в отдельные сосуды. Расход СВ измеряют по уровню их в канализационном колодце. Отбор проб можно производить с глубины 1,2—4,8 м. А. Ф.

65941. Измерение расхода жидкости в коллекторе при помощи омметра. Ай (Measuring flow in sewers by the ohmmeter technique. Eue John D.), Water and Sewage Works, 1955, 102, № 8, 297—299 (англ.)

Описан прибор для определения глубины жидкости, состоящий из двух изолированных проводников, фиксированного и подвижного, соединенных с вольт-омметром. Фиксированный проводник устанавливают на дне коллектора, подвижной постепенно опускают; при соприкосновении его с жидкостью происходит замыкание цепи, фиксируемое прибором. Максимум ошибка $< 10\%$. Отдельно определяют скорость течения жидкости и по этим данным вычисляют ее расход. М. Г.

65942 К. Справочник по отведению городских сточных вод. Изд. 16-е, перераб. и расшир. Имхофф (Taschenbuch der Stadtentwässerung. 16. verb. und erw. Aufl. Imhoff Karl. München, R. Oldenbourg, 1956, 338 S., ill.) (нем.)

65943 К. Организация эксплуатации водоподготовительного оборудования промышленных теплоэнергетических станций. Мещерский Н. А. М.—Л., Госэнергоиздат, 1956, 367 стр., илл., 12 р. 75 к.

65944 К. Новые пути в подготовке питательной воды на электростанциях. Сб. статей. Перев. с нем. М.—Л., Госэнергоиздат, 1956, 23 стр., илл., 1 р. 45 к.

65945 П. Осаждение (Precipitation) [Permacel Tape Corp.] Австрал. пат. 154799, 4.02.54

Коагуляция коллоид. систем может быть произведена

добавкой к ним 1—10 000 мг/л растворимых в воде полимеров, способных к ионизации с отдачей в р-р ионов, имеющих заряд, противоположный по знаку заряду колл. частиц. Указанные полимеры могут быть получены конденсацией 1,2 моля альдегидов с 1 молем соли гуанидина. Ю. С.

65946 П. Переносное приспособление для очистки и фильтрования воды. Фейе (Appareil portatif pour la purification et le filtrage de l'eau. Feuille G.). Франц. пат. 1075858, 20.10.54 [Chimie et industrie, 1955, 74, № 3, 467 (франц.)]

Вода вливается в спец. мешок, где она обеззараживается антисептич. средствами, затем, через нижнюю конич. часть мешка, заканчивающуюся удлиненным отростком, она поступает в карман, содержащий фильтрующий материал, удаляющий одновременно избыток введенного антисептика. М. Г.

65947 П. Генерация пара и состав для пеногашения. Ризнар (Steam generation and compositions for inhibiting foaming. Ryznar John W.) [National Aluminate Corp.]. Пат. США 2701239, 1.02.55

В качестве пеногасителя предложен продукт взаимодействия первичного или вторичного амина с осесмесью окиси этилена и окиси 1,2-пропилена. Средний мол. вес полученного соединения ≥ 1200 , оно практически не растворимо в котловой воде при т-ре генерации пара и может применяться также и при повышенном содержании котловой воды. О. М.

65948 П. Пеногасители для применения в парогенераторах. Берд, Джакоби (Inhibition of foaming in steam generators. Bird Paul G., Jacoby Arthur L.) [National Aluminate Corp.]. Пат. США 2717881, 13.09.55

Вспенивание воды котлов с давлением выше атмосферного может быть подавлено добавлением пеногасителей типа $\text{XC(O)N(H)Y(N)C(O)Z}$, где: X и Z — радикалы алифатич. углеводородов, содержание ≥ 10 атомов Си одну двойную связь $\text{C}=\text{C}$; Y — остаток полиамина. Примером таких пеногасителей являются: дирицинолентриэтилентетрамин; диолеилдиэтилентриамин; симметричный ненасыщ. диацилполиамин; диолеилтриэтилентетрамин; олеилстеарилдиэтилентриамин; симметричный ненасыщ. диацилполиэтиленполиамин. Приведены методы синтеза этих пеногасителей. О. М.

65949 П. Метод предотвращения пенообразования при генерации пара. Деман (Method of inhibiting foam formation in steam generating systems. Deman Wayne L.) [Dearborn Chemical Co.]. Пат. США 2727867, 20.12.55

Для предотвращения пенообразования рекомендуется добавлять в котловую воду в-ва общей ф-лы $\text{HO}-\text{CH}_2-\text{CH}_2-(\text{O}-\text{CH}_2-\text{CH}_2)_x-\text{O}-\text{CH}(\text{CH}_3)-\text{CH}_2-\text{O}-[\text{CH}(\text{CH}_3)-\text{CH}_2-\text{O}]_y-\text{CH}(\text{CH}_3)-\text{CH}_2-\text{O}-(\text{CH}_2-\text{CH}_2-\text{O})_z-\text{CH}_2-\text{CH}_2-\text{OH}$ с мол. весом в пределах 1500—12 000; x имеет значение ≥ 15 ; y — от 3 до 63. В. Ш.

65950 П. Песколовка для сточных вод. Стенгел (Waste water purifying plant. Stengel E.). Англ. пат. 713609, 11.08.54 [J. Appl. Chem., 1955, 5, № 3, 1338 (англ.)]

Вода, содержащая грубодисперсные примеси, переливается через подвижный порог. Перед порогом установлена цилиндрич. горизонтальная камера, попадая в которую нижние слои воды, содержащие в основном песок, хорошо перемешиваются. Песок поступает в коллектор, расположенный сбоку камеры, а более легкие примеси уносятся потоком воды. Песок из коллектора удаляется сжатым воздухом. С. С.

65951 П. Способ очистки сточных вод целлюлозной, бумажной и картонной промышленности. Цварц,

Xen
Sera
sera
[Zsch
ФРГ
L104

Дл
ров пр
почти
я прод
65952

(Slud
Ке
2703
С ц

кол-в с
гании
серуку
автом
колос
сопло

из нег
дятся
устрой
прива

Вал и
водой.
ыми
из ра

См.
сей 6
67276
емы
65479

65953
алек
(Die
Stro
Bren
(нем
Рас
цесс
ния т
тов.
совме
основ
65954

В у
o d
31,
При
пасы,
живан
в том
лучен

65955
und
Ge
17—
Рас
лей, а
а так
зольн
анализ

65956
und
Ge
17—
Рас
лей, а
а так
зольн
анализ

65957
und
Ge
17—
Рас
лей, а
а так
зольн
анализ

65958
und
Ge
17—
Рас
лей, а
а так
зольн
анализ

65959
und
Ge
17—
Рас
лей, а
а так
зольн
анализ

65960
und
Ge
17—
Рас
лей, а
а так
зольн
анализ

65961
und
Ge
17—
Рас
лей, а
а так
зольн
анализ

65962
und
Ge
17—
Рас
лей, а
а так
зольн
анализ

65963
und
Ge
17—
Рас
лей, а
а так
зольн
анализ

65964
und
Ge
17—
Рас
лей, а
а так
зольн
анализ

65965
und
Ge
17—
Рас
лей, а
а так
зольн
анализ

65966
und
Ge
17—
Рас
лей, а
а так
зольн
анализ

65967
und
Ge
17—
Рас
лей, а
а так
зольн
анализ

65968
und
Ge
17—
Рас
лей, а
а так
зольн
анализ

65969
und
Ge
17—
Рас
лей, а
а так
зольн
анализ

65970
und
Ge
17—
Рас
лей, а
а так
зольн
анализ

65971
und
Ge
17—
Рас
лей, а
а так
зольн
анализ

65972
und
Ge
17—
Рас
лей, а
а так
зольн
анализ

65973
und
Ge
17—
Рас
лей, а
а так
зольн
анализ

65974
und
Ge
17—
Рас
лей, а
а так
зольн
анализ

65975
und
Ge
17—
Рас
лей, а
а так
зольн
анализ

65976
und
Ge
17—
Рас
лей, а
а так
зольн
анализ

65977
und
Ge
17—
Рас
лей, а
а так
зольн
анализ

65978
und
Ge
17—
Рас
лей, а
а так
зольн
анализ

65979
und
Ge
17—
Рас
лей, а
а так
зольн
анализ

65980
und
Ge
17—
Рас
лей, а
а так
зольн
анализ

65981
und
Ge
17—
Рас
лей, а
а так
зольн
анализ

65982
und
Ge
17—
Рас
лей, а
а так
зольн
анализ

65983
und
Ge
17—
Рас
лей, а
а так
зольн
анализ

65984
und
Ge
17—
Рас
лей, а
а так
зольн
анализ

65985
und
Ge
17—
Рас
лей, а
а так
зольн
анализ

65986
und
Ge
17—
Рас
лей, а
а так
зольн
анализ

65987
und
Ge
17—
Рас
лей, а
а так
зольн
анализ

65988
und
Ge
17—
Рас
лей, а
а так
зольн
анализ

65989
und
Ge
17—
Рас
лей, а
а так
зольн
анализ

65990
und
Ge
17—
Рас
лей, а
а так
зольн
анализ

65991
und
Ge
17—
Рас
лей, а
а так
зольн
анализ

65992
und
Ge
17—
Рас
лей, а
а так
зольн
анализ

65993
und
Ge
17—
Рас
лей, а
а так
зольн
анализ

65994
und
Ge
17—
Рас
лей, а
а так
зольн
анализ

65995
und
Ge
17—
Рас
лей, а
а так
зольн
анализ

65996
und
Ge
17—
Рас
лей, а
а так
зольн
анализ

65997
und
Ge
17—
Рас
лей, а
а так
зольн
анализ

65998
und
Ge
17—
Рас
лей, а
а так
зольн
анализ

65999
und
Ge
17—
Рас
лей, а
а так
зольн
анализ

66000
und
Ge
17—
Рас
лей, а
а так
зольн
анализ

Хенниг (Verfahren zur Reinigung von Abwässern der Zellstoff, Papier- und Pappenindustrie. Schwarz Rudolf, Hennig Theodor) [Zschimmer und Schwarz, vormals Chemnitz.]. Пат. ФРГ 929889, 4.07.55 [Papier, 1955, 9, № 19/20, L104 (нем.)]

Для осветления сточных вод в качестве коагуляторов применяют смеси сульфированных жиров (предпочтительно касторового масла) и белковых в-в (клея и продуктов его разл.) или кератина.

М. Г. 65952 П. Печь для сжигания осадка. Херндон (Sludge decomposing kiln. Herndon Lyle Kermitt) [The Fluor Corp., Ltd]. Пат. США 2703749, 8.03.55

С целью предотвращения накапливания больших кол-в спекшегося остатка (СО), образующегося при сжигании осадков промышленных сточных вод, содержащих серную к-ту, предложена цилиндрич. печь, которая позволяет непрерывно удалять СО. Корпус печи разделен колосниковой решеткой (КР) на две зоны. Осадок через сопло подается в верхнюю зону, где при высокой т-ре из него выделяется SO_2 , и падает на КР. Воздух подается в нижнюю зону печи. Излишки СО скребковым устройством подаются в разгрузочные трубы, смонтированные в КР и расположенные под скребками. Вал и рычаги скребкового устройства охлаждаются водой. Кол-во удаляемого СО контролируется винтовыми устройствами, расположенными в конце каждой из разгрузочной трубы.

См. также: Анализ 65304, 65317, 65354. Св-ва примесей 66345. Иониты 66390, 65489. Коррозия 67255, 67276. Утилизация и удаление отходов 66201. Водоотемы и водотоки 67234. Аппараты и к.-и. приборы 65479, 65776

ПЕРЕРАБОТКА ТВЕРДЫХ ГОРЮЧИХ ИСКОПАЕМЫХ

65953. Совместное производство горючего газа, электроэнергии и синтетических продуктов. Бахль (Die Verbunderzeugung von Heizgas, elektrischem Strom und Syntheseprodukten. Bachl Herbert), Brennstoff-Wärme-Kraft, 1954, 6, № 5, 157—163 (нем.)

Рассмотрены (с точки зрения термодинамики) процессы переработки твердого топлива с целью получения тепловой и электрич. энергии и синтетич. продуктов. Сделан вывод об экономич. целесообразности совместного осуществления указанных процессов на основе комплексного использования топлива. С. Г. 65954. Энергия и химические продукты из торфа.

Вудуорд (Power and chemicals from peat. Woodward F. Neville), Industr. Chemist, 1955, 31, № 364, 219—224 (англ.)

Приводятся краткие сведения о торфе: мировые запасы, физ. и хим. свойства, способы добычи и обезвоживания, использование для произ-ва электроэнергии (в том числе в газовых турбинах), коксование для получения кокса, смолы и газа, переработка в синтез-газ.

В. К. 65955. Химия угля и кокса I. Грауэ (Kohle- und Kokschemie I. Von der Kohle zum Koks I. Graue Georg), Chem. Labor. und Betrieb, 1956, 7, № 1, 17—28 (нем.)

Рассмотрены вопросы происхождения каменных углей, запасы, и добыча их в 1954 г. в различных странах, а также методы исследования: определение влажности, зольности, летучих, теплотворности и элементарный анализ.

Н. К.

65956. Проект германского стандарта DIN 51850 на газообразные топлива. Теплоты сгорания и теплотворности их компонентов при 25° и 760 мм рт. ст. — (Gasförmige Brennstoffe. Verbrennungswärmen und Heizwerte ihrer Komponenten bei 25° C und 760 Torr, Entwurf Februar 1955, DIN 51850.—), Erdöl und Kohle, 1955, 8, № 1, 29—30 (нем.)

Приводятся значения теплоты сгорания (ранее имевшейся высшей теплотворности) и теплотворности (ранее — низшей теплотворности) для индивидуальных газов: CO , H_2 , CH_4 , C_2H_2 , C_2H_4 , C_2H_6 , C_3H_8 , $\alpha\text{-C}_4\text{H}_{10}$, $\text{изо-C}_4\text{H}_{10}$, $n\text{-C}_4\text{H}_{10}$, $\text{изо-C}_5\text{H}_{12}$, C_5H_{12} , C_6H_6 , C_6H_{10} , NH_3 , C_2N_2 , HCN , H_2S , CS_2 , COS , а также для С (кокс) и С (графит) при сгорании их в CO_2 и CO .

Б. Э. 65957. О распределении отдельных компонентов золы каменного угля между петрографическими фракциями, полученными методом избирательного дробления. Бабкин М. П., Ж. прикл. химии, 1956, 29, № 1, 147—148

Исследование распределения составных элементов золы угля между блестящей фракцией (витрен и кларен) и матовой (дюрен и фюзен) показало, что содержание SiO_2 в золе исследованных образцов угля, а также полуторных окислов в большинстве проб (четырёх) и окиси алюминия повышено в матовой фракции, содержание окиси кальция и серы значительно увеличено во всех образцах блестящей фракции, а кол-во окиси железа и окиси марганца повышено в большинстве проб блестящей фракции. Закономерности в распределении окиси магния между отдельными фракциями установить нельзя.

Б. Э. 65958. Общая химическая характеристика торфов БССР. Раковский В. Е., Позняк В. С., Шиманский В. С. (Агульня хімічная характарыстыка тарфоў БССР, Ракоўскі В. Е., Позняк В. С., Шыманскі В. С.), Весті АН БССР, 1955, № 5, 128—139 (белорус.); Изв. АН БССР, 1955, № 5, 135—147

Приведены анализы белорусских торфов различных видов и ботанич. состава; приводятся содержание золы, элементарный состав органич. массы, теплота сгорания, хим. состав золы. Показано, что зольность верхних торфов колеблется в пределах 1,11—4,0%, низинных в пределах 4,0—12,0%; теплота сгорания большинства торфов средней степени разложения составляет 5400—5600 ккал/кг органич. массы; органич. масса торфов содержит С 50—60%, Н 5—6%, N 3,5%. По составу золы низинные торфы отличаются повышенным содержанием Са.

В. К. 65959. Некоторые данные о составе горючих сланцев месторождения Общій Сырт. Полозов В. Ф., Сиверцев А. П., Тр. Всес. н.-и. ин-та по переработке сланцев, 1955, № 4, 57—62

Проведено исследование состава горючих сланцев из опытных штолен месторождения Общій Сырт. При полукоксовании сланца с Q_D^C 3217 ккал/кг выход смолы в среднем составляет 18,9%, а полуккокса — 62,8%; последний имеет Q_D^C 2400 ккал/кг и может быть использован как промышленное и бытовое топливо; а также в качестве исходного сырья для получения водяного газа. Ввиду того, что содержание CaO в золе сланца составляет от 17 до 39%, а минер. часть сланца ~ 50%, полуккоксы могут также служить исходным сырьем для получения вяжущих материалов типа цемента. Б. Э. 65960. Обогащение прибалтийских горючих сланцев. Рембашевский А. Г., Проскуряков В. М., Тр. Ленингр. технол. ин-та им. Ленсовета, 1954, 30, 53—68

Исследования по обогащению горючих сланцев показали, что методом флотации можно получить из сырья, содержащего 30—35% органич. массы, концентрат

88—90% органич. массы (степень ее извлечения 90—92%) и концентрат, содержащий 85—90% известняка. Первый является очень ценным сырьем для получения искусств. жидкого топлива и высококалорийного энергетич. газа, второй — для произ-ва портланд-цемента. Авторами предложена технологич. схема обогащения горючих сланцев. Б. Э.

65961. Освоение и эксплуатация вакуумного пеногасителя в флотационном отделении Чумаковской ЦОФ. Воронов К. Д., Бутовецкий В. С., Кокс и химия, 1955, № 2, 18—20

Образующийся в результате флотации пенный продукт при удалении из флотомашин имеет толщину слоя 100—150 мм, устойчив, насыщен частицами высококачеств. низкосортного коксующегося угля. Пенный продукт, состоящий из 25—30% воды, 55—65% воздуха и 5—20% угля, насосом перекачивается на вакуум-фильтрацию в дисковых и барабанных вакуум-фильтрах. Предварительно пенный продукт подвергается пеногашению, чтобы не снизить его транспортируемость. Из-за неудовлетворительного пеногашения также снижается производительность вакуум-фильтра, а в отдельных случаях (Чумаковская ЦОФ, Ново-Макеевская СФ, Ворошиловская ОФ) падает до 0. Автор объясняет снижение производительности вакуум-фильтра за счет дополнительных затрат времени на разрушение пузырьков воздуха. Как показала практика, пеногасители вакуумного типа недостаточно эффективны. При самотечной транспортировке пенного продукта производительность вакуумфильтрации низка. На Чумаковской ЦОФ разработан и внедрен способ гашения пены, основанный на явлении инжекции. Пенный продукт засасывается воздух из атмосферы, который при инжекции увлекает пенный продукт в бак-рецидив. В процессе транспортирования происходит пеногашение. В рецивере происходит отделение воздуха от пены, которая самотечком поступает на фильтрацию. В результате на фильтре образуется корка кека в 50—60 мм, равномерно распределенная по всей площади дисков. У. А.

65962. Коксование низкосортных углей в непрерывнодействующих вертикальных ретортах. Брансон, Пиккеринг (The carbonisation of low-rank coals in continuous vertical retorts. Branson W. R., Pickering E. T.), Gas. World, 1956, 143, № 3737, 743—747 (англ.)

Приводятся результаты опытов коксования слабококующихся английских углей в вертикальных ретортах в смеси с коксующимися углями, а также без добавок последних. В. К.

65963. Новые методы улавливания химических продуктов коксования. Сансам, Гигиль (Recent developments in by-product recovery plant. San-sam W., Gigiel J.), Gas World, 1955, 141, № 3690, 91—100 (англ.)

Рассматриваются новые методы улавливания и обработки хим. продуктов коксования угля: 1) селективное улавливание H_2S из коксового газа р-ром NH_3 , 2) улавливание и выделение HCN , 3) выделение пиридина при улавливании NH_3 в сатураторе, 4) очистка сырого бензола каталитич. гидрированием. Приведены схемы и технико-экономич. показатели этих процессов. Гибл. 17 назв. В. К.

65964. Свойства текучести системы каменноугольной гез-масло (в присутствии полимера). Вуд, Филлипс (The flow properties of a polymer coal tar pitch system. Wood L. J., Phillips G), Bull. Brit. Soc. Rheol., 1955, № 43, 7 (англ.)

В результате исследования вязко-эластич. свойств

системы пек и масло из каменноугольной смолы вертикальных реторт установлено, что в отсутствие полимера смеси масла и пека представляют собой вязкие составы, которые следуют ньютоновским законам течению. Добавление полиметилметакрилата вызывает опережающий эффект эластич. деформации и примерно равное отставание восстановления при снятии напряжения. Л. П.

65965. Центральная установка в Гельзенкирхене для ректификации сырого бензола под давлением. Треффи (Die zentraldestillationsanlage für druckraffiniertes Rohbenzol in Gelsenkirchen. Trefny Franz), Erdöl und Kohle, 1955, 8, № 12, 874—879 (нем.)

Дается подробное описание работы с приложением схемы центр. ректификационной установки для разделения сырого бензола под давлением, включающей установки по получению бензола, толуола, ксилола и арзола. Характеризуется разделительная способность установки, позволяющей получать, считая на сырой бензол, — 63% чистого бензола с т. кип. 80°; 13% чистого толуола с т. кип. 110°; 7% чистого ксилола, кипящего в пределах 138—141°; 2% арзола 1 (165—180°) и 3% арзола 2 (180—200°). Приводится организационная и штатная структура установки. Б. Э.

65966. Полукоксование землестых бурых углей Украинской ССР под давлением в лабораторных условиях. Чернышев А. Б., Толубинский В. И., Альтшулер В. С., Рабинович М. И., Шафир Г. А., Хопта Г. Н., Сб. тр. Ин-та теплоэнерг. АН УССР, 1955, № 11, 37—50

Исследован в лабор. установках процесс полукоксования украинских бурых углей под давл. до 50 ат в токе азота и паровозотной смеси. Показано, что первичный процесс разложения этих углей в среде азота при т-рах до 600° не зависит от давления, но в смеси с повышением давления увеличивается содержание парафинов и уменьшается содержание легких фракций. Опыты в паровозотной среде показали, что введение водяного пара увеличивает выход газа и первичной смолы и уменьшает выход полукоксовки; при этом с увеличением давления увеличивается уд. вес смолы, содержание в ней парафина и силикагелевых смол, уменьшается содержание оснований, фенолов, карбоновых к-т и нейтр. углеводородной части; степень разложения водяного пара, вводимого с дутьем, при одинаковом времени пребывания парогазовых продуктов в реакционном аппарате тем меньше, чем выше давление. Н. К.

65967. Каталитический крекинг парогазовых продуктов полукоксования углей. Жуков В. А., Тагушева Л. Д., Солодовникова К. С., Лебедева П. И., Тр. Ленингр. инж.-экон. ин-та, 1955, № 9, 97—106

С целью повышения выхода моторного топлива при полукоксовании углей проведено лабор. исследование с парофазным крекингом продуктов полукоксования при атмосферном давлении с применением различных катализаторов. Полукоксование велось в вертикальной стальной трубке, при непрерывном движении угля (марки Д); парогазовые продукты полукоксования проходили через трубку с движущимся слоем нагретого катализатора при т-рах 400—550°. В качестве катализаторов испытывались: активированная кембрийская глина и собственный полукоксов, активированный перегретым водяным паром при т-ре 600 и 800°. Лучшие результаты получены при использовании полукоксов, активированного при 840° и при т-ре крекинга 400°; выход очищ. бензиновой фракции при этом повысился на 142%, а дизельной — на 25%. В. К.

65968. Нейтральные компоненты легкого масла с пределами кипения 1—188°, полученного из

каменноугольной смолы полукоксования. Егер, Катвинкель (Über die neutralen Bestandteile des Steinkohlenschwelteres, insbesondere im Leichtöl vom Siedebereich 134—188° C. Jäger Alfred, Kattwinkel Günter), Brennstoff-Chemie, 1954, 35, № 23/24, 353—362 (нем.).

В результате периодич. фракционной разгонки 25 кг легкого масла на колонне с 55 теоретич. тарелками, с производительностью 2 л/час, рабочим объемом 300 см³ получено в интервале 100—200° 27 фракций. Выделение индивидуальных компонентов производилось хим. методами, в частности хроматографией. Парафины и ароматич. углеводороды исследовались количественно, а смеси изопарафинов с нафтенами — качественно. Приведены данные анализа узких фракций в ИК-спектре. Во фракции нейтр. масла (134—188°) обнаружено 34 в-ва (20 ароматич., 4-л-парафина, 6 нафенов, 3 изопарафина; кроме того, в этой фракции найден 2,5-диметилтиофен). Выделены пентен-1, гексен-1, гептен-1, октен-1, бутанол и ацетон. Подробно описаны методы выделения бензола, толуола и нафталена. Были также изолированы метилциклогексан и л-гептан. Отмечено относительно высокое содержание ароматики в бензиновой фракции 130—180°. Только ~20% присутствующих олефинов имеют обычную ненасыщенность и легко гидрируются. В общей ароматике больше всего представлены ароматич. углеводороды, оксисоединения, фенол, а также пиридин и пикколиин. Из соединений с открытой структурой представлены главным образом л-парафины. Даны и ненасыщ. соединения вышеуказанного характера.

Г. С. 65969. Исследование процесса газификации сланцев Поволжья под давлением с одновременным пиролизом сланцевой смолы. Додонов Я. Я., Борова Л. Д., Колосова В. С., Покаяевская В. С., Науч. ежегодник за 1954 г. Саратовск. ун-та, Саратов, 1955, 485

Исследовался процесс газификации сланца с водяным паром под давлением с одновременным пиролизом смолы, вводимой в зону газификации газогенератора. Введение смолы приводит к значительному увеличению кол-ва газа, при этом пиролиз смолы протекает полностью и улучшает качеств. состав газа, обогащая его метаном и другими углеводородами.

Б. Э. 65970. Исследование каталитических превращений сланцевой смолы. Сообщение I. Клявкин Н. А., Тарасенкова Е. М., Абаренкова Е. А., Добромослова К. Н., Тр. Ленингр. инж.-экон. ин-та, 1955, № 9, 90—96

Проведено лабор. исследование действия алюмосиликатного катализатора на пары сланцевой смолы. Парогазовые продукты полукоксования сланца пропускались без охлаждения через слой катализатора при т-рах от 300 до 500°: исследовался фракционный и групповой состав получаемых жидких продуктов. Показано, что алюмосиликатный катализатор в данных условиях: 1) дегидратирует некоторые нейтр. кислородные соединения смолы, 2) не ускоряет р-ции ароматизации, 3) при 500° ускоряет р-цию крекинга с повышением содержания непредельных углеводородов. В. К. 65971. Пути рациональной переработки сланцев на газ и жидкое топливо. Жуков В. А., Тр. Ленингр. инж.-экон. ин-та, 1955, № 9, 63—89

Рассмотрены физ.-хим. свойства сланцев и недостатки существующих технологий. схем их переработки с применением камерных или туннельных печей (применение только кускового сланца, большие потери углерода с сланцевым коксом или полукоксом). Описаны (без приведения эксперим. данных) рекомендуемые схемы безостаточной переработки как мелкого, так и кускового сланца с получением городского или промышленного газа в двухзонном газогенераторе; в нижней его

зоне происходит газификация полукокса, а в верхней — полукоксование сланца, для которого теплоносителем служит сланцевый газ после пиролиза; газ и пары смолы из камеры полукоксования проходят в насадочные регенераторы, где подвергаются пиролизу для получения товарного газа; регенераторы нагреваются продуктами сжигания газа, получаемого в зоне газификации полукокса. Приведен вариант схемы с регенератором с движущимся твердым теплоносителем и схема переработки сланцевой мелочи, по которой полукоксование сланца производится в аппаратах циклонного типа.

В. К. 65972. Исследование термического разложения пылевидного топлива в потоке пара. Каширский В. Г., Петелина В. С., Лобачева Н. П., Науч. ежегодник за 1954 г. Саратовск. ун-та, Саратов, 1955, 482—483

Приводятся данные по составу и выходу газа пирогенетич. разложения пылевидного топлива в реакторе с внешним обогревом в потоке перегретого пара при т-рах от 550 до 1000°. Пиролизу подвергались общесыртовский и волжский сланцы, а также украинский бурый уголь в виде пыли, полностью проходящей через сито с 900 отверстиями на 1 см². Время пребывания частиц топлива в реакторе не превышало десятых долей секунды. Установлено, что при разложении пылевидного топлива в потоке пара при определенных температурных условиях процессам термич. разложения органич. массы топлива сопутствует газификация пылевидного кокса водяным паром.

Б. Э. 65973. Полимеризация олефиновых углеводородов рафинатов средних фракций сланцевой смолы. Платонов Р. К., Тр. Всес. н.-и. ин-та по переработке сланцев, 1955, № 4, 152—160

Исследовалось влияние степени очистки исходного сырья от кислородных соединений (КС), а также режима полимеризации с $AlCl_3$ на выход и качество продуктов полимеризации. Работа проводилась с двумя рафинами дизельной фракции генераторной смолы разной степени очистки от КС. Повышенное содержание КС в исходном сырье отрицательно влияет на свойства полимерных масел (ПМ) и вызывает увеличение расхода $AlCl_3$; поэтому наиболее эффективным средством получения качеств. ПМ является максимально возможное удаление КС из исходного сырья. Сопоставление свойств ПМ типа автола 10 и МК-22 с аналогичными нефтяными маслами показало, что при одной и той же исходной вязкости ПМ содержат больше низкокипящих фракций, чем нефтяные, при этом последние имеют более однородный групповой состав. По мере повышения т-ры кипения фракций ПМ в них увеличивается содержание полициклич. соединений. Режим полимеризации и степень очистки исходного сырья от КС не оказывают влияния на характер окисления ПМ, причем последние обладают меньшей коррозионностью по отношению к свинцовистой бронзе по сравнению с нефтяными маслами. Окисление ПМ идет с образованием различных, растворимых в масле продуктов кислого, но не агрессивного характера, без образования асфальтенов и нерастворимых осадков.

Б. Э. 65974. Гидрирование кислой и нейтральной составляющих остатка генераторной сланцевой смолы, кипящего выше 325°. Глушенкова Е. В., Семенов С. С., Тр. Всес. н.-и. ин-та по переработке сланцев, 1955, № 4, 167—174

Приводятся предварительные данные по гидрированию (Г) кислых (КЧ) и нейтр. (НЧ) частей остатка сланцевой смолы полукоксования, кипящего выше 325°, в присутствии 1% тонкоизмельченного железа (жидкофазного) и вольфрамовых (для предварительного гидрирования и расщелачивания) промышленных катализаторов (К) при т-рах от 375 до 450° и давл. 150 атм. При ГНЧ образуются кислые соединения, а

при Г КЧ с повышением т-ры происходит восстановление фенолов с одновременным более энергичным расщеплением высших фенолов. КЧ имеет большую склонность к коксообразованию на всех трех К, при этом вольфрамовые К дают повышенное кол-во твердых в-в по сравнению с железным, а также более высокий выход фракции, выкипающей до 325°. НЧ на всех К дает при повышении т-ры более значительный прирост выхода широкой фракции, чем КЧ. Б. Э.

65975. Химический состав фенолов средней фракции смолы полукоксования прибалтийских сланцев. Феофилов Е. Е., Гарниовская Г. Н., Паршина Е. Н., Тр. Всес. н.-и. ин-та по переработке сланцев, 1955, № 4, 205—217

Изучался хим. состав фенолов, выделенных 10%-ным р-ром NaOH из фракции 180—350° генераторной смолы. Проводилась ректификация с последующим детальным анализом узких фракций, которым определялись: d_{20}^{20} , n_D^{20} , мол. вес, элементарный состав, содержание ОН, т-ры кипения и плавления. Для ряда фракций получались производные: арилгликолевые к-ты, бензоаты, пикраты, свинцовые соли. Адсорбционный анализ, проведенный на Al_2O_3 , позволил разделить сланцевые фенолы на одноатомные и многоатомные и полициклич. соединения и алкилфенолы, имеющие одно кольцо. Показано, что фенолы средней фракции являются сложной смесью, состоящей из 58% оксипроизводных бензольного ряда, 8% диоксипроизводных того же ряда, 18% оксипроизводных ряда нафталина и 10% диоксипроизводных нафталина. Из индивидуальных соединений найдены: *n*-изобутилфенол, 2-метил-4-этилфенол, 3-метил-4-этилфенол, пирокатехин, α -нафтол, β -нафтол, 2,7-, 1,4- и 1,5-диоксинафталины. Б. Э.

65976. Выделение фенолов из средней фракции смолы полукоксования прибалтийских сланцев растворами метилового спирта. Гарниовская Г. Н., Тр. Всес. н.-и. ин-та по переработке сланцев, 1955, № 4, 199—204

Исследовалась возможность раздельного выделения метиловым спиртом (CH_3OH) фенолов (Ф) и нейтр. кислородных соединений (НКС) из средней фракции генераторной смолы, выкипающей при 185—340° и содержащей 16% Ф и 23% НКС. Обработка фракции производилась в течение 5 мин. р-рами CH_3OH различной конц-ии методом псевдопротивотока при 15—20° и соотношении CH_3OH : фракция = 2:1 по двум схемам. 60—70%-ный CH_3OH извлекает Ф с незначительным содержанием НКС. При последовательной обработке одной и той же порции исходного сырья р-рами CH_3OH 60, 70, 80, 95%-ной конц-ии получается рафинат без Ф и с 7—8% НКС, при этом экстракты трех первых ступеней очистки представляют собою концентраты гидроксильных соединений, содержащие Ф. При обработке смеси этих экстрактов 60%-ным р-ром CH_3OH получаются Ф (выход 16,8% на исходную фракцию), практически идентичные Ф, выделенным из фракции водн. р-ром щелочи. Б. Э.

65977. О регенерации щелочи из солевых растворов после разложения фенолятов. Феофилов Е. Е., Гарниовская Г. Н., Паршина Е. Н., Тр. Всес. н.-и. ин-та по переработке сланцев, 1955, № 4, 218—222

Результаты исследования регенерации щелочи из получающихся при разложении фенолятов (Ф) водн. р-ров с помощью CO_2 и роли карбонатов к-т (КК) в этом процессе, показали, что возможность регенерации щелочи из солевых р-ров, получающихся при разложении сланцевых Ф, зависит от содержания в р-ре КК. Из Ф, полученных при очистке сырых фрак-

ций, щелочь может быть регенерирована на 75—80% при следующих оптимальных условиях: т-ра 100°, время — 4 часа, кол-во CaO 10—15%. Более полное использование щелочи может быть достигнуто путем предварительной очистки фракций от КК. Б. Э.

65978. Физико-химические свойства жидких продуктов термической переработки сланцев района Волги. Коллеров Д. К., Матвеева Н. И., Житенская В. А., Тр. Всес. н.-и. ин-та по переработке сланцев, 1955, № 4, 223—235

Приводится сводный материал по результатам исследований основных физ.-хим. свойств жидких продуктов термич. переработки волжских сланцев. Исследованиями установлено, что мол. вес (МВ), температурный коэфф. плотности (ТКП), кинематич. вязкость (КВ), теплоемкость (Т) и скрытая теплота испарения продуктов полукоксования сланцев района Волги мало меняются для сланцев различных месторождений. Предложены эмпирич. ур-ния по зависимостям МВ и ТКП от т-ры кипения и Т от т-ры и дана зависимость для КВ от т-ры кипения при 20 и 75°. Показано, что наибольшее совпадение с опытом дает расчет теплот испарения по ур-нию Уэйера и Итона. Б. Э.

65979. Сравнительная характеристика генераторной и туннельной смол полукоксования прибалтийских сланцев. Зеленин Н. И., Семенов С. С., Тр. Всес. н.-и. ин-та по переработке сланцев, 1955, № 4, 130—135

Приводятся сравнительные данные по плотности, вязкости, показателю преломления, мол. весу, элементарному составу и содержанию функциональных кислородных групп туннельной (ТС) и генераторной смол (ГС) полукоксования, взятых целиком и их 25-градусных фракций, отобранных при 55 мм рт. ст., а также более широких фракций, отобранных при атмосферном давлении. Эти данные показывают, что не наблюдается существенного различия в составе и свойствах ТС и ГС во всех сравниваемых фракциях как вакуумной, так и атмосферной перегонки. Некоторое различие имеет место только для самых легких фракций смолы, состоящих преимущественно из углеводородов; это различие объясняется более высоким содержанием легких фракций в ТС. Отсутствие существенного различия в составе и свойствах ТС и ГС позволяет осуществлять их совместную переработку и совмещать их в любых соотношениях в различных случаях практич. применения. Б. Э.

65980. Исследования вязких свойств сланцевой золы Поволжья, полученной при аэрофланном способе сжигания сланца. Крыжановский Б. Б., Майер А. А., Сб. тр. Респ. н.-и. ин-та местных строит. материалов, 1955, № 9, 201—224.

Изучена петрографич. характеристика золы (З), полученной при сжигании поволжских сланцев. При испытаниях образцов из З, после воздушного и воздушно-влажного режима твердения в течение 3 месяцев, установлен предел прочности при сжатии 60—100 kg/cm^2 , а при предварительном размоле З — 100—206 kg/cm^2 . При водн. режиме твердения З не является водостойкой. Исследованы свойства З при добавке строительного гипса и трепела. Рекомендовано применение З в качестве одного из компонентов при изготовлении автоклавных силикатных материалов. Повышение прочности при добавлении к З гипса объясняется образованием гидросульфата алюмината $3CaO \cdot Al_2O_3 \cdot 3CaSO_4 \cdot Ag$ (I). Образцы воздушно-влажного хранения отличаются от образцов водн. хранения большей степенью карбонизации; CO_2 воздуха разлагает I с образованием двуводн. гипса и карбоната кальция. Предложен метод выращивания кристаллов новообразований при водотепловой обработке. Н. К.

65981.

лизз
смоли
ска
слан

Иссл

фракци

повот

вого со

творной

хромат

кислор

красит

годен д

циклич

близки

содерж

приже

предел

агенто

металл

соедин

65982.

Ал

gas-p

Fuel

Обзо

в слое

тивност

выходи

примен

звене

нении

печей.

65983.

Чает

Га

oil.

F.

10,

Обзо

65984.

(Ver

tech

Око

наемы

разра

65985.

(To

inst

195

Кра

работ

торах

30 at

щей в

трасс

160 л

65986.

ной

sur

Rev

8,

Кр

танн

ной К

3—8

65987.

чис

инд

94,

Чис

65981. Применение техники хроматографического анализа к определению группового состава фракций смолы сланца Волжского месторождения, Каменская И. Н., Тр. Всес. н.-п. ин-та по переработке сланцев, 1955, № 4, 259—280

Исследован метод хроматографич. разделения легких фракций сернистых смол с целью определения группового состава. Произведено определение группового состава нейтр. легкой и средней фракций генераторной смолы сланца Общего Сырта. Установлено, что хроматографич. метод определения и выделения нейтр. кислородных соединений с подкраской образца азокрасителем пригоден для эстонских смол, но не пригоден для фракций смол волжских сланцев, поскольку циклич. сульфиды и кислородные соединения имеют близкие показатели по адсорбируемости. Определение содержания нейтр. соединений с помощью FeCl_3 сопряжено со взаимодействием циклич. сульфидов, непредельных, ароматич. и тиофеновых соединений с реагентом. Удаление остатков хлора кипячением над металлич. Na приводит к большим потерям тиофеновых соединений. Н. К.

65982. Обзор достижений в области газификации. Аллан (Progress review N 35: developments in gas-producer practice. Allan G. W. C.), J. Inst. Fuel, 1955, 28, № 176, 458—462 (англ.)

Обзор работ по исследованию: р-ций, происходящих в слое газифицируемого топлива, зависимости эффективности газификации от высоты слоя топлива, т-ры выходящего газа, наличия зоны перегонки топлива, применения обогащенного O_2 дутья в спокойном и взвешенном слоях. Рассмотрен также вопрос о применении генераторного газа для отопления коксовых печей. С. Г.

65983. Газификация тяжелых нефтяных топлив. Часть I. Периодические процессы газификации. Гарнер, Лонг (The gasification of heavy fuel oil. Part I — «Blow» and «Run» processes. Garner F. N., Long R.), Inst. Petrol. Rev., 1956, 10, № 109, 5—9 (англ.)

Обзор. Библ. 25 назв. П. Б.

65984. Способы газификации. Петцольд (Vergasungsverfahren. Paetzold H.), Energietechnik, 1955, 5, № 10, 439—444 (нем.)

Окончание обзора способов газификации как применяемых, так и находящихся в стадии испытаний или разработки (См. РИХим, 1956, 30066). Л. П.

65985. Городской газ из бурого угля. Хардун (Town gas from brown coal. News of an Australian installation. Hardwick J. M. D.), Gas Times, 1954, 81, № 836, 492—494 (англ.)

Краткое описание газового з-да в Австралии для разработки городского газа из бурого угля в газогенераторах Лурги (на паро-кислородном дутье под давл. 30 атм); производительность 1-й очереди з-да, вступающей в эксплуатацию в 1956 г., 566000 м³ в сутки. Дана трасса газопровода диам. 450 мм, протяженностью 160 км до Мельбурна. В. К.

65986. Международная конференция по безостаточной газификации угля (Conférence internationale sur la gazéification intégrale de la houille extraite), Rev. Soc. roy. belge ingrs. et industriels, 1955, № 7—8, 335—336 (франц.)

Краткое сообщение о содержании докладов, прочитанных на Международной конференции, организованной Национальным ин-том угольной промышленности 3—8 мая 1954 г. в Льеже (Бельгия). Х. Ф.

65987. Качество газа. — Поведение при горении и чистота. Шустер (Gasqualität. Brennverhalten und Reinheit. Schuster F.), G. W. F., 1953, 94, 19 (нем.)

Чистота и поведение при горении являются основ-

ными характеристиками промышленных и бытовых газов. Приведены немецкие нормы 1939 г., устанавливающие допускаемые границы содержания O_2 —0,3%, H_2 —2 г/100 нм³, NH_3 —0,3 г/100 нм³ и т. д. Характеристика «поведение при горении» (Г) газа зависит от назначения газа — отопление или освещение. Применение в газовой пром-сти смесей коксового (КГ) и генераторного (ГГ) газов требует новых характеристик оценки горючести. Смешение газов должно производиться в надлежащих пропорциях, чтобы не происходило изменения газовых характеристик для потребителя ($Q_b = 4000$ —4300 ккал/нм³, отношение плотности по воздуху 0,5, содержание инертных 12%). Приведены кривые и графики смешения для КГ и ГГ. Напр., смеси газов, имеющие характеристики в указанных нормах, могут быть составлены из 55,3% КГ + 44,97% ГГ, или 80,8% КГ + 19,2% ГГ. Газы различных составов, но являющиеся равноценными по Г, должны иметь совпадающие плотности, теплоту и скорость горения. За характеристику Г предложено число Воббе $WZ = H_0/V_{d_v}$. Обычные пределы числа WZ для смесей коксового и водяного газов 6000—7550. Анализируется возможность замены для потребителей одного газа другим (природного газа — смесью пропана и воздушного газа) в зависимости от предъявляемых требований. Приведены таблицы составов и взаимной замены смесей коксового газа и генераторных газов. Г. С.

65988. Управление потоком газа. Уорд (Gas flow control. Ward L.), Gas J., 1956, 286, № 4838, 72—74 (англ.)

Даны схемы, описание работы и конструкции замкнутых пневматич. систем управления газовым потоком. На одной из английских газгольдерных станций установлена эксперим. система объемного регулирования потока газа, поступающего из газовой магистрали в газгольдер, при колебаниях давлений на приеме от 0,84 до 2,1 кг/см² и на выходе от 300 мм водяного ст. до 0,63 кг/см², при наличии пульсации от компрессора, при переменном режиме расхода газа; испытания системы прошли удовлетворительно. Приведены также более сложные системы управления потоком газа с пропорционирующим и интегральным устройством, причем отмечаются компактность, экономичность этих систем и перспективы их применения. П. Б.

65989. Точка росы газа в магистральном газопроводе. Коллер (Rosný bod plynu dopravovaného dálkovými plynovody. Koller Vladimír), Paliva, 1955, 35, № 9, 270—274 (чеш.; рез. русск., нем.)

Произведены расчеты, представленные в диаграммах, изменения давления и т-ры газа по длине магистрального газопровода, на основании которых определены области возможного выпадения конденсата и, как следствие, области развития коррозии внутренней поверхности труб и возможного образования кристаллогидратов. Расчеты сделаны для конкретного случая транспортировки насыщ. водяными парами бурогоугольного газа в кол-ве 8000 м³ в 1 час по газопроводу диам. 250 мм, длиной 150 км, уложенного на глубине 1,5 м, при начальном давлении газа 18 атм, начальной т-ре летом +25°, зимой +5°, и конечной т-ре летом +5°, зимой —5°. Расчетные значения точек росы газа в конце газопровода сопоставлены с экспериментальными. К. З.

65990. Характеристика работы газогенератора горячего газа. Моррис-Аштон (Performance of a «hot gas» mechanical producer. Morris-Ashton K.), Gas Times, 1954, 78, № 812, 166—168 (англ.)

Даны описание и показатели работы газогенераторов, работающих на коксе и коксовой мелочи, для обогрева реторта газового завода. В. К.

65991. Получение, свойства и использование парафина, получаемого при синтезе по Фишеру—Тропшу. Марсел (Fischer—Tropsch waxes. Their production, properties and uses. Marsel Charles J.), Soap and Chem. Specialties, 1955, 31, № 2, 131—134, 157—159 (англ.)

В результате синтеза углеводородов по Фишеру—Тропшу получается 35—60% бензина, 30—35% дизельного масла и 10—30% парафина в зависимости от применяемого давления. Изменяя условия процесса и состав газа, можно получить, главным образом, твердые углеводороды, которые разделяют на фракции дистилляцией. Первая фракция дает мягкий парафин с т. пл. 40°, вторая фракция — парафин с т. пл. 50—52°, остаток — сырой твердый парафин с т. пл. 90°. Парафины всех фракций могут быть применены для окисления в целях получения жирных к-т и для получения искусств. продуктов с различными т-рами застывания и размягчения и с различной твердостью. Н. М.

65992. Методика составления баланса органических оснований в продуктах коксования. Былицкий, Ростафинская, Виек (Z badań nad metodyką bilansu zasad organicznych z produktów koksovania. Bylicki A., Rostańska D., Wiek M.), Przem. chem., 1955, 11, № 10, 565—571 (польск.; рез. рус., англ.)

Приведены результаты работ по методике составления баланса пиридиновых оснований в продуктах коксования каменного угля. Описан метод определения узких фракций в сырых основаниях, выделенных из смоляных масел, путем дистилляции наряду с криометрич. определением т-ры плавления кристаллов безводн. хлористоводородных солей. Изложен метод полного анализа состава фракции пиридиновых оснований, основанный на определении содержания отдельных компонентов путем фракционной кристаллизации их хлористоводородных солей. Приведен полный состав пиридиновых оснований в средней пробе смолы из польских углей и продуктов ее разгонки, а также в средней пробе сырого бензола. Н. К.

65993. Зависимость структуры и свойств смесей кокс-сажа-пек от состава композиций. Тараев Г. Я., Филалов А. С., Ж. прикл. химии, 1956, 29, № 1, 53—58

Исследовалось влияние состава композиций кокс-сажа-пек на их предельное напряжение, объемный вес и объемную усадку, уд. электросопротивление, микроструктуру и механич. свойства. Установлено, что с изменением состава композиций (К) кокс-сажа-пек образуются 3 структурные области, обладающие соответствующими свойствами. Содержание сажи в порошковой части смесей от 0 до 30% (об. %) соответствует области коксового каркаса, для которой является характерным постоянство предельного сдвига, рост электропроводности и механич. свойств К с увеличением содержания сажи в смеси. При содержании 30—50 об. % сажи образуется область переходной структуры со сбалансированными физ.-хим. свойствами, обусловленными максим. сочетанием коксовой и сажевой структур (в последней содержание сажи — 50—100%). В области сажевой структуры с увеличением содержания сажи падает объемный вес образцов, снижается удельное электросопротивление необожженных и обожженных образцов, уменьшается предел прочности на изгиб, а твердость К остается относительно постоянной. Б. Э.

65994. К методике выделения гуминовых кислот при разложении торфа на компоненты. Журавлева

М. М., Тр. Моск. торф ин-та, 1955, № 3, 149—158

Исследовалось влияние предварительной обработки трех типичных видов торфа (медиум, пушицевый, дресно-тростниковый) водой и соляной к-той на выход и характер гуминовых к-т (ГК). Исследования показали, что при разложении торфа на компоненты без предварительного гидролиза получаются завышенные выходы ГК, фульвокислот и остатков за счет углеводов торфа. Повышенные выходы остатков, фульвокислот и, в некоторых случаях, ГК получаются также при неполном выделении гидролизующих в-в по методу Стадникова. При обработке торфа 25%-ной HCl выход ГК уменьшается, так как часть их претерпевает изменения и теряет способность растворяться в щелочи. Выделенные ГК при обработке 25%-ной HCl также претерпевают некоторые изменения. Предварительная обработка торфа HCl и обработка выделенных ГК изменяет их элементарный состав — увеличивается содержание углерода и уменьшается содержание азота и кислорода. На содержании кислых групп обработка HCl почти не сказалась. Б. Э.

65995. Новое в методах очистки газов. Мур (Recent developments in gas purification. Moore D. B., Gas J., 1956, 285, № 4834, 218—220, 225, Discuss. 225) (англ.)

Приведены краткие данные по усовершенствованию сухого и мокрого методов очистки газов от S-соединений. Описана технологич. схема и показатели работы сероочистки (по немецкому способу) в цилиндрич. башнях, заполняемых гранулированной очистной массой в виде непрерывно движущегося компактного слоя. Диаметр гранул 13 мм, длина 19 мм; пористость 50—60%. Экстракция S производится тетраэтилоросиленом. На з-де производительностью по газу 60 000 м³ в сутки полностью очищается газ, содержащий до 22 г/м³ H₂S. П. Б.

65996. Предотвращение нарушений в работе газовой сети из-за отложений нафталина. Примшиц (Über die Verhütung von störenden Naphthalinabscheidungen im Gasrohrnetz. Primschitz Anton), Gas. Wasser, Wärme, 1955, 9, № 5, 101—107 (нем.)

Характеристика масел, применявшихся ранее для удаления нафталина из газа и вновь предлагаемых. Библ. 41 назв. См. РЖХим, 1956, 59114.

Б. Э.

65997. Ускоренный метод определения минеральной углекислоты в сланце. Жукова Н. Н., Веленцев Е. В., Тр. Всес. н.-и. ин-та по переработке сланцев, 1955, № 3, 116—119

Для определения минер. CO₂ в прибальтийских сланцах помещают в конич. колбу ~1 г испытуемой пробы, добавляют 50 мл H₂O и 40 мл 0,5 н. HCl, после чего осторожно кипятят с обратным холодильником в течение 10—15 мин. После охлаждения и промывки водой холодильника и пробки в колбу добавляют 1—2 капли фенолфталеина и титруют избыточную HCl 0,5 н. щелочью. Процентное содержание CO₂ = 0,022 (aₙ - bₙ) 100/c, где a — кол-во мл HCl, взятое для определения, b — кол-во мл щелочи, пошедшее на обратное титрование, n и n₁ — нормальности HCl и щелочи, c — навеска сланца. Метод по точности не уступает весовому (ГОСТ 6381-52), а продолжительность анализа сокращается в 3 раза. Метод необходимо проверять в применении к сланцам других месторождений. Б. Т.

65998. Быстрый метод определения содержания влаги в каменных углях сухой инфракрасными лучами. Подбельский Г. Н., Будрина О. В., Завод. лаборатория, 1956, 22, № 1, 70—73

При
менны
франк
углей
расход
ляет. О
его то
только
65999.

тол.
ро
лабо
Раз
ности
алюми
400 м
марки
тельно

66000
сей,
на,
таки
ли
пен
von
Stof
Anth
Fr
le p
min
Изм
С (кон
сверху
упора
через
около
меси
и бол
66001
и с
Сем
а
Пре
теплой
и смо
что ни
вода с
му, су
через
вода.
патру
ный в
ляют
воды.
66002
твор
част
zum
Beg
Нат
Пре
чески
стность
го мас
больш
что п
состав
ракти
делик
Кром

Приводятся результаты определений влажности каменных углей Кузнецкого бассейна путем сушки инфракрасными лучами. При анализе неокисленных углей продолжительность определения 1 мин., а максимум расхождение с определением по ГОСТ 6379—52 составляет 0,3%. Анализ окисленных углей занимает 2 мин., его точность $\pm 0,5\%$ и применять его рекомендуется только для внутриоперационного контроля. Н. К.

65999. Экспресс-метод определения влаги в твердых топливах. Федорова Н. П., Миесерова Л. В., Бороздина Л. А., Завод. лаборатория, 1956, 22, № 1, 73—75

Разработана методика экспресс-определения влажности углей, коксов и полукоксов в шкафу из листового алюминия, имеющем форму куба с ребром размером 400 мм, снабженном лампами инфракрасного света марки СЗ-1 мощностью по 500 Вт каждая. Продолжительность анализа 1,5 мин. Н. К.

66000 П. Способ удаления неорганических примесей, особенно соединений железа, кремния и титана, из материалов с высоким содержанием углерода, таких как кокс или антрацит. Филиппс, Холлингсхед, Матчмор (Verfahren zum Entfernen von anorganischen Verunreinigungen, insbesondere von Eisen-, Silicium- und Titanverbindungen, aus Stoffen mit hohem Kohlenstoffgehalt, wie Koks oder Anthrazit. Phillips Norman William Frederick, Hollingshead Ethan Allen, Matchmor James Sumner) [Aluminum Lab Ltd]. Пат. ФРГ 925345, 21.03.55

Измельченный материал (I) с высоким содержанием С (кокс или антрацит) и влажностью $\leq 0,5\%$ подают сверху в реактор, футерованный толстым слоем огнеупора, а снизу подают ток Cl_2 . Нагревают I, пропускают через него электрич. ток до $1400\text{--}1700^\circ$, причем т-ра I около стенок реактора $\leq 1400^\circ$. При этом процессе примеси в виде хлоридов улетают и зольность I с 10% и более уменьшается до 2% . В. Ш.

66001 П. Аппаратура для разделения смеси воды и смолы. Печ (Vorrichtung zur Scheidung eines Gemisches von Wasser und Teer. Petsch Hermann) [Fa. Carl Still.]. Пат. ФРГ 935020, 10.11.55
Предложена конструкция аппарата для разделения тепловой смеси воды (в частности, аммиачной воды) и смолы путем осаждения смолы, отличающаяся тем, что нижняя часть аппарата, служащая для сбора и отвода смолы, имеет конусо- или пирамидообразную форму, суженную книзу, и окружена кольцевым проходом, через который протекает отсепарированная теплая вода. В верхней части аппарата, на уровне переливного патрубка для воды, размещен специальный, погруженный в жидкость цилиндр с отводом, по которому удаляются легкие масла, всплывающие на поверхность воды. Н. К.

66002 П. Способ улавливания из практически нерастворимых в воде газов сопутствующих веществ, в частности, бензола и нафталина. Фер (Verfahren zum Auswaschen von praktisch wasserunlöslichen Begleitstoffen aus Gasen, insbesondere Benzol und Naphthalin aus Destillationsgasen. Ferh Karl). Пат. ФРГ 923808, 21.02.55

Предлагается способ улавливания из газов практически нерастворимых в воде сопутствующих в-в, в частности бензола и нафталина, с помощью поглотительного масла (ПМ), предпочтительно содержащего только небольшое кол-во нафталина. Способ заключается в том, что применяется ПМ, содержащее галоидированные составные части смолы жидкого или кристаллич. характера, в частности, моно-хлорнафталин, или ПМ, целиком или в значительной части из них состоящее. Кроме того ПМ может быть смешано с пеком или высо-

кокипными фракциями смолы, либо к нему могут добавляться галоидированные высококипящие фракции смолы или галоидированный пек. Поглотительная жидкость может состоять из смеси хлорнафталина с пеком или высококипящими фракциями смолы (предпочтительно галоидированными). Промывка осуществляется при повышенных т-рах, напр. от 30 до 80° . Помимо бензола и нафталина, этот способ позволяет улавливать и другие в-ва, напр., диэтилен и аналогичные продукты, образующиеся при получении искусств. каучука. Б. Э.

66003 П. Аппаратура для выделения смолы из газов. Холле (Einrichtung zum Abscheiden von Teer aus teerhaltigen Gasen. Holle Ferdinand) [Heinrich Koppers G. m. b. H.]. Пат. ФРГ 927648, 12.05.55

Для выделения смолы из газов сухой перегонки предложено в газопровод вмонтировать одно или несколько сит, желательнее нагреваемых электрич. током, чтобы избежать образования на них осадка тяжелой смолы. Газопровод в месте установки сит предлагается выполнить в форме трубы Вентури. При установке нескольких сит их отверстия последовательно уменьшаются. Вокруг сит могут быть установлены форсунки для вспрыскивания легкой смолы и очистки ею сит от пыли. Дан эскиз устройства. Н. К.

66004 П. Метод получения сырого пиридина из продуктов полукоксования бурого угля. Лангш, Штробах (Verfahren zur Gewinnung von Rohpyridin aus Schwelpprodukten der Braunkohle. Langsch Georg, Strobach Rudolf). Пат. ГДР 8632, 20.11.54

1. Предложен метод получения сырого пиридина (П) из продуктов полукоксования бурого угля, особенно из подсмольной воды, по которому П отгоняется с помощью водяного пара, маслянистая часть отделяется и из нее непосредственно или после предварительной обработки р-ром NaOH и (или) фракционной дистилляции; экстракцией разб. H_2SO_4 уд. веса 1,16 выделяются пиридиновые основания в виде пиридинсерной к-ты; последняя подвергается очистке обычным путем и обрабатывается щелочью для выделения П. 2. Метод, аналогичный первому, отличающийся тем, что исходным сырьем служит фенолсодержащее и (или) обесфеноленное легкое масло, получаемое из полукоксовой смолы, которое подвергается предварительной обработке р-ром NaOH . 3. Метод, отличающийся от первого тем, что исходным сырьем является легкое масло, которое выделяется в виде конденсата при отгонке с водяным паром из фенольной фракции буроугольной смолы и в котором конц-ия пиридиновых оснований выше, чем в легком масле, получаемом из буроугольной смолы. 4. Метод, отличающийся от первого, второго и третьего смешением или комбинированной переработкой исходных материалов. 5. Метод, аналогичный первому, третьему и четвертому, но отличающийся тем, что фенольная фракция буроугольной смолы обогащается фенолами $>100\%$ путем добавки фенолсодержащего тяжелого бензина с целью повышения конц-ии пиридиновых оснований в легком масле. Дана схема процесса. Н. К.

66005 П. Способ очистки сырых фенолов. Каль (Verfahren zur Reinigung von Rohphenolen. Kahl Leopold). Пат. ГДР 8020, 20.09.54

Предложен способ очистки фенолов, основанный на их свойстве образовывать с водой моногидраты, которые растворяются в органич. р-рителях, в значительно меньшей степени, чем фенолы. Поскольку растворимые гидратированные фенолы носят избирательный характер, бензины, применяемые в процессе в качестве экстракционного р-рителя, не должны содержать ароматич. углеводородов и должны быть, по возможности, алифатич. характера. В таких бзн. (т. кип. $50\text{--}100^\circ$)

гидратированные фенолы растворимы лишь до 3 %, экстракция гидрата фенола бзн. происходит периодически, путем повторного избалтывания с последующим отводом бензинового экстракта. Способ может быть осуществлен с непрерывной экстракцией бензином, подающимся противотоком в экстракционной колонне, в верхнюю часть которой поступает гидратированный фенол, а вниз бзн. П р и м е р: сырой фенол, содержащий 2,5% нейтр. масел, гидратируется с ~17% воды и затем пропускается через экстракционную колонну с башенной насадкой. Гидрат фенола вводится в верхнюю часть колонны, в нижнюю часть противотоком подается бзн. Внизу колонны отводятся фенолы, свободные от нейтр. масел. Бензиновый экстракт, отбираемый сверху, регенерируется с помощью перегонки и полученный чистый бзн. вновь направляется в процесс. Из остатка, полученного после перегонки и богатого нейтр. маслами, экстрагируют вначале кислые масла (фенолы) с помощью щелочей и, полученные таким образом, фенолаты возвращают в цикл процесса обесфеноливания.

И. Ш. 66006 П. Способ и аппаратура для перегонки сланца.

Эллиотт (Shale retorting method and apparatus. Elliott Kenneth M.) [Socony Mobil Oil Co., Inc.]. Пат. США 2723225, 8.11.55

При перегонке измельченного горючего сланца в вертикальной печи, когда сланец движется сверху вниз в зону перегонки (ЗП), а паро-газовые продукты перегонки движутся во встречном направлении из ЗП и проходят в зону холодного сланца — зону конденсации (ЗК) паров масла, предложено между ЗП и ЗК в печь вводить газовый поток со скоростью достаточной, чтобы препятствовать проходу конденсирующихся паров масла в ЗП, но недостаточной, чтобы препятствовать спуску измельченного сланца. Дана схема печи. В. К.

66007 П. Способ производства горючего газа (Procédé pour la production de gaz combustibles) [Heinrich Koppers G.m.b.H.]. Франц. пат. 1058686, 4.11.53 [Chem Zbl., 1954, 125, № 46, 10628 (нем.)]

Тонкоизмельченное твердое топливо потоком O_2 и эндотермич. газификационной среды, напр., водяным паром или CO_2 , транспортируется через одну или несколько реакционных камер и вводится тангенциально в цилиндрич. камеру, в которой заканчиваются эндотермич. реакции.

Н. К. 66008 П. Метод и газогенератор для получения газов с высоким содержанием окиси углерода и малым содержанием метана путем газификации топлива и применение полученных газов. Д а н у л а т (Verfahren und Gaserzeuger zur Erzeugung von kohlenoxydreichen und methanarmen Gasen durch Vergasen von Brennstoffen und Anwendung der erzeugten Gase. Danulat Friedrich) [Metallgesellschaft Akt.-Ges.]. Пат. ФРГ 936766, 22.12.55

Предложен метод получения газов с высоким содержанием CO и низким CH_4 газификацией топлива (T) с O_2 или O_2 -обогащенным воздухом и водяным паром (последний полностью или частично может быть заменен CO_2), при повышенном давлении (от 3 до 50 ат и выше), отличающийся тем, что водяной пар и (или) CO_2 вводятся только в таком кол-ве, чтобы обеспечивалось плавление золы T . Жидкий шлак стекает в зону охлаждения, расположенную в нижней части газогенератора (G), затвердевает и при этом раздробляется (гранулируется); давление в зоне охлаждения поддерживается равным давлению в зоне газификации. В G могут вводиться горючие газы, напр. остаточные газы каталитич. гидрирования CO . Поддержанием высоких t -р и добавкой CO_2 к дутью может вырабатываться газ с высоким содержанием CO , напр., с соотношением $H_2:CO$ от 2:1 до 4:2. Для увеличения содержания H_2 полученный газ предлагается конвертировать, при-

чем до конверсии насыщать его парами воды, используя для этого конденсирующуюся при газоочистке воду. Предложено также T перед газификацией подвергать швелеланию (напр., в самом G), причем газы швелелания и газификации очищать раздельно. Отверстия для спуска жидких шлаков из G в зону охлаждения поддерживаются открытыми путем периодич. отключения или дресселирования дутьевого потока и введения его в зону охлаждения. Уровень воды в охлаждающей системе спускного отверстия и зоны охлаждения с помощью регулятора поддерживается постоянным. Тепло получаемых газов используется для получения пара. К T при газификации могут добавляться известь, плавиковый шпат, или подобные в-ва. Полученные в G газы, после их очистки и, если нужно, конверсии предлагаются использовать для целей синтеза, особенно для гидрирования CO . По предложенной конструкции, G снабжен паровой рубашкой, устройствами для загрузки T и вывода шлака, одним или несколькими вводами дутья, одним или несколькими выводами продуктового газа; отличительной его особенностью являются устройства внутри корпуса для охлаждения шлаков. Для охлаждения жидкого шлака предложено, напр., установить охлаждающий змеевик, который целесообразно соединить с паровой рубашкой, или водяную ванну, размещенную в зоне охлаждения, в которую стекает жидкий шлак. Между зонами швелелания и газификации (в верхней части G) предлагается иметь кольцевой проход для отвода части полученного газа в кольцевое пространство между установленной в верхней части G швелешахтой и корпусом, и вывода этого газа. В нижней части шахты газификации рекомендуется иметь охлаждаемую водой опорную конструкцию, соединенную с паровой рубашкой. Для выталкивания шлака из G в зону охлаждения имеется одна или несколько охлаждаемых водой штанг; штанги герметично введены через G . Для получения пара из охлаждающей воды установлен паросборник. Н. К. 66009 П. Транспорт твердого топлива при его газификации. О г о р з а л ы (Solids pump applied to coal gasification. Ogorzaly Henry J.) [Esso Research and Engineering Co.]. Пат. США 2704704, 22.03.55

Предложено аппаратное оформление процесса непрерывной газификации углеродистого материала (M) при повышенных t -рах и давлении паром и кислородом в плотном псевдооживленном слое. Мелкоизмельченный M вводится в зону газификации (ЗГ) из питательной емкости (E), находящейся при давлении, близком к атмосферному, с помощью инертной жидкости ($Ж$) высокой плотности. Слой $Ж$ имеет такую высоту, чтобы преодолеть гидростатич. давление в нижней части ЗГ. $Ж$ с высокой турбулентной скоростью течет вниз по вертикальной трубе, захватывая M , и поступает в среднюю часть промежуточного вертикального бункера (B). $Ж$ в нижней и верхней секции B поддерживается в относительно спокойном состоянии. M всплывает в B на поверхность $Ж$, причем нижняя часть B освобождается от M . M удерживается из верхней части B и транспортируется в нижнюю часть ЗГ, где поддерживается в плотном псевдооживленном состоянии. $Ж$ после освобождения от M , снизу B перекачивается насосом наверх для повторного смешения с сырьем.

Н. К. 66010 П. Способ газификации пылевидного или мелкоизмельченного топлива во взвешенном состоянии кислородсодержащим газом и водяным паром. Т р е в к н е р (Verfahren zur Vergasen von staubförmigen oder feinkörnigen Brennstoffen in der Schwebe mit sauerstoffhaltigen Vergasungsmitteln und Wasserdampf. Traenkner Kurt) [Ruhrgas A.-G.]. Пат. ФРГ 931063, 1.08.55

В процессе газификации пылевидного или мелко-

измельченного топлива во взвешенном состоянии O_2 -содержащим газом (воздух или кислород) и водяным паром в двух зонах: окислительной (O_3) и восстановительной (B_3), при котором продукты горения из O_3 , вместе с паром, в качестве нагретой газифицирующей среды, вводятся в B_3 , а часть образовавшегося здесь продукционного газа возвращается в O_3 и там сжигается, предложено непрогазифицированную в B_3 часть топлива вместе с указанным потоком газа вводить в O_3 для сжигания с O_2 -содержащим газом: негорючая часть топлива выводится из O_3 ; свежее топливо вводится в B_3 . Приведена схема потоков. В. К.

66011 П. Газификация топлив (Gasification of fuels) [Koppers Co., Inc.]. Австрал. пат. 164820, 8.09.55

Способ газификации мелкоизмельченного топлива O_2 -содержащим газом в пылевом газогенераторе, отличающийся тем, что поток горячих газов из газогенератора направляется на часть поверхности неподвижного слоя твердого топлива так, чтобы поток не полностью пронизывал этот слой и удалялся из него в направлении той же поверхности, через которую он входил; твердые отходы удаляются из слоя. В. К.

66012 П. Способ и устройство для восстановления газа, содержащего углекислоту. Стальхед, Одберг (Method and a device for the reduction of gas containing carbon dioxide. Stalhed John L., Odberg John A. B.) [Stora Kopparbergs Bergslags Aktiebolag]. Канад. пат. 501931, 27.04.54

Предложен способ восстановления газов, содержащих CO_2 , заключающийся в образовании вертикального, непрерывно опускающегося слоя (С) частиц углеродистого восстановительного агента (ВА), через который сверху вниз проходит восстанавливаемый газ (ВГ), и нагревании С пропусканием через него в вертикальном направлении электрич. тока до т-ры, не превышающей т-ру спекания золы, содержащейся в ВА. Куполообразная печь для процесса представляет собой вертикальную шахту, имеющую верхнюю и нижнюю части и среднюю часть уменьшенного поперечного сечения, имеющую высоту больше диаметра, в которой расположен указанный С; верхняя часть имеет входы для ВА и ВГ и суживающуюся конусную часть внизу для того, чтобы крупные частицы ВА направлялись к центру С; нижняя часть имеет вывод восстановленного газа и заканчивается устройством для вывода твердых продуктов горения. Электроды для пропуска электрич. тока через С находятся в верхней и нижней частях шахты, и внутренние концы их расположены по периферии верха и низа С так, чтобы через них не проходил основной поток газа, проходящего через С. Дана схема печи. В. К.

66013 П. Получение активированного угля. Бейкер, Уотс (Preparation of activated carbon. Baker Harold, Watts Rhea N.) [Esso Research and Engineering Co.]. Пат. США 2718505, 20.09.55

Способ получения активированного угля, который включает сухую перегонку смеси смолы и кислого гудрона (1—10 вес. ч. кислого гудрона на 1 вес. ч. смолы) для удаления влаги и летучих в-в, коксование остатка при 590—1090° и активацию кокса водяным паром, CO_2 или дымовым газом при 590—980° до получения выхода активированного угля в кол-ве 50—60 вес. % от кокса. Коксование остатка может проводиться в атмосфере инертного газа. По другому варианту патента активацию кокса проводят паром при 760—815°. Н. К.

66014 П. Метод очистки коксовых и аналогичных газов. Энгель (Verfahren zum Reinigen von Kokereigasen u. dgl. Engel Erich) [Harpener Bergbau-A.-G.]. Пат. ФРГ 927649, 12.5.55

При очистке коксовых и подобных газов путем их промывки в противотоке поглотительной жидкостью,

отгонки из нее уловленных паров и обработки этих паров в сатураторе серной к-той предложено фракционно конденсировать часть этих десорбируемых паров при 65—75° с получением обескисленной аммиачной воды, содержащей NH_3 от 7 до 20%; эту конц. аммиачную воду вместе со сточной водой аммиачного скруббера направляют в качестве поглотительной жидкости на улавливание H_2S , а затем в аммиачную колонну. По варианту патента, только часть сточной жидкости из аммиачного скруббера подается на улавливание H_2S , а остальное ее кол-во непосредственно поступает в аммиачную колонну. Приведена схема процесса. Н. К.

66015 П. Метод выделения смолы и аммиака из газов сухой перегонки. Брейтбах, Шмидт, Шнейдер (Verfahren zur Abscheidung und Gewinnung von Teer und Ammoniak aus Gasen der trockenen Destillation. Breitbach Fritz, Schmidt Josef, Schneider Theodor) [Fa. Carl. Still.]. Пат. ФРГ 936109, 7.12.55

При улавливании и получении смолы и аммиака из газов сухой перегонки твердого топлива, осуществляемом промывкой газов водн. жидкостями (Ж), в условиях, при которых газ в конце процесса имеет общее содержание водяных паров, приблизительно равное содержанию влаги в сыром газе, предложено часть Ж, во избежание накопления в ней связанного аммиака, постоянно выводить из процесса, обрабатывать в горячем состоянии известковым молоком и пропускать ее для удаления большей части NH_3 горячим газом. В качестве продувочного газа предложено применять: а) горячий дымовой газ, который затем вместе с летучими продуктами отгонки выпускается в атмосферу или в дымовую трубу; б) часть горячего продуктового газа, который отводится после или перед аммиачной колонной и затем вводится снова в основной поток перед аммиачной колонной. Для приготовления известкового молока из сухой обожженной известки добавляется часть этого горячего р-ра аммонийных солей. По варианту патента, если сырые газы охлаждаются в первой ступени (барилет и оросительный скруббер) циркулирующей водой с целью удаления смолы, а в следующей ступени снова нагреваются для повышения содержания водяных паров, то часть Ж, подлежащая удалению из процесса, отбирается из горячей сточной воды первой ступени. Дается схема процесса. Н. К.

66016 П. Метод улавливания сероводорода и других кислых компонентов из газов сухой перегонки угля или аналогичных газов растворами карбоната-бикарбоната калия. Бёнеманн (Verfahren zum Entfernen von Schwefelwasserstoff und anderen sauren Verunreinigungen aus Kohlendestillationsgasen od. dgl. mittels Lösungen von Kaliumcarbonat — Bicarbonat. Bönnemann Franz) [Heinrich Koppers. G. m. b. H.]. Пат. ФРГ 929018, 16.06.55

При улавливании H_2S и других кислых компонентов из газов сухой перегонки каменных углей или других подобных газов р-рами карбоната и бикарбоната щел. металла, напр. K_2CO_3 и $KHCO_3$, при повышенном давлении (давлении дальних газопроводов) и последующей отгонке H_2S и CO_2 из р-ра при пониженном давлении и нагревании предложено поглотительную способность р-ра поддерживать путем его отпарки и отделения кристаллизующихся при этом ферроцианидов калия. Для отделения роцианидов калия от углекислого калия часть р-ра после отделения ферроцианидов калия обрабатывается CO_2 и после этого концентрируется; выкристаллизовавшийся $KHCO_3$ снова добавляется к рабочему р-ру. Дана схема процесса. Н. К.

66017 П. Улавливание сероводорода, аммиака и цианистого водорода из газов и одновременная перера-

ботка аммиачной воды с получением сульфата аммония и серы. *Sombathi* (Entfernung von Schwefelwasserstoff, Ammoniak und Cyanwasserstoff aus Gasen und gleichzeitige Aufarbeitung des Ammoniakwassers nebst Gewinnung von Ammoniumsulfat bzw. Schwefel. *S z o m b a t h y K á l m á n, v o n*). Пат. ФРГ 923156, 3.02.55

Предложен метод улавливания H_2S , NH_3 и HCN из газов и одновременной переработки аммиачной воды с получением $(NH_4)_2SO_4$ или S , по которому для промывки газов применяют насыщ. р-р тиосульфата аммония, или смесь р-ров тиосульфата и роданида аммония, содержащий небольшие кол-ва переносчика кислорода, напр., катализаторов, содержащих аммиачные соединения хинонов металлов, в том числе хинонов Mn , Va , Cr , Se ; промывается этим циркулирующим р-ром газ, после его очистки от смолы при t -рах ниже 60° , лучше $25-30^\circ$. Процесс регулируется так, чтобы значение pH р-ра составляло от 8 до 9 и общий объем его был постоянным, для чего часть насыщ. р-ра непрерывно выводится из цикла и заменяется аммиачной водой. Выводимую из цикла часть р-ра предлагается обрабатывать воздухом при повышенной t -ре порядка 80° и атмосферном или повышенном давлении; образующаяся при этом элементарная S удаляется из жидкости или путем непрерывной добавки аммиачной воды переводится в тиосульфат с дальнейшим получением сульфата аммония. Предложено также вводимую для промывки с переносчиком кислорода аммиачную воду обрабатывать воздухом до тех пор, пока содержащийся в ней сульфид аммония, полностью будет переведен в тиосульфат аммония. Избыточное по отношению к H_2S и HCN кол-во NH_3 предлагается связывать путем промывки газа серной к-той. Дана схема процесса.

Н. К.

См. также: Сланцы 6'726. Графит 64737. Лигниты 64746. Анализ: газов 65233, 65235, 65368; угля 65357; каменноугольной смолы 65395. Сточные воды 65929

ПЕРЕРАБОТКА ПРИРОДНЫХ ГАЗОВ И НЕФТИ. МОТОРНОЕ ТОПЛИВО. СМАЗКИ

66018. Об учете некоторых факторов при выборе топлива. *Джонсон* (Some factors to consider in the choice of fuel. *Johnson Allen J.*), *Coal-Heat*, 1955, 69, № 1, 17—20 (англ.)

Технико-экономическая оценка нефтяных остатков в качестве топлива показала, что их использование связано с затратами на 30—40% большими, чем применение угля. При выборе нефтяного топлива необходимо изучить его свойства и условия транспортировки.

С. Г.

66019. Влияние современной техники нефтепереработки на качество флотских мазутов. *Мартин* (The influence of modern refinery technique on marine fuel oil quality. *Martin C. W. G.*), *Trans. Inst. Marine Engrs*, 1954, 66, № 2, 25—43; *Petrol. Times*, 1953, 57, № 1471, 1267—1272 (англ.)

Дается критич. анализ вопроса о снижении качества остаточных нефтяных топлив, в частности флотских мазутов, в результате новых процессов нефтепереработки и изменений общих ее схем. Высказывается мысль, что эти факторы и усовершенствования в области контроля произ-ва, наоборот, способствуют повышению качества мазутов. Так, добавка газойля каталитич. крекинга способствует пентизации или стабилизации асфальтенов, содержащихся в мазутах. Автор кратко рассматривает критерии для оценки качества мазутов, значение приемочных испытаний, предусматриваемых

технич. нормами на мазуты, и влияние присадок к топливам, вводимых для уменьшения дымности сгорания и образования отложений на поверхностях нагрева, снижения вязкости, улучшения распыливания и т. п.

И. А.

66020. Сернистые соединения в керосиновых фракциях нефтей Среднего Востока. *Берч, Каллум, Дин, Денайер* (Sulfur compounds in kerosine boiling range of Middle East crudes. *Birch S. F., Cullem T. V., Dean R. A., Denyer R. L.*), *Industr. and Engng Chem.*, 1955, 47, № 2, 240—249 (англ.)

Изучались S -соединения, выделенные из иранского керосина обработкой H_2SO_4 . Кислотный слой был разбавлен водой, выдлившееся масло после нейтр-ции, перегонки в вакууме, новой обработки H_2SO_4 , извлечения гексаном, разбавления водой и нейтр-ции содержало 18,9 вес. % S и было свободно от углеводородов. Это масло двукратной разгонкой на колонках в 14 теоретич. тарелок и 100 теоретич. тарелок было разделено на узкие фракции в пределах $130-249^\circ$ с последующим разделением на фракции при помощи водн. р-ра ацетата Hg . Выделенные S -соединения идентифицировались по физ. свойствам X -лучами, ИК- и УФ-спектрами. В ряде случаев было применено обесщелачивание путем гидрирования над скелетным Ni в р-ре C_2H_5OH с последующей идентификацией углеводородов спектроскопич. методами. Во фракциях с t . кип. до 164° наряду с циклич. S -соединениями присутствовали алифатич. сульфиды (5—10%), кол-во которых уменьшалось с повышением t -ры кипения фракции. Было установлено присутствие циклич. соединений: гомологов тиоциклопентана, тиоциклогексана, гомологов тиофена и бициклич. сульфидов.

Е. П.

66021. Поверхностная активность нефтей и их компонентов. *Гуцалюк В. Г., Кусаков М. М.*, *Изв. АН Каз. ССР, сер. хим.*, 1955, № 8, 122—132 (рез. казах.)

Фактор, определяющий поверхностную активность (ПА) нефтей, изучался на 3 образцах нефтей и выделенных из них к-т, смол и нейтр. масел. Для испытуемых образцов нефтей получены следующие данные (указывается a_1^{20} , $n^{20} D$, мол. вес, содержание нефтяных к-т в %, содержание смол в %, содержание нейтр. масел в %, поверхностное натяжение (ПН) в $эрг/см^2$ при 20° на границе с воздухом, ПН в $эрг/см^2$ при 20° на границе с водой): № 1—0,8178, 1,4590, 210, 0,29 1,34, 98,37, 26,5, 27,2; № 2—0,8822, 1,4859, 276, 0,88, 2,78, 96, 34, 31,4, 19,8; № 3—0,8886, 1,4902, 362, 1,02, 5,94, 93,04, 31,6, 25,1. Установлено, что ПА нефтей и их компонентов различна в различных р-рителях (напр. в неполяр. бензине, мол. вес. 94 и в неполярном лигр., мол., вес 156) и тем меньше, чем больше мол. вес р-рителя. Из отдельных компонентов, выделенных из нефтей, к-ты обладают ПА значительно большей, чем нефти, из которых они выделены (для образца № 3 нейтр. 49,3, при конц-ии 0,1% к-т 24,6 $эрг/см^2$).

В. В.

66022. Исследование зависимости поверхностного натяжения нефтей на границе с газовой фазой от давления и температуры. *Кусаков М. М., Лубман Н. М., Кошенин А. Ю.*, *Тр. Моск. нефт. ин-та*, 1955, № 14, 115—134

Проведены измерения плотности туймазинской и небитдагской нефтей, находящихся в равновесии с насыщающим газом при t -ре 20 и 60° и давлениях насыщения до 250 $кг/см^2$ и поверхностного натяжения (σ) неполярного масла, туймазинской, термезской и небитдагской нефтей на границе с различными газами при давлениях до 250 $кг/см^2$ и t -рах до 80° . При насыщении нефти N_2 ее плотность с увеличением давления несколько

ко возрастает, а при насыщении углеводородными газами — убывает и тем сильнее, чем больше растворим газ в нефти. σ нефти на границе с газом при постоянном t -ре убывает с увеличением давления тем сильнее, чем больше этот газ растворим в нефти, при этом влияние давления на σ сказывается заметнее при более низких t -рах. Для неполярных углеводородных жидкостей σ зависит от их среднего мол. веса, а для высокополярных главным образом от их суммарной полярности. Делается вывод, что влияние капиллярных эффектов на границе раздела нефть-газ на движение нефти и газа в нефтяном пласте уменьшается с повышением пластического давления и температуры.

Б. Э. 66023. Исследование зависимости поверхностного натяжения нефтей на границе с водной фазой от давления и температуры. Кусаков М. М., Лубман Н. М., Кошевич А. Ю., Тр. Моск. нефт. ин-та, 1955, № 14, 135—148

Методом измерения размеров лежащей капли определено поверхностное натяжение (σ) туимазинской, термезской и небитдагской нефтей на границе с водной фазой в условиях насыщения жидких фаз различными газами при 20 и 60° и давл. до 250 кг/см². Исследованные нефти содержат незначительные кол-ва водорастворимых компонентов. В области давлений, не превышающих 50—75 кг/см², для малополярных нефтей σ с повышением давления увеличивается, особенно в присутствии газов, хорошо растворяющихся в нефти. У высокополярных нефтей этого не наблюдается. В области больших давлений, как правило, σ понижается, что связано с влиянием давления на адсорбцию поверхности активных в-в на границе раздела нефть-вода и наблюдается как у мало-, так и у высокополярных нефтей. Влияние капиллярных эффектов на движение границы раздела нефть-вода в пористой среде в пластовых условиях определяется характером изменения поверхностного натяжения в зависимости от изменения давления. С повышением давления это влияние может как увеличиваться, так и уменьшаться.

Б. Э. 66024. Исследование ароматических углеводородов сернистых нефтей Второго Баку. Каримов А. К., Тр. Всес. н.-и. геол.-развед. ин-та, 1955, № 82, 165—174

Определялось содержание ароматич. углеводородов (АУ) в трех образцах нефтей Волго-Уральской нефтеносной провинции, существенно различающихся между собой по свойствам и возрасту вмещающих пластов, исследовались характер и цикличность. На основании полученных при этом данных производилось суждение о возрасте нефти. Исследуемые нефти — из девонских отложений месторождения Зольный овраг (№ 1), каменноугольного возраста месторождения Зольный овраг (№ 2) и из отложений нижнепермского возраста месторождения Красноярска Бугурусланского района (№ 3) — разгонялись на 50-градусные фракции, из которых хроматографич. путем выделялись АУ, а затем многократной повторной адсорбцией на силикагеле они очищались от углеводородов других классов. Содержание бензола и его гомологов в фракциях АУ, выкипающих до 150°, определялось методом спектров комбинационного рассеяния. В отдельных фракциях АУ определялись: плотность, показатель преломления, мол. вес и элементарный состав. Для более точной характеристики АУ некоторые из фракций АУ очищались от сернистых соединений окислением их перекисью водорода в присутствии безводн. уксусной к-ты в сульфоне и сульфоксиды с последующим хроматографич. отделением последних. Показано, что содержание простейших представителей АУ в исследованных нефтях в среднем несколько выше, чем в нефтях Грозного; по общему содержанию АУ нефти эти не отличаются от подобных нефтей других нефтеносных провинций;

они относятся к метановому или метано-нафтеновому типу нефтей. Степень цикличности АУ трех исследованных нефтей приблизительно одинакова и несколько ниже цикличности АУ тяжелых нефтей Кавказа, что свидетельствует о несколько более глубоком геохимич. превращении их в направлении метанизации, по сравнению с последними.

Б. Э. 66025. О взаимодействии гидроперекисей, образующихся при автоокислении углеводородов, с антиокислителями. Иванов К. П., Савинова В. К., В сб.: Всп. хим. кинетики, катализа и реакционной способности, М., Изд-во АН СССР, 1955, 250—259. Проведенное исследование по взаимодействию гидроперекисей (I) тетралина и метилциклогексана с параоксидифениламином и сернистыми соединениями (II) различного строения показало, что дионилсульфид и α -фенилэтилмеркаптан энергично реагирует с I. Тиофенол и тионафтол действуют слабее; дионилдисульфид реагирует с I значительно менее активно, чем моносульфид; α -децилтиофен и параоксидифениламины оказались практически инертны по отношению к I тетралина. I метилциклогексана менее энергично взаимодействует с II, чем I тетралина. Способность II разлагать I углеводородов не согласуется с их активностью как антиокислителей нефтяных масел. Опыты проводились в бензольных p -рах I в продолжение 48 час. при t -ре 15° с последующим часовым нагревом при 50°.

Б. Э. 66026. Диаграмма упругости паров низкокипящих углеводородов. Майерс (Vapor pressure chart for all types of low boiling hydrocarbons. Myers H. S.), Industr. and Engng Chem., 1955, 47, № 8, 1659—1660 (англ.)

Приведены t -ры кипения низкокипящих углеводородов (парафинов, ароматич. нафтен, олефинов, диолефинов и ацетиленовых) и диаграммы упругости паров этих углеводородов в интервале t -ре от —190° до +370° и давл. от 1,0 мм рт. ст. до 50 кг/см².

П. Б. 66027. Выделение и идентификация нормальных парафиновых углеводородов из фракций нефтей Саратовского месторождения. Усов Ю. Н., Скворцова Е. В., Науч. ежегодник за 1954 г., Саратовск. ун-т, Саратов, 1955, 564—565

Проводилось выделение с помощью мочевины n -парафиновых углеводородов из фракций 150—200° и 200—250° соколовгорской и фракций 150—300° и 300—400° еланской нефтей. Выделенные парафины подвергались ректификации, в результате которой получены индивидуальные углеводороды от C_9 до C_{17} для еланской и от C_9 до C_{14} для соколовгорской нефтей. Для извлечения наиболее чистых n -парафиновых углеводородов из фракций рекомендуются разбавление их C_6H_6 и миним. избыток мочевины.

Б. Э. 66028. Исследование n -парафиновых углеводородов фракции 150—200° мизраанской нефти. Арешидзе Х. И., Бенашвили Е. М. (ბარაზანის ნავთობის 150—200° ფრაქციის n-პარაფინული ნაწილობრივად გაფხვრული ნაგებობის შესახებ), Сообщ. АН Груз. ССР, 1955, 16, № 10, 785—791 (груз., рус.)

С помощью мочевины из фракции 150—200° мизраанской нефти выделены n -парафиновые углеводороды, после фракционировки которых под остаточным давл. 40 мм рт. ст. на колонке с 20 теоретич. тарелками отобраны n -нонан, n -декан и n -ундекан. Указанная фракция содержит 9,6% n -парафиновых углеводородов, 17,5% изопарафиновых углеводородов.

Б. Э. 66029. Получение дизельного топлива и веретенного масла с низкими температурами застывания с помощью мочевины. Хоппе, Франц (Die Herstellung von Dieselmotortreibstoff und Spindelöl tiefen Stockpunkts

mit Hilfe von Harnstoff. Hoppé A., Franz H.), Erdöl und Kohle, 1955, 8, № 6, 411—413 (нем.; рез. англ., франц.)

Приводится описание схемы и условий работы промышленной установки в Хейде по денарифинизации (Д) дизельных топлив и веретенных масел с помощью мочевины. Д проводится при 40°. В качестве р-рителей применяются: для сырья — хлористый метилен (I) и для мочевины — вода. Применение I, имеющего т. кип. 41°, позволяет за счет его испарения снимать тепло, выделяемое при образовании комплекса, и благодаря этому поддерживать постоянную т-ру реагирующей смеси (в пределах 35—45°). Кроме того I, по сравнению с другими р-рителями, способствует более селективному извлечению *n*-парафинов, в результате чего получается рафинат с более низкой т-рой застывания. При Д веретенного масла указанным методом т-ра застывания его понижается с +14 до -24, а т-ра помутнения с +15 до -21°. Выход рафината составляет 75%. Рассматривается влияние различных факторов на процесс Д мочевиной. Б. Э.

66030. Химизм и техника гудриформинга. Дарт, Облад, Хейнеман (Chemie und Technik des Houdriforming. Dart J. C., Oblad A. G., Heine mann H.), Erdöl und Kohle, 1955, 8, № 1, 9—16 (нем.)

Рассмотрены основные р-ции, протекающие в процессе ароматизации низкооктановых бензинов в присутствии стационарного слоя катализатора — Pt на носителе кислотного характера: 1) дегидрирование циклогексанов в ароматик; 2) изомеризация циклопентанов с последующей дегидрогенизацией; 3) крекинг парафинов; 4) изомеризация парафинов; 5) циклодегидрогенизация парафинов; 6) удаление серы, повышающее приемистость к ТЭС. Приводятся принципиальная схема и условия проведения процесса на американских промышленных установках с целью получения ароматич. углеводородов: из бензиновой фракции с т. кип. 76—96°, содержащей 5% ароматич. углеводородов, при 500°, объемной скорости 3 и давл. 20 ат; ароматизированный продукт (выход 90%) содержал 44% бензолно-толуольной фракции; в тех же условиях, но при 33 ат из фракции, выкипающей при 116—117°, получен с выходом 93,1% продукт, содержащий 41% ксилолов. При ароматизации восточно-техасских лигроинов с исходным октановым числом 42,5, получены следующие результаты: выход бензина (включая C₆) с октановым числом 80 составляет 90 об.%. Низкооктановые бензины, полученные в результате гидрирования и гидрогенизационного крекинга, можно также успешно реформировать. При гудриформинге бензина, полученного при деструктивной гидрогенизации тяжелого газойля из восточно-техасской нефти при 440° и 240 ат давления был получен бензин с октановым числом 86, против 45 у исходного. Н. К.

66031. Расчет материального баланса для процессов с рециркуляцией по данным однопроводного процесса. Калберсон (Recycle process material balance. Culberson O. L.), Petrol. Refiner, 1954, 33, № 8, 127—130 (англ.)

Предложен метод расчета материальных балансов для процессов с рециркуляцией непрореагировавшей части сырья по данным опытного изучения того же процесса без рециркуляции. В основу метода положено допущение об идентичности свойств возвратного и свежего сырья. Приведен вывод основных ур-ний для расчета материального баланса и даны номограммы, упрощающие расчеты. В качестве примера рассмотрен материальный баланс и вычислены выходы для процессов произ-ва монохлорбензола с рециркуляцией непрореагировавшего бензола. И. А.

66032. Каталитический крекинг «Ортофлю». Уикем (Orthoflow. Wickham H. P.), Petrol. Engr, 1954, 26, № 4, C-89, C-91, C-92 (англ.)

Каталитич. процесс «Ортофлю» относится к разновидности «флюид»; он характеризуется тем, что зоны реакционная и регенерационная расположены непосредственно одна над другой, и катализатор из одной зоны в другую движется по вертикали вверх или вниз. Различают две системы «Ортофлю»: А и В. В системе А реактор расположен над регенератором. Реактор и регенератор выполнены в виде единого узла, смонтированного на общем фундаменте. Сырье, поступающее в регенератор, нагревается горячим катализатором, испаряется и служит переносчиком катализатора, движущегося вверх в реакционную зону. Катализатор по пути из реактора отпаривается и направляется вниз на регенерацию. Скорость движения катализатора регулируется автоматически так, что в реакторе он находится всегда на желаемом уровне. Для обеспечения непрерывной циркуляции катализатора регенератор работает под несколько большим давлением (на 0,6 атм), чем реактор. В системе «Ортофлю» В регенератор расположен непосредственно над реактором-отпарником. Регенерированный катализатор движется сверху вниз и контактируется с парами сырья. Регенератор работает под более низким давлением, чем реактор. В настоящее время работает 6 установок «Ортофлю», столько же находится в строительстве. Все работающие установки свободны от эрозии; потери катализатора составляют не более 0,04 г на 1 л готового продукта, выход которого составляет 50—80%. Производительность установок «Ортофлю» А по сырью колеблется в пределах от 320 до 1600 м³ в сутки. Наибольшая из строящихся установок «Ортофлю» системы В рассчитана на переработку 4150 м³ в сутки сырья, при пропускной способности реактора 7155 м³ в сутки. Г. М.

66033. Влияние добавки газа на процессе облагораживания стабильного крекинга-дистиллата на таблетированном алюмосиликатном катализаторе. Арутюнова О. Л., Тр. Грозненск. нефт. ин-та, 1955, № 17, 110—127

Проводились опыты с целью выяснять влияние добавки пропанпропиленовой фракции (ППФ) термич. крекинга, вводимой вместе с сырьем, на течение процесса облагораживания стабильного крекинга-дистиллата. Изучалось влияние кол-ва газа, вводимого с сырьем в зону р-ции (от 0 до 30%), т-ры (от 300 до 550°), объемной скорости (от 0,25 до 0,75 л/л/час), продолжительности опыта (от 10 до 45 мин.) и характера сырья. Опыты проводились как при атмосферном давлении, так и при повышенном (от 25 до 65 кг/см²). Исходным сырьем служили два образца стабильного крекинга-дистиллата: d₂₀ 0,803 и 0,779 п. к. 67° и 60°, к. к. 245° и 257°, полное число 41 и 64; групповой состав: непредельных 18,1 и 30,7, ароматич. 23,6 и 7,3, нафтенов 6 и 16,6, парафинов 52% и 45,4%. Добавляемая ППФ имела уд. в. 1,54 и содержала 22—25% непредельных. Показано, что при проведении процесса облагораживания крекинга-дистиллата с добавкой 26% ППФ в зону р-ции (в опыте, проведенном при атмосферном давлении при т-ре 500°) выход жидкого катализата увеличился на 5%, октановое число (ОЧ) его на 8 пунктов выше, чем у исходного бензина. При добавке 30% ППФ (под давл. 50 кг/см² при 470°) выход жидкого катализата увеличился на 23%, ОЧ его выше, чем у исходного дистиллата на 11,4 пункта. При поднятии т-ры процесса облагораживания выше 500° в опытах при атмосферном давлении и 470° — в опытах при повышенном давлении, влияние добавок ППФ на торможение процессов образования газа и кокса быстро падает. Г. М.

66034. Реформинг. — (T. C. Reforming. —), Petrol. Engr, 1954, 26, № 4, C-34 — C-35 (англ.)

Описывается процесс «термофор-каталитический реформинг» (ТКР), предназначенный для переработки низкооктановых сортов бензина в бензин с октановым числом 98—100. Процесс ТКР может быть приспособлен и для выработки ароматич. углеводородов. Приведена схема процесса ТКР. Условия ведения процесса: т-ра р-ции 538°; давл. 12,3 *ати*; объемная скорость подачи сырья 0,7 час⁻¹; на 1 моль сырья подается 6 моль циркулирующего газа. В установке производительностью 3160 м³ в сутки катализатор движется через реактор со скоростью 5—50 *м/час*. Катализатор регенерируется при 427—538°. Применяется синтетич. алюмо-хромовый шариковый катализатор, характеризующийся следующими особенностями: он способен повышать октановое число сырья до 100 и более пунктов по исследовательскому методу с 0,7 *мл* ТЭС на 1 *л* бензина; работать при низком парц. давлении Н₂; легко регенерироваться; обессеривать сырье. Строится 2 установки ТКР производительностью 3000 м³ в сутки. М. Л. 66035. Особенности новой установки по алкилированию с HF. Торнтон (Three unusual features in new HF alkylation unit. Thornton D. P., Jr., Petrol. Process., 1954, 9, № 10, 1570—1573 (англ.))

Описана схема новой установки каталитич. алкилирования, производительностью 280 м³ авиакислата в сутки, используемого для приготовления высококачественного авиационного бензина. В качестве товарных продуктов выпускаются также пропан и *n*-бутан. Главные особенности установки: 1) сырьем служит смесь олефинов (пропилен, бутилены и амилены) и изобутана (I) с примесью до 21% пропана и бутана, катализатором—HF (II); 2) для контакта (II) с сырьем используется горизонтальный контактор, вместо вертикального, применяющегося в установках прежней конструкции; 3) только товарные продукты освобождаются от II; I отделяется от последних до блока очистки от II и направляется обратно в контактор. Вследствие этого снижается расход II и составляет 1 *кг* на 1400 *л* алкилата. В конструкции установки предусмотрена возможность увеличения производительности. Л. О. 66036.

О роли непредельных углеводородов в ароматизации нефти. Тарасенкова Е. М., Тр. Ленингр. инж.-экон. ин-та, 1955, № 9, 123—133.

Для выяснения механизма образования ароматич. углеводородов при пиролизе нефти исследовался пиролиз смесей дивинила с пропиленом, *n*-бутиленом, триметиленом и CO₂. Опыты, проводившиеся при т-ре 500—600° и времени контакта 19—25 сек., показали: 1) при пиролизе смеси дивинил-пропилен при 600° выход толуола (на превращенный дивинил) составлял ~15% и вдвое превышал выход бензола и ксилола; при 650° выход бензола резко увеличивался (до 19%); 2) при пиролизе смеси дивинила с α - и β -бутиленами (α : β =3) при т-ре 500—550° главными продуктами были *o*-ксилол и этилбензол; с повышением т-ры до 600° выход ксилольной фракции снижался с 22,4 до 12,6%, отношение суммы изомеров ксилола к этилбензолу было близко к соотношению α - и β -бутиленов; 3) при пиролизе смеси дивинил-триметилен при т-ре 500—550° главным продуктом был ксилол, с повышением т-ры выход ксилола падал, а выход толуола повышался; 4) при пиролизе смеси дивинил-CO₂ выход ароматич. углеводородов был ниже, чем при пиролизе с олефинами, и главным продуктом р-ции был этилбензол. Результаты исследования в некоторой мере способствуют выяснению механизма ароматизации, исходя из предположительной схемы образования дивинила из этилена; дивинил затем с этиленом дает бензол, а с другими олефинами — гомологи бензола. В. К. 66037.

Селективные растворители для ароматических углеводородов. Скиннер (Selective solvents for

aromatic hydrocarbons. Skinner Davis A., Industr. and Engng Chem., 1955, 47, № 2, 222—229 (англ.))

Свойства β , β' -тиодипропионитрила (I) и β , β' -оксидипропионитрила (II) как селективных р-рителей для экстракции ароматич. углеводородов (АУ) изучены на примере разделения смесей C₆—C₁₀ АУ с *n*-гептаном (III) и выделения АУ из соответствующих фракций продуктов платформинга и термич. крекинга. Исследована растворимость бензола, толуола, *o*-, *m*-, *p*-ксилолов, этилбензола и III в I и II, приведены диаграммы состояния для тройных систем I—АУ—III при 25° и установлено влияние воды на избирательность р-рителей. Оба р-рителя значительно превосходят диэтиленгликоль по селективности и выходу экстракта; растворимость АУ в них при низкой т-ре значительно выше. Максим. крит. т-ра растворения в I у *n*-ксилола 126°, при этой р-ре растворимость III в I составляет всего ~2%. II по своим свойствам близок к I. Эксперим. показана высокая стабильность I и II и отсутствие корродирующего действия их на нержавеющей и мягкую стали и Al (в отсутствие воды). Токсич. действие I и II незначительно. В. Ш. 66038.

Выделение изобутилена. Бауман, Смит (Separation of isobutylene. Baumann G. P., Smith R.), Oil and Gas J., 1954, 53, № 21, 71—73 (англ.))

Описание схемы произ-ва выделения изобутилена из бутан-бутиленовой фракции 65 вес. % H₂SO₄ при 38° до снижения конц-ии к-ты до 45 вес.%, после чего из нее регенерируется изобутилен (нагреванием при низком давлении) и к-та упаривается снова до 65 вес.%. Мощность з-да 80 американских тонн 96%-ного изобутилена в сутки. Л. А. 66039.

Последовательная экстракция и ее применение к обессериванию дистиллатов девонской нефти. Мусатов К. А., Тр. ин-та нефти АН СССР, 1955, 6, 185—198

Проводилось обессеривание методом последовательной экстракции (ПЭ) фенолом (Ф), содержащим 6% воды, фракций туймазинской нефти: 150—200, 200—250°, 250—300°, 300—360°, выше 360°; содержание серы в фракциях соответственно: 0,17; 0,32; 1,16; 1,43; 2,00. ПЭ проводилась в делительных воронках при комнатной т-ре, за исключением фракции выше 360°, которая обрабатывалась с применением термич. высаживания. Для этого смесь фракции с Ф нагревалась до полного взаимного растворения (80—90°), затем р-р охлаждался до комнатной т-ры и из него высаживались составные части, нерастворимые при комнатной т-ре. Ф вводился порциями, так что даже в пределах каждой фракции экстракция производилась ступенчато. ПЭ начинается со II фракции, которая двукратно обрабатывается свежим Ф в кол-ве 40%. III фракция вначале обрабатывается одним приемом отработанным Ф от II фракции, а затем в три приема — свежим, с расходом 110%. IV фракция в два приема обрабатывается отработанным Ф от предыдущей фракции и затем в три приема свежим Ф, с расходом 150%. V фракция — дважды отработанным Ф и трижды свежим в кол-ве 150%. VI фракция — пятикратно отработанным Ф, при этом первые два раза с термич. осаждением, и один раз свежим (30%). Содержание S после ПЭ во II—VI фракциях соответственно составило: 0,08; 0,12; 0,20; 0,25 и 0,70%. При ПЭ из сырой нефти можно получить 67,5% обессеренных дистиллатов прямой перегонки и 32,5% сернистых остатков, не подвергавшихся термич. разложению, при этом обратимый расход Ф на исходную нефть составляет 66,3%. ПЭ экономнее противоточной экстракции по расходу Ф более чем в два раза и по отходам в экстракт — более чем в полтора раза. Б. Э.

66040. Обессеривание бензинов в присутствии антиокислителей. Барриггер (Antioxidant sweetening of gasolines. Barringer C. M.), Industr. and Engng Chem., 1955, 47, № 5, 1022—1027 (англ.)

Изучался процесс обессеривания бензинов, включая механизм р-ции, в присутствии антиокислителя (N,N'-ди-*этор*-бутил-*n*-фенилдиамин) на искусств. смесях углеводород-меркаптан. В стеклянную реакционную колбу загружали меркаптан и углеводород (0,05 г на 100 мл), антиокислитель (0,005 г на 100 мл), 10%-ный водн. р-р NaOH (0,05 мл на 100 мл) и при $t = 30^\circ$ пропускали кислород при тщательном перемешивании смеси в колбе с помощью магнитной мешалки. В пробах, отбираемых из жидкой фазы, определяли потенциометрич. титрованием спирт. р-ром нитрата серебра содержание меркаптана. Показано, что на скорость проводимого в присутствии антиокислителя обессеривания оказывают заметное влияние как реакционная способность взятого углеводорода, так и меркаптана. Более реакционноспособные олефины обессериваются от меркаптанов значительно легче, чем предельные углеводороды. Если для обессеривания метилциклогексана требуется 80 час., для кумола 45, то для циклогексена—20, диизобутилена—14, октена-1—18 час.; добавка 1% олефина (4-винилциклогексена) к метилциклогексану сократила время обессеривания последнего до 24 час. Из исследованных 4 типов меркаптанов: нормального, *этор*- и *трет*-бутилмеркаптана, а также тиофена, последний удаляется быстрее всех, *n*-бутилмеркаптан—быстрее своих разветвленных изомеров, *n*-гексилмеркаптан—медленнее, чем *n*-бутилмеркаптан (25 и 16 час. соответственно). Показано, что кол-во антиокислителя в процессе обессеривания постепенно уменьшается; повышение конц-ии его с 0,0025 до 0,010 мл/100 мл сокращает время обессеривания с 18 до 8 час., дальнейшее повышение конц-ии до 0,020 уже не меняет скорости обессеривания. Предложен механизм р-ции обессеривания: антиокислитель, находящийся в присутствии сильного основания в ионной форме, является катализатором для окисления ионов меркаптида перекисными радикалами, образующимися под действием кислорода на углеводороде. Г. М.

66041. Изучение процесса каталитической очистки бензинов термического крекинга на воляжских опоках. Грязев Н. Н., Кувшинова Н. И., Науч. ежегодник за 1954 г., Саратовск. ун-т, Саратов, 1955, 568—569

В результате исследования более 100 образцов опок, залегающих по правому берегу р. Волги от г. Вольска до с. Антиповки, установлено, что многие опоки имеют более высокую каталитич. активность при парофазной очистке бензинов, чем зикеевская глина. Изучение контактных превращений олефинов и диолефинов на воляжских опоках при t -рах от 200° и выше показало, что непредельные углеводороды претерпевают р-ции полимеризации, деполмеризации, изомеризации и частично перераспределения водорода. Б. Э.

66042. Получение сажи из минеральных масел. Страсер (From hydrocarbons to carbon black. Strasser Dale M.), Petrol. Refiner, 1954, 33, № 12, 177—182 (англ.)

Обзор различных способов получения сажи. Повышение цен на природные газы вызвало их замену в произ-ве сажи минер. маслами. Минер. масло крекируется при 1370° до углерода и H_2 (с примесью CO_2 , Co, H_2O и следов SiH_4 и C_2H_2); смесь сажи с газами охлаждается при непосредственном контакте водой до 648° , затем проходит по длинной трубе в вертикальный холодильник, где охлаждается до 287° и проводится последовательно через 4 разделительных аппарата, в которых отделяется 70% сажи. Газы с остатками сажи переходят в вертикальный холодильник, где охлаждаются

до $76,5^\circ$, а затем в фильтр, где от них отделяется остаток сажи. Вся отделенная сажа поступает в аппарат для формовки из нее шариков, что может производиться как сухим, так и влажным способом. Приведены схемы установок. Е. П.

66043. Теплоты реакций при разложении нефтяных остатков. Хук (Reaktionswärme bei der Zersetzung von Öl. Huck G.), Brennstoff-Chemie, 1955, 36, № 3/4, 37—38 (нем.)

Приводятся расчет теплот разложения при коксовании нефтяных остатков для получения непредельных газов и ароматич. углеводородов. Даются примеры по практич. использованию полученных значений с целью получения более высоких выходов. Рассматриваются преимущества вырыска нефтяных остатков на горячий кокс с точки зрения использования тепла. Б. Э.

66044. Производство заменителей природного газа. Петтиджон (Coal gas source of the future. Pettyjohn E. S.), Coal Age, 1955, 60, № 3, 54—57 (англ.)

Сообщается о разработке Чикагским ин-том газовой технологии методов получения заменителей природного газа из газоллина, нефти и угля. Для газификации газоллина предложен метод «гидрогазификации» под давлением, при котором часть исходного газоллина перерабатывается в водород конверсией с водяным паром на Ni-катализаторе с последующей конверсией CO в H_2 и CO_2 и отмывкой CO_2 ; вторая часть газоллина подвергается термич. крекингу с полученным водородом под давл. ~ 40 атм (гидрогазификация). Средние нефтяные фракции (керосин, лигроин) для использования в таком процессе должны предварительно крекироваться в легкие фракции, идущие на процесс гидрогазификации, и тяжелые остатки, используемые как топливо для процесса. Ведутся работы по газификации этим методом тяжелых нефтяных фракций при более высоком давлении. Для газификации угля предложен способ паро-кислородной газификации пылевидного угля во взвешенном состоянии с последующим метанированием синтез-газа. Процесс состоит из следующих операций: подготовки угля, газификация пылевидного угля паром и кислородом под давлением во взвешенном состоянии, перегрев пара теплообменом с синтез-газом, получение энергии для произ-ва O_2 и компрессии газа пропуском синтез-газа через расширительные газовые турбины, изменение соотношения $CO : H_2$ в синтез-газе частичной конверсией CO , очистка синтез-газа, метанирование синтез-газа на Ni-катализаторе, окончательная очистка, осушка и компримирование газа. Способ испытан на опытной установке производительностью ~ 15 м³/час. Приводятся схемы процессов. В. К.

66045. Получение олефинов из нефти и их переработка. Пунпель (Gewinnung und Verarbeitung von Olefinen aus der Erdölindustrie. Puppel I.), Chemiker-Ztg., 1954, 78, № 18, 614—617 (нем.)

Дается краткое описание условий переработки пропилена и бутиленов с целью получения: 1) изопропилового спирта с последующим превращением его в ацетон; 2) изопропилбензола с последующим окислением последнего и получением из гидроперекиси изопропилбензола ацетона и фенола; 3) алкилхлорида и синтеза на его основе глицерина; 4) окиси пропилена; 5) полипропиленов; 6) вторичного бутилового спирта с последующим превращением его в метилэтилкетон; 7) бутадиена; 8) продуктов алкилирования; 9) продуктов хлорирования. Начало см. РИХим, 1956, 55532.

Б. Э.
66046. Экстракция битуминозных материалов, применяемых для дорожного строительства. Дейле (Beitrag zur Extraktion bituminöser Straßenbaustoffe. Deile L.), Strassen-und Tiefbau, 1953, 7, № 12, 468—472 (нем.)

Сравниваются между собою р-рителю, применяемые для экстракции битуминозных материалов: CS_2 , C_6H_6 , толуол и трихлорэтилен. Кроме того, сравниваются результаты экстракции на соке, центрифуге, экстракционным аппаратом Моля и английском аппарате. Пригодными для работы на всех аппаратах автор считает CS_2 или C_6H_6 . Трихлорэтилен может применяться только при работе на экстракционных аппаратах из стекла. Центрифуга, аппарат Моля и английский аппарат пригодны для экстракции битуминозных материалов. Поскольку при работе на всех аппаратах неизбежны потери р-рителя, автор рекомендует ряд мер по предупреждению воздействия паров р-рителя на организм экспериментатора.

Б. Э. 66047. Смеси битума с каучуком для изоляции труб.

Нейвелд, Хире (Gummi-Bitumen-Mischungen zur Röhrenisolierung. Nijveld H. A. W., Hirs J. G.) Bitum, Teere, Asph., Peche und verw. Stoffe, 1954, 5, № 2, 31—33 (нем.)

Приводятся данные по изменению проницаемости, индекса проницаемости, т-ры размягчения по методу кольца и шара, текучести, сопротивления удару и сопротивления давлению битума, состоящего из 70% продута битума и 30% наполнителя, при добавлении к нему 1,2 и 3% размолотого каучука от автомобильных шин, и данные по изменению тех же показателей для различных битумных смесей при добавлении к ним 2,5, 5,0, 7,5 и 12% размолотого каучука и 2,5 и 5% порошка латекса. Ситовый состав размолотого каучука следующий: больше 1 мм — 4%; 0,42—1,0 мм 50%; 0,175—0,42 мм 44%; 0,175 мм 2%; его хим. состав (в %): 55 каучука (17 синтетич. и 38 естественного); 25 сажи; 9 золы; 8 ацетонного экстракта; 1,5 серы. Получаемые смеси нагревались до 200° и выдерживались при этой т-ре (от 1 до 24 час.). Результаты показывают, что добавление относительно небольших кол-в каучука улучшает основные свойства битума. Дается краткое описание перечисленных показателей качества битума и простого способа оценки качества каучуковой пыли, предназначенной для смешения с битумом.

Б. Э. 66048. Первые установки сжиженных газов в Канаде.

Ван-Вилинген (First L.-P.G. plants in Canada. Van Wieringen G. A.), Canad. Oil and Gas Inds, 1955, 8, № 7, 41—46 (англ.)

Описана абсорбционная установка в Ачесоне (Канада), перерабатывающая 170 тыс. м³ нефтяного газа с получением 76 тыс. л сжиженного газа в сутки. Поступающий газ подвергается при давл. 2 атм очистке от H_2S и CO_2 15%-ным р-ром моноэтаноламина, затем сжимается до 18 атм и перерабатывается в тарельчатой абсорбционной колонне; насыщ. абсорбент после выветривания подвергается десорбции острым паром при 8 атм и т-ре 240°; десорбированные углеводороды разделяются в дефронтанаторе на две фракции $\text{C}_2\text{H}_6 + \text{C}_3\text{H}_8$ и $\text{C}_4\text{H}_{10} + \text{высшие}$; после деэтаннизации пропановой фракции и разделения бутановой фракции на C_4H_{10} и газолин выпускаются товарные C_3H_8 , C_4H_{10} и газолин. Вторая канадская установка аналогична по схеме, перерабатывает 57 тыс. м³ газа и производит 30—38 тыс. л сжиженных газов.

Н. К. 66049. Азот в природном газе Польши. Вильк

(Azot w polskim gazie ziemnym. Wilk Zdzisław), Nafta (Polska), 1956, 12, № 2, 39—43 (польск.)

В связи с загрязненностью природного газа, добываемого в Польше, азотом и целесообразностью удаления последнего рассмотрены вопросы природы азота в этом газе, влияния азота на величину коэфф. сжимаемости природного газа, методов удаления азота из природного газа, в частности метода охлаждения газа до низких т-р и селективной дистилляции.

К. З. 66050. Одоризация природного газа. Бальдасини (Odorizzazione del gas naturale. Baldasini

sini Luciano), Misura e regolaz., 1956, 4, № 1, 36—37 (итал.)

Краткая статья с приложением схемы по контролю и автоматич. регулированию непрерывного процесса одоризации природного газа.

К. З. 66051. Молекулярные сита — новый адсорбционный материал. Унбер (Molecular sieves are new tool for adsorption. Weber George H.), Oil and Gas J., 1954, 53, № 29, 58—59 (англ.)

Описана методика приготовления, свойства и области применения синтетич. цеолитов — молекулярных сит двух типов, которые состоят из Na, Ca, Si, Al и O и обладают мелкой и однородной структурой пор. Первый тип имеет размер пор ~4Å, обладает высокой адсорбционной способностью по отношению к H_2O , CO_2 , H_2S , NH_3 , C_2H_6 , C_2H_4 , C_3H_8 , CH_3OH , $\text{C}_2\text{H}_5\text{OH}$ и не адсорбирует молекулы с диам. >4Å. Второй тип, имеющий размер пор ~5Å, кроме указанных молекул, адсорбирует C_3H_8 , n-бутилены и другие нормальные олефины, парафины и спирты, но не адсорбирует разветвленные молекулы с диам. >5Å. Сита обладают: а) высокой адсорбционной способностью по отношению к воде и водяным парам; б) большой преимущественной адсорбцией полярных в-в: спиртов, CO, H_2S и ненасыщ. углеводородов в их смесях с насыщ. углеводородами. Отмечены высокие адсорбционные свойства сит при адсорбции в-в, присутствующих в малых конц-ях: так тип 4Å адсорбирует влаги 19 г (100 г из газа, имеющего относительную влажность 2%) в 5 раз больше, чем силикагель и активированный Al_2O_3 , причем точка росы достигает — 73°. С помощью сит может осуществляться осушка газа при высокой т-ре (100°). Отмечено, что сита могут быть синтезированы таким образом, чтобы преимущественно сорбировали циклич. углеводороды (ароматич. и нафтеновые). Сита выпускаются в виде мелкого порошка и цилиндров с диам. 3,2 и 1,6 мм. Минер. к-ты разрушают сита. Перспективным является применение гранулированных сит в движущемся слое.

Н. К.

66052. Получение сажи из углерода методом каталитического разложения метаносодержащих природных газов. Минель Ф. Е., Тр. Ленингр. инж.-экон. ин-та, 1955, г., № 9, 107—122

С целью получения газовой сажи с высоким выходом проводились опыты по каталитич. разложению метаносодержащего природного газа в лабор. установке пропускной способностью по газу 75—85 л/час в присутствии неподвижного слоя Fe-катализаторов в смеси с газовой сажой. Лучшие результаты были получены при применении природных гематитовых руд с малым содержанием SiO_2 , S и P. При т-ре процесса 820—840° выход сажи составлял 60% от углерода исходного газа. Образующаяся сажка оседала в реакционном объеме и выгружалась из него вместе с катализатором после окончания опыта (содержание Fe в сажке составляло 15—40%). Испытывались различные способы очистки полученной сажи от Fe; лучшие результаты были получены при окислительной обработке полученного продукта воздухом при т-ре 400—430° с последующей обработкой 10—15% к-той, при этом содержание Fe снижалось до 0,7%. Полученные образцы сажи с зольностью 1—12% испытывались в резиновых смесях (цифровой материал испытаний не приводится).

В. К.

66053. Учет влияния атмосферных условий на процессе производства печной газовой сажи. Теснер П. А., Снегирева Т. Д., Газовая пром-сть, 1956, № 2, 33—37

На основе термодинамич. анализа процесса произ-ва печной газовой сажи показано, что при постоянном выходе сажи т-ра продуктов горения зависит от т-ры влажности природного газа и воздуха, поступающих в печь. При принятой в настоящее время системе регулирова-

ния процесса, обеспечивающей сохранение постоянной т-ры продуктов р-ции путем изменения расхода воздуха, повышение т-ры природного газа и воздуха приводит к повышению, а повышение влажности — к снижению выхода сажи. Даны расчетные ур-ния для определения т-ры продуктов р-ции, которую необходимо поддерживать при различных условиях т-ры и влажности природного газа и воздуха для обеспечения постоянного выхода сажи; приведены примеры расчета. М. П. 66054. Установка крекинг-конверсии метана в Бельгии. Дорзе (L'usine de cracking-reforming de Mont-Ste-Aldegonde. Dorzee P.), Rev. Soc. roy. belge ingénieurs et industriels, 1954, № 11, 440—443 (франц.)

Описано предприятие, осуществляющее крекинг-конверсию CH_4 рудничного газа с целью получения городского газа. X. Ф.

66055. Разделение углеводородов путем экстракционной кристаллизации с мочевиной. Немецкий (Zagalenie rozdzielu węglowodorów drogą krystalizacji ekstrakcyjnej z mocznikiem. Niemcowski Stefan), Nafta (Polska), 1956, 12, № 5, 132—135 (польск.)

Отмечается актуальность для польской нефтяной промышленности нового метода выделения парафиновых углеводородов из нефтяных фракций путем экстракционной кристаллизации с мочевиной и излагаются физ.-хим. основы этого метода. К. З.

66056. Образование углерода в пламени предварительных смешанных газов. Стрит, Томас (Carbon formation in pre-mixed flames. Street J. C., Thomas A.), Fuel, 1956, 34, № 1, 4—36 (англ.)

Исследован процесс образования углерода (С) в пламени предварительных смешанных газов в зависимости от ряда факторов. Определено критич. отношение воздух/горючее, при котором прекращалось образование С, фиксируемое по исчезновению желтой окраски пламени. Для большого числа горючих соединений была измерена критич. конц-ия (KK) воздуха, необходимая для подавления образования С в пламени. Горючие с низкой упругостью паров сжигались в виде туманов. Также исследовано влияние конц-ии O_2 в воздухе, предварительного подогрева смеси газов с воздухом и добавки небольших кол-в различных соединений к горючим смесям. Сконструирована установка, состоящая из смесителя, горелки типа Бунзена с водн. охлаждением в верхней части, и системы газоулавливания. Показано, что для каждого горючего существует KK воздуха, при которой образование С при горении смеси с воздухом полностью подавляется, обычно увеличивающаяся с увеличением мол. веса горючего. KK воздуха, выраженная как отношение воздух/горючее увеличивается в следующем порядке: альдегиды, кетоны, эфиры, спирты, ацетилен, легкие ароматич. соединения, олефины, изопарафины, парафины, более тяжелые моноциклич. ароматич. соединения, производные нафталина. В группе алифатич. соединений различие между горючими различного типа уменьшается с увеличением мол. веса. Предварительный подогрев смеси воздуха с горючим слегка уменьшает критич. отношение воздух/горючее, при котором происходит подавление образования С; разбавление смеси азотом способствует образованию С, обогащение смеси кислородом — подавляет образование С. Добавление различных в-в в кол-ве более 10 вес. % в некоторых случаях оказывало определенное влияние, а в случае с метилэтилкетонем установлена линейная зависимость KK воздуха от кол-ва добавки. Галоидные производные, сернистая к-та и серный ангидрид увеличивают, а перекись азота, окись углерода, тетраэтилсвинец, метиловый спирт, метилэтилкетон и амилнитрат уменьшают кол-во воздуха, необходимое для предотвращения

образования С; SO_2 , CO_2 и H_2O не оказывают влияния; SO_2 , по-видимому, уменьшает кол-во С, образующегося в пламени богатых смесей. Полученные результаты находятся в соответствии с теорией, по которой механизм образования С в пламени смеси горючего с воздухом тот же, что и в диффузионном пламени, однако O_2 , соединяясь с атомами С, препятствует этим атомам принимать участие в процессе. И. Р.

66057. Пропановая очистка. Брайен (Propane fractionator on stream at Wellsville, New York. Brien E. B.), Petrol. Engr., 1953, 25, № 11, C12—C16 (англ.)

Описана установка одной из американских фирм по очистке цилиндрического масла от смол с помощью пропана, производительностью 110 000 л в сутки. И. К.

66058. Определение следов кислорода в газовых смесях. Петер (Über die Bestimmung von Sauerstoffspuren in Gasgemischen. Peter Max), Monatsbull. Schweiz. Verein. Gas-und Wasserfachmännern, 1956, 36, № 1, 1—11 (нем.)

На основании литературного обзора существующих методов определения кислорода (O_2) в газовых смесях (городской газ), включающего около 50 работ, автор останавливается на колориметрич. методе для определения следов O_2 , причем последний абсорбировался медной стружкой, смачиваемой аммиачным р-ром хлористого аммония (медноаммиачное штапельное волокно). На основании колориметрич. измерений растворившейся меди, проведенных в фотоэлектрич. колориметре, определялось содержание O_2 в газе. Опыты, проведенные в аппаратуре, имеющей резиновые соединения, показали зависимость измеренной конц-ии O_2 в газе от скорости его пропускания через медные стружки. Даже при относительно небольшой скорости пропускания газа абсорбция O_2 не протекает количественно. Попытки активирования медной стружки хим. путем или окислением при 500° и последующим восстановлением водородом к успеху не привели. Кроме этого, отмечалась диффузия O_2 воздуха через соединительные каучуковые трубки, что приводило к получению завышенных результатов. В случае применения трубки, изготовленной из бутилового каучука, диффузия O_2 в течение 96 час. не наблюдалась. Опыты, проведенные в аппаратуре, целиком изготовленной из стекла, показали пригодность ее для определения следов O_2 в случае, если скорость газового потока достаточно велика для колич. абсорбции. Б. Э.

66059. Измерение температуры и высоты уровня нефтепродуктов при хранении. Берглюнд (Oil storage measuring temperatures and levels. Berglund John H.), Petrol. Engr., 1954, 26, № 11, E-12—E-18 (англ.)

Приводится описание механич., пневматич. и электрич. приборов для определения уровня нефтепродуктов в резервуарах и термометров для измерения т-ры нефтепродукта. А. Ч.

66060. Германский стандарт DIN 51771. Проект. Испытание нефтяных углеводородов. Определение общего содержания серы ламповым способом по Сандлару (Prüfung von Mineralölkohlenwasserstoffen. Bestimmung des Gesamtschwefelgehaltes mit der Schwefellampe nach Sandlar. Norm-Entwurf, April 1955, DIN 51771), Erdöl und Kohle, 1955, 8, № 3, 178—180 (нем.)

Метод предназначен для определения общего содержания S в газообразных и жидких углеводородах и заключается в сжигании навески продукта в атмосфере кислорода с последующим улавливанием окислов S и перевода их в H_2SO_4 (с помощью H_2O). I определяется объемным или весовым методами. Все виды топлив, за исключением содержащих большое кол-во ароматич. углеводородов (II), сжигаются без разбавления. По-

следние, а также бензины с низкой т-рой вспышки разбавляются абсолютным этиловым спиртом (III) в соотношении 1:1. II и дизельные топлива разбавляются III в соотношении 3:7. Масла целесообразно разбавлять амилловым спиртом или бензином, не содержащим S. Соотношение при разбавлении зависит от вязкости исходного продукта. Б. Э.

66061. Определение фурфурола в нефтепродуктах. Милнер, Лидерман (Determination of furfural in petroleum stocks. Milner O. I., Liderman D. A. J., *Anal. Chem.*, 1955, 27, № 11, 1822—1823 (англ.))

Для определения следов фурфурола (до 0,0001%) в маслах селективной очистки разработан колориметрич. метод, основанный на образовании окрашенного в красный цвет соединения фурфурола с анилином (основание Шиффа) в р-ре лед. уксусной к-ты — бензола. Метод пригоден и для окрашенных растворов. Е. П.

66062. Современные вопросы применения моторного бензина и топочного мазута. Андо (ガソリンと重油に関する最近の問題. 安東新午), *燃料協会誌*, Нэйрё кёкайси, J. Fuel Soc. Japan, 1954, 33, № 332, 636—643 (япон.; рез. англ.)

Рассматривается явление преждевременного воспламенения в бензиновых двигателях, вызываемое применением высокооктановых бензинов, богатых ароматич. углеводородами и имеющих повышенное содержание тетраэтилсвинца, и меры предотвращения этого явления. Отмечается, что для повышения чувствительности бензина к ТЭС необходимо обесценивать его; эта задача может быть решена с помощью разработанного недавно процесса гидрообессеривания (приводятся данные лаборатор. исследований). Важными проблемами для исследований в области топочных мазутов являются их стабильность при смешении и агрессивность ванадия в зоне топлива к материалам топки; эти вопросы рассматриваются по литературным данным, а также по результатам исследований автора. З. С.

66063. Некоторые проблемы дизельного топлива. Такахаши (ジゼル機関の燃料について. 高橋勲), *燃料協会誌*, Нэйрё кёкайси, J. Fuel Soc. Japan, 1954, 33, № 332, 649—656 (япон.; рез. англ.)

Производство высокосортных бензинов и смазочных масел приводит к снижению качества дизельных топлив. Рассматривается влияние на работу двигателя низкосортного дизельного топлива с точки зрения качества его, характеризующегося уд. весом, вязкостью, содержанием серы, кокса, влаги и зольностью. В числе способов борьбы с неполадками, вызываемыми применением низкосортных топлив, описываются подогрев топлива, установка очистителя, применение катализатора, улучшающего сгорание, и соответствующий выбор смазочного масла. Обращается внимание на газовый дизель, применяющий природный газ. З. С.

66064. Вычисление констант уравнения состояния Бенедикта—Вебба—Рубина для n-парафинов, 1-бутена, и 2,2-диметилпропана. Канджар, Смит Вольянитие, Галуццо, Кабаркос (Correlation of constants in the Benedict—Webb—Rubin equation of state n-paraffins, 1-butene, and 2,2-dimethylpropane. Canjar L. N., Smith R. F., Elias Volianitis, Galluzzo J. F., Cabarcos Manuel), *Industr. and Engng Chem.*, 1955, 47, № 5, 1028—1031 (англ.)

Проведено сравнение опытных и расчетных по у-нию Бенедикта—Вебба—Рубина равновесных кривых для n-бутана, n-пентана, n-гептана и n-гексана, 1-бутена, 2,2-диметилпропана, n-декана. Вычисление констант у-ния производилось по ф-лам в зависимости от критич. т-ры углеводородов T_c : $A_0 = 0,0487 T_c - 13,04$; $B_0 = (4,337 \times 10^{-4}) T_c - 0,0951$; $\log C_0 = 0,005497 T_c + 3,728$;

$\log \alpha = 0,004691 T_c - 5,030$; $\log \nu = 0,003303 T_c - 2,900$; $\log a/N_c = 0,004141 T_c - 1,941$; $\log b = 0,005187 T_c - 3,498$; $\log c = 0,007521 T_c + 2,373$; $R = 0,0820544$; здесь N_c — число атомов C в молекуле. Среднее расхождение расчета и опыта не превышает 0,78%. Методика построения равновесных кривых $P-V-T$ включает следующие этапы: 1) приблизительно устанавливаются критич. т-ру T_c ; 2) вычисляют константы у-ния; 3) вычисляют давление как функцию плотности; 4) если наклон изотермы в точке перегиба равен нулю, величина T_c в первой ступени расчета выбрана правильно; если наклон не равен нулю, необходимо задаться новым значением T_c и повторить расчет. Н. К.

66065. О сравнительной активности технических катализаторов парофазной гидрогенизации топлива. Лозовой А. В., Воль-Эпштейн А. Б., Сенявин С. А., Тр. Ин-та горючих ископаемых АН СССР, 1955, 6, 16—34

Исследовалась относительная активность технич. катализаторов гидрирования: WS_2 , $WS_2 + NiS + Al_2O_3$, $WS_2 +$ алюмосиликаты. Активность катализаторов исследовалась по гидрированию крекинг-керосина, нафталина в тетралин, тетралина в декалин и восстановлению фенола в бензол на непрерывно действующей установке с объемом реактора 200 см^3 при т-ре 350° , давл. 50—200 атм и глубине превращения 40—50%. Определение глубины гидрирования проводилось при гидрировании крекинг-керосина по изменению иодного числа, нафталина — по изменению показателя преломления, тетралина — сульфированием продуктов р-ции фосфорным ангидридом и серной к-той, восстановления фенола с учетом образовавшейся воды по Дину и Старку. Показано, что относительная активность катализаторов $WS_2 + NiS + Al_2O_3 > WS_2 > WS_2 +$ алюмосиликаты; по р-ции гидрирования олефинов (крекинг-керосина) все 3 испытанных катализатора имеют практически одинаковую активность, катализаторы $WS_2 + NiS + Al_2O_3$ и WS_2 различаются по гидрирующей активности между собой меньше, чем с катализатором $WS_2 +$ алюмосиликаты. Показано также, что скорость р-ции гидрирования олефинов при 350° практически не изменяется при повышении давл. от 50 до 110 атм. В. К.

66066. Производство кумола и тетрамера. Джонс (Cumene and tetramer production. Jones E. K.), *Petrol. Refiner*, 1954, 33, № 12, 186—187 (англ.)

Краткое описание одновременного произ-ва кумола и тетрамера пропилена на модифицированной нефтехимич. полимеризационной установке в США. В. Ш.

66067. О значении изменения числа молей при сгорании в теории, конструкции и эксплуатации двигателей внутреннего сгорания, котлов, печей и газогенераторов. Архангельский И. В., Записки Воронежского с. х. ин-та, 1954, 25, № 1, 157—174

Рассчитаны хим. коэфф. молекулярного изменения μ_0 для различных видов топлива по известной ф-ле $\mu_0 = (H/4 + O/32)/\alpha L_0$, где H и O — доли водорода и кислорода, заключающиеся в 1 кг топлива, αL_0 — действительное кол-во молей воздуха. Показано, что величина μ_0 колеблется в широких пределах — от 0,666 для CO и H_2 при сжигании в O_2 до 1,179 для клетчатки. На действительный коэфф. молекулярного изменения $\mu = [R_2(1 + \gamma)G + 1]/R_1(1 + \gamma)G$ (где R_1 — характеристич. постоянная горючей смеси, R_2 — характеристич. постоянная продуктов сгорания, γ — остаточный коэфф., равный весовому отношению остаточных газов к свежему заряду, G — вес воздуха) сильнее всего влияет отношение характеристич. постоянных R_2/R_1 , т. е. природа в-ва, а также вес воздуха, участвующего в сгорании G_1 , и отчасти наличие остаточных газов. Величина μ оказывает существенное влияние на т-ру конца сгорания, а следовательно, на

теплоотдачу в стенки, температурные изменения и проч. Большие значения μ ($\mu > 1$) способствуют уменьшению жаропроизводительности топлива, а малые ($\mu < 1$) — ее увеличению. Пользование величиной μ упрощает и уточняет построение температурных диаграмм двигателей внутреннего сгорания. Показано, что изменение числа молей при сгорании не оказывает прямого влияния на мощность двигателей внутреннего сгорания, но существенно влияет на конструирование и на условия эксплуатации двигателей внутреннего сгорания, котлов, печей и газогенераторов. Н. К.

66068. Присадки к смазочным маслам. Керфи (Additives in lubricating oils. Curphey E. C.), Scient. Lubricat., 1955, 7, № 7, 24—27, 29 (англ.)

Обзор присадок, применяемых для улучшения качества смазочных масел, и рассмотрение механизма действия этих присадок. Библ. 20 назв. Е. П.

66069. Присадки к топливам и маслам. Ларсон (Additives for fuels and lubricants. Larson C. M.), Petrol. Engng., 1955, 27, № 3, C44, C46, C48—C50, C52, C53 (англ.)

Обзор присадок к моторным топливам и маслам, применяемых в США, с указанием размеров их годового потребления. Приведены, также аналогичные данные относительно консистентных смазок, промышленных и моторных смазочных масел. Е. П.

66070. Значение исследований вязкости жидких смазочных материалов при высоких давлениях. Сарджент (Significance of viscosity studies of fluid lubricants at high pressures. Sargent L. B., Jr), Lubricat. Engng., 1955, 11, № 4, 249—254 (англ.)

Обзор работ по изучению влияния высоких давлений на вязкость минер., жирных и синтетич. смазочных масел. В случае точной работы при высоких давлениях линейное логарифмич. отношение относительных вязкостей неприменимо и необходимы непосредственные эксперим. определения. Библ. 18 назв. Е. П.

66071. Научные основы современной химии смазочных материалов. Цорн (Einige wissenschaftliche Grundlagen der modernen Schmierstoffchemie. Zorn Hermann), Erdöl und Kohle, 1955, 8, № 6, 414—419 (нем.)

Рассматривается связь между строением углеводородов и их вязкостно-температурными свойствами (ВТС). Приводятся значения вязкости некоторых изопарафиновых углеводородов при разных t -рах (-20° , -10° , 0° , $+20^\circ$, $+38^\circ$, $+50^\circ$ и $+99^\circ$), плотности, t -р плавления и воспламенения, а также вязкости 61 различных сложных эфиров при разных температурах ($+20^\circ$, $+38^\circ$, $+50^\circ$ и $+99^\circ$). Для последних обсуждается влияние основности k -т и атомности спиртов, а также степени замещения k -т на ВТС и t -ру плавления. Б. Э.

66072. Актуальные проблемы моторных масел. Бруннер (Aktuelle Probleme bei Verbrennungsmotorenölen. Brunner M., Chimia, 1955, 9, № 1, 1—7 (нем.)

Характеризуется назначение и применение масла в двигателе и рассматриваются вопросы, связанные с улучшением качества масел с помощью различных присадок с использованием синтетич. масел. Б. Э.

66073. Фотометрическая оценка моющих свойств смазочных масел. Фост (Photometric evaluation of detergency of lubricating oils. Faust J.), Lubricat. Engng., 1954, 10, № 6, 345—349 (англ.)

Предложен лабор. метод оценки моющих свойств смазочных масел. В образец масла, разб. керосином, вводят сажу, смесь центрифугируют при стандартных условиях и после декантации с осадка, в образце фотометрически, по кол-ву поглощенного света, определяют кол-во сажи, оставшейся в виде суспензии; время определения 90 мин. Для получаемых данных введен

термин «показатель моющего эффекта». Метод применим для оценки моющих свойств масел и активности моющих присадок; результаты совпадают с результатами моторных испытаний. В. Ш.

66074. Консистентные смазки. Кармайкл (Lubricating greases, Carmichael E. S.), J. Amer. Oil Chemists Soc., 1954, 31, № 11, 593—597 (англ.)

Дан обзор основных типов консистентных смазок и применяемых для их получения жиров, жирных k -т и мыл. Рассмотрены факторы, влияющие на структуру и качество консистентных смазок. Библ. 4 назв. М. Л.

66075. Эффект сдвига в литевых смазках и их мыльной фазе. Реншоу (Effects of shear on lithium greases and their soap phase. Renshaw Theodore A.), Industr. and Engng. Chem., 1955, 47, № 4, 834—838 (англ.)

Исследованиями с помощью электронного микроскопа показаны некоторые необычные результаты, противоречащие принятым взглядам на структуру смазок и их реологию; подчеркнуто значение силы притяжения между соседними волокнами, как первичного фактора, определяющего специфич. свойства смазок. Приведены ряд микрофотографий волокон гидроокиси Li-стеарата и Li-стеарата смазок AML, иллюстрирующие различные механизмы сдвига. Л. А.

66076. Основы применения водно-графитной смазки. Штефан (Grundlagen und Verwendungsmöglichkeiten der WG-Schmierung. Stephan Carl), Seifen-Öle-Fette-Wachse, 1955, 81, № 21, 617—618 (нем.; рез. англ., франц., исп.)

Приводятся основные сведения по водно-графитной смазке. Опыты по ее применению на паровой машине мощностью в 40 л. с. дали положительные результаты. Приведены данные по выбору поршневых машин для дальнейших опытов. Б. Э.

66077. Исследование процесса регенерации некоторых минеральных масел с помощью местных опок. Грязев Н. Н., Раховецкая М. С., Науч. ежегодник за 1954 г. Саратовск. ун-т, Саратов, 1955, 570—571

Излагаются результаты работ по контактной очистке и перколяционному фильтрованию турбинных, трансформаторных и дизельных масел местными опоками. Все испытанные образцы опок превосходят по своей активности гумбри, а некоторые из них не уступают зиевской глине. Активация опок парами NH_3 и его водн. р-ра позволяет значительно снизить расход опок при регенерации масел (до 2% для трансформаторного и 5% для турбинного масел). Изучались структура местных опок и последовательность адсорбции из масел продуктов его старения. Б. Э.

66078. Вспенивание смазочных масел для тяжелых условий работы. Нью, Техвинский (Foaming of a heavy-duty lubricating oil. Pugh W. M., Tichvinsky L. M.), Lubricat. Engng., 1955, 11, № 1, 29—34 (англ.)

Испытание на вспенивание масел, предназначенных для тяжелых условий работы, проводимое по спец. методу, улучшено путем предварительной аэрации образца при определенной t -ре. Этот метод чувствителен к температурным колебаниям, скорости потока воздуха и характеру испытываемого масла. Даются схема аппаратуры для барботажа и описание методики на пенообразование. Библ. 26 назв. А. Ч.

66079. Определение содержания минеральных масел в воде методом уравнивания интенсивности флуоресценции растворов. Юдильевич М. М., Завод. лаборатория, 1954, 20, № 6, 683—685

Описывается прибор для определения содержания нефтяных и каменноугольных масел в воде с целью контроля водоподготовки паровых котлов. Прибор основан на сравнении флуоресценции p -ра, извлеченного

из воды масла в бензине или бензоле, с эталонным флуоресцирующим р-ром при освещении их ртутно-кварцевой лампой. Относительная ошибка определения 2—7%.

66080. Вязкость некоторых консистентных смазок при низких температурах. Стрелков Н. И., Сидоров Н. А., Ианова А. Н., Диброва З. А., Тр. Харьковск. политехнич. ин-та, 1954, 4, 83—91

Приводятся результаты определения вязкости консистентных смазок методом падающего шарика при t -рах 0—50° и методом продавливания шарика под нагрузкой при t -рах от 0 до минус 50°.

66081. Эксплуатационная оценка изоляционных масел. Саломон (L'appréciation des huiles isolantes en service. Salomon T.), Bull. Soc. franç. electriciens, 1954, № 46, 570—600 (франц.)

Для оценки поведения изоляционных масел в эксплуатации применен метод искусств. старения Вейса и Саломона, включающий нагревание при 115° и доступе воздуха с катализатором — Си-спиралью, с последующим определением кол-ва осадков в зависимости от времени нагревания. Проведено исследование большого числа различных образцов масел. Применение этого метода периодически (через большие промежутки времени) для масел, находящихся в работе, даст возможность на основании полученных кривых делать выводы о скорости и характере дальнейших изменений масла. Приведено описание примененного метода.

66082. Лабораторная машина для сравнительной оценки масел по коэффициенту трения скольжения. Накашидзе Б. М., Листов В. А. В сб.: Методы исследования нефтей и нефтепродуктов. М., Гостехиздат, 1955, 122—140

Приводится описание устройства новой лабор. машины трения для испытания масел, построенной по схеме «весы трения», и методика работы на ней. Результаты испытаний машинного вазелинового масла и машинного масла СУ без присадок и с присадками ЦИАТИМ-339 и АзНИИ-4 на этой машине показали, что она позволяет производить испытания масел для оценки их по коэфф. трения в широком интервале давлений на смазочную пленку, в частности в области граничной смазки, и оценивать в этих условиях эффект действия присадок, предназначенных для улучшения смазывающего действия масел.

66083 П. Способ деэмульсации нефтей. Хьюз, Фишер (Process for breaking petroleum water-in-oil emulsions. Hughes William B., Fisher Everett B.) [Citics Service Oil Co.]. Канад. пат. 507745, 30.11.54

Предлагается деэмульгатор для разрушения эмульсий типа вода в масле. Деэмульгатор получают смешением 1 моля альдегида или кетона, напр. энантового альдегида, формальдегида или бензальдегида, с 2 молями амина, такого как нетретичные алкиламины (октил-амин), аминоспирты и гетероциклич. амины. Смесь подогревают при достаточно высокой t -ре и в течение времени, достаточного для того, чтобы произошла р-ция между альдегидом или кетоном и амином, в результате которой получается вода и бескислородный продукт р-ции. Воду отделяют от продукта р-ции, и последний нейтрализуют пропилафталинисульфокислотой. Образующийся деэмульгатор в последующем используют для разделения воды и масляной фаз.

66084 П. Приготовление катализаторов, содержащих Al_2O_3 (Method of making alumina-containing catalysts) [Standard Oil Development Co.]. Англ. пат. 708168, 28.04.54 [J. Appl. Chem., 1954, 4, № 12, ii 718 (англ.)]

Приготовление катализаторов конверсии углеводо-

родов (напр., крекинга лигроина) гидролизом алкоголята Al, полученного из Al и водорастворимого спирта (C_2H_5OH , $n-C_3H_7OH$, или $iso-C_3H_7OH$) воды. (гидролиз SiO_2) р-ром пропитывающего соединения $(NH_2)_2 \cdot Mo_2O_7$, $(NH_2)_2 \cdot Cr_2O_7$, NH_2VO_3 , $(NH_4)_6WO_4$ или H_3BO_3 . Методика приготовления следующая: 216 г Al р-ряют в 4 л безводн. изопропилового спирта в присутствии 0,25 г J_2 в течение 2 час. и затем добавляют р-р 180 г H_3BO_3 в 8 л. Отгоняют регенерированный спирт, остаток сушат при $\sim 120^\circ$. Полученный твердый гель, содержащий $\sim 20\%$ B_2O_3 , после активации используют как катализатор, напр., для реформинга тяжелого бензина.

66085 П. Регенерация катализатора. Баркер (Catalyst regeneration. Barker John W.) [Houdry Process Corp.]. Канад. пат. 508155, 14.12.54

Описан процесс регенерации закоксованного катализатора крекинга углеводородов, состоящий в том, что углеродистые отложения выжигают, пропуская катализатор через регенератор сверху вниз, состоящий из нескольких самостоятельно контролируемых зон выжигания (ЗВ), имеющих охлаждающую поверхность. Кислородсодержащий газ (Г) поступает противотоком потоку катализатора в каждую ЗВ отдельно. Отсутствие разности давлений Г у границ ЗВ предотвращает проскок Г. Дана схема аппарата и узлов.

66086 П. Экстракция растворителями. Франсис (Solvent extraction. Francis Alfred W.) [Socony-Vacuum Oil Co., Inc.]. Пат. США 2698276, 28.12.54

Предлагается процесс разделения углеводородной смеси, в состав которой входит смесь углеводородов от газойлевых до масляных фракций, на фракции, из которых, по крайней мере, одна имеет более высокий индекс вязкости, чем исходная смесь. Процесс заключается в контактировании смеси с жидкой CO_2 и р-рителем под давлением, достаточным для поддержания фазы, богатой CO_2 в жидком состоянии. Применяют следующие р-рител: фурфурол, триацетин, этиллактат, β -хлорэтилацетат, ацетонитрил, этанол, метанол, метилформат, диметилформамид, β -метоксизетанол, хлорацетон, этилсульфат, нитроэтан и SO_2 ; они не смешиваются с углеводородами при добавлении жидкой CO_2 . Соотношение между CO_2 и р-рителем, при котором образуются рафинатная и экстракционная фазы, колеблется от 2 : 1 до 1 : 2 (вес). Давление используется для лучшего разделения рафинатной и экстракционной фаз. После удаления CO_2 и р-рителя из рафинатной фазы получают углеводородную фракцию с более высоким индексом вязкости, чем исходная углеводородная смесь.

66087 П. Выделение нафтенов из смеси насыщенных углеводородов с помощью водного метилового спирта. Уидман (Separation of naphthenes from a saturated hydrocarbon mixture with the use of methyl alcohol and water. Weedman John A.), [Phillips Petroleum Co.]. Пат. США 2695322, 23.11.54

Метод выделения нафтенов из смеси насыщ. углеводородов, состоящей в основном из нафтенов с 6 атомами С в молекуле и кипящих в узких пределах парафинов, заключается в контактировании смеси с метиловым спиртом, содержащим 5—20 вес.% (от метилового спирта) воды. После контактирования разделяют рафинат, содержащий парафины, и экстракт, содержащий нафены. Нафены с 6 атомами С в молекуле, являющиеся целевым продуктом процесса, выделяются из экстракта.

66088 П. Окисление меркаптанов в дисульфиды. Питерс (Mercaptans oxidation to disulfides. Pieters Willem J.) [Shell Development CO]. Канад. пат. 509320, 18.01.55

Предлагается способ превращения меркаптанов в

дисульфиды с помощью O_2 в двухфазной системе: одну фазу образует содержащий активную S бензин, а другую — вода. р-р гидроокиси щел. металла, взятый в кол-ве 10—20 об. % от бензина. Процесс идет в присутствии перекиси в кол-ве 10—40% от стехиометрического по отношению к конвертируемым меркаптанам. В качестве перекиси могут быть использованы гидроперекись кумола или перекись водорода.

Б. Э.
66089 П. **Обработка дистиллятов раствором гипохлорита. Прхарт** (Treatment of distillates with hypochlorite solution. Earhart Harold W.) [Esso Research and Engineering Co.]. Пат. США 2721166, 18.10.55

Патентуется способ обработки нефтяных дистиллятов, содержащих после обработки гипохлоритом (I) кислые хлорированные продукты. Дистиллат (с т. кип. ниже 400°) контактирует с водн. р-ром гидрата окиси щел. металла, напр. NaOH, и меркаптида щел. металла в течение времени, достаточного для превращения кислых хлорированных продуктов и образования в дистиллате дисульфидов, а в водн. р-ре хлорида щел. металла. Водн. р-р отделяют и пускают на обработку новых порций дистиллата. Указанные меркаптиды получают из нижеследующих ароматич. или алифатич. соединений (не выше C_6): метилмеркаптана, этилмеркаптана, пропилмеркаптана, бутилмеркаптана, тиюфенола, тиокрезола, 2-фенил-1-этан-тиола, *m*-толил-бензил-меркаптана, 4-этилтиофенола, метил-бензил-меркаптана, 2-тиоафтаола и 4-фенил-1-тиофенола. Дистиллат с т. кип. ниже 400° , содержащий H_2S и алифатич. меркаптаны (II) с 6 и менее атомами C в молекуле, до обработки I освобождают от H_2S и II, после чего дистиллат обрабатывают сначала водн. р-ром I и далее, как описано выше.

Е. П.
66090 П. **Деасфальтизация нефтяных остатков** (Deasphalting residual oil) [Standard Oil Development Co.]. Австрал. пат. 163197, 16.06.55

Патентуется способ деасфальтизации нефтяных остатков, кипящих выше 460° . Улучшение состоит в контактировании сырья с деасфальтирующим р-рителем — углеводородами C_2-C_5 и с рециркулирующим маслом, кипящим выше 455° и включающим остатки продуктов крекинга газойля, содержащих высококипящие ароматич. соединения. Получаемый продукт приобретает улучшенные характеристики для крекинга.

Е. П.
66091 П. **Удаление асфальтовых соединений из нефтяных остатков. Поке** (Process for the removal of asphaltic constituents from residual oils. Knox William T., Jr) [Standard Oil Development Co.]. Пат. США 2700637, 25.01.55

Способ деасфальтизации нефтяных остатков, кипящих $>450^\circ$, отличается тем, что нефтяные остатки обрабатываются углеводородным (C_2-C_5) р-рителем для асфальтовых в-в и рециркулирующей нефтяной фракцией, кипящей $>445^\circ$, включающей кубовый остаток от каталитич. крекинга газойля и содержащей высококипящие ароматич. углеводороды. В результате получаются нефтяные остатки с улучшенными характеристиками в качестве сырья для крекинга. Приведена схема установки.

С. Г.
66092 П. **Удаление активной серы из нефтяных фракций** (Sweetening petroleum oils) [Anglo-Iranian Oil Co., Ltd]. Австр. пат. 161358, 10.03.55

Для удаления активной S из нефтяных фракций последние обрабатывают водн. р-ром щелочи, содержащим в-во, повышающее растворимость меркаптанов в этом р-ре, в присутствии O_2 или O_2 -содержащего газа в таком кол-ве, что меркаптаны превращаются в дисульфиды. Катализатора для этого превращения специально не добавляют.

Е. П.
66093 П. **Удаление из углеводородов омыляющихся сернистых соединений. Моттерн** (Removal of

saponifiable sulfur compounds from hydrocarbons. Mottern Henry O.) [Standard Oil Development Co.]. Пат. США 2700690, 25.01.55

Способ удаления из углеводородных смесей сравнительно низкого мол. веса омыляющихся S-соединений, содержащихся в указанных смесях после обработки их H_2SO_4 , отличается тем, что углеводороды в жидкой фазе пропускаются через слой активированного угля на носителе при 4—25 атм и $50-125^\circ$. При этом омыляемые S-соединения каталитически разлагаются и таким образом удаляются из углеводородов.

С. Г.
66094 П. **Способ дезодорации водных растворов поверхностноактивных солей кислых алифатических эфиров серной кислоты** (Procédé de désodorisation de solutions aqueuses de sels tensioactifs d'alkyl esters acides d'acide sulfurique) [N. V. de Bataafsche Petroleum Maatschappij]. Франц. пат. 1076371, 26.10.54 [Oleagineux, 1954, 10, № 1, 73 (франц.)]

Дезодорация р-ра производится путем экстрагирования противотоком в несколько фаз низкокипящими углеводородами, напр. бензином, выкипающим до 95° , в присутствии водорастворимого низшего спирта. Р-ритель и спирт отгоняют, а очич. р-р солей эфиров дополнительно обрабатывают адсорбентом.

Е. П.
66095 П. **Производство газа, обогащенного водородом. Диккинсон, Хилл, Вильямс** (Manufacture of a hydrogen-rich gas. Dickinson Norman L., Hill Luther R., Williams Theodore S.) [The M. W. Kellogg Co.]. Пат. США 2697655, 21.12.54

Патентуется метод получения синтез-газа путем частичного окисления низкокипящего углеводорода при $t-ре \geq 930^\circ$. Получаемый газ, содержащий главным образом H_2 и CO, смешивается при $t-ре \geq 930^\circ$ с отходящими газами синтеза углеводородов, содержащими водяной пар и CO_2 ; при контактировании полученной смеси с катализатором реформинга в условиях $t-ры 680^\circ$ пар и органич. соединения, содержащиеся в отходящих газах синтеза, дают дополнительные кол-ва H_2 и CO.

М. Ш.
66096 П. **Обработка нефтяного газа для получения низкокалорийного бытового газа малой плотности, вместе с побочными ценными продуктами. Старк** (Process of treating oilgas to produce utility gas of low heat content and low gravity with valuable by-products. Stark Virgil). Пат. США 2714060, 26.07.55

Патентуется способ получения бытового газа из нефтяного сырья, содержащего тяжелые углеводороды. Сырье нагревают до $t-ры$ крекинга $815-925^\circ$ и газифицируют, используя тепло, выделяющееся при сгорании углеводистых отложений. Часть тепла горячего дутья и крекинг-газов идет для получения паров. Крекинг-газы сжимают под давл. 15—85 атм и охлаждают в несколько стадий до $18-84^\circ$. Отделяют жидкий конденсат, дают ему испариться, используя его расширение для охлаждения крекинг-газов. Конденсат, переведенный в газообразное состояние, нагревают паром, полученным в процессе, и фракционируют. Отпаренным газом дают расширяться для самоохлаждения за счет выделяющейся энергии, охлаждают жидкость до низкой $t-ры$ путем теплообмена с расширенными газами и употребляют ее для охлаждения крекинг-газов в стадии их отделения. К указанным газам прибавляют достаточно газа горячего дутья для получения бытового газа удовлетворительного качества.

Е. П.
66097 П. **Способ получения и очистки циклодиенов из продуктов крекинга нефти. Вильсон, Джонс** (Procédé de production et de purification de cyclo-diènes à partir de pétrole craqué. Wilson Samuel W., Jones Thomas G.) [Standard Oil Development Co.]. Франц. пат. 1069078, 5.07.54 [Chimie et industrie, 1954, 72, № 6, 1218 (франц.)]

Грубо фракционируют крекированный керосин для получения фракции дистиллата, содержащей углеводороды C_4-C_6 и остатка, содержащего углеводороды C_5-C_{12} . Из остатка выделяют далее фракцию углеводородов C_5-C_9 при т-ре более высокой, чем при первой перегонке, с целью извлечения углеводородов C_5-C_6 , димеров и кодимеров, сконцентрированных в остатке. Затем удаляют из более легких фракций углеводороды C_4 и углеводороды с меньшим числом атомов С при более низкой т-ре (для предотвращения их участия в полимеризации). Подвергают селективной димеризации содержащиеся во фракции C_5-C_9 циклодиены и образующиеся димеры собирают в виде остаточной фракции, разб. ограниченным кол-вом углеводородов C_7-C_9 . Фракционировка ведется при умеренной т-ре, преимущественно с водяным паром для миним. разложения димеров. Затем эта фракция подвергается деполимеризации при высокой т-ре, желательно в 2 последовательные стадии при 193—210° и 199—215°.

В. Ш. 66098 П. Коксование тяжелых углеводородных остатков. Кимберлин, Грей (Coking of heavy hydrocarbonaceous residues. Kimberlin Charles N. Jr., Gray C. F.) [Esso Research and Engineering CO]. Пат. США 2717865, 13.09.55

Предложен непрерывный процесс коксования тяжелых углеводородных остатков, заключающийся в том, что к сырью добавляется 50—100 об.% фракции, кипящей в пределах 40—340° (лучше 120—230°) для снижения вязкости и 43—283 г/л кокса, измельченного до 5—250 м; полученная смесь коксуется при т-ре 230—450° и давл. 68—200 ат; коксование ведется в турбулентном потоке, чтобы препятствовать отложению кокса на стенках аппарата и способствовать отложению его на введенных в смесь частицах кокса; время коксования 5—60 мин., достаточное для конверсии 50—90% сырья в жидкие продукты, газ и углеродистый остаток. Сырье с указанными добавками предварительно нагревается в трубчатой печи и поступает в зону коксования (ЗК), в которой выдерживается в жидком состоянии при указанных выше условиях; полученные продукты из ЗК поступают затем на дистилляцию, где отделяются жидкие фракции, а из тяжелого остатка выделяется кокс. Полученная при дистилляции разбавляющая фракция и часть смеси тяжелого остатка и кокса (пройдя дробление увеличившихся частиц кокса) возвращаются в процесс на смешение с сырьем. Устройство ЗК предусмотрено в двух вариантах: 1) сосуд, в котором жидкость непрерывно перемешивается и перемещается пропеллерной мешалкой и 2) три последовательно соединенных конусообразных сосуда, в которых турбулизация жидкости обеспечивается тангенциальными вводами и изменением сечения аппарата. Пример: при переработке указанным методом тяжелых нефтяных остатков, имеющих уд. в. 0,986 и кокс по Конрадсону 17%, с разбавлением их равным по объему кол-вом фракции 150—200° и введении 100 г/л мелких частиц (100—200 меш.) кокса, при т-ре 427°, давл. 136 ат и времени коксования 1,6 час., конверсия их в кокс, газ и жидкие продукты, кипящие ниже 566°, составила 88,9%; выход (в вес.%): кокса 18,5; газа 7,7 и (в об.%) лигровина 16,7; мазута (220—340°) — 25,9; газойля (340—566°) 25,9; продукта, кипящего выше 566°, 11,1. Приведены схемы процесса и двух вариантов ЗК.

В. К. 66099 П. Получение битумных эмульсий. Фогель (Herstellung von Bitumenemulsionen. Vogel Reinhard Ernst) [Karl Hermann Georg Hockell]. Пат. ФРГ 919496, 25.10.54 [Chem. Zbl., 1955, 126, № 35, 8297 (нем.)]

Способ получения битумных эмульсий, отличающийся тем, что к отрицательно заряженной дисперсии добавляется для предотвращения преждевременного образования крупных частиц отрицательно заряженная диспер-

сия металла или металл. окисла. Эмульсии могут содержать воска и иметь общее содержание жира до 90% для повышения водостойкости клеевых волокон синтетич. смол на основе мочевины, полимеров цианамидов или поливиниловых соединений.

В. Ш. 66100 П. Асфальтовые составы. Калиновский, Крюс, Мак-Ларен (Asphalt compositions. Kalinowski Mathew L., Grews Lowell T., MacLaren Frederick H.) [Standard Oil Co.]. Пат. США 2728682, 27.12.55

Предлагается битумная композиция, состоящая из битума и 0,25—5% растворимого в масле продукта р-ции, алифатич. полиамина и пека от дистилляции карбоновой к-ты, напр., таллового масла или гидрированной жирной к-ты, полученной из рыбьего жира. Указанный продукт р-ции, практически свободный от аминогрупп, получают при 80—130° в течение не более 1,5 час., после чего быстро снижают т-ру до 75°.

Г. М. 66101 П. Производство газовой сажи. Лавинг (Manufacture of carbon black. Loving William L.) [Godfrey L. Cabot, Inc]. Канад. пат. 508750, 4.01.55

Патентуется форсуночное устройство для использования совместно с топками для произ-ва газовой сажи. Устройство включает прямоугольный кожух из листового металла и группу параллельных перфорированных форсуночных трубок, расположенных внутри кожуха и прилегающих к его открытой стороне. Трубки овальные или грушевидные как по внутреннему, так и по внешнему поперечному сечению; своими более узкими частями направлены в топку и имеют большое кол-во равномерно распределенных отверстий для газа диам. ~4 мм. Предусмотрен способ непосредственной подачи воздуха в топку в промежутках между форсуночными трубками. Имеется подающая трубка для углеводородного газа и трубка для масла, в которой расположены отверстия для газа и которая оканчивается соплом распыливающего типа. Сопло дает расходящуюся распыленную струю масла, которая непосредственно окружена горючей турбулентной газовойдушной смесью. Процесс получения печной газовой сажи включает стадию впуска относительно большого кол-ва воздуха, разделяющегося на несколько отдельных параллельных потоков. Углерод-содержащий газ инжектируется в зоны горения большим кол-вом маленьких форсунок, расположенных в рядах между потоками воздуха. Истечение струй газа происходит в одном направлении с воздушными потоками, со скоростью большей, чем скорость воздуха (напр., в два раза), для получения турбулентной смеси воздуха и газа около струй в условиях неполного сгорания и разложения неизрасходованного газа. В указанную смесь инжектируется углеводородное масло, которое распыливается углеводородным газом в расходящийся конусообразный поток. Из продуктов сгорания производится улавливание несгоревших частиц углерода.

М. П. 66102 П. Производство сажи (Manufacture of carbon black) [Columbian Carbon Co.]. Англ. пат. 717206, 20.10.54 [Rubber Abstrs, 1955, 33, № 2, 73 (англ.)]

Предложен способ улучшения печного процесса произ-ва сажи (по англ. пат. 669968, Rubber Abstrs, 1952, 2944), по которому жидкие углеводороды смешиваются с содержащим свободный O_2 газом в пропорции, необходимой для образования струй газов, горящих окислительным пламенем. К этой струе подмешивается восстановительный газ в кол-ве, достаточном для предотвращения полного сгорания углеводородов.

И. Р. 66103 П. Способ обработки печной сажи. Суэйцлер, Мелор (Method of treating furnace carbon black. Sweitzer Carl W., Melore Paul J.) [Columbian Carbon Co.]. Пат. США 2707673, 3.05.55

Способ обработки печной сажи, отличающийся последующей деактивацией полученной сажи нагреванием ее в неокислительной атмосфере до 980—1090°, пока значительная часть адсорбированного на поверхности сажи O_2 не будет удалена; затем сажу охлаждают без контакта с O_2 . Указанная обработка особенно сильно изменяет показатель адсорбции J . Пример: высокомолекулярная печная сажа, обработанная по пат. 2707672, прокаливалась без доступа O_2 при 980° в течение 7 мин., после чего ее показатели изменились следующим образом (первая цифра — до обработки, вторая — после обработки по пат. 2707672, третья — после прокалки при 980°): цвет 93, 150, 157; pH 9,8—2,4—8,8; адсорбция масла 0,95—1,67—2,14 cm^3/g ; адсорбция J 26·10⁻⁵, 181·10⁻⁵, 323·10⁻⁵. В. К.

66104 П. Производство синтез-газа. Стюарт (Synthesis gas manufacture. Stewart S. Grant) [Phillips Petroleum Co.]. Пат. США 2719130, 27.09.55

Способ получения синтез-газа ($CO+H_2$) неполным окислением углеводородов (CH_4 или природного газа) кислородом, отличающийся методом получения O_2 . Исходный углеводородный газ проходит через слой окисла металла (I) при т-ре, при которой I освобождает O_2 ; затем I регенерируется пропусканьем через нее при соответствующей т-ре воздуха. Процесс ведется так, чтобы не более 30% CH_4 реагировало с I и смесь CH_4+O_2 получалась в соотношении, необходимом для получения синтез-газа. В качестве I предложены: окислы Pb, в которых O_2 содержится больше, чем в Pb; HgO и BaO_2 . При использовании в качестве I окислов Pb процесс осуществляется периодически в двух контактных зонах с неподвижным слоем I: через первую проходит углеводородный газ при 280—525° с образованием здесь смеси CH_4+O_2 ; через вторую зону проходит в это время O_2 -содержащий газ при 100—350° для регенерации окислов Pb; затем потоки переключаются. При применении в качестве I HgO процесс осуществляется непрерывно: углеводородный газ проходит в реакционной зоне через слой HgO при 100—250°, к получаемой здесь его смеси с O_2 в молекулярном соотношении от 0,7 : 1 до 0,9 : 1 добавляется водяной пар для повышения содержания H_2 , и смесь затем направляется в зону неполного горения, где при т-ре 1290—1370° получается синтез-газ; в реакционной зоне HgO восстанавливается в металлич. Hg, которая скапливается в нижней части зоны и непрерывно отводится в регенерационную зону для окисления O_2 -содержащим газом в HgO при 30—80° и возвращается в реакционную зону. Приведены схемы периодич. и непрерывного процессов получения смеси CH_4+O_2 . В. К.

66105 П. Парафиновая композиция. Андерсон (Wax composition. Anderson Alvin P.) [Shell Development Co.]. Пат. США 2728735, 27.12.55

Парафиновая композиция содержит 1—20 вес.% парафинов кристаллич. структуры с т. пл. 75—90°, 0,05—20 вес.% полимеризованного олефина с мол. вес. >1000 и ≥60 вес.% твердых парафиновых углеводородов кристаллич. структуры с т. пл. 45—65°. Г. М.

66106 П. Эмульгаторы для парафинов, содержащие нефтяной сульфат. Портер, Кембелл (Modified petroleum sulfonate as emulsifying agents for waxes. Porter Rotheus B., Jr., Campbell Edward J.) [American Cyanamid Co.]. Канад. пат. 506753, 26.10.54

Предлагается эмульгирующаяся смесь твердого парафина, способная образовывать стойкую парафиновую эмульсию с высоким содержанием твердой фазы, состоящая из: не растворимого в воде твердого парафина или растительного воска (А) и эмульгатора (Б), содержащего 50—80% растворимого в масле диспергирующегося в воде нефтяного сульфата, 15—40% растительного воска и 0—25% жирной к-ты, имеющей 12—18

атомов С в молекуле (процентное содержание указано от общего веса эмульгатора); А и Б находятся в соотношениях 6—7: 1. По другому варианту патента эмульгирующая смесь состоит из: 85% чешуйчатого парафина, 10% нефтяных сульфатов, 2,5% канделильского воска или 2,8% карнаубского воска и 1,5% оленовой к-ты, считая на всю смесь. А. Ч.

66107 П. Топливо. Лоренс, Смит, Похорилла (Fuel. Lawrence Franklin I. L., Smith Robert K., Pohorilla Michael J.) [Kendall Refining Co.]. Пат. США 2721121, 18.10.55

Патентуется углеводородное топливо, бензин или дизельное топливо для поршневых двигателей внутреннего сгорания, содержащее органич. соединения бора и получаемое из жидкой парафинистой нефтяной фракции с т. кип. 176—427°, в которую добавлено на каждый моль парафинового углеводорода 1—3 экв H_3BO_3 или HBO_2 при пропускании в нее при т-ре 151—196° газа, содержащего свободный O_2 . Подача этого газа производится со скоростью, обеспечивающей поступление не более 170 $m^3 O_2$ на 3,78 л фракции в 1 час. Получается продукт р-ции, содержащий менее 0,2 вес. % химически связанного В. В отгонной легкой части продукта содержится до 1% или до 5% органич. соединений В. К топливу добавляют органич. соединения со спиртовой группой в кол-ве, достаточном для предотвращения гидролиза соединений В. Е. П.

66108 П. Безопасное топливо для дизельных двигателей. Хагеман (Sicherheitstreibstoff für Dieselmotoren. Hagemann August) [Ruhrchemie Akt.-Ges.]. Пат. ФРГ 932640 5.09.55

Патентуется безопасное топливо для дизельных двигателей, состоящее из маслоподобных углеводородов с $\eta_{50} > 11,8 \text{ сст}$ (37,3—76 cm^2), т. заст. <—20° (—30° до —40°) и т. воспл. >180° (200°), получаемых из природных (нефть, каменноугольная смола и т. п.) или синтетич. продуктов, напр., средняя фракция продуктов синтеза из CO и H_2 после отгонки легких (подобных веретенному маслу) фракций и отделения тяжелого вязкого остатка. В. Ш.

66109 П. Способ каталитического гидрирования окисей углерода для получения углеводородов. Дюфф-шид, Линк, Винклер (Verfahren zur katalytischen Umsetzung von Kohlenoxyd mit Wasserstoff zu Kohlenwasserstoffen. Dufschmid Franz, Linckh Eduard, Winkler Fritz) [Badische Anilin-Soda-Fabrik A.G.]. Пат. ФРГ 897549, 23.11.53 [Chem. Zbl., 1955, 126, № 28, 6616 (нем.)]

Патентуется способ каталитич. гидрирования CO в углеводороды с преимущественным получением парафина (П) над твердым катализатором в жидкой фазе, состоящей из циркулирующего масла (ЦМ), получаемого в синтезе и частично при этом испаряющегося. Выходящая из реакционной зоны смесь, состоящая из ЦМ, продуктов синтеза и остаточного газа, поступает в теплообменник, где отделяются высококипящие продукты, главным образом П; остаток перерабатывается дробной конденсацией с рекуперацией ЦМ. Вертикальный реактор diam. 0,5 м и высотой 7 м загружается гранулированным катализатором, получаемым окислительным плавлением Fe с добавками Si, Mn, Ti и щелочей и последующим восстановлением H_2 при 460°. Через реактор подается при 200° синтез-газ состава (в %): CO 52, H_2 47, N_2 1 и ЦМ (в %) 10 с т. кип. 130—200°, 32 с т. кип. 200—300° и 58 с т. кип. >300°. Из верхнего конца реактора при давл. 25 ат и т-ре 295° выходит смесь масла и продуктов р-ции, поступающая в теплообменник, с низа которого выводится высококипящие фракции, а остальные продукты попадают в холодильник с т-рой 120°, где разделяются ЦМ и легкие продукты.

Из последних отделяются вода и бензин. Остаточный газ состава (в %): CO_2 22, CO 38, H_2 37, газообразных углеводородов 3%, идет на дальнейшую переработку. В сутки из 3650 м³ исходного газа получается 2350 м³ остаточного газа и 291 кг углеводородов, состоящих (в %): из C_3 — C_4 13, бензина 35, масла и твердых продуктов 47 и кислородных соединений (главным образом спиртов) 5.

В. Ш. 66110 П. Метод гидрирования CO в жидкие органические соединения. Рубин, Мак-Грат (Verfahren zur Hydrierung von Kohlenoxyden zur flüssigen organischen Verbindungen. Rubin Louis Carl, McGrath Henry George) [The M. W. Kellogg Co.]. Пат. ФРГ 934766, 3.11.55

Предложен метод гидрирования CO в присутствии мелкоизмельченного Fe -катализатора (K), который сусценируется в газообразных реагентах при относительно высоких t -рах и давлениях. Конц-ия CO в синтез-газе составляет ~ 17, но не более 30 мол.%, а конц-ия CO_2 не менее 8 мол.%. Условия проведения процесса: через 453 г Fe пропускается не менее 85 л CO в час; t -ра p -ции от 304 до 343°; давление выше 5,6 ат; газовый фактор $[(\text{H}_2 + \text{CO}_2)/\text{CO}]$ общей смеси составляет не менее 5, а молекулярное соотношение $\text{H}_2 : \text{CO} : \text{CO}_2 = (8,5 - 2,5) : 1 : (1 - 2)$. Скорость смеси, проходящей через слой K в направлении снизу вверх, поддерживается такой, чтобы измельченный K был в псевдооживленном состоянии или сусценировался и уносился газовым потоком. Кроме того, рекомендуется активировать K небольшими кол-вами щел. соединений; газ с непрореагировавшим CO_2 возвращать на рециркуляцию.

Н. К. 66111 П. Батарея печей для превращения окиси углерода путем каталитической гидрогенизации в высшие углеводороды и органические кислородные соединения (Batterie de fours pour la transformation par hydrogénation catalytique, de l'oxyde de carbone en hydrocarbures supérieurs et composés organiques oxygénés) [Ruhrchemie Akt.-Ges., Lurgi Gesellschaft für Wärmetechnik m.b.H.]. Франц. пат. 1073985, 30.09.54 [Chimie et industrie, 1956, 73, № 5, 956 (франц.)]

В печи вводят холодный газ для синтеза, или охлажденный остаточный газ, или оба вместе. Газ, выходящий из каждой печи, охлаждается в теплообменнике, на случай надобности к печи присоединен конденсатор. Затем газ переводят для синтеза в следующий ряд установок или выводят как конечный газ, либо возвращают в печь, проводя через теплообменник с помощью воздушной, предусмотренной для каждой печи.

Е. П. 66112 П. Выделение твердых углеводородов из их смеси с маслами. Мондриа, Рухов, Свен (Separating solid hydrocarbons from mixtures thereof with oils. Mondria Hendrik, Ruwhof Jan Willem, Sweep Eduard) [Shell Development Co.]. Канад. пат. 508613, 28.12.54

В процессе депарафинизации парафинистого минер. масла предлагается ряд ступеней депарафинизации. (1) Парафинистое минер. масло смешивается со значительным кол-вом депарафинизирующего p -рителя (напр., дихлорэтана), являющегося p -рителем для минер. масла, но в основном не растворяющего твердый парафин при t -ре депарафинизации. Подбирается t -ра, при которой образуется один жидкофазный p -р p -рителя, масла и парафина. (2) P -р охлаждается до t -ры депарафинизации, при которой парафин затвердевает, образуя диспергированные парафиновые частички в жидкой масляной среде, представляющие собой p -р масла и p -рителя. (3) Образующаяся дисперсия твердого парафина в масляной фазе смешивается со значительным кол-вом, по крайней мере, равном по объему масляной фазе, в основном, полярной вспомогательной жидкости (BЖ) и поверхностноактивным агентом (ПА). BЖ в основном

не смешивается с масляной фазой. Ее диэлектрич. постоянная больше, чем у масляной фазы, а t -ра равна в основном t -ре депарафинизации. ПА представляет собою либо анионное поверхностноактивное v -во, содержащее, по крайней мере, одну алкильную группу с не менее C_8 присоединенными к полярной группе либонатрий-гептадецил-9-сульфатидеэмульгатор MgSO_4 . ПА берется в кол-ве от 0,01 до 5% (вес.), считая на BЖ . В результате образуются 2 жидкие фазы: масляная фаза, состоящая в основном из минер. масла и p -рителя и BЖ , содержащая ПА . Диэлектрич. постоянные этих 2 фаз выбираются так, чтобы контактный уголь в масляной фазе составлял, по крайней мере, 90°. При этом твердый парафин избирательно смачивается BЖ и переходит в нее, образуя дисперсию твердого парафина в BЖ в виде непрерывной фазы, а масляная фаза освобождается от твердого парафина. (4) Масляная фаза и BЖ , содержащая дисперсию твердого парафина, расслаиваются и отделяются друг от друга. (5) От парафинсодержащей BЖ удаляется наибольшая часть BЖ , а также увлеченная масляная фаза. Из остатка извлекается парафин.

А. Ч. 66113 П. Выделение одного или нескольких твердых компонентов из их смеси с маслом (Procédé de séparation d'une ou plusieurs substances solides de leurs mélanges avec l'huile) [N. V. de Bataafsche Petroleum Maatschappij]. Франц. пат. 1073996, 30.09.54 [Chimie et industrie, 1955, 73, № 5, 937 (франц.)]

Твердый компонент в p -ре масла обрабатывают вспомогательной жидкостью, обладающей более высокой диэлектрич. постоянной, чем масляная фаза, с другой плотностью нежели у масла и не смешивающейся с ним и поверхностноактивным агентом, напр. деэмульгатором, таким образом, что уголь, образуемый поверхностью раздела жидких фаз и твердого компонента над масляной фазой, составляет не менее 90°. Поверхностноактивный агент содержит одно или несколько фосфорорганич. соединений или состоит из них.

Е. П. 66114 П. Добавки к смазочным маслам. Роджерс, Мак-Дермотт (Lubricating oil additives. Rogers Dilworth T., McDermott John P.) [Esso Research and Engineering Co.]. Пат. США 2714579, 02.08.55

Патентуется применение и получение антиоксидантов к смазочным минер. маслам, природным жирам и маслам и синтетич. эфирам. Антиоксиданты получают взаимодействием арил или C_2 —8 алкилфенилсульфидов, напр. дифенил-, трифенил-, октилфенил- и толилсульфидов, с сульфидами фосфора, напр. P_2S_5 , P_4S_8 , при 150—250° и добавляют к маслам в кол-ве от 0,001 до 5 вес.%. **В. Ш. 66115 П.** Способ получения присадки к смазочным

маслам. Масселман, Ноултон (Process for preparing lubricating oil additive and products. Musselman John M., Knowlton Richard E.) [The Standard Oil Co.]. Пат. США 2698296, 82.12.54

Патентуется моющая присадка к смазочным маслам с большим запасом щелочности, что делает ее пригодной к употреблению в двигателях, работающих на топливе с высоким содержанием S . В состав присадки входят: продукт омыления алкилфенола, гидрат окиси щел.-зем. металла и продукт частичного омыления гидратом окиси щел.-зем. металла продукта расщ. проводимой при t -ре ниже образующая осадка между P_2S_5 и ворвань.

Е. П. 66116 П. Смазочные составы. Вильям (Compositions lubrifiantes. Hollyday William C., Jr) [Standard Oil Development Co.]. Франц. пат. 1070969, 20.08.54 [Chimie et industrie, 1955, 73, № 5, 939 (франц.)]

Присадка к смазочным маслам, понижающая t -ру разжижения минер. масла, состоит в основном из

продукта р-ции (с мол. в. 3000—100 000) первичного или вторичного алифатич. амина $C_6—C_{20}$ или их смеси с в-вом общей ф-лы $(CH_2—CHCl) \dots (CH_2—CHZ)$, в которой Z—Cl или группа $OCO—CH_3$, x и y — целые числа.

Е. П. 66117 П. Обработка фторуглеродов. Беннинг (Refining of fluorocarbons. Benning Anthony F.) [United States Atomic Energy commission]. Канад. пат. 516615, 13.09.55

Предложен способ дальнейшего фторирования частично фторированного углеводородного смазочного масла, имеющего большинство ($\geq 75\%$) атомов H, замещенных на F, заключающийся в нагреве такого неразб. масла в жидкой фазе при t -ре 200—400° в присутствии COF_2 до практического прекращения реакции.

В. К.

66118 П. Получение смазочного масла (Production of lubricating oil. Production of lubricating oil from petroleum wax) [California Research Corp.]. Англ. пат. 717750, 717751 3.11.54 [Fuel Abstrs, 1955, 17, № 4, 72 (англ.)]

По пат. 717751, для получения смазочного масла из нефтяного парафина последний при 40—120° хлорируют до образования продукта, содержащего > 20 вес. % хлора. Хлорированный парафин подвергают, в присутствии ≥ 5 вес. % алюмосиликатного катализатора, дегидрохлорированию; т-ра дегидрохлорирования превышает 290°, но должна быть ниже т-ры крекинга. После полного удаления хлора получают смазочное масло, состоящее в основном из насыщ. углеводородов. По пат. 717750, отмечается, что в результате хлорирования парафина получают преимущественно моноклорпроизводные соединения.

В. С.

66119 П. Смазочные материалы. Шарра (Lubricants. Sharragh M.) [Continental Oil Co.]. Пат. США 2726210, 6.12.55

Вводят в р-цию смесь из аддукта олефина $C_{10}—C_{30}$ с галонидным нитрозилом, растворимым в воде сульфид щел. металла, напр. Na, или полисульфид, спирт и воду при 20—100° в течение $1/2—5$ час. Продукты дают разделиться на 2 слоя, отделяют и сушат верхний слой органич. в-в. В варианте предлагаемого процесса после нагревания прибавляют воду и $BaCl_2$. Полученный органич. продукт прибавляют к смазочному маслу в кол-ве 0,5—5%.

Е. П.

66120 П. Смазочные материалы для сверхвысоких давлений. Фейнман (Extreme pressure lubricant. Fainman M.) [Standard Oil Co.]. Пат. США 2726209, 6.12.55

Для получения смазочного состава с целью обеспечения смазки трущихся поверхностей при сверхвысоких давлениях нагревают в присутствии 0,05—0,5 вес. ч. тонкоизмельченных Fe или Cu при 110—135° в продолжение 10—120 час. смесь из 5—10 вес. ч. содержащего S соединения таллового масла с Pb с 5—10 вес. ч. смазочного масла с вязкостью при 100° 4,3—43 сеп, 1—10 вес. ч. хлорированного парафина с содержанием Cl 40—70 вес. % и 2—6 вес. ч. олеиновой к-ты; затем добавляют до 100 вес. ч. вышеуказанного смазочного масла. Сульфированный продукт соединения Pb с талловым маслом получают путем нагревания последнего при 150—175° с S, получающийся продукт содержит 5—15% S и не корродирует Cu. Пастобразную смесь полученного продукта с вышеуказанным смазочным маслом нагревают при 104—110° с суспензией 20 вес. % PbO в том же масле. Конечный состав должен содержать 74—92 вес. % смазочного масла. Процесс проводят в след. порядке: 1) сульфатируют талловое масло, 2) контактируют его с PbO , 3) смешивают полученный продукт с хлорированным парафином, олеиновой к-той и смазочным маслом и нагревают при 60—71° для получения гомогенной массы, 4) нагревают, как указано

выше, с добавлением 0,1—1,0 вес. % воды и Cu или Fe.

Е. П.

66121 П. Получение смазочных масел с улучшенными вязкостными свойствами (Process for the preparation of lubricating oils with improved viscosity characteristics) [N. V. de Bataafsche Petroleum Maatschappij]. Англ. пат. 719924, 8.12.54 [Fuel Abstrs, 1955, 17, № 4, 73 (англ.)]

Фракция минер. смазочного масла подвергается предварительной обработке жидким катализатором алкилирования для удаления ароматич. компонентов, характеризующихся высокой реакционной способностью и остающихся во фракции смазочного масла, в присутствии твердого катализатора алкилирования с помощью алкен- или алкилмоногалоида.

Г. М.

66122 П. Галондосодержащий смазочный материал для работы при сверхвысоких давлениях, стабилизированный полиалкиленполиамином. Сокол, Сокол (Halogen containing extreme pressure lubricant stabilized with a polyalkylene polyamine. Sokol Samuel J., Sokol Harry) [The Texas Co.]. Пат. США 2696473, 7.12.54

Смазочный состав на основе углеводородного смазочного масла с добавлением небольшого кол-ва растворимого в масле органич. галондосодержащего соединения, обладающего необходимыми свойствами для сверхвысоких давлений, обычно корродирующего металлы при повышенных т-ре и давлении, Pb-мала в небольшом кол-ве, достаточном для улучшения свойств состава, и 0,01—1 вес. % полиалкиленполиамины с общей ф-лой $NH_2R(NHR)_xNH_2$, где R — этиленовая группа, а x — целое число от 1 до 4.

М. Ш.

66123 П. Синтетическое смазочное масло. Гарнер, Хартли, Шиммин (Synthetic lubricating oils. Garner P. J., Hartley J., Shimmin J. D.) [Shell Refining and Marketing Co., Ltd.]. Англ. пат. 718581, 17.11.54 [Fuel Abstrs, 1955, 17, № 4, 83 (англ.)]

Для приготовления синтетич. смазочного масла смесь двух или нескольких жидких сложных эфиров нормального строения с общей ф-лой $R(COOR')_2$, где R—2-валентный, а R' — алкильный, циклоалкильный или ароматический углеводородные радикалы с 4-мя и более атомами C (радикалы R' могут быть одинаковыми или различными), нагревается со щел. металлами до т-ры выше т-ры плавления последних, но не более чем до 200° в течение ≥ 1 часа.

В. С.

66124 П. Синтетические смазочные масла на основе сложных эфиров. Тайсон (Synthetic ester lubricant. Tyson J. T.) [Standard Oil Development Co.]. Англ. пат. 699402, 4.11.53

Получение диэфиров путем этерификации двухосновных алифатич., циклоалкил-, ароматич. или ароматич.-алифатич. карбоновых к-т, имеющих в цепи между карбоксилами не менее 2 эфирных атомов O, с предельным алифатич. одноатомным спиртом как имеющим, так и не имеющим атом O в эфирной группе или тиоэфирную группу. Спирты подбираются таким образом, чтобы в конечном сложном эфире спиртовый радикал имел $C_{10}—C_{40}$, в случае присутствия в этом радикале эфирных групп с O, и 8—40 атомов C вместе с атомами O и S, в случае отсутствия этих же групп. Конечный эфир должен иметь мол. в. 300. Для применения в этой р-ции указаны следующие двухосновные к-ты: этилен-дигликолевая (I); 4,7-ди-оксадекадикарбоновая (II); 4,7,10,13-тетраокса-1,16-гексадекадикарбоновая (III); 4,7,10,13,16-пентаокса-1,19-нонадекадикарбоновая (IV); а также двухосновные к-ты — продукты р-ции одноосновных алифатич. оксикислот с диолефинами, и двухосновные к-ты ряда бензола с 2 связанными, как в эфире, атомами O в цепи между карбоксилами. Для р-ции этерификации берутся следующие

одноатомные спирты: CH_3OH ; 2-этилгексильный и петиловый; моноэфиры этилен- и диэтилен-гликолей, пропилен-, ди- и трипропиленгликолей и следующие меркаптоспирты: β -*n*-бутилмеркаптоэтанол, β -трет-октилмеркаптоэтанол, β -*n*-додецилмеркаптоэтанол, *n*-бутилмеркапто- β -этоксизэтанол; трет-октилмеркапто- β -этоксизэтанол; *n*-додецилмеркапто- β -этоксизэтанол; *n*-бутилмеркапто- γ -пропоксипропанол и додецилмеркапто- γ -пропоксипропанол. Подходящими для указанного синтеза являются первичные спирты, в особенности спирты C_8 — C_{14} , полученные путем «оксо»-синтеза натрия дидзобутилена и олефинов C_7 . Р-цию этерификации рекомендуется вести в присутствии катализаторов, напр., *n*-толуол-сульфоновой к-ты и в-в, увлекающих с собой воду (дигр бэл., толуола). Приведены свойства смазочных масел, полученных на основе некоторых из указанных в-в: I + бутилкарбитол или C_{10} «оксо»-спирт, II + бутилкарбитол или C_{12} — C_{14} «оксо»-спирт, III + C_8 «оксо»-спирт и IV. К-ты оксадекандикарбоновая, гекса- и понадекандикарбоновая могут быть получены путем р-ции акрилонитрила с соответствующими этилен- или пропиленгликолями в присутствии алкоголята щел. металла (напр., Na) с последующим гидролизом. Е. П.

66125 П. Синтетические смазочные материалы. Оркин (Synthetic lubricants. Orkin Bernard A.) [Socony Vacuum Oil Co., Inc.] Пат. США 2701803, 8.02.55 (англ.)

Предлагается композиция синтетич. смазочного материала, обладающего сравнительно низкой т-рой застывания, высоким индексом вязкости, вязкостью смазочного масла, стойкостью к гидролизу и имеющей ф-лу $\text{R}_n\text{Si}(\text{TR}')_{4-n}$, где R и R' — радикалы, представляющие собой алкилы, тиенилы или бензилы, T — атом двухвалентного элемента кислорода или серы, n — целое число от 1 до 3. В указанном соединении общее кол-во атомов C и гетероатомов в гетероциклах в каждой молекуле меняется от 26 до 38. На каждую молекулу приходится не более 3 гетероатомов в гетероциклах, при этом в молекуле, по крайней мере, один из указанных радикалов R и R' представляет собой алкильный радикал. А. Ч.

66126 П. Жидкие смазочные составы, включающие циклополисилоксаны. Меркер, Зисман (Fluid compositions containing a cyclopolysiloxane. Merker Robert L., William A.) Пат. США 2719123, 27.09.55

Патентуется жидкий смазочный состав, включающий жидкие насыщ. алифатич. нормальные или разветвленные эфиры одноосновных или двухосновных карбоновых к-т C_5 — C_{10} (т-ра кипения эфиров $\geq 150^\circ$), загущенных $\sim 0,1$ вес. % мыла щел.-зем. или щел. металла и небольшого кол-ва, достаточного для повышения антиокислительной устойчивости состава при повышенных т-рах (80 — 150°), циклополисилоксанов, в которых половина атомов соединена с ароматич. группами, а другая половина с алкильными группами, содержащими до 6 атомов C. В качестве антиокислительной добавки можно применять также гексафенилциклотрисилоксан и октафенилциклотетрасилоксан. Л. П.

66127 П. Силиконовые смазочные материалы (Organopolysiloxane lubricating compositions) [British Thompson-Houston Co. Ltd.] Англ. пат. 713735, 18.08.54 [J. Appl. Chem., 1955, 5, № 3, 1359 (англ.)]

Смазочный материал, приготовленный на основе полидисилоксановой жидкости, с добавкой присадки, улучшающей их смазывающие свойства. Присадка имеет общую ф-лу $\text{R}_2\text{Si}(\text{C}_6\text{H}_4\text{X})_2$, где R — насыщ. алифатич. радикал с 1—4 атомами C, X — галогид, преимущественно, в пара-положении. В. С.

66128 П. Смазки, загущенные арил-мочевинной. Суэйкон, Браннен (Aryl-urea thickened greases.

Swakon Edward A., Brannen Cecil G.) [Standard Oil Co.] Пат. США 2710839, 14.06.55

Предложена консистентная смазка, включающая как основу силиконовое полимерное масло с вязкостью смазочного масла, загущенное 5—70 вес. % *N*-бензоил-*N*-аминобензойной кислоты. Л. А.

66129 П. Смазочные составы. Мак-Карти (Lubricating compositions. McCarthy P. R.) [Gulf Research and Development Co.] Пат. США 2710837, 14.06.55

Смазочный состав, включающий дисперсию металлч. мыла жирных к-т и соединения бентонита с органич. азотистым основанием в минер. смазочном масле. Металлч. мыло берется в кол-ве 2—10% по весу смазки, а бентонитовое соединение диспергируется в масле в кол-ве, обеспечивающем для смазочного основания консистентную смазку. Л. А.

66130 П. Консистентная смазка. Коннер (Grease composition. Conner Rex C.) [The M. W. Kellogg Co.] Пат. США 2706715, 19.04.55

Консистентная смазка представляет собой гомогенную смесь, полученную путем загущения жидкого полимариотрифторхлорэтилена, выкипающего в пределах т-р 65 — 230° при 1-мм рт. ст., сравнительно высокоплавким воскообразным полимером трифторхлорэтилена с т. пл. $>175^\circ$. Т-ра плавления готовой смазки $\sim 110^\circ$, т. кип. $\sim 200^\circ$. В. С.

66131 П. Консистентная смазка (Lubricating greases and the preparation thereof) [N. V. de Bataafsche Petroleum Maatschappij] Англ. пат. 719927, 8.12.54 [Fuel Abstrs, 1955, 17, № 4, 76 (англ.)]

Для получения консистентной смазки смесь минер. масла, содержащего <15 вес. % ароматич. углеводородов, с $\nu 37,8^\circ$ от 270 до 2500 *cm*, и силиконовой жидкости с $\nu 37,8^\circ$ от 10 до 600 *cm* загущают Na-мылом карбоновых к-т, содержащих ≥ 20 атомов C в молекуле, или смесью таких мыл, и добавляют металлч. соль карбоновой к-ты, содержащей ароматич. кольцо. Силиконовая жидкость берется в кол-ве, превышающем кол-во минер. масла. В. С.

66132 П. Тиксотропная консистентная смазка, содержащая мыло поликарбоновых кислот. Моруй, Брагман (Thixotropic lubricating grease containing polycarboxylic acid soap. Morway A. J., Brugmann W. H.) [Esso Research and Engineering Co.] Пат. США 2710838, 14.06.55

Патентуется консистентная смазка, состоящая, в основном, из смазочного масла, загущенного металлч. мылом до консистенции смазки. Мыло берется в кол-ве, достаточном для существенного улучшения тиксотропных свойств смазки (≥ 25 вес. %), и изготавливается из щел. металла и насыщ. алифатич. многоосновной к-ты. Средний мол. вес мыла ~ 1000 , оно имеет в среднем 1,75—2 карбоксильные группы на молекулу. Л. А.

66133 П. Смазочная композиция. Блоуэрс, Ходж (Lubricant composition. Blowers F. F., Hodge H. P.) [Standard Oil Development Co.] Англ. пат. 717437 27.10.54 [Fuel Abstrs, 1955, 17, № 4, 71 (англ.)]

Композиция смазочного масла для системы управления самолетов, состоящая в основном из минер. масла с добавкой небольшого кол-ва маслорастворимых присадок, улучшающих индекс вязкости и липкость, а также синтетич. смазочного масла, содержащего этерифицированные карбоксильные группы. В. С.

66134 П. Масла, применяемые при резании металлов и присадки к ним. Даймонд (Cutting oils and additives therefor. Diamond H.) [Shell Development Co.] Канад. пат. 511026, 15.03.55

Патентуется масляный состав, дающий водно-масляные эмульсии и содержащий 0,05—0,5 вес. % антипенного соединения из числа в-в с ф-лами R_2SiO ,

(RX)₂SiO и (RX)₄Si, где R — насыщ. неароматич. органич. радикал, а X — атом O, S, Se или Te. С каждым атомом Si соединено не менее 24 атомов C, напр., дигетилсиликон и полимер низкомолекулярного диалкилсиликона.

Е. П.
66135 П. Смазочный материал, применяемый при металлообработке (Metal-working lubricant) [N. V. de Bataafsche Petroleum Maatschappij]. Австрал. пат. 165339, 6.11.55

К смеси парафиновых углеводородов, практически не содержащей ароматич. соединений, добавляют небольшое кол-во полимеров алифатич. ненасыщ. углеводородов, а также 2—10 вес.% (от всей смеси) галогидрированного органич. соединения, содержащего ≥ 8 атомов C в молекуле.

В. С.
66136 П. Растворимое масло, применяемое при обработке металлов. Кинг, Спроуэ (Soluble metal-working oil. King Laurence F., Sproule Lorne W.) [Standard Oil Development Co.]. Пат. США 2695272, 23.11.54

Растворимая смазочная композиция состоит из минер. смазочного масла, 2—7% (от веса всей композиции), растворимого в маслах сульфоната Na и дополнительно вводит мыла, включающие 1—5% соли нафтеновой к-ты и аминоспирта и 3—8% мыла, полученного при взаимодействии аминоспирта с талловым маслом.

И. Ш.

См. также: Св-ва нефти 64749, 64750. Анализ нефтепродуктов 65443—65445. Сажка 64632. Смазочные масла 66184, 67243. Очистка масел 67379, 67387. Нефтяные разбавители 66685. Ингибиторы окисления 66199, 66205. Стойные воды 65928. Аппаратура 67307, 67372—67374, 67441, 67442. Техника безопасности. 67435, 67452

ПРОМЫШЛЕННЫЙ ОРГАНИЧЕСКИЙ СИНТЕЗ

66137. Современное состояние научных исследований в области промышленного катализа. Шваб (L'état actuel des recherches scientifiques sur les catalyses industrielles. Schwab Georg-Maria), Chimie et industrie, 1953, 70, № 5, 868—874 (франц.)

Автор разделяет исследования по промышленному катализу на 2 категории: проблемы, связанные с осуществлением р-ции, и проблемы, касающиеся р-ции как таковой. К первой относятся определение формы и размера реактора, подвод и отвод тепла, форма и распределение катализатора (K), скорость циркуляции газа и др.; ко второй — природа р-ции, ее тепловой баланс, скорость и условия равновесия. Последние данные также необходимы для подбора надлежащего K. Указывается на наличие неравномерности распределения т-р по сечению и вдоль оси реакционной трубки и приводится ф-ла Дамкёлера для определения диаметра реактора d при допустимом превышении т-р р-ции θ

$$d^2 < (16\lambda_0 / f U_a 0) e^{-q\theta/RT^2},$$

где f — кинетич. функция кон-ции в выражении скорости р-ции ($f < 1$), U_a — скорость р-ции при т-ре T на входе или у стенки, Q — теплота р-ции, эффективный коэффициент теплопередачи системы K — газ, q — энергия активации р-ции. Переход от одного размера аппарата к другому должен производиться с учетом величины давления, скорости газового потока и скорости реакции.

И. И.

66138. Производство этилена каталитическим гидрированием ацетилена. I. Опыты по промышленному получению этилена частичным гидрированием ацетилена. II. Очистка ацетилена и водорода. III. Произ-

водство этиленхлоргидрина, окиси этилена и этиленгликоля. Яманака (アセチレンの水素化によるエチレンの製造. 第一報. エチレンの工業的製造試験の報告. 第二報. アセチレン及び水素の精製. 第三報. エチレンクロロヒドリン, 酸化エチレン, エチレングリコールの製造試験. 山中龍雄), 科学研究报告, Kagaku kōkyōshū hōkoku, Repts. Scient. Res. Inst., 1954, 30, № 2, 123—130; 131—134; 135—138 (япон.; рез. англ.)

Приведены данные промышленных опытов по произ-ву этилена путем частичной гидрогенизации ацетилена (I) в присутствии катализатора (K) Pd/кнзельгур, активность которого в необходимой степени снижают путем отравления (Yamanaka, Chem. Abstrs, 1948, 42, 6629; Chem. Abstrs, 1951, 45, 1857). Применяемый K чувствителен к загрязнениям в исходных газах, продуктам полимеризации (I), повышению т-ры, вызванному теплотой р-ции, что вредно сказывается на продолжительности службы K. Исследованы методы устранения этих факторов. Процесс проводили на установке, состоящей из 183 стальных труб диам. 50 мм. При регулировании т-ры р-ции с помощью масляной бани, удалении с паром продуктов полимеризации I и очистке I новым методом K эффективно работал >30 дней. Было получено 5,5 м³ этилена; выход $\sim 90\%$. Катализатор гидрирования ацетилена в этилен (Pd/кнзельгур) заметно отравляется загрязнениями, присутствующими в ацетилене, который получают из CaC₂. Эти примеси удаляют пропусканием газа через слой смоченного водой угля после обработки его катализолом. Загрязнения, имеющиеся в H₂, полученном электролизом солевого р-ра, легко удаляются конц. H₂SO₄ и р-ром NaOH. Так как следы нефти и смазочных масел также отравляют катализатор, то применяют насос с глицерином. Изучалось получение указанных продуктов из этилена в производственном масштабе. Этиленхлоргидрин синтезируют методом Гомберга. Окись этилена и этиленгликоль получают из 5—10%-ного р-ра этиленхлоргидрина, первую — действием каустич. соды, второй — гидролизом с помощью кальцинированной соды. Выходы продуктов близки к получаемым в лаборатории. Опыты произ-ва этиленгликоля в промышленном масштабе оказались неудачными.

И. Ш.

66139. Растворители для тонкой химической промышленности. I. Мареден (Solvents for the fine chemical industry, I). Marsden C., Chem. Prod., 1955, 18, № 1, 3—7 (англ.)

Приведена общая характеристика р-рителей, применяемых в тонкой хим. пром-сти, указанные области их применения. Подробно описаны различные сорта технич. этилового спирта и их применение. Приведены физ.-хим. константы C₂H₅OH, правила его продажи и хранения.

Я. Ш.

66140. Непрерывный парофазный способ получения тетраэтоксисилана. Раскан, Надаши (A tetraetoxisziilán előállítás gősfázisban folytonos eljárásal. Ráskay Béla, Nádaszy Miklós), Magyar kémik. lapja, 1955, 10, № 1, 1—4 (венг.)
Si (OC₂H₅)₄ (I) получают р-цией SiCl₄ (II) с безвод. C₂H₅OH в паровой фазе. Компоненты (17 г/мин паров II при 60—65°, 18,4 г/мин паров C₂H₅OH при 82—85°, молярное соотношение I : II = 1 : 4) вводятся на высоте ~ 35 см в вертикальную стеклянную трубку (длина 1 м, диам. 40 мм) с внешним электр. обогревом, заполненную кольцами Рашига. Верхний конец трубки, через который отводится образующийся HCl-газ, присоединен к обратному холодильнику, продукты р-ции собираются в колбу, присоединенную к нижнему концу трубки. Оптимальный температурный режим: на высоте $\frac{2}{3}$ от общей длины трубки 73—76°, на месте ввода компонентов 70—90°, на нижнем конце 110—130°. Неочищ. продукт содержит оптимально 82,1% I.

7% I
82%
Приве
66141.
(A
16
(вен
Тетр
и Дол
обезв
мения
сушка
выход
начал
образ
рости
цессе
шать
краше
При 1
с т.
менш
сто 80
66142.
пост
А р
1955
Расс
сероуг
1 и 2-г
мерны
и раци
66143.
стве
и о
Фе
№ 1
Пром
ало,
р-ром
из С и
угло
сила ст
горско
As₂S₃
что вы
пости
1 и 2-
66144.
алки
взени
мов
der
benz
zwei
I. G
57, J
Исл
пигрос
пониж
смачив
рада ч
и разв
ных см
исслед
Описан
66145.
фракц
гонке
х о м
3, №
21 хими

7% II и 10,2% полимерных этилсиликатов. Выход I 82%, производительность установки 1120 г I в 1 час. Приведена схема установки. Г. В.

66141. Производство тетраэтоксисилана. Надаши (A tetraetoxiszilán előállítás. Nádasy Miklós), Vegyipari kut. int. közl., 1953, 1, 103—112 (венг.; реф. русс., англ.).

Тetraэтоксисилан (I) получали по способу Воронкова Долгова (Ж. прикл. химии, 1951, 24, 93), но стадию обезвоживания 96%-ного C_2H_5OH (II) исключали, применяя технич. абс. II (содержание II 99,8%, d_4^{15} 0,7940), сушка последнего над Са не приводит к увеличению выхода. Выгодней брать стехиометрич. кол-во II. В начале прибавления $SiCl_4$ (до $1/3$ от требуемого кол-ва) образующийся HCl растворяется в II. Повышение скорости прибавления $SiCl_4$ увеличивает выход I. В процессе р-ции скорость прибавления I приходится уменьшать вследствие сильного выделения HCl. После прекращения добавления $SiCl_4$ массу кипятят 0,5—1 час. При 160—170° перегоняется ~72% продукта. Фракцию с т. кип. 82—160° можно использовать повторно. Изменение методики повышает выход I до 89—90% вместо 80—82%. Г. Ю.

66142. О перспективах увеличения производительности сероуглеродных заводов. Смуров В. С., Аранович Б. С., В сб. Искусств. волокно, 1955, № 10, М. 5—13

Рассмотрены методы увеличения производительности сероуглеродных заводов, в том числе применение серы I и 2-го сортов, удаление влаги и летучих из угля, равномерный прогрев при 900—950° зоны р-ции, непрерывное и рациональное питание реторт и др. Н. К.

66143. Опыт применения катализатора в производстве сероуглерода. Аранович Б. С., Богданова-Березовская И. В., Смуров В. С., Фельдман Ю. А. В сб. Искусств. волокно, № 10, М., 1955, 29—40

Проведенное в лабор. условиях исследование показало, что предварительная пропитка древесного угля р-ром Na_2CO_3 повышает скорость образования CS_2 из С и S на 70%. Добавка 2% Na_2CO_3 к древесному углю перед загрузкой в промышленные реторты повысила с/ем неочищ. CS_2 на 10%. При применении медногорской серы 3-го сорта благодаря связыванию содой As_2S_3 в плаках обнаружен As_2S_3 в кол-ве >40%, что вызывает необходимость защиты внутренней поверхности и пода реторт от коррозии. При работе на сере I и 2-го сорта защита не требуется. Н. К.

66144. О взаимосвязи между строением и свойствами алкилбензолсульфонатов, нормальная или разветвленная алкильная цепь которых содержит до 18 атомов С. I. Грисе (Über die Beziehungen zwischen der Konstitution und den Eigenschaften von Alkylbenzolsulfonaten mit jeweils einer geraden oder verzweigten Alkylkette bis zu 18 Kohlenstoff-Atomen. I. Grise W.), Fette, Seifen, Anstrichmittel, 1955, 57, № 1, 24—32 (нем.; реф. англ., франц., исп.).

Исследованы растворимость (в воде, спирте и $HClO_4$), гигроскопичность, крит. конц-ии мицеллообразования, понижение поверхностного натяжения воды, р-ров, смачивающая, пенообразующая и моющая способности ряда чистых алкилбензолсульфонатов Na с нормальной и разветвленной алкильной цепью и некоторых бинарных смесей их в мол. соотношении 1:1. Результаты исследований приведены в виде таблиц и диаграмм. Описаны методики проведения опытов. Я. К.

66145. Криометрические исследования пиридиновых фракций, получаемых при фракционированной перегонке 2-пиколина. Свентославский В., Цехомская Р., Бюл. Польск. АН, 1955, Отд. 3, 3, № 1, 33—36

Криометрическим методом исследованы фракции пиридиновых оснований, получаемые при периодич. перегонке технич. 2-пиколина (I) на лабор. колонне. Для этой цели свободные основания превращались в их хлоргидраты, которые обезвоживались и освобождались от избытка HCl нагреванием до кипения. Для устранения ошибки, возникающей вследствие переохлаждения, определялась т-ра исчезновения кристаллов (t_1), а не т-ра замерзания. Приведены t_1 для хлоргидратов пиридина (137,5°), I (78°), 3-пиколина (85°), 4-пиколина (161°) и 2,6-лутидина (238°), кривая разгонки технич. I (основная фракция имеет т. кип. 129—129,5°) и кривая изменения t_1 для фракций, собираемых при перегонке. На кривой изменения t_1 имеется 2 минимума, что отвечает образованию двух двухкомпонентных эвтектик. Первая образована хлоргидратами пиридина и I, вторая хлоргидратами I и 2,6-лутидина. Фракция с т. кип. 129—129,5° (t_1 78°) является чистым I. Фракции, содержащей пиррол, не обнаружено. И. Г.

66146 П. Получение галоидсодержащих алифатических соединений. Миллер (Preparation of halo aliphatic compounds. Miller William T.). Пат. США 2716141, 23.08.55

Сложна галоидированные бутаны, содержащие ≥4 атомов F, причем ≥2 из них должны находиться на обоих концах цепи, и имеющие ≥1 атома галоида, отличного от F (в частности, Cl), у каждого атома C, а в качестве остальных заместителей F, Cl или насыщ. перфтор- и перфторхлоргруппы, имеющие <3 атомов C, получают р-цией F_2 со сложна галоидированным олефином, имеющим ≤8 атомов C, содержащим в качестве заместителей только F и Cl, и несущим атом F у двойной связи. Приведена схема аппарата. Л. Г.

66147 П. Хлорирование 1,1-дихлорэтана. Конрад (Chlorination of 1,1-dichloroethane. Conrad Franklin) [Ethyl Corp.]. Пат. США 2725412, 29.11.55

Усовершенствованный способ произ-ва трихлорэтилена и тетрахлорэтилена состоит в р-ции газообразной смеси Cl_2 (1,5—3,5 моля) с 1,1-дихлорэтаном (1 моль) при т-ре >350°. Период р-ции должен длиться ≤10 сек. Б. Ф.

66148 П. Способ получения галоидфторэтиленов (Procédé de préparation d'halogéofluoréthènes) [Wacker Chimie G. m. b. H.]. Франц. пат. 1082142, 27.12.54 [Chimie et industrie, 1955, 74, № 6, 1213 (франц.)]

Водородсодержащие галоидфторэтановые дегидрогалогенируют щел. агентами в присутствии воды и эмульгирующего вещества. Я. К.

66149 П. Видоизмененный способ получения изопропилового спирта с применением слабой кислоты. Эймик (Modified weak-acid isopropanol process. Amick E. H.). [Standard Oil Development Co.]. Англ. пат. 715483, 15.09.54 [Petroleum, 1955, 18, № 1, 27 (англ.)]

Непрерывный способ получения изопропилового спирта (I) прямой гидратацией пропилена (II). В зоне адсорбции II поглощается в противотоке 65—68% H_2SO_4 ; отделенный кислый экстракт, содержащий на 1 моль H_2SO_4 0,6—1,5 молей II или его производных, переводят в зону отпаривания под давл. 400—600 мм рт. ст., откуда выводят гидратированный дистиллат, содержащий 3—20 вес. % производных II. Из дистиллата выделяют I, а в кислом экстракте поглощается новая порция II. Е. П.

66150 П. Способ удаления щелочных примесей, растворенных в безводных жидкостях. Рольфе, Францен, Клоппер (Verfahren zur Entfernung basisch reagierender gelöster Stoffe aus nichtwässrigen Flüssigkeiten oder Flüssigkeitsgemischen.

Rohlfss, Franzen, Klopfer) [VEB Farbenfabrik Wollenf]. Пат. ГДР 4996, 8.09.54

Растворенные в безводн. органич. жидкостях (спиртах, эфирах, углеводородах и т. п.) щел. примеси (NH_3 , амины и т. д.) могут быть удалены обработкой указанных жидкостей ионообменными (сульфоугольными или фенолформальдегидными) смолами. Этим путем одновременно удаляются и окрашивающие примеси. Отработанные смолы регенерируются обработкой их жидкостями с кислой р-цией. Л. Р.

66151 П. Способ получения простых диэфиров, являющихся противопенными агентами. Бэрд, Маккартур, Джоне (Anti-foam agents. Baird William, MacArthur Arthur, Jones Kenneth H.) [Imperial Chemical Industries Ltd]. Канад. пат. 513299, 31.05.55

1 моль октадекадианола-1,12 с прямой цепью атомов С вводит в р-цию с 18—25 молями окиси этилена в присутствии щел. катализатора при 100—200°. Б. Ф.

66152 П. Способ получения ненасыщенных циклических ацеталей и кеталей. Орт (Verfahren zur Herstellung ungesättigter cyclischer Acetale und Ketale. Orth Hans) [Dynamit-Actien-Ges. vormals Alfred Nobel & Co.]. Пат. ФРГ 927332, 505.55

Ненасыщенные циклич. ацетали и кетали с 1 или 2 семциклич. двойными связями получают отщеплением галоидоводорода от галоидированных ацеталей и кеталей. Это отщепление проводят прибавлением по частям при размешивании твердого КОН или NaOH к галоидированным ацеталам или кеталам, предварительно нагретым до 150—160°; тотчас по окончании р-ции полученные ненасыщ. ацетали и кетали отделяют перегонкой с водяным паром. 1215 г бис-(1-хлорпропандиол-2,3-ацетала) гликоксила в сосуде из Ni или Cu нагревают до 160° и при хорошем размешивании в течение 30 мин. прибавляют 1115 г технич. 85%-ного КОН, т-ра поднимается до 175—180°, по затухании р-ции нагревают еще 20—35 мин. при 150—160° и отгоняют с водяным паром бис-2,2'-(4-метилendioксолан) ф-лы $[\text{—CHOCN}_2\text{C(O)=CH}_2]_2$ выход 75—85%, т. кип. 96—

98°/12 мм, стабилизируемый прибавлением ~0,5% гидрохинона. Аналогично из бис-(1-хлорпропандиол-2,3-ацетала) глутарового диальдегида получают пропан-1,3-бис-2',2'-(4-метилendioксолан), выход 70—75%, т. кип. 141—143°/12 мм; из 1-хлорпропандиол-2,3-кетали циклогексанона — 4-метил-2,2-циклогексидиендиооксолан, выход 75—80%, т. кип. 75—75,5°/14—15 мм. Полученные ацетали и кетали, вследствие высокой реакционной их двойной связи, особенно пригодны для применения в процессах полимеризации и полиприсоединения. В. У.

66153 П. Производство безводного формальдегида. Шнайзер, Фишер (Production of anhydrous formaldehyde. Schnizer Arthur W., Fisher Gene J.) [Celanese Corp. of America]. Пат. США 2714616, 02.08.55

Безводный CH_2O получают, пропуская пары триоксиана над H_3PO_4 при 200—240°. Б. Ф.

66154 П. Производство кетенов. Тайлер (Production of ketenes. Tyler Douglas L.) [Courtaulds Ltd]. Канад. пат. 511782, 12.04.55

Кетены получают термич. разложением кетонов, напр., ацетона, в реакторе из жароупорной стали, содержащей Cr и Ni. При этом к кетону для значительного уменьшения отложения угля на стенках реактора добавляют по крайней мере одно в-во, содержащее S и являющееся жидким при т-ре ~20° (напр., CS_2), в кол-ве, соответствующем ~0,1% S, считая на вес кетона. Приведена схема процесса. Б. Ф.

66155 П. Алифатические кислоты (Aliphatic acids) [Anglo-Iranian Oil Co. Ltd., and The Distillers Co.]. Австрал. пат. 165607, 27.10.55

Алифатические к-ты, в частности CH_3COOH , получают окислением в жидкой фазе газом, содержащим O_2 , углеводородной парафиновой фракции, содержащей углеводороды с 4—8 атомами С, причем ≥ 40 вес.% этой фракции составляют парафины с 6—8 атомами С, из которых в свою очередь ≥ 40 вес.% имеют по крайней мере одну боковую метильную группу; верхний предел кипения упомянутой фракции должен быть $\leq 100^\circ$. Г. М.

66156 П. Способ получения акриловой кислоты. Шмиц-Юстен (Verfahren zur Herstellung von Acrylsäure. Schmitz-Josten Robert) [Farbenfabriken Bayer A.-G.]. Пат. ФРГ 929368, 27.06.55

β,β' -Дициандиэтиловый эфир (I) и (или) побочные продукты, образующиеся при получении I из акрилонитрила и водн. едкой щелочи, нагревают при т-ре $>120^\circ$ (предпочтительно 160—180°) в присутствии водн. H_2SO_4 (≥ 2 молей H_2SO_4 и ≥ 3 молей воды на 1 моль I). Во избежание полимеризации акриловой к-ты (II) р-цию проводят в присутствии CuSO_4 или другого стабилизирующего агента при непрерывной отгонке образующейся II, напр. с водяным паром. 3 л 77%-ной H_2SO_4 , содержащей растворенный CuSO_4 и полученной смешением 100 кг 78%-ной H_2SO_4 с р-ром 150 г $\text{CuSO}_4 \cdot 5\text{H}_2\text{O}$ в 1 л воды, нагревают в перегонном кубе емк. 130 л до 160—170°, после чего в течение 5—6 час. добавляют 8 кг I и 8 л указанной 77%-ной к-ты, держа т-ру смеси на уровне 170—175°. Одновременно через смесь пропускают водяной пар со скоростью ~1 кг/час и отгоняют II через медный холодильник (во избежание полимеризации). При этом парус водяного пара регулируют так, чтобы II перегонялась в виде 60%-ной к-ты. После добавки всего кол-ва I и к-ты продолжают отгонку II до получения дистиллата с содержанием II $<30\%$. Этим путем получают 16,6 кг 50%-ной водн. II, что соответствует выходу 89% от израсходованного I. Следы Cu легко удаляют с помощью катионита. Приведена методика получения I. Я. К.

66157 П. Получение алкокси- δ -лактонов реакцией α -замещенного акролеина со спиртами. Томпсон (Reaction of α -substituted acrolein with alcohols to form alkoxy- β -lactones. Thompson Benjamin) [Eastman Kodak Co.]. Пат. США 2725387, 29.11.55

Замещенные δ -валеролакtones получают конденсацией метилакролеина и спирта в практически безводн. условиях и в присутствии катализатора, имеющего основные свойства, с последующей перегонкой конденсата в присутствии того же катализатора. Б. Ф.

66158 П. Присоединение производных хлорированной уксусной кислоты к олефинам. Хараш, Эрри (Addition of chlorinated acetic acid derivatives to olefins. Kharasch Morris S., Urry Wilbert H.) [United States Rubber Co.]. Канад. пат. 511287, 22.03.55

Продукты присоединения хлорангидридов ди- или трихлоруксусной к-ты к олефинам ф-лы $\text{RCH}=\text{CH}_2$ (R — насыщ. углеводородный радикал с 1—6 атомами С) получают р-цией указанных в-в в присутствии каталитич. кол-в перекисных соединений, причем на 1 моль олефина берут ≥ 1 моля хлорангидрида ди- или трихлоруксусной к-ты. Из трихлорацетилахлорида и октена-1 получен хлорангидрид α,α,γ -трихлоракриловой кислоты. И. Ш.

66159 П. Получение β -аминокарбоновых кислот реакцией аммиака с β -лактонами. Грешам, Шейвер (Preparation of beta-amino carboxylic acids by the reaction of ammonia with beta-lactones. Gre-

ham Thomas L., Shaver Forrest W.) [The B. F. Goodrich Co.]. Канад. пат. 513939, 21.06.55
β-Аминокислотные к-ты ф-лы $H_2NCR'R''R'''COOH$ ($R, R', R'', R''' = H$, алкил, циклоалкил, арил, содержащие 1—6 атомов C) получают прибавлением

NH_3 к р-ру β-лактона ф-лы $OCRR'CR''R'''CO$ в устойчивом по отношению к воде жидком органич. р-рителе при повышенной т-ре и давлении, достаточном для того, чтобы р-ритель оставался жидким. Указанный р-ритель, имеющий меньшую степень ионизации, чем NH_3 , содержит 1—12 атомов C и не менее 1 атома элемента с атомным номером >6 , но <9 ; этот атом связан только с одним атомом C. Добавлением NH_3 при 0—50° к р-ру β-пропиолактона в спирте с 1—12 атомами C (например, *трет*- C_4H_9OH) или ацетонитриле получают β-адалин, который отделяют от реакционной смеси. II. III.

66160 П. Способ получения продуктов взаимодействия метилформамида с формальдегидом. Штро, Хабберланд (Verfahren zur Herstellung von Umsetzungsprodukten aus Methylformamid und Formaldehyd. Stroh Rudolf, Haberland Hans) [Farbenfabriken Bayer A.-G.]. Пат. ФРГ 923485, 14.02.55

Реакцией метилформамида (I) с CH_2O или выделяющим CH_2O в-мем, напр. параформальдегидом (II), получают N-оксиметил-N-метилформамид и метилбис-метилформамид (III); при этом, в случае получения III, по крайней мере 2-ю стадию р-ции проводят в присутствии кислых конденсирующих средств: H_2SO_4 , H_3PO_4 , $AlCl_3$ или органич. сульфокислот. 295 вес. ч. I и 90 вес. ч. II нагревают в автоклаве 10 мин. при 150°; полученный прозрачный почти бесцветный р-р смешивают с 1 вес. ч. конц. H_2SO_4 и 200 вес. ч. толуола (IV) и отгоняют реакционную воду, в виде азеотропа с IV, остаток нейтрализуют мелом и перегонкой в вакууме выделяют 29 вес. ч. I и 259,8 вес. ч. III, выход 88,7% (считая на израсходованный I), т. кип. 175—176°/16 мм. При применении вместо H_2SO_4 *n*-толуолсульфокислоты или $AlCl_3$ выход III также хороший. 59 вес. ч. I и 30 вес. ч. II смешивают с 0,1 вес. ч. воды, 40%-ного KOH и 100 вес. ч. IV, нагревают 10 мин. с обратным холодильником при 150°; после чего прибавляют 0,5 вес. ч. конц. H_2SO_4 , 59 вес. ч. I и 100 вес. ч. IV, удаляют реакционную воду в виде азеотропа с IV, остаток нейтрализуют мелом и перегонкой выделяют 26 вес. ч. I и 92,4 вес. ч. III, выход 91,2%. Благодаря различной растворимости в III ароматич., гидроароматич. и алифатич. углеводородов, III применяют для разделения этих в-в, а также в качестве пластификатора и средства, вызывающего побухание. В. У.

66161 П. Способ получения оксимов. Кар (Sätt att framställa oximer. Kahr K.) [Inventa A.-G. für Forschung & Patentverwertung]. Швед. пат. 146038, 6.07.54

Первичные амины, содержащие аминогруппу при первичном или вторичном атоме C, обрабатывают H_2O_2 в присутствии катализатора — соли к-ты, содержащей V, Mo или U. Б. Ф.

66162 П. Способ каталитического получения первичных аминов (Procédé d'obtention catalytique d'amines primaires) [Ruhchemie A.-G.]. Франц. пат. 1080359, 8.12.54 [Chimie et industrie, 1955, 74, № 5, 984 (франц.)]

Пары соответствующего алифатич. спирта пропускают с избытком NH_3 , предпочтительно при 360—420°, над катализатором, в основном состоящим из Fe или оксидов Fe, после чего отделяют избыточный NH_3 и продукт р-ции в жидком состоянии, предпочтительно при 100 и 130° и 100—150 ат, пропускают над катализатором гидрирования, предпочтительно над неподвижным Ni-катализатором. Я. К.

66163 П. Выделение цианистого водорода. Крейтон (Recovery of hydrocyanic acid. Creighton Robert H. J.) [Shawinigan Chemicals Ltd.]. Пат. США 2723184, 8.11.55

В способ получения HCN (I) термич. дегидратацией формамида (II), при котором полученную I конденсируют и отделяют от других продуктов р-ции в форме жидкой I, вводят дополнительную стадию поглощения паров I из отработанных газов жидким II. Для этого отработанные газы пропускают через ряд поглотительных башен (ПБ), орошаемых противотоком жидким II, который затем возвращают в процесс для термич. дегидратации. При этой обработке содержание I в отработанных газах при пропускании через систему из 2-х ПБ падает до 0,7—1,4 об.% (вместо 15 об.% при отсутствии поглощения), а потеря I в отработанных газах составляет 0,14—0,46%, считая на II. Кол-во II, вводимого для поглощения I, составляет 298—587 ч. в 1 час, причем жидкость в 1-й ПБ циркулирует со скоростью 1350 ч. в 1 час, кол-во I, содержащееся в II, возвращаемом в процесс, составляет 2,3—4,1% от веса II. Приведена схема процесса. В. У.

66164 П. Получение дициана. Хюмер (Production of dicyan. Huemer Hans) [Deutsche Gold- und Silber-Scheideanstalt vormals Roessler]. Пат. США 2723185, 8.11.55

Дициан (I) получают р-цией ClCN в газовой фазе с ненасыщ. алифатич. углеводородами (C_2H_4) при т-ре $>150^\circ$ (200—250°) в присутствии хлоридов металлов (Cu_2Cl_2) в качестве катализаторов. 30 л/час ClCN и 90 л/час C_2H_4 пропускают при 200—250° через трубку из нержавеющей стали (диам. 35 мм), содержащую 500 мл катализатора, полученного пропиткой насыщ. р-ром 24 г Cu_2Cl_2 в конц. HCl формованного, активированного паром угля. При быстром охлаждении реакционной газовой смеси до -70° получают смесь $C_2H_2Cl_2$ и I, содержащую небольшое кол-во растворенного C_2H_2 . Фракционной перегонкой смеси выделяют I и $C_2H_2Cl_2$ с выходами ~70%. В. У.

66165 П. Производство акрилонитрила. Цейшке (Preparation of acrylonitrile. Zeischke Wolfgang M.) [American Cyanamid Co.]. Канад. пат. 511732, 12.04.55

Акрилонитрил получают, прибавляя этиленциангидрин при т-ре, достаточной для его дегидратации (180—240°), к $HCOONa$, взятому в качестве катализатора дегидратации, в присутствии в-ва, предотвращающего вспенивание. Б. Ф.

66166 П. Производство чистого адипонитрила. Грубеш, Шлихтинг (Production of pure adiponitrile. Hrubesch Adolf, Schlichting Otto) [Badische Anilin- & Soda-Fabrik A.-G.]. Пат. США 2711991, 28.06.55

Усовершенствован метод выделения чистого адипонитрила из реакционной смеси, полученной действием избытка NaCN на 1,4-дихлорбутан при 180—190°, путем добавления к ней при 40—100° 50%-ного р-ра H_3PO_4 , H_2SO_4 или HCl в кол-ве, не превышающем необходимое для связывания выделяющихся при этом HCN всего 1-цианциклопентанон-2-имида, присутствующего в смеси. После перемешивания в течение 1—2 час. отгоняют чистый адипонитрил. И. III.

66167 П. Способ получения нитрилов метилбис-аминокислот. Лотц (Verfahren zur Herstellung von Methylen-bis-aminocarbonsäurenitrilen. Lotz Rudolf) [Vereinigte Glanzstoff-Fabriken A.-G.]. Пат. ФРГ 923065, 3.02.55

Нитрилы метилбис-аминокислотных к-т общей ф-лы $CH_2[NHCH_2CH(CN)R]_2$ ($R = H$, CH_3 или Cl) получают р-цией акрилонитрила или его производных, замещ. в α-положении CH_3 или галогеном, с CH_2O и NH_3 в газовой фазе при т-ре до 400° (преимущественно

350—380°). Р-цию можно проводить с применением, вместо CH_2O в-в, отщепляющих CH_2O (напр., параформальдегида или гексаметилентетрамина), а также в присутствии катализаторов (BPO_4 , Al_2O_3 , ZnO , глиняных черепков или их смесей). 240 г акрилонитрила и 220 г 35%-ного р-ра CH_2O (или 100 г CH_2O , полученного расщеплением параформальдегида нагреванием при 135—180°) в течение 3—5 час. по каплям вводят в электрич. печь (длина 1,5 м), нагреваемую до 350—400°; в качестве катализатора применяют смесь BPO_4 и Al_2O_3 , нанесенную на сетку, помещенную внутри печи. Одновременно в печь вводят NH_3 со скоростью 25 л/час. Через 5 час. в приемнике собирают масло, перегонкой которого при 140°/10 мм выделяют метилен-бис-(β -аминопропионитрил), 114 г α -метакрилонитрила. 900 г 35%-ного CH_2O и ~25 л/час NH_3 в течение 5 час. пропускают через печь, наполненную BPO_4 — Al_2O_3 — катализатором при ~350°; через 5 час. собирают продукт и перегонкой его при ~150°/10 мм выделяют метилен-бис-(β -амино- α -метилпропионитрил). Аналогично из 90 г α -хлоракрилонитрила получают метилен-бис-(β -амино- α -хлорпропионитрил), т. пл. 156° (из CH_3OH). Полученные нитрилы пригодны в качестве промежуточных продуктов для получения пластич. масс. В. У.

66168 П. Изоцианаты и способ их производства. Кропа, Найкунет (Isocyanates and method of making the same. Kropa Edward L., Nyquist Arthur S.) [American Cyanamid Co.]. Канад. пат. 510657, 8.03.55

Изоцианаты ф-лы $\text{CH}_2=\text{CHNRN}=\text{C}$ (R — 2-валентный ароматич. радикал), винильная и изоцианатная группы которых связаны с ароматич. ядром, получают р-цией COCl_2 и $\text{CH}_2=\text{CHRNH}_2$ в жидкой среде, инертной по отношению к реагентам, при т-ре от —10° до т-ры кипения реакционной массы. Можно получать фенилдиизоцианаты, имеющие CH_3 -группу в положении 2 или 3, $\text{CH}_3=\text{CH}$ -группу в положении 5 или 6. Синтезирован 2-метил-5-винилфенилдиизоцианат. И. Ш.

66169 П. Способ превращения О-ацетилацетоуксусного эфира в С-ацетилацетоуксусный эфир (Procédé de transposition de l'O-acétyl-acétylacétate d'éthyle en C-acétyl-acétylacétate d'éthyle) [Wacker-Chemie G. m.b.H.]. Франц. пат. 1085195, 28.01.55 [Chimie et industrie, 1956, 75, № 1, 98 (франц.)]

О-Ацетилацетоуксусный эфир в чистом виде или в смеси с С-ацетилацетоуксусным эфиром тщательно смешивают с K_2CO_3 при низкой т-ре, предпочтительно 30—35°, в отсутствие р-рителя или суспендирующего агента. Я. К.

66170 П. Получение кетокарбоновых кислот и их производных. Ладд (Preparation of keto-carboxylic acids and their derivatives. Ladd Elbert C.) [United States Rubber Co.]. Канад. пат. 515108, 26.07.55

Мономерные низшие диалкильные эфиры α -алканойл-нитратной к-ты ф-лы $\text{R'OOCCH}_2\text{CH}(\text{COR})\text{COOR''}$, где R , R' и R'' — низшие алкилы, получают нагреванием до 60—100° 1 моля диалкильного эфира млечной или фумаровой к-ты с 1—20 молями алифатич. альдегида нормального строения, в присутствии органич. перекиси и под действием актиничного облучения. Р-цией 1 моля диэтилмалеата с 10 молями n -мисляного альдегида в присутствии перекиси бензоила получают диэтиловый эфир α -бутироллантовой к-ты. И. Ш.

66171 П. Способ получения α -окс- β , β -диметил- γ -оксибутирамидов. Опперман (Verfahren zur Herstellung von α -oxy- β , β -dimethyl- γ -oxy-butyramid. Oppermann Adolf Christian Joseph). Пат. ФГР, 907891, 29.04.54 [Chem. Zbl., 1955, 125, № 17, 3965 (нем.)].

Реакцией α -окс- β , β -диметил- γ -бутиролактона с су-хим NH_3 в отсутствие р-рителя, лучше при охлажде-

нии, получают α -окс- β , β -диметил- γ -оксибутирамид, т. пл. 123—124°. В. У.

66172 П. Очистка N-(β -аланил)-2-аминоэтилмеркаптана. Кинг (Purification of beta-aletheine. King Tsao E.) [Research Corp.]. Канад. пат. 512326, 26.04.55

В производственном методе получения N-(β -аланил)-2-аминоэтилмеркаптана (β -алетеина) восстановительным расщеплением N-замещ. β -аланил-2-аминоэтилди-сульфида продукт р-ций растворяют в спирте, р-р обрабатывают щавелевой к-той и выделяют оксалат ф-лы $\text{H}_3\text{CCH}_2\text{CH}_2\text{NHCOCH}_2\text{CH}_2\text{NH}_2 \cdot (\text{COOH})_2$. И. Ш.

66173 П. Способ получения солей галогидрированных формамидинов. Лехер, Кослоский (Haloformamidine salts and method of preparation. Lecher Hans Z., Kosloski Clement L.) [American Cyanamid Co.]. Пат. США 2727922, 20.12.55

Вещества об-ей ф-лы $\text{H}_2\text{NC(X)=NH} \cdot \text{HNO}_3$, где $\text{X} = \text{Cl}$ или Br , получают, обрабатывая р-р хлоридрата соответствующего галогидрированного формамидина азотной кислотой. Б. Ф.

66174 П. Способ получения аминосульфокислот (Procédé de préparation d'acides aminosulfoniques.) [Ruhchemie A.-G.]. Франц. пат. 1078186, 16.11.54 [Chimie et industrie, 1955, 74, № 5, 981 (франц.)]

Хлоридраты алифатич. аминов обрабатывают при актиничном освещении в присутствии хлорированных углеводородов, в частности CCl_4 , и предпочтительно в виде р-ра или суспензии в CCl_4 , газами, содержащими Cl_2 и SO_2 . После отделения р-рителя и SO_2Cl_2 продукты сульф-хлорирования гидролизуют водой в соответствующую аминосульфокислоты, которые выделяют упариванием р-ра и осаджением абс. $\text{C}_2\text{H}_5\text{OH}$. Я. К.

66175 П. Получение β -метилмеркаптопропионового альдегида. Пирсон, Тислер (Preparation of β -methylmercapto-propionaldehyde. Pierson Earl H., Tishler Max.) [Merck & Co.]. Канад. пат. 509274, 18.01.55

β -Метилмеркаптопропионовый альдегид получают нагреванием CH_3SH с акролеином в присутствии $(\text{CH}_3\text{S})_2\text{Hg}$, $(\text{CH}_3\text{COO})_2\text{Cu}$, перекиси бензоила или гидрохинона при атмосферном давлении и т-ре ниже т-ры кипения акролеина. Я. К.

66176 П. Получение меркаптопропионовой кислоты. Анагностопулос (Preparation of mercaptopropionic acids. Anagnostopoulos Constantine E.) [Monsanto Chemical Co.]. Пат. США 2727065, 13.12.55

α -Окс- β -меркаптопропионовую к-ту получают р-цией тиосульфата щел. металла с α -окс- β -хлорпропионовой к-той с последующ. подкислением реакцион. смеси. Б. Ф.

66177 П. Способ получения тиоэфирдикарбоновых кислот в виде их солей со щелочными металлами. Пенс, Фридрих, Лайб (Verfahren zur Herstellung von Thioetherdicarbonsäuren in Form ihrer Alkalisalze. Reppe Walter, Friederich Herbert, Laib Heinrich) [Badische Anilin- & Soda-Fabrik A.-G.]. Пат. ФГР 917247, 30.08.54 [Chem. Zbl., 1955, 126, № 17, 3963 (нем.)]

Соли тиоэфирдикарбоновых к-т получают нагреванием γ - или δ -тиолактонов с лактонами или солями оксикарбоновых к-т, полученными р-цией лактонов с р-рами щелочей, под давлением при ~120—300°, в присутствии не менее эквивалентного кол-ва водн. р-ра щелочи. Из γ -бутиротриолктона и бутиролактона в водн. р-ре NaOH нагреванием 10 час. под давлением при 220° получают γ , γ' -тиодимасляную к-ту, выход 91%, т. пл. 97—99°; из β -пропиолактона и γ -бутиротриолктона — этилпропилсульфид- β , γ' -дикарбоновую к-ту, выход 87%, т. пл. 91—93°, кислотное число 580. Полученные в-ва применяют в качестве полупродуктов для пластификаторов и п астич. масс. В. У.

66178 П. Получение бис-(2-карбоксивалкил)-сульфонов.

Фредерик (Preparation of bis-(2-carboxyalkyl) sulfones. Frederick Marvin R.) [The B. F. Goodrich Co.]. Канад. пат. 509258, 18.01.55
Алифатические β-лактоны обрабатывают р-ром водорастворимого гипосульфита в полярном р-рителе: получают р-р соли к-ты общей ф-лы: $S_2O_4(CR_2CR_2COOH)_2$ (R—H или алкил), который подкисляют и нагревают. В частности, бис-(2-карбоксивалкил)-сульфон ф-лы: $S_2O_4(CH_2CH_2COOH)_2$ получают обработкой 2 моль β-пропиолактона при т-ре от -10 до +35° водн. р-ром 1 моля гипосульфита щел. металла или Zn с последующим нагреванием реакционной смеси до кипения после подкисления (в случае ZnS_2O_4 применяют конц. HCl).

Я. К.

66179 П. Способ получения нейтральных эфиров фосфорной кислоты (Procédé de production d'esters neutres de l'acide phosphorique) [Farbenfabriken Bayer A.-G.]. Франц. пат. 1083142, 5.01.55 [Chimie et industrie, 1956, 75, № 1, 97 (франц.)]

Триэфир фосфорной к-ты обрабатывают водн. р-ром гипохлорита.

Я. К.

66180 П. Алкилтиофосфорилтрифосфаты и способ получения их. Ламбрек (Alkyl thiophosphoryl triphosphate esters and process. Lambrecht Joseph A.) [Union Carbide Canada Ltd.]. Канад. пат. 509338, 18.01.55

Гексаметилтиофосфорилтрифосфат и бутилтиофосфорилтрифосфат получают действием тиофосфорилтригалогенида на $(CH_3)_3PO_4$ или $(C_4H_9)_3PO_4$ при т-ре, достаточно высокой для того, чтобы метил- или бутилгалогенид улетучивались из реакционной смеси. Патентуются эфиры общей ф-лы $SP(OPO(OR)_2)_3$, где R — алифатич. группа с 1—4 атомами С, в частности гексапропилтиофосфорилтрифосфат.

Я. К.

66181 П. Способ получения алюминийуглеводородов, в особенности алюминийтриалкилов, наряду с криолитом. Циглер, Кёстер (Verfahren zur Herstellung von Aluminiumkohlenwasserstoffen, insbesondere Trialkylen, neben Kryolith. Ziegler Karl, Köster Roland). Пат. ФРГ 934649, 3.11.55
Al-углеводороды (в особенности, Al-триалкилы), наряду с криолитом получают по пат. ФРГ 921450 (РЖХим, 1956, 52100) с тем отличием, что образующийся при термич. разложении продуктов р-ции Al-углеводород возможно быстрее удаляют из реакционной смеси. Удаление Al-углеводородов проводят отгонкой в вакууме или разложением промежуточного продукта и удалением Al-углеводорода пропусканием перегретых инертных газов или паров. Разложение можно проводить также непрерывным путем. В кипящую суспензию 2,8 кг сухого тонкорастертого технич. NaF в 6 л C_6H_6Cl в течение 30 мин. вводят 4,2 г $(C_2H_5)_2AlCl$, при этом выключают внешний обогрев, затем размешивают еще 10 час. при кипении, отгоняют при 10—20 мм рт. ст. C_6H_6Cl и перегонкой в токе N_2 при т-ре до 230°/1 мм в конце отгонки (или отгонкой с парами C_6H_6 перегретыми до 250—300°) выделяют $(C_2H_5)_3Al$, выход 97%. Аналогично получают $(CH_3)_3Al$, т. кип. 270—300°/10—20 мм, выход 95%. 1,2 кг тонкорастертого $NaAl(CH_3)_2F_2$ вносят в трубку (диам. 15 см, длина 1 м) с сетчатым дном, нагревают при 250—300° и пропускают пары пентана, перегретые до 250—300°; отгон охлаждают, пентан отгоняют и возвращают в цикл, в остатке получают $(CH_3)_3Al$, выход ~100%. $NaAl(CH_3)_2F_2$ получают нагреванием $(CH_3)_2AlCl$ с эквивалентным кол-вом NaF в C_6H_6Cl , после чего NaCl отфильтровывают, а остаток еще раз нагревают с таким же кол-вом NaF и отгоняют C_6H_6Cl .

В. У.

66182 П. Получение циклогексена. Уитман (Preparation of cyclohexene. Whitman Gerald M.)

[E. I. du Pont de Nemours and Co.]. Канад. пат. 510341, 22.02.55

Циклогексен получают р-цией этилена (≥ 10 моль) с 1 мольм бутадиена-1,3 при 100—300° и давл. ≥ 100 ат (100—2000 ат). Можно брать ~20 моль этилена на 1 моль бутадиена-1,3.

Б. Ф.

66183 П. Способ получения циклопентенолов.

Мацуи (シクロペンテノロン類の製造法. 松井正直), [住友化学工業株式会社, [Сумитома кагаку Коё кабуши кайси]]. Япон. пат. 5076, 23.07.55

β-Кетокислоты общей ф-лы RCH_2COCH_2COOH (R — алкил, алкилен, незамещ. или замещ. арил или гетероцикл. остаток) вводят в р-цию с производными глиоксали общей ф-лы $R'COCHO$ (R' — алкил или фенил) в присутствии диэтиламина (I) или пиперидина (II); полученные оксидикетоны общей ф-лы $RCH_2COCH_2 \cdot CH(OH)COR'$ обработкой разб. щелочами подвергают циклизации с образованием циклопентенолов общей ф-лы $OC-C(R)=C(R')-CH(OH)-CH_2$. R смеси

29 г 3-оксо-п-валериановой к-ты и 1С5 г 17%-ного р-ра технич. метилглиоксали (III) прибавляют 10 капель I и выдерживают 2 дня при 15°, причем происходит выделение CO_2 . Прибавляют 0,5 г гидрохинона и 20 г 20%-ного водн. NaOH, встряхивают 7 час. при 15° в атмосфере N_2 , прибавляют 6 мл лед. CH_3COOH , насыщают NaCl и извлекают 100 мл C_6H_6 . Экстракт промывают 3 раза насыщ. водн. р-ром NaCl, на другой день фильтруют и отгоняют C_6H_6 , повторной перегонкой выделяют 9,5 г 2,3-диметилциклопентен-2-ол-4-она-1, т. кип. 108—110°/0,29 мм, n_D^{20} 1,5059. Аналогично из 32,5 г 3-оксо-п-капроновой к-ты, 1С5 г 17%-ного р-ра III в присутствии I получают 13 г 2-этил-3-метилциклопентен-2-ол-4-она-1, т. кип. 132—135°/1,3 мм, n_D^{20} 1,5082 (3,5-динитробензоат, т. пл. 126°); из 52 г 3-оксо-6-метилгептен-6-овой к-ты, 145 г 17%-ного р-ра III и II получают 20 г 2-изобутил-3-метилциклопентен-2-ол-4-она-1, т. кип. 121—126°/0,2 мм, n_D^{20} 1,5120 (семикарбазон, т. пл. 208—209°); из 14,4 г 3-оксогексен-6-овой к-ты, 23,5 г 3С%-ного р-ра III и I получают 6,9 г 2-(бутен-2'-ил)-3-метилциклопентен-2-ол-4-она-1, т. кип. 127—132°/0,5 мм, n_D^{18} 1,5096 (семикарбазон, т. пл. 208—209°); из 12,2 г 3-оксогексен-7-овой к-ты, 24 г 30%-ного р-ра III и I получают 5,5 г 2-(бутен-3'-ил)-3-метилциклопентен-2-ол-4-она-1, т. кип. 126—132°/0,5 мм, n_D^{18} 1,5151 (семикарбазон, т. пл. 187°); из 33 г 5-(3',4'-метилendioксифенил)-3-оксокапроновой к-ты, 37 г 30%-ного р-ра III, II и небольшого кол-ва спирта получают 2-пиперонил-3-метилциклопентен-2-ол-4-он-1, т. кип. 146—150°/0,22 мм, n_D^{20} 1,5670. R смеси 64 г 3-оксогексен-6-овой к-ты (IV) и 145 г 25%-ного р-ра III прибавляют 20 капель I и оставляют стоять 2 дня при 15°, выделившееся масло извлекают 200 мл C_6H_6 ; экстракт промывают 3 раза насыщ. р-ром NaCl, фильтруют и перегонкой выделяют 52 г 3-оксипен-8-дису-2,5, т. кип. 95—105°/1 мм, n_D^{18} 1,4686. R полученному оксидикетону прибавляют 1 г гидрохинона и извлекают в атмосфере N_2 с 300 г 10%-ного р-ра NaOH в течение 1 часа при 15°, затем прибавляют 45 мл лед. CH_3COOH , насыщают NaCl и извлекают 200 мл C_6H_6 , экстракт промывают 3 раза насыщ. р-ром NaCl, фильтруют и перегонкой выделяют 37 г 2-аллил-3-метилциклопентен-2-ол-4-она-1, т. кип. 120—125°/1,5 мм, n_D^{18} 1,5162 (семикарбазон, т. пл. 210°). Аналогично из 48 г 5-фенил-3-оксокапроновой к-ты, 115 г 17%-ного р-ра III и II получают 20,2 г 3-оксип-7-фенилгептандису-2,5, т. кип. 158—161°/0,8 мм, n_D^{18} 1,5331, из которого затем получают 9,3 г 2-бензил-3-метилциклопентен-2-ол-4-она-1, т. кип. 161—165°/0,15 мм, n_D^{21} 1,5680 (семикарбазон, т. пл. 215—216°); из 91 г 5-(фурил-2')-3-оксокапроновой к-ты, 230 г 17%-ного

р-р. III и I получают 100 г 3-окси-7-(фурил-2')-гептандиона-2,5, а из него 36,5 г 2-фурил-3-метилциклопентен-2-ол-4-она-1, т. кип. 144—150°/0,5 мм, n_D^{25} 1,5352 (семикарбазон, т. пл. 201—202°); из 23 г 5-(тетрагидрофурил-2')-3-оксавалериановой к-ты, 56 г 17%-ного р-ра III и I получают 3-окси-7-(тетрагидрофурил-2')-гептандион-2,5, а из него 2-тетрагидрофурил-3-метилциклопентен-2-ол-4-он-1, т. кип. 113—120°/0,1 мм, n_D^{25} 1,5095; из 32 г IV, 26 г изопропилгликоля, 100 мл 60%-ного CH_3OH и I получают 2-метилден-9-ол-4-дион-3,6, а затем 13 г 2-аллил-3-изопропилциклопентен-2-ол-4-она-1, т. кип. 124—129°/3 мм, n_D^{25} 1,4838; из 25,6 г IV, 26 г фенилгликоальгидрата, 100 мл 60%-ного CH_3OH и I получают 2-окси-1-фенилэктен-7-ол-2-дион-1,4, а затем 2-аллил-3-фенилциклопентен-2-ол-4-он-1, т. кип. 155°—155°/0,5 мм, т. пл. 97°, n_D^{25} 1,5998.

В. У.

66184 П. Способ получения сложных эфиров и полиэфиров трициклодеканового ряда. Рёлен, Бюхнер, Фейхтингер, Мейс, Туммес (Verfahren zur Herstellung von Estern und bzw. oder Polymeren der Tricyclodekanreihe. Roelen Otto, Büchner Karl, Feichtinger Hans, Meis Josef, Tummess Hans) [Ruhchemie Akt.-Ges.]. Пат. ФРГ 934889, 10.11.55

Сложные эфиры и полиэфиры трициклодеканового ряда получают р-цией трициклодеканметилола или диметилола с карбоновой к-той или р-цией трициклодеканмоно- или дикарбоновой к-ты со спиртом при нагревании в присутствии катализатора этерификации до окончания выделения воды. Р-цию проводят также в присутствии вспомогательных в-в, облегчающих удаление воды, напр., углеводородов или инертных газов. 750 г 95,5%-ного трициклодекандиметилола (I), 615 г лед. CH_3COOH , 6 г *n*-толуолсульфокислоты и 200 мл C_6H_6 кипят 12 час. с водорододелителем до окончания отщепления воды; во время кипячения прибавляют еще 50 мл лед. CH_3COOH . Продукт р-ции промывают водой, р-ром соды и перегонкой выделяют 850 г диацетата I, т. кип. 170—175°/1,5 мм, d_4^{20} 1,110, n_D^{20} 1,4879. Из 335 г 96%-ного I с 440 г *n*-мисляной к-ты, 300 мл C_6H_6 и 6 мл конц. HCl получают 525 г ди-*n*-бутирата I, т. кип. 185—195°/0,8 мм, d_4^{20} 1,053, n_D^{20} 1,4834. Аналогично получают эфиры I со стеариновой к-той, смесью алифатич. C_{15} -изокрбонных к-т, фталевым ангидридом или адипиновой к-той. 100 г трициклодекандикарбоновой к-ты (II, т. пл. 160—187°) с 31 г этиленгликоля нагревают 20 час. при размешивании при 150° в атмосфере N_2 , а затем 15 час. при 200°, отгоняют в вакууме воду и избыток этиленгликоля, в остатке получают эфир II, т-ра размягчения ~70°. Аналогично получают эфиры при нагревании II с глицирином или I, 100 г II растворяют в 50 мл CH_3OH и насыщают HCl-газом, после 1 часа кипячения перегонкой выделяют 75 г диметилового эфира II, т. кип. 143—146°/0,5 мм; аналогично получают диэтиловый эфир II, т. кип. 153—155°/0,3 мм, ди-*n*-бутиловый эфир II, т. кип. 186—189°/0,3 мм, d_4^{20} 1,050, n_D^{20} 1,4800, ди-*n*-гексильный эфир II, т. кип. 201—203°/0,1 мм. Продукты пригодны в качестве пластификаторов или смазочных масел, а также для получения пластич. масс и синтетич. волокон.

В. У.

66185 П. Способ расщепления циклогексенилциклогексана. Швенк (Verfahren zur Spaltung von Cyclohexenylcyclohexanon. Schwenk Ulrich) [Farbwerke Hoechst A.-G. vormals Meister Lucius & Brünig]. Пат. ФРГ 932966, 12.09.55

Циклогексенилциклогексанон расщепляют кипячением с ~45%-ной H_2SO_4 при нормальном давлении, причем образующийся циклогексанон непрерывно удаляют из реакционного пространства, преимущественно фракционной перегонкой с водяным паром. 400 г циклогексенилциклогексана кипятят со смесью 250 мл

конц. H_2SO_4 и 600 мл воды с насадочной колонной (высота 2 м), поддерживая в верхней части колонны т-ру 96—98°/760 мм при флегмовом числе 20, возвращая воду в колонну. Из отгона выделяют 300 г неочищ. 91%-ного циклогексана, который промывают для удаления SO_2 р-ром соды; в колбе остается 100 г смолы.

В. У.

66186 П. 1-окси-4-метокси-7-кето-13-метил-5,6,7,9,10,13-гексагидрофенантрен и способ его получения. Ньюхолл (1-hydroxy-4-methoxy-7-keto-13-methyl-5,6,7,9,10,13-hexahydrophenanthrene and processes of preparing the same. Newhall William F.) [Merck & Co., Inc.]. Пат. США 2720542, 11.10.55

Действием воды. р-ра к-ты на реакционную смесь, образующуюся при р-ции диметилового эфира гидрохинона с ангидридом янтарной к-ты в присутствии AlCl_3 , получают β -(2-окси-5-метоксибензоил)-пропионовую к-ту, которая при восстановлении дает γ -(2-окси-5-метоксифенил)-масляную к-ту. Нагреванием последней с воды. H_2SO_4 получают 5-окси-8-метокситетралон-1, при р-ции которого с CH_3MgI и последующем гидролизе образуется 1-окси-4-метокси-5-метил-7,8-дигидронафталин, дающий с OsO_4 в органич. р-рителе эфир осмиевой к-ты; гидролизом этого промежуточного в-ва получают 1,5,6-триокс-4-метокс-5,6,7,8-тетрагидронафталин, при нагревании которого с воды. минер. к-той образуется 5-окси-8-метокси-1-метилтетралон-2. Р-цией последнего с иодметилатом диэтиламинобутанона-2 в присутствии щел. конденсирующего агента синтезируют 1-окси-4-метокси-7-кето-13-метил-5,6,7,9,10,13-гексагидрофенантрен.

И. Ш.

66187 П. 1,14-диметил-2-кетоктагидрофенантрен. Вудфорд (1,14-dimethyl-2-keto-octahydrophenanthrene. Woodward Robert B.) [Research Corp.]. Канад. пат. 511877, 12.04.55

1,14-диметил-2-кето-2,3,4,5,8,12,13,14-октагидрофенантрен получают, обрабатывая 1-формил-1-(β -пропионил-этил)-2-кето-10-метил-1,2,5,8,9,10-гексагидронафталин щел. конденсирующим агентом, напр. KOH, в среде воды. органич. растворителя.

Б. Ф.

66188 П. Способ получения камфарной кислоты. Хейзель (Verfahren zur Herstellung von Camphersäure. Heisel Paul) [Lech-Chemie Gersthofen]. Пат. ФРГ 879097, 11.06.53 [Chem. Zbl., 1955, 126, № 20, 4702 (нем.)]

Камфарную к-ту получают окислением при $t \geq 100^\circ$ камфоры, бронеола, изоборнеола (или их смесей) HNO_3 в присутствии Hg или ее солей в качестве катализатора окисления. Выход 70—79%.

Б. Ф.

66189 П. Способ отделения и получения нафтеновых кислот из содержащих их смесей. Вестерхофф, Франц (Verfahren zur Abtrennung und Gewinnung von Naphthensäuren aus naphthensäurehaltigen Gemischen. Westerhoff Heinrich, Franz Hermann) [Edeleanu G. m. b. H.]. Пат. ФРГ 934887, 10.11.55

Нафтеновые к-ты выделяют из содержащих их смесей извлечением р-рами NH_3 в безводн. C_{12} -спиртах и разложением полученных NH_4 -нафтенов нагреванием с одновременной отгонкой р-рителя. Смазочное масло (d_4^{20} 0,923, вязкость 6,6° Энглера при 50°, число нейтр-ции 2,49 мг KOH на 1 г масла, зольность 0,019%) в два приема обрабатывают 1,5-кратным кол-вом ~3%-ного NH_3 в CH_3OH , после сильного перемешивания при 20° отстаивают и разделяют слои. Остаток от экстрагирования для удаления NH_3 нагревают до ~120° и получают рафинат, выход 97% (число нейтр-ции 0,03 мг KOH на 1 г, зольность 0,004%); и экстракт, число нейтр-ции 70 мг KOH на 1 г. Приведено еще 2 аналогичных примера.

В. У.

66190 П. Способ производства окислов восстановлением циклических нитропарафинов. Оттенхейм

(Proc. cycl. H.)

Кана

Окс

финов

и р-н

и NH_4

новокс

гексан

66191

алиф

(Pre V o

E.)

5135

Ката

ния на

олефи

стоит

(1 мо

углем

зообра

ливан

тич. и

разну

в осно

538° в

66192

к у

Ed

rid

Диз

ацетат

зола,

тич. к

ния (1

66193

зола

kyl

v i

20,0

Мет

одн

ацети

верше

смеси

66194

 α -ме

2,5-

s e

and

2,5-

стиро

давле

66195

еул

dic

E u

Суа

Сос

матич

ф-лы

ческо

S; R

100°

но д

содер

охла

слои

(Process for manufacturing oximes by reduction of cyclic nitroparaffins. Ottenheim Johannes H.) [De Directie van de Staatsmijnen in Limburg]. Канад. пат. 516484, 13.09.55

Оксимы получают р-цией р-ров циклич. нитропарафинов с сульфидами, образующимися непосредственно в р-ционной смеси, напр. при пропускании в нее H_2S и NH_3 . Р-цию проводят в спиртовом р-ре. Циклогексаноксим получают пропусканием H_2S в р-нитроциклогексана и гидроокиси щел. или щел.-зем. металла.

И. Ш.

66191 П. Получение ароматических и насыщенных алифатических соединений. Ворхис, Адаме (Preparation of aromatics and saturated aliphatics. Voorhies Alexis Jr, Adams Clark E.) [Standard Oil Development Co.]. Канад. пат. 513527, 7.06.55

Каталитический метод одновременного дегидрирования нафенов в ароматич. соединения и гидрирования олефинов (за счет водорода нафенов) в парафины состоит в совместном пропускании паров нафенов (1 моль) и олефинов (3 моля) над активированным углем при 400—595°. В этом процессе образование газообразных продуктов расщепления реагентов и обугливание в-в минимально. Для получения смеси ароматич. и насыщ. алифатич. углеводородов разб. газообразную смесь нефтяных углеводородов, содержащую, в основном, нафены и олефины, пропускают при 482—538° над активированным углем.

И. Ш.

66192 П. Получение диарилтанов. Кропа, Найкунет (Preparation of diarylethanes. Kropa Edward L., Nyquist Arthur S.) [American Cyanamid Co.]. Канад. пат. 512861, 17.05.55

Диарилтанов получают конденсацией 1 моля винилацетата с не менее чем 2 молями соединения ряда бензола, имеющего хотя бы 1 атом Н, связанный с ароматич. кольцом, в присутствии катализатора алкилирования (H_2SO_4 или n -толуолсульфокислота).

И. Ш.

66193 П. Реакция ацетилена с алкилазменными бензолами. Смолин (Reaction of acetylene with alkyl substituted benzenes. Smolin Edwin Marvin) [American Cyanamid Co.]. Пат. США 2718533, 20.09.55

Метод получения парафинов, имеющих ≥ 2 атомов С, один из которых несет 2 арильных заместителя, р-цией ацетилена с моно- или диалкилазмен. бензолами усовершенствован путем проведения р-ции в присутствии смеси H_2SO_4 , V_2O_5 и Na_2SO_4 в качестве катализатора.

И. Ш.

66194 П. Способ получения 2,5-дифенил-1-гексена из α -метилстирола. Хогсед (Process for preparing 2,5-diphenyl-1-hexene from alpha-methylstyrene. Hogsed Milton J.) [E. I. du Pont de Nemours and Co.]. Пат. США 2714621, 2.08.55

2,5-дифенил-1-гексен получают нагреванием α -метилстирола в присутствии ингибитора полимеризации под давлением при 200—400°.

Б. Ф.

66195 П. Разделение дициандиалкиловых эфиров и сульфидов. Медкаф, Сиско (Recovery of dicyanodialkyl ethers and sulfides. Madcalf Eugene C., Sisco William B.) [American Cyanamid Co.]. Канад. пат. 511137, 22.03.55

Соединения, плохо растворимые в воде, напр. ароматич. углеводороды, выделяют из их р-ров в в-вах ф-лы $NCRXRCN$ (I) (X — элемент VI группы периодической системы, атомный номер которого ≤ 16 , напр., S; R — низший алкилен) смещением р-ров при 70—100° с таким кол-вом воды, которое было бы достаточно для растворения I. Образующийся водн. слой, содержащий I, отделяют от ненасыщ. соединения и охлаждают. Разделяют образующиеся при охлаждении слой воды и слой I. Процесс может быть непрерывным,

если горячую воду вводят в контакт с р-ром противоточным методом. Приведена технологич. схема. И. Ш.

66196 П. Способ удаления галовда из галондакилированных ароматических углеводородов. Бинапфль, Шукман (Verfahren zur Enthologenierung von halogenalkylierten aromatischen Kohlenwasserstoffen. Binapfl Josef, Schuckmann Gustav v.) [Farbenfabriken Bayer Akt.-Ges.]. Пат. ФРГ 934589, 27.10.55

Галонд удаляют из галондакилированных ароматич. углеводородов (ГАУ) каталитич. восстановлением H_2 в щел. среде таким образом, что ГАУ непрерывно вводят в реакционную смесь при нагревании под давлением, однако не быстрее, чем происходит удаление галонда; р-цию лучше проводить в присутствии эмульгатора. В водн. р-р 172 г NaOH в 672 г воды, 5 мл продукта присоединения окиси этилена к касторовому маслу (в качестве эмульгатора) и 17 г восстановленного H_2 Ni-Al-Cr-катализатора при 80° и давл. H_2 100 ат вводят в течение 40 мин. 506 г $C_6H_5CH_2Cl$ и гидрируют еще 10 мин. с повышением т-ры до 88°; после удаления водн. р-ра и катализатора перегонкой выделяют толуол, выход 95%. В отсутствие эмульгатора выход понижается до 94%, а длительность р-ции увеличивается до 120 мин. Аналогично из смеси o - и n -ксилилхлоридов получают смесь o - и n -ксилолов, выход 92,5%, диметилдипенилового эфира, выход 3,3% и толилкарбинола, выход 2,9%; из смеси изомерных дихлорметилксилолов получают дурол, выход 90%.

Б. У.

66197 П. Способ получения смеси трихлорбензолов с повышенным содержанием 1,2,4-трихлорбензола. Хейскеелл, Уоркман (Preparation of trichlorobenzene of enhanced 1,2,4-isomer content. Heiskell Theodore Williams, Workman Edward C.) [Columbia-Southern Chemical Corp.]. Пат. США 2725409, 29.11.55

Смесь трихлорбензолов с повышенным содержанием 1,3,5-трихлорбензола получают дегидрохлорированием гексахлорциклогексана водн. р-ром NaOH, причем конц-ия NaOH должна быть $\geq 25\%$ в течение большей части периода р-ции.

Б. Ф.

66198 П. Ароматизация хлорсодержащих соединений. Браун, Хамфрие (Aromatization of chlorine compounds. Brown Herbert C., Humphreys David D.) [Ethyl Corp.]. Пат. США 2727929, 20.12.55

Смесь трихлорбензолов, имеющую повышенное содержание 1,2,4-трихлорбензола, получают, контактируя гексахлорциклогексан при т-ре $\geq 180^\circ$ с каталитич. кол-вом соли карбоновой к-ты с металлом VIII группы периодич. системы элементов, имеющим ат. в. < 60 и находящимся в состоянии нижней валентности.

Б. Ф.

66199 П. Производство алкилированных фенолов (Fabrication de phénols) [Imperial Chemical Industries Ltd]. Франц. пат. 1041810, 27.10.53 [Chem. Zbl., 1955, 126, № 6, 1372—1373 (нем.)]

Смесь 2,4- и 2,5-ксиленола, m - и p -крезола, практически не содержащую o -крезола, вводят в контакт со смесью газов, содержащей изобутилен, в присутствии катализатора алкилирования, напр. H_2SO_4 , олеума, фенолсульфокислот или галогенидов металлов. 520 г смеси фенолов каменноугольной смолы, содержащей 17 об. % m -крезола, 11 об. % p -крезола, 47,2 об. % 2,4-ксиленола и 25 об. % 2,5-ксиленола, обрабатывают при 40° смесью бутана с бутиленами (100 л/час), содержащей 20% изобутилена, в присутствии 16 г 20%-ного олеума. Спустя 11 час. удаляют растворенный в реакционном продукте газ с помощью N_2 и промывают продукт р-ции 1 л водн. 10%-ного NaOH и 2 раза по 1 л воды при 60°. Получают 644 г продукта, который после разгонки при 20 мм на колонне эффективностью

10 теор. тарелок дает 50 об. % 2,4-диметил-6-*т*-бутилфенола, т. кип. 132—134/20 мм, 12 об. % метил-2,6-ди-*т*-бутилфенола, т. кип. 148—149°/20 мм и 17 об. % 3-метил-4,6-ди-*т*-бутилфенола, т. кип. 165—166°/20 мм. К шел. р-ру, полученному после промывки 10%-ным NaOH, добавляют HCl до слабощел. р-ции; р-р перегоняют при пониженном давлении. Получают 2,5-диметил-4-*т*-бутилфенол и небольшие кол-ва неизмененных крезолов и ксиленолов. 2,4-Диметил-6-*т*-бутилфенол и 4-метил-2,6-ди-*т*-бутилфенол применяют как ингибиторы окисления для бензинов и смазочных масел.

Н. С. 66200 П. Способ получения фенола и ацетона. Руа (Verfahren zur Herstellung von Phenol und Aceton. Roy Gustave Jean) [Soc. des Usines Chimiques Rhône-Poulenc]. Пат. ФРГ 930637, 21.07.55

Для повышения выхода фенола (I) и ацетона, получаемых в результате расщепления под действием электрофильных катализаторов (H_2SO_4 или $HClO_4$) технич. гидроперекиси изопропилбензола (II), содержащей диметилфенилкарбинол (III), к технич. II добавляют H_2O_2 или в-ва, выделяющие H_2O_2 . В обычных условиях расщепления III связывает I, образуя кумилфенол, что снижает выход I, а часть III дегидрируется в α -метилстирол, продукты полимеризации которого мешают разделению реакционной смеси. В присутствии H_2O_2 III превращается в I и ацетон, повышая таким образом их выход, а расщепление II протекает практически количественно. В аппарат с мешалкой вводят 50 кг I, 4 л водн. р-ра, содержащего в 100 л 26,45 кг H_2SO_4 и 33,7 кг H_2O_2 . В эту смесь вводят в течение 20 мин. 331 кг технич. II (содержит 304 кг чистой II, 24 кг III и 3 кг воды) и 21 кг смеси H_2O_2 с H_2SO_4 вышеприведенного состава, поддерживая т-ру 50—55°. Получают 192,4 кг I; в контрольном опыте без добавки H_2O_2 получают 176,8 кг I.

Б. М. 66201 П. Способ переработки технических фенолов, выделяемых из сточных вод. Хансен, Вейсенбургер (Verfahren zur Aufarbeitung von Rohphenolen aus Schmelzwässern. Hansen Christian J., Weissenburger Helmut) [Byk-Gulden Lomberg Chemische Fabrik G. m. b. H.]. Пат. ФРГ 928949, 16.06.55

Технические фенолы, полученные из сточных вод извлечением низкокипящими сложными эфирами алифатич. спиртов (в особенности эфирами низших жирных к-т), освобождают от маслянистых примесей обработкой легкими маслами алифатич. или гидроароматич. характера, газойлем или хлорированными углеводородами с добавлением большого кол-ва воды. После этого из рафината, содержащего основное кол-во фенола, удаляют прибавленную воду, а из экстракта — легкое масло, и регенерированные таким образом воду и легкое масло применяют вновь. Эту очистку можно применять к технич. фенолам также до отгонки или после частичной отгонки от них сложного эфира. Благодаря такой очистке технич. фенолы освобождаются от маслянистых примесей, затрудняющих их применение для получения пластич. масс. 330 г технич. фенола (получен извлечением сложными эфирами алифатич. спиртов с т. кип. ~110—130° сточных вод от переработки бурого угля и содержащего 11,3% масел) обрабатывают ~220 ч. воды и ~1300 ч. легкого масла с т. кип. 120—140°, полученного перегонкой бурого угля; экстракт отделяют, а из перегон-рафината выделяют 254 ч. очищ. фенола (выход 77%), не содержащего масел и растворяющегося в разб. шел. р-рах без появления мути. Этот технич. фенол перегонкой может быть разделен на чистые фенольные фракции. В экстракте содержится 38,8 ч. фенолов и 37,2 ч. масла, присутствовавших в исходном феноле (11,7% и 11,3%, соответственно, считая на исходный фенол). Экстракт шел. обработкой

освобождают от фенолов, перегоняют и регенерированное легкое масло возвращают в процесс.

В. У. 66202 П. Каталитическое окисление ароматических карбоновых кислот в фенолы. Кейдинг, Линдблом, Темпл (Catalytic oxidation of aromatic carboxylic acids to phenols. Kaeding Warren W., Lindblom Robert O., Temple Robert G.) [The Dow Chemical Co.]. Пат. США 2727926, 20.12.55

Через расплавленную C_6H_5COOH , в которой на 1 моль к-ты растворено $\geq 0,01$ моля Cu-соединения, пропускают пар и воздух при т-ре ~220—250°. Фенол выделяет из отходящих газов.

Б. Ф. 66203 П. Дихлорметилбензгидролы и их эфиры. Крейг, Шропшир (Dichloromethylbenzhydrols and their ethers. Craig W. E., Shropshire Elwood G.) [Rohm & Haas Co.]. Пат. США 2720548, 11.10.55

Дихлорметилбензгидролы общей формулы $(RC_6H_4)_2C(OH)CHCl_2$, где R — F, Cl, Br C_1-4 -алкил, получают обработкой Cl_2 в-в ф-лы $(RC_6H_4)_2C=CHCl$, причем образуются соответствующие 1,1-бис-(фенил)-1,2,2-трихлорэтаны, с последующим нагреванием последних при 60—125° в третичном насыщ. алифатич. спирте, содержащем ≤ 5 атомов C, в присутствии кислого катализатора, растворимого в реакционной смеси.

В. У. 66204 П. Селективное восстановление хлорбромфенолов. Бриттон, Кил (Selective reduction of chlorobromophenols. Britton Edgar C., Keil Theodore R.) [The Dow Chemical Co.]. Пат. США 2725402, 29.11.55

2,6-дихлорфенол получают р-цией 4-бром-2,4-дихлорфенола с полимерно эквимолекулярным кол-вом H_2 (считая на кол-во Br) в присутствии Pd-катализатора, в-ва, связывающего HBr и р-рителя для 4-бром-2,6-дихлорфенола.

Б. Ф. 66205 П. Антиоксиданты и способ их производства (Antioxydants et leur procédé de fabrication) [Imperial Chemical Industries Ltd.]. Франц. пат. 1037451, 17.09.53 [Chimie et industrie, 1953, 70, № 5, 925 (франц.)]

В качестве антиоксидантов для альдегидов, эфиров, животных, растительных и смазочных масел или нефтяных продуктов применяют фенолы общей ф-лы $C_6H_4R^1R^2(OH)R^3$ (I) в кол-ве 0,001—1 вес. %. В ф-ле R^1 , содержит ≥ 3 атомов C, при этом у атома C, соединенного непосредственно с бензольным ядром, должен быть хотя один атом H, R^2 и R^3 — CH_3 или C_2H_5 , R^4 — H или алкил. Фенолы ф-лы I получают действием алкилирующего агента при повышенной т-ре в присутствии катализатора на в-ва ф-лы I, где R^1 — H.

Я. К. 66206 П. Способ получения замещенных флуоренкарбоновых кислот. Арнолд (Process of preparing 9-allylic substituted fluorene-carboxylic acid. Arnold Richard T.). Канад. пат. 504211, 13.07.54

Соединения общей ф-лы (I), где X — $HOOC$, Y — остаток $CH(R'')C(R'') = CHR'$ (R' , R'' и R''' — H или низший алкил), образуются при действии на в-ва общей ф-лы I, где X — H, а Y — группа $COOCH(R')C(R') = CHR''$, шел. агента, напр. амида металла, способного превратить исходный эфир в аннион. В частности, действием $LiNH_2$ на аллиловый эфир 9-флуоренкарбоновой к-ты получают 9-аллил-9-флуоренкарбоновую кислоту.

Л. Г. 66207 П. Получение эфиров фумаровой кислоты. Глейзер (Preparation of esters of fumaric acid. Glazier Emmett J.). Канад. пат. 509797, 1.02.55

Алкильные эфиры фумаровой к-ты получают этерификацией малеинового ангидрида до соответствующего



алкильного эфира малеиновой к-ты и последующей изомеризации последнего путем нагревания с S при t -ре выше 180° (при t -ре между 200° и t -рой кипения).

В. У.

66208 П. Способ получения γ , γ -диарилпропиламинов. Бокмюль, Штейн (Verfahren zur Herstellung von γ , γ -diaryl-propyl-aminen. Вокмühl Max, Stein Leonard) [Farbwerke Hoechst A.-G. vormals Meister Lucius und Brüning]. Пат. ФРГ 925468, 21.03.55

γ , γ -Диарилпропиламины получают p -цией пропиофенонов, замещ. в β -положении основными заместителями, с ароматич. металлоорганич. соединениями, после чего от образовавшихся третичных карбинолов отщепляют воду и получающиеся ненасыщ. аминосоединения гидрируют. К p -ру C_6H_5MgBr [из $63 \text{ г } C_6H_5Br$ (I) и $9,6 \text{ г } Mg$ в 200 мл эфира] приливают по каплям $43 \text{ г } \beta$ -пиперидинопропиофенона в 50 мл эфира и кипятят 4 часа, выливают на 500 г льда с 100 г конц. HCl ; отсасывают и промывают осадок водой и этилацетатом, получают хлоридат 1,1-дифенил-3-пиперидинопропанола-1, т. пл. $216-217^\circ$ (из $CH_3OH + \text{эф.}$). 10 г основания, полученного из этого хлоридата, растворяют в $30 \text{ мл } 85\%$ -ной H_3PO_4 и нагревают 1 час при 130° , по охлаждению разбавляют 3-4-кратным кол-вом воды и подщелачивают конц. p -ром $NaOH$, выделившееся масло извлекают эфиром и нейтр-цией эфирного p -ра спиртовым HCl выделяют хлоридат γ , γ -дифенилаллилпиперидина, т. пл. $204-206^\circ$ (из ацетона). Гидрированием полученного хлоридата H_2 в присутствии Pd в среде спирта, удалением катализатора испарением p -рителя в вакууме и кристаллизацией остатка выделяют хлоридат 1,1-дифенил-3-пиперидинопропана, т. пл. $215-216^\circ$ (из $sp + \text{эф.}$). Аналогично из n -бромтолуола и β -диметил-аминопропиофенона (II) получают хлоридат 1-фенил-1-(n -толил)-3-диметиламинопропанола-1, т. пл. 185° , γ -фенил- γ -(n -толил)-аллилдиметиламин и хлоридат 1-фенил-1-(n -толил)-3-диметиламинопропана, т. пл. 156° (из этилацетата); из n -броманизола и II — 1-фенил-1-(n -метоксифенил)-3-диметиламинопропанола-1, т. кип. $200-210^\circ/2 \text{ мм}$, т. пл. $118-119^\circ$ (из циклогексана), и фосфат 1-фенил-1-(n -метоксифенил)-3-диметиламинопропана, т. пл. 158° ; из диметилового эфира бромгидрохинона и II — 1-фенил-1-(2',5'-диметоксифенил)-3-диметиламинопропанола-1, т. пл. 146° (из циклогексана); из I и β -пиперидино-3,4-диметоксипропиофенона (т. пл. 113°) — оксалат 1-фенил-1-(3',4'-диметоксифенил)-3-пиперидинопропанола-1, т. пл. 190° , и хлоридат 1-фенил-1-(3',4'-диметоксифенил)-3-пиперидинопропана, т. пл. 184° ; из I и 1-фенил-3-метилбензиламинопропанола-1 получают 1,1-дифенил-3-метилбензиламинопропанола-1, т. пл. 110° (из циклогексана) и хлоридат 1,1-дифенил-3-метиламинопропана, т. пл. 178° (из разб. ацетона); из I и 1-фенил-3-аминопропанола-1 — хлоридат 1,1-дифенил-3-аминопропана, т. пл. 217° . Получаемые γ , γ -диарилпропиламины пригодны в качестве лекарственных средств или промежуточных продуктов для их получения.

В. У.

66209 П. Получение нитрилов. Диксон (Preparation of nitriles. Dixon James K.) [American Cyanamid Co.]. Канад. пат. 512864, 17.05.55

Нитрилы получают нагреванием до t -ры $\geq 525^\circ$ галоидциана с ароматич. углеводородами, имеющими алкильные заместители, или с их производными, содержащими галоид, связанный с циклом. Указанным способом из m -ксилола и $ClCN$ (I) получен m -метилфенилацетонитрил, из α -метилнафталина и I — 1-нафтил-ацетонитрил, из дифенилметана и I — дифенилацетонитрил. Приведена технологич. схема.

И. Ш.

66210 П. Способ получения 2-метил-4-циклогексил-6-аминометилфенсла и его солей, обладающих фунгицидным действием. Вальтер (Förfarande för

framställning av 2-metyl-4-cyklohexyl-6-metylaminometyl-fenol och ett salt av denna med fungicid verkan. Walter M.) [F. Hoffman-La Roche & Co. A.-G.]. Швед. пат. 151614, 27.09.55

Указанные в-ва получают, обрабатывая 2-метил-4-циклогексилфенол формальдегидом (или его полимером) и бензилметиламином (или его солью) с последующим отщеплением бензильной группы путем гидрирования. Образующийся при этом 2-метил-4-циклогексил-6-метиламинометилфенол превращают в его соль.

Б. Ф.

66211 П. Способ получения содержащих основные заместители 2-галоид-6-метиланилидов жирных кислот и соответствующих солей. Мартин (Förfarande för framställning av basiskt substituerade fettsyror (2-halogen-6-metyl-anilider) och salter därav. Martin H.) [Cilag A.-G.]. Швед. пат. 148992, 1.03.55

Соединения общей ф-лы $(2X)(6-CH_3)C_6H_4N(R)-COR'Y$, где X — Cl или Br , Y — остаток вторичного азотистого основания, R — H или низший алкил, R' — низший алкилен с прямой или разветвленной цепью, содержащей ≥ 2 атомов C , получают p -цией α, β -или β, γ -ненасыщ. 2-галоид-6-метиланилидов жирных к-т общей ф-лы $(2-X)(6-CH_3)C_6H_4N(R)COR''$ с вторичным основанием ф-лы XN , преимущественно в присутствии четвертичного аммониевого основания. В случае получения в-ва, не содержащего алкила при ароматич. атоме N , его превращают в N -алкильное соединение через производное, содержащее при атоме N атом шел. металла, которое вводят в p -цию с реакционноспособным сложным эфиром алканолов. Полученные 2-галоид-6-метиланилиды жирных к-т, содержащие основные заместители, превращают в требуемые соли.

М. Н.

66212 П. Получение n -нитро- α -ацетиламино- или дихлорацетиламино- β -оксипропиофенона. Татнока, Хондзё, Камиянаги (パラニトロ- α -アシル (又はジクロルアセチル) アミ- β - N -ノビロキシプロピオの製造法. 立岡末雄, 本庄喜美男, 上柳次三郎, 武田薬品工業フェノール株式会社, Такада кукхия коё кабусики кайся) Япон. пат. 3366, 20.05.55

Предлагается способ получения n -нитро- α -дихлорацетиламино- β -оксипропиофенона и n -нитро- α -ацетиламино- β -оксипропиофенона p -цией CH_2O с n -нитро- α -ацетиламино- (или дихлорацетиламино-) -аминоацетофеноном в присутствии аниноосбенных смол (АС) в качестве конденсирующих средств. Способ пригоден для промышленного получения этих важных промежуточных продуктов синтеза известного антибиотика. p -цию оксиметилирования проводят в спирте под действием сильно шел. АС: амберлит IRA-400 и Diaion A (синтез. продукт фирмы Мицубиси) при нагревании до $30-50^\circ$, CH_2O применяют в виде формалина или параформальдегида. АС можно регенерировать и применять повторно. К $2,9 \text{ г } n$ -нитро- α -дихлорацетиламиноацетофенона добавляют 10 мл спирта и $3,5 \text{ мл}$ формалина, затем при перемешивании прибавляют 1 г амберлита IRA-400, нагревают до $35-45^\circ$; через 30 мин. АС отфильтровывают, p -р выливают в ледяную воду; образующееся масло вскоре затвердевает, продукт p -ции дважды кристаллизуют из $CHCl_3$, получают $1,7 \text{ г } n$ -нитро- α -дихлорацетиламино- β -оксипропиофенона, т. пл. $123-125^\circ$. К $2 \text{ г } n$ -нитро- α -ацетиламиноацетофенона добавляют 10 мл спирта и $1,5 \text{ мл}$ формалина, затем $0,5 \text{ г}$ амберлита IRA-400, нагревают до $35-40^\circ$, через 1 час отфильтровывают АС, p -р концентрируют в вакууме. Получают $1,8 \text{ г } n$ -нитро- α -ацетиламино- β -оксипропиофенона, т. пл. $165-167^\circ$ (из спирта).

В. К.

66213 П. Способ получения N -аралкил-1-(n -оксифенил)-2-аминобутанола-1. Кюльц, Кюльц, Кюльц, Леман, Шёпф (Sätt att framställa N -aralkyl-1-(p -oxifenyl)-2-amino-butanol-1. Kütz J., Kütz W., Kütz A., Lehmann F., Schöpf C.)

[Troponwerke Dinklage und Co.]. Швед. пат. 146115, 13.07.54

Вещества общей ф-лы $n\text{-HOC}_6\text{H}_4\text{CH}(\text{OH})\text{CH}(\text{NHRX})\text{-C}_2\text{H}_5$, где X — C_6H_5 или фенил, замещ. алкилами (лучше метильными группами), R — алкил с 1—5 (лучше с 2—5) атомами C, получаю, превращая известным способом в-во общей ф-лы $n\text{-R}'\text{OC}_6\text{H}_4\text{CH}(\text{OH})\text{CH}(\text{NHRX})\text{-C}_2\text{H}_5$, где R' — бензильная или бензгидрильная группа или остаток сульфокислоты, в соединение со свободной гидроксильной группой. Б. Ф.

66214 П. Разделение 4- и 5-нитроантралиновых кислот. Портер (Separation of 4- and 5-nitro-anthranilic acid. Porter Hardin Kibbe) [E. I. du Pont de Nemours and Co.]. Пат. США 2714612, 02.08.55

4-нитроантралиновую к-ту (I) выделяют из смеси, содержащей I и 5-нитроантралиновую к-ту, растворяя 1 моль смеси в 4—6 молях 65—85%-ной H_2SO_4 при 60—110° с последующим охлаждением (при перемешивании) до 10—35°. Выпадающую I отфильтровывают. Б. Ф.

66215 П. Способ получения амида салициловой кислоты. Амакаса, Такидзава (サリチル酸アミドの製造法 天笠正孝, 瀧澤三郎), Япон. пат. 618, 3.02.55

Амид салициловой к-ты (I, к-та—II) получают р-цией сложных эфиров II с жидким NH_3 . 10 г метилового эфира II обрабатывают 20 г жидкого NH_3 в течение 30 мин. при t-ре ~20°, после чего удаляют жидкий NH_3 и CH_3OH и выделяют I, выход 100%, т. пл. 138—139°; аналогично из 10 г метилового эфира II и 10 г жидкого NH_3 в течение 40 мин. получают I с выходом 91%, а в течение 60 мин. с выходом 100%. 10 г этилового эфира II обрабатывают 20 г жидкого NH_3 в течение 2 час. при t-ре ~20°, после чего удаляют NH_3 и $\text{C}_2\text{H}_5\text{OH}$ и выделяют I, выход 98%, т. пл. 137—138°. В. У.

66216 П. Способ получения алкилфенолсульфидов. Уайсбергер, Шнейдер (Process for preparing alkyl phenol sulfides. Weissberg Jesse S., Schneider Helmuth G.) [Standard Oil Development Co.]. Канад. пат. 512348, 26.04.55

Усовершенствование способа произ-ва алкилфенолсульфидов, обладающих относительно низкой вязкостью, состоит в том, что р-цию галогенида S (хлористой серы) с расплавленным алкилфенолом, имеющим по крайней мере одну алкильную группу, которая содержит 4—20 (6—16) атомов C, ведут без р-рителя при 60—150°. Образующиеся галогеноводород удаляют из продукта р-ции, трет-октилфенолсульфид получают р-цией расплавленного трет-октилфенола (2 моля) с парами SCl_2 (1,25—1,75 моля) при 75—120° с перемешиванием в течение необходимого для завершения процесса времени, удаляя HCl . И. Ш.

66217 П. Способ производства органических гидроперекисей. Риндторф, Шмитт (Förfaringsätt för framställning av organiska hydroperoxider. Rindtorff E., Schmitt K.) [Bergwerksgesellschaft Hibernia A.-G.]. Швед. пат. 145741, 15.06.54

Органические гидроперекиси получают окислением алкилазещ. органич. в-в общей ф-лы $(\text{R}')(\text{R}'')(\text{A})\text{CH}$, где R' и R'' — алкилы, A — арил или замещ. арил, путем чередуемой обработки этих в-в O_2 , содержащим O_3 (или воздухом, содержащим O_3), и O_2 или газом, содержащим O_2 . Процесс ведут под повышенным давлением. Б. Ф.

66218 П. Способ получения эфиров ортокремневых и (или) поликремневых кислот. Фано (Sätt att framställa estrar av ortokiselsyror och/eller polykiselsyror. Fano E. da) [John B. Pierce Foundation]. Швед. пат. 147393, 26.10.54

При получении указанных эфиров р-цией SiCl_4 со спиртом и (или) фенолом в жидкой фазе и (в случае получения эфиров поликремневых к-т) в присутствии

небольшого кол-ва воды, р-цию проводят в присутствии силикагеля, активированной глины, фуллеровой земли и (или) активированного угля, которые берут в кол-ве 0,2—3% от веса реагирующих веществ. Б. Ф.

66219 П. Способ получения 5-нитровинилфуран-2-карбоновой кислоты и ее производных. Мольденхауэр, Прион, Мастальо (Verfahren zur Herstellung von 5-Nitrovinyl-furan-2-carbonsäure und deren Derivativen. Moldenhauer Otto, Irion Wilhelm, Mastaglio Dominik) [Phrix-Werke A.-G.]. Пат. ФРГ 920128, 15.11.54 [Chem. Zbl., 1955, 126, № 20, 4700 (нем.)]

5-формилироослизевую к-ту или ее производные обрабатывают на холоду CH_3NO_2 в щел. р-ре. Продукт р-ции осаждают к-той. Получен метиловый эфир 5-нитровинилфуран-2-карбоновой к-ты, т. пл. 89°. В-ва являются полупродуктами. Б. Ф.

66220 П. Соли 8-галогидксантинов и органических оснований и способ их производства. Кьюсик (Process of producing an 8-haloxanthine salt of an organic base and the salts produced thereby. Cusic John W.) [G. D. Searle and Co.]. Канад. пат. 512992, 17.05.55

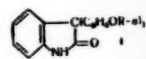
Соли 8-галогидксантина и N-диалкиламиноалкил-N-арилметил-α-аминопиридина получают нагреванием 8-галогидксантина, имеющего атом Н в положении 7, с не менее чем эквимолекулярным кол-вом N-диалкиламиноалкил-N-арилметил-α-аминопиридина, алкилы которого являются низшими, а арил — моноциклич. ароматич. радикалом. Р-цию ведут в смешивающемся с водой органич. р-рителе. Выделяют образующуюся соль. Получены 8-хлортеофиллиновая соль N-β-диметиламиноэтил-N-бензил-α-аминопиридина и 8-бромтеофиллиновая соль N-β-диметиламиноэтил-N-н-метоксibenзил-α-аминопиридина. И. Ш.

66221 П. Метод получения тиофенкарбоновых кислот. Крейз (Method for preparing thiophene carboxylic acids. Kreuz Kenneth L.) [Texaco Development Corp.]. Канад. пат. 512133, 19.04.55

Метод введения —COOR-группы, где R — алифатич. радикал, в тиофеновое ядро состоит в р-ции тиофенового соединения, имеющего Н хотя бы в одном α-положении (напр., тиофена), с CCl_4 и гидроокисью щел. металла; соотношение последних двух реагентов 1:2. Р-цию проводят в среде спирта ф-лы RON при 65—210° и давл. <35 ат.

И. Ш. 66222 П. Производные 3-(4'-оксифенил)-3-(4'-оксиз'-аминометилфенил)-оксидола и способ получения их (Derivés du 3-(4'-hydroxyphenyl)-3-(4'-hydroxy-3'-aminomethyl-phenyl)-oxindole et leur procédé de preparation) [J. R. Geigy Soc. An.]. Франц. пат. 1068042, 22.06.54 [Chimie et industrie, 1954, 72, № 5, 962 (франц.)]

Соединения общей ф-лы (I), где R — Н или CH_3CO , конденсируют с N-оксиметиламидом общей ф-лы $\text{HOCH}_2\text{NHCOCN}(\text{R}')\text{OR}''$, где R' — Н, CH_3 или C_2H_5 , а R'' — алкил с 2—6 атомами C или циклогексил. Продукты конденсации, в которых группы OR являются оксигруппами, могут быть проациетилованы.



Я. К. 66223 П. Способ выделения дигалогидпиразинов. Диксон, Миллер (Method of isolating dihalogenopyrazines. Dixon James K., Miller Alexander A.) [American Cyanamid Co.]. Канад. пат. 509205, 18.01.55

2,3-, 2,5- и 2,6-дихлор- или дибромпиразины выделяют из смесей с соответствующими моногалогидпиразинами и более высокогалогидрованными пиразинами фракционной перегонкой при пониженном давлении. При этом смесь разделяют на низкокипящую фракцию моногалогидпиразинов, среднюю фракцию в-в, кипящих

при практически постоянной т-ре, хвостовую фракцию в-в, кипящих при практически постоянной т-ре, и остаток. Из хвостовой фракции выделяют 2,3-дигалоидпиразин. Среднюю фракцию подвергают фракционной кристаллизации при т-ре от -5 до $+5^\circ$, причем выделяют низкоплавкую и высокоплавкую фракции. Из низкоплавкой фракции выделяют 2,5-дигалоидпиразин, а из высокоплавкой фракции — 2,6-дигалоидпиразин. Указано применение способа специально для выделения изомерных дибромпиразинов. В. У.

66224 П. Получение 1,2-дигидропиридазинидона - 3,6 (Dihydropyridazinedione.) [Genatosan Ltd]. Австрал. пат. 200362, 5.01.56

1,2-дигидропиридазинидон-3,6 (гидразид малениновой к-ты) получают р-цией гидразингидрата с избытком маленинового ангидрида и (или) малениновой к-ты в воде. Б. Ф.

66225 П. Производное триазины. Ромер, Кай-аер (Triazine derivative. Roemer John J., Kaiser Donald W.) [American Cyanamid Co.]. Канад. пат. 509207, 18.01.55

2-тиоциан-4,6-диамино-1,3,5-триазин получают действием HSCN в воде. среде на 2-хлор-4,6-диамино-1,3,5-триазин и осаждением продукта нейтр-цией р-ра. Н. К.

66226 П. Способ получения меланина (Procédé pour préparer la mélanine) [Bergwerks-gesellschaft Hibernia A.-G.]. Франц. пат. 1083791, 12.01.55 [Chimie et industrie, 1956, 75, № 1, 106 (франц.)]

Мочевину нагревают под давлением в присутствии катализаторов, состоящих из тонкоизмельченных в-в, содержащих тяжелые металлы как таковые (Fe, Zn), а также в виде оксидов, солей (Zn, Sn) или других соединений. Я. К.

66227 П. Катализатор для окисления олефинов и способ его получения. Хадли, Гудингс (Katalysator für die oxydation von olefinen und Verfahren zu dessen Herstellung. Hadley David James, Goodings Eric Paul) [The Distillers Co., Ltd.]. Пат. ФРГ 926245, 14.04.55

Катализатор (K) для окисления олефинов молекулярным O_2 до ненасыщ. альдегидов состоит из CuO , распределенной на силикагеле в качестве носителя, кроме того он может содержать металл. Се, наносимый раньше или одновременно. Этот K обладает большей продолжительностью действия и дает более высокие выходы ненасыщ. альдегидов. Его получают пропиткой силикагеля, преимущественно в виде зерен, р-ром Си-соли, способной к разложению с образованием CuO [преимущественно $Cu(NO_3)_2$], затем его сушат и прокалывают при $\sim 450^\circ$ до завершения превращения Си-соли в CuO , после чего иногда дополнительно прокалывают при $\sim 600^\circ$. Силикагель в форме зерен нагревают до 200° и смешивают с избытком кипящей смеси 40 ч. воды с 100 ч. $Cu(NO_3)_2 \cdot 3H_2O$, затем удаляют избыток жидкости, а остаток сушат при 100° , после чего постепенно в течение $\sim 1,5$ часа нагревают в электрич. печи при пропускании воздуха до 450° , а в некоторых случаях нагревают еще 1 час при 600° . K применяют как таковой или с добавкой Se для окисления олефинов, напр. пропилена или изобутилена, при т-ре ~ 250 — 350° . В. У.

См. также: Оксикарбонилирование 65013. Оксисинтез 66109, 66110. Этилен, получение 66519. Изобутилен 66038. Дихлорэтилен 64831. Ацетилен, синтез 66011. Меркаптаны, окисление 66088. Фторуглероды 66117. Олефины, полимеризация 66603. Окиси олефинов, полимеризация 66634. ω -Циан- γ -капролактон 64849. Адипонитрил, ω -хлорвалеронитрил, ундециленовая к-та, синтез 64854. Циклодиены, выделение 66097. Циклооктатетраен 64867. Диарилы 64796. Бензол, выделение 66002. Фенол, выделение 66005. Кумол 66066, окисле-

ние 64876. Стирол, взаимодействие с перхлорметилмеркаптаном 66653, аппаратура 67408, 67270, техн. безопасн. 67451, 67466. *n*-Дивинилбензол 64870. Селективн. р-рители для ароматич. углеводородов 66037. Нитротолуолы 64781. Эфиры *o*-крезола, хлорметилирование 64874. ω, ω' -Диамино-*n*-ксилол, производные 64902. Энантол 65022. Пиридин, выделение 66004. Пиримидин, получение 66405.

ПРОМЫШЛЕННЫЙ СИНТЕЗ КРАСИТЕЛЕЙ

66228. 100 лет анилиновых красителей. Садолин (Anilinfarver i hundrede aar. Sadolin Erik), Kemisk, 1956, 37, № 1, 4—6, 8 (дат.)

Краткий обзор.

В. У.

66229. Классификация анилиновых красителей посредством шифров. Присквич (Klasifikacija anilinskih bojila siframa. Priskic Ivan), Tekstil, 1956, 5, № 1, 35—43 (хорв.; рец. англ., нем., франц.) Рассмотрены разнообразные системы наименования, обозначения и систематики анилиновых красителей; предложена система цифровых обозначений, основанная на хим. и колористич. свойствах красителей. Эта система специально предназначена для хранения красителей на предприятиях в систематич. порядке. В. У.

66230. Красители для ацетатного волокна и методы крашения ими. Форнесс (Development of dyes and dyeing methods for cellulose acetate. Fourness R. K.), Dyer, 1954, 112, № 10, 835, 837, 839, 841, 843—845, 847, 849 (англ.)

Ионамины, дисперсные красители для ацетатного шелка (азокрасители, нитродиамилиновые и антрахиноновые красители), красители для холодного крашения и водорастворимые красители. Аппаратура для крашения. Применение кубовых и окислительных красителей, а также пигментов. Перспективы развития красителей для ацетатного и синтетич. волокон. В. У.

66231. Новый способ количественного определения отдельных красителей. Бене, Геци (Új eljárás egyes színezékek mennyiségi meghatározására. Bene Ernő, Géczy István), Magyar textiltéchn., 1954, № 10, 370—372 (венг.)

Кислый р-р прямого красителя (хризофенин) титруют р-ром цетилпиридинбромидом, а образующееся нерастворимое в воде соединение растворяют при непрерывном взбалтывании в $CHCl_3$; титрование ведут до полного обесцвечивания воды. слоя. Способ пригоден для определения ряда красителей (анил кислотный N, метаниловый желтый, анил оранжевый II, валк желтый ОХ, патентованный голубой А, циантрол ВГА, кроцени яркий, ализариназулол SE, ализарин яркий зеленый G, дианил желтый А, дианил желтый GG, хризофенин, диаминовый чисто-голубой FF. При применении других осадителей вместо цетилпиридинбромидом, а также других р-рителей можно значительно расширить кол-во определяемых красителей. Даже у р-ров конц-ией 0,01 г/л ошибка опыта не превышает 1%. Содержащиеся в р-ре NaCl при конц-иях ниже 20 г/л, а также сода очень мало влияют на результаты титрования. При определении общей конц-ии красителей способ дает более точные результаты, чем напр. фотометрический, и вполне пригоден для контроля производства. Г. Ю.

66232 П. Способ получения нерастворимых в воде моноазокрасителей. Таубе (Verfahren zur Herstellung von wasserunlöslichen Monoazofarbstoffen. Taube Karl) [Farbenfabriken Bayer A.-G.]. Пат. ФРГ 927944, 20.05.55

Нерастворимые в воде моноазокрасители получают диазотированием производных 5-амино-1,2,4-тиодиазола и последующим сочетанием с азосоставляющими бензольного ряда, не содержащими фенольных оксигрупп,

карбоксильных или сульфогрупп. 3,54 г 5-амино-3-фенил-1,2,4-тиодиазола растворяют в 100 мл 90%-ной H_2PO_4 и при хорошем охлаждении диазотируют 1,4 г $NaNO_2$, прибавляют р-р 2,9 г 3-метил-N,N-бис-(оксизтил)-анилина в 25 мл 50%-ной CH_3COOH и выделяют полученный краситель разбавлением водой и пересаживанием из содового р-ра; он окрашивает ацетатный шелк и полиамидные волокна в синево-красные тона с хорошей светостойкостью. Аналогичные красители получают сочетанием диазотированного 5-амино-3-фенил-1,2,4-тиодиазола с бис-(оксизтил)-анилином, м-диэтил-аминоацетанилидом или 3-метил-N-оксизтил-N-бутил-анилином. Р-р 2,3 г 5-амино-3-метил-1,2,4-тиодиазола в 50 мл H_2SO_4 40% В₂ диазотируют при хорошем охлаждении 13,8 мл 10%-ного $NaNO_2$. К диазотатору прибавляют 3,67 ч м-диэтиламинохлорбензола, растворенного в 25 мл CH_3OH , разбавляют сильно водой, выделяют и перекристаллизовывают из разб. спирта краситель, окрашивающий ацетатный шелк и полиамидные волокна в яркокрасные тона. Аналогичные красители получают сочетанием диазотированного 5-амино-3-метил-1,2,4-тиодиазола с диэтиланилином или м-диэтил-аминоацетанилидом, а также сочетанием диазотированного 5-амино-3-метокси-1,2,4-тиодиазола с м-диэтиламинохлорбензолом (получают синево-красный краситель). Указан также яркий желтый краситель для ацетатного шелка из диазотированного 5-амино-3-метил-1,2,4-тиодиазола с аниолом. В. У.

66233 П. Способ получения дисазокрасителя (Verfahren zur Herstellung eines Disazofarbstoffes) [Ciba A.-G.]. Швейц. пат. 293881—293883, 4.01.54 [Chem. Zbl., 1955, 126, № 28, 6628 (нем.)]

Доп. к швейц. пат. 290298 (см. РЖХим, 1955, 19895). 1 моль галлоидного дианура конденсируют с 3 молями следующих аминосоединений: с 1 молем 2-нафтиламин-4,8-дисульфокислоты, (I) и 2 молями 4-амино-5-метокси-2-метил-4'-окси-1,1'-азобензол-3'-карбоновой к-ты (II); или с 1 молем I, 1 молем II и 1 молем 4-амино-4'-окси-1,1'-азобензол-3'-карбоновой к-ты (III); с 1 молем I, 1 молем 5'-сульфокислоты II и 1 молем III. Полученные красители представляют собой желтые до желтокоричневых порошки, окрашивающие целлюлозное волокно в желтые до красновато-желтых тона, вытравливающиеся в нейтр. и щел. средах. Ю. В.

66234 П. Металлодержащие азокрасители и способ их получения. Бестхорн (Metallized azo dyestuff and process of producing the same. Besthorn Heinrich H.) [General Aniline and Film Corp.]. Канад. пат. 509938, 8.02.55

Металлодержащие азокрасители получают из азокрасителей, получаемых сочетанием диазотированных аминов, бензольного или нафталинового ряда и не содержащих заместителей в орто-положении к азогруппе, в щел. р-ре в орто-положение к оксигруппе азосоставляющей. Для этого полученные азокрасители нагревают в щел. р-ре с соответствующей металлич. солью и перекисным окислителем (напр., солью низшей алифатич. надкислоты). В частности, приведен металлосодержащий краситель, полученный из 2 молей диазотированного анилина и 1 моля мочевины 2-амино-5-нафтол-7-сульфокислоты с последующей обработкой полученного азокрасителя нагреванием при 30° в водн. р-ре в присутствии $CuSO_4$ и $HSCOOH$. В. У.

66235 П. Металлодержащие азокрасители, способ их получения и применения в промышленности (Nouveaux colorants azoïques métallifères, procédé pour leur préparation et emploi de ces colorants dans l'industrie) [Ciba A.-G.]. Франц. пат. 1097932, 12.07.55 [Teintex, 1956, 21, № 2, 145 (франц.)]

Металлодержащие азокрасители получают обработкой моноазокрасителей, не содержащих сульфо- и карбоксильных групп общей ф-лы $R'(OH) - N = N -$

$R - R^2 - X - R^3$, где R — остаток 5-пиразолона, связанный в положении 4 с азогруппой; R^1 — фенил, связанный с азогруппой в орто-положении к оксигруппе, бензольное ядро которого содержит группу $-SO_2NH_2$; R^2 — арил; X — атом кислорода или группа $-CO-$, $-SO_2-$, $-O-$, SO_2- , $-CO-N-C_{n-1}H_{2n-1}$ или

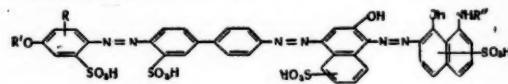
$-N(C_{n-1}H_{2n-1}) - SO_2-$, (n — целое число; R^3 — алифатич. остаток, содержащий более одного атома С или ароматич. остаток) в-вамп, отдающими Cr или Co, с образованием металлосодержащих азокрасителей, молекула которых содержит в комплексе менее одного атома Со или Cr на 1 моль вышеуказанного моноазокрасителя. Полученные красители окрашивают шерсть, шелк, кожу, полиамидные и полиуретановые волокна в желтый, оранжевый, алый, красный и коричневый цвета, прочные к свету и мытью обработкам. О. С. **66236 П. Комплексные соединения кобальта** (Complete cobalt compounds.) [Ciba Ltd]. Австрал. пат. 166492, 26.01.56

Со-содержащие азокрасители получают обработкой Со-отдающим реагентом моноазокрасителей, не содержащих карбоксильных и сульфогрупп, общей ф-лы $R - N = N - R' - NH_2$ (R — фенольный остаток, содержащий оксигруппу в орто-положении к азогруппе; R' — нафталиновый остаток, содержащий аминогруппу в соседнем положении в азогруппе); при этом в случае наличия в красителе остатка сульфона с >1 атомом С или ≥ 1 группы амида к-ты, R содержит по крайней мере 1 сульфамидную группу. Патентуются также продукты, получаемые по этому способу. В. У.

66237 П. Способ получения хромовых комплексных соединений азокрасителей. Штүссер (Verfahren zur Herstellung von Chromverbindungen von metallkomplexbildenden Azofarbstoffen. Stüsser Richard) [Farbenfabriken Bayer A.-G.]. Пат. ФРГ 931793, 18.08.55

Cr-комплексы азокрасителей получают запеканием смеси не содержащего металла исходного красителя с подходящим хромлирующим средством в присутствии контактного средства, смачивателя или эмульгатора. В качестве исходного азокрасителя берут нерастворимый или труднорастворимый в воде краситель и применяют его в сухом состоянии или в форме пасты. 349 ч. моноазокрасителя из диазотированного 2-амино-4-нитрофенола (I) и 3-оксидифениленоксида смешивают с 187 ч. Cr-формата, 250 ч. воды и 150 ч. глицерина и полученную пасту нагревают 3 часа при 160°; получают коричневую массу, применимую в качестве лакового красителя. 324 ч. красителя из I и 1-амино-7-нафтола (полученного сочетанием I с 1-ацетиламино-7-нафтолом и последующим гидролизом) нагревают 3 часа при $\sim 160^\circ$ с 520 ч. р-ра Cr-ацетата, содержащего 10,4% Cr_2O_3 , и 150 ч. β -аминоэтилового спирта; получают темный порошок, окрашивающий шерсть, шелк, полиамидные волокна и кожу из водн. ванны в оливковые тона, прочные к свету и стирке. В. У.

66238 П. Медные комплексы трисазокрасителей. Зук-Фюль, Зервас (Copper complex compounds of trisazo dyestuffs. Suckfüll Fritz, Zervas



Paul) [Farbenfabriken Bayer A.-G.]. Пат. США 2721191, 18.10.55

Патентуются Cu-комплексные соединения трисазокрасителей, в форме свободных к-т, отвечающих общей ф-ле (I) ($R - N$ или метил; R' — метил или этил; R'' — остаток монокарбоновой к-ты). В. У.

66239 П. Металлосодержащие пиразолоновые азокрасители. Циккендрат, Бюлер (Metalliferous pyrazolone azodyestuffs. Zickendraht Christian, Buehler Arthur) [Ciba Ltd]. Пат. США 2727031, 13.12.55

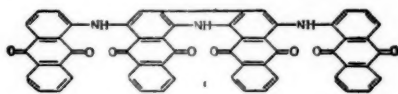
Патентуются металл. комплексные соединения моноазокрасителей, не содержащих карбоксильных и сульфогрупп, содержащие 2 моноазокрасителя в комплексной связи с Cr или Co в соотношении кол-ва молекул моноазокрасителя к числу атомов металла больше, чем 1:1 (практически ~2:1). Строение одного из азокрасителей соответствует общей ф-ле $R_1-N=N-R^1(OH)-SO_2-N(R)^2C_{n-1}H_{2n-1}$ (R_1 — остаток 5-пиразолона, содержащий азогруппу в положении 4; R^1 — бензольный остаток, содержащий азогруппу в орто-положении к оксигруппе; R^2 — алкил, аралкил или арил; $n \leq 6$); строение другого азокрасителя соответствует той же ф-ле или общей ф-ле $HO-N-R^3-N=N-R^4$ (R^3 — бензольный остаток, содержащий азогруппу в орто-положении к оксигруппе; R^4 — нафтольный остаток, содержащий оксигруппу в положении соседнем к азогруппе). В. У.

66240 П. Способ получения о-кси-о'-карбоксиазокрасителя (Verfahren zur Herstellung eines o-Oxy-o'-carboxyazofarbstoffs) [J. R. Geigy Akt.-Ges.]. Швейц. пат. 296905, 1.05.54 [Chem. Zbl., 1955, 126, № 36, 8504 (нем.)]

Доп. к швейц. пат. 294020 (см. РЖХим. 1955, 50248). 2-амино-5-сульфотетраамидабензойную к-ту диазотируют и сочетают с 1-(3',4'-дихлорфенил)-3-метилпиразолоном-5 и полученный азокраситель обрабатывают (напр., хромсалициловокислым NH_4) так, чтобы Cr-комплекс красителя содержал на 2 моля красителя по крайней мере 1 атом Cr. Получают коричнево-желтый порошок, растворимый в горячей воде и окрашивающий шерсть из нейтр. или слабо-уксуснокислой ванны в красновато-желтый цвет. В. У.

66241 П. Кубовые антрахиноновые красители, способ их получения и применения в крашении и печати (Colorants anthraquinoniques pour cuve, procédé de préparation de ces colorants, procédé de teinture et d'impression et matières teintes ou imprimées par ce procédé) [Ciba A.-G.]. Франц. пат. 1093236, 2.05.55 [Teintex, 1955, 20, № 12, 997, 999 (франц.)]

Патентуемые антрахиноновые кубовые красители получают обработкой антрахиноновых соединений, содержащих не менее 4 антрахиноновых ядер, связанных между собой группами NH, из которых, по крайней мере,



одна входит в состав антримиды, а другая — в состав карбазолового цикла, в-вами, вызывающими замыкание карбазолового цикла. Из исходных продуктов указано в-во об-ей ф-лы (I). Полученные красители окрашивают целлюлозные волокна в прочные зеленовато-оливковые, коричневые и серые цвета. О. С.

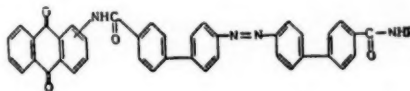
66242 П. N-замещенные производные 1,4-диаминоантрахинона и способ их получения (Dérivés-N-substitués de la 1,4-diaminoanthraquinone et leur procédé de production) [Farbenfabriken Bayer A.-G.]. Франц. пат. 1093031, 29.04.55 [Teintex, 1955, 20, № 12, 997 (франц.)]

Антрахиноновые красители общей ф-лы (I) (R — о-кси-, amino- или алкил-аминогруппа; R^1 — NH_2 , NH -алкил, N (алкил), $NHCO$ -алкил, окса- или алкоксигруппа; R^2 — H или

оксигруппа) окрашивают волокна эфиров целлюлозы или полиамидов в очень прочный синий цвет; кроме того, они пригодны для окраски душистых масел и произ-ва кислотных и пигментных красителей. О. С.

66243 П. Бис-антрахинониламиды азодифенилдикарбоновой кислоты. Дейнет (Bis-anthraquinonyl amides of azobiphenyldicarboxylic acid. Deinet Joseph) [E. I. du Pont de Nemours and Co.]. Пат. США 2719842, 4.10.55

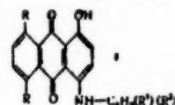
Патентуются антрахиноновые кубовые красители общей ф-лы (I) (R — способствующий переходу красителя в куб остаток, напр., антрахинона, незамещ. или



содержащего один заместитель типа галоид, метил, карбоксильная или бензоиламиногруппа; каждое антрахиноновое ядро связано с иминогруппой в α - или β -положении, причем по крайней мере одно антрахиноновое ядро содержит в β -положении единственную сульфогруппу SO_3M , где M — H , Na или K). В. У.

66244 П. 4-(X-сульфамиланилино)-1,X-диоксен-5 (или 8)-нитроантрахиноны и 4-(X-ациламиноанилино)-1,X-диоксен-5 (или 8)-нитроантрахиноны. Хёфл, Рандалл, Ренфру (4-(X-sulfamylanilino)-1,X-dihydroxy-5 (or 8)-nitroanthraquinone and 4-(X-acylaminoanilino)-1,X-dihydroxy-5 (or 8)-nitroanthraquinones. Hoeftle Milton L., Randall David J., Renfrew Edgar E.) [General Aniline and Film Corp.]. Пат. США 2722535, 2722536, 1.11.55

Патентуются красители общей ф-лы (I) [По пат. 2722535 один R — оксигруппа, другой R — нитрогруппа; R^1 — H или низший алкил; R^2 есть $SO_2N(R^3)R^4$; R^3 — H , низший оксидалкил, низший цианалкил или низший оксидалкоксалкил; R^4 — низший оксидалкил или низший оксидалкоксалкил. По пат. 2722536 R имеет вышеуказанные значения; R^1 — H ; R^2 есть $N(R^5)COR^6$, где R^5 — низший алкил или низший цианалкил; R^6 — H или низший алкил]. В. У.



66245 П. Фталоцианиновые красители (Phthalocyanine dyestuffs) [Farbenfabriken Bayer A.-G.]. Англ. пат. 724212, 16.02.55 [J. Soc. Dyers and Colourists, 1955, 71, № 5, 263 (англ.)]

Полученные, по англ. пат. 717137 (см. РЖХим, 1956, 44551), красители подвергают моно- или диметилированию по атому N CH_3NH_2 -группы, причем получают синие красители для протравленного танином хлопка и шерсти, обладающие более красным оттенком по сравнению с неметилированным исходным продуктом. Ди- ω -аминометил-Su-фталоцианин нагревают 5 час. при 90° с водн. CH_2O и $HCOOH$; смесь разбавляют водой и слегка подщелачивают водн. $NaOH$. В. У.

66246 П. Способ умеренного хлорирования фталоцианина меди и получаемые при этом продукты. Вёрт, Акен (Nouveau procédé de chloruration modérée de la phthalocyanine de cuivre et produits industriels nouveaux en résultant. Woerth Louis, Haquin Pierre) [Cie Française des Matières Colorantes]. Франц. пат. 1094451, 20.05.55 [Teintex, 1955, 20, № 12, 1003 (франц.)]

Способ получения Су-фталоцианина, устойчивого к кристаллизующему действию р-рителей, состоит в основном из следующих стадий: а) конденсации мочевины с фтальевым ангидридом в присутствии Су-соли, воз-

можно, молибдата аммония, и(или) р-рителя (напр., трихлорбензола, нитробензола, высших углеводородов); б) действии SO_2Cl_2 на полученную неочищ. конденсационную массу в присутствии р-рителя, преимущественно, при 30—200° в присутствии катализатора хлорирования, напр. J_2 или FeCl_3 ; кол-во SO_2Cl_2 должно быть таково, чтобы Cu -фталояниин содержал 1—10% Cl . Пигменты, получаемые из приготовленного по этому способу продукта, обладают высокой степенью дисперсности и очень ярким голубым оттенком. О. С.

66247 П. Выпускные формы красителей и способ окраски ими кератиновых материалов. Уэстерберг (Dyeing composition and process for keratinaceous material. Westerberg Carl G.). Пат. США 2719104, 27.09.55

Патентуются красильные составы для окраски кератиновых материалов, содержащие водн. р-р меркаптана, растворимого в воде, растворимую в воде соль Co , Ni , Fe , Mn или Bi в кол-ве не меньше 3,3% от общего веса состава и растворимый в воде щел. материал, рН р-ра ~8—10,5. В. У.

См. также: Азосоединения 64791, 64792, 64903, 64904. Мероцианиновые красители 64979, 66444. Пиразолонометиновые красители 64960. Красители производные индиго 64974. Полупродукты 64942, 66445. История 64074, 64076

КРАШЕНИЕ И ХИМИЧЕСКАЯ ОБРАБОТКА ТЕКСТИЛЬНЫХ МАТЕРИАЛОВ

66248. Шерсть и синтетические волокна. Мелвилл (Wool and synthetic fibres. Melville J.). J. New Zealand Inst. Chem., 1955, 19, № 1, 3—8 (англ.)

Новые разновидности искусств. и синтетич. волокон создают конкуренцию природной шерсти. Последующее развитие потребления в текстильной промышленности и новых волокон будет определяться дальнейшими усовершенствованиями в улучшении свойств волокон, а также их относительной стоимостью. В. З.

66249. Влияние продолжительности и температуры предварительного набухания и температуры ацетилирования на скорость и степень ацетилирования хлопкового волокна. Тейлор, Оуэнс (The effect of time and temperature of presoaking and the temperature of acetylation on the rate and degree of acetylation of cotton fibers. Taylor James L., Owens Emmet Dennis). Text. Res. J., 1954, 24, № 9, 810—819 (англ.)

Ацетилированию (А) в лабор. аппарате для крашения пряжи подвергали 7 образцов хлопкового волокна (I) различной степени зрелости. Состав ацетилирующей смеси: 3 ч. лед. CH_3COOH (II), 1 ч. $(\text{CH}_3\text{CO})_2\text{O}$ (III) и 0,15% HClO_4 от общего кол-ва смеси. За 12 час. до А 4,2 л III добавляли к 11,6 л II для превращения следов воды в II; смесь II и III перед А охлаждали до 10° и медленно прибавляли смесь из 25,5 мл HClO_4 и 1 л II. 1-я серия опытов: постоянные условия А (45 мин. при 18°), при различной продолжительности (10—240 мин.) и т-ре (21—77°) предварительного набухания (ПН). 2-я серия: постоянные (оптимальные) условия ПН, А. при различной т-ре (14—28°) 45 мин. Одновременно обработке подвергали 240 г I. Аппарат заполняли 16 л II и быстро нагревали до заданной т-ры. По окончании ПН II быстро охлаждали до 27° и заменяли ацетилирующей смесью (циркуляция в аппарате 45 мин. при постоянной т-ре). Далее следовала тщательная промывка I 30 мин. холодной водой, затем водой с добавлением 50 мл конц. NH_4OH и затем опять холодной водой. Установлено, что повышение т-ры ПН значительно повышает скорость А, но не влияет на степень

ацетилирования (СА). Достаточно 10—60 мин. ПН в пределах 38—78° для получения наибольшей СА при данных условиях А. Оптимальные условия ПН: 10 мин. при 78°. Менее зрелые образцы I характеризуются наибольшей скоростью А и СА. Так напр., максим. СА получают для наименее зрелого I за 10 мин. ПН при 38—78°, а для наиболее зрелого I за 30 мин. ПН при 78° или за 60 мин. ПН при 54° или за 120 мин. ПН при 38°. Повышение т-ры А с 14 до 28° увеличивает СА вдвое: для менее зрелого I с 12,69% до 23,68%, для наиболее зрелого I с 7,96% до 19,88% и для среднего сорта I с 10,68% до 21,51%. С повышением т-ры А уменьшается прочность I. А при 28° настолько разрушает I, что нельзя определить его прочность. Описанный метод ПН и А позволяет получить равномерно ацетилированное I (качеств. проба по окрашиванию). А. Я.

66250. Получение частично цианэтилированного хлопка с помощью акрилонитрила. Доу, Рейнхардт, Рид (The preparation of partially cyanoethylated cotton with acrylonitrile. Dauf George C., Reinhardt Robert M., Reid J. David). Text. Res. J., 1955, 25, № 3, 246—253 (англ.)

Для частичного цианэтилирования хлопок пропитывают р-ром NaOH , а затем обрабатывают акрилонитрилом. Р-цию прекращают погружением образца в 5%-ный р-р CH_3COOH . Максим. замещение при ~20° происходит при 10—15%-ной конц-ии р-ра NaOH . При т-ре кипения акрилонитрила к 1-му глюкозному остатку присоединяются 2 цианэтильные группы. Для регулирования хода р-ции пользуются разбавлением акрилонитрила инертными р-рителями (бензол, бутильный спирт, вода). Сочетанием различных условий (т-ра, время, разбавители, конц-ия щелочи) можно повышать степень замещения (до 2,7) без нарушения волокнистой структуры хлопка. Расщепление цианэтильной группы (напр., при щел. гидролизе) достигается легко, но ее превращение в карбоксизтильную группу затруднено. Максим. перевод цианэтильных групп в карбоксизтильные (29%) был достигнут при обработке в течение 16 час. в 25%-ном р-ре NaOH . В. З.

66251. Содержание фосфора в египетском хлопке-сырце. Вахби, Эль-Ансари (The phosphorus content of Egyptian raw cotton. Wahbi A. K., El-Ansary M. S.). J. Text. Inst., 1954, 45, № 8, T624—T629 (англ.)

Проведено определение содержания P_2O_5 колориметрич. методом (см. N. Allport. «Colorimetric Analysis», 1947, p. 157) в образцах египетского хлопка различных разновидностей. В зависимости от длины волокон содержание P_2O_5 колебалось в пределах 0,091—0,175%, что превышает ранее полученные для образцов американского хлопка результаты (0,04—0,06%). Эта разница в содержании P_2O_5 дает возможность отличать египетские хлопки от американских. Установлено, что содержание P_2O_5 возрастает с увеличением длины штапеля. Выявлено, что исходное содержание P_2O_5 снижается в результате промывки: 1) H_2O при 29°, 30 мин. на 48%; 24 часа на 61%; при 100°, 30 мин. на 80%; 2) 0,25 н. H_2SO_4 при 100°, 30 мин. на 91%; 3) 0,25 н. NaOH при 100°, 30 мин. на 20%. Сооставление содержания P_2O_5 в хлопке и в соответствующих образцах почвы пока не установило наличия связи между этими показателями. С. С.

66252. Экспериментальное исследование вязкоупругих свойств текстильных волокон. Динамические измерения в области от инфразвуковых до ультразвуковых частот. Фудзино, Каван. Хорино (Experimental study of the viscoelastic properties of textile fibers. Dynamic measurements from subsonic to supersonic frequencies. Fujino K.,

Kawai H. J., Nogino T.), Text. Res. 1955, 25, № 8, 722—737 (англ.)

Исследованы вязкостноэластические свойства волокон: вискозного, ацетатного, натурального шелка-сырца, обесклеенного шелка и нейлона 6 (поликапр-амида) с помощью метода продольных вибраций в широкой области частот от 2×10^{-1} до 2×10^5 гц при 20°, 65% относительной влажности, статич. напряжении 0,4 г/дене и динамич. напряжении $< 0,1\%$. Для измерений сконструированы несколько типов вибраторов: а) в инфразвуковой зоне ($2 \cdot 10^{-1}$ — $2 \cdot 10$ гц) использованы свободнотатуающие механич. колебания круглого диска, с регистрацией колебаний на пленке оптич. системой; б) в зоне 5,10— $5 \cdot 10^2$ гц использован электромагнитный вибратор; в) в зоне 2×10^3 — $2 \cdot 10^5$ гц применены резонансный метод (для звуковой области) и метод распространения продольных волн (для ультразвука). Нелинейные характеристики вибрационных свойств были ничтожно малыми. Для исследованных волокон реальная часть комплексного динамич. модуля оказалась плоской с небольшим подъемом в ультразвуковой области. Мнимая часть повышается по краям частотного спектра. Аномалии дисперсии меньше, чем это наблюдается для резиноподобных веществ. Л. Б.

66253. Химическое исследование «пушка», отделяющегося на шелке. Симидзу (Etudes chimiques sur le «duvet originel» ou exfoliation de la soie. Shimizu M.), Compt. rend. Soc. biol., 1955, 149, № 7—8, 853—857 (франц.)

На основании исследования хим. свойств волоконцев «пушка», образующегося на поверхности дегуммированного шелка и плохо окрашивающегося (метиленовым голубым), установлено и подтверждено рентгенограммами наличие фибрилл двух родов — протеиновых и целлюлозных. Л. Б.

66254. Использование физико-химических закономерностей в процессе биологической мочки льна и конопли. Ежек (Aplikácia fyzikálne chemických pomerov pri biologickom mácaní stonkov ľanu a konope. Jek Ján), Textil., 1955, 10, № 11, 342—343 (словац.)

В процессе биологич. мочки льна и конопли рекомендуется применять нейтрализованный добавкой Na_2CO_3 нефтяной контакт («контакт Петрова»), (0,1 г/л) при pH 6,7—6,9. Это способствует развитию микрофлоры на стеблях, повышая их смачиваемость. Длительность процесса при 30°—48 час., при 25°—72—80 час., при 20°—120 час. Нефтяной контакт (отход нефтеобрабатывающей пром-сти) весьма экономичен. З. Б.

66255. Новый агрегат для белины трикотажных изделий по непрерывному методу. — (New continuous bleaching range for knit goods successful in mill.—), Amer. Text. Reporter, 1955, 69, № 15, 45—47 (англ.)

Обработка кругловязаного трикотажного полотна на агрегате нового типа, промывная секция которого состоит из 4 ящиков, осуществляется по принципу противотока. Здесь производится замачивание и очистка трикотажа. Во второй секции (также четырехящичной) полотно окрашивается флуоресцентным белым красителем (2 ящика) и пропитывается H_2O_2 (2 ящика). Каждый ящик имеет пару отжимных валов. После насыщения H_2O_2 полотно поступает в запарную камеру, изготовленную из нержавеющей стали, высотой немного более 4,6 м. Т-ра пара ($\sim 100^\circ$) регулируется подачей необходимого кол-ва воздуха. Т-ра $\sim 90^\circ$ обеспечивает требуемую мягкость трикотажа без добавления смягчителей. В камере трикотаж перемещается по движущемуся конвейерному лотку, который одновременно играет роль компенсатора. Время запаривания 1,5 часа. По выходе из камеры полотно поступает в промывную секцию из 4 ящиков с противотоком, в первом из которых из полотна удаляется около 30% всех химикатов. Дав-

ление в жале отжимных валов невелико (исключая валы на входе и выходе из ящика с H_2O_2). Агрегат обслуживается тремя рабочими. Производительность — 13,6 т полотна за 24 часа при скорости 137 м/мин. Установка агрегата окупается менее чем в три года. В. З.

66256. Способы промывки шерсти. Боргетти (Wool-scouring procedures. Borghetty H. C.), Amer. Dyestuff Reporter, 1955, 44, № 21, P726—P729 (англ.)

Промывка шерсти в виде волокна, пряжи, ткани в соответствии с их особенностями, природой загрязнений, достигаемой степенью очистки, требует различного оборудования, технологии, химикатов. Для мойки шерсти в левинафах наиболее распространено применение мыльно-щел. р-ров (мойка с противотоком, с отдельной циркуляцией р-ров в каждой барке, с повторным использованием отработанных р-ров после отделения из них грязи и жира). Применение неионогенных моющих препаратов позволяет проводить мойку шерсти при pH 6,5—7,5, что способствует улучшению ее прядильных свойств. Мойка при pH 4,5—5,0 моющими препаратами, растворимыми в кислой среде, затрудняется высокой т-рой обработки и коррозией оборудования. В глажении гребенной ленты (топса) наибольшее применение имеют неионогенные препараты; для промывки же пряжи и тканей пользуются анноактивными и частично неионогенными в-вами. При промывке тканей непосредственно перед крашением в красильной барке рекомендуется пользоваться в нейтр. среде синтетич. моющими препаратами из числа устойчивых к к-там и способных при последующем крашении оказывать выравнивающее действие. А. Б.

66257. Применение интенсификаторов — носителей в крашении полиэфирных волокон. Диркес, Рёмер (Der Einsatz von Carriern beim Färben der Polyesterfaser. Dierkes G., Römer G.), Melliand Textilber, 1955, 36, № 11, 1170—1174 (нем.)

Для установления зависимости эффективности действия интенсификаторов — носителей (И-Н) от особенностей их хим. строения был проведен ряд опытов крашения пряжи из терилевого штапельного волокна 3% красителя целлюлозного прочного синего В (модуль ванны 1 : 40; 1 час; 100°) в присутствии отдельных И-Н из числа: фенолов, фенильных эфиров, спиртов, кетонов, аминов. После крашения для полноты удаления И-Н проводилась обработка 30 мин. при 100° р-ром, содержащим в 1 л 2 г левапона ТН и 4 г Na_2CO_3 . Выявлено, что исследованные И-Н разделяются на 2 большие группы: наиболее эффективные дифенильные производные, успешно применяемые при конц-ях порядка 4—5 г/л, и фенильные производные, оказывающие требующееся действие лишь в конц-ях 10—20 г/л. Циклогексилпроизводные и алифатич. соединения не оказывают практически заметного влияния. Не удается также выявить роли и значения отдельных замещающих группировок. Установлено лишь, что введение гидрофильных групп снижает действие И-Н в той мере, в какой увеличивается р-римость продукта в воде. Вопреки существовавшему мнению, величина молекулы И-Н также не связана с эффективностью их действия. А. П.

66258. Изменения и повреждения шерсти при различных способах крашения. Сообщение 2. Вюрц (Veränderungen und eventuelle Schädigung der Wolle bei verschiedenen Färbverfahren, 2 Mitt. Würz Albrecht), Melliand Textilber, 1955, 36, № 9, 931—938 (нем.)

На основе ряда опытов крашения при различных условиях pH и длительности (см. РЖХим, 1956, 37289) и последующих сравнительных испытаний исходных и окрашенных образцов (содержание дистина, сопротивление истиранию, растворимость в щелочах и

к-тах) установлено, что неповрежденная шерсть при нормальной длительности крашения в соответствии с установленным режимом не получает заметных разрушений. Увеличение длительности процесса вызывает изменения шерсти, возрастающие тем в большей степени, чем значительнее отклонения pH красильной ванны от зоны pH 3,5—4. Это указывает на необходимость избегать подщелачиваний, снятия окраски, повторного крашения и других операций, связанных с увеличением длительности действия на шерсть кипящих р-ров. Выявляется также исключительное значение контроля и регулирования pH красильных ванн.

А. М. 66259. Влияние температуры в процессах обработки шерсти. — (Temperature effects in wool processing. —). Text. Manufacturer, 1955, 81, № 965, 252—256 (англ.)

Значительное влияние, оказываемое т-рой на протекание процессов обработки шерсти (особенно промывку, крашение), требует обеспечения в них тщательного контроля и регулирования т-ры.

В. З. 66260. Новые и старые металлосодержащие красители.

Вебер (Neue und alte metallkomplexe Farbstoffe. Weber F.), SVF Fachorgan Textilveredlung, 1954, 9, № 8, 371—378 (нем.)

К числу металлосодержащих красителей относятся: 1) окрашивающие шерсть из сернокислых ванн (1:1 комплексы) — неоланы, палатины; 2) окрашивающие шерсть, шелк и полиамидные волокна из нейтр. или слабосиловых ванн (1:2 комплексы) — цибаланы, иргаланы и т. д.; 3) нерастворимые высокопрочные красители, окрашивающие полиамидные волокна из водн. дисперсии — виалонпрочные; 4) прямые красители, содержащие медь — хлорантиновые светопрочные; синиус светопрочные; дуразолы, понтамини, копрантины. Часть красителей группы 2 является комплексными соединениями не с Cr, а с Co. Некоторые копрантиновые, а также бензокупроловые красители не содержат металла в молекуле и образуют комплексы лишь в результате последующей обработки препаратом, содержащим Cu (копрантиновой солью, копрантесом А или В и др.). Для повышения яркости окрасок на шерсти красителями группы 2 рекомендуется дополнительное подщелачивание небольшим кол-вом кислотных красителей, прочных к мокрому обработкам и окрашивающих из слабокислого р-ра (ирганолы, супранолы, ксилон прочными).

Н. В. 66261. Исследование реакций разложения и диазотирования оснований, применяемых для образования красителя на волокне. Патаки, Божо, Фелеки (A szálonfejllesztett színezésnél alkalmazott bázisok diazotálási és bomlási reakciójának vizsgálata és a folyamatos diazotálás. Pataki Antal, Borszó Iván, Feleki Lászlóné), Magyar textiltechn., 1955, № 6, 214—217 (венг.)

Ход р-ций диазотирования (Д) и разложения (Р) был исследован по ранее описанному методу (см. РЖХим, 1956, 14036). Исходя из ур-ния для Д: $dx/dt = K_2(a-x)(b-x)$ при $a=b$, получаем (Schmid, Warrmann, Monatschr., 1952, 83, 346): $K_2 = x/ta(a-x)$ [a — начальная конц-ия основания и NaNO_2 (I), t — время]. При конц-иях основания в 0,001 н. имеем K_2 : (т-ра 2°): n -нитроанилин (эхтрот В основание) 2,49, p -хлоранилин 2,37, анилин 3,5, 5-хлор- o -толуидин (эхтрот TR = основание) (II) 5,87, o -этиланилин (красное ЕВ-основание) (III) 7,27, m -хлоранилин (эхторанж GC-основание) (IV) 13,00. При увеличении конц-ии основания K_2 быстро растет (напр., для II имеем при конц-иях основания 0,028 н. и 0,056 н. $K_2 = 11,3$ и 27,5 соответственно (т-ра 2°)), так что при применяемых в промышленности конц-иях Д протекает за 1 мин. практически на 100%. Изменение т-ры от 2° до 25°, отношения основания: к-та: I от 1:2:1,1 до 1:3:2 практически не влияют на скорость Д. Группы: m -окси, o -, m -метил,

m -метокси, o -, m -фенил и o -этил (как в III), увеличивают нестойкость диазо-основания, а электрофильные группы в орто-, пара-положениях стабилизируют их. Для р-ции Р основания имеем ур-ние $-dA/dt = KA$, что дает $K = 2,303 \lg(A_0/A)/t$. Имеем [цифра снизу — т-ра, р-ция велась при pH 4—4,5 (буферный р-р с CH_3COONa (V))]: II: $K_2 = 5,5 \cdot 10^{-6}$, $K_{25} = 2,7 \cdot 10^{-5}$, $K_{25} = 6 \cdot 10^{-5}$; эхтрот KB: $K_2 = 9,2 \cdot 10^{-6}$, $K_{25} = 5,3 \cdot 10^{-5}$; IV: $K_2 = 4,6 \cdot 10^{-5}$, $K_{25} = 6,6 \cdot 10^{-5}$, $K_{35} = 8,6 \cdot 10^{-5}$; эхтшарлах G: $K_2 = 2,3 \cdot 10^{-5}$, $K_{35} = 20 \cdot 10^{-5}$. Во всех случаях $K_d \gg K_p$, так что расход основания в начальной стадии р-ции определяется исключительно Д. Поэтому при поточном ведении р-ции (дисный р-р основания и р-р I смешиваются, через 1—2 мин. р-р нейтрализуется р-ром V, диазо-основание сейчас же поступает на крашение) можно использовать и нестойкие диазо-основания, причем р-ция ведется при охлаждении лишь для тех оснований, Р которых при 15—20° заметно уже после 5—10 мин., кроме того можно непрерывно контролировать оттенок, точнее (из-за больших объемов) готовить исходные растворы.

Г. Ю. 66262. Крашение ацетатного волокна нерастворимыми азокрасителями. Уолс (Azoic dyeing of acetate rayon. Wallis J. M. S.), J. Soc. Dyers and Colourists, 1954, 70, № 10, 429—436 (англ.)

Омыление ацетатного волокна (I) в щел. р-рах азосоставляющих (II) при т-ре кипения и слабое набухание в холодных р-рах диасоставляющих (III) не позволяют использовать для крашения I нерастворимыми азокрасителями технологию, применяемую для целлюлозных волокон. Нейтр. дисперсия может быть получена замешиванием II с равным кол-вом метанола с добавкой $1/2$ от веса II NaOH в виде 20%-ного р-ра и небольшого кол-ва теплой воды. Полученная смесь вводится в ванну, содержащую 1 г/л дисперсола VL, после чего добавляется р-р NaH_2PO_4 (8 ч. на 1 ч. NaOH), pH 7,3. При содержании $\text{NaOH} < 0,2\%$ 2-часовая обработка при 80° не вызывает гидролиза I. При крашении в темные тона чрезмерное повышение pH предупреждается добавкой в ванну CH_3COOH . Наибольшим средством к I обладают Брентолы BT, FR, BC, AN, MA, OT, FO и AT. Диазотировать предлагается готовить раствором в ванне пасты III, получаемой замешиванием III с мыльной стружкой и небольшим кол-вом воды с последующим кипячением смеси в течение нескольких минут. При одновременном нанесении на ткань II и III (при котором во многих случаях улучшается выравнивание) отношение II: III для средних тонов должно равняться 1:2, а для глубоких оттенков 1:1,5. После нанесения на ткань II и III диазотирование производится в отдельной ванне, которая должна содержать 3—5 г/л NaNO_2 и либо 5—8 г/л лед. CH_3COOH , либо 6—10 г/л HCl (37%-ной). Время диазотирования 30 мин. при 20—25°. Наилучшие результаты заключительной обработки достигаются при применении р-ра 1 г/л Лисаполя NC и 5 г/л NaCl в течение 10—15 мин. при 80—90°. При крашении смешанных тканей из I и вискозного волокна крашение ведется 20—30 мин. при 60—80°, а затем т-ру снижают до 30—40° для улучшения выравнивания II вискозным волокном. Окраски азокрасителями на матированном I ниже по светопрочности сравнительно с получаемыми на блестящем волокне. В. З.

66263. Крашение в алый цвет. Като, Ито (紅染について. 加藤誠也, 伊藤信也), 東洋レーヨン株式会社集報, Тоё рэа кабусики кайся сохю, Scient. Repts. Toyo Rayon Co., 1954, 9, № 2, 62—66 (япон.; рез. англ.)

Спектрофотометрические исследования окрасок найлона в алый (шрлах) цвет установили меньшую чистоту оттенков окраски сравнительно с получаемыми по обычным методам на шелке.

А. М.

66264. Факторы, влияющие на удаление маркировочной подцветки со штапельного волокна. — (Factors affecting tint removal from staple fibers. —), Amer. Dyestuff Reporter, 1955, 44, № 2, P41—P53 (англ.). Разнообразие применяемых смесей, значительно увеличивающееся в связи с ростом выпуска новых синтетич. волокон, вызывает необходимость в повседневном применении подцветивания смесей и их компонентов. Это заставляет одновременно искать путей удаления подцветивающего красителя в последующей промывке, тем более, что требующиеся для изделий из некоторых синтетич. волокон обработки (стабилизация, усадка) способствуют фиксации красителей на волокне. Проведенные предварительные опыты подтвердили, что некоторые из обычно применяемых для подцветки красителей пригодны и для новых волокон, но их вымывание после применения обработок, проводимых при высокой т-ре, затруднено. Рекомендуется последующую промывку проводить при более высокой т-ре и по возможности при повышении pH моющего раствора. В. З. 66265. Способность текстильных отделочных препаратов связывать пигменты. Шапиро (The pigment binding power of textile finishing materials. Shapiro Leonard), Amer. Dyestuff Reporter, 1954, 43, № 21, P691—P696 (англ.).

Количество пигмента, которое может эффективно удерживаться связывающей пленкой, зависит от типа пигмента, от его плотности, удельной поверхности, от способности связывающего в-ва смачиваться и от его адгезии по отношению к пигменту. Для изучения всех этих факторов была применена новая методика, основанная на определении потери пигмента на единицу длины разрыва. Установлено, что смачиватель снижает связующую способность пленки пропорционально применению его кол-ву, причем это снижение для смачивателей типа глицерина проявляется в меньшей степени, нежели для мыла, сульфированного касторового масла и говяжьего жира. Добавление эмульсии поливинил-ацетата к крахмальным смесям заметно повышает способность крахмальной пленки связывать пигменты. Пшеничная мука намного хуже связывает пигменты, нежели пшеничный крахмал (что зависит, очевидно, от различного содержания глютена). Щел. соединения снижают связующую способность крахмалов, в то время как небольшие добавки метилового мочевины повышают ее и сохраняют даже при кипячении в воде. Предварительные опыты с эмульсиями термопластичных смол показали, что в сочетании с крахмалами они резко повышают способность пленок связывать пигменты. В. З. 66266. Применение поливинилового спирта в печати. (Use of polyvinyl alcohol in printing. «Technologist»), Text. Mercury and Argus, 1955, 132, № 3432, 75, 77 (англ.).

Применение растворимого в воде поливинилового спирта (I) в качестве загустителя для печатных красок (II), взамен обычных загустителей, улучшает равномерность окраски и улучшает проникновение красителей вглубь полиамидных волокон. II готовится растворением 30 г красителя (напр., кислотного) в 50 г триэтил-амина и 270 мл горячей воды, после чего загущается 600 г 20%-ного водн. р-ра I с последующим добавлением 50 г CH_3COONa . Изделие из найлона после печатания сушат, запаривают 30 мин., промывают и обрабатывают р-ром мыла. При печатании индигозолями II готовится растворением 60 г красителя в 50 г триэтил-амина и 260 мл горячей воды, после чего загущается 600 г 20%-ного водн. р-ра I, приготовленного неполным разложением поливинилацетата (до содержания 12% первоначального кол-ва ацетильных групп) с последующим добавлением 30 мл 30%-ного р-ра NaNO_2 . После печатания ткань запаривают 30 мин. и проявляют окраску обработкой горячим р-ром H_2SO_4 (20 г/л). При кра-

шении смешанных тканей из ацетатного волокна и шерсти или хлопка окраска ацетатного волокна не должна изменяться в условиях окрашивания второго волокна смеси. Для этого (в особенности при крашении ацетатного волокна в красные и бордовые тона) рекомендуется его обработка в р-ре в органич. р-рителе со слабощел. р-цией (напр., в моно- или диэтаноламине) смеси 1-амино-2,5-диметокси-4-нитробензола и соли щел. металла 1-(2',3'-оксинафтоиламино)-2-метил-4-метоксibenзола или 1-(2',3'-оксинафтоиламино)-2-метоксibenзола, или 1-(2'-оксикарбазол-3'-карбоиламино)-4-хлорбензола с последующим диазотированием и проявлением окраски в горячем нейтрализующем к-ту р-ре. Напр., 10 кг ацетатного волокна обрабатывают 90 мин. при 75° в 300 л воды, содержащих 125 г 1-(2',3'-оксинафтоиламино)-2-метоксibenзола, 90 г 1-амино-2,5-диметокси-4-нитробензола, 19,8 г NaOH , 460 г моноэтанолamina, 1,2 г диспергатора и смачивателя, 300 мл 25%-ного р-ра аммиака и 3 кг NaCl . Затем следуют промывка водой, диазотирование 30 мин. в р-ре, содержащем в 300 л воды 300 г NaNO_2 и 1,5 л HCl , и обработка при 60° р-ром 300 г CH_3COONa в 300 л воды. В. З.

66267. Применение пигментных красителей для печатания текстильных изделий. Голан (Použití pigmentových barviv při tisku textilií. Holan Josef), Textil, 1955, 10, № 10, 308—311 (чеш.).

Для печатания пигментными красителями по способам Аридай и Орема применяют водно-масляные эмульсии, а по способу Акрамия — водн. дисперсии. Акраминный метод пригоден для изделий из волокон всех видов, в том числе из синтетич. и стеклянных; не требует спец. оборудования, может применяться при сочетании и с другими красителями, пригоден для печати по способу с сетчатыми шаблонами, не требует термич. обработки. К недостаткам пигментной печати относятся: неравномерность при покрытии больших площадей, перенос краски с валика на валик, запах р-рителей. Хромированные валы работают лучше медных. З. Б. 66268. Печатание изделий из полиакрилонитриловых волокон по способу «Сандокрил для печати». Мецгер (L'impression des fibres de polyacrylonitriles d'après le procédé sandoeryl pour impression. Metzger E.), Teintex, 1956, 21, № 1, 13, 15 (франц.).

Разработан новый способ печатания изделий из полиакрилонитриловых волокон с применением прочных сандокриловых красителей, принадлежащих к группе кислотных антрахиновых и выпускаемых в полной гамме от желтого до черного цветов. Особенность способа в создании при запаривании окислительно-восстановительной р-ции при помощи препарата, заключающего закисную медь, вводимого в состав печатной краски вместе с красителем и загусткой. Оптимальная среда образуется добавкой солей аммония (виннокаменной, фосфорнокислой) и к-т молочной или разб. серной. После печатания проводят сушку и запаривание 15 мин. при атмосферном давлении и 15 мин. при давл. 0,5 атм затем промывку и обработку мылом при 50—60°. Д. К.

66269. Новое оборудование для отделки. Далглиш (Developments in finishing equipment. Dalglisch John), Canad. Text. J., 1955, 72, № 10, 51—53 (англ.).

Английская фирма John Dalglisch & Sons Ltd. выпустила новую жгутомойную машину из нержавеющей стали, одновременно обрабатывающую 2 жгута при скорости 183 м/мин без натяжения ткани. Большой интерес представляет аппарат для крашения по методу фирмы «Стендаст» с применением расплавленного металла, приспособленный для крашения тканей, а также пряжи. Фирма McCormick выпустила машину для одноцветной набивки ткани сетчатыми шаблонами. Печатная краска подается непрерывно под давлением воз-

духа и распределяется по всей внутренней поверхности полотна, после чего продавливается на ткань. Скорость выпуска ткани 28—37 м/мин. Новая сушильная машина фирмы Dalglish обеспечивает сушку вискозной ткани весом ~250 г/м (при ширине 152 см) со скоростью ~110 м/мин, что в два раза превышает скорости существующих машин.

В. З. 66270. Уточнение бархатные ткани. Резка, крашение и аппретирование вельветов. Капрон (Les velours de trame. Coupe, teinture et apprêts des velours à côtes. Capron G.), Teintex, 1955, 20, № 11, 886, 889, 891—892, 895, 897, 898, 901, 903—904, 907, 909—910 (франц.)

Обзор методов подготовки, крашения и отделки ворсовых тканей типа бархата и вельвета: ворсовки, резки ворса (ручной и механизированной), расшлихтовки, отварки, обработки на щеточных машинах, опаливания, белины, крашения. Приведена рецептура подготовки и крашения сернистыми, кубовыми, прямыми, основными красителями и кубозолями, а также рецептура аппретов.

Л. Б. 66271. Разрушение джутовых тканей, обработанных медно-аммиачными растворами и его предупреждение. Макмиллан, Басу, Пал (Deterioration of cuprammonium-proofed jute fabric and its prevention. Macmillan W. G., Basu S. N., Pal P. P. N.), Fibres, 1954, 45, № 3, 85—88 (англ.)

Исследовались причины и механизм разрушения джутовых тканей, пропитанных медноаммиачным р-ром ($\text{CuSO}_4 \cdot 5\text{H}_2\text{O} - 62,5 \text{ г/л}$; $(\text{NH}_4)_2\text{SO}_4 - 75 \text{ г/л}$; $\text{NaOH} - 44 \text{ г/л}$; кашу (растворенный при кипячении) — 10 г/л). В целях ускорения разрушения пропитанные образцы выдерживались 18 час. при 110° и подвергались облучению в федометре 24 часа. Установлено, что пропитка медно-аммиачным р-ром ускоряет разрушение джута под действием тепла и света. Под действием тепла повышается кислотность волокна. Уменьшение кол-ва солей, отлагающихся при пропитке на ткани, последующей промывкой или изменением состава р-ра почти полностью исключают разрушение под действием световых лучей, разрушение же под действием тепла все еще остается значительным. Ускорение разрушения примерно соответствует кол-ву нанесенной меди. Нафтенат меди, в противоположность медно-аммиачному р-ру, не повышает чувствительности волокна к действию тепла и света. Общее разрушение обусловливается присутствием $(\text{NH}_4)_2\text{SO}_4$ и сопровождается снижением pH ткани. Оба явления исчезают при условии предварительной промывки ткани теплой водой. NH_4Cl , NH_4NO_3 , $(\text{NH}_4)_2\text{HPO}_4$ действуют аналогично $(\text{NH}_4)_2\text{SO}_4$. Na_2SO_4 , NaNO_3 , MgSO_4 в меньшей степени влияют на скорость разрушения. $(\text{NH}_4)_2\text{CO}_3$ совсем не ускоряет разрушения. Образцы, обработанные Na_2SO_4 , NaNO_3 , MgSO_4 ; $(\text{NH}_4)_2\text{CO}_3$, имели после нагревания нейтр. р-цию по метиловому оранжевому; обработанные NH_4Cl , NH_4NO_3 ; $(\text{NH}_4)_2\text{SO}_4$ — сильноокислую. Повидному, разрушение вызывается H_2SO_4 , освобождающейся под действием тепла. Меньшее снижение pH в случае обработки джута медно-аммиачным р-ром, по сравнению с обработкой $(\text{NH}_4)_2\text{SO}_4$, сопровождающееся увеличением содержания растворимой Si после нагревания с 0,04 до 0,27%, объясняется взаимодействием части освобождающейся H_2SO_4 с Si. Разрушение пропитанного джута под действием тепла и света можно предупредить введением в пропиточную ванну Na_2CO_3 ; одновременно достигается повышение сопротивления к действию микроорганизмов.

В. З. 66272. Применение синтетических смол для джута.

Чаудхури (Application of synthetic resins to jute. Chowdhury J. K.), J. and Proc. Instn Chemists, 1953, 25, part 3—4, 148—151 (англ.)

Широкое применение синтетич. смол для обработки

различных волокнистых материалов (хлопок, вискоза, бумага) способствует усиливающейся конкуренции последних с джутом в области произ-ва мешочных и пакочных тканей. Отсюда возникает необходимость в улучшении физ. и хим. свойств джута, что позволит применять его и для других целей. Полное белиение джута (при снижении содержания лигнина < 2—3%) приводит к резкому ослаблению его во влажном состоянии. Этот дефект можно устранить путем замещения удаляемого лигнина подходящим заменителем или хим. модифицирования гидрофильных групп волокна с целью гидрофобизации его. Заметное улучшение наблюдается при нанесении на джут, взамен удаляемого лигнина, 2—3% от веса волокна основной смолы (мочевинная, меланиновая). Термич. обработка проводится при 115—125° в течение 10 мин. в присутствии $(\text{NH}_4)_2\text{HPO}_4$. Чем ниже содержание в джUTE лигнина, тем лучше наносится смола и тем выше прочность отбеленного джута во влажном состоянии. Наилучшие результаты дает белиение хлоритом с предварительной обработкой джута спиртом, содержащим 2% пиридина.

В. З. 66273. Влияние расположения частиц смолы в волокне на несминаемость целлюлозных текстильных материалов. Ваннов (Über den Einfluss der Harzlage auf die Knittereigenschaften von Textilien aus Zellulosefasern. Wannow H. A.), Z. ges. Textilind., 1954, 56, № 16, 983—984 (нем.)

По микрофотографиям поперечных срезов волокон, обработанных прекоденсатами метилолмеламиновой смолы различной степени дисперсности, изучена зависимость характера расположения частиц смолы в волокне от их величины. Высокодисперсные прекоденсаты с малой величиной частиц, напр. свежеприготовленный р-р меламиновой смолы (100 г/л мадурита М4 конц. порошка + 20 мл/л HCOOH), полностью пропитывают волокна вискозной ткани; при этом сильно увеличивается угол сминания (138° против 92° у необработанной ткани) и сохраняется мягкость ткани. При выдерживании р-ров размеры частиц смолы постепенно увеличиваются (появление мути и увеличение степени рассеивания света). Так, та же смола при применении через 15 мин. после приготовления проникает лишь в отдельные капилляры и отлагается на наружных частях волокон; при этом угол сминания 114° и ткань приобретает заметную жесткость. Частицы смолы, предварительно выдержанной в течение 24 час., полностью отлагаются на поверхности волокон, в результате чего угол сминания 91°, т. е. эффект несминаемости не достигается, ткань получается жесткой. Обычно применяемые в отделке метилолмеламины в присутствии кислотных катализаторов сохраняют низкомолекулярное состояние р-ра, что обеспечивает прошивание смолы внутрь волокон и достижение высокой степени несминаемости ткани.

В. З. 66274. Придание хлопчатобумажным тканям несминаемости. Теория процесса, химизм и технологическое оформление. Боргетти, Форнелли (Cotton crushproofing — theory, chemistry, application. Borghetti Hector C., Fornelli D.), Text. World, 1955, 105, № 12, 102—117 (англ.)

Обработка тканей из целлюлозных искусств. волокон синтетич. смолами для придания несминаемости и снижения усадки получила большое распространение. Но для хлопчатобумажных тканей эта обработка не всегда обеспечивает желаемые результаты, так как придает волокну хрупкость. Это объясняется более высокой степенью ориентации макромолекул целлюлозы в хлопковом волокне по сравнению с искусств. волокнами. Собранный опыт осуществления обработки и углубленное изучение сути процесса позволяют расширить область применения синтетич. смол для хлопчатобумажных тканей, установив для этого наиболее эффективные

условия. В частности, для обработки хлопчатобумажных тканей рекомендуется диметилполэтленмочевина в виде чистого продукта или в смесях с поливиниловым спиртом, оксидилцеллюлозой, эфирами крахмала и др. В целях уменьшения потерь механич. прочности волокна следует вводить в применяемый состав вспомогательные в-ва, снижающие трение при скольжении макромолекул друг относительно друга. В качестве катализатора целесообразно применять легко гидролизующиеся с выделением к-ты соединения типа $(\text{HOCH}_2\text{CH}_2)_3\text{N} \cdot \text{HCl} \rightleftharpoons (\text{HOCH}_2\text{CH}_2)_3\text{N} + \text{H}^+ + \text{Cl}^-$. Проводятся технологич. режимы и рецептура применения разнообразных синтетич. смол для различных видов отделки. П. М.

66275. Предупреждение разрушения ткани при обработке термореактивными смолами. Боргетти (Control of fabric degradation in the application of thermosetting resins. Borghetty Hector C., Canad. Text. J., 1954, 71, № 24, 61—64 (англ.))

Термореактивные смолы (I), примененные в оптимальных условиях, значительно снижают сминаемость и усадку тканей. Если эти условия нарушаются, то происходит ухудшение физ.-мех. свойств ткани. Наилучшая устойчивость к истиранию обеспечивается при обработке 10%-ными р-рами продуктов предварительной конденсации карбамидных смол. Увеличение конц-ии ведет к резкому снижению устойчивости к истиранию. Действие I на хлопок интенсивнее их действия на вискозу за счет повышенной кристалличности природной целлюлозы; поэтому при обработке хлопка конц-ии р-ра не должна превышать 4—5%. Кроме того, рекомендуется введение в р-р смолы препаратов, оказывающих на волокна умягчающее и смазывающее действие. Особенно эффективны катионактивные препараты (стеарилапиридинийхлорид). Даже забуференные катализаторы при их избытке повреждают ткань в результате фиксирования на ней избытка I, что вызывает ухудшение физ.-мех. свойств. Рекомендуются катализаторы типа аминов AC и G-8. Большое значение имеет заключительная промывка, в процессе которой удаляются избытки катализатора и I, снижается кол-во I на поверхности ткани. Первичный метиламин, образующийся при термич. обработке, связан в форме кислой соли, которую необходимо разрушить и удалить тщательной щел. промывкой. В. З.

66276. Применение сушилок с форсулками при обработке тканей синтетическими смолами. Пердер (Die Anwendung der Düsentrocknung bei der Ausrüstung von Geweben mit Kunstharzen. Jörder H., Reyon, Zellwolle und and. Chemiefasern, 1954, № 8, 481—482 (нем.))

В противовес высказываниям Хагена (РЖХим, 1955, 56546) установлено (см. также РЖХим, 1956, 7929), что сушилки с паровыми форсулками пригодны для термич. обработки тканей, отделанных смолами, так как при этом методе сушки смола фиксируется внутри волокон и не происходит перемещения ее частиц к поверхности ткани. А. П.

66277. Силиконы. Даффер (Silicones are everywhere. Duff Margot), Skinner's Silk and Rayon Rec., 1956, 30, № 1, 38—41 (англ.)

Обзор в области применения силиконов для обработки текстильных изделий (придание водоупорности, несминаемости, уменьшение истираемости и др.). О. С.

66278. Применение силиконовых смол для отделки тканей. Фортезе (Application of the silicone resins to textile fabrics. Fortess Fred), Papers Amer. Assoc. Text. Technology, 1954, 10, № 1, 20—28 (англ.)

Перед нанесением силиконов (I) все примеси и загрязнения (пихта, замасливатели, вспомогательные в-ва) должны быть тщательно удалены с ткани. Поскольку

большинство силиконовых эмульсий чувствительно к щелочам и высоким конц-иям электролитов, промывка после крашения должна обеспечить pH ткани 6—8. Металлич. катализаторы (обычно органич. соли Zn, Sn, Al, Zr) добавляются в пропиточную ванну в последнюю очередь. В большинстве эмульсий величина частицы I в среднем равна 5 м. Приготовление эмульсии следует производить при t-ре 20—30° при интенсивном перемешивании. При использовании комбинаций I с мочевино- или меламинаформальдегидными смолами их конденсаты готовят отдельно и перемешивают при ~20° непосредственно перед употреблением. I в процессе старения выделяют газообразный водород, особенно в присутствии влаги, щелочей и некоторых металлов. Транспортируются I обычно в барабанах, облицованных полиэтиленом, хранятся в прохладном месте; закупоривать герметически их не следует. Перед термич. обработкой пропитанную ткань следует высушить до миним. содержания влаги. В зависимости от сырьевого состава, структуры и целевого назначения ткани на ней может фиксироваться от 0,25 до 2,0% I. Для получения оптимального эффекта водоупорности, устойчивого к стирке, достаточно проводить термич. обработку в течение 4—8 мин. при 160—170°. Обработки I значительно повышают прочность и сопротивление истиранию в сухом и мокром виде. Недостаток обработки I — снижение трения между волокнами — можно предупредить, вводя в эмульсию дисперсии глинозема (Сайтон W — 20, Людокс). С другой стороны, снижение трения между волокнами уменьшает сминаемость тканей. Нанесение на ткань из термопластичного волокна 0,1% I предупреждает брак, образующийся в результате плавления волокон при сшивке этих тканей на быстроходных швейных машинах. В. З.

66279. Придание хлопчатобумажным тканям огнестойкости обработкой хлористым тетраакс-(оксиметил)-фосфонем. Гатри, Дрейк, Ривс (Applying the THPC flame-retardant process to cotton fabrics. Guthrie John F., Drake George L., Jr, Reeves Wilson), Text. Age, 1955, 19, № 3, 44, 46, 48 (англ.)

Для придания хлопчатобумажным тканям огнестойкости применяют хлористый тетраакс-(оксиметил)-фосфоний (THPC), получаемый при взаимодействии фосфина с HCl. 1808 г THPC (95%-ного) растворяют в 1800 г воды, после чего добавляют 338 г триэтанолamina. Затем готовят второй р-р 1069 г триметилполмеламина (придает несминаемость) и 1114 г мочевины в 5062 г воды. Ткань пропитывают на плюсовке смесью обоих р-ров, сушат 4,5 мин. при 85°, подвергают термич. обработке 4,5 мин. при 142°, после чего следуют промывка холодной и горячей водой и сушка. Придание мягкости ткани достигается пропиткой 4%-ным р-ром катионактивного препарата (Тритон X-400). Триметилполмеламин и мочевина конденсируются с THPC. Мочевина связывает HCl, выделяющуюся в процессе полимеризации. Триэтаноламин стабилизирует р-р при ~20° THPC придает ткани также противогнилостные свойства. В. З.

66280. Усадка тканей и ее измерение. Сохор (Makavost tkanin a její měření. Sochor Bohuslav), Textil, 1955, 10, № 9, 277—278 (чеш.)

К числу факторов, влияющих на усадку, относятся состав и строение волокон, их свойства, конструкция пряжи и ткани. Для тканей из искусств. волокон спец. обработки по снижению способности к усадке оказываются более эффективными, чем для изделий из природных волокон, так как первые отличаются более рыхлым строением, имеют круглое поперечное сечение и обнаруживают высокую способность к набуханию. К тому же, при их переработке обычно применяют лишь относительно низкие коэфф. крутки и не отличающиеся

высокой плотностью структуры ткани, что также способствует глубокому проникновению применяемых синтетич. смол внутрь волокон. Наиболее распространено применение мочевиноформальдегидных смол. З. Б.

66281. Снижение способности к усадке изделий из гидратцеллюлозных волокон. Энихенслин (Schrumpffest-Ausrüstung von Regeneratzellulosen. Aenishänslin R.), SVF Fachorgan Textilveredlung, 1955, 10, № 9, 459—460 (нем.)

Снизить повышенную способность гидратцеллюлозных волокон к набуханию и к усадке возможно путем блокирования гидроксильных групп за счет образования поперечных «мостиков». Автокросс-способ предусматривает пропитку CH_2O в присутствии оксидилцеллюлозы, мягчителя и кислого катализатора (бисульфата и сульфата натрия или дигликолевой к-ты) при pH 1,8, сушку, термич. обработку при 165° в течение 3 мин. и промывку. При обработке кауритом WF 110 применяется CH_2O в связанном виде, напр. метилольные соединения формамида и ацетамида. Связи между альдегидами и целлюлозой можно образовать по способу Дан Ривер X-2 при применении продукта обмена альдегида с кетонами (в простейшем случае CH_2O с ацетоном) в присутствии крахмала и кислого катализатора. По Санфорсет-способу применяют глицераль с добавкой поливинилового спирта и щавелевой к-ты в качестве катализатора. Образование на тканях и трикотажных изделиях мочевино- и меламиноформальдегидных смол также снижает способность регенерированной целлюлозы к набуханию и усадке, повышая ее крепость и стойкость к стирке. З. П.

66282. Защита материалов животного происхождения от плесени и бактерий. Штурца (Ochrana živočišných materiálů proti plísním a bakteriím Šturca Miroslav), Textil, 1955, 10, № 3, 90 (чеш.)

Для предупреждения развития плесени и бактерий на овечьей, кроличьей и заячьей шерсти (в фетровом произв-ве) рекомендуется добавка в валочные р-ры 0,5—2 мл/л HCOOH , не дающей цветных р-ций, затрудняющих последующее крашение. Действие HCOOH достаточно эффективно и обходится дешевле применения борной и салициловой к-т. З. Б.

66283. Обеспечение качества и мягкости камвольных костюмных тканей, окрашенных в ленте и в полотно. Визер (Die Qualitäts- und Griffgestaltung bei wollefarbigen und stückfarbigen kahlappretierten Kammgarnanzugstoffen. Wieser J.), Textil-Praxis, 1954, 9, № 6, 569—572 (нем.; рез. англ., франц., исп.)

При отделке камвольных костюмных тканей открытого переплетения рекомендуется: 1) тщательно соблюдать режимы заварки, промывки, фулеровки, широко применяя новые моющие препараты; 2) при заправке в сушильную машину предотвращать натяжение ткани по ширине по длине, а также не допускать пересушивания; 3) после сушки проводить просмотр ткани и обеспечивать ее охлаждение в течение 1—2 дней; 4) до и после сушки проводить обработку на шеточной машине с пропариванием для придания ткани требующегося влагосодержания; 5) после стрижки проводить просмотр ткани, что способствует также ее охлаждению; 6) применять прессование в гидравлич. прессе; 7) после прессования проводить обработки на усадочной машине и на заключительном декатире и заключительное прессование без нагрева. А. М.

66284. Методы обработки тканей из штапельного искусственного волокна в Европе. Фортелли (How Europe's dyers handle spun rayons. Fortelli Domenico), Mod. Text. Mag., 1955, 36, № 8, 43—44 (англ.)

Обзор.

С. С.

66285. Влияние отделки на качество шинного корда из вискозных нитей. Варзе, Кентелье (Ef-

fect of the finish on the cord yield of rayon tyre yarns. Warzée M., Quinteller G.), J. Text. Inst., 1955, 46, № 1, P123—P136 (англ.)

Образцы кордной вискозной пряжи, обработанной различными отделочными препаратами, при одинаковой крутке, резко отличаются по разрывной прочности. Потеря прочности нитей после вторичной крутки, выражаемая ур-нием $[1 - (\text{разрывная прочность крученой пряжи} / n \times \text{разрывная прочность одиночной нити})] \times 100$, где n — число одиночных нитей в пряже, составляет 15—30%. Установлено, что эта величина не зависит от динамич. коэфф. трения и натяжения в процессе крутки. Действие отделочного препарата на жесткость нитей снижает разрывную прочность пряжи в связи с увеличением статич. коэфф. трения (СК). Между СК и потерей прочности пряжи после вторичной крутки существует линейная зависимость, что частично объясняется увеличением диаметра корда по мере увеличения СК вследствие увеличения угла наклона нитей к продольной оси. Эта часть потери прочности корда названа функциональной потерей. Измерения жесткости обнаружили наличие степенной зависимости между СК и первоначальным модулем кривой момент скручивания — крутка, а также между СК и энергией скручивания. Сконструирован прибор для определения усилия скручивания при вторичной крутке. При низких значениях СК паковка нитей в корде и распределение крутки более равномерны, что обеспечивает более высокую прочность корда. В. З.

66286. Вещества—наполнители для аппретуры. Барбера, Буэнелли (Sostanze caricanti per l'appretto. Barbera Aldo, Busnelli Armando), Laniera, 1955, 69, № 9—10, 857—861, 863, 865—873, 875—879 (итал.)

При аппретировании тканей (в частности, из целлюлозных волокон) для придания им пластичности, мягкости, плотности и других требующихся свойств, а также утяжеления применяют ряд специально подобранных в-в — наполнителей. К растворимым наполнителям относятся Na_2SO_4 , MgSO_4 ; к нерастворимым CaSO_4 , алебастр, каолин, тальк. Гигроскопич. наполнителями являются: глюкоза, глицерин и некоторые минер. соли (NaCl , MgCl_2 , AlCl_3), а также рекомендуемый для кондиционирования шерстяных тканей д-сорбитол ($\text{CH}_2\text{OH}-\text{CHOH}-\text{CHOH}-\text{CHOH}-\text{CHOH}-\text{CH}_2\text{OH}$). Приводится описание свойств и способов получения и применения отдельных наполнителей. Д. К.

66287. Хлораминовый метод определения степени одревеснения чесаного стланцевого волокна. Фридлянд Г. И., Бадина Е. В., Научн.-исслед. тр. Центр. н.-и. ин-та лубяных волокон, 1955, 9, 203—207

Разработан иодометрич. метод определения содержания лигнина в чесаном стланцевом волокне, основанный на применении в качестве окислителя хлорамина Т (α -толуолсульфохлорамида Na), преимуществом которого является его большая устойчивость. Сопоставление для ряда образцов методов: Кенига (I), колориметрич. (II) и нового хлораминового (III) показало, что результаты по методам II и III в большинстве случаев близки между собой. Данные методов III и I в некоторых случаях обнаруживают значительные расхождения, по-видимому, объясняемые расходом хлора не только на лигнин, но и на другие соединения, а также различиями в составе лигнина в отдельных образцах. О. С.

66288. Микрофотографическое исследование поврежденной шерсти. Штиберт (Mikrophotographische Untersuchung von geschädigter Wolle. Stiebert Arthur), Melliand Textilber. 1956, 37, № 3, 294—296 (нем.; рез. англ., франц., исп.)

Микрохимические исследования участков со светлы-

ми пятнами шерстяного габардина, подвергнутого в процессах отделки заварке, щел. промывке в виде жгутов, карбонизации и крашению металлосодержащим красителем при pH 3,5—3,8, установили, что причиной образования пятен являются, по видимому, щел. повреждения шерсти в промывке в результате неполного растворения примененной соды и длительного выщелачивания.

А. М.

66289. Метод анализа цистина шерсти и особенности применения. Цан, Трауман (Metodo di analisi della cistina della lana e modalita d'impiego. Zahn H., Traumann K.), Fibre e colori, 1955, 5, № 11, 417—422 (итал.). См. РЖХим, 1956, 50258

66290. Методы определения pH водных вытяжек из шерсти. Бюлер, Цан (pH-Messungen an Woll-extrakten. Arbeitsvorschriften. Bühler Hans Heinrich, Zahn Helmut), Textil Praxis, 1956, 11, № 1, 76—77 (нем.)

Международная шерстяная текстильная организация разработала метод определения pH водн. вытяжек из шерсти, по которому 3 навески шерсти по 2 г, помещенные в сосуды с притертыми пробками, содержащие по 100 мл дистил. воды (pH 5—6,5), встряхивают 1 час на лабор. приборе при т-ре помещения, после чего измеряют значение pH получаемого р-ра на потенциометре со стеклянным электродом. Сопоставление результатов, получаемых по этому методу и параллельно по методам «сбраиванию» (1 навеска — 3 г шерсти в 150 мл дистил. воды) и «с нагреванием» (приготовление вытяжки обработкой 3 г шерсти 90 мл дистил. воды 1 час при 90°), показало, что при исследовательских работах следует применять первый из методов; для технич. целей вполне пригоден второй метод; метод «с нагреванием» дает для щел. образцов неустойчивые результаты. А. М.

66291. Смешанные изделия из шерсти и искусственных волокон. Сообщение 1. Определение содержания шерсти в смесях с вискозным и медноаммиачным штапельным волокном. Цан, Краш (Über Mischgespinste aus Wolle und Chemiefasern/1. Mitt.: Zur Bestimmung des Wollanteils in Mischgarnen aus Wolle, Zellwolle und Cuprafaser. Zahn Helmut, Kratzsch Erika), Melliand Textilber., 1956, 37, № 1, 75—80 (нем.; рез. англ., франц., исп.)

На основе эксперим. сопоставления методов определения содержания шерсти в смесях с целлюлозными искусств. волокнами, основанных на применении КОН, H₂SO₄, AlCl₃, установлены преимущества первого из них в части условий осуществления и достигаемой точности результатов. А. М.

66292. Контроль значений pH растворов, применяемых в процессах обработки шерсти. I, II. — (The control of ion concentrations in wool processing solutions. — I, II. —), Text. Recorder, 1955, 73, № 873, 65—67; 1956, 73, № 874, 59—61 (англ.)

Ход процессов промывки, валки, крашения шерстяных изделий определяется значением pH применяемых р-ров, а также волокон. В случаях щел. р-ции направляемой в крашение шерсти требуется нейтр-ция соответствующего избытка щелочи. Необходимо вести строгий контроль за изменением pH красильного р-ра и вводить добавки (соли, к-ты) для регулирования pH и обеспечения буферного действия. Для создания на волокне pH 5,5—8 применяют (NH₄)₂SO₄ и NH₄H₂PO₄. Для кислотно хромовых красителей хорошее буферное действие (pH 3,5—5) оказывают HCOOH или CH₃COOH. При pH > 5,5 к-ты присутствуют в виде соответствующих солей. При крашении кислотнохромовыми красителями по метакромовому способу, обеспечивающему наибольшую сравнительно с другим способами сохранность шерсти, протрава (1 ч. K₂CrO₄ и 2 ч. (NH₄)₂SO₄), вводится до красителя; pH в начале крашения 6,8—7

в конце — 5,6. Рекомендуется вводить в конце процесса CH₃COOH или (NH₄)₂SO₄, что снижает pH до 4,9. А. Б.

66293. Анализ вспомогательных текстильных веществ. Хуве (Analisi dei prodotti ausiliari tessili. Hoeve van der), Tintoria, 1955, 52, № 12, 477—481 (итал.)

Обзор. Библ. 10 назв.

Д. К.

66294 П. Электролитическая влажностно-тепловая обработка материалов, обладающих низкой электропроводностью. Бейте (Electrical wet-heat treatment of materials having poor electrical conductivity. Bates E. B.). Англ. пат. 721352, 5.01.55 [Dyer, 1955, 113, № 9, 685 (англ.)]

Предлагается влажностно-тепловая электролитич. обработка обладающих низкой электропроводностью тканей, смоченных водой или различными реагентами, путем пропуска через систему из пяти или более металлических, изолированных роликов, соединенных с источником переменного или постоянного тока. При этом достигаются двойного рода эффекты: а) очистка за счет местного повышения т-ры и б) хим. действие реактивов (напр., хлора), выделяющихся при электролизе in situ nascendi. Кроме того, метод позволяет экономить значительные кол-ва тепла сравнительно с обычными способами нагрева путем погружения материала в нагретую или кипящую воду. Так, 30 кг трикотажной ткани можно отвариť при кипении, затратив всего 3 кет энергии. Рекомендуемая конц-ия реактивов (NaOH, NaOCl, NaCl, Na₂SO₄, (NH₄)₂CO₃) порядка 0,1%. Метод может быть применен для белины целлюлозных тканей, хлорирования шерсти и т. д.

Л. В.

66295 П. Способ обработки полиамидных волокон белищими или моющими составами, содержащими перекиси (Procédé de traitement des fibres de polyamides par des agents de blanchiment ou de lavage contenant des peroxydes) [Deutsche Gold- und Silber Anstalt vormals Ressler]. Франц. пат. 1094713, 24.05.55. [Teintex, 1955, 20, № 12, 995 (франц.)]

Способ обработки полиамидных волокон моющими или белищими в-вами состоит в проведении обычных операций мойки и белины в ванне, содержащей, кроме обычных реагентов, азотсодержащие органич. соединения или их соли, защищающие волокна от повреждений. Среди этих соединений можно указать содержащие ≥ 2 амино-, имино- или нитрильных групп, связанных углеводородной, преимущественно, насыщ. цепью, с содержанием ≤ 6 атомов С. Эта цепь может быть прервана гетероатомами и (или) циклич. насыщ. или ароматич. цепями. Одна из амино-, имино- или нитрильных групп может быть первичной, вторичной или третичной или входить в состав амидной или сульфамидной групп или азотсодержащего гетероцикла, а другая из этих групп в этом случае является первичной или вторичной. Таковы, напр. этилендиамин, тексаметилендиамин, N-карбоксиэтилендиамин, пиперазин, N,N'-диметилпарафенилендиамин, парааминобензолсульфамид и 2-метилбензимидазол.

О. С.

66296 П. Способ обезжиривания шерсти и извлечения шерстяного жира. Норман (Process for degreasing wool and recovery of wool grease. Norman Daniel P.) [Pacific Mills]. Пат. США 2723281, 8.11.55

Для извлечения шерстяного жира и пота из грязной шерсти ее экстрагируют хлористым метиленом; получаемый жидкий экстракт промывают водой, отделяют водн. фазу с содержанием потовых примесей от неводн. содержащей шерстяной жир.

А. М.

66297 П. жидкие органические вещества с повышенной электропроводностью (Substances organiques liquides de plus forte conductivité électrique) [N. V. de Bataafsche Petroleum Maatschappij]. Франц. пат.

1094667, 23.05.55 [Tintex, 1955, 20, № 12, 993, 995 (франц.)]

Новые органич. жидкие составы с повышенной электропроводностью пригодны главным образом для очистки текстильных изделий. Указанное свойство уменьшает аккумулялирование статич. электрич. зарядов на изделиях, что уменьшает опасность воспламенения. Эти составы содержат следующие в-ва: 1 — Одно или несколько таких органич. жидких соединений, в которых число атомов С в среднем ≤ 12 , а диэлектрич. постоянная смеси < 8 . 2 Смесь: а) соли многовалентного металла с мол. весом ≥ 200 , анион которой является, преимущественно, ароматич. карбоновой к-той (напр., диэнопропилисалцилат Са), б) второго соединения с мол. весом ≥ 200 и уд. проводимостью 0,1%-ного р-ра в бензоле $\geq 10^{-10}$; причем, если это соединение является солью, напр. пикратом тетраизоамилламмония, то его анион и катион отличны от таковых для соли (а). Соотношение соединений (а) и (б) таково, что увеличение электропроводности их смеси должно не менее чем в 5 раз превышать сумму увеличения электропроводности, вызываемого (а) и (б), при их раздельном применении. О. С.

66298 II Составы для замасливания и валки шерсти (Lubricating and fulling wool.) [E. F. Drew & Co. Inc.]. Австрал. пат. 162756, 26.05.55

Предлагаются: 1) устойчивая к к-там эмульсия для замасливания шерстных смесей, содержащая полиэтиленгликолевый моноэфир высшей жирной к-ты, ненасыщ. триглицерид высшей жирной к-ты и продукт конденсации этаноламина с жирными к-тами растительных или животных масел; 2) устойчивый к к-там валочный р-р, содержащий алкоксиполиэтиленгликолевый моноэфир высшей жирной к-ты. А. М.

66299 II Поверхностноактивные вещества. Нуселейн (Surface active media. Nusslein Joseph) [Metallgesellschaft, A.-G.]. Канад. пат. 512072, 19.04.55

Для валки шерсти предлагаются водн. р-ры проявляющих высокую поверхностную активность сложных эфиров фосфорной к-ты (моно- или диэфиры ортофосфорной к-ты или их смеси) без нейтр-ции или с частичной нейтр-цией до pH 1,7. А. М.

66300 II Способ снижения способности к свойлачиванию шерсти и других волокон животного происхождения. Холл, Вуд (Verfahren zur Herabsetzung des Verfilzens von Wolle od. dgl. tierischem Material. Hall Archibald John, Wood Frederick Charles [Tootal Broadhurst Lee Co. Ltd.]. Пат. ФРГ 936326, 7.12.55

Для снижения способности к свойлачиванию шерсти и других волокон животного происхождения, а также изделий из них предлагается обработка их смесью: а) щел. в-ва (со щелочностью выше, чем у аммиака); б) органич. р-рителя для щел. в-ва; в) смешивающегося с р-ром щел. в-ва и органич. р-рителе углеводорода, практически не растворяющего щел. в-ва; г) воды в кол-ве, не превосходящем предельно растворимого в реакционной смеси. В качестве щелочей и р-рителей применяют в-ва, описанные в пат. 932604 (РЖХим, 1956, 59457). В качестве не растворяющих щелочи углеводородов, содержание которых в смеси выше, чем органич. р-рителя, пригодны: керосин, гексан, бензин, хлорированные углеводороды, ароматич. или гидроароматич. углеводороды (толуол, тетрагидронафталин), пиридин, кетоны, сложные и простые эфиры, высшие спирты. Пример: шерсть обрабатывают 1 час без нагрева в смеси 90 ч. трихлорэтилена и 10 ч. р-ра 5,9 г NaOH в 100 мл метилового спирта и параллельно в аналогичных условиях, но без введения в смесь трихлорэтилена. Достижимый эффект уменьшения свойлачивания при промывке в первом случае выше, чем во втором. А. М.

66301 II. Снижение способности шерсти к усадке. Пеккем (Stabilizing wool against shrinkage. Pechkam Stockman C.) [E. I. du Pont de Nemours and Co.]. Канад. пат. 510700, 8.03.55

Для снижения способности шерстяных изделий к усадке в смеси, служащие для их выработки, вводят совместно с шерстью 15—40 вес.% штапельного акрилонитрильного волокна (содержание акрилонитрила 85%) или волокна из сополимера 95% акрилонитрила и 5% 2-винилпиридина (мол. вес сополимера 40 000—250 000). * А. М.

66302 II. Обработка текстильных изделий, снижающая их способность к усадке и свойлачиванию (Treatment of textiles to render the same highly resistant to shrinkage and felting.) [Holeproof Ltd.]. Австрал. пат. 164269, 4.08.55

Для снижения способности шерстяных и смешанных изделий к усадке и свойлачиванию предлагается обрабатывать их газообразным хлором до присоединения шерстью 0,2—1% хлора от ее веса. Далее проводится пропитывание этих изделий р-ром, содержащим 1—3,5% от их веса меланиноформальдегидной смолы, высушивание и термич. обработка. А. М.

66303 II. Способ крашения и подцветки высокополимерных соединений в водных растворах (Procédé pour la teinture et la coloration en bain aqueux des macromolécules) [Walbaum et Co.]. Франц. пат. 1077195, 4.11.54 [Tintex, 1955, 20, № 6, 495 (франц.)]

Для крашения и подцветки в водн. среде высокополимерных в-в (полихлорвинила, полиамидов, полистирола, полиэфиров, ацетилцеллюлозы) в виде волокон или нитей при t -ре $\leq 100^\circ$ применяют р-ры красителей для жиров с добавкой обладающих поверхностно-активными свойствами органич. соединений с содержанием > 10 атомов С (напр., продуктов конденсации окиси этилена с касторовым маслом, стеариновым или олеиновым спиртами, канифолью, стеариновой или олеиновой к-той, хлоридом гексадецилтриметиламмония и т. д.). Эти в-ва должны хотя бы частично растворяться в окрашиваемом высокомолекулярном в-ве. Л. Б.

66304 II. Способ и аппарат для обработки жидкостями пряжи и аналогичных материалов. Армстронг (Procédé et appareil pour le traitement de fils et de produits similaires par des liquides. Armstrong Luke) [Tootal Broadhurst Lee Co., Ltd.]. Франц. пат. 1094615, 23.05.55 [Tintex, 1955, 20, № 12, 993 (франц.)]

Способ непрерывной обработки жидкостями материала, находящегося в движении, напр., аппретирования тканей, шлихтования пряжи и крашения текстильных изделий, состоит в том, что их пропускают между двумя вращающимися валиками. Применяемая для обработки жидкость поступает в корыто, находящееся в углублении между валиками или в месте соприкосновения с одним или обоими валиками, причем валики не погружаются в расположенную под ними жидкость. Корыто может быть полностью образовано периферич. поверхностями валиков, или же частично также перегородками, имеющими форму углубления. Оно может быть образовано также периферич. поверхностью нижнего валика и дополнительного малого вспомогательного валика. О. С.

66305 II. Препарат для ускорения крашения волокон животного происхождения и метод его приготовления. Гуаско (Agent for dyeing animal fibres and method of making same. Guasco Luigi). Пат. США 2723262, 8.11.55

Для приготовления препарата, ускоряющего крашение волокон животного происхождения кислотными и кислотно-хромовыми красителями, шерсть (1 кг) нагревают в аппарате с обратными холодильником

45 мин. в присутствии метилсульфокислоты (96 г) и воды (10 л). Реакционную смесь охлаждают до т-ры помещения, прибавляют 205 г эфира метилборной к-ты, нейтрализуют р-р щелочью и выпаривают его под вакуумом. А. М.

66306 П. Крашение ацетатного волокна кубовыми красителями. Килби, Хиндл (Sound track recording. Kilby W., Hindle W. H.) [National Film Board]. Англ. пат. 716854, 13.10.54 [Dyer, 1955, 113, № 6, 451 (англ.)]

Предлагается метод крашения ацетатного волокна кубовыми или сернистыми красителями с применением щелочи и восстановителя при 80—100°. Для облегчения пропитки и выравнивания можно вводить в ванну вспомогательные в-ва, а также в-ва для набухания волокна. Опасность омыления ацетатного волокна щелочью устраняется в связи с малой длительностью ее действия. Пример: Трикотажную ткань окрашивают 6 сек. при 90° в водн. р-ре, содержащем краситель, NaOH, Na₂S₂O₄ и вспомогательное в-во (кальсолен ойл XC). Крашение можно проводить в аппарате с расплавленным металлом. З. П.

66307 П. Способ повышения прочности окраски эфиров целлюлозы к отходящим газам (Verfahren zur Verbesserung der Abgasechtheit von gefärbten Celluloseestern und -äthern) [Badische Anilin- & Soda-Fabrik Akt.-Ges.]. Пат. ФРГ 928402, 31.05.55

В развитие пат. 925042 (РЖХим, 1956, 59454) предлагается способ повышения прочности окраски простых и сложных эфиров целлюлозы к отходящим газам, обработкой до, во время или после крашения или печатания растворимыми в воде продуктами взаимодействия алифатич. нитрилов, содержащих в молекуле ≥ 1 первичной или вторичной аминогруппы, с альдегидами, особенно с формальдегидом (I), и бисульфитами, напр. NaHSO₃ (II). Пример: 100 г ткани из ацетатного волокна окрашивают в р-ре, содержащем в 2 л воды 0,3 г диспергированного 1,4-диаминоантрахинона и 1 г продукта р-ции 1 мол. 4,4'-диаминодиклогексилметан-N, N'-дипропионитрила (III) с 2 мол. I и 2 мол. II; получаемая фиолетовая окраска очень прочна к отходящим газам. Приведены также примеры крашения с использованием продуктов р-ции I и II с 2,2-(4,4'-диаминодиклогексил)-пропан-N, N'-дипропионитрилом; 1,2-(4,4'-диаминодиклогексил)-этан-N, N'-дипропионитрилом; со смесями 2 мол. III и 1 мол. циклогексиламинпропионитрила (IV); 2 мол. III и метил — IV, III и β-(N-этиламино)-пропионитрила; 1 мол. N-метиламинопропионитрила и 2 мол. III, при применении в качестве красителей 1,4-ди-(метиламино)-антрахинона; 1, 4, 5, 8-тетрааминоантрахинона; 1-амино-2-метил-4-оксантрахинона и 1, 4, 5-триаминоантрахинона. Ю. В.

66308 П. Способ и аппарат для крашения и других процессов обработки текстильных изделий с применением расплавленного металла. Ханней, Килби (Process and apparatus for dyeing or performing related processes upon textiles using molten metal. Hannay Robert Stewart Erskine, Kilby William). Пат. США 2693995, 9.11.54

Рабочий р-р (р-р красителя) помещают в виде слоя жидкости над расплавленным металлом. Текстильный материал бесконечной длины пропитывают при пропуске через указанный р-р и, без доступа воздуха, пропускают через расплавленный металл. Ткань при этом подвергается равномерному отжигу, р-р проникает вглубь ткани, что способствует протеканию хим. р-ций. Т-ра плавления металла должна быть ≤ 100° и ниже т-ры кипения рабочего р-ра. Приведена схема аппарата. З. П.

66309 П. Способ крашения и печатания текстильных материалов. Миллер (Ornamentation of textile materials. Miller William S.) [The Calico Printers Association Ltd]. Канад. пат. 509219, 18.01.55

Для крашения текстильных целлюлозных материалов готовят водн. р-р смеси основного красителя и соли щел. металла лакообразующей неорганич. к-ты (фосфорной, мышьяковой или кремневой) и комплексобразующей к-ты (молибденовой или вольфрамовой). Добавкой щелочи и неорганич. буферной соли устанавливают и поддерживают в р-ре pH 5—12,5, что предотвращает осаждение лака. После крашения ванну подкисляют водн. р-ром или парами HCOOH для осаждения лака внутри волокон. Для получения печатной краски к описанному р-ру добавляют загуститель и гигроскопич. в-во. После печатания, сушки, запаривания проводят обработку HCOOH. О. С.

66310 П. Способ печатания тканей (Procédé pour l'impression de tissus) [Star Stampa Tessuti Artistici S. p. A.]. Франц. пат. 1093871, 10.05.55 [Bull. Inst. text. France, 1955, № 56, 164 (франц.)]

Разработан способ одноцветной или многоцветной печати, при котором наложенная окраска не сдвигается относительно рисунка, независимо от движения ткани в продольном или поперечном направлении, которому она может подвергнуться при обработке. По этому способу сначала печатают по одному из обычных типографских способов печати (литографской, офсетной и др.) на недеформируемой подкладке обычными печатными красками или р-рами, с содержанием также намечаемых к применению красителей. Чтобы облегчить последующий переход красителя на ткань, на подкладку предварительно наносят состав, содержащий, напр. парафин, канифоль, полисульфорицинолеат Na, стеарат Zn, или же марсельское мыло, стеарат Zn, мыло «Монополь», воду. Затем на подготовленной подкладке печатают рисунок. В случае офсетной печати в состав печатной краски вводят толудол, «Альбертол», вазелиновое масло, полисульфорицинолеат Na. Для перевода печати с подкладки на ткань их пропускают совместно между отжимными валами. Предварительно ткань пропитывают способствующими последующему проявлению окраски в-вами на обычном оборудовании. О. С.

66311 П. Обработка пряжи, содержащей кератиновые волокна. Пауэрс, Козн (Treatment of yarns comprising keratinous fibers. Powers Donald H., Cohen Oscar P.) (Monsanto Chemical Co.). Пат. США 2723213, 8.11.55

Для фиксирования крутки пряжи, содержащей кератиновые волокна, ее погружают на период < 10 мин. в водн. р-р: 1) водорастворимого продукта частичной конденсации метилированного метилолмеламмина и 2) органич. меркаптосоединения, растворимого или диспергируемого в воде (меркапто-алифатич. моно- или полисульфонные спирты, меркапто-алифатич. карбоновые к-ты и их соли). Следует предусмотреть нанесение на пряжу производного меламмина в кол-ве 5—20% от ее веса и меркаптосоединения (5—50% от веса первого продукта). Затем пряжу подвергают сушке и термич. обработке. А. М.

66312 П. Способ придания тканям водоупорности. Коллинг (Procédé pour rendre les tissus hydrofuges. Collings William R.) [Dow Corning Corp.]. Франц. пат. 1097096, 29.06.55 [Teintex, 1956, 21, № 2, 157 (франц.)]

Для придания водоупорности ткани из целлюлозных волокон: 1) замачивают в воде, 2) обрабатывают способными гидролизиться силинами, щел. солями органич. силанолов или силосанов, содержащими на 1 атом Si 1—2,5 углеводородных (напр. метиловых)

радикала, применяемыми в виде р-ров, эмульсий или паров; 3) подвергают механич. обработке для усадки; 4) нагревают при $t\text{-ре} > 38^\circ$.

66313 П. Способ улучшения свойств текстильных волокон пропиткой силиконами. Карре (Procédé pour le renforcement, l'enrichissement et l'augmentation des qualités textiles des fibres de toutes natures par imprégnations siliconiques. Carré J.). Франц. пат. 1089817, 22.03.55 [Bull. Inst. text. France, 1955, № 56, 171 (франц.)]

Способ придания текстильным волокнам свойств износостойчивости и водоупорности при сохранении воздухопроницаемости состоит в пропитке их арилсиликоновыми или алкиларилсиликоновыми производными в присутствии или в отсутствие других в-в. Одновременно вводят внутрь волокон органосилициевые производные с силикоуглеродной, галоидосилициевой или сульфосилициевой цепью. Фиксирование одного или нескольких составляющих смеси может происходить путем полимеризации на волокне, конденсации или изменения pH или гН ванны. Силиконовая смесь может быть в форме либо эмульсии типа «масло в воде» или «вода в масле», либо р-ра в жидкости с равной плотностью. Обе обработки можно производить также последовательно одну за другой.

66314 П. Способ обработки текстильных изделий из гидратцеллюлозных волокон (Verfahren zur Behandlung von Textilstoffen insbesondere aus regenerierter Cellulose) [Cluett, Peabody & Co., Inc.]. Пат. FRG 930746, 25.07.55

Для придания изделиям из гидратцеллюлозных волокон несминаемости, прочной извитости, повышенного сопротивления истиранию, безусадочности их обрабатывают в кислой среде 1,12—7,5%-ным водн. р-ром глиоксала в присутствии катализатора при pH 1—3 с последующим отжимом и нагреванием при $t\text{-ре} \geq 100^\circ$. Для придания ткани большей устойчивости к стирке к р-ру глиоксала добавляют $< 1\%$ поливинилового спирта. В качестве катализатора применяют летучее соединение, повышающее кислотность среды при нагревании, напр. 0,1—2,0%-ный р-р шавелевой к-ты. В качестве добавки можно применять также соли Al. При этом: ткань из вискозного волокна обрабатывают р-ром, содержащим в 1 л 120 мл 30%-ного р-ра глиоксала и 15 г шавелевой к-ты (pH 1,25). После 10 сек. пропитки ткань отжимают до остаточного содержания 130% р-ра от ее веса и сушат на шпательной при 120° до первоначального веса. Затем следуют термич. обработка (5 мин. при 140°), промывка и сушка в свободном состоянии. Обработанная ткань после 5 стирок усаживается на $< 1\%$. При добавлении к р-ру глиоксала 1% поливинилового спирта в кислой среде на ткани образуется защитная водонерастворимая пленка, не ухудшающая мягкости.

66315 П. Состав для пропитки текстильных и фетровых изделий. Гинье (Composition pour l'imprégnation des matières fibreuses et poreuses notamment des feutres et des textiles. Guinet E. A.). Франц. пат. 1097454, 6.07.55 [Teintex, 1956, 21, № 2, 157 (франц.)]

Для придания текстильным и фетровым изделиям водоупорности, повышения их звукоизолирующих свойств и сопротивления коррозии и истиранию применяют состав, содержащий воду; смачиватель (сульфированные спирты и др.); умягчающее в-во (растворимое масло); фиксирующее в-во (TiO_2); силикат в соотношениях, изменяемых в зависимости от требуемых свойств изделия.

66316 П. Ткань, защищенная серебром, и способ ее изготовления. Ренолд (Silver protecting cloth and process of making the same. Renold A. D. O. L. P. H.)

[Bates Manufacturing Co.]. Пат. США 2701238, 1.02.55

Для получения ткани, защищенной серебром, меняют состав из водонерастворимого соединения Ag, реагирующего с H_2S , и твердого наполнителя типа крахмала, а также модифицированного или частично расплывленного крахмала. Вводится $> 0,5$ ч. наполнителя на 1 ч. соединения серебра, но с тем, чтобы избыток наполнителя не привел бы к отсутствию взаимодействия соединения Ag с H_2S после осаждения на ткани. Соединения Ag и наполнитель размалывают и диспергируют вместе в виде тонкой суспензии в высушающем масле (1 ч. соединения серебра на $> 0,5$ ч. масла). Указанный состав не должен содержать водорастворимых солей.

66317 П. Пропитанная смолой найлоновая ткань с высокой прочностью и способ ее изготовления. Пейнтер, Фризоли (High tear strength resin-coated nylon fabric and method of making the same. Painter Earle V., Frisoli Leonard D.). [Fabric Research Lab., Inc.]. Пат. США 2702764, 22.02.55

Водоупорную ткань с содержанием полиамидных волокон пропитывают каучуком и поливиниловыми смолами с разбавителем. Смола образует на поверхности ткани сплошной, непроницаемый слой, а разбавитель способствует уменьшению коэфф. трения между волокнами, нитями, а также между тканью и нанесенным слоем, обеспечивая ткани высокое сопротивление к истиранию.

66318 П. Усовершенствованный способ аппретирования тканей. Дефонте (Perfectionnements apportés aux procédés d'apprêtage de tissus. Defontenay P. A.). Франц. пат. 1093481, 5.05.55 [Bull. Inst. text. France, 1955, № 56, 172 (франц.)]

Для аппретирования тканей из хлопка, вискозного штапельного и стеклянного волокна, в частности, предназначенных для нанесения на них абразивов, их обрабатывают р-ром Na_2SiO_3 или K_2SiO_3 в присутствии CaCO_3 с добавкой красителей, пластификаторов, фунгицидов и др. Напр., применяют состав, содержащий в необходимых соотношениях Na_2SiO_3 , воду, CaCO_3 , TiO_2 , CH_2O и бутилфталат. Обработку производят на пропиточных машинах с раклями, щетками, валами или путем погружения в р-р на холоду с последующей сушкой при несколько повышенной $t\text{-ре}$. После сушки ткань обрабатывают наждаком, что придает ей бархатистость.

66319 П. Способ и оборудование для обработки тканей растворами смол, способных конденсироваться или полимеризоваться при нагревании (Verfahren und Vorrichtung zum Veredeln von Gewebestoffen unter Tränken der Bahn mit in der Wärme kondensierenden bzw. polymerisierenden Flottenbestandteilen) [Fa. A. Monforts.]. Пат. FRG 928708, 10.06.55

Обычно при обработке тканей р-рами смол, способных конденсироваться при нагревании, проводимой для снижения сминаемости и способности к усадке, одновременно повышается жесткость ткани и снижается ее сопротивление истиранию. Чтобы этого избежать, предлагается ткань после пропитки р-ром продукта частичной конденсации смолы нагревать не до полного завершения процесса конденсации, а, прервав конденсацию, подвергнуть увлажнению, замачиванию или запарке и после этого вновь применить нагрев в мягких условиях. В результате неполного завершения процесса конденсации смол на ткани последние не теряют своей эластичности, и прочность к истиранию не снижается. Вторичное увлажнение или орошение ткани производят непрерывно, причем к воде добавляют смачиватель и жиросодержащие эмульсии. После увлажнения, орошения или запарки ткани она проходит

через каландр с сукном. Разработана также схема аппаратного оформления процесса.

А. П. 66320 П. Способ получения устойчивых местных гофрированных эффектов (Procédé pour la préparation d'effets de gaufrage locaux pour la préparation d'effets de gaufrage locaux permanents et produits conformes à ceux obtenus) [Heberlein & Co. Akt-Ges]. Франц. пат. 1091335, 9.04.55 [Bull. Inst. text. France, 1955, № 56, 171—172 (франц.)]

Устойчивые местные гофрированные эффекты рядом с неизменными гладкими участками получают путем нанесения, согласно рисунку, перед гофрированием прекоденсата синтетич. смолы с последующей термич. обработкой гофрированной ткани. После промывки ткань обрабатывают р-ром нейтр. или щел. в-ва, вызывающего набухание (NaOH 10—15%-ным, разб. р-ром K_2CO_3 или ZnCl_2 , или $\text{Ca}(\text{CNS})_2$), но не вызывающего усадки или пергаментизации. Местный гофрированный эффект может быть получен либо печатанием по рисунку перед гофрированием прекоденсатом синтетич. смолы, либо пропитыванием всей ткани этим в-вом при резервировании соответствующих участков в-вами, препятствующими конденсации смолы. Можно использовать прекоденсаты CH_2O с мочевиной, тиомочевиной, ацетилендиурени и его производные и т. д. К этим смолам могут быть добавлены красители, пигменты или соединения, их образующие.

О. С. 66321 П. Усовершенствование тканых изделий. (Perfectionnements apportés aux articles du genre des tissus) [Ets. Georges Risler]. Франц. пат. 1090699, 1.04.55 [Bull. Inst. text. France, 1955, № 56, 173 (франц.)]

Для получения муаровых и переливающихся эффектов накладывают друг на друга 2 или несколько тканей, из которых, по крайней мере, одна прозрачна. На каждую из этих тканей предварительно в качестве или путем печатания нанесен рисунок. Совмещение рисунков при наложении тканей и создает различные эффекты. Эти изделия отличаются тем, что они состоят не менее, чем из 2 тканей, свободно соприкасающихся между собою. Получаемый муаровый эффект постоянно изменяется при изменении относительного положения обеих тканей, а также при изменении их положения по отношению к наблюдателю. Предусматривается также возможность использования тканей с цветными рисунками.

О. С. 66322 П. Способ производства текстильных материалов со сплошной поверхностью из элементарных волокон без применения прядения и ткачества. **Ч е р и н и** (Procédé pour la fabrication de produits textiles à surface continue, par des agglomérés de fibres élémentaires, sans filage, ni tissage. Cerini L.). Франц. пат. 1093232, 2.05.55 [Bull. Inst. text. France, 1955, № 56, 175—176 (франц.)]

Для произ-ва нетканых текстильных материалов односторонних или двусторонних из волокон шелка-сырца, отбеленных или окрашенных, с попеременным чередованием волокон и окрасок, непрерывный холст из волокон пропитывают на машине с отжимными валами жидкостью, содержащей определенное кол-во латекса в присутствии вспомогательных в-в. Обработку проводят в одной или нескольких ваннах. В первом случае к составу, содержащему необходимое кол-во латекса, добавляют р-р метилцеллюлозы и крахмала, затем арилалкилсульфат и казеин. После этого вводят водн. пасту из ZnO , серы и органич. ускорителя, затем тальк и мел. В случае обработки в двух последовательных ваннах в первую ванну того же объема вносят $\sim 1/3$ 1-го весу вышеуказанных продуктов, но без серы и ускорителя, а во 2-ю ванну — остальные $2/3$, а также серу и ускоритель. Перед обработкой во 2-й ванне материал сушат.

О. С.

66323 П. Способ получения изделий типа ковров, мебельного плюша и др. (Procédé pour la fabrication d'objets imitant des tapis, moquettes et articles analogues) [Bolyvel]. Франц. пат. 1081611, 21.12.54 [Ind. text, 1955, № 819, 141 (франц.)]

Для получения дешевых изделий типа ковров, мебельного плюша и др., обладающих высокой прочностью и гибкостью, приклеивают с помощью подходящего клеящего в-ва волоконца вискозы или других волокон на поверхность картона, битуминированного картона, бумаги, ткани, виниловой пленки и др. В качестве клеящего в-ва применяют водн. эмульсию смолы, полимеризуемой при 120—140°, либо клей на основе неопрена или синтетич. каучука, полимеризуемого в присутствии вулканизатора и выдерживающего т-ру 80—110°, напр., водн. эмульсии виниловой смолы со смолами типа эпокси или смолы на основе бутадиена или неопрена. Лист картона, нагнутого на цилиндр, разворачивают с равномерной скоростью, намазывая на него клей с помощью ракля; а затем пропускают под вращающимся ситом, выбрасывающим волоконца вискозы, придавая им желаемое направление. Далее сушат при 80—140° в зависимости от разновидностей клея. Неприклеенные волокна сдуваются действием вытяжного вентилятора.

О. С.

См. также: Определение силиконов в текстиле 65385. Гвилостойкие ткани 65637. Структура шерстяных волокон 19565Бх. Сточные воды 65930. История 64070.

ВЗРЫВЧАТЫЕ ВЕЩЕСТВА. ПИРОТЕХНИЧЕСКИЕ СОСТАВЫ

66324 П. Способ получения нечувствительных к толчку и удару прессованных зарядов циклотриметилентриаминна. **Ш п у р р** (Verfahren zur Herstellung von stoß- und schlagunempfindlichen Preßlingen aus Cyclotrimethylentrinitramin. Sch-n u r r W a l t h e r) [Dynamit-Actien-Gesellschaft vormals Alfred Nobel & Co.]. Пат. ФРГ 768084, 16.06.55

К циклотриметилентриамину (гексогену) добавляют до 30% порошкообразного алюминия и до 10% какого-либо флегматизатора, напр., монта-воска или продукта хлорирования нафталина. Выпрессованные из таких смесей заряды обладают не только пониженной чувствительностью к механич. воздействиям, но и большей плотностью и повышенной работоспособностью (плотность 1,72—1,76, вместо 1,70 для чистого гексогена, расширение в бомбе Траупца 505—550 cm^3 вместо 170 cm^3 для чистого гексогена).

М. Ф.

66325 П. Несветящийся воспламеняющий состав. **Хейскелл** (Dark burning igniter composition. Heiskell Raymond H.). Пат. США 2716599, 30.08.55

Композиция высокостабильного несветящегося воспламенителя включает 45—85% трехокси висмута, 15—55% MnO_2 и до 10% связующего или смазочного материала.

Г. М.

ЛЕКАРСТВЕННЫЕ ВЕЩЕСТВА. ВИТАМИНЫ. АНТИБИОТИКИ

66326. Силиконы в медицине и фармации. **Левин** (The silicones in medicine and pharmacy. Levin Ronald), Manufact. Chemist, 1955, 26, № 4, 157—160 (англ.)

Силиконы применяются как основа или составная часть в мазях, кремах, эмульсиях, линиментах для

лечения кожных заболеваний; для покрытия таблеток, пилюль и капсул с целью защиты их от влаги и кислорода воздуха; для обработки стенок стеклянной посуды, что уменьшает их смачиваемость водой и др.

И. Г.

66327. Влияние содержания бора в «нейтральных» стеклах. I. Карреро (Eine Auswirkung des Bor-Gehaltes von «Neutral»-Glas. I. Mitteilung. S. Carro J. Gonzalez), Pharmaz. acta helv., 1955, 30, № 3, 81—92 (нем.; рез. франц., итал.)

Автор указывает на то, что знания состава и вопросов испытания применяемого в фармацевтике. практике стекла абсолютно неудовлетворительны, и показывает это на примере отдачи соединений бора (I) р-рам глюконата кальция и глицерина. Содержащие всегда силикаты I, бедные щелочью стекла, в зависимости от продолжительности кипячения и от т-ры, отдают вышеупомянутым р-рам различные кол-ва соединений I, причем р-ция р-ров сдвигается в сторону кислот. Л. М.

66328. Экстракция растворителями в фармацевтической промышленности. Дофен (L'extraction par solvants dans l'industrie pharmaceutique. Dauphin J.), Prod. pharm., 1955, 10, № 1, 25—33; № 2, 98—106 (франц.)

Рассматриваются разнообразные виды экстракции антибиотиков, витаминов, глюкозидов, а также солей редких и расщепляющихся элементов. Дается математическая обработка процессов экстракции и описание новейшей непрерывно действующей аппаратуры: колонны Шейбеля, экстрактора Подбельяка, экстрактора Лувеста, а также теоретич. разбор их работы.

О. М.

66329. Аппаратура для крупных и мелких фармацевтических производств, вспомогательные средства и инструменты. 34. Мембранный фильтрующий слой «Шлейхер и Шюль», тип CM 1121 для стерильного фильтрования. Бютикофер, Мюнцель (Pharmazeutische Groß- und Kleinapparaturen, Hilfsmittel und Utensilien. 34. Die Membranfilterschichten «Schleicher und Schüll» Typ CM 1121 zur Keimfiltration. Bütikofer, E., Münzel K.), Schweiz. Apoth.-Ztg., 1954, 92, № 23, 437—441 (нем.)

Установлено, что данный фильтр позволяет получать фильтраты, не содержащие волокон; в нем не обнаруживаются тяжелые металлы или какие-либо другие в-ва; pH фильтрата не меняется по сравнению с нефилтрованным р-ром; фильтр позволяет осуществлять стерильную фильтрацию в присутствии спор микроорганизмов. Часть 33 см. РЖХим, 1956, 1996. Л. М.

66330. Данные о действии света на лекарственные средства. Давид (Adatok a fény gyógyszerkészítéskorolt hatásához. Dávid Agoston), Gyógyszerész, 1955, 10, № 6, 110—112 (венг.)

Исследовалось окисление кислородом Fe^{2+} -(I) и J^- -(II) ионов и глюкозы (III) активированное освещением угольной дугой (Д), 10 час. 7—10° и кварцевой лампой (К). 1 час, 20°. Освещение Д не влияло на конц-ии I, II и III; освещение К приводило к заметным изменениям конц-ий исследуемых в-в, при чем отмечено образование из III глюконовой кислоты. Г. Ю.

66331. Вопросы совместимости новейших лекарственных препаратов. Кнабе (Inkompatibilitäten neuerer Arzneimittel. Knabe Joachim), Arch. Pharmazie, 1955, 288/60, № 4, Dtsch. pharmaz. Ges., 62—66 (нем.)

Рассматриваются свойства некоторых новейших препаратов, затрудняющие применение их в смесях, вызванные щел. или кислотным характером препарата, его окисляющим или восстанавливающим действием и т. п.

О. М.

66332. Вкусовые вещества. Применение их в лекарственных средствах. Этчелс (Flavouring agents.

Their use in the dispensing of medicines. Etchells D.), Chemist and Druggist, 1955, 163, № 3919, 376, 379 (англ.)

Рассмотрены вопросы зависимости вкуса от хим. строения и применение вкусовых и душистых в-в при приготовлении лекарств; приведено несколько примеров рецептов этого рода.

В. У.

66333. Молекулярные соединения сульфпрепаратов. Найто, Сиран, Ода (サルファ剤の分子化合物について. 内藤多喜夫, 白井秀明, 織田龍一), 名古屋市立大学薬紀要, Нагоя-сирицу дайгаку якугаку — буки, Bull. Nagoya Univ. Pharm. School., 1953, № 1, 51—54 (япон.; рез. англ.)

Образование комплексных соединений было установлено между гомосульфамином и сульфадетамидом, сульфатиазолом, фенилсульфатиазолом, сульфадиазином, ирафеном и сульфазоксазолом, а также между диаминодифенилсульфоном и сульфанилитиниомочевинной. Указанные соединения получают в виде кристаллов из соответствующих р-рителей и их растворимость оказалась гораздо выше, чем исходных сульфпрепаратов.

Л. М.

66334. Соли гексаметилен-бис-диметилсульфония, обладающие ганглиоплегической активностью. Д'Амико, Джуджолли-Бузакка (Sali di esametilenebis-dimetilsolfonio ad attivita' ganglioplegica. D'Amico A., Giuggioli Busacca C.), Farmaco. Ed. scient., 1955, 10, № 4, 192—196 (итал.; рез. англ.)

Приведено получение бромистого и подистого гексаметилен-бис-диметилсульфония общепринятыми методами, но с усовершенствованиями, позволяющими применять их в области пром.-сти. Полученные соединения обнаружили ганглиоплегич. активность и низкую токсичность.

Л. М.

66335. Разделение некоторых алкалоидов хроматографированием на бумаге. Каронна, Бруно (Saggi cromatografici su carta di alcuni alcaloidi. Caronna G., Bruno S.), Farmaco. Ed. scient., 1955, 10, № 8, 497—501 (итал.; рез. англ.)

Были использованы водн. р-ры нескольких оснований в различных конц-ях, а именно: аммиака, метил- и этиламина. Отмечено, что хроматограммы стрихнина, атропина, кокаина, героина, бруцина, морфина, хинина, дионина, хинидина, цинхонина, кававерина, никотина, кодеина вполне пригодны для определения RF. Проведенным сравнением RF, полученных восходящим методом и методом вращающегося круга, установлено, что последний дает более высокие цифры, как это уже отмечалось ранее, при разделении неорганич. в-в хроматографич. методом.

Л. М.

66336. Определение происхождения опиума. Часть I. По составу золы. Бартлет, Фармилло (The determination of the origin of opium. Part I. By means of the composition of the ash. Bartlett J. C., Farmilo C. G.), Canad. J. Technol., 1955, 33, № 3, 134—151 (англ.)

Разработан способ определения происхождения и случаев фальсификации опиума по составу золы. Кол-во К, Са и Na определяют фотометрически, фосфат — способом молибденовой сини, SiO_2 , Fe, Al, Ti, Mg, V, Mn, Mo, Cu, Sn и Pb определяют спектрографически. Описано применение метода к 102 образцам. Опиум различных географич. районов отличается характерными свойствами в указанном отношении. См. также РЖХим, 1956, 20553.

Л. М.

66337. Примеси хинных алкалоидов в хлоридате хинина. Дафф (Other cinchona alkaloids in quinine HCl. Duff D. J.), Pharm. J., 1955, 174, № 4777, 410 (англ.)

Определение примесей других алкалоидов хинной корки в хлоридате хинина, описанное в Британской

Фармакопее, ненадежно и сложно. Разработан способ, основанный на применении миним. кол-ва сульфата Na для превращения хлоргидрата хинина в сульфат (на 1 г хлоргидрата берется 0,210 г безводн. измельченного Na_2SO_4). О. М. 66338.

Определение хинина в хинином аперитиве методом хроматографии на бумаге. Бонастр (Evaluation de la quinine des quinquinas apéritifs par chromatographie sur papier. Bonastre Jean), Ann. falsific. et fraudes, 1955, 48, № 555, 109—113 (франц.)

Для отделения минер. солей, танина и пр. мешающих хроматографич. определению хинина (I), аперитив (25—50 мл) после прибавления 2,5—5 мл н. NaOH экстрагируют эфиром. Эфир упаривают, остаток растворяют в 5%-ной CH_3COOH и доводят объем точно до 2,5 мл. Хроматограмму проявляют реактивом Драггендорфа. Эталонным служит 0,1%-ный р-р I в 5%-ной CH_3COOH . Граница применения метода 2,5—20 γ хинина. А. Т. 66339.

Устойчивость растворов хлоргидрата морфина для инъекций. Молнар (Stabilita morfinhydrochloridovych injekcii. Molnár Ladislav), Farmácia, 1955, 24, № 5, 131—139 (словацк.; рез. русск., нем.)

Исследованы различные факторы: влияние ампульного стекла, pH, различных стабилизаторов и присутствие тяжелых металлов на стойкость р-ров хлоргидрата морфина для инъекций. Полученные результаты представлены в таблицах. Лучшей стабилизацией является прибавление 0,2% NaHSO_3 и наполнение ампул в среде CO_2 . В. У. 66340.

К определению морфина. Хун (Notiz zur Morphinbestimmung. Huhn W.), Pharmazie, 1955, 10, № 4, 243 (нем.)

Проверка бромометрич. способа Зыка для колич. определения морфина (I) (см. РЖХим, 1956, 55902), показала его неточность. Так, 10,5 мг хлоргидрата I [т. пл. 303°, эвентикт. т-ра с дициандиамидом 174—176° (неиспр.)] потребовали при 3-кратном титровании 2,08; 1,26 и 1,91 мл 0,1 н. р-ра Br_2 , что соответствует 11,8—19,5 мг хлоргидрата I. Поэтому автор рекомендует пользоваться методом, дающим точные результаты, при незначительной затрате времени, и состоящим в получении по Маннху эфира из I и 1-хлор-2,4-динитробензола с последующим титрованием продукта р-ции. Н. Г. 66341.

Рацемизация l-гносциаммина. Розенблум, Тейлор (The racemisation of laevo-hyoscyamine. Rosenblum E. J., Taylor W. S.), J. Pharmacy and Pharmacol., 1955, 7, № 5, 328—333 (англ.)

При всех опытах рацемизации l-гносциаммина максим. выход атропина не превышал 92%. Остальное — троповая к-та, тропин, апоатропин, белладонин. Скорость рацемизации возрастает с повышением т-ры и конц-ии щелочи. Этилат Na в этаноле дает больший эффект, чем NaOH. Ауторацемизация протекает в алко-гольных р-рах и при отсутствии оснований. Она ускоряется с повышением т-ры и полярности р-рителя. Никакой рацемизации не наблюдается при нагревании в неполярных р-рителях. Неотделимо от рацемизации происходит гидролиз или алкоглиз в тропин и троповую к-ту и дегидратация в апоатропин. О. М. 66342.

Данные к определению алкалоидов спорыньи раствором n-толуолсульфокислоты в хлороформе. Дьенеш (Adatok az anyarozsalkaloidok meghatározásához kloroformos p-toluolszulfosavval. Gyenes István), Magyar kém. folyóirat, 1955, 61, № 3, 89—90 (венг.; рез. англ.)

Определяют содержание оснований в кристаллич. соединений алкалоидов спорыньи (I) (напр., эрготоксинбензол (II), эргокристинацетон (III), которые применя-

ются в качестве стандартов при флюорометрич. определении I. Навеску 20—40 мг чистых кристаллич. соединений растворяют в х. ч., сухом и свободном от спирта CHCl_3 , содержащем 1 об.% петр.-эфира (точно 50 мл р-ра). 5—20 мл р-ра титруют 0,001—0,005 н. n-толуолсульфокислоты (IV) в CHCl_3 ; индикатор — 1—3 капли 0,1%-ного р-ра диметиламиноазобензола в CHCl_3 . 1 мл 0,005 н. IV соответствует 0,005 мэкв однокислотного основания. Среднее содержание основания в II 78—79%; в III 90,6—92,1%. Мол. вес. эрготоксина взят по Мольнару и Ушкепту (Molnar I., Uskert A., Magyar kém. folyóirat, 1950, 56, 230). Аналогично определяют содержание оснований в эрготоксинацетоне, эрготаминбензоле и сенсибаминбензоле. И. А. 66343.

К методике максимального извлечения каротина из моркови. Ноженко А. А., Изв. АН ЛатвССР, 1955, № 4, 93—94

Каротин (I) извлекают из выжимок моркови (после отделения сока) путем разрушения растительных клеток механич. воздействием в аппарате в присутствии органич. р-рителя. Р-ритель, в который переходит освобожденный I, каждые 15 мин. удаляют и заменяют свежей порцией. За 45 мин. удается извлечь 82,1—99,2% I содержащегося в выжимках. И. Г. 66344.

Получение концентратов каротина из моркови. Яницкий, Новаковский (Produkce koncentrátů karotenových z marchwi. Janicki J., Nowakowski K.), Przem. spożywczy, 1955, 9, № 7, 283—287 (польск.; рез. русск., англ.)

Испытаны два способа сушки моркови; потери каротина по одному из них равнялись 38,4%, по другому 11,9%. Исследована возможность извлечения каротина рапсовым маслом из сушеной моркови; наиболее высокие выходы каротина по отношению к содержанию его в свежей моркови составили 33,9%, при конц-ии каротина в масляном концентрате 38,55 мг%. Исследовано влияние способа измельчения моркови на выходы каротина, извлеченного из сока раздробленной моркови. При механич. измельчении моркови выходы каротина 38,3%; при действии пектилитич. препарата на измельченную морковь получен выход каротина 40,3%; при спиртовом брожении измельченной моркови выход каротина до 55,0%. Исследовано экстрагирование каротина рапсовым маслом из белково-каротинового коагулята: масляные концентраты содержали 178,5—185,4 мг% каротина, степень извлечения каротина из коагулята составила 87—88%. В. У. 66345.

Бисфенольные производные в качестве антиоксидантов для каротина. Быков, Ливингстон, Томпсон (Bisphenol derivatives as antioxidants for carotene. Bickoff E. M., Livingston A. L., Thompson C. R.), J. Amer. Oil Chemists' Soc., 1955, 32, № 2, 64—68 (англ.)

Антиоксидирующее действие бисфенол-производных для указанных целей испытано по методу определения устойчивости каротина (I) в р-ре минер. масла (определяется время, в течение которого разрушается 20% I при 75°) и устойчивости I в муке альфа-льфа. Последний, простой и быстрый метод заключается в следующем: р-ром исследуемого антиоксиданта в момометиловом эфире этиленгликоля опрыскивают пробу 200 г муки альфа-льфа и перемешивают со скоростью 12 об/мин. во вращающемся смесителе, после чего выдерживают 2 недели при 65°. Получаемые результаты сопоставимы с результатами хранения ее в течение ∞ 8 мес при 25°. Испытание 42 бисфенол-производных показало, что наиболее активными в-ми являются: 2,2'-метилен-бис-(6-тет-бутил-4-метилфенол), 2,6-бис-(3'-тет-бутил-2'-окси-5'-метилбензил)-4-метилфенол, 2,2'-н-бутилен-бис-(6-тет-бутил-4-метилфенол), 2,2'-метилен-бис-(4,6-диметилфенол), 3,3'-ди-тет-бутил-2,2-диокси-5,5'-диметилфенилсульфид, 2,2'-метилен-бис-(4-метил-6-тет-

октилфенол), 2,2'-метил-бис-(6-*т*-мет-бутил-4-этилфенол), 2,2'-этилен-бис-(4,6-диметилфенол), 2,2'-изобутилен-бис-(6-*т*-мет-бутил-4-метилфенол) и 2,2'-этилен-бис-(6-*т*-мет-бутил-4-метилфенол). Установлены некоторые зависимости между строением и активностью антиоксидантов. Замещение алкильными группами в орто- и пара-положениях к оксигруппе повышает стабилизирующую активность изученных в-в. Высокой активностью обладают бисфенолы, связанные через метиленовую группу или S, в особенности в орто-, орто'-положениях к оксигруппам. Некоторые наиболее сильные при испытании в минерал. масле антиоксиданты оказались активными и при испытании в муке альфа-лакта.

В. У.

66346. Получение пенициллина при помощи экстракционных аппаратов Лувеста. Эйзенлохр, Шарлау (Über die Gewinnung von Penicillin mit Luwesta-Extraktoren. Eisenlohr H., Scharlau A.), Pharmaz. Ind., 1955, 17, № 5, 207—210 (нем.).

Приведены данные по извлечению пенициллина из культуральной жидкости при помощи экстрактов Лувеста. Полнота извлечения достигает 96—98%. Дано описание аппарата (со схематич. чертежами). Указывается, что аппарат пригоден также для экстракции алкалоидов (хинин, эфедрин и др.) и инсектицидов (пиретрин).

А. Т.

66347. Выделение гентилпенициллина и метод его количественного определения. Владимиров Г. Е., Климов А. Н., Жукова Е. Н. Мед. пром-сть СССР, 1955, № 1, 19—23

Описаны 2 метода выделения гентилпенициллина (I) из препаратов пенициллина (II): а) через колонку (диам. 21 мм) со смесью 25 г кизельгура, 12,5 г 40%-ного цитратного буфера с pH 5,7 и эфира пропускают эфирный р-р II (в виде свободных к-т); каждую фракцию в 10 мл титруют р-ром C_2H_5ONa в абс. спирте в присутствии бромтимолового синего; из фракций 4—8 после упаривания получают 98%-ную Na-соль I; б) содержащее двух аминов II растворяют в 10 мл 25%-ного фосфатного буфера с pH 5,7 и извлекают равным объемом эфира; экстракт титруют р-ром C_2H_5ONa ; после отгонки получают 72%-ную Na-соль I. Предложен также метод колич. определения I, основанный на различии коэфф. распределения I в эфире и фосфатном буфере. К 1 мл водн. р-ра II (20—40 мг сухого в-ва) прибавляют 9 мл 25%-ного фосфатного буферного р-ра с pH 6, извлекают 10 мл эфира; к 4 мл экстракта добавляют двойной объем спирта, 15 мл 0,01 н. иода и титруют 0,01 н. $Na_2S_2O_3$; другую такую же порцию эфирного экстракта инактивируют (оставляют на 15 мин. с 1 мл н. р-ра NaOH), добавляют 1,2 мл н. H_2SO_4 и титруют, как указано выше.

А. Т.

66348. Сушка как простейший метод стабилизации лекарственных растений. Кучера (Sušení nej-jednodušší způsob stabilisace léčivých rostlin. Kučera Mojmír), Živa, 1955, 3, № 1, 6—7 (чеш.). Основой успешной стабилизации лекарственных растений является разрушение ферментов расщепляющих активные в-ва (гликозиды, алкалоиды и др.). Условия сушки могут быть различными, смотря по характеру активного в-ва и по условиям ферментативного распада. Растения с сердечными гликозидами (наперстянка, ландыш, горичвет) нужно сушить быстро, при высокой т-ре, так как их гликозиды очень чувствительны к влаге; ревеня, кору крушины и ивы сушат при невысокой т-ре, причем их антрахиноновые гликозиды стабилизируются на много лет; танины дубовой коры стабилизируют, погружая кору перед сушкой в кипящую воду, а алкалоиды белладонны — предварительно подсушивая листья при 100° и затем досушивая при 35°. Все виды со-

бренных растений необходимо стабилизировать возможно быстрее.

З. Б.

66349. Сравнительные исследования смол некоторых растений семейства вьюнковых (Convolvulaceae) Аутерхофф, Демлейтнер (Vergleichende Untersuchungen an Convolvulaceen-Harzen. Aueterhoff H., Demleitner H.), Arzneimittelforsch., 1955, 5, № 7, 402—407 (нем.; рез. англ.).

Исследованы смолы 4 растений семейства Convolvulaceae (*Jpomoea purga*, *J. operculata*, *J. orizabensis* и *I. Turpethum*), применяемые в качестве слабительных и содержащие несколько гликозидов сложного строения. Выделены конвольвулин, ялапин, скаммонин, α -скаммонин, турпетин, α - и β -турпетин. Индивидуальные гликозиды могут быть определены по их растворимости в различных органич. р-рителях; этот метод пригоден и для определения чистоты смол. Более точную идентификацию проводят хроматографией на бумаге продуктов гидролиза: алифатич. оксикислот, летучих к-т и сахаров.

В. У.

66350. Влияние полисорбата 80 на экстрагирование лекарственного растительного сырья. I. Листья белладонны и эриодиктион. Меркер, Тримей, Гринберг, Фонда (Effects of tween 80 in the extraction of crude vegetable drugs. I. Belladonna leaf and eriodictyon. Merker Philip, Tremaine Stanley, Greenberg Isidore, Fonda Lyman D.), Drug Standards, 1955, 23, № 1, 28—31 (англ.).

Установлено, что твин 80 (полисорбат 80; I) не обладает поверхностноактивными свойствами. Прибавление 0,01—0,1% I благоприятно отражается на извлечении активной части листьев белладонны и эриодиктиона, что позволяет экономить время, энергию и материалы.

66351. Об экстрактах белладонны. Идентификация и определение компонентов хроматографированием на бумаге. Часть. I. Поджи, Матту, Алькуати (Sugli estratti di belladonna. Rivelazione e determinazione cromatografica su carta dei componenti Parte I. Poggi A. Raoul, Mattu Flavio, Alquati Mario), Chimica, 1955, 31, № 6, 245—250 (итал.).

Сведения об используемых в фармацевтич. практике частях растения белладонны (листья, корни, семена) и применении экстрактов из них. Об алкалоидах белладонны (атропин, I-глюкоамин) и их экстракции. Строение атропина и его синтез. Другие компоненты белладонны (апоатропин или атропамин, пирролиновые и пирролидиновые основания) алкалоиды гоматропин, мидразин, новатропин и др.

Л. М.

66352. Мексиканская комоса как источник местного противоглистного средства. Дембская (Komosa meksykańska jako źródło krajowego leku przeciwrobaczego. Debska Wanda), Acta polon. pharm., 1955, 12, № 3, 153—160 (польск.; рез. русс., англ.).

Сравнивается хеноподиевое масло из растения *Chenopodium ambrosioides* L., полученное при сборе сырья в период плодоношения с полученным из противоглистного комосы (*Chenopodium anthelminticum* Gray). Испытание биологич. активности проводилось на *Enchytreus albus*. Нагревание и окисление изменяют ценность масла из *Ch. ambrosioides*, причем результаты хим и биологич. испытания не соответствуют друг другу. Таким образом, аскаридол не является единственным активным в-вом масла. Это наблюдение также подтверждено исследованием активности масел, хранившихся в течение 2—3 дней в различных условиях; несмотря на снижение содержания аскаридола, фармакодинамич. свойства масла остаются неизменными. Отсюда следует, что правила, устанавливающие условия хранения, являются

слишком строгими и могут привести к изъятию из обращения масла с полной терапевтической ценностью. В. У.

66353. Исследования по наиболее выгодному получению настоек, содержащих эфирные масла. Риш (Untersuchungen über die vorteilhafteste Herstellung ätherisches Öl enthaltender Tinkturen. Risch C., Pharmazie, 1955, 10, № 2, 99—100 (нем.)

Изучались условия извлечения эфирных масел из лекарственных материалов (напр., коры валерианы) спиртом в зависимости от степени измельчения. Лучшие результаты получены при следующем методе работы. Свежий грубоизмельченный материал (по возможности без тонкого порошка) экстрагируется в коричневой широкогорлой бутылки со стеклянной пробкой 2,5 ч. разб. спирта при 18—25° 10 дней при ежедневном однократном встряхивании. После этого все содержимое выливается для фильтрации на воронку, заткнутую ватным тампоном, покрытым точно подходящим пергаментным кружком и затем умеренно отжимается. Остаток переносится обратно в бутылку, куда снова вливается 2,5-кратное кол-во спирта и через 10 дней масса отжимается на гидравлич. прессе. Оба экстракта соединяются и фильтруются через дель. В. И.

66354. Влияние солей на растворимость лечебного препарата плазмона. Казимирова В. Ф., Казакович В. К., Тр. Ленингр. технол. ин-та холодильн., пром-сти, 1955, 7, 71—72

Плазмон, представляющий собою смесь казеина, Na_2HPO_4 , цитрата Na и лактата Ca имеет плохую растворимость вследствие повышенной кислотности применяемого казеина. Найдено, что замена Na_2HPO_4 на Na_2PO_4 дает более растворимый препарат. О. М.

66355. Несколько случаев применения карбопола 934 в фармацевтической практике. Суоффорд, Нобле (Some pharmaceutical uses of carbopol 934. Swafford William B., Nobles W. Lewis, J. Amer. Pharm. Assoc. Pract. Pharmacy Ed., 1955, 16, № 3, 171—172 (англ.)

Карбопол 934 (I) представляет собой синтетич. гидрофильную камедь, пригодную для использования в качестве активного суспендирующего материала в фармацевтич. практике благодаря загущающим свойствам. Для нейтр-ции кислой р-ции полимера при образовании слизи применяют углекислый натрий. С прибавлением I были приготовлены каламиновый (каламин—8, окисл. цинка — 8, глицерин — 4 и 0,5%-ный р-р I до 100) и некаламиновый (неокаламин—15, глицерин—4 и 0,5%-ный р-р; мази I до 100) лосьоны, легко разлагаемые, гладко распространяющиеся и быстро высыхающие. С прибавлением I была приготовлена каолино-пектиновая суспензия (каолин — 11,66, пектин — 0,26, I — 0,18, сукарил Na — 0,60, масло перечной мяты — 0,35, метилсалицилат — 0,35, углекислый Na, дистилл. вода — 60), не «спекавшаяся» через 60 дней. Л. М.

66356. Метилцеллюлоза — удовлетворительное диспергирующее средство. Мак-Олифф, Вильсон (Methylcellulosesatisfactory dispersing agent. McAuliffe Philip J., Wilson Edwin E., J. Amer. Pharm. Assoc. Pract. Pharmacy Ed., 1955, 16, № 3, 157, 177 (англ.)

При диспергировании в воде нерастворимых препаратов (ментол, камфора, каменистый угольный деготь, смолы и др.) метилцеллюлоза в 2%-ном р-ре дает наиболее удовлетворительные результаты при приготовлении настоев масел, эмульсий и др. О. М.

66357. Об уменьшении перекисного числа этилолеата. Пончи (Sulla riduzione dell'indice di perossidi nell'oleato di etile. P on c i R.), Farmaco. Ed. scient., 1954, 9, № 10, 539—545 (итал.; рез. англ.)

В нормальных условиях перекисное число этилолеата (I) может во время хранения стать выше, чем это допустимо при использовании его в фармацевтич. прак-

тике. Получены хорошие результаты в случае применения для очистки таких препаратов I активированной окиси алюминия. Л. М.

66358. Указания о применении стерогенола в рецептуре. Магаи (A sterogenol helyes alkalmazása a receptúraban. Magay Ferenc), Gyógyszerész, 1955, 10, № 7, 126—128 (венг.)

Приведены примеры рецептур эмульсии и других лекарственных форм, содержащих стерогенол (гексадецилпиридинийхлорид). Г. Ю.

66359. Новое противогрибковое средство на основе измененной формы молочного белка. Шмидт (Ein neues Antimykotikum auf der Basis von labilem Milcheiweiß. Schmidt Hans Walter), Seifen-Öle-Fette-Wachse, 1955, 81, № 13, 389—390 (нем.)

Указанное средство, приготовленное в виде мази, уничтожает грибок, не раздражает кожи и восстанавливает ее первоначальную структуру. Дан состав мази и способ ее приготовления. Л. К.

66360. Раствор сорбита и его применение в фармации. Боге (Sorbitlösung und ihre Verwendung in der Pharmazie. B o g s U.), Pharmazie, 1955, 10, № 2, Beilage № 2, «Pharmaz. Praxis», 17—18 (нем.)

Предложено применять в медицине, косметике и технике вместо глицерина водн. р-р сорбита (I) (Арлекс, Сорбо, Карион), получаемого восстановлением глюкозы. Р-р содержит ~60% сорбита и имеет сиропообразную консистенцию, хорошо смешивается с $\text{C}_2\text{H}_5\text{OH}$ и так же, как глицерин не смешивается с эфиром, CHCl_3 и жирными маслами. Незначительное содержание глюкозы при промышленном произве I не удается уменьшить. I применяют вместо глицерина для приготовления р-ров, пилюль, мазей, Zn-содержащих лекарственных средств и т. п., в качестве диуретика, внутривенно против водянки и для снижения давления при глаукоме, а также в качестве питательного средства при диабете. Ц. Г.

66361. Буферированные офтальмические растворы нитрата серебра. Чарницкий, Кобер (Buffered ophthalmic solutions of silver nitrate. Charnicki Walter F., Kober Mary L.), J. Amer. Pharm. Assoc. Scient. Ed., 1955, 44, № 1, 25—27 (англ.)

Предварительные фармакологич. исследования на раздражение показали отсутствие заметной разницы между действием фармакопейного 1%-ного р-ра Hg-NO_3 , буферированного при pH 6, и р-ра с pH ниже предписанного Фармакопеей США XIV (рН 4,5). Л. М.

66362. Дополнительные сведения о приготовлении изотонических и буферных коллирий (глазных капель). Менгини (Complément d'information concernant la préparation de collyres isotoniques et tamponnés. Menghini C.), Pharmaz. acta helv., 1955, 30, № 2, 62—68 (франц.; рез. англ., нем., итал.)

Приведены данные криоскопич. анализа аневрина, молочнокислого Ag, иодистого Ca, карбахола, сернокислого дигидрострентомидина, азотнокислого эфедрина, растворимого флуоресцеина, хлористого Mg, серноватистого Mg, иодистого Mg, серноватистого Na, ртуты дибромфлуоресцеина Na, пропионовокислого Na, позволяющие с помощью графич. метода для каждого из них определить конц-ию их в буферном р-ре для достижения изотоничности при приготовлении глазных капель. С учетом хим. несовместимости готовили различные изотонич. р-ры, буферированные при разных pH, и подвергали их офтальмологич. испытанию. Полученные результаты позволили установить оптим. pH для каждого из подвергавшихся испытанию в-в с целью приготовления глазных капель, не причиняющих боли. Автор подчеркивает в заключение преимущество таких глазных капель и необходимость пересмотра

принятых в настоящее время дозировок некоторых высокоактивных офтальмологич. препаратов. Л. М.

66363. О получении масляных растворов для инъекций и контроле над их стерильностью. Сообщение 3. Жапо, Руосс (Contribution a l'étude de l'obtention des solutés huileux injectables et du contrôle de leur stérilité. 3. communication. Janot M.-M., Ruoss L.), *Pharmac. acta helv.*, 1955, 30, № 1, 8—21 (франц.; рез. англ., нем., итал.)

Наиболее подвержены воздействию микробов рапсовое и соевые масла. Масла земляного ореха и оливковое хорошо противостоят липолитич. действию, хуже окислительному. Найдено, что почти все лекарственные в-ва инфицированы, поэтому для асептического приготовления из них инъекционных р-ров необходимо предварительно их стерилизовать. Предлагается новая методика асептич. растирания в-в, устраняющая применение ступки. Сообщение 2, см. РЖХим, 1956, 48477. О. М.

66364. Четвертичные аммониевые соединения для дезинфекции материалов в масляных растворах. Лули, Барьяни (I composti dell'ammonio quaternario nella oleazione e disinfezione delle stoffe. Lugli A. M., Bariani A.), *Boll. Ist. sieroterap. milanese*, 1955, 34, № 1—2, 68—72 (итал.; рез. англ.)

При обработке р-рами цетилтриметиламмонийтолуолсульфоната (торговое название трицептол) отмечено появление хорошо выраженной бактерицидной активности против *E. coli* и *M. pyogenes aureus*, причем эта активность сохраняет свою силу и по истечении 2 месяцев после обработки. Трицептол применяли в опытах в различных конц-ях (от 1 до 10 на 1000) в водн. р-ре или в водн. эмульсии, содержащей 3% вазелинового масла. Л. М.

66365. Изучение противинфекционных средств в дерматологических эмульсиях. I. Факторы, действующие *in vitro* на активность некоторых противинфекционных средств в эмульсиях. Варма, Холл, Райзинг (A study of anti-infectives in dermatologic emulsions. I. Factors affecting the release *in vitro* of certain anti-infectives from emulsions. Varma Krishna C., Hall Nathan A., Rising L., Wait), *J. Amer. Pharmac. Assoc. Scient. Ed.*, 1955, 14, № 6, 336—338 (англ.)

Изучались вне организма факторы, влияющие на дерматологич. эмульсии в зависимости от природы эмульгатора, масляной фазы и соотношения масло: вода. Были изготовлены эмульсии, содержащие калий-пенициллин G, хлортетрациклин-хлоргидрат, хлорамфеникол, бацитрацин, стрептомицин-сульфат, актамер (2,2'-дитио-бис-4,6-дихлорфенол) и гексахлорофен. Измерения производились чашечным методом на агаре с различными микроорганизмами. Наиболее важным фактором для качества дерматологич. эмульсий является выбор эмульгатора, повышение конц-ии масла мало влияет на действие бактерицидных веществ. Л. Ф.

66366. Новая основа для геля вазелинового масла. Кауфман, Берлидж, Ллойд (A new liquid petrolatum-jelly base. Kaufman J. W., Burlage H. M., Lloyd W. R.), *J. Amer. Pharmac. Assoc. Pract. Pharmacy Ed.*, 1955, 16, № 4, 234—236 (англ.)

Разработана новая основа для приготовления гелей вазелинового масла, в состав которой входит как загущающий фактор 2—3% трагаканта. Основа хорошо проводит медикамент до тканей и легко смывается, и не раздражает кожи. Приведена пропись: (частей) трагаканта 2, глицерина 10, тяжелого вазелинового масла 10, монолаурата сорбитана 2, хлористого бензалкония 0,01, воды до 100. О. М.

66367. Новые камеди для приготовления фармацевтических гелей. Хатчинс, Сингайсер (New gums for pharmaceutical jellies. Hutchins Hastings H., Singiser Robert E.), *J. Amer. Pharmac. Assoc. Pract. Pharmacy Ed.*, 1955, 16, № 4, 226—230 (англ.)

Изучены природные и синтетич. камеди, а также природные минер. глины с целью их использования в качестве основ при приготовлении фармацевтич. гелей (I). Описаны упрощенные методы приготовления различных I с включением в них 6 лекарственных препаратов (тризаноламина, тимерозала, эфедрин-сульфата, молочной к-ты, пириламималеата, генцианвиолета), а также глицерина, пропиленгликоля и поверхностно-активных в-в (в особенности лаурилсульфата). Л. М.

66368. Силиконы как основа для кремов и мазей. Волю (I siliconi: basi per unguenti. Volo S.), *Boll. chim. farmac.*, 1955, 94, № 1, 27—32 (итал.)

Описаны преимущества использования силиконов в качестве указанных основ и предложено 14 формул рецентур для приготовления кремов и мазей с силиконами разных марок. Л. М.

66369. Мазни и эмульсионные мазевые основы. Стантон (Ointment and emulsion cream bases. Stanton B. L.), *Australas. J. Pharmacy*, 1955, 36, № 421, 4—7 (англ.)

Приведена рецентура указанных основ и краткие сведения о методах их приготовления и свойствах. Л. М.

66370. Мазевые основы с полиглицериновыми эфирами. Часть II. Эмульсионные основы вода — в масле. Бхируд, Кхорана (Ointment bases with polyglycerol esters. Part II. Water in oil emulsion bases. Bhirud S. D., Khorana M. L.), *Indian J. Pharmacy*, 1954, 16, № 11—12, 222—224 (англ.)

Описаны результаты изучения полиглицериновых эфиров в качестве мазевых основ и определения «водного числа» (наибольшего кол-ва воды, содержащегося в 100 г основы при ~20°), в смесях шерстяного спирта (I) с вазелином, и стеаратов с I и вазелином. Результаты показали возможность замены стеаратами I с целью получения мазевых основ типа эмульсий вода — в масле, лучшей консистенции. Часть I см. РЖХим, 1956, 59498. Л. М.

66371. Самоприлипающие пластыри. Чивитарале (Cerotti autoadesivi. Civitareale E.), *Farmac. Ed. prat.*, 1955, 10, № 3, 105—118 (итал.)

Указанные пластыри (II) производятся для двух целей: 1) для механического применения в хирургич. практике, 2) для терапевтич. применения с включением в II лекарственного препарата. В состав II входят: эластич. в-ва (природная камедь или синтетич. соединения); в-ва, способствующие прилипанию: смолы (капифоль и др.); адсорбирующие в-ва (ZnO, ZnCO₃, древесный порошок); смягчающие в-ва (ланолин), противодействующие старению камеди; а в медикаментозных II еще лекарственные препараты. Описан метод приготовления II, приведены рисунки применяющихся аппаратов. Л. М.

66372. О разрыхляющем действии крахмала в таблетках. Керлин (A note on tablet disintegration with starch. Curlin Lemuel C.), *J. Amer. Pharmac. Assoc. Scient. Ed.*, 1955, 44, № 1, 16 (англ.)

На основании опытов проникновения р-ра красителя в таблетку аспирина автор приходит к выводу, что крахмал способствует распадению таблеток вследствие своих капиллярных свойств. О. М.

66373. Разложение аспирина в таблетках, содержащих фенацетин, кофеин и аспирин. Рибейро, Стивенсон, Сеймн, Милосович, Маттоке (The decomposition of aspirin in aspirin,

phenacetin, and caffeine tablets. Ribeiro Diniz, Stevenson Dale, Samyn Joseph, Milosovich George, Matlocks Albert M.), J. Amer. Pharm. Assoc. Scient. Ed., 1955, 44, N 4, 226—229 (англ.)

Произведено систематич. обследование различных факторов, могущих быть причиной разложения аспирина (I) в таблетках, содержащих I, фенацетин и кофеин. Найдено, что стеариновая к-та (II), а также ее Ca- и Mg-соли, применяемые в качестве способствующих скоплению в-в, сильно влияют на разложение I; действие других в-в [талк (III), минер. масло (IV), моностеарат глицерина (V)] незначительно. При употреблении II, III, IV и V кристаллич. I разлагается в меньшей степени, чем гранулированный. Значение влажности таблетированного материала незначительно; в отдельных случаях повышение влажности приводит к уменьшению разложения. Величина давления при прессовании не оказывает никакого влияния. На основании полученных данных выработана новая ф-ла для таблеток указанного состава.

66374. Распадение таблеток, покрытых оболочкой, в искусственном желудочно-кишечном соке. Крисаффо, Тейлор, Чаттен (Disintegration of enteric coated tablets in simulated digestive juices. Crisafio R., Taylor J., Chatten L. G.), Drug Standards, 1955, 23, № 1, 1—10 (англ.)

Изучено 64 вида продажных таблеток разных лекарственных препаратов с покрытием против действия желудочного сока на время их распада в двух комбинациях искусств. желудочно-кишечных соков. Были использованы следующие комбинации искусств. желудочного (I) и кишечного (II) соков: I (рН 1,6) — NaCl (1,4 г), KCl (0,5 г), CaCl₂ (0,12 г), пепсин (3,20 г), HCl к-та (190 мл), дистилл. вода (до 1000 мл), (рН 1,2) — фармакопейная HCl-к-та (7 мл), NaCl (2 г), пепсин (3,2 г), дистилл. вода (до 1000 мл). II (рН 8,0): панкреатин (2,8 г), NaHCO₃ (15 г), дистилл. вода (до 1000 мл); (рН 7,5): KH₂PO₄ 0,2 М (250 мл), 0,2 М NaOH (190 мл), дистилл. вода (450 мл); смешивают и прибавляют панкреатин (10 г); прогревают рН и прибавляют 0,2 М NaOH до рН 7,5 и дистилл. воды до 1000 мл. Установлено, что выбор стандартной среды должен быть основан на эмпирич. связи между результатами, полученными in vitro и in vivo.

66375. Распадение таблеток, покрытых оболочкой. Бриндамур, Де-Кей (The disintegration of enteric coated tablets. Brindamour N. E., DeKay H. G.), Drug Standards, 1955, 23, № 1, 10—16 (англ.)

Для испытания распада таблеток в кишечном соке наиболее пригоден р-р, состоящий из панкреатина (10 г), CaCl₂ 1:100 (10 мл), M/5 K₂HPO₄ (250 мл), M/5 NaOH (118 мл), экстракт из бычьей желчи (4 г), дистилл. воды (до 1000 мл). Проведенные опыты позволили изучить действие in vitro некоторых искусств. желудочных и кишечных соков на 2 типа желудочных покрытий.

66376. Распадение дражированных продажных таблеток, определенное по модифицированному методу Фармакопей США XIV издания. Менесес, Хейк (Disintegration of some commercially available coated tablets by a modified U. S. P. XIV procedure. Meneses Maria Flor Leelin, Huysck C. Lee), Drug Standards, 1955, 23, № 1, 17—23 (англ.)

При изучении времени распада 37 различных покрытых сахаром таблеток оказалось, что время их распада колеблется в широких пределах: от 4 мин. до 5 час. Среднее для 37 образцов — 2 час. 40 мин., однако ввиду широких пределов необходимо установить твердый стандарт времени распада для таблеток, покрытых сахаром.

66377. Свойства и применение порошкообразных полисахаридных кислот I. Получение и кривые титрования II. Исследование таблеток. Свинтоский, Кеннон, Тингстад (Properties and applications of powdered polysaccharide acids. I. Preparation and titration curves II. Tablet Studies Swintosky Joseph V., Kennon Lloyd, Tingstad James), J. Amer. Pharm. Assoc. Scient. Ed., 1955, 44, № 2, 109—112, 112—114 (англ.)

Часть I. Указанные к-ты выделены из айвы, вяза и подорожника обработкой р-ров соответствующих камедей ионитами. Кривые прямого потенциометрич. титрования этих полисахаридных к-т, а также кислотной формы карбоксиметилцеллюлозы, альгиновой к-ты и полисахаридных к-т льна и гуммиарабика сходны по силе и кислотному числу, и по характеру аналогичны кривым титрования синтетич. катионитов. Кривые потенциометрич. титрования карбоксиметилцеллюлозы в нейтр. соляном р-ре применены для приблизительного расчета ионообменной емкости и рКа этих в-в; ионообменная емкость кислотной формы карбоксиметилцеллюлозы при рН 8,4 составляет ~3,9 мэкв/г, а рКа 4,1. Рассмотрены возможности применения этих полисахаридных к-т для фармацевтич. целей.

Часть II. Исследование таблеток. Полисахаридные к-ты айвы, подорожника, льна и гуммиарабика замедляют разрушение таблеток (с сульфатазолем), тогда как карбоксиметилцеллюлоза и полисахаридные к-ты вяза способствуют ему.

66378. Приготовление имплантационных таблеток с использованием полиэтиленгликоля 6000 и метилцеллюлозы. Пател, Гат (The formulation of tablet implants using polyethylene glycol 6000 and methylcellulose. Patel Kantilal Santabhai, Guth Earl P.), J. Amer. Pharm. Assoc. Scient. Ed., 1954, 43, № 12, 754—760 (англ.)

Количественный метод оценки имплантационных таблеток основан на включении в основу таблеток водорастворимого фенолсульфонфталена натрия (фенол-рота) и определения относительной эффективности основ таблеток (карбовокс 6000, фармагель В, метоцел 4000, холестерин, стеротекс) по кол-ву выделенной с мочой краски. Холестерин и стеротекс не всасывались даже после 8 недель. Холестерин выделял краску в течение 30 час., а стеротекс совсем не выделял ее. Фармагель В можно использовать в качестве имплантационной основы для таблеток, вводимых на срок дольше, чем 72 часа. Карбовокс 6000 может служить основой короткого действия, для чего не больше 36—148 час., причем высокорастворимый препарат выделяется в течение 6 час. Смешивая его с метоцелом в разных соотношениях, можно регулировать скорость выделения. Чистый метоцел 4000 является удовлетворительной основой. Он всасывается за 17—19 дней и выделяет краску за 30 час. Однако отмечена трудность изготовления таблеток, обусловленная пушистостью и низкой плотностью метоцелла 4000. Описаны способы приготовления указанных таблеток с различными основами. Вес таблеток колебался в пределах 85—140 мг. Так, напр., для приготовления таблеток с карбовоксом 6000 фенолсульфонфтален Na (1 г) растворяют в 5 мл воды и этот р-р прибавляют к 100 г порошка полиэтиленгликоля 6000 с растиранием. Затем прибавляют остаток воды (всего 7,5 мл) и хорошо перемешивают. Прессуют массу через сито № 20, полученные гранулы сушат на воздухе и затем пропускают их через сито № 40.

66379. Покрытие гранул. Ганьон, Де-Кей, Ли (Coating of granules. Gagnon Leo P., DeKay H. George, Lee Charles O.), Drug standards, 1955, 23, № 2, 47—52 (англ.)

В опытах по покрытию гранул лечебного препарата оболочками с целью замедления их распада для

продления терапевтич. действия были изучены следующие составы: ацетатфталат целлюлозы (10 г), диэтилфталат (2,5 мл), ацетон (109 мл); шеллак (3 г), касторовое масло (15 г), спирт (до 100 мл); винилбутиральная смола (5 г), дистилл. вода (5 мл), спирт (до 100 мл); шеллак (15 г), спирт (до 100 мл); винилацетатная смола (5 г), ацетон (до 100 мл); винилацетатная смола (2,5 г), винилбутиральная смола (2,5 г), ацетон (до 100 мл). Опыты проводились на гранулах следующих составов: а) крахмал (10 г) + аспирин порошкообразный (90 г); б) амарант (1 г), крахмал (10 г), аспирин порошкообразный (89 г); в) амарант (0,5 г), крахмал (10 г), аспирин порошкообразный (90 г); г) амарант (0,7 г), лактоза (100 г). В случаях в и г прибавляли еще простой сироп в достаточном кол-ве для получения необходимой консистенции. Установлен неудовлетворительный характер покрытий гранул водн. р-рами. Констатирована возможность с помощью покрытия гранул варьировать время их распада. Наилучшие результаты получены с покрытием из ацетатфталата целлюлозы. Покрытие гранул до таблетирования способствует продлению времени распада.

Л. М. 66380. Современные гранулирующие средства и их влияние на распадаемость таблеток. Гриффин, Хейк (Recently developed granulating agents and their effect on disintegration. Griffin John C., H u y c k C. L e e), J. Amer. Pharm. Assoc. Scient. Ed., 1955, 44, № 4, 251—253 (англ.)

Были изучены 1%-ные р-ры карбоксиметилцеллюлозы, альгината Na экстракта ирландского мха и 5%-ные р-ры метилцеллюлозы в качестве склеивающих средств при грануляции бикарбоната Na и глюкозы. Са для прессования таблеток. Время распада таблеток сопоставлялось с контролем гранулирования при помощи крахмального клейстера. При применении новых гранулирующих средств колебания во времени распада таблеток невелики и средние квадратичные отклонения лежат в пределах 4—14%.

О. М. 66381. Анализ лекарственных препаратов с помощью микрорефрактометра Лейтца по Е. Джелли. Миллер (Arzneimittelprüfungen mit dem Leitz-Mikro-Refraktometer nach E. Jelley. Miller Fred), Dtsch. Apoth.-Ztg., 1955, 95, № 15, 354—359 (нем.)

Приведены сведения в таблицу результаты определения коэф. преломления ~200 жидких в-в, описанных в Немецкой Фармакопее и в дополнении к ней. На основании полученных результатов найден простой и быстрый метод установления процента спирта, использованного для приготовления гомеопатич. препарата.

Л. М. 66382. Исследование возможности применения катионита СДВ-3 для анализа некоторых фармацевтических препаратов. Арзамасцев А. П., Аптеч. дело, 1955, 4, № 3, 36—39

Найдено, что катионит СДВ-3 может быть применен для колич. определения Са в солях глюконовой, глицерофосфорной и молочной к-т. Катионит (5 г) оставляют на 4 часа под водой, помещают в колонку, обрабатывают 3%-ной HCl, промывают до нейтр. р-ции на лакмус; через подготовленный таким образом препарат пропускают со скоростью 2—3 капли в секунду р-р, содержащий в 10 мл 0,04—0,05 г анализируемой Са. Промывают катионит водой до нейтр. р-ции на лакмус (~30 мл) и в фильтрате определяют свободную к-ту титрованием 0,1 и р-ром NaOH с фенолфталеином. Определена емкость СДВ-3 по отношению к иону Са (377 г/гжа на 100 г катионита).

А. Т. 66383. Метод определения рацемизации адреналина или норадrenalина в разбавленных растворах с помощью ионообменника. Хельберг (A procedure for estimating the racemisation of adrenaline or norad-

renaline in dilute solutions by means of an ion exchanger. Hellberg Hans), J. Pharmacy and Pharmacol., 1955, 7, № 3, 191—197 (англ.)

Определения степени рацемизации адреналина и норадrenalина в разб. р-рах проводят следующим образом: 2,5 г насыщ. аммиаком ионообменной смолы карбоксильного типа Амберлит IRC-50 помещают в хроматографич. трубку 9 × 130 мм. Р-р, содержащий 100 мг адреналина, пропускают через колонку со скоростью 2 мл/мин. и затем обменник промывают 100 мл воды. Колонку элюируют 2 М HCl, которую пропускают со скоростью 1 мл/мин. Первые 6 мл отбрасывают и следующие 10 мл собирают в мерную колбу в виде р-ра значительной конц-ии. Угол вращения этого р-ра определяют тотчас же в трубке возможно большей длины и содержание адреналина определяют обычным способом. Затем рассчитывают удельное оптич. вращение. Анионы сульфата и тартрата практически удаляются из адреналина в процессе обмена.

О. С. 66384. Применение калибромера Хегмана для оценки тонины медикаментов в мазях. Лафферти, Гросс (Application of the Hegman Gauge to medicinal particle fineness in ointments. Lafferty G. J., Gross H. M.), J. Amer. Pharm. Assoc. Scient. Ed., 1955, 44, № 4, 211—214 (англ.)

Применяемый для оценки тонины красок калибр Хегмана дает хорошие результаты и при определении степени измельчения медикаментов в мазях, совпадающие с данными официально принятых методов.

О. М. 66385. Потенциометрический способ определения качества барбитуратов и их препаратов в неводной среде. Сворц, Фосс (A potentiometric nonaqueous assay for barbiturates and their preparations. Swartz Charles J., Foss Noel E.), J. Amer. Pharm. Assoc. Scient. Ed., 1955, 44, № 4, 217—218 (англ.)

Метод определения соответствия фармакопейным требованиям в отношении содержания активного компонента в указанных препаратах основан на том, что измельченный образец барбитуратов (I) высушивают 4 часа при 80°, тщательно отвешивают 0,1—0,2 г сухого в-ва, помещают в стакан, куда прибавляют точно 5 мл полиэтиленгликоля 400 из бюретки. Для лучшего растворения I прибавляют еще 45 мл хлороформа и титруют 0,1 и р-ром CH₃ONa, пользуясь титрометром Фишера. Порошкообразные металл. соли I сперва растворяют в 10 мл воды, экстрагируют хлр. после подкисления; р-р свободной к-ты упаривают до 45 мл, прибавляют полиэтиленгликоль 400, затем титруют как указано выше. По мнению авторов, предложенный метод прост, точен, быстро выполним, сравнительно недорог. Почти такие же точные результаты были получены при использовании этого метода для определения I в лекарственных формах барбитуратов.

Л. М. 66386. Методы ускоренного определения сохранности препаратов. Леви (Accelerated shelf testing. Levy Gabor B.), Drug and Cosm. Ind., 1955, 76, № 4, 472—473, 577 (англ.)

66387. Новые объемные методы в анализе органических веществ I. Определение аллилового горчичного масла. Берка, Зыка (Nové odměrné metody v analýze organických látek. I. Stanovení isothiokyanatanu allylnatého. Berka Antonín, Z y k a J a r o s l a v), Českosl. farm., 1955, 4, № 5, 222—225 (чеш.; рез. рус., англ.)

Аллилизотиоцианат, главная составная часть обыкновенного горчичного масла, кипячением с NH₃ превращается в аллилтиосинамин, который можно непосредственно оттитровать р-ром подата или солью подной к-ты. Метод был применен для определения аллилизотиоцианата в горчичном эфирном масле, в семенах гор-

чицы и горьчичном спирте. Он оказался более удобным, чем метод прямого титрования. При повышенной т-ре тиосульфата можно титровать также р-рами бромата. Согласно опытам, другие окисляющие в-ва для этой цели не пригодны. Тиомочевину можно титровать р-ром КЮ₃.

66388. Контрольный анализ препаратов хлорофилла. Бокья (Controllo analitico dei prodotti di clorofilla. Bocchia Angelo), Fitoterapia, 1954, 25, № 4, 518—522 (итал.).

Установлено, что даже спектрофотометрич. метод не является достаточно удовлетворительным для определения чистоты продажных препаратов хлорофилла. Единственный продукт, который удается более или менее точно идентифицировать и определить его кол-во, это медно-натриевый комплекс хлорофилла. Но и этот препарат содержит разные кол-ва моно-, ди- и трикарбоновых кислот.

Л. М.

66389. О полярографическом и хроматографическом методах определения продажных хлорофиллинов. Вуггатер, Кристиан (A note on polarography and chromatography of some commercially available chlorophyllins. Wuggatzer Walter L., Christian John E.), J. Amer. Pharmac. Assoc. Scient. Ed., 1955, 44, № 1, 30—31 (англ.).

Приведены методика и результаты указанных определений хлорофиллинов.

Л. М.

66390. Спектрофотометрическое определение хлоргидрата ауреомидина. Равин, Джеймс (A spectrophotometric assay for aureomycin hydrochloride. Ravin Louis J., James Arthur E.), J. Amer. Pharmac. Assoc. Scient. Ed., 1955, 44, № 4, 215—216 (англ.).

Метод основан на спектрофотометрич. измерении р-ров хлоргидрата ауреомидина (I) после обработки фосфорномолибденовой к-той (II). Восстановление II сопровождается появлением синевато-зеленого окрашивания и кол-во восстановленных в-в пропорционально конц-ии I. Взвешивают 20 растворимых таблеток I, измельчают их в тонкий порошок, навеску порошка, содержащую ~25 мг I, растворяют в 150 мл дистил. воды, прибавляют 20 мл 2%-ного р-ра II, доводят pH до 5,5—6,5 (10%-ный р-р NaOH) и объем до 1000 мл (дистил. вода). Спектрофотометрич. измерение р-ра производят при максимуме поглощения (405 мк). Результат измерения сравнивают с графиком, составленным на основании аналогичных измерений при известных концентрациях I.

А. Т.

66391. Полярографическое определение акрифлавина. Зиммер, Мансур (The polarographic determination of acriflavine. Zimmer Arthur J., Mansur Khalid), J. Amer. Pharmac. Assoc. Scient. Ed., 1955, 44, № 4, 204—206 (англ.).

Определение акрифлавина (I) в мазях или таблетках фармакопейным методом дает большие отклонения, доходящие до ±20%. Оказалось, что полярографич. восстановление I протекает гладко, несмотря на наличие в I двух акридиновых производных. Полярографич. кривая вполне пригодна для аналитич. определений I в порошках, мазях и таблетках. Дано описание составления полярографич. кривой и применения к определению I в лекарственных формах.

О. М.

66392. Биологическая оценка действия дубильных лечебных средств. Борковский, Каминский, Каминская (Biologiczna ocena dzialania leków garbikowych. Borkowski B., Kaminski A., Kaminska D.), Acta polon. pharm., 1955, 12, № 3, 135—145 (польск.; рез. русс., англ.).

При помощи нового биологич. метода А. Каминского, испытанного на черях *Enchytraeus albidus*, определено содержание дубителей в танниновых дубильных

единицах в водн. экстрактах, полученных 10-минутной горячей экстракцией нескольких типичных сырых материалов. Установлена следующая активность, выраженная в танниновых биологич. единицах — по отношению к 1 г сырья: *Galla*, 468; *Folia Uvae ursi*, 76,1; *Cort. Hamamelidis*, 66,5; *Catechu* — *Pegu*, 60,4; *Herba Hyperici*, 40,3; *Rhizoma Rhei*, 36,2; *Folia Theae praep.*, 27,5; *Radix Ratanhiae*, 17,3; *Cortex Quercus*, 16,3; *Folia Salviae*, 15,0.

В. У.

66393. Применение хроматографии и полярографии при оценке растворов инсулина для инъекций. Вольдан (O použití chromatografie a polarografie při hodnocení insulinového injekčního roztoku. Voldan M.), Českosl. farm., 1955, 4, № 8, 407—409 (чеш.; рез. русс., англ.).

Хроматографическо-колориметрическим методом определяется кол-во мг белков в мл и полярографически — единиц на мг взятого в-ва в р-рах инсулина для инъекций. Данные, полученные при обоих вариантах, совпадают с результатами биологич. испытаний.

В. У.

66394. Качественное исследование «Tinctura aurantii conferta». Танаи (A «Tinctura aurantii conferta» minőségi kvalitativ vizsgálata. Tanay István), Gyógyszerész, 1955, 10, № 3, 55—56 (венг.).

В дополнение к рецептурным испытаниям предлагается испытывать указанную тинктуру на образование муты. Смесь тинктуры, воды и талька (1:1:0,1) после встряхивания и фильтрования не должна давать муты при разбавлении любым кол-вом воды.

Г. Ю.

66395. Микроопределение гидразидов изоникотиновой кислоты. Вагнер, Краус, Веберек (Mikrostanovení hydrazidu kyseliny isonikotinové. Wagner Jindřich, Kraus Pavel, Veberék Břetislav), Českosl. farm., 1955, 4, № 8, 389—392 (чеш.; рез. русс., нем., англ.).

Описан простой и быстрый метод определения гидразида изоникотиновой к-ты (I), основанный на свойстве гидразиновой группы восстанавливать в щел. среде K_2HgJ_4 . Образовавшаяся муть в кислой среде устойчива и в отсутствие NH_4 -солей может быть измерена нефелометрич. или колориметрич. методом. Чувствительность метода до 2 мкг I в 1 мл испытуемого р-ра. I можно определять также в кровяных сыворотках без предварительного извлечения после депротеинизации при помощи $Ba(OH)_2$ и $ZnSO_4$, р-ция проходит при нормальной т-ре. Эту р-цию дают и другие производные гидразина. Приведено определение I в таблетках и р-рах для инъекций. Чувствительность метода в крови равна 2,5 мкг в 1 мл сыворотки, ошибка 5—8%.

В. У.

66396. О применении вератроловой реакции к корнамртину и патулину. Лоби (Sur une réaction véatrolrique application a la coriamyrtine et a la patuline. Laubie Henri), Bull. Soc. pharmacie Bordeaux, 1954, 92, № 4, 213—215 (франц.).

Предложен способ идентификации корнамртина с помощью цветной р-ции с вератролом (I). К нескольким мг в-ва прибавляют 2 мл конц. HCl-к-ты или 85% сиропобразной фосфорной к-ты и 0,1 мл I. Смесь нагревают на кипящей водяной бане до появления оранжевого или розового окрашивания, на что может потребоваться 30 мин. нагревания. Применяя I, удается также получить характерную цветную р-цию с патулином.

Л. М.

66397. Изучение растворимости метилового фиолетового. Тура, Стоклоза, Мак-Бей (Solubility study on gentian violet. Tura Francis V., Stoklosa Mitchell J., McBay Arthur J.), J. Amer. Pharmac. Assoc. Pract. Pharmacy Ed., 1955, 16, № 4, 237—239 (англ.).

Растворимость различных торговых образцов метилового фиолетового (I) оказалась различной, так как продажный I состоит из различных смесей гексаметила-, пентаметил- и тетраметилпаразанилина.

Н. С.

66398. Определение чистоты диэтиламиноэтанола при помощи физико-химических измерений. Эме (Die Reinheitskontrolle von Diäthylaminoäthanol durch physiko-chemische Messungen. Oehme F.), Pharmazie, 1954, 9, № 12, 977—979 (нем.)

При хранении диэтиламиноэтанола (I) устанавливается равновесие с исходными продуктами его синтеза — диэтиламином и $\text{CH}_2 = \text{CH}_2 - \text{O}$; последняя, взаимо-

действуя с I, загрязняет продукт. Ни т-ра кипения, ни показатель преломления не дают правильного суждения о чистоте I. Среди испытанных физ.-хим. методов лучшим методом определения чистоты I является измерение его вязкости и диэлектрич. постоянной. О. М.

66399 П. Способ получения терапевтически активных аминоэфиров. Моррен (Process of producing therapeutically active amino ethers. Morren H. G. P. J.), Англ. пат. 685523, 685524, 7.01.53 [Chem. Abstrs, 1955, 49, № 3, 1807 (англ.)]

По пат. 685523 фенил-(*н*-метоксифенил)-галонидметан обрабатывают $(\text{CH}_3)_2\text{NCH}_2\text{CH}_2\text{OH}$ (I) или его Na-производное при 20° или т-ре кипения в присутствии инертного органич. р-рителя. Полученный из этих компонентов эфир (II) превращают в соответствующие соли. В качестве р-рителей указываются: бэл., $\text{C}_6\text{H}_5\text{CH}_3$, ксилол, $\text{C}_6\text{H}_5\text{N}$, коллидин, хинолин. Так, 116 г $\text{C}_6\text{H}_5\text{N}$ ($n\text{-CH}_2\text{OC}_6\text{H}_4$)CHCl (III) в 500 г $\text{C}_6\text{H}_5\text{CH}_3$ кипятят 2 часа с 45 г I; по охлаждению прибавляют 250 г 10%-ного р-ра NaOH, отгоняют с водяным паром до pH 7,5—7, остаток растворяют в бэл., р-р упаривают, остающуюся пасту растворяют в сухом эфире, прибавляют HCl; после выдержки через ночь при 0° получают хлоргидрат II, т. пл. 141°. В другом примере 89 г I в 500 г $\text{C}_6\text{H}_5\text{CH}_3$ кипятят при перемешивании 10 час. с 34,5 г Na, непрореагировавший Na отделяют, а р-р кипятят с 232,5 г III и далее обрабатывают как в первом примере. Эфир и его соли отличаются противогистаминной активностью при малой токсичности. По пат. 685524 при нагревании фенил-(*н*-метоксифенил)-карбинола (IV) с диметиламиноэтилгалогенидом в инертном р-рителе может быть также получен II. Вместо свободного IV можно брать его Na-производное и галонидную соль 2-диметиламино-1-галондоэтана в присутствии NaNH_2 . Так, $(\text{CH}_3)_2\text{NCH}_2\text{CH}_2\text{CH}_2\text{Cl}$ (V) готовят из $(\text{CH}_3)_2\text{NCH}_2\text{CH}_2\text{OH}$ и SOCl_2 в бэл., после промывки бэл. обрабатывают р-ром щелочи. Р-р 4:1 107 г IV в $\text{C}_6\text{H}_5\text{CH}_3$ постепенно прибавляют к смеси измельченного NaNH_2 и 400 мл $\text{C}_6\text{H}_5\text{CH}_3$, нагревают, пока не прекратится выделение NH_3 , затем прибавляют 50 г V в $\text{C}_6\text{H}_5\text{CH}_3$, смесь кипятят 10 час., прибавляют избыток NaOH и получают II после отгонки паром. О. М.

66400 П. Хинонные соединения и их получение.

Кавалито (Quinone compounds and the preparation thereof. Cavallito Ch. J.) [Sterling Drug, Inc.]. Англ. пат. 694738, 29.07.53 [Chem. Abstrs, 1955, 49, № 7, 4716 (англ.)]

Алкиламино-*н*-бензохиноны (I) получают действием O_2 на смесь *н*-бензохинона (II) и соответствующего алкиламина в диоксане (III). Четвертичные производные I обладают высокой курареподобной активностью. Через р-р 104 г *N,N*-диэтил-1,3-диаминопропана и 44 г II в 500 мл III барботируют O_2 20 час., затем охлаждают льдом. Получают 2,5-*бис*-(3'-диэтиламинопропиламино)-*н*-бензохинон (IV), выход 35 г, красные кристаллы, т. пл. 122—124° (из сп.); дихлоргидрат, т. пл. 250—251°. 35 г IV кипятят с 60 г $\text{C}_6\text{H}_5\text{CH}_2\text{Cl}$ в 500 мл 95%-ного спирта 4 часа, охлаждают и равным объемом эфира осаждают дихлорбензилат IV, красное масло, при стоянии кристаллизуется, выход 51 г, т. пл. 191—195° (после пересадки из сп. эфиром (2 раза) и

высушивания при 80°), растворим в воде. При стоянии смеси IV (5 г) с 2 *макс* CH_3Br в 100 мл спирта (2 часа, 25°) образуется дибромметилат IV, выход 7,7 г, т. пл. 225° (после промывки III и высушивания при 80°). Аналогично синтезированы следующие I: 2-(2'-диэтиламиноэтиламино)-*н*-бензохинон, т. пл. 119°; бромметилат, т. пл. 225 (разл.). 2,5-*Бис*-(2'-диэтиламиноэтиламино)-*н*-бензохинон, т. пл. 134—135° (из водн. сп.); дихлорбензилат, т. пл. 165—180°, растворим в воде. 2,5-*Бис*-(2'-(4'-морфолинил)-этиламино)-*н*-бензохинон, т. пл. 189—190°; дибромметилат, т. пл. 231—234° (разл.). 2-(3'-диметиламинопропиламино)-*н*-бензохинон, т. пл. 159—160°. 2-[3'-(1"-пиперидил)-пропиламино]-*н*-бензохинон, т. пл. 200—201° (разл.); хлоргидрат, т. пл. 251—255°; бромметилат, т. пл. 255°. 2-[N-3'-(1"-пиперидил)-пропил-N-метиламино-*н*-бензохинон, т. пл. 160—161°; хлоргидрат, т. пл. 253—255° (разл.); 2,5-*бис*-(3'-диметиламинопропиламино)-*н*-бензохинон, т. пл. 125—126°; дихлорбензилат, кристаллизуется с 2 молекулами воды, т. пл. 205—225°. 2,5-*Бис*-(3-ди-*н*-пропиламинопропиламино)-*н*-бензохинон, т. пл. 65—66°; дихлорбензилат; дибромметилат, т. пл. 202—204°. 2,5-*Бис*-(3'-(1"-пиперидил)-пропиламино)-*н*-бензохинон, т. пл. 179—181°; дибромметилат, т. пл. 253° (разл.); дихлорбензилат, т. пл. 175—200°. 2,5-*бис*-(N-3'-(1"-пиперидил)-пропил-N-метиламино)-*н*-бензохинон, т. пл. 117—118°, дибромметилат, т. пл. 245—250°. 2,5-*Бис*-(3'-(4'-морфолинил)-пропиламино)-*н*-бензохинон, т. пл. 200°; дибромметилат, т. пл. 248° (разл.). 2-(4'-диэтиламинобутиламино)-*н*-бензохинон, т. пл. 123—125°; бромметилат, т. пл. 146—148°. 2-(4'-диэтиламинобутиламино)-5-метиламино-*н*-бензохинон, т. пл. 103—106°. 2,5-*Бис*-(4'-диэтиламинобутиламино)-*н*-бензохинон, т. пл. 105—106°; дибромметилат, т. пл. 229—230°, дихлорбензилат; 2,5-*бис*-(5'-диэтиламиноамиламино)-*н*-бензохинон, т. пл. 92—95°; дибромметилат, т. пл. 112—113°. 2,5-*Бис*-(5'-(1"-пиперидил)-амиламино)-*н*-бензохинон; дибромметилат, т. пл. 264—270°. 2-(5'-диэтиламиноамиламино)-*н*-бензохинон, т. пл. 84—86°; бромметилат, т. пл. ~113°; 2-[5'-(1"-пиперидил)-амиламино)-*н*-бензохинон, т. пл. 176—177°. 2,5-*Бис*-(3'-диэтиламинопропиламино)-3,6-дихлор-*н*-бензохинон, т. пл. 136—137°; дихлорбензилат — коричневый порошок.

И. Г.

66401 П. Получение *л*-аминоацидоловой кислоты.

Дрей, Саддаби, Симор (Manufacture of *p*-aminosalicylic acid. Drain D. J., Suddaby D., Seymour D. E.) [Herts Pharmaceuticals, Ltd.]. Англ. пат. 697965, 7.10.53 [Chem. Abstrs, 1955, 49, № 4, 2505—2506 (англ.)]

Получение 2,4-ОН(NH_2) $\text{C}_6\text{H}_3\text{COOH}$ (I) — соединения с туберкулостатич. активностью — ведут в отсутствие воды, при этом выход повышают с 45 до 75%. $m\text{-H}_2\text{NC}_6\text{H}_4\text{OH}$ (10,9 ч. по весу) и 30 ч. (2,2 моля) K_2CO_3 нагревают 10 час. при 175° и атмосферном давлении в токе CO_2 , массу охлаждают, растворяют в 90 ч. воды и pH р-ра доводят до 8 с помощью кони. HCl и пропускают через р-р SO_2 , выпадает I. Когда карбоксилирование проводят в присутствии воды, глицерина или гликоля, щелочные соли I гидролизуются в I, которая быстро декарбоксилируется при т-ре р-ции, даже если эта т-ра ниже т. пл. I (150—151°). Л. М.

66402 П. Способ получения глицинамида *d,l*-дигидро-норлизергиновой кислоты (Procédé de préparation de la glycineamide de l'acide *d,l*-dihydronorsergique) [Sandoz Soc. An.]. Франц. пат. 1074660, 7.10.54 [Prod. pharmas., 1955, 10, № 3, 190 (франц.)]

Эфир *d,l*-дигидронорлизергиновой к-ты переводят в его карбобензоксильное производное, которое затем вводят в р-цию с гидразином для получения гидразида *d,l*-карбобензоксидигидронорлизергиновой к-ты. Гидразид обрабатывают азотистой к-той для получения соответствующего азиды, действуют на него амидом

гликоля, после чего удаляют карбобензоксильную группу путем каталитич. гидрирования.

66403 П. Способ получения фентиазиновых соединений (Fentiatsiiniyhdaisten valmistusmenetelmä) [Soc. des Usines Chimiques Rhône-Poulenc]. Фин. пат. 27542, 27544, 10.03.55

Указанные соединения, обладающие терапевт. свойствами, имеющие в 6 или 8 положении фентиазинового ядра атом Н, С1 или Вг или метил- или метоксигруппу, а в 3 положении атом С1 и Вг и имеющие у N группу ANR'R" (А — двухвалентная прямая или разветвленная алифатич. цепь, содержащая 2—5 атомов С, а R' и R" — метильные или этильные группы или, по пат. 27544, двувалентные группы, которые вместе с атомом азота образуют гетероцикл. кольцо, причем, по пат. 275542, последнее является пирролизидом, или пиперидином), получают р-цией фентиазинового производного, обладающего у N галогеналкильной группой (алкил аналогичен А), с вторичным амином ф-лы HNR'R" (значения R' и R" аналогичны вышеуказанным).

66404 П. Способ стабилизации чистого фентиазина. Бёкер, Бродерсен (Verfahren zum Stabilisieren von reinem Phenothiazin. Böker Reinhard, Brodersen Richard) [Farbwerke Hoechst Akt.-Ges. vormals Meister Lucius & Brüning]. Пат. ФГ 917249, 30.08.54 [Chem. Zbl., 1955, 126, № 12, 2728 (нем.)]

Чистый фентиазин (I), как противоглистное средство, стабилизируют прибавлением р-ра или твердого гексаметилентетрамина, напр., добавляя 1—2% его во время получения I, вследствие чего устраняется окраска I под влиянием воздуха и влаги.

66405 П. Способ получения пириимидинов (Pyrimidines and processes for their production) [Soc. des usines chimiques Rhône-Poulenc]. Англ. пат. 712595, 28.07.54 [J. Appl. Chem., 1955, 5, № 3, 1432 (англ.)]

Описано получение обладающих сильным амебобидным действием 5-фенилпириимидинов, содержащих аминогруппу при C₍₂₎ и C₍₄₎ и остаток 1-валентного первичного, вторичного или третичного амина при C₍₆₎ пириимидинового ядра; фенильное ядро содержит в 3 и 4 положениях Н, Cl, OCH₃, NH₂, NO₂ или CN. Нагреванием 6-хлор-2,4-диамино-5-(*n*-хлорфенил)-пириимидина в ди-*n*-бутиламине в спирте 7 час. при 200—210° получают 6-ди-*n*-бутиламино-2,4-диамино-5-(*n*-хлорфенил)-пириимидин, т. пл. 116—117°. Аналогично получены следующие производные 2,4-диамино-5-(*n*-хлорфенил)-пириимидина (указаны C₍₆₎-заместитель и т-ра плавления): диметиламино, 212—213°; диэтиламино; ди-*n*-пропиламино; пиперидино, 190°; гексаметиленамино, 153°; пирролизидино, 199—200°; ди-*n*-пентиламино (хлоргидрат, т. пл. 140—150°); и следующие производные пириимидина (указаны название и т-ра плавления): 2,4-диамино-6-ди-*n*-бутиламино-5-(3',4'-дихлорфенил)-пириимидин, 106°; 2,4,6-триамино-5-(*n*-хлорфенил)-пириимидин, 280—281°; 2,4,6-триамино-5-фенилпириимидин, 241°; 2,4,6-триамино-5-(*n*-нитрофенил)-пириимидин, 362—365° (хлоргидрат, т. пл. 302—305°); 2,4,6-триамино-5-(*n*-аминифенил)-пириимидин, 220° и после повторного отвердевания 238°; 2,4,6-триамино-5-(*n*-цианфенил)-пириимидин, 365—372°; 2,4-диамино-6-ди-*n*-бутиламино-5-фенилпириимидин, т. пл. 195°; 2,4-диамино-6-ди-*n*-бутиламино-5-(*n*-нитрофенил)-пириимидин, 171°. В. У.

66406 П. Производные пурина (Derivatives of purine) [Wellcome Foundation, Ltd]. Англ. пат. 713286, 11.08.54 [J. Appl. Chem., 1955, 5, № 3, 1432—1433 (англ.)]

Для получения 6-тиопурина обрабатывают 6-оксипуриновый реактивом, способным превращать ОН-группу в SH-группу, напр. гипоксантин и P₂S₅ при нагревании 8 час.; 200°) в 1,2,4-тетрагидронафталине дают 6-тио-

пурингидрат, получающийся также из 4-амино-5-формамидо-6-оксипириимидина. Он является в-вом, тормозящим развитие опухолей.

66407 П. Способ получения β-ионилденацетальдегида и продуктов его превращения с активностью витамина А (Procédé de préparation de la β-ionylideneacétaldéhyde et de ses produits de réaction à activité de vitamine A.) [N. V. Philips Gleilampfabriken]. Франц. пат. 1075147, 13.10.54 [Prod. pharmac., 1955, 10, № 3, 190 (франц.)]

Чистый β-ионилденэтанол, имеющий в УФ-спектре поглощения два максимума (2560 и 2400 Å), окисляют при помощи перекиси марганца.

66408 П. Смеси, обладающие активностью витамина В₁₂, и способ их получения. Рикс, Вуд (Vitamin B₁₂-active composition and process of preparing same. Rickes Edward L., Wood Thomas R.) [Merck & Co., Inc.]. Пат. США 2703302, 1.03.55

Смеси, содержащие витамин В₁₂ и обладающие L.L.D.-активностью, получают ферментацией в водн. питательной среде при посредстве штампа *Schizomyces, Torula* или *Eremothecium*, образующего активные в-ва (I), в условиях глубинной аэрации, после чего из питательной среды извлекают I и из полученного экстракта выделяют концентрат I с активностью от 440 до 11 миллионов единиц на 1 мг.

66409 П. Получение L.L.D.-активных веществ при помощи *Streptomyces*. Рикс, Вуд (Production of L. L. D-active substances by streptomycetes. Rickes Edward L., Wood Thomas R.) [Merck & Co., Inc.]. Пат. США 2703303, 1.03.55

Активно влияющие на рост L. L.D. в-ва (I) получают в водн. питательной среде методом глубинной ферментации при помощи штамма *Streptomyces*, образующего I, после чего извлекают I и из полученного экстракта выделяют концентрат I с активностью не меньше 440 ед. LLD на 1 мг.

66410 П. Синтез 4'-фосфата пантотеновой кислоты. Баддли, Тейн (Procédé de synthèse du 4'-phosphate de l'acide panthoténique. Baddiley James, Thain Eric M.) [National Research Development Corp.]. Франц. пат. 1071149, 25.08.54 [Chimie et industrie, 1955, 73, № 3, 556 (франц.)]

Вводят в р-цию алкильный эфир пантотеновой к-ты и дигалогидрофосфат фенила в присутствии безводн. третичного основания; полученный алкильный эфир 2',4'-фенилфосфата и пантотеновой к-ты обрабатывают таким образом, чтобы удалить алкильную и фенильную группы и получить 2',4'-фосфат пантотеновой к-ты, который затем гидролизуют для образования 4'-фосфата пантотеновой к-ты.

66411 П. Способ получения эстрогенов с сопряженными связями. О'Кифф (Method of obtaining a conjugated estrogen preparation. Stiller Eric T., O'Keefe Andrew Ellis) [Olin Mathieson Chemical Corp.]. Пат. США 2720483, 11.10.55

Патентуется способ извлечения эстрогенов (I) с сопряженной связью из мочи беременных кобылиц обработкой р-ром алкиламина с длинной цепью в р-рителях, не смешивающихся с водой (алканолах, их эфирах с низшими алифатич. к-тами, алкилкетонах, простых алкильных эфирах, углеводородах и галоидопроизводных углеводородов) при pH 0,9—12 (предпочтительно 3.5) и выделением очн. I из р-ра в органич. р-рителе. Напр., 100 г высушенной мочи беременных кобылиц с активностью 415 мкг/г растворяют в 330 мл воды, фильтруют, фильтрат обрабатывают дважды по 190 мл толуола (для удаления эстрогенов, не имеющих сопряженных связей), водн. слой экстрагируют дважды по 66 мл 10%-ного р-ра *n*-додециламина в пентазоле (смесь синтетич. амловых спиртов). Пентазольный слой очн-

щают пропусканием через колонку с катионообменной смолой и экстрагируют водой. Водн. слой высушивают вымораживанием, остаток распределяют между эф. и водой, эфирный слой экстрагируют водой при pH 12, водн. фазу нейтрализуют, высушивают вымораживанием и получают требуемый препарат I.

Ю. В. 66412 П. Продукты присоединения бисульфитов к альдегидам, производным кортизона и гидрокортизона. **Линза, Роджерс** (Bisulfite addition products of aldehyde derivatives of cortisone and hydrocortisone. Leanza William J., Rogers Edward F.) [Merck & Co. Inc.]. Пат. США 2720481, 11.10.55

Известное терапевтич. применение гормонов: Δ^4 -3,11, 20-трикето-17 α , 21-диоксипрегнена (кортизона) и Δ^4 -3, 20-дикето-11 β , 17 α , 21-триоксипрегнена (гидрокортизона), а также их производных — эфиров и альдегидов, в частности кортизон-21-альдегида (I) и гидрокортизон-21-альдегида (II) затруднено и ограничено их нерастворимостью в воде и необходимостью применять в виде суспензий. Найдены хорошо растворимые в воде продукты присоединения щел. и щел.-зем. бисульфитов к I и II, биологич. испытание которых показало их одинаковую активность сравнительно со свободными альдегидами. К р-ру 2,25 г моногидрата I в 50 мл CH_3OH прибавляют р-р 6,62 г NaHSO_3 в 50 мл воды, р-рители удаляют отгонкой в вакууме при 20°, остаток растворяют в 200 мл кипящего абс. спирта и фильтруют, фильтрат концентрируют частичной отгонкой, охлаждают и получают белые, гигроскопич. кристаллы NaHSO_3 -I, поглощающие при хранении на воздухе 1—2 моля воды; высушенный при 60° безводн. продукт плавится при 191—192° (разл.), $[\alpha]_D^{24} + 170^\circ$ (вода), максим. абсорбции 2450 А, Е% = 354 (вода), растворимость (Р) в воде при 23° 12%, что примерно в 180 раз превышает растворимость I в воде. Аналогично получены: KHSO_3 — I, т. пл. 237—240° (разл.), $[\alpha]_D^{24} + 165^\circ$ (вода), максим. абсорбции 2450 А, Е% = 349 (вода), Р в воде 0,5%; NaHSO_3 — II, т. пл. 191—192°, максим. абсорбции 2420 А, Е% = 318 (CH_3OH), Р в воде 7%; KHSO_3 — II; $\text{Mg}(\text{HSO}_3)_2$ — I, Р в воде 4%; $\text{Mg}(\text{HSO}_3)_2$ — II; $\text{Ca}(\text{HSO}_3)_2$ — I спекается при 185° и разлагается при 225°, Р в воде 2%; продукты присоединения I и II к бисульфитам щел.-зем. металлов могут быть получены р-цией обмена щел. бисульфитов I или II с растворимыми в воде солями щел.-зем. металлов, напр. 0,5 г NaHSO_3 — I растворяют в 5 мл воды и прибавляют р-р 0,5 г CaCl_2 в 3 мл воды; тотчас выпадает $\text{Ca}(\text{HSO}_3)_2$ — I.

Ю. В. 66413 П. Модифицированный с помощью мочевины инсулин и способ его получения. **Бишофф** (Urea-modified insulin and process for preparing. Bishoff Fritz E.). Пат. США 2704737, 22.03.55

Способ получения растворимого инсулинового препарата с замедленным действием отличается тем, что инсулин нагревают с конц. водн. р-ром мочевины или метилмочевины (свыше 20%) при т-ре между 35° и т-рой кипения р-ра с последующим отделением мочевины от названного раствора.

И. Г. 66414 П. Терапевтический препарат (Therapeutic compositions) [Aktiebolaget Kabi]. Англ. пат. 713215, 4.08.54 [Chem. Zbl., 1955, 126, № 11, 2553 (нем.)]

Препарат для наружного применения содержит хлорофилл и (или) водорастворимые его производные, напр. Na — Cu-хлорофиллин, смачиватель и бактерицидное соединение четвертичного NH_4 . Смесь вводят в мазь, содержащую полистиленгликоль с т. пл. 20—50°, преимущественно с т. пл. 35—40°.

Р. Г. 66415 П. Симпатомиметический препарат (Sympathomimetic preparation) [Smith Kline & French International Co.]. Англ. пат. 715305, 8.09.54 [J. Appl. Chem., 1955, 5, № 3, 1434 (англ.)]

Для получения лекарственной формы симпатомиметич. аминов (D-фенамина; D, L-первитина и D-первитина) готовят жирно-восковую капсулу, заключающую 2—10 мг препарата без защитной оболочки. Кроме того, капсула содержит 50—400 чешуек того же препарата с оболочкой различной толщины; распределяясь по всему желудочно-кишечному тракту, они постепенно освобождают препарат и поддерживают его постоянный уровень в крови в течение 10—12 час. Допускается комбинирование препарата с седативными средствами.

А. Т. 66416 П. Стоматические препараты (Oral preparations) [Colgate-Palmolive-Peet Co.]. Австрал. пат. 161268, 3.03.55

Препарат для гигиены полости рта содержит в качестве активного ингредиента (до ~5% по весу) насыщ. алифатич. ациламида карбоновой к-ты, в котором алифатич. ацил имеет 12—16 атомов С, а остаток аминокарбоновой к-ты 2—6 атомов С. Препарат не должен содержать материала из высших жирных к-т в таком количестве, которое может существенно повредить действию указанного амида.

И. Г. 66417 П. Способ получения препаратов, содержащих азулен. **Янистия** (Verfahren zur Herstellung von Azulenhaltigen Präparaten. Janistyn Hugo). Швейц. пат. 299100, 2.08.54 [Chem. Zbl., 1955, 126, № 11, 2553 (нем.)]

Для получения чистого концентрата азулена последний, полученный в виде пикрата или соединения с тринитротолуолом в присутствии алифатич. кетонов или эфиров, напр. ацетона или этилацетата, разлагают щелочью, промывают и перегоняют с водяным паром. Чистый азулен применяют в мазях или в виде р-ров в эфире, жирных или минер. маслах.

И. Г. 66418 П. Способ получения инъекционных водных растворов длительного действия из не растворимых в воде лекарственных веществ. **Лехлейтнер, Ритцер** (Verfahren zur Herstellung injizierbarer wässriger Lösungen mit Depotwirkung von an sich wasserunlöslichen therapeutisch wirksamen Stoffen. Lechleitner Ermenfried, Ritzer Hermann). [Alpine Chemische Akt.-Ges.]. Австр. пат. 178164, 10.04.54 [Chem. Abstr., 1955, 49, № 4, 2520—2521 (англ.)]

Указанные длительно действующие р-ры получают, вводя не растворимые в-ва (3—15%) в смесь 15—50% водн. р-ра пирозолинона $\text{NR}^1\text{R}^2\text{CR}^3 = \text{CR}^4\text{CO}$ (I), где

R^1 — арил, R^2 — арил или алкил, R^3 — алкил или OH , R^4 — алкоксил, amino или Н, и 50—85% H_2O . Образующаяся тройная система от прибавления воды или водн. р-ров разделяется на 2 фазы, что образует депо выпадающего в организме активного не растворимого в-ва. Так, 200 г I ($\text{R}^1 = \text{C}_6\text{H}_5$, $\text{R}^2 = \text{R}^3 = \text{CH}_3$, $\text{R}^4 = \text{H}$) (II) в 500 мл дважды перегнанной H_2O нагревают до 60°, прибавляют 100 г лактофенидида, смесь перемешивают и наполняют ею ампулы. Или, 190 г I ($\text{R}^1 = \text{C}_6\text{H}_5$, $\text{R}^2 = \text{C}_2\text{H}_5$, $\text{R}^3 = \text{CH}_3$, $\text{R}^4 = \text{H}$) растворяют в 500 мл H_2O , к р-ру прибавляют 100 г $n\text{-CH}_3\text{COC}_6\text{H}_4\text{OC}_6\text{H}_5$. Аналогично прибавляют к 31,2 г II в 62,6 г дважды перегнанной воды 6,2 г $n\text{-H}_2\text{NC}_6\text{H}_4\text{COOC}_2\text{H}_5$ или к 200 г I ($\text{R}^1 = \text{R}^2 = \text{C}_6\text{H}_5$, $\text{R}^3 = \text{CH}_3$, $\text{R}^4 = \text{C}_2\text{H}_5$) в 500 г дважды перегнанной H_2O прибавляют 80 г салициламида О. М.

66419 П. Лекарственные водные коллоидные препараты, содержащие кальций. **Маталон, Ноттон** (Therapeutic aqueous colloidal preparations containing calcium. Matalon R., Notton H. E.). [Crookes Labs., Ltd.]. Англ. пат. 712505, 28.07.54 [J. Appl. Chem., 1955, 5, № 3, 1434 (англ.)]

Водный колл. препарат, содержащий Са-соль алифатич. к-ты (Са 0,05—0,1%), напр. Са-олеат, с прибавлением не растворимого в воде витамина, напр. кальцифе-

рола с содержанием 5000—20 000 ед/мл, стабилизируют внесением р-ра нетоксич. неионового поверхностноактивного в-ва (0,05—10 г на 100 мл), напр., продукта конденсации окиси этилена (или ее полимера) с высокомолекулярным алкогolem, или амином, или жирной к-той; или же 0,05—0,5 гекситаанового эфира (моноолеата, лаурата, пальмитата сорбитана). Возможно также введение добавочного стабилизатора (глицерин, маннит, сахара) и 0,5—1% желатины.

О. М. 66420 П. Липкая повязка (Adhesive bandage) [Johnson and Johnson]. Австрал. пат. 161017, 24.02.55

Покрывие на ткани для липкого слоя в липком бинте или других липких перевязочных средствах, представляет модифицированный крахмал и водорастворимую Al-соль, в кол-ве, отвечающем ~0,25—2,5% Al от веса крахмала.

И. Г.

66421 П. Искусственные зубы и составы для их изготовления (Artificial teeth and compositions, methods and apparatus for forming same) [Dentists supply Co. of New York]. Англ. пат. 706402, 31.03.54

Эмаль искусств. зуба состоит из продукта сополимеризации мономеров, содержащих не менее 1 группы $\text{CH}_2=\text{C}=\text{}$, напр. стирола, диаллилфталата или винил-ацетата, и ненасыщ. полиэфира двухатомного спирта, напр. пропилен- или этиленгликоля, и α, β -этилендикарбоновой к-ты или ее ангидрида, напр. малеиновой, фумаровой или итаконовой, причем эти к-ты можно частично заменять насыщ. дикарбоновой к-той, напр. фталевой. Смесь мономера и полиэфира полимеризуют в присутствии катализатора (напр., гидроперекиси или пербензоата третичного бутила, перекиси бензоила, ди-третичного бутилдиперфталата или гидроперекиси гидроциклогексана) до стадии геля, задерживают полимеризацию добавлением ингибитора, напр. *трет*-бутил-катахтина или хинона; перед формированием прибавляют наполнитель, устойчивый к абразивному действию, напр. стеклянное волокно и дополнительное кол-во катализатора; полученной пастой покрывают тело зуба в форме и отверждают нагреванием или, предпочтительно, действием актиничного света, причем образуется прочная связь между эмалью и телом зуба. Стеклянное волокно можно покрыть смолами, напр. диметилакрилатной, фенолальдегидной, полиамидной, полибутил-метакрилатной, или из поливинилбутирала, ацетала или формала; предпочтительно к гелю добавляют одновременно с волокнистым материалом пигменты, красители или флуоресцирующие в-ва. Основу зуба можно изготовлять из полиметил- или этилметакрилата, полистирола, поливинилхлорида или соотв. ацетата, полиамидной смолы, ацетилцеллюлозы или их смесей или из винильных сополимеров. Стеклянное волокно можно заменить другими наполнителями, напр. стеклянными порошком, полевым шпатом, порошком или волокнами фарфора, металла, синтетич. пластмасс, Al_2O_3 или SiC.

Ю. В.

66422 П. Хирургические перевязочные средства (Surgical dressings) [Johnson and Johnson]. Австрал. пат. 160995, 24.02.55

Для получения перевязочного материала с липкой поверхностью, его покрывают пленкой из полиэфира, с большим мол. весом и с т-рой плавления не ниже $\sim 240^\circ$, представляющего собой продукт конденсации терефталевой к-ты и гликоля ф-лы $\text{HO}(\text{CH}_2)_n\text{OH}$, где $n = 2-10$ включительно.

И. Г.

См. также: Антитуберкулезные 19689Бх, Антигистаминные 64894, Антималярийные 64953, Антикоагулянты крови 64912, 64932, 64933. Препараты от лучевой болезни 64916. Канцерогенные 64922. Противоопухолевые 66208. Спотворные 64944; 19625Бх, 19628Бх. Анальгетики 19637—19639Бх. Анастетики 19644Бх. Антисептики 64959, 64898, 64945. Спазмолитики 19655Бх,

19657Бх. Производи. кумарина 19681Бх. Алкалоиды 65031; 19635Бх, 19636Бх, 19684Бх. Глюкозиды 65128; 19660Бх, 19683Бх, 19694Бх. Витамины 64306, 65050, 65090, 65092—65094; 18767Бх, 18932Бх, 18942Бх, 19072Бх, 19411Бх. Сердечное средство 19668Бх. Курареподобные 64895, 64976; 19663Бх. Сердечные яды 65066. Гормоны 64873, 64883, 64929, 65055, 65057—65059, 65061—65063; 19435Бх, 19436Бх, 19441Бх. Стероиды 19627Бх. Антибиотики 64890, 65098, 67318, 67365; 19107Бх, 19113Бх, 19114Бх. Промежуточные продукты 66208. Анализ лекарственных в-в 65382. Стеклянная посуда 65716, 65706.

ФОТОГРАФИЧЕСКИЕ МАТЕРИАЛЫ

66423. Основа для изготовления фотографических пленок. Вабиш (Sigurnosna podloga za film. Vabiš Vladimir), Kemija u industriji, 1955, 4, № 11, 219—226, 229 (хорв.)

Изложены основные технологич. стадии процесса изготовления основы фотопленки. Описана хим. природа различных эфиров целлюлозы, дана характеристика ацетилцеллюлозы и ее физ.-хим. и механич. свойства в зависимости от содержания ацетильных групп. Дан состав различных видов лака и изложено нанесение его на основу. Описаны принципы рекуперации р-рителей при отливке основы.

С. Ш.

66424. Роль подтистого серебра в эмульсиях. Мудрович (Uloga srebrnog jodida u emulzijii. Mudrovic M.), Kemija u industriji, 1955, 4, № 4, F—9—F16 (хорв.)

Описание свойств AgJ, адсорбция его ионов и фотографич. эффект при его употреблении в эмульсиях. Даны сенситометрич. сведения о подборе серебранных эмульсий с большим содержанием AgJ и практическом применении этих эмульсий. Описаны свойства смешанных кристаллов $\text{AgBr}(\text{J})$ их спектральная чувствительность, внутренний фотоэффект и способность восстановления. Приведены новые данные о величине и форме эмульсионных монокристаллов. Исследовано влияние AgJ на светочувствительность эмульсий и сделана попытка объяснить наблюдаемые факты в связи с современными теориями образования скрытого фотографич. изображения.

С. Ш.

66425. О аминопсевдоцианинах и их сенсibiliзующих свойствах. Мейер, Крч (Über Aminobenzthio-pseudozianine und deren sensibilisierende Eigenschaften. Meyer Kurt, Krietsch Eberhard), Z. wiss. Photogr., 1953, 48, № 4—6, 126—136 (нем.)

Сенситометрическим и спектроскопич. методами исследовано сенсibiliзующее действие по отношению к аммиачной (А) и нейтральной (Н) галлоидосеребряным эмульсиям (Э) тиа-2'-хлорпаниниодида (I), ортохроматич. сенсibiliзатора фирмы Арфа неуказанного строения (II), 3,1'-диэтил-6'-амино-(III) и 3,1'-диэтил-6'-амино-2'-тиахинопаниниодида (IV), а также смеси III и I. Ниже приведены результаты сенситометрич. испытаний, отдельно для каждого сорта Э, в следующей последовательности: сенсibiliзатор, относительная чувствительность (чувствительность несенсибилиз. Э принята за единицу) общая и за желтым светофильтром, вуаль ($\times 10^2$) исходная и после хранения 48 час. при 60° . В скобках указаны кол-ва введенных сенсibiliзаторов в мг на кв. э. АЭ (несенсибилиз.) — 1; 1; 3; 6. I (40) — 1; 194; 4; 7. II — 3; 588; 7; 10. III (20) — 1,2; 224; 5; 14. III (40) — 1,2; 224; 18; 28; I (20) + III (40) — 3; 437; 17; IV (40) — 0,9; 84; 3; 9 (вуаль дана для содержания сенсibiliзатора 20 мг/кг). НЭ (несенсибилиз.) 1; 1; 7; 22. I (40) — 1; 23; 7; 24. II — 3; 69; 10; 36. III (20) — 1,4; 32; 5; 32. III (40) — 3; 2; 74; 13; 62. I (20) + III (40) — 2,8; 64; 9; 29.

Максимум сенсibilизации (МС) I по АЭ при 530 мк с резким спадом в длинноволновой области, и провалом около 500 мк. АЭ + III — МС при 495 и 530 мк с пологим спадом при отсутствии провала; АЭ + I + III — МС при 495 и 540 мк, последний МС увеличенной интенсивности по сравнению с Э, сенсibilизированной одним I, и более резким спадом; провала нет. Эффект сенсibilизации и суперсенсibilизации сильно зависит от сорта Э. Эффективность сенсibilизации АЭ больше, чем ИЭ. Комбинация III и I в АЭ дает эффект суперсенсibilизации, в ИЭ он отсутствует. Синтез красителей производили путем конденсации четвертичных солей 2-алкилмеркаптопропильных незамещ. гетероцикла и 2-метилпропильного 6-ацетаминозамещ., в спирт. р-ре в присутствии триэтиламина при нагревании до кипения. Из полученных таким образом ацетильных производных III — светлокрасные иллы; т. пл. 290—291° (разл.), $\lambda_{\text{макс}}$ 510 мк; IV — светлокрасные иллы; т. пл. 287—290° (разл.), $\lambda_{\text{макс}}$ 500 мк; омылением конц. HCl получены соответственно III — т. пл. 235—237° (разл.), $\lambda_{\text{макс}}$ 520 мк и IV — светлокрасные иллы; т. пл. 260—263° (разл.), $\lambda_{\text{макс}}$ 510 мк (все $\lambda_{\text{макс}}$ в спирт. растворах). Н. С.

66426. Поддержание активности проявителя. Сообщение 2—6. Левенсон (Maintaining developer activity. Levenson G. I. P.), Functional Photography, 1954, 5, № 8, 10—11, 14; № 9, 13—15; № 10, 12—14; № 11, 15—17; № 12, 11—13 (англ.)

Основной причиной истощения проявителей служит накопление растворимого бромида, образующегося в процессе проявления. Ввиду отсутствия технически пригодных способов его удаления, истощение проявителя компенсируется введением безбромидного освежающего р-ра, от скорости прибавления которого зависит равновесная конц-ия бромида в проявителе. Приводятся примерные нормы расхода освежающего р-ра при проявлении негативной и позитивной киноплёнок, аэроплёнок, рентгеноплёнок. Описывается устройство для автоматич. введения освежающего р-ра с требуемой скоростью. Истощение проявителей связано также с расходом проявляющих в-в. Рассматриваются хим. р-ции процесса проявления, отщепительный расход проявляющих в-в — метола и гидрохинона — при высоком и при низком pH и делаются выводы о необходимых конц-иях метола и гидрохинона в освежающем р-ре. Описаны анализы проявителей: р-рителы проявляющих в-в; экстрагирование метола, гидрохинона и других проявляющих в-в; приборы для экстрагирования; методики определения метола и гидрохинона: титрование иодом, титрование сульфатом церия с применением спец. индикатора — ферроина и потенциометрич. титрование. Сообщение 1 см. РЖХим, 1955, 22435. К. М.

66427. Проявители, их действие и состав (Entwickler-ihre Wirkung und Zusammensetzung. H. R.), Photo-Techn. und Wirtsch., 1956, 7, № 3, 101—102 (нем.; рез. англ., франц., исп.)

Изложены сущность проявления, как окислительно-восстановительного процесса; понятие и значение окислительно-восстановительного потенциала проявляющего в-ва; влияние pH. Описаны различные типы проявителей — проявители поверхностные, глубокие, выравнивающие, мелкозернистые. Рассмотрена возможность уменьшения зернистости и повышения светочувствительности при проявлении. К. М.

66428. Количественный анализ фенидоногидрохиноновых проявителей. Аксфорд (The quantitative analysis of phenidonehydroquinone developers. Axford A. J.), Brit. J. Photogr., 1956, 103, № 4907, 88—89; Photogr. Engng, 1956, 7, № 1, 23—25 (англ.)

Сущность методики: к подкисленному и охлажденному после удаления SO_2 и хинона р-ру проявителя прибавляют избыток р-ра иода в присутствии крахмала и по истечении нескольких минут избыток иода оттитровывают р-ром тиосульфата. Приводится подробное описание хода анализа. К. М.

66429. Новые направления в химии черно-белой фотографии. Крживанек (Nové směry v chemii černobílého vyvíjení. Křivánek L.), Českosl. fotogr., 1955, № 10, 111 (чеш.)

Описаны новые проявители для фотобумаги. Заслуживает внимания проявитель фоматол М, который дает при печати на хлоросеребряных бумагах сине-черный тон. Проявитель содержит хиин, бензотриазол, нитробензимидазол и др. Эти примеси влияют на конечный тон снимка. Указанные примеси плохо растворимы в воде и поэтому добавляются в спирт. и ацетоном р-ре. Описан проявитель пирекс типа родинала, применяющийся при репродукции документов, бумаг и др., и проявитель неофин, рекомендуемый для ультрамелкозернистых пленок и повышающий их чувствительность. Указаны новые проявляющие в-ва, фенидол и другие проявители. Автор заключает, что в настоящее время в технике проявления наблюдается стремление не к уменьшению зернистости, а к повышению светочувствительности. С. Ш.

66430. Быстрая обработка черно-белых пленок с высокой разрешающей способностью. Даффи (Rapid-processing black and white films of high resolving power. Duffy J. E.), Photogr. Engng, 1955, 6, № 2, 127—131 (англ.)

Пленки для съемки экрана катодной лучевой трубки должны обладать следующими свойствами: 1) иметь достаточно высокую общую светочувствительность и спектральное распределение чувствительности, соответствующее спектральному распределению излучения фотографируемого экрана; 2) допускать обработку при сильно повышенной т-ре и быстро сохнуть после обработки; 3) давать изображения удовлетворительного качества. Использовались пленки Ansco Radacorp тип 450, Telerecord тип 454, аэроплёнка Aerial Duplicating тип SS — 45296. Пленки изготовлены на негорючей основе. Эмульсионный слой сильно задублен. Для обработки применяется спец. оборудование. В одном из способов проявление проводится при 77° ($\pm 3^\circ$) в течение 0,3 сек. Проявитель: метол 14 г, гидрохинон 14 г, сульфит безводн. 52 г, едкий натр 27 г, бензотриазол 2 г, этиловый спирт 50 мл, вода до 1 л. Фиксирование в р-ре тиосульфата аммония. Общее время обработки от момента съемки до получения изображения, готового для проекции, 0,2—0,3 сек. Разрешающая способность, полученная на пленке Radacorp, больше 100 штрих/мм . Второй способ обработки состоит в одновременном проявлении и фиксировании при 32° (рецепт фиксирующего проявителя не указан). Время обработки 10 сек. С пленкой Telerecord были получены следующие результаты: $\gamma = 0,6—0,9$ (в зависимости от рецепта фиксирующего проявителя); $D_{\text{макс.}}$ = 2,3—2,5; разрешающая способность 100 штрих/мм , зернистость несколько больше, чем при обычной обработке. К. М.

66431. Позитивы для фотолитографии, получаемые химическим обращением. Каккетт (Positives for photolithography by chemical reversal. Cackett F. G. S.), J. Photogr. Sci., 1955, 3, № 4, 129—133 (англ.)

Для печати одноцветных и цветных иллюстраций используются офсетным литографированием. Печатными формами служат пластины из грубозернистого цинка и алюминия, для изготовления которых требуется позитив. Описаны способы изготовления растворов позитивов, включающие получение негативов и контактных

позитивов, т. е. две отдельные операции с ретушью на каждой стадии. Рекомендован более экономичный способ прямого изготовления позитива с помощью хим. обращения, для чего удобным материалом служит пленка с спец. эмульсиями «Лито-Нег». Описаны три способа изготовления позитивов: 1) способ получения пленочных позитивов шрифтов и оттисков на фотобумаге; после короткой экспозиции и приблизительно $\frac{2}{3}$ времени проявления в черной кювете негативное изображение используют как экран для экспозиции позитива, проводимой в той же кювете, с последующим полным проявлением; 2) способ получения растровых и штриховых позитивов, осуществляемый отбеливанием и проявлением. После экспозиции и проявления в гидрохиноновом проявителе с едкой щелочью пленку или пластинку отбеливают в р-рах марганцевой или хромовой к-ты; остающиеся после осветления позитивное изображение экспонируют и проявляют; 3) способ с рельефом отбеливания Кодака, имеющий преимущества для штриховых изображений. Пленки после проявления отбеливают в р-ре CuSO_4 и H_2O_2 и получают рельефное позитивное изображение, которое экспонируют и проявляют. Описано получение полутонных репродукций, измерение плотности позитивов. Для улучшения позитивов, получаемых хим. обращением, необходимо применение тонкозернистых плит, включая анодизированный алюминий, улучшение качества бумаги, красок, машинной техники и стандартизация операций.

Б. В.
66432. ЕФКА — защитные светофильтры. Булатовский (ЕФКА — zaštitni filtri. Bulaťovskij Petar), Kemija u industriji, 1954, 3, № 9, Fotokemijska ind., F-33—F-34 (хорв.)

Перечислены защитные светофильтры ЕФКА, применяемые в фотолaborаториях для неактивного освещения.

С. Ш.
66433. Вода для приготовления растворов при обработке пленки. Винцетич (Voda za pripremu razvijaca u industrijskoj obradi filmske vrpce. Vincetić Korneel), Kemija u industriji, 1955, 4, № 8, F-23—F-24 (хорв.)

Описаны результаты сенситометрич. испытания проявителей, изготовленных с дистилл. водой, жесткой водой, не содержащей кислорода воздуха, и жесткой водой, лишь нагретой до 50°. При испытании получены одинаковые результаты. На основании этого предлагается при изготовлении проявителя в практике применять водопроводную воду, нагретую до 50° без предшествующей обработки.

С. Ш.
66434. Потребление серебра в фотографической промышленности. Должак, Шплайт (Režim srebra u fotokemijskoj industriji. Doljak Marijan, Šplajt Mladen), Kemija u industriji, 1956, 5, № 3, F-7—F-9 (хорв.; рез. франц.)

Описано применение серебра и виды его отходов в фотографич. пром-сти при произ-ве фотоматериалов и в других случаях применения серебряных солей. Перечислены способы регенерации серебра и экономич. эффект, который может быть получен при правильной организации этого производственного процесса.

С. Ш.
66435. Облегчение лабораторных работ посредством предварительного испытания фотобумаги. Климент (Leichtere Laborarbeit durch Typisierung der Papiere. Kliemt H.), Photo-Techn. und Wirtsch., 1956, 7, № 2, V—VI (нем.)

При печати и обработке фотобумаг возникают затруднения в связи с отсутствием точных характеристик их фотографич. свойств. Общепринятые определения, как контрастная, нормальная, мягкая и т. п., недостаточны. Светочувствительность у фотобумаг одного и того же типа, но разных фирм, сильно колеблется. Затруднения при работе увеличиваются при одновременном использо-

вании фотобумаг нескольких фирм. Предлагается предварительное испытание фотобумаг. «Копировальный тест» представляет собой серий оптический клин, используемый в способе DIN. Другой тест, называемый «Унитест», имеет, кроме серого клина, шесть цветных светофильтров для определения светочувствительности фотобумаги. Иллюстрируются результаты испытаний ассортимента бумаг.

К. М.
66436. Величина эмульсионных зерен и зернистость фотографических слоев. Клейн (Korngröße und Körnigkeit photographischer Schichten. Klein E.), Photo-Techn. und Wirtsch., 1956, 7, № 3, 98, 100 (нем.; рез. англ., франц., исп.)

Основные сведения о размерах и форме непроявленных и проявленных зерен различных эмульсий (в частности, Микрата Агфа с разрешающей способностью более 1000 стрих/мм) с указаниями по методике электронно-микроскопич. съемки, иллюстрируются отлично выполненными микроэлектроннографиями. Приведены кривая распределения зерен по величинам и кривая зависимости логарифма светочувствительности от логарифма среднего диаметра эмульсионных зерен. Объясняется природа зернистости изображения в негативе и в напечатанном с негатива позитиве. Дается понятие о различных способах измерения зернистости: микрофотометрич., по коэфф. Каллье и по допустимому предельному увеличению.

К. М.
66437. Цветные киноплёнки Истменколор, их строение и фотографические свойства. Чельцов В. С., Ткаченко Т. Г., Ж. науч. и прикл. фотографии и кинематогр., 1956, 1, № 2, 143—147

Описан применяемый в цветной кинематографии США комплект киноплёнок Истменколор, состоящий из негативной, дубль-негативной и позитивной цветных плёнок, содержащих «защитные» цветные компоненты, и панхроматич. черно-белой пленки для промежуточных позитивов. Приведены строение плёнок, распределение эффективной спектральной светочувствительности, характеристики спектрального поглощения маскирующих компонент в негативной и дубль-негативной плёнках и красителей цветного проявления. Отмечены особенности обработки плёнок в отношении состава проявляющих р-ров и применения стабилизирующих р-ров. Приведена схема получения позитивов с применением описанных плёнок и перечислены особенности плёнок истменколор, благодаря которым получают изображения с очень хорошей цветопередачей и резкостью.

Т. Т.

66438 Д. Пигментная бумага. (Изучение основных свойств и пути улучшения качества). Сопона О. П. Автореф. дисс. канд. техн. н., Моск. полиграф. ин-т, М., 1955

66439 П. Способ получения плёнок с омыленным поверхностным слоем. Алик, Ясперс, Рейсел (Verfahren zur Herstellung oberflächlich verseifter Folien oder Filme durch Verseifen von Folien oder Filmen. Alink Roelof Jan Henrik, Jaspers Alphonsus Maria Jacobus, Rijssel Tijs Willen van) [N. V. Philips' Gloeilampenfabriken]. Пат. ФРГ 920099, 11.11.54 [Chem. Zbl., 1955, 126, № 28, 6669 (нем.)]

Патентуется способ получения плёнок с омыленным поверхностным слоем для фотографич. целей. Пленку из эфира целлюлозы, содержащего от 1,5 до 3 молекул жирной к-ты на один глюкозидный остаток, омыляют до содержания соответственно 0,5—1,5 молекул, после чего обрабатывают в р-ре (I), который содержит в-во, уменьшающее набухание, причем не применяют воды. р-ров, содержащих лишь одно- или двухосновные к-ты. I может содержать: первичный насыщ. спирт

напр. бутанол с цепочкой из 4—11 атомов С; р-р хорошо водорастворимой карбоновой к-ты в спирте; водорастворимую соль по крайней мере трехосновной к-ты; водорастворимый фторид; р-р соли сульфированной алифатич. гидрокарбоновой к-ты не менее чем с 10 атомами С; толуол и (или) тетрагидронафталин и, (или) бензол и (или) жидкий эфир. В качестве I может применяться также р-р многоосновной к-ты, напр. H_3PO_4 , в бутаноле. С. Б.

66440 П. Фотографические эмульсии, содержащие соединения солей окиси ртути с аминами. Аллен, Байерс, Меррей (Photographic emulsions containing molecular compounds of mercuric salts with amines. Allen Charles F. H., Byers John R., Jr, Murray Thomas F.) [Eastman Kodak Co.]. Пат. США 2728663, 27.12.55

Патентуются светочувствительные галоидосеребряные эмульсии, содержащие небольшое кол-во соединения соли ртути и азотсодержащего в-ва из классов следующих в-в: 1) гетероциклич. соединений азота, в которых гетероциклич. атом азота, по крайней мере, тремя валентностями связан с атомами С; 2) амины, однокольцевых ароматич. соединений, в которых атом азота аминогруппы тремя валентностями связан с атомами С; 3) солей этих в-в и галоидоводородной к-ты; 4) солей галоидоводородных к-т и алифатич. аминов, содержащих, по крайней мере, три атома С. К. М.

66441 П. Фотографические эмульсии, содержащие соли ртути. Карролл, Меррей (Photographic emulsions containing mercury salts. Carroll Burt H., Murray Thomas F.) [Eastman Kodak Co.]. Пат. США 2728664, 27.12.55

Галоидосеребряная эмульсия, вуаль которой при хранении существенно не увеличивается, а светочувствительность не уменьшается, содержит на 1 моль галоидного серебра не более 0,25 мг одной из солей ртути — хлорной ртути, хлористой, бромной, иодистой, подной, водистой, азотнокислой окисной или закисной, сернокислой закисной, уксуснокислой, окисной, $K_2Hg(CN)_4$, K_2HgBr_4 . К. М.

66442 П. Фотографические эмульсии с соединениями ртути, связанной с углеродом. Любнер, Меррей (Photographic emulsions containing mercuric compounds having carbonmercury bond. Leubner Gerhard W., Murray Thomas F.) [Eastman Kodak Co.]. Пат. США 2728665, 27.12.55

Патентуется светочувствительная галоидосеребряная эмульсия, содержащая небольшое кол-во органич. соединения, в котором атом Hg посредством ненонной связи присоединен к атому С органич. цикла, а ионной связью — к аниону. К. М.

66443 П. Фотографические эмульсии, содержащие 1,2-дитиолан. Мочел (Photographic emulsions containing a 1,2-dithiolane. Mochel Walter Edwin) [E. I. du Pont de Nemours and Co.]. Пат. США 2728668, 27.12.55

Патентуется эмульсия светочувствительного галоидного серебра в синтетич. водонепроницаемом коллоиде, содержащая соединения 1,2-дитиолана. Т. Т.

66444 П. Мерицианиновые красители, содержащие бензимидазольное ядро. Ван-Лэр, Брукер (Merocyanine dyes containing a benzimidazole nucleus. Van Lare Earl J., Brooker Leslie G. S.) [Canadian Kodak Co. Ltd.]. Канад. пат. 515192, 2.08.55

Патентуются способы получения красителей общей

ф-лы $R' - N - \overset{\text{Q}}{\underset{\text{O}}{\text{C}}} - D - N(R) - C = (CH - CH)_n - \overset{\text{Q}}{\underset{\text{O}}{\text{C}}} - C = O$ (где R и R' — насыщ. алкильная группа с числом атомов С от 1 до 5; D-бензо- или нафтогруппа; Q —

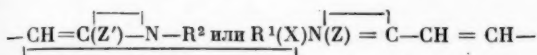
атомы, замыкающие остаток 2-тиобарбитуровой к-ты и n — 1, 2 или 3) путем конденсации четвертичных солей 2-метил-1-R-бенз- или нафтимидазолов с 5-ацетанилинометилден-2-тиобарбитуровыми к-тами или их винилновыми гомологами в присутствии основных агентов. Напр., 5-(1',3'-диэтилбензимидазолинил-2'-бутилиден)-1,3-диэтил-2-тиобарбитуровая к-та получается взаимодействием подэтилата 1-этил-2-метилбензимидазола с 5-(3-ацетанилиноаллилиден)-1,3-диэтил-2-тиобарбитуровой к-той в присутствии триалкиламина. Т. Т.

66445 П. Получение промежуточных продуктов красителей. Кендалл, Фрай, Саггейт (Production of dyestuff intermediates. Kendall J. D., Fry D. J., Suggate H. G.) [Ilford, Ltd.]. Англ. пат. 693623, 1.07.53 [Chem. Abstrs, 1954, 48, № 8, 4342 (англ.)]

Соединения ф-лы $R'' - N(R')(X) = (CH - CH)_n = CCH = (CH - CH)_m = C(OR)CH_2(R - \text{алкил}; R' - \text{алкил или арилалкил}; R'' - \text{остаток 5- или 6-членного гетероциклич. ядра; n и m = 0 или 1; X — кислотный остаток})$ служат промежуточными продуктами цианиновых красителей. Напр., 6 г 2-(3',3'-диацетилаллилиден)-3-метилдигидробензотиазола (I) суспендируют в 20 мл сухого спирта, насыщ. HCl при 0°; смесь охлаждают до —70° и выдерживают 24 часа (метод А); осадок хлорметилата 2-(4'-этоксипропил-1',3'-пентадиенил)-бензотиазола (II) отфильтровывают, соединяют со 2-й фракцией, полученной при упаривании, растворяют в спирте и прибавлением воды. р-ра KJ превращают в подметилат II; оранжево-желтые кристаллы, т. пл. 190° (разл., из сл.). 2 г I прибавляют к 20 мл CH_3OH , насыщ. HCl при 0°; смесь оставляют стоять 8 час. при 0° и 16 час. при 25° (метод Б); упаривание в вакууме дает хлорметилат 2-(4'-метокси-1',3'-пентадиенил)-бензотиазола (III); красные кристаллы с синим блеском, т. пл. 97—98° (разл.). 2-Диацетилметилден-3-метилдигидробензотиазол или 2-ацетилметилден-3-метилдигидробензотиазол (IV) при обработке по методу А дают хлорметилат 2-(2'-этоксипропил)-бензотиазола, т. пл. 219° (разл.). IV при обработке по методу Б дает хлорметилат 2-(2'-метоксипропил)-бензотиазола, т. пл. 227° (разл.). 2-Ацетилметилден-3-этилдигидробензотиазол дает (метод А) хлорэтилат 2-(2'-этоксипропил)-бензотиазола, т. пл. 225° (разл.). 2-(3',3'-Диацетилаллилиден)-3-метилдигидробензотиазол (V, т. пл. 193°) дает (метод А) хлорметилат 2-(4'-этоксипропил-1',3'-пентадиенил)-бензоксазола, оранжевый, т. пл. 85°, и (метод Б) хлорметилат 2-(4'-метокси-1',3'-пентадиенил)-бензоксазола (VI), оранжево-желтый, т. пл. 86°. 2-(3',3'-Диацетилаллилиден)-1-метилдигидрохинолин (VII), т. пл. 198° дает (метод Б) хлорметилат 2-(4'-метокси-1',3'-пентадиенил)-хинолина, красные кристаллы, т. пл. 81°, а 1,3,3-триметил-2-(3',3'-диацетилаллилиден)-индолинхлорметилат 2-(4'-метокси-1',3'-пентадиенил)-3,3-диметилиндоленна; мелкие малиновые кристаллы, т. пл. 97—99°. V и VII получены по способу, описанному в англ. пат. 553143. В. У.

66446 П. Слон, поглощающие ультрафиолетовые лучи. Фирк (Ultraviolet absorbing layers. Fierke Scheuring S.) [Eastman Kodak Co.]. Пат. США 2691579, 12.10.54

Предложен фотоматериал, включающий подложку, желатиновый галоидосеребряный слой и желатиновый слой, содержащий сополимер (I) стирола и ненасыщ. алифатич. соединения с карбоксильными группами, а также в-во (II), поглощающее УФ-лучи. I содержит полимерную углеводородную цепочку с периодически повторяющимися фенильными и карбоксильными группами совместно с карбамидными или карбимидными группами; II — в-во общей ф-лы $R^1 - (X)N(Z) = C -$



$-\text{C}=\text{C}(\text{R}^2)-\text{N}(\text{R}^4)-\text{C}(\text{R}^3)=\text{CH}$, где R^1 , R^2 и R^3 — алкильная группа; R^4 — алкильная группа, содержащая по крайней мере 9 атомов C; X — кислотный остаток; Z и Z' — неметаллич. атомы для замыкания гетероциклич. кольца типа бензоксазола, тиазолина, тиазола или бензотиазола. С. В.

66447 П. Эфиры и амиды салициловой кислоты в качестве компонент в фотографиях. Салминен, Уайсбергер (Salicylic acid ester and amide photographic coupler compounds. Salminen Jlmari F., Weissberger Arnold) [Eastman Kodak Co.]. Пат. США 2728660, 27.12.55

Патентуется способ получения цветного фотографич. изображения в галлодосеребряном эмульсионном слое путем проявления экспонированного слоя первичным ароматич. амином в присутствии компоненты строения $\text{CH}=\text{C}(\text{R})-\text{CH}=\text{C}(\text{OH})-\text{C}(\text{COOR}')=\text{CH}$ и $\text{CH}=\text{C}(\text{R})-\text{CH}=\text{C}(\text{OH})-\text{C}(\text{CONHR}')=\text{CH}$, где R —

амино- или ациламиногруппа, R' — группировка, содержащая алкильную группу с числом атомов C от 1 до 20 и моноциклич. арильную группу ряда бензола. Т. Т. 66448 П. Полимерные компоненты цветного проявления. Мак-Куин (Polymeric color formers. McQueen David M.) [E. I. du Pont de Nemours and Co.]. Канад. пат. 501638, 20.04.54

Полимерная цветная компонента (ЦК) получена конденсацией полимерного кетальдона с компонентой цветного проявления, выбранной из групп ацилацетамидов, эфиров ацилуксусной и цианоуксусной к-т, амидов цианоуксусной к-ты, пиразолонов, аминопиразолонов и аминиацетамидов, с удалением воды. Конденсация производится в водн. шел. среде. В качестве ЦК может быть взят фениламинопиразолон (5). Повторяющееся звено кетальдона имеет ф-лу $[-\text{CH}_2-\text{CHONH}-]_m$ $[-\text{CH}_2-(\text{R})-\text{C}-(\text{R}')\text{CO}]$, где m — число от 10 до

50; R и R' — члены группы, состоящей из водорода и углеводородных радикалов. Полимерная ЦК имеет повторяющееся звено строения $[-\text{CH}_2-\text{CHONH}-]_m$

$[-\text{CH}_2-\text{CH}-\text{CH}=\text{C}-\text{CO}-\text{N}(\text{C}_6\text{H}_5)-\text{N}=\text{C}=(\text{CH}_3)]$, где m — число от 10 до 50. С. В.

66449 П. Способ цветного проявления фотографических изображений. Мадерн (Procédé de développement chromatogène d'images photographiques) [Ciba A.-G.]. Франц. пат. 1082337, 28.12.54 [Chimie et industrie, 1955, 74, № 5, 987 (франц.)]

Фотографический слой, уже не содержащий не растворимых солей Ag, проявляют ароматич. амином, способным образовать краситель, в присутствии в-ва, способного к сочетанию, и растворимой восстанавливающей соли. К. М.

66450 П. Проявление многослойных цветных пленок проявителями, содержащими меркаптоазолы. Смит (Development of multi-layer color films with developers containing mercapto azoles. Smith Edward A.) [Eastman Kodak Co.]. Пат. США 2725290, 29.11.55

Патентуется способ предупреждения перепроявления верхнего эмульсионного слоя многослойной пленки (состоящей из красочувствительного, зеленочувствительного и синечувствительного слоев, в которых образуются соответственно голубой, пурпурный и желтый красители), заключающийся в экспонировании и проявлении при 55° р-ром первичного ароматич. аминопроизводного проявляющего в-ва, содержащего 0,1 г/л 1-фенил-5-меркаптотетразола. К. М.

См. также: 64558, 64960, 64979.

ДУШИСТЫЕ ВЕЩЕСТВА. ЭФИРНЫЕ МАСЛА.

ПАРФЮМЕРИЯ И КОСМЕТИКА

66451. Эвкалиптовое масло, обогащенное цинеолом, из *Eucalyptus saligna*. Бургер (Ein cineolreiches Eucalyptusöl von *Eucalyptus saligna*. Burger Alfons M.), Parfüm. und Kosmetik, 1956, 37, № 3, 118—119 (нем.; рез. англ., франц.)

Описано получение эфирного масла (М), обогащенного цинеолом, перегонкой листьев быстро растущего сорта *Eucalyptus saligna*. Отмечается, что выход М из старых листьев составляет 0,1—0,2% на взятые листья, из листьев свежих молодых побегов, выход 1—0,5%. После одной ректификации получается М с содержанием цинеола 85% и константами: n_D^{15} 1,528, d_{15} 0,915, $\alpha_D^{+0,5^\circ}$ Е. Ш.

66452. Эфирные масла французских колоний. Часть II. Трабо (Essential oils of the french colonies. Part II. Traud L.), Internat. Parfumer, 1953, 3, № 9, 10—16 (франц.)

Приведены физ.-хим. показатели и состав эфирных масел Марокко: нероли, герани из района Meknes, герани из района Ain Djernidja, перечной мяты, масел *Cedrus atlantica*, *Mimosa mollissima*, *Ormenis multicaulis*, *Ruta montana*, *Ruta chalapensis*, *Callistris articulata*, *Thymus pallidus*, *Orris germanica*, мирты, майорана и болотной мяты и экстракта из дубового мха. Е. С.

66453. Пути повышения выходов розового эфирного масла. Горянов М. Н., Бюл. науч.-техн. информ. Всес. н.-и. ин-та маслич. и эфиромаслич. культур, 1956, № 1, 28—30

Эфирное розовое масло, находящееся в связанном состоянии, выделяется после предварительной ферментации лепестков розы при их первоначальной влажности, повышении т-ры $\leq 50^\circ$ в течение 1 часа. Выход розового масла повышается на 80—100%. О. С.

66454. Капельный метод анализа мятного масла. Гурвич Н. Л., Краткий отчет о науч.-исслед. работе за 1954 г. Всес. н.-и. ин-та маслич. и эфиромаслич. культур. Краснодар, 1955, 149—152

Предложен простой метод капельного анализа мятного масла, основанный на осадочной хроматографии. Для проявления капель в УФ-свете использованы специально изготовленные алюмосиликатные пластинки. Метод позволяет определить качеств. состав масла и ориентировочно колич. соотношения его компонентов. Установлены два эталона: 1-й для масел, пригодных в косметике (фиолетово-синее свечение капли с узкой красной каймой) и 2-й для парфюмерии высших сортов (ярко-синее со светло-голубой или зеленой каймой). Л. Г.

66455. Хроматографическое определение углеводов в масле розы. Иванов, Марков, Павлова, Иванова (Dosage chromatographique des hydrocarbures dans l'essence de rose. Ivanoff D., Marécoff N., Pavlova St., Ivanova L.), Ind. parfum., 1956, 11, № 3, 105—106 (франц.)

Описано хроматографич. определение углеводов (стеароптенов) в масле розы на окиси алюминия с петр. эфиром (30—50°). Наилучшие результаты получены при применении 60-кратного кол-ва окиси алюминия по сравнению с исследуемым образцом масла. Образец масла ~ 2 г взвешивают с точностью 0,01 мг, растворяют в 10 мл петр. эфира и переносят на колонку ($h = 40$ см, $d = 2$ см). Вымывают петр. эфиром; после отбора первой фракции (~ 30 мл), отбирают остальные по 20 мл. Р-ритель удаляют при 60° до получения постоянного веса. Результаты двух параллельных опытов отличаются на $\sim 0,5\%$. Потери углеводов составляют 1,5%, считая на общее содержание углеводов, или $< 0,3\%$, считая на масло. Результаты определений углеводов близки к данным, полученным при определении стеароптенов обычным методом. Т. Р.

66456. О новых восстановителях. Девейн (Über neue Reduktionsmittel. Dewein H.), Seifen-Öle-Fette-Wachse, 1955, 81, № 22, 641—642 (нем.; рез. англ., франц., исп.)

Описано применение новых восстановителей (литий-алюминий-гидрида и натрий-бор-гидрида) в области органич. синтеза. Эти восстановители могут быть использованы в парфюмерной пром-сти. Галлий-алюминий-гидрид пока не нашел себе применения. Е. Ш.

66457. Пряности и эфирные масла как консерванты. Бойл (Spices and essential oils as preservatives. Boyle W.), Pharmac. J., 1955, 174, № 4777, 411—412 (англ.)

Краткий обзор работ, посвященных изучению бактерицидных и фунгицидных свойств пряностей и эфирных масел и механизма их консервирующего действия. Библ. 25 назв. А. Т.

66458. Непостоянство вкусового ощущения. Джекобс (Variability in taste response. Jacobs Morris B.), Amer. Perfumer and Essent. Oil Rev., 1955, 66, № 5, 48, 50 (англ.)

На основании литературных данных сделан вывод, что различные определения вкуса тех или иных в-в объясняются индивидуальностью вкусовых ощущений. Е. Ш.

66459. Влияние глицерина на отдушки. Стетсон (How glycerine enhances flavors. Stetson Robert), Amer. Perfumer and Arom., 1956, 67, № 1, 58, 60, 62 (англ.)

Рассмотрены свойства глицерина и применение его как р-рителя и связывающего в-ва в ванильных экстрактах, природных и искусств. отдушках, эмульсиях и настах. Приведены рецептуры. Г. М.

66460. Карбопол 934 в косметике и фармацевтике. Нобл (Carbopol 934 in cosmetics and pharmaceuticals. Nobles W. Lewis), Drug and Cosm. Ind., 1955, 77, № 2, 178—179, 280—281 (англ.)

Описана возможность применения карбопола 934 (К) в фармации и косметике в качестве суспендирующего агента и основы в кремах и мазях. К инертен с точки зрения острой токсичности и дерматологии; не обладает сенсibilизирующими и раздражающими свойствами. Перед употреблением К нейтрализуется в водн. среде до необходимого значения pH. В кремовых основах К устойчив к широким значениям pH и не вызывает раздражений. Приводятся рецептуры косметич. кремов, содержащих К (смягчающий, защитный кремы, крем для массажа, лосьон для рук и др.), которые могут служить руководством при составлении новых рецептур. Т. В.

66461. Каротиноиды в косметике. Герхард (Carotinoide in der Kosmetik. Gerhard H.), Parfüm. und Kosmetik, 1956, 37, № 2, 66—67 (нем.; рез. англ., франц.)

Приведены итоги работ по исследованию каротиноидов и указано на их огромное современное значение. Положительное влияние этой группы красящих в-в на кожу автор объясняет способностью кожи окисляться кислородом воздуха под действием каротиноидов. Е. Ш.

66462. «Жидкие лимоны» для косметических целей. Бенк («Flüssige Zitronen» für kosmetische Zwecke. Benk E.), Seifen-Öle-Fette-Wachse, 1956, 82, № 5, 110—111 (нем.)

Приводятся сравнительные данные по составу натурального лимонного сока и применяемой в косметике жидкости под названием «жидкие лимоны» (ЖЛ). Отмечается, что состав ЖЛ отличается от состава сока по содержанию лимонной к-ты приблизительно в 4 раза, фосфатов в 2 раза, в ЖЛ отсутствуют белки. ЖЛ при хранении через 9 месяцев меняет цвет, пови-

димому вследствие растворения полиэтиленового материала тары в ЖЛ. Е. Ш.

66463. Силиконы в косметике и их применение в кремах. Корниу (Les silicones en cosmétologie. Leur utilisation dans les crèmes. Corniou Pierre), Inds. parfum., 1955, 10, № 11, 447, 449—451 (франц.)

Обзор свойств и применение кремнийорганич. соединений (силиконы) в косметике (кремах, пудре, губных помадах, зубной пасте, бриллиантине) и в медицине. Особенно рекомендуется применение кремов, содержащих силиконы, при дерматите, а также для предохранения кожи при соприкосновении с раздражающими веществами. Е. С.

66464. Ланолин в косметике и фармации. Лоуэр, Кресси (Lanolin in cosmetics and pharmacy. Lower E. S., Cressey S. C.), Perfum. and Essent. Oil Rec., 1956, 47, № 3, 100—101 (англ.)

Обзор различных сортов ланолина, его свойств и применения в косметике и в фармацевтич. препаратах. Е. С.

66465. Производные шерстяного жира. Лоуэр (Keeping up-to-date on woolfat derivatives. Lower Edgar S.), Soap. Perfum. and Cosmetics, 1955, 28, № 10, 1128—1130; № 11, 1260—1263 (англ.)

Обзор применяемых в настоящее время в косметике продуктов, полученных из шерстяного жира: спирты шерстяного жира и ланолин высшего качества, жидкий ланолин, белый ланолин (гидрированный), водорастворимый ланолин (продукты конденсации спиртов шерстяного жира с холестеринем, ланостеринем и спиртами с прямой цепью), спирты шерстяного жира в водорастворимой форме, чистый холестерин и получистый. Дана краткая характеристика перечисленных продуктов и их применение. Приведен ряд рецептур косметич. препаратов, в состав которых входят эти продукты. Е. С.

66466. Токсическое и раздражающее действие на кожу косметических препаратов и косметических основ. Льюбау (Skin toxicity and sensitivity of cosmetic cosmetics bases. Lubow M. D.), Drug. and Allied Inds., 1955, 41, № 3, 6—9 (англ.)

См. РЖХим, 1955, 15232

66467. Кремы, содержащие гормоны и витамины. Уэллс (Hormone and vitamin creams. Wells F. V.), Amer. Perfum. and Essent. Oil Rev., 1953, 61, № 1, 19, 21—24; № 2, 117—121 (англ.)

Обзор (составные части, влияние кремов, содержащих гормоны, растворимость гормонов, рецептуры, действие витаминов в косметич. кремах). Н. Л.

66468. Витаминизированный крем. Уэллс (Vitamin cream. Wells F. V.), Amer. Perfumer and Essent. Oil Rev., 1953, 61, № 4, 284 (англ.)

При лечении кожных трещин, язв, миозита, дерматозов, включающих поражение коллагеновых тканей и др., применяют мази и кремы, содержащие 1000, 100 000, 150 000 м. е. витамина А (его пальмитат или глицерольный эфир), витамины D и E и рыбий жир. Добавление диэтилстильбестрола и природных гормонов не снижает активности витамина А, способствующего уплотнению эпидермиса, снижению содержания кератина и степени образования кератоз. Витамины A и D масел консервируются маслом из ростков пшеницы, содержащим витамин Е, которое также предохраняет растительное и минер. масла от прогоркания. С. К.

66469. Применение радиоактивных изотопов в косметической химии — с дерматологической точки зрения. Уиттен (Some uses and limitations of radioactive isotopes in cosmetic chemistry—from a dermatologist's point of view. Witten Victor H.), J. Soc. Cosmetic Chemists, 1955, 6, № 5, 399—407 (англ.)

Указана целесообразность применения радиоактив-

ных изотопов в косметике. Приведены примеры их применения. И. В.

66470. Тиоден—индикатор, пригодный для подметрического титрования тиогликолевой кислоты. Уокер, Фриман (Thyoden, ein brauchbarer Indikator für die jodimetrische Titration von Thio-glykoisäure. Walker G. T., Freeman F. M.), Seifen-Öle-Fette-Wachse, 1956, 82, № 8, 187 (нем.; рез. англ., франц., исп.)

Описано применение тиодена (I) в качестве индикатора для подметрии. определения тиогликолевой к-ты (II) в препаратах для холодной завивки волос. Сравнительные данные титрования II в присутствии I или крахмала показывают, что I является лучшим индикатором, чем крахмал. Е. Ш.

66471 П. Вещество, заменяющее линалоол. Вейсенборн (Austauschstoff für Linalool. Weissenborn Albert) [VEB Farbenfabrik Wolfen.] Пат. ГДР 4560, 17.03.55

Патентуются в-ва с запахом линалоола: 2-оксип-3-метил-4-фенилбутан (I) и 2-оксип-3-метил-4-п-толилбутан (II). I получают восстановлением 2-оксип-3-метил-4-п-толилбутена-3-(III), а II—восстановлением 2-оксип-3-метил-4-п-толилбутена-3. III может быть получен конденсацией метилэтилкетона и безальдегида в кислой среде. Указано применение I и II вместо линалоола для получения искусств. масел. Приведены рецептуры искусств. линалоового, бергамотного и гераниевого масел, в состав которых входит I. С. К.

66472 П. Способ изготовления препарата для перманентной завивки волос. Мейс (Förfärande för framställning av ett preparat för permanentondulering. Mase H. W.) [Ronk S. O. L. R. Hunter]. Швед. пат. 150504, 28.06.55

Хлорированный парафиновый углеводород, напр. хлорированный парафиновый воск, содержащий в молекуле ≥ 13 атомов С, смешивают с масломстворимым эмульгатором (напр., сорбитанмоноолеатом) и водорастворимым эмульгатором (напр., полиоксипалкиленовым производным сорбитанмоноолеата), затем к полученной смеси прибавляют относительно большее кол-во NH_4Cl соли тиогликолевой к-ты. Б. Ф.

66473 П. Лосьоны для завивки и восстановления волос. Хефель (Reducing hair waving lotion. Haefele John W.) [The Procter & Gamble Co.]. Пат. США 2719813, 4.10.55

Лосьон для завивки волос, не вызывающий повреждений при продолжительном контакте, состоит из водн. р-ра смеси 1—15 вес. % водорастворимого не третичного меркаптана ф-лы $\text{HS}-\text{D}-\text{Q}$ и от 0,10 : 1,0 до 1,5 : 1,0 (по отношению к меркаптосоединению) водорастворимого не третичного органич. дисульфида ф-лы $\text{Q}'\text{D}'-\text{SS}-\text{D}''-\text{Q}''$, где Q, Q' и Q'' —радикалы, содержащие оксип- или низшие алкоксигруппы —OR (R — незамещ. алкильная группа из 1—3 атомов С), а D, D' и D''—алкиленовые радикалы по крайней мере из 2 атомов С и кроме того содержащие 0—4 функциональных групп: —SH, —OH или низшие алкоксигруппы OR (R — незамещ. алкильная группа из 1—3 атомов С). pH р-ра 8,5—9,5 и р-р достаточно свободен от сульфитов и органич. тиосульфата. Г. М.

66474 П. Производство губных помад и подобных продуктов. Рейниш, Даттон (Manufacture of lipstiks and the like. Reinisch W. B., Dutton K. R.) [Dutton & Reinisch Ltd]. Англ. пат. 719300, 1.12.54 [Paint, Oil and Clour J., 1955, 127, № 2935, 151 (англ.)]

Патентуются улучшенные губные помады, содержащие жирные к-ты чайного масла в кол-ве 30—80% от парафиновой основы. Превращенные в алканоламиды к-ты растворяют эзгин легче, чем касторовое масло.

Для этой цели также пригодны оливковое масло и производные лауриновой к-ты. Дана теория красящих в-в и крашения. О. С.

См. также: Эфирные масла 65117.

КАУЧУК НАТУРАЛЬНЫЙ И СИНТЕТИЧЕСКИЙ. РЕЗИНА

66475. Пятьдесят лет химии каучука и резиновой промышленности. Россем (Vijftig jaar rubber-chemie en rubberindustrie. Rossem A. van), Chem. weekbl., 1954, 50, № 40, 675—686 (голл.; рез. англ.)

66476. Место и задачи международной организации по исследованию натурального каучука. Герритсен (Stellung und Aufgaben der internationalen Naturkautschuk-Forschung. Gerritsen J. C.), Kautschuk-Anwendungen, 1956, 6, № 1, 2—4 (нем.)

Описываются история возникновения международной организации производителей НК, ее структура, задачи и значение. А. Л.

66477. Покрытие металлов каучуком из латекса.

Рамсдонк (Das Auskleiden und Überziehen von Metallen mit Latex. Raamsdonk G. W. van), Kautschuk und Gummi, 1956, 9, № 1, 10WT—14WT (нем.)

См. РЖХим, 1956, 52395.

66478. Истирание бутылкаучука. Запп (Abrasion of butyl rubber. Zapp R. L.), Rubber World, 1955, 133, № 1, 59—68, 76 (англ.)

Истирание производилось на машине Ламбурна на вращающихся кольцевых образцах, при различных степенях проскальзывания абразивного диска, истирающего образцы. После истирания поверхность резины из GR-I — гладкая, а из GR-S — шероховатая. При проскальзывании ниже 20% потери резины из GR-I на истирание по сравнению со сталью тем меньше, чем меньше процент проскальзывания, а выше 20% — наоборот. Кольцевые образцы с 4 канавками по окружности лучше воспроизводят условия истирания при эксплуатации шин. Резины из GR-I с 40 и 60 вес. ч. канальной сажи на образцах с канавками и без канавок дают противоположные результаты. Увеличение нагрузки на образец при заданном проценте проскальзывания вызывает увеличение силы торможения и потерь на истирание. При повышении т-ры от —20 до 50° истирание резины из GR-I возрастает. Тепловая обработка смесей, снижая их динамич. модуль, снижает потери на истирание. Повышение содержания канальной сажи с 40 вес. ч. до 50 вес. ч. повышает прочность смеси, но в большей степени динамич. модуль. В результате возрастают потери на истирание, что согласуется с опытами Шалламаха (J. Polym. Sci., 1952, 9, 335). При снижении содержания S в вулканизате из GR-I с 2 ч. на 1 ч. истирание уменьшается. Введение пластификатора в смесь с канальной сажей не изменяет истирания, в смесь с печной сажей — значительно уменьшает. Потери на истирание, определяемые на машине Ламбурна, удовлетворительно коррелируются с дорожными испытаниями. А. Л.

66479. Маслостойкий синтетический каучук и опытное изготовление изделий из него. Лини Дичжун, Гу Тин-хэ (耐油合成橡膠及其製品的試製. 凌鼎鎔, 顧廷和), 化學世界, Хуасюэ шицзе, 1955, № 4, 153—154 (кит.)

Получение и применение полисульфидного каучука. Д. С.

66480. Каучуки на основе изоцианатов. Маутон (Rubbers on isocyanat basis. Mouton E. J.), Plastica, 1955, 8, № 9, 458—461 (голл.)

Обзор. Д. С.

66481. Эластичные и теплостойкие резиновые смеси.

Вильямс (Elastische und wärmebeständige Kautschuk-Mischungen. Williams Ira), Kautschuk und Gummi, 1956, 9, № 1, WT15—WT17 (нем.).

Оценка теплообразования в шинных резинах из НК с различными наполнителями производилась на флексометре Ст. Джо (Havenhill и др. Ind. Engng Chem. anal. Ed., 1935, 7, 60) на цилиндрич. образцах высотой и диам. 3,81 см. Т-ра в образцах зависит от условий испытания. В образцах из НК с 24 ч. печной сажи FEF она увеличивается от 42,7° до 75,1° при изменении амплитуды горизонтального смещения от 3,3 до 4,8 мм при статич. нагрузке 183 кг и от 52,3° до 84° при статич. нагрузке 226 кг. Повышение содержания печной сажи SRF с 25 ч. до 40 ч. повышает теплопроводность, модуль 300%, т-ру. Сопротивление разрыву, раздиру и упругий отскок проходят через максимум при 30% сажи. Сжатие уменьшается. Приведены изменения этих показателей в зависимости от типа печной сажи и при замене сажи на ZnO в смесях из НК. А. Л.

66482. Характеристика резины, применяемых в технике. Получение и контроль свойств. Основные национальные и международные нормы. Меликья (Caratteristiche della gomma negli impieghi tecnici. Come ottenerle e come controllarle. Melicchia Andrea), Riv. ingegneria, 1955, 5, № 8, 917—926 (итал.)

66483. Дилатометрическое изучение процессов набухания акрилонитрильных каучуков и поливинилбутирила. Роот Л. А., Гликман С. А., Науч. ежегодник за 1954 г. Саратовск. ун-т, Саратов, 1955, 558—560

Изменение суммарного объема системы может дать косвенное суждение об энергетич. эффектах набухания, растворения и взаимодействия при изменении состава р-рителя. Методику см. 1) ЖОХ, 1951, 21, 58 и 2) Труды Всесоюзной конференции по колл. химии, изд. АН УССР, 1952, 89. Изучалось набухание СКН-26 и СКН-40 и набухание и растворение поливинилбутирила. Уменьшение объема системы СКН—баз., т. е. адсорбция баз. на бутадиеновых группах имеет место при частичном разрушении их взаимных связей после вальцевания или набухания в метаноле, сольватирующем нитрильные группы. Сольватацией и адсорбцией объясняются отрицательные объемные эффекты при растворении поливинилбутирила в бензиловом спирте и набухания его в баз. с водой. В. Ш.

66484. Изучение выпцветания. 1. Ямато, Сасада, Исаяма (Bloomig) (Bloomig) に関する研究. 第1報. 大和達實, 笹田照夫, 誠山一雄), 日本ゴム協会誌, Нихон гому кёкайси, J. Soc. Rubber. Ind., 1955, 28, № 4, 216—223, 259 (япон.; рез. англ.)

Исследовались причины выпцветания S на поверхности резиновой смеси и способы его уменьшения. Главными причинами выпцветания S, находящейся в пересыщ. состоянии в резиновой смеси, являются: механич. повреждение поверхности и следы на ней активных в-в (напр., после прикосновения рукой). Эти следы являются ядрами кристаллизации S. На выпцветание влияет т-ра пластикация резиновой смеси (чем ниже т-ра, тем меньше ее влияние). Воздух и содержащаяся в нем влага ускоряют выпцветание. Покрытие поверхности смеси целофаном уменьшает выпцветание. Применение аморфной S, содержащей 40—70% растворимой в каучуке S, позволяет ослабить или до известной степени исключить выпцветание. S₂ выпцветает меньше обычной S. Введение галоидов в расплавленную S способствует увеличению содержания S₂. Применение S, смешанной с высокомолекулярными в-вами (поливиниловым спиртом, циклокаучуком, крахмалом и др.) задерживает выпцветание. Ц.-Ч.-Д.

66485. Изучение строения вулканизованного каучука.

Камбара, Окита (加硫ゴムの構造に関する研究. 神原周, 大北熊一), 日本ゴム協会誌, Нихон гому кёкайси, J. Soc. Rubber. Ind. Japan., 1954, 27, № 7, 448 (япон.)

В вулканизатах находятся тиокетоны, при соединении между собой они образуют тиозфирные «мостики». При окислении или при взаимодействии с Cu, Hg, NH₃ и Na₂SO₃, потеряв S, они переходят в кетоны. В вулканизатах не существует меркаптановых радикалов. Ц.-Ч.-Д.

66486. Применение измерения диэлектрических потерь к исследованию старения ненаполненных вулканизатов. Апри-Робер (Essai d'application de la mesure des pertes diélectriques à l'étude du vieillissement de mélange pure gomme. Henri-Robert P.), Rev. gen. caoutchouc, 1954, 31, № 9, 724—727, 730 (франц.; рез. англ.)

Вулканизаты из НК с дифенилгуанидином (I), тиурамом (II) и каптаксом (III), не содержащие противостарителя, подвергались окислению в приборе Дюфреса и старению по Гиру. Измерялась зависимость диэлектрич. потерь, tg δ , от т-ры (—100—+80°) при частоте 120 кГц. Максимум tg δ (tg δ_m) характеризует степень полярности (конц-ию и величину электрич. момента диполей), т-ра максимума — внутреннее трение, ширина области дисперсии — характер распределения времен релаксации диполей или число различных типовых молекулярных структур. Вулканизат с II имеет наибольший tg δ_m , с I — наименьший и с III — промежуточный. При окислении по Дюфресу tg δ_m непрерывно возрастает в случае I и II, в случае III рост прекращается после поглощения 0,3% O₂. При старении по Гиру tg δ_m интенсивнее всего растет в резине с II, менее заметно с I и практически не изменяется с III. Т-ра максимума потерь увеличивается за 30 дней старения на 15—25°; ширина максимума также возрастает одинаково для всех вулканизатов. Возрастание tg δ_m при старении объясняется внутримолекулярным присоединением O₂ (межмолекулярное присоединение O₂ и S, происходящее, вероятно, в начале старения, не вызывает увеличения полярности). Прекращение возрастания tg δ_m в случае III обусловлено образованием молекулярных групп провок с уменьшающейся полярностью. Сдвиги т-ры максимума потерь и расширение области дисперсии указывают на возрастание внутреннего трения в смеси и появление большого числа различных функциональных групп (альдегидов, кетонов, карбоксиллов и т. д.). Е. В.

66487. Автоматизация в производстве. Босомуэрт (Automation in fabrication. Bosomworth G. P.), Rubber Age, 1955, 78, № 3, 396—397 (англ.)

Особенности и задачи автоматизации в резиновой и шинной пром-сти (каландрование, произ-во бескамерных шин и др.). В. Ш.

66488. Определение содержания углеводов НК в вулканизатах СКБ+НК. Дроздовский В. Ф., Вишневская Л. М., Легкая пром-сть, 1956, № 2, 34—36

Проверена возможность применения метода ASTM, Standards, part III B., Designation, D. 297—43 T, 939, 1946. СКБ окисляется значительно медленнее НК. Упрощена и ускорена методика определения. В. Ш.

66489 K. Составление резиновых смесей. Франта (Skládání kaučukových směsí. Franta Ivan, Praha, SNTL, 1955, 77 s., il., 4,48 Kčs) (чеш.)

66490 П. Способ консервирования латекса. Тенбрук (Procédé de conservation du latex. Ten-

Броесек Walter T. L., Jr [Wingfoot Corp.]. Франц. пат. 1095993, 8.06.55 [Rev. gén. caoutchouc, 1956, 33, № 1, 108 (франц.)]

Для повышения механич. устойчивости натурального латекса и для стабилизации его щел. числа без введения вредных кол-в металлич. понов, к нему прибавляют формальдегид в присутствии сильного основания (натронной или калийной щелочи) в кол-ве, достаточном для поддержания $pH > 7$. Затем удаляют загрязнения и прибавляют аммиак.

М. Л.

66491 П. Получение изделий из каучукоподобных веществ. Брасс, Эккерт (Manufacture of articles of rubber-like materials. Brass Philip D., Eckert Charles F.) [United States Rubber Co.]. Пат. США 2713040, 12.07.55

Полимеризацией в эмульсии при 4—13° получают каучуковый латекс из 70—80 ч. бутадиена и соответственно 30—20 ч. стирола. Отдельно получают полихлорвиниловый латекс со средним диаметром частиц (расчет по величине их поверхности) 100—2000 А. Оба латекса смешивают из расчета 5—35 ч. полихлорвинила на 100 ч. сухого в-ва каучукового латекса. Требуемые изделия получают из указанной смеси.

М. Л.

66492 П. Способ обработки натурального латекса и получаемые продукты (Procédé de traitement des latex de caoutchouc naturel et produits obtenus par ce procédé) [Revertex Ltd]. Франц. пат. 1101996, 12.10.55 [Rev. gén. caoutchouc, 1956, 33, № 1, 108 (франц.)]

Натуральный латекс вулканизуют органич. перекисью (перекись трет-бутила) при повышенном давлении нагреванием при $\sim 170^\circ$ в герметич. автоклаве. Пленки очень хорошо противостоят тепловому старению и более прозрачны, чем вулканизаты с S.

М. Л.

66493 П. Способ введения наполнителей во вспененный натуральный или искусственный латекс. Д'Озак де ла Мартини (Procédé d'introduction de charges dans une masse de latex naturel ou artificiel. D'Auzac de la Martinie). Франц. пат. 1103097, 28.10.55 [Rev. gén. caoutchouc, 1956, 33, № 1, 109 (франц.)]

Перед вспениванием в латекс вводят некоторое кол-во жирных к-т, экстрагированных из пробки; потом вводят наполнитель в виде пасты с теми же к-тами. Наполнитель может быть обычным минеральным, служащим для удесятерения губки, или придающим спец. магнитные свойства, огнестойкость или замедляющим нейтроны.

М. Л.

66494 П. Аппарат для вулканизации вспененного каучукового латекса. Граннис (Apparatus for vulcanizing frothed latex rubber. Granis William C.) [Dominion Rubber Co. Ltd]. Канад. пат. 515210, 2.08.55

В вулканизационной форме для изготовления из вспененного латекса ячеистых подушек с полдой сердцевинной имеется большая полость, в которой в определенном положении друг к другу и к боковым стенкам формы расположено большое кол-во сердечников, занимающих не более половины ее объема. Некоторые из сердечников являются каналами для впуска пара в полость в определенных точках. У таких сердечников имеются относительно большие отверстия и приспособления для предотвращения проникновения внутрь отверстий текучей пены. Эти приспособления состоят из скользящих колпачков, обычно закрывающих отверстия и открывающих их под давлением пара.

М. Л.

66495 П. Способ вулканизации губчатой резины. Лавелл (Method of vulcanizing sponge rubber. Lovell Dale E.) [International Latex Processes, Ltd]. Канад. пат. 515242, 2.08.55

Для вулканизации вспененного каучукового латекса

внутрь сформованной пены через ряд точек пропускают пар, который быстро проходит через поры по всей массе и быстро и равномерно нагревает и вулканизует ее. Продолжительность обработки ≤ 10 мин. Пену можно поместить в закрывающуюся форму с сердечниками с отверстиями, через которые пропускают пар.

М. Л.

66496 П. Процесс производства эластического волокнутого продукта для обивки и набивки мебели. Рей-Амадьос (Procédé pour l'obtention d'un produit fibreux élastique pour la fabrication de capitonnages et rembourrages. Rey Amadios F.). Франц. пат. 1092627, 25.04.55 [Rev. gén. caoutchouc, 1955, 32, № 12, 1167 (франц.)]

Растительные или животные волокна разрыхляют на кард-машине и расстилают на бесконечном полотне; затем волокна увлажняют непрерывно латексной пеной и сушат током горячего воздуха. Полученный продукт пропитывают латексом с одной или с обеих сторон, сушат и вулканизуют током горячего воздуха.

М. Л.

66497 П. Усовершенствование химически модифицированных эластомеров. Снайдер, Пакстон (Perfectionnements relatifs aux élastomères modifiés chimiquement. Snyder Robert H., Paxton Homer W.) [United States Rubber Co.]. Франц. пат. 1095954, 8.06.54 [Rev. gén. caoutchouc, 1956, 33, № 1, 109—110 (франц.)]

Эластомеры, получаемые сополимеризацией диена (с сопряженными двойными связями) с моноолефином с неопределенностью, аналогичной таковой НК, напр., GR-S и GR-A, модифицируют малеиновым ангидридом. Получают продукт, аналогичный исходному по пластичности, отсутствию поперечных связей и растворимости в обычных р-рителях каучука. Сухой эластомер смешивают с малеиновым ангидридом и небольшим кол-вом одного или нескольких ингибиторов полимеризации радикального типа (большая часть которых является противокислителями для НК). Смесь нагревают при t -ре выше 150° , предпочтительно в закрытом смесителе, почти в отсутствие O_2 . Получаемые продукты каучукоподобны, их можно вулканизовать металлч. соединениями с наполнителями или без них. Их можно применять в виде р-ра как защитные покрытия и лаки. Они сохраняют свои свойства при длительном хранении при нормальной t -ре.

М. Л.

66498 П. Способ упаковки в контейнер деформирующегося эластичного материала. Севениайфер (Procédé pour mettre en boîte une matière déformable élastique pour son application. Sevenpifer Ross) [Polymer Corp. Ltd]. Франц. пат. 1103123, 31.10.55 [Rev. gén. caoutchouc, 1956, 33, № 1, 109 (франц.)]

Для упаковки НК или СК в контейнер из листового железа помещают кол-во каучука в объеме, почти равном или несколько меньшем емкости контейнера, так, что каучук выступает из отверстия. Затем нажимают на крышку контейнера и вдавливают торчащий из отверстия каучук так, что крышка ложится на край отверстия, после чего ее края оправляют вокруг отверстия контейнера. Описывается применяемая аппаратура и приведен пример упаковки в цилиндрич. контейнер листа СК, свернутого в рулон.

М. Л.

66499 П. Способ получения синтетического каучука. Ротлибергер, Юрейнек (Procedure for manufacture of synthetic rubber. Rothlisberger Alvin C., Ura-neck Carl A.) [Phillips Petroleum Co.]. Пат. США 2720510, 11.10.55

В водно-эмульсионную полимеризационную систему, состоящую из диена с сопряженными двойными связями, воды, регулятора — меркаптана, эмульгатора — мыла щел. металла и жирной к-ты, активатора и окислителя, в зону полимеризации вводят сначала воду,

меркаптан, мономер и жирную к-ту в стехиометрич. соотношениях к мылу. Получающуюся смесь размешивают так, что жирная к-та и меркаптан полностью растворяются в мономере; затем в смесь с жирной к-той при нагревании и перемешивании вводят гидроокись щел. металла в кол-ве, необходимом для р-ции с жирной к-той и для достижения pH смеси, содержащей мыло 9—12. В образующуюся при этом эмульсию вводят активатор и окислитель. М. Л.

66500 П. Вулканизованные хлорсульфированные полимеры. Мак-Алени (Vulcanized chlorosulfonated polymers. Mc Aleve Ambrose) [E. I. du Pont de Nemours and Co.]. Пат. США 2723257, 8.11.55

В хлорсульфированном твердом полиэтилене (исходный материал содержит 20—45% Cl и 0,4—3% S в виде сульфонилахлоридных групп) создают поперечные связи между молекулами с помощью сульфоамидо-групп, образуемых сульфонилхлоридными группами и ароматич. первичным диаминном с ф-лой $\text{NH}_2\text{R}\cdot\text{NH}_2$, где R—2-валентный ароматич. углеводородный радикал с 1—2 бензольными кольцами, в котором свободные валентности находятся у различных атомов S или моно- и диалкоксизамещ. радикалы того же класса. М. Л.

66501 П. Пластификатор для каучука. Вила (Plastifiant pour caoutchouc. Vila A.). Франц. пат. 1090644, 1.04.55 [Rev. gén. caoutchouc, 1956, 33, № 1, 110 (франц.)]

Сырой деготь из лиственных деревьев, полученный сухой перегонкой древесины при низкой т-ре, медленно нагревают при 120° под пониженным давлением (несколько см Hg), удаляют воду, уксусную к-ту, ее гомологи и в-ва, летучие при 150° при нормальном давлении. Остаточный деготь вводят в НК, как обычный пластификатор. М. Л.

66502 П. Способ и аппарат для приготовления резиновых смесей. Сталинский (Procédé et appareil pour la préparation de mélanges de caoutchouc. Stalinsky E.). Франц. пат. 1090982, 6.05.55 [Rev. gén. caoutchouc, 1955, 32, № 12, 1167—1168 (франц.)]

Для ускорения введения наполнителей в резиновые смеси на вальцах с различной скоростью валков, смесь обрабатывают на более быстро вращающемся валке. Разность линейных скоростей должна быть ≥ 5 м/мин. Способ осуществим на обычных вальцах, если можно изменить скорость валков или можно работать на заднем валке. М. Л.

66503 П. Смеси каучука с наполнителем и силиконом и их изготовление. Фриер (Rubber-filler-silicone compounds and their manufacture. Phreaner Ellis H.). [H. Calvin White]. Пат. США 2720495, 11.10.55

В вулканизованном НК, бутадиестирольном, бутадиенакрилнитрильном, хлоропренизопреновом, хлоропренакрилнитрильном сополимере или полихлоропрене равномерно распределяют $>1/2$ вес. ч. (на 100 вес. ч. вулканизованного каучука) полностью полимеризованного, термически стойкого жидкого полисилоксана, двузамещ. алкильными или арильными группами. Смесь содержит также наполнитель с силикатным радикалом, соединенным с силоксановым полимером. М. Л.

66504 П. Способ приготовления фактиса. Керн (Verfahren zur Herstellung von Faktis. Kern Rudolf) [Rhein-Chemie G. m. b. H.]. Пат. ФРГ 925316, 17.03.55

Для получения фактиса, придающего резинам стойкость не только к алифатич. р-рителям, но и к ароматич., следует исходить из ненасыщ. жирных оксикислот или их сложных эфиров, ОН-группы которых образуют

простые или сложные эфиры с гидрофильными соединениями. Простой эфир получают с одним или несколькими молями окиси этилена. Сложные эфиры получают с серной, фосфорной, молочной, гликолевой, оксимасляной, адипиновой и другими к-тами. Если гидрофильное соединение остается кислым после этерификации, то перед обработкой S необходимо его нейтрализовать. Для получения фактиса более всего подходят рициновая к-та, жирные к-ты касторового масла, линолевая и линоленовая к-ты, продутая ворвань, таутомеризованная или гидрированная у кето-группы ликановая к-та и др. Фактисы, содержащие гидрофильные группы, целесообразно применять в сочетании со светлыми активными наполнителями. В сажевых смесях также повышается сопротивление разрыву. Пример: 96%-ную Na-соль сложного эфира касторовой и серной к-ты обезвоживают нагреванием при 100—120°. 100 ч. обезвоженного продукта при 140—150° обрабатывают при перемешивании 20 ч. S. Полученное в-во 12 час. нагревают при 130—140°. М. Л.

66505 П. Смазка для форм. Петер, Фроманди (Formeneinstreichmittel. Peter Julius, Fromandi Guido) [Farbenfabriken Bayer A. G.]. Пат. ФРГ 922490, 17.01.55

Для улучшения свойств силиконовой смазки для форм силиконовое масло смешивают с продуктом обменного разложения гидроксильированного или галоидированного производного этансульфокислоты, этионовой к-ты или карбисульфоната с высшими жирными к-тами, их производными или солями. Смесь может содержать различные кол-ва составных частей, напр. 2—3 вес. ч. диметилсиликонового масла и 1 ч. Na соли продукта обменного разложения хлорида олеиновой к-ты с β -оксипансульфокислотой. Водн. эмульсия этой смеси при 20%-ной конц-ии образует свободно текучую пасту, которую можно разбавить до 0,5—1%. М. Л.

66506 П. Противоокислители (Antioxidants) [Imperial Chemical Industries Ltd]. Австрал. пат. 162771, 26.05.55

В НК или СК вводят на любой стадии обработки до вулканизации нормальную и основную Al-Ва-Са-, Mg-, Sr- или Zn-соли α , α -бис-(2-окси-3,5-диалкилфенил)-алканов. Способ применим как к каучукам, так и к вулканизатам. М. Л.

66507 П. Способ крепления резиновых изделий к гладким жестким деталям. Фойгт (Verfahren zur Befestigung von Kautschukkörpern auf glatten starren Teilen. Voigt Clemens A.). Пат. ФРГ 930120, 11.07.55

На поверхность металла, дерева или стекла наносят промежуточный слой, не содержащий каучука, из неотвержденной искусств. смолы, преимущественно фенолальдегидной. В прессформе на него наносят порошок из старой резины, предпочтительно с текстилем, и спрессовывают под давлением и при нагревании (130—160°). М. Л.

66508 П. Смесь для стиральной резины. Берроуз (urojd. Мерклинг) (Compositions pour gomme à effacer. Burrows, née Merckling N.). Франц. пат. 1101037, 27.09.55 [Rev. gén. caoutchouc, 1956, 33, № 1, 111 (франц.)]

Резина с малым износом при стирании состоит из НК, предпочтительно смокед-шита, полиизобутилена с мол. весом $\leq 40\,000$, абразива — карбида кремния с размером частиц 30—150 μ и обычных ингредиентов резиновых смесей. М. Л.

См. также: Бутадиестирольный латекс 66743. Полибутадие, теплоемкость 64432. Каучук: хлорирование 66695; применение 66047. Наполнители 65148 Техника безопасн. 67452. История 64074.

СИНТЕТИЧЕСКИЕ ПОЛИМЕРЫ. ПЛАСТМАССЫ

66509. **Высокополимеры. Часть 1. Свойства молекул и свойства материалов.** Лейке (Die hochpolymeren Werkstoffe. 1. Teil: Moleküleigenschaften und Werkstoffeigenschaften. Leuchs Ottmar), Kunststoffe, 1955, 45, № 8, 323—334 (нем.; рез. англ., франц., исп.)

Рассматривается зависимость между свойствами высокополимерных в-в и особенностями строения составляющих их молекул. Дается определение понятия «высокополимерные в-ва» и проводится их деление на природные, искусств. и синтетич. Подробно рассмотрено понятие термopластичности и термoэластичности. Рассматривается также влияние на свойства материалов межмолекулярных сил и совместное действие этих сил и формы молекул на пластичность, эластичность, теплоустойчивость, маслоустойчивость, морозостойкость и электроизоляционные свойства высокополимеров. С. Ш.

66510. **Новые перспективы применения пластических масс.**—(New designs made possible by plastics—the materials of art and science.—), Prod. Engng, 1955, 26, № 1, 146—155 (англ.)

Обзор областей применения пластич. масс, некоторых новых материалов и методов обработки, появившихся в последнее время, в частности облучение пластинок частицами с высокой энергией. Е. Х.

66511. **Эмульсии виниловых смол и мономеры.** Уорсон (Vinyl resin emulsions and their monomers. Warson H.), Chem. Age, 1956, 74, № 1905, 157—164 (англ.)

Обзор методов получения винилацетата, стирола, эфиров метакриловой к-ты, виниловых эфиров жирных к-т, винилпиридина, винилфосфатов и др. Описаны различные способы полимеризации виниловых мономеров и особое внимание уделено эмульсионному методу полимеризации и применению в пром-сти эмульсионных полимеров. Библ. 44 назв. С. К.

66512. **Обозначение синтетических смол, содержащих свободные этиленоксидные группы.** Шраде (Die Bezeichnung von Kunstscharen, die freie Äthylenoxydgruppen enthalten. Schrade J.), Chimia, 1955, 9, № 7, 161—162 (нем.)

Этиленоксидное кольцо >C—C—O в хим. отношении представляет собой внутренний простой эфир. Конгресс комиссии по реформе номенклатуры в органич. химии Международного химического союза в Льеже принял определение для внутренних простых эфиров, заключающееся в том, что атом О, связанный с двумя различными атомами С продолжающейся углеродной цепи, обозначается префиксом «эпоксид». Поэтому смолы, содержащие такие группы, следует называть эпоксидными или этиленоксидными смолами, а не токсисмолами, так как последнее название предполагает наличие в смоле токсигруппы OC_2H_5 . С. Ш.

66513. **Облученные органические материалы.** Джонс (Irradiated organic materials. Jones S. T.) Canad. Plastics, 1955, April, 32—39, 68, 70 (англ.)

Рассматривается природа ядерного излучения, абсорбция излучения органич. в-вами и его влияние на физ. и хим. свойства облучаемых материалов. В частности, рассматривается влияние облучения на изменение цвета пластинок и степени их кристалличности, электрич. сопротивление, диэлектрич. потери, электрич. прочность, а также влияние облучения на процессы, приводящие к изменению размеров и структуры молекул (образование поперечных связей, деструкция). Отдельно рассмотрено влияние факторов, сопутствующих облучению (т-ра, наличие кислорода, воды). Из практических применений облучения органич. в-в отмечаются стерилизация пищи и медикаментов, проведение про-

цессов полимеризации (в том числе образование поперечных связей у полиэтилена, получение пенопластов), облучение древесины перед ее осаживанием и т. д. Под действием облучения у полиэтилена, полипропи, лена, полиакриловой к-ты, полиметилакрилата, поливинилакиловых эфиров, поливинилметилкетона, полиакриламида, НК, неопрена, полидиметилсилоксанов и сополимера стирола с акрилонитрилом образуются поперечные связи. Полиизобутилен, поли- α -метилстирол, полиметакриловая к-та, полиметилметакрилат, полиметакриламид, поливинилхлорид, поливинилиденхлорид, полихлортрифторэтилен и целлюлоза разрушаются под действием облучения. С. Ш.

66514. **Экспериментальные исследования устойчивости окраски быстроотверждающихся пластмасс.** Фишер, Штегеман, Вильдхаген (Experimentelle Untersuchungen über die Farbbeständigkeit schnellhärtender Kunststoffe. Fischer C.-H., Stegeman H., Wildhagen E.), Dtsch. Zahnärztl. Z., 1954, 9, № 18, 1073—1083 (нем.)

Приведены данные по исследованию устойчивости окраски применяемых в зубопротезной технике быстроотверждающихся пластмасс под действием УФ-облучения. И. Р.

66515. **Применение микрорентгеновской установки при исследовании пластических масс.** Урбанцова (Použití mikrorentgenu při výzkumu plastických hmot. Urbanová Ludmila), Chem. průmysl, 1955, 5, № 12, 516—519 (чеш.)

Приведен обзор структурных исследований пластмасс, которые можно выполнить с помощью рентгеновской аппаратуры, в частности модели «Микромета», выпускаемой хираским з-дом (Чехословакия). Л. П.

66516. **Цветные реакции и простые химические реакции для идентификации виниловых полимеров.** Виттершейдт (Farbreaktionen und einfache chemische Reaktionen zur Erkennung von Vinylpolymerisaten. Winterscheidt Horst), Seifen-Öle-Fette-Wachse, 1954, 80, № 9, 239—240 (нем.)

Описаны цветные р-ции, наблюдаемые при нагревании виниловых полимеров с моно- и дихлоруксусной к-тами, а также некоторые качественные р-ции на поливиниловый спирт, сложные и простые виниловые эфиры, поливинилпирролидон и виниловые сополимеры. Приведены данные по растворимости виниловых полимеров и схематически изложены методы их идентификации с помощью простых хим. реакций. И. Р.

66517. **Методы испытаний механических свойств пластмасс.** Коэма (プラスチックの試験法. 主として機械的方法について. 小島寅雄), マシナリー, Масинари, Machinery (Tokyo), 1955, 18, № 4, 338—342 (япон.)

Кратко описаны основные методы, используемые для определения предела прочности при удлинении, удельной ударной вязкости, твердости, теплоустойчивости и т-ры хрупкости пластмасс. В. П.

66518. **Измерение объемной усадки замазок из смол.** Браун, Рейнек (Measuring volume shrinkage of resinous mortars. Brown Lloyd H., Reineck E. A.), ASTM Bull., 1955, № 205, 67—68 (англ.)

Приведено описание метода определения объемной усадки замазок из термореактивных смол путем пикнометрич. (в керосине) определения уд. веса замазок в пластич. состоянии, после отверждения и после высушивания до постоянного веса (180°, вакуум 736 мм, 2—4 суток). Величина объемной усадки двух промышленных образцов замазок из термореактивных смол, определенная этим методом, оказалась равной 8,8 и 11,2%. Л. П.

66519. **Полимеризация этилена и других олефинов.** Циглер, Хольцкам, Брейль, Мартин (Polimerizzazione dell'etilene e di altre olefine. Zie-

gler Karl, Holzkamp E., Breil H., Martin H.), *Chimica e industria*, 1955, 37, № 11, 881—882 (итал.; рез. англ., нем., франц.)

В Италии начат выпуск в полужавском масштабе «ротена» — линейного полиэтилена (I) с высоким содержанием кристаллич. фазы, получаемого полимеризацией этилена в присутствии этилалюминия при атмосферном давлении по методу Циглера. Получаемый по этому методу I имеет мол. в. от 20 000 до 3 000 000. Свойства I с мол. в. 100 000—300 000 близки к свойствам полиамидов и из него можно получать волокно; у I с более высоким мол. весом свойства (если не считать горючести) близки к тефлону. С тем же катализатором авторами осуществлена сополимеризация этилена с α -олефинами, а Натта с сотрудниками — полимеризация одних α -олефинов, с образованием двух новых типов полимеров, отличающихся между собой различной пространственной конфигурацией макромолекул. Авторы предполагают, что механизм полимеризации этилена по методу Циглера носит анионный характер. Л. П.

66520. Образование трещин в нагруженном полиэтилене, работающем в химической среде. Коннорс (Cracking of stressed polyethylene due to chemical environment. Connors F. L.), *Austral. Plastics*, 1954, 10, № 113, 23 (англ.)

Низкомолекулярный полиэтилен, находящийся под нагрузкой, растрескивается от воздействия полярных органич. жидкостей (спиртов, альдегидов, кетонов, к-т и эфиров). Действие этих же в-в на ненагруженный полиэтилен любого мол. веса не приводит к появлению трещин. Для предохранения полиэтилена от растрескивания рекомендуется пластифицировать его 10% полиизобутилена или делать слой футеровки толщиной ≥ 6 мм. С. П.

66521. Литье полиэтилена под давлением. — (Polyethylene. Injection molding.—), *Mod. Plast.*, 1954, 32, № 1A, 84, 86, 88 (англ.)

Приведены подробные данные, характеризующие температурные режимы при литье полиэтилена под давлением. Е. Х.

66522. Переработка полиэтилена методом выдувания. Наруми (ポリエチレンの吹込成型. 鳴海和雄), *プラスチック*, Пурасутиккусу, *Japan Plastics*, 1955, 6, № 10, 46—50 (япон.)

Описаны конструкции форм, используемых для выдувания полиэтиленовых бутылок, и способы получения изделий. В. И.

66523. Полиэтиленовая пленка. Накагами (ポリエチレンフィルム. 中神章), *プラスチック*, Пурасутиккусу, *Japan Plastics*, 1955, 6, № 10, 21—24 (япон.)

Кратко описаны методы изготовления полиэтиленовых пленок. В. И.

66524. Полиэтиленовые трубы. Сэнно (ポリエチレンパイプ. 千野武司), *プラスチック*, Пурасутиккусу, *Japan Plastics*, 1955, 6, № 10, 32—36 (япон.)

Описаны свойства полиэтилена, примененного для изготовления труб, приведенные стандартные размеры, характеристики и метод определения предела прочности на разрыв для труб из полиэтилена. В. И.

66525. Футеровка из полиэтилена. Мацунага, Косуги (ポリエチレンライニング. 松永安正, 小杉正治), *プラスチック*, Пурасутиккусу, *Japan Plastics*, 1955, 6, № 10, 54—59 (япон.)

Описаны способы изготовления футеровки и нанесения защитных покрытий из полиэтилена на различную аппаратуру и приведены данные по устойчивости полиэтилена к действию различных органических и неорганических в-в. В. И.

66526. Типы полистирола. Крабтри (Grades of polystyrene. Crabtree) *Trans. and J. Plast. Inst.*, 1955, 23, № 51, 75—76 (англ.)

В Англии выпускается 5 типов полистирола: для обычных целей, теплостойкий с точкой размягчения 100—103°, полистирол с большим мол. весом, полистирол со средней и с высокой прочностью на удар. См. РЖХим, 1956, 48685. С. П.

66527. Полистирол с высокой прочностью на удар. Уентуэрт (Toughened polystyrenes. Wentworth V. H.), *Brit. Plastics*, 1955, 28, № 12, 507, 508, 518 (англ.)

Краткий обзор методов получения и свойств полистирола (I), обладающего повышенной прочностью к удару. Рассмотрены свойства сополимера 70% стирола с 30% акрилонитрила, смесей I с сополимером 60% стирола и 40% изобутилена и новых образцов I с наполнителями. Образец I, известный в пром-сти под названием «Хайфлю-55», имеет пониженную т-ру размягчения (80—85°), что облегчает изготовление формованных изделий. I, полученный в условиях, аналогичных получению полиэтилена при низком давлении, имеет т. размягч. 230°. С. К.

66528. Тетрафторэтилен. Компрессионное и трансферное прессование. — (Tetrafluoroethylene. Compression and transfer molding.—), *Mod. Plast.*, 1954, 32, № 1A, 55—58 (англ.)

Политетрафторэтилен выпускается в виде гранул размером 20—50 меш с объемным весом 500—570 г/л и дисперсии с размером частиц $\sim 0,3$ м и содержанием твердых в-в 58—62 вес.%. Для прессования политетрафторэтилен вначале таблеттируют по форме изделия при $\sim 20^\circ$ и уд. давл. 140—700 кг/см² (чаще при 289—350 кг/см²) и нагревают в печи или жидкостной ванне при 390° до появления пластичных свойств. Время нагревания таблетки составляет 2 часа на каждые 6,3 мм толщины. Об окончании процесса можно судить и по самому материалу, который в пластичном состоянии прозрачен. После спекания таблетка охлаждается или в свободном состоянии или под давлением. В случае необходимости получения точных размеров или сложной формы, таблетка подвергается холодной или горячей штамповке. Холодная штамповка производится при уд. давл. 140—420 кг/см², горячая — при 70—350 кг/см² и 260—320°. Усадка после выемки из формы составляет $\sim 2,5\%$. Приведены примеры прессования отдельных деталей. С. П.

66529. Выдавливание политетрафторэтилена. — (Tetrafluoroethylene extrusion.—), *Mod. Plast.*, 1954, 32, № 1A, 126—127, 130, 132—133 (англ.)

Выдавливание политетрафторэтилена (I) может производиться на червячных или поршневых профилирующих прессах. При выдавливании I червяк или поршень пресса уплотняет холодный материал и продавлиывает его через мундштук с длинной обогреваемой формующей частью, где происходит спекание. При работе на червячных прессах I подвергается предварительному нагреву при 365° в течение 1 часа, что улучшает сыпучесть порошка. Т-ра мундштука составляет обычно 370—425°. Червяк имеет постоянный шаг и неизменную высоту профиля нарезки. Из профилирующих прессов более удобны вертикальные прессы, так как в них легче равномерно распределить поступающий в цилиндр I, особенно при изготовлении трубок. Приведена таблица, характеризующая размеры мундштуков для изготовления стержней и труб с наружным diam. 12,7—63,5 мм и основные параметры технологич. процесса. Приведены также схемы произ-ва тонкостенных трубок шприцеванием пасты из I в летучем разбавителе и проводов с изоляцией из I. Для изготовления последних порошok I опрессовывают вокруг провода на канальцах и покрытые (толщина 0,38—1,25 мм) спекают в печи при т-ре $\geq 325^\circ$. В связи с токсичностью паров, выделяющихся из I при т-ре $\geq 235^\circ$, установки должны быть оборудованы вентиляцией. Е. Х.

66530. Эластомеры на основе полифторакрилатов для температур выше 150°. Хамлин (Above 300° F — Fluoro-acrylic elastomers. Hamlin Hogue C.), Prod. Engng, 1954, 25, №11, 161—163 (англ.)

Полифторакрилаты (I) сохраняют эластичность при t -ре от -23 до 204° (при пластификации фторсодержащими маслами морозостойкость I может быть доведена до -50°) и стойки при повышенных t -рах к действию гликолей, углеводов, жидкого топлива и смазочных масел, включая синтетич. смазки, т. е. в таких условиях, действие которых Буна N противостоит неудовлетворительно. При t -ре ~20° композиции из I с печной сажей, серой и амином (в качестве ускорителя вулканизации) имеют предел прочности на разрыв 86—92 кг/см^2 , удлинение при разрыве 350—365%, остаточное удлинение 10—12%; после 70-часовой выдержки при 177° на воздухе прочность на разрыв составляет 46—53 кг/см^2 . После 24-часовой выдержки в синтетич. смазочных маслах при 260° предел прочности на разрыв составляет 35 кг/см^2 ; изменение объема при этом не превышает $\pm 2\%$. I исключительно озоностойки и после 30-дневной экспозиции в атмосфере с конц-ей озона 150 ч. на 1 000 000 не проявляет никаких признаков разрушения. I можно перерабатывать на стандартном оборудовании резиновых произ-в при ~20°. Вулканизацию композиций проводят в течение 20 мин. при 154—160°. I можно применять также для нанесения на обычные и стеклянные ткани.

Л. П.

66531. Поливинилхлорид и его переработка. Мотрам (P. V. C. and its compounding. Mottram S.), Austral. Plastics, 1955, 11, № 117, 15—17, 19, 21—22 (англ.)

Обзор методов получения и переработки различного вида пластиков из поливинилхлорида.

Л. П.

66532. Получение поливинилхлоридных трубок методом выдувания. Ном (P. V. C. Инфレーションチューブの應用, 能味健次), プラスチックス, Пурасутикуссу, Japan Plastics, 1954, 5, № 11, 50—51 (япон.)

Кратко описаны способы получения поливинилхлоридных трубок с толщиной стенок 0,02—0,05 мм и diam. 50—500 мм, применяемых в качестве упаковки и для других целей.

В. И.

66533. Облицовка жестким поливинилхлоридом. Такака (硬質塩化ビニルライニング施工法, 田中暢夫), プラスチックス, Пурасутикуссу, Japan Plastics, 1954, 5, № 12, 8—15 (япон.)

Описаны методы облицовки жестким поливинилхлоридом (марок HP-101, 202, 303, 404 и 505) оборудования на 3-дх хим., электротехнич. и текстильной про-сти, а также использование жесткого поливинилхлорида в качестве конструкционного и строительного материала. Приведены физ. и механич. свойства материала.

В. И.

66534. Применение поливинилхлорида на соляных промыслах. Инакава (鹽業用塩化ビニルフィルム, 稻川徹), プラスチックス, Пурасутикуссу, Japan Plastics, 1955, 6, № 2, 1—7 (япон.)

Обзор применения поливинилхлоридной пленки на соляных промыслах. Приведены данные, характеризующие старение и изменение некоторых физ. свойств пленки в процессе ее использования.

В. И.

66535. Поливинилацетат, поливиниловый спирт, поливинилацеталь. Шифер (Polyvinylacetat—Polyvinylalkohol—Polyvinylacetal. Schiefer E.), Lab. Praxis, 1955, 7, № 4, 44—46; № 5, 57—58 (нем.)

Краткий обзор способов получения, свойств и применения в про-сти поливинилацетата, поливинилового спирта и поливинилацеталей.

С. К.

66536. Некоторые свойства частично ацетилированного поливинилового спирта. Мацуда, Иеи-

гуро, Нараока, Котэра (PVA 部分酢化物の二, 三の性質, 松田英臣, 石黒三郎, 梅岡清成, 小寺明), 高分子化学, Кобунсикаку, Chem. high. Polym., 1955, 12, № 117, 10—14 (япон.)

Поливиниловый спирт был приготовлен гидролизом поливинилацетата при 50° в среде метилового спирта, подкисленного HCl. Выпавший осадок растворяли в воде и гидролизовали в присутствии избытка NaOH. Поливиниловый спирт ацетилировали в течение 20 мин. лед. CH_3COOH при 50° в присутствии HCl в качестве катализатора, после чего к смеси добавляли избыток CH_3OH и непрореагировавшую CH_3COOH отгоняли в виде метилацетата. Оставшийся р-р наносили на стеклянную пластинку и сушили при 60° до образования пленки, которая затем выдерживалась 2 часа при 70° над CaCl_2 . У полученной пленки определяли изменение уд. веса, набухание и растворимость в зависимости от степени ацетилирования. Результаты опытов приведены в таблицах.

В. И.

66537. Полиметилметакрилат — пластичный материал для непосредственного заполнения. Коэффициент его термического расширения и водопоглощения. Роз, Лал, Грин, Корнелл (Direct resin filling materials: coefficient of thermal expansion and water sorption of polymethyl methacrylate. Rose E. Ernest, Lal Joginder, Green Richard, Cornell John), J. Dental. Res., 1955, 34, № 4, 589—596 (англ.)

66538. Вопросы сополимеризации. Шейбер (Fragen der Kopolymerisation. Scheiber I.), Fette, Seifen, Anstrichmittel, 1955, 57, № 2, 81—86 (нем.; рез. англ., франц., исп.)

Критически рассмотрены современные взгляды на процесс сополимеризации и приведены результаты опытов по сополимеризации рицинолевой к-ты со стиролом, акриловыми эфирами и винилацетатом.

Л. П.

66539. Реакции между стиролом и ненасыщенными жирными кислотами. 1. Реакция между стиролом и сорбиновой кислотой. Кут (Die Reaktion zwischen Styrol und ungesättigten Fettsäuren. Kut S.), Dtsch. Farben-Z., 1954, 8, № 4, 121—127 (нем.)

Реакция между стиролом (I) и сорбиновой к-той (II) проводилась в трех вариантах: в присутствии азота; в присутствии воздуха; с добавлением перекиси бензола (0,5% от стирола), в присутствии воздуха.

Смесь I, II и ксилола в соотношении 1:1:2 нагревалась до полной полимеризации I в реакционной смеси. Добавлением бэл. к полимеру выделена не растворимая в бэл. фракция, представляющая собой высокомолекулярный сополимер I с II. Бензольный р-р после экстрагирования води. р-ром КОН содержит растворимый в бэл. полистирол. Из подкисленной щел. вытяжки эфиром экстрагирована промежуточная фракция, разделенная на нерастворимую в петр. эфире фракцию, содержащую низкомолекулярный сополимер I с II, и растворимую фракцию, которая представляет собой 3-метил-1,2,3,6-тетрагидродифенил-6-карбоновую к-ту (III), образовавшуюся в результате р-ции Дильса—Альдера, за счет сочетания винильной группы I с бутадиеновой группировкой II. Второй из возможных продуктов р-ции Дильса — Альдера не обнаружен. Строение III подтверждено дегидрированием (над селеном при 310°), в результате которого образуется 3-метилдифенил-6-карбоновая к-та (т. пл. 223,5—225,5°) или с одновременным декарбоксилированием — 3-метилдифенил. Определение кислотных чисел обнаруживает снижение кислотности при р-ции, что объясняется декарбоксилированием за счет сопутствующих процессов. На основании строения III следует предположить, что сополимеризация протекает по радикальному механизму по схеме 1,4. В незначительной степени процесс может проходить и по схеме 1,2.

А. Б.

66540. Механизм реакции образования эпоксидных смол. Бринг (Reakční mechanismus vzniku epoxydových pryskyřic. Bríng A.), Chem. průmysl, 1955, 5, № 2, 74—75 (чеш.)

При взаимодействии диоксидифенилпропана (I) с эпихлоргидрином первичным продуктом р-ции являются моно-дихлоргидриновый эфир I и бис-дихлоргидриновый эфир I. Присутствующая щелочь служит, с одной стороны, катализатором этой р-ции, и в то же время сама взаимодействует с образовавшимися эфирами, что приводит снова к появлению эпоксидных групп в результате вторичных р-ций. Образование больших линейных молекул идет по той же схеме, что и образование первичных продуктов конденсации.

66541. Химическая стойкость эпоксидных смол. Стойкость литевой смолы «араалдит В» к воздействию химикалий. Мейерханс (Chemikalienbeständigkeit von Äthoxylinharzen. Das Verhalten von Araldit-Gießharz B gegenüber Chemikalien. Meyerhans Konrad), Kunststoffe, 1954, 44, № 4, 135—142 (нем.)

Приведены результаты исследований стойкости литевой эпоксидной смолы «араалдит В» к действию 60 различных химикалий при различных т-рах в течение длительного времени (до 1 года). Указаны примеры практич. применений «араалдита В» в хим. аппарато-строении, произ-ве аккумуляторных баков и т. д.

66542. Алкидные смолы. Компрессионное и литевое прессование. Мойлан (Alkyds. Compression and transfer molding. Moylan J. J.), Mod. Plast., 1954, 32, № 1A, 32, 34, 36—37, 39 (англ.)

Описаны прессконпозиции на основе алкидных смол, методы и режимы прессования этих композиций и основные характеристики применяемого оборудования.

66543. Быстроотверждающиеся фенольные смолы. Йошино (石炭酸系速硬化性樹脂. 吉野俊太郎), プラスチックス, 1955, 6, № 2, 8—12 (япон.)

Приведена краткая характеристика быстроотверждающихся фенольных смол.

66544. Прессматериалы на основе фенолформальдегидных смол и способы формирования. I. Испытание текучести фенольных пресспорошковых. Оеима, Исаяма, Сато (フェノール樹脂成型材料ならびに成型技術に関する研究. 第1報. 成型材料の延び試験について. 1. 細孔流出型・延び試験機の試作とその性能. 大島敏治, 諫山純二, 瀬戸正二), 高分子化学, Кобунсикаку, 1953, 10, № 98, 253—258 (япон.)

Описан способ испытания текучести прессматериалов на основе фенольных смол.

66545. Маслянистость эфиров канифоли и фенолялдегидных смол. Сюй Цзя-ми, Сюй Ли-бэнь (油性酚醛松香酯, 徐家鄺, 徐立本), 化学世界, Хуасюэ шицзе, 1955, № 7, 315—320 (кит.)

Обзор. Библ. 32 назв.

66546. Приготовление мочевино-меламиновой смолы при повышенной кислотности формалина. Агев В. А., Деревообрабатыв. пром-сть, 1955, № 6, 23—24

При использовании формалина с повышенной кислотностью для приготовления смолы необходимо предварительно понизить его кислотность путем нейтр-ции безводной. Na_2CO_3 с соблюдением следующей последовательности: определяют процентное содержание и кислотность CH_2O , согласно ГОСТ 1625-54, рассчитывают необходимое кол-во дистилл. воды для получения 33%-ной конц-ии CH_2O и определяют кол-во Na_2CO_3 , необходимое для нейтр-ции 1 л формалина (приведена таблица, в которой указано кол-во 100%-ной Na_2CO_3 для нейтр-ции 1 л формалина с кислотностью в

пределах от 0,152 до 0,322). Навеску Na_2CO_3 растворяют в воде и приливают к формалину при тщательном перемешивании, после чего производят контрольное определение конц-ии и кислотности формалина.

66547. Применение наполненных меламиновых композиций как дугостойких материалов. Дедуа (Les problèmes d'érosion à l'étincelle électrique conduisent à l'emploi des mélamines chargées. Desdoigts J.), Ind. Plast. mod., 1954, 6, № 5, 20—21 (франц.)

Установочные детали из меламиноформальдегидной смолы с минер. наполнителем («изоларк») обладают такой же дугостойкостью, как асбоцемент, но имеют текучесть, близкую к феноло- и мочевиноформальдегидным пресспорошкам, что обуславливает их использование в электрич. конструкциях, где требуется дугостойкость деталей из пластмасс.

66548. Применение древесных композиций, облицованных пластиками для изготовления домашней и школьной мебели. Мак-Калла (The use of plastic-surfaced composition board in home and school furniture. McCalla David), J. Forest Prod. Res. Soc., 1954, 4, № 5, 207—209 (англ.)

Рассмотрены техно-экономич. преимущества изготовления мебели из древесных пластиков на основе меламиновой смолы и отходов древесины по сравнению с обычным деревом.

66549. Применение полиамидных смол. Йон (Použití polyamidů ve hmotě. John Zdeněk), Textil, 1956, 11, № 2, 58 (чеш.)

В Чехословакии успешно проведены опыты по замене ряда деталей текстильных машин, изготовленных преимущественно из цветных металлов (подшипников растяжных валков, нитеводителей и др.), деталями из полиамидных смол.

66550. Полиамиды как пластмассы. Цигенбейн (Polyamide als Plastwerkstoffe. Ziegenbein W.), Plaste und Kautschuk, 1955, 2, № 8, 182—184 (нем.)

Приведен краткий историч. очерк развития исследований работ по полиаидам и описание современных методов получения и переработки поликапролактама и найлона. Указаны области применения полиамидов в промышленности.

66551. Полиамиды — новый материал для изготовления запасных частей. Сук (Polyamid ve hmotě—nový materiál na výroby náhradních dílců. Suk Josef), Textil, 1955, 10, № 12, 374 (чеш.)

Заводской опыт применения деталей для текстильного и швейного оборудования из отечественных полиамидов, изготовленных на одном из чехословацких з-дов (набор зубчатых шестерен для швейных машин, веретен и др.), оказался весьма успешным. Запасные части для ряда деталей из цветных металлов могут быть изготовлены из полиамидов.

66552. Повышение износоустойчивости металлических деталей путем покрытия их найлоном. Стотт (Nylon-coated metal parts for wear resistance. Stott Louis L.), Mater. and Methods, 1955, 41, № 6, 92—94 (англ.)

Для повышения износоустойчивости металлич. деталей, работающих на трение, их покрывают слоем найлона толщиной 0,25—0,5 мм (иногда 0,05—0,08 мм). Для покрытия детали предварительно нагревают выше т-ры плавления найлона и погружают в специально подготовленный полимер. Такие детали обладают рядом с большой износоустойчивостью высокой стабильностью размеров и механич. прочностью, также удовлетворительной теплопроводностью.

66553. Применение изоцианатов для промышленного получения пластмасс и каучуков. Хехтлен (The use of isocyanates in the plastics and rubber industries

Hochtlen A.), Trans. and J. Plast. Inst., 1955, 23, № 54, 273—304 (англ.)

Пластические массы получают при р-ции диизоцианатов (I) с полиэфирами (II), содержащими активные функциональные группы. Свойства конечных продуктов зависят от строения и функциональности I и II. Мягкие, каучукоподобные материалы с малым числом сшивок получают на основе линейного II. Твердые, жесткие, теплоустойчивые продукты получают из полифункциональных II. Для приготовления пластикум II (мол. в. ~2000) обезвоживают при 130° в вакууме, прибавляют 1,5-фенилендиизоцианат или *n*-фенилендиизоцианат, нагревают в вакууме при 120—130° и добавляют гликоль, который реагирует с изоцианатными группами и вызывает сшивание полимерных молекул. Полиуретаны устойчивы к действию нефти и минер. масел, набухают в диметилформамиде и растворяются в нем при нагревании. Вода при 70—100° гидролизует полиэфирные звенья, и полимер распадается. При прибавлении воды к смеси I и II в присутствии ускорителей (третичные амины) образуются пенопласты. Р-ция I с водой сопровождается выделением CO₂ и протекает параллельно р-ции образования полиуретанов. В зависимости от строения II и условий проведения пенообразования получают эластичные или твердые пенопласты. Диэлектрич. свойства полиуретановых пенопластов значительно ниже, чем у полистирольных пен. Приведены также данные по физ.-мех. свойствам полиуретанов и описано их применение в различных отраслях промышленности. С. К.

66554. **Полиорганосилоксаны — химия и техническое применение.** Хофмейстер (Die Silikone — Ihre Chemie und ihre technische Verwendung. Hoffmeister R.), Urania (Jena), 1954, 17, № 8, 289—292 (нем.)

См. также РЖХим, 1955, 47522.

66555. **Полиорганосилоксаны, их свойства и применение.** Далziel (The silicones. What are they and what do they do? Dalziel P. G.), J. Instn. Automot. and Aeronaut. Engrs., 1956, 16, № 2, 22—29 (англ.)

В популярной форме описаны свойства и области применения кремнийорганич. полимеров — жидкостей, смазок, компаундов, лаков и каучуков. А. Ж.

66556. **Структура и свойства полиорганосилоксанов.** Мак-Грегори (Structure and properties. McGregor R. R.), Industr. and Engng Chem., 1954, 46, № 11, 2323—2325 (англ.)

Описываются свойства полиорганосилоксанов в зависимости от их структуры, функциональности и характера органич. радикалов, связанных с атомом кремния. Библ. 4 назв. А. Ж.

66557. **Полиорганосилоксаны и их большое промышленное значение.** Тернер (Silicones — industrial wonder. Turner Ed.), Iowa Engr, 1955, 56, № 3, 35—36 (англ.)

В популярной форме изложены общие сведения о кремнийорганич. полимерах. А. Ж.

66558. **Получение и применение полиорганосилоксанов.** Проест (Szilikonok hazai előállítása és gyakorlati alkalmazásuk. Prosz János), Elektrotechnika, 1955, 48, № 3, 98—99 (венг.)

Венгерским и.и. ин-том пластмасс разработан и введен в опытное произ-во ряд кремнийорганич. полимеров. Приведены некоторые электрич. характеристики кремнийорганич. полимеров, применяемых в электротехнич. пром-сти. Л. П.

66559. **Полиорганосилоксаны и искусственные смолы.** Часть I. Брик (Siliconen en Kunstharzen. Brink J. C. M. van den), Cement, 1954, 6, № 23—24, 405, 410 (голл.; рез. англ., франц., нем.)

Описаны строение и основные свойства кремнийор-

ганич. полимеров, в частности их устойчивость к окислению, хим. инертность и водостойкость. А. Ж.

66560. **Полиорганосилоксаны в промышленности.** Руннинг (I siliconi nell'industria. Running E. A.), Elettificazione, 1955, № 11, Elettrochimica, 93—94 (итал.)

Краткая статья о промышленном применении полиорганосилоксанов. А. Ж.

66561. **Завод полиорганосилоксанов фирмы La Société Rhône Poulenc.** Мартер (L'Usine de silicones «Rhodorsil» de la Société Rhône Poulenc. Marteret J.), Plastica, 1955, 8, № 12, 646—649 (франц.; рез. англ., нем., голл.)

Кратко описан з-д, производящий кремнийорганические полимерные продукты. А. Ж.

66562. **Совместная работа химиков и технологов открывает новую эпоху в области полиорганосилоксанов.** Керкпатрик (Chemical engineering teamwork opens a new era in silicones. Kirkpatrick Sidney D.), Chem. Engng, 1955, 62, № 12, 178—180 (англ.)

Кратко изложена история промышленного развития произ-ва полиорганосилоксанов в США. А. Ж.

66563. **Новые применения полиорганосилоксанов во Франции.** Морель (Nouvelles applications des silicones en France. Morel P.—M.), Ind. plast. mod., 1956, 8, № 1, 14—16 (франц.)

В популярной форме описано применение полиорганосилоксанов для гидрофобизации упаковочной бумаги и тканей, используемых для изготовления одежды и предметов домашнего обихода. А. Ж.

66564. **Применение полиорганосилоксанов в электрооборудовании для горнодобывающей промышленности.** Гурали (Silicones in mining electrical engineering. Gourlay J. B.), Mining Electr. and Mech. Engr., 1956, 36, № 425, 233—236 (англ.)

Полиорганосилоксаны применяют для изготовления изоляции моторов врубловых машин, транспортеров, насосных установок, тяговых двигателей, а также для изготовления изоляции силовых трансформаторов распределительных сетей (до 3000 квт) и в кабельной технике, для изготовления огнестойких кабелей. Основным достоинством кремнийорганич. изоляции является возможность ее работы в условиях повышенной влажности. Несмотря на то, что стоимость мотора мощностью 30 л. с. с кремнийорганич. изоляцией на 10—15% выше стоимости аналогичного мотора с изоляцией класса В, а перемотка моторов с кремнийорганич. изоляцией стоит на 30—100% больше, чем перемотка обычных моторов, использование кремнийорганич. изоляции экономически более выгодно, так как срок службы моторов увеличивается в десять и более раз. А. Ж.

66565. **Эффективность полиорганосилоксанов как гидрофобизирующих веществ для различных сортов кирпича.** Ланнинг (The effectiveness of silicones as water repellents when applied to various types of brick. Lanning F. C.), Trans. Kansas Acad. Sci., 1955, 58, № 3, 439—445 (англ.)

Исследовалось влияние кремнийорганич. гидрофобизаторов на водопоглощаемость различных сортов строительного кирпича (К). Для исследований образец К покрывали р-ром метил- или этилполисилоксановой смолы в органич. р-рителе (толуоле) или водн. р-ром Na-солей метилсиланолов и выдерживали в воде в течение 72 час., с последующим определением водопоглощаемости путем взвешивания образца К. Параллельно определялась водопоглощаемость гидрофобизированного К при одностороннем дождевании в течение 7,5 час. (остальные 5 сторон защищались слоем парафина). Наиболее эффективным гидрофобизатором (водопоглощаемость снижается в 2—3 раза) является 2%-ый водн. р-р Na-солей метилсиланолов. Несколь-

ко худшие результаты (появление солевых пятен) дает 4%-ный р-р. Обработка К 3%-ным р-ром метилин этилполисилоксановых смол в толуоле дает хорошие результаты, но на некоторых сортах К гидрофобные покрытия этого типа отличаются малой эффективностью, особенно при погружении в воду. Для всех типов гидрофобизаторов наблюдается неустойчивость и расхождение параллельных опытов в пределах одной партии К, что свидетельствует о неоднородности поверхности К. Предварительная обработка К 3%-ным р-ром силиката Na улучшает свойства гидрофобизированного К. А. Ж.

66566. График зависимости объема полиорганосилоксановых жидкостей от температуры. Лингамфелтер, Дейвис (Temperature-volume chart for silicones. Lingamfelter F. P., Davis D. S.), Chem. Engng, 1955, 62, № 12, 220 (англ.)

Приведена номограмма, позволяющая находить изменение объема некоторых промышленных сортов полисилоксановых жидкостей в зависимости от температуры. А. Ж.

66567. Синтетические производные монтмориллонита. Мукерджи (Synthetic derivatives of montmorillonite. Mukerjee H.), Naturwissenschaften, 1955, 42, № 14, 412—413 (англ.)

Были синтезированы органич. производные бентонита путем обработки глины соответствующими ацилирующими в-вами. Исходные глины (дисперсность $<0,5 \mu$) для активации ОН-групп обрабатывались к-той, затем подвергались электродиализу, высушивались при 110° , измельчались и просеивались через сито 200 меш. Просеянная фракция промывалась сухим (над Na) эфиром и высушивалась в вакууме. Хлорид монтмориллонита получен кипячением на водяной бане монтмориллонита в среде тионилхлорида в течение 8 час. Ацетил-, бензил- и пальмитилбентонит получены при кипячении соответствующих хлорангидридов с бентонитом в среде диоксиана при $110-120^\circ$ в течение 3—5 час. Цетилмонтмориллонит получен при кипячении хлорида монтмориллонита с цетиловым спиртом в среде диоксиана при $110-120^\circ$ в течение 7 час. Полученные образцы обладают заметно выраженной органophilностью (смачиваемость толуолом), увеличивающейся с ростом органич. радикала. Анализ образцов показал следующие значения (приведены % С и молекулярное кол-во соответствующих органич. групп на 100 г бентонита): ацетил 0,82; 32,5; бензил 0,722; 8,8; цетил 3,077; 16; пальмитил 3,08; 16. А. Ж.

66568. Эфиры гарпиуса и их модификации. Гудкин (Ester gums and their modifications. Goodkin S. J. A. M. S.), Amer. Ink Maker, 1955, 33, № 5, 55, 56, 58, 111 (англ.)

Приведены основные характеристики эфира гарпиуса, эфиров гидрированной канифоли и глицерина или пентаэритрита, а также эфира гарпиуса, модифицированного млечным ангидридом или продуктами конденсации замещ. фенолов с формальдегидом. Л. П.

66569. Выдавливание ацетата и ацетобутирата целлюлозы. (Cellulose acetate and butyrate. Extrusion.—), Mod. Plast., 1954, 32, № 1A, 108—109, 112—116 (англ.)

Материал перед выдавливанием рекомендуется подсушивать в загрузочном бункере шнековыми, через который пропускается ток воздуха при $68-77^\circ$. Таблетки должны задерживаться в бункере перед попаданием в пресс не менее 1 часа. Мощность электронагревателя воздуха для червячного пресса с производительностью 45 кг/час составляет 12 квт. Для обеспечения равномерности выхода материала из мундштука червяк рекомендуется заканчивать дросселирующим накопником с прорезями (при шприцевании листового материала) или гладкой торпедой при шприцевании

труб. Равномерность толщины изделия по ширине или окружности (листа или трубы) достигается сужением потока материала перед попаданием его в формующую часть мундштука. Этим достигается также улучшение качества изделия (отсутствие пустот и пузырей). Длина формующей части зависит от толщины выпускаемого продукта: чем она больше, тем и длина больше. Для охлаждения труб по выходе из мундштука рекомендуется воздушное охлаждение. Внутри трубы по выходе из мундштука размещены три кольца, через которые пропускается воздух с т-рой 82° , под давл. $1,4 \text{ кг/см}^2$, направляемый на стенки трубы; далее по оси трубы расположены четыре наружных кольца, которые накаливают трубу и охлаждают ее: первое кольцо воздухом с т-рой 82° , а остальные три кольца — воздухом с т-рой $\sim 20^\circ$. Изделия с пестрой окраской производят с помощью двух червячных прессов, подающих различно окрашенные материалы в одну и ту же головку с мундштуком. Е. Х.

66570. Каталог инфракрасных спектров пластификаторов. Кендалл, Хамптон, Хаусдорф, Пристера (Catalog of infrared spectra of plasticizers. Kendall David N., Hampton Robert R., Hausdorff Harry, Pristera Frank), Appl. Spectroscopy, 1953, 7, № 4, 179—186, 188, 190, 192, 194—196 (англ.)

Приведены ИК-спектры 79 применяемых в промышленности пластификаторов и выявлены линии поглощения для некоторых атомных групп, часто встречающихся в пластификаторах. М. В.

66571. Об эффективности действия пластификаторов. Енкель (Zur Wirkungsweise der Weichmacher. Jenckel Ernst), Kunststoffe, 1955, 45, № 1, 3—8 (нем.; рез. англ., исп., франц.)

Приведены результаты изучения смещения т-ры стеклования (определенной по перелому кривых, отображающих зависимость показателя преломления от т-ры), в зависимости от кол-ва пластификаторов в композициях, содержащих полистирол и трикрезилфосфат, фениловый, β -нафтиловый или метиловый эфиры салициловой к-ты, а также некоторые растворители. Л. П.

66572. Экстрагируемость пластификаторов полиэфирного типа. Клоос (De extractie-weerstand van polyester weekmakers. Kloos G. R.), Plastica, 1954, 7, № 5, 232 (голл.)

Пленки, толщиной 0,3 мм, содержащие на 100 ч. поливинилхлорида 65 ч. пластификатора, были испытаны на экстрагируемость пластификаторов при 25° в различных р-рителях и продуктах. В качестве пластифицирующих в-в применяли полиэфиры адипиновой к-ты с мол. в. 2000 и 8000, полиэфиры себациновой к-ты с мол. в. 4000 и 8000, диоктилфталат, трикрезилфосфат и диоктилсебацинат. Приведены данные по экстрагируемости пластификаторов после 1-часового пребывания образцов в ксилоле, керосине, бензине, ССл и спирте и после 10-дневного пребывания в трансформаторном и соевом маслах и животном жире. К. Г.

66573. Пластификаторы для триацетилцеллюлозы. Тиннус (Weichmacher für Cellulose triacetat. Thinius K.), Chem. Technik, 1955, 7, № 3, 147—158 (нем.)

Обзор свойств различных пластификаторов для триацетилцеллюлозы. Приведены механич. свойства триацетилцеллюлозы, пластифицированной некоторыми из описанных в-в. Библ. 59 назв. А. П.

66574. Сухое окрашивание виниловых смол, предназначенных для переработки на червячных прессах (La coloration à sec des résines vinyliques destinées au boudinage. M. G.), Rev. prod. chim., 1954, 57, № 1200, 156—158 (франц.)

Для сухого окрашивания виниловых смол, перерабатываемых на червячных прессах, в качестве пигментов применяют титановые белила, кадмиевый красный, свинцовый крош, кадмиевый желтый, молибденовый оранжевый, синие и зеленые фталоцианины, берлинскую лазурь, индиантроновый синий, органич. пигменты на основе β -оксинафтойной к-ты, окислы железа и сажу. Некоторые из пигментов должны применяться в сочетании со стабилизаторами. И. Р.

66575. Термореактивные пластики с высокой прочностью на удар. Файна (Impact thermosetting plastics. Fina Paul E.), Mach. Design., 1955, 27, № 3, 208—210 (англ.)

Приведены общие сведения о в-вах, входящих в состав термореактивных прессконпозиций с высокой ударной вязкостью, и рассмотрено влияние этих в-в на механич., электр. и хим. свойства материала. Описаны также конструктивные соображения при использовании этих пластиков в качестве заменителей других материалов и приведены краткие сведения о механич. обработке, склеивании и нанесении покрытий на указанные пластики. Е. Х.

66576. Получение пластических масс из рыбных отходов (La préparation des matières plastiques en partant de déchets de poisson. M. G.), Rev. prod. chim., 1954, 57, № 1197, 29 (франц.)

В Норвегии налажено получение термореактивных пластик. масс из отходов рыбы. Из 5 т отходов получается 1 т пресспорошка. Для уменьшения водопоглощаемости этих прессматериалов, получаемых на основе деструктурированных противной рыбы, вводят до 5% искусств. смолы. Свойства прессконпозиций близки к фенопластам. И. Р.

66577. Исследование методов переработки пластических масс для зубных протезов. Реберг (Ergebnisse von Untersuchungen über die Kunststoffverarbeitung. Rehberg Hans-Joachim), Zahnärztl. Rundschau, 1955, 64, № 10, 262—266 (нем.)

Исследовались пластик. массы, применяющиеся для изготовления зубных протезов, для выявления влияния методов переработки и обработки на свойства готовых протезов. Критерием служил предел усталости при знакопеременном изгибе. Установлено, что полимеризация в сухом тепловосистеле дает лучшие результаты, чем полимеризация в кипящей воде, или ускоренная полимеризация в «вулканизационном» сосуде; пористость материала может быть значительно снижена применением давления во время полимеризации; прочность материала повышается с повышением давления и с увеличением степени полимеризации. Последняя, однако, весьма незначительно изменяется при изменении т-ры или длительности полимеризации, поэтому исходный материал должен иметь соответственно высокую степень полимеризации; остаточные напряжения главным образом определяются поверхностной обработкой материала; она должна проводиться так, чтобы избежать повышения т-ры на поверхности; полировка должна быть мокрой; режущий инструмент (напр., фрезы) имеет преимущества перед абразивным инструментом. Е. Х.

66578. Емкости. Ньюман, Бокхофф (Vessels. Neumann J. A., Bockhoff F. J.), Industr. and Engng Chem., 1955, 47, № 7, 1328—1335 (англ.)

Пластмассы и эбонит применяют для изготовления различных емкостей и футеровки цистерн для хранения и перевозки агрессивных жидкостей. Из термореактивных смол применяют фенолформальдегидные с асбестовым и графитовым наполнителем (максим. рабочая т-ра 130°), фурановые смолы с асбестовым, графитовым и стеклянным наполнителем (до 138°), полиэфирные со стеклянным наполнителем (до 93°), прочность кото-

рых на разрыв значительно превышает прочность других пластиков и достигает значений 3500 кг/см^2 . Эбонит различного состава применяют до т-ры 104°. Значительно более химически стойки термoplastы, из которых используют полиэтилен (до 66°), непластифицированный поливинилхлорид (до 71°), саран (до 77°) и полиметилметакрилат (до 77°). Емкости из пластмасс изготавливают прессованием, литьем и сваркой. Приведены примеры работы отдельных емкостей в разных средах. С. П.

66579. Изделия (из пластиков, армированных стекловолокном) и их применение. Добсон (Products and applications. Dobson A. M.), Trans. and J. Plast. Inst., 1954, 22, № 48, 113—128 (англ.)

Для произ-ва изделий из пластиков, армированных стекловолокном (АСП), в качестве связующих применяются каучуки, кремнийорганич., фенолформальдегидные или меламиноформальдегидные смолы в сочетании с полиметилметакрилатом, ацетилцеллюлозой и полистиролом, а также полиэфирные и эпоксидные смолы. Стеклянное волокно (СВ), применяемое в качестве усиливающего наполнителя, используется в виде непрерывного СВ, штапельного СВ (длиной 150—380 мм) или в виде ткани. Путем сочетания непрерывного и штапельного СВ можно получить ворсистую ткань, применяемую для произ-ва труднорасплаивающихся АСП. Стеклоткани для АСП изготавливаются трех видов плетения: гладкие, сатиновые и однонаправленные с прочной основой и тонким утком. Удаление избытка замасливателя из стеклоткани производится выжиганием, термообработкой ткани при 300° или отмывкой; затем стеклоткань обрабатывается комплексной солью хлорного хрома и метакриловой к-ты, что повышает адгезию смол к СВ. В качестве армирующих материалов применяются также стекломаты из нарезанного волокна или ровница, наматываемая параллельными рядами или нарезаемая на короткие волокна, которые расплывают в воздушном потоке, формируют на модели путем отсасывания воздуха и пропитывают смолой. Приведены данные по механич. прочности АСП в зависимости от кол-ва и размеров волокна и даны сравнительные механич. характеристики полиэфирных АСП, конструкционной стали и алюминия. С. И.

66580. Сэндвич-конструкции. (Sandwich constructions.—), Mod. Plast, 1954, 32, № 1A, 744—745 (англ.)

Краткий обзор свойств и областей применения сэндвич-конструкций. Библ. 4 назв. С. И.

66581. Производство плит на основе древесной стружки и смолы методом экструзии. Крафтон (Extruded resin-bonded wood-particle board. Crafton John M.), J. Forest. Prod. Res. Soc., 1954, 4, № 5, 231—233 (англ.)

Кратко описано произ-во древесных плит с использованием отходов древесины. Отходы измельчают в дробилке и машине для раздирания древесины на волокна, сушат в сушилке, сепарируют для отделения случайных частиц металла, просеивают на сите для отделения крупных частиц, поступающих на дополнительное измельчение и смешивают со смолой. Плиты изготавливают с помощью экструзионной машины, нарезают по сортаменту, фанеруют путем горячей оклейки под прессом и кондиционируют в камере. Производительность экструзионной машины при ширине плит 1200 мм составляет 836 м² плит толщиной 12,7 мм за 24 часа; скорость выхода плит из экструзионной машины ~0,6 м/мин; коэфф. использования установок составляет ~80%. Машина может выпускать плоские плиты толщиной от 10 до 32 мм и гофрированные плиты толщиной от 19 до 115 мм. Е. Х.

66582. Легкий и прочный панельный материал с сотовым наполнителем из бумаги, пропитанной фенольными смолами. Джозеф (Phenolic-impregnated paper forms high strength low weight honeycomb. Joseph J.), Mater. and Methods, 1955, 42, № 1, 98—99 (англ.)

Панельный материал с облицовкой из алюминия, магния, стали, стеклотекстолита или древесины и с сотовым наполнителем применяют для внутренней отделки самолетов. Материал обладает большой прочностью и упругостью, хорошими термо- и звукоизоляционными свойствами и может применяться при t -рах от -54 до 121° . Для получения сот полоски бумаги склеивают водорастворимой термореактивной фенольной смолой, высушивают и формируют на спец. приспособлении, после чего нагревают в ВЧ-печи. Полученные соты укладывают в формы из магния, от 3 до 6 м длиной, которые затем погружают при $\sim 20^\circ$ в бак с фенольной смолой. После удаления из бака и стекания избытка смолы соты непрерывно пропускают для отверждения смолы через печи длиной ~ 26 м в течение 12—18 мин., внутри которых постепенно повышают t -ру до 150° . Перед оклейкой соты выдерживают ~ 5 дней. Клей для облицовки выбирается в соответствии с характером применения. И. Р.

66583. Конструирование клееных деревянных сооружений. Фуллер (Designing with glued wood construction. Fuller Buckminster R.), J. Forest. Prod. Res. Soc., 1954, 4, № 5, 312—314 (англ.)

Описан новый метод возведения куполов легкого веса, собираемых из системы элементов из картона, пропитанного или лакированного полиэфирной смолой, с последующей затяжкой проемов прочными пленками типа «Майлар». В ряде случаев для получения элементов конструкций из стеклотекстолита использовались формы из гофрированного картона, оставшиеся на месте как составная часть сооружения. Разработанная методика позволяет выполнять сводчатые перекрытия, диаметром до 11 м, выдерживающие большую снеговую и ветровую нагрузку при весе конструкции 2 кг/м^2 . Подобные сборные купола предназначены для использования в качестве легкоперевозимых ангаров и служебных зданий для военных баз. Принципы конструирования применимы и к сооружению куполов из древесных материалов, соединяемых на клею. И. Р.

66584. Новые материалы для пленок. Кох (New film forming materials. Koch E. J.), Plastics Ind., 1955, 13, № 1, 27, 28, 30 (англ.)

Описано применение упаковочных пленок из различных пластик. материалов. С. П.

66585. Опыт применения термопластичных пленок на основе опипола В в строительной технике. Ланге (Erfahrungen mit thermoplastischen Kunststoff-Folien auf Basis Oppanol B in der Bau- und Abdichtungstechnik. Lange Heinz), Bauingenieur, 1954, 29, № 6, 213—222 (нем.)

Описана технология применения термопластичных пленок на основе опипола В для гидроизоляции в строительстве туннелей, горных, промышленных и гражданских сооружений и для защиты емкостей. Приведены результаты эксплуатационных испытаний пленки в сравнении с битумной гидроизоляцией. Библ. 19 назв. И. Р.

66586. Применение пластических масс для картографии в Голландии и Германии. Ван-Горсел (Plastic materials — their use for map-making in Holland and Germany. Van Gorsel P. A.), Chartered Surveyor, 1955, 88, № 4, 226—229 (англ.)

Приведена оценка пригодности различных термопластичных пленок и чернил в картографич. произ-ве.

Из германских пленок хорошо зарекомендовала себя пленка из астралона толщиной 0,25 мм, имеющая полированную и матовую стороны. Е. Х.

66587. Использование пластических масс при производстве печатных схем в радиопромышленности (L'emploi des matières plastiques dans la réalisation des circuits imprimés. Н. В.), Rev. prod. chim., 1954, 57, № 1203, 274—275 (франц.)

Пластические массы применяют при произ-ве печатных радиосхем в качестве изоляционных плит, на которых производится печатание, а также в качестве связующего для спец. красок, которыми печатаются проводящие и непроводящие элементы схем, и защитных лаков, используемых для покрытия схем. И. Р.

66588. Пенопласты на основе стирола (Styrene. Foaming plastics), Mod. Plast., 1954, 32, № 1A, 184, 186—187, 190 (англ.)

Описаны промышленные марки выпускаемых пенопластов на основе полистирола и методы их обработки (формование, вспенивание, обрезка, склейка и поверхностная отделка). Л. П.

66589. Поливиниловые пенопласты и поропласты. Спрейер (Vinyl foam and sponge. Sprague D. R.), Rubber and Plast. Age, 1955, 36, № 7, 415 (англ.)

Описаны методы получения пенных и пористых материалов из поливинилхлорида и его сополимеров путем растворения CO_2 в пластиколе с последующим вспениванием, или же с помощью газообразователей, разлагающихся при повышенной температуре. Л. П.

66590. Сущность моноомов и свойства ионитов. Науман (Wesen und Eigenschaften von Ionenaustauschern. Nauman G.), Chem. Technik, 1955, 7, № 5, 255—261 (нем.)

Излагаются современные представления о процессе моноомов и приводятся характеристики основных типов катионитов и анионитов. Библ. 25 назв. Л. П.

66591. Проблемы использования пластика при распределении энергии. Келлам (Plastic material problems in power distribution. Kellam Barney), SPE Journal, 1954, 10, № 9, 17—21, 45—46 (англ.)

Гидроэнергетическая комиссия в Онтарио (Канада) провела ряд работ по применению пластмасс в кабельной технике. Для устранения хладотекучести поливинилхлоридной изоляции в кабелях, установленных вертикально или почти вертикально, разработаны спец. зажимы (хомуты) из листового металла с поливинилхлоридной линкой лентой, а также с применением ремня из двуслойного бельтинга, пропитанного полихлоропреном для придания озоностойкости. Испытания показали, что в таких зажимах вертикальный кабель не изменял своего положения в течение года, хотя окружающая t -ра достигала 38° . Была разработана также конструкция подземных кабелей с полиэтиленовой изоляцией. Места стыков изолировались полиэтиленовой лентой и в несколько слоев стеклянной лентой, после чего место стыка прогревалось напыльной лампой до расплавления полиэтилена, который в результате срастался с изоляцией жилы. Вследствие происшедшего через 3 года пробоя одной из фаз кабеля на нейтраль были проведены испытания полиэтиленовой изоляции, установившие, что она образует трещины под влиянием действующих в двух направлениях механич. усилий и воздействия химически активных средств щел. характера. Во избежание растрескивания для кабелей рекомендуется применять изоляцию из высокомолекулярного черного полиэтилена с защитой из поливинилхлоридного пластиката. Были приведены опыты по применению труб из жесткого сополимера стирола и из полиэтилена для сетей водоснабжения, которые показали, что трубопроводы из сополимера

стирола дают трещины, а из полиэтилена ведут себя удовлетворительно. Обсуждается возможность замены стальных труб для подземной укладки высоковольтных кабелей пластмассовыми и приводятся технич. требования к этим трубам. С. III.

66592. Стойкость к действию скользящих разрядов. Критический обзор методов определения. Зур (Kriechstromfestigkeit ein kritischer Beitrag zur Verfahrenstechnik. Suhr H.), Kunststoffe, 1954, 44, № 11, 503—507 (нем.).

Стойкость электроизоляционных материалов к действию скользящих разрядов характеризуется их способностью противостоять образованию проводящих мостиков под действием электрич. тока в присутствии влаги, загрязнений и хим. реагентов. По германским нормам (DIN 53480) применяются 3 метода испытаний: капельный, погружения и газовый. Большое кол-во опытов, проведенных с 50 различными изоляционными материалами, показало хорошую воспроизводимость каждого метода. Опыты показали также, что за исключением некоторых лаков все обычные изоляционные материалы имеют или очень небольшую стойкость к скользящим разрядам, или очень высокую (>100 циклов). Для практич. целей изоляционные материалы по этой характеристике достаточно классифицировать не более чем на 3 группы. При капельном методе условия испытания получаются более жесткие, чем при методе погружения, за счет более длительного времени действия тока в каждом цикле, более высокой т-ры, возникающей при испытании, и большей силы протекающего тока. Кроме кол-ва циклов, критерием стойкости материала к скользящим разрядам служит также величина углубления, образующегося на его поверхности под действием тока.

Стойкость к скользящим разрядам требуется в тех случаях, когда изоляционный материал соединен с токоведущими частями и подвергается непосредственному действию атмосферы, содержащей влагу, загрязнения, сажу или хим. реагенты (напр., электрооборудование кораблей и некоторых промышленных произ-в). С. III.

66593. Готовые клеи для холодной склейки древесины. Снайдер (Cold press ready-mixed glues for woodworking uses. Snider Robert F.), Furnit. Manufacturer, 1955, 76, № 2, 24—26, 45 (англ.).

Кратко описаны основные свойства 3 типов готовых клеев для холодной склейки древесины. С. П.

66594. Стойкость к кипящей воде смешанных мочевиномеламиновых клеев для дерева. Райдер, Коздемба (Boil resistance of blended urea-melamine wood adhesives. Rider S. H., Kozdemba S. E.), J. Forest Prod. Res. Soc., 1954, 4, № 5, 283—286 (англ.).

Испытания фанерного пнона, склеенного (выдержка наката от 5 мин. до 7 час., прессование 5 мин. при 110° , 14 г/см^2) смесью мочевиноформальдегидной смолы (конц-ия 60%, вязкость 450 *спуаз* при 25°) и порошкообразной меламиноформальдегидной смолы, взятых в разных соотношениях в присутствии 0,25% (от веса сухих смол) NH_4Cl , показали, что стойкость клевого шва к действию кипящей воды, характеризующая пределом прочности на растяжение после одного или нескольких циклов старения (цикл — 4 часа выдержки в кипящей воде, 20 час. высушивания при 63°), примерно пропорциональна содержанию меламиноформальдегидной смолы в смеси. Добавка 10% меламиноформальдегидной смолы существенно ускоряет отверждение клевого шва и увеличивает его стойкость к действию кипящей воды. Л. П.

66595. Прессформы для пластмасс, изготавливаемые путем металлизации напылением. Качча (Stampi

per materiali plastici ottenuti col procedimento di metallizzazione a spruzzo. Caccia Gian Giacom o), Riv. mecc., 1954, 5, № 92, 11—16 (итал.).

Прессформы для формирования термопластичных и термореактивных материалов изготавливают, покрывая гипсовые и т. п. модели металлом (сталью, цинком, медью в зависимости от назначения и режима работы формы), который наносят распылением в виде слоя толщиной до 5—10 мм, обеспечивающего необходимую прочность формы. Стадии процесса изготовления форм: подготовка модели, нанесение слоя металла пульверизацией, удаление модели, подготовка контриаблона, отделка и сборка в оправке. Н. Р.

66596. Прессование при помощи мешка. Райденбург (Bag molding. Ridenour D. L.), SPE Journal, 1954, 10, № 10, 85—89 (англ.).

Описаны 2 метода изготовления изделий из армированных пластиков путем формирования материала в эластичных мешках под давлением или под вакуумом. Приведены способы изготовления моделей и форм, характеристики применяемых смол и основные стадии технологич. процесса. С. П.

66597. Формы для вакуумного формования. (Molds for vacuum forming.—), Mod. Plast., 1955, 32, № 7, 124—125, 225 (англ.).

Для вакуумного формования применяют формы, изготавливаемые из меди методом гальванопластики. Поверхность модели из гипса, дерева или другого любого материала очищают и обрабатывают в ванне р-ром хлористого олова, после чего промывают чистой водой. После промывки на поверхность модели наносят слой химически чистого серебра. Для этого на модель одновременно наносят пульверизацией р-р равных вес. кол-в аммиачной окиси серебра и смеси NaOH с NH_4OH в 19 л дистилл. воды и р-р равных вес. кол-в формальдегида и глюкозы в 19 л дистилл. воды. После образования слоя серебра, на него наносят гальванически слой Ni , толщиной 0,025 мм в течение 2 час. при плотности тока в ванне 2,17 а/дм^2 . На слой Ni затем наносят слой меди толщиной 3,2—3,8 мм в течение 130—144 час. при плотности тока в ванне 3,25—3,8 а/дм^2 . При необходимости изготовления пуансонной формы на поверхность Ni -покрытия предварительно наносят какой-либо разделяющий слой, напр. бихромата Na . С. П.

66598. Мочевиноформальдегидные пластики. Компрессионное и литьевое прессование. Меррей (Urea formaldehyde. Compression and transfer molding. Murray H. E.), Mod. Plast., 1954, 32, № 1A, 58, 60 (англ.).

Дано краткое описание различных конструкций прессформ для мочевиноформальдегидных пластиков. С. П.

66599. Переработка нейлона на червячных прессах (Nylon. Extrusion), Mod. Plast., 1954, 32, № 1A, 116—118, 121—122, 124—126 (англ.).

Описаны конструкции червячных прессов для переработки нейлона. Подробно рассматриваются конструкции и размеры червяка и сеток, регулирующих поток материала, а также режимы работы пресса в зависимости от свойств перерабатываемого полимера. Приведены технологич. схемы нанесения покрытий из нейлона на проволоку и схемы изготовления пленок. Е. Х.

66600. О поведении пластических масс при обработке резанием. Шпет (Zur Zerspanungsverhalten der Kunststoffe. Späth W.), Gummi und Asbest, 1955, 8, № 11, 612—620 (нем.).

Действие пластич. масс на резец при обработке резанием обычно характеризуется стойкостью резца, т. е. промежутком времени между двумя заточками резца при той или иной скорости резания. Автор пред-

лагает брать в качестве характеристики поведения пластич. масс при резании не стойкость реза, а длину пути резания, приходящуюся на одну заточку реза, или кол-во срезанного материала на одну заточку реза, или, для большей наглядности, обратное значение этой величины, т. е. кол-во заточек реза, приходящееся на единицу объема срезанного материала. На ряде примеров автор показывает преимущества предложенной им характеристики поведения материала при резании перед общепринятой характеристикой.

Е. Х.

66601 Д. Экспериментальные исследования теплоты реакции быстрого отверждающихся пластмасс. Бредехерт (Experimentelle Untersuchungen über die Reaktionswärme beim schnellhärtenden Kunststoff. Bredelhoff Heiner. Diss. Med. F., Kiel, 1953, 33 Bl., graph. Darst., Tab. Maschinenschr.), Dtsch. Nationalbibliogr., 1955, В, № 7, 461 (нем.)

66602 Д. Ходовые свойства пластических масс и оценка пригодности их с этой точки зрения для сепараторов подшипников качения. Греммер (Notlaufeigenschaften von Kunststoffen unter besonderer Berücksichtigung ihrer Eignung für Wälzlagerkäfige. Gremer A., Diss. München. Technische Hochschule, 1953), Z. Vereines dtsh. Ingr., 1954, 96, № 2, 63 (нем.)

66603 П. Полимеризация олефинов (Olefin polymerization) [Standard Oil Development Co.]. Австрал. пат. 165449, 20.10.55

Олефины полимеризуют в присутствии неорганич. фосфорсодержащей к-ты в смеси с эфирами этой к-ты, содержащими алкильные группы и не менее одного ароматич. углеводородного остатка.

Б. К.

66604 П. Углеводороды из окиси углерода и водорода, способные к ориентации. Фарлоу, Херрик (Orientable hydrocarbon from carbon monoxide and hydrogen. Farlow Mark W., Herrick Elbert C.) [E. I. du Pont de Nemours and Co.]. Канад. пат. 508355, 21.12.54

Полиуглеводороды, имеющие характеристич. вязкость $\geq 0,74$ (для 0,1%-ного р-ра в тетрагидронафталине при 125°) и способные образовывать при холодной вытяжке ориентированные пленки, получают при взаимодействии СО и H_2 под давлением в присутствии солей ф-лы $AlMoO_2$ и $AlMoO_3$, где А—ион металла, который растворим в избытке воды. аммиака, напр., в присутствии $NiMoO_2$ и $CoMoO_3$.

Е. С.

66605 П. Трет-бутилэтилен в процессе полимеризации этилена. Браун (Tertiary-butyl ethylene in ethylene polymerization. Brown Herbert C.) [Standard Oil Co.]. Пат. США 2728752, 27.12.55

Этилен полимеризуют при 40—175° и повышенном давлении в присутствии радикального инициатора и трет-бутилэтилена в качестве модификатора.

А. Ж.

66606 П. Ди-трет-бутилпероксидкарбонат для полимеризации этилена. Фридлендер (Di-tert-butyl peroxydicarbonate for ethylene polymerization. Friedlander Herbert N.) [Standard Oil Co.]. Пат. США 2728756, 27.12.55

Этилен полимеризуют в присутствии 0,01—2 вес.% ди-трет-бутилпероксидкарбоната при 25—75° и давл. 350—560 ат с образованием твердого высокомолекулярного полимера.

А. Ж.

66607 П. Полиэтилен, модифицированный веществами, предупреждающими растрескивание. Ланд, Мейер (Polyéthylène modifié au moyen d'agents contre le fendillement. Land William Mc Elroy, Jr., Meyer Werner T.) [Union Carbide and Carbon Corp.]. Франц. пат. 1082536, 30.12.54 [Chimie et industrie, 1955, 74, № 5, 994 (франц.)]

Патентуется смесь полиэтилена с 2—10% (от веса полиэтилена) сополимера винилхлорида и октилакрилата.

Я. К.

66608 П. Способ получения искусственных смол. Бродкорб, Риттер (Verfahren zur Herstellung von Kunstharzen. Brodcorb Fritz, Ritter Herbert) [Rheinische Bergbau Akt.-Ges.]. Пат. ФРГ 926810, 25.04.55

Способ получения искусств. смол отличается тем, что ароматич. углеводороды с реакционноспособными двойными связями или их смеси, содержащиеся в легком каменноугольном масле, полимеризуют в смеси с циклопентадиеном (или дициклопентадиеном) и ненасыщ. жирными к-тами. Эти углеводороды можно перед сополимеризацией предварительно частично полимеризовать или обработать 50%-ным р-ром щелочи. Смолы применяют для пропитки строительных деталей.

А. Ж.

66609 П. Улучшение свойств углеводородных смол обработкой дивинильными соединениями. Бейнс, Мервисс (Improving quality of hydrocarbon resins by treatment with divinyl compounds. Baines Fred W., Mirviss Stanley B.) [Esso Research and Engineering Co.]. Пат. США 2728742, 27.12.55

Способ повышения т-ры размягчения ненасыщ. углеводородной смолы (полученной нагреванием при т-ре от —30 до 75° крекинг-дистилата с т. кип. 20—170° в присутствии 0,25—1,75% галогенида алюминия) отличается тем, что к смоле после введения катализатора добавляют 0,25—10% дивинилбензола, дивинилнафталина, дивинилдифенила, диизобутилбензола или диизопропенилдифенила.

А. Ж.

66610 П. Способ получения гранулированных полимеров из алифатических виниловых соединений (Procédé pour la préparation de polymérisés granuleux à partir de composés vinyliques aliphatiques) [Chemische Werke Hüls G. m. b. H.]. Франц. пат. 1080823, 14.12.54 [Chimie et industrie, 1955, 74, № 6, 1212 (франц.)]

Алифатические виниловые соединения ф-лы $CH_2=CHX^1X^2$ ($X^1=H$ или Cl , $X^2=Cl$ или CN) полимеризуют в жидкой смеси, состоящей из воды, равного или меньшего кол-ва органич. р-рителя (т. кип. $<110^\circ$), в котором растворяются виниловые мономеры, но не растворяются или не набухают полученные полимеры, и растворимого в органич. р-рителе активатора.

Я. К.

66611 П. Получение дисперсий политрифторхлорэтилена. Шталлер, Фукс, Фриц (Verfahren zur Herstellung von Dispersionen aus Polytrifluorchloräthylen. Staller Anton, Fuchs Otto, Fritz Hermann) [Farbwerke Hoechst A.-G. vormals Meister Lucius & Brüning]. Пат. ФРГ 935092, 10.11.55

Дисперсии политрифторхлорэтилена получают диспергированием полимера в среде, содержащей производные терпенов и камфоры, также в смеси с другими органич. жидкостями. Напр., 1 кг порошкообразного политрифторхлорэтилена, 3 кг технич. смеси терпеновых углеводородов, содержащей значительное кол-во кислородсодержащего терпенового соединения и имеющей т. кип. 50—110°/10 мм, и 30 г тимолола перемешивают 4 дня в шаровой мельнице. Частицы диспергированного полимера имеют величину $<1\mu$. Дисперсию наносят на металл, поверхность краскораспылителем, сушат при обычной или повышенной т-ре и окончательно запекают 15 мин. при 300°. Получают бесцветные, прочные непористые покрытия.

Ю. В.

66612 П. Эмульсионная полимеризация винилхлорида (Emulsion polymerization of vinyl chloride) [Monsanto Chemical Co.]. Австрал. пат. 162708, 19.05.55

Мономер, содержащий ≥ 50 вес.% винилхлорида, полимеризуют при 30–65°, давл. 3,5–10,5 атм и pH 4–8. Часть мономера вводят в водн. среду, содержащую на 100 ч. мономера 0,05–0,3 ч. щел. сульфата насыщ. алифатич. соединения с 10–20 атомами С и 0,01–0,1 ч. окисляемого сульфокислосоединения, и в течение всего процесса полимеризации (в вышеуказанных условиях) добавляют разб. водн. р-р, содержащий 0,001–0,01 ч. водорастворимого перекисного инициатора с такой скоростью, чтобы т-ра р-ции менялась не более чем на 2°. Введение р-ра катализатора прекращают в момент падения давления в реакторе в конце р-ции, после чего продолжают полимеризацию еще 15 мин. В течение всего процесса молекулярное соотношение сульфокислосоединения к катализатору поддерживают на уровне $\geq 6:1$. Я. К.

66613 П. Композиции из поливинилхлорида и полисульфоновых смол. Уиклац (Polyvinyl chloride — polysulfone resin compositions. Wicklatz John E.) [Phillips Petroleum Co.]. Пат. США 2719139, 27.09.55

Композиция содержит поливинилхлорид и небольшое кол-во сополимера SO_2 с ненасыщ. органич. соединением. А. Ж.

66614 П. Эластичные полимеры. Рейнольдс (Elastomeric polymers. Reynolds Richard J.) [E. I. du Pont de Nemours and Co.]. Пат. США 2725373, 29.11.55

Патентуется бромированный по двойным связям полимер 2,3-дихлор-1,3-бутадиена, содержащий 16–27% брома. А. Ж.

66615 П. Способ получения пластических масс из масел. Пир, Бер (Verfahren zur Herstellung plastischer Massen aus Ölen. Pier Mathias, Bähr Hans) [Badische Anilin- & Soda-Fabrik Akt.-Ges.]. Пат. ФРГ 928011, 23.05.55

Для получения пластмасс полимеры ненасыщ. алифатич. углеводов нагревают с маслами (М), богатыми ароматич. углеводородами и получаемыми путем термич. обработки нефти, дегтя, продуктов гидрогенизации, расщепления или экстракции угля, дегтя, М или битумов. В качестве исходных в-в применяют: богатые ароматич. углеводородами М, получаемые при дегидрогенизации М, богатых водородом; М, у которых содержание ароматич. углеводородов увеличивают в результате циклизации; ароматизированные М, получаемые путем гидрогенизации дегтя или М под давлением. Содержание ароматич. углеводородов в этих М увеличивают отгонкой фракций, кипящих $< 200^\circ$ (или $< 250^\circ$), или избирательным разложением. М нагревают с полимерами при 80–200°, лучше при 120–160°. Исходные ароматич. углеводороды можно предварительно хлорировать или нитровать. Полученное путем гидрогенизации каменного угля под давлением среднее М, кипящее при 200–325°, и газ, содержащий 45% Н (в кол-ве 1 м³ на 1 кг М), пропускают над активным глиноземом, содержащим 5% молибденовой к-ты, при 640° и 50 атм со скоростью 1 кг в 1 час на каждый литр объема катализатора. Через каждые 12 час. катализатор регенерируют обработкой кислородом. Из жидкого продукта получают 10% бензина, кипящего до 200°, и 86% среднего М, кипящего при 200–340° и содержащего 90% ароматич. углеводородов. 60 ч. этого М смешивают с 40 ч. поливинилхлорида (характеристич. вязкость 90), массу запрессовывают в формы и нагревают (10 мин., 150°). Получается каучукоподобный материал с высокой прочностью на разрыв. М. А.

66616 П. Легко растворимые в воде препараты на основе поливинилового спирта и способ их получения (Préparations facilement solubles dans l'eau, à base d'alcools polyvinyliques, et procédés pour

leur obtention) [Rhodiatoc S. p. A.]. Франц. пат. 1085611, 4.02.55 [Ind. chim. 1955, 42, № 461, 400 (франц.)]

Для получения легко растворимого в воде порошкообразного поливинилового спирта в поливиниловый спирт нормальной вязкости вводят 0,7–1 ч. пластификатора (глицерина, гликоля или полигликоля). Я. К.

66617 П. Способ производства диаллилфталата и продукты его полимеризации. Ортлиб (Procédé de fabrication de phtalate de diallyle et produits de polymérisation qui en dérivent. Ortlieb Claude) [Verreries de Goetzenbruck Walter Berger & Co. Soc. An.]. Франц. пат. 1075824, 20.10.54 [Chimie et industrie, 1955, 74, № 3, 492 (франц.)]

Фталевый ангидрид реагирует с аллиловым спиртом в присутствии кислотного катализатора. Я. К.

66618 П. Полимеры α -оксинакриловой кислоты и ее солей. Унру (Alpha-hydroxy acrylic acid polymers, and salts thereof. Unruh Cornelius C.) [Eastman Kodak Co.]. Пат. США 2728746, 27.12.55

Патентуется полимер в-ва ф-лы $\text{CH}_2=\text{C}(\text{OH})\text{C}(=\text{O})\text{O}\text{X}$, где X — атом Н, щел. металла или аммонийная группа. А. Ж.

66619 П. Способ каталитической полимеризации акрилонитрила (Procédé de polymérisation catalytique de l'acrylonitrile) [N. V. Kunstzijdespinnerij]. Франц. пат. 1072589, 14.09.54 [Chimie et industrie, 1955, 74, № 2, 266 (франц.)]

Концентрацию акрилонитрила (а также и других сополимеризуемых мономеров) в свободном от эмульгаторов водн. р-ре поддерживают постоянной путем энергичного перемешивания р-ра во время полимеризации с р-ром акрилонитрила (и других сополимеризуемых мономеров) в одном или нескольких не смешивающихся с водой органич. р-рителях (насыщ. или ароматич. углеводородах), в которых катализатор полимеризации практически не растворим. Я. К.

66620 П. Полимеризация акрилонитрила в присутствии полимеров N-ацилакриламида и N-ацилметакриламида. Хейгмейер, Перри (Polymerization of acrylonitrile in presence of N-acrylamide and N-acryl methacrylamide polymers. Hagemeyer Hugh J. Jr, Perry Milton A.) [Eastman Kodak Co.]. Пат. США 2719138, 27.09.55

Для получения смолообразного продукта смесь, содержащую 60–95 вес. ч. акрилонитрила и 5–40 вес. ч. полимера N-ациламида ф-лы $\text{CH}_2=\text{C}(\text{R})\text{C}(=\text{O})\text{N}(\text{R}')\text{C}(=\text{O})\text{R}''$, нагревают в присутствии перекисного инициатора. В ф-ле R—H или алкил, содержащий 1–4 атома С; R'—H, алкил (1–4 атома С) или группа ф-лы—C(=O) R''; R''—алкил, содержащий 1–3 атома С. А. Ж.

66621 П. Продукты, получаемые при полимеризации акрилонитрила в присутствии сополимеров малеинового ангидрида. Колдуэлл (Compositions from polymerizing acrylonitrile in the presence of maleic anhydride copolymers. Caldwell John R.) [Eastman Kodak Co.]. Пат. США 2719136, 27.09.55

Способ состоит в том, что смесь, содержащую 55–85 вес.% акрилонитрила и 15–45 вес.% сополимера 1 ч. малеинового ангидрида и 1 ч. стирола (или изопропенилацетата) нагревают в присутствии перекисного инициатора. А. Ж.

66622 П. Простые изоцианатоалкилвиниловые эфиры и их полимеры. Меламед, Эйкок (Isocyanatoalkyl vinyl ethers and polymers. Melamed Sidney, Aycock Benjamin F.) [Rohm & Haas Co.]. Пат. США 2727020, 13.12.55

Патентуется в-во ф-лы $\text{CH}_2=\text{CHOZC}(\text{R}')(\text{R}'')\text{NCO}$, где Z — алкилен, содержащий ≤ 7 атомов С; R' и R'' — алкил, содержащий ≤ 4 атомов С, если Z содержит ≤ 2 атомов С и R' и R'' — атомы Н или алкилы, ме-

нее чем с 4 атомами С, если Z—алкилен, содержащий ≥ 2 атомов С. А. Ж.

66623 П. Полимерные N, N'-алкиленуреидоалкилакриламиды и способ их получения аминолизом. Отен, Ханкине (Polymeric N, N'-alkyleneureidoalkylacrylamides and process for producing them by aminolysis. Auten Robert W., Hankins Eliot M.) [Rohm & Haas Co.]. Пат. США 2727015, 13.12.55

Смешивают растворимый полимер низшего алкил-акрилата и аминоалкилалкиленмочевину ф-лы (O=)CNHANANH₂ (A—алкилен с 2—3 атомами С) и смесь нагревают в щел. среде, в результате чего в полимере образуются амидные группы. А. Ж.

66624 П. Производство формованных изделий из полимеров акрилонитрила (Procédé de fabrication d'objets façonnés en polymères d'acrylonitrile) [Soc. Rhodiaceta]. Швейц. пат. 296005, 1.04.54 [Chem. Zbl., 1955, 126, № 1, 229 (нем.)]

Для понижения растворимости полиакрилонитрила, растворяющегося при не слишком высокой т-ре, его обрабатывают в измельченном состоянии, лучше под давлением 0,1—30%-ным водн. CH₂O в течение ≥ 30 мин. при 10—150°. Ю. В.

66625 П. Получение сульфохлорида полистирола и его производных. Рейнольдс, Каткарт (Preparation of polyvinylbenzene sulfonyl chlorides and derivatives thereof. Reynolds Delbert D., Cathcart John A.) [Eastman Kodak Co.]. Пат. США 2725368, 29.11.55

Двухфазный процесс получения сульфохлорида полистирола состоит в том, что суспензию сульфированного полистирола в сухом бэл., содержащего 0,5—2 сульфокислотные группы на элементарное звено, обрабатывают PCl₅ при 35—80° до завершения р-ции и выделяют нерастворимый сульфохлорид из реакционной смеси. А. Ж.

66626 П. Полимеризующиеся композиции и полимеры, содержащие аминотилакрилат и акрилонитрил. Прайс (Polymerizable and polymerized aminoethyl acrylate-acrylonitrile compositions. Price John A.) [American Cyanamid Co.]. Пат. США 2727021, 13.12.55

Композиция содержит акрилонитрил и 1—20% (от веса мономеров) 2-(4-морфолинил)-этилакрилата; получаемый из этой композиции полимер окрашивается кислотными красителями лучше полиакрилонитрила и способен образовывать волокна. А. Ж.

66627 П. Сополимер акрилонитрила и моноаллилового или монометаллилового эфира глицерина. Колдуэлл (Copolymer of acrylonitrile and monoallyl and monomethallyl ethers of glycerine. Caldwell John R.) [Eastman Kodak Co.]. Пат. США 2725370, 29.11.55

Сополимер получают из 70—92 вес. % акрилонитрила и 8—30 вес. % моноаллилового или монометаллилового эфира глицерина. А. Ж.

66628 П. Сополимеры трифенилэтилена. Робинсон (Copolymers of triphenylethylene. Robinson Preston) [Sprague Electric Co.]. Пат. США 2725369, 29.11.55

Патентуется сополимер трифенилэтилена и, по крайней мере, одного мономера — N-винилкарбазола, стирола или бутадиена. А. Ж.

66629 П. Способ получения сополимеров (Procédé pour la préparation de copolymères) [Chemische Werke Hüls G. m. b. H.]. Франц. пат. 1052192, 21.01.54 [Chem. Zbl., 1955, 126, № 11, 2548 (нем.)]

Сополимеры получают из изомеризующихся жирных масел и стирола или его производных в соотношении 1:0,5—4. Масла (льняное, касторовое, соевое или

эфир жирных к-т с другими многоатомными спиртами вместо глицерина) изомеризуют с помощью катализатора (1—5% (от масла) и во время изомеризации добавляют стирол. 300 ч. льняного масла и 6 ч. антрахинона нагревают до 200°, и через ~10 час. добавляют 300 ч. стирола. Смесь выдерживают при этой т-ре еще 36 час., несколько охлаждают, добавляют 280 ч. уайт-спирита, отфильтровывают антрахинон и добавляют к р-ру такое же кол-во уайт-спирита. Продукт применяют для получения прозрачных эластичных пленок. М. А.

66630 П. Соли сополимеров малеинового ангидрида, диизобутилена и дивинилбензола. Нидерхаузер (Salts of terpolymers of maleic anhydride, diisobutylene and divinylbenzene. Niederhauer Warren D.) [Rohm & Haas Co.]. Пат. США 2725367, 29.11.55

Патентуется соль сополимера из 2—3 молей малеинового ангидрида, 3—2 молей диизобутилена и 0,3—5% (от веса первых двух компонентов) дивинилбензола. А. Ж.

66631 П. Усовершенствование композиций для слоистых изделий. Дей, Лоб (Perfectionnements aux compositions laminées. Day Harold M., Laube Charles G.) [American Cyanamid Co.]. Франц. пат. 1080358, 8.12.54 [Chimie et industrie, 1955, 74, № 6, 1212 (франц.)]

Композиция состоит из ненасыщ. полиэфирной смолы и 15—25% (от веса смолы) алкилиден-бис-акриламида ф-лы R'CH(NHCOC(R)=CH₂)₂, где R—H или CH₃, а группа R'CH— углеводородный остаток альдегида. Я. К.

66632 П. Способ получения искусственных смол. Кёлер, Пич (Verfahren zur Herstellung von Kunststoffen. Köhler Rudolf, Pietsch Helmut) [Henkel und Cie G. m. b. H.]. Пат. ФРГ 931130, 1.08.55

Способ отличается тем, что соединения, содержащие в молекуле, по крайней мере, одно оксациклобутановое кольцо (или смесь соединений, содержащих одно или несколько оксациклобутановых колец) полимеризуют при нагревании в присутствии катализаторов с раскрытием простого эфирного цикла. Для получения смол пространственной структуры используют соединения, содержащие более одного оксациклобутанового кольца. Напр., 580 г дихлоргидрина пентаэритрита смешивают с р-ром 370 г КОН в 3,5 л абс. спирта, р-р кипятят 30 мин. на водяной бане, отфильтровывают KCl, фильтрат извлекают эфиром, сушат Na₂SO₄ и перегоняют в вакууме. 340 г сырого перегнанного продукта сублимируют в вакууме, получая 100—120 г 2,6-диокса-спиро-3, 3-гептана ф-лы

CH₂OCH₂CCH₂OCH₂ (I). Остаток перегоняют в вакууме и собирают фракцию 110—130°/4 мм, содержащую

в основном CH₂OCH₂C(CH₂OH)(CH₂Cl) и CH₂OCH₂C(CH₂OC₂H₅)(CH₂OH) (II). 50 г остатка после перегонки полимеризуют при нагревании с 2 г SnCl₂ при 150—170° в течение 6—8 час., в результате чего получается темная эластичная смола. Аналогично 100 г I нагревают до 85—90°, пропуская над поверхностью жидкости ток BF₃ до тех пор, пока в продукте не растворится ~0,5 г BF₃. Через несколько часов образуется твердая неплавкая нерастворимая смола. При полимеризации II в присутствии BF₃ образуется вязкая смола, растворимая в ацетоне и не растворимая в эфире. А. Ж.

66633 П. Сополимеры циклических мономерных дисульфидов и ненасыщенных мономеров. Тобольский, Мельцер (Copolymers of cyclic monomeric disulfides and unsaturated monomers. Tobolsky Arthur V., Meltzer Theodore H.) [Thiokol Chemical Corp.]. Пат. США 2728750, 27.12.55

Для получения сополимеров 1—25 молей ненасыщ. мономера (стирола, бутадиена, метилметакрилата, бутлакрилата, винилхлорида, винилацетата, винил-иденхлорида или акрилонитрила) сополимеризуют с 1 молем циклоч. дисульфида ф-лы $S(CH_2)_n Z(CH_2)_m S$, где Z — атом —O—, —S—, группа —OCH₂O—, —SCH₂S—, —OC₂H₄O—, —CH₂—, —SC₂H₄S—, —(R)CH— и —(R')N—; R и R' —H, алкил, арил, арилалкил; n и m — числа от 1 до 3. А. Ж.

66634 П. Полимеризация окисей олефинов. Пруитт, Баджетт, Блумфилд, Темплтон (Polymerization of olefin oxides. Pruitt Malcolm E., Baggett Joseph M., Bloomfield Richard J., Templeton James H.) [The Dow Chemical Co.]. Пат. США 2706182, 12.04.55

Для получения твердого полимера окиси олефина, содержащей не более 4 атомов С в молекуле, мономер, имеющий эпоксигруппы и содержащий ≥ 50 вес.% окиси олефина, смешивают с незначительным, но достаточным кол-вом катализатора, напр. Fe(OH)₃, FeCl₃·6H₂O, основного уксуснокислого Fe и смесь нагревают для полимеризации до 40—150°. Ю. В.

66635 П. Полиэфирные смолы. Элоны, Ренфру (Polyester resins. Aelony David, Renfrew Malcolm M.) [General Mills, Inc.]. Пат. США 2728747, 27.12.55

Для получения полиэфирных смол n-оксисбензойную к-ту нагревают в присутствии трифенилфосфита до тех пор, пока образующийся полимер будет иметь т. размягч. 150—350°. А. Ж.

66636 П. Получение резолов. Хессен (Verfahren zur Herstellung von Resolen. Hessen Richard) [Süd-West-Chemie G. m. b. H. und Richard Hessen]. Пат. ФРГ 911783, 20.05.54 [Chem. Zbl., 1955, 126, № 6, 1389—1390 (нем.)]

Из р-ра резолов в инертном р-рителе осаждают осадителем смолы и удаляют продукты, имеющие малую скорость образования резита. Р-цию можно вести в 2 стадии так, что выделенные в-ва в дальнейшем могут быть полностью или частично использованы. В качестве р-рителя применяют спирт, а в качестве осадителя — воду. Первоначально выделенные фракции образуют резит с большой скоростью и имеют после отверждения значительно лучшие физ. и хим. свойства, чем последние фракции. Ю. В.

66637 П. Способ получения продукта конденсации фенола с фурфуролом (Procédé de préparation d'un produit de condensation de phénol et de furfural) [N. V. Philips'Gloeilampenfabrieken]. Франц. пат. 1086667, 15.02.55 [Ind. chim., 1955, 42, № 461, 400 (франц.)]

Смесь фенола с фурфуролом нагревают при 120—170° в присутствии полиэтиленполиаммина. Я. К.

66638 П. Способ получения термореактивных смолообразных продуктов конденсации. Грёбе (Verfahren zur Herstellung harzartiger, härtpbarer Kondensationsprodukte. Groebe Fritz) [Allgemeine Elektrizitäts-Ges.]. Пат. ФРГ 927174, 2.05.55

Способ получения термореактивных смол из аминов или амидов (мочевины, тиомочевины, меламмина, ам-меллина, гуанидина или дициандиамида) и альдегидов отличается тем, что р-цию их получения проводят в присутствии небольших кол-в амидов или полуамидов поликарбонатов к-т, содержащих в молекуле ≥ 3 атомов С. Смесь: 60 ч. мочевины, 161 ч. 37%-ного CH₂O и 1 ч. диамида лимонной к-ты, кипятят с обратным холодильником. Образующийся сиропообразный продукт быстро отверждается при 130°, переходя в неплавкое нерастворимое состояние. Получаемые продукты при-

меняют для пресскомпозиций, в качестве клеев, лаков и литьевых смол. А. Ж.

66639 П. Термореактивные сульфамидные полимеры. Парк (Thermoset sulfonamide polymers. Park Harold F.) [Monsanto Chemical Co.]. Пат. США 2727877, 20.12.55

Патентуется нерастворимый продукт р-ции поли-винилсульфида и метилольного производного органич. соединения, содержащего аминогруппу, способную реагировать с CH₂O с образованием метилольного производного. А. Ж.

66640 П. Способ получения масло- или смолоподобных продуктов конденсации. Хаман, Гейленкирхен (Verfahren zur Herstellung von öl- oder harzartigen Kondensationsprodukten. Hamann Karl, Geilenkirchen Willi) [Farbenfabriken Bayer A.-G.]. Пат. ФРГ 930414, 14.07.55

Способ отличается тем, что сульфондиамиды, замещ. органич. радикалом и содержащие, по крайней мере, один подвижный атом Н конденсируют с альдегидами, также в присутствии соединений, содержащих ОН-группы спиртового характера. Полимеры применяют для получения пластмасс, лаков, пленок и т. п. 38 вес. ч. N-бутилсульфондиамида, 60 вес. ч. 30%-ного формалина и 6 вес. ч. Na₂PO₄ нагревают 1 час при 80—100°, выпавший продукт р-ции экстрагируют 100 вес. ч. бэл., и после промывки и отгонки бэл. получают 35 вес. ч. желтоватого вязкого масла. Смесь (в вес. ч.) 10 поливинилацетата, 10 полученного масла и 180 этилацетата используют для отливки пленок, обладающих хорошей адгезией. А. Ж.

66641 П. Способ получения полиамидов. Шлак (Verfahren zur Herstellung von Polyamiden. Schlack Paul) [Farbwerke Hoechst A.-G. vormals Meister Lucius und Brüning]. Пат. ФРГ 930286, 14.07.55

Способ получения полиамидов из ди- или полифункциональных эфиров карбоновых к-т и аминов или аминок-карбоновых к-т отличается тем, что эфиры карбоновых к-т наряду со сложноэфирными группами содержат по крайней мере частично меркаптоэфирные группы. Применяемые исходные соединения могут также содержать в цепи вторичные или третичные аминогруппы. Меркаптоэфиры аминок-карбоновых к-т, используемые для получения полимеров, должны иметь < 3 атомов С между функциональными группами. По этому способу можно получать смешанные полимеры, вводя в р-цию лактамы. Напр., 41,75 ч. тетраметилен-бис-(γ-аминопропилового эфира) смешивают с 51,73 ч. бис-(8-этилового эфира) мононитротерефталевой к-ты (из хлорангидрида терефталевой к-ты и этилмеркаптида Na, т. пл. 89—90°) и нагревают в токе N₂ 80 мин. до 220°, выдерживают при этой т-ре 30 мин. и затем еще 30 мин. при 230°. В конце процесс ведут при давл. 100 мм рт. ст. в течение 20 мин. Полимер имеет т. пл. 200—210° и хорошо перерабатывается методом литья под давлением. А. Ж.

66642 П. Способ получения полиамидов (Verfahren zur Herstellung von Polyamiden) [Zellwolle- und Kunstseide-Ring G. m. b. H.]. Пат. ФРГ 932455, 1.09.55

При получении полиамидов из аминов с двумя или более аминогруппами и дикарбоновых к-т или аминокислот исходные амины применяют в виде солей летучих к-т, разлагающихся в условиях, при которых проводится конденсация, либо солей таких к-т, которые вытесняются к-тами, участвующими в построении полиамидов или же солей к-т, которые с определенными катионами образуют труднорастворимые соли, причем эти катионы вводят в виде оксидов, гидроокисей, карбонатов или солей к-т, участвующих в построении полиамидов. Р-цию можно проводить в р-рителях или их смесях, в которых образующаяся соль амина трудно

растворяется. Напр., адипинат Са вводят в эквимолекулярном кол-ве в водн. р-р сульфата пентаметиленамина; после нагревания выпадает CaSO_4 . Аммонийную соль затем выделяют упариванием р-ра или осаждением спиртом. Выделенную соль плавят и конденсируют в течение нескольких часов при 180—300° в отсутствие воздуха, лучше в вакууме. Полученный полиамид пригоден для литья под давлением и для изготовления волокна.

М. А. 66643 II. Способ получения полиамидов (Verfahren zur Herstellung von Polyamiden) [Zellwolle- und Kunstseide-Ring G. m. b. H.]. Пат. ФРГ 933893, 6.10.55

Для получения полиамидов нагревают при 180—300° смесь неорганич. солей диаминов и солей металлов и дикарбоновых к-т в присутствии в-в, способствующих сплавлению, до образования полимера желаемой степени конденсации и полного выпадения побочного продукта — неорганич. соли металла. Напр., нагревают 50 ч. смеси 1 моля адипиновой к-ты и 1 моля солянокислого гексаметилендиамина, 50 ч. крезол и 2 моля едкого натра при 180—300° до образования полимера. Осадок NaCl декантируют или отфильтровывают.

А. Ж. 66644 II. Способ получения высокомолекулярных линейных полиамидов. Шлак (Verfahren zur Herstellung hochpolymerer linearer Polyamide. Schlack Paul) [Farbwerke Hoechst A.-G. vormals Meister Lucius & Brüning]. Пат. ФРГ 929151, 20.06.55

Способ отличается тем, что ароматич. л-дикарбоновые к-ты, не содержащие изолированного ароматич. ядра, конденсируют с алифатич. или алициклич. диаминами, также в смеси с другими образующими полиамиды компонентами, или же подвергают конденсации первичные продукты взаимодействия ароматич. л-дикарбоновых к-т с диаминами. Смесь 10 ч. ε-капролактама, 16,9 ч. соли гексаметилендиамина и терефталевой к-ты (с 2 молями кристаллизационной H_2O) и 12,5 ч. воды нагревают 1 час при 250° в автоклаве в атмосфере N_2 , снимают давление и нагревают еще 5 час. при 270—275°. Получают твердую смолу с т. пл. 248°, не растворимую в горячем спирте; при соотношении 7,5 ч. лактама и 19,8 ч. указанной соли получают смолу с т. пл. 305°. Полимеры применяют для изготовления пленок и волокон.

А. Ж. 66645 II. Полимеризация капролактама. Бертольд (Polymerization of caprolactam. Berthold George H.) [Olin Mathieson Chemical Corp.]. Пат. США 2727017, 13.12.55

Капролактама нагревают в присутствии производного щел. металла и 2-пирролидона.

А. Ж. 66646 II. Способ получения полимеров из N-карбагидридов алициклических α-аминокарбоновых кислот. Мак-Дональд (Verfahren zur Herstellung von Polymeren aus N-Carboanhydriden alicyclischer α-Aminocarbonsäuren. Mac Donald Robert Neal) [E. I. du Pont de Nemours and Co.]. Пат. ФРГ 933482, 29.09.55

α-Аминокарбоновые к-ты или N-карбоновые эфиры α-аминокарбоновых к-т обрабатывают SOCl_2 (I), COCl_2 или его производными и образующиеся N-карбагидриды (также в смеси с другими карбагидридами, кол-во которых должно составлять ≤70% от смеси) полимеризуют при нагревании. Напр., 71,6 г 1-аминоциклогексанкарбоновой к-ты смешивают с 245 см³ 2,038 н. NaOH, охлаждают льдом, в смесь вводят в течение 1 часа при перемешивании (из двух капельных воронок) 107,7 г $\text{C}_6\text{H}_5\text{CH}_2\text{OC}(=\text{O})\text{Cl}$ и 122,7 см³ 4,076 н. NaOH, перемешивают при 0° еще 2 часа, отфильтровывают, фильтрат четырежды экстрагируют эф. и эфир. р-р нейтрализуют при 0° 49 см³

конц. HCl. Осадок промывают холодной водой (до отсутствия Cl^-) и высушивают в вакууме над CaCl_2 . Выход N-карбобензилокс-1-аминоциклогексанкарбоновой к-ты (II) (т. пл. 154,8—156°) составляет 72,7 г (52%). 50 г II и 119 г I смешивают в перегонной колбе. После окончания выделения SO_2 и HCl (~10 мин.) смесь оставляют стоять при ~20° в течение ночи, отгоняют под вакуумом избыток I и промывают (без доступа влаги) петр. эфиром. Выход сырого N-карбагидрида 1-аминоциклогексанкарбоновой к-ты (III) 27 г (88,5%). Для очистки III растворяют в 60 мл кипящего CH_2Cl_2 , фильтруют и осаждают (на холоду, стояние) петр. эфиром. Выход чистого III (т. пл. 114,8—115,2°) 17,1 г (56%). Аналогично получают N-карбагидрид 1-аминоциклопентанкарбоновой к-ты (т. пл. 146—147°) из COCl_2 и 1-аминоциклопентанкарбоновой к-ты. 1 ч. III нагревают в токе N_2 при 160°; через 2 мин. начинается выделение CO_2 и жидкий расплав постепенно (через 2 часа) превращается в твердую смолу, не плавящуюся при 400° и растворимую только в конц. H_2SO_4 . Конденсацию при 146° можно ускорить добавкой 0,2% тетраметиленамина. Аналогично получают смешанные полимеры, которые обладают лучшей растворимостью и могут использоваться для получения пленок и волокон. Некоторые из продуктов этого типа не разлагаются при 400°.

А. Ж. 66647 II. Способ получения продуктов конденсации из эфиров карбаминной кислоты и альдегидов. Кёлер (Verfahren zur Herstellung von Kondensationsprodukten aus Carbamidsäureestern und Aldehyden. Köhler Franz) [Deutsche Gold- und Silber-Scheideanstalt vormals Roessler]. Пат. ФРГ 931257, 4.08.55

Для получения смол конденсируют эфиры карбаминной к-ты или их функциональные производные (напр., моно-, ди- или полиуретаны, β-хлорэтиловый или β-аминоэтиловый эфиры карбаминной к-ты, продукты конденсации мочевины с многотомными спиртами) с акролеином или с α-замещ. акролеином и мочевиной, или ее N- или C-замещ. производными, в присутствии нейтр., основных или кислых катализаторов, причем в-ва кислотного характера вводят в р-цию в кол-ве, превышающем каталитическое, напр., в эквимолекулярном. В первой стадии процесс ведут в нейтр. или щел. среде, а во второй стадии — в кислой среде. Смесь (в ч.) 44,8 этилуретана, 30 мочевины, 0,1 CH_3COOH и 8 воды обрабатывают при 40—60° 56 ч. акролеина. Через 30—40 мин. получается бесцветная хрупкая смола, растрескивающаяся при хранении, но которую можно пластифицировать многотомными спиртами. Продукты используют в качестве клеев, прессматериалов, для пропиток и покрытий.

А. Ж. 66648 II. Кремнийорганические соединения из ацетона и трихлорсилана. Хейзелвуд (Organosilicon compounds from acetone and trichlorosilane. Hazelwood Robert N.) [McGraw Electric Co.]. Пат. США 2727880, 20.12.55

Для получения полимера смешивают трихлорсилан с ацетоном в мол. соотношении 1—1,5 при ~20° и смесь оставляют стоять до образования геля.

А. Ж. 66649 II. Термореактивные полисилоксаны, содержащие производные олова в качестве катализатора. Мак, Паркер (Heat hardenable siloxane polymers with tin catalyst. Mack Gerry P., Parker Emery). Пат. США 2727875, 20.12.55

Композиция состоит из водн. эмульсии термореактивной кремнийорганич. смолы, содержащей >1, но ≤2 углеводородных радикалов у каждого атома Si, и катализатора отверждения, растворенного в водн. фазе; последний представляет собой продукт присоединения $\text{Sn}(\text{OH})_2$ к алифатич. оксикислотам (содержа-

щим, по крайней мере, одну ОН-группу и одну СООН-группу) или к щел. и аммонийным солям этих к-т. Кол-во катализатора таково, что содержание Sn составляет 0,1—10 вес. % от полимера. А. Ж.

66650 П. Смолы на основе дикарбоновых кислот (Resins from dicarboxylic acids) [National Research Development Corp.]. Австрал. пат. 165479, 20.10.55

Смесь 1—4 моля янтарной к-ты, 1—9 молей себаценовой к-ты и кремнийорганич. соединений, имеющих свободные ОН-группы, нагревают до образования смолы. В качестве кремнийорганич. соединений используют силанолы, содержащие 2 или 3 ОН-группы, или их смеси с многоатомными спиртами. Б. К.

66651 П. Усовершенствование в области силикоано-эпоксидных смол. Раунер (Perfectionnements aux résines silicones-époxydes. Rauner Lawrence A.). [Dow Corning Corp.]. Франц. пат. 1080999, 15.12.54 [Chimie et industrie, 1955, 74, № 6, 1212—1213 (франц.)]

Смола содержит 2—98 вес. % растворимого в толуоле полиорганосилоксана, имеющего более 1, но менее 1,7 органич. радикала (алкил, алкилен, содержащий ≥ 5 атомов С или моноциклич. арил) на 1 атом Si и 98—2 вес. % продукта р-ции эпоксидной смолы (с эквивалентным весом 90—120) с жирной к-той, имеющей ≥ 8 атомов С, при соотношении 0,4—0,6 моля к-ты на 1 э-эе эпоксидной смолы. Я. К.

66652 П. Композиция на основе полиорганосилоксанов для придания гидрофобных свойств кирпичной кладке. Бассе (Water repellent treatment for masonry and siloxane composition. Bass Shailer L.). [Dow Corning Corp.]. Пат. США 2706723, 19.04.55

Композиция для гидрофобизации кирпича содержит два компонента (I и II). Для получения I используют перегоняющиеся побочные продукты, получаемые при взаимодействии CH_3Cl и Si при т-ре 200—500° и имеющие более высокую т-ру кипения, чем $(\text{CH}_3)_2\text{SiCl}_2$. Эти продукты алкоксилуют первичным или вторичным низшим алифатич. спиртом, взятым в кол-ве 30 мол. % от содержания гидролизующего хлора в алкоксилуемом продукте. Продукты алкоксилрования частично гидролизуют водой, кол-во которой, по крайней мере, эквивалентно разности между содержанием гидролизующего хлора в исходном и алкоксилуемом продукте, но недостаточно для омыления 70 мол. % всех гидролизующих групп. Конечный продукт гидролиза содержит 20—50 вес. % алкоксигрупп. II представляет собой продукт р-ции гидрозоля SiO_2 с кремнийорганич. соединением (или их смесью), содержащим 1—3 алкильных или моноциклич. арильных радикала, непосредственно связанных с атомом Si. Такими соединениями могут быть оргонохлорсиланы, оргоно-алкоксилсиланы или оргоносилоксаны. Продукт р-ции растворим в ксилоле и имеет среднюю степень замещения атомов Si органич. радикалами, равную 0,7—1,4. Композиция для гидрофобизации содержит до 100% II от веса I. А. Ж.

66653 П. Продукт взаимодействия перхлорметилмеркаптана со стиролом. Хорст (Reaction product of perchloromethyl mercaptan and styrene. Horst William P. ter) [Olin Mathieson Chemical Corp.]. Пат. США 2696502, 7.12.54

Эквимолекулярные кол-ва стирола и перхлорметилмеркаптана нагревают в р-ре бэл. при 80—90° в присутствии перекиси бензоила. А. Д.

66654 П. Получение полимеров, содержащих титан. Бойд (Preparation of titanium polymers. Boyd Thomas) [Monsanto Chemical Co.]. Пат. США 2727918, 20.12.55

Титанат ф-лы $\text{TiCl}_n(\text{OR})_{4-n}$ растворяют в безводн.

органич. р-рителе, взятом в кол-ве ≥ 3 молей на 1 моль титаната; отдельно готовят смесь воды с органич. р-рителем, который способен растворить ≥ 5 вес. % воды и смешиваются с р-рителем для титаната. Эту смесь, которая должна содержать $\leq 5\%$ воды, медленно вводят в р-р титаната при сильном перемешивании и в присутствии безводн. NH_3 (также первичных или вторичных аминов), взятого в кол-ве ≥ 1 моля на 1 моль связанного в титанате хлора. Общее кол-во вводимой воды составляет 0,5—1,5 моля на 1 моль титаната. Реагирующие в-ва разбавлены р-рителем до таких конц-ий, при которых исключается выпадение TiO_2 . В ф-ле R — алкил, арил, аралкил, алкенил или аралкенил и n — целое число от 1 до 2. А. Ж.

66655 П. Способ переработки кератина и выделения продуктов, пригодных для приготовления искусственных масс (Verfahren zur Gewinnung von zur Massenherstellung geeigneten Keratinbestandteilen) [J.-S. Anitil]. Пат. ФРГ 887946, 27.08.53 [Chem. Zbl., 1954, 125, № 46, 10604 (нем.)]

Способ переработки кератина в целях приготовления искусств. масс отличается тем, что в-ва, содержащие кератин, переводят в р-р механич. или хим. путем, напр., в водн.-щел. р-ре при нагревании с последующим размельчением в дробилке. Н. Ф.

66656 П. Способ получения термопластичных масс из каменноугольного пека. Иг, Венсан (Procédé pour l'obtention de masses thermoplastiques à partir de brai de goudron de houille. Hugues François, Vincent Robert) [Gaz de France (Service National)]. Франц. пат. 1081717, 22.12.54 [Chimie et industrie, 1955, 74, № 6, 1213 (франц.)] Продукт каменноугольный пек (обработанный в жидком состоянии дегидрирующим газом) смешивают при нагревании с каменноугольным маслом и нагревают еще 1 час. Я. К.

66657 П. Окрашенные композиции, содержащие поливинилхлорид. Лейстнер, Кнеппе (Colored composition of vinyl chloride resins. Leistner William E., Knoepke Olga H.) [Argus Chemical Lab., Inc.]. Пат. США 2725365, 29.11.55 Композиция содержит поливинилхлорид и Ni-соль диметилглиоксима в качестве красителя. А. Ж.

66658 П. Стабилизированные сополимеры акрилонитрила. Слоком, Уэсп (Stabilized acrylonitrile copolymers. Slocombe Robert J., Wesp George L.) [Monsanto Chemical Co.]. Пат. США 2719140, 27.09.55

Продукт представляет собой сополимер, полученный из 20—100% акрилонитрила и до 80% другого моноолефинового мономера и содержит в тонкодиспергированном виде 0,01—10% алкилмалеиновой Mg, алкильная группа которого имеет 1—14 атомов С. А. Ж.

66659 П. Растворители для политрифторхлорэтилена. Фукс, Штальер, Шефф (Lösungsmittel für Polytrifluorchloräthylen. Fuchs Otto, Staller Anton, Schäff Rudolf) [Farbwerke Hoechst Akt.-Ges. vormals Meister Lucius & Brüning]. Пат. ФРГ 926163, 7.04.55

Для получения р-ров высокополимерного политрифторхлорэтилена применяют 1,1,2,2-тетрафтор-3,3,4,4-тетрахлорциклобутан самостоятельно или в смеси с другими органич. соединениями, содержащими в молекуле не менее одной алкильной, алкоксильной, трифторметильной группы, атома Cl или одновременно несколько подобных групп. М. А.

66660 П. Растворители для политрифторхлорэтилена (Solvants pour le poly-trifluoro-chloro-éthylène) [Farbwerke Hoechst A.-G. vormals Meister Lucius und Brüning]. Франц. пат. 1085916, 8.02.55 [Ind. chim., 1955, 42, № 461, 396 (франц.)]

В качестве р-рителя для политрифторхлорэтилена патентуется 1,1,2,2-тетрафтор-3,3,4,4-тетрахлорциклобутан.

66661 П. Растворы и набухшие массы политрифторхлорэтилена (Solutions et masses gonflées de polytrifluoro-chloréthylène) [Farbwerke Hoechst A.-G. vormals Meister Lucius & Brüning.]. Франц. пат. 1080270, 8.12.54 [Chimie et industrie, 1956, 75, № 1, 105 (франц.)]

В качестве р-рителей и агентов набухания для политрифторхлорэтилена применяют кислородсодержащие производные ментана из группы терпенов и камфоры и типа спиртов, альдегидов, кетонов, простых или сложных эфиров.

66662 П. Усовершенствования в области пластмасс (Perfectionnement aux matières plastiques) [Soc. An. des Manufactures des Glaces et Produits Chimiques de St-Gobain, Chauny et Cirey]. Франц. пат. 1081807, 23.12.54 [Chimie et industrie, 1955, 74, № 6, 1212 (франц.)]

Для дестатизации поливинилхлорида и полиэтилена, на поверхности пластика получают in situ путем разложения (напр., с помощью хлорсульфоновой к-ты) слой углерода, снижающий поверхностное сопротивление.

66663 П. Использование пробкового слоя для изменения текучести термореактивных фенолформальдегидных смол в композиции, содержащей лубяные волокна коры. Херитидж (Use of cork as a flow modifier in thermosetting phenol-formaldehyde molding compounds containing the bast fiber of bark. Heritage Clark C.) [Weyerhaeuser Timber Co.]. Пат. США 2697082, 14.12.54

Термореактивная прескомпозиция состоит из продукта р-ции термореактивной фенолформальдегидной смолы и превращенных в порошок лубяных волокон коры хвойных деревьев. Соотношение формальдегида и фенола в смоле $>1,4:1$. Метилльные группы смолы реагируют с компонентами коры, образуя в смоле поперечные связи. Композиция содержит также измельченный пробковый слой коры хвойных деревьев, влияющий на текучесть композиции.

66664 П. Термореактивные прескомпозиции, содержащие компоненты коры. Херитидж (Thermosetting molding compounds comprising bark components. Heritage Clark C.) [Weyerhaeuser Timber Co.]. Пат. США 2697081, 14.12.54

Термореактивная прескомпозиция состоит из продукта р-ции смеси превращенных в порошок лубяных волокон коры хвойных деревьев и термореактивной фенолформальдегидной смолы. Молярное отношение формальдегида и фенола в смоле $>1,4:1$ и увеличивается с увеличением содержания коры, в которой находятся значительные кол-ва фенольных соединений, реагирующих с метилльными группами смолы.

66665 П. Пластифицированные таблетки из термопластичного материала и способ их изготовления. Секкел (Plasticized pellet of thermoplastic material and process of making same. Seckel Peter H.) [Richard A. Fisch]. Пат. США 2714076, 26.07.55

Способ изготовления таблеток из термопластичного материала, равномерно пропитанных пластификатором, состоит в том, что мелкоизмельченный термопласт смешивают с жидким пластификатором, при т-ре ниже т-ры плавления термопласта и при той же т-ре формируют таблетки, которые затем нагревают при т-ре, близкой к т-ре плавления непластифицированного термопластичного материала. При нагревании таблеток пластификатор диффундирует в толщу материала, и после охлаждения на поверхности таблетки образуется твердая скорлупа. Кол-во пластификатора берется таким, чтобы частицы

термопластичного материала полностью абсорбировали его и имели на поверхности слой пластификатора.

66666 П. Прескомпозиции, содержащие для предотвращения прилипания и загрязнения окиси щелочно-земельных металлов и буру. Херитидж (Molding compounds comprising alkaline earth metal oxide and borax as sticking and staining preventives. Heritage Clark C.) [Weyerhaeuser Timber Co.]. Пат. США 2697083, 14.12.54

Термоактивная прескомпозиция состоит из продукта р-ции смеси превращенных в порошок лубяных волокон коры хвойных деревьев, термореактивной фенолформальдегидной смолы и смеси (в % от веса композиции) 0,5—1 буры и 1—5 окислов щел.-зем. металлов. Молекулярное отношение формальдегида к фенолу в смоле $>1,4:1$ и увеличивается с повышением содержания коры, в которой находятся значительные кол-ва фенольных соединений, реагирующих с метилльными группами смолы.

66667 П. Способ получения формованных изделий для зубных протезов. Шнелль, Беккер (Verfahren zur Herstellung von Formkörpern, insbesondere von Zahnersatz. Schnell Hermann, Becker Wilhelm) [Farbenfabriken Bayer Akt.-Ges.]. Пат. ФРГ 930656, 21.07.55

Пластичную смесь, содержащую жидкие полимеризующиеся соединения, растворимые или набухающие в них сополимеры метилметакрилата с бутадиеном, содержащие ≤ 40 вес. % бутадиена и катализатор полимеризации, формируют и полимеризуют под действием тепла и давления. В качестве жидких полимеризующихся соединений могут применяться соединения, содержащие в молекуле более одной двойной связи, самостоятельно или в смеси с другими виниловыми соединениями. Кроме сополимеров бутадиена, в смесь могут входить обычно применяемые высокомолекулярные соединения. Из 830 вес. ч. метилметакрилата и 170 вес. ч. бутадиена получают эмульсионный порошкообразный сополимер с содержанием 25,5% О. Смесь 12,5 вес. ч. этого сополимера, 4,5 объем. ч. метилметакрилата, 0,5 объем. ч. этиленгликольдиметакрилата и 0,2 вес. ч. перекиси бензоила помещают в гипсовую форму и полимеризуют под давлением 30 мин. при 70° и 1 час. при 100°. Получается прозрачный, бесцветный, упругий продукт.

66668 П. Способ лучшего связывания наполнителя с волокнистым материалом. Эванс, Лич, Милз (Process for improving retention of fillers in fibrous material. Evans John Gwynant, Leach James Harry, Meals William Salkeld). Пат. США 2710816, 14.08.55

Для лучшего связывания гидрофильного неволокнистого полимерного органич. наполнителя с волокнистым материалом, последний обрабатывают гидрофильным наполнителем и продуктом присоединения бисульфита щел. металла к мономерным ароматич. или алифатич. моно-, ди- или триизо- или изотиоцианатом и нагревают для разложения продукта присоединения. Указанные цианаты могут содержать моноциклич. ароматич. радикал, имеющий ≤ 7 атомов С, или же алифатич. радикал, который содержит ≤ 10 атомов С, исключаются алифатич. моноизо- или моноизотиоцианаты, углеводородная цепь которых имеет ≤ 8 атомов С.

66669 П. Слоистые материалы или покрытия из фторзамещенного полиэтилена. Панагросси, Хаусер (Lamination or coating of fluorine-substituted polyethylenes with or on other substances. Panagrossi Ahmed, Hauser Ray L.) [The Connecticut Hard Rubber Co.]. Пат. США 2705691, 5.04.55

Патентуется слоистый пластик из фторзамещ. полиэтилена и вулканизированной резины на основе сополи-

мера изобутилена с изопреном или бутадиеном. Оба составляющих слоя представляют собой тонкие пленки. Напр., на пленку из бутил-каучука наносят слой грунта из политетрафторэтилена и бутил-каучука и на этот грунт — пленку из политетрафторэтилена. С. Ш.

66670 П. Гибкий листовый материал и метод его получения. Нелсон, Панчери (Flexible sheet material and method. Nelson Harold T., Pancheri Raymond A.) [United States Rubber Co.]. Пат. США 2705690, 5.04.55

Гибкий листовый материал, применяемый для обивки мебели и других целей, состоит из листовой пластифицированной виниловой смолы, напр. из полимера или сополимера винилхлорида, и имеет на поверхности наружный слой из смеси (в %) 20—50 полиэтилметакрилата, 30—40 полиметилметакрилата и 10—50 виниловой смолы, содержащий кремнийорганич. жидкость или растворимый кремнийорганич. каучук. Кол-во жидкости или каучука составляет соответственно 1,2—4% и 0,3—1% от смеси смол. С. Ш.

66671 П. Улучшенные термопластичные композиции. Сол, Шарп (Perfectionnements aux compositions thermoplastiques. Saul Walter, Sharp Frank) [Soc. An. des Pneumatiques Dunlop]. Франц. пат. 1032978, 7.07.53 [Chem. Zbl., 1954, 125, № 46, 10606 (нем.)]

Масса для полов и стен содержит одну или несколько растворимых смол (кумаронинденовые или кумаронстироловые смолы, также в смеси с другими плавками, напр., нафталинформальдегидными смолами), наполнители, продукты масла и термопластичный пленкообразующий материал, образующий армирующую структуру (поливинилхлорид или его сополимеры с винилиденхлоридом или винилацетатом). Смешивают (в вес. ч.) 11 кумаронинденовой смолы, 11 нафталинформальдегидной смолы, 1 сополимера винилхлорида и винилиденхлорида (80 : 20), 1 трикрезилфосфата, 1,5 продукта касторового масла, 2 дугтекса (ароматич. нефтяной экстракт), 38 асбеста, 28,5 порошкообразного известняка и 6 пигмента. Смесь нагревают в мешателе Бенбери 5 мин. при 130—140° и развальцовывают в пластины. Ю. В.

66672 П. Покрытия для полов и стен. Рунте, Магдалинский (Verfahren zur Herstellung von Fußboden- oder Wandbelägen. Runte August, Magdalinski Friedrich) [Farbenfabriken Bayer]. Пат. ФРГ 886292, 13.08.53 [Chem. Zbl., 1955, 126, № 11, 2514 (нем.)]

Полы или стены покрывают смесью наполнителей и водного раствора (эмульсии или дисперсии) продукта конденсации мочевины с формальдегидом, в котором коллоидно диспергирован не растворимый в воде органич. пленкообразователь: поливинилацетат, полиакриловые эфиры, поливинилхлорид или некоторые мономеры, сложные или простые эфиры целлюлозы. Материал наносят шпательным инструментом. Ю. В.

66673 П. Листовой материал для гидроизоляции. Альтингер (Folie zur Isolierung gegen Feuchtigkeit. Aldinger Paul). Пат. ГДР 8037, 20.09.54

Способ получения листового материала для гидроизоляции из необработанного картона, джутовой ткани, волокна, пластмассы и т. д., пропитанных или покрытых изоляционной массой, отличается тем, что применяемая масса содержит ~70% каучука и ~30% смол и пластификаторов, напр. битумов, пеков, синтетич. смол или масел. После нанесения массы листы покрывают мукой или мелкой крошкой из НК или СК. С. Ш.

66674 П. Получение окрашенных изделий, особенно надписей из отверждаемых порошкообразных искусственных смол. В и н д г а с с е н (Verfahren zur Herstel-

lung farbig gemusterten Gegenständen, insbesondere Schriftbildern, aus härtbaren Kunstharzpreßstoffen in Pulverform. Windgassen Erich). Пат. ФРГ 903668, 8.02.54 [Chem. Zbl., 1955, 126, № 3, 706 (нем.)]

В углубление, образующее рисунок на изделии, запрессовывают порошок из отверждаемой искусств. смолы другого цвета, так что он выступает над поверхностью изделия; смолу затем отверждают. Можно также заполнить плоские выемки рисунка на готовом предмете порошком искусств. смолы другого цвета, которую затем подвергнуть отверждению. Ю. В.

66675 П. Негорючая композиция на основе сополимера алкенилбензола (Perfectionnements relatifs à une composition d'un copolymère d'alkénylbenzène s'éteignant d'elle-même) [The Dow Chemical Co.]. Франц. пат. 1079654, 1.12.54 [Tintex, 1955, 20, № 8, 653 (франц.)]

Пенопласт состоит из 95—97 вес. % сополимера, содержащего 75—90% стирола и 10—25% α-метилстирола, 3—5 вес. % 1,2,3,4-тетрабромбутана и при необходимости пигментов и наполнителей. Композиция не темнеет под действием света и гаснет при действии пламени. Я. К.

66676 П. Способ получения катионообменных смол. В у д (Verfahren zur Herstellung von Kationen-austauschern. Wood William) [Permutit Akt.-Ges.]. Пат. ФРГ 930415, 14.07.55

Для получения катионообменных в-в исходные смолы, содержащие ароматич. радикалы (напр., углеводородные смолы, винилароматич. полимеры, сополимеры стирола и дивинилбензола или других сшивающих агентов) обрабатывают тригалогенидом фосфора (PX₃) в присутствии катализатора Фриделя-Крафуса, продукт р-ции гидролизуют и окисляют. Молекулярные соотношения смолы, PX₃ и катализатора составляют соответственно 1 : 3 : 1. Напр., 25 г сополимера, из 90% стирола и 10% дивинилбензола (полученного с перекисью бензоила) дают набухнуть в 50 г тетрахлорэтана, добавляют 33 г безводн. AlCl₃, нагревают до 70°, вводят 100 г PCI₃ и нагревают 4 часа при 70°. После отгонки избытка PCI₃ и р-рителя добавляют р-р 37 г брома в 50 г тетрахлорэтана, перемешивают 30 мин., отфильтровывают и промывают смолу ацетоном и водой. А. Ж.

66677 П. Катиониты и способ их получения. Квитман, Еникке, Гёцман, Веге (Échangeurs de cations et leur préparation. Quitmann Henry, Jaenicke Wilhelm, Götzman Karl, Weege Anne-Marie) [Chemische Fabrik Budenheim A.-G.]. Франц. пат. 1083835, 12.01.55 [Chimie et industrie, 1956, 75, № 1, 96 (франц.)]

Альдегиды конденсируют с кислотными эфирами P₂O₅ и ароматич. моно- или полиоксисоединениями. Я. К.

66678 П. Клеевая композиция для приклейки политрифторхлорэтана к металлу. Фишер (Adhesive composition for bonding polyperfluorovinyl chloride to metal. Fischer William K.) [United States Rubber Co.]. Пат. США 2710821, 14.06.55

Способ приклейки пленки из политрифторхлорэтана к металлич. поверхности состоит в том, что на склеиваемые поверхности наносят р-р клея, удаляют р-ритель испарением и нагреванием клеевой пленки и спрессовывают склеиваемые поверхности. Клей состоит из модифицированного малеиновым ангидридом каучукоподобного сополимера, бутадиена с акрилонитрилом, 10—65 вес. % (от сополимера) полихлорпрена и 75—100 вес. % (от сополимера) дегидрабиетиновой к-ты. Все компоненты растворяют в летучем органич. р-рителе; полученный клей содержит 10—40 вес. % смол. Модифицированный сополимер получают при на-

гревании смеси сополимера бутадиена с акрилонитрилом с малеиновым ангидридом (1—50 вес. % от сополимера) и ингибитором радикальной полимеризации (1—10 вес. % от сополимера) при t -ре 150° до завершения реакции.

Б. К. 66679 II. Смола для склеивающей при нагревании липкой ленты. **Жермен** (Heat-sealable splicing tape resin and process of preparing same. *Germain L. M.*) [Shawinigan Chemicals, Ltd]. Англ. пат. 694463, 22.07.53 [Chem. Zbl., 1955, 126, № 5, 1188 (нем.)]

550 г поливинилацетата (I) растворяют в 450 г CH_3OH и обрабатывают p -ром 25 г NaOH в 790 г CH_3OH . Через 15 мин. алкоголиз заканчивается и получается поливиниловый спирт, содержащий 60% I, который разбавляют 27 г глицерина и 74 г воды до конц-ии 25%. Из p -ра отливают пленку, предназначенную для склеивания газетной бумаги.

Ю. В. 66680 II. Способ улучшения клейкости липкой ленты. **Нэпп** (Method of improving adhesive characteristics of adhesive tape and resultant article. *Nepp Jean B.*). Пат. США 2728687, 27.12.55

Способ получения липкой ленты (пластыря) с хорошей клейкостью и не раздражающей человеческую кожу состоит в том, что на одну сторону основы наносят смесь (в вес. ч.) 700—900 поливинилацетата, 1000—1200 сополимера изобутилена со стиролом, 900—1050 пластификатора и 200—300 инертного наполнителя и полученную ленту затем прикатывают к гладкой полированной поверхности так, чтобы при последующем использовании ленты в качестве пластыря она могла бы легко приклеиваться к коже при миним. давлении.

А. Ж. 66681 II. Способ соединения термопластичного листового материала. **Майнер, Кларк** (Method for joining thermoplastic sheet material. *Miner Samuel S., Clark Edward H.*) [United States Rubber Co.]. Пат. США 2698273, 28.12.54

Для соединения термопластичного материала, имеющего резкую точку плавления, складывают соединяемые поверхности и нагревают в месте соединения до t -ры значительно большей t -ры размягчения, что вызывает сплавление и образование монолитного шва. Учетки, находящиеся рядом с местом соединения, охлаждаются значительно ниже t -ры размягчения. При соединении, к нагреваемым и охлаждаемым участкам прилагают до начала плавления материала гидравлич. давление и поддерживают его пока соединяемые участки не охладятся ниже точки размягчения.

См. также: Полимеризац. смолы: процесс полимеризации 65159, 65160, 65162, 65163, 65165, 65168, 65170; методы исслед. 65132, 65143, 65144; св-ва 65135; применение полимеризац. смол 66421, 66931, 66960—66962, 67237, 67238, 67280, 67367. Конденсат. смолы: получение 66686, 66687, 66691; методы исслед. 65139, 65383; св-ва 65146, 65152; применение конденсат. смол 66422, 66280, 66735. Кремнийорганич. соедин. 64986, 66989. Пластификаторы 66184. Промежуточ. продукты 66167, 66177

ЛАКИ. КРАСКИ. ЭМАЛИ. ОЛИФЫ. СИККАТИВЫ

66382. Классификация и номенклатура лаков и эмалевых красок. **Якубович С. В., Рубинштейн Б. Л.**, Стандартизация, 1955, № 5, 37—44

В целях унификации лакокрасочных материалов и облегчения их разнородного использования предлагается единая классификация лаков (Л), в основу которой положено деление Л по их составу, т. е. основному пленкообразующему — смоле. Это предопределяет их

эксплуатационные свойства и учитывает перспективы развития лакокрасочной пром-сти. Все Л разделены на 4 рода: I — на натуральных смолах и их препаратах, II — на синтетич. конденсационных смолах, III — на синтетич. полимеризационных смолах, IV — на эфирах целлюлозы. Предусмотрен также V род — смешанные лаки. Род делится на классы по основной смоле и обозначается буквенным индексом (напр., Кф — канифоль). Класс делится на 10 типов. На основе приведенной классификации разработана единая номенклатура Л в зависимости от их применения, т. е. по потребительскому признаку или назначению. **Б. Б. 66683.** Обозначение состава лакокрасочных материалов. **Фламм** (L'arithmétique et la logique dans la formulaion anglo-saxonne. *Flamm M. A.*, Peintures, pigments, vernis, 1955, 31, № 10, 893—897 (франц.)

Обсуждается вопрос целесообразности принятого в Англии и США способа обозначения состава лакокрасочных материалов в смешанных единицах: жидкие в-ва в объемных единицах, а сухие — в весовых. Неудобство существующей системы состоит в трудности, происходящей при пересчете рецептуры материалов с целью установления их состава; целесообразность заключается в том, что в практической работе, при расчете заполнения аппаратуры или тары, исчисление продукции в объемных единицах удобно.

Н. А. 66684. Теория высокомолекулярных соединений и явление сморщивания пленок. **Баррелл** (High polymer theory of the wrinkle phenomenon. *Burrell Harry*), Industr. and Engng Chem., 1954, 46, № 10, 2233—2237 (англ.)

Получение морщинистых узоров на пленках лаков, содержащих высокомолекулярные тунговое или ойтисовое масла, объясняется быстрой полимеризацией последних с образованием плотной высокополимерной части, которая набухает в незаполимеризованной мономерной жидкой части. При этом в результате расширения геля происходит образование складок — морщин. Рисунок складок зависит от ряда факторов: состава лака, толщин слоя и t -ры сушки. Увеличение жирности лака, небольшие добавки канифоли, нитроцеллюлозы или гильсонита, окислированное тунговое масло или алкиды, большие кол-ва сиккатива, легколетучие р-рители, нанесение тонким слоем и сушка при 180° (без предварительной выдержки на воздухе) обеспечивают получение мелких морщин. Крупные морщины получаются при введении больших кол-в смол, окислированных масел: льняного или периллового, низкокипящих р-рителей, уменьшенных кол-в сиккатива, при нанесении толстым слоем и сушке при 110° после предварительного высыхания на воздухе. Введение очень больших кол-в смол препятствует образованию морщин.

К. Б. 66385. Нефтяные разбавители для лакокрасочной промышленности. **Риттерхаузен** (Petroleum thinners for the paint industry. *Ritterhausen E. P.*), Paint and Varnish Prod., 1955, 45, № 3, 25—29 (англ.)

Приведены свойства основных разбавителей, применяемых в лакокрасочной промышленности. **К. Б. 66386.** Синтетические полимеры для лаков и покрытий на их основе. **Лазарев А. И.**, Успехи химии и технологии полимеров. Сб. I. М., Госхимиздат, 1955, 85—99

Обзор полимеров для произ-ва лаков и клеев, которые могут быть получены из продуктов переработки каменного угля, нефти и растительного сырья. Библиограф. 20 назв.

Б. Ш. 66387. Меламиновые смолы в промышленности лаков, красок и пластмасс. **Шёйфлер** (Melaminharze in der Lack-und Kunststoffindustrie. *Scheu*

fleg W.), Dtsh. Farben-Z., 1954, 8, № 2, 53—57 (нем.)

Рассматривается механизм образования меламиноформальдегидных смол (I). Улучшенные свойства I по сравнению с мочевиными объясняются тем, что метилоламидные группы в I связаны непосредственно с атомом С в кольце, а в мочевиновых (принимая их структуру по Марвелу) — через СО-группу с атомом N в кольце. Бутанолизированные I в смеси с алкидными применяются в нежелтеющих лаках и эмалях горячей сушки для автомобилей и с кислотными отвердителями — в лаках для дерева. Отмечается возможность получения покрытия горячей (220°) сушки, стойкого к кипящим р-рителям: хлорэтилену или толуолу, к воде, щелочам и к-там, путем смешения смол: «Marpenal NP» и «Alkydal ST». Соотношения не указаны.

К. Б.

66688. Термостойкие полиорганосилоксановые покрытия. Хедлунд (High temperature silicone finishes. Hedlund Robert C.), Jyle Scient. Mag., 1955, 30, № 3, 18—20, 22 (англ.)

Описано применение термостойких полиорганосилоксановых покрытий с температуростойкостью 415—540° для окраски нагревательных устройств (печей, выхлопных труб и т. п.) и для изготовления панельных нагревателей до т-р 260°.

А. Ж.

66689. О некоторых специальных формальдегидных смолах. Сюпрен (Sur quelques résines formoliques speciales. Suprin G.), Ind. plast. mod., 1954, 6, № 3, 55 (франц.)

При конденсации формальдегида с углеводородами (нафталином и ксилолом) получают термопластичную смолу с т. капл. 50—100° под торговым названием «Gedon», напоминающую канифоль или кумароновую смолу. Эта смола исключительно устойчива к действию к-т и оснований, даже при их высоких концентрациях. Она может применяться как защитное покрытие. Наносится на поверхность в виде лака или футеровочной массы. Смола растворяется в ароматич. углеводородах, трихлорэтилене, CCl_4 , $CHCl_3$, CS_2 и фталевых эфирах, полностью совмещается с кумарониинденовыми смолами и канифолью. При нагревании с льняным маслом до 300° в присутствии воздуха полностью в нем растворяется, причем получается спец. лак, который можно окрашивать или добавлять к нему алюминиевую пудру и наносить по цементу.

Т. Ф.

66690. Модифицированные алкидные смолы с высоким содержанием фталевых эфиров. Сообщение I. Нану, Бургермейстер (Rășini alchidice modificate, cu continut mare de ester ftalic. Nota I. Nanu I., Burgermeister R.), Studii si cercetări stiint. Acad. RPR. Baza Timișoara, 1955, 1, № 1—4, 67—78 (рум.; рез. русс., франц.)

В результате исследования методов синтеза модифицированных жирными к-тами глифталевых смол с высоким содержанием фталевых эфиров установлено, что наиболее целесообразно при синтезе их исходить из моноглицеридов. Для расчета рецептур компонентов р-ции предложено пользоваться «числом жирных к-т», т. е. числом α жирных к-т, приходящихся на 100 г смолы.

Л. П.

66691. Пластифицированная, водорастворимая, термоактивная фенольная смола (марки R. C. J. «Гидрофен») для покрытий горячей сушки. — (R. C. J.'s plasticised water-soluble heat-hardening phenolic resin for industrial baking finishes.—), Austral. Plastics, 1954, 10, № 107, 31—33 (англ.). Описана лаковая смола (Hydrophen 6100), состоящая из фенольных спиртов, пластифицированных относительно высокомолекулярными в-вами. Состав смолы не указан.

Б. Б.

66692. Целлюлоза и ее производные. Спонсел (Cellulose and its derivatives. Sponsel K.), Paint, Oil and Colour J., 1955, 128, № 2967, 476—478 (англ.)

Описано получение, свойства и применение эфиров целлюлозы для промышленных лаков и красок. Наиболее распространенными сложными эфирами являются: нитроцеллюлоза, входящая в состав покрытий для металлов, дерева, кожи, бумаги, образующая композиции с алкидными, меламиновыми, фенольными смолами; ацетилцеллюлоза — более теплостойкая и менее горючая, применяется для покрытия самолетов, кабелей, моторов, алюминия, меди, бронзы, тканей и пр. Также применяются пропионат, ацетобутират целлюлозы и кротилцеллюлоза. Из простых эфиров наиболее распространены: бензил-, этил-, метил-, оксизтилметил-, карбоксиметил-, оксизтилцеллюлоза. Бензилцеллюлоза применяется для покрытия днищ кораблей, хранилищ для жидкого топлива и питьевой воды, кабелей; этилцеллюлоза — для покрытия нагревателей, радиаторов, бумаги, кожи, ткани, для изготовления печатных красок, кабельных лаков. Диметилцеллюлоза добавляется к цементу, извести для улучшения адгезии. Триметилцеллюлоза, не растворимая в воде (так же как растворимые — оксизтилметил-, оксиметил-, карбоксиметилцеллюлоза), применяется как уплотняющий компонент эмульсионных красок для печатания на тканях, для приготовления отделок, политур, клеевых красок, пластырей, клеев для обоев вместо крахмала.

Б. Б.

66693. Заменители дефицитных материалов для защитных покрытий Гундерман (Schwarzanst. richte unter besonderer Berücksichtigung der Einsparung von Mangelrohstoffen. Gundermann E.), Chem. Technik, 1953, 5, № 11, 641—647 (нем.)

Показано, что масла, пек и воск буроугольной смолы, а также отходы (кубовые остатки) произ-ва синтетич. жирных к-т могут заменить каменноугольный пек и битум в качестве материалов для защитных покрытий.

И. Н.

66694. Стабильность поливинилацетатных эмульсионных красок при замерзании и оттаивании. Флетчер, Мейн (The freeze-thaw stability of polyvinyl acetate emulsion paints. Fletcher A. C., Ma yne J. E. O.), Paint Manufact., 1955, 25, № 3, 116—118, 124 (англ.)

Исследовалось влияние природы эмульгаторов и стабилизаторов, применяющихся при изготовлении эмульсий поливинилацетата (ПВА), величины частиц полимера и его мол. веса, кол-ва и типа пластификаторов, смачивающих и диспергирующих агентов, употребляемых при изготовлении пигментных паст, а также отдельных добавок на частичное агрегирование и полное выпадение связующего из эмульсионных красок на ПВА при замерзании и оттаивании. Испытания проводились путем попеременной выдержки красок при —33° в течение 20 час. и при ~20° в течение 4 час. Установлено, что для обеспечения стабильности эмульгаторы и стабилизаторы должны быть подобраны таким образом, чтобы они при замерзании равномерно распределялись между жидкой и твердой фазами. Это может быть проверено определением их конц-ий в обеих фазах при помощи рефракции. Большой размер частиц (до 1 μ), наибольший мол. вес ПВА и введение пигментов также снижают агрегирование. Максим. введение пластификаторов: для дибутилфталата составляет 7%, для хлорированного дифенила — до 20%. В качестве оптимальных смачивающих и диспергирующих агентов рекомендуется смесь метилцеллюлозы с полиметафосфатом Na с добавкой Na-соли диоктилсульфотартарной к-ты. Введение этиленгликоля и повышение pH до 7—8 добавкой аммиака не дало заметного улучшения стабильности.

К. Б.

66695. Эмульгированный хлорированный натуральный каучук для разбавляемых водой красок. Хейг (Emulsified chlorinated natural rubber for water thinable paints. Hygue Alfred), West. Paint. Rev., 1955, 41, № 8, 35A—36A (англ.)

Описаны свойства эмульсии типа «масло в воде» хлорированного натурального каучука, в частности светлой эмульсии PE-16, дающие возможность использовать сопротивление окислению и щелочам высокомолекулярного каучука без добавки менее стойких смол. Такая эмульсия легко превращается в краску введением смеси сухого пигмента, или пигментной пасты со щелочестойким водонерастворимым красителем и наполнителем, без спец. предосторожностей. Она отличается высокой кислото- и щелочестойкостью, атмосферостойкостью и водостойкостью, стойкостью к действию моющих (с добавкой фунгицидов) стойкости краски составляет более 5 лет).

66696. Пигментирование поливинилацетатных эмульсионных красок. Флетчер, Вильсон (The pigmentation of polyvinyl acetate emulsion paints. Fletcher A. C., Wilson P. J.), J. Oil and Colour Chemists' Assoc., 1955, 38, № 9, 544—549 (англ.)

Поливинилацетатные эмульсионные краски получают при тщательном смешивании пластифицированной поливинилацетатной эмульсии с водн. пигментной пастой. Обсуждается влияние смачивающих, диспергирующих или дефлокулирующих агентов и стабилизаторов вязкости на пигментную дисперсию и свойства красок. Диспергирующими агентами могут быть только ионные в-ва, смачивающими и стабилизирующими в-вами — ионные или неионные; целесообразно иметь равновесие анионных и неионных соединений в водн. фазе. Применение комбинации соединений может оказывать более действенное влияние, чем каждое из них в отдельности. Предложены такие сочетания, как, напр. метилцеллюлозы с полимета-, тетрапирофосфатом натрия или поли- и полиметакрилатами низкого мол. веса, карбоксиметилцеллюлозы натрия с оксифирами полиакрилена или эфирами жирных к-т полиакрилена, полиметакрилата натрия с полиметафосфатом натрия и неионным смачивающим в-вом. Состав пигментной фазы должен способствовать получению достаточно непрозрачной пленки при содержании пигмента 27—45 об. %. Испытаны белые эмульсионные краски на основе TiO_2 , литопона и обычных наполнителей. Концентрация вводимых агентов зависит не только от типа эмульсии, но также от выбора пигментов и наполнителей и должна способствовать достижению максим. критич. объемной концентрации пигмента в пигментной фазе. Для пигментирования эмульсии рекомендуется состав: 90 ч. TiO_2 -рутила, 10 ч. каолина, 20 ч. метилцеллюлозы (5%-ный р-р), 2 ч. полиметафосфата натрия (5%-ный р-р) и вода. В пигментную пасту при необходимости вводят добавки (ингибиторы коррозии, фунгициды, противоспецивающие агенты и т. п.) и воду. Для получения гомог. поливинилацетатной эмульсионной краски ее следует пропустить через одно- или двухвалковую мельницу (краскотерку).

66697. Атмосферостойкость эмульсионных красок. Кемпбелл (Exterior durability of emulsion paints. Campbell S. G.), J. Oil and Colour Chemists' Assoc., 1955, 38, № 9, 550—577 (англ.)

Подробно рассмотрена зависимость атмосферостойкости эмульсионных красок от их состава.

66698. Причина разнооттеночности красок. Кредентсер (Here's why paint colors vary. Kredentser N. y.), Canad. Paint and Varnish Mag., 1955, 29, № 23, 54 (англ.)

Влияние процесса произ-ва пигментов на цвет красок объясняется некоторым (хотя и незначительным)

различием в продолжительности р-ции по отдельным загрузкам; некоторое различие цвета может быть даже внутри одной загрузки. Различие в цвете устраняется предварительным измельчением и гомогенизацией пигмента с последующим диспергированием его до полного исчезновения агломератов и флюкулятов.

66699. Отечественное сырье для производства минеральных красок в Польше. Моравецкий (Krajowe surowce do wytwarzania farb mineralnych. Morawiecki Antoni), Przegl. geol., 1954, 1, № 6, 213—215 (польск.)

Приведен краткий обзор свойств и применения минер. красок (МК) и охарактеризованы залежи различных видов сырья для МК в Польше. Описан ассортимент МК, изготавливаемых в Польше из отечественного сырья, и рассмотрены возможности его расширения. Отмечено что, разведанные в Польше залежи минер. сырья достаточны для произ-ва многих МК, импортируемых до сих пор из-за границы, за исключением МК, в состав которых входят Ni, Cr, Co, Hg, Sb, Bi, W, Ti, V, Sn.

66700. К проекту норм DIN 5043 на радиоактивные светящиеся краски в порошке. Обозначения и светоплотность. Келер (Radioaktive Leuchtfarben in Pulverform. Bezeichnung und Leuchtintensität. Norm-Entwurf, Oktober 1955, DIN: 5043. Köhler W.), Farbe und Lack, 1955, 61, № 12, 572 (нем.)

Проект стандарта содержит общую характеристику радиоактивных светящихся красок в порошке и предусматривает классификацию их на 10 сортов, в зависимости от миним. значений светоплотности (степени свечения).

66701. Реагирующие грунты под краски и лаки. Калевич (Gruntzy reagujace pod farby i lakiery. Kalewicz Zdzisław), Przegl. mech., 1955, 14, № 12, Biul. infom. IMP. (польск.)

Рассмотрены принципы построения рецентур комплексных защитных грунтовых покрытий, основа которых состоит из пленкообразующего компонента (напр., поливинилбутирала) и ZnCr_2O_7 , а р-ритель содержит к-ту (напр., представляет собой водно-спиртовой р-р H_3PO_4); такой грунт с одной стороны оказывает пассивирующее действие на поверхность металла, с другой стороны обеспечивает высокую адгезию к нему лакокрасочных покрытий. Библи. 4 назв.

66702. Новая сополимерная олифа. Антыков А. П., Ж. прикл. химии, 1955, 28, № 11, 1215—1219

Разработан метод получения «олифы А» — сополимера натуральной олифы (I) с дициклопентадиеновой фракцией (ДЦП), являющейся отходом от очистки ароматич. углеводородов на коксохим. з-дах. Наибольшая реакционная способность ДЦП наблюдается при ном. числе 375—455, когда 65—100% вступает в р-цию с I. Р-ция проводится путем смешения I с ДЦП в соотношении 1:1 и выдержки при перемешивании при 60° в присутствии 0,05—0,03% (от веса реакционной смеси) глета, перекиси бария, пергидроля или перекиси бензоила. «Олифа А» не отличается по пленкообразующим свойствам и атмосферостойкости от I и позволяет значительно снизить расход дефицитных растительных масел.

66703. Получение поливиниловых эфиров перестерификацией. Экки, Олдерсон, Вустман (Production of polyvinyl esters by ester interchange. Eckey E. W., Alderson R. O., Woestman R. J.), J. Amer. Oil Chemists' Soc., 1955, 32, № 4, 185—191 (англ.)

Описан способ получения смеси сложных поливиниловых эфиров перестерификацией поливинилацетата (I) и эфиров высших жирных к-т. I с метиловыми эфирами к-т соевого масла (с катализатором — трет-бутилатом

Na) в диоксиде при 80° дает продукт с числом омыления (ЧО) 304; цветом по Гарднеру 13; вязкостью по Гарднеру >Z-10; уд. вязкостью бензольного р-ра (50 г/л) при 25°—1,05; точкой помутнения <—70°. С гидрированным сардиновым маслом в присутствии катализатора, приготовленного из тетрагидрофурана, нафталина и металлич. Na, в среде тетрагидрофурана и диоксида при 90° дает продукт с ЧО 233; кислотным числом (КЧ) 0,6; вязкостью по Гарднеру Z-7; цветом по Гарднеру 12; точкой помутнения <—70°. С метоксипропиловыми эфирами к-т соевого масла в присутствии катализатора, приготовленного из металлич. Na, диэтилового эфира диэтиленгликоля и нафталина, в среде диэтилового эфира диэтиленгликоля при 100°, с отгонкой во время р-ции метоксипропилацетата дает продукт: ЧО 213; КЧ 0,9; цветом по Гарднеру 12; вязкостью по Гарднеру Z-5; точкой помутнения <—70°. Получаемые продукты в любом отношении смешиваются с петр. эфиром, лаковым керосином или бензолом, но не р-ряются в метаноле, этаноле или ацетоне. Вязкость их тем меньше, чем меньше степень поливинилацетата. Т-ра плавления поливиниловых эфиров высших жирных к-т ниже, чем т-ра плавления жирных к-т и их триглицеридов. Смеси поливиниловых эфиров уксусной к-ты и высших жирных к-т имеют ряд преимуществ перед триглицеридами соответствующих к-т, образуют более устойчивые пленки и рекомендуются для расширения ассортимента высыхающих масел.

66704. К исследованию пластификаторов для нитроцеллюлозных лаков. Сообщение 34. Влияние пластификаторов на улетучивание растворителей. Краус (Zur Kenntnis der Weichmachungsmittel für Nitrozelluloselacke. 34. Mitteilung: Einfluss der Weichmacher auf die Lösungsmittelabgabe. Kraus Alfred), Farbe und Lack, 1954, 60, № 11, 479—483 (нем.).

Приводятся табличные данные испытаний по изменению твердости нитроцеллюлозных пленок с различными пластификаторами, содержащих и не содержащих смолы, в условиях холодной и горячей сушки, а также скорости испарения р-рителей из этих пленок. Пластификаторы, не растворяющие нитроцеллюлозу (напр., касторовое масло, бутилстеарат, бутилолеат), не задерживают испарение р-рителей, а растворяющие нитроцеллюлозу пластификаторы (напр., диметилфталат, диметилглицольфталат, трихлорэтилфосфат) сильно удерживают р-ритель в пленке. Сообщение 33, см. РЖХим, 1956, 34108.

66705. Растворители для лаков. (Lösungsmittel für Lacke.—), Dtsch. Farben-Z., 1956, 10, № 1, 19—22 (нем.).

Перечень органич. р-рителей с указанием поставляющей фирмы, хим. обозначения, пределов кипения, точки воспламенения и летучести относительно эфира.

66706. Применение изопропилового спирта в производстве лаков. Мачинелли (L'alcole isopropilico nell'industria delle vernici. Macinelli Pio), Ind. vernice, 1955, 9, № 10, 261—263 (итал.).

Изопропиловый спирт (I) является продуктом крекинга нефти. I—хороший р-ритель для целого ряда в-в, в том числе и для лаков. I смешивается во всех отношениях с обычными р-рителями нитроцеллюлозы; образует бинарные азеотропные смеси с этилацетатом, изопропилацетатом, метилэтилкетонем, бензолом, толуолом, и др. I быстро испаряется, имеет сравнительно с другими спиртами — р-рителями более низкую величину поверхностного натяжения, что повышает ценность его применения для лаков. I отличается невысокой вязкостью. Упомянутые и другие свойства I

указывают на возможность успешного применения его в произ-ве лаков.

66707. Протравы и протравливание древесины. Цветков (Байцове и байцване на дърво. Цветков Цв.), Лека промишленост, 1955, 4, № 4, 21—22 (болг.).

Краткий обзор протрав (неорганич. и органич.), применяемых для поверхностного окрашивания дерева.

66708. Лакокрасочные покрытия и подложки. Рик (Anstriche und Streichfläche. Rick Anton W.), Dtsch. Farben-Z., 1955, 9, № 2, 45—47 (нем.).

Общие рассуждения об ухудшении адгезии и разрыва лакокрасочных материалов при нанесении их на бетон, содержащий добавки поверхностноактивных в-в и в особенности силиконовых масел.

66709. Окраска стальных изделий. Скофилд (Maintenance painting in the steel industry. Schofield Cecil), Iron and Steel Engr., 1955, 32, № 9, 65—73, Diskuss., 73—74 (англ.).

Обзор известных данных об антикоррозионных, декоративных и других видах лакокрасочных покрытий.

66710. Факторы, влияющие на глянец лаков, нанесенных на металл. Брукселе, Малман (Factors influencing the unrubbed glossiness of metal lacquers. Bruxelles G. N., Mahlman B. H.), Paint and Varnish Prod., 1955, 44, № 10, 23—32 (англ.).

Выяснились условия, дающие возможность получить высокогляцевую пленку без шлифовки и полировки. Интенсивность глянца зависит от шероховатости подложки, состава грунтовки, состава смеси растворителей.

66711. Нанесение антикоррозионных покрытий с помощью ролика. Панхейзер (Rolltechnik — eine neue Art von Anstrichtechnik für Rostschutzanstriche? Panhäuser K.), Dtsch. Farben-Z., 1956, 10, № 1, 28—29 (нем.).

Рекомендуется метод нанесения красок с помощью ролика, обтянутого мягкой кожей или перловом, причем этот метод более экономичен по сравнению с кистевым методом.

66712. Прочное пластическое покрытие для стойкой к механическим воздействиям сварной железной мебели. Кифер (Tough plastic coating for scuff-proof wrought iron furniture. Keefer Irwin C.), Furnit. Manufacturer, 1955, 76, № 7, 20—22 (англ.).

Автор сообщает, что части мебели (рамы, ножки столов и стульев), изготовляемые из сварного железа, покрывают красками черного или серого цвета на основе эпокси-смола. Эти покрытия обладают почти вдвое большей стойкостью к истиранию, чем алкидно-мочевино-меламиновые краски, хорошей адгезией к стали, стойкостью к удару, кислотостойкостью (р-р, содержащий к-ты: уксусную 5%, масляную 3%, изовалерьяновую 3% и поваренную соль 5%, не вызывает даже размягчения пленки), высокой солейстойкостью (выдерживают в атмосфере соляного тумана 200 час., а хромированная плита 72—100 максимум 150 час.).

66713. Новый цикл окраски корабельных корпусов. Коломбо (Un nuovo ciclo di pitture per caren. Colombo Luciano), Ind. vernice, 1955, 9, № 5, 123—125 (итал.).

Сравнение различных циклов окраски подводн. части корабля, находившегося в неблагоприятных условиях (в теплых, пубилирующих живыми организмами водах), показало, что наиболее эффективным является покрытие, состоящее из 5 слоев, наносимых вертикальными штрихами: 1 слой — «химической» грунтовки, 2 слоя — для защиты от коррозии и 1 слой — для защиты от обрастания. Хотя такой цикл обходится вдвое

дорожке обычной окраски, это широко компенсируется экономией по дальнейшему уходу за кораблем и сохранением скорости хода. З. Б.

66714. Краски на виниловой основе в судостроении. Скартабелли (Pittura a base vinilica per uso navale. Scartabelli Alessandro), Marina ital., 1955, 53, № 3, 73—75 (итал.)

Виниловые составы (на основе хлорвиниловых смол) для окраски корабельных корпусов обладают следующими достоинствами: хорошей адгезией к металлу, быстрым и равномерным высыханием, высоким антикоррозийным и противообрастающим действием. Рекомендуется наносить окраску в несколько слоев: 1 слой грунтовки (содержит винилбутират, фосфорную к-ту и $ZnCrO_4$), 2—3 слоя антикоррозийной краски и 1—2 слоя противообрастающей краски. Поверхность металла должна быть хорошо очищена пескоструйным или другим механич. способом. Виниловая краска отличается высокой прочностью и долговечностью, снижает стоимость окраски и ремонта и позволяет экономить топливо в рейсе. З. Б.

66715. Лаки для консервных банок и их испытание. Арнольд (Konservendosenlacke und ihre Prüfungen. Arnold H.), Tidsskr. hermetikind., 1955, 41, № 10, 445—448, 451—454, 457—459 (нем.)

Указывается на недостатки масляных лаков, в качестве покрытий для консервных банок: их нестойкость к действию жиров, недостаточная антикоррозийная стойкость. Перспективным сырьем для произ-ва консервных лаков считают фенольные смолы резольного и новолачного типа, модифицированные фенольные, алкилфенольные, этерифицированные фенольные и аминокислоты. Для наружной окраски банок рекомендуются преимущественно композиции на алкидных смолах. Большое значение для этих целей имеют полимеризационные смолы, напр., полихлорвиниловые смолы, обладающие хорошей эластичностью и высоким процентом удлинения. Они могут применяться для окраски алюминия и белой жести, для черной жести их не рекомендуют. Они непригодны и для высокотемпературной сушки, ввиду разложения смол, газовыделения и коррозии. Н. А.

66716. Германский стандарт DIN 55928. Проект. Окраска стальных строительных конструкций. Основные положения. Пояснения Кельн Н. О. и Элерс Г.—[Anstrich von Stahlbauwerken Richtlinien. Norm-Entwurf Oktober 1955, DIN 55928 (Erläuterungen von Kölln H. O., Ehlers G.)].—] Farbe und Lack, 1955, 61, № 11, 518—522 (нем.)

66717. Рекомендуемые микроскопические препараты. Чарлетт (Reference microscopical preparations. Charlett S. M.), Paint, Oil and Colour J., 1955, 128, № 2961, 144—146 (англ.)

Описано приготовление микроскопич. препаратов пигментов или порошков с применением канадского бальзама, цемента «Дюко», смеси амлацетата, эфира, абс. спирта и очич. пирокселина, смеси амлацетата, эфира, абс. спирта, бутанола и очич. пирокселина, модельного цемента «Дюротикс», циклопарафиновой смолы «Невелит V», или «Кларит», «Кларит X» в кетоле, полимеров β -пинева (пиксолитовые смолы), в-в, основным компонентом которых является поливинилловый спирт (для водорастворимых пигментов). Б. Б.

66718. Соотношение кислотных чисел пленки и лака—новый показатель для лаков и лаковых пленок. Шиман, Бильгенбай (Ein Saurezahlenquotient als neue Kennzahl für Lacke und ihre Filme. Schiemann Günther, Bilgenbay Süreyya), Istanbul Üniv. fen fak. mec., 1954, 59, № 1, 90—104 (нем.; рез. турец.)

См. РЖХим, 1956, 34114

К. Б.

66719. Электроизоляционные лаки. Смык (Lakery elektroizolacyjne. Smyk Wiesław), Przegl. elektrotechn., 1955, 31, № 10—11, 639—641 (польск.) Краткий обзор лаков, изготавливаемых в Польше; рассмотрены области применения основных видов лаков и дана оценка их свойств. Л. П.

66720. Состав золь растворов металлических мыл. Марведель (Über die Zusammensetzung des Glührückstandes von Metallseifenlösungen. Marwedel Georg), Farbe und Lack, 1954, 60, № 12, 530—537 (нем.)

Определялось содержание металлов в золе р-ров мыл: Mg, Ca, Ba, Al, Zn, Sn, Pb, Mn, Fe, Co и Ce. Зола получалась в результате применения трех методов сжигания: обычного (без добавок) и с добавками H_2SO_4 конц. или щавелевой к-ты. Установлено, что при обычном сжигании мыла Zn и Pb отличаются сильной летучестью и колич. определение таким методом может привести к пониженным результатам. Значительной летучестью отличаются: ацетат Co и изоктанаты Mn и Co; незначительно летучи: изоктанаты Fk, Sn и Cl, ацетат Pb, очич. Со-нафтенат. Абсолютно нелетучи: резинаты всех металлов и Mn-Co-соли к-ты льняного и синуринового масел. Наиболее точный анализ р-ров мыл получается при сжигании 0,2—0,4 г р-ра с 1 г $H_2C_2O_4$. К. Б.

66721. Применение Лейтц-рефрактометра. Часть V. Шток, Френц (Das Leitz-Mikro-Refraktometer nach Jelley und seine Verwendung in der Lösungs- und Anstrichmittelindustrie. V. Teil. Stock Erich, Frenz Gerh.), Dtsch-Farben-Z., 1954, 8, № 11, 427—428 (нем.)

Испытавались смеси масел, применяемых в лакокрасочной про-сти, с целью установить пригодность микрофрактометра Лейтца для их анализа. Для сравнения приведены теоретич. вычисленные величины, которые лишь иногда и притом незначительно отклоняются от практически найденных. Часть IV см. РЖХим., 1956, 34116. Л. Ф.

66722. К химическому анализу лакокрасочных материалов и покрытий. Тёльдте (Zur chemischen Analyse von Anstrichmitteln und Anstrichen. Toeldte Walter), Dtsch. Farben-Z., 1955, 9, № 7, 249—252 (нем.)

66723. Германский стандарт DIN 55945. Проект. Лакокрасочные материалы. Определения. Дополнение к DIN 55945 с пояснениями. Элерс [Anstrichstoffe. Begriffe (J. Ergänzung zu DIN 55945 Blatt 1). Norm-Entwurf Juli 1955, DIN 55945, Blatt 2 (mit Erläuterungen von Ehlers G.)].—] DIN-Mitt., 1955, 34, № 7, 292, 293, 294 (нем.)

66724. О текучести печатных красок. Вальтер (Über das Fließverhalten von Druckfarben. Walter R.), Dtsch. Farben-Z., 1955, 9, № 7, 258—260 (нем.)

66725. Оценка запаха красок. Уоминер (How to evaluate paint odors. Wominger H. L.), Canad. Paint and Varnish Mag., 1954, 28, № 3, 24, 57, 62 (англ.)

Предлагается органолептич. лабор. способ, позволяющий оценивать запах красок как в таре, так и в процессе высыхания. К. Б.

66726. Физика цвета. Коркоран (Colour physics. Corcoran N.), Paint Manufact., 1954, 24, № 4, 131, 134 (англ.)

Кратко рассматриваются факторы, обуславливающие получение результирующего цвета при смешении нескольких пигментов, при условии, что между ними не проходит хим. р-ция. Для объективной оценки цветовых композиций рекомендуется производить замер коэфф. отражения от окрашенных поверхностей в ви-

димой части спектра при определенной данной освещенности.

66727. Пояснение к проекту стандарта DIN 55908. К. Б.

Способ анализа пигмента цинковых белил. Арнольд (Anstrichstoffe. Erläuterungen zum Norm-Entwurf (Januar 1955). DIN 55908 Pigmente, Zinkweiss, Analysenverfahren. Arnold H.), DIN-Mitt., 1955, 34, № 4, 178 (нем.)

См. также РИХим, 1956, 37742

66728. Применение статистического метода для оценки атмосферных испытаний. Часть I. Анализ результатов атмосферных испытаний. Тучин (Some applications of statistical methods to exposure trials. Part I. Analysis of exposure data. Touchin H. R.), J. Oil and Colour Chemists, 1953, 36, № 402, 709—720 (англ.)

Приведены примеры статистич. анализа результатов атмосферных испытаний лакокрасочных покрытий горячей и холодной сушки на различных пигментах и связующих. Статистич. метод позволяет производить более точную оценку полученных данных, чем визуальные наблюдения. Указана возможность применения этого метода для определения коэфф. пересчета результатов ускоренных испытаний на срок службы покрытия в атмосферных условиях.

66729. Измерение толщины пленки. Джонсон (Measuring film thickness is simple now. Johnson Fred D.), Canad. Paint and Varnish Mag., 1954, 28, № 12, 5, 7—8, 43—45 (англ.)

Описаны способы измерения толщин сырых и высушенных лакокрасочных покрытий при помощи различных толщиномеров: магнитных (на стали), электрич. (на немагнитных металлах), радиоактивных (на листовых материалах). В последних используется радиоактивный металл Cs¹³⁷. Указывается на возможность замера толщин покрытий подкрашенными прозрачными лаками при помощи фотоэлементов.

66730. Паропроницаемость лаковых и пластмассовых пленок. Вейнман (Die Wasserdampfdurchlässigkeit von Lackfilmen bzw. Kunststoffolien und ihr Zusammenhang mit der Quellung und Feruchtraumbetändigkeit. Weinmann Kurt), Farbe und Lack, 1955, 61, № 7, 315—323 (нем.)

Высокая паропроницаемость пленок является следствием: наличия в пленкообразующем в-ве амидных, карбоксильных гидроксильных, сложно-эфирных, простых эфирных и ацетатных групп сильно гидрофильного характера; большого кол-ва С-С-двойных связей; слабой ориентировки нитевидных молекул; влияния блокирующих боковых групп, обуславливающих недостаточное заполнение ячеек; неудачного выбора пластификатора и пигмента; наличия остаточного полярного р-рителя. Проводится параллель между паропроницаемостью, набуханием и устойчивостью пленок во влажной камере. Способность к набуханию зависит тоже от факторов, обуславливающих паропроницаемость, а также и от механич. свойств пленок, их адгезии и пр.

66731. Фотоокислительное разрушение алкидных пленок. Фитц-Джералд (Photooxidative degradation of alkyd films. FitzGerald E. B.), ASTM Bull., 1955, № 207, 65—76 (англ.)

Испытывали защитные покрытия на основе масляной алкидной смолы с содержанием масла (6 ч. льняного на 1 ч. тунового масла) — 50% и кислотного числа 18, при выдержке их в атмосферных и, особенно, фотоокислительных условиях. Исследовали влияние света, длины его волны на уменьшение блеска и эрозию поверхности пленок. Эмалевые покрытия начинали разрушаться уже при пленкообразовании, в процессе воздушной или горячей сушки. Под влиянием О₂ ненасыщ. соединения масла образовывали гидро-

перекиси, получались α-метиленовые цепи; полимеры или гидроперекиси при разложении образовывали ОН—, =СО и другие содержащие О₂-группы; СО-группы, особенно при сопряжении с другими, напр., остаточными олефиновыми соединениями, сильно абсорбировали свет вблизи УФ-части спектра и весьма заметно при более длинных волнах. Комплексы кетонов на свету образовывали СО, олефины, низшие кетоны и свободные радикалы, которые в присутствии О₂ окислялись до соединений, способных к фотолизу (соединения могли быть летучими). Установлено, что очень короткие УФ-лучи полностью абсорбируются в тонком поверхностном слое. Это способствует эрозии поверхности пленки, или мелению пигментированной пленки. При выдержке на солнечном свете (полихроматич. облучение) р-ции протекали в толще пленки, вследствие более глубокого проникновения лучей света с большей длиной волны. Фотолинич. процесс протекал постепенно и дегидрирование с образованием СО-групп и поперечных связей получало большее значение, чем процесс расщепления; поэтому Н₂ в виде Н₂О удалялся из массы пленки быстрее, чем С в виде СО и летучих соединений. В результате пленка желтела, становилась более плотной, хрупкой, морщинистой. Физ. изменения уменьшались при пигментировании. Степень пожелтения зависела от относительной скорости образования и разрушения кетонной или поликетонной структур при воздействии источников облучения с различной длиной волны света и различным времени экспозиции. На протекание р-ций внутри пленки, особенно в начальной стадии сушки, несомненно оказывало влияние ограничение доступа О₂. Пары воды незначительно влияют на процесс разрушения пленки, но влага (вода в жидкой фазе) ускоряет меление пленок вследствие набухания их и может способствовать протеканию внутренних хим. р-ций.

66732. Измерение твердости клинообразных красочных пленок. Бурешова (Jak měřit tvrdost klínových filmů nátěrových hmot. Burešová K v ě t a), Chem. průmysl., 1954, 4, № 11, 423—427 (чеш.)

Разработан метод измерения поверхностной твердости на клинообразных лаковых пленках, устраняющий вредное влияние неравномерной толщины и позволяющий сравнивать тонкие (или мало различающиеся по толщине) пленки. Твердость измеряется мятниковым прибором по Персозу, методом царапанья по Клеману и карандашом. Построены графики влияния толщины пленки на твердость, показана невозможность сравнения твердости пленок при различной толщине их или в различных условиях. Исследовано влияние относительной влажности воздуха на твердость пленки; при наличии термопластичных или недостаточно отвержденных термоактивных пленок оно может быть очень заметным, вследствие чего опыты должны вестись при строго определенной, постоянной т-ре. Соблюдая все эти условия, по твердости лаковой пленки можно судить о процессах, происходящих в ней при высыхании.

66733. Вопросы производства красок. I. Процессы диспергирования. Сонетхейген (Problems of paint manufacture. I. Sonsthegen L. A.), Paint Manufact., 1955, 25, № 10, 375—378 (англ.)

Описаны основы процессов размолла, смешивания, смачивания и диспергирования, перетирания пигментов и наполнителей со связующим; дана общая характеристика оборудования для этого. Один из лучших современных типов — высокоскоростная, трехвальковая краскотерка, рассчитана на давл. 0,25—0,5 т на 25,4 мм длины вала, при расходе мощности 1,5 л. с.

на ту же длину вала, высокопроизводительна и относительно легко очищается.

Б. Ш.

66734. Сушка типографских красок. Вальтер (Über die Trocknung von Druckfarben. Walter R.), Dtsch. Farben-Ztg., 1955, 9, № 10, 387—390 (нем.)

Описаны способы сушки типографских красок в зависимости от подложки, в частности способ сушки (применяемый в США), основанный на гигроскопичности р-рителя для краски, состоящей, напр., из малиновой смолы, растворенной в диэтиленгликоле. Сушка происходит за счет впитывания летучей части из разбавляемой краски и одновременного высвобождения смолы и пигмента под действием влаги. Описана последовательность сушки по стадиям в каждом из упомянутых способов.

Н. А.

66735. Применение синтетических смол в полиграфии. Бейн (De toepassing van kunststoffen in het grafisch bedrijf. Buyn K. E. C.), Plastica, 1955, 8, № 6, 288—292 (голл.)

Обзор. Отмечено применение для типографских красок алкилфенольных смол, алкидных смол и композиций стиролизованного льняного масла. Библ. 32 назв.

Л. П.

66736. Влияние бумаги на процесс аутоокисации при высушивании типографских красок. Куп (The influence of paper on the autoxidative drying of printing inks. Coupre R. R.), J. Oil and Colour Chemists' Assoc., 1954, 37, № 413, 621—637 (англ.)

Скорость высушивания типографских красок обратно пропорциональна кислотности бумаги (рН водн. вытяжки) и относительной влажности. Повышение последней на 10%, при данном рН, увеличивает время высушивания в 8—10 раз. Ускорение высушивания при этом может быть достигнуто путем увеличения кол-ва Со-сиккатива в 2,5 раза.

К. Б.

66737. Типографские краски для промышленности электроники. Хопф (Printing inks for the electronic industry. Hopf P. P.), Paint Manufact., 1954, 24, № 5, 159—161 (англ.)

Получение токопроводящих слоев на неметаллич. материалах (керамике, слюде, пластмассах) предусматривало нанесение методом распыления лакокрасочных материалов, содержащих связующее, р-рители, порошкообразное Ag и флюсы, с последующим обжигом при 500°. В настоящее время применяются новые, более производительные типографские методы нанесения, состоящие в том, что на обезжиренную деталь печатанием или накаткой наносится слой типографской олифы, который в сыром состоянии опылывается смесью флюса с порошком Ag. Избыток Ag удаляется мягкой кистью, после чего керамику обжигают в тоннельных печах при 500°, а пластмассы подвергают горячей опресовке.

К. Б.

66738. К вопросу о повышении устойчивости машинных форм в офсетной печати. Лаврентьева А. Г. Сб. статей по картогр., 1955, № 8, 61—70

Приведены результаты исследования поведения печатающих элементов в зависимости от типа лаковой пленки и режима обработки электролитами и гидрофилизующими р-рами офсетной формы, покрытой лаком. Исследована физ.-хим. стойкость лаковых пленок бакелита и БФ-2 методом избирательного смачивания. Сделаны следующие выводы: краску следует наносить на форму тонким, ровным и плотным слоем после покрытия ее лаком, высушивания на воздухе в течение 2—3 мин. и последующей выдержки в течение 15—25 мин.; копию необходимо обрабатывать теплой водой, щеткой, 1—2%-ной HCl и 3—5%-ной лимонной к-той для полного удаления задушенного копировального слоя с пробельных мест; печатную форму следует прогревать, напр., в центрифуге при t-ре 40—60° в течение 15—20 мин. и при окончательной отделке

формы обрабатывать пробельные места гидрофилизующим крахмальным р-ром и защитным слоем коллоида. Установлено и подтверждено проверкой в производственных условиях, что печатающие элементы на основе лака БФ-2 более стойки, чем на основе бакелитового лака. Лак БФ-2 повышает тиражеустойчивость офсетных печатных форм, улучшает качество и снижает себестоимость продукции.

Б. Ш.

66739 Д. Способы синтеза высыхающих масел. Бергман (Verfahren zur Synthese trocknender Ole. Bergmann Joachim. Diss. F. f. allg. Ingenieurwiss. T. U., Berlin, 1954, 87 Bl., ill.,—Maschinenschr.), Dtsch. Nationalbibliogr., 1955, B, № 19, 1365 (нем.)

66740 П. Раствор нитроцеллюлозы и триаллпентаэритритэтилкарбоната. Марриан, Томпсон (Solution of nitrocellulose and triallylpentaerythrit ethyl carbonate. Marrian Stanley F., Thompson William Henry) [Imperial Chemical Industries Ltd.]. Пат. США 2703763, 8.03.55

Патентуется жидкая композиция нитроцеллюлозы, способная к быстрому высушиванию с образованием прозрачных пленок без отлипа, могущая быть полимеризованной при наличии нитроцеллюлозы в р-ре. Композиция представляет р-р нитроцеллюлозы и триаллпентаэритритэтилкарбоната в жидкой форме в соотношении 10—1 ч. на 1 ч. указанного эфира.

М. В.

66741 П. Способ получения малярной краски, содержащей гидроокись кальция, с использованием в качестве связующего вещества простых эфиров целлюлозы. Нейрот, Грамм (Verfahren zur Herstellung eines Calciumhydroxyd enthaltenden Anstrichmittels unter Verwendung von Celluloseäthern als Bindemittel. Neuroth Hermann, Gram Eduard) [Kalle & Co. A.-G.]. Пат. ФРГ 923078, 31.01.55 [Fette, Seifen, Anstrichmittel, 1955, 57, № 9, 762 (нем.)]

Способ состоит в том, что в качестве связующего в-ва употребляют цел. соль простого эфира целлюлозы и карбоновой к-ты, рН водн. р-ра которой лежит в щел. области.

Н. Ф.

66742 П. Смесей воска и силикона, служащие защитными покрытиями. Баднер (Composition de cire et de silicone pour réaliser des revêtements protecteurs. Budner Anton E.) [S. C. Johnson & Son Inc.]. Франц. пат. 1033555, 13.07.53 [Chem. Zbl., 1954, 125, № 35, 7991 (нем.)]

Средства для получения блестящих защитных покрытий, особенно для деревянной мебели и лакированных металлич. поверхностей состоят из жидкости, являющейся р-рителем с анилиновой точкой от —30 до +85° (напр., углеводороды, хлорированные углеводороды, эфиры и их смеси), в которой растворены воск (напр., горный, карнаубский, пальмовый, пчелиный), парафин и диметилполисилоксан (вязкость 50—400 ссм).

Н. Ф.

66743 П. Стиролбутадиеновые латексы (Styrene-butadiene latices) [Firestone Tire and Rubber Co.]. Англ. пат. 724139, 16.02.55 [Paint, Oil and Colour J., 1955, 127, № 2948, 998 (англ.)]

Патентуется морозостойкий стиролюбутадиеновый латекс (I) с высоким содержанием стирола. I выпускается с сухим остатком 40—50% в смеси с диспергирующими агентами (пирофосфатом или пироборатом Na). I применяется для стабильных при замерзании эмульсионных красок, дающих покрытия с улучшенной твердостью и стойкостью к мытью. Соотношение между I и пигментом (TiO₂, литопон) равно 1 : 1. К. Б.

66744 П. Процесс получения гранулированной сажи (Pelleted carbon black and process of making) [Cabot, G. L. Inc.] Англ. пат. 718771, 17.11.54 [Paint, Oil and Colour J., 1955, 127, № 2935, 151 (англ.)]

Увлажненная гранулированная сажка (содержание воды 5—35%), обеспечивающая хороший розлив, вязкость и пенетрацию типографских красок, имеет следующий состав (в %): 40 сажи, 27 минер. масла, 1 диспергирующего агента (аммонийной или аминной соли жирных к-т: олеиновой, стеариновой, линолевой) и 32 воды. Содержание последней перед упаковкой снижается до 22% и менее.

К. Б.
66745 П. Способ матирования красок (Produit et procédé pour mater les peintures.) [Vitex Soc. An. Anciens Ets J. Canouet.] Франц. пат. 1088959, 14.03.55 [Peintures, pigments, vernis, 1955, 31, № 10, 905 (франц.)]

Для получения матовых красок применяют пигменты или наполнители с ничтожной кроющей способностью (асбестин, слюда, барит, гипс, тальк, каолин, кизельгур) и связующее, совместимое с большей частью лакокрасочных материалов, чаще всего (но не всегда) глифталевый лак.

Н. А.
66746 П. Высыхающие масляные смеси. Аллен, Хорн (Drying oil compositions. Allen Clyde G., Naugy Vernon E.) [Shell Development Co.]. Канад. пат. 505852, 14.09.54

Патентуется смесь, содержащая 5—80 ч. ненасыщ. продукта конденсации ацетона, имеющего не менее 12 атомов С в молекуле и 95—20 ч. растворенного в нем тунового масла. Другая смесь состоит из тунового масла, растворенного в ненасыщ. кетоне, имеющем общую ф-лу $C_nH_{2n-x}O$, где n —целое число не менее 8, а x —целое число не менее 4 и не более n . Способностью к высыханию обладает также смесь, содержащая натуральное высыхающее масло, растворенное в ненасыщ. кетоне, имеющем не менее 9 атомов С в молекуле. Наконец, способностью давать твердую, непилку пленку обладает смесь, состоящая из нерастворимого в воде пленкообразующего, растворенного в ненасыщ. кетоне общей ф-лы $C_nH_{2n-x}O$, где n и x имеют вышеуказанные значения.

Г. Ф.
66747 П. Термически обработанная композиция магниевых мыл. Кандер, Ликата (Heat-treated magnesium soap composition. Cunder Joseph, Licata Francis J.) [Norco Chemical Co.]. Пат. США 2716073, 23.08.55

Патентуется состав, представляющий собой однородную смесь воска и магниевых мыл насыщ. жирных к-т, содержащих 8—22 атомов С. Мыло предварительно нагревают до t -ры выше его t -ры плавления для значительного уменьшения его вязкости в жидком состоянии.

О. С.
66748 П. Метод удаления лакокрасочных покрытий. Стивенс (Method for removing paint and varnish. Stevens Ralph E.) Пат. США 2705207, 29.03.55

Метод заключается в последовательной обработке высохших покрытий двумя смывочными составами и механич. снятии размягченных и разрыхленных пленок. Первый состав содержит в основном хлоралкислы с числом атомов $C \leq 2$, имеющие т. кип. ниже 100° , и небольшую добавку производных целлюлозы. Второй состав содержит смесь нормальных жидких углеводородов, спиртов и сложных эфиров (3—5 атомов С) алифатич. карбоновых к-т.

К. Б.
66749 П. Водные смоляные эмульсии, способ их приготовления и использования (Aqueous resin emulsions and method of preparing and using same) [Levey Co., F. H.]. Англ. пат. 722413,

26.01.55 [Paint Oil and Colour J., 1955, 127, № 2943, 665 (англ.)]

Патентуется метод изготовления стабильных смоляных эмульсий для печатания по тканям и бумаге. В качестве смолы используют сополимеры стирола и малеинового ангидрида (напр., «Люстрекс»), которые одновременно действуют как диспергаторы пигмента в типографских пастах и красках. В подобных композициях используют также, олеиновую к-ту, триэтанол-амин, аммиак и бутилированную меламиноформальдегидную смолу.

М. Г.

См. также: 66497, 66647, 67268, 67292—67299, 67316, 67452

ЛЕСОХИМИЧЕСКИЕ ПРОДУКТЫ. ЦЕЛЛЮЛОЗА И ЕЕ ПРОИЗВОДНЫЕ. БУМАГА

66750. Лесохимическая промышленность Урала и Сибири и перспективы ее развития. Козлов В. Н. Тр. по лес. х-ву. Зап.-Сиб. фил. АН СССР, Зап.-Сиб. отд. ВНИТОЛЕС, 1955, № 2, 249—259

Обзор состояния современной лесохимич. пром-сти Урала и Сибири в целом и отдельных ее отраслей; и мероприятия по ее расширению.

Л. М.

66751. О методике определения производственных потерь на лесохимических предприятиях. Гордон Л. В., Гидролизная и лесохим. пром-сть, 1955, № 8, 26—27

Приведена методика расчета материального баланса и производственных потерь в различных лесохим. произ-вах; даны коэфф. пересчета.

Л. Г.

66752. Окисление периодатлигнина или хлоритом натрия и двуокисью хлора. Левитин, Томпсон, Первее (The oxidation of spruce periodat lignin with sodium chlorite and with chlorine dioxide. Levitin N., Thompson N. S., Purves C. B.). Pulp and paper Mag. Canada, 1955, № 5, 117—130 (англ.)

При окислении ClO_2 (I) и хлоритом натрия (II) в водн. среде нерастворимого, свободного от углеводов периодатлигнина (OSN_3 10,3—11,4%), изолированного из древесины ели, были выделены последовательно на различных ступенях окисления α -окислигнин (III), β -окислигнин (IV) и γ -окислигнин (V). III (выход до 86%) белое аморфное в-во, нерастворимое в органич. р-рителях, в воде, в водн. р-ре $NaHCO_3$, но растворимое в водн. р-ре $NaOH$ и устойчивое к щелочи. IV (OSN_3 — 5%, Cl — 8,8), выделенный в кол-ве 58% — бледно-желтый порошок, растворяется в некоторых органич. р-рителях и воде, но не растворяется в р-рах к-т с pH до 1; мол. в. ~ 1200 . При дальнейшем окислении IV гипохлоритом получали смесь аналогичных в-в с меньшим мол. весом. V (OSN_3 — 1,2%, Cl — 17,1%; выход до 30%) бледножелтый порошок, очень неустойчив, обладает кислотными свойствами, растворяется в р-ре к-т даже при pH и в некоторых органич. р-рителях. IV и V неустойчивы по отношению к щелочам, под действием которых они разлагаются с образованием «гуминовых к-т». При окислении нитробензолом в щел. среде ни IV, ни V не дают ванилина. УФ-спектры поглощения дают отклонения от максимума вблизи длины волны 2800 м μ , характерного для неокисленных лигнинов. Предполагается, что IV и V являются сильноокислыми, хлорированными, конденсированными хинонами, которые подвергаются в щелочи дальнейшей конденсации, и что они образуются в результате окислительного деметилирования фенольных единиц периодатлигнина. I действует энергичнее, чем II. Под действием I лигнин полностью растворялся в течение нескольких часов.

В. В.

66753. Химический состав пробки из коры пробкового дуба. Гиймона (La chimica del sughero. Guillemonat M.), Ind. legno, 1954, 6, № 5, 54—56 (итал.).

В состав коры пробкового дуба входит 5—10% воскоподобных в-в, 55% суберина (в том числе водорастворимого 10%, а растворимого в органич. р-рителях 45%), 30—40% лигноцеллюлозы и до 10% воды и золы. Приведен метод выделения суберина и сопутствующих в-в, а также показатели суберина (т. пл. 45°, кислотное число 150, число омыления 230, иодное число 40, ацетильное число 50).

66754. О наличии диацетила в сосновых шишках. Штрубель (Über das Vorkommen von Diacetyl in den Früchten von Pinus silvestris. Strubell W.), Chem. Technik, 1955, 7, № 2, 87 (нем.).

В поисках нового сырья для получения фурфурола (Ф) автор исследовал ряд материалов, в том числе сосновые шишки. По Гильдемейстеру, Ф и диацетил образуются при дистилляции растительных материалов, причем в определенных условиях можно получить только диацетил. 250 г размолотых шишек кипятят в 3-л колбе в смеси 150 мл конц. H_2SO_4 и 600 мл воды с обратным холодильником в течение 3 час. 650 мл жидкости отгоняют, дистиллат нейтрализуют содой, насыщают 300 г NaCl, еще раз отгоняют и диацетил качественно определяют по Закусу и Рёмеру (Ber., 1902, 35, 3311).

66755. О химической переработке отходов лесозаготовок. Горелик В. А., Гидролизная и лесохим. пром-сть, 1956, № 2, 16

66756. Получение щавелевой кислоты из растительных отходов в Новой Зеландии. Бейли (The production of oxalic acid from New Zealand plant wastes. Bailey R. W.), J. Appl. Chem., 1954, 4, № 10, 549—554 (англ.).

Щавелевая к-та (I) может полностью или частично заменить H_2SO_4 в произ-ве суперфосфата при условии достаточной ее дешевизны. Получаем I окислением древесных опилок (ДО) и соломы (С) HNO_3 (II), но этот способ рентабелен, если весовое отношение получаемой I к потерянной (не регенерируемой) II не менее 4 : 1. Установлено, что окисление ДО, С и лигнина конц. II дает неудовлетворительные результаты. При окислении С дымящей II, выход I по отношению к потерянному равен 3 : 1, а при окислении ДО дымящей II получаем отношение I к II 7,2 : 1, т. е. хороший результат, проверка которого необходима на опытной установке. Потери II относятся преимущественно за счет ее р-ции с лигнином.

66757. Итоги практического опыта новой техники пиролиза древесины на Урале и перспективы использования ее развития в Западной и Восточной Сибири. Козлов В. П. Тр. по лес. х-ву. Зап.-Сиб. фил. АН СССР. Зап. Сиб. отд. ВНИТОЛЕС, 1955, № 2, 269—275

Приведена сравнительная характеристика результатов работы таких углевыжигательных аппаратов, как камерные печи Шварца, вагонные реторты и печи Козлова. На непрерывно действующей циркуляционной печи системы В. Н. Козлова получены следующие выходы продуктов в кг на 1 м³ переугливаемой древесины: уксусной к-ты 14,5, древесно-спиртовых продуктов 5, смолы 20, угля 133 (содержание летучего углерода 95,2 кг); расход топлива 20% от технологич. дров. Отмечены перспективы развития в районах Сибири и Урала древесно-угольной металлургии с электроподогревом процессом и пиролиза древесины с целью выработки древесного угля и широкого ассортимента лесохимической продукции (уксусной к-ты, сложных эфиров, ацетата натрия, древесно-спиртовых р-рителей,

флотореагентов, антиокислителей для крекинг-бензинов, карбюризаторов для цементации стали и др.).

66758. О ресурсах сырья для производства капифоли. Нордстрем Э. К., Гидролизная и лесохим. пром-сть, 1956, № 2, 21—22

66759. Дополнительный источник сырья для капифоли. Камелин В. П., Гидролизная и лесохим. пром-сть, 1956, № 2, 14

Просмоленная стружка (толщиной ~1—3 мм), снятая с карр, содержит в среднем 44,6% смолистых в-в. Рекомендуется ее снятие с карр тех пасаждений, которые подлежат рубке. Разработан для этой операции удобный и производительный инструмент.

66760. Совершенствование процесса получения эфиров капифоли. Бардышев И. Н., Эрлане А. Ф., Мейзиков А. Е., Гидролизная и лесохим. пром-сть, 1956, № 2, 12

В результате проведенных опытов показано, что избыток глицерина (I) в 1,25 раза против теоретически необходимого кол-ва ускоряет процесс этерификации (Э) в 2 раза; избыток I в 1,5 раза ускоряет процесс Э в 3,4 раза. В последнем случае Э заканчивается за 2 часа, вместо 7 час. 45 мин., при Э с теоретически необходимым кол-вом I. Полученные эфиры капифоли были стандартного качества. Мощность обогрева этерификаторов при новом режиме должна быть соответственно увеличена в 1,25—1,5 раза.

66761. Перенос из скинидара. Получение технической гидроперекиси пинана. Фишер, Стинсон, Мур, Голдблатт (Peroxides from turpentine. Production of technical grade pinane hydroperoxide. Fisher G. S., Stinson J. S., Moore R. N., Goldblatt L. A.), Industr. and Engng Chem., 1955, 47, № 7, 1368—1373 (англ.).

Из живичного скинидара или его компонентов — α - и β -пинена можно получать технич. продукт, содержащий до 90% гидроперекиси пинана (I). Проводится каталитич. гидрогенизация пиненов в пинан (II) в присутствии Ni-катализатора, очистка II посредством перегонки, окисление очис. II молекулярным O_2 , удаление неокисленного II посредством отгонки под вакуумом; в остатке — I. Выход очис. II ~90%. Превращение II в условиях 8-часового цикла превышало 40% за один оборот, а общий выход превышал 85%. При окислении II получается продукт, содержащий свыше 50% I; высокая стоимость регенерированного II делает выгодной его отгонку. II не должен содержать ненасыщ. соединений. При окислении II нужно обеспечить сильный ток O_2 и энергичное перемешивание. При недостаточном контакте II с O_2 скорость окисления и выход уменьшаются. Начало окисления ускоряется при 120—130°, но по мере течения р-ции т-ра должна быть снижена до 105—110°. Свет не оказывает заметного влияния на р-цию. I относительно стабилен, присутствие продуктов окисления ненасыщ. примесей снижает стабильность I, I является активным катализатором процесса полимеризации каучука.

66762. Сульфитно-спиртовая промышленность Швеции (обзор). Шарков В. И., Гидролизная и лесохим. пром-сть, 1956, № 2, 25—29

66763. Об учете сырья и качественных показателях гидролизного производства. Смоляков Б., Гидролизная и лесохим. пром-сть, 1956, № 2, 23

В качестве основного показателя гидролизного произ-ва принят съем спирта в сутки с 1 м³ проектной емкости гидролизной аппаратуры. Расчеты должны делаться на все переработанное сырье, поправка на кору не допускается.

66764. Гидролиз древесины с горизонтальной перколяцией. Беляевский И. А., Туров Ф. В.,

KEUM.

ЭН-
УН

СНВ-

В-В.
КО-

X.

р и.

100

ЕСКВ

с. 3

19 DT.

учена

Figure

time

N.

rem.

CO

при

дале

евра

Пр

II де

их в массу. Опыты по проведению повторных варок ОС отдельно и совместно со свежей щепой показали целесообразность смешивания щепы с сучковой массой. Установлена зависимость между выходом целлюлозы (Ц) из сучковой массы, расходом химикатов и жесткостью Ц, а также необходимостью дефибрирования ОС перед варкой. Варки, проведенные в производственном масштабе, обеспечили 65%-ный выход Ц при перманганатном числе — 33.

66774. Влияние сульфидности на качество небеленой и беленой сульфатной целлюлозы. **Максимов В. Ф.**, Тр. Ленингр. технол. ин-та, 1955, № 3, 39—43

Увеличение сульфидности щелока (С) при сульфатной варке целлюлозы (Ц) благоприятно сказывается на качестве показателей Ц, ее выходе и скорости варочного процесса. При увеличении С в Ц сохраняется гемическая часть древесины, уменьшается деструкция и повышаются механические свойства Ц. При С 10% фракция Ц со степенью полимеризации от 800 до 1200 составляют ~35%, при С 32% >46%. Наибольшее увеличение разрывной длины, числа двойных перегибов, а также ухудшение большинства других показателей наблюдается при увеличении С от 10 до 32%, при дальнейшем повышении С показатели изменяются медленно. Выход Ц при С 10, 32 и 54% составил соответственно 41,6, 44,1 и 45,3%; продолжительность варки соответственно 7, 6 и 5,5 час. Отбелка Ц, сваренных при С 10, 32 и 54%, показала, что вязкость и содержание пентозанов, а вместе с ними и механич. свойства беленой Ц с повышением С сильно возрастают. Максим. рост большинства показателей наблюдается при увеличении С в интервале 10—32%. Отбелка Ц, сваренных при С выше 32%, ухудшается. Для получения высококачеств. беленой Ц рекомендуется варка при С ~30%.

66775. Влияние хлорирования на целлюлозу. **Шедо, Заложник** (Vplyv chlorácie na celulózu. Šedo A., Zložník E.), Papír a celulóza, 1956, 11, № 4, 74—76 (словац.; рез. рус., нем., англ.)

Приведены оптимальные условия хлорирования, применение которых возможно без изменения технологии и без особых затрат.

66776. Полухимическая и химическая варки древесины твердых пород с сульфитом и бисульфитом натрия с повышенным выходом целлюлозы. **Хасбад** (Semi-chemical and high-yield chemical pulping of hardwoods with sodium sulphite and sodium bisulphite. Husband R.M.), Paper Mill News, 1954, 77, № 12, 44—46, 48, 50 (англ.)

Приведены результаты варок древесины белой березы и тополя в полупроизводственных условиях, при 173° в течение 2—4 час. с различным содержанием сульфита (I) и бисульфита (II). Отмечается, что удаление пентозанов из древесины в процессе варки зависит лишь от т-ры варки и pH среды (от 4,0 до 6,5). Конц-ия SO₂ в щелоке не оказывает влияния на процесс удаления пентозанов. Делитификация щепы ускоряется за счет увеличения времени варки, повышения т-ры и конц-ии II. Варка с 10% I обеспечивает увеличение выхода полуцеллюлозы до 74% и улучшает ее механич. прочность с дополнительным повышением последней в процессе отбелки. Варка березовой щепы с II (14,1 Na₂CO₃ и 8,5 S) обеспечивает выход (55%) хим. целлюлозы с хорошей механич. прочностью.

66777. О методах предотвращения подгара щепы. **Андабурек С. П., Алексин В. Е.**, Бум. пром-сть, 1956, № 5, 22—23

Рекомендуется удаление воздуха путем небольшой, 10-минутной пропарки щепы. Более длительная пропарка, вследствие высокой т-ры греющего пара (240—270°), вызывает увеличение непровода. Наиболее на-

дежными и совершенными способами устранения подгара являются непрерывное удаление газа из котла в течение заварки и автоматизация сдувок. См. РЖХим, 1956, 52738.

66778. Определение исходных технологических параметров для проектирования опытной непрерывной установки при атмосферном давлении для производства полуцеллюлозы из тростника. **Финкель** (Stabilirea parametrilor tehnologice de baza pentru proiectarea unei instalații experimentale cu fierbere continuă, la presiune atmosferică, care să producă paste semichimice din stuf. Finkel M.), Ind. lemn., celul. și hîrt., 1956, 5, № 3, 128—133 (рум.; рез. рус., нем.)

Приведены результаты лабор. работ, режим размола сваренного материала (продолжительность, т-ра, конц-ия) и пропитки щелоком.

66779. Химическая сущность процесса отбелки. II. Отбелка гипохлоритом. **Боррусо, Черраджоли** (Chimica della sbianca. H. Sbianca con ipoclorito. Borruso D., Ceragioli G.), Ind. carta, 1954, 8, № 4, 41—49 (итал.)

Обзор по вопросу влияния гипохлорита на содержащиеся в целлюлозе лигнин, красящие в-ва, на прочность целлюлозы и на степень ее отбеливания. Библ. 52 назв. Часть I см. РЖХим, 1955, 4832.

66780. Отбелка целлюлозы при сверхвысокой концентрации. **Рапсон** (Ultra-high density bleaching of chemical pulp. Rapson W. Howard), Paper Mill News, 1954, 77, № 34, 15—17, 18 (англ.)

Указано применение ClO₂ для отбелки целлюлозы на целлюлозно-бумажных з-дах Канады, Германии, Швеции, США. Целлюлоза, отбеленная ClO₂, получается более высокой степени белизны и высокой степени полимеризации, по сравнению с другими способами отбелки. Применение ClO₂ упрощает и удешевляет отбелку.

66781. Отбелка древесной массы гидросульфитом. **Спарроу** (Bleaching groundwood with hydro-sulphite. Sparrow D. B.), Pulp and Paper Mag. Canada, 1955, 56, № 12, 148—151 (англ.)

Na-соли конденсированных полифосфатов и этилендиаминотраусусной к-ты применяются в качестве дезактиваторов металлов, что позволяет ввести в практику целлюлозно-бумажной пром-сти отбеливание гидросульфитом (I). Добавление дезактиваторов к I не только обеспечивает однородность процесса отбелки, но и значительно повышает белизну. Проведенные лабор. исследования показали наибольшую эффективность отбелки при следующих условиях: конц-ия массы 1—4% (масса подается на отбелку горячей, после размола, для экономии пара), конц-ия I не выше 1,2—1,5%, добавление ~0,5% дезактиватора, т-ра ~82° (71—82°), pH 5—7, быстрое перемешивание массы с I и исключение доступа воздуха в процессе отбелки. В качестве материала для аппаратуры наиболее пригодна некорродирующая при отбелке нержавеющая сталь. Приведена схема и дано краткое описание произ-ва.

66782. Общая дискуссия о целлюлозе. Часть I. Фибриллярная структура волокон древесной целлюлозы. **Стениус** [The general discussion on cellulose (held in Stockholm on July 31 st 1953) Part 1. The fibrillar structure of the wood cellulose fibre. Stenius Åke S-son], Svensk papperstidn. 1954, 57, № 1, 9—18 (шведск.)

Отчет о дискуссии, посвященный тонкой структуре и хим. составу волокон древесной целлюлозы, в отделении 13-го Международного конгресса по чистой и прикладной химии в Стокгольме (Швеция).

66783. Заметка о гемичеселлюлозах некоторых лубяных волокон. **Мазумдар** (A note on the hemi-

celluloses of some bast fibres. M a z u m d a r A. K.), J. Scient. and Industr. Res., 1955, (B—C), 14, № 10, B542—B544 (англ.).

Произведены анализы волокон джута, льна, конопля *Crotalaria juncea*, конопля *Cannabis sativa*, *Hibiscus cannabinus*, *Hibiscus sabdariffa*, *Urena lobata*. В нерастворимых в спирте гemicеллюлозах, выделенных из указанных волокон, определены зола, CO_2 , фурфурол, OCH_3 , кислотность и общее кол-во сахаров после гидролиза (в пересчете на ксилозу). Приведены анализы Ва-солей монометилбиуроновой к-ты, выделенных из части упомянутых волокон.

Ю. В. 66784. Сорбция и десорбция воды на очищенных препаратах целлюлозы различных сортов хлопка в разные периоды вегетации. Усманов Х. У., Словинская В. М., Докл. АН УзССР, 1953, № 4, 23—27

66785. Диффузия активных молекул в ориентированные полимеры. Действие кислот и оснований на целлюлозные волокна. Набухание, мерсеризация. Шеден (Penetrazione di molecole attive nei polimeri ordinati. Azione degli acidi e delle basi sulle fibre di cellulosa. Rigonfiamento, mercurizzazione. Chedin J.), Chimica e industria, 1955, 37, № 7, 560—563 (итал.; рез. франц., англ., нем.)

Исследуется действие «активных молекул» на высокомолекулярные соединения, в частности, конц. водн. р-ров HNO_3 и NaOH на целлюлозу. Рентгенограммы целлюлозных волокон, мерсеризованных: а) 18—20%-ным р-ром NaOH и б) 68—69%-ной HNO_3 , аналогичны. На основании результатов эксперим. исследований делается вывод о том, что часть доступных гидроксильных групп целлюлозы реагирует с водой, образуя в равновесной системе различные гидраты.

Д. К. 66786. Поведение целлюлозы в растворах едкого натра. Анкер-Раш, Мак-Карти (Behaviour of celluloses in sodium hydroxide solutions. Anker-Rasch Ole, McCarthy Joseph L.), Norsk Skogind., 1954, 8, № 10, 329—333 (англ.; рез. норв.)

Получены рентгенограммы и изотермы сорбции водяного пара для образцов целлюлозы (Ц) хлопковой, древесной белевой сульфитной и белевой крафт-целлюлозы, выделенной из твердых древесных пород, обработанных р-рами NaOH различных конц-ий. Из рентгенограмм вычислена степень кристалличности Ц, а также степень перехода Ц из модификации I в II. Степень кристалличности для всех образцов Ц резко уменьшается с 65—68% до величин ниже 50% после обработки р-рами NaOH определенной конц-ии: для сульфитной Ц при обработке 6,5—7%-ным р-ром NaOH , для крафт-Ц 7—7,5%-ным, для хлопковой Ц 8—8,5%-ным р-ром NaOH . После обработки р-рами NaOH этих же конц-ий изотерма сорбции воды Ц возрастает с 7 до 10%. Переход модификации Ц I в модификацию II наблюдается также после обработки Ц р-рами NaOH в узком пределе конц-ий, которые для всех образцов Ц несколько превышают указанные выше пределы перехода из I в II. Невидимому, при обработке Ц щелочью сначала образуется лабильная форма Ц (III), затем она переходит в щел. Ц (Ц NaOH), которая после обработки водой превращается в Ц II по схеме: $\text{III} + \text{NaOH} \rightleftharpoons \text{III}^* \rightarrow \text{щелочная Ц I} \rightleftharpoons \text{Ц II} + \text{NaOH}$.

А. Н. 66787. Кислотные свойства целлюлозы. Конов (Die sauren Eigenschaften der Cellulose. K o n o w R u b e n, v o n), Paperi ja Puu, 1953, 35, № 5, 220—228 (нем.)

66788. Окисление целлюлозы хромовой кислотой. Кхуда, Кхундкар (Chromic acid oxidation of cellulose. K h u d a M. M., K h u n d k a r M. H.), Pakistan J. Scient. Res., 1955, 7, № 2, 41—46 (англ.)

Окисление целлюлозы (Ц) 5—10%-ной хромовой к-той (I) при t -ре $\sim 20^\circ$ происходит очень энергично; потребление O_2 колеблется в пределах 1,5—3,0 атомов на элементарное звено Ц. Потребление I следует р-ции 1-го порядка, за исключением начальной стадии, где I, возможно, адсорбируется на волокне. Суммарное потребление I пропорционально ее начальной конц-ии. В случае воздействия I в меньших конц-иях (1—3%) под давл. 116°, адсорбция I значительно больше: получаемый продукт, «бурая окси-Ц», содержит 12—30% зола. Часть адсорбированного Cr связана в виде хромата (экстрагир. 5% щелочью), а остальной, возможно, в виде Cr^{3+} . Часть последнего прочно связана с «очич. окси-Ц» и удерживается даже при кипячении с 5% HCl . Значительное кол-во окисленной Ц при очистке растворялось, что указывало на образование карбоксильных и редуцирующих групп. Кол-во адсорбированного на волокне Cr пропорционально начальной конц-ии I.

В. В. 66789. Надежность и области применения метода измерения вязкости природной и регенерированной целлюлозы для определения степени полимеризации. Крсекек (Zuverlässigkeit und Anwendungsbereich von Viskositätsmessungen an nativen und regenerierten Zellulosen zur Ermittlung des Polymerisationsgrades und des Schädigungsfaktors. K r s e k H a n s - W e r n e r), Textil- und Faserstofftechnik, 1955, 5, № 3, 151—154 (нем.)

Залагаются основные требования, обеспечивающие получение точных результатов при вискозиметрич. определениях степени полимеризации (СП) целлюлозы. При определении СП хлопка образцы должны содержать не менее 95% целлюлозы. Большие отклонения наблюдаются при анализе неочищ. хлопка. В неочищ. льняных волокнах, напр. льна, содержится до 10—15% примесей пектиновых в-в, белков и лигнина, вызывающих большие отклонения от действительного значения СП (до 300). Особое внимание следует обратить на определение СП матированных волокон. Вязкость таких волокон, определенная по капиллярному методу, всегда ниже вязкости по методу падающего шарика. П. Ч. 66790. Влияние молекулярной неоднородности вязкой сульфитной целлюлозы на ее реакционную способность. Аким Л. Е., Кильки В. Е., Бум. пром-сть, 1953, № 10, 5—9

Рекомендуется определение степени молекулярной неоднородности целлюлозы (Ц), так как только Ц с малым содержанием низкомолекулярных фракций со степенью полимеризации до 200 и полным отсутствием высокомолекулярных фракций со степенью полимеризации выше 1200 отличается хорошей реакционной способностью и дает легко фильтрующиеся вязкие р-ры.

А. Х. 66791. Растворы производных целлюлозы. Мур (Solutions of cellulose derivatives. M o o r e W. R.), Chem. Age, 1956, 74, № 1905, 191—195 (англ.)

Обзор современных взглядов на природу р-ров и механизм взаимодействия между производными целлюлозы (нитраты, первичные и вторичные ацетаты и этилцеллюлоза) и р-рителями.

Ю. В. 66792. Промышленное производство нитратов целлюлозы. Колдуэлл, Кризи (The manufacture of industrial cellulose nitrate. C a l d w e l l W. A., C r e a s y J. J.), J. Oil and Colour Chemists, Assoc., 1955, 38, № 8, 431—454 (англ.)

Изложены современные взгляды на нитрование целлюлозы, теория и практика нитрования нитрующей смесью (соотношение между содержанием N и крепостью к-ты). Описано произ-во нитроцеллюлозы с последующей стабилизацией кипячением, способы понижения вязкости готового продукта, а также произ-во плотной нитроцеллюлозы из древесной массы с обезвоживанием

продукта с помощью спирта. См. РЖХим, 1955, 27782.

Ю. В.
66793. Карбоксиметилцеллюлоза. Штавиц (Carboxymethylcellulose (CMC). Stawitz J.), Ber. Dtsch. keram. Ges., 1955, 32, № 10, 304—305 (нем.)

Строение и свойства карбоксиметилцеллюлозы, как защитного коллоида, и применение ее в различных отраслях промышленности. А. Я.

66794. Окисление черного щелока и дезодорация сульфатцеллюлозного производства. Райт (Black liquor oxidation and the problem of odor reduction in sulphate pulping. Wright R. H.), Chem. in Canada, 1953, 5, № 8, 27—30 (англ.)

Опыты по окислению отработанных щелоков сульфатцеллюлозного произ-ва, проведенные в лабор. и ползаводских условиях, указывают на возможность снижения запаха отходящих газов и потерь серы. А. Х.

66795. Сравнительный анализ измерений коррозии варочных котлов. Сводный отчет № 2 подкомитета TAPPI по коррозии варочных котлов. Шуматов, Типп (Comparative analysis of digester corrosion measurements. Tappi Digester corrosion subcommittee summary report № 2. Shumatoff N., Teeple H. O.), Tappi, 1955, 38, № 4, 202—207 (англ.)

Приведены результаты 55000 замеров толщины стенок на более чем 80 варочных котлах и сделаны выводы, что: 1) за последние годы не замечается увеличения интенсивности коррозии, 2) некоторое колебание разъедания на одних и тех же з-дах ставится в связь с колебаниями сульфидности, а различия коррозии между отдельными з-дами относятся к использованию на некоторых из них элементарной S. Намечено дальнейшее изучение действия элементарной S, 3) на большинстве з-дов мягкая сталь оказалась удовлетворительным материалом для варочных котлов, 4) по видимому, вязкая, кремнеуглеродистая и спец. сталь для варочных котлов хуже сопротивляется коррозии, чем чаще применяемая сталь ASTM A285—C, 5) лучшие результаты достигаются применением стали Inconel и нержавеющей стали 316, 6) ускоренное разъедание в некоторых случаях надо объяснить механич. и производственными причинами. М. Н.

66796. Возможные усовершенствования в установившейся практике анализов технической целлюлозы. Фаррингтон (Possible improvements in the routine analysis of ordnance pulp. Farrington J. F.), Tappi, 1954, 37, № 10, 190A—193A (англ.)

Рассмотрены методики анализов для контроля качества технич. целлюлозы. Показано, что более однородное и быстрое фильтрование целлюлозы происходит при употреблении тигля Гуча № 4 с фильтровальной бумагой № 42 и прокладкой из стеклянной ваты. Скорость фильтрования при этом составляла 420 мл р-ра в 7—8 мин. Усовершенствование процесса фильтрования улучшает воспроизводимость и точность результатов анализа. М. Ч.

66797. Исследование возможности сокращения времени сушки и кондиционирования образцов при быстром контроле качества целлюлозы. Экстам (Investigations concerning the possibilities of reducing the drying and conditioning time of the test sheets at rapid testing of chemical pulp. Ekstam Torsten), Paperi ja Puu, 1955, 37, № 7, 265—272 (англ.)

Проведена серия опытов с различными сортами целлюлозы (Ц) (сульфитная беленая и небеленая и сульфатная небеленая) при размоле (на мельнице Ламлена и роле системы Валлей) до 20, 40 и 60° Ш. Р. и отливе по методу А 1011 при различных условиях сушки и времени кондиционирования перед испытанием их механич. прочности. Установлена возможность сокра-

щения времени сушки до 40—50 мин. без изменения механич. свойств Ц и времени кондиционирования до 0,5 часа при относительной влажности воздуха 65%, также без влияния на результаты последующих испытаний. По методу А 1011 сушка предусматривается в течение 2 час. и время кондиционирования 4 часа. Общее время испытания качества Ц (размол, отлив, сушка, акклиматизация и испытания механич. прочности) по ускоренному методу составляет ~3 час. Такой ускоренный метод рекомендуется для производственного контроля с периодич. проверкой его результатов по стандартному методу А 1011. Отмечается, что ускоренный метод сушки образцов на листоотливных аппаратах системы Рапид-Кетена также дает результаты, отличные от результатов, получаемых при испытании по методу А 1011. М. Б.

66798. Определение общего количества натрия в сульфатных щелоках при помощи пламенного фотометра. Доманский (Stanovenie celkového sodíka v sulfátových výluhch plamenným fotometrom. Domanský Radislav), Chem. zvesti, 1956, 10, № 1, 32—38 (словац.; рез. русс., нем.)

Результаты определения при помощи пламенного фотометра совпадают с результатами определения весовым и объемно-весовым методами. Малые кол-ва калия и кальция, иногда встречающиеся в сульфатных щелоках, незначительно влияют на точность фотометрич. определения натрия. А. Х.

66799. Современные тенденции в размещении и проектировании целлюлозно-бумажных предприятий. Хертер (Modern trends in layout and design of pulp and paper mills. Hurter A. M.), Pulp and Paper Mag. Kanada, 1955, 56, № 7, 115—134; Engng J., 1955, 38, № 6, 763—778 (англ.)

Основной тенденцией в развитии целлюлозно-бумажной пром-сти является объединение предприятий, перерабатывающих древесину, в комбинаты, непрерывность и автоматизация производственных процессов; снижение отходов при окорке, рафинирование отходов, использование оборотных вод, регенерация химикатов, произ-во спирта, дрожжей, пластиков на основе лигнина и т. п.; развитие сульфат-целлюлозного произ-ва (использование хвойных, лиственных, трав), произ-ва полцеллюлоз. Для новых древесно-массных з-дов характерно применение магазинных дефибреров большой мощности (на малых предприятиях применяют прессы дефибреры). Отмечается применение в варочной к-те сульфит-целлюлозных з-дов оснований натрия, магния и аммония, горячая регенерация сдучных газов и непрерывная промывка целлюлозы, применение вибрирующих сортировок и центробежных очистителей, многоступенчатой отбелич. новых отбеливающих агентов: перекисей и двуокиси хлора, быстроходных конических мельниц и дисковых рафинеров, усовершенствование отдельных узлов бумагоделательной машины (М) и повышение скорости. Оптимальной рабочей шириной М считается теперь 6 м, обычная скорость М для газетной бумаги 480 м/мин., а проектная 600—750 м/мин. Высокосортные бумаги вырабатывают на М шириной 3—5 м, при рабочей скорости до 300 м/мин. С. И.

66800. Влияние гемицеллюлоз волокон древесной массы на свойства бумаги. Коттралл (The bearing of the hemicelluloses of wood pulp fibres on their paper making properties. Cottrall L. G.), Paper-Maker, 1954, 128, № 3, 202, 204, 206—207 (англ.)

Обзор. Библ. 24 назв. Предыдущее сообщение см. РЖХим, 1955, 50692. Ю. В.

66801. О непрерывном размоле в роллах. Гизбург Л. И., Бум. пром-сть, 1956, № 4, 19—21

Рекомендуется обычные роллы до замены их спец. непрерывно действующими аппаратами переводить на непрерывную работу. В 1-й по ходу роля должно по-

ступать хорошо распушенное волокно. При несоблюдении этого условия массу необходимо пропустить через конич. мельницу или гидрофайнер. Поступление массы в 1-й по ходу ролл должно быть непрерывным и равномерным, конич. должна поддерживаться по возможности постоянной. Уровень массы в роллах должен быть постоянным и близким к полному. А. Х. 66802. Влияние присадки на удельный расход электроэнергии. Тумбин П. А., Бум. пром-сть, 1956, № 4, 14

Приведены результаты опытов по размолу беленой целлюлозы в жидком виде на двух конич. мельницах третьей величины. Размалывающая площадь мельниц 4 м^2 и число оборотов ротора 350 в мин. Диаметр его 1000/500 мм, длина 1750 мм, мощность электродвигателя 235 квт. Показано, что увеличение усилия присадки, которое в свою очередь вызывает повышение силы тока, уменьшает удельный расход электроэнергии в квт/т \times ШР. Увеличение усилия присадки при работе одной мельницы не снижает ее производительности, а при работе 2х, с последовательным пропусканием через них массы, несколько уменьшает.

А. Х.

66803. Образование пены и ее устранение. Мань (A hab képződése és kiküszöbölése. Mán y G y u l a), Papier-es nyomdatechn., 1955, 7, № 11, 363 (венг.) Рассматривают причины образования пены при производстве бумаги и рекомендуют пеногасители ($\text{Al}_2(\text{SO}_4)_3$, жидкое стекло, газойль, сырой глицерин, скинпидар и т.д.). Г. Ю.

66804. Теоретическое исследование сопротивления бумаги и картона разрыву при натяжении. Лекаше (Contribution à l'étude théorique de la résistance à la rupture par traction des papiers et cartons. Le Cacheux P.), Papeterie, 1953, 75, № 10, 659, 661, 663—665, 667, 669, 671, 673 (франц.)

Выведены уравнения и сделаны расчеты сил, обуславливающих сопротивление бумаг (картонов) разрыву при растяжении с установлением направлений их действия. Рассчитан модуль эластичности бумаги. М. Б.

66805. Влияние разности скоростей движения сетки и потока массы на формирование бумажного полотна на сетке бумагоделательной машины. Андерссон, Бергстрём (Arkbildningen på pappersmaskinens vira, inverkan av hastighetsskillnaden mellan mald och vira. Andersson O., Bergström J.), Svensk papperstidn., 1954, 57, № 20, 735—740 (швед.; рез. англ., нем.)

Исследовалось влияние на формирование бумажного полотна разницы между скоростями движения массы (v_M) и сетки (v_C) на лабор. бумагоделательной машине столового типа. Отбор образцов бумаги, с последующим высушиванием их, производился на участке между гауч-прессом и первым прессом. Разница между v_M и v_C осуществлялась путем изменения v_M от 80—120 м/мин при постоянной v_C (1-е опыты 100 м/мин и последующие 150 и 200 м/мин). v_M регулировалась изменением высоты выпускной щели (под линейкой), при выработке бумаги из 100% беленой сульфитной целлюлозы с помолом 30° Ш. Р. При проведении работы замерялось кол-во воздуха, просасываемого через полотно бумаги на последнем сосуне. Установлено, что при v_M 130 м/мин и v_C 140 м/мин удаляется через сосун наименьшее кол-во воздуха, а отливаемая бумага отличается наиболее равномерным просветом, при улучшении остальных показателей качества. Увеличение или уменьшение разности между v_M и v_C приводит к ухудшению качества бумаги, при сильной флокуляции волокон в массе на сетке. Лучшее формирование бумаги во всех опытах получено, когда v_C на 10—20 м/мин

превышает v_M . Изменением длины фартука могут быть улучшены условия формирования бумаги. Изменение разности между v_M и v_C изменяет распределение скоростей движения волокна в толще массного потока, проходящего по сетке. Верхние слои массы, при $v_M = v_C$, соприкасающиеся с воздухом, испытывают меньшую силу трения и движутся быстрее, чем слои массы вблизи сетки, нарушая беспорядочное, но равномерное расположение волокон, наблюдаемое в массе при выпуске ее на сетку. М. Б.

66806. Удаление воды из бумажного полотна на бумагоделательной машине. Шпрехер (L'extraction de l'eau dans les machines à papier. Sprecher J.), Techn. eau, 1953, № 78, 29—34 (франц.)

66807. Аналитический подход к проблеме сушки тонких волокнистых листов на многоступенчатых машинах. Ниссан, Кей (An analytical approach to the problem of drying of thin fibrous sheets on multicylinder machines. Nissan A. H., Kaye W. G.), Tappi, 1955, 38, № 7, 385—398 (англ.)

Выведена ф-ла для расчета т-ры бумажного листа в процессе сушки на бумагоделательной машине на каждом сушильном цилиндре по фазам, а также ф-лы для расчета влажности бумаги (Б) в периоде постоянной и падающей скорости сушки. В основу расчета положен принцип, согласно которому испарение влаги из Б происходит на открытой поверхности сушильного цилиндра и в промежутках между сушильными цилиндрами, тогда как на сушильной поверхности под сукном испарения не происходит, но Б приобретает тепло и расходует его на испарение влаги в остальных фазах процесса. Аналитич. расчет, проведенный для большой газетной машины, дал хорошее совпадение результатов с практич. замерами. Приведена дискуссия по данному исследованию и отмечено выступление Монтоммери, возражающего против конденции, принятой авторами, что под сукном не происходит испарения, с указанием, что если бы авторы произвели расчет т-р Б на тихоходной машине, то получили бы недопустимо высокие значения. С. И.

66808. Бумага и бумажное производство. Обработка бумаги-основы для бумаг различного назначения. Крейг (Paper and papermaking. Treating base papers for the converter. Craig F. A.), Paper and Print, 1953, 26, № 2, 146, 148, 150, 152 (англ.)

Дана характеристика материалов для произ-ва бумаги-основы, предназначенной для выработки абразивной, фотографической, художественной, гуммированной, бумага с покрытием, оберточной, картографической и других специальных бумаг, а также картона и их произ-ва. Л. М.

66809. Получение водонепроницаемых бумаг на бумажной машине (метод пропитки сырого и полусырого бумажного полотна). Милов Б. Г., Николасовская Е. Е., Мат. ин-та (Центр. н.-и. ин-т целлюлоз. и бум. пром-сти), 1953, № 40, 171—184

В качестве эффективного способа получения водонепроницаемых бумаг рекомендуется обработка сырого бумажного полотна гидрофобными в-вами при помощи пропитки в ванне, установленной в конце прессы или в середине сушильной части бумажной машины, или опрыскивающих устройств. А. Х.

66810. Растворы — эмульсии — дисперсии. Мартен (Solutions — emulsions — dispersions. Martin Gerard), Papeterie, 1954, 76, № 7, 434—435, 437, 439, 441; № 8, 495, 497, 499, 501; № 9, 549, 551, 553, 555, 557, 559 (франц.)

О свойствах мономеров (винилхлорид), термопластичных полимеров (поливинилхлорид, полиэтилен, полистирол), р-ров, эмульсий, дисперсий на их основе,

поверхностноактивных в-в с точки зрения их применения в бумажной пром-сти.

Н. Р.
66811. Волокнистый наполнитель. Крейг (Fibrous filler. (Hydrous calcium silicate) Craig W. L.), Pulp and Paper Mag. Canada, 1955, 56, № 9, 116—119 (англ.)

Волокнистый наполнитель (ВН) состоит из 20% волокнистого материала и 80% кремнекальциевого пигмента ($\text{CaO} \cdot 4\text{SiO}_2 \cdot 3\text{H}_2\text{O}$). Для его получения размоленное целлюлозное волокно обрабатывают р-ром CaCl_2 , а затем при интенсивном перемешивании р-ром силиката натрия. Получающиеся в результате р-ции чрезвычайно мелкие частицы силиката кальция закрепляются на поверхности целлюлозного волокна. рН у ВН (10,5) снижается до желаемого значения добавлением р-ра $\text{Al}_2(\text{SO}_4)_3$. Даны рецептура и расчеты расхода сырьевых материалов и схемы производственного процесса произ-ва ВН. Приведены сравнительные данные качества бумаг, изготовленных с добавлением в массу TiO_2 и ВН. Применение ВН особенно целесообразно при изготовлении различных печатных сортов бумаги, так как этим обеспечивается улучшение их печатных свойств.

М. Б.
66812. Волокнистый наполнитель — новый пигмент для бумажной промышленности. Денем (Fibrous filler—a new pigment for the paper industry. Denham F. H.), Tappi, 1955, 38, № 7, A115—A116 (англ.)

Наполнитель готовится из целлюлозы, размолотой до 36°ШР , CaCl_2 , Na_2SiO_3 и сернистого глинозема. Готовый пигмент состоит из 20% волокна и 80% CaSiO_3 . В качестве волокнистой части пигмента может применяться беленая и небеленая целлюлоза, бумажный брак и даже древесная масса. Для его изготовления размоленное волокно размешивают с р-ром CaCl_2 и добавляют р-р Na_2SiO_3 при интенсивном размешивании, а затем р-р сернистого глинозема до рН 4,5—5,0. Время контакта р-ра CaCl_2 с волокном должно быть не менее 30 мин. Отмывка наполнителя от растворимых продуктов р-ции не обязательна. Конц-ия готового наполнителя 6—7%. Применяется для наполнения газетных, офсетных, документных, санитарно-гигиенич. бумаг, картонов и для мелования.

С. И.
66813. О набухании целлюлозного картона в зависимости от рН среды. Юрьев В. И., Скурин Г. М. Мат. Ин-та (Центр и-я ин-т целлюлозы и бум. пром-сти), 1953, № 40, 139—147

66814. Машина для формирования листовых материалов. Хейс, Лобер (The forming machine on monolithic sheet production. Hayes Frank, Lober F. Carlton), Tappi, 1954, 37, № 7, 164A—172A (англ.)

Описана конструкция новой машины для выпуска листового материала, в частности бумаги. Приведена дискуссия по вопросу конструкции машины (ее скорости) и введения смол и других добавок при обработке бумажной массы.

Е. Х.
66815. Промышленный барабан отбельного рола с сифонной трубой. Джанджгава Ш. А. Бум. пром-сть, 1956, № 5, 20

Приведена схема промышленного барабана отбельного рола с сифонной трубой вместо черпаков.

А. Х.
66816. Производство бумаги и его контроль. Томпсон (The manufacture and inspection of paper. Thompson G.), Engng Inspection, 1953, 17, № 1, 28—37 (англ.)

66817. Проблемы микроскопического исследования бумаги. Бухер (Probleme der mikroskopischen Papieruntersuchung. Bucher Hans), Textil-Rundschau, 1955, 10, № 4, 179—187 (нем.)

Указаны способы распознавания и идентификации путем специфич. окрашивания древесины хвойных и

лиственных пород и некоторых однолетних растений (ковыля, пенки, лына, джута, хлопка и разн. солом), древесной массы и целлюлозы из них, природы наполнителей, а также приемы исследования поверхности готовой бумаги (Б) и ее поперечного сечения. Для микроскопич. исследования поверхности готовой Б рекомендуется метод изготовления воскового слепа, рассматриваемого затем при помощи лупы. Для получения поперечного среза готовой Б складывают в пачку несколько одинаково направленных листов исследуемой Б, зажимают полученную пачку в ручном микротоне, проклеивают ее канифолью, производят нужный срез с помощью бритвенного лезвия, растворяют канифоль и получают таким образом чистые одинаково ориентированные поперечные срезы.

Г. Б.
66818. По сициметрическое определение кислотности (щелочности) бумаги. Богуславская (Potencjometryczne oznaczanie kwasowości (alkaliczności) papieru. Bogusławska Krystyna), Prace Inst. celul.—papier., 1956, 5, № 1, 38—42 (польск.; рез. русск., англ.)

Произведено потенциометрич. титрование водных вытяжек 6 разных бумаг. Водные вытяжки были получены экстрагированием бумаги в течение 1 часа в кипящей воде, не содержащей CO_2 . Те же вытяжки титровали в присутствии фенолфталеина в качестве индикатора. Установлено, что средняя погрешность измерения по потенциометрич. методу в 3—4 раза меньше, чем погрешность при обычном титровании.

А. Х.
66819. Производственные методы контроля и оценки длины волокон, степени помола и обезвоживания бумажной массы. Шедивый (Měření a posuzování délky vlákn, stupně mletí a odvodňovací schopnosti papíroviny v provozní praxi. Šedivý Mila n), Papír a celuloza, 1956, 11, № 3, 51—54 (чеш.; рез. русск., нем.)

Отмечается необходимость обеспечения бумажной пром-сти скорыми и надежными методами контроля во всех технологич. отсеках. Описаны методы определения длины волокон и степени помола.

А. Х.
66820. Фотоколориметрический метод определения смоляных кислот в канифольном клее. Виненская Е. Я., Купленская А. А., Бум. пром-сть, 1956, № 1, 10—13

40 мл 0,5—1%-ной конц-ии водн. дисперсии канифольного клея и равный объем чистого петр. эфира сливают в конич. колбу с шлифованной пробкой и взбалтывают 10 мин. на вибрационном аппарате, имеющем скорость 100 об/мин. В петролейную вытяжку вводят 10 мл 3%-ного р-ра уксуснокислой меди и снова взбалтывают на этом же аппарате 5 мин. Эфирный окрашенный слой сливают в кюветы с шлифованными стеклами и колориметрируют с применением желтого светофильтра на любом дифференциальном фотоэлектроколориметре. Определение занимает 30 мин., степень погрешности 1,5—2% против 10% по принятому сейчас методу.

М. Б.
66821 К. Делигнификация при помощи растворов гидротропных веществ и изучение процесса экстракции лигнина. Эмери (Delignification par les solutions hydrotropiques et étude de la lignine d'extraction... Thèse. Eymery André. Grenoble. Ed. Ecole franç. papeterie, 1954, 156 p. ill.) (франц.)

66822 Д. О превращении в волокнистую массу путем ускоренных сульфитных варок и совместное действие химических и физических факторов на разрушение целлюлозы. Корп (Über der kurzzeitigen Sulfitaufschluß und das Zusammenwirken chemischer und mechanischer Faktoren auf den Abbau der Cellulose. Korp Helmut. Diss. Techn. Hochsch. Graz,

1955, 86, Bl., ill. Maschinenschr.), Oesterr. Bibliogr., 1955, № 11, 9 (нем.)

66823 П. Способ получения фурфурола и древесного угля. Фарбер (Method for producing furfural and charcoal. Farber Edward) [Cumberland Corp.]. Пат. США 2725346, 29.11.55

Крупные куски древесины смешивают с древесными, опилками, проходящими через сито размером 6 меш, в отношении от 10:1 до 10:10; нагревают до т-ры экзотермич. р-ции, при которой древесные опилки разлагаются (без заметного разложения крупных кусков) с образованием органич. к-ты; последние являются катализаторами для превращения пентозанов, содержащихся в крупных кусках древесины, в фурфурол, который, по мере образования, удаляется из сферы, а остающаяся древесина при т-ре выше экзотермы превращается в древесный уголь.

66824 П. Средство для консервирования древесины. Гитон (Produits de conservation des bois. Guiton J. R.). Франц. пат. 1042371, 30. 10. 53 [Chem. Zbl., 1955, 126, № 6, 1408 (нем.)]

Средство, состоящее (в вес. %) из 34 NaF, 41 $\text{Na}_2\text{Cr}_2\text{O}_7$ и 25 биарсениата Na, образует путем р-ции обмена в процессе пропитки повышенные кол-ва Na_2CrF_6 и CrAsO_4 и совершенно не содержит пикрофенола.

66825 П. Процесс получения целлюлозы посредством варки целлюлозосодержащих волокнистых растительных материалов при непрерывной циркуляции щелока через материал. Бертрам (Process in the production of pulp by the digestion of cellulosic fibrous vegetable materials by circulation of lye through the material. Bertram O.) [Bertram O. and Co.]. Англ. пат. 720004, 15.12.54 [Summary Curr. Liter. Brit. Cotton Ind. Res. Assoc., 1955, 35, № 9, 321 (англ.)]

В циркуляционном процессе варки целлюлозосодержащих материалов с относительно небольшим объемом известного щелока, накопленный в резервуаре под волокнистой массой щелок, после осаждения суспензии перекачивается поверх целлюлозного материала и фильтруется через массу, обратно в резервуар. Во время циркуляции свежий щелок подается в резервуар, чтобы поддерживать определенный уровень. Данный метод предотвращает разрушение целлюлозы под действием каустика, а также скатывание в комки волокнистой массы.

66826 П. Получение целлюлозы. Бейт, Роджерсон, Нич (Production of cellulose. Bate Stanley C., Rogerson Walter A., Peach Francis G.) [British Celanese Ltd.]. Канад. пат. 513553, 7.06.55

Для очистки древесной целлюлозы (I), содержащей более 85% α -целлюлозы и менее 3,5% пентозанов с целью получения I, пригодной для этерификации, I обрабатывают 17—19%-ным водн. р-ром NaOH при 50—55° в течение 45—90 мин. (в качестве единственной операции очистки), удаляют большую часть р-ра щелочи из обработанной массы при сохранении конц-ии р-ра, промывают массу водой, и в отдельных случаях еще подкисленной водой, содержащей менее 1% к-ты, до полного удаления щелочи и кипятят промытую массу с водой в течение 15—45 мин. при атмосферном давлении.

66827 П. Обессмоливание древесной целлюлозы. Рапсон, Уэйман (Deresination of wood pulp. Rapson William Howard, Wayman Morris) [Canadian International Paper Co.]. Пат. США 2716058, 23.08.55

В водн. суспензию древесной целлюлозы вводят от 0,1 до 1% (считая на целлюлозу) обессмоливающего

реагента, являющегося продуктом конденсации окиси этилена с одним из следующих соединений: октилфенолом, нонилфенолом, диоктилфенолом, лауриновым спиртом, талловым маслом, маслом из скорлупы плодов *Anakardium occidentale*, натуральной канифолью и гидрированной канифолью, представляющей смесь ди- и тетрагидроабетиновой к-ты. В обессмоливаемом реагенте окиси этилена содержится от 50 до 80 вес. %. Затем суспензию целлюлозы обрабатывают в течение 0,5—4 час. 2—12% NaOH (от веса целлюлозы) при т-ре приблизительно от 60 до 100°.

66828 П. Способ ацилирования целлюлозы (Procédé d'acylation de la cellulose) [Sandoz Soc. An.] Франц. пат. 1087275, 22.02.55 [Bull. Inst. text. France, 1955, № 55, 155 (франц.)]

Целлюлозу ацилируют, сохраняя ее волокнистую структуру, с помощью ацилирующей смеси, содержащей в качестве катализатора продукт р-ции H_2SO_4 , ее производных или одной из их солей ($\text{H}_2\text{NSO}_2\text{OH}$, ацетилсерная к-та и т. п.), которые не образуют ионов SO_4 после разбавления водой или кипячения с разб. минер. к-тами. Эти продукты получают в готовой ацилирующей смеси, растворяя H_2SO_4 , ее соли или ее производные, и проводят р-цию до тех пор, пока проба, разбавленная водой или кипяченая с разб. минер. к-той, не будет обнаруживать следы ионов SO_4 . По варианту этого метода к ацилирующей смеси прибавляют растворимые амиды (ацетамид, диацетамид, пропионамид, мочевины и т. п.) для предотвращения окрашивания, возникающего при отсутствии этих вспомогательных в-в.

66829 П. Способ приготовления свободно распадающегося порошка из растворимой в воде Na-карбоксиметилцеллюлозы. Ригби (Verfahren zur Herstellung eines freifliessenden Pulvers aus wasserlöslicher Natrium-Carboxymethylcellulose. Rigby Ch. H.) [Imperial Chemical Industries, Ltd.]. Швейц. пат. 291802, 1.10.53 [Chem. Zbl., 1954, 125, № 27, 6133 (нем.)]

Na-производное карбоксиметилцеллюлозы с волокнистой структурой увлажняют водн. спиртом (CH_3OH , $\text{C}_2\text{H}_5\text{OH}$; $\text{CH}_3\text{CH}(\text{OH})\text{CH}_3$) и опрыскивают смесь при непрерывном перемешивании тонкораздробленной водн. жидкостью, напр. водой, до тех пор, пока прибавленной воды будет достаточно для желатинирования поверхностного слоя волокна, без нарушения рыхлой структуры массы; последняя, после высушивания и измельчения, легко смешивается с другими порошкообразными в-вами. Служит для приготовления очистительных средств и питательных препаратов.

66830 П. Способ переработки отработанных сульфат- и сульфитцеллюлозных щелоков. Эйрис, Поллак (Verfahren zur Verarbeitung von Sulfat- und Natriumsulfitzellstoffablaugen. Aries Robert Sancier, Pollack Arthur). Пат. ФРГ 898844, 3.12.53 [Chem. Zbl., 1954, 125, № 21, 4751 (нем.)]

К большому кол-ву циркулирующего горячего конц. р-ра Na_2S (I), содержащего суспензию Na_2CO_3 (II), непрерывно добавляют золу, получаемую сжиганием отработанных щелоков и содержащую преимущественно I, а также II и воду, таким образом, что р-р I постоянно остается концентрированным. Щелок непрерывно отводят и, после удаления суспендированного II, частично возвращают в процесс, добавляя к циркулирующей массе, а частично выпускают из процесса в виде конц. р-ра I. В процессе используют воду, остающуюся после промывки шлама II. Приложена схема процесса.

66831 П. Способ получения из отработанных сульфитных щелоков лигнина, реакционноспособного при низких температурах. Трюмилер (Verfah-

ren zur Herstellung von bei niedrigen Temperaturen reaktionsfähigen Lignin aus Sulfitablauge. Trümpler Rudolf. Швейц. пат. 300037, 16.09.54 [Wochenbl. Papierfabr., 1956, 84, № 5, 1—56 (нем.)]
Из отработанного сульфитного щелока отгоняют свободный SO_2 , прибавлением соединения металла осаждают лигносульфовую к-ту в виде лигносульфоната, который обрабатывают H_2SO_4 для замены HSO_3 на OH , и отделяют образовавшийся сульфат металла; из прозрачного р-ра удаляют свободный SO_2 продуванием воздуха и выделяют лигнин прибавлением к прозрачному р-ру HCl (к-ты). Полученный лигнин реакционноспособен при низких т-рах и может быть использован в качестве сырья для получения искусств. термореактивных смол.

Ю. В.

66832 П. Способ облагораживания волокнистых материалов. Хансен, Келлер, Цейдлер (Verfahren zur Veredelung von Fasermaterial. Hansen Otto, Keller Karl, Zeidler Gustav, [Cassella Farbwerke Mainkur A.-G.]. Пат. ФРГ 921300, 13.12.54 [Das Papier, 1955, 9, № 7/8, 140 (англ.)])

На любой стадии процесса получения к волокнистому материалу прибавляют эмульсию или дисперсию эфироподобных производных метилольных соединений аминотриазенов.

В. В.

66833 П. Способ получения невоспламеняющейся массы для гомогенной пропитки водо- и газонепроницаемой бумаги и ткани. Нейхаус (Verfahren zur Herstellung einer nicht entflammaren Masse zum homogenen Imprägnieren von wasser- und gasdichten Papieren und Geweben. Neuhäus Ewald jun) [Gebrüder Lohmann G. m. b. H.]. Пат. ФРГ 909063, 4.03.54 [Das Papier, 1954, 8, № 19/20, L108 (нем.)]

Водные эмульсии частично омыленных остатков пегерого жирных к-т, полученных окислением парафина и казеина, которому предварительно дают набухнуть, путем обработки его аммиаком, смешивают с неорганич. солями, напр. MgCl_2 и аминами, напр. с мочевиной. Амин необходимо прибавлять к неорганич. солям для предотвращения выпадения хлопьев из смеси жирных к-т и казеина.

Ю. В.

66834 П. Изделия из бумаги и способ их получения. Блейк (Paper products and processes. Blake Edward S.) [Monsanto Chemical Co.]. Пат. США 2723195, 8.11.55

Бумажный лист обрабатывают продуктом р-ции третичного амина (содержащего 3—11 атомов С и одну OH -группу, связанную с атомом С, который содержит не менее 1 атома Н), с сополимером из полимеризуемого винильного соединения, содержащего единственную группу $=\text{C}=\text{CH}_2$ и ангидрида дикарбоновой к-ты с ненасыщ. этиленовой связью, содержащего 4—8 атомов С. Указанный продукт р-ции содержится в листе в кол-ве, достаточном для придания последнему прочности во влажном состоянии.

Ю. В.

См. также: 64628, 65053, 65130, 65141, 65145, 65911, 65931, 65951, 66692, 66973, 67245, 67212, 67292, 67444

ИСКУССТВЕННОЕ И СИНТЕТИЧЕСКОЕ ВОЛОКНО

66835. Десять лет технического развития промышленности химических волокон в Германии. Поселль (Zehn Jahre technische Aufbauarbeit in der deutschen Chemiefaserindustrie. Posselt Friedrich), Reyon, Zellwolle und and. Chemiefasern, 1956, № 1, 9—14 (нем.)

О реконструкции старых и строительстве новых 3-ов вискозного, ацетатного и полиамидного волокна. Приложено 11 фото.

А. П.

66836. Сообщение о новых волокнах орлон и дакрон. Фрелих (Fortschrittsbericht über die neueren Fasern, wie Orlon, Dacron. Fröhlich H. G.), Z. ges. Textilind., 1955, 57, № 12, 771—774 (нем.)
Доклад на Международной конференции по текстильным волокнам (Париж, 1954 г.) о результатах исследования свойств волокон и тканей из орлона и дакрона.

А. П.

66837. Некоторые вопросы производства волокон. Холлоуей (Some scientific problems in the nylon spinning industry. Holloway B. J.), School Sci-Rev., 1955, 36, № 129, 174—192 (англ.)
Обзор. Библ. 4 назв.

В. Д.

66838. Целон — новое волокно фирмы Celanese Ltd. Фишер (Celon the new celanese fibre. Fisher J. W.), Fibres, 1956, 17, № 2, 41—44 (англ.)

Английская фирма «Целаниз» приступила к выпуску волокна на основе ϵ -капролактама под названием целон. Приведена схема получения капролактама из бензола и описан процесс его полимеризации. Даны технологич. схемы получения непрерывной нити и штапельного волокна.

А. В.

66839. Угол надрыва перлоновой щетины. Дериз (Risswinkel an Perlonborsten. De Riz Otto), Faserforsch. i und Textiltechnik, 1954, 5, № 6, 255—256 (нем.)

При разрыве перлоновой щетины сначала образуется надрыв в виде трещины, направленной под определенным углом к оси волокна. Эта трещина хорошо видна под лупой. Угол надрыва имеет всегда одну и ту же величину, определяемую направлением скольжения плоскостей кристаллитов в массе волокна. Трещины и углы надрыва по направлению скольжения кристаллич. плоскостей объясняют низкую прочность перлоновой щетины при крутке. Во время разрыва щетины можно наблюдать изменение размера трещины во времени, т. е. снять диаграмму «размер трещины — время». Подобные диаграммы особенно характерны для невытащенной щетины.

А. П.

66840. Переработка терилового штапельного волокна по камвольному способу. Карлин (Die Verarbeitug der «Terylene» — Stapelfaser nach dem Kammerzugverfahren. Carlene P. W.), SVF Fachorgan Textilveredlung, 1954, 9, № 9, 416—418 (нем.)

Штапельное териловое волокно перерабатывается в пряжу по камвольному способу, проходя несколько стадий обработки: чесание, ворсование, обработку жирами для уничтожения статич. электричества, которое возникает при переработке волокна; окрашивание, вытягивание, прядение и крутку. По этому способу можно получать пряжу для чулок, пряжу в смеси с шерстью для одежных тканей.

Г. С.

66841. Пушистое волокно акрилан. Дейвис (Hibulak acrilan. Davis S. Jack), Skinner's Silk and Rayon Rec., 1956, 30, № 3, 258—261 (англ.)

Условия текстильной переработки искусств. белкового волокна акрилан.

А. П.

66842 П. Волокнообразующие полимеры. Крейг, Хэм (Fiber-forming polymers. Craig Alfred B., Ham George E.) [The Chem. strand Corp.]. Пат. США 2719834, 04.10.55

Волокнообразующий продукт содержит 50—98 вес. ч. полимера, в состав которого входит ≥ 80 вес. % акрилонитрила и до 20 % другого мономера (моноолефина), способного быстро вступать в сополимеризацию, и 2—50 ч. полимера, в состав которого входит ≥ 30 вес. % в-ва, имеющего формулу ROCOCH_2X , где X — атом галогена (Cl или Br), а R — винильный, аллильный, метилаллильный или изопропенильный радикал, и до 70 % другого мономера (моноолефина), способного быстро вступать в сополимеризацию.

А. В.

66843 П. Высокомолекулярные материалы для получения волокон из расплава (Melt spinning high polymer substances) [N. V. Onderzoekingsinstituut Research.]. Австрал. пат. 162933, 02.06.55

Улучшенный способ получения синтетич. волокон и подобных им продуктов из высокомолекулярных в-в приращением из расплава через фильеру, с дном из простого металла и вставкой из редкого металла, напр. закаленного тантала, с отверстиями в обоих. Ю. В.

66844 П. Способ получения матированных волокон из поливинилхлорида (Procédé d'obtention de fils ou de fibres mats en chlorure de polyvinyle.) [Sos. Rhovyl]. Франц. пат. 1087483, 24.02.55 [Bull. Inst. text. France, 1955, № 55, 155 (франц.)]

Способ получения волокон с устойчивым эффектом матирования путем нагревания перед процессом вытягивания под натяжением (без удлинения и без усадки) в газовой среде при т-ре не ниже т-ры вытягивания (от 95 до 120°). Продолжительность обработки 2—3 час. А. В.

66845 П. Способ изготовления фильер для приращения. Маккей, Килбрейт, Кларк (Verfahren zur Herstellung von Spinnndusen. Mackay John Douglas McClure, Kilbride West, Clark Arttur Wellesley Steart) [Imperial Chemical Industries Ltd]. Пат. ФРГ 922075, 7.03.55 [Kunststoffe, 1955, 45, № 8, 349 (нем.)]

Предлагаемый способ основан на изготовлении фильер путем установки параллельных металлич. проволок в полимеризующую жидкость, полимеризации ее до твердого состояния, разрезании полученного блока на пластинки в направлении, перпендикулярном расположению проволок, с последующим удалением из этих пластинок металлич. проволок. Отличие предлагаемого способа состоит в том, что применяемые железные проволоки предварительно покрываются тканевой оплеткой или слоем синтетич. смолы. Для удаления проволок из пластинок пользуются хим. методом — растворением в к-те. Пластины помещаются между ртутью, с одной стороны, и р-ром соли, с другой стороны, и обе жидкости присоединяются к источнику тока так, чтобы железные проволоки образовали анод. М. А.

См. также: 64433, 65169, 65153, 65396, 66184, 66626, 66642, 66694, 66646

ЖИРЫ И МАСЛА. ВОСКИ. МЫЛА. МОЮЩИЕ СРЕДСТВА. ФЛОТОРЕАГЕНТЫ

66846. 32-ой Конгресс Международной ассоциации маслостройной промышленности. Оливье (Канны, Франция, 1—4 июня 1954 г.) [Trentedeuxième congrès de l'Association internationale des fabricants d'huile. (Cannes, France, ler au 4 juin 1954). Oliver Michel]. Oléagineux, 1954, 9, № 7, 469—476 (франц.)

66847. Химия и физиология жиров (Chemie und Physiologie der Fette), Seifen-Öle-Fette-Wachse, 1954, 80, № 18, 471—472; № 19, 496 (нем.; рез. англ., франц., исп.)

66848. Культивирование мака для получения жирного масла и опия в Эстонской ССР. Вагане Э. П., Изв. АН ЭССР, 1953, № 3, 440—450

Установлено, что мак дает в ЭССР удовлетворительный урожай. За 1946—1948 гг. средний урожай семян масличных маков 800—1000 кг/га. Выход масла из 1000 кг семян в среднем 300—350 кг пищевого и 100—120 кг масла, годного для технич. целей. Урожай опия в среднем 5—8 кг/га. Показано что мак является в ЭССР перспективной масличной культурой. Добывание же опия ввиду малых урожаев нерентабельно, хотя качество его высокое. З. М.

66849. Кристаллический осадок касторового масла. Тоёма. Такан (Crystalline deposit from castor oil. Toyama Joshijuki, Takai Hidetoko), Mem. Fac. Engng Nagoya Univ., 1953, 5, № 2, 339—341 (англ.)

Касторовое масло мутнеет при очень низкой т-ре и редко выделяет твердый осадок даже в зимнее время, но встречаются такие образцы масла, которые выделяют крист. осадок и при 20°. Этот осадок состоит главным образом из стеаринодирицинолена ст. пл. 36—37° и $\alpha^{30}D + 4,22^\circ$. Осадок полностью растворим в этаноле, лед CH_3COOH и гексане. Нагревание касторового масла до полной прозрачности приводит к понижению т-ры, при которой осадок появляется вновь. Г. Ф.

66850. Определение небольших количеств трихлорэтилена в соевом шроте. Арнолд, Бернетт (The determination of small amounts of trichloroethylene in soybean oil meal. Arnold Lionel K., Burnett George, Jr), Proc. Iowa Acad. Sci., 1954, 61, 210—216 (англ.)

Обычный метод определения небольшого кол-ва трихлорэтилена в соевом экстракционном масле и шроте основан на способности пиридина реагировать с некоторыми хлорированными углеводородами в присутствии КОН или NaOH с образованием характерной красной окраски. Интенсивность последней в определенных пределах пропорциональна концентрации хлорированного углеводорода и определяется по серии окрашенных органич. р-ров или окрашенных стекол. Субъективность метода как при составлении стандартных серий окрашенных р-ров или стекол, так и при сравнении с окраской испытуемого р-ра значительно уменьшает точность определения. Поэтому определение предлагается вести по следующей методике: экстракция шрота этиловым спиртом → добавление к экстракту реагента (р-р 10 г натрия в 100 мл дистил. воды и 100 мл пиридина) → нагревание смеси в сосуде с кипящей водой в течение 2 мин. → охлаждение в сосуде с проточной водой (20°) в течение 1 мин. → определение интенсивности окраски фотоэлектрич. колориметром. Метод также применим и для определения содержания других хлорированных углеводородов в соевом шроте или других объектах. Г. Ф.

66851. О хранении частично обезжиренной муки из арахиса. Шабрегаш, Леско, Баго (Étude de la conservation de la farine d'arachide partiellement déshuilée. Xabregas Joaquim, Lessiau Jacques, Bagot Yves), Oléagineux, 1955, 10, № 10, 681—685 (франц.)

Проведены опыты хранения муки из жмыхов арахиса (М) с применением противокислителей. М для опытов получена размолот жмыхов и отсеиванием с выходом в 50% (влажность 6,2%; масла 12,7%; перекисное число 3,2%). Проверены органолептич. показатели (вкус и запах) и перекисные числа (в экстракте из М, полученном методом перколяции с помощью смеси хлороформа и уксусной к-ты) 6 образцов М при хранении их в термостате (при 65°) до 486 час.: 1) контрольный М без противокислителей, 2) М с добавлением 0,02% гидроксипутиланизола (I), 3) М, смешанной с мукой из черного овса в пропорции 1:10, 4) тоже, но с добавлением I, 5) М с добавлением 1% масла из зародышей кукурузы, 6) М, смешанной с мукой из зародышей кукурузы (влажность 7,6%, масла 14%) в пропорции 1:10. Обнаружено прогоркание (по запаху и на вкус) в 1-ом образце через 320 час., в 3-ем образце через 370 час, в 5-ом образце через 440 час. Остальные образцы не показали прогоркания за все время опыта. Для характеристики окислительных процессов построены кривые роста перекисных чисел в 6-ти образцах в зависимости от времени хранения. Меньше всего изме-

нялись перекисные числа в образце 4, а затем в порядке возрастания или 2, 5, 6, 3 и 1 образцы. Отмечено защитное действие масла из зародышей кукурузы, как наиболее подходящего продукта для применения с этой целью, тем более, что смесь арахисной муки с кукурузой, применяемая в питании в Южной Африке, повышает физиологич. ценность обоих продуктов. А. Е. 66852. Рыбий жир. Вежховский (Huszczyński Józef), Farmacja polska, 1955, II, № 2, 29—30 (польск.).

Характеристика рыбьего жира, его свойства и применение. Я. III.

66853. Изучение процесса разделения твердых и жидких жирных кислот животного жира кристаллизацией из дихлорэтана. Лурн (Étude d'un procédé de séparation des acides gras concrets et fluides du suif par cristallisation dans le dichloréthane. Lorigu M.), Rev. franç. corp. gras, 1956, 3, № 1, 30—34 (франц.).

Описан метод разделения твердых и жидких жирных к-т кристаллизацией из дихлорэтана при -20° (24 часа) с последующим отделением твердых к-т центрифугированием при -20° . Приведены результаты кристаллизации жирных к-т с аналитич. их характеристикой, указанием выходов твердой и жидкой фракций и аналитич. их характеристикой. Изучено влияние на выходы фракций жирных к-т концентрации и различных р-рителей (CH_3OH , CH_3COCH_3 , гексан, трихлорэтилен, монохлорбензол, хлористый метилен, метилизобутилкаетон, метилэтилкетон, дихлорэтилен, толуол, сероуглерод, этилацетат, метилацетат, изопропанол). Е. С.

66854. Доказательство присутствия конского жира в говяжьем и свином жире. Францке (Über den Nachweis von Pferdefett in Rinder- bzw. Schweinefett. Franzke C. L.), Z. Lebensmittel-Untersuch. und Forsch., 1954, 99, № 1, 27—39 (нем.).

Для определения присутствия конского жира в говяжьем или свином жире, основанного на том, что содержание линолевой и линоленовой к-т в конском жире значительно выше, чем в говяжьем или свином жире, предлагается модифицированный способ бромирования жирных к-т исследуемого жира с осаждением не растворимой в петр. эфире смеси тетра- и гексабромстеариновой к-т. 1—2 г жира, выделенного из исследуемого материала, омыляют 30 мл спирта, 0,5 н. КОН (30 мин.) и мыльный р-р после отделения неомыленных обрабатывают 20 мл 1 н. HCl и 50 мл насыщ. р-ра NaCl и к нему добавляют 20 мл петр. эфира. Эфирный слой после отделения водн. фазы трижды промывают 5 мл насыщ. NaCl и затем эфир отгоняют. Взвешенные жирные к-ты растворяют при $\sim 20^{\circ}$ в 10 мл насыщ. р-ра (P) тетрабромстеариновой к-ты в петр. эфире, р-р охлаждают до -4° и каплями к нему добавляют 5 мл р-ра брома в 100 мл P и оставляют колбу на ночь на льду. На другой день колбу нагревают до $\sim 20^{\circ}$, осадок, дважды промытый P, предварительно высушивают в вакуум-экскаторе (30 мин.), а затем в сушильном шкафу при 80° (1 час), после чего его охлаждают и взвешивают. Г. Ф.

66855. Растворимость тристеарина и гидрированного хлопкового масла в ацето- и бутироглицеридах. Уорд, Грос, Фьюдж (Solubility of tristearin and hydrogenated cottonseed oil in certain aceto- and butyroglycerides. Ward T. L., Gros Audrey T., Feuge R. O.), J. Amer. Oil Chemists' Soc., 1955, 32, № 6, 316—318 (англ.).

Определена растворимость бинарных смесей: тристеарин (I)-триолеин; I-1,2-диацето-3-олеин; I-1,2-дибутиро-3-олеин; гидрированное хлопковое масло (ГМ) в очищ. и отбеленном хлопковом масле и в ацетоолеиновом продукте (т. пл. -24° , ПЧ 63,9; гидроксильное число — 6,8). Для измерения растворимости отме-

чались т-ра исчезновения твердой фазы при нагревании и появление твердой фазы при охлаждении. Для этого запаянная ампула с удаленным воздухом помещалась в сосуд Дьюара с автоматич. регистрацией т-ры. Полученные данные для ГМ совпадают с данными Гофгарда, полученными dilatометрич. путем. Растворимость смесей, содержащих 0,18—30 вес. % I, практически не зависит от природы жидкого компонента. I более растворим в триолеин и менее растворим в 1,2-ацето-3-олеин. Увеличение растворимости I пропорционально увеличению т-ры. I более растворим в триолеин и менее в 1,2-диацето-3-олеин. ГМ имеет равную растворимость в ацетоолеиновом продукте и хлопковом масле. Н. С.

66856. Метод быстрого определения содержания масла в семенах. Бхатти, Улла (A rapid method for the estimation of oil contents of seeds. Bhatti M. K., Ullah Karim), Pakistan J. Scient. Res., 1955, 7, № 2, 54—55, 72 (англ.).

Предложен метод определения содержания масел в семенах, позволяющий сократить время экстракции с 4 час. до 10 мин. Навеску (1—2 г) исследуемого материала измельчают в ступке, добавляют к нему небольшое кол-во белого, промытого к-той песка и кусочек ваты (в случае семян хлопка с большой опушенностью вату добавлять не следует) и продолжают измельчать до состояния порошка. Эта операция требует ≤ 5 мин. Тщательно переносят измельченный материал с помощью металлч. шпателя в экстракционную гильзу видоизмененного экстрактора Болтона (в дне гильзы вместо одного — несколько отверстий). Гильзу помещают в смоченный р-рителем складчатый фильтр и 3-мя порциями по 10 мл петр. эфира ($40-60^{\circ}$) смывают в гильзу остатки материала со ступки, песка и шпателя. Вместо петр. эфира можно применять ($\text{C}_2\text{H}_5\text{O}$, C_6H_6 , CHCl_3 или CCl_4). Экстракция (на кипящей водяной бане) продолжается 10 мин., после чего отгоняют р-ритель (103° , 10 мин.), охлаждают сосуд в вакуум-экскаторе и взвешивают. Полученные результаты совпадают с данными стандартных методов. Г. М.

66857. Реакции фосфорной кислоты при самоокислении жиров. Приветт, Куаккенбуш (Reactions of phosphoric acid in the autooxidation of fats. Privett O. S., Quackenbush F. W.), J. Amer. Oil Chemists' Soc., 1954, 31, № 6, 225—227 (англ.).

Показано, что при самоокислении свиного жира в присутствии фосфорной к-ты образуется темный нерастворимый полимер, содержащий $> 2\%$ фосфора. Фосфорная к-та реагирует также с частично окисленным жиром, образуя не растворимый в нем комплекс, но не реагирует со свежими ненасыщ. эфирами жирных к-т. Опытами с частично окисленным жиром при 40° установлено наличие взаимного защитного действия между фосфорной к-той и α -токоферолом. Г. Ф.

66858. Установка для вытопки жира из пищевого и технического сырья. Либерман С., Масяная индустрия СССР, 1954, № 3, 23—25

Описана конструкция горизонтального вакуумного котла малой модели для сухой вытопки жиров. Габариты котла (в м): длина 5, ширина 2,3, высота 3. Емк. $2,3 \text{ м}^3$, единовременная загрузка сырья $1,5 \text{ т}$, давление пара в рубашке 4 атм , в котле $3,5 \text{ атм}$, число оборотов мешалки в 1 мин. — 27, мощность электродвигателя котла 14 квт, число оборотов в 1 мин. — 1000. В этой конструкции увеличена поверхность нагрева путем устройства паровой рубашки в задней крышке, устраняющей шум при работе мешалки, исключена возможность попадания жира в конденсационные устройства, достигается высокий вакуум благодаря мощному суховоздушному вакуум-наосу. Длительность переработ-

жира сокращается на 20%, вследствие чего снижается расход пара, электроэнергии и воды. Г. Ф. 66859.

Ацетоглицериды — новые продукты для возможного использования в качестве пищевых жиров.

Фьюдж (Acetoglycerides — new fat products of potential value to the food industry. Feuge R. O.), Food Technol., 1955, 9, № 6, 314—318 (англ.)

Новые жировые продукты — ацетоглицериды (AG) получают частичной заменой CH_3COOH жирных к-т масел и жиров. AG могут быть получены каталитич. перэтерификацией жиров и масел триацетином в присутствии свободного глицерина и без него. Перэтерификация происходит в присутствии 0,3% метилата натрия при перемешивании в атмосфере азота или водорода (30 мин.) при 50° или при более высокой т-ре, если реакционная масса не является жидкой при 50°. Другой способ получения AG: предварительное превращение исходного жира в моноглицерид путем его перемешивания с глицерином и ~0,1% NaOH (0,3—3 часа при 200—250°) → ацетилирование полученного моноглицеридов соответствующим кол-вом $(\text{CH}_3\text{CO})_2\text{O}$ (1 час, 110°) → гидролиз непрореагировавшего ангидрида (30 мин. 80°) → промывка водой для удаления образовавшейся CH_3COOH . Быстрое охлаждение 1,2-диацето-3-стеарина и 1-ацето-3-стеарина дает восковидную принципиально-неустойчивую форму, стабильность которой значительно возрастает в присутствии небольших кол-в глицеридов, напр. моно- и тристеарина. Ацетостеарины могут быть получены и в стабильной бета-форме кристаллизацией из р-рителей (гексан, ацетон), но в этой форме они лишены восковидности и напоминают обычные глицериды. AG стойки к окислительному действию кислорода воздуха. Высокоплавление ацетостеарины могут применяться в виде защитной пленки для предохранения мясных продуктов от воздействия кислорода воздуха, а также в виде защитной пленки для сыра и других продуктов. Ацетостеарины и ацетоолеины могут быть использованы как пластификаторы для некоторых полимеров или пластич. масс, в особенности, если последние должны быть получены в виде пленок для обертки пищевых продуктов. Ацетоолеины могут применяться в подобных маргарину спец. пищевых намазках с широким интервалом пластичности и в изготовлении шортингов, стойких при хранении в интервале 10—38°. Г. Ф.

66860. Мыло — история, производство и действие на здоровую человеческую кожу. Нейхаусе (Seife ihre Geschichte, Herstellung und Wirkung auf die gesunde menschliche Haut. Neuhaus H.), J. med. Kosmetik, 1954, № 5, 168—172 (нем.)

66861. Применение жирных кислот для производства мыла. Годредж (Fatty acids for soap manufacture. Godrej B. P.), Indian Soap J., 1954, 20, № 3, 79—82; Chem. Age, India, 1954, ser. 9, april, 93, 95—98 (англ.)

Указано, что при применении для мыловарения вместо нейтр. жиров жирных к-т получают больше и лучшего качества глицерин; образование мыла на 85% производят более дешевой кальцинированной содой; туалетное мыло вследствие отсутствия в нем большого кол-ва поваренной соли получается более пластичным. Ф. Н.

66862. Нафтеновые спирты, их производство и применение. Кланг, Палтин, Кристя (Alcoolii naftenici. Prepararea si utilizarea lor. Klang M., Paltin E., Cristea M.), Rev. chim., 1955, 6, № 9, 458—464 (рум.; рез. русс.)

Описан процесс получения нафтеновых спиртов (I) из нафтеновых к-т (II). Очистка II перегретым паром дает продукт с кислотным числом (KЧ) 210—260, число омыления (ЧО) 215—265, неомыляемых 0,8—2%, ПЧ 3—7,5, d_{20}^{20} 0,945—0,975, n_D^{20} 1,4748. К-ты пре-

вращают в сложные эфиры со спиртами типа *n*-бутилового, изоамилового (катализаторы $\text{C}_6\text{H}_5\text{SO}_3\text{H}$, $\text{C}_6\text{H}_5\text{CH}_2\text{SO}_3\text{H}$). Характеристика сложных эфиров: $K\chi \leq 2$, ЧО 150—170, d_{20}^{20} 0,915—0,925, интервал перегонки 80—190°. Восстановление эфиров II металлич. На со вторичными спиртами $\text{R}''\text{OH}$ идет по схеме: $\text{RCOOR}' + 2\text{Na} \rightarrow \text{RCNa}(\text{ONa})\text{OR}'$; $\text{RCNa}(\text{ONa})\text{OR}' + \text{R}''\text{OH} \rightarrow \text{RCH}(\text{ONa})\text{OR}' + \text{R}''\text{ONa}$; $\text{RCH}(\text{ONa})\text{OR}' \rightarrow \text{RCHO} + \text{R}''\text{ONa}$; $\text{RCHO} + 2\text{Na} \rightarrow \text{RCHNaONa}$; $\text{RCHNaONa} + \text{R}''\text{OH} \rightarrow \text{RCH}_2\text{ONa} + \text{R}''\text{ONa}$. Спирты регенерируют гидролизом. Полученные I имеют КЧ 4, ЧО 0—5, ацетиловое число 230—252, ПЧ 3—6,5, d_{20}^{20} 0,910—0,920, интервал перегонки 90—200°/3 мм. При сульфировании I получают высококачественные детергенты. А. М.

66863. Применение водорастворимых производных целлюлозы в мылах и моющих средствах. Штавиц (Wasserlösliche Cellulosederivate in der Seifen- und Waschmittelindustrie. Stawitz J.), Seifen-Öle-Fette-Wachse, 1955, 81, № 23, 663—665 (нем.; рез. англ., франц., исп.)

Основное назначение карбоксиметилцеллюлозы, которую вводят в мыла и в синтетич. моющие средства, — предохранять ткань от повторного отложения загрязнений во время стирки стабилизировать пену защищать кожу рук от воздействия синтетич. моющих средств, улучшать внешний вид туалетных мыл, повышать их эластичность. В средства для смягчения воды и для предварительной стирки ее вводят в кол-ве 1—2%, в таких же кол-вах она входит в состав моющих средств для стирки хлопчатобумажных тканей. Ф. Н.

66864. Определение качества технической карбоксиметилцеллюлозы. Штавиц (Die Qualitätsprüfung technischer Carboxymethylcellulosen. Stawitz J.), Seifen-Öle-Fette-Wachse, 1956, 82, № 4, 75—76 (нем.; рез. англ., франц., исп.)

Технический продукт содержит 30—99% чистой карбоксиметилцеллюлозы и примеси в виде поваренной соли, соды, бикарбоната, сульфата и гликолята натрия. Содержание влаги определяют высущиванием до постоянного веса (~15 час.) при 105° навески в 2—3 г. Для определения содержания чистой карбоксиметилцеллюлозы точную навеску ~3 г в-ва помещают в стакан на 250 мл, куда приливают 70 вес. ч. метанола и 30 вес. ч. воды. Перемешивают и дают стоять 10 час. Отстоявшуюся прозрачную жидкость сливают через предварительно взвешенный бумажный фильтр. Промывку повторяют до отрицательной р-ции фильтрата на NaCl, сульфат натрия и соду. После этого количественно переводят на фильтр остаток, промывают его метанолом и затем высущивают при 105° до постоянного веса (~8 час.). Ф. Н.

66865. Новые усовершенствования в чистящих смесях. Диксон (New developments in cleaning compounds. Dixon W. J.), Mod. Sanit., 1955, 7, № 11, 14—16, 41—46 (англ.)

Перечислены различные хим. в-ва, применяемые в чистящих смесях, и их целевое назначение (козл. добавки — крахмал, белковые в-ва, карбоксиметилцеллюлоза; производные лецитина — для предохранения рук от обезжиривающего действия смазывающих в-в, применяемых в чистящих средствах; метасиликаты — для предохранения металлов от коррозии и др.). Приведена сравнительная характеристика шел. солей, комплексных фосфатов и органич. соединений, применяемых в качестве очищающих средств. Ф. Н.

66866. Поддержание концентрации неионогенных моющих средств. Дейвис, Уотман, Спил (Maintaining nonionic concentration. Davis B. F., Wattman K. E., Speel H. C.), Soap and Chem. Specialties, 1955, 31, № 12, 73, 75, 77, 79 (англ.)

Описан метод колич. определения неионогенных соединений титрованием р-ром фенола известной конц-ии. Р-р фенола добавляют до тех пор, пока прозрачный р-р неионогенных соединений не начнет опалесцировать. Конц-ию неизвестного соединения определяют по калибровочной кривой (мл р-ра фенола — конц-ия), построенной на основании результатов титрования известного соединения. Метод ограничен в своем применении.

Ф. Н.

66867. Водорастворимые поверхностноактивные соединения под электронным микроскопом. I. Методы исследования и первые результаты в отношении натровых мыл. Клинг, Маль (Wasserlösliche grenzflächenaktive Verbindungen unter dem Elektronen-Mikroskop I: Untersuchungsmethoden und erste Ergebnisse an Natriumseifen. Kling W., Mohl H.), Fette, Seifen, Anstrichmittel, 1955, 57, № 9, 643—647 (нем.; рез. англ., франц., исп.)

При исследовании каприната, лаурата, миристиата, пальмитата, стеарата и олеата натрия (99%-ной чистоты) найдено, что кристаллы из разб. р-ров имели форму пластинок, морфологически отличающихся для разных препаратов. Капринат имел форму ромбов, лаурат — округленные образования, мирилат — прямоугольные пластинки, пальмитат — преимущественно шестиугольные пластинки, стеарат — пластинки с зазубренными краями, олеат не имел определенной формы, но имел небольшое кол-во волокон. При повышении pH р-ров наблюдается образование волокон и лент. Из более конц. р-ра лаурата образуются длинные лентообразные волокна. При 2,5-ном р-ре, наряду с короткими иглами, имелись длинные волокна. Гели всегда имеют форму волокон, поэтому можно сказать, что превращение в гель сопровождается образованием волокон.

Ф. Н.

66868. Поверхностноактивные свойства солей α -сульфокислот и эфиров. Стертон, Уэйл, Бистлайн (Surface-active properties of salts of alpha-sulfonated acids and esters. Stirton A. J., Weil J. K., Bistline R. G., Jr), J. Amer. Oil Chemists' Soc., 1954, 31, № 1, 13—16 (англ.)

Исследовались растворимость, моющая способность (МС) и поверхностноактивные свойства для моно- и динатриевых солей лауриновой, миристиновой, пальмитиновой (I) и стеариновой (II). α -сульфокислот. Растворимость в интервале от 10 до 70° и МС 0,25%-ных р-ров α -сульфокислот в дистилл. и жесткой воде определялись при помощи лаундрометра. Установлено, что наибольшей МС обладают наименее растворимые соли, напр. ди- Na-соль II и, наоборот, легко растворимые, как Na-соль α -сульфоллауриновой к-ты и ди- Na-соль α -сульфамиристиновой к-ты являются плохими детергентами. Хорошими детергентами являются аммониевая и триэтаноламинная соли I. Величина pH 0,1% р-ров аммониевой, триэтаноламинной, Na-соли и ди- Na-соли I при 25° равна, соответственно, 3,8; 3,8; 3,4 и 7,7. Аммониевую соль I получают добавлением в течение 20 мин. 1,5 молей SO_3 при 25—45° к р-ру 165 г пальмитиновой к-ты в 1,200 мл CCl_4 , поднимают т-ру до 70° и затем нейтрализуют водн. NH_3 , отгоняют р-ритель и продукт нагревают с разб. H_2SO_4 для перевода аммониевой соли пальмитиновой к-ты в ди-аммониевую соль I в пальмитиновую к-ту и аммониевую соль I, выход 85%. Для получения Na-соли изопропилового эфира II 44 г жидкого SO_3 добавляют к р-ру 100 г стеариновой к-ты в 450 мл CCl_4 , т-ра повышается от 22 до 39°. Смесь нагревают в течение часа при 50—63°, охлаждают до 0° и отфильтровывают. Осадок промывают 100 мл CCl_4 и сушат над сульфатом кальция. Выход II — 85%. 107 г II в 200 мл изо- $\text{C}_3\text{H}_7\text{OH}$ кипятят в течение 6 час., охлаждают и нейтрализуют Na_2CO_3 . Смесь обесцвечивают углем, охлаждают до

—10° и отфильтровывают. Осадок промывают метанолом и сушат в вакууме при 65°. Выход изопропилового эфира Na-соли II с т. пл. 80—82° 68%, считая на стеариновую к-ту и 79%, считая на II. Всего синтезировано 24 эфира Na-солей I и II. Поверхностноактивные свойства изучались для хорошо растворимых в воде эфиров спиртов с числом атомов C 1—6. МС этих эфиров одинакова и равна МС ди- Na-соли I в дистилл. воде и несколько хуже в жесткой воде. Поверхностное натяжение и межповерхностное натяжение эфиров низших первичных и вторичных спиртов уменьшается с увеличением кол-ва атомов C в алкильной группе. Na-соли I и II наиболее устойчивы к гидролизу из всех поверхностноактивных агентов, имеющих активным компонентом эфирную или амидную группу. Эфиры α -сульфокислот обладают лучшими пенящими свойствами, чем ди- Na-соли сульфокислот.

Н. К.

66869. Свойства солей первичных алкилсульфатов с прямой цепью и их растворов с точки зрения их технического применения. Части 1 и 2. Гётте (Die Eigenschaften der Salze primärer unverzweigter Alkylsulfate und ihrer Lösungen im Hinblick auf ihren technischen Einsatz, 1.2 Teil. Götte E.), Fette, Seifen, Anstrichmittel, 1954, 56, № 8, 583—587; № 9, 670—675 (нем.; рез. англ., франц., исп.)

Часть I. Соли алкилсульфатов с одновалентными металлами кристаллизуются без воды. Соли щел.-зем. и тяжелых металлов кристаллизуются с водой на 1 моль меньше, чем соответствующие чисто неорганич. сульфаты. Элементарная моноклиническая ячейка додецилсульфата имеет размеры: $a = 16,47 \text{ \AA}$; $b = 10,35 \text{ \AA}$, $c = 77,7 \text{ \AA}$, угол $\alpha = 93^\circ 18'$. Элементарная ячейка его содержит 32 молекулы. Калийные соли алкилсульфатов менее растворимы, чем натриевые соли, а последние менее растворимы, чем аммонийные. Растворимость кальциевых солей алкилсульфатов: C_8 —400 г/л; C_{10} —250—300 г/л; C_{12} —0,3—0,4 г/л. Приведены данные различных авторов по электропроводности, поверхностному и межфазному натяжению, адсорбции на текстильных волокнах.

Часть 2. Приведены данные о критич. конц-ии образования мицелл натриевых солей первичных алкилсульфатов (АС) с различной длиной неразветвленной цепи, рассмотрено строение мицелл АС и процесс сопряженного растворения углеводородных жидкостей р-рами АС. Определены смачивающая, пенообразующая и моющая способность АС. Установлена линейная зависимость между логарифмом смачивающей способности и числом углеродных атомов в цепи АС при резком минимуме у АС с 13 атомами C. Пенообразующая способность у всех гомологов линейно повышается с логарифмом конц-ии. Устойчивость пены имеет максимум у всех гомологов при критич. конц-ии образования мицелл. Наилучшей моющей способностью обладают АС с 12—14 атомами C. Значительно худшей моющей способностью обладают АС с 16 и 10 атомами C в цепи.

Ф. Н.

66870. Определение типа синтетических поверхностноактивных соединений. Уэтерберн (Determination of the ionic type of synthetic surface active compounds. Weatherburn A. S.), Text. J. Australia, 1955, 29, № 12, 1511—1512 (англ.); Canad. Text. J., 1954, 71, № 16, 45—46 (англ.); Text. J. Australia 1954, 29, № 8, 996, 998 (англ.)

Приготовляют р-р индикатора, содержащий в 1 л 0,03 г метиленовой голубой, 12 г конц. H_2SO_4 и 50 г безводн. Na_2SO_4 , а также 0,05%-ный р-р какого-либо анионактивного в-ва. Помещают в пробирку с резиновой пробкой 8 мл р-ра метиленовой голубой и 5 мл хлороформа и прибавляют по каплям р-р анионактивного в-ва, встряхивая каждый раз пробирку и оставляя ее после этого в покое до разделения слоев. Прибавление

р-ра анионоактивного в-ва прекращают, когда окраска водн. и хлороформенного слоев будет одинакова. Затем прибавляют 2 мл 0,1%-ного р-ра неизвестного соединения, энергично встряхивают пробирку и дают содержимому пробирки разделиться на два слоя. Если окраска усиливается в хлороформенном слое, а водн. слой остается практически бесцветным, то исследуемое соединение анионоактивное, если же окраска усиливается в водн. слое, то соединение катионоактивное. Если же окраска равномерно распределяется в обоих слоях, то соединение неионогенное. Мыло ведет себя как неионогенное соединение.

Ф. Н. 66871. Новый метод определения способности образовывать пену. Сисле, Лури (New method for determination of foaming power. Sisley J. P., Lougry M.), Soap and Chem. Specialties, 1955, 31, № 4, 44—46, 99 (англ.)

66872. Способы обезжиривания стекла моющими и очищающими средствами. Баумгартнер (Das Glas-Entfettungsvermögen von Wasch- und Reinigungsmitteln. Baumgartner Raymond), Seifen-Öle-Fette-Wachse, 1953, 79, № 24, 622—624, 625; № 25, 645—647 (нем.)

Получены и обобщены эксперим. данные по обезжириванию стекла различными фосфатами ($\text{Na}_3\text{PO}_4 \cdot 12\text{H}_2\text{O}$; $\text{Na}_4\text{P}_2\text{O}_7 \cdot 10\text{H}_2\text{O}$; $\text{Na}_5\text{P}_3\text{O}_{10}$; $\text{Na}_6\text{P}_4\text{O}_{13}$; $[\text{Na}_2 + \text{PO}_3]_n$) силикатами ($\text{Na}_2\text{SiO}_3 \cdot 9\text{H}_2\text{O}$; $\text{Na}_2\text{O} : \text{SiO}_2 = 1:4$), солями щел. металлов карбоновых к-т (мыло) и эфиров серной к-ты (первичные и вторичные алкилнатрийсульфаты, аллизариновое масло), солями и эфирами сульфокислот и продуктами с органич. активными в-вами. Опыты проведены при различных конц-ях моющих средств с дистилл. и водопроводной водой при 60 и 40°. Приведены графики обезжиривающего эффекта, выраженного в процентах в зависимости от конц-и моющего средства и т-ры. Даны выводы из работы по обезжириванию стекла моющими и очищающими средствами. Разработан метод колич. определения эффекта обезжиривания (ЭО). Измерен ЭО стекла щелочными, фосфатами, силикатами, органич. поверхностноактивными в-вами и комбинированными моющими и очищающими средствами при конц-ях 0,25—8 г/л. Отмечено различие в действии и свойствах испытанных в-в. Лучшими моющими в-вами являются органич. поверхностноактивные в-ва. Указаны миним. кол-ва их, при которых наступает обезжиривание стеклянной пластины. Ближе к ним по обезжиривающей способности подходят фосфат натрия и полифосфаты. Щелочи обнаруживают недостаточную обезжиривающую способность стекла. Наименьший ЭО показало аллизариновое масло. Комбинированные моющие средства, содержащие 40% органич. поверхностноактивных в-в, при конц-и 1—3 г/л дают такой же ЭО, как 100%-ное мыло, взятое в тех же кол-вах. Предыдущее сообщение см. РЖХим, 1956.

С. К. 66873. О механизме действия карбоксиметилцеллюлозы в процессе стирки и применении флуоресцентной микроскопии. Штюпель, Рорер (Über den Mechanismus der Wirkungsweise von Carboxymethylcellulose im Waschvorgang und die Anwendung der Fluoreszenzmikroskopie. Stüpel H., Röhrer E.), Fette, Seifen, Anstrichmittel, 1954, 56, № 8, 588—592 (нем.; рез. англ., франц., исп.)

Показано, что моющая способность карбоксиметилцеллюлозы (КМЦ) обусловлена адсорбцией ее на частицах загрязнений. Это препятствует вторичному поглощению грязи целлюлозными материалами из моющего р-ра. Указанный механизм действия КМЦ был установлен при использовании микроскопа с флуоресцирующим освещением и путем подбора из целой серии флуорохромов соответствующего красителя — акридиноранжа «Гайг». Была использована КМЦ со следующими по-

казателями: Na-соль КМЦ—79,7%, волокон КМЦ — 3,1%, соли — 3,2%, воды — 14%; относительная вязкость — 29 сантиу; степень полимеризации — 270, степень этерификации — 0,78. Моющие р-ры приготавливались при содержании КМЦ от 50 до 10,0 г/л. При т-ре 20—100° и pH 1—13 КМЦ окрашивается в УФ-свете в красный цвет, в то время как целлюлозные волокна (рами, вата, хлопчатобумажная ткань, искусств. шелк) и шерсть, частички различных видов грязи и компоненты моющих р-ров (Na_2CO_3 , NaOH и др.) в отдельности и в комбинации друг с другом подобной окраски не обнаруживают. Наблюдения показали, что частички грязи быстро обволакиваются КМЦ, в то время как на волокнах КМЦ не обнаруживается. КМЦ адсорбируется на волокнах только в кислой среде и при очень длительном воздействии (многие часы) в холодных растворах.

А. Я. 66874. Оценка моющего действия с помощью кривых, построенных по показаниям фотометра. Бейкон, Смит (Detergent efficiency — interpretation of reflectance curves. Bacon Osborne C., Smith Edward J.), Amer. Dyestuff Reporter, 1954, 43, № 19, P619—P622 (англ.)

Для колич. оценки моющего действия предложена ф-ла, основанная на определении степени близости искусственно загрязненной ткани до и после стирки с помощью фотометра. Относительное моющее действие = $-\log R_2 - R_1/33,2$, где R_2 и R_1 — показания фотометра, b — постоянная, определяемая экспериментально для загрязненной ткани.

Ф. Н. 66875. Визуальные наблюдения за поведением частичек загрязнений в разбавленном мыльном растворе. Хок (Visual observations of the behavior of soil particles in dilute aqueous soap systems. Hock Charles W.), Text. Res., J., 1955, 25, № 8, 682—685 (англ.)

Наблюдения проводились под электронным микроскопом. Образцы 0,15%-ного р-ра олеата натрия замораживались и из них под вакуумом удалялась влага. Частички мыла имели удлиненную стреловидную или цилиндрич. форму с диам. 100—150 А и длиной 500—1500 А. При добавлении к 500 мл р-ра мыла 0,1 г графита частички мыла обволакивали частички графита. Это объясняет предотвращение повторного отложения загрязнения на ткань при стирке ее.

Ф. Н. 66876. Оптимальная температура полоскания белья. Кинд (Die Temperatur beim Spülen. Kind W.), Wäscherei-Techn. und -Chem., 1956, № 1, 14, 16 (нем.)

66877 П. Извлечение жиров (Extracting fat) [British Glues and Chemicals Ltd]. Австрал. пат. 163325, 30.06.55

Процесс извлечения жиров и масел состоит в том, что жирсодержащий материал при необходимости измельчается и подвергается воздействию интенсивных ударов (импульсов) в присутствии относительно большого кол-ва воды. При этом происходит разрушение клеточной структуры материала и выделение жира. Полученная масса подвергается затем двухступенчатому центрифугированию, причем в первой стадии отделяется твердая часть массы, а во второй стадии происходит разделение на жир и воду жидкой части массы, нагретой до т-ры плавления жира или несколько выше ее.

Г. Ф. 66878 П. Составы из соевого масла. Мельник, Гудниг, Валтейк (Soya bean oil compositions. Melnick Daniel, Gooding Chester M., Vahlteich Hans W.) [The Best Foods, Inc.]. Канад. пат. 506256, 5.10.54

Патентуется состав пищевого жира из 25—75% растительного салатного масла с низким числом (ИЧ) <120 и 75—25% гидрогенизированного и выморожен-

ного соевого масла (ГС) с ПЧ 100—120, содержащего <5% конъюгированных диеновых к-т и <0,02% конъюгированных тетраеновых к-т. Патентом предусматривается также рецептура майонеза, в состав которой, помимо уксуса, яиц и соли, входят 40—60% растительного салатного масла с ПЧ <120 и 60—40% ГС с ПЧ 100—120, <5% конъюгированных диеновых <0,2% конъюгированных триеновых и <0,02% конъюгированных тетраеновых к-т. Жировая рецептура майонеза может также состоять из 50% хлопкового салатного масла с ПЧ <120 и 50% ГС с ПЧ 100—120 с тем же кол-вом конъюгированных диеновых, триеновых и тетраеновых кислот.

66879 П. Усовершенствованный и упрощенный метод холодного пилирования мыла и получаемых из него продуктов. Маршалл (Method of improving and simplifying the cold milling of soap and product obtained thereby. Marshall Donald E.) [Micro Processing Equipment Co. Inc.]. Пат. США 2724702, 22.11.55

Патентуется метод получения смешанного калийно-натрового туалетного мыла с мелкокристаллич. структурой. Такое мыло должно состоять из 70—95% натрового мыла и 5—30% калийного мыла. В него можно вводить до 15% пережиривающих в-в (вазелин, лапозин) и 5—20% синтетич. моющих средств. Смешивают высушенную стружку, состоящую из натрового и калийного мыла. Его пилируют, продавливая 3—4 раза через решетку с диаметром отверстий ~1,5 мм под давл. 35—70 атм и при 38—49°. Продукт после этой обработки получается в форме очень тонких хлопьев. Его подвергают механич. обработке и затем из него формируют куски мыла. Содержание влаги в готовом куске мыла 11%. Аналогично получают мыла с другими пропорциями натрового и калийного мыла и вводом в смесь пережиривающих в-в и синтетич. моющих средств.

66880 П. Смесь для получения моющих веществ — полигликоль-фенольных продуктов конденсации. Сарчет (Composition for producing detergent polyglycol-phenol condensation products. Sarchet Bernard R.) [Koppers Co. Inc.]. Пат. США 2709683, 31.05.55

Патентуется жидкая смесь полигликоль-фенольных продуктов конденсации, содержащая в фенольной части 30—70% (предпочтительно, 30%) полифенола (I) и (остальное до 100%) ди-*трет*-бутил-*м*-крезол (II), общей ф-лы $\text{PhO}(\text{CH}_2\text{CH}_2\text{O})_n\text{CH}_2\text{CH}_2\text{X}$, где X—OH или SO_4 ; Ph — фенольный остаток, а *n* — целое число. При X — SO_4 *n* = от 2 до 5; при X — OH *n* = от 5 до 11 и более. К 110 г смеси, содержащей 30% технич. I и 70% технич. II, добавляют для образования фенолятов 28 г KOH в 100 г воды и дополнительно 250 г воды. Экстрагируют непрореагировавшие фенолы 44 г бензола. Р-р фенолятов нагревают с 205 г хлорида полиэтиленгликоля (III) со средним мол. в. 410, отгоняя образующуюся воду в ловушку Дина-Старка. Постепенно поднимают т-ру до 240°, затем охлаждают, отфильтровывают KCl и получают прозрачный вязкий желтоватый продукт (*n* = 7—8), который может применяться как таковой, либо в р-ре или в смеси с твердыми сорбентами.

66881 П. Дезинфицирующий и моющий раствор для кожи человека. Шмиц (Disinfecting and cleansing solution for the human skin. Schmitz Adolf). Пат. США 2717850, 13.09.55

Патентуется водн. дезинфицирующий и моющий р-р, имеющий практически такой же pH, как и кожа человека. Главным действующим агентом в нем является водорастворимая соль высокомолекулярной аминокислоты $\text{C}_{12}\text{H}_{25} \cdot \text{NH} \cdot \text{CH}_2\text{CH}_2\text{NH} \cdot \text{CH}_2\text{CH}_2\text{NH} \cdot \text{CH}_2\text{COOH}$, получаемой взаимодействием 1 моля монодецилдидилэтилтриамина с $\text{ClCH}_2\text{COONa}$. Водн. р-р дан-

ной к-ты обрабатывают молочной к-той и получают соответствующий лактат. Во избежание уменьшения дезинфицирующего действия его употребляют совместно с жирами, маслами или мылами.

66882 П. Моющие средства для сосудов пищевой промышленности, хирургических инструментов и т.д. (Produits de nettoyage pour des récipients de l'industrie alimentaire, des instruments de chirurgie etc.) [Badische-Anilin & Soda-Fabrik A.-G.]. Франц. пат. 1077879, 12.11.54 [Teintex, 1955, 20, № 6, 501 (франц.)]

Новые детергенты получают при растворении или смешивании: а) катиоактивных производных, имеющих алифатич. радикалы, с 12—26 атомами C (напр., хлориды диметилабензилдодecilаммония, стеарилциклогексаметиленбензиламмония, бромид α -цетил-бензиламино-N-метил-пиридина и т.д.), б) производных четвертичного аммония или третичных аминов с щел. р-цией, содержащих 8—14 атомов C, а также гидрофильные группы, являющиеся продуктом р-ции 6—8 молей окиси этилена с 1 молем олеиламина, проакилированные диметилсульфатом или амидами жирных к-т кокосового ореха.

66883 П. Поверхностноактивные смеси, содержащие имиды. Малкемус (Surface active compositions containing imides. Malkemus John David) [Colgate-Palmolive Co.]. Пат. США 2717878, 13.09.55

Патентуется смесь моющих в-в, состоящая из анионного поверхностноактивного органич. продукта в виде водорастворимой Na-соли сульфокислоты или алкилсерной к-ты, напр. Na-моносulfата моноглицерида высших к-т и одного из следующих имидов: RCHCONHCOCH_2 , RCONHCO , RCONR''COR' и

RCR''CONR''COCR—R , где R — алкил или алкенил с

8—24, предпочтительно 12—18, атомами C (напр., октадецил или додецил), R' — низший алкил и R'' — H или низший алкил, содержащий 1—3 атома C. Кол-во имиды в смеси 0,01—50%, предпочтительно 1—10%. Применяются, в частности: миристилацетимид, лаурилацетимид, N-этилмид, додецилсукцинимид, тетрадецилмалеимид. 25 г свеженерегнанного над Na гексадецена-1 конденсируют с 11 г малеинового ангидрида, нагревают полученный ангидрид Δ -4,5-октадецен-1,2-дикарбоновой к-ты до 130° и пропускают через расплав сухой NH_3 , поднимая т-ру в течение 1 часа до 190°. Образовавшийся имид Δ -4,5-октадецендикарбоновой к-ты (I) последовательно промывают разб. водн. р-рами HCl, Na_2CO_3 и снова HCl. Выход I почти количественный, блестящие белые пластины, т. пл. 82—83° (из CH_3OH). К 40%-ному водн. р-ру, содержащему моносulfат моноглицерида жирных к-т кокосового масла (60% от веса сухого в-ва р-ра) и Na_2SO_4 (40% от веса сухого в-ва, добавляют I в кол-ве 2% от общего веса сухого в-ва. I может быть заменен соответствующими производными CH_3NH_2 , CH_3NH_2 , $\text{C}_2\text{H}_7\text{NH}_2$ и *изо* — $\text{C}_3\text{H}_7\text{NH}_2$. Смесь обладает хорошими пенообразующими свойствами.

66884 П. Маслорастворимые поверхностноактивные вещества и составы, содержащие их. Стейнер, Стейнер (Surfaceactive agents and oil compositions containing them. Oil-soluble surface-active agents and compositions containing them. Stayner Richard D., Stayner Robert A.) [California, Research Corp.]. Пат. США 2697656, 2697657, 21.12.54

Патентуется маслорастворимые поверхностноактивные в-ва: по пат. 2697657 общей ф-лы $\text{R' (R'')}_x\text{C}_6\text{H}_4\text{—CH}_2\text{—N (R''')OSO}_3\text{H—CH}_2\text{—C}_6\text{H}_4\text{—R'' (R'')}_x$, где R' и R'' — алкильные группы с 9—18 атомами C, R — H

или CH_3 , x от 1 до 3, R''' — алкилен с 1—7 атомами С. По пат. 2697656 общей ф-лы $\text{R}'\text{R}''\text{R}'''\text{N}^+\text{CH}_2\text{COO}^-$, где один или два радикала алкилбензильные, имеющие в каждом бензольном ядре заместители с 9—18 атомами С, а остальные — алкильные или оксипалкильные с 1—7 атомами С. С. П.

66885 II. Способ изготовления синтетического очищающего средства требуемого цвета. Сильвестер (Procédé perfectionné de fabrication d'un détersif synthétique de couleur satisfaisante. Sylvester Hebert S.) [Colgate Palmolive Peet Co.]. Франц. пат. 1085639, 4.02.55 [Oleagineux, 1955, 10, № 4, 292 (франц.)]

Очищающее средство получают в результате смешивания растворимого силиката, щел. гипохлорита (NaOCl) и водн. суспензии алкиларилсульфоната. Е. К.

66886 II. Способ получения моющих и эмульгирующих средств, а также средств для валяния шерсти. Хессе (Verfahren zur Herstellung von Wasch-, Walk- und Emulgiermitteln. Hess Fritz) [Elektrochemische Fabrik Kempen-Rhein Dr. Brandenburg & Weyland G. m. b. H.]. Пат. ФРГ 918625, 27.09.54 [Fette, Seifen, Anstrichmittel, 1955, 57, № 9, 761 (нем.)]

Способ получения смесей, приготовленных из продуктов конденсации белковых в-в и жирных к-т и катионноактивных сульфатов, характеризующийся тем, что продукты конденсации белковых в-в и жирных к-т осаждаются из р-ров поверхностноактивными сульфокислотами и возникающий осадок затем вновь растворяется в щелочах. В. Я.

66887 II. Способ получения масляных и жировых дисперсионных систем (Verfahren zur Herstellung von Öl- und Fettdispersionen) [van Hees G. mb. H.]. Пат. ФРГ 919779, 2.11.54 [Fette, Seifen, Anstrichmittel, 1955, 57, № 9, 761 (нем.)]

Способ получения масляных и жировых дисперсионных систем, характеризующийся тем, что в качестве эмульгаторов применяются шире-, мета- или полифосфаты или их смеси. В. Я.

66888 II. Способ и аппаратура для увеличения смачивающей способности воды. Хевенор, Рейк (Procédé et dispositif pour augmenter le pouvoir mouillant de l'eau. Hevenor Rester P., Reich Irving) [Aquadyn Corp.]. Франц. пат. 1061675, 14.04.54 [Chem. Zbl., 1955, 126, № 14, 3276 (нем.)]

Воду пропускают через аппарат, внутри которого находится легко растворимая в ней смесь, содержащая «ионик 218» (алкилмеркантополиоксидиленовый эфир с прямой цепью) (до 67%), аэрозоль ОТ (Na-диоктилсульфосукцинат), жирные к-ты кокосового масла, стеариновую к-ту Na_2CO_3 и воду. Na_2CO_3 в присутствии воды образует мыло, посредством которого вся смесь превращается в прозрачную твердую массу, напоминающую парафин. В. Я.

66889 II. Способ для очистки поверхностей от масла и маслянистых осадков и регенерация неиспользуемого моющего средства. Грум (Means for cleaning surfaces of oil and oily deposits and for reclaiming liquid used in cleaning. Groom Reginald William). Пат. США 271978, 28.06.55

Патентуется способ очистки внутренних поверхностей баков с удалением маслянистых осадков. В бак вводит по крайней мере одну форсунку и через нее под давлением разбрызгивают по стенкам нагретый р-р соответствующего моющего средства. Последний вместе с маслом удаляют из бака и разделяют их путем отстаивания. Масло регенерируют. Отделенный р-р моющего средства снова нагревают и используют для повторного применения указанным методом. Ф. Н.

См. также: Воски 64112. Жиры 65113, 66205; 18749Бх, 19199Бх, 19566Бх. История 64069

УГЛЕВОДЫ И ИХ ПЕРЕРАБОТКА

66890. Международная конференция по сахарной промышленности в Праге. Левон (Międzynarodowy Zjazd przem. cukrowniczego w Pradze. Lewon J., Przem. spożywczy, 1956, 10, № 1, 35—36 (польск.).

66891. Различные виды вырабатываемых сахаров и их применение. Куинлан (Sugar types and uses. Quinlan David), Food Engng, 1954, 26, № 6, 85—86 (англ.)

Рассмотрена номенклатура различ. видов сахара в зависимости от величины кристаллов и назначение их в произ-ве пищевых продуктов. А. Е.

66892. О некоторых вопросах реконструкции сахарной промышленности. Шакин А. Н., Бенин Г. С., Сахарная пром-сть, 1955, № 7, 5—9

При составлении плана перевооружения технич. базы сахарной пром-сти рекомендуется, в частности, учитывать возможность устройства на базе использования старых з-дов, сокодобывающих станций (рапри), выпуск сахара-сырца и вывод желтых песков на з-дах, где продуктовые отделения имеют недостаточную мощность, создание механизированных свеклоприемочных пунктов и использование подземных путей ряда мелких з-дов для обеспечения центральных з-дов сырцем. Г. Б.

66893. Аномалии при кристаллизации сахара при варке. Киндт (Anomalie nella cristallizzazione durante la cottura Kindt G. G.), Ind. saccarif. ital., 1954, 47, № 9—10, 376—378 (итал.)

Обзор возможных аномалий при кристаллизации сахара. Б. А.

66894. Кристаллизация сахарозы в присутствии незначительных количеств ионов кобальта. Судзук (微量のコバルトイオンを用いる蔗糖結晶法に関する研究. 鈴木啓雄), 工業化学雑誌, Koré karaku dassai, J. Chem. Soc. Japan. Industr. Chem. Sec., 1954, 57, № 10, 763—765 (япон.)

66895. Применение сатурационного мела В—К (Вашатко — Крижан) при хранении и вегетации сахарной свеклы. Иванченко, Рябошинский (Použitie saturačnej kredo V—K (Vašatko-križan) počas skladovania a vegetácie cukrovky. Ivančenko D., Rjabošinskij A.), Chem. zvesti, 1955, 9, № 10, 607—624 (словац.; рез. русс., нем.)

Исследовано влияние сатурационного мела В—К (Вашатко — Крижан) (МВК), приготовленного из фильтпрессной грязи сахарного з-да, на качество сахарной свеклы при ее хранении и вегетации. Установлено, что хлорированный МВК задерживает микробиологич. процессы при хранении свеклы, сопровождающиеся распадом сахаров. Потери сахара при хранении у свеклы, обработанной МВК, значительно меньше, чем у обычной свеклы. Исследование хим.-технологич. свойств такой свеклы и соков показало, что МВК оказывает влияние на цветность сока, содержание сахара, редуцирующих в-в, на скорость фильтрации и другие свойства. Соки из свеклы, обработанной МВК, более устойчивы: при уваривании их понижение щелочности, увеличение редуцирующих в-в и изменение цветности происходит в меньших размерах. Установлено, что при обработке сахарной свеклы МВК во время вегетации повышается сахаристость свеклы и улучшаются хим.-технологич. свойства сока. А. П.

66896. Влияние скорости движения тока жидкости на диффузию сахара внутри свекловичной стружки. Терзе, Терзе (Einfluss der Strömungsgeschwindigkeit der Flüssigkeit auf die Diffusion innerhalb des Rübenkörpers. Tegze M., Frau Tegze M.), Acta techn. Acad. sci. hung., 1955, 11, № 3—4, 405—414 (нем.; рез. русс., франц., англ.)

Для колич. определения величины сопротивления, оказываемого диффузии сахара из свекловичной стружки «граничной пленкой», образующейся по гидродинамич. причинам на граничной поверхности между кусками свекловичной стружки и протекающим соком, понятие сопротивления этой пленки заменено эквивалентным понятием — увеличения размера свекловичной стружки. Эксперим. определение толщины этого фиктивного приращения слоя стружки производили по методике, уже примененной в предыдущей работе (РЖХим, 1955, 50786), со свекловичными цилиндриками разного диаметра и при различных скоростях движения жидкости. Толщина фиктивной пленки при скорости в 1 см/сек оказалась равной $\sim 5 \cdot 10^{-3}$ см. При изменении этой скорости в пределах 0,2—8,0 см/сек толщина пленки изменяется на $\sim 2 \cdot 10^{-3}$ см. Л. Ш.

66897. Диффузионная установка Олье. Олье (Die Olier — Diffusion. Olier Louis), Z. Zuckerind., 1954, 4, № 7, 283—288 (нем.; рез. англ., франц.) Описаны конструкция и принцип работы диффузионной установки Олье, вычислен к. п. д. и указаны ее преимущества. Приведены результаты работы установки в последний сезон сахароварения. А. П.

66898. Опыты по очистке сока на свеклосахарном заводе. Бернадак (Essais d'épuration des jus en sucrerie de betteraves. Bernadac B.), Inds. agric. et aliment., 1954, 71, № 4, 335—340 (франц.) Опыты, проведенные за время кампании 1953/54 г. на сахарном з-де в Кольвиле, показали эффективность описанного ранее процесса Перкэна (Inds. agric. et aliment., 1953, 70, № 5, 379—384) для очистки сока. Расход CaO при этом может быть понижен до 8 г/л. Б. А.

66899. Рационализаторские методы в сахарном производстве. Диллингер (Zlepšovacie metódy v cukrovarníctve. Dillingier Milslav), Pírod. védy škole, 1956, 6, № 4, 1—6 (словац.)

Описаны преддефекация диффузионного сока по методу Ваташка и получение мела из фильтпрессной грязи по способу Ваташка—Крижана. Е. Ш.

66900. Возможности развития энергетического хозяйства в сахарной промышленности. Олле (Az energiagazdálkodás fejlesztési lehetőségei a cukoriparban. Olle László), Cukoripar, 1954, 7, № 9, 161—167 (венг.)

Доклад на конференции по энергетике в сахарной промышленности в 1954 г. Отмечается, что использование тепла дымовых газов ($t_{ра} 250^\circ$) для сушки резаной свеклы может дать экономии энергии в 6—8%. Приведены расчеты расхода тепла на выпарке и других станциях. При выходе сахара 15% суммарный миним. расход пара будет $\sim 39,5$ кг/ц свеклы (по норме можно требовать расход 45,5 кг/ц или 24000 ккал/ц). Использование резервов: тепла конденсатных вод и от вакуум-аппаратов может привести к уменьшению расхода пара до уровня ~ 20 000 ккал/ц. Г. Ю.

66901. Из опыта работы Корецкого сахарного завода. Мартынюк Е. И., Сахарная пром-сть, 1955, № 8, 29—30

Для облегчения контроля за выполнением технолог. процесса в помещении лаборатории з-да подведены трубы диам. 33 мм, по которым непрерывно циркулирует сок (преддефекованный, 1-ой сатурации, перед выпаркой). Отбор проб соков для анализа производит непосредственно в лаборатории. Сообщается об удачном устройстве для автоматич. подачи колеровки на основную дефекацию в зависимости от кол-ва диффузионного сока, поступающего на очистку; для чего установлены два сборника, в один подается диффузионный сок, а во второй — колеровка; оба сборника оборудованы связанными между собой поплавками, рассчитанными таким образом, чтобы при отсутствии диффузионного

сока выход колеровки на дефекацию был бы исключен и наоборот — при большем кол-ве проходящего через первый сборник диффузионного сока был бы обеспечен беспрепятственный спуск колеровки на дефекацию. Г. Б.

66902. Оценка анализов свекловичной стружки статистическим методом. Бурианек, Вендер (Matematicko-statistické hodnocení rozborů sladkých řízků. Burianek J., Vender M.), Listy cukrov., 1955, 71, № 10, 247—249 (чеш.; рез. русс.)

Изучено, как часто следует определять дигестию свекловичной стружки для обеспечения требуемой точности среднесуточных и среднепроизводственных величин дигестии и какова точность указанных величин при определении дигестии ежедневно, согласно существующим методам. Установлено, что точность среднесуточных и среднепроизводственных величин дигестии ниже предполагаемой; однако увеличение числа определений для повышения точности — экономически нецелесообразно. Е. Ш.

66903. Экспересс-метод определения влажности сахара. Ерещенко. Г. В. (砂糖水份快速測定法. 葉列仙柯 Г. В.), 化學世界, Хуасюэ шицзе, 1955, № 4, 185 (кит.)

Перевод. См. РЖХим, 1953, 2062.

66904. Определение влажности сахара-рафинада. Гарино (La determinazione dell'umidità dello zucchero raffinato. Garino Mario), Ind. saccharif. ital., 1954, 47, № 5—6, 204—206 (итал.)

Рассмотрены недостатки существующего метода определения влажности сахара-рафинада сушкой до постоянного веса (недостаточная точность результатов анализа и длительность времени, потребного для его завершения) и предложен новый метод определения влажности посредством прибора «Dampster». Проба сахара, взятого для анализа, помещается в металлическую коробку, которая вводится в цепь постоянного тока любого вольтжа и с постоянным сопротивлением (R_v). Сопротивление пробы сахара (R_x) меняет напряжение в цепи (V_v) в зависимости от влажности сахара. Репетка электронной лампы отрегулирована так, что при $R_x = \infty V_k = 0$. Когда $V_k \neq 0$ через mA проходит катодный ток, обратно пропорциональный R_x , который и надлежит измерить. Шкала mA градуирована прямо в процентах влажности, содержащейся в сахара-рафинаде, от 0,02 до 0,2%. Результаты получаются через несколько секунд (погрешность может быть лишь в третьей десятичной цифре процента влажности). Отмечается, что указанная точность достигается лишь для сахара-рафинада зольностью $< 0,04$ и содержанием инвертного сахара $< 0,03\%$. Н. С.

66905. Природа ошибки при поляризации тростникового сахара — сырка при освещении свинцовыми солями. Эйнон, Тейт, Гаскин (The nature of the lead error in the polarization of raw cane sugars. Eynon L., Tate A. E., Gaskin J. G. N.), Internat. Sugar J., 1955, 57, № 673, 7—9, (I. S. I., 1954, 56, № 664, 100—104) (англ.) См. РЖХим, 1956, 17891.

66906. Расчет продуктов в производстве сахара из свеклы. Гарсия-Агуадо (Recuento y cálculo de productos en la fabricación de azúcar de remolacha. García Aguado Remigio), Dyna, 1955, 30, № 6, 368—377 (исп.)

Пример расчетов в контроле свеклосахарного производства. Б. А.

66907. Сравнение экономичности сушки отходящими газами и огневой сушки на свеклосахарных заводах с энергетической точки зрения. Фишер (Nacin uporedjenja termičke ekonomičnosti odvojenog i kombinovanog načina susenja rezanaca u industriji

secera. Fiser Ernest), Tehnika, 1955, 10, № 11, 1656—1657 (серб.; рез. нем.)

Изложены показатели, характеризующие расход горячего для сушки жома на сахарных з-дах. Установлено, что более экономичной является сушка жома отходящими газами.

А. П. 66908. Определение коэффициентов экстракции при извлечении сока из сахарного тростника. Иго, С м а р т (Determination of milling extractions. Nugot E mile, S m a r t S. G.), Internat. Sugar J., 1955, 57, № 676, 107—108 (англ.)

В результате обсуждения Ф-лы, предложенной Смартом (см. РЖХим, 1956, 11486), Иго рекомендует для определения коэфф. экстракции сока из сахарного тростника у-ние, основанное на балансе растворимых в-в, поступающих с тростником на станцию по извлечению сока и оставляющих эту станцию в виде сырого сока и багассы: $(1-f) Bx_a = M \cdot Bx_m + Bx_a \cdot (f/m)$, где Bx_a — % сухих в-в багассы, f — % клетчатки в тростнике, m — % клетчатки в багассе, M — кол-во сырого сока в % к весу тростника.

Г. Б. 66909. Варка оттеков и система заводки кристаллов в условиях Натала. С тей н (Molasses graining and the magma system under Natal conditions. S t e y n C. L.), Internat. Sugar J., 1955, 57, № 675, 79—80 (англ.)

В условиях работы тростниковосахарных з-дов Натала при применении трехпродуктовой схемы лучшим способом варки утфелей и заводки кристаллов оказался следующий. Часть оттека А с доброкачественностью (Дб) 68 и 70% сухих в-в уваривают в вакуум-аппарате при разрежении 600 мм рт. ст. и 71°; контроль варки ведут при помощи кондуктометра, показание которого ко времени заводки кристаллов должно быть 68 та (при 4 е). Заводку кристаллов осуществляют 100 г сахарной пудры для варки в 21,6 м³ утфеля; дальше обрабатывают кристалл, подавая в аппарат воду с таким расчетом, чтобы показание кондуктометра поддерживалось на уровне 55 та; через 2—2,5 часа прекращают водяные подкачки, снижают т-ру до 63° и при показании кондуктометра 35 та начинают подкачивать оттек В с Дб 54—55. За 1 час до конца варки т-ру поднимают до 71° и окончательно сгущают массу до плотности 97% сухих в-в при показании кондуктометра 32 та. Весь процесс варки утфеля С занимает 8—9 час. Из желтого сахара С с Дб 95,0, полученного после центрифугирования утфеля С, сваренного по вышеописанной прописи, путем смешения с сиропом готовят массу (магма) плотностью 87% сухих в-в и Дб 89,0 ед. Для варки утфеля В в аппарат затачивают магму в кол-ве 1/3 объема аппарата и варку ведут на сиропе до получения утфеля в кол-ве 2/3 объема аппарата. Половину полученного утфеля используют для варки утфеля А на сиропных подкачках, а из второй половины утфеля варят утфель В при подкачках оттека А. При осуществлении описанной схемы работы размер кристаллов был: сахара С — 0,31 мм, сахара В — 0,60 мм и сахара А — 0,87 мм; Дб смеси сахара А и В (конечный продукт произ-ва) была 98,28 ед. При Дб сиропа 85,09 ед. Дб продуктов была: утфеля А — 86,04, утфеля В — 76,41, утфеля С — 59,30, конечной мелассы 40,24 ед.; кол-во всех утфелей составило 1,46 м³ на 1 т сахара.

Г. Б. 66910. Автоматическое взвешивание сока и воды в сахарном производстве. Перк (Automatic weighing of juice and water. P e r k G. M.), S. Afric. Sugar J., 1953, 37, № 12, 779, 781, 783, 785, 787, 789, 796, 813 (англ.)

66911. Схема автоматического регулирования непрерывности потока сахара. П е л е т м и н с к и й В. Н., Сахарная пром-сть, 1955, № 7, 17—20

В условиях сахарного з-да большое значение имеет создание автоматич. регулирования непрерывности и равномерности основного производственного потока, состоящего из жидкостей — сока, сиропа и воды. В приведенной схеме, разработанной применительно к оборудованию Красно-Яружского сахарного з-да, основными элементами являются регуляторы подачи, представляющие собой регулирующие органы в виде разгруженных вентилей с двойным клапаном, автоматически управляемых от поплавков в зависимости от уровня жидкости в сборниках или спец. сосудах для поплавков. Передача от поплавка на шпиндель клапана осуществляется с помощью винтовой передачи, аналогичной передаче, применяемой в автоматах водоотводчиков. Применение описанной схемы ликвидирует возможность переполнения аппарата и неизбежных при ручном регулировании разливов, что подтверждено уже практикой работы Красно-Яружского сахарного з-да.

Г. Б.

66912. Улучшенная конструкция трубчатого выпарного аппарата для сахарных заводов. М а т х у р (An improved design of calandria in multiple effect evaporator for sugar factories. M a t h u r R a m B e h a r i L a l), Indian Sugar, 1954, 4, № 7, 337—341 (англ.)

Низкая производительность существующих выпарных аппаратов (22—30 кг/м²/час выпаренной воды) вызывается в первую очередь смешением поступающего в аппарат и выходящего из него сока. Для резкого улучшения работы выпарного аппарата с трубчатой поверхностью нагрева предложена конструкция, в которой сок подводится в аппарат через дырчатую кольцевую трубу, чем избегается смешивание соков. Между трубчатой поверхностью нагрева и стенкой аппарата имеется кольцевой канал. Циркуляция сока происходит по двум контурам — между нагревательными трубками и центральной трубой и между этими же трубками и кольцевым каналом, откуда также производится отбор сока в следующий корпус выпарной станции. Этот аппарат дает возможность получать постоянную плотность сиропа при повышенной производительности и меньшем загорании выпарки.

Г. Б.

66913. Затверждение фильтпрессного холста. Ш а х а (Stiffening of filter press cloth. S a h a J. M.), Indian Sugar, 1955, 4, № 12, 631—633, 635—636 (англ.)

На некоторых тростниковосахарных з-дах Индии наблюдались случаи быстрого затверждения фильтпрессного холста в результате заивания пор осадком. Лабор. опыты и заводские наблюдения показали, что лучшим способом восстановления фильтрующей способности бывшего в работе холста является кипячение его в разб. р-ре HCl с последующей промывкой холста в шел. р-ре.

Г. Б.

66914. О промышленном производстве декстрана. Оуэн (Production of industrial dextran seen as promising outlet for surplus sucrose. O w e n W m. L.), Sugar, 1955, 50, № 5, 48, 48, 64 (англ.)

Дальнейший рост сахарной пром-сти в США и западном полушарии возможен при использовании сахарозы для промышленных целей. Наиболее перспективным потребителем сахарозы может быть произ-во декстрана («вискоба»). Исследования показали, что полученный ферментативным путем декстран является ценным продуктом как ингибитор воды в нефтедобывающей и нефтеперерабатывающей пром-сти; декстран может заменить гуммиарабик. Приведены экономические данные возможных потребностей в сахаре для произ-ва декстрана, лимонной и молочной кислот.

Г. Б.

66915. Возможности уменьшения отходов в сахарной промышленности. Тот-Жига (A cukorvesztések további csökkentésének lehetőségei. T ö t h

Zsiga István), Cukoripar, 1955, 8, № 8, 145—148 (венг.)

66916. «Весы Метельского» — новый способ определения крахмалистости картофеля. Грудковский («Waga Metelskiego» — nowa metoda oznaczania skrobiowości w ziemniakach. Grudkowski S.), Postępy nauk polniczych, 1955, 2, № 3, 135—139 (польск.)

Весы Метельского (двухплечные коромысловые весы, построенные на законе Архимеда) имеют ряд преимуществ. Навеска для определений может меняться в пределах 1:10. Определение более простое и быстрое. Можно определять крахмалистость картофеля в любом его количестве: в пробах картофеля с одного куста и даже одного клубня. Описано устройство весов, представлены расчеты, принципиальные схемы и способ применения. Л. Ш.

66917. Некоторые методы характеристики фракций при исследовании структуры крахмала. Лампигт, Фуллер (Some methods used for characterising fractions in investigations on the structure of starch. Lampitt L. H., Fuller H. C.), Stärke, 1955, 7, № 9, 223—226 (англ.)

Методы дифференцирования крахмальной молекулы по ее составным частям подразделяются на: физ. (вязкостные, ультрацентрифугирование, светорассеяние); ферментативные; хим. (редуцирующая способность) и физ.-хим. (р-ция с иодом и спиртом). Проверены и уточнены некоторые способы. Приготовление р-ров крахмала или его фракций для определения вязкости необходимо производить в инертной атмосфере для избежания воздействия кислорода воздуха. Отмечено, что метод дифференцирования при помощи β -амилазы не может считаться достоверным. Для определения редуцирующей способности рекомендуется способ с применением феррицианида. Для р-ции с иодом рекомендуются методы колориметрический и амперометрический. Приведены результаты исследований. Н. Б.

66918. Быстрые методы испытания крахмалов на их пригодность для кислотного гидролиза. Винклер (Schnellmethode zur Prüfung von Stärken auf ihre Eignung für Säurehydrolysen. Winkler Siegfried), Stärke, 1955, 7, № 9, 226—233 (нем.)

Описана новая методика быстрого испытания и оценки пригодности крахмала (K) для его кислотного гидролиза. Опыты проводились в запаянных стеклянных трубках, нагреваемых в глицериновой бане при t -рах $>120^\circ$ со стандартными р-рами различных видов и сортов K (4 г сухих в-в K в 10 мл всего р-ра) с последующим исследованием их. Получена наивысшая степень гидролиза K в 90,9%. Степень гидролиза определяется в значительной доле H-ионами K. Щел. компоненты могут снизить степень гидролиза до 40%. Приписывая это буферности крахмальных р-ров, автор, однако считает, что pH K не может служить мерилем для установления дозировки к-ты, как катализатора. Установлено, что повышение t -ры гидролиза на 30° (от 120 до 150°) ускоряет процесс более чем в 10 раз. Труднее всего подвергается гидролизу ловушечный K, легче K маниока и картофельный. Особыми опытами установлено, что прямой зависимости между уд. вращением гидролизата и степенью гидролиза K нет и расхождение может достигать 5—6%. Повышение t -ры гидролиза дает быстрое нарастание цветности гидролизата; после 140° этот процесс стабилизируется. Фильтрация нейтрализованных сиропов снижает их цветность. Присутствие солей тяжелых металлов влияет на ход гидролиза; соли Cu снижают цветность сиропа до нейтр-ции и при нейтр-ции удаляются. Результаты опытов сведены в таблицы и графики. Разработанная методика рекомендуется для практич. оценки качества K

и установления технологич. параметров его гидролиза. Н. Б.

66919. О получении альгината натрия. I. Обработка сырья — водорослей. Кумэ, Нисимада (Studies on the preparation of sodium alginate. (I). Treatment of the raw material seaweed. Kume Taizo, Nishimada Hiroshi), Rec. Oceanogr. Works Japan, 1955, 2, № 3, 94—98 (англ.)

Проведены исследования по разработке метода получения альгината натрия повышенного качества. При обработке водорослей Ecklonia bicyclis р-ром формалина с последующим извлечением альгиновой к-ты с помощью р-ра углекислого натрия увеличивается степень набухания водорослей и скорость экстрагирования альгиновой к-ты. Отбеливание смесью хлорита и гипохлорита (в соотношении 2:1) позволяет получать альгиновую к-ту белоснежной белизны с миним. снижением ее вязкости. Н. А.

См. также: Крахмал 64653, 65933. Сахар 65033, 65372, 65373; 18745Бх, 18746Бх. История 64068

БРОДИЛЬНАЯ ПРОМЫШЛЕННОСТЬ

66920. Определение усвояемых хлебопекарными дрожжами азотистых веществ в патоке. Хейнц (Bestimmungen des für die Bäckerhefe verwertbaren Stickstoffs in der Melasses. Heinz L.), Internat. Fachzeitschrift Brau., Gärungs- und Kältetechn., 1956, 9, № 3, 49—50 (нем.)

Описан лабор. прибор (с электрообогревом) для сбраживания 5 г испытуемой патоки при 30° продуванием воздуха, поддерживаемых электрообогревом. По разнице содержания азота до и после брожения определяется кол-во усвояемого дрожжами азота патоки. Содержание азота определяется по микрокельдалевскому методу в 0,1 г исходной патоки и в 1 мл прозрачного фильтрата паточной бражки. Продолжительность брожения 8 час., а определения азота — около 90 мин. Г. О.

66921. Исследование сырья в плодово-спиртовой промышленности. Островская (Nyersanyagvizsgalat a gyümölcseszsziparban. Osztrovszky Antalné), Elelm. ipar., 1954, 8, № 9, 266—270 (венг.)

Изложены результаты определения сахаров в черешне и сливе, используемых в спиртовой пром-сти. А. П.

66922. Термообработка картофеля и зерна в спиртовой промышленности по новому методу. Берштейн (Prelucrarea termică cartofilor și cerealelor în industria spiritului după o nouă metodă. Berstein I.), Rev. ind. aliment. prod. vegetale, 1955, № 4, 11—13 (рум.)

Описан метод Забродского, применяемый в спиртовой пром-сти СССР для уменьшения потерь, вызванных р-цией между аминокислотами и сахарами в процессе термич. обработки. А. М.

66923. Диацетил в сыром сульфитном спирте. Суомалайнен, Кирьонен, Пелтонен (Diacetyl im rohen sulfitsprit. Suomalainen Heikki, Kirjonen Arvi, Peltonen Risto J.), Z. Lebensmittel-Untersuch. und-Forsch., 1955, 102, № 5, 338—341 (нем.)

При очистке спирта-сырца, содержащего SO_2 , от карбонильных соединений получением производных с 2,4-динитрофенилгидразином обнаружилось фиолетовое окрашивание. Последующее выделение и идентификация продукта, дающего окраску, показало, что это диацетил, содержание которого иногда достигает 50 мг/л. Е. Д.

66924. Опытное производство виноградной водки. Кагамы, Мороззуми, Сидзё, Ку-

бота (ブランドー製造試験, 原料並びに蒸溜方法に關する研究, 加賀美元男, 兩角嘉喜, 四角德孝, 久保田章), 日本醸造協會雜誌, Нихон дзёдо кёкай дзасси, J. Soc. Brew. Japan, 1955, 50, № 11, 103—99 (япон.; рез. англ.)

Установлено, что двойная перегонка с использованием аламбика для первичной перегонки вина и кубового аппарата для вторичной перегонки полученного дистиллята дает наилучшие результаты. Приводятся показатели состава перерабатываемого сырья и принципиальная схема, рекомендуемого способа перегонки.

Г. О.

66925. Влияние добавления мочевины на процессы брожения при производстве саке. Итано, Кондэ, Нода, Накатани, Ямамото (清酒醸造における Urea の効果, 板野醇平, 小出巖, 野田芳之, 中谷豊, 山本颯子), 日本醸造協會雜誌, Нихон дзёдо кёкай дзасси, J. Soc. Brew., Japan, 1955, 50, № 12, 47—44 (япон.; рез. англ.)

Установлено, что при добавлении 100 г мочевины к нормальному сусу, получаемому от переработки около 1440 л риса, выход саке возрастает с 72, 64 до 78,65%. Добавление мочевины оказалось также полезным при переработке ненормального сусла.

Г. О.

66926. О качестве воды при производстве саке. Ямада, Посидзава, Ниоуэ, Окада (清酒醸造用水について, 所謂「強い水」の意義, 山田正一, 吉澤淑, 井上博, 岡田徳一郎), 日本醸造協會雜誌, Нихон дзёдо кёкай дзасси, J. Soc. Brew., Japan, 1955, 50, № 12, 50—48 (япон.; рез. англ.)

Установлено, что наилучшая для произ-ва саке вода отличается более высоким содержанием фосфатов в 2,5 мг/л P_2O_5 против 0—1,4 мг/л в остальных пробах воды из разных з-дов, рек и морей.

Г. О.

66927. Анализы вод, используемых при производстве саке. Посидзава (醸造用水の分析, «強い水」と良酒産出醸造家使用水との關連について, 吉澤淑), 日本醸造協會雜誌, Нихон дзёдо кёкай дзасси, J. Soc. Brew. Japan, 1956, 51, № 1, 54—51 (япон.; рез. англ.)

Приводятся результаты анализов проб воды з-дов, вырабатывающих доброкачественные саке, по показателям: хим. состава, буферности и влияния на рост дрожжей и молочнокислых бактерий. Сопоставляются показатели вод, отличающихся по своим качеств. воздействиям на процессы произ-ва саке.

З. О.

66928. Спектрофотометрическое определение природных красящих веществ в виски и подобных напитках. Шёнemann, Про, Матере (Spectrophotometric determination of the natural coloring material in distilled spirits, Schoeneman R. L., Pro M. J., Mathers A. P.), J. Assoc. Offic. Agric. Chemists, 1955, 38, № 3, 821—825 (англ.)

С целью определения натуральных красящих в-в виски, обусловленных экстракцией из дерева при хранении, и отделения их от искусств. красителей (колер и др.) предложен метод экстракции окраски метилпропилкетонном (2-пентанол). 20 мл виски помещают в градуированный смесительный цилиндр, добавляют 10 мл насыщ. р-ра NaCl, 0,5 мл кон. HCl, 10 мл 2-пентанола и смесь взбалтывают. Через 1 час. отделившийся органич. слой спектрофотометрируют при 430 мμ. Если интенсивность окраски слоя велика или он помутнел, то добавляют равный объем 50%-ного этанола. В результате работы показано, что большинство виски (разных лет и типов) содержало органорастворимой окраски около 0,9 от общей. Колер не переходит в органич. фазу, а окраска хересных вин переходит незначительно.

И. С.

66929. Качественная оценка товарного сахара для производства ликеров. Паблинский (Die Bewertung von Verbrauchszucker mit Berücksichtigung

der Anforderungen der Likörfabrikation, Zablin-sky Karl), Branntweinwirtschaft, 1955, 77, № 20, 381—384 (нем.)

Обзор способов качеств. оценки сахара в довоенной Германии и ФРГ. Библ. 13 назв.

Г. О.

66930. Определение серы в спирте методом сжигания Пелтонен, Нейеншwander, Суомайлайнен (Die Bestimmung des Schwefels im Spirit nach der verbrennungsmethode, Peltonen Risto J., Neuenschwander P., Suomalainen Heikki), Z. Lebensmittel-Untersuch. und-Forsch., 1955, 102, № 4, 245—253 (нем.)

Ламинарный метод ASTM определения S в нефтепродуктах распространен на спирт. Навеску ~20 г спирта сжигают и поглощают продукты сгорания в аммиачном р-ре, содержащем H_2O_2 для перевода S в сульфат, осаждаемый гидрохлоридом бензидина. Сульфат бензидина отфильтровывают, растворяют в горячей HCl, разбавляют водой до определенного объема и определяют в аликвотной части бензидин спектрофотометрически при 250 мμ. Метод дает возможность определять 0,015—6,0 мг/100 мл и дает среднюю погрешность 0,04. Метод пригоден также для определения S в CH_3OH и других спиртах.

Б. А.

66931. Полиэтилен и силикон в водочной промышленности. Фулон (Polyäthylene und Silicone in der Branntweinwirtschaft, Foulon A.), Branntweinwirtschaft, 1954, 76, № 22, 449—450 (нем.)

Указывается на возможность применения полиэтилена и силикона в качестве конструктивного, антикоррозийного и упаковочного материала в водочной промышленности.

Л. Ш.

66932. Утилизация барды спиртовых заводов, перерабатывающих свеклосахарную патоку. Малаченко А. Л., Криштул Ф. Б., Скристымонский А. П., Спирт. пром-сть, 1955, № 3, 6—11

При произ-ве спирта из мелассы паточная барда (ПБ) как кормовое средство равноценна картофельной барде; за последнее время ее кормовое качество повысилось в связи с уменьшением содержания K_2SO_4 . Скармливание скоту не использует всей ПБ и поэтому представляют интерес методы технич. утилизации ПБ, состоящие из выделения из бражки дрожжей, концентрирования ПБ наиболее рациональными методами, выделение глицерина, сжигания ПБ с использованием тепла и получения из золы поташа и других в-в. Указывается на получение от сжигания ПБ тепла, полностью обеспечивающего паром и электроэнергией произ-во на з-де спирта-сырца из патоки; приводится только технич. схема.

И. Б.

66933. Годовой отчет Института пивоварения (Annual report of the Institute of Brewing), J. Inst. Brew., 1956, 62, № 2, 109—143 (англ.)

66934. Химия пива. Ваносси (Chimica della birra, Vanossi Lorenzo), Illustr. scient., 1953, 5, № 40, 24—29 (итал.)

Популярная статья.

Б. А.

66935. Значение пива в солеограниченной диете. Швейехеймер (Der Wert von Bier in salzärmer Kost, Schweisheimer W.), Brauerei, 1955, 9, № 78—79, 578—579 (нем.)

Приводятся ссылки на ряд наблюдений и высказываний врачей относительно допустимости пива в диете больных с ограничением потребления поваренной соли. По сравнению с другими напитками (даже водой), пиво содержит меньше поваренной соли, но богато прочими минер. солями и витаминами (рибофлавином, пиридоксином, ниацином).

А. Е.

66936. О биологической чистоте и стойкости пива, профильтрованного через кизельгур. Яненш (Über die biologische Reinheit und Haltbarkeit der mit

Kieselgur filtrierten Biere. J a n e n s c h J.), Brauerei, 1955, 9, № 78—79, 560—561 (нем.)

Изучалась зависимость качества пива от фильтрации через кизельгур. Определялась прозрачность, биологич. чистота и стойкость 26 проб пива путем исследования осадка 4-недельной культуры и высева 25 капель по Линднеру. Фильтрация через кизельгур способствовала удалению дрожжей и бактерий, что повышало стойкость пива и сохраняло первоначальную прозрачность его в течение испытываемого срока. Р. З.

66937. **Фотокатализ в потемнении цвета сула. Баккингем, Бишоп** (Photocatalysis in the darkening of wort colour. Buckingham J. E., Bishop L. R.), J. Inst., Brew., 1956, 62, № 2, 160 (англ.)

При хранении образцов сула из ячменного солода в течение 2—2,5 час. в темноте и на солнечном свете установлено, что в первом случае цвет его почти не изменился, во втором значительно потемнел. Добавление аскорбиновой к-ты задерживало изменение цвета сула при выдержке на свету. Потемнение сула объясняется р-цией фотокаталитич. окисления, предупредить которую можно исключением действия света при затирке солода и в течение некоторого периода хранения затора. А. Е.

66938. **О белковой стойкости пива и ее заблаговременном определении. Кнорр** (Über die Elweißstabilität und die Haltbarkeitsvorausbestimmung des Bieres. Knorr Fritz), Brauwelt, 1955, B95, № 33—34, 476—480 (нем.)

Кратко изложены теоретич. основы, практические способы повышения, а также методы определения заранее коллоиднобелковой стойкости пива. Н. Л.

66939. **Устойчивость пены пива. 2. Зависимость пенности пива от содержания альбумоз. Клоппер** (De schuimhoudendheid van bier. 2. De Schuimduur als Functie van de Stikstofverdeling. Kloppe W. J.), Internat. tijdschr. brouw. en mout., 1953—54, 13, № 7—8, 114—118 (флам.)

Установлена связь между устойчивостью пивной пены и кол-вом альбумоз в пиве; пиво, лишенное альбумоз, обладает очень слабой способностью к пенообразованию. Определенное значение имеют также пептоны. Во время образования пены эти в-ва концентрируются в последней. См. также РЖХим, 1956, 14725. А. П.

66940. **Устойчивость пены пива. 3. Влияние хмеля на поверхностную вязкость и устойчивость пены пива. Клоппер** (De schuimhoudendheid van bier III.—De invloed van de hop op de oppervlakteviscositeit en de schuimhoudendheid van bier. Kloppe W. J.), Internat. tijdschr. brouw. en mout., 1953—1954, 13, № 9—10, 131—138 (флам.; рез. англ., франц., нем.)

Благоприятное влияние хмеля на устойчивость пены пива объясняется взаимодействием между белками пива и некоторыми компонентами хмеля. В основном гумулон и лупулон оказывают пенообразующее действие, но при кипячении гумулон превращается в продукт, обладающий стабилизирующим действием на пену (возможно изогумулон). Улучшение пенообразования путем варки хмеля связано с образованием вязких мембран, что установлено измерением поверхностной вязкости. А. П.

66941. **Устойчивость пены пива. Стойкость пены как функция распределения азота** (Die Schaumhaltbarkeit des Bieres. Die Schaumdauer als Funktion der Stickstoffverteilung I. B.), Wiss. Beilage «Brauerei», 1954, 7, № 5, 54—56 (нем.)

Удаление коагулируемого белка кипячением не оказывает большого влияния на пеностойкость пива. При осаждении высокомолекулярных азотистых в-в $MgSO_4$ стойкость пены снижается с 320 до 110 сек.

Изучалось влияние различных фракций азотистых в-в пива по Линднеру на пенообразование в колонке Грей и Стона, вспениванием пива пропускаемой CO_2 и анализом распавшейся собранной пены. В пиве, полученном из пены, было найдено значительно больше фракций белков А и В, а также хмелевых смол, чем в обычном пиве. Л. Ш.

66942. **Высота стационарной пены. Финци-Контини** (L'altezza delle schiume stazionarie. Considerazioni dimensionali. Finzi Contini Bruno), Chimica e industria, 1954, 36, № 6, 452—454 (итал.; рез. англ., франц., нем.)

Высота стационарной пены, образующейся над жидкой фазой, является сложной функцией величин $p/\rho a$ и μ/λ , где p — внутреннее давление, l — высота столба жидкости, находящегося в равновесии с пеной, ρ — плотность пены, a — ускорение, сообщаемое пене, μ — вязкость жидкости и λ — поверхностное натяжение. Б. А.

66943. **Дикие дрожжи с точки зрения технологии пивоварения. Уайле** (The wild yeast problem as a facet of brewing technology. Wiles A. E.), Wallerstein Labs Commun., 1954, 17, № 59, 259—281 (англ.; рез. франц., исп.)

Описываются приемы идентификации диких дрожжей. Разработана система, учитывающая морфологию, особенности этих дрожжей и их потребность в факторах роста. Используя спец. питательные среды и вводя в синтетич. среды определенные источники углерода, достигают подавления роста культурных дрожжей, при продолжающемся росте диких. Опровергается существующее мнение, что некоторые виды диких дрожжей менее требовательны и развиваются быстрее культурных. Помутнение пива, вызываемое дикими дрожжами, объясняется отсутствием электрич. заряда на поверхности дрожжевых клеток. В. П.

66944. **Вода в пивоварении и ее обработка. Бёмель** (Brauwasser und seine Behandlung. Böhmel D.), Dtsch. Genußmitt.-Z., 1953, 5, № 8, 209 (нем.)

Описано 4 способа обработки воды для произ-ва мюнхенского пива. См. РЖХим, 1954, 50846. А. Е.

66945. **Научный контроль воды, заменителей солода и хмеля. Уэбб**, (Scientific control of water, adjuncts and hops. Webb J. I.), Brewers Guardian, 1954, 83, № 3, 84—104 (англ.)

Лекция. Рассматриваются влияние солевого состава воды на качество сула и пива, хим. состав различных сахаров, несоложенного зерна, ячменных и кукурузных хлопьев и сравниваются аналитич. данные сула и пива, полученные при частичной замене солода этими материалами, с данными при работе на одном солоде. Разбирается антисептич. действие хмеля в зависимости от содержания α -кислоты и β -части в хмеле, а также изменение его от продолжительности кипячения сула с хмелем. Библи. 59 назв. Л. Ш.

66946. **Иностранные пивоваренные ячмени в климатических условиях Турции. Акман, Беркман, Языджиоглу** (Die ausländischen Braugersten unter den türkischen klimatischen Verhältnissen. Akman Arif Veli, Berkmen Nejat, Yazicioglu Turgut), Brauwelt, 1954, B, № 14/42, 587—590 (нем.)

Сообщается о результатах исследования 13 сортов пивоваренного ячменя, полученных из различных европейских стран. Установлено, что при летнем посеве в климатич. условиях Анкары они почти полностью утратили свои пивоваренные качества, при зимнем посеве почти все сорта дали хорошие результаты. А. Е.

66947. **О пивоваренных достоинствах солода. Пфуйе** (Über den Brauwert des Malzes II. F u B K.), Brauwissenschaft, 1954, № 11, 244—247 (нем.; рез. англ.)

Критическое рассмотрение и обсуждение применяемых методов оценки пивоваренной ценности солода. Часть I см. РЖХим, 1955, 27939. А. Е.

66948. Пивоваренная оценка солода, в особенности по методу Хартонга. I—III. Р у э (Die Brauwertheurteilung des Malzes unter besonderer Berücksichtigung der Hartong — Methode. I.—III. Ruhe Hellmut), Brauwelt, 1954, № 61, 910—912; № 62, 921—922; № 63, 937—938 (нем.)

Критический разбор методов пивоваренной оценки солода. Приведены схемы анализа Деклерка и Беккера-Зибеля. Рассмотрены методы определения экстрактивной разности, мучнистости, содержания растворимых белков, консистенции затора фаринграфом Брабендера и вязкости сусла. Подробно описан и рекомендован метод оценки солода, предложенный Хартонгом. А. Е.

66949. Исследование связи метода сушки, качества солода и теплообмена при сушке солода. Р о т м а й е р (Studie über den Zusammenhang von Darrmethodik, Malzqualität und Wärmewirtschaft bei Malzdarren. Rothmaier Kurt), Brauwissenschaft, 1954, № 2, 25—28; № 3, 43—50; № 4, 73—75 (нем.)

Рассматривается ряд положений теории сушки и теплотехники применительно к сушке пивоваренного солода. Описываются способы передачи тепла солоду, дается определение коэфф. полезного действия солодосушилок, влияния климатич. условий и погоды на процесс сушки, приводятся данные по расходу тепла на испарение 1 кг воды из солода в зависимости от т-ры сушки. С. Ш.

66950. Влияние отдельных фракций дробленого солода на сусло и пиво. М ю н д е р (Versuche über den Einfluß der einzelnen Malzanteile auf die Würzen und die daraus hergestellten Biere. Mündner Hermann), Brauwissenschaft, 1953, № 5, 79—84 (нем.)

Исследованы пивоваренные качества солодовой муки, тонкой и грубой крупки и отрубнистых частиц (скорость осахаривания, выход экстракта, кол-во азотистых в-в), а также приготовленного из них сусла и пива. Качеств. показатели последних снижались при переходе от муки к грубой крупке и отрубнистым частям. А. Е.

66951. Оценка хмеля. II. Поляриметрическое определение гумуллона. Дейвис, Говард (Evaluation of hops. II. Polarimetric determination of humulone. Davies J. W., Howard G. A.), J. Inst. Brew., 1953, 59, № 3, 210—230 (нем.)

Большинство методов оценки хмеля состоит в гравиметрич. определении гумуллона (I) в виде его свинцовой соли. Доказана неприменимость этого определения при анализе старого хмеля вследствие неполного осаждения свинцовой соли I. Избежать этого можно при избытке ацетата свинца, что подтверждается данными, приведенных анализов хмеля. Однако более простым и быстрым является поляриметрич. определение фракций I, растворимых в этиловом и петр. эфире. Приводятся описание метода и результаты анализов хмеля на содержание I гравиметрич. и поляриметрич. методами. Сообщение I см. РЖХим, 1953, 7807. А. Е.

66952. Анализы хмеля урожая 1953 г.— (Institute of brewing hop trials 1953 crop.—), J. Inst. Brew., 1955, 61, № 5, 372—376 (англ.)

Характеристика сортов хмеля: D3, 114 C2, OT48 и J2, в частности по общему кол-ву мягких смол и мягких α -смол. И. С.

66953. Опыты по экстракции горьких веществ хмеля с помощью ультразвука. Пурчерт, Карач (Über Versuche zur Hopfenextraktion mittels ultrashall. Purtschert F., Caratsch F.), Brauwelt, 1955, B95, № 48—49, 805—812 (нем.; рез. англ., франц.); Brasserie, 1955, 10, № 108, 178—184 (франц.)

На 3-де проведены 5 опытных варок с целью установления экономии хмеля за счет применения ультразвука. Каждая варка была разделена на две половины, которые кипятились отдельно в двух сусловарочных котлах. В одном из котлов производилось облучение сусла при помощи высокочастотной установки, другой котел содержал контрольное сусло. Контрольное и опытное пиво было подвергнуто широкой дегустации. Аналитич. исследования показали, что в облученном пиве кол-во белкового отстоя было на 3,5% больше, брожение сокращалось на один день; дображивание было более интенсивное, фильтрация протекала нормально. Из хмеля извлекалось на 10—30% горьких в-в больше. Отношение пива к охлаждению не изменилось. Стойкость была ниже на 13%, редуцирующая способность оставалась без изменений, хмелевой аромат несколько слабее, хмелевой букет более нежный, пенообразование лучше. Отмечена необходимость постановки спец. опыта по изучению стойкости облученного пива. Общая оценка опытов применения ультразвука может считаться положительной лишь в случае получения благоприятных результатов от опытов по стойкости облученного пива. Л. Ш.

66954. Изменение белкового состава солода в зависимости от условий солодоращения. Клоппер, Кортенхорст (De invloed van de eiwitoplossing op de stikstofverdeling van de wort. Kloppe W. J., Kortenhorst A. Th.), Internat. tijdschr. brouw. en mout., 1954, 14, № 7—8, 114—124 (флам.; рез. англ., франц., нем.)

Изучались различные солода, проращенные из одного ячменя при разных технологиях, режимах. Определалось кол-во растворимого белка, в частности состав белков, переходящих в сусло. Солодоращение велось при различных т-рах, времени проращивания, гравлосе замочки и т-ре отсушки. Не найдена связь между увеличением растворения белков и уменьшением содержания высокомолекулярных белков; как правило, содержание их остается постоянным, а в некоторых случаях даже увеличивается. Исследование влияния состава растворимых белков и pH в заторе привели к таким же результатам. А. Ж.

66955. Брожение затора. Изучение ассимиляции азота. Кертье, Ливер (Wort fermentability: studies on assimilable nitrogen. Curtis N. S., Lever Brenda M.), J. Inst. Brw., 1955, 61, № 5, 400—408 (англ.)

Уменьшение кол-ва экстракта, извлекаемого из солода, обусловлено снижением сбраживаемости затора, связанным с содержанием в солоде ассимилируемого N. Недостаток витаминов B не играет здесь роли. При внесении казеинового гидролизата или NH_4SO_4 значительно улучшалось размножение дрожжей и усиливались их бродильные свойства. Внесение отдельных аминокислот не влияло на сбраживаемость затора (лишь лейцин слегка улучшал, а триптофан ухудшал брожение). Следовательно, действие гидролизата обусловлено неаминокислотами. Не было найдено связи также и между конц-ней в заторе различных форм N и его сбраживаемостью. И. С.

66956. Фильтрация сусла с помощью прессы для белкового отстоя. Берленер (Würzelfiltration mit einer Trubfilterpresse. Barlehnner Georg), Brauwelt, 1954, B, № 99, 1461—1462 (нем.)

Предлагается использовать для фильтрации сусла пресс Прандла, употребляющийся для белкового отстоя. На сукно фильтра из дозатора предварительно наносится слой кизельгура в 1 мм, из расчета 80—100 г на 1 гл сусла, в зависимости от желаемой степени осветления (до прозрачности или до блеска). Автор предостерегает от излишнего освобождения сусла от коллоидов, считая, что это может отозваться на качестве

брожения и готового пива. Сусло пропускается через фильтр со слоем кизельгура после отстаивания и предварительного охлаждения на оросительном или пластинчатом холодильнике, затем через этот же фильтр-пресс, минуя холодильник, пропускается белковый отстой. Таким образом, фильтрация всей варки проходит в замкнутом процессе. Предварительная фильтрация сусла улучшает брожение, сокращает продолжительность его, улучшает образование завитков и деки. Дрожжи оседают без гризи и не теряют своей бродительной энергии. Дображивание в лагерьном подвале укорачивается, фильтрация готового пива идет легко, стойкость пива повышается. Р. З.

66957. Хлопьеобразование дрожжей при верховом брожении. Ганг (Flocculation et montee de la levure a la surface en fermentation haute. Gaeng F. E.), Petit J. brasseur, 1954, 62, № 2491, 269—275 (франц.) Описаны свойства дрожжей верхового брожения и условия нормального сбраживания пива в сопоставлении с условиями низового брожения. Н. Л.

66958. Воздействие фтора на процесс сбраживания в пивоварении. Уэббер, Тейлор (Effect of fluorine on fermentation. Webber H. F. P., Taylor L.), Brewers Digest, 1954, 29, № 12, 59—61 (англ.) В некоторых городах США водопроводная вода содержит добавленные к ней соединения фтора. Проведенные опыты показали, что фтор в кол-ве, употребляемом для обработки водопроводной воды (1 ч. на млн.), не влияет на активность дрожжей; и доза в десять раз большая не оказывает заметного влияния на состояние дрожжей. Н. Б.

66959. Опыты фильтрации горячего и холодного сусла. Нарцисс (Erfahrungen mit der Heiß- und Kaltfiltration der Würze. Narziss L.), Brauwelt, 1955, B95, № 45/46, 754—760 (нем.)

Рассматривается кол-во и состав горячего и холодного коагулянта, а также факторы, влияющие на плотность коагуляции белков при кипячении и охлаждении сусла. Указывается, что аэрация горячего сусла повсеместно прекращается, так как это ухудшает вкус пива и повышает его цветность. При установке осадочного чана отмечено недостаточно полное отделение скоагулированного белка, что ухудшает вкус готового пива, придавая ему грубую горечь. Приведены результаты анализов пива, изготовленного при различных способах осветления и фильтрации сусла. Установлено, что фильтрация сусла через диатомит улучшает вкус напитка и позволяет значительно сократить сроки выдержки его в лагерьных танках. Н. Л.

66960. Поливинилпирролидон PVP — новое средство для осветления и стабилизации пива. Мак-Фарлан, Уай, Грант (Polyvinyl pyrrolidone (PVP) a new agent for the fining and chillproofing of beer. McFarlane W. D., Wye E., Grant H. L.), Amer. Brewer, 1955, 88, № 4, 57—58, 60 (англ.)

Поливинилпирролидон (I) — синтетич. водорастворимый нетоксич. полимер. Авторы перенесли на пиво опыт осаждения танинов из р-ров дубильной к-ты при помощи I и получили хорошие результаты по осветлению и стабилизации пива. Установлена оптимальная доза — 3—6 г I на 1 л пива. В осадке после применения I содержалось вдвое больше танина, чем в осадке необработанного пива. Все свойства пива сохранились без изменений, можно было лишь отметить некоторое смягчение вкуса за счет устранения грубого вкуса, связанного с дубильными в-вами. Приводится описание способа установления точной дозы I, что является крайне важным, так как при избытке осадителя выпадающий осадок снова делается растворимым. Несколькими проб пива (по 100 мл) обрабатывают разными кол-вами I (0—12 г/л). После размешивания обработанное пиво оставляют на ночь в холодильнике и

устанавливают, при каком кол-ве осадителя получалась наилучшая флоккуляция. Пиво, обработанное такой дозой I и отфильтрованное при 0°, в дальнейшем не должно давать помутнений. Добавление I предпочтительно производить в момент перекачки пива из бродинги в лагерьный подвал. Л. Ш.

66961. Поливинилпирролидон — новое средство для осветления и стабилизации пива. Мак-Фарлан (Polyvinyl pyrrolidone (PVP) a new agent for the fining and chillproofing of beer. McFarlane W. D.), Brewers Digest, 1954, 29, № 10, 65—66 (англ.)

66962. Поливинилпирролидон PVP — новое средство для осветления и стабилизации пива (PVP, ein synthetisches Polymeres, als Mittel zur Erzielung sehr kältebeständiger Biere. H. B.), Brauerei, 1955, 9, № 58, 420 (нем.)

См. пред. реф.

66963. Изменения в работе пивоваренной лаборатории в связи с введением методов анализа, рекомендуемых для европейских стран. Часть II. Шильд (Welche Veränderungen bringt das Inkrafttreten der europäischen Analysenvorschriften im Brauereilaboratorium mit sich? H. H. Schild E.), Brauwelt, 1954, № 3, Ausg. B., 25—27; № 5, Ausg. B., 59—61 (нем.)

Рассмотрены изменения в методах определения азотистых в-в энергии и способности проращивания, по предсказанию выхода экстракта, по сортировке ячменя, по определению экстракта, растворимого азота и числа Кольбаха. Часть I см. РЖХим, 1955, 33458. А. З.

66964. Потенциометрические определения в солодовом сусле. Райбле (Potentiometrische Messungen an Malzwürze. Raible Karl), Brauwissenschaft, 1956, № 1, 8—14 (нем.; рез. англ.)

Описывается методика опытов по изучению ОБ-потенциала солодового экстракта и пивного сусла. Установлено, что при pH 4—7, гН сусла и пива достигает разностное предельное значение ~9, что указывает на наличие в обоих средах в-в одного порядка, обуславливающих восстановительный потенциал системы. Скорость достижения предельного гН зависит от т-ры и pH среды и возможных каталитич. р-ций. Рассматриваются причины возникновения предельного гН в исследованных средах. Г. О.

66965. К оценке качества экстрактов из ячменя. Пирацкий, Фидлер (Zur Voraussage des Gerstenextraktes. Piratzky W., Fiedler O.), Dtsch. Genußmitt.-Z., 1953, 5, № 9, 233; № 10, 256—257 (нем.)

66966. Задачи микросоложения. Шустер, Фуке (Aufgaben der Kleinmälzung. Schuster Karl, Fuchs A.), Brauwelt, 1954, B, № 40, 564—565 (нем.)

Микросоложение служит не только для оценки различных сортов ячменя, но может применяться для техно-хим. контроля произ-ва. Путем сравнения результатов опытного соложения с производственными данными, можно выявить причины потерь экстракта и установить более рациональное течение процессов сушки, затирания солода. Простота оборудования токовой установки для микросоложения, по сравнению с пневматич., позволяет применить ее для опытов сравнительного соложения и контроля производства. Л. Г.

66967. Определение цветности сусла и пива. Шуберт (Farbbestimmung in Würze und Bier. Schubert Ernst), Brauwissenschaft, 1955, № 2, 22—27; № 3, 50—57 (нем.; рез. англ.)

Для объективного измерения цветности и мутности сусла и пива разработан новый колориметр, состоящий из двух фотоэлементов, источника света, нескольких призм для создания эффекта Тиндаля, одного зеркаль-

ного гальванометра, одной кюветы, нескольких свето-фильтров. Измерение цветности производится по нулевому методу. Уравновешивание фототоков осуществляется изменением расстояния фотоэлемента от источника света с помощью точного механизма, имеющего шкалу с делениями. Для измерения мутности изменяют путь световых лучей, направляя их через систему призм, создавая эффект Тиндаля. Калибровочная кривая для цветности строится по 0,1 и р-ру J. До составления кривой мутности предложено определять ее до и после фильтрации через стеклянные фильтры Иенские G = 4 и G = 5. Л. Ш.

66968. Исследование пива Швейцарской опытной станции пивоваренной промышленности. Шмаль (Bieruntersuchungen an der Versuchsstation Schweiz. Brauereien. Schmal A.), Schweiz. Brauer-Rundschau, 1955, 66, № 11, 212—213 (нем.)

Приводятся результаты анализа 786 проб пива (светлого и темного выдержанных местного произ-ва, тоже спец. сортов, крепкого пива и иностранных образцов). А. Е.

66969. Краткий обзор новых методов определения гумулона и лупулона в хмеле. Мейльгард, Банг-Мольте (Eine kurze Übersicht über neuere Methoden zur Bestimmung der «Humulone» und Lupulone im Hopfen. Meilgaard M., Bang Moltke A.), Brauwissenschaft, 1955, № 7, 150—156 (нем.)

Приводится сравнение 6 методов определения «гумулона» и лупулона с методом противоточного распределения. Для определения «гумулона» (когумулон, гумулон и адгумулон) в свежем хмеле пригодны только методы Вельмера, Говарта — Верзеля и Олдертона — Льюиса. Для старого хмеля эти 3 метода дают менее хорошие результаты, особенно метод Вельмера. При определении лупулона метод Олдертона — Льюиса дает завышенные на 5% результаты, Говарт — Верзель на 25%. Метод Вельмера не может быть сравним, так как он определяет β -часть, состоящую кроме лупулона еще из ряда других в-в. Приводятся соображения по предсказанию интенсивности горечи и расчеты необходимого кол-ва хмеля для задачи в сусло с целью получения пива определенной горечи. Л. Ш.

66970. Быстрый метод определения общего количества горьких веществ (изоосоединений) в пиве. Ригби, Бетьюн (Rapid methods for the determination of total hop bitter substances (isocompounds) in beer. Rigby F. L., Bethune J. L.), J. Inst. Brew., 1955, 61, № 4, 325—332 (англ.)

Как теперь известно, α -смолистая фракция хмеля состоит в основном из трех компонентов: гумулона когумулона и адгумулона, которые при варке с суслом дают горькие изомеры: изогумулон, изокогумулон и изоадгумулон. Ранее рекомендованные методы анализа предусматривали раздельное определение этих в-в; в дальнейшем оказалось, что по вкусу они так мало различаются, что целесообразно их общее определение. Описываются два скоростных метода: первый состоит в экстракции этих в-в из окисленного пива определенным кол-вом 2,2,4-триметиленпентана с последующим спектрофотометрич. определением конц-ии изо-соединений. Полученный результат, примерно, на 30% больше, чем данные по ранее предложенному методу, но они исправляются путем описанного расчета. Второй метод более точен и отличается от первого тем, что удаляются в-ва, обуславливающие указанную разницу. И. Б.

66971. Методы быстрого определения горьких веществ в хмеле и пиве. Клоппер (Einige Erfahrungen mit Methoden zur Schnellbestimmung der Bitterstoffe des Hopfens und des Bieres. Kloppe W. J.), Brauwissenschaft, 1955, № 5, 101—104 (нем.);

рез. англ., франц.); Brewers Digest, 1955, 30, № 9, 63, 64, 66 (англ.)

Проверена модификация спектрофотометрич. метода Олдертона, Бейли, Льюиса и Ститта для определения содержания гумулонообразных в-в в хмеле, сокращающая определение до 30 мин. 5 г хмеля экстрагируют бензолом (150 мл) в аппарате «Турмикс» в течение 4 мин.; экстракт фильтруют через стеклянный фильтр, фильтрат переносят в мерную колбу на 250 мл. Хмель на фильтре промывают бензолом 6 раз (по 15 мл). Промывную жидкость прибавляют к фильтрату в мерной колбе, и содержимое ее доводят до метки чистым бензолом. После тщательного размешивания 1 мл бензольного экстракта переносят с помощью пипетки в мерную колбу на 100 мл, прибавляют 1 мл 0,2 н. р-ра NaOH и доводят метанолом до метки. Определяют экстинкцию р-ра в УФ-спектрофотометре при 275, 325 и 355 м μ . Содержание гумулонового комплекса в процентах равно: $0,5 (73,79 A_{325} - 51,56 A_{355} - 19,07 A_{275})$, где A — экстинкции при соответствующих длинах волн. Сравнительные анализы 18 образцов хмеля по данному методу и методу Говарта и Верзеля не дали расхождений $>10\%$. Спектрофотометрич. метод Банг-Мольте и Мейльгарда был незначительно улучшен путем устранения образования эмульсии пива при встряхивании с изоктаном, за счет сокращения объема пива с 20 до 10 мл. Исследуемое пиво освобождают от углекислоты и доводят до 20°. В цилиндр для смешивания (100 мл) вносят пипеткой 10 мл пива и подкисляют 1 мл 3 н. HCl. Затем прибавляют 20 мл изоктана и встряхивают 5 мин. механич. путем. Содержимому цилиндра дают отстояться 5 мин. и после разделения слоев определяют экстинкцию изоктановой вытяжки при 275 м μ (E₂₇₅). Содержание горьких в-в в пиве (кол-во изогумулона в мг/л) равно $57,2 E_{275} - 5,9$. Все определение продолжается 15 мин. Найдено хорошее соответствие между горечью пива, установленной путем дегустации, и содержанием изогумулона, определяемым путем анализа. Л. Ш.

66972. Таблицы для определения содержания белка (на сухое вещество) в ячмене и солоде при навеске в 1,4 г. Кинингер (Tabellen zur Bestimmung von wasserfreiem Eiweiß in Gerste und Malz bei einer Einwaage von 1,4 g. Substanz. Kieninger H.), Brauwelt, 1955, № 62, 1017—1019 (нем.)

Приведены выдержки из таблиц, с помощью которых можно, зная кол-во воды в ячмене (солоде) и мл 0,1 н. NaOH, пошедших на титрование (при определении N по Кьельдалю в навеске 1,4 г), найти без подсчетов содержание N и белка (на сухое в-во). Таблицы рассчитаны для ячменя с влажностью 12—18,9% и солода 2—6,5%. Л. Ш.

66973. Применение древесного угля при определении содержания гумулонов в хмеле. Гоф (Charcoal method for estimation of the content of humulones in hops. Gough W. H.), J. Inst. Brew., 1956, 62, № 1, 9—15 (англ.)

Для удаления красящих в-в из эфирных экстрактов хмеля, мешающих определению гумулонов с помощью поляриметра, применено фильтрование через древесный уголь, которым абсорбируются только красящие в-ва, но не смолы. Предварительно уголь был обработан SO₂ для исключения абсорбции кислорода. После перевода гумулонов в пентаны их быстро определяют поляриметром. Обработка углем применима при определении β -фракции гумулонов, а также и других фракций. Метод дает хорошие результаты и со старым хмелем. Приводится подробное описание метода с чертежом лабор. установки. А. Е.

66974. Определение углекислоты в пиве. Блом (Bestimmung von Kohlensäure in Bier. Blom

J a k o b), Brauwelt, 1955, B95, № 41/42, 645—646 (нем.; рез. англ., франц.)

Пробу пива из танка или бочки отбирают в бутылку емк. 250 ± 10 мл с патентным затвором, в которую перед определением наливают 10 мл 50%-ного NaOH, не содержащего карбонатов. В случае бутылочной продукции, бутылку с пивом взвешивают и помещают в ледяную воду для охлаждения. После осторожного открытия бутылки в нее наливают 10 мл 50%-ного NaOH, бутылку снова закрывают, хорошо встряхивают и взвешивают. Вес пустой бутылки определяют после анализа. 10 мл цел. пива отмеривают или взвешивают в колбу и добавляют несколько капель пеногасителя. Колба для пива имеет насадку на шлифе, содержащую входную и отводную трубки и третью трубку с 5 мл воронкой и краном. 25 мл р-ра $\text{Ba}(\text{OH})_2$ (19,0 г $\text{Ba}(\text{OH})_2 \cdot 8\text{H}_2\text{O}$ и 29 г $\text{BaCl}_2 \cdot 2\text{H}_2\text{O}$ в 1 л воды) отмеривают в другую колбу и добавляют несколько капель фенолфталеина. Колба для барита имеет насадку на шлифе, содержащую входную и выходную трубки. Резиновой трубкой последовательно соединяют между собой колбы, а вторую трубку пивной колбы присоединяют к небольшому мембранному насосу. Через воронку в пивную колбу впускают 5 мл 1 н. HCl и присоединяют отводную трубку баритовой колбы к насосу. После 8—10 мин. работы насоса вся углекислота переходит в р-р барита. Насос останавливают, насадку баритовой колбы ополаскивают водой, не содержащей CO_2 , обратно в колбу, и титруют 0,1 н. HCl остаток $\text{Ba}(\text{OH})_2$. Расчет кол-ва углекислоты (в %) производят по ф-ле: $[100(d - e) / 0,00220] : [c \cdot a / (a + b)]$, где a — вес пива в бутылке в г; b — кол-во добавленной щелочи в г; c — навеска, взятая для анализа в г; d — израсходованное кол-во в мл 0,1 н. HCl на 25 мл $\text{Ba}(\text{OH})_2$; e — кол-во в мл 0,1 н. HCl, пошедшее на обратное титрование. 1 мл 0,1 н. HCl соответствует 0,00220 г CO_2 . Л. Ш.

66975. Метод мембранных фильтров для быстрого определения микроорганизмов в пиве. Пробст (Membranfilter-Methode zur raschen Feststellung von Organismen im Bier. Probst Erich), Schweiz. Brauer.-Rundschau, 1955, 66, № 3, 35—37 (нем.)

Метод мембранных фильтров дает возможность быстро и надежно определять биологич. чистоту продукта. Он может быть использован в ряде отраслей пищевой промышленности (для проверки воды, различных жидкостей, промывных вод и пр.). Фильтры изготавливаются с размерами пор от 1000 до 5 мк. Для пива употребляют фильтры с порами 250 мк. А. Ж.

66976. Применение хлорированной воды в пивоваренном производстве. Линерт (Die Verwendung chlorierten Wassers in der Brauerei. Lienert H.), Schweiz. Brauer.-Rundschau, 1954, 65, № 7, 107—109 (нем.)

Рассматривается теория дезинфицирующего действия хлорированной воды, методы контроля содержания хлора в воде и существующие способы хлорирования воды. В пивоваренном произ-ве хлорированная вода применяется также для дезинфекции коммуникаций и аппаратуры, в этом случае избыток хлора должен составлять 0,8—1 мг/л. Л. Г.

66977. О научно-исследовательской работе по виноделию. Диков, Цаков (Още върху проблема за научно-изследователската работа по винарство. Диков Л., Цаков Д.), Лозарство и винарство, 1955, 4, № 6, 378—381 (болг.)

Освещается состояние научно-исследовательской работы по виноделию в Болгарии. См. также РЖХИМ, 1956, 41682. Г. В.

66978. К теории созревания и старения вин. Родопуло А. К., Виноделие и виноградарство СССР, 1955, № 7, 31—35

Подробно рассматриваются окислительно-восстановительные процессы, происходящие при брожении виноградного сусла и при созревании и старении вина. Проведенными исследованиями автором установлено особое значение для старения вина восстановительных р-ций. Присутствие в вине восстанавливающих в-в, снижающих его ОВ-потенциал (диоксималеиновой к-ты, цистеина и др.), ускоряет процесс старения вина и содействует созданию гармонич. букета и вкуса выдержанного вина. Процесс старения вина, по-видимому, основан на переносе водорода из легко дегидрируемых в-в к букетистым веществам. Н. П.

66979. О технологии гымзового столового вина. Даскалов (Върху технологията на гъмзовите червени трапезни вина, Даскалов Л. Н. в.), Лозарство и винарство, 1954, 3, № 2, 112—119 (болг.) Описывается технология красного столового вина из сорта Гымза, принятая в Болгарии, начиная со сбора винограда и кончая выдержкой вина в бочках. Указаны условия переливки и проветривания вина, повторная задача развозки чистой культуры дрожжей для более полного сбраживания, снятие с дрожжей и т. д. И. С.

66980. Кинетика поглощения углекислого газа через поверхность вина. Мержанян А. А., Виноделие и виноградарство СССР, 1955, № 6, 41—42

Исследовалось ф-за. состояние игристого вина в замкнутом сосуде. Найдены условия фазового равновесия герметизированной системы вино— CO_2 . Выведены и экспериментально проверены общие ур-ния и составлены рабочие ф-лы для вычисления давления шампанского при разных т-рах и расчета CO_2 , поглощаемой через неподвижную поверхность вина. Рассмотрены 3 случая: 1) давление CO_2 над вином и конц-ия ее в вине постоянны; 2) давление CO_2 над вином постоянно, а конц-ия ее в вине возрастает и 3) давление CO_2 над вином понижается, конц-ия в вине повышается. Метод расчета достаточно точен (до $\pm 7\%$). Н. П.

66981. К пересмотру технологических инструкций по производству Советского шампанского. Итоги обсуждения. Агабальянц Г. Г., Виноделие и виноградарство СССР, 1955, № 6, 18—27

Приводятся ряд соображений автора по предложениям отдельных участников дискуссии по пересмотру инструкций по произ-ву шампанского, в частности касающихся получения шампанских виноматериалов, их обработки, шампанзации вина и др. Н. П.

66982. Влияние аскорбиновой кислоты на ОВ-потенциал и качество шампанского. Вечер А. С., Лоза В. М., Виноделие и виноградарство СССР, 1955, № 4, 22—27

Аскорбиновая к-та, введенная в резервуарное шампанское, улучшает вкус и букет вина, значительно снижает его ОВ-потенциал и стабилизирует его на низком уровне. Почти такое же действие оказывает введение аскорбиновой к-ты при розливе шампанского. В производственных условиях удобно пользоваться синтетич. аскорбиновой кислотой. Н. П.

66983. Тепловая обработка винограда. Аршинар, Маршаль (Le chauffage des vendanges. Archinard Paul, Marichal Maurice), Progr. agric. et vitic., 1955, 144, № 40-41, 203—211 (франц.)

На основании опытов по термич. обработке винограда перед брожением рекомендуется производить нагревание паром винограда для искусств. перезревания при 50—55°; для лучшего выхода сусла рекомендуется нагревание целых гроздей при $\sim 80^\circ$ давленого винограда при 60—70°. Г. В.

66984. О реакции между ионами цинка и ферроцианидом калия в присутствии ионов закисного железа. Де-Франческо (Sulla reazione fra zinco-ione

e ferrocianuro potassico in presenza di ferro-ione. De Francesco Franco), Boll. lab. chim. provinc., 1954, 5, № 2—3, 56—58 (итал.)

В связи с применением для осветления вин $ZnSO_4 + K_4Fe(CN)_6$ в стехиометрич соотношении, образующих двойной ферроцианид $K + Zn$, полиграфич. методом проверена полнота осаждения Zn^{2+} при применении продажного осветителя «Rapid» в р-рах, содержащих Fe^{2+} или $Fe^{2+} +$ винная к-та (5%). В присутствии Fe^{2+} осаждение Zn^{2+} происходит не полностью, полнота осаждения возрастает с увеличением конц-ии Fe^{2+} , но не зависит от содержания к-ты в р-ре. Неполнота осаждения в присутствии Fe^{2+} зависит от преимущественного образования $Fe_4[Fe(CN)_6]_3$. В. III.

66985. Радиоактивные вещества для контроля виноделия. Скорбилин С. Ф., Виноделие и виноградарство СССР, 1955, № 7, 57

Предлагается способ применения радиоактивных в-в для контроля и регулирования технологич. процессов в виноделии. Плотность игристого вина при шампанзации в непрерывном потоке можно измерить облучением протекающего по трубке вина γ -лучами (источником γ -лучей может быть кобальт с ат. в. 60 и другие радиоактивные в-ва). Непоглощенные винном γ -лучи регистрируются счетчиком. Степенью поглощения определяется плотность вина. Для измерения уровня жидкости в закрытом резервуаре радиоактивное в-во помещается на поплавке на поверхности жидкости и его излучения регистрируются счетчиком снаружи. Соответствующим подбором радиоактивных в-в можно избежать сообщения вину радиоактивных свойств. II. II.

66986. Определение ассимилируемого дрожжами азота в суслах и винах. Тарантола (La determinazione dell'azoto assimilabile dai lieviti nei mosti e nei vini. Tarantola Clemente), Riv. viticolt. e enol., 1955, 8, № 8, 259—265 (итал.); Bull. Office internat. vin., 1955, 28, № 295, 201—208 (франц.)

Биологический метод Нильсена по определению ассимилируемого дрожжами азота в пивном сусле и пиве заключается в доведении содержания общего азота до минимума разведением сусла или пива водой с прибавлением сахара и необходимых для питания дрожжей минер. солей. Если содержание азота в процессе брожения перестает изменяться, то весь ассимилируемый азот может считаться исчерпанным. Для определения ассимилируемого дрожжами азота в виноградных суслах и винах автор применяет модификацию метода Нильсена. При этом виноградное сусло разбавляется 10%-ным р-ром сахарозы в отношении 1 : 3, вино в отношении 1 : 2. Из вина предварительно удаляется спирт кипячением при 45° при разрежении. Содержание ассимилируемого дрожжами азота в итальянских винах разного происхождения с применением культуры *Saccharomyces ellipsoideus* найдено 48—70% от кол-ва общего азота. Н. II.

66987. Определение общей кислотности вина. Жюльм (La mesure de l'acidité totale des vins. Jules P.), Ann. falsific. et fraudes, 1955, 48, № 556, 157—163 (франц.)

По определению подкомиссии Международной Службы вина под общей кислотностью вина понимается сумма всех титруемых щелочью к-т при pH 7. В эту сумму не должны входить углекислота и сернистая к-та. Затруднения встречаются в выборе индикатора. Очень чувствительный индикатор при pH 7 — бромтимоловый синий. Предлагается пользоваться также окрашенным элюоном — водн. р-ром сульфата меди, хлористого кобальта и двуххромовокислого калия, смешиваемых в определенной пропорции, устанавливаемой каждый раз заново, в зависимости от цвета вина при pH 7. Описывается техника определения. Для удаления CO_2

вино перед определением взбалтывают на холоду при разрежении. Поправка на содержание сернистой к-ты делается при определении летучих кислот. Н. II.

66988. Определение спирта и летучих кислот в производственных лабораториях. Таннер (Die Bestimmung von Alkohol und flüchtiger Säure im forschrittl. eingerichteten Betriebslaboratorium. Tanner H.), Schweiz. Z. Obst- und Weinbau, 1956, 65, № 7, 159—162 (нем.)

Описывается прибор для одновременного определения содержания спирта или летучих к-т в 4 пробах. Прибор состоит из 4 комплектов перегонных колб, двух типов насадок, холодильников и приемников, смонтированных на шлифах и установленных с помощью штативов на одной подставке. Для определения летучих к-т пользуются насадкой, позволяющей вести отгон с водяным паром. Приводятся фотоснимки прибора. Г. О.

66989. Исследования по содержанию метанола в винах. Амьель, Норц, Пуизе (Contribution à l'étude de la teneur des vins en méthanol. Amiel Jean, Nortz Maurice, Puisais Jacques), C. r. Acad. sci., 1956, 242, № 12, 1646—1647 (франц.)

Анализами вин из французских сортов винограда и их гибридов установлено, что в красных винах содержится метанола 124—419 мг%, а в белых винах — 35—99 мг% этанола. Вина из гибридных растений, особенно красные, содержат повышенное кол-во метанола. Г. О.

66990. Химические показатели для распознавания вина «Сетубальский Мускат». Коррея (Le vin de liqueur «Muscat de Setubal» et son identification analytique. Notes pour son étude. Correia E. Margarido), Bull. Office internat. vigne et vin, 383—395 (франц.)

Приводится состав 16 образцов вина урожая 1926—1945 гг. и показатели по относительному содержанию: отдельных к-т к сумме нелетучих к-т; анионов SO_4 и Cl к растворимой золе; катионов K и Na к растворимой щелочности; катионов Ca и Mg к нерастворимой щелочности; общей щелочности к общей золе; растворимой щелочности к растворимой золе; нерастворимой щелочности к нерастворимой золе, а также показатели по альдегидам, общим, летучим и нелетучим эфирам. Приведенные показатели призваны облегчить распознавание происхождения, сорта и качества вина. Г. О.

66991. К определению красящих веществ в красных сортах винограда и красных столовых винах. Вильямс В. В., Бегунова Р. Д., Виноделие и виноградарство СССР, 1955, № 7, 38—40

Исследовались причины уменьшения растворимости в воде красного пигмента винограда энидин-хлорида при его перекристаллизации. Найдено, что при перекристаллизации энидин-хлорид частично полимеризуется и образуется смесь его с димером, не растворимым в воде. Окраска р-ра энидина примерно в 20 раз интенсивнее окраски р-ра его димера при одинаковой конц-ии. Даже незначительная примесь димера приводит к завышенным экстинкциям и, следовательно, к заниженным конц-иям красящих в-в в вине. Уточнена номограмма для определения содержания красящих в-в в красном столовом вине или сусле. Н. II.

66992. Летучая кислотность сусла. Кантарелли (L'acidità volatile dei mosti. Cantarelli Corrado), Riv. viticolt. e enol., 1954, 7, № 4, 121—129 (итал.)

При исследовании 53 образцов виноградного сусла определено наличие значительных кол-в летучих к-т. Хроматографич. исследование показало почти во всех случаях присутствие $HCOOH$, являющейся наиболее характерной для виноградного сусла летучей к-той. Б. А.

66993. Определение меди и железа в коньячной продукции. Духовный А. И., Виноделие и виноградарство СССР, 1955, № 6, 28—29

Описывается метод, принятый в лаборатории Одесского коньячного з-да. Остаток от перегонки коньячного спирта или коньяка озоляется и подвергается сухому сжиганию в муфельной печи при темнокрасном калении. Полученная зола растворяется в азотной к-те. Содержание меди в ней определяется по методу, приведенному в руководстве Флорова-Багреева и Агабальянца («Химия и методы исследования продуктов переработки винограда», Пишпроминздат, 1933) при помощи железистосинеродистого калия с последующим колориметрированием. Эталон — р-р сернистой меди. Железо определяют по ГОСТ 4011-48 при помощи сульфосалициловой к-ты колориметрически. Описывается техника определений и расчеты. Н. П.

66994. Улучшить условия хранения чистых культур дрожжей в лаборатории. Моснашвили Г. И., Виноделие и виноградарство СССР, 1955, № 6, 9—11
Предложен новый метод хранения чистых культур дрожжей в лаборатории, обеспечивающий их стабильность. Дрожжевые культуры для каждого типа вина должны храниться в соответствующем виноградном сусле и пересеваться через каждые полтора-два месяца хранения. Т-ра хранения культур должна устанавливаться в зависимости от их холодостойкости или термофильности. Дрожжевые культуры, сохранившиеся по предложенному методу, оказались сильнее тех же культур, хранившихся по старому методу. Н. П.

66995. Растительная камедь для стабилизации вин. Барабанщиков С. М., Бурмистров М. В., Павлов-Гришин С. И., Виноделие и виноградарство СССР, 1955, № 6, 45—46

Изучались разные способы стабилизации бутылочных вин. Наиболее простым и эффективным является введение в фильтруемое перед розливом вино камеди косточковых плодов, обладающим высоким защитным действием. Предлагается измельченную в порошок сухую камедь перемешивать с сухой фильтровальной массой для зарядки фильтра. Вино при фильтрации обогащается защитным коллоидом и приобретает стойкость против помутнений. Способ рекомендуется для промышленного применения. Н. П.

66996. О качественной оценке желатинизации. Таннер (Über die Qualitätsbeurteilung von Gelatinen. Tanner H.), Schweiz. Z. Obst- und Weinbau, 1956, 65, № 5, 112—114 (нем.)

Обсуждаются выводы по ранее проведенным исследованиям (см. также РЖХим, 1956, 56607). Г. О.

66997. Содержание спирта и виннокислотной кислоты в отходах виноделия. Левина М. В. (Концынута спиртулуй ви ачидулуй тартрик ви рэмэшициле винаритулуй. Левина М. В.), Садоводство, виноградарство и виноделие Молдавии, Грэдинариул, вверитул ши вверитул Молдовей, 1955, № 1, 40—42 (русс., молд.)

Изучались выход сусла и выжимок из некоторых сортов винограда Молдавии, а также содержание в выжимках и дрожжах спирта и виннокислотной к-ты (ВКК). Установлено, что выход сусла из 1 т винограда составляет в среднем 73,19 дкл, выжимок и гребней 17,74%. Содержание спирта в выжимках колеблется в зависимости от сорта винограда и в среднем составляет 73,3 л/1 т выжимок. Кол-во ВКК в красных сортах винограда составляет 1,12, в белых 0,53%; содержание ее в выжимках колеблется в пределах 0,63—0,71%. В дрожжах в среднем содержится 9,6% спирта и 1,87% ВКК. В. Г.

66998. Поведение летучих кислот при перегонке вино-материалов. Фалькович Ю. Е., Виноделие и виноградарство СССР, 1955, № 7, 45—49

С целью регулирования кол-ва летучих к-т в коньяч-

ном спирте исследовалось поведение этих к-т при перегонке вино-материалов и искусств. смесей. Найдено, что коэфф. испарения уксусной к-ты не зависит от ее конц-ии ни в бинарной (вода-уксусная к-та), ни в тройной смеси (вода-спирт-уксусная к-та), но он тем меньше, чем больше спирта в перегоняемой жидкости и чем выше укрепляющее действие аппарата. При установлении коэфф. испарения уксусной к-ты необходимо вводить поправку на содержание свободной сернистой к-ты. Последняя почти целиком переходит в коньячный спирт, поэтому следует избегать сульфитирования сусел, предназначенных для получения коньячных вино-материалов. Н. П.

66999. Устранить потери сусла. Кожокарь И. Л., Виноделие и виноградарство СССР, 1956, № 2, 54

Предлагается устанавливать крышки карманов эграппы с уклоном к корпусу последней, что обеспечивает стекание сусла с крышек обратно в гребнеотделитель. Г. О.

67000. Питатель-суслоотделитель для прессов непрерывного действия. Мглоблшвили А. И., Рухадзе Р. Л., Виноделие и виноградарство СССР, 1955, № 5, 54—56

В целях увеличения соковыделения мязи в бункере пресса и регулирования подачи мязи в бункер предложен питатель-сокоотделитель новой конструкции, который устанавливается над щелью для загрузки пресса непрерывного действия. В чугунном корпусе наглухо закреплены два барабана, разделенные диафрагмами. Верхние части перфорированы. Сусло-самотек отводится через полые оси барабанов в отстойник. Вокруг барабанов вращаются лопасти с резиновыми очистителями. Подвешенный над барабанами конус с перфорированной поверхностью также отводит сусло. Перфорированные стенки бункера и корпуса, лопасти и другие части, соприкасающиеся с мязгой, делаются из нержавеющей стали, чугунные части покрыты бакелитовым лаком. Н. П.

67001. Подготовка фильтра и разливочных машин к розливу шампанского. Пазырев П. Я., Виноделие и виноградарство СССР, 1955, № 5, 57—58

В целях уменьшения потерь в произ-ве предлагается новый способ подготовки заводского оборудования к розливу шампанского. Собранный фильтр, а затем подключенные ворсоуловитель и разливочные машины промывают током водопроводной воды под давл. 2 атм, затем через отключенный фильтр пропускают 40 дкл охлажденных вино-материалов, а после нового подключения машин и создания в системе углекислотного противодействия пропускают шампанское. Первые 3 круга бутылок с шампанским передают в отходы. В 4-м круге шампанское получается уже достаточно осветленное. Н. П.

67002. Значение древесины дубовой клепки в процессе мадеризации вина. Казумов Н. Б., Виноделие и виноградарство СССР, 1955, № 7, 56—57

Изучалось влияние качества дубовой клепки на процесс формирования мадеры. Установлено большое участие танинов дубовой клепки, в том числе полифенолов и лигнина. В соприкасающемся с вином слое клепки содержится в 6 раз меньше дубильных в-в, чем в наружных слоях. В смачиваемом вином слое клепки в процессе мадеризации происходит окислительные превращения части танинов с постепенным переходом в вино накопленных перекисных продуктов; другая часть танинов переходит в вино без хим. превращений в порах клепки и придает вину грубый вкус. Мадеризацию вина лучше вести в старых бочках, особенно в бочках, уже применявшихся при мадеризации; при этом в вине скорее образуются новые окислительные продукты и оно приобретает характерный мадерный тон. Н. П.

67003. Органические кислоты плодово-ягодных соков и вин. Кораблев А. И., Худякова Н. Д., Виноделие и виноградарство СССР, 1955, № 6, 14—17

В целях изыскания средств борьбы с разрушением к-т, неблагоприятно отражающемся на качестве плодово-ягодных вин, проводилось систематич. исследование состава органич. к-т плодово-ягодных соков и приготовленных из них вин. Результаты произведенных анализов сведены в таблицы. Найдено, что в процессе брожения образуются летучие, а также молочная и янтарная к-ты, а винная, лимонная и яблочная к-ты в большей или меньшей степени разрушаются. Схема Омеиса — Мюллера-Тургау не объясняет с одинаковой точностью процессов кислотопонижения для всех плодово-ягодных вин. Возможно, что винная к-та в процессе брожения не разрушается, а образует мало-растворимые соединения, выпадающие в осадок. Н. П. **67004. Мукоровая инфекция сидра.** Донат (Mucorinfektion im Süßmost. Donath E.), Lebensmittelindustrie, 1955, 2, № 6, 136—137 (нем.)

Мукоровой инфекцией называют заражение сидра любым из встречающихся в соках видом плесневых грибов. Занесенная на произ-ве инфекция является стойкой и борьба с нею очень затруднительна ввиду большой термостабильности спор: плесневые грибы рода *Paecilomyces* выдерживают нагревание до 82°, а в отдельных случаях до 85° в течение 30 мин. Основной задачей являются профилактич. мероприятия: чистота помещений и аппаратуры, применение чистой фильтр-массы, рациональное расположение хранилищ сырья, тщательный просмотр, браковка и обрезка фруктов. Предлагается схема очистительного устройства для обеспложивания воздуха, поступающего в пех розлива. Хорошими методами защиты от мукоровой инфекции являются: предварительная замочка бутылок на 24 часа, горячий розлив и розлив сидра с удалением воздуха из бутылок. А. Ж.

67005 П. Способ получения пресованных дрожжей (Menetelmä painohiivan valmistamiseksi sekä raaka-aine menetelmän suorittamiseksi) [Aktieselskabet Dansk Gaerings-Industri]. Фин. пат. 27316, 1.11.54 Пресованные дрожжи получают методами, принятыми в заводском произ-ве. В сырьё, содержащее углеводы и обычно применяемое в дрожжевом произ-ве, добавляют небольшое кол-во *цис*-формы в-в с общей ф-лой (X) $C-NH-CH(CH_2)-CH(CH_2)_5R-NH$, где X—O,

S или NH, а R — карбоксильная группа или группа, которую можно превратить в карбоксильную, напр. $-COR_1$, где R_1-Cl или NH_2 , или группа сложного эфира, или нитрильная группа. М. Т.

67006 П. Процесс подготовки силиката алюминия типа монтмориллонита для обработки пива или сусла (Process for the treatment of aluminiumsilicates of the kind of montmorillonite for the treatment of beer or wort) [Deglutan (Beer Products) Ltd]. Англ. пат. 688815, 11.03.53

При приготовлении абсорбента для удаления из пива и сусла белковых в-в силикат алюминия типа монтмориллонита обрабатывают для удаления мышьяка р-ром HCl конц-ией $\geq 5\%$ или лучше 10—15%, затем промывают р-ром нейтр. соли щел. металла (напр., NaCl), конц-ия которого исключает набухание. При обработке Са-бентонита или другого ненабухающего материала такой р-р одновременно удаляет к-ту и замещает Са щел. металлом. Можно добавить небольшое кол-во щелочи или аммиака к моему средству для ускорения нейтрализации. И. Б.

67007 П. Усовершенствование способов стабилизации вина (Perfectionnement aux procédés de stabilisation des liqueurs fermentées, notamment du vin.)

[W. & A. Gilbey Ltd]. Франц. пат. 1077573, 9.11.54 [Chimie et industrie, 1956, 75, № 1, 112 (франц.)]

Для предохранения от появления мути при охлаждении вина обрабатывают монообменником на базе сульфированного полистирола или дивинилбензола. Сульфитацию вина производят до, в ходе или после обработки монообменником. Г. О.

См. также: Дрожжи 19574Бх. Пиво 19037Бх, 19614Бх. Защита от коррозии в пивоварении 67273, 67292. Алкоголиметрия 65446. Спирт 66762. Вино 18790Бх, 19064Бх

[ПИЩЕВАЯ ПРОМЫШЛЕННОСТЬ]

67008. Из химии пищевых средств.— (Aus der Lebensmittelchemie.—), Chem. Rundschau, 1956, 9, № 6, 121—125 (нем.)

В связи с пятидесятилетием Швейцарского закона о пищевых продуктах помещен историч. очерк Шейера о развитии пищевой химии. Сообщается о решении с.-х. европейского союза (СЕА) о подготовке издания книги о пищевых продуктах, в которой будут координированы различные законодательные нормы, определения и методы исследования пищевых продуктов. Кроме этого, дано 12 рефератов. А. Е.

67009. Стерилизация пищевых продуктов облучением. Рёйтер (The sterilization of foods by irradiation. Reuter F. H.), Refrig. J., 1956, 9, № 7, 33, 35—36 (англ.)

Краткий обзор вопросов облучения пищевых продуктов для их стерилизации (источники излучения, преимущества холодной стерилизации, изменения продуктов после облучения). А. Е.

67010. Теоретические соображения к процессу обработки пищевых продуктов γ -излучением. I. Цилиндрические поглотители-материалы для облучения, расположенные внутри цилиндрического источника. Чарм, Голдблит, Проктор (Theoretical considerations in food processing by gamma radiations. I. Cylindrical absorbers within a cylindrical source. Charm Stanley E., Goldblith Samuel A., Proctor Bernard E.), Food Technol., 1954, 8, № 10, 473—477 (англ.)

Дается метод расчета миним. кол-ва времени, требуемого для облучения γ -лучами затаренных пищевых продуктов. Критерием расчета как этих, так и тепловых процессов, независимо от способа обработки, служит степень уничтожения микроорганизмов. Приведены расчеты размеров материалов для обработки, расположенных только внутри источника излучения. Г. П.

67011. Ядерная энергия как средство консервирования пищевых и некоторых других продуктов. Станкович (Nuklearna energija kao sredstvo za konzervisanje životnih namirnica i nekih drugih proizvoda. Stanković Dušan), Tehnika, 1956, 11, № 3, 437—442 (серб.; рец. англ.)

Обзор работ по применению ионизирующего излучения для консервирования пищевых и других продуктов. Библ. 11 назв. А. Е.

67012. Консервирование пищевых продуктов ионизирующим излучением. Голдблит (Preservation of foods by ionizing radiations. Goldblith Samuel A.), J. Amer. Diet. Assoc., 1955, 31, № 3, 243—249 (англ.)

Изложены теории «удара» и свободных радикалов, разъясняющие бактерицидное действие ионизирующего излучения. Дано сравнение различных видов излучения. Приведены данные об устойчивости к излучению четырех видов бактерий. Непрямое действие излучения на в-во в р-ре рассмотрено с точки зрения эффек-

та растворения, влияния т-ры и действия защитных в-в. Чем менее конц-ия в-ва в р-ре, тем больше оно разрушается при облучении. Значение D_0/C константно для данного соединения. [D_0 — доза инактивации (или разрушения 63% молекул), C — данная, конц-ия]. Приведены величины D_0/C для аминокислот и витаминов в водн. р-рах. Свободные радикалы, образуемые водой под действием ионизирующего излучения, более подвижны и реактивоспособны в жидкой среде, чем в твердом теле при замораживании. В р-рах нескольких в-в некоторые из них играют защитную роль в отношении других, являясь акцепторами свободных радикалов. Напр., инициация защищает от разрушения при облучении аскорбиновую к-ту; гистидин сохраняется от разрушения α -изоаскорбатом натрия. Отмечаются «остаточные» явления после облучения продуктов: изменения их цвета, вкуса и запаха. Указаны три способа предупреждения этих изменений: облучение в замороженном состоянии или в атмосфере инертных газов, или добавление акцепторов свободных радикалов. Кратко сообщается об опытах по стерилизации пищевых продуктов, «пастеризации» мяса, применении излучений для борьбы с насекомыми, вредителями зерна.

А. Е.

67013. Опыты радиационной стерилизации пищевых продуктов. Прайт, Эклунд (Recent experiments in radiation sterilization of foods. Pratt G. B., Eklund O. F.), Quick Frozen Foods, 1954, 16, № 10, 50, 51, 138—139 (англ.)

Исследовалась устойчивость спор *Bacillus stearothermophilus* (F. S. 1518) и *Clostridium sporogenes* (P. A. 3679) к облучению γ -лучами в зависимости от величины дозы, кол-ва спор в суспензии, среды, pH, наличия воздуха и аскорбата натрия. Установлено, что процент выживших после облучения спор примерно одинаков для суспензий различной конц-ии, поэтому дозы γ -лучей должны увеличиваться с увеличением бактериальной обсемененности продуктов. В воде споры менее устойчивы, чем в бульоне. pH среды и наличие аскорбата натрия не оказали существенного влияния на устойчивость спор к облучению. В присутствии воздуха действие γ -лучей на споры более эффективно. Опыты облучения различных образцов мяса в банках γ -лучами (Co^{60} , 10 кюри) в дозе $2 \cdot 10^6$ ф. э. р. с последующим его хранением при 4,4; 21,1 и 36,6° до 5 месяцев установили появление неприятного запаха, не исчезающего после пастеризации (вслед за облучением), при облучении мяса в замороженном виде или с добавлением аскорбиновой кислоты.

А. Е.

67014. Излучение расщепляемых материалов в консервировании пищевых продуктов. Браунелл (Radiation from fission materials for food preservation. Brownell L. E.), Atomics, 1954, 5, № 2, 37—41, 45 (англ.)

Сообщается о работах Мичиганского ун-та по изучению действия γ -облучения на микроорганизмы и продукты. Дано подробное описание со схематич. чертежами двух источников γ -облучения (на 1 и 10 кюри с Co^{60}). Из испытанных микроорганизмов наиболее устойчивыми оказались *B. subtilis* и *Cl. botulinum* (полное уничтожение при дозе 2,0—2,5 миллионов ф. э. р. (в воздухе, т. е. 83,8 μ р/г воздуха). Меньшие дозы потребовались для уничтожения бесспорных, напр., в шесть раз меньше для *Escherichia coli*, *Proteus vulgaris* и *Lactobacillus arabinosus*. Доза в 2,04 миллиона ф. э. р. убивает всю микрофлору сырого и пастеризованного молока. Кормление подопытных животных облученным молоком не повлияло на их здоровье, рост и пр. Приведены соображения о дальнейших испытаниях с кормлением. Облучение свежих овощей (горошка, шпината, спаржи, брокколи и моркови) не вызвало каких-либо заметных изменений, за исключением некоторой потери цвета

горошка и моркови и их размягчения. При облучении мяса отмечено появление постороннего запаха и привкуса, исчезающих после варки. Установлено, что наличие нитритов и нитратов натрия в кол-ве 0,0001% предупреждает это явление. Обеззараживание свинины от трихинелл при дозах < 20000 ф. э. р. дало положительные результаты без изменения качества мяса. А. Е.

67015. Стерилизация пищевых продуктов катодными лучами. Сикорский (Sterylizacja zywnosci promieniami katodowymi. Sikorski Z.), Prezem. srozywezy, 1955, 9, № 1, 7—9 (польск.)

Изучалось действие катодных лучей на бактерии, витамины, аминокислоты, ферменты и вкусовые качества пищевых продуктов. Подтверждена возможность стерилизации пищевых продуктов методом облучения потоком электронов, обладающих большими скоростями. Разобраны преимущества электронной стерилизации по сравнению с другими существующими методами: быстрота стерилизации, экономия в затрате рабочей силы, возможность точного контроля и регулирования технологич. процесса, получение продукта стандартного качества.

Л. Ш.

67016. Оценка безвредности радиационной стерилизации пищевых продуктов. Леман, Лог (Evaluating the safety of radiation-sterilized foods. Lehman A. J., Laug E. P.), Nucleonics, 1954, 12, № 1, 52—54 (англ.)

Предлагается программа исследований продуктов после радиационной стерилизации на их безвредность различными способами, включая опыты с животными, хим. и физ. методы.

Н. Ч.

67017. Определение радиоактивных веществ в пищевых продуктах. Эдди (Détection des substances radio-actives dans les aliments. Eddy C. E.), Bull. Office internat. epizooties, 1955, 44, mai, 355—364 (франц.; рез. англ.)

Для предотвращения присутствия в пищевых продуктах радиоактивных в-в в дозах, превышающих максимально допустимые для человека нормы, установленные Международной комиссией, рассматривается необходимость организации соответствующего контроля содержания как природных, так и возникающих при искусственно вызванном ядерном распаде, радиоактивных в-в в воде, почве, растениях, животных и в пищевых продуктах.

Г. Н.

67018. Применение электронного излучения для уничтожения насекомых. Бейкер, Табоада, Уайант (Electron gun aimed at insects. Baker Vernon H., Taboada Oscar, Wiant, Dennis E.), Food Engng, 1954, 26, № 4, 64—66 (англ.)

Ускоренные электроны могут быть использованы для уничтожения насекомых, их личинок или яиц в различных продуктах, хранящихся в больших объемах (зерно, мука и т. п.). Установлено, что дозы в 10 000 ф. э. р. убивают зародышей в яйцах, а при облучении насекомых прекращают способность их размножения. Для уничтожения насекомых требуются дозы 100 000 ф. э. р. При облучении зерна семенные качества его ухудшаются тем больше, чем выше дозы. Хлебопекарные свойства изменяются мало. В качестве источника катодных лучей для эксперим. работ, проведенных в Мичиганском колледже, был использован электростатич. ускоритель типа Ван-де-Граафа с напряжением ускорения до 2000 кВ.

Н. Ч.

67019. Исследование влияния сильных высокочастотных полей на микроорганизмы в водных растворах. Браун, Моррисон (An exploration of the effects of strong radio-frequency fields on micro-organisms in aqueous solutions. Brown George H., Morrison Wendell C.), Food Technol., 1954, 8, № 8, 361—366 (англ.)

Исследован широкий ряд частот на образцах с различной проводимостью, описаны методы определения напряженности электрич. поля, сопротивления и т-ры с помощью куметра и термонары. Приведены результаты серии экспериментов по высокочастотному нагреву культуры бактерий *E. coli* на агаре. Г. П. 67020.

Процессы созревания, обусловленные ферментами. Шормюллер (Fermentativ bedingte Reifungsvorgänge. Schormüller J.), Dtsch. Lebensmitt.-Rundschau, 1954, 50, № 1, 24—26 (нем.)

Отмечено значение ферментативных процессов в получении, переработке и приготовлении пищевых продуктов, в частности при созревании мяса, рыбы, сыра, муки, кофе, какао, плодов и табака. Подробно рассмотрено биохим. подвижное равновесие в процессах созревания продуктов и влияние посторонних в-в, добавляемых к ним (минер. солей, пенициллина и других антибиотиков). А. Е.

67021. Внедрение автоматизации в пищевой промышленности. Гашковец, Яновский (Zavádění automatizace v potravinářském průmyslu. Haškovec Josef, Janovský Milošlav), Průmysl. potravin, 1955, 6, № 9, 422—426 (чеш.; рез. русс., англ., нем.)

Описано современное состояние автоматизации процессов в пищевой пром-сти Чехословакии. Отмечено недостаточное обеспечение з-дов контрольно-измерительными и регулируемыми приборами. Составлен перечень процессов (операций), подлежащих автоматизации, и необходимые приборы с указанием з-дов — изготовителей. В качестве примера приводится схема автоматич. регулирования кислотности и т-ры ванны для созревания сметаны. Е. Ш.

67022. Использование понообменных смол в пищевой промышленности. — (Folosirea în industria alimentară a rășinilor schimbătoare de ioni. —) Rev. ind. aliment. prod. vegetale, 1955, № 2, 20—21 (рум.)

Указано применение понообменных смол в разных отраслях пром-сти: очистке воды для котлов, произ-вах глюкозы из крахмала, лактозы, ликеров, некоторых фруктовых соков, органич. к-т из фруктовых отходов, пектина, а также в некоторых лабор. анализах пищевой пром-сти, для регенерации дорогих реактивов (Ag, Pt). Применение их позволило получить после упаривания в вакууме продукт, содержащий 95% глицерина. А. М.

67023. Теория и применение непрерывного способа фильтрации под давлением экстрактов из ирландского мха. Далстром, Хок, Оерн, Синглетон (Theory and application of continuous pressure filtration to the extraction of Irish moss. Dahlstrom D. A., Hock Walter, Osri Stanley M., Singleton Andrew), Food Technol., 1955, 9, № 6, 303—308 (англ.)

Дана схема и описание установки для фильтрации под давлением экстрактов, полученных из ирландского мха, отличающихся большой вязкостью. Приведены кривые скорости фильтрации при различных условиях т-ры, давления, с применением и без применения в-в, облегчающих фильтрацию. Т. С.

67024. Новая простая техника прямого определения равновесной относительной влажности продуктов. Моссел, Кёйк (A new and simple technique for the direct determination of the equilibrium relative humidity of foods. Mossel D. A. A., Kuijk H. J. L. van), Food Res., 1955, 20, № 5, 415—423 (англ.)

Проведены измерения равновесной относительной влажности *h* (отношение давления водяных паров продукта к давлению водяного пара чистой воды при одной и той же т-ре) при помощи камеры с LiCl для определения точки росы воздуха. Дано подробное описание и фотографии прибора. Полученные величины для

сосисок, вишневого джема, апельсинового мармелада, пшеницы, шоколадных конфет, пшеничной муки и др. продуктов, близко сходятся с величинами при определении *h* классич. методом. Подробно рассмотрен вопрос о подавлении роста различных микроорганизмов в зависимости от конц-ии NaCl в среде и ее *h*; данные суммированы в таблице. А. Е.

67025. Дитиоловый метод определения олова в пищевых продуктах. Бернштейн, Гилевская (O metodzie ditiolowej oznaczania cyny w żywności. Bernstein Irena, Gilewska Czesława), Roczn. Panstw. zakł. hig., 1955, 6, № 3, 243—259 (польск.; рез. русс., англ.)

Дитиоловый метод, основанный на свойстве дитиола (1-метил-3,4-димеркаптобензол) образовывать с оловом в кислой среде красное соединение, был испробован для определения олова в консервах и в зубной пасте. Приводится ряд предложений по улучшению метода в данных условиях. Отмечено мешающее определению влияние фосфатов. Наименьшее кол-во олова, определяемое этим методом, 2—5 γ, наибольшее 50 γ. Л. Ш.

67026. Отфильтровывание клетчатки. Талер (Das Filtrieren der Rohfaser. Thaler H.), Mitt. Gebiete Lebensmitteluntersuch. und Hyg., 1955, 46, № 3, 251—254 (нем.; рез. англ., франц.)

Описаны затруднения, которые возникают при разделении, общезвестными методами, клетчатки от жидкой фазы в процессе исследования главным образом пищевых продуктов. Подробно изложена методика изоляции клетчатки, предложенная Финкке и Талером, хорошо оправдавшая себя на практике. Согласно методике, на пористое дно стеклянного тигля Шотта и Майнда Ng12 намывается слой репульпированной в воде беззольной фильтровальной бумаги № 589² или бумажной таблетки № 292 фирмы Schleicher и Schüll. После промывки намывотой бумажного слоя горячей водой, спиртом, ацетоном и эфиром тигль высушивается при 115° и охлаждается в эксикаторе. Исследуемая пульпа, содержащая клетчатку и полученная по методу Шаррера и Кюршнера или по методу Бездуччи, охлаждается до 50—60° и фильтруется под слабым вакуумом, через намывотый слой предварительно взвешенного тигля. Для ускорения фильтрации иногда практикуется взрыхление верхнего слоя намывотой бумажной массы. Осадок обезжиривается промывкой р-рителями, высушивается, охлаждается и взвешивается вместе с тиглем и намывным фильтрующим слоем. Для определения зольности осадок, вместе с намывным бумажным слоем, пинцетом переносится в фарфоровую, кварцевую или платиновую чашку для сжигания. Н. Г.

67027. Неферментативное потемнение пищевых продуктов. Сообщение 2, Гёррихарт (Die nichtenzymatische Bräunung von Lebensmitteln II. Görnhardt L.), Fette, Seifen, Anstrichmittel., 1955, 57, № 6, 439—433 (нем.)

На основании подробного обзора работ, выясняющих механизм р-ции потемнения продуктов, рассмотрены три способа предупреждения их потемнения: 1) создание неблагоприятных условий для р-ции (содержание воды и т-ра хранения), 2) удаление одного из в-в, участвующих в р-ции (напр., глюкозы в картофеле хранением его перед сушкой при повышенной т-ре), 3) хим. блокированием р-ции (напр., окуливание овощей и плодов SO₂). Библ. 145 назв. Сообщ. 1, с. РЖХим, 1956, 17960. А. Е.

67028. Стерилизация и стерильность консервов. Сулье (Stérilisation et stérilité des conserves. Soulie P.-A.), Bull. Acad. vétérin. France., 1954, 27, № 4, 183—188 (франц.)

Сообщение о встречающейся на практике нестерильности консервов от вторичного заражения бесспорными формами или за счет оставшейся жизнеспособной

споровой микрофлоры, или от смешанной флоры. Отмечается необходимость стандартизации режимов производства и систематич. контроля качества консервов до их поступления в продажу. Приводятся дискуссия по затронутым вопросам о нестерильности консервов.

В. Г.

67029. О стерильности и пригодности к хранению консервов в связи с влиянием среды на термоустойчивость микроорганизмов. Кёппе (Zagadnienie sterylności i trwałości konserw mięsnych w świetle badań nad wpływem środowiska na ciepłooporność mikroorganizmów. Коерпе Стефан, Wojskowy przegl. weteryn., 1955, 26, № 2, 6—13 (польск.))

На основе литературного обзора делается вывод о том, что неоднородная по своему составу среда консервов является в ряде случаев причиной их нестерильности. Однако выжившие стерилизацию споры не могут развиваться в той среде, которая сохранила их от гибели (напр., в жире). Поэтому часто встречаются нестерильные мясные консервы, которые не портятся в течение долголетнего хранения даже при т-рах, благоприятных для развития микроорганизмов. Такие консервы нельзя считать вредными для здоровья или непригодными к хранению, если они не содержат болезнетворных бактерий, изготовлены из свежего сырья и выдерживают термостатную пробу. Дан ряд практич. указаний в отношении т-ры стерилизации, применения ротационных автоклавов и др. Библ. 26 назв. Л. Ш.

67030. Замечания в связи с санитарным контролем некоторых упаковок пищевых продуктов. Грушинский, Сломинская-Чижова (Wzagi w zwiazku z kontrola higieniczna niektórych opakowań artykułów żywności. Gruszczynski Tadeusz, Słomińska-Czyżowa Elżbieta), Roczn. Państw. zakł. hig., 1954, 5, № 1, 103—108 (польск.; рез. русс., англ.)

Установлено: 1) образование металлик. опилок при вскрытии консервных банок, 2) плохое качество искусств. колбасных оболочек (кроме целлофана), 3) неудовлетворительная герметизация стеклянных ампул для пищевых эссенций, 4) образование стеклянных осколков при вскрытии склянок с горчицей, 5) наличие As, Pb, Cu в пергаменте, применяемом для упаковки масла, что ускоряет порчу последнего.

С. В.

67031. Проверка соответствия утвержденной рецептуре некоторых блюд иззамельченных продуктов. Бромирский, Масякова (Badanie na zgodność z recepturą niektórych potraw z mas mielonych przygotowywanych w zakładach żywienia zbiorowego. Bromirski Antoni, Masiakowa Waleria), Roczn. Państw. zakł. hig., 1954, 5, № 4, 427—451 (польск.; рез. русс., англ.)

Описана методика обнаружения возможных злоупотреблений посредством определения содержания в исследуемых блюдах (напр., в котлетах — мясных, рыбных, картофельных) жира и азотистых соединений и сравнения с их содержанием, подсчитанным по рецептуре, с учетом допустимых потерь в процессе переработки.

Л. Ш.

67032. Описательная терминология и номенклатура при оценке качества пищевых продуктов. Шепард (Descriptive terms and points systems for rating food qualities. Sheppard D.), Food Res. (Chicago), 1955, 20, № 2, 114—117 (англ.)

Указывается на необходимость уточнения и упрощения терминологии, употребляемой при оценке качества пищевых продуктов при массовых дегустациях. Т. С.

67033. Корректирование нормального и квадратичного приближенных вычислений при органолептических испытаниях. Роелер, Бейкер, Эймери (Corrected normal and chi-square approximations to the binomial distribution in organoleptic

tests. Roessler E. B., Baker G. A., Amerine M. A.), Food Res. (Chicago), 1953, 18, № 6, 625—627 (англ.)

Рассмотрено применение методов нормального и квадратичного вычислений с соответствующими ф-лами для вычисления поправок на повторность испытаний, уменьшающих число наблюдений. Приведена таблица, в которой показаны действительная и ожидаемая вероятности, вычисленные по нормальному и квадратичному методу при разном числе двух- или трехкратных испытаний.

В. Г.

67034. Надежность определения вкуса и методы потребительского испытания. I. Утомляемость при испытании вкуса. Лау, Ишлер, Булман (Reliability of taste testing and consumer testing methods I. Fatigue in taste testing. Laue Elsie A., Ishler Norman H., Bullman Cloria A.), Food Technol., 1954, 8, № 9, 387—388 (англ.)

Проведено изучение утомляемости дегустаторов при испытании вкуса некоторых пищевых и вкусовых продуктов. Утомляемость оказывается особенно заметной при дегустации некоторых типов продуктов (напр., кленового сиропа), в то время как для других она является практически ничтожной, как напр. при испытании кофе. Описан порядок дегустационных испытаний, применявшийся при проведении указанных исследований. Образцы представлялись дегустатору вслепую тройками, причем каждая тройка подавалась два раза так, что дегустатору была неизвестна цифровая нумерация образцов; утомляемость фиксировалась в том случае, если один и тот же образец, представленный дегустатору дважды, получал заметное различие в оценке.

В. Г.

67035. Приближение к объективности в органолептических испытаниях пищевых продуктов. Эренберг, Шуан (The objective approach to sensory tests of food. Ehrenberg A. S. C., Shewan J. M.), J. Sci. Food and Agric., 1953, 4, № 10, 482—490 (англ.)

Доклад, прочитанный на совещании по оценке вкуса и запаха, организованном пищевой группой и группой биологич. методов общества аналитиков и биометрич. обществом (Англия). Обсуждается техника оценки качеств. показателей глазированной замороженной рыбы и отмечается значение выбора характерных показателей качества, влияние тренировки дегустаторов на согласованность оценок при определении вкуса и запаха, а также соображения относительно установления объективности оценки и применения числовых шкал. В целях достижения объективности рекомендуется действительность сравниваемых результатов, полученных из различных наблюдений, проверять путем сопоставления с контрольными образцами и некоторыми физ.-хим. показателями.

В. Г.

67036. Универсальная шкала для определения вкуса в единицах. Дов (A universal gustometric scale in D-units. Dove W. Franklin), Food Res. (Chicago), 1953, 18, № 5, 427—453 (англ.)

Предложена дегустометрич. шкала в виде таблицы и представленная также в графич. форме для оценки вкусовых качеств пищевых продуктов. Вкусовая шкала содержит 5 основных вкусовых р-ров (сахароза, хлористый натрий, виннокаменная к-та, фенилтиокарбамид и сернистый хинин), причем в качестве исходных являются молярные р-ры, которые в зависимости от разбавления при установлении вкусовых порогов могут выражать вкусовые ощущения в ед. разбавления (Д). Предлагается три шкалы Д-ед.: макро, микро и ультрамикро в зависимости от необходимой степени тонкости вкусовых различий и установления порогов различного вкуса.

В. Г.

67037. Сельскохозяйственные химикаты и оценка вкуса. Комpton (Agricultural chemicals and flavor evaluation. Compton C. C.), Agric. Chemicals, 1953, 8, № 1, 30—31, 121 (англ.)

Случаи появления ненормального привкуса в фруктах и овощах от употребления пестицидов связаны с неправильным применением последних. Ставится вопрос о необходимости соответствующих испытаний новых пестицидов перед их выпуском в продажу. Отмечается необходимость получения дополнительных данных о методах испытания вкуса и о влиянии неустойчивых факторов на появление привкуса. В. Г.

67038. Основы хранения зерна. О'Брайен (Technical aspects of wheat storage. O'Brien E. J.), Australas. Baker and Millers J., 1955, 58, № 703, 90, 93, 95—96 (англ.)

Рассмотрены по литературным материалам теоретич. основы хранения зерна: вопросы дыхания (аэробного и анаэробного), т-ра насыни, роль грибов и насекомых, влияние фунгицидов на дыхание зерна, изменения углеводов, белков, жиров и витаминов зерна при хранении, показатели его порчи. Библ. 15 назв. А. Е.

67039. Новые методы сушки зерна. Теймер (New methods of drying grain. Theimer Otto F.), Milling, 1954, 125, № 6, 158, 160—161, 166 (англ.)

Приведены схемы, описания и способы сушки зерна на сушилах двух типов: 1) с применением силикагеля для сушки воздуха, продуваемого через слой зерна; 2) с сушкой воздуха конденсацией водяных паров охлаждением. См. РЖХим, 1956, 34450. А. Е.

67040. Вопросы хранения, сушки и борьбы с потерями зерна и муки. Берифус (Aktuelle Probleme der Lagerung, Trocknung und des Vorratsschutzes von Getreide und Mehl. Bernfus E.), Mitt. Versuchsstation Gärungsgew., 1954, 8, № 3/4, 53—56 (нем.)

Отмечается важность изучения вопросов хранения зерна и муки с точки зрения «микrokлимата», т-ры и влажности воздуха в слоях, прилегающих к земле (от 0 до 2 м). Приводятся данные различных величин относительной влажности и т-ры воздуха в зависимости от высоты. Рассматриваются способы хранения затаренной муки (высота штабелей, вид тары, влажность муки). Б. З.

67041. Исследование методов определения влажности зерна. Гильбо (La détermination de la teneur en eau des blés. Guilbot A.), Génie rural, 1955, 48, № 5, 175—178 (франц.)

Сравнительными исследованиями различных методов определения влажности зерна установлена наибольшая пригодность установления влажности по величине потери веса. Высушивание производится при т-ре, при которой не происходит разложения в-ва или хим. изменений, могущих повлиять на величину потери веса. Для зерна эта т-ра равна 50°. Для ускорения высушивания в закрытом сосуде применяют активный влагопоглотитель, напр. фосфорный ангидрид, а также вакуум в 10—20 мм рт. ст. Получаемые результаты соответствуют практич. данным, а также результатам, получаемым хим. методами. Приводятся условия подготовки образцов зерна для анализа, которые обязательны для всех методов. Дается критич. обзор применяемых методов определения влажности высушиванием и ускоренных, основанных на разнице между величинами, характеризующими электрич. свойства зерна в сухом и влажном состоянии. Методом высушивания в сушильном шкафу системы Шопена обезвоженным воздухом (пропускаемым через силикагель) получаются результаты, отклоняющиеся от рекомендуемого на 0,10—0,15%. Б. З.

67042. Результаты химических и технологических исследований зерна. Лерго (Résultats des analyses

chimiques et technologiques des produits récoltés dans les essais exécutés par la station en 1953. Legros R.), Rev. agric., 1955, 8, № 8, 1054—1060 (франц.)

Приведены данные определения влажности, натуре, веса 1000 зерен, содержания азотистых и безазотистых экстрактивных в-в в новых озимых и яровых сортах ячменя, пшеницы и бобовых урожая 1953 г. с.-х. станции во Франции. Б. З.

67043. Оценка степени зараженности и порчи зерна и зернопродуктов насекомыми. Субрахманьян, Пингале, Кадкол, Сваминатхан (Assessment of insect infestation and damage to stored grains and their products. Subrahmanyam V., Pingale S. V., Kadkol S. B., Swaminathan M.), Bull. Central Food Technol. Res. Inst. Mysore, 1955, 4, № 5, 113—116 (англ.)

Обзор. Библ. 27 назв.

67044. Хлебопекарная ценность пшеницы и W. Нюре (Valeur boulangère et W. Nuret H.), Bull. Ecole franç. meunerie, 1954, № 143, 206—212 (франц.)

Описаны условия, при которых определяется на альвеографе величина W, характеризующая «хлебопекарную силу» пшеницы (муки). Исключительное значение имеют тщательность отбора среднего образца пшеницы, подготовки его (увлажнение, отволаживание) к помолу и способ размолла. Хлебопекарная ценность определена как способность пшеницы (муки) давать доброкачественный хлеб в обычных условиях его приготовления. Выбровка сортов пшеницы по величине W на ранних стадиях их селекции даст возможность вывести высокоценные в хлебопекарном отношении сорта пшеницы. При заготовках пшеницы необходимо их группировать по сортам по величинам W: на сильные, с высоким W, средние, наиболее распространенные, и слабые, с низким W. Наличие партий пшениц, определенных по хлебопекарной ценности, позволит составлять смеси, обеспечивающие выработку муки постоянного хлебопекарного достоинства. Б. З.

67045. Об оценке хлебопекарных свойств пшениц. Жофруа (Etude de décret réglementant la qualité boulangère des blés. Geoffroy R.), Inds. aliment. et agric., 1955, 72, № 7—8, 481—482 (франц.)

Во Франции действует закон от 5 декабря 1955 г., по которому пшеницы классифицируются на 4 группы по величине W, определяемой на альвеографе. Автор считает более целесообразным установление 3 групп. Закон издан для стимулирования возделывания сортов пшениц с ценными хлебопекарными свойствами, т. е. с высоким W. Обсуждаются некоторые вопросы, связанные с применением этого закона. Рекомендуется для увеличения содержания белков в пшенице (примерно на 2%) производить в надлежащий момент подкормку посевов по методу Коппа азотистыми удобрениями. Б. З.

67046. Протенины муки. Обзор физических свойств клейковины и химических реакций, вызывающих ее окисление. Салливан (Proteins in flour. Review of the physical characteristics of gluten and reactive groups involved in change in oxidation. Sullivan Betty), J. Agric. and Food Chem., 1954, 2, № 24, 1231—1234 (англ.)

Обзор. Библ. 38 назв.

67047. Экспресс-метод определения влажности муки в электрическом поле высокой частоты. Питермат, Мае (La mesure ultra-rapide de l'humidité des farines dans un champ électrique à haute fréquence. Pietermaat F. P., Maes E.), Petit j. brasseur, 1955, 63, № 2529, 59—60 (франц.)

Метод основан на действии высокочастотного электрич. поля на навеску муки, помещенную между пластинами конденсатора. Для создания высокочастотного электрич. поля пользуются генератором с полезной

мощностью ± 100 в, с частотой 40 Мгц. 2 г муки помещают на нижнюю пластину конденсатора, прикрыв верхней пластиной, включают генератор на 14—18 мин., охлаждают в эксикаторе и взвешивают. Разница между результатами высокочастотного метода и официального (4,5 часа при 100—105°) составляет 0—0,45%, в среднем 0,15%.

67048. Кислотность спиртовой вытяжки муки из цельного зерна как показатель состояния ее свежести. Митра, Чаттерджи [Alcohol acidity as a measure of soundness of ata (whole meal flour). Mitra S. N., Chatterji R. K.], J. Indian Chem. Soc. Industr. and News Ed., 1955, 18, № 3, 139—142 (англ.).

В образцах муки из цельного зерна пшеницы двух видов (красно- и желтозерной), хранившихся в течение 4 месяцев, периодически определялась кислотность: 1) отфильтрованного водн. экстракта муки; 2) спиртовой вытяжки муки и 3) экстрагированных из муки жиров. Одновременно производилась органолептическая оценка свежести муки. Установлено, что кислотность спиртовой вытяжки и жиров в начальной стадии порчи (прогоркания) муки увеличивается быстрее, чем кислотность водн. экстракта. За 4 месяца хранения кислотность водн. экстракта увеличилась только в 1,7 раза, в то время как кислотность спиртовой вытяжки и жиров выросли соответственно в 2,4 и в 2,6 раза в образцах красной пшеницы и соответственно в 2,6; 3,6; 3,8 раза в желтой. В случаях определения состояния свежести пшеничной муки из цельного зерна предлагается установить допустимую кислотность спиртовой вытяжки ≤ 220 (мг КОН на 100 г образца).

67049. О кислотности муки помола на «витагане». Броуниш [Uwagi wiazku z kwasowosci. maki przemiatu «Vitahan», Bronisz Halina], Roczn. Państw. zakł. hig., 1954, 5, № 2, 215—220 (польск.; рез. русс., англ.).

Проведены сравнительные испытания ржаной и пшеничной муки и соответствующих им «эквивитров», полученных на мельнице «витаган». После 16 месяцев хранения кислотность составляла в °: эквивитра пшеничного 4,82, ржаного 4,5, муки ржаной (97%) 6,70, пшеничной (97%) 5,22, отрубей пшеничных 6,26; помол на витагане дает более стойкий в хранении продукт, чем вальцевой помол.

67050. Быстрый автоматический анализ воды и золы в муке. Дюваль (Analyse automatique rapide de l'eau et des cendres dans les farines. Duval Clément), Chim. analyt., 1954, 36, № 3, 61—62 (франц.).

Предлагается производить определение влажности и золы в муке при помощи термоллиза с равномерным повышением т-ры на 300° в час и регистрацией потери веса навески муки на автоматич. самопишущих термовесах. Приводятся кривая термоллиза муки и данные по определению воды и золы в различных образцах зерна.

67051. О качестве продуктов переработки овса (III). Предварительный доклад о подкисляющем горьком веществе овса. Мор (Über die Qualitätsbeeinflussung von Hafererzeugnissen (III). Vorbericht über einen wasserlöslichen Bitterstoff aus Hafer. Mohr W.), Dtsch. Lebensmittel-Rundschau, 1953, 49, № 6, 127—131 (нем.).

Образование горького в-ва при нагревании овса является ускоренным процессом естественного прогоркания овса. Из овсяной муки и отрубей после естественного их прогоркания выделено два горьких в-ва, одно из которых растворимо в ацетоне и жирах, а другое — светлое, растворимо в воде и метаноле и осаждается эфиром или бутанолом. Его можно считать сапонинным. Овсяный сапонин обладает поверхностно-активным действием. С холестерином он дает новый негорький

продукт так же, как и с диоксистеариновой к-той. Возможность удаления горечи из овса путем обработки паром объясняется, повидимому, тем, что в результате взаимодействия сапонина с ОН-группами других в-в, содержащихся в овсе, образуются новые соединения сапонина, не имеющие горького вкуса. Часть II см. РЖХим, 1956, 38035.

67052. Предупреждение появления постороннего привкуса пропаренного риса, вызываемого брожением, при промышленном его производстве. Дисикачар, Маджумдер, Пингале, Сваминатхан, Субрахманьян (Prevention of off-flavours due to fermentation in the commercial production of parboiled rice. Desikachar H. S. R., Majumder S. K., Pingale S. V., Swaminathan M., Subrahmanyam V.), Bull. Centr. Food Technol. Res. Inst. Mysore, 1955, 5, № 3, 50—53 (англ.).

В процессе замочки риса-сырца перед его пропариванием и сушкой развивается неприятный запах и посторонний привкус, обусловленные жизнедеятельностью гнилостных бактерий. Проведенными опытами в лаборатор. и заводском масштабах установлено, что добавление к воде 0,0025% гипохлорита натрия предупреждает размножение нежелательных видов и появление неприятного запаха и постороннего привкуса в замоченном рисе. Опыты кормления животных рисом, обработанным гипохлоритом, показали, что питательная ценность его не уменьшилась по сравнению с контрольным необработанным рисом.

67053. Определение качества круп, Хишпанская, Заленский, Плонская (Kasze. Oznaczenie przemiału i kwasowosci. Hiszpańska Cecylia, Załęski Jan, Płonka Halina), Roczn. Państw. zakł. hig., 1954, 5, № 2, 179—186 (польск.; рез. русс., англ.).

Для разработки норм качественной оценки круп исследовано 120 образцов различных круп. Установлено, что содержание золы в пересчете на сухое в-во не должно превышать (в %) в манной крупе 0,6; в ячневой дробленой 2,2; в гречневой ядрице 2,6, в гречневой подсушенной 2,2; в пшеничной крупе 1,4. Общая кислотность манной и пшеничной круп должна быть $\leq 3^\circ$, а ячневой и гречневой $\leq 5^\circ$. Отмечено, что определение кислотности различными методами дает несовпадающие результаты. Рекомендуется вести титрование взвеси при 100°. Для получения четкого перехода в серо-фиолетовую окраску в случае титрования взвеси гречневой крупы рекомендуется вести определение в присутствии фенолфталеина и 2 капель 0,2%-ного бромтимолового синего.

67054. Гигроскопичность круп. Рубанюк А. П., Науч. зап. Львовск. торгово-эконом. ин-та, 1954, № 1, 220—227

Определялась равновесная влажность перловой крупы, пшена (драцца), ядрицы и ячменя, проса и гречихи, из которых эти крупы были выработаны, при относительной влажности 45%, 60%, 75% и 90% и т-ре для ячменя — перловой крупы 16°, для остальных образцов 23°. Влияние толщины слоя в одно зерно, 1 см и 2 см на скорость поглощения и отдачи влаги исследовалось при 0% и 100% относительной влажности. Опыты велись статич. методом. Установлено, что гигроскопичность зерна меньше гигроскопичности крупы из этого зерна. Цветочные пленки ячменя и проса, плодовые оболочки гречихи менее гигроскопичны, чем остальные части зерна и оказывают задерживающее влияние на скорость поглощения и отдачи влаги зерном этих культур. Задерживающее влияние толщины слоя более сказывается на скорости поглощения влаги, чем на скорости отдачи ее зерном и крупными.

67055. **Определение содержания сырой клетчатки. Хирсъярви** (Über die Rohfaserbestimmung. V. Hirsjärvi Viljo P.), Z. analyt. Chem., 1955, 148, № 3, 187—191 (нем.)

Приведены данные сравнительного определения кол-ва сырой клетчатки в овсяной муке и хлопьях, ячменной, пшеничной, ржаной и кукурузной муке, в гречневой крупе, пшенице и рисе методами: 1—2) Веедера (в двух модификациях); 3) модифицированным автором методом Пуранена и Томулы, 4) Хампеля, 5) Камера и Гинкеля. Наиболее пригодным по скорости и хорошо совпадающим результатам признан 3-й метод. В. З.

67056. **Предварительное изучение влияния γ -излучения на хлебопекарные свойства муки. Браунелл, Хорлин, Нихемайас** (A preliminary study of the effect of gamma radiation on the baking quality of flours. Brownell L. E., Harlin H. A., Nihemias J. V.), Food Technol., 1955, 9, № 12, 620—623 (англ.)

Для исследования влияния облучения муки γ -лучами на ее хлебопекарные свойства проведены опытные выпечки кекса, бисквитов и хлеба из трех сортов муки, предварительно прошедшей облучение в дозах от 20 000 до 1 000 000 ф. э. р. Качество изделий определялось органолептически. Кексовая, универсальная и хлебная мука не изменились после облучения в дозе 20 000 ф. э. р., достаточной для умерщвления насекомых и их яиц. Качество приготовленных кексов не отличалось от контрольных. С повышением дозы облучения качество кексов снижалось: мякиш уплотнялся, корка темнела. Вкусовые изменения отмечены при облучении $\geq 100 000$ ф. э. р. Кекс, особенно его корка, становился сладким. При повышении дозы появлялись неприятные привкус и запах. При изготовлении из облученной муки (20 000 — 150 000 ф. э. р.) бисквитов потребовалось больше молока, чем принято по рецептуре. Качество бисквитов ухудшилось по сравнению с контрольными при дозах $> 20 000$ ф. э. р. За исключением небольшого уменьшения объемного выхода хлеба качество его по всем другим показателям не ухудшилось после облучения муки дозой 20 000 ф. э. р.; с повышением дозы объем хлеба уменьшался, а корка напоминала по цвету медовую корочку. А. Е.

67057. **Научный и технический прогресс в производстве дрожжей и хлеба. Фрей** (Scientific and technical progress in yeast and bread production. Frey Charles N.), Food Technol., 1955, 9, № 5, 211—218 (англ.)

Обзор.

В. Б.

67058. **Характеристика высушенной распылением клейковины пшеницы. Мак-Коннелл** (Some characteristics of spray-dried wheat gluten. McConnell W. B.), Canad. J. Technol., 1955, 33, № 4, 256—264 (англ.)

Исследовались физ.-хим. и хлебопекарные свойства высушенной распылением клейковины пшеницы. Клейковина диспергировалась при помощи лабор. гомогенизатора в 0,005 н. CH_3COOH и, после осаждения $\text{Ca}(\text{OH})_2$, редиспергировалась в 0,01 н. CH_3COOH . После второй дисперсии среда имела pH 5,4, сухих в-в 8—9%. После сушки в распылительной сушилке при t -ре входящего воздуха 160° и выходящего 90° был получен порошок, с исходными хлебопекарными качествами клейковины, не отличавшийся от клейковины, высушенной замораживанием. Полученные препараты содержали 15,4% N, имели начальную влажность 0,4—4%, изменяющуюся в зависимости от относительной влажности воздуха вплоть до образования мокрой и клейкой массы; объемный вес 0,17. При добавках сушеной клейковины к муке с низким содержанием белка хлебопекарная сила муки возрастала, объем хлеба увеличивался. Коэфф. регрессии объемного выхода

хлеба к проценту клейковины равнялся 48,2. Микроскопированием установлено, что высушенная распылением клейковина представляет полые шарики с размерами 10—20 μ . В. Б.

67059. **Простой метод определения оптимального количества воды, потребного для приготовления теста. Венсвен, Миранда** (Eine einfache Methode zur Bestimmung der optimalen Wassermenge bei der Teigbereitung. Wensveen C. J., Miranda H. d e), Brot und Gebäck, 1955, 9, № 8, 141—144 (нем.)

Предложенный Гальтоном аппарат для измерения консистенции теста (патент принадлежит Симону), известный под названием «исследовательский водоабсорбиометр» (НВАМ), использован для составления таблиц и графиков, определяющих кол-во воды, требуемое для получения теста нормальной консистенции. НВАМ, устанавливающий скорость истечения теста при постоянном давлении применительно к консистенции, принятой в Англии (50 сек. под давл. 3,44 кг), был приспособлен к измерению более жидкого теста, принятого в Нидерландах (давление уменьшено до 1,64 кг, время истечения 50 сек.). Кроме того, из рецептуры теста были исключены дрожжи, а время расстойки сокращено с 2—3 час. до 25 мин. Проведенными определениями с пшеничной мукой из цельного зерна и сеяной установлены следующие кол-ва воды, потребные для получения теста нормальной консистенции: 67 и 58%, что соответственно составляло 350 и 430 единиц Брабендера по показаниям фаринографа. Экспоненциальная зависимость между временем истечения теста и кол-вом добавляемой воды отмечена только при суммарной математич. обработке полученных результатов, отдельные измерения отклоняются от прямой зависимости в ту или другую сторону. Отмечается достаточная воспроизводимость определений при данных условиях работы. Построена коррекционная кривая и таблица для вычисления кол-ва воды, потребного для получения теста желаемой консистенции. А. Е.

67060. **Предварительная активация прессованных дрожжей в хлебопечении. Ауэрман Л. Я., Гинзбург А. Г., Тр. Моск. технол. ин-та пищ. пром-сти, 1956, № 4, 54—57**

Проверен в лабор. и производственных условиях способ активации дрожжей, ускоряющий их приспособление к бродильному типу обмена (вместо дыхательного типа обмена, к которому они приспособлены по условиям выращивания) для сокращения времени брожения опары (теста) или расхода дрожжей. Из 1,3—2 кг пшеничной муки, 4—6 л горячей воды ($95-98^\circ$) и 0,2—0,4 кг белого солода готовилась заварка, которая после ее разбавления холодной водой и смешивания с пшеничной и соевой мукой имела t -ру $30-32^\circ$, после чего в нее вносились дрожжи. Рецептура: заварка 5,5—8,4 кг, воды холодной 5,5—5,7 л; муки пшеничной 1,3—2,0 кг, муки соевой 0,5 кг, дрожжей прессованных — всекол-во. Процесс активации длится 1 час. Готовя опару и тесто на предварительно активированных дрожжах, можно значительно сократить длительность брожения опары и теста, сохраняя неизменным расход дрожжей, или на 25—60% сократить их кол-во, причем и в этом случае брожение сокращается на 30—50 мин. Метод активации прессованных дрожжей внедрен на хлебозаводах с хорошими экономич. результатами. А. Е.

67061. **Влияние пониженной температуры заваривания муки водой на качество жидких дрожжей. Ройтер И. М., Баширова Р. С., Тр. Киевск. технол. ин-та пищ. пром-сти, 1955, № 15, 123—124**

Проведены сравнительные опыты размножения дрожжей на заварках из пшеничной муки 2-го сорта, приготовленных с тройным кол-вом воды, нагретой до 75 и 90° . После охлаждения до 50° вносилась закваска

в кол-ве 15% от веса каждой заварки. Через 16 час. брожения при 50° из заквашенных заварок получали сусло разбавлением равным или полуторным кол-вом воды. К питательной среде добавляли при 30° равное по объему кол-во жидких дрожжей и после 4 час. брожения определяли качество полученных жидких дрожжей. На основании средних данных из 18 опытов установлено, что коэфф. размножения дрожжей на заварках выше при 75°, чем при 90° (1,77 и 1,59; 1,69 и 1,44), кол-во почкующихся клеток в первом случае достигало 75%, во втором 50%; подъемная сила (по методу «шарика») соответственно 58 и 67; 63 и 70. В связи с этим рекомендуется для повышения качества жидких дрожжей применять воду для заваривания муки, нагретую до 75°.

67062. Влияние времени расстойки теста на качество пшеничного хлеба. Дозе (Verschiedene Endgärzeiten als Ursache von Qualitätsschwankungen bei Weizengebäcken. D o s e O.), Bäcker und Konditor, 1956, 10, № 3, 11—13 (нем.)

Проведены опытные выпечки формового и подового пшеничного хлеба с различной длительностью расстойки теста после его формования (от 25 до 60 мин.) и определением качественных показателей. Установлено, что удлинение расстойки характеризуется увеличением размера пор в хлебом микши, объемного выхода хлеба и кол-ва потерь при выпечке. Выход хлеба снижается. Мякиш крошится. Эти изменения качества наблюдаются в большей степени при спелом и менее заметны при молодом тесте. В опытах с подовым хлебом уменьшение времени расстойки привело к образованию в мякише пустот. Снижение качества от увеличения времени расстойки особенно заметно при выпечке сдобного хлеба и сухарей из него.

67063. Измерение консистенции теста. Шул е р у д (Zur Konsistenzmessung in Teigen. S c h u l e r u d A r n e), Brot und Gebäck, 1955, 9, № 10, 175 (нем.)

В связи со статьей Венсена и Миранды (РЖХим, 1956, 67095) автор сообщает о том, что в изданной им в 1939 г. книге «Ржаная мука» было дано определение термина «консистенция», как сопротивление против внедрения в тесто постороннего тела, и предложен прибор для ее измерения. Было установлено, что логарифм времени прохождения в тесто стержня является линейной функцией выхода теста. Отмечается совпадение результатов, полученных этим методом, с полученными на приборе Гальтона, построенном на другом принципе.

67064. Определение температуры клейстеризации различных видов крахмала и влияние этой температуры на порки хлеба из муки проросшего зерна. К и р ш н е р, Х о п п е (Bestimmung der Verkleisterungstemperatur verschiedener Stärkesorten und der Einfluß dieser Temperatur auf die Ausbildung von Auswuchsschäden am Gebäck. K i r s c h n e r M., Н о р р e H e l g a), Brot und Gebäck, 1955, 9, № 6, 103—105 (нем.)

Дается описание простого аппарата для определения т-ры клейстеризации крахмала, основанного на продувании воздуха через подогреваемый р-р крахмала. С момента клейстеризации прохождение воздуха затрудняется и затем прекращается. В этот момент отмечается т-ра и вакуум в см вод. ст., образующийся в результате сопротивления клейстеризованного крахмала прохождению воздуха. Т-ра клейстеризации и величина вакуума зависят от конц-ии р-ра и вида крахмала: для 5%-ного р-ра пшеничного крахмала т-ра клейстеризации 83—85° и вакуум 7,0 см вод. ст., для 20%-ного — 62,5° и 9,0 см. Клейстеризация крахмала ржи начинается при т-ре 55—58°, т. е. не намного выше оптимальной т-ры действия диастаза. Пробные выпечки из крахмаль-

ной муки пшеницы, ржи, кукурузы и др., приготовленных на воде и отдельно на водн. вытяжке муки из проросшей ржи, показали, что действие диастаза почти что не сказало там, где т-ра клейстеризации намного превышает optimum действия диастаза (пшеница, кукуруза). Там же, где эти т-ры близки (рж), мякиш хлеба имел характерные пороки, присущие муке из проросшего зерна. Приводится схема лабор. прибора. **Б. 3. 67065. Проведение пробных выпечек в лабораториях мукомольных предприятий.** Фук е (Die Durchführung von Backversuchen in Mühlenlaboratorien. F u c h s K.), Bäcker und Konditor, 1954, 8, № 7, 23—26; № 12, 25—26 (нем.)

Практические указания для работников мельничных лабораторий о проведении пробных выпечек из пшеничной и ржаной муки. Пробные выпечки из пшеничной муки рекомендуется проводить в трех вариантах: при недостаточной, полной и избыточной расстойке. Для оценки берется хлеб наибольшего объема. Хлебопекарная оценка производится по видоизмененной шкале Неймана, в которой учитывается и эластичность хлебного мякиша.

67066. Рациональная выпечка хлеба. Томпсон (Rationelles Brotbacken. T h o m p s o n J.), Brot und Gebäck, 1955, 9, № 9, 151—153 (нем.)

Приводятся данные производственного опыта выпечки штучного хлеба в Англии в автоматич. хлебопекарных установках с теплотехнич. характеристикой печей и применяемого топлива и расходом пара. Даны графики испарения влаги и динамики прогресса хлеба в зависимости от т-ры печи.

67067. Значение жиров, масел и эмульгаторов для приготовления хлебо-булочных изделий. Я н г (Funktion und Bewertung von Fetten. Ölen und Emulgatoren für die Herstellung von Backwaren. Y o u n g S v e n), Brot und Gebäck, 1955, 9, № 11, 193—194 (нем.)

Для улучшения вкусовых свойств и качества хлебо-булочных изделий применяют масла, жиры, смальцы. Дается физ.-хим. характеристика этим продуктам, в частности отмечается высокое эмульгирующее действие жиров, содержащих моно-, ди- и триглицериды.

67068. Исследование соле-дрожжевого способа. Шул ь ц (Untersuchungen über das Salz-Hefe-Verfahren. S c h u l z A.), Brot und Gebäck, 1955, 9, № 6, 105—108 (нем.)

Исследованы вопросы, связанные с применением в хлебопечении соле-дрожжевого способа: влияние его на дрожжевые клетки, на газообразование при брожении теста и газодерживающую способность последнего. Установлено, что кол-во воды (64%), выделяемой прессованными дрожжами при растирании их с солью, не увеличивается при выдержке смеси до 4 час. Дрожжевые клетки сохраняют частично жизнеспособность, уменьшающуюся с увеличением конц-ии соли или времени хранения смеси. Изменения, происходящие в клетках дрожжей при этой обработке, относятся к циторризу и плазмоллизу. При одинаковой конц-ии соли соле-дрожжевой способ и обычное тестоведение дают сходные показатели по газообразованию в процессе брожения. Кол-во CO₂ снижается в обоих случаях с увеличением конц-ии NaCl. Также не обнаружено различий в газообразовании при брожении теста при пользовании дрожжами, разведенными соляным р-ром. Отмечено, что применение растертых с солью дрожжей замедляет брожение и созревание теста, но значительно увеличивает его газодерживающую способность, т. е. улучшает пластич. свойства теста.

67069. Новые опыты по применению пропизионокислых бактерий как защитного средства против тягучей болезни хлеба. Б л и н ц, К л е м е н ц, Ш т р а у х (Neuere Erfahrungen über die Anwendung von Propion-

säurebakterien als Schutzmittel gegen Fadenziehen des Brotes. B l i n c M., K l e m e n c S., S t r a u c h T.), Brot und Gebäck, 1956, 10, № 3, 66—68 (нем.)

В опытах, проведенных с пшеничным и ржаным хлебом на дрожжах и на закваске с добавлением в-в, тормозящих развитие бактерий и плесеней, получены очень хорошие результаты с ацетатом и пропионатом кальция (0,3—0,5% к весу муки), пропионовой к-той (0,1—0,15%) и культурой пропионовых бактерий (50 мл на 1 кг муки); для предохранения корки хлеба от плесени рекомендуется смазывать ее смесью дегидроацетонуксусной к-ты и желатины. А. Е.

67070. Опыты глубокого замораживания хлебо-булочных изделий. Р о ч (Erfahrungen mit dem Tiefgefrieren von Backwaren. R o t s c h A.), Brot und Gebäck, 1955, 9, № 7, 124—126 (нем.)

Еще в 1934 г. Линк применил сухой лед для замораживания хлебо-булочных изделий, предупреждающего их черствение. Исследования Катпа установили, что хлеб черствеет вследствие обезвоживания и реконституции клейстеризованного крахмала, которое происходит особенно быстро около т-ры замерзания воды, замедляется при -7° и останавливается при -25° . В связи с этим большое значение имеет быстрое замораживание хлеба до низких т-р, что стало возможным благодаря произ-ву соответствующих холодильных шкафов. Приводится краткое описание и фото холодильных шкафов, рекомендуемых для глубокого замораживания хлебо-булочных и мучных кондитерских изделий. Б. З.

67071. Определение бромата калия в хлебе. Ж о ф р у а (Recherche et identification du bromate de potassium dans le pain. G e o f f r o y R.), Bull. Ecole franç. meunerie, 1956, № 151, 34—35 (франц.)

Добавление к муке броматов (I), улучшающих ее технологич. свойства при тестоведении и увеличивающих объемный выход хлеба, формально запрещено во Франции, но встречается в практике. Определение I в муке основано на р-ции $KJ + KBrO_3$, дающей в кислой среде сине-фиолетовую окраску крахмала муки свободным иодом. В хлебе I переходит в бромиды, а потому эта р-ция неприменима. Проверен и предлагается следующий метод. Нарезанный хлеб сушат и измельчают в муку, которую тщательно смешивают с женой магнезией. Навеску смеси прокалывают до красного каления и, после исчезновения черных точек, остаток смывают водой и фильтруют. Объем фильтрата — 50 мл. Ион брома определяют по способу Лабла, с флуоресценцией по появлению розового окрашивания. Последующим фотоколориметрич. исследованием можно установить кол-во брома. А. Е.

67072. Исследование летучести пряностей в процессе выпечки мучных кондитерских изделий. Р о ч (Untersuchungen über die Backflüchtigkeit von Gewürzen. R o t s c h A.), Brot und Gebäck, 1955, 9, № 9, 153—156 (нем.)

Исследована колич. убыль эфирных масел пряностей при выпечке некоторых сортов печенья, вафель и кексов. Найдено, что при выпечке печенья улетучиваются эфирные масла (в %) кориандра на 100, корицы на 84, кардамона на 68, гвоздики на 22. Эфирные масла тмина при выпечке вафель улетучиваются на 71, при выпечке кексов на 32, что ставится в зависимость от различной структуры теста этих изделий. Добавление препарата амулина при размалывании пряностей значительно сокращает потерю эфирных масел, однако при выпечке он не оказывает подобного действия. Описана методика колич. определения эфирных масел в тесте и готовых изделиях, являющаяся видоизменением объемно-аналитич. бихроматного метода Фелленберга и Цеха. В. Г.

67073. Свойства помады. М а н с в е л ь т (The properties of fondant. M a n s v e l t J. W.), Rev. internat.

chocolat., 1956, 11, № 1, 8—10 (англ.; рез. нем., франц.)

Рассмотрены основные положения структурообразования помады в зависимости от содержания воды, соотношения жидкой и твердой фазы в помаде, вида применяемого антикристаллизатора и способа обработки. Для улучшения структуры помады без риска повреждения ее при отливке и механич. очистке рекомендуется добавлять в помаду 0,05—0,1% инвертазы или фрэппа (плотной пены, получаемой путем сбивания сиропа, состоящего из патоки, инвертного сахара и белка, до плотности 0,05—0,80). Приводятся рецептуры и описывается способ изготовления различных фрэппов. В. Н.

67074. О пряничном тесте. Я н к о в с к и й (O cieście piernikowym. J a n k o w s k i S.), Przem. spożywczy, 1955, 9, № 2, 62—64 (польск.)

Приводятся соображения о приготовлении пряничного теста, в частности о возможности сокращения сроков созревания теста, влиянии различных добавок (K_2CO_3 , $(NH_4)_2CO_3$), деятельности микроорганизмов. Я. Ш.

67075. Влияние замораживания и хранения при низкой температуре на качество кекса. I. Изменение качества кексов с пряностями при выпечке из замороженного теста. II. Различные способы обработки теста до и после хранения при низкой температуре. С к а р г а, В а н - Д е й н (Effect of freezing and freezer storage on cake quality. I. Baked spice cakes and cakes baked from frozen batters. S k a r g a D o r i s M., V a n D u y n e F r a n c e s O.), Food Res., 1955, 20, № 3, 273—281 (англ.)

Часть I. Для определения условий произ-ва кексов с пряностями с применением замораживания и хранения теста и готовых кексов были проведены опыты, в которых сравнивалось качество кексов, выпеченных обычным методом, с качеством кексов, замороженных после выпечки при -11° и хранившихся при этой т-ре до 32 недель, а также с кексами, приготовленными из замороженного теста, хранившегося до 30 недель при -11° . Тесто и кексы готовили по двум рецептам: с пряностями (корица, гвоздика, мускатный орех) и без них в трех видах упаковки. Проверено два способа замораживания и оттаивания кексов и теста. Качество кексов определялось по объему, сжимаемости и органолептич. оценке (5-балловая система). В результате проведенных испытаний установлено, что кекс с пряностями получается лучше при выпечке до замораживания, чем при выпечке из замороженного теста. Замороженный кекс после хранения в холодильнике до 16 недель и оттаивания в печи в течение 30 мин. признан хорошим по всем показателям качества. Кексы, выпеченные из замороженного теста, упакованного в картонные коробки, оказались пониженного качества после недельного хранения, а через 4 недели в них появился посторонний привкус. Рассмотрено влияние различной упаковки и способов оттаивания на качество кексов. Описана рецептура, способы упаковки, замораживания и оттаивания. Часть II. Проведены опыты по уточнению влияния различной упаковки и разных способов оттаивания на качество кексов. А. Е.

67076. О шоколаде. М ю л л е р (Was ist Schokolade? M u e l l e r W o l f), Rev. internat. chocolat., 1955, 10, № 12, 504—505 (нем.)

Популярно излагается история возникновения шоколада и постепенное развитие шоколадной пром-сти в Европе. Т. Е.

67077. Какао и масло-какао. Т и м е (Kakao und Kakao butter. Alte Probleme und neuere Entwicklungen. T h i e m e J. C.), Fette und Seifen, 1955, 57, № 11, 945—947 (нем.)

Обзор работ о хим. и бактериологич. процессах, про-

исходящих при ферментации бобов какао, о различных способах ферментации и о фальсификации масла-какао. Библи. 20 назв. М. А.

67078. Требования производителей к качеству сырых бобов какао. Уодеуэрт (The quality of raw cocoa as it affects the manufacturer. Wadsworth R. V.), J. Agric. Soc. Trinidad and Tobago, 1955, 55, № 1, 35, 37, 39, 41—43, 45—47, 49—50 (англ.)

Приводятся требования к бобам какао со стороны промышленности, производящей какао и шоколад, для руководства при селекции деревьев какао. Т. Е.

67079. Улучшение качества бобов какао и методы исследования их вкуса. Тауберт, Бейкер (Beitrag zur Kakaogeschmacksforschung und Kakaoveredlung. Taubert A., Bäcker A.), Rev. internat. chocolat., 1954, 9, № 1, 6—9 (нем.; рез. англ.)

Описаны методы исследования, с помощью которых возможно установить аналитически вкусовые особенности различных бобов какао и выразить их в цифрах. Определены цифровые показатели для вкусовых различий бобов какао, улучшенных по «Капа-методу», для получения требуемого вкусового «букета» необходимо составлять смеси, для которых приведены диаграммы. Вкус какао зависит в основном от содержания антоцианов и пурinov, различной растворимости. См. РИХим, 1956, 49233. М. А.

67080. Влияние свойств сухого молока на качество шоколада. Клаузен (Über die Beeinflussung der Qualität von Schokolade durch die Beschaffenheit von Trockenmilch. Clausen P. D.), Fette und Seifen, 1955, 57, № 11, 951—954 (нем.)

Способ изготовления сухого молока (СМ) влияет не только на качество этого продукта, но также на получаемый из него молочный шоколад. СМ, получаемое методом распыления, придает шоколаду характерный для сырого молока вкус, а высушенное на вальдах—запах коровьего масла или привкус карамелизации. Т-ра плавления молочного жира зимой $\sim 37^\circ$, а летом $\sim 28^\circ$. Поэтому молочный шоколад, изготавливаемый из зимнего СМ, более крепкий, чем из летнего. Указывается на необходимость строгого соблюдения основных правил упаковки и хранения СМ и молочного шоколада. Дается 6 микрофотографий СМ, полученного различными способами высушивания. В. Р.

67081. «Второе смешивание» в производстве шоколада. Кох (Chocolate—the «Second mixing». Koch J.), Indian Sugar, 1955, 5, № 7, 352—353; Confectionery Prod., 1955, August (англ.)

Рассмотрен процесс второго смешивания или конширования в произ-ве шоколада и преимущества небольших продолжных коншей. М. А.

67082. Микробиологические причины порчи шоколадных ликерных конфет. Ставицкий (Mikrobiologiczne przyczyny psucia sie czekoladek likierowych. Stawicki S.), Przem. spoisy, 1955, 9, № 2, 73—78 (польск.; рез. рус., англ.)

Исследование причин порчи шоколадных конфет с ликером (посветление кувертюра, набухание конфет и вытекание из них ликера) установило наличие благоприятных аэробных спороносных палочек, физиология, свойства которых были всесторонне исследованы. Прививка выделенных микроорганизмов здоровым конфетам вызвала те же признаки порчи. Рекомендуется при обжарке бобов какао применять т-ру, достаточно высокую для уничтожения спор; хранить готовые конфеты при 75%-ной относительной влажности, обеспечив их вентиляцию; конфеты завертывать только после их охлаждения. Л. Б.

67083. Устройство для автоматического проведения непрерывного темперирования. Томпсон (Vor-

richtung für die automatische Durchführung des Zulauf-Temperiervfahrens. Thompson H. D.), Fette und Seifen, 1955, 57, № 11, 939—942 (нем.)

Описанное компактное устройство легко может быть установлено на глазировочной или формующей машине, имеет производительность ~ 320 кг/час и обеспечивает колебания т-ры продукции $\leq 0,5^\circ$. В. Р.

67084. Новый быстрый метод определения жира в какао массах и какао. Кос (Neue Schnellmethode zur Bestimmung des Fettgehaltes in Kakaomassen und Kakao. Kos J. H.), Rev. internat. chocolat., 1955, 10, № 6, 240—241 (нем.)

Разработан метод определения жира по содержанию влаги и весу остатка после экстракции. Жир (в %) вычисляют по следующей ф-ле: $100 - (\% \text{ остатка после экстракции} + \% \text{ влаги})$. Влажность определяют сушкой при 105° в течение 2 час. (для какао массы — с песком). Остаток после экстракции определяют обработкой трихлорэтиленом, оставляя с р-рителем на ночь, или кипятят 15 мин. с обратным холодильником. Содержимое количественно отсасывают через взвешенный фильтрующий стеклянный тигель, остаток промывают 2—3 раза трихлорэтиленом, сушат $1,5$ ч. при 105° и после охлаждения взвешивают. Продолжительность анализов ~ 3 час. Отклонения в определениях $0,1-0,2\%$. М. А.

67085. Техника микроскопического исследования сахара и жира в шоколадных изделиях. Хансен (Eine mikroskopische Technik für die Beobachtung von Fett und Zucker in Schokoladenerzeugnissen. Hansen Ernst Georg), Rev. internat. chocolat., 1956, 11, № 1, 50—53 (нем.)

Представлены результаты микроскопич. исследования жира и сахара в шоколадных изделиях на отдельных стадиях производственного процесса (при коншировании, при добавлении лецитина). Описана методика: для фиксации жира к срезу исследуемого образца на пластинке добавляют каплю 96%-ного этилового спирта и помещают пластинку на 5 мин. в ванну из глицерина и спирта (1:1) для растворения сахара. Затем образец покрывают глицерино-спиртовой смесью (1:1), которая в течение 24 час. растворяет оставшуюся часть сахара. Для фиксации сахара используют ацетон. После испарения ацетона растворяют жир, поместив на срез каплю парафина. В. Н.

67086. Изменение свойств кондитерских изделий при длительном хранении. Торбáдьи, Равас (Édesipari termékek változásai hosszabb raktározás alatt. Torbágyi Novák László, Ravasz László), Élelmqzési ipar, 1953, 7, № 8, 249—256 (венг.)

При хранении глазированных помадной глазурью конфет происходит одновременно их высыхание и инверсия сахарозы. Преобладание первого процесса (недостаточная кислотность конфет) приводит к затвердеванию, преобладание второго (избыток к-т) к размягчению конфет. Процессы высыхания и инверсии заметны ускоряются при хранении конфет при т-ре $> 22^\circ$. При нарушении слоя глазури высыхание сильно ускоряется. Нормальные потери веса за зимние месяцы (~ 130 дней при т-ре $10-22^\circ$) равны $\sim 2\%$, причем за первую четверть этого времени усушка равна $\sim 1\%$ (высыхание упаковки). При хранении шоколадных конфет потери веса (за 60 дней при $14-21^\circ$) не превышают $1,5\%$, а при повышенной т-ре ($\sim 30^\circ$) — 2% . Потери веса печенья при хранении (при относительной влажности воздуха $70-80\%$) не превышают 4% , причем вес коробки изменяется синбатно изменению влажности воздуха (колебания не превышают $0,5\%$ при т-рах ниже 18°). Более сладкие сорта печенья даже при т-рах ниже 18° не сохраняются > 21 суток. Наибольшие потери веса наблюдаются у изделий, начиня-

ных джемом. Изделия из муки высшего сорта при хранении делаются излишне рыхлыми. Г. Ю.

67087. Улучшение аромата твердой сахарной карамели и использование пектина как фиксирующего средства. Генадиев (Подобрене ароматизацията на твърдите захарни бонбони и използването на пектина като фиксиращо средство. Генадиев А. с.), Лека промишленост., 1955, 4, № 12, 19—26 (болг.)

Отмечается, что при существующей в Болгарии технологии ароматизации карамелей допускается слишком высокая т-ра (92—98°). Предлагается использование пектинового желе, как абсорбента эссенций и эфирных масел, что ведет к экономии 50% эфирных масел и позволяет отказаться от использования спирта. Дается описание измененной технологии. И. С.

67088. Замораживание конфет. — (Schokolade-Konfekt gefroren.—), Rev. internat. chocolat., 1955, 10, № 12, 506 (нем.)

Обсуждаются результаты опытов по замораживанию конфет. Большинство из испытанных образцов конфет в результате длительного замораживания (1—3 года) сохраняли свой первоначальный вид и свойства. Т-ра замораживания практически не играет роли. Замораживание благоприятно отражается на качестве (вкус, цвет) следующих конфет: миндальные тоффи, различные виды конфет с кокосовыми орехами, нуга, все виды жележных конфет, фуджи, различные орехи, глазированные шоколадом и т. д.; указаны сорта конфет, качество которых ухудшается при замораживании. В. Н.

67089. Применение сорбита в кондитерской промышленности. Шрейбер (Sorbit in der Süßwarenpraxis. Schreiber P.), Gordian, 1956, 55, № 1324, 30 (нем.)

Рассматриваются типы кондитерских изделий, в которые для сохранения их свежести добавляется сорбит. Рекомендуется добавлять сорбит в железные сорта кондитерских изделий (10%), в мягкую карамель (5%), конфеты гummy (20%) и др. Добавление сорбита в фруктово-ягодные изделия способствует сохранению аромата свежих фруктов при их хранении. В. Н.

67090. Изучение пектиновых веществ плодов *Solanum melongena* L. Коррао (Ricerche sul contenuto pectico dei frutti di *Solanum melongena* L. Corrao A. Andrea), Ann. sperim. agrar., 1956, 10, № 1, 269—274 (итал.; рез. англ.)

Показано, что содержание пектиновых в-в, определяемых обычным методом, составляет 3,2—5,1%. Весовой метод по пектату кальция дает завышенные результаты с большим разрывом между миним. и максим. значением. Число этерификации равно в среднем 80%. Строгой зависимости между содержанием пектиновых в-в в размере отдельных плодов не обнаружено. Т. С.

67091. Изменение пектиновых веществ томатов при хранении. Стир, Болл, Маклин (Changes in pectic substances of tomatoes during storage. Stier E. F., Ball C. O., MacLinn W. A.), Food Technol., 1956, 10, № 1, 39—43 (англ.)

Изменения изучались при 21-дневном хранении при 4°, с анализами каждые 7 дней. В томатах возрастало содержание воднорастворимого пектина, фракция пектина, растворимого в щавелевокислом аммонии не менялась, содержание протопектина падало (фракция, растворимая в соляной к-те); кол-во метоксильных групп уменьшалось в среднем на 2—6%. Т. С.

67092. Длительное хранение картофеля с применением химических препаратов. Коржув Д. А., Носкова А. В., Успенский Е. М., Мо- золькова Д. А., Тр. Всес. н.-и. ин-та спиртовой пром-сти, 1954, № 4, 160—179

Приводятся результаты лабораторно-производствен-

ных опытов и массовых испытаний применения хим. препаратов для задержки прорастания клубней при хранении. Наиболее эффективным найден N-фенилизопропилкарбамат — «химпрепарат № 2» (I), относящийся к группе уретанов, являющийся производным фенилкарбаминовой к-ты. Установлено, что клубни, обработанные I, находятся в состоянии глубокого покоя и имеют пониженную интенсивность обмена в-в с отсутствием ростовых явлений. Жизнеспособность клубней при этом не снижается. I рекомендуется применять в дозах 25, 50, 100 г на 1 т клубней в смеси с тонкоизмельченным наполнителем: глиной, песком, землей и торфяной крошкой в кол-ве 0,5—3% от веса картофеля. Массовые испытания применения I подтвердили, что при длительном хранении картофеля потери общего веса были в два раза, а потери запаса крахмала в 1,5—2 раза меньше, чем у необработанных клубней. I безвреден для здоровья. Е. С.

67093. Влияние покрытия защитной оболочкой на сохраняемость плодов манго. Матхур, Сри- вастава (Effect of skin coatings on the storage behaviour of mangoes. Mathur P. B., Srivastava H. C.), Food Res., 1955, 20, № 6, 559—566 (англ.)

Изучено (на 3 сортах) влияние покрытия плодов манго защитной пленкой, которая наносится путем погружения плодов в водн. эмульсию, содержащую 7% твердых парафинов, или путем протирания поверхности плодов тряпкой, смоченной в очич. минер. масле. Обработанные плоды хранили при 22—28° и относительной влажности воздуха 65—90%. Показано, что обработка плодов водн. эмульсией уменьшает естественную убыль в весе плодов и удлиняет возможный срок хранения на 50%. Покрытие 100% поверхности плодов минер. маслом резко понижает интенсивность дыхания плодов, нарушает газовый обмен и вызывает потемнение кожицы. Частичное покрытие поверхности минер. маслом (1/3) не вызывает заболеваний плодов и удлиняет возможный срок их хранения. На изменение хим. состава при хранении обработка плодов никакого влияния не оказывает. Т. С.

67094. Обработка цитрусовых плодов дифенилом и искусственное подкрашивание. Фейерсенгер (Mit Diphenyl konservierte und künstlich gefärbte Zitrusfrüchte. Feuersenger M.), Dtsch. Lebensmitt. — Rundschau, 1955, 51, № 11, 268—273 (нем.)

Сообщается о способе защиты свежих цитрусовых плодов от развития плесени опрыскиванием р-ром дифенила или обертыванием в бумагу, пропитанную дифенилом. Показано, что плоды сохраняют специфич. запах, исчезающий после пребывания плодов на воздухе в течение 48 час. Плодовая мякоть такого запаха не имеет. Через 48 час. хим. методом дифенил не обнаруживается, но определяется спектрофотометрич. методом. Отмечены случаи искусств. подкрашивания апельсинов, поступающих из США, окрашивание производится или с поверхности плодов или путем инъекции красителя внутрь. Спектрофотометрич. методом установлен характер красителя и приведена его ф-ла. В США применение этих красок в пищевой пром-сти узаконено. Н. Т.

67095. Опыты по холодному хранению плодов *Lansium domesticum*. Сри- вастава, Матхур (Studies in the cold storage of langsat. Srivastava H. C., Mathur P. B.), J. Sci. Food and Agric., 1955, 6, № 9, 511—513 (англ.)

Lansium domesticum — один из наиболее популярных тропич. плодов Малайского архипелага и Филиппинских о-вов. Опытами хранения плодов при 8—28° и различной относительной влажности воздуха, установлены оптимальные условия хранения плодов. При 11—13°

и относительной влажности 85—90% плоды могут сохраняться в течение 14 дней. За это время естественная потеря в весе составила 24,3%, отходы 10%, общее содержание сухих в-в повысилось с 11,0 до 13,5%, содержание редуцирующих в-в с 3,7 до 4,9%, кислотность с 368 до 435 м.е. 0,1 н. NaOH/100 г. Порчу плодов в процессе хранения вызвали *Rhizopus nigricans* и *Aspergillus lucheensis*.

Г. Н. 67096. Холодильное оборудование хранилищ для фруктов и овощей. Берини (Centrali ortofrut-ticole. Note sugli impianti frigoriferi. Berini Federico), Termotecnica, 1955, 9, № 11, 579—585 (итал.)

Приведено описание и фотографии внешнего вида отдельных помещений с установкой холодильных агрегатов в спец. складах для хранения фруктов и овощей.

М. Г. 67097. Укрепление консистенции сульфитированной клубники. Жендовский (Utrwalenie konsystencji truskawek w puldach. Rzedowski W.), Przem. spożywczy, 1955, 9, № 7, 306 (польск.)

Исследовано укрепление консистенции клубники сульфитацией с помощью добавки CaSO_3 (50—1000 мг/кг). Установлено, что консистенция клубники, законсервированной с помощью SO_2 , для ягод, обработанных CaSO_3 (500 мг/кг), после 6-месячного хранения, была в 2,5 раза выше, чем для необработанных. Кол-во неповрежденных ягод было соответственно в 4 раза выше.

Я. Ш. 67098. Изменение плотности ткани соленых маслин. Стерлинг (Texture changes during the dark-ripe processing of olives. Sterling Clarence), Food Res., 1956, 21, № 1, 93—102 (англ.)

Изучено изменение плотности ткани маслин при посоле, последующей стерилизации и хранении. Плотность определяли тендериметром. Показано, что плотность увеличивается по мере удлинения срока хранения маслин, что объясняется увеличением от пектиновых в-в метильных групп под действием ферментов, с одновременной нейтрализацией ионами Ca вновь образующихся карбоксильных групп, а также частичным обезвоживанием ткани плодов под действием рас-сола.

Т. С. 67099. Химические изменения, происходящие при переработке томатного сырья. Грживо В. С., Немец С. М., Вальтер Л. Я., Скопченко Г. А., Тр. Всес. н.-и. ин-та консервной пром-сти, 1954, № 3, 88—99

Изучались изменения, происходящие в томатопродуктах (пulpа) в зависимости от технологич. режимов переработки, главным образом от т-ры. Установлено, что ухудшение цвета томатопродуктов вызывается образованием меланоидинов (побурение) и разрушением ликопинов (ослабление красного цвета). Лучше всего сохраняется цвет томатопродуктов при варке под вакуумом в аппарате из нержавеющей стали и в возможно более короткие сроки.

Н. М. 67100. Определение количества плесени в томатном пюре. Ольсен (Muggtall i tomatpuré. Olsen Signe Bjørg), Tidsskr. hermetikind., 1954, 40, № 10, 484—489 (норв.)

В Норвегии метод Говарда для определения степени зараженности томат-пюре плесенью принят в 1950 г. в качестве официального метода для оценки качества импортного продукта. Приводятся указания по выполнению определений плесени по Говарду и требования Норвежского стандарта к качеству томат-пюре. Л. К.

67101. Обзор современных методов консервирования зеленого горошка. Герлич (Nowoczesn e kryteria technologiczne wyrobu konserw z groszku. Gerlich K.), Przem. spożywczy, 1955, 9, № 5, 192—194 (польск.; рез. русс., англ.)

Описание современного технич. состояния в польской пром-сти произ-ва консервированного зеленого горошка, свидетельствующее о значительном отставании в этой области. Намечено проведение следующих мероприятий: организация уборки урожая на крупных массивах с организацией обмолота непосредственно на поле; внедрение поточного метода бланширования горошка паром, на крупных предприятиях введение поточной работы на всех производственных стадиях; увеличение выпуска консервов в стеклотаре; строительство новых предприятий по консервированию горошка в районах с климатич. условиями, благоприятными для его выращивания.

Л. Ш. 67102. Соленый шавель. Скопечная, Загальна, Хиспанская (Szcza solony. Skonieczna Eugenia, Zaleski Jan, Hispańska Cecilia), Roczn. Państw. zakł., hig., 1953, 3a, № 3a, 421—436 (польск.; рез. русс., англ.)

На основании обширных физ.-хим. и микробиологич. исследований рекомендуется оценку качества соленого шавеля производить по pH и общей кислотности, в пересчете на молочную к-ту. Доброкачественный продукт должен обладать общей кислотностью выше 0,8% к весу исходного в-ва; кислотность ниже 0,5% свидетельствует о его порче. pH в пределах 3,1—3,5 соответствует свежему продукту, pH > 4,4 свидетельствует о его значительной порче. Микробиологич. исследования показали явную связь между значениями pH и кол-вом плесени и сапрофитных бактерий.

Л. Ш. 67103. Методы выработки консервов из зеленого горошка. Томасян (Principii noi în fabricarea conservelor de mazăre. Tomasiu E.), Rev. ind. aliment. prod. vegetale, 1955, № 3, 6—8 (рум.)

Практические указания по произ-ву консервов из зеленого горошка.

А. Ш. 67104. Об изменении цвета лисичек при консервировании их в различной таре. Сообщение 1. Нерлинг (1. Mitteilung über Farbveränderungen von Pfifferlingen (Cantarellus cibarius) bei der Konservierung in verschiedenen Behältnissen. Nehringer Peter), Dtsch. Lebensmitt. — Rundschau, 1956, 52, № 3, 75—76 (нем.)

При стерилизации грибов лисичек происходит изменение их цвета от яично-желтого до темнокоричневого в случае консервирования их в стеклянной или лакированной изнутри жестяной таре. При стерилизации в банках из белой жести потемнения не происходит, напротив, окраска грибов несколько светлеет. Предполагается, что изменение цвета вызвано окислением бесцветных гидрохинонов в темноокрашенные хиноны, затемняющие светложелтый цвет каротиноидов грибов. Для подтверждения этого предположения были проведены опыты стерилизации лисичек в лакированных и нелакированных жестяных и в стеклянных банках без добавления и с добавлением окислителей и восстановителей. Установлено, что добавление хинона вызывает темнокоричневую окраску грибов при консервировании в нелакированной жести, а аскорбиновая к-та уменьшает потемнение их при стерилизации в стекле и в лакированной жести.

А. Е. 67105. Влияние дозревания на содержание органических кислот, сахаров и пектина в консервированных грушах сорта барлет. Дейм, Леонард, Лу, Марш (The influence of ripeness on the organic acids, sugars, and pectin of canned Bartlett pears. Dame Charles, Jr., Leonard S. J., Luh B. S., Marsh G. L.), Food. Technol., 1956, 10, № 1, 28—33 (англ.)

Изучен хим. состав грушевых консервированных компотов, приготовленных из груш сорта барлет, дозревавших после снятия с дерева при 20° и влажности воздуха 85%. Степень зрелости груш определяли по-

пытанием на прокол. Показано, что при созревании в грушах быстро уменьшается содержание яблочной к-ты и несколько медленнее лимонной. Кислотность груш достигает миним. величины при показании прибора при испытании на прокол, равном 675 г; затем содержание обеих к-т вновь возрастает. В консервированных грушах найдены следы хлорогеновой, а-кетоглутаровой, гликолевой, пировиноградной и, возможно, янтарной и молочной к-т. Из сахаров найдены глюкоза, фруктоза, сахароза. При созревании в грушах увеличивается содержание растворимых редуцирующих в-в; протопектин переходит в растворимый пектин, гидролизующийся с образованием низкомолекулярных уронинов. Определение хим. изменений состава груш производили хроматографич. методом.

Т. С.

67106. О плеснях, выделенных из фруктового желе и варенья. Мальчевский (Über die aus Fruchtgelees und Konfitüren isolierten Schimmelpilze. *Maltschewsky N.*), *Z. Lebensmittel-Untersuch. und Forsch.*, 1955, 102, № 4, 236—243 (нем.)

Из исследованных образцов вишневого и сливового варенья и айвового и смородинового желе выделены девять чистых культур плесневых грибов: 2 из вида *Aspergillus* и 7 из вида *Penicillium*. При 28° все они хорошо развивались при pH 5—7 и конц-ии сахара ≤ 62%. При 90° все споры погибли в течение 1 мин. При pH 3—4 и содержании сахара 67,5% культуры ведут себя по-разному. При pH < 3 из всех изученных культур развивается только *Citromyces*. Приведено описание методики выделения плесней.

Т. С.

67107. Реконструированный консервный завод в Пертшире. — (A rebuilt cannery in Perthshire.), *Food*, 1955, 24, № 288, 312—316 (англ.)

Дано описание консервного з-да в Пертшире (Шотландия), выпускающего ягодные и овощные консервы (стерилизованные и замороженные). В начале сезона вырабатывают консервы из ревеня и крыжовника (стерилизованные), затем из земляники, малины и зеленого горошка (стерилизованные или быстрозамороженные). Приведен план з-да с размещением производственного оборудования и 5 линий. Изложена технология произ-ва консервов из зеленого горошка и ягод. А. Е.

67108. I. Технологическое сортоиспытание зеленого горошка 1951—1955. Вик (I. Sortsforsøk i konserver 1951—1955. *Vik J.*), *Tidsskr. hermetikind.*, 1955, 41, № 9, 389—396, 399—402, 405—408, 411—414, 417—422 (норв., рез. англ.)

В Норвегии проведено сортоиспытание 26 местных и привозных сортов зеленого горошка с целью выявления сортов, наиболее подходящих для консервирования и замораживания. Сбор производили в стадии зрелости, соответствующей показанию текстурометра 100. Окончательных выводов не сделано. Для дальнейшего технологич. и полевого сортоиспытания выделено 10 сортов, наиболее подходящих для консервирования, и 9 сортов, подходящих для замораживания. Установлено, что ранние сорта значительно менее урожайны, чем средние и поздние. Найдена строгая зависимость между весом 100 зерен и их размером. Вес < 35 г соответствует диаметру зерен 7,5—9,5 мм; 40—50 г соответствует 8,5—10 мм; зерна весом > 50 г имеют диам. > 10 мм. В зависимости от размера зерен изменяется сорт готовой продукции.

Т. С.

67109. Быстрое замораживание зеленого горошка.

Хаммонд (Quick-freezing peas. *Hammond A. E.*), *Food*, 1955, 24, № 284, 158—160 (англ.)

Описание обычной технологии произ-ва замороженного горошка. Особенностью произ-ва является применение, на всем протяжении процесса подготовки сырья к замораживанию, стеклянных трубопроводов, служащих для подачи горошка.

С. Л.

67110. Оценка нескольких типов холодильников с точки зрения их влияния на качество замороженных фруктов. Бурьянек (Hodnocení několika druhů zmrazovačů s hlediska jejich vlivu na jakost zmrazeného ovoce. *Buriánek Jiří*), *Brumysl. potravín*, 1955, 6, № 4, 204—205 (чеш.)

67111. Планы развития холодильной промышленности в Испании. Пальерес-Прието (Les plans d'équipement frigorifique de l'Espagne. *Pal-lares Prieto Gonzalo*), *Rev. prat. froid*, 1954, 10, № 7, 57—60 (франц.)

А. Е.

67112. Изучение способов сохранения аромата консервированного апельсинового сока. Гайер, Бойд (Flavor studies of canned single strength orange juice. *Guyer Richard, Boyd John M.*), *Food Technol.*, 1954, 8, № 6, 295—297 (англ.)

67113. Об активности ферментативных препаратов при фильтровании плодово-ягодных соков. Цейле, Хаунтман (Über den Wirkungsgrad der Filtrationsenzyme. *Zeile K., Hauptmann K. H.*), *Flüssiges Obst*, 1955, 22, № 4, 19—20 (нем.)

Возражения на статью Коха (см. РЖХим, 1956, 34497) по поводу оценки ферментативных препаратов, применяемых при фильтровании и осветлении плодово-ягодных соков.

А. Е.

67114. Анализы цитрусовых соков промышленного производства. Морган (The analysis of commercial citrus juices. *Morgan R. Harold*), *Food*, 1954, 23, № 275, 286—287 (англ.)

Приводятся данные содержания золы, фосфора в пересчете на P_2O_5 и щелочности золы в пересчете на K_2CO_3 . Соответственные средние данные в г на 100 мл для лимонного сока (из 39 образцов) 0,37; 0,027; 0,29; для апельсинового сока (из 38 образцов) 0,43; 0,032; 0,355 и для сока из грейпфрута (из 29 образцов) 0,47; 0,034; 0,35.

В. Г.

67115. Теплопроводность плодовых соков. Харбанда (Thermal conductivity of fruit juices. *Harbanda O. P.*), *Food Manufacture*, 1955, 30, № 9, 359—360 (англ.)

Приведена номограмма для быстрого определения теплопроводности яблочного, грушевого и виноградного соков при любой т-ре и конц-ии в пределах от 4,5 до 104° и от 0 до 70%.

Г. Н.

67116. Цитрусовые соки и сиропы. Хартман (Zitrusfruchtsirupe, Zitrusäfte. *Hartman G.*), *Alkohol.-Ind.*, 1955, 68, № 6, 140—142 (нем.)

Описаны обычные методы приготовления цитрусовых соков и сиропов. Наибольшее значение имеют лимонный и апельсиновый соки. Для улучшения аромата и вкуса к ним добавляется цедра. Для предохранения от порчи соки смешивают с сахаром (65%) без применения нагревания и готовят сиропы. Приводится хим. состав различных цитрусовых соков.

Н. Т.

67117. Роль выпарных аппаратов при производстве замороженных концентратов. Келли, Шварц (Role of the evaporator in the production of frozen concentrates. *Kelly E. J., Schwarz H. W.*), *Food Technol.*, 1955, 9, № 7, 335—340 (англ.)

Разбирается схема конструкций и режим работы современных выпарных установок для произ-ва концентратов фруктовых соков.

Т. С.

67118. Добавление натуральных фруктовых эссенций в сухие концентраты фруктовых соков. I. Сохранение эфирных масел цитрусовых плодов в сахарозе и глюкозе. Шульц, Димик, Макауэр (Incorporation of natural fruit flavors into fruit juice powders. I. Locking of citrus oils in sucrose and dextrose. *Schultz Thomas H., Dimick Keene P., Makower Benjamin*), *Food Technol.*, 1956, 10, № 1, 57—60 (англ.)

Изучена возможность повышения стабильности при

хранении эфирных масел цитрусовых плодов путем их смешивания с расплавленной глюкозой или сахарозой. Для предупреждения засахаривания к сахарозе добавляли небольшое кол-во патоки. Полученное твердое аморфное в-во размельчали в порошок и добавляли в сухие концентраты соков из цитрусовых для повышения их ароматичности. Показано, что ароматизированные концентраты прекрасно сохраняют натуральный вкус и аромат свежего сока после 6 месяцев хранения при 38°.

67119. Определение сернистой кислоты и витамина С в напитках, содержащих витамин С. Рентшлер, Таунер (Über die Bestimmung der schwefeligen Säure und des Vitamins C in Vitamin C-haltigen Getränken. Rentschler H., Tanner H.), Schweiz. Z. Obst- und Weinbau, 1955, № 17, 331—333 (нем.).

Определение свободной и общей сернистой к-ты в напитках, содержащих витамин С, нельзя проводить прямым титрованием иодом. Результаты определения значительно превышают ее содержание, так как иодом титруется в витамин С. В этом случае рекомендуется применять метод дистилляции (Schweiz. Zeitschrift, 4. Auflage, 306).

67120. Охлаждение молока во время его заготовок. Анке (Le refroidissement du lait à la production. Anquez Michel), Rev. gén. froid., 1955, 32, № 3, 253—264 (франц.).

Дается описание установок по охлаждению молока. Отмечается значение чистоты при его обработке и своевременном охлаждении для снижения кол-ва бактерий.

67121. Обработка холодно молочных продуктов. Анке (Du traitement frigorifique des produits laitiers. Anquez Michel), Rev. gen. froid., 1954, 31, № 10, 1047—1052 (франц.).

Рассмотрено значение охлаждения молока, роль холода в произ-ве масла и сыра. Дано краткое описание холодильной аппаратуры, применяемой в технологии молока и молочных продуктов.

67122. Уход за кефирными грибами. Кобзикова Е., Кулешова В., Молоч. пром-сть, 1955, № 6, 37—38

Для хранения кефирные грибки (КГ) помещают в чисто вымытую стерильную посуду и заливают (из расчета 1 : 20) высококач. пастеризованным молоком, охлажд. до 20—25°. Залитые молоком КГ выдерживают при 18—20° до сквашивания и помещают в холодильник. Скваженное молоко сливают и используют в качестве закваски для кефира, а КГ промывают бактериально чистой водой и снова заливают молоком. КГ можно сохранить без промывки 7—10 дней, залит холодным цельным или обезжиренным молоком при <10°. В случае загрязнения бактериями группы кишечной палочки КГ заливают чистой культурой ацидофильной палочки кислотностью 100—130° и выдерживают их при ~20° около суток и промывают водой. Можно применить погружение КГ в этиловый спирт. Для восстановления активности КГ требуется длительное время, поэтому необходимо тщательно следить за их микрофлорой.

67123. Методы исследования мороженого. Коттас (Eisuntersuchungsmethoden. Kottasz J.), Dtsch. Obst- und Gemüse-, Zucker- und Süßwarenzeitung, 1953, 5, № 10, 278—279; № 11, 291 (нем.).

Приводятся расчеты и пример построения графика для установления разбавления молока водой или снятия сливок при произ-ве мороженого (с помощью рефрактометра). Рекомендовано консервирование проб молочного мороженого формалином. Описан аппарат для определения увеличения объема смеси после обработки во фризере. См. РЖХим, 1956, 34548.

67124. Шоколадная глазурь для мороженого. Джо не (Ice cream chocolate coatings. Importance of the cocoa bean. Jones F. L.), Ice Cream Ind. Year Book, 1956—1957, London. Benn Bros Ltd, 1956, 83—86, 138 (англ.).

Добавляя в шоколадную глазурь кроме масла какао другие жиры, можно варьировать т-ру и вязкость глазури. Для такой глазури обычно применяют гидрированные жиры с точкой плавления ~32°. Общее содержание жира в глазури 55—65%. Размер частиц твердой фракции ≤30 микрон и влажность ≤0,4%. Влажность глазури определяется сушкой до постоянного веса (10 г) при 37,8°. Описана методика определения вязкости (дан рисунок вискозиметра): 500 г глазури подогревают на водяной бане до 49° при непрерывном помешивании и охлаждают до 37,8°. Заливают глазурь в вискозиметр—сосуд, в дне которого имеется отверстие в 0,18 мм, через которое глазурь вытекает. Замеряют время наполнения глазурью стаканчика емк. 185 г. Описывается способ покрытия мороженого глазурью.

67125. Быстрый метод определения растворимости продуктов из сухого молока. Армандола (Metodo rapido di determinazione della solubilità dei prodotti del latte in polvere. Armandola Paolo), Latte, 1954, 28, № 12, 709—710 (итал.).

Навеску сухого молока для получения снятого, цельного молока или сливок, соответственно, в 0,9, 1,25 и 1,6 г помещают в градуированную центрифужную пробирку на 10 мл, прибавляют 4—5 мл воды, нагретой до 65—70°, и перемешивают стеклянной палочкой до достижения однородности. Доливают водой до 10 мл, закрывают каучуковой пробкой и помещают в водяную баню при 65—70°. Через 5 мин. вынимают, энергично взбалтывают 1 мин. и центрифугируют при 1000 об/мин. Отсчитывают объем нерастворившегося осадка с точностью до 0,05 мл. Если объем нерастворившегося осадка <0,2 мл или, <0,6 мл, то содержание нерастворившегося в-ва по весу составляет соответственно <2% или <7%, что отвечает продукту высшего или первого сорта.

67126. Улучшение качества брынзы. Гёттель (Jak poprawić jakość bryndzy. Goettel Edmund), Przegl. mleczarski, 1954, 2, № 5, 14—16 (польск.).

Сравнены домашний и промышленный способы произ-ва брынзы, указаны условия, необходимые для получения высококачественного продукта. Подчеркивается важность надлежащего созревания брынзы.

67127. Применение радиоактивного фосфора для измерения размера отложений молочного камня на трубопроводах из резины, стекла пирекс и тайгона. Куччи (The use of radioactive phosphorus to measure the amounts of milkstone deposited on rubber, pyrex glass, and tygon tubings. Cucci Myron W.), J. Milk and Food Technol., 1954, 17, № 11, 332—333 (англ.).

Исследование размера отложений молочного камня на внутренней поверхности трубопроводов из разного материала, с применением в качестве изотопа радиоактивного фосфора в форме фосфата, показало, что наибольшие отложения (0,57%) имели место на резине; на стекле пирекс они составляли 0,34% и на трубопроводах из «тайгона» отсутствовали.

67128. Изучение химического состава печени кур. Чеккин В. Л., Сб. студ. работ Моск. техн. ин-та мясной и молочной пром-сти, 1955, № 3, 80—81

Определен хим. состав печени взрослых кур высшего, I и II сорта: сухих в-в ~30%, в том числе 20—21% белков и 4—5% жиров. С повышением упитан-

ности содержание жиров возрастает и содержание белковых в-в уменьшается. Л. Ш.

67129. **Определение пищевой ценности куриных гребней.** Ариас А. В., Губерман Г. Н., Сб. студ. работ. Моск. технол. ин-та мясной и молочной пром-сти, 1955, № 3, 82

Определен хим. состав куриных гребней: сухой остаток составляет ~16% от исходного продукта; в нем содержится ~53% белка, 34% жира и 8% золы. Основными белками являются коллаген (~64%) и эластин (~8%). Л. Ш.

67130. **Изменения в мясе и мясных экстрактах, облученных γ -лучами.** Джинджер, Льюис, Швейгерт (Changes associated with irradiating meat and meat extracts with gamma rays. Ginger Irene D., Lewis U. J., Schweigert B. S.), J. Agric. and Food Chem., 1955, 3, № 2, 156—159 (англ.)

Исследовано влияние γ -излучения от источника ^{60}Co на миоглобин в мясных экстрактах и в мышечной ткани. Попыты облучения и хранения проводились с разб. очищ. р-рами миоглобина (0,39 мг/мл), разб. и более конц. неочищ. экстрактами мяса (0,39 и 1,7 мг/мл) и с мясом, упакованным в проницаемый и непроницаемый для кислорода материал, с добавлением аскорбиновой к-ты. Чувствительность экстрактов миоглобина к воздействию γ -лучей увеличивалась с повышением чистоты экстрактов. Облучение миоглобина в неочищ. экстрактах дало противоречивые результаты, включая р-ции окисления и восстановления и образование зеленого соединения с полосами поглощения 610 и 620 м μ . Было показано, что порфирин этого зеленого соединения изменился при облучении. Сразу после облучения, а также после хранения, миоглобин в мясе, упакованном в кислородонепроницаемый материал обнаружил лишь небольшие изменения, а в образцах мяса, упакованных в проницаемый для кислорода материал, изменил окраску, которая продолжала меняться после хранения. Добавление 0,05—0,5% аскорбиновой к-ты не оказало защитного действия. А. Е.

67131. **Биологические основы консервирования мяса холодом.** Дрегер (Biologische Grundlagen bei der Kältekonserverierung von Fleisch. Dräger H.), Technik, 1955, 10, № 3, 188—192 (нем.)

67132. **Замораживание мяса в блоках.** Шарский (O mrożeniu mięsa w blokach. Szarski Paweł), Gospod. mięsna, 1955, 7, № 1, 10—13 (польск.)

Рассмотрены преимущества замораживания мяса в блоках по сравнению с замораживанием мясных туш (полутуш и четвертин). Описаны различные способы и устройства для замораживания: тоннельное, оросительное, контактное дву- и одностороннее, многофазное, мгновенное и замораживание жидкой окисью азота. Высокая стоимость большинства новых устройств, при несоответствии даваемого ими эффекта к требуемым капиталовложениям, делает их пока неконкурентоспособными с такими более простыми, как тоннельные и контактные. Л. Ш.

67133. **Замораживание птицепродуктов, подвергнутых кулинарной обработке.** Часть II. Хансон (Research makes. Frozen cooked poultry products a reality. Part II. Hanson Hellen L.), Poultry Process. and Market, 1954, 60, № 8, 17, 28—30 (англ.)

Обзор работ по приготовлению различных замороженных продуктов из мяса кур и индеек и результатов опытов по замораживанию крутых яиц. Часть I см. РЖХим, 1956, 53082. Библ. 7 назв. А. Е.

67134. **О гидролизе конденсированных фосфатов при изготовлении и хранении вареной колбасы.** Герритсма, Фредерике (Über die Hydrolyse kondensierter Phosphate während der Bereitung und

Lagerung gekochter Wurst. Gerritsma K. W., Frederiks J. C.), Dtsch. Lebensmitt.-Rundschau, 1955, 51, № 5, 130—132 (нем.)

В связи с расширением применения конденсированных фосфатов (I) в колбасном произ-ве для лучшего распределения жиров и связывания воды фаршем, проведено изучение гидролитич. расщепления I в безвредные ортофосфаты при изготовлении и хранении вареной колбасы. Колич. определение ортофосфатов (в % P) производилось по методу Вейл-Мальхербе и Грина (Weil-Malherbe H., Green R. H., Biochem. J., 1951, 49, 286—292) после тщательной и всесторонней проверки его применимости к условиям опыта. Испытывались три партии колбас, приготовленных по рецептуре: мяса 6,66 кг, шпига 3,34 кг, муки 400 г, льда 1600 г, приностей 48 г, посолочной смеси (Колорозо) 288 г, с добавлением в опытную половину фарша 0,5% смеси фосфатов, состоящей из 78% фосфата натрия и 21,3% соли Куррола (полифосфат с очень длинной цепью), вторая половина фарша была использована для изготовления контрольных колбас. Первая партия колбас в кишечной оболочке контилась в течение одной ночи при 30°, 0,5 часа при 40—45° и нагревалась при 80° в течение часа. Вторая и третья партии были изготовлены в банках нагреванием при 100° в течение 3 или 2 час. при 112°. Определение ортофосфатов производилось непосредственно после изготовления колбас, через 1 и 3 месяца хранения. Установлено, что степень гидролиза I зависит от способа обработки и от времени хранения колбас. Так, непосредственно после изготовления было обнаружено гидролизированных фосфатов в % к I в 1-й партии колбас 31, во 2-й — 25 и в 3-й — 69%. После хранения в течение 1-го месяца соответственно: 48; 25 (3-я партия не хранилась); через 3 месяца: 53; 32. Дополнительным опытом установлено, что пирофосфат, добавленный в мясной фарш в кол-ве 0,5%, гидролизует после 3-часового нагревания при 100° на 74%, а соль Куррола в этих же условиях на 59%. Авторы отмечают несоответствие полученных результатов с работой Эндера (РЖХим, 1956, 38086), объясняя это несовершенством его методики. А. Е.

67135. **Определение вида мяса в сырокопченых колбасах.** Боннан, Тьерри (Détermination de viandes d'espèces différentes entrant dans la composition de produits de charcuterie crue. Bonnard Odette, Thierry Jean-Pierre), Ann. falsific. et fraudes, 1955, 48, № 556, 163—164 (франц.)

Описан метод преципитации применительно к распознаванию вида мяса в колбасах. А. Е.

67136. **О производстве копченой колбасы из жилистого мяса или с добавлением тонкоизмельченных сухожилий.** Шёнберг (Zur Herstellung von Rauchwurst aus stark sehnigem Fleisch bzw. fein zerkleinerten Sehnen. Schönberg F.), Arch. Lebensmittelhyg., 1956, 7, № 5—6, 71—72 (нем.)

Сообщается об анализе образца колбасы вестфальской ф-ки, в которой найдено большое кол-во соединительной ткани. Предлагается называть ее «сухожильной» колбасой. А. Е.

67137. **Повышение выхода копченых и копчено-вареных колбас путем изменения процесса горячего копчения в котильных, отапливаемых дровами.** Енджеевич (Podniesienie wydajności wędlin wędzonych, parzonych przez zmianę i kontrolę procesu gorącego wędzenia w wędzarniach na drewno. Jędrzejowicz Stanisław), Gospod. mięsna, 1955, 7, № 6, 30—33 (польск.)

67138. **О качестве колбасных консервов.** Шёнберг (Bezeichnung von Dosen-Brühwurst mit Euter- und Herzfleischzusatz als «X — steder Riesen». Schönberg F.), Arch. Lebensmittelhyg., 1956, 7, № 5—6, 72 (нем.)

Сравнительным микроскопич. анализом установлено, что вырабатываемые в ФРГ колбасные консервы с добавлением вымени и сердца соответствуют по качеству аналогичной вареной колбасе 2-го сорта. А. Е.

67139. О количественном определении мелких частичек костей в консервах из ливерной колбасы. **Зинелль** (Zum quantitativen Nachweis geringer Knochenmengen in Dosenleberwurst. *Sinell Hans J.*) Arch. Lebensmittelhyg., 1956, 7, № 5—6, 61—63 (нем.)

В связи с обнаружением в консервах из ливерной колбасы мельчайших твердых частичек костей (10 μ в поперечнике) неправильной формы были испробованы методы их колич. определения. Приемлемые результаты получены двумя способами по Диллеру (*Ztschr. Untersuch. Lebensmittel*, 1941, 82, 17). Образец консервов предварительно обезжиривают и обрабатывают КОН с последующим озолением, или определяют частицы костей седиментацией в CCl_4 . Отмечается надежность результатов при одновременном пользовании обоими методами. А. Е.

67140. Облучение катодными лучами куриного мяса для продления сроков его хранения. **Проктор, Никкерсон, Личчарделло** (Cathode ray irradiation of chicken meat for the extension of shelf life. *Proctor B. E., Nickerson J. T. R., Licciardello J. J.*), Food Res., 1956, 21, № 1, 11—20 (англ.)

Снятое с костей куриное мясо укупоривали в консервные банки, часть которых замораживали при -29° , другие закатывали в вакууме и трети в атмосфере N_2 . Некоторое кол-во образцов было предварительно обработано акцепторами свободных радикалов (монопотриевая соль глутаминовой к-ты, натриевая соль фумаровой и натриевая соль аскорбиновой к-ты). Источником излучения высоковольтных катодных лучей был ускоритель Ван де Граафа (3 Мэв). Качество оценки мяса производилась дегустацией (20 человек) по девятибалльной системе. Определяли пероксидные числа, тиобарбитуровую к-ту и содержание свободных жирных к-т. Дозы стерилизации устанавливали по *Clostridium sporogenes*. Бактериологич. исследования (аэробы и анаэробы) велись по установленной методике. Незамороженные образцы облучали дозами 0,8 $\cdot 10^6$ ф. э. р. или 2,10⁶ ф. э. р. с последующим хранением первых при 2,2—4,4 $^\circ$ и вторых при 20 $^\circ$ в течение 6 недель. Замороженные образцы облучались и хранились в тех же условиях, но срок хранения был уменьшен до 4 недель. Кроме того были проведены опыты с различными дозами излучения для выяснения влияния дозы излучения на качество куриного мяса. Установлено значительное изменение вкуса куриного мяса при облучении его в атмосферном воздухе дозой 2,5 $\cdot 10^6$ ф. э. р. Облучение дозой 2,10⁶ ф. э. р. дало различные результаты, но в большинстве случаев не вызвало изменения качества мяса. Вакуум-упаковка, замораживание, обработка акцепторами свободных радикалов предупреждает изменение вкуса мяса при облучении в дозах 2 $\cdot 10^6$ или 2,5 $\cdot 10^6$ ф. э. р. В опытах с образцами куриного мяса, содержащими естественную микрофлору, практическая стерильность получена при дозе 2 $\cdot 10^6$ ф. э. р. При облучении этой дозой не отмечено также значительного изменения pH, пероксидных чисел и свободных жирных к-т. Заметные изменения вкуса мяса установлены после 4 недель хранения при 2,2—4,4 $^\circ$. А. Е.

67141. Исследование консервов из ветчины после термостатной выдержки. **Маевская, Турковский** (Badania szynki w puszkach pozostalych po próbie termostatowej. *Maiewska D., Turkowski T.*), Przem. spożywczy, 1955, 9, № 1, 17—19 (польск.)

Сравнительное бактериологич. исследование не установило разницы между консервированной ветчиной, прошедшей и не прошедшей термостатирование. Л. Ш.

67142. О содержании свободной воды и желе в консервах из ветчины. **Прост** (Badania nad wodni-
stością i występowaniem galarety w szynkach puszkowych. *Prost Edmund*), Med. weteryn., 1954, 10, № 10, 592—597 (польск.; рец. русск., англ.)

Проведенными опытами установлено, что процентное содержание свободной воды и желе в консервах из ветчины зависит от способности мышечной ткани связывать воду, но не от общего содержания воды или от интенсивности окраски мышечной ткани. При увеличении водопоглощательной способности мяса, соответственно уменьшается кол-во желе в консервах, напр., при добавлении Na_2HPO_4 , которое не изменяет pH ветчины и не ухудшает ее вкуса и запаха. Охлаждение ветчины тотчас же после копчения и вплоть до закатаки снижает кол-во желе до $\sim 2\%$. Л. Ш.

67143. Исследование мяса со смальцем. **Хубер** (Erfahrungen bei der Untersuchung von Schmalz-
fleisch. *Huber Hans*), Dtsch. Lebensmitt.-Rundschau, 1956, 52, № 3, 70—71 (нем.)

Анализ 16 образцов мяса со смальцем установил, что продукт хорошего качества содержит свинину и жир в соотношении 1:1; однако содержание жира и мяса в различных образцах колеблется в широких пределах. А. Е.

67144. Новый способ определения числа микроорганизмов на поверхности мяса и мясопродуктов. **Лейстнер** (Ein neues Verfahren zur Ermittlung des oberflächlichen Keimgehaltes bei Fleisch und Fleischwaren. *Leistner L.*), Arch. Lebensmittelhyg., 1956, 7, № 1—2, 7—10 (нем.)

Описывается прибор, работающей частью которого является стальная пластинка (12 см²); прижимая ее к продукту, а затем к чашке с питательной средой, переносят микрофлору поверхности продукта на последнюю и затем производят определение колоний обычным путем. Определенное этим способом число бактерий находится в соотношении 1:4 к абс. числу жизнеспособных зародышей или спор. Приводится подробное описание и фото прибора и указания по пользованию им. А. Е.

67145. Об определении свежести мяса по содержанию аммиака в водном экстракте. **Лауреску, Попа** (Contribuții la aprecierea prospețimii cărnii de bovine, prin dozarea amoniacului în extractul apos. *Laurescu Const., Popa Gavrilă*), Rev. ingineră, microbiol. și epidemiol., 1954, № 3, 81—88 (рум.)

На основании исследования образцов говядины и ее водн. экстракта в разных стадиях свежести предлагается установить следующие нормы для экстракта из свежего мяса: содержание NH_3 в мг% ≤ 7 , отношение $N/NH_3 \leq 40$, NH_3 в % к общему N $\leq 2,5$. А. М.

67146. Влияние отпотевания на стойкость яиц при хранении. **Вильямс, Юн** (The effect of sweating on keeping quality of shell eggs. *Williams I. L., Young F. D.*), Food Res., 1955, 20, № 3, 221—225 (англ.)

Для выяснения влияния отпотевания яиц на их качество при хранении было взято 1400 яиц свежей кладки от птиц одной породы, выращенных в одинаковых условиях, на одном корме. Часть яиц искусственно загрязнялась влажным куриным пометом. Чистые и загрязненные яйца разделены на 2 группы, из которых группа 1 выдерживалась 48 час. при 4,4 $^\circ$, после чего — 6 час. при 26,7 $^\circ$ и 50% относительной влажности воздуха (отпотевала); группа 2 выдерживалась 48 час.

при 15,6° и затем 6 час. при 26,7° (не отпотевала). После этого яйца хранились 165—180 дней при т-рах от —1,1 до 7,7° и относительной влажности 60—90% и 42 дня при т-рах 23,9—29,4° и относительной влажности 50—60% (только незагрязненные). Установлено, что загрязненность не отразилась заметно на стойкости яиц при хранении. Отпотевание вредно отразилось на качестве яиц, хранившихся при т-рах 23,9—29,4° (20,08% несъедобных яиц против 8,33% из числа не отпотевших), и привело к увеличению кол-ва микроорганизмов на поверхности яичной скорлупы. И. Г. 67147. Критическое рассмотрение случаев бактериальных пищевых отравлений, в частности, ботулизма, вызванного рыбой. Бере (Kritische Betrachtungen über den Nachweis bakterieller Lebensmittelvergiftungen, insbesondere von Fischbotulismus. Behre A.), Dtsch. Lebensmitt.-Rundschau, 1955, 51, № 4, 117—120; № 5, 139—144; № 6, 163—168 (нем.).

Налагаются соображения по поводу диагностики ботулизма и причин, вызвавших отравление. Рассматривается случай отравления маринованной сельдью и оспаривается достоверность заключения Хармсева. См. РЖХим, 1956, 38150. А. Е.

67148. Летучие кислоты, янтарная кислота и гистамин, как показатели порчи атлантического тунца (*Euthynnus alletteratus*). Хиллиг (Individual volatile acids, succinic acid, and histamine as indices of decomposition in atlantic 'little tuna' (*Euthynnus alletteratus*). Hillig Fred), J. Assoc. Offic. Agric. Chemists, 1954, 37, № 4, 927—931 (англ.).

Изучена возможность определения степени порчи рыбы *Euthynnus alletteratus* по содержанию в ней летучих к-т, $C_2H_4O_4$ и гистамина. Доброкачественная рыба была помещена на пол в помещении консервного з-да. Ежедневно исследовали ее внешний вид, запах и обливали водой для удаления слизи и во избежание подсушивания. Часть экземпляров была немедленно сварена и законсервирована обычным способом. На каждой органолептически определяемой стадии порчи часть экземпляров варили и консервировали. Изучение прогрессирующего разложения рыбы показало, что содержание летучих к-т, янтарной к-ты и гистамина может служить показателем порчи рыбы, коррелируя со степенью развития процессов разложения. В среднем в процессе порчи рыбы, в условиях опыта, число летучих возрастало от 18—27 до 85—135, содержание муравьиной к-ты от следов до 21—35 мг/100 г, уксусной от 4—10 до 36—71 мг/100 г, пропионовой от 0 до 2—10 мг/100 г, масляной от 0 до 3—21 мг/100 г, янтарной от 2—5 до 37—73 мг/100 г, гистамина от следов до 42—88 мг/100 г. Г. Н.

67149. Анализ контрольных данных копчения. Кае-танович (Analiza kontroli wedzenia. Kaetanowicz Z.), Gospod. rybna, 1955, 7, № 3, 18 (польск.).

Поскольку основным фактором, регулирующим ход копчения, является т-ра, а в то же время отдельные определения ее сами по себе не дают материала для руководства процессом, предложено каждому з-ду пользоваться диаграммами, на каждой из которых в координатах т-ры и времени вычерчена нормальная кривая, соответствующая для этого з-да режиму копчения данного сорта и величины рыбы. Замеряя т-ру и нанося данные на диаграмму, можно точно корректировать ход процесса. Л. Ш.

67150. О прямом микроскопическом определении количества микроорганизмов для объективной оценки свежести морской рыбы. I. Сущность и техника подсчета. Витфогель (Über ein direktes, mikroskopisches Keimzählverfahren als Hilfsmittel für

die objektive Beurteilung des Frischheitszustandes von Seefischen. I. Wesen und Technik des Zählverfahrens. Wittfogel H.), Arch. Lebensmittelhyg., 1956, 7, № 1—2, 4—7 (нем.).

Рассмотрена возможность прямого микроскопич. подсчета микроорганизмов в качестве объективного критерия свежести рыбы. Применен модифицированный метод Брида (Zentralbl. Bakter., 1911, II, Orig. 30), основанный на определении кол-ва бактерий в единице объема жидкости. Известное кол-во смывной жидкости (от пробы рыбы) фиксируется и окрашивается на предметном стекле микроскопа, где и производится подсчет числа бактерий. Метод дает хорошие результаты, если кол-во бактерий в 1 г мышечной ткани рыб > 100 000. Отмечается быстрота определения и дается его подробное описание. А. Е.

67151. Перспективы увлажнения табака под вакуумом. Леончик Б. П., Табак, 1955, № 3, 32—34.

67152. Работа пневматической установки для рас-труски крошеного табака. Пашков В. С., Тр. Краснодарск. ин-та пищ. пром-сти, 1955, № 12, 123—127.

На эксперим. установке определена скорость витания различных фракций резаного табака. Найдено, что скорости витания склеек зависят от величины склеек, причем скорости витания мелких склеек заметно отличаются от более крупных; скорости витания пучков крошеного табака зависят от веса и площади их миделевого сечения; скорости витания пучков крошеного табака, содержащих склейки, меньше скорости витания отдельных крупных склеек. При изучении движения крошеного табака в восходящем токе воздуха установлено, что табак принимает скорость, меньшую по сравнению со скоростью транспортирующего воздуха на величину скорости витания табака; скорости движения различных пучков и волокон резаного табака в вертикальном восходящем потоке воздуха определенной скорости различны, соответственно разным их скоростям витания; разность скоростей различных агрегатов волокон создает среди них взаимные удары, а разность скоростей воздуха и табака приводит к до-полнительному динамич. воздействию на пучки волокон. Это является причиной разрыхления табака, а также нежелательного измельчения волокон в пневматич. установках. Г. Д.

67153. Анализ табачного дыма. Лейсерсон (The analysis of tobacco smoke. Leiserson Lee), Tobacc, 1955, 141, № 9, 22—23 (англ.).

Хроматографический анализ так называемого «никотина», определяемого в дыме, показывает, что он является сложной смесью ряда алкалоидов, а остаток после отгонки хлороформного р-ра — смесью масел, к-т, смол и других в-в. Необходимо в отношении табачного дыма осуществить анализы не только на содержание в нем никотина и смол, но и других азотистых в-в, а также к-т, ароматич. в-в, фенолов, углеводов и спиртов, как это делается по хим. составу табака. Приведены данные хим. состава четырех типов табаков, опубликованные Американской табачной компанией, а также данные Венуша о хим. составе дыма сигарет. Г. Д.

67154. Вредна ли сигаретная бумага для здоровья? Пирики (Ist das Zigarettenpapier gesundheits-schädlich? Piriki Constantin), Lebensmittelindustrie, 1955, 2, № 12, 295 (нем.).

Сигаретная бумага состоит в основном из чистой целлюлозы, отбеленных волокон льна и конопли с добавлением до 25% наполнителей. Вес бумаги в сигарете ~0,04 г, а за вычетом наполнителей — 0,03 г целлюлозы. Это приводит к повышению содержания целлюлозы в сигарете (включая табак) на 3%, что

меньше обычных колебаний содержания целлюлозы в самом табаке. Газы, получающиеся при сгорании сигаретной бумаги, наряду с другими в-вами, содержат СО и СО₂. При хорошей горючести бумаги выделяемое ею кол-во ядовитой СО ничтожно. Кроме газообразных продуктов при сгорании сигареты, от ее бумаги получаются и в-ва твердо-жидкой консистенции, имеющие кислотную р-цию и содержащие органич. к-ты, альдегиды, полифенолы и ацетон. Их общее кол-во <0,005 г. Поэтому можно считать, что сама сигаретная бумага сколько-нибудь существенно не повышает физиологич. действия, вызываемого курением табака. Г. Д.

67155. Антиокислительные свойства некоторых видов овсяной муки. Д а т е (Antioxidant property of some legume flours. D a t e W. B.), Sci. and Culture, 1955, 21, № 2, 106 (англ.)

Показано, что мука, полученная из некоторых сортов бобов, гороха и фасоли и ряда других растений (*Dolichos lablab*, *Phaseolous radiatus*, *Phaseolus mungo*, *Cajanus indicus*, *Pisum sativum*, *Lens esculenta*, *Cicer arietinum*), обладает антиокислительными свойствами и способствует лучшему сохранению кулинарных изделий, изготовленных с ее добавлением. Т. С.

67156. Паприка. П о р а ц и (Paprika — ancient and versatile spice. P o r a z z i Mario A.), Coffee and Tea Inds, 1954, 77, № 5, 71—72 (англ.)

Краткие сведения по товароведению паприки и вво-зу ее в США за 1935—1952 гг. из Испании, Чехословакии, Венгрии, Югославии и других стран. А. Е.

67157. О пряностях, применяемых в хлебопечении и кондитерском производстве. Ш у л ь ц е (Allerlei Backgewürze. Die Lagerung und Pflege der Gewürze. S c h u l z e W e r n e r), Monatsschr. Nährmittellind., Müll und Bäck., 1953, 5, № 5, 135—137; № 6, 164—166; Dtsch. Müllerei und Bäckerei Z., 1953, 5, № 7, 195—196; № 8, 221—222; № 9, 251—252; № 10, 279—280 (нем.)

Сведения по товароведению пряностей. А. Е.

67158. Ваниль в производстве кондитерских изделий, мороженого и напитков (Vanille in Konditoreiwaren und in der Süßwarenindustrie. S c h W.), Rev. internat. chocolat., 1955, 10, № 11, 464—465 (нем.)

Краткие сведения о применении ванили в пищевой пром-сти, о ее происхождении и обработке. М. А.

67159. Альгин — универсальный улучшитель пищевых продуктов. Г и б с е н, Р о т (Algin versatile food improver. G i b s e n K. F., R o t h L. B.), Food Engng, 1955, 27, № 10, 87—89 (англ.)

При произ-ве пищевых продуктов: начинкок, желе, глазури, сухих смесей для кексов, мороженого, сосисок, майонезов и др. применяются альгинаты в качестве загустителей, стабилизаторов, эмульгаторов и желеобразователей. При этом не изменяется и не маскируется вкус продукта. Наиболее широкое применение получил альгинат натрия, позволяющий получать р-ры различной вязкости при pH 4—11. Применяются также кальциевый, калиевый и аммониевый альгинаты. В последние годы в пром-сти и особенно при произ-ве кислых пищевых продуктов применяется пропиленгликолевый альгинат, способный давать воды, р-ры очень высокой вязкости и увеличивать устойчивость эмульсий типа М/В. Л. Т.

67160. Современные красящие и кроющие вещества и применение их в промышленности. Р а т р и (Industrial maintenance painting. R a t t r a y D o u g l a s), Canad. Bever. Rev., 1954, 24, № 2, 35—36, 38 (англ.)

67161. К определению искусственных пищевых красителей. Часть II. Э й з е н б р а н д (Beitrag zum Nachweis von künstlichen Lebensmittelfarbstoffen. II. E i s e n b r a n d J.), Dtsch. Lebensmitt.-Rundschau, 1954, 50, № 10, 248—250; № 11, 283—290 (нем.)

Для качеств. определения 18 красителей, признанных допустимыми для подкраски пищевых продуктов (лист А Германского научного общества), предложены методы разделения и идентификации и данные спектрального анализа, которые применяют после предварительного проведенных групповых р-ций на присутствие недопустимых красок. Часть I см. Dtsch. Lebensmitt.-Rundschau, 1951, 47, 215. А. Е.

67162. Разъединение алюминиевых кастрюль водой, содержащей следы меди. Б р а й а н (The pitting of an aluminium pitting by copper-contaminated water. B r a y a n J. M.), J. Sci. Food and Agric., 1955, 6, № 6, 305—311 (англ.)

Установлено, что основной причиной разъединения алюминиевой посуды является наличие следов меди в воде, соли или в препаратах для чистки посуды. Отмечается более значительное разъединение поверхности алюминиевых кастрюль при варке в них овсяной каши в присутствии соли. Крахмал и другие коллоиды овсяной муки тормозят, но полностью не подавляют действия корродирующих веществ. А. Е.

67163. О контроле закатки консервных банок. Б р у н х о ф е р (O kontrolle uzavřeni konzervových plechovek. B r u n h o f e r J i ř i), Průmysl potravin, 1955, 6, № 8, 407—409 (чеш.)

Контроль закатки консервных банок включает: 1. внешний осмотр; 2. определение размеров закатки и 3. разборку закупорки. Дано подробное описание различных методов закатки. Описан внешний вид правильной закатки, ее размеры, а также наиболее часто встречающиеся недостатки при закатке. Е. Ш.

67164. О проверке герметичности консервных банок на заводах. О л е р (Die Dosen-Dichtigkeitsprüfung in der Praxis des Fleischiereis — Betriebes. O h l e r), Vieh- und Fleischwirtsch., 1956, № 1, 21 (нем.)

Отмечается значение герметичности банок при изготовлении стерилизованных консервов и приводится описание известного метода испытания их после стерилизации на герметичность в водяной ванне. А. Е.

67165. Стеклопакетная тара для плодоконсервной промышленности. Р а м, С е н (Glass containers for the fruit preservation industry. R a m A t m a, S e n S u d h i r), Centr. Glass and Ceram. Res. Inst. Bull., 1954, 1, № 2, 12—18 (англ.)

Рассматриваются требования, которым должна удовлетворять стеклотара, предназначенная для консервирования плодов. Показано, что интенсивность выщелачивания стеклотары водой, водн. р-рами, водяным паром зависит от т-ры, продолжительности воздействия и состояния поверхности. Стойкость стекла должна быть достаточной для сведения к минимуму разрушения поверхности и перехода в р-р SiO₂, CaO, MgO, Na₂O. К-ты фруктового сока нейтрализуют щелочь с образованием солей, конц-ия которых повышается при продолжительном хранении при высокой т-ре, что может вызывать образование хлопьевидного осадка, особенно при низком содержании сахара. Установлено, что одним из продуктов фотоокисления органич. соединений является формальдегид (J. Indian Chem. Soc., 1938, 15, 321), являющийся хорошим консервантом, р-ция ускоряется УФ-облучением. Преобразование в стекле соединений закиси железа ограничивает прохождение ИК-лучей, а при преобладании соединений окиси железа задерживается большая часть УФ-лучей. Предполагается, что высокая проницаемость тары для ИК-лучей является одной из причин изменения окраски содержимого. Рассматривается прочность стеклотары в зависимости от формы и способа закупорки. Г. Н.

67166 К. Консервированные фрукты (без косточек). Организация, технология, хранение, заготовка для

- экспорта. Пасаров, Витанов (Пищови пул-пове. Организация, технология, съхранение, заготовка за износ. Пасаров Георги, Витанов Цветан (стст). София, ЦКС, 1955, 192 стр. с ил., 4 лв) (болг.)
- 67167 К. Электропастеризация молока. Виноградов Е. П. Харьков, Харьковск. ун-т, 1955, 154 стр., илл., 5 р.
- 67168 К. Плотность молока и ее колебания. Дебаст (La densité du lait et ses variations... De-baste H. Hubert. Thèse, Paris, 1953, 44 p., impr. de R. Foulon) (франц.)
- 67169 К. Таблицы и расчеты по техникохимическому контролю на маслодельно-сыродельных заводах. Дуденков А. Я. М., Пищепромиздат, 1955, 96 стр. 2 р. 60 к.
- 67170 К. Технология мяса и мясных продуктов. Манербергер А. А., Миркин Е. Ю. (Technologia mięsa i produktów mięsnych. Manerberger A. A., Mirkin E. Ju. Tłum. z ros. Warszawa, Wydawn. Przem. Lekkiego i Spożywc., 1955, 377, 1 nlb. s., il., 33. 60 zł) (польск.)
- 67171 К. Производство бекона. Рыбickий (Produkcja bekonów. Rybicki Jarema. Warszawa, Pol. Wydawn. Gospod., 1955, 181, 2 nlb. s., il., 9. 30 zł.) (польск.)
- 67172 Д. Сезонные изменения физико-химических констант и состава молочного жира. Гринене Е. К. Автореф. дисс. канд. техн. н. Лит. с.-х. акад. Каунас, 1956.
- 67173 Д. Получение белкового препарата из трески. Рехина Н. П. Автореф. дисс. канд. техн. н., Моск. техн. ин-т рыб. пром-сти и х-ва, М., 1956
- 67174 П. Способ консервирования пищевых продуктов. Кауфман, Пауэрс, Талберт (Process for food preservation. Kaufman Vern F., Powers Myron, Talburt William F.) [United States of America as represented by the Secretary of Agriculture]. Пат. США, 2718470, 20.09.55. Скорпортящиеся твердые пищевые продукты с большим содержанием воды подвергают частичной сушке до влажности 35—70%, затем закупоривают в банки и нагревают до т-ры, обеспечивающей стерилизацию продуктов. С. С.
- 67175 П. Обработка и частичное обезвоживание пищевых продуктов под вакуумом. Ривоч (Treatment and partial dehydration of foodstuffs under vacuum. Rivoch Eugene J.) Пат. США 2708636, 17.05.55. Твердые пищевые продукты подвергают в газовой среде при пониженном давлении диэлектрич. нагреванию такой интенсивности, что влага, находящаяся внутри продуктов, мгновенно превращается в пар и при выходе осуществляет бомбардирующее и разрушающее действие на клетки продукта, разрушая волокнистую структуру и размягчая пищевой продукт. Давление в зоне обработки соответствует т-ре кипения воды <95°, поэтому мгновенное превращение воды в пар происходит при достаточно низкой т-ре и не оказывает заметного влияния на витамины, красящие, вкусовые и ароматич. в-ва продукта. В. Г.
- 67176 П. Способы обработки пищевых и других органических продуктов. Данкли (Processes for the treatment of food and other organic produce. Dunkley M. E.). Англ. пат. 715351, 15.09.54. Для предотвращения порчи, обусловленной деятельностью ферментов таких пищевых продуктов, как мясо, овощи, плоды, плодовые соки, пасты, животные и растительные жиры и масла, яйца, молочные продукты, зерно, мука, а также цветов, лукович и люцерны, их обрабатывают газом, образующимся при неполном сгорании углеводорода, содержащего горючие газы; содержание свободного O_2 в нем должно быть $\leq 0,05$ об. %. Примерный состав газа: пары воды; 9,2% CO_2 ; 3,2% CO ; 0,1% ацетилена; 0,1% олефинов; 0,6% парафинов; 1,6% H_2 ; 0,0% свободного O_2 ; 1,0% аргона и 84,2% N_2 . Г. Н.
- 67177 П. Консервированные пищевые продукты (Preserved food preparations) [Colgate-Palmolive-Peet Co.]. Австрал. пат. 162430, 28.04.55. Патентуется пищевой продукт, содержащий углевод, способный ображиваться под действием бактерий с образованием к-ты. Для торможения брожения в продукт вводят амид алифатич. аминокарбоновой к-ты, содержащей 2—6 атомов С. Г. Н.
- 67178 П. Обработка зерна. Мон, Далквист (Grain handling. Moen Rolf, Dalquist Mark S.) [General Mills, Inc.]. Канад. пат. 506122, 28.09.54. Зерно при перемешивании опрыскивают водно-масляной эмульсией, содержащей 2—8 вес. % (лучше ~4 вес. %) минер. масла. Кол-во эмульсии на зерно должно составлять ~1 вес. %; по другому варианту патента 0,02—0,08 вес. %. Е. П.
- 67179 П. Обработка донительно хранившегося риса для удаления запаха. Ямамото (輸入米の處理方法・山本三吉) Япон. пат. 1387, 26.02.55. Патентуется обработка риса рисовыми отрубями и пищевым маслом для удаления запаха. Рис, отруби и масло смешивают в соотношении 100 вес. ч. риса, 5—30 вес. ч. отрубей и 0,5—4 вес. ч. масла и помещают в плотно закрытый сосуд или бумажный мешок. Пример: 100 вес. ч. сырого риса, 10—15 вес. ч. рисовых отрубей и 1,5 вес. ч. кунжутного масла смешивают и помещают в закрытый сосуд. После 3 дней рис освобождают от отрубей на рисоочистительной машине. Время выдерживания риса в закрытом сосуде находится в обратной зависимости от т-ры воздуха и составляет 3—7 дней. В. Г.
- 67180 П. Способ приготовления предварительно подготовленного десерта. Паттерсон (Method of making prepared dessert. Patterson Esther B.). Пат. США 2672422, 16.03.54. Патентуется способ приготовления десерта, состоящего из пудинга в виде основы и кекса, покрывающего пудинг, сверху которых имеется тонкая хрустящая корочка. Готовится взбитое тесто из сухой порошкообразной смеси пшеничной муки, шортенинга и разрыхлителей с добавлением молока. Тесто помещают в форму для выпечки и поверх него насыпают слой смеси сахара и сухого молока. Всю массу заливают слоем воды и выпекают до тех пор, пока вода проникнет до пудинга и вся масса превратится в кексообразный продукт. Л. Т.
- 67181 П. Производство карамельного колера высокой красящей силы. Клиленд, Шайвли (Manufacture of high tinctorial power caramel color and the resulting product. Cleland James E., Shively Lyman Reese) [Union Strach & Refining Co.]. Пат. США 2701768, 8.02.55. Готовят р-р карамельного колера, имеющего красящую силу 8—35 ед. Ловибонда и состоящего из окрашенных полимеров колл. характера и остатка некарамелизованных углеводов, и диализуют р-р через мембрану для отделения растворимых некарамелизованных углеводов. Для получения нового карамельного колера с красящей силой >40 ед. концентрируют р-р и добавляют в него углеводы из диффузата. В. Н.
- 67182 П. Новый калорийный пищевой продукт. Баррабан (Produit alimentaire énergétique nou-

veau. Ваггабан Р.). Франц. пат. 1068489, 25.06.54 [Lait, 1955, 35, № 345—346, 345 (франц.)]

К «молочному варенью», полученному путем смешивания цельного или снятого молока с тростниковым или свекольным сахаром, с последующим увариванием смеси до получения карамелизованной пастообразной массы, добавляют мальц-экстракт, некоторое кол-во растительного масла или животного жира, тертый миндаль или орехи. Полученную массу оформляют в виде бананов или капitanов. В. Г.

67183 П. Процесс изготовления продукта из земляного ореха. Мур (Process for making a peanut product. Моогге Нэролд У.). Пат. США 2685519, 3.08.54

Очищ. сырые земляные орехи измельчают, добавляют к ним воду для образования теста, формуют последнее на отдельные тонкие куски и варят. Г. М.

67184 П. Обработка плодовых соков. Мисуми (Treatment for fruit juice. Мисуми Тетсуо). Япон. пат. 1525, 23.03.54 [Chem. Abstrs, 1955, 49, № 1, 538 (англ.)]

Сок грейпфрута (10 кг) обрабатывают буферной к-той и солью, напр. яблочной к-той (8,68 г), яблочно-кислым калием (11,52 г), лимонной к-той (98,9 г), лимоннокислым натрием (40,5 г), кислым виннокислым калием (12,5 г), янтарной к-той (12,76 г) и кислым янтарнокислым натрием (15,14 г). Воду удаляют вымораживанием, остаток концентрируют до получения экстракта, содержащего 44,9% воды, после чего смешивают его с 20 г L-аскорбиновой к-ты. В. Г.

67185 П. Производство «молочного варенья». Боскетти (Fabrication d'une confiture de lait. Boschetti P.). Франц. пат. 1045019, 23.11.53 [Lait, 1955, 35, № 341—342, 98 (франц.)]

«Молочное варенье» получают, погружая на 2,5 часа в кипящую жидкость жестяные банки со сгущенным молоком. Аналогичный продукт получают при уваривании молока и введении в его состав карамелизованного сахара. В. Г.

67186 П. Производство сыра из обезжиренного молока или пахты. Маэно (脱脂乳又はバターミルクよりチーズを製造する方法・前野正久) Япон. пат. 1341, 26.02.55

В обезжиренное молоко или пахту добавляют соответствующее кол-во пищевого животного или растительного жира (напр., арахисовое или кунжутное масло), нагревают и гомогенизируют под давл. ~ 105 ат до величины жировых шариков диам. 1—10 м и охлаждают. Затем молоко заквашивают одним или несколькими видами молочнокислых бактерий (*Lactobacillus bulgaricus*, *Streptococcus lactis*) и свертывают при помощи сычужной закваски. Сгусток измельчают, нагревают до 32° и размешивают до выделения сыворотки. Сырное зерно укладывают в формы, прессуют, солят и парафинируют. Сыры созревают при $t = 7-30^{\circ}$ и нормальной влажности воздуха. В процессе приготовления сыра в обезжиренное молоко или в сырное зерно перед формовкой можно добавлять витамины А, В₁, В₂, В₁₂, D. Пример. 600 кг свежего обезжиренного молока нагревают до 55—60°, добавляют 18 кг кокосового масла, гомогенизируют под давл. 105 ат, охлаждают до 30° и вводят 3 кг закваски из *Streptococcus lactis*. После 30—40 мин. молочнокислого брожения добавляют 200—300 см³ сычужной закваски и через 30—50 мин. образуется сгусток. Последний мелко режут и при помешивании нагревают 2—3 часа. Сырное зерно формуют в виде низких цилиндров диам. 15—18 см, высотой 18—20 см и весом 5—6 кг, солят и, при необходимости, через 5—10 дней парафинируют. Сыр созревает ≥ 1 месяца при 15—20°. Затем удаляют парафин, измельчают сыр и плавят при 80—85°, при добавлении Na-сульфата или Na-цитрата

до приобретения вязкой консистенции, затем продукт расфасовывают и охлаждают. В. Г.

67187 П. Метод обогащения витаминами плавящихся сыров и изделий из них путем ультрафиолетового облучения. Крафт (Verfahren zur Anreicherung von Vitaminen in Schmelzkäse und Käsezubereitungen durch ultraviolette Bestrahlung. Krafft Walter). Пат. ФРГ 929413, 27.06.55

Для обогащения витаминами А и D плавящихся сыров расплавленную сырную массу и добавленные для улучшения ее состава и вкусовых качеств сливки, молоко или масло облучают кварцевой лампой при непрерывном перемешивании в воронке разливочного аппарата. Е. Ж.

67188 П. Способ изготовления плавящихся сыров с поверхностным засевом плесень (Procédé de fabrication de fromages fondusensemencés superficiellement de moisissures) [Fromageries X. et Rentz R.] Франц. пат. 1044183, 16.11.53 [Lait, 1955, № 341—342, 97—98 (франц.)]

После приготовления плавящихся сыров по обычному способу, как только они приобрели достаточную консистенцию, их вынимают из форм, производят засев поверхности сыров опрыскиванием р-ром, содержащим споры плесени, напр., *Penicillium candidum* и др. или же путем погружения сыров в такой же р-р. После этого сыры кладут на решетки в помещение с кондиционированным воздухом, в условиях, наиболее благоприятных для развития этих плесней. В. З.

67189 П. Способ обработки мясных продуктов. Дрейпер (Method of processing meat products. Draper Donald R.). Пат. США 2708635, 17.05.55

Мясные продукты обертывают фабричной тканью, обладающей теплоизоляционными свойствами, и быстро замораживают при низких t -рах. Замороженные продукты погружают в жидкий воск для получения на ткани дополнительного защитного покрытия. В. Г.

67190 П. Метод производства сосисок без оболочки. Льюс (Method of producing skinless frankfurters. Luce Stewart B.) [Swift and Co.]. Пат. США 2698801, 4.01.55

Мясной фарш заключают в нерастворимую в воде кишечную оболочку и разделяют на ряд батонов, стягивая лигатуры из карбоксиметилированной целлюлозы. Батоны нагревают для варки и расслабления лигатуры, после чего их освобождают от оболочки. Г. Л.

67191 П. Производство заменителя яиц (Producing egg substitute) [Commonwealth Scientific and Industrial Research Organization]. Австрал. пат. 162623, 12.05.55

Для произ-ва заменителя яиц, применяемого для приготовления бисквитов, пирожных и т. п., обезжиренное молоко или р-р молочного белка обрабатывают в-вом, удаляющим Са в кислой среде ($pH < 7$), и затем повышают pH смеси > 7 . Т. Р.

67192 П. Способ повышения экстрактивности чая. Фогт (Verfahren zur Steigerung der Ausgiebigkeit von Tee. Vogt Karl). Пат. ФРГ, 872309, 8.08.55

К чайному листу добавляют небольшое кол-во углеводов, после чего повторно ферментируют и сушат. Этот способ обработки повышает на 30% выход экстрактивных в-в при заварке чая, позволяет использовать отходы произ-ва — высевки и чайную пыль. Пример: доставленный обычным способом чайный лист увлажняют из распылителей 10—15%-ным водн. р-ром углеводов, ферментируют 10 час. при 80—100°, после чего опять сушат. Вследствие происходящей карамелизации усиливается выщелачивание ценных в-в в чай при заварке чая по сравнению с чаем из листьев, скрученных на роллерах. В. Г.

67193 П. Состав вещества и метод для предупреждения порчи пищевых продуктов. Ф р а н д с е н (Composición de materia y método de retardar la descomposición de alimentos. Frandsen Lawrence) [Washington Lab., Inc.]. Мексик. пат. 55646, 21.07.55

Бактериостатическая и фунгицидная жидкость для предупреждения порчи пищевых продуктов состоит из малеиновой к-ты, борной к-ты и Na-бензоата в соотношении 3—5—9 : 1—4 : 4—8 ч., растворенных в ≤ 32 ч воды.

Б. А.
67194 П. Добавочные смеси для пищевых продуктов. Ф и р (Fortifying mixtures for foods. Fear Ernest D.). Канад. пат. 511950, 19.04.55

Стандартная добавочная смесь состоит из равных кол-в соевого порошка и сахара, к которым добавлены минер. в-ва молока в таком составе и соотношении, в каких они встречаются в цельном молоке, в кол-ве, необходимом для снижения естественной кислотности смеси до pH ~ 7 .

С. С.
67195 П. Способ применения защитного покрытия (Process for applying protective coverings) [Imperial Chemical Industries Ltd]. Англ. пат. 715366, 15.09.54

Патентуется способ упаковки пищевых продуктов, напр. кур, в полиэтиленовый пакет или иное покрытие из полиэтиленовой пленки толщиной 0,04—0,13 мм. Из тары, с заключенным в ней продуктом, удаляют воздух, запечатывают ее и погружают в жидкость (напр., водн. р-р NaCl, CaCl₂ или NH₄Cl или смесь воды с глицерином) с т-рой $\geq 105^\circ$ и $\leq 125^\circ$, при этом оболочка дает усадку, плотно облегающая продукт.

Г. Н.
67196 П. Упаковка для вареного замороженного пищевого продукта. Ф и ш е р (Precoked frozen food package. Fisher Jacob) Пат. США 2674536, 06.04.54

Упаковка представляет открытый лоток с фланцем по краям, изготовленный из тонкого негнущегося легкого металла. Замороженный продукт, который можно подогреть перед употреблением, помещают в лоток и закрывают последний листом тонкой металлич. фольги. Свободный край фольги заходит за фланец лотка.

Т. Л.
67197 П. Способ упаковки вязких пищевых продуктов. П а й е н с о н (Method for packaging viscous food preparations. Pyenson Harry) [Development Research, Inc.]. Пат. США 2723200, 8.11.55

Патентуется способ упаковки вязких продуктов под давлением без доступа воздуха. Сосуд, снабженный вентилем, частично заполняют продуктом под давлением; из незаполненной части сосуда выкачивают воздух; в образовавшуюся пустоту под давлением вводят азот и закрывают вентиль.

С. С.
См. также: Общие вopr.: анализ продуктов 18777Бх; консервирование 65638; коррозия оборуд. 67292; лаки для конс. банок 66715; мытые тары 66822. Мукомольное произ-во: анализы зерна 67433; 19612Бх, 19613Бх; замачивание зерна 65912; хранение муки 67463; 19571Бх; техника безопасн. 67463. Хранение и переработка плодов и овощей: хранение 65620; 19619Бх; биохим. процессы 19615Бх; пищевая ценность продукции 19617Бх, 19618Бх, 19621Бх; сточные воды 65934. Мясоперерабатывающая пром-сть: пищевая ценность 19620Бх; сточные воды 65932. Молоко 19093Бх 19563Бх, 19599Бх. Масло, анализ 67440

КОЖА. МЕХ. ЖЕЛАТИНА. ДУБИТЕЛИ. ТЕХНИЧЕСКИЕ БЕЛКИ

67198. Ежегодный съезд Ассоциации британских химиков кожевенной промышленности, проходивший

в Лидсе 23—24 сентября. — (Assemblée annuelle de l'association anglaise des chimistes des industries du cuir 23 et 24 septembre Leeds.). Rev. techn. inds cuir, 1955, 47, № 11, 251—252 (франц.)

67199. Объединение исследований в области кожевенного и обувного производства. Вудрофф (The integration of leather and shoe research. Woodroffe F. W.). Australas. Leather Trades Rev., 1955, 41, № 616, 5, 7—8, 11—12, 15—16, 19 (англ.) См. РЖХим, 1956, 27713.

67200. Микроскопическое исследование изменений структуры шкур, консервированных тузлуком. Б ё м (Príspevek ke studiu mikroskopických změn kůže solené v laku. Böhm Rudolf). Sbor. Vysoké školy zeměd. a Lesné fak. Brno, 1955, В 3, № 2, 89—92 (чеш.; рез. русс., нем.)

Произведено микроскопич. исследование структуры тяжелых шкур крупного рогатого скота, законсервированной тузлуком, в сопоставлении со структурой исходной парной шкуры и шкуры, законсервированной сухим посолом. Вид срезов тузлукованной шкуры под микроскопом не соответствует большой потере веса, которая была установлена при 18-часовом тузлуковании. Сетчатый слой дермы мокросоленой шкуры после 18-часового тузлукования мало отличается под микроскопом от дермы парной шкуры. Только после дополнительного подсола сухой солью в штабеле дерма тузлукованной шкуры приобретает под микроскопом вид мокросоленого сырья. В качестве одного из показателей при микроскопич. исследовании срезов шкур принимается измерение промежутков между пучками коллагеновых волокон.

М. Л.
67201. Кожи для перчаток из шкур молодых свиней. К ш и в и ц к а я (Skóry rekawiczkowe z surowca młodych świń. Krzywicka Alicja). Przegl. skórzaný, 1954, 9, № 12, 270—272 (польск.)

Приводится методика обработки и окраски шкур молодых свиней при изготовлении кож для перчаток. Даны практические указания по проведению процесса.

К. З.
67202. Проблемы подготовительных операций в производстве краснотубных шпориоседельных и галантерейных кож. Г н а м м (Probleme der Wasserverkstatt bei der Herstellung von lohgerem Vachettenleder. Gnamm H.). Leder, 1955, 6, № 11, 265—271, diskuss. 271—275 (нем.)

Процессы отмочи и зольнения имеют основное значение для получения необходимого гриффа и степени стойкости кожи. Для получения мягкой обивочной кожи нужно дополнительное зольнение; при этом отдушистость не играет такой роли, как в других видах кожи. Плотность разных видов кожи и силков можно регулировать в дублении и отделке. Большое значение для свойств кожи имеет мягчение, которое можно легче всего регулировать применительно к виду кожи. Предыстория консервированной шкуры играет большую, трудно контролируемую роль в отмочно-зольных операциях.

М. Л.
67203. Дубление кож для низа обуви в противоточном шпиковом аппарате. М е т е л к и н А. И., Легкая пром-сть, 1956, № 1, 24—26

Аппарат для дубления и промывки кож для низа обуви без промежуточного слива рабочей жидкости представляет собой вращающийся цилиндр, внутри которого укреплен винтообразная перегородка (шпек), образующая отдельные секции и служащая для перемещения кож в направлении продольной оси аппарата при его вращении. Все секции, за исключением крайних, соединены между собой переточными трубками. Рабочая жидкость движется навстречу полуфабрикату. Аппарат вращается реверсивно в ту и другую стороны на 190—200°. Для испытания аппарата в нем об-

работали 10 партий кож в половинках. Контрольные половинки обрабатывали по обычной методике. Приводится подробное описание режима работы на аппарате. Продолжительность дубления и промывки — 72 часа. По органолептич. оценке опытные кожи соответствовали контрольным. Опытные кожи оказались на 1—3% меньше по толщине и на 3—4% больше по площади, по сравнению с контрольными. Использование аппарата улучшает санитарно-гигиенические условия труда, повышает культуру произ-ва и производительность труда, позволяет автоматизировать управление процессами и получать более однородную продукцию.

И. Э.
67204. Повышение потоустойчивости стелечной кожи. Грасман, Штадлер (Weitere versuche zur verbesserung der Schweißbeständigkeit von Brandsohlen. Graßman W., Stadler P.), Leder, 1956, 7, № 1, 8—13 (нем.; рез. англ., франц., исп.)

Изучена потоустойчивость стелечных кож и методы ее повышения. Додубливание кож, дубленных синтетич. или лигносульфоновыми дубителями, катионными дубителями увеличивает устойчивость к действию пота. Хорошей потоустойчивостью отличаются кожи растительного дубления, додубливаемые дубителями на основе меланина или дициандиамида. Перед додубливанием следует удалить промывкой избыток синтетич. или растительного дубителя. Для получения хороших результатов применяют ~10% катионного дубителя от отжатого веса при малом жидкостном коэффициенте. Физ.-мех. свойства кож от указанной обработки не ухудшаются. Содержание вымываемых снижается. Начало см. РЖХим, 1955, 36371.

И. Э.
67205. Дублирование юфтовых и шорно-седельных кож дубильными растворами с большим содержанием «ротанина». Родзевич, Крафт (Garbowanie skór juchtowych i blankowych przy zastosowaniu brzeczek o wysokiej zawartości Rotanin. Rodziewicz O., Kraft J.), Przegl. skórzan, 1954, 9, № 12, Biul. Inst. Przemysłu Skórzanego, 21—24 (польск.)

Проведены полупроизводственные опыты по выяснению возможности замены при дублировании юфтовых и шорно-седельных кож импортных растительных дубителей синтетич. дубителями ротанинами, вырабатываемыми в Польше. При дублировании 3 партий юфтовых кож в состав дубильного р-ра входило 20, 33 и 50% ротанина и при дублировании 4 партий шорно-седельных кож — 50 и 100% ротанина. Описаны рецептура и полученные результаты. Показано, что частичная замена растительных дубителей ротанином Р не ухудшает качества продукции, но дубливание чистым ротанином оказалось неудовлетворительным. Частичное применение ротанинов может значительно сократить расход растительных дубителей при дублировании юфтовых и шорно-седельных кож.

К. З.
67206. Хром-растительная кожа типа юфти. Шамбар, Жюльен (Vachettes en huile de tannage semichrome. Chambard P., Jullien I.), Bull. Assoc. franc. chimistes inds cuir., 1955, 17, № 6—8, 121—128 (франц.)

Производились опыты произ-ва кожи типа юфти методом хромового дубления с растительным додубливанием. Нейтр-ция в одной серии опытов производилась NaHCO_3 , в другой гексаметафосфатом, в третьей смесью NaHCO_3 и гиосульфита. Додубливание производили сульфитированным экстрактом квасцох, смягченным каштановым экстрактом и смесью последнего с сульфитцеллюлозным экстрактом. Жирование производили смесью сала, мезлтона и рыбьего жира. Отмечается, что прочность полученной кожи на надрыв редко достигает 6 кг/мм толщины, требуемых технич. условиями; растительное додубливание снижает pH

вытяжки из хром-растительной кожи. Повышение кол-ва растительных танинов приводит к уменьшению содержания жира и прочности на надрыв. И. Э.
67207. Свойства и применение синтетических дубителей. Хейден, Плаппер (Moderne Harzgerbstoffe, ihre Eigenschaften und Anwendung. Heyden R., Plapper J.), Leder, 1955, 6, № 9, 215—219 (нем.)

Обзор по вопросу о применении для дубления синтетич. смол (мочевинно- и меламинометиловых соединений, катионных и анионных дициандиамидных соединений, а также новых продуктов фирмы Бёме — разных марок препарата «дразил»). Библ. 14 назв. И. Э.
67208. Роль буферных соединений при хромовом дублинии. Красовский (Rola związków buforowych w garbowaniu chromowym. Krassowski Boleśław), Przegl. skórzan, 1955, 10, № 5, 102—107 (польск.)

Дана общая характеристика буферных р-ров и обоснована возможность и целесообразность их использования при однованном хромовом дублинии. Приведены данные о маскирующих анионах, их влиянии на структуру хромовых комплексов и применении в разных стадиях дублиния.

К. З.
67209. Дублиние с применением соединений кремния. П. Дзержавский (Garbowanie przy użyciu związków krzemu. P. Dzierżawski Jerzy), Przegl. skórzan, 1955, 10, № 1, 11—14 (польск.)
Обзор теоретич. работ и патентов по дублинию кож с применением соединений кремния. Библ. 24 назв. Начало см. РЖХим, 1956, 38228.

К. З.
67210. Получение белой свиной кожи формальдегидного дублиния. Егоркин Н. И., Мамедов М. А., Сб. науч. работ Ленингр. ин-та сов. торговли, 1955, № 8, 144—152
См. РЖХим, 1956, 21259

67211. Меламинформальдегидное дублиние. Мамедов (Меламинформальдегидно дьбене. Мамедов М. А.), Лека промишленост, 1956, 5, № 1, 33—34 (болг.)
РЖХим, 1956, 14828.

67212. Сушка кож внаклейку на стекле. Глузман Г. М. (製革工業中の貼板乾燥法. 格路士曼 Г. М.), 化學世界, Хуасюэ шицзе, 1956, № 2, 85—86 (кит.)
Перевод. См. РЖХим, 1956, 21265

67213. Нанесение искусственного лицевого слоя на кожи из шкур овец. Бурде (Nakładanie sztucznej lica na skóry baranie. Burde Roger), Przegl. skórzan, 1954, 9, № 11, 255—256 (польск.)

Отмечены преимущества одежных кож из шкур овец с искусств. лицевым слоем. Кратко описываются основные способы нанесения искусств. лицевого слоя с применением: а) латекса (бутадиенового или хлоропренового), б) нитроцеллюлозных покрывных красок, в) смесей латекса и покрывных красок. Даны практические указания по промышленному применению этих способов; особенно подчеркивается важность хорошей плифовки и обезжиривания кожи до ее окраски. К. З.

67214. Ошибки, допускаемые при определении числа продуба. Пшибыльская (Niektóre błędy popełniane przy oznaczaniu stopnia wygarbowania. Przybylska Zofia), Przegl. skórzan, 1955, 10, № 2, Biul. Inst. przemysłu skorzanego, 3—4 (польск.)

В исследовательских работах и экспертизах, где тщательность выполнения анализа имеет решающее значение, надо непосредственно определять небелковый азот, а полученные результаты вычитать из общего азота, полученного при определении содержания гольевого в-ва. При обычных лабор. анализах кож растительного и растительно-синтанового дублиния поправку надо вводить, если число продуба ниже уста-

новленной нормы. В остальных случаях поправку можно не учитывать. При анализе кож, дубленных с применением ротанна М, поправку надо вводить для частичного уменьшения ошибки определения, так как в произ-ве ротаннинов производится нейтр-ция аммиаком и в дубитель вводится до 4—6% азота, считая на сухое в-во.

М. Л. 67215. **Особые требования к верхней коже в производстве обуви. Райт** (The special requirements of upper leather in the shoe factory. Wright P. F.), Australas. Leather Trades Rev., 1955, 51, № 618, 11, 12, 14 (англ.)

Обычные дефекты липевого слоя кожи (К), вызванные укусами насекомых или нанесенные механически, могут быть исправлены отделкой смолами. На покрытие может наноситься рисунок. Низкие т-ры ухудшают качество К, особенно при длительном воздействии. Солнечный свет вызывает выцветание К. Для удаления пятен и жира с поверхности К используются в-ва, которые не разрушают отделку К. Для придания водонепроницаемости применяется нанесение смол на поверхность К. Существенными в оценке качества К является ее устойчивость к истиранию, а также к отделыванию покрывной пленки.

С. Б. 67216. **Измерение тепло смачивания кожи. Миттон, Мохини** (Measurement of the heats of wetting of leather. Mitton R. G., Mawhinney R. J.), J. Soc. Leather Trades' Chemists, 1955, 39, № 7, 206—216 (англ.)

Калориметрическим методом определяли теплоты смачивания хромовых и краснотубных кож, а также голевого порошка. Приведены результаты определения и расчета интегральной и дифференциальной теплоты смачивания для указанных видов кож при исходной влажности их от 0 до 40%. Установлено, что интегральная теплота смачивания хромовой кожи больше, чем краснотубной. Обсуждается механизм связывания воды кожей.

И. Э. 67217. **Термическое расширение кожи. Миттон** (The thermal expansion of leathers. Mitton R. G.), J. Soc. Leather Trades' Chemists, 1955, 39, № 9, 276—285 (англ.)

Проведены измерения коэфф. линейного расширения (КЛР) полюс кожи хромового, хром-растительного и чисто растительного методов дубления. Для кожи в сухом состоянии значения КЛР составляли соответственно 27, 30 и 29×10^{-6} на 1°. КЛР влажной кожи растительного дубления повышается примерно на 50%, но для кож хромового и комбинированного дубления КЛР в зависимости от содержания влаги меняется очень мало. Доказано, что термич. расширение краснотубной кожи согласуется с данными об осевом коэфф. расширения волокон растительного дубления. Введены также КЛР в направлении, поперечном к оси волокна. В результате согревания кожаных изделий (напр., обуви) получается незначительное расширение, не имеющее практического значения. Однако нагревание может вызвать изменения в содержании влаги, что, в свою очередь, обусловит значительные изменения размеров изделия.

М. Л. 67218. **Об истираемости подошвенной кожи. Кшиwickий** (O'ścieralności skór podszewowych. Krzywicki Edward), Przegl. skórzan, 1955, 10, № 9, 206—210 (польск.)

Занос правильно выработанной подошвенной кожи толщиной свыше 5 мм должен в нормальных условиях носки обуви составлять 25—30 дней на 1 мм толщины. Рассмотрены основные причины повышенной истираемости подошвенной кожи, вырабатываемой кожзаводами Польши. Повышенная истираемость кожи в значительной степени определяется чрезмерным насыщением внешних слоев кожи дубителем при обработке в ба-

рабанах. Равномерное распределение таниндов по слоям и небольшая промывка наружных слоев кожи придает ей эластичность, прочность к истиранию и снижает намокаемость.

М. Л. 67219. **Изучение структуры и проницаемости кожи.** — (Research on leather... its structure and permeability.—), Industr. Labs., 1955, 6, № 7, 92—94 (англ.)

Краткое изложение работ Национального бюро стандартов США по определению размеров и распределению пор различных размеров в коже. Отмечаются также работы по импрегнированию кожи кремнийорганич. соединениями (силфлекс) и р-рами каучука и других полимеров. Описан прибор для определения водопоглощаемости при одновременном многократном изгибании образца кожи.

И. Э. 67220. **Очистка растительных таниндов. Филаконе, Гаррис, Лувизи** (Purification of vegetable tannins. Filachione E. M., Harris E. H., Jr, Luvizi F. P.), J. Amer. Leather Chemists Assoc., 1955, 50, № 6, 301—308 (англ.)

Выяснено, что метилэтилкетон (87,4%), насыщ. водой (12,6%), является хорошим органич. р-рителем для очистки таниндов. При экстракции метилэтилкетом из водн. р-ра мимозы, гемлока, канегры, квебрахо, сульфитированного квебрахо, миробаланов, галловых орешков была достигнута доброкачественность (ДК) таниндов 88—95%. Экстракты меньшей ДК (70—80%) получились из дивидивы и гамбира. Высокий выход таниндов (80—97%) получен из канегры, миробаланов и гамбира. Средний выход (40—65%) — из мимозы, квебрахо, сульфитированного квебрахо, дивидивы и гемлока, небольшой выход (ниже 20%) — из валонии, каштана, мангрове, катеху. Применение метилэтилкетона, насыщ. водой, дает также довольно хорошие результаты при извлечении таниндов из растительных дубильных материалов.

М. Л. 67221. **Древесные и кустарниковые виды — источники дубильных экстрактов. Христосков** (Дървесни и храстови видове — източници на дъбилни екстракти. Христосков Н. Г.), Техника, 1954, 3, № 12, 17—20 (болг.)

Рассмотрены основные виды растительного сырья для получения дубильных в-в (ДВ): 1) ель (ДВ до 18,8% в коре, доброкачественность до 56); для переработки годится кора сплавных стволов, т. к. при длительном (до 2 мес.) пребывании в воде таннины вымываются; 2) дуб, летний, зимний и белый (ДВ 7—10,5% в коре, иногда и больше, но при длительном хранении коры падает); 3) каштан (ДВ — 12,5% в коре, 8,7% в древесине); 4) ива (ДВ до 14,9% в коре, пригодна для твердых и мягких кож, обычно смешивается с еловым экстрактом в отношении 25 : 75—40 : 60); 5) береза (ДВ 15% в коре, 8—10% в листьях и побегах, придает коже красивый, светлый цвет); 6) лиственница (ДВ 10—15% в коре, по качеству выше еловых); 7) скумния (ДВ 15—20% в листьях; в древесине и корнях содержатся желтые красители для кожи); 8) сумач по содержанию ДВ равен скумнии. Рассмотрены также условия произрастания всех этих видов.

З. Б. 67222. **Radix Rumicis nydrolapathi** — местное сырье, содержащее дубильные вещества. Ольшевский, Баньковский (Radix Rumicis nydrolapathi, jako krajowy surowiec garbnikowy. Olszewski L., Bańkowski Cz.), Acta polon. pharm., 1955, 12, № 2, 121—127 (польск.; рез. русс., англ.)

Приведены лабор. исследования *Radix Rumicis nydrolapathi* (шавель дикорастущий) на содержание в нем дубильных в-в. Высушенный при 40° образец имел влажность 10,22% и зольность 2,98%. Показано, что корни растения содержат сахара редуцирующего 3,02% и сахара нередуцирующего 9,98% (после гидро-

лиза соляной к-той). Спиртовой р-р дубильного в-ва этого корня при облучении кварцевой лампой дает характерную желто-зеленую флуоресценцию. При экстрагировании сухого корня в аппарате Коха при различных т-рах найдено, что при 50° извлекается 13,40% дубильных в-в, при 60—100° 18,95% и при 100° 27,83%. Эти дубильные в-ва принадлежат к пирокатехиновой и пирогалловой группам. Отмечается, что исследованное растение является богатым местным сырьем для получения дубильных веществ. К. З.

67223. Природные дубильные материалы Восточного Пакистана. Часть II. Дубильный материал горан. Халик, Ахмед (Indigenous tanning materials of E. Pakistan. Part II — Goran as a tanning material. Khaliq M. A., Ahmed Mofizuddin, J. Soc. Leather Trades Chemists, 1955, 39, № 5, 150—152 (англ.))

Проведено дубление обезоленного голя (3% борной к-ты) экстрактом коры горана (*Ceriops roxburghiana*), который имеется в изобилии в Восточном Пакистане. Кора горана содержит 31,5% танинов при влажности 11%. Полученная кожа была хорошего качества, физ.-мех. показатели (кажущийся и истинный уд. вес, предел прочности при растяжении и т-ра сваривания) не отличались от показателей кож, выдубленных экстрактом мимозы. Недостатком является красный цвет кожи, но соответствующим подбором условий можно уменьшить интенсивность окраски. Часть I см. РЖХим, 1956, 38239. Р. К.

67224. Исследование влияния продолжительности хранения альбумин-казеинового клея на его клеящую способность. Любич, Внук (Badania nad wpływem okresu przechowywania kleju albuminowo-keazeinowego na jego silę wiązania. Lubowicz J., Wnuk M., Sylwan, 1954, 98, № 6, 529—534 (польск.))

Приготовленный клей содержал (в %): альбумина 644, казеина 644, воды (20°) 8584, извести 128; его вязкость 1,72° Е; склеивались пластинки березовой фанеры; поскольку клей при хранении загустевал, то параллельно велись опыты склеивания с разбавлением клея водой до начальной его вязкости. Приготовленный клей хранился 1, 3, 6, 12, 24 и 48 час. Показано, что время хранения клея (до 48 час.) как при его разбавлении водой, так и без разбавления не сказывается заметно на механ. прочности склеенного шва, но этот вывод должен быть проверен в заводских условиях. Высшая водостойкость была у клея (не разбавленного водой) через 12 час. после его приготовления. К. З.

67225 II. Процесс мягчения голя (Procédé pour le mordançage des peaux animales) [Oesterreichische Stickstoffwerke A.-G.]. Франц. пат. 1097131, 29.06.55 [Rev. techn. inds. cuir., 1955, 47, № 9, 211 (франц.)]

Для мягчения голя предложено применение к-т производных меркаптанов, напр. тиогликолевой к-ты, или их солей. Эти препараты выделяют из шкуры значительные кол-ва глобулина, не задевая при этом самой коллагеновой ткани и не разрушая шкуры. Кол-во применяемого реагента — 0,5—5% от веса шкуры и изменяется в зависимости от типа шкуры и от степени желаемого воздействия. При обработке свободной к-той ее вводят в кол-ве 0,5—3%, а в случае солей ~5%. Обрабатывать можно при обычных или несколько повышенных т-рах, что определяет степень устойчивости шкуры после зольения, обеззолки, нейтрализации и обезволаживания. Можно также добавлять гликолевую к-ту или одну из ее солей в ванну для отмочки или зольения, но в этих случаях кол-ва добавленных реагентов должны быть уменьшены. Е. Л.

67226 II. Способ улучшения отделки кож водными покрывными красками. Отто (Verfahren zum Schönen der Zurechtung von Leder mit wasserlöslichen

Deckfarben. Otto Gerhard) [Badische Anilin- und Soda-Fabrik A.-G.]. Пат. ФРГ 925851, 31.03.55.

При покрывном крашении кож к покрывным краскам добавляют водорастворимые красители (напр. анионные азокрасители) для получения более ярких окрасок. Такая добавка снижает устойчивость покрытия к мокрому трению. Вместо этих красителей рекомендуется применять их комплексные соединения с металлами, напр. хромом или медью. В этом случае водостойкость покрытия не снижается или снижается значительно меньше. Пример: на лицевую поверхность окрашенной хромовой козлины наносят покрывную краску, содержащую в 1 л воды: 24,0 г казеина, 4,2 г буры, 12,0 г ализаринового масла, 38,0 г красной окиси железа, 8,0 г комплексного хромового соединения азокрасителя из диазотированной *n*-аминосальфосалициловой к-ты и резорцина. После нанесения покрытие фиксируют обычным образом. И. З.

67227 П. Способ получения продуктов распада белковых веществ (пептидов). Грунов (Verfahren zur Herstellung von peptidartigen Eiweissabbauprodukten. Grunow Hubert) [Deutsche Gold- und Silber-Scheideanstalt vormals Roessler]. Пат. ФРГ 927929, 20.05.55

Белковые в-ва или продукты их технич. переработки обрабатывают в водн. суспензии при повышенной т-ре или иногда при повышенном давлении ароматич. сульфокислотами или продуктами сульфирования ароматич. углеводов, замещ. одной или несколькими алифатич. боковыми цепями, содержащими от 3 до 18 атомов С. Пример: в 400 г конц. H₂SO₄ (60° Вё) вводят постепенно при перемешивании при т-ре 35—40° 128 г нафталина. Одновременно по каплям приливают 150 г изобутилового спирта. Затем в течение 1/2 часа доводят т-ру до 100° и перемешивают при этой т-ре еще 1 час, прекращают перемешивание и дают отстояться в течение некоторого времени. Через час образуется 2 слоя. Нижний состоит из серной к-ты, верхний из диизобутилнафталинсульфоновой к-ты с примесью серной к-ты. Нижний слой удаляют. Гидролиз белковых в-в производят следующим образом: в 4 л воды суспензируют 1000 г хромовых стружек, добавляют 150 г полученного продукта сульфирования и при перемешивании постепенно доводят до кипения. Через 1/2 часа отходы кожи переходят в р-р; смесь нагревают еще 2 часа; добавляют известь; отфильтровывают CaSO₄. К фильтрату добавляют 100 г Na₂CO₃, нагревают до кипения и отфильтровывают образовавшийся CaCO₃. Прозрачный фильтрат, содержащий натриевые соли продуктов распада белка и диизобутилнафталинсульфоновой к-ты, упаривают до 30° Вё. И. З.

См. также: Сточные воды кожевенного произ-ва 65935

ПРОЧИЕ ПРОИЗВОДСТВА

67228. Промышленное использование продуктов деления. Роберте (Industrial utilisation of fission products. Roberts R.) Discovery, 1956, 17, № 1, 29—35 (англ.)

Указаны некоторые возможные применения продуктов деления: для улучшения свойств катализаторов полимеров, транзисторов, для иницирования цепных р-ций и для стерилизации. Подсчитано, что в 1956 г. будет потребоваться в энергетич. реакторах 3,5 т U²³⁵ в год. Приведена схема произ-ва Cs¹³⁷ и Sr⁹⁰. В. Ш.

67229. Оценка катализатора для каталитического сжигания. Терк (Catalytic combustion evaluation of catalysts. Turk Amos), Amer. Industr. Hyg. Assoc. Quart., 1954, 15, № 2, 119—123 (англ.)

Результаты исследования катализаторов, применяемых при каталитич. окислении для очистки воздуха от содержащихся в нем различных примесей и для дедорации. Дана характеристика катализаторов и условий процесса. Катализаторы — окислы металлов и Pt на Al_2O_3 применялись в таблетированном и гранулированном виде. Воздух искусственно загрязнялся различными продуктами: метилэтилкетон, его смеси с крезолом и масляной к-той, изопропиловым спиртом, толуолом, лигроином и смесью толуола с крезолом и масляной к-той. Приводится описание установки для испытаний гранулированных катализаторов. А. Ч.

67230. Изменение свойств грунтов с помощью химических препаратов. Майклс (Altering soil properties with chemicals. Michaels Alan S.), Industr. and Engng Chem., 1955, 47, № 11, 2230—2231 (англ.)

Вступительная статья к симпозиуму по стабилизации грунтов с помощью хим. препаратов. Указаны основные этапы в развитии этой области и перспективы дальнейшей исследовательской работы. И. С.

67231. Сбыт химических реактивов для стабилизации грунтов. Аффлек (Marketing chemicals for soil stabilization. Affleck J. G.), Industr. and Engng Chem., 1955, 47, № 11, 2232—2234 (англ.)

На примере нового препарата для цементирования песчаных грунтов «Стабилизатор АМ-955», выпускаемого фирмой American Cyanamid Co. (США), автор описывает пути организации сбыта хим. реактивов для изменения свойств грунтов в гражданском строительстве. И. С.

67232. Гражданская техника нуждается в химических препаратах для обработки грунтов. Ламб (Civil engineering need for soil chemicals. Lamb T. William), Industr. and Engng Chem., 1955, 47, № 11, 2234—2239 (англ.)

В гражданском строительстве, дорожном строительстве и других отраслях техники в США ощущается острая потребность в хим. препаратах для изменения свойств грунтов: увеличения или уменьшения прочности, уменьшения влагопоглощения, уменьшения проницаемости грунта, увеличения морозостойкости и т. п. Применение хим. реактивов в этих случаях экономически целесообразно, если потребное кол-во их $< 1\%$ от сухого веса грунта и стоимость < 22 центов за кг. Библ. 20 назв. И. С.

67233. Смещение химических реактивов с грунтом. Смит (Mixing chemicals with soil. Smith Julian C.), Industr. and Engng Chem., 1955, 47, № 11, 2240—2244 (англ.)

Для стабилизации грунта (Г) необходимо тщательное перемешивание его с соответствующими хим. реактивами. Значительно худшие результаты полевых испытаний сравнительно с лабор. пробами, как правило, связаны с недостаточной однородностью смесей. В качестве критерия однородности предложено применять коэфф. смешивания R , который определяется как отношение стандартного отклонения анализов на содержание добавляемого реактива в ряде проб, взятых из различных мест образца до смешения, к стандартному отклонению после смешения. Показано, что прочность обработанного Г пропорциональна R . Для хорошего перемешивания обычно необходим выемка Г, перемешивание и последующая укладка смеси. Описаны различные стационарные и движущиеся установки для перемешивания Г производительностью до 500 $m^3/час$, и приведены данные по испытанию их с определением R с помощью радиоактивных индикаторов. Для тонкодисперсных Г рекомендуются стационарные установки с предварительным дроблением и сортировкой. Для илистых и глинистых Г наилучшим оказался смеси-

тель с возвратно-поступательным конвейером. Библ. 6 назв. И. С.

67234. Стабилизаторы грунта для уменьшения утечки в оросительных каналах и водоемах. Лоритцен (Soil stabilizers for seepage control in irrigation canals and reservoirs. Lauritzen C. W.), Industr. and Engng Chem., 1955, 47, № 11, 2245—2248 (англ.)

Выпускаемый фирмой American Cyanamid Co. (США), стабилизатор АМ-955 (I) представляет собой продукт, полимеризующийся с образованием геля в водн. р-ре, содержащем катализатор $(NH_4)_2S_2O_8$ и активатор $(Na_2S_2O_3)$. Изучено влияние различных факторов на гелеобразование I и на прочность облицовки для оросительных каналов, получаемой смешением I и суглинистой почвы. Показано, что полимеризация I ускоряется в контакте с металлами, а также с в-вами, поглощающими влагу — фильтровальной бумагой, тканью, асбестом. Стекло и пластмассы не влияют на полимеризацию. Гелеобразование ускоряется при пропускании электр. тока. Для хорошей стабилизации грунта достаточная конц-ия I в р-ре 10%, катализатора и активатора по 5% к весу I. При пропитывании суглинка сверху необходимо кол-во р-ра не менее 34% от веса почвы, при перемешивании грунта с р-ром 20 вес.%. Для илистых грунтов достаточно 12% р-ра при конц-ии катализатора 20% и активатора 20—40%. Получены удовлетворительные результаты на опытных участках оросительных каналов, облицованных приготовленной в бетономешалке смесью грунта с р-ром I. И. С.

67235. Стабилизация грунтов с помощью инъекции. Гнедигер (Soil stabilization by injection techniques. Gnaedinger John P.), Industr. and Engng Chem., 1955, 47, № 11, 2249—2253 (англ.)

Стабилизаторы грунтов: АМ-955 (акриламидметиленисакриламид), акрилат кальция и др., в ряде случаев целесообразно использовать, нагнетая их р-ры в скважины в грунте. Приведены примеры такого применения стабилизаторов для уменьшения фильтрации влаги в подземные сооружения, при возведении туннелей и кессонов, для уменьшения фильтрации через основания плотин, для закупорки водопроницаемых пластов при бурении нефтяных скважин. И. С.

67236. Влияние алифатических четвертичных аммониевых солей жирного ряда на физические свойства некоторых грунтов. Гросси, Вулси (Effect of fatty quaternary ammonium salts on physical properties of certain soils. Grossi Frank X., Wolsey John L.), Industr. and Engng Chem., 1955, 47, № 11, 2253—2258 (англ.)

Описанным ранее (Joder R. E., J. Amer. Soc. Agron., 1936, 28, 337) методом изучено влияние четвертичных аммониевых солей на агрегацию ряда образцов илистых и суглинистых грунтов (Г). Наиболее эффективными являются амины с двумя неразветвленными углеводородными цепями C_{18} . Диметилдодециламмонийхлорид (I) вызывает 100%-ную агрегацию уже при конц-ии р-ра 0,1% и кол-ве I 0,1% к весу Г. В отличие от сополимера винилацетата и малеинового ангидрида, также вызывающего агрегацию Г, I сохраняет свое действие после нескольких циклов высушивания, измельчения и повторного суспендирования Г. Прибавление электролита конц-ии 0,2% и изменение pH в пределах 2,7—8,0 не ослабляет агрегации; большие конц-ии электролитов, напр. 1% NH_4Cl , и увеличение pH выше 8,0 уменьшают эффективность I. Действие I связано с адсорбцией его на колл. частицах Г: гидрофильная группа катиона I адсорбируется на частице, и оставшаяся углеводородная цепь гидрофобизирует поверхность частицы. При pH $> 8,0$ адсорбция I уменьшается из-за конкуренции катионов металлов и образования комплексов катионов I с катионами кремне-

вой к-ты. Почва, обработанная I, не обладает капиллярностью, мало набухает в воде. Прочность образцов обработанного Г уменьшается при поглощении до 15% воды, а затем остается постоянной; для необработанного Г в этих же условиях — прочность быстро падает.

И. С.

67237. Акрилаты двухвалентных металлов. Гопкинс (Acrylate salts of divalent metals. Hopkins Robert P.), Industr. and Engng Chem., 1955, 47, № 11, 2258—2265 (англ.)

Изучены свойства акрилатов Ca (I), Mg, Zn и Ba и образуемых ими полимеров. Растворимость I в воде при 24° 44 г/100 г; I растворим в глицерине, гликоле, формамиде, диэтиламине, нерастворим в алифатич. и ароматич. углеводородах. Т-ра замерзания водн. р-ра I: 5%-ного —1,67°, 30%-ного —12,2°; плотность 30%-ного р-ра 1,130, вязкость ≈ 6 сантипуа при 24°. I полимеризуется в водн. р-ре, содержащем перекисный катализатор, напр. $(\text{NH}_4)_2\text{S}_2\text{O}_8$, и активатор — $\text{Na}_2\text{S}_2\text{O}_3$. Скорость полимеризации растет с ростом конц-ии I, кол-ва катализатора и с повышением т-ры. При конц-ии I меньше 4—5% уже не образуется нормальный каучукоподобный полимер. При слишком высокой т-ре (для I выше 110°, для акрилатов Zn и Ba выше 24—30°) получаются не каучукоподобные, а пастообразные полимеры, что связано с различием областей растворимости мономера в воде и воды в полимере. Полимер I нерастворим в ацетоне, спирте, этилацетате, толуоле и газолине; под действием к-т и щелочей гидролизуются; р-ры солей обменивают катион и дегидратируют полимер. Полимер-I обладает гидропластич. свойствами. Растворимость воды в полимере-I уменьшается с ростом т-ры от 2 до 50°. При испытании на изгиб при 24° и 55% относительной влажности модуль упругости поли-I $4,42 \cdot 10^4$ кг/см², сопротивление на изгиб 1000 ± 230 кг/см². При повышении т-ры выше 42° уменьшается пластичность и растет твердость полимера-I и полиакрилатов Mg, Zn и Ba — эти материалы можно считать «обратно термогидропластичными». Полимер I, выдержанный до равновесного набухания в воде при 24° и содержащий 50% воды, пластичен в интервале от —35 до +65° и хрупок выше и ниже этого интервала. Во влажном состоянии прочность на разрыв полиакрилатов Mg, Ca, Zn и Ba равна, соответственно 2,7; 2,8; 67; 64 кг/см². Измерена прочность грунтов, обработанных р-рами I. Поглощение воды грунтом растет с увеличением содержания I. Обсуждаются возможные области применения I.

И. С.

67238. Соотношение почвы и воды в грунте, стабилизированном акрилатом кальция. Меннэ, Вильямсон, Гопкинс (Soil-water relationships in calcium acrylate stabilized soil. Meunier Vincent C., Williamson Gordon J., Hopkins Robert P.), Industr. and Engng Chem., 1955, 47, № 11, 2265—2269 (англ.)

Измерены поглощение воды и прочность на разрыв в сухом и влажном состоянии для образцов грунта, обработанного акрилатом. Для выбора состава проб, изображения и интерпретации результатов использованы треугольные диаграммы системы грунт — акрилат — вода. Содержание воды в набухшем до равновесия грунте растет с увеличением содержания акрилата и с уменьшением исходного содержания влаги.

И. С.

67239. Сульфат алюминия и сульфаты железа как вспомогательные вещества при стабилизации грунтов битумом. Ханкок (Aluminum sulfate and iron sulfates as auxiliaries in bituminous stabilization of soils. Hancock C. Kinney), Industr. and Engng Chem., 1955, 47, № 11, 2269—2275 (англ.)

Изучено действие сульфата Al и сульфатов Fe²⁺ и Fe³⁺ на прочность ряда образцов весьма гидрофиль-

ных грунтов, стабилизированных преарарированным битумом. Для 7 образцов (из 9 взятых) стандартное испытание показывает 2—10-кратное увеличение несущей способности при применении 0,5—2% солей и уменьшение поглощения влаги грунтом. Действие солей Al и Fe²⁺ связано с уменьшением гидрофильности и увеличением «асфальтофильности» частиц грунта и соответствующим усилением сцепления между битумом и частицами. Одни соли, без битума, не обладают стабилизирующими свойствами. Действие сульфата Fe²⁺ объясняется окислением Fe²⁺ кислородом воздуха. Возможно применение как сухих солей, так и их р-ров; в последнем случае легче осуществить перемешивание. Использование солей Al и Fe как добавок при битумировании грунтов в дорожном строительстве позволяет сократить расход битума и в ряде случаев экономически выгоднее, чем применение гравия.

И. С.

67240. Перспективы применения химических препаратов для обработки грунтов. — (Future prospects of chemicals for soil-treatment.—), Industr. and Engng Chem., 1955, 47, № 11, 2279—2281 (англ.)

Заключительный обзор на симпозиуме по применению хим. препаратов для стабилизации грунтов.

И. С.

67241. Промышленная неорганическая химия. Флуоресцентные вещества. Неино, Тамура (無機工業化學. 螢光物質. 石野 俊夫, 田村英雄), 化學, Karak, Chemistry (Kyoto), 1955, 10, № 12, 10—13 (япон.)

Обзор за 1954 г. Библ. 30 назв.

Н. Ш.

67242. Применение гидразина в зеркальном производстве. Уэйи (Hydrazine- its use in mirror making. Wein Samuel), Glass Ind., 1955, 36, № 8, 413—416, 442 (англ.)

Гидразин и его соединения применяются в качестве восстановителей при серебрении зеркал. Для зеркального произ-ва применяется $(\text{NH}_2)_2\text{H}_2\text{SO}_4$. Приведено большое число рецептов на основе гидразина и описаны способы приготовления р-ров. Библ. 32 назв.

С. И.

67243 П. Активный порошок двуокиси кремния. Уэгниер (Reactive silica powder. Wagner George H.), [Union Carbide and Carbon Corp.], Пат. США 2705222, 29.03.55

Поверхность порошков SiO_2 (с высокой уд. поверхностью), получаемых сжиганием соединений Si (SiCl_4 , $\text{Si}(\text{C}_2\text{H}_5\text{O})_4$, хлорсиланы), покрывают приблизительно мономолекулярным слоем в-ва с высокой реакционной способностью. Вес слоя составляет 8—20% от общего веса порошка. Слой состоит из $(\text{HSiO}_3)_n$ или $(\text{H}_2\text{SiO}_3)_n$, получаемых соответственно при гидролизе RSiCl_3 или R_2SiCl_2 . Порошок получает свойство невосприимчивости к воде, усиливающееся при алкилировании его поверхности. Он обладает хим. активной поверхностью и применяется для получения активных Ag-катализаторов и водоустойчивых смазок.

В. Ш.

67244 П. Частицы силикагеля (Silica gel particles) [Universal Oil Products Co.], Австрал. пат. 164794, 8.09.55

Способ получения частиц силикагеля состоит в образовании золя кремнезема, содержащего силикат металлов (I), гексаметиленetetрамин (II) (весовое отношение II : I составляет от 0,02 : 1 до 0,25 : 1), воду (III) (весовое отношение III : I составляет 5 : 1 — 20 : 1) и к-ту в кол-ве, необходимом для доведения pH золя до 4—5. Затем гидрозоль превращают в частицы геля.

Н. Ш.

67245 П. Процессы реактивации адсорбентов (Adsorbent reactivation processes) [Standard Oil Development Co.], Англ. пат. 718523, 17.11.54

Для р
ного угл
сорбция
ции с ч
тором (Л
реактив
мися т-р
рирован
газ, под
нии. Бол
ЗР, оста
(с наиб
ной част
(может
дых разд
газ вмес
мым ус
ного Д.
трич. то
Процесс
стоянии
скающих
67246 П.
тверды
коп (kol
kolhalt
rectie
voor en
пат. 14
Исход
или газе
двуют
и после
67247 П.
materi
пат. 16
Искус
борат М
ния элем
де в виде
одного и
галогено
Sb, и (из
активиро
лами. Д
става I и

67251.
rosion
Umsch
Излож
ани мета
равном
сов обра
некоторые
повок; р
разнонну

Для реактивации адсорбентов (А), особенно древесного угля, используемого в циклах адсорбции — десорбции для выделения из смеси углеводородов фракции с числом атомов С 1—3, загрязненный деактиватором (Д) А пропускают сверху через 3 (или 2) зоны реактивации (ЗР) с последовательно увеличивающимися т-рами, А в этих зонах располагается на перфорированных тарелках. Снизу вверх движется горячий газ, поддерживающий А в псевдооживленном состоянии. Большая часть А (60—80%) удаляется из средней ЗР, остальная часть А проходит через нижнюю ЗР (с наиболее высокой т-рой) и присоединяется к основной части А. Газ — реактиватор с т-рой 1093—1370° (может употребляться пар) — подводится сверху твердых разделяющих на секции пластин, а загрязненный газ вместе с Д удаляется снизу этих пластин, тем самым устраняется внутренняя рециркуляция удаленного Д. Нагревание ЗР может осуществляться электрич. током, а А отбираться более, чем из одной ЗР. Процесс может выполняться с А в псевдооживленном состоянии или же в виде твердого слоя, медленно опускающегося вниз. В. Ш.

67246 П. Способ получения катионообменника из твердых, содержащих углерод материалов. Гудкоп (Sätt att framställa kationbytarmaterial av fasta kolhaltiga material. Goedkoop M. L.) [De Directie van de Staatsmijnen in Limburg, Handelend voor en namens den Staat der Nederlanden], Швед. пат. 151099, 16.08.55

Исходный материал нагревают при 80—450° в O_2 или газе, содержащем O_2 , полученный продукт суспендируют в щел. жидкости. Эту суспензию нагревают и после гидролиза отделяют от жидкости. К. Г.

67247 П. Люминесцентный материал (Luminescent material) [Thorn Electrical Industries Ltd]. Австрал. пат. 165376, 13.10.55

Искусственный люминесцентный материал содержит борат Mg, активированный титаном. Причем отщепления элементов: Mg, Ti и B, присутствующих в материале в виде окислов, составляют (в % от веса люминесцентного материала): MgO 50—85, TiO_2 5—40 и BO_2 2—27. В. Б.

67248 П. Искусственный светящийся состав. Надь, Менде, Газда (Künstlicher Leuchtstoff. Nagy Elemér, Mende László, Gazda István.) [Fa. Egyesült Izzólámpa és Villamoságsági Részvénytársaság]. Пат. ФРГ 933645, 29.09.55

Патентуется гомог. люминофор основного состава $M_2(AO_4)_3Z$ (I) или M_2AO_4Z (II), где М — один (или более) щел.-зем. металл; А соответствует Р + As + не менее одного из элементов Sb, Bi или V; Z — один (или более) галогенов или OH и SH, причем кол-во As [и (или) Sb, и (или) Bi, и (или) V] ≥ 4 мол. % А. Люминофор активирован Mn, Zn, Ag или редкоземельными металлами. Допускается отклонение от стехиометрии. состава I и II менее чем на десятые доли процента; содер-

жание окислов щел. металлов $\leq 0,01\%$. Кристаллич. структура I соответствует апатиту, II — вагнериту. Пример: в кварцевом сосуде смешивают (в г): фосфата Ca 133,9, безводн. $CaCl_2$ 7,6, CaF_2 5,35, Sb_2O_3 5,5, окиси As 8,3 и фосфата Mn 2,4, прокаливают 45 мин. при 900—1100°, еще раз перемешивают и снова прокаливают 35 мин., промывают горячей дистилл. водой; полученный порошок высушивают при 100—280° и измельчают до 8 μ . Состав дает хорошее свечение в зеленой области. М. А.

67249 П. Электролюминофоры. Батлер, Хомер (Electroluminescent phosphors. Butler Keith H., Homer Horace H.) [Sylvania Electric Products Inc.]. Пат. США 2728730, 27.12.55

Для получения электролюминофора (Э) на основе ZnS, содержащего в виде загрязнения H_2S , выделяющегося при нагревании, добавляют некоторое кол-во хлоридов и ведут процесс приготовления Э следующим образом: смешивают ZnS с активаторами, взятыми (в активационном кол-ве) в виде тонкого порошка — соединениями Pb (карбонаты, окислы или сульфаты) и Cu (сульфиды или окислы). Для предотвращения образования PbS обжиг смеси производят при т-ре выше т-ры выделения H_2S из смеси, но ниже т-ры выделения из нее $PbCl_2$, при этом быстро промывают прокаливаемую смесь потоком инертного газа (для удаления H_2S), а затем прокаливают смесь при 938° и охлаждают полученный Э в токе инертного газа. Активаторы берут в кол-ве 0,02 моля Cu и 0,08 моля Pb на 1 моль Zn. Рекомендуется прокаливание проводить в кварцевой трубке (внутренний диам. 63,5 мм) при пропускании инертного газа (N_2 , Ar, Ne и т. п.) со скоростью 0,6 л/мин. Состав смеси (в г): ZnS 1850 (ZnS содержит ~ 3,15% $ZnCl_2$), ZnO 81, CuO 1,4 и $PbCO_3$ 21,6. Охлажденный продукт кипятят в 5%-ном р-ре CH_3COOH (для удаления избытка ZnO), дважды промывают 0,5%-ным р-ром CH_3COOH и дистилл. водой. Полученный Э обладает значительно увеличенной яркостью электролюминесценции. В. М.

67250 П. Светящийся экран из люминофора в стекле. Хашли (Fluorescent screen of a phosphor in glass. Hushley Walter J.) [Westinghouse Electric Corp.]. Канад. пат. 514717, 12.07.55

Экран на пластинке из натриево-известкового стекла получают нагреванием на ней до 680° в течение 1/2 часа слоя смеси равных частей ZnS и особого стекла, состоящего из (вс. %): SiO_2 20, Al_2O_3 3, MgO 2, B_2O_3 65, Li_2O 2, Na_2O 5 и K_2O 3. При этом частицы люминофора впадают в слой стекла. Для получения светящегося экрана на основе ZnS, $BaPb(SO_4)_2$, $CaWO_4$ и $CdWO_4$ применяют другой состав стекла, содержащий (в %): окислов и фторидов Li, Na, K 5—15, SiO_2 10—25, B_2O_3 55—80, MgO 0—6 и Al_2O_3 2—12. Б. Г.

См. также: Катализаторы 64528, 64529

КОРРОЗИЯ. ЗАЩИТА ОТ КОРРОЗИИ

67251. Коррозия и защита от нее. Вернер (Korrosion und Korrosions-Schutz. Werner Max), Umschau, 1955, 55, № 6, 171—173 (нем.)

Изложены основные принципы электрохим. коррозии металлов, в частности, протекающей вследствие неравномерной аэрации. Приведены примеры процессов образования и разрушения защитных пленок на некоторых деталях различных промышленных установок; разбирается влияние этих процессов на коррозионную стойкость металлов. Е. М.

67252. Снижение убытков от коррозии в Канаде. Годард (Reducing the cost of corrosion in Canada. Godard H. P.), East Metals Rev., 1956, 9, № 2, 189—191 (англ.)

Общие положения по коррозии металлов. М. К.

67253. Увеличивающаяся важность изучения коррозии. Тернер (The increasing importance of corrosion studies. Turner T. Henry), Corros. Prev. and Control., 1956, 3, № 1, 29, 42 (англ.)

Указывается на важность усиления борьбы с корро-

зией металлов в современных условиях, когда ежегодная мировая выплавка стали достигла 230 млн. т. Р. А. 67254. Значение стандартизации металлических покрытий для защиты от коррозии. Мориссе (Comment la normalisation peut servir de guide pour la protection contre la corrosion par revêtements métalliques. Morisset P.), Corros. et anti-corros., 1956, 4, № 1, 22—35 (франц.)

Доклад, прочитанный во французском Доме химии по вопросам нормализации металлич. покрытий. Критически рассматриваются французские стандарты на гальванич. Ni-, Cu + Ni-, Cr-, Zn-, Cd-покрытия, анодное окисливание Al и его сплавов, Zn-, Al- и Pb-покрытия, нанесенные методом распыления, а также горячие Zn-покрытия. Дана оценка стандартных методов ускоренных коррозионных испытаний покрытий, стандартов по терминологии и нормализация деталей, подлежащих защите. Предлагается классификация условий эксплуатации защищенных деталей из Fe, Cu и его сплавов, Zn и его сплавов, Al и его сплавов с рекомендациями видов и толщины покрытий для каждого случая, а также даны таблицы с рекомендуемыми видами и толщинами покрытия для деталей самолетов и автомашин. Я. М. 67255.

Коррозия, вызванная неоднородностью структуры котельной стали. Муфтич, Ямницкий (Korozi je uslijed nehomogene kristalne strukture kotlovskog lima. Muftić, Jamnicki), Elektroprivreda, 1955, 8, № 6, 379—380 (серб.)

Рассмотрен случай коррозии локомотива, котел которого подвергся сильному разрушению, в особенности в зоне огневого нагрева. Предполагают, что это имело место вследствие неправильной термич. обработки металла. Другими причинами коррозии в теплосиловом оборудовании является повышенное содержание O_2 в питательной воде и неоднородность стали, приводящей к возникновению гальванич. элементов. Считают, что наиболее эффективной мерой борьбы с коррозией является хим. декарбонизация воды и поддержание надлежащей щелочности котловой воды. И. К. 67256.

Изучение поверхности электрода. Часть 2. Окисная пленка на алюминии. П. Муракава (電極の表面状態に関する研究. 第2報. アルミニウムの酸化皮膜. (その2). 村川亨男), 電気化学, Дэнки кагаку, J. Electrochem. Soc. Japan, 1956, 24, № 1, 18—23 (япон.; реф. англ.)

В предыдущем сообщении (РЖХим, 1956, 43867) описывался способ обнаружения дефектов окисной пленки на электрополированном Al, состоящий в электроосаждении Cu на исследуемой поверхности из р-ра $CuSO_4$. Этот способ использовался также для исследования других искусств. пленок на Al (анодные пленки, пленки, применяемые в электролитич. конденсаторах). Кроме того, в процессе анодирования Al проводилось непрерывное микроскопич. наблюдение за выделением пузырьков кислорода. Обнаружено, что мелкие частички Cu катодно осаждаются преимущественно по границам зерен основного металла, пузырьки кислорода при анодировании также выделяются на границах зерен. Это обстоятельство указывает на то, что по границам зерен окисная пленка несовершенна и имеет различные дефекты (поры, трещины). По мнению авторов, причиной дефектов окисной пленки по границам зерен является наличие там различных примесей и главным образом Fe. Метод обнаружения дефектов в окисной пленке, состоящий в катодной поляризации образцов в р-ре $CuSO_4$, является более подходящим и полезным, чем метод наблюдения за процессом образования пузырьков кислорода на поверхности Al в процессе его анодирования. И. Ш. 67257.

Исследование ускоренного окисления жаростойких сталей, обусловленного ванадием. Монк-

ман, Грант (An investigation of accelerated oxidation of heat resistant metals due to vanadium. Monkman Forest C., Grant Nicholas J.), Corrosion, 1953, 9, № 12, 460—466 (англ.)

Исследование окислов различных металлов показало, что CaO, MgO и NiO заметно повышают т-ру плавления зола, содержащей 60% V_2O_5 , в связи с чем они могут служить средством борьбы с ускоренным окислением нержавеющей сталей. При т-рах ниже т-ры плавления V_2O_5 наличие Na_2SO_4 в топливе (содержащем V) способствует окислению этих сталей, поскольку образует с V_2O_5 жидкую фазу, но при т-рах выше т-ры плавления V_2O_5 Na_2SO_4 тормозит окисление. Хим. анализом и методом дифракции рентгеновских лучей установлено, что окалина, образующаяся в процессе окисления нержавеющей стали марки 347, находящейся в контакте с жидкой V_2O_5 , имеет высшую степень окисления и высокое содержание V. На границе раздела образуется соединение, соответствующее ф-ле MVO_4 . Ниже определенного крит. парц. давления O_2 ускоренного окисления стали не происходит. И. Л. 67258.

Ускорение усталостного разрушения металлов в условиях, способствующих их коррозии. Дадли, Мак-Кетта (How corrosion causes fatigue failures. Dudley William G., McKetta John J.), Petrol. Refiner, 1955, 34, № 10, 141—142 (англ.)

Приводятся несколько примеров разрушения металлич. деталей вследствие коррозионной усталости и рассматриваются некоторые закономерности этого процесса и методы борьбы с ним. И. Л. 67259.

Пестование и коррозия при трении. Барнетт (Fretting and fretting corrosion. Barnett R. S.), Canad. Mach. and Manufact. News, 1956, 66, № 12, 308, 310, 312, 314, 316 (англ.)

Обзор по вопросам механизма процесса коррозии при трении, способов дифференциации продуктов коррозии в стальных изделиях при трении от продуктов обычной коррозии, влияния смазочных материалов и спец. присадок к ним на коррозию при трении и влиянии ряда других факторов (величина нагрузки, качество обработки поверхности и тщательность подгонки трущихся поверхностей, твердость, условия переменной нагрузки, амплитуда движения, коэфф. трения, окружающая т-ра, влажность и др.). И. Л. 67260.

Борьба с коррозией при трении. Уотерхаус (The prevention of fretting corrosion. Waterhouse R. B.), Corros. Prevent. and Control, 1956, 3, № 3, 37—39 (англ.)

Обзор по вопросам борьбы с коррозией при трении с точки зрения уменьшения коэфф. трения, повышения износостойкости, исключения возможности воздействия атмосферы и разделения соприкасающихся поверхностей. Указывается, что универсального средства борьбы с коррозией при трении не существует, поэтому в каждом отдельном случае следует находить самостоятельное решение. И. Л. 67261.

К вопросу о коррозии под напряжением гомогенно смешанных кристаллов. IV. Изменение прочности системы медь — золото и медь — цинк при воздействии ртути и химических агентов. Граф Клатте (Zum Problem der Spannungskorrosion homogener Mischkristalle. IV. Das Festigkeitsverhalten von Kupfer-Gold- und Kupfer-Zink-Mischkristallen unter Einwirkung von Quecksilber und chemischen Agenzien. Graf Ludwig, Klatte Heinrich), Z. Metallkunde, 1955, 46, № 9, 673—680 (нем.)

В условиях растягивающей нагрузки гомогенно твердые р-ры, напр. Cu-Au- и Cu-Zn-сплавы, при одностороннем воздействии Hg показывают потерю механич.

прочности, достигая максимума при 50 ат. % благородного компонента. Чистые металлы при прочих равных условиях не теряют своей механич. прочности. Хим. агенты оказывают аналогичное действие, ограничиваемое, однако, неблагоприятным компонентом системы твердых р-ров; максим. эффект для образцов под напряжением здесь достигается при 20—25 ат. %, а при 50 ат. % — вновь исчезает. Длительное воздействие Hg при комнатной т-ре на ненапряженные образцы не вызывает снижения прочности сплава, если перед испытанием образцов на разрыв Hg с них удалена. Напротив, хим. агенты вызывают межкристаллитную коррозию по границам зерен. Это неизвестное ранее свойство поведения сплава по границам зерен названо «эффектом смешанных кристаллов». Указанный эффект объясняет появление коррозии под напряжением в гомог. твердых р-ров, невозможной без повышенной коррозируемости участков по границам зерен. Исключительно быстрое образование трещин в растягиваемых образцах под действием Hg или хим. агентов объясняется тем, что агрессивное в-во на «дне» трещины всегда соприкасается с пластическим деформируемым («текущим») материалом, реакционная способность (активность) которого сильно повышена. Развитие трещины при этом идет со значительным ускорением, так как на дне ее быстро возрастают напряжения в материале, а при расширении разрыва в трещину засасывается свежий коррозионный агент. Этим явлением дается объяснение образованию межкристаллитных трещин при коррозии под напряжением. Сообщение III см. РЖХим, 1956, 21316. А. М.

67262. Новые металлы для химической промышленности. Бунгардт (Neuere metallische Werkstoffe für die chemische Industrie, B u n g a r d t K.), Chem.-Ing.-Techn., 1956, 28, № 3, 214—219 (нем.; рез. англ., франц.)

Обзор ряда новых металлов и сплавов, применяемых в хим. пром-сти США. В частности, в последнее время выпускаются аустенитные Cr-Ni-стали с очень малым содержанием С (максимально 0,03 %) марок Carpenter 20 и Stainless 20 состава (в %): С 0,07, Cr 20, Ni 29, Mo 3 и Cu 4, применяющиеся главным образом для H₂SO₄; вследствие некоторой дефицитности в США Ni часть его в Cr-Ni-сталях начали заменять Mn и N. Новая марка указанной стали AISI № 201 имеет состав (в %): С < 0,15, Cr 17, Ni 4,5, Mn 6,5, N < 0,25, а в стали марки AISI № 202 содержится Ni 5 и Mn 9. В самое последнее время под маркой AISI № 204 ELC выпущена нержавеющая сталь для хим. пром-сти состава (в %): С 0,03, Cr 18, Ni 4,5, Mn 10, N < 0,25. Под общим обозначением Hastelloy в США выпущены новые Ni-Мо-сплавы для спец. назначений под №№ 1, 2, 3, 4. Так, напр., сплав № 3 имеет хим. состав (в %): С < 0,10, Cr 16,5, Mo 17, Ni 60, Fe 5, 5, а сплав № 4: С < 0,10, Cr 22, Mo 6,5, Ni 46, Fe 22, Ta/Nb 2,2; применяются они главным образом для к-т HCl и H₂SO₄ высоких конц-ий и при высоких т-рах. В качестве высококачественной и водородоустойчивой стали под давлением рекомендуется аустенитная Cr-Ni-Мо-сталь с Nb и с добавками V и N. Имеются указания об испытании новой марки улучшенной 12%-ной Cr-стали для тех же целей, легированной Mo, V, W. Указывается также, что хотя опыт широкого внедрения Ti и его сплавов в машиностроении еще недостаточен, однако уже имеются некоторые данные об эффективности применения Ti в хим. машиностроении. II. Ф.

67263. Использование металлов в химической промышленности. Пастонези (Considerazioni sull'impiego dei materiali metallici e sulla corrosione nell'industria chimica. Pastonesi G.), Metallurgia ital., 1954, 46, Suppl. al № 5, 37—41 (итал.) См. РЖХим, 1955, 28040.

67264. Исследование коррозии металлов в электролитах, содержащих сероводород. Томашов Н. Д., Федотова (Валиулина) А. З. Тр. Ин-та физ. химии АН СССР, 1955, № 5, 140—152

Исследовано 18 различных материалов (армко-железо, чугуны, легированный 1,29% Cr, чугуны с повышенным содержанием кремния, модифицированный чугуны, серый чугуны, чугуны со сфероидальным графитом, кремнистый чугуны, хромистый чугуны, медистая сталь, сталь 12 X 5М, сталь X-17, низколегированная сталь, легированная Cr и Ni, Al, сплав AlMn, дуралюмины, Cu и Zn) на коррозионную стойкость в 0,5 н. NaCl в атмосфере, содержащей 2% H₂S и для сравнения — в атмосфере чистого воздуха. 1. Для армко-железа, низколегированных сталей и чугунов, а также Cu и Zn скорость коррозии в присутствии сероводорода возрастает примерно в 1,5 раза по сравнению со скоростью коррозии в чисто воздушной атмосфере. В то же время скорость коррозии Al, сплава AlMn и дуралюмина уменьшается почти в 4,5 раза, а для кремнистого чугуна в 1,4 раза. Среднее значение проникаемости для чугунов и низколегированных сталей составляет 0,022 мм/год для 2%-ной сероводородной атмосферы. 2. При коррозии армко-железа, чугуна, легированного 1,29% Cr, чугуна с повышенным содержанием кремния, модифицированного чугуна, серого чугуна, хромистого чугуна, медистой стали и стали X-17 в морской синтетич. воде при различных нарц. давлениях сероводорода в коррозионной атмосфере (0,1; 0,5; 2; 10 и 100% H₂S) наблюдается максимум скорости коррозии при содержании 2% H₂S и минимум при 0,1% H₂S. Уменьшение скорости коррозии в 0,1%-ной сероводородной атмосфере объясняется преобладающим влиянием торможения электрохим. р-ции восстановления кислорода в присутствии сероводорода. В 2%-ной сероводородной атмосфере максим. скорость коррозии обусловлена тем, что сумма скоростей несколько затрудненной кислородной деполаризации и облегченной водородной деполаризации является наибольшей. Анодный процесс для железного электрода облегчается при всех конц-ях H₂S в р-ре. 3. При протекании коррозионного процесса только с водородной деполаризацией в 100%-ной сероводородной атмосфере скорость коррозии исследованных материалов ниже, чем в чисто воздушной атмосфере. 4. Для хромистого чугуна и стали коррозионный процесс протекает с образованием язв и связан, повидимому, с нарушением пассивного состояния в присутствии H₂S. Максимум скорости коррозии наблюдается при 0,5%-ном содержании H₂S в воздухе. М. М.

67265. Поведение никеля и монель-металла в атмосферных условиях. — (The behavior of nickel and monel in outdoor atmospheres. — INCO Techn. Bull., № T-30, 9 pp., ill.) (англ.)

Обзор по вопросам поведения Ni и монель-металла в атмосферных условиях. Рассмотрены следующие вопросы: тускнение Ni, коррозия Ni при длительном пребывании в атмосферных условиях, методы определения скорости коррозии (СК) Ni и монель-металла, СК в промышленной (морской) и сельской атмосферах, значение формы образцов при испытаниях. Приводятся данные по стойкости нихрома, а также по использованию монель-металла в качестве материала для крыши на крупных зданиях. И. Л.

67266. Коррозионная стойкость сварочного железа. Чилтон, Эване (The corrosion resistance of wrought iron. Chilton J. P., Evans U. R.), J. Iron and Steel Inst. (London), 1955, 181, № 2, 113—122 (англ.)

Коррозия (К) сварочного железа отличается от К обычной углеродистой стали зональным характером разрушения. Более высокая коррозионная стойкость

сварочного железа наблюдается лишь в тех случаях, когда с коррозионной средой контактируют более стойкие зоны. В стойких зонах наблюдается меньшая вероятность образования очагов К. В некоторых случаях коррозионная стойкость сварочного железа повышается благодаря наличию на ней защитных пленок, образующихся в процессе произ-ва. И. Л.

67267. Влияние гнилостных аэробных бактерий на коррозию стали в морской воде. Улановский И. Б., Никитина Н. С., Микробиология, 1956, 25, № 1, 66—71

Изучение влияния аэробных бактерий, содержащихся в больших кол-вах в морской воде, на коррозию проводилось с двумя культурами гнилостных бактерий (группы А и Б), которые являются типичными аммонификаторами. Параллельно испытывались три серии стальных образцов в морской воде: с культурой А (без полириных телес), Б (с резко выраженными полириными телесами) и контрольные — стерильные. Лабор. испытания при t -рах 15—18° продолжались 6 месяцев. Результаты испытания показали, что наличие гнилостных аэробов усиливало коррозию примерно на 20—25%, причем культура А действовала несколько сильнее, чем Б. Скорость коррозии во времени сначала заметно снижается, а затем остается почти постоянной. Экспериментально показано, что механизм коррозии бактериями основан на поглощении O_2 из окружающей среды и на создании пар дифференциальной аэрации. Разность потенциалов при этом составляет 2,5 мв и даже 4,2 мв, в то время как контрольная пара образцов давала только 0,2—0,6 мв. Кроме того, было отмечено снижение значений рН за счет жизнедеятельности бактерий на 0,14—0,19. В. П.

67268. Защита от коррозии в химической промышленности. Фулон (Korrosionsschutz in der chemischen Industrie. Foulon A.), Maschinenmarkt, 1956, 62, № 21, 5—6 (нем.)

Изложена теория процесса ржавления Fe под слоем краски, наступающего под влиянием атмосферных явлений и особенно в условиях воздействия агрессивных сред. Для улучшения качества окраски рекомендуется в качестве пигмента в грунтовочный слой на основе винилового смолы добавлять хромовокислый Zn. Большое значение при нанесении покрытия имеют природа и кол-во связующего в-ва (СВ) в краске, зернистость пигмента вместе с наполнителем, степень разбавления, методы окраски, сушки и т. п. Для красок, применяемых в хим. пром-сти, рекомендуются СВ с низкой реакционной способностью, напр. полиэтилен. СВ должны не только противостоять агрессивному действию проникновения жидкости, но и легко растворяться в некоторых р-рителях с целью применения их для защитных покрытий. Верхний слой должен противостоять механич. и хим. воздействиям. Это прежде всего зависит от сочетания пигмент — СВ. Рекомендуется толщина окраски $\leq 0,18$ мм. Пленка должна обладать хорошей адгезией, твердостью, эластичностью, сопротивляемостью старению и пр. Ф. Л.

67269. К изучению коррозии стали в солевых растворах. Аш (Contribution à l'étude de la corrosion de l'acier en solutions salines. Hache A.), Rev. metalurgie, 1956, 53, № 1, 76—80 (франц.)

Изучение влияния конц-ии NaCl, t -ры и кол-ва растворенного O_2 на коррозию стали состава (в %): С 0,07, Si 0,03, Mn 0,36, S 0,019, P 0,013 и Al 0,07 (испытания проводились в темноте в течение 16 час.) показало закономерное влияние t -ры в пределах от 10 до 50° на коррозию, заключающееся в увеличении скорости коррозии ~5% на градус. Кривые зависимости коррозии стали от t -ры р-ра, полученные для р-ров, насыщ. воздухом, и деаэрированных р-ров, показывают, что при t -рах от 0 до 30° коррозия в основном обуслов-

ливается содержанием растворенного O_2 , при t -рах $> 50^\circ$, когда растворимость воздуха незначительна, обе кривые совпадают. При 10° коррозия в аэрированных р-рах в 3 раза больше, чем в деаэрированных. Изучение коррозии в зависимости от конц-ии NaCl показало, что в разб. р-рах, содержащих от 0,01 до 10 г/л NaCl, коррозия заметно увеличивается с возрастанием конц-ии NaCl. Начиная с 10 г/л и до насыщения, скорость коррозии стали снижается, что объясняется уменьшением растворенного O_2 при увеличении конц-ии NaCl. На основе полученных результатов автор приходит к выводу, что следы NaCl в воде достаточны для того, чтобы вызвать интенсивную коррозию стали; насыщ. р-р является менее агрессивным. Высказано предположение, что свет оказывает замедляющий эффект на коррозию при кратковременных испытаниях. Я. М.

67270. Уменьшение коррозии в дегидратационной установке. Свердлов, Дагган (Cut corrosion in dehydration unit. Swerdloff Will, Duggan Maryann), Petrol Refiner, 1955, 34, № 5, 208—212 (англ.)

Уменьшение коррозии в конц. и разб. р-рах гликоля и в газопроводах сухого газа установки по обезвоживанию диэтиленгликоля достигается применением нержавеющей сталей и замедлителя коррозии — 45%-ного водн. р-ра натрий-меркаптобензотиазола. Т. Ш.

67271. Дальнейшие исследования в области коррозии стальной поверхности под действием конденсированных пленок серной кислоты. Кирп (Further investigations into the corrosion of a steel surface by condensed films of sulphuric acid. Kear R. W.), J. Appl. Chem., 1955, 5, № 6, 260—266 (англ.)

Исследовалась скорость коррозии образцов углеродистой стали состава (в %): С 0,06, SiO 20, Mn 0,66 — продуктами горения городского газа, содержащими SO_2 и SO_3 . По истечении 8 час. испытания скорость коррозии понижается. В присутствии продуктов коррозии коррозия продолжается даже в том случае, когда t -ра образца поднимается выше t -ры росы. Максим. коррозия наблюдается при t -ре на 20—40° ниже t -ры росы. Кратко описан механизм процесса коррозии в исследованных условиях. И. Л.

67272. Определение местоположения коррозионных участков в целлюлозоварочном котле и методы борьбы с этой коррозией. Дела-Гранж (The identification of digester corrosion conditions and methods for their prevention. Dela Grange Louis A.), Tappi, 1955, 38, № 6, 317352 (англ.)

67273. Коррозия в пивоваренной промышленности. 2, 3. Эдмондс (Corrosion in the brewery (2, 3). Edmonds D. H.), Corros. Prevent. and Control, 1955, 2, № 7, 33—36, 54; № 9, 37—42 (англ.)

Предлагаются мероприятия по защите от коррозии оборудования и помещений бродильного цеха и подвальных складов пивоваренного з-да покрытиями, обеспечивающими необходимую стерильность и стойкими к воздействию пива и дрожжей, CO_2 , моющих средств, почвенных вод, а также стойкими к абразивным воздействиям. Рекомендуются покрытия на основе эпоксидных смол, виниловых и хлоркаучуковых соединений, а также краски, пигментированные тонкой цинковой пылью, дающие при высушивании пленку с содержанием 92—95% металлич. Zn. Возможно применение катодной и комбинированной защиты. Покрытия для потолка и стен рекомендуются насыщать фунгицидами. Сообщение I см. РЖХим, 1956, 31305. Е. З.

67274. Коррозия хвостовых поверхностей нагрева в котельных установках. VI, VII. Дарлинг (Low temperature corrosion in boiler plants — VI, VII. Darling C. S.), Steam Engr, 1955, 25, № 290, 63—66, № 291, 98—99 (англ.)

Общий обзор методов защиты от коррозии при помо-

щи металлизационных покрытий (напыление Zn, Al, Cd и других металлов) применительно к стальным дымовым трубам. Для указанной цели в особенности пригоден Al. Толщина металлизационного покрытия Al внутренней поверхности трубы обычно составляет 0,15 мм при условии, что т-ра не превышает 500°. Толщина этого покрытия на наружной поверхности трубы 0,075 мм с последующим нанесением слоя Al-краски.

Рассмотрены вопросы защиты кирпичных дымовых труб, в основном путем футеровки внутренней их поверхности кислотоупорным кирпичом на кислотостойком цементе; типичный состав кирпича (в %): $\text{SiO}_2 + \text{TiO}_2$ 61,46%, Al_2O_3 24,84, Fe_2O_3 5,59, прочее 8,11, при пористости 0,2—0,3%. Сообщение V см. РЖХим, 1956, 41946.

67275. Коррозия сталей, применяемых для изготовления выхлопных клапанов бензиновых двигателей. Аллен, Таушек (Corrosion of gasoline engine exhaust valve steels. Allen G. H., Tauschek M. J.), Corrosion, 1956, 12, № 1, 55—62; Automat. Inds, 1955, 112, № 11, 52—55, 116, 118 (англ.)

Приведены данные лабораторных коррозионных испытаний, проводившихся с целью сравнения хим. стойкости материалов, применяемых для изготовления выхлопных клапанов (ВК) бензиновых двигателей. Испытанию в расплавленной окиси Pb подвергались низколегированные, Cr-, Cr-Mn, Cr-Ni-стали, никром, стеллит и некоторые другие сплавы. Рассматривалось влияние Si, Ni, Mn и других элементов на коррозионную стойкость исследованных материалов. Отмечается, что коррозионная стойкость материала ВК повышается при применении вращающихся ВК, а также при применении защитных Al-покрытий. Отмечается несоответствие данных, получаемых при проведении коррозионных испытаний конструктивных материалов в соединениях Pb, с данными, получаемыми при эксплуатации ВК.

67276. Коррозионное действие воды города Алтуна. Мехэффи (Corrosive effects of Altoona city water. Mehaffie Sue), Proc. Pennsylvania Acad. Sci., 1954, 28, 305—310 (англ.)

Результаты изучения коррозионной стойкости различных металлов в трех водах, поступающих в источник водоснабжения г. Алтуна (из которых одна значительно загрязняется кислыми шахтными стоками (рН в среднем ~4), а для двух остальных среднее значение рН составляло 6,0 и 7,5) показали, что в воде данного города наиболее устойчив Al; в порядке убывания коррозионной стойкости расположены нержавеющая сталь, латунь, Cu, мягкое железо, трубная сталь, Zn. В воде с рН-6 Al подвергается сравнительно сильной коррозии. Разъедание Zn носило изъятый характер. Для устранения коррозионной агрессивности воды предложено непрерывно дозировать ее $\text{Ca}(\text{OH})_2$, Na_2CO_3 или иной щелочью.

67277. Коррозия жидкими металлами. Эпштейн (Corrosion by liquid metals. Epstein L. F.), Fluid Handling, 1956, № 73, 49—50 (англ.)

Рассмотрены условия коррозии, вызываемой металлами и сплавами (Hg, Na, Na-K, Pb, Bi, Pb-Bi) в жидком состоянии на атомных станциях при высоких т-рах. Для работы с Hg стали без Ni являются наилучшими, так как Ni гораздо легче растворим в Hg, чем Fe. Обычные углеродистые стали устойчивы в жидкой Hg при высоких т-рах. В качестве смазывающего в-ва к Hg добавляется Mg. Запатентован способ защиты от коррозии железных безникелевых сплавов путем добавления Ti к Hg в кол-ве от 1 до 10 ч. на 1 млн. При этом способе образуется пленка Fe_2Ti . В расплавленном Na или в Na-K металлы могут подвергаться коррозии с увеличением или уменьшением в весе. В случае

применения Na или сплава Na-K, протекающие р-ции обычно вызываются присутствием небольших кол-в окислов щел. металлов, при этом большое значение имеют кол-ва кислорода в пределах от 0,01 до 0,01%. Нержавеющие стали увеличиваются в весе вследствие образования на поверхности пленок, состоящих из Cr_2O_3 . По коррозионным свойствам Li очень похож на Na или Na-K, однако на воздухе он образует весьма неустойчивый нитрид. Следы азота и кислорода в Li, повидимому, имеют большое значение для ускорения процесса коррозии. Pb и Bi подвержены весьма сильно межкуристаллитной коррозии, возможно, вследствие растворения загрязнений на границах кристаллитов. Sn, повидимому, ускоряет межкуристаллитную коррозию, Ti и Zr способны уменьшить коррозию. Во многих случаях, когда два контактируемых металла погружены в жидкий металл, скорость коррозии может быть больше, чем когда погружен только один металл. Примером являются пары Al — Fe и Cu-Ni в расплавленном Na. Погружаемые металлы в Na при т-ре ~500° через некоторое время плотно сплавляются. Na обладает также свойством обезуглероживания углеродистых сталей. Таким же путем можно обезгаживать и N_2 из многих сталей. Однако, когда C или N_2 присутствуют в системе Na и одновременно в металле, напр. в нержавеющей стали, которая азотирована, на поверхности металла образуется пленка. Графит подвергается сильному разрушению в условиях воздействия Na.

67278. Коррозия внутренней поверхности обсадных труб в кислых нефтяных скважинах. Колдуэлл, Литл (Internal casing corrosion in sour oil wells. Caldwell J. A., Lytle M. L.), Corrosion, 1956, 12, № 2, 23—26 (англ.)

Лабораторными исследованиями установлена возможность защиты обсадных труб (ОТ) от разрушения в кислой сернистой нефти путем обработки внутренней поверхности ОТ смесью нефти и замедлителей коррозии (ЗК). Кол-во смеси, удерживающейся на поверхности металла, увеличивается при добавлении к ней смеси нефть-ЗК парафина. Полевыми испытаниями в скважинах установлено, что при введении смеси нефть-ЗК в пространство между ОТ и трубами, служащими для эксплуатации, внешняя поверхность ОТ покрывается сплошной пленкой, сохраняющейся ≥ 6 месяцев.

67279. Коррозия в отходящих газах при температуре конденсации соединений серы. Коит (Sulphur dew-point corrosion in exhaust gases. Coit R. L.), Trans. ASME, 1956, 78, № 1, Sec. 1, 89—94 (англ.)

На теплосиловых станциях, а также в некоторых случаях при эксплуатации газовых турбин на участках, где горячие отходящие газы соприкасаются с холодной поверхностью металла, наблюдается коррозия, вызываемая конденсирующейся на поверхности металла H_2SO_4 . Коррозионные испытания нержавеющих сталей, «хастеллой» В и С, Cu-Ni-сплавов, Al-бронзы и некоторых других сплавов, проводившиеся в статич. условиях, в условиях работы лопаток компрессора, на опытных теплообменниках и в полужамкнутом цикле газовой турбины, показали, что при конц-ях H_2SO_4 до 0,8% стойкими являются нержавеющие стали N 155, 25/20, 18/8 и «дискеллой» (13% Cr и 26% Ni). При конц-ях к-ты 50% эти стали нестойки. В этом случае наиболее пригодным является «хастеллой» С. Неметаллич. покрытия нестойки в условиях работы теплообменников и лопаток компрессора. При испытаниях в условиях, имитирующих условия работы лопаток компрессора, стойкими являются сталь типа 316, никонель, карпентер № 20 и «дискеллой». При низкой т-ре и умеренной скорости газа стойки сталь типа 316 и «хастеллой» С. Коррозионная стойкость аппаратов мо-

жет быть повышена при применении топлива с низким содержанием серы и при поддержании т-ры поверхности выше точки росы. М. К.

67280. Борьба с коррозией оборудования для бурения на нефтяных скважинах, а также эксплуатационного оборудования в открытом море. Фриттс (Corrosion control on offshore drilling and producing equipment. Fritts Charles J.), Corrosion, 1955, 11, № 11, 25—30 (англ.)

Верхнюю часть стальных свай, находящуюся под воздействием влажного воздуха (3 и более метров над уровнем моря), рекомендуют защищать при помощи 6-слойного покрытия на основе виниловых соединений по цинкхроматной грунтовке. Миним. толщина покрытия 0,15 мм. Борьба с коррозией в зоне брызг морской воды может быть осуществлена разными путями: применением монель-металла, торкетбетона, цементных покрытий, фарфоровой эмали, неопрена, полиэтилена, металлизации и виниловых покрытий. Для борьбы с коррозией сооружений, погруженных в морскую воду, рекомендуется электрохим. защита; при этом потенциал погруженной стали надо поддерживать равным $-0,85$ в (или более отрицательным) по отношению к насыщ. каломельному электроду. И. Л.

67281. Клапаны для коррозионноактивных сред. Холмберг (Valves for corrosive fluids. Holmberg E. G.), Corrosion, 1955, 11, № 9, 58—66 (англ.)

Рассматриваются вопросы правильного выбора материалов для клапанов, предназначенных для работы в сильно агрессивных условиях. Указывается, что лабор. опыты и опыты на ползаводских установках не всегда дают надежные результаты. В качестве примеров разбираются результаты испытания сплавов на железной основе с различным содержанием Cr, Ni, Mo, Cu и Si применительно к 56%-ной H_2SO_4 , а также к среде, содержащей до 50% CH_3COOH и различные органич. примеси. Особое внимание уделено вопросам конструирования клапанов. И. Л.

67282. Защитные антикоррозионные покрытия. Гедра (Les revêtements protecteurs contre la corrosion. Guedras André), Chaud-froid-plomberie, 1956, 10, № 111, 83, 85, 87 (франц.)

Классификация покрытий для защиты Fe от коррозии. Обзор способов покрытия Fe металлами: Zn, Al, Cd, Sn, Pb, Cr, Ni, Cu, Co. Т. Ш.

67283. Техника металлопокрытий. Некоторые сведения о ваннах. Хасе, Горде (La galvanisation pratique. Considérations sur les creusets (suite). Haas G., Gordet A.), Galvano, 1953, 22, № 196, 23—24 (франц.)

Предыдущее сообщение см. РЖХим, 1954, 13611.

37284. Коррозия оцинкованных стальных ведер и бачей для кокса. Морган (Corrosion of galvanised steel coke hods and buckets. Morgan J. H.), Corros. Technol., 1955, 2, № 9, 297—298 (англ.)

Установлено, что кокс, остающийся в нижней части бачей, влага и оцинкованная поверхность образуют гальванич. элемент, в котором Zn подвергается интенсивному разрушению. Лабор. исследования показали, что разность потенциалов между коксом и оцинкованной сталью составляет 0,95—1,15 в. После разрушения Zn образуется новый элемент, в котором потенциал стали по отношению к коксу составляет 0,55—0,65 в. Измерения показали, что омыч. сопротивление между стальной пластинкой и куском кокса с максим. размером $\sim 0,25$ мм составляет ~ 1 ом. При защите дна бачей картоном срок службы бачей заметно увеличился, несмотря на то, что картон быстро пропитывался влагой. Лучшие результаты были получены при нанесении на наиболее интенсивно корродирующие участки битумных покрытий, которые следует через каждые шесть месяцев восстанавливать. С целью защиты от

механич. повреждений на битумное покрытие накладывают картон. Взамен битумных покрытий применяют более дешевые эмульсии каменноугольной смолы. Е. З.

67285. Соединение насыщенной железом Zn-амалы с железом, содержащим Cu. Хорстман (Der Angriff eisengesättigter Zinkschmelzen auf kupferhaltiges Eisen. Horstmann Dietrich), Arch. Eisenhüttenwesen, 1956, 27, № 4, 231—233 (нем.)

67286. Применение лакированных сталей для борьбы с коррозией (L'emploi des aciers plaqués dans la lutte contre la corrosion P. U.), Prat. inds. méc., 1956, 39, № 2, 53 (франц.)

Описаны основные свойства лакированных сталей и металлов, применяемых для этой цели; особенности технологии получения лакированных сталей, в частности, термообработки и сварки; причины дефектов сварки, вызывающих коррозию этих сталей. Перечислены области применения лакированных сталей во Франции. Т. Ш.

67287. Реакция между металлической ванной и фосфатным шлаком. Петер, Эше, Эльсен (Reaktionen zwischen Eisenbad und Phosphatschlacke. Peter Oskar, Esche Wilhelm, Oelsen Willy), Arch. Eisenhüttenwesen, 1956, 27, № 4, 219—230 (нем.)

67288. Химическое никелирование. Панченко С. М., Крохина М. А. (化學鍍銀, Панченко С. М., Крохина М. А.), 化學世界, Хуасюэ шицзе, 1955, № 8, 379—381 (кит.)

Перев. см. РЖХим, 1955, 50933.

67289. Применение фосфатных покрытий в кораблестроении. Тыльчак (Zastosowanie powłok fosforanowych w przemyśle okrętowym. Tyłczak W.), Techn. i gospod. morska, 1955, 5, № 6, 143—144 (польск.)

Рассматриваются в-ва, применяемые для фосфатирования (Ф) стали, свойства фосфатных покрытий и области их применения, технология Ф и экономика вопроса. Приведены также соображения по вопросам гигиены и техники безопасности труда при Ф стали. L. Stolarczyk

67290. Кислотоупорная футеровка на сульфитцеллюлозных заводах. Саллинен (Sulfittitehtaan haponekestävistä muurauksista. Sallinen K. A. K.), Paperi ja puu, 1954, 36, № 5, 247—254 (фин.; реэ. англ.)

Футеровка по финскому способу варочных котлов и кислотосборников на сульфитцеллюлозных заводах имеет два слоя: первый из керамич. плитки толщиной 40 мм, уложенной по стальному корпусу на замазке из Pb-геля и жидкого стекла, и второй из угольных плиток на силикатной замазке с Na_2SiF_6 . Общая толщина футеровки 100 мм. Футеровка рассчитана на 25—30 лет. Керамич. подкладочная плитка необходима для изоляции металл. корпуса котла от угольного слоя, образующего со сталью гальванич. элемент с э. д. с. 0,7 в. Футеровка углем применена и для промывных башен с т-рой входящего газа 300°. Кислотные башни имеют в нижней части футеровку на битумном подслое в два слоя керамич. плиток толщиной 20 и 50 мм на замазке из жидкого стекла и Na_2SiF_6 . Верхняя часть башен футерована керамич. плиткой и поверхность деревянными торцами для защиты от ударов кусков известняка. Толщина деревянной облицовки 172 мм. К. Г.

67291. Исследование коррозии бетона речной опоры моста. Ананьев В. П., Коноленко А. П., Ларионов А. К., Автомоб. дороги, 1956, № 3, 15—16

Описан случай коррозии бетона нижней части

одной из опор моста, на стороне, обращенной к солнцу. Речная вода содержала повышенное кол-во сульфатов. Образцы, отобранные из поврежденной бетонной опоры, представляли рыхлую массу цементного камня с незначительным содержанием (3—5%) песчаных частиц. Низкое содержание и даже отсутствие минер. заполнителей в поврежденном участке объясняется расхождением бетона, которое произошло в процессе укладки. Процесс разрушения предполагается следующим: в бетоне, обедненном песчаным заполнителем и имевшем повышенное В/Ц (расположенном на солнечной стороне), возникло интенсивное движение капиллярной воды; по мере поднятия по капиллярам, в условиях солнечного прогрева, происходило испарение воды, что повело к повышению концентрации р-ра солей в порах бетона, вплоть до их выпадения из р-ра и кристаллизации. Указанный процесс привел к разрыхлению бетона. Борьба с коррозией подобного рода свелась к предотвращению капиллярного поднятия воды в пористом бетоне; для этого в нижней поврежденной части опоры был удален нарушенный слой бетона (на глубину 0,15 м) и устроен пояс из качеств. бетона (армированный сеткой), который преградил пути движения капиллярной воды к испаряющейся поверхности, что предотвратило дальнейшую коррозию бетона опоры моста. П. Ф.

67292. Коррозия и защитные покрытия. Гихант (Corrosion and protective coatings. Gehant J. O. H. n., Paint Ind. Mag., 1955, 70, № 8, 12, 14, 42—45 (англ.)) Общие вопросы коррозии и защиты металлов покрытиями. По данным Уилга, в США, ежегодные потери от коррозии и стоимость защитных мероприятий составляет $\approx 5,5$ млрд. долларов. 50% изготавливаемых красок расходуется на защиту от коррозии. Скорость коррозии малоуглеродистой стали в Египте в сухом воздухе, не содержащем S, составляет (в $\mu/\text{год}$): 5, в Швеции в субполюсных условиях ≈ 18 , в промышленном районе Англии ≈ 110 . Полировка нержавеющей стали приводит к обогащению поверхности Cr, в результате чего коррозионная стойкость стали возрастает. Отмечается, что срок службы обычного двухслойного лакокрасочного покрытия, пигментированного окисью железа, нанесенного на сталь, предельно находится в атмосферных условиях и очищ. проволоочной щеткой, составляет немного больше двух лет. Очистка поверхности травлением повышает долговечность покрытия до 4,5 года, а в случае обдувки песком — превышает 6 лет. Разработанные покрытия на основе эпоксидных смол обладают большей долговечностью и труднее гидролизуются и омыляются, чем покрытия на основе фенольных или алкидных смол. Покрытия на основе эпоксидных смол широко применяются для защиты от коррозии хим. аппаратуры, оборудования бумажных ф-к, пищевой и холодильной промышленности, в условиях воздействия молочных продуктов и пива. Е. З.

67293. Защита от коррозии магниевых сплавов. Ардуэн (Corrosion protection of magnesium alloys. Hardouin Maurice), Metal Ind., 1955, 87, № 20, 408—409 (англ.)

Описаны различные грунтовки, применяемые для защиты от коррозии деталей из Mg-сплавов, способствующие созданию хорошей адгезии с покрытием, а также применяемые для придания эластичности покрытию. Указаны составы некоторых красок. П. Ц.

67294. Борьба с коррозией металлов. Фогерти (Waging war on corrosion. Fogarty D. E.), Power, Farmer, 1956, 6, № 1, 52 (англ.)

Перечень покрытий, применяющихся для защиты от коррозии металлических изделий в атмосферных условиях с указанием сроков защитного действия. Даны некоторые советы по нанесению этих покрытий. И. Л.

67295. К вопросу о защитных покрытиях. Хебберлинг (Wie steht es um den Rostschutz? Heberling Hans), Werkstoffe und Korrosion, 1956, 7, № 1, 11—13 (нем.; рез. англ., франц.)

Указывается на необходимость подготовки поверхности изделий, предназначенных под окраску, и на отсутствие надобности (ввиду неэкономичности) в так называемом «предварительном» (временном) покрытии металла дешевой смесью красок, вследствие значительных затрат при последующем удалении красок. Рекомендуется грунтовка стальной поверхности чистым или, в крайнем случае, 40%-ным Pb_3O_4 . Для покрытия подводных поверхностей стальных конструкций, кроме покрытий на хлоркаучуковой или битумной базе, особенно рекомендуются в качестве связующего фталевые смолы. Хорошее, пассивирующее и во должно содержать достаточное кол-во активирующего кислорода. Таким средством является Pb_3O_4 , пассивирующий поверхность стального изделия. П. Ф.

67296. Защита от коррозии покрытиями Bitumastic Koppers. Рик (Bitumastic — Koppers-Korrosionsschutzzeugnisse. Rick), Bitum., Teere, Asph., Peche und verw., Stoffe, 1955, 6, № 11, 385—387 (нем.) Описаны свойства и технология нанесения покрытий Bitumastic Koppers на основе каменноугольного пека. Расход покрытий, выпускаемых в виде жидкости, составляет ≈ 1 л на 10 м^2 покрываемой поверхности. Покрытия наносят кистью или краскораспылителем под давл. $\approx 1,4$ атм. Более вязкую марку покрытия № 50 распыляют под давл. 6,3 атм. Bitumastic № 28 является эмульсионным покрытием. Другая марка покрытия состоит из связующего на основе искусств. смолы и пигмента, содержащего Zn, взятых в весовом соотношении 8 : 11. Расход краски, наносимой кистью или щеткой, составляет $\approx 0,091$ л/ м^2 покрываемой поверхности. Краска должна быть использована не позже, чем через 24 часа после ее составления. Теплостойкость покрытий при длительном нагреве достигает 445° . Е. З.

67297. Окраска алюминия и магния. Рей (Painting of aluminum and magnesium. Gray Robert I.), Metal Progr., 1954, 66, № 6, 121—126 (англ.)

Общие сведения об окраске Al- и Mg-сплавов. Помимо обезжиривания Al-сплавов в органич. р-рителях или в р-ре Na_2CO_3 с добавкой Na_2SiO_3 применяют холодный разб. водн. р-р H_3PO_4 с добавкой органич. р-рителей и эмульгаторов. Продолжительность обезжиривания 5—10 мин. Травление Mg-сплавов проводят в водн. р-ре CrO_3 при $80-90^\circ$ в течение 1—15 мин. Хим. окислирование деформированных Mg-сплавов осуществляют в конц. р-ре $K_2Cr_2O_7$ и HNO_3 при незначительном содержании $MgSO_4$ с целью предотвращения межкристаллитной коррозии. Способ фторидно-хроматной обработки не применим к деформированным сплавам, содержащим 1,5% Mn. Детали из Al-сплавов, работающие в морских условиях, покрывают пинхро-матным грунтом на основе алкидной смолы. В качестве химически стойких отделочных покрытий используют покрытия горячей сушки на основе алкидных или фенольных смол. В качестве грунта для отделочных покрытий на основе виниловых смол применяют также составы, содержащие виниловые смолы. Виниловые и эпоксидные отделочные покрытия применяют при необходимости обеспечения повышенной хим. стойкости в условиях воздействия щел. сред. Лаки горячей суш. фенольных смол эффективно защищают Mg-сплавы от коррозионного воздействия брызг соленой воды. Е. З.

67298. Практические указания по окраске металлов. Цип (Praktische Hinweise zur Metallfärbung. Zietz A.), Metallwaren-Ind. und Galvanotechnik, 1956, 47, № 4, 166—170 (нем.)

Описана технология и приведены рецептуры ванн по хим. и электрохим. способам окраски Fe, Cu, Ag и латуни в различные цвета, а также указаны способы окончательной обработки окрашенных изделий. Я. М. 67299. Новые способы защиты от коррозии металлических корпусов судов. А г р а н а т Б., С у п р у н Л., Мор. флот, 1956, № 3, 21—23

Результаты исследований в лабор. условиях и на морской коррозионной станции защитных свойств различных лакокрасочных покрытий, проведенных в ЦНИИМФ в 1952—1954 гг. (>100 вариантов различных окрасочных составов), показали, что из материалов на основе перхлорвинила и сополимера хлорвинила и винилиденхлорида наиболее эффективными являются трехслойные покрытия эмалями ПХВ-30 и 34, лаками ХСЛ и ВХЛ-4000 с Al-пудрой по грунтам № 138, ВХГМ и др. Al-пудра значительно повышает стойкость покрытий. Несмотря на высокую стойкость покрытий на основе перхлорвиниловых смол в ряде случаев наблюдалась недостаточно хорошая адгезия к грунтам. Покрытия на основе лака этиноль с железным суриком и Al-пудрой, покрытия в пластифицированном виде (краски ДП) дали наилучшие результаты для трехслойного покрытия ДП с Al-пудрой по грунту № 138. Увеличение числа слоев этинолевых покрытий приводит к резкому увеличению стойкости, почему целесообразно наносить четыре слоя лака этиноль с железным суриком или Al-пудрой. В каждом случае должна быть установлена кондиционность лака этиноль. Из покрытий на основе фенолформальдегидной смолы были испытаны краски АПШ инженера Штюрка и краски на сланцевой олифе. Обе краски оказались неустойчивыми как при лабор. испытаниях, так и на морской коррозионной станции. Ввиду возможности нанесения красок АПШ на поверхность под водой высказывается пожелание их дальнейших испытаний. Из группы масляных красок испытанные шаровая краска и $PbSO_4$ на натуральной олифе дали неудовлетворительные результаты. Покрытия на основе каменноугольного лака дали посредственные результаты при трехслойном покрытии. Введение Al-пудры и применение лака в качестве грунта под перхлорвиниловые материалы значительно повышало защитные свойства. Zn-пыль и цемент (до 40%) не улучшали защитных свойств каменноугольного лака. В эксплуатационных условиях на судах намечено испытать 6 систем покрытий. Рекомендуемая технология окраски подводной части корпуса заключается в следующем: после очистки и протирки следует грунтовка краской ЭКК при расходе 0,18 $кг/м^2$, 4 часа сушки, затем три последовательных окраски той же краской с тем же расходом и тем же сроком сушки после каждого слоя. Наконец, двойное нанесение необрастающих составов ИИВК-2 при расходе по 0,15 $кг/м^2$ и сроке сушки по 24 часа. Исследования не показали зависимости стойкости покрытий от способа очистки или от метода нанесения кистью или распылением. В. П.

67300. Электрографит и искусственный уголь как материалы в аппаратоостроении. Кольбе (Elektrographit und Kunstkohle als Werkstoffe im Apparatebau. Kolbe Ernst), Chem.-Ingr.-Techn., 1956, 28, № 3, 219—220 (нем.; рез. англ., франц.) Так как электрографит и искусств. уголь обладают некоторой пористостью, то с целью устранения их проницаемости изделия, изготовленные из углеродистых материалов, пропитывают синтетич. смолами. Природа смолы сильно влияет на температурный предел эксплуатации аппаратуры из указанных материалов. В настоящее время для этой цели применяют модифицированные смолы, стойкие к действию высоких т-р. Хим. стойкость электрографита и искусств. угля снижается при действии на них окислительных сред.

Однако имеются особые пропиточные материалы, позволяющие получать изделия, стойкие в определенных пределах т-ры и конц-ии к р-рам перекисных соединений, а также HNO_3 . В связи с хорошими смазочными свойствами электрографита из него изготовляют кислотоупорные насосы и различные детали. Из электрографита благодаря его высокой теплопроводности изготовляют теплообменную аппаратуру и, в особенности, установки для охлаждения газов. Благодаря высокой стойкости углеродистых материалов при высоких т-рах их можно использовать при работе с плавиковой к-той и для переменного действия щел. и кислых сред, а также газов. При сопряжении элементов из графита с материалами, обладающими другими коэфф. линейного расширения, необходимо правильно подобрать условия для выравнивания этой разницы. Для этой цели служат различные приспособления. Отдельные элементы аппаратуры должны по возможности меньше подвергаться растягивающим или изгибающим усилиям, так как они преимущественно способны работать в условиях сжатия. Углеродистые материалы пригодны также для футеровки хим. резервуаров. Разработанные недавно фирмой «Фарбенверке Хехст» графитовые плитки могут служить материалом для футеровки аппаратов, работающих с внешним обогревом. Их теплопроводность значительно выше, чем у керамич. плиток. Для улучшения термостойкости плиток в настоящее время применяются новые способы пропитки графита.

Г. М. 67301. Замедлители коррозии. Фишер (Inhibitor der Korrosion. Fischer Hellmuth), Z. Metallkunde, 1955, 46, № 5, 350—357 (нем.)

Обзор современных представлений о замедлителях коррозии (ЗК), электрохим., преимущественно кислотной, коррозии металлов. Дано определение понятий «торможение коррозии» и «ЗК». Приводится классификация ЗК по характеру действия и по природе их частиц. Указываются области применения ЗК различных классов. Рассматривается механизм действия ЗК, возможность их подбора и связь между свойствами молекул ЗК и эффективностью их действия. Библи. 27 назв. Е. М.

67302. Применение аммиака для предотвращения коррозии обсадных труб в нефтяных скважинах. Грингуэлл, Лондчарк, Байарс (Use of ammonia to prevent casing corrosion. Greenwell H. E., Loncaric Rado, Byars Harry G.), Corrosion, 1955, 11, № 11, 45—50 (англ.) Теоретические расчеты и предварительные опыты показывают, что кол-во NH_3 , применяемое для снижения коррозии обсадных труб в нефтяных скважинах, значительно меньше кол-ва, потребного для р-ции со всем H_2S и CO_2 , находящимися в нефтяной скважине. Это объясняется тем, что для сильного снижения коррозии необходимо учитывать лишь то кол-во кислых газов, которое содержится в каплях и пленке, находящихся на поверхности труб. Расходование NH_3 при этом невелико. Добавляемый в скважину NH_3 проникает достаточно глубоко и защищает основные участки подверженные коррозии. И. Л.

67303. Предохранение от коррозии экзопонатов в музеях. Берце (Die Metallkonservierung in Museen im Lichte der Korrosionsbekämpfung. Berger Rudolf), Archaeol. austriaca, 1955, № 18, 1—15 (нем.)

Предлагается простой способ предохранения металлических экзопонатов от коррозии, который заключается в обычной механич. очистке металла от ржавчины последующем полным освобождении его от всех продуктов коррозии путем травления в H_2SO_4 с замедлителем коррозии, нейтр-ции в щелочи, пассивации в H_2PO_4 и, наконец, покрытия тонким защитным слоем 5%-ной

ра, содержащего воск или перезин. Рассмотрена возможность применения силиконов для той же цели. П. Ф. 67304. Торможение коррозии железа в кислотах нерастворимыми органическими замедлителями. Д ж е н и и (L'inhibition de la corrosion acide du fer par les inhibiteurs organiques insolubles. J e n n y R o b e r t), Corros. et anti-corros., 1956, 4, № 1, 4-21 (франц.)

Рассматривается механизм действия нерастворимых органич. замедлителей коррозии (ЗК) альдегидов и меркаптанов на коррозию Fe в к-тах. Изучена роль физ. свойств ЗК, в частности плотности и летучести. Показано, что прекращение действия ЗК наступает вследствие удаления с поверхности Fe органич. в-ва, причем удаление их зависит от плотности и летучести в-ва в большей степени, чем от хим. свойств ЗК. Показано, что роль O_2 в процессе торможения коррозии (ТК) Fe в к-тах органич. в-вами сводится к разрушению ЗК и прекращению его действия. При действии на Fe меркаптанов как ЗК на поверхности возможно протекание следующих р-ций: 1) $2RSH + Fe \rightarrow Fe(SR)_2 + 2(H)$; 2) $Fe(SR)_2 \rightarrow FeS + RSR$; 3) $RSH + 2(H) \rightarrow R-H + H_2S$. Показано, что образование сульфида Fe по 2-й р-ции и ТК Fe в к-тах не зависит друг от друга. Протекание 3-й р-ции наблюдается лишь в частных случаях. Образованием меркаптидов Fe также нельзя объяснить ТК Fe в к-тах, так как это соединение тоже чувствительно к действию к-т. Высказывается мнение, что ТК Fe в к-тах происходит вследствие образования поверхностных комплексов с органич. в-вом. Обсуждаются возможные типы связей между металлом и органич. в-вом в металлорганич. соединениях. На основании проведенного исследования автор отмечает возможность синтеза новых органич. ЗК, структура которых будет в большей степени способствовать "К Fe в к-тах. Предыдущее сообщение см. РЖХим, 1956, 53257. С. 3.

67305. Дискуссия по статье Шнейдера и Хендриксона «Электрические измерения при коррозионных исследованиях». У э й д (Discussion on «Electrical measurements applied to corrosion investigations» by William R. Schneider and David Hendrickson. W a d e O. W.), Corrosion, 1955, 11, № 12, 65 (англ.) В почвах, где переменный ток составляет основную часть блуждающих токов, при установлении участков расположения пор в покрытии метод измерения потенциалов на поверхности дает лучшие результаты, чем метод, в котором применяется переменный ток. См. РЖХим, 1955, 22857. И. Л.

67306. Экономика способов защиты трубопроводов от коррозии. Ш а р п (Economic considerations in pipe line corrosion control. S h a r p L. G.), Corrosion, 1955, 11, № 5, 45-58 (англ.)

Рассмотрена экономика различных методов защиты от коррозии (К) трубопроводов, днищ резервуаров и подземных трубопроводов. Защиту от внутренней К можно осуществить путем применения замедлителей К, нанесением покрытий из пластмасс, цементных покрытий, применением асбоцементных труб, труб из полиэфиров, поливинила, полимеризованного стирола и др. Проводится стоимость каждого вида защиты и дается примерная оценка надежности защиты. Рассматривая условия защиты трубопроводов большого диаметра и большой протяженности, рассчитанных на продолжит. эксплуатацию, и защиты сравнительно короткой линии малого диаметра при непродолжит. сроке службы, автор считает, что в 1-м случае более экономичным будет применение цементных покрытий и замедлителей К, а во 2-м — применение покрытий из пластмасс. Стоимость ремонта днищ резервуаров и стоимость применения катодной защиты показывают большую выгоду последней, а практич. случаи приме-

нения показывают ее эффективность. Для наружной поверхности подземных трубопроводов могут быть применены защитные битумные покрытия и катодная защита, причем наилучшим решением является совместное применение обоих методов. Однако спец. исследования качества наложенного покрытия показывают, что даже при хорошей работе покрытия всегда наблюдается значительное кол-во отдельных местных повреждений. Поэтому при условии применения катодной защиты битумное покрытие не должно быть особенно сложным, достаточен слой битумной эмали толщиной $\leq 2,4$ мм, усиленный обмоткой. Стоимость практич. применения катодной защиты показывает ее большую экономичность, а результаты подтверждают большую эффективность. В частности указывается, что при катодной защите 2260 км трубопровода за 16 лет было обнаружено всего 3 прорыва, которые возникли на участке, где наблюдалось интенсивное действие блуждающих токов. В. П.

67307. Изучение скорости коррозии. Поллард, Л о с о н (Studying corrosion rates. P o l l a r d W. R., L a w s o n J. V.), Industr. and Engng Chem., 1955, 47, № 11, 2282-2283 (англ.)

Результаты стендовых испытаний мягкой стали в условиях работы оборудования нефтеочистительного з-да в присутствии различных замедлителей коррозии (ЗК) при 149-177° (агрессивной средой является дихлордиэтиловый эфир, применяемый в качестве р-рителя при экстракции) показали, что при введении в систему диэтиламиноэтанола, трикрезилфосфата или тертиарилмеркаптана скорость коррозии (СК) увеличивается. СК снижается лишь при введении в систему ЗК типа аминов. Однако при сравнении действия этого ЗК с действием аммиака установлено, что в то время как в большей части аппаратов СК при введении ЗК типа амина меньше, чем при введении аммиака, СК верхнего конденсатора и днища барабана для конденсата в первом случае больше. М. К.

67308. Прибор для определения коррозионной активности углеводородных смесей. —, Новости нефт. техн. Нефтепереработка, 1956, № 2, 3-5

Описана установка для определения коррозионной активности углеводородных смесей, испытания на которой могут проводиться в широких температурных пределах без нарушения фракционного состава топлива, как в стационарной, так и в движущейся жидкости при различных скоростях ее движения. В установку входят два термостата со штативами для реакторов, 4 реактора и механизм, приводящий в движение мешалки термостатов и поршневые насосы реакторов. Реактор состоит из стеклянного сосуда, внутри которого имеются выступы для подвешивания образцов, змеевикового обратного холодильника и стеклянного поршневого насоса. При испытании применялся весовой метод. М. К.

67309 К. Советские исследования в области коррозии. Т о м а ш о в, Р о з е н ф е л д, П а в л у т к а я (Cercetări sovietice în domeniul coroziei. T o m a s o v N. D., R o z e n f e l d I. L., P a v l u t k a i a T. I. Trad. din. limba rusă. Bucuresti, Acad. R. P. R., 1955, 189 p., il., 6.80 lei) (рум.)

67310 Д. Изучение коррозионной стойкости алюминия в щелочных средах. Д и о н и с е в С. Д. Автореф. дисс. канд. хим. н., Ростовск. н/Д. ун-т, Ростов-на-Дону, 1956

67311 П. Состав замедлителя коррозии, методы его изготовления и применения. Л и т л (Method and composition for inhibiting corrosion. L y t t l e M e l b a L.) [Esso Research and Engineering Co.]. Пат. США 2723233, 8.11.55

В качестве замедлителя коррозии (ЗК) Fe-сплавов рекомендуется продукт, получаемый при нагревании (140—200°) в течение 0,5—2 час. аминспирта типа моно- или триэтианоламина и вязкого остатка, образующегося при изготовлении себадиновой к-ты из касторового масла. Этот остаток янтарного цвета содержит длинноцепочечные поликарбоксильные к-ты с кислотным числом 140—165 и с иодным числом 30—60. Остаток получается после вакуумной дистилляции побочных кислых продуктов при давл. 4 мм и 270°. ЗК является эффективным в средах, содержащих CO_2 и H_2S . Он добавляется в кол-ве 0,001—0,05% от веса среды. Эффективность ЗК при лабор. испытаниях в средах, содержащих H_2S , 99%. ЗК может быть полезен для борьбы с коррозией оборудования в нефтяных скважинах.

67312 П. Способ и материал для обработки содержащих железо металлических поверхностей растворами фосфата марганца с целью нанесения покрытий. Мейзиа (Method of and material for treating ferrous metal surfaces with manganese phosphate coating solutions. Mazi Joseph) [American Chemical Paint Co.]. Канад. пат. 515411, 9.08.55. Предлагается ванна для нанесения покрытий на металлич. поверхности, содержащие Fe. Обработку поверхности производят кислым р-ром фосфата Mn, содержащим от 0,5 до 15 г/л тартрат-ионов в пересчете на винную к-ту. Применение мезовинной к-ты не рекомендуется. Соотношение между кол-вом тартрат-ионов и Mn должно составлять 0,03—1,5.

67313 П. Метод хромирования поверхности. Сибата, Кавасаки (亜鉛面の光輝クロム浸漬被覆法. 柴田三郎, 江崎秀夫), [トヨタ自動車工業株式会社. Тобда дзидоса когэ кабусики кайся]. Япон. пат. 2060, 19.04.54.

Для обработки оцинкованной поверхности применяется обычный р-р $\text{Na}_2\text{Cr}_2\text{O}_7$ в конц. H_2SO_4 (200 г/л). Изделие погружается в р-р при комнатной т-ре на 10—20 сек. В р-р добавляется HNO_3 , которая придает образовавшейся пленке блеск. Добавкой CH_3COOH предупреждается понижение кислотности, а добавкой H_2O_2 обеспечивается присутствие постоянного кол-ва Cr^{3+} . Состав р-ра в г/л: CrO_3 70, конц. H_2SO_4 10 мл/л, конц. HNO_3 70 мл/л, лед. CH_3COOH 50 мл/л, 30%-ная H_2O_2 100 мл/л. Т-ра р-ра комнатная, время погружения 10—15 сек. Оцинкованный образец промывается водой и обрабатывается 2%-ным р-ром H_2SO_4 , после чего вновь промывается водой и погружается в указанный выше р-р. После этого образец промывается водой, обрабатывается 3%-ным р-ром Na_2CO_3 , вновь промывается водой и просушивается. При низкой кислотности р-ра пленка будет тонкой, а при высокой покрытие будет неудовлетворительным. Кол-во H_2SO_4 может быть увеличено до 20 мл, однако в таком случае покрытие будет иметь красноватый блеск. При избытке H_2SO_4 можно увеличивать кол-во CrO_3 , однако кол-во CH_3COOH в таком случае должно быть уменьшено. Изменение кол-ва HNO_3 приводит к тем же результатам, что и

изменение H_2SO_4 , однако она не вызывает таких изменений в цвете пленки. Избыток лед. CH_3COOH приводит к уничтожению блеска.

67314 П. Способ получения грунтовок. Соуэре (Composition de revêtement des métaux et ses applications. Sowers Robert M.). [Continental Parker]. Франц. пат. 1058986, 22.03.54 [Chem. Zbl., 1955, 126, № 36, 8491 (нем.)]

Грунтовку получают из р-ра H_3PO_4 , алкидной смолы пигмента (Fe_2O_3 или глины) и смачивающего в-ва. Fe_2O_3 должно быть 1—15, а пигмента 10—25%, которые вносятся при перемешивании. Такую грунтовку наносят на литую сталь, Zn или Al перед их покраской.

67315 П. Метод и состав для повышения коррозионной стойкости. Честер (Method and composition for improving corrosion resistance of zinc. Chester Allan E.). [Poor & Co.]. Пат. США 2727841, 20.12.55.

Поверхность Zn-изделий обрабатывают водн. р-ром, содержащим HNO_3 0,5—5 вес.%, CrO_3 0,6—3 г/л и водорастворимое соединение фтора 0,5—2,8 г/л. В качестве последнего применяется CF_3COOH , HBF_4 или низшие алкильные эфиры этих к-т.

67316 П. Получение коррозионностойкой пленки. Эйгенбергер (Rostschützende Filmbildner. Eigenberger Ernst). Пат. ФРГ 920975, 6.12.54 [Chem. Zbl., 1955, 126, № 21, 4946 (нем.)]

Ванна для получения коррозионностойкой пленки содержит гидрофобные алифатич. нитросоединения, которые должны иметь как можно меньше кислотного остатка и кислородсодержащих групп. В процессе работы необходимо добавлять пленкообразующие в-ва. Нитросоединения получают посредством неполного нитрирования в мягких условиях, напр. маслообразную нитростеариновую к-ту или полимер этилена слабо нитрируют HNO_3 .

67317 П. Составы для защиты металла от коррозии. Уокер, Стилман (Compositions for protection of metals from corrosion. Walker Aaron, Stillman Nathan). [Shell Development Co.]. Канад. пат. 511267, 22.03.55.

В качестве замедлителя коррозии металла в атмосфере, содержащей кислород и водяные пары, рекомендуется диизопропиламиннитрит (I) или дициклогексил-аминнитрит, нанесенные на бумагу в кол-ве 0,0054—0,54 г/дм². Кроме того, добавляется определенное кол-во стабилизирующего агента основного характера. В качестве носителя замедлителя коррозии можно применять вместо бумаги волокнистый материал, содержащий 0,0054—0,54 г/дм² I или нитрит вторичного амина (соль) с давлением паров примерно 0,00002 мм рт. ст. при 2°.

См. также: Теоретич. вопр. 64607, 64608. Защита от коррозии 65582, 65836, 65913, 66520, 66693, 66697, 66701, 66709, 66795, 66525, 66541

ПРОЦЕССЫ И ОБОРУДОВАНИЕ ХИМИЧЕСКИХ ПРОИЗВОДСТВ

ПРОЦЕССЫ И АППАРАТЫ ХИМИЧЕСКОЙ ТЕХНОЛОГИИ

67318. Применение инженерных принципов в тонкой химической технологии. Пек (Applications of chemical engineering in the fine chemicals industry. Peck William C.). Chemistry and Industry, 1956, № 10, 157—163 (англ.)

Рассматриваются особенности проектирования и конструирования аппаратуры для процессов тонкой хим. технологии, напр. получения антибиотиков, люминофоров и др., особенность которых заключается в необходимости обеспечения высокой степени чистоты продуктов, стерильности, удобства очистки аппаратуры и автоматич. регулирования. Приводятся соображения о конструкции аппаратов и выборе коррозион-

нстойких и легко поддающихся очистке материалов для их изготовления. Описывается аппаратура, применяемая в процессах измельчения и смешения твердых в-в, жидкостей и паст, дистилляции, выпаривания и стерилизации. В. К.

67319. К определению понятия «коэффициент полезного действия». Нессельман (Zur Definition des Wirkungsgradbegriffes. Nesselmann K.), Allgem. Wärmetechnik, 1955, 6, № 2, 31—33 (нем.)

Отмечается, что при применяемом часто определении к. п. д. как отношения энергии, которую желателно получить, к энергии, затрачиваемой в процессе, величина к. п. д. в некоторых случаях может оказаться больше 1, что противоречит физ. смыслу понятия к. п. д. Напр., в электрич. печах путем применения теплового насоса может быть получено большее кол-во тепла, чем соответствующее простому переходу электрич. энергии в тепловую. В соответствии со 2-м законом термодинамики предлагается определять к. п. д. как отношение энергии, получаемой в реальном процессе, к максим. кол-ву энергии, которое может быть получено в идеальном процессе. Исходя из этого, предлагается определять к. п. д. с помощью понятий «работоспособность» и коэфф. обратимости. Приводятся примеры использования этой терминологии. См. также РИХим, 1955, 39342. В. К.

67320. PV-p-диаграмма в технике высокого давления. Крамер (Das PV-p-Diagramm in der Hochdruck-technik. Cramer F.), Chem. Technik, 1954, 6, № 6, 320—328 (нем.)

Предложена новая диаграмма состояний для газов. По оси ординат откладываются безразмерные параметры $PV = pv/p_0v_0$, а по оси абсцисс — величины p , где p и v — текущие значения давления и уд. объемов, а p_0 и v_0 — значения давлений и уд. объемов при нормальных условиях 1 *atm* и 273° К. На диаграмму нанесены изохоры, изотермы, а также пограничная кривая, разделяющая области перегретого и влажного паров. Эти диаграммы упрощают выполнение расчетов. Приведены диаграммы для C_2H_4 в диапазоне давл. 0—3600 *atm* и т-р 0—250° и для CO_2 0—3100 *atm* и 0—1000°. Р. Г.

67321. Сопротивление трения пластинок с технической шероховатостью при турбулентном пограничном слое. Альтшуль А. Д., Изв. АН СССР, Отд. техн. н., 1956, № 3, 162—167

Для приближенного расчета коэфф. сопротивления трения C_f предлагается ур-ние: $C_f = 0,034 (k/x + 50/Re)^{0,2}$, для более точного расчета: $C_f = -0,455 \{ \lg [(k/14,4x)^{1,1} + 1/Re] \}^{-2,58}$, где k — эквивалентная шероховатость, x — линейный размер, Re — критерий Рейнольдса, равный vx/ν , причем v — средняя скорость потока и ν — кинематич. вязкость жидкости. С. К.

67322. Ламинарное течение суспензий в трубах. Старки (The laminar flow of streams of suspended particles. Starkey T. V.), Brit. J. Appl. Phys., 1956, 7, № 2, 52—55 (англ.)

На основании теоретич. рассмотрения, основанного на применении принципа наименьшего сопротивления, сделано заключение о том, что при ламинарном течении в трубе суспендированные частицы должны двигаться вблизи оси трубы. Если частицы подаются в трубу на некотором расстоянии от ее оси, то появляется нормальная составляющая скорости, возрастающая с увеличением размера частиц. Описываются опыты, в которых суспендированные в воде окрашенные частицы различных размеров подавались на разном расстоянии от оси горизонтальной трубы в поток воды, двигавшейся в трубе с постоянной скоростью. Окрашенный поток от места входа разделяется на горизонтальные струи.

Наблюдения за движением этих струй при разных расстояниях от точки ввода суспензии до оси трубы и разных скоростях воды приводят к заключению о том, что частицы испытывают действие перпендикулярных к оси потока сил, обусловленных движением частиц с разным перепадом скоростей по отношению к скорости потока воды. Величина этих сил возрастает с увеличением размера частиц и средней разности напряжений сдвига по сечению потока. Свойства потока суспензии зависят от распределения частиц в потоке, а не от их формы или ориентации. Выявленный в результате исследования механизм движения частиц в потоке суспензии качественно согласуется с наблюдающейся зависимостью вязкости суспензий от скорости их движения и объясняет различие вязкости, измеренной в приборах различных конструкций. Предыдущее сообщение см. РИХим, 1956, 21391. В. К.

67323. Приближенное решение задачи о нестационарном движении вязко-пластичной жидкости в круглой цилиндрической трубе. Мирзаджазаде А. Х., Аббасов А. А., Докл. АН СССР, 1956, 107, № 2, 249—251

Дано приближенное решение задачи по методу Слезкина и Тарга (Докл. АН СССР, 1946, 54, № 3). С. К.

67324. Измерение потери давления в насадке из нормальных цилиндрических колец и цилиндрических колец с боковыми отверстиями. Альт, Мейер, Рихтер (Druckverlustmessungen an Pallringen und normalen zylindrischen Füllringen. Alt Chr., Meier A., Richter G.), Chem.-Ingr-Techn., 1955, 27, № 8/9, 502—506 (нем.; рез. англ., франц.)

Проведено исследование по измерению сопротивления сухой и орошаемой насадке из фарфоровых нормальных цилиндрич. колец (НК) и таких же цилиндрич. колец с боковыми отверстиями (КБО), представляющими собой окна в боковой поверхности колец, вырубленные по трем сторонам четырехугольника и завернутые по 4-й стороне внутрь колец. Установлено, что отношение сопротивления КБО к сопротивлению НК не зависит от скорости воздуха и составляет соответственно 0,7 и 0,75 для насадок из колец 50 × 50 × 5 и 35 × 35 × 4. Величина сопротивления для орошаемой насадки из КБО еще больше отличается от сопротивления для насадки из НК. Распределение жидкости по сечению насадки для обеих насадок мало отличается друг от друга. Исследовались также НК и КБО 50 × 50 × 1 из жести при высокой плотности орошения. При этом сопротивление для насадки из КБО значительно меньше, чем для насадки из НК. Значительно увеличивается скорость воздуха, при которой происходит захлебывание насадки из КБО, по сравнению с той же скоростью для НК. И. С.

67325. Очистка газов с помощью циклонов. Барт (Die Reinigung von Gasen mit Hilfe von Zyklonabscheidern. Barth Walter), Z. Erzbergbau und Metallhüttenwesen, 1955, 8, № 3, 109—111 (нем.)

Рассматривается зависимость степени очистки входящих газов металлургической промышленности от размера частиц пыли. Проводится анализ факторов, влияющих на степень обеспыливания и производительность циклонов, а также дается обзор конструкций циклонов, применяемых в современной технике. Н. Б.

67326. Эффективность сепарации и потери давления в малых центробежных аэрофильтрах. Вентурелли (Efficienza separatrice a perdita di carico negli aerofiltranti centrifughi. Venturelli Wilfrido), Termotecnica, 1954, 8, № 1, 41—45 (итал.)

Приведено описание принципа действия, конструктивные особенности и эффективность сепарации пыли от воздуха в центробежных аэрофильтрах (ЦА) (удлиненных циклонов малого диаметра с тангенциальным вводом). Дана фракционная степень улавливания пыли

ЦА для пяти групп размеров частиц: $<2,5\mu$ — 75%; $2,5-5\mu$ — 92%; $5-10\mu$ — 94%; $10-50\mu$ — 97%; $>50\mu$ — 98,5%. Приведены: соотношения конструктивных размеров ЦА; расчетные ф-лы для определения степени улавливания пыли и перепада давления воздуха в ЦА; характеристики циклонов с различными углами наклона входных завихряющих направляющих устройств; сравнение тангенциальных скоростей воздуха в ЦА и в обычных циклонах, а также области применения тех и других. Ю. С.

67327. Электрическая очистка газа. Мёбусе (Elektrische Gasreinigung. Möbus W.), Z. Erzbirgbau und Metallhüttenwesen, 1955, 8, № 3, 107—109 (нем.)

Новые однофазные выпрямители (сухие или сelenовые) для питания электрофильтров постоянным током, имеют ряд преимуществ перед вращающимися выпрямителями: отсутствие вредных выделений озона и окислов азота, отсутствие радиопомех, бесшумность работы и т. д. Высокая стоимость таких выпрямителей компенсируется длительной эксплуатацией (практически неограниченной). Освещается вопрос применения ультразвука для очистки газов от пыли. Я. Д.

67328. Опыты по осаждению твердых частиц различной формы в жидкости. Людвиг (Sinkversuche mit Festteilchen verschiedener Gestalt in Flüssigkeiten. Ludwig J.), Chemiker-Ztg, 1955, 79, № 22, 774—777 (нем.)

Исследована зависимость скорости осаждения частиц от их формы. Приведены ф-лы, позволяющие вычислять константы в ур-ниях осаждения Ньютона и Стокса для различных соотношений продольного и поперечного размера частиц, а также ф-лы и графики для определения этих констант с помощью коэфф. формы частицы ϕ (отношение поверхности шара к поверхности частицы того же объема). Описаны методы определения скорости осаждения частиц для случаев, не подчиняющихся законам Стокса и Ньютона. Н. Б.

67329. О стесненном падении шарообразных частиц. Гаспарян А. М., Заминян А. А., Докл. АН АрмССР, 1956, 22, № 1, 17—21 (рез. арм.)

Проведено эксперим. изучение закономерности стесненного падения шарообразных частиц. Для измерения скоростей стесненного падения использовался метод взвешенного слоя, описанный Лященко, Минцем и др. Измерения проводились с узкими фракциями стеклянных шариков с диам. $50-300\mu$, а также со свинцовыми шариками в пределах значений Re_0 от 0,012 до 700, (Re_0 — критерий Рейнольдса для отдельной частицы, падающей в бесконечной среде). При обработке эксперим. материала авторы исходили из допущения: $\beta = c/c_0 = f(Re)$, где c — скорость стесненного падения (равная объемной скорости среды, деленной на общее сечение трубки), см/сек; c_0 — скорость падения в бесконечной среде, см/сек. В результате проведенных опытов было установлено, что зависимость между β и Re на логарифмич. графике выражается прямой линией с тангенсом угла наклона K и приводит в конечном счете к общему ур-нию вида: $\beta = m^n$, где Re — критерий Рейнольдса для отдельной частицы, находящейся во взвеси; m — объемная доля среды во взвеси (пористость); $n = K/(K-1)$. В области $Re_0 = 0,012 \div 1$ величина $n = 5$; для $Re_0 \geq 500$ величина $n = 2,93$. В переходной области ($Re_0 = 1 \div 500$) K непостоянно и заметно изменяется с изменением $lg Re_0$. Опытные результаты близки к данным, полученным другими авторами. В. Р.

67330. Библиография по гидроциклонам. Тангел, Брайсон (Bibliography of the liquid-solid cyclone. Tangel O. F., Brison R. J.), J. Chem., Metallurg. and Mining Soc. S. Africa, 1956, 56, № 8, 299—302 (англ.)

Приведена библиография за период с 1948 по 1955 г. в кол-ве 105 названий. В. Ж.

67331. Использование гидроциклона как классификатора. Носпока, Хотта (液體サイクロンの分級性能. 吉岡直哉, 堀田豊), 化学工学, Кагаку когаку, Chem. Engng (Tokyo), 1955, 19, № 12, 632—641 (япон.; рез. англ.)

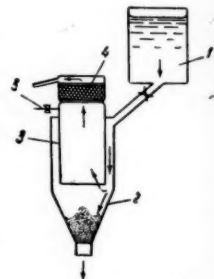
Проведено исследование работы трех гидроциклонов (ГЦ) диам. 76, 89 и 152 мм. Рассмотрение распределения скоростей в ГЦ показывает, что в нем имеется две зоны. В 1-й, внешней зоне (у стенок аппарата) тангенциальная скорость практически постоянна. Во 2-й, внутренней зоне скорость может быть выражена ур-нием: $ur^n = \text{const}$, где u — скорость суспензии в м/сек, r — радиус в м, n — постоянная распределения, равная для разб. суспензий 0,8. Соотношение между скоростью суспензии в ГЦ и скоростью подачи суспензии u_i выражается зависимостью: $u/u_i = 3,7 (D_i/D_c)$, где D_i — диаметр входного штуцера в м, D_c — диаметр ГЦ в м. Гидравлич. сопротивление ГЦ предлагается рассчитывать по ур-нию: $F = 4,5 \cdot 10^{-6} Q^2 / (D_c^{0,9} \cdot D_i^{1,2} \cdot D_e^{0,9})$, где F — сопротивление ГЦ в м столба исходной суспензии, Q — объемная скорость суспензии на входе в ГЦ в л/сек, D_e — диаметр верхней центральной трубы в м. Отмечается, что эти ур-ния хорошо согласуются с теоретич. ур-ниями, выведенными с учетом распределения скоростей. Соотношение потоков на входе и выходе из ГЦ R_f зависит от отношения D_u/D_e , где D_u — диаметр нижнего выходного штуцера ГЦ, и определяется из уравнения: $1 - R_f = 0,95 / ((D_u/D_e)^4 + 1)$. Отмечается, что разделительная способность ГЦ зависит от размера частиц d , входящих в ГЦ, и от условий его работы. Для работы рекомендуется брать ГЦ с отношением $D_i/D_c = 1/7$ и $D_e/D_c = 1/5$. С. К.

67332. Производительность фильтров периодического действия. Фан-Юнг А. Ф., Хим. пром-сть, 1953, № 10, 31—32

Изложен способ определения продолжительности фильтрации, соответствующей наибольшей производительности периодически действующего фильтра, аналогичный описанному в РЖХим, 1955, 10892. Ю. Д.

67333. Установка для непрерывной фильтрации. Запан (Dispozitiv de filtrare continuă. Zapan M.), Rev. chim., 1956, 7, № 1, 54—55 (рум.; рез. русс., нем.)

Установка состоит из напорного резервуара 1 для суспензии, сборника 2 для осевших твердых частиц и фильтра 3 с фильтрующей перегородкой 4. Суспензия под давлением гидростатич. столба жидкости из 1 поступает в 2, где от суспензии отделяются наиболее крупные твердые частицы. Более мелкие твердые частицы отделяются от суспензии на нижней поверхности 4, откуда они по мере накопления отрываются и опускаются в 2; эти частицы могут быть также смыты с 4 струей жидкости, поступающей по трубопроводу 5. Несколько описанных фильтров могут быть расположены последовательно в каскадном порядке. При этом размер пор фильтрующей перегородки в каждом последующем фильтре должен быть меньше, чем в предыдущем. Ю. Д.



67334. Некоторые вопросы теории метода диффузионно-тепловой аналогии. Колосов Н. С., Тр. Среднеаз. политехн. ин-та, Ташкент, Госиздат УзССР, 1955, 447—460

Изложены основные теоретич. положения метода диффузионно-тепловой аналогии применительно к задаче моделирования процессов конвективного теплообмена. Показано, что при моделировании этим методом следует находить зависимость между приведенными критериями, так как в этом случае непосредственно получается искомый вид функциональной связи между тепловыми критериями подобия и отпадает надобность в поправочных коэфф. При проведении диффузионных опытов подобие гидродинамич. полей модели и образца соблюдается достаточно полно и не требуется дополнительно создавать на диффузионной модели температурное поле, подобное температурному полю теплового образца. Рассмотрены дополнительные условия, которые должны соблюдаться при моделировании неизоэнтальпич. поверхности. Ю. П.

67335. Численные решения для теплоотдачи при ламинарном течении в круглых трубах. Кейс (Numerical solutions for laminar-flow heat transfer in circular tubes. Kaye W. M.), Trans. ASME, 1955, 77, № 8, 1265—1272, discuss. 1272—1274 (англ.)

Дается численное решение дифференциальных уравнений для процесса теплоотдачи при ламинарном движении среды при относительно низком значении Pr . Рассмотрено пять случаев совокупности граничных условий: 1) постоянная t -ра стенки, одинаковая t -ра среды во входном сечении трубы, параболич. профиль скоростей; 2) постоянная t -ра стенки, одинаковые t -ра и скорости во входном сечении трубы, профиль скоростей по уравнению Лапласа (1). (Langhaar H. L., J. Appl. Mech. Trans. ASME, 1942, 64, A-55.); 3) постоянная разность t -р между стенкой и протекающей средой, одинаковые t -ра и скорости во входном сечении трубы, профиль скоростей по (1); 4) постоянная тепловая нагрузка на единицу длины трубы, одинаковая t -ра среды во входном сечении, параболич. профиль скоростей; 5) постоянная тепловая нагрузка на единицу длины трубы, одинаковые t -ра и скорости во входном сечении трубы, профиль скоростей по (1). При расчете профиля скоростей по (1) принято $Pr = 0,7$, т. е. полученные численные решения специфичны для течения газа. Результаты численных решений даны в виде локальных (Nu_x) и средних по длине (Nu_m) значений критерия Nu в зависимости от значений критерия $k = Re Pr (x/D)^{-1}$, где D — внутренний диаметр трубы и x — расстояние от ее начала. Эти результаты с точностью $\pm 3\%$ отображаются также уравнениями: для условий 2 $Nu_m = 3,66 + [0,104 k (1 + 0,016 k^{0,8})^{-1}]$; для условий 3 $Nu_m = 4,36 + [0,10 k (1 + 0,016 k^{0,8})^{-1}]$; для условий 4 $Nu_x = 4,36 + [0,023 k (1 + 0,0012 k)^{-1}]$; для условий 5 $Nu_x = 4,36 + [0,036 k (1 + 0,0011 k)^{-1}]$. Для точного определения Nu следует учитывать влияние изменения свойств протекающей среды с изменением t -ры. Эта зависимость отображается выражением $\alpha/\alpha_{из} = (T_w/T_m)^{-m}$, где α и $\alpha_{из}$ — коэфф. теплоотдачи при неизотермич. и изотермич. условиях; $T = t/t_1$ — безразмерная t -ра среды; t_1 и t — начальная t -ра среды в t -ра ее в данной точке; индексы w и m обозначают t -ру у стенки и среднюю t -ру по сечению потока. Показатель m зависит от направления теплового потока: при нагревании газа $m = 0,25$ и при охлаждении $m = 0,08$. А. Р.

67336. Теплоотдача в ламинарном потоке с учетом теплоты трения. Григуль (Wärmeübergang in laminarer Strömung mit Reibungswärme. Gri-

gull U.), Chem.-Ingr-Techn., 1955, 27, № 8/9, 480—483 (нем.; рез. англ., франц.)

Для круглой трубы и плоской щели выведено уравнение энергии с учетом теплоты трения (ТТ) при следующих предположениях: для распределения скоростей справедлив закон Пуазейля, t -ра по длине изменяется линейно, диссипативная функция зависит только от координат r (для трубы) и y (для плоской щели). Даны выражения для поля t -р и критерия Нуссельта. Для трубы $Nu = 48 (1-8C)/(11-40C)$, для щели $Nu = 140 (1-3C)/(52-129C)$; для трубы $C = \bar{w} \eta a / (\lambda AR^2)$; для щели $C = \bar{w} \eta a / (\lambda As^2)$; здесь \bar{w} — средняя скорость, м/сек; η — вязкость, кг сек/м²; a — коэфф. температуропроводности, м²/час; λ — коэфф. теплопроводности, ккал/м час град; R — радиус трубы, м; s — половина толщины щели, м; A — градиент t -ры, град/м. Численными расчетами на примере глицерина и авиационного масла показано, что ТТ может иметь значение в технике. В заключении указывается на возможность аналогичного рассмотрения задачи с кольцевой щелью, а также применения данного метода к другим задачам. Р. А.

67337. Экспериментальное исследование зависимости критической мощности от угла наклона при тепловой конвекции в цилиндрической трубе. Тетюев В. А., Уч. зап. Молотовск. ун-та, 1955, 9, № 4, 77—84

Проводились опыты по изучению процесса теплообмена в цилиндрич. стеклянных и кварцевых трубках в зависимости от угла наклона их к вертикали ϕ (в пределах от 0 до 60°) на дистилл. воде с примесью Al -пудры. При увеличении мощности нагревания ламинарный режим переходил в турбулентный. За крит. мощность нагревания w_k принималась величина, при которой турбулентный режим распространялся на всю трубку. Установлена зависимость: $dw_k/d\phi = 0,5 + 0,4 \phi$, где d — диаметр трубки, мм. З. Х.

67338. Экспериментальное определение длины участка стабилизации процесса теплоотдачи при течи воды и масла в круглых трубах. Хартнетт (Experimental determination of the thermal — entrance length for the flow of water and of oil in circular pipes. Hartnett J. P.), Trans. ASME, 1955, 77, № 8, 1211—1218, discuss. 1218—1220 (англ.)

Экспериментально определена длина $L_{ст}$ входного участка, на котором коэфф. теплоотдачи при протекании жидкости в трубе принимает постоянное значение. Опыты проводились при нагревании масла и воды, протекающих снизу вверх по вертикальной трубе с внутренним диам. $d = 16,5$ мм. Участку трубы длиной 1,2 м, равномерно обогреваемому электр. нагревателем, предшествовал участок гидравлич. стабилизации потока из той же трубы длиной 97 д. Значения Re в опытах изменялись от 1600 (масло) до 89 000 (вода), Pr от 6,5 до 480. Найдено, что в переходной области ($2000 < Re < 10^4$) с увеличением Re величина $L_{ст}$ уменьшается от очень больших значений до $10d - 15d$ и остается неизменной в области развитого турбулентного движения ($Re > 10^4$) независимо от значения Pr (если $Pr > 1$). А. Р.

67339. Теплоотдача горизонтальной трубы при свободном движении различных жидкостей. Михеева П. М., Теплоэнергетика, 1956, № 4, 19—21

Исследован процесс теплоотдачи от горизонтальной трубы при свободном движении различных жидкостей (воздух, вода, два сорта трансформаторного масла, а также масла МК и МС-20). На основании опытных данных автора, а также данных из других источников предложена расчетная ф-ла: $Nu_f = 0,51 \cdot Gr_f^{0,25} \cdot Pr_f^{0,25}$.

$(Pr_f/Pr_w)^{0,25}$, справедливая в области изменения значения критериев подобия: $Gr_f = 3 \cdot 10^{-3} \div 10^8$; $Pr_f = 7 \cdot 10^{-1} \div 3 \cdot 10^4$; $Pr_f/Pr_w = 4 \cdot 10^{-2} \div 1,3 \cdot 10^2$; $Nu_f = 4 \div 50$. Для воздуха критериальная зависимость упрощается и принимает вид: $Nu_f = 0,47 Gr_f^{0,25}$. В приведенных выражениях Nu , Pr и Gr — критерии Нуссельта, Прандтля и Грасгофа. Индексы f и w указывают, что критерии вычислены по значениям физ. параметров, взятых соответственно при средней t -ре рабочей жидкости и t -ре стенки.

67340. Вынужденная конвекция в каналах цилиндрической формы. Некоторые задачи при наличии потенциала и параболического профиля скоростей. Топер (Forced heat convection in cylindrical channels: some problems involving potential and parabolic velocity distribution. Topper Leonard), Chem. Engng Sci., 1956, 5, № 1, 13—19 (англ.; рез. франц.)

Дано аналитич. решение двух задач, связанных с течением жидкости в цилиндрич. трубах при установившемся параболич. профиле скоростей: 1) t -ра жидкости на входе одинакова по сечению, а в трубе происходит выделение тепла в кол-ве, одинаковом для каждой единицы объема текущей жидкости; 2) во входном сечении t -ра жидкости неодинакова: для одной части радиуса она имеет определенное постоянное значение, а для другой части — также постоянное, но отличное от первого значение. T -ра стенки в обоих случаях постоянна, свойства жидкости не зависят от t -ры. Установлены стационарные местные t -ры жидкости в трубе и дано их выражение в аналитич. и графич. формах. Решение 1-й задачи представляет интерес для определения t -р в хим. и ядерных реакторах, а решение 2-й задачи позволяет оценить продолжительность стабилизации неоднородного температурного поля в потоке жидкости.

67341. Экспериментальное исследование влияния скорости и состава паро-воздушной смеси и глубины вакуума на процесс теплообмена при конденсации водяного пара. Рачко В. А., Ж. техн. физики, 1956, 26, № 3, 602—617

Исследовано влияние основных параметров на процесс конденсации пара из паро-воздушной смеси (ПВС) в условиях работы парового конденсатора с горизонтальным трубным пучком. Опыты производились на пучке из 25 купроникелевых трубок с наружным диам. 16 мм и длиной 1,5 м, расположенных в шахматном порядке в 10 горизонтальных рядов; ПВС проходила пучок снизу вверх. Найдено, что влияние скорости и состава ПВС на коэфф. теплоотдачи α пропорционален $(\gamma_{см} \cdot w_{см}^2)^{0,16}$. При содержании воздуха в паре $< 1\%$ он не оказывает вредного влияния на α . При значительном содержании воздуха влияние его на α при небольшом абс. давлении (порядка 30 мм рт. ст.) пропорционально $e^{-7P_B/P_{см}}$, а при повышенном абс. давлении (> 70 мм рт. ст.) пропорционально $(P_B/P_{см})^{-0,14}$. На основании найденных частных зависимостей получена расчетная ф-ла для определения α при движении ПВС в области $(\gamma_{см} \cdot w_{см}^2) > 2$: при небольшом абс. давлении $\alpha = A (\gamma_{см} \cdot w_{см}^2)^{0,16} \cdot e^{-7P_B/P_{см}}$. $H^{-0,2}$; при повышенном абс. давлении $\alpha = B (\gamma_{см} \cdot w_{см}^2)^{0,16} \cdot (P_B/P_{см})^{-0,14} \cdot H^{-0,2}$, где A и B — функции от симплекса $[G_R/g_R^{0,25}]$. В приведенных выражениях $\gamma_{см}$ — плотность смеси, $кг/м^3$; $w_{см}$ — скорость смеси в узком сечении пучка, $м/сек$; $P_{см}$ и P_B — общее давление и парц. давление воздуха в смеси; G_R и

$g_R^{0,25}$ — кол-во конденсата, образующегося на всех трубках и на нижней трубке данного вертикального ряда; H — тепловое напряжение поверхности конденсации, $ккал/м^2$ час.

67342. Теплоотдача от конденсирующегося пара в присутствии неконденсирующихся газов. Ренкер (Der Wärmeübergang bei der Kondensation von Dämpfen in Anwesenheit nichtkondensierender Gase. Renker Wolfgang), Wiss. Z. Techn. Hochschule Dresden 1954/1955, 4, № 6, 1003—1019 (нем.) См. РЖХим, 1956, 14988.

67343. Теплоотдача к кипящим смесям воды и метилэтилкетона. Вос, Стрален (Heat transfer to boiling water — methylethylketone mixtures. Vos A. S., Stralen S. J. D. v an), Chem. Engng Sci., 1956, 5, № 1, 50—56 (англ.; рез. франц.)

Экспериментально исследован процесс кипения смесей воды и метилэтилкетона (1) на горизонтальных проволоках из платины, а также из других металлов и сплавов, обогреваемых электрич. током. Кипение происходило при атмосферном давлении; t -ра проволоки определялась измерением их сопротивления. Опыты производились с чистыми жидкостями и их смесями. Установлено, что при малых конц-ях 1 (прибл. до 20%) максимум. тепловая нагрузка $q_{кр}$, отвечающая кризису пузырькового кипения, в 2—2,5 раза больше, чем соответствующая величина для воды. При увеличении конц-ии 1 от прибл. 20 до 100% величина $q_{кр}$ уменьшается. Это явление наблюдается на проволоках из различных материалов, и, таким образом, является специфичной особенностью исследованной смеси. А. Р.

67344. Теплопередача. Эккерт, Хартнетт, Исбин, Шнейдер (Heat transfer. Eckert E. R. G., Hartnett J. P., Isbin H. S., Schneider P. J.), Industr. and Engng Chem., 1956, 48, № 3, part II, 655—668 (англ.)

Ежегодный обзор за 1955 г. Библ. 213 назв. А. Р.

67345. О процессах теплопередачи. Рукенштейн (Despre procesele de transport de căldură. Ruckenstein E.), Studii și cercetări fiz., 1954, 5, № 1—2, 123—134 (рум.; рез. русс., франц.)

Дано решение задачи о переходе от локальных у-ний теплопередачи к у-ниям, описывающим процесс, усредненный по поверхности теплообменного аппарата. Рассмотрены случаи теплоотдачи от поверхности при турбулентном течении жидкости в трубе и теплопередача между двумя средами в трубчатом или змеевиковом теплообменниках.

67346. Теплопередача в слоях насадки. Дин (Heat transfer in packed beds. Ting Andrew P. shen g), Industr. and Engng Chem., 1955, 47, № 11, 2293—2299 (англ.)

Дано аналитич. решение задачи об определении профиля t -р в трубках реактора или теплообменника, заполненных гранулированными твердыми частицами, через которые движется газовый поток. Трубки заключены в кожух, по которому протекает греющая или охлаждающая среда. Учитывались все три возможных способа переноса тепла: теплопроводность, конвекция и радиация, которые условно отображаются общим эффективным коэфф. теплопроводности насадки k_e . При выводе у-ний сделаны следующие допущения: 1) скорость газа одинакова по всему радиусу; 2) значение $k_e = \text{const}$; 3) между частицами насадки и стенкой трубы существует слой газа; 4) теплопроводность в направлении потока твердых частиц или газа пренебрежимо мала. Рассмотрены процессы при движущемся и неподвижном слое насадки, при прямо- и противотоке теплообменивающих сред, при наличии насадки в трубах и межтрубном пространстве. Установлено, что

роль радиации в переносе тепла в слое насадки незначительна, однако она приобретает существенное значение при переносе тепла через газовый слой между частями насадки и стенкой трубы. Ю. П.

67347. Теплоносители, применяемые в промышленных установках. Ратгоуский (Látky pro přenos tepla v průmyslových zařízeních. Rathouský J.), Strojirenství, 1955, 5, № 10, 774—777 (чеш.; рез. русс.)

Дана характеристика основных теплоносителей и температурные пределы их применимости. Рассмотрены водяной пар, минер. масла, ртуть, смеси нитратов К и Na, дифенил, дифенилоксид, сложные эфиры и др. Рассмотрен перенос тепла порошкообразными в-вами в псевдооживленном состоянии; отмечено, что метод применим при t -рах выше 500°, но коэфф. теплопередачи недостаточно высок, а непрерывное вихревое движение твердых частиц вызывает эрозию аппаратуры. З. Б.

67348. Теплоизоляция. Вальман (Wärme- und Kälteschutz. Wallmann F.), Brennstoff-Wärme-Kraft, 1955, 7, № 4, 185—187 (нем.)

Рассмотрены работы по теплопроводности изоляционных порошковых материалов в вакууме. Приведены свойства нового порошкового теплоизоляционного материала — гильсулата, а также волокна из базальта; эти материалы особенно пригодны для изоляции трубопроводов, в том числе подземных коммуникаций. А. Р.

67349. Охлаждение газа в холодильниках с горизонтальными трубами. II. Влияние способа соединения холодильников на эффективность охлаждения и на загрязнение поверхности трубок, соприкасающейся с газом. (Gaskühlung in Intensiv-Horizontalrohrkühlern. II. Schaltmöglichkeiten und ihr Einfluss auf die Kühlung und Sauberhaltung der gasbeaufschlagten Rohroberfläche der Kühler), Gas- und Wasserfach, 1954, 95, № 23, 756—763 (нем.)

Рассмотрены условия выпадения смолы и интенсивность образования отложений кокса и нафталина в холодильниках (X) на коксохимич. и газовых з-дах в зависимости от t -ры охлаждающей воды. Отмечены мероприятия по экономии расхода воды и достижению равномерного распределения газа при параллельном соединении X. Разобраны вопросы конструирования X: выбор скорости воды в трубках, диаметра и шага трубок; преимущества и недостатки выдвинутых и закрепленных трубных пучков; целесообразность устройства люков для очистки поверхностей трубок, соприкасающихся с газом. Сообщение I см. РЖХим, 1955, 30729. Э. Н.

67350. Усовершенствование градирен с принудительным движением воздуха. Смит, Вильямсон (The development of a mechanical-draught water-cooling tower. Smith Lawrence Gilling, Williamson Gerald Johnstone), Proc. Instn Civil Engrs, 1956, Part 1, 5, № 2, 86—106; Discuss. 106—117 (англ.)

Приводятся результаты испытания градирен новой конструкции, отличающихся от градирен обычного типа насадкой, образованной деревянными зазубренными пластинами, распределительным устройством для воды и характером движения потоков воды и воздуха. Вода подается сверху башни и по спец. распределительным желобам поступает на насадку, стекая по ней в виде пленки без разбрызгивания. Движение воздуха через башню осуществляется спец. вентилятором. Указывается, что в описываемой градире передается большое кол-во тепла и что она имеет небольшое гидравлич. сопротивление. Дано краткое описание вентилятора и устройства градирни. С. К.

67351. Отвод конденсата в сахарной промышленности. З и м о н (Kondensatwirtschaft in der Zucker-

industrie. Simon Walter), Zucker, 1955, 8, № 3, 49—52 (нем.)

Рассматриваются разные способы отвода конденсата водяного пара из аппаратуры при помощи конденсатоотводчиков с поплавками, многоступенчатых сопел, гидравлич. затворов и насосов. Дана сравнительная оценка этих способов. Описывается принцип работы ступенчатых сопел, заключающийся в использовании пара, образующегося за счет самоиспарения конденсата, для предотвращения утечек первичного пара. Отмечается, что многоступенчатые сопла могут работать при сравнительно больших пределах изменения кол-ва конденсата. Их преимуществом являются отсутствие движущихся деталей и простота устройства, обеспечивающие надежность работы, а также возможность использования для любых производительностей и давлений. В. К.

67352. Исправление к статье «Применение полупроводников для термоэлектрического охлаждения». Голдсмит, Дуглас (Erratum. Goldsmid H. J., Douglas R. W.), Brit. J. Appl. Phys., 1954, 5, № 12, 458 (англ.)

К РЖХим, 1955, 36467.

67353. Проект стандарта методов испытания хладагентов. Штейнле (Norm-Entwurf DIN 8961, Prüfverfahren für Kältemittel. Steinle H.), Kältetechnik, 1956, 8, № 2, 39—45 (нем.)

Изложена методика анализов наиболее распространенных в технике хладагентов: NH_3 , CO_2 , SO_2 , CH_2Cl_2 , CF_2Cl_2 , CHF_2Cl . Описаны методы определения: изменения точки кипения при испарении; сухого остатка; содержания влаги, посторонних газов, минер. к-т и хлора. Приведены чертежи отдельных приборов и схемы лабор. установок, применяемые при вышеописанных анализах. Н. Б.

67354. Дискуссия по статье Пармелли «Растворимость фреонов в воде. Часть I. Вещества, кипящие ниже 0°». Ньютон, Пеннингтон (Discussion of «Water solubility of freon refrigerants. Part I: Compounds boiling below 32 F.» by H. M. Parmelce. Newton Alwin B., Pennington William A.), Refrig. Engng, 1954, 62, № 1, 61, 88 (англ.)

Приводятся новые данные о взаимной растворимости воды и фреонов 12 и 22. См. РЖХим, 1955, 36475. А. Р.

67355. Улучшения в схеме трубопроводов холодильных установок. Полсен (Refrigeration piping simplified. Paulsen M. R.), Commerce. Refrig. and Air Condit., 1953, 10, № 12, 32—33, 34, 45 (англ.)

Рассмотрены целесообразность конструкции и размещения в трубопроводах холодильных установок сепараторов разных систем для уменьшения уноса с холодильным агентом смазочного масла из компрессора. Показана необходимость установок переохладителя в многоступенчатых холодильниках со значительным статич. напором жидкости. А. Р.

67356. Выпарка. Баджер, Линден (Evaporation. Badger W. L., Lindsay R. A.), Industr. and Engng Chem., 1956, 48, № 3, part II, 505—509 (англ.)

Ежегодный обзор за 1955 г. Библ. 47 назв. А. Р. 67357. Факторы, определяющие экономичность выпарных установок. Колинс, Энглендер (Cost factors in evaporator design. Kohlins W. D., Englander H. P.), Chem. Engng Progr., 1956, 52, № 2, F45—F48 (англ.)

Рассмотрены способы снижения капитальных затрат на сооружение выпарных установок и эксплуатационных расходов: рациональный выбор конструктивных материалов и технологич. схемы, правильная компоновка оборудования, эффективное использование

отбросного тепла. В отдельных случаях выгоднее использовать термокомпрессоры вместо многокорпусной выпарки. Приведены расчетные примеры. Ю. П.

67358. Метод расчета изменения состояния при тепло- и массообмене. Ясан (Eljárás hő- és anyagátadás során fellépő állapotváltozások számítására. Jászay Tamás), Magyar energiagazd., 1956, 9, № 1, 26—29 (венг.)

67359. Влияние концентрации воздуха в паро-воздушной смеси на массообмен при испарении. Берман Л. Д. Теплоэнергетика, 1956, № 5, 30—34

Рассмотрены теоретич. и эксперим. данные по теплоотдаче и диффузии пара при испарении воды при протекании над ее поверхностью паро-воздушной смеси (ПВС) и отмечено, что при испарении, как и при конденсации, уменьшение содержания воздуха в ПВС приводит к значительному росту коэфф. массоотдачи. Исходя из опытных данных, найдено, что при $0,15 \leq \epsilon \leq 0,8$ $Nu_D = 0,023 Re^{0,8} \cdot Pr_D^{0,4} \cdot \epsilon^{-0,82}$, где Nu_D и Pr_D — критерии Нуссельта и Прандтля для диффузионных процессов, $\epsilon = p/p_0$ — отношение парц. давления воздуха к общему давлению ПВС. Для процесса теплоотдачи найдена ф-ла $Nu = 0,022 Re^{0,8} \cdot Pr^{0,4} \cdot (1 - \Pi_\omega \cdot 10^3 / Re)^{0,5}$, охватывающая область $1,6 \leq \Pi_\omega \leq 3,34$, $2500 \leq Re \leq 9000$ и $0,38 \leq \Pi_\omega \cdot 10^3 / Re \leq 0,71$. В этом выражении $\Pi_\omega = Re \cdot \theta$, где θ — безразмерный параметр, характеризующий относительную интенсивность потока ПВС.

67360. Массообмен. Уилк, Праусниц (Mass transfer. Wilke C. R., Prausnitz J. M.), Industr. and Engng Chem., 1956, 48, № 3, part II, 669—675 (англ.)

Ежегодный обзор за 1955 г. Библ. 80 назв. Ю. П.

67361. Экспериментальные методы изучения ректификации. Бау (Quelques méthodes expérimentales en distillation. De l'échantillon de produit brut à l'installation industrielle. B. Hout René), Génie chim., 1956, 75, № 3, 57—72 (франц.; рез. англ., исп.)

Детально изложены конструкции опытных колонн для исследования распределения потоков жидкости, захлебывания и особенностей работы тарелок diam. до 3 м, а также методы нагревания и схемы автоматич. регулирования процессов. З. Х.

67362. К определению коэффициента полезного действия тарелок при ректификации двух и трехкомпонентных смесей. Хаузен (Zur Definition des Austauschgrades von Rektifizierböden bei Zwei- und Dreistoff-Gemischen. Hausen Helmut), Chem.-Ingr-Techn., 1953, 25, № 10, 595—597 (нем.)

При определении к. п. д. тарелки величина его обычно получается различной в зависимости от того, к какой фазе — паровой или жидкой — он относится. Эти способы расчета к. п. д. являются предельными и имеют физ. смысл только в том случае, если сопротивление массообмене сосредоточено только в паровой или жидкой фазе. В соответствии с определением понятия теоретич. ректификационной тарелки на ней достигается равновесие между стекающей жидкостью и восходящим паром, что соответствует идеальному прямоточному процессу массообмена. Исходя из этого, по аналогии с процессом теплообмена при прямотоке, предлагается определять к. п. д. тарелки как отношение фактич. изменения концентрации жидкости или пара к предельно возможному при заданных составах жидкости и пара, поступающих на тарелку, и заданном их расходе. При таком способе определения к. п. д. тарелки не зависит от того, к какой фазе он относится.

В. К.

67363. Дистилляция при высокой температуре. Уолш (High temperature distillation. Walsh T. J.), Industr. and Engng Chem., 1956, 48, № 3, part II, 492—495 (англ.)

Ежегодный обзор 1955 г. Библ. 70 назв. Ю. П.

67364. Абсорбция и увлажнение. Лева, Вань Цзинь-юн (Absorption and humidification. Leva Max, Wen Chin-Yung), Industr. and Engng Chem., 1956, 48, № 3, part II, 468—471 (англ.)

Ежегодный обзор 1955 г. Библ. 60 назв. Ю. П.

67365. Пониообмен в тонкой химической технологии. Гиллин (Ion exchange in the fine chemicals industry. Gillin James), Chem. Engng Progr., 1955, 51, № 12, 547—550 (англ.)

На примерах выделения примеси NaCl из р-ров протена, выделения избытка серной к-ты из р-ров аминокислот, очистки витамина В₁, стрептомицина и неомидина описывается применение ионообмена для деионизации, нейтр-ции, обменного замещения, обменной адсорбции и обесцвечивания.

67366. Экстракция в жидкой фазе. Трейбал (Liquid extraction. Treybal Robert E.), Industr. and Engng Chem., 1956, 48, № 3, part II, 510—519 (англ.)

Ежегодный обзор 1955 г. Библ. 249 назв. Ю. П.

67367. Сушка. Баньоли (Drying. Bagnoli E.), Industr. and Engng Chem., 1956, 48, № 3, part II, 500—504 (англ.)

Ежегодный обзор, 1955 г. Библ. 119 назв. А. Р.

67368. Кинетика сушки блоков в форме параллелепипедов. Циборовский, Селецкий (Elementy kinetyki suszenia brył prostopadłościennych. Ciborowski J., Selecki A.), Przem.chem., 1956, 12, № 2, 89—95 (польск.; рез. рус., англ.)

Для первого периода сушки произведено определенные коэфф. массообмена (KM) от стенок блока размером $250 \times 117 \times 62$ мм при расходе воздуха от 0,3 до 1,5 кг/м²сек. Установлено, что KM имеют для каждой стенки различную величину, однако характер зависимости KM от расхода воздуха одинаков. Различия в значениях KM для разных стенок параллелепипеда объясняется влиянием степени турбулентности. Определена зависимость KM от шероховатости стенок.

С. К.

67369. Определение удельной поверхности порошка методом проницаемости. Танака, Каваи (透過法による粉末比表面積測定の一實驗. 主として一定の粒大分布を示す粉末について. 田中達夫, 川合清一), 化學工學, Kagaku kogaku, Chem. Engng (Tokyo), 1954, 18, № 4, 191—193 (япон.)

Исследовано ур-ние Козени путем определения проницаемости при пропускании воздуха сквозь различные слои частиц стекла. Эти слои состояли из частиц шарообразной или неправильной формы размером в пределах 10—60 м. Подтверждено, что уд. поверхность частиц неправильной формы может быть определена по ур-нию Козени при условии, что пористость слоя равномерна.

М. Г.

67370. Влияние влажности воздуха на процессы размола и сепарации твердых тел. Хедвалль (Über den Einfluß der Luftfeuchtigkeit auf Mahl- und Separierungsvorgänge bei festen Stoffen. Hedvall Arvid J.), Z. anorgan. und allgem. Chem., 1956, 283, № 1—6, 165—171 (нем.)

Скорость сепарации порошков кварца, полевого шпата и шамота зависит от влажности окружающего воздуха и будет максим. при влажности воздуха от 40 до 60%. При влажности >75% наступает явление капиллярной конденсации и происходит слипание частиц. При влажности <40% частицы становятся электрозаряженными. Заряд частиц может быть устранен

путем ионизации окружающего воздуха с помощью радиоактивного излучения. Скорость размола полевого шпата зависит от влажности воздуха более, чем скорость сепарации. Увеличению скорости размола способствуют сухость продукта, нагрев его и продувка воздуха с большой скоростью. Н. Б.

67371. Некоторые свойства совокупности твердых частиц во влажном состоянии. Бателъ (Einige Eigenschaften feuchter Haufwerke. Batel W.), Chem.—Ingr-Techn., 1956, 28, № 3, 195—200 (нем.; рез. англ., франц.)

Рассматривается влияние влажности на подвижность частиц зернистых материалов и на величину силы сцепления между ними. Дается подробный анализ ф-лы для определения сил сцепления между смоченными шарообразными частицами. Приводится пример использования этих сил в технике для грануляции материалов. Даются зависимости потребляемой мощности, пропускной способности и качества гранул от влажности материала, позволяющие выбрать оптимальную влажность для проведения процесса грануляции. На практике примерах рассматривается влияние влажности на процессы грохочения, просеивания и текучесть зернистого материала. Н. Б.

67372. О закономерностях протекания химических реакций в «кипящем» слое. Лавровский К. П., Розенталя А. Л., Химия и технология топлива, 1956, № 2, 27—29

Сделана попытка качеств. определения влияния перемешивания в «кипящем» слое на протекание хим. р-ций. Даны в общем виде ур-ния для расчета распределения конц-ий по высоте слоя и конц-ии на выходе из слоя. Н. Б.

67373. Исследования реакторов с псевдоожиженным слоем частиц убывающего диаметра. Яги, Кунии (粒徑變化を伴う流動層反應装置の研究, 矢木榮, 國井大藏), 化学工学, Kagaku kogaku, Chem. Engng (Tokyo), 1955, 19, № 10, 500—506 (япон.; рез. англ.)

Теоретически и экспериментально исследовались реакторы с псевдоожиженным слоем (ПС) твердых частиц, диаметр которых уменьшается с течением времени. В реакторе диам. 11 см. проводились опыты по газификации смольянистого кокса в ПС в токе воздуха при широком диапазоне изменения размера частиц кокса. Сопоставление опытных данных с теоретич. выводами показало удовлетворительное совпадение. Найдены общие коэфф. скорости газификации и рассмотрено влияние слипания частиц и турбулентной диффузии в ПС на скорость протекания р-ции. С. З.

67374 К. Основы расчета нефтезаводских процессов и аппаратов. Эмирджанов Р. Т. Баку, Азнефиздат, 1956, 423 стр., илл., 14 р. 50 к.

67375 Д. Некоторые вопросы теории гидродинамического сопротивления при адиабатическом течении газа с околосвуковой скоростью в трубе. Гандельсман А. Ф. Автореф. дисс. канд. техн. н., Моск. авиац. ин-т, М., 1956

67376 Д. Газовые потоки при квадратичной аппроксимации адиабаты. Мюллер (Gasströmungen bei quadratisch angenährter Adiabate. Müller Werner, Diss. Techn. H., München, 1953, Maschinenschr.), Dtsch. Nationalbibliogr., 1955, В, № 13, 947 (нем.)

67377 Д. Экспериментальная проверка гидродинамической теории полива. Кольцов В. С. Автореф. дисс. канд. техн. н., Всес. н.-и. кино-фото ин-т, М., 1956

67378 Д. Теплоотдача при пленочной конденсации чистых паров. Лабунцов Д. А. Автореф. дисс. канд. техн. н., Моск. энерг. ин-т, М., 1956

67379 Д. Абсорбция летучих углеводородов каплями тяжелых углеводородов. Сомер (Absorption of hydrocarbons of high volatility in hydrocarbon drops. Somer Tarik Galip. Doct. diss., Univ. Maryland, 1955), Dissert. Abstrs, 1955, 15, № 6, 1036—1037 (англ.)

Исследована абсорбция *n*-бутана каплями смазочного масла во время их образования, падения и в неподвижном состоянии. Изучена также растворимость летучих углеводородов, обусловленная явлением молекулярной диффузии, что позволило впоследствии оценить влияние турбулентности при образовании и падении капель. При образовании капли коэфф. массопередачи K_g (см³ *n*-бутана / сек см² ат) определяется следующим эмпирич. ур-нием: $K_g/W = 1,86 (D^{2,57} - 0,016D^{1,39}\theta_F)^{-1}$, где W — вес капли, г, D — наружный диаметр капли, образующей трубки, см, θ_F — время образования капли, сек. Конечная конц-ия *n*-бутана в р-рителе прямо пропорциональна θ_F и обратно пропорциональна $D^{1,18}$.

Внутренний диаметр каплеобразующей трубки практически не влияет на K_g/W . Перенос в-ва обусловлен явлением вихревой диффузии. При падении капель различного размера с высоты 131 см было установлено, что значения K_g в 5—13 раз выше, чем при образовании капель, θ_F мало влияет на K_g при падении; определяющее значение имеет влияние вихревой диффузии, обусловленное турбулизацией наружной поверхности капли (вибрация). Массопередача интенсифицируется с увеличением размера капель, что объясняется возрастанием турбулентности с увеличением наружной поверхности капель. Для исследования абсорбции неподвижными каплями они помещались в пакет из стеклянных волокон, который затем располагался в колонне; абсорбировались 6 различных углеводородов (от пропана до изопентана), каждый из которых вводился в колонну в течение 2 мин. За это время р-ритель насыщался пропаном на 100%, а степень насыщения более тяжелыми углеводородами была меньшей, напр. для изопентана она составляла 74,5%. Скорость абсорбции сильно изменяется: так, р-ритель в течение первых 15 сек. насыщается *n*-бутаном на 54,8%, а в последующие 30 мин. — на 76,1%. Основным преимуществом использования р-рителя в форме мелких капель является выгодное соотношение между объемом жидкости и поверхностью контакта; для того чтобы получить такое же соотношение при стекании р-рителя в виде пленки, необходимая толщина ее должна составлять ~0,4 мм. Ю. П.

67380 Д. Исследование процессов измельчения. Зимм (Untersuchungen über Zermahlungsvorgänge. Simm Wolfgang. Diss. Techn. Hochsch., Graz, 1955 Maschinensch.), Oesterr. Bibliogr., 1956, № 1, 8 (нем.)

67381 П. Определение эффективной проницаемости для несмачивающей фазы. Бринк (Determination of effective nonwetting phase permeability. Brink Karl C. t. e. n.) [The Texas Co.], Pat. США 2724963, 29.11.55

Описан способ определения проницаемости пористого твердого материала по отношению к несмачивающей фазе, частично насыщающей его поры при движении по ним гетерог. системы смачивающая жидкость — несмачивающая жидкость. Поры твердого в-ва наполняют жидким металлом при повышенном давлении, достаточном для достижения заранее установленной степени насыщения. Для получения равномерной степени насыщения во всех частях твердого тела поддерживают равномерное давление. Посредством отно-

сительно небольшой разности давлений на противоположных поверхностях твердого тела создают поток жидкого металла в порах этого тела; при этом измеряют параметры потока, необходимые для вычисления проницаемости.

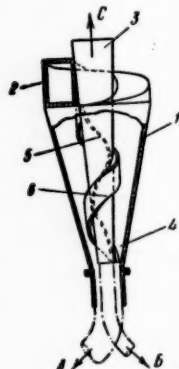
Ю. Д.
67382 П. Гравитационная сепарация (Gravity separation) [Stripa Gruyaktiebolag]. Австрал. пат. 165261, 6.11.55

Процесс основан на разделении по уд. весу частиц измельченной руды и другого сырья. Сепарируемый материал смешивают с водой и вспомогательным гранулированным материалом (большая часть которого состоит из кусков размером 0,05—5 мм). Смесь подают на горизонтально или наклонно установленный лоток, приводимый в колебательное или вибрационное движение. Более крупные куски сепарируемого материала оседают на дно лотка, образуя подвижный пласт, составляющий по объему 50—60% всей оседающей смеси. Более тяжелые куски сепарируемого материала опускаются на самое дно лотка, тогда как более легкие куски остаются на поверхности. Вся осевшая смесь постепенно перемещается от загрузочного к разгрузочному концу лотка и разделяется по крайней мере на 2 слоя. В процессе последующей обработки вспомогательный материал отделяют от этих слоев, сбавскивают и снова используют в процессе обогащения. Е. Р.
67383 П. Сепарация частиц геля. Вейс (Separation of gel particles. Weisz Paul E.). [Seccny Mobil Oil Co., Inc.]. Пат. США 2718305, 20.09.55

Патентован метод разделения смеси, состоящей из частиц геля сферич. формы и частиц геля неправильной формы, но размерами, не превышающими сферич. частицы. Эта смесь, характеризующаяся достаточно идентичной плотностью частиц, приводится в соприкосновение с жидкостью, плотность которой больше, чем у сухих частиц, но меньше, чем у частиц, насыщ. этой жидкостью. Контакт смеси частиц с жидкостью поддерживается так долго, пока частицы геля неправильной формы не насытятся жидкостью и потонут в ней, сферич. частицы останутся на поверхности. Ю. С.

67384 П. Устройство для эффективного центробежного разделения. Викар (Methods of and devices for effecting centrifugal separation. Vicard Pierre Georges). Пат. США 2719631, 4.10.55

Аппарат для центробежного разделения состоит из вертикальной конич. камеры 1, тангенциально установленного литейного патрубка 2 и установленной в центре камеры конич. трубы 3 таким образом, что ее нижний край образует с камерой сепаратора кольцевой зазор 4. Вдоль всей центральной трубы расположена спиральная шель 5, над которой снаружи расположена перегородка 6. Суспензия в сепараторе разделяется на две части — одна часть, содержащая наиболее крупные частицы материала, удаляется из аппарата через 4 в направлении, указанном стрелкой А; другая часть суспензии, направляемая перегородкой 6 через 5 в 3. Благодаря спец. форме перегородки 6 и особому устройству внутренней части централь-



ной трубы, попавшая в нее жидкость разделяется на два потока. Один из потоков с высокой скоростью без завихрений движется вверх по трубе по стрелке С, а второй направляется вниз по стрелке В.

С. К.
67385 П. Аппарат для разделения взвешенного в жидкости измельченного твердого вещества на несколько

фракций под действием центробежной силы. Фонтейн (Apparatus for fractionating solids in liquid suspension thereof into more than two fractions, the particles of which differ in their reactions to centrifugal force. Fontein Freerk Jan) [Maatschappij voor Kolenbewerking Stamicarbon N. V.]. Канад. пат. 509271, 18.01.55

Аппарат представляет собой камеру круглого сечения, делящуюся на цилиндр 1 и конич. 2 части. 1 закрыта сверху глухой крышкой 3, вблизи которой помещена тангенциальная труба 4 для подачи разделяемой суспензии, а внизу имеется один из периферийных выходных патрубков 5. Второй разгрузочный патрубок 6 помещен на 2, в нижней части которой находится центральное выходное отверстие 7. Патрубки 5 и 6 размещены на разных расстояниях от оси разделительной камеры. В месте стыка 2 имеет меньший диаметр, чем 1, благодаря чему образуется кольцевое пространство 8, к которому и подсоединяется 5.

Ю. С.
67386 П. Магнитный сепаратор с выдвижным постоянным магнитом. Варекам (Magnetisches Filter mit einem außer Betrieb setzbaren Permanentmagneten. Varekamp Dirk Cornelis) [N. V. Philips' Gloeilampenfabrieken]. Пат. ФРГ 934843, 3.11.55

Предложена конструкция магнитного сепаратора для улавливания из потока жидкости ферромагнитных твердых частиц. Аппарат состоит из постоянного магнита, расположенного в цилиндрич. корпусе, и ряда направляющих пластин, которые образуют систему извилистых каналов для прохода очищаемой жидкости. Все пластины выполнены из материала с высокой магнитной проницаемостью, а корпус — из немагнитного материала. Для очистки аппарата от осевших в нем частиц предусмотрено устройство для частичного простого демонтажа аппарата (удаление магнита) и интенсивной его промывки.

В. Р.
67387 П. Сепарация твердых веществ от масла (Separating solid substances from oil) [N. V. De Bataafse Petroleum Maatschappij]. Австрал. пат. 164437, 18.08.55

Патентован процесс выделения твердых углеводородов или их твердых комплексных соединений с мочевиной и тиомочевиной из смеси последних с маслом. Сепарация производится посредством контакта твердого в-ва (ТВ) со вспомогательной жидкостью (ВЖ), имеющей более высокую диэлектрич. постоянную, чем у масла. ВЖ мало или совсем не смешивается с маслом и с поверхностноактивным в-вом, которое прибавляется к суспензии. При этом ТВ переходит в ВЖ, и масляная фаза отделяется от ВЖ. Впоследствии ВЖ и ТВ разделяют так, что часть использованной ВЖ вступает в предварительный контакт с подлежащей обработке смесью масла и ТВ.

Ю. С.
67388 П. Устройство для непрерывнодействующих фильтров. Вейнхольд (Verfahren und Vorrichtung zum kontinuierlichen Filtern. Weinhold Karl). Пат. ФРГ 910532, 3.05.54 [Chem. Zbl., 1955, 125, № 22, 5147 (нем.)]

Фильтрующая перегородка (напр., сито), на которой образовался осадок, в определенном пункте замкнутого пути подвергается действию механич. усилий, вследствие чего она приводится в колебательное движение. При этом осадок отделяется от фильтрующей перегородки и затем сбрасывается с нее.

Ю. Д.
67389 П. Приспособление для стабилизации и гомогенизации жидких смесей (Vorrichtung zum Stabilisieren und Homogenisieren von Flüssigkeitsgemischen)

[Aktiebolaget Separator]. Пат. ФРГ 935426, 17.11.55

Предлагаемая установка состоит из циклона, имеющего тангенциальный входной патрубок и осевой сливной патрубок, и сосуда, расположенного под циклоном. Сливной патрубок циклона неглубоко входит внутрь сосуда. Эмульгирующее действие в циклоне достигается благодаря большой разнице скоростей между отдельными, близко расположенными слоями жидкости, вследствие чего между ними действуют силы трения. Разность скоростей возникает потому, что выходное отверстие циклона сделано небольшим. Обрабатываемая жидкость под давлением в 10—12 ат подается в циклон и, пройдя его, попадает в сосуд, где скорость ее резко падает и процесс эмульгирования завершается. Готовая эмульсия выходит сверху через края сосуда. Средний диаметр капель эмульсии 1,1—1,3 м. Для получения частиц такого размера в современных гомогенизаторах необходимо иметь давление около 100 ат.

Н. Б.

67390 П. Способ и устройство для эмульгирования жидкостей при помощи гибридной звуковой частоты. Аргамков, Шумахер (Verfahren und Vorrichtung zum Emulgieren von Flüssigkeiten mit Hilfe von Schallwellen. Argamakoff Alexis, Schumacher Martin) [Atlas-Werke A.-G.]. Пат. ФРГ 933566, 29.09.55

Метод эмульгирования при помощи вибраций звуковой частоты отличается тем, что процесс проводится в присутствии уско́ряющих эмульгирование твердых в-в. Роль катализаторов могут играть частицы стекла, фарфора и др., имеющие острые выступы на своей поверхности. Под действием волн частицы равномерно распределяются в энергично перемешивающейся жидкости, ускоряя ее эмульгирование. Оптимальный размер твердых частиц зависит от свойств жидкостей и частоты волн и должен выбираться эмпирич. путем. Можно применять в качестве катализатора сетки или решетки, устанавливаемые неподвижно во всем объеме жидкости. Метод эмульгирования при помощи вибраций звуковой частоты в присутствии катализирующих процесс частиц может применяться, в частности, для приготовления эмульсий типа вода — масло. В. К.

67391 П. Устройство для насыщения жидкости воздухом. Холден (Aerating device. Holden Orloff W.) [Knickerbocker Rubber Co.], Канада. пат. 511223. 22.03.55

Устройство для насыщения жидкости воздухом состоит из следующих основных частей: цилиндрич. вертикального корпуса, концы которого представляют собой штуцера для входа и выхода жидкости; насадки, устанавливаемой на входе, и множества перфорированных дисков, расположенных один над другим на выходе жидкости. Насадка состоит из концентрически расположенных один в другом колец, тел с ребристыми наружными поверхностями. Пространство между упомянутой насадкой и дисками представляет собой смешивательную камеру для жидкости и воздуха, причем воздух засасывается внутрь камеры через боковые отверстия в стенке корпуса.

67392 П. Теплоноситель, устойчивый к гидролизу.
Да-Фано (Hydrolysis resistant heat transfer
composition. Da Fano Ettore) [John B. Pierce
Foundation]. Канад. пат. 510540, 1.03.55

Патентуется устойчивый к гидролизу теплоноситель, представляющий собой смесь тетраизопропилтриизопреноизоизобутил-, диизопропилдиизобутил-, моноизопропилтриизобутил- и тетраизобутилортосиликатов. Смесь, содержащая изопропил- и изобутилли-радикалы в отношении от 1 : 3 до 3 : 1, имеет т. кип. 190°, т. зам. — 52°, вязкость при t-ре — 35° < 16,5 сст и при t-ре 25° от 1,8 до 2,7 сст. Смесь, содержащая изопропил- и изобутилли-радикалы в отношении

2,5 : 1,5, пригодная для охлаждения автомоторов, имеет т. кип. 190°, т. зам. ниже -70°, вязкость при -35° < 9,6 сст и при 25° < 1,8 сст. В. К.

67393 П. Материал, отражающий тепловые лучи.
См. Фроммелт (Heat reflective composite fabric. See Theodore S., Frommelt Horace A.). Пат. США 2726977, 13.12.55

Патентуется эластичный теплоизоляционный материал, который образуется из двух листов, соединенных между собою. Один лист состоит из сплошного такого полотна, на одну сторону которого наложен слой стеклянных волокон, а на другую металл. фольга. Второй лист устроен таким же образом, но по всей поверхности его выполнены сквозные круглые отверстия. Перфорированный лист накладывается на скрытую фольгой сторону сплошного листа. Такой материал обладает малой теплопроводностью и высокой отражательной способностью.

67394 П. Нагревание мелкодисперсных твердых частиц (Heating finely divided solids) [Aluminium Laboratories Ltd]. Австрал. пат. 164512, 25.08.55

Предложен метод обработки мелкодисперсных твердых частиц, состоящий в образовании и поддержании горизонтального потока плотного псевдожидкого слоя материала и нагревания его при помощи ряда нагревательных элементов, расположенных в нескольких ступеней по ходу потока; при этом кол-во тепла, сообщаемого в каждой ступени, и т-ра, при которой происходит его передача, меняются в заранее установленном порядке. Патентуется также конструкция аппарата для осуществления описанного метода. В. Р.

67395 П. Холодильник регенераторного типа для газов при низкой температуре. И на га (ガス液化分離用再生式蓄冷器. 居長龍太郎). 株式会社神戸製鋼所, [Кабусики Кайся кобэ сэйкосэ], Япон. пат. 108. 11.1.54

В качестве элемента насадки в холодильнике предложено применять гофрированную металлич. полосу, изогнутую в виде спирали. Полоса состоит из стальной ленты толщиной 0,34 мм, покрытой с обеих сторон слоем Al толщиной 0,03 мм. Наличие слоев Al предохраняет насадку от коррозии при незначительном уменьшении ее теплоемкости по сравнению с теплоемкостью насадки из стальной ленты толщиной 0,40 мм.

67396 П. Метод уменьшения потерь паров при их конденсации в барометрических конденсаторах. Питерсен (Process for reduction of vapor losses in barometric condenser evacuations. Petersen John L.) [Standard Oil Co.]. Пат. США 2723950, 15.11.55

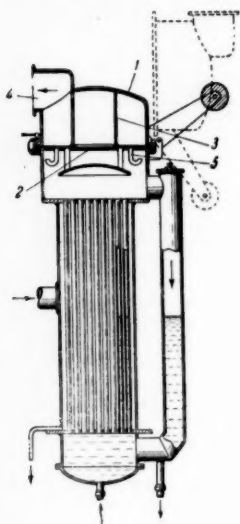
Запатентован улучшенный способ улавливания углеводородных паров с применением барометрич. конденсатора (БК). Перед поступлением в БК пары под вакуумом орошаются легкой фракцией нефти, в которой они растворяются. Окончательное улавливание несконденсировавшихся паров углеводородов осуществляется в обычных БК, охлаждаемых водой. Этот способ уменьшает кол-во эмульсии углеводородов в воде, подлежащей разделению, снижает расход циркуляционной воды на охлаждение, позволяет использовать тепло конденсируемых паров для нагревания жидких фракций, идущих на дальнейшую переработку. Э. Н.

67397 П. Способ выпаривания морской воды или
рапы. Суги, Симидзу (海水又は鹹水の煎熬
方法. 杉二郎, 清水和雄), Япон. пат. 1333, 26.02.55

Для предотвращения отложения карбонатов и сульфатов на поверхности выпарных аппаратов к выпариваемой морской воде или рапе добавляют Na-соль полнакриловой к-ты или Ca-соль сополимера малеиновой к-ты и винилацетата.

М. Г.

67398 П. Приспособление для сепарации пара в выпарном или подобном ему аппарате. Экстром (Apparatus for separating liquid from vapor in an evaporator or the like. Eckstrom Albert W.) [Blaw-Knox Co.]. Пат. США 2718215, 20.09.55



В выпарном аппарате над вертикальной нагревающей камерой устанавливается подвижная сферическая крышка 1 и перегородка 2, разделяющая паровое пространство на верхнюю и нижнюю зоны. 2 имеет отверстие, над которым расположена прикрепленная к внутренней стороне крышки рифленая вертикальная перегородка 3, образующая с 2 волнистый канал. Пар и увлекаемая им жидкость поступает под крышку 1 через кольцевой зазор между 3 и 2. Пар отводится через штуцер 4, а жидкость возвращается в нижнюю камеру парового прост-

ранства по сливным трубам 5.

67399 П. Способ фракционированной перегонки в вакууме: Эггер, Уэбстер (Förfaringssätt för fraktionerad vakuumdestillation. Egger C. J., Webster R. H.) [Buckeye Lab. Corp.]. Швед. пат. 150000, 17.05.55

Способ отличается тем, что жидкость предварительно подогревается до т-ры, превышающей т-ру кипения высококипящего компонента при давлении вакуумной камеры, по ниже т-ры кипения этого же компонента при давлении, при котором подогревают распыляемую в камере жидкость. Отвод неиспаренной жидкости регулируют так, чтобы на дне камеры оставалось некоторое кол-во ее с целью испарения оставшихся летучих компонентов.

67400 П. Способ перегонки. Вегебю (Sätt vid destillering. Vegeby A. U. I.) [AB Rosenblads Patenter.]. Швед. пат. 150570, 5.07.55

Патентуется способ перегонки, при котором дистиллат конденсируют в дефлегматоре с помощью хладагента (X). Пары X сжимаются компрессором и сжимаются в конденсаторе, размещенном в ректификационной колонне. Жидкий X дросселируется в дефлегматоре.

67401 П. Аппарат для дистилляции (Distillation apparatus) [Farbenfabriken Bayer A.-G.]. Австрал. пат. 164771, 8.09.55

Усовершенствование ректификационной установки, состоящей из испарителя, колонны и дефлегматора, заключается в применении пленочного испарителя.

67402 П. Ректификационная колонна. Хаяси (精溜塔・林建樹). [千代田化工建設株式會社, [Тиёда како кэнсэцу кабусики кайся]. Япон. пат. 1221, 24.02.55] Описана тарелка, состоящая из двух перфорированных круглых пластин. Нижняя пластина опирается на внутренний кольцевой фланец колонны, а верхняя пластина лежит на нижней и при помощи рукоятки, расположенной вне колонны, и передаточного устройства, находящегося внутри колонны, может перемещаться по кругу или вдоль диаметра нижней пластины.

Путем перемещения верхней пластины регулируется площадь свободного сечения тарелки.

67403 П. Аппарат для абсорбции или дистилляции Хонда, Аикава (吸収又は蒸發裝置・本田柳一, 相河信夫). 旭化成工業株式會社. [Асахи касэй когё кабусики кайся]. Япон. пат. 1862, 22.03.55

Описана колонна для абсорбции, десорбции или дистилляции, характеризующаяся тем, что между каждыми двумя соседними тарелками (ситчатыми, колпачковыми) расположены теплообменные устройства с вертикальными трубками для нагревания (при дистилляции и десорбции) или охлаждения (при абсорбции) обрабатываемых жидкостей.

67404 П. Установка для обезвоживания. Уокер, Глазгоу (Dehydrating systems. Walker Jay P., Glasgow Clarence O.) [National Tank Co.]. Канад. пат. 516802, 20.09.55

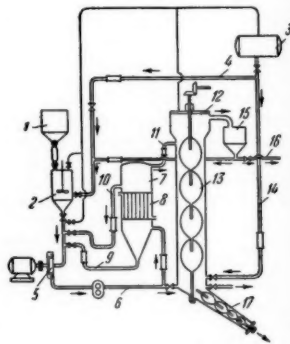
Патентуется система непрерывной адсорбционной сушки газового потока, поступающего под избыточным давлением. Сушка газа производится в двух переключающихся адсорберах (А), один из которых служит для поглощения влаги, а другой в это время регенерируется. Основная часть газового потока, после снижения давления, поступает в один из А на сушку. Небольшая часть газового потока под повышенным давлением нагревается и направляется во второй А для его регенерации; здесь происходит десорбция влаги, которая насыщает горячий сжатый газ. Для выделения влаги из газа производится его охлаждение основным газовым потоком в спец. теплообменнике. Влага конденсируется и сепаруется, а давление газа, использованного для регенерации адсорбента, снижается, и он присоединяется к основному газовому потоку на входе в А. Переключения А производится автоматически.

67405 П. Непрерывная экстракция из мелкоизмельченных веществ. Аояги, Усуи (連続式微粉砕流動抽出法・青柳喜男, 臼井干尋). Япон. пат. 314, 24.01.55

Твердые частицы из бункера 1 поступают в смеситель 2, куда из резервуара 3 по трубопроводу 4

подается р-ритель. Полученная суспензия подается в ударную мельницу 5, где твердые частицы измельчаются. После этого суспензия 6 по трубопроводу 6 поступает в классификатор 7 с подогревателем 8. Из 7 наиболее крупные частицы возвращаются на измельчение по трубопроводу 9, а частицы среднего размера — по трубопроводу 10. Суспензия, содержащая наиболее мелкие частицы, по трубопроводу 11 направляется в верхнюю часть экстрактора 12, снабженного спиральной мешалкой 13. В нижнюю часть 12 по трубопроводу 14 из 3 подается дополнительное кол-во р-рителя. Р-ритель, содержащий экстрагированное в-во, отделяется от примеси твердых частиц на фильтре 15 и удаляется по трубопроводу 16. Основная часть наиболее мелких твердых частиц в виде стуженной суспензии удаляется по трубе 17.

67406 П. Высушивание веществ, находящихся в растворе или суспензии. Деллаби (Procédé de dessiccation des corps en solution ou en suspension. De-



1a by P. A. R.). Франц. пат. 1039496, 7.10.53. [Chem. Zbl., 1955, 126, № 36, 8464 (нем.)]

Р-р или суспензию распыляют в камере, находящейся под вакуумом; из образовавшихся капелек удаляют жидкость, нагревая их ИК-лучами. Ю. Д. 67407 П. Дозирующее устройство для сухих материалов. Симор (Mechanism for feeding measured quantities of dry chemical. Seymour Harry R.). Пат. США 2726792, 13.12.55

Устройство состоит из бункера, неподвижной опорной плиты, расположенной горизонтально под отверстием бункера, разрыхляющего и подающего механизма, совершающего возвратно-поступательное движение и расположенного между отверстием бункера и опорной плитой. Кол-во материала, высыпающегося из бункера, зависит от скорости движения этого механизма. В. Р.

67408 П. Реакционный сосуд и способ проведения химических реакций. Хюбнер (Reaktionsgefäß und Verfahren zur Durchführung chemischer Reaktionen. Huebner Denis William) [Imperial Chemical Industries Ltd]. Пат. ФРГ 882402, 9.07.53 [Chem. Zbl., 1955, 126, № 17, 3935—3936 (нем.)]

При проведении р-ций, в которых по крайней мере один из компонентов находится в газовой фазе и в присутствии катализатора приходит в соприкосновение с другим жидким компонентом или р-рителем (напр., прямое каталитич. гидрирование олефинов, р-ция карбонизации или гидрирование креозота), жидкий и газообразный компоненты перемещаются по реакционному сосуду противотоком, причем часть потока жидких в-в проходит через реакционный сосуд, не соприкасаясь с катализатором. Реакционный сосуд имеет не менее двух расположенных одна над другой катализаторных полок, между которыми находится псевдоожидженный слой катализатора. В качестве примера описывается проведение процесса гидратации пропилена в изопропанол при давл. 250 ат и т-ре 270°.

Н. Б.

67409 П. Аппарат для проведения химических процессов. Накамура, Яносита (化學反應裝置、中村清、矢ノ下 實), 新日本窒素肥料株式会社. [Синнихон тиссо хирё кабусики кайсэ]. Япон. пат. 1216, 24.02.55

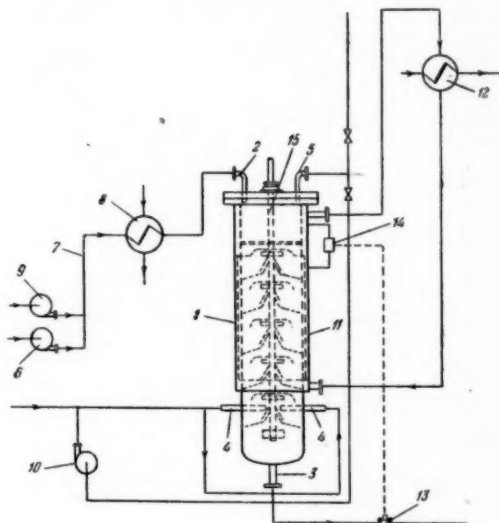
Реагирующие жидкости поступают в аппарат по трубопроводам 1 и 2. Вихревым насосом 3 они отбрасываются в круглый кольцевой канал 4, где интенсивно перемешиваются и взаимодействуют. Из 4 часть продуктов взаимодействия отводится по трубопроводу 5, а другая часть—охлаждается или нагревается в теплообменнике 6 и возвращается в аппарат.

М. Г. 67410 П. Аппарат для осуществления реакций между газом и мелкоизмельченным материалом. Лон (Process and apparatus for carrying out reactions of gases with fine grained substances. Loon Willem van) [De Directie van de Statismijnen in Limburg]. Навд. пат. 509666, 1.02.55

Аппарат для эффективного контактирования газов с мелкоизмельченным материалом представляет собой вертикальную цилиндрич. башню 1, в которой смонтирован ряд конусных перегородок 2. Каждая перегородка имеет центральную трубку 3 для прохода поднимающихся снизу газов, расположенную под углом к оси 1, а также по одной вертикальной боковой трубке 4 или 5, по которым перемещается твердый материал.

А. Р. 67411 П. Противоточный аппарат для контактирования жидкости и газа. Бейли (Counterflow liquid-gas contact apparatus. Bailey Alton E.) [National Cylinder Gas Co.]. Пат. США 2717202, 6.09.55

Аппарат предназначен главным образом для гидрогенизации хлопкового, соевого и других масел и представляет собой колонну 1, разделенную по высоте на ряд камер. Масло поступает в колонну через патрубок 2 и удаляется через патрубок 3. Водород



вводится через две трубы 4 в нижней части колонны, а выходит через патрубок 5 в ее крышке. Масло подается в колонну насосом 6 по трубопроводу 7, снабженному подогревателем 8. Катализатор для гидрогенизации можно подавать по тому же трубопроводу насосом 9. В случае необходимости посредством насоса (или компрессора) 10 может быть осуществлена рециркуляция водорода. Колонна снабжена рубашкой 11, через которую может циркулировать теплоноситель, причем в циркуляционный контур включается теплообменник 12. При гидрогенизации масла эта система используется для охлаждения колонны 1. На выходной линии для масла установлен вентиль 13 для автоматич. регулирования открытия или закрытия линии в зависимости от уровня жидкости в колонне, определяемого чувствительным регулятором 14. По оси колонны проходит вертикальный вал 15, имеющий верхний привод. На валу укреплены шестилепестчатые крыльчатки, по одной в каждой камере, служащие для перемешивания жидкости. Ю. С.

67412 П. Устройство для обработки химически активных веществ с помощью вибраций. Венк (Einrichtung zum Schwingungsbehandeln von chemisch aktiven Stoffen. Wenk Paul) [Siemens-Schuckertwerke A.-G.]. Пат. ФРГ 934288, 20.10.55

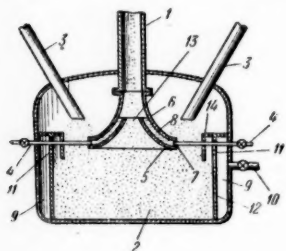
Обработка жидкости с помощью вибрации проводится с целью ее очистки или проведения в ней различных физ. или хим. превращений. Аппарат представляет собой резервуар из кислотостойкого материала с керам. дном; колебания от электромагнитного вибратора через керам. мембрану (дно резервуара) с ферромагнитным покрытием передаются на обрабатываемую жидкость, которая находится внутри резервуара. С. Т.

67413 П. Предотвращение испарения жидкости в резервуарах. Хаясе (液體貯槽の蒸發損失防止法. 林建樹) [千代田化工建設株式會社, [Тиёда кагаку кэнсэцу кабусики кайся]. Япон. пат. 819, 11.02. 55]

На поверхность летучей жидкости, находящейся в резервуаре, который имеет постоянное сечение по всей высоте, помещают плавающую непроницаемую для паров пластину. Форма и размеры пластины выбирают таким образом, чтобы между ее краями и боковыми стенками резервуара по всему периметру оставался небольшой зазор, в который заливают смесь водн. р-ра Na_2CO_3 с водн. р-ром $\text{Al}_2(\text{SO}_4)_3$ и сапонины. При взаимодействии р-ров выделяется CO_2 и образуется пена, которая стабилизируется получающимся при взаимодействии $\text{Al}(\text{OH})_3$. М. Г.

67414 П. Питание пневматической подъемной трубы зернистым материалом. Челани (Feeding granular particles into a gas lift. Celani Pasquale J.) [Socony Mobil Oil Co., Inc.]. Пат. США 2723180, 8.11.55

Нижний конец подъемной трубы 1 опущен в закрытый бак 2, куда из реактора самотеком по трубам 3 поступает зернистый материал. Предлагается способ ввода частиц материала в подъемную трубу, уменьшающий истирание последней частями. Основная часть транспортирующего газа («первичный газ») поступает в 1 по кольцевому проходу между двумя фасонными деталями 5 и 6. Снизу проход плотно закрыт кольцом 7, сквозь которое введены трубы 4 для подачи первичного газа; между деталями 5 и 6 поставлен ряд радиальных перегородок 8, выпрямляющих поток газа и направляющих его вверх по кольцевому проходу. Вокруг нижней части 2 идет кольцевой коллектор 9, куда по трубам 10 подводится остальная часть транспортирующего газа («вторичный газ»). Газ через отверстия 11 во внутренней стенке 12 коллектора проникает в слой материала, лежащий в баке, переводит его в псевдооживленное состояние и выталкивает через отверстие 13 в подъемную трубу. Здесь частицы материала подхватываются кольцевым потоком первичного газа и уносятся вверх по 1. Отверстия 11 защищены кольцевой перегородкой 14 от засыпания материалом. Благодаря центральному вводу частиц и периферийному, направленному прямо вверх кольцевому потоку входящего первичного транспортирующего газа, эрозия входной части подъемной трубы сводится к минимуму. Предложена другая конструктивная модификация аппарата в которой вторичный газ вводится по центральной трубе, а первичный газ — по спиралеобразному каналу. С. З.



См. также: Процессы: гидродинамич. 64663, 65692, 65777, 65797, 65861, 65937, 65995, 66001, 66329, 66913, 66956, 67023, 67460; тепловые 64656, 65702, 65720, 65793, 65876, 66912, 67117, 67470; механич. 65815, 65873, 65939,

66801; массопередачи 64441, 64628, 64641, 65965, 66051, 66086, 66328, 66590, 66807, 66893, 66897, 66907, 66908, 66949. Др. вопр. 65776, 66578

КОНТРОЛЬНО-ИЗМЕРИТЕЛЬНЫЕ ПРИБОРЫ. АВТОМАТИЧЕСКОЕ РЕГУЛИРОВАНИЕ

67415. Автоматизация производства. Морли (Towards the automatic factory. Morley Derek Wragge), New Zealand Electr. J., 1955, 28, № 4, 129—130 (англ.)

Популярный обзор применения вычислительных устройств для управления автоматизированным производством в промышленности (в том числе в химической, пищевой промышленности и машиностроении). О. К.

67416. Применение радиоактивных изотопов для автоматизации производственных процессов. Кохл (Radioisotopes in process instrumentation. Kohl Jerome), Instrumentation, 1955, 7, № 6, 27—31 (англ.)

Применение радиоактивных изотопов для контроля и регулирования плотности, уровня жидкости и смесивших материалов, давления газов, толщины бумаги и других листовых материалов, скорости износа подшипников, толщины покрытий и определения эффективности смешения и скорости циркуляции катализатора. И. И.

67417. Новое в области автоматизации процессов. Хазу (Recent developments in process instrumentation. Howe W. H.), Canad. Chem. Process., 1956, 40, № 3, 84—86, 88—90 (англ.)

Сообщение о новых работах фирмы Foxboro. Для регулирования фракционной колонны применен регулятор, поддерживающий перепад давления на всей колонне или между низом и 2/3 высоты колонны. Этим способом удается с помощью стандартных регуляторов поддерживать стабильный режим колонны. Другой способ регулирования заключается в том, что в колонну встраивается термометр, заполненный эталонной жидкостью. Измеряется разность давлений паров жидкости в этом термометре и в колонне. При соответствии состава жидкости в колонне составу эталонной жидкости эта разность давлений равна нулю. Можно также применить для регулирования перепад т-ры на тарелках колонны. Приведены графики, показывающие зависимость перепада т-ры на тарелках от состава жидкости в колонне. Измеряя разность т-р рабочей и сравнительной жидкостей при их кипении можно также определять состав жидкости, в частности таким образом можно определять содержание спирта в конденсате. Измеряя разность т-р или давлений конденсации чистого пара и пара, содержащего воздух, можно определять содержание неконденсирующихся примесей в паре. Разработан спец. прибор для измерения кол-ва тепла, отдаваемого или потребляемого теплообменником. В приборе имеется два термометра сопротивления, установленных до и после исследуемого теплообменника, и расходомер, который измеряет весовой расход протекающего агента. При помощи спец. устройства показания расходомера преобразовываются в напряжение электрич. тока, пропорциональное расходу жидкости. Это напряжение питает мост, в который включены термометры сопротивления. Напряжение выхода моста пропорционально произведению расхода жидкости и разности т-р до и после теплообменника, т. е. кол-ву тепла. Термометры сопротивления изготовлены из никеля, и их характеристики сделаны логарифмическими, чем исключено влияние абс. значения т-ры. Разработано устройство, уменьшающее перерегулирование в момент пуска системы с пневматич. изодромным регулятором. Устройство

состоит из реле давления, которое при повышении давления в линии к регулирующему клапану выше определенного значения (клапан в крайнем положении) отключает сиффон изодама от этой линии и присоединяет его к источнику определенного давления. Проводились работы по регулированию процессов по окислительно-восстановительному потенциалу р-ра, измеряемому Pt- и каломелевым электродами. В качестве вторичного прибора применен стандартный электронный потенциометр. Для измерения расходов жидкостей разработан электромагнитный расходомер. Миним. размеры расходомера (диам. 50 мм) ограничиваются уровнем помех. При этом сечении и применяемой напряженности магнитного поля получаются э. д. с. порядка 3 мВ при скорости протекания жидкости 1 м/сек. Такие расходомеры выпускаются для трубопроводов от 50 до 600 мм. И. И.

67418. Современные проблемы регулирования в химической промышленности. Хенгст (Moderne Regelprobleme in der chemischen Technik. H e n g s t K.), Chem. Ingr-Techn., 1956, 28, № 5, 317—318 (нем.; рез. англ., франц.)

На примерах регулирования т-ры экспирим. камеры, искусств. климата и режима полимеризационного котла рассматривается целесообразность ввода в систему регулирования вспомогательных импульсов и применения метода каскадного регулирования. При регулировании т-ры в полимеризационном котле применялось каскадное регулирование с использованием двух пропорциональных регуляторов, один из которых регулировал т-ру в рубашке обогрева, а второй переставлял задатчик первого в зависимости от т-ры в полимеризаторе. Отклонения т-ры в котле не превышали 1°. М. Л.

67419. Электронное регулирование промышленных процессов. Рюдсдорф (Elektronische Regelung industrieller Prozesse. R o o d s o r f H. J.), Philips techn. Rundschau, 1955, 17, № 2, 63—73 (нем.)

Рассматривается система автоматич. регулирования т-ры печи. Приведен ряд возможных вариантов исполнения системы двухточечного и многоточечного регулирования, схемы пропорционального, интегрального, дифференциального и смешанного регулирования. Рассматриваются также схемы программного и вибрационного регулирования. Указываются недостатки и преимущества приведенных схем. М. Ф.

67420. Исправление к статье «Применение электронных приборов». Болле (Errata. B o l l e B. W.), Chem. Prod., 1954, 17, № 8, 307 (англ.)

К РЖХим, 1955, 21577. Ошибочно указана частота 17 000 гц, следует читать 1,7 Мгц. Ю. Р.

67421. Условные изображения измерительных, регулирующих и сигнализирующих приборов и аппаратов для промышленных установок. Бада (Reprezentarea convențională a aparatelor de măsurat, reglat și semnalizat, pentru instalațiile industriale. B a d e A. L.), Standardizarea, 1955, 7, № 4, 11—15 (рум.; рез. русс.)

Приводится краткое описание рекомендуемых в других странах способов условного изображения измерительных, регулирующих и сигнализирующих приборов и аппаратов для промышленных установок и предлагается метод условного изображения этих приборов в рабочих чертежах проектов по автоматизации и контролю. Г. Ф.

67422. Емкостные электронные уровнемеры. Бутвилль (Les Jaugeurs électronique à capacité. B o u t t e v i l l e R.), Electronique industr., 1956, № 8, 73—75, 77 (франц.)

Описан уровнемер с емкостным чувствительным элементом (ЧЭ). Для диэлектрич. жидкостей ЧЭ состоит из двух коаксиальных металлич. цилиндров. Для

проводящих жидкостей ЧЭ состоит из изолированного металлич. цилиндра; второй обкладкой конденсатора служит сама жидкость. Приведена схема электронного моста, питающегося переменным током, для измерения емкости. Для сигнализации уровня вместе с ЧЭ монтируется на заданном уровне дополнительная емкость. Соединение ЧЭ с мостом осуществляется коаксиальным кабелем. Схема успешно работает уже несколько лет для измерения уровня в резервуарах жидкого пропана. З. Х.

67423. Влияние эксплуатационных условий на показания измерителя уровня жидкости. Бернет (Der Einfluss der Betriebsverhältnisse auf die Anzeige von Flüssigkeitsstandmessern. B e r n e t E.), Technica (Suisse), 1956, 5, № 8, 399—401 (нем.)

За счет разности плотностей дифманометрич. уровнемеры и обычные водомерные стекла, установленные на котлах, дают при эксплуатации на большей части шкалы показания, слишком заниженные против действительного положения уровня жидкости. Для осуществления надежного контроля уровня предлагается, принимая во внимание действительные эксплуатационные условия, уменьшать деления на шкале отсчета показаний или исправлять отсчет каким-либо корректирующим устройством. Подробно излагается метод градуировки уровнемеров в производственных условиях. Приводятся численные примеры. М. Л.

67424. Анализ динамики процесса регулирования уровня. Сандерс (Improving a level-control process by dynamic analysis. S a n d e r s C a r l W.), Instrum. and Automat., 1955, 28, № 11, 1918—1919 (англ.)

Анализ динамики процесса регулирования уровня гидрозатвора между двумя емкостями показал, что источником плохой работы автоматич. регулятора является резонанс в соединительной линии между емкостями. Для повышения собственной частоты контура регулирования соединительная линия была уменьшена до минимума и, кроме того, поплавковый измеритель заменен мембранным, с меньшим переменным объемом. Еще лучше применение пневмодатчика с силовой компенсацией. И. И.

67425. Специальные дроссельные устройства для измерения расхода при малых числах Рейнольдса. Жориссен (Discharge measurements at low Reynolds numbers — special devices. J o r i s s e n A. L.), Trans. ASME, 1956, 78, № 2, 356—368 (англ.)

Разработаны дроссельные устройства для измерения расхода при малых числах Re. Для этих целей разработана диафрагма (Д) с двойной фаской, расточка которой выполнена в виде двух конусов, соединенных между собой короткой цилиндрич. частью. В некоторых условиях такие Д могут работать до $Re = 50$. Некоторые исследователи получили постоянство коэфф. расхода с точностью до $\pm 0,5\%$ для Re до 1000 и с точностью до $\pm 2\%$ для Re до 400. Другим устройством для измерений при малых Re является двойная Д, состоящая из двух Д с разными расточками, установленными друг после друга. Для правильной работы такого устройства необходимо выбрать соответствующие диаметры обеих Д и расстояние между ними. Д без цилиндрич. расточки также позволяет работать при значительно большем диапазоне Re, чем обычная Д. С успехом применяется также Д с закруглением на входе. Радиус этого закругления равняется толщине Д. Кроме того, можно применять цилиндрич. сопло, состоящее из отрезка трубы определенных длины и диаметра, вставленной в трубопровод, а также цилиндрич. сопло с диффузором. И. И.

67426. Коэффициенты расхода диафрагмы для чисел Рейнольдса от 4 до 50 000. Айверсен (Orifice coefficients for Reynolds numbers from 4 to 50,000.

Iversen H. W.), Trans. ASME, 1956, 78, № 2, 359—364 (англ.)

13 исследователей проводили испытания диафрагм с острой кромкой с целью получения стандартных коэфф. расхода для чисел Рейнольдса от 4 до 50 000 и для отношений диаметра расточки к диаметру трубы от 0,1 до 0,8 при различных способах отбора давлений. Наличие разброса результатов испытаний не дает возможности определить достаточно точных коэфф. расхода.

И. И. 67427. Влияние сопротивления вентилей в линии до диафрагмы на точность измерения. Мердок, Фолц, Грегори (Effect of a globe valve in approach piping on orifice-meter accuracy. Murdock J. W., Foltz C. J., Gregory Clarence Jr.), Trans. ASME, 1956, 78, № 2, 369—371 (англ.)

Проводились исследования влияния сопротивления вентилей в линии до дисковой острой диафрагмы при различных расстояниях этого вентиля от диафрагмы. Испытания проводились на воде и паре. Результаты испытаний показали, что при соотношении диаметров диафрагмы и трубы, меньших, чем 0,75, погрешность от установки вентилей на расстоянии 6 диам. трубопровода до диафрагмы вызывает погрешность, не превышающую $\pm 2\%$. Приведена таблица, показывающая, что расстояние между вентилем и диафрагмой может быть значительно уменьшено против требований норм без возникновения дополнительной погрешности. Испытания были также проведены при вентиле, закрытом до 20% проходного сечения, и при разных способах отбора давления. Соотношение диаметров больше 0,75 не рекомендуется, так как при этом сильно увеличивается разброс показаний расходомера.

И. И. 67428. Калибровка расходомеров. Рейкерт (Special vs square root flow meter calibration. Reichert H. E. et al.), JSA Journal, 1955, 2, № 11, 494—496 (англ.)

При измерении расхода газов с помощью дроссельных органов для небольших перепадов давлений рекомендуется учитывать сжимаемость газов. Приводятся метод расчета и пределы необходимости учета сжимаемости. По результатам расчета рекомендуется корректировать кулачки соответствующих измерительных вторичных приборов.

Ю. П. 67429. Регулятор расхода с фотосопротивлением. Ле-Шевалье, Леле (Un régulateur de débit a cellules photorésistantes. Le Chevallier M., Lelieu M.), Electronique industr. 1956, № 6, 191—194 (франц.)

Регулятор состоит из ротаметра, регулирующего клапана с двумя электромоторами, двух фотосопротивлений, обнаруживающих отклонения поплавка от заданного положения, и релейной схемы включения мотора для закрытия или открытия клапана. Схема собрана на двух тиратронах с холодным катодом.

З. Х. 67430. Устройство для создания заданной периодичности изменения расхода в потоках. Питерсон (Apparatus for the production of a desired periodic flow in fluids. Peterson V. R.), J. Scient. Instrum., 1955, 32, № 2, 76—77 (англ.)

Даны описание и конструктивная схема устройства для изменения потока жидкости, отличающегося вращающимся диском, профиль которого определяет переменную величину отверстия истечения и соответствующую периодичность величины расхода (по заданной программе).

К. III. 67431. Регулятор температуры с термистором. Бюдан (Régulateur de température a résistance. C. T. N. Buidan L.), Electronique industr., 1956, № 8, 70—72 (франц.)

Перечислены все параметры и подробно описан принцип действия схемы для регулирования т-ры неболь-

ших объектов с электроподогревом. Схема работает на тиратроне, сетка и катод которого включены в диагональ измерительного моста. Нагревательный элемент объекта включен в анодную цепь. Для регулирования т-ры больших объектов в анодную цепь тиратрона включается реле.

З. Х. 67432. Практические проблемы измерения концентрации тонкой пыли. Хазенклевер (Praktische Probleme der Feinstaubmessung. Hasenclever D.), Z. Erzbergbau und Metallhüttenwesen, 1956, 9, № 1, 11—17 (нем.)

Описаны конструкция и работа наиболее совершенных приборов для определения конц-ии пыли в воздухе: фильтрующий прибор Мартинуса, основанный на гравиметрич. принципе, оптич. прибор — тиндалометр, основанный на эффекте Тиндаля, а также два прибора различной конструкции, в основу которых положен принцип термодиффузии — термопринциптитатор и кониметр типа HS. Для каждого из описываемых приборов указаны область применения, оптимальные условия работы и средняя ошибка измерения. Автор считает необходимым создание приборов для определения конц-ии пыли с величиной частиц порядка 0,001 м (пыль, образующаяся при атомных взрывах).

Н. Б. 67433. Быстродействующий влагомер ЛПГ. Лесюне А., Глебов С., Мукомол.-элеват. пром-сть, 1956, № 4, 16

Сообщается о переносном быстродействующем дилектометрич. влагомере ЛПГ для определения влажности зерновых, бобовых и масличных культур, конструкция которого разработана Центральной научно-исследовательской лабораторией Укрлавромасло. Приводятся электрич. схема прибора и описание принципа его действия. Как показали предварительные испытания, на определение влажности зерна при помощи влагомера ЛПГ затрачивается $\leq 2-3$ мин.

М. Л. 67434. Электронный измеритель влажности джута; принцип действия и конструкция. Банерджи, Сен (An electronic moisture meter for jute: its design and construction. Banerjee B. L., Sen M. K.), J. Scient. and Industr. Res., 1956, A15, № 1, 24—28 (англ.)

Разработан переносный прибор для измерения влажности джутового волокна как в тюках, так и в свободном виде. Прибор представляет собой катодный вольтметр, измеряющий падение напряжения на высокоомном сопротивлении, через которое идет ток через джутовое волокно. Таким образом, измеряется электропроводность волокна в пределах от 10^6 до 10^{10} ом. Прибор питается от сухих батарей и имеет три предела измерения: 10—22%, 22—37% и 37—100% содержания влаги. Точность измерения $\pm 0,5\%$ на первых двух пределах и от ± 1 до $\pm 5\%$ при большом содержании влаги. Щуп прибора состоит из эбонитовой пластинки, на которой смонтированы пять пар латунных иголок длиной 13,5 мм. Расстояние между иголками 25 мм. Щуп имеет ручку из пластмассы, при помощи которой он прижимается рукой к исследуемому материалу. Калибровка прибора произведена путем измерения влажности ~ 100 тюков джута.

И. И. 67435. Надежность сигнализаторов горючих. Рандалл, Ханстад (The reliability of combustible gas alarms. Randall R. A., Hunstad N. A.), Amer. Industr. Hyg. Assoc. Quart., 1954, 15, № 4, 261—266 (англ.)

Проводились испытания термхим. газоанализаторов-сигнализаторов наличия горючих газов или паров в воздухе. Испытывались семь приборов. Продолжительность испытаний — от 1 до 2 месяцев. Все приборы работают по принципу определения теплового эффекта от сгорания горючего компонента на каталитически активной нагретой током Pt-нити. Рабочая и сравни-

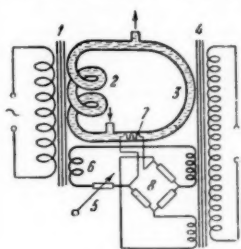
тельная нить включены в мостовую схему, в диагональ которой включен регистрирующий вторичный прибор и реле. Во время испытаний через приборы непрерывно пропускался воздух, согласно инструкциям изготовителей, а 2 раза в неделю пропускалась смесь воздуха с горючим газом, в качестве которого применялись: *n*-пентан, природный газ и *n*-пентан с тетраэтилом Pb. Последний газ служил для имитации этилированного горючего. Нулевые показания приборов записывались ежедневно, а коррекция нулевой точки производилась раз в неделю, за исключением случаев чрезмерного отклонения. Испытания показали, что: а) только 2 прибора работают удовлетворительно; б) даже лучшие приборы требуют периодич. проверки по графику; в) особые меры предосторожности необходимы при этилированном горючем; г) выпускаемые приборы могут обеспечить надежную сигнализацию или защиту от появления в воздухе горючих примесей при условии правильной эксплуатации. И. И.

67436. Кондуктометрические измерения в жидкостях промышленных процессов. Наттинг (Conductivity measurement in industrial process liquids. Nutting D. Colver), Instrum. Practice, 1956, 10, № 4, 300—308 (англ.)

Обзор применений метода измерения электропроводности жидкостей и рекомендации по выбору материала электродов и ячейки, схемы, включая температурную компенсацию и способ пропускания жидкости через ячейку. И. И.

67437. Низкочастотный безэлектродный прибор для измерения электропроводности жидкостей. Шаламон, Свиток (Nízkofrekvenčný bezelektrodový měrač vodivosti kvapalin. Šalamon Miroslav, Svítok Peter), Chem. průmysl, 1956, 6, № 1, 10—14 (чеш.; рез. рус., англ.)

Для измерения электропроводности жидкостей, в частности H_2SO_4 , без непосредственного с ней контакта разработан прибор, работающий на частоте 50 μ ц.



Основой прибора является дифференциальный трансформатор 1 (см. рис.), одна из вторичных обмоток которого выполнена в виде трубки 2, по которой протекает исследуемая жидкость. Индуктируемый в жидкости ток протекает по трубке 3 первичной обмотки входного трансформатора 4 усилителя потенциометра типа ЭПД. Балансированный мотор этого потенциометра

изменяет сопротивление 5 в цепи другой обмотки 6 трансформатора 1, э. д. с. которой направлена навстречу э. д. с., индуктированной в трубке с жидкостью. Таким образом, схема автоматически компенсируется. Для компенсации изменений t -ры установлен термометр сопротивления 7, включенный в мостовую схему 8, напряжение разбаланса которой также подается на входной трансформатор 4 усилителя. Чувствительность опытного образца прибора 0,2% при уд. сопротивлении 0,2161 ом/см. Температурная компенсация работает удовлетворительно в диапазоне от 20 до 40°. И. И.

67438. Автоматизация как средство повышения эффективности использования топлива. Клар (Instrumentation as an aid to fuel efficiency. Clare R.), Instrum. Practice, 1955, 9, № 8, 752—755 (англ.)

Обзор современного состояния автоматизации котельных и плавильных установок. Сформулированы требования, предъявляемые к контролю процесса, приведен перечень контролируемых параметров, про-

анализировано их значение для повышения к. п. д. и улучшения эксплуатации установки, даны рекомендации по выбору типов приборов и приведены технико-экономические показатели автоматизации. А. Л.

67439. Новое в применении электроники на трубопроводах. Кип (What's new in pipeline electronics? Keane C. C.), Oil and Gas J., 1955, 53, № 40, 92—95 (англ.)

Применение электроники для контроля работы насосных станций (дистанционная передача показаний измерительных приборов в центральный пункт и др.), а также для испытаний трубопроводов. Ю. Г.

67440. Регулирование кислотности масла. Давенпорт, Бенджамин («The acid test» for butter. Davenport Roger J., Benjamin G. J.), Instrumentation, 1955, 7, № 6, 34 (англ.)

Для улучшения качества сливочного масла нейтр-ция (Н) сливок производится автоматически путем добавления нейтрализующего в-ва в зависимости от pH. Н производится под вакуумом, что позволяет быстрее удалять продукты Н и тем самым избежать посторонних запахов масла. Приведена принципиальная схема установки Н. И. И.

67441. Электронное регулирование на нефтепергонных заводах. Гуэррини (La regolazione elettronica per impianti di raffineria. Guerrini Franco), Rivoluzione industr., 1955, 3, № 25, 73—75 (итал.)

Описание электронного регулятора (с пропорциональным, интегральным и дифференциальным действиями) и шитов с регистрирующими и измерительными приборами, установленных на некоторых нефтепергонных з-дах английской фирмой Evershed and Vignoles. В. Р.

67442. Новая система централизованного управления разветвленным нефтепроводом. Экхардт (Badger pipe line to use a new centralized control system to handle complex dispatching. Eckhardt Paul K.), Petrol. Engr, 1955, 27, № 2, D6—D10, D12—D13 (англ.)

Применение системы телеуправления из диспетчерского пункта перекачки нефтепродуктов по разветвленному нефтепроводу. На шите с мнемонич. схемой изображены задвижки и насосы, установлены индивидуальные ключи управления и сигнальные лампы. Световые стрелки указывают направление потоков. Сигналы контроля и управления передаются по общей линии связи в виде последовательности длинных и коротких импульсов. Предусмотрены различные блокировки, проверка, аварийная сигнализация и т. д. Система разработана фирмой Union Switch and Signal Co., США. В. Р.

67443. Электронные промышленные приборы на текстильных фабриках. Вальтер (Electronic industrial instrumentation in textile mills. Walter Leo), Text. Manufacturer, 1955, 81, № 362, 92—97 (англ.)

Электронные методы контроля производственных процессов в текстильной промышленности Англии. Приведены примеры применения измерителя влажности, цветометра, измерителя натяжения нити, регуляторов t -ры. Описан шеститочечный электронный потенциометр со скоростью каретки 5 сек. на всю шкалу. Описаны фотоэлектрич. счетчик на конвейерной линии по произ-ву сумок, схема установки для автоматич. разрезки изделий, управляемой от фотоэлемента, схема фотоэлектрич. устройства для предохранения руки рабочего от попадания в отжимные ролики, схема автоматич. регулирования направления ткани при помощи фотоэлементов, установленных на ее кромках, и др. Г. Ш.

7444. Автоматизированная отбелка бумажной массы. Стернс, Салливан, Уэлш (Push-button pulp bleaching. Stearns W. J., Sullivan

J. J., Welch A. W.), Instrumentation, 1955, 7, № 6, 16—17 (англ.)

Автоматизирована установка четырехступенчатой отбели бумажной массы производительностью 150—300 т/сутки. Пуск всех 4 ступеней производится с 4 пультов управления, находящихся на центральном диспетчерском пункте. Кнопки пуска заблокированы так, что исключается возможность неправильных операций. При отказе какого-либо мотора в период пуска или эксплуатации все обрудование автоматически отключается и подается звуковой сигнал. После пуска установка работает автоматически и контролируется с центрального щита с мнемосхемой процесса, в соответствующих местах которой помещены малогабаритные вторичные приборы измерителей параметров процесса. Передача показаний на центральный щит пневматич. Измерение т-ры производится термопарами с электронными электропневматич. преобразователями.

Измерение расхода сырья на хлорную башню производится трубой Вентури с продувкой импульсных линий водой. Для измерения расхода хлорной воды установлена диафрагма из пластмассы в гуммированных фланцах. Установка управляется одним оператором в смену.

И. И.

67445 П. Клапаны для отбора проб с соленоидным приводом (Solenoid-actuated sampling valves) [Mine Safety Appliances Co.]. Англ. пат. 707696, 21.04.54. Патентуется конструкция газораспределительного клапана с соленоидным приводом для отбора проб газа с целью анализа из различных точек (помещений).

И. З.

См. также: Опред. вязкости и упругости пеномассы 65694. Опред. вязкости и упругости пеномассы 65804. Дозатор для бетономешалки 65815. Опред. глущины жидкости 65941

ТЕХНИКА БЕЗОПАСНОСТИ. САНИТАРНАЯ ТЕХНИКА

67446. Полирографический метод в диагностике профессиональных заболеваний. Витвицкая, Витвицкий (Metoda polarograficzna w rozpoznawaniu chorób zawodowych. Witwicka Jadwiga, Witwicki Jerzy), Ochrona pracy, 1955, 9, № 8, 239—241 (польск.; рез. русс.)

Полирографический метод (ПМ) позволяет определить наличие токсич. в-в в крови, моче, выдыхаемом воздухе и с успехом заменяет громоздкий метод Ван-Слейка для определения кислорода в крови. В случае применения Pt-микроэлектродов и катодного осциллографа ПМ дает возможность производить колич. определение биологически важных в-в непосредственно в организме. ПМ используется также для распознавания профессиональных заболеваний на основе исследования превращения белковых субстанций (изучение каталитич. белковых волн в присутствии соли кобальта в аммониевом буфере по р-ции Брдижки).

И. С.

67447. «Опасная» химия. Васснер (Die «gefährliche» Chemie. Wässner Fritz), Chemiker-Ztg., 1955, 79, № 23, 802—804 (нем.; рез. англ., франц., итал.)

Приведены профсоюзные статистич. данные по ФРГ за 1949—1951, 1953 гг. о несчастных случаях (НС) в 14 отраслях пром-сти.

Н. С.

67448. Профессиональные болезни аллергического характера. Моляфино (Malattie allergiche professionali. Molino Francesco), Folia med., 1953, 36, № 3, 160—180 (итал.)

Изложены современные взгляды на происхождение профессиональных болезней аллергич. характера, вызываемых различными агентами. Дается характеристика методов их предупреждения и лечения.

А. И.

67449. Проблемы постройки и размещения новых хлорных заводов в Югославии. Сеферович (Problemi izgradnje i lokacije novih kloralkalnih elektroliza u FNRJ. Seferović Branko), Kemija u industriji, 1956, 5, № 4, 64—68 (хорв.; рез. англ., франц., нем.)

67450. К вопросу об аллергии к хрому. П. Профилактические исследования на шиферном заводе. Дарабаш, Фюллен (Adatok a króm-allergiához. P. Ipari bőrszűrővizsgálatok a palagárbán. Darabos László, Fülöp József), Bőrgyógy. és venerol. szemle, 1954, 8, № 5, 142—146 (венг.; рез. русс., нем.)

507 рабочих шиферного з-да было подвергнуто клинич. обследованию с применением эпидермальных проб.

Положительные р-ции на цемент получены у 37,6% обследованных, на хром у 8,4%, на скипидар у 7,7%. При положительных р-циях на цемент повышенная чувствительность к хрому наблюдалась в 5 раз чаще, чем при отрицательных р-циях, причем у женщин — в 2 раза чаще, чем у мужчин. В случаях положительных р-ций на хром пробы на повышенную чувствительность к цементу дали в 75% случаев положительный результат. У 70 рабочих при осмотре был обнаружен дерматоз, у 61 в прошлом были отмечены кожные заболевания. Экзема, вызванная цементом, наблюдалась у 43 человек; 64% больных экземой дали положительную р-цию при эпидермальных пробах на чувствительность к хрому.

П. Д.

67451. Исследование отравления бензолом. Сообщение I. Массовое отравление бензолом на резиновом производстве. Мацуно, Хонэ, Сато, Оно, Маэда, Когурэ, Огава (ベンゾール中毒に関する研究. 第1報. 某ゴム工場の集團ベンゾール中毒發生の概要. 松野興七郎, 本江卓, 佐藤三男, 小野孝一, 前田利明, 本暮恭平, 小川五月), 日大醫學雜誌, Нитидай икаку дзасси, Nihon Univ. Med. J., 1955, 14, № 1, 57—62, 71 (япон.; рез. англ.)

У 9 отравленных бензолом рабочих была установлена лейкопения с относительным лимфоцитозом, гипохромная анемия. В моче определено уменьшение кол-ва неорганич. сульфатов. Уменьшенным оказалось также кол-во альбумина и α - и β -глобулина. Функция печени была практически поражена у всех пострадавших. Тяжесть симптомов объясняется длительностью работы пострадавших на ф-ке.

И. С.

67452. Определение паров бензина и бензола методом линейно-колористического анализа. Козляева Т. Н., Ворохобин И. Г., Тр. науч. сессии Всес. н.-и. ин-та охраны труда, 1954 (1955), № 1, 210—217

67453. Токсикологические вопросы в промышленности пластических материалов. Свойства, применение, токсикология. Часть I. Бланшар Е. (Problèmes toxicologiques dans l'industrie des matières plastiques. Propriétés-Utilisation-Toxicologie. I. Partie. Blanchart A.), Pact, 1953, 7, № 4, 269—274 (франц.)

Кратко описано токсич. действие основных мономеров (акрилонитрила, метилметакрилата, хлоропрена, фенола, формалина). Указано, что продукты их полимеризации в большинстве случаев нетоксичны для человеческого организма. Кратко рассматриваются токсичность и характер действия наиболее часто применяемых пластификаторов (фосфористые эфиры, фталевые

эфиров, ароматич. хлоропроизводные, гликоли и их производные, антраценовые, масла) и р-рителей (спирты, амиды, амины, эфиры, гликоли и др.). Я. М.

67454. К токсикологической оценке метилакрилата. Карпов В. Д., Гигиена и санитария, 1955, № 8, 19—22

Установлено, что пары метилакрилата (I) обладают наркотич. действием. Миним. смертельная конц-ия I для белых мышей — 9,3 мг/л. Раздражение слизистых оболочек верхних дыхательных путей и глаз человека наступает при 0,25—0,5 мг/л I. Запах ощущается, начиная с 0,13 мг/л. При конц-ии I 0,13—0,5 мг/л изменяются характеристики безусловного сгибательного рефлекса кролика (по Люблиной) и высшей нервной деятельности мышей (по Александрову и Цибиной). I является более ядовитым, чем 1, 2-дихлорэтан, метилметакрилат, C_6H_5Cl , CCl_4 . Ориентировочной предельно допустимой конц-ией паров I в воздухе производственных помещений рекомендуется считать 0,02 мг/л. Выдвигается требование герметизации технолог. процесса и защиты дыхательных путей, глаз и кожи рабочих. Б. Т.

67455. Определение опасности от распространения в воздухе продуктов деления при аварии реактора. Меслер, Уиддос (Evaluating reactor hazards from airborne fission products. Mesler Russell B., Widdoes Lawrence C.), Nucleonics, 1954, 12, № 9, 39—41 (англ.)

Рассмотрены методы оценки опасности, могущей возникнуть при диспергировании в воздухе всех радиоактивных в-в (РВ) из атомного реактора в случае его аварии. Приведены ф-лы для расчета конц-ии РВ в воздухе для мгновенного и постоянного точечных источников на различных расстояниях от их центров. Построены графики максим. величин внешней и внутренней (за счет вдыхания РВ) доз облучения в зависимости от расстояния от центра аварии и скорости ветра для двух различных атмосферных режимов. Приведена таблица коэфф. для определения внутренней дозы для 22 радионуклидов по этим графикам. Приведен график для определения мощности дозы внешнего облучения в случае осаждения РВ (напр., в случае дождя) на землю в круге данного радиуса. В. Л.

67456. Загрязнения воздуха и их влияние на здоровье. Котин, Фальк (Air pollution and its effect on health. Kotin Paul, Falk Hans L.), Calif. Med., 1955, 82, № 1, 19—24 (англ.)

Исследовалось влияние искусств. тумана, полученного по методу Шеффера и др. (Sheffer a. ath. Anal. Chem., 1951, 23, 1431—1440), на содержание в крови белков, аминокислот, ферментов, гемоглобина и его производных, O_2 , CO_2 , электролитов. Определены морфол. изменения тканей дыхательных органов. С. Д.

67457. Санитарное состояние воздуха промышленных районов и приспособления для улавливания промышленных отходов из воздуха. Части III, IV, V. Уэббер (Some sanitary aspects of air and industrial air supplies. Parts 3, 4, 5. Webster H. F. P.), Brewers' J. (London), 1954, 90, № 1063, 158—161; № 1064, 207—211; № 1065, 252—255 (англ.)

Рассматриваются различные загрязнения воздуха (пыль, продукты сгорания топлива и др.). Приводятся элементарные способы защиты от этих загрязнений. Большое внимание уделяется микроорганизмам, находящимся в воздухе. Описываются принципы кондиционирования воздуха в летний и зимний периоды применительно к условиям пивоваренных з-дов, а также висцинозных, сухих и электростатич. фильтры. Части I, II см. РЖХим, 1955, 42222. С. Я.; А. С.; Н. С.

67458. Отбор и анализ пробы пыли.— (Dust sampling measurement and analysis.—), Colliery Engng, 1954, 31, № 363, 199—3203 (англ.)

Обзор исследовательских работ и применяемых методов отбора проб и анализа запыленного воздуха в практике лабораторий некоторых европейских стран (Англии, Германии, Австрии, Швеции и др.). Приведены схемы новейших приборов для отбора проб. Ю. С.

67459. Удаление SO_2 из дымовых газов электростанций. Рие (The removal of sulphur dioxide from power station waste gases. Rees R. Llewellyn), Sanitarian, 1955, 63, № 11, 417—423 (англ.)

Приведены схемы процессов очистки дымовых газов электростанций от SO_2 . Обсуждается вопрос о целесообразности очистки с экономич. и санитарной точки зрения. Г. Р.

67460. Роль циклона в уменьшении загрязнения атмосферы. Стэрманд, Келси (The rôle of the cyclone in reducing atmospheric pollution. Stairmand C. J., Kelsey R. M.), Chemistry and Industry, 1955, № 42, 1324—1330 (англ.)

Рассматриваются область применения, эксплуатационные характеристики и эффективность циклонных пылеуловителей (ЦП) четырех типов: 1) простых ЦП (пылеуловители-дымососы), 2) одиночных ЦП относительно большой производительности; 3) высокоэффективных групповых ЦП и 4) мультициклонов с большим числом параллельных элементов. Приведены кривые и таблицы эффективности фракционного пылеулавливания для всех типов ЦП частиц размером 5—855 м. Установлено, что снижение черноты окраски дымового факела при установке ЦП составляет для ЦП-1 19%, ЦП-2 38%, ЦП-3 60% и ЦП-4 65%. Осаждение пыли в зоне радиусом 1 км от источника уменьшается от 98,5% (для ЦП-1) до 99,7% (для ЦП-4). Приведены стоимости начальных затрат на установку ЦП и эксплуатационных расходов. Ю. С.

67461. Опасность пыли. Уэбстер (The danger of dust. Webster Alec), Chem. Age, 1955, 73, № 1884, 373—377 (англ.)

Приведены меры предупреждения образования взрыво- и пожароопасных пылевоздушных смесей (вентиляция помещений, очистка вентиляционных воздуховодов от пыли, смачивание пыли, применение инертных газов и пр.). Приведены примеры наиболее опасных пылевоздушных смесей и перечислены возможные источники их воспламенения. Н. С.

67462. Горючие газы, пары и жидкости. Мазуркевич (Palne Gary, pary i ciecie. Mazurkiewicz Andrzej), Ochrona pracy, 1955, 9, № 6, 160—164 (польск.; рез. русс.)

Описаны причины воспламенения горючих газов, находящихся под повышенным или пониженным давлением. Рассмотрены примеры взрывов и пожаров горючих газов, просочившихся из производственных агрегатов и газопроводов наружу, а также и техника тушения пожаров. Воспламенению потоков горючих газов и жидкостей, движущихся по трубопроводам при высоких давлениях, способствует их электризация, возникающая при движении. Действие пенных огнетушителей является наиболее эффективным при высоте слоя пены 10—15 см и скорости его образования от 1,2 до 5,0 мин. в зависимости от размеров поверхности горения. С. Я.

67463. Предупреждение пожаров на предприятиях мукомольной промышленности. Готье (La prévention d'incendie dans l'industrie. Exemple d'application en meunerie. Gautier M. R.), Inds agric. et aliment, 1954, 71, № 3, 227—232 (франц.)

Описаны существующие приборы, сигнализирующие о возникновении возможных очагов пожара: обычные

двухпластинчатые термич.; аэротермич.; термоэлектрич.; фоточувствительные приборы, сигнализирующие не только при появлении дыма, но и пыли в воздухе. Одна из последних моделей прибора реагирует на появление в воздухе газов, возникающих при перегреве горючих материалов. Действие прибора основано на применении солей радия, ионизирующих воздух, электропроводность которого изменяется в зависимости от примесей газов, проникающих в ионизационную камеру. Влияние других факторов (изменение влажности в воздухе и присутствие в нем пыли) сказывается незначительно. Приводятся фотографии и принципиальные схемы приборов.

А. У.
67464. Огнетушители и их применение. Копии (Gli estintori d'incendio. Cosa sono dove e come si impiegano. Corpi Enzo). Elettificazione, 1956, № 3, 101—106 (итал.)

67465. Воспламенение, вызываемое внезапным изменением давления. Зелле (Zündgefahren beim Zubrechgehen von Unterdruckgefäßen. Selle Hermann), Explosivstoffe, 1955, 3, № 8, 114—116 (нем.)

Экспериментально показана и подтверждена термодинамич. расчетом возможность воспламенения смесей горючих газов и паров при внезапном изменении давления (напр., при разрыве вакуум-аппарата, находящегося в среде горючих газовых смесей или внезапном проникновении воздуха в газо-паровое пространство вакуум-аппарата). При мгновенном выравнивании внешнего и внутреннего давлений возникает газовая волна, удар которой повышает т-ру газо-воздушной смеси до 500° и выше, что достаточно для воспламенения большинства смесей обычных горючих газов и паров с воздухом.

М. Ф.
67466. Процессы, связанные с опасностью несчастных случаев. Дьюинг (Processes involving special hazards. Dewing T.), Manufact. Chemist, 1954, 25, № 10, 423—427 (англ.)

Рекомендованы меры для предупреждения взрывов и воспламенений при хим. процессах, выполняемых в производственных масштабах. Так, при получении алкогولات натрия (преимущественно из высших спиртов) вместо металлич. Na лучше брать спирт. р-р NaOH с соответствующим экстрагирующим р-рителем (бензол или толуол). В случае необходимости применения металлич. Na, напр. в качестве восстановителя, последний вводят в реактор в тонкоизмельченном состоянии при энергичном перемешивании и охлаждении. При непрерывных процессах введение Na осуществляется через затвор, создаваемый с помощью инертного газа. Рекомендованы также меры безопасности при проведении р-лий Гриньяра, применении металлич. Li при произ-ве Li-алкилов, применении активных катализаторов гидрогенизации, легковоспламеняющихся р-рителей, хранения мономеров, склонных к энергичному протеканию процессов полимеризации (введение ингибиторов) и пр.

Н. С.
67467. Техника безопасности при работе со сжатым воздухом. Гарсия-Перес (Las actividades laborales en aire comprimido. García Pérez José), Bol. inform. sindic. constr., vidrio y ceram. 1956, 15, № 154, 55—57 (исп.)

67468. Техника безопасности в производстве лубяных волокон. Шкопек (Bezpečnost práce průmyslu lůvkových vláken. Škorek Ludvík), Bezpečn. a hyg. práce, 1953, 3, № 11, 347—352 (чеш.)

Описан процесс обработки льна, конопли, джута и других лубяных волокон. К мероприятиям по технике безопасности относятся механич. подача сырья на валцы или же применение устройств для предохранения рук рабочих от попадания между вальцами, ношение прилегающей к телу одежды с короткими рукавами

и др. Выделяющаяся в процессе произ-ва пыль содержит до 13% SiO₂, поэтому следует установить местные отсосы и организовать рациональный воздухообмен. Для предупреждения загорания сырья следует предохранять его от трения и попадания в него масла. И. С.

67469. Исследование лабораторно-опытной хлористолитиевой установки для кондиционирования воздуха за счет тепла низкого потенциала. Чернобыльский И. И., Кремнев О. А., Чавдаров А. С., Сб. тр. Ин-та теплоэнерг. АН УССР, 1955, № 12, 150—168

Снижение теплоемкости воздуха осуществляется осушающими р-рами LiCl с их последующей регенерацией под вакуумом с использованием тепла низкого потенциала. Дальнейшее понижение т-ры осушенного воздуха достигается адиабатич. увлажнением его водой (12—20°). Расчетным анализом и проведенными исследованиями выяснено, что хлористолитиевая установка для летнего кондиционирования воздуха позволяет поддерживать в помещении оптимальные параметры воздуха при наличии охлаждающей воды до 20°. Подтверждена возможность работы установки с использованием теплоносителя относительно низкого потенциала (теплофикационной воды ТЭЦ или отходов горячей воды промышленных предприятий) с т-рой 50—80° (в зависимости от т-ры охлаждающей воды (12—20°) при регенерации р-ра LiCl под вакуумом. Коэфф. использования низкопотенциального тепла 57—87%. Установка позволяет утилизировать для целей кондиционирования воздуха «холод» охлаждающей воды (12—20°), не пригодной для непосредственного использования в мокрых кондиционных камерах. И. И.

67470. Применение холода в установках искусственного климата. Линге (Kälteverwendung bei Klimaanlagen. Linge K.), Kältetechnik, 1954, 6, № 5, 114—119 (нем.)

Описываются области применения установок искусств. климата и характер выполняемых ими операций: охлаждения, нагревания, увлажнения и подсушивания воздуха и автоматич. регулирования указанных процессов. Рассматриваются типы холодильных машин, применяемых для установок искусств. климата. Приведен способ расчета потребной холодопроизводительности установки.

Р. Г.

67471 П. Составы, препятствующие распространению пламени. Хамполдт (Flame retardant compositions. Happpoldt William B., Jr) [E. I. du Pont de Nemours and Co.], Канад. пат. 515881, 23.08.55

Составы, употребляемые против распространения пламени, содержат (в вес. %): политена ~50, трехокиси Sb 20—35 и твердых хлорированных углеводородов (имеющих в своем составе 55—80 вес. % Cl) ≥ 6. Ю. С.

67472 П. Метод и аппарат для стерилизации воздуха с помощью пара. Вилльсон (Method of and apparatus for vapor sterilization of air. Wilson Broadus), Пат. США 2715056, 9.08.55

Аппарат для стерилизации и кондиционирования воздуха состоит из корпуса, заключающего два смежных резервуара с водой и глицером, а также расположенными над ними нагревательными элементами, и с фитильными устройствами, частично погруженными в воду и глицер. Воздух, проходя над резервуаром с водой, увлажняется ее парами и, проходя над резервуаром с глицером, осушается.

И. И.

См. также: Отравления и борьба с ними 65607, 65608, 66365, 67016, 67017; 19705Бх. Пожары и взрывы 65879, 67435. Удаление радиоактивных отходов 65926. Определение пыли в воздухе 67438. Техника безоп. при обучении химии 64107.

НОВЫЕ КНИГИ, ПОСТУПИВШИЕ В РЕДАКЦИЮ

Основания теоретической химии. Волновая механика в применении к исследованию атомов и молекул. Додель. (Les fondements de la chimie théorique. Mécanique ondulatoire appliquée à l'étude des atomes et des molécules. Daudel Raymond. Traité phys. théor. et phys. math. VI. Paris, Gauthier — Villars, 1956, 236 p., ill.) (франц.)

Книга представляет собой четвертый выпуск из серии «Traité de physique théorique et de physique mathématique», содержащий изложение идей и принципов основных методов современной квантовой химии. Изложение рассчитано на читателя, знакомого с основами нерелятивистской квантовой механики; книга предназначена для лиц, специализирующихся в области квантовой химии.

Книга начинается вводными замечаниями о волновой механике систем с кратким изложением основ вариационного метода, метода возмущений и «метода отклонений».

В первой части книги излагается квантовомеханическая теория электронного строения атома. Описаны принципы основных методов расчета многоэлектронных атомов и, в том числе, метода самосогласованного поля. Подробно рассмотрено понятие оболочки.

Вторая часть содержит изложение принципов основных методов расчета молекул: метода мезомерии, различных приближений метода молекулярных орбит (включая метод ЛКАО с самосогласованным полем и учет взаимодействия конфигураций), метода спин-вращений. Кратко описаны основные идеи расчета колебаний и вращений молекул, приведен обзор важнейших энергетических, геометрических, электрических и магнитных характеристик молекул. Последняя глава второй части представляет собой анализ представлений о химической связи и ее типах в свете современных методов расчета.

Автор указывает, что строению конкретных молекул

и их реакционной способности предполагается посвящать отдельные выпуски этой серии.

Д. Б. Коллоиды и гели. Дюкло (Colloïdes et gels. Duclaux I. Paris, Gauthier — Villars, 1953, 292 p., ill.) (франц.)

Книга принадлежит перу одного из крупнейших современных французских исследователей в области коллоидов. Автор указывает в предисловии, что книга представляет собой введение в коллоидную химию и что в ней сознательно отведено очень мало места математическим теориям и формулам, так как эти теории, по мнению автора, небезупречны и, кроме того, их изложение слишком увеличило бы объем книги. Изложение носит по преимуществу описательный характер, особое внимание уделено опытным фактам и их качественному истолкованию. Химики и технологи, желающие познакомиться с современным состоянием коллоидной химии, но не обладающие достаточными математическими знаниями, получат от книги большое удовлетворение, так как предмет изложен в ней чрезвычайно просто и ясно; вместе с тем изложение находится на современном научном уровне и охватывает практически все коллоидные проблемы.

Книга состоит из 14 глав:

- I. Общие свойства коллоидов.
- II. Получение коллоидных растворов.
- III. Методы исследования коллоидных растворов.
- IV. Методы отделения дисперсной фазы.
- V. Определение молекулярного веса.
- VI. Свойства коллоидных растворов.
- VII. Химическое строение коллоидных частиц.
- VIII. Коллоидные электролиты.
- IX. Устойчивость коллоидных систем.
- X. Коагуляция и флокуляция.
- XI. Равновесие в коллоидных растворах.
- XII. Коллоиды в твердом состоянии.
- XIII. Форма молекул в коллоидных растворах.
- XIV. Гели.

Н. Ф.

АВТОРСКИЙ УКАЗАТЕЛЬ

- А**
- Абаренкова Е. А. 65970
 Аббасов А. А. 67323
 Абдуллаев Г. К. 64835
 Або 64604
 Авдеев А. В. 65730
 Агабальянц Г. Г. 66981
 Агеев А. В. 66546
 Агишев Е. И. 65427
 Агранат Б. 67299
 Адиллов Т. А. 64602
 Айкава 67403 П
 Анабори 65102
 Аним Л. Е. 66790
 Анита 64847
 Акишин П. А. 64251
 Алексенко Н. В. 65823 Д
 Алехин В. Е. 66777
 Алимариин П. И. 65493
 Альтшулер В. С. 65966
 Альтшуль А. Д. 67321
 Аманаса М. 66215
 Амелин А. Г. 65471
 Анапьев В. П. 67291
 Андабурский С. И. 66777
 Андо 66062
 Андриевский А. И. 64386
 Антыков А. П. 66702
 Аояги 67405 П
 Аран 64892
 Аранович Б. С. 65288, 65553, 66142, 66143
 Арбузов Б. А. 64992, 64998
 Арешидзе Х. И. 66028
 Арзамасцев А. П. 66382
 Ариас А. В. 67129
 Ароян А. А. 64874
 Арсенюк А. А. 64925
 Артамонова П. А. 65346
 Арутюнова О. Л. 66033
 Архангельский И. В. 66067
 Асаки 64878
 Асахара 64618, 64848
 Атанасян Е. И. 64504
 Ауэрман Л. Я. 67060
- Б**
- Бабкин М. П. 65957
 Багдасарьян Х. С. 64192
 Бадьяна Е. В. 66287
- В**
- Базилевская И. И. 65271
 Бай Мин-чан 64572
 Баландин А. А. 64527
 Баларев Д. 64324
 Балатев П. К. 65800
 Барабанчиков С. М. 66995
 Баранов В. И. 65587
 Баранов П. А. 65512 К
 Барановский В. И. 64330
 Барашенков Г. В. 64648
 Бардышев Н. И. 66760
 Баркан А. С. 64497
 Бартенев Г. М. 65148
 Барьяни 66364
 Баширова Р. С. 67061
 Бегунова Р. Д. 66991
 Безбородов М. А. 64067
 Безирганян П. А. 64287
 Белькевич В. И. 65598
 Беляевский И. А. 66764
 Беляков М. И. 65471
 Бенашвили Е. М. 66028
 Бенин Г. С. 66892
 Берг Л. Г. 64438
 Бергман А. Г. 64456
 Берман Л. Д. 67359
 Блувштейн М. И. 65694
 Богданова-Березовская И. В. 66143
 Боголепов А. Д. 65730
 Бойкина В. С. 65361, 65380
 Бонч-Бруевич А. М. 65426
 Борзова Л. Д. 65969
 Борисов В. Т. 64331
 Боровский И. Б. 64287
 Боровадина Л. А. 65999
 Брыкина Е. П. 64211
 Будников П. П. 65764
 Бударина О. В. 65998
 Бурмистров М. В. 66995
 Бурмистров С. И. 64881
 Бурчинская Н. Е. 65303
 Бутовецкий В. С. 65961
 Бычков Н. В. 64477 Д
 Багнал К. У. 64680
- Г**
- Гаврилов Ф. Я. 65535
 Гайбания Д. М. 64504
 Галашина М. Л. 64996
 Гандельсман А. Ф. 67375 Д
 Гарновская Г. Н. 975—65977
- Вальтер Л. Я. 67099**
Валяшко Н. А. 64224
Ван Цзюэ-бо 64094
Вань Мин-шао 64116
Вартанян А. Т. 64086, 64231
Варшавский Б. М. 65450
Васильев С. В. 64854
Вахрушева К. П. 66765
Векслер В. И. 64375
Веленцев Е. В. 65997
Великанова Н. С. 64694
Венстрем Е. К. 64626
Веселитская Т. А. 64957
Вечер А. С. 66982
Виденов Н. 65551
Вильямс В. В. 66991
Винберг Г. Г. 64766
Винецкая Е. Я. 66820
Виноградов Е. П. 67167 К
Винокурова Г. М. 64998
Витушкина И. Н. 65347
Вишневская Л. М. 66488
Вишницкая Л. А. 65148
Вишняков С. Г. 64752
Владимирская Е. В. 65025 Д
Владимиров Г. Е. 66347
Владимирова И. Л. 64996, 64997
Воеводкин А. В. 65618
Воеводский В. В. 64085
Воейкова Е. Д. 64557
Волженицкий А. В. 65769
Волох Т. Ф. 65535
Волштейн Л. М. 64694
Воль-Эпштейн А. Б. 66065
Воронков Г. Н. 65729, 65734
Воронов К. Д. 65961
Ворохобин И. Г. 67452
Врба Ч. 64859
- Гаспарян А. М. 67329**
Генадиев А. 67087
Герман Л. С. 64977
Гиларов В. А. 64999
Гинзбург А. Г. 67060
Гинзбург А. И. 64728
Гинзбург В. Л. 65347
Гинзбург Л. И. 66801
Гладшевский 64309
Глебов С. 67433
Гликин С. А. 66483
Глузман Г. М. 67212
Глушенкова Е. В. 65974
Глуховская Р. Д. 65360
Гнусин Н. П. 65643
Гольдфарб Я. Л. 64155 К
Гордон Л. В. 66751
Горелик Б. А. 66755
Горяинов М. Н. 66453
Гостунская И. В. 64823
Гото 65320
Грижко В. С. 67099
Григоровский А. М. 64957
Гриник И. А. 65422
Гримм Е. Г. 65136
Гринберг П. В. 64903
Гринев А. Н. 64930
Григнене Е. К. 67172 Д
Грибонопатель С. Б. 65808
Гросс Е. Ф. 64346
Грубый И. 64859
Грудякина Н. П. 65354 Д
Грузин П. Л. 65759
Грязев Н. Н. 66041, 66077
Гуань И-цзянь 65546
Губерман Г. Н. 67129
Гурвич Н. Л. 66454
Гусева Л. И. 64630
Гу Тин-хэ 66479
Гуцалюк В. Г. 66021
- Даванков А. Б. 65301**
Давыдов И. Я. 64776
Дайго 65373
Дайнеко З. Н. 66764
Данган М. Т. 64871
Данилов С. Н. 65010 К
Даскалов Л. И. 66979
- Дворкин Р. И. 65340**
Деведжиев М. 65544
Делимарский Ю. К. 65467
Денисов С. С. 65482
Денисова Л. И. 65105
Десов А. Е. 65818
Джанджгава Ш. А. 66815
Дзэнно 64882
Диброва З. А. 66086
Диков Л. 66977
Димитрова Л. 65551
Дионисьев С. Д. 67310 Д
Добаси 65705
Добромислова К. Н. 65970
Добротин Р. В. 64063
Довжик В. Г. 65800, 65806
Додонов Я. Я. 69969
Долежал Я. 65277
Дохинян А. А. 64898
Дроздовский В. Ф. 66488
Дубенский К. Н. 65813
Дуденков А. В. 67169 К
Дургарян А. А. 64871
Дуров С. А. 64774
Духовный А. И. 66993
Дьяченко М. И. 65450
- Евдокимов А. Г. 64838**
Егоркин В. Ф. 64151 К
Егоркин Н. И. 67201
Егоров А. П. 65534 К
Езрилев И. М. 64870, 64943
Ельников Ю. В. 65499
Ерещенко Г. В. 66903
Есин К. 65880 П
Ефимов Ю. Е. 65519 Д
- Жевандров Н. Д. 64339Д**
Житенская В. А. 65978
Жмудский А. З. 64288
Жмудский О. З. 64314
Жуков В. А. 65967, 65971
Жукова Е. Н. 66347
Жукова Н. Н. 65997
Журавлева М. М. 65994
Жучкова Е. И. 64497

З

Загорцев Б. Н. 65239
Зайдес А. Л. 65142
Заминян А. А. 67329
Занько А. А. 65268
Заречнюк О. С. 64309
Захарченя Б. П. 64346
Зворыкин А. Я. 64467
Звягильский А. А. 65729
Звягинцев О. Е. 64082
Зеленин Н. И. 65979
Земский С. В. 65759
Зимкина Т. М. 64388
Зороастрова В. М. 64992

И

И Ай 64095
Идельчик З. Б. 64836
Иванов В. И. 65769, 65772
Иванов К. И. 66025
Иванова Л. Н. 64958,
64959
Ивао 65504
Идзуми 65102
Инда 64905
Инага 67395 II
Инагава 66534
Иноуэ 66926
Иогансен А. В. 65406
Ионов Н. И. 65727
Исайма 66484
Исбаси 65186
Исбаси 65294
Исигуро 64583
Исигуро 64601
Исиво 67241
Итано 64960
Итано 66925
Ито 64982
Ито 65685
Ифудзи 65604

И

Йокояма 64603
Йомоса 64393
Йосидзава 66926, 66927
Йосими 65383
Йосино 66543
Йосиноа 67331

К

Кабачник М. И. 64999
Кавая 67369
Кавасаки Х. 67313 II
Кавасима 65262
Кагами 66924
Казакович В. К. 66354
Казанский Б. А. 64823
Казаринова Н. Ф.
65024 Д
Казмирова В. Ф. 66354
Казумов Н. Б. 67002
Кайсер Л. А. 65800
Какабадзе В. М. 65588
Какабадзе И. Л. 65588,
65591
Камбара 66485
Камелин В. П. 66759
Каменицкий С. П.
65820 Д
Камельская И. Н. 65981
Камиянаги Д. 66212

Камнева А. И. 64917
Камышев С. Ф. 65787
Кандлер Н. В. 65338
Каниэ 65274
Капустин М. А. 65640
Караетян К. С. 65824 Д
Каримов А. К. 66024
Каришин А. П. 64974
Карнаухов А. С. 64466
Каров З. Г. 64466
Карпов Б. Д. 67454
Катаев Г. А. 64521
Като 64893
Като 65256
Кац М. Л. 65409
Качинская О. Н. 64211
Каширский В. Г. 65972
Кветков П. Г. 65582
Кедров Б. М. 64062
Кербер М. Л. 64902
Кибота 66924
Киеура 65685
Кильки В. Е. 66790
Кимото 64878
Кимото 65375
Кичура 65320
Кириама 65042
Кирсанов А. В. 64785
Киси 64878
Кислова А. И. 64456
Кисляков Л. А. 65789
Китуанвили Н. А. 64772
Клер М. М. 65221
Климов А. Н. 66347
Клювин Н. А. 65970
Клишиско П. О. 65393
Кобаяси К. 65880 II
Кобзиков Е. 67122
Когана 67451
Когура 67451
Кода 65492
Кодема 65274
Кодзатани 64583
Кодзатани 64252
Кожеуров В. А. 65698
Конокари И. Л. 66999
Кожухаров М. 63238
Козлов В. Н. 66750,
66757
Козляева Т. Н. 67452
Коидзуми 64462
Коидзуми 64651
Коидэ 66925
Колесова М. Б. 64912
Коллеров Д. К. 65978
Коломейцев Н. С. 67334
Колосова В. С. 65969
Колотий А. А. 65467
Кольцов В. С. 67377 Д
Комаров Н. В. 64989
Комиссаренко В. С.
65334
Кондо 64649
Кониси 64905
Коно 65326
Коновалов Г. С. 65304
Конюшенко А. И. 67291
Константинов В. 65812
Коптиг А. А. 64810
Корблев А. И. 67003
Коренман И. М. 64416
Кореньков Д. А. 65587

Коржуев Д. А. 67092
Корнев К. А. 64793
Коротков С. Н. 65807
Косима 66517
Костромина Н. А. 64862
Костюк А. П. 64787
Косуги 66525
Котов В. И. 65764
Кохама 64875
Кохомская Т. Н. 65151
Кошевин А. Ю. 66022,
66023
Кравченко Л. А. 64739
Крайнов С. Р. 64745
Краль Я. 64859
Кремьев О. А. 67469
Кретова Н. Ф. 65729
Крешков А. П. 64987
Кришневич П. Л. 64309
Криптул Ф. Б. 66932
Крохина М. А. 67288
Крупаткин И. Л. 64446
Крыжановский Б. Б.
65980
Крылова А. Н. 65287
Крыхин Г. С. 65822 Д
Кувшинова Н. П. 66041
Кузнецов В. И. 65015 К
Кузнецова М. С. 65732
Кузьмич В. Г. 64832
Кузьминных И. И.
65537 К
Кузешова В. 67122
Кульский Л. А. 65906
Кулаба 64604
Кунии 65550, 67373
Кунитика 65012 К
Кушленская А. А. 66820
Куриленко О. Д. 64648
Курода 65262
Кукама 65186
Кусаков М. М. 66021 —
66023
Кустол Д. М. 64974
Купев В. С. 64448
Кушко Г. М. 64903

Л

Лабунов Д. А. 67378 Д
Лаврентьева А. Г. 66738
Лавровский К. П. 67372
Лазарев А. П. 66686
Лашина Р. А. 64816
Ларин Н. А. 64870,
64943
Ларионов А. К. 67291
Лауфер В. М. 65301
Лебушка Я. 64859
Лебедев О. Л. 64416
Лебедева Л. В. 66765
Лебедева П. И. 65967
Левин А. И. 64593
Левина М. В. 66997
Левина Р. Я. 64251,
64824
Левитина А. Л. 65337
Лельчук Ю. Л. 64461
Леончик Е. Н. 67151
Лепешков И. Н. 64089
Лескович И. А. 64454
Лесюк А. 67433
Либман С. 66858

Ли Мин 64111, 64128
Лин Дин-чун 66479
Липина Н. Г. 64782
Листов В. А. 66082
Лифшиц Г. М. 64457
Лихтман В. И. 64626
Ли Чинь-цзе 64116
Лобачева Н. Б. 65972
Логина Л. Г. 65267
Лоза В. И. 66982
Лозовой А. В. 66065
Лосев П. П. 64902, 65482
Лоскутов В. И. 65518 К
Лубман Н. М. 66022,
66023
Лурье Б. Г. 64330
Лурье Ю. Ю. 65887
Луценко И. Ф. 64981
Луцет З. 65903
Любарский И. М. 64296
Любов В. Я. 64331
Любченко А. П. 64296
Лю Жо-чун 64118
Ляликов К. С. 64556
Ляликовский Б. К. 64663

М

Майер А. А. 65980
Максимов В. Ф. 66774
Малкин В. П. 64585
Малченко А. Л. 66932
Мамедов М. А. 67210,
67211
Мамин А. Н. 64600
Мандельбаум Я. А.
64996, 64997
Маренц М. С. 65004
Маринин В. А. 64563
Марканов Н. А. 65804
Мартин Ф. С. 64682
Мартьяков Е. И. 66901
Маруяма 64589
Масун 64757, 64758
Матага 64651
Матвеева Н. И. 65978
Магузов Т. Г. 65826 Д
Мацуи М. 66183 II
Мацуев Г. С. 66772

Н

Мацумото 65055
Мацумото 65395
Мацунага 66525
Мацуно 67451
Мацуо 65182
Мацуо 65188
Мацуо 65194, 65329
Машкович М. Д. 65731
Маэда 65673 II
Маэда 67451
Маэно 67186 II
Мгалолюбивили А. И.
67000
Медокс Г. В. 64685,
64984
Меерсон Г. А. 65819 К
Меерсон С. И. 65136
Мезенцова Н. Н. 64251
Мейзкова А. Е. 66760
Мельников Н. Н. 64996,
64997
Меркантиан А. А. 66980
Метельник А. И. 67203
Метрикина Р. М. 64912

Мещерский Н. А.
65943 К
Мидзуэма 64247
Миесерова Л. В. 65999
Мизуч К. Г. 64816
Миллов Б. Г. 66809
Миными 65375
Минато 65550
Мирзалинзаде А. Х.
67323
Миронов А. 64078
Митрошина А. В. 65338
Михеев В. И. 64072
Михеева И. М. 67339
Михлина Е. Е. 64947
Мишель Ф. Е. 66052
Мищенко М. Т. 64386
Мнягава 64275
Мнядаки 64540, 64620,
64622, 64623
Мнядаки 64872
Мнядаки 64621
Мнямото 64462
Мнямото 65383
Мнямото А. Л. 64874,
64898
Мозолькова Л. А. 67092
Мокровский Н. И. 64450
Монев Г. 65551
Моргенштерн З. Л. 64340
Мородауни 66924
Моснашвили Г. И.
66994
Моштер П. 65310
Мукояма 65306
Муракава 64596
Муракава 67256
Муриин А. И. 64330
Муромова Р. С. 64211
Мусатов К. А. 66039
Мутто 65207
Мутто 65401
Мухина М. П. 65026 Д
Мугуро 64649
Мэн Най-чан 65882
Мюллер Р. Л. 64374

- Несмеянова К. А. 65652
Нестерова Н. Р. 65001
Никитина А. Н. 64410
Никитина Н. С. 67267
Никитская Е. С. 64948
Николаев А. В. 64082
Николаев И. Е. 65549
Николаева З. В. 65887
Николаевская Е. Е. 66809
Николенько Л. Н. 64810
Никольский А. П. 65448
Никонова Т. А. 65652
Никоноров К. В. 64998
Нисида 65281
Нисидава 64419
Нисидава 65100
Нисимицу 65045
Нисиона 64601
Новиковский В. М. 64593
Новиковский Н. С. 65939
Новикова Л. И. 65038
Новосильцев Н. С. 64360
Ногуты 65110
Нода 66925
Нодава 64426
Ножненко А. А. 66343
Нохихара 65326, 66770
Номы 66532
Нордштрем Э. К. 66758
Носнова А. В. 67092
Нотаров В. Д. 64768
Ныров А. А. 64779 Д
- О**
Оборин В. П. 64529
Огневич В. А. 65811
Ода 64892, 64946
Ода 64833
Оделевич И. Г. 65337
Одельский Э. Х. 65742
Оива 64589
Оива 65161, 65165
Оиси 64847
Онада 66926
Онига 66485
Онигуа П. 65675 П
Ольшевский Б. Н. 65765
Оно 64619
Оно 67451
Онума 65320
Ормонт Б. Ф. 64448
Осики 64896
Осики 65673 П
Осовик Б. А. 65808
Остоиц Н. 65621 К
Ота 65052
Ота 65298
Отани 64605
Отиди 65052
Отин 65121
Оути 64882
Охара 64741
Оя 65134
- П**
Павлов-Гришин С. И. 66995
Пазырев П. Я. 67001
Пай Я. В. 65153
Пайшвер А. В. 65151
Палатник Л. С. 64296
Пан Еон Хвар 64930
Панова А. Н. 66080
Пантелеева Л. И. 65268
Панченко С. М. 67288
Паршина Е. П. 65975, 65977
Пасаров Г. 67166 К
Пасовская Г. В. 65308
Пасынков В. В. 65453
Патровский В. 65277
Пашков В. С. 67152
Педетминский В. Н. 66911
Пенсевич-Коляда В. И. 64836
Пепчев Н. П. 65239
Перебуд Е. А. 65361, 65380
Перельман Ф. М. 64467
Перова А. П. 64464
Песельник В. В. 65775
Петелина В. С. 65972
Писарев В. Д. 65215
Писковитина Г. А. 64862
Платонов Р. К. 65973
Плисов А. К. 64787
Плит В. А. 64498
Поваренных А. С. 64284
Подбельский Г. Н. 65998
Поздняк В. С. 65958
Покаевская В. С. 65969
Покровский Е. А. 65596-65598
Полозов В. Ф. 65959
Полонский Т. М. 64635
Полукарова Т. П. 65650, 65651
Полуэктова Е. Ф. 64756
Попов Л. В. 65305
Попов Л. Н. 65808
Попов П. П. 65001, 65002
Порай-Кошиц А. Е. 64781, 64782
Порай-Кошиц Б. А. 64782
Посыпайко В. И. 64456
Протогорова Л. М. 65202
Пронин С. И. 64147
Проскуряков В. И. 65960
Пудовик А. Н. 64995
Питтницкий П. В. 65549
- Р**
Рабинович М. И. 65966
Рагозина Т. А. 65790
Рамбиди Н. Г. 64251
Рассонская И. С. 64438
Раховская С. М. 66077
Рачко В. А. 67341
Рашба Е. И. 64353
Рашук Н. 65903
Реймидер П. А. 64626
Ревлин И. Я. 64613
Регель А. Р. 64450
Рейнов Н. М. 64346
Рембашевский А. Г. 65960
Рехина Н. И. 67173 Д
Роговин З. А. 65038
Родоупо А. К. 66978
Рождественская Л. А. 65665
Рождественский В. П. 65499
Розенталь А. Л. 67372
Ройтер И. М. 67061
Рост А. А. 66483
Рубанюк Л. П. 67054
Рубинштейн Б. Л. 66682
Рубцов М. В. 64947, 64948
Руднев Н. А. 64630
Румш М. А. 64388
Русанов А. К. 65332
Рухадзе Р. Л. 67000
Руцков А. П. 64567
Рысс И. Г. 64498
- С**
Савинова В. К. 66025
Сагунов В. Г. 64755
Сайто 65230
Сайто 65322
Сайто 65673 П
Сай Цинь-вань 64121
Сакан 64585
Сакан 64604
Сакасита 64252
Саконич Г. В. 64522
Салля А. О. 65416
Салминь Л. А. 64917
Сасада 66484
Сатане 64638
Сато 64525, 64526
Сато 65294
Сато 67451
Сафонова В. М. 64410
Саяма 64850
Светославский В. 66145
Сгибнев А. Т. 64520
Сейма 64604
Секера А. 64859
Семенов С. С. 65974, 65979
Сено 64946
Сенявин С. А. 66065
Сибата 67313 П
Сиверцев А. П. 65959
Сидзе 66924
Сидоров В. А. 65002
Сидоров Н. А. 66080
Сизов В. Н. 65807
Си Лу-ха 64113, 64119
Сильвестрович С. И. 65733
Симидзу 65262
Симидзу 67397 П
Симура 64233
Синагава 65182
Сираи 66333
Сканави Г. И. 65731
Скварченко В. Р. 64824
Скворцова Е. В. 66027
Скиртимонский А. И. 66932
Скопченко Г. А. 67099
Скорбилин С. Ф. 66985
Скуратов С. М. 64211
Скурихина Г. М. 66813
Словинская В. М. 66784
Смирнов Е. А. 64227
Смирнова И. И. 64523
Смирнов-Замков Н. В. 64862
Смит Р. А. 64365
Смолянов Б. 66763
Сморгонский Л. М. 64155 К
Смуров В. С. 66142, 66143
Снегирева Т. Д. 66053
Соколова В. Н. 64831
Соколова Р. В. 65395
Соловьев С. А. 65535
Соломон О. Ф. 64867
Сомия 65344
Сопова О. И. 66438 Д
Соронер В. И. 65800, 65806
Сомештенский Е. М. 64984
Станкович А. 65621 К
Стрелков И. И. 66080
Стрепихеев А. А. 64211
Стригалова Т. С. 64836
Стриганов А. Р. 64415
Столос А. Л. 65219
Стоянова И. Г. 65142
Стронгин Г. М. 65549
Струтинская Н. Я. 65730
Субботин С. В. 65825 Д
Сугани 64382
Суги 67397 П
Судзуки 64540, 64620, 64621, 64623
Судзуки 64890
Судзуки 65320
Судзуки 66894
Супрун Л. 67299
Сухова Л. А. 65821 Д
Сано 66524
Сюй Лип-бонь 66545
Сюй Цзя-ми 66545
- Т**
Тагушева Л. Д. 65967
Танаги 64848
Танада 65330
Танаи 65373
Таната 64849, 64850
Танатри 64899
Такахаси 64620, 64622, 64623
Такахаси 64876
Такахаси 64895
Такахаси 64896
Такахаси 65210
Такахаси 65375
Такахаси 66063
Такидзави С. 66215
Танэмото 65373
Таль К. Э. 65801
Тамура 67241
Танака 64444
Танака 64741
Танака 65326
Танака 65383
Танака 66533
Танака 67369
Тананьо И. А. 64296
Танияма 64850
Тарасевич Н. И. 65493
Тарасенкова Е. М. 65970, 66036
Тарасов Г. Я. 65993
Тарасов Т. И. 65332
Тараин В. М. 64587
Тасиро 64382
Татевский В. М. 64251
Татиона С. 66212
Таусон Л. В. 64739
Тацута 65121
Тевлина А. С. 65489
Тейтельбаум Б. Я. 64447
Терентьев А. П. 64930
Таранова 64872, 64882
Теснер П. А. 66053
Тетюев В. А. 67337
Тимошина З. Г. 65221
Тиранская С. М. 65646
Титов А. И. 64832
Титов Е. А. 64881
Ткаченко Т. Г. 66437
Толпиго К. В. 64353
Толстикова З. Д. 64870
Толстой Н. А. 64335
Толубинский В. И. 65966
Томаш Н. В. 64283 Д
Томашов Н. Д. 67264
Томита 64895
Томонари 65763
Тополоц Ж. 64615
Тумбин П. А. 66802
Туров Ф. В. 66764
Тянь Гуань-шань 64116
- У**
Угольников Н. А. 65360
Укаи 64982
Укше Е. А. 64593
Улановский И. Б. 67267
Умнио 64882
Уно Т. 65830 П
Усманов Х. У. 65153, 66784
Усов Ю. Н. 66027
Усовская В. С. 64948
Успенский Е. М. 67092
Ушанов С. Н. 64867
Ушакова Т. М. 64824
- Ф**
Фабрицы А. 65021 Д
Фаерман Г. П. 64557, 64558
Файзуллин Ф. Ф. 64609
Фалькович Ю. Е. 66998
Фан Юнг А. Ф. 67332
Федоровская Н. П. 65999
Федорченко В. С. 64747
Федосов А. И. 64655
Федосова В. М. 64831
Федотова А. З. 67264
Федотова О. Я. 64902
Фельдман Ю. А. 66143
Феофилов Е. Е. 65975, 65977
Финалов А. С. 65998
Фине В. Б. 64412
Финшан Н. С. 65218, 65219
Флетчер Д. М. 64682
Фрадкий А. Е. 65732
Фридлянд Г. И. 66287
Фуцзицара 65102
Фуцзинга 65186, 65207
Фуцзисо 65100
Фуцзиура 65395

Асторский указатель

Фунамаути 65330
Фунс Н. А. 64663
Фунакубо 65395
Фуруно 66770
Фуруути С. 65830 II
Фуритатова Б. Я. 64947

X

Ханников Ф. М. 65787
Халейций А. М. 64912
Хамский Е. В. 65555 II
Хань Цзун-нань 65468
Харада 65117
Хаяси 64382
Хаяси 64586
Хаяси 67402 II, 67413
Хейфец В. Л. 64613
Хиран 64618
Хираи 65055
Хирано 64982
Хирао 64891
Хирата 64605
Хитров В. А. 64453
Ходаков А. Л. 64360
Хонда 67403 II
Хондэ М. 66212
Хонэ 67451
Хотта Г. Н. 65966

Хорибэ 64419
Хотта 67331
Хохлов С. Ф. 64585
Хохлова О. И. 65297
Христоснов Н. Г. 67221
Хаун Чун-яо 64116
Худякова Н. Д. 67003
Хэ Цзянь 64093

Ц

Цанов Д. 66977
Цветнов Ц. 66707
Цехомская Р. 66145
Пубомура 64252
Цунода 64914
Цугихати 65706
Цыганов Г. А. 64602
Цэнь Сю-фэн 64123

Ч

Чавдаров А. С. 67469
Чалтыкян О. А. 64504
Чаман Е. С. 65105
Чеккин В. Л. 67128
Чельцов В. С. 66437
Ченцова Л. Г. 64344
Чернобыльский И. И. 67469

Чернышев А. Б. 65966
Чечени М. Е. 65770
Чжоу Цун-би 64134
Чивикова А. Н. 64987
Чижневская И. И. 64781
Чирков Н. М. 64085
Чудаков М. И. 66765
Чэнь Го-цзинь 64092
Чэнь Гуан-цзюнь 64117

Ш

Шакин А. Н. 66892
Шарков В. И. 66762
Шафир Г. А. 65966
Шафрановский Н. И. 64072
Шварцзайд М. С. 65769, 65774, 65775
Шварцман Л. А. 64585
Шваста И. 65277
Швехгеймер Г. А. 64826, 64827
Шевченко В. И. 64785
Шевченко М. А. 65906
Шемякин М. М. 65105
Шерендис А. А. 65773
Шерешевский А. И. 65534 K
Шилов Е. 64060

Шихиев Н. А. 64989
Шихкина Н. Н. 64558
Шъянши С. 64615
Шманенков И. В. 65534 K
Шмидт В. А. 65001
Шмулевсон И. Л. 65338
Шостаковский М. Ф. 64989
Штейнбок Н. И. 65486
Штехер С. М. 64211
Шульцек З. 65277
Шурыгин А. П. 65536
Шыманскі В. С. 65958
Шэнь Пянь-вэнь 64125

Щ

Щиголь М. В. 65303

Э

Элинзон М. П. 65808
Эмирджанов Р. Т. 67374 K
Эпельбаум В. А. 64448
Эрллане А. Ф. 66760
Эристани Д. И. 64772

Ю

Юань Хань-цин 64068
Юдильевич М. М. 66079
Юрнова Е. И. 64981

Юрьев В. Н. 66813
Юрьев Ю. К. 64977

Я

Яги 65550, 67373
Ягупольский Л. М. 65004
Якубеня М. П. 65520 D
Якубец Н. 64859
Якубович С. В. 66682
Ямагата 65259
Ямагата 65259
Ямада 66926
Ямamoto 64525, 64526
Ямamoto 64741
Ямamoto 64982
Ямamoto 65210
Ямamoto 65710
Ямamoto 66925
Ямamoto 67179 II
Яманана 66138
Ямасани К. 64065
Ямасна 65210
Ямато 66484
Яно 64627
Яносита 67409 II
Ярембан Е. И. 65459
Ясумура 64946
Ясуя 64893
Ячменева М. А. 65001

A

Abdul L. 65657
Abdul Azim A. A. 56187
Abrahams S. C. 64295
Abramovitch R. A. 65104
Acheson R. M. 64910
Adamik K. J. 66768
Adams C. E. 66191 II
Adler D. G. 64851
Aelony D. 66635 II
Aenishändslin R. 66281
Affleck J. G. 67231
Aggarwal S. L. 65144
Agius P. J. 64502
Agrawal K. C. 65654
Agrell C. E. 65473
Ahmed M. 65031
Ahmed M. D. 67223
Ahranjian L. 65058
Aigrain P. 64364
Akao H. 64359
Akman A. V. 66946
Albert A. 64968
Albrecht A. C. 64223
Alderson R. O. 66703
Aldinger P. 66673 II
Aldrich D. G. 65581
Aleksiev V. N. 65243
Alexeevski E. V. 65241
Alfonso C. 64475
Alfrey T. A. 64513
Alink H. 66439 II
Allan G. W. C. 65982
Allen C. C. 66746 II
Allen C. F. H. 64780, 66440 II
Allen C. H. 67275
Allen H. C. 64220

Al-Mahdi A. A. K. 64405
Alquati M. 66351
Alt C. 67324
Alter A. J. 65898
Altieri P. L. 65399
Alvarez E. F. 64880
Amaya K. 65133
Ambroz J. 65162
Ambroz L. 65162
Amerine M. A. 67033
Ames S. R. 65204
Amiard G. 65107
Amick E. H. 66149 II
Amiel J. 66989
Amiot P. 64612
Anagnostopoulos C. E. 66176 II
Anderson A. P. 66105 II
Anderson H. V. 64149 K
Anderson J. S. 64681
Andersson O. 66805
Andrade Silva M. 64194
Andrews L. J. 64278
Angelescu E. 64277
Anker-Rasch O. 66786
Anquez M. 67120, 67121
Ansell M. F. 64842-64844
Anthony B. F. 65868 II
Antoniades H. N. 65387
Apple E. 64670
Arata H. 64552
Archer D. P. 64841
Archinard P. 66983
Arens H. 64555
Argamakoff A. 67390 II
Argersinger W. J. 64568
Arich G. 64476
Aries R. S. 66830 II
Armandola P. 67125

Armstrong L. 66304 II
Arnau P. 64846
Arnault A. L. 65570 II
Arnold H. 64764
Arnold H. 66715, 66727
Arnold J. R. 65455
Arnold J. W. 64362
Arnold L. K. 66850
Arnold R. T. 66206 II
Aron A. 64363
Arpesella L. 64901
Artmann K. 64187
Ashworth M. 65211
Asmis H. 65073
Asthana R. S. 64909
Astoin N. 64214
Asuncion-Omarremente-ria M. C. 65255
Audrieth L. F. 65000
Auerhammer S. 65222
Augustyn W. 64492
Austin L. W. 65562 II
Auter R. W. 66623 II
Auerhoff H. 66349
Averbach B. L. 64289
Awe W. 65394
Axelrod J. M. 64731
Axford A. J. 66428
Aycock B. F. 66622 II
Ayer W. A. 65082
Ayscough P. B. 64542

B

Bachl H. 65953
Bachman G. B. 64684
Bechmann R. 64865
Backenstoss G. 64174
Backis M. 64857
Bacon A. 65291

Bacon O. C. 66874
Baddiley J. 66410 II
Baddour R. F. 64633
Badea L. 67421
Badger W. L. 67356
Bagg T. C. 64710
Baggerly L. L. 64173
Baggett J. M. 66634 II
Bagnoli E. 67367
Bagot Y. 66851
Bahout R. 67361
Bähr H. 66615 II
Bailey A. E. 67411 II
Bailey H. C. 64503
Bailey R. W. 66756
Baird W. 66151 II
Baker G. A. 67033
Baker H. 66013 II
Baker J. W. 64897
Baker V. H. 67018
Baldassini L. 66050
Baldwin D. E. 65053
Balk A. N. 65457
Ball C. O. 67091
Ball R. H. 65495
Bandyopadhyay D. 65185
Banerjee B. K. 64307
Banerjee B. L. 67434
Banes F. W. 66609 II
Bang M. A. 66969
Bankowski C. 67222
Baraclough D. H. 65919
Barbera A. 66286
Barcia Goyanes C. 65456
Bardhan J. C. 64921
Bardolle J. 64537
Barker J. W. 66085 II
Bärlechner G. 66956

Barltrop J. A. 64910, 64911
Barnard A. J. 64983
Barnet G. A. 65291
Barnett R. S. 67259
Baró Graf I. C. 65260
Baronetzky E. 64666
Barraban P. 67182 II
Barrère M. 64221
Barrick P. L. 65392
Barringer C. M. 66040
Barth T. F. W. 65785
Barth W. 67325
Bartkowicz S. 64070
Bartlet J. C. 66336
Bartoli M. 65179
Bartolotti M. 64229
Bartuska M. 65343
Barzik H. 65860 II
Bass S. L. 66652 II
Bastien P. 64612
Basu S. 64197
Basu S. N. 66271
Batdorf E. L. 64282 II
Bate S. C. 66826 II
Batel W. 67371
Bates E. B. 66294 II
Bäucker A. 67079
Bauer E. 64205
Bauer E. 65364
Bauer S. 64906
Raumann F. 64942
Raumann G. P. 66038
Baumgarten H. E. 64964
Baumgarten-Tramer F. 64081
Baumgartner R. 66872
Baxendale J. H. 64549
Bayles J. W. 64803

- Beach A. L. 65357
Beach J. G. 65678 II
Bear J. 64345
Beaumont C. F. A. 64395
Becherer G. 65432
Becker E. I. 64513
Becker S. 64262
Becker W. 66667 II
Beckmann E. 64767
Beereboom J. J. 65072
Beets M. G. J. 64806
Beggs W. C. 64168
Behre A. 67147
Behrens H. 64700
Behringer H. 64797
Beidler E. A. 65574 II, 65576
Belcher R. 65237, 65358
Bellomonte G. 64949
Belser R. B. 65748
Bemleitner H. 66349
Bénard J. 64530
Bence W. 65120
Bendel W. 64528
Bene E. 66231
Bengelsdorf I. S. 64994
Benjamin G. J. 67440
Benk E. 66462
Bennett A. 65668 II
Bennett C. E. 64671
Benning A. F. 66117 II
Beral E. 64153 K
Beran K. 65372
Beranová D. 65377
Berce R. 67303
Berestecki J. 64234
Berglund J. H. 66059
Bergmann F. 64790
Bergmann J. 66739 II
Bergmann P. G. 64423
Bergström J. 68805
Berlinger F. M. 64514
Berini F. 67096
Berka A. 66387
Berkey R. A. 64624
Berkmen N. 66946
Bernadac B. 66898
Bernauer K. 65118
Berneking A. D. 65253
Bernet E. 67423
Bernus E. 67040
Bernstein I. 67025
Bernstein S. 65061
Berstein I. 66922
Berthold G. H. 66645 II
Bertolini G. 64169
Bertram O. 66825 II
Besanlou S. 64190
Besthorn H. H. 66234 II
Bethune J. L. 66970
Bettinetti G. F. 64967
Bettoni M. 64169
Betts R. H. 64417
Beutelspacher H. 64644
Bevington J. C. 65156
Beynon J. H. 65232
Bhatnagar R. P. 65266
Bhattacharji S. 65071
Bhattacharya A. K. 64590, 64591
Bhattacharya P. R. 65166
Bhatthy M. K. 66856
Bhirud S. D. 66370
Biagiotti E. 65755
Biancani M. 64476
Bianchetti G. 65079
Bickoff E. M. 66345
Bidon F. 64822
Biedermann W. 64528
Bienert B. 64942
Biermacher U. 64861
Biggs A. I. 64575
Bigou J. 64888
Bijvoet J. M. 64325
Bilgenbay S. 66718
Billerbeck C. J. 64421
Billeter E. 64238
Binapfl J. 66196 II
Bindell W. 64103
Birch A. J. 65046
Birch S. F. 66020
Bird P. G. 65948 II
Birss F. W. 64697
Bisagni M. 64928, 64929
Bischoff F. E. 66413 II
Bishop C. T. 65041
Bishop L. R. 66937
Bištan E. 64991
Bistline R. G. 66868
Black P. J. 64371
Blake E. S. 66834 II
Blanchart A. 67453
Blaug S. M. 65390
Bleaney B. 64264
Bleuler E. 64170
Blinc M. 67069
Blom J. 66974
Bloomfield R. J. 66634 II
Blowers F. F. 66133 II
Blue J. W. 64170
Bluestein B. R. 64684
Bobalek E. G. 64632
Bobo H. 65614
Bobowski E. 65181
Bobtelsky M. 65269
Bocchia A. 66388
Bockhoff F. J. 66578
Bockmühl M. 66208 II
Bockris J. O'M. 64562
Bocquet G. 64576, 65184
Boehm F. 64173
Boettcher A. 64297
Bogs U. 66360
Bogusławska K. 66818
Böhm K. 67200
Böhmel 66944
Bohr N. 64181
Bohun A. 64342
Boje L. 64099
Böker R. 66404 II
Bolkowski J. 65782
Böltz G. 65263
Bonastre J. 66338
Bond W. I. 65433
Bonnard O. 67135
Bönnemann F. 66016 II
Bonner T. G. 64516
Bonner W. A. 64813
Bonner W. H. 65348
Boomgaard J. 64384
Boon W. R. 64965
Borello E. 64518
Borghetty H. C. 66256, 66274, 66275
Borišek R. 66771
Bořkovec A. 64923
Bořkowski B. 66392
Borruso D. 66779
Borvay J. 65389
Boschetti P. 67185 II
Bose S. 65084
Bosomworth G. P. 66487
Botafogo Gonsalves N. 65047
Bötther O. 64373
Boubals D. 65614
Bourdier J. A. 65584
Bourdon J. 64920
Bourquin J. 64073
Boutteville R. 67422
Bowes D. R. 64742
Bown D. E. 64508
Boyd J. M. 67112
Boyd T. 66654 II
Boyle W. 66457
Bozso I. 66261
Brachmann E. 64129
Bradley D. C. 64688
Bradley R. S. 64656
Bradley W. 64969
Bragt J. 64833
Branch S. J. 64811
Brand B. G. 66508 II
Brandenberger E. 65784
Brandt F. A. 65509
Brannen C. G. 66128 II
Branson W. R. 65962
Brass P. D. 66491 II
Braude E. A. 64913
Braude E. A. 65093, 65094
Braun W. 65431
Braune J. F. 65889
Bredelhoff H. 66601 II
Breger I. 64746
Breil H. 66519
Breitbach F. 66015 II
Breitenbach J. W. 65135
Bremer H. 64531
Brenner V. 65740
Bretznajder S. 64492, 64493
Brewer F. M. 65278
Brice M. K. 64165
Brice T. J. 65670 II
Brien E. B. 66057
Brim W. 65425
Brindamour N. E. 66375
Bring A. 66540
Brini-Fritz M. 65017 II
Brink J. C. M. 66559
Brink K. C. 67381 II
Brison R. J. 67330
Brito A. C. 64729
Britton E. C. 66204 II
Brodersen R. 66404 II
Brodkorb F. 66608 II
Bromirski A. 67031
Bronisz H. 67049
Brooker L. G. S. 66444 II
Broser W. 64528
Brown F. 65509
Brown F. H. 65683
Brown G. H. 67019
Brown G. P. 64980
Brown H. C. 64868, 66198 II, 66605 II
Brown J. K. 64241
Brown J. R. 65027
Brown L. H. 66518
Brown L. V. 65564 II
Brown S. A. 65447
Brownell 67014
Brownell L. E. 67056
Broz I. 65404
Bruce R. B. 65611
Brugmann W. H. 66132 II
Brümmer O. 65432
Brun J. 64422 II
Brunhofer J. 67163
Bruni G. 64159
Brunner M. 66072
Bruno S. 66335
Bruson H. A. 64083
Bruxelles G. N. 66710
Bryan J. M. 67162
Bube R. H. 64356
Buchar E. 65008 K
Bucher H. 66817
Büchi J. 65382
Büchner K. 66184 II
Bucha E. 65091
Buckingham J. E. 66937
Budán L. 67431
Buděšinský B. 65192
Budner A. E. 66742 II
Buehler A. 66239 II
Bues W. 64240
Bühler H. H. 66290
Buhlmann 65722
Bulatovski P. 66432
Bulewicz E. M. 64222
Bullman G. A. 67034
Bu'Lock J. D. 65095
Bungardt K. 67262
Bunker M. E. 64166
Bunsen H. 64678
Burdé R. 67213
Burešová K. 66732
Burger A. M. 66451
Burger M. 65372
Burgermeister R. 66690
Burianec Z. 65325
Buriánek J. 66902, 67110
Burke H. J. 65127 II
Burke W. J. 64915
Burlage H. M. 66366
Burnett G. 66850
Burns L. 64546
Burrell H. 66684
Burriel-Marti F. 65255, 65687
Burrows 66508 II
Burwell R. L. 64805, 64806
Busala A. 64399
Busch J. 64692
Bush G. H. 65235
Bushuk W. 65398
Busnelli A. 66286
Bütikofer E. 66329
Bulter E. A. 65174
Butler K. H. 67249 II
Buu-Hoi N. P. 64916, 64928, 64929
Buyn K. E. C. 66735
Byars H. G. 67302
Byczkowski A. 65590 K
Byers J. R. 66440 II
Bylicki A. 65992

C
Cabarcos M. 66064
Cabicar J. 64535
Caccia G. G. 66595
Cackett F. G. S. 66431
Cadiot P. 65020 II
Cailleux A. 64713
Calcamuggio G. L. 65409
Caldas A. 65183
Caldwell J. 67278
Caldwell J. R. 66621 II, 66627 II
Caldwell W. A. 66792
Cali L. J. 65327
Callis C. F. 65788
Cambí L. 64265
Campagne E. 64908
Campbell E. J. 66106 II
Campbell J. G. 66697
Canaway R. J. 65476
Canjar L. N. 66064
Cannon J. H. 65439
Čapek Z. 65791
Capron G. 66270
Caratsch F. 66953
Carelli V. 65114
Carlene P. W. 66840
Carlson T. A. 64551
Carmichael E. S. 66074
Carney A. L. 65273
Caronna G. 66335
Carré J. 66313 II
Carreró J. G. 66327
Carrick W. L. 64815
Carrington H. C. 64965
Carrol B. H. 66441 II
Carroll P. K. 64216
Carson F. J. 65831 II
Cartwright D. R. 64579
Casadevall A. 64269
Casares R. 64770
Cassidy W. A. 64733
Castaing R. 65227
Cathcart J. A. 66625 II
Cavallaro L. 64458
Cavallito C. J. 66400 II
Cayless M. A. 65236
Celani P. J. 67414 II
Čeleda J. 65527
Celinska D. 65622 K
Ceragioli G. 66779
Cerini L. 66322 II
Černý J. 65009 K
Čerkin A. 64152
Chaitanyan C. 65157
Chambard P. 27206
Chambers V. H. 65363
Chang Chin 65057
Chapon M. S. 65125
Charlett S. M. 66717
Charm S. E. 67040
Charnicki W. F. 66361
Charret M. 64571
Charrin V. 65699
Chatten L. G. 66374
Chatterjee R. 65083
Chatterji R. K. 67048
Checchi S. 64961

- Chedin J. 66785
Chemla M. 64418
Cherniavsky A. J. 65571 II
Chester A. E. 67315 II
Chiaretti G. 64402
Chiavarelli S. 65075
Chilton J. P. 67266
Chovin P. 64962
Chowdhury J. K. 66272
Christian J. E. 66389
Church B. M. 65619
Ciborowski J. 67368
Cifalik J. 65214
Civitareale E. 66371
Clare R. 67438
Clark A. W. S. 66845 II
Clark E. H. 66681 II
Clark M. E. 65890
Clark R. F. 65006
Clarke F. E. 65878
Clandel B. 64367
Claus B. 65507
Clausen P. D. 67080
Clausnitzer G. 64183
Clayton J. C. 65481
Clegg H. P. 64439
Cleland J. K. 67181 II
Clement J. R. 64406
Clemo G. R. 64952
Clendenin W. W. 64185, 64186
Clifton D. G. 64482 II
Cline R. E. 64908
Coes L. 65761
Coffin V. H. 64671
Cohen O. P. 66311 II
Coit R. L. 67279
Cole E. 65911
Cole J. W. 64980
Coleman M. B. 65890
Collings W. R. 66312 II
Collins C. J. 64813
Colombo L. 66713
Colonge J. 64887
Compton C. C. 67037
Conant J. W. 64390 II
Conia J. M. 64834
Conner R. C. 66130 II
Connors F. L. 66520
Conover C. S. 64775
Conrad F. 66147 II
Cooke N. J. 65113
Coops J. 65457
Cope A. C. 64927
Copp J. L. 64472
Coppi E. 67464
Corak W. S. 64428
Corcoran G. B. 65200
Corcoran N. 66726
Cork J. M. 64165
Cornell J. 66537
Corniou P. 66463
Cornu P. J. 64919
Corradini P. 65131
Corrao A. 67090
Correia E. M. 66990
Cortelyou J. R. 65904
Cotter J. L. 64803
Cotton R. H. 65392
Cottrall L. G. 66800
Coulter H. W. 64751
Coupe R. R. 66736
Crabtree 66526
Crafton J. M. 66581
Craig A. B. 66842 II
Craig F. A. 66808
Craig W. E. 66203 II
Craig W. L. 66811
Cramer F. 64279
Cramer F. 67320
Creasy J. J. 66792
Creighton R. H. J. 66163 II
Cressey S. C. 66464
Crews L. T. 66100 II
Crisafio R. 66374
Cristea M. 66862
Cristiani G. 64402
Cropper F. R. 65363
Cross P. C. 64249
Crossley H. 65363
Crowell T. I. 64980
Crowley H. C. 65068
Cruckshank A. 65593
Csányi L. 64495
Csányi L. J. 64592, 65321
Csellincev G. V. 64061
Cucci M. W. 67127
Culberson O. L. 66031
Cullis C. F. 64501, 64507
Cullis C. F. 65201
Cullum T. V. 66020
Culvernor C. C. J. 65068
Cunder J. 66747 II
Cunningham G. L. 64468
Curlin L. C. 66372
Curphey E. G. 66068
Curtis N. S. 66955
Cusic J. W. 66220 II
Čiuta F. 65325
Cwillich R. 65601
Dachseit E. 64460
Da Fano E. 67392 II
Dahlstrom D. A. 67023
Dailey M. C. 65873 II
Dalglish J. 66269
Dallinga G. 64683
Dalquist M. S. 67178 II
Dalziel P. G. 66555
Dame C. 67105
D'Amico A. 66334
Dancy W. B. 65559 II
Danielsson I. 64659
Danner H. R. 64431
Danulat F. 66008 II
Danusso F. 65159, 65160
Darabos L. 67450
Darling C. S. 67274
Darmois G. 64559
Dart J. C. 66030
Dasgupta D. R. 64307
Dasgupta S. 65088
Date W. B. 67155
Datta S. K. 65302
Dauben C. H. 64290
Dauben W. G. 65058
Daudel R. 64189, 64190, 64204
Daul G. C. 66250
Dauphin J. 66328
Dautreppe D. 64256
D'Auzac de La Martinié J. 66493 II
Devenport R. J. 67440
Dávid A. 66330
Davidson C. F. 64720
Davies C. W. 64443
Davies J. W. 66951
Davis B. F. 66866
Davis D. S. 66566
Davis S. J. 66841
Day H. M. 66631 II
Day R. K. 65708
Dean C. 64254
Dean R. A. 66020
Debaste H. 67168 K
Debska W. 66352
Debski S. 65583
Deferrari J. O. 65034
Defontenay P. A. 66318 II
De Francesco F. 66984
De Geaive F. 65915
Dehlin S. O. 65473
Deile L. 66046
Deinet J. 66243 II
Djerassi C. 65072
Dekay H. G. 66375, 66379
Delaby 67406 II
Dela Grange L. A. 67272
Delicate W. S. 64421
Deville J. 64599
Demmelt H. 65198
Denham F. H. 66812
Denman W. L. 65949 II
Denney D. B. 64814
Denyer R. L. 66020
De Riz O. 66839
Descamps J. 65227
Desdoigts J. 66547
Deshmukh G. S. 65292
Desikachar H. S. R. 67052
Desjoberg A. 65173
Destriaud G. 64338
Destriaud M. 64338
Deul M. 64746
Deulofen V. 65034
Dewar M. J. S. 64191
Dewein H. 66456
Dewing T. 67466
Dhar M. L. 64976, 65071
Dhar M. M. 65071
Diamond H. 66134 II
Dickinson N. L. 66095 II
Dierkes G. 66257
Dikstein S. 64790
Dillinger M. 66899
Dilworth T. 66114 II
Dimick K. P. 67118
Dimittiroff J. M. 65405
Dittner D. C. 64509
Divet L. 65914
Dixon J. K. 66209 II, 66223 II
Dixon W. J. 66865
Djerassi C. 65070
Doak G. O. 64993
Dobry A. 64646
Dobson A. M. 66579
Dodd R. E. 64486
Dodsworth R. F. 64911
Doering W. E. 64814
Doiwa A. 65226
Dole M. 64433, 64712
Dolezal J. 65277, 65339
Doljak M. 66434
Dolmetsch H. 65141
Domanský R. 66798
Domine-Berges M. 65794
Donath E. 67004
Donnay J. D. H. 64318
Dooze O. 67062
Döring F. 65862 II
Dornow A. 64828—64830
Dorzee P. 66054
Doskař J. 65672 II
Douglas B. E. 64695
Douglas C. H. 65521 II
Douglas J. G. 65037
Dougherty M. H. 65934
Dove W. F. 67036
Downs J. J. 64499
Dows D. A. 64242
Dpeep T. M. 64556
Drabek B. 65929
Dräger H. 67131
Drain D. J. 66401 II
Drake G. L. 66279
Draper D. R. 67189 II
Dresselhaus G. 64378
Drever R. W. P. 64164
Dreyfus B. 64256
Dreyfus M. G. 65421
Drüglster O. 65810
Drzymalla A. 65875 II
Dubois J. E. 65211
Duchesse J. 64255, 64257
Dudley W. G. 67258
Duff D. J. 66337
Duff M. 66277
Duff R. B. 65451
Duffy J. E. 66430
Duftschmid F. 66109 II
Duggan M. 67270
Duke F. R. 64496
Du Mond J. W. M. 64173
Duncan J. F. 65529
Dunkley M. E. 67176 II
Dutta S. 64955
Dutton K. R. 66474 II
Duval C. 65190, 67050
Duwez P. 65683
Dvořák J. 64634
Dvořák J. 65149
Dyer F. 64570
Dykj J. 65367
Dziedziłowicz W. 65388
Dzierżawski J. 67209
Earhard H. W. 66089 II
Eberius E. 65351
Eckert C. F. 66491 II
Eckert E. R. G. 67344
Eckey E. W. 66703
Eckhardt P. K. 67442
Eckstrom A. W. 67398 II
Eddy C. E. 67017
Eder T. 65797
Edelhauser H. 65135
Edmonds D. H. 67273
Edwards G. E. 65668 II
Egger C. J. 67399 II
Egorov A. P. 65532
Ehlers G. 66716, 66723
Ehrenberg A. S. C. 67035
Ehrlich P. 64674
Eichler E. 64577
Eigenberger E. 67316 II
Elichi 64188
Eisenbrand J. 67161
Eisenhut F. 65866 II
Eisenlohr H. 66346
Eisenstadter J. 65269
Eklund O. F. 67013
Ekstam T. 66797
Ekwall P. 64659
El-Ansary M. S. 66251
Eller G. 64303, 65434
Elliott K. M. 66006 II
Ellis A. W. 65472
Elwell W. T. 65316
Emilsson B. 65620
Engel E. 66014 II
Engelbrecht L. 66766
England B. D. 64515
Englander H. P. 67357
Engler H. D. 64185
Ensor G. R. 65043
Epstein E. 65532
Epstein L. F. 67277
Ernst A. F. 65424
Esche W. 67287
Eschenmoser A. 64800
Esenwein P. 65784
Espe W. 65851 II
Etchells D. 66332
Etienne A. 64920, 64924
Evans A. G. 64803
Evans E. A. 64913
Evans J. G. 66668 II
Evans U. R. 67266
Evans W. P. 64578
Everling F. 65428
Eye J. D. 65941
Eymery A. 66821 K
Eynon L. 66905
Faderl N. 65078
Fahey J. E. 65612
Fahrenfort J. 64326
Fahrig W. 65717
Fainman M. 66120 II
Fais Ahmad Shams 64730
Falk B. J. 65856 II
Falk H. L. 67456
Fanke W. 64075
Fano E. 66218 II
Farber E. 66823 II
Farlow M. W. 66604 II
Farmilo C. G. 66336
Farrington J. F. 66796
Farthing A. C. 65174
Faust J. 66073
Faust J. W. 64481 II
Favini G. 64510
Favre J. 64246
Fawcett C. H. 65615
Fear E. D. 67194 II
Fedele D. 64709
Fehnel E. A. 64784
Fehr K. 66002 II
Feichtinger H. 66184 II
Feigl F. 65183
Feldman C. 64389

- Feleki L. 66261
 Fernández Cellini R. 65324
 Fernellus W. C. 64695
 Ferns J. F. 65894
 Ferrari C. 65315
 Fessenden E. 64442
 Feuer H. 64684, 64855
 Feuersenger M. 67094
 Feuge R. O. 66855, 66859
 Feuillet G. 65946 II
 Fiala J. 65850 II
 Fical C. 65756
 Fiedler O. 66965
 Fieldes M. 64760
 Fierke S. S. 66446 II
 Fieselmann H. 64879
 Figurovski N. A. 64071
 Filachione E. M. 67220
 Fina P. E. 66575
 Fina R. W. 64168
 Finkel M. 66778
 Finkelnburg W. 64160
 Finzi Contini B. 66942
 Finn C. 65836 II
 Fisch A. 64182
 Fischer A. 65693
 Fischer C. H. 66514
 Fischer E. 64317
 Fischer F. 65164
 Fischer H. 64597
 Fischer H. 67301
 Fischer J. 65226
 Fischer J. 65676 II
 Fischer L. 65350
 Fischer R. 65391
 Fischer W. K. 66678 II
 Fiser E. 66907
 Fisher E. B. 66083 II
 Fisher G. J. 66153 II
 Fisher G. S. 66761
 Fisher J. 67196 II
 Fisher J. W. 66838
 FitzGerald E. B. 66731
 Fitzgerald W. E. 65413
 Flahaut J. 64675
 Flaig W. 64644
 Flamm M. A. 66683
 Flanders J. S. 65625 II
 Fleischmann R. 64183
 Fletcher A. C. 66694, 66696
 Fletcher R. C. 64376
 Fleury J. P. 64972
 Flint O. 64616
 Flood H. 64455
 Flörke O. W. 65703
 Flynn J. H. 64702
 Fock M. 64069
 Fodor D. 65331
 Foerst W. 64148 K
 Fogarasi B. 65552
 Fogerty D. E. 67294
 Fok Shu-Ming 64632
 Földi A. 65067
 Földi T. 65067
 Földi Z. 65067
 Foley H. M. 64177
 Folkers K. 65098
 Foltz C. J. 67427
 Fond L. D. 66350
 Fontaine A. 64866
 Fontein E. J. 67385 II
 Förland T. 64452
 Formigoni N. 65132
 Fornelli D. 66274, 66284
 Fortess F. 66278
 Forward F. A. 65575 II
 Foss N. E. 66385
 Foster J. R. 65605
 Foulton A. 66931
 Foulton A. 67268
 Fourness R. K. 66230
 Francis A. W. 66086 II
 Francis P. S. 64801
 Frandsen L. 65638 II, 67193 II
 Franks A. 65429
 Franta I. 66489 K
 Franz H. 66029, 66189 II
 Franzen 66150 II
 Franzen V. 64794
 Franzke C. 66854
 Frazer B. C. 64311
 Fredemark G. L. 65568 II
 Frederick M. R. 66178
 Frederiks J. C. 67134
 Freedman L. D. 44993
 Freeman D. C. 64904
 Freeman F. M. 66470
 Freeman R. R. 65725
 Freier R. 65312
 Freise V. 64647
 Freitag C. 65265
 Freitag W. O. 64280 II
 French C. M. 64267, 64268, 64631
 Frenz G. 66721
 Frey C. N. 67057
 Frey W. 65567 II
 Fricke K. 64771
 Friedel R. A. 65412
 Friederich H. 66177 II
 Friedlander H. N. 66606 II
 Friedli H. 64864
 Friedman L. 64208
 Friemel W. 64381
 Fries E. 64096, 64110, 64115, 64120
 Frisoli L. D. 66317 II
 Fritts C. J. 67280
 Fritz H. 66611 II
 Fröhlich H. G. 66836
 Fromandi G. 66505 II
 Frommelt H. A. 67393 II
 Frosterus E. G. 65746
 Fry A. 64815
 Fry D. J. 66445 II
 Fuchs A. 66966
 Fuchs K. 67065
 Fuchs N. 64661
 Fuchs O. 66611 II, 66659 II
 Fujino K. 66252
 Fujishiro R. 65133
 Fukui K. 64195
 Fukushima D. K. 65062
 Fuller H. C. 66917
 Fuller R. B. 66583
 Fulop J. 67450
 Funke G. 65745
 Fuqua M. C. 65540 II
 Furukawa G. T. 64432
 Furukawa J. 64517
 Fuß K. 66947
 Fykse O. 64455
 Gaeng F. E. 66957
 Gaffney J. 64406
 Gagnon L. P. 66379
 Gaiser R. A. 65833 II
 Gál G. 65366
 Gallagher T. 65062
 Gallaher R. B. 65817
 Galluzzo J. F. 66064
 Galperin B. 65498
 Gamo I. 64237
 Garbati-Ochanaiz A., 65861 II
 García Aguado R. 66906
 García Perez J. 67467
 Gardner P. D. 65049
 Garfunkel M. P. 64428
 Garino M. 66904
 Garner F. H. 65983
 Garner P. J. 66123 II
 Garsou J. 64257
 Gascó Sánchez L. 65324
 Gaskin J. G. N. 66905
 Gaspar R. 64180
 Gašparik J. 65313
 Gaspar Tebar D. 65687
 Gassmann L. 65040
 Gaudemar G. 64846
 Gautier M. R. 67463
 Gazda I. 67248 II
 Gaze R. 64688
 Gazith M. 64505
 Géczy I. 66231
 Geffeken W. 65702
 Gehant J. 67292
 Gehlen H. 64573
 Gehrman W. 64528
 Geiger B. 65784
 Geilenkirchen W. 66640 II
 Gell R. J. 65080
 Gentile P. S. 65212
 Gentner W. 64721, 64723
 Geoffroy R. 67045, 67071
 Gerard J. 65593
 Gerding H. 64250, 64683
 Gerhard H. 66461
 Gerischer H. 64606
 Gerlicz K. 67101
 Germain L. M. 66679 II
 German W. L. 65758
 Gerri N. J. 64488
 Gerritsen H. J. 64683
 Gerritsen J. C. 66476
 Gerritsma K. W. 67134
 Ghatge N. D. 64952
 Gher R. 65000
 Ghosh N. N. 65193
 Ghosh T. N. 64955
 Giacometti G. 64193
 Giannini A. G. 65905
 Gibbs E. M. 65728
 Gibsen K. F. 67159
 Giefer L. 65299
 Gigiel J. 65963
 Gilewska C. 67025
 Gilmore E. H. 64570
 Gill F. P. 65679 II
 Gillieson A. H. 64716
 Gillin J. 67365
 Gindler E. M. 64514
 Ginger I. D. 67130
 Ginsburg D. 64907
 Giuglioli B. C. 66334
 Giulotto L. 64402
 Glasgow C. O. 67404 II
 Glasen L. 64700
 Glazer E. J. 66207 II
 Glemser O. 64698
 Glenat R. 64845
 Glenz H. 64075
 Glogoczowski J. J. 64750
 Glover P. M. 65602
 Gnaedinger J. P. 67235
 Gnamm H. 67202
 Gnichtel H. 64528
 Godard H. P. 67252
 Godin G. W. 64503
 Godrej B. P. 66861
 Goebel K. 64721
 Goedkoop M. L. 67246 II
 Goerk H. 65834 II
 Goettel E. 67126
 Goetz C. A. 65342
 Goguel J. 64715
 Göke G. 65189
 Goldblatt L. A. 66761
 Goldblith S. A. 67010, 67012
 Goldblum K. B. 65152
 Golding W. E. 65472
 Golebiowski G. 65768
 Golt R. K. 65241
 Gömöry I. 64991
 Gompper R. 64971
 Gonick E. 64695
 Gonzalez-Sanchez F. 64245
 Good W. D. 64435
 Gooding C. M. 66878 II
 Goodings E. P. 66227 II
 Goodkin S. J. 66568
 Goodman I. 65169
 Gootman E. A. 64569
 Gorbach G. 65198
 Gordet A. 67283
 Gordon P. L. 64513
 Gordon S. 64547
 Gorman A. E. 65926
 Gorman D. H. 64319
 Görnhardt L. 67027
 Górski M. 65590 K
 Götte E. 66869
 Götte H. 65229
 Gottfried D. 64718
 Gottlieb O. R. 65480
 Gütsche H. 64321
 Götz O. 64142
 Götzman K. 66677 II
 Goubeau J. 64240
 Gough W. H. 66973
 Gourlay J. B. 66564
 Govindachari T. R. 65077
 Goyer G. G. 64657
 Graber R. P. 65065
 Graf L. 67261
 Graham E. R. 65333
 Graham M. E. 65574 II
 Graham W. D. 65137
 Gramm E. 66741 II
 Grammaticakis P. 64226, 64228
 Granham J. E. 65633
 Granier J. 64214
 Grannis W. C. 66494 II
 Grant H. L. 66960
 Grant N. J. 67257
 Grassi M. 64901
 Graßmann W. 67204
 Graue G. 65955
 Gray C. F. 66098 II
 Gray P. 64851
 Greber W. 64533
 Green R. 66537
 Greenberg I. 66350
 Greene F. D. 64798
 Greenhalgh N. 64965
 Greenwell H. E. 67302
 Greenwood D. 65633 II
 Greenwood H. H. 64196
 Gregg S. J. 64524
 Gregory C. 67427
 Gregory R. A. 64935
 Gregory V. P. 64856
 Gremer A. 66602 II
 Gremm W. 65223
 Gresham T. L. 66159 II
 Gresham W. J. 65483
 Grief W. 66144
 Griffin J. C. 66380
 Grigull U. 67336
 Grillot E. 64383
 Grimshaw R. W. 65681
 Grindrod J. 65580
 Grob R. 65353 II
 Groebe F. 66638 II
 Groeneveld W. L. 64683
 Grogan C. H. 64941
 Groom R. W. 66889 II
 Gros A. T. 66855
 Groschwitz E. 64369
 Gross H. M. 66384
 Grossi F. X. 67236
 Grossmann-Doerth U. 64408
 Grubner O. 64535, 64634
 Grudkowski S. 66916
 Grune W. N. 65917
 Grungo G. 65755
 Grunow H. 67227 II
 Gruszczyński T. 67030
 Gruzensky P. M. 65663
 Guasco L. 66305 II
 Gubelin E. 64724
 Gucker F. T. 64577
 Guedeney F. 64221
 Guedras A. 67282
 Guermont J. P. 64825
 Guerrini F. 67441
 Guest R. J. 65286
 Guggenheim E. A. 64564
 Guillot A. 67041
 Guillemonat M. 66753
 Guinet E. A. 66315 II
 Guinier A. 64288
 Guinier G. 64483
 Guiton J. R. 66824 II
 Guittard M. 64675
 Gulbinskas M. 64692
 Guldner W. G. 65357
 Gulevič O. 65726
 Gumlich H. E. 64338
 Gundermann E. 66693
 Gunn R. 64660, 64662
 Günthard H. H. 64238

Авторы указатель

- Günther H. 65653
Gupta R. K. 64167, 65402
Gürne D. 64973
Guth E. P. 66378
Guthrie J. D. 66279
Guyer R. B. 67112
Gyenes I. 66342
Gysin H. 65628 II
- H
Haas C. 64326
Haas G. 67283
Haas M. 64391 II
Haberland H. 66160 II
Hache A. 67269
Hack T. A. 65564 II
Hacker D. S. 64643 II
Hadley D. J. 66227 II
Haelele J. 66473 II
Hagdahl L. 65473
Hagemann A. 66108 II
Hagemeyer H. J. 66620 II
Hague A. 66695
Hahn F. L. 65314
Hahn R. B. 65282
Haliburton W. 65510
Hall A. J. 66300 II
Hall L. L. 64449
Hall N. A. 66365
Hall R. H. 65123
Haller W. K. 65400
Halpern O. 65120
Ham G. E. 66842 II
Hamann K. 66640 II
Hamann S. D. 64394
Hamlin H. C. 66530
Hamlin K. E. 64861
Hamm R. 65270
Hammond A. E. 67109
Hammond B. R. 64560
Hampton R. R. 66570
Hancock C. K. 67239
Hancock W. 65376
Handcock M. G. 65803
Handler G. S. 64657
Hanic F. 64203, 64313
Hankins E. M. 66623 II
Hannay R. S. E. 66308 II
Hannig E. 64889
Hansen C. J. 66201 II
Hansen N. 64531
Hansen O. 66832 II
Hansen R. P. 65113
Hansen W. C. 65805
Hanson H. L. 67133
Hanssen E. 67085
Hansson R. P. 65684
Happoldt W. B. 67471 II
Hacquin P. 66246 II
Haranath P. B. V. 64217
Harang H. 65560 II
Hardouin M. 67293
Hardwick J. M. D. 65985
Hargie M. P. 65115
Hargreaves J. 65681
Hariharan T. A. 65111
Haring H. G. 64250
Harlin H. A. 67056
Harper E. A. 64681
Harries F. H. 65603
Harris 64786
Harris A. L. 65488
- Harris E. H. 67220
Harris M. C. 65912
Harris W. E. 64417
Harrison A. 65475
Harrison D. 64268
Hart E. J. 64547
Hartley J. 66123 II
Hartman L. 65370
Hartmann G. 67116
Hartnett J. P. 67338, 67344
Haseltine T. R. 65936
Hasenclever D. 67432
Hashmi M. H. 65201
Haskovec J. 67021
Hattiangadi R. R. 65780
Haucke A. 64106
Hauptmann K. H. 67113
Haury V. E. 66746 II
Hausdorff H. 66570
Hausen H. 67362
Hauser A. 64690
Hauser O. 65879
Hauser R. L. 66669 II
Hautecler S. 64219
Havif J. 65284
Hawthorn R. D. 64633
Hayes F. 66814
Hayward L. D. 65027
Hazel J. F. 65481
Hazewood R. N. 66648 II
Haselberg J. 65881
Hazleton L. W. 65611
Head M. J. 65476
Heard H. D. 65723
Hebberling H. 67295
Heczko T. 65496
Hedlund R. C. 66688
Hedvall A. J. 67370
Heeringa L. G. 64806
Hegmann W. 65649
Heidler K. 65845 II
Heidt L. J. 64234
Heilmann R. 64845, 64846
Hein F. 64693
Heinemann H. 66030
Heinz L. 66920
Heisel P. 66188 II
Heiskell R. H. 66325 II
Heiskell T. W. 66197 II
Hellberg H. 66383
Hellmann H. 65101
Henderson W. B. 65940
Hendrickson Y. G. 65018 II
Hendus H. 64409
Henglein F. A. 65863 II
Hengst K. 67418
Hénin S. 64754
Henkel F. 65778
Hennig T. 65951 II
Henri-Robert P. 66486
Herbststein F. H. 64289
Herdegen E. 64459
Heritage C. C. 66663 II, 66664 II, 66666 II
Herndon L. K. 65952 II
Herout V. 65048
Herr M. E. 65060
Herrick E. C. 66604 II
Herrmann E. 65909
Herrmann F. 64097, 64133
- Herrmann K. 65379
Herrmann W. 64672
Hertog H. J. 64833
Hess F. 66886 II
Hessen R. 66636 II
Heukelekian H. 65918
Heumann T. 64332
Hevenor K. P. 66888 II
Heyden R. 67207
Heydenburg N. P. 64175
Heymès R. 65107
Hickindottom W. J. 64839—64844
Hicks J. C. 65562 II
Hietanen S. 64581
Higgins D. J. 65633 II
Highet R. J. 64821
Hill B. N. 65348
Hill L. R. 66095 II
Hill R. K. 65076
Hiller K. H. 64640 II
Hillig F. 67148
Hindle W. H. 66306 II
Hinschelwood C. 64487
Hintenberger H. 65231
Hirs J. G. 66047
Hirsch P. 65921
Hirschmann E. 64672
Hirsjärvi V. P. 67055
Hiszpańska C. 67053, 67102
Hlaváč J. 65343
Hobson R. M. 64209
Hochheimer B. F. 65420
Hochstein F. A. 65069
Höchtlen A. 66553
Hock C. W. 66875
Hock R. 64769
Hock W. 67023
Hodge H. P. 66133 II
Hodgkin D. C. 64306
Hodgkinson R. J. 64372
Hoeffle M. L. 66244 II
Hoeve 66293
Hoffmann A. S. 64421
Hoffmann K. 65350
Hoffmeister R. 66554
Hofmann E. 65902
Hofmann F. 64074
Hofmann P. 65339
Hoge J. H. 65872 II
Hogg J. A. 65060
Hogsed M. J. 66194 II
Höhler G. 64352
Holan J. 66267
Holden O. W. 67391 II
Holdt G. 65216
Holewinski S. 64722
Holford R. S. 65414
Holland L. 64351
Holle F. 66003 II
Hollingshead E. A. 64617, 66000 II
Hollingsworth R. L. 65609
Holloway B. J. 66837
Holluta J. 65892
Hollyday W. C. 66116 II
Holmberg E. G. 67281
Holton P. G. 64842
Holyer N. F. 65090
Holzer K. 65040
Holzkamp E. 66519
- Homer H. H. 67249 II
Homeyer A. H. 65081
Honeyman J. 65035, 65037
Hopf P. P. 66737
Hopkins R. P. 67237, 67238
Hoppe A. 66029
Hoppe H. 67064
Horeczy J. T. 65348
Horino T. 66252
Hörl E. 65438
Horn D. H. S. 65112
Horn W. S. 64158
Horne J. E. T. 64720
Horning E. C. 64956
Hornstein I. 65599
Horst W. P. 66653 II
Horstmann D. 67285
Horton W. J. 65049
Hosemann R. 65430
Hoskins R. H. 64261
Hough L. 65030
Houser E. A. 65319
Hovorka V. 64079, 64080, 65240
Howard G. A. 66951
Howard J. P. 64631
Howe W. H. 67417
Howell W. C. 65005
Howson W. B. 64705 II
Hoyos de Castro A. 65695
Hrbek A. 64401
Hrubesch A. 66166 II
Hrubešová M. 65528
Hrzek B. 65851 II
Huang W. T. 64727
Hubbard F. 65795
Hubbard J. C. 64399
Huber H. 67143
Huck G. 66043
Hubeček S. 65377
Huebner D. W. 67408 II
Huemmer H. 66164 II
Huerre J. B. 66680 II
Hughes E. W. 64300
Hughes G. K. 65080
Hughes W. B. 66083 II
Hugot E. 66908
Hugues F. 66656 II
Huhn W. 66340
Hummel C. 65689
Humoller F. L. 65032
Humphreys C. J. 64181
Humphreys D. D. 66198 II
Hundert J. 65272
Hunger G. 65145
Hunsmann W. 65234
Hunstad N. A. 67435
Hunt H. 64582
Hunten D. M. 64708
Hunter J. A. 65272
Huntzicker H. N. 65873 II
Hunziker F. 65050
Hurter A. M. 66799
Husband R. M. 66776
Hushley W. J. 67250 II
Husney R. M. 64654
Huss J. 65405
Hutchins H. H. 66367
Hutchinson E. 64652
- Huyek C. L. 66376, 66380
Hyatt A. A. 64839, 64840, 64843, 64844
Hyne J. B. 64484
Hynes F. J. 65737
- I
Ibrahim S. H. 65280
Ichiguro S. 66536
Ifland R. 65432
Igarashi Y. 64552
Imura F. 64380
Ikeda K. 64380
Imhoff K. 65942 II
Indelli A. 64458
Indyk A. D. 65709
Inglett G. E. 64934
Ingram R. L. 65606
Ingram W. M. 65891
Inoue E. 64491
Inukai T. 64792
Irion W. 66219 II
Isaraseña A. 65115
Isayama J. 66544
Isbell H. S. 65032
Isbin H. S. 67344
Ische F. 64828—64830
Isherwood F. A. 64244
Isler N. H. 67034
Isida T. 64873
Issa I. M. 65187
Ito S. 66263
Ivanenko D. 66895
Ivanoff D. 66455
Ivanova L. 66455
Iversen E. 65307
Iversen H. W. 67426
Ivory H. G. 64808
- J
Jadłowski A. 64235, 64544, 64545
Jackman E. H. 65137
Jacobs M. B. 66458
Jacoby A. L. 65948 II
Jacquez J. A. 65405
Jacquier R. 64866
Jaenicke W. 66677 II
Jäger A. 65968
Jahn H. J. 64689
James A. E. 66390
James G. S. 65177
Jameson H. R. 65629 II
Jamnicki 67255
Janáč J. 65411
Janák J. 65206
Janensch J. 66936
Janicki J. 66344
Janisczyn H. 66417 II
Jankovic S. 65900
Jankowski S. 67074
Janosky M. 67021
Janot M. M. 66363
Janssen E. 65743
Janthur H. J. 64138
Janz G. J. 65413
Jaspers A. M. 66439 II
Jászay T. 67358
Jaulmes P. 66987
Jaworsky R. 64420
Jayme G. 65145
Jedrzejowicz S. 67137

Авторы указатель

- Jeffreys R. A. 64979
Jellinek C. F. 65634 II
Jellinek Z. K. 65445
Jenckel E. 66571
Jeništa V. 65547
Jenkins S. H. 65937
Jenny R. 67304
Jensen O. F. 65589
Jentsch D. 65209
Jerchel D. 65364
Ježek J. 66254
Jha J. B. 64591
Jha S. 64167, 65402
Jilek A. 65284
Jindra A. 65196
Jirsova J. 65437
Johannsen W. 65181
John Z. 66549
Johnson A. J. 65571 II
Johnson A. J. 66018
Johnson F. D. 66729
Johnson J. W. 65748
Johnson R. E. 64499
Johnston R. G. 64710
Jolivet E. 64761
Jolley J. E. 64539
Jolly J. 65064
Jolly W. L. 64858
Joly R. 65064
Jona F. 64312
Jones A. L. 64443
Jones A. S. 65323
Jones B. 64811, 64812
Jones B. R. S. 65937
Jones E. K. 66066
Jones E. R. H. 65095
Jones F. L. 67124
Jones J. D. 65867 II
Jones K. H. 66151 II
Jones L. R. 65386
Jones R. E. 65063
Jones R. L. 64244
Jones S. T. 66513
Jones T. G. 66097 II
Joos P. 64302
Jörder H. 66276
Jørgensen O. B. 65557 II
Jorissen A. L. 67425
Joseph J. 66582
Joshi K. M. 64614
Josien M. L. 64243
Jost K. H. 64336
Jouan P. 65109
Jukes R. N. 65490
Jullien I. 27206
Jumar A. 64945
Junge A. E. 65835 II
Jureček M. 65397
Jurenkova E. 65845 II
Just M. 64109
- K**
Kabadi M. B. 64465
Kaczka E. A. 65098
Kadkol S. B. 67043
Kaeding W. W. 66202 II
Kaffka K. 65440
Kahl L. 66005 II
Kahr K. 66161 II
Karpainen P. K. 64574
Kaiser D. W. 64970, 66225 II
Kaiser L. E. 64509, 64804
Kajetanowicz Z. 67149
Kakihana H. 64636
Kalbag S. S. 65126 II
Kalewicz Z. 66701
Kalinowski M. L. 66100 II
Kamiński A. 64669
Kaminska D. 66392
Kaminski A. 66392
Kampmann F. W. 64240
Kanai Y. 64368
Kaplan M. L. 64654
Kapral A. M. 65829 II
Kar J. 65897
Karasek F. W. 65319
Karkhanavala M. D. 65436
Karle I. L. 64273
Karle J. 64273
Karrer P. 65073
Katchalsky A. 65163
Kato S. 66263
Katti P. K. 64566
Kattwinkel G. 65968
Kaufman F. 64488
Kaufman J. W. 66366
Kaufman V. F. 67174 II
Kawai H. 66252
Kawata K. 65150
Kaye W. 65410
Kaye W. G. 66807
Kays W. M. 67335
Keane C. C. 67439
Kear R. W. 67271
Keefer I. C. 66712
Keefer R. M. 64278
Keil A. 65661
Keil T. R. 66204 II
Kellam B. 66591
Keller H. 65671 II
Keller K. 66832 II
Keller R. T. 64927
Kellö V. 64161
Kelly E. J. 67117
Kelly S. M. 65890
Kelsey R. M. 67460
Kemula W. 65381
Kenaga E. E. 65631 II
Kendall D. N. 66570
Kendall J. D. 66445 II
Kennon L. 66377
Kenttämä J. 64699
Keohane K. W. 65417
Kergomard A. 64888, 65369
Kerker M. 64650
Kerkhof G. 65707
Kerman A. R. 64162
Kern R. 66504 II
Ketchum B. H. 65893
Ketelaar J. A. A. 64326, 64683
Keune H. 64127
Khalique M. A. 65031, 67223
Khanna N. M. 64976
Kharasch M. S. 64795
Kharbanda O. P. 67115
Khorana M. L. 66370
Khuda M. M. 66788
Khundkar M. H. 65657, 66788
Kiang A. K. 64580
Kielland J. 65560 II
Kieninger H. 66972
Kilbride W. 66845 II
Kilby W. 66306 II, 66308 II
Kilpi S. 64574
Kimberlin C. N. 66098 II
Kind W. 66876
Kindervater F. 64679
Kindt G. G. 66893
King L. F. 66136 II
King T. E. 66172 II
Kingston R. H. 64370
Kinoshita H. 64818
Kipling J. J. 64628
Kirjonen A. 66923
Kirpatrick S. D. 66562
Kirmse H. 64101
Kirschenlohr W. 65036
Kirschner M. 67064
Kis J. 65389
Kispersky J. P. 64852
Kiss J. 64759
Kitchener J. A. 64562
Kitzer A. S. 65817
Kjonaas M. 65564 II
Klager K. 64852, 64853
Klang M. 66862
Klatte H. 67261
Klein E. 66436
Klemenc S. 67069
Klemperer M. E. 65074
Kley W. 64797
Kliemt H. 66435
Klier E. 64357
Klier K. 64535
Kling W. 66867
Kloos G. R. 66572
Klopper 66150 II
Klopper W. J. 66939, 66940, 66954, 66971
Klosa J. 64932, 64933
Knabe J. 66331
Knasch M. B. 66158 II
Knee T. E. C. 64804
Knight A. H. 65451
Knighton H. J. 65714
Knoepke O. H. 66657 II
Knorr F. 66938
Knowlton R. E. 66115 II
Knox W. T. 66091 II
Kobe K. A. 64471
Kober M. L. 66361
Koch E. J. 66584
Koch J. 67081
Koelsch C. F. 64259, 64260
Koeppel S. 67029
Kohl J. 67416
Köhler F. 66647 II
Köhler R. 66632 II
Köhler W. 66700
Kohlins W. D. 67357
Kolde S. 64188
Kolbe E. 67300
Kolbezen M. J. 64915
Koller V. 65989
Kollmannsperger H. 65449
Kölln H. O. 66716
Kolmayr F. 65254, 65391
Komatsubara H. 64517
Komenda J. 65423
König A. 65516 K
Konow R. 66787
Kopfermann H. 64181
Körbl J. 65356
Kordes E. 64272
Korp H. 66822 II
Kortenhorst A. T. 66954
Kortus J. 65244—65246
Kos J. 67084
Koski W. S. 64551
Kosloski C. L. 66173 II
Kosta L. 65175
Köster R. 66181 II
Kostolanský A. 64966
Kótal A. 65108
Kotera A. 66536
Kotin P. 67456
Kottasz J. 67123
Kovács K. 65108
Kowalski W. 65351
Kozdembas S. E. 66594
Kozłowski L. 64298
Kraege H. J. 64528
Krafft W. 67187 II
Kraft J. 67205
Kramer E. 64647
Kramer W. 65783
Kraner H. M. 64735
Krapuhin B. A. 65533
Krassowski B. 67208
Kratzsch E. 66291
Kraus A. 66704
Kraus F. 64865
Kraus K. A. 64637
Kraus L. S. 65920
Kraus P. 66395
Krause A. 64494
Krause K. 64114
Kräma R. 65840 II
Krémery V. 65311
Kredentser H. 66698
Kresge A. J. 64225
Kreuz K. L. 66221 II
Kriegel W. W. 65709
Krietsch E. 66425
Krishnamurty V. V. G. 64437
Křivánek L. 66429
Kröger C. 65688
Kröger F. A. 64384
Kropa E. L. 66168 II, 66192 II
Krsek H. W. 66789
Krüger R. H. 64877
Krüger R. 64528
Krumbiegel J. 64336
Krzywicka A. 67201
Krzywicki E. 67218
Kučera M. 66348
Kuck J. A. 65399
Kudrnovská-Pavílkova E. 65214
Kuffner F. 65078
Kuhn R. 65036
Kühnel R. 64135
Kuljk H. J. L. 67024
Kuisel H. 65927
Kuk-Meiri S. 65384
Kulesza J. 65622 R
Kuloor N. R. 65530
Külz A. 66213 II
Külz I. 66213 II
Külz W. 66213 II
Kumamoto J. 64511
Kume T. 66919
Kumler W. D. 64788
Kundzins W. 65611
Kuppenheim H. F. 65405
Kuroiwa T. 65140
Kurth G. 64528
Kuss E. 64403
Kut D. 64090
Kut S. 64090
Kut S. 66539
Kužel R. 64357
Kwart H. 64801
- L**
Labecki T. D. 65904
Laberrigue-Frolow J. 64172
Labino D. 65842 II
Lachowicz S. K. 64474
Ladbury J. W. 64507
Ladd E. C. 66170 II
Lafferty G. J. 66384
Laffitte E. 64236
Laffitte P. 64732
Laffolie H. 65217
Laghi A. 64361
Lagoutte B. 65839 II
Laid H. 66177 II
Laibl F. 65834 II
Lai J. 66537
La Manna A. 64901
Lambe T. W. 67232
Lambert M. 64288
Lambrecht J. A. 66180 II
Lampitt L. H. 66917
Land J. E. 65447
Land W. M. E. 66607 II
Lange F. 65862 II
Lange H. 66585
Lange H. J. 64131
Langhammer G. 64139, 64140
Langosch G. 66004 II
Lanning F. C. 66565
Lapkin M. 64791
Laplanche H. 65345
La Rotonda C. 65610
Larson C. M. 66069
Láska S. 64152
Latimer W. M. 64427
Laube C. G. 66631 II
Laubie H. 66396
Laue E. 67034
Laug E. P. 67016
Laurescu C. 67145
Lauritzen C. W. 67234
Lautsch W. 64528
Lavit D. 64916
Lawrence F. J. L. 66107 II
Lawrence R. V. 65053
Laws E. Q. 65376
Lawson J. V. 67307
Lazzarini E. 64169
Leach J. H. 66668 II
Leanza W. J. 66412 II
Lebas J. M. 64243

- Le Berre A. 64924
Lebowitz J. L. 64423
Le Cacheux P. 66804
Lecher H. Z. 66173 II
Le Chevallier M. 67429
Lechleitner E. 66418 II
Lecocq A. 65498
Lederer E. 65051
Lee C. O. 66379
Leeds N. S. 65062
Leeming P. R. 65095
Legros R. 67042
Lehman A. J. 67016
Lehmann F. 66213 II
Lehmann H. 65747
Lehmann K. 64213
Lehmann W. 65515 K
Lehnert L. H. 65703,
65712
Leider H. R. 64347
Leiserson L. 67153
Leistner L. 67144
Leistner W. E. 66657 II
Leland T. W. 64471
Leleu M. 67429
Lenhard R. H. 65061
Lennander S. 64320
Lentz N. 65249
Leonard N. J. 64225
Leonard S. J. 67105
Le Sech E. 64887
Lesenyei J. 65925
Lessiau J. 66851
Lethan D. S. 65323
Letort Y. 65751
Letré H. 65056
Leubner G. W. 66442 II
Leuchs O. 66509
Leva M. 67364
Levenson G. I. P. 66426
Lever B. M. 66955
Levin R. 66326
Levin R. H. 65060
Levine H. S. 65317
Levio W. J. 64438
Levitin N. 66752
Levy G. B. 66386
Levy R. 65359
Levy R. M. 65563 II
Lewic H. R. 64951
Lewin S. 65466
Lewin S. Z. 64442
Lewis B. 64310
Lewis P. R. 65258
Lewis U. J. 67130
Lewon J. 66890
Ley H. 65671 II
Licata F. J. 66747 II
Licciardello J. J. 67140
Lichtenberger J. 64972
Lichtenstein N. 65384
Lidiard A. B. 64328
Lieck K. 65688
Liederman D. 66061
Lienert H. 66976
Linckh E. 66109 II
Lindars F. J. 64487
Lindberg B. 65039
Lindblom R. C. 66202 II
Lindström L. J. R.
65568 II
Lindholm E. 64207
Lindsay R. A. 67356
Lingamfelter F. P. 66566
Linge K. 76470
Lingelbach H. 65895
Lingens F. 65101
Lippert E. 64299
Lipscomb W. N. 64299
Lissowski P. 64661
Litovitz T. A. 64411
Livingston A. L. 66345
Livovich A. F. 65805
Li Yin-Yuan 64377
Ljölje K. 64341
Lloyd H. A. 64956
Lloyd W. R. 66366
Löbl E. 65834 II
Lock G. 65007
Loeber F. C. 66814
Loeblich V. M. 65053
Loewenthal H. J. E.
65059
Lothouse E. 65669 II
Logan J. K. 64406
Lölliger H. C. 65616
Loncaric R. 67302
Loneragan R. J. 65235
Long J. S. 64149 K
Long R. 65983
Longchamp R. 65617
Longfield J. E. 64489,
64490
Lönasjö O. 64163
Loon W. 67410 II
Loprest F. J. 64463
Lora-Tamayo M. 64880
Lotspeich F. J. 64939
Lotz R. 66167 II
Lounamaa K. 65264
Lounsbury M. 64717
Loury M. 66853, 66871
Louw J. D. 64719
Loveland J. W. 65327
Lovell D. E. 66495 II
Loveridge B. A. 65257
Loving T. S. 64763
Loving W. L. 66101 II
Lowden G. F. 65479
Lowen J. 65273
Lower E. S. 66464, 66465
Loy B. R. 64261
Loyd R. J. 65319
Lubowicz W. M. 67224
Luce S. B. 67190 II
Luckhaus R. 65314
Ludwig B. J. 64885
Ludwig G. 64114
Ludwig J. 67328
Lugli A. M. 66364
Luh B. S. 67105
Lupfer D. E. 65319
Lüscher E. 65418
Lutz H. 64885
Lutz A. H. 64944
Lutz R. E. 64897
Luvisi F. P. 67220
Lyle G. G. 64950
Lyle R. E. 64950
Lyon T. 64411
Lytle M. L. 67278,
67311 II
M
McAlevy A. 66500 II
McAuliffe P. J. 66356
McBay A. J. 66397
McCailla D. 66548
Macarthur A. 66151 II
McCarthy J. L. 66786
McCarthy P. R. 66129 II
McCauley C. A. 65483
Maccoll A. 64502
McCollister D. D. 65609
McCollough P. 64703 II
McConnell W. B. 67058
McCoskey R. E. 64432
McDermott J. P. 66114 II
Macdonald A. M. G. 65358
Macdonald R. N. 66646 II
Mace H. 66472 II
McFarlane W. D. 66960,
66961
McFarlin R. F. 64868
McGrath H. G. 66110 II
McGregor R. R. 66556
McGregor W. S. 65599
Machu W. 65644
Macinelli P. 66706
Mack G. P. 66649 II
Mackay J. D. M. 66845 II
McKeehan W. 65405
Mackenzie J. D. 64562
McKetta J. J. 64471,
67258
Mackintosh I. M. 64350
Mackor E. L. 64683
MacLaren F. H. 66100
MacLinn W. A. 67091
Macmillan W. G. 66271
McNabb W. M. 65481
McNary R. R. 65934
McNeil L. W. 65424
McNiven N. L. 65494
MacPhee K. E. 64910
McQueen D. M. 66448 II
McTaggart F. K. 64345
McWhinnie M. A. 65904
Madar J. 64313
Maborsky S. L. 65667 II
Madroñero R. 64880
Maes E. 67047
Maffei S. 64967
Magay F. 66358
Magdalinski F. 66672 II
Mahajan J. R. 65089
Mahesh V. B. 65119
Mahl H. 66867
Mahlman B. H. 66710
Maier W. 64470
Maiti P. C. 65083
Mijer J. 65149
Majewska D. 67141
Majumder S. K. 67052
Makower B. 67118
Maksimow A. 65590 K
Makutz A. 65641
Malcolm E. D. 65508
Malić D. 64396
Malkemus J. D. 66883 II
Maltshewsky N. 67106
Mamalis P. 64809
Manerberger A. 67170 K
Manneback C. 64239
Mansur K. 66391
Mansvelt J. W. 67073
Many G. 66803
Marchant A. 64954
Marchini P. 65114
Marécoff N. 66455
Marey R. 64887
Margaret M. 64786
Margerum J. D. 65425
Margot A. 65628 II
Marichal M. 66983
Marinero A. T. 65655
Marini-Bettolo G. B.
65075
Mark H. 64083
Marmier P. 64173
Maron S. H. 64632
Marrian S. F. 66740 II
Marsden C. 66139
Marsel C. J. 65991
Marsh G. L. 67105
Marshall C. A. 65154,
65155
Marshall D. E. 66879 II
Marshall P. 64582
Marshall W. L. 64463
Marteret J. 66561
Martin C. W. G. 66019
Martin D. 65491
Martin D. L. 64430
Martin G. 66810
Martin G. R. 64706
Martin H. 66211 II
Martin H. 66519
Martin-Guzmán G.
65011 K
Martinette S. M. 64692
Maruicij N. 64636
Marwedel G. 66720
Mark P. 64433
Mascas A. 64588
Maslakowa W. 67031
Masler L. 64906
Mastaglio D. 66219 II
Mataga N. 64658
Matalon R. 66419 II
Matell M. 64883
Mathers A. P. 66928
Mathur P. B. 67093,
67095
Mathur R. B. L. 66912
Matsuda H. 66536
Matsumori H. 65603
Mattauch J. 65428
Matternas L. U. 64956
Mattill H. A. 64934
Mattler J. 64338
Mattocks A. M. 66373
Mattraw H. C. 65415
Mattsson E. 64595
Mattu F. 66354
Maucher A. 65222
Mauguin C. 64714
Maurach H. 65704
Mawhinney R. J. 27216
Mayer F. X. 65285
Mayer W. 64865
Mayhew J. 65608
Mayne J. E. O. 66694
Mazia J. 67312 II
Mazumbar A. K. 66783
Mazurkiewicz A. 67462
Meakins R. J. 64362
Meals W. S. 66668 II
Meauze F. 65844 II
Medcalf E. C. 66195 II
Medem Sanjuan J. 65935
Meenakshisundaram T. K.
65197
Mehaffie S. 67276
Meier A. 67324
Meilgaard M. 66069
Meis J. 66184 II
Meisel F. 64879
Meites L. 65514 K
Meixner N. 65033
Mejer L. 65716
Melamed S. 66622 II
Melichia A. 66482
Mellet R. 64420
Melnick D. 66878 II
Melore P. J. 66103 II
Meltzer T. H. 66633 II
Meltzheim C. 65328
Melville J. 66248
Menčik Z. 65138, 65462
Mende H. G. 65735
Mende L. 67248 II
Mende R. 65209
Mendelowitz A. 65340
Meneses M. F. L. 66376
Menghini C. 66362
Meppen B. 65557 II
Mer G. G. 65601
Mercea V. 65441, 65458
Merker P. 66350
Merker R. L. 66126 II
Merkle E. 65661
Merritt F. R. 64376
Merton-Bingham B. E.
64500
Mesler R. B. 67455
Metcalf W. K. 65417
Meth M. 65674 II
Metzger E. 66268
Meunier V. C. 67238
Meusel H. 64108
Mewes R. 64102
Meyendorf G. 64124,
64136
Meyer K. 65866 II
Meyer K. 66425
Meyer W. T. 66607 II
Meyershan K. 66541
Meyerhof W. E. 64163
Michaels A. S. 67230
Michel R. 65109
Mikula R. 65883
Millar R. E. 66773
Miller A. A. 66223 II
Miller C. C. 65272
Miller F. 66381
Miller R. 65592 II
Miller R. J. 65724
Miller S. 65295
Miller W. S. 66309 II
Miller W. T. 66146 II
Milligan W. O. 64451
Mills J. S. 65054
Milner G. W. C. 65283,
65291
Milner O. I. 66061
Milojevic M. 65900
Milosovich G. 66373

- Milton C. 64731
Miner S. S. 66681 II
Minnis B. R. 65873 II
Miranda H. 67059
Mirklin E. J. 67170 K
Mirviss S. B. 66609 II
Misra G. S. 64909
Misumi T. 67184 II
Mittra S. N. 67048
Mittal O. P. 65116
Mittton R. G. 67216, 67217
Mize J. P. 64166
Möbus W. 67327
Mochel W. E. 66443 II
Mock R. A. 65154, 65155
Möckel P. 64553
Modiano A. 65601
Modiano J. 64783
Moen R. 67178 II
Möhle H. 64143, 64144
Mohr W. 67051
Mokry J. 64966
Moldenhauer O. 66219 II
Molfino F. 67448
Moljk A. 64164
Molnar B. 64180
Molnár L. 66339
Mondria H. 66112 II
Monfils A. 64255, 64257
Monk C. R. 64578, 64579
Monkman F. C. 67257
Monnier D. 65247
Monnier M. 65293
Monson J. E. 64293
Montanelli G. 65462
Moore D. B. 65995
Moore G. E. 65420
Moore H. W. 67183
Moore R. N. 66761
Moore T. E. 64569, 64570
Moore W. R. 66791
Morawiecki A. 66699
Moreau J. 64530
Morel P. M. 66563
Morgan J. H. 67284
Morgan J. W. W. 65035
Morgan R. H. 67114
Morino Y. 64270
Morisset P. 67254
Moritz H. 65248
Morley D. W. 67415
Morlock G. 64597
Morren H. G. P. J.
66399 II
Morris D. F. C. 65278
Morris-Ashton K. 65990
Morrison M. 65029
Morrison W. C. 67019
Mors W. B. 65072
Mortlock A. J. 64333
Morton G. A. 64358
Morvay J. 65389
Morway A. J. 66132 II
Mosely R. B. 64508, 64512
Mosher H. S. 64837
Moss T. S. 64355
Mossel D. A. A. 67024
Moston K. C. 65046
Mottern H. O. 66093 II
Mottram S. 66531
Moure H. 64962
Mousseron M. 64866
Mouton E. J. 66480
Moylan J. J. 66542
Mudrovičič M. 66424
Mueller R. T. 65485
Mueller W. 67076
Muftić 67255
Muir I. D. 64740
Mukerjee H. 66567
Mukharji P. C. 65059
Müller H. 64409, 64693
Müller J. 65719
Müller K. 65693
Müller S. 64743
Müller W. 67376 J
Müllner F. X. 65050
Münder H. 66950
Münzel K. 66329
Murakami H. 64200
Murdock J. W. 67427
Murray H. E. 66598
Murray T. F. 66440 II—
66442 II
Musakin A. P. 65241
Musselman J. M. 66115 II
Mutchmor J. S. 66000 II
Muth H. 65711
Mutte A. 66293
Muxart R. 64420
Myers H. S. 66026
Myers R. R. 65444

N
Nadasy M. 66140, 66141
Nadolska J. 64459
Nagano T. 64869
Nagata C. 64195
Nagy E. 67248 II
Nair A. P. M. 65280
Nancollas G. H. 64443
Nandi U. S. 65158
Nann H. 65671 II
Nanu I. 66690
Naraoka K. 66536
Narasimhan N. S. 65077
Narziß L. 66959
Nash T. 65103
Nasipuri D. 64921
Nath B. 65088
Naumann G. 66590
Neeman M. 65601
Nehemias J. V. 67056
Nehring P. 67104
Nelson H. T. 66670 II
Nelson J. R. 64343
Nelson R. C. 65461
Nemetschek T. 64667
Nes W. R. 65056
Nesselmann K. 67319
Neuenschwander P. 66930
Neuhaus E. 66833 II
Neuhaus H. 66860
Neumann A. 65660
Neumann G. 64122
Neumann H. 64316
Neumann J. A. 66578
Neuroth H. 66741 II
Neuss N. 65070
Neuwirth E. 64777
Newhall W. F. 66186 II
Newitt D. M. 64474
Newton A. B. 67354
Nicholson K. C. 65865 II
Nickerson J. T. R. 67140
Nickl J. 64478 J
Nicol A. 65794
Nicolescu J. V. 64064
Nicolet M. 64711
Niederhauser W. D.
66630 II
Nielsch W. 65263, 65299
Nielsen L. H. 65922
Niementowski S. 66055
Niemi P. 65099
Nieuwenhuis W. 64292
Nil R. 64368
Nijveld H. A. W. 66047
Nikolić K. 65331
Nishimada H. 66919
Nissan A. H. 66807
Nobles W. L. 66355,
66460
Noll W. 64424
Nominé G. 65064
Nordell E. 65907
Nordgren H. 65686
Nöring F. 64773
Norman C. R. 65876 II
Norman D. P. 66296 II
Norman N. 65130
Nortz M. 66989
Notton H. E. F. 66419 II
Novák J. V. A. 65469
Novák V. 65792
Novak Z. 65901, 65913
Novotny L. 65048
Nowakowski K. 66344
Noyes R. M. 64505
Noyes W. A. 64539
Nozaki H. 64873
Nozakura S. 64986
Nudenberg W. 64795
Nuffield E. W. 64319
Nuquist A. S. 66192 II
Nuret H. 67044
Nursten H. E. 64796
Nusslein J. 66299 II
Nutting D. C. 67436
Nyquist A. S. 66168 II

O
Obenland C. O. 64936
Oblad A. G. 66030
O'Brien E. J. 67038
Odberg J. A. B. 66012 II
Oehme F. 65470, 66398
Oel H. J. 64594
Oelsen W. 67287
Oertel A. C. 65224
Oey T. S. 64468
Oftedahl C. 65785
Ogimachi N. 64278
Ogozaly H. J. 66009 II
Ohler 67164
Ojala K. 65044
Okabayashi H. 64271
Okano K. 64873
O'Keeffe A. E. 66411 II
Oki M. 64225
Olczakowski W. 65910
Olier L. 66897
Olivier M. 66846
Olle L. 66900
Olsen S. B. 67100
Olszewski Z. 67222
Ončáková P. 64736
Onisch H. 65289
Onyschuk M. 64506
Opfermann A. C. J.
66171 II
Opik E. J. 64707
Orkin B. A. 66125 II
Orth H. 66152 II
Ortlieb C. 66617 II
Oshima K. 66544
Osri S. M. 67023
Osterwald R. 64104,
64105
Osztrovsky A. 66921
Ottenheim J. H. 66190 II
Otto G. 67226 II
Otto H. 64112
Otto W. G. 64975
Otvos J. W. 64206
Overberger C. G. 64791
Owen J. J. 66773
Owen W. L. 66914
Owens E. D. 66249
Oyen F. 65609

P
Packer J. 64808
Packer R. K. 64524
Packman L. 65655
Paetzold H. 65984
Pagliassotti J. P. 65220
Painter E. V. 66317 II
Paiva D. 65047
Pajak F. 65781
Paju J. 65039
Pake G. E. 64263
Pakoycki B. E. 65958
Pakrashi S. C. 65070,
65072
Pal P. P. N. 66271
Paleček M. 65009 K
Palik E. D. 64253
Palit S. R. 65158, 65168
Pallares Prieto G. 67111
Palma M. U. 64274
Palma Vittorelli M. B.
64274
Palmer C. M. 65891
Paltin E. 66862
Palumbo D. 64274
Panagrossi A. 66669 II
Pancheri R. A. 66670 II
Panetti M. 65176
Panhäuser K. 66711
Pannetier G. 64221,
65328
Panto G. 64737
Papailhau J. 64696
Papini P. 64961
Papoušek D. 64611
Pappas A. C. 64171
Páric R. A. 64576, 65184
Park H. F. 66639 II
Parker E. 66649 II
Pascale D. A. 64488
Pasquon I. 65131
Passerini R. 64229
Pastonesi G. 67263
Pastrnák J. 64357
Pataki A. 66261
Patel K. S. 66378
Patrie M. 64676, 64677
Petrovsky V. 65277
Patry O. 65137
Patterson E. B. 67180 II
Pattison F. L. M. 65005
Paul A. P. 64784
Paul J. 65843 II
Pauli W. 64181
Pauling H. 65541 II
Paulsen M. R. 67355
Pavković-Filipović Z.
65242
Pavlova S. 66455
Pavlutka T. I. 67309
Paxton H. W. 66497 II
Peach F. G. 66826 II
Peck R. M. 64922
Peck W. C. 67318
Peckham S. C. 66301 II
Peers A. M. 64608
Pelipetz M. G. 65412
Peltonen R. J. 66923,
66930
Pennec L. 65293
Pennington W. A. 67354
Pepinsky R. 64311,
64312, 64341
Pepori D. 64518
Perelman J. M. 65250
Perk G. M. 66910
Perlin A. S. 65028
Perlowski E. F. 64950
Perry A. S. 65600
Perry M. A. 66620 II
Persson K. G. A. 65666 II
Perugini G. 65159
Pesty L. 65664 K
Petek F. 65173
Peter J. 66505 II
Peter M. 64687, 66058
Peter O. 67287
Peter S. 64404
Peters H. 64404
Petersen J. L. 67396 II
Petersen R. V. 65128 J
Peterson A. H. 45477
Peterson V. R. 67430
Petit L. 64962
Petrascheck W. E. 64762
Petsch H. 66001 II
Petterson K. 64900
Pettit R. 64191
Petty G. M. 65385
Pettyjohn E. S. 66044
Petuely F. 65033
Petz A. 65164
Pexton F. W. 64960
Pfeiter C. 65019 J
Pfeiffer H. U. 64354
Phennah P. J. 65283
Phillip B. 65396
Phillips C. J. 65713
Phillips G. 65964
Phillips H. O. 64637
Phillips J. P. 65371
Phillips N. W. F. 64617,
66000 II
Philpott P. G. 64910
Phreaner E. H. 66503 II
Pickering E. T. 65962
Pickworth J. 64306
Picon M. 64676, 64677
Pier M. 66615 II

- Pierson E. H. 66175 II
 Pietermaat F. P. 67047
 Pieters W. J. 66088 II
 Pietsch H. 66632 II
 Piette J. M. 66773
 Pietzka G. 64674
 Pigerol C. 65022 II
 Pilar-Garcia de Varela A. 64894
 Pilkington H. 65718
 Pimentel G. C. 64242
 Pingale S. V. 67043, 67052
 Pinner R. 65642
 Piontelli R. 65662
 Piratzky W. 66965
 Pitts J. N. 65425
 Plapper J. 67207
 Platt J. R. 64199
 Plöger F. 64674
 Płoniński I. 65767
 Plyier E. K. 64220
 Podschus E. 65827 II
 Poggi A. R. 66351
 Pohl F. A. 65336
 Pohl G. 65766
 Pohorilla M. J. 66107 II
 Poindexter E. 64349
 Point J. J. 65143
 Pollak A. 66830 II
 Pollard W. R. 67307
 Pompéia P. A. 64425
 Ponci R. 66357
 Pontius R. B. 64654
 Popa G. 67145
 Popow K. 65753
 Porazzi M. A. 67156
 Porter G. B. 64539
 Porter H. K. 66214 II
 Porter J. L. 65566 II
 Porter R. B. 66106 II
 Posner A. M. 64500
 Posselt F. 66835
 Posternak T. 64863, 64864
 Potter H. 64860
 Potter W. G. 64786
 Powers D. H. 66311 II
 Powers M. 67174 II
 Powers T. C. 65816
 Pozin E. M. 65533
 Pozzo-Balbi T. 64926
 Prag R. 64721
 Prakash S. 64543
 Pratt G. B. 67013
 Pratt M. W. T. 64851
 Prausnitz J. M. 67360
 Preis H. 65784
 Preis E. W. S. 65172
 Pretorius Y. Y. 65112
 Prevost C. 64822
 Price D. 64434
 Price J. A. 66626 II
 Friday K. 64501
 Primschitz A. 65996
 Prince D. H. 65668 II
 Priskić I. 66220
 Pristavka D. 65311
 Pristera F. 66570
 Pritchard G. O. 64210
 Pritchard H. O. 64210
 Privett O. S. 66857
 Pro M. J. 66928
 Probst E. 66975
 Prochzka S. 65343
 Proctor B. E. 67010, 67140
 Profft E. 64945
 Prosen R. J. 64306
 Prost E. 67142
 Prosz J. 66558
 Pruitt M. E. 66634 II
 Przybylska Z. 67214
 Pugh W. M. 66078
 Puisais J. 66989
 Pullman B. 64194
 Puppel I. 66045
 Purtschert F. 66953
 Purves C. B. 66752
 Pyenson H. 67197 II
 Pyriki C. 67154
 Pytlík R. 65933
- Q**
 Qantarelli C. 66992
 Quackenbush F. W. 66857
 Quentin A. 65837 II, 65838 II
 Quinlan D. 66891
 Quinney P. R. 64496
 Quintelier G. 66285
 Quitmann H. 66677 II
- R**
 Raamsdonk G. W. 66477
 Rabideau S. 64577
 Racah G. 64181
 Ragheb A. 65644
 Rahman A. 64239
 Raible K. 66964
 Rajadurai S. 65077
 Ralph R. K. 65124
 Ram A. 67165
 Raman C. V. 64334
 Ramanathan K. G. 64429
 Ramirez F. 64884
 Ramirez-Muñoz J. 65255
 Ramsey N. F. 64184
 Rand M. C. 65918
 Randall D. I. 66244 II
 Randall R. A. 67435
 Randers G. 64422 II
 Ranganathan S. 64940
 Rankin W. B. 65613
 Rao B. S. V. R. 65191
 Rao K. N. 64253
 Rapson W. H. 66780, 66827 II
 Raskay B. 66140
 Rastogi R. P. 64441, 64445
 Rataj J. 65843 II
 Rathe F. P. 65098
 Rathouský J. 67347
 Rathsmann E. 65814
 Rattray D. 67160
 Rauner L. A. 66651 II
 Ravasz L. 67086
 Ravin L. J. 66390
 Raw C. J. G. 64400
 Ray P. 64789, 65185
 Rayner A. C. 65510
 Razumowski B. 64298
 Rebbert R. E. 64541
 Rebers P. A. 65392
 Reich I. 66888 II
 Reichert H. A. 67428
 Reekie J. 64395
 Rees R. L. 67459
 Reeves G. R. 65904
 Reeves W. A. 66279
 Renfrew M. M. 66635 II
 Rehberg H. J. 66577
 Rehfeld K. 64469
 Reichert R. 65463
 Reid J. D. 66250
 Reid R. C. 64421
 Reif K. 65896
 Reineck E. A. 66518
 Reinhardt R. M. 66250
 Reinhart F. 65757
 Reinisch W. B. 66474 II
 Reis Cavalcanti M. A. 65047
 Reiser H. J. 64597
 Renfrew E. E. 66244 II
 Renker W. 67342
 Renneberg W. 64087, 64088, 64098, 64141
 Renold A. 66316 II
 Renshaw T. A. 66075
 Rentschler H. 67119
 Reppe W. 66177 II
 Resch G. 65312
 Reuter F. H. 67009
 Rey Amodios F. 66496 II
 Raymond D. 64863, 64864
 Reynolds D. D. 66625 II
 Reynolds R. J. 64915, 66614 II
 Rice L. M. 64941
 Richardson E. N. 64812
 Richardson H. M. 65760
 Richardson J. T. 64451
 Richter G. 67324
 Rick 67296
 Rick A. W. 66708
 Rick C. A. 65562 II
 Rickes E. L. 66408 II, 66409 II
 Ricks H. C. 65904
 Riddell W. C. 65874 II
 Riddick J. A. 65386
 Ridenour D. L. 66596
 Rider S. H. 66594
 Ridi M. 64961
 Rieck G. 64698
 Riedel L. 64397, 64398
 Riedig 65815
 Riedl W. 64931
 Riemschneider R. 64270
 Rienacker G. 64531, 64532
 Rigamonti R. 65176
 Rigaux C. 64364
 Rigby C. H. 66829 II
 Rigby F. L. 66970
 Rigby G. R. 65760
 Rijssel T. W. 66439 II
 Rinder A. R. 64954
 Rindtorff E. 66217 II
 Rio G. 64919
 Risch C. 66353
 Rising L. W. 66365
 Ritchie E. 65080
 Ritter H. 66608 II
 Rittershausen E. P. 66085
 Ritzer H. 66418 II
 Rius A. 64475
 Rivoche E. J. 67175 II
 Rjabocinskij A. 66895
 Robert L. 64246
 Roberts A. L. 65681
 Roberts J. C. 65096, 65097
 Roberts L. E. J. 64681
 Roberts R. 67228
 Robertson J. H. 64306
 Robertson R. E. 64484
 Robichet O. 64754
 Robinson A. 64645
 Robinson B. L. 64168
 Robinson H. G. 64258
 Robinson P. 66628 II
 Robinson R. 64076
 Robinson R. A. 64575, 64580
 Robinson S. A. 65063
 Robson J. T. 65749
 Rocca M. 64201
 Roche J. 65109
 Roberick H. 64163
 Robewald G. 64131
 Robriquez Martinez J. 65695
 Robzewicz O. 67205
 Roelen O. 66184 II
 Roemer J. J. 66225 II
 Roessler E. B. 67033
 Rogers D. 64285, 64301
 Rogers E. 65403
 Rogers E. F. 65075, 66412 II
 Rogerson W. A. 66826 II
 Rohlfis 66150 II
 Rohrer E. 66873
 Römer G. 66257
 Roosdorp H. J. 67419
 Ropp R. S. 65123
 Rösch G. 64942
 Rosenberg N. W. 65524 II
 Rose E. E. 66537
 Rosei L. 65837 II
 Rosen B. 64219
 Rosenblum E. I. 66341
 Rosenfeld J. L. 64726
 Rosman I. M. 65454
 Rossem A. 66475
 Rossin A. D. 64421
 Rost F. 65335
 Rostafinska D. 65092
 Roth M. 64414
 Rothe L. B. 67159
 Rothlisberger A. C. 66499 II
 Rothmaier K. 66949
 Rotnicki J. 64154 K
 Rotsch A. 67070, 67072
 Rouit C. 65205
 Rouser G. 65029
 Roux M. 64189, 64190
 Rowlinson J. S. 64439
 Roy G. J. 66200 II
 Roy H. K. 65938
 Royer R. 64928, 64929
 Rosenfeld I. L. 67309
 Rozsa M. 65458
 Rubeiro D. 66373
 Rubin L. C. 66110 II
 Rubin M. B. 64884
 Rubinstein S. 64746
 Rubio A. 65011 K
 Rubisch O. 64686
 Ruckenstein E. 67345
 Rücker W. 65623 II
 Rudolph H. D. 64470
 Rüdorff W. 64686
 Rueda J. M. 65935
 Ruf J. 64971
 Ruhe H. 66948
 Running E. 66560
 Runte A. 66672 II
 Ruoss L. 66363
 Rupp A. F. 64413
 Rusconi Y. 65247
 Rusek M. 65206
 Russel A. H. 65854 II
 Rustgi O. P. 64566
 Ruwhof J. W. 66112 II
 Rowe V. K. 65609
 Rybicki J. 67174 K
 Rybníkář F. 65139
 Rydon H. N. 64809
 Ryznar J. W. 56947 II
 Rzędowski W. 67097
- S**
 Sabioncello P. 64765
 Sacktor B. 65600
 Sadolin E. 66228
 Saha J. M. 66913
 Šalamon M. 67437
 Salfalvi S. 65245, 65246
 Salgo E. 65389
 Sallinen K. A. K. 67290
 Salminen I. F. 66447 II
 Salomon T. 66681
 Samuel D. 64907
 Samyn J. 66373
 Sandell E. B. 65289
 Sanders C. W. 67424
 Sanderson R. T. 64202
 Sansam W. 65963
 Santangelo M. 64274
 Santhappa M. 65157
 Sarchet B. R. 66880 II
 Sargent L. B. 66070
 Sarkar P. B. 65193
 Sasaki T. 64359
 Sastri M. N. 65195
 Satterthwaite C. B. 64428
 Sauchelli V. 65579
 Saul W. 66671 II
 Saunders K. H. 64963
 Saunders W. H. 64799
 Saurer J. 65498
 Savio G. 65092
 Sawicki E. 64938
 Sawicki W. 65776
 Sawyer C. N. 65938
 Scartabelli A. 66714
 Scatturin V. 64305
 Schaefer F. C. 64970
 Schaeffer B. B. 64936
 Schäfer W. 64820
 Schäff R. 66659 II
 Schäffer J. J. 64436
 Schaltegger H. 65050

- Scharlau A. 66346
Schawlow A. L. 64179
Schechter W. H. 65565 II
Scheiber J. 66538
Schenck J. R. 65115
Scherer P. C. 66788
Scheufler W. 66687
Schiefer E. 66535
Schiemann G. 66718
Schiff B. 64327
Schiff H. I. 64210
Schilbach V. 64101
Schild E. 66963
Schilling E. D. 65106
Schlack P. 66641 II
Schlecht L. 65573 II
Schlesinger H. 65091
Schlichting O. 66166 II
Schlittgen W. 65659
Schlubach H. H. 65040
Schmal A. 66968
Schmid H. 65073, 65120
Schmid L. C. 64165
Schmidt H. W. 66359
Schmidt J. 66015 II
Schmidt O. T. 65118
Schmitt K. 66217 II
Schmitz A. 66881 II
Schmitz-Josten R. 66156 II
Schnable G. L. 65481
Schneeberg G. 64532
Schneiber H. G. 66216 II
Schneider P. J. 67344
Schneider T. 66015 II
Schnell H. 66667 II
Schnider O. 64944
Schnizer A. W. 66153 II
Schnur W. 66324 II
Schoeneman R. L. 66928
Schöffmann E. 65252 II
Schoffield C. 66709
Scholder R. 64678, 64679
Scholze H. 65703
Schönberg F. 67136, 67138
Schönfeld T. 65180
Schöpf C. 66213 II
Schopper H. 64183
Schopper H. 64329
Schormüller J. 67020
Schott G. 64672
Schrade J. 66512
Schrader R. L. 65762
Schreck C. 65720
Schreiber J. 64800
Schreiber P. 67089
Schreiber W. 65862 II
Schröder E. 64528
Schubert E. 66967
Schuckmann G. V. 66196 II
Schuetz C. C. 65876 II
Schulerud A. 76063
Schüller H. 65225
Schultz M. L. 64358
Schultz T. H. 67118
Schulz A. 67068
Schulz H. 64066
Schulz K. F. 64536
Schulze E. 64686
Schulze H. 64213
Schulze W. 65809
Schulze W. 67157
Schumacher J. N. 65032
Schumacher M. 67390 II
Schumann E. 65885
Schur M. O. 65563 II
Schuster F. 65987
Schuster K. 66966
Schuster W. 64130
Schutze H. G. 65348
Schuyer J. 64683
Schwab G. M. 64543, 66137
Schwanda F. 65802
Schwarz H. A. 64548
Schwarz H. W. 67117
Schwarz R. 64666
Schwarz R. 65951 II
Schwarz-Bergkamp E. 65463
Schwarz von Bergkamp E. 65852
Schweda P. 65285
Schweigert B. S. 67130
Schweishelmer W. 66935
Schwenk U. 66185 II
Schwiete H. E. 65689
Schönulevicius S. 65692
Sclar R. N. 66230
Scott D. W. 64435
Scott E. J. 64387
Scott R. C. 65639 II
Searles S. 64856
Šebenda J. 65167
Seckel P. H. 66665 II
Secoy C. H. 64463
Šedivý M. 66819
Sedo A. 66775
See T. S. 67393 II
Seel F. 64690
Šefcovič P. 64906
Seferović B. 67449
Segar G. A. 65275
Segmüller A. 64322
Segnit E. R. 64733
Seipt M. 64597
Seith W. 655223
Sekerka B. 65465
Selecki A. 67368
Selle H. 67465
Sellevoli M. A. 64316
Semrad J. E. 65904
Sen M. K. 67434
Sen S. 67165
Seattle F. E. 64718
Sen Gupta I. 65089
Senich R. 65111
Serkin W. 65877 II
Serratos F. 64886
Seshadri T. R. 65116, 65119
Seth M. L. 65585
Seto S. 66544
Sette D. 64399
Sevenpifer R. 66498 II
Seymour D. E. 66401 II
Seymour H. R. 67407 II
Sgarlata F. 64274
Shapiro D. 65104
Shapiro L. 66265
Sharp P. 66671 II
Sharpe L. G. 67306
Sharrah M. M. 66119 II
Shaver F. W. 66159 II
Shaw D. M. 64753
Shaw G. 65124
Shaw J. H. 64215
Shaw M. C. 65777
Shearer J. N. 65419
Shell H. R. 65309
Shen Pang-Ju 65300
Shenstone A. G. 64181
Shepherd G. G. 64708
Sheppard D. 67032
Sheppard N. 642141
Sherwood P. W. 65928
Shewan J. M. 67035
Shibata N. 64552
Shields A. D. 64805
Shimoi M. 64323
Shimizu M. 66253
Shimmin J. D. 66123 II
Shimose I. 64440
Shimozawa T. 64270
Shingu H. 64195
Shingu T. 65087
Shirane G. 64311, 64312
Shively L. R. 67181 II
Shopee C. W. 64951
Shorland F. B. 65113
Short G. A. 64915
Shoumatoff N. 66795
Shropshire E. Y. 66203 II
Shukla R. P. 65266
Sicard A. 65328
Siddall G. 64351
Sieg A. 65866 II
Sikorski Z. 67015
Sillén L. G. 64581
Silman H. 65645
Silvernail W. 64480 II
Simamura O. 64792
Simcock J. H. 65727
Simm W. 67380 II
Simmier W. 63990, 64673
Simon S. 65178
Simon W. 67351
Simonetta M. 64198, 64510
Simons J. H. 65006
Simonyi I. 65366
Simpson D. M. 64241
Simpson R. M. 65233
Simpson W. T. 64223
Sinell H. J. 67139
Singiser R. E. 66367
Singleton A. 67023
Singlar M. 65368
Sircar A. K. 65168
Sisido K. 64873
Sisko W. E. 66195
Sisley J. P. 66871
Sivertz C. 64506
Sjöström E. 65908
Skarha D. M. 67075
Skinner D. A. 66037
Skonieczna E. 67102
Škopek L. 67468
Slavik J. 65085
Sloan G. J. 64281 II
Slocombe R. J. 66658 II
Słomińska-Czyżowa E. 67030
Slykhouss T. E. 65155
Smales A. A. 65257
Smart S. G. 66908
Smejkal V. 65368
Smets G. 65170
Smirous F. 65199
Smith B. 64988
Smith C. L. 66508 II
Smith C. W. 64433
Smith D. C. C. 64230
Smith E. A. 66450 II
Smith G. P. 64449
Smith G. A. 64802
Smith J. C. 67233
Smith J. E. 66874
Smith J. V. 64740
Smith J. W. 64486
Smith L. G. 67350
Smith M. R. 66038
Smith R. F. 66064
Smith R. K. 66107 II
Smith W. C. 65000
Smith W. J. 64348
Smithies D. 64540
Smolin E. M. 66193 II
Smoluchowski R. 64348
Smyk W. 66719
Snatzke G. 65066
Snider R. F. 66593
Snoddy C. S. 65065
Snyder R. 66497 II
Socher B. 66280
Sokol H. 66122 II
Sokol S. J. 66122 II
Soliva M. 65382
Solymosi F. 65321
Somer T. G. 67379 II
Sommer S. 64077
Sönnerskog S. 65146
Sonstagen L. A. 66733
Sontheimer H. 65863
Sorn F. 65048
Soulié P. A. 67028
Sowers M. R. 67314 II
Spaepen J. 65446, 65484
Spanyer I. M. 65371
Spark M. B. 64839, 64840
Sparrow D. B. 66781
Späth W. 66600
Speel H. C. 66866
Speier J. L. 64985
Spencer D. M. 65615
Spencer E. Y. 65594
Splait M. 66434
Splitstone P. L. 64392 II
Sponsel K. 66692
Sprague G. R. 66589
Sprecher J. 66806
Spremulli P. F. 65847 II
Sproule L. W. 66136 II
Squitero A. D. 65656
Srikantan B. S. 65197
Srinivasan T. M. 64429
Srivastava H. C. 67093, 67095
Stacey M. 64819
Stadler P. 67204
Stahlm A. 65014 K
Stair R. 64710
Stairmand C. J. 67460
Stalego C. J. 65841 II
Stalhed J. L. 66012 II
Stalinsky E. 66502 II
Staller A. 66611 II, 66659 II
Stangler F. 65438
Stanley E. 64285
Stanković D. 67011
Stanton B. L. 66369
Stanton C. H. 65924
Stark V. 66096 II
Starkey T. V. 67322
Starkie F. 65741
Starnier J. W. 64166
Staubach K. E. 64606
Stawicki S. 67082
Stawitz J. 66793 66863, 66864
Stayner R. A. 66884 II
Stayner R. D. 66884 II
Stearle E. W. R. 64541, 64542
Stearns W. J. 67444
Steffen A. J. 65932
Stegemann H. 66514
Stegmüller L. 65696
Steidlitz M. E. 64449
Stein L. 66208 II
Steinle H. 67353
Stengel E. 65950 II
Stenius A. S. 66782
Stenmark G. A. 65365
Stephan C. 66076
Sterling C. 67098
Stetson R. T. 66459
Stevens R. E. 66748 II
Stevenson D. 66373
Stevenson D. P. 64206
Stevenson H. A. 65633
Stevenson M. D. 64417
Stewart B. L. 64808
Stewart S. G. 66104
Steyn C. L. 66909
Stiebert A. 66288
Stiefel M. B. 65738
Stier E. T. 67091
Stillier E. T. 66411 II
Stillman N. 67317 II
Stinson J. S. 66761
Stirton A. J. 66868
Stock E. 66721
Stockman L. 66767
Stokes R. H. 64560
Stoklosa M. J. 66397
Stolpe C. 64683
Stolz E. 65029
Stone H. M. 64808
Stones T. 65916
Stork G. 65059
Storrs W. H. 65870 II
Storegraven H. 64452
Stott L. L. 66552
Stout J. 65728
Stralen S. J. D. 67343
Stranski I. N. 64381
Strasser D. M. 66042
Strauch T. 67069
Strauther J. D. 65495
Strebecko P. 65590 K
Street J. C. 66056
Strehlow H. 64594
Strelow F. W. E. 64719
Striebel W. 65786
Strobach R. 66004 II
Stroh R. 66160 II

Авторский указатель

- Strong F. M. 65106
Strubell W. 66754
Stuart E. B. 64642 II
Stublely Z. 65719
Stühlinger W. 65793
Stüpel H. 66873
Štursa M. 66282
Stüsser R. 66237 II
Subbaraman P. R. 65279
Subrahmanyan V. 67043, 67052
Subramanian G. S. 64610
Sucher J. 64177
Suckfüll F. 66238 II
Suckling C. W. 65629 II
Suddaby D. 66401 II
Suggate H. G. 66445 II
Suhr H. 66592
Suk J. 66551
Šulcek Z. 65277, 65352 K
Sullivan B. 67046
Sullivan J. J. 67444
Sullivan W. N. 65599
Summers R. M. 64953 II
Sundius N. 65686
Suomalainen H. 66923, 66930
Supek I. 64341
Suprin G. 66689
Suryanarayana Rao K. 64218
Sutton J. R. 64439
Sutton P. P. 65709
Švach M. 65290
Švasta J. 65277, 65352 K
Svensson H. 65473
Svensson S. H. 65526 II, 65666 II
Svitok P. 67437
Swafford W. B. 66355
Swain C. C. 64508, 64509, 64512
Swakon E. A. 66128 II
Swaminathan M. 67043, 67052
Swaminathan S. 64940
Swarts W. A. 64855
Swartz C. J. 66385
Sweep E. 66112 II
Sweitzer C. W. 66103 II
Swerdlhoff W. 67270
Swift E. H. 64174
Swindale L. D. 65760
Swintosky J. V. 66377
Swoboda O. 66769
Sylvester H. S. 66885 II
Sylvester R. O. 65923
Szarski P. 67132
Szöke S. 64664
Szombathy K. 66017 II
- T
Taboada O. 67018
Tabuchi D. 64485
Tagliavini G. 64476
Takai H. 66849
Talbert W. F. 67174 II
Tamchyna J. 64906
Tanay I. 66934
Tangel O. F. 67330
Tanner H. 66988, 66996, 67119
- Taplin G. V. 65521 II
Tarantola C. 66986
Taubke K. 66232 II
Taubert A. 67079
Tauschek M. J. 67275
Tate A. E. 66905
Taylor J. 66374
Taylor J. L. 66249
Taylor K. M. 65739
Taylor L. 66958
Taylor R. A. A. 65488
Taylor R. C. 64249
Taylor R. P. 65425
Taylor T. J. 65030
Taylor W. I. 65082
Taylor W. S. 66341
Tchoubar B. 64807
Techvinsky L. M. 66078
Teepie H. O. 66795
Tegze M. 66896
Tegze M., Frau 66896
Temmer G. M. 64175
Temple R. G. 66202 II
Templeton D. H. 64290
Templeton J. H. 66634
Tenbroeck W. T. L. 66490 II
Terlikowski F. 65590 K
Teyssie P. 65170
Thain E. M. 66410 II
Thaler H. 67026
Thammy R. T. 65530, 65585
Thelmeop O. F. 67039
Thiel H. 64294
Thieke B. 64091
Thieme J. C. 67077
Thiery J. P. 67135
Thinus K. 66573
Thoburn J. M. 65362
Thomas A. 66056
Thomas B. F. 65899
Thomas D. V. 64301
Thomas S. B. 65899
Thompson B. 66157 II
Thompson C. R. 66345
Thompson G. 66816
Thompson H. D. 67083
Thompson J. 67066
Thompson N. S. 66752
Thompson R. G. 64802
Thompson W. H. 66740 II
Thorne R. P. 64716
Thornton D. P. 66035
Thorvaldson T. 64697
Thuillier J. M. 64364
Thun R. 64297
Tidwell E. D. 64220
Tietz N. 65276
Tietz T. 64176
Tilley G. P. 65144
Ting A. P. 67346
Tingstad J. 66377
Tiruvenganna R. P. 64217
Tishler M. 65063, 66175 II
Tishler M. 66175 II
Tobolsky A. V. 66633 II
Todd D. B. 64479 II
Toeldte W. 66722
Toivonen N. J. 65044
Tokár G. 65366
Tolk M. W. 65457
- Toman K. 64291
Tomasian E. 67103
Tomasov N. D. 67309
Tomkeieff S. I. 64315
Tomlin D. H. 64333
Tomlinson M. L. 64935
Tomba H. 65501
Topper L. 67340
Torbagui N. L. 67086
Tóth Zsiga I. 66915
Touchin H. R. 66728
Towers H. 65752
Towne A. K. 65399
Townes C. H. 64179
Townsend J. 64263
Toyama Y. 66849
Trabaud L. 66452
Traenckner K. 66010 II
Tran Ba Loc 65190
Tranter T. C. 64304
Traumann K. 66289
Trefny F. 65965
Tremaine S. 66350
Trendelenburg E. A. 64723
Tress H. J. 65754
Treybal R. E. 67366
Trier W. 65721
Troscianiec H. J. 64950
Trotman-Dickenson A. F. 64210
Trott P. W. 65670 II
Trousil Z. 65511
Truce W. E. 64939
Trueblood K. N. 64306
Trümpler R. 66831 II
Tschappu F. 65513 K
Tschesche R. 65066
Tsioglou E. C. 65317
Tsuruta T. 64517
Tubbs C. F. 65208
Tubiasz S. 65478
Tucci A. 65114
Tull R. 65063
Tuma H. 65276
Tummes H. 66184 II
Tunninelliff D. D. 65408
Tura P. V. 66397
Turk A. 67229
Turkowski T. 67141
Turner E. 66557
Turner E. E. 64786
Turner T. H. 67253
Tuxworth R. H. 64538 II
Turner J. H. 65392
Tyliczak W. 67289
Tyler D. L. 66154 II
Tyson J. T. 66124 II
- U
Ubbelohde A. R. 64405
Ubbelohde L. 65525 II
Uffenecker G. 64598
Ulatowski A. 65798
Ullah K. 66856
Ulmann M. 64653
Underwood F. J. 65904
Unger S. 64531
Unruh C. C. 66618 II
Uraneck C. A. 66499 II
Urbancova L. 66515
Urbanski T. 64973
- Urbanski T. 65129
Urnes S. 64452, 64455
Urry W. H. 66158 II
Urushibara Y. 64380
Usdin E. 65503
Usdin V. 65503
Uyco S. 65087
- V
Vabić V. 66423
Vahlteich H. W. 66878 II
Vaidhyanathan V. S. 65157
Van Allan J. A. 64780, 64978
Van Arkel A. E. 64683
Vanden-Berg R. V. 65648
Van Duyn F. O. 67075
Van Gorsel P. A. 66586
Van Kleeck L. R. W. 65888
Van Lare E. J. 66444 II
Vanossi L. 66934
Van Tiggelen A. 64519
Van Valkenburg J. 64639 II
Van Wazer J. R. 65788
Van Wielingen G. A. 66048
Van Wonerghem J. 64519
Varekamp D. C. 67386 II
Varma K. C. 66365
Vartak D. G. 64465
Vasey C. H. 64965
Vaughan J. 64808
Vaverka J. 65845 II
Vavrinecz G. 64473
Vavruška M. 65460, 65497
Večerek B. 66395
Vegeby A. U. I. 67400 II
Velikonja N. 65374
Velluz L. 65107
Vender M. 66902
Venkataraman S. 65442
Venkata Rao C. 64437
Venturelli W. 67326
Vepřek Šiška J. 64266, 65199
Vergnes A. 65614
Verma M. R. 65654
Veroniu D. 65464
Vertés P. 65554
Veselovskij S. F. 65517 K
Vesely P. 65199
Vetter H. 65700
Vetter K. J. 64607
Viecard P. G. 67384 II
Vickers A. E. J. 65487
Vierich H. 64126
Vik J. 67108
Vila A. 66501 II
Vincent R. 66656 II
Vincetic K. 66433
Vingliello F. A. 64923
Vink H. J. 64384
Virkola N. E. 64574
Virtanen O. E. 65099
Visse L. 64748
Vittori O. 64709
Vivot J. L. 64259, 64260
- Vodar B. 65498
Vodar M. B. 65407
Vofsi M. S. D. 65163
Vogel A. I. 65505
Vogel E. 65796
Vogel F. 65828 II
Vogel R. E. 66099 II
Vogl O. 65079
Vogt C. M. 64684
Vogt K. 67192 II
Voigt C. A. 66507 II
Voigt H. 65118
Voigtlaender-Tetzner G. 64407
Voldan M. 66393
Volfkovič S. J. 65532
Volianitis E. 66064
Vollmann H. 64942
Volo S. 66368
Voorhies A. 66191 II
Vos A. S. 67343
Vosolobse J. J. 65533
Vreštal J. 65284
Vries B. 64833
Vurm V. 65508 K
- W
Waals J. H. 64683
Wachter A. 67317 II
Waddington G. 64435
Wade O. W. 67305
Wadsley A. D. 64308
Wadsworth E. P. 65342
Wadsworth R. V. 67078
Wagner G. 65378
Wagner G. H. 67243 II
Wagner J. 66395
Wahbi A. K. 66251
Wahler W. 64725
Wain R. L. 65615
Wallach W. 65211
Walker G. N. 64918
Walker G. T. 66470
Walker J. P. 67404 II
Walker W. W. 65317
Wall G. P. 65500
Wallmann F. 67348
Walls I. M. S. 66262
Walpole J. L. 65626 II
Walsh T. J. 67363
Walter J. L. 65251 II
Walter L. 67443
Walter M. 66210 II
Walter R. 66724, 66734
Walters A. E. 65348
Walters S. L. 65565 II
Walters W. D. 64489
Walters W. L. 64490
Wampner H. L. 66725
Wannow H. A. 66273
Ward J. C. 65607
Ward L. 65988
Ward T. L. 66855
Wardlaw W. 64688
Waring C. L. 64718
Warren C. W. H. 65097
Warren F. L. 65074
Warren W. V. 65317
Warson H. 66511
Wartenberg H. 64668
Wartik T. 64670
Warzée M. 66285

- Wasicky R. 65070
Wasif S. 64584
Wasner F. 67447
Waterhouse R. B. 67260
Watt G. W. 65212
Wattman K. E. 66866
Watts A. S. 65682
Watts R. N. 66013 II
Watzke E. 65506
Wayman M. 66827 II
Weale K. E. 64474
Weatherburn A. S. 66870
Webb J. I. 66945
Webb W. L. 64660
Webber H. F. P. 66958, 67457
Weber F. 66260
Weber G. H. 66051
Weber K. 64536, 65404
Weber L. 65282
Webster A. 67461
Webster R. H. 67399 II
Weedman J. A. 66087 II
Weedon B. C. L. 65090
Weege A. M. 66677 II
Wehber P. 65181
Weil J. K. 66868
Wein S. 67242
Weinhold K. 67388 II
Weinmann K. 66730
Weinraub B. 64907
Weinstein B. 64937
Weise E. 64691
Weiss F. T. 65365
Weiss H. 64366
Weissberg J. S. 66216 II
Weissberger A. 66447 II
Weissenborn A. 66471 II
Weissenburger H. 66201 II
Weissmann S. I. 64263
Weisz P. B. 67383 II
Welch A. W. 67444
Weller S. 64534
Wells A. J. 65870 II
Wells F. V. 66467, 66468
Wells H. R. 65679 II, 65680 II
Wen Chin-Yung 67364
Wendler N. L. 65065
Wendling A. W. 64421
Wenger P. E. 65247
Wenk P. 67412 II
Wensveen C. J. 67059
Wentworth V. H. 66527
Werner K. 64087
Werner M. 67251
Weroniski E. 65381
Wert J. E. 64259, 64260
Wesemann D. 64690
Wesp G. L. 66658 II
West H. W. H. 65744
West W. A. 64885
Westerberg C. G. 66247 II
Westerhoff H. 66189 II
Westheimer F. H. 64511
Wexler A. 64428
Weyerer H. 65435
Wheatland A. B. 65479
Wheatley K. H. 64524
Wheeler O. H. 65093, 65094
Whitaker L. 65023 II
White C. E. 64904
White E. A. D. 64310
White G. 65831 II
White J. G. 64306
White J. R. 64561
Whitman G. M. 66182 II
Whittle E. 64242
Wiant D. E. 67018
Wiberg E. 64673, 64990
Wichterle O. 65167
Wickham H. P. 66032
Wicklitz J. E. 66613 II
Widdoes L. C. 67455
Wiedieniejewa N. E. 64778
Wierzchowski J. 66852
Wiesenberger E. 65502
Wieser J. 66283
Wiggins T. A. 65419
Wijlen H. B. 65857 II
Wildhagen E. 66514
Wildman W. C. 64821, 65086
Wiles A. E. 66943
Wiles D. R. 64171
Wilks Z. 66049
Wilke C. R. 67360
Wilke K. T. 64385
Wilkins J. M. 64516
Wilkinson P. G. 64212
Willdeck G. 64900
Williams G. H. 64795
Williams I. 66481
Williams I. L. 67146
Williams T. E. H. 65799
Williams T. S. 66095 II
Willamson G. J. 67238, 67350
Willamson W. O. 65697
Willihnganz E. 65665 II
Wilson A. 64625
Wilson A. J. C. 64285
Wilson B. 67472 II
Wilson C. L. 65237
Wilson E. 66356
Wilson H. N. 65316
Wilson P. J. 66696
Wilson S. W. 66097 II
Wilson W. 65043
Winde B. 64213
Windgassen E. 66674 II
Winkler C. A. 65398
Winkler F. 66109 II
Winkler S. 66918
Winkler W. 64641 II
Winkler W. 65394
Winning J. 65295
Winteringham F. P. W. 65475
Winterscheidt H. 66516
Winslow L. 64652
Winstein S. 64198
Wiquel V. 65844 II
Wirth C. M. P. 65474
Wirthgen W. 64137
Wisniewski W. 65388
Wittkopp B. 65076
Wittekindt W. 65786
Witten V. H. 66469
Wittfogel H. 67150
Wittmann G. 65296
Witwicka J. 67446
Witwicki J. 67446
Wnek M. 65992
Wobisch K. 65715
Woerth L. 66246 II
Woestman R. J. 66703
Wohlleben K. 64174
Wolf F. J. 65098
Wolf L. 64689
Wolf R. 65779
Wolf W. 64942
Wolf W. 65109
Wolff R. E. 65051
Wolffgramm H. 64132
Wolford R. W. 65934
Wolfrom M. L. 65032
Wolman A. 65926
Wolski W. 64494
Wood F. C. 66300 II
Wood L. J. 65964
Wood T. R. 66408 II, 66409 II
Wood W. 66676 II
Woodroffe F. W. 67199
Woodward F. N. 65954
Woodward R. B. 66187 II
Woolsey J. L. 67236
Workman E. C. 66197 II
Worthington A. E. 64433
Wranglen G. 64379
Wray R. I. 67297
Wright L. 64534
Wright N. 65228
Wright P. 67215
Wright R. H. 66794
Wuggatzner W. L. 66389
Wurster C. F. 64837
Wurz A. 66258
Wyatt M. 64734
Wyatt P. A. H. 64565
Wye E. 66960
Wykulowa M. E. 64778
Wystrach V. P. 64970
Xabregas J. 66851
Yager W. A. 64376
Yajima H. 65087
Yamasaki K. 64636
Yates P. C. 64569
Yazicloglu T. 66946
Yilmaz H. 64178
Yonezawa T. 64195
Yoshida S. 64552
Young J. H. 65556 II
Young J. R. 64337
Young S. 67067
Yovanovitch D. D. 64550
Yovanovitch D. K. 64550
Yuasa T. 64172
Yumoto H. 65147
Yung F. D. 67146
Zablinsky K. 66929
Zahn H. 66289—66291
Zaleski J. 67053, 67102
Založnik E. 66775
Zaltzman P. 65072
Zannetti R. 64305
Zapan M. 64153 N, 67333
Zapp R. L. 66478
Zderic J. 65016 II
Zehmisch I. 64528
Zeidler G. 66832 II
Zelle K. 65122
Zelle K. 67113
Zeischke W. M. 66165 II
Zeiss W. 64678, 64679
Zeman V. 65701
Zervas P. 66238 II
Zettlemoyer A. C. 65444
Zickendraht C. 66239 II
Ziegenbein W. 66550
Ziegler K. 66181 II, 66519
Ziemann J. 64107
Zietz A. 67298
Zimmer A. J. 66391
Zimmer K. G. 654
Zimmerman H. E. 64817
Zimmerman R. E. 64985
Zimmerman R. F. 65872 II
Ziołowski Z. 64298
Zisman W. A. 66126 II
Zlámál Z. 65162
Zlotnicka J. 64749
Zoonen D. 65452
Zopf L. C. 65390
Zorn H. 66071
Zvoníček J. 64156 K
Zwerdling S. 65414
Zýka J. 65261, 66387
Zymny E. 65884

Գանդյան Մ. Տ. 64871 Գորգարյան Ա. Հ. 64871 Հարություն Հ. Ա. 64874 Մնջոյան Ա. Լ. 64874

არეშობე ქრ. 66028

ბენაშვილი ე. 66028

三山創 64621
丸柳次三郎 66212
上山修二 64589
井上英一 64491
井上博 66926
仲野尚一 65203

伊藤信也 66263
伊藤佳信 65604
伊藤安夫 64982
伊藤善高 65685
佐竹一夫 64638
佐藤二三男 67451

佐藤昌憲 65294
佐藤亂 64525, 64526
兩角嘉喜 66924
内藤多喜夫 66333
周從弼 645134
刘若莊 64118

加賀美元男 66924
加藤孝五 65256
加藤義成 64893
加藤誠也 66263
千野武司 66524
南繁吉 65375

原田藤郎 65117
又賀昇 64651
友成忠雄 65763
中川一朗 64247
中川睦明 65182
中山義男 65890

中西和夫 64882	64622, 64623	申洋文 64125	瀬戸正二 66544	角田隆弘 66014
中西香爾 64248	宮崎道治 64872	木本正七郎 64878	王雨邊 64145	諫山一雄 66484
中谷純一 64619	養勤萬 1421	木本浩二 65375	田村英雄 67241	諫山純二 66544
中谷豊 66925	安江政一 64893	木村仁 65320	田代忠一 64382	諫山一則 64850
中村要三 65100	安村友秀 64946	木暮恭平 67451	田中元治 64444	谷山雅一 64850
中村清 67409	安東新午 66062	本田靜一 67403	田中省三 64741	貴志修 64878
中神章 66523	富田眞雄 64895	本江卓 67451	田中暢夫 66533	賀健 64093
中塾邦夫 65213	寺川敏治 64872, 64882	本庄美喜男 66212	田中龍三 65326	赤堀四郎 65102
中崎昌雄 65003	小川五月 67451	杉二郎 67397	田中達夫 67369	起塚食夫 65675
四条徳崇 66924	小玉數信 65274	村川享男 67256	田中誠之 65383	軒原榮三 65326, 66770
右衛門佐重雄 64393	小田良平 64892, 64946	板野公平 64960	田冠生 64116	近藤保 64649
古内重正 65830	小西功三 64905	板野醇平 66925	白井秀明 66333	巴郎琴 A. A. 64527
古野清一 66770	小寺明 66536	林高朗 64382	白明彰 64572	鄭祿和 64113, 64119
古座谷醇 64583	小出巖 66925	林建樹 67402, 67413	日黒謙太郎 64649	醍醐晴二 65373
向山朝之 65306	小杉正治 66525	林精一 64586	矢木榮 65550, 6737	野田芳之 66925
吉井喜八郎 65880	小林康司 65880	松井正直 66183	矢野泰 64627	野口順藏 65110
吉岡直哉 67331	小野孝一 67451	松本太郎 65055	矢ノ下實 67400	野櫻俊一 64986
吉見直喜 65383	小野慎一 64619	松本祐太郎 65395	石黒三郎 66536	野澤豊吉 64426
吉野俊太郎 66543	小泉正夫 64651	松田英臣 66536	石黒孝義 64601	鈴木進 65320
吉澤淑 66926, 66927	小泉英 64662	松永安正 66525	石黒武雄 64583	鈴木啓雄 66894
國井大藏 65550, 67373	小島寅雄 66517	松尾力 65188, 65194, 65329	石野俊夫 67241	鈴木信 64890
國近吾 65012	尾島學三 65673	杉尾博 65182	石橋雅義 65186, 65294	鈴木桃太郎 64540, 65620, 64621, 64623
土橋正二 65705, 65706	居長龍太郎 67395	松野興七郎 67451	神原周 66485	關一健 65546
坂下潔 64252	合清一 67369	相河信夫 67403	神野久道 64882	阿保雅宏 64604
坂井渡 64604	川島敏 65262	相宅吾吾 65134	秋田務 64847	陳廣濤 64117
坪村宏 64252	山下輝 65210	桐山茂 65042	稻川徹 66534	陳國欽 64092
袁倫青 64608	山中龍雄 66138	柴田三郎 67313	立田晴雄 65121	隈部博秀 64604
堀田豊 67331	山田正一 66926	格路士曼 67212	立岡未雄 66212	青柳喜男 67405
堀部純男 64419	山本三吉 67179	深田内久雄 65330	笹田照夫 66484	錦組康 65468
増井淳一 64758	山本大生 64741	横岡清成 66536	竹本常松 65373	顧廷和 66479
久保田章 66924	山本龍子 66925	横山辰雄 64603	織田範一 66333	飯田弘忠 64905
大内肇 64882	山本弘 64525, 64526	武藤義一 65207, 65401	能味健次 66532	高木行雄 64848
大石新 64847	山本啓太 65210	水島一郎 64247	臼井千尋 67405	高井忠男 65373
大田一男 65298	山本準之助 65710	永井雅夫 65736	船久保英一 65395	高田和宏 64850
變艾 64095	山本讓 64982	永野健 65550	菅木淺彦 64382	高田利宏 64849
大北熊一 66485	山崎一雄 64065	永澤賢 65604	荒井佳則 64892	高田美恵子 65330
大谷杉郎 64605	山縣登 65259	江崎秀夫 67313	前田利明 67451	高野倉男 65375
大和達實 66484	山縣頼子 65259	沈邦儒 65300	前田祐雄 65673	高取吉太郎 64893
大沼明 65320	岑曉峯 64123	汪雲伯 64094	前野正久 67186	高橋武雄 65375
大岩正芳 65161, 65162	岩尾裕之 65504	泉美治 65102	黃純曉 64116	高橋サツ 64620, 64622, 64623
大岩恒夫 64589	岡田徳一郎 66926	河野哲郎 65326	葉列仙何, R. B. 66903	高橋敏郎 64876
大原英一 64741	峯田尚 65550	酒井馨 64586	落井靖子 65121	高橋勳 66063
大島敏治 66544	平井長一郎 64618, 65055	海尾登則 64882	落合英二 65052	高橋孝三 64895
大鹿隆男 64896	平田文夫 64605	淺木邦博 64878	藤瀬新一郎 65100	高橋西蔵 64896
太田道敏 65052	平尾一郎 64891	淺原輝三 64618, 64848	藤永太一 65186, 65207	高橋昭 65210
李眞傑 64116	平野昌三 64982	清水和雄 67397	藤原輝子 65102	鳴海和雄 66522
孟乃昌 65882	庄野達哉 64946	清水恒雄 65262	藤浦正巳 65395	鶴飼貞二 64982
宇野達路 65830	廣田鋼藏 65880	清浦雷作 65685	西田照行 65274	黒田六郎 65262
宛鳴昭 64116	後藤秀弘 65320	清水千江 64629	西田宏 65281	齋藤信房 64230
宗宮尚行 65344	徐立本 66545	清山哲郎 64604	西光博 65045	齋藤長男 65673
宮川一郎 64275	徐家驊 66545	淺井鑑 66479	西岡新太郎 64601	齋藤義治 65322
宮本弘 64462	志村博 64233	黎明 64111, 64128	澤西吉彦 65100	
宮本保夫 65383	日下讓 65186	湖沢重實 64875	西澤澄 64419	
宮崎正藏 64540, 64620	甲田善生 65492		兒島邦夫 64252	

УКАЗАТЕЛЬ ДЕРЖАТЕЛЕЙ ПАТЕНТОВ

AB Kabi 66414	Aluminium Lab. Ltd 66000, 67394	Asahi garasu Kabushiki Kaisha 65830	Bergwerksgesellschaft Hibernia Akt. Ges. 66217, 66226
AB Nynäs-Petroleum 65568	American Chemical Paint Co. 67312	Asahi Kasei Kogyo Kabushiki Kaisha 67403	Bertram & Co. 66825
AB Rosenblads Patenter 67400	American Cyanamid Co. 66106, 66165, 66168, 66173, 66192, 66193, 66195, 66209, 66223, 66225, 66226, 66631	Atlas-Werke Akt. Ges. 67390	Best Foods, Inc. 66878
AB. Separator 67389	Anglo-Iranian Oil Co. Ltd 66092, 66155	Atomkommittén 65570	Blaw-Knox Co. 67338
Agfa Akt. Ges für Photofabrikation 65572	Aquadyne Corp. 66888	Badische Anilin & Soda-Fabrik Akt. Ges. 65573, 66109, 66166, 66177, 66307, 66615, 66882, 67226	Bolvyl 66323
Aktieselskabet Dansk Gaerings-Industri 67005	Argus Chemical Lab. Inc. 66657	Bates Manufacturing Co. 66316	British Celanese Ltd 66826
Allgemeine Elektrizitäts Ges. 66638			British Glues and Chemicals Ltd 66877
Alpine Chemische Akt. Ges. 66418			British Petroleum Co. Ltd 65538
			British Thomson-Houston Co., Ltd 66127

- Buckeye Lab. Corp. 67399
 Buhrchemie Akt. Ges. 66174
 Byk-Gulden Lomberg, Chemische Fabrik G. m. b. H. 66201
 Cabot, Inc. G. L. 66744
 Calico Printers' Association Ltd 66309
 California Research Corp. 66118, 66884
 Callery Chemical Co. 65565
 Canadian Gypsum Co. Ltd 65873, 65876
 Canadian International Paper Co. 66827
 Canadian Kodak Co. Ltd 66444
 Carborundum Co. 65865, 65871
 Cassella Farbwerke Mainkur Akt. Ges. 66832
 Celanese Corp. of America 66153
 Československé chemické závody, národní podnik 66005
 Chemical Construction Corp. 65545
 Chemical Foundation, Inc. 65592
 Chemische Fabrik Budenheim Akt. Ges. 66677
 Chemische Studien Ges. Uniwapo G. m. b. H. 65557
 Chemische Werke Hüls G. m. b. H. 66610, 66629
 Chemstrand Copr. 66842
 Chiyoda Kabo Kensetsu Kabushiki Kaisha 67402
 Chiyoda Kagaku Kensetsu Kabushiki Kaisha 67413
 Ciba Akt. Ges. 66233, 66235, 66236, 66239, 66241, 66449
 Cie Française des Matières Colorantes 66246
 Cie Gle de Télégraphie Sans Fil 65859
 Cilag Akt. Ges. 66211
 Cities Service Oil Co. 66083
 Cluett, Peabody & Co., Inc. 66314
 Colgate Palmolive Peet Co. 66416, 66883, 66885
 Columbian Carbon Co. 66102, 66103
 Columbia-Southern Chemical Corp. 66197
 Commonwealth Scientific and Industrial Research Organisation 65522, 67191
 Connecticut Hard Rubber Co. 66669
 Continentale Parker 67314
 Continental Oil Co. 66119
 Corning Glass Works 65847
 Courtaulds' Ltd 66154
 Crookes Lab. Ltd 66419
 Cumberland Corp. 66823
 Dearborn Chemical Co. 65949
 De Directie van de Staatsmijnen in Limburg 65569, 66190, 67246
 Deglutan (Beer Products) Ltd 67006
 Dentists supply Co. 66421
 Deutsche Gold und Silber-Scheidanstalt vormals Roessler 65561, 65676, 66164, 66295, 66647, 67227
 Development Research, Inc. 67197
 Directie van de Staatsmijnen in Limburg 67410
 Distillers Co. Ltd 66155, 66227
 Dominion Rubber Co. Ltd 66494
 Dow Chemical Co. 65631, 66204, 66634, 66675
 Dow Corning Corp. 66312, 66651, 66652
 Drew E. F. and Co. Inc. 66298
 Drug Houses of Aust. Ltd 65635
 Du Pont de Nemours E. I. and Co. 65556, 66182, 66194, 66214, 66243, 66301, 66443, 66448, 66500, 66604, 66614, 66646, 67471
 Dutton & Reinisch Ltd 66474
 Dynamit Act. Ges. vormals Alfred Nobel & Co. 66152, 66324
 Eastman Kodak Co. 66157, 66440, 66446, 66447, 66450, 66618, 66620, 66625, 66627
 Ecusta Paper Corp. 65563
 Edeleanu G. m. b. H. 66189
 Egyesült Izzólámpa és Villamosági Részvénytársaság 67248
 Elektrochemische Fabrik Kempen-Rhein Dr. Brandenburg & Weyland G. m. b. H. 66886
 Electrolytic Refining and Smelting Co. of Aust. Pty Ltd 65539
 Esso Research and Engineering Co. 66009, 66013, 66089, 66098, 66114, 66132, 66609, 67311
 Etablissements Georges Risler 66321
 Ethyl Corp. 66147, 66198
 Fabric Research Lab., Inc., 66317
 Farbenfabriken Bayer Akt. Ges. 65827, 66156, 66160, 66179, 66196, 66232, 66237, 66238, 66242, 66245, 66505, 66640, 66667, 66672, 67401
 Farbenfabrik Vollen 66471
 Farbwerke Hoechst Akt. Ges. vormals Meister Lucius & Brüning 66185, 66208, 66404, 66611, 66641, 66644, 66659, 66660, 66661
 Fehr K. 66002
 Ferro Engineering Co. 65868
 Firestone Tire & Rubber Co. 66743
 Fluor Corp. Ltd 65952
 Gaz de France (Service National) 66656
 Gebrüder Lohmann G. m. b. H. 66833
 Geigy J. R. Akt. Ges. 65624, 65628, 66222, 66240
 Genatosan Ltd 66224
 General Aniline & Film Corp. 65634, 66234, 66244
 General Mills, Inc. 66635, 67178
 Gilbey W. & A. Ltd 67007
 Godfrey L. Cabot, Inc. 66101
 Goodrich B. F. Co. 66159, 66178
 Gould-National Batteries, Inc. 65665
 Gulf Research & Development Co. 66129
 Hanson-Van Winkle-Munning Co. 65677
 Harpener Bergbau Akt. Ges. 66014
 Hartford Special Machinery Co. 65870
 Heberlein & Co. Akt. Ges. 66320
 Hees G. m. b. H. 66887
 Heinrich Koppers G. m. b. H. 66003, 66007, 66016
 Henkel & Cie G. m. b. H. 66632
 Heraeus Quarzschmelze G. m. b. H. 65855
 Herts Pharmaceuticals Ltd 66401
 Hoffman-La Roche & Co. Akt. Ges. 66210
 Hoge-Warren-Zimmermann Co. 65872
 Holeproof Ltd 66302
 Houdry Process Corp. 66085
 Ilford Ltd 66445
 Imperial Chemical Industries Ltd 65625, 65629, 65668, 65669, 66151, 66199, 66205, 66506, 66740, 66829, 66845, 67195, 67408
 International Latex Processes Ltd 66495
 International Minerals & Chemical Corp. 65559
 Inventa Akt. Ges. für Forschung & Patentverwertung 66161
 Ionics Inc. 65524
 I-S Anitil 66655
 Jenaer Glaswerk Schott & Gen. 65525
 John B. Pierce Foundation 66218
 Johnson & Johnson 66420, 66422
 Johnson S. C. & Son, Inc. 66742
 Kabushiki Kaisha Kobe Seikosho 67395
 Kaiser Aluminium & Chemical Corp. 65566
 Kaiser Gypsum Co., Inc. 65874
 Kalle & Co. Akt. Ges. 66741
 Karl Hermann George Hockel 66099
 Kellogg M. W. Co. 66095, 66110, 66130
 Kendall Refining Co. 66107
 Knickerbocker Rubber Co. 67391
 Koppers Co., Inc. 66011, 66880
 Lab. Acrylux 65846
 Lech Chemie Gersthofen 66188
 Leitz E. G. m. b. H., Jenaer Glaswerk Schott & Gen. 65832
 Levey F. H. Co. 66749
 Libbey-Owens-Ford Glass Co. 65831, 65833
 LKB-Produktor Fabrik AB 65526, 65666
 L. O. F. Glass Fibers Co. 65842
 Maatschappij voor Kolenbewerking Stamicarbon N. V. 67385
 McGraw Electric Co. 66648
 Mathieson Chemical Corp. 65558
 Merck & Co., Inc. 66175, 6186, 66408, 66409, 66412
 Metallgesellschaft Akt. Ges. 65671, 66008, 66299
 Micro Processing Equipment Co., Inc. 66879
 Mine Safety Appliances Co. 67445
 Minnesota Mining and Manufacturing Co. 65670
 Mitsubishi Denki Kabushiki Kaisha 65673
 Monforts A. 66319
 Monsanto Chemical Co. 65627, 66176, 66311, 66612, 66639, 66654, 66658, 66834
 Murphy Chemical Co., Ltd 65626
 National Aluminate Corp. 65947, 65948
 National Cylinder Gas Co. 67411
 National Film Board 66306
 National Research Development Corp. 66410, 66650
 National Tank Co. 67404
 Nihon sembai Kosha 67397
 Nopco Chemical Co. 66747
 Norsk Hydro-Elektrisk Kvalstoftaktieselskab 64422
 N. V. de Bataafsche Petroleum Maatschappij 65630, 66094, 66113, 66121, 66131, 66135, 66297, 67387
 N. V. Chemische Industrie Rids., Nederlandse Centrale Organisatie Voor Toegepastnatuurwetenschappelijk Onderzoek 65636
 N. V. Kunstzijdespinnerij 66619
 N. V. Onderzoekingsinstituut Research 66843
 N. V. Philips Gloeilampenfabriken 65853, 65857, 66439, 66637, 67386, 66407
 Olin Mathieson Chemical Corp. 66411, 66645, 66653
 Ontario Research Foundation 65867
 Osterreichische Stick-Stoffwerke Akt. Ges. 67225
 Owens-Corning Fiberglass Corp. 65841
 Pacific Mills 66296

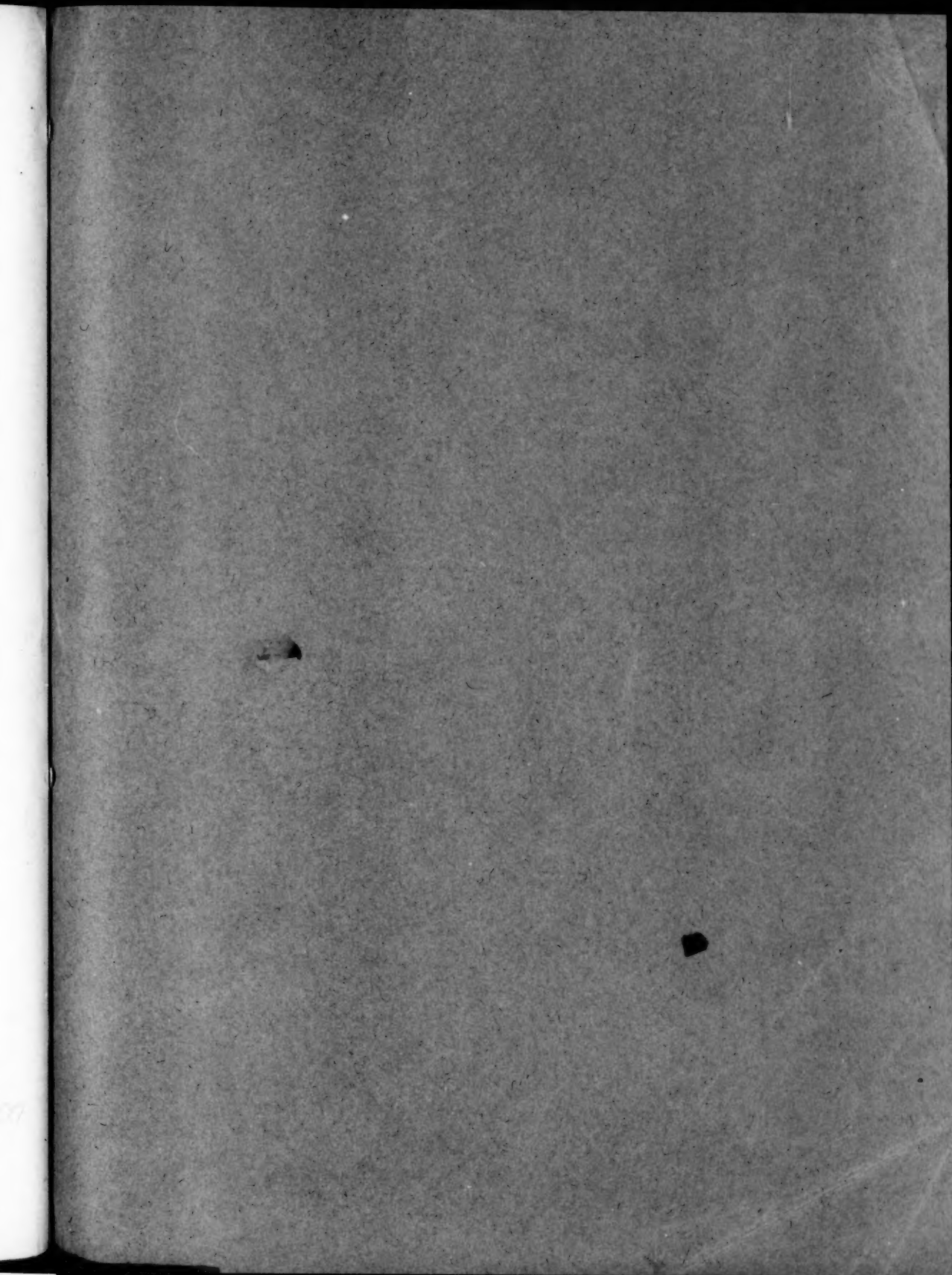
Указатель держателей патентов

Permacel Tape Corp. 65945	Sauerfabrik Schweizerhall 65567	66133, 66136, 66149, 66191, 66216, 66603, 67245	Upsala-Ekeby Aktiebolag 65856
Permanente Metals Corp. 65562	Searle G. D. and Co. 66220	Star Stampa Tessuti Artistici S. p. A. 66310	USA as represented by the Secretary of the Army 65678
Permutit Akt. Ges. 66676	Shawinigan Chemicals Ltd 66163, 66679	Steinkohlenbergwerk Hannover Hannibal Akt. Ges. 65862	USA the Secretary of Agriculture 67174
Philips Electrical Industries Ltd 65858	Shell Development Co. 65571, 66088, 66105, 66112, 66123, 66134, 66746, 67317	Sterling Drug, Inc. 66400	US Atomic Energy Commission 65667, 66117
Phillips Petroleum Co. 66087, 66104, 66499, 66613	Sherritt Gordon Mines Ltd 65575	Still C. 66001, 66015	U. S. Rubber Co. 66158, 66170, 66491, 66497, 66670, 66678, 66681
Phrix-Werke Akt. Ges. 66219	Shinnihou chissohiroyo Kabushiki Kaisha 67409	Stora Kopparbergs Bergslags AB 66012	Usui Chihiro 67405
Physikalisches Untersuchungslaboratorium G.m.b.H. 65523	Siemens-Schuckertwerke Akt. Ges. 67412	Süd-West-Chemie G. m. b. H. und Richard Hessen 66636	Vareinigte Glanzstoff-Fabriken Akt. Ges. 66167
Pierce J. B. Foundation 67392	Sinclair Refining Co. 65564	Sumitomo Kagaku Kogyo Kabushiki Kaisha 66183	Vereinigte Österreichische Eisen- und Stahlwerke Akt. Ges. 65355
Pillbury Mills, Inc. 65632	Smith Kline & French International Co. 66415	Swift & Co. 67190	Verreries de Goetzenbruck Walter Berger & Co. Soc. Anon. 66617
Pittsburgh Coke & Chemical Co. 65639	Soc. Anon. des Manufactures des Glaces et Produits Chimiques de St.-Gobain, Chauny et Cirey 65837, 65838, 65848, 65849, 66662	Sylvania Electric Products Inc. 67249	Vetreria Italiana Balzaretta Wodigliani S. p. A. 65844
Pittsburgh Plate Glass Co. 65835	Soc. Gle de la Céramique du Batiment (Soc. An.) 65864	Takeda Yakuhin Kogyo Kabushiki Kaisha 66212	Vitex Soc. Anon. Anciens Ets. J. Canouet 66745
Plessey Co. Ltd 65869	Soc. Molil Oil Co., Inc. 66006, 67383, 67414	Texaco Development Corp. 66221	Wacker Chemie G. m. b. H. 66148, 66169
Polymer Corp Ltd 66498	Socony-Vacuum Oil Co., Inc. 66086, 66125	Texas Co. 66122, 67381	Walbaum and Co. 66303
Poor & Co. 67315	Soc. Rhodiaceta 66624	Thiokol Chemical Corp. 66633	Washington Lab., Inc., 65638, 67193
Procter & Gamble Co. 66473	Soc. Rhovyl 66844	Thorn Electrical Industries Ltd 67247	Wellcome Foundation Ltd 66406
Republic Steel Corp. 65574, 65576	Soc. des Usines Chimiques Rhone-Poulenc 66200, 66403, 66405	Tootal Broadhurst Lee Co., Ltd 66304	Westinghouse Electric Corp. 67250
Research Corp. 66172, 66187	Sprague Electric Co. 66628	Toyoda Jidosha Kogyo Kabushiki Kaisha 67313	Weyerhaeuser Timber Co. 66663, 66664, 66666
Revertex Ltd 66492	Standard Oil Co. 66100, 66115, 66120, 66128, 66605, 66606, 67396	Toyo Koatsu Kogyo Kabushiki Kaisha 65880	White H. C. 66503
Rhein Chemie G. m. b. H. 66504	Standard Oil Development Co. 65540, 66084, 66090, 66091, 66093, 66097, 66116, 66124,	Troponwerke Dinklage & Co. 66213	Wingfoot Corp. 66207, 66490
Rheinlbe Bergbau Akt. Ges. 65866, 66608		Union Carbide and Carbon Corp. 66607, 67243	Zellwolle-und Kunstseide-Ring G. m. b. H. 66642, 66643
Rhodiatoce S. p. A. 66616		Union Carbide Canada Ltd 66180	Zschimmer & Schwarz, vormals Chemnitz 65951
Richard A. Fisch 66665		Union Starch & Refining Co. 67181	
Roca Pipes Ltd 65877		Universal Oil Products Co. 67244	
Rohm & Haas Co. 66202, 66622, 66623, 66630			
Ronk S. O., Hunter L. K. 66472			
Ruhrchemie Akt. Ges. 66108, 66162, 66184			
Ruhrchemie Akt. Ges. Lurgi Gesellschaft für Wärmetechnik m. b. H. 66111			
Ruhrgas Akt. Ges. 66010			
Sandoz Soc. An. 65637, 66402, 66828			

Технический редактор А. И. Рупова

Подписано к печати 19/XII 1956 г. Формат бумаги 84 x 108¹/₁₆ Бум. л. 15¹/₂ Печ. л. 50,43
Уч.-изд. л. 86,3 Тираж 4.875 экз. Зам. 933

2-я типография Издательства Академии наук СССР. Москва, Шубинский пер., д. 10



Цена 22 р. 50 к.

Printed in the USSR

2

XUM

2